TenneT
Taking power further

Postbus 718, 6800 AS Arnhem, Nederland
Hoogheemraadschap Scheiland en Krimpenerwaard
T.a.v. M. Akhiat
Postbus 4059
3006 AB ROTTERDAM

DATUM	1 oktober 2014
ONZE REFERENTIE	000.007.40 0165202
BEHANDELD DOOR	Sara Zehenpfenning
TELEFOON DIRECT	026 373 20 34
E-MAIL	Sara.Zehenpfenning@tennet.eu

BETREFT Aanvraag watervergunning - Randstad 380 kV Noordring (Vijfhuizen-Bleiswijk)

Geachte heer Akhiat,

Hierbij ontvangt u een aanvraag voor watervergunning in het kader van artikel 6.5 Waterwet ten behoeve van de realisatie van de hoogspanningsverbinding Randstad 380 kV Noordring (Bleiswijk-Vijfhuizen). Om de hoogspanningsverbinding mogelijk te maken, is het noodzakelijk om de volgende activiteiten uit te voeren:

- Bouwen 380 kV masten 101-112
- Verwijdering 150 kV masten 45- 42
- Bouwen 150 kV opstijgpunt 109
- Aanleggen 150 kV kabelverbinding
- Verwijdering 150 kV kabelverbinding en 150 kV opstijgpunt Herenweg

Deze aanvraag voor een watervergunning ziet op onderstaande waterkundige aspecten:

Waterstaatswerken of beschermingszone gebruiken:
- Overige activiteiten - in/op of nabij - waterkering
- Overige activiteiten - in/op of nabij - oppervlaktewaterlichaam activiteiten uitvoeren
- Overige activiteiten - in/op of nabij - oppervlaktewaterlichaam graven/dempen
- Overige activiteiten - kabels en leidingen
- Overige activiteiten - dam/duiker aanleg/wijzigen/verwijderen
- Overige activiteiten - versnelde afvoer regenwater door verhard oppervlak

Water in de bodem brengen of er aan onttrekken:
- Bouwputbemaling

Water brengen in of onttrekken aan een oppervlaktewaterlichaam:
- Water brengen in een oppervlaktewaterlichaam in beheer bij een waterschap

GE10100.UN1006

Ten aanzien van uw besluit op deze aanvraag ingevolge artikel 6.5 Waterwet is op grond van artikel 20c 2 Elektriciteitswet door de minister bepaald dat omwille van stroomlijning en versnelling de rijkscoördinatieregeling uit de Wet op de ruimtelijke ordening van toepassing is (artikel 3.35). Hierbij is de Minister van Economische Zaken de aangewezen minister voor de coördinatie.

In verband daarmee heeft de minister van Economische Zaken mij gevraagd het volgende op te nemen in deze aanvraag:

1. Ingevolge de rijkscoördinatieregeling dient u een kopie van onderhavige aanvraag te verzenden aan de Minister van Economische Zaken.
2. TenneT zal er echter voor zorgen dat de minister van Economische Zaken een exemplaar van deze aanvraag ontvangt. U hoeft dus geen exemplaar door te sturen.
3. U wordt verzocht om het ontwerpbesluit en later ook het definitieve besluit aan de minister van Economische Zaken te verzenden. Deze zal het besluit doorzenden naar TenneT.

De volgende bijlagen maken onderdeel uit van deze aanvraag:

0. Aanvraagformulier watervergunning

1. Algemene gegevens project Randstad 380 kV Noordring (Bleiswijk - Zuidelijke Ringvaart)
1a – Tracékaart Randstad 380 kV Noordring (Bleiswijk - Zuidelijke Ringvaart)
1b – Kadastrale kaarten
1c – Beïnvloedingsberekening

2. Waterstaatswerk of beschermingszone gebruiken
2a – Constructietekeningen en berekeningen masten
2b – Lengteprofielen
2c – Constructietekeningen en berekeningen mastfundaties
2d – Constructietekeningen en berekeningen opstijgpunt
2e – Gegevens waterkering
2f – Gegevens amoveren 150 kV verbinding
2g – Constructietekeningen en berekeningen 150 kV kabelverbinding
2h – Jukkenplan nieuwbouw
2i – Tekeningen werkterreinen en werkwegen

3. Water in de bodem brengen of eraan onttrekken
3a – Gegevens bemaling

Een volledig overzicht van de vergunningsgegevens vindt u ook in het bijgevoegde bijlagenoverzicht.

GE1001DC LN1028

Wij vertrouwen erop u hiermee voldoende geïnformeerd te hebben. In geval van inhoudelijke vragen of onduidelijkheden verzoeken wij u op korte termijn contact met ons op te nemen (zie aanhef brief voor contactgegevens). Voor procedurele vragen verzoeken wij u contact op te nemen met dhr. M.C. Bernardina van Bureau Energieprojecten, telefoon 070 379 6530.

Hoogachtend,
TenneT TSO B.V.

J. (Jaap) ter Haar
Clustermanager

GE1001DD.UN1008

Overzicht bijlagen

Bijlage	Naam – kenmerk – revisiedatum
1a	Tracékaart Randstad 380 kV Noordring (Bleiswijk - Zuidelijke Ringvaart) VKT 5.0, d.d. 12-02-2014
1b	Kadastrale kaarten (blad 1 t/m 4 van 4) VKT 5.0, d.d. 23-04-2014
1c	Beïnvloedingsberekening (TE121000-R06 AM)
2a1	Constructietekeningen masten Mastenlijst W2E350+5 W2H400+10 W2S400+5 W2H400+5 W4H400ZA+10 W4S400Z+5
2a2	Constructieberekeningen masten W2E350+5 W2H400+10 W2S400+5 W2H400+5 W4H400ZA+10 W4S400Z+5
2b	Lengteprofielen Kenmerk: 30813059-50-13 VKT5.0 blad 10 t/m 11 van 11
2c	Constructietekeningen en berekeningen mastfundaties Mastfundatie type A t/m F (R3N-TEK-0019 t/m 23) Constructieberekening mastfundatie (R3N-OWR-003 t/m 008) Bepaling belastingen op mastfundaties (R3N-OWR-0033) Positie bestaande palen mastlocatie 104 (R3N-TEK-0103)
2d	Constructietekeningen en berekeningen opstijgpunt Constructieberekening fundaties OSPs (R3N-OWR-0034) Ontwerprapport zettingen OSPs (R3N-OWR-0011) Inrichting OSP bij mast 109 (R3N-TEK-0042) Oliedrukhuis bij mast 109 (R3N-TEK-0134)

GE10C1DD.UN1008

2e	Gegevens waterkering Tekeningen waterkeringen (blad 1 t/m 5 van 5) VKT 5.0, d.d. 11-02-2014 Stabiliteit Rottedijk t.g.v. ontgraving kabeltracé (R3N-OWR-0046) Situatie bij waterkering ter plaatse van de Rotte (R3N-TEK-0124)
2f	Gegevens amoveren 150 kV verbinding Jukkenplan amovatie 150 kV verbinding (R3N-OWR-0013) Amoveren 150 kV kabeltracé nabij Moerkapelle (R3N-TEK-0025)
2g	Constructietekeningen en berekeningen 150 kV kabelverbinding Werkplan open ontgraving perceel 2 (R3N-OWR-0014) Ontwerprapport zettingen kabeltracé perceel 2 (R3N-OWR-0017) Trace van mof M150-N1 naar OSP 109 (R3N-TEK-0114) HDD aardingskabel N209 (R3N-TEK-0135) Typicals werkstrookindeling ondergrondse tracés (R3N-TEK-0139)
2h	Jukkenplan nieuwbouw (R3N-OWR-0037)
2i	Tekeningen werkterreinen en werkwegen Overzichtstekening (R3N-TEK-0013 t/m R3N-TEK-0018 en R3N-TEK-0099) Opbouw bouwwegen (R3N-TEK-0029) Kruising tijdelijke bouwweg met watergang 1-4 m d.m.v. schottenbaan (R3N-TEK-0030) Kruising tijdelijke bouwweg met watergang 1-4 m d.m.v. dam en duiker (R3N-TEK-0031 Kruising tijdelijke bouwweg met kabels en/of leidingen, d.m.v. schottenbaan(R3N-TEK-0032) Aansluiting bouwweg op bestaande weg (R3N-TEK-0033) Aansluiting bouwweg op bestaande weg met aansluitend fietspad (R3N-TEK-0034) Kruising tijdelijke bouwweg met watergang 4-10 m, brug met damwand (R3N-TEK-0035) Kruising tijdelijke bouwweg met watergang 4-10 m, brug liggers met damwand (R3N-TEK-0036) Ontwerprapport zettingen permanente toegangswegen (R3N-OWR-0010) Permanente toegangsweg OSP 109 (R3N-TEK-0098)
3a	Gegevens bemaling Bemalingsadvies (R3N-OWR-040) Geotechnisch basisrapport (R3N-OWR-0043) Geotechnisch lengteprofiel (R3N-TEK-0116) Slootkruisingen (R3N-OWR-0041) Lozingsplan (R3N-OWR-0132) Advies MER-beoordeling Rijnland Nr.14.55154

GE1001DC.UN1008

Inhoudsopgave

0	Aanvraagformulier
Bijlage 1a	Tracékaart Randstad 380 kV Noordring (Bleiswijk – Zuidelijke Ringvaart) VKT 5.0
Bijlage 1b	Kadastrale kaarten VKT 5.0
Bijlage 1c	Beïnvloedingsberekening TE121000-R06 AM
Bijlage 2a1	Constructietekeningen masten Mastenlijst W2E350+5 W2H400+10 W2S400+5 W2H400+5 W4H400ZA+10 W4S400Z+5
Bijlage 2a2	Constructieberekeningen masten W2E350+5 W2H400+10 W2S400+5 W2H400+5 W4H400ZA+10 W4S400Z+5
Bijlage 2b	Lengteprofielen 30813059-50-13
Bijlage 2c	Constructietekeningen en berekeningen mastfundaties Mastfundatie type A t/m F (R3N-TEK-0019 t/m 23) Constructieberekening mastfundatie (R3N-OWR-003 Um 008) Bepaling belastingen op mastfundaties (R3N-OWR-0033) Positie bestaande palen mastlocatie 104 {R3N-TEK-0103)
Bijlage 2d	Constructietekeningen en berekeningen opstijgpunt Constructieberekening fundaties OSPs (R3N-OWR-0034} Ontwerprapport zettingen OSPs (R3N-OWR-0011} Inrichting OSP bij mast 109 (R3N-TEK-0042) Oliedrukhuis bii mast 109 (R3N-TEK-0134)

Gegevens bevoegd gezag

Referentienummer	**Datum ontvangst**

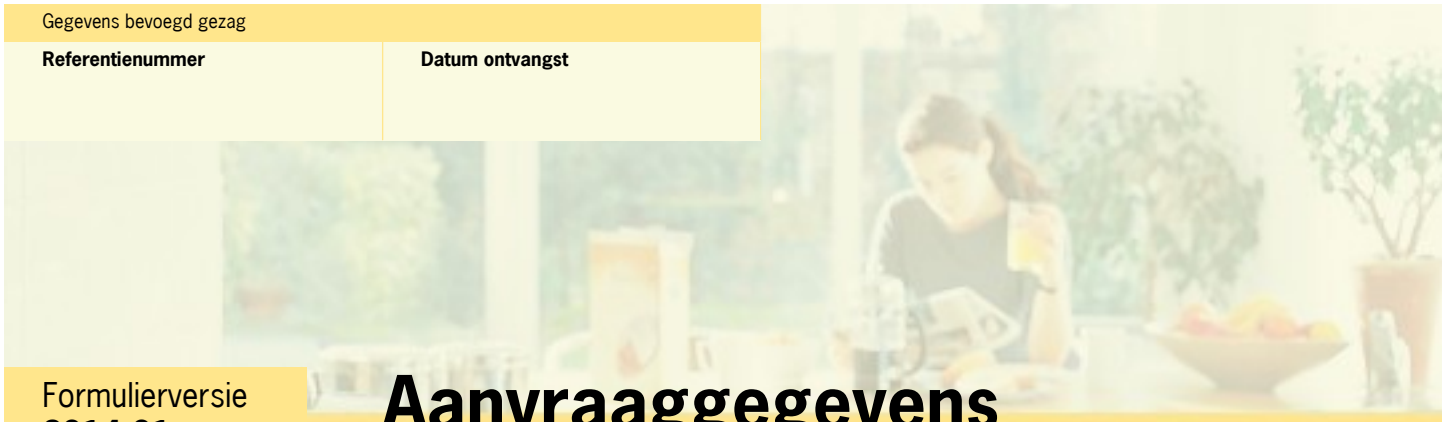

Formulierversie
2014.01

Aanvraaggegevens

Ingediende aanvraag/melding

Aanvraagnummer	1292443
Aanvraagnaam	R380 NR Watervergunning Schieland Krimpenerwaard
Uw referentiecode	4e UM HSK-WV lijn
Ingediend op	01-10-2014
Soort procedure	Onbekend
Projectomschrijving	In de Randstad wordt een nieuwe 380 kV hoogspanningsverbinding gerealiseerd om in de toekomst voldoende capaciteit te kunnen bieden voor elektriciteitstransport in de regio. De hoogspanningsverbinding bestaat uit twee van elkaar te onderscheiden verbindingen. Het betreft de verbinding tussen Wateringen en Zoetermeer (Bleiswijk), de 'Zuidring', en de verbinding tussen Beverwijk en Zoetermeer, de 'Noordring'. Deze aanvraag ziet op een onderdeel van het tracé Noordring.
Opmerking	-
Gefaseerd	Nee
Blokkerende onderdelen weglaten	Ja
Persoonsgegevens openbaar maken	Ja
Bijlagen die later komen	n.v.t.
Bijlagen n.v.t. of al bekend	n.v.t.

Bevoegd gezag

Naam:	HHS Schieland en Krimpenerwaard
Bezoekadres:	Maasboulevard 123 3063 GK ROTTERDAM
Postadres:	Postbus 4059 3006 AB ROTTERDAM
Telefoonnummer:	0104537300
Faxnummer:	0104130694
E-mailadres algemeen:	info@hhsk.nl
Website:	www.hhsk.nl
Contactpersoon:	M. Akhiat
Bereikbaar op:	werkdagen van 08:00 tot 17:00 uur

Overzicht bijgevoegde modulebladen

Aanvraaggegevens

Aanvragergegevens

Locatie van de werkzaamheden

Werkzaamheden en onderdelen

Bouwputbemaling, sleufbemaling, proefbronnering of grondsanering

- Water in de bodem brengen of eraan onttrekken

Water brengen in een oppervlaktewaterlichaam in beheer bij een waterschap (incl. lozingsvoorziening)

- Water brengen in of onttrekken aan een oppervlaktewaterlichaam

Dam (met of zonder duiker) aanleggen, wijzigen of verwijderen

- Waterstaatswerk of beschermingszone gebruiken

Kabels of leidingen aanleggen

- Waterstaatswerk of beschermingszone gebruiken

Oppervlaktewaterlichaam dempen

- Waterstaatswerk of beschermingszone gebruiken

Oppervlaktewaterlichaam graven

- Waterstaatswerk of beschermingszone gebruiken

Versnelde afvoer regenwater door verhard oppervlak

- Waterstaatswerk of beschermingszone gebruiken

Overige activiteiten in of nabij een oppervlaktewaterlichaam uitvoeren

- Waterstaatswerk of beschermingszone gebruiken

Overige activiteiten in, op of nabij een waterkering uitvoeren

- Waterstaatswerk of beschermingszone gebruiken

Bijlagen

Formulierversie
2014.01

Aanvrager bedrijf

1 Bedrijf

KvK-nummer	09155985
Vestigingsnummer	000020300360
Statutaire naam	TenneT TSO B.V.
Handelsnaam	TenneT TSO

2 Contactpersoon

Geslacht	☑ Man ☐ Vrouw
Voorletters	J.
Voorvoegsels	ter
Achternaam	Haar
Functie	Clustermanager Randstad 380 kV

3 Vestigingsadres bedrijf

Postcode	6812AR
Huisnummer	310
Huisletter	-
Huisnummertoevoeging	-
Straatnaam	Utrechtseweg
Woonplaats	ARNHEM

4 Correspondentieadres

Postbus	718
Postcode	6800AS
Plaats	Arnhem

5 Contactgegevens

Telefoonnummer	026-373 20 34
Faxnummer	-
E-mailadres	sara.zehenpfenning@tennet.eu

Formulierversie
2014.01

Locatie

1 Kadastraal perceelnummer

Burgerlijke gemeente	Lansingerland
Kadastrale gemeente	☑ Bleiswijk
Kadastrale sectie	A
Kadastraal perceelnummer	643
Bouwplannaam	-
Bouwnummer	-
Gelden de werkzaamheden in deze aanvraag/melding voor meerdere adressen of percelen?	☑ Ja ☐ Nee
Specificatie locatie	Zie bijlage 1b

2 Eigendomssituatie

Eigendomssituatie van het perceel	☐ U bent eigenaar van het perceel ☐ U bent erfpachter van het perceel ☐ U bent huurder van het perceel ☑ Anders
Uw belang bij deze aanvraag	TenneT is de initatiefnemer van het project Randstad 380 kV Noordring. Gesprekken om zakelijk recht te verstigen worden momenteel gevoerd en zullen voor start uitvoering worden afgerond.

Formulierversie
2014.01

Water in de bodem brengen of eraan onttrekken

Bouwputbemaling, sleufbemaling, proefbronnering of grondsanering

1 Water in de bodem brengen of eraan onttrekken

Welke activiteit wilt u uitvoeren?	☐ Realiseren van een open bodemenergiesysteem ☑ Onttrekken van grondwater ☐ Infiltreren van water
Wilt u een bestaande vergunning wijzigen?	☐ Ja ☑ Nee
Wat is de begindatum van deze activiteit?	01-02-2016
Geef eventueel een toelichting op de begindatum.	-
Wat is de einddatum van deze activiteit?	30-11-2018
Geef eventueel een toelichting op de einddatum.	-
Omschrijf de activiteit die u wilt uitvoeren.	Bouwputbemaling t.b.v. bouwen mastfundaties en aanleg kabelverbinding met toepassing van open ontgraving
Waarom wilt u de activiteit uitvoeren?	Realisatie 380 kV hoogspanningsverbinding Noordring (Bleiswijk-Vijfhuizen)

2 Onttrekken van grondwater

Waarvoor wilt u grondwater onttrekken?	☐ Industriële toepassing van meer dan 150.000 m3 per jaar ☐ Industriële toepassing van minder dan 150.000 m3 per jaar ☐ Openbare drinkwatervoorziening ☐ Open bodemenergiesysteem ☐ Drinkwater vee ☑ Bronbemaling ☐ Bodem- en/of grondwatersanering ☐ Beregening ☐ Anders
In welke volume-eenheid wilt u de maximaal per uur te onttrekken hoeveelheid opgeven? Kies de eenheid zo, dat u de hoeveelheid als een geheel getal kunt opgeven.	☑ m3 ☐ l
Hoeveel water wilt u maximaal per uur onttrekken in de door u opgegeven eenheid?	1
Hoeveel water wilt u maximaal onttrekken in m3 per etmaal?	1

Hoeveel water wilt u maximaal onttrekken in m3 per maand?	1
Hoeveel water wilt u maximaal onttrekken in m3 per kwartaal?	1
Hoeveel water wilt u maximaal onttrekken in m3 per jaar?	1
Hoeveel m3 water wilt u in totaal maximaal onttrekken?	281390
Op welke manier voert u het onttrokken grondwater af dat niet wordt verbruikt?	☑ Lozen in een oppervlaktewaterlichaam ☐ Lozen via de gemeentelijke riolering ☐ Terugbrengen in de bodem of het grondwater ☐ Lozen op de bodem ☐ Anders

Formulierversie
2014.01

Water brengen in of onttrekken aan een oppervlaktewaterlichaam

Water brengen in een oppervlaktewaterlichaam in beheer bij een waterschap (incl. lozingsvoorziening)

1 Water brengen in of onttrekken aan een oppervlaktewaterlichaam

Wat gaat u met betrekking tot het oppervlaktewaterlichaam doen?	☑ Water brengen in een oppervlaktewaterlichaam ☐ Water onttrekken aan een oppervlaktewaterlichaam
Wilt u een bestaande vergunning wijzigen?	☐ Ja ☑ Nee
Wat is de begindatum van deze activiteit?	01-02-2016
Geef eventueel een toelichting op de begindatum.	-
Wat is de einddatum van deze activiteit?	30-11-2018
Geef eventueel een toelichting op de einddatum.	-
Wat is de naam van het oppervlaktewaterlichaam waarin water wordt gebracht of waaraan water wordt onttrokken?	Zie bijlage 3a
Omschrijf de activiteit die u wilt uitvoeren.	Lozen van bemalingswater, zie bemalingsadvies bijlage 3a
Waarom wilt u de activiteit uitvoeren?	Het lozen van bemalingswater is noodzakelijk t.b.v. de realisatie van de hoogspanningsverbinding Randstad 380 kV (Bleiswijk-Vijfhuizen)

2 Water in een oppervlaktewaterlichaam brengen

Wat is de noodzaak om water in een oppervlaktewaterlichaam te brengen?	Zie bijlage 3a
Hoe worden de geloosde hoeveelheden water vastgesteld?	☑ Debietmeting ☐ Pompcapaciteit x draaiuren ☐ Schatting ☐ Anders

Formulierversie
2014.01

Waterstaatswerk of beschermingszone gebruiken

Dam (met of zonder duiker) aanleggen, wijzigen of verwijderen

1 Waterstaatwerk of beschermingszone gebruiken

Wilt u een bestaande vergunning wijzigen?	☐ Ja ☑ Nee
Wat is de geplande begindatum van deze activiteit?	01-02-2016
Geef eventueel een toelichting op de begindatum.	-
Wat is de geplande einddatum van deze activiteit?	30-11-2018
Geef eventueel een toelichting op de einddatum.	-
Omschrijf de activiteit die u wilt uitvoeren.	Aanleg dammen met duikers, zie tekeningen werkterreinen en werkwegen, bijlage 2i
Waarom wilt u de activiteit uitvoeren?	Aanleg dammen met duikers t.b.v. de realisatie van de hoogspanningsverbinding Randstad 380 kV (Bleiswijk-Vijfhuizen)

Formulierversie
2014.01

Waterstaatswerk of beschermingszone gebruiken

Dam (met of zonder duiker) aanleggen, wijzigen of verwijderen

1 Dam (met of zonder duiker) aanleggen, wijzigen of verwijderen

Welke activiteit(en) wilt u uitvoeren met betrekking tot de dam?	☑ Aanleggen van een nieuwe dam ☐ Wijzigen van een bestaande dam ☐ Verwijderen van een dam
Wat is de lengte van de dam, afgerond in hele meters?	1
In welke lengte-eenheid wilt u de bovenbreedte van de dam opgeven? Kies de eenheid zo, dat u de breedte als een geheel getal kunt opgeven.	☑ m ☐ cm
Wat is de bovenbreedte van de dam, in de door u gekozen eenheid?	1
Bevat de dam een duiker?	☑ Ja ☐ Nee
Wat is de vorm van de duiker?	☑ Rond ☐ Rechthoekig
Wat is de lengte van de duiker op de waterlijn, afgerond in hele meters?	1
Wat is de diameter van de duiker in centimeter?	1

2 Waterschapspecifieke vragen

Gaat u een dam met duiker aanbrengen in een oppervlaktewaterlichaam overig?	☑ Ja ☐ Nee

Formulierversie
2014.01

Waterstaatswerk of beschermingszone gebruiken

Kabels of leidingen aanleggen

1 Waterstaatwerk of beschermingszone gebruiken

Wilt u een bestaande vergunning wijzigen?	☐ Ja ☑ Nee
Wat is de geplande begindatum van deze activiteit?	01-02-2016
Geef eventueel een toelichting op de begindatum.	-
Wat is de geplande einddatum van deze activiteit?	30-11-2018
Geef eventueel een toelichting op de einddatum.	-
Omschrijf de activiteit die u wilt uitvoeren.	Aanleggen 150 kV kabelverbinding
Waarom wilt u de activiteit uitvoeren?	Aanleggen 150 kV kabelverbinding t.b.v. de realisatie van de hoogspanningsverbinding Randstad 380 kV (Bleiswijk-Vijfhuizen)

Formulierversie
2014.01

Waterstaatswerk of beschermingszone gebruiken

Kabels of leidingen aanleggen

1 Kabels of leidingen aanleggen

Welke activiteit(en) wilt u uitvoeren met betrekking tot kabels of leidingen?	☑ Aanleggen van kabels of leidingen in of nabij een oppervlaktewaterlichaam ☐ Aanleggen van kabels of leidingen in, op of nabij een waterkering ☐ Aanleggen van kabels of leidingen in, op of nabij een oppervlaktewaterlichaam en een waterkering
Past u bij de werkzaamheden een horizontaal gestuurde boring toe die een oppervlaktewaterlichaam, waterkering of beschermingszone doorkruist?	☐ Ja ☑ Nee
Welke kabels of leidingen wilt u aanleggen?	☐ Aanleggen van een vloeistofleiding ☐ Aanleggen van kabels ☐ Aanleggen van een warmtetransportleiding ☐ Aanleggen van kabels ten behoeve van telecom/televisie ☐ Aanleggen van een drukleiding ☑ Anders
Welke andere kabels of leidingen legt u aan?	150 kV hoogspanningskabels

2 Waterschapspecifieke vragen

Gaat u kabels en/of leidingen aanleggen of verwijderen in en nabij water of waterkering?	☑ Ja ☐ Nee

Formulierversie
2014.01

Waterstaatswerk of beschermingszone gebruiken

Oppervlaktewaterlichaam dempen

1 Waterstaatwerk of beschermingszone gebruiken

Wilt u een bestaande vergunning wijzigen?	☐ Ja ☑ Nee
Wat is de geplande begindatum van deze activiteit?	01-02-2016
Geef eventueel een toelichting op de begindatum.	-
Wat is de geplande einddatum van deze activiteit?	30-11-2018
Geef eventueel een toelichting op de einddatum.	-
Omschrijf de activiteit die u wilt uitvoeren.	Dempen van oppervlaktewater
Waarom wilt u de activiteit uitvoeren?	Dempen van oppervlaktewater t.b.v. de realisatie van de hoogspanningsverbinding Randstad 380 kV (Bleiswijk-Vijfhuizen)

Formulierversie
2014.01

Waterstaatswerk of beschermingszone gebruiken

Oppervlaktewaterlichaam dempen

1 Oppervlaktewaterlichaam dempen

Welke dempingsactiviteit(en) wilt u uitvoeren?	☑ Geheel dempen van een oppervlaktewaterlichaam ☑ Dempen van een deel van een oppervlaktewaterlichaam ☑ Versmallen van een oppervlaktewaterlichaam
Wat is de lengte van het te dempen oppervlaktewaterlichaam, afgerond in hele meters?	1
Wat is de omvang van de demping in m2?	1
Wat is de omvang van de demping in m3?	1
Welke materialen gebruikt u voor de demping?	Zie tekeningen werkwegen en werkterreinen, bijlage 2i

2 Waterschapspecifieke vragen

Gaat u een oppervlaktewaterlichaam overig dempen?	☑ Ja ☐ Nee

Formulierversie
2014.01

Waterstaatswerk of beschermingszone gebruiken

Oppervlaktewaterlichaam graven

1 Waterstaatwerk of beschermingszone gebruiken

Wilt u een bestaande vergunning wijzigen?	☐ Ja ☑ Nee
Wat is de geplande begindatum van deze activiteit?	01-02-2016
Geef eventueel een toelichting op de begindatum.	-
Wat is de geplande einddatum van deze activiteit?	30-11-2018
Geef eventueel een toelichting op de einddatum.	-
Omschrijf de activiteit die u wilt uitvoeren.	Graven van oppervlaktewater ter compensatie van waterdemping
Waarom wilt u de activiteit uitvoeren?	Graven van oppervlaktewater t.b.v. de realisatie van de hoogspanningsverbinding Randstad 380 kV (Bleiswijk-Vijfhuizen)

Formulierversie
2014.01

Waterstaatswerk of beschermingszone gebruiken

Oppervlaktewaterlichaam graven

1 Oppervlaktewaterlichaam graven

Welke graafactiviteit(en) wilt u uitvoeren?	☑ Graven van een nieuw oppervlaktewaterlichaam ☑ Verbreden van een bestaand oppervlaktewaterlichaam
Wat is de lengte van het nieuwe oppervlaktewaterlichaam, afgerond in hele meters?	1
In welke lengte-eenheid wilt u de bodembreedte van het oppervlaktewaterlichaam opgeven? Kies de eenheid zo, dat u de breedte als een geheel getal kunt opgeven.	☐ m ☑ cm
Wat is de bodembreedte van het nieuwe oppervlaktewaterlichaam, in de door u opgegeven eenheid?	1
Wat is de lengte van de verbreding van het oppervlaktewaterlichaam, afgerond in hele meters?	1
In welke lengte-eenheid wilt u de bodembreedte van het oppervlaktewaterlichaam opgeven? Kies de eenheid zo, dat u de breedte als een geheel getal kunt opgeven.	☐ m ☑ cm
Wat is de bodembreedte van de verbreding van het oppervlaktewaterlichaam, in de door u opgegeven eenheid?	1
Wat is de taludhelling van het nieuw te graven oppervlaktewaterlichaam?	1

2 Waterschapspecifieke vragen

Gaat u een oppervlatewaterlichaam overig graven of verbreden?	☑ Ja ☐ Nee

Formulierversie
2014.01

Waterstaatswerk of beschermingszone gebruiken

Versnelde afvoer regenwater door verhard oppervlak

1 Waterstaatwerk of beschermingszone gebruiken

Wilt u een bestaande vergunning wijzigen?	☐ Ja ☑ Nee
Wat is de geplande begindatum van deze activiteit?	01-02-2016
Geef eventueel een toelichting op de begindatum.	-
Wat is de geplande einddatum van deze activiteit?	30-11-2018
Geef eventueel een toelichting op de einddatum.	-
Omschrijf de activiteit die u wilt uitvoeren.	Aanleg verhard oppervlak
Waarom wilt u de activiteit uitvoeren?	Aanleg verhard oppervlak t.b.v. de realisatie van de hoogspanningsverbinding Randstad 380 kV (Bleiswijk-Vijfhuizen)

Formulierversie
2014.01

Waterstaatswerk of beschermingszone gebruiken

Versnelde afvoer regenwater door verhard oppervlak

1 Versnelde afvoer regenwater door verhard oppervlak

Welke activiteit(en) wilt u uitvoeren met betrekking tot het aanbrengen van verhard oppervlak?	☑ Aanbrengen van verharding ☐ Inrichten van een opslagdepot (bijvoorbeeld voor grond of grind) ☐ Bouwen van dakoppervlak ☐ Bouwen van kassen ☐ Anders
Wat is het soort of type van de aan te brengen verharding?	Zie bijlage 2i
Wat is de oppervlakte van de aan te brengen verharding, dakoppervlak of kassen in m2?	1
Omschrijf hoe hemelwater dat op de verharding valt wordt afgevoerd.	Hemelwater stroomt af richting onverhard oppervlak
Omschrijf de compenserende of bergende maatregelen voor de aan te brengen verharding, dakoppervlak of kassen.	-

Formulierversie
2014.01

Waterstaatswerk of beschermingszone gebruiken

Overige activiteiten in of nabij een oppervlaktewaterlichaam uitvoeren

1 Waterstaatwerk of beschermingszone gebruiken

Wilt u een bestaande vergunning wijzigen?	☐ Ja ☑ Nee
Wat is de geplande begindatum van deze activiteit?	01-02-2016
Geef eventueel een toelichting op de begindatum.	-
Wat is de geplande einddatum van deze activiteit?	30-11-2018
Geef eventueel een toelichting op de einddatum.	-
Omschrijf de activiteit die u wilt uitvoeren.	Bouwen 380 kV masten 101-112 Verwijdering 150 kV masten 45- 42 Bouwen 150 kV opstijgpunt 109 Aanleggen 150 kV kabelverbinding Verwijdering 150 kV kabelverbinding en 150 kV opstijgpunt Herenweg
Waarom wilt u de activiteit uitvoeren?	Werkzaamheden zijn t.b.v. de realisatie van de hoogspanningsverbinding Randstad 380 kV (Bleiswijk-Vijfhuizen)

Formulierversie
2014.01

Waterstaatswerk of beschermingszone gebruiken

Overige activiteiten in of nabij een oppervlaktewaterlichaam uitvoeren

1 Overige activiteiten in of nabij een oppervlaktewaterlichaam uitvoeren

Welke overige activiteit(en) wilt u uitvoeren in of nabij oppervlaktewaterlichamen?

- ☐ Plaatsen van hekwerken en afrasteringen
- ☐ Oprichten van een gebouw, zoals een woning of bedrijfspand
- ☐ Plaatsen van nutsvoorzieningen (meet- en regelstations e.d.)
- ☐ (Ver)bouwen van een boothuis
- ☐ Plaatsen van afmeerpalen
- ☐ Plaatsen van remmingwerken
- ☐ Aanbrengen van lozingswerken
- ☐ Plaatsen van mosselzaadinvanginstallaties
- ☐ Plaatsen van meetpalen
- ☐ Aanbrengen van visfuiken of ander vistuig
- ☐ Oprichten van een windturbine(park)
- ☐ Oprichten van een zendmast
- ☑ Anders

Welke andere activiteit voert u uit in of nabij oppervlaktewaterlichamen?

Activiteiten opgesomd in brief 000.007.40 0165202

2 Waterschapspecifieke vragen

Gaat u overige activiteiten in of nabij een oppervlaktewaterlichaam uitvoeren?

- ☑ Ja
- ☐ Nee

Formulierversie
2014.01

Waterstaatswerk of beschermingszone gebruiken

Overige activiteiten in, op of nabij een waterkering uitvoeren

1 Waterstaatwerk of beschermingszone gebruiken

Wilt u een bestaande vergunning wijzigen?	☐ Ja ☑ Nee
Wat is de geplande begindatum van deze activiteit?	01-02-2016
Geef eventueel een toelichting op de begindatum.	-
Wat is de geplande einddatum van deze activiteit?	30-11-2018
Geef eventueel een toelichting op de einddatum.	-
Omschrijf de activiteit die u wilt uitvoeren.	Verwijderen 150 Kv kabelverbinding uit de Rotte
Waarom wilt u de activiteit uitvoeren?	Werkzaamheden zijn t.b.v. de realisatie van de hoogspanningsverbinding Randstad 380 kV (Bleiswijk-Vijfhuizen)

Formulierversie
2014.01

Waterstaatswerk of beschermingszone gebruiken

Overige activiteiten in, op of nabij een waterkering uitvoeren

1 Activiteiten in, op of nabij een waterkering uitvoeren

Welke activiteit(en) wilt u uitvoeren in, op of nabij een waterkering?

- ☐ Oprichten van een gebouw, zoals een woning, bedrijfspand, strandpaviljoen of strandhuisje
- ☐ Aanbrengen van een waterinlaat- of wateruitlaatconstructie
- ☐ Plaatsen van een windturbine(park)
- ☐ Aanleggen van een oprit of grondlichaam
- ☐ Aanbrengen van een baggerdepot of gronddepot
- ☐ Ontgraven van grond
- ☐ Beweiden met vee
- ☐ Organiseren van een wedstrijd of evenement
- ☐ Aanbrengen van beplanting/bomen
- ☐ Verwijderen van beplanting/bomen
- ☐ Uitvoeren van boringen of sonderingen
- ☐ Oprichten van zandbanketten op het strand ten behoeve van niet permanente bebouwing
- ☐ Verplaatsen van zand op het strand (anders dan zandbanket)
- ☑ Andere werkzaamheden

Welke andere werkzaamheden voert u uit in, op of nabij een waterkering?

Verwijderen 150 kV kabelverbinding uit de Rotte

2 Waterschapspecifieke vragen

Gaat u overige activiteiten in, op of nabij een waterkering uitvoeren?

- ☑ Ja
- ☐ Nee

Tabellen

Water in de bodem brengen of eraan onttrekken

Bouwputbemaling, sleufbemaling, proefbronnering of grondsanering

Onttrekkingsputten

Putnummer	Nieuw/bestaand	Diameter (cm)	Lengte (cm)	Bovenkant t.o.v. NAP (cm)	Onderkant t.o.v. NAP (cm)
Bijlage 3a	Nieuw	1	1	1	1

Bovenkant t.o.v. maaiveld (cm)	Onderkant t.o.v. maaiveld (cm)	Brutopompcapaciteit (l/uur)	Pompcapaciteit (l/uur)	RD X-coördinaat	RD Y-coördinaat
-1	-1	1	1	300000	300000,01

Tabellen

Water brengen in of onttrekken aan een oppervlaktewaterlichaam

Water brengen in een oppervlaktewaterlichaam in beheer bij een waterschap (incl. lozingsvoorziening)

Overzicht uitstroomvoorzieningen

Naam uitstroomvoorziening	Pompcapaciteit-eenheid	Pompcapaciteit (m3/uur of l/h)	Vorm uitstroomvoorziening	Lengte uitstroomvoorziening (cm)	Breedte uitstroomvoorziening (cm)
Zie bijlage 3a	m3/h	1	Rond	1	-

Hoogte uitstroomvoorziening (cm)	Diameter uitstroomvoorziening (cm)	Diepte uitstroomvoorziening t.o.v. maaiveld (cm)	Afstand tot de oever (m)	Variatie per seizoen	Maximaal lozen (m3/uur)
-	1	1	1	Omvang is gehele jaar gelijk	281390

Lozing voorjaar (m3/uur)	Lozing zomer (m3/uur)	Lozing najaar (m3/uur)	Lozing winter (m3/uur)
-	-	-	-

Formulierversie
2014.01

Bijlagen

Formele bijlagen

Naam bijlage	Bestandsnaam	Type	Datum ingediend	Status document
Bijlage 1a Tracekaart	Bijlage 1a Tracekaart.pdf	Anders	01-10-2014	In behandeling
Bijlage 1b Kadastrale kaarten	Bijlage 1b Kadastrale kaarten.pdf	Anders	01-10-2014	In behandeling
Bijlage 1c Beinvloedingsberekening	Bijlage 1c Beinvloedingsberekening.pdf	Anders	01-10-2014	In behandeling
Bijlage 2a2 Constructieberek masten	Bijlage 2a2 Constructieberekeningen masten.pdf	Anders	01-10-2014	In behandeling
Bijlage 2b Lengteprofielen	Bijlage 2b Lengteprofielen.pdf	Anders	01-10-2014	In behandeling
Bijlage 2c Constructiegeg fundaties	Bijlage 2c Constructiegeg fundaties.pdf	Anders	01-10-2014	In behandeling
Bijlage 2d Constructiegeg OSP	Bijlage 2d Constructiegeg OSP.pdf	Anders	01-10-2014	In behandeling
Bijlage 2e Gegevens waterkeringen	Bijlage 2e Gegevens waterkeringen.pdf	Anders	01-10-2014	In behandeling
Bijlage 2f Amoveren 150 kV verbinding	Bijlage 2f Amoveren 150 kV verbinding.pdf	Anders	01-10-2014	In behandeling
Bijlage 2g Constructiegeg 150 kV kvb	Bijlage 2g Constructiegeg 150 kV kabelverbinding.pdf	Anders	01-10-2014	In behandeling
Bijlage 2h Jukkenplan nieuwbouw	Bijlage 2h Jukkenplan nieuwbouw.pdf	Anders	01-10-2014	In behandeling
Bijlage 2i Tekeningen werkt en werkwg	Bijlage 2i Tekeningen werkterreinen en werkwegen.pdf	Anders	01-10-2014	In behandeling
Aanvraagbrief HSK-WV_pdf	Aanvraagbrief HSK-WV.pdf	Anders	01-10-2014	In behandeling
Bijlage 2a1 Constructietek masten_pdf	Bijlage 2a1 Constructietekeningen masten.pdf	Anders	01-10-2014	In behandeling
Bijlage 3a Gegevens bemaling_pdf	Bijlage 3a Gegevens bemaling.pdf	Anders	01-10-2014	In behandeling

Bijlage 1a

Tracékaart Randstad 380 kV Noordring (Bleiswijk - Zuidelijke Ringvaart)

Randstad 380 kV

Noordring VKT 5.0 Bleiswijk - Zuidelijke ringvaart

Legenda

- Mastvoet
- 380kV bovengronds (solo)
- 380kV bovengronds (combi)
- 380kV boring
- 380kV open ontgraving
- 150kV boring
- 150kV open ontgraving
- Opstijgpunt
- PKB corridor

Bestaande verbindingen

- 380kV bovengronds
- 150kV bovengronds
- 150kV ondergronds
- ×××× 150kV te amoveren

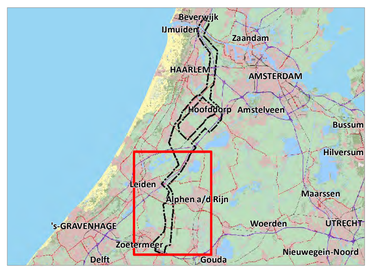

Project	Randstad 380 kV Noordring		
Aanmaakdatum	25-06-2013	Formaat	A0
Revisiedatum	12-02-2014	Schaal	1:20.000
Kenmerk	VKT5.0	Blad	1 van 1

A:\p_r380\producten\overzicht\trace\noordring\130619_vkt50\
p_r380_overz_vkt50_Bleiswijk_zuidelijke_ringvaart_a0s.mxd

0 500 1.000 1.500 2.000 meter

N

Aan deze tekening kunnen geen rechten worden ontleend. © TenneT TSO B.V.

Bijlage 1b
Kadastrale kaarten

Randstad 380 kV

HSK-WV lijn VB

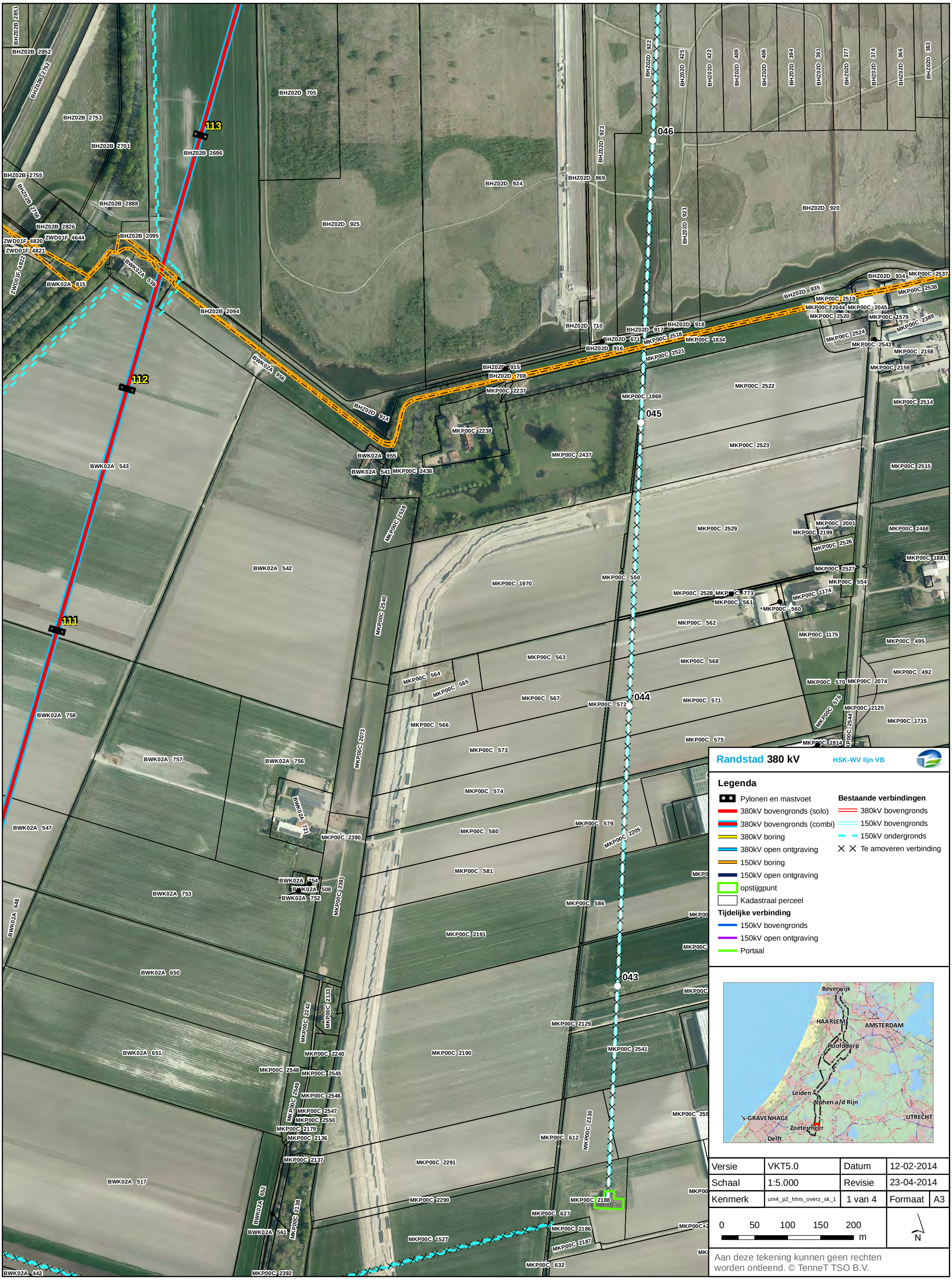

Randstad 380 kV HSK-WV lijn VB

Legenda

- Pylonen en mastvoet
- 380kV bovengronds (solo)
- 380kV bovengronds (combi)
- 380kV boring
- 380kV open ontgraving
- 150kV boring
- 150kV open ontgraving
- opstijgpunt
- Kadastraal perceel

Tijdelijke verbinding

- 150kV bovengronds
- 150kV open ontgraving
- Portaal

Bestaande verbindingen

- 380kV bovengronds
- 150kV bovengronds
- 150kV ondergronds
- Te amoveren verbinding

Versie	VKT5.0	Datum	12-02-2014
Schaal	1:5.000	Revisie	23-04-2014
Kenmerk	um4_p2_hhrs_overz_sk_1	1 van 4	Formaat A3

0 50 100 150 200 m

N

Aan deze tekening kunnen geen rechten worden ontleend. © TenneT TSO B.V.

Randstad 380 kV

HSK-WV lijn VB

Randstad 380 kV HSK-WV lijn VB

Legenda

- Pylonen en mastvoet
- 380kV bovengronds (solo)
- 380kV bovengronds (combi)
- 380kV boring
- 380kV open ontgraving
- 150kV boring
- 150kV open ontgraving
- opstijgpunt
- Kadastraal perceel

Tijdelijke verbinding

- 150kV bovengronds
- 150kV open ontgraving
- Portaal

Bestaande verbindingen

- 380kV bovengronds
- 150kV bovengronds
- 150kV ondergronds
- Te amoveren verbinding

Versie	VKT5.0	Datum	12-02-2014
Schaal	1:5.000	Revisie	23-04-2014
Kenmerk	um4_p2_hhrs_overz_sk_2	2 van 4	Formaat A3

0 50 100 150 200 m

N

Aan deze tekening kunnen geen rechten worden ontleend. © TenneT TSO B.V.

Randstad 380 kV

HSK-WV lijn VB

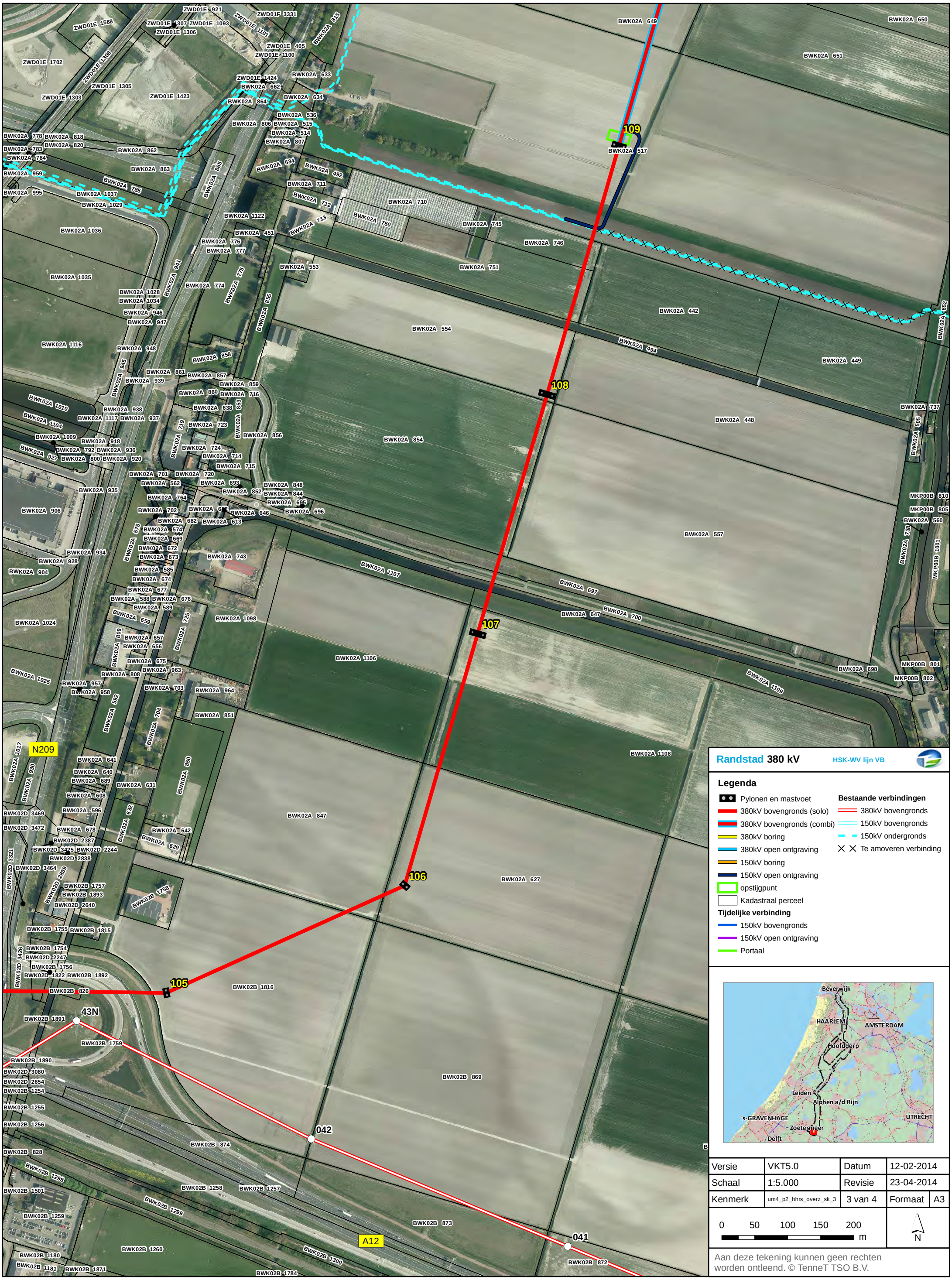

Randstad 380 kV HSK-WV lijn VB

Legenda

- Pylonen en mastvoet
- 380kV bovengronds (solo)
- 380kV bovengronds (combi)
- 380kV boring
- 380kV open ontgraving
- 150kV boring
- 150kV open ontgraving
- opstijgpunt
- Kadastraal perceel

Tijdelijke verbinding

- 150kV bovengronds
- 150kV open ontgraving
- Portaal

Bestaande verbindingen

- 380kV bovengronds
- 150kV bovengronds
- 150kV ondergronds
- Te amoveren verbinding

Versie	VKT5.0	Datum	12-02-2014
Schaal	1:5.000	Revisie	23-04-2014
Kenmerk	um4_p2_hhrs_overz_sk_3	3 van 4	Formaat A3

0 50 100 150 200 m

N

Aan deze tekening kunnen geen rechten worden ontleend. © TenneT TSO B.V.

Randstad 380 kV

HSK-WV lijn VB

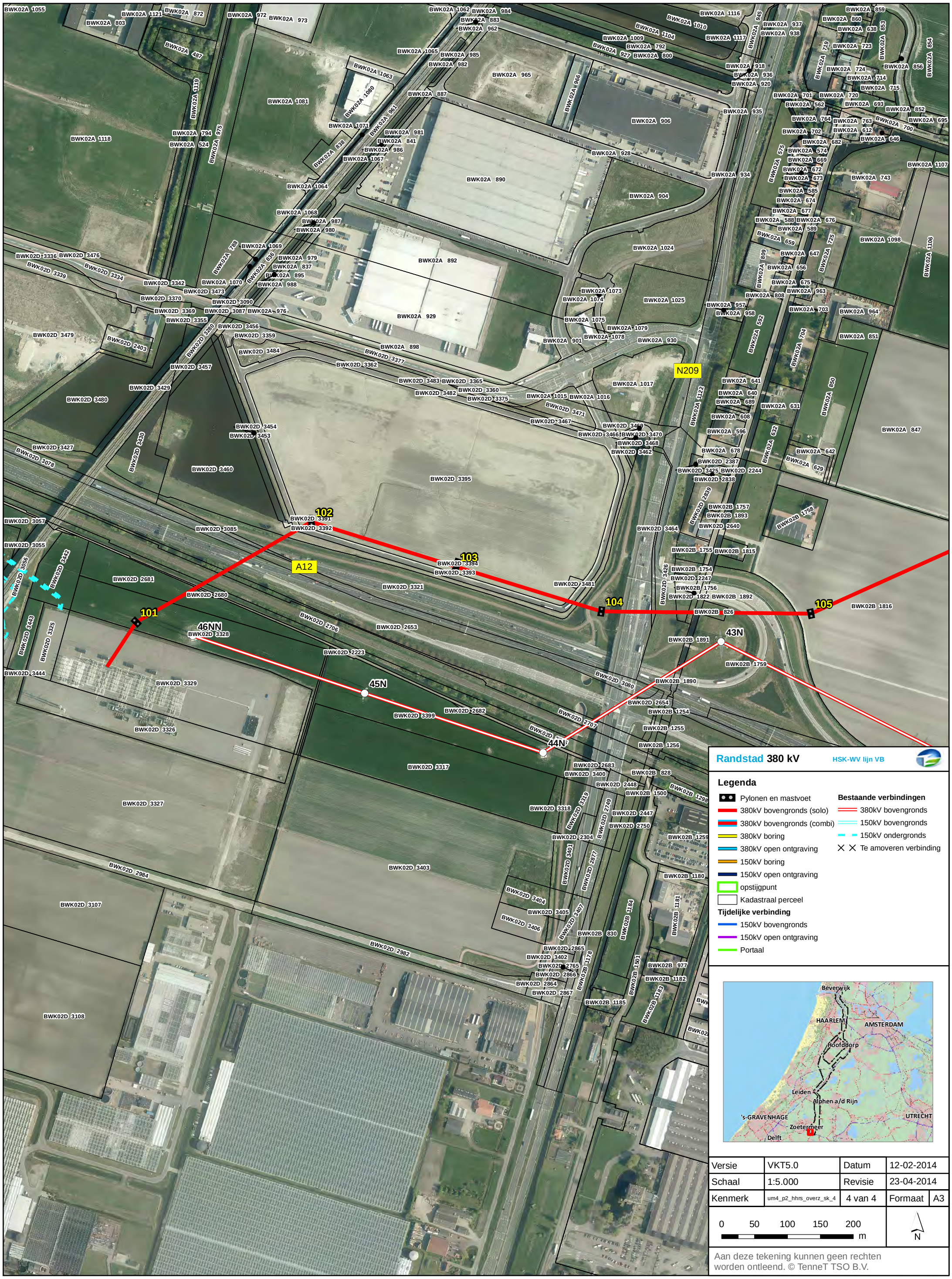

Randstad 380 kV HSK-WV lijn VB

Legenda

- Pylonen en mastvoet
- 380kV bovengronds (solo)
- 380kV bovengronds (combi)
- 380kV boring
- 380kV open ontgraving
- 150kV boring
- 150kV open ontgraving
- opstijgpunt
- Kadastraal perceel

Tijdelijke verbinding

- 150kV bovengronds
- 150kV open ontgraving
- Portaal

Bestaande verbindingen

- 380kV bovengronds
- 150kV bovengronds
- 150kV ondergronds
- Te amoveren verbinding

Versie	VKT5.0	Datum	12-02-2014
Schaal	1:5.000	Revisie	23-04-2014
Kenmerk	um4_p2_hhrs_overz_sk_4	4 van 4	Formaat A3

0 50 100 150 200 m

N

Aan deze tekening kunnen geen rechten worden ontleend. © TenneT TSO B.V.

Bijlage 1c
Beïnvloedingsberekening

Elektrische beïnvloedingen op objecten van het Hoogheemraadschap van Schieland en de Krimpenerwaard door Randstad 380kV Noordring

In opdracht van TenneT

Doorwerth, 14 juni 2013
Referentie: TE121000-R07 AM
Auteur: A. Mobder
Status: definitief
Versie: 1.0

Auteur	datum 14-06-2013	gecontroleerd	datum 14-06-2013

© PETERSBURG CONSULTANTS B.V. - POSTBUS 11 - 6865 ZG DOORWERTH - TEL. +31(0)26 339 73 60 - FAX +31(0)26 334 24 09

Copyright © Petersburg Consultants B.V., Doorwerth, the Netherlands. All rights reserved.

Dit document bevat vertrouwelijke informatie. Overdracht van de informatie aan derden zonder schriftelijke toestemming van of namens Petersburg Consultants B.V. is verboden. Hetzelfde geldt voor het kopiëren van het document of een gedeelte daarvan.

Petersburg Consultants B.V. en/of de met haar gelieerde maatschappijen zijn niet aansprakelijk voor enige directe, indirecte, bijkomstige of gevolgschade ontstaan door of bij het gebruik van de informatie of gegevens uit dit document, of door de onmogelijkheid die informatie of gegevens te gebruiken.

INHOUD blz.

1 INLEIDING 5
2 BEÏNVLOEDINGSMECHANISMEN 6
2.1 Magnetische velden 6
2.1.1 Het fenomeen 6
2.1.2 De gevolgen 6
2.2 Elektrische velden 7
2.2.1 Het fenomeen 7
2.2.2 De gevolgen 7
2.3 Inductieve beïnvloeding 7
2.3.1 Het fenomeen 7
2.3.2 De gevolgen 8
2.4 Weerstandsbeïnvloeding 8
2.4.1 Het fenomeen 8
2.4.2 De gevolgen 9
2.5 Capacitieve beïnvloeding 9
2.5.1 Het fenomeen 9
2.5.2 De gevolgen 10
3 EISEN EN BENODIGDE CONTROLES 11
4 UITGANGSPUNTEN 15
4.1 Gebied en tracés 15
4.2 Gegevens hoogspanningsverbindingen 16
4.3 Bodemweerstand 16
5 BEINVLOEDINGSGEBIEDEN 17
5.1 Weerstandsbeïnvloeding 17
5.2 Capacitieve beïnvloeding en elektrische veld 17
5.3 Inductieve beïnvloedingen 18
6 BESCHOUWINGEN 19
6.1 Objecten Hoogheemraadschap 19
6.2 Controle en toetsing 19
6.2.1 Weerstandsbeïnvloeding 19
6.2.2 Capacitieve beïnvloeding 19
6.2.3 Inductieve beïnvloeding 19
6.2.4 Elektrische velden 19
6.2.5 Magnetische velden 20
7 CONCLUSIE EN AANBEVELINGEN 21
BRONVERMELDING 22

Bijlage A: Stromen
Bijlage B: Klokgetallen configuratie
Bijlage C: Mastbeelden en kabelbed
Bijlage D: Bodemweerstanden
Bijlage E: Beinvloedingsgebieden

Revisie overzicht

Datum	Nummer	Opmerkingen	Auteur
15-3-2013	0.1	concept	A. Mobder
17-4-2013	0.2	RFA 000.007.40 0144026 d.d. 12-4-13	A. Mobder
30-5-2013	0.3	RFC002 d.d. 25-4-2013, kortsluitstroom is gewijzigd	A. Mobder
14-6-2013	1.0	RFA 000.007.40 0144026 d.d. 14-6-13	A. Mobder

1 INLEIDING

TenneT is voornemens een nieuwe 380kV hoogspanningsverbinding te realiseren van station Beverwijk via station Vijfhuizen naar station Bleiswijk. Voor het tracé wordt gebruik gemaakt van Wintrack hoogspanningsmasten. Diverse nabijgelegen hoogspanningsverbindingen worden gecombineerd met de nieuwe 380kV verbinding. Delen van deze bestaande verbindingen worden in de toekomst geamoveerd. Deze aanpassingen vormen samen het project Randstad 380kV Noordring.

In het gedeelte Beverwijk-Vijfhuizen, tussen mast 1 en mast 5, wordt de verbinding bovengronds gerealiseerd. Tussen mast 5 en 6 is het kabeltracé ondergronds, waarna de verbinding verder bovengronds loopt tot en met station Vijfhuizen (mast 39). Van station Vijfhuizen tot mast 1 van het tracédeel Vijfhuizen-Bleiswijk ligt de kabel ondergronds. De lijn vervolgt bovengronds in zuidwestelijke richting in combinatie met een 150kV hoogspanningsverbinding. Tussen masten 14 en 16 ligt de kabel weer onder de grond en tussen mast 16 en 34 is de lijn opnieuw gecombineerd met een 150kV hoogspanningsverbinding. Vanaf mast 34 is de 380kV lijn weer solo tot aan mast 61. Tussen mast 61 en 62 ligt de lijn ondergronds. Daarna is de lijn tot mast 92 bovengronds en wordt van mast 92 tot mast 106 gecombineerd met een 150kV hoogspanningsverbinding. Het laatste deel van het tracé, van mast 106 tot mast 114, is de lijn tot slot weer solo en eindigt in station Bleiswijk.

Binnen het projectdeel elektromagnetische compatibiliteit (EMC) wordt de invloed van elektromagnetische fenomenen, veroorzaakt door de hoogspanningsverbinding, op objecten en levende wezens onderzocht. De doelstelling is het in kaart brengen van eventuele overschrijdingen en het treffen van maatregelen om de gevolgen van dergelijke overschrijdingen teniet te doen. Door het realiseren van de nieuwe 380kV verbinding tussen Beverwijk en Bleiswijk en de aanpassingen in het bestaande hoogspanningsnet verandert de situatie met betrekking tot de elektrische beïnvloeding op nabijgelegen objecten. Onder omstandigheden kan door elektrische beïnvloeding onder andere sprake zijn van:

- Overschrijding van toelaatbare aanraakspanningen;
- Beschadiging van objecten;
- Verstoring van de werking van elektronische apparatuur;
- Onacceptabel risico op wisselstroomcorrosie bij buisleidingen;
- Ontoelaatbare ontladingen bij aanraking capacitief geladen objecten;
- Beperkingen in verband met het overschrijden van grenswaarden voor blootstelling EM-velden.

Hoogheemraadschap Schieland en de Krimpenerwaard is eigenaar/beheerder van verschillende objecten binnen het projectgebied. Dit rapport geeft de resultaten van de berekeningen en toetsingen van elektrische beïnvloeding op objecten van Hoogheemraadschap van Schieland en de Krimpenerwaard in verband met de realisatie van de Randstad 380kV Noordring.

2 BEÏNVLOEDINGSMECHANISMEN

In dit hoofdstuk worden de algemene principes van elektrische beïnvloedingen toegelicht. Er zijn vijf mechanismen waarmee in principe rekening moet worden gehouden, te weten magnetische velden, elektrische velden, inductieve beïnvloeding, weerstandsbeïnvloeding en capacitieve beïnvloeding.

2.1 Magnetische velden

2.1.1 Het fenomeen

Een elektrische stroom door een hoogspanningslijn veroorzaakt een magneetveld. Dit magneetveld is in afbeelding 1 schematisch weergegeven. Magnetische velden worden niet afgeschermd en de veldsterkte neemt af naarmate de afstand tot de geleiders toeneemt. In de schematische voorstelling in afbeelding 1 is te zien dat het magneetveld ook in de bebouwing en onder de grond aanwezig is.

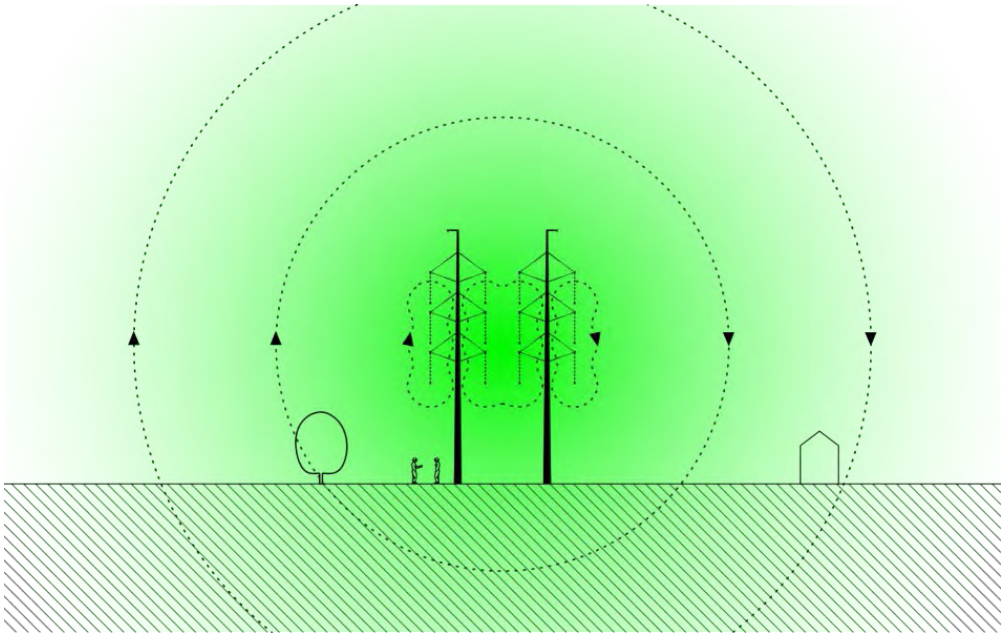

Afbeelding 1, Schematische voorstelling magnetische velden

2.1.2 De gevolgen

Magnetische velden kunnen mogelijk de werking van elektronische apparatuur verstoren of leiden tot effecten op mensen en dieren. In verband hiermee worden eisen gesteld aan blootstelling van mensen aan magnetische velden en kunnen eisen ten aanzien van magnetische velden nabij elektronische apparatuur worden gesteld.

Daarnaast kunnen door magnetische velden stromen worden geïnduceerd in parallel aan de hoogspanningsverbinding liggende geleidende objecten. Dergelijke verschijnselen worden in de paragraaf “inductieve beïnvloeding” behandeld.

2.2 Elektrische velden

2.2.1 Het fenomeen

Zodra er een verschil in spanning is tussen de geleiders van een hoogspanningslijn en de omgeving, ontstaat een elektrisch veld. De elektrische veldsterkte neemt af naarmate de afstand tot de geleiders toeneemt. Elektrische velden zijn alleen bovengronds van belang, omdat geleidende materialen elektrische velden afschermen (kooi van Faraday). In de schematische voorstelling in afbeelding 2 is te zien dat de sterkte van het elektrisch veld binnen de bebouwing en onder de grond zeer beperkt is. De velden vervormen door deze objecten.

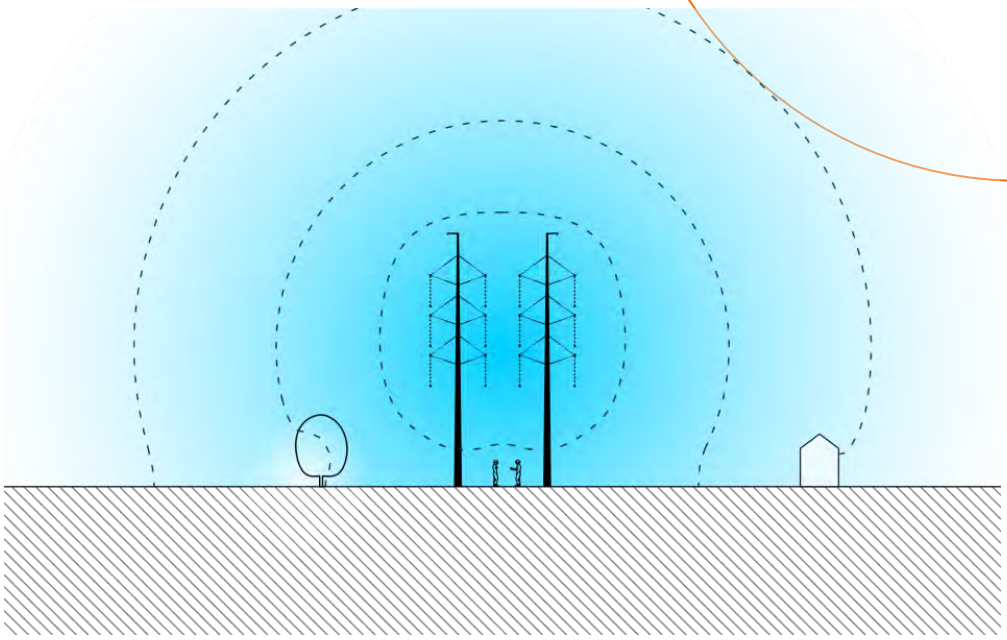

Afbeelding 2, Schematische voorstelling elektrische velden

2.2.2 De gevolgen

Mensen kunnen zeer sterke elektrische velden voelen. Het gevoel is te vergelijken met een lichte kriebeling en wordt veroorzaakt door een trilling van hoofd- of lichaamshaar.
Verder kunnen elektrische velden leiden tot capacitieve oplading van geïsoleerd onder de hoogspanningslijn opgestelde objecten. Het fenomeen capacitieve beïnvloeding wordt in de volgende paragraaf behandeld.

2.3 Inductieve beïnvloeding

2.3.1 Het fenomeen

Inductieve beïnvloeding ontstaat door de wisselende magnetische velden rondom stroomvoerende geleiders. Deze wisselende magnetische velden induceren een stroom en spanning in lange geleidende objecten parallel aan de hoogspanningslijn. De mate van beïnvloeding is ondermeer afhankelijk van de lengte van de parallelloop en de hart op hart afstand tussen het object en de hoogspanningslijn. In afbeelding 3 is een schematisch voorbeeld van inductieve beïnvloeding gegeven.

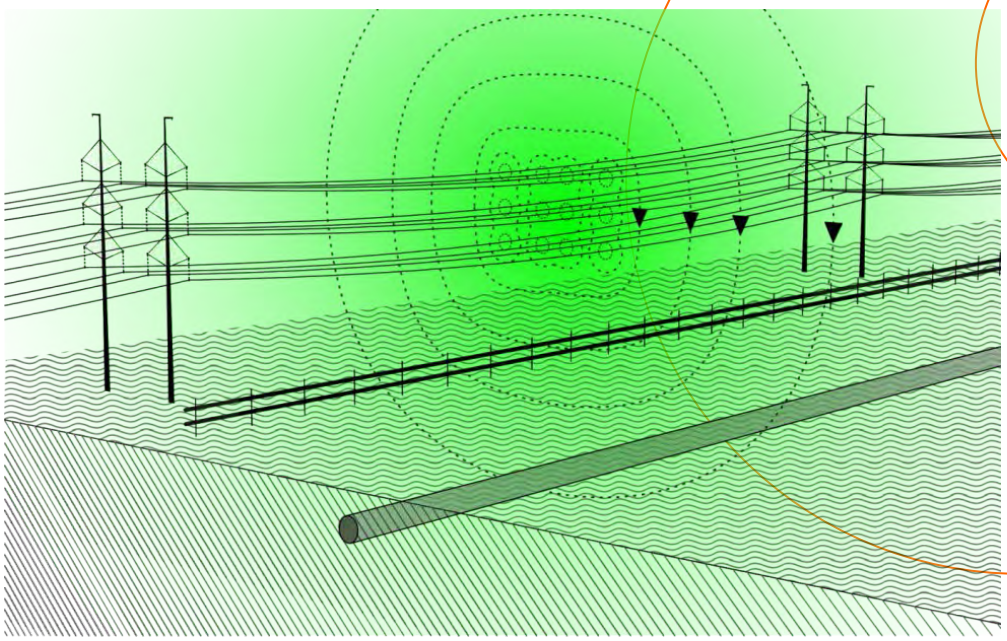

Afbeelding 3, Schematische voorstelling inductieve beïnvloeding

2.3.2 De gevolgen

Inductieve beïnvloeding kan leiden tot ontoelaatbare aanraakspanningen op parallel gelegen objecten. Zodra een mens of dier het object aanraakt, zal er door het spanningsverschil tussen het object en de bodem een stroom gaan lopen via het lichaam. Daarnaast kan deze vorm van beïnvloeding, afhankelijk van het object, stoorspanningen en een risico op wisselstroomcorrosie veroorzaken.

2.4 Weerstandsbeïnvloeding

2.4.1 Het fenomeen

Tijdens een kortsluiting tussen een fase en een mast vloeit een deel van de kortsluitstroom via de bliksemdraden terug naar de invoedende stations. Een ander deel van de stroom zal via de mastaardingen en de grond terug naar de stations vloeien. Bij elke mast waar de stroom via de grond terugvloeit, ontstaan potentiaaltrechters. De bodempotentiaal is het grootst bij de fundering en neemt af naarmate de afstand tot de fundering toeneemt.

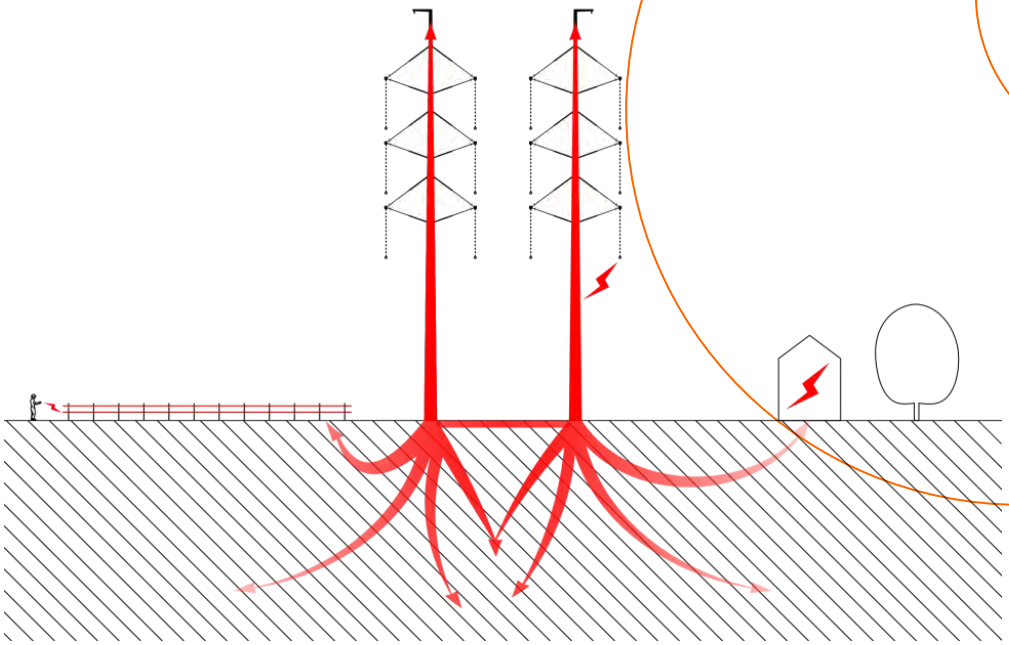

Afbeelding 4, Schematische weergave weerstandsbeïnvloeding

2.4.2 De gevolgen

In afbeelding 4 is het fenomeen weerstandsbeïnvloeding schematisch weergegeven voor een Wintrack hoogspanningsmast met gekoppelde fundering.

Bij objecten binnen de potentiaaltrechter kunnen door weerstandsbeïnvloeding ontoelaatbare overbruggingsspanningen ontstaan. Via geleidende objecten kunnen spanningen versleept worden naar een locatie met een andere bodemspanning. Daarnaast kan de objectisolatie van bijvoorbeeld buisleidingen of signaalkabels ontoelaatbaar worden belast.

2.5 Capacitieve beïnvloeding

2.5.1 Het fenomeen

Capacitieve beïnvloeding is een gevolg van het elektrische veld rondom de hoogspanningsverbinding. Vanwege de afschermende werking van grond speelt dit alleen bij bovengrondse, niet afgeschermde, hoogspanningsinstallaties nabij bovengrondse ongeaarde geleidende objecten. Een schematische voorstelling van het fenomeen capacitieve beïnvloeding is weergegeven in afbeelding 5.

Capacitieve beïnvloeding berust op het principe dat de capaciteit tussen de geleiders van de hoogspanningslijn en het object enerzijds en de capaciteit tussen het object en de aarde anderzijds een spanningsdeler vormen. Hierdoor kan op het object een spanning komen, die afhankelijk is van de verhouding van deze capaciteiten en de bedrijfsspanning van de hoogspanningsverbinding.

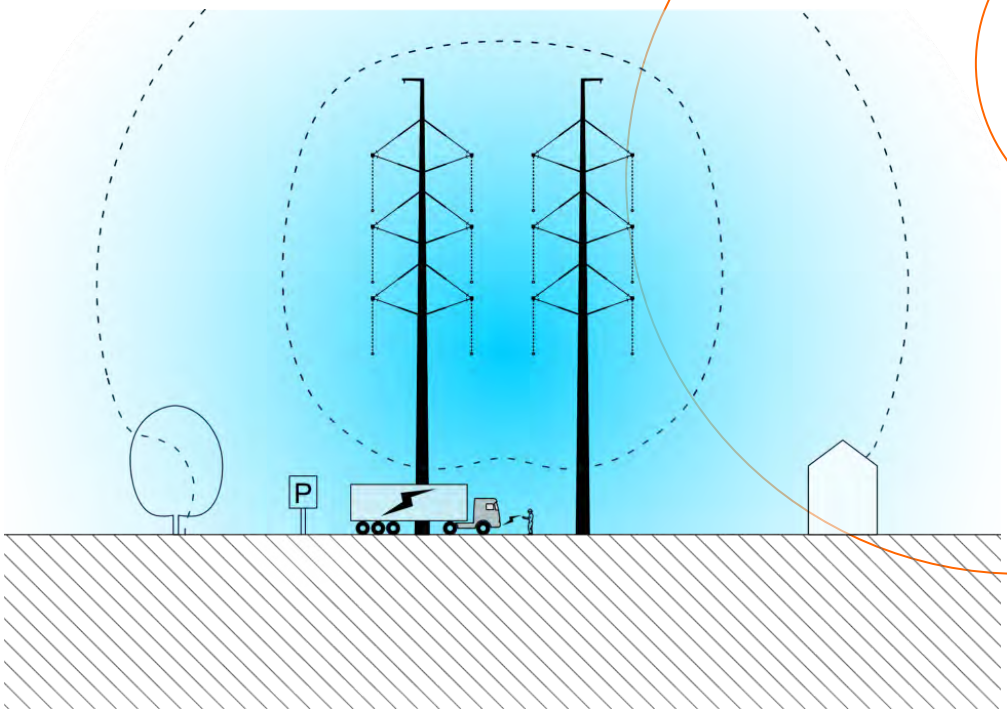

Afbeelding 5, Schematische voorstelling van capacitieve beïnvloeding

2.5.2 De gevolgen

Zodra een mens of dier het geladen object aanraakt zal deze via het lichaam ontladen. Men voelt lichte schokken. Dit kan als pijnlijk worden ervaren. Het probleem kan worden opgelost door het object te aarden.

3 EISEN EN BENODIGDE CONTROLES

3.1 Algemeen

Bij een hoogspanningsverbinding moet rekening worden gehouden met invloeden van de hoogspanningsinfrastructuren op haar omgeving. Enkele invloeden zijn gebonden aan de bedrijfsvoering van de hoogspanningsverbindingen, overige invloeden zijn ingegeven door veiligheid of integriteit van installaties. Indien toelaatbare grenzen worden overschreden moeten er maatregelen worden getroffen.

Maatregelen worden getroffen door de initiatiefnemer. In het geval dat een hoogspanningslijn wordt aangelegd, wordt als onderdeel van de aanleg, de invloed van de hoogspanningslijn op de omgeving onderzocht en worden eventuele benodigde maatregelen getroffen. Andersom moet bij de realisatie van een object (installatie of bouwwerk) nabij een hoogspanningslijn rekening worden gehouden met de effecten van de hoogspanningslijn op het te realiseren object.

In de volgende paragrafen is per onderwerp aangegeven met welke belemmeringen en invloeden rekening gehouden moet worden nabij een hoogspanningsinstallatie.

3.2 Aanraakveiligheid

Een hoogspanningsverbinding kan elektrische stromen en spanningen in vreemde objecten veroorzaken. Onder omstandigheden kunnen dergelijke stromen en spanningen leiden tot gevaarlijke situaties. Daarbij moet worden gedacht aan elektrocutie of schrikreacties.

In het geval dat sprake is van overbruggingsspanningen door inductieve beïnvloeding of weerstandsbeïnvloeding, moeten deze voldoen aan de eisen volgens NEN-EN 50341-3-15 [1]. Deze eisen zijn erop gericht het risico op elektrocutie voldoende te reduceren. Tabel 1 geeft een samenvatting van de toelaatbare overbruggingsspanningen voor tijdsduren langer dan 1 seconde (normaal bedrijf) en 0,1 seconde (kortsluitsituaties).

Tabel 1, Toelaatbare overbruggingsspanningen volgens NEN-EN 50341

Afschakeltijd [s]	Maximaal toelaatbare overbruggingsspanning [V]
0,1	1500
≥ 1	50

Bij capacitieve beïnvloeding waarbij grote geleidende delen worden “opgeladen”, moet worden voorkomen dat deze oplading kan leiden tot pijnlijke of schrikreacties bij aanraking. Het verschijnsel is goed te vergelijken met de ontlading bij het aanraken van een auto bij droog winterweer. Afhankelijk van het soort object kan een kleine of relatief grote ontlading toelaatbaar zijn. Concreet vereist de norm dat de oplading van geïsoleerde objecten door elektrische velden nabij de hoogspanningslijn beperkt moet zijn tot zone A in IEC 60479-2 [9], zie afbeelding 6.

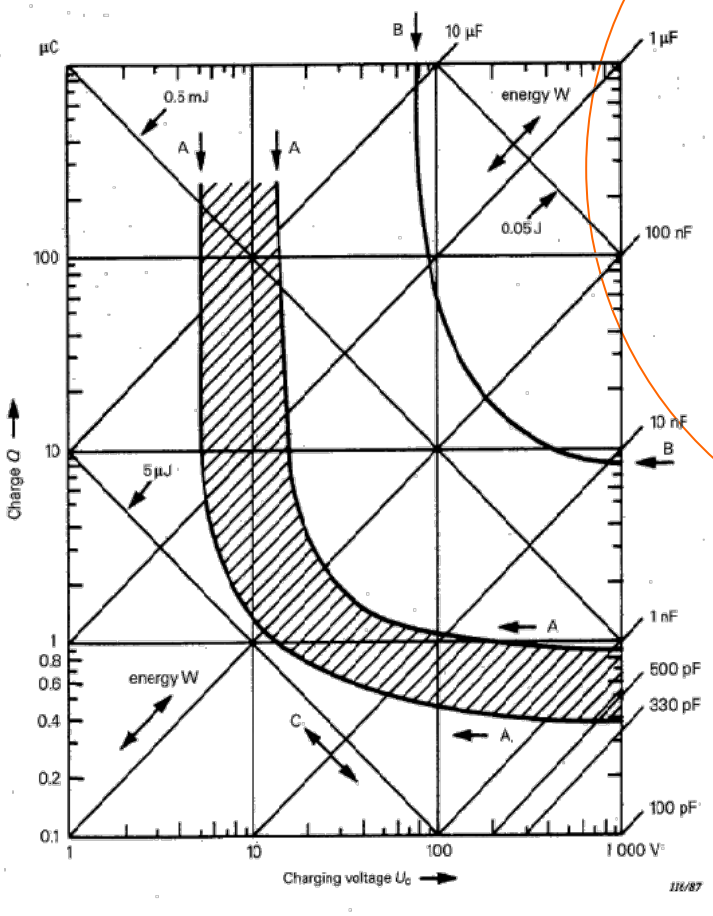

Afbeelding 6, Criterium voor ontlading volgens IEC 60479-2, Afbeelding 21

3.3 Risico's volksgezondheid

Bij langdurig verblijf nabij een hoogspanningslijn is er sprake van een verhoogd risico op leukemie bij kinderen tot 15 jaar. Hoewel er al veel onderzoek naar dit statistische verband is gedaan is er nog geen oorzakelijk verband gevonden. Onderzoeken suggereren een mogelijk verband tussen het verblijf van kinderen tot 15 jaar in een langdurig gemiddeld "magneetveld" van de hoogspanningslijn groter dan circa 0,4 µT. In Nederland is om deze reden het voorzorgsbeginsel toegepast. Nieuwe "gevoelige" bestemmingen binnen de zogeheten magneetveldzone moeten daarbij zoveel mogelijk worden voorkomen.

Volgens een hypothese [8] zou door een hoogspanningslijn opgeladen fijn stof leiden tot extra decompositie van fijn stof in de longen en op de huid. Deze hypothese is door het National Radiation Protection Board onderzocht en RIVM heeft naar aanleiding hiervan een literatuuronderzoek uitgevoerd. Door deze instituten is ondermeer geconcludeerd:
"Voor zover nu bekend beïnvloeden bovengrondse hoogspanningslijnen de schadelijke effecten van fijn stof niet." [6].

3.4 Blootstelling aan niet-ioniserende straling

In richtlijn 2004/40EG [10] zijn actiewaarden gedefinieerd betreffende de beperking van de blootstelling aan niet-ioniserende straling. Invoering van deze richtlijn is in Nederland tot op heden steeds uitgesteld maar verwacht mag worden dat deze richtlijn ook in Nederland van kracht wordt.

De richtlijn geeft actiewaarden (waarden waarboven maatregelen moeten worden getroffen) voor zowel elektrische velden als magnetische velden. Voor 50 Hz (frequentie van de stromen in de hoogspanningslijnen in Nederland) zijn de actiewaarden voor beroepsbevolking:

- Elektrisch veld: 10.000 V/m
- Magnetisch veld (H-veld): 400 A/m
- Magnetische fluxdichtheid (B-veld): 500 µT

In principe zijn de genoemde actiewaarden van toepassing op iedere plek waar personen werkzaamheden verrichten. Getoetst moet worden of aan deze waarden wordt voldaan.

De norm NEN-EN 50341-3 adviseert om voor elektrische velden een maximaal toelaatbare waarde (1 m boven maaiveld) van 5.000 V/m en voor de magnetische fluxdichtheid een maximale waarde van 100 µT (1 m boven maaiveld) aan te houden.

3.5 Functioneren van apparatuur

Magneetvelden en/of verstoring van signalen in aangesloten kabels (zie volgende paragraaf) kunnen de werking van (elektronische) apparatuur aantasten. Voor magneetvelden wordt onderscheid gemaakt tussen apparatuur voor toepassing in industriële omgevingen en apparatuur voor toepassing in huishoudelijke en licht industriële omgevingen. Normen NEN-EN –IEC 61000-6-1 [11] en NEN-EN –IEC 61000-6-2 [12] geven de immuniteit voor deze groepen apparatuur:
1 A/m voor apparatuur voor toepassing in huishoudelijke of licht industriële omgevingen;
30 A/m voor apparatuur voor toepassing in industriële omgevingen.
Voor een CRT (Cathode Ray Tube) is onder ongunstige omstandigheden de minimaal vereiste immuniteit 1 A/m. Algemeen is de immuniteit voor huishoudelijke en licht industriële toepassingen 3 A/m. Omdat in dit rapport gezocht wordt naar het gebied waarbinnen magneetvelden hoger zijn dan de laagste immuniteit van apparatuur, is van de worst-case immuniteit van 1 A/m uitgegaan.

3.6 Verstoring van signalen in signaalkabels

Onder omstandigheden moet rekening worden gehouden met het verstoren van signalen in signaalkabels. Signalen tussen verschillende apparaten kunnen hierdoor vervormen waardoor een installatie mogelijk onjuist functioneert. De mate waarin signalen kunnen vervormen is sterk afhankelijk van het toegepaste type bekabeling en de gevoeligheid van de signalen voor verstoring door voornamelijk 50 Hz signalen.

Voor het beoordelen van stoorspanningen op signaalkabels is de gevoeligheid van het systeem waarvan de kabels deel uitmaken van belang. De optredende signaalverstoring is laagfrequent (voornamelijk 50 Hz en hogere harmonischen). Digitale transmissiekanalen zijn hierdoor

vrijwel ongevoelig voor dergelijke verstoringen. Analoge signaaloverdracht kan hiervoor onder omstandigheden echter veel gevoeliger voor zijn. Bij digitale transmissiekanalen zal dus niet zozeer de stoorspanning van belang zijn, maar de veiligheid van mensen die aan de kabel werken of eventueel de mate waarin de aangesloten apparatuur bestand is tegen (kortstondige) stoorspanningen. Normaliter is de apparatuur minder kwetsbaar dan mensen, zodat hier rekening moet worden gehouden met de in tabel 1 gegeven spanningen als maximaal toelaatbare common mode spanning op de kabel.

Analoge systemen kunnen echter in sommige gevallen gevoelig zijn voor laagfrequente stoorspanningen. Voor dergelijke systemen is de optredende stoorspanning voor wat betreft het al dan niet moeten nemen van maatregelen maatgevend. Hier moet dus de optredende differential mode spanning (spanning tussen de twee aders van een aderpaar) worden bepaald en vergeleken met de toelaatbare spanning. De gehanteerde toelaatbare stoorspanning voor een systeem dat zeer gevoelig is voor 50 Hz verstoringen bedraagt in analogie aan ProRail RLN000134 [13]:
50 Hz differential mode van maximaal 9,3 mV

Voor overige systemen en kortsluitsituaties wordt uitgegaan van de maximale overbruggingsspanningen volgens NEN1010 [14] (50 V > 1 seconde en 685 V gedurende maximaal 0,1 seconde).

4 UITGANGSPUNTEN

4.1 Gebied en tracés

In afbeelding 7 is het voorgenomen tracé van de Randstad 380kV Noordring (R-380kV Noordring) weergegeven. Deze gegevens zijn conform de opgave van TenneT [15]. De 380kV verbinding wordt gerealiseerd tussen de hoogspanningsstations Beverwijk, Vijfhuizen en Bleiswijk. Daarnaast worden diverse bestaande verbindingen worden gecombineerd met de nieuwe verbinding. Door de bestaande verbindingen met de nieuwe verbinding te combineren kunnen delen van deze bestaande verbindingen worden geamoveerd.

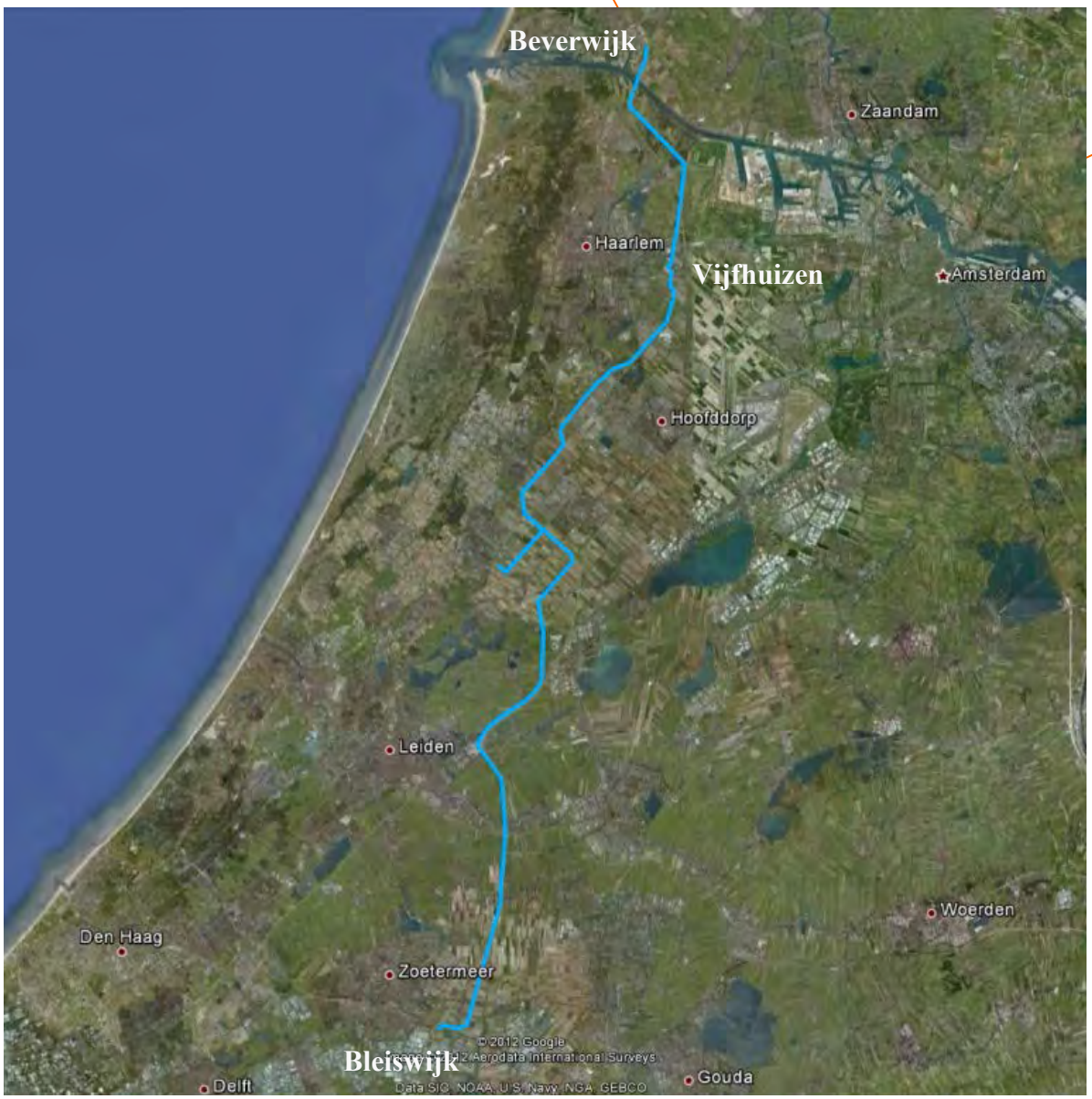

Afbeelding 7, Overzicht tracé Randstad 380 kV Noordring.

4.2 Gegevens hoogspanningsverbindingen

In tabel 2 zijn de hoogspanningsverbindingen weergegeven die behoren bij het project Randstad 380kV Noordring. De stroombelastingen zijn weergegeven in bijlage A en de klokgetallen in bijlage B. In bijlage C zijn de mastbeelden en kabelbedconfiguraties opgenomen. De specifieke gegevens van deze verbindingen zijn in de uitganspuntendocument opgenomen [15].

Tabel 2, Hoogspanningsverbindingen.

Hoogspanningsverbinding	Spanning [kV]	Aantal circuits	Nummer bijlage
380kV Beverwijk – Vijfhuizen (mast 1 t/m 5 en mast 6 t/m 39)	380	2	C1
380kV Beverwijk – Vijfhuizen (kabeldeel)	380	2	C3
380kV Vijfhuizen – Bleiswijk (kabeldeel)	380	2	C3
150kV Haarlemmermeer-Vijfhuizen (kabeldeel)	150	2	C3
380kV Vijfhuizen – Bleiswijk (mast 1 t/m 14) 150kV Haarlemmermeer-Vijfhuizen (mast 1 t/m 14)	380 / 150	2 / 2	C2
380kV Vijfhuizen – Bleiswijk (mast 16 t/m 34) 150kV Sassenheim-Haarlemmermeer (mast 16 t/m 34)	380 / 150	2 / 2	C2
150kVSassenheim-Haarlemmermeer (kabeldeel)	150	2	C3
380kV Vijfhuizen – Bleiswijk (mast 34 t/m 61 en mast 62 t/m 92)	380	2	C1
150kV Zoetermeer-Leiden (kabeldeel)	380	2	C3
380kV Vijfhuizen – Bleiswijk (mast 92 t/m 106) 150kV Zoetermeer-Leiden (mast 92 t/m 106)	380 / 150	2 / 2	C2
380kV Vijfhuizen – Bleiswijk (mast 106 t/m 116)	380	2	C1

4.3 Bodemweerstand

De gehanteerde bodemweerstanden zijn opgenomen in bijlage D. Deze bodemweerstandwaarden zijn de gemeten bodemweerstanden bij het tracé conform de opgave van TenneT [15]. Er zijn bodemweerstandwaarden bij het DINO loket opgevraagd voor locaties waar nog geen bodemweerstandgegevens beschikbaar zijn.

5 BEINVLOEDINGSGEBIEDEN

Om de relevante installaties te kunnen inventariseren zijn de afstanden vastgelegd waarbinnen mogelijk sprake kan zijn van ontoelaatbare beïnvloeding. Hiervoor is in eerste aanzet gebruik gemaakt van generieke gegevens voor de hoogspanningslijn. De generieke zones waarbinnen met de diverse vormen van elektrische beïnvloeding rekening moet worden gehouden zijn opgenomen in bijlage E.

5.1 Weerstandsbeïnvloeding

Voor een eerste beoordeling van de risico's op weerstandsbeïnvloeding zijn per mast de te verwachten potentiaaltrechters (1500V, 1200V, 750V en 660V) berekend. Objecten binnen deze potentiaaltrechters kunnen door weerstandsbeïnvloeding ontoelaatbaar beïnvloed worden. De maximale berekende beïnvloedingsgebieden voor weerstandsbeïnvloeding rondom de masten zijn in tabel 1 en tabel 2 in bijlage E opgenomen.

5.2 Capacitieve beïnvloeding en elektrische veld

Alleen bij bovengrondse objecten of bij bestemmingen waar mag worden verwacht dat zich mensen op enige hoogte boven maaiveld onder de hoogspanningslijn kunnen ophouden (bijvoorbeeld bij het uitvoeren van werkzaamheden) zijn de optredende capacitieve beïnvloeding en de elektrische velden van belang.

Voor elektrische velden wordt uitgegaan van limieten voor blootstelling aan mensen. Voor het ontwerp van de hoogspanningslijn geldt de eis dat de maximale elektrische veldsterkte op 1 m boven het maaiveld altijd kleiner is dan 5 kV/m. Deze veldsterkte moet worden berekend voor de hoogste systeemspanning (nominale spanning + 10%). Alleen in de directe nabijheid van de hoogspanningslijn kunnen elektrische velden mogelijk maatgevend zijn.

Bij de eerste toetsing wordt ervan uitgegaan dat elektrische velden alleen onder specifieke omstandigheden onder de hoogspanningslijn tot ontoelaatbare situaties kunnen leiden. Dit geldt voor objecten met een (aanmerkelijk) grotere hoogte dan 1 m boven het maaiveld waar mensen zich in het geval van werkzaamheden in de nabijheid van de hoogspanningslijn kunnen bevinden of waarbij mensen op het object kunnen verblijven.

Veel objecten hebben een dusdanig geringe hoogte dat zij zich niet in het gebied bevinden waarbinnen elektrische velden direct ontoelaatbaar zijn. Ondergrondse objecten zijn per definitie veilig.

Capacitieve beïnvloeding kan alleen bij bovengrondse ongeaarde geleidende objecten in de directe nabijheid van de hoogspanningslijn ontoelaatbaar zijn. De objecten moeten dan bovendien een voldoende groot oppervlak hebben.
De maximale berekende beïnvloedingsgebieden voor capacitieve beïnvloedingen en elektrische velden zijn in tabel 3 in bijlage E opgenomen.

5.3 Inductieve beïnvloedingen

Inductieve beïnvloeding van geleidende objecten parallel aan de hoogspanningsverbinding kan alleen optreden binnen een bepaalde beïnvloedingszone. Voor het bepalen van de beïnvloedingszone wordt in eerste instantie uitgegaan van de grootste afstand waarbij een onbekend object mogelijk ontoelaatbaar beïnvloed zou kunnen worden door de nieuwe verbinding. De breedte van deze zone is onder andere afhankelijk van de kenmerken van de hoogspanningsverbinding en de lokale bodemweerstand. In tabel 4 van bijlage E zijn de maximale berekende beïnvloedingsgebieden per configuratie aangegeven.

5.4 Magnetische velden

Een elektrische stroom door een hoogspanningslijn veroorzaakt een magneetveld. Magnetische velden kunnen mogelijk de werking van elektronische apparatuur verstoren of leiden tot effecten op mensen en dieren. In verband hiermee worden eisen gesteld aan blootstelling van mensen aan magnetische velden. Ook kunnen eisen worden gesteld ten aanzien van magnetische velden nabij elektronische apparatuur. Bij alle objecten waar mogelijk (elektronische) apparatuur aanwezig is moet rekening worden gehouden met magnetische velden. Apparatuur kan bijvoorbeeld op grote hoogte in of op een gebouw zijn opgesteld. Eisen aan magnetische velden nabij elektronische apparatuur worden afgeleid uit de immuniteit (gevoeligheid) van deze apparatuur voor magnetische velden.

De afstanden uit het hart van het tracé van de R-380kV Noordring waarbinnen magnetische velden grenswaarden kunnen overschrijden, worden voor drie grenswaarden berekend op een hoogte van 10 m boven het maaiveld, uitgaande van de minst gunstige bedrijfsvoering in de hoogspanningsverbinding. Om de zonebreedtes te bepalen is uitgegaan van de volgende grenswaarden:

- Afstand waarbij de magnetische veldsterkte groter is dan 1A/m;
- Afstand waarbij de magnetische veldsterkte groter is dan 3A/m;
- Afstand waarbij de magnetische veldsterkte groter is dan 30A/m.

De maximale berekende afstanden voor deze grenswaarden zijn in tabel 5 van bijlage E opgenomen.

6 BESCHOUWINGEN

In dit hoofdstuk worden de eventuele mogelijke beïnvloedingen van de R-380kV Noordring op objecten van Hoogheemraadschap van Schieland en de Krimpenerwaard beschouwd.

6.1 Objecten Hoogheemraadschap

In dit onderzoek wordt rekening gehouden met de door TenneT [15] en de door Hoogheemraadschap van Schieland en de Krimpenerwaard verstrekte gegevens [16]. Uit de inventarisatie blijkt dat het Hoogheemraadschap beheerder/eigenaar van verschillende objecten (buisleidingen en gemalen) in het projectgebied is. Alleen objecten binnen de beïnvloedingsgebieden van de R-380kV Noordring kunnen beïnvloed worden. In de volgende paragrafen worden de objecten van Hoogheemraadschap van Schieland en de Krimpenerwaard gecontroleerd en getoetst op mogelijke ontoelaatbare beïnvloedingen.

6.2 Controle en toetsing

6.2.1 Weerstandsbeïnvloeding

Binnen de weerstandsbeïnvloeding zone bevinden zich geen objecten van het Hoogheemraadschap van Schieland en de Krimpenerwaard.

6.2.2 Capacitieve beïnvloeding

Binnen de zone van capacitieve beïnvloeding bevindt zich één object van het Hoogheemraadschap van Schieland en de Krimpenerwaard. Dit betreft een gemaal met de inventarisatiecode GEML_schielandkrimpenerwaard_0004 (zie tabel 3). Uit de inventarisatie blijkt dat het object niet ongeaard is opgesteld, waardoor er geen sprake is van capacitieve beïnvloeding.

6.2.3 Inductieve beïnvloeding

Conform opgave van het Hoogheemraadschap van Schieland en de Krimpenerwaard [16], blijkt dat het Hoogheemraadschap geen metalen buisleidingen bezit in de inductieve beïnvloedingszone.

6.2.4 Elektrische velden

Binnen het elektrische veld zone van de hoogspanningslijn bevinden zich bevindt zich één object van het Hoogheemraadschap van Schieland en de Krimpenerwaard. Dit betreft een gemaal met de inventarisatiecode GEML_schielandkrimpenerwaard_0004 (zie tabel 3). Het object ligt op maaiveldniveau. Conform opgave van TenneT bedraagt de elektrische veld op deze locatie 5 kV/m op 6m hoogte boven maaiveld. De elektrische veld bij het object zal lager dan 5 kV/m zijn. Hiermee wordt voldaan aan de gestelde eisen voor elektrische velden (5kV/m).

6.2.5 Magnetische velden

Binnen de magnetische veld zone van 1 A/m bevinden zich zeven objecten van het Hoogheemraadschap van Schieland en de Krimpenerwaard, conform [15]. De objecten zijn weergegeven in tabel 3. Deze objecten liggen buiten de 30 A/m zone. De gemalen zijn industrieel omgeving en wordt verwacht dat de elektrische apparatuur in het gemaal een immuniteit heeft van 30 A/m, conform de NEN-EN 61000-6-2.

Geconcludeerd wordt dat de werking van de elektrische apparatuur in de gemalen niet wordt gestoord door magnetische velden van de hoogspanningsverbinding. Hiervoor zijn geen aanvullende maatregelen benodigd.

Tabel 3, Objecten binnen de magnetische veld zone 1 A/m

Inventarisatiecode	Type	Locatie (X,Y)	Afstand tot hart HS-verbinding [m]	Buiten de zone 30 A/m [J/N]
GEML_schielandkrimpenerwaard_0001	gemaal	96505,450261	85 m	J
GEML_schielandkrimpenerwaard_0002	gemaal	97022,450180	49 m	J
GEML_schielandkrimpenerwaard_0003	gemaal	97089,450194	36 m	J
GEML_schielandkrimpenerwaard_0004	gemaal	97044,450246	16 m	J
GEML_schielandkrimpenerwaard_0005	gemaal	98008,451700	56 m	J
GEML_schielandkrimpenerwaard_0006	gemaal	98038,451770	65 m	J
GEML_schielandkrimpenerwaard_0007	gemaal	98216,452874	72 m	J

7 CONCLUSIE EN AANBEVELINGEN

TenneT is voornemens een nieuwe 380kV hoogspanningsverbinding te realiseren van station Beverwijk via station Vijfhuizen naar station Bleiswijk. Voor het tracé wordt gebruik gemaakt van Wintrack hoogspanningsmasten. Diverse nabijgelegen hoogspanningsverbindingen worden gecombineerd met de nieuwe 380kV verbinding. Delen van deze bestaande verbindingen worden in de toekomst geamoveerd. Deze aanpassingen vormen samen het project Randstad 380kV Noordring (R-380kV Noordring). Hoogheemraadschap van Schieland en de Krimpenerwaard is beheerder/eigenaar van verschillende objecten (buisleidingen en gemalen) in het projectgebied.

Magnetische en elektrische velden rondom een hoogspanningsverbinding kunnen stromen en spanningen op nabije objecten veroorzaken. Onder omstandigheden kunnen deze stromen en spanningen de toelaatbare grenzen overschrijden. Conform de norm voor bovengrondse hoogspanningslijnen, NEN-EN 50341, moet met deze effecten rekening worden gehouden en moeten er maatregelen worden getroffen, indien er sprake is van overschrijdingen van de criteria voor elektrische beïnvloeding.
TenneT bouwt de hoogspanningslijn volgens de norm NEN-EN 50341 en heeft Petersburg Consultants opgedragen de elektrische beïnvloeding op objecten van derden nader te onderzoeken en eventuele te treffen maatregelen vast te stellen.

De beïnvloedingsgebieden van de hoogspanningsverbinding waarbinnen mogelijk sprake kan zijn van ontoelaatbare beïnvloeding zijn vastgelegd. Alleen objecten binnen de beïnvloedingsgebieden van de R-380kV Noordring kunnen beïnvloed worden. De objecten van Hoogheemraadschap Schieland en de Krimpenerwaard zijn gecontroleerd en getoetst op mogelijke ontoelaatbare beïnvloedingen.

Uit de berekeningen en toetsing blijkt dat Hoogheemraadschap Schieland en de Krimpenerwaard geen objecten heeft binnen de beïnvloedingsgebieden van de R-380kV Noordring die ontoelaatbaar beïnvloed kunnen worden. Er ontstaan daarom geen negatieve gevolgen voor objecten van het hoogheemraadschap door de aanleg van de nieuwe hoogspanningsverbinding.

BRONVERMELDING

[1] NEN-EN 50341-3-15, “Bovengrondse elektrische lijnen boven 45 kV wisselspanning”, november 2001.
[2] Hermann W. Dommel e.a.: “Electromagnetic Transients Program – Reference Manual (EMTP Theory Book)”, ref. DE-AC79-81BP31364, August 1986.
[3] Ir. L. Verbeek: “Een methode voor het berekenen van door bovengrondse hoogspanningsverbindingen geïnduceerde spanningen op een stalen pijpleiding”, Electrotechniek 57 (1979) nr. 11 (november) p. 769 t/m 776.
[4] Cigré Working Group 36.02: "Guide on the influence of high voltage AC power systems on metallic pipelines", 1995.
[5] Technical specification, NPR CEN/TS 15280 "Evaluation of a.c. corrosion likelihood of buried pipelines- Application to cathodically protected pipelines", 2005.
[6] G. Kelfkens en MJM Pruppers: “Hoogspanningslijnen en fijn stof - Een literatuuronderzoek, referentie RIVM Rapport 610790001/2007, 2007.
[7] Nibra: “Woningen binnen de gevarenzone van hoogspanningslijnen: blusrisico’s – Eindrapport”, Projectnummer: 431N5005, Datum: 27 juni 2005)
[8] Diverse publicaties van o.a. A.P. Fews en D.L. Henshaw
[9] IEC 60479-2, “Effects of current on human beings and livestock, Special aspects”, 3e editie mei 2007.
[10] Richtlijn 2004/40/EG, "De minimumvoorschriften inzake gezondheid en veiligheid met betrekking tot de blootstelling van werknemers aan de risico's van fysische agentia (elektromagnetische velden)", 29 april 2004.
[11] NEN-EN-IEC 61000-6-1:2007 en;fr, “Elektromagnetische compatibiliteit (EMC) - Deel 6-1: Generieke normen - Immuniteit voor huishoudelijke, handels- en lichtindustriële omgevingen”
[12] NEN-EN-IEC 61000-6-2:2001/IS 01:2006 en;fr, “Elektromagnetische compatibiliteit (EMC) - Deel 6-2: Algemene normen - Immuniteit voor industriële omgevingen”
[13] Richtlijn 00134 “Beoordeling EMC tussen 25 kV /50 Hz TEV en installaties van derden”, documentnummer: RLN00134, versie: 1.0, datum:29-11-2004.
[14] Nederlandse Norm NEN-1010, “Veiligheidsbepalingen voor laagspanningsinstallaties, Beschermingsmaatregelen”, 2011
[15] Gegevens TenneT:
a. Gegevens hoogspanningsverbindingen: Petersburg rapport: *“Utgangspuntendocument EMC Studie Randstad 380kV Noordring”*, referentie: TE121000-R01 AM, d.d. 26-02-2013.
[16] Santos, H., 1-2-2013: Gegevens Hoogheemraadschap van Schieland en de Krimpenerwaard.

Bijlage A: Stromen

Tabel: Stroombelastingen

Verbinding		Spanning	Aantal circuits	Inom	kortsluitstroom station 1 (kA)					kortsluitstroom station 2 (kA)				
					kortsluitstroom station 1 (kA)		R / X (Ω)	bijdrage vanuit station 2 per circuit (kA)		kortsluitstroom station 2 (kA)		R / X (Ω)	bijdrage vanuit station 1 per circuit (kA)	
Station 1	Station 2	[kV]		[A]	3-fasig	1-fasig		3-fasig	1-fasig	3-fasig	1-fasig		3-fasig	1-fasig
Velsen	Vijfhuizen	150	2	850	52.19	30.3	0.07	3.487	1.8	39.41	26.09	0.12	8.926	4.73
Zoetermeer	Leiden	150	3	1155	37.76	22.57	0.06	4.317	2.61	36.1	10.21	0.1	4.84	1.02
Sassenheim	Haarlemmermeer	150	2 (1)	800	28.88	18.4	0.14	11.213	7.57	30.01	20.64	0.14	10.568	6.96
Leiden	Sassenheim	150	2	770	36.1	10.21	0.1	4.495	2.95	28.88	18.4	0.14	8.837	5.45
Haarlemmermeer	Vijfhuizen	150	2	925	30.1	20.64	0.14	9.805	6.38	39.41	26.09	0.12	4.303	3.09
Zoetermeer	Alphen a/d Rijn	150	2	1155	37.76	22.57	0.06	1.862	2.27	24.56	18.49	0.08	10.145	6.88

(1) Dit is een samengeslagen verbinding

Verbinding		Spanning	Aantal circuits	Inom	kortsluitstroom station 1 (kA)				kortsluitstroom station 2 (kA)				kortsluitduur (ms)	
					kortsluitstroom station 1 (kA)		bijdrage vanuit station 2 per circuit (kA)		kortsluitstroom station 2 (kA)		bijdrage vanuit station 1 per circuit (kA)			
Station 1	Station 2	[kV]		[A]	3-fasig	1-fasig	3-fasig	1-fasig	3-fasig	1-fasig	3-fasig	1-fasig	1-fasig	3-fasig
Velsen	Waarderpolder	150	1	770	35.2	19.4	0	0	17.15	13.3	17.15	13.3	100	100

Verbinding		Spanning	Aantal circuits	Inom	kortsluitstroom station 1 (kA)					kortsluitstroom station 2 (kA)				
					kortsluitstroom station 1 (kA)		R / X (Ω)	bijdrage vanuit station 2 per circuit (kA)		kortsluitstroom station 2 (kA)		R / X (Ω)	bijdrage vanuit station 1 per circuit (kA)	
Station 1	Station 2	[kV]		[A]	3-fasig	1-fasig		3-fasig	1-fasig	3-fasig	1-fasig		3-fasig	1-fasig
Beverwijk	Vijfhuizen	380	2	2900	38.11	50	0.06	7.48	8.73	36.9	50	0.06	9.49	8.97
Vijfhuizen	Bleiswijk	380	2	2900	39.9	50	0.06	8.49	9.04	47.05	49.84	0.05	5.12	5.64

Bijlage B: Klokgetallen configuratie

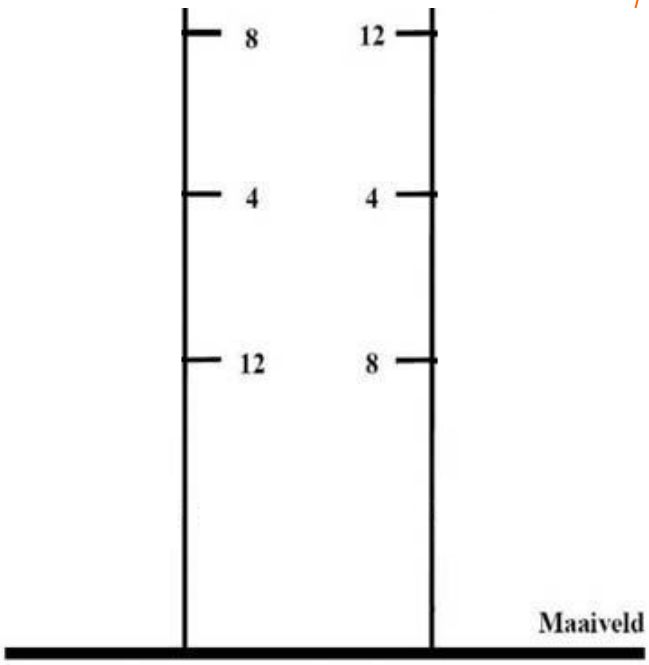

Afbeelding B 1, Klokgetallenconfiguratie 380kV verbinding Beverwijk – Vijfhuizen circuitaanduiding Zwart-Wit

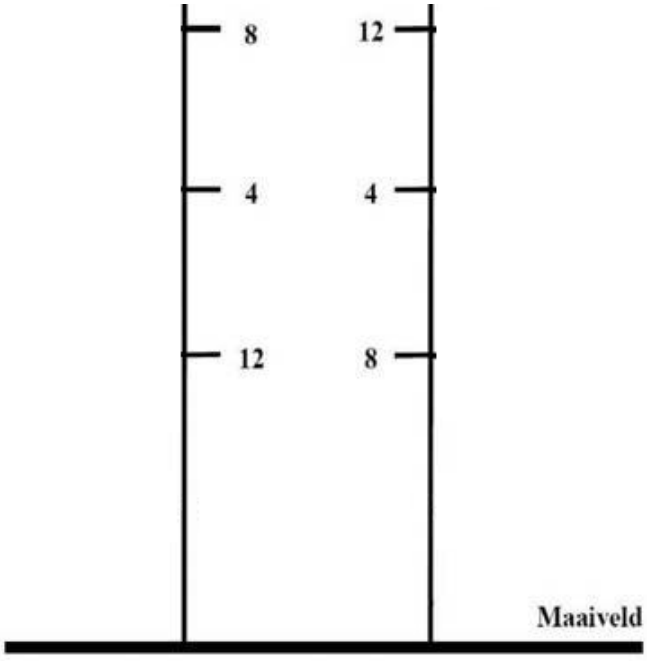

Afbeelding B 2, Klokgetallenconfiguratie 380kV verbinding Vijfhuizen - Bleiswijk circuitaanduiding Paars-Oranje

Bijlage B: Klokgetallen configuratie

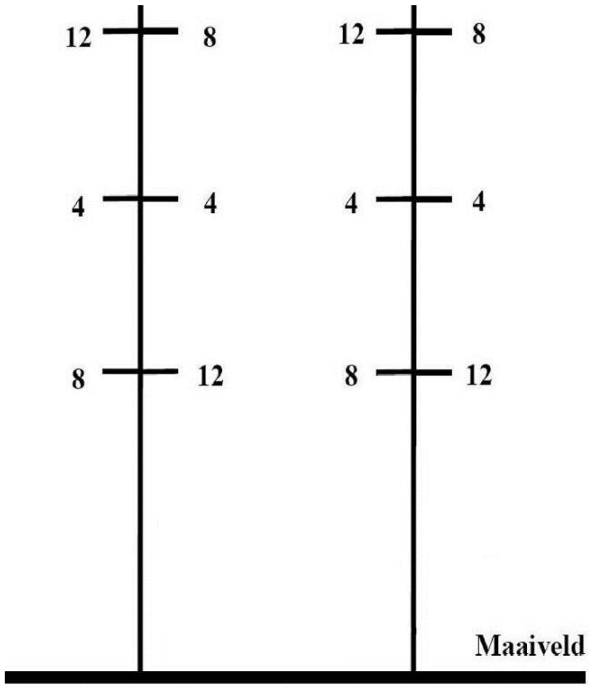

Afbeelding B 3, Klokgetallen configuratie bovengrondse lijn Vijfhuizen – Bleiswijk (380kV binnen en 150kV buiten)

380kV verbinding:	12 – 4 – 8 – 8 – 4 – 12 || 8 – 4 – 12 – 12 – 4 – 8
150kV verbinding:	12 – 4 – 8 || 8 – 4 – 12

Afbeelding B 4, Klokgetallen kabelverbindingen

Bijlage C1: 380 kV mastbeeld

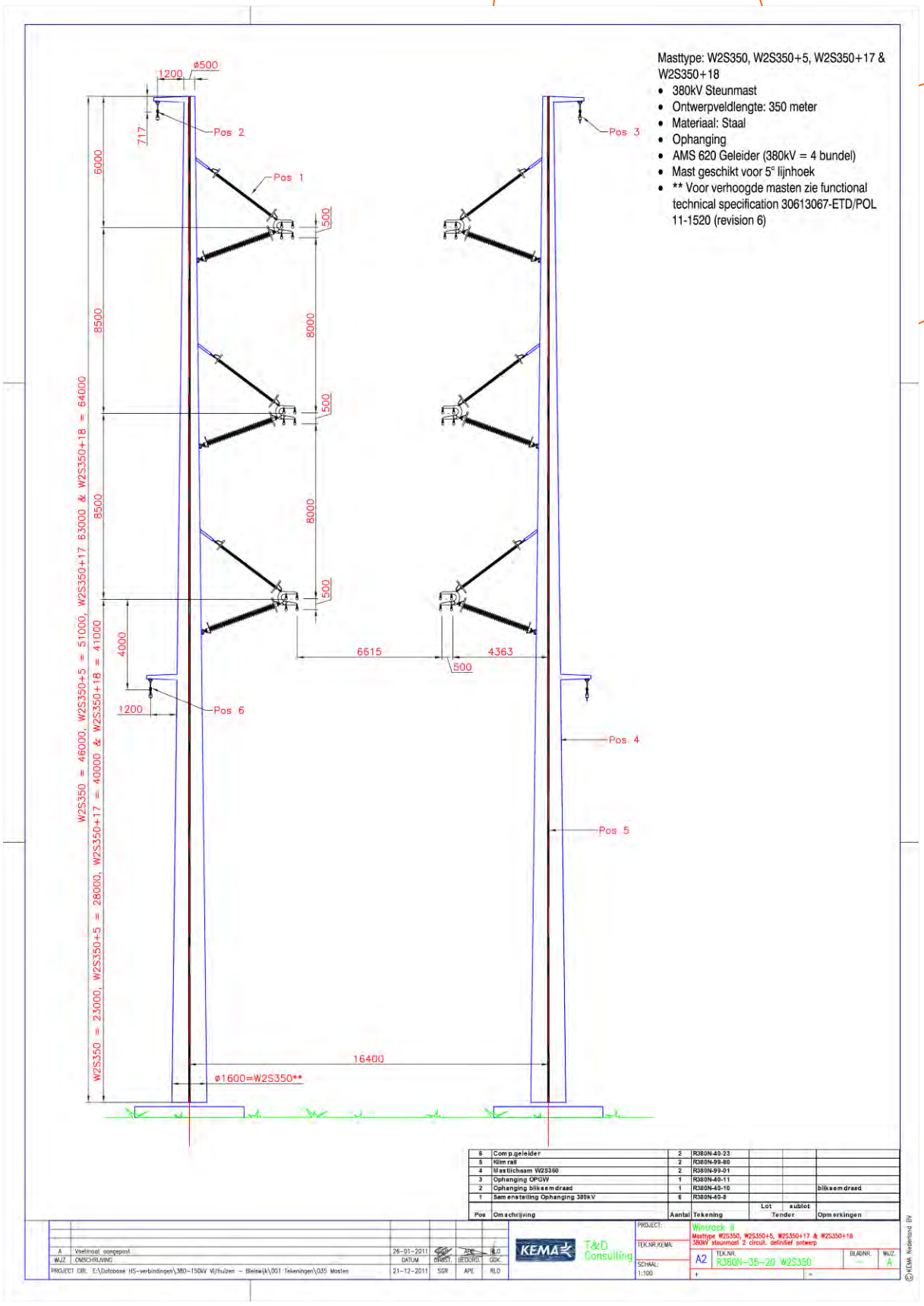

Bijlage C2: 380/150 kV combi mastbeeld

Masttype: W4S350 & W4S350+5
- 380/150kV Steunmast
- Ontwerpveldlengte: 350 meter
- Materiaal: Staal
- Ophanging
- AMS 620 geleider (380kV =4-bundelgeleiders en 150kV = 1 geleider)
- Mast geschikt voor 5° lijnhoek
- ** Voor verhoogde masten zie functional technical specification 30613067-ETD/POL 11-1520 (revision 6)

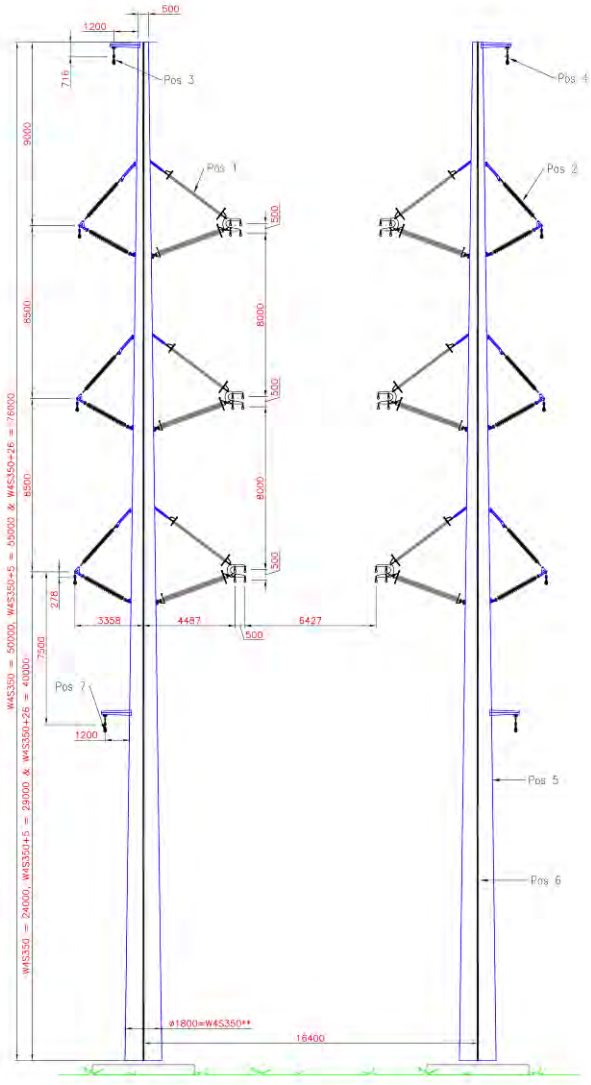

© 2012 KEMA Nederland B.V.

Bijlage C3: kabelbed/boring

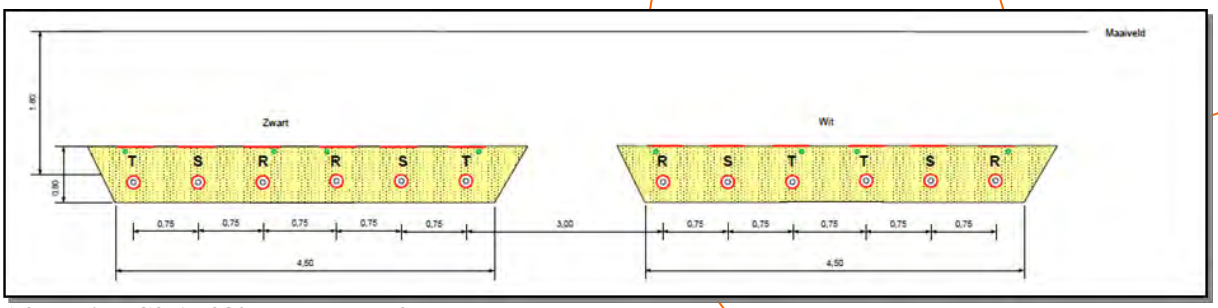

Afbeelding C3-1, 380kV kabelsleuf doorsnede

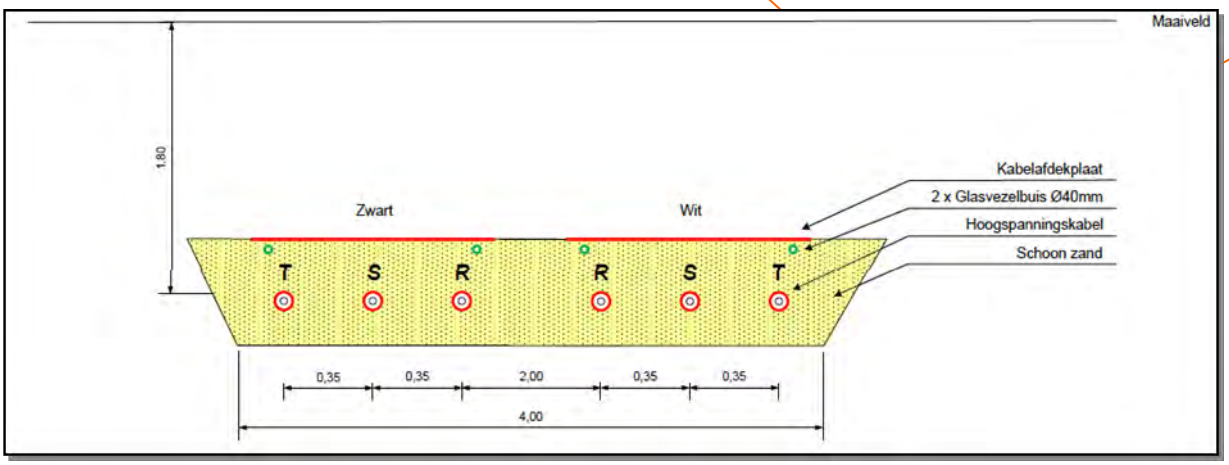

Afbeelding C3-2, 150kV kabelsleuf doorsnede

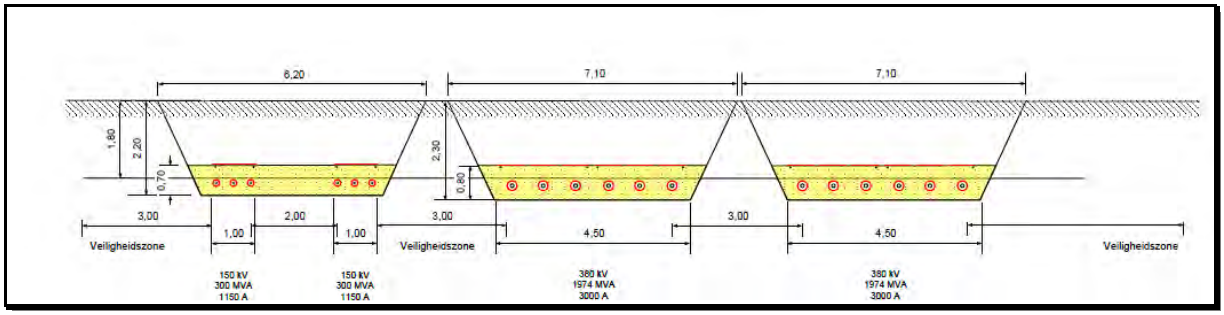

Afbeelding C3-3, Gecombineerde kabelsleuf 150/380kV doorsnede

Bijlage C3: kabelbed/boring

380kV-verbindingen:

Liggingsdiepte (dek)	:	afhankelijk van het te kruisen object
Beschikbare ruimte per boring	:	afhankelijk van de situatie
Aantal boringen	:	4 stuks
Aantal buizen HS kabel	:	12 x Ø250mm
Aantal buizen secundaire kabel	:	2 x Ø200mm
Ruimte tussen boringen	:	5m
Veiligheidsafstand	:	5m buiten hartlijn buitenste boringen

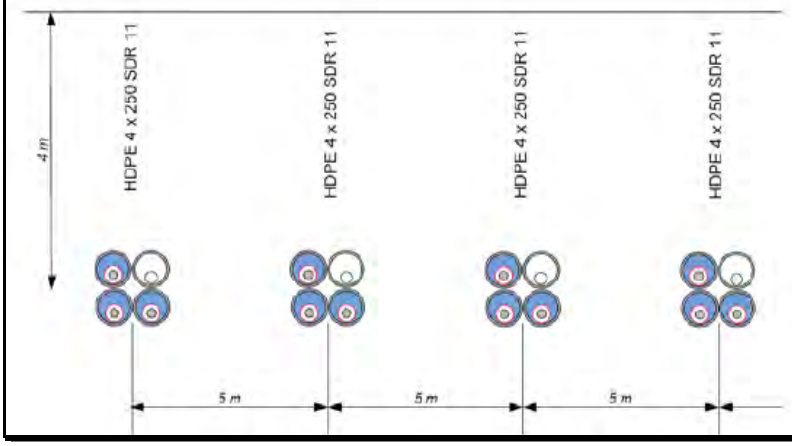

Afbeelding C3-4, HDD 380kV verbinding kabeldoorsnede

150kV-verbindingen (standaard):

Liggingsdiepte (dek)	:	afhankelijk van het te kruisen object
Beschikbare ruimte per boring	:	afhankelijk van de situatie
Aantal boringen	:	2 stuks
Aantal buizen HS kabel	:	6 x Ø200mm
Aantal buizen secundaire kabel	:	2 x Ø200mm
Ruimte tussen boringen	:	5m
Veiligheidsafstand	:	5m buiten hartlijn buitenste boringen

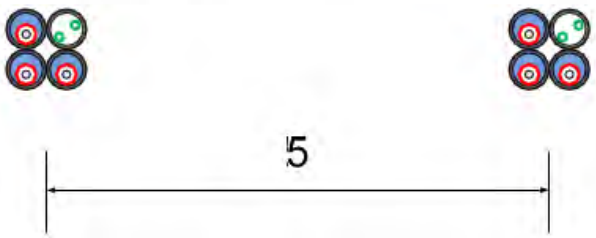

Afbeelding C3-5, HDD 150kV verbinding kabeldoorsnede

Bijlage D: Bodemweerstanden

Traject Beverwijk - Vijfhuizen

Tabel : Bodemweerstanden opgeleverd door TenneT

Diepte [m]	Bodemweerstand [Ωm]										
	Mast 1	Mast 3	Mast 5	Mast 7	Mast 8	Mast 9	Mast 10	Mast 11	Mast 13	Mast 14	Mast 15
30	10.5	34.9	24.3	18.4	25.1	28.1	17.7	16.0	13.9	20.775	32.5
20	4.7	26.0	27.0	15.9	23.1	24.1	13.5	12.9	17.7	22.55	36
15	7.6	23.0	12.0	15.5	23.9	22.8	10.9	11.2	17.1	23.3	37.6
10	7.1	20.5	24.0	16.2	25.4	21.7	9.3	9.4	16.6	23.075	36.95
7	9.1	23.3	62.7	17.4	26.9	21.5	8.8	8.9	16.9	23.4	36.5
5	12.1	22.4	111.7	18.8	28.2	20.5	9.3	8.7	17.4	22.6	35.7
3	19.0	61.8	167.1	20.1	25.7	18.7	11.3	8.7	24.6	23.95	35
2	22.1	106.9	215.0	20.4	25.0	16.9	13.0	8.6	23.7	25.075	32.65
1	21.3	273.5	221.3	18.4	30.2	29.8	15.6	8.1	26.9	26.2	30.1
0.5	16.0	321.5	186.0	15.7	60.6	18.4	15.5	10.7	27.1	23.6	38.8

Tabel : Bodemweerstanden opgeleverd door TenneT

Diepte [m]	Bodemweerstand [Ωm]									
	Mast 16	Mast 17	Mast 19	Mast 20	Mast 21	Mast 27	Mast 30	Mast 33	Mast 34	Mast 39
30	10.9	16.25	17.4	4.25	3.2	6.65	10.3	15.6	16.15	8.15
20	8.4	10.05	134.5	3	3.15	8.6	10.5	20.05	16.95	12.85
15	8.8	14.15	11.5	3	2.95	10.9	11.4	23.15	18.15	13.25
10	14.1	7.9	19.95	2.85	2.55	13.5	13.7	22.55	21	15
7	21.9	9.35	8.2	3.35	2.8	13.95	14.5	22.55	21.9	16
5	32.5	15.45	14.45	4.5	3.35	13.65	14.3	20.75	25.4	16
3	48.7	25.35	24.3	10.9	5.3	12.7	15.5	21.3	39.5	15.2
2	46.6	27.5	26.85	22.25	7.05	11.75	19.0	19.7	78.85	14.1
1	55.7	25.8	28.4	40.45	12.25	13.45	26.1	17.15	178.55	11.95
0.5	69.4	30.7	46.9	38.75	17.4	16.65	28.5	16.95	177.85	10.55

Traject Vijfhuizen - Bleiswijk

Tabel : Bodemweerstanden opgeleverd door TenneT

Diepte [m]	Bodemweerstand [Ωm]			
	Mast 74	Mast 75	Mast 76	Mast 77
30	13	14.9	30.1	33
20	10.45	11	27.2	33.2
15	9.65	8.95	27.7	34.6
10	9.5	7.6	30.5	39.15
7	9.05	7.55	34.15	38.25
5	9.9	7.9	35	37.55
3	11.2	11.45	35.5	31.6
2	12.8	14.75	33.65	31.3
1	15.15	18.9	31.3	24.95
0.5	19.15	22.9	28.55	26.3

Bijlage D: Bodemweerstanden

Tabel : Bodemweerstanden opgevraagd bij DINO- loket

Coördinaat		Gemiddelde bodemweerstand tot 30m diepte [Ωm]
X	Y	
106060	498897	25
106286	496616	8
106380	497099	11
109010	488600	42
105290	484620	23
102825	480840	29
106182	496703	11
97160	450420	31
100150	459640	13
100354	466832	17

In deze bijlage zijn de beïnvloedingsgebieden van de verschillende vormen van beïnvloedingen van de R-380kV Noordring aangegeven.

1. Weerstandsbeïnvloeding

De maximale beïnvloedingsgebied (660V zone) voor weerstandsbeïnvloeding rondom de masten zijn in tabel 1 en tabel 2 opgenomen.

Tabel 1, Weerstandsbeïnvloeding (660Vzone) voor het traject Beverwijk-Vijfhuizen

Mast	Maximale afstand [m]		Mast	Maximale afstand [m]		Mast	Maximale afstand [m]
1	-		14	16		28	9
2	15		15	12		29	14
3	17		16	15		30	15
4	16		17	14		31	15
5	-		18	14		32	14
6	-		19	14		33	9
7	-		20	10		34	8
8	12		21	14		35	8
9	16		22	15		36	13
10	17		23	15		37	14
11	17		24	14		38	10
12	16		26	10		39	-
13	16		27	9			

Tabel 2, Weerstandsbeïnvloeding (660 zone) voor het traject Vijfhuizen-Bleiswijk

Mast	Maximale afstand [m]		Mast	Maximale afstand [m]		Mast	Maximale afstand [m]
1	-		40	-		78	31
2	-		41	-		79	22
3	11		42	-		80	24
4	14		43	-		81	21
5	15		44	-		82	26
6	15		45	-		83	36
7	15		46	-		84	38
8	15		47	-		85	39
9	14		48	-		86	39
10	14		49	-		87	37
11	10		50	11		88	34
12	12		51	12		89	22
13	-		52	-		90	22
14	-		53	-		91	16
16	-		54	-		92	13
17	-		55	-		93	14
18	14		56	-		94	14
19	12		57	11		95	14
20	15		58	12		96	15
21	15		59	-		97	15
22	14		60	-		98	14
23	14		61	-		99	13
24	14		62	-		100	13
25	13		63	-		101	14
26	12		64	12		102	12
27	11		65	13		103	16
28	7		66	7		104	17
29	12		67	6		105	17

Mast	Maximale afstand [m]		Mast	Maximale afstand [m]		Mast	Maximale afstand [m]
30	13		68	-		106	15
31	9		69	-		107	17
32	13		70	12		108	17
33	14		71	14		109	12
34	12		72	16		110	11
35	15		73	19		111	12
36	14		74	24		112	18
37	14		75	32		113	23
38	13		76	35		114	37
39	6		77	35			

2. Capacitieve beïnvloeding en elektrische veld

De beïnvloedingsgebieden voor capacitieve beïnvloedingen en elektrische velden zijn in tabel 3 opgenomen.

Tabel 3, Maximale beïnvloedingsgebied voor capacitieve beïnvloedingen

Configuratie	Hoogspanningsverbinding deel	Beïnvloedingsgebied [m]
Solo	380kV Beverwijk – Vijfhuizen (mast 1 t/m 5) 380kV Beverwijk – Vijfhuizen (mast 6 t/m 39) 380kV Vijfhuizen – Bleiswijk (mast 34 t/m 61) 380kV Vijfhuizen – Bleiswijk (mast 62 t/m 74) 380kV Vijfhuizen – Bleiswijk (mast 79 t/m 82) 380kV Vijfhuizen – Bleiswijk (mast 89 t/m 92) 380kV Vijfhuizen – Bleiswijk (mast 106 t/m 116)	20
Solo zonder retourstroomgeleiders	380kV Vijfhuizen – Bleiswijk (mast 74 t/m 79) 380kV Vijfhuizen – Bleiswijk (mast 82 t/m 89)	20
kabeldeel	380kV Beverwijk – Vijfhuizen (kabeldeel) 150kV Haarlemmermeer-Vijfhuizen (kabeldeel) 150kV Sassenheim-Haarlemmermeer (kabeldeel) 150kV Zoetermeer-Leiden (kabeldeel) 380kV Vijfhuizen – Bleiswijk (kabeldeel)	0
Combi	380kV Vijfhuizen – Bleiswijk (mast 1 t/m 14) 150kV Haarlemmermeer-Vijfhuizen 380kV Vijfhuizen – Bleiswijk (mast 16 t/m 34) 150kV Sassenheim-Haarlemmermeer 380kV Vijfhuizen – Bleiswijk (mast 92 t/m 106) 150kV Zoetermeer-Leiden	20

3. Inductieve beïnvloedingen

De maximale berekende beïnvloedingsgebied voor inductieve beïnvloedingen zijn per configuratie opgenomen in tabel 4.

Tabel 4, Maximale beïnvloedingsgebied voor inductieve beïnvloedingen

Configuratie	**Hoogspanningsverbinding deel**	**Beïnvloedingsgebied [m]**
Solo	380kV Beverwijk – Vijfhuizen (mast 1 t/m 5) 380kV Beverwijk – Vijfhuizen (mast 6 t/m 39) 380kV Vijfhuizen – Bleiswijk (mast 34 t/m 61) 380kV Vijfhuizen – Bleiswijk (mast 62 t/m 74) 380kV Vijfhuizen – Bleiswijk (mast 79 t/m 82) 380kV Vijfhuizen – Bleiswijk (mast 89 t/m 92) 380kV Vijfhuizen – Bleiswijk (mast 106 t/m 116)	676
Solo zonder retourstroomgeleiders	380kV Vijfhuizen – Bleiswijk (mast 74 t/m 79) 380kV Vijfhuizen – Bleiswijk (mast 82 t/m 89)	621
kabeldeel	380kV Beverwijk – Vijfhuizen (kabeldeel) 150kV Haarlemmermeer-Vijfhuizen (kabeldeel) 150kV Sassenheim-Haarlemmermeer (kabeldeel) 150kV Zoetermeer-Leiden (kabeldeel) 380kV Vijfhuizen – Bleiswijk (kabeldeel)	484
Combi	380kV Vijfhuizen – Bleiswijk (mast 1 t/m 14) 150kV Haarlemmermeer-Vijfhuizen 380kV Vijfhuizen – Bleiswijk (mast 16 t/m 34) 150kV Sassenheim-Haarlemmermeer 380kV Vijfhuizen – Bleiswijk (mast 92 t/m 106) 150kV Zoetermeer-Leiden	594

4. Magnetische veld zones

De berekende beïnvloedingsgebieden van de magnetische velden zijn per configuratie in tabel 5 opgenomen.

Tabel 5, Magnetische veld zones

Configuratie	**Hoogspanningsverbinding deel**	**Magnetische veld zone [m]**		
		Zone 1 A/m	**Zone 3 A/m**	**Zone 30 A/m**
Solo	380kV Beverwijk – Vijfhuizen (mast 1 t/m 5) 380kV Beverwijk – Vijfhuizen (mast 6 t/m 39) 380kV Vijfhuizen – Bleiswijk (mast 34 t/m 61) 380kV Vijfhuizen – Bleiswijk (mast 62 t/m 74) 380kV Vijfhuizen – Bleiswijk (mast 79 t/m 82) 380kV Vijfhuizen – Bleiswijk (mast 89 t/m 92) 380kV Vijfhuizen – Bleiswijk (mast 106 t/m 116)	83	48	12
Solo zonder retourstroomgeleiders	380kV Vijfhuizen – Bleiswijk (mast 74 t/m 79) 380kV Vijfhuizen – Bleiswijk (mast 82 t/m 89)	90	52	9
kabeldeel	380kV Beverwijk – Vijfhuizen (kabeldeel) 150kV Haarlemmermeer-Vijfhuizen (kabeldeel) 150kV Sassenheim-Haarlemmermeer (kabeldeel) 150kV Zoetermeer-Leiden (kabeldeel) 380kV Vijfhuizen – Bleiswijk (kabeldeel)	17	13	9
Combi	380kV Vijfhuizen – Bleiswijk (mast 1 t/m 14) 150kV Haarlemmermeer-Vijfhuizen 380kV Vijfhuizen – Bleiswijk (mast 16 t/m 34) 150kV Sassenheim-Haarlemmermeer 380kV Vijfhuizen – Bleiswijk (mast 92 t/m 106) 150kV Zoetermeer-Leiden	92	52	9

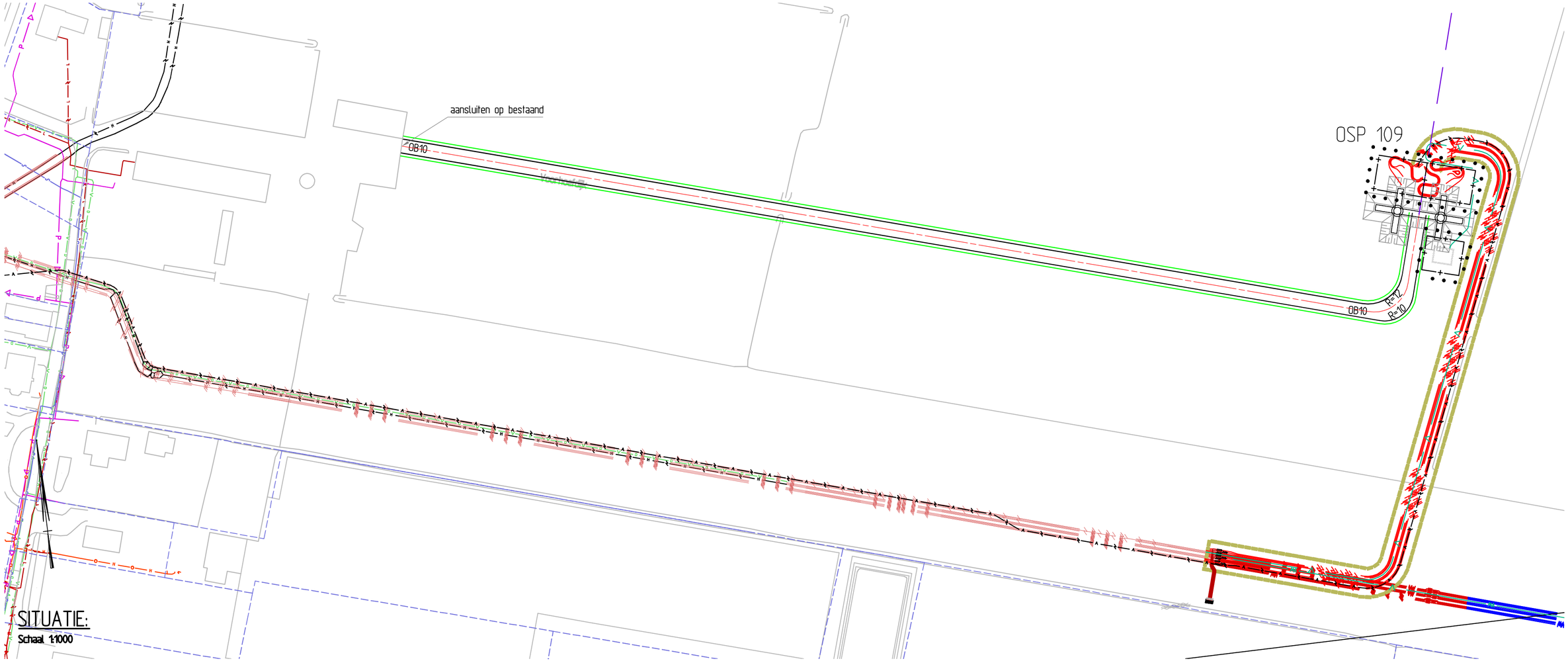

SITUATIE:
Schaal 1:1000

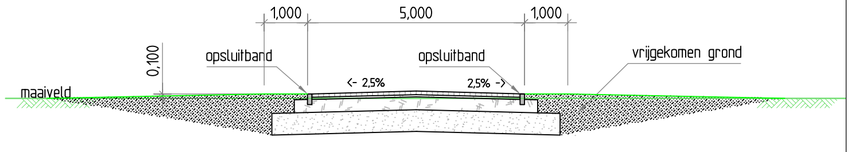

BOUWWEG(=PERMANENTE WEG) TYPE H1
Schaal 1:100

Bouwweg type H1 voldoet aan aslast 100 kN, 20 kN/m2

TOPOGRAFISCH FRAGMENT
Schaal 1:50.000

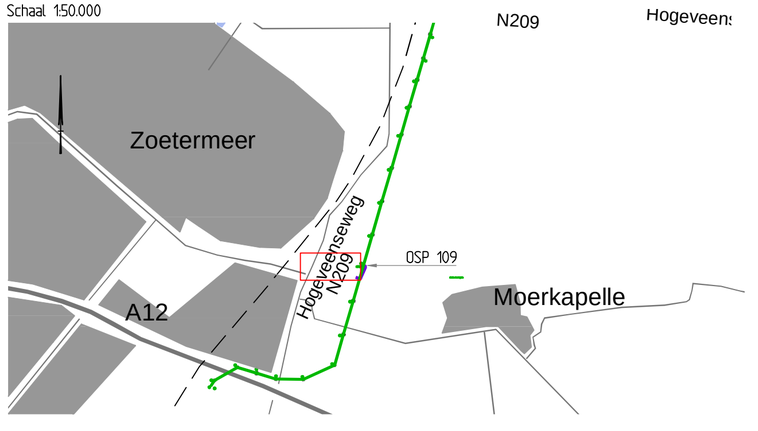

OPMERKINGEN:
- Maten in meters en hoogtes in meters t.o.v. N.A.P., tenzij anders vermeld;

Combining Knowledge and Experience

bam COFELY FABRICOM GDF SUEZ

Randstad 380kV Noordring

			P. de Jager	A. Hogenboom
			Controleur	Vrijgegeven door
Omschrijving: Definitief Ontwerp Tijdelijke en permanente werkwegen Toegangsweg M71 naar OSP 109	03			
	02			
	01	Permanente weg aangepast	15-11-2013	W. Vissers
	Rev.	Wijziging	Datum	Naam
Projekt: Randstad 380kV Noordring	Schaal: var.		Formaat: A2	
	Naam: W. Vissers		Datum: 04-10-2013	

TenneT Taking power further

Tekeningnummer: R3N-TEK-0098 blad 001

AutoCAD filename: Systnr:

Bijlage 2a1
Constructietekeningen masten

Mastenlijst Hoogheemraadschap Schieland en Krimpenerwaard

Mastnummer	Masttype	Poertype
101	W2E350+5	F
102	W2H400+10	C
103	W2S400+5	A
104	W2H400+10	C
105	W2H400+5	C
106	W2H400+5	C
107	W2S400+5	A
108	W2S400+5	A
109	W4H400ZA+10	D
110	W4S400Z+5	B
111	W4S400Z+5	B
112	W4S400Z+5	B

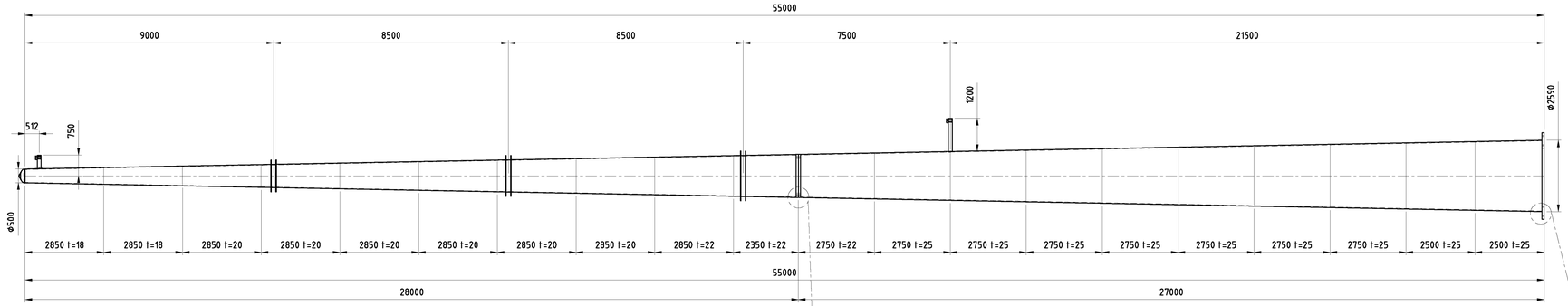

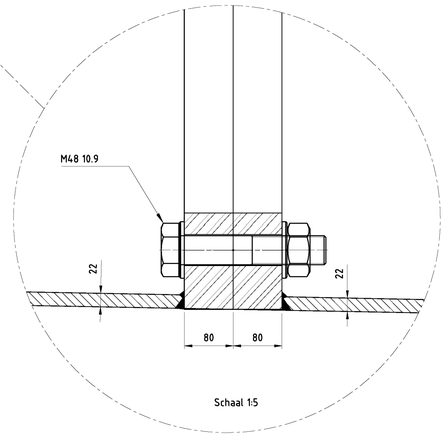

Schaal 1:5

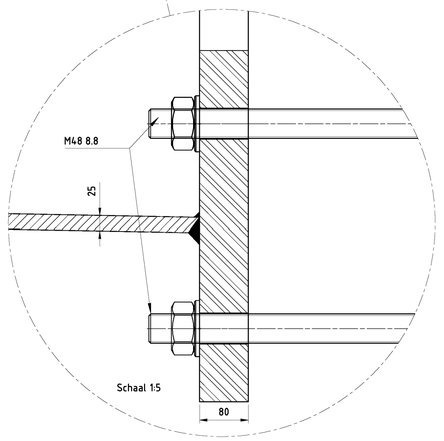

Schaal 1:5

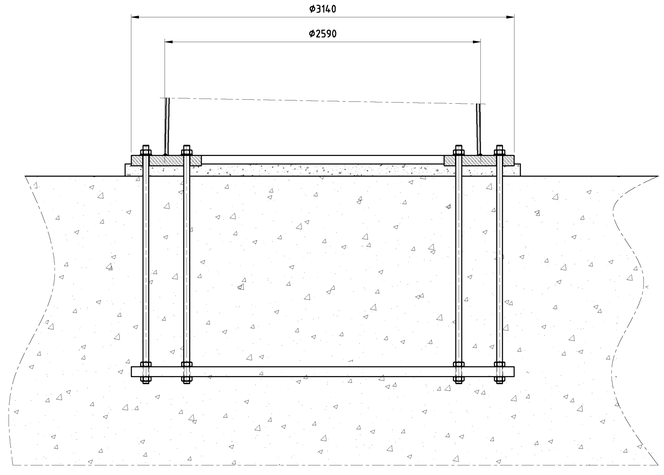

Schaal 1:25

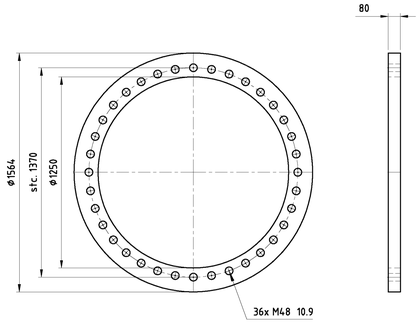

Schaal 1:20

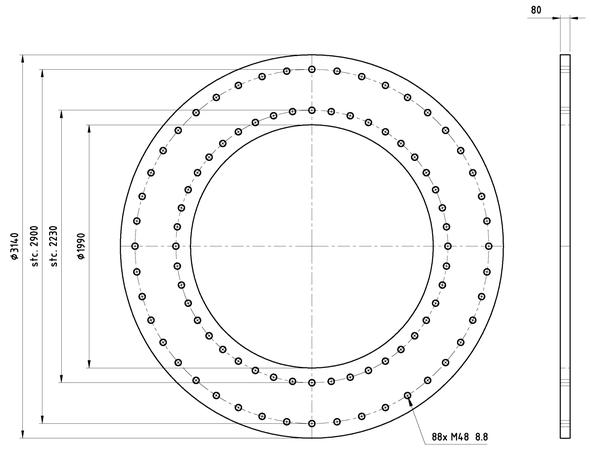

Schaal 1:25

Toleranties volgens C DIN8570
Dit geeft: (maten in mm)

DIN 8570	klasse C
<30	+/-1
30-120	+/-3
120-315	+/-4
315-1000	+/-6
1000-2000	+/-8
2000-4.000	+/-11
4.000-8000	+/-14
8000-12000	+/-18
12000-16000	+/-21
16000-20000	+/-24
>20000	+/-27

-Onrondheid aan segment einden <0.2%
-Onrondheid bij overige secties
(niet aan de segment einden) <0.5%
-Tolerantie in hoogte richting <0.05%

Ankers kwaliteit 8.8
Verbindingsbouten kwaliteit 10.9
Lasnorm: DIN 15614-1
Zie voor lasdetails tek. 07.81.940-01A/01B/02 t/m 07
Kleur mast: RAL 9018
Kleur uithouders, appendages : RAL 7021

Materiaal: S355J2G3 ≤ 15mm
S355K2G3 > 15mm

Aantal mastdelen 2
Gewicht mastdeel 2: kg
Gewicht mastdeel 1: kg
Totaal gewicht W2E350+5: kg

Benaming: Mast type W2E350+5

Uitg	Datum	Get	Gec	Schaal: 1:100	Plaats: NVT
1	14-08-2012	WvL		Maateenheid: mm	Adres: NVT
				Materiaal:	Opstelpunt nr: NVT
				Finish:	

VolkerWessels Telecom

Projectie | Tek.nr.: MS20120025/01 | A1

VolkerWessels Telecom Netwerk Solutions, Kanaal Zuid 286 Lieren
Postbus 676, 7300AR Apeldoorn Tel: +31 (0)88 186 02 00

auteursrechten VolkerWessels Telecom Netwerk Solutions, nadruk verboden

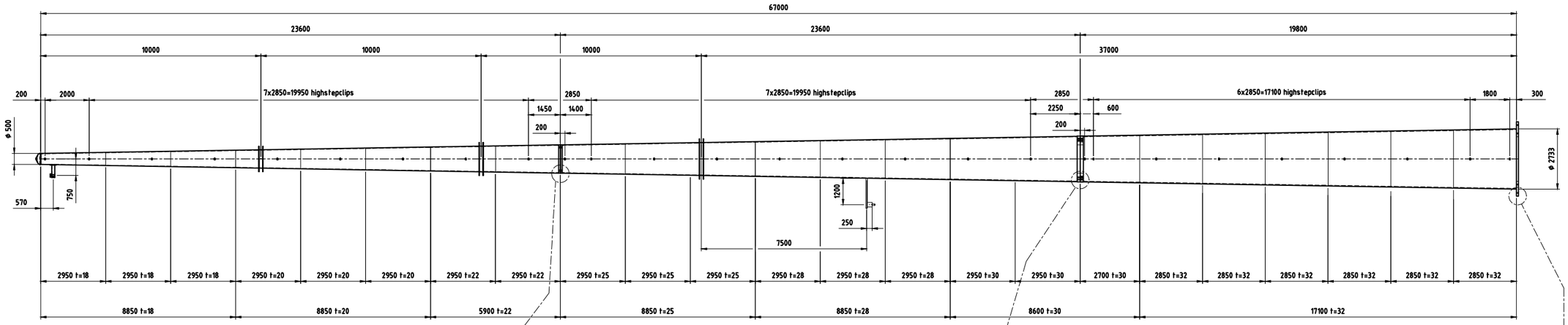

Schaal 1:100

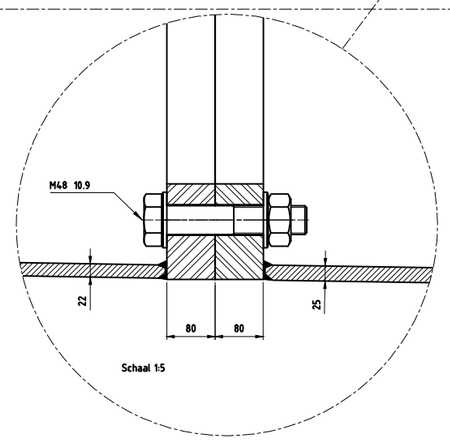

Schaal 1:5

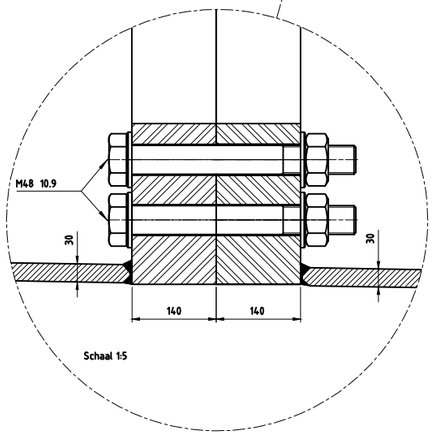

Schaal 1:5

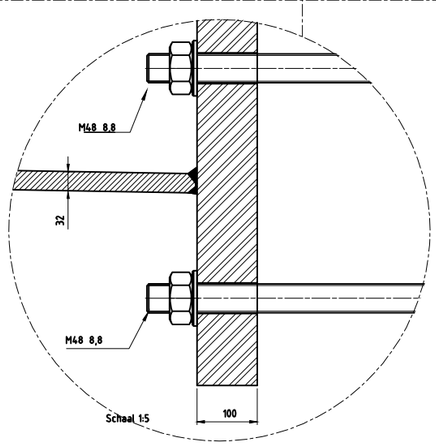

Schaal 1:5

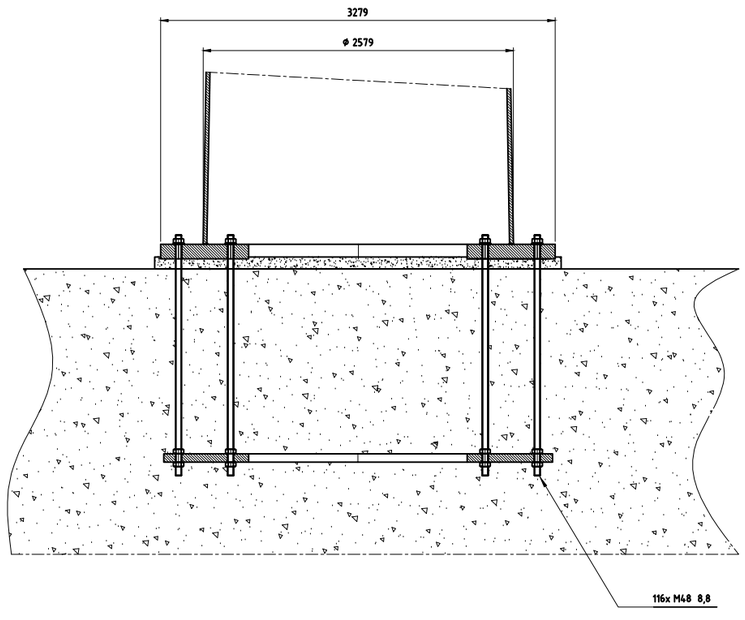

Schaal 1:25

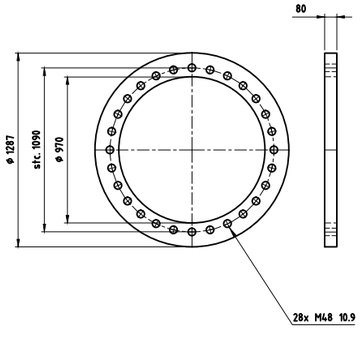

Schaal 1:20

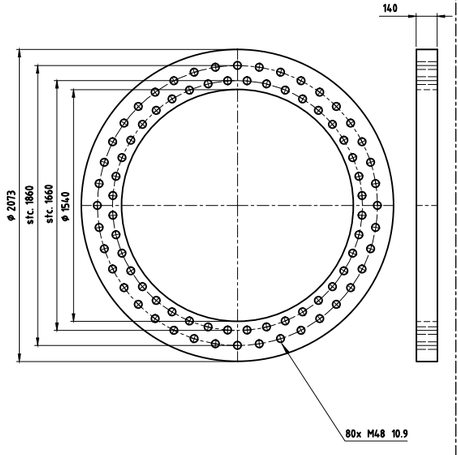

Schaal 1:20

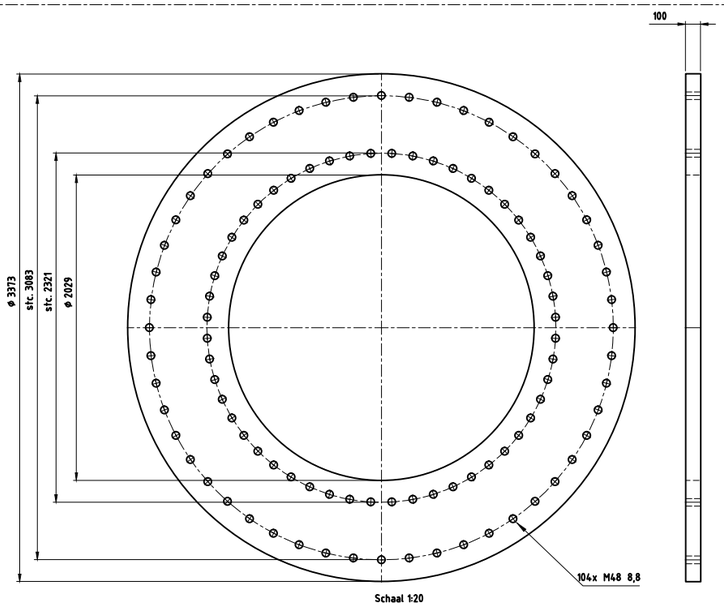

Schaal 1:20

Toleranties volgens C DIN8570
Dit geeft: (maten in mm)

DIN 8570	klasse C
<30	+/-1
30-120	+/-3
120-315	+/-4
315-1000	+/-6
1000-2000	+/-8
2000-4000	+/-11
4000-8000	+/-14
8000-12000	+/-18
12000-16000	+/-21
16000-20000	+/-24
>20000	+/-27

-Onrondheid aan segment einden <0.2%
-Onrondheid bij overige secties
(niet aan de segment einden) <0.5%
-Tolerantie in hoogte richting <0.05%

Ankers kwaliteit 8.8
Verbindingsbouten kwaliteit 10.9
Lasnorm: DIN 15614-1
Zie voor lasdetails tek. 07.81.940-01A/01B/02 t/m 07
Kleur mast: RAL 9018
Kleur uithouders, appendages : RAL 7021

Materiaal: S355J2G3 ≤ 15mm
S355K2G3 > 15mm

Aantal mastdelen: 2
Gewicht mastdeel 2: kg
Gewicht mastdeel 1: kg
Totaal gewicht W2E350+5: kg

Benaming: Mast type W2H400+10

Uitg	Datum	Get	Gec	Schaal: 1:100 1:25 1:20 1:5
1	27-11-2012	WvL		Maateenheid: mm
2	12-12-2012	WvL		Materiaal: S 235 JR
				Finish: Thermisch verzinken

Plaats:
Adres:
Opstelpunt nr:

Projectie
Tek.nr.: MS-0004/08
A1

VolkerWessels Telecom Netwerk Solutions, Kanaal Zuid 286 Lieren
Postbus 676, 7300AR Apeldoorn Tel: +31 (0)88 186 02 00

auteursrechten VolkerWessels Telecom Netwerk Solutions, nadruk verboden

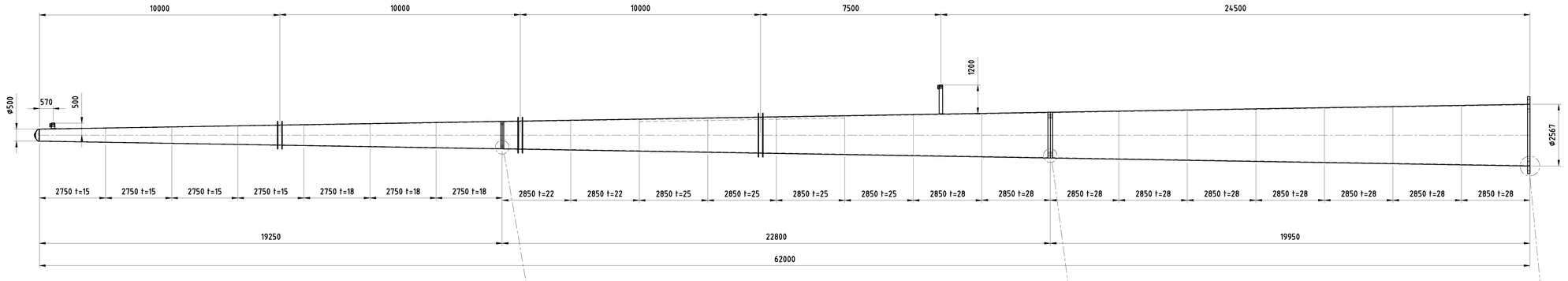

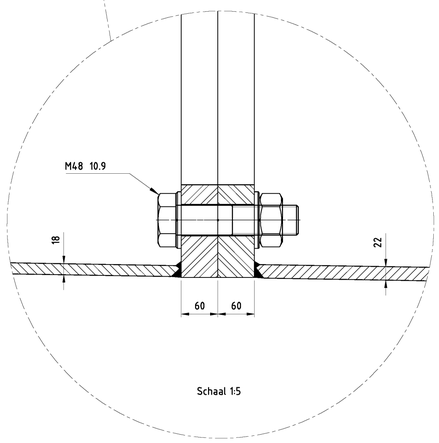

Schaal 1:5

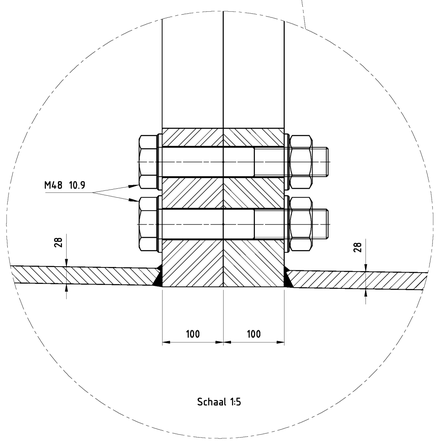

Schaal 1:5

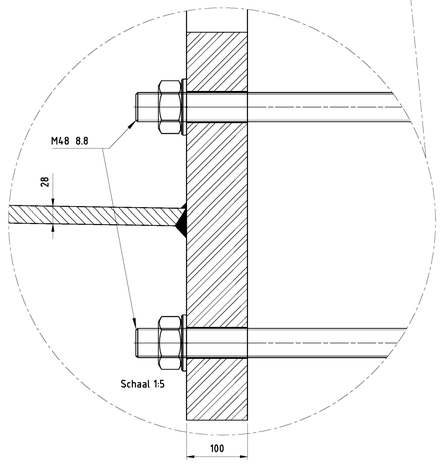

Schaal 1:5

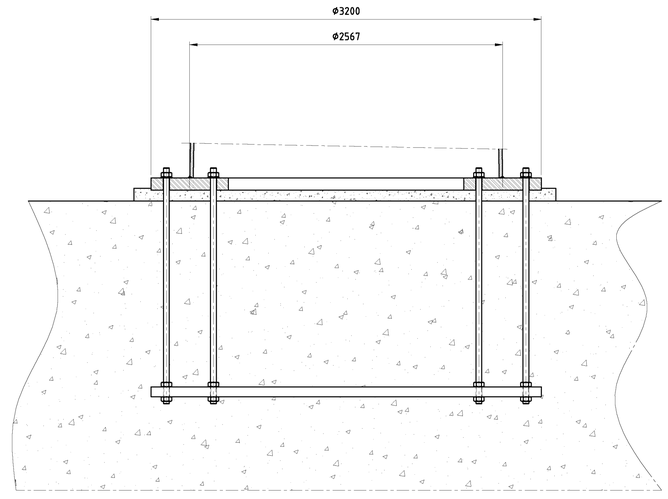

Schaal 1:25

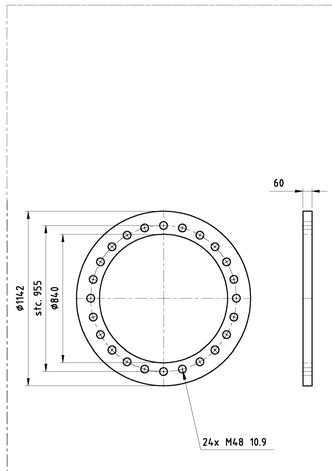

Schaal 1:20

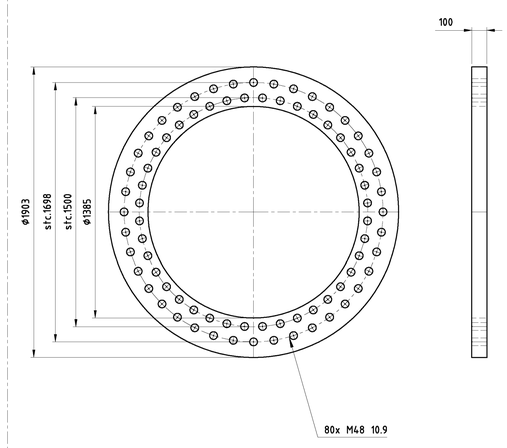

Schaal 1:20

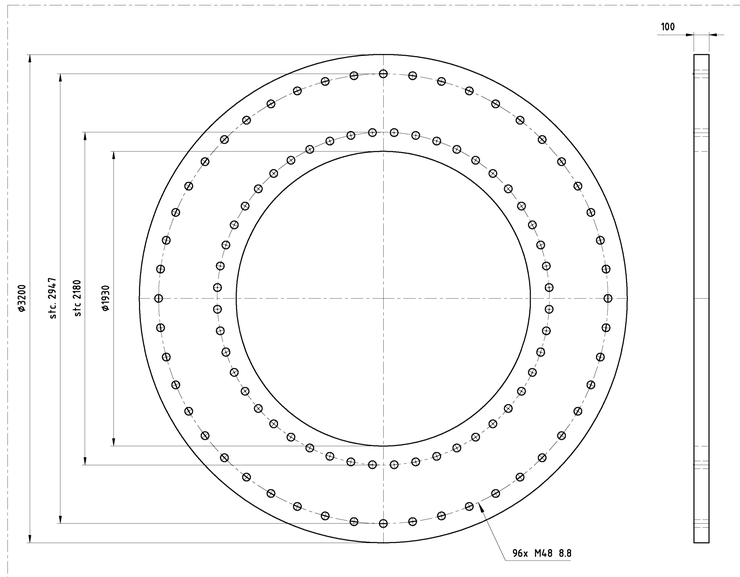

Schaal 1:20

Toleranties volgens C DIN8570
Dif geeft: (maten in mm)

DIN 8570	klasse C
<30	+/-1
30-120	+/-3
120-315	+/-4
315-1000	+/-6
1000-2000	+/-8
2000-4000	+/-11
4000-8000	+/-14
8000-12000	+/-18
12000-16000	+/-21
16000-20000	+/-24
>20000	+/-27

-Onrondheid aan segment einden <0.2%
-Onrondheid bij overige secties
(niet aan de segment einden) <0.5%
-Tolerantie in hoogte richting <0.05%

Ankers kwaliteit 8.8
Verbindingsbouten kwaliteit 10.9
Lasnorm: DIN 15614-1
Zie voor lasdetails tek. 07.81.940-01A/01B/02 t/m 07
Kleur mast: RAL 9018
Kleur uithouders, appendages : RAL 7021

Materiaal: S355J2G3 ≤ 15mm
S355K2G3 > 15mm

Aantal mastdelen: 3
Gewicht mastdeel 2: kg
Gewicht mastdeel 1: kg
Totaal gewicht W2E350+5: kg

Benaming: Mast type W2H400+5

Uitg	Datum	Get	Gec	Schaal: 1:100	Plaats: NVT
1	14-08-2012	WvL		Maateenheid: mm	Adres: NVT
				Materiaal:	Opstelpunt nr: NVT
				Finish:	

VolkerWessels Telecom
Projectie
Tek.nr.: MS20120025/06 A1

VolkerWessels Telecom Netwerk Solutions, Kanaal Zuid 286 Lieren
Postbus 676, 7300AR Apeldoorn Tel: +31 (0)88 186 02 00

auteursrechten VolkerWessels Telecom Netwerk Solutions, nadruk verboden

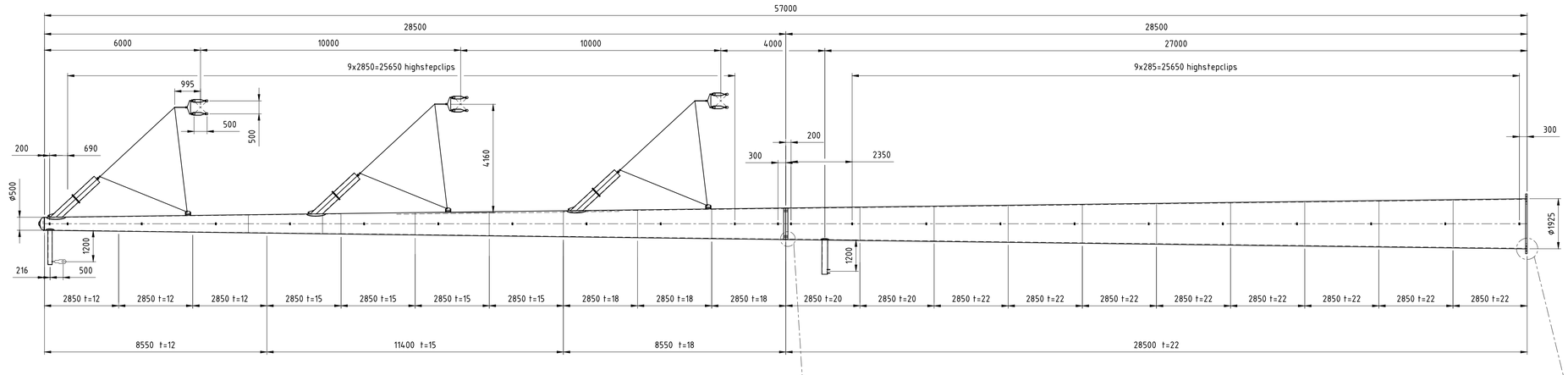

Schaal 1:100

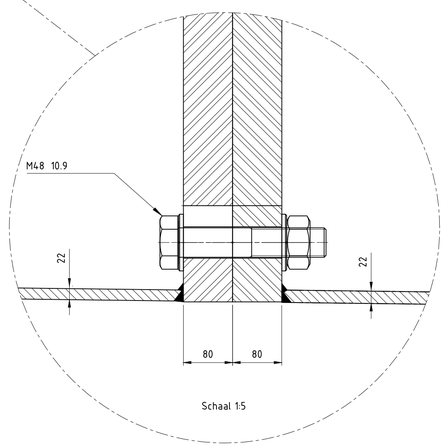

Schaal 1:5

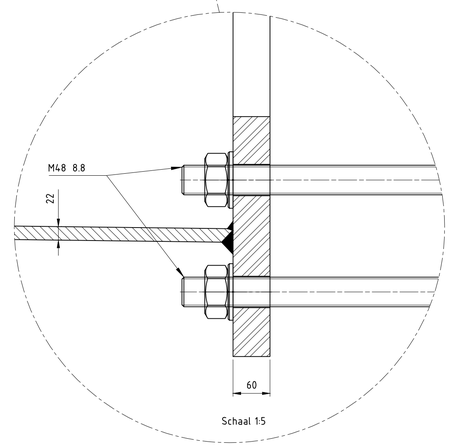

Schaal 1:5

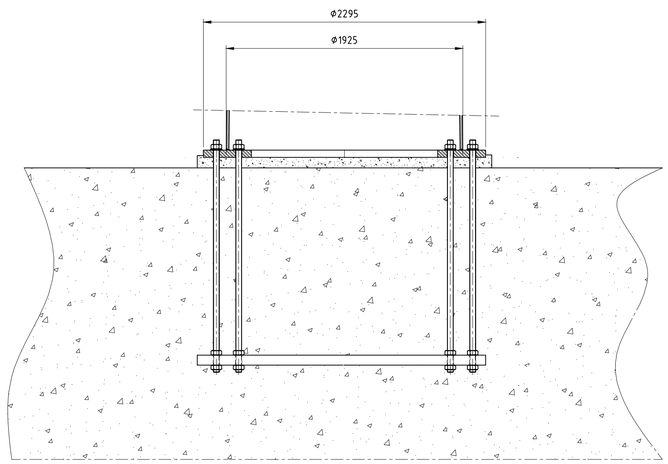

Schaal 1:20

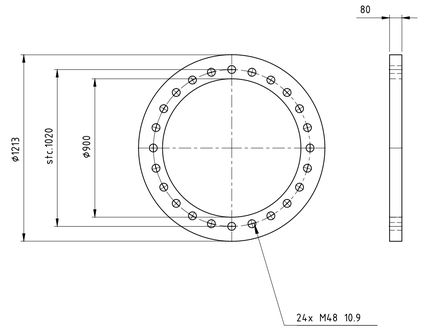

Schaal 1:20

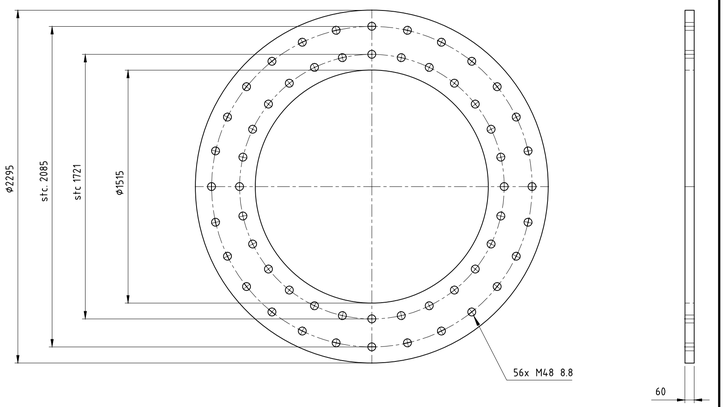

Schaal 1:20

Toleranties volgens C DIN8570
Dit geeft: (maten in mm)

DIN 8570	klasse C
<30	+/-1
30-120	+/-3
120-315	+/-4
315-1000	+/-6
1000-2000	+/-8
2000-4000	+/-11
4000-8000	+/-14
8000-12000	+/-18
12000-16000	+/-21
16000-20000	+/-24
>20000	+/-27

-Onrondheid aan segment einden <0.2%
-Onrondheid bij overige secties
(niet aan de segment einden) <0.5%
-Tolerantie in hoogte richting <0.05%

Ankers kwaliteit 8.8
Verbindingsbouten kwaliteit 10.9
Lasnorm: DIN 15614-1
Zie voor lasdetails tek. 07.81.940-01A/01B/02 t/m 07
Kleur mast: RAL 9018
Kleur uithouders, appendages : RAL 7021

Materiaal: S355J2G3 ≤ 15mm
S355K2G3 > 15mm

Aantal mastdelen: 2
Gewicht mastdeel 2: 24993kg
Gewicht mastdeel 1: 9506kg
Totaal gewicht W2S400+5: 34499kg

Benaming: Mast type W2S400+5

Uitg	Datum	Get	Gec	Schaal: 1:100
1	14-08-2012	WvL		Maateenheid: mm
2	03-09-2012	WvL		Materiaal:
3	30-01-14	WvL		Finish:

Plaats: NVT
Adres: NVT
Opstelpunt nr: NVT

VolkerWessels Telecom

Projectie | Tek.nr.: MS20120025/10 | A1

VolkerWessels Telecom Netwerk Solutions, Kanaal Zuid 286 Lieren
Postbus 676, 7300AR Apeldoorn Tel: +31 (0)88 186 02 00

auteursrechten VolkerWessels Telecom Netwerk Solutions, nadruk verboden

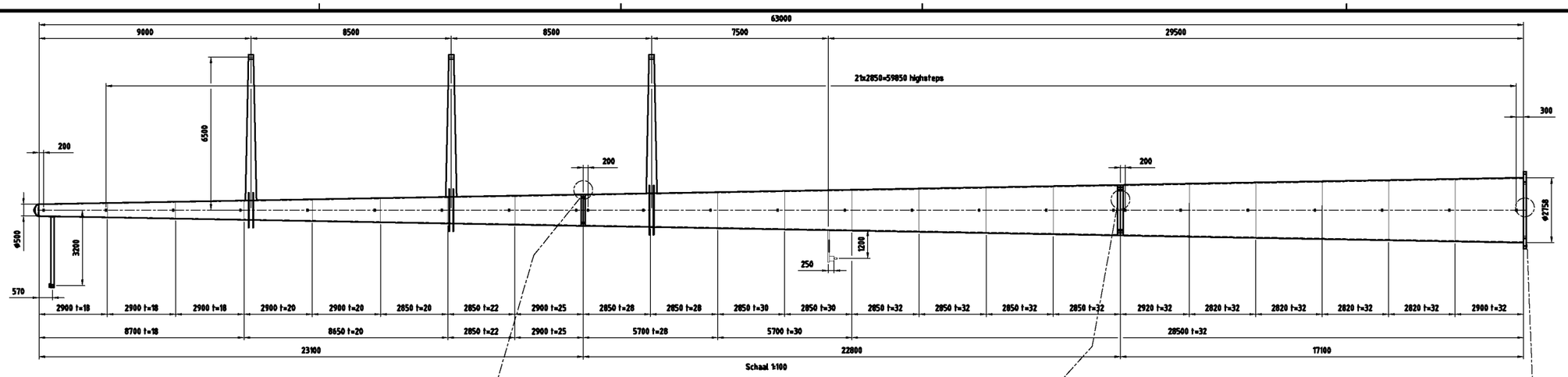

Schaal 1:100

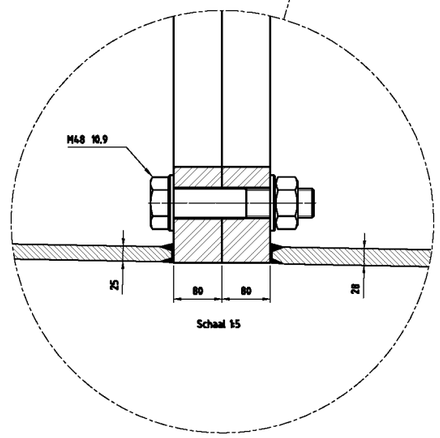

Schaal 1:5

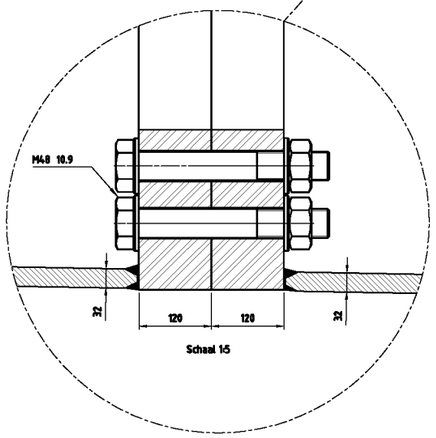

Schaal 1:5

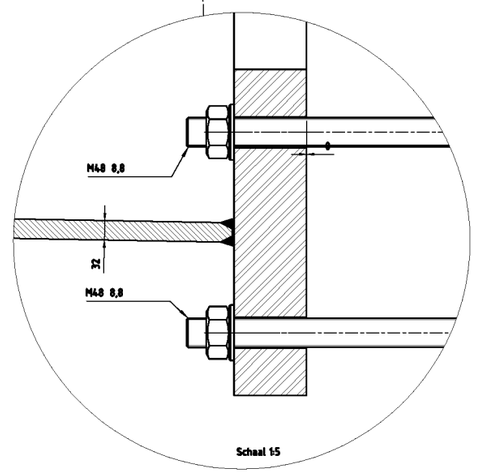

Schaal 1:5

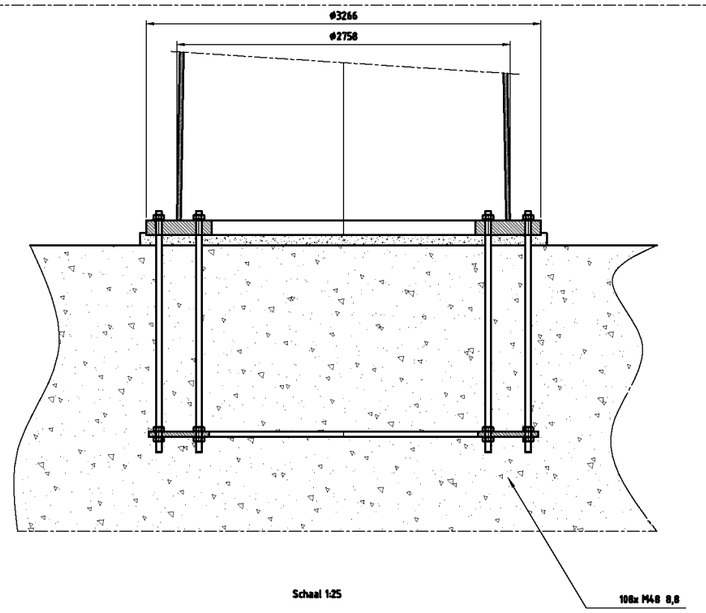

Schaal 1:25

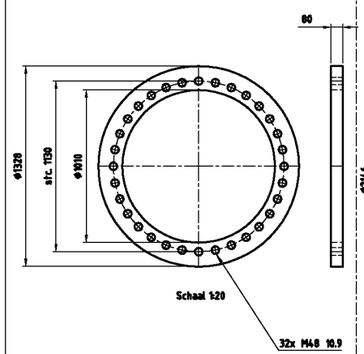

Schaal 1:20

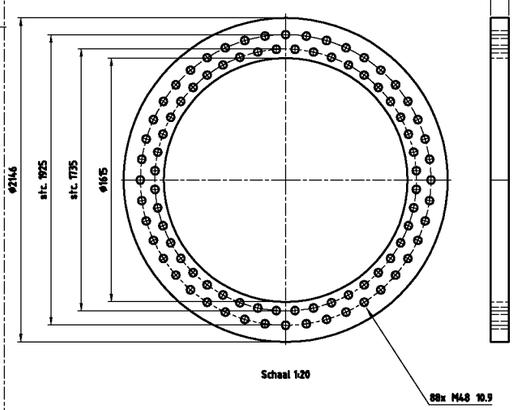

Schaal 1:20

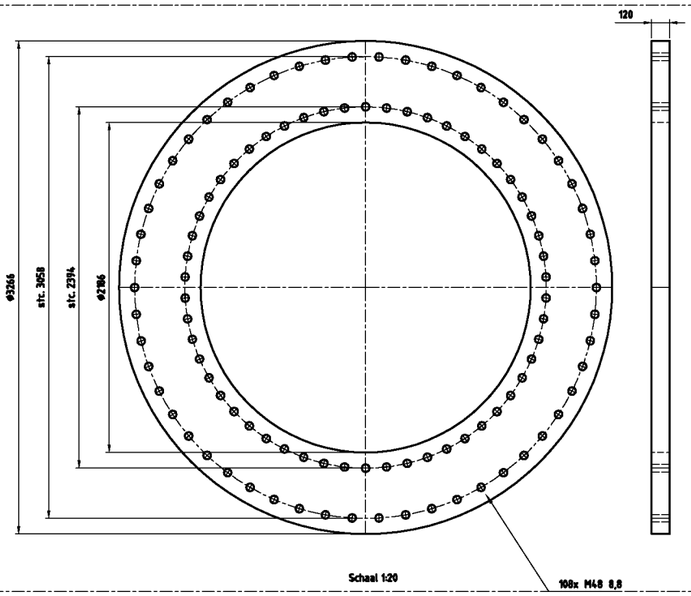

Schaal 1:20

Toleranties volgens C DIN8570
Dit geeft: (maten in mm)

DIN 8570	klasse C
<30	+/-1
30-120	+/-3
120-315	+/-4
315-1000	+/-6
1000-2000	+/-8
2000-4000	+/-11
4000-8000	+/-14
8000-12000	+/-18
12000-16000	+/-21
16000-20000	+/-24
>20000	+/-27

-Onrondheid aan segment einden =0.2%
-Onrondheid bij overige secties
(niet aan de segment einden) =0.5%
-Tolerantie in hoogte richting =0.05%

Ankers kwaliteit 8.8
Verbindingsbouten kwaliteit 10.9
Lasnorm: DIN 15614-1
Zie voor lasdetails tek. 07.81.940-01A/01B/02 t/m 07
Kleur mast: RAL 9018
Kleur uithouders, appendages : RAL 7021

Materiaal: S355J2G3 = 15mm
S355K2G3 > 15mm

Aantal mastdelen: 3
Gewicht mastdeel 1: 32651kg
Gewicht mastdeel 2: 29458kg
Gewicht mastdeel 3: 10358kg
Totaal gewicht W4H400ZA+10: 72465kg

Benaming: Mast type W4H400ZA+10

Uitg	Datum	Get	Gec
1	27-11-2012	WvL	
2	11-01-2013	HS	
3	30-01-2014	WvL	

Schaal: 1:100 1:25 1:20 1:5
Meeteenheid: mm
Materiaal: S 235 JR
Finish: Thermisch verzinken

Plechs:
Adres:
Opstelpunt nr:

Volker Wessels Telecom
Projectie
Tek.nr.: MS-0004/15
A1

Volker Wessels Telecom Netwerk Solutions, Kanaal Zuid 286 Lieren
Postbus 676, 7300AR Apeldoorn Tel: +31 (0)88 186 92 00

auteursrechten Volker Wessels Telecom Netwerk Solutions, nadruk verboden

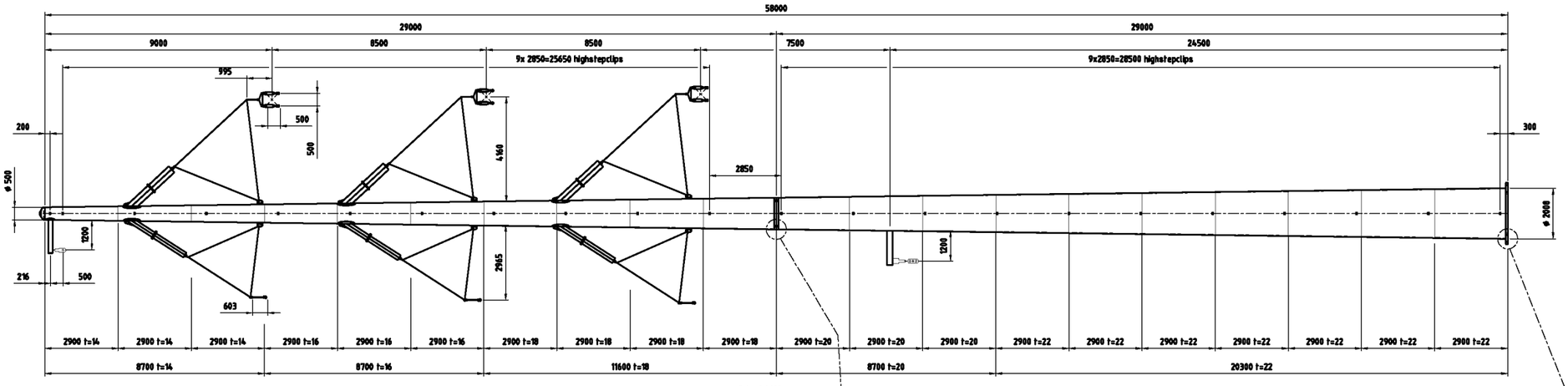

Schaal 1:100

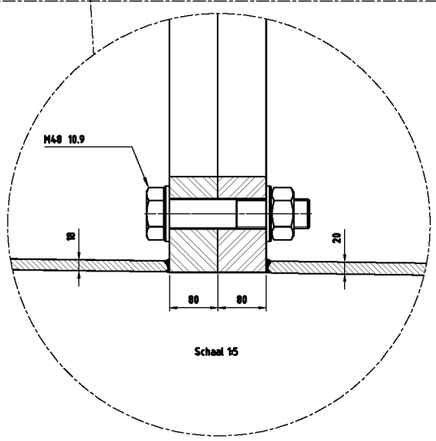

Schaal 1:5

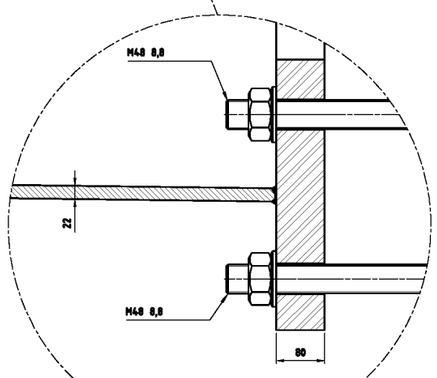

Schaal 1:5

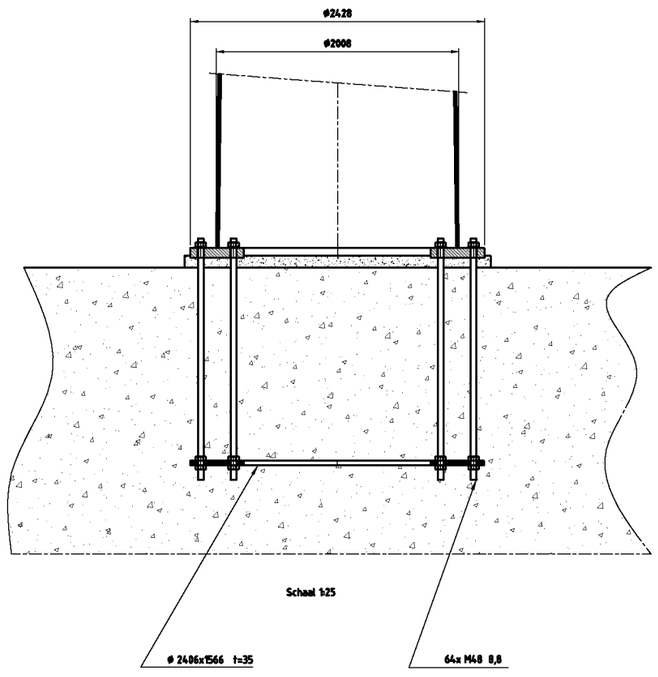

Schaal 1:25

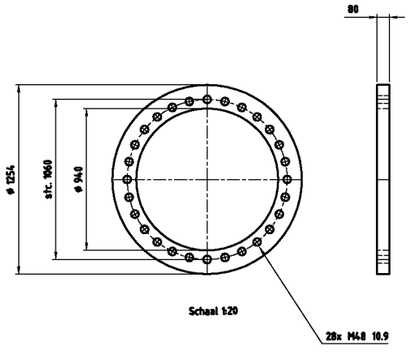

Schaal 1:20

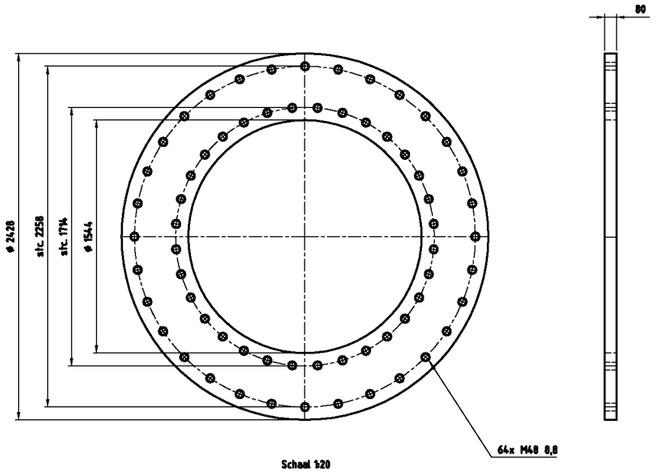

Schaal 1:20

Toleranties volgens C DIN8570
Dit geeft: (maten in mm)

DIN 8570	klasse C
<30	+/-1
30-120	+/-3
120-315	+/-4
315-1000	+/-6
1000-2000	+/-8
2000-4000	+/-11
4000-8000	+/-14
8000-12000	+/-18
12000-16000	+/-21
16000-20000	+/-24
>20000	+/-27

-Onrondheid aan segment einden =0.2%
-Onrondheid bij overige secties
(niet aan de segment einden) =0.5%
-Tolerantie in hoogte richting =0.05%

Ankers kwaliteit 8.8
Verbindingsbouten kwaliteit 10.9
Lasnorm: DIN 15614-1
Zie voor lasdetails tek. 07.01.940-01A/01B/02 t/m 07
Kleur mast: RAL 9018
Kleur uithouders, appendages : RAL 7021

Materiaal: S355J2G3 < 15mm
S355K2G3 > 15mm

Aantal mastdelen: 2
Gewicht mastdeel 1:
Gewicht mastdeel 2:
Totaal gewicht

Benaming: Mast type W4S400Z+5

Uitg	Datum	Get	Gec
1	27-11-2012	WvL	
4	30-01-2014	WvL	
5	28-02-2014	WvL	

Schaal: 1:100 1:25 1:20 1:5
Moetenheid: mm
Materiaal: S 235 JR
Finish: Thermisch verzinken

Plaats:
Adres:
Opsteipunt nr:

Volker Wessels Telecom
Tek.nr.: MS-0004/05
A1

Volker Wessels Telecom Netwerk Solutions, Kanaal Zuid 286 Lieren
Postbus 676, 7380AR Apeldoorn Tel: +31 (0)88 186 82 00
auteursrechten Volker Wessels Telecom Netwerk Solutions, nadruk verboden

Bijlage 2a2
Constructieberekeningen masten

VolkerWessels Telecom | Netwerk Solutions

TenneT

Postbus 676
7300 AR Apeldoorn
Tel: 088 - 1860200

Statische ontwerpberekening

Masttype "W2E350(+5)"

Tracé – Beverwijk - Vijfhuizen

en

Tracé Vijfhuizen - Bleiswijk

Revisie	Datum	Samensteller	Gecontroleerd
00 – Tracé Vijfhuizen- Beverwijk	30 - 07 - 12	ing. Miko Hakhverdian	
01 – Belasting geleiders aangepast	29 - 11 - 12	ing. Miko Hakhverdian	
02-Detailberekening toegevoegd	18 - 04 - 13	ing. Miko Hakhverdian	
03-Mast nummers verwijderd	07 - 02 - 14	ing. Miko Hakhverdian	7-2-14

Inhoudsopgave.

	blz.
1.0 Uitgangspunten berekening	4
1.1 Inleiding	4
1.2 Toegepaste normen	4
1.3 Randvoorwaarden	4
1.4 Constructie onderdelen	4
1.5 Toegepaste materiaal	5
1.6 Belastingen	6
2.0 Berekening masttype “W2E350(+5)”	7
2.1 Overzicht mast	8
2.2 Mast gegevens	9
2.3 Computerschema	11
3.0 Berekening Belastingen	12
3.1 Berekening stuwdruk	13
3.2 Berekening eigenfrequentie mast	14
3.3 Berekening bouwwerkfactor C_sC_d	16
3.4 Bepaling krachtcoëfficiënt C_f	17
3.5 Gewicht en horizontale belasting geleiders	18
3.6 Gewicht en windbelasting mastlichaam	19
3.7 Berekende belastingen	20
4.0 Resultaat berekeningen	23
4.1 Berekening verplaatsingen in SLS- toestand (belasting gevallen)	23
4.2 Maximale verplaatsingen in SLS- toestand	29
4.3 Toetsing maximale verplaatsingen	30
4.4 Berekening Krachten in ULS- toestand (belasting gevallen)	31
4.5 Maximale Krachten in ULS- toestand	37
4.6 Toetsing doorsnede	38
5.0 Berekening ankers, bouten en flensverbindingen	41
6.0 Controleberekening vortex shedding	44
7.0 Fundatie belastingen	52
8.0 Betonspanning onder voetplaat en instortring	53

	blz.
9.0 Detailberekening	55
9.1 Berekening afspanpunt trekisolatoren 380 kV	55
9.1.1 Berekening afspanpunt trekisolatoren op 41m hoogte	56
9.1.2 Berekening afspanpunt trekisolatoren op 32,5m hoogte	61
9.1.3 Berekening afspanpunt trekisolatoren op 24m hoogte	66
9.1.4 Berekening afspanpunt trekisolatoren op 44,5m hoogte	71
9.1.5 Berekening afspanpunt trekisolatoren op 36m hoogte	76
9.1.6 Berekening afspanpunt trekisolatoren op 28m hoogte	81
9.2 Berekening draagarm bliksemdraad	86
9.2.1 Controle capaciteit van de aansluiting - draagarm aan mast	88
9.2.2 Berekening clip bliksemdraad (clip 5.4)	89
9.3 Berekening draagarm " Retourstroomgeleider "	92
9.3.1 Controle capaciteit van de aansluiting - draagarm aan mast	97
9.3.2 Berekening clip " Retourstroomgeleider "	98
9.4 Berekening Clip 17 - t.b.v. installatie geleiders (op 0,5m hoogte)	100
9.4.1 Controle capaciteit van de aansluiting	102
9.5 Berekening clip hulprail - clip 8	103
9.5.1 Controle capaciteit van de aansluiting	105
9.6 Ondersteuning hijsbalk op de top van de mast	107
9.7 Berekening versterking deur	110

Bijlage: KEMA rapport 74100224-ETD/POL 12-00138 V10.0 - bijlage F en F2

1.0 - Uitgangspunten berekening.

1.1 - Inleiding.

In dit rapport wordt in opdracht van TenneT de statische ontwerpberekening van het masttype W2E350(+5) van het project “R380 Wintrack hoogspanningslijn” Noordring , tracé Beverwijk – Vijfhuizen & Vijfhuizen – Bleiswijk gepresenteerd.

1.2 – Toegepaste normen.

De berekening is gebaseerd op de volgende normen:

- NEN-EN 50341-1 – Bovengrondse elektrische lijnen boven 45 kV wisselspanning – Deel 1: Algemene eisen – Gemeenschappelijke specificaties, uitgave november 2001.
- NEN-EN 50341-3 – Bovengrondse elektrische lijnen boven 45 kV wisselspanning – Deel 3: Verzameling van nationale normatieve aspecten, uitgave november 2001 en correctieblad mei 2006.
- NEN-EN 1990 - Grondslagen van het constructief ontwerp, uitgave december 2007 (+NB).
- NEN-EN 1991 – Algemene belastingen, uitgave december 2007 (+NB)
- NEN-EN 1991-1-4 - Algemene belastingen – Windbelasting, uitgave december 2007.
- NEN-EN 1993-1-1 - Ontwerp en berekenen van staalconstructies, uitgave december 2007(+NB).
- NEN-EN 1993-1-8 - Ontwerp en berekenen van verbindingen, uitgave december 2007 (+NB).
- NEN-EN 1993-3-1 – Torens, maten en schoorstenen, uitgave juli 2007.
- NEN 2063 – Op vermoeiing belaste constructies- Het berekenen van gelaste verbindingen in ongelegeerd en zwakgelegeerd staal t/m S355.

De belastingopgave is volgens KEMA rapport 74100224-ETD/POL 12-00138 V10.0 “Design Loads for Wintrack II – R380 BEV-VHZ & VHZ-BEV” 18 november 2013.
Voor het masttype W2E350(+5) zijn de bijlage F (berekening maststerkte) en bijlage F2 (berekening verplaatsingen) van het KEMA rapport van toepassing.

1.3 – Randvoorwaarden.

Volgens Eurocode 3, deel 3-1 wordt de constructie ingedeeld in ontwerp levensduurklasse 3, gevolgklasse CC3 en referentieperiode 50 jaar. Mast bevindt zich in het gebied (windgebied II – onbebouwd) dat de terreincategorie II is van toepassing.

In de bruikbaarheidsgrenstoestand (SLS- toestand) dient voldaan te worden aan de volgende randvoorwaarden:

- De maximale horizontale uitbuiging mag niet groter zijn dan 5,5% van de hoogte van de mast.
- De relatieve verplaatsing van mast mag niet groter zijn dan 1% van de hoogte van de mast.

1.4 – Constructieonderdelen.

A - Mast constructie.

De mast is een buismast met een totale hoogte van 55,0 meter. De basis diameter van de mast is 2,590 meter en verloopt conisch tot de top van de mast naar een diameter van 0,5 meter. De mast is opgebouwd uit twee segmenten. De segmenten zijn 27,0 meter en 28,0 meter lang. Deze segmenten worden door middel van een binnenflensaansluiting aan elkaar verbonden.
De mast is voorzien van een klimvoorziening aan de binnenkant van de mast.

B - Fundatie.

De berekening van de fundatie en draagkracht van de grond valt buiten deze berekening. Aan de hand van locatiegegevens en grondmechanisch onderzoek dient de fundatie van de mast alsnog te worden berekend.

1.5 – Toegepaste materialen.

A - Mastconstructie.

De materiaalkwaliteit is S355 ($f_{y;d}$ = 355 N/mm^2, $f_{t;d}$ = 510 N/mm^2), tenzij anders vermeld.

B - Bouten en moeren.

De toegepaste bouten zijn kwaliteit 10.9. De ankers zijn kwaliteit 8.8.
Alle bouten en moeren zijn thermisch verzinkt, ISO-passend en gerolde draad.

C - Lassen in de primaire constructie.

Alle lassen zijn voorbewerkte ½ V las met een tegen las, klasse K35 of een voorbewerkte X las klasse K45. De lasdetails worden door de fabrikant opgegeven.

1.6 - Belastingen.

A – Geleiders (bliksemdraad, fasedraden en retourstroomgeleider) en isolatoren.

De belastingopgave is volgens KEMA rapport 74100224-ETD/POL 12-00138 V10.0 “Design Loads for Wintrack II – R380 BEV-VHZ & VHZ-BEV” 18 november 2013.
Voor het masttype W2E350(+5) zijn de bijlage F (berekening maststerkte) en bijlage F2 (berekening verplaatsingen) van het KEMA rapport van toepassing.

In de bovengenoemde bijlagen zijn de krachten inclusief de belastingfactoren volgens NEN-EN 50341-3-15 paragraaf 4.2, tabel 4.2.11/NL.1 voor de ULS- toestand (Ultimate limit state) en tabel 4.2.11/NL.4 voor de SLS-toestand (Serviceability limit state) aangegeven.

B – Mastlichaam

Het gewicht van de mast is een centrisch en gelijkmatig verdeelde belasting. Deze wordt gecombineerd met het gewicht van de geleiders en isolatoren. De belastingfactoren voor het eigengewicht zijn volgens NEN-EN 50341-3-15 en NEN-EN 1993-3-1, γ_g = 1,2 voor de ULS-toestand en γ_g = 1,0 voor de SLS- toestand.

De windbelasting van het mastlichaam is een horizontaal verdeelde belasting over de hele hoogte. Gezien het feit dat het windoppervlak van het mastlichaam in alle richtingen gelijk is, wordt deze eenmaal berekend en gecombineerd met de belasting van de geleiders in de verschillende windrichtingen. De belastingfactoren voor de windbelasting van het mastlichaam zijn volgens NEN-EN 1993-3-1, γ_q = 1,6 voor de ULS- toestand en γ_q = 1,0 voor de SLS-toestand.

2.0 - Berekening masttype “W2E350(+5)”

Berekening

W2E350+5

55,0 m - 2590 - 500

Tracé Beverwijk - Vijfhuizen

en

Tracé Vijfhuizen - Bleiswijk

2.1 - Overzicht mast

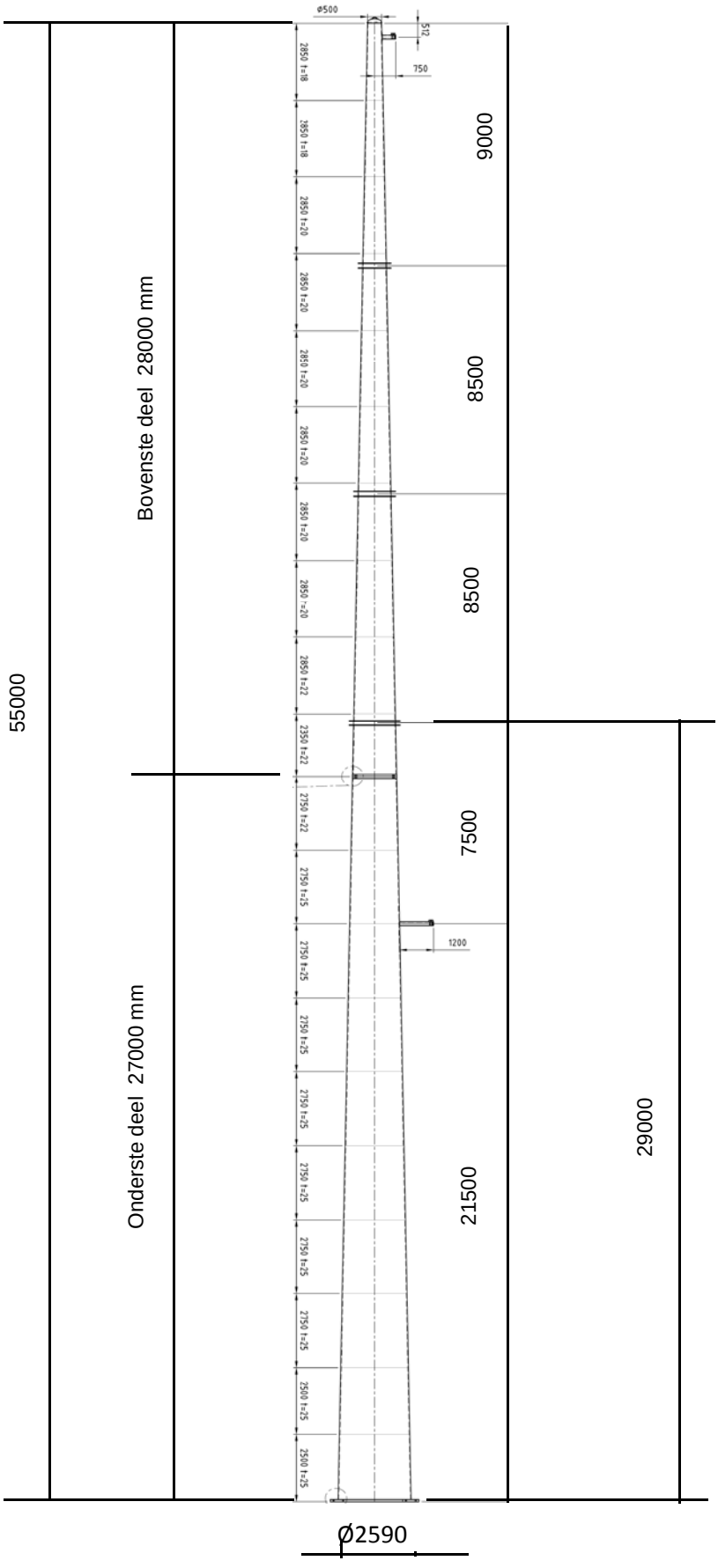

2.2 - Mast gegevens

Buismast type W2E350(+5)

Voet van de mast op :	0,00	meter

Wind gebied : II - onbebouwd

aantal staven	27	gem. breedte (m)	1,545

staaf nummer	staaf lengte mm	voet-breedte mm	top-breedte mm	diago-nalen	aantal knopen	aantal staven	gem. hoogte m
1	570	522	500	n.v.t.	2	1	54,72
2	2280	608	522	n.v.t.	2	1	53,29
3	2850	717	608	n.v.t.	2	1	50,73
4	2850	825	717	n.v.t.	2	1	47,88
5	450	842	825	n.v.t.	2	1	46,23
6	2400	933	842	n.v.t.	2	1	44,80
7	1425	987	933	n.v.t.	2	1	42,89
8	1425	1042	987	n.v.t.	2	1	41,46
9	2850	1150	1042	n.v.t.	2	1	39,33
10	400	1165	1150	n.v.t.	2	1	37,70
11	2450	1258	1165	n.v.t.	2	1	36,28
12	2850	1366	1258	n.v.t.	2	1	33,63
13	2850	1475	1366	n.v.t.	2	1	30,78
14	350	1488	1475	n.v.t.	2	1	29,18
15	2000	1564	1488	n.v.t.	2	1	28,00
16	1375	1616	1564	n.v.t.	2	1	26,31
17	1375	1669	1616	n.v.t.	2	1	24,94
18	1375	1721	1669	n.v.t.	2	1	23,56
19	1375	1773	1721	n.v.t.	2	1	22,19
20	2750	1878	1773	n.v.t.	2	1	20,13
21	2750	1982	1878	n.v.t.	2	1	17,38
22	2750	2087	1982	n.v.t.	2	1	14,63
23	2750	2191	2087	n.v.t.	2	1	11,88
24	2750	2296	2191	n.v.t.	2	1	9,13
25	2750	2400	2296	n.v.t.	2	1	6,38
26	2500	2495	2400	n.v.t.	2	1	3,75
27	2500	2590	2495	n.v.t.	2	1	1,25
	55000				28	27	

Profielgegevens

profielgegevens buisprofiel - Staal kwaliteit : S 355							
staaf	D_{gem} (mm)	t (mm)	A (mm^2)	m(kg/m)	I (mm^4)	i (mm)	W_b (mm^3)
1	511	18,0	27869	218,77	8,47E+08	174,36	3,32E+06
2	565	18,0	30931	242,81	1,16E+09	193,49	4,10E+06
3	662	18,0	36443	286,08	1,89E+09	227,94	5,72E+06
4	771	18,0	42567	334,15	3,02E+09	266,21	7,83E+06
5	833	20,0	51111	401,22	4,23E+09	287,68	1,02E+07
6	888	20,0	54513	427,93	5,13E+09	306,82	1,16E+07
7	960	20,0	59079	463,77	6,53E+09	332,51	1,36E+07
8	1014	20,0	62482	490,48	7,73E+09	351,65	1,52E+07
9	1096	20,0	67585	530,54	9,78E+09	380,37	1,78E+07
10	1157	20,0	71465	561,00	1,16E+10	402,19	2,00E+07
11	1212	20,0	74867	587,71	1,33E+10	421,34	2,19E+07
12	1312	20,0	81194	637,38	1,70E+10	456,93	2,58E+07
13	1421	22,0	96661	758,79	2,36E+10	494,52	3,33E+07
14	1481	22,0	100863	791,77	2,69E+10	516,02	3,63E+07
15	1526	22,0	103949	816,00	2,94E+10	531,80	3,85E+07
16	1590	22,0	108381	850,79	3,33E+10	554,47	4,19E+07
17	1642	22,0	111992	879,14	3,68E+10	572,94	4,48E+07
18	1695	25,0	131132	1029,39	4,57E+10	590,37	5,39E+07
19	1747	25,0	135236	1061,60	5,01E+10	608,84	5,74E+07
20	1825	25,0	141391	1109,92	5,73E+10	636,55	6,28E+07
21	1930	25,0	149599	1174,35	6,79E+10	673,49	7,03E+07
22	2034	25,0	157806	1238,78	7,96E+10	710,43	7,83E+07
23	2139	25,0	166014	1303,21	9,27E+10	747,38	8,67E+07
24	2243	25,0	174221	1367,63	1,07E+11	784,32	9,56E+07
25	2348	25,0	182428	1432,06	1,23E+11	821,26	1,05E+08
26	2448	25,0	190263	1493,56	1,40E+11	856,53	1,14E+08
27	2543	25,0	197724	1552,13	1,57E+11	890,11	1,23E+08

Elasticiteitsmodulus E-	N/mm^2	210000
Vloeigrens f_y	N/mm^2	355
Volumieke massa	kg/m^3	7850

2.3 - Computerschema

knoop nummer	knoop cord. "Z" - in mm	staaf i -- j	benaming staven	L_{staaf} mm	A_{eff} mm^2	I_x of I_y mm^4
1	55000	1 -- 2	1	570	2,79E+04	8,47E+08
2	54430	2 -- 3	2	2280	3,09E+04	1,16E+09
3	52150	3 -- 4	3	2850	3,64E+04	1,89E+09
4	49300	4 -- 5	4	2850	4,26E+04	3,02E+09
5	46450	5 -- 6	5	450	5,11E+04	4,23E+09
6	46000	6 -- 7	6	2400	5,45E+04	5,13E+09
7	43600	7 -- 8	7	1425	5,91E+04	6,53E+09
8	42175	8 -- 9	8	1425	6,25E+04	7,73E+09
9	40750	9 -- 10	9	2850	6,76E+04	9,78E+09
10	37900	10 -- 11	10	400	7,15E+04	1,16E+10
11	37500	11 -- 12	11	2450	7,49E+04	1,33E+10
12	35050	12 -- 13	12	2850	8,12E+04	1,70E+10
13	32200	13 -- 14	13	2850	9,67E+04	2,36E+10
14	29350	14 -- 15	14	350	1,01E+05	2,69E+10
15	29000	15 -- 16	15	2000	1,04E+05	2,94E+10
16	27000	16 -- 17	16	1375	1,08E+05	3,33E+10
17	25625	17 -- 18	17	1375	1,12E+05	3,68E+10
18	24250	18 -- 19	18	1375	1,31E+05	4,57E+10
19	22875	19 -- 20	19	1375	1,35E+05	5,01E+10
20	21500	20 -- 21	20	2750	1,41E+05	5,73E+10
21	18750	21 -- 22	21	2750	1,50E+05	6,79E+10
22	16000	22 -- 23	22	2750	1,58E+05	7,96E+10
23	13250	23 -- 24	23	2750	1,66E+05	9,27E+10
24	10500	24 -- 25	24	2750	1,74E+05	1,07E+11
25	7750	25 -- 26	25	2750	1,82E+05	1,23E+11
26	5000	26 -- 27	26	2500	1,90E+05	1,40E+11
27	2500	27 -- 28	27	2500	1,98E+05	1,57E+11
28	0				0,00E+00	0,00E+00

3.0 - Berekening belastingen

3,1 - Berekening stuwdruk

Algemene gegevens:

Wind gebied : II - onbebouwd

Basiswindsnelheid $V_{b,0}$ = 27 m/s

Terreincategorie : II - Onbebouwd gebied

Richtingsfactor C_{dir} = 1,0

Seizoensfactor C_{season} = 1,0

Orografiefactor $C_o(z)$ = 1,0

Veiligheidsklaae 2

Volumieke massa van lucht; ρ = 1,25 kg/m^3

z_0 = 0,200 m

z_{min} = 4,0 m

Gemiddelde windsnelheid $V_m(z) = (V_{b,0} * C_{dir} * C_{season}) * c_r(z)$

$c_r(z) = k_r * \ln\{ z / z_0\}$ voor $z_{min} \le z \le z_{max}$

$c_r(z) = c_r(z_{min})$ voor $z \le z_{min}$

$k_r = 0{,}19 \ln\{ z_0 / z_{0,II}\}^{0,07}$ $z_{0;II}$ = 0,05 m

Extreme stuwdruk $q_p(z) = (1 + 7*I_v(z)) * ½ * \rho * V_m^2(z)$

$I_v(z) = k_I / \{ c_o(z) * \ln(z / z_0) \}$ voor $z_{min} \le z \le z_{max}$; k_I = 1,0

$I_v(z) = I_v(z_{min})$ voor $z \le z_{min}$

Sectie	hoogte z m	kr	$c_r(z)$	$V_m(z)$ m/s	$I_v(z)$	$q_p(z)$ N/m^2
1	54,72	0,21	1,17	31,72	0,18	1413
2	53,29	0,21	1,17	31,57	0,18	1404
3	50,73	0,21	1,16	31,29	0,18	1386
4	47,88	0,21	1,15	30,97	0,18	1365
5	46,23	0,21	1,14	30,77	0,18	1353
6	44,80	0,21	1,13	30,59	0,18	1341
7	42,89	0,21	1,12	30,34	0,19	1326
8	41,46	0,21	1,12	30,15	0,19	1314
9	39,33	0,21	1,11	29,85	0,19	1295
10	37,70	0,21	1,10	29,62	0,19	1281
11	36,28	0,21	1,09	29,40	0,19	1267
12	33,63	0,21	1,07	28,97	0,20	1241
13	30,78	0,21	1,05	28,47	0,20	1211
14	29,18	0,21	1,04	28,17	0,20	1192
15	28,00	0,21	1,03	27,93	0,20	1179
16	26,31	0,21	1,02	27,58	0,20	1158
17	24,94	0,21	1,01	27,28	0,21	1140
18	23,56	0,21	1,00	26,96	0,21	1121
19	22,19	0,21	0,99	26,62	0,21	1101
20	20,13	0,21	0,97	26,07	0,22	1069
21	17,38	0,21	0,93	25,24	0,22	1022
22	14,63	0,21	0,90	24,26	0,23	968
23	11,88	0,21	0,86	23,09	0,24	904
24	9,13	0,21	0,80	21,60	0,26	826
25	6,38	0,21	0,72	19,57	0,29	723
26	3,75	0,21	0,63	16,93	0,33	598
27	1,25	0,21	0,63	16,93	0,33	598

3.2 - Berekening eigenfrequentie mast en meewerkende massa

Verplaatsing van de mast t.g.v e.g mast en toplast

knoop nummer	staaf nummer	gewicht mast N	gewicht flenzen+ ge-leiders-N	dwarskr. kN	moment kNm	hoekver.φ rad.	verpl. δ mm
1	1 -- 2	1332	400	0,40	0,00	1,45E-02	466,83
2	2 -- 3	5878	1622	3,35	0,61	1,45E-02	458,56
3	3 -- 4	8581		9,23	14,96	1,44E-02	425,52
4	4 -- 5	9951		17,81	53,50	1,42E-02	384,61
5	5 -- 6	1873		27,76	118,44	1,38E-02	344,55
6	6 -- 7	10630	13722	43,36	131,36	1,38E-02	338,34
7	7 -- 8	6822		53,99	248,18	1,34E-02	305,72
8	8 -- 9	7203		60,81	329,97	1,31E-02	286,88
9	9 -- 10	15548		68,01	421,76	1,27E-02	268,50
10	10 -- 11	2304		83,56	637,76	1,20E-02	233,18
11	11 -- 12	14766	14152	100,02	671,65	1,19E-02	228,40
12	12 -- 13	18593		114,79	934,78	1,12E-02	200,08
13	13 -- 14	22053		133,38	1288,42	1,03E-02	169,38
14	14 -- 15	2824		155,43	1699,97	9,45E-03	141,17
15	15 -- 16	16620	14582	172,84	1754,86	9,34E-03	137,88
16	16 -- 17	11905	8716	198,17	2117,16	8,72E-03	119,80
17	17 -- 18	12294		210,08	2397,83	8,27E-03	108,11
18	18 -- 19	14360		222,37	2695,14	7,82E-03	97,04
19	19 -- 20	14803		236,73	3010,78	7,41E-03	86,57
20	20 -- 21	30935	3365	254,90	3346,46	7,00E-03	76,66
21	21 -- 22	32707		285,84	4089,98	6,15E-03	58,54
22	22 -- 23	34479		318,54	4921,00	5,28E-03	42,79
23	23 -- 24	36251		353,02	5844,40	4,40E-03	29,45
24	24 -- 25	38022		389,27	6865,06	3,50E-03	18,56
25	25 -- 26	39794		427,30	7987,84	2,59E-03	10,15
26	26 -- 27	37714		467,09	9217,62	1,68E-03	4,25
27	27 -- 28	39178		504,80	10432,49	8,42E-04	1,07
28			29098	573,08	11743,47	0,00E+00	0,00

Voor de berekening van de eigenfrequentie is de Rayleigh-Ritz methode toegepast.
Bij benadering kan eigenfrequentie bepaald worden door alle massa's m_i van het dynamische model dezelfde versnelling g in de richting van de beweging te geven en vervolgen eigen-trillingsvorm te berekenen onder invloed van krachten $F_i = m_i * g$

De eigenfrequentie van de eerste trillingsvorm kan berekend worden door:

$$n_{1,x} = 1 / 2\pi * \{ g * \Sigma m_i * \delta_i / \Sigma m_i * \delta_i^2 \}^{0,5}$$

m_i : de geconcentreerde massa in kg.

δ_t : de verplaatsing van het punt (i) in meter

g = 9,81 m/s^2 - versnelling van de zwaartekracht

knoop nummer	staaf nummer	gewicht mast N	gewicht flenzen+ geleiders-kg	verpl. δ m	$g\Sigma m_i.\delta_i$	$\Sigma m_i.\delta_i^2$
1	1 -- 2	133,2	40,0	0,467	788,01	37,244
2	2 -- 3	587,8	162,2	0,459	3278,61	148,963
3	3 -- 4	858,1		0,426	3409,67	140,788
4	4 -- 5	995,1		0,385	3558,92	132,264
5	5 -- 6	187,3		0,345	627,37	21,836
6	6 -- 7	1063,0	1372,2	0,338	7912,68	267,317
7	7 -- 8	682,2		0,306	1983,10	59,898
8	8 -- 9	720,3		0,287	1962,22	55,544
9	9 -- 10	1554,8		0,268	3825,93	97,828
10	10 -- 11	230,4		0,233	521,64	12,272
11	11 -- 12	1476,6	1415,2	0,228	6274,38	141,603
12	12 -- 13	1859,3		0,200	3369,30	63,445
13	13 -- 14	2205,3		0,169	3359,16	53,169
14	14 -- 15	282,4		0,141	386,49	5,497
15	15 -- 16	1662,0	1458,2	0,138	4073,07	55,312
16	16 -- 17	1190,5	871,6	0,120	2355,24	27,970
17	17 -- 18	1229,4		0,108	1237,19	12,937
18	18 -- 19	1436,0		0,097	1293,32	12,103
19	19 -- 20	1480,3		0,087	1185,18	9,860
20	20 -- 21	3093,5	336,5	0,077	2304,58	16,114
21	21 -- 22	3270,7		0,059	1625,75	8,397
22	22 -- 23	3447,9		0,043	1221,84	4,499
23	23 -- 24	3625,1		0,029	853,78	2,089
24	24 -- 25	3802,2		0,019	535,53	0,784
25	25 -- 26	3979,4		0,010	281,04	0,206
26	26 -- 27	3771,4		0,004	98,41	0,027
27	27 -- 28	3917,8		0,001	20,62	0,001
28			2909,8	0,000	0,00	0,000
				Som	58343	1388

$$n_{1,x} = 1 / 2\pi * \{ g * \Sigma m_i * \delta_i / \Sigma m_i * \delta_i^2 \}^{0,5}$$

$n_{1,x}$	=	1,03	Hz

Meewerkende massa

$m_{i;e}$ is de equivalente massa m_e per lengte eenheid, in kg/m, gewogen naar de trillingsvorm :

$$m_e = \frac{\int_0^{l} m(s) * \phi^2_i(s)\, ds}{\int_0^{l} \phi^2_i(s)\, ds}$$

staaf nummer	massa m kg/m	ϕ_i	s m	$\phi_i^2 * (s)$	$\phi_i^2 *(s)*m$	$\phi_i * (s)$
1 -- 2	589	0,991	0,570	0,56	329,53	0,56
2 -- 3	258	0,947	2,280	2,04	527,03	2,16
3 -- 4	301	0,868	2,850	2,15	646,02	2,47
4 -- 5	349	0,781	2,850	1,74	606,91	2,23
5 -- 6	3466	0,731	0,450	0,24	834,27	0,33
6 -- 7	443	0,690	2,400	1,14	505,84	1,66
7 -- 8	479	0,635	1,425	0,57	274,85	0,90
8 -- 9	505	0,595	1,425	0,50	254,87	0,85
9 -- 10	546	0,537	2,850	0,82	448,89	1,53
10 -- 11	4114	0,494	0,400	0,10	402,20	0,20
11 -- 12	603	0,459	2,450	0,52	310,99	1,12
12 -- 13	652	0,396	2,850	0,45	291,12	1,13
13 -- 14	774	0,333	2,850	0,32	243,97	0,95
14 -- 15	4973	0,299	0,350	0,03	155,48	0,10
15 -- 16	1267	0,276	2,000	0,15	192,99	0,55
16 -- 17	866	0,244	1,375	0,08	70,94	0,34
17 -- 18	894	0,220	1,375	0,07	59,36	0,30
18 -- 19	1044	0,197	1,375	0,05	55,54	0,27
19 -- 20	1321	0,175	1,375	0,04	55,53	0,24
20 -- 21	1125	0,145	2,750	0,06	64,87	0,40
21 -- 22	1189	0,109	2,750	0,03	38,53	0,30
22 -- 23	1254	0,077	2,750	0,02	20,65	0,21
23 -- 24	1318	0,051	2,750	0,01	9,59	0,14
24 -- 25	1383	0,031	2,750	0,00	3,60	0,08
25 -- 26	1447	0,015	2,750	0,00	0,95	0,04
26 -- 27	1509	0,006	2,500	0,00	0,12	0,01
27 -- 28	2731	0,001	2,500	0,00	0,01	0,00
		Σ	55,00	11,69	6404,64	19,09

m_e = 6404,6 / 11,7 = 547,8 kg/m

3.3 - Berekening bouwwerkfactor $c_s c_d$

Eurocode 1- 4 : 6.3.1 - Procedure volgens bijlage C

$c_s c_d = 1 + 2 * k_p * I_v(z_s) * (B^2 + R^2)^{0,5} / (1 + 7 * I_v(z_s))$

$n = n_{1,x}$ =	1,03	Hz
b =	1,55	m
h =	55,00	m
$z_s = h_0 + 0,6 * h$ =	33,00	m
$\alpha = 0,67 + 0,05 * \ln(z_0)$ =	0,59	
De referentiehoogte z_t =	200	m
De referentielengteschaal L_t =	300	m
$L(z) = L_t * (z / z_t)^{\alpha}$ =	103,71	

$B^2 = 1 / \{1+1,5*[(b/L(z_s))^2 + (h/L(z_s))^2 + (b*h / L(z_s).L(z_s))^2]^{0,5}\}$

B^2 = 0,56

δ_s =	0,012	(buismast)
$\delta_a = c_f * \rho * b * v_m(z_s) / (2*n_1*m_e)$ =	0,059	
δ_d =	0	nvt, geen dempinstallatie
$\delta = \delta_s + \delta_a + \delta_d$ =	0,071	
$v_m(z_s)$ =	28,86	m/s
$v_m(z)$ =	31,75	m/s
$I_v(z_s)$ =	0,20	

$S_L(z,n) = 6,8 * f_L(z,n) / \{1+10,2*f_L(z,n)\}^{5/3}$ = 0,06

$f_L(z,n) = n * L(z) / v_m(z)$ =	3,37	
$c_y = c_z$ =	11,5	
$\phi_y = c_y * b * n / V_m(z_s)$	0,64	
$\phi_z = c_y * h * n / V_m(z_s)$	22,61	
G_y =	0,5	
G_z =	0,28	

$K_s(n) = 1 / \{ 1 + [(G_y.\phi_y)_2 + G_z.\phi_z)^2 + (2.G_y.\phi_y.G_z.\phi_z/\pi)^2]^{0,5} \}$

$K_s(n)$ =	0,13	
R^2 =	0,56	
T =	600	s
$v = n_{1,x} * (R^2/(B^2+R^2))^{0,5}$ =	0,73	Hz

$k_p = \{2*\ln(v*T)\}^{0,5} + 0,6 / \{ (2*\ln(v*T))^{0,5}\}$ = 3,66

$c_s c_d$ = **1,06**

3.4 - Bepaling krachtcoëfficiënt C_f

$C_f = C_{f,0} * \psi_\lambda$ doorsnede : Cirkelvormige doorsnede

$R_e = b * v(z_e) / \nu$; $v(z_e) = \{ 2 * q_p / \rho \}^{0,5}$

b is de diameter

ν is de kinematische viscositeit van de lucht $\nu = 15*10^{-6}$ m^2/s

$C_{f,0} = 1,2 + [(0,18 * \log(10*k/b)) / (1 + 0,4*\log(R_e / 10^6))]$

k = 0,20 (gegalvaniseerd staal)

ψ_λ confom EN-1991-1-4 - 7,13

member number	$v(z_e)$ m/s	R_e	$C_{f,0}$	ψ_λ	C_f
1	47,55	1,62E+06	0,80	0,80	0,64
2	47,39	1,79E+06	0,80	0,80	0,64
3	47,09	2,08E+06	0,80	0,80	0,64
4	46,74	2,40E+06	0,80	0,80	0,64
5	46,52	2,58E+06	0,80	0,80	0,64
6	46,33	2,74E+06	0,79	0,80	0,63
7	46,06	2,95E+06	0,79	0,80	0,63
8	45,85	3,10E+06	0,79	0,80	0,63
9	45,53	3,33E+06	0,79	0,80	0,63
10	45,27	3,49E+06	0,79	0,80	0,63
11	45,03	3,64E+06	0,79	0,80	0,63
12	44,56	3,90E+06	0,79	0,80	0,63
13	44,01	4,17E+06	0,79	0,80	0,63
14	43,68	4,31E+06	0,79	0,80	0,63
15	43,42	4,42E+06	0,79	0,80	0,63
16	43,04	4,56E+06	0,79	0,80	0,63
17	42,70	4,68E+06	0,79	0,80	0,63
18	42,35	4,78E+06	0,79	0,80	0,63
19	41,97	4,89E+06	0,78	0,80	0,63
20	41,36	5,03E+06	0,78	0,80	0,63
21	40,44	5,20E+06	0,78	0,80	0,62
22	39,35	5,34E+06	0,78	0,80	0,62
23	38,03	5,42E+06	0,78	0,80	0,62
24	36,34	5,44E+06	0,78	0,80	0,62
25	34,02	5,32E+06	0,77	0,80	0,62
26	30,93	5,05E+06	0,77	0,80	0,61
27	30,93	5,24E+06	0,77	0,80	0,61

3.5 - Gewicht, windoppervlak en windlast per staaf .

Gewicht (verticale belasting) bliksem en fase draden

	opstel hoogte m	aantal	gewicht / ophanging N	gewicht bevestiging N	totaal gewicht N
Bliksem	54,43	1	Vlg. KEMA rapport 74100706-ETD/POL 12-00138 V10.0 (18 - 11 - 2013) Appendix - F en F2		
1e traverse - 380C1F1	46,00	1			
2e traverse - 380C1F2	37,50	1			
3e traverse - 380C1F3	29,00	1			
Retourstroomgeleider	21,50	1			
				Σ Gew (kg)	0

Excentriciteit ophanging t.o.v hart mast

	opstel hoogte m	excet. in m
Bliksem	54,43	0,761
1e traverse - 380C1F1	46,00	0,000
2e traverse - 380C1F2	37,50	0,000
3e traverse - 380C1F3	29,00	0,000
Retourstroomgeleider	21,50	2,087

Windlast (horizontale belasting) bliksem en fase draden

	opstel hoogte m	aantal	F_{hor} ophanging N	F_{hor} bevestiging N	totaal $F_{hor.}$ N
Bliksem	54,43	1	Vlg. KEMA rapport		
1e traverse - 380C1F1	46,00	1			
2e traverse - 380C1F2	37,50	1			
3e traverse - 380C1F3	29,00	1			
Retourstroomgeleider	21,50	1			

3.6 - Gewicht en windbelasting van het mastlichaam

$F_{wind} = q_p(z) * C_s C_d * A$

staaf nummer	gewicht staven in N.	gewicht kab/ladder in N.	totaal gewicht in N.	windopp. staven in m².	windopp. ladder in m².	windlast in N	windlast in kN/m'.
1	1247	86	1332	0,186	0,068	382	0,670
2	5536	342	5878	0,822	0,274	1633	0,716
3	8153	428	8581	1,202	0,342	2272	0,797
4	9523	428	9951	1,396	0,342	2519	0,884
5	1805	68	1873	0,238	0,054	419	0,932
6	10270	360	10630	1,352	0,288	2334	0,973
7	6609	214	6822	0,867	0,171	1461	1,025
8	6989	214	7203	0,915	0,171	1515	1,063
9	15120	428	15548	1,975	0,342	3186	1,118
10	2244	60	2304	0,293	0,048	463	1,157
11	14399	368	14766	1,875	0,294	2917	1,191
12	18165	428	18593	2,359	0,342	3557	1,248
13	21625	428	22053	2,550	0,342	3716	1,304
14	2771	53	2824	0,326	0,042	466	1,332
15	16320	300	16620	1,919	0,240	2701	1,351
16	11698	206	11905	1,374	0,165	1891	1,375
17	12088	206	12294	1,418	0,165	1915	1,393
18	14154	206	14360	1,462	0,165	1936	1,408
19	14597	206	14803	1,506	0,165	1953	1,420
20	30523	413	30935	3,142	0,330	3941	1,433
21	32295	413	32707	3,316	0,330	3955	1,438
22	34066	413	34479	3,487	0,330	3922	1,426
23	35838	413	36251	3,656	0,330	3825	1,391
24	37610	413	38022	3,822	0,330	3638	1,323
25	39382	413	39794	3,979	0,330	3308	1,203
26	37339	375	37714	3,744	0,300	2567	1,027
27	38803	375	39178	3,889	0,300	2659	1,063
	479172	8250	487422	inkl. C_t	inkl. C_t	$\Sigma F_{mast =}$	65051

Gewicht ladder = 15 kg / m'
Windoppervlak ladder = 0,12 m^2 / m'

3.7 - Berekende belastingen

1 - Eigen gewichten (Ultimate limit state)

knoop nummer	staaf i--j	eg mast inc. Ladder in N/m'	eg draden BG - 1a in N	eg draden BG - 1b in N	eg draden BG - 3 in N	eg draden BG - 4 in N
1	1 -- 2	2805	480	480	480	480
2	2 -- 3	3094	1947	1946	8084	2699
3	3 -- 4	3613				
4	4 -- 5	4190				
5	5 -- 6	4995				
6	6 -- 7	5315	16469	16461	27252	19474
7	7 -- 8	5745				
8	8 -- 9	6066				
9	9 -- 10	6547				
10	10 -- 11	6912				
11	11 -- 12	7232	16984	16977	27768	19990
12	12 -- 13	7829				
13	13 -- 14	9285				
14	14 -- 15	9681				
15	15 -- 16	9972	17501	17494	28285	20507
16	16 -- 17	10389	10460	10460	10460	10460
17	17 -- 18	10730				
18	18 -- 19	12533				
19	19 -- 20	12919				
20	20 -- 21	13499	4038	4036	16332	5542
21	21 -- 22	14272				
22	22 -- 23	15045				
23	23 -- 24	15818				
24	24 -- 25	16592				
25	25 -- 26	17365				
26	26 -- 27	18103				
27	27 -- 28	18806				
28			34918	34918	34918	34918

KEMA rapport - bijlage F - windhoek 90 graden

eg flenzen+ringen * γ_g (γ_g = 1,2)

eg mast * γ_g (γ_g = 1,2)

Berekende gewichten voor voetplaat, flenzen en ringen

Voetplaat : rond 3140 / 19900 , t = 80 mm ; G = 2910 kg
Flenzen op 27,0m : 2 * rond 1564 / 1250 , t = 80 mm ; G = 872 kg
Topplaat / Hijsplaat + kap : rond 500 / 300 , t = 30 mm ; G = 40 kg
Bevestigingsringen op 46m : 2 * rond 1112 / 842 , t = 20 mm ; G = 130 kg
Bevestigingsringen op 37,5m : 2 * rond 1435 / 1165 , t = 20 mm ; G = 173 kg
Bevestigingsringen op 29m : 2 * rond 1758 / 1488 , t = 20 mm ; G = 216 kg

2 - Horizontale belasting (Serviceability limit state)

knoop nummer	staaf i--j	wind belasting mast in N/m'	hor. Bel. draden BG - 1a in N	hor. Bel. draden BG - 1b in N	hor. Bel. draden BG - 3 in N	hor. Bel. draden BG - 4 in N
1	1 -- 2	670				
2	2 -- 3	716	28055	20547	49053	21620
3	3 -- 4	797				
4	4 -- 5	884				
5	5 -- 6	932				
6	6 -- 7	973	181778	157387	206114	149485
7	7 -- 8	1025				
8	8 -- 9	1063				
9	9 -- 10	1118				
10	10 -- 11	1157				
11	11 -- 12	1191	175946	156977	204493	149152
12	12 -- 13	1248				
13	13 -- 14	1304				
14	14 -- 15	1332				
15	15 -- 16	1351	168968	156514	202642	148774
16	16 -- 17	1375				
17	17 -- 18	1393				
18	18 -- 19	1408				
19	19 -- 20	1420				
20	20 -- 21	1433	47820	41218	95374	43841
21	21 -- 22	1438				
22	22 -- 23	1426				
23	23 -- 24	1391				
24	24 -- 25	1323				
25	25 -- 26	1203				
26	26 -- 27	1027				
27	27 -- 28	1063				
28						

KEMA rapport - bijlage F2 - windhoek 90 graden

wind mast * γ_q (γ_q = 1,0)

Opmerking:
De maximale horizontale belasting is gerekend met de vectoriele som van transversale en longitudinale belastingen.

$$F_{hor} = \{ F^2_{transver.} + F^2_{longit.} \}^{0,5}$$

3 - Horizontale belasting (Ultimate limit state)

knoop nummer	staaf i--j	wind belasting mast in N/m'	hor. Bel. draden BG - 1a in N	hor. Bel. draden BG - 1b in N	hor. Bel. draden BG - 3 in N	hor. Bel. draden BG - 4 in N
1	1 -- 2	1071				
2	2 -- 3	1146	36722	23812	63182	26206
3	3 -- 4	1275				
4	4 -- 5	1414				
5	5 -- 6	1491				
6	6 -- 7	1556	232343	179455	253726	177010
7	7 -- 8	1641				
8	8 -- 9	1701				
9	9 -- 10	1789				
10	10 -- 11	1852				
11	11 -- 12	1905	223760	178746	251248	176450
12	12 -- 13	1997				
13	13 -- 14	2086				
14	14 -- 15	2131				
15	15 -- 16	2161	213364	177940	248406	175818
16	16 -- 17	2200				
17	17 -- 18	2228				
18	18 -- 19	2252				
19	19 -- 20	2272				
20	20 -- 21	2293	61082	47319	122241	52792
21	21 -- 22	2301				
22	22 -- 23	2282				
23	23 -- 24	2226				
24	24 -- 25	2117				
25	25 -- 26	1925				
26	26 -- 27	1643				
27	27 -- 28	1702				
28						

KEMA rapport - bijlage F - windhoek 90 graden

wind mast * γ_q (γ_q = 1,6)

4.0 - Resultaat berekeningen

4.1 - Berekenen verplaatsingen in SLS-toestand (Servieability limit state)

A - Wind belasting mastlichaam (incl. 2e orde effect)

knoop nummer	staaf i--j	$Q_{last;hor}$ N	$F_{last;hor}$ N	dwarskr. N	moment Nmm	hoekver. rad.	hor. verpl. mm
1	1 -- 2	382		0	0,00E+00	2,49E-03	76
2	2 -- 3	1633		382	1,14E+05	2,49E-03	75
3	3 -- 4	2272		2014	2,90E+06	2,48E-03	69
4	4 -- 5	2519		4286	1,20E+07	2,43E-03	62
5	5 -- 6	419		6805	2,80E+07	2,35E-03	55
6	6 -- 7	2334		7224	3,12E+07	2,33E-03	54
7	7 -- 8	1461		9559	5,16E+07	2,24E-03	49
8	8 -- 9	1515		11020	6,65E+07	2,18E-03	45
9	9 -- 10	3186		12535	8,35E+07	2,11E-03	42
10	10 -- 11	463		15721	1,24E+08	1,97E-03	36
11	11 -- 12	2917		16184	1,31E+08	1,95E-03	36
12	12 -- 13	3557		19101	1,74E+08	1,82E-03	31
13	13 -- 14	3716		22659	2,35E+08	1,65E-03	26
14	14 -- 15	466		26374	3,05E+08	1,50E-03	22
15	15 -- 16	2701		26840	3,15E+08	1,48E-03	21
16	16 -- 17	1891		29542	3,71E+08	1,37E-03	18
17	17 -- 18	1915		31432	4,14E+08	1,29E-03	16
18	18 -- 19	1936		33347	4,59E+08	1,22E-03	15
19	19 -- 20	1953		35283	5,06E+08	1,15E-03	13
20	20 -- 21	3941		37235	5,57E+08	1,08E-03	12
21	21 -- 22	3955		41177	6,65E+08	9,38E-04	9
22	22 -- 23	3922		45132	7,85E+08	7,98E-04	6
23	23 -- 24	3825		49054	9,15E+08	6,58E-04	4
24	24 -- 25	3638		52879	1,06E+09	5,19E-04	3
25	25 -- 26	3308		56517	1,21E+09	3,81E-04	1
26	26 -- 27	2567		59825	1,37E+09	2,45E-04	1
27	27 -- 28	2659		62392	1,52E+09	1,22E-04	0
28				65051	1,68E+09	0,00E+00	0

B - Horizontale belasting - belastinggeval 1a (incl. 2e orde effect)

knoop nummer	staaf i--j	$Q_{last;hor}$ N	$F_{last;hor}$ N	dwarskr. N	moment Nmm	hoekver. rad.	hor. verpl. mm
1	1 -- 2			0	0,00E+00	3,94E-02	1200
2	2 -- 3		28055	28055	7,46E+04	3,94E-02	1178
3	3 -- 4			28055	6,49E+07	3,91E-02	1088
4	4 -- 5			28055	1,47E+08	3,83E-02	978
5	5 -- 6			28055	2,30E+08	3,75E-02	869
6	6 -- 7		181778	209833	2,43E+08	3,74E-02	853
7	7 -- 8			209833	7,51E+08	3,63E-02	764
8	8 -- 9			209833	1,05E+09	3,54E-02	713
9	9 -- 10			209833	1,36E+09	3,43E-02	663
10	10 -- 11			209833	1,96E+09	3,20E-02	569
11	11 -- 12		175946	385779	2,05E+09	3,17E-02	556
12	12 -- 13			385779	3,00E+09	2,95E-02	481
13	13 -- 14			385779	4,11E+09	2,66E-02	401
14	14 -- 15			385779	5,22E+09	2,39E-02	329
15	15 -- 16		168968	554746	5,36E+09	2,36E-02	320
16	16 -- 17			554746	6,48E+09	2,17E-02	275
17	17 -- 18			554746	7,24E+09	2,03E-02	246
18	18 -- 19			554746	8,01E+09	1,90E-02	219
19	19 -- 20			554746	8,78E+09	1,78E-02	194
20	20 -- 21		47820	602567	9,55E+09	1,66E-02	170
21	21 -- 22			602567	1,12E+10	1,42E-02	127
22	22 -- 23			602567	1,29E+10	1,19E-02	91
23	23 -- 24			602567	1,46E+10	9,64E-03	62
24	24 -- 25			602567	1,62E+10	7,46E-03	38
25	25 -- 26			602567	1,79E+10	5,38E-03	21
26	26 -- 27			602567	1,95E+10	3,39E-03	8
27	27 -- 28			602567	2,11E+10	1,66E-03	2
28	28 -- 29			602567	2,26E+10	0,00E+00	0

C - Horizontale belasting - belastinggeval 1b (incl. 2e orde effect)

knoop nummer	staaf i--j	$Q_{last;hor}$ N	$F_{last;hor}$ N	dwarskr. N	moment Nmm	hoekver. rad.	hor. verpl. mm
1	1 -- 2			0	0,00E+00	3,36E-02	1037
2	2 -- 3		20547	20547	6,36E+04	3,36E-02	1018
3	3 -- 4			20547	4,76E+07	3,34E-02	942
4	4 -- 5			20547	1,08E+08	3,28E-02	847
5	5 -- 6			20547	1,69E+08	3,22E-02	755
6	6 -- 7		157387	177934	1,79E+08	3,21E-02	740
7	7 -- 8			177934	6,10E+08	3,12E-02	664
8	8 -- 9			177934	8,66E+08	3,05E-02	620
9	9 -- 10			177934	1,12E+09	2,96E-02	577
10	10 -- 11			177934	1,64E+09	2,77E-02	495
11	11 -- 12		156977	334911	1,71E+09	2,74E-02	484
12	12 -- 13			334911	2,54E+09	2,55E-02	419
13	13 -- 14			334911	3,50E+09	2,31E-02	350
14	14 -- 15			334911	4,46E+09	2,08E-02	287
15	15 -- 16		156514	491425	4,58E+09	2,06E-02	280
16	16 -- 17			491425	5,57E+09	1,89E-02	240
17	17 -- 18			491425	6,25E+09	1,78E-02	215
18	18 -- 19			491425	6,94E+09	1,66E-02	192
19	19 -- 20			491425	7,62E+09	1,55E-02	169
20	20 -- 21		41218	532643	8,30E+09	1,45E-02	149
21	21 -- 22			532643	9,77E+09	1,24E-02	112
22	22 -- 23			532643	1,12E+10	1,04E-02	80
23	23 -- 24			532643	1,27E+10	8,44E-03	54
24	24 -- 25			532643	1,42E+10	6,54E-03	34
25	25 -- 26			532643	1,57E+10	4,72E-03	18
26	26 -- 27			532643	1,71E+10	2,97E-03	7
27	27 -- 28			532643	1,85E+10	1,45E-03	2
28				532643	1,98E+10	0,00E+00	0

D - Horizontale belasting - belastinggeval 3 (incl. 2e orde effect)

knoop nummer	staaf i--j	$Q_{last;hor}$ N	$F_{last;hor}$ N	dwarskr. N	moment Nmm	hoekver. rad.	hor. verpl. mm
1	1 -- 2			0	0,00E+00	5,01E-02	1488
2	2 -- 3		49053	49053	9,49E+04	5,01E-02	1460
3	3 -- 4			49053	1,13E+08	4,96E-02	1346
4	4 -- 5			49053	2,55E+08	4,83E-02	1206
5	5 -- 6			49053	3,99E+08	4,68E-02	1070
6	6 -- 7		206114	255167	4,22E+08	4,66E-02	1049
7	7 -- 8			255167	1,04E+09	4,50E-02	939
8	8 -- 9			255167	1,41E+09	4,37E-02	876
9	9 -- 10			255167	1,78E+09	4,23E-02	815
10	10 -- 11			255167	2,51E+09	3,93E-02	698
11	11 -- 12		204493	459661	2,62E+09	3,89E-02	682
12	12 -- 13			459661	3,75E+09	3,61E-02	590
13	13 -- 14			459661	5,08E+09	3,26E-02	492
14	14 -- 15			459661	6,40E+09	2,93E-02	404
15	15 -- 16		202642	662303	6,56E+09	2,89E-02	393
16	16 -- 17			662303	7,90E+09	2,66E-02	338
17	17 -- 18			662303	8,82E+09	2,49E-02	303
18	18 -- 19			662303	9,73E+09	2,33E-02	269
19	19 -- 20			662303	1,07E+10	2,18E-02	238
20	20 -- 21		95374	757677	1,16E+10	2,04E-02	209
21	21 -- 22			757677	1,37E+10	1,75E-02	157
22	22 -- 23			757677	1,58E+10	1,46E-02	113
23	23 -- 24			757677	1,79E+10	1,19E-02	76
24	24 -- 25			757677	2,00E+10	9,21E-03	47
25	25 -- 26			757677	2,20E+10	6,65E-03	25
26	26 -- 27			757677	2,41E+10	4,19E-03	10
27	27 -- 28			757677	2,60E+10	2,05E-03	3
28				757677	2,79E+10	0,00E+00	0

E - Horizontale belasting - belastinggeval 4 (incl. 2e orde effect)

knoop nummer	staaf i--j	$Q_{last;hor}$ N	$F_{last;hor}$ N	dwarskr. N	moment Nmm	hoekver. rad.	hor. verpl. mm
1	1 -- 2			0	0,00E+00	3,25E-02	998
2	2 -- 3		21620	21620	6,15E+04	3,25E-02	980
3	3 -- 4			21620	5,00E+07	3,23E-02	906
4	4 -- 5			21620	1,13E+08	3,17E-02	815
5	5 -- 6			21620	1,77E+08	3,10E-02	725
6	6 -- 7		149485	171105	1,88E+08	3,09E-02	711
7	7 -- 8			171105	6,02E+08	3,01E-02	638
8	8 -- 9			171105	8,49E+08	2,93E-02	596
9	9 -- 10			171105	1,10E+09	2,85E-02	554
10	10 -- 11			171105	1,59E+09	2,66E-02	476
11	11 -- 12		149152	320257	1,66E+09	2,63E-02	465
12	12 -- 13			320257	2,45E+09	2,45E-02	403
13	13 -- 14			320257	3,37E+09	2,22E-02	336
14	14 -- 15			320257	4,29E+09	2,00E-02	276
15	15 -- 16		148774	469031	4,41E+09	1,97E-02	269
16	16 -- 17			469031	5,35E+09	1,82E-02	231
17	17 -- 18			469031	6,00E+09	1,70E-02	207
18	18 -- 19			469031	6,65E+09	1,59E-02	184
19	19 -- 20			469031	7,30E+09	1,49E-02	163
20	20 -- 21		43841	512872	7,95E+09	1,39E-02	143
21	21 -- 22			512872	9,37E+09	1,19E-02	107
22	22 -- 23			512872	1,08E+10	1,00E-02	77
23	23 -- 24			512872	1,22E+10	8,11E-03	52
24	24 -- 25			512872	1,36E+10	6,28E-03	32
25	25 -- 26			512872	1,50E+10	4,53E-03	17
26	26 -- 27			512872	1,65E+10	2,86E-03	7
27	27 -- 28			512872	1,77E+10	1,40E-03	2
28				512872	1,90E+10	0,00E+00	0

F - Excentriciteit moment t.g.v. eigengewicht draden

knoop nummer	staaf i--j	$Q_{last;hor}$ N	$F_{last;hor}$ N	dwarskr. N	moment Nmm	hoekver. rad.	hor. verpl. mm
1	1 -- 2				0,00E+00	4,69E-05	1
2	2 -- 3				1,23E+06	4,69E-05	1
3	3 -- 4				1,23E+06	3,53E-05	1
4	4 -- 5				1,23E+06	2,65E-05	0
5	5 -- 6				1,23E+06	2,09E-05	0
6	6 -- 7				1,23E+06	2,03E-05	0
7	7 -- 8				1,23E+06	1,76E-05	0
8	8 -- 9				1,23E+06	1,63E-05	0
9	9 -- 10				1,23E+06	1,52E-05	0
10	10 -- 11				1,23E+06	1,35E-05	0
11	11 -- 12				1,23E+06	1,33E-05	0
12	12 -- 13				1,23E+06	1,22E-05	0
13	13 -- 14				1,23E+06	1,12E-05	0
14	14 -- 15				1,23E+06	1,05E-05	0
15	15 -- 16				1,23E+06	1,04E-05	0
16	16 -- 17				1,23E+06	1,00E-05	0
17	17 -- 18				1,23E+06	9,78E-06	0
18	18 -- 19				1,23E+06	9,56E-06	0
19	19 -- 20				1,23E+06	9,38E-06	0
20	20 -- 21				8,26E+06	9,22E-06	0
21	21 -- 22				8,26E+06	7,33E-06	0
22	22 -- 23				8,26E+06	5,74E-06	0
23	23 -- 24				8,26E+06	4,38E-06	0
24	24 -- 25				8,26E+06	3,22E-06	0
25	25 -- 26				8,26E+06	2,21E-06	0
26	26 -- 27				8,26E+06	1,33E-06	0
27	27 -- 28				8,26E+06	6,27E-07	0
28					8,26E+06	0,00E+00	0

4.2 - Maximale horizontale verplaatsingen in SLS-toestand

Maatgevende combinatie - Serviceability limit state:

Eigengewicht conductors, insulators	G_k =	1,00
Windbelasting mastlichaam	Q_{wk} =	0,30
Belasting geval 1a	Q_{wk} =	0,00
Belasting geval 1b	Q_{wk} =	0,00
Belasting geval 3	Q_{ik} =	1,00
Belasting geval 4	Q_{pk} =	0,00

knoop nummer	staaf i--j	hoekver. φ radian	verpl. δ_{hor} mm
1	1 -- 2	5,1E-02	1512
2	2 -- 3	5,1E-02	1483
3	3 -- 4	5,0E-02	1367
4	4 -- 5	4,9E-02	1225
5	5 -- 6	4,8E-02	1087
6	6 -- 7	4,7E-02	1066
7	7 -- 8	4,6E-02	954
8	8 -- 9	4,4E-02	890
9	9 -- 10	4,3E-02	828
10	10 -- 11	4,0E-02	709
11	11 -- 12	4,0E-02	693
12	12 -- 13	3,7E-02	600
13	13 -- 14	3,3E-02	500
14	14 -- 15	3,0E-02	410
15	15 -- 16	2,9E-02	400
16	16 -- 17	2,7E-02	344
17	17 -- 18	2,5E-02	308
18	18 -- 19	2,4E-02	274
19	19 -- 20	2,2E-02	242
20	20 -- 21	2,1E-02	213
21	21 -- 22	1,8E-02	160
22	22 -- 23	1,5E-02	115
23	23 -- 24	1,2E-02	78
24	24 -- 25	9,4E-03	48
25	25 -- 26	6,8E-03	26
26	26 -- 27	4,3E-03	11
27	27 -- 28	2,1E-03	3
28	28 -- 29	0,0E+00	0

4.3 - Toetsing maximale horizontale verplaatsingen

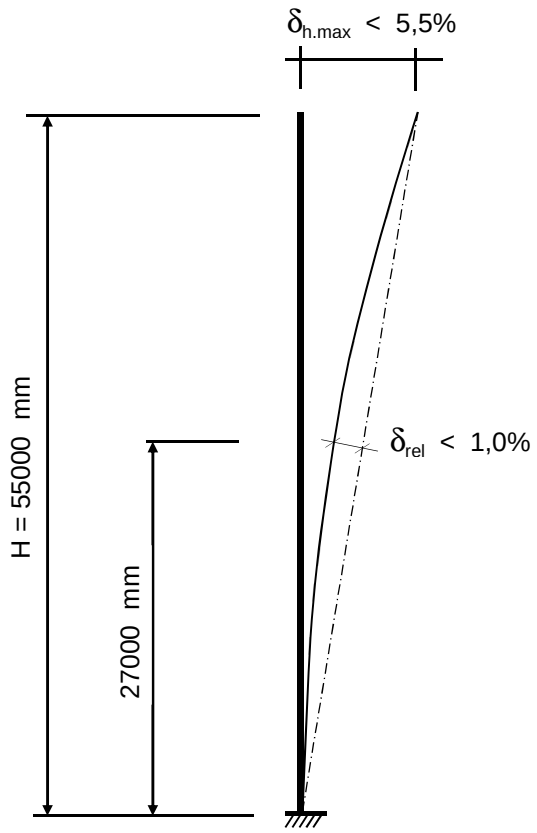

Controle verplaatsingen

δ_h = 1512 mm ----> δ_h *100 / 55000

Percentage uitbuig. = 2,75 % voldoet , max verpl. < 5,5 %

max. relatieve verplaatsing mast, t.p.v knoop x :

δ_{rel} = [{δ_{hor} * (hoogte knoop x) / (totale hoogte)} - $\delta_{knoop\ x}$] * Cosα

Knoop 16 ; Hoogte = 27000 mm
$\delta_{knoop\ x}$ = 344 mm
α = 1,57 graden

δ_{rel} = 398 mm ----> δ_h *100 / 55000

Percentage uitbuig. = 0,72 % voldoet , max verpl. < 1 %

De maximale verplaatsing voldoet aan stijfheidseisen volgen NEN -EN 50341-3 (november 2001) .

4.4 - Berekening krachten in ULS-toestand - (Ultimate limit state)

A - Wind belasting mastlichaam

knoop nummer	staaf i--j	$Q_{last;hor}$ N	normaalkr. N	dwarskr. N	moment Nmm	hoekver. rad.	hor. verpl. mm
1	1 -- 2	573	480	0	0,00E+00	3,71E-03	113
2	2 -- 3	2449	4026	573	1,63E+05	3,70E-03	111
3	3 -- 4	3408	11080	3021	4,26E+06	3,69E-03	102
4	4 -- 5	3778	21376	6429	1,77E+07	3,62E-03	92
5	5 -- 6	629	33317	10207	4,14E+07	3,49E-03	82
6	6 -- 7	3502	52034	10836	4,62E+07	3,46E-03	80
7	7 -- 8	2192	64791	14338	7,64E+07	3,33E-03	72
8	8 -- 9	2273	72978	16530	9,84E+07	3,24E-03	67
9	9 -- 10	4779	81621	18803	1,24E+08	3,14E-03	63
10	10 -- 11	694	100279	23582	1,84E+08	2,93E-03	54
11	11 -- 12	4375	120028	24276	1,94E+08	2,90E-03	53
12	12 -- 13	5336	137748	28652	2,58E+08	2,70E-03	46
13	13 -- 14	5574	160059	33988	3,48E+08	2,46E-03	39
14	14 -- 15	699	186523	39562	4,52E+08	2,23E-03	32
15	15 -- 16	4052	207412	40261	4,66E+08	2,20E-03	31
16	16 -- 17	2836	237815	44313	5,51E+08	2,04E-03	27
17	17 -- 18	2872	252101	47149	6,14E+08	1,92E-03	24
18	18 -- 19	2903	266854	50021	6,81E+08	1,81E-03	22
19	19 -- 20	2929	284086	52924	7,51E+08	1,71E-03	19
20	20 -- 21	5912	305888	55853	8,26E+08	1,60E-03	17
21	21 -- 22	5933	343011	61765	9,88E+08	1,40E-03	13
22	22 -- 23	5883	382259	67698	1,17E+09	1,19E-03	9
23	23 -- 24	5738	423634	73581	1,36E+09	9,81E-04	6
24	24 -- 25	5457	467135	79318	1,57E+09	7,74E-04	4
25	25 -- 26	4963	512762	84775	1,80E+09	5,68E-04	2
26	26 -- 27	3850	560515	89738	2,04E+09	3,65E-04	1
27	27 -- 28	3988	605772	93588	2,27E+09	1,81E-04	0
28			687703	97576	2,50E+09	0,00E+00	0

B - Horizontale belasting - belastinggeval 1a

knoop nummer	staaf i--j	$Q_{last;hor}$ N	$F_{last;hor.}$ N	dwarskr. N	moment Nmm	hoekver. rad.	hor. verpl. mm
1	1 -- 2			0	0,00E+00	5,00E-02	1521
2	2 -- 3		36722	36722	0,00E+00	5,00E-02	1492
3	3 -- 4			36722	8,37E+07	4,96E-02	1378
4	4 -- 5			36722	1,88E+08	4,86E-02	1238
5	5 -- 6			36722	2,93E+08	4,76E-02	1101
6	6 -- 7		232343	269065	3,10E+08	4,74E-02	1080
7	7 -- 8			269065	9,55E+08	4,60E-02	967
8	8 -- 9			269065	1,34E+09	4,48E-02	903
9	9 -- 10			269065	1,72E+09	4,35E-02	840
10	10 -- 11			269065	2,49E+09	4,05E-02	720
11	11 -- 12		223760	492826	2,60E+09	4,01E-02	704
12	12 -- 13			492826	3,80E+09	3,73E-02	609
13	13 -- 14			492826	5,21E+09	3,37E-02	507
14	14 -- 15			492826	6,61E+09	3,03E-02	416
15	15 -- 16		213364	706190	6,79E+09	2,99E-02	405
16	16 -- 17			706190	8,20E+09	2,75E-02	348
17	17 -- 18			706190	9,17E+09	2,58E-02	311
18	18 -- 19			706190	1,01E+10	2,40E-02	277
19	19 -- 20			706190	1,11E+10	2,25E-02	245
20	20 -- 21		61082	767272	1,21E+10	2,10E-02	215
21	21 -- 22			767272	1,42E+10	1,80E-02	161
22	22 -- 23			767272	1,63E+10	1,51E-02	116
23	23 -- 24			767272	1,84E+10	1,22E-02	78
24	24 -- 25			767272	2,05E+10	9,45E-03	48
25	25 -- 26			767272	2,26E+10	6,81E-03	26
26	26 -- 27			767272	2,47E+10	4,29E-03	11
27	27 -- 28			767272	2,67E+10	2,10E-03	3
28				767272	2,86E+10	0,00E+00	0

C - Horizontale belasting - belastinggeval 1b

knoop nummer	staaf i--j	$Q_{last;hor}$ N	$F_{last;hor.}$ N	dwarskr. N	moment Nmm	hoekver. rad.	hor. verpl. mm
1	1 -- 2			0	0,00E+00	3,80E-02	1173
2	2 -- 3		23812	23812	0,00E+00	3,80E-02	1152
3	3 -- 4			23812	5,43E+07	3,77E-02	1065
4	4 -- 5			23812	1,22E+08	3,71E-02	959
5	5 -- 6			23812	1,90E+08	3,64E-02	854
6	6 -- 7		179455	203268	2,01E+08	3,63E-02	837
7	7 -- 8			203268	6,89E+08	3,53E-02	751
8	8 -- 9			203268	9,78E+08	3,44E-02	701
9	9 -- 10			203268	1,27E+09	3,35E-02	653
10	10 -- 11			203268	1,85E+09	3,13E-02	561
11	11 -- 12		178746	382014	1,93E+09	3,10E-02	548
12	12 -- 13			382014	2,86E+09	2,89E-02	475
13	13 -- 14			382014	3,95E+09	2,62E-02	396
14	14 -- 15			382014	5,04E+09	2,36E-02	325
15	15 -- 16		177940	559954	5,18E+09	2,33E-02	317
16	16 -- 17			559954	6,30E+09	2,14E-02	272
17	17 -- 18			559954	7,07E+09	2,01E-02	243
18	18 -- 19			559954	7,84E+09	1,88E-02	217
19	19 -- 20			559954	8,61E+09	1,76E-02	192
20	20 -- 21		47319	607273	9,38E+09	1,64E-02	168
21	21 -- 22			607273	1,10E+10	1,41E-02	126
22	22 -- 23			607273	1,27E+10	1,18E-02	91
23	23 -- 24			607273	1,44E+10	9,55E-03	61
24	24 -- 25			607273	1,61E+10	7,40E-03	38
25	25 -- 26			607273	1,77E+10	5,34E-03	20
26	26 -- 27			607273	1,94E+10	3,37E-03	8
27	27 -- 28			607273	2,09E+10	1,65E-03	2
28				607273	2,24E+10	0,00E+00	0

D - Horizontale belasting - belastinggeval 3

knoop nummer	staaf i--j	$Q_{last;hor}$ N	$F_{last;hor.}$ N	dwarskr. N	moment Nmm	hoekver. rad.	hor. verpl. mm
1	1 -- 2			0	0,00E+00	6,18E-02	1831
2	2 -- 3		63182	63182	0,00E+00	6,18E-02	1795
3	3 -- 4			63182	1,44E+08	6,12E-02	1655
4	4 -- 5			63182	3,24E+08	5,95E-02	1483
5	5 -- 6			63182	5,04E+08	5,76E-02	1315
6	6 -- 7		253726	316908	5,33E+08	5,74E-02	1290
7	7 -- 8			316908	1,29E+09	5,53E-02	1154
8	8 -- 9			316908	1,74E+09	5,38E-02	1076
9	9 -- 10			316908	2,20E+09	5,20E-02	1001
10	10 -- 11			316908	3,10E+09	4,83E-02	858
11	11 -- 12		251248	568156	3,23E+09	4,78E-02	838
12	12 -- 13			568156	4,62E+09	4,44E-02	725
13	13 -- 14			568156	6,24E+09	4,00E-02	604
14	14 -- 15			568156	7,86E+09	3,60E-02	496
15	15 -- 16		248406	816562	8,06E+09	3,55E-02	483
16	16 -- 17			816562	9,69E+09	3,26E-02	415
17	17 -- 18			816562	1,08E+10	3,06E-02	372
18	18 -- 19			816562	1,19E+10	2,86E-02	331
19	19 -- 20			816562	1,31E+10	2,68E-02	293
20	20 -- 21		122241	938803	1,42E+10	2,50E-02	257
21	21 -- 22			938803	1,68E+10	2,15E-02	193
22	22 -- 23			938803	1,93E+10	1,80E-02	139
23	23 -- 24			938803	2,19E+10	1,46E-02	94
24	24 -- 25			938803	2,45E+10	1,13E-02	58
25	25 -- 26			938803	2,71E+10	8,17E-03	31
26	26 -- 27			938803	2,97E+10	5,15E-03	13
27	27 -- 28			938803	3,20E+10	2,52E-03	3
28				938803	3,44E+10	0,00E+00	0

E - Horizontale belasting - belastinggeval 4

knoop nummer	staaf i--j	$Q_{last;hor}$ N	F_{last} N	dwarskr. N	moment Nmm	hoekver. rad.	hor. verpl. mm
1	1 -- 2			0	0,00E+00	3,83E-02	1175
2	2 -- 3		26206	26206	0,00E+00	3,83E-02	1153
3	3 -- 4			26206	5,97E+07	3,80E-02	1066
4	4 -- 5			26206	1,34E+08	3,73E-02	958
5	5 -- 6			26206	2,09E+08	3,65E-02	853
6	6 -- 7		177010	203216	2,21E+08	3,64E-02	837
7	7 -- 8			203216	7,09E+08	3,54E-02	751
8	8 -- 9			203216	9,98E+08	3,45E-02	701
9	9 -- 10			203216	1,29E+09	3,35E-02	652
10	10 -- 11			203216	1,87E+09	3,13E-02	560
11	11 -- 12		176450	379666	1,95E+09	3,10E-02	547
12	12 -- 13			379666	2,88E+09	2,89E-02	474
13	13 -- 14			379666	3,96E+09	2,61E-02	395
14	14 -- 15			379666	5,04E+09	2,35E-02	324
15	15 -- 16		175818	555484	5,18E+09	2,32E-02	316
16	16 -- 17			555484	6,29E+09	2,14E-02	272
17	17 -- 18			555484	7,05E+09	2,00E-02	243
18	18 -- 19			555484	7,81E+09	1,87E-02	216
19	19 -- 20			555484	8,58E+09	1,76E-02	192
20	20 -- 21		52792	608276	9,34E+09	1,64E-02	168
21	21 -- 22			608276	1,10E+10	1,41E-02	126
22	22 -- 23			608276	1,27E+10	1,18E-02	91
23	23 -- 24			608276	1,44E+10	9,54E-03	61
24	24 -- 25			608276	1,60E+10	7,40E-03	38
25	25 -- 26			608276	1,77E+10	5,34E-03	20
26	26 -- 27			608276	1,94E+10	3,36E-03	8
27	27 -- 28			608276	2,09E+10	1,65E-03	2
28				608276	2,24E+10	0,00E+00	0

F - Excentriciteit moment t.g.v. eigengewicht draden

knoop nummer	staaf i--j	$Q_{last;hor}$ N	F_{last} N	dwarskr. N	moment Nmm	hoekver. rad.	hor. verpl. mm
1	1 -- 2				0,00E+00	5,63E-05	1
2	2 -- 3				1,48E+06	5,63E-05	1
3	3 -- 4				1,48E+06	4,24E-05	1
4	4 -- 5				1,48E+06	3,18E-05	1
5	5 -- 6				1,48E+06	2,51E-05	0
6	6 -- 7				1,48E+06	2,44E-05	0
7	7 -- 8				1,48E+06	2,11E-05	0
8	8 -- 9				1,48E+06	1,95E-05	0
9	9 -- 10				1,48E+06	1,82E-05	0
10	10 -- 11				1,48E+06	1,62E-05	0
11	11 -- 12				1,48E+06	1,59E-05	0
12	12 -- 13				1,48E+06	1,46E-05	0
13	13 -- 14				1,48E+06	1,34E-05	0
14	14 -- 15				1,48E+06	1,26E-05	0
15	15 -- 16				1,48E+06	1,25E-05	0
16	16 -- 17				1,48E+06	1,20E-05	0
17	17 -- 18				1,48E+06	1,17E-05	0
18	18 -- 19				1,48E+06	1,15E-05	0
19	19 -- 20				1,48E+06	1,13E-05	0
20	20 -- 21				9,91E+06	1,11E-05	0
21	21 -- 22				9,91E+06	8,80E-06	0
22	22 -- 23				9,91E+06	6,89E-06	0
23	23 -- 24				9,91E+06	5,26E-06	0
24	24 -- 25				9,91E+06	3,86E-06	0
25	25 -- 26				9,91E+06	2,65E-06	0
26	26 -- 27				9,91E+06	1,60E-06	0
27	27 -- 28				9,91E+06	7,53E-07	0
28					9,91E+06	0,00E+00	0

4.5 - Maximale krachten in ULS-toestand

			)**
Eigengewicht conductors, insulators	G_k =	1,20	1,20
Eigengewicht mast	G_k =	1,20	1,20
Windbelasting mastlichaam	Q_{wk} =	1,60	0,45
Belasting geval 1a	Q_{wk} =	1,50	0,00
Belasting geval 1b	Q_{wk} =	0,00	0,00
Belasting geval 3	Q_{ik} =	0,00	1,50
Belasting geval 4	Q_{pk} =	0,00	0,00

knoop nummer	staaf i--j	normaal kr. kN	dwars kr. kN	moment kNm
1	1 -- 2	0,48	0,00	0,00
2	2 -- 3	10,16	63,35	6,20
3	3 -- 4	17,22	64,09	151,48
4	4 -- 5	27,51	65,11	335,59
5	5 -- 6	39,45	66,24	522,78
6	6 -- 7	68,95	320,16	552,63
7	7 -- 8	81,71	321,21	1322,27
8	8 -- 9	89,90	321,87	1780,46
9	9 -- 10	98,54	322,55	2239,61
10	10 -- 11	117,20	323,98	3160,92
11	11 -- 12	147,73	575,44	3290,55
12	12 -- 13	165,45	576,75	4701,99
13	13 -- 14	187,76	578,35	6348,01
14	14 -- 15	214,23	580,02	7998,70
15	15 -- 16	245,90	828,64	8201,74
16	16 -- 17	276,30	829,86	9860,24
17	17 -- 18	290,59	830,71	11001,87
18	18 -- 19	305,34	831,57	12144,69
19	19 -- 20	322,57	832,44	13288,69
20	20 -- 21	356,67	955,56	14467,97
21	21 -- 22	393,79	957,33	17098,20
22	22 -- 23	433,04	959,11	19733,31
23	23 -- 24	474,42	960,88	22373,30
24	24 -- 25	517,92	962,60	25018,08
25	25 -- 26	563,54	964,24	27667,47
26	26 -- 27	611,30	965,72	30321,17
27	27 -- 28	656,55	966,88	32736,92
28		738,49	968,08	35155,61

)** - Maatgevende belastingcombinatie voor alle staven

4.6 - Toetsing van de doorsnede

Elasticiteitsmodulus E-	N/mm^2	210000	
Vloeigrens f_y	N/mm^2	355	Voor wanddikte t < 40
Vloeigrens f_y	N/mm^2	335	Voor wanddikte t >= 40

A- Controle buigspanning

Toetsingregel :

$$N_{Ed} / N_{Rd} + M_{y,Ed} / M_{y,Rd} <= 1$$

waarin: $M_{y,Ed} = M_{1;y,Ed} + \Sigma N_{Ed,i} * \delta_{rel.i}$

$M_{1;y,Ed}$ = buigende moment uit komputer

$N_{Ed,i}$ = normaal kracht uit komputer uitvoer ter plaatse knoop i

$\delta_{rel,i}$ = maximale horizontale verplaatsing t.p.v. knoop i = $\delta_{i,max} - \delta_{j,max}$

$M_{y;el,Rd} = W_{y;el} * f_y$; $N_{Rd} = A * f_y$

staaf nummer	profiel $D_{voet} - D_{top}$ mm	moment $M_{1;y,Ed}$ kNm	drukkracht $N_{c,Rd}$ kN	rel.verpl. $\delta_{rel.}$ mm	$M_{y,Ed}$ in kNm	$M_{y;el,Rd}$ in kNm	toetsings-regel
1	500 / 825	6,20	10,16	29	6,5	1230,8	0,01
2	500 / 825	151,48	17,22	116	153,8	1698,6	0,09
3	500 / 825	335,59	27,51	142	341,8	2389,4	0,15
4	500 / 825	522,78	39,45	138	534,4	3197,9	0,17
5	825 / 1366	552,63	68,95	21	565,7	3680,5	0,16
6	825 / 1366	1322,27	81,71	112	1344,5	4552,8	0,30
7	825 / 1366	1780,46	89,90	64	1808,5	5114,6	0,36
8	825 / 1366	2239,61	98,54	62	2273,8	5709,1	0,40
9	825 / 1366	3160,92	117,20	118	3208,9	6996,3	0,46
10	825 / 1366	3290,55	147,73	16	3340,9	7187,4	0,47
11	825 / 1366	4701,99	165,45	94	4767,8	8414,2	0,57
12	825 / 1366	6348,01	187,76	100	6432,6	9963,0	0,65
13	1366 / 1669	7998,70	214,23	90	8102,5	12754,5	0,64
14	1366 / 1669	8201,74	245,90	10	8308,1	12990,9	0,65
15	1366 / 1669	9860,24	276,30	56	9982,2	14382,9	0,70
16	1366 / 1669	11001,87	290,59	36	11134,3	15381,0	0,73
17	1366 / 1669	12144,69	305,34	34	12287,4	16412,6	0,76
18	1669/ 2590	13288,69	322,57	32	13441,5	19757,0	0,69
19	1669/ 2590	14467,97	356,67	29	14631,3	21002,1	0,70
20	1669/ 2590	17098,20	393,79	53	17282,4	23606,5	0,74
21	1669/ 2590	19733,31	433,04	45	19937,0	26363,2	0,76
22	1669/ 2590	22373,30	474,42	37	22594,7	29272,1	0,78
23	1669/ 2590	25018,08	517,92	30	25254,8	32333,2	0,79
24	1669/ 2590	27667,47	563,54	22	27916,7	35546,6	0,79
25	1669/ 2590	30321,17	611,30	15	30579,7	38912,2	0,80
26	1669/ 2590	32736,92	656,55	8	33000,7	42104,0	0,79
27	1669/ 2590	35155,61	738,49	3	35421,3	45421,5	0,79

B- Controle plooistabiliteit

Toetsing regel :volgens NEN -EN 50341-3 (NEN 1060).

$$(\sigma_{N;Ed} / \sigma_{N;plooi}) + (\sigma_{MEd} / \sigma_{M;plooi}) <= 1$$

Plooispanning t.g.v normaalkracht

Indien $d / t < 90 * a_y^2$ ---> $\sigma_{N;plooi;d} = f_y$; $a_y = (f_{ref} / f_y)^{0,5}$; $f_{ref} = 235$ N/mm^2

Indien $90 * a_y^2 < d / t < 315\ a_y^2$ ---> $\sigma_{N;plooi;d} = 0,3 * f_{y;d} + 14805 / (d/t)$

Plooispanning t.g.v moment

Indien $d / t < 157,5 * a_y^2$ ---> $\sigma_{N;plooi;d} = f_{y;d}$

Indien $157,5 * a_y^2 < d / t < 315\ a_y^2$ ---> $\sigma_{N;plooi;d} = 0,6 * f_{y;d} + 14805 / (d/t)$

d mm	t mm	d/t	a_y	$\sigma_{N;plooi;d}$ N/mm^2	$\sigma_{M;plooi;d}$ N/mm^2
522	18,0	28,98	0,81	355	355
608	18,0	33,79	0,81	355	355
717	18,0	39,81	0,81	355	355
825	18,0	45,83	0,81	355	355
842	20,0	42,10	0,81	355	355
933	20,0	46,66	0,81	355	355
987	20,0	49,37	0,81	355	355
1042	20,0	52,08	0,81	355	355
1150	20,0	57,49	0,81	355	355
1165	20,0	58,25	0,81	355	355
1258	20,0	62,91	0,81	342	355
1366	20,0	68,32	0,81	323	355
1475	22,0	67,03	0,81	327	355
1488	22,0	67,64	0,81	325	355
1564	22,0	71,09	0,81	315	355
1616	22,0	73,47	0,81	308	355
1669	22,0	75,84	0,81	302	355
1721	25,0	68,83	0,81	322	355
1773	25,0	70,92	0,81	315	355
1878	25,0	75,10	0,81	304	355
1982	25,0	79,28	0,81	293	355
2087	25,0	83,46	0,81	284	355
2191	25,0	87,64	0,81	275	355
2296	25,0	91,82	0,81	268	355
2400	25,0	96,00	0,81	261	355
2495	25,0	99,80	0,81	255	355
2590	25,0	103,60	0,81	249	355

staaf nummer	profiel D_{voet} - D_{top}	σ_{MEd} N/mm^2	σ_{NEd} N/mm^2	$\sigma_{M;plooi;d}$ N/mm^2	$\sigma_{N;plooi;d}$ N/mm^2	toetsings-regel
1	500 / 825	1,96	0,36	355	355	0,01
2	500 / 825	37,51	0,56	355	355	0,11
3	500 / 825	59,79	0,75	355	355	0,17
4	500 / 825	68,27	0,93	355	355	0,19
5	825 / 1366	55,73	1,35	355	355	0,16
6	825 / 1366	116,27	1,50	355	355	0,33
7	825 / 1366	132,93	1,52	355	355	0,38
8	825 / 1366	149,26	1,58	355	355	0,42
9	825 / 1366	179,78	1,73	355	355	0,51
10	825 / 1366	167,25	2,07	355	355	0,48
11	825 / 1366	217,31	2,21	355	342	0,62
12	825 / 1366	248,96	2,31	355	323	0,71
13	1366 / 1669	243,46	2,22	355	327	0,69
14	1366 / 1669	229,12	2,44	355	325	0,65
15	1366 / 1669	259,08	2,66	355	315	0,74
16	1366 / 1669	265,68	2,68	355	308	0,76
17	1366 / 1669	274,47	2,73	355	302	0,78
18	1669/ 2590	249,19	2,46	355	322	0,71
19	1669/ 2590	254,93	2,64	355	315	0,73
20	1669/ 2590	275,31	2,79	355	304	0,78
21	1669/ 2590	283,49	2,89	355	293	0,81
22	1669/ 2590	288,54	3,01	355	284	0,82
23	1669/ 2590	291,24	3,12	355	275	0,83
24	1669/ 2590	292,16	3,23	355	268	0,84
25	1669/ 2590	291,74	3,35	355	261	0,83
26	1669/ 2590	289,32	3,45	355	255	0,83
27	1669/ 2590	287,44	3,73	355	249	0,82

5.0 - Berekening ankers, bouten en flensverbindingen

uitgangspunt: gerolde draad

bouten	A_s in mm²	f_{ub} in N/mm²	$F_{t,Rd}$ in kN	$F_{v,Rd}$ in kN
M 48 - 8,8	1473	800	848,45	565,63
M 48 - 10,9	1473	1000	1060,56	589,20
M 45 - 8,8	1306	800	752,26	501,50
M 45 - 10,9	1306	1000	940,32	522,40
M 42 - 8.8	1121	800	645,64	430,43
M 42 - 10,9	1121	1000	807,05	448,36
M 39 - 8.8	976	800	562,04	374,70
M 39 - 10,9	976	1000	702,55	390,31
M 39 - 12,9	976	1200	843,07	468,37
M 36 - 8.8	817	800	470,59	313,73
M 36 - 10,9	817	1000	588,24	326,80
M 33 - 8.8	694	800	399,49	266,33
M 33 - 10,9	694	1000	499,36	277,42
M 30 - 8.8	561	800	322,90	215,27
M 30 - 10,9	561	1000	403,62	224,24

Max. trekkracht in de ankers en boutverbindingen :

$$F_{Ed} = M_{y,Ed} * a / I_p - N_{Ed} / n$$

Waarin :

$M_{y,Ed}$ = max. moment t.p.v aansluiting t.g.v rekenbelasting

N_{Ed} = max. normaal kracht t.p.v aansluiting t.g.v rekenbelasting

a = max. afstand bout tot zwaartepunt boutenpatroon = diameter stc. / 2

n = aantal bouten en $I_p = \Sigma (I_x^2 + I_y^2) = (n / 2) * (d_{stc}./ 2)^2$

Flensverbinding met één boutrij : $I_p = (n / 2) * (d_{stc}./ 2)^2$

Flensverbinding met twee boutrij : $I_p = (n / 4) * [(d_{stc1}./ 2)^2 + (d_{stc2}./ 2)^2]$

Flensverbinding met twee boutrij symmetrisch (voetplaat) :

$$I_p = (n / 2) * (d_{stc.gemiddeld}./ 2)^2$$

Flenzen en voetplaat:

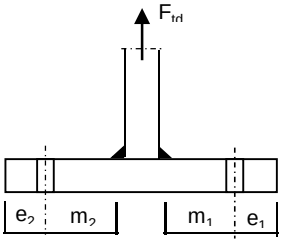

1 -Voetplaat

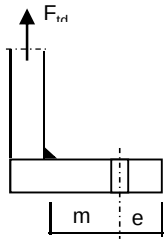

2 -Flens met 1 rij bouten

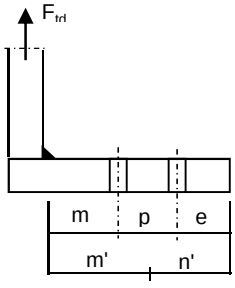

3 -Flens met 2 rij bouten

1 - Voetplaat :

$m = \max.(m_1;m_2)$
$e = \max.(e_1;e_2)$
$n = \min.(1{,}25*m;e)$

Bezwijkvorm 1 : $F_{t,Rd} = 4 * M_{pl} / m$
Bezwijkvorm 2 : $F_{t,Rd} = (2 * M_{pl} + n * 2 * F_{t;u;d}) / (m + n)$
Bezwijkvorm 3 : $F_{t,Rd} = 2 * F_{t;u;d}$

2 - Flens met 1 rij bouten :

m, n en e zoals bij voetplaat

Bezwijkvorm 1 : $F_{t,Rd} = 2 * M_{pl} / m$
Bezwijkvorm 2 : $F_{t,Rd} = (M_{pl} + n * F_{t;u;d}) / (m + n)$
Bezwijkvorm 3 : $F_{t,Rd} = F_{t;u;d}$

3 - Flens met 2 rij bouten :

$m' = m + p / 2$
$n' = n + p / 3$
$n = \min.(1{,}25*m;e)$

Bezwijkvorm 1 : $F_{tEd} = M_{pl} * (1+n'/n) / m'$
Bezwijkvorm 2 : $F_{t,Ed} = (M_{pl} + n' * F_{t;u;d}) / (m' + n')$
Bezwijkvorm 3 : $F_{t,Ed} = 2 * F_{t;u;d}$

$M_{pl} = (1/4) * L_{eff} * t_{fl}^2 * f_y$

$L_{eff} = \min(p ; 4*m + 1{,}25*e ; 2*\pi*m)$

Bouten en ankers

st.c in mm	aantal bouten	$F_{t,Ed}$ kN	$F_{v,Ed}$ kN	knoop nummer	aanwezig bout	$F_{t,Rd}$ kN	toetsing-regel
Ankers							
st.c buitenkant		2900,00					
st.c binnenkant		2230,00					
2565	88	614,60	11,00	28	M 48 - 8,8	848,4	0,72
flenzen op 25,0 m hoogte.							
st.c buitenkant		1370,00					
1370,00	36	792,02	23,05	16	M 48 - 10,9	1060,6	0,75

Dikte voetplaat en flenzen - conform NEN-EN 1993-1-8 ,

Stc1	Stc2 mm	m mm	e mm	n mm	m' mm	n' mm	l_{ef} mm
voetplaat							
2900,00	2230,00	148,2	120,0	120,0			159,2
2900,00	2230,00	148,2	120,0	120,0			207,1
flenzen op 25,0 m hoogte.							
1370,00	1370,0	68,2	60,0	60,0			119,6
1370,00	1370,0	68,2	60,0	60,0			119,6

flens dikte mm	$M_{pl;d}$ Nmm	bezwijk-vorm 1	bezwijk-vorm 2	bezwijk-vorm 3	maatgev. $F_{t,Rd}$	$F_{t,Ed}$ kN	toetsing-regel
voetplaat							
80	8,53E+07	2303,27	1395,59	1696,90	1395,59	1229,21	0,88
80	1,11E+08	2995,28	1586,79	1696,90	1586,79	1229,21	0,77
flenzen op 25,0 m hoogte.							
80	6,41E+07	1878,90	996,13	1060,56	996,13	792,02	0,80
80	6,41E+07	1878,90	996,13	1060,56	996,13	792,02	0,80
	Krachten in kN						

Lassen

A - Flenzen

Alle lassen: voorbewerkt 1/2 V- las met een tegenlas (K35 , lasdetail 301 van NEN 2063).

B - Buizen

Alle lassen: voorbewerkt X- las
Bij gelijke wanddikte (K50 , lasdetail 102 van NEN 2063).
Bij dikte overgang asymmetrisch (K45 , lasdetail 112 van NEN 2063).

Bouten

Alle bouten: Voorspanning 70% van de trekkracht met betrekking tot de capaciteit van de bout in de uiterste grenstoestand

6.0 - Controle berekening vortex shedding

Belasting loodrecht op windrichting (respons door wervelvorming) - Eurocode 1

De respons is bepaald volgens Eurocode 1, Deel 1 - 4 ,bijlage E

De kritische windsnelheid $v_{crit,1} = b * n_{i,y} / St$

b is de referentiebreedte van de doorsnede waarbij resonantie met de wervelvorming optreedt voor cirkelvormige cilinders is de referentiebreedte de uitwendige diameter.

St is de Strouhal getal conform E.1.3.2 ; voor cirkelcilinders St = 0,18

buis	$n_{1,y}$ Hz	$d_{buis;gem}$ m	St	$v_{krit,1}$ m/s
500 / 2590	1,03	1,545	0,18	8,86

Scrutongetal Sc

De Scrutongetal Sc word bepaald met:

$$Sc = 2 * \delta_s * m_{i;e} / \rho * b^2$$

ρ is de dichtheid van lucht: $\rho = 1,25$ kg/m^3

b is de referentiebreedte van de doorsnede waarbij resonantie met de wervelvorming optreedt

$$b = d_{w;gem}$$

δ_s is het logaritmische decrement van de constructieve demping

$$\delta_s = 0,030$$

Opmerking:
In Eurocode 1, Tabel F.2 is geen waarde gegeven voor de constructieve demping voor een hoogspanningsmast met een enkel buisprofiel. In de tabel wordt alleen de benaderde waarde van de constructieve demping van een stalen schoorsteen (met of zonder isolatie) aangegeven. In de NEN 1060 (Bovengrondse hoogspanningslijnen – voorloper van NEN-EN 50341) art. 9.2.6.5 wordt het logaritmisch decrement beschreven als $\delta = 2.\pi.D$. D is de dempingsmaat bij responsie loodrecht op de windrichting en is gelijk aan 0.005. Dit resulteert $\delta = 2.\pi.0.005 = 0.0314$. Deze formule is ook aangegeven in de DIN 4133 (Schornsteine aus Stahl) en als benaderde waarde van de constructieve demping van een stalen schoorsteen met 2 of 3 koppelingen is 0.025 en 0.03 aangegeven.
Daarom wordt in deze berekening voor de constructieve demping 0.03 aangehouden.

$m_{i;e}$ is de equivalente massa m_e per lengte eenheid, in kg/m, gewogen naar de trillingsvorm :

$$m_e = \frac{\int_0^{l} m(s) * \phi^2_i(s)\, ds}{\int_0^{l} \phi^2_i(s)\, ds}$$

Zie berekening eigenfrequentie

knoop nummer	verpl. δ mm	$\phi_{i;1}$	staaf nummer	ϕ_i	gewicht mast kg	gewicht traverse kg	massa m kg/m
1	467	1,000		1,000			
2	459	0,982	1 -- 2	0,991	133	202	588,5
3	426	0,912	2 -- 3	0,947	588		257,8
4	385	0,824	3 -- 4	0,868	858		301,1
5	345	0,738	4 -- 5	0,781	995		349,2
6	338	0,725	5 -- 6	0,731	187	1372	3465,6
7	306	0,655	6 -- 7	0,690	1063		442,9
8	287	0,615	7 -- 8	0,635	682		478,8
9	268	0,575	8 -- 9	0,595	720		505,5
10	233	0,499	9 -- 10	0,537	1555		545,5
11	228	0,489	10 -- 11	0,494	230	1415	4114,1
12	200	0,429	11 -- 12	0,459	1477		602,7
13	169	0,363	12 -- 13	0,396	1859		652,4
14	141	0,302	13 -- 14	0,333	2205		773,8
15	138	0,295	14 -- 15	0,299	282	1458	4973,2
16	120	0,257	15 -- 16	0,276	1662	872	1266,8
17	108	0,232	16 -- 17	0,244	1190		865,8
18	97	0,208	17 -- 18	0,220	1229		894,1
19	87	0,185	18 -- 19	0,197	1436		1044,4
20	77	0,164	19 -- 20	0,175	1480	337	1321,3
21	59	0,125	20 -- 21	0,145	3094		1124,9
22	43	0,092	21 -- 22	0,109	3271		1189,3
23	29	0,063	22 -- 23	0,077	3448		1253,8
24	19	0,040	23 -- 24	0,051	3625		1318,2
25	10	0,022	24 -- 25	0,031	3802		1382,6
26	4	0,009	25 -- 26	0,015	3979		1447,1
27	1	0,002	26 -- 27	0,006	3771		1508,6
28	0	0,000	27 -- 28	0,001	3918	2910	2731,1

staaf nummer	massa m kg/m	ϕ_i	s m	ϕ_i^2 * (s)	ϕ_i^2 *(s)*m	ϕ_i * (s)
1 -- 2	589	0,991	0,570	0,56	329,53	0,56
2 -- 3	258	0,947	2,280	2,04	527,03	2,16
3 -- 4	301	0,868	2,850	2,15	646,02	2,47
4 -- 5	349	0,781	2,850	1,74	606,91	2,23
5 -- 6	3466	0,731	0,450	0,24	834,27	0,33
6 -- 7	443	0,690	2,400	1,14	505,84	1,66
7 -- 8	479	0,635	1,425	0,57	274,85	0,90
8 -- 9	505	0,595	1,425	0,50	254,87	0,85
9 -- 10	546	0,537	2,850	0,82	448,89	1,53
10 -- 11	4114	0,494	0,400	0,10	402,20	0,20
11 -- 12	603	0,459	2,450	0,52	310,99	1,12
12 -- 13	652	0,396	2,850	0,45	291,12	1,13
13 -- 14	774	0,333	2,850	0,32	243,97	0,95
14 -- 15	4973	0,299	0,350	0,03	155,48	0,10
15 -- 16	1267	0,276	2,000	0,15	192,99	0,55
16 -- 17	866	0,244	1,375	0,08	70,94	0,34
17 -- 18	894	0,220	1,375	0,07	59,36	0,30
18 -- 19	1044	0,197	1,375	0,05	55,54	0,27
19 -- 20	1321	0,175	1,375	0,04	55,53	0,24
20 -- 21	1125	0,145	2,750	0,06	64,87	0,40
21 -- 22	1189	0,109	2,750	0,03	38,53	0,30
22 -- 23	1254	0,077	2,750	0,02	20,65	0,21
23 -- 24	1318	0,051	2,750	0,01	9,59	0,14
24 -- 25	1383	0,031	2,750	0,00	3,60	0,08
25 -- 26	1447	0,015	2,750	0,00	0,95	0,04
26 -- 27	1509	0,006	2,500	0,00	0,12	0,01
27 -- 28	2731	0,001	2,500	0,00	0,01	0,00
		Σ	55,00	11,69	6404,64	19,09

m_e = 6404,6 / 11,7 = 547,8 kg/m

$Sc = 2 * \delta_s * m_{i;e} / \rho * b^2$

buis	$m_{1;e}$ kg/m	δ_s	ρ kg/m^3	b = d_w in m	Sc
500 / 2590	547,8	0,030	1,25	1,545	11,0

Berekening van verplaatsingen

de grootste $y_{f;max}$ verplaatsing kan berekend worden met:

$$y_{F;max} / b = (1/St^2) * (1/Sc) * K * K_w * C_{lat}$$

St is de Strouhal getal = 0,18

Sc is de Scrutongetal = 11,0

K is trillingsvormfactor en is gelijk aan

$$K = \frac{\sum_{i=1}^{m} \int_{\ell_i} |\phi_i(s)| \, ds}{4.\pi.\sum_{i=1}^{n} \int_{\ell_i} \phi^2_i(s) \, ds}$$

Voor i = 1 (eerste trillingsvorm) is m = n = 1

K = 19,09 / (4 * π * 11,69) = 0,130 (tabel E.5)

C_{lat} is de laterale krachtcoëfficiënt gegeven in E.1.5/2.5

C_{lat} : $R_e (V_{crit}) < 3*10^5$; $C_{lat} = 0,7$

$5*10^5 < R_e (V_{crit}) < 5*10^6$; $C_{lat} = 0,2$

$R_e (V_{crit}) > 7*10^7$; $C_{lat} = 0,3$

$R_e (V_{crit}) = b * v(crit) / \nu$;
ν is de kinematische viscositeit van de lucht $\nu = 15*10^{-6}$ m^2/s

$R_e (V_{crit})$ = 1,545 * 8,86 / $15*10^{-6}$ = 9,1E+05

C_{lat} = 0,20

K_w is de effectieve correlatiefactor gegeven in E.1.5.2.4

$$K_w = \frac{\sum_{i=1}^{m} \int_{L_j} |\phi_i(s)| \, ds}{\sum_{i=1}^{n} \int_{\ell_i} |\phi_i(s)| \, ds} \leq 0,6$$

Voor i = 1 (eerste trillingsvorm) is m = n = 1

Lj / b = 6
Lj = 9,27 m - (effectieve correlatielengte)

K_w = 7,94 / 19,09 = 0,42

$y_{F;max}$ / b = 30,86 * 0,091 * 0,130 * 0,42 * 0,2 = 0,030

$y_{F;max}$ = 1,545 * 0,030 = 0,047 m

$\Delta\sigma_{dyn} = 2 * C_{rd} * y_{F;max}$

De factor C_{rd} volgt uit de spanning door een opgelegde verplaatsing volgens de eerste eigentrilling.

Opgelegde verplaatsing van 1000 mm

knoop nummer	staaf i--j	q_{last} N	F_{last} N	dwarskr. N	moment Nmm	hoekver. rad.	verpl. mm
1	1 -- 2		188493	188493	0,00E+00	5,3E-02	1000
2	2 -- 3			188493	1,07E+08	5,3E-02	970
3	3 -- 4			188493	5,37E+08	5,0E-02	852
4	4 -- 5			188493	1,07E+09	4,4E-02	718
5	5 -- 6			188493	1,61E+09	3,8E-02	601
6	6 -- 7			188493	1,70E+09	3,7E-02	584
7	7 -- 8			188493	2,15E+09	3,3E-02	500
8	8 -- 9			188493	2,42E+09	3,0E-02	455
9	9 -- 10			188493	2,69E+09	2,8E-02	413
10	10 -- 11			188493	3,22E+09	2,4E-02	339
11	11 -- 12			188493	3,30E+09	2,4E-02	329
12	12 -- 13			188493	3,76E+09	2,0E-02	275
13	13 -- 14			188493	4,30E+09	1,7E-02	221
14	14 -- 15			188493	4,83E+09	1,5E-02	176
15	15 -- 16			188493	4,90E+09	1,4E-02	171
16	16 -- 17			188493	5,28E+09	1,3E-02	144
17	17 -- 18			188493	5,54E+09	1,2E-02	127
18	18 -- 19			188493	5,80E+09	1,1E-02	112
19	19 -- 20			188493	6,06E+09	9,7E-03	98
20	20 -- 21			188493	6,31E+09	8,9E-03	86
21	21 -- 22			188493	6,83E+09	7,4E-03	63
22	22 -- 23			188493	7,35E+09	6,0E-03	45
23	23 -- 24			188493	7,87E+09	4,8E-03	30
24	24 -- 25			188493	8,39E+09	3,6E-03	18
25	25 -- 26			188493	8,91E+09	2,6E-03	10
26	26 -- 27			188493	9,42E+09	1,6E-03	4
27	27 -- 28			188493	9,90E+09	7,7E-04	1
28	28 -- 29			188493	1,04E+10	0,0E+00	0

Wissel spanning

$$\Delta\sigma_{dyn} = 2 * C_{rd} * y_{F;max}$$

staaf nummer	profiel		$W_{y;el}$	$\sigma_{buiging}$ (C_{rd})	$y_{F;max}$	$\Delta\sigma_{dyn}$
	D (mm)	t (mm)	mm^3	N/mm^2	m	MPa
1	522	18,0	3466902	31	0,0468	2,9
2	608	18,0	4784830	112	0,0468	10,5
3	717	18,0	6730689	160	0,0468	14,9
4	825	18,0	9008164	179	0,0468	16,7
5	842	20,0	10367648	164	0,0468	15,3
6	933	20,0	12824815	168	0,0468	15,7
7	987	20,0	14407388	168	0,0468	15,7
8	1042	20,0	16082078	167	0,0468	15,6
9	1150	20,0	19707810	164	0,0468	15,3
10	1165	20,0	20246171	163	0,0468	15,2
11	1258	20,0	23702011	159	0,0468	14,8
12	1366	20,0	28064684	153	0,0468	14,3
13	1475	22,0	35928268	135	0,0468	12,6
14	1488	22,0	36593954	134	0,0468	12,5
15	1564	22,0	40515138	130	0,0468	12,2
16	1616	22,0	43326738	128	0,0468	12,0
17	1669	22,0	46232682	125	0,0468	11,7
18	1721	25,0	55653435	109	0,0468	10,2
19	1773	25,0	59160831	107	0,0468	10,0
20	1878	25,0	66497249	103	0,0468	9,6
21	1982	25,0	74262503	99	0,0468	9,3
22	2087	25,0	82456593	95	0,0468	8,9
23	2191	25,0	91079518	92	0,0468	8,6
24	2296	25,0	100131278	89	0,0468	8,3
25	2400	25,0	109611876	86	0,0468	8,0
26	2495	25,0	118602731	83	0,0468	7,8
27	2590	25,0	127947996	81	0,0468	7,6

Bepaling van het aantal spanningscycli

Het aantal spanningswisseling N veroorzaakt door trilling door wervelvorming wordt berekend met:

$$N = 2 * T * n_{i;y} * \varepsilon_o * [V_{crit} / V_o]^2 * \exp[-(V_{crit} / V_o)^2] >= 10^4$$

$n_y = n_{1;y}$ = 1,03 Hz eigenfrequentie van trillingsvorm loodrecht op wind

T is levensduur in seconden = $3,2 * 10^7$ maal de vervachte levensduur in jaren

$V_{crit,1}$ = 8,86 m/s De kritische windsnelheid

ε_o is bandbreedtefactor = 0,3

V_o is wortel(2) maal de modus van de Weibull waarschijnlijkheidsverdeling van de windsnelheid in m/s
V_o = 20% van de karakteristieke gemiddelde windsnelheid op hoogte waar wervelvorming plaatsvind

z_s = 50,365 m - hoogte waar wervelvorming plaatsvindt = $L_{mast} - L_j / 2$

Wedgebied II - onbebouwd

Basiswindsnelheid $V_{b,0}$ = 27 m/s

Terreincategorie : II - Onbebouwd gebied

Richtingsfactor C_{dir} = 1,0
Seizoensfactor C_{season} = 1,0
Orografiefactor $C_o(z)$ = 1,0

z_0 = 0,200 m

Gemiddelde windsnelheid $V_m(z) = (V_{b,0} * C_{dir} * C_{season}) * c_r(z)$

$c_r(z) = k_r * \ln\{ z / z_0\}$ voor $z_{min} \le z \le z_{max}$
$c_r(z) = c_r (z_{min})$ voor $z \le z_{min}$

$k_r = 0,19 \ln\{ z_0 / z_{0,II}\}^{0,07}$ $z_{0;II}$ = 0,05 m

$k_r = 0,19 \ln\{ 0,200 / 0,05\}^{0,07}$ = 0,21

$c_r(z) = 0,21 * \ln\{ 28,5 / 0,200\}$ = 1,16

$V_m(z)$ = 31,3 m/s

V_o = 31,3 * 20 / 100 = 6,25 m/s

$N = 2 * 50 * 3,2.10^7 * 0,3 * 1,03 * [8,86 / 6,25]^2 * \exp[-(8,86 / 6,25)^2]$ = 2,67E+08

Vermoeiingsschade t.g.v. dwarstrilling

De vermoeiingsschade vindt plaats door het belastingspectrum te toetsen aan de bij het detail behorende $\Delta\sigma$-N lijn conform NEN 2063.

$\Delta\sigma < 0{,}55\,\Delta\sigma_k$ ------> $N = \infty$

$0{,}55\,\Delta\sigma_k < \Delta\sigma < \Delta\sigma_k$ ------> $N.\Delta\sigma^5 = N_k.\Delta\sigma^5_k$

$\Delta\sigma > \Delta\sigma_k$ ------> $N.\Delta\sigma^3 = N_k.\Delta\sigma^3_k$

$N_k = 10^7$

$\Delta\sigma_i$ is het i^e spanningsniveau

$\Delta\sigma_k$ is het spanningsinterval behorende bij 10^7 wisselingen op de $\Delta\sigma_i$-N lijn.

$\gamma * \Delta\sigma =$ 1,2 * $\Delta\sigma$

$\Delta\sigma$k =	45	MPa	Voorbewerkt X- las (K45 , lasdetail 112 van NEN 2063).
$\Delta\sigma$k =	35	MPa	Voorbewerkt 1/2V- las (K35 , lasdetail 301 van NEN 2063).

Plaats van trilling		$\gamma * \Delta\sigma$ = in MPa	$\Delta\sigma_k$ in MPa	0,55 $\Delta\sigma_k$ in MPa	N - wissel. $\Delta\sigma_i$-N lijn	N span.wissl.	D beschadiging < 1
Knoop							
3	Lasnaad	12,60	45	24,75	1,000E+10	2,67E+08	0,03
4	Lasnaad	17,92	45	24,75	1,000E+10	2,67E+08	0,03
5	Lasnaad	20,08	45	24,75	1,000E+10	2,67E+08	0,03
7	Lasnaad	18,81	45	24,75	1,000E+10	2,67E+08	0,03
9	Lasnaad	18,75	45	24,75	1,000E+10	2,67E+08	0,03
10	Lasnaad	18,36	45	24,75	1,000E+10	2,67E+08	0,03
12	Lasnaad	17,81	45	24,75	1,000E+10	2,67E+08	0,03
13	Lasnaad	17,19	45	24,75	1,000E+10	2,67E+08	0,03
14	Lasnaad	15,11	45	24,75	1,000E+10	2,67E+08	0,03
16	flenzen	14,62	35	19,25	1,000E+10	2,67E+08	0,03
18	Lasnaad	14,07	45	24,75	1,000E+10	2,67E+08	0,03
20	Lasnaad	11,98	45	24,75	1,000E+10	2,67E+08	0,03
21	Lasnaad	11,54	45	24,75	1,000E+10	2,67E+08	0,03
22	Lasnaad	11,11	45	24,75	1,000E+10	2,67E+08	0,03
23	Lasnaad	10,71	45	24,75	1,000E+10	2,67E+08	0,03
24	Lasnaad	10,34	45	24,75	1,000E+10	2,67E+08	0,03
25	Lasnaad	9,99	45	24,75	1,000E+10	2,67E+08	0,03
26	Lasnaad	9,65	45	24,75	1,000E+10	2,67E+08	0,03
27	Lasnaad	9,37	45	24,75	1,000E+10	2,67E+08	0,03
28	voetplaat	9,10	35	19,25	1,000E+10	2,67E+08	0,03

7.0 - Fundatie belastingen

Fundatie belastingen in ULS-toestand - (Ultimate limit state)

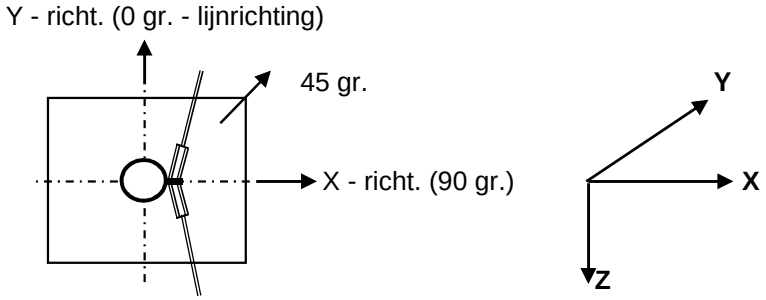

Belasting geval / comb	X - reactie kN	Y - reactie kN	Z - reactie kN	M_x - reactie kNm	M_y - reactie kNm	M_z - reactie kNm
Windrich. 90 graden						
1 - EG mast			637			
2 - Windbelasting mast	104				2671	
3 - Belasting geval 1a	767		51		28588	
4 - Belasting geval 1b	607		51		22442	
5 - Belasting geval 3	939		101		34404	
6 - Belasting geval 4	608		62		22433	
Combinatie 1 : BG1 * 1,2 + BG2 * 1,6 + BG3 * (1,2 eg, 1,5 windbel.)						
	871		688		31259	
Combinatie 2 : BG1 * 1,2 + BG2 * 0,3 + BG4 * (1,2 eg, 0,3 windbel.)						
	627		688		22942	
Combinatie 3 : BG1 * 1,2 + BG2 * 0,45 + BG5 * (1,2 eg, 1,5 windbel.)						
	968		**738**		**35156**	
Combinatie 4 : BG1 * 1,2 + BG2 * 0,3 + BG5 * (1,2 eg, 1,5 windbel.)						
	628		699		22934	

Samenvatting Fundatiebelastingen

	B.C. 1 - SLS γ_{eg}=1.0 , γ_q=1.0		B.C. 2 - ULS γ_{eg}=1.2 , γ_q=1.6		B.C. 3 - ULS γ_{eg}=0.9 , γ_q=1.6	
Voetmoment	29425	kNm	35156	kNm	35156	kNm
Dwarskracht	823	kN	968	kN	968	kN
Verticale kracht	573	kN	738	kN	516	kN

8,0 - Betonspanning onder voetplaat en instortring

st.c in mm	aantal ankers	$F_{t,Ed}$ kN	$F_{v,Ed}$ kN	knoop nummer	aanwezig anker	$F_{t,Rd}$ kN	Percentage belasting
Ankers krachten in ULS-toestand							
st.c buitenkant		2900,00					
st.c binnenkant		2230,00					
2565	88	614,60	11,00	28	M 48 - 8,8	848,45	0,72
Voorspanning ankers in SLS-toestand (100%)							
st.c buitenkant		2900,00					
st.c binnenkant		2230,00					
2565	88	514,92	9,35	28	M 48 - 8,8	848,45	0,61

Maximale trekkracht in de anker :

$F_{t,Ed}$ = 614,6 kN

Maximale voorspanning in de anker :

$F_{t,Ed}$ = 514,9 kN

Maximale drukkrackt :

$F_{c,Ed}$ = 631,4 + 1,00 * 514,9 = 1146,3 kN

A - drukspanning onder voetplaat

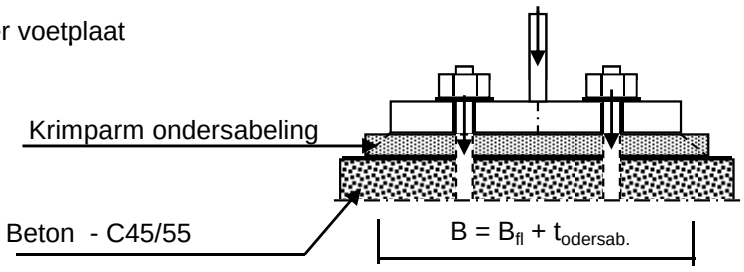

Toetsing :

σ_b < 0,7 * f_{cd} = 0,7 * 45 / 1,5 = 21,0 N/mm^2

B_{fl} =	575,0	mm	D =	2565	mm
$t_{ondersab.}$ =	40,0	mm	n =	88	
B =	615,0	mm			

A_{voetpl} = 615 * 2*π*D / n = 112631 mm^2

$\sigma_{b;voet}$ = 2 * $F_{c,Ed}$ / A = 20,4 N/mm^2 < 21,0 -- Voldoet

B - drukspanning onder instortring

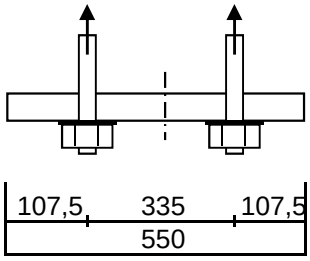

D = 2565 mm
n = 88

$A_{stortring}$ = 550 * $2*\pi*D / n$ = 100727 mm^2

$\sigma_{b;stortr.} = 2 * F_{c,Ed} / A$ = 12,2 N/mm^2 < 21,0 -- Voldoet

Dikte instortring

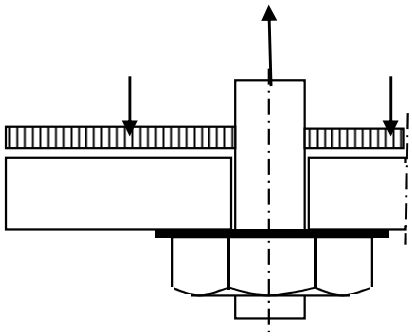

$L_{uitkr.}$ = 107,5 mm
L_{veld} = 335 mm

t = 35 mm
$f_{y;d}$ = 355 N/mm^2

$M_{Ed;st}$ = 70512 Nmm/mm' ; $V_{z;d;st}$ = 2044 N/mm'

of $M_{Ed;veld}$ = 100677 Nmm/mm' ; $V_{z;d;st}$ = 0 N/mm'

$M_{Ed;max}$ = 100677 Nmm/mm' ; $V_{z;d;st}$ = 2044 N/mm'

$M_{Rd} = (1/4) *1,0 * t^2 * f_y$ = 108719 Nmm/mm'
$V_{Rd} = 1,0 * t * f_y / 3^{0,5}$ = 7174 N/mm'

M_{Ed} / M_{Rd} = 100677 / 108718,8 = 0,93 < 1,0 -- Voldoet
σ_b = 328,7 N/mm^2

V_{Ed} / V_{Rd} = 2044 / 7174 = 0,28 < 1,0 -- Voldoet
τ_z = 58,4 N/mm^2

vergelijkingsspanning :

$\sigma_{vlg} = (328,7^2 + 3*58,4^2)^{0,5}$
σ_{vlg} = 344 N/mm^2 < 355 MPa -- Voldoet

9.0 - Detailberekeningen

9.1 - Berekening afspanpunt trekisolatoren 380 kV

Schema

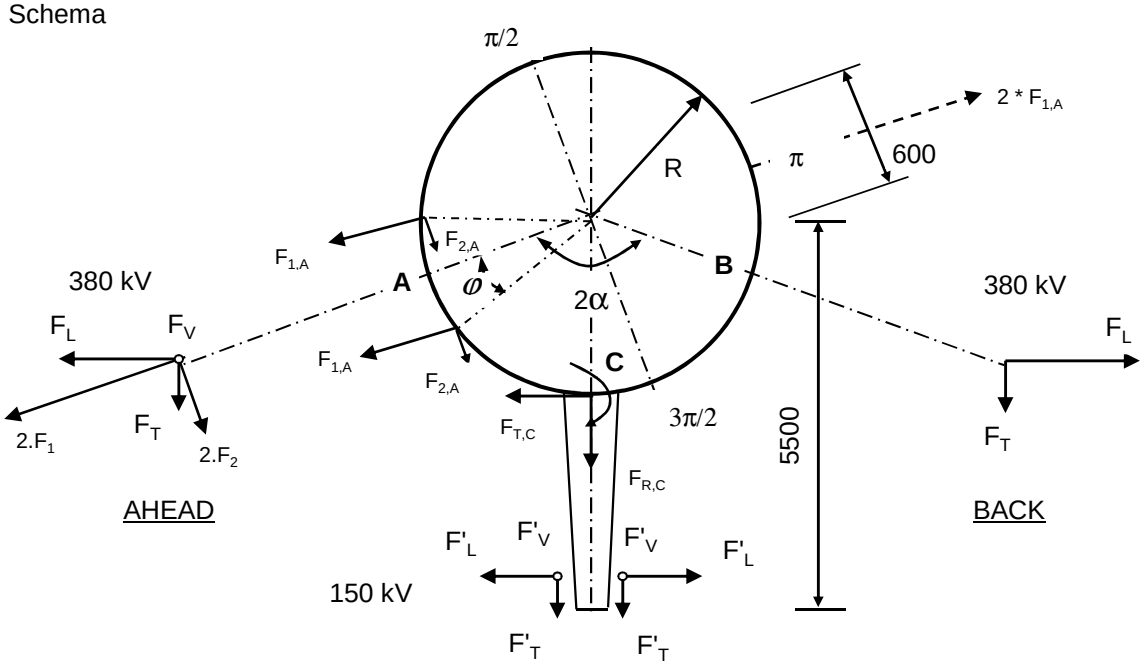

F_V en F'_V : Verticale kracht resp. 380kV en 150kV
F_T en F'_T : Transverse kracht resp. 380kV en 150kV
F_L en F'_L : Longitudinale kracht resp. 380kV en 150kV

2α is hoek tussen lijnen en α is bissectrice van hoek tussen de lijnen

380 kV: Per bevevestigingsring

$F_{1;A} = (F_{L,Ah}.\sin\alpha + F_{T,Ah}.\cos\alpha) / 4$; $F_{1;B} = 0$

$F_{2;A} = (F_{L,Ah}.\cos\alpha - F_{T,Ah}.\sin\alpha) / 4$; $F_{2;B} = 0$

$F_{3;A} = F_{V,ah} / 4$; $F_{3;B} = 0$

150 kV: Per bevevestigingsring

$F_{T;C} = \Sigma F'_L / 2$ $M_{T;C} = F_{T;C} * (5500 - R)$

$F_{R;C} = \Sigma F'_T / 2$

$F_{V;C} = \Sigma F'_V / 2$ $M_{V;C} = 2 * F_{V;C} * (5500 - R)$

$F'_{R;C} = \pm M_{C;L} / (2 * z)$

$z = 2*(d^3_{uit} - d^3_{inw}) / 3*\pi*(d^2_{uit} - d^2_{inw})$

$F_{R;C;max} = F_{R;C} + F'_{R;C}$

Opmerking:
In mast W2E350+5 zijn de geleiders van de 150 kV niet aanwezig.

9.1.1 - Afspanpunt trekisolatoren op 46,0 meter hoogte

Ring gegevens:

$t_{buis;nom}$ =	20	mm
$t_{buis;reken}$ =	20	mm
$t_{ring;nom}$ =	20	mm
$t_{ring;reken}$ =	20	mm
b_{ring} =	135	mm
Afstand tussen ringen =	160	mm

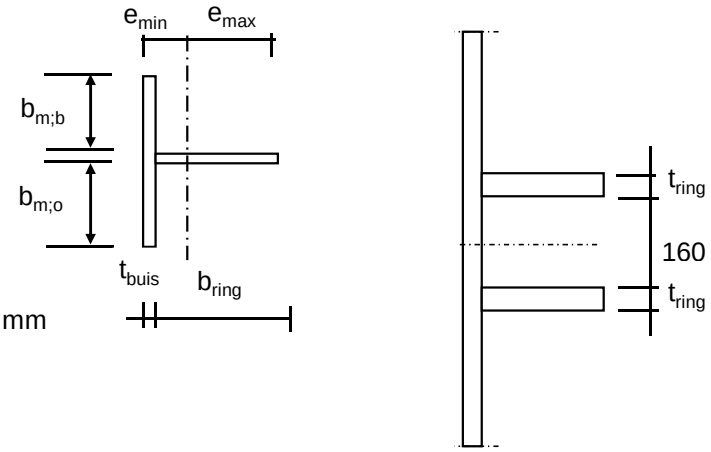

Mee werkende breedte :DIN 18801

$b_m = 0{,}138 * t * \lambda_a$

$\lambda_a = \pi * (E / f_y)^{0,5}$

Staal S355 ; f_y = 355,0 N/mm^2

E = 210000,0 N/mm^2

$b_{m;b}$ =	210,9	mm
$b_{m;o}$ =	80	mm
A =	8918	mm^2
e_{min} =	33,5	mm
e_{max} =	121,5	mm
I =	15614845	mm^4
W_{min} =	128480	mm^3
$\gamma_{m;extra}$ =	1,5	(extra materiaalfactor)
N_{Rd} =	2111	kN
$M_{y;Rd}$ =	30	kNm
$M_{w;Rd}$ =	4907	kNm (torsieweerstand mast)
V_{Rd} =	369	kN

Belastingen op 46,0 meter

Zie KEMA rapport 74100706-ETD/POL 12-001 38 V10.0 - Appendix F
Belastingen - geleiders 380 kV

	Ahead			Back		
	F_V N	F_T N	F_L N	F_V N	F_T N	F_L N
BG 1a - (wind (90 gr))	14916	118454	199880	0,0	0,0	0,0
BG 3 - (wind (90) + ijs)	25694	118675	224261	0,0	0,0	0,0
BG 1a - (wind (45 gr))	14907	66108	134063	0,0	0,0	0,0
BG 3 - (wind (45)+ ijs)	25691	100910	212097	0,0	0,0	0,0

Diameter mast t.p.v ringen D = 842 mm

R = 421,0 mm

Mast 1 :	Lijnhoek = 2. α =	125,2	graden	
Mast 6 :	Lijnhoek = 2. α =	169,9	graden	
Mast 101 :	Lijnhoek = 2. α =	164,8	graden	
	Lijnhoek = 2. α =	125,2	graden	maatgevend
	hoek φ = boogsin(300 / (421+80)) =	36,8	graden	

	A		B		C	
	$F_{1;A;Ed}$ kN	$2*F_{1;A;Ed}$ kN	$F_{1;B;Ed}$ kN	$2*F_{1;B;Ed}$ kN	$F_{R;max;Ed}$ kN	$M_{T;Ed}$ kNm
BG 1a - (wind (90 gr))	58,0	116,0	0,0	0,0		
BG 3 - (wind (90) + ijs)	63,4	126,9	0,0	0,0		
BG 1a - (wind (45 gr))	37,4	74,7	0,0	0,0		
BG 3 - (wind (45)+ ijs)	58,7	117,4	0,0	0,0		
	$F_{1;A;Ed}$ kN					
	3,3					
	0,5					
	-0,8					
	-2,0					
	tabel 9.2 - 4	tabel 9.2 - 20	tabel 9.2 - 4	tabel 9.2 - 20	tabel 9.2 - 20	tabel 9.2 - 19

Roark's Formulas for stress & strain

Maatgevende belastinggeval : BG 3 - wind 90 gr.+ ijs

φ in gr.	$M_{s;d}$ kNm	$T_{s;d}$ kN	$V_{s;d}$ kN	$\Delta M_{s;d}$ kN	$F_{s;d;langs}$ kN
0,0	-1,35	22,97	0,00	0,33	3,81
15,0	-1,68	20,82	-9,61	0,92	10,71
30,0	-2,59	14,61	-17,86	1,48	17,29
45,0	-1,11	49,88	21,33	2,77	32,37
60,0	1,66	48,11	6,07	1,40	16,30
75,0	3,06	41,69	-7,24	0,20	2,36
90,0	3,26	31,71	-17,41	0,71	8,26
105,0	2,55	19,58	-23,65	1,27	14,84
120,0	1,28	6,82	-25,65	1,47	17,16
135,0	-0,19	-5,03	-23,52	1,33	15,53
150,0	-1,52	-14,61	-17,86	0,92	10,71
165,0	-2,44	-20,82	-9,61	0,33	3,81
180,0	-2,76	-22,97	0,00	0,33	3,81
195,0	-2,44	-20,82	-9,61	0,92	10,71
210,0	-1,52	-14,61	-17,86	1,33	15,53
225,0	-0,19	-5,03	-23,52	1,47	17,16
240,0	1,28	6,82	-25,65	1,27	14,84
255,0	2,55	19,58	-23,65	0,71	8,26
270,0	3,26	31,71	-17,41	0,20	2,36
285,0	3,06	41,69	-7,24	1,40	16,30
300,0	1,66	48,11	6,07	2,77	32,37
315,0	-1,11	49,88	21,33	1,48	17,29
330,0	-2,59	14,61	-17,86	0,92	10,71
345,0	-1,68	20,82	-9,61	0,32	3,79
360,0	-1,35	22,96	-0,66	0,00	0,02

$F_{s;d;langs} = \Delta M_{s;d} * S / I$

$S =$ 182250 mm^3

$I =$ 15614845 mm^4

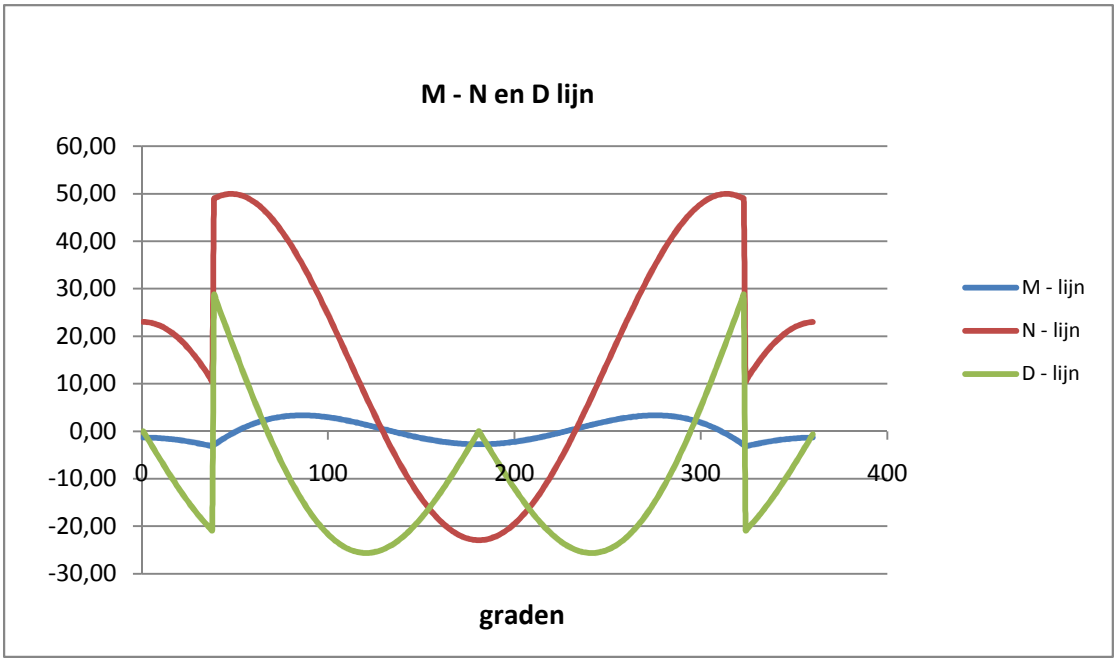

Controle spanningen :

$N_{Ed;max}$ =	49,9	kN	N_{Rd} =	2111	kN
$M_{y,Ed;max}$ =	3,31	kNm	M_{Rd} =	30	kNm
$V_{Ed;max}$ =	28,7	kN	V_{Rd} =	369	kN

$N_{Ed;max} / N_{Rd}$ = 49,94 / 2111 = 0,02 < 1,0 -- Voldoet

σ_N = 5,6 N/mm^2

$M_{y,Ed;max} / M_{y,Rd}$ = 3,31 / 30,4 = 0,11 < 1,0 -- Voldoet

σ_b = 25,8 N/mm^2

$V_{Ed;max} / V_{Rd}$ = 28,71 / 369 = 0,08 < 1,0 -- Voldoet

τ_z = 10,6 N/mm^2

Bij maximale moment : N_{Ed} = 35,35

V_{Ed} = 14,42

$\sigma_b + \sigma_N$ = 25,8 + 4,0 = 29,7 N/mm^2 < 236 MPa -- Voldoet

τ_z = 5,3 N/mm^2

$\sigma_{vlg} = \{ (\sigma_b + \sigma_N)^2 + 3*\tau^2 \}^{0,5}$

σ_{vlg} = 31 N/mm^2 < 236 MPa -- Voldoet

Controle spanningen in las.

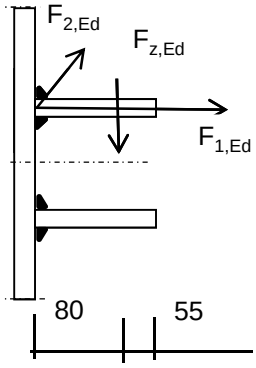

Per bevestiging (2 * bevestigingspunten en 2 * ringen)

$F_{1,h,Ed}$ =	63,43	kN
$F_{2,h,Ed}$ =	0,54	kN
F_z =	12,85	kN
$F_{Langs,Ed}$ =	32,37	kN

$L_{las} = b_{m;ring} = 0,138*t*\pi * (E/fy)^{0,5}$ = 210 mm

of L_{las} = 2 * 80 = 160 mm

lasdikte a = 5 mm - hoeklas

t.g.v. $F_{1,h,Ed}$:

$\sigma_1 = \tau_1 = F_{1,h,Ed} / (2*a*L_{las,min}*2^{0,5})$ = 28,0 N/mm^2

t.g.v. $F_{2,h,Ed}$:

$\tau_2 = F_{2,h,Ed} / (2*a*L_{las,min})$ = 0,34 N/mm^2

t.g.v. $F_{Langs,Ed}$:

$\tau_2 = F_{Langs,Ed;max} / (2*a*L_{las,min})$ = 20,23 N/mm^2

t.g.v. F_z :

$\sigma_1 = \tau_1 = [(F_z * 1000 * 80)/(t_{ring}+2*a/3)] / (a*L_{las,min}*2^{0,5})$ = 38,93 N/mm^2

$\sigma_1 = \tau_1$ = 66,96 N/mm^2

$\sigma_{Ed} = \{\sigma_1^2 + 3 * (\tau_1^2 + \tau_2^2)\}^{0,5}$ = 138,6 N/mm^2

Toetsing regel :

$\sigma_{Ed} \leq f_u / (\beta_w * \gamma_{M2})$ of $\sigma_1 = \sigma_{loodrecht} \leq 0{,}9 * f_u / \gamma_{M2}$

$f_{v,w,d} = f_u / (\beta_w * \gamma_M * \text{wortel(3)})$

$\gamma_{M2} = 1{,}25$

$\gamma_{m;extra} =$ 1,5 (extra materiaalfactor)

Materiaal S 355 ----> $f_u = 510$ N/mm^2 en $\beta_w = 0{,}9$

$f_u / (\beta_w * \gamma_{M2}) = 302$ N/mm^2 $0{,}9 * f_u / \gamma_{M2} = 245$ N/mm^2

$\sigma_{Ed} \leq f_u / (\beta_w * \gamma_{M2})=$	138,6	/	302,2	=	0,46	< 1,0 -- Voldoet
$\sigma_1 \leq 0{,}9 * f_u / \gamma_{M2}$	67,0	/	244,8	=	0,27	< 1,0 -- Voldoet

9.1.2 - Afspanpunt trekisolatoren op 37,5 meter hoogte

Ring gegevens:

$t_{buis;nom}$ = 20 mm
$t_{buis;reken}$ = 20 mm

$t_{ring;nom}$ = 20 mm
$t_{ring;reken}$ = 20 mm

b_{ring} = 135 mm
Afstand tussen ringen = 160 mm

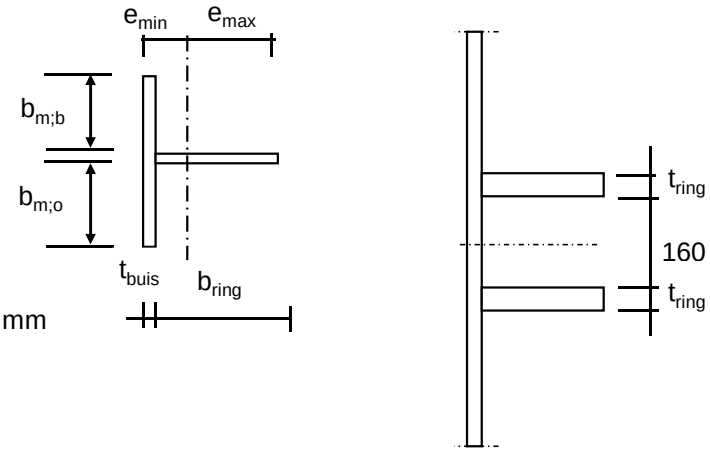

Mee werkende breedte :DIN 18801

$b_m = 0{,}138 * t * \lambda_a$

$\lambda_a = \pi * (E / f_y)^{0,5}$

Staal S355 ; f_y = 355,0 N/mm^2
E = 210000,0 N/mm^2

$b_{m;b}$ = 210,9 mm
$b_{m;o}$ = 80 mm

A = 8918 mm^2
e_{min} = 33,5 mm
e_{max} = 121,5 mm

I = 15614845 mm^4
W_{min} = 128480 mm^3

$\gamma_{m;extra}$ = 1,5 (extra materiaalfactor)

N_{Rd} = 2111 kN
$M_{y;Rd}$ = 30 kNm
$M_{w;Rd}$ = 9583 kNm (torsieweerstand mast)
V_{Rd} = 369 kN

Belastingen op 37,5 meter (gelijkgesteld aan de belastingen van de geleiders op 46 m)

Belastingen - geleiders 380 kV

	Ahead			Back		
	F_V N	F_T N	F_L N	F_V N	F_T N	F_L N
BG 1a - (wind (90 gr))	14916	118454	199880	0,0	0,0	0,0
BG 3 - (wind (90) + ijs)	25694	118675	224261	0,0	0,0	0,0
BG 1a - (wind (45 gr))	14907	66108	134063	0,0	0,0	0,0
BG 3 - (wind (45)+ ijs)	25691	100910	212097	0,0	0,0	0,0

Diameter mast t.p.v ringen D = 1165 mm

R = 582,5 mm

Mast 1 : Lijnhoek = 2. α = 125,2 graden

Mast 6 : Lijnhoek = 2. α = 169,9 graden

Mast 101 : Lijnhoek = 2. α = 164,8 graden

Lijnhoek = 2. α = 125,2 graden maatgevend

hoek φ = boogsin(300 / (583+80)) = 27 graden

	A		B		C	
	$F_{1;A;Ed}$ kN	$2*F_{1;A;Ed}$ kN	$F_{1;B;Ed}$ kN	$2*F_{1;B;Ed}$ kN	$F_{R;max;Ed}$ kN	$M_{T;Ed}$ kNm
BG 1a - (wind (90 gr))	58,0	116,0	0,0	0,0		
BG 3 - (wind (90) + ijs)	63,4	126,9	0,0	0,0		
BG 1a - (wind (45 gr))	37,4	74,7	0,0	0,0		
BG 3 - (wind (45)+ ijs)	58,7	117,4	0,0	0,0		
	$F_{1;A;Ed}$ kN					
	3,3					
	0,5					
	-0,8					
	-2,0					
	tabel 9.2 - 4	tabel 9.2 - 20	tabel 9.2 - 4	tabel 9.2 - 20	tabel 9.2 - 20	tabel 9.2 - 19

Roark's Formulas for stress & strain

Maatgevende belastinggeval : BG 3 - wind 90 gr.+ ijs

φ in gr.	$M_{s;d}$ kNm	$T_{s;d}$ kN	$V_{s;d}$ kN	$\Delta M_{s;d}$ kN	$F_{s;d;langs}$ kN
0,0	-4,53	26,12	0,00	0,51	6,00
15,0	-5,04	23,87	-8,80	0,25	2,89
30,0	-4,79	49,05	38,65	5,52	64,42
45,0	0,73	52,11	23,56	3,46	40,35
60,0	4,18	49,68	8,80	1,49	17,39
75,0	5,67	42,50	-4,19	0,20	2,28
90,0	5,48	31,71	-14,26	1,45	16,97
105,0	4,02	18,77	-20,61	2,20	25,70
120,0	1,82	5,25	-22,92	2,41	28,18
135,0	-0,59	-7,26	-21,29	2,13	24,89
150,0	-2,72	-17,34	-16,28	1,45	16,95
165,0	-4,18	-23,87	-8,80	0,51	6,00
180,0	-4,69	-26,12	0,00	0,51	6,00
195,0	-4,18	-23,87	-8,80	1,45	16,95
210,0	-2,72	-17,34	-16,28	2,13	24,89
225,0	-0,59	-7,26	-21,29	2,41	28,18
240,0	1,82	5,25	-22,92	2,20	25,70
255,0	4,02	18,77	-20,61	1,45	16,97
270,0	5,48	31,71	-14,26	0,20	2,28
285,0	5,67	42,50	-4,19	1,49	17,39
300,0	4,18	49,68	8,80	3,46	40,35
315,0	0,73	52,11	23,56	5,52	64,42
330,0	-4,79	49,05	38,65	0,25	2,89
345,0	-5,04	23,87	-8,80	0,51	5,97
360,0	-4,53	26,11	-0,60	0,00	0,03

$F_{s;d;langs} = \Delta M_{s;d} * S / I$

$S =$ 182250 mm^3

$I =$ 15614845 mm^4

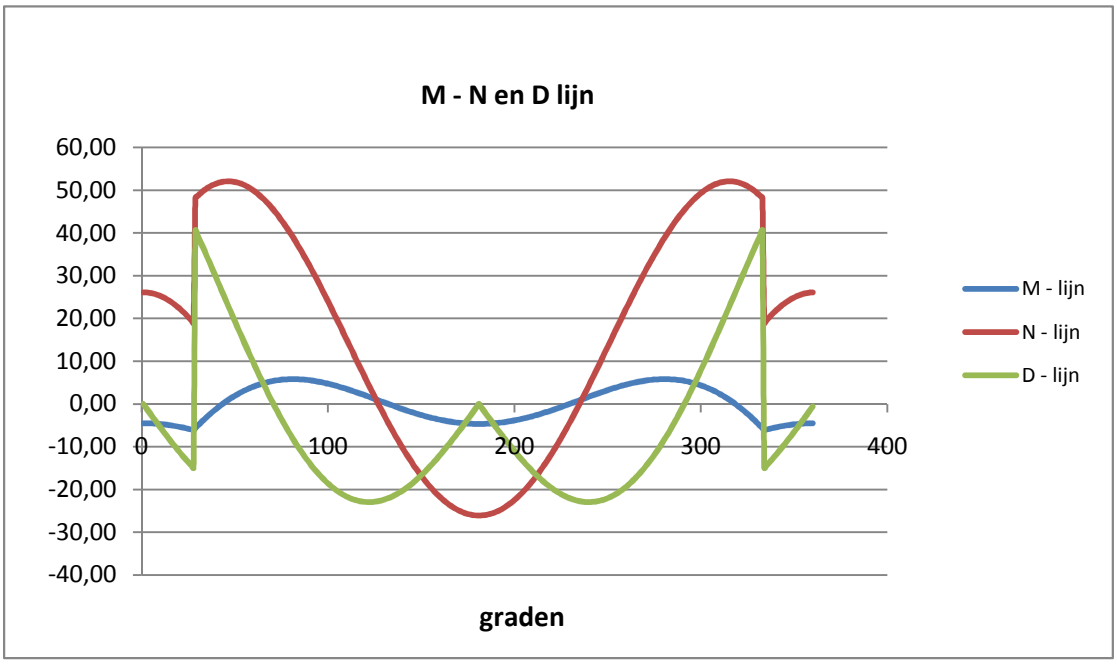

Controle spanningen :

$N_{Ed;max}$ =	52,1	kN		N_{Rd} =	2111	kN
$M_{y,Ed;max}$ =	6,14	kNm		M_{Rd} =	30	kNm
$V_{Ed;max}$ =	40,6	kN		V_{Rd} =	369	kN

$N_{Ed;max} / N_{Rd}$ = 52,11 / 2111 = 0,02 < 1,0 -- Voldoet

σ_N = 5,8 N/mm²

$M_{y,Ed;max} / M_{y,Rd}$ = 6,14 / 30,4 = 0,20 < 1,0 -- Voldoet

σ_b = 47,8 N/mm²

$V_{Ed;max} / V_{Rd}$ = 40,60 / 369 = 0,11 < 1,0 -- Voldoet

τ_z = 15,0 N/mm²

Bij maximale moment : N_{Ed} = 18,96

V_{Ed} = 14,95

$\sigma_b + \sigma_N$ = 47,8 + 2,1 = 49,9 N/mm² < 236 MPa -- Voldoet

τ_z = 5,5 N/mm²

$\sigma_{vlg} = \{ (\sigma_b + \sigma_N)^2 + 3*\tau^2 \}^{0,5}$

σ_{vlg} = 51 N/mm² < 236 MPa -- Voldoet

Controle spanningen in las.

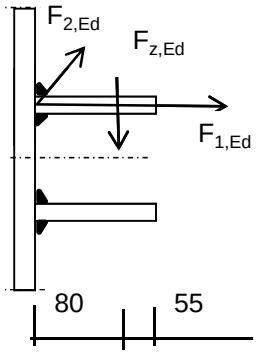

Per bevestiging (2 * bevestigingspunten en 2 * ringen)

$F_{1,h,Ed}$ =	63,43	kN
$F_{2,h,Ed}$ =	0,54	kN
F_z =	12,85	kN
$F_{Langs,Ed}$ =	64,42	kN

$L_{las} = b_{m;ring} = 0{,}138*t*\pi * (E/fy)^{0,5}$ = 210 mm

of L_{las} = 2 * 80 = 160 mm

lasdikte a = 5 mm - hoeklas

t.g.v. $F_{1,h,Ed}$:

$\sigma_1 = \tau_1 = F_{1,h,Ed} / (2*a*L_{las,min}*2^{0,5})$ = 28,0 N/mm²

t.g.v. $F_{2,h,Ed}$:

$\tau_2 = F_{2,h,Ed} / (2*a*L_{las,min})$ = 0,34 N/mm²

t.g.v. $F_{Langs,Ed}$:

$\tau_2 = F_{Langs,Ed;max} / (2*a*L_{las,min})$ = 40,26 N/mm²

t.g.v. F_z :

$\sigma_1 = \tau_1 = [(F_z * 1000 * 80)/(t_{ring}+2*a/3)] / (a*L_{las,min}*2^{0,5})$ = 38,93 N/mm²

$\sigma_1 = \tau_1$ = 66,96 N/mm²

$\sigma_{Ed} = \{\sigma_1^2 + 3 * (\tau_1^2 + \tau_2^2)\}^{0,5}$ = 151,3 N/mm²

Toetsing regel :

$\sigma_{Ed} \leq f_u / (\beta_w * \gamma_{M2})$ of $\sigma_1 = \sigma_{loodrecht} \leq 0{,}9 * f_u / \gamma_{M2}$

$f_{v,w,d} = f_u / (\beta_w * \gamma_M * \text{wortel(3)})$

$\gamma_{M2} = 1{,}25$

$\gamma_{m;extra} =$ 1,5 (extra materiaalfactor)

Materiaal S 355 ----> $f_u = 510$ N/mm^2 en $\beta_w = 0{,}9$

$f_u / (\beta_w * \gamma_{M2}) = 302$ N/mm^2 $0{,}9 * f_u / \gamma_{M2} = 245$ N/mm^2

$\sigma_{Ed} \leq f_u / (\beta_w * \gamma_{M2})=$ 151,3 / 302,2 = 0,50 < 1,0 -- Voldoet

$\sigma_1 \leq 0{,}9 * f_u / \gamma_{M2}$ 67,0 / 244,8 = 0,27 < 1,0 -- Voldoet

9.1.3 - Afspanpunt trekisolatoren op 29,0 meter hoogte

Ring gegevens:

$t_{buis;nom}$ =	22	mm
$t_{buis;reken}$ =	22	mm
$t_{ring;nom}$ =	20	mm
$t_{ring;reken}$ =	20	mm
b_{ring} =	135	mm
Afstand tussen ringen =	160	mm

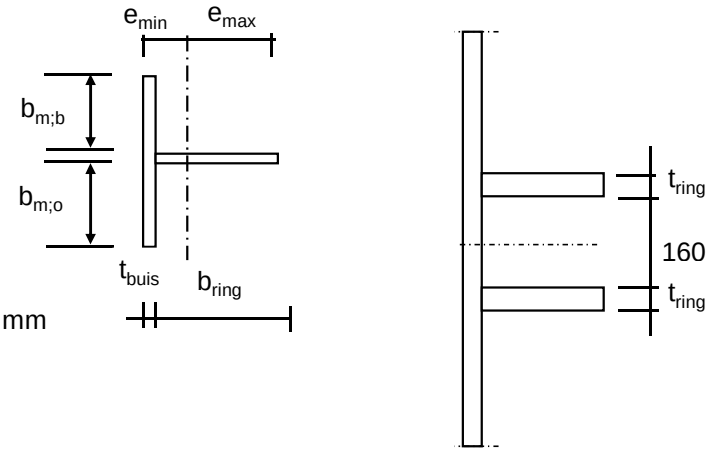

Mee werkende breedte :DIN 18801

$b_m = 0{,}138 * t * \lambda_a$

$\lambda_a = \pi * (E / f_y)^{0,5}$

Staal S355 ; f_y = 355,0 N/mm^2

E = 210000,0 N/mm^2

$b_{m;b}$ =	232,0	mm
$b_{m;o}$ =	80	mm
A =	10004	mm^2
e_{min} =	32,2	mm
e_{max} =	124,8	mm
I =	16542576	mm^4
W_{min} =	132539	mm^3
$\gamma_{m;extra}$ =	1,5	(extra materiaalfactor)
N_{Rd} =	2367	kN
$M_{y;Rd}$ =	31	kNm
$M_{w;Rd}$ =	17321	kNm (torsieweerstand mast)
V_{Rd} =	369	kN

Belastingen op 29,0 meter (gelijkgesteld aan de belastingen van de geleiders op 46 m)

Belastingen - geleiders 380 kV

	Ahead			Back		
	F_V N	F_T N	F_L N	F_V N	F_T N	F_L N
BG 1a - (wind (90 gr))	14916	118454	199880	0	0	0
BG 3 - (wind (90) + ijs)	25694	118675	224261	0	0	0
BG 1a - (wind (45 gr))	14907	66108	134063	0	0	0
BG 3 - (wind (45)+ ijs)	25691	100910	212097	0	0	0

Diameter mast t.p.v ringen D = 1488 mm

R = 744,0 mm

Mast 1 : Lijnhoek = 2. α = 125,2 graden

Mast 6 : Lijnhoek = 2. α = 169,9 graden

Mast 101 : Lijnhoek = 2. α = 164,8 graden

Lijnhoek = 2. α = 125,2 graden maatgevend

hoek φ = boogsin(300 / (744+80)) = 21,4 graden

	A		B		C	
	$F_{1;A;Ed}$ kN	$2*F_{1;A;Ed}$ kN	$F_{1;B;Ed}$ kN	$2*F_{1;B;Ed}$ kN	$F_{R;max;Ed}$ kN	$M_{T;Ed}$ kNm
BG 1a - (wind (90 gr))	58,0	116,0	0,0	0,0		
BG 3 - (wind (90) + ijs)	63,4	126,9	0,0	0,0		
BG 1a - (wind (45 gr))	37,4	74,7	0,0	0,0		
BG 3 - (wind (45)+ ijs)	58,7	117,4	0,0	0,0		
	$F_{1;A;Ed}$ kN					
	3,3					
	0,5					
	-0,8					
	-2,0					
	tabel 9.2 - 4	tabel 9.2 - 20	tabel 9.2 - 4	tabel 9.2 - 20	tabel 9.2 - 20	tabel 9.2 - 19

Roark's Formulas for stress & strain

Maatgevende belastinggeval : BG 3 - wind 90 gr.+ ijs

φ in gr.	$M_{s;d}$ kNm	$T_{s;d}$ kN	$V_{s;d}$ kN	$\Delta M_{s;d}$ kN	$F_{s;d;langs}$ kN
0,0	-8,52	27,69	0,00	0,70	7,67
15,0	-9,22	25,38	-8,39	4,71	51,91
30,0	-4,51	50,41	39,43	6,86	75,62
45,0	2,36	53,22	24,67	4,17	45,99
60,0	6,53	50,47	10,15	1,62	17,86
75,0	8,15	42,91	-2,68	0,55	6,07
90,0	7,60	31,71	-12,69	2,16	23,79
105,0	5,44	18,36	-19,10	3,09	34,08
120,0	2,35	4,46	-21,56	3,33	36,64
135,0	-0,98	-8,37	-20,18	2,91	32,05
150,0	-3,89	-18,70	-15,50	1,97	21,72
165,0	-5,86	-25,38	-8,39	0,70	7,67
180,0	-6,56	-27,69	0,00	0,70	7,67
195,0	-5,86	-25,38	-8,39	1,97	21,72
210,0	-3,89	-18,70	-15,50	2,91	32,05
225,0	-0,98	-8,37	-20,18	3,33	36,64
240,0	2,35	4,46	-21,56	3,09	34,08
255,0	5,44	18,36	-19,10	2,16	23,79
270,0	7,60	31,71	-12,69	0,55	6,07
285,0	8,15	42,91	-2,68	1,62	17,86
300,0	6,53	50,47	10,15	4,17	45,99
315,0	2,36	53,22	24,67	6,86	75,62
330,0	-4,51	50,41	39,43	4,71	51,91
345,0	-9,22	25,38	-8,39	0,69	7,64
360,0	-8,53	27,68	-0,57	0,00	0,03

$F_{s;d;langs} = \Delta M_{s;d} * S / I$

$S =$ 182250 mm^3

$I =$ 16542576 mm^4

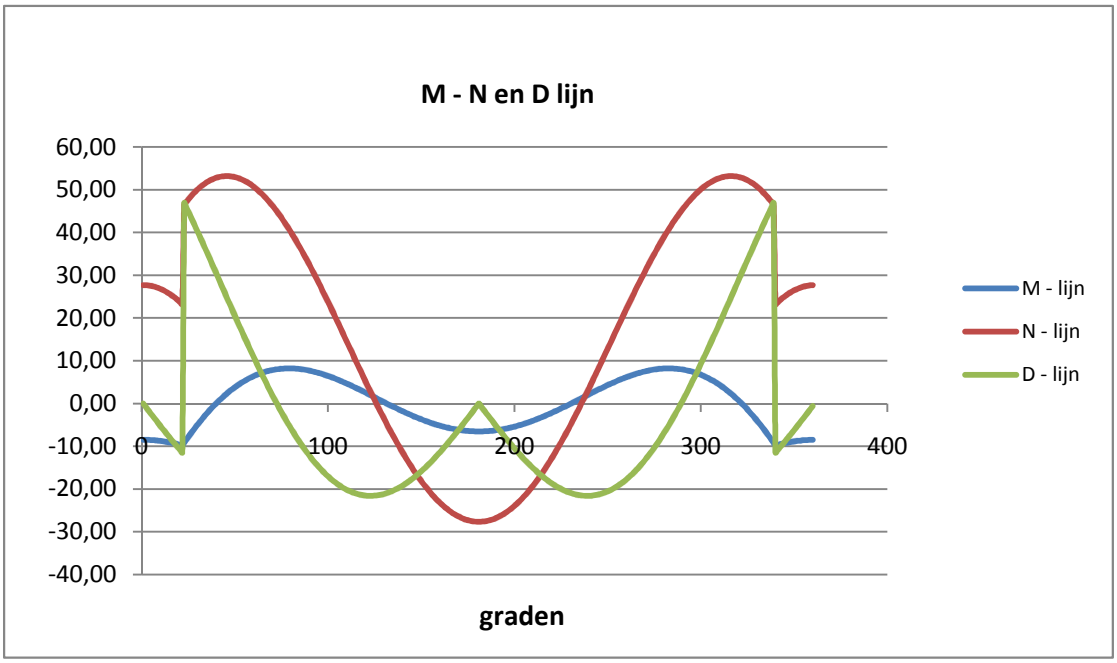

Controle spanningen :

$N_{Ed;max}$ =	53,2	kN	N_{Rd} =	2367	kN
$M_{y,Ed;max}$ =	9,87	kNm	M_{Rd} =	31	kNm
$V_{Ed;max}$ =	46,9	kN	V_{Rd} =	369	kN

$N_{Ed;max} / N_{Rd}$ = 53,22 / 2367 = 0,02 < 1,0 -- Voldoet

σ_N = 5,3 N/mm^2

$M_{y,Ed;max} / M_{y,Rd}$ = 9,87 / 31,4 = 0,31 < 1,0 -- Voldoet

σ_b = 74,5 N/mm^2

$V_{Ed;max} / V_{Rd}$ = 46,87 / 369 = 0,13 < 1,0 -- Voldoet

τ_z = 17,4 N/mm^2

Bij maximale moment : N_{Ed} = 23,20

V_{Ed} = 11,46

$\sigma_b + \sigma_N$ = 74,5 + 2,3 = 76,8 N/mm^2 < 236 MPa -- Voldoet

τ_z = 4,2 N/mm^2

$\sigma_{vlg} = \{ (\sigma_b + \sigma_N)^2 + 3*\tau^2 \}^{0,5}$

σ_{vlg} = 77 N/mm^2 < 236 MPa -- Voldoet

Controle spanningen in las.

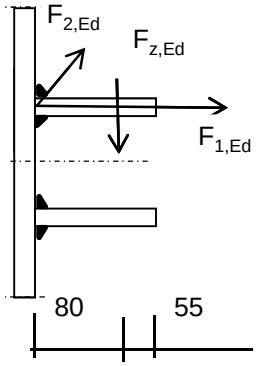

Per bevestiging (2 * bevestigingspunten en 2 * ringen)

$F_{1,h,Ed}$ =	63,43	kN
$F_{2,h,Ed}$ =	0,54	kN
F_z =	12,85	kN
$F_{Langs,Ed}$ =	75,62	kN

$L_{las} = b_{m;ring} = 0,138*t*\pi * (E/fy)^{0,5}$ = 210 mm

of L_{las} = 2 * 80 = 160 mm

lasdikte a = 5 mm - hoeklas

t.g.v. $F_{1,h,Ed}$:

$\sigma_1 = \tau_1 = F_{1,h,Ed} / (2*a*L_{las,min}*2^{0,5})$ = 28,0 N/mm^2

t.g.v. $F_{2,h,Ed}$:

$\tau_2 = F_{2,h,Ed} / (2*a*L_{las,min})$ = 0,34 N/mm^2

t.g.v. $F_{Langs,Ed}$:

$\tau_2 = F_{Langs,Ed;max} / (2*a*L_{las,min})$ = 47,26 N/mm^2

t.g.v. F_z :

$\sigma_1 = \tau_1 = [(F_z * 1000 * 80)/(t_{ring}+2*a/3)] / (a*L_{las,min}*2^{0,5})$ = 38,93 N/mm^2

$\sigma_1 = \tau_1$ = 66,96 N/mm^2

$\sigma_{Ed} = \{\sigma_1^2 + 3 * (\tau_1^2 + \tau_2^2)\}^{0,5}$ = 157,3 N/mm^2

Toetsing regel :

$\sigma_{Ed} \leq f_u / (\beta_w * \gamma_{M2})$ of $\sigma_1 = \sigma_{loodrecht} \leq 0{,}9 * f_u / \gamma_{M2}$

$f_{v,w,d} = f_u / (\beta_w * \gamma_M * \text{wortel(3)})$

$\gamma_{M2} = 1{,}25$

$\gamma_{m;extra} =$ 1,5 (extra materiaalfactor)

Materiaal S 355 ----> $f_u = 510$ N/mm^2 en $\beta_w = 0{,}9$

$f_u / (\beta_w * \gamma_{M2}) = 302$ N/mm^2 $0{,}9 * f_u / \gamma_{M2} = 245$ N/mm^2

$\sigma_{Ed} \leq f_u / (\beta_w * \gamma_{M2})=$	157,3	/	302,2	=	0,52	< 1,0 -- Voldoet
$\sigma_1 \leq 0{,}9 * f_u / \gamma_{M2}$	67,0	/	244,8	=	0,27	< 1,0 -- Voldoet

9.1.4 - Afspanpunt trekisolatoren op 49,5 meter hoogte

Ring gegevens:

$t_{buis;nom}$ =	18	mm
$t_{buis;reken}$ =	18	mm
$t_{ring;nom}$ =	20	mm
$t_{ring;reken}$ =	20	mm
b_{ring} =	105	mm
Afstand tussen ringen =	160	mm

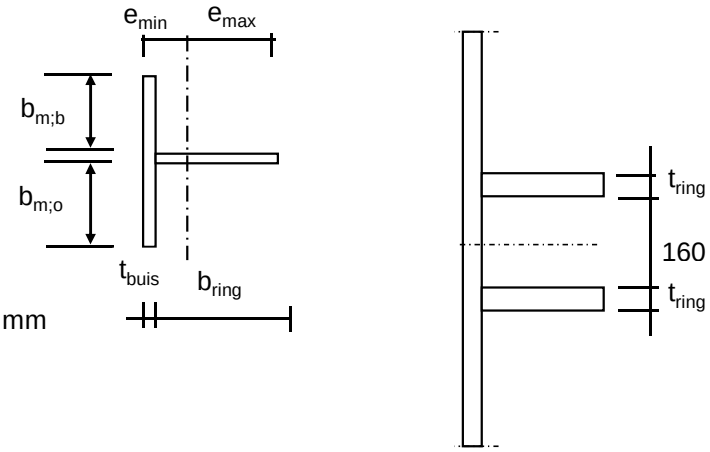

Mee werkende breedte :DIN 18801

$b_m = 0{,}138 * t * \lambda_a$

$\lambda_a = \pi * (E / f_y)^{0,5}$

Staal S355 ; f_y = 355,0 N/mm²

E = 210000,0 N/mm²

$b_{m;b}$ =	189,8	mm
$b_{m;o}$ =	80	mm
A =	7316	mm^2
e_{min} =	26,7	mm
e_{max} =	96,3	mm
I =	7733172,9	mm^4
W_{min} =	80263	mm^3
$\gamma_{m;extra}$ =	1,5	(extra materiaalfactor)
N_{Rd} =	1732	kN
$M_{y;Rd}$ =	19	kNm
$M_{w;Rd}$ =	3116	kNm (torsieweerstand mast)
V_{Rd} =	287	kN

Belastingen - bevestiging op 49,5 meter hoogte

Voor belastingen zie : ontwerpbelasting opstijgpunten

	Ahead			Back		
	F_V N	F_T N	F_L N	F_V N	F_T N	F_L N
BG 1a / BG 3	17400	8500	28000	0	0	0

Diameter mast t.p.v ringen D = 709 mm

R = 354,5 mm

Lijnhoek = 2. α = 180 graden

hoek φ = boogsin(300 / (355+50)) = 47,9 graden

	A		B		C	
	$F_{1;A;Ed}$ kN	$2*F_{1;A;Ed}$ kN	$F_{1;B;Ed}$ kN	$2*F_{1;B;Ed}$ kN	$F_{R;max;Ed}$ kN	$M_{T;Ed}$ kNm
BG 1a / BG 3	7,0	14,0	0,0	0,0		
	$F_{1;A;Ed}$ kN					
	2,1					
	tabel 9.2 - 4	tabel 9.2 - 20	tabel 9.2 - 4	tabel 9.2 - 20	tabel 9.2 - 20	tabel 9.2 - 19

Roark's Formulas for stress & strain

Krachten in de mast

φ in gr.	$M_{s;d}$ kNm	$T_{s;d}$ kN	$V_{s;d}$ kN	$\Delta M_{s;d}$ kN	$F_{s;d;langs}$ kN
0,0	-0,01	2,11	0,00	0,03	0,28
15,0	-0,03	1,89	-1,17	0,07	0,77
30,0	-0,10	1,25	-2,18	0,10	1,10
45,0	-0,20	0,26	-2,90	0,20	2,20
60,0	0,00	5,10	0,30	0,17	1,83
75,0	0,16	4,49	-1,21	0,06	0,64
90,0	0,22	3,50	-2,34	0,03	0,30
105,0	0,19	2,27	-3,02	0,08	0,90
120,0	0,11	0,96	-3,20	0,11	1,16
135,0	0,01	-0,26	-2,90	0,10	1,10
150,0	-0,09	-1,25	-2,18	0,07	0,77
165,0	-0,16	-1,89	-1,17	0,03	0,28
180,0	-0,19	-2,11	0,00	0,03	0,28
195,0	-0,16	-1,89	-1,17	0,07	0,77
210,0	-0,09	-1,25	-2,18	0,10	1,10
225,0	0,01	-0,26	-2,90	0,11	1,16
240,0	0,11	0,96	-3,20	0,08	0,90
255,0	0,19	2,27	-3,02	0,03	0,30
270,0	0,22	3,50	-2,34	0,06	0,64
285,0	0,16	4,49	-1,21	0,17	1,83
300,0	0,00	5,10	0,30	0,20	2,20
315,0	-0,20	0,26	-2,90	0,10	1,10
330,0	-0,10	1,25	-2,18	0,07	0,77
345,0	-0,03	1,89	-1,17	0,03	0,28
360,0	-0,01	2,11	-0,08	0,00	0,00

$F_{s;d;langs} = \Delta M_{s;d} * S / I$

$S =$ 110250 mm^3

$I =$ 7733173 mm^4

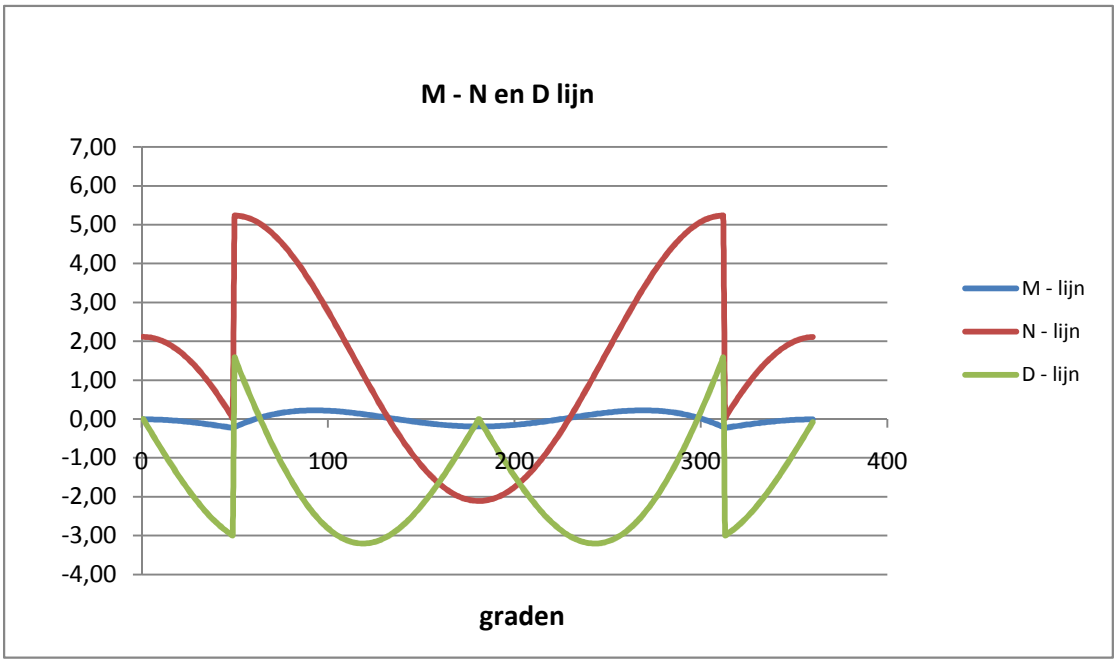

Controle spanningen :

$N_{Ed;max}$ =	5,2	kN		N_{Rd} =	1732	kN
$M_{y,Ed;max}$ =	0,22	kNm		M_{Rd} =	19	kNm
$V_{Ed;max}$ =	3,2	kN		V_{Rd} =	287	kN

$N_{Ed;max} / N_{Rd}$ = 5,23 / 1732 = 0,00 < 1,0 -- Voldoet

σ_N = 0,7 N/mm^2

$M_{y,Ed;max} / M_{y,Rd}$ = 0,22 / 19,0 = 0,01 < 1,0 -- Voldoet

σ_b = 2,8 N/mm^2

$V_{Ed;max} / V_{Rd}$ = 3,20 / 287 = 0,01 < 1,0 -- Voldoet

τ_z = 1,5 N/mm^2

Bij maximale moment : N_{Ed} = 0,03

V_{Ed} = 2,99

$\sigma_b + \sigma_N$ = 2,8 + 0,0 = 2,8 N/mm^2 < 236 MPa -- Voldoet

τ_z = 1,4 N/mm^2

$\sigma_{vlg} = \{ (\sigma_b + \sigma_N)^2 + 3*\tau^2 \}^{0,5}$

σ_{vlg} = 4 N/mm^2 < 236 MPa -- Voldoet

Controle spanningen in las.

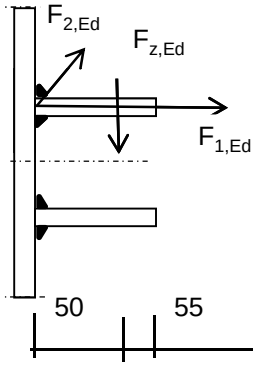

Per bevestiging (2 * bevestigingspunten en 2 * ringen)

$F_{1,h,Ed}$ =	7,00	kN
$F_{2,h,Ed}$ =	2,13	kN
F_z =	8,70	kN
$F_{Langs,Ed}$ =	2,20	kN

$L_{las} = b_{m;ring} = 0,138*t*\pi * (E/fy)^{0,5}$ = 210 mm

of L_{las} = 2 * 50 = 100 mm

lasdikte a = 5 mm - hoeklas

t.g.v. $F_{1,h,Ed}$:

$\sigma_1 = \tau_1 = F_{1,h,Ed} / (2*a*L_{las,min}*2^{0,5})$ = 4,9 N/mm^2

t.g.v. $F_{2,h,Ed}$:

$\tau_2 = F_{2,h,Ed} / (2*a*L_{las,min})$ = 2,13 N/mm^2

t.g.v. $F_{Langs,Ed}$:

$\tau_2 = F_{Langs,Ed;max} / (2*a*L_{las,min})$ = 2,20 N/mm^2

t.g.v. F_z :

$\sigma_1 = \tau_1 = [(F_z * 1000 * 50)/(t_{ring}+2*a/3)] / (a*L_{las,min}*2^{0,5})$ = 42,18 N/mm^2

$\sigma_1 = \tau_1$ = 47,13 N/mm^2

$\sigma_{Ed} = \{\sigma_1^2 + 3 * (\tau_1^2 + \tau_2^2)\}^{0,5}$ = 94,6 N/mm^2

Toetsing regel :

$\sigma_{Ed} \leq f_u / (\beta_w * \gamma_{M2})$ of $\sigma_1 = \sigma_{loodrecht} \leq 0{,}9 * f_u / \gamma_{M2}$

$f_{v,w,d} = f_u / (\beta_w * \gamma_M * \text{wortel(3)})$

$\gamma_{M2} = 1{,}25$

$\gamma_{m;extra} =$ 1,5 (extra materiaalfactor)

Materiaal S 355 ----> $f_u = 510$ N/mm^2 en $\beta_w = 0{,}9$

$f_u / (\beta_w * \gamma_{M2}) = 302$ N/mm^2 $0{,}9 * f_u / \gamma_{M2} = 245$ N/mm^2

$\sigma_{Ed} \leq f_u / (\beta_w * \gamma_{M2})$=	94,6	/	302,2	=	0,31	< 1,0 -- Voldoet
$\sigma_1 \leq 0{,}9 * f_u / \gamma_{M2}$	47,1	/	244,8	=	0,19	< 1,0 -- Voldoet

9.1.5 - Afspanpunt trekisolatoren op 41,0 meter hoogte

Ring gegevens:

$t_{buis;nom}$ = 20 mm
$t_{buis;reken}$ = 20 mm

$t_{ring;nom}$ = 20 mm
$t_{ring;reken}$ = 20 mm

b_{ring} = 105 mm
Afstand tussen ringen = 160 mm

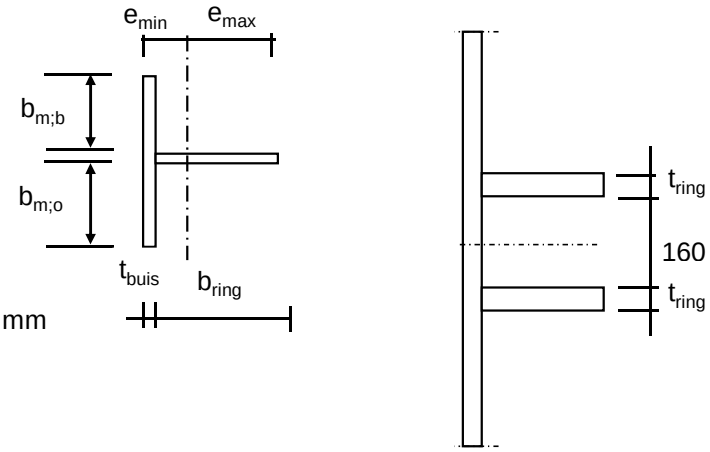

Mee werkende breedte :DIN 18801

$b_m = 0{,}138 * t * \lambda_a$

$\lambda_a = \pi * (E / f_y)^{0,5}$

Staal S355 ; f_y = 355,0 N/mm^2
E = 210000,0 N/mm^2

$b_{m;b}$ = 210,9 mm
$b_{m;o}$ = 80 mm

A = 8318 mm^2
e_{min} = 25,8 mm
e_{max} = 99,2 mm

I = 8268707,8 mm^4
W_{min} = 83337 mm^3

$\gamma_{m;extra}$ = 1,5 (extra materiaalfactor)

N_{Rd} = 1969 kN
$M_{y;Rd}$ = 20 kNm
$M_{w;Rd}$ = 7470 kNm (torsieweerstand mast)
V_{Rd} = 287 kN

Belastingen - bevestiging op 41,0 meter hoogte

Voor belastingen zie : ontwerpbelasting opstijgpunten

	Ahead			Back		
	F_V N	F_T N	F_L N	F_V N	F_T N	F_L N
BG 1a / BG 3	17400	8500	28000	0	0	0

Diameter mast t.p.v ringen D = 1032 mm
R = 516,0 mm
Lijnhoek = 2. α = 180 graden
hoek φ = boogsin(300 / (516+50)) = 32,0 graden

	A		B		C	
	$F_{1;A;Ed}$ kN	$2*F_{1;A;Ed}$ kN	$F_{1;B;Ed}$ kN	$2*F_{1;B;Ed}$ kN	$F_{R;max;Ed}$ kN	$M_{T;Ed}$ kNm
BG 1a / BG 3	7,0	14,0	0,0	0,0		
	$F_{1;A;Ed}$ kN					
	2,1					
	tabel 9.2 - 4	tabel 9.2 - 20	tabel 9.2 - 4	tabel 9.2 - 20	tabel 9.2 - 20	tabel 9.2 - 19

Roark's Formulas for stress & strain

Krachten in de mast

φ in gr.	$M_{s;d}$ kNm	$T_{s;d}$ kN	$V_{s;d}$ kN	$\Delta M_{s;d}$ kN	$F_{s;d;langs}$ kN
0,0	-0,30	2,72	0,00	0,05	0,52
15,0	-0,35	2,47	-1,01	0,13	1,47
30,0	-0,48	1,77	-1,88	0,45	4,90
45,0	-0,03	5,63	2,48	0,36	3,92
60,0	0,32	5,40	0,83	0,17	1,83
75,0	0,49	4,65	-0,62	0,00	0,03
90,0	0,49	3,50	-1,74	0,12	1,32
105,0	0,37	2,11	-2,44	0,19	2,14
120,0	0,18	0,66	-2,67	0,22	2,40
135,0	-0,04	-0,68	-2,47	0,19	2,15
150,0	-0,24	-1,77	-1,88	0,13	1,47
165,0	-0,37	-2,47	-1,01	0,05	0,52
180,0	-0,42	-2,72	0,00	0,05	0,52
195,0	-0,37	-2,47	-1,01	0,13	1,47
210,0	-0,24	-1,77	-1,88	0,19	2,15
225,0	-0,04	-0,68	-2,47	0,22	2,40
240,0	0,18	0,66	-2,67	0,19	2,14
255,0	0,37	2,11	-2,44	0,12	1,32
270,0	0,49	3,50	-1,74	0,00	0,03
285,0	0,49	4,65	-0,62	0,17	1,83
300,0	0,32	5,40	0,83	0,36	3,92
315,0	-0,03	5,63	2,48	0,45	4,90
330,0	-0,48	1,77	-1,88	0,13	1,47
345,0	-0,35	2,47	-1,01	0,05	0,52
360,0	-0,30	2,72	-0,07	0,00	0,00

$F_{s;d;langs} = \Delta M_{s;d} * S / I$

$S =$ 110250 mm^3

$I =$ 8268708 mm^4

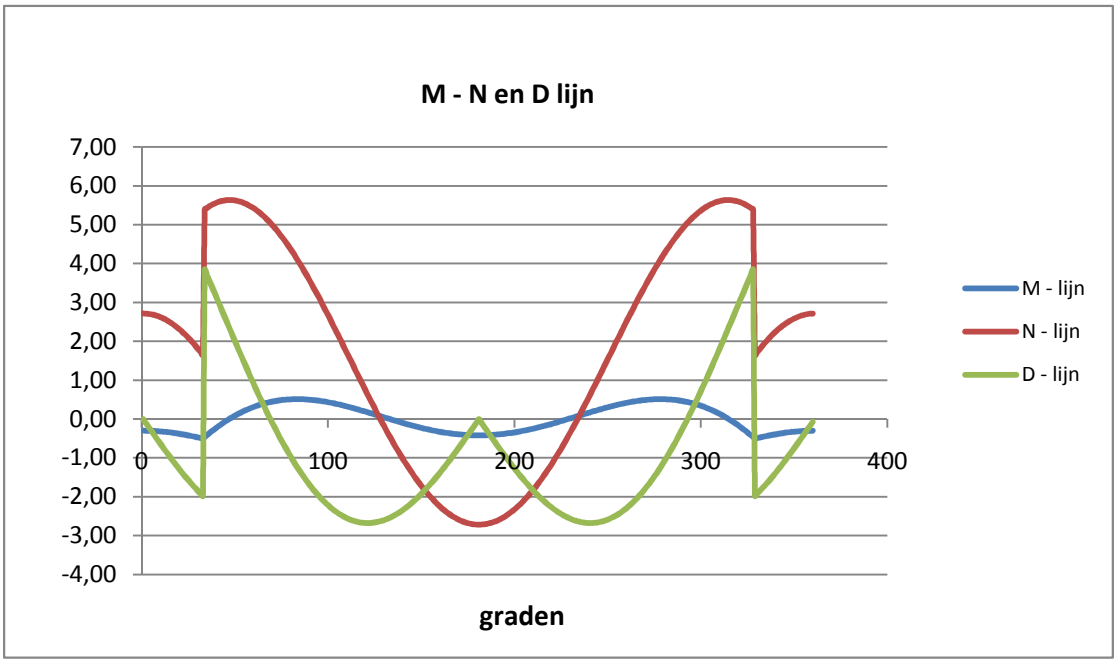

Controle spanningen :

$N_{Ed;max}$ =	5,6	kN	N_{Rd} =	1969	kN
$M_{y,Ed;max}$ =	0,51	kNm	M_{Rd} =	20	kNm
$V_{Ed;max}$ =	3,8	kN	V_{Rd} =	287	kN

$N_{Ed;max} / N_{Rd}$ = 5,64 / 1969 = 0,00 < 1,0 -- Voldoet

σ_N = 0,7 N/mm^2

$M_{y,Ed;max} / M_{y,Rd}$ = 0,51 / 19,7 = 0,03 < 1,0 -- Voldoet

σ_b = 6,1 N/mm^2

$V_{Ed;max} / V_{Rd}$ = 3,85 / 287 = 0,01 < 1,0 -- Voldoet

τ_z = 1,8 N/mm^2

Bij maximale moment : N_{Ed} = 4,08

V_{Ed} = 1,27

$\sigma_b + \sigma_N$ = 6,1 + 0,5 = 6,6 N/mm^2 < 236 MPa -- Voldoet

τ_z = 0,6 N/mm^2

$\sigma_{vlg} = \{ (\sigma_b + \sigma_N)^2 + 3*\tau^2 \}^{0,5}$

σ_{vlg} = 7 N/mm^2 < 236 MPa -- Voldoet

Controle spanningen in las.

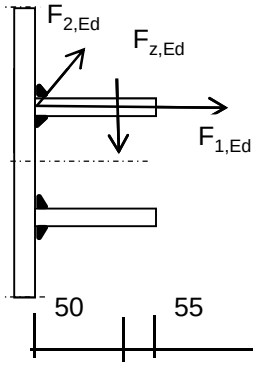

Per bevestiging (2 * bevestigingspunten en 2 * ringen)

$F_{1,h,Ed}$ =	7,00	kN
$F_{2,h,Ed}$ =	2,13	kN
F_z =	8,70	kN
$F_{Langs,Ed}$ =	4,90	kN

$L_{las} = b_{m;ring} = 0,138*t*\pi * (E/fy)^{0,5}$ = 210 mm

of L_{las} = 2 * 50 = 100 mm

lasdikte a = 5 mm - hoeklas

t.g.v. $F_{1,h,Ed}$:

$\sigma_1 = \tau_1 = F_{1,h,Ed} / (2*a*L_{las,min}*2^{0,5})$ = 4,9 N/mm^2

t.g.v. $F_{2,h,Ed}$:

$\tau_2 = F_{2,h,Ed} / (2*a*L_{las,min})$ = 2,13 N/mm^2

t.g.v. $F_{Langs,Ed}$:

$\tau_2 = F_{Langs,Ed;max} / (2*a*L_{las,min})$ = 4,90 N/mm^2

t.g.v. F_z :

$\sigma_1 = \tau_1 = [(F_z * 1000 * 50)/(t_{ring}+2*a/3)] / (a*L_{las,min}*2^{0,5})$ = 42,18 N/mm^2

$\sigma_1 = \tau_1$ = 47,13 N/mm^2

$\sigma_{Ed} = \{\sigma_1^2 + 3 * (\tau_1^2 + \tau_2^2)\}^{0,5}$ = 95,1 N/mm^2

Toetsing regel :

$\sigma_{Ed} \leq f_u / (\beta_w * \gamma_{M2})$ of $\sigma_1 = \sigma_{loodrecht} \leq 0{,}9 * f_u / \gamma_{M2}$

$f_{v,w,d} = f_u / (\beta_w * \gamma_M * \text{wortel(3)})$

$\gamma_{M2} = 1{,}25$

$\gamma_{m;extra} =$ 1,5 (extra materiaalfactor)

Materiaal S 355 ----> $f_u = 510$ N/mm^2 en $\beta_w = 0{,}9$

$f_u / (\beta_w * \gamma_{M2}) = 302$ N/mm^2 $0{,}9 * f_u / \gamma_{M2} = 245$ N/mm^2

$\sigma_{Ed} \leq f_u / (\beta_w * \gamma_{M2})$=	95,1	/	302,2	=	0,31	< 1,0 -- Voldoet
$\sigma_1 \leq 0{,}9 * f_u / \gamma_{M2}$	47,1	/	244,8	=	0,19	< 1,0 -- Voldoet

9.1.6 - Afspanpunt trekisolatoren op 23,0 meter hoogte

Ring gegevens:

$t_{buis;nom}$ =	20	mm
$t_{buis;reken}$ =	20	mm
$t_{ring;nom}$ =	20	mm
$t_{ring;reken}$ =	20	mm
b_{ring} =	105	mm
Afstand tussen ringen =	160	mm

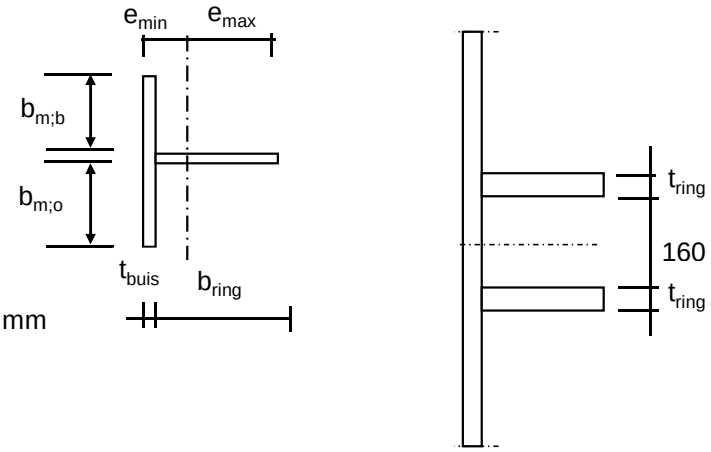

Mee werkende breedte :DIN 18801

$b_m = 0{,}138 * t * \lambda_a$

$\lambda_a = \pi * (E / f_y)^{0,5}$

Staal S355 ; f_y = 355,0 N/mm^2

E = 210000,0 N/mm^2

$b_{m;b}$ =	210,9	mm
$b_{m;o}$ =	80	mm
A =	8318	mm^2
e_{min} =	25,8	mm
e_{max} =	99,2	mm
I =	8268707,8	mm^4
W_{min} =	83337	mm^3
$\gamma_{m;extra}$ =	1,5	(extra materiaalfactor)
N_{Rd} =	1969	kN
$M_{y;Rd}$ =	20	kNm
$M_{w;Rd}$ =	15637	kNm (torsieweerstand mast)
V_{Rd} =	287	kN

Belastingen - bevestiging op 23,0 meter hoogte

Voor belastingen zie : ontwerpbelasting opstijgpunten

	Ahead			Back		
	F_V N	F_T N	F_L N	F_V N	F_T N	F_L N
BG 1a / BG 3	17400	8500	28000	0	0	0

Diameter mast t.p.v ringen D = 1480 mm

R = 740,0 mm

Lijnhoek = 2. α = 180 graden

hoek φ = boogsin(300 / (668+50)) = 22,3 graden

	A		B		C	
	$F_{1;A;Ed}$ kN	$2*F_{1;A;Ed}$ kN	$F_{1;B;Ed}$ kN	$2*F_{1;B;Ed}$ kN	$F_{R;max;Ed}$ kN	$M_{T;Ed}$ kNm
BG 1a / BG 3	7,0	14,0	0,0	0,0		
	$F_{1;A;Ed}$ kN					
	2,1					
	tabel 9.2 - 4	tabel 9.2 - 20	tabel 9.2 - 4	tabel 9.2 - 20	tabel 9.2 - 20	tabel 9.2 - 19

Roark's Formulas for stress & strain

Krachten in de mast

φ in gr.	$M_{s;d}$ kNm	$T_{s;d}$ kN	$V_{s;d}$ kN	$\Delta M_{s;d}$ kN	$F_{s;d;langs}$ kN
0,0	-0,73	2,94	0,00	0,07	0,81
15,0	-0,80	2,69	-0,95	0,19	2,12
30,0	-0,61	5,47	4,30	0,77	8,45
45,0	0,16	5,79	2,64	0,48	5,24
60,0	0,63	5,51	1,02	0,20	2,18
75,0	0,83	4,71	-0,40	0,04	0,43
90,0	0,79	3,50	-1,51	0,22	2,38
105,0	0,58	2,06	-2,22	0,32	3,52
120,0	0,26	0,55	-2,48	0,35	3,83
135,0	-0,09	-0,84	-2,31	0,31	3,37
150,0	-0,40	-1,97	-1,77	0,21	2,29
165,0	-0,61	-2,69	-0,95	0,07	0,81
180,0	-0,68	-2,94	0,00	0,07	0,81
195,0	-0,61	-2,69	-0,95	0,21	2,29
210,0	-0,40	-1,97	-1,77	0,31	3,37
225,0	-0,09	-0,84	-2,31	0,35	3,83
240,0	0,26	0,55	-2,48	0,32	3,52
255,0	0,58	2,06	-2,22	0,22	2,38
270,0	0,79	3,50	-1,51	0,04	0,43
285,0	0,83	4,71	-0,40	0,20	2,18
300,0	0,63	5,51	1,02	0,48	5,24
315,0	0,16	5,79	2,64	0,77	8,45
330,0	-0,61	5,47	4,30	0,19	2,12
345,0	-0,80	2,69	-0,95	0,07	0,81
360,0	-0,73	2,94	-0,07	0,00	0,00

$F_{s;d;langs} = \Delta M_{s;d} * S / I$

$S =$ 110250 mm^3

$I =$ 8268708 mm^4

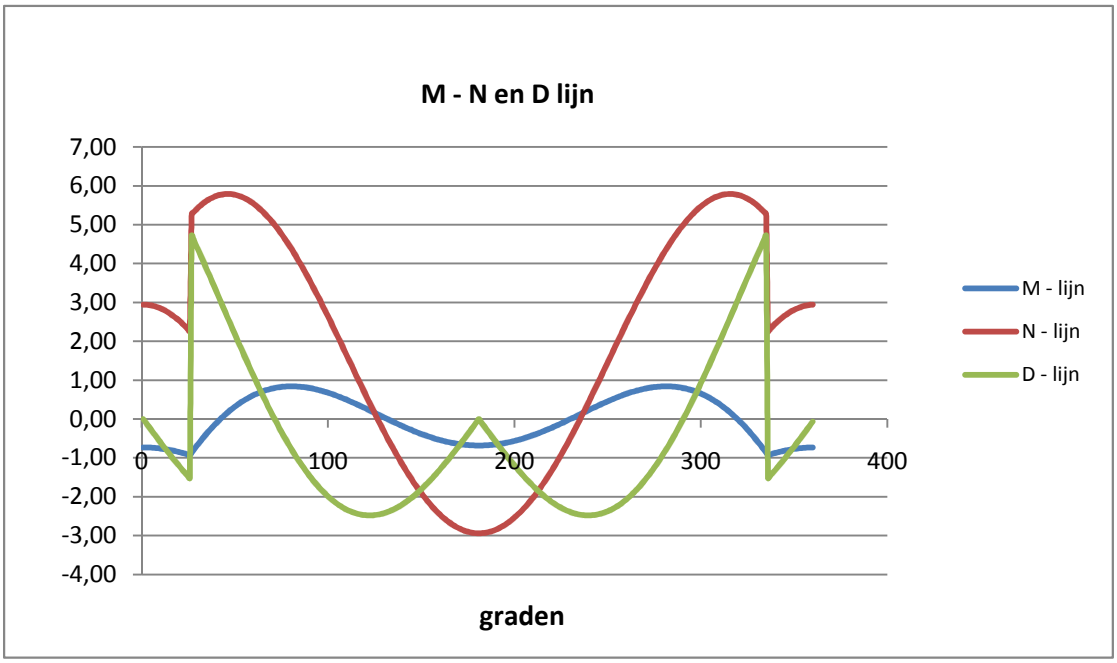

Controle spanningen :

$N_{Ed;max}$ =	5,8	kN		N_{Rd} =	1969	kN
$M_{y,Ed;max}$ =	0,93	kNm		M_{Rd} =	20	kNm
$V_{Ed;max}$ =	4,7	kN		V_{Rd} =	287	kN

$N_{Ed;max} / N_{Rd}$ = 5,79 / 1969 = 0,00 < 1,0 -- Voldoet

σ_N = 0,7 N/mm^2

$M_{y,Ed;max} / M_{y,Rd}$ = 0,93 / 19,7 = 0,05 < 1,0 -- Voldoet

σ_b = 11,1 N/mm^2

$V_{Ed;max} / V_{Rd}$ = 4,72 / 287 = 0,02 < 1,0 -- Voldoet

τ_z = 2,2 N/mm^2

Bij maximale moment : N_{Ed} = 2,26

V_{Ed} = 1,52

$\sigma_b + \sigma_N$ = 11,1 + 0,3 = 11,4 N/mm^2 < 236 MPa -- Voldoet

τ_z = 0,7 N/mm^2

$\sigma_{vlg} = \{ (\sigma_b + \sigma_N)^2 + 3*\tau^2 \}^{0,5}$

σ_{vlg} = 11 N/mm^2 < 236 MPa -- Voldoet

Controle spanningen in las.

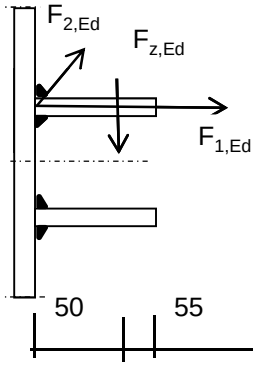

Per bevestiging (2 * bevestigingspunten en 2 * ringen)

$F_{1,h,Ed}$ =	7,00	kN
$F_{2,h,Ed}$ =	2,13	kN
F_z =	8,70	kN
$F_{Langs,Ed}$ =	8,45	kN

$L_{las} = b_{m;ring} = 0,138*t*\pi * (E/fy)^{0,5}$ = 210 mm

of L_{las} = 2 * 50 = 100 mm

lasdikte a = 5 mm - hoeklas

t.g.v. $F_{1,h,Ed}$:

$\sigma_1 = \tau_1 = F_{1,h,Ed} / (2*a*L_{las,min}*2^{0,5})$ = 4,9 N/mm^2

t.g.v. $F_{2,h,Ed}$:

$\tau_2 = F_{2,h,Ed} / (2*a*L_{las,min})$ = 2,13 N/mm^2

t.g.v. $F_{Langs,Ed}$:

$\tau_2 = F_{Langs,Ed;max} / (2*a*L_{las,min})$ = 8,45 N/mm^2

t.g.v. F_z :

$\sigma_1 = \tau_1 = [(F_z * 1000 * 50)/(t_{ring}+2*a/3)] / (a*L_{las,min}*2^{0,5})$ = 42,18 N/mm^2

$\sigma_1 = \tau_1$ = 47,13 N/mm^2

σ_{Ed} = $\{\sigma_1^2 + 3 * (\tau_1^2 + \tau_2^2)\}^{0,5}$ = 96,0 N/mm^2

Toetsing regel :

$\sigma_{Ed} \leq f_u / (\beta_w * \gamma_{M2})$ of $\sigma_1 = \sigma_{loodrecht} \leq 0{,}9 * f_u / \gamma_{M2}$

$f_{v,w,d} = f_u / (\beta_w * \gamma_M * \text{wortel(3)})$

$\gamma_{M2} = 1{,}25$

$\gamma_{m;extra} =$ 1,5 (extra materiaalfactor)

Materiaal S 355 ----> $f_u = 510$ N/mm^2 en $\beta_w = 0{,}9$

$f_u / (\beta_w * \gamma_{M2}) = 302$ N/mm^2 $0{,}9 * f_u / \gamma_{M2} = 245$ N/mm^2

$\sigma_{Ed} \leq f_u / (\beta_w * \gamma_{M2})$=	96,0	/	302,2	=	0,32	< 1,0 -- Voldoet
$\sigma_1 \leq 0{,}9 * f_u / \gamma_{M2}$	47,1	/	244,8	=	0,19	< 1,0 -- Voldoet

9.2 - Berekening draagarm bliksemdraad

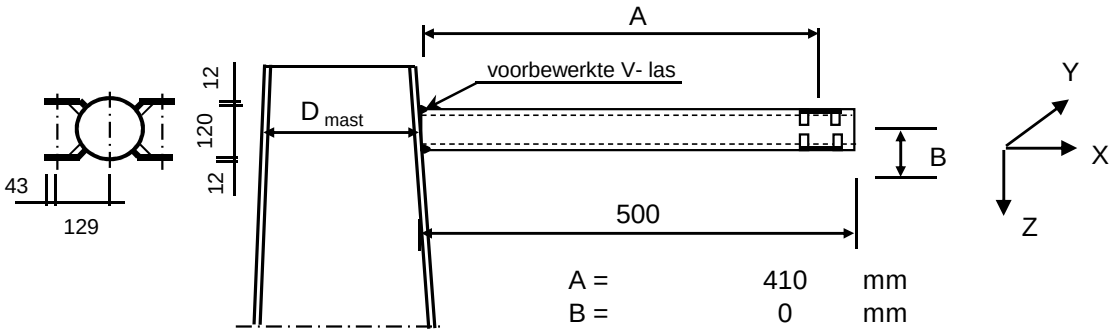

A =	410	mm
B =	0	mm
D_{mast} =	522	mm
t_{mast} =	18	mm
Hoogte :	54,43	m

Buisgegevens

Buis Ø168,3 * 8 - S355 ;

$\gamma_{m;extra}$ = 1,5 (extra materiaalfactor)

Materiaal - S 355 ; f_y = 355 / $\gamma_{m;extra}$ = 236,7 N/mm^2

A =	4029	mm^2	$N_{Ed} = A * f_y$ =	953	kN
$W_y = W_z$ =	1,54E+05	mm^3	$M_{y,Ed} = W_y * f_y$ =	36,5	kNm
W_x =	3,08E+05	mm^3	$M_{z,Ed} = W_z * f_y$ =	36,5	kNm
			$M_{x,Ed} = W_x * f_y / 3^{0,5}$ =	42,1	kNm
			$V_{Rd} = 0,5*A* f_y / 3^{0,5}$ =	275,2	kN

Zie KEMA rapport 74100706-ETD/POL 12-001 38 V10.0 - Appendix F

	AHEAD			BACK		
	F_x	F_y	F_z	F_x	F_y	F_z
	N	N	N	N	N	N
BG 1a - (+wind (90 gr))	19085	31373	1948	0	0	0
BG 3 - (+wind (90) + ijs)	30406	55385	8085	0	0	0
BG 1a - (+wind (45 gr))	8934	17798	1947	0	0	0
BG 3 - (+wind (45) + ijs)	25127	52487	8083	0	0	0
BG 1a - (+wind (-45 gr))	20059	32742	1949	0	0	0
BG 3 - (+wind (-45) + ijs)	30988	55896	8086	0	0	0

F_x = Transverse kracht

F_y = Longitudinale kracht

F_z = Verticale kracht

	$F_{x,Ed}$	$F_{y,Ed}$	$F_{z,Ed}$	$M_{x,Ed}$	$M_{y,Ed}$	$M_{z,Ed}$
	kN	kN	kN	kNm	kNm	kNm
BG 1a - (+wind (90 gr))	19,085	31,373	1,948	0,00	0,80	12,86
BG 3 - (+wind (90) + ijs)	30,406	55,385	8,085	0,00	3,31	22,71
BG 1a - (+wind (45 gr))	8,934	17,798	1,947	0,00	0,80	7,30
BG 3 - (+wind (45) + ijs)	25,127	52,487	8,083	0,00	3,31	21,52
BG 1a - (+wind (-45 gr))	20,059	32,742	1,949	0,00	0,80	13,42
BG 3 - (+wind (-45) + ijs)	30,988	55,896	8,086	0,00	3,32	22,92

$M_{x,Ed} = F_{y,Ed} * B$; $B = 0$

$M_{y,Ed} = F_{z,Ed} * A \pm F_{x,Ed} * B$; $M_{y,Ed,max} = F_{z,Ed} * A$

$M_{z,Ed} = F_{y,Ed} * A$

Maatgevend belastinggeval : BG 3 - (wind -45 gr + ijs)

$M_{y,Ed} / M_{y,Rd}$ =	3,32	/	36	=	0,09	< 1,0 -- Voldoet
			$\sigma_{b,y}$ =		21,5	N/mm^2
$M_{z,Ed} / M_{z,Rd}$ =	22,92	/	36	=	0,63	< 1,0 -- Voldoet
			$\sigma_{b,y}$ =		148,7	N/mm^2
N_{Ed} / N_{Rd} =	30,99	/	953	=	0,03	< 1,0 -- Voldoet
			σ_N =		7,7	N/mm^2
$V_{z,Ed} / V_{z,Rd}$ =	8,09	/	275	=	0,03	< 1,0 -- Voldoet
			τ_z =		4,0	N/mm^2
$V_{y,Ed} / V_{y,Rd}$ =	55,90	/	275	=	0,20	< 1,0 -- Voldoet
			τ_y =		27,7	N/mm^2

Maximale spanning

$\sigma_{max} = (\sigma^2_{b,y} + \sigma^2_{b,z})^{0,5} + \sigma_N$ = 158 N/mm^2

vergelijkingsspanning :

$\sigma_{vlg} = (\sigma^2_{max} + 3*\tau^2_y + 3*\tau^2_z)^{0,5}$

σ_{vlg} = 165 N/mm^2 < 237 MPa -- Voldoet

Controle spanningen in las:

Toetsing regel :

$\sigma_{Ed} \leq f_u / (\beta_w * \gamma_{M2})$ of $\sigma_1 = \sigma_{loodrecht} \leq 0,9 * f_u / \gamma_{M2}$

$f_{v,w,d} = f_u / (\beta_w * \gamma_M *$ wortel(3))

$\gamma_M = 1,25$; $\gamma_{m;extra}$ = 1,5 (extra materiaalfactor)

Materiaal S 355 ----> $f_u = 510$ N/mm^2 en $\beta_w = 0,9$

$f_u / (\beta_w * \gamma_{M2})$ = 302 N/mm^2 $0,9 * f_u / \gamma_{M2}$ = 245 N/mm^2

Buis 168,3*8 :

Lassen : Rondom voorbewerkte V- las met volledige doorsnede doorlassen

9.2.1 - Controle capaciteit van de aansluiting - draagarm aan mast

Momentcapaciteit in het vlak

buis	d_i (mm)	t_i (mm)	A (mm^2)	kwaliteit	f_y	W_b (mm^3)
0	521,7	18,0	28481	S355	355	3466902
1	168,3	8,0	4029	S355	355	154162

$M_{ip,1,Rd} = \{4{,}85 * (f_{y0} * t_0^2 * d_1 / \sin\theta_1) * (\beta * k_p * g^{0,5})\} / \gamma_{M5}$

γ_{M5} = 1,50 (extra materiaalfactor)

θ_1 = 90 graden ; $\beta = d_i / d_0$ = 0,32

$\gamma = d_0 / 2*t_0$ = 14,5

$n_p = \{N_{0,Ed} / (A_0 * f_{y,0})\} + \{M_{0,Ed} / (W_0 * f_{y,0})\}$

$N_{0,Ed}$ = 10,16 kN drukkracht
$M_{0,Ed}$ = 6,20 kNm
} t.g.v. max. belasting

n_p = 0,01 of n_p = -0,004

k_p = 1,0 , voor $n_p \leq 0$ (trek) ;

$k_p = 1{,}0 - 0{,}3 * n_p - 0{,}3 * n_p^2$, voor $n_p > 0$ (druk) maar $k_p \leq 1$

k_p = 1,00

$M_{ip,1,Rd}$ = 76,7 kNm

Pons controle ; Voor $d_1 \leq d_0 - 2*t_0$:

$M_{ip,1,Rd} = \{(f_{y0} * t_0 * d^2_1 / 3^{0,5})*((1+ 3*\sin\theta_1)/ 4*\sin^2\theta_1)\} / \gamma_{M5}$

$M_{ip,1,Rd}$ = 69,7 kNm

$M_{y,Ed} / M_{ip,1,Rd}$ = 3,32 / 69,7 = 0,05 < 1,0 -- Voldoet

Momentcapaciteit uit het vlak

$M_{op,1,Rd} = \{(f_{y0} * t_0^2 * d_1 / \sin\theta_1) * (2{,}7 / (1 - 0{,}81*\beta)) * k_p \} / \gamma_{M5}$

$M_{op,1,Rd}$ = 47,1 kNm

Pons controle ; Voor $d_1 \leq d_0 - 2*t_0$:

$M_{op,1,Rd} = \{(f_{y0} * t_0 * d^2_1 / 3^{0,5})*((3+ \sin\theta_1)/ 4*\sin^2\theta_1)\} / \gamma_{M5}$

$M_{op,1,Rd}$ = 69,7 kNm

$M_{z,Ed} / M_{op,1,Rd}$ = 22,92 / 47,1 = 0,49 < 1,0 -- Voldoet

9.2,2 - Berekening clip bliksemdraad (clip type 2)

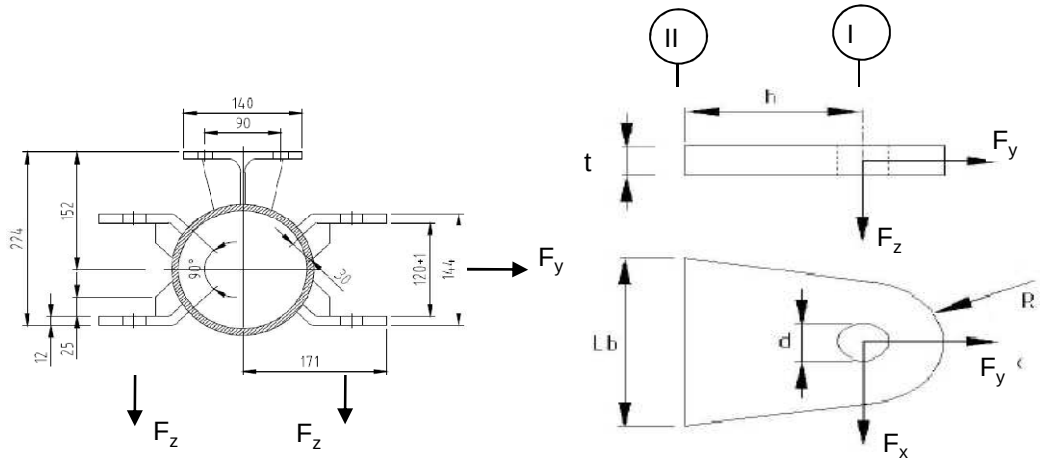

R =	42	mm ;	t =	12	mm
Lb =	120	mm ;	d =	27	mm
h =	65	mm ;	a las =	5	mm (hoeklas)

Materiaal - S 355 ; f_y = 355 / 1,5 = 236,7 N/mm^2

	$F_{x,Ed}$ kN	$F_{y,Ed}$ kN	$F_{z,Ed}$ kN
BG 1a - (+wind (90 gr))	19,09	31,37	1,95
BG 3 - (+wind (90) + ijs)	30,41	55,39	8,09
BG 1a - (+wind (45 gr))	8,93	17,80	1,95
BG 3 - (+wind (45) + ijs)	25,13	52,49	8,08
BG 1a - (+wind (-45 gr))	20,06	32,74	1,95
BG 3 - (+wind (-45) + ijs)	**30,99**	**55,90**	**8,09**

Maatgevend belastinggeval : BG 3 - (wind -45 gr + ijs)

Per clip :	**15,49**	**27,95**	**8,09**

Doorsnede I ; ter hoogte van het gat

Per clip: $F_{Ed;max}$ = $(F_{x,Ed}^2 + F_{y,Ed}^2)^{0,5}$ = 28,0 kN

τ_{toel} = (355 / 1,5) / $3^{0,5}$ = 137 N/mm^2

τ = $F_{Ed,max}$ / (2 *(t * (R - d/2)) = 41 N/mm^2 < 137 MPa -- Voldoet

Doorsnede II ; per clips

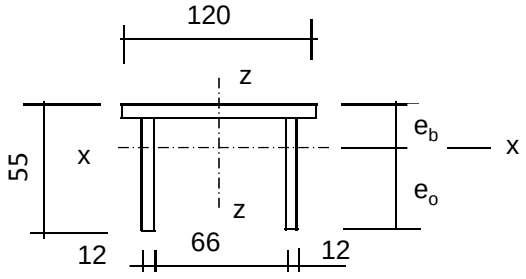

e_b =	17,5	mm			
e_o =	37,5	mm			
A =	2472	mm^2			
A_{schot} =	1032	mm^3			
I_x =	630925	mm^4	I_z =	3310056	mm^4
$W_{x,min}$ =	16816	mm^3	W_z =	55168	mm^3

$N_{Rd} = A * f_y$ =	585	kN
$M_{x,Rd} = W_{x,min} * f_y$ =	4,0	kNm
$M_{z,Rd} = W_z * f_y$ =	10,5	kNm
$V_{z,Rd} = A_{schot} * f_y / 3^{0,5}$ =	141,0	kN
$V_{x,Rd} = A_{ribbe} * f_y / 3^{0,5}$ =	196,8	kN

N_{Ed} =	27,95	kN	$M_{z,Ed} = V_{x,Ed} * h$ =	1,01	kNm
$V_{z,Ed}$ =	8,09	kN	$M_{x,Ed} = V_{z,Ed} * h$ =	0,53	kNm
$V_{x,Ed}$ =	15,49	kN			

N_{Ed} / N_{Rd} =	27,95	/	585	=	0,05	< 1,0	-- Voldoet
			σ_N =		11,3	N/mm^2	
$M_{z,Ed} / M_{z,Rd}$ =	1,01	/	10,5	=	0,10	< 1,0	-- Voldoet
			$\sigma_{b,z}$ =		22,6	N/mm^2	
$M_{x,Ed} / M_{x,Rd}$ =	0,53	/	4,0	=	0,13	< 1,0	-- Voldoet
			$\sigma_{b,x}$ =		31,3	N/mm^2	
$V_{z,Ed} / V_{z,Rd}$ =	8,09	/	141	/	0,06	< 1,0	-- Voldoet
			τ_z =		7,8	N/mm^2	
$V_{x,Ed} / V_{x,Rd}$ =	15,49	/	197	/	0,08	< 1,0	-- Voldoet
			τ_x =		10,8	N/mm^2	

Maximale spanning

σ_{max} = 65,2 N/mm^2

vergelijkingsspanning :

$$\sigma_{vlg} = (\sigma^2_{max} + 3*\tau^2_x + 3*\tau^2_z)^{0,5}$$

σ_{vlg} = 69 N/mm^2 < 236 MPa -- Voldoet

Controle spanningen in las:

Toetsing regel :

$\sigma_{Ed} \leq f_u / (\beta_w * \gamma_{M2})$ of $\sigma_1 = \sigma_{loodrecht} \leq 0{,}9 * f_u / \gamma_{M2}$

$f_{v,w,d} = f_u / (\beta_w * \gamma_M *$ wortel(3))

$\gamma_M = 1{,}25$; $\gamma_{m;extra} =$ 1,5 (extra materiaalfactor)

Materiaal S 355 ----> $f_u = 510$ N/mm^2 en $\beta_w = 0{,}9$

$f_u / (\beta_w * \gamma_{M2}) = 302$ N/mm^2 $0{,}9 * f_u / \gamma_{M2} = 245$ N/mm^2

Lassen : hoeklas 5 mm rondom

a =	5	mm	t =	12	mm
			t_1 =	12	mm

Per mm las: : $\sigma_1 = \tau_1 = \sigma_{max} * t / (2 * a * 2^{0,5})$

$\tau_2 = \tau_{y,max} * t / (2 * a)$ of $\tau_2 = \tau_{z,max} * t_1 / (2 * a)$

σ_1 =		55,3	N/mm^2
τ_1 =		55,3	N/mm^2
τ_2 =	0	12,9	N/mm^2
σ_{Ed} =	$\{\sigma_1^2 + 3 * (\tau_1^2 + \tau_2^2)\}^{0,5}$ =	112,9	N/mm^2

$\sigma_{Ed} \leq f_u / (\beta_w * \gamma_{M2})$ =	112,9	/ 302,2 =	0,37	< 1,0	-- Voldoet
$\sigma_1 \leq 0{,}9 * f_u / \gamma_{M2}$	55,3	/ 244,8 =	0,23	< 1,0	-- Voldoet

9.3 - Berekening draagarm "Retourstroomgeleider"

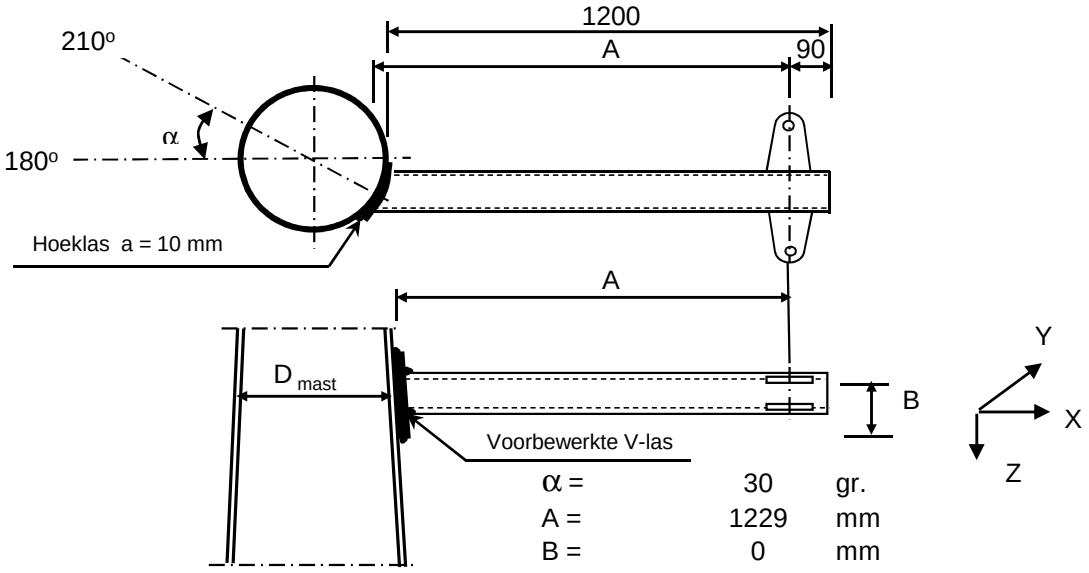

α =	30	gr.
A =	1229	mm
B =	0	mm
D_{mast} =	1773	mm
t_{mast} =	25	mm
Hoogte :	21,5	m

Buisgegevens

Buis Ø406,4 * 8 - S355 ;

$\gamma_{m;extra}$ = 1,5 (extra materiaalfactor)

Materiaal - S 355 ; f_y = 355 / $\gamma_{m;extra}$ = 236,7 N/mm^2

A =	10013	mm^2	$N_{Ed} = A * f_y$ =	2370	kN
$W_y = W_z$ =	9,78E+05	mm^3	$M_{y,Ed} = W_y * f_y$ =	231,5	kNm
W_x =	1,96E+06	mm^3	$M_{z,Ed} = W_z * f_y$ =	231,5	kNm
			$M_{x,Ed} = W_x * f_y / 3^{0,5}$ =	267,3	kNm
			$V_{Rd} = 0,5*A* f_y / 3^{0,5}$ =	684,1	kN

Belastingen : Zie KEMA rapport 74100706-ETD/POL 12-001 38 V10.0 - Appendix F

	AHEAD			BACK		
	F_x	F_y	F_z	F_x	F_y	F_z
	N	N	N	N	N	N
BG 1a - (+wind (90 gr))	30869	52708	4040	0	0	0
BG 3 - (+wind (90) + ijs)	56902	108190	16334	0	0	0
BG 1a - (+wind (45 gr))	17864	36390	4038	0	0	0
BG 3 - (+wind (45) + ijs)	50266	105824	16332	0	0	0
BG 1a - (+wind (-45 gr))	32230	54613	4040	0	0	0
BG 3 - (+wind (-45) + ijs)	57618	108686	16334	0	0	0

F_x = Transverse kracht

F_y = Longitudinale kracht

F_z = Verticale kracht

	$F_{x,Ed}$ kN	$F_{y,Ed}$ kN	$F_{z,Ed}$ kN	$M_{x,Ed}$ kNm	$M_{y,Ed}$ kNm	$M_{z,Ed}$ kNm
BG 1a - (+wind (90 gr))	30,869	52,708	4,04	0,00	4,96	64,77
BG 3 - (+wind (90) + ijs)	56,902	108,19	16,334	0,00	20,07	132,94
BG 1a - (+wind (45 gr))	17,864	36,39	4,038	0,00	4,96	44,71
BG 3 - (+wind (45) + ijs)	50,266	105,824	16,332	0,00	20,07	130,03
BG 1a - (+wind (-45 gr))	32,23	54,613	4,04	0,00	4,96	67,11
BG 3 - (+wind (-45) + ijs)	57,618	108,686	16,334	0,00	20,07	133,55

$M_{x,Ed} = F_{y,Ed} * B$; $B = 0$

$M_{y,Ed} = F_{z,Ed} * A \pm F_{x,Ed} * B$; $M_{y,Ed,max} = F_{z,Ed} * A$

$M_{z,Ed} = F_{y,Ed} * A$

Maatgevend belastinggeval : BG 3 - (wind -45 gr + ijs)

$M_{y,Ed} / M_{y,Rd}$ = 20,07 / 231 = 0,09 < 1,0 -- Voldoet

$\sigma_{b,y}$ = 20,5 N/mm^2

$M_{z,Ed} / M_{z,Rd}$ = 133,55 / 231 = 0,58 < 1,0 -- Voldoet

$\sigma_{b,y}$ = 136,5 N/mm^2

N_{Ed} / N_{Rd} = 57,62 / 2370 = 0,02 < 1,0 -- Voldoet

σ_N = 5,8 N/mm^2

$V_{z,Ed} / V_{z,Rd}$ = 16,33 / 684 = 0,02 < 1,0 -- Voldoet

τ_z = 3,3 N/mm^2

$V_{y,Ed} / V_{y,Rd}$ = 108,69 / 684 = 0,16 < 1,0 -- Voldoet

τ_y = 21,7 N/mm^2

Maximale spanning

$\sigma_{max} = (\sigma^2_{b,y} + \sigma^2_{b,z})^{0,5} + \sigma_N$ = 144 N/mm^2

vergelijkingsspanning :

$\sigma_{vlg} = (\sigma^2_{max} + 3*\tau^2_y + 3*\tau^2_z)^{0,5}$

σ_{vlg} = 149 N/mm^2 < 237 MPa -- Voldoet

Controle spanningen in las:

Toetsing regel :

$\sigma_{Ed} \leq f_u / (\beta_w * \gamma_{M2})$ of $\sigma_1 = \sigma_{loodrecht} \leq 0,9 * f_u / \gamma_{M2}$

$f_{v,w,d} = f_u / (\beta_w * \gamma_M *$ wortel(3))

$\gamma_M = 1,25$; $\gamma_{m;extra}$ = 1,5 (extra materiaalfactor)

Materiaal S 355 ----> $f_u = 510$ N/mm^2 en $\beta_w = 0,9$

$f_u / (\beta_w * \gamma_{M2})$ = 302 N/mm^2 $0,9 * f_u / \gamma_{M2}$ = 245 N/mm^2

Buis 406,4*8 aan de versterkingsplaat
Lassen : Rondom voorbewerkte V- las met volledige doorsnede doorlassen

Berekening versterkingsplaat

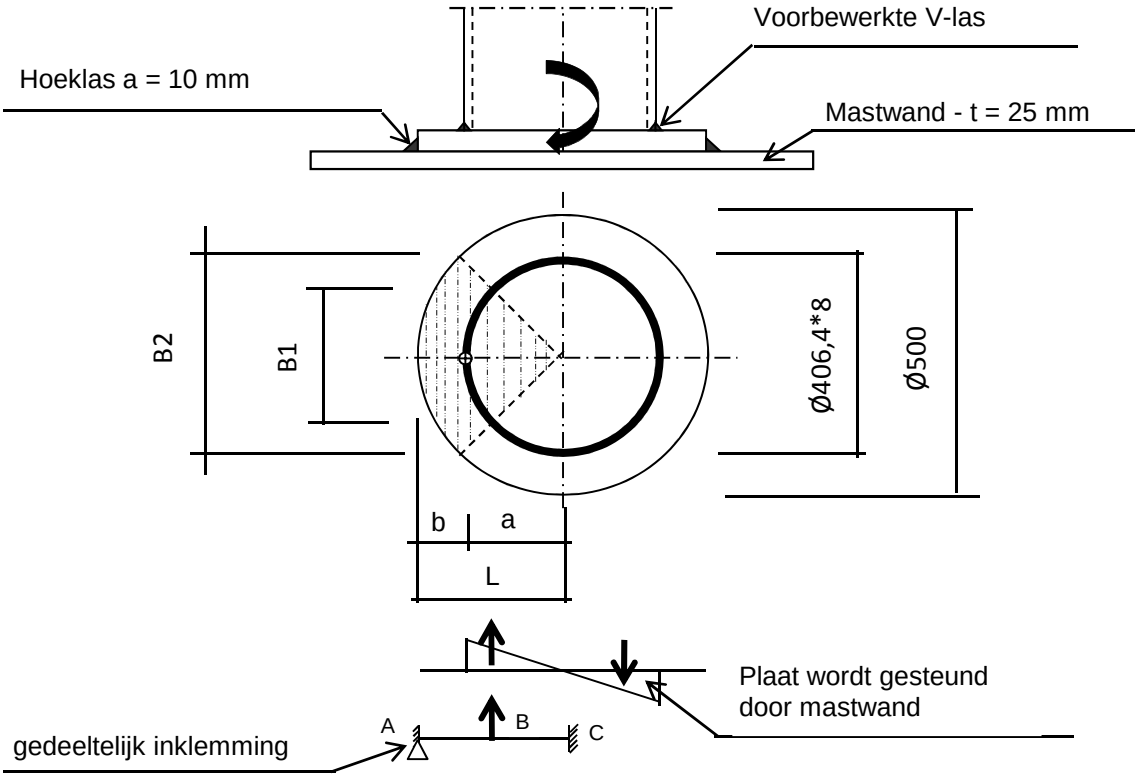

Plaat rond 500 * 25 - S355

Buis Ø406,4 * 8 - S355 ; A = 10013 mm^2
W = 978046 mm^3
I = 198738928 mm^4
R = 203 mm

Hoeklas a= 10,0 mm
$\gamma_{m;extra}$ = 1,5 (extra materiaalfactor)

Maatgevend belasting

$M_{ed,max} = (M_{y,Ed}^2 + M_{z,Ed}^2)^{0,5}$ = 135,0 kNm

$F_{Ed} = [((M_{Ed} * R_{buis} / I) * (1+\cos 45^o))/2] * (A_{buis} / 4)$

F_{Ed} = 295,0 kN

a = R_{buis} = 203,2
b = R_{pl} - a = 46,8

B1 = 287,4 mm ; Boog B1 = 319 mm
B2 = 353,6 mm ; Boog B2 = 393 mm

Percentage inklemming= a_{las} / t_{pl} = 40,0%
Percentage vrij oplegging = 60,0%

Volledig opleggingg:

$M_{A;Ed}$ = 0 0,00 kNm
$M_{B;Ed} = (F_{Ed} * b/2)*(2 - 3*b/L + b^3/L^3)$ = 9,98 kNm
$R_{A;Ed} = (F_{Ed} * a^2 / 2.L^3)* (b + 2.L)$ = 213,2 kN

Volledig inklemming:

$M_{A;Ed} = (F_{Ed} * b * a^2 / L^2) =$ 9,12 kNm

$M_{B;Ed} = (2 * F_{Ed} * a^2 * b^2 / L^3) =$ 3,42 kNm

$R_{A;Ed} = F_{Ed} * (a / L)^2 * (1 + 2* b / L) =$ 267,9 kN

Gedeeltelijk inklemming:

$M_{A;Ed} =$ 0,0 * 60,0% + 9,1 * 40,0% = 3,65 kNm

$M_{B;Ed} =$ 10,0 * 60,0% + 3,4 * 40,0% = 7,35 kNm

$R_{A;Ed} =$ 213,2 * 60,0% + 267,9 * 40,0% = 235,0 kN

$M_{A;Rd} = ((1/4) * t_{pl}^2 * \text{Boog B2} * 355 / 1,5) / 10^{-6} =$ 14,52 kNm

$M_{B;Rd} = ((1/4) * t_{pl}^2 * \text{Boog B1} * 355 / 1,5) / 10^{-6} =$ 11,80 kNm

$M_{A,Ed} / M_{A,Rd} =$ 3,65 / 14,52 = 0,25 < 1,0 -- Voldoet

$\sigma_{b,A} =$ 59,5 N/mm^2

$M_{B,Ed} / M_{B,Rd} =$ 7,35 / 11,80 = 0,62 < 1,0 -- Voldoet

$\sigma_{b,B} =$ 147,4 N/mm^2

Ter plaatse van buiten ring:

$V_{Ed} =$ 235,0 kN

$\tau = V_{Ed} * 1000 / t_{pl} * \text{Boog B2} =$ 23,9 N/mm^2

Ter plaatse van binnen ring :

$\tau = V_{Ed} * 1000 / t_{pl} * \text{Boog B1} =$ 29,5 N/mm^2

$\sigma_{vlg,max} = \{\sigma_b^2 + 3*\tau^2\}^{0,5} =$ 156,0 N/mm^2

< 237 MPa -- Voldoet

Controle spanningen in las.

Toetsing regel :

$\sigma_{Ed} \leq f_u / (\beta_w * \gamma_{M2})$ of $\sigma_1 = \sigma_{loodrecht} \leq 0,9 * f_u / \gamma_{M2}$

$f_{v,w,d} = f_u / (\beta_w * \gamma_M * \text{wortel(3)})$

$\gamma_M = 1,25$; $\gamma_{m;extra} =$ 1,5 (extra materiaalfactor)

Materiaal S 355 ----> $f_u = 510$ N/mm^2 en $\beta_w = 0,9$

$f_u / (\beta_w * \gamma_{M2}) = 302$ N/mm^2 $0,9 * f_u / \gamma_{M2} = 245$ N/mm^2

Lassen hoeklas a = 10 mm rondom

Per mm las:

t.g.v buigspanning:

$\sigma_1 = \tau_1 = \sigma_b * t / (1 * a * 2^{0,5}) =$ 105,1 N/mm^2

t.g.v schuifspanning:

$\sigma_1 = \tau_1 = \pm \tau * t / (1 * a * 2^{0,5}) =$ 42,3 N/mm^2

$\sigma_{1,max}$ =	105,1	+	42,3	=		147,4	N/mm^2
$\tau_{1,max}$ =	105,1	-	42,3	=		62,8	N/mm^2
$\tau_2 = 0$							
σ_{Ed} =	$\{\sigma_1^2 + 3 * (\tau_1^2 + \tau_2^2)\}^{0,5}$			=		183,2	N/mm^2
$\sigma_{Ed} \leq f_u / (\beta_w * \gamma_{M2})$ =	183,2	/	302,2	=	0,61	< 1,0	-- Voldoet
$\sigma_1 \leq 0,9 * f_u / \gamma_{M2}$	147,4	/	244,8	=	0,60	< 1,0	-- Voldoet

9.3.1 - Controle capaciteit van de aansluiting - draagarm aan mast

Momentcapaciteit in het vlak

buis	d_i (mm)	t_i (mm)	A (mm^2)	kwaliteit	f_y	W_b (mm^3)
0	1773,0	25,0	137288	S355	355	59160831
Plaat	500,0		196350	S355	355	12271846

$M_{ip,1,Rd} = \{4{,}85 * (f_{y0} * t^2_0 * d_1 / \sin\theta_1) * (\beta * k_p * g^{0,5})\} / \gamma_{M5}$

γ_{M5} = 1,50 (extra materiaalfactor)

θ_1 = 90 graden ; $\beta = d_i / d_0$ = 0,28

$\gamma = d_0 / 2{*}t_0$ = 35,5

$n_p = \{N_{0,Ed} / (A_0 * f_{y,0})\} + \{M_{0,Ed} / (W_0 * f_{y,0})\}$

$N_{0,Ed}$ = 356,7 kN drukkracht
$M_{0,Ed}$ = 14468,0 kNm
} t.g.v. max. belasting

n_p = 0,70 of n_p = -0,682

k_p = 1,0 , voor $n_p \leq 0$ (trek) ;

$k_p = 1{,}0 - 0{,}3 * n_p - 0{,}3 * n_p^2$, voor $n_p > 0$ (druk) maar $k_p \leq 1$

k_p = 0,65

$M_{ip,1,Rd}$ = 389,0 kNm

Pons controle ; Voor $d_1 \leq d_0 - 2{*}t_0$:

$M_{ip,1,Rd} = \{(f_{y0} * t_0 * d^2_1 / 3^{0,5})*((1+ 3*\sin\theta_1)/ 4*\sin^2\theta_1)\} / \gamma_{M5}$

$M_{ip,1,Rd}$ = 854,0 kNm

$M_{y,Ed} / M_{ip,1,Rd}$ = 20,07 / 389,0 = 0,05 < 1,0 -- Voldoet

Momentcapaciteit uit het vlak

$M_{op,1,Rd} = \{(f_{y0} * t^2_0 * d_1 / \sin\theta_1) * (2{,}7 / (1 - 0{,}81*\beta)) * k_p \} / \gamma_{M5}$

$M_{op,1,Rd}$ = 167,1 kNm

Pons controle ; Voor $d_1 \leq d_0 - 2{*}t_0$:

$M_{op,1,Rd} = \{(f_{y0} * t_0 * d^2_1 / 3^{0,5})*((3+ \sin\theta_1)/ 4*\sin^2\theta_1)\} / \gamma_{M5}$

$M_{op,1,Rd}$ = 854,0 kNm

$M_{z,Ed} / M_{op,1,Rd}$ = 133,55 / 167,1 = 0,80 < 1,0 -- Voldoet

9.3,2 - Berekening clip "Retourstroomgeleider" (clip type 2)

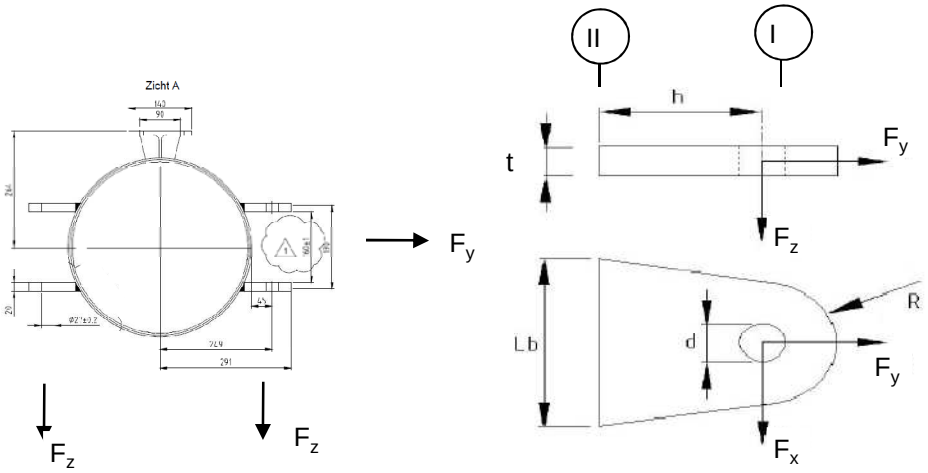

R =	42	mm ;	t =	20	mm
Lb =	140	mm ;	d =	27	mm
h =	75	mm ;	a las =	voorbewerkte V-las	

Materiaal - S 355 ; f_y = 355 / 1,5 = 236,7 N/mm^2

	$F_{x,Ed}$ kN	$F_{y,Ed}$ kN	$F_{z,Ed}$ kN
BG 1a - (+wind (90 gr))	30,87	52,71	4,04
BG 3 - (+wind (90) + ijs)	56,90	108,19	16,33
BG 1a - (+wind (45 gr))	17,86	36,39	4,04
BG 3 - (+wind (45) + ijs)	50,27	105,82	16,33
BG 1a - (+wind (-45 gr))	32,23	54,61	4,04
BG 3 - (+wind (-45) + ijs)	**57,62**	**108,69**	**16,33**

Maatgevend belastinggeval : BG 3 - (wind -45 gr + ijs)

Per clip :	**28,81**	**54,34**	**16,33**

Doorsnede I ; ter hoogte van het gat

Per clip: $F_{Ed;max}$ = $(F_{x,Ed}^2 + F_{y,Ed}^2)^{0,5}$ = 55,0 kN

τ_{toel} = (355 / 1,5) / $3^{0,5}$ =	137	N/mm^2	
τ = $F_{Ed,max}$ / (2 *(t * (R - d/2)) =	48	N/mm^2	< 137 MPa -- Voldoet

Doorsnede II ; per clips

A =	2800	mm^2	N_{Rd} = A * f_y =	663 kN
W_z =	6,53E+04	mm^3	$M_{z,Rd}$ = W_z * f_y =	15,5 kNm
W_x =	9,33E+03	mm^3	$M_{x,Rd}$ = W_x * f_y =	2,2 kNm
			V_{Rd} = A* f_y / $3^{0,5}$ =	382,6 kN

N_{Ed} =	54,34	kN	$M_{z,Ed} = V_{x,Ed} * h$ =	2,16	kNm
$V_{z,Ed}$ =	16,33	kN	$M_{x,Ed} = V_{z,Ed} * h$ =	1,23	kNm
$V_{x,Ed}$ =	28,81	kN			

N_{Ed} / N_{Rd} =	54,34	/	663	=	0,08	< 1,0	-- Voldoet
			σ_N =		19,4	N/mm^2	
$M_{z,Ed} / M_{z,Rd}$ =	2,16	/	15,5	=	0,14	< 1,0	-- Voldoet
			$\sigma_{b,z}$ =		33,1	N/mm^2	
$M_{x,Ed} / M_{x,Rd}$ =	1,23	/	2,2	=	0,55	< 1,0	-- Voldoet
			$\sigma_{b,x}$ =		131,3	N/mm^2	
$V_{z,Ed} / V_{z,Rd}$ =	16,33	/	383	/	0,04	< 1,0	-- Voldoet
			τ_z =		5,8	N/mm^2	
$V_{x,Ed} / V_{x,Rd}$ =	28,81	/	383	/	0,08	< 1,0	-- Voldoet
			τ_x =		10,3	N/mm^2	

Maximale spanning

σ_{max} = 183,7 N/mm^2 < 236 MPa -- Voldoet

vergelijkingsspanning :

$\sigma_{vlg} = (\sigma^2_{max} + 3*\tau^2_x + 3*\tau^2_z)^{0,5}$

σ_{vlg} = 185 N/mm^2 < 236 MPa -- Voldoet

Controle spanningen in las:

Toetsing regel :

$\sigma_{Ed} \leq f_u / (\beta_w * \gamma_{M2})$ of $\sigma_1 = \sigma_{loodrecht} \leq 0,9 * f_u / \gamma_{M2}$

$f_{v,w,d} = f_u / (\beta_w * \gamma_M * \text{wortel(3)})$

$\gamma_M = 1,25$; $\gamma_{m;extra}$ = 1,5 (extra materiaalfactor)

Materiaal S 355 ----> f_u = 510 N/mm^2 en β_w = 0,9

$f_u / (\beta_w * \gamma_{M2})$ = 302 N/mm^2 $0,9 * f_u / \gamma_{M2}$ = 245 N/mm^2

Lassen : Rondom voorbewerkte V- las met volledige doorsnede doorlassen

9.4 - Berekening Clip 17 - t.b.v installatie geleiders (op 0,5m hoogte)

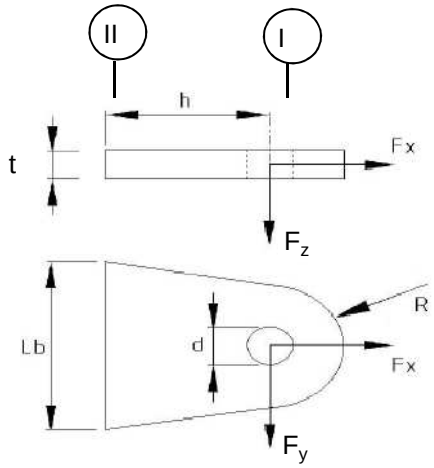

R =	55	mm ;	t =	20	mm
Lb =	110	mm ;	d =	27	mm
h =	55	mm ;	las :	Voorbeverklte K-las	

$\gamma_{m;extra}$ = 1,5 (extra materiaalfactor)

Materiaal - S 355 ; f_y = 355 / 1,5 = 236,7 N/mm^2

	$F_{x,Ed}$ kN	$F_{y,Ed}$ kN	$F_{z,Ed}$ kN
BG 200 kN	141,42	141,42	0,00
of	0,00	200,00	

Doorsnede I ; ter hoogte van de gat (twee clips)

Per clip: $F_{Ed;max}$ = $0,5 * (F_{y,Ed}^2 + F_{x,Ed}^2)^{0,5}$ = 100,0 kN

τ_{toel} = (355 / 1,5) / $3^{0,5}$ = 137 N/mm^2

τ = $F_{Ed,max}$ / (2 *(t * (R - d/2)) = 60 N/mm^2 < 137 MPa -- Voldoet

Doorsnede II ; per clips (twee clips)

A =	2200	mm^2	$N_{Rd} = A * f_y$ =	521	kN
W_y =	4,03E+04	mm^3	$M_{x,Rd} = W_y * f_y$ =	9,5	kNm
W_z =	7,33E+03	mm^3	$M_{y,Rd} = W_z * f_y$ =	1,7	kNm
			$V_{Rd} = A* f_y / 3^{0,5}$ =	300,6	kN

N_{Ed} =	70,71	kN	$M_{y,Ed} = V_{y,Ed} * h$ =	3,889	kNm
$V_{y,Ed}$ =	70,71	kN			

N_{Ed} / N_{Rd} = 70,71 / 521 = 0,14 < 1,0 -- Voldoet
σ_N = 32,1 N/mm^2

$M_{y,Ed}$ / $M_{y,Rd}$ = 3,89 / 10 = 0,41 < 1,0 -- Voldoet
$\sigma_{b,y}$ = 96,4 N/mm^2

$V_{z,Ed}$ / $V_{z,Rd}$ = 70,71 / 301 = 0,24 < 1,0 -- Voldoet
τ_y = 32,1 N/mm^2

Maximale buigspanning

$\sigma_{b,max}$ = { 32,1 + 96,4 } = 128,6 N/mm^2

vergelijkingsspanning :

$\sigma_{vlg} = (\sigma^2_{b,max} + 3*\tau^2_y)^{0,5}$

σ_{vlg} = 140 N/mm^2 < 237 MPa -- Voldoet

N_{Ed} = 0,00 kN
$V_{y,Ed}$ = 100,00 kN

$M_{y,Ed} = V_{y,Ed} * h$ = 5,500 kNm

$M_{y,Ed}$ / $M_{y,Rd}$ = 5,50 / 10 = 0,58 < 1,0 -- Voldoet
$\sigma_{b,y}$ = 136,4 N/mm^2

$V_{z,Ed}$ / $V_{z,Rd}$ = 100,00 / 301 = 0,33 < 1,0 -- Voldoet
τ_y = 45,5 N/mm^2

vergelijkingsspanning :

$\sigma_{vlg} = (\sigma^2_{b,max} + 3*\tau^2_y)^{0,5}$

σ_{vlg} = 157 N/mm^2 < 230 MPa -- Voldoet

Controle spanningen in las.

Toetsing regel :

$\sigma_{Ed} \leq f_u / (\beta_w * \gamma_{M2})$ of $\sigma_1 = \sigma_{loodrecht} \leq 0,9 * f_u / \gamma_{M2}$

$f_{v,w,d} = f_u / (\beta_w * \gamma_M *$ wortel(3))

γ_M = 1,25 ; $\gamma_{m;extra}$ = 1,5 (extra materiaalfactor)

Materiaal S 355 ----> f_u = 510 N/mm^2 en β_w = 0,9

$f_u / (\beta_w * \gamma_{M2})$ = 302 N/mm^2 $0,9 * f_u / \gamma_{M2}$ = 245 N/mm^2

Lassen : Voorbewerkte K- las met volledige doorsnede doorlassen

9.4.1 - Controle capaciteit van de aansluiting

Plaats van de aansluiting ; 0,5m boven voetplaat

buis/plaat	d_i / h_i (mm)	t_i (mm)	A (mm^2)	kwaliteit	f_y	W_b (mm^3)
0	2571,0	25,0	199962	S355	355	126050590
clip	110,0	20,0	2200	S355	355	40333

$N_{i,Rd} = \{(5 * k_p * f_{y0} * t^2_0) * (1 + 0{,}25 * \eta)\} / \gamma_{M5}$

$M_{ip,i,Rd} = h_i * N_{i,Rd}$; $M_{op,i,Rd} = 0$

Toepassingsgebied:

$\eta = h_i / d_0 \leq 4$ $h_i / d_0 =$ 0,04 voldoet

$\gamma_{M5} =$ 1,50 (extra materiaalfactor)

$\eta = h_i / d_0 =$ 0,04

$n_p = \{N_{0,Ed} / (A_0 * f_{y,0})\} + \{M_{0,Ed} / (W_0 * f_{y,0})\}$

$N_{0,Ed} =$ 738,5 kN drukkracht
$M_{0,Ed} =$ 35155,6 kNm
} t.g.v. max. belasting

$n_p =$ 0,80 of $n_p =$ -0,775

$k_p = 1{,}0$, voor $n_p \leq 0$ (trek)

$k_p = 1{,}0 - 0{,}3 * n_p - 0{,}3 * n_p^2$, voor $n_p > 0$ (druk) maar $k_p \leq 1$

$k_p =$ 0,57

$N_{1,Rd} =$ 426,9 kN ---> > N1,Ed ; voldoet

$N_{1,Ed} / N_{1,Rd} =$ 70,71 / 426,9 = 0,17 < 1,0 -- Voldoet

$M_{op,i,Rd} =$ 47,0 kNm ---> > M1,Ed ; voldoet

$M_{1,Ed} / M_{op,1,Rd} =$ 3,89 / 47,0 = 0,08 < 1,0 -- Voldoet

Pons controle

$\sigma_{max.}t_i = (N_{Ed} / A + M_{Ed} / W_{el}) * t_i \leq \{(f_{y,0} / 3^{0,5}) * 2 * t_0 \} / \gamma_{M5}$

$N_{1,Ed} =$ 70,71 kN ; $M_{1,Ed} =$ 3,889 kNm

$\sigma_{max.}t_i =$ 2571 N/mm'

$\{(f_{y,0} / 3^{0,5}) * 2 * t_0 \} / \gamma_{M5} =$ 6832 N/mm' ---> voldoet

9.5 - Berekening clip hulprail - clip 8

Clip hoogte:
54,43 - 52,93 - 45,8 - 43,3 - 37,3 - 34,8 - 28,8 - 26,3 - 49,3 - 46,8 - 40,8 - 38,3 - 32,8 - 30,3 m

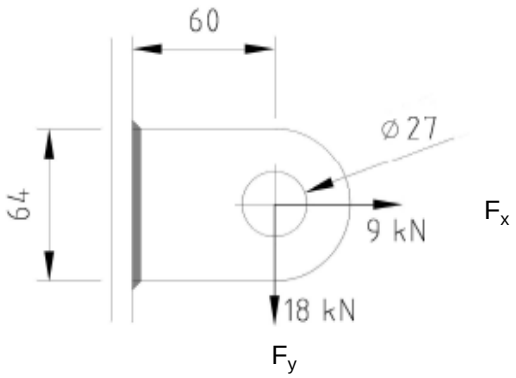

R =	32	mm ;	t =	20	mm
Lb =	64	mm ;	d =	27	mm
h =	60	mm ;	a las =	5	mm - hoeklas

$\gamma_{m;extra}$ = 1,5 (extra materiaalfactor)
Materiaal - S 355 ; f_y = 355 / 1,5 = 236,7 N/mm^2

$F_{x,Ed}$	$F_{y,Ed}$	$F_{z,Ed}$
kN	kN	kN
9,00	18,00	0,00

Doorsnede I ; ter hoogte van het gat

Per clip: $F_{Ed;max}$ = $(F_{y,Ed}^2 + F_{y,Ed}^2)^{0,5}$ = 20,1 kN

τ_{toel} = (355 / 1,5) / $3^{0,5}$ = 137 N/mm^2
τ = $F_{Ed,max}$ / (2 *(t * (R - d/2)) = 27 N/mm^2 < 137 MPa -- Voldoet

Doorsnede II ; per clips

A =	1280	mm^2	N_{Rd} = A * f_y =	303	kN
W_y =	1,37E+04	mm^3	$M_{x,Rd}$ = W_y * f_y =	3,2	kNm
W_z =	4,27E+03	mm^3	$M_{y,Rd}$ = W_z * f_y =	1,0	kNm
			V_{Rd} = A* f_y / $3^{0,5}$ =	174,9	kN
N_{Ed} =	9,00	kN	$M_{y,Ed}$ = $V_{y,Ed}$ * h =	1,080	kNm
$V_{y,Ed}$ =	18,00	kN			

N_{Ed} / N_{Rd} = 9,00 / 303 = 0,03 < 1,0 -- Voldoet
σ_N = 7,0 N/mm^2

$M_{y,Ed}$ / $M_{y,Rd}$ = 1,08 / 3 = 0,33 < 1,0 -- Voldoet
$\sigma_{b,y}$ = 79,1 N/mm^2

$V_{z,Ed}$ / $V_{z,Rd}$ = 18,00 / 175 = 0,10 < 1,0 -- Voldoet
τ_y = 14,1 N/mm^2

Maximale buigspanning

$\sigma_{b,max}$ = { 7,0 + 79,1 } = 86,1 N/mm^2

$\sigma_{vlg} = (\sigma^2_{b,max} + 3*\tau^2_y)^{0,5}$

σ_{vlg} = 90 N/mm^2 < 237 MPa -- Voldoet

Controle spanningen in las:

Toetsing regel :

$\sigma_{Ed} \leq f_u / (\beta_w * \gamma_{M2})$ of $\sigma_1 = \sigma_{loodrecht} \leq 0,9 * f_u / \gamma_{M2}$

$f_{v,w,d} = f_u / (\beta_w * \gamma_M *$ wortel(3))

$\gamma_M = 1,25$; $\gamma_{m;extra}$ = 1,5 (extra materiaalfactor)

Materiaal S 355 ----> f_u = 510 N/mm^2 en β_w = 0,9

$f_u / (\beta_w * \gamma_{M2})$ = 302 N/mm^2 $0,9 * f_u / \gamma_{M2}$ = 245 N/mm^2

Lassen : hoeklas 5 mm rondom

a = 5 mm t = 20 mm

Per mm las: : $\sigma_1 = \tau_1 = \sigma_{max} * t / (2 * a * 2^{0,5})$

$\tau_2 = \tau_{max} * t / (2 * a)$

σ_1 =			121,8	N/mm^2
τ_1 =			121,8	N/mm^2
τ_2 =	0		28,1	N/mm^2
σ_{Ed} =	$\{\sigma_1^2 + 3 * (\tau_1^2 + \tau_2^2)\}^{0,5}$ =		248,4	N/mm^2
$\sigma_{Ed} \leq f_u / (\beta_w * \gamma_{M2})$=	248,4 /	302,2 =	0,82	< 1,0 -- Voldoet
$\sigma_1 \leq 0,9 * f_u / \gamma_{M2}$	121,8 /	244,8 =	0,50	< 1,0 -- Voldoet

9.5.1 - Controle capaciteit van de aansluiting

Clip op 26.3 meter hoogte - (diameter buis maximum)

buis/plaat	d_i / h_i (mm)	t_i (mm)	A (mm^2)	kwaliteit	f_y	W_b (mm^3)
0	1591	22,0	108414	S355	355	41934709
clip	64,0	20,0	1280	S355	355	13653

$N_{i,Rd} = \{(5 * k_p * f_{y0} * t^2_0) * (1 + 0{,}25 * \eta)\} / \gamma_{M5}$

$M_{ip,i,Rd} = h_i * N_{i,Rd}$; $M_{op,i,Rd} = 0$

Toepassingsgebied:

$\eta = h_i / d_0 \leq 4$ $h_i / d_0 =$ 0,04 voldoet

$\gamma_{M5} =$ 1,50 (extra materiaalfactor)

$\eta = h_i / d_0 =$ 0,04

$n_p = \{N_{0,Ed} / (A_0 * f_{y,0})\} + \{M_{0,Ed} / (W_0 * f_{y,0})\}$

$N_{0,Ed} =$ 290,6 kN drukkracht
$M_{0,Ed} =$ 11001,9 kNm
} t.g.v. max. belasting

$n_p =$ 0,75 of $n_p =$ -0,731

$k_p = 1{,}0$, voor $n_p \leq 0$ (trek)

$k_p = 1{,}0 - 0{,}3 * n_p - 0{,}3 * n_p^2$, voor $n_p > 0$ (druk) maar $k_p \leq 1$

$k_p =$ 0,61

$N_{1,Rd} =$ 352,2 kN

$N_{1,Ed} / N_{1,Rd} =$ 9,00 / 352,2 = 0,03 < 1,0 -- Voldoet

$M_{op,i,Rd} =$ 22,5 kNm

$M_{1,Ed} / M_{op,1,Rd} =$ 1,08 / 22,5 = 0,05 < 1,0 -- Voldoet

Pons controle

$\sigma_{max.}t_i = (N_{Ed} / A + M_{Ed} / W_{el}) * t_i \leq \{(f_{y,0} / 3^{0,5}) * 2 * t_0 \} / \gamma_{M5}$

$N_{1,Ed} =$ 9,00 kN ; $M_{1,Ed} =$ 1,080 kNm

$\sigma_{max.}t_i =$ 1723 N/mm'

$\{(f_{y,0} / 3^{0,5}) * 2 * t_0 \} / \gamma_{M5} =$ 6012 N/mm' ---> voldoet

Clip op 46,8 m hoogte -(wanddikte buis minimum / diameter maximum)

buis/plaat	d_i / h_i (mm)	t_i (mm)	A (mm^2)	kwaliteit	f_y	W_b (mm^3)
0	811,6	18,0	44877	S355	355	8710612
clip	64,0	20,0	1280	S355	355	13653

$N_{i,Rd} = \{(5 * k_p * f_{y0} * t^2_0) * (1 + 0{,}25 * \eta)\} / \gamma_{M5}$

$M_{ip,i,Rd} = h_i * N_{i,Rd}$; $M_{op,i,Rd} = 0$

Toepassingsgebied:

$\eta = h_i / d_0 \leq 4$ $h_i / d_0 =$ 0,08 voldoet

$\gamma_{M5} =$ 1,50 (extra materiaalfactor)

$\eta = h_i / d_0 =$ 0,08

$n_p = \{N_{0,Ed} / (A_0 * f_{y,0})\} + \{M_{0,Ed} / (W_0 * f_{y,0})\}$

$N_{0,Ed} =$ 39,5 kN drukkracht
$M_{0,Ed} =$ 522,8 kNm
} t.g.v. max. belasting

$n_p =$ 0,17 of $n_p =$ -0,167

$k_p = 1{,}0$, voor $n_p \leq 0$ (trek)

$k_p = 1{,}0 - 0{,}3 * n_p - 0{,}3 * n_p^2$, voor $n_p > 0$ (druk) maar $k_p \leq 1$

$k_p =$ 0,94

$N_{1,Rd} =$ 367,4 kN

$N_{1,Ed} / N_{1,Rd} =$ 9,00 / 367,4 = 0,02 < 1,0 -- Voldoet

$M_{op,i,Rd} =$ 23,5 kNm

$M_{1,Ed} / M_{op,1,Rd} =$ 1,08 / 23,5 = 0,05 < 1,0 -- Voldoet

Pons controle

$\sigma_{max.}t_i = (N_{Ed} / A + M_{Ed} / W_{el}) * t_i \leq \{(f_{y,0} / 3^{0,5}) * 2 * t_0 \} / \gamma_{M5}$

$N_{1,Ed} =$ 9,00 kN ; $M_{1,Ed} =$ 1,080 kNm

$\sigma_{max.}t_i =$ 1723 N/mm'

$\{(f_{y,0} / 3^{0,5}) * 2 * t_0 \} / \gamma_{M5} =$ 4919 N/mm' ---> voldoet

9.6 - Ondersteuning hijsbalk op de top van de mast

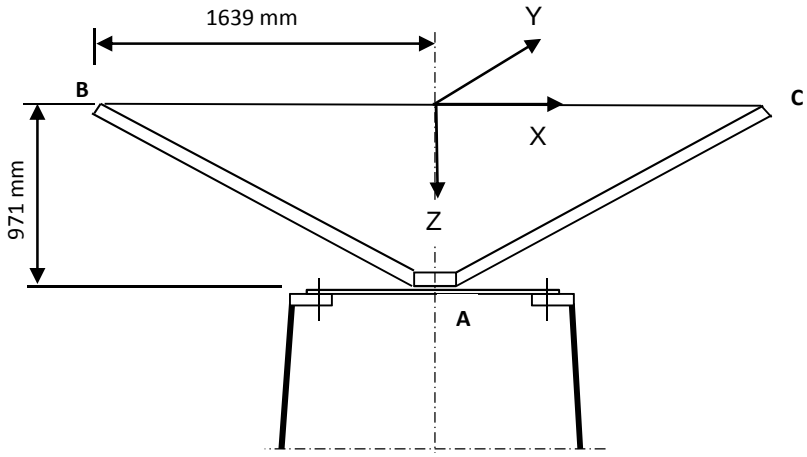

Buis rond 500 * 18

Afstand aangrijpingspunt tot as =	1639	mm
Hoogte aangrijpingspunt boven ring =	971	mm
Verticale belasting $F_{z,Ed}$ =	35	kN
Horizontale belasting $F_{x,Ed} = F_{y,Ed}$ =	15	kN

	BG 1	BG 2	BG 3	BG 4
$F_{z;B,Ed}$	35	35	35	35
$F_{z;c,Ed}$	35	0	35	0
$F_{x;B,Ed}$	15	15	0	0
$F_{x;c,Ed}$	15	0	0	0
$F_{y;B,Ed}$	0	0	15	15
$F_{y;c,Ed}$	0	0	-15	0

Verticaal:	$R_{z;A}$ (kN)	70	35	70	35
Horizontaal:	$R_{x(y);A}$ (kN)	30	15	0	0
Moment:	$M_{y(x);A}$ (kNm)	29,13	71,93	0	57,365
Wringing:	$M_{z;A}$ (kNm)	0	0	49,17	24,585

Ringgegevens ;

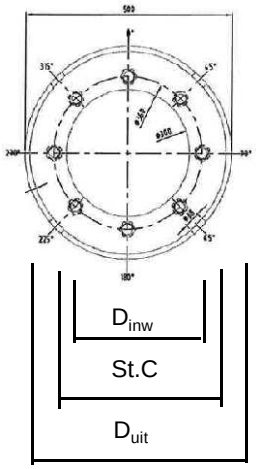

D-uitwendig	500	mm
D-inwendig	300	mm
StC	360	mm
plaat dikte t =	30	mm
Staalkwaliteit S-355; f_y =	355	N/mm^2
Aantal bouten	8	
BoutenM24 - 8,8		

M24 -8,8 :	$F_{t,Rd}$ =	203,03	/ 1,5	=	135,4	kN
	$F_{v,Rd}$ =	135,36	/ 1,5	=	90,2	kN

$\gamma_{m;extra}$ = 1,5 (extra materiaalfactor)

controle bouten

	BG 1	BG 2	BG 3	BG 4	
$F_{t,Ed}$ - kN	31,7	95,5	0,0	75,3	
$F_{v,Ed}$ - kN	3,8	1,9	34,1	17,1	
$F_{t,Ed} / F_{t,Rd}$ =	0,23	0,71	0,00	0,56	< 1 ; voldoet
$F_{v,Ed} / F_{v,Rd}$ =	0,04	0,02	0,38	0,19	< 1 ; voldoet
$F_{v,Ed} / F_{v,Rd} + F_{t,Ed} / 1,4 * F_{t,Rd}$ =	0,21	0,52	0,38	0,59	< 1 ; voldoet

Controle ring :

maatgevend belastinggeval : BG2.

Ten gevolge van verticale belasting ; F_z = 35 kN

Voor de formule zie: Roark's formulas for stress & strain - Tabel 11,2 - 1

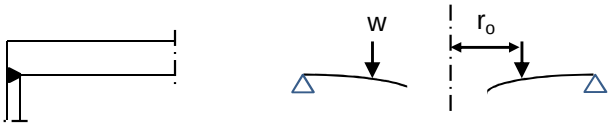

Voor de formule zie: Roark's formulas for stress & strain - Tabel 11,2 - 1e

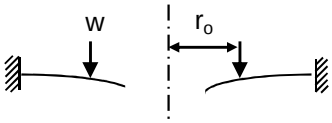

De ring wordt ondersteunt door buis met een las gelijk aan de dikte van de buis.

Verdeling van belasting:

Percentage inklemming (tabel 11,2-1e) = t_{buis} / t_{pl} = 60,0%

Percentage vrij oplegging = 40,0%

W =	35,0	kN			
$w_{(ro)}$ =	31	N/mm'	ν =	0,3	
a =	250	mm	E =	210000	N/mm^2
b =	150	mm	f_y =	237	N/mm^2
r_o =	180	mm			

$D = E.t^3 / 12.(1-\nu^2)$ = 519230769

$C_1 = 0,5.(1+\nu).((b/a).\ln(a/b)) + 0,25.((1-\nu).((a/b)-(b/a))$ = 0,3859

$C_4 = 0,5.[(1+\nu).(b/a).+ (1-\nu).(a/b)]$ = 0,9733

$C_7 = 0,5.(1-\nu^2).((a/b)-(b/a))$ = 0,4853

$L_3 = (r_o/4a).\{[(r_o/a)^2+1].\ln(a/r_o) + (r_o/a)^2 -1\}$ = 0,0031

$L_6 = (r_o/4a).[(r_o/a)^2 -1+ 2.\ln(a/r_o)]$ = 0,0316

$L_9 = (r_o/a).\{ 0,5*(1+\nu).\ln(a/r_o) +0,25*(1-\nu).[1 - (r_o/a)^2]\}-$ = 0,2144

$F_7 = 0,5.(1-\nu^2).((r/b)-(b/r))$; en voor $r = r_o$ = 0,1668

$\theta_b = w . a^2 . L_6 / D. C_4$ = 0,0001

M_{ra} =percentage inkl. * $w . a (L_9 - C_7 . L_6 / C_4)$ = 922 Nmm/mm'

$Q_a = w \cdot r_o / a$ = 22 N/mm'

Ten gevolge van moment ; $M_{y;Ed}$ = 71,93 kNm

$w = F_{bout,max} / (2 * \pi * r_o / n_{bout})$

$w = (4*M_{y,Ed}*1000 / (360 * 8)) / (2\pi * 180 / 8)$ = 707 N/mm'

M_{ra} =percentage inkl. * $w \cdot a (L_9 - C_7 \cdot L_6 / C_4)$ = 21060 Nmm/mm'

$M_{ra;max,Ed}$ = 21982 Nmm/mm'

$Q_a = w \cdot r_o / a$ = 509 N/mm'

Q_{amax} = 531

$M_{Rd} = (1/6) * 1 * t^2 * f_y$ = 35500 Nmm/mm'

M_{Ed} / M_{Rd} = 21982 / 35500 = 0,62 < 1,0 -- Voldoet

σ_b = 146,5 N/mm^2

$\tau_z = w_{tot} / t$ = 531 / 30 = 17,70 N/mm^2

$\sigma_{vlg} = (\sigma^2_{b,max} + 3*\tau^2_z)^{0,5}$

σ_{vlg} = 150 N/mm^2 < 237 MPa -- Voldoet

Controle spanning in de buis

Buis Ø500 * 18 - S355 ;

A = 27256 mm^2 $N_{Ed} = A * f_y$ = 9676 kN

$W_y = W_z$ = 3,17E+06 mm^3 $M_{y,Ed} = W_y * f_y$ = 1125,6 kNm

N_{Ed} = 35 kN

$M_{y,Ed}$ = 71,93 kNm

N_{Ed} / N_{Rd} = 35,00 / 9676 = 0,00 < 1,0 -- Voldoet

σ_N = 1,3 N/mm^2

$M_{y,Ed} / M_{y,Rd}$ = 71,93 / 1126 = 0,06 < 1,0 -- Voldoet

$\sigma_{b,y}$ = 22,7 N/mm^2

σ_{max} = 24,0 N/mm^2

Controle spanningen in las:

Toetsing regel :

$\sigma_{Ed} \leq f_u / (\beta_w * \gamma_{M2})$ of $\sigma_1 = \sigma_{loodrecht} \leq 0,9 * f_u / \gamma_{M2}$

$f_{v,w,d} = f_u / (\beta_w * \gamma_M *$ wortel(3))

γ_M = 1,25 ; $\gamma_{m;extra}$ = 1,5 (extra materiaalfactor)

Materiaal S 355 ----> f_u = 510 N/mm^2 en β_w = 0,9

$f_u / (\beta_w * \gamma_{M2})$ = 302 N/mm^2 $0,9 * f_u / \gamma_{M2}$ = 245 N/mm^2

Lassen : Rondom voorbewerkte V- las met volledige doorsnede doorlassen

9.7 - Berekening versterking deur

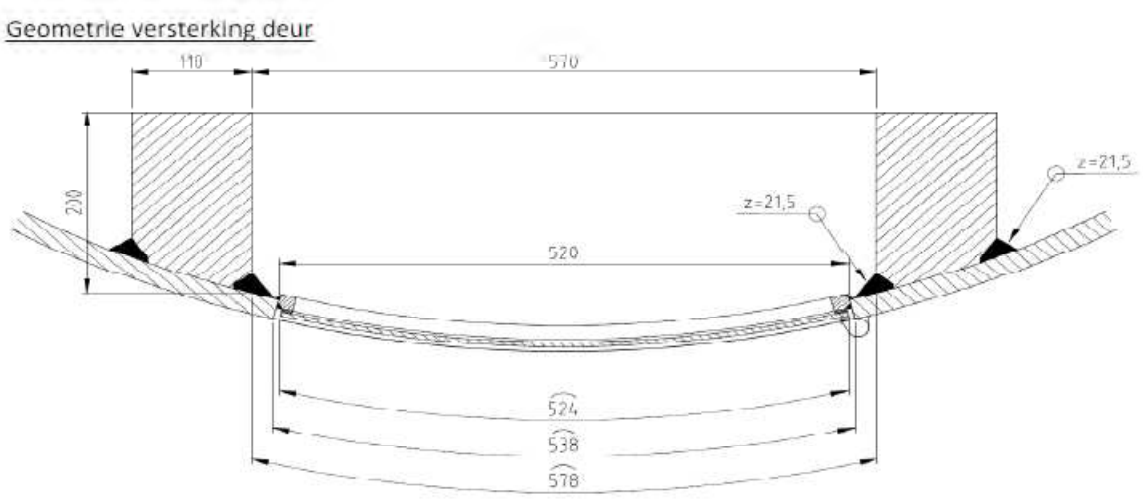

Doorsnede ter hoogte van de hart opening (1,225m hoogte):

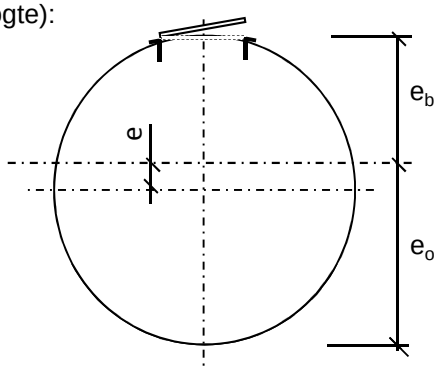

Buisdiameter : 2543 mm
dikte t ; 25 mm

A_{buis} = 197799 mm^2
$A_{versterking}$ = 40566 mm^2
$A_{verlies}$ = 12964 mm^2

A_{tot} = 225401 mm^2

e = 127,1 mm
e_b = 1144,6 mm ; e_o = 1398,8 mm

I_{tot} = 1,83E+11 mm^4
W_{min} = 1,31E+08 mm^3
W_{max} = 1,60E+08 mm^3

Krachten: Maximale krachten t.p.v. mastvoet - knoop 28 (inclusief 2e orde effect)

M_{Ed} = 35421 kNm ; N_{Ed} = 738 kN

σ_N = N_{Ed} / A_{tot} = 3,3 N/mm^2
σ_b = M_{Ed} / W_{min} = 271,3 N/mm^2

σ_{max} = 3,3 + 271,3 = 274,6 N/mm^2 < 355 MPa -- Voldoet

Bijlage A

Rapport KEMA - 74100224-ETD/POL 12-00138 V10,0 - 18 -11-2013

bijlage F en F2

W2E350 + 5 TOWER (rev 6.0, date: 05-11-2012) Appendix F

Loadcases for tower strength (ultimate limit state)

Loadcase according to 50341-3-15	Attachment point	BACK			AHEAD		
		Vertical [N]	Transverse [N]	Longitudinal [N]	Vertical [N]	Transverse [N]	Longitudinal [N]
1a	380C1F1 / 380C2F1	14907	6455	-146657	0	0	0
Wind, 10 dgr	380C1F2 / 380C2F2	14907	6451	-146657	0	0	0
Permanent loads yg= 1.2	380C1F3 / 380C2F3	14907	6446	-146657	0	0	0
Wind angle: 0 dgr	GW / opgw	1947	849	-19242	0	0	0
	Comp. gl	4038	1754	-39867	0	0	0
1b	380C1F1 / 380C2F1	14900	7606	-173968	0	0	0
Wind, -20 dgr	380C1F2 / 380C2F2	14900	7605	-173968	0	0	0
Permanent loads yg= 1.2	380C1F3 / 380C2F3	14900	7604	-173968	0	0	0
Wind angle: 0 dgr	GW / opgw	1946	984	-22489	0	0	0
	Comp. gl	4036	2011	-46005	0	0	0
3	380C1F1 / 380C2F1	25691	10256	-234233	0	0	0
Wind+ice, -5 dgr	380C1F2 / 380C2F2	25691	10254	-234233	0	0	0
Permanent loads yg= 1.2	380C1F3 / 380C2F3	25691	10251	-234233	0	0	0
Wind angle: 0 dgr	GW / opgw	8083	2543	-58024	0	0	0
	Comp. gl	16332	5119	-116933	0	0	0
4	380C1F1 / 380C2F1	17913	7550	-172685	0	0	0
Construction/maintenance, +5 dgr	380C1F2 / 380C2F2	17913	7549	-172685	0	0	0
Permanent loads yg= 1.2	380C1F3 / 380C2F3	17913	7548	-172685	0	0	0
Wind angle: 0 dgr	GW / opgw	2699	1108	-25331	0	0	0
	Comp. gl	5542	2269	-51910	0	0	0
6	380C1F1 / 380C2F1	16772	7005	-160442	0	0	0
Permanent, +10 dgr	380C1F2 / 380C2F2	16772	7005	-160442	0	0	0
Permanent loads yg= 1.35	380C1F3 / 380C2F3	16772	7005	-160442	0	0	0
	GW / opgw	2190	922	-21111	0	0	0
	Comp. gl	4543	1908	-43708	0	0	0
1a	380C1F1 / 380C2F1	14912	23138	-189670	0	0	0
Wind, 10 dgr	380C1F2 / 380C2F2	14911	21776	-184396	0	0	0
Permanent loads yg= 1.2	380C1F3 / 380C2F3	14910	20067	-177988	0	0	0
Wind angle: 45 dgr	GW / opgw	1948	3847	-28499	0	0	0
	Comp. gl	4039	6079	-51032	0	0	0
1b	380C1F1 / 380C2F1	14900	10657	-176091	0	0	0
Wind, -20 dgr	380C1F2 / 380C2F2	14900	10417	-175775	0	0	0
Permanent loads yg= 1.2	380C1F3 / 380C2F3	14900	10116	-175411	0	0	0
Wind angle: 45 dgr	GW / opgw	1946	1525	-23017	0	0	0
	Comp. gl	4036	2802	-46552	0	0	0
3	380C1F1 / 380C2F1	25692	18873	-242182	0	0	0
Wind+ice, -5 dgr	380C1F2 / 380C2F2	25692	18190	-241025	0	0	0
Permanent loads yg= 1.2	380C1F3 / 380C2F3	25692	17334	-239686	0	0	0
Wind angle: 45 dgr	GW / opgw	8084	5298	-60060	0	0	0
	Comp. gl	16333	9151	-119112	0	0	0
4	380C1F1 / 380C2F1	17914	10581	-174301	0	0	0
Construction/maintenance, +5 dgr	380C1F2 / 380C2F2	17914	10344	-174057	0	0	0
Permanent loads yg= 1.2	380C1F3 / 380C2F3	17913	10046	-173777	0	0	0
Wind angle: 45 dgr	GW / opgw	2699	1641	-25661	0	0	0
	Comp. gl	5542	3051	-52252	0	0	0
1a	380C1F1 / 380C2F1	14918	38327	-252760	0	0	0
Wind, 10 dgr	380C1F2 / 380C2F2	14917	35775	-241952	0	0	0

W2E350 + 5 TOWER (rev 6.0, date: 05-11-2012) Appendix F

Loadcases for tower strength (ultimate limit state)

Loadcase according to 50341-3-15	Attachment point	BACK			AHEAD		
		Vertical [N]	Transverse [N]	Longitudinal [N]	Vertical [N]	Transverse [N]	Longitudinal [N]
Permanent loads γg= 1.2	380C1F3 / 380C2F3	14916	32556	-228346	0	0	0
Wind angle: 90 dgr	GW / opgw	1949	6539	-40255	0	0	0
	Comp. gl	4041	10034	-67819	0	0	0
1b	380C1F1 / 380C2F1	14900	13359	-181105	0	0	0
Wind, -20 dgr	380C1F2 / 380C2F2	14900	12899	-180081	0	0	0
Permanent loads γg= 1.2	380C1F3 / 380C2F3	14900	12323	-178890	0	0	0
Wind angle: 90 dgr	GW / opgw	1946	2012	-24212	0	0	0
	Comp. gl	4037	3502	-47847	0	0	0
3	380C1F1 / 380C2F1	25695	26578	-259690	0	0	0
Wind+ice, -5 dgr	380C1F2 / 380C2F2	25695	25266	-256221	0	0	0
Permanent loads γg= 1.2	380C1F3 / 380C2F3	25694	23622	-252124	0	0	0
Wind angle: 90 dgr	GW / opgw	8086	7732	-64556	0	0	0
	Comp. gl	16335	12677	-124217	0	0	0
4	380C1F1 / 380C2F1	17914	13236	-178213	0	0	0
Construction/maintenance, +5 dgr	380C1F2 / 380C2F2	17914	12785	-177407	0	0	0
Permanent loads γg= 1.2	380C1F3 / 380C2F3	17914	12220	-176474	0	0	0
Wind angle: 90 dgr	GW / opgw	2699	2110	-26448	0	0	0
	Comp. gl	5542	3732	-53097	0	0	0
1a	380C1F1 / 380C2F1	14910	20279	-178767	0	0	0
Wind, 10 dgr	380C1F2 / 380C2F2	14910	19149	-174662	0	0	0
Permanent loads γg= 1.2	380C1F3 / 380C2F3	14909	17734	-169727	0	0	0
Wind angle: -45 dgr	GW / opgw	1947	3334	-26317	0	0	0
	Comp. gl	4039	5336	-48171	0	0	0
1b	380C1F1 / 380C2F1	14900	10153	-175454	0	0	0
Wind, -20 dgr	380C1F2 / 380C2F2	14900	9954	-175230	0	0	0
Permanent loads γg= 1.2	380C1F3 / 380C2F3	14900	9703	-174974	0	0	0
Wind angle: -45 dgr	GW / opgw	1946	1435	-22861	0	0	0
	Comp. gl	4036	2672	-46388	0	0	0
3	380C1F1 / 380C2F1	25692	17440	-239845	0	0	0
Wind+ice, -5 dgr	380C1F2 / 380C2F2	25692	16873	-239019	0	0	0
Permanent loads γg= 1.2	380C1F3 / 380C2F3	25691	16162	-238064	0	0	0
Wind angle: -45 dgr	GW / opgw	8084	4842	-59459	0	0	0
0	Comp. gl	16332	8489	-118455	0	0	0
4	380C1F1 / 380C2F1	17913	10083	-173811	0	0	0
Construction/maintenance, +5 dgr	380C1F2 / 380C2F2	17913	9886	-173639	0	0	0
Permanent loads γg= 1.2	380C1F3 / 380C2F3	17913	9637	-173443	0	0	0
Wind angle: -45 dgr	GW / opgw	2699	1553	-25562	0	0	0
	Comp. gl	5542	2923	-52147	0	0	0
1a	380C1F1 / 380C2F1	11178	5177	-117394	0	0	0
Wind, 10 dgr	380C1F2 / 380C2F2	11178	5174	-117394	0	0	0
Permanent loads γg=0.9	380C1F3 / 380C2F3	11178	5169	-117394	0	0	0
Wind angle: 0 dgr	GW / opgw	1460	677	-15289	0	0	0
	Comp. gl	3028	1399	-31734	0	0	0
1b	380C1F1 / 380C2F1	11172	6290	-143819	0	0	0
Wind, -20 dgr	380C1F2 / 380C2F2	11172	6289	-143819	0	0	0
Permanent loads γg=0.9	380C1F3 / 380C2F3	11172	6288	-143819	0	0	0
Wind angle: 0 dgr	GW / opgw	1459	803	-18356	0	0	0

W2E350 + 5 TOWER (rev 6.0, date: 05-11-2012) Appendix F

Loadcases for tower strength (ultimate limit state)

Loadcase according to 50341-3-15	Attachment point	BACK			AHEAD		
		Vertical [N]	Transverse [N]	Longitudinal [N]	Vertical [N]	Transverse [N]	Longitudinal [N]
	Comp. gl	3027	1642	-37544	0	0	0
3	380C1F1 / 380C2F1	21959	9184	-209682	0	0	0
Wind+ice, -5 dgr	380C1F2 / 380C2F2	21959	9182	-209682	0	0	0
Permanent loads yg=0.9	380C1F3 / 380C2F3	21959	9179	-209682	0	0	0
Wind angle: 0 dgr	GW / opgw	7595	2434	-55540	0	0	0
	Comp. gl	15319	4895	-111800	0	0	0
4	380C1F1 / 380C2F1	14184	6342	-145028	0	0	0
Construction/maintenance, +5 dgr	380C1F2 / 380C2F2	14184	6342	-145028	0	0	0
Permanent loads yg=0.9	380C1F3 / 380C2F3	14184	6341	-145028	0	0	0
Wind angle: 0 dgr	GW / opgw	2211	952	-21752	0	0	0
	Comp. gl	4531	1947	-44539	0	0	0
6	380C1F1 / 380C2F1	11178	5126	-117395	0	0	0
Permanent, +10 dgr	380C1F2 / 380C2F2	11178	5126	-117395	0	0	0
Permanent loads yg= 1.35	380C1F3 / 380C2F3	11178	5126	-117395	0	0	0
	GW / opgw	1460	668	-15289	0	0	0
	Comp. gl	3028	1386	-31734	0	0	0
1a	380C1F1 / 380C2F1	11182	22396	-172725	0	0	0
Wind, 10 dgr	380C1F2 / 380C2F2	11182	20991	-166465	0	0	0
Permanent loads yg=0.9	380C1F3 / 380C2F3	11181	19225	-158726	0	0	0
Wind angle: 45 dgr	GW / opgw	1461	3768	-26690	0	0	0
	Comp. gl	3029	5865	-46147	0	0	0
1b	380C1F1 / 380C2F1	11173	9385	-146964	0	0	0
Wind, -20 dgr	380C1F2 / 380C2F2	11172	9139	-146503	0	0	0
Permanent loads yg=0.9	380C1F3 / 380C2F3	11172	8830	-145971	0	0	0
Wind angle: 45 dgr	GW / opgw	1459	1355	-19126	0	0	0
	Comp. gl	3027	2444	-38353	0	0	0
3	380C1F1 / 380C2F1	21961	17878	-219437	0	0	0
Wind+ice, -5 dgr	380C1F2 / 380C2F2	21960	17185	-218037	0	0	0
Permanent loads yg=0.9	380C1F3 / 380C2F3	21960	16316	-216409	0	0	0
Wind angle: 45 dgr	GW / opgw	7596	5196	-57751	0	0	0
	Comp. gl	15320	8935	-114181	0	0	0
4	380C1F1 / 380C2F1	14184	9399	-147257	0	0	0
Construction/maintenance, +5 dgr	380C1F2 / 380C2F2	14184	9159	-146926	0	0	0
Permanent loads yg=0.9	380C1F3 / 380C2F3	14184	8857	-146544	0	0	0
Wind angle: 45 dgr	GW / opgw	2211	1489	-22185	0	0	0
	Comp. gl	4531	2734	-44993	0	0	0
1a	380C1F1 / 380C2F1	11189	37902	-243059	0	0	0
Wind, 10 dgr	380C1F2 / 380C2F2	11187	35313	-231406	0	0	0
Permanent loads yg=0.9	380C1F3 / 380C2F3	11186	32039	-216560	0	0	0
Wind angle: 90 dgr	GW / opgw	1462	6497	-39301	0	0	0
	Comp. gl	3030	9909	-64971	0	0	0
1b	380C1F1 / 380C2F1	11173	12178	-154081	0	0	0
Wind, -20 dgr	380C1F2 / 380C2F2	11173	11700	-152650	0	0	0
Permanent loads yg=0.9	380C1F3 / 380C2F3	11173	11103	-150973	0	0	0
Wind angle: 90 dgr	GW / opgw	1459	1862	-20775	0	0	0
	Comp. gl	3027	3168	-40194	0	0	0
3	380C1F1 / 380C2F1	21964	25723	-240154	0	0	0

W2E350 + 5 TOWER (rev 6.0, date: 05-11-2012) Appendix F

Loadcases for tower strength (ultimate limit state)

Loadcase according to 50341-3-15	Attachment point	BACK			AHEAD		
		Vertical [N]	Transverse [N]	Longitudinal [N]	Vertical [N]	Transverse [N]	Longitudinal [N]
Wind+ice, -5 dgr	380C1F2 / 380C2F2	21963	24386	-236112	0	0	0
Permanent loads yg=0.9	380C1F3 / 380C2F3	21962	22711	-231302	0	0	0
Wind angle: 90 dgr	GW / opgw	7598	7644	-62562	0	0	0
	Comp. gl	15322	12479	-119694	0	0	0
4	380C1F1 / 380C2F1	14184	12112	-152494	0	0	0
Construction/maintenance, +5 dgr	380C1F2 / 380C2F2	14184	11650	-151426	0	0	0
Permanent loads yg=0.9	380C1F3 / 380C2F3	14184	11071	-150183	0	0	0
Wind angle: 90 dgr	GW / opgw	2212	1968	-23187	0	0	0
	Comp. gl	4531	3426	-46086	0	0	0
1a	380C1F1 / 380C2F1	11181	19444	-159676	0	0	0
Wind, 10 dgr	380C1F2 / 380C2F2	11181	18273	-154641	0	0	0
Permanent loads yg=0.9	380C1F3 / 380C2F3	11180	16805	-148484	0	0	0
Wind angle: -45 dgr	GW / opgw	1460	3242	-24215	0	0	0
	Comp. gl	3029	5097	-42700	0	0	0
1b	380C1F1 / 380C2F1	11172	8868	-146034	0	0	0
Wind, -20 dgr	380C1F2 / 380C2F2	11172	8664	-145707	0	0	0
Permanent loads yg=0.9	380C1F3 / 380C2F3	11172	8408	-145330	0	0	0
Wind angle: -45 dgr	GW / opgw	1459	1262	-18902	0	0	0
	Comp. gl	3027	2310	-38113	0	0	0
3	380C1F1 / 380C2F1	21960	16424	-216603	0	0	0
Wind+ice, -5 dgr	380C1F2 / 380C2F2	21960	15850	-215596	0	0	0
Permanent loads yg=0.9	380C1F3 / 380C2F3	21960	15129	-214430	0	0	0
Wind angle: -45 dgr	GW / opgw	7596	4739	-57102	0	0	0
0	Comp. gl	15319	8270	-113466	0	0	0
4	380C1F1 / 380C2F1	14184	8894	-146589	0	0	0
Construction/maintenance, +5 dgr	380C1F2 / 380C2F2	14184	8694	-146355	0	0	0
Permanent loads yg=0.9	380C1F3 / 380C2F3	14184	8442	-146086	0	0	0
Wind angle: -45 dgr	GW / opgw	2211	1400	-22056	0	0	0
	Comp. gl	4531	2605	-44856	0	0	0

Loadcase according to 50341-3-15		**BACK**			**AHEAD**		
		Vertical	Transverse	Longitudinal	Vertical	Transverse	Longitudinal
	Attachment point	[N]	[N]	[N]	[N]	[N]	[N]
1a	380C1F1 / 380C2F1	12421	5598	-127433	0	0	0
Wind, 10 dgr	380C1F2 / 380C2F2	12421	5596	-127433	0	0	0
Permanent loads yg= 1.0	380C1F3 / 380C2F3	12421	5593	-127433	0	0	0
Wind angle: 0 dgr	GW / opgw	1622	733	-16643	0	0	0
	Comp. gl	3365	1516	-34520	0	0	0
1b	380C1F1 / 380C2F1	12415	6739	-154196	0	0	0
Wind, -20 dgr	380C1F2 / 380C2F2	12415	6739	-154196	0	0	0
Permanent loads yg= 1.0	380C1F3 / 380C2F3	12415	6738	-154196	0	0	0
Wind angle: 0 dgr	GW / opgw	1621	865	-19778	0	0	0
	Comp. gl	3363	1768	-40455	0	0	0
3	380C1F1 / 380C2F1	19607	8468	-193497	0	0	0
Wind+ice, -5 dgr	380C1F2 / 380C2F2	19607	8466	-193497	0	0	0
Permanent loads yg= 1.0	380C1F3 / 380C2F3	19607	8464	-193497	0	0	0
Wind angle: 0 dgr	GW / opgw	5711	1989	-45404	0	0	0
	Comp. gl	11555	4010	-91636	0	0	0
4	380C1F1 / 380C2F1	14424	6420	-146877	0	0	0
Construction/maintenance, +5 dgr	380C1F2 / 380C2F2	14424	6419	-146877	0	0	0
Permanent loads yg= 1.0	380C1F3 / 380C2F3	14424	6419	-146877	0	0	0
Wind angle: 0 dgr	GW / opgw	2123	922	-21079	0	0	0
	Comp. gl	4367	1892	-43294	0	0	0
1a	380C1F1 / 380C2F1	12423	16603	-153485	0	0	0
Wind, 10 dgr	380C1F2 / 380C2F2	12423	15702	-150118	0	0	0
Permanent loads yg= 1.0	380C1F3 / 380C2F3	12422	14574	-146083	0	0	0
Wind angle: 45 dgr	GW / opgw	1623	2713	-22404	0	0	0
	Comp. gl	3365	4367	-41236	0	0	0
1b	380C1F1 / 380C2F1	12415	8764	-155393	0	0	0
Wind, -20 dgr	380C1F2 / 380C2F2	12415	8605	-155213	0	0	0
Permanent loads yg= 1.0	380C1F3 / 380C2F3	12415	8406	-155006	0	0	0
Wind angle: 45 dgr	GW / opgw	1621	1223	-20077	0	0	0
	Comp. gl	3363	2293	-40762	0	0	0
3	380C1F1 / 380C2F1	19607	14201	-198583	0	0	0
Wind+ice, -5 dgr	380C1F2 / 380C2F2	19607	13747	-197838	0	0	0
Permanent loads yg= 1.0	380C1F3 / 380C2F3	19607	13178	-196976	0	0	0
Wind angle: 45 dgr	GW / opgw	5711	3828	-46848	0	0	0
	Comp. gl	11555	6700	-93178	0	0	0
4	380C1F1 / 380C2F1	14424	8434	-147824	0	0	0
Construction/maintenance, +5 dgr	380C1F2 / 380C2F2	14424	8277	-147680	0	0	0
Permanent loads yg= 1.0	380C1F3 / 380C2F3	14424	8080	-147515	0	0	0
Wind angle: 45 dgr	GW / opgw	2123	1276	-21280	0	0	0
	Comp. gl	4367	2413	-43500	0	0	0
1a	380C1F1 / 380C2F1	12427	26747	-196063	0	0	0
Wind, 10 dgr	380C1F2 / 380C2F2	12426	25033	-188534	0	0	0
Permanent loads yg= 1.0	380C1F3 / 380C2F3	12425	22875	-179172	0	0	0
Wind angle: 90 dgr	GW / opgw	1623	4523	-30615	0	0	0

Loadcase according to 50341-3-15		**BACK**			**AHEAD**		
		Vertical	Transverse	Longitudinal	Vertical	Transverse	Longitudinal
	Attachment point	[N]	[N]	[N]	[N]	[N]	[N]
	Comp. gl	3366	7004	-52466	0	0	0
1b	380C1F1 / 380C2F1	12415	10545	-158280	0	0	0
Wind, -20 dgr	380C1F2 / 380C2F2	12415	10242	-157685	0	0	0
Permanent loads yg= 1.0	380C1F3 / 380C2F3	12415	9862	-156996	0	0	0
Wind angle: 90 dgr	GW / opgw	1621	1544	-20775	0	0	0
	Comp. gl	3363	2754	-41506	0	0	0
3	380C1F1 / 380C2F1	19609	19327	-210048	0	0	0
Wind+ice, -5 dgr	380C1F2 / 380C2F2	19609	18453	-207752	0	0	0
Permanent loads yg= 1.0	380C1F3 / 380C2F3	19608	17359	-205055	0	0	0
Wind angle: 90 dgr	GW / opgw	5712	5459	-50066	0	0	0
	Comp. gl	11556	9059	-96804	0	0	0
4	380C1F1 / 380C2F1	14425	10192	-150154	0	0	0
Construction/maintenance, +5 dgr	380C1F2 / 380C2F2	14425	9894	-149671	0	0	0
Permanent loads yg= 1.0	380C1F3 / 380C2F3	14424	9520	-149114	0	0	0
Wind angle: 90 dgr	GW / opgw	2123	1587	-21763	0	0	0
	Comp. gl	4367	2864	-44015	0	0	0
1a	380C1F1 / 380C2F1	12422	14713	-146571	0	0	0
Wind, 10 dgr	380C1F2 / 380C2F2	12422	13968	-144014	0	0	0
Permanent loads yg= 1.0	380C1F3 / 380C2F3	12422	13036	-140978	0	0	0
Wind angle: -45 dgr	GW / opgw	1622	2372	-20964	0	0	0
	Comp. gl	3365	3877	-39438	0	0	0
1b	380C1F1 / 380C2F1	12415	8430	-155030	0	0	0
Wind, -20 dgr	380C1F2 / 380C2F2	12415	8298	-154904	0	0	0
Permanent loads yg= 1.0	380C1F3 / 380C2F3	12415	8132	-154758	0	0	0
Wind angle: -45 dgr	GW / opgw	1621	1164	-19988	0	0	0
	Comp. gl	3363	2206	-40669	0	0	0
3	380C1F1 / 380C2F1	19607	13249	-197078	0	0	0
Wind+ice, -5 dgr	380C1F2 / 380C2F2	19607	12872	-196548	0	0	0
Permanent loads yg= 1.0	380C1F3 / 380C2F3	19607	12399	-195937	0	0	0
Wind angle: -45 dgr	GW / opgw	5711	3523	-46421	0	0	0
	Comp. gl	11555	6258	-92713	0	0	0
4	380C1F1 / 380C2F1	14424	8104	-147534	0	0	0
Construction/maintenance, +5 dgr	380C1F2 / 380C2F2	14424	7973	-147433	0	0	0
Permanent loads yg= 1.0	380C1F3 / 380C2F3	14424	7808	-147318	0	0	0
Wind angle: -45 dgr	GW / opgw	2123	1218	-21219	0	0	0
	Comp. gl	4367	2327	-43436	0	0	0

Postbus 676
7300 AR Apeldoorn
Tel: 088 - 1860200

Statische ontwerpberekening

Masttype "W2H400(+5)"

Tracé Vijfhuizen – Beverwijk

en

Tracé Vijfhuizen - Bleiswijk

Revisie	Datum	Samensteller	Gecontroleerd
00	30 - 07 - 12	ing. Miko Hakhverdian	
01 – afmeting voetplaat gewijzigd	6 - 12 - 12	ing. Miko Hakhverdian	
02-detailberekening toegevoegd	22 - 33 - 13	ing. Miko Hakhverdian	
03-Mast nummer tracé VHZ-BWK toegevoegd	15 - 05 - 13	ing. Miko Hakhverdian	
04- Mast nummers verwijderd	07 - 02 - 14	ing. Miko Hakhverdian	7-2-14

Inhoudsopgave.

	blz.
1.0 Uitgangspunten berekening	4
1.1 Inleiding	4
1.2 Toegepaste normen	4
1.3 Randvoorwaarden	4
1.4 Constructie onderdelen	4
1.5 Toegepaste materiaal	5
1.6 Belastingen	6
2.0 Berekening masttype “W2H400(+5)”	7
2.1 Overzicht mast	8
2.2 Mast gegevens	9
2.3 Computerschema	11
3.0 Berekening Belastingen	12
3.1 Berekening stuwdruk	13
3.2 Berekening eigenfrequentie mast	14
3.3 Berekening bouwwerkfactor C_sC_d	16
3.4 Bepaling krachtcoëfficiënt C_f	17
3.5 Gewicht en horizontale belasting geleiders	18
3.6 Gewicht en windbelasting mastlichaam	19
3.7 Berekende belastingen	20
4.0 Resultaat berekeningen	23
4.1 Berekening verplaatsingen in SLS- toestand (belasting gevallen)	23
4.2 Maximale verplaatsingen in SLS- toestand	29
4.3 Toetsing maximale verplaatsingen	30
4.4 Berekening Krachten in ULS- toestand (belasting gevallen)	31
4.5 Maximale Krachten in ULS- toestand	37
4.6 Toetsing doorsnede	38
5.0 Berekening ankers, bouten en flensverbindingen	41
6.0 Controleberekening vortex shedding	44
7.0 Fundatie belastingen	52
8.0 Betonspanning onder voetplaat en instortring	53
9.0 Detailberekening	55

	blz.
9.1 Berekening afspanpunt trekisolatoren 380 kV	55
9.1.1 Berekening afspanpunt trekisolatoren 380 kV op 52m hoogte	56
9.1.2 Berekening afspanpunt trekisolatoren 380 kV op 42m hoogte	66
9.1.3 Berekening afspanpunt trekisolatoren 380 kV op 32m hoogte	71
9.2 Berekening draagarm bliksemdraad	76
9.2.1 Controle capaciteit van de aansluiting - draagarm aan mast	78
9.2.2 Berekening clip bliksemdraad (clip 5.4)	79
9.3 Berekening draagarm " Retourstroomgeleider "	82
9.3.1 Controle capaciteit van de aansluiting - draagarm aan mast	87
9.3.2 Berekening clip " Retourstroomgeleider "	88
9.4 Berekening Clip 17 - t.b.v. installatie geleiders (op 0,5m hoogte)	90
9.4.1 Controle capaciteit van de aansluiting	92
9.5 Berekening clip hulprail - clip 8	93
9.5.1 Controle capaciteit van de aansluiting	95
9.6 Ondersteuning hijsbalk op de top van de mast	97
9.7 Berekening versterking deur	100

Bijlage: KEMA rapport 74100224-ETD/POL 12-00138 V10.0 - bijlage N, N1 en N2

1.0 - Uitgangspunten berekening.

1.1 - Inleiding.

In dit rapport wordt in opdracht van TenneT de statische ontwerpberekening van het masttype W2H400(+5) van het project “R380 Wintrack hoogspanningslijn” Noordring , tracé Beverwijk – Vijfhuizen & Vijfhuizen – Bleiswijk gepresenteerd.

1.2 – Toegepaste normen.

De berekening is gebaseerd op de volgende normen:

- NEN-EN 50341-1 – Bovengrondse elektrische lijnen boven 45 kV wisselspanning – Deel 1: Algemene eisen – Gemeenschappelijke specificaties, uitgave november 2001.
- NEN-EN 50341-3 – Bovengrondse elektrische lijnen boven 45 kV wisselspanning – Deel 3: Verzameling van nationale normatieve aspecten, uitgave november 2001 en correctieblad mei 2006.
- NEN-EN 1990 - Grondslagen van het constructief ontwerp, uitgave december 2007 (+NB).
- NEN-EN 1991 – Algemene belastingen, uitgave december 2007 (+NB)
- NEN-EN 1991-1-4 - Algemene belastingen – Windbelasting, uitgave december 2007.
- NEN-EN 1993-1-1 - Ontwerp en berekenen van staalconstructies, uitgave december 2007(+NB).
- NEN-EN 1993-1-8 - Ontwerp en berekenen van verbindingen, uitgave december 2007 (+NB).
- NEN-EN 1993-3-1 – Torens, maten en schoorstenen, uitgave juli 2007.
- NEN 2063 – Op vermoeiing belaste constructies- Het berekenen van gelaste verbindingen in ongelegeerd en zwakgelegeerd staal t/m S355.

De belastingopgave is volgens KEMA rapport 74100224-ETD/POL 12-00138 V10.0 “Design Loads for Wintrack II – R380 BEV-VHZ & VHZ-BEV” 18 november 2013.
Voor het masttype W2H400(+5) zijn de bijlage N en N1 (berekening maststerkte) en bijlage N2 (berekening verplaatsingen) van het KEMA rapport van toepassing.

1.3 – Randvoorwaarden.

Volgens Eurocode 3, deel 3-1 wordt de constructie ingedeeld in ontwerp levensduurklasse 3, gevolgklasse CC3 en referentieperiode 50 jaar. Mast bevindt zich in het gebied (windgebied II – onbebouwd) dat de terreincategorie II is van toepassing.

In de bruikbaarheidsgrenstoestand (SLS- toestand) dient voldaan te worden aan de volgende randvoorwaarden:

- De maximale horizontale uitbuiging mag niet groter zijn dan 5,5% van de hoogte van de mast.
- De relatieve verplaatsing van mast mag niet groter zijn dan 1% van de hoogte van de mast.

1.4 – Constructieonderdelen.

A - Mast constructie.

De mast is een buismast met een totale hoogte van 62,0 meter. De basis diameter van de mast is 2,567 meter en verloopt conisch tot de top van de mast naar een diameter van 0,5 meter. De mast is opgebouwd uit drie segmenten. De segmenten zijn 19,95 meter, 22,80 meter en 19,25 meter lang. Deze segmenten worden door middel van een binnenflensaansluiting aan elkaar verbonden.
De mast is voorzien van een klimvoorziening aan de binnenkant van de mast.

B - Fundatie.

De berekening van de fundatie en draagkracht van de grond valt buiten deze berekening. Aan de hand van locatiegegevens en grondmechanisch onderzoek dient de fundatie van de mast alsnog te worden berekend.

1.5 – Toegepaste materialen.

A - Mastconstructie.

De materiaalkwaliteit is S355 ($f_{y;d}$ = 355 N/mm^2, $f_{t;d}$ = 510 N/mm^2), tenzij anders vermeld.

B - Bouten en moeren.

De toegepaste bouten zijn kwaliteit 10.9. De ankers zijn kwaliteit 8.8.
Alle bouten en moeren zijn thermisch verzinkt, ISO-passend en gerolde draad.

C - Lassen in de primaire constructie.

Alle lassen zijn voorbewerkte ½ V las met een tegen las, klasse K35 of een voorbewerkte X las klasse K45. De lasdetails worden door de fabrikant opgegeven.

1.6 - Belastingen.

A – Geleiders (bliksemdraad, fasedraden en retourstroomgeleider) en isolatoren,

De belastingopgave is volgens KEMA rapport 74100224-ETD/POL 12-00138 V10.0 “Design Loads for Wintrack II – R380 BEV-VHZ & VHZ-BEV” 18 november 2013.
Voor het masttype W2H400(+5) zijn de bijlage N en N1 (berekening maststerkte) en bijlage N2 (berekening verplaatsingen) van het KEMA rapport van toepassing.

In de bovengenoemde bijlagen zijn de krachten inclusief de belastingfactoren volgens NEN-EN 50341-3-15 paragraaf 4.2, tabel 4.2.11/NL.1 voor de ULS- toestand (Ultimate limit state), tabel 4.2.11/NL.3 voor de SPLS- toestand (Special limit state) en tabel 4.2.11/NL.4 voor de SLS-toestand (Serviceability limit state) aangegeven.

B – Mastlichaam

Het gewicht van de mast is een centrisch en gelijkmatig verdeelde belasting. Deze wordt gecombineerd met het gewicht van de geleiders en isolatoren. De belastingfactoren voor het eigengewicht zijn volgens NEN-EN 50341-3-15 en NEN-EN 1993-3-1, γ_g = 1,2 voor de ULS-toestand en γ_g = 1,0 voor de SLS- toestand.

De windbelasting van het mastlichaam is een horizontaal verdeelde belasting over de hele hoogte. Gezien het feit dat het windoppervlak van het mastlichaam in alle richtingen gelijk is, wordt deze eenmaal berekend en gecombineerd met de belasting van de geleiders in de verschillende windrichtingen. De belastingfactoren voor de windbelasting van het mastlichaam zijn volgens NEN-EN 1993-3-1, γ_q = 1,6 voor de ULS- toestand en γ_q = 1,0 voor de SLS-toestand.

2.0 - Berekening masttype "W2H400(+5)"

Berekening

W2H400+5

62,0 m - 2567 - 500

Tracé Beverwijk - Vijfhuizen

en

Tracé Vijfhuizen - Bleiswijk

2.1 - Overzicht mast

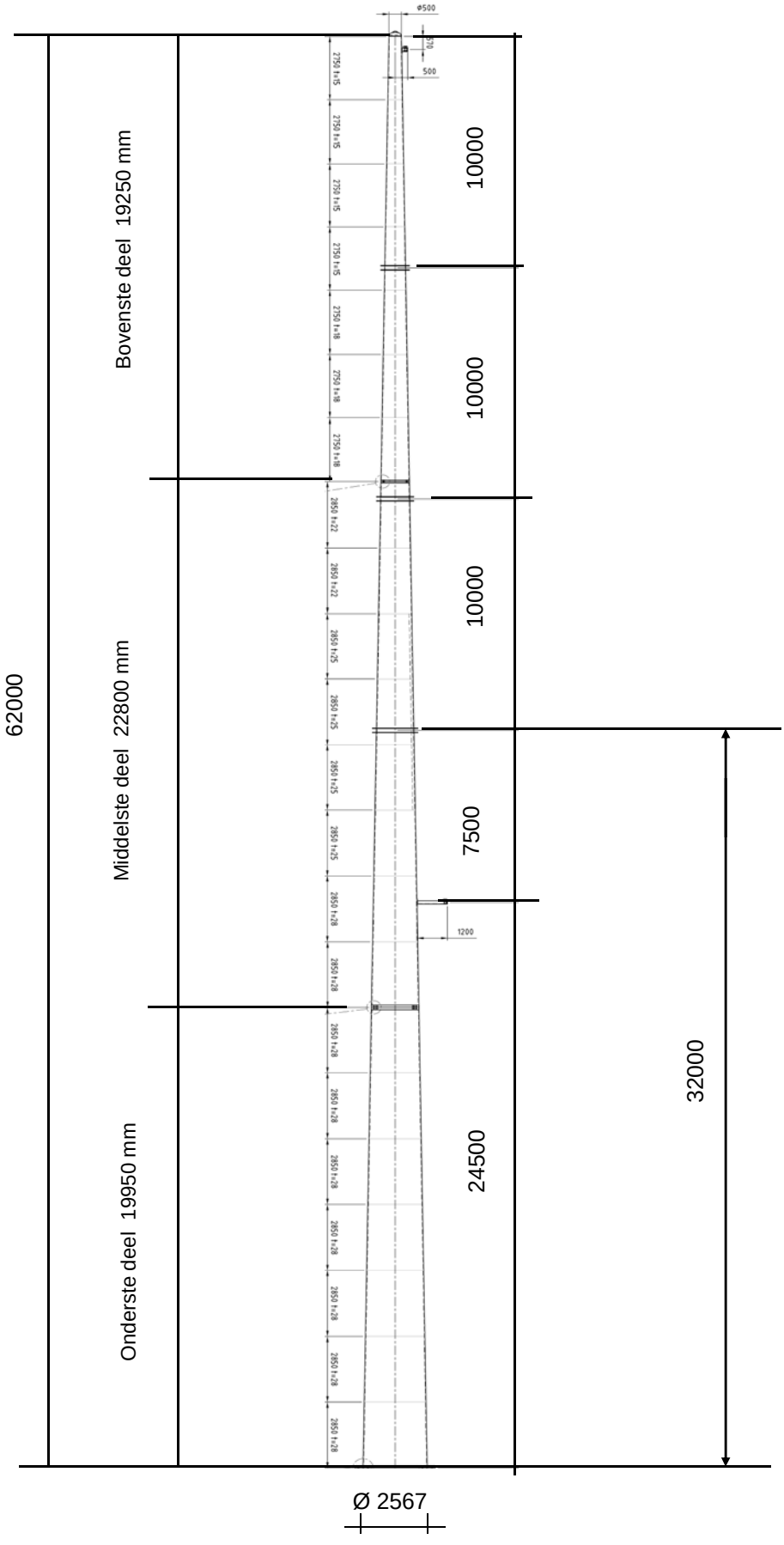

2.2 - Mast gegevens

Buismast type W2H400(+5)

Voet van de mast op :	0,00	meter

Wind gebied : II - onbebouwd

aantal staven	27	gem. breedte (m)	1,534

staaf nummer	staaf lengte mm	voet-breedte mm	top-breedte mm	diago-nalen	aantal knopen	aantal staven	gem. hoogte m
1	570	519	500	n.v.t.	2	1	61,72
2	2180	592	519	n.v.t.	2	1	60,34
3	2750	683	592	n.v.t.	2	1	57,88
4	2750	775	683	n.v.t.	2	1	55,13
5	1750	833	775	n.v.t.	2	1	52,88
6	1000	867	833	n.v.t.	2	1	51,50
7	2750	958	867	n.v.t.	2	1	49,63
8	2750	1050	958	n.v.t.	2	1	46,88
9	2750	1142	1050	n.v.t.	2	1	44,13
10	750	1167	1142	n.v.t.	2	1	42,38
11	2100	1237	1167	n.v.t.	2	1	40,95
12	2850	1332	1237	n.v.t.	2	1	38,48
13	2850	1427	1332	n.v.t.	2	1	35,63
14	2200	1500	1427	n.v.t.	2	1	33,10
15	650	1522	1500	n.v.t.	2	1	31,68
16	2850	1617	1522	n.v.t.	2	1	29,93
17	2850	1712	1617	n.v.t.	2	1	27,08
18	1150	1750	1712	n.v.t.	2	1	25,08
19	1700	1807	1750	n.v.t.	2	1	23,65
20	2850	1902	1807	n.v.t.	2	1	21,38
21	2850	1997	1902	n.v.t.	2	1	18,53
22	2850	2092	1997	n.v.t.	2	1	15,68
23	2850	2187	2092	n.v.t.	2	1	12,83
24	2850	2282	2187	n.v.t.	2	1	9,98
25	2850	2377	2282	n.v.t.	2	1	7,13
26	2850	2472	2377	n.v.t.	2	1	4,28
27	2850	2567	2472	n.v.t.	2	1	1,43
	62000				28	27	

Profielgegevens

profielgegevens buisprofiel - Staal kwaliteit : S 355							
staaf	D_{gem} (mm)	t (mm)	A (mm^2)	m(kg/m)	I (mm^4)	i (mm)	W_b (mm^3)
1	510	15,0	23303	182,93	7,13E+08	174,91	2,80E+06
2	555	15,0	25463	199,88	9,30E+08	191,11	3,35E+06
3	638	15,0	29336	230,28	1,42E+09	220,16	4,46E+06
4	729	15,0	33656	264,20	2,15E+09	252,56	5,89E+06
5	804	15,0	37191	291,95	2,90E+09	279,08	7,20E+06
6	850	15,0	39351	308,91	3,43E+09	295,28	8,07E+06
7	913	18,0	50587	397,10	5,06E+09	316,34	1,11E+07
8	1004	18,0	55771	437,80	6,78E+09	348,75	1,35E+07
9	1096	18,0	60955	478,50	8,86E+09	381,16	1,62E+07
10	1154	22,0	78257	614,32	1,25E+10	400,39	2,17E+07
11	1202	22,0	81541	640,09	1,42E+10	417,19	2,36E+07
12	1284	22,0	87243	684,86	1,74E+10	446,36	2,71E+07
13	1379	25,0	106367	834,98	2,44E+10	478,90	3,54E+07
14	1463	25,0	112979	886,88	2,92E+10	508,66	3,99E+07
15	1511	25,0	116710	916,17	3,22E+10	525,45	4,27E+07
16	1569	25,0	121292	952,14	3,62E+10	546,08	4,61E+07
17	1664	25,0	128755	1010,72	4,33E+10	579,67	5,20E+07
18	1731	28,0	149807	1175,98	5,43E+10	602,19	6,28E+07
19	1779	28,0	153985	1208,79	5,90E+10	618,99	6,63E+07
20	1854	28,0	160657	1261,16	6,70E+10	645,80	7,23E+07
21	1949	28,0	169015	1326,77	7,80E+10	679,39	8,00E+07
22	2044	28,0	177373	1392,38	9,02E+10	712,98	8,82E+07
23	2139	28,0	185731	1457,99	1,04E+11	746,57	9,68E+07
24	2234	28,0	194089	1523,60	1,18E+11	780,16	1,06E+08
25	2329	28,0	202447	1589,21	1,34E+11	813,75	1,15E+08
26	2424	28,0	210805	1654,82	1,51E+11	847,34	1,25E+08
27	2519	28,0	219163	1720,43	1,70E+11	880,93	1,35E+08

Elasticiteitsmodulus E-	N/mm^2	210000
Vloeigrens f_y	N/mm^2	355
Volumieke massa	kg/m^3	7850

2.3 - Computerschema

knoop nummer	knoop cord. "Z" - in mm	staaf i -- j	benaming staven	L_{staaf} mm	A_{eff} mm^2	I_x of I_y mm^4
1	62000	1 -- 2	1	570	2,33E+04	7,13E+08
2	61430	2 -- 3	2	2180	2,55E+04	9,30E+08
3	59250	3 -- 4	3	2750	2,93E+04	1,42E+09
4	56500	4 -- 5	4	2750	3,37E+04	2,15E+09
5	53750	5 -- 6	5	1750	3,72E+04	2,90E+09
6	52000	6 -- 7	6	1000	3,94E+04	3,43E+09
7	51000	7 -- 8	7	2750	5,06E+04	5,06E+09
8	48250	8 -- 9	8	2750	5,58E+04	6,78E+09
9	45500	9 -- 10	9	2750	6,10E+04	8,86E+09
10	42750	10 -- 11	10	750	7,83E+04	1,25E+10
11	42000	11 -- 12	11	2100	8,15E+04	1,42E+10
12	39900	12 -- 13	12	2850	8,72E+04	1,74E+10
13	37050	13 -- 14	13	2850	1,06E+05	2,44E+10
14	34200	14 -- 15	14	2200	1,13E+05	2,92E+10
15	32000	15 -- 16	15	650	1,17E+05	3,22E+10
16	31350	16 -- 17	16	2850	1,21E+05	3,62E+10
17	28500	17 -- 18	17	2850	1,29E+05	4,33E+10
18	25650	18 -- 19	18	1150	1,50E+05	5,43E+10
19	24500	19 -- 20	19	1700	1,54E+05	5,90E+10
20	22800	20 -- 21	20	2850	1,61E+05	6,70E+10
21	19950	21 -- 22	21	2850	1,69E+05	7,80E+10
22	17100	22 -- 23	22	2850	1,77E+05	9,02E+10
23	14250	23 -- 24	23	2850	1,86E+05	1,04E+11
24	11400	24 -- 25	24	2850	1,94E+05	1,18E+11
25	8550	25 -- 26	25	2850	2,02E+05	1,34E+11
26	5700	26 -- 27	26	2850	2,11E+05	1,51E+11
27	2850	27 -- 28	27	2850	2,19E+05	1,70E+11
28	0				0,00E+00	0,00E+00

3.0 - Berekening belastingen

3,1 - Berekening stuwdruk

Algemene gegevens:

Wind gebied : II - onbebouwd

Basiswindsnelheid $V_{b,0}$ = 27 m/s

Terreincategorie : II - Onbebouwd gebied

Richtingsfactor C_{dir} = 1,0
Seizoensfactor C_{season} = 1,0
Orografiefactor $C_o(z)$ = 1,0

Veiligheidsklaae 2
Volumieke massa van lucht; ρ = 1,25 kg/m^3

z_0 = 0,200 m
z_{min} = 4,0 m

Gemiddelde windsnelheid $V_m(z) = (V_{b,0} * C_{dir} * C_{season}) * c_r(z)$

$c_r(z) = k_r * \ln\{ z / z_0\}$ voor $z_{min} \le z \le z_{max}$
$c_r(z) = c_r(z_{min})$ voor $z \le z_{min}$

$k_r = 0{,}19 \ln\{ z_0 / z_{0,II}\}^{0,07}$ $z_{0;II}$ = 0,05 m

Extreme stuwdruk $q_p(z) = (1 + 7*I_v(z)) * ½ * \rho * V_m^2(z)$

$I_v(z) = k_I / \{ c_o(z) * \ln(z / z_0) \}$ voor $z_{min} \le z \le z_{max}$; k_I = 1,0

$I_v(z) = I_v(z_{min})$ voor $z \le z_{min}$

Sectie	hoogte z m	kr	$c_r(z)$	$V_m(z)$ m/s	$I_v(z)$	$q_p(z)$ N/m^2
1	61,72	0,21	1,20	32,40	0,17	1457
2	60,34	0,21	1,20	32,27	0,18	1449
3	57,88	0,21	1,19	32,04	0,18	1434
4	55,13	0,21	1,18	31,76	0,18	1416
5	52,88	0,21	1,17	31,53	0,18	1401
6	51,50	0,21	1,16	31,38	0,18	1391
7	49,63	0,21	1,15	31,17	0,18	1378
8	46,88	0,21	1,14	30,85	0,18	1358
9	44,13	0,21	1,13	30,50	0,19	1336
10	42,38	0,21	1,12	30,28	0,19	1322
11	40,95	0,21	1,11	30,08	0,19	1310
12	38,48	0,21	1,10	29,73	0,19	1288
13	35,63	0,21	1,09	29,30	0,19	1261
14	33,10	0,21	1,07	28,88	0,20	1236
15	31,68	0,21	1,06	28,63	0,20	1220
16	29,93	0,21	1,05	28,31	0,20	1201
17	27,08	0,21	1,03	27,74	0,20	1167
18	25,08	0,21	1,01	27,31	0,21	1142
19	23,65	0,21	1,00	26,98	0,21	1122
20	21,38	0,21	0,98	26,41	0,21	1089
21	18,53	0,21	0,95	25,60	0,22	1043
22	15,68	0,21	0,91	24,65	0,23	990
23	12,83	0,21	0,87	23,52	0,24	927
24	9,98	0,21	0,82	22,10	0,26	852
25	7,13	0,21	0,75	20,20	0,28	754
26	4,28	0,21	0,64	17,31	0,33	615
27	1,43	0,21	0,63	16,93	0,33	598

3.2 - Berekening eigenfrequentie mast en meewerkende massa

Verplaatsing van de mast t.g.v e.g mast en toplast

knoop nummer	staaf nummer	gewicht mast N	gewicht flenzen+ ge-leiders-N	dwarskr. kN	moment kNm	hoekver.φ rad.	verpl. δ mm
1	1 -- 2	1128	400	0,40	0,00	2,28E-02	816,69
2	2 -- 3	4684	3710	5,24	0,55	2,28E-02	803,68
3	3 -- 4	6745		9,92	17,07	2,27E-02	754,01
4	4 -- 5	7678		16,67	53,64	2,24E-02	691,86
5	5 -- 6	5372		24,35	110,03	2,19E-02	630,82
6	6 -- 7	3239	29694	59,41	157,34	2,15E-02	592,76
7	7 -- 8	11333		62,65	218,37	2,13E-02	571,34
8	8 -- 9	12452		73,98	406,24	2,05E-02	513,80
9	9 -- 10	13571		86,44	626,81	1,95E-02	458,74
10	10 -- 11	4720	4425	104,43	883,17	1,84E-02	406,58
11	11 -- 12	13757	30138	139,29	963,26	1,81E-02	392,89
12	12 -- 13	19946		153,05	1270,22	1,73E-02	355,64
13	13 -- 14	24224		172,99	1734,82	1,62E-02	307,82
14	14 -- 15	19841		197,22	2262,36	1,51E-02	263,27
15	15 -- 16	6053	30582	247,64	2718,06	1,42E-02	231,11
16	16 -- 17	27564		253,69	2881,00	1,39E-02	221,99
17	17 -- 18	29233		281,26	3643,30	1,27E-02	184,07
18	18 -- 19	13696		310,49	4486,53	1,14E-02	149,71
19	19 -- 20	20804	7694	331,88	4851,47	1,09E-02	136,87
20	20 -- 21	36371		352,68	5433,35	1,02E-02	118,88
21	21 -- 22	38240	20997	410,05	6490,32	9,02E-03	91,41
22	22 -- 23	40110		448,29	7713,46	7,78E-03	67,42
23	23 -- 24	41980		488,40	9048,24	6,52E-03	46,99
24	24 -- 25	43850		530,38	10500,00	5,24E-03	30,18
25	25 -- 26	45720		574,23	12074,08	3,95E-03	17,04
26	26 -- 27	47590		619,95	13775,79	2,64E-03	7,61
27	27 -- 28	49460		667,54	15610,46	1,32E-03	1,92
28			40090	757,09	17583,43	0,00E+00	0,00

Voor de berekening van de eigenfrequentie is de Rayleigh-Ritz methode toegepast.
Bij benadering kan eigenfrequentie bepaald worden door alle massa's m_i van het dynamische model dezelfde versnelling g in de richting van de beweging te geven en vervolgen eigen-trillingsvorm te berekenen onder invloed van krachten $F_i = m_i * g$

De eigenfrequentie van de eerste trillingsvorm kan berekend worden door:

$$n_{1,x} = 1 / 2\pi * \{ g * \Sigma m_i * \delta_i / \Sigma m_i * \delta_i^2 \}^{0,5}$$

m_i : de geconcentreerde massa in kg.

δ_t : de verplaatsing van het punt (i) in meter

g = 9,81 m/s^2 - versnelling van de zwaartekracht

knoop nummer	staaf nummer	gewicht mast N	gewicht flenzen+ geleiders-kg	verpl. δ m	$g\Sigma m_i.\delta_i$	$\Sigma m_i.\delta_i^2$
1	1 -- 2	112,8	40,0	0,817	1217,14	100,733
2	2 -- 3	468,4	371,0	0,804	6504,17	523,791
3	3 -- 4	674,5		0,754	4783,79	352,536
4	4 -- 5	767,8		0,692	4981,29	335,813
5	5 -- 6	537,2		0,631	3223,84	201,051
6	6 -- 7	323,9	2969,4	0,593	19116,23	1153,060
7	7 -- 8	1133,3		0,571	6032,04	333,619
8	8 -- 9	1245,2		0,514	5940,01	294,439
9	9 -- 10	1357,1		0,459	5760,19	254,047
10	10 -- 11	472,0	442,5	0,407	3615,64	148,561
11	11 -- 12	1375,7	3013,8	0,393	16666,87	657,924
12	12 -- 13	1994,6		0,356	6491,01	219,497
13	13 -- 14	2422,4		0,308	6785,87	197,523
14	14 -- 15	1984,1		0,263	4811,45	121,239
15	15 -- 16	605,3	3058,2	0,231	8278,56	194,405
16	16 -- 17	2756,4		0,222	5489,90	113,620
17	17 -- 18	2923,3		0,184	4785,97	81,419
18	18 -- 19	1369,6		0,150	1925,21	28,120
19	19 -- 20	2080,4	769,4	0,137	3642,79	48,430
20	20 -- 21	3637,1		0,119	3751,48	40,208
21	21 -- 22	3824,0	2099,7	0,091	4862,01	41,662
22	22 -- 23	4011,0		0,067	2250,87	13,125
23	23 -- 24	4198,0		0,047	1588,90	6,249
24	24 -- 25	4385,0		0,030	1015,50	2,444
25	25 -- 26	4572,0		0,017	552,74	0,694
26	26 -- 27	4759,0		0,008	222,53	0,108
27	27 -- 28	4946,0		0,002	46,66	0,005
28			4009,0	0,000	0,00	0,000
				Som	134343	5464

$$n_{1,x} = 1 / 2\pi * \{ g * \Sigma m_i * \delta_i / \Sigma m_i * \delta_i^2 \}^{0,5}$$

$n_{1,x}$	=	0,79	Hz

Meewerkende massa

$m_{i;e}$ is de equivalente massa m_e per lengte eenheid, in kg/m, gewogen naar de trillingsvorm :

$$m_e = \frac{\int_0^{l} m(s) * \phi^2_i(s)\, ds}{\int_0^{l} \phi^2_i(s)\, ds}$$

staaf nummer	massa m kg/m	ϕ_i	s m	$\phi_i^2 * (s)$	$\phi_i^2 *(s)*m$	$\phi_i * (s)$
1 -- 2	919	0,992	0,570	0,56	515,51	0,57
2 -- 3	215	0,954	2,180	1,98	426,04	2,08
3 -- 4	245	0,885	2,750	2,15	528,56	2,43
4 -- 5	279	0,810	2,750	1,80	503,48	2,23
5 -- 6	2004	0,749	1,750	0,98	1967,74	1,31
6 -- 7	324	0,713	1,000	0,51	164,52	0,71
7 -- 8	412	0,664	2,750	1,21	500,20	1,83
8 -- 9	453	0,595	2,750	0,97	441,45	1,64
9 -- 10	654	0,530	2,750	0,77	505,08	1,46
10 -- 11	4648	0,489	0,750	0,18	835,10	0,37
11 -- 12	655	0,458	2,100	0,44	288,92	0,96
12 -- 13	700	0,406	2,850	0,47	329,09	1,16
13 -- 14	850	0,350	2,850	0,35	296,15	1,00
14 -- 15	2292	0,303	2,200	0,20	461,94	0,67
15 -- 16	931	0,277	0,650	0,05	46,58	0,18
16 -- 17	967	0,249	2,850	0,18	170,35	0,71
17 -- 18	1026	0,204	2,850	0,12	122,07	0,58
18 -- 19	1860	0,175	1,150	0,04	65,84	0,20
19 -- 20	1224	0,157	1,700	0,04	51,00	0,27
20 -- 21	2013	0,129	2,850	0,05	95,09	0,37
21 -- 22	1342	0,097	2,850	0,03	36,16	0,28
22 -- 23	1407	0,070	2,850	0,01	19,68	0,20
23 -- 24	1473	0,047	2,850	0,01	9,37	0,13
24 -- 25	1539	0,029	2,850	0,00	3,66	0,08
25 -- 26	1604	0,015	2,850	0,00	1,04	0,04
26 -- 27	1670	0,006	2,850	0,00	0,16	0,02
27 -- 28	3142	0,001	2,850	0,00	0,01	0,00
		Σ	62,00	13,11	8384,80	21,46

m_e = 8384,8 / 13,1 = 639,4 kg/m

3.3 - Berekening bouwwerkfactor $c_s c_d$

Eurocode 1- 4 : 6.3.1 - Procedure volgens bijlage C

$c_s c_d = 1 + 2 * k_p * I_v(z_s) * (B^2 + R^2)^{0,5} / (1 + 7 * I_v(z_s))$

$n = n_{1,x}$ =	0,79	Hz
b =	1,53	m
h =	62,00	m
$z_s = h_0 + 0,6 * h$ =	37,20	m
$\alpha = 0,67 + 0,05 * \ln(z_0)$ =	0,59	
De referentiehoogte z_t =	200	m
De referentielengteschaal L_t =	300	m
$L(z) = L_t * (z / z_t)^{\alpha}$ =	111,30	

$B^2 = 1 / \{1+1,5*[(b/L(z_s))^2 + (h/L(z_s))^2 + (b*h / L(z_s).L(z_s))^2]^{0,5}\}$

B^2 = 0,54

δ_s =	0,012	(buismast)
$\delta_a = c_f * \rho * b * v_m(z_s) / (2*n_1*m_e)$ =	0,067	
δ_d =	0	nvt, geen dempinstallatie
$\delta = \delta_s + \delta_a + \delta_d$ =	0,079	
$v_m(z_s)$ =	29,54	m/s
$v_m(z)$ =	32,43	m/s
$I_v(z_s)$ =	0,19	

$S_L(z,n) = 6,8 * f_L(z,n) / \{1+10,2*f_L(z,n)\}^{5/3}$ = 0,07

$f_L(z,n) = n * L(z) / v_m(z)$ =	2,71	
$c_y = c_z$ =	11,5	
$\phi_y = c_y * b * n / V_m(z_s)$	0,47	
$\phi_z = c_y * h * n / V_m(z_s)$	19,05	
G_y =	0,5	
G_z =	0,28	

$K_s(n) = 1 / \{ 1 + [(G_y.\phi_y)_2 + G_z.\phi_z)^2 + (2.G_y.\phi_y.G_z.\phi_z/\pi)^2]^{0,5} \}$

$K_s(n)$ =	0,16	
R^2 =	0,67	
T =	600	s
$v = n_{1,x} * (R^2/(B^2+R^2))^{0,5}$ =	0,59	Hz

$k_p = \{2*\ln(v*T)\}^{0,5} + 0,6 / \{ (2*\ln(v*T))^{0,5}\}$ = 3,60

$c_s c_d$ = **1,08**

3.4 - Bepaling krachtcoëfficiënt C_f

$C_f = C_{f,0} * \psi_\lambda$ doorsnede : Cirkelvormige doorsnede

$R_e = b * v(z_e) / \nu$; $v(z_e) = \{ 2 * q_p / \rho \}^{0,5}$

b is de diameter

ν is de kinematische viscositeit van de lucht $\nu = 15*10^{-6}$ m^2/s

$C_{f,0} = 1,2 + [(0,18 * \log(10*k/b)) / (1 + 0,4*\log(R_e / 10^6))]$

k = 0,20 (gegalvaniseerd staal)

ψ_λ confom EN-1991-1-4 - 7,13

member number	$v(z_e)$ m/s	R_e	$C_{f,0}$	ψ_λ	C_f
1	48,3	1,64E+06	0,80	0,81	0,65
2	48,2	1,78E+06	0,80	0,81	0,65
3	47,9	2,04E+06	0,80	0,81	0,65
4	47,6	2,31E+06	0,80	0,81	0,65
5	47,3	2,54E+06	0,80	0,81	0,65
6	47,2	2,67E+06	0,80	0,81	0,65
7	47,0	2,86E+06	0,80	0,81	0,65
8	46,6	3,12E+06	0,79	0,81	0,65
9	46,2	3,38E+06	0,79	0,81	0,64
10	46,0	3,54E+06	0,79	0,81	0,64
11	45,8	3,67E+06	0,79	0,81	0,64
12	45,4	3,89E+06	0,79	0,81	0,64
13	44,9	4,13E+06	0,79	0,81	0,64
14	44,5	4,34E+06	0,79	0,81	0,64
15	44,2	4,45E+06	0,79	0,81	0,64
16	43,8	4,59E+06	0,79	0,81	0,64
17	43,2	4,80E+06	0,79	0,81	0,64
18	42,7	4,93E+06	0,79	0,81	0,64
19	42,4	5,02E+06	0,79	0,81	0,64
20	41,7	5,16E+06	0,78	0,81	0,64
21	40,8	5,31E+06	0,78	0,81	0,64
22	39,8	5,42E+06	0,78	0,81	0,63
23	38,5	5,49E+06	0,78	0,81	0,63
24	36,9	5,50E+06	0,78	0,81	0,63
25	34,7	5,40E+06	0,77	0,81	0,63
26	31,4	5,07E+06	0,77	0,81	0,62
27	30,9	5,20E+06	0,77	0,81	0,62

3.5 - Gewicht, windoppervlak en windlast per staaf .

Gewicht (verticale belasting) bliksem en fase draden

	opstel hoogte m	aantal	gewicht / ophanging N	gewicht bevestiging N	totaal gewicht N
Bliksem	61,43	1	Vlg. KEMA rapport 74100706-ETD/POL 12-00138 V10.0 (18 - 11 - 2013) Appendix - N, N1 en N2		
1e traverse - 380C1F1	52,00	1			
2e traverse - 380C1F2	42,00	1			
3e traverse - 380C1F3	32,00	1			
Retourstroomgeleider	24,50	1			
				Σ Gew (kg)	0

Excentriciteit ophanging t.o.v hart mast

	opstel hoogte m	excet. in m
Bliksem	61,43	0,760
1e traverse - 380C1F1	52,00	0,000
2e traverse - 380C1F2	42,00	0,000
3e traverse - 380C1F3	32,00	0,000
Retourstroomgeleider	24,50	2,075

Windlast (horizontale belasting) bliksem en fase draden

	opstel hoogte m	aantal	F_{hor} ophanging N	F_{hor} bevestiging N	totaal $F_{hor.}$ N
Bliksem	61,43	1	Vlg. KEMA rapport		
1e traverse - 380C1F1	52,00	1			
2e traverse - 380C1F2	42,00	1			
3e traverse - 380C1F3	32,00	1			
Retourstroomgeleider	24,50	1			

3.6 - Gewicht en windbelasting van het mastlichaam

$F_{wind} = q_p(z) * C_s C_d * A$

staaf nummer	gewicht staven in N.	gewicht kab/ladder in N.	totaal gewicht in N.	windopp. staven in m².	windopp. ladder in m².	windlast in N	windlast in kN/m'.
1	1043	86	1128	0,189	0,068	404	0,709
2	4357	327	4684	0,787	0,262	1637	0,751
3	6333	413	6745	1,138	0,330	2267	0,824
4	7266	413	7678	1,299	0,330	2485	0,904
5	5109	263	5372	0,911	0,210	1691	0,966
6	3089	150	3239	0,550	0,120	1004	1,004
7	10920	413	11333	1,621	0,330	2896	1,053
8	12040	413	12452	1,781	0,330	3088	1,123
9	13159	413	13571	1,941	0,330	3269	1,189
10	4607	113	4720	0,557	0,090	921	1,229
11	13442	315	13757	1,623	0,252	2646	1,260
12	19519	428	19946	2,352	0,342	3737	1,311
13	23797	428	24224	2,523	0,342	3891	1,365
14	19511	330	19841	2,064	0,264	3098	1,408
15	5955	98	6053	0,629	0,078	930	1,430
16	27136	428	27564	2,863	0,342	4146	1,455
17	28806	428	29233	3,032	0,342	4242	1,488
18	13524	173	13696	1,271	0,138	1733	1,507
19	20549	255	20804	1,929	0,204	2578	1,517
20	35943	428	36371	3,367	0,342	4351	1,527
21	37813	428	38240	3,533	0,342	4353	1,527
22	39683	428	40110	3,698	0,342	4306	1,511
23	41553	428	41980	3,859	0,342	4197	1,473
24	43423	428	43850	4,018	0,342	4000	1,404
25	45292	428	45720	4,169	0,342	3666	1,286
26	47162	428	47590	4,305	0,342	3081	1,081
27	49032	428	49460	4,469	0,342	3099	1,087
	580063	9300	589363	inkl. C_t	inkl. C_t	$\Sigma F_{mast} =$	77717

Gewicht ladder = 15 kg / m'
Windoppervlak ladder = 0,12 m^2 / m'

3.7 - Berekende belastingen

1 - Eigen gewichten (Ultimate limit state)

knoop nummer	staaf i--j	eg mast inc. Ladder in N/m'	eg draden BG - 1a in N	eg draden BG - 1b in N	eg draden BG - 3 in N	eg draden BG - 4 in N
1	1 -- 2	2375	480	480	480	480
2	2 -- 3	2579	4452	4450	18488	5956
3	3 -- 4	2943				
4	4 -- 5	3350				
5	5 -- 6	3683				
6	6 -- 7	3887	35640	35620	60300	41654
7	7 -- 8	4945				
8	8 -- 9	5434				
9	9 -- 10	5922				
10	10 -- 11	7552	5309	5309	5309	5309
11	11 -- 12	7861	36172	36152	60832	42186
12	12 -- 13	8398				
13	13 -- 14	10200				
14	14 -- 15	10823				
15	15 -- 16	11174	36703	36685	61365	42719
16	16 -- 17	11606				
17	17 -- 18	12309				
18	18 -- 19	14292				
19	19 -- 20	14685	9234	9230	37352	12244
20	20 -- 21	15314				
21	21 -- 22	16101	25196	25196	25196	25196
22	22 -- 23	16889				
23	23 -- 24	17676				
24	24 -- 25	18463				
25	25 -- 26	19251				
26	26 -- 27	20038				
27	27 -- 28	20825				
28			48108	48108	48108	48108

KEMA rapport - bijlage N - windhoek 90 graden

eg flenzen + ringen * γ_g (γ_g = 1,2)

eg mast * γ_g (γ_g = 1,2)

Berekende gewichten voor voetplaat, flenzen en ringen

Voetplaat : rond 3180 / 1900 , t = 100 mm ; G = 4009 kg
Flenzen op 19,95m : 2 * rond 1903 / 1385 , t = 100 mm ; G = 2100 kg
Flenzen op 42,75m : 2 * rond 1142 / 840 , t = 60 mm ; G = 442 kg
Topplaat / Hijsplaat + kap : rond 500 / 300 , t = 30 mm ; G = 40 kg
Bevestigingsringen op 52m : 2 * rond 1103 / 833 , t = 20 mm ; G = 129 kg
Bevestigingsringen op 42m : 2 * rond 1437 / 1167 , t = 20 mm ; G = 173 kg
Bevestigingsringen op 27m : 2 * rond 1770 / 1500 , t = 20 mm ; G = 218 kg

2 - Horizontale belasting (Serviceability limit state)

knoop nummer	staaf i--j	wind belasting mast in N/m'	hor. Bel. draden BG - 1a in N	hor. Bel. draden BG - 1b in N	hor. Bel. draden BG - 3 in N	hor. Bel. draden BG - 4 in N
1	1 -- 2	709				
2	2 -- 3	751	30124	17972	49018	19140
3	3 -- 4	824				
4	4 -- 5	904				
5	5 -- 6	966				
6	6 -- 7	1004	188346	134720	193882	131344
7	7 -- 8	1053				
8	8 -- 9	1123				
9	9 -- 10	1189				
10	10 -- 11	1229				
11	11 -- 12	1260	180120	133816	190890	130514
12	12 -- 13	1311				
13	13 -- 14	1365				
14	14 -- 15	1408				
15	15 -- 16	1430	169778	132702	187214	129488
16	16 -- 17	1455				
17	17 -- 18	1488				
18	18 -- 19	1507				
19	19 -- 20	1517	48330	35300	91506	37994
20	20 -- 21	1527				
21	21 -- 22	1527				
22	22 -- 23	1511				
23	23 -- 24	1473				
24	24 -- 25	1404				
25	25 -- 26	1286				
26	26 -- 27	1081				
27	27 -- 28	1087				
28						

KEMA rapport - bijlage N2 - windhoek 90 graden

wind mast * γ_q (γ_q = 1,0)

3 - Horizontale belasting (Ultimate limit state)

knoop nummer	staaf i--j	wind belasting mast in N/m'	hor. Bel. draden BG - 1a in N	hor. Bel. draden BG - 1b in N	hor. Bel. draden BG - 3 in N	hor. Bel. draden BG - 4 in N
1	1 -- 2	1134				
2	2 -- 3	1201	40858	21496	64900	23680
3	3 -- 4	1319				
4	4 -- 5	1446				
5	5 -- 6	1546				
6	6 -- 7	1606	249960	158060	246154	158668
7	7 -- 8	1685				
8	8 -- 9	1796				
9	9 -- 10	1902				
10	10 -- 11	1966				
11	11 -- 12	2016	237744	156606	241614	157360
12	12 -- 13	2098				
13	13 -- 14	2184				
14	14 -- 15	2253				
15	15 -- 16	2288	222234	154820	236024	155744
16	16 -- 17	2328				
17	17 -- 18	2382				
18	18 -- 19	2411				
19	19 -- 20	2427	63902	41552	120024	46474
20	20 -- 21	2443				
21	21 -- 22	2444				
22	22 -- 23	2418				
23	23 -- 24	2356				
24	24 -- 25	2246				
25	25 -- 26	2058				
26	26 -- 27	1729				
27	27 -- 28	1740				
28						

KEMA rapport - bijlage N - windhoek 90 graden

wind mast * γ_q (γ_q = 1,6)

4.0 - Resultaat berekeningen

4.1 - Berekenen verplaatsingen in SLS-toestand (Servieability limit state)

A - Wind belasting mastlichaam (incl. 2e orde effect)

knoop nummer	staaf i--j	$Q_{last;hor}$ N	$F_{last;hor}$ N	dwarskr. N	moment Nmm	hoekver. rad.	hor. verpl. mm
1	1 -- 2	404		0	0,00E+00	3,69E-03	123
2	2 -- 3	1637		404	1,26E+05	3,69E-03	120
3	3 -- 4	2267		2041	2,87E+06	3,68E-03	112
4	4 -- 5	2485		4308	1,18E+07	3,61E-03	102
5	5 -- 6	1691		6793	2,73E+07	3,50E-03	93
6	6 -- 7	1004		8484	4,10E+07	3,40E-03	87
7	7 -- 8	2896		9488	5,02E+07	3,34E-03	83
8	8 -- 9	3088		12384	8,09E+07	3,17E-03	74
9	9 -- 10	3269		15472	1,20E+08	2,98E-03	66
10	10 -- 11	921		18741	1,68E+08	2,77E-03	58
11	11 -- 12	2646		19662	1,82E+08	2,72E-03	56
12	12 -- 13	3737		22308	2,27E+08	2,58E-03	50
13	13 -- 14	3891		26045	2,97E+08	2,37E-03	43
14	14 -- 15	3098		29936	3,79E+08	2,19E-03	37
15	15 -- 16	930		33034	4,49E+08	2,04E-03	32
16	16 -- 17	4146		33964	4,71E+08	1,99E-03	31
17	17 -- 18	4242		38110	5,75E+08	1,80E-03	25
18	18 -- 19	1733		42352	6,91E+08	1,60E-03	20
19	19 -- 20	2578		44085	7,42E+08	1,53E-03	19
20	20 -- 21	4351		46663	8,20E+08	1,42E-03	16
21	21 -- 22	4353		51014	9,60E+08	1,24E-03	12
22	22 -- 23	4306		55367	1,11E+09	1,06E-03	9
23	23 -- 24	4197		59673	1,28E+09	8,80E-04	6
24	24 -- 25	4000		63871	1,46E+09	7,01E-04	4
25	25 -- 26	3666		67871	1,64E+09	5,24E-04	2
26	26 -- 27	3081		71537	1,84E+09	3,47E-04	1
27	27 -- 28	3099		74618	2,05E+09	1,72E-04	0
28				77717	2,27E+09	0,00E+00	0

B - Horizontale belasting - belastinggeval 1a (incl. 2e orde effect)

knoop nummer	staaf i--j	$Q_{last;hor}$ N	$F_{last;hor}$ N	dwarskr. N	moment Nmm	hoekver. rad.	hor. verpl. mm
1	1 -- 2			0	0,00E+00	5,03E-02	1662
2	2 -- 3		30124	30124	1,48E+05	5,03E-02	1634
3	3 -- 4			30124	6,69E+07	4,99E-02	1524
4	4 -- 5			30124	1,52E+08	4,89E-02	1388
5	5 -- 6			30124	2,38E+08	4,78E-02	1255
6	6 -- 7		188346	218470	2,96E+08	4,70E-02	1172
7	7 -- 8			218470	5,17E+08	4,64E-02	1125
8	8 -- 9			218470	1,13E+09	4,43E-02	1000
9	9 -- 10			218470	1,74E+09	4,16E-02	882
10	10 -- 11			218470	2,35E+09	3,86E-02	771
11	11 -- 12		180120	398590	2,52E+09	3,79E-02	743
12	12 -- 13			398590	3,37E+09	3,58E-02	665
13	13 -- 14			398590	4,52E+09	3,27E-02	567
14	14 -- 15			398590	5,67E+09	2,99E-02	478
15	15 -- 16		169778	568368	6,56E+09	2,77E-02	414
16	16 -- 17			568368	6,94E+09	2,71E-02	397
17	17 -- 18			568368	8,58E+09	2,42E-02	323
18	18 -- 19			568368	1,02E+10	2,12E-02	259
19	19 -- 20		48330	616698	1,09E+10	2,01E-02	235
20	20 -- 21			616698	1,19E+10	1,86E-02	202
21	21 -- 22			616698	1,37E+10	1,60E-02	153
22	22 -- 23			616698	1,55E+10	1,34E-02	111
23	23 -- 24			616698	1,73E+10	1,10E-02	76
24	24 -- 25			616698	1,90E+10	8,60E-03	48
25	25 -- 26			616698	2,08E+10	6,31E-03	27
26	26 -- 27			616698	2,26E+10	4,12E-03	12
27	27 -- 28			616698	2,43E+10	2,01E-03	3
28	28 -- 29			616698	2,61E+10	0,00E+00	0

C - Horizontale belasting - belastinggeval 1b (incl. 2e orde effect)

knoop nummer	staaf i--j	$Q_{last;hor}$ N	$F_{last;hor}$ N	dwarskr. N	moment Nmm	hoekver. rad.	hor. verpl. mm
1	1 -- 2			0	0,00E+00	3,53E-02	1188
2	2 -- 3		17972	17972	1,04E+05	3,53E-02	1168
3	3 -- 4			17972	4,00E+07	3,51E-02	1091
4	4 -- 5			17972	9,10E+07	3,45E-02	995
5	5 -- 6			17972	1,43E+08	3,37E-02	901
6	6 -- 7		134720	152692	1,78E+08	3,33E-02	843
7	7 -- 8			152692	3,32E+08	3,29E-02	809
8	8 -- 9			152692	7,59E+08	3,15E-02	721
9	9 -- 10			152692	1,19E+09	2,97E-02	636
10	10 -- 11			152692	1,61E+09	2,76E-02	557
11	11 -- 12		133816	286508	1,73E+09	2,71E-02	537
12	12 -- 13			286508	2,34E+09	2,57E-02	481
13	13 -- 14			286508	3,17E+09	2,36E-02	411
14	14 -- 15			286508	4,00E+09	2,16E-02	347
15	15 -- 16		132702	419210	4,64E+09	2,00E-02	301
16	16 -- 17			419210	4,92E+09	1,96E-02	288
17	17 -- 18			419210	6,13E+09	1,75E-02	235
18	18 -- 19			419210	7,33E+09	1,54E-02	188
19	19 -- 20		35300	454510	7,82E+09	1,46E-02	171
20	20 -- 21			454510	8,60E+09	1,35E-02	147
21	21 -- 22			454510	9,91E+09	1,16E-02	111
22	22 -- 23			454510	1,12E+10	9,78E-03	81
23	23 -- 24			454510	1,25E+10	7,99E-03	55
24	24 -- 25			454510	1,38E+10	6,26E-03	35
25	25 -- 26			454510	1,51E+10	4,60E-03	19
26	26 -- 27			454510	1,64E+10	3,00E-03	9
27	27 -- 28			454510	1,77E+10	1,47E-03	2
28				454510	1,90E+10	0,00E+00	0

D - Horizontale belasting - belastinggeval 3 (incl. 2e orde effect)

knoop nummer	staaf i--j	$Q_{last;hor}$ N	$F_{last;hor}$ N	dwarskr. N	moment Nmm	hoekver. rad.	hor. verpl. mm
1	1 -- 2			0	0,00E+00	5,93E-02	1896
2	2 -- 3		49018	49018	1,75E+05	5,93E-02	1862
3	3 -- 4			49018	1,08E+08	5,87E-02	1733
4	4 -- 5			49018	2,46E+08	5,71E-02	1574
5	5 -- 6			49018	3,84E+08	5,52E-02	1419
6	6 -- 7		193882	242900	4,76E+08	5,40E-02	1324
7	7 -- 8			242900	7,22E+08	5,31E-02	1270
8	8 -- 9			242900	1,40E+09	5,04E-02	1127
9	9 -- 10			242900	2,08E+09	4,70E-02	993
10	10 -- 11			242900	2,76E+09	4,35E-02	868
11	11 -- 12		190890	433790	2,95E+09	4,27E-02	836
12	12 -- 13			433790	3,87E+09	4,03E-02	749
13	13 -- 14			433790	5,13E+09	3,68E-02	639
14	14 -- 15			433790	6,38E+09	3,36E-02	538
15	15 -- 16		187214	621004	7,35E+09	3,11E-02	467
16	16 -- 17			621004	7,76E+09	3,04E-02	447
17	17 -- 18			621004	9,56E+09	2,71E-02	365
18	18 -- 19			621004	1,13E+10	2,39E-02	292
19	19 -- 20		91506	712510	1,21E+10	2,27E-02	266
20	20 -- 21			712510	1,33E+10	2,09E-02	228
21	21 -- 22			712510	1,53E+10	1,80E-02	173
22	22 -- 23			712510	1,74E+10	1,52E-02	125
23	23 -- 24			712510	1,94E+10	1,24E-02	86
24	24 -- 25			712510	2,15E+10	9,74E-03	54
25	25 -- 26			712510	2,35E+10	7,16E-03	30
26	26 -- 27			712510	2,56E+10	4,67E-03	13
27	27 -- 28			712510	2,76E+10	2,28E-03	3
28				712510	2,97E+10	0,00E+00	0

E - Horizontale belasting - belastinggeval 4 (incl. 2e orde effect)

knoop nummer	staaf i--j	$Q_{last;hor}$ N	$F_{last;hor}$ N	dwarskr. N	moment Nmm	hoekver. rad.	hor. verpl. mm
1	1 -- 2			0	0,00E+00	3,50E-02	1172
2	2 -- 3		19140	19140	1,03E+05	3,50E-02	1152
3	3 -- 4			19140	4,26E+07	3,48E-02	1076
4	4 -- 5			19140	9,68E+07	3,41E-02	981
5	5 -- 6			19140	1,52E+08	3,34E-02	888
6	6 -- 7		131344	150484	1,89E+08	3,29E-02	830
7	7 -- 8			150484	3,41E+08	3,25E-02	798
8	8 -- 9			150484	7,61E+08	3,11E-02	710
9	9 -- 10			150484	1,18E+09	2,93E-02	627
10	10 -- 11			150484	1,60E+09	2,72E-02	549
11	11 -- 12		130514	280998	1,72E+09	2,67E-02	529
12	12 -- 13			280998	2,32E+09	2,53E-02	474
13	13 -- 14			280998	3,13E+09	2,32E-02	405
14	14 -- 15			280998	3,94E+09	2,12E-02	341
15	15 -- 16		129488	410486	4,57E+09	1,97E-02	296
16	16 -- 17			410486	4,84E+09	1,92E-02	283
17	17 -- 18			410486	6,03E+09	1,72E-02	231
18	18 -- 19			410486	7,21E+09	1,51E-02	185
19	19 -- 20		37994	448480	7,69E+09	1,44E-02	168
20	20 -- 21			448480	8,46E+09	1,33E-02	145
21	21 -- 22			448480	9,75E+09	1,14E-02	109
22	22 -- 23			448480	1,10E+10	9,63E-03	79
23	23 -- 24			448480	1,23E+10	7,87E-03	54
24	24 -- 25			448480	1,36E+10	6,17E-03	34
25	25 -- 26			448480	1,49E+10	4,53E-03	19
26	26 -- 27			448480	1,62E+10	2,95E-03	8
27	27 -- 28			448480	1,75E+10	1,45E-03	2
28				448480	1,88E+10	0,00E+00	0

F - Excentriciteit moment t.g.v. eigengewicht draden

knoop nummer	staaf i--j	$Q_{last;hor}$ N	$F_{last;hor}$ N	dwarskr. N	moment Nmm	hoekver. rad.	hor. verpl. mm
1	1 -- 2				0,00E+00	1,36E-04	2
2	2 -- 3				2,82E+06	1,36E-04	2
3	3 -- 4				2,82E+06	1,04E-04	2
4	4 -- 5				2,82E+06	7,83E-05	1
5	5 -- 6				2,82E+06	6,12E-05	1
6	6 -- 7				2,82E+06	5,30E-05	1
7	7 -- 8				2,82E+06	4,91E-05	1
8	8 -- 9				2,82E+06	4,18E-05	1
9	9 -- 10				2,82E+06	3,64E-05	1
10	10 -- 11				2,82E+06	3,22E-05	1
11	11 -- 12				2,82E+06	3,14E-05	1
12	12 -- 13				2,82E+06	2,95E-05	1
13	13 -- 14				2,82E+06	2,73E-05	1
14	14 -- 15				2,82E+06	2,57E-05	0
15	15 -- 16				2,82E+06	2,47E-05	0
16	16 -- 17				2,82E+06	2,44E-05	0
17	17 -- 18				2,82E+06	2,33E-05	0
18	18 -- 19				2,82E+06	2,25E-05	0
19	19 -- 20				1,88E+07	2,22E-05	0
20	20 -- 21				1,88E+07	1,96E-05	0
21	21 -- 22				1,88E+07	1,58E-05	0
22	22 -- 23				1,88E+07	1,25E-05	0
23	23 -- 24				1,88E+07	9,71E-06	0
24	24 -- 25				1,88E+07	7,24E-06	0
25	25 -- 26				1,88E+07	5,08E-06	0
26	26 -- 27				1,88E+07	3,18E-06	0
27	27 -- 28				1,88E+07	1,50E-06	0
28					1,88E+07	0,00E+00	0

4.2 - Maximale horizontale verplaatsingen in SLS-toestand

Maatgevende combinatie - Serviceability limit state:

Eigengewicht conductors, insulators	Q_k =	1,00
Windbelasting mastlichaam	Q_{wk} =	0,30
Belasting geval 1a	Q_{wk} =	0,00
Belasting geval 1b	Q_{wk} =	0,00
Belasting geval 3	Q_{ik} =	1,00
Belasting geval 4	Q_{pk} =	0,00

knoop nummer	staaf i--j	hoekver. φ radian	verpl. δ_{hor} mm
1	1 -- 2	6,1E-02	1935
2	2 -- 3	6,1E-02	1900
3	3 -- 4	6,0E-02	1768
4	4 -- 5	5,8E-02	1606
5	5 -- 6	5,6E-02	1448
6	6 -- 7	5,5E-02	1351
7	7 -- 8	5,4E-02	1296
8	8 -- 9	5,1E-02	1150
9	9 -- 10	4,8E-02	1013
10	10 -- 11	4,4E-02	886
11	11 -- 12	4,4E-02	853
12	12 -- 13	4,1E-02	764
13	13 -- 14	3,7E-02	652
14	14 -- 15	3,4E-02	550
15	15 -- 16	3,2E-02	477
16	16 -- 17	3,1E-02	457
17	17 -- 18	2,8E-02	373
18	18 -- 19	2,4E-02	299
19	19 -- 20	2,3E-02	271
20	20 -- 21	2,1E-02	233
21	21 -- 22	1,8E-02	177
22	22 -- 23	1,6E-02	128
23	23 -- 24	1,3E-02	88
24	24 -- 25	1,0E-02	56
25	25 -- 26	7,3E-03	31
26	26 -- 27	4,8E-03	14
27	27 -- 28	2,3E-03	3
28	28 -- 29	0,0E+00	0

4.3 - Toetsing maximale horizontale verplaatsingen

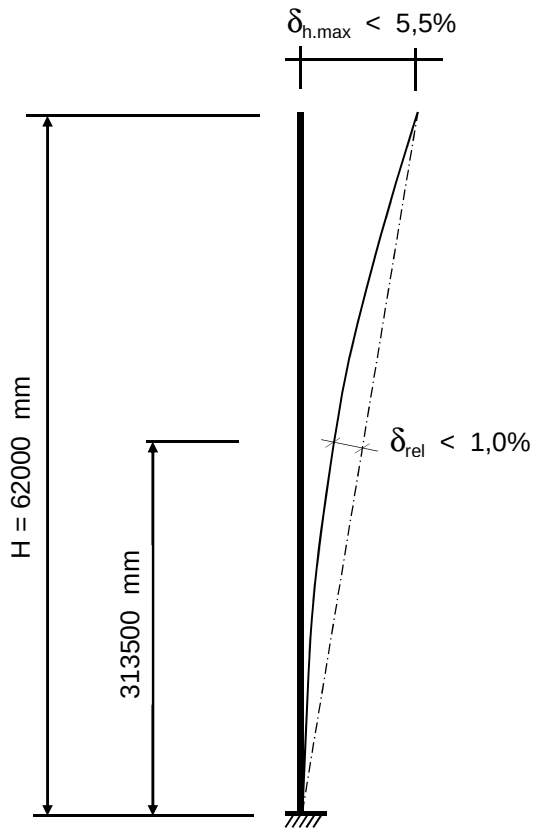

Controle verplaatsingen

δ_h = 1935 mm ----> δ_h *100 / 62000

Percentage uitbuig. = 3,12 % voldoet , max verpl. < 5,5 %

max. relatieve verplaatsing mast, t.p.v knoop x :

δ_{rel} = [{δ_{hor} * (hoogte knoop x) / (totale hoogte)} - $\delta_{knoop\ x}$] * Cosα

Knoop 16 ; Hoogte = 31350 mm
$\delta_{knoop\ x}$ = 457 mm
α = 1,79 graden

δ_{rel} = 521 mm ----> δ_h *100 / 62000

Percentage uitbuig. = 0,84 % voldoet , max verpl. < 1 %

De maximale verplaatsing voldoet aan stijfheidseisen volgen NEN -EN 50341-3 (november 2001) .

4.4 - Berekening krachten in ULS-toestand - (Ultimate limit state)

A - Wind belasting mastlichaam

knoop nummer	staaf i--j	$Q_{last;hor}$ N	normaalkr. N	dwarskr. N	moment Nmm	hoekver. rad.	hor. verpl. mm
1	1 -- 2	606	480	0	0,00E+00	5,82E-03	193
2	2 -- 3	2455	6286	647	1,84E+05	5,82E-03	190
3	3 -- 4	3401	11907	3266	4,45E+06	5,80E-03	177
4	4 -- 5	3728	20002	6893	1,84E+07	5,70E-03	162
5	5 -- 6	2537	29215	10869	4,28E+07	5,52E-03	146
6	6 -- 7	1505	71301	13575	6,42E+07	5,36E-03	137
7	7 -- 8	4344	75188	15181	7,86E+07	5,27E-03	131
8	8 -- 9	4632	88787	19814	1,27E+08	5,00E-03	117
9	9 -- 10	4904	103729	24755	1,88E+08	4,70E-03	104
10	10 -- 11	1382	125324	29985	2,63E+08	4,37E-03	91
11	11 -- 12	3969	167161	31460	2,86E+08	4,29E-03	88
12	12 -- 13	5605	183669	35693	3,57E+08	4,06E-03	79
13	13 -- 14	5837	207604	41672	4,67E+08	3,74E-03	68
14	14 -- 15	4647	236674	47897	5,95E+08	3,45E-03	58
15	15 -- 16	1394	297186	52854	7,06E+08	3,22E-03	51
16	16 -- 17	6219	304450	54342	7,40E+08	3,15E-03	48
17	17 -- 18	6363	337526	60976	9,05E+08	2,84E-03	40
18	18 -- 19	2599	372606	67763	1,09E+09	2,53E-03	32
19	19 -- 20	3868	398275	70535	1,17E+09	2,41E-03	29
20	20 -- 21	6527	423240	74661	1,29E+09	2,24E-03	25
21	21 -- 22	6529	492081	81623	1,51E+09	1,96E-03	19
22	22 -- 23	6460	537969	88587	1,76E+09	1,68E-03	14
23	23 -- 24	6296	586102	95477	2,02E+09	1,39E-03	10
24	24 -- 25	6000	636478	102193	2,30E+09	1,11E-03	6
25	25 -- 26	5499	689098	108594	2,60E+09	8,29E-04	4
26	26 -- 27	4621	743962	114460	2,92E+09	5,50E-04	2
27	27 -- 28	4649	801070	119389	3,25E+09	2,73E-04	0
28			908529	124347	3,60E+09	0,00E+00	0

B - Horizontale belasting - belastinggeval 1a

knoop nummer	staaf i--j	$Q_{last;hor}$ N	$F_{last;hor.}$ N	dwarskr. N	moment Nmm	hoekver. rad.	hor. verpl. mm
1	1 -- 2			0	0,00E+00	6,60E-02	2175
2	2 -- 3		40858	40858	0,00E+00	6,60E-02	2138
3	3 -- 4			40858	8,91E+07	6,55E-02	1994
4	4 -- 5			40858	2,01E+08	6,41E-02	1816
5	5 -- 6			40858	3,14E+08	6,25E-02	1642
6	6 -- 7		249960	290818	3,85E+08	6,15E-02	1533
7	7 -- 8			290818	6,76E+08	6,08E-02	1472
8	8 -- 9			290818	1,48E+09	5,80E-02	1308
9	9 -- 10			290818	2,28E+09	5,44E-02	1153
10	10 -- 11			290818	3,08E+09	5,04E-02	1009
11	11 -- 12		237744	528562	3,29E+09	4,95E-02	971
12	12 -- 13			528562	4,40E+09	4,68E-02	870
13	13 -- 14			528562	5,91E+09	4,28E-02	742
14	14 -- 15			528562	7,42E+09	3,91E-02	625
15	15 -- 16		222234	750796	8,58E+09	3,62E-02	542
16	16 -- 17			750796	9,07E+09	3,54E-02	519
17	17 -- 18			750796	1,12E+10	3,16E-02	423
18	18 -- 19			750796	1,33E+10	2,77E-02	338
19	19 -- 20		63902	814698	1,42E+10	2,63E-02	307
20	20 -- 21			814698	1,56E+10	2,43E-02	264
21	21 -- 22			814698	1,79E+10	2,09E-02	200
22	22 -- 23			814698	2,02E+10	1,76E-02	145
23	23 -- 24			814698	2,26E+10	1,44E-02	99
24	24 -- 25			814698	2,49E+10	1,12E-02	63
25	25 -- 26			814698	2,72E+10	8,26E-03	35
26	26 -- 27			814698	2,95E+10	5,39E-03	15
27	27 -- 28			814698	3,18E+10	2,63E-03	4
28				814698	3,42E+10	0,00E+00	0

C - Horizontale belasting - belastinggeval 1b

knoop nummer	staaf i--j	$Q_{last;hor}$ N	$F_{last;hor.}$ N	dwarskr. N	moment Nmm	hoekver. rad.	hor. verpl. mm
1	1 -- 2			0	0,00E+00	4,09E-02	1375
2	2 -- 3		21496	21496	0,00E+00	4,09E-02	1352
3	3 -- 4			21496	4,69E+07	4,06E-02	1263
4	4 -- 5			21496	1,06E+08	3,99E-02	1152
5	5 -- 6			21496	1,65E+08	3,91E-02	1044
6	6 -- 7		158060	179556	2,03E+08	3,85E-02	976
7	7 -- 8			179556	3,82E+08	3,81E-02	937
8	8 -- 9			179556	8,76E+08	3,65E-02	834
9	9 -- 10			179556	1,37E+09	3,43E-02	737
10	10 -- 11			179556	1,86E+09	3,20E-02	645
11	11 -- 12		156606	336162	2,00E+09	3,14E-02	622
12	12 -- 13			336162	2,70E+09	2,97E-02	557
13	13 -- 14			336162	3,66E+09	2,73E-02	476
14	14 -- 15			336162	4,62E+09	2,50E-02	401
15	15 -- 16		154820	490982	5,36E+09	2,32E-02	348
16	16 -- 17			490982	5,68E+09	2,26E-02	334
17	17 -- 18			490982	7,08E+09	2,02E-02	272
18	18 -- 19			490982	8,48E+09	1,78E-02	218
19	19 -- 20		41552	532534	9,04E+09	1,69E-02	198
20	20 -- 21			532534	9,95E+09	1,56E-02	170
21	21 -- 22			532534	1,15E+10	1,35E-02	129
22	22 -- 23			532534	1,30E+10	1,13E-02	93
23	23 -- 24			532534	1,45E+10	9,26E-03	64
24	24 -- 25			532534	1,60E+10	7,26E-03	40
25	25 -- 26			532534	1,75E+10	5,33E-03	22
26	26 -- 27			532534	1,91E+10	3,48E-03	10
27	27 -- 28			532534	2,06E+10	1,70E-03	2
28				532534	2,21E+10	0,00E+00	0

D - Horizontale belasting - belastinggeval 3

knoop nummer	staaf i--j	$Q_{last;hor}$ N	$F_{last;hor.}$ N	dwarskr. N	moment Nmm	hoekver. rad.	hor. verpl. mm
1	1 -- 2			0	0,00E+00	7,51E-02	2392
2	2 -- 3		64900	64900	0,00E+00	7,51E-02	2349
3	3 -- 4			64900	1,41E+08	7,43E-02	2186
4	4 -- 5			64900	3,20E+08	7,22E-02	1984
5	5 -- 6			64900	4,98E+08	6,97E-02	1789
6	6 -- 7		246154	311054	6,12E+08	6,81E-02	1668
7	7 -- 8			311054	9,23E+08	6,71E-02	1600
8	8 -- 9			311054	1,78E+09	6,36E-02	1420
9	9 -- 10			311054	2,63E+09	5,93E-02	1251
10	10 -- 11			311054	3,49E+09	5,48E-02	1094
11	11 -- 12		241614	552668	3,72E+09	5,38E-02	1053
12	12 -- 13			552668	4,88E+09	5,07E-02	943
13	13 -- 14			552668	6,46E+09	4,63E-02	805
14	14 -- 15			552668	8,03E+09	4,23E-02	678
15	15 -- 16		236024	788692	9,25E+09	3,92E-02	589
16	16 -- 17			788692	9,76E+09	3,83E-02	564
17	17 -- 18			788692	1,20E+10	3,42E-02	460
18	18 -- 19			788692	1,43E+10	3,01E-02	368
19	19 -- 20		120024	908716	1,52E+10	2,86E-02	335
20	20 -- 21			908716	1,67E+10	2,64E-02	288
21	21 -- 22			908716	1,93E+10	2,27E-02	218
22	22 -- 23			908716	2,19E+10	1,92E-02	158
23	23 -- 24			908716	2,45E+10	1,57E-02	108
24	24 -- 25			908716	2,71E+10	1,23E-02	68
25	25 -- 26			908716	2,97E+10	9,02E-03	38
26	26 -- 27			908716	3,22E+10	5,89E-03	17
27	27 -- 28			908716	3,48E+10	2,88E-03	4
28				908716	3,74E+10	0,00E+00	0

E - Horizontale belasting - belastinggeval 4

knoop nummer	staaf i--j	$Q_{last;hor}$ N	F_{last} N	dwarskr. N	moment Nmm	hoekver. rad.	hor. verpl. mm
1	1 -- 2			0	0,00E+00	4,18E-02	1399
2	2 -- 3		23680	23680	0,00E+00	4,18E-02	1376
3	3 -- 4			23680	5,16E+07	4,16E-02	1285
4	4 -- 5			23680	1,17E+08	4,08E-02	1171
5	5 -- 6			23680	1,82E+08	3,99E-02	1060
6	6 -- 7		158668	182348	2,23E+08	3,93E-02	991
7	7 -- 8			182348	4,06E+08	3,88E-02	952
8	8 -- 9			182348	9,07E+08	3,71E-02	847
9	9 -- 10			182348	1,41E+09	3,49E-02	748
10	10 -- 11			182348	1,91E+09	3,25E-02	655
11	11 -- 12		157360	339708	2,05E+09	3,19E-02	631
12	12 -- 13			339708	2,76E+09	3,02E-02	566
13	13 -- 14			339708	3,73E+09	2,77E-02	483
14	14 -- 15			339708	4,70E+09	2,53E-02	407
15	15 -- 16		155744	495452	5,44E+09	2,35E-02	354
16	16 -- 17			495452	5,77E+09	2,30E-02	338
17	17 -- 18			495452	7,18E+09	2,05E-02	276
18	18 -- 19			495452	8,59E+09	1,81E-02	221
19	19 -- 20		46474	541926	9,16E+09	1,72E-02	201
20	20 -- 21			541926	1,01E+10	1,59E-02	173
21	21 -- 22			541926	1,16E+10	1,37E-02	131
22	22 -- 23			541926	1,32E+10	1,15E-02	95
23	23 -- 24			541926	1,47E+10	9,40E-03	65
24	24 -- 25			541926	1,63E+10	7,37E-03	41
25	25 -- 26			541926	1,78E+10	5,41E-03	23
26	26 -- 27			541926	1,93E+10	3,53E-03	10
27	27 -- 28			541926	2,09E+10	1,73E-03	2
28				541926	2,24E+10	0,00E+00	0

F - Excentriciteit moment t.g.v. eigengewicht draden

knoop nummer	staaf i--j	$Q_{last;hor}$ N	F_{last} N	dwarskr. N	moment Nmm	hoekver. rad.	hor. verpl. mm
1	1 -- 2				0,00E+00	1,63E-04	2
2	2 -- 3				3,38E+06	1,63E-04	2
3	3 -- 4				3,38E+06	1,25E-04	2
4	4 -- 5				3,38E+06	9,40E-05	2
5	5 -- 6				3,38E+06	7,34E-05	1
6	6 -- 7				3,38E+06	6,37E-05	1
7	7 -- 8				3,38E+06	5,90E-05	1
8	8 -- 9				3,38E+06	5,02E-05	1
9	9 -- 10				3,38E+06	4,37E-05	1
10	10 -- 11				3,38E+06	3,87E-05	1
11	11 -- 12				3,38E+06	3,77E-05	1
12	12 -- 13				3,38E+06	3,53E-05	1
13	13 -- 14				3,38E+06	3,27E-05	1
14	14 -- 15				3,38E+06	3,08E-05	1
15	15 -- 16				3,38E+06	2,96E-05	0
16	16 -- 17				3,38E+06	2,93E-05	0
17	17 -- 18				3,38E+06	2,80E-05	0
18	18 -- 19				3,38E+06	2,70E-05	0
19	19 -- 20				2,25E+07	2,66E-05	0
20	20 -- 21				2,25E+07	2,35E-05	0
21	21 -- 22				2,25E+07	1,90E-05	0
22	22 -- 23				2,25E+07	1,50E-05	0
23	23 -- 24				2,25E+07	1,16E-05	0
24	24 -- 25				2,25E+07	8,69E-06	0
25	25 -- 26				2,25E+07	6,10E-06	0
26	26 -- 27				2,25E+07	3,82E-06	0
27	27 -- 28				2,25E+07	1,80E-06	0
28					2,25E+07	0,00E+00	0

4.5 - Maximale krachten in ULS-toestand

			)**
Eigengewicht conductors, insulators	Q_k =	1,20	1,20
Eigengewicht mast	Q_k =	1,20	1,20
Windbelasting mastlichaam	Q_{wk} =	1,60	0,45
Belasting geval 1a	Q_{wk} =	1,50	0,00
Belasting geval 1b	Q_{wk} =	0,00	0,00
Belasting geval 3	Q_{ik} =	0,00	1,50
Belasting geval 4	Q_{pk} =	0,00	0,00

knoop nummer	staaf i--j	normaal kr. kN	dwars kr. kN	moment kNm
1	1 -- 2	0,48	0,00	0,00
2	2 -- 3	20,32	65,08	14,09
3	3 -- 4	25,94	65,82	156,77
4	4 -- 5	34,04	66,84	339,18
5	5 -- 6	43,25	67,96	524,52
6	6 -- 7	110,00	314,87	644,11
7	7 -- 8	113,88	315,32	959,21
8	8 -- 9	127,48	316,63	1828,14
9	9 -- 10	142,43	318,02	2700,78
10	10 -- 11	164,02	320,80	3577,34
11	11 -- 12	230,52	561,52	3817,11
12	12 -- 13	247,02	564,25	4997,55
13	13 -- 14	270,96	570,23	6603,66
14	14 -- 15	300,03	576,46	8214,66
15	15 -- 16	385,20	803,65	9461,70
16	16 -- 17	392,47	805,14	9984,15
17	17 -- 18	425,54	811,77	12278,14
18	18 -- 19	460,62	818,56	14577,51
19	19 -- 20	514,41	928,55	15584,38
20	20 -- 21	539,38	929,71	17163,90
21	21 -- 22	608,22	931,67	19816,38
22	22 -- 23	654,11	933,63	22474,44
23	23 -- 24	702,24	935,57	25138,05
24	24 -- 25	752,61	937,46	27807,11
25	25 -- 26	805,23	939,26	30481,43
26	26 -- 27	860,10	940,91	33160,67
27	27 -- 28	917,21	942,29	35844,23
28		1024,67	943,69	38531,76

)** - Maatgevende belastingcombinatie voor alle staven

4.6 - Toetsing van de doorsnede

Elasticiteitsmodulus E-	N/mm^2	210000	
Vloeigrens f_y	N/mm^2	355	Voor wanddikte t < 40
Vloeigrens f_y	N/mm^2	335	Voor wanddikte t >= 40

A- Controle buigspanning

Toetsingregel :

$$N_{Ed} / N_{Rd} + M_{y,Ed} / M_{y,Rd} <= 1$$

waarin: $M_{y,Ed} = M_{1;y,Ed} + \Sigma N_{Ed,i} * \delta_{rel.i}$

$M_{1;y,Ed}$ = buigende moment uit komputer

$N_{Ed,i}$ = normaal kracht uit komputer uitvoer ter plaatse knoop i

$\delta_{rel,i}$ = maximale horizontale verplaatsing t.p.v. knoop i = $\delta_{i,max} - \delta_{j,max}$

$M_{y;el,Rd} = W_{y;el} * f_y$; $N_{Rd} = A * f_y$

staaf nummer	profiel $D_{voet} - D_{top}$ mm	moment $M_{1;y,Ed}$ kNm	drukkracht $N_{c,Rd}$ kN	rel.verpl. $\delta_{rel.}$ mm	$M_{y,Ed}$ in kNm	$M_{y;el,Rd}$ in kNm	toetsings-regel
1	500 / 867	14,09	20,32	35	14,8	1032,6	0,02
2	500 / 867	156,77	25,94	132	160,9	1356,5	0,12
3	500 / 867	339,18	34,04	163	348,8	1828,2	0,19
4	500 / 867	524,52	43,25	158	541,0	2370,1	0,23
5	500 / 867	644,11	110,00	97	671,3	2751,6	0,25
6	500 / 867	959,21	113,88	55	992,6	2982,4	0,34
7	867 / 1142	1828,14	127,48	146	1880,1	4356,6	0,44
8	867 / 1142	2700,78	142,43	137	2772,2	5255,9	0,53
9	867 / 1142	3577,34	164,02	127	3669,7	6239,6	0,60
10	1142 / 1332	3817,11	230,52	33	3917,0	7889,9	0,50
11	1142 / 1332	4997,55	247,02	89	5119,4	8893,8	0,58
12	1142 / 1332	6603,66	270,96	112	6755,9	10352,4	0,66
13	1332/ 1712	8214,66	300,03	102	8397,7	13461,7	0,63
14	1332/ 1712	9461,70	385,20	73	9672,7	14919,8	0,66
15	1332/ 1712	9984,15	392,47	20	10203,1	15365,0	0,67
16	1332/ 1712	12278,14	425,54	84	12532,8	17394,0	0,73
17	1332/ 1712	14577,51	460,62	74	14866,4	19549,0	0,77
18	1750/ 2567	15584,38	514,41	27	15887,3	22790,6	0,71
19	1750/ 2567	17163,90	539,38	38	17487,3	24327,3	0,73
20	1750/ 2567	19816,38	608,22	57	20174,3	27016,0	0,76
21	1750/ 2567	22474,44	654,11	48	22864,1	29845,7	0,78
22	1750/ 2567	25138,05	702,24	40	25556,0	32816,4	0,79
23	1750/ 2567	27807,11	752,61	32	28249,4	35928,0	0,80
24	1750/ 2567	30481,43	805,23	25	30943,6	39180,6	0,80
25	1750/ 2567	33160,67	860,10	17	33637,7	42574,2	0,80
26	1750/ 2567	35844,23	917,21	10	36330,6	46108,7	0,80
27	1750/ 2567	38531,76	1024,67	3	39021,6	49784,2	0,80

B- Controle plooistabiliteit

Toetsing regel :volgens NEN -EN 50341-3 (NEN 1060).

$$(\sigma_{N;Ed} / \sigma_{N;plooi}) + (\sigma_{MEd} / \sigma_{M;plooi}) <= 1$$

Plooispanning t.g.v normaalkracht

Indien $d / t < 90 * a_y^2$ ---> $\sigma_{N;plooi;d} = f_y$; $a_y = (f_{ref} / f_y)^{0,5}$; $f_{ref} = 235$ N/mm^2

Indien $90 * a_y^2 < d / t < 315\ a_y^2$ ---> $\sigma_{N;plooi;d} = 0,3 * f_{y;d} + 14805 / (d/t)$

Plooispanning t.g.v moment

Indien $d / t < 157,5 * a_y^2$ ---> $\sigma_{N;plooi;d} = f_{y;d}$

Indien $157,5 * a_y^2 < d / t < 315\ a_y^2$ ---> $\sigma_{N;plooi;d} = 0,6 * f_{y;d} + 14805 / (d/t)$

d mm	t mm	d/t	a_y	$\sigma_{N;plooi;d}$ N/mm^2	$\sigma_{M;plooi;d}$ N/mm^2
519	15,0	34,60	0,81	355	355
592	15,0	39,45	0,81	355	355
683	15,0	45,56	0,81	355	355
775	15,0	51,67	0,81	355	355
833	15,0	55,56	0,81	355	355
867	15,0	57,78	0,81	355	355
958	18,0	53,24	0,81	355	355
1050	18,0	58,34	0,81	355	355
1142	18,0	63,43	0,81	340	355
1167	22,0	53,04	0,81	355	355
1237	22,0	56,22	0,81	355	355
1332	22,0	60,54	0,81	351	355
1427	25,0	57,07	0,81	355	355
1500	25,0	60,01	0,81	353	355
1522	25,0	60,87	0,81	350	355
1617	25,0	64,67	0,81	335	355
1712	25,0	68,47	0,81	323	355
1750	28,0	62,51	0,81	343	355
1807	28,0	64,53	0,81	336	355
1902	28,0	67,92	0,81	324	355
1997	28,0	71,32	0,81	314	355
2092	28,0	74,71	0,81	305	355
2187	28,0	78,10	0,81	296	355
2282	28,0	81,50	0,81	288	355
2377	28,0	84,89	0,81	281	355
2472	28,0	88,29	0,81	274	355
2567	28,0	91,68	0,81	268	355

staaf nummer	profiel D_{voet} - D_{top}	σ_{MEd} N/mm^2	σ_{NEd} N/mm^2	$\sigma_{M;plooi;d}$ N/mm^2	$\sigma_{N;plooi;d}$ N/mm^2	toetsings-regel
1	500 / 867	5,29	0,87	355	355	0,02
2	500 / 867	48,04	1,02	355	355	0,14
3	500 / 867	78,20	1,16	355	355	0,22
4	500 / 867	91,88	1,29	355	355	0,26
5	500 / 867	93,19	2,96	355	355	0,27
6	500 / 867	122,96	2,89	355	355	0,35
7	867 / 1142	169,46	2,52	355	355	0,48
8	867 / 1142	205,21	2,55	355	355	0,59
9	867 / 1142	227,07	2,69	355	340	0,65
10	1142 / 1332	180,19	2,95	355	355	0,52
11	1142 / 1332	216,76	3,03	355	355	0,62
12	1142 / 1332	249,59	3,11	355	351	0,71
13	1332/ 1712	237,40	2,82	355	355	0,68
14	1332/ 1712	242,13	3,41	355	353	0,69
15	1332/ 1712	239,22	3,36	355	350	0,68
16	1332/ 1712	271,89	3,51	355	335	0,78
17	1332/ 1712	285,96	3,58	355	323	0,82
18	1750/ 2567	253,12	3,43	355	343	0,72
19	1750/ 2567	263,58	3,50	355	336	0,75
20	1750/ 2567	279,17	3,79	355	324	0,80
21	1750/ 2567	285,67	3,87	355	314	0,82
22	1750/ 2567	289,73	3,96	355	305	0,83
23	1750/ 2567	291,91	4,05	355	296	0,84
24	1750/ 2567	292,65	4,15	355	288	0,84
25	1750/ 2567	292,25	4,25	355	281	0,84
26	1750/ 2567	290,98	4,35	355	274	0,84
27	1750/ 2567	289,03	4,68	355	268	0,83

5.0 - Berekening ankers, bouten en flensverbindingen

uitgangspunt: gerolde draad

bouten	A_s in mm²	f_{ub} in N/mm²	$F_{t,Rd}$ in kN	$F_{v,Rd}$ in kN
M 48 - 8,8	1473	800	848,45	565,63
M 48 - 10,9	1473	1000	1060,56	589,20
M 45 - 8,8	1306	800	752,26	501,50
M 45 - 10,9	1306	1000	940,32	522,40
M 42 - 8.8	1121	800	645,64	430,43
M 42 - 10,9	1121	1000	807,05	448,36
M 39 - 8.8	976	800	562,04	374,70
M 39 - 10,9	976	1000	702,55	390,31
M 39 - 12,9	976	1200	843,07	468,37
M 36 - 8.8	817	800	470,59	313,73
M 36 - 10,9	817	1000	588,24	326,80
M 33 - 8.8	694	800	399,49	266,33
M 33 - 10,9	694	1000	499,36	277,42
M 30 - 8.8	561	800	322,90	215,27
M 30 - 10,9	561	1000	403,62	224,24

Max. trekkracht in de ankers en boutverbindingen :

$$F_{Ed} = M_{y,Ed} * a / I_p - N_{Ed} / n$$

Waarin :

$M_{y,Ed}$ = max. moment t.p.v aansluiting t.g.v rekenbelasting

N_{Ed} = max. normaal kracht t.p.v aansluiting t.g.v rekenbelasting

a = max. afstand bout tot zwaartepunt boutenpatroon = diameter stc. / 2

n = aantal bouten en $I_p = \Sigma (I_x^2 + I_y^2) = (n / 2) * (d_{stc}./ 2)^2$

Flensverbinding met één boutrij : $I_p = (n / 2) * (d_{stc}./ 2)^2$

Flensverbinding met twee boutrij : $I_p = (n / 4) * [(d_{stc1}./ 2)^2 + (d_{stc2}./ 2)^2]$

Flensverbinding met twee boutrij symmetrisch (voetplaat) :

$$I_p = (n / 2) * (d_{stc.gemiddeld}./ 2)^2$$

Flenzen en voetplaat:

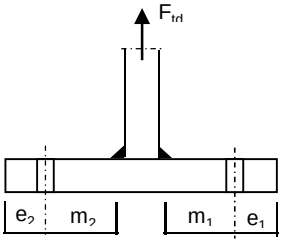

1 -Voetplaat

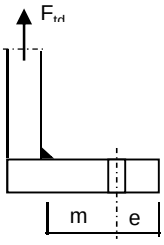

2 -Flens met 1 rij bouten

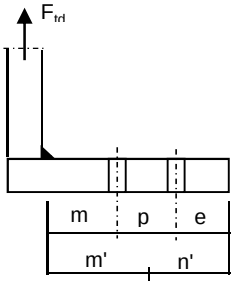

3 -Flens met 2 rij bouten

1 - Voetplaat : $m = \max.(m_1;m_2)$
$e = \max.(e_1;e_2)$
$n = \min.(1{,}25*m;e)$

Bezwijkvorm 1 : $F_{t,Rd} = 4 * M_{pl} / m$
Bezwijkvorm 2 : $F_{t,Rd} = (2 * M_{pl} + n * 2 * F_{t;u;d}) / (m + n)$
Bezwijkvorm 3 : $F_{t,Rd} = 2 * F_{t;u;d}$

2 - Flens met 1 rij bouten :
m, n en e zoals bij voetplaat

Bezwijkvorm 1 : $F_{t,Rd} = 2 * M_{pl} / m$
Bezwijkvorm 2 : $F_{t,Rd} = (M_{pl} + n * F_{t;u;d}) / (m + n)$
Bezwijkvorm 3 : $F_{t,Rd} = F_{t;u;d}$

3 - Flens met 2 rij bouten :
$m' = m + p / 2$
$n' = n + p / 3$
$n = \min.(1{,}25*m;e)$

Bezwijkvorm 1 : $F_{tEd} = M_{pl} * (1+n'/n) / m'$
Bezwijkvorm 2 : $F_{t,Ed} = (M_{pl} + n' * F_{t;u;d}) / (m' + n')$
Bezwijkvorm 3 : $F_{t,Ed} = 2 * F_{t;u;d}$

$M_{pl} = (1/4) * L_{eff} * t_{fl}^2 * f_y$

$L_{eff} = \min(p ; 4*m + 1{,}25*e ; 2*\pi*m)$

Bouten en ankers

st.c in mm	aantal bouten	$F_{t,Ed}$ kN	$F_{v,Ed}$ kN	knoop nummer	aanwezig bout	$F_{t,Rd}$ kN	toetsing-regel
Ankers							
st.c buitenkant		2927,00					
st.c binnenkant		2151,00					
2539	96	621,66	9,83	28	M 48 - 8,8	848,4	0,73
flenzen op 19,95 m hoogte.							
st.c buitenkant		1698,00					
st.c binnenkant		1500,00					
	80	647,90	11,65	22	M 48 - 10,9	1060,6	0,61
flenzen op 42,75 m hoogte.							
st.c buitenkant		955,00					
955,00	24	617,48	13,37	10	M 48 - 10,9	1060,6	0,58

Dikte voetplaat en flenzen - conform NEN - EN 1993-1-8,

Stc1	Stc2	m	e	n	m'	n'	l_{ef}
	mm	mm	mm	mm	mm	mm	mm
voetplaat							
2927,00	2151,00	173,2	125,0	125,0			140,8
2927,00	2151,00	173,2	126,5	126,5			191,6
flenzen op 19,95 m hoogte.							
1698,00	1500,0	67,2	57,5	57,5	116,7	107	117,8
1698,00	1500,0	67,2	57,5	57,5	116,7	107	117,8
flenzen op 42,75 m hoogte.							
955,00	955,0	64,6	57,5	57,5			125,0
955,00	955,0	68,6	57,5	57,5			125,0

flens dikte	$M_{pl;d}$	bezwijk-	bezwijk-	bezwijk-	maatgev.	$F_{t,Ed}$	toetsing-
mm	Nmm	vorm 1	vorm 2	vorm 3	$F_{t,Rd}$	kN	regel
voetplaat							
100	1,18E+08	2722,80	1502,03	1696,90	1502,03	1243,32	0,83
100	1,60E+08	3705,09	1786,85	1696,90	1696,90	1243,32	0,73
flenzen op 19,95 m hoogte.							
100	9,87E+07	2419,63	1455,91	2121,12	1455,91	1295,80	0,89
100	9,87E+07	2419,63	1455,91	2121,12	1455,91	1295,80	0,89
flenzen op 42,75 m hoogte.							
60	3,77E+07	1166,94	808,15	1060,56	808,15	617,48	0,76
60	3,77E+07	1098,89	782,51	1060,56	782,51	617,48	0,79
	Krachten in kN						

Lassen

A - Flenzen

Alle lassen: voorbewerkt 1/2 V- las met een tegenlas (K35 , lasdetail 301 van NEN 2063).

B - Buizen

Alle lassen: voorbewerkt X- las
Bij gelijke wanddikte (K50 , lasdetail 102 van NEN 2063).
Bij dikte overgang asymmetrisch (K45 , lasdetail 112 van NEN 2063).

Bouten

Alle bouten: Voorspanning 70% van de trekkracht met betrekking tot de capaciteit van de bout in de uiterste grenstoestand

6.0 - Controle berekening vortex shedding

Belasting loodrecht op windrichting (respons door wervelvorming) - Eurocode 1

De respons is bepaald volgens Eurocode 1, Deel 1 - 4 ,bijlage E

De kritische windsnelheid $v_{crit,1} = b * n_{i,y} / St$

b is de referentiebreedte van de doorsnede waarbij resonantie met de wervelvorming optreedt voor cirkelvormige cilinders is de referentiebreedte de uitwendige diameter.

St is de Strouhal getal conform E.1.3.2 ; voor cirkelcilinders St = 0,18

buis	$n_{1,y}$ Hz	$d_{buis;gem}$ m	St	$v_{krit,1}$ m/s
500 / 2567	0,79	1,534	0,18	6,72

Scrutongetal Sc

De Scrutongetal Sc word bepaald met:

$$Sc = 2 * \delta_s * m_{i;e} / \rho * b^2$$

ρ is de dichtheid van lucht: $\rho = 1,25$ kg/m^3

b is de referentiebreedte van de doorsnede waarbij resonantie met de wervelvorming optreedt

$$b = d_{w;gem}$$

δ_s is het logaritmische decrement van de constructieve demping

$$\delta_s = 0,030$$

Opmerking:
In Eurocode 1, Tabel F.2 is geen waarde gegeven voor de constructieve demping voor een hoogspanningsmast met een enkel buisprofiel. In de tabel wordt alleen de benaderde waarde van de constructieve demping van een stalen schoorsteen (met of zonder isolatie) aangegeven. In de NEN 1060 (Bovengrondse hoogspanningslijnen – voorloper van NEN-EN 50341) art. 9.2.6.5 wordt het logaritmisch decrement beschreven als $\delta = 2.\pi.D$. D is de dempingsmaat bij responsie loodrecht op de windrichting en is gelijk aan 0.005. Dit resulteert $\delta = 2.\pi.0.005 = 0.0314$. Deze formule is ook aangegeven in de DIN 4133 (Schornsteine aus Stahl) en als benaderde waarde van de constructieve demping van een stalen schoorsteen met 2 of 3 koppelingen is 0.025 en 0.03 aangegeven.
Daarom wordt in deze berekening voor de constructieve demping 0.03 aangehouden.

$m_{i;e}$ is de equivalente massa m_e per lengte eenheid, in kg/m, gewogen naar de trillingsvorm :

$$m_e = \frac{\int_0^{l} m(s) * \phi^2_i(s)\, ds}{\int_0^{l} \phi^2_i(s)\, ds}$$

Zie berekening eigenfrequentie

knoop nummer	verpl. δ mm	$\phi_{i;1}$	staaf nummer	ϕ_i	gewicht mast kg	gewicht traverse kg	massa m kg/m
1	817	1,000		1,000			
2	804	0,984	1 -- 2	0,992	113	411	919,0
3	754	0,923	2 -- 3	0,954	468		214,9
4	692	0,847	3 -- 4	0,885	675		245,3
5	631	0,772	4 -- 5	0,810	768		279,2
6	593	0,726	5 -- 6	0,749	537	2969	2003,7
7	571	0,700	6 -- 7	0,713	324		323,9
8	514	0,629	7 -- 8	0,664	1133		412,1
9	459	0,562	8 -- 9	0,595	1245		452,8
10	407	0,498	9 -- 10	0,530	1357	442	654,4
11	393	0,481	10 -- 11	0,489	472	3014	4647,7
12	356	0,435	11 -- 12	0,458	1376		655,1
13	308	0,377	12 -- 13	0,406	1995		699,9
14	263	0,322	13 -- 14	0,350	2422		850,0
15	231	0,283	14 -- 15	0,303	1984	3058	2292,0
16	222	0,272	15 -- 16	0,277	605		931,2
17	184	0,225	16 -- 17	0,249	2756		967,1
18	150	0,183	17 -- 18	0,204	2923		1025,7
19	137	0,168	18 -- 19	0,175	1370	769	1860,0
20	119	0,146	19 -- 20	0,157	2080		1223,8
21	91	0,112	20 -- 21	0,129	3637	2100	2012,9
22	67	0,083	21 -- 22	0,097	3824		1341,8
23	47	0,058	22 -- 23	0,070	4011		1407,4
24	30	0,037	23 -- 24	0,047	4198		1473,0
25	17	0,021	24 -- 25	0,029	4385		1538,6
26	8	0,009	25 -- 26	0,015	4572		1604,2
27	2	0,002	26 -- 27	0,006	4759		1669,8
28	0	0,000	27 -- 28	0,001	4946	4009	3142,1

staaf nummer	massa m kg/m	ϕ_i	s m	ϕ_i^2 * (s)	ϕ_i^2 *(s)*m	ϕ_i * (s)
1 -- 2	919	0,992	0,570	0,56	515,51	0,57
2 -- 3	215	0,954	2,180	1,98	426,04	2,08
3 -- 4	245	0,885	2,750	2,15	528,56	2,43
4 -- 5	279	0,810	2,750	1,80	503,48	2,23
5 -- 6	2004	0,749	1,750	0,98	1967,74	1,31
6 -- 7	324	0,713	1,000	0,51	164,52	0,71
7 -- 8	412	0,664	2,750	1,21	500,20	1,83
8 -- 9	453	0,595	2,750	0,97	441,45	1,64
9 -- 10	654	0,530	2,750	0,77	505,08	1,46
10 -- 11	4648	0,489	0,750	0,18	835,10	0,37
11 -- 12	655	0,458	2,100	0,44	288,92	0,96
12 -- 13	700	0,406	2,850	0,47	329,09	1,16
13 -- 14	850	0,350	2,850	0,35	296,15	1,00
14 -- 15	2292	0,303	2,200	0,20	461,94	0,67
15 -- 16	931	0,277	0,650	0,05	46,58	0,18
16 -- 17	967	0,249	2,850	0,18	170,35	0,71
17 -- 18	1026	0,204	2,850	0,12	122,07	0,58
18 -- 19	1860	0,175	1,150	0,04	65,84	0,20
19 -- 20	1224	0,157	1,700	0,04	51,00	0,27
20 -- 21	2013	0,129	2,850	0,05	95,09	0,37
21 -- 22	1342	0,097	2,850	0,03	36,16	0,28
22 -- 23	1407	0,070	2,850	0,01	19,68	0,20
23 -- 24	1473	0,047	2,850	0,01	9,37	0,13
24 -- 25	1539	0,029	2,850	0,00	3,66	0,08
25 -- 26	1604	0,015	2,850	0,00	1,04	0,04
26 -- 27	1670	0,006	2,850	0,00	0,16	0,02
27 -- 28	3142	0,001	2,850	0,00	0,01	0,00
		Σ	62,00	13,11	8384,80	21,46

m_e = 8384,8 / 13,1 = 639,4 kg/m

$Sc = 2 * \delta_s * m_{i;e} / \rho * b^2$

buis	$m_{1;e}$ kg/m	δ_s	ρ kg/m^3	b = d_w in m	Sc
500 / 2567	639,4	0,030	1,25	1,534	13,1

Berekening van verplaatsingen

de grootste $y_{f;max}$ verplaatsing kan berekend worden met:

$y_{F;max} / b = (1/St^2) * (1/Sc) * K * K_w * C_{lat}$

St is de Strouhal getal = 0,18

Sc is de Scrutongetal = 13,1

K is trillingsvormfactor en is gelijk aan

$$K = \frac{\sum_{i=1}^{m} \int_{\ell_i} |\phi_i(s)| \, ds}{4.\pi.\sum_{i=1}^{n} \int_{\ell_i} \phi^2_i(s) \, ds}$$

Voor i = 1 (eerste trillingsvorm) is m = n = 1

K = 21,46 / (4 * π * 13,11) = 0,130 (tabel E.5)

C_{lat} is de laterale krachtcoëfficiënt gegeven in E.1.5/2.5

C_{lat} : $R_e (V_{crit}) < 3*10^5$; $C_{lat} = 0,7$

$5*10^5 < R_e (V_{crit}) < 5*10^6$; $C_{lat} = 0,2$

$R_e (V_{crit}) > 7*10^7$; $C_{lat} = 0,3$

$R_e (V_{crit}) = b * v(crit) / \nu$;
ν is de kinematische viscositeit van de lucht $\nu = 15*10^{-6}$ m^2/s

$R_e (V_{crit})$ = 1,534 * 6,72 / $15*10^{-6}$ = 6,9E+05

C_{lat} = 0,20

K_w is de effectieve correlatiefactor gegeven in E.1.5.2.4

$$K_w = \frac{\sum_{i=1}^{m} \int_{L_j} |\phi_i(s)| \, ds}{\sum_{i=1}^{n} \int_{\ell_i} |\phi_i(s)| \, ds} \leq 0,6$$

Voor i = 1 (eerste trillingsvorm) is m = n = 1

Lj / b = 6
Lj = 9,20 m - (effectieve correlatielengte)

K_w = 8,02 / 21,46 = 0,37

$y_{F;max}$ / b = 30,86 * 0,077 * 0,130 * 0,37 * 0,2 = 0,023

$y_{F;max}$ = 1,534 * 0,023 = 0,035 m

$\Delta\sigma_{dyn} = 2 * C_{rd} * y_{F;max}$

De factor C_{rd} volgt uit de spanning door een opgelegde verplaatsing volgens de eerste eigentrilling.

Opgelegde verplaatsing van 1000 mm

knoop nummer	staaf i--j	q_{last} N	F_{last} N	dwarskr. N	moment Nmm	hoekver. rad.	verpl. mm
1	1 -- 2		134278	134278	0,00E+00	5,1E-02	1000
2	2 -- 3			134278	7,65E+07	5,1E-02	971
3	3 -- 4			134278	3,69E+08	4,8E-02	863
4	4 -- 5			134278	7,39E+08	4,3E-02	737
5	5 -- 6			134278	1,11E+09	3,7E-02	626
6	6 -- 7			134278	1,34E+09	3,4E-02	564
7	7 -- 8			134278	1,48E+09	3,2E-02	531
8	8 -- 9			134278	1,85E+09	2,8E-02	449
9	9 -- 10			134278	2,22E+09	2,4E-02	379
10	10 -- 11			134278	2,58E+09	2,0E-02	319
11	11 -- 12			134278	2,69E+09	1,9E-02	304
12	12 -- 13			134278	2,97E+09	1,7E-02	265
13	13 -- 14			134278	3,35E+09	1,5E-02	219
14	14 -- 15			134278	3,73E+09	1,3E-02	180
15	15 -- 16			134278	4,03E+09	1,1E-02	153
16	16 -- 17			134278	4,12E+09	1,1E-02	146
17	17 -- 18			134278	4,50E+09	9,5E-03	116
18	18 -- 19			134278	4,88E+09	8,0E-03	91
19	19 -- 20			134278	5,04E+09	7,5E-03	82
20	20 -- 21			134278	5,26E+09	6,8E-03	70
21	21 -- 22			134278	5,65E+09	5,7E-03	52
22	22 -- 23			134278	6,03E+09	4,7E-03	37
23	23 -- 24			134278	6,41E+09	3,8E-03	25
24	24 -- 25			134278	6,79E+09	2,9E-03	16
25	25 -- 26			134278	7,18E+09	2,1E-03	9
26	26 -- 27			134278	7,56E+09	1,3E-03	4
27	27 -- 28			134278	7,94E+09	6,5E-04	1
28	28 -- 29			134278	8,33E+09	0,0E+00	0

Wissel spanning

$$\Delta\sigma_{dyn} = 2 * C_{rd} * y_{F;max}$$

staaf nummer	profiel		$W_{y;el}$	$\sigma_{buiging}$ (C_{rd})	$y_{F;max}$	$\Delta\sigma_{dyn}$
	D (mm)	t (mm)	mm^3	N/mm^2	m	MPa
1	519	15,0	2908675	26	0,0353	1,9
2	592	15,0	3821157	97	0,0353	6,8
3	683	15,0	5149742	143	0,0353	10,1
4	775	15,0	6676372	166	0,0353	11,7
5	833	15,0	7750979	173	0,0353	12,2
6	867	15,0	8401049	176	0,0353	12,4
7	958	18,0	12272111	150	0,0353	10,6
8	1050	18,0	14805380	150	0,0353	10,6
9	1142	18,0	17576306	147	0,0353	10,4
10	1167	22,0	22225196	121	0,0353	8,5
11	1237	22,0	25052979	118	0,0353	8,4
12	1332	22,0	29161614	115	0,0353	8,1
13	1427	25,0	37920420	98	0,0353	6,9
14	1500	25,0	42027656	96	0,0353	6,8
15	1522	25,0	43281586	95	0,0353	6,7
16	1617	25,0	48997274	92	0,0353	6,5
17	1712	25,0	55067484	89	0,0353	6,3
18	1750	28,0	64198753	78	0,0353	5,5
19	1807	28,0	68527498	77	0,0353	5,4
20	1902	28,0	76101468	74	0,0353	5,2
21	1997	28,0	84072503	72	0,0353	5,1
22	2092	28,0	92440605	69	0,0353	4,9
23	2187	28,0	101205773	67	0,0353	4,7
24	2282	28,0	110368007	65	0,0353	4,6
25	2377	28,0	119927309	63	0,0353	4,4
26	2472	28,0	129883677	61	0,0353	4,3
27	2567	28,0	140237112	59	0,0353	4,2

Bepaling van het aantal spanningscycli

Het aantal spanningswisseling N veroorzaakt door trilling door wervelvorming wordt berekend met:

$$N = 2 * T * n_{i;y} * \varepsilon_o * [V_{crit} / V_o]^2 * \exp[-(V_{crit} / V_o)^2] >= 10^4$$

$n_y = n_{1;y}$ = 0,79 Hz eigenfrequentie van trillingsvorm loodrecht op wind

T is levensduur in seconden = $3,2 * 10^7$ maal de vervachte levensduur in jaren

$V_{crit,1}$ = 6,72 m/s De kritische windsnelheid

ε_o is bandbreedtefactor = 0,3

V_o is wortel(2) maal de modus van de Weibull waarschijnlijkheidsverdeling van de windsnelheid in m/s
V_o = 20% van de karakteristieke gemiddelde windsnelheid op hoogte waar wervelvorming plaatsvind

z_s = 57,3995 m - hoogte waar wervelvorming plaatsvindt = $L_{mast} - L_j / 2$

Wedgebied II - onbebouwd

Basiswindsnelheid $V_{b,0}$ = 27 m/s

Terreincategorie : II - Onbebouwd gebied

Richtingsfactor C_{dir} = 1,0
Seizoensfactor C_{season} = 1,0
Orografiefactor $C_o(z)$ = 1,0

z_0 = 0,200 m

Gemiddelde windsnelheid $V_m(z) = (V_{b,0} * C_{dir} * C_{season}) * c_r(z)$

$c_r(z) = k_r * \ln\{ z / z_0\}$ voor $z_{min} \le z \le z_{max}$
$c_r(z) = c_r (z_{min})$ voor $z \le z_{min}$

$k_r = 0,19 \ln\{ z_0 / z_{0,II}\}^{0,07}$ $z_{0;II}$ = 0,05 m

$k_r = 0,19 \ln\{ 0,200 / 0,05\}^{0,07}$ = 0,21

$c_r(z) = 0,21 * \ln\{ 28,5 / 0,200\}$ = 1,18

$V_m(z)$ = 32,0 m/s

V_o = 32,0 * 20 / 100 = 6,40 m/s

$N = 2 * 50 * 3,2.10^7 * 0,3 * 0,79 * [6,72 / 6,40]^2 * \exp[-(6,72 / 6,40)^2]$ = 2,77E+08

Vermoeiingsschade t.g.v. dwarstrilling

De vermoeiingsschade vindt plaats door het belastingspectrum te toetsen aan de bij het detail behorende $\Delta\sigma$-N lijn conform NEN 2063.

$\Delta\sigma < 0{,}55\,\Delta\sigma_k$ ------> $N = \infty$

$0{,}55\,\Delta\sigma_k < \Delta\sigma < \Delta\sigma_k$ ------> $N.\Delta\sigma^5 = N_k.\Delta\sigma^5_k$

$\Delta\sigma > \Delta\sigma_k$ ------> $N.\Delta\sigma^3 = N_k.\Delta\sigma^3_k$

$N_k = 10^7$

$\Delta\sigma_i$ is het i^e spanningsniveau

$\Delta\sigma_k$ is het spanningsinterval behorende bij 10^7 wisselingen op de $\Delta\sigma_i$-N lijn.

$\gamma * \Delta\sigma =$ 1,2 * $\Delta\sigma$

$\Delta\sigma k =$	45	MPa	Voorbewerkt X- las (K45 , lasdetail 112 van NEN 2063).
$\Delta\sigma k =$	35	MPa	Voorbewerkt 1/2V- las (K35 , lasdetail 301 van NEN 2063).

Plaats van trilling		$\gamma * \Delta\sigma =$	$\Delta\sigma_k$	$0{,}55\,\Delta\sigma_k$	N - wissel.	N	D
		in	in	in	$\Delta\sigma_i$-N lijn	span.wissl.	beschadiging
Knoop		MPa	MPa	MPa			< 1
3	Lasnaad	8,18	45	24,75	1,000E+10	2,77E+08	0,03
4	Lasnaad	12,15	45	24,75	1,000E+10	2,77E+08	0,03
5	Lasnaad	14,05	45	24,75	1,000E+10	2,77E+08	0,03
7	Lasnaad	14,89	45	24,75	1,000E+10	2,77E+08	0,03
8	Lasnaad	12,74	45	24,75	1,000E+10	2,77E+08	0,03
9	Lasnaad	12,67	45	24,75	1,000E+10	2,77E+08	0,03
10	flenzen	12,46	35	19,25	1,000E+10	2,77E+08	0,03
12	Lasnaad	10,03	45	24,75	1,000E+10	2,77E+08	0,03
13	Lasnaad	9,73	45	24,75	1,000E+10	2,77E+08	0,03
14	Lasnaad	8,34	45	24,75	1,000E+10	2,77E+08	0,03
16	Lasnaad	8,05	45	24,75	1,000E+10	2,77E+08	0,03
17	Lasnaad	7,78	45	24,75	1,000E+10	2,77E+08	0,03
18	Lasnaad	7,51	45	24,75	1,000E+10	2,77E+08	0,03
20	Lasnaad	6,51	45	24,75	1,000E+10	2,77E+08	0,03
21	flenzen	6,28	35	19,25	1,000E+10	2,77E+08	0,03
22	Lasnaad	6,07	45	24,75	1,000E+10	2,77E+08	0,03
23	Lasnaad	5,87	45	24,75	1,000E+10	2,77E+08	0,03
24	Lasnaad	5,69	45	24,75	1,000E+10	2,77E+08	0,03
25	Lasnaad	5,51	45	24,75	1,000E+10	2,77E+08	0,03
26	Lasnaad	5,34	45	24,75	1,000E+10	2,77E+08	0,03
27	Lasnaad	5,18	45	24,75	1,000E+10	2,77E+08	0,03
28	voetplaat	5,03	35	19,25	1,000E+10	2,77E+08	0,03

7.0 - Fundatie belastingen

Fundatie belastingen in ULS-toestand - (Ultimate limit state)

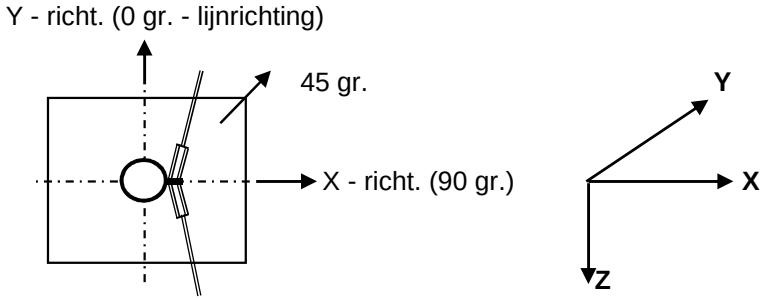

Belasting geval / comb	X - reactie kN	Y - reactie kN	Z - reactie kN	M_x - reactie kNm	M_y - reactie kNm	M_z - reactie kNm
Windrich. 90 graden						
1 - EG mast			793			
2 - Windbelasting mast	124				3599	
3 - Belasting geval 1a	815		116		34193	
4 - Belasting geval 1b	533		116		22112	
5 - Belasting geval 3	909		232		37520	
6 - Belasting geval 4	542		139		22467	
Combinatie 1 : BG1 * 1,2 + BG2 * 1,6 + BG3 * (1,2 eg, 1,5 windbel.)						
	939		909		37792	
Combinatie 2 : BG1 * 1,2 + BG2 * 0,3 + BG4 * (1,2 eg, 0,3 windbel.)						
	556		908		22787	
Combinatie 3 : BG1 * 1,2 + BG2 * 0,45 + BG5 * (1,2 eg, 1,5 windbel.)						
	944		**1025**		**38532**	
Combinatie 4 : BG1 * 1,2 + BG2 * 0,3 + BG5 * (1,2 eg, 1,5 windbel.)						
	565		931		23142	

Samenvatting Fundatiebelastingen

	B.C. 1 - SLS γ_{eg}=1.0 , γ_q=1.0		B.C. 2 - ULS γ_{eg}=1.2 , γ_q=1.6		B.C. 3 - ULS γ_{eg}=0.9 , γ_q=1.6	
Voetmoment	31611	kNm	38532	kNm	38532	kNm
Dwarskracht	790	kN	944	kN	944	kN
Verticale kracht	757	kN	1025	kN	681	kN

8,0 - Betonspanning onder voetplaat en instortring

st.c in mm	aantal ankers	$F_{t,Ed}$ kN	$F_{v,Ed}$ kN	knoop nummer	aanwezig anker	$F_{t,Rd}$ kN	Percentage belasting
Ankers krachten in ULS-toestand							
st.c buitenkant		2927,00					
st.c binnenkant		2151,00					
2539	96	621,66	9,83	28	M 48 - 8,8	848,45	0,73
Voorspanning ankers in SLS-toestand (100%)							
st.c buitenkant		2927,00					
st.c binnenkant		2151,00					
2539	96	510,88	8,23	28	M 48 - 8,8	848,45	0,60

Maximale trekkracht in de anker :

$F_{t,Ed}$ = 621,7 kN

Maximale voorspanning in de anker :

$F_{t,Ed}$ = 510,9 kN

Maximale drukkrackt :

$F_{c,Ed}$ = 643,0 + 1,00 * 510,9 = 1153,9 kN

A - drukspanning onder voetplaat

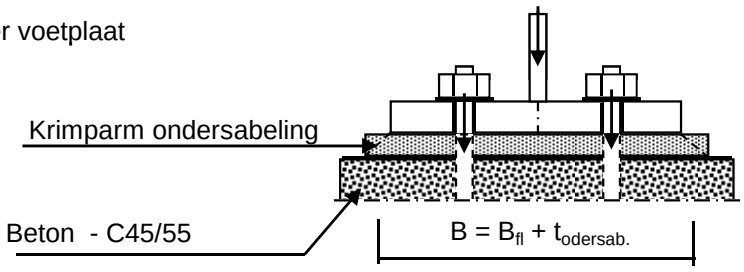

Toetsing :

$\sigma_b < 0,7 * f_{cd} = 0,7 * 45 / 1,5 = 21,0$ N/mm^2

B_{fl} =	640,0	mm	D =	2539	mm
$t_{ondersab.}$ =	40,0	mm	n =	96	
B =	680,0	mm			

A_{voetpl} = 680 * 2*π*D / n = 113000 mm^2

$\sigma_{b;voet} = 2 * F_{c,Ed} / A$ = 20,4 N/mm^2 < 21,0 -- Voldoet

B - drukspanning onder instortring

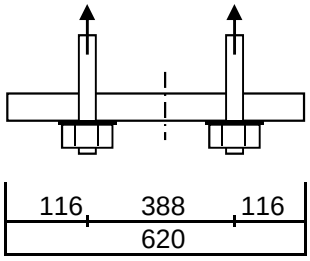

D = 2539 mm
n = 96

$A_{stortring}$ = 620 * 2*π*D / n = 103030 mm^2

$\sigma_{b;stortr.} = 2 * F_{c,Ed} / A$ = 12,1 N/mm^2 < 21,0 -- Voldoet

Dikte instortring

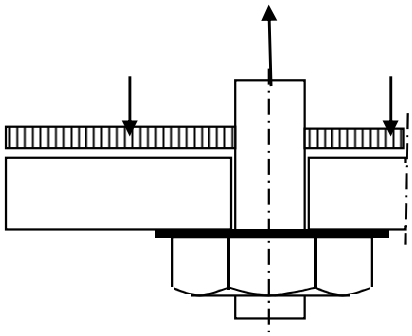

$L_{uitkr.}$ = 116 mm
L_{veld} = 388 mm

t = 45 mm
$f_{y;d}$ = 355 N/mm^2

$M_{Ed;st}$ = 81190 Nmm/mm' ; $V_{z;Ed;st}$ = 2341 N/mm'

of $M_{Ed;veld}$ = 145896 Nmm/mm' ; $V_{z;Ed;st}$ = 0 N/mm'

$M_{Ed;max}$ = 145896 Nmm/mm' ; $V_{z;Ed;st}$ = 2341 N/mm'

$M_{Rd} = (1/4) *1,0 * t^2 * f_y$ = 179719 Nmm/mm'
$V_{Rd} = 1,0 * t * f_y / 3^{0,5}$ = 9223 N/mm'

M_{Ed} / M_{Rd} = 145896 / 179718,8 = 0,81 < 1,0 -- Voldoet
σ_b = 288,2 N/mm^2

V_{Ed} / V_{Rd} = 2341 / 9223 = 0,25 < 1,0 -- Voldoet
τ_z = 52,0 N/mm^2

vergelijkingsspanning :

$\sigma_{vlg} = (288,2^2 + 3*52,0^2)^{0,5}$
σ_{vlg} = 302 N/mm^2 < 355 MPa -- Voldoet

9.0 - Detailberekeningen

9.1 - Berekening afspanpunt trekisolatoren 380 kV

Schema

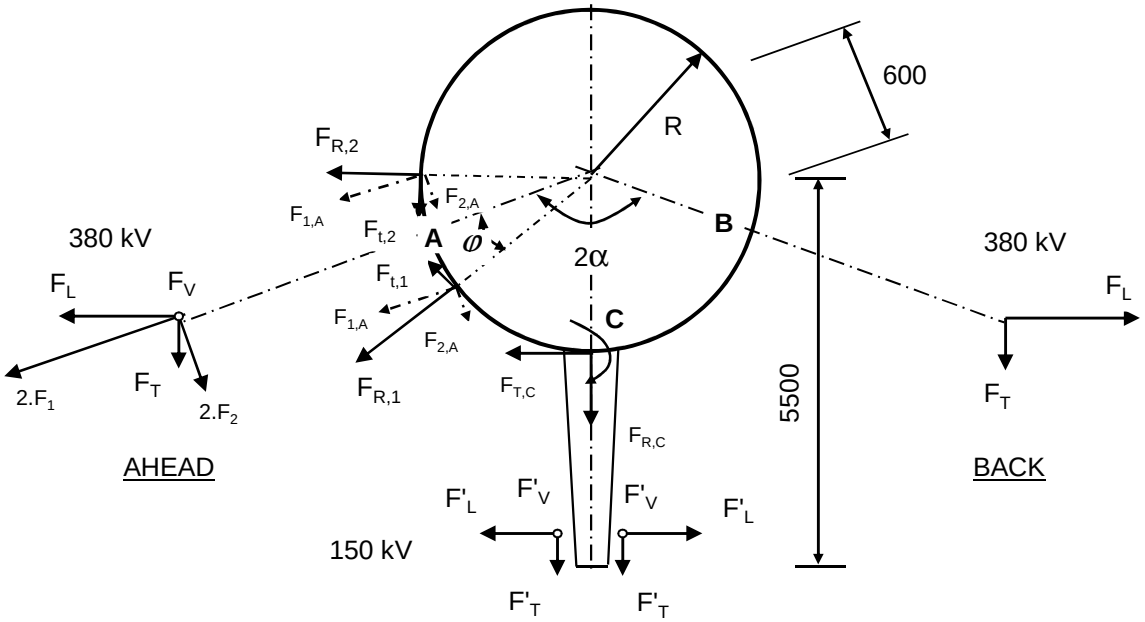

F_V en F'_V : Verticale kracht resp. 380kV en 150kV
F_T en F'_T : Transverse kracht resp. 380kV en 150kV
F_L en F'_L : Longitudinale kracht resp. 380kV en 150kV

2α is hoek tussen lijnen en α is bissectrice van hoek tussen de lijnen

380 kV: Per bevevestigingsring

$F_{1;A} = (F_{L,Ah}.\text{Sin}\alpha + F_{T,Ah}.\text{Cos}\alpha) / 4$; $F_{1;B} = (F_{L,Ba}.\text{Sin}\alpha + F_{T,Ba}.\text{Cos}\alpha) / 4$

$F_{2;A} = (F_{L,Ah}.\text{Cos}\alpha - F_{T,Ah}.\text{Sin}\alpha) / 4$; $F_{2;B} = (F_{L,Ba}.\text{Cos}\alpha - F_{T,Ba}.\text{Sin}\alpha) / 4$

$F_{3;A} = F_{V,ah} / 4$; $F_{3;B} = F_{V,bh} / 4$;

$F_{R;1;A} = F_{1,A}.\text{Cos}\varphi + F_{2;A}.\text{Sin}\varphi$; $F_{T;1;A} = F_{1,A}.\text{Sin}\varphi - F_{2;A}.\text{Cos}\varphi$

$F_{R;2;A} = F_{1,A}.\text{Cos}\varphi - F_{2;A}.\text{Sin}\varphi$; $F_{T;2;A} = F_{1,A}.\text{Sin}\varphi + F_{2;A}.\text{Cos}\varphi$

; $M_w = | F_{T;1;A} + F_{T;2;A} | * R$

$F_{R;1;B} = F_{1,B}.\text{Cos}\varphi + F_{2;B}.\text{Sin}\varphi$; $F_{T;1;B} = F_{1,B}.\text{Sin}\varphi - F_{2;B}.\text{Cos}\varphi$

$F_{R;2;B} = F_{1,B}.\text{Cos}\varphi - F_{2;B}.\text{Sin}\varphi$; $F_{T;2;B} = F_{1,B}.\text{Sin}\varphi + F_{2;B}.\text{Cos}\varphi$

; $M_w = | F_{T;1;B} + F_{T;2;B} | * R$

150 kV: Per bevevestigingsring

$F_{T;C} = \Sigma F'_L / 2$ $M_{T;C} = F_{T;C} * (5500 - R)$

$F_{R;C} = \Sigma F'_T / 2$

$F_{V;C} = \Sigma F'_V / 2$ $M_{V;C} = 2 * F_{V;C} * (5500 - R)$

$F'_{R;C} = \pm M_{C;L} / (2 * z)$

$z = 2*(d^3_{uit} - d^3_{inw}) / 3*\pi*(d^2_{uit} - d^2_{inw})$

$F_{R;C;max} = F_{R;C} + F'_{R;C}$

Opmerking:
In mast W2H400+5 zijn de geleiders van de 150 kV niet aanwezig.

9.1.1 - Afspanpunt trekisolatoren op 52,0 meter hoogte

Ring gegevens:

$t_{buis;nom}$ =	15	mm
$t_{buis;reken}$ =	15	mm
$t_{ring;nom}$ =	20	mm
$t_{ring;reken}$ =	20	mm
b_{ring} =	135	mm
Afstand tussen ringen =	160	mm

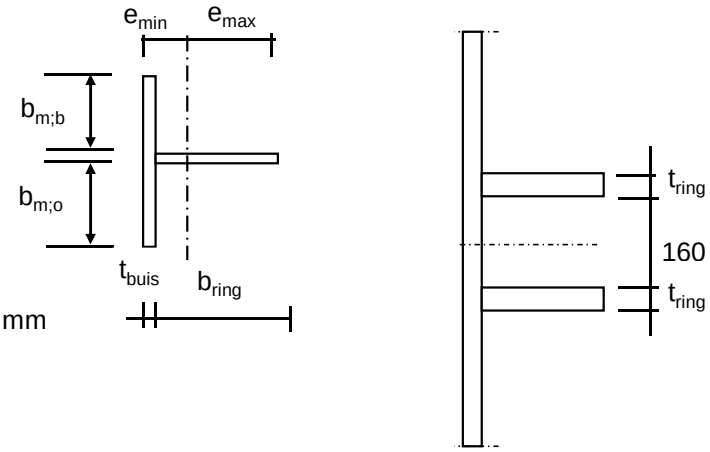

Mee werkende breedte :DIN 18801

$b_m = 0{,}138 * t * \lambda_a$

$\lambda_a = \pi * (E / f_y)^{0,5}$

Staal S355 ; f_y = 355,0 N/mm^2

E = 210000,0 N/mm^2

$b_{m;b}$ =	158,2	mm
$b_{m;o}$ =	80	mm
A =	6573	mm^2
e_{min} =	38,3	mm
e_{max} =	111,7	mm
I =	13121674	mm^4
W_{min} =	117483	mm^3
$\gamma_{m;extra}$ =	1,5	(extra materiaalfactor)
N_{Rd} =	1555	kN
$M_{y;Rd}$ =	28	kNm
$M_{w;Rd}$ =	3669	kNm (torsieweerstand mast)
V_{Rd} =	369	kN

Belastingen op 52,0 meter

Zie KEMA rapport 74100706-ETD/POL 12-001 38 V10.0 - Appendix N en N1
Belastingen - geleiders 380 kV

	Ahead			Back		
	F_V N	F_T N	F_L N	F_V N	F_T N	F_L N
BG 1a - (wind (90 gr))	17056	124980	205651	17056	124980	-205651
BG 3 - (wind (90) + ijs)	29380	123077	229108	29380	123077	-229108
BG 1a - (wind (45 gr))	17045	67119	135061	17057	130900	-213662
BG 3 - (wind (45)+ ijs)	29376	103058	216048	29381	125336	-231339
1a- Bundelbr.-(90 gr)	17049	88694	157786	0,0	0,0	0,0
3 - Bundelbr.-(90 gr + ijs)	19805	94794	175433	0,0	0,0	0,0
1a- Bundelbr.-(45 gr)	17045	64613	133947	0,0	0,0	0,0
3 - Bundelbr.-(45 gr + ijs)	19802	76696	160509	0,0	0,0	0,0

Diameter mast t.p.v ringen D = 833 mm

R = 416,7 mm

Mast 8 :	Lijnhoek = 2. α =	130,1	graden
Mast 7 :	Lijnhoek = 2. α =	161,1	graden
Mast 15 :	Lijnhoek = 2. α =	180	graden
Mast 176 :	Lijnhoek = 2. α =	139,3	graden
Mast 149 :	Lijnhoek = 2. α =	169,2	graden
Mast 148 :	Lijnhoek = 2. α =	173,4	graden
Mast 132 :	Lijnhoek = 2. α =	180	graden
Mast 106 :	Lijnhoek = 2. α =	130,4	graden
Mast 105 :	Lijnhoek = 2. α =	155,2	graden
	Lijnhoek = 2. α =	180	graden maatgevend
	hoek φ = boogsin(300 / (417+80)) =	37,2	graden

	A		B		C	
	$F_{R;1;Ed}$ kN	$F_{R;2;Ed}$ kN	$F_{R;1;Ed}$ kN	$F_{R;2;Ed}$ kN	$F_{R;max;Ed}$ kN	$M_{T;Ed}$ kNm
BG 1a - (wind (90 gr))	59,8	22,1	59,8	22,1		
BG 3 - (wind (90) + ijs)	64,2	27,1	64,2	27,1		
BG 1a - (wind (45 gr))	37,0	16,8	62,3	22,8		
BG 3 - (wind (45)+ ijs)	58,6	27,5	65,0	27,2		
1a- Bundelbr.-(90 gr)	44,8	18,0	0,0	0,0		
3 - Bundelbr.-(90 gr + ijs)	49,3	20,6	0,0	0,0		
1a- Bundelbr.-(45 gr)	36,4	16,9	0,0	0,0		
3 - Bundelbr.-(45 gr + ijs)	43,6	20,4	0,0	0,0		

Roark's Formulas for stress & strain - tabel 9.2 - 20

Roark's Formulas for stress & strain - tabel 9.2 - 19

Belastinggeval : BG 1a - wind 90 gr.

φ in gr.	$M_{s;d}$ kNm	$T_{s;d}$ kN	$V_{s;d}$ kN	$\Delta M_{s;d}$ kN	$F_{s;d,langs}$ kN
0,0	-1,69	-15,68	-11,64	0,22	3,11
15,0	-1,47	-15,64	-9,83	0,67	9,31
30,0	-0,80	-15,47	-4,62	1,11	15,44
45,0	0,31	-15,10	3,34	0,42	5,83
60,0	0,73	-17,09	8,32	0,38	5,22
75,0	0,36	-21,48	9,16	0,24	3,27
90,0	0,59	-24,66	11,42	0,94	12,99
105,0	1,53	-26,16	15,04	1,68	23,30
120,0	3,21	-25,62	19,68	1,07	14,82
135,0	2,14	-31,17	19,40	3,22	44,76
150,0	-1,08	-41,21	15,05	2,05	28,53
165,0	-3,14	-47,58	12,11	0,71	9,80
180,0	-3,84	-49,77	11,08	0,71	9,80
195,0	-3,14	-47,58	12,11	2,05	28,53
210,0	-1,08	-41,21	15,05	3,22	44,76
225,0	2,14	-31,17	19,40	1,07	14,82
240,0	3,21	-25,62	19,68	1,68	23,30
255,0	1,53	-26,16	15,04	0,94	12,99
270,0	0,59	-24,66	11,42	0,24	3,27
285,0	0,36	-21,48	9,16	0,38	5,22
300,0	0,73	-17,09	8,32	0,42	5,83
315,0	0,31	-15,10	3,34	1,11	15,44
330,0	-0,80	-15,47	-4,62	0,67	9,31
345,0	-1,47	-15,64	-9,83	0,22	3,10
360,0	-1,69	-15,68	-11,63	0,00	0,01

$F_{s;d;langs} = \Delta M_{s;d} * S / I$

$S =$ 182250 mm^3

$I =$ 13121674 mm^4

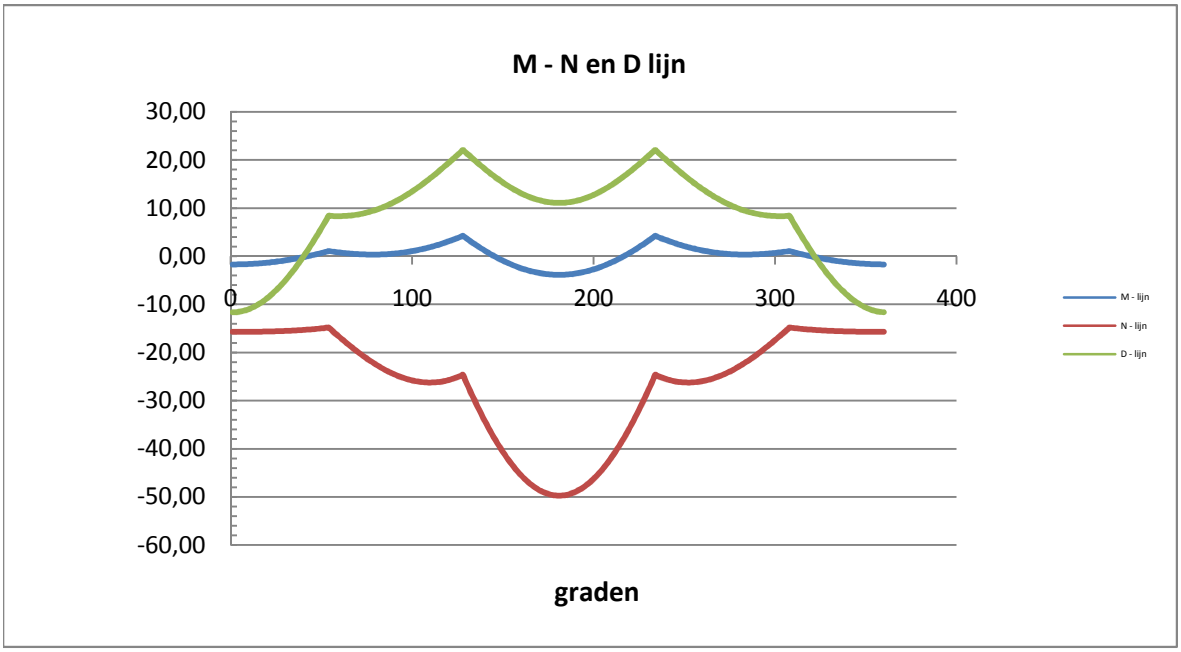

Belastinggeval : BG 3 - wind 90 gr + ijs.

φ in gr.	$M_{s;d}$ kNm	$T_{s;d}$ kN	$V_{s;d}$ kN	$\Delta M_{s;d}$ kN	$F_{s;d,langs}$ kN
0,0	-2,02	-19,67	-11,49	0,28	3,90
15,0	-1,74	-19,49	-9,53	0,84	11,61
30,0	-0,91	-18,90	-3,88	1,37	19,10
45,0	0,47	-17,87	4,76	0,51	7,08
60,0	0,98	-19,59	10,01	0,50	6,98
75,0	0,48	-24,23	10,58	0,19	2,59
90,0	0,66	-27,47	12,72	0,97	13,42
105,0	1,63	-28,84	16,37	1,78	24,79
120,0	3,41	-27,99	21,19	1,15	15,93
135,0	2,27	-33,69	20,58	3,45	47,97
150,0	-1,19	-44,24	15,49	2,20	30,54
165,0	-3,39	-50,94	12,08	0,75	10,48
180,0	-4,14	-53,24	10,87	0,75	10,48
195,0	-3,39	-50,94	12,08	2,20	30,54
210,0	-1,19	-44,24	15,49	3,45	47,97
225,0	2,27	-33,69	20,58	1,15	15,93
240,0	3,41	-27,99	21,19	1,78	24,79
255,0	1,63	-28,84	16,37	0,97	13,42
270,0	0,66	-27,47	12,72	0,19	2,59
285,0	0,48	-24,23	10,58	0,50	6,98
300,0	0,98	-19,59	10,01	0,51	7,08
315,0	0,47	-17,87	4,76	1,37	19,10
330,0	-0,91	-18,90	-3,88	0,84	11,61
345,0	-1,74	-19,49	-9,53	0,28	3,88
360,0	-2,02	-19,67	-11,49	0,00	0,02

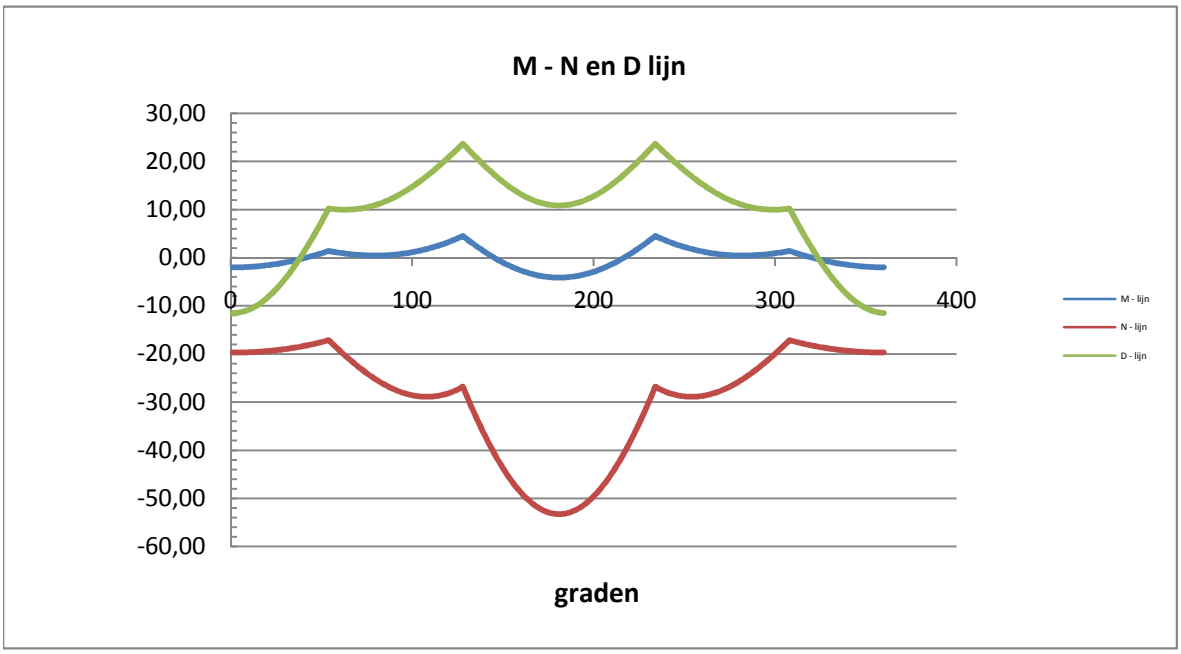

Belastinggeval : BG 1a - wind 45 gr.

φ in gr.	$M_{s;d}$ kNm	$T_{s;d}$ kN	$V_{s;d}$ kN	$\Delta M_{s;d}$ kN	$F_{s;d,langs}$ kN
0,0	-1,49	-14,25	-9,23	0,11	1,46
15,0	-1,60	-16,95	-7,22	0,38	5,24
30,0	-1,22	-19,11	-2,33	0,92	12,79
45,0	-0,30	-20,37	4,91	0,34	4,75
60,0	0,04	-23,18	10,21	0,32	4,48
75,0	-0,28	-27,52	12,59	0,46	6,36
90,0	0,18	-29,65	15,94	1,30	18,04
105,0	1,48	-29,23	20,00	2,13	29,54
120,0	3,60	-26,09	24,36	0,75	10,40
135,0	2,85	-29,00	23,22	3,09	42,96
150,0	-0,24	-36,59	17,43	2,06	28,56
165,0	-2,30	-40,75	12,39	0,90	12,52
180,0	-3,20	-41,25	8,76	0,27	3,72
195,0	-2,93	-38,15	6,93	1,35	18,75
210,0	-1,58	-31,85	7,00	2,25	31,30
225,0	0,67	-22,97	8,79	1,02	14,22
240,0	1,70	-16,87	8,38	0,65	8,96
255,0	1,05	-14,86	5,17	0,22	3,09
270,0	0,83	-12,16	3,43	0,12	1,73
285,0	0,96	-9,17	3,26	0,39	5,37
300,0	1,34	-6,27	4,53	0,41	5,64
315,0	0,94	-6,14	1,65	1,08	15,02
330,0	-0,15	-8,56	-4,41	0,84	11,61
345,0	-0,98	-11,35	-8,23	0,49	6,80
360,0	-1,47	-14,05	-9,26	0,02	0,31

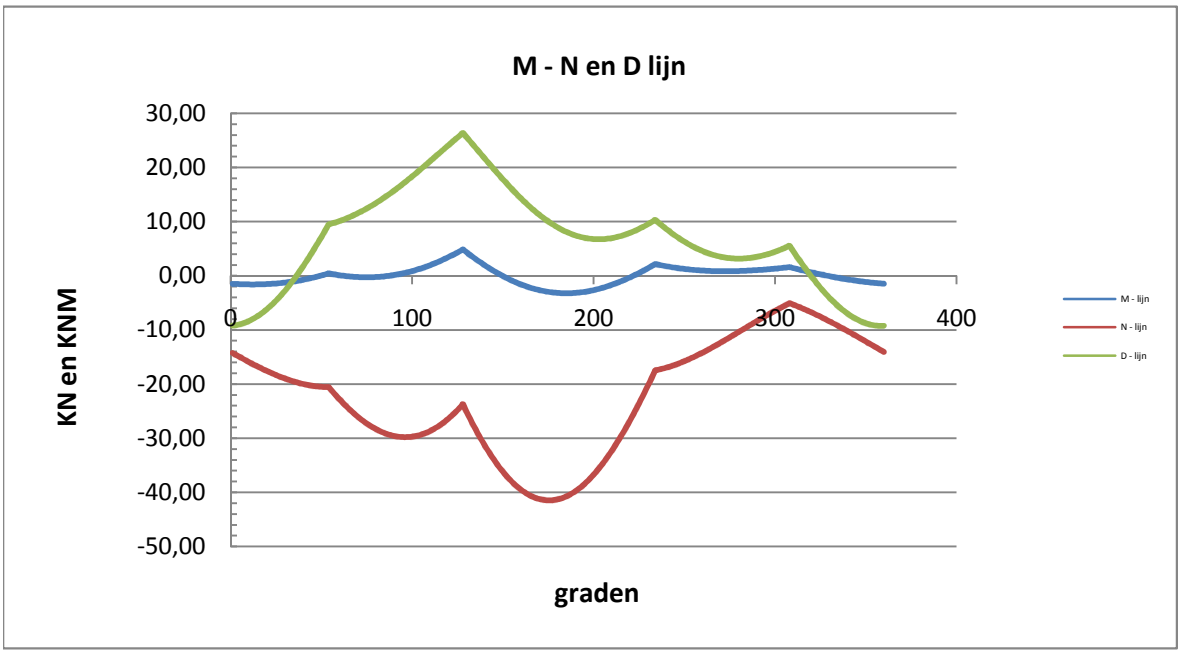

Belastinggeval : BG 3 - wind 45 gr + ijs.

φ in gr.	$M_{s;d}$ kNm	$T_{s;d}$ kN	$V_{s;d}$ kN	$\Delta M_{s;d}$ kN	$F_{s;d,langs}$ kN
0,0	-1,69	-15,68	-11,64	0,22	3,11
15,0	-1,47	-15,64	-9,83	0,67	9,31
30,0	-0,80	-15,47	-4,62	1,11	15,44
45,0	0,31	-15,10	3,34	0,42	5,83
60,0	0,73	-17,09	8,32	0,38	5,22
75,0	0,36	-21,48	9,16	0,24	3,27
90,0	0,59	-24,66	11,42	0,94	12,99
105,0	1,53	-26,16	15,04	1,68	23,30
120,0	3,21	-25,62	19,68	1,07	14,82
135,0	2,14	-31,17	19,40	3,22	44,76
150,0	-1,08	-41,21	15,05	2,05	28,53
165,0	-3,14	-47,58	12,11	0,71	9,80
180,0	-3,84	-49,77	11,08	0,71	9,80
195,0	-3,14	-47,58	12,11	2,05	28,53
210,0	-1,08	-41,21	15,05	3,22	44,76
225,0	2,14	-31,17	19,40	1,07	14,82
240,0	3,21	-25,62	19,68	1,68	23,30
255,0	1,53	-26,16	15,04	0,94	12,99
270,0	0,59	-24,66	11,42	0,24	3,27
285,0	0,36	-21,48	9,16	0,38	5,22
300,0	0,73	-17,09	8,32	0,42	5,83
315,0	0,31	-15,10	3,34	1,11	15,44
330,0	-0,80	-15,47	-4,62	0,67	9,31
345,0	-1,47	-15,64	-9,83	0,22	3,10
360,0	-1,69	-15,68	-11,63	0,00	0,01

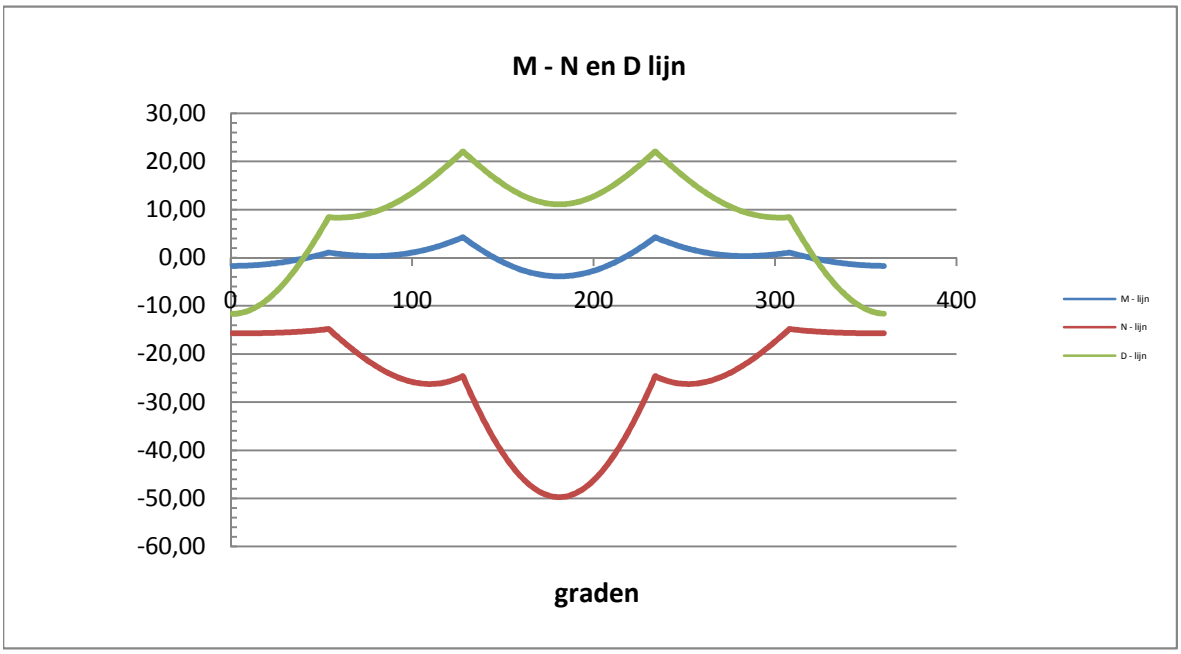

Belastinggeval : BG 1a - Bundelbreuk 90 gr

φ in gr.	$M_{s;d}$ kNm	$T_{s;d}$ kN	$V_{s;d}$ kN	$\Delta M_{s;d}$ kN	$F_{s;d,langs}$ kN
0,0	-0,68	-6,51	-4,14	0,52	7,21
15,0	-0,16	-1,30	-5,15	0,56	7,74
30,0	0,40	3,38	-4,86	0,46	6,44
45,0	0,86	6,99	-3,48	0,27	3,72
60,0	1,13	9,11	-3,93	0,01	0,16
75,0	1,14	9,50	-6,61	0,26	3,55
90,0	0,88	8,10	-8,17	0,48	6,71
105,0	0,40	5,07	-8,36	0,62	8,67
120,0	-0,22	0,73	-7,07	0,64	8,94
135,0	-0,87	-4,41	-5,55	0,52	7,18
150,0	-1,38	-9,78	-3,69	0,24	3,31
165,0	-1,62	-14,72	-0,47	0,18	2,49
180,0	-1,44	-18,60	3,92	0,71	9,81
195,0	-0,74	-20,87	9,13	1,30	18,02
210,0	0,56	-21,10	14,67	1,89	26,32
225,0	2,46	-19,04	19,98	0,16	2,17
240,0	2,61	-20,15	21,84	1,87	26,03
255,0	0,74	-25,00	19,73	1,17	16,21
270,0	-0,43	-27,02	16,94	0,40	5,58
285,0	-0,83	-26,11	13,81	0,34	4,68
300,0	-0,49	-22,47	10,65	0,07	1,02
315,0	-0,57	-19,04	6,50	0,45	6,25
330,0	-1,02	-16,00	1,88	0,00	0,05
345,0	-1,01	-11,62	-1,75	0,30	4,22
360,0	-0,71	-6,86	-4,02	0,03	0,41

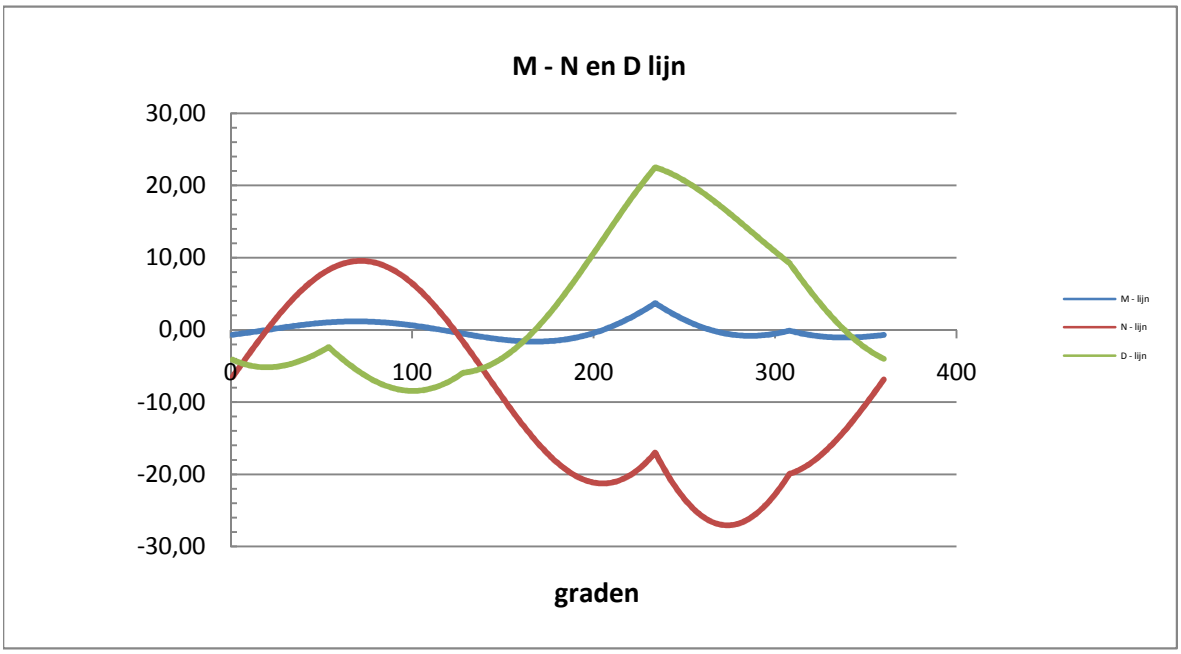

Belastinggeval : BG 3 - Bundelbreuk 90 gr + ijs

φ in gr.	$M_{s;d}$ kNm	$T_{s;d}$ kN	$V_{s;d}$ kN	$\Delta M_{s;d}$ kN	$F_{s;d,langs}$ kN
0,0	-0,77	-7,50	-4,43	0,56	7,81
15,0	-0,21	-1,73	-5,63	0,61	8,51
30,0	0,40	3,48	-5,38	0,52	7,17
45,0	0,92	7,53	-3,91	0,31	4,24
60,0	1,23	9,95	-4,44	0,03	0,36
75,0	1,25	10,46	-7,39	0,27	3,72
90,0	0,98	9,00	-9,09	0,52	7,23
105,0	0,46	5,73	-9,26	0,68	9,46
120,0	-0,22	1,00	-7,79	0,71	9,82
135,0	-0,93	-4,66	-6,13	0,57	7,97
150,0	-1,50	-10,59	-4,13	0,27	3,78
165,0	-1,77	-16,08	-0,62	0,18	2,56
180,0	-1,59	-20,42	4,19	0,76	10,60
195,0	-0,82	-23,00	9,92	1,41	19,65
210,0	0,59	-23,35	16,04	2,08	28,83
225,0	2,67	-21,17	21,92	0,17	2,39
240,0	2,84	-22,45	24,04	2,05	28,48
255,0	0,79	-27,82	21,80	1,26	17,55
270,0	-0,48	-30,04	18,83	0,41	5,74
285,0	-0,89	-29,01	15,48	0,41	5,67
300,0	-0,48	-24,93	12,08	0,08	1,16
315,0	-0,56	-21,17	7,52	0,53	7,38
330,0	-1,10	-17,89	2,37	0,02	0,34
345,0	-1,12	-13,12	-1,72	0,32	4,40
360,0	-0,80	-7,88	-4,29	0,03	0,44

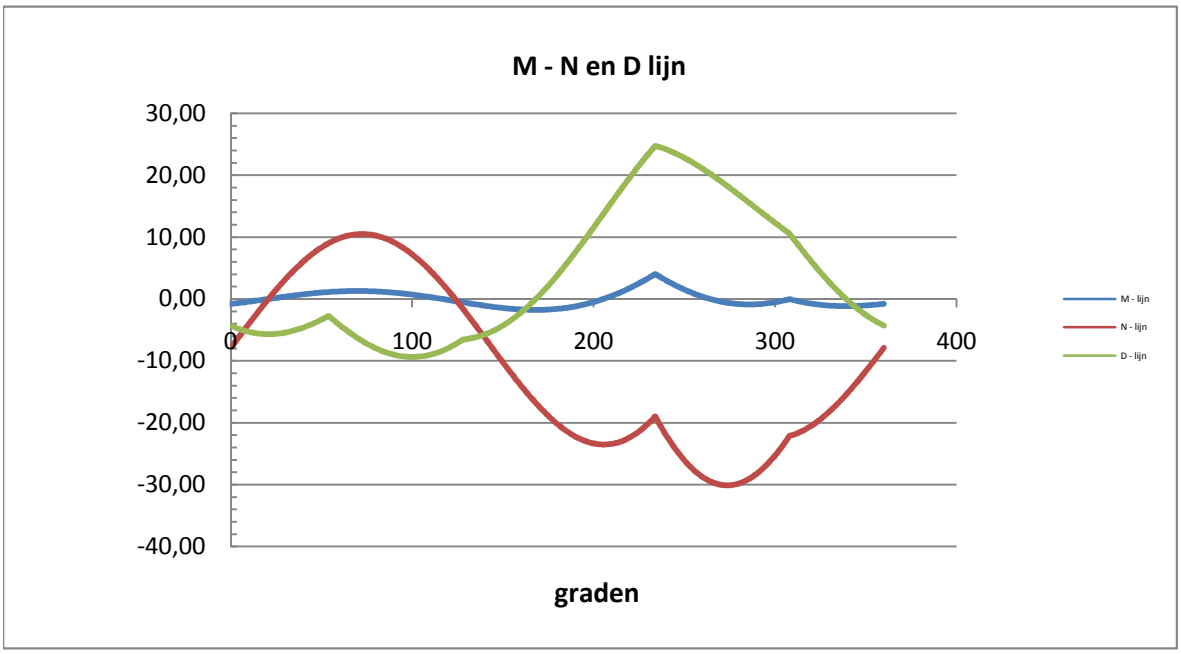

Maatgevende belastinggeval : BG 1a - wind 45 gr.

Controle spanningen :

$N_{Ed;max}$ =	41,5	kN	N_{Rd} =	1555	kN
$M_{y,Ed;max}$ =	4,86	kNm	M_{Rd} =	28	kNm
$M_{w,Ed;max}$ =	20,8	kNm	M_{Rd} =	3669	kNm
$V_{Ed;max}$ =	26,3	kN	V_{Rd} =	369	kN

$N_{Ed;max} / N_{Rd}$ = 41,49 / 1555 = 0,03 < 1,0 -- Voldoet

σ_N = 6,3 N/mm^2

$M_{y,Ed;max} / M_{y,Rd}$ = 4,86 / 27,8 = 0,17 < 1,0 -- Voldoet

σ_b = 41,3 N/mm^2

$V_{Ed;max} / V_{Rd}$ = 26,34 / 369 = 0,07 < 1,0 -- Voldoet

τ_z = 9,8 N/mm^2

Bij maximale moment : N_{Ed} = 23,71

V_{Ed} = 26,34

$\sigma_b + \sigma_N$ = 41,3 + 3,6 = 44,9 N/mm^2 < 236 MPa -- Voldoet

τ_z = 9,8 N/mm^2

$\sigma_{vlg} = \{ (\sigma_b + \sigma_{N)}^2 + 3*\tau^2 \}^{0,5}$

σ_{vlg} = 48 N/mm^2 < 236 MPa -- Voldoet

Controle spanningen in las.

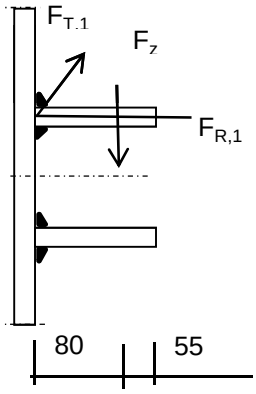

Per bevestiging (2 * bevestigingspunten en 2 * ringen)

$F_{R,1,h}$ =	64,23	kN
$F_{T,1,h}$ =	59,12	kN
F_z =	14,69	kN
$F_{Langs,Ed}$ =	47,97	kN

$L_{las} = b_{m;ring} = 0,138*t*\pi * (E/fy)^{0,5}$ = 210 mm

of

L_{las} = 2 * 80 = 160 mm

L_{las} =160 mm - maatgevend

lasdikte a = 5 mm - hoeklas

t.g.v. $F_{R,1,h}$:

$\sigma_1 = \tau_1 = F_{R,1,h} / (2*a*L_{las,min}*2^{0,5})$ = 28,4 N/mm^2

t.g.v. $F_{T,1,h}$:

$\tau_2 = F_{T,1,h} / (2*a*L_{las,min})$ = 36,95 N/mm^2

t.g.v. $F_{Langs,Ed}$:

$\tau_2 = F_{Langs,Ed;max} / (2*a*L_{las,min})$ = 29,98 N/mm^2

t.g.v. F_z :

$\sigma_1 = \tau_1 = [(F_z * 1000 * 80)/(t_{ring}+2*a/3)] / (a*L_{las,min}*2^{0,5})$ = 44,52 N/mm^2

$\sigma_1 = \tau_1$ = 72,90 N/mm^2

$\sigma_{Ed} = \{\sigma_1^2 + 3 * (\tau_1^2 + \tau_2^2)\}^{0,5}$ = 186,3 N/mm^2

Toetsing regel :

$\sigma_{Ed} \leq f_u / (\beta_w * \gamma_{M2})$ of $\sigma_1 = \sigma_{loodrecht} \leq 0{,}9 * f_u / \gamma_{M2}$

$f_{v,w,d} = f_u / (\beta_w * \gamma_M * \text{wortel(3)})$

$\gamma_{M2} = 1{,}25$

$\gamma_{m;extra} =$ 1,5 (extra materiaalfactor)

Materiaal S 355 ----> $f_u = 510$ N/mm^2 en $\beta_w = 0{,}9$

$f_u / (\beta_w * \gamma_{M2}) = 302$ N/mm^2 $0{,}9 * f_u / \gamma_{M2} = 245$ N/mm^2

$\sigma_{Ed} \leq f_u / (\beta_w * \gamma_{M2})=$	186,3	/	302,2	=	0,62	< 1,0 -- Voldoet
$\sigma_1 \leq 0{,}9 * f_u / \gamma_{M2}$	72,9	/	244,8	=	0,30	< 1,0 -- Voldoet

9.1.2 - Afspanpunt trekisolatoren op 42,0 meter hoogte

Ring gegevens:

$t_{buis;nom}$ = 22 mm
$t_{buis;reken}$ = 22 mm

$t_{ring;nom}$ = 20 mm
$t_{ring;reken}$ = 20 mm

b_{ring} = 135 mm
Afstand tussen ringen = 160 mm

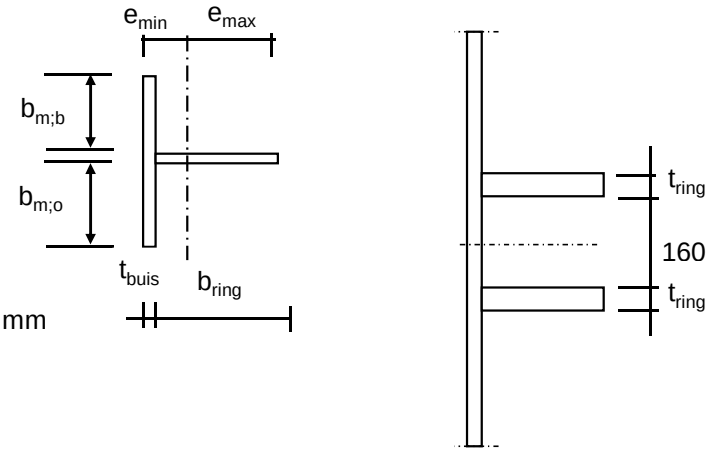

Mee werkende breedte :DIN 18801

$b_m = 0{,}138 * t * \lambda_a$

$\lambda_a = \pi * (E / f_y)^{0,5}$

Staal S355 ; f_y = 355,0 N/mm^2
E = 210000,0 N/mm^2

$b_{m;b}$ = 232,0 mm
$b_{m;o}$ = 80 mm

A = 10004 mm^2
e_{min} = 32,2 mm
e_{max} = 124,8 mm

I = 16542576 mm^4
W_{min} = 132539 mm^3

$\gamma_{m;extra}$ = 1,5 (extra materiaalfactor)

N_{Rd} = 2367 kN
$M_{y;Rd}$ = 31 kNm
$M_{w;Rd}$ = 10520 kNm (torsieweerstand mast)
V_{Rd} = 369 kN

Belastingen op 42,0 meter (gelijkgesteld aan de belastingen van de geleiders op 52 m)

Belastingen - geleiders 380 kV

	Ahead			Back		
	F_V N	F_T N	F_L N	F_V N	F_T N	F_L N
BG 1a - (wind (90 gr))	17056	124980	205651	17056	124980	-205651
BG 3 - (wind (90) + ijs)	29380	123077	229108	29380	123077	-229108
BG 1a - (wind (45 gr))	17045	67119	135061	17057	130900	-213662
BG 3 - (wind (45)+ ijs)	29376	103058	216048	29381	125336	-231339
1a- Bundelbr.-(90 gr)	17049	88694	157786	0,0	0,0	0,0
3 - Bundelbr.-(90 gr + ijs)	19805	94794	175433	0,0	0,0	0,0
1a- Bundelbr.-(45 gr)	17045	64613	133947	0,0	0,0	0,0
3 - Bundelbr.-(45 gr + ijs)	19802	76696	160509	0,0	0,0	0,0

Diameter mast t.p.v ringen D = 1167 mm

R = 583,4 mm

Mast 8 :	Lijnhoek = 2. α =	130,1	graden
Mast 7 :	Lijnhoek = 2. α =	161,1	graden
Mast 15 :	Lijnhoek = 2. α =	180	graden
Mast 176 :	Lijnhoek = 2. α =	139,3	graden
Mast 149 :	Lijnhoek = 2. α =	169,2	graden
Mast 148 :	Lijnhoek = 2. α =	173,4	graden
Mast 132 :	Lijnhoek = 2. α =	180	graden
Mast 106 :	Lijnhoek = 2. α =	130,4	graden
Mast 105 :	Lijnhoek = 2. α =	155,2	graden
	Lijnhoek = 2. α =	169,2	graden maatgevend
	hoek φ = boogsin(300 / (583+80)) =	26,9	graden

	A		B		C	
	$F_{R;1;Ed}$ kN	$F_{R;2;Ed}$ kN	$F_{R;1;Ed}$ kN	$F_{R;2;Ed}$ kN	$F_{R;max;Ed}$ kN	$M_{T;Ed}$ kNm
BG 1a - (wind (90 gr))	60,2	36,4	60,2	36,4		
BG 3 - (wind (90) + ijs)	64,9	42,0	64,9	42,0		
BG 1a - (wind (45 gr))	37,5	25,3	62,6	37,7		
BG 3 - (wind (45)+ ijs)	59,4	40,8	65,6	42,3		
1a- Bundelbr.-(90 gr)	45,2	28,6	0,0	0,0		
3 - Bundelbr.-(90 gr + ijs)	49,7	32,1	0,0	0,0		
1a- Bundelbr.-(45 gr)	36,9	25,2	0,0	0,0		
3 - Bundelbr.-(45 gr + ijs)	44,2	30,3	0,0	0,0		

Roark's Formulas for stress & strain - tabel 9.2 - 20

Roark's Formulas for stress & strain - tabel 9.2 - 19

Maatgevende belastinggeval : BG 3 - wind 90 gr. + ijs

φ in gr.	$M_{s;d}$ kNm	$T_{s;d}$ kN	$V_{s;d}$ kN	$\Delta M_{s;d}$ kN	$F_{s;d,langs}$ kN
0,0	-6,40	-32,70	-16,79	0,65	7,18
15,0	-5,75	-32,00	-14,18	1,93	21,22
30,0	-3,82	-29,93	-6,68	3,12	34,36
45,0	-0,70	-26,53	4,79	4,18	46,00
60,0	3,47	-21,92	17,73	2,49	27,38
75,0	5,96	-20,63	22,61	0,53	5,83
90,0	5,43	-24,71	24,90	0,45	5,00
105,0	5,88	-27,12	27,61	1,53	16,87
120,0	7,41	-27,46	27,38	5,89	64,89
135,0	1,52	-40,10	18,44	5,62	61,90
150,0	-4,09	-51,68	10,04	3,57	39,28
165,0	-7,66	-59,02	4,47	1,22	13,46
180,0	-8,88	-61,54	2,52	1,22	13,46
195,0	-7,66	-59,02	4,47	3,57	39,28
210,0	-4,09	-51,68	10,04	5,62	61,90
225,0	1,52	-40,10	18,44	5,89	64,89
240,0	7,41	-27,46	27,38	1,53	16,87
255,0	5,88	-27,12	27,61	0,45	5,00
270,0	5,43	-24,71	24,90	0,53	5,83
285,0	5,96	-20,63	22,61	2,49	27,38
300,0	3,47	-21,92	17,73	4,18	46,00
315,0	-0,70	-26,53	4,79	3,12	34,36
330,0	-3,82	-29,93	-6,68	1,93	21,22
345,0	-5,75	-32,00	-14,18	0,65	7,14
360,0	-6,40	-32,70	-16,77	0,00	0,03

$F_{s;d;langs} = \Delta M_{s;d} * S / I$

$S = 182250\ mm^3$

$I = 16542576\ mm^4$

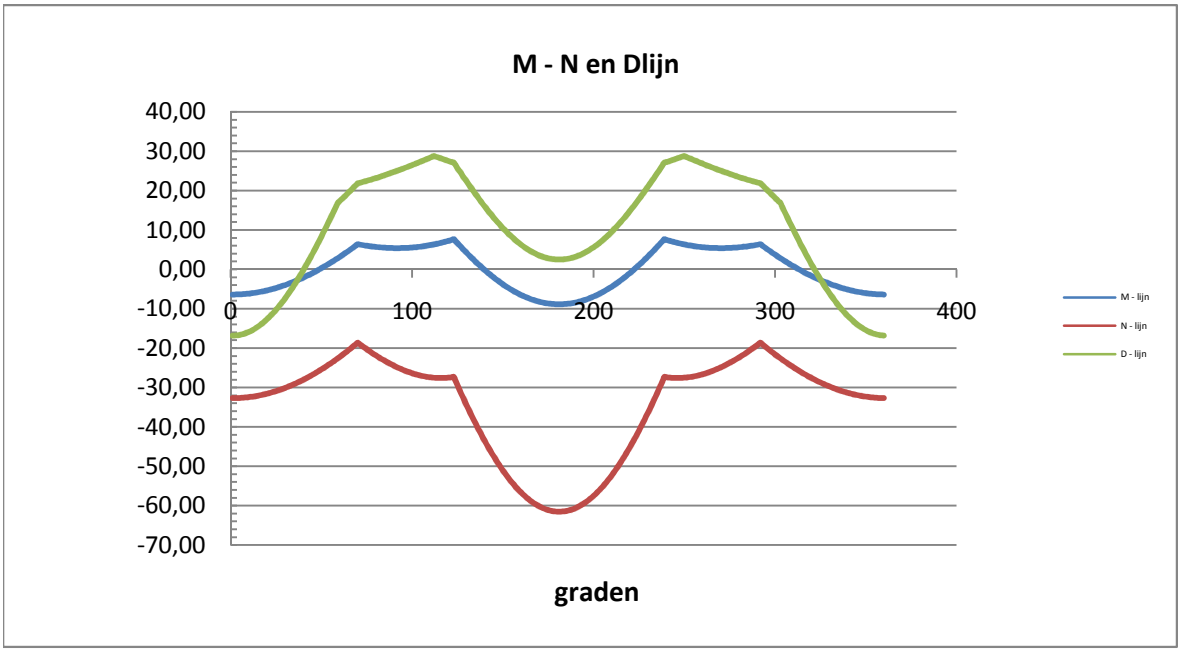

Controle spanningen :

$N_{Ed;max}$ =	61,5	kN	N_{Rd} =	2367	kN
$M_{y,Ed;max}$ =	8,88	kNm	M_{Rd} =	31	kNm
$M_{w,Ed;max}$ =	26,3	kNm	M_{Rd} =	10520	kNm
$V_{Ed;max}$ =	28,8	kN	V_{Rd} =	369	kN

$N_{Ed;max} / N_{Rd}$ = 61,54 / 2367 = 0,03 < 1,0 -- Voldoet

σ_N = 6,2 N/mm^2

$M_{y,Ed;max} / M_{y,Rd}$ = 8,88 / 31,4 = 0,28 < 1,0 -- Voldoet

σ_b = 67,0 N/mm^2

$V_{Ed;max} / V_{Rd}$ = 28,77 / 369 = 0,08 < 1,0 -- Voldoet

τ_z = 10,7 N/mm^2

Bij maximale moment : N_{Ed} = 61,54

V_{Ed} = 2,52

$\sigma_b + \sigma_N$ = 67,0 + 6,2 = 73,2 N/mm^2 < 236 MPa -- Voldoet

τ_z = 0,9 N/mm^2

$\sigma_{vlg} = \{ (\sigma_b + \sigma_N)^2 + 3*\tau^2 \}^{0,5}$

σ_{vlg} = 73 N/mm^2 < 236 MPa -- Voldoet

Controle spanningen in las.

Per bevestiging (2 * bevestigingspunten en 2 * ringen)

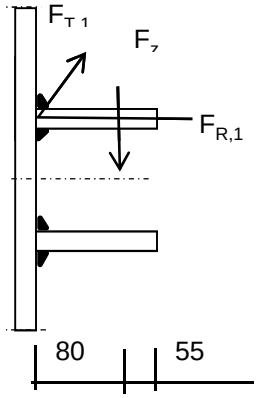

$F_{R,1,h}$ =	64,86	kN
$F_{T,1,h}$ =	49,61	kN
F_z =	14,69	kN
$F_{Langs,Ed}$ =	64,89	kN

$L_{las} = b_{m;ring} = 0,138*t*\pi * (E/fy)^{0,5}$ = 210 mm

of

L_{las} = 2 * 80 = 160 mm

L_{las} =160 mm - maatgevend

lasdikte a = 5 mm - hoeklas

t.g.v. $F_{R,1,h}$:

$\sigma_1 = \tau_1 = F_{R,1,h} / (2*a*L_{las,min}*2^{0,5})$ = 28,7 N/mm^2

t.g.v. $F_{T,1,h}$:

$\tau_2 = F_{T,1,h} / (2*a*L_{las,min})$ = 31,01 N/mm^2

t.g.v. $F_{Langs,Ed}$:

$\tau_2 = F_{Langs,Ed;max} / (2*a*L_{las,min})$ = 40,56 N/mm^2

t.g.v. F_z :

$\sigma_1 = \tau_1 = [(F_z * 1000 * 80)/(t_{ring}+2*a/3)] / (a*L_{las,min}*2^{0,5})$ = 44,52 N/mm^2

$\sigma_1 = \tau_1$ = 73,18 N/mm^2

$\sigma_{Ed} = \{\sigma_1^2 + 3 * (\tau_1^2 + \tau_2^2)\}^{0,5}$ = 191,8 N/mm^2

Toetsing regel :

$\sigma_{Ed} \leq f_u / (\beta_w * \gamma_{M2})$ of $\tau_1 \leq 0{,}9 * f_u / \gamma_{M2}$

$f_{w;u;d} = f_{t;d} / (\beta * \gamma_M *$ wortel(3))

$\gamma_{M2} = 1{,}25$

$\gamma_{m;extra} =$ 1,5 (extra materiaalfactor)

Materiaal S 355 ----> $f_u = 510$ N/mm^2 en $\beta_w = 0{,}9$

$f_u / (\beta_w * \gamma_{M2}) = 302$ N/mm^2 $0{,}9 * f_u / \gamma_{M2} = 245$ N/mm^2

$\sigma_{Ed} \leq f_u / (\beta_w * \gamma_{M2})=$ 191,8 / 302,2 = 0,63 < 1,0 -- Voldoet

$\tau_1 \leq 0{,}9 * f_u / \gamma_{M2}$ 73,2 / 244,8 = 0,30 < 1,0 -- Voldoet

9.1.3 - Afspanpunt trekisolatoren op 32,0 meter hoogte

Ring gegevens:

$t_{buis;nom}$ = 25 mm
$t_{buis;reken}$ = 25 mm

$t_{ring;nom}$ = 20 mm
$t_{ring;reken}$ = 20 mm

b_{ring} = 135 mm
Afstand tussen ringen = 160 mm

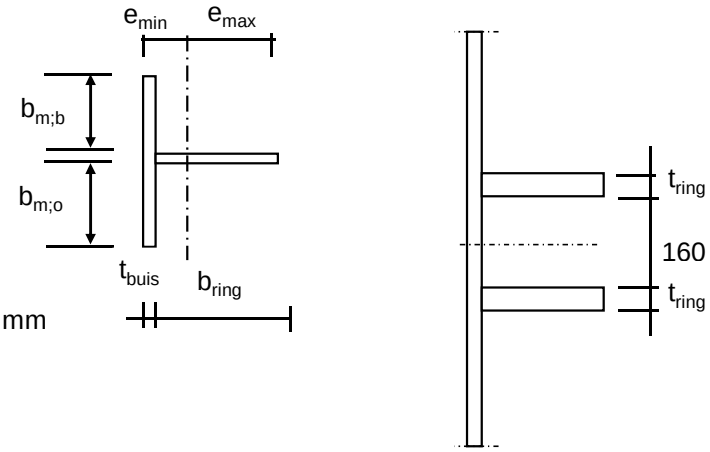

Mee werkende breedte :DIN 18801

$b_m = 0{,}138 * t * \lambda_a$

$\lambda_a = \pi * (E / f_y)^{0,5}$

Staal S355 ; f_y = 355,0 N/mm^2
E = 210000,0 N/mm^2

$b_{m;b}$ = 263,6 mm
$b_{m;o}$ = 80 mm

A = 11790 mm^2
e_{min} = 30,8 mm
e_{max} = 129,2 mm

I = 17896923 mm^4
W_{min} = 138543 mm^3

$\gamma_{m;extra}$ = 1,5 (extra materiaalfactor)

N_{Rd} = 2790 kN
$M_{y;Rd}$ = 33 kNm
$M_{w;Rd}$ = 19893 kNm (torsieweerstand mast)
V_{Rd} = 369 kN

Belastingen op 32,0 meter (gelijkgesteld aan de belastingen van de geleiders op 52 m)

Belastingen - geleiders 380 kV

	Ahead			Back		
	F_V N	F_T N	F_L N	F_V N	F_T N	F_L N
BG 1a - (wind (90 gr))	17056	124980	205651	17056	124980	-205651
BG 3 - (wind (90) + ijs)	29380	123077	229108	29380	123077	-229108
BG 1a - (wind (45 gr))	17045	67119	135061	17057	130900	-213662
BG 3 - (wind (45)+ ijs)	29376	103058	216048	29381	125336	-231339
1a- Bundelbr.-(90 gr)	17049	88694	157786	0,0	0,0	0,0
3 - Bundelbr.-(90 gr + ijs	19805	94794	175433	0,0	0,0	0,0
1a- Bundelbr.-(45 gr)	17045	64613	133947	0,0	0,0	0,0
3 - Bundelbr.-(45 gr + ijs	19802	76696	160509	0,0	0,0	0,0

Diameter mast t.p.v ringen D = 1500 mm

R = 750,1 mm

Mast 8 :	Lijnhoek = 2. α =	130,1	graden
Mast 7 :	Lijnhoek = 2. α =	161,1	graden
Mast 15 :	Lijnhoek = 2. α =	180	graden
Mast 176 :	Lijnhoek = 2. α =	139,3	graden
Mast 149 :	Lijnhoek = 2. α =	169,2	graden
Mast 148 :	Lijnhoek = 2. α =	173,4	graden
Mast 132 :	Lijnhoek = 2. α =	180	graden
Mast 106 :	Lijnhoek = 2. α =	130,4	graden
Mast 105 :	Lijnhoek = 2. α =	155,2	graden

hoek tussen lijnen 2. α = 180 graden maatgevend

hoek φ = boogsin(300 / (750+80)) = 21,2 graden

	A		B		C	
	$F_{R;1;Ed}$ kN	$F_{R;2;Ed}$ kN	$F_{R;1;Ed}$ kN	$F_{R;2;Ed}$ kN	$F_{R;max;Ed}$ kN	$M_{T;Ed}$ kNm
BG 1a - (wind (90 gr))	59,2	36,6	59,2	36,6		
BG 3 - (wind (90) + ijs)	64,5	42,3	64,5	42,3		
BG 1a - (wind (45 gr))	37,5	25,4	61,6	38,0		
BG 3 - (wind (45)+ ijs)	59,7	41,0	65,2	42,6		
1a- Bundelbr.-(90 gr)	44,8	28,8	0,0	0,0		
3 - Bundelbr.-(90 gr + ijs)	49,5	32,3	0,0	0,0		
1a- Bundelbr.-(45 gr)	37,1	25,4	0,0	0,0		
3 - Bundelbr.-(45 gr + ijs)	44,3	30,5	0,0	0,0		

Roark's Formulas for stress & strain - tabel 9.2 - 20

Roark's Formulas for stress & strain - tabel 9.2 - 19

Maatgevende belastinggeval : BG 3 - wind 90 gr. + ijs

φ in gr.	$M_{s;d}$ kNm	$T_{s;d}$ kN	$V_{s;d}$ kN	$\Delta M_{s;d}$ kN	$F_{s;d,langs}$ kN
0,0	-8,58	-43,63	-15,39	0,87	8,84
15,0	-7,71	-42,32	-12,71	2,55	25,98
30,0	-5,16	-38,45	-5,02	4,08	41,56
45,0	-1,08	-32,26	6,75	5,36	54,63
60,0	4,29	-24,12	21,09	3,75	38,14
75,0	8,03	-18,92	30,83	0,64	6,50
90,0	8,67	-19,14	32,13	1,40	14,25
105,0	10,07	-18,05	32,89	3,77	38,41
120,0	6,30	-25,74	25,08	6,68	68,06
135,0	-0,39	-38,25	12,38	5,16	52,59
150,0	-5,55	-47,91	1,88	3,26	33,20
165,0	-8,81	-54,00	-5,02	1,11	11,35
180,0	-9,93	-56,09	-7,42	1,11	11,35
195,0	-8,81	-54,00	-5,02	3,26	33,20
210,0	-5,55	-47,91	1,88	5,16	52,59
225,0	-0,39	-38,25	12,38	6,68	68,06
240,0	6,30	-25,74	25,08	3,77	38,41
255,0	10,07	-18,05	32,89	1,40	14,25
270,0	8,67	-19,14	32,13	0,64	6,50
285,0	8,03	-18,92	30,83	3,75	38,14
300,0	4,29	-24,12	21,09	5,36	54,63
315,0	-1,08	-32,26	6,75	4,08	41,56
330,0	-5,16	-38,45	-5,02	2,55	25,98
345,0	-7,71	-42,32	-12,71	0,86	8,80
360,0	-8,58	-43,62	-15,38	0,00	0,04

$F_{s;d;langs} = \Delta M_{s;d} * S / I$

$S =$ 182250 mm^3

$I =$ 17896923 mm^4

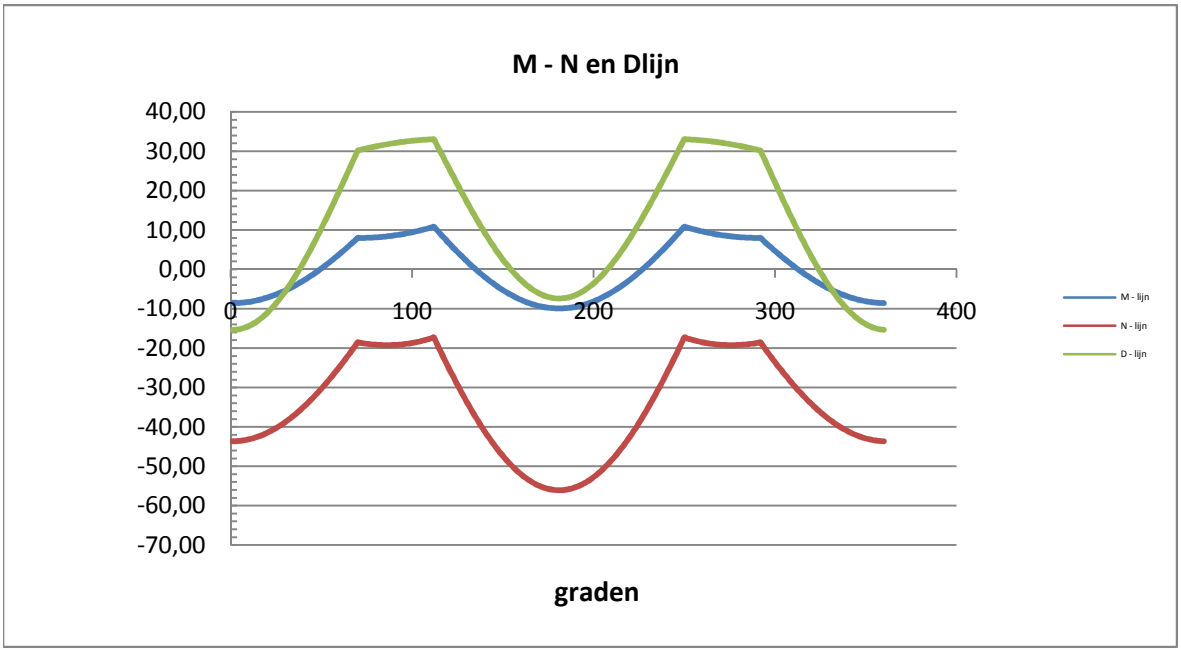

Controle spanningen :

$N_{Ed;max}$ =	56,1	kN	N_{Rd} =	2790	kN
$M_{y,Ed;max}$ =	10,83	kNm	M_{Rd} =	33	kNm
$M_{w,Ed;max}$ =	43,0	kNm	M_{Rd} =	19893	kNm
$V_{Ed;max}$ =	33,0	kN	V_{Rd} =	369	kN

$N_{Ed;max} / N_{Rd}$ = 56,09 / 2790 = 0,02 < 1,0 -- Voldoet

σ_N = 4,8 N/mm^2

$M_{y,Ed;max} / M_{y,Rd}$ = 10,83 / 32,8 = 0,33 < 1,0 -- Voldoet

σ_b = 78,2 N/mm^2

$V_{Ed;max} / V_{Rd}$ = 33,03 / 369 = 0,09 < 1,0 -- Voldoet

τ_z = 12,2 N/mm^2

Bij maximale moment : N_{Ed} = 56,09

V_{Ed} = 7,42

$\sigma_b + \sigma_N$ = 78,2 + 4,8 = 83,0 N/mm^2 < 236 MPa -- Voldoet

τ_z = 2,7 N/mm^2

$\sigma_{vlg} = \{ (\sigma_b + \sigma_N)^2 + 3*\tau^2 \}^{0,5}$

σ_{vlg} = 83 N/mm^2 < 236 MPa -- Voldoet

Controle spanningen in las.

Per bevestiging (2 * bevestigingspunten en 2 * ringen)

$F_{R,1,h}$ =	64,53	kN
$F_{T,1,h}$ =	49,39	kN
F_z =	14,69	kN
$F_{Langs,Ed}$ =	68,06	kN

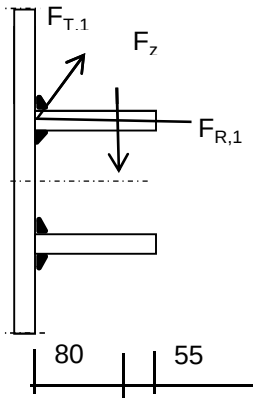

$L_{las} = b_{m;ring} = 0,138*t*\pi * (E/fy)^{0,5}$ = 210 mm

of

L_{las} = 2 * 80 = 160 mm

L_{las} =160 mm - maatgevend

lasdikte a = 5 mm - hoeklas

t.g.v. $F_{R,1,h}$:

$\sigma_1 = \tau_1 = F_{R,1,h} / (2*a*L_{las,min}*2^{0,5})$ = 28,5 N/mm^2

t.g.v. $F_{T,1,h}$:

$\tau_2 = F_{T,1,h} / (2*a*L_{las,min})$ = 30,87 N/mm^2

t.g.v. $F_{Langs,Ed}$:

$\tau_2 = F_{Langs,Ed;max} / (2*a*L_{las,min})$ = 42,54 N/mm^2

t.g.v. F_z :

$\sigma_1 = \tau_1 = [(F_z * 1000 * 80)/(t_{ring}+2*a/3)] / (a*L_{las,min}*2^{0,5})$ = 44,52 N/mm^2

$\sigma_1 = \tau_1$ = 73,03 N/mm^2

$\sigma_{Ed} = \{\sigma_1^2 + 3 * (\tau_1^2 + \tau_2^2)\}^{0,5}$ = 193,7 N/mm^2

Toetsing regel :

$\sigma_{Ed} \leq f_u / (\beta_w * \gamma_{M2})$ of $\tau_1 \leq 0{,}9 * f_u / \gamma_{M2}$

$f_{w;u;d} = f_{t;d} / (\beta * \gamma_M *$ wortel(3))

$\gamma_{M2} = 1{,}25$

$\gamma_{m;extra} =$ 1,5 (extra materiaalfactor)

Materiaal S 355 ----> $f_u = 510$ N/mm^2 en $\beta_w = 0{,}9$

$f_u / (\beta_w * \gamma_{M2}) = 302$ N/mm^2 $0{,}9 * f_u / \gamma_{M2} = 245$ N/mm^2

$\sigma_{Ed} \leq f_u / (\beta_w * \gamma_{M2})$=	193,7	/	302,2	=	0,64	< 1,0 -- Voldoet
$\tau_1 \leq 0{,}9 * f_u / \gamma_{M2}$	73,0	/	244,8	=	0,30	< 1,0 -- Voldoet

9.2 - Berekening draagarm bliksemdraad

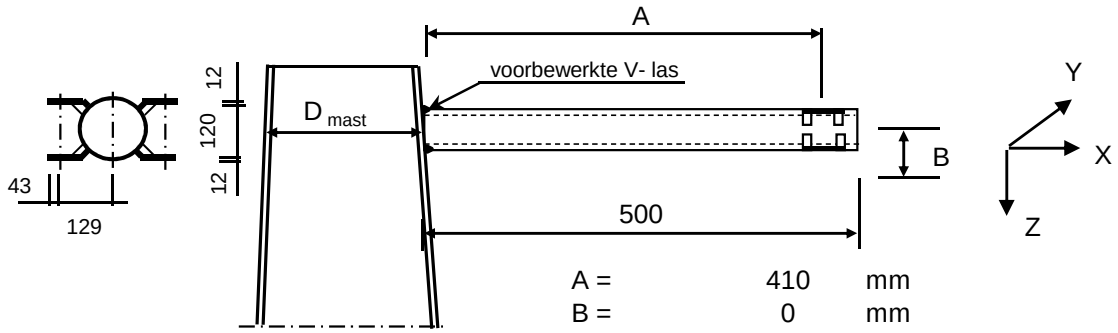

A =	410	mm
B =	0	mm
D_{mast} =	519,0	mm
t_{mast} =	15	mm
Hoogte :	61,43	m

Buisgegevens

Buis Ø168,3 * 8 - S355 ;

$\gamma_{m;extra}$ = 1,5 (extra materiaalfactor)

Materiaal - S 355 ; f_y = 355 / $\gamma_{m;extra}$ = 236,7 N/mm^2

A =	4029	mm^2	$N_{Ed} = A * f_y$ =	953	kN
$W_y = W_z$ =	1,54E+05	mm^3	$M_{y,Ed} = W_y * f_y$ =	36,5	kNm
W_x =	3,08E+05	mm^3	$M_{z,Ed} = W_z * f_y$ =	36,5	kNm
			$M_{x,Ed} = W_x * f_y / 3^{0,5}$ =	42,1	kNm
			$V_{Rd} = 0,5*A* f_y / 3^{0,5}$ =	275,2	kN

Belastingen : Zie KEMA rapport 74100706-ETD/POL 12-001 38 V10.0 - Appendix N en N1

	AHEAD			BACK		
	F_x	F_y	F_z	F_x	F_y	F_z
	N	N	N	N	N	N
BG 1a - (wind (90 gr))	20429	32679	2228	20429	-32679	2228
BG 3 - (wind (90) + ijs)	32450	58151	9246	32450	-58151	9246
BG 1a - (wind (45 gr))	9102	17936	2226	21514	-34170	2228
BG 3 - (wind (45) + ijs)	26385	54955	9244	33116	-58719	9247
BG 1a - bundelbr. (90gr).	13529	23228	2227	0	0	0
BG 3 - bundelbr. (90gr+ijs).	20828	35526	3797	0	0	0
BG 1a - bundelbr. (45gr).	8595	17608	2226	0	0	0
BG 3 - bundelbr. (45gr+ijs).	13832	28363	3796	0	0	0
BG 1a - bundelbr. (-45gr).	14071	23957	2227	0	0	0
BG 3 - bundelbr. (-45gr+ijs)	21594	36481	3798	0	0	0

F_x = Transverse kracht

F_y = Longitudinale kracht

F_z = Verticale kracht

	$F_{x,Ed}$ kN	$F_{y,Ed}$ kN	$F_{z,Ed}$ kN	$M_{x,Ed}$ kNm	$M_{y,Ed}$ kNm	$M_{z,Ed}$ kNm
BG 1a - (wind (90 gr))	40,858	0	4,456	0,00	1,83	0,00
BG 3 - (wind (90) + ijs)	64,9	0	18,492	0,00	7,58	0,00
BG 1a - (wind (45 gr))	30,616	16,234	4,454	0,00	1,83	6,66
BG 3 - (wind (45) + ijs)	59,501	3,764	18,491	0,00	7,58	1,54
BG 1a - bundelbr. (90gr).	13,529	23,228	2,227	0,00	0,91	9,52
BG 3 - bundelbr. (90gr+ijs).	20,828	35,526	3,797	0,00	1,56	14,57
BG 1a - bundelbr. (45gr).	8,595	17,608	2,226	0,00	0,91	7,22
BG 3 - bundelbr. (45gr+ijs).	13,832	28,363	3,796	0,00	1,56	11,63
BG 1a - bundelbr. (-45gr).	14,071	23,957	2,227	0,00	0,91	9,82
BG 3 - bundelbr. (-45gr+ijs)	**21,594**	**36,481**	**3,798**	**0,00**	**1,56**	**14,96**

$M_{x,Ed} = F_{y,Ed} * B$; $B = 0$

$M_{y,Ed} = F_{z,Ed} * A \pm F_{x,Ed} * B$; $M_{y,Ed,max} = F_{z,Ed} * A$

$M_{z,Ed} = F_{y,Ed} * A$

Maatgevend belastinggeval : BG 3 - bundelbreuk (wind -45 gr + ijs)

$M_{y,Ed} / M_{y,Rd}$ =	1,56	/ 36	=	0,04	< 1,0	-- Voldoet
		$\sigma_{b,y}$ =		10,1	N/mm^2	
$M_{z,Ed} / M_{z,Rd}$ =	14,96	/ 36	=	0,41	< 1,0	-- Voldoet
		$\sigma_{b,y}$ =		97,0	N/mm^2	
N_{Ed} / N_{Rd} =	21,59	/ 953	=	0,02	< 1,0	-- Voldoet
		σ_N =		5,4	N/mm^2	
$V_{z,Ed} / V_{z,Rd}$ =	3,80	/ 275	=	0,01	< 1,0	-- Voldoet
		τ_z =		1,9	N/mm^2	
$V_{y,Ed} / V_{y,Rd}$ =	36,48	/ 275	=	0,13	< 1,0	-- Voldoet
		τ_y =		18,1	N/mm^2	

Maximale spanning

$\sigma_{max} = (\sigma^2_{b,y} + \sigma^2_{b,z})^{0,5} + \sigma_N$ = 103 N/mm^2

vergelijkingsspanning :

$\sigma_{vlg} = (\sigma^2_{max} + 3*\tau^2_y + 3*\tau^2_z)^{0,5}$

σ_{vlg} = 108 N/mm^2 < 237 MPa -- Voldoet

Controle spanningen in las:

Toetsing regel :

$\sigma_{Ed} \leq f_u / (\beta_w * \gamma_{M2})$ of $\sigma_1 = \sigma_{loodrecht} \leq 0,9 * f_u / \gamma_{M2}$

$f_{v,w,d} = f_u / (\beta_w * \gamma_M *$ wortel(3))

$\gamma_M = 1,25$; $\gamma_{m;extra}$ = 1,5 (extra materiaalfactor)

Materiaal S 355 ----> $f_u = 510$ N/mm^2 en $\beta_w = 0,9$

$f_u / (\beta_w * \gamma_{M2})$ = 302 N/mm^2 $0,9 * f_u / \gamma_{M2}$ = 245 N/mm^2

Buis 168,3*8 :

Lassen : Rondom voorbewerkte V- las met volledige doorsnede doorlassen

9.2.1 - Controle capaciteit van de aansluiting - draagarm aan mast

Momentcapaciteit in het vlak

buis	d_i (mm)	t_i (mm)	A (mm^2)	kwaliteit	f_y	W_b (mm^3)
0	519,0	15,0	23751	S355	355	2908675
1	168,3	8,0	4029	S355	355	154162

$M_{ip,1,Rd} = \{4{,}85 * (f_{y0} * t_0^2 * d_1 / \sin\theta_1) * (\beta * k_p * g^{0,5})\} / \gamma_{M5}$

γ_{M5} = 1,50 (extra materiaalfactor)

θ_1 = 90 graden ; $\beta = d_i / d_0$ = 0,32

$\gamma = d_0 / 2*t_0$ = 17,3

$n_p = \{N_{0,Ed} / (A_0 * f_{y,0})\} + \{M_{0,Ed} / (W_0 * f_{y,0})\}$

$N_{0,Ed}$ = 20,32 kN drukkracht
$M_{0,Ed}$ = 14,09 kNm
} t.g.v. max. belasting

n_p = 0,02 of n_p = -0,011

k_p = 1,0 , voor $n_p \leq 0$ (trek) ;

$k_p = 1{,}0 - 0{,}3 * n_p - 0{,}3 * n_p^2$, voor $n_p > 0$ (druk) maar $k_p \leq 1$

k_p = 1,00

$M_{ip,1,Rd}$ = 58,3 kNm

Pons controle ; Voor $d_1 \leq d_0 - 2*t_0$:

$M_{ip,1,Rd} = \{(f_{y0} * t_0 * d_1^2 / 3^{0,5})*((1+ 3*\sin\theta_1)/ 4*\sin^2\theta_1)\} / \gamma_{M5}$

$M_{ip,1,Rd}$ = 58,1 kNm

$M_{y,Ed} / M_{ip,1,Rd}$ = 7,58 / 58,1 = 0,13 < 1,0 -- Voldoet

Momentcapaciteit uit het vlak

$M_{op,1,Rd} = \{(f_{y0} * t_0^2 * d_1 / \sin\theta_1) * (2{,}7 / (1 - 0{,}81*\beta)) * k_p \} / \gamma_{M5}$

$M_{op,1,Rd}$ = 32,7 kNm

Pons controle ; Voor $d_1 \leq d_0 - 2*t_0$:

$M_{op,1,Rd} = \{(f_{y0} * t_0 * d_1^2 / 3^{0,5})*((3+ \sin\theta_1)/ 4*\sin^2\theta_1)\} / \gamma_{M5}$

$M_{op,1,Rd}$ = 58,1 kNm

$M_{z,Ed} / M_{op,1,Rd}$ = 14,96 / 32,7 = 0,46 < 1,0 -- Voldoet

9.2,2 - Berekening clip bliksemdraad (clip type 2)

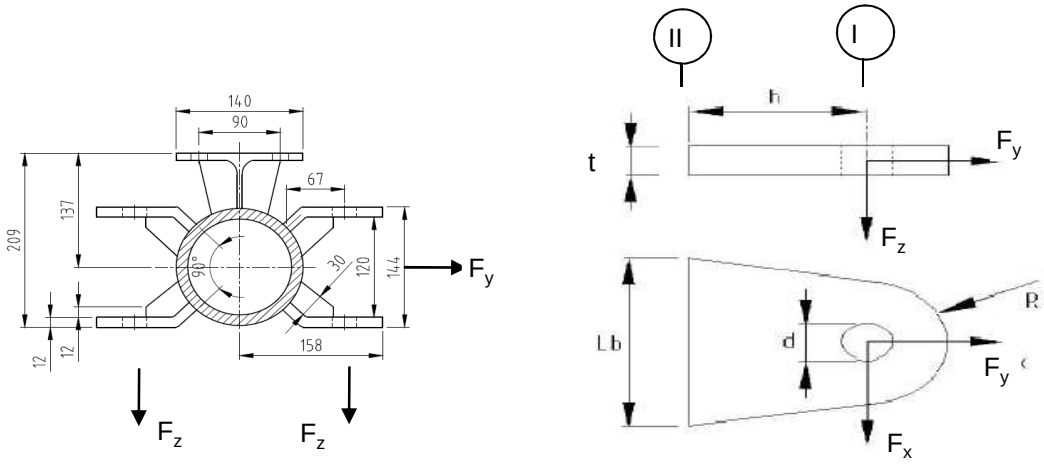

R =	42	mm ;	t =	12	mm
Lb =	120	mm ;	d =	27	mm
h =	65	mm ;	a las =	5	mm (hoeklas)

Materiaal - S 355 ; f_y = 355 / 1,5 = 236,7 N/mm^2

	$F_{x,Ed}$ kN	$F_{y,Ed}$ kN	$F_{z,Ed}$ kN
BG 1a - (wind (90 gr))	20,43	32,68	2,23
BG 3 - (wind (90) + ijs)	**32,45**	**58,15**	**9,25**
BG 1a - (wind (45 gr))	9,10	17,94	2,23
BG 3 - (wind (45) + ijs)	26,39	54,96	9,24

Maatgevend belastinggeval : BG 3 - (wind 90 gr + ijs)

Per clip :	**16,23**	**29,08**	**9,25**

Doorsnede I ; ter hoogte van het gat

Per clip: $F_{Ed;max}$ = $(F_{x,Ed}^2 + F_{y,Ed}^2)^{0,5}$ = 29,4 kN

τ_{toel} = (355 / 1,5) / $3^{0,5}$ = 137 N/mm^2

τ = $F_{Ed,max}$ / (2 *(t * (R - d/2)) = 43 N/mm^2 < 137 MPa -- Voldoet

Doorsnede II ; per clips

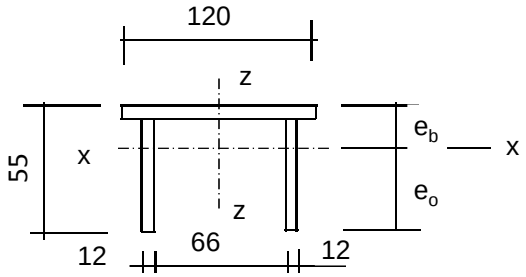

e_b =	17,5	mm
e_o =	37,5	mm
A =	2472	mm^2
A_{schot} =	1032	mm^3

I_x =	630925	mm^4	I_z =	3310056	mm^4
$W_{x,min}$ =	16816	mm^3	W_z =	55168	mm^3

$N_{Rd} = A * f_y$ =	585	kN
$M_{x,Rd} = W_{x,min} * f_y$ =	4,0	kNm
$M_{z,Rd} = W_z * f_y$ =	10,5	kNm
$V_{z,Rd} = A_{schot} * f_y / 3^{0,5}$ =	141,0	kN
$V_{x,Rd} = A_{ribbe} * f_y / 3^{0,5}$ =	196,8	kN

N_{Ed} =	29,08	kN	$M_{z,Ed} = V_{x,Ed} * h$ =	1,05	kNm
$V_{z,Ed}$ =	9,25	kN	$M_{x,Ed} = V_{z,Ed} * h$ =	0,60	kNm
$V_{x,Ed}$ =	16,23	kN			

N_{Ed} / N_{Rd} =	29,08	/	585	=	0,05	< 1,0	-- Voldoet
			σ_N =		11,8	N/mm^2	
$M_{z,Ed} / M_{z,Rd}$ =	1,05	/	10,5	=	0,10	< 1,0	-- Voldoet
			$\sigma_{b,z}$ =		23,7	N/mm^2	
$M_{x,Ed} / M_{x,Rd}$ =	0,60	/	4,0	=	0,15	< 1,0	-- Voldoet
			$\sigma_{b,x}$ =		35,7	N/mm^2	
$V_{z,Ed} / V_{z,Rd}$ =	9,25	/	141	/	0,07	< 1,0	-- Voldoet
			τ_z =		9,0	N/mm^2	
$V_{x,Ed} / V_{x,Rd}$ =	16,23	/	197	/	0,08	< 1,0	-- Voldoet
			τ_x =		11,3	N/mm^2	

Maximale spanning

σ_{max} = 71,2 N/mm^2

vergelijkingsspanning :

$\sigma_{vlg} = (\sigma^2_{max} + 3*\tau^2_x + 3*\tau^2_z)^{0,5}$

σ_{vlg} = 75 N/mm^2 < 236 MPa -- Voldoet

Controle spanningen in las:

Toetsing regel :

$\sigma_{Ed} \leq f_u / (\beta_w * \gamma_{M2})$ of $\sigma_1 = \sigma_{loodrecht} \leq 0{,}9 * f_u / \gamma_{M2}$

$f_{v,w,d} = f_u / (\beta_w * \gamma_M *$ wortel(3))

$\gamma_M = 1{,}25$; $\gamma_{m;extra} =$ 1,5 (extra materiaalfactor)

Materiaal S 355 ----> $f_u = 510$ N/mm^2 en $\beta_w = 0{,}9$

$f_u / (\beta_w * \gamma_{M2}) = 302$ N/mm^2 $0{,}9 * f_u / \gamma_{M2} = 245$ N/mm^2

Lassen : hoeklas 5 mm rondom

a =	5	mm	t =	12	mm
			t_1 =	12	mm

Per mm las: : $\sigma_1 = \tau_1 = \sigma_{max} * t / (2 * a * 2^{0,5})$

$\tau_2 = \tau_{y,max} * t / (2 * a)$ of $\tau_2 = \tau_{z,max} * t_1 / (2 * a)$

σ_1 =		60,4	N/mm^2
τ_1 =		60,4	N/mm^2
τ_2 =	0	13,5	N/mm^2
σ_{Ed} =	$\{\sigma_1^2 + 3 * (\tau_1^2 + \tau_2^2)\}^{0,5}$ =	123,1	N/mm^2

$\sigma_{Ed} \leq f_u / (\beta_w * \gamma_{M2})$ =	123,1	/	302,2	= 0,41	< 1,0 -- Voldoet
$\sigma_1 \leq 0{,}9 * f_u / \gamma_{M2}$	60,4	/	244,8	= 0,25	< 1,0 -- Voldoet

9.3 - Berekening draagarm "Retourstroomgeleider"

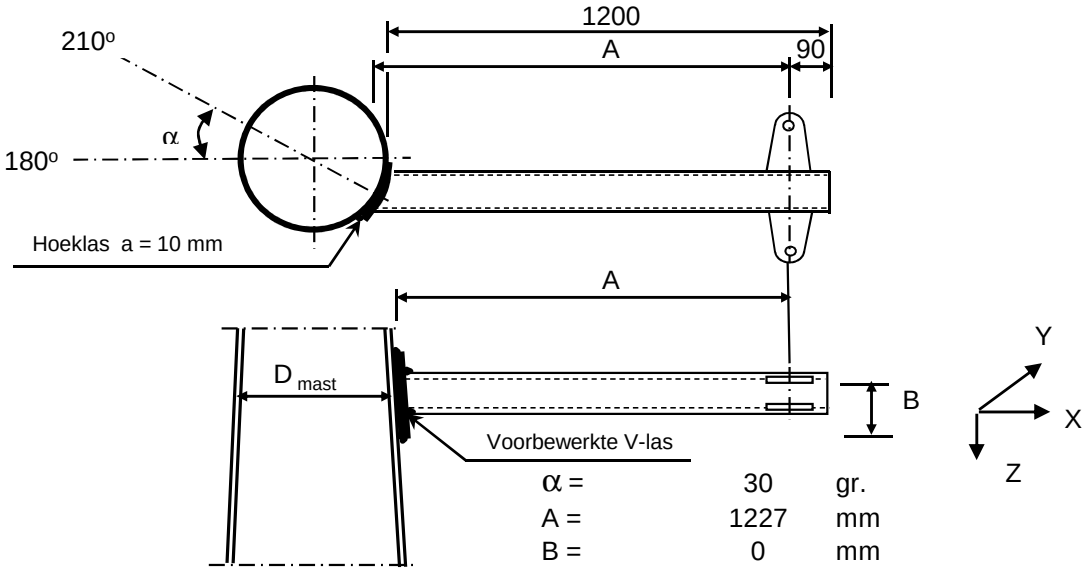

α =	30	gr.
A =	1227	mm
B =	0	mm
D_{mast} =	1750	mm
t_{mast} =	28	mm
Hoogte :	24,5	m

Buisgegevens

Buis Ø273 * 8 - S355 ;

$\gamma_{m;extra}$ = 1,5 (extra materiaalfactor)

Materiaal - S 355 ; f_y = 355 / $\gamma_{m;extra}$ = 236,7 N/mm^2

A =	6660	mm^2	$N_{Ed} = A * f_y$ =	1576	kN
$W_y = W_z$ =	4,29E+05	mm^3	$M_{y,Ed} = W_y * f_y$ =	101,5	kNm
W_x =	8,57E+05	mm^3	$M_{z,Ed} = W_z * f_y$ =	101,5	kNm
			$M_{x,Ed} = W_x * f_y / 3^{0,5}$ =	117,2	kNm
			$V_{Rd} = 0,5*A* f_y / 3^{0,5}$ =	455,0	kN

Belastingen : Zie KEMA rapport 74100706-ETD/POL 12-001 38 V10,0 - Appendix N en N1

	AHEAD			BACK		
	F_x	F_y	F_z	F_x	F_y	F_z
	N	N	N	N	N	N
BG 1a - (wind (90 gr))	31951	53373	4620	31951	-53373	4620
BG 3 - (wind (90) + ijs)	60012	113159	18678	60012	-113159	18678
BG 1a - (wind (45 gr))	18081	36619	4617	33409	-55362	4620
BG 3 - (wind (45) + ijs)	52715	110835	18676	60793	-113667	18679
BG 1a - bundelbr. (90gr).	23161	41797	4618	0	0	0
BG 3 - bundelbr. (90gr+ijs).	35850	64466	7763	0	0	0
BG 1a - bundelbr. (45gr).	17489	36384	4617	0	0	0
BG 3 - bundelbr. (45gr+ijs).	27716	57669	7762	0	0	0
BG 1a - bundelbr. (-45gr).	23814	42605	4618	0	0	0
BG 3 - bundelbr. (-45gr+ijs)	36772	65513	7764	0	0	0

F_x = Transverse kracht

F_y = Longitudinale kracht

F_z = Verticale kracht

	$F_{x,Ed}$ kN	$F_{y,Ed}$ kN	$F_{z,Ed}$ kN	$M_{x,Ed}$ kNm	$M_{y,Ed}$ kNm	$M_{z,Ed}$ kNm
BG 1a - (wind (90 gr))	63,902	0	9,24	0,00	11,34	0,00
BG 3 - (wind (90) + ijs)	120,024	0	37,356	0,00	45,84	0,00
BG 1a - (wind (45 gr))	51,49	18,743	9,237	0,00	11,34	23,00
BG 3 - (wind (45) + ijs)	113,508	2,832	37,355	0,00	45,84	3,48
BG 1a - bundelbr. (90gr).	23,161	41,797	4,618	0,00	5,67	51,30
BG 3 - bundelbr. (90gr+ijs).	35,85	64,466	7,763	0,00	9,53	79,12
BG 1a - bundelbr. (45gr).	17,489	36,384	4,617	0,00	5,67	44,65
BG 3 - bundelbr. (45gr+ijs).	27,716	57,669	7,762	0,00	9,53	70,77
BG 1a - bundelbr. (-45gr).	23,814	42,605	4,618	0,00	5,67	52,29
BG 3 - bundelbr. (-45gr+ijs)	**36,772**	**65,513**	**7,764**	**0,00**	**9,53**	**80,40**

$M_{x,Ed} = F_{y,Ed} * B$; $B = 0$

$M_{y,Ed} = F_{z,Ed} * A \pm F_{x,Ed} * B$; $M_{y,Ed,max} = F_{z,Ed} * A$

$M_{z,Ed} = F_{y,Ed} * A$

Maatgevend belastinggeval : BG 3 - bundelbreuk (wind -45 gr + ijs)

$M_{y,Ed} / M_{y,Rd}$ = 9,53 / 101 = 0,09 < 1,0 -- Voldoet

$\sigma_{b,y}$ = 22,2 N/mm^2

$M_{z,Ed} / M_{z,Rd}$ = 80,40 / 101 = 0,79 < 1,0 -- Voldoet

$\sigma_{b,y}$ = 187,5 N/mm^2

N_{Ed} / N_{Rd} = 36,77 / 1576 = 0,02 < 1,0 -- Voldoet

σ_N = 5,5 N/mm^2

$V_{z,Ed} / V_{z,Rd}$ = 7,76 / 455 = 0,02 < 1,0 -- Voldoet

τ_z = 2,3 N/mm^2

$V_{y,Ed} / V_{y,Rd}$ = 65,51 / 455 = 0,14 < 1,0 -- Voldoet

τ_y = 19,7 N/mm^2

Maximale spanning

$\sigma_{max} = (\sigma^2_{b,y} + \sigma^2_{b,z})^{0,5} + \sigma_N$ = 194 N/mm^2

vergelijkingsspanning :

$\sigma_{vlg} = (\sigma^2_{max} + 3*\tau^2_y + 3*\tau^2_z)^{0,5}$

σ_{vlg} = 197 N/mm^2 < 237 MPa -- Voldoet

Controle spanningen in las:

Toetsing regel :

$\sigma_{Ed} \le f_u / (\beta_w * \gamma_{M2})$ of $\sigma_1 = \sigma_{loodrecht} \le 0,9 * f_u / \gamma_{M2}$

$f_{v,w,d} = f_u / (\beta_w * \gamma_M *$ wortel(3))

$\gamma_M = 1,25$; $\gamma_{m;extra}$ = 1,5 (extra materiaalfactor)

Materiaal S 355 ----> $f_u = 510$ N/mm^2 en $\beta_w = 0,9$

$f_u / (\beta_w * \gamma_{M2})$ = 302 N/mm^2 $0,9 * f_u / \gamma_{M2}$ = 245 N/mm^2

Buis 273*8 aan de versterkingsplaat
Lassen : Rondom voorbewerkte V- las met volledige doorsnede doorlassen

Berekening versterkingsplaat

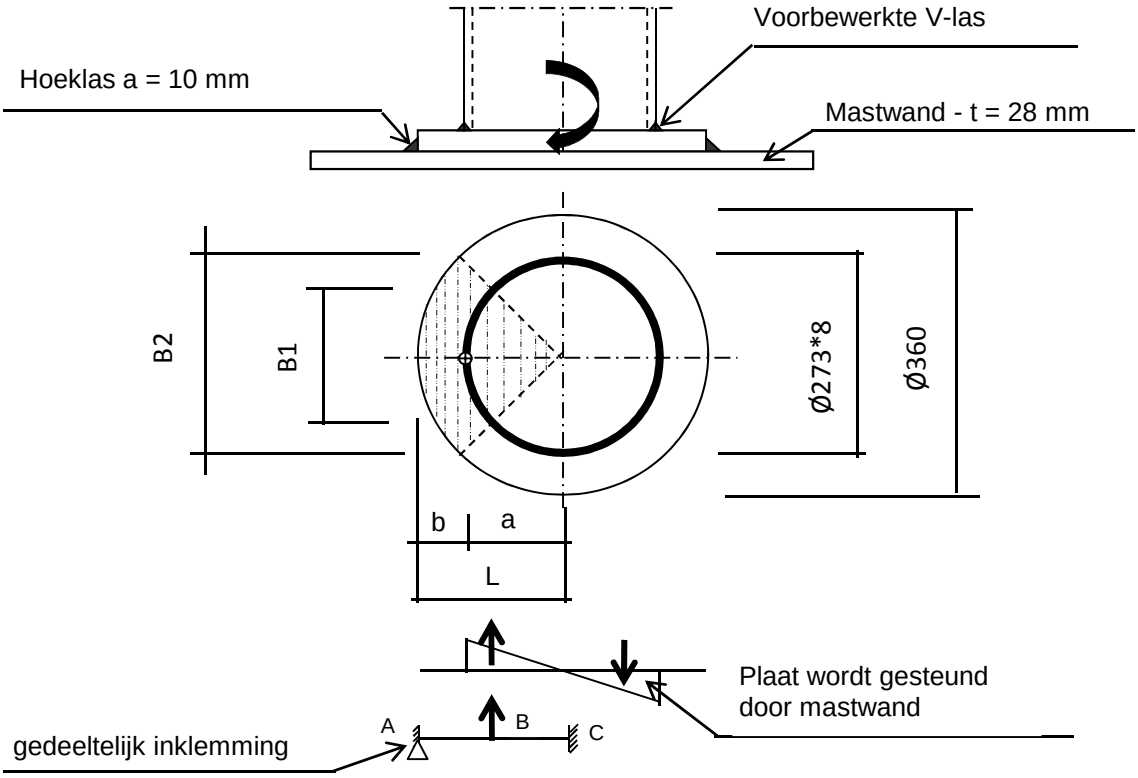

Plaat rond 360 * 25 - S355

Buis Ø273 * 8 - S355 ; A = 6660 mm^2
W = 428697 mm^3
I = 58517143 mm^4
R = 137 mm

Hoeklas a= 10,0 mm
$\gamma_{m;extra}$ = 1,5 (extra materiaalfactor)

Maatgevend belasting

$M_{ed,max} = (M_{y,Ed}^2 + M_{z,Ed}^2)^{0,5}$ = 81,0 kNm

$F_{Ed} = [((M_{Ed} * R_{buis} / I) * (1+\cos 45^o))/2] * (A_{buis} / 4)$

F_{Ed} = 268,4 kN

a = R_{buis} = 136,5
b = R_{pl} - a = 43,5

B1 = 193,0 mm ; Boog B1 = 214 mm
B2 = 254,6 mm ; Boog B2 = 283 mm

Percentage inklemming= a_{las} / t_{pl} = 40,0%
Percentage vrij oplegging = 60,0%

Volledig opleggingg:

$M_{A;Ed}$ = 0 0,00 kNm
$M_{B;Ed} = (F_{Ed} * b/2)*(2 - 3*b/L + b^3/L^3)$ = 7,53 kNm
$R_{A;Ed} = (F_{Ed} * a^2 / 2.L^3)* (b + 2.L)$ = 173,0 kN

Volledig inklemming:

$M_{A;Ed}$ = (F_{Ed} * b * a^2 / L^2) = 6,71 kNm

$M_{B;Ed}$ = (2 * F_{Ed} * a^2 * b^2 / L^3) = 3,25 kNm

$R_{A;Ed}$ = F_{Ed} * (a / L)^2 * (1 + 2* b / L) = 229,0 kN

Gedeeltelijk inklemming:

$M_{A;Ed}$ = 0,0 * 60,0% + 6,7 * 40,0% = 2,69 kNm

$M_{B;Ed}$ = 7,5 * 60,0% + 3,2 * 40,0% = 5,81 kNm

$R_{A;Ed}$ = 173,0 * 60,0% + 229,0 * 40,0% = 195,4 kN

$M_{A;Rd}$ = ((1/4) * t_{pl}^2 * Boog B2 * 355 / 1,5) / 10^{-6} = 10,46 kNm

$M_{B;Rd}$ = ((1/4) * t_{pl}^2 * Boog B1 * 355 / 1,5) / 10^{-6} = 7,93 kNm

$M_{A,Ed}$ / $M_{A,Rd}$ = 2,69 / 10,46 = 0,26 < 1,0 -- Voldoet

$\sigma_{b,A}$ = 60,8 N/mm^2

$M_{B,Ed}$ / $M_{B,Rd}$ = 5,81 / 7,93 = 0,73 < 1,0 -- Voldoet

$\sigma_{b,B}$ = 173,5 N/mm^2

Ter plaatse van buiten ring:

V_{Ed} = 195,4 kN

τ = V_{Ed} * 1000 / t_{pl} * Boog B2 = 27,6 N/mm^2

Ter plaatse van binnen ring :

τ = V_{Ed} * 1000 / t_{pl} * Boog B1 = 36,4 N/mm^2

$\sigma_{vlg,max}$ = $\{\sigma_b^2 + 3*\tau^2\}^{0,5}$ = 184,7 N/mm^2

< 237 MPa -- Voldoet

Controle spanningen in las.

Toetsing regel :

$\sigma_{Ed} \leq f_u / (\beta_w * \gamma_{M2})$ of $\sigma_1 = \sigma_{loodrecht} \leq 0,9 * f_u / \gamma_{M2}$

$f_{v,w,d}$ = f_u / (β_w * γ_M * wortel(3))

γ_M = 1,25 ; $\gamma_{m;extra}$ = 1,5 (extra materiaalfactor)

Materiaal S 355 ----> f_u = 510 N/mm^2 en β_w = 0,9

$f_u / (\beta_w * \gamma_{M2})$ = 302 N/mm^2 $0,9 * f_u / \gamma_{M2}$ = 245 N/mm^2

Lassen hoeklas a = 10 mm rondom

Per mm las:

t.g.v buigspanning:

σ_1 = τ_1 = σ_b * t / (1 * a * $2^{0,5}$) = 107,5 N/mm^2

t.g.v schuifspanning:

σ_1 = τ_1 = ± τ * t / (1 * a * $2^{0,5}$) = 48,9 N/mm^2

$\sigma_{1,max}$ =	107,5	+	48,9	=		156,3	N/mm^2
$\tau_{1,max}$ =	107,5	-	48,9	=		58,6	N/mm^2
$\tau_2 = 0$							
σ_{Ed} =	$\{\sigma_1^2 + 3 * (\tau_1^2 + \tau_2^2)\}^{0,5}$			=		186,4	N/mm^2
$\sigma_{Ed} \leq f_u / (\beta_w * \gamma_{M2})$ =	186,4	/	302,2	=	0,62	< 1,0	-- Voldoet
$\sigma_1 \leq 0,9 * f_u / \gamma_{M2}$	156,3	/	244,8	=	0,64	< 1,0	-- Voldoet

9.3.1 - Controle capaciteit van de aansluiting - draagarm aan mast

Momentcapaciteit in het vlak

buis	d_i (mm)	t_i (mm)	A (mm^2)	kwaliteit	f_y	W_b (mm^3)
0	1750,2	28,0	151493	S355	355	64198753
Plaat	360,0		101788	S355	355	4580442

$M_{ip,1,Rd} = \{4,85 * (f_{y0} * t^2_0 * d_1 / \sin\theta_1) * (\beta * k_p * g^{0,5})\} / \gamma_{M5}$

γ_{M5} = 1,50 (extra materiaalfactor)

θ_1 = 90 graden ; $\beta = d_i / d_0$ = 0,21

$\gamma = d_0 / 2*t_0$ = 31,3

$n_p = \{N_{0,Ed} / (A_0 * f_{y,0})\} + \{M_{0,Ed} / (W_0 * f_{y,0})\}$

$N_{0,Ed}$ = 514,4 kN drukkracht
$M_{0,Ed}$ = 15584,4 kNm
} t.g.v. max. belasting

n_p = 0,69 of n_p = -0,674

k_p = 1,0 , voor $n_p \leq 0$ (trek) ;

$k_p = 1,0 - 0,3 * n_p - 0,3 * n_p^2$, voor $n_p > 0$ (druk) maar $k_p \leq 1$

k_p = 0,65

$M_{ip,1,Rd}$ = 241,3 kNm

Pons controle ; Voor $d_1 \leq d_0 - 2*t_0$:

$M_{ip,1,Rd} = \{(f_{y0} * t_0 * d^2_1 / 3^{0,5})*((1+ 3*\sin\theta_1)/ 4*\sin^2\theta_1)\} / \gamma_{M5}$

$M_{ip,1,Rd}$ = 495,8 kNm

$M_{y,Ed} / M_{ip,1,Rd}$ = 45,84 / 241,3 = 0,19 < 1,0 -- Voldoet

Momentcapaciteit uit het vlak

$M_{op,1,Rd} = \{(f_{y0} * t^2_0 * d_1 / \sin\theta_1) * (2,7 / (1 - 0,81*\beta)) * k_p \} / \gamma_{M5}$

$M_{op,1,Rd}$ = 140,2 kNm

Pons controle ; Voor $d_1 \leq d_0 - 2*t_0$:

$M_{op,1,Rd} = \{(f_{y0} * t_0 * d^2_1 / 3^{0,5})*((3+ \sin\theta_1)/ 4*\sin^2\theta_1)\} / \gamma_{M5}$

$M_{op,1,Rd}$ = 495,8 kNm

$M_{z,Ed} / M_{op,1,Rd}$ = 80,40 / 140,2 = 0,57 < 1,0 -- Voldoet

9.3,2 - Berekening clip "Retourstroomgeleider" (clip type 2)

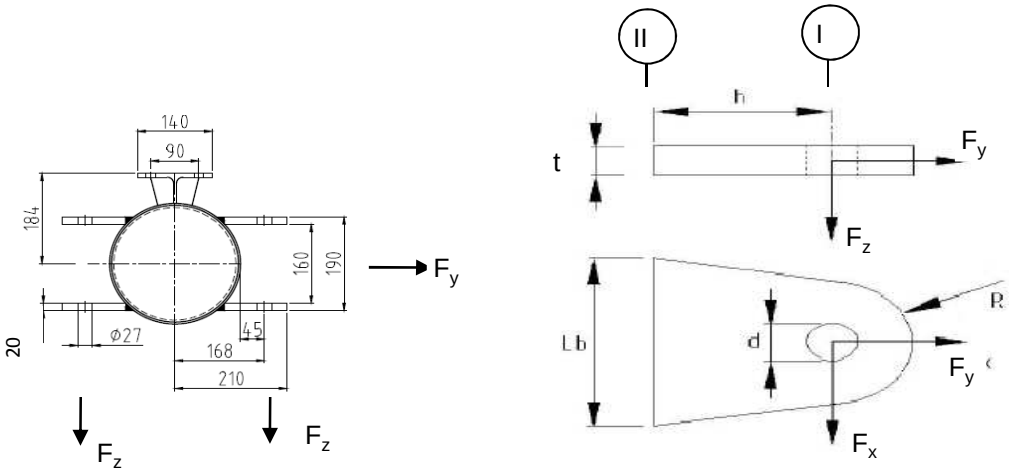

R =	42	mm ;	t =	20	mm
Lb =	140	mm ;	d =	27	mm
h =	75	mm ;	a las =	voorbewerkte V-las	

Materiaal - S 355 ; f_y = 355 / 1,5 = 236,7 N/mm^2

	$F_{x,Ed}$ kN	$F_{y,Ed}$ kN	$F_{z,Ed}$ kN
BG 1a - (wind (90 gr))	31,95	53,37	4,62
BG 3 - (wind (90) + ijs)	**60,01**	**113,16**	**18,68**
BG 1a - (wind (45 gr))	18,08	36,62	4,62
BG 3 - (wind (45) + ijs)	52,72	110,84	18,68

Maatgevend belastinggeval : BG 3 - (wind 90 gr + ijs)

Per clip :	**30,01**	**56,58**	**18,68**

Doorsnede I ; ter hoogte van het gat

Per clip: $F_{Ed;max}$ = $(F_{x,Ed}^2 + F_{y,Ed}^2)^{0,5}$ = 57,3 kN

τ_{toel} = (355 / 1,5) / $3^{0,5}$ =	137	N/mm^2	
τ = $F_{Ed,max}$ / (2 *(t * (R - d/2)) =	50	N/mm^2	< 137 MPa -- Voldoet

Doorsnede II ; per clips

A =	2800	mm^2	N_{Rd} = A * f_y =	663	kN
W_z =	6,53E+04	mm^3	$M_{z,Rd}$ = W_z * f_y =	15,5	kNm
W_x =	9,33E+03	mm^3	$M_{x,Rd}$ = W_x * f_y =	2,2	kNm
			V_{Rd} = A* f_y / $3^{0,5}$ =	382,6	kN

N_{Ed} =	56,58	kN	$M_{z,Ed}$ = $V_{x,Ed}$ * h =	2,25	kNm
$V_{z,Ed}$ =	18,68	kN	$M_{x,Ed}$ = $V_{z,Ed}$ * h =	1,40	kNm
$V_{x,Ed}$ =	30,01	kN			

N_{Ed} / N_{Rd} =	56,58	/	663	=	0,09	< 1,0	-- Voldoet
			σ_N =		20,2	N/mm^2	
$M_{z,Ed} / M_{z,Rd}$ =	2,25	/	15,5	=	0,15	< 1,0	-- Voldoet
			$\sigma_{b,z}$ =		34,4	N/mm^2	
$M_{x,Ed} / M_{x,Rd}$ =	1,40	/	2,2	=	0,63	< 1,0	-- Voldoet
			$\sigma_{b,x}$ =		150,1	N/mm^2	
$V_{z,Ed} / V_{z,Rd}$ =	18,68	/	383	/	0,05	< 1,0	-- Voldoet
			τ_z =		6,7	N/mm^2	
$V_{x,Ed} / V_{x,Rd}$ =	30,01	/	383	/	0,08	< 1,0	-- Voldoet
			τ_x =		10,7	N/mm^2	

Maximale spanning

σ_{max} = 204,7 N/mm^2 < 236 MPa -- Voldoet

vergelijkingsspanning :

$\sigma_{vlg} = (\sigma^2_{max} + 3*\tau^2_x + 3*\tau^2_z)^{0,5}$

σ_{vlg} = 206 N/mm^2 < 236 MPa -- Voldoet

Controle spanningen in las:

Toetsing regel :

$\sigma_{Ed} \leq f_u / (\beta_w * \gamma_{M2})$ of $\sigma_1 = \sigma_{loodrecht} \leq 0,9 * f_u / \gamma_{M2}$

$f_{v,w,d} = f_u / (\beta_w * \gamma_M *$ wortel(3))

γ_M = 1,25 ; $\gamma_{m;extra}$ = 1,5 (extra materiaalfactor)

Materiaal S 355 ----> f_u = 510 N/mm^2 en β_w = 0,9

$f_u / (\beta_w * \gamma_{M2})$ = 302 N/mm^2 $0,9 * f_u / \gamma_{M2}$ = 245 N/mm^2

Lassen : Rondom voorbewerkte V- las met volledige doorsnede doorlassen

9.4 - Berekening Clip 17 - t.b.v installatie geleiders (op 0,5m hoogte)

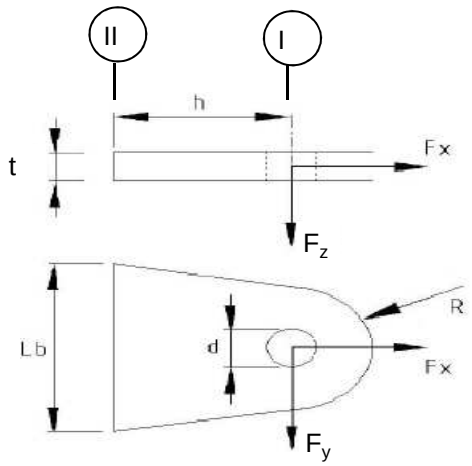

R =	55	mm ;	t =	20	mm
Lb =	110	mm ;	d =	27	mm
h =	55	mm ;	las :	Voorbeverklte K-las	

$\gamma_{m;extra}$ = 1,5 (extra materiaalfactor)

Materiaal - S 355 ; f_y = 355 / 1,5 = 236,7 N/mm^2

	$F_{x,Ed}$ kN	$F_{y,Ed}$ kN	$F_{z,Ed}$ kN
BG 200 kN	141,42	141,42	0,00
of	0,00	200,00	

Doorsnede I ; ter hoogte van de gat (twee clips)

Per clip: $F_{Ed;max}$ = $0,5 * (F_{y,Ed}^2 + F_{x,Ed}^2)^{0,5}$ = 100,0 kN

τ_{toel} = (355 / 1,5) / $3^{0,5}$ = 137 N/mm^2

τ = $F_{Ed,max}$ / (2 *(t * (R - d/2)) = 60 N/mm^2 < 137 MPa -- Voldoet

Doorsnede II ; per clips (twee clips)

A =	2200	mm^2	$N_{Rd} = A * f_y$ =	521	kN
W_y =	4,03E+04	mm^3	$M_{x,Rd} = W_y * f_y$ =	9,5	kNm
W_z =	7,33E+03	mm^3	$M_{y,Rd} = W_z * f_y$ =	1,7	kNm
			$V_{Rd} = A* f_y / 3^{0,5}$ =	300,6	kN

N_{Ed} =	70,71	kN	$M_{y,Ed} = V_{y,Ed} * h$ =	3,889	kNm
$V_{y,Ed}$ =	70,71	kN			

N_{Ed} / N_{Rd} = 70,71 / 521 = 0,14 < 1,0 -- Voldoet
σ_N = 32,1 N/mm^2

$M_{y,Ed}$ / $M_{y,Rd}$ = 3,89 / 10 = 0,41 < 1,0 -- Voldoet
$\sigma_{b,y}$ = 96,4 N/mm^2

$V_{z,Ed}$ / $V_{z,Rd}$ = 70,71 / 301 = 0,24 < 1,0 -- Voldoet
τ_y = 32,1 N/mm^2

Maximale buigspanning

$\sigma_{b,max}$ = { 32,1 + 96,4 } = 128,6 N/mm^2

vergelijkingsspanning :

$\sigma_{vlg} = (\sigma^2_{b,max} + 3*\tau^2_y)^{0,5}$

σ_{vlg} = 140 N/mm^2 < 237 MPa -- Voldoet

N_{Ed} = 0,00 kN
$V_{y,Ed}$ = 100,00 kN

$M_{y,Ed} = V_{y,Ed} * h$ = 5,500 kNm

$M_{y,Ed}$ / $M_{y,Rd}$ = 5,50 / 10 = 0,58 < 1,0 -- Voldoet
$\sigma_{b,y}$ = 136,4 N/mm^2

$V_{z,Ed}$ / $V_{z,Rd}$ = 100,00 / 301 = 0,33 < 1,0 -- Voldoet
τ_y = 45,5 N/mm^2

vergelijkingsspanning :

$\sigma_{vlg} = (\sigma^2_{b,max} + 3*\tau^2_y)^{0,5}$

σ_{vlg} = 157 N/mm^2 < 230 MPa -- Voldoet

Controle spanningen in las.

Toetsing regel :

$\sigma_{Ed} \leq f_u / (\beta_w * \gamma_{M2})$ of $\sigma_1 = \sigma_{loodrecht} \leq 0,9 * f_u / \gamma_{M2}$

$f_{v,w,d} = f_u / (\beta_w * \gamma_M *$ wortel(3))

γ_M = 1,25 ; $\gamma_{m;extra}$ = 1,5 (extra materiaalfactor)

Materiaal S 355 ----> f_u = 510 N/mm^2 en β_w = 0,9

$f_u / (\beta_w * \gamma_{M2})$ = 302 N/mm^2 $0,9 * f_u / \gamma_{M2}$ = 245 N/mm^2

Lassen : Voorbewerkte K- las met volledige doorsnede doorlassen

9.4.1 - Controle capaciteit van de aansluiting

Plaats van de aansluiting ; 0,5m boven voetplaat

buis/plaat	d_i / h_i (mm)	t_i (mm)	A (mm^2)	kwaliteit	f_y	W_b (mm^3)
0	2550,3	28,0	221876	S355	355	138392000
clip	110,0	20,0	2200	S355	355	40333

$N_{i,Rd} = \{(5 * k_p * f_{y0} * t^2_0) * (1 + 0,25 * \eta)\} / \gamma_{M5}$

$M_{ip,i,Rd} = h_i * N_{i,Rd}$; $M_{op,i,Rd} = 0$

Toepassingsgebied:

$\eta = h_i / d_0 \leq 4$ $h_i / d_0 =$ 0,04 voldoet

$\gamma_{M5} =$ 1,50 (extra materiaalfactor)

$\eta = h_i / d_0 =$ 0,04

$n_p = \{N_{0,Ed} / (A_0 * f_{y,0})\} + \{M_{0,Ed} / (W_0 * f_{y,0})\}$

$N_{0,Ed} =$ 1024,7 kN drukkracht
$M_{0,Ed} =$ 38531,8 kNm
} t.g.v. max. belasting

$n_p =$ 0,80 of $n_p =$ -0,771

$k_p = 1,0$, voor $n_p \leq 0$ (trek)

$k_p = 1,0 - 0,3 * n_p - 0,3 * n_p^2$, voor $n_p > 0$ (druk) maar $k_p \leq 1$

$k_p =$ 0,57

$N_{1,Rd} =$ 534,6 kN ---> > N1,Ed ; voldoet

$N_{1,Ed} / N_{1,Rd} =$ 70,71 / 534,6 = 0,13 < 1,0 -- Voldoet

$M_{op,i,Rd} =$ 58,8 kNm ---> > M1,Ed ; voldoet

$M_{1,Ed} / M_{op,1,Rd} =$ 3,89 / 58,8 = 0,07 < 1,0 -- Voldoet

Pons controle

$\sigma_{max.}t_i = (N_{Ed} / A + M_{Ed} / W_{el}) * t_i \leq \{(f_{y,0} / 3^{0,5}) * 2 * t_0 \} / \gamma_{M5}$

$N_{1,Ed} =$ 70,71 kN ; $M_{1,Ed} =$ 3,889 kNm

$\sigma_{max.}t_i =$ 2571 N/mm'

$\{(f_{y,0} / 3^{0,5}) * 2 * t_0 \} / \gamma_{M5} =$ 7652 N/mm' ---> voldoet

9.5 - Berekening clip hulprail - clip 8

Clip hoogte:
61,43 - 59,93 - 51,8 - 49,3 - 41,8 - 39,3 - 31,8 - 29,3 m

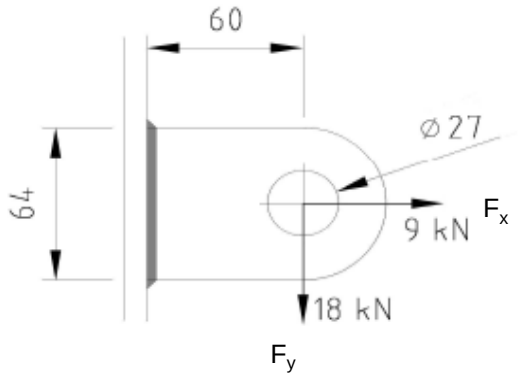

R =	32	mm ;	t =	20	mm
Lb =	64	mm ;	d =	27	mm
h =	60	mm ;	a las =	5	mm - hoeklas

$\gamma_{m;extra}$ = 1,5 (extra materiaalfactor)
Materiaal - S 355 ; f_y = 355 / 1,5 = 236,7 N/mm^2

$F_{x,Ed}$	$F_{y,Ed}$	$F_{z,Ed}$
kN	kN	kN
9,00	18,00	0,00

Doorsnede I ; ter hoogte van het gat

Per clip: $F_{Ed;max}$ = $(F_{y,Ed}^2 + F_{y,Ed}^2)^{0,5}$ = 20,1 kN

τ_{toel} = (355 / 1,5) / $3^{0,5}$ = 137 N/mm^2
τ = $F_{Ed,max}$ / (2 *(t * (R - d/2)) = 27 N/mm^2 < 137 MPa -- Voldoet

Doorsnede II ; per clips

A =	1280	mm^2	N_{Rd} = A * f_y =	303	kN
W_y =	1,37E+04	mm^3	$M_{x,Rd}$ = W_y * f_y =	3,2	kNm
W_z =	4,27E+03	mm^3	$M_{y,Rd}$ = W_z * f_y =	1,0	kNm
			V_{Rd} = A* f_y / $3^{0,5}$ =	174,9	kN
N_{Ed} =	9,00	kN	$M_{y,Ed}$ = $V_{y,Ed}$ * h =	1,080	kNm
$V_{y,Ed}$ =	18,00	kN			

N_{Ed} / N_{Rd} = 9,00 / 303 = 0,03 < 1,0 -- Voldoet
σ_N = 7,0 N/mm^2

$M_{y,Ed}$ / $M_{y,Rd}$ = 1,08 / 3 = 0,33 < 1,0 -- Voldoet
$\sigma_{b,y}$ = 79,1 N/mm^2

$V_{z,Ed}$ / $V_{z,Rd}$ = 18,00 / 175 = 0,10 < 1,0 -- Voldoet
τ_y = 14,1 N/mm^2

Maximale buigspanning

$\sigma_{b,max}$ = { 7,0 + 79,1 } = 86,1 N/mm^2

$\sigma_{vlg} = (\sigma^2_{b,max} + 3*\tau^2_y)^{0,5}$

σ_{vlg} = 90 N/mm^2 < 237 MPa -- Voldoet

Controle spanningen in las:

Toetsing regel :

$\sigma_{Ed} \leq f_u / (\beta_w * \gamma_{M2})$ of $\sigma_1 = \sigma_{loodrecht} \leq 0,9 * f_u / \gamma_{M2}$

$f_{v,w,d} = f_u / (\beta_w * \gamma_M *$ wortel(3))

$\gamma_M = 1,25$; $\gamma_{m;extra}$ = 1,5 (extra materiaalfactor)

Materiaal S 355 ----> f_u = 510 N/mm^2 en β_w = 0,9

$f_u / (\beta_w * \gamma_{M2})$ = 302 N/mm^2 $0,9 * f_u / \gamma_{M2}$ = 245 N/mm^2

Lassen : hoeklas 5 mm rondom

a = 5 mm t = 20 mm

Per mm las: : $\sigma_1 = \tau_1 = \sigma_{max} * t / (2 * a * 2^{0,5})$

$\tau_2 = \tau_{max} * t / (2 * a)$

σ_1 =			121,8	N/mm^2
τ_1 =			121,8	N/mm^2
τ_2 = 0			28,1	N/mm^2
σ_{Ed} =	$\{\sigma_1^2 + 3 * (\tau_1^2 + \tau_2^2)\}^{0,5}$ =		248,4	N/mm^2
$\sigma_{Ed} \leq f_u / (\beta_w * \gamma_{M2})$=	248,4 /	302,2 =	0,82	< 1,0 -- Voldoet
$\sigma_1 \leq 0,9 * f_u / \gamma_{M2}$	121,8 /	244,8 =	0,50	< 1,0 -- Voldoet

9.5.1 - Controle capaciteit van de aansluiting

Clip op 29.3 meter hoogte - (diameter buis maximum)

buis/plaat	d_i / h_i (mm)	t_i (mm)	A (mm^2)	kwaliteit	f_y	W_b (mm^3)
0	1590,2	25,0	122929	S355	355	47357080
clip	64,0	20,0	1280	S355	355	13653

$N_{i,Rd} = \{(5 * k_p * f_{y0} * t^2_0) * (1 + 0{,}25 * \eta)\} / \gamma_{M5}$

$M_{ip,i,Rd} = h_i * N_{i,Rd}$; $M_{op,i,Rd} = 0$

Toepassingsgebied:

$\eta = h_i / d_0 \leq 4$ $h_i / d_0 =$ 0,04 voldoet

$\gamma_{M5} =$ 1,50 (extra materiaalfactor)

$\eta = h_i / d_0 =$ 0,04

$n_p = \{N_{0,Ed} / (A_0 * f_{y,0})\} + \{M_{0,Ed} / (W_0 * f_{y,0})\}$

$N_{0,Ed} =$ 425,5 kN drukkracht
$M_{0,Ed} =$ 12278,1 kNm
} t.g.v. max. belasting

$n_p =$ 0,74 of $n_p =$ -0,721

$k_p = 1{,}0$, voor $n_p \leq 0$ (trek)

$k_p = 1{,}0 - 0{,}3 * n_p - 0{,}3 * n_p^2$, voor $n_p > 0$ (druk) maar $k_p \leq 1$

$k_p =$ 0,61

$N_{1,Rd} =$ 458,4 kN

$N_{1,Ed} / N_{1,Rd} =$ 9,00 / 458,4 = 0,02 < 1,0 -- Voldoet

$M_{op,i,Rd} =$ 29,3 kNm

$M_{1,Ed} / M_{op,1,Rd} =$ 1,08 / 29,3 = 0,04 < 1,0 -- Voldoet

Pons controle

$\sigma_{max.}t_i = (N_{Ed} / A + M_{Ed} / W_{el}) * t_i \leq \{(f_{y,0} / 3^{0,5}) * 2 * t_0 \} / \gamma_{M5}$

$N_{1,Ed} =$ 9,00 kN ; $M_{1,Ed} =$ 1,080 kNm

$\sigma_{max.}t_i =$ 1723 N/mm'

$\{(f_{y,0} / 3^{0,5}) * 2 * t_0 \} / \gamma_{M5} =$ 6832 N/mm' ---> voldoet

Clip op 51,8 m hoogte -(wanddikte buis minimum / diameter maximum)

buis/plaat	d_i / h_i (mm)	t_i (mm)	A (mm^2)	kwaliteit	f_y	W_b (mm^3)
0	840,1	15,0	38880	S355	355	7878898
clip	64,0	20,0	1280	S355	355	13653

$N_{i,Rd} = \{(5 * k_p * f_{y0} * t^2_0) * (1 + 0,25 * \eta)\} / \gamma_{M5}$

$M_{ip,i,Rd} = h_i * N_{i,Rd}$; $M_{op,i,Rd} = 0$

Toepassingsgebied:

$\eta = h_i / d_0 \leq 4$ $h_i / d_0 =$ 0,08 voldoet

$\gamma_{M5} =$ 1,50 (extra materiaalfactor)

$\eta = h_i / d_0 =$ 0,08

$n_p = \{N_{0,Ed} / (A_0 * f_{y,0})\} + \{M_{0,Ed} / (W_0 * f_{y,0})\}$

$N_{0,Ed} =$ 113,9 kN drukkracht
$M_{0,Ed} =$ 959,2 kNm
} t.g.v. max. belasting

$n_p =$ 0,35 of $n_p =$ -0,335

$k_p = 1,0$, voor $n_p \leq 0$ (trek)

$k_p = 1,0 - 0,3 * n_p - 0,3 * n_p^2$, voor $n_p > 0$ (druk) maar $k_p \leq 1$

$k_p =$ 0,86

$N_{1,Rd} =$ 232,7 kN

$N_{1,Ed} / N_{1,Rd} =$ 9,00 / 232,7 = 0,04 < 1,0 -- Voldoet

$M_{op,i,Rd} =$ 14,9 kNm

$M_{1,Ed} / M_{op,1,Rd} =$ 1,08 / 14,9 = 0,07 < 1,0 -- Voldoet

Pons controle

$\sigma_{max.}t_i = (N_{Ed} / A + M_{Ed} / W_{el}) * t_i \leq \{(f_{y,0} / 3^{0,5}) * 2 * t_0 \} / \gamma_{M5}$

$N_{1,Ed} =$ 9,00 kN ; $M_{1,Ed} =$ 1,080 kNm

$\sigma_{max.}t_i =$ 1723 N/mm'
$\{(f_{y,0} / 3^{0,5}) * 2 * t_0 \} / \gamma_{M5} =$ 4099 N/mm' ---> voldoet

9.6 - Ondersteuning hijsbalk op de top van de mast

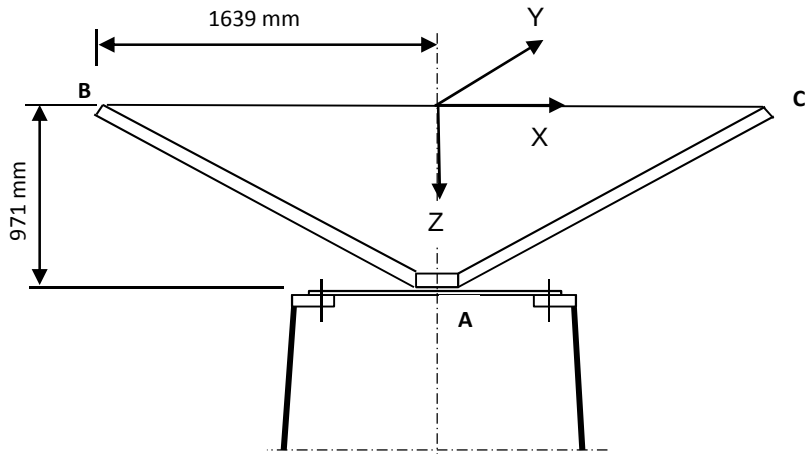

Buis rond 500 * 15

Afstand aangrijpingspunt tot as =	1639	mm
Hoogte aangrijpingspunt boven ring =	971	mm
Verticale belasting $F_{z,Ed}$ =	35	kN
Horizontale belasting $F_{x,Ed}$ = $F_{y,Ed}$ =	15	kN

	BG 1	BG 2	BG 3	BG 4
$F_{z;B,Ed}$	35	35	35	35
$F_{z;c,Ed}$	35	0	35	0
$F_{x;B,Ed}$	15	15	0	0
$F_{x;c,Ed}$	15	0	0	0
$F_{y;B,Ed}$	0	0	15	15
$F_{y;c,Ed}$	0	0	-15	0

Verticaal:	$R_{z;A}$ (kN)	70	35	70	35
Horizontaal:	$R_{x(y);A}$ (kN)	30	15	0	0
Moment:	$M_{y(x);A}$ (kNm)	29,13	71,93	0	57,365
Wringing:	$M_{z;A}$ (kNm)	0	0	49,17	24,585

Ringgegevens ;

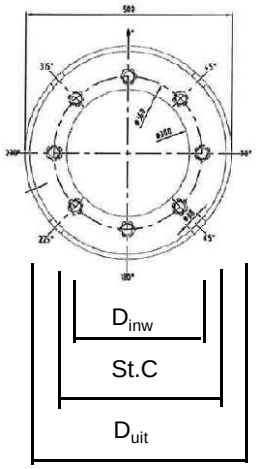

D-uitwendig	500	mm	
D-inwendig	300	mm	
StC	360	mm	
plaat dikte t =	30	mm	
Staalkwaliteit S-355; f_y =	355	N/mm^2	
Aantal bouten	8		
BoutenM24 - 8,8			

M24 -8,8 :	$F_{t,Rd}$ =	203,03	/ 1,5	=	135,4	kN
	$F_{v,Rd}$ =	135,36	/ 1,5	=	90,2	kN

$\gamma_{m;extra}$ = 1,5 (extra materiaalfactor)

controle bouten

	BG 1	BG 2	BG 3	BG 4	
$F_{t,Ed}$ - kN	31,7	95,5	0,0	75,3	
$F_{v,Ed}$ - kN	3,8	1,9	34,1	17,1	
$F_{t,Ed} / F_{t,Rd}$ =	0,23	0,71	0,00	0,56	< 1 ; voldoet
$F_{v,Ed} / F_{v,Rd}$ =	0,04	0,02	0,38	0,19	< 1 ; voldoet
$F_{v,Ed} / F_{v,Rd} + F_{t,Ed} / 1,4 * F_{t,Rd}$ =	0,21	0,52	0,38	0,59	< 1 ; voldoet

Controle ring :

maatgevend belastinggeval : BG2.

Ten gevolge van verticale belasting ; F_z = 35 kN

Voor de formule zie: Roark's formulas for stress & strain - Tabel 11,2 - 1

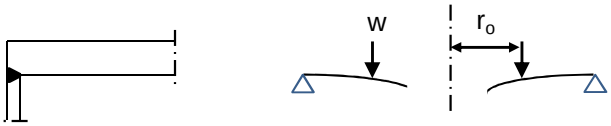

Voor de formule zie: Roark's formulas for stress & strain - Tabel 11,2 - 1e

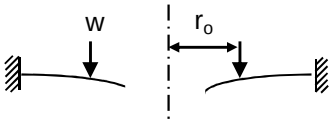

De ring wordt ondersteunt door buis met een las gelijk aan de dikte van de buis.

Verdeling van belasting:

Percentage inklemming (tabel 11,2-1e) = t_{buis} / t_{pl} = 50,0%

Percentage vrij oplegging = 50,0%

W =	35,0	kN			
$w_{(ro)}$ =	31	N/mm'	ν =	0,3	
a =	250	mm	E =	210000	N/mm^2
b =	150	mm	f_y =	237	N/mm^2
r_o =	180	mm			

$D = E.t^3 / 12.(1-\nu^2)$ = 519230769

$C_1 = 0,5.(1+\nu).((b/a).\ln(a/b)) + 0,25.((1-\nu).((a/b)-(b/a))$ = 0,3859

$C_4 = 0,5.[(1+\nu).(b/a).+ (1-\nu).(a/b)]$ = 0,9733

$C_7 = 0,5.(1-\nu^2).((a/b)-(b/a))$ = 0,4853

$L_3 = (r_o/4a).\{[(r_o/a)^2+1].\ln(a/r_o) + (r_o/a)^2 -1\}$ = 0,0031

$L_6 = (r_o/4a).[(r_o/a)^2 -1+ 2.\ln(a/r_o)]$ = 0,0316

$L_9 = (r_o/a).\{ 0,5*(1+\nu).\ln(a/r_o) +0,25*(1-\nu).[1 - (r_o/a)^2]\}-$ = 0,2144

$F_7 = 0,5.(1-\nu^2).((r/b)-(b/r))$; en voor $r = r_o$ = 0,1668

$\theta_b = w . a^2 . L_6 / D. C_4$ = 0,0001

M_{ra} =percentage inkl. * $w . a (L_9 - C_7 . L_6 / C_4)$ = 769 Nmm/mm'

$Q_a = w \cdot r_o / a$ = 22 N/mm'

Ten gevolge van moment ; $M_{y;Ed}$ = 71,93 kNm

$w = F_{bout,max} / (2 * \pi * r_o / n_{bout})$

$w = (4*M_{y,Ed}*1000 / (360 * 8)) / (2\pi * 180 / 8)$ = 707 N/mm'

M_{ra} =percentage inkl. * $w \cdot a (L_9 - C_7 \cdot L_6 / C_4)$ = 17550 Nmm/mm'

$M_{ra;max,Ed}$ = 18318 Nmm/mm'

$Q_a = w \cdot r_o / a$ = 509 N/mm'

Q_{amax} = 531

$M_{Rd} = (1/6) * 1 * t^2 * f_y$ = 35500 Nmm/mm'

M_{Ed} / M_{Rd} = 18318 / 35500 = 0,52 < 1,0 -- Voldoet

σ_b = 122,1 N/mm^2

$\tau_z = w_{tot} / t$ = 531 / 30 = 17,70 N/mm^2

$\sigma_{vlg} = (\sigma^2_{b,max} + 3*\tau^2_z)^{0,5}$

σ_{vlg} = 126 N/mm^2 < 237 MPa -- Voldoet

Controle spanning in de buis

Buis Ø500 * 15 - S355 ;

A = 22855 mm^2 $N_{Ed} = A * f_y$ = 8114 kN

$W_y = W_z$ = 2,69E+06 mm^3 $M_{y,Ed} = W_y * f_y$ = 955,2 kNm

N_{Ed} = 35 kN

$M_{y,Ed}$ = 71,93 kNm

N_{Ed} / N_{Rd} = 35,00 / 8114 = 0,00 < 1,0 -- Voldoet

σ_N = 1,5 N/mm^2

$M_{y,Ed} / M_{y,Rd}$ = 71,93 / 955 = 0,08 < 1,0 -- Voldoet

$\sigma_{b,y}$ = 26,7 N/mm^2

σ_{max} = 28,3 N/mm^2

Controle spanningen in las:

Toetsing regel :

$\sigma_{Ed} \leq f_u / (\beta_w * \gamma_{M2})$ of $\sigma_1 = \sigma_{loodrecht} \leq 0,9 * f_u / \gamma_{M2}$

$f_{v,w,d} = f_u / (\beta_w * \gamma_M *$ wortel(3))

γ_M = 1,25 ; $\gamma_{m;extra}$ = 1,5 (extra materiaalfactor)

Materiaal S 355 ----> f_u = 510 N/mm^2 en β_w = 0,9

$f_u / (\beta_w * \gamma_{M2})$ = 302 N/mm^2 $0,9 * f_u / \gamma_{M2}$ = 245 N/mm^2

Lassen : Rondom voorbewerkte V- las met volledige doorsnede doorlassen

9.7 - Berekening versterking deur

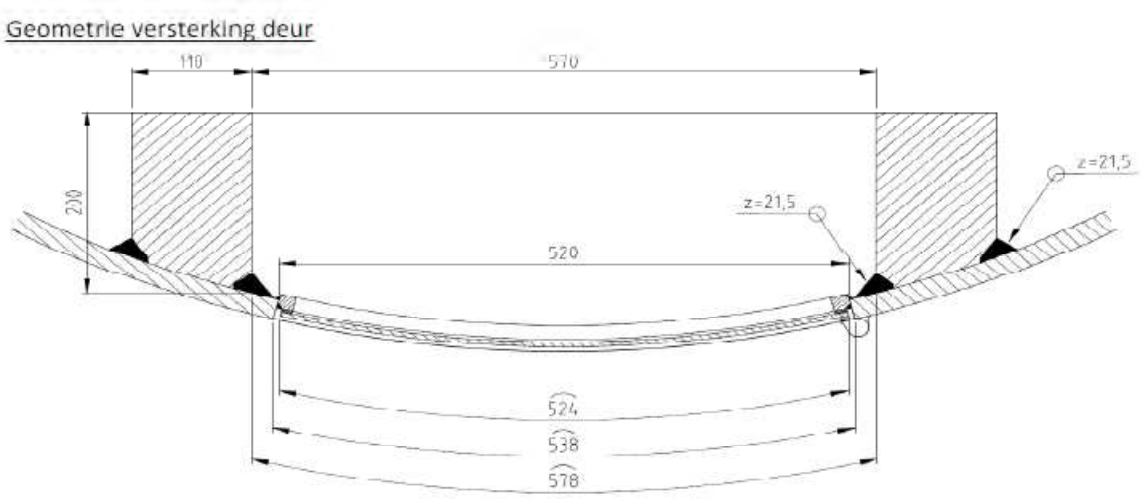

Doorsnede ter hoogte van de hart opening (1,225m hoogte):

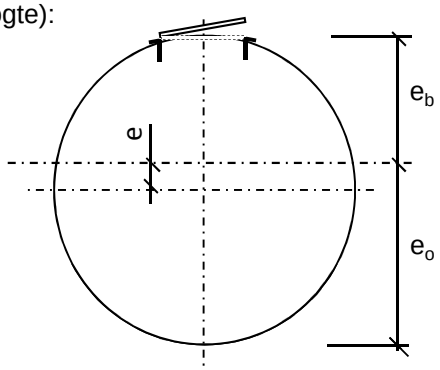

Buisdiameter : 2526 mm
dikte t ; 28 mm

A_{buis} = 219750 mm^2
$A_{versterking}$ = 40531 mm^2
$A_{verlies}$ = 14502 mm^2

A_{tot} = 245778 mm^2

e = 107,2 mm
e_b = 1155,9 mm ; e_o = 1370,3 mm

I_{tot} = 1,95E+11 mm^4
W_{min} = 1,42E+08 mm^3
W_{max} = 1,69E+08 mm^3

Krachten: Maximale krachten t.p.v. mastvoet - knoop 28 (inclusief 2e orde effect)

M_{Ed} = 39022 kNm ; N_{Ed} = 1025 kN

σ_N = N_{Ed} / A_{tot} = 4,2 N/mm^2
σ_b = M_{Ed} / W_{min} = 274,3 N/mm^2

σ_{max} = 4,2 + 274,3 = 278,5 N/mm^2 < 355 MPa -- Voldoet

Bijlage A

Rapport KEMA - 74100224-ETD/POL 12-00138 V10,0 - 18 -11-2013

bijlage N, N1 en N2

W2H400+5 TOWER **APPENDIX: N**

Loadcases for tower strength (ultimate limit state)

Loadcase according to 50341-3-15	Attachment point	AHEAD Vertical [N]	AHEAD Transverse [N]	AHEAD Longitudinal [N]	BACK Vertical [N]	BACK Transverse [N]	BACK Longitudinal [N]
1a	380C1F1 / 380C2F1	17046	70458	137544	17046	70458	-137544
Wind, 10 dgr	380C1F2 / 380C2F2	17046	69655	136876	17046	69655	-136876
Permanent loads yg= 1.2	380C1F3 / 380C2F3	17045	68668	136110	17045	68668	-136110
Wind angle: 0 dgr	GW / opgw	2226	9796	18590	2226	9796	-18590
	Comp. gl	4617	18864	37163	4617	18864	-37163
1b	380C1F1 / 380C2F1	17036	72973	153782	17036	72973	-153782
Wind, -20 dgr	380C1F2 / 380C2F2	17036	72875	153781	17036	72875	-153781
Permanent loads yg= 1.2	380C1F3 / 380C2F3	17036	72751	153785	17036	72751	-153785
Wind angle: 0 dgr	GW / opgw	2225	9509	19909	2225	9509	-19909
	Comp. gl	4615	19347	40832	4615	19347	-40832
3	380C1F1 / 380C2F1	29376	104312	216126	29376	104312	-216126
Wind+ice, -5 dgr	380C1F2 / 380C2F2	29376	104020	216089	29376	104020	-216089
Permanent loads yg= 1.2	380C1F3 / 380C2F3	29376	103654	216058	29376	103654	-216058
Wind angle: 0 dgr	GW / opgw	9244	26783	54949	9244	26783	-54949
	Comp. gl	18676	53224	110761	18676	53224	-110761
4	380C1F1 / 380C2F1	20053	73762	155471	20053	73762	-155471
Construction/maintenance, +5 dgr	380C1F2 / 380C2F2	20053	73667	155479	20053	73667	-155479
Permanent loads yg= 1.2	380C1F3 / 380C2F3	20053	73547	155493	20053	73547	-155493
Wind angle: 0 dgr	GW / opgw	2978	10784	22643	2978	10784	-22643
	Comp. gl	6122	21974	46465	6122	21974	-46465
6	380C1F1 / 380C2F1	19177	68716	147362	19177	68716	-147362
Permanent, +10 dgr	380C1F2 / 380C2F2	19177	68716	147362	19177	68716	-147362
Permanent loads yg= 1.35	380C1F3 / 380C2F3	19177	68716	147362	19177	68716	-147362
	GW / opgw	2505	9033	19371	2505	9033	-19371
	Comp. gl	5195	18706	40116	5195	18706	-40116
1a	380C1F1 / 380C2F1	17045	67119	135061	17057	130900	-213662
Wind, 10 dgr	380C1F2 / 380C2F2	17045	66677	134803	17056	124305	-204739
Permanent loads yg= 1.2	380C1F3 / 380C2F3	17045	66131	134516	17054	115909	-193419
Wind angle: 45 dgr	GW / opgw	2226	9102	17936	2228	21514	-34170
	Comp. gl	4617	18081	36619	4620	33409	-55362

W2H400+5 TOWER **APPENDIX: N**

Loadcases for tower strength (ultimate limit state)

Loadcase according to 50341-3-15		AHEAD			BACK		
		Vertical	Transverse	Longitudinal	Vertical	Transverse	Longitudinal
	Attachment point	[N]	[N]	[N]	[N]	[N]	[N]
1b	380C1F1 / 380C2F1	17036	72547	153803	17037	79755	-157640
Wind, -20 dgr	380C1F2 / 380C2F2	17036	72487	153812	17036	78948	-156952
Permanent loads yg= 1.2	380C1F3 / 380C2F3	17036	72410	153824	17036	77958	-156163
Wind angle: 45 dgr	GW / opgw	2225	9428	19902	2225	10900	-20985
	Comp. gl	4615	19245	40840	4615	20946	-41664
3	380C1F1 / 380C2F1	29376	103058	216048	29381	125336	-231339
Wind+ice, -5 dgr	380C1F2 / 380C2F2	29376	102881	216055	29380	122823	-228863
Permanent loads yg= 1.2	380C1F3 / 380C2F3	29376	102659	216072	29379	119728	-225957
Wind angle: 45 dgr	GW / opgw	9244	26385	54955	9247	33116	-58719
	Comp. gl	18676	52715	110835	18679	60793	-113667
4	380C1F1 / 380C2F1	20053	73350	155525	20053	79986	-158127
Construction/maintenance, +5 dgr	380C1F2 / 380C2F2	20053	73291	155536	20053	79261	-157616
Permanent loads yg= 1.2	380C1F3 / 380C2F3	20053	73217	155553	20053	78368	-157037
Wind angle: 45 dgr	GW / opgw	2978	10709	22648	2978	11966	-23269
	Comp. gl	6122	21877	46484	6122	23381	-46885
1a	380C1F1 / 380C2F1	17056	124980	205651	17056	124980	-205651
Wind, 10 dgr	380C1F2 / 380C2F2	17055	118872	197406	17055	118872	-197406
Permanent loads yg= 1.2	380C1F3 / 380C2F3	17053	111117	186995	17053	111117	-186995
Wind angle: 90 dgr	GW / opgw	2228	20429	32679	2228	20429	-32679
	Comp. gl	4620	31951	53373	4620	31951	-53373
1b	380C1F1 / 380C2F1	17036	79030	157020	17036	79030	-157020
Wind, -20 dgr	380C1F2 / 380C2F2	17036	78303	156430	17036	78303	-156430
Permanent loads yg= 1.2	380C1F3 / 380C2F3	17036	77410	155757	17036	77410	-155757
Wind angle: 90 dgr	GW / opgw	2225	10748	20825	2225	10748	-20825
	Comp. gl	4615	20776	41527	4615	20776	-41527
3	380C1F1 / 380C2F1	29380	123077	229108	29380	123077	-229108
Wind+ice, -5 dgr	380C1F2 / 380C2F2	29380	120807	226950	29380	120807	-226950
Permanent loads yg= 1.2	380C1F3 / 380C2F3	29379	118012	224428	29379	118012	-224428
Wind angle: 90 dgr	GW / opgw	9246	32450	58151	9246	32450	-58151
	Comp. gl	18678	60012	113159	18678	60012	-113159
4	380C1F1 / 380C2F1	20053	79334	157666	20053	79334	-157666
Construction/maintenance, +5 dgr	380C1F2 / 380C2F2	20053	78680	157232	20053	78680	-157232

W2H400+5 TOWER **APPENDIX: N**

Loadcases for tower strength (ultimate limit state)

Loadcase according to 50341-3-15		**AHEAD**			**BACK**		
		Vertical	Transverse	Longitudinal	Vertical	Transverse	Longitudinal
	Attachment point	[N]	[N]	[N]	[N]	[N]	[N]
Permanent loads yg= 1.2	380C1F3 / 380C2F3	20053	77872	156743	20053	77872	-156743
Wind angle: 90 dgr	GW / opgw	2978	11840	23167	2978	11840	-23167
	Comp. gl	6122	23237	46803	6122	23237	-46803
1a	380C1F1 / 380C2F1	17057	130900	213662	17045	67119	-135061
Wind, 10 dgr	380C1F2 / 380C2F2	17056	124305	204739	17045	66677	-134803
Permanent loads yg= 1.2	380C1F3 / 380C2F3	17054	115909	193419	17045	66131	-134516
Wind angle: -45 dgr	GW / opgw	2228	21514	34170	2226	9102	-17936
	Comp. gl	4620	33409	55362	4617	18081	-36619
1b	380C1F1 / 380C2F1	17037	79755	157640	17036	72547	-153803
Wind, -20 dgr	380C1F2 / 380C2F2	17036	78948	156952	17036	72487	-153812
Permanent loads yg= 1.2	380C1F3 / 380C2F3	17036	77958	156163	17036	72410	-153824
Wind angle: -45 dgr	GW / opgw	2225	10900	20985	2225	9428	-19902
	Comp. gl	4615	20946	41664	4615	19245	-40840
3	380C1F1 / 380C2F1	29381	125336	231339	29376	103058	-216048
Wind+ice, -5 dgr	380C1F2 / 380C2F2	29380	122823	228863	29376	102881	-216055
Permanent loads yg= 1.2	380C1F3 / 380C2F3	29379	119728	225957	29376	102659	-216072
Wind angle: -45 dgr	GW / opgw	9247	33116	58719	9244	26385	-54955
	Comp. gl	18679	60793	113667	18676	52715	-110835
4	380C1F1 / 380C2F1	20053	79986	158127	20053	73350	-155525
Construction/maintenance, +5 dgr	380C1F2 / 380C2F2	20053	79261	157616	20053	73291	-155536
Permanent loads yg= 1.2	380C1F3 / 380C2F3	20053	78368	157037	20053	73217	-155553
Wind angle: -45 dgr	GW / opgw	2978	11966	23269	2978	10709	-22648
	Comp. gl	6122	23381	46885	6122	21877	-46484
1a	380C1F1 / 380C2F1	12782	58487	111876	12782	58487	-111876
Wind, 10 dgr	380C1F2 / 380C2F2	12782	57534	110884	12782	57534	-110884
Permanent loads yg=0.9	380C1F3 / 380C2F3	12781	56365	109729	12781	56365	-109729
Wind angle: 0 dgr	GW / opgw	1669	8291	15363	1669	8291	-15363
	Comp. gl	3462	15495	29938	3462	15495	-29938
1b	380C1F1 / 380C2F1	12774	59266	124389	12774	59266	-124389
Wind, -20 dgr	380C1F2 / 380C2F2	12774	59160	124371	12774	59160	-124371
Permanent loads yg=0.9	380C1F3 / 380C2F3	12774	59026	124354	12774	59026	-124354
Wind angle: 0 dgr	GW / opgw	1668	7663	15950	1668	7663	-15950

W2H400+5 TOWER **APPENDIX: N**

Loadcases for tower strength (ultimate limit state)

Loadcase according to 50341-3-15		**AHEAD**			**BACK**		
		Vertical	Transverse	Longitudinal	Vertical	Transverse	Longitudinal
	Attachment point	[N]	[N]	[N]	[N]	[N]	[N]
	Comp. gl	3461	15550	32688	3461	15550	-32688
3	380C1F1 / 380C2F1	25109	93214	192328	25109	93214	-192328
Wind+ice, -5 dgr	380C1F2 / 380C2F2	25109	92908	192258	25109	92908	-192258
Permanent loads yg=0.9	380C1F3 / 380C2F3	25109	92524	192190	25109	92524	-192190
Wind angle: 0 dgr	GW / opgw	8685	25652	52524	8685	25652	-52524
	Comp. gl	17518	50875	105724	17518	50875	-105724
4	380C1F1 / 380C2F1	15788	61248	128638	15788	61248	-128638
Construction/maintenance, +5 dgr	380C1F2 / 380C2F2	15788	61149	128635	15788	61149	-128635
Permanent loads yg=0.9	380C1F3 / 380C2F3	15788	61023	128636	15788	61023	-128636
Wind angle: 0 dgr	GW / opgw	2421	9163	19167	2421	9163	-19167
	Comp. gl	4966	18625	39284	4966	18625	-39284
6	380C1F1 / 380C2F1	12781	49433	106010	12781	49433	-106010
Permanent, +10 dgr	380C1F2 / 380C2F2	12781	49433	106010	12781	49433	-106010
Permanent loads yg= 1.35	380C1F3 / 380C2F3	12781	49433	106010	12781	49433	-106010
	GW / opgw	1669	6441	13813	1669	6441	-13813
	Comp. gl	3462	13367	28666	3462	13367	-28666
1a	380C1F1 / 380C2F1	12781	54545	108097	12792	126013	-203187
Wind, 10 dgr	380C1F2 / 380C2F2	12781	54030	107683	12791	119007	-193383
Permanent loads yg=0.9	380C1F3 / 380C2F3	12781	53398	107211	12789	110005	-180763
Wind angle: 45 dgr	GW / opgw	1669	7466	14428	1671	21038	-33151
	Comp. gl	3462	14575	29100	3465	31889	-52105
1b	380C1F1 / 380C2F1	12774	58810	124344	12775	67185	-130687
Wind, -20 dgr	380C1F2 / 380C2F2	12774	58746	124344	12775	66217	-129653
Permanent loads yg=0.9	380C1F3 / 380C2F3	12774	58665	124348	12774	65032	-128446
Wind angle: 45 dgr	GW / opgw	1668	7574	15927	1669	9312	-17579
	Comp. gl	3461	15441	32682	3461	17403	-34068
3	380C1F1 / 380C2F1	25109	91902	192127	25114	116091	-211518
Wind+ice, -5 dgr	380C1F2 / 380C2F2	25109	91720	192120	25113	113341	-208533
Permanent loads yg=0.9	380C1F3 / 380C2F3	25109	91490	192121	25112	109949	-204991
Wind angle: 45 dgr	GW / opgw	8685	25248	52517	8688	32173	-56698
	Comp. gl	17518	50360	105786	17520	58644	-109062
4	380C1F1 / 380C2F1	15788	60818	128650	15789	68194	-132843

W2H400+5 TOWER **APPENDIX: N**

Loadcases for tower strength (ultimate limit state)

Loadcase according to 50341-3-15		AHEAD			BACK		
		Vertical	Transverse	Longitudinal	Vertical	Transverse	Longitudinal
	Attachment point	[N]	[N]	[N]	[N]	[N]	[N]
Construction/maintenance, +5 dgr	380C1F2 / 380C2F2	15788	60757	128657	15788	67364	-132105
Permanent loads yg=0.9	380C1F3 / 380C2F3	15788	60680	128668	15788	66345	-131256
Wind angle: 45 dgr	GW / opgw	2421	9084	19165	2421	10470	-20062
	Comp. gl	4966	18525	39296	4966	20153	-39964
1a	380C1F1 / 380C2F1	12791	119726	194390	12791	119726	-194390
Wind, 10 dgr	380C1F2 / 380C2F2	12790	113193	185234	12790	113193	-185234
Permanent loads yg=0.9	380C1F3 / 380C2F3	12789	104817	173489	12789	104817	-173489
Wind angle: 90 dgr	GW / opgw	1671	19913	31574	1671	19913	-31574
	Comp. gl	3464	30325	49888	3464	30325	-49888
1b	380C1F1 / 380C2F1	12775	66315	129755	12775	66315	-129755
Wind, -20 dgr	380C1F2 / 380C2F2	12774	65444	128858	12774	65444	-128858
Permanent loads yg=0.9	380C1F3 / 380C2F3	12774	64379	127815	12774	64379	-127815
Wind angle: 90 dgr	GW / opgw	1669	9129	17354	1669	9129	-17354
	Comp. gl	3461	17200	33860	3461	17200	-33860
3	380C1F1 / 380C2F1	25113	113619	208830	25113	113619	-208830
Wind+ice, -5 dgr	380C1F2 / 380C2F2	25112	111132	206207	25112	111132	-206207
Permanent loads yg=0.9	380C1F3 / 380C2F3	25112	108069	203109	25112	108069	-203109
Wind angle: 90 dgr	GW / opgw	8688	31486	56084	8688	31486	-56084
	Comp. gl	17520	57838	108499	17520	57838	-108499
4	380C1F1 / 380C2F1	15788	67448	132178	15788	67448	-132178
Construction/maintenance, +5 dgr	380C1F2 / 380C2F2	15788	66700	131544	15788	66700	-131544
Permanent loads yg=0.9	380C1F3 / 380C2F3	15788	65782	130818	15788	65782	-130818
Wind angle: 90 dgr	GW / opgw	2421	10329	19926	2421	10329	-19926
	Comp. gl	4966	19993	39847	4966	19993	-39847
1a	380C1F1 / 380C2F1	12792	126013	203187	12781	54545	-108097
Wind, 10 dgr	380C1F2 / 380C2F2	12791	119007	193383	12781	54030	-107683
Permanent loads yg=0.9	380C1F3 / 380C2F3	12789	110005	180763	12781	53398	-107211
Wind angle: -45 dgr	GW / opgw	1671	21038	33151	1669	7466	-14428
	Comp. gl	3465	31889	52105	3462	14575	-29100
1b	380C1F1 / 380C2F1	12775	67185	130687	12774	58810	-124344
Wind, -20 dgr	380C1F2 / 380C2F2	12775	66217	129653	12774	58746	-124344
Permanent loads yg=0.9	380C1F3 / 380C2F3	12774	65032	128446	12774	58665	-124348

W2H400+5 TOWER **APPENDIX: N**

Loadcases for tower strength (ultimate limit state)

Loadcase according to 50341-3-15		**AHEAD**			**BACK**		
		Vertical	Transverse	Longitudinal	Vertical	Transverse	Longitudinal
	Attachment point	[N]	[N]	[N]	[N]	[N]	[N]
Wind angle: -45 dgr	GW / opgw	1669	9312	17579	1668	7574	-15927
	Comp. gl	3461	17403	34068	3461	15441	-32682
3	380C1F1 / 380C2F1	25114	116091	211518	25109	91902	-192127
Wind+ice, -5 dgr	380C1F2 / 380C2F2	25113	113341	208533	25109	91720	-192120
Permanent loads yg=0.9	380C1F3 / 380C2F3	25112	109949	204991	25109	91490	-192121
Wind angle: -45 dgr	GW / opgw	8688	32173	56698	8685	25248	-52517
	Comp. gl	17520	58644	109062	17518	50360	-105786
4	380C1F1 / 380C2F1	15789	68194	132843	15788	60818	-128650
Construction/maintenance, +5 dgr	380C1F2 / 380C2F2	15788	67364	132105	15788	60757	-128657
Permanent loads yg=0.9	380C1F3 / 380C2F3	15788	66345	131256	15788	60680	-128668
Wind angle: -45 dgr	GW / opgw	2421	10470	20062	2421	9084	-19165
	Comp. gl	4966	20153	39964	4966	18525	-39296

W2H400+5 TOWER **APPENDIX: N1**

Loadcases for tower strength (special limit state)

Loadcase according to 50341-3-15	Attachment point	AHEAD Vertical [N]	AHEAD Transverse [N]	AHEAD Longitudinal [N]	BACK Vertical [N]	BACK Transverse [N]	BACK Longitudinal [N]
1a	380C1F1 / 380C2F1	17045	65978	134443	0	0	0
Wind, 10 dgr	380C1F2 / 380C2F2	17045	65655	134298	0	0	0
Permanent loads yg= 1.2	380C1F3 / 380C2F3	17045	65254	134141	0	0	0
Wind angle: 0 dgr	GW / opgw	2226	8869	17762	0	0	0
	Comp. gl	4617	17812	36487	0	0	0
1b	380C1F1 / 380C2F1	17036	72723	153787	0	0	0
Wind, -20 dgr	380C1F2 / 380C2F2	17036	72647	153793	0	0	0
Permanent loads yg= 1.2	380C1F3 / 380C2F3	17036	72551	153803	0	0	0
Wind angle: 0 dgr	GW / opgw	2225	9461	19903	0	0	0
	Comp. gl	4615	19287	40835	0	0	0
3	380C1F1 / 380C2F1	19802	77768	160718	0	0	0
Wind+ice, -5 dgr	380C1F2 / 380C2F2	19802	77517	160650	0	0	0
Permanent loads yg= 1.2	380C1F3 / 380C2F3	19802	77203	160581	0	0	0
Wind angle: 0 dgr	GW / opgw	3796	14234	28538	0	0	0
	Comp. gl	7762	28198	57773	0	0	0
4	380C1F1 / 380C2F1	19451	71802	151812	0	0	0
Construction/maintenance, +5 dgr	380C1F2 / 380C2F2	19451	71728	151822	0	0	0
Permanent loads yg= 1.2	380C1F3 / 380C2F3	19451	71635	151838	0	0	0
Wind angle: 0 dgr	GW / opgw	2828	10310	21723	0	0	0
	Comp. gl	5821	21063	44642	0	0	0
6	380C1F1 / 380C2F1	19177	68716	147362	0	0	0
Permanent, +10 dgr	380C1F2 / 380C2F2	19177	68716	147362	0	0	0
Permanent loads yg= 1.35	380C1F3 / 380C2F3	19177	68716	147362	0	0	0
	GW / opgw	2505	9033	19371	0	0	0
	Comp. gl	5195	18706	40116	0	0	0
1a	380C1F1 / 380C2F1	17045	64613	133947	0	0	0
Wind, 10 dgr	380C1F2 / 380C2F2	17045	64427	133907	0	0	0
Permanent loads yg= 1.2	380C1F3 / 380C2F3	17045	64193	133866	0	0	0
Wind angle: 45 dgr	GW / opgw	2226	8595	17608	0	0	0
	Comp. gl	4617	17489	36384	0	0	0

W2H400+5 TOWER **APPENDIX: N1**

Loadcases for tower strength (special limit state)

Loadcase according to 50341-3-15		AHEAD			BACK		
		Vertical	Transverse	Longitudinal	Vertical	Transverse	Longitudinal
	Attachment point	[N]	[N]	[N]	[N]	[N]	[N]
1b	380C1F1 / 380C2F1	17036	72393	153827	0	0	0
Wind, -20 dgr	380C1F2 / 380C2F2	17036	72346	153837	0	0	0
Permanent loads yg= 1.2	380C1F3 / 380C2F3	17036	72286	153850	0	0	0
Wind angle: 45 dgr	GW / opgw	2225	9399	19903	0	0	0
	Comp. gl	4615	19208	40847	0	0	0
3	380C1F1 / 380C2F1	19802	76696	160509	0	0	0
Wind+ice, -5 dgr	380C1F2 / 380C2F2	19802	76547	160498	0	0	0
Permanent loads yg= 1.2	380C1F3 / 380C2F3	19802	76360	160493	0	0	0
Wind angle: 45 dgr	GW / opgw	3796	13832	28363	0	0	0
	Comp. gl	7762	27716	57669	0	0	0
4	380C1F1 / 380C2F1	19451	71480	151870	0	0	0
Construction/maintenance, +5 dgr	380C1F2 / 380C2F2	19451	71434	151881	0	0	0
Permanent loads yg= 1.2	380C1F3 / 380C2F3	19451	71375	151896	0	0	0
Wind angle: 45 dgr	GW / opgw	2828	10251	21731	0	0	0
	Comp. gl	5821	20986	44660	0	0	0
1a	380C1F1 / 380C2F1	17049	88694	157786	0	0	0
Wind, 10 dgr	380C1F2 / 380C2F2	17048	85924	154369	0	0	0
Permanent loads yg= 1.2	380C1F3 / 380C2F3	17048	82496	150248	0	0	0
Wind angle: 90 dgr	GW / opgw	2227	13529	23228	0	0	0
	Comp. gl	4618	23161	41797	0	0	0
1b	380C1F1 / 380C2F1	17036	77213	155617	0	0	0
Wind, -20 dgr	380C1F2 / 380C2F2	17036	76684	155257	0	0	0
Permanent loads yg= 1.2	380C1F3 / 380C2F3	17036	76032	154852	0	0	0
Wind angle: 90 dgr	GW / opgw	2225	10368	20455	0	0	0
	Comp. gl	4615	20350	41219	0	0	0
3	380C1F1 / 380C2F1	19805	94794	175433	0	0	0
Wind+ice, -5 dgr	380C1F2 / 380C2F2	19805	92704	173118	0	0	0
Permanent loads yg= 1.2	380C1F3 / 380C2F3	19804	90133	170380	0	0	0
Wind angle: 90 dgr	GW / opgw	3797	20828	35526	0	0	0
	Comp. gl	7763	35850	64466	0	0	0
4	380C1F1 / 380C2F1	19451	76022	153058	0	0	0
Construction/maintenance, +5 dgr	380C1F2 / 380C2F2	19451	75535	152787	0	0	0

W2H400+5 TOWER **APPENDIX: N1**

Loadcases for tower strength (special limit state)

Loadcase according to 50341-3-15		AHEAD			BACK		
		Vertical	Transverse	Longitudinal	Vertical	Transverse	Longitudinal
	Attachment point	[N]	[N]	[N]	[N]	[N]	[N]
Permanent loads yg= 1.2	380C1F3 / 380C2F3	19451	74931	152486	0	0	0
Wind angle: 90 dgr	GW / opgw	2828	11112	22051	0	0	0
	Comp. gl	5821	22032	44825	0	0	0
1a	380C1F1 / 380C2F1	17049	91433	161228	0	0	0
Wind, 10 dgr	380C1F2 / 380C2F2	17049	88385	157402	0	0	0
Permanent loads yg= 1.2	380C1F3 / 380C2F3	17048	84603	152765	0	0	0
Wind angle: -45 dgr	GW / opgw	2227	14071	23957	0	0	0
	Comp. gl	4618	23814	42605	0	0	0
1b	380C1F1 / 380C2F1	17036	77740	155999	0	0	0
Wind, -20 dgr	380C1F2 / 380C2F2	17036	77154	155575	0	0	0
Permanent loads yg= 1.2	380C1F3 / 380C2F3	17036	76433	155096	0	0	0
Wind angle: -45 dgr	GW / opgw	2225	10478	20558	0	0	0
	Comp. gl	4615	20473	41302	0	0	0
3	380C1F1 / 380C2F1	19806	96873	177802	0	0	0
Wind+ice, -5 dgr	380C1F2 / 380C2F2	19805	94560	175171	0	0	0
Permanent loads yg= 1.2	380C1F3 / 380C2F3	19805	91711	172045	0	0	0
Wind angle: -45 dgr	GW / opgw	3798	21594	36481	0	0	0
	Comp. gl	7764	36772	65513	0	0	0
4	380C1F1 / 380C2F1	19451	76507	153348	0	0	0
Construction/maintenance, +5 dgr	380C1F2 / 380C2F2	19451	75968	153026	0	0	0
Permanent loads yg= 1.2	380C1F3 / 380C2F3	19451	75302	152666	0	0	0
Wind angle: -45 dgr	GW / opgw	2828	11206	22119	0	0	0
	Comp. gl	5821	22141	44877	0	0	0
1a	380C1F1 / 380C2F1	12781	53222	107088	0	0	0
Wind, 10 dgr	380C1F2 / 380C2F2	12781	52851	106842	0	0	0
Permanent loads yg=0.9	380C1F3 / 380C2F3	12781	52394	106564	0	0	0
Wind angle: 0 dgr	GW / opgw	1669	7191	14164	0	0	0
	Comp. gl	3462	14265	28881	0	0	0
1b	380C1F1 / 380C2F1	12774	58997	124352	0	0	0
Wind, -20 dgr	380C1F2 / 380C2F2	12774	58915	124346	0	0	0
Permanent loads yg=0.9	380C1F3 / 380C2F3	12774	58813	124344	0	0	0
Wind angle: 0 dgr	GW / opgw	1668	7610	15934	0	0	0

W2H400+5 TOWER **APPENDIX: N1**

Loadcases for tower strength (special limit state)

Loadcase according to 50341-3-15		AHEAD			BACK		
		Vertical	Transverse	Longitudinal	Vertical	Transverse	Longitudinal
	Attachment point	[N]	[N]	[N]	[N]	[N]	[N]
	Comp. gl	3461	15485	32682	0	0	0
3	380C1F1 / 380C2F1	15538	65149	133659	0	0	0
Wind+ice, -5 dgr	380C1F2 / 380C2F2	15538	64872	133536	0	0	0
Permanent loads yg=0.9	380C1F3 / 380C2F3	15538	64529	133402	0	0	0
Wind angle: 0 dgr	GW / opgw	3239	12761	25380	0	0	0
	Comp. gl	6606	25101	51132	0	0	0
4	380C1F1 / 380C2F1	15186	59156	124693	0	0	0
Construction/maintenance, +5 dgr	380C1F2 / 380C2F2	15186	59079	124696	0	0	0
Permanent loads yg=0.9	380C1F3 / 380C2F3	15186	58981	124702	0	0	0
Wind angle: 0 dgr	GW / opgw	2271	8662	18188	0	0	0
	Comp. gl	4665	17660	37346	0	0	0
6	380C1F1 / 380C2F1	12781	49433	106010	0	0	0
Permanent, +10 dgr	380C1F2 / 380C2F2	12781	49433	106010	0	0	0
Permanent loads yg= 1.35	380C1F3 / 380C2F3	12781	49433	106010	0	0	0
	GW / opgw	1669	6441	13813	0	0	0
	Comp. gl	3462	13367	28666	0	0	0
1a	380C1F1 / 380C2F1	12781	51673	106197	0	0	0
Wind, 10 dgr	380C1F2 / 380C2F2	12781	51465	106111	0	0	0
Permanent loads yg=0.9	380C1F3 / 380C2F3	12781	51207	106018	0	0	0
Wind angle: 45 dgr	GW / opgw	1669	6874	13917	0	0	0
	Comp. gl	3462	13901	28691	0	0	0
1b	380C1F1 / 380C2F1	12774	58647	124349	0	0	0
Wind, -20 dgr	380C1F2 / 380C2F2	12774	58597	124354	0	0	0
Permanent loads yg=0.9	380C1F3 / 380C2F3	12774	58535	124361	0	0	0
Wind angle: 45 dgr	GW / opgw	1668	7543	15924	0	0	0
	Comp. gl	3461	15402	32684	0	0	0
3	380C1F1 / 380C2F1	15538	63979	133237	0	0	0
Wind+ice, -5 dgr	380C1F2 / 380C2F2	15538	63819	133203	0	0	0
Permanent loads yg=0.9	380C1F3 / 380C2F3	15538	63619	133169	0	0	0
Wind angle: 45 dgr	GW / opgw	3238	12329	25139	0	0	0
	Comp. gl	6606	24590	50966	0	0	0
4	380C1F1 / 380C2F1	15186	58821	124722	0	0	0

W2H400+5 TOWER **APPENDIX: N1**

Loadcases for tower strength (special limit state)

Loadcase according to 50341-3-15		AHEAD			BACK		
		Vertical	Transverse	Longitudinal	Vertical	Transverse	Longitudinal
	Attachment point	[N]	[N]	[N]	[N]	[N]	[N]
Construction/maintenance, +5 dgr	380C1F2 / 380C2F2	15186	58773	124730	0	0	0
Permanent loads yg=0.9	380C1F3 / 380C2F3	15186	58713	124742	0	0	0
Wind angle: 45 dgr	GW / opgw	2271	8600	18190	0	0	0
	Comp. gl	4665	17581	37358	0	0	0
1a	380C1F1 / 380C2F1	12785	79869	138866	0	0	0
Wind, 10 dgr	380C1F2 / 380C2F2	12784	76688	134567	0	0	0
Permanent loads yg=0.9	380C1F3 / 380C2F3	12784	72715	129277	0	0	0
Wind angle: 90 dgr	GW / opgw	1670	12565	21162	0	0	0
	Comp. gl	3463	20558	36215	0	0	0
1b	380C1F1 / 380C2F1	12774	64146	127595	0	0	0
Wind, -20 dgr	380C1F2 / 380C2F2	12774	63519	127026	0	0	0
Permanent loads yg=0.9	380C1F3 / 380C2F3	12774	62750	126371	0	0	0
Wind angle: 90 dgr	GW / opgw	1668	8672	16819	0	0	0
	Comp. gl	3461	16694	33380	0	0	0
3	380C1F1 / 380C2F1	15541	84746	153890	0	0	0
Wind+ice, -5 dgr	380C1F2 / 380C2F2	15541	82341	150899	0	0	0
Permanent loads yg=0.9	380C1F3 / 380C2F3	15541	79370	147304	0	0	0
Wind angle: 90 dgr	GW / opgw	3240	19918	33574	0	0	0
	Comp. gl	6608	33469	59363	0	0	0
4	380C1F1 / 380C2F1	15187	63819	126890	0	0	0
Construction/maintenance, +5 dgr	380C1F2 / 380C2F2	15186	63265	126476	0	0	0
Permanent loads yg=0.9	380C1F3 / 380C2F3	15186	62582	126005	0	0	0
Wind angle: 90 dgr	GW / opgw	2271	9546	18692	0	0	0
	Comp. gl	4665	18707	37695	0	0	0
1a	380C1F1 / 380C2F1	12785	82990	143126	0	0	0
Wind, 10 dgr	380C1F2 / 380C2F2	12785	79515	138386	0	0	0
Permanent loads yg=0.9	380C1F3 / 380C2F3	12784	75162	132522	0	0	0
Wind angle: -45 dgr	GW / opgw	1670	13162	22007	0	0	0
	Comp. gl	3463	21310	37236	0	0	0
1b	380C1F1 / 380C2F1	12774	64772	128192	0	0	0
Wind, -20 dgr	380C1F2 / 380C2F2	12774	64075	127530	0	0	0
Permanent loads yg=0.9	380C1F3 / 380C2F3	12774	63221	126766	0	0	0

W2H400+5 TOWER **APPENDIX: N1**

Loadcases for tower strength (special limit state)

Loadcase according to 50341-3-15		**AHEAD**			**BACK**		
		Vertical	Transverse	Longitudinal	Vertical	Transverse	Longitudinal
	Attachment point	[N]	[N]	[N]	[N]	[N]	[N]
Wind angle: -45 dgr	GW / opgw	1668	8804	16969	0	0	0
	Comp. gl	3461	16840	33512	0	0	0
3	380C1F1 / 380C2F1	15542	87128	156909	0	0	0
Wind+ice, -5 dgr	380C1F2 / 380C2F2	15541	84477	153553	0	0	0
Permanent loads yg=0.9	380C1F3 / 380C2F3	15541	81195	149498	0	0	0
Wind angle: -45 dgr	GW / opgw	3240	20730	34631	0	0	0
	Comp. gl	6608	34473	60583	0	0	0
4	380C1F1 / 380C2F1	15187	64373	127328	0	0	0
Construction/maintenance, +5 dgr	380C1F2 / 380C2F2	15187	63757	126842	0	0	0
Permanent loads yg=0.9	380C1F3 / 380C2F3	15186	63001	126289	0	0	0
Wind angle: -45 dgr	GW / opgw	2271	9652	18786	0	0	0
	Comp. gl	4665	18828	37773	0	0	0

W2H400+5 TOWER **APPENDIX: N2**

Loadcases for tower defliction analyses (Servicability limit state)

Loadcase according to 50341-3-15	Attachment point	AHEAD Vertical [N]	AHEAD Transverse [N]	AHEAD Longitudinal [N]	BACK Vertical [N]	BACK Transverse [N]	BACK Longitudinal [N]
1a	380C1F1 / 380C2F1	14202	58927	117336	14202	58927	-117336
Wind, 10 dgr	380C1F2 / 380C2F2	14202	58429	116970	14202	58429	-116970
Permanent loads yg= 1.0	380C1F3 / 380C2F3	14202	57816	116556	14202	57816	-116556
Wind angle: 0 dgr	GW / opgw	1855	8041	15633	1855	8041	-15633
	Comp. gl	3847	15792	31671	3847	15792	-31671
1b	380C1F1 / 380C2F1	14194	63543	134464	14194	63543	-134464
Wind, -20 dgr	380C1F2 / 380C2F2	14194	63480	134467	14194	63480	-134467
Permanent loads yg= 1.0	380C1F3 / 380C2F3	14194	63399	134474	14194	63399	-134474
Wind angle: 0 dgr	GW / opgw	1854	8213	17290	1854	8213	-17290
	Comp. gl	3845	16749	35479	3845	16749	-35479
3	380C1F1 / 380C2F1	22419	84618	176416	22419	84618	-176416
Wind+ice, -5 dgr	380C1F2 / 380C2F2	22419	84425	176396	22419	84425	-176396
Permanent loads yg= 1.0	380C1F3 / 380C2F3	22419	84184	176381	22419	84184	-176381
Wind angle: 0 dgr	GW / opgw	6530	20638	42602	6530	20638	-42602
	Comp. gl	13213	41150	85996	13213	41150	-85996
4	380C1F1 / 380C2F1	16206	62101	131369	16206	62101	-131369
Construction/maintenance, +5 dgr	380C1F2 / 380C2F2	16206	62039	131376	16206	62039	-131376
Permanent loads yg= 1.0	380C1F3 / 380C2F3	16206	61960	131388	16206	61960	-131388
Wind angle: 0 dgr	GW / opgw	2356	8891	18744	2356	8891	-18744
	Comp. gl	4850	18179	38547	4850	18179	-38547
1a	380C1F1 / 380C2F1	14202	56851	116000	14208	98189	-165882
Wind, 10 dgr	380C1F2 / 380C2F2	14202	56574	115867	14208	93717	-159769
Permanent loads yg= 1.0	380C1F3 / 380C2F3	14202	56231	115721	14207	88077	-152129
Wind angle: 45 dgr	GW / opgw	1855	7613	15270	1856	15816	-25944
	Comp. gl	3847	15304	31383	3849	25141	-43062
1b	380C1F1 / 380C2F1	14194	63266	134493	14195	67811	-136493
Wind, -20 dgr	380C1F2 / 380C2F2	14194	63227	134500	14195	67309	-136112
Permanent loads yg= 1.0	380C1F3 / 380C2F3	14194	63177	134510	14195	66693	-135679
Wind angle: 45 dgr	GW / opgw	1854	8160	17289	1854	9080	-17879
	Comp. gl	3845	16682	35488	3846	17755	-35908
3	380C1F1 / 380C2F1	22419	83790	176382	22421	98433	-186136

W2H400+5 TOWER **APPENDIX: N2**

Loadcases for tower defliction analyses (Servicability limit state)

Loadcase according to 50341-3-15		**AHEAD**			**BACK**		
		Vertical	Transverse	Longitudinal	Vertical	Transverse	Longitudinal
	Attachment point	[N]	[N]	[N]	[N]	[N]	[N]
Wind+ice, -5 dgr	380C1F2 / 380C2F2	22419	83673	176389	22421	96774	-184519
Permanent loads yg= 1.0	380C1F3 / 380C2F3	22419	83526	176403	22420	94735	-182634
Wind angle: 45 dgr	GW / opgw	6530	20371	42601	6531	24969	-45353
	Comp. gl	13213	40808	86040	13214	46287	-88135
4	380C1F1 / 380C2F1	16206	61831	131414	16207	66084	-132786
Construction/maintenance, +5 dgr	380C1F2 / 380C2F2	16206	61792	131422	16207	65626	-132496
Permanent loads yg= 1.0	380C1F3 / 380C2F3	16206	61743	131435	16207	65059	-132172
Wind angle: 45 dgr	GW / opgw	2356	8841	18749	2356	9651	-19102
	Comp. gl	4850	18115	38561	4850	19090	-38769
1a	380C1F1 / 380C2F1	14208	94173	160390	14208	94173	-160390
Wind, 10 dgr	380C1F2 / 380C2F2	14207	90060	154804	14207	90060	-154804
Permanent loads yg= 1.0	380C1F3 / 380C2F3	14206	84889	147858	14206	84889	-147858
Wind angle: 90 dgr	GW / opgw	1856	15062	24884	1856	15062	-24884
	Comp. gl	3848	24165	41727	3848	24165	-41727
1b	380C1F1 / 380C2F1	14195	67360	136149	14195	67360	-136149
Wind, -20 dgr	380C1F2 / 380C2F2	14195	66908	135825	14195	66908	-135825
Permanent loads yg= 1.0	380C1F3 / 380C2F3	14195	66351	135458	14195	66351	-135458
Wind angle: 90 dgr	GW / opgw	1854	8986	17788	1854	8986	-17788
	Comp. gl	3846	17650	35833	3846	17650	-35833
3	380C1F1 / 380C2F1	22421	96941	184679	22421	96941	-184679
Wind+ice, -5 dgr	380C1F2 / 380C2F2	22420	95445	183276	22420	95445	-183276
Permanent loads yg= 1.0	380C1F3 / 380C2F3	22420	93607	181648	22420	93607	-181648
Wind angle: 90 dgr	GW / opgw	6531	24509	44940	6531	24509	-44940
	Comp. gl	13214	45753	87767	13214	45753	-87767
4	380C1F1 / 380C2F1	16207	65672	132524	16207	65672	-132524
Construction/maintenance, +5 dgr	380C1F2 / 380C2F2	16207	65257	132281	16207	65257	-132281
Permanent loads yg= 1.0	380C1F3 / 380C2F3	16206	64744	132009	16206	64744	-132009
Wind angle: 90 dgr	GW / opgw	2356	9570	19041	2356	9570	-19041
	Comp. gl	4850	18997	38722	4850	18997	-38722
1a	380C1F1 / 380C2F1	14208	98189	165882	14202	56851	-116000
Wind, 10 dgr	380C1F2 / 380C2F2	14208	93717	159769	14202	56574	-115867
Permanent loads yg= 1.0	380C1F3 / 380C2F3	14207	88077	152129	14202	56231	-115721

W2H400+5 TOWER **APPENDIX: N2**

Loadcases for tower defliction analyses (Servicability limit state)

Loadcase according to 50341-3-15	Attachment point	AHEAD Vertical [N]	AHEAD Transverse [N]	AHEAD Longitudinal [N]	BACK Vertical [N]	BACK Transverse [N]	BACK Longitudinal [N]
Wind angle: -45 dgr	GW / opgw	1856	15816	25944	1855	7613	-15270
	Comp. gl	3849	25141	43062	3847	15304	-31383
1b	380C1F1 / 380C2F1	14195	67811	136493	14194	63266	-134493
Wind, -20 dgr	380C1F2 / 380C2F2	14195	67309	136112	14194	63227	-134500
Permanent loads yg= 1.0	380C1F3 / 380C2F3	14195	66693	135679	14194	63177	-134510
Wind angle: -45 dgr	GW / opgw	1854	9080	17879	1854	8160	-17289
	Comp. gl	3846	17755	35908	3845	16682	-35488
3	380C1F1 / 380C2F1	22421	98433	186136	22419	83790	-176382
Wind+ice, -5 dgr	380C1F2 / 380C2F2	22421	96774	184519	22419	83673	-176389
Permanent loads yg= 1.0	380C1F3 / 380C2F3	22420	94735	182634	22419	83526	-176403
Wind angle: -45 dgr	GW / opgw	6531	24969	45353	6530	20371	-42601
	Comp. gl	13214	46287	88135	13213	40808	-86040
4	380C1F1 / 380C2F1	16207	66084	132786	16206	61831	-131414
Construction/maintenance, +5 dgr	380C1F2 / 380C2F2	16207	65626	132496	16206	61792	-131422
Permanent loads yg= 1.0	380C1F3 / 380C2F3	16207	65059	132172	16206	61743	-131435
Wind angle: -45 dgr	GW / opgw	2356	9651	19102	2356	8841	-18749
	Comp. gl	4850	19090	38769	4850	18115	-38561

Postbus 676
7300 AR Apeldoorn
Tel: 088 - 1860200

Statische ontwerpberekening

Masttype “W2H400(+10)”

Tracé Vijfhuizen - Bleiswijk

Revisie	Datum	Samensteller	Gecontroleerd
00	29 - 11 - 12	ing. Miko Hakhverdian	
01 – Fundatiebel. SLS toestaand gewijzigd	6 - 12 - 12	ing. Miko Hakhverdian	
02-Detailberekening toegevoegd	15 - 05 - 13	ing. Miko Hakhverdian	
03-Mast nummers verwijderd	07 - 02 - 14	ing. Miko Hakhverdian	7-2-14

Inhoudsopgave.

	blz.
1.0 Uitgangspunten berekening	4
1.1 Inleiding	4
1.2 Toegepaste normen	4
1.3 Randvoorwaarden	4
1.4 Constructie onderdelen	4
1.5 Toegepaste materiaal	5
1.6 Belastingen	6
2.0 Berekening masttype “W2H400(+10)”	7
2.1 Overzicht mast	8
2.2 Mast gegevens	9
2.3 Computerschema	11
3.0 Berekening Belastingen	12
3.1 Berekening stuwdruk	13
3.2 Berekening eigenfrequentie mast	14
3.3 Berekening bouwwerkfactor C_sC_d	16
3.4 Bepaling krachtcoëfficiënt C_f	17
3.5 Gewicht en horizontale belasting geleiders	18
3.6 Gewicht en windbelasting mastlichaam	19
3.7 Berekende belastingen	20
4.0 Resultaat berekeningen	23
4.1 Berekening verplaatsingen in SLS- toestand (belasting gevallen)	23
4.2 Maximale verplaatsingen in SLS- toestand	29
4.3 Toetsing maximale verplaatsingen	30
4.4 Berekening Krachten in ULS- toestand (belasting gevallen)	31
4.5 Maximale Krachten in ULS- toestand	37
4.6 Toetsing doorsnede	38
5.0 Berekening ankers, bouten en flensverbindingen	41
6.0 Controleberekening vortex shedding	44
7.0 Fundatie belastingen	52
8.0 Betonspanning onder voetplaat en instortring	53
9.0 Detailberekening	55

	blz.
9.1 Berekening afspanpunt trekisolatoren 380 kV	55
9.1.1 Berekening afspanpunt trekisolatoren 380 kV op 57m hoogte	56
9.1.2 Berekening afspanpunt trekisolatoren 380 kV op 47m hoogte	66
9.1.3 Berekening afspanpunt trekisolatoren 380 kV op 37m hoogte	71
9.2 Berekening draagarm bliksemdraad	76
9.2.1 Controle capaciteit van de aansluiting - draagarm aan mast	78
9.2.2 Berekening clip bliksemdraad (clip 5.4)	79
9.3 Berekening draagarm "Retourstroomgeleider"	82
9.3.1 Controle capaciteit van de aansluiting - draagarm aan mast	87
9.3.2 Berekening clip "Retourstroomgeleider"	88
9.4 Berekening Clip 17 - t.b.v. installatie geleiders (op 0,5m hoogte)	90
9.4.1 Controle capaciteit van de aansluiting	92
9.5 Berekening clip hulprail - clip 8	93
9.5.1 Controle capaciteit van de aansluiting	95
9.6 Ondersteuning hijsbalk op de top van de mast	97
9.7 Berekening versterking deur	100

Bijlage: KEMA rapport 74100224-ETD/POL 12-00138 V10.0 - bijlage O, O1 en O2

1.0 - Uitgangspunten berekening.

1.1 - Inleiding.

In dit rapport wordt in opdracht van TenneT de statische ontwerpberekening van het masttype W2H400(+10) van het project “R380 Wintrack hoogspanningslijn” Noordring , tracé Vijfhuizen – Bleiswijk gepresenteerd.

1.2 – Toegepaste normen.

De berekening is gebaseerd op de volgende normen:

- NEN-EN 50341-1 – Bovengrondse elektrische lijnen boven 45 kV wisselspanning – Deel 1: Algemene eisen – Gemeenschappelijke specificaties, uitgave november 2001.
- NEN-EN 50341-3 – Bovengrondse elektrische lijnen boven 45 kV wisselspanning – Deel 3: Verzameling van nationale normatieve aspecten, uitgave november 2001 en correctieblad mei 2006.
- NEN-EN 1990 - Grondslagen van het constructief ontwerp, uitgave december 2007 (+NB).
- NEN-EN 1991 – Algemene belastingen, uitgave december 2007 (+NB)
- NEN-EN 1991-1-4 - Algemene belastingen – Windbelasting, uitgave december 2007.
- NEN-EN 1993-1-1 - Ontwerp en berekenen van staalconstructies, uitgave december 2007(+NB).
- NEN-EN 1993-1-8 - Ontwerp en berekenen van verbindingen, uitgave december 2007 (+NB).
- NEN-EN 1993-3-1 – Torens, maten en schoorstenen, uitgave juli 2007.
- NEN 2063 – Op vermoeiing belaste constructies- Het berekenen van gelaste verbindingen in ongelegeerd en zwakgelegeerd staal t/m S355.

De belastingopgave is volgens KEMA rapport 74100224-ETD/POL 12-00138 V10.0 “Design Loads for Wintrack II – R380 BEV-VHZ & VHZ-BEV” 18 november 2013.
Voor het masttype W2H400(+10) zijn de bijlage O en O1 (berekening maststerkte) en bijlage O2 (berekening verplaatsingen) van het KEMA rapport van toepassing.

1.3 – Randvoorwaarden.

Volgens Eurocode 3, deel 3-1 wordt de constructie ingedeeld in ontwerp levensduurklasse 3, gevolgklasse CC3 en referentieperiode 50 jaar. Mast bevindt zich in het gebied (windgebied II – onbebouwd) dat de terreincategorie II is van toepassing.

In de bruikbaarheidsgrenstoestand (SLS- toestand) dient voldaan te worden aan de volgende randvoorwaarden:

- De maximale horizontale uitbuiging mag niet groter zijn dan 5,5% van de hoogte van de mast.
- De relatieve verplaatsing van mast mag niet groter zijn dan 1% van de hoogte van de mast.

1.4 – Constructieonderdelen.

A - Mast constructie.

De mast is een buismast met een totale hoogte van 67,0 meter. De basis diameter van de mast is 2,733 meter en verloopt conisch tot de top van de mast naar een diameter van 0,5 meter. De mast is opgebouwd uit drie segmenten. De segmenten zijn 19,80 meter en 2* 23,60 meter lang. Deze segmenten worden door middel van een binnenflensaansluiting aan elkaar verbonden.
De mast is voorzien van een klimvoorziening aan de binnenkant van de mast.

B - Fundatie.

De berekening van de fundatie en draagkracht van de grond valt buiten deze berekening. Aan de hand van locatiegegevens en grondmechanisch onderzoek dient de fundatie van de mast alsnog te worden berekend.

1.5 – Toegepaste materialen.

A - Mastconstructie.

De materiaalkwaliteit is S355 ($f_{y;d}$ = 355 N/mm^2, $f_{t;d}$ = 510 N/mm^2), tenzij anders vermeld.

B - Bouten en moeren.

De toegepaste bouten zijn kwaliteit 10.9. De ankers zijn kwaliteit 8.8.
Alle bouten en moeren zijn thermisch verzinkt, ISO-passend en gerolde draad.

C - Lassen in de primaire constructie.

Alle lassen zijn voorbewerkte ½ V las met een tegen las, klasse K35 of een voorbewerkte X las klasse K45. De lasdetails worden door de fabrikant opgegeven.

1.6 - Belastingen.

A – Geleiders (bliksemdraad, fasedraden en retourstroomgeleider) en isolatoren,

De belastingopgave is volgens KEMA rapport 74100224-ETD/POL 12-00138 V10.0 “Design Loads for Wintrack II – R380 BEV-VHZ & VHZ-BEV” 18 november 2013.
Voor het masttype W2H400(+10) zijn de bijlage O en O1 (berekening maststerkte) en bijlage O2 (berekening verplaatsingen) van het KEMA rapport van toepassing.

In de bovengenoemde bijlagen zijn de krachten inclusief de belastingfactoren volgens NEN-EN 50341-3-15 paragraaf 4.2, tabel 4.2.11/NL.1 voor de ULS- toestand (Ultimate limit state), tabel 4.2.11/NL.3 voor de SPLS- toestand (Special limit state) en tabel 4.2.11/NL.4 voor de SLS-toestand (Serviceability limit state) aangegeven.

B – Mastlichaam

Het gewicht van de mast is een centrisch en gelijkmatig verdeelde belasting. Deze wordt gecombineerd met het gewicht van de geleiders en isolatoren. De belastingfactoren voor het eigengewicht zijn volgens NEN-EN 50341-3-15 en NEN-EN 1993-3-1, γ_g = 1,2 voor de ULS-toestand en γ_g = 1,0 voor de SLS- toestand.

De windbelasting van het mastlichaam is een horizontaal verdeelde belasting over de hele hoogte. Gezien het feit dat het windoppervlak van het mastlichaam in alle richtingen gelijk is, wordt deze eenmaal berekend en gecombineerd met de belasting van de geleiders in de verschillende windrichtingen. De belastingfactoren voor de windbelasting van het mastlichaam zijn volgens NEN-EN 1993-3-1, γ_q = 1,6 voor de ULS- toestand en γ_q = 1,0 voor de SLS-toestand.

2.0 - Berekening masttype "W2H400(+10)"

Berekening

W2H400+10

67,0 m - 2733 - 500

Tracé Vijfhuizen - Bleiswijk

2.1 - Overzicht mast

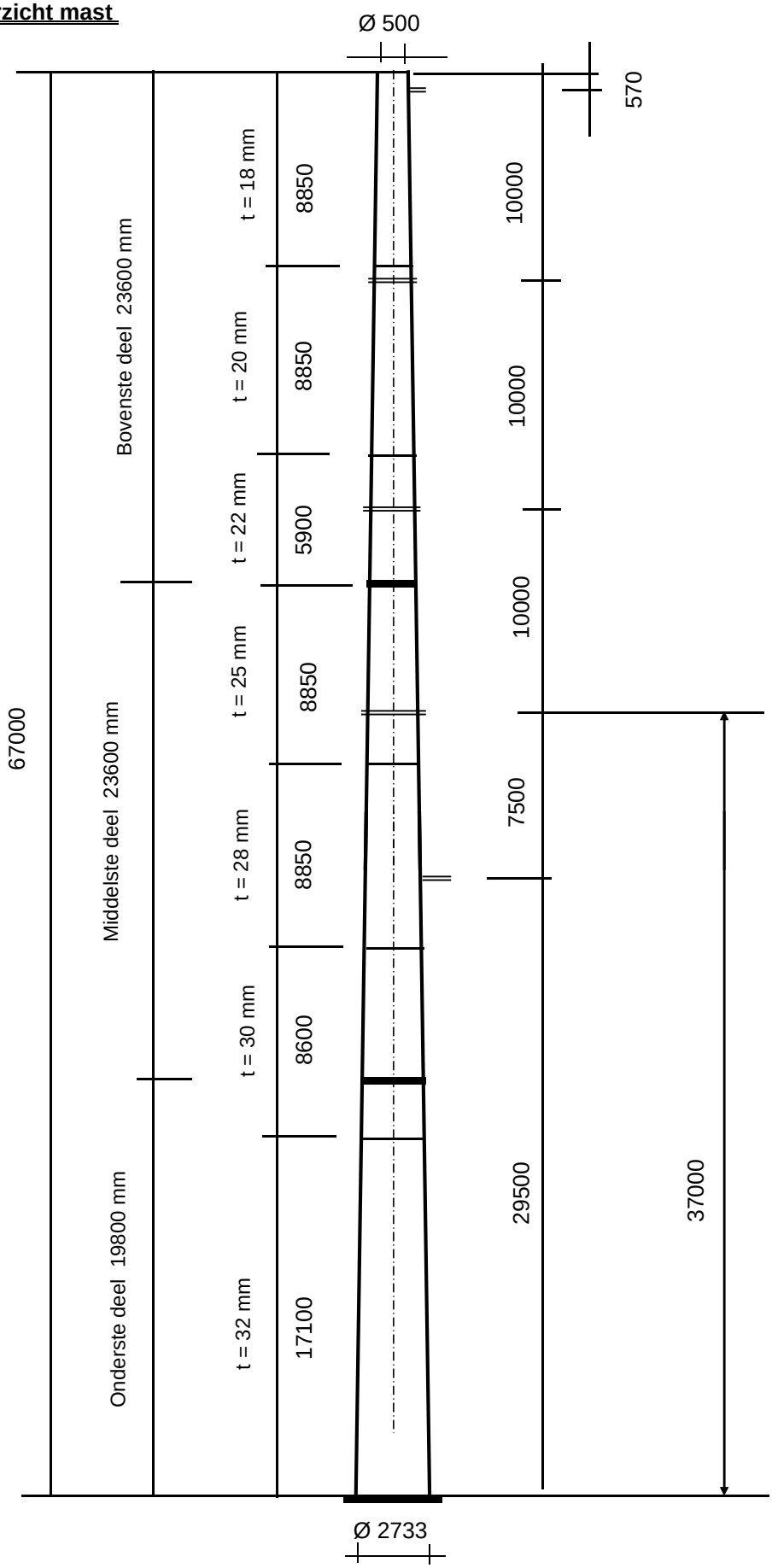

2.2 - Mast gegevens

Buismast type W2H400(+10)

Voet van de mast op :	0,00	meter

Wind gebied : II - onbebouwd

aantal staven	32	gem. breedte (m)	1,617

staaf nummer	staaf lengte mm	voet-breedte mm	top-breedte mm	diago-nalen	aantal knopen	aantal staven	gem. hoogte m
1	570	519	500	n.v.t.	2	1	66,72
2	2380	598	519	n.v.t.	2	1	65,24
3	2950	697	598	n.v.t.	2	1	62,58
4	2950	795	697	n.v.t.	2	1	59,63
5	1150	833	795	n.v.t.	2	1	57,58
6	1800	893	833	n.v.t.	2	1	56,10
7	2950	992	893	n.v.t.	2	1	53,73
8	2950	1090	992	n.v.t.	2	1	50,78
9	2300	1167	1090	n.v.t.	2	1	48,15
10	650	1188	1167	n.v.t.	2	1	46,68
11	2950	1287	1188	n.v.t.	2	1	44,88
12	2950	1385	1287	n.v.t.	2	1	41,93
13	2950	1483	1385	n.v.t.	2	1	38,98
14	500	1500	1483	n.v.t.	2	1	37,25
15	2450	1582	1500	n.v.t.	2	1	35,78
16	1475	1631	1582	n.v.t.	2	1	33,81
17	1475	1680	1631	n.v.t.	2	1	32,34
18	2100	1750	1680	n.v.t.	2	1	30,55
19	850	1778	1750	n.v.t.	2	1	29,08
20	1475	1827	1778	n.v.t.	2	1	27,91
21	1475	1876	1827	n.v.t.	2	1	26,44
22	2950	1975	1876	n.v.t.	2	1	24,23
23	2950	2073	1975	n.v.t.	2	1	21,28
24	1350	2118	2073	n.v.t.	2	1	19,13
25	1350	2163	2118	n.v.t.	2	1	17,78
26	1425	2211	2163	n.v.t.	2	1	16,39
27	1425	2258	2211	n.v.t.	2	1	14,96
28	2850	2353	2258	n.v.t.	2	1	12,83
29	2850	2448	2353	n.v.t.	2	1	9,98
30	2850	2543	2448	n.v.t.	2	1	7,13
31	2850	2638	2543	n.v.t.	2	1	4,28
32	2850	2733	2638	n.v.t.	2	1	1,43
	67000				33	32	

Profielgegevens

profielgegevens buisprofiel - Staal kwaliteit : S 355							
staaf	D_{gem} (mm)	t (mm)	A (mm^2)	m(kg/m)	I (mm^4)	i (mm)	W_b (mm^3)
1	509	18,0	27794	218,18	8,40E+08	173,89	3,30E+06
2	559	18,0	30573	240,00	1,12E+09	191,26	4,00E+06
3	647	18,0	35596	279,43	1,76E+09	222,65	5,45E+06
4	746	18,0	41156	323,07	2,73E+09	257,39	7,31E+06
5	814	20,0	49896	391,68	3,94E+09	280,85	9,67E+06
6	863	20,0	52985	415,93	4,71E+09	298,23	1,09E+07
7	942	20,0	57958	454,97	6,17E+09	326,21	1,31E+07
8	1041	20,0	64136	503,47	8,36E+09	360,96	1,61E+07
9	1128	22,0	76458	600,19	1,17E+10	391,19	2,07E+07
10	1177	22,0	79855	626,87	1,33E+10	408,57	2,26E+07
11	1237	22,0	84002	659,41	1,55E+10	429,78	2,51E+07
12	1336	25,0	102943	808,10	2,21E+10	463,49	3,31E+07
13	1434	25,0	110665	868,72	2,75E+10	498,24	3,83E+07
14	1492	25,0	115180	904,16	3,10E+10	518,57	4,15E+07
15	1541	25,0	119041	934,47	3,42E+10	535,95	4,44E+07
16	1606	28,0	138816	1089,70	4,32E+10	558,03	5,38E+07
17	1655	28,0	143140	1123,65	4,74E+10	575,40	5,73E+07
18	1715	28,0	148380	1164,79	5,28E+10	596,46	6,16E+07
19	1764	28,0	152705	1198,73	5,75E+10	613,84	6,52E+07
20	1803	28,0	156113	1225,48	6,15E+10	627,54	6,82E+07
21	1852	28,0	160437	1259,43	6,67E+10	644,92	7,21E+07
22	1926	30,0	178658	1402,47	8,03E+10	670,29	8,34E+07
23	2024	30,0	187924	1475,21	9,34E+10	705,04	9,23E+07
24	2096	30,0	194678	1528,22	1,04E+11	730,38	9,91E+07
25	2141	30,0	198918	1561,51	1,11E+11	746,28	1,04E+08
26	2187	32,0	216627	1700,52	1,26E+11	761,93	1,15E+08
27	2234	32,0	221402	1738,00	1,34E+11	778,72	1,20E+08
28	2306	32,0	228564	1794,22	1,48E+11	803,91	1,28E+08
29	2401	32,0	238113	1869,18	1,67E+11	837,49	1,39E+08
30	2496	32,0	247662	1944,14	1,88E+11	871,06	1,51E+08
31	2591	32,0	257211	2019,10	2,10E+11	904,64	1,63E+08
32	2686	32,0	266760	2094,06	2,35E+11	938,22	1,75E+08

Elasticiteitsmodulus E-	N/mm^2	210000
Vloeigrens f_y	N/mm^2	355
Volumieke massa	kg/m^3	7850

2.3 - Computerschema

knoop nummer	knoop cord. "Z" - in mm	staaf i -- j	benaming staven	L_{staaf} mm	A_{eff} mm^2	I_x of I_y mm^4
1	67000	1 -- 2	1	570	2,78E+04	8,40E+08
2	66430	2 -- 3	2	2380	3,06E+04	1,12E+09
3	64050	3 -- 4	3	2950	3,56E+04	1,76E+09
4	61100	4 -- 5	4	2950	4,12E+04	2,73E+09
5	58150	5 -- 6	5	1150	4,99E+04	3,94E+09
6	57000	6 -- 7	6	1800	5,30E+04	4,71E+09
7	55200	7 -- 8	7	2950	5,80E+04	6,17E+09
8	52250	8 -- 9	8	2950	6,41E+04	8,36E+09
9	49300	9 -- 10	9	2300	7,65E+04	1,17E+10
10	47000	10 -- 11	10	650	7,99E+04	1,33E+10
11	46350	11 -- 12	11	2950	8,40E+04	1,55E+10
12	43400	12 -- 13	12	2950	1,03E+05	2,21E+10
13	40450	13 -- 14	13	2950	1,11E+05	2,75E+10
14	37500	14 -- 15	14	500	1,15E+05	3,10E+10
15	37000	15 -- 16	15	2450	1,19E+05	3,42E+10
16	34550	16 -- 17	16	1475	1,39E+05	4,32E+10
17	33075	17 -- 18	17	1475	1,43E+05	4,74E+10
18	31600	18 -- 19	18	2100	1,48E+05	5,28E+10
19	29500	19 -- 20	19	850	1,53E+05	5,75E+10
20	28650	20 -- 21	20	1475	1,56E+05	6,15E+10
21	27175	21 -- 22	21	1475	1,60E+05	6,67E+10
22	25700	22 -- 23	22	2950	1,79E+05	8,03E+10
23	22750	23 -- 24	23	2950	1,88E+05	9,34E+10
24	19800	24 -- 25	24	1350	1,95E+05	1,04E+11
25	18450	25 -- 26	25	1350	1,99E+05	1,11E+11
26	17100	26 -- 27	26	1425	2,17E+05	1,26E+11
27	15675	27 -- 28	27	1425	2,21E+05	1,34E+11
28	14250	28 -- 29	28	2850	2,29E+05	1,48E+11
29	11400	29 -- 30	29	2850	2,38E+05	1,67E+11
30	8550	30 -- 31	30	2850	2,48E+05	1,88E+11
31	5700	31 -- 32	31	2850	2,57E+05	2,10E+11
32	2850	32 -- 33	32	2850	2,67E+05	2,35E+11
33	0					

3.0 - Berekening belastingen

3,1 - Berekening stuwdruk

Algemene gegevens:

Wind gebied : II - onbebouwd

Basiswindsnelheid $V_{b,0}$ = 27 m/s

Terreincategorie : II - Onbebouwd gebied

Richtingsfactor C_{dir} = 1,0

Seizoensfactor C_{season} = 1,0

Orografiefactor $C_o(z)$ = 1,0

Veiligheidsklaae 2

Volumieke massa van lucht; ρ = 1,25 kg/m^3

z_0 = 0,200 m

z_{min} = 4,0 m

Gemiddelde windsnelheid $V_m(z) = (V_{b,0} * C_{dir} * C_{season}) * c_r(z)$

$c_r(z) = k_r * \ln\{ z / z_0\}$ voor $z_{min} \le z \le z_{max}$

$c_r(z) = c_r(z_{min})$ voor $z \le z_{min}$

$k_r = 0{,}19 \ln\{ z_0 / z_{0,II}\}^{0,07}$ $z_{0;II}$ = 0,05 m

Extreme stuwdruk $q_p(z) = (1 + 7 * I_v(z)) * ½ * \rho * V_m^2(z)$

$I_v(z) = k_I / \{ c_o(z) * \ln(z / z_0) \}$ voor $z_{min} \le z \le z_{max}$; k_I = 1,0

$I_v(z) = I_v(z_{min})$ voor $z \le z_{min}$

Sectie	hoogte z m	kr	$c_r(z)$	$V_m(z)$ m/s	$I_v(z)$	$q_p(z)$ N/m^2
1	66,72	0,21	1,22	32,84	0,17	1486
2	65,24	0,21	1,21	32,72	0,17	1478
3	62,58	0,21	1,20	32,48	0,17	1463
4	59,63	0,21	1,19	32,21	0,18	1445
5	57,58	0,21	1,19	32,01	0,18	1432
6	56,10	0,21	1,18	31,86	0,18	1422
7	53,73	0,21	1,17	31,62	0,18	1407
8	50,78	0,21	1,16	31,30	0,18	1386
9	48,15	0,21	1,15	31,00	0,18	1367
10	46,68	0,21	1,14	30,82	0,18	1356
11	44,88	0,21	1,13	30,60	0,18	1342
12	41,93	0,21	1,12	30,22	0,19	1318
13	38,98	0,21	1,10	29,80	0,19	1292
14	37,25	0,21	1,09	29,55	0,19	1276
15	35,78	0,21	1,09	29,32	0,19	1262
16	33,81	0,21	1,07	29,00	0,19	1243
17	32,34	0,21	1,06	28,75	0,20	1228
18	30,55	0,21	1,05	28,43	0,20	1208
19	29,08	0,21	1,04	28,15	0,20	1191
20	27,91	0,21	1,03	27,92	0,20	1177
21	26,44	0,21	1,02	27,61	0,20	1159
22	24,23	0,21	1,00	27,12	0,21	1130
23	21,28	0,21	0,98	26,38	0,21	1087
24	19,13	0,21	0,95	25,78	0,22	1053
25	17,78	0,21	0,94	25,37	0,22	1029
26	16,39	0,21	0,92	24,91	0,23	1004
27	14,96	0,21	0,90	24,39	0,23	975
28	12,83	0,21	0,87	23,52	0,24	927
29	9,98	0,21	0,82	22,10	0,26	852
30	7,13	0,21	0,75	20,20	0,28	754
31	4,28	0,21	0,64	17,31	0,33	615
32	1,43	0,21	0,63	16,93	0,33	598

3.2 - Berekening eigenfrequentie mast en meewerkende massa

Verplaatsing van de mast t.g.v e.g mast en toplast

knoop nummer	staaf nummer	gewicht mast N	gewicht flenzen+ ge-leiders-N	dwarskr. kN	moment kNm	hoekver.φ rad.	verpl. δ mm
1	1 -- 2	1329	400	0,40	0,00	2,58E-02	981,84
2	2 -- 3	6069	4098	5,83	0,61	2,58E-02	967,11
3	3 -- 4	8686		11,90	21,70	2,57E-02	905,67
4	4 -- 5	9973		20,58	69,61	2,54E-02	830,14
5	5 -- 6	4677		30,56	145,03	2,49E-02	755,92
6	6 -- 7	7757	33460	68,69	182,86	2,46E-02	727,46
7	7 -- 8	13864		76,45	313,49	2,42E-02	683,49
8	8 -- 9	15295		90,31	559,46	2,32E-02	613,48
9	9 -- 10	14149		105,61	848,45	2,20E-02	546,67
10	10 -- 11	4172	34118	153,88	1107,62	2,11E-02	497,03
11	11 -- 12	19895		158,05	1208,99	2,08E-02	483,40
12	12 -- 13	24281	7046	184,99	1704,58	1,95E-02	423,77
13	13 -- 14	26070		209,27	2286,12	1,83E-02	367,95
14	14 -- 15	4596		235,34	2941,92	1,69E-02	315,98
15	15 -- 16	23262	34857	274,79	3060,74	1,67E-02	307,57
16	16 -- 17	16294		298,06	3762,48	1,55E-02	268,05
17	17 -- 18	16795		314,35	4214,13	1,49E-02	245,61
18	18 -- 19	24775		331,15	4690,18	1,42E-02	224,14
19	19 -- 20	10317	8799	364,72	5411,60	1,33E-02	195,25
20	20 -- 21	18297		375,04	5726,00	1,29E-02	184,13
21	21 -- 22	18798		393,33	6292,67	1,22E-02	165,64
22	22 -- 23	41815		412,13	6886,70	1,15E-02	148,16
23	23 -- 24	43961		453,95	8164,17	1,02E-02	116,13
24	24 -- 25	20833	33251	531,16	9568,15	8,85E-03	88,01
25	25 -- 26	21283		551,99	10299,28	8,23E-03	76,48
26	26 -- 27	24446		573,28	11058,83	7,62E-03	65,77
27	27 -- 28	24980		597,72	11893,17	7,00E-03	55,36
28	28 -- 29	51563		622,70	12762,72	6,37E-03	45,83
29	29 -- 30	53699		674,26	14610,90	5,12E-03	29,41
30	30 -- 31	55836		727,96	16609,07	3,85E-03	16,60
31	31 -- 32	57972		783,80	18763,34	2,57E-03	7,41
32	32 -- 33	60108		841,77	21079,78	1,29E-03	1,87
33			44762	946,64	23564,48	0,00E+00	0,00

Voor de berekening van de eigenfrequentie is de Rayleigh-Ritz methode toegepast.
Bij benadering kan eigenfrequentie bepaald worden door alle massa's m_i van het dynamische model dezelfde versnelling g in de richting van de beweging te geven en vervolgen eigen-trillingsvorm te berekenen onder invloed van krachten $F_i = m_i * g$

De eigenfrequentie van de eerste trillingsvorm kan berekend worden door:

$$n_{1,x} = 1 / 2\pi * \{ g * \Sigma m_i * \delta_i / \Sigma m_i * \delta_i^2 \}^{0,5}$$

m_i : de geconcentreerde massa in kg.

δ_t : de verplaatsing van het punt (i) in meter

g = 9,81 m/s^2 - versnelling van de zwaartekracht

knoop nummer	staaf nummer	gewicht mast N	gewicht flenzen+ ge-leiders-kg	verpl. δ m	$g\Sigma m_i.\delta_i$	$\Sigma m_i.\delta_i^2$
1	1 -- 2	132,9	40,0	0,982	1655,86	164,773
2	2 -- 3	606,9	409,8	0,967	9463,34	915,475
3	3 -- 4	868,6		0,906	7395,13	654,260
4	4 -- 5	997,3		0,830	7758,78	627,213
5	5 -- 6	467,7		0,756	3402,88	257,276
6	6 -- 7	775,7	3346,0	0,727	29246,66	2156,754
7	7 -- 8	1386,4		0,683	8819,90	583,036
8	8 -- 9	1529,5		0,613	8703,51	514,647
9	9 -- 10	1414,9		0,547	7243,63	385,332
10	10 -- 11	417,2	3411,8	0,497	18642,14	943,129
11	11 -- 12	1989,5		0,483	8852,69	409,321
12	12 -- 13	2428,1	704,6	0,424	12358,70	507,039
13	13 -- 14	2607,0		0,368	8745,53	304,859
14	14 -- 15	459,6		0,316	1405,64	44,673
15	15 -- 16	2326,2	3485,7	0,308	17085,23	522,442
16	16 -- 17	1629,4		0,268	4105,36	107,480
17	17 -- 18	1679,5		0,246	3869,75	92,650
18	18 -- 19	2477,5		0,224	5096,47	108,938
19	19 -- 20	1031,7	879,9	0,195	3605,19	70,666
20	20 -- 21	1829,7		0,184	3139,12	55,962
21	21 -- 22	1879,8		0,166	2893,37	46,277
22	22 -- 23	4181,5		0,148	5420,85	73,023
23	23 -- 24	4396,1		0,116	4402,01	45,803
24	24 -- 25	2083,3	3325,1	0,088	4551,80	39,849
25	25 -- 26	2128,3		0,076	1484,97	10,766
26	26 -- 27	2444,6		0,066	1452,45	8,967
27	27 -- 28	2498,0		0,055	1239,79	6,394
28	28 -- 29	5156,3		0,046	1902,94	7,298
29	29 -- 30	5369,9		0,029	1211,93	2,842
30	30 -- 31	5583,6		0,017	657,54	0,805
31	31 -- 32	5797,2		0,007	263,93	0,125
32	32 -- 33	6010,8		0,002	55,17	0,005
33			4476,2	0,000	0,00	0,000
				Som	196132	9668

$$n_{1,x} = 1 / 2\pi * \{ g * \Sigma m_i * \delta_i / \Sigma m_i * \delta_i^2 \}^{0,5}$$

$n_{1,x}$	=	0,72	Hz

Meewerkende massa

$m_{i;e}$ is de equivalente massa m_e per lengte eenheid, in kg/m, gewogen naar de trillingsvorm :

$$m_e = \frac{\int_0^{l} m(s) * \phi^2_i(s)\, ds}{\int_0^{l} \phi^2_i(s)\, ds}$$

staaf nummer	massa m kg/m	ϕ_i	s m	$\phi_i^2 * (s)$	$\phi_i^2 *(s)*m$	$\phi_i * (s)$
1 -- 2	1022	0,992	0,570	0,56	574,05	0,57
2 -- 3	255	0,954	2,380	2,16	552,02	2,27
3 -- 4	294	0,884	2,950	2,31	678,69	2,61
4 -- 5	338	0,808	2,950	1,92	650,63	2,38
5 -- 6	3316	0,755	1,150	0,66	2176,27	0,87
6 -- 7	431	0,719	1,800	0,93	400,47	1,29
7 -- 8	470	0,660	2,950	1,29	604,81	1,95
8 -- 9	518	0,591	2,950	1,03	533,86	1,74
9 -- 10	2099	0,532	2,300	0,65	1363,56	1,22
10 -- 11	642	0,499	0,650	0,16	104,01	0,32
11 -- 12	913	0,462	2,950	0,63	574,99	1,36
12 -- 13	823	0,403	2,950	0,48	394,71	1,19
13 -- 14	884	0,348	2,950	0,36	316,24	1,03
14 -- 15	7891	0,318	0,500	0,05	397,82	0,16
15 -- 16	949	0,293	2,450	0,21	199,89	0,72
16 -- 17	1105	0,262	1,475	0,10	111,49	0,39
17 -- 18	1139	0,239	1,475	0,08	96,11	0,35
18 -- 19	1599	0,214	2,100	0,10	153,14	0,45
19 -- 20	1214	0,193	0,850	0,03	38,51	0,16
20 -- 21	1240	0,178	1,475	0,05	58,05	0,26
21 -- 22	1274	0,160	1,475	0,04	48,00	0,24
22 -- 23	1417	0,135	2,950	0,05	75,75	0,40
23 -- 24	2617	0,104	2,950	0,03	83,45	0,31
24 -- 25	1543	0,084	1,350	0,01	14,62	0,11
25 -- 26	1577	0,072	1,350	0,01	11,17	0,10
26 -- 27	1716	0,062	1,425	0,01	9,30	0,09
27 -- 28	1753	0,052	1,425	0,00	6,63	0,07
28 -- 29	1809	0,038	2,850	0,00	7,57	0,11
29 -- 30	1884	0,023	2,850	0,00	2,95	0,07
30 -- 31	1959	0,012	2,850	0,00	0,83	0,03
31 -- 32	2034	0,005	2,850	0,00	0,13	0,01
32 -- 33	3680	0,001	2,850	0,00	0,01	0,00
		Σ	67,00	13,91	10239,71	22,84

m_e = 10239,7 / 13,9 = 736,0 kg/m

3.3 - Berekening bouwwerkfactor $c_s c_d$

Eurocode 1- 4 : 6.3.1 - Procedure volgens bijlage C

$c_s c_d = 1 + 2 * k_p * I_v(z_s) * (B^2 + R^2)^{0,5} / (1 + 7 * I_v(z_s))$

$n = n_{1,x}$ =	0,72	Hz
b =	1,62	m
h =	67,00	m
$z_s = h_0 + 0,6 * h$ =	40,20	m
$\alpha = 0,67 + 0,05 * \ln(z_0)$ =	0,59	
De referentiehoogte z_t =	200	m
De referentielengteschaal L_t =	300	m
$L(z) = L_t * (z / z_t)^{\alpha}$ =	116,50	

$B^2 = 1 / \{1+1,5*[(b/L(z_s))^2 + (h/L(z_s))^2 + (b*h / L(z_s).L(z_s))^2]^{0,5}\}$

B^2 = 0,54

δ_s =	0,012	(buismast)
$\delta_a = c_f * \rho * b * v_m(z_s) / (2*n_1*m_e)$ =	0,069	
δ_d =	0	nvt, geen dempinstallatie
$\delta = \delta_s + \delta_a + \delta_d$ =	0,081	
$v_m(z_s)$ =	29,98	m/s
$v_m(z)$ =	32,87	m/s
$I_v(z_s)$ =	0,19	

$S_L(z,n) = 6,8 * f_L(z,n) / \{1+10,2*f_L(z,n)\}^{5/3}$ = 0,07

$f_L(z,n) = n * L(z) / v_m(z)$ =	2,54	
$c_y = c_z$ =	11,5	
$\phi_y = c_y * b * n / V_m(z_s)$	0,44	
$\phi_z = c_y * h * n / V_m(z_s)$	18,42	
G_y =	0,5	
G_z =	0,28	

$K_s(n) = 1 / \{ 1 + [(G_y.\phi_y)_2 + G_z.\phi_z)^2 + (2.G_y.\phi_y.G_z.\phi_z/\pi)^2]^{0,5} \}$

$K_s(n)$ =	0,16	
R^2 =	0,71	
T =	600	s
$v = n_{1,x} * (R^2/(B^2+R^2))^{0,5}$ =	0,54	Hz

$k_p = \{2*\ln(v*T)\}^{0,5} + 0,6 / \{ (2*\ln(v*T))^{0,5}\}$ = 3,58

$c_s c_d$ = **1,08**

3.4 - Bepaling krachtcoëfficiënt C_f

$C_f = C_{f,0} * \psi_\lambda$ doorsnede : Cirkelvormige doorsnede

$R_e = b * v(z_e) / \nu$; $v(z_e) = \{ 2 * q_p / \rho \}^{0,5}$

b is de diameter

ν is de kinematische viscositeit van de lucht $\nu = 15*10^{-6}$ m^2/s

$C_{f,0} = 1,2 + [(0,18 * \log(10*k/b)) / (1 + 0,4*\log(R_e / 10^6))]$

k = 0,20 (gegalvaniseerd staal)

ψ_λ confom EN-1991-1-4 - 7,13

member number	$v(z_e)$ m/s	R_e	$C_{f,0}$	ψ_λ	C_f
1	48,77	1,66E+06	0,80	0,81	0,65
2	48,63	1,81E+06	0,80	0,81	0,65
3	48,37	2,09E+06	0,80	0,81	0,65
4	48,08	2,39E+06	0,80	0,81	0,65
5	47,87	2,60E+06	0,80	0,81	0,65
6	47,71	2,75E+06	0,80	0,81	0,65
7	47,44	2,98E+06	0,80	0,81	0,65
8	47,10	3,27E+06	0,79	0,81	0,65
9	46,77	3,52E+06	0,79	0,81	0,65
10	46,58	3,66E+06	0,79	0,81	0,65
11	46,34	3,82E+06	0,79	0,81	0,65
12	45,92	4,09E+06	0,79	0,81	0,65
13	45,47	4,35E+06	0,79	0,81	0,64
14	45,19	4,49E+06	0,79	0,81	0,64
15	44,94	4,62E+06	0,79	0,81	0,64
16	44,59	4,77E+06	0,79	0,81	0,64
17	44,32	4,89E+06	0,79	0,81	0,64
18	43,96	5,03E+06	0,79	0,81	0,64
19	43,66	5,13E+06	0,79	0,81	0,64
20	43,40	5,22E+06	0,79	0,81	0,64
21	43,07	5,32E+06	0,79	0,81	0,64
22	42,52	5,46E+06	0,79	0,81	0,64
23	41,71	5,63E+06	0,78	0,81	0,64
24	41,04	5,73E+06	0,78	0,81	0,64
25	40,58	5,79E+06	0,78	0,81	0,64
26	40,07	5,84E+06	0,78	0,81	0,64
27	39,50	5,88E+06	0,78	0,81	0,64
28	38,52	5,92E+06	0,78	0,81	0,63
29	36,92	5,91E+06	0,78	0,81	0,63
30	34,74	5,78E+06	0,77	0,81	0,63
31	31,38	5,42E+06	0,77	0,81	0,62
32	30,93	5,54E+06	0,77	0,81	0,62

3.5 - Gewicht, windoppervlak en windlast per staaf .

Gewicht (verticale belasting) bliksem en fase draden

	opstel hoogte m	aantal	gewicht / ophanging N	gewicht bevestiging N	totaal gewicht N
Bliksem	66,43	1	Vlg. KEMA rapport 74100706-ETD/POL 12-00138 V10.0 (18 - 11 - 2013) Appendix - O, O1 en O2		
1e traverse - 380C1F1	57,00	1			
2e traverse - 380C1F2	47,00	1			
3e traverse - 380C1F3	37,00	1			
Retourstroomgeleider	29,50	1			
				Σ Gew (kg)	0

Excentriciteit ophanging t.o.v hart mast

	opstel hoogte m	excet. in m
Bliksem	66,43	0,759
1e traverse - 380C1F1	57,00	0,000
2e traverse - 380C1F2	47,00	0,000
3e traverse - 380C1F3	37,00	0,000
Retourstroomgeleider	29,50	2,075

Windlast (horizontale belasting) bliksem en fase draden

	opstel hoogte m	aantal	F_{hor} ophanging N	F_{hor} bevestiging N	totaal $F_{hor.}$ N
Bliksem	66,43	1	Vlg. KEMA rapport		
1e traverse - 380C1F1	57,00	1			
2e traverse - 380C1F2	47,00	1			
3e traverse - 380C1F3	37,00	1			
Retourstroomgeleider	29,50	1			

3.6 - Gewicht en windbelasting van het mastlichaam

$F_{wind} = q_p(z) * C_s C_d * A$

staaf nummer	gewicht staven in N.	gewicht kab/ladder in N.	totaal gewicht in N.	windopp. staven in m².	windopp. ladder in m².	windlast in N	windlast in kN/m'.
1	1244	86	1329	0,190	0,068	414	0,727
2	5712	357	6069	0,868	0,286	1840	0,773
3	8243	443	8686	1,244	0,354	2523	0,855
4	9531	443	9973	1,431	0,354	2783	0,943
5	4504	173	4677	0,608	0,138	1153	1,003
6	7487	270	7757	1,009	0,216	1880	1,045
7	13422	443	13864	1,803	0,354	3274	1,110
8	14852	443	15295	1,988	0,354	3504	1,188
9	13804	345	14149	1,678	0,276	2884	1,254
10	4075	98	4172	0,495	0,078	838	1,289
11	19453	443	19895	2,357	0,354	3927	1,331
12	23839	443	24281	2,542	0,354	4119	1,396
13	25627	443	26070	2,725	0,354	4295	1,456
14	4521	75	4596	0,480	0,060	744	1,488
15	22895	368	23262	2,429	0,294	3709	1,514
16	16073	221	16294	1,523	0,177	2280	1,546
17	16574	221	16795	1,568	0,177	2313	1,568
18	24460	315	24775	2,312	0,252	3343	1,592
19	10189	128	10317	0,962	0,102	1368	1,609
20	18076	221	18297	1,705	0,177	2391	1,621
21	18577	221	18798	1,750	0,177	2411	1,635
22	41373	443	41815	3,635	0,354	4866	1,649
23	43519	443	43961	3,815	0,354	4892	1,658
24	20631	203	20833	1,805	0,162	2235	1,656
25	21080	203	21283	1,842	0,162	2227	1,649
26	24232	214	24446	1,984	0,171	2335	1,638
27	24767	214	24980	2,025	0,171	2311	1,622
28	51135	428	51563	4,171	0,342	4518	1,585
29	53272	428	53699	4,329	0,342	4294	1,507
30	55408	428	55836	4,480	0,342	3926	1,378
31	57544	428	57972	4,614	0,342	3292	1,155
32	59681	428	60108	4,778	0,342	3305	1,160
	735799	10050	745849	inkl. C_t	inkl. C_t	$\Sigma F_{mast =}$	70860

Gewicht ladder = 15 kg / m'
Windoppervlak ladder = 0,12 m^2 / m'

3.7 - Berekende belastingen

1 - Eigen gewichten (Ultimate limit state)

knoop nummer	staaf i--j	eg mast inc. Ladder in N/m'	eg draden BG - 1a in N	eg draden BG - 1b in N	eg draden BG - 3 in N	eg draden BG - 4 in N
1	1 -- 2	2798	480	480	480	480
2	2 -- 3	3060	4819	5453	21145	7149
3	3 -- 4	3533				
4	4 -- 5	4057				
5	5 -- 6	4880				
6	6 -- 7	5171	39296	43700	70823	49971
7	7 -- 8	5640				
8	8 -- 9	6222				
9	9 -- 10	7382				
10	10 -- 11	7702	40078	44296	71548	50550
11	11 -- 12	8093				
12	12 -- 13	9877	8456	8456	8456	8456
13	13 -- 14	10605				
14	14 -- 15	11030				
15	15 -- 16	11394	40966	44905	72318	51138
16	16 -- 17	13256				
17	17 -- 18	13664				
18	18 -- 19	14157				
19	19 -- 20	14565	10328	11401	43125	14765
20	20 -- 21	14886				
21	21 -- 22	15293				
22	22 -- 23	17010				
23	23 -- 24	17882				
24	24 -- 25	18519	39901	39901	39901	39901
25	25 -- 26	18918				
26	26 -- 27	20586				
27	27 -- 28	21036				
28	28 -- 29	21711				
29	29 -- 30	22610				
30	30 -- 31	23510				
31	31 -- 32	24409				
32	32 -- 33	25309				
33			53715	53715	53715	53715

KEMA rapport - bijlage O - windhoek 90 graden

eg flenzen+ringen * γ_g (γ_g = 1,2)

eg mast * γ_g (γ_g = 1,2)

Berekende gewichten voor voetplaat, flenzen en ringen

Voetplaat : rond 3373 / 2029 , t = 100 mm ; G = 4476 kg
Flenzen op 19,8m : 2 * rond 2073 / 1540 , t = 140 mm ; G = 3325 kg
Flenzen op 43,4m : 2 * rond 1287 / 970 , t = 80 mm ; G = 705 kg
Topplaat / Hijsplaat + kap : rond 500 / 300 , t = 30 mm ; G = 40 kg
Bevestigingsringen op 57m : 2 * rond 1103 / 833 , t = 20 mm ; G = 129 kg
Bevestigingsringen op 47m : 2 * rond 1437 / 1167 , t = 20 mm ; G = 173 kg
Bevestigingsringen op 37m : 2 * rond 1770 / 1500 , t = 20 mm ; G = 218 kg

2 - Horizontale belasting (Serviceability limit state)

knoop nummer	staaf i--j	wind belasting mast in N/m'	hor. Bel. draden BG - 1a in N	hor. Bel. draden BG - 1b in N	hor. Bel. draden BG - 3 in N	hor. Bel. draden BG - 4 in N
1	1 -- 2	727				
2	2 -- 3	773	30896	18835	51044	20078
3	3 -- 4	855				
4	4 -- 5	943				
5	5 -- 6	1003				
6	6 -- 7	1045	193927	141513	202486	137963
7	7 -- 8	1110				
8	8 -- 9	1188				
9	9 -- 10	1254				
10	10 -- 11	1289	185663	140625	199531	137150
11	11 -- 12	1331				
12	12 -- 13	1396				
13	13 -- 14	1456				
14	14 -- 15	1488				
15	15 -- 16	1514	175287	139532	195906	136146
16	16 -- 17	1546				
17	17 -- 18	1568				
18	18 -- 19	1592				
19	19 -- 20	1609	49831	37096	95708	39947
20	20 -- 21	1621				
21	21 -- 22	1635				
22	22 -- 23	1649				
23	23 -- 24	1658				
24	24 -- 25	1656				
25	25 -- 26	1649				
26	26 -- 27	1638				
27	27 -- 28	1622				
28	28 -- 29	1585				
29	29 -- 30	1507				
30	30 -- 31	1378				
31	31 -- 32	1155				
32	32 -- 33	1160				
33		0				

KEMA rapport - bijlage O2 - windhoek 90 graden

wind mast * γ_q (γ_q = 1,0)

3 - Horizontale belasting (Ultimate limit state)

knoop nummer	staaf i--j	wind belasting mast in N/m'	hor. Bel. draden BG - 1a in N	hor. Bel. draden BG - 1b in N	hor. Bel. draden BG - 3 in N	hor. Bel. draden BG - 4 in N
1	1 -- 2	1163				
2	2 -- 3	1237	41802	22478	67473	24801
3	3 -- 4	1368				
4	4 -- 5	1509				
5	5 -- 6	1604				
6	6 -- 7	1671	256563	165751	256544	166433
7	7 -- 8	1776				
8	8 -- 9	1900				
9	9 -- 10	2006				
10	10 -- 11	2063	244261	164321	252057	165148
11	11 -- 12	2130				
12	12 -- 13	2234				
13	13 -- 14	2329				
14	14 -- 15	2381				
15	15 -- 16	2422	228663	162565	246540	163566
16	16 -- 17	2473				
17	17 -- 18	2508				
18	18 -- 19	2547				
19	19 -- 20	2575	65673	43600	125377	48811
20	20 -- 21	2594				
21	21 -- 22	2615				
22	22 -- 23	2639				
23	23 -- 24	2653				
24	24 -- 25	2649				
25	25 -- 26	2639				
26	26 -- 27	2621				
27	27 -- 28	2595				
28	28 -- 29	2536				
29	29 -- 30	2411				
30	30 -- 31	2204				
31	31 -- 32	1848				
32	32 -- 33	1855				
33		0				

KEMA rapport - bijlage O - windhoek 90 graden

wind mast * γ_q (γ_q = 1,6)

4.0 - Resultaat berekeningen

4.1 - Berekenen verplaatsingen in SLS-toestand (Servieability limit state)

A - Wind belasting mastlichaam (incl. 2e orde effect)

knoop nummer	staaf i--j	$Q_{last;hor}$ N	$F_{last;hor}$ N	dwarskr. N	moment Nmm	hoekver. rad.	hor. verpl. mm
1	1 -- 2	414		0	0,00E+00	3,80E-03	136
2	2 -- 3	1840		414	1,30E+05	3,80E-03	133
3	3 -- 4	2523		2254	3,41E+06	3,79E-03	124
4	4 -- 5	2783		4777	1,40E+07	3,72E-03	113
5	5 -- 6	1153		7560	3,25E+07	3,61E-03	102
6	6 -- 7	1880		8714	4,22E+07	3,55E-03	98
7	7 -- 8	3274		10594	6,00E+07	3,46E-03	92
8	8 -- 9	3504		13868	9,70E+07	3,29E-03	82
9	9 -- 10	2884		17372	1,44E+08	3,09E-03	73
10	10 -- 11	838		20256	1,88E+08	2,93E-03	66
11	11 -- 12	3927		21094	2,02E+08	2,89E-03	64
12	12 -- 13	4119		25021	2,72E+08	2,67E-03	56
13	13 -- 14	4295		29140	3,53E+08	2,48E-03	48
14	14 -- 15	744		33435	4,47E+08	2,27E-03	41
15	15 -- 16	3709		34179	4,64E+08	2,24E-03	40
16	16 -- 17	2280		37888	5,54E+08	2,06E-03	34
17	17 -- 18	2313		40168	6,13E+08	1,97E-03	31
18	18 -- 19	3343		42481	6,74E+08	1,87E-03	29
19	19 -- 20	1368		45823	7,68E+08	1,74E-03	25
20	20 -- 21	2391		47191	8,09E+08	1,68E-03	23
21	21 -- 22	2411		49583	8,81E+08	1,59E-03	21
22	22 -- 23	4866		51994	9,57E+08	1,49E-03	19
23	23 -- 24	4892		56859	1,12E+09	1,31E-03	15
24	24 -- 25	2235		61752	1,30E+09	1,13E-03	11
25	25 -- 26	2227		63987	1,38E+09	1,04E-03	10
26	26 -- 27	2335		66214	1,47E+09	9,62E-04	8
27	27 -- 28	2311		68549	1,57E+09	8,80E-04	7
28	28 -- 29	4518		70860	1,67E+09	7,98E-04	6
29	29 -- 30	4294		75377	1,88E+09	6,36E-04	4
30	30 -- 31	3926		79672	2,10E+09	4,74E-04	2
31	31 -- 32	3292		83598	2,33E+09	3,14E-04	1
32	32 -- 33	3305		86890	2,58E+09	1,56E-04	0
33		0		90195	2,83E+09	0,00E+00	0

B - Horizontale belasting - belastinggeval 1a (incl. 2e orde effect)

knoop nummer	staaf i--j	$Q_{last;hor}$ N	$F_{last;hor}$ N	dwarskr. N	moment Nmm	hoekver. rad.	hor. verpl. mm
1	1 -- 2			0	0,00E+00	5,11E-02	1786
2	2 -- 3		30896	30896	1,67E+05	5,11E-02	1757
3	3 -- 4			30896	7,51E+07	5,07E-02	1636
4	4 -- 5			30896	1,69E+08	4,98E-02	1487
5	5 -- 6			30896	2,65E+08	4,87E-02	1342
6	6 -- 7		193927	224823	3,04E+08	4,83E-02	1286
7	7 -- 8			224823	7,15E+08	4,73E-02	1200
8	8 -- 9			224823	1,39E+09	4,50E-02	1064
9	9 -- 10			224823	2,07E+09	4,21E-02	935
10	10 -- 11		185663	410486	2,60E+09	3,99E-02	841
11	11 -- 12			410486	2,87E+09	3,93E-02	815
12	12 -- 13			410486	4,10E+09	3,61E-02	703
13	13 -- 14			410486	5,33E+09	3,31E-02	601
14	14 -- 15			410486	6,57E+09	3,01E-02	508
15	15 -- 16		175287	585773	6,77E+09	2,96E-02	493
16	16 -- 17			585773	8,23E+09	2,70E-02	423
17	17 -- 18			585773	9,11E+09	2,56E-02	385
18	18 -- 19			585773	9,98E+09	2,42E-02	348
19	19 -- 20		49831	635604	1,12E+10	2,22E-02	299
20	20 -- 21			635604	1,18E+10	2,14E-02	281
21	21 -- 22			635604	1,27E+10	2,00E-02	250
22	22 -- 23			635604	1,37E+10	1,86E-02	222
23	23 -- 24			635604	1,56E+10	1,60E-02	170
24	24 -- 25			635604	1,75E+10	1,36E-02	127
25	25 -- 26			635604	1,83E+10	1,24E-02	109
26	26 -- 27			635604	1,92E+10	1,14E-02	93
27	27 -- 28			635604	2,01E+10	1,03E-02	78
28	28 -- 29			635604	2,10E+10	9,25E-03	64
29	29 -- 30			635604	2,29E+10	7,24E-03	40
30	30 -- 31			635604	2,47E+10	5,31E-03	22
31	31 -- 32			635604	2,65E+10	3,46E-03	10
32	32 -- 33			635604	2,83E+10	1,69E-03	2
33				635604	3,01E+10	0,00E+00	0

C - Horizontale belasting - belastinggeval 1b (incl. 2e orde effect)

knoop nummer	staaf i--j	$Q_{last;hor}$ N	$F_{last;hor}$ N	dwarskr. N	moment Nmm	hoekver. rad.	hor. verpl. mm
1	1 -- 2			0	0,00E+00	3,67E-02	1305
2	2 -- 3		18835	18835	1,20E+05	3,67E-02	1284
3	3 -- 4			18835	4,60E+07	3,65E-02	1197
4	4 -- 5			18835	1,04E+08	3,59E-02	1090
5	5 -- 6			18835	1,62E+08	3,52E-02	985
6	6 -- 7		141513	160348	1,87E+08	3,50E-02	945
7	7 -- 8			160348	4,80E+08	3,43E-02	882
8	8 -- 9			160348	9,62E+08	3,27E-02	783
9	9 -- 10			160348	1,44E+09	3,07E-02	689
10	10 -- 11		140625	300973	1,82E+09	2,92E-02	621
11	11 -- 12			300973	2,02E+09	2,87E-02	602
12	12 -- 13			300973	2,93E+09	2,65E-02	520
13	13 -- 14			300973	3,83E+09	2,44E-02	445
14	14 -- 15			300973	4,73E+09	2,22E-02	376
15	15 -- 16		139532	440505	4,89E+09	2,18E-02	365
16	16 -- 17			440505	5,98E+09	2,00E-02	314
17	17 -- 18			440505	6,64E+09	1,89E-02	285
18	18 -- 19			440505	7,30E+09	1,79E-02	258
19	19 -- 20		37096	477601	8,24E+09	1,64E-02	222
20	20 -- 21			477601	8,65E+09	1,58E-02	208
21	21 -- 22			477601	9,36E+09	1,48E-02	186
22	22 -- 23			477601	1,01E+10	1,38E-02	165
23	23 -- 24			477601	1,15E+10	1,19E-02	127
24	24 -- 25			477601	1,29E+10	1,01E-02	94
25	25 -- 26			477601	1,36E+10	9,24E-03	81
26	26 -- 27			477601	1,42E+10	8,43E-03	69
27	27 -- 28			477601	1,49E+10	7,65E-03	58
28	28 -- 29			477601	1,56E+10	6,88E-03	47
29	29 -- 30			477601	1,70E+10	5,38E-03	30
30	30 -- 31			477601	1,83E+10	3,95E-03	17
31	31 -- 32			477601	1,97E+10	2,57E-03	7
32	32 -- 33			477601	2,11E+10	1,26E-03	2
33				477601	2,24E+10	0,00E+00	0

D - Horizontale belasting - belastinggeval 3 (incl. 2e orde effect)

knoop nummer	staaf i--j	$Q_{last;hor}$ N	$F_{last;hor}$ N	dwarskr. N	moment Nmm	hoekver. rad.	hor. verpl. mm
1	1 -- 2			0	0,00E+00	6,07E-02	2063
2	2 -- 3		51044	51044	1,99E+05	6,07E-02	2029
3	3 -- 4			51044	1,23E+08	6,01E-02	1885
4	4 -- 5			51044	2,78E+08	5,85E-02	1709
5	5 -- 6			51044	4,33E+08	5,67E-02	1539
6	6 -- 7		202486	253530	4,96E+08	5,61E-02	1474
7	7 -- 8			253530	9,60E+08	5,48E-02	1374
8	8 -- 9			253530	1,72E+09	5,17E-02	1217
9	9 -- 10			253530	2,49E+09	4,82E-02	1069
10	10 -- 11		199531	453061	3,08E+09	4,56E-02	961
11	11 -- 12			453061	3,38E+09	4,49E-02	932
12	12 -- 13			453061	4,74E+09	4,12E-02	804
13	13 -- 14			453061	6,10E+09	3,78E-02	688
14	14 -- 15			453061	7,47E+09	3,43E-02	581
15	15 -- 16		195906	648968	7,70E+09	3,37E-02	564
16	16 -- 17			648968	9,31E+09	3,08E-02	485
17	17 -- 18			648968	1,03E+10	2,92E-02	441
18	18 -- 19			648968	1,13E+10	2,76E-02	399
19	19 -- 20		95708	744676	1,26E+10	2,54E-02	343
20	20 -- 21			744676	1,33E+10	2,45E-02	322
21	21 -- 22			744676	1,44E+10	2,29E-02	287
22	22 -- 23			744676	1,55E+10	2,13E-02	255
23	23 -- 24			744676	1,77E+10	1,84E-02	196
24	24 -- 25			744676	1,99E+10	1,56E-02	146
25	25 -- 26			744676	2,10E+10	1,43E-02	126
26	26 -- 27			744676	2,20E+10	1,31E-02	107
27	27 -- 28			744676	2,30E+10	1,18E-02	89
28	28 -- 29			744676	2,41E+10	1,06E-02	73
29	29 -- 30			744676	2,63E+10	8,33E-03	46
30	30 -- 31			744676	2,84E+10	6,11E-03	26
31	31 -- 32			744676	3,05E+10	3,99E-03	11
32	32 -- 33			744676	3,27E+10	1,95E-03	3
33				744676	3,48E+10	0,00E+00	0

E - Horizontale belasting - belastinggeval 4 (incl. 2e orde effect)

knoop nummer	staaf i--j	$Q_{last;hor}$ N	$F_{last;hor}$ N	dwarskr. N	moment Nmm	hoekver. rad.	hor. verpl. mm
1	1 -- 2			0	0,00E+00	3,64E-02	1288
2	2 -- 3		20078	20078	1,19E+05	3,64E-02	1267
3	3 -- 4			20078	4,89E+07	3,61E-02	1180
4	4 -- 5			20078	1,10E+08	3,55E-02	1075
5	5 -- 6			20078	1,73E+08	3,48E-02	971
6	6 -- 7		137963	158041	1,98E+08	3,45E-02	931
7	7 -- 8			158041	4,88E+08	3,39E-02	869
8	8 -- 9			158041	9,62E+08	3,23E-02	771
9	9 -- 10			158041	1,44E+09	3,03E-02	679
10	10 -- 11		137150	295191	1,81E+09	2,88E-02	611
11	11 -- 12			295191	2,01E+09	2,83E-02	592
12	12 -- 13			295191	2,89E+09	2,61E-02	512
13	13 -- 14			295191	3,78E+09	2,40E-02	438
14	14 -- 15			295191	4,66E+09	2,18E-02	370
15	15 -- 16		136146	431337	4,82E+09	2,15E-02	360
16	16 -- 17			431337	5,89E+09	1,96E-02	309
17	17 -- 18			431337	6,53E+09	1,86E-02	281
18	18 -- 19			431337	7,18E+09	1,76E-02	254
19	19 -- 20		39947	471285	8,10E+09	1,62E-02	219
20	20 -- 21			471285	8,50E+09	1,56E-02	205
21	21 -- 22			471285	9,20E+09	1,46E-02	183
22	22 -- 23			471285	9,91E+09	1,36E-02	162
23	23 -- 24			471285	1,13E+10	1,17E-02	125
24	24 -- 25			471285	1,27E+10	9,91E-03	93
25	25 -- 26			471285	1,34E+10	9,10E-03	80
26	26 -- 27			471285	1,40E+10	8,31E-03	68
27	27 -- 28			471285	1,47E+10	7,53E-03	57
28	28 -- 29			471285	1,54E+10	6,77E-03	47
29	29 -- 30			471285	1,67E+10	5,30E-03	29
30	30 -- 31			471285	1,81E+10	3,89E-03	16
31	31 -- 32			471285	1,94E+10	2,53E-03	7
32	32 -- 33			471285	2,08E+10	1,24E-03	2
33				471285	2,21E+10	0,00E+00	0

F - Excentriciteit moment t.g.v. eigengewicht draden

knoop nummer	staaf i--j	$Q_{last;hor}$ N	$F_{last;hor}$ N	dwarskr. N	moment Nmm	hoekver. rad.	hor. verpl. mm
1	1 -- 2				0,00E+00	1,33E-04	2
2	2 -- 3				3,11E+06	1,33E-04	2
3	3 -- 4				3,11E+06	1,02E-04	2
4	4 -- 5				3,11E+06	7,70E-05	2
5	5 -- 6				3,11E+06	6,10E-05	1
6	6 -- 7				3,11E+06	5,67E-05	1
7	7 -- 8				3,11E+06	5,10E-05	1
8	8 -- 9				3,11E+06	4,39E-05	1
9	9 -- 10				3,11E+06	3,87E-05	1
10	10 -- 11				3,11E+06	3,58E-05	1
11	11 -- 12				3,11E+06	3,50E-05	1
12	12 -- 13				3,11E+06	3,22E-05	1
13	13 -- 14				3,11E+06	3,03E-05	1
14	14 -- 15				3,11E+06	2,87E-05	1
15	15 -- 16				3,11E+06	2,84E-05	0
16	16 -- 17				3,11E+06	2,74E-05	0
17	17 -- 18				3,11E+06	2,69E-05	0
18	18 -- 19				3,11E+06	2,64E-05	0
19	19 -- 20				2,14E+07	2,58E-05	0
20	20 -- 21				2,14E+07	2,43E-05	0
21	21 -- 22				2,14E+07	2,19E-05	0
22	22 -- 23				2,14E+07	1,96E-05	0
23	23 -- 24				2,14E+07	1,59E-05	0
24	24 -- 25				2,14E+07	1,27E-05	0
25	25 -- 26				2,14E+07	1,13E-05	0
26	26 -- 27				2,14E+07	1,01E-05	0
27	27 -- 28				2,14E+07	8,94E-06	0
28	28 -- 29				2,14E+07	7,86E-06	0
29	29 -- 30				2,14E+07	5,89E-06	0
30	30 -- 31				2,14E+07	4,16E-06	0
31	31 -- 32				2,14E+07	2,61E-06	0
32	32 -- 33				2,14E+07	1,24E-06	0
33					2,14E+07	0,00E+00	0

4.2 - Maximale horizontale verplaatsingen in SLS-toestand

Maatgevende combinatie - Serviceability limit state:)*

Eigengewicht conductors, insulators	G_k =	1,00	1,00
Windbelasting mastlichaam	Q_{wk} =	1,00	0,30
Belasting geval 1a	Q_{wk} =	1,00	0,00
Belasting geval 1b	Q_{wk} =	0,00	0,00
Belasting geval 3	Q_{ik} =	0,00	1,00
Belasting geval 4	Q_{pk} =	0,00	0,00

knoop nummer	staaf i--j	hoekver. φ radian	verpl. δ_{hor} mm
1	1 -- 2	6,2E-02	2106
2	2 -- 3	6,2E-02	2071
3	3 -- 4	6,1E-02	1924
4	4 -- 5	6,0E-02	1745
5	5 -- 6	5,8E-02	1571
6	6 -- 7	5,7E-02	1505
7	7 -- 8	5,6E-02	1403
8	8 -- 9	5,3E-02	1242
9	9 -- 10	4,9E-02	1092
10	10 -- 11	4,7E-02	982
11	11 -- 12	4,6E-02	952
12	12 -- 13	4,2E-02	822
13	13 -- 14	3,9E-02	703
14	14 -- 15	3,5E-02	594
15	15 -- 16	3,4E-02	577
16	16 -- 17	3,1E-02	496
17	17 -- 18	3,0E-02	451
18	18 -- 19	2,8E-02	408
19	19 -- 20	2,6E-02	351
20	20 -- 21	2,5E-02	329
21	21 -- 22	2,3E-02	294
22	22 -- 23	2,2E-02	260
23	23 -- 24	1,9E-02	201
24	24 -- 25	1,6E-02	149
25	25 -- 26	1,5E-02	129
26	26 -- 27	1,3E-02	110
27	27 -- 28	1,2E-02	92
28	28 -- 29	1,1E-02	75
29	29 -- 30	8,5E-03	47
30	30 -- 31	6,3E-03	26
31	31 -- 32	4,1E-03	12
32	32 -- 33	2,0E-03	3
33		0,0E+00	0

)* - Maatgevende belastingcombinatie

4.3 - Toetsing maximale horizontale verplaatsingen

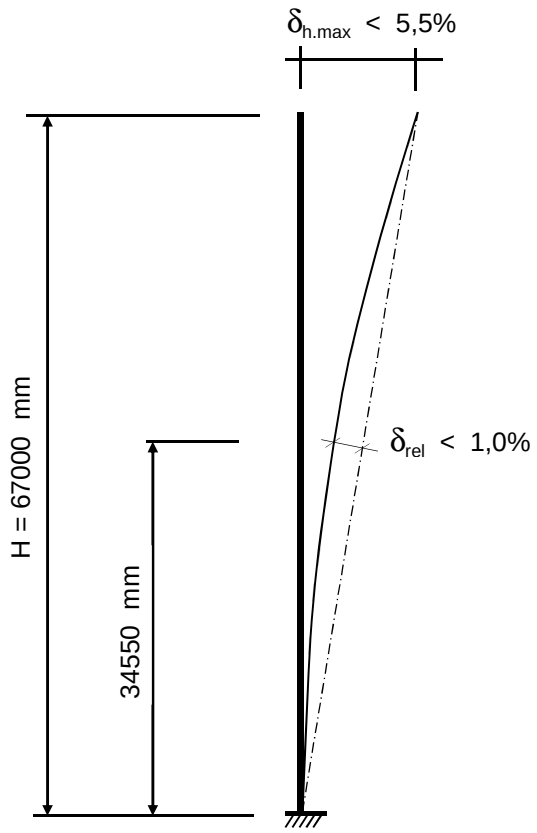

Controle verplaatsingen

δ_h = 2106 mm ----> δ_h *100 / 67000

Percentage uitbuig. = 3,14 % voldoet , max verpl. < 5,5 %

max. relatieve verplaatsing mast, t.p.v knoop x :

δ_{rel} = [{δ_{hor} * (hoogte knoop x) / (totale hoogte)} - $\delta_{knoop\ x}$] * Cosα

Knoop 16 ; Hoogte = 34550 mm
$\delta_{knoop\ x}$ = 496 mm
α = 1,80 graden

δ_{rel} = 590 mm ----> δ_h *100 / 67000

Percentage uitbuig. = 0,88 % voldoet , max verpl. < 1 %

De maximale verplaatsing voldoet aan stijfheidseisen volgen NEN -EN 50341-3 (november 2001) .

4.4 - Berekening krachten in ULS-toestand - (Ultimate limit state)

A - Wind belasting mastlichaam

knoop nummer	staaf i--j	$Q_{last;hor}$ N	normaalkr. N	dwarskr. N	moment Nmm	hoekver. rad.	hor. verpl. mm
1	1 -- 2	621	480	0	0,00E+00	5,98E-03	213
2	2 -- 3	2760	6894	663	1,89E+05	5,98E-03	210
3	3 -- 4	3785	14176	3607	5,27E+06	5,96E-03	196
4	4 -- 5	4175	24599	7644	2,19E+07	5,86E-03	178
5	5 -- 6	1730	36567	12097	5,10E+07	5,67E-03	161
6	6 -- 7	2820	81475	13942	6,60E+07	5,59E-03	155
7	7 -- 8	4911	90783	16950	9,38E+07	5,45E-03	145
8	8 -- 9	5256	107420	22189	1,51E+08	5,17E-03	129
9	9 -- 10	4325	125774	27795	2,25E+08	4,86E-03	114
10	10 -- 11	1257	182832	32409	2,94E+08	4,62E-03	103
11	11 -- 12	5891	187838	33750	3,16E+08	4,54E-03	101
12	12 -- 13	6178	220168	40033	4,25E+08	4,21E-03	88
13	13 -- 14	6442	249306	46624	5,53E+08	3,90E-03	76
14	14 -- 15	1116	280589	53495	7,00E+08	3,58E-03	65
15	15 -- 16	5564	327070	54686	7,27E+08	3,53E-03	63
16	16 -- 17	3420	354985	60621	8,69E+08	3,25E-03	54
17	17 -- 18	3469	374538	64269	9,61E+08	3,11E-03	50
18	18 -- 19	5014	394692	67969	1,06E+09	2,96E-03	45
19	19 -- 20	2052	434751	73317	1,21E+09	2,74E-03	39
20	20 -- 21	3587	447131	75506	1,27E+09	2,66E-03	37
21	21 -- 22	3616	469088	79332	1,38E+09	2,50E-03	33
22	22 -- 23	7299	491645	83190	1,50E+09	2,35E-03	30
23	23 -- 24	7339	541823	90975	1,76E+09	2,07E-03	23
24	24 -- 25	3353	634478	98803	2,04E+09	1,78E-03	17
25	25 -- 26	3340	659478	102379	2,18E+09	1,65E-03	15
26	26 -- 27	3502	685017	105942	2,32E+09	1,52E-03	13
27	27 -- 28	3467	714353	109678	2,47E+09	1,39E-03	11
28	28 -- 29	6777	744329	113376	2,63E+09	1,26E-03	9
29	29 -- 30	6441	806205	120604	2,96E+09	1,01E-03	6
30	30 -- 31	5890	870644	127475	3,32E+09	7,50E-04	3
31	31 -- 32	4938	937647	133757	3,69E+09	4,98E-04	1
32	32 -- 33	4957	1007213	139024	4,08E+09	2,47E-04	0
33		0	1133058	144311	4,48E+09	0,00E+00	0

B - Horizontale belasting - belastinggeval 1a

knoop nummer	staaf i--j	$Q_{last;hor}$ N	$F_{last;hor.}$ N	dwarskr. N	moment Nmm	hoekver. rad.	hor. verpl. mm
1	1 -- 2			0	0,00E+00	6,66E-02	2325
2	2 -- 3		41802	41802	0,00E+00	6,66E-02	2287
3	3 -- 4			41802	9,95E+07	6,61E-02	2129
4	4 -- 5			41802	2,23E+08	6,48E-02	1936
5	5 -- 6			41802	3,46E+08	6,34E-02	1747
6	6 -- 7		256563	298365	3,94E+08	6,29E-02	1674
7	7 -- 8			298365	9,31E+08	6,17E-02	1562
8	8 -- 9			298365	1,81E+09	5,85E-02	1384
9	9 -- 10			298365	2,69E+09	5,48E-02	1217
10	10 -- 11		244261	542627	3,38E+09	5,19E-02	1094
11	11 -- 12			542627	3,73E+09	5,11E-02	1060
12	12 -- 13			542627	5,33E+09	4,70E-02	915
13	13 -- 14			542627	6,93E+09	4,31E-02	782
14	14 -- 15			542627	8,53E+09	3,91E-02	661
15	15 -- 16		228663	771289	8,80E+09	3,85E-02	641
16	16 -- 17			771289	1,07E+10	3,51E-02	551
17	17 -- 18			771289	1,18E+10	3,33E-02	500
18	18 -- 19			771289	1,30E+10	3,15E-02	453
19	19 -- 20		65673	836962	1,46E+10	2,89E-02	389
20	20 -- 21			836962	1,53E+10	2,78E-02	365
21	21 -- 22			836962	1,65E+10	2,60E-02	325
22	22 -- 23			836962	1,78E+10	2,42E-02	288
23	23 -- 24			836962	2,02E+10	2,09E-02	222
24	24 -- 25			836962	2,27E+10	1,76E-02	165
25	25 -- 26			836962	2,38E+10	1,62E-02	142
26	26 -- 27			836962	2,50E+10	1,48E-02	121
27	27 -- 28			836962	2,62E+10	1,34E-02	101
28	28 -- 29			836962	2,74E+10	1,20E-02	83
29	29 -- 30			836962	2,97E+10	9,42E-03	52
30	30 -- 31			836962	3,21E+10	6,91E-03	29
31	31 -- 32			836962	3,45E+10	4,50E-03	13
32	32 -- 33			836962	3,69E+10	2,20E-03	3
33				836962	3,93E+10	0,00E+00	0

C - Horizontale belasting - belastinggeval 1b

knoop nummer	staaf i--j	$Q_{last;hor}$ N	$F_{last;hor.}$ N	dwarskr. N	moment Nmm	hoekver. rad.	hor. verpl. mm
1	1 -- 2			0	0,00E+00	4,23E-02	1506
2	2 -- 3		22478	22478	0,00E+00	4,23E-02	1482
3	3 -- 4			22478	5,35E+07	4,21E-02	1381
4	4 -- 5			22478	1,20E+08	4,14E-02	1258
5	5 -- 6			22478	1,86E+08	4,06E-02	1137
6	6 -- 7		165751	188229	2,12E+08	4,03E-02	1090
7	7 -- 8			188229	5,51E+08	3,96E-02	1018
8	8 -- 9			188229	1,11E+09	3,77E-02	904
9	9 -- 10			188229	1,66E+09	3,54E-02	796
10	10 -- 11		164321	352549	2,09E+09	3,37E-02	716
11	11 -- 12			352549	2,32E+09	3,31E-02	694
12	12 -- 13			352549	3,36E+09	3,06E-02	600
13	13 -- 14			352549	4,40E+09	2,81E-02	514
14	14 -- 15			352549	5,44E+09	2,56E-02	434
15	15 -- 16		162565	515114	5,62E+09	2,52E-02	422
16	16 -- 17			515114	6,88E+09	2,30E-02	362
17	17 -- 18			515114	7,64E+09	2,18E-02	329
18	18 -- 19			515114	8,40E+09	2,07E-02	298
19	19 -- 20		43600	558714	9,48E+09	1,90E-02	256
20	20 -- 21			558714	9,96E+09	1,83E-02	241
21	21 -- 22			558714	1,08E+10	1,71E-02	214
22	22 -- 23			558714	1,16E+10	1,59E-02	190
23	23 -- 24			558714	1,33E+10	1,37E-02	146
24	24 -- 25			558714	1,49E+10	1,16E-02	109
25	25 -- 26			558714	1,57E+10	1,07E-02	94
26	26 -- 27			558714	1,64E+10	9,74E-03	80
27	27 -- 28			558714	1,72E+10	8,84E-03	67
28	28 -- 29			558714	1,80E+10	7,95E-03	55
29	29 -- 30			558714	1,96E+10	6,22E-03	35
30	30 -- 31			558714	2,12E+10	4,56E-03	19
31	31 -- 32			558714	2,28E+10	2,97E-03	8
32	32 -- 33			558714	2,44E+10	1,45E-03	2
33				558714	2,60E+10	0,00E+00	0

D - Horizontale belasting - belastinggeval 3

knoop nummer	staaf i--j	$Q_{last;hor}$ N	$F_{last;hor.}$ N	dwarskr. N	moment Nmm	hoekver. rad.	hor. verpl. mm
1	1 -- 2			0	0,00E+00	7,66E-02	2593
2	2 -- 3		67473	67473	0,00E+00	7,66E-02	2549
3	3 -- 4			67473	1,61E+08	7,58E-02	2368
4	4 -- 5			67473	3,60E+08	7,37E-02	2147
5	5 -- 6			67473	5,59E+08	7,14E-02	1932
6	6 -- 7		256544	324016	6,36E+08	7,05E-02	1851
7	7 -- 8			324016	1,22E+09	6,88E-02	1725
8	8 -- 9			324016	2,18E+09	6,50E-02	1527
9	9 -- 10			324016	3,13E+09	6,05E-02	1342
10	10 -- 11		252057	576073	3,88E+09	5,72E-02	1206
11	11 -- 12			576073	4,25E+09	5,63E-02	1169
12	12 -- 13			576073	5,95E+09	5,17E-02	1010
13	13 -- 14			576073	7,65E+09	4,74E-02	863
14	14 -- 15			576073	9,35E+09	4,30E-02	730
15	15 -- 16		246540	822613	9,64E+09	4,23E-02	709
16	16 -- 17			822613	1,17E+10	3,86E-02	609
17	17 -- 18			822613	1,29E+10	3,67E-02	554
18	18 -- 19			822613	1,41E+10	3,47E-02	501
19	19 -- 20		125377	947990	1,58E+10	3,18E-02	431
20	20 -- 21			947990	1,66E+10	3,07E-02	405
21	21 -- 22			947990	1,80E+10	2,87E-02	361
22	22 -- 23			947990	1,94E+10	2,67E-02	320
23	23 -- 24			947990	2,22E+10	2,31E-02	246
24	24 -- 25			947990	2,50E+10	1,95E-02	183
25	25 -- 26			947990	2,63E+10	1,80E-02	158
26	26 -- 27			947990	2,76E+10	1,64E-02	135
27	27 -- 28			947990	2,89E+10	1,49E-02	112
28	28 -- 29			947990	3,03E+10	1,34E-02	92
29	29 -- 30			947990	3,30E+10	1,05E-02	58
30	30 -- 31			947990	3,57E+10	7,69E-03	32
31	31 -- 32			947990	3,84E+10	5,01E-03	14
32	32 -- 33			947990	4,11E+10	2,45E-03	4
33				947990	4,38E+10	0,00E+00	0

E - Horizontale belasting - belastinggeval 4

knoop nummer	staaf i--j	$Q_{last;hor}$ N	F_{last} N	dwarskr. N	moment Nmm	hoekver. rad.	hor. verpl. mm
1	1 -- 2			0	0,00E+00	4,33E-02	1532
2	2 -- 3		24801	24801	0,00E+00	4,33E-02	1507
3	3 -- 4			24801	5,90E+07	4,30E-02	1405
4	4 -- 5			24801	1,32E+08	4,23E-02	1279
5	5 -- 6			24801	2,05E+08	4,14E-02	1155
6	6 -- 7		166433	191234	2,34E+08	4,11E-02	1108
7	7 -- 8			191234	5,78E+08	4,03E-02	1034
8	8 -- 9			191234	1,14E+09	3,84E-02	918
9	9 -- 10			191234	1,71E+09	3,60E-02	808
10	10 -- 11		165148	356382	2,15E+09	3,42E-02	727
11	11 -- 12			356382	2,38E+09	3,37E-02	705
12	12 -- 13			356382	3,43E+09	3,10E-02	609
13	13 -- 14			356382	4,48E+09	2,85E-02	521
14	14 -- 15			356382	5,53E+09	2,60E-02	441
15	15 -- 16		163566	519948	5,71E+09	2,55E-02	428
16	16 -- 17			519948	6,98E+09	2,34E-02	368
17	17 -- 18			519948	7,75E+09	2,22E-02	335
18	18 -- 19			519948	8,52E+09	2,10E-02	303
19	19 -- 20		48811	568758	9,61E+09	1,92E-02	260
20	20 -- 21			568758	1,01E+10	1,86E-02	244
21	21 -- 22			568758	1,09E+10	1,74E-02	218
22	22 -- 23			568758	1,18E+10	1,62E-02	193
23	23 -- 24			568758	1,34E+10	1,40E-02	149
24	24 -- 25			568758	1,51E+10	1,18E-02	111
25	25 -- 26			568758	1,59E+10	1,08E-02	95
26	26 -- 27			568758	1,67E+10	9,90E-03	81
27	27 -- 28			568758	1,75E+10	8,98E-03	68
28	28 -- 29			568758	1,83E+10	8,07E-03	56
29	29 -- 30			568758	1,99E+10	6,32E-03	35
30	30 -- 31			568758	2,15E+10	4,64E-03	20
31	31 -- 32			568758	2,31E+10	3,02E-03	9
32	32 -- 33			568758	2,48E+10	1,48E-03	2
33				568758	2,64E+10	0,00E+00	0

F - Excentriciteit moment t.g.v. eigengewicht draden

knoop nummer	staaf i--j	$Q_{last;hor}$ N	F_{last} N	dwarskr. N	moment Nmm	hoekver. rad.	hor. verpl. mm
1	1 -- 2				0,00E+00	1,57E-04	3
2	2 -- 3				3,66E+06	1,57E-04	2
3	3 -- 4				3,66E+06	1,20E-04	2
4	4 -- 5				3,66E+06	9,05E-05	2
5	5 -- 6				3,66E+06	7,17E-05	2
6	6 -- 7				3,66E+06	6,66E-05	1
7	7 -- 8				3,66E+06	5,99E-05	1
8	8 -- 9				3,66E+06	5,16E-05	1
9	9 -- 10				3,66E+06	4,54E-05	1
10	10 -- 11				3,66E+06	4,20E-05	1
11	11 -- 12				3,66E+06	4,12E-05	1
12	12 -- 13				3,66E+06	3,78E-05	1
13	13 -- 14				3,66E+06	3,55E-05	1
14	14 -- 15				3,66E+06	3,37E-05	1
15	15 -- 16				3,66E+06	3,34E-05	1
16	16 -- 17				3,66E+06	3,21E-05	0
17	17 -- 18				3,66E+06	3,15E-05	0
18	18 -- 19				3,66E+06	3,10E-05	0
19	19 -- 20				2,51E+07	3,03E-05	0
20	20 -- 21				2,51E+07	2,85E-05	0
21	21 -- 22				2,51E+07	2,57E-05	0
22	22 -- 23				2,51E+07	2,30E-05	0
23	23 -- 24				2,51E+07	1,86E-05	0
24	24 -- 25				2,51E+07	1,49E-05	0
25	25 -- 26				2,51E+07	1,33E-05	0
26	26 -- 27				2,51E+07	1,18E-05	0
27	27 -- 28				2,51E+07	1,05E-05	0
28	28 -- 29				2,51E+07	9,22E-06	0
29	29 -- 30				2,51E+07	6,92E-06	0
30	30 -- 31				2,51E+07	4,88E-06	0
31	31 -- 32				2,51E+07	3,07E-06	0
32	32 -- 33				2,51E+07	1,45E-06	0
33					2,51E+07	0,00E+00	0

4.5 - Maximale krachten in ULS-toestand

		)*	)**
Eigengewicht conductors, insulators	G_k =	1,20	1,20
Eigengewicht mast	G_k =	1,20	1,20
Windbelasting mastlichaam	Q_{wk} =	1,60	0,45
Belasting geval 1a	Q_{wk} =	1,50	0,00
Belasting geval 1b	Q_{wk} =	0,00	0,00
Belasting geval 3	Q_{ik} =	0,00	1,50
Belasting geval 4	Q_{pk} =	0,00	0,00

knoop nummer	staaf i--j	normaal kr. kN	dwars kr. kN	moment kNm
1	1 -- 2	0,48	0,00	0,00
2	2 -- 3	6,89	67,66	16,11
3	3 -- 4	14,18	68,49	178,13
4	4 -- 5	24,60	69,62	381,84
5	5 -- 6	36,57	70,87	589,07
6	6 -- 7	81,48	327,94	670,88
7	7 -- 8	90,78	328,78	1261,92
8	8 -- 9	107,42	330,26	2234,01
9	9 -- 10	125,77	331,83	3210,59
10	10 -- 11	182,83	585,19	3975,30
11	11 -- 12	187,84	585,56	4355,80
12	12 -- 13	220,17	587,33	6085,82
13	13 -- 14	249,31	589,25	7821,18
14	14 -- 15	280,59	596,12	9562,13
15	15 -- 16	327,07	837,99	9857,78
16	16 -- 17	354,98	839,66	11912,90
17	17 -- 18	374,54	840,69	13152,16
18	18 -- 19	394,69	841,73	14392,95
19	19 -- 20	434,75	968,61	16251,64
20	20 -- 21	447,13	969,23	17075,22
21	21 -- 22	469,09	970,30	18505,62
22	22 -- 23	491,65	971,39	19937,62
23	23 -- 24	541,82	973,58	22806,44
24	24 -- 25	634,48	975,78	25681,74
25	25 -- 26	659,48	976,78	26999,72
26	26 -- 27	685,02	977,79	28319,05
27	27 -- 28	714,35	978,84	29713,14
28	28 -- 29	744,33	979,88	31108,73
29	29 -- 30	806,20	981,91	33904,27
30	30 -- 31	870,64	983,84	36705,47
31	31 -- 32	937,65	985,61	39511,94
32	32 -- 33	1007,21	987,09	42323,03
33		1133,06	988,58	45138,36

)** - Maatgevende belastingcombinatie voor staven 1 t/m 32

4.6 - Toetsing van de doorsnede

Elasticiteitsmodulus E-	N/mm^2	210000	
Vloeigrens f_y	N/mm^2	355	Voor wanddikte t < 40
Vloeigrens f_y	N/mm^2	335	Voor wanddikte t >= 40

A- Controle buigspanning

Toetsingregel :

$$N_{Ed} / N_{Rd} + M_{y,Ed} / M_{y,Rd} <= 1$$

waarin: $M_{y,Ed} = M_{1;y,Ed} + \Sigma N_{Ed,i} * \delta_{rel.i}$

$M_{1;y,Ed}$ = buigende moment uit komputer

$N_{Ed,i}$ = normaal kracht uit komputer uitvoer ter plaatse knoop i

$\delta_{rel,i}$ = maximale horizontale verplaatsing t.p.v. knoop i = $\delta_{i,max} - \delta_{j,max}$

$M_{y;el,Rd} = W_{y;el} * f_y$; $N_{Rd} = A * f_y$

staaf nummer	profiel $D_{voet} - D_{top}$ mm	moment $M_{1;y,Ed}$ kNm	drukkracht $N_{c,Rd}$ kN	rel.verpl. $\delta_{rel.}$ mm	$M_{y,Ed}$ in kNm	$M_{y;el,Rd}$ in kNm	toetsings-regel
1	500 / 795	16,11	6,89	35	16,4	1217,6	0,01
2	500 / 795	178,13	14,18	147	180,5	1640,9	0,11
3	500 / 795	381,84	24,60	179	388,6	2253,2	0,17
4	500 / 795	589,07	36,57	174	602,2	2962,6	0,21
5	795 / 1090	670,88	81,48	66	689,3	3602,0	0,20
6	795 / 1090	1261,92	90,78	102	1289,6	4159,5	0,31
7	795 / 1090	2234,01	107,42	161	2279,0	5160,0	0,45
8	795 / 1090	3210,59	125,77	151	3274,5	6268,3	0,53
9	1090 / 1287	3975,30	182,83	110	4059,4	7887,1	0,52
10	1090 / 1287	4355,80	187,84	30	4445,5	8191,2	0,55
11	1090 / 1287	6085,82	220,17	130	6204,1	9643,9	0,65
12	1287/ 1582	7821,18	249,31	119	7969,1	12661,5	0,64
13	1287/ 1582	9562,13	280,59	109	9740,6	14575,7	0,68
14	1287/ 1582	9857,78	327,07	17	10041,9	14913,5	0,68
15	1287/ 1582	11912,90	354,98	81	12125,7	16624,6	0,74
16	1582/ 1876	13152,16	374,54	45	13381,9	19713,9	0,69
17	1582/ 1876	14392,95	394,69	43	14639,6	20952,1	0,71
18	1582/ 1876	16251,64	434,75	57	16523,0	22780,2	0,73
19	1582/ 1876	17075,22	447,13	22	17356,2	23541,9	0,75
20	1582/ 1876	18505,62	469,09	36	18803,4	24893,3	0,76
21	1582/ 1876	19937,62	491,65	33	20251,7	26282,5	0,78
22	1876/ 2163	22806,44	541,82	60	23153,0	31162,7	0,75
23	1876/ 2163	25681,74	634,48	51	26060,9	34417,6	0,77
24	1876/ 2163	26999,72	659,48	21	27392,5	35961,1	0,77
25	1876/ 2163	28319,05	685,02	19	28724,7	37538,4	0,77
26	2163/ 2733	29713,14	714,35	18	30131,8	41742,2	0,73
27	2163/ 2733	31108,73	744,33	16	31539,6	43595,1	0,73
28	2163/ 2733	33904,27	806,20	28	34357,5	47421,5	0,73
29	2163/ 2733	36705,47	870,64	21	37177,1	51409,0	0,73
30	2163/ 2733	39511,94	937,65	15	39997,4	55557,5	0,73
31	2163/ 2733	42323,03	1007,21	9	42817,2	59866,9	0,73
32	2163/ 2733	45138,36	1133,06	3	45635,8	64337,4	0,72

B- Controle plooistabiliteit

Toetsing regel :volgens NEN -EN 50341-3 (NEN 1060).

$$(\sigma_{N;Ed} / \sigma_{N;plooi}) + (\sigma_{MEd} / \sigma_{M;plooi}) <= 1$$

Plooispanning t.g.v normaalkracht

Indien $d / t < 90 * a_y^2$ ---> $\sigma_{N;plooi;d} = f_y$; $a_y = (f_{ref} / f_y)^{0,5}$; $f_{ref} = 235$ N/mm^2

Indien $90 * a_y^2 < d / t < 315\ a_y^2$ ---> $\sigma_{N;plooi;d} = 0,3 * f_{y;d} + 14805 / (d/t)$

Plooispanning t.g.v moment

Indien $d / t < 157,5 * a_y^2$ ---> $\sigma_{N;plooi;d} = f_{y;d}$

Indien $157,5 * a_y^2 < d / t < 315\ a_y^2$ ---> $\sigma_{N;plooi;d} = 0,6 * f_{y;d} + 14805 / (d/t)$

d mm	t mm	d/t	a_y	$\sigma_{N;plooi;d}$ N/mm^2	$\sigma_{M;plooi;d}$ N/mm^2
519	18,0	28,83	0,81	355	355
598	18,0	33,24	0,81	355	355
697	18,0	38,70	0,81	355	355
795	18,0	44,16	0,81	355	355
833	20,0	41,66	0,81	355	355
893	20,0	44,66	0,81	355	355
992	20,0	49,58	0,81	355	355
1090	20,0	54,50	0,81	355	355
1167	22,0	53,03	0,81	355	355
1188	22,0	54,01	0,81	355	355
1287	22,0	58,48	0,81	355	355
1385	25,0	55,39	0,81	355	355
1483	25,0	59,33	0,81	355	355
1500	25,0	59,99	0,81	353	355
1582	25,0	63,26	0,81	341	355
1631	28,0	58,24	0,81	355	355
1680	28,0	59,99	0,81	353	355
1750	28,0	62,49	0,81	343	355
1778	28,0	63,51	0,81	340	355
1827	28,0	65,26	0,81	333	355
1876	28,0	67,02	0,81	327	355
1975	30,0	65,83	0,81	331	355
2073	30,0	69,10	0,81	321	355
2118	30,0	70,60	0,81	316	355
2163	30,0	72,10	0,81	312	355
2211	32,0	69,08	0,81	321	355
2258	32,0	70,56	0,81	316	355
2353	32,0	73,53	0,81	308	355
2448	32,0	76,50	0,81	300	355
2543	32,0	79,47	0,81	293	355
2638	32,0	82,44	0,81	286	355
2733	32,0	85,41	0,81	280	355

staaf nummer	profiel D_{voet} - D_{top}	σ_{MEd} N/mm^2	σ_{NEd} N/mm^2	$\sigma_{M;plooi;d}$ N/mm^2	$\sigma_{N;plooi;d}$ N/mm^2	toetsings-regel
1	500 / 795	4,96	0,25	355	355	0,01
2	500 / 795	45,07	0,46	355	355	0,13
3	500 / 795	71,29	0,69	355	355	0,20
4	500 / 795	82,35	0,89	355	355	0,23
5	795 / 1090	71,30	1,63	355	355	0,21
6	795 / 1090	118,13	1,71	355	355	0,34
7	795 / 1090	174,13	1,85	355	355	0,50
8	795 / 1090	203,91	1,96	355	355	0,58
9	1090 / 1287	195,72	2,39	355	355	0,56
10	1090 / 1287	196,33	2,35	355	355	0,56
11	1090 / 1287	247,39	2,62	355	355	0,70
12	1287/ 1582	240,67	2,42	355	355	0,68
13	1287/ 1582	254,22	2,54	355	355	0,72
14	1287/ 1582	241,78	2,84	355	353	0,69
15	1287/ 1582	273,18	2,98	355	341	0,78
16	1582/ 1876	248,60	2,70	355	355	0,71
17	1582/ 1876	255,66	2,76	355	353	0,73
18	1582/ 1876	268,37	2,93	355	343	0,76
19	1582/ 1876	266,05	2,93	355	340	0,76
20	1582/ 1876	275,69	3,00	355	333	0,79
21	1582/ 1876	281,02	3,06	355	327	0,80
22	1876/ 2163	277,72	3,03	355	331	0,79
23	1876/ 2163	282,32	3,38	355	321	0,81
24	1876/ 2163	276,38	3,39	355	316	0,79
25	1876/ 2163	277,51	3,44	355	312	0,79
26	2163/ 2733	261,98	3,30	355	321	0,75
27	2163/ 2733	262,44	3,36	355	316	0,75
28	2163/ 2733	268,13	3,53	355	308	0,77
29	2163/ 2733	267,19	3,66	355	300	0,76
30	2163/ 2733	265,59	3,79	355	293	0,76
31	2163/ 2733	263,47	3,92	355	286	0,76
32	2163/ 2733	260,96	4,25	355	280	0,75

5.0 - Berekening ankers, bouten en flensverbindingen

uitgangspunt: gerolde draad

bouten	A_s in mm²	f_{ub} in N/mm²	$F_{t,Rd}$ in kN	$F_{v,Rd}$ in kN
M 48 - 8,8	1473	800	848,45	565,63
M 48 - 10,9	1473	1000	1060,56	589,20
M 45 - 8,8	1306	800	752,26	501,50
M 45 - 10,9	1306	1000	940,32	522,40
M 42 - 8.8	1121	800	645,64	430,43
M 42 - 10,9	1121	1000	807,05	448,36
M 39 - 8.8	976	800	562,04	374,70
M 39 - 10,9	976	1000	702,55	390,31
M 39 - 12,9	976	1200	843,07	468,37
M 36 - 8.8	817	800	470,59	313,73
M 36 - 10,9	817	1000	588,24	326,80
M 33 - 8.8	694	800	399,49	266,33
M 33 - 10,9	694	1000	499,36	277,42
M 30 - 8.8	561	800	322,90	215,27
M 30 - 10,9	561	1000	403,62	224,24

Max. trekkracht in de ankers en boutverbindingen :

$$F_{Ed} = M_{y,Ed} * a / I_p - N_{Ed} / n$$

Waarin :

$M_{y,Ed}$ = max. moment t.p.v aansluiting t.g.v rekenbelasting

N_{Ed} = max. normaal kracht t.p.v aansluiting t.g.v rekenbelasting

a = max. afstand bout tot zwaartepunt boutenpatroon = diameter stc. / 2

n = aantal bouten en $I_p = \Sigma (I_x^2 + I_y^2) = (n / 2) * (d_{stc}./ 2)^2$

Flensverbinding met één boutrij : $I_p = (n / 2) * (d_{stc}./ 2)^2$

Flensverbinding met twee boutrij : $I_p = (n / 4) * [(d_{stc1}./ 2)^2 + (d_{stc2}./ 2)^2]$

Flensverbinding met twee boutrij symmetrisch (voetplaat) :

$$I_p = (n / 2) * (d_{stc.gemiddeld}./ 2)^2$$

Flenzen en voetplaat:

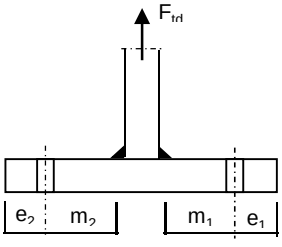

1 -Voetplaat

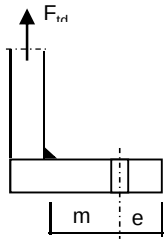

2 -Flens met 1 rij bouten

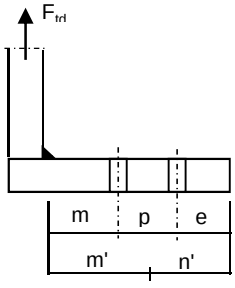

3 -Flens met 2 rij bouten

1 - Voetplaat :

$m = \max.(m_1;m_2)$
$e = \max.(e_1;e_2)$
$n = \min.(1{,}25*m;e)$

Bezwijkvorm 1 : $F_{t,Rd} = 4 * M_{pl} / m$
Bezwijkvorm 2 : $F_{t,Rd} = (2 * M_{pl} + n * 2 * F_{t;u;d}) / (m + n)$
Bezwijkvorm 3 : $F_{t,Rd} = 2 * F_{t;u;d}$

2 - Flens met 1 rij bouten :

m, n en e zoals bij voetplaat

Bezwijkvorm 1 : $F_{t,Rd} = 2 * M_{pl} / m$
Bezwijkvorm 2 : $F_{t,Rd} = (M_{pl} + n * F_{t;u;d}) / (m + n)$
Bezwijkvorm 3 : $F_{t,Rd} = F_{t;u;d}$

3 - Flens met 2 rij bouten :

$m' = m + p / 2$
$n' = n + p / 3$
$n = \min.(1{,}25*m;e)$

Bezwijkvorm 1 : $F_{tEd} = M_{pl} * (1+n'/n) / m'$
Bezwijkvorm 2 : $F_{t,Ed} = (M_{pl} + n' * F_{t;u;d}) / (m' + n')$
Bezwijkvorm 3 : $F_{t,Ed} = 2 * F_{t;u;d}$

$M_{pl} = (1/4) * L_{eff} * t_{fl}^2 * f_y$

$L_{eff} = \min(p ; 4*m + 1{,}25*e ; 2*\pi*m)$

Bouten en ankers

st.c in mm	aantal bouten	$F_{t,Ed}$ kN	$F_{v,Ed}$ kN	knoop nummer	aanwezig bout	$F_{t,Rd}$ kN	toetsing-regel
Ankers							
st.c buitenkant		3083					
st.c binnenkant		2319					
2701	104	631,86	9,51	33	M 48 - 8,8	848,4	0,74
flenzen op 19,80 m hoogte.							
st.c buitenkant		1860,00					
st.c binnenkant		1660,00					
	80	760,64	12,20	24	M 48 - 10,9	1060,6	0,72
flenzen op 43,40 m hoogte.							
st.c buitenkant		1090,00					
1090,00	28	789,75	20,98	12	M 48 - 10,9	1060,6	0,74

Dikte voetplaat en flenzen - conform NEN - EN 1993-1-8,

Stc1	Stc2 mm	m mm	e mm	n mm	m' mm	n' mm	l_{ef} mm
voetplaat							
3083,00	2319,00	168,2	145,0	145,0			140,1
3083,00	2319,00	168,2	145,0	145,0			186,3
flenzen op 19,80 m hoogte.							
1860,00	1660,0	69,8	60,0	60,0	119,8	110	130,4
1860,00	1660,0	69,8	60,0	60,0	119,8	110	130,4
flenzen op 43,40 m hoogte.							
1090,00	1090,0	66,5	60,0	60,0			122,3
1090,00	1090,0	69,5	60,0	60,0			122,3

flens dikte mm	$M_{pl;d}$ Nmm	bezwijk-vorm 1	bezwijk-vorm 2	bezwijk-vorm 3	maatgev. $F_{t,Rd}$	$F_{t,Ed}$ kN	toetsing-regel
voetplaat							
100	1,17E+08	2790,20	1534,82	1696,90	1534,82	1263,73	0,82
100	1,56E+08	3709,44	1781,66	1696,90	1696,90	1263,73	0,74
flenzen op 19,80 m hoogte.							
140	1,76E+08	4156,32	1780,13	2121,12	1780,13	1521,27	0,85
140	1,76E+08	4156,32	1780,13	2121,12	1780,13	1521,27	0,85
flenzen op 43,40 m hoogte.							
80	6,56E+07	1971,88	1021,34	1060,56	1021,34	789,75	0,77
80	6,56E+07	1886,75	997,67	1060,56	997,67	789,75	0,79
	Krachten in kN						

Lassen

A - Flenzen

Alle lassen: voorbewerkt 1/2 V- las met een tegenlas (K35 , lasdetail 301 van NEN 2063).

B - Buizen

Alle lassen: voorbewerkt X- las
Bij gelijke wanddikte (K50 , lasdetail 102 van NEN 2063).
Bij dikte overgang asymmetrisch (K45 , lasdetail 112 van NEN 2063).

Bouten

Alle bouten: Voorspanning 70% van de trekkracht met betrekking tot de capaciteit van de bout in de uiterste grenstoestand

6.0 - Controle berekening vortex shedding

Belasting loodrecht op windrichting (respons door wervelvorming) - Eurocode 1

De respons is bepaald volgens Eurocode 1, Deel 1 - 4 ,bijlage E

De kritische windsnelheid $v_{crit,1} = b * n_{i,y} / St$

b is de referentiebreedte van de doorsnede waarbij resonantie met de wervelvorming optreedt voor cirkelvormige cilinders is de referentiebreedte de uitwendige diameter.

St is de Strouhal getal conform E.1.3.2 ; voor cirkelcilinders St = 0,18

buis	$n_{1,y}$ Hz	$d_{buis;gem}$ m	St	$v_{krit,1}$ m/s
500 / 2733	0,72	1,617	0,18	6,44

Scrutongetal Sc

De Scrutongetal Sc word bepaald met:

$$Sc = 2 * \delta_s * m_{i;e} / \rho * b^2$$

ρ is de dichtheid van lucht: $\rho = 1,25$ kg/m^3

b is de referentiebreedte van de doorsnede waarbij resonantie met de wervelvorming optreedt

$$b = d_{w;gem}$$

δ_s is het logaritmische decrement van de constructieve demping

$$\delta_s = 0,030$$

Opmerking:
In Eurocode 1, Tabel F.2 is geen waarde gegeven voor de constructieve demping voor een hoogspanningsmast met een enkel buisprofiel. In de tabel wordt alleen de benaderde waarde van de constructieve demping van een stalen schoorsteen (met of zonder isolatie) aangegeven. In de NEN 1060 (Bovengrondse hoogspanningslijnen – voorloper van NEN-EN 50341) art. 9.2.6.5 wordt het logaritmisch decrement beschreven als $\delta = 2.\pi.D$. D is de dempingsmaat bij responsie loodrecht op de windrichting en is gelijk aan 0.005. Dit resulteert $\delta = 2.\pi.0.005 = 0.0314$. Deze formule is ook aangegeven in de DIN 4133 (Schornsteine aus Stahl) en als benaderde waarde van de constructieve demping van een stalen schoorsteen met 2 of 3 koppelingen is 0.025 en 0.03 aangegeven.
Daarom wordt in deze berekening voor de constructieve demping 0.03 aangehouden.

$m_{i;e}$ is de equivalente massa m_e per lengte eenheid, in kg/m, gewogen naar de trillingsvorm :

$$m_e = \frac{\int_0^{l} m(s) * \phi^2_i(s)\, ds}{\int_0^{l} \phi^2_i(s)\, ds}$$

Zie berekening eigenfrequentie

knoop nummer	verpl. δ mm	$\phi_{i;1}$	staaf nummer	ϕ_i	gewicht mast kg	gewicht flenzen+ geleiders-kg	massa m kg/m
1	982	1,000		1,000			
2	967	0,985	1 -- 2	0,992	133	450	1022,4
3	906	0,922	2 -- 3	0,954	607		255,0
4	830	0,845	3 -- 4	0,884	869		294,4
5	756	0,770	4 -- 5	0,808	997		338,1
6	727	0,741	5 -- 6	0,755	468	3346	3316,3
7	683	0,696	6 -- 7	0,719	776		430,9
8	613	0,625	7 -- 8	0,660	1386		470,0
9	547	0,557	8 -- 9	0,591	1529		518,5
10	497	0,506	9 -- 10	0,532	1415	3412	2098,6
11	483	0,492	10 -- 11	0,499	417		641,9
12	424	0,432	11 -- 12	0,462	1990	705	913,3
13	368	0,375	12 -- 13	0,403	2428		823,1
14	316	0,322	13 -- 14	0,348	2607		883,7
15	308	0,313	14 -- 15	0,318	460	3486	7890,6
16	268	0,273	15 -- 16	0,293	2326		949,5
17	246	0,250	16 -- 17	0,262	1629		1104,7
18	224	0,228	17 -- 18	0,239	1680		1138,6
19	195	0,199	18 -- 19	0,214	2478	880	1598,8
20	184	0,188	19 -- 20	0,193	1032		1213,7
21	166	0,169	20 -- 21	0,178	1830		1240,5
22	148	0,151	21 -- 22	0,160	1880		1274,4
23	116	0,118	22 -- 23	0,135	4182		1417,5
24	88	0,090	23 -- 24	0,104	4396	3325	2617,4
25	76	0,078	24 -- 25	0,084	2083		1543,2
26	66	0,067	25 -- 26	0,072	2128		1576,5
27	55	0,056	26 -- 27	0,062	2445		1715,5
28	46	0,047	27 -- 28	0,052	2498		1753,0
29	29	0,030	28 -- 29	0,038	5156		1809,2
30	17	0,017	29 -- 30	0,023	5370		1884,2
31	7	0,008	30 -- 31	0,012	5584		1959,1
32	2	0,002	31 -- 32	0,005	5797		2034,1
33	0	0,000	32 -- 33	0,001	6011	4476	3679,7

staaf nummer	massa m kg/m	ϕ_i	s m	ϕ_i^2 * (s)	ϕ_i^2 *(s)*m	ϕ_i * (s)
1 -- 2	1022	0,992	0,570	0,56	574,05	0,57
2 -- 3	255	0,954	2,380	2,16	552,02	2,27
3 -- 4	294	0,884	2,950	2,31	678,69	2,61
4 -- 5	338	0,808	2,950	1,92	650,63	2,38
5 -- 6	3316	0,755	1,150	0,66	2176,27	0,87
6 -- 7	431	0,719	1,800	0,93	400,47	1,29
7 -- 8	470	0,660	2,950	1,29	604,81	1,95
8 -- 9	518	0,591	2,950	1,03	533,86	1,74
9 -- 10	2099	0,532	2,300	0,65	1363,56	1,22
10 -- 11	642	0,499	0,650	0,16	104,01	0,32
11 -- 12	913	0,462	2,950	0,63	574,99	1,36
12 -- 13	823	0,403	2,950	0,48	394,71	1,19
13 -- 14	884	0,348	2,950	0,36	316,24	1,03
14 -- 15	7891	0,318	0,500	0,05	397,82	0,16
15 -- 16	949	0,293	2,450	0,21	199,89	0,72
16 -- 17	1105	0,262	1,475	0,10	111,49	0,39
17 -- 18	1139	0,239	1,475	0,08	96,11	0,35
18 -- 19	1599	0,214	2,100	0,10	153,14	0,45
19 -- 20	1214	0,193	0,850	0,03	38,51	0,16
20 -- 21	1240	0,178	1,475	0,05	58,05	0,26
21 -- 22	1274	0,160	1,475	0,04	48,00	0,24
22 -- 23	1417	0,135	2,950	0,05	75,75	0,40
23 -- 24	2617	0,104	2,950	0,03	83,45	0,31
24 -- 25	1543	0,084	1,350	0,01	14,62	0,11
25 -- 26	1577	0,072	1,350	0,01	11,17	0,10
26 -- 27	1716	0,062	1,425	0,01	9,30	0,09
27 -- 28	1753	0,052	1,425	0,00	6,63	0,07
28 -- 29	1809	0,038	2,850	0,00	7,57	0,11
29 -- 30	1884	0,023	2,850	0,00	2,95	0,07
30 -- 31	1959	0,012	2,850	0,00	0,83	0,03
31 -- 32	2034	0,005	2,850	0,00	0,13	0,01
32 -- 33	3680	0,001	2,850	0,00	0,01	0,00
		Σ	67,00	13,91	10239,71	22,84

m_e = 10239,7 / 13,9 = 736,0 kg/m

$Sc = 2 * \delta_s * m_{i;e} / \rho * b^2$

buis	$m_{1;e}$ kg/m	δ_s	ρ kg/m^3	b = d_w in m	Sc
500 / 2733	736,0	0,030	1,25	1,617	13,5

Berekening van verplaatsingen

de grootste $y_{f;max}$ verplaatsing kan berekend worden met:

$y_{F;max} / b = (1/St^2) * (1/Sc) * K * K_w * C_{lat}$

St is de Strouhal getal = 0,18

Sc is de Scrutongetal = 13,5

K is trillingsvormfactor en is gelijk aan

$$K = \frac{\sum_{i=1}^{m} \int_{\ell_i} |\phi_i(s)| \, ds}{4.\pi.\sum_{i=1}^{n} \int_{\ell_i} \phi^2_i(s) \, ds}$$

Voor i = 1 (eerste trillingsvorm) is m = n = 1

K = 22,84 / (4 * π * 13,91) = 0,131 (tabel E.5)

C_{lat} is de laterale krachtcoëfficiënt gegeven in E.1.5/2.5

C_{lat} : $R_e (V_{crit}) < 3*10^5$; $C_{lat} = 0,7$

$5*10^5 < R_e (V_{crit}) < 5*10^6$; $C_{lat} = 0,2$

$R_e (V_{crit}) > 7*10^7$; $C_{lat} = 0,3$

$R_e (V_{crit}) = b * v(crit) / \nu$;

ν is de kinematische viscositeit van de lucht $\nu = 15*10^{-6}$ m^2/s

$R_e (V_{crit})$ = 1,617 * 6,44 / $15*10^{-6}$ = 6,9E+05

C_{lat} = 0,20

K_w is de effectieve correlatiefactor gegeven in E.1.5.2.4

$$K_w = \frac{\sum_{i=1}^{m} \int_{L_j} |\phi_i(s)| \, ds}{\sum_{j=1}^{n} \int_{\ell_i} |\phi_i(s)| \, ds} \leq 0,6$$

Voor i = 1 (eerste trillingsvorm) is m = n = 1

Lj / b = 6
Lj = 9,70 m - (effectieve correlatielengte)

K_w = 8,47 / 22,84 = 0,37

$y_{F;max}$ / b = 30,86 * 0,074 * 0,131 * 0,37 * 0,2 = 0,022

$y_{F;max}$ = 1,617 * 0,022 = 0,036 m

$\Delta\sigma_{dyn} = 2 * C_{rd} * y_{F;max}$

De factor C_{rd} volgt uit de spanning door een opgelegde verplaatsing volgens de eerste eigentrilling.

Opgelegde verplaatsing van 1000 mm

knoop nummer	staaf i--j	q_{last} N	F_{last} N	dwarskr. N	moment Nmm	hoekver. rad.	verpl. mm
1	1 -- 2		137168	137168	0,00E+00	4,7E-02	1000
2	2 -- 3			137168	7,82E+07	4,7E-02	973
3	3 -- 4			137168	4,05E+08	4,5E-02	863
4	4 -- 5			137168	8,09E+08	4,0E-02	738
5	5 -- 6			137168	1,21E+09	3,5E-02	628
6	6 -- 7			137168	1,37E+09	3,3E-02	589
7	7 -- 8			137168	1,62E+09	3,0E-02	532
8	8 -- 9			137168	2,02E+09	2,6E-02	449
9	9 -- 10			137168	2,43E+09	2,2E-02	378
10	10 -- 11			137168	2,74E+09	2,0E-02	330
11	11 -- 12			137168	2,83E+09	1,9E-02	317
12	12 -- 13			137168	3,24E+09	1,6E-02	265
13	13 -- 14			137168	3,64E+09	1,4E-02	220
14	14 -- 15			137168	4,05E+09	1,2E-02	181
15	15 -- 16			137168	4,12E+09	1,2E-02	175
16	16 -- 17			137168	4,45E+09	1,0E-02	147
17	17 -- 18			137168	4,65E+09	9,7E-03	133
18	18 -- 19			137168	4,86E+09	9,0E-03	119
19	19 -- 20			137168	5,14E+09	8,1E-03	101
20	20 -- 21			137168	5,26E+09	7,7E-03	94
21	21 -- 22			137168	5,46E+09	7,1E-03	83
22	22 -- 23			137168	5,67E+09	6,5E-03	73
23	23 -- 24			137168	6,07E+09	5,5E-03	56
24	24 -- 25			137168	6,47E+09	4,5E-03	41
25	25 -- 26			137168	6,66E+09	4,1E-03	35
26	26 -- 27			137168	6,84E+09	3,7E-03	30
27	27 -- 28			137168	7,04E+09	3,3E-03	25
28	28 -- 29			137168	7,24E+09	3,0E-03	20
29	29 -- 30			137168	7,63E+09	2,3E-03	13
30	30 -- 31			137168	8,02E+09	1,7E-03	7
31	31 -- 32			137168	8,41E+09	1,1E-03	3
32	32 -- 33			137168	8,80E+09	5,2E-04	1
33				137168	9,19E+09	0,0E+00	0

Wissel spanning

$$\Delta\sigma_{dyn} = 2 * C_{rd} * y_{F;max}$$

staaf nummer	profiel D (mm)	profiel t (mm)	$W_{y;el}$ mm^3	$\sigma_{buiging}$ (C_{rd}) N/mm^2	$y_{F;max}$ m	$\Delta\sigma_{dyn}$ MPa
1	519	18,0	3429758	23	0,0357	1,6
2	598	18,0	4622182	88	0,0357	6,3
3	697	18,0	6347085	128	0,0357	9,1
4	795	18,0	8345293	145	0,0357	10,4
5	833	20,0	10146485	135	0,0357	9,7
6	893	20,0	11716965	138	0,0357	9,9
7	992	20,0	14535293	139	0,0357	10,0
8	1090	20,0	17657300	137	0,0357	9,8
9	1167	22,0	22217085	123	0,0357	8,8
10	1188	22,0	23073828	123	0,0357	8,8
11	1287	22,0	27165945	119	0,0357	8,5
12	1385	25,0	35666334	102	0,0357	7,3
13	1483	25,0	41058306	99	0,0357	7,0
14	1500	25,0	42009821	98	0,0357	7,0
15	1582	25,0	46829878	95	0,0357	6,8
16	1631	28,0	55532051	84	0,0357	6,0
17	1680	28,0	59020129	82	0,0357	5,9
18	1750	28,0	64169592	80	0,0357	5,7
19	1778	28,0	66315149	79	0,0357	5,7
20	1827	28,0	70122092	78	0,0357	5,6
21	1876	28,0	74035323	77	0,0357	5,5
22	1975	30,0	87782333	69	0,0357	4,9
23	2073	30,0	96951101	67	0,0357	4,8
24	2118	30,0	101298906	66	0,0357	4,7
25	2163	30,0	105742107	65	0,0357	4,6
26	2211	32,0	117583678	60	0,0357	4,3
27	2258	32,0	122803006	59	0,0357	4,2
28	2353	32,0	133581792	57	0,0357	4,1
29	2448	32,0	144814086	55	0,0357	4,0
30	2543	32,0	156499889	54	0,0357	3,8
31	2638	32,0	168639201	52	0,0357	3,7
32	2733	32,0	181232022	51	0,0357	3,6

Bepaling van het aantal spanningscycli

Het aantal spanningswisseling N veroorzaakt door trilling door wervelvorming wordt berekend met:

$$N = 2 * T * n_{i;y} * \varepsilon_o * [V_{crit} / V_o]^2 * \exp[-(V_{crit} / V_o)^2] >= 10^4$$

$n_y = n_{1;y}$ = 0,72 Hz eigenfrequentie van trillingsvorm loodrecht op wind

T is levensduur in seconden = $3,2 * 10^7$ maal de vervachte levensduur in jaren

$V_{crit,1}$ = 6,44 m/s De kritische windsnelheid

ε_o is bandbreedtefactor = 0,3

V_o is wortel(2) maal de modus van de Weibull waarschijnlijkheidsverdeling van de windsnelheid in m/s
V_o = 20% van de karakteristieke gemiddelde windsnelheid op hoogte waar wervelvorming plaatsvind

z_s = 62,1505 m - hoogte waar wervelvorming plaatsvindt = $L_{mast} - L_j / 2$

Wedgebied II - onbebouwd

Basiswindsnelheid $V_{b,0}$ = 27 m/s

Terreincategorie : II - Onbebouwd gebied

Richtingsfactor C_{dir} = 1,0
Seizoensfactor C_{season} = 1,0
Orografiefactor $C_o(z)$ = 1,0

z_0 = 0,200 m

Gemiddelde windsnelheid $V_m(z) = (V_{b,0} * C_{dir} * C_{season}) * c_r(z)$

$c_r(z) = k_r * \ln\{ z / z_0\}$ voor $z_{min} \le z \le z_{max}$
$c_r(z) = c_r (z_{min})$ voor $z \le z_{min}$

$k_r = 0,19 \ln\{ z_0 / z_{0,II}\}^{0,07}$ $z_{0;II}$ = 0,05 m

$k_r = 0,19 \ln\{ 0,200 / 0,05\}^{0,07}$ = 0,21

$c_r(z) = 0,21 * \ln\{ 28,5 / 0,200\}$ = 1,20

$V_m(z)$ = 32,4 m/s

V_o = 32,4 * 20 / 100 = 6,49 m/s

$N = 2 * 50 * 3,2.10^7 * 0,3 * 0,72 * [6,44 / 6,50]^2 * \exp[-(6,44 / 6,50)^2]$ = 2,53E+08

Vermoeiingsschade t.g.v. dwarstrilling

De vermoeiingsschade vindt plaats door het belastingspectrum te toetsen aan de bij het detail behorende $\Delta\sigma$-N lijn conform NEN 2063.

$\Delta\sigma < 0{,}55\,\Delta\sigma_k$ ------> $N = \infty$

$0{,}55\,\Delta\sigma_k < \Delta\sigma < \Delta\sigma_k$ ------> $N.\Delta\sigma^5 = N_k.\Delta\sigma^5_k$

$\Delta\sigma > \Delta\sigma_k$ ------> $N.\Delta\sigma^3 = N_k.\Delta\sigma^3_k$

$N_k = 10^7$

$\Delta\sigma_i$ is het i^e spanningsniveau

$\Delta\sigma_k$ is het spanningsinterval behorende bij 10^7 wisselingen op de $\Delta\sigma_i$-N lijn.

$\gamma * \Delta\sigma =$ 1,2 * $\Delta\sigma$

$\Delta\sigma k =$	45	MPa	Voorbewerkt X- las (K45 , lasdetail 112 van NEN 2063).
$\Delta\sigma k =$	35	MPa	Voorbewerkt 1/2V- las (K35 , lasdetail 301 van NEN 2063).

Plaats van trilling		$\gamma * \Delta\sigma =$	$\Delta\sigma_k$	$0{,}55\,\Delta\sigma_k$	N - wissel.	N	D
		in	in	in	$\Delta\sigma_i$-N lijn	span.wissl.	beschadiging
Knoop		MPa	MPa	MPa			< 1
3	Lasnaad	7,51	45	24,75	1,000E+10	2,53E+08	0,03
4	Lasnaad	10,94	45	24,75	1,000E+10	2,53E+08	0,03
5	Lasnaad	12,48	45	24,75	1,000E+10	2,53E+08	0,03
6							
7	Lasnaad	11,85	45	24,75	1,000E+10	2,53E+08	0,03
8	Lasnaad	11,94	45	24,75	1,000E+10	2,53E+08	0,03
9	Lasnaad	11,80	45	24,75	1,000E+10	2,53E+08	0,03
10							
11	Lasnaad	10,53	45	24,75	1,000E+10	2,53E+08	0,03
12	flenzen	10,22	35	19,25	1,000E+10	2,53E+08	0,03
13	Lasnaad	8,76	45	24,75	1,000E+10	2,53E+08	0,03
14	Lasnaad	8,45	45	24,75	1,000E+10	2,53E+08	0,03
15							
16	Lasnaad	8,15	45	24,75	1,000E+10	2,53E+08	0,03
17							
18	Lasnaad	7,06	35	19,25	1,000E+10	2,53E+08	0,03
19							
20	Lasnaad	6,81	45	24,75	1,000E+10	2,53E+08	0,03
21							
22	Lasnaad	6,56	45	24,75	1,000E+10	2,53E+08	0,03
23	Lasnaad	5,93	45	24,75	1,000E+10	2,53E+08	0,03
24	flenzen	5,73	45	24,75	1,000E+10	2,53E+08	0,03
25							
26	Lasnaad	5,55	45	24,75	1,000E+10	2,53E+08	0,03
27							
28	Lasnaad	5,05	45	24,75	1,000E+10	2,53E+08	0,03
29	Lasnaad	4,90	45	24,75	1,000E+10	2,53E+08	0,03
30	Lasnaad	4,75	45	24,75	1,000E+10	2,53E+08	0,03
31	Lasnaad	4,61	45	24,75	1,000E+10	2,53E+08	0,03
32	Lasnaad	4,48	45	24,75	1,000E+10	2,53E+08	0,03
33	voetplaat	4,35	35	19,25	1,000E+10	2,53E+08	0,03

7.0 - Fundatie belastingen

Fundatie belastingen in ULS-toestand - (Ultimate limit state)

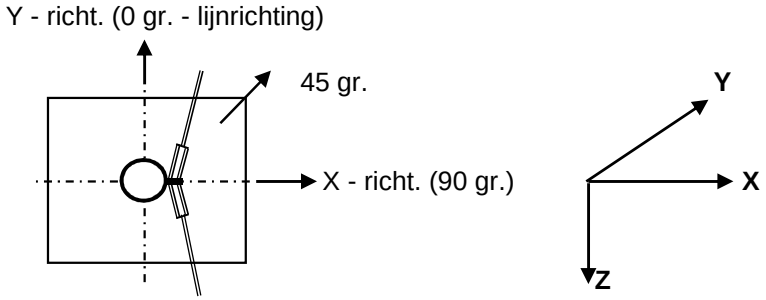

Belasting geval / comb	X - reactie kN	Y - reactie kN	Z - reactie kN	M_x - reactie kNm	M_y - reactie kNm	M_z - reactie kNm
Windrich. 90 graden						
1 - EG mast			1004			
2 - Windbelasting mast	144				4481	
3 - Belasting geval 1a	837		129		39304	
4 - Belasting geval 1b	559		144		25993	
5 - Belasting geval 3	948		273		43878	
6 - Belasting geval 4	569		167		26424	
Combinatie 1 : BG1 * 1,2 + BG2 * 1,6 + BG3 * (1,2 eg, 1,5 windbel.)						
	981		1133		43786	
Combinatie 2 : BG1 * 1,2 + BG2 * 0,3 + BG4 * (1,2 eg, 0,3 windbel.)						
	586		1147		26833	
Combinatie 3 : BG1 * 1,2 + BG2 * 0,45 + BG5 * (1,2 eg, 1,5 windbel.)						
	989		**1277**		**45138**	
Combinatie 4 : BG1 * 1,2 + BG2 * 0,3 + BG5 * (1,2 eg, 1,5 windbel.)						
	596		1171		27264	

Samenvatting Fundatiebelastingen

	B.C. 1 - SLS γ_{eg}=1.0 , γ_q=1.0		B.C. 2 - ULS γ_{eg}=1.2 , γ_q=1.6		B.C. 3 - ULS γ_{eg}=0.9 , γ_q=1.6	
Voetmoment	37205	kNm	45138	kNm	45138	kNm
Dwarskracht	835	kN	989	kN	989	kN
Verticale kracht	947	kN	1277	kN	852	kN

8,0 - Betonspanning onder voetplaat en instortring

st.c in mm	aantal ankers	$F_{t,Ed}$ kN	$F_{v,Ed}$ kN	knoop nummer	aanwezig anker	$F_{t,Rd}$ kN	Percentage belasting
Ankers krachten in ULS-toestand							
st.c buitenkant		3083,00					
st.c binnenkant		2319,00					
2701	104	631,86	9,51	33	M 48 - 8,8	848,45	0,74
Voorspanning ankers in SLS-toestand (100%)							
st.c buitenkant		3083,00					
st.c binnenkant		2319,00					
2701	104	520,68	8,03	33	M 48 - 8,8	848,45	0,61

Maximale trekkracht in de anker :

$F_{t,Ed}$ = 631,9 kN

Maximale voorspanning in de anker :

$F_{t,Ed}$ = 520,7 kN

Maximale drukkrackt :

$F_{c,Ed}$ = 655,0 + 1,00 * 520,7 = 1175,7 kN

A - drukspanning onder voetplaat

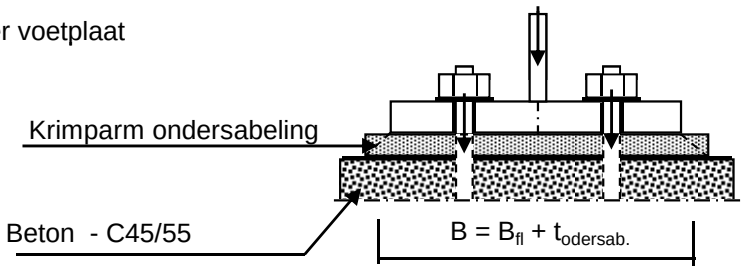

Toetsing :

$\sigma_b < 0,7 * f_{cd} = 0,7 * 45 / 1,5 = 21,0$ N/mm^2

B_{fl} = 672,0 mm D = 2701 mm

$t_{ondersab.}$ = 40,0 mm n = 104

B = 712,0 mm

A_{voetpl} = 712 * $2*\pi*D / n$ = 116185 mm^2

$\sigma_{b;voet} = 2 * F_{c,Ed} / A$ = 20,2 N/mm^2 < 21,0 -- Voldoet

B - drukspanning onder instortring

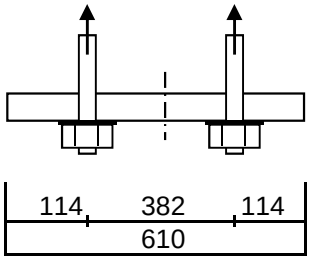

D = 2701 mm
n = 104

$A_{stortring}$ = 610 * $2*\pi*D / n$ = 99541 mm^2

$\sigma_{b;stortr.} = 2 * F_{c,Ed} / A$ = 12,7 N/mm^2 < 21,0 -- Voldoet

Dikte instortring

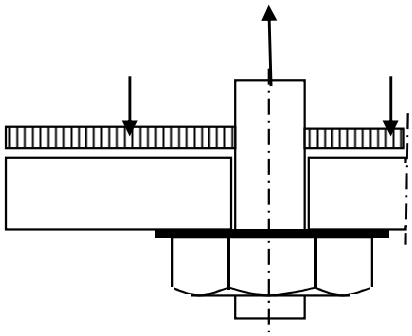

$L_{uitkr.}$ = 114 mm
L_{veld} = 382 mm

t = 45 mm
$f_{y;d}$ = 355 N/mm^2

$M_{Ed;st}$ = 82496 Nmm/mm' ; $V_{z;Ed;st}$ = 2425 N/mm'

of $M_{Ed;veld}$ = 149078 Nmm/mm' ; $V_{z;Ed;st}$ = 0 N/mm'

$M_{Ed;max}$ = 149078 Nmm/mm' ; $V_{z;Ed;st}$ = 2425 N/mm'

$M_{Rd} = (1/4) *1,0 * t^2 * f_y$ = 179719 Nmm/mm'
$V_{Rd} = 1,0 * t * f_y / 3^{0,5}$ = 9223 N/mm'

M_{Ed} / M_{Rd} = 149078 / 179718,8 = 0,83 < 1,0 -- Voldoet
σ_b = 294,5 N/mm^2

V_{Ed} / V_{Rd} = 2425 / 9223 = 0,26 < 1,0 -- Voldoet
τ_z = 53,9 N/mm^2

vergelijkingsspanning :

$\sigma_{vlg} = (294,5^2 + 3*53,9^2)^{0,5}$
σ_{vlg} = 309 N/mm^2 < 355 MPa -- Voldoet

9.0 - Detailberekeningen

9.1 - Berekening afspanpunt trekisolatoren 380 kV

Schema

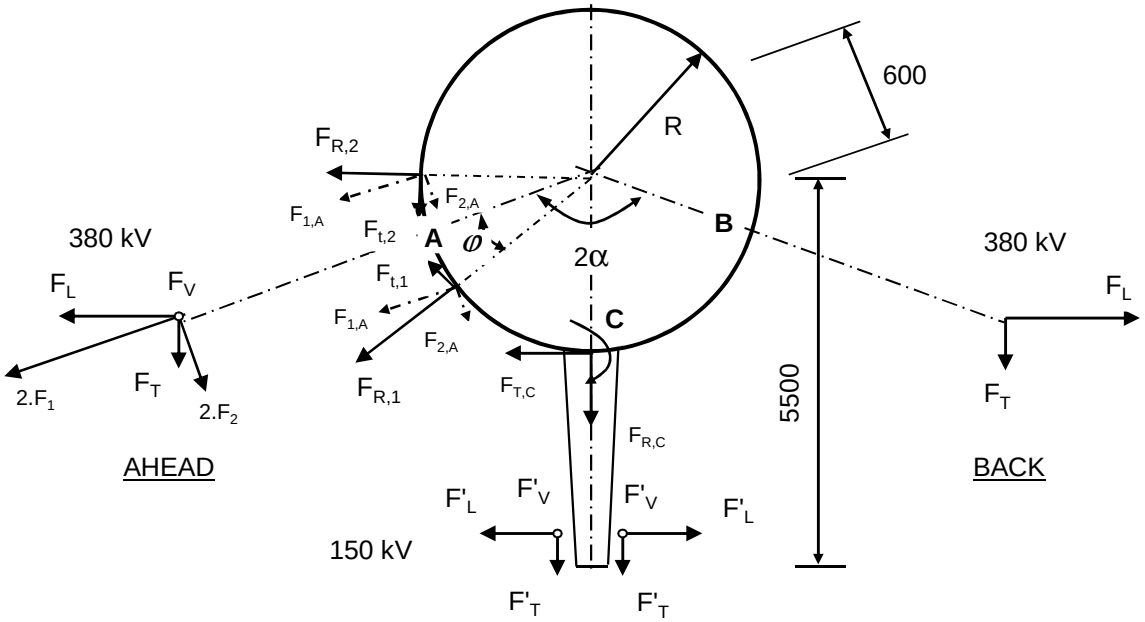

F_V en F'_V : Verticale kracht resp. 380kV en 150kV
F_T en F'_T : Transverse kracht resp. 380kV en 150kV
F_L en F'_L : Longitudinale kracht resp. 380kV en 150kV

2α is hoek tussen lijnen en α is bissectrice van hoek tussen de lijnen

380 kV: Per bevevestigingsring

$F_{1;A} = (F_{L,Ah}.\text{Sin}\alpha + F_{T,Ah}.\text{Cos}\alpha) / 4$; $F_{1;B} = (F_{L,Ba}.\text{Sin}\alpha + F_{T,Ba}.\text{Cos}\alpha) / 4$

$F_{2;A} = (F_{L,Ah}.\text{Cos}\alpha - F_{T,Ah}.\text{Sin}\alpha) / 4$; $F_{2;B} = (F_{L,Ba}.\text{Cos}\alpha - F_{T,Ba}.\text{Sin}\alpha) / 4$

$F_{3;A} = F_{V,ah} / 4$; $F_{3;B} = F_{V,bh} / 4$;

$F_{R;1;A} = F_{1,A}.\text{Cos}\varphi + F_{2;A}.\text{Sin}\varphi$; $F_{T;1;A} = F_{1,A}.\text{Sin}\varphi - F_{2;A}.\text{Cos}\varphi$

$F_{R;2;A} = F_{1,A}.\text{Cos}\varphi - F_{2;A}.\text{Sin}\varphi$; $F_{T;2;A} = F_{1,A}.\text{Sin}\varphi + F_{2;A}.\text{Cos}\varphi$

; $M_w = \text{I } F_{T;1;A} + F_{T;2;A} \text{ I} * R$

$F_{R;1;B} = F_{1,B}.\text{Cos}\varphi + F_{2;B}.\text{Sin}\varphi$; $F_{T;1;B} = F_{1,B}.\text{Sin}\varphi - F_{2;B}.\text{Cos}\varphi$

$F_{R;2;B} = F_{1,B}.\text{Cos}\varphi - F_{2;B}.\text{Sin}\varphi$; $F_{T;2;B} = F_{1,B}.\text{Sin}\varphi + F_{2;B}.\text{Cos}\varphi$

; $M_w = \text{I } F_{T;1;B} + F_{T;2;B} \text{ I} * R$

150 kV: Per bevevestigingsring

$F_{T;C} = \Sigma F'_L / 2$ $M_{T;C} = F_{T;C} * (5500 - R)$

$F_{R;C} = \Sigma F'_T / 2$

$F_{V;C} = \Sigma F'_V / 2$ $M_{V;C} = 2 * F_{V;C} * (5500 - R)$

$F'_{R;C} = \pm M_{C;L} / (2 * z)$

$z = 2*(d^3_{uit} - d^3_{inw}) / 3*\pi*(d^2_{uit} - d^2_{inw})$

$F_{R;C;max} = F_{R;C} + F'_{R;C}$

Opmerking:
In mast W2H400+10 zijn de geleiders van de 150 kV niet aanwezig.

9.1.1 - Afspanpunt trekisolatoren op 57,0 meter hoogte

Ring gegevens:

$t_{buis;nom}$ =	20	mm
$t_{buis;reken}$ =	20	mm
$t_{ring;nom}$ =	20	mm
$t_{ring;reken}$ =	20	mm
b_{ring} =	135	mm
Afstand tussen ringen =	160	mm

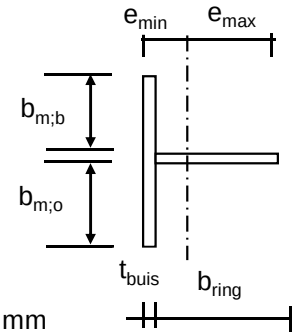

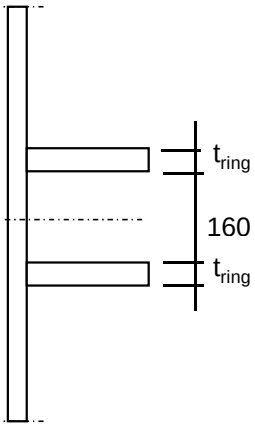

Mee werkende breedte :DIN 18801

$b_m = 0{,}138 * t * \lambda_a$

$\lambda_a = \pi * (E / f_y)^{0,5}$

Staal S355 ; f_y = 355,0 N/mm^2

E = 210000,0 N/mm^2

$b_{m;b}$ =	210,9	mm
$b_{m;o}$ =	80	mm
A =	8918	mm^2
e_{min} =	33,5	mm
e_{max} =	121,5	mm
I =	15614845	mm^4
W_{min} =	128480	mm^3
$\gamma_{m;extra}$ =	1,5	(extra materiaalfactor)
N_{Rd} =	2111	kN
$M_{y;Rd}$ =	30	kNm
$M_{w;Rd}$ =	4803	kNm (torsieweerstand mast)
V_{Rd} =	369	kN

Belastingen op 57,0 meter

Zie KEMA rapport 74100706-ETD/POL 12-001 38 REV V 10.0 - Appendix O en O1
Belastingen - geleiders 380 kV

	Ahead			Back		
	F_V N	F_T N	F_L N	F_V N	F_T N	F_L N
BG 1a - (wind (90 gr))	18874	128282	199695	18874	128282	-199695
BG 3 - (wind (90) + ijs)	34638	128272	225106	34638	128272	-225106
BG 1a - (wind (45 gr))	20687	69837	132835	18700	138063	-212228
BG 3 - (wind (45)+ ijs)	35373	108360	213292	34479	131967	-228563
1a- Bundelbr.-(90 gr)	19841	91866	154315	0,0	0,0	0,0
3 - Bundelbr.-(90 gr + ijs)	23535	98655	172148	0,0	0,0	0,0
1a- Bundelbr.-(45 gr)	20743	67763	132149	0,0	0,0	0,0
3 - Bundelbr.-(45 gr + ijs)	24247	80606	158438	0,0	0,0	0,0

Diameter mast t.p.v ringen D = 833 mm

R = 416,6 mm

Mast 147 :	Lijnhoek = 2. α =	160,4	graden	
Mast 146 :	Lijnhoek = 2. α =	130,4	graden	
Mast 104 :	Lijnhoek = 2. α =	163,5	graden	
Mast 102 :	Lijnhoek = 2. α =	133,1	graden	
	Lijnhoek = 2. α =	130,4	graden	maatgevend
	hoek φ = boogsin(300 / (417+80)) =	37,2	graden	

	A		B		C	
	$F_{R;1;Ed}$ kN	$F_{R;2;Ed}$ kN	$F_{R;1;Ed}$ kN	$F_{R;2;Ed}$ kN	$F_{R;max;Ed}$ kN	$M_{T;Ed}$ kNm
BG 1a - (wind (90 gr))	51,8	41,9	51,8	41,9		
BG 3 - (wind (90) + ijs)	54,8	48,1	54,8	48,1		
BG 1a - (wind (45 gr))	31,0	28,7	55,4	44,4		
BG 3 - (wind (45)+ ijs)	49,0	46,3	56,0	48,8		
1a- Bundelbr.-(90 gr)	38,4	32,8	0,0	0,0		
3 - Bundelbr.-(90 gr + ijs)	42,0	36,8	0,0	0,0		
1a- Bundelbr.-(45 gr)	30,5	28,6	0,0	0,0		
3 - Bundelbr.-(45 gr + ijs)	36,4	34,4	0,0	0,0		

Roark's Formulas for stress & strain - tabel 9.2 - 20

Roark's Formulas for stress & strain - tabel 9.2 - 19

Belastinggeval : BG 1 - wind 90 gr.

φ in gr.	$M_{s;d}$ kNm	$T_{s;d}$ kN	$V_{s;d}$ kN	$\Delta M_{s;d}$ kN	$F_{s;d,langs}$ kN
0,0	-1,28	-9,34	-12,57	0,13	1,57
15,0	-1,15	-9,82	-10,73	0,42	4,87
30,0	-0,73	-11,17	-6,30	0,74	8,61
45,0	0,01	-13,14	-4,43	1,11	13,00
60,0	1,12	-15,35	0,39	1,55	18,10
75,0	2,67	-17,31	7,78	1,59	18,51
90,0	1,09	-27,21	12,88	1,73	20,16
105,0	-0,64	-37,45	17,36	0,66	7,76
120,0	-1,31	-44,73	18,89	0,60	7,05
135,0	-0,70	-48,16	21,74	1,97	22,97
150,0	1,27	-47,18	25,74	1,55	18,07
165,0	-0,28	-53,25	25,01	0,79	9,25
180,0	-1,07	-55,95	24,44	0,79	9,25
195,0	-0,28	-53,25	25,01	1,55	18,07
210,0	1,27	-47,18	25,74	1,97	22,97
225,0	-0,70	-48,16	21,74	0,60	7,05
240,0	-1,31	-44,73	18,89	0,66	7,76
255,0	-0,64	-37,45	17,36	1,73	20,16
270,0	1,09	-27,21	12,88	1,59	18,51
285,0	2,67	-17,31	7,78	1,55	18,10
300,0	1,12	-15,35	0,39	1,11	13,00
315,0	0,01	-13,14	-4,43	0,74	8,61
330,0	-0,73	-11,17	-6,30	0,42	4,87
345,0	-1,15	-9,82	-10,73	0,13	1,56
360,0	-1,28	-9,34	-12,56	0,00	0,01

$F_{s;d;langs} = \Delta M_{s;d} * S / I$

$S =$ 182250 mm^3

$I =$ 15614845 mm^4

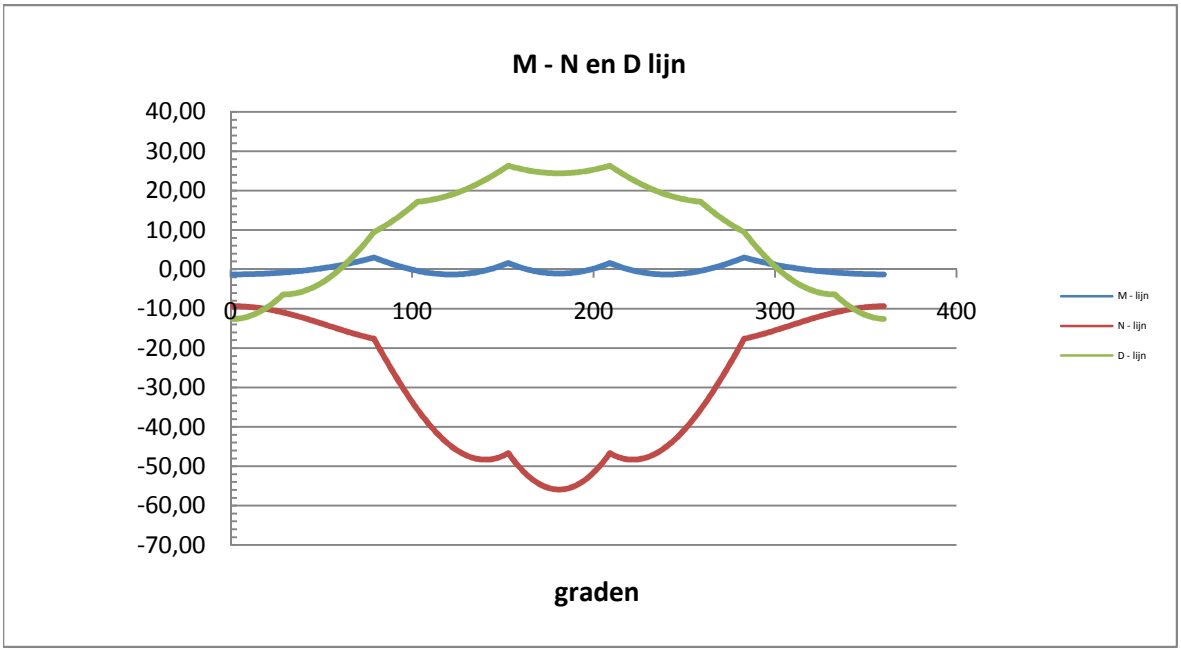

Belastinggeval : BG 3 - wind 90 gr + ijs.

φ in gr.	$M_{s;d}$ kNm	$T_{s;d}$ kN	$V_{s;d}$ kN	$\Delta M_{s;d}$ kN	$F_{s;d,langs}$ kN
0,0	-1,68	-12,35	-13,43	0,18	2,07
15,0	-1,50	-12,76	-11,41	0,54	6,34
30,0	-0,96	-13,90	-6,48	0,94	10,99
45,0	-0,01	-15,51	-4,13	1,38	16,16
60,0	1,37	-17,25	1,41	1,88	21,90
75,0	3,25	-18,63	9,68	1,76	20,55
90,0	1,49	-29,18	15,10	1,98	23,13
105,0	-0,49	-40,25	19,61	0,84	9,80
120,0	-1,33	-48,15	20,59	0,53	6,14
135,0	-0,81	-51,95	22,99	2,00	23,32
150,0	1,19	-51,03	26,73	1,69	19,71
165,0	-0,50	-57,52	25,63	0,86	9,99
180,0	-1,36	-60,41	24,91	0,86	9,99
195,0	-0,50	-57,52	25,63	1,69	19,71
210,0	1,19	-51,03	26,73	2,00	23,32
225,0	-0,81	-51,95	22,99	0,53	6,14
240,0	-1,33	-48,15	20,59	0,84	9,80
255,0	-0,49	-40,25	19,61	1,98	23,13
270,0	1,49	-29,18	15,10	1,76	20,55
285,0	3,25	-18,63	9,68	1,88	21,90
300,0	1,37	-17,25	1,41	1,38	16,16
315,0	-0,01	-15,51	-4,13	0,94	10,99
330,0	-0,96	-13,90	-6,48	0,54	6,34
345,0	-1,50	-12,76	-11,41	0,18	2,06
360,0	-1,68	-12,36	-13,42	0,00	0,01

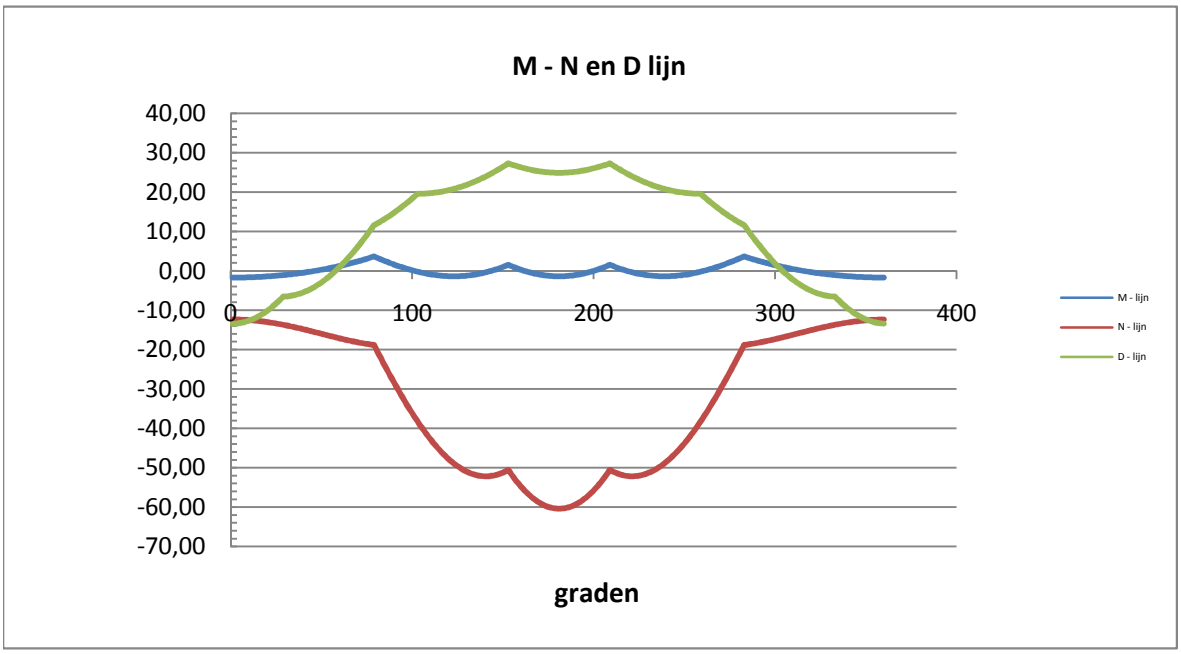

Belastinggeval : BG 1a - wind 45 gr.

φ in gr.	$M_{s;d}$ kNm	$T_{s;d}$ kN	$V_{s;d}$ kN	$\Delta M_{s;d}$ kN	$F_{s;d,langs}$ kN
0,0	-1,21	-8,84	-10,55	0,17	2,02
15,0	-1,38	-12,13	-8,73	0,17	2,03
30,0	-1,20	-15,72	-4,40	0,62	7,26
45,0	-0,58	-19,08	-0,72	1,17	13,60
60,0	0,58	-21,67	5,38	1,78	20,78
75,0	2,36	-22,94	13,38	1,42	16,55
90,0	0,95	-31,67	18,08	1,49	17,38
105,0	-0,54	-39,99	21,70	0,36	4,15
120,0	-0,90	-44,68	23,01	0,91	10,62
135,0	0,01	-45,16	24,89	2,19	25,55
150,0	2,20	-41,23	27,20	1,84	21,43
165,0	0,36	-45,52	23,76	1,35	15,79
180,0	-0,99	-47,22	20,00	0,02	0,18
195,0	-1,00	-44,38	17,31	0,79	9,23
210,0	-0,21	-38,48	15,35	1,03	11,97
225,0	-1,24	-36,08	11,39	0,00	0,03
240,0	-1,24	-30,70	9,04	0,87	10,14
255,0	-0,37	-23,07	8,33	1,52	17,79
270,0	1,15	-14,09	4,66	1,30	15,17
285,0	2,45	-6,22	0,83	1,01	11,76
300,0	1,44	-4,81	-3,89	0,87	10,13
315,0	0,58	-4,22	-6,20	0,75	8,70
330,0	-0,17	-4,69	-5,97	0,61	7,10
345,0	-0,78	-6,26	-9,23	0,41	4,74
360,0	-1,18	-8,64	-10,56	0,02	0,25

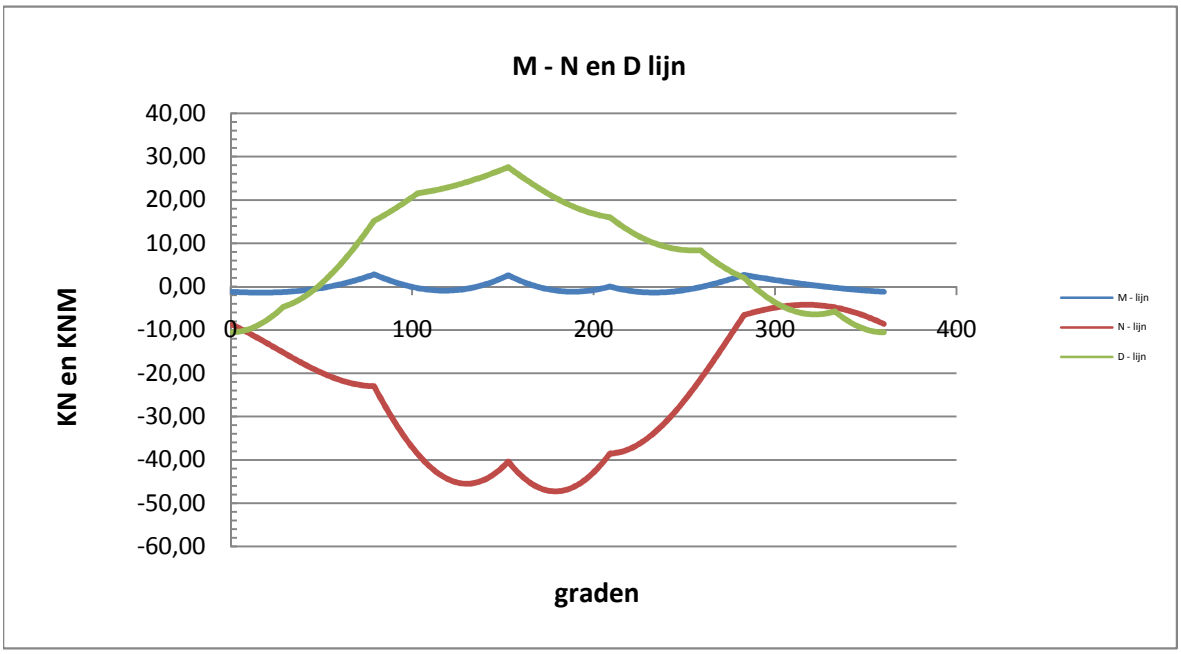

Belastinggeval : BG 3 - wind 45 gr + ijs.

φ in gr.	$M_{s;d}$ kNm	$T_{s;d}$ kN	$V_{s;d}$ kN	$\Delta M_{s;d}$ kN	$F_{s;d,langs}$ kN
0,0	-1,73	-12,77	-12,93	0,10	1,17
15,0	-1,63	-13,79	-11,06	0,50	5,78
30,0	-1,13	-15,35	-6,25	0,93	10,90
45,0	-0,20	-17,17	-3,43	1,42	16,63
60,0	1,23	-18,85	2,50	1,96	22,89
75,0	3,19	-19,92	11,02	1,70	19,79
90,0	1,49	-30,06	16,45	1,91	22,24
105,0	-0,41	-40,58	20,82	0,75	8,81
120,0	-1,17	-47,81	21,65	0,60	7,01
135,0	-0,57	-50,88	23,72	2,04	23,84
150,0	1,48	-49,29	26,96	1,81	21,10
165,0	-0,33	-55,51	25,10	1,05	12,25
180,0	-1,38	-58,35	23,53	0,60	7,05
195,0	-0,78	-55,64	23,42	1,47	17,13
210,0	0,69	-49,36	23,90	1,72	20,12
225,0	-1,03	-49,44	20,33	0,32	3,77
240,0	-1,36	-45,12	18,26	0,96	11,17
255,0	-0,40	-37,04	17,70	2,01	23,44
270,0	1,61	-26,15	13,60	1,74	20,33
285,0	3,35	-16,03	8,63	1,81	21,15
300,0	1,54	-14,96	0,96	1,38	16,16
315,0	0,15	-13,77	-4,07	0,99	11,57
330,0	-0,84	-12,83	-6,04	0,62	7,27
345,0	-1,46	-12,45	-10,85	0,26	3,03
360,0	-1,72	-12,72	-12,91	0,01	0,08

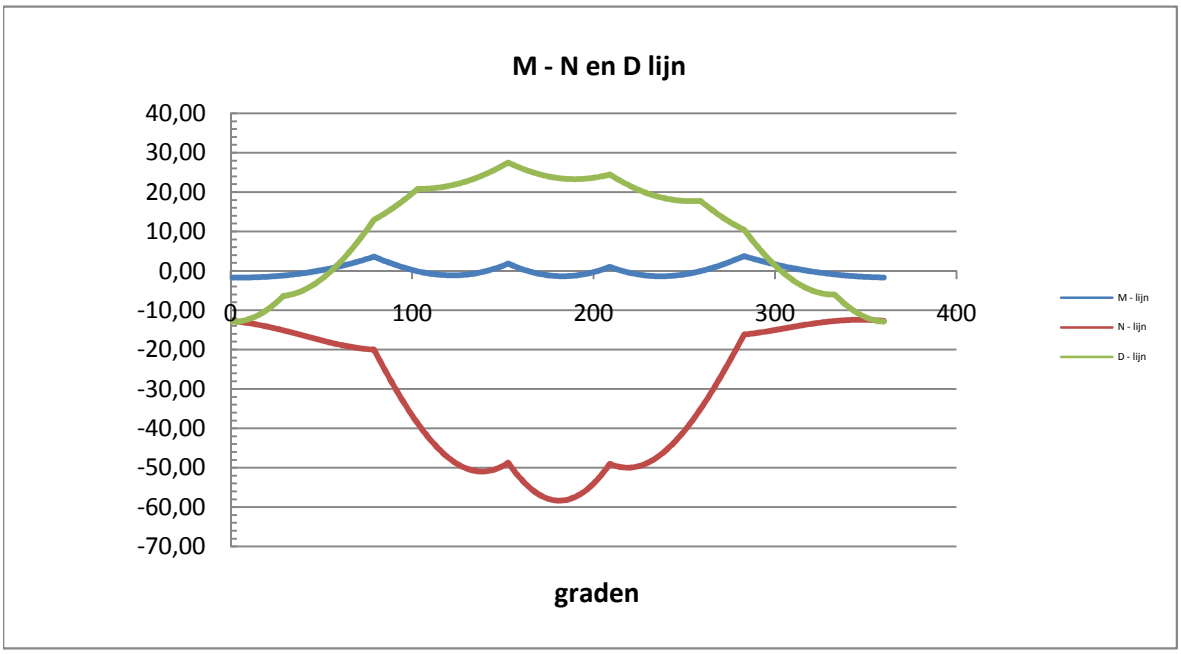

Belastinggeval : BG 1a - Bundelbreuk 90 gr

φ in gr.	$M_{s;d}$ kNm	$T_{s;d}$ kN	$V_{s;d}$ kN	$\Delta M_{s;d}$ kN	$F_{s;d,langs}$ kN
0,0	-0,55	-4,01	-4,69	0,54	6,35
15,0	0,00	1,12	-5,06	0,51	6,00
30,0	0,51	5,34	-4,83	0,37	4,26
45,0	0,88	8,15	-7,64	0,14	1,59
60,0	1,01	9,22	-9,10	0,12	1,43
75,0	0,89	8,44	-9,03	0,36	4,19
90,0	0,53	5,89	-7,41	0,52	6,11
105,0	0,01	1,86	-5,23	0,57	6,70
120,0	-0,57	-3,20	-5,08	0,48	5,63
135,0	-1,05	-8,67	-3,52	0,24	2,74
150,0	-1,28	-13,91	-0,56	0,16	1,87
165,0	-1,12	-18,23	3,68	0,68	7,90
180,0	-0,45	-21,03	8,86	1,27	14,85
195,0	0,83	-21,80	14,51	1,33	15,54
210,0	2,16	-21,59	19,43	1,66	19,35
225,0	0,50	-27,50	19,65	0,88	10,27
240,0	-0,38	-30,36	19,36	0,02	0,24
255,0	-0,40	-29,92	18,67	0,83	9,64
270,0	0,42	-26,25	17,63	0,85	9,97
285,0	1,28	-21,42	15,45	1,38	16,08
300,0	-0,10	-21,06	9,84	0,78	9,12
315,0	-0,88	-18,61	4,60	0,25	2,96
330,0	-1,13	-14,55	0,23	0,16	1,86
345,0	-0,98	-9,46	-2,93	0,39	4,61
360,0	-0,58	-4,38	-4,62	0,03	0,40

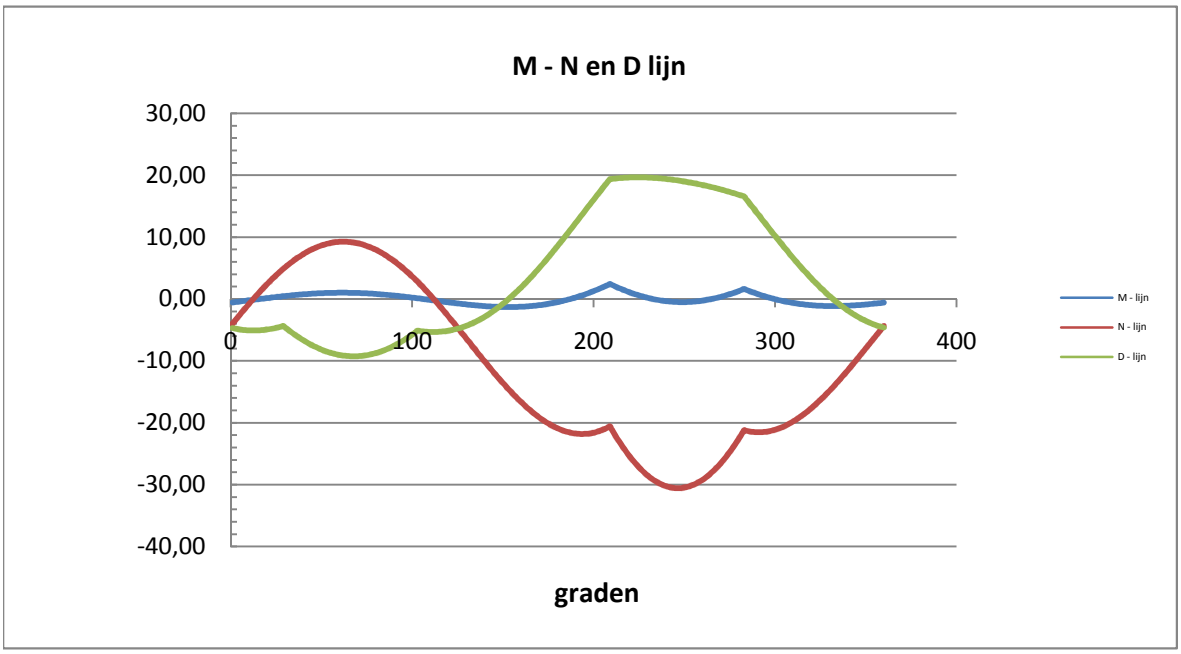

Belastinggeval : BG 3 - Bundelbreuk 90 gr + ijs

φ in gr.	$M_{s;d}$ kNm	$T_{s;d}$ kN	$V_{s;d}$ kN	$\Delta M_{s;d}$ kN	$F_{s;d,langs}$ kN
0,0	-0,64	-4,69	-5,15	0,60	7,01
15,0	-0,04	1,02	-5,62	0,57	6,70
30,0	0,54	5,73	-5,40	0,41	4,83
45,0	0,95	8,91	-8,50	0,16	1,92
60,0	1,12	10,18	-10,08	0,12	1,42
75,0	0,99	9,40	-9,97	0,39	4,49
90,0	0,61	6,65	-8,15	0,57	6,66
105,0	0,04	2,25	-5,74	0,63	7,38
120,0	-0,59	-3,30	-5,62	0,54	6,27
135,0	-1,13	-9,34	-3,97	0,27	3,16
150,0	-1,40	-15,15	-0,75	0,16	1,86
165,0	-1,24	-19,98	3,88	0,73	8,48
180,0	-0,52	-23,14	9,57	1,38	16,13
195,0	0,87	-24,09	15,81	1,45	16,96
210,0	2,32	-23,95	21,26	1,81	21,08
225,0	0,51	-30,46	21,60	0,94	11,02
240,0	-0,43	-33,60	21,39	0,01	0,08
255,0	-0,42	-33,10	20,73	0,94	11,01
270,0	0,52	-29,01	19,68	0,96	11,23
285,0	1,48	-23,67	17,34	1,55	18,12
300,0	-0,07	-23,37	11,13	0,89	10,39
315,0	-0,96	-20,75	5,31	0,30	3,53
330,0	-1,26	-16,31	0,42	0,16	1,88
345,0	-1,10	-10,72	-3,13	0,43	5,00
360,0	-0,67	-5,09	-5,06	0,04	0,43

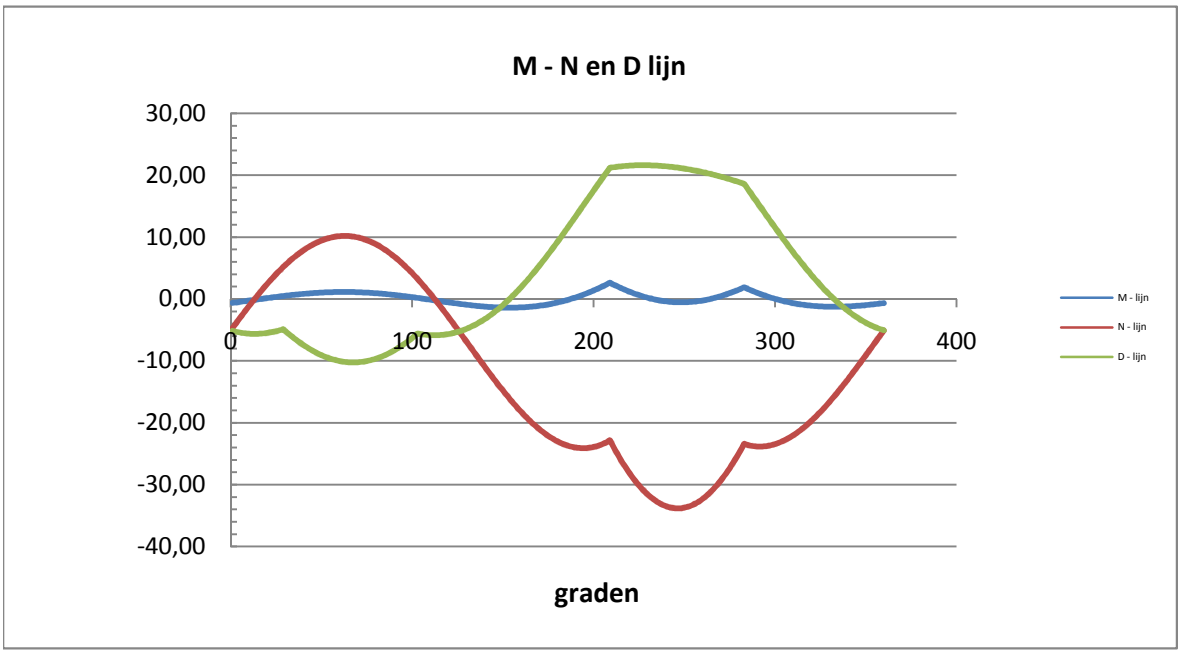

Maatgevende belastinggeval : BG 3 - wind 45 gr + ijs

Controle spanningen :

$N_{Ed;max}$ =	58,4	kN	N_{Rd} =	2111	kN
$M_{y,Ed;max}$ =	3,77	kNm	M_{Rd} =	30	kNm
$M_{w,Ed;max}$ =	5,4	kNm	M_{Rd} =	4803	kNm
$V_{Ed;max}$ =	27,5	kN	V_{Rd} =	369	kN

$N_{Ed;max} / N_{Rd}$ = 58,35 / 2111 = 0,03 < 1,0 -- Voldoet

σ_N = 6,5 N/mm^2

$M_{y,Ed;max} / M_{y,Rd}$ = 3,77 / 30,4 = 0,12 < 1,0 -- Voldoet

σ_b = 29,3 N/mm^2

$V_{Ed;max} / V_{Rd}$ = 27,47 / 369 = 0,07 < 1,0 -- Voldoet

τ_z = 10,2 N/mm^2

Bij maximale moment : N_{Ed} = 16,19

V_{Ed} = 10,41

$\sigma_b + \sigma_N$ = 29,3 + 1,8 = 31,1 N/mm^2 < 236 MPa -- Voldoet

τ_z = 3,9 N/mm^2

$\sigma_{vlg} = \{ (\sigma_b + \sigma_{N)}^2 + 3*\tau^2 \}^{0,5}$

σ_{vlg} = 32 N/mm^2 < 236 MPa -- Voldoet

Controle spanningen in las.

Per bevestiging (2 * bevestigingspunten en 2 * ringen)

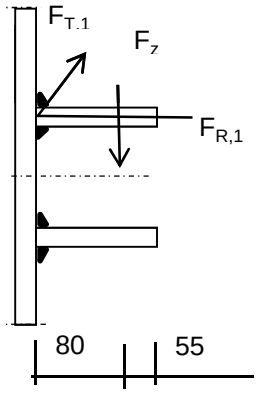

$F_{R,1,h}$ = 54,76 kN

$F_{T,1,h}$ = 43,37 kN

F_z = 17,32 kN

$F_{Langs,Ed}$ = 25,55 kN

$L_{las} = b_{m;ring} = 0,138*t*\pi * (E/fy)^{0,5}$ = 210 mm

of

L_{las} = 2 * 80 = 160 mm

L_{las} = 160 mm - maatgevend

lasdikte a = 5 mm - hoeklas

t.g.v. $F_{R,1,h}$:

$\sigma_1 = \tau_1 = F_{R,1,h} / (2*a*L_{las,min}*2^{0,5})$ = 24,2 N/mm^2

t.g.v. $F_{T,1,h}$:

$\tau_2 = F_{T,1,h} / (2*a*L_{las,min})$ = 27,11 N/mm^2

t.g.v. $F_{Langs,Ed}$:

$\tau_2 = F_{Langs,Ed;max} / (2*a*L_{las,min})$ = 15,97 N/mm^2

t.g.v. F_z :

$\sigma_1 = \tau_1 = [(F_z * 1000 * 80)/(t_{ring}+2*a/3)] / (a*L_{las,min}*2^{0,5})$ = 52,48 N/mm^2

$\sigma_1 = \tau_1$ = 76,68 N/mm^2

σ_{Ed} = $\{\sigma_1^2 + 3 * (\tau_1^2 + \tau_2^2)\}^{0,5}$ = 170,6 N/mm^2

Toetsing regel :

$\sigma_{Ed} \leq f_u / (\beta_w * \gamma_{M2})$ of $\sigma_1 = \sigma_{loodrecht} \leq 0{,}9 * f_u / \gamma_{M2}$

$f_{v,w,d} = f_u / (\beta_w * \gamma_M *$ wortel(3))

$\gamma_{M2} = 1{,}25$

$\gamma_{m;extra} =$ 1,5 (extra materiaalfactor)

Materiaal S 355 ----> $f_u = 510$ N/mm^2 en $\beta_w = 0{,}9$

$f_u / (\beta_w * \gamma_{M2}) = 302$ N/mm^2 $0{,}9 * f_u / \gamma_{M2} = 245$ N/mm^2

$\sigma_{Ed} \leq f_u / (\beta_w * \gamma_{M2})=$ 170,6 / 302,2 = 0,56 < 1,0 -- Voldoet

$\sigma_1 \leq 0{,}9 * f_u / \gamma_{M2}$ 76,7 / 244,8 = 0,31 < 1,0 -- Voldoet

9.1.2 - Afspanpunt trekisolatoren op 47,0 meter hoogte

Ring gegevens:

$t_{buis;nom}$ =	22	mm
$t_{buis;reken}$ =	22	mm
$t_{ring;nom}$ =	20	mm
$t_{ring;reken}$ =	20	mm
b_{ring} =	135	mm
Afstand tussen ringen =	160	mm

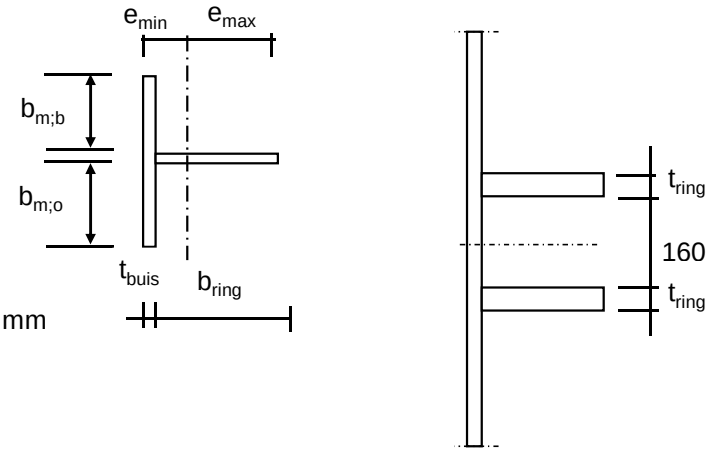

Mee werkende breedte :DIN 18801

$b_m = 0{,}138 * t * \lambda_a$

$\lambda_a = \pi * (E / f_y)^{0,5}$

Staal S355 ; f_y = 355,0 N/mm^2

E = 210000,0 N/mm^2

$b_{m;b}$ =	232,0	mm
$b_{m;o}$ =	80	mm
A =	10004	mm^2
e_{min} =	32,2	mm
e_{max} =	124,8	mm
I =	16542576	mm^4
W_{min} =	132539	mm^3
$\gamma_{m;extra}$ =	1,5	(extra materiaalfactor)
N_{Rd} =	2367	kN
$M_{y;Rd}$ =	31	kNm
$M_{w;Rd}$ =	10516	kNm (torsieweerstand mast)
V_{Rd} =	369	kN

Belastingen op 47,0 meter (gelijkgesteld aan de belastingen van de geleiders op 57 m)

Belastingen - geleiders 380 kV

	Ahead			Back		
	F_V N	F_T N	F_L N	F_V N	F_T N	F_L N
BG 1a - (wind (90 gr))	18874	128282	199695	18874	128282	-199695
BG 3 - (wind (90) + ijs)	34638	128272	225106	34638	128272	-225106
BG 1a - (wind (45 gr))	20687	69837	132835	18700	138063	-212228
BG 3 - (wind (45)+ ijs)	35373	108360	213292	34479	131967	-228563
1a- Bundelbr.-(90 gr)	19841	91866	154315	0,0	0,0	0,0
3 - Bundelbr.-(90 gr + ijs)	23535	98655	172148	0,0	0,0	0,0
1a- Bundelbr.-(45 gr)	20743	67763	132149	0,0	0,0	0,0
3 - Bundelbr.-(45 gr + ijs)	24247	80606	158438	0,0	0,0	0,0

Diameter mast t.p.v ringen D = 1167 mm

R = 583,3 mm

Mast 147 :	Lijnhoek = 2. α =	160,4	graden		
Mast 146 :	Lijnhoek = 2. α =	130,4	graden		
Mast 104 :	Lijnhoek = 2. α =	163,5	graden		
Mast 102 :	Lijnhoek = 2. α =	133,1	graden		
	Lijnhoek = 2. α =	163,5	graden	maatgevend	
	hoek φ = boogsin(300 / (583+80)) =	26,9	graden		

	A		B		C	
	$F_{R;1;Ed}$ kN	$F_{R;2;Ed}$ kN	$F_{R;1;Ed}$ kN	$F_{R;2;Ed}$ kN	$F_{R;max;Ed}$ kN	$M_{T;Ed}$ kNm
BG 1a - (wind (90 gr))	59,3	37,1	59,3	37,1		
BG 3 - (wind (90) + ijs)	64,5	43,1	64,5	43,1		
BG 1a - (wind (45 gr))	37,2	25,9	63,3	39,2		
BG 3 - (wind (45)+ ijs)	59,2	41,9	65,7	43,6		
1a- Bundelbr.-(90 gr)	44,8	29,2	0,0	0,0		
3 - Bundelbr.-(90 gr + ijs	49,4	32,9	0,0	0,0		
1a- Bundelbr.-(45 gr)	36,8	25,9	0,0	0,0		
3 - Bundelbr.-(45 gr + ijs	44,0	31,1	0,0	0,0		

Roark's Formulas for stress & strain - tabel 9.2 - 20

Roark's Formulas for stress & strain - tabel 9.2 - 19

Maatgevende belastinggeval : BG 3 - wind 90 gr. + ijs

φ in gr.	$M_{s;d}$ kNm	$T_{s;d}$ kN	$V_{s;d}$ kN	$\Delta M_{s;d}$ kN	$F_{s;d,langs}$ kN
0,0	-5,96	-29,84	-17,70	0,59	6,55
15,0	-5,37	-29,32	-15,08	1,76	19,43
30,0	-3,60	-27,75	-7,53	2,87	31,61
45,0	-0,73	-25,16	4,02	3,87	42,66
60,0	3,14	-21,55	15,48	2,98	32,80
75,0	6,12	-19,97	21,39	1,02	11,26
90,0	5,09	-25,50	24,09	0,01	0,09
105,0	5,08	-29,30	27,34	1,16	12,73
120,0	6,24	-30,84	26,96	4,15	45,73
135,0	2,09	-40,99	20,26	5,80	63,92
150,0	-3,71	-53,26	12,35	3,69	40,63
165,0	-7,40	-61,04	7,10	1,26	13,93
180,0	-8,66	-63,71	5,26	1,26	13,93
195,0	-7,40	-61,04	7,10	3,69	40,63
210,0	-3,71	-53,26	12,35	5,80	63,92
225,0	2,09	-40,99	20,26	4,15	45,73
240,0	6,24	-30,84	26,96	1,16	12,73
255,0	5,08	-29,30	27,34	0,01	0,09
270,0	5,09	-25,50	24,09	1,02	11,26
285,0	6,12	-19,97	21,39	2,98	32,80
300,0	3,14	-21,55	15,48	3,87	42,66
315,0	-0,73	-25,16	4,02	2,87	31,61
330,0	-3,60	-27,75	-7,53	1,76	19,43
345,0	-5,37	-29,32	-15,08	0,59	6,52
360,0	-5,96	-29,84	-17,68	0,00	0,03

$F_{s;d;langs} = \Delta M_{s;d} * S / I$

$S =$ 182250 mm^3

$I =$ 16542576 mm^4

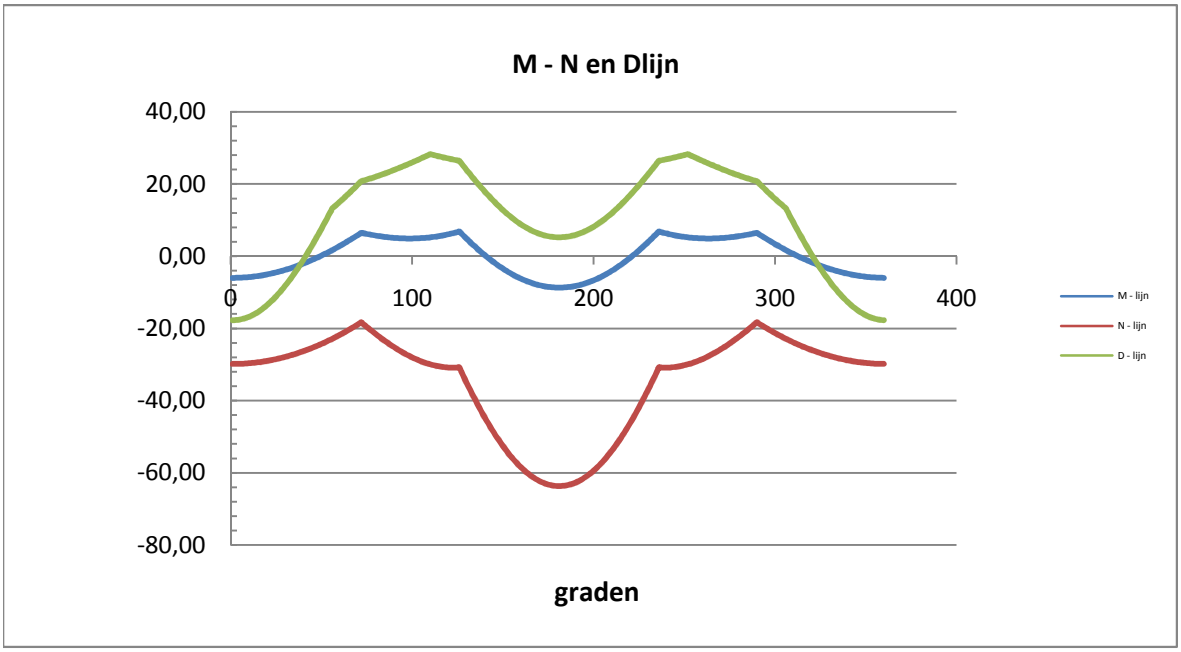

Controle spanningen :

$N_{Ed;max}$ =	63,7	kN		N_{Rd} =	2367	kN
$M_{y,Ed;max}$ =	8,66	kNm		M_{Rd} =	31	kNm
$M_{w,Ed;max}$ =	24,6	kNm		M_{Rd} =	10516	kNm
$V_{Ed;max}$ =	28,3	kN		V_{Rd} =	369	kN

$N_{Ed;max} / N_{Rd}$ = 63,71 / 2367 = 0,03 < 1,0 -- Voldoet

σ_N = 6,4 N/mm^2

$M_{y,Ed;max} / M_{y,Rd}$ = 8,66 / 31,4 = 0,28 < 1,0 -- Voldoet

σ_b = 65,4 N/mm^2

$V_{Ed;max} / V_{Rd}$ = 28,26 / 369 = 0,08 < 1,0 -- Voldoet

τ_z = 10,5 N/mm^2

Bij maximale moment : N_{Ed} = 63,71

V_{Ed} = 5,26

$\sigma_b + \sigma_N$ = 65,4 + 6,4 = 71,7 N/mm^2 < 236 MPa -- Voldoet

τ_z = 1,9 N/mm^2

$\sigma_{vlg} = \{ (\sigma_b + \sigma_N)^2 + 3*\tau^2 \}^{0,5}$

σ_{vlg} = 72 N/mm^2 < 236 MPa -- Voldoet

Controle spanningen in las.

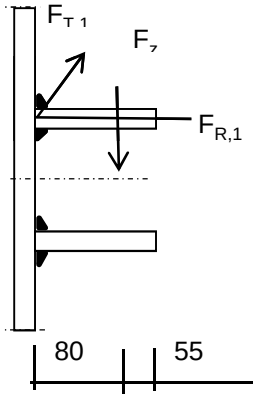

Per bevestiging (2 * bevestigingspunten en 2 * ringen)

$F_{R,1,h}$ =	64,48	kN
$F_{T,1,h}$ =	48,37	kN
F_z =	17,32	kN
$F_{Langs,Ed}$ =	63,92	kN

$L_{las} = b_{m;ring} = 0,138*t*\pi * (E/fy)^{0,5}$ = 210 mm

of

L_{las} = 2 * 80 = 160 mm

L_{las} = 160 mm - maatgevend

lasdikte a = 5 mm - hoeklas

t.g.v. $F_{R,1,h}$:

$\sigma_1 = \tau_1 = F_{R,1,h} / (2*a*L_{las,min}*2^{0,5})$ = 28,5 N/mm^2

t.g.v. $F_{T,1,h}$:

$\tau_2 = F_{T,1,h} / (2*a*L_{las,min})$ = 30,23 N/mm^2

t.g.v. $F_{Langs,Ed}$:

$\tau_2 = F_{Langs,Ed;max} / (2*a*L_{las,min})$ = 39,95 N/mm^2

t.g.v. F_z :

$\sigma_1 = \tau_1 = [(F_z * 1000 * 80)/(t_{ring}+2*a/3)] / (a*L_{las,min}*2^{0,5})$ = 52,48 N/mm^2

$\sigma_1 = \tau_1$ = 80,98 N/mm^2

$\sigma_{Ed} = \{\sigma_1^2 + 3 * (\tau_1^2 + \tau_2^2)\}^{0,5}$ = 202,5 N/mm^2

Toetsing regel :

$\sigma_{Ed} \leq f_u / (\beta_w * \gamma_{M2})$ of $\tau_1 \leq 0{,}9 * f_u / \gamma_{M2}$

$f_{w;u;d} = f_{t;d} / (\beta * \gamma_M *$ wortel(3))

$\gamma_{M2} = 1{,}25$

$\gamma_{m;extra} =$ 1,5 (extra materiaalfactor)

Materiaal S 355 ----> $f_u = 510$ N/mm^2 en $\beta_w = 0{,}9$

$f_u / (\beta_w * \gamma_{M2}) = 302$ N/mm^2 $0{,}9 * f_u / \gamma_{M2} = 245$ N/mm^2

$\sigma_{Ed} \leq f_u / (\beta_w * \gamma_{M2})=$ 202,5 / 302,2 = 0,67 < 1,0 -- Voldoet

$\tau_1 \leq 0{,}9 * f_u / \gamma_{M2}$ 81,0 / 244,8 = 0,33 < 1,0 -- Voldoet

9.1.3 - Afspanpunt trekisolatoren op 37,0 meter hoogte

Ring gegevens:

$t_{buis;nom}$ =	25	mm
$t_{buis;reken}$ =	25	mm
$t_{ring;nom}$ =	20	mm
$t_{ring;reken}$ =	20	mm
b_{ring} =	135	mm
Afstand tussen ringen =	160	mm

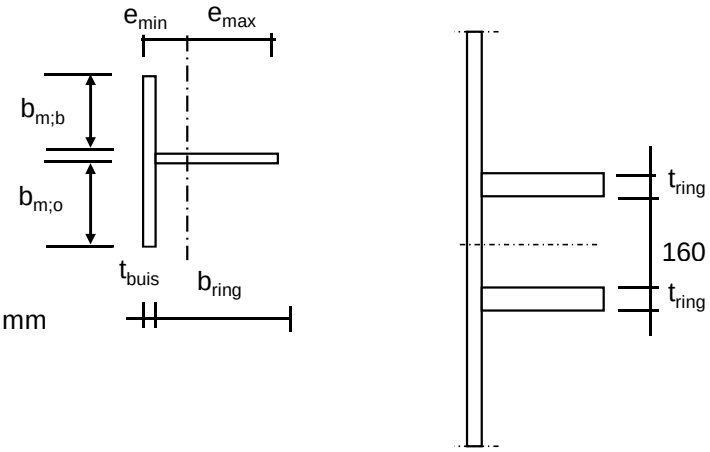

Mee werkende breedte :DIN 18801

$b_m = 0{,}138 * t * \lambda_a$

$\lambda_a = \pi * (E / f_y)^{0,5}$

Staal S355 ; f_y = 355,0 N/mm^2

E = 210000,0 N/mm^2

$b_{m;b}$ =	263,6	mm
$b_{m;o}$ =	80	mm
A =	11790	mm^2
e_{min} =	30,8	mm
e_{max} =	129,2	mm
I =	17896923	mm^4
W_{min} =	138543	mm^3
$\gamma_{m;extra}$ =	1,5	(extra materiaalfactor)
N_{Rd} =	2790	kN
$M_{y;Rd}$ =	33	kNm
$M_{w;Rd}$ =	19885	kNm (torsieweerstand mast)
V_{Rd} =	369	kN

Belastingen op 37,0 meter (gelijkgesteld aan de belastingen van de geleiders op 57 m)

Belastingen - geleiders 380 kV

	Ahead			Back		
	F_V N	F_T N	F_L N	F_V N	F_T N	F_L N
BG 1a - (wind (90 gr))	18874	128282	199695	18874	128282	-199695
BG 3 - (wind (90) + ijs)	34638	128272	225106	34638	128272	-225106
BG 1a - (wind (45 gr))	20687	69837	132835	18700	138063	-212228
BG 3 - (wind (45)+ ijs)	35373	108360	213292	34479	131967	-228563
1a- Bundelbr.-(90 gr)	19841	91866	154315	0,0	0,0	0,0
3 - Bundelbr.-(90 gr + ijs	23535	98655	172148	0,0	0,0	0,0
1a- Bundelbr.-(45 gr)	20743	67763	132149	0,0	0,0	0,0
3 - Bundelbr.-(45 gr + ijs	24247	80606	158438	0,0	0,0	0,0

Diameter mast t.p.v ringen D = 1500 mm

R = 749,9 mm

Mast 147 :	Lijnhoek = 2. α =	160,4	graden	
Mast 146 :	Lijnhoek = 2. α =	130,4	graden	
Mast 104 :	Lijnhoek = 2. α =	163,5	graden	
Mast 102 :	Lijnhoek = 2. α =	133,1	graden	
	hoek tussen lijnen 2. α =	163,5	graden	maatgevend
	hoek φ = boogsin(300 / (750+80)) =	21,2	graden	

	A		B		C	
	$F_{R;1;Ed}$ kN	$F_{R;2;Ed}$ kN	$F_{R;1;Ed}$ kN	$F_{R;2;Ed}$ kN	$F_{R;max;Ed}$ kN	$M_{T;Ed}$ kNm
BG 1a - (wind (90 gr))	59,2	41,5	59,2	41,5		
BG 3 - (wind (90) + ijs)	64,8	47,7	64,8	47,7		
BG 1a - (wind (45 gr))	37,5	28,5	63,2	44,0		
BG 3 - (wind (45)+ ijs)	59,8	45,9	66,0	48,3		
1a- Bundelbr.-(90 gr)	44,9	32,5	0,0	0,0		
3 - Bundelbr.-(90 gr + ijs	49,6	36,4	0,0	0,0		
1a- Bundelbr.-(45 gr)	37,1	28,4	0,0	0,0		
3 - Bundelbr.-(45 gr + ijs	44,4	34,1	0,0	0,0		

Roark's Formulas for stress & strain - tabel 9.2 - 20

Roark's Formulas for stress & strain - tabel 9.2 - 19

Maatgevende belastinggeval : BG 3 - wind 90 gr. + ijs

φ in gr.	$M_{s;d}$ kNm	$T_{s;d}$ kN	$V_{s;d}$ kN	$\Delta M_{s;d}$ kN	$F_{s;d,langs}$ kN
0,0	-7,74	-35,90	-20,91	0,72	7,28
15,0	-7,03	-35,12	-17,98	2,11	21,53
30,0	-4,91	-32,81	-9,52	3,42	34,84
45,0	-1,49	-29,04	3,44	4,58	46,61
60,0	3,08	-23,92	19,30	5,53	56,31
75,0	8,61	-17,61	28,70	0,02	0,24
90,0	8,59	-21,06	32,36	0,16	1,59
105,0	8,43	-24,74	34,05	0,17	1,70
120,0	8,60	-27,63	29,64	7,88	80,21
135,0	0,72	-43,86	18,06	6,14	62,48
150,0	-5,41	-56,47	8,39	3,89	39,65
165,0	-9,30	-64,46	2,00	1,33	13,58
180,0	-10,64	-67,19	-0,23	1,33	13,58
195,0	-9,30	-64,46	2,00	3,89	39,65
210,0	-5,41	-56,47	8,39	6,14	62,48
225,0	0,72	-43,86	18,06	7,88	80,21
240,0	8,60	-27,63	29,64	0,17	1,70
255,0	8,43	-24,74	34,05	0,16	1,59
270,0	8,59	-21,06	32,36	0,02	0,24
285,0	8,61	-17,61	28,70	5,53	56,31
300,0	3,08	-23,92	19,30	4,58	46,61
315,0	-1,49	-29,04	3,44	3,42	34,84
330,0	-4,91	-32,81	-9,52	2,11	21,53
345,0	-7,03	-35,12	-17,98	0,71	7,25
360,0	-7,74	-35,90	-20,90	0,00	0,03

$F_{s;d;langs} = \Delta M_{s;d} * S / I$

$S =$ 182250 mm^3

$I =$ 17896923 mm^4

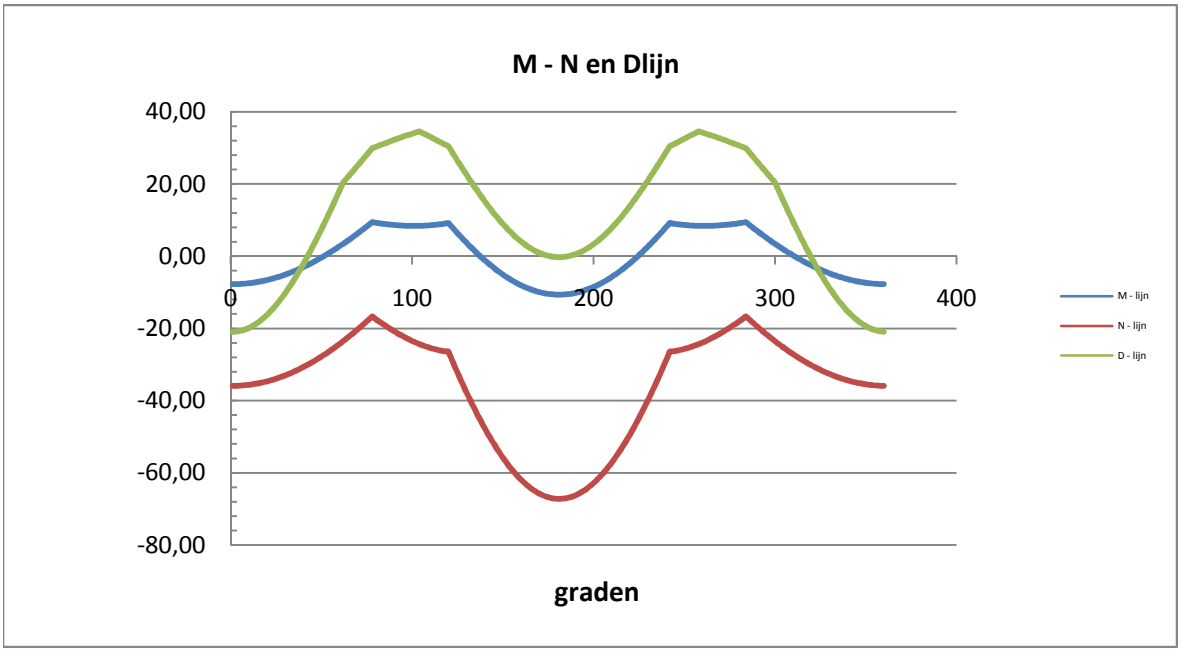

Controle spanningen :

$N_{Ed;max}$ =	67,2	kN		N_{Rd} =	2790	kN
$M_{y,Ed;max}$ =	10,64	kNm		M_{Rd} =	33	kNm
$M_{w,Ed;max}$ =	33,1	kNm		M_{Rd} =	19885	kNm
$V_{Ed;max}$ =	34,5	kN		V_{Rd} =	369	kN

$N_{Ed;max} / N_{Rd}$ = 67,19 / 2790 = 0,02 < 1,0 -- Voldoet

σ_N = 5,7 N/mm^2

$M_{y,Ed;max} / M_{y,Rd}$ = 10,64 / 32,8 = 0,32 < 1,0 -- Voldoet

σ_b = 76,8 N/mm^2

$V_{Ed;max} / V_{Rd}$ = 34,54 / 369 = 0,09 < 1,0 -- Voldoet

τ_z = 12,8 N/mm^2

Bij maximale moment : N_{Ed} = 67,19

V_{Ed} = 0,23

$\sigma_b + \sigma_N$ = 76,8 + 5,7 = 82,5 N/mm^2 < 236 MPa -- Voldoet

τ_z = 0,1 N/mm^2

$\sigma_{vlg} = \{ (\sigma_b + \sigma_N)^2 + 3*\tau^2 \}^{0,5}$

σ_{vlg} = 82 N/mm^2 < 236 MPa -- Voldoet

Controle spanningen in las.

Per bevestiging (2 * bevestigingspunten en 2 * ringen)

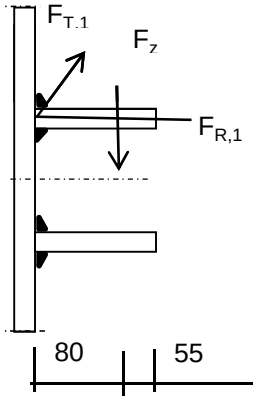

$F_{R,1,h}$ = 64,77 kN

$F_{T,1,h}$ = 43,86 kN

F_z = 17,32 kN

$F_{Langs,Ed}$ = 80,21 kN

$L_{las} = b_{m;ring} = 0,138*t*\pi * (E/fy)^{0,5}$ = 210 mm

of

L_{las} = 2 * 80 = 160 mm

L_{las} = 160 mm - maatgevend

lasdikte a = 5 mm - hoeklas

t.g.v. $F_{R,1,h}$:

$\sigma_1 = \tau_1 = F_{R,1,h} / (2*a*L_{las,min}*2^{0,5})$ = 28,6 N/mm^2

t.g.v. $F_{T,1,h}$:

$\tau_2 = F_{T,1,h} / (2*a*L_{las,min})$ = 27,41 N/mm^2

t.g.v. $F_{Langs,Ed}$:

$\tau_2 = F_{Langs,Ed;max} / (2*a*L_{las,min})$ = 50,13 N/mm^2

t.g.v. F_z :

$\sigma_1 = \tau_1 = [(F_z * 1000 * 80)/(t_{ring}+2*a/3)] / (a*L_{las,min}*2^{0,5})$ = 52,48 N/mm^2

$\sigma_1 = \tau_1$ = 81,11 N/mm^2

$\sigma_{Ed} = \{\sigma_1^2 + 3 * (\tau_1^2 + \tau_2^2)\}^{0,5}$ = 210,6 N/mm^2

Toetsing regel :

$\sigma_{Ed} \leq f_u / (\beta_w * \gamma_{M2})$ of $\tau_1 \leq 0{,}9 * f_u / \gamma_{M2}$

$f_{w;u;d} = f_{t;d} / (\beta * \gamma_M *$ wortel(3))

$\gamma_{M2} = 1{,}25$

$\gamma_{m;extra} =$ 1,5 (extra materiaalfactor)

Materiaal S 355 ----> $f_u = 510$ N/mm^2 en $\beta_w = 0{,}9$

$f_u / (\beta_w * \gamma_{M2}) = 302$ N/mm^2 $0{,}9 * f_u / \gamma_{M2} = 245$ N/mm^2

$\sigma_{Ed} \leq f_u / (\beta_w * \gamma_{M2})$=	210,6	/	302,2	=	0,70	< 1,0 -- Voldoet
$\tau_1 \leq 0{,}9 * f_u / \gamma_{M2}$	81,1	/	244,8	=	0,33	< 1,0 -- Voldoet

9.2 - Berekening draagarm bliksemdraad

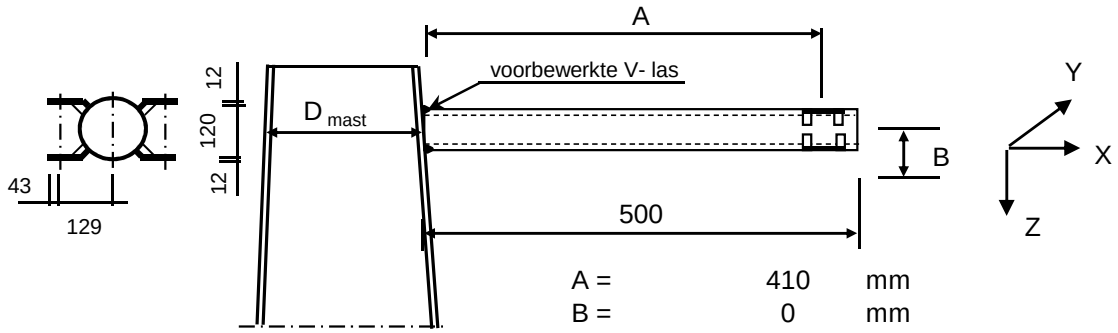

A =	410	mm
B =	0	mm
D_{mast} =	519,0	mm
t_{mast} =	18	mm
Hoogte :	66,43	m

Buisgegevens

Buis Ø168,3 * 8 - S355 ;

$\gamma_{m;extra}$ = 1,5 (extra materiaalfactor)

Materiaal - S 355 ; f_y = 355 / $\gamma_{m;extra}$ = 236,7 N/mm^2

A =	4029	mm^2	$N_{Ed} = A * f_y$ =	953	kN
$W_y = W_z$ =	1,54E+05	mm^3	$M_{y,Ed} = W_y * f_y$ =	36,5	kNm
W_x =	3,08E+05	mm^3	$M_{z,Ed} = W_z * f_y$ =	36,5	kNm
			$M_{x,Ed} = W_x * f_y / 3^{0,5}$ =	42,1	kNm
			$V_{Rd} = 0,5*A* f_y / 3^{0,5}$ =	275,2	kN

Belastingen : Zie KEMA rapport 74100706-ETD/POL 12-001 38 REV V 10.0 - Appendix O en O1

	AHEAD			BACK		
	F_x	F_y	F_z	F_x	F_y	F_z
	N	N	N	N	N	N
BG 1a - (wind (90 gr))	20901	31642	2409	20901	-31642	2409
BG 3 - (wind (90) + ijs)	33736	57101	10572	33736	-57101	10572
BG 1a - (wind (45 gr))	9405	17573	2696	22696	-33977	2390
BG 3 - (wind (45) + ijs)	27712	54254	10775	34821	-57976	10530
BG 1a - bundelbr. (90gr).	13947	22632	2537	0	0	0
BG 3 - bundelbr. (90gr+ijs).	21490	34661	4313	0	0	0
BG 1a - bundelbr. (45gr).	8987	17354	2709	0	0	0
BG 3 - bundelbr. (45gr+ijs).	14472	27966	4576	0	0	0
BG 1a - bundelbr. (-45gr).	14843	23770	2514	0	0	0
BG 3 - bundelbr. (-45gr+ijs)	22751	36152	4276	0	0	0

F_x = Transverse kracht

F_y = Longitudinale kracht

F_z = Verticale kracht

	$F_{x,Ed}$ kN	$F_{y,Ed}$ kN	$F_{z,Ed}$ kN	$M_{x,Ed}$ kNm	$M_{y,Ed}$ kNm	$M_{z,Ed}$ kNm
BG 1a - (wind (90 gr))	41,80	0,00	4,82	0,00	1,98	0,00
BG 3 - (wind (90) + ijs)	67,47	0,00	21,14	0,00	8,67	0,00
BG 1a - (wind (45 gr))	32,10	16,40	5,09	0,00	2,08	6,73
BG 3 - (wind (45) + ijs)	62,53	3,72	21,30	0,00	8,73	1,53
BG 1a - bundelbr. (90gr).	13,95	22,63	2,54	0,00	1,04	9,28
BG 3 - bundelbr. (90gr+ijs).	21,49	34,66	4,31	0,00	1,77	14,21
BG 1a - bundelbr. (45gr).	8,99	17,35	2,71	0,00	1,11	7,12
BG 3 - bundelbr. (45gr+ijs).	14,47	27,97	4,58	0,00	1,88	11,47
BG 1a - bundelbr. (-45gr).	14,84	23,77	2,51	0,00	1,03	9,75
BG 3 - bundelbr. (-45gr+ijs)	**22,75**	**36,15**	**4,28**	**0,00**	**1,75**	**14,82**

$M_{x,Ed} = F_{y,Ed} * B$; $B = 0$

$M_{y,Ed} = F_{z,Ed} * A \pm F_{x,Ed} * B$; $M_{y,Ed,max} = F_{z,Ed} * A$

$M_{z,Ed} = F_{y,Ed} * A$

Maatgevend belastinggeval : BG 3 - bundelbreuk (wind -45 gr + ijs)

$M_{y,Ed} / M_{y,Rd}$ = 1,75 / 36 = 0,05 < 1,0 -- Voldoet

$\sigma_{b,y}$ = 11,4 N/mm²

$M_{z,Ed} / M_{z,Rd}$ = 14,82 / 36 = 0,41 < 1,0 -- Voldoet

$\sigma_{b,y}$ = 96,1 N/mm²

N_{Ed} / N_{Rd} = 22,75 / 953 = 0,02 < 1,0 -- Voldoet

σ_N = 5,6 N/mm²

$V_{z,Ed} / V_{z,Rd}$ = 4,28 / 275 = 0,02 < 1,0 -- Voldoet

τ_z = 2,1 N/mm²

$V_{y,Ed} / V_{y,Rd}$ = 36,15 / 275 = 0,13 < 1,0 -- Voldoet

τ_y = 17,9 N/mm²

Maximale spanning

$\sigma_{max} = (\sigma^2_{b,y} + \sigma^2_{b,z})^{0,5} + \sigma_N$ = 102 N/mm²

vergelijkingsspanning :

$\sigma_{vlg} = (\sigma^2_{max} + 3*\tau^2_y + 3*\tau^2_z)^{0,5}$

σ_{vlg} = 107 N/mm² < 237 MPa -- Voldoet

Controle spanningen in las:

Toetsing regel :

$\sigma_{Ed} \leq f_u / (\beta_w * \gamma_{M2})$ of $\sigma_1 = \sigma_{loodrecht} \leq 0,9 * f_u / \gamma_{M2}$

$f_{v,w,d} = f_u / (\beta_w * \gamma_M *$ wortel(3))

$\gamma_M = 1,25$; $\gamma_{m;extra}$ = 1,5 (extra materiaalfactor)

Materiaal S 355 ----> $f_u = 510$ N/mm² en $\beta_w = 0,9$

$f_u / (\beta_w * \gamma_{M2})$ = 302 N/mm² $0,9 * f_u / \gamma_{M2}$ = 245 N/mm²

Buis 168,3*8 :

Lassen : Rondom voorbewerkte V- las met volledige doorsnede doorlassen

9.2.1 - Controle capaciteit van de aansluiting - draagarm aan mast

Momentcapaciteit in het vlak

buis	d_i (mm)	t_i (mm)	A (mm^2)	kwaliteit	f_y	W_b (mm^3)
0	519,0	18,0	28331	S355	355	3429758
1	168,3	8,0	4029	S355	355	154162

$M_{ip,1,Rd} = \{4{,}85 * (f_{y0} * t^2_0 * d_1 / \sin\theta_1) * (\beta * k_p * g^{0,5})\} / \gamma_{M5}$

γ_{M5} = 1,50 (extra materiaalfactor)

θ_1 = 90 graden ; $\beta = d_i / d_0$ = 0,32

$\gamma = d_0 / 2*t_0$ = 14,4

$n_p = \{N_{0,Ed} / (A_0 * f_{y,0})\} + \{M_{0,Ed} / (W_0 * f_{y,0})\}$

$N_{0,Ed}$ = 6,89 kN drukkracht
$M_{0,Ed}$ = 16,11 kNm
} t.g.v. max. belasting

n_p = 0,01 of n_p = -0,013

k_p = 1,0 , voor $n_p \leq 0$ (trek) ;

$k_p = 1{,}0 - 0{,}3 * n_p - 0{,}3 * n_p^2$, voor $n_p > 0$ (druk) maar $k_p \leq 1$

k_p = 1,00

$M_{ip,1,Rd}$ = 76,7 kNm

Pons controle ; Voor $d_1 \leq d_0 - 2*t_0$:

$M_{ip,1,Rd} = \{(f_{y0} * t_0 * d^2_1 / 3^{0,5})*((1+ 3*\sin\theta_1)/ 4*\sin^2\theta_1)\} / \gamma_{M5}$

$M_{ip,1,Rd}$ = 69,7 kNm

$M_{y,Ed} / M_{ip,1,Rd}$ = 8,73 / 69,7 = 0,13 < 1,0 -- Voldoet

Momentcapaciteit uit het vlak

$M_{op,1,Rd} = \{(f_{y0} * t^2_0 * d_1 / \sin\theta_1) * (2{,}7 / (1 - 0{,}81*\beta)) * k_p \} / \gamma_{M5}$

$M_{op,1,Rd}$ = 47,1 kNm

Pons controle ; Voor $d_1 \leq d_0 - 2*t_0$:

$M_{op,1,Rd} = \{(f_{y0} * t_0 * d^2_1 / 3^{0,5})*((3+ \sin\theta_1)/ 4*\sin^2\theta_1)\} / \gamma_{M5}$

$M_{op,1,Rd}$ = 69,7 kNm

$M_{z,Ed} / M_{op,1,Rd}$ = 14,82 / 47,1 = 0,31 < 1,0 -- Voldoet

9.2,2 - Berekening clip bliksemdraad (clip type 2)

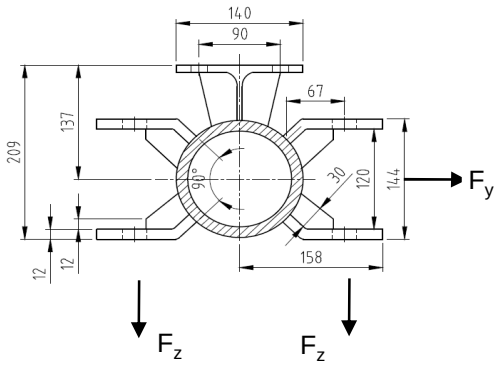

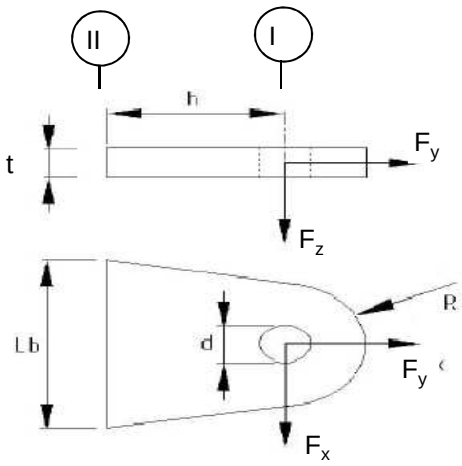

R =	42	mm ;	t =	12	mm
Lb =	120	mm ;	d =	27	mm
h =	65	mm ;	a las =	5	mm (hoeklas)

Materiaal - S 355 ; f_y = 355 / 1,5 = 236,7 N/mm^2

	$F_{x,Ed}$ kN	$F_{y,Ed}$ kN	$F_{z,Ed}$ kN
BG 1a - (wind (90 gr))	20,90	31,64	2,41
BG 3 - (wind (90) + ijs)	**33,74**	**57,10**	**10,57**
BG 1a - (wind (45 gr))	9,41	17,57	2,70
BG 3 - (wind (45) + ijs)	27,71	54,25	10,78

Maatgevend belastinggeval : BG 3 - (wind 90 gr + ijs)

Per clip :	**16,87**	**28,55**	**10,57**

Doorsnede I ; ter hoogte van het gat

Per clip: $F_{Ed;max}$ = $(F_{x,Ed}^2 + F_{y,Ed}^2)^{0,5}$ = 29,0 kN

τ_{toel} = (355 / 1,5) / $3^{0,5}$ = 137 N/mm^2

τ = $F_{Ed,max}$ / (2 *(t * (R - d/2)) = 42 N/mm^2 < 137 MPa -- Voldoet

Doorsnede II ; per clips

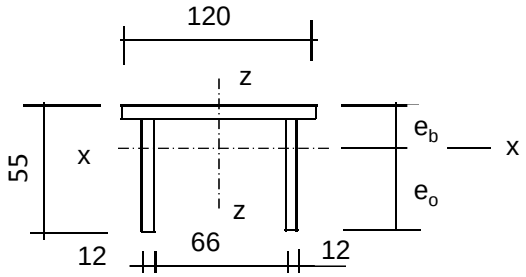

e_b =	17,5	mm
e_o =	37,5	mm
A =	2472	mm^2
A_{schot} =	1032	mm^3

I_x =	630925	mm^4	I_z =	3310056	mm^4
$W_{x,min}$ =	16816	mm^3	W_z =	55168	mm^3

$N_{Rd} = A * f_y$ =	585	kN
$M_{x,Rd} = W_{x,min} * f_y$ =	4,0	kNm
$M_{z,Rd} = W_z * f_y$ =	10,5	kNm
$V_{z,Rd} = A_{schot} * f_y / 3^{0,5}$ =	141,0	kN
$V_{x,Rd} = A_{ribbe} * f_y / 3^{0,5}$ =	196,8	kN

N_{Ed} =	28,55	kN	$M_{z,Ed} = V_{x,Ed} * h$ =	1,10	kNm
$V_{z,Ed}$ =	10,57	kN	$M_{x,Ed} = V_{z,Ed} * h$ =	0,69	kNm
$V_{x,Ed}$ =	16,87	kN			

N_{Ed} / N_{Rd} =	28,55	/	585	=	0,05	< 1,0	-- Voldoet
			σ_N =		11,5	N/mm^2	
$M_{z,Ed} / M_{z,Rd}$ =	1,10	/	10,5	=	0,10	< 1,0	-- Voldoet
			$\sigma_{b,z}$ =		24,6	N/mm^2	
$M_{x,Ed} / M_{x,Rd}$ =	0,69	/	4,0	=	0,17	< 1,0	-- Voldoet
			$\sigma_{b,x}$ =		40,9	N/mm^2	
$V_{z,Ed} / V_{z,Rd}$ =	10,57	/	141	/	0,07	< 1,0	-- Voldoet
			τ_z =		10,2	N/mm^2	
$V_{x,Ed} / V_{x,Rd}$ =	16,87	/	197	/	0,09	< 1,0	-- Voldoet
			τ_x =		11,7	N/mm^2	

Maximale spanning

σ_{max} = 77,0 N/mm^2

vergelijkingsspanning :

$\sigma_{vlg} = (\sigma^2_{max} + 3*\tau^2_x + 3*\tau^2_z)^{0,5}$

σ_{vlg} = 82 N/mm^2 < 236 MPa -- Voldoet

Controle spanningen in las:

Toetsing regel :

$\sigma_{Ed} \leq f_u / (\beta_w * \gamma_{M2})$ of $\sigma_1 = \sigma_{loodrecht} \leq 0{,}9 * f_u / \gamma_{M2}$

$f_{v,w,d} = f_u / (\beta_w * \gamma_M *$ wortel(3))

$\gamma_M = 1{,}25$; $\gamma_{m;extra} =$ 1,5 (extra materiaalfactor)

Materiaal S 355 ----> $f_u = 510$ N/mm^2 en $\beta_w = 0{,}9$

$f_u / (\beta_w * \gamma_{M2}) = 302$ N/mm^2 $0{,}9 * f_u / \gamma_{M2} = 245$ N/mm^2

Lassen : hoeklas 5 mm rondom

a =	5	mm	t =	12	mm
			t_1 =	12	mm

Per mm las: : $\sigma_1 = \tau_1 = \sigma_{max} * t / (2 * a * 2^{0,5})$

$\tau_2 = \tau_{y,max} * t / (2 * a)$ of $\tau_2 = \tau_{z,max} * t_1 / (2 * a)$

σ_1 =				65,4	N/mm^2
τ_1 =				65,4	N/mm^2
τ_2 =	0			14,1	N/mm^2
σ_{Ed} =	$\{\sigma_1^2 + 3 * (\tau_1^2 + \tau_2^2)\}^{0,5}$	=		133,0	N/mm^2
$\sigma_{Ed} \leq f_u / (\beta_w * \gamma_{M2})$ =	133,0	/	302,2 =	0,44	< 1,0 -- Voldoet
$\sigma_1 \leq 0{,}9 * f_u / \gamma_{M2}$	65,4	/	244,8 =	0,27	< 1,0 -- Voldoet

9.3 - Berekening draagarm "Retourstroomgeleider"

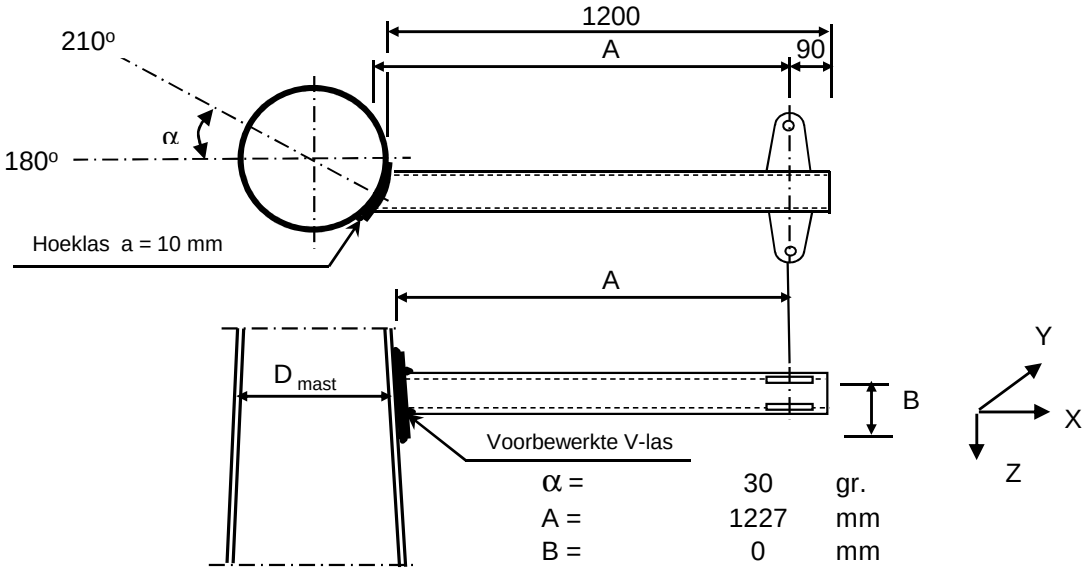

α =	30	gr.
A =	1227	mm
B =	0	mm
D_{mast} =	1750	mm
t_{mast} =	28	mm
Hoogte :	29,5	m

Buisgegevens

Buis Ø273 * 8 - S355 ;

$\gamma_{m;extra}$ = 1,5 (extra materiaalfactor)

Materiaal - S 355 ; f_y = 355 / $\gamma_{m;extra}$ = 236,7 N/mm^2

A =	6660	mm^2	$N_{Ed} = A * f_y$ =	1576	kN
$W_y = W_z$ =	4,29E+05	mm^3	$M_{y,Ed} = W_y * f_y$ =	101,5	kNm
W_x =	8,57E+05	mm^3	$M_{z,Ed} = W_z * f_y$ =	101,5	kNm
			$M_{x,Ed} = W_x * f_y / 3^{0,5}$ =	117,2	kNm
			$V_{Rd} = 0,5*A* f_y / 3^{0,5}$ =	455,0	kN

Belastingen : Zie KEMA rapport 74100706-ETD/POL 12-001 38 REV V 10.0 - Appendix O en O1

	AHEAD			BACK		
	F_x	F_y	F_z	F_x	F_y	F_z
	N	N	N	N	N	N
BG 1a - (wind (90 gr))	32837	51872	5164	32837	-51872	5164
BG 3 - (wind (90) + ijs)	62688	111385	21562	62688	-111385	21562
BG 1a - (wind (45 gr))	18847	36043	5611	35245	-54983	5116
BG 3 - (wind (45) + ijs)	55463	109437	21767	63954	-112160	21514
BG 1a - bundelbr. (90gr).	24027	40920	5416	0	0	0
BG 3 - bundelbr. (90gr+ijs).	37213	63173	9047	0	0	0
BG 1a - bundelbr. (45gr).	18356	35903	5623	0	0	0
BG 3 - bundelbr. (45gr+ijs).	29095	56915	9359	0	0	0
BG 1a - bundelbr. (-45gr).	25102	42181	5377	0	0	0
BG 3 - bundelbr. (-45gr+ijs)	38728	64802	8989	0	0	0

F_x = Transverse kracht

F_y = Longitudinale kracht

F_z = Verticale kracht

	$F_{x,Ed}$ kN	$F_{y,Ed}$ kN	$F_{z,Ed}$ kN	$M_{x,Ed}$ kNm	$M_{y,Ed}$ kNm	$M_{z,Ed}$ kNm
BG 1a - (wind (90 gr))	65,67	0,00	10,33	0,00	12,68	0,00
BG 3 - (wind (90) + ijs)	125,38	0,00	43,12	0,00	52,92	0,00
BG 1a - (wind (45 gr))	54,09	18,94	10,73	0,00	13,16	23,24
BG 3 - (wind (45) + ijs)	119,42	2,72	43,28	0,00	53,11	3,34
BG 1a - bundelbr. (90gr).	24,03	40,92	5,42	0,00	6,65	50,22
BG 3 - bundelbr. (90gr+ijs).	37,21	63,17	9,05	0,00	11,10	77,53
BG 1a - bundelbr. (45gr).	18,36	35,90	5,62	0,00	6,90	44,06
BG 3 - bundelbr. (45gr+ijs).	29,10	56,92	9,36	0,00	11,49	69,85
BG 1a - bundelbr. (-45gr).	25,10	42,18	5,38	0,00	6,60	51,76
BG 3 - bundelbr. (-45gr+ijs)	**38,73**	**64,80**	**8,99**	**0,00**	**11,03**	**79,53**

$M_{x,Ed} = F_{y,Ed} * B$; $B = 0$

$M_{y,Ed} = F_{z,Ed} * A \pm F_{x,Ed} * B$; $M_{y,Ed,max} = F_{z,Ed} * A$

$M_{z,Ed} = F_{y,Ed} * A$

Maatgevend belastinggeval : BG 3 - bundelbreuk (wind -45 gr + ijs)

$M_{y,Ed} / M_{y,Rd}$ = 11,03 / 101 = 0,11 < 1,0 -- Voldoet

$\sigma_{b,y}$ = 25,7 N/mm^2

$M_{z,Ed} / M_{z,Rd}$ = 79,53 / 101 = 0,78 < 1,0 -- Voldoet

$\sigma_{b,y}$ = 185,5 N/mm^2

N_{Ed} / N_{Rd} = 38,73 / 1576 = 0,02 < 1,0 -- Voldoet

σ_N = 5,8 N/mm^2

$V_{z,Ed} / V_{z,Rd}$ = 8,99 / 455 = 0,02 < 1,0 -- Voldoet

τ_z = 2,7 N/mm^2

$V_{y,Ed} / V_{y,Rd}$ = 64,80 / 455 = 0,14 < 1,0 -- Voldoet

τ_y = 19,5 N/mm^2

Maximale spanning

$\sigma_{max} = (\sigma^2_{b,y} + \sigma^2_{b,z})^{0,5} + \sigma_N$ = 193 N/mm^2

vergelijkingsspanning :

$\sigma_{vlg} = (\sigma^2_{max} + 3*\tau^2_y + 3*\tau^2_z)^{0,5}$

σ_{vlg} = 196 N/mm^2 < 237 MPa -- Voldoet

Controle spanningen in las:

Toetsing regel :

$\sigma_{Ed} \leq f_u / (\beta_w * \gamma_{M2})$ of $\sigma_1 = \sigma_{loodrecht} \leq 0,9 * f_u / \gamma_{M2}$

$f_{v,w,d} = f_u / (\beta_w * \gamma_M *$ wortel(3))

$\gamma_M = 1,25$; $\gamma_{m;extra}$ = 1,5 (extra materiaalfactor)

Materiaal S 355 ----> $f_u = 510$ N/mm^2 en $\beta_w = 0,9$

$f_u / (\beta_w * \gamma_{M2})$ = 302 N/mm^2 $0,9 * f_u / \gamma_{M2}$ = 245 N/mm^2

Buis 273*8 aan de versterkingsplaat
Lassen : Rondom voorbewerkte V- las met volledige doorsnede doorlassen

Berekening versterkingsplaat

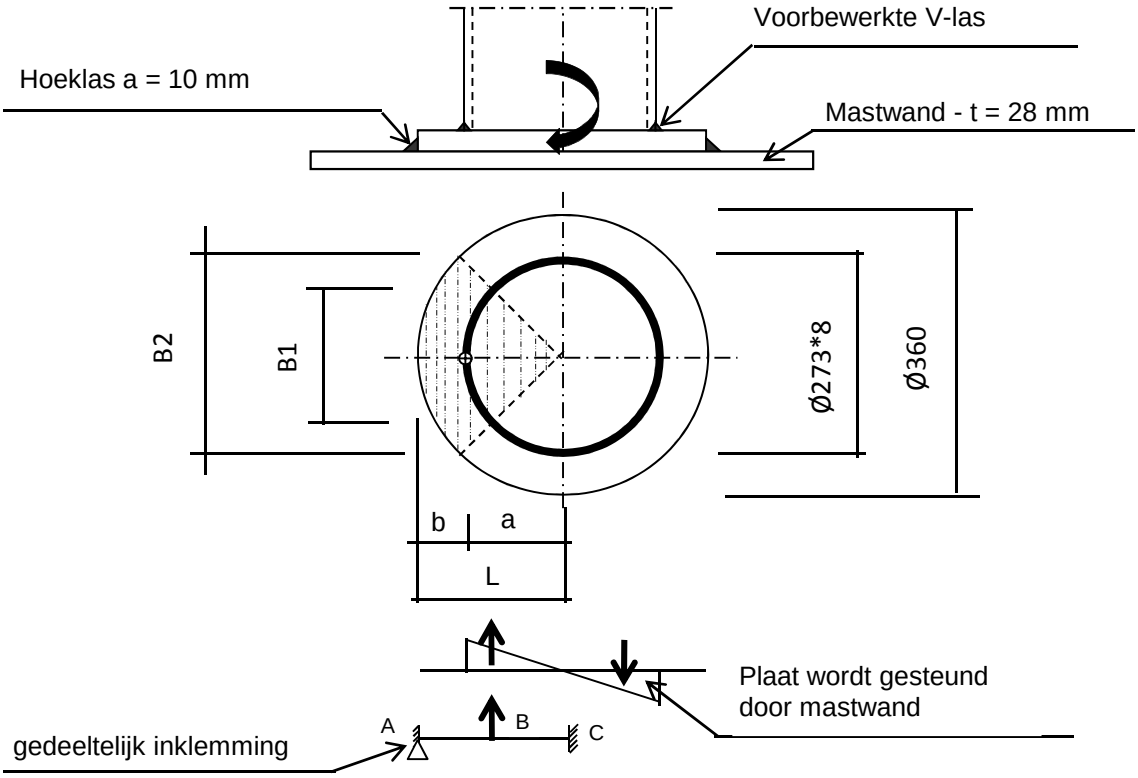

Plaat rond 360 * 25 - S355

Buis Ø273 * 8 - S355 ;

A =	6660	mm^2
W =	428697	mm^3
I =	58517143	mm^4
R =	137	mm

Hoeklas a= 10,0 mm

$\gamma_{m;extra}$ = 1,5 (extra materiaalfactor)

Maatgevend belasting

$M_{ed,max} = (M_{y,Ed}^2 + M_{z,Ed}^2)^{0,5} =$ 80,3 kNm

$F_{Ed} = [((M_{Ed} * R_{buis} / I) * (1+\cos 45^o))/2] * (A_{buis} / 4)$

$F_{Ed} =$ 266,2 kN

$a = R_{buis} =$ 136,5

$b = R_{pl} - a =$ 43,5

B1 =	193,0	mm ;	Boog B1 =	214	mm
B2 =	254,6	mm ;	Boog B2 =	283	mm

Percentage inklemming= $a_{las} / t_{pl} =$ 40,0%

Percentage vrij oplegging = 60,0%

Volledig opleggingg:

$M_{A;Ed} = 0$ 0,00 kNm

$M_{B;Ed} = (F_{Ed} * b/2)*(2 - 3*b/L + b^3/L^3) =$ 7,46 kNm

$R_{A;Ed} = (F_{Ed} * a^2 / 2.L^3)* (b + 2.L) =$ 171,6 kN

Volledig inklemming:

$M_{A;Ed} = (F_{Ed} * b * a^2 / L^2) =$ 6,66 kNm

$M_{B;Ed} = (2 * F_{Ed} * a^2 * b^2 / L^3) =$ 3,22 kNm

$R_{A;Ed} = F_{Ed} * (a / L)^2 * (1 + 2* b / L) =$ 227,0 kN

Gedeeltelijk inklemming:

$M_{A;Ed} =$ 0,0 * 60,0% + 6,7 * 40,0% = 2,66 kNm

$M_{B;Ed} =$ 7,5 * 60,0% + 3,2 * 40,0% = 5,76 kNm

$R_{A;Ed} =$ 171,6 * 60,0% + 227,0 * 40,0% = 193,8 kN

$M_{A;Rd} = ((1/4) * t_{pl}^2 * \text{Boog B2} * 355 / 1,5) / 10^{-6} =$ 10,46 kNm

$M_{B;Rd} = ((1/4) * t_{pl}^2 * \text{Boog B1} * 355 / 1,5) / 10^{-6} =$ 7,93 kNm

$M_{A,Ed} / M_{A,Rd} =$ 2,66 / 10,46 = 0,25 < 1,0 -- Voldoet

$\sigma_{b,A} =$ 60,3 N/mm^2

$M_{B,Ed} / M_{B,Rd} =$ 5,76 / 7,93 = 0,73 < 1,0 -- Voldoet

$\sigma_{b,B} =$ 172,1 N/mm^2

Ter plaatse van buiten ring:

$V_{Ed} =$ 193,8 kN

$\tau = V_{Ed} * 1000 / t_{pl} * \text{Boog B2} =$ 27,4 N/mm^2

Ter plaatse van binnen ring :

$\tau = V_{Ed} * 1000 / t_{pl} * \text{Boog B1} =$ 36,1 N/mm^2

$\sigma_{vlg,max} = \{\sigma_b^2 + 3*\tau^2\}^{0,5} =$ 183,1 N/mm^2

< 237 MPa -- Voldoet

Controle spanningen in las.

Toetsing regel :

$\sigma_{Ed} \leq f_u / (\beta_w * \gamma_{M2})$ of $\sigma_1 = \sigma_{loodrecht} \leq 0,9 * f_u / \gamma_{M2}$

$f_{v,w,d} = f_u / (\beta_w * \gamma_M * \text{wortel(3)})$

$\gamma_M = 1,25$; $\gamma_{m;extra} =$ 1,5 (extra materiaalfactor)

Materiaal S 355 ----> $f_u = 510$ N/mm^2 en $\beta_w = 0,9$

$f_u / (\beta_w * \gamma_{M2}) = 302$ N/mm^2 $0,9 * f_u / \gamma_{M2} = 245$ N/mm^2

Lassen hoeklas a = 10 mm rondom

Per mm las:

t.g.v buigspanning:

$\sigma_1 = \tau_1 = \sigma_b * t / (1 * a * 2^{0,5}) =$ 106,6 N/mm^2

t.g.v schuifspanning:

$\sigma_1 = \tau_1 = \pm \tau * t / (1 * a * 2^{0,5}) =$ 48,5 N/mm^2

$\sigma_{1,max}$ =	106,6	+	48,5	=		155,0	N/mm^2
$\tau_{1,max}$ =	106,6	-	48,5	=		58,1	N/mm^2
$\tau_2 = 0$							
σ_{Ed} =	$\{\sigma_1^2 + 3 * (\tau_1^2 + \tau_2^2)\}^{0,5}$			=		184,8	N/mm^2
$\sigma_{Ed} \leq f_u / (\beta_w * \gamma_{M2})$ =	184,8	/	302,2	=	0,61	< 1,0	-- Voldoet
$\sigma_1 \leq 0,9 * f_u / \gamma_{M2}$	155,0	/	244,8	=	0,63	< 1,0	-- Voldoet

9.3.1 - Controle capaciteit van de aansluiting - draagarm aan mast

Momentcapaciteit in het vlak

buis	d_i (mm)	t_i (mm)	A (mm^2)	kwaliteit	f_y	W_b (mm^3)
0	1749,8	28,0	151459	S355	355	64169592
Plaat	360,0		101788	S355	355	4580442

$M_{ip,1,Rd} = \{4{,}85 * (f_{y0} * t^2_0 * d_1 / \sin\theta_1) * (\beta * k_p * g^{0,5})\} / \gamma_{M5}$

γ_{M5} = 1,50 (extra materiaalfactor)

θ_1 = 90 graden ; $\beta = d_i / d_0$ = 0,21

$\gamma = d_0 / 2{*}t_0$ = 31,2

$n_p = \{N_{0,Ed} / (A_0 * f_{y,0})\} + \{M_{0,Ed} / (W_0 * f_{y,0})\}$

$N_{0,Ed}$ = 434,8 kN drukkracht
$M_{0,Ed}$ = 16251,6 kNm
} t.g.v. max. belasting

n_p = 0,72 of n_p = -0,705

k_p = 1,0 , voor $n_p \leq 0$ (trek) ;

$k_p = 1{,}0 - 0{,}3 * n_p - 0{,}3 * n_p^2$, voor $n_p > 0$ (druk) maar $k_p \leq 1$

k_p = 0,63

$M_{ip,1,Rd}$ = 233,7 kNm

Pons controle ; Voor $d_1 \leq d_0 - 2{*}t_0$:

$M_{ip,1,Rd} = \{(f_{y0} * t_0 * d^2_1 / 3^{0,5})*((1+ 3*\sin\theta_1)/ 4*\sin^2\theta_1)\} / \gamma_{M5}$

$M_{ip,1,Rd}$ = 495,8 kNm

$M_{y,Ed} / M_{ip,1,Rd}$ = 53,11 / 233,7 = 0,23 < 1,0 -- Voldoet

Momentcapaciteit uit het vlak

$M_{op,1,Rd} = \{(f_{y0} * t^2_0 * d_1 / \sin\theta_1) * (2{,}7 / (1 - 0{,}81*\beta)) * k_p \} / \gamma_{M5}$

$M_{op,1,Rd}$ = 135,8 kNm

Pons controle ; Voor $d_1 \leq d_0 - 2{*}t_0$:

$M_{op,1,Rd} = \{(f_{y0} * t_0 * d^2_1 / 3^{0,5})*((3+ \sin\theta_1)/ 4*\sin^2\theta_1)\} / \gamma_{M5}$

$M_{op,1,Rd}$ = 495,8 kNm

$M_{z,Ed} / M_{op,1,Rd}$ = 79,53 / 135,8 = 0,59 < 1,0 -- Voldoet

9.3,2 - Berekening clip "Retourstroomgeleider" (clip type 2)

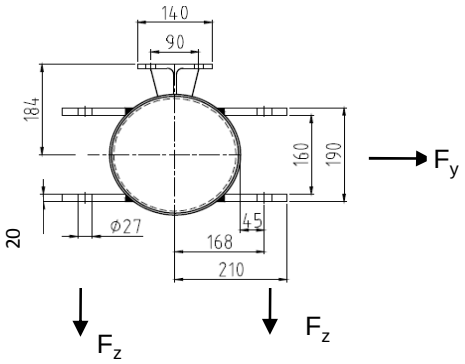

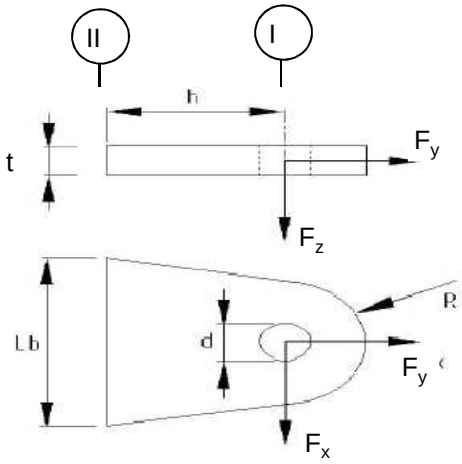

R =	42	mm ;	t =	20	mm
Lb =	140	mm ;	d =	27	mm
h =	75	mm ;	a las =	voorbewerkte V-las	

Materiaal - S 355 ; f_y = 355 / 1,5 = 236,7 N/mm^2

	$F_{x,Ed}$ kN	$F_{y,Ed}$ kN	$F_{z,Ed}$ kN
BG 1a - (wind (90 gr))	32,84	51,87	5,16
BG 3 - (wind (90) + ijs)	**62,69**	**111,38**	**21,56**
BG 1a - (wind (45 gr))	18,85	36,04	5,61
BG 3 - (wind (45) + ijs)	55,46	109,44	21,77

Maatgevend belastinggeval : BG 3 - (wind 90 gr + ijs)

Per clip :	**31,34**	**55,69**	**21,56**

Doorsnede I ; ter hoogte van het gat

Per clip: $F_{Ed;max}$ = $(F_{x,Ed}^2 + F_{y,Ed}^2)^{0,5}$ = 56,7 kN

τ_{toel} = (355 / 1,5) / $3^{0,5}$ = 137 N/mm^2

τ = $F_{Ed,max}$ / (2 *(t * (R - d/2)) = 50 N/mm^2 < 137 MPa -- Voldoet

Doorsnede II ; per clips

A =	2800	mm^2	N_{Rd} = A * f_y =	663	kN
W_z =	6,53E+04	mm^3	$M_{z,Rd}$ = W_z * f_y =	15,5	kNm
W_x =	9,33E+03	mm^3	$M_{x,Rd}$ = W_x * f_y =	2,2	kNm
			V_{Rd} = A* f_y / $3^{0,5}$ =	382,6	kN

N_{Ed} =	55,69	kN	$M_{z,Ed}$ = $V_{x,Ed}$ * h =	2,35	kNm
$V_{z,Ed}$ =	21,56	kN	$M_{x,Ed}$ = $V_{z,Ed}$ * h =	1,62	kNm
$V_{x,Ed}$ =	31,34	kN			

N_{Ed} / N_{Rd} =	55,69	/	663	=	0,08	< 1,0	-- Voldoet
			σ_N =		19,9	N/mm^2	
$M_{z,Ed} / M_{z,Rd}$ =	2,35	/	15,5	=	0,15	< 1,0	-- Voldoet
			$\sigma_{b,z}$ =		36,0	N/mm^2	
$M_{x,Ed} / M_{x,Rd}$ =	1,62	/	2,2	=	0,73	< 1,0	-- Voldoet
			$\sigma_{b,x}$ =		173,3	N/mm^2	
$V_{z,Ed} / V_{z,Rd}$ =	21,56	/	383	/	0,06	< 1,0	-- Voldoet
			τ_z =		7,7	N/mm^2	
$V_{x,Ed} / V_{x,Rd}$ =	31,34	/	383	/	0,08	< 1,0	-- Voldoet
			τ_x =		11,2	N/mm^2	

Maximale spanning

σ_{max} = 229,1 N/mm^2 < 236 MPa -- Voldoet

vergelijkingsspanning :

$\sigma_{vlg} = (\sigma^2_{max} + 3*\tau^2_x + 3*\tau^2_z)^{0,5}$

σ_{vlg} = 230 N/mm^2 < 236 MPa -- Voldoet

Controle spanningen in las:

Toetsing regel :

$\sigma_{Ed} \leq f_u / (\beta_w * \gamma_{M2})$ of $\sigma_1 = \sigma_{loodrecht} \leq 0,9 * f_u / \gamma_{M2}$

$f_{v,w,d} = f_u / (\beta_w * \gamma_M *$ wortel(3))

γ_M = 1,25 ; $\gamma_{m;extra}$ = 1,5 (extra materiaalfactor)

Materiaal S 355 ----> f_u = 510 N/mm^2 en β_w = 0,9

$f_u / (\beta_w * \gamma_{M2})$ = 302 N/mm^2 $0,9 * f_u / \gamma_{M2}$ = 245 N/mm^2

Lassen : Rondom voorbewerkte V- las met volledige doorsnede doorlassen

9.4 - Berekening Clip 17 - t.b.v installatie geleiders (op 0,5m hoogte)

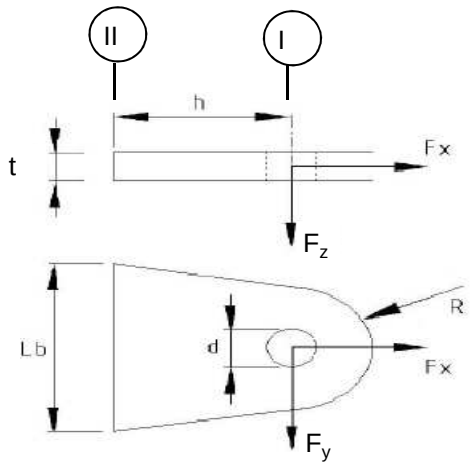

R =	55	mm ;	t =	20	mm
Lb =	110	mm ;	d =	27	mm
h =	55	mm ;	las :	Voorbeverklte K-las	

$\gamma_{m;extra}$ = 1,5 (extra materiaalfactor)

Materiaal - S 355 ; f_y = 355 / 1,5 = 236,7 N/mm^2

	$F_{x,Ed}$ kN	$F_{y,Ed}$ kN	$F_{z,Ed}$ kN
BG 200 kN	141,42	141,42	0,00
of	0,00	200,00	

Doorsnede I ; ter hoogte van de gat (twee clips)

Per clip: $F_{Ed;max}$ = $0,5 * (F_{y,Ed}^2 + F_{x,Ed}^2)^{0,5}$ = 100,0 kN

τ_{toel} = (355 / 1,5) / $3^{0,5}$ = 137 N/mm^2

τ = $F_{Ed,max}$ / (2 *(t * (R - d/2)) = 60 N/mm^2 < 137 MPa -- Voldoet

Doorsnede II ; per clips (twee clips)

A =	2200	mm^2	$N_{Rd} = A * f_y$ =	521	kN
W_y =	4,03E+04	mm^3	$M_{x,Rd} = W_y * f_y$ =	9,5	kNm
W_z =	7,33E+03	mm^3	$M_{y,Rd} = W_z * f_y$ =	1,7	kNm
			$V_{Rd} = A* f_y / 3^{0,5}$ =	300,6	kN

N_{Ed} =	70,71	kN	$M_{y,Ed} = V_{y,Ed} * h$ =	3,889	kNm
$V_{y,Ed}$ =	70,71	kN			

N_{Ed} / N_{Rd} =	70,71	/	521	=	0,14	< 1,0 -- Voldoet	
			σ_N =		32,1	N/mm^2	
$M_{y,Ed}$ / $M_{y,Rd}$ =	3,89	/	10	=	0,41	< 1,0 -- Voldoet	
			$\sigma_{b,y}$ =		96,4	N/mm^2	
$V_{z,Ed}$ / $V_{z,Rd}$ =	70,71	/	301	=	0,24	< 1,0 -- Voldoet	
			τ_y =		32,1	N/mm^2	

Maximale buigspanning

$\sigma_{b,max}$ = { 32,1 + 96,4 } = 128,6 N/mm^2

vergelijkingsspanning :

$\sigma_{vlg} = (\sigma^2_{b,max} + 3*\tau^2_y)^{0,5}$

σ_{vlg} = 140 N/mm^2 < 237 MPa -- Voldoet

N_{Ed} = 0,00 kN $M_{y,Ed} = V_{y,Ed} * h$ = 5,500 kNm

$V_{y,Ed}$ = 100,00 kN

$M_{y,Ed}$ / $M_{y,Rd}$ =	5,50	/	10	=	0,58	< 1,0 -- Voldoet	
			$\sigma_{b,y}$ =		136,4	N/mm^2	
$V_{z,Ed}$ / $V_{z,Rd}$ =	100,00	/	301	=	0,33	< 1,0 -- Voldoet	
			τ_y =		45,5	N/mm^2	

vergelijkingsspanning :

$\sigma_{vlg} = (\sigma^2_{b,max} + 3*\tau^2_y)^{0,5}$

σ_{vlg} = 157 N/mm^2 < 230 MPa -- Voldoet

Controle spanningen in las.

Toetsing regel :

$\sigma_{Ed} \leq f_u / (\beta_w * \gamma_{M2})$ of $\sigma_1 = \sigma_{loodrecht} \leq 0,9 * f_u / \gamma_{M2}$

$f_{v,w,d} = f_u / (\beta_w * \gamma_M *$ wortel(3))

γ_M = 1,25 ; $\gamma_{m;extra}$ = 1,5 (extra materiaalfactor)

Materiaal S 355 ----> f_u = 510 N/mm^2 en β_w = 0,9

$f_u / (\beta_w * \gamma_{M2})$ = 302 N/mm^2 $0,9 * f_u / \gamma_{M2}$ = 245 N/mm^2

Lassen : Voorbewerkte K- las met volledige doorsnede doorlassen

9.4.1 - Controle capaciteit van de aansluiting

Plaats van de aansluiting ; 0,5m boven voetplaat

buis/plaat	d_i / h_i (mm)	t_i (mm)	A (mm^2)	kwaliteit	f_y	W_b (mm^3)
0	2716,3	32,0	269859	S355	355	178989953
clip	110,0	20,0	2200	S355	355	40333

$N_{i,Rd} = \{(5 * k_p * f_{y0} * t^2_0) * (1 + 0{,}25 * \eta)\} / \gamma_{M5}$

$M_{ip,i,Rd} = h_i * N_{i,Rd}$; $M_{op,i,Rd} = 0$

Toepassingsgebied:

$\eta = h_i / d_0 \leq 4$ $h_i / d_0 =$ 0,04 voldoet

$\gamma_{M5} =$ 1,50 (extra materiaalfactor)

$\eta = h_i / d_0 =$ 0,04

$n_p = \{N_{0,Ed} / (A_0 * f_{y,0})\} + \{M_{0,Ed} / (W_0 * f_{y,0})\}$

$N_{0,Ed} =$ 1133,1 kN drukkracht
$M_{0,Ed} =$ 45194,3 kNm
} t.g.v. max. belasting

$n_p =$ 0,72 of $n_p =$ -0,699

$k_p = 1{,}0$, voor $n_p \leq 0$ (trek)

$k_p = 1{,}0 - 0{,}3 * n_p - 0{,}3 * n_p^2$, voor $n_p > 0$ (druk) maar $k_p \leq 1$

$k_p =$ 0,63

$N_{1,Rd} =$ 766,5 kN ---> > N1,Ed ; voldoet

$N_{1,Ed} / N_{1,Rd} =$ 70,71 / 766,5 = 0,09 < 1,0 -- Voldoet

$M_{op,i,Rd} =$ 84,3 kNm ---> > M1,Ed ; voldoet

$M_{1,Ed} / M_{op,1,Rd} =$ 3,89 / 84,3 = 0,05 < 1,0 -- Voldoet

Pons controle

$\sigma_{max.}t_i = (N_{Ed} / A + M_{Ed} / W_{el}) * t_i \leq \{(f_{y,0} / 3^{0,5}) * 2 * t_0 \} / \gamma_{M5}$

$N_{1,Ed} =$ 70,71 kN ; $M_{1,Ed} =$ 3,889 kNm

$\sigma_{max.}t_i =$ 2571 N/mm'

$\{(f_{y,0} / 3^{0,5}) * 2 * t_0 \} / \gamma_{M5} =$ 8745 N/mm' ---> voldoet

9.5 - Berekening clip hulprail - clip 8

Clip hoogte:
66,43 - 64,93 - 56,8 - 54,3 - 46,8 - 44,3 - 36,8 en 34,3 m

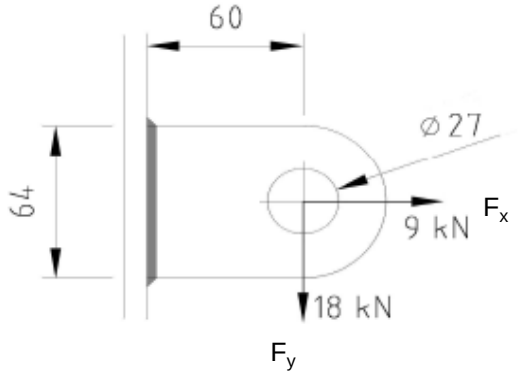

R =	32	mm ;	t =	20	mm
Lb =	64	mm ;	d =	27	mm
h =	60	mm ;	a las =	5	mm - hoeklas

$\gamma_{m;extra}$ = 1,5 (extra materiaalfactor)
Materiaal - S 355 ; f_y = 355 / 1,5 = 236,7 N/mm^2

$F_{x,Ed}$	$F_{y,Ed}$	$F_{z,Ed}$
kN	kN	kN
9,00	18,00	0,00

Doorsnede I ; ter hoogte van het gat

Per clip: $F_{Ed;max}$ = $(F_{y,Ed}^2 + F_{y,Ed}^2)^{0,5}$ = 20,1 kN

τ_{toel} = (355 / 1,5) / $3^{0,5}$ = 137 N/mm^2
τ = $F_{Ed,max}$ / (2 *(t * (R - d/2)) = 27 N/mm^2 < 137 MPa -- Voldoet

Doorsnede II ; per clips

A =	1280	mm^2	N_{Rd} = A * f_y =	303	kN
W_y =	1,37E+04	mm^3	$M_{x,Rd}$ = W_y * f_y =	3,2	kNm
W_z =	4,27E+03	mm^3	$M_{y,Rd}$ = W_z * f_y =	1,0	kNm
			V_{Rd} = A* f_y / $3^{0,5}$ =	174,9	kN

N_{Ed} =	9,00	kN	$M_{y,Ed}$ = $V_{y,Ed}$ * h =	1,080	kNm
$V_{y,Ed}$ =	18,00	kN			

N_{Ed} / N_{Rd} =	9,00	/	303	=	0,03	< 1,0 -- Voldoet
			σ_N =		7,0	N/mm^2
$M_{y,Ed}$ / $M_{y,Rd}$ =	1,08	/	3	=	0,33	< 1,0 -- Voldoet
			$\sigma_{b,y}$ =		79,1	N/mm^2
$V_{z,Ed}$ / $V_{z,Rd}$ =	18,00	/	175	=	0,10	< 1,0 -- Voldoet
			τ_y =		14,1	N/mm^2

Maximale buigspanning

$\sigma_{b,max}$ = { 7,0 + 79,1 } = 86,1 N/mm^2

$\sigma_{vlg} = (\sigma^2_{b,max} + 3*\tau^2_y)^{0,5}$

σ_{vlg} = 90 N/mm^2 < 237 MPa -- Voldoet

Controle spanningen in las:

Toetsing regel :

$\sigma_{Ed} \leq f_u / (\beta_w * \gamma_{M2})$ of $\sigma_1 = \sigma_{loodrecht} \leq 0,9 * f_u / \gamma_{M2}$

$f_{v,w,d} = f_u / (\beta_w * \gamma_M *$ wortel(3))

$\gamma_M = 1,25$; $\gamma_{m;extra}$ = 1,5 (extra materiaalfactor)

Materiaal S 355 ----> f_u = 510 N/mm^2 en $\beta_w = 0,9$

$f_u / (\beta_w * \gamma_{M2})$ = 302 N/mm^2 $0,9 * f_u / \gamma_{M2}$ = 245 N/mm^2

Lassen : hoeklas 5 mm rondom

a = 5 mm t = 20 mm

Per mm las: : $\sigma_1 = \tau_1 = \sigma_{max} * t / (2 * a * 2^{0,5})$

$\tau_2 = \tau_{max} * t / (2 * a)$

σ_1 =			121,8	N/mm^2
τ_1 =			121,8	N/mm^2
τ_2 = 0			28,1	N/mm^2
σ_{Ed} =	$\{\sigma_1^2 + 3 * (\tau_1^2 + \tau_2^2)\}^{0,5}$ =		248,4	N/mm^2
$\sigma_{Ed} \leq f_u / (\beta_w * \gamma_{M2})$=	248,4 /	302,2 =	0,82	< 1,0 -- Voldoet
$\sigma_1 \leq 0,9 * f_u / \gamma_{M2}$	121,8 /	244,8 =	0,50	< 1,0 -- Voldoet

9.5.1 - Controle capaciteit van de aansluiting

Clip op 34.3 meter hoogte - (diameter buis maximum)

buis/plaat	d_i / h_i (mm)	t_i (mm)	A (mm^2)	kwaliteit	f_y	W_b (mm^3)
0	1589,8	28,0	137386	S355	355	52715966
clip	64,0	20,0	1280	S355	355	13653

$N_{i,Rd} = \{(5 * k_p * f_{y0} * t^2_0) * (1 + 0,25 * \eta)\} / \gamma_{M5}$

$M_{ip,i,Rd} = h_i * N_{i,Rd}$; $M_{op,i,Rd} = 0$

Toepassingsgebied:

$\eta = h_i / d_0 \leq 4$ $h_i / d_0 =$ 0,04 voldoet

$\gamma_{M5} =$ 1,50 (extra materiaalfactor)

$\eta = h_i / d_0 =$ 0,04

$n_p = \{N_{0,Ed} / (A_0 * f_{y,0})\} + \{M_{0,Ed} / (W_0 * f_{y,0})\}$

$N_{0,Ed} =$ 355,0 kN drukkracht
$M_{0,Ed} =$ 11923,5 kNm
} t.g.v. max. belasting

$n_p =$ 0,64 of $n_p =$ -0,630

$k_p = 1,0$, voor $n_p \leq 0$ (trek)

$k_p = 1,0 - 0,3 * n_p - 0,3 * n_p^2$, voor $n_p > 0$ (druk) maar $k_p \leq 1$

$k_p =$ 0,68

$N_{1,Rd} =$ 639,2 kN

$N_{1,Ed} / N_{1,Rd} =$ 9,00 / 639,2 = 0,01 < 1,0 -- Voldoet

$M_{op,i,Rd} =$ 40,9 kNm

$M_{1,Ed} / M_{op,1,Rd} =$ 1,08 / 40,9 = 0,03 < 1,0 -- Voldoet

Pons controle

$\sigma_{max.}t_i = (N_{Ed} / A + M_{Ed} / W_{el}) * t_i \leq \{(f_{y,0} / 3^{0,5}) * 2 * t_0 \} / \gamma_{M5}$

$N_{1,Ed} =$ 9,00 kN ; $M_{1,Ed} =$ 1,080 kNm

$\sigma_{max.}t_i =$ 1723 N/mm'

$\{(f_{y,0} / 3^{0,5}) * 2 * t_0 \} / \gamma_{M5} =$ 7652 N/mm' ---> voldoet

Clip op 64,93 m hoogte -(wanddikte buis minimum / diameter maximum)

buis/plaat	d_i / h_i (mm)	t_i (mm)	A (mm^2)	kwaliteit	f_y	W_b (mm^3)
0	569,0	18,0	31158	S355	355	4160559
clip	64,0	20,0	1280	S355	355	13653

$N_{i,Rd} = \{(5 * k_p * f_{y0} * t^2_0) * (1 + 0{,}25 * \eta)\} / \gamma_{M5}$

$M_{ip,i,Rd} = h_i * N_{i,Rd}$; $M_{op,i,Rd} = 0$

Toepassingsgebied:

$\eta = h_i / d_0 \leq 4$ $h_i / d_0 =$ 0,11 voldoet

$\gamma_{M5} =$ 1,50 (extra materiaalfactor)

$\eta = h_i / d_0 =$ 0,11

$n_p = \{N_{0,Ed} / (A_0 * f_{y,0})\} + \{M_{0,Ed} / (W_0 * f_{y,0})\}$

$N_{0,Ed} =$ 36,6 kN drukkracht
$M_{0,Ed} =$ 589,7 kNm
} t.g.v. max. belasting

$n_p =$ 0,40 of $n_p =$ -0,396

$k_p = 1{,}0$, voor $n_p \leq 0$ (trek)

$k_p = 1{,}0 - 0{,}3 * n_p - 0{,}3 * n_p^2$, voor $n_p > 0$ (druk) maar $k_p \leq 1$

$k_p =$ 0,83

$N_{1,Rd} =$ 327,4 kN

$N_{1,Ed} / N_{1,Rd} =$ 9,00 / 327,4 = 0,03 < 1,0 -- Voldoet

$M_{op,i,Rd} =$ 21,0 kNm

$M_{1,Ed} / M_{op,1,Rd} =$ 1,08 / 21,0 = 0,05 < 1,0 -- Voldoet

Pons controle

$\sigma_{max.}t_i = (N_{Ed} / A + M_{Ed} / W_{el}) * t_i \leq \{(f_{y,0} / 3^{0,5}) * 2 * t_0 \} / \gamma_{M5}$

$N_{1,Ed} =$ 9,00 kN ; $M_{1,Ed} =$ 1,080 kNm

$\sigma_{max.}t_i =$ 1723 N/mm'

$\{(f_{y,0} / 3^{0,5}) * 2 * t_0 \} / \gamma_{M5} =$ 4919 N/mm' ---> voldoet

9.6 - Ondersteuning hijsbalk op de top van de mast

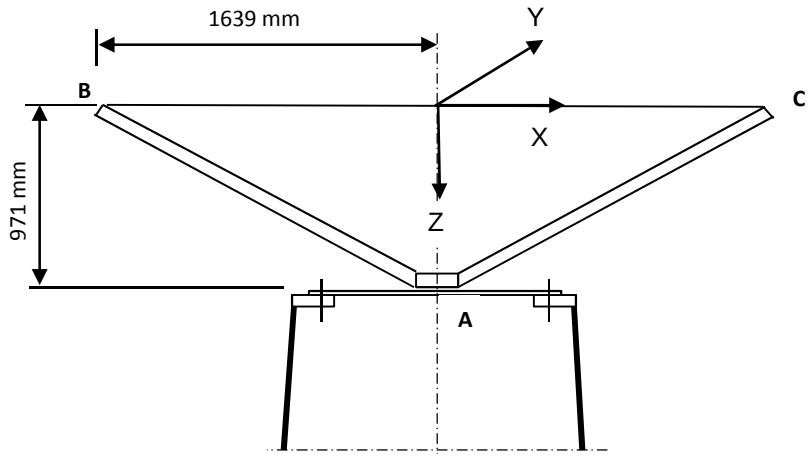

Buis rond 500 * 18

Afstand aangrijpingspunt tot as =	1639	mm
Hoogte aangrijpingspunt boven ring =	971	mm
Verticale belasting $F_{z,Ed}$ =	35	kN
Horizontale belasting $F_{x,Ed}$ = $F_{y,Ed}$ =	15	kN

	BG 1	BG 2	BG 3	BG 4
$F_{z;B,Ed}$	35	35	35	35
$F_{z;c,Ed}$	35	0	35	0
$F_{x;B,Ed}$	15	15	0	0
$F_{x;c,Ed}$	15	0	0	0
$F_{y;B,Ed}$	0	0	15	15
$F_{y;c,Ed}$	0	0	-15	0

Verticaal:	$R_{z;A}$ (kN)	70	35	70	35
Horizontaal:	$R_{x(y);A}$ (kN)	30	15	0	0
Moment:	$M_{y(x);A}$ (kNm)	29,13	71,93	0	57,365
Wringing:	$M_{z;A}$ (kNm)	0	0	49,17	24,585

Ringgegevens ;

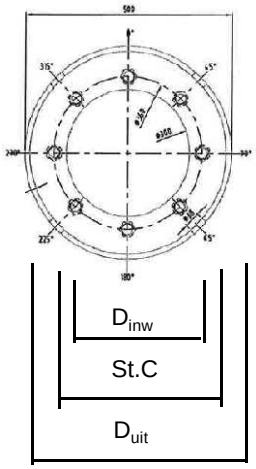

D-uitwendig	500	mm
D-inwendig	300	mm
StC	360	mm
plaat dikte t =	30	mm
Staalkwaliteit S-355; f_y =	355	N/mm^2
Aantal bouten	8	
BoutenM24 - 8,8		

M24 -8,8 :	$F_{t,Rd}$ =	203,03	/ 1,5	=	135,4	kN
	$F_{v,Rd}$ =	135,36	/ 1,5	=	90,2	kN

$\gamma_{m;extra}$ = 1,5 (extra materiaalfactor)

controle bouten

	BG 1	BG 2	BG 3	BG 4	
$F_{t,Ed}$ - kN	31,7	95,5	0,0	75,3	
$F_{v,Ed}$ - kN	3,8	1,9	34,1	17,1	
$F_{t,Ed} / F_{t,Rd}$ =	0,23	0,71	0,00	0,56	< 1 ; voldoet
$F_{v,Ed} / F_{v,Rd}$ =	0,04	0,02	0,38	0,19	< 1 ; voldoet
$F_{v,Ed} / F_{v,Rd} + F_{t,Ed} / 1,4 * F_{t,Rd}$ =	0,21	0,52	0,38	0,59	< 1 ; voldoet

Controle ring :

maatgevend belastinggeval : BG2.

Ten gevolge van verticale belasting ; F_z = 35 kN

Voor de formule zie: Roark's formulas for stress & strain - Tabel 11,2 - 1

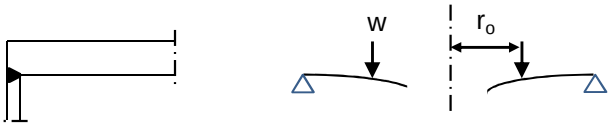

Voor de formule zie: Roark's formulas for stress & strain - Tabel 11,2 - 1e

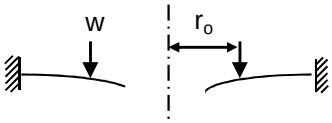

De ring wordt ondersteunt door buis met een las gelijk aan de dikte van de buis.

Verdeling van belasting:

Percentage inklemming (tabel 11,2-1e) = t_{buis} / t_{pl} = 60,0%

Percentage vrij oplegging = 40,0%

W =	35,0	kN			
$w_{(ro)}$ =	31	N/mm'	ν =	0,3	
a =	250	mm	E =	210000	N/mm^2
b =	150	mm	f_y =	237	N/mm^2
r_o =	180	mm			

$D = E.t^3 / 12.(1-\nu^2)$ = 519230769

$C_1 = 0,5.(1+\nu).((b/a).\ln(a/b)) + 0,25.((1-\nu).((a/b)-(b/a))$ = 0,3859

$C_4 = 0,5.[(1+\nu).(b/a).+ (1-\nu).(a/b)]$ = 0,9733

$C_7 = 0,5.(1-\nu^2).((a/b)-(b/a))$ = 0,4853

$L_3 = (r_o/4a).\{[(r_o/a)^2+1].\ln(a/r_o) + (r_o/a)^2 -1\}$ = 0,0031

$L_6 = (r_o/4a).[(r_o/a)^2 -1+ 2.\ln(a/r_o)]$ = 0,0316

$L_9 = (r_o/a).\{ 0,5*(1+\nu).\ln(a/r_o) +0,25*(1-\nu).[1 - (r_o/a)^2]\}-$ = 0,2144

$F_7 = 0,5.(1-\nu^2).((r/b)-(b/r))$; en voor $r = r_o$ = 0,1668

$\theta_b = w . a^2 . L_6 / D. C_4$ = 0,0001

M_{ra} =percentage inkl. * $w . a (L_9 - C_7 . L_6 / C_4)$ = 922 Nmm/mm'

$Q_a = w \cdot r_o / a$ = 22 N/mm'

Ten gevolge van moment ; $M_{y;Ed}$ = 71,93 kNm

$w = F_{bout,max} / (2 * \pi * r_o / n_{bout})$

$w = (4*M_{y,Ed}*1000 / (360 * 8)) / (2\pi * 180 / 8)$ = 707 N/mm'

M_{ra} =percentage inkl. * $w \cdot a (L_9 - C_7 \cdot L_6 / C_4)$ = 21060 Nmm/mm'

$M_{ra;max,Ed}$ = 21982 Nmm/mm'

$Q_a = w \cdot r_o / a$ = 509 N/mm'

Q_{amax} = 531

$M_{Rd} = (1/6) * 1 * t^2 * f_y$ = 35500 Nmm/mm'

M_{Ed} / M_{Rd} = 21982 / 35500 = 0,62 < 1,0 -- Voldoet

σ_b = 146,5 N/mm^2

$\tau_z = w_{tot} / t$ = 531 / 30 = 17,70 N/mm^2

$\sigma_{vlg} = (\sigma^2_{b,max} + 3*\tau^2_z)^{0,5}$

σ_{vlg} = 150 N/mm^2 < 237 MPa -- Voldoet

Controle spanning in de buis

Buis Ø500 * 18 - S355 ;

A = 27256 mm^2 $N_{Ed} = A * f_y$ = 9676 kN

$W_y = W_z$ = 3,17E+06 mm^3 $M_{y,Ed} = W_y * f_y$ = 1125,6 kNm

N_{Ed} = 35 kN

$M_{y,Ed}$ = 71,93 kNm

N_{Ed} / N_{Rd} = 35,00 / 9676 = 0,00 < 1,0 -- Voldoet

σ_N = 1,3 N/mm^2

$M_{y,Ed} / M_{y,Rd}$ = 71,93 / 1126 = 0,06 < 1,0 -- Voldoet

$\sigma_{b,y}$ = 22,7 N/mm^2

σ_{max} = 24,0 N/mm^2

Controle spanningen in las:

Toetsing regel :

$\sigma_{Ed} \leq f_u / (\beta_w * \gamma_{M2})$ of $\sigma_1 = \sigma_{loodrecht} \leq 0,9 * f_u / \gamma_{M2}$

$f_{v,w,d} = f_u / (\beta_w * \gamma_M *$ wortel(3))

$\gamma_M = 1,25$; $\gamma_{m;extra}$ = 1,5 (extra materiaalfactor)

Materiaal S 355 ----> f_u = 510 N/mm^2 en β_w = 0,9

$f_u / (\beta_w * \gamma_{M2})$ = 302 N/mm^2 $0,9 * f_u / \gamma_{M2}$ = 245 N/mm^2

Lassen : Rondom voorbewerkte V- las met volledige doorsnede doorlassen

9.7 - Berekening versterking deur

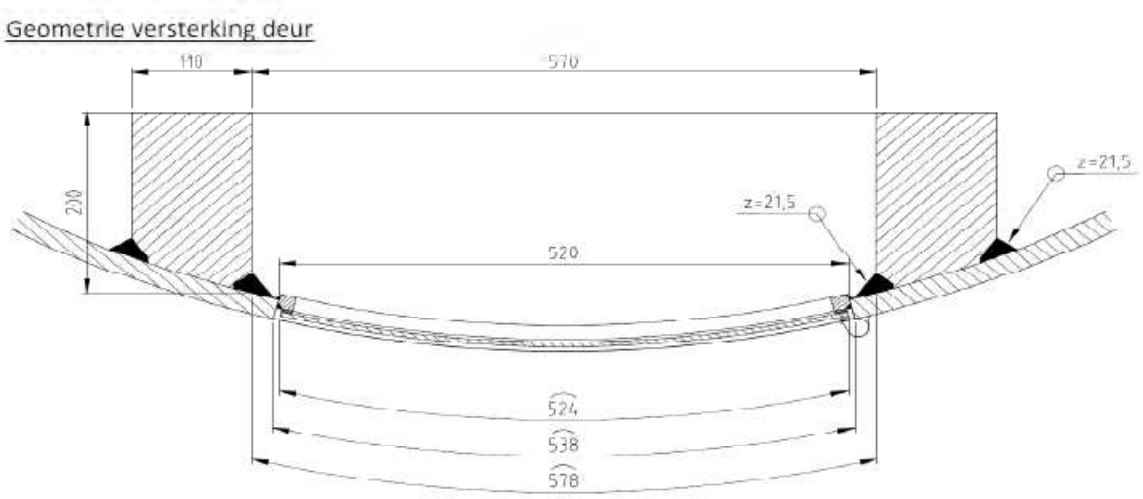

Doorsnede ter hoogte van de hart opening (1,225m hoogte):

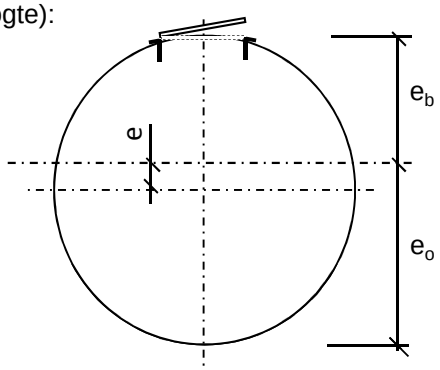

Buisdiameter :	2692	mm
dikte t ;	32	mm

A_{buis} =	267430	mm^2
$A_{versterking}$ =	40756	mm^2
$A_{verlies}$ =	16546	mm^2
A_{tot} =	291639	mm^2

e =	89,3	mm			
e_b =	1256,8	mm ;	e_o =	1435,4	mm

I_{tot} =	2,62E+11	mm^4
W_{min} =	1,82E+08	mm^3
W_{max} =	2,08E+08	mm^3

Krachten: Maximale krachten t.p.v. mastvoet - knoop 33 (inclusief 2e orde effect)

M_{Ed} =	45636	kNm ;	N_{Ed} =	1133 kN

σ_N =	N_{Ed} / A_{tot} =	3,9	N/mm^2
σ_b =	M_{Ed} / W_{min} =	250,2	N/mm^2

σ_{max} = 3,9 + 250,2 = 254,1 N/mm^2 < 355 MPa -- Voldoet

Bijlage A

Rapport KEMA - 74100224-ETD/POL 12-00138 V10,0 - 18 -11-2013

bijlage O, O1 en O2

W2H400+10 TOWER (rev 6.0, date: 05-11-2012) Appendix O

Loadcases for tower strength (ultimate limit state)

Loadcase according to 50341-3-15	Attachment point	AHEAD			BACK		
		Vertical [N]	Transverse [N]	Longitudinal [N]	Vertical [N]	Transverse [N]	Longitudinal [N]
1a	380C1F1 / 380C2F1	20485	75297	136712	20485	75297	-136712
Wind, 10 dgr	380C1F2 / 380C2F2	20524	74336	135898	20524	74336	-135898
Permanent loads yg= 1.2	380C1F3 / 380C2F3	20569	73158	134961	20569	73158	-134961
Wind angle: 0 dgr	GW / opgw	2652	10545	18596	2652	10545	-18596
	Comp. gl	5567	20126	36891	5567	20126	-36891
1b	380C1F1 / 380C2F1	21289	77125	151829	21289	77125	-151829
Wind, -20 dgr	380C1F2 / 380C2F2	21291	77013	151827	21291	77013	-151827
Permanent loads yg= 1.2	380C1F3 / 380C2F3	21294	76872	151829	21294	76872	-151829
Wind angle: 0 dgr	GW / opgw	2774	10056	19659	2774	10056	-19659
	Comp. gl	5745	20446	40313	5745	20446	-40313
3	380C1F1 / 380C2F1	35333	110372	213376	35333	110372	-213376
Wind+ice, -5 dgr	380C1F2 / 380C2F2	35341	110036	213325	35341	110036	-213325
Permanent loads yg= 1.2	380C1F3 / 380C2F3	35350	109617	213281	35350	109617	-213281
Wind angle: 0 dgr	GW / opgw	10764	28348	54231	10764	28348	-54231
	Comp. gl	21757	56274	109301	21757	56274	-109301
4	380C1F1 / 380C2F1	24364	77946	153473	24364	77946	-153473
Construction/maintenance, +5 dgr	380C1F2 / 380C2F2	24366	77839	153481	24366	77839	-153481
Permanent loads yg= 1.2	380C1F3 / 380C2F3	24367	77704	153495	24367	77704	-153495
Wind angle: 0 dgr	GW / opgw	3606	11399	22352	3606	11399	-22352
	Comp. gl	7411	23215	45867	7411	23215	-45867
6	380C1F1 / 380C2F1	23267	72548	145509	23267	72548	-145509
Permanent, +10 dgr	380C1F2 / 380C2F2	23267	72548	145509	23267	72548	-145509
Permanent loads yg= 1.35	380C1F3 / 380C2F3	23267	72548	145509	23267	72548	-145509
	GW / opgw	3042	9537	19127	3042	9537	-19127
	Comp. gl	6308	19750	39612	6308	19750	-39612
1a	380C1F1 / 380C2F1	20687	69837	132835	18700	138063	-212228
Wind, 10 dgr	380C1F2 / 380C2F2	20699	69473	132667	18821	131106	-203310
Permanent loads yg= 1.2	380C1F3 / 380C2F3	20712	69022	132483	18997	122244	-191985
Wind angle: 45 dgr	GW / opgw	2696	9405	17573	2390	22696	-33977
	Comp. gl	5611	18847	36043	5116	35245	-54983
1b	380C1F1 / 380C2F1	21300	76445	151878	21022	84058	-155673
Wind, -20 dgr	380C1F2 / 380C2F2	21300	76394	151889	21061	83211	-154980
Permanent loads yg= 1.2	380C1F3 / 380C2F3	21301	76330	151904	21108	82173	-154186
Wind angle: 45 dgr	GW / opgw	2776	9926	19650	2715	11488	-20736
	Comp. gl	5748	20283	40329	5689	22077	-41141
3	380C1F1 / 380C2F1	35373	108360	213292	34479	131967	-228563
Wind+ice, -5 dgr	380C1F2 / 380C2F2	35375	108212	213310	34592	129323	-226069
Permanent loads yg= 1.2	380C1F3 / 380C2F3	35378	108025	213338	34732	126069	-223144
Wind angle: 45 dgr	GW / opgw	10775	27712	54254	10530	34821	-57976
	Comp. gl	21767	55463	109437	21514	63954	-112160
4	380C1F1 / 380C2F1	24372	77290	153572	24172	84274	-156100
Construction/maintenance, +5 dgr	380C1F2 / 380C2F2	24372	77240	153586	24201	83517	-155587
Permanent loads yg= 1.2	380C1F3 / 380C2F3	24373	77177	153603	24235	82586	-155007
Wind angle: 45 dgr	GW / opgw	3607	11279	22363	3567	12605	-22974
	Comp. gl	7413	23061	45901	7375	24639	-46277
1a	380C1F1 / 380C2F1	18874	128282	199695	18874	128282	-199695

W2H400+10 TOWER (rev 6.0, date: 05-11-2012) Appendix O

Loadcases for tower strength (ultimate limit state)

Loadcase according to 50341-3-15	Attachment point	AHEAD			BACK		
		Vertical [N]	Transverse [N]	Longitudinal [N]	Vertical [N]	Transverse [N]	Longitudinal [N]
Wind, 10 dgr	380C1F2 / 380C2F2	18999	122131	191841	18999	122131	-191841
Permanent loads yg= 1.2	380C1F3 / 380C2F3	19177	114331	181940	19177	114331	-181940
Wind angle: 90 dgr	GW / opgw	2409	20901	31642	2409	20901	-31642
	Comp. gl	5164	32837	51872	5164	32837	-51872
1b	380C1F1 / 380C2F1	21076	82876	154716	21076	82876	-154716
Wind, -20 dgr	380C1F2 / 380C2F2	21108	82160	154176	21108	82160	-154176
Permanent loads yg= 1.2	380C1F3 / 380C2F3	21146	81282	153562	21146	81282	-153562
Wind angle: 90 dgr	GW / opgw	2727	11239	20488	2727	11239	-20488
	Comp. gl	5701	21800	40929	5701	21800	-40929
3	380C1F1 / 380C2F1	34638	128272	225106	34638	128272	-225106
Wind+ice, -5 dgr	380C1F2 / 380C2F2	34734	126028	223108	34734	126028	-223108
Permanent loads yg= 1.2	380C1F3 / 380C2F3	34853	123270	220782	34853	123270	-220782
Wind angle: 90 dgr	GW / opgw	10572	33736	57101	10572	33736	-57101
	Comp. gl	21562	62688	111385	21562	62688	-111385
4	380C1F1 / 380C2F1	24212	83216	155393	24212	83216	-155393
Construction/maintenance, +5 dgr	380C1F2 / 380C2F2	24235	82574	155000	24235	82574	-155000
Permanent loads yg= 1.2	380C1F3 / 380C2F3	24263	81783	154560	24263	81783	-154560
Wind angle: 90 dgr	GW / opgw	3575	12401	22817	3575	12401	-22817
	Comp. gl	7382	24405	46153	7382	24405	-46153
1a	380C1F1 / 380C2F1	18700	138063	212228	20687	69837	-132835
Wind, 10 dgr	380C1F2 / 380C2F2	18821	131106	203310	20699	69473	-132667
Permanent loads yg= 1.2	380C1F3 / 380C2F3	18997	122244	191985	20712	69022	-132483
Wind angle: -45 dgr	GW / opgw	2390	22696	33977	2696	9405	-17573
	Comp. gl	5116	35245	54983	5611	18847	-36043
1b	380C1F1 / 380C2F1	21022	84058	155673	21300	76445	-151878
Wind, -20 dgr	380C1F2 / 380C2F2	21061	83211	154980	21300	76394	-151889
Permanent loads yg= 1.2	380C1F3 / 380C2F3	21108	82173	154186	21301	76330	-151904
Wind angle: -45 dgr	GW / opgw	2715	11488	20736	2776	9926	-19650
	Comp. gl	5689	22077	41141	5748	20283	-40329
3	380C1F1 / 380C2F1	34479	131967	228563	35373	108360	-213292
Wind+ice, -5 dgr	380C1F2 / 380C2F2	34592	129323	226069	35375	108212	-213310
Permanent loads yg= 1.2	380C1F3 / 380C2F3	34732	126069	223144	35378	108025	-213338
Wind angle: -45 dgr	GW / opgw	10530	34821	57976	10775	27712	-54254
0	Comp. gl	21514	63954	112160	21767	55463	-109437
4	380C1F1 / 380C2F1	24172	84274	156100	24372	77290	-153572
Construction/maintenance, +5 dgr	380C1F2 / 380C2F2	24201	83517	155587	24372	77240	-153586
Permanent loads yg= 1.2	380C1F3 / 380C2F3	24235	82586	155007	24373	77177	-153603
Wind angle: -45 dgr	GW / opgw	3567	12605	22974	3607	11279	-22363
	Comp. gl	7375	24639	46277	7413	23061	-45901
1a	380C1F1 / 380C2F1	15361	62907	111866	15361	62907	-111866
Wind, 10 dgr	380C1F2 / 380C2F2	15407	61758	110673	15407	61758	-110673
Permanent loads yg=0.9	380C1F3 / 380C2F3	15464	60351	109278	15464	60351	-109278
Wind angle: 0 dgr	GW / opgw	1977	9006	15511	1977	9006	-15511
	Comp. gl	4178	16626	29872	4178	16626	-29872
1b	380C1F1 / 380C2F1	16201	62670	122837	16201	62670	-122837
Wind, -20 dgr	380C1F2 / 380C2F2	16204	62547	122813	16204	62547	-122813
Permanent loads yg=0.9	380C1F3 / 380C2F3	16208	62394	122791	16208	62394	-122791

W2H400+10 TOWER (rev 6.0, date: 05-11-2012) Appendix O

Loadcases for tower strength (ultimate limit state)

Loadcase according to 50341-3-15	Attachment point	AHEAD			BACK		
		Vertical [N]	Transverse [N]	Longitudinal [N]	Vertical [N]	Transverse [N]	Longitudinal [N]
Wind angle: 0 dgr	GW / opgw	2105	8111	15757	2105	8111	-15757
	Comp. gl	4363	16440	32278	4363	16440	-32278
3	380C1F1 / 380C2F1	30385	98682	189931	30385	98682	-189931
Wind+ice, -5 dgr	380C1F2 / 380C2F2	30395	98327	189842	30395	98327	-189842
Permanent loads yg=0.9	380C1F3 / 380C2F3	30406	97885	189752	30406	97885	-189752
Wind angle: 0 dgr	GW / opgw	10136	27156	51842	10136	27156	-51842
	Comp. gl	20455	53797	104333	20455	53797	-104333
4	380C1F1 / 380C2F1	19348	64745	126997	19348	64745	-126997
Construction/maintenance, +5 dgr	380C1F2 / 380C2F2	19350	64631	126991	19350	64631	-126991
Permanent loads yg=0.9	380C1F3 / 380C2F3	19352	64489	126990	19352	64489	-126990
Wind angle: 0 dgr	GW / opgw	2951	9689	18923	2951	9689	-18923
	Comp. gl	6055	19681	38780	6055	19681	-38780
6	380C1F1 / 380C2F1	15721	52192	104680	15721	52192	-104680
Permanent, +10 dgr	380C1F2 / 380C2F2	15721	52192	104680	15721	52192	-104680
Permanent loads yg= 1.35	380C1F3 / 380C2F3	15721	52192	104680	15721	52192	-104680
	GW / opgw	2052	6800	13639	2052	6800	-13639
	Comp. gl	4257	14113	28307	4257	14113	-28307
1a	380C1F1 / 380C2F1	15616	56429	105944	13788	133000	-202078
Wind, 10 dgr	380C1F2 / 380C2F2	15631	56006	105658	13871	125613	-192298
Permanent loads yg=0.9	380C1F3 / 380C2F3	15649	55486	105337	13996	116116	-179699
Wind angle: 45 dgr	GW / opgw	2028	7647	14047	1766	22204	-32992
	Comp. gl	4235	15115	28559	3769	33669	-51824
1b	380C1F1 / 380C2F1	16217	61937	122780	15845	70830	-129145
Wind, -20 dgr	380C1F2 / 380C2F2	16218	61883	122785	15895	69808	-128100
Permanent loads yg=0.9	380C1F3 / 380C2F3	16219	61815	122793	15955	68559	-126882
Wind angle: 45 dgr	GW / opgw	2109	7968	15723	2032	9820	-17391
	Comp. gl	4366	16265	32271	4287	18347	-33660
3	380C1F1 / 380C2F1	30434	96572	189651	29423	122267	-209115
Wind+ice, -5 dgr	380C1F2 / 380C2F2	30437	96419	189659	29544	119367	-206107
Permanent loads yg=0.9	380C1F3 / 380C2F3	30440	96226	189675	29696	115794	-202539
Wind angle: 45 dgr	GW / opgw	10148	26511	51845	9889	33831	-55994
	Comp. gl	20466	52976	104450	20196	61694	-107628
4	380C1F1 / 380C2F1	19358	64057	127031	19104	71854	-131190
Construction/maintenance, +5 dgr	380C1F2 / 380C2F2	19358	64005	127040	19139	70982	-130447
Permanent loads yg=0.9	380C1F3 / 380C2F3	19359	63940	127054	19182	69913	-129592
Wind angle: 45 dgr	GW / opgw	2953	9563	18922	2904	11031	-19818
	Comp. gl	6057	19522	38803	6009	21236	-39454
1a	380C1F1 / 380C2F1	13908	122598	188300	13908	122598	-188300
Wind, 10 dgr	380C1F2 / 380C2F2	13998	115993	179536	13998	115993	-179536
Permanent loads yg=0.9	380C1F3 / 380C2F3	14129	107533	168310	14129	107533	-168310
Wind angle: 90 dgr	GW / opgw	1779	20342	30520	1779	20342	-30520
	Comp. gl	3804	31080	48351	3804	31080	-48351
1b	380C1F1 / 380C2F1	15914	69404	127698	15914	69404	-127698
Wind, -20 dgr	380C1F2 / 380C2F2	15956	68543	126867	15956	68543	-126867
Permanent loads yg=0.9	380C1F3 / 380C2F3	16006	67491	125904	16006	67491	-125904
Wind angle: 90 dgr	GW / opgw	2045	9519	17040	2045	9519	-17040
	Comp. gl	4302	18014	33336	4302	18014	-33336

W2H400+10 TOWER (rev 6.0, date: 05-11-2012) Appendix O

Loadcases for tower strength (ultimate limit state)

Loadcase according to 50341-3-15	Attachment point	AHEAD			BACK		
		Vertical [N]	Transverse [N]	Longitudinal [N]	Vertical [N]	Transverse [N]	Longitudinal [N]
3	380C1F1 / 380C2F1	29593	118214	204937	29593	118214	-204937
Wind+ice, -5 dgr	380C1F2 / 380C2F2	29698	115749	202495	29698	115749	-202495
Permanent loads yg=0.9	380C1F3 / 380C2F3	29830	112717	199620	29830	112717	-199620
Wind angle: 90 dgr	GW / opgw	9933	32711	55045	9933	32711	-55045
	Comp. gl	20248	60385	106766	20248	60385	-106766
4	380C1F1 / 380C2F1	19153	70636	130163	19153	70636	-130163
Construction/maintenance, +5 dgr	380C1F2 / 380C2F2	19182	69900	129582	19182	69900	-129582
Permanent loads yg=0.9	380C1F3 / 380C2F3	19217	68997	128918	19217	68997	-128918
Wind angle: 90 dgr	GW / opgw	2913	10799	19606	2913	10799	-19606
	Comp. gl	6019	20976	39274	6019	20976	-39274
1a	380C1F1 / 380C2F1	13788	133000	202078	15616	56429	-105944
Wind, 10 dgr	380C1F2 / 380C2F2	13871	125613	192298	15631	56006	-105658
Permanent loads yg=0.9	380C1F3 / 380C2F3	13996	116116	179699	15649	55486	-105337
Wind angle: -45 dgr	GW / opgw	1766	22204	32992	2028	7647	-14047
	Comp. gl	3769	33669	51824	4235	15115	-28559
1b	380C1F1 / 380C2F1	15845	70830	129145	16217	61937	-122780
Wind, -20 dgr	380C1F2 / 380C2F2	15895	69808	128100	16218	61883	-122785
Permanent loads yg=0.9	380C1F3 / 380C2F3	15955	68559	126882	16219	61815	-122793
Wind angle: -45 dgr	GW / opgw	2032	9820	17391	2109	7968	-15723
	Comp. gl	4287	18347	33660	4366	16265	-32271
3	380C1F1 / 380C2F1	29423	122267	209115	30434	96572	-189651
Wind+ice, -5 dgr	380C1F2 / 380C2F2	29544	119367	206107	30437	96419	-189659
Permanent loads yg=0.9	380C1F3 / 380C2F3	29696	115794	202539	30440	96226	-189675
Wind angle: -45 dgr	GW / opgw	9889	33831	55994	10148	26511	-51845
0	Comp. gl	20196	61694	107628	20466	52976	-104450
4	380C1F1 / 380C2F1	19104	71854	131190	19358	64057	-127031
Construction/maintenance, +5 dgr	380C1F2 / 380C2F2	19139	70982	130447	19358	64005	-127040
Permanent loads yg=0.9	380C1F3 / 380C2F3	19182	69913	129592	19359	63940	-127054
Wind angle: -45 dgr	GW / opgw	2904	11031	19818	2953	9563	-18922
	Comp. gl	6009	21236	39454	6057	19522	-38803

W2H400+10 TOWER (rev 6.0, date: 05-11-2012) Appendix O1

Loadcases for tower strength (special limit state)

Loadcase according to 50341-3-15	Attachment point	AHEAD			BACK		
		Vertical [N]	Transverse [N]	Longitudinal [N]	Vertical [N]	Transverse [N]	Longitudinal [N]
1a	380C1F1 / 380C2F1	20683	69972	132902	20683	69972	-132902
Wind, 10 dgr	380C1F2 / 380C2F2	20695	69594	132721	20695	69594	-132721
Permanent loads yg= 1.2	380C1F3 / 380C2F3	20709	69125	132523	20709	69125	-132523
Wind angle: 0 dgr	GW / opgw	2695	9433	17592	2695	9433	-17592
	Comp. gl	5610	18878	36057	5610	18878	-36057
1b	380C1F1 / 380C2F1	21294	76841	151831	21294	76841	-151831
Wind, -20 dgr	380C1F2 / 380C2F2	21296	76755	151836	21296	76755	-151836
Permanent loads yg= 1.2	380C1F3 / 380C2F3	21297	76647	151847	21297	76647	-151847
Wind angle: 0 dgr	GW / opgw	2775	10001	19651	2775	10001	-19651
	Comp. gl	5747	20378	40315	5747	20378	-40315
3	380C1F1 / 380C2F1	24206	82332	158739	24206	82332	-158739
Wind+ice, -5 dgr	380C1F2 / 380C2F2	24214	82041	158652	24214	82041	-158652
Permanent loads yg= 1.2	380C1F3 / 380C2F3	24224	81678	158562	24224	81678	-158562
Wind angle: 0 dgr	GW / opgw	4555	15123	28235	4555	15123	-28235
	Comp. gl	9340	29873	57067	9340	29873	-57067
4	380C1F1 / 380C2F1	23663	75860	149863	23663	75860	-149863
Construction/maintenance, +5 dgr	380C1F2 / 380C2F2	23664	75777	149874	23664	75777	-149874
Permanent loads yg= 1.2	380C1F3 / 380C2F3	23665	75672	149891	23665	75672	-149891
Wind angle: 0 dgr	GW / opgw	3430	10895	21444	3430	10895	-21444
	Comp. gl	7060	22249	44069	7060	22249	-44069
6	380C1F1 / 380C2F1	23267	72548	145509	23267	72548	-145509
Permanent, +10 dgr	380C1F2 / 380C2F2	23267	72548	145509	23267	72548	-145509
Permanent loads yg= 1.35	380C1F3 / 380C2F3	23267	72548	145509	23267	72548	-145509
	GW / opgw	3042	9537	19127	3042	9537	-19127
	Comp. gl	6308	19750	39612	6308	19750	-39612
1a	380C1F1 / 380C2F1	20743	67763	132149	19687	96377	-159684
Wind, 10 dgr	380C1F2 / 380C2F2	20746	67608	132130	19796	93154	-155834
Permanent loads yg= 1.2	380C1F3 / 380C2F3	20750	67414	132115	19939	89154	-151163
Wind angle: 45 dgr	GW / opgw	2709	8987	17354	2514	14843	-23770
	Comp. gl	5623	18356	35903	5377	25102	-42181
1b	380C1F1 / 380C2F1	21301	76315	151907	21118	81945	-154021
Wind, -20 dgr	380C1F2 / 380C2F2	21302	76275	151917	21144	81333	-153596
Permanent loads yg= 1.2	380C1F3 / 380C2F3	21302	76225	151932	21176	80580	-153115
Wind angle: 45 dgr	GW / opgw	2777	9902	19653	2736	11043	-20305
	Comp. gl	5748	20251	40337	5709	21582	-40776
3	380C1F1 / 380C2F1	24247	80606	158438	23391	102069	-175833
Wind+ice, -5 dgr	380C1F2 / 380C2F2	24249	80482	158440	23493	99626	-173181
Permanent loads yg= 1.2	380C1F3 / 380C2F3	24252	80325	158448	23622	96619	-170029
Wind angle: 45 dgr	GW / opgw	4576	14472	27966	4276	22751	-36152
	Comp. gl	9359	29095	56915	8989	38728	-64802
4	380C1F1 / 380C2F1	23668	75348	149967	23533	80626	-151368
Construction/maintenance, +5 dgr	380C1F2 / 380C2F2	23668	75309	149978	23553	80064	-151046
Permanent loads yg= 1.2	380C1F3 / 380C2F3	23669	75259	149994	23576	79372	-150688
Wind angle: 45 dgr	GW / opgw	3431	10801	21458	3403	11807	-21835
	Comp. gl	7061	22128	44100	7035	23337	-44295
1a	380C1F1 / 380C2F1	19841	91866	154315	19841	91866	-154315
Wind, 10 dgr	380C1F2 / 380C2F2	19941	89104	151105	19941	89104	-151105

W2H400+10 TOWER (rev 6.0, date: 05-11-2012) Appendix O1

Loadcases for tower strength (special limit state)

Loadcase according to 50341-3-15	Attachment point	AHEAD			BACK		
		Vertical [N]	Transverse [N]	Longitudinal [N]	Vertical [N]	Transverse [N]	Longitudinal [N]
Permanent loads γg= 1.2	380C1F3 / 380C2F3	20069	85690	147242	20069	85690	-147242
Wind angle: 90 dgr	GW / opgw	2537	13947	22632	2537	13947	-22632
	Comp. gl	5416	24027	40920	5416	24027	-40920
1b	380C1F1 / 380C2F1	21154	81089	153435	21154	81089	-153435
Wind, -20 dgr	380C1F2 / 380C2F2	21176	80570	153109	21176	80570	-153109
Permanent loads γg= 1.2	380C1F3 / 380C2F3	21201	79931	152744	21201	79931	-152744
Wind angle: 90 dgr	GW / opgw	2743	10864	20147	2743	10864	-20147
	Comp. gl	5717	21381	40649	5717	21381	-40649
3	380C1F1 / 380C2F1	23535	98655	172148	23535	98655	-172148
Wind+ice, -5 dgr	380C1F2 / 380C2F2	23624	96581	169990	23624	96581	-169990
Permanent loads γg= 1.2	380C1F3 / 380C2F3	23735	94034	167444	23735	94034	-167444
Wind angle: 90 dgr	GW / opgw	4313	21490	34661	4313	21490	-34661
	Comp. gl	9047	37213	63173	9047	37213	-63173
4	380C1F1 / 380C2F1	23560	79841	150926	23560	79841	-150926
Construction/maintenance, +5 dgr	380C1F2 / 380C2F2	23576	79363	150684	23576	79363	-150684
Permanent loads γg= 1.2	380C1F3 / 380C2F3	23595	78773	150417	23595	78773	-150417
Wind angle: 90 dgr	GW / opgw	3409	11654	21731	3409	11654	-21731
	Comp. gl	7040	23161	44217	7040	23161	-44217
1a	380C1F1 / 380C2F1	19687	96377	159684	20743	67763	-132149
Wind, 10 dgr	380C1F2 / 380C2F2	19796	93154	155834	20746	67608	-132130
Permanent loads γg= 1.2	380C1F3 / 380C2F3	19939	89154	151163	20750	67414	-132115
Wind angle: -45 dgr	GW / opgw	2514	14843	23770	2709	8987	-17354
	Comp. gl	5377	25102	42181	5623	18356	-35903
1b	380C1F1 / 380C2F1	21118	81945	154021	21301	76315	-151907
Wind, -20 dgr	380C1F2 / 380C2F2	21144	81333	153596	21302	76275	-151917
Permanent loads γg= 1.2	380C1F3 / 380C2F3	21176	80580	153115	21302	76225	-151932
Wind angle: -45 dgr	GW / opgw	2736	11043	20305	2777	9902	-19653
	Comp. gl	5709	21582	40776	5748	20251	-40337
3	380C1F1 / 380C2F1	23391	102069	175833	24247	80606	-158438
Wind+ice, -5 dgr	380C1F2 / 380C2F2	23493	99626	173181	24249	80482	-158440
Permanent loads γg= 1.2	380C1F3 / 380C2F3	23622	96619	170029	24252	80325	-158448
Wind angle: -45 dgr	GW / opgw	4276	22751	36152	4576	14472	-27966
0	Comp. gl	8989	38728	64802	9359	29095	-56915
4	380C1F1 / 380C2F1	23533	80626	151368	23668	75348	-149967
Construction/maintenance, +5 dgr	380C1F2 / 380C2F2	23553	80064	151046	23668	75309	-149978
Permanent loads γg= 1.2	380C1F3 / 380C2F3	23576	79372	150688	23669	75259	-149994
Wind angle: -45 dgr	GW / opgw	3403	11807	21835	3431	10801	-21458
	Comp. gl	7035	23337	44295	7061	22128	-44100
1a	380C1F1 / 380C2F1	15611	56586	106055	15611	56586	-106055
Wind, 10 dgr	380C1F2 / 380C2F2	15626	56146	105751	15626	56146	-105751
Permanent loads γg=0.9	380C1F3 / 380C2F3	15645	55605	105407	15645	55605	-105407
Wind angle: 0 dgr	GW / opgw	2027	7680	14077	2027	7680	-14077
	Comp. gl	4233	15152	28583	4233	15152	-28583
1b	380C1F1 / 380C2F1	16209	62360	122787	16209	62360	-122787
Wind, -20 dgr	380C1F2 / 380C2F2	16211	62267	122779	16211	62267	-122779
Permanent loads γg=0.9	380C1F3 / 380C2F3	16213	62151	122774	16213	62151	-122774
Wind angle: 0 dgr	GW / opgw	2107	8050	15737	2107	8050	-15737

W2H400+10 TOWER (rev 6.0, date: 05-11-2012) Appendix O1

Loadcases for tower strength (special limit state)

Loadcase according to 50341-3-15	Attachment point	AHEAD			BACK		
		Vertical [N]	Transverse [N]	Longitudinal [N]	Vertical [N]	Transverse [N]	Longitudinal [N]
	Comp. gl	4364	16366	32269	4364	16366	-32269
3	380C1F1 / 380C2F1	19161	69055	132111	19161	69055	-132111
Wind+ice, -5 dgr	380C1F2 / 380C2F2	19172	68730	131956	19172	68730	-131956
Permanent loads yg=0.9	380C1F3 / 380C2F3	19185	68329	131788	19185	68329	-131788
Wind angle: 0 dgr	GW / opgw	3902	13581	25143	3902	13581	-25143
	Comp. gl	7991	26617	50536	7991	26617	-50536
4	380C1F1 / 380C2F1	18641	62516	123099	18641	62516	-123099
Construction/maintenance, +5 dgr	380C1F2 / 380C2F2	18642	62428	123101	18642	62428	-123101
Permanent loads yg=0.9	380C1F3 / 380C2F3	18644	62318	123107	18644	62318	-123107
Wind angle: 0 dgr	GW / opgw	2774	9156	17956	2774	9156	-17956
	Comp. gl	5701	18659	36867	5701	18659	-36867
6	380C1F1 / 380C2F1	15721	52192	104680	15721	52192	-104680
Permanent, +10 dgr	380C1F2 / 380C2F2	15721	52192	104680	15721	52192	-104680
Permanent loads yg= 1.35	380C1F3 / 380C2F3	15721	52192	104680	15721	52192	-104680
	GW / opgw	2052	6800	13639	2052	6800	-13639
	Comp. gl	4257	14113	28307	4257	14113	-28307
1a	380C1F1 / 380C2F1	15691	54064	104673	14545	87568	-142020
Wind, 10 dgr	380C1F2 / 380C2F2	15696	53892	104621	14643	83891	-137260
Permanent loads yg=0.9	380C1F3 / 380C2F3	15701	53678	104567	14776	79281	-131365
Wind angle: 45 dgr	GW / opgw	2045	7160	13690	1852	13897	-21874
	Comp. gl	4251	14560	28290	3978	22485	-36934
1b	380C1F1 / 380C2F1	16219	61800	122795	15968	68285	-126625
Wind, -20 dgr	380C1F2 / 380C2F2	16219	61759	122802	16003	67551	-125957
Permanent loads yg=0.9	380C1F3 / 380C2F3	16220	61706	122812	16045	66654	-125187
Wind angle: 45 dgr	GW / opgw	2109	7942	15722	2055	9283	-16774
	Comp. gl	4366	16232	32276	4314	17754	-33098
3	380C1F1 / 380C2F1	19216	67161	131471	18225	91866	-155375
Wind+ice, -5 dgr	380C1F2 / 380C2F2	19219	67028	131455	18330	89061	-151995
Permanent loads yg=0.9	380C1F3 / 380C2F3	19222	66861	131443	18467	85588	-147907
Wind angle: 45 dgr	GW / opgw	3926	12879	24770	3618	21852	-34350
	Comp. gl	8014	25790	50286	7610	36322	-59980
4	380C1F1 / 380C2F1	18648	61981	123158	18472	67836	-125718
Construction/maintenance, +5 dgr	380C1F2 / 380C2F2	18648	61941	123167	18497	67191	-125229
Permanent loads yg=0.9	380C1F3 / 380C2F3	18648	61890	123180	18527	66400	-124673
Wind angle: 45 dgr	GW / opgw	2776	9058	17961	2741	10170	-18553
	Comp. gl	5702	18533	36890	5669	19843	-37288
1a	380C1F1 / 380C2F1	14684	82412	135359	14684	82412	-135359
Wind, 10 dgr	380C1F2 / 380C2F2	14778	79223	131291	14778	79223	-131291
Permanent loads yg=0.9	380C1F3 / 380C2F3	14904	75244	126295	14904	75244	-126295
Wind angle: 90 dgr	GW / opgw	1870	12910	20551	1870	12910	-20551
	Comp. gl	4014	21244	35338	4014	21244	-35338
1b	380C1F1 / 380C2F1	16017	67261	125701	16017	67261	-125701
Wind, -20 dgr	380C1F2 / 380C2F2	16045	66643	125177	16045	66643	-125177
Permanent loads yg=0.9	380C1F3 / 380C2F3	16080	65886	124577	16080	65886	-124577
Wind angle: 90 dgr	GW / opgw	2065	9066	16541	2065	9066	-16541
	Comp. gl	4324	17515	32894	4324	17515	-32894
3	380C1F1 / 380C2F1	18374	87941	150664	18374	87941	-150664

W2H400+10 TOWER (rev 6.0, date: 05-11-2012) Appendix O1

Loadcases for tower strength (special limit state)

Loadcase according to 50341-3-15	Attachment point	AHEAD			BACK		
		Vertical [N]	Transverse [N]	Longitudinal [N]	Vertical [N]	Transverse [N]	Longitudinal [N]
Wind+ice, -5 dgr	380C1F2 / 380C2F2	18469	85544	147857	18469	85544	-147857
Permanent loads yg=0.9	380C1F3 / 380C2F3	18592	82587	144489	18592	82587	-144489
Wind angle: 90 dgr	GW / opgw	3652	20511	32699	3652	20511	-32699
	Comp. gl	7669	34672	58078	7669	34672	-58078
4	380C1F1 / 380C2F1	18507	66936	125044	18507	66936	-125044
Construction/maintenance, +5 dgr	380C1F2 / 380C2F2	18528	66390	124666	18528	66390	-124666
Permanent loads yg=0.9	380C1F3 / 380C2F3	18552	65720	124240	18552	65720	-124240
Wind angle: 90 dgr	GW / opgw	2747	9996	18406	2747	9996	-18406
	Comp. gl	5676	19647	37169	5676	19647	-37169
1a	380C1F1 / 380C2F1	14545	87568	142020	15691	54064	-104673
Wind, 10 dgr	380C1F2 / 380C2F2	14643	83891	137260	15696	53892	-104621
Permanent loads yg=0.9	380C1F3 / 380C2F3	14776	79281	131365	15701	53678	-104567
Wind angle: -45 dgr	GW / opgw	1852	13897	21874	2045	7160	-13690
	Comp. gl	3978	22485	36934	4251	14560	-28290
1b	380C1F1 / 380C2F1	15968	68285	126625	16219	61800	-122795
Wind, -20 dgr	380C1F2 / 380C2F2	16003	67551	125957	16219	61759	-122802
Permanent loads yg=0.9	380C1F3 / 380C2F3	16045	66654	125187	16220	61706	-122812
Wind angle: -45 dgr	GW / opgw	2055	9283	16774	2109	7942	-15722
	Comp. gl	4314	17754	33098	4366	16232	-32276
3	380C1F1 / 380C2F1	18225	91866	155375	19216	67161	-131471
Wind+ice, -5 dgr	380C1F2 / 380C2F2	18330	89061	151995	19219	67028	-131455
Permanent loads yg=0.9	380C1F3 / 380C2F3	18467	85588	147907	19222	66861	-131443
Wind angle: -45 dgr	GW / opgw	3618	21852	34350	3926	12879	-24770
0	Comp. gl	7610	36322	59980	8014	25790	-50286
4	380C1F1 / 380C2F1	18472	67836	125718	18648	61981	-123158
Construction/maintenance, +5 dgr	380C1F2 / 380C2F2	18497	67191	125229	18648	61941	-123167
Permanent loads yg=0.9	380C1F3 / 380C2F3	18527	66400	124673	18648	61890	-123180
Wind angle: -45 dgr	GW / opgw	2741	10170	18553	2776	9058	-17961
	Comp. gl	5669	19843	37288	5702	18533	-36890

W2H400+10 TOWER (rev 6.0, date: 05-11-2012)

Loadcases for tower strength (special limit state)

Loadcase according to 50341-3-15	Attachment point	AHEAD			BACK		
		Vertical [N]	Transverse [N]	Longitudinal [N]	Vertical [N]	Transverse [N]	Longitudinal [N]
1a	380C1F1 / 380C2F1	20683	69972	132902	0	0	0
Wind, 10 dgr	380C1F2 / 380C2F2	20695	69594	132721	0	0	0
Permanent loads γg= 1.2	380C1F3 / 380C2F3	20709	69125	132523	0	0	0
Wind angle: 0 dgr	GW / opgw	2695	9433	17592	0	0	0
	Comp. gl	5610	18878	36057	0	0	0
1b	380C1F1 / 380C2F1	21294	76841	151831	0	0	0
Wind, -20 dgr	380C1F2 / 380C2F2	21296	76755	151836	0	0	0
Permanent loads γg= 1.2	380C1F3 / 380C2F3	21297	76647	151847	0	0	0
Wind angle: 0 dgr	GW / opgw	2775	10001	19651	0	0	0
	Comp. gl	5747	20378	40315	0	0	0
3	380C1F1 / 380C2F1	24206	82332	158739	0	0	0
Wind+ice, -5 dgr	380C1F2 / 380C2F2	24214	82041	158652	0	0	0
Permanent loads γg= 1.2	380C1F3 / 380C2F3	24224	81678	158562	0	0	0
Wind angle: 0 dgr	GW / opgw	4555	15123	28235	0	0	0
	Comp. gl	9340	29873	57067	0	0	0
4	380C1F1 / 380C2F1	23663	75860	149863	0	0	0
Construction/maintenance, +5 dgr	380C1F2 / 380C2F2	23664	75777	149874	0	0	0
Permanent loads γg= 1.2	380C1F3 / 380C2F3	23665	75672	149891	0	0	0
Wind angle: 0 dgr	GW / opgw	3430	10895	21444	0	0	0
	Comp. gl	7060	22249	44069	0	0	0
6	380C1F1 / 380C2F1	23267	72548	145509	0	0	0
Permanent, +10 dgr	380C1F2 / 380C2F2	23267	72548	145509	0	0	0
Permanent loads γg= 1.35	380C1F3 / 380C2F3	23267	72548	145509	0	0	0
	GW / opgw	3042	9537	19127	0	0	0
	Comp. gl	6308	19750	39612	0	0	0
1a	380C1F1 / 380C2F1	20743	67763	132149	0	0	0
Wind, 10 dgr	380C1F2 / 380C2F2	20746	67608	132130	0	0	0
Permanent loads γg= 1.2	380C1F3 / 380C2F3	20750	67414	132115	0	0	0
Wind angle: 45 dgr	GW / opgw	2709	8987	17354	0	0	0
	Comp. gl	5623	18356	35903	0	0	0
1b	380C1F1 / 380C2F1	21301	76315	151907	0	0	0
Wind, -20 dgr	380C1F2 / 380C2F2	21302	76275	151917	0	0	0
Permanent loads γg= 1.2	380C1F3 / 380C2F3	21302	76225	151932	0	0	0
Wind angle: 45 dgr	GW / opgw	2777	9902	19653	0	0	0
	Comp. gl	5748	20251	40337	0	0	0
3	380C1F1 / 380C2F1	24247	80606	158438	0	0	0
Wind+ice, -5 dgr	380C1F2 / 380C2F2	24249	80482	158440	0	0	0
Permanent loads γg= 1.2	380C1F3 / 380C2F3	24252	80325	158448	0	0	0
Wind angle: 45 dgr	GW / opgw	4576	14472	27966	0	0	0
	Comp. gl	9359	29095	56915	0	0	0
4	380C1F1 / 380C2F1	23668	75348	149967	0	0	0
Construction/maintenance, +5 dgr	380C1F2 / 380C2F2	23668	75309	149978	0	0	0
Permanent loads γg= 1.2	380C1F3 / 380C2F3	23669	75259	149994	0	0	0
Wind angle: 45 dgr	GW / opgw	3431	10801	21458	0	0	0
	Comp. gl	7061	22128	44100	0	0	0
1a	380C1F1 / 380C2F1	19841	91866	154315	0	0	0
Wind, 10 dgr	380C1F2 / 380C2F2	19941	89104	151105	0	0	0

W2H400+10 TOWER (rev 6.0, date: 05-11-2012)

Loadcases for tower strength (special limit state)

Loadcase according to 50341-3-15	Attachment point	AHEAD			BACK		
		Vertical [N]	Transverse [N]	Longitudinal [N]	Vertical [N]	Transverse [N]	Longitudinal [N]
Permanent loads γg= 1.2	380C1F3 / 380C2F3	20069	85690	147242	0	0	0
Wind angle: 90 dgr	GW / opgw	2537	13947	22632	0	0	0
	Comp. gl	5416	24027	40920	0	0	0
1b	380C1F1 / 380C2F1	21154	81089	153435	0	0	0
Wind, -20 dgr	380C1F2 / 380C2F2	21176	80570	153109	0	0	0
Permanent loads γg= 1.2	380C1F3 / 380C2F3	21201	79931	152744	0	0	0
Wind angle: 90 dgr	GW / opgw	2743	10864	20147	0	0	0
	Comp. gl	5717	21381	40649	0	0	0
3	380C1F1 / 380C2F1	23535	98655	172148	0	0	0
Wind+ice, -5 dgr	380C1F2 / 380C2F2	23624	96581	169990	0	0	0
Permanent loads γg= 1.2	380C1F3 / 380C2F3	23735	94034	167444	0	0	0
Wind angle: 90 dgr	GW / opgw	4313	21490	34661	0	0	0
	Comp. gl	9047	37213	63173	0	0	0
4	380C1F1 / 380C2F1	23560	79841	150926	0	0	0
Construction/maintenance, +5 dgr	380C1F2 / 380C2F2	23576	79363	150684	0	0	0
Permanent loads γg= 1.2	380C1F3 / 380C2F3	23595	78773	150417	0	0	0
Wind angle: 90 dgr	GW / opgw	3409	11654	21731	0	0	0
	Comp. gl	7040	23161	44217	0	0	0
1a	380C1F1 / 380C2F1	19687	96377	159684	0	0	0
Wind, 10 dgr	380C1F2 / 380C2F2	19796	93154	155834	0	0	0
Permanent loads γg= 1.2	380C1F3 / 380C2F3	19939	89154	151163	0	0	0
Wind angle: -45 dgr	GW / opgw	2514	14843	23770	0	0	0
	Comp. gl	5377	25102	42181	0	0	0
1b	380C1F1 / 380C2F1	21118	81945	154021	0	0	0
Wind, -20 dgr	380C1F2 / 380C2F2	21144	81333	153596	0	0	0
Permanent loads γg= 1.2	380C1F3 / 380C2F3	21176	80580	153115	0	0	0
Wind angle: -45 dgr	GW / opgw	2736	11043	20305	0	0	0
	Comp. gl	5709	21582	40776	0	0	0
3	380C1F1 / 380C2F1	23391	102069	175833	0	0	0
Wind+ice, -5 dgr	380C1F2 / 380C2F2	23493	99626	173181	0	0	0
Permanent loads γg= 1.2	380C1F3 / 380C2F3	23622	96619	170029	0	0	0
Wind angle: -45 dgr	GW / opgw	4276	22751	36152	0	0	0
0	Comp. gl	8989	38728	64802	0	0	0
4	380C1F1 / 380C2F1	23533	80626	151368	0	0	0
Construction/maintenance, +5 dgr	380C1F2 / 380C2F2	23553	80064	151046	0	0	0
Permanent loads γg= 1.2	380C1F3 / 380C2F3	23576	79372	150688	0	0	0
Wind angle: -45 dgr	GW / opgw	3403	11807	21835	0	0	0
	Comp. gl	7035	23337	44295	0	0	0
1a	380C1F1 / 380C2F1	15611	56586	106055	0	0	0
Wind, 10 dgr	380C1F2 / 380C2F2	15626	56146	105751	0	0	0
Permanent loads γg=0.9	380C1F3 / 380C2F3	15645	55605	105407	0	0	0
Wind angle: 0 dgr	GW / opgw	2027	7680	14077	0	0	0
	Comp. gl	4233	15152	28583	0	0	0
1b	380C1F1 / 380C2F1	16209	62360	122787	0	0	0
Wind, -20 dgr	380C1F2 / 380C2F2	16211	62267	122779	0	0	0
Permanent loads γg=0.9	380C1F3 / 380C2F3	16213	62151	122774	0	0	0
Wind angle: 0 dgr	GW / opgw	2107	8050	15737	0	0	0

W2H400+10 TOWER (rev 6.0, date: 05-11-2012)

Loadcases for tower strength (special limit state)

Loadcase according to 50341-3-15	Attachment point	AHEAD			BACK		
		Vertical [N]	Transverse [N]	Longitudinal [N]	Vertical [N]	Transverse [N]	Longitudinal [N]
	Comp. gl	4364	16366	32269	0	0	0
3	380C1F1 / 380C2F1	19161	69055	132111	0	0	0
Wind+ice, -5 dgr	380C1F2 / 380C2F2	19172	68730	131956	0	0	0
Permanent loads yg=0.9	380C1F3 / 380C2F3	19185	68329	131788	0	0	0
Wind angle: 0 dgr	GW / opgw	3902	13581	25143	0	0	0
	Comp. gl	7991	26617	50536	0	0	0
4	380C1F1 / 380C2F1	18641	62516	123099	0	0	0
Construction/maintenance, +5 dgr	380C1F2 / 380C2F2	18642	62428	123101	0	0	0
Permanent loads yg=0.9	380C1F3 / 380C2F3	18644	62318	123107	0	0	0
Wind angle: 0 dgr	GW / opgw	2774	9156	17956	0	0	0
	Comp. gl	5701	18659	36867	0	0	0
6	380C1F1 / 380C2F1	15721	52192	104680	0	0	0
Permanent, +10 dgr	380C1F2 / 380C2F2	15721	52192	104680	0	0	0
Permanent loads yg= 1.35	380C1F3 / 380C2F3	15721	52192	104680	0	0	0
	GW / opgw	2052	6800	13639	0	0	0
	Comp. gl	4257	14113	28307	0	0	0
1a	380C1F1 / 380C2F1	15691	54064	104673	0	0	0
Wind, 10 dgr	380C1F2 / 380C2F2	15696	53892	104621	0	0	0
Permanent loads yg=0.9	380C1F3 / 380C2F3	15701	53678	104567	0	0	0
Wind angle: 45 dgr	GW / opgw	2045	7160	13690	0	0	0
	Comp. gl	4251	14560	28290	0	0	0
1b	380C1F1 / 380C2F1	16219	61800	122795	0	0	0
Wind, -20 dgr	380C1F2 / 380C2F2	16219	61759	122802	0	0	0
Permanent loads yg=0.9	380C1F3 / 380C2F3	16220	61706	122812	0	0	0
Wind angle: 45 dgr	GW / opgw	2109	7942	15722	0	0	0
	Comp. gl	4366	16232	32276	0	0	0
3	380C1F1 / 380C2F1	19216	67161	131471	0	0	0
Wind+ice, -5 dgr	380C1F2 / 380C2F2	19219	67028	131455	0	0	0
Permanent loads yg=0.9	380C1F3 / 380C2F3	19222	66861	131443	0	0	0
Wind angle: 45 dgr	GW / opgw	3926	12879	24770	0	0	0
	Comp. gl	8014	25790	50286	0	0	0
4	380C1F1 / 380C2F1	18648	61981	123158	0	0	0
Construction/maintenance, +5 dgr	380C1F2 / 380C2F2	18648	61941	123167	0	0	0
Permanent loads yg=0.9	380C1F3 / 380C2F3	18648	61890	123180	0	0	0
Wind angle: 45 dgr	GW / opgw	2776	9058	17961	0	0	0
	Comp. gl	5702	18533	36890	0	0	0
1a	380C1F1 / 380C2F1	14684	82412	135359	0	0	0
Wind, 10 dgr	380C1F2 / 380C2F2	14778	79223	131291	0	0	0
Permanent loads yg=0.9	380C1F3 / 380C2F3	14904	75244	126295	0	0	0
Wind angle: 90 dgr	GW / opgw	1870	12910	20551	0	0	0
	Comp. gl	4014	21244	35338	0	0	0
1b	380C1F1 / 380C2F1	16017	67261	125701	0	0	0
Wind, -20 dgr	380C1F2 / 380C2F2	16045	66643	125177	0	0	0
Permanent loads yg=0.9	380C1F3 / 380C2F3	16080	65886	124577	0	0	0
Wind angle: 90 dgr	GW / opgw	2065	9066	16541	0	0	0
	Comp. gl	4324	17515	32894	0	0	0
3	380C1F1 / 380C2F1	18374	87941	150664	0	0	0

W2H400+10 TOWER (rev 6.0, date: 05-11-2012)

Loadcases for tower strength (special limit state)

Loadcase according to 50341-3-15	Attachment point	AHEAD			BACK		
		Vertical [N]	Transverse [N]	Longitudinal [N]	Vertical [N]	Transverse [N]	Longitudinal [N]
Wind+ice, -5 dgr	380C1F2 / 380C2F2	18469	85544	147857	0	0	0
Permanent loads yg=0.9	380C1F3 / 380C2F3	18592	82587	144489	0	0	0
Wind angle: 90 dgr	GW / opgw	3652	20511	32699	0	0	0
	Comp. gl	7669	34672	58078	0	0	0
4	380C1F1 / 380C2F1	18507	66936	125044	0	0	0
Construction/maintenance, +5 dgr	380C1F2 / 380C2F2	18528	66390	124666	0	0	0
Permanent loads yg=0.9	380C1F3 / 380C2F3	18552	65720	124240	0	0	0
Wind angle: 90 dgr	GW / opgw	2747	9996	18406	0	0	0
	Comp. gl	5676	19647	37169	0	0	0
1a	380C1F1 / 380C2F1	14545	87568	142020	0	0	0
Wind, 10 dgr	380C1F2 / 380C2F2	14643	83891	137260	0	0	0
Permanent loads yg=0.9	380C1F3 / 380C2F3	14776	79281	131365	0	0	0
Wind angle: -45 dgr	GW / opgw	1852	13897	21874	0	0	0
	Comp. gl	3978	22485	36934	0	0	0
1b	380C1F1 / 380C2F1	15968	68285	126625	0	0	0
Wind, -20 dgr	380C1F2 / 380C2F2	16003	67551	125957	0	0	0
Permanent loads yg=0.9	380C1F3 / 380C2F3	16045	66654	125187	0	0	0
Wind angle: -45 dgr	GW / opgw	2055	9283	16774	0	0	0
	Comp. gl	4314	17754	33098	0	0	0
3	380C1F1 / 380C2F1	18225	91866	155375	0	0	0
Wind+ice, -5 dgr	380C1F2 / 380C2F2	18330	89061	151995	0	0	0
Permanent loads yg=0.9	380C1F3 / 380C2F3	18467	85588	147907	0	0	0
Wind angle: -45 dgr	GW / opgw	3618	21852	34350	0	0	0
0	Comp. gl	7610	36322	59980	0	0	0
4	380C1F1 / 380C2F1	18472	67836	125718	0	0	0
Construction/maintenance, +5 dgr	380C1F2 / 380C2F2	18497	67191	125229	0	0	0
Permanent loads yg=0.9	380C1F3 / 380C2F3	18527	66400	124673	0	0	0
Wind angle: -45 dgr	GW / opgw	2741	10170	18553	0	0	0
	Comp. gl	5669	19843	37288	0	0	0

W2H400+10 TOWER (rev 6.0, date: 05-11-2012) Appendix O2

Loadcases for tower defliction analyses (Servicability limit state)

Loadcase according to 50341-3-15		**AHEAD**			**BACK**		
		Vertical	Transverse	Longitudinal	Vertical	Transverse	Longitudinal
	Attachment point	[N]	[N]	[N]	[N]	[N]	[N]
1a	380C1F1 / 380C2F1	17250	62759	116337	17250	62759	-116337
Wind, 10 dgr	380C1F2 / 380C2F2	17273	62165	115888	17273	62165	-115888
Permanent loads yg= 1.0	380C1F3 / 380C2F3	17299	61437	115378	17299	61437	-115378
Wind angle: 0 dgr	GW / opgw	2238	8611	15570	2238	8611	-15570
	Comp. gl	4681	16798	31374	4681	16798	-31374
1b	380C1F1 / 380C2F1	17916	67143	132761	17916	67143	-132761
Wind, -20 dgr	380C1F2 / 380C2F2	17917	67070	132764	17917	67070	-132764
Permanent loads yg= 1.0	380C1F3 / 380C2F3	17919	66979	132771	17919	66979	-132771
Wind angle: 0 dgr	GW / opgw	2332	8681	17072	2332	8681	-17072
	Comp. gl	4828	17696	35029	4828	17696	-35029
3	380C1F1 / 380C2F1	27288	89496	174174	27288	89496	-174174
Wind+ice, -5 dgr	380C1F2 / 380C2F2	27293	89276	174145	27293	89276	-174145
Permanent loads yg= 1.0	380C1F3 / 380C2F3	27298	89000	174122	27298	89000	-174122
Wind angle: 0 dgr	GW / opgw	7707	21838	42052	7707	21838	-42052
	Comp. gl	15601	43501	84873	15601	43501	-84873
4	380C1F1 / 380C2F1	19850	65611	129687	19850	65611	-129687
Construction/maintenance, +5 dgr	380C1F2 / 380C2F2	19851	65541	129695	19851	65541	-129695
Permanent loads yg= 1.0	380C1F3 / 380C2F3	19852	65452	129708	19852	65452	-129708
Wind angle: 0 dgr	GW / opgw	2876	9395	18504	2876	9395	-18504
	Comp. gl	5919	19204	38053	5919	19204	-38053
1a	380C1F1 / 380C2F1	17366	59372	114259	15930	103600	-164684
Wind, 10 dgr	380C1F2 / 380C2F2	17372	59143	114175	16039	98872	-158556
Permanent loads yg= 1.0	380C1F3 / 380C2F3	17379	58859	114086	16190	92907	-150890
Wind angle: 45 dgr	GW / opgw	2264	7909	15002	2030	16696	-25795
	Comp. gl	4707	16004	30927	4358	26528	-42738
1b	380C1F1 / 380C2F1	17922	66701	132817	17762	71490	-134775
Wind, -20 dgr	380C1F2 / 380C2F2	17922	66667	132825	17786	70965	-134391
Permanent loads yg= 1.0	380C1F3 / 380C2F3	17923	66625	132836	17813	70320	-133957
Wind angle: 45 dgr	GW / opgw	2333	8598	17072	2297	9572	-17661
	Comp. gl	4829	17590	35046	4796	18719	-35453
3	380C1F1 / 380C2F1	27313	88170	174146	26734	103682	-183882
Wind+ice, -5 dgr	380C1F2 / 380C2F2	27314	88072	174159	26811	101936	-182252
Permanent loads yg= 1.0	380C1F3 / 380C2F3	27315	87948	174180	26904	99793	-180352
Wind angle: 45 dgr	GW / opgw	7715	21410	42058	7543	26272	-44790
	Comp. gl	15608	42956	84956	15434	48721	-86984
4	380C1F1 / 380C2F1	19854	65181	129768	19738	69650	-131080
Construction/maintenance, +5 dgr	380C1F2 / 380C2F2	19854	65148	129778	19755	69172	-130790
Permanent loads yg= 1.0	380C1F3 / 380C2F3	19855	65107	129790	19775	68582	-130467
Wind angle: 45 dgr	GW / opgw	2877	9317	18514	2853	10169	-18859
	Comp. gl	5920	19102	38078	5898	20123	-38268
1a	380C1F1 / 380C2F1	16085	96963	156094	16085	96963	-156094
Wind, 10 dgr	380C1F2 / 380C2F2	16192	92831	150793	16192	92831	-150793
Permanent loads yg= 1.0	380C1F3 / 380C2F3	16340	87644	144214	16340	87644	-144214
Wind angle: 90 dgr	GW / opgw	2049	15448	24134	2049	15448	-24134

W2H400+10 TOWER (rev 6.0, date: 05-11-2012) Appendix O2

Loadcases for tower defliction analyses (Servicability limit state)

Loadcase according to 50341-3-15		AHEAD			BACK		
		Vertical	Transverse	Longitudinal	Vertical	Transverse	Longitudinal
	Attachment point	[N]	[N]	[N]	[N]	[N]	[N]
	Comp. gl	4400	24915	40650	4400	24915	-40650
1b	380C1F1 / 380C2F1	17794	70757	134246	17794	70757	-134246
Wind, -20 dgr	380C1F2 / 380C2F2	17813	70312	133951	17813	70312	-133951
Permanent loads yg= 1.0	380C1F3 / 380C2F3	17835	69766	133620	17835	69766	-133620
Wind angle: 90 dgr	GW / opgw	2304	9417	17520	2304	9417	-17520
	Comp. gl	4803	18548	35338	4803	18548	-35338
3	380C1F1 / 380C2F1	26841	101243	181625	26841	101243	-181625
Wind+ice, -5 dgr	380C1F2 / 380C2F2	26905	99766	180329	26905	99766	-180329
Permanent loads yg= 1.0	380C1F3 / 380C2F3	26982	97953	178830	26982	97953	-178830
Wind angle: 90 dgr	GW / opgw	7574	25522	44152	7574	25522	-44152
	Comp. gl	15467	47854	86421	15467	47854	-86421
4	380C1F1 / 380C2F1	19762	68982	130682	19762	68982	-130682
Construction/maintenance, +5 dgr	380C1F2 / 380C2F2	19775	68575	130463	19775	68575	-130463
Permanent loads yg= 1.0	380C1F3 / 380C2F3	19791	68073	130221	19791	68073	-130221
Wind angle: 90 dgr	GW / opgw	2857	10039	18766	2857	10039	-18766
	Comp. gl	5902	19974	38197	5902	19974	-38197
1a	380C1F1 / 380C2F1	15930	103600	164684	17366	59372	-114259
Wind, 10 dgr	380C1F2 / 380C2F2	16039	98872	158556	17372	59143	-114175
Permanent loads yg= 1.0	380C1F3 / 380C2F3	16190	92907	150890	17379	58859	-114086
Wind angle: -45 dgr	GW / opgw	2030	16696	25795	2264	7909	-15002
	Comp. gl	4358	26528	42738	4707	16004	-30927
1b	380C1F1 / 380C2F1	17762	71490	134775	17922	66701	-132817
Wind, -20 dgr	380C1F2 / 380C2F2	17786	70965	134391	17922	66667	-132825
Permanent loads yg= 1.0	380C1F3 / 380C2F3	17813	70320	133957	17923	66625	-132836
Wind angle: -45 dgr	GW / opgw	2297	9572	17661	2333	8598	-17072
	Comp. gl	4796	18719	35453	4829	17590	-35046
3	380C1F1 / 380C2F1	26734	103682	183882	27313	88170	-174146
Wind+ice, -5 dgr	380C1F2 / 380C2F2	26811	101936	182252	27314	88072	-174159
Permanent loads yg= 1.0	380C1F3 / 380C2F3	26904	99793	180352	27315	87948	-174180
Wind angle: -45 dgr	GW / opgw	7543	26272	44790	7715	21410	-42058
	Comp. gl	15434	48721	86984	15608	42956	-84956
4	380C1F1 / 380C2F1	19738	69650	131080	19854	65181	-129768
Construction/maintenance, +5 dgr	380C1F2 / 380C2F2	19755	69172	130790	19854	65148	-129778
Permanent loads yg= 1.0	380C1F3 / 380C2F3	19775	68582	130467	19855	65107	-129790
Wind angle: -45 dgr	GW / opgw	2853	10169	18859	2877	9317	-18514
	Comp. gl	5898	20123	38268	5920	19102	-38078

Postbus 676
7300 AR Apeldoorn
Tel: 088 - 1860200

Statische ontwerpberekening

Masttype "W2S400(+5)"

Mast 4, 9 t/m 11 en 13 t/m 16

Tracé Vijfhuizen - Beverwijk

Revisie	Datum	Samensteller	Gecontroleerd
00	30 - 07 - 12	ing. Miko Hakhverdian	
01-detailberekening toegevoegd	22 - 03 - 13	ing. Miko Hakhverdian	
02-mast met nieuwe V-brace	21 - 01 - 14	ing. Miko Hakhverdian	21-1-14

Inhoudsopgave.

	blz.
1.0 Uitgangspunten berekening	4
1.1 Inleiding	4
1.2 Toegepaste normen	4
1.3 Randvoorwaarden	4
1.4 Constructie onderdelen	4
1.5 Toegepaste materiaal	5
1.6 Belastingen	6
2.0 Berekening masttype “W2S400(+5)”	7
2.1 Overzicht mast	8
2.2 Mast gegevens	9
2.3 Computerschema	11
3.0 Berekening Belastingen	12
3.1 Berekening stuwdruk	12
3.2 Berekening eigenfrequentie mast	14
3.3 Berekening bouwwerkfactor C_sC_d	16
3.4 Bepaling krachtcoëfficiënt C_f	17
3.5 Gewicht en horizontale belasting geleiders	18
3.6 Gewicht en windbelasting mastlichaam	19
3.7 Berekende belastingen	20
4.0 Resultaat berekeningen	23
4.1 Berekening verplaatsingen in SLS- toestand (belasting gevallen)	23
4.2 Maximale verplaatsingen in SLS- toestand	29
4.3 Toetsing maximale verplaatsingen	30
4.4 Berekening Krachten in ULS- toestand (belasting gevallen)	31
4.5 Maximale Krachten in ULS- toestand	37
4.6 Toetsing doorsnede	38
5.0 Berekening ankers, bouten en flensverbindingen	41
6.0 Controleberekening vortex shedding	44
7.0 Fundatie belastingen	52
8.0 Betonspanning onder voetplaat en instortring	53
9.0 Detailberekening	55
9.1 Berekening V-brace - 380 kV	55

	blz.
9.1.1 Berekening uithouder V-brace - 380 kV	55
9.1.2 Controle capaciteit van de aansluiting - uithouder V-brace aan mast	62
9.1.3 Berekening clips 14,5	65
9.1.4 Berekening clips 15 – druk isolator	67
9.1.5 Berekening deling van de steunarm	69
9.2 Berekening draagarm bliksemdraad	70
9.2.1 Controle capaciteit van de aansluiting - draagarm aan mast	72
9.2.2 Berekening clip bliksemdraad (clip 5.4)	73
9.3 Berekening draagarm "Passieve Loop geleider"	75
9.3.1 Controle capaciteit van de aansluiting - draagarm aan mast	80
9.3.2 Berekening clip "Passieve Loop geleider"	81
9.4 Berekening Clip 17 - t.b.v. installatie geleiders (op 0,5m hoogte)	83
9.4.1 Controle capaciteit van de aansluiting	85
9.5 Berekening clip hulprail - clip 8	86
9.5.1 Controle capaciteit van de aansluiting	88
9.6 Ondersteuning hijsbalk op de top van de mast	90
9.7 Berekening Clips voor 4,5m hijsbalk	93
9.7.1 Hijsbalk op 55,75/53,25 m	93
9.7.1.1 Berekening clip	94
9.7.1.2 Controle capaciteit van de aansluiting	98
9.7.2 Hijsbalk op 51,33/46,83 en 41,33/36,83 m	99
9.7.2.1 Berekening clip positie 9	99
9.7.2.2 Controle capaciteit van de aansluiting	102
9.8 Berekening clips voor 1,5m hijsbalk	104
9.8.1 Berekening clip positie 9.3 en 16.3 – onderste clip	108
9.8.2 Controle capaciteit van de aansluiting	110
9.8.3 Berekening clip positie 16.3 – bovenste clip	111
9.8.4 Controle capaciteit van de aansluiting	115
9.9 Berekening versterking deur	118

Bijlage: KEMA rapport 74100224-ETD/POL 12-00138 REV 003 - bijlage Q en Q2

1.0 - Uitgangspunten berekening.

1.1 - Inleiding.

In dit rapport wordt in opdracht van TenneT de statische ontwerpberekening van het masttype W2S400(+5) van het project “R380 Wintrack hoogspanningslijn” Noordring Noord , tracé Vijfhuizen – Beverwijk gepresenteerd.

1.2 – Toegepaste normen.

De berekening is gebaseerd op de volgende normen:

- NEN-EN 50341-1 – Bovengrondse elektrische lijnen boven 45 kV wisselspanning – Deel 1: Algemene eisen – Gemeenschappelijke specificaties, uitgave november 2001.
- NEN-EN 50341-3 – Bovengrondse elektrische lijnen boven 45 kV wisselspanning – Deel 3: Verzameling van nationale normatieve aspecten, uitgave november 2001 en correctieblad mei 2006.
- NEN-EN 1990 - Grondslagen van het constructief ontwerp, uitgave december 2007 (+NB).
- NEN-EN 1991 – Algemene belastingen, uitgave december 2007 (+NB)
- NEN-EN 1991-1-4 - Algemene belastingen – Windbelasting, uitgave december 2007.
- NEN-EN 1993-1-1 - Ontwerp en berekenen van staalconstructies, uitgave december 2007(+NB).
- NEN-EN 1993-1-8 - Ontwerp en berekenen van verbindingen, uitgave december 2007 (+NB).
- NEN-EN 1993-3-1 – Torens, maten en schoorstenen, uitgave juli 2007.
- NEN 2063 – Op vermoeiing belaste constructies- Het berekenen van gelaste verbindingen in ongelegeerd en zwakgelegeerd staal t/m S355.

De belastingopgave is volgens KEMA rapport 74100224-ETD/POL 12-00138 REV 003 “Design Loads for Wintrack II – R380 BEV-VHZ & VHZ-BEV” 18 juli 2012.
Voor het masttype W2S400(+5) zijn de bijlage Q (berekening maststerkte) en bijlage Q2 (berekening verplaatsingen) van het KEMA rapport van toepassing.

De afmeting van de nieuwe V-brace is conform tekening SEFAG 180 480-099 Rev 03, d.d. 27-11-2013 en tekening KEMA 74104749-40-005, V-brace study R380N, d.d. 14-01-2014.

1.3 – Randvoorwaarden.

Volgens Eurocode 3, deel 3-1 wordt de constructie ingedeeld in ontwerp levensduurklasse 3, gevolgklasse CC3 en referentieperiode 50 jaar. Mast bevindt zich in het gebied (windgebied II – onbebouwd) dat de terreincategorie II is van toepassing.

In de bruikbaarheidsgrenstoestand (SLS- toestand) dient voldaan te worden aan de volgende randvoorwaarden:

- De maximale horizontale uitbuiging mag niet groter zijn dan 5,5% van de hoogte van de mast.

- De relatieve verplaatsing van mast mag niet groter zijn dan 1% van de hoogte van de mast.

1.4 – Constructieonderdelen.

A - Mast constructie.

De mast is een buismast met een totale hoogte van 57,0 meter. De basis diameter van de mast is 1,925 meter en verloopt conisch tot de top van de mast naar een diameter van 0,5 meter. De mast is opgebouwd uit twee segmenten van 28,5 meter. Deze segmenten worden door middel van een binnenflensaansluiting aan elkaar verbonden.
De mast is voorzien van een klimvoorziening aan de binnenkant van de mast.

B - Fundatie.

De berekening van de fundatie en draagkracht van de grond valt buiten deze berekening. Aan de hand van locatiegegevens en grondmechanisch onderzoek dient de fundatie van de mast alsnog te worden berekend.

1.5 – Toegepaste materialen.

A - Mastconstructie.

De materiaalkwaliteit is S355 ($f_{y;d}$ = 355 N/mm^2, $f_{t;d}$ = 510 N/mm^2), tenzij anders vermeld.

B - Bouten en moeren.

De toegepaste bouten zijn kwaliteit 10.9. De ankers zijn kwaliteit 8.8.
Alle bouten en moeren zijn thermisch verzinkt, ISO-passend en gerolde draad.

C - Lassen in de primaire constructie.

Alle lassen zijn voorbewerkte ½ V las met een tegen las, klasse K35 of een voorbewerkte X las klasse K45. De lasdetails worden door de fabrikant opgegeven.

1.6 - Belastingen.

A – Geleiders (bliksemdraad, fasedraden en passieve lijn) en isolatoren,

De belastingopgave is volgens KEMA rapport 74100224-ETD/POL 12-00138 REV 003 “Design Loads for Wintrack II – R380 BEV-VHZ & VHZ-BEV” 18 juli 2012.
Voor het masttype W2S400(+5) zijn de bijlage Q (berekening maststerkte) en bijlage Q2 (berekening verplaatsingen) van het KEMA rapport van toepassing.

In de bovengenoemde bijlagen zijn de krachten inclusief de belastingfactoren volgens NEN-EN 50341-3-15 paragraaf 4.2, tabel 4.2.11/NL.1 voor de ULS- toestand (Ultimate limit state) en tabel 4.2.11/NL.4 voor de SLS-toestand (Serviceability limit state) aangegeven.

B – Mastlichaam

Het gewicht van de mast is een centrisch en gelijkmatig verdeelde belasting. Deze wordt gecombineerd met het gewicht van de geleiders en isolatoren. De belastingfactoren voor het eigengewicht zijn volgens NEN-EN 50341-3-15 en NEN-EN 1993-3-1, γ_g = 1,2 voor de ULS-toestand en γ_g = 1,0 voor de SLS- toestand.

De windbelasting van het mastlichaam is een horizontaal verdeelde belasting over de hele hoogte. Gezien het feit dat het windoppervlak van het mastlichaam in alle richtingen gelijk is, wordt deze eenmaal berekend en gecombineerd met de belasting van de geleiders in de verschillende windrichtingen. De belastingfactoren voor de windbelasting van het mastlichaam zijn volgens NEN-EN 1993-3-1, γ_q = 1,6 voor de ULS- toestand en γ_q = 1,0 voor de SLS-toestand.

2.0 - Berekening masttype “W2S400(+5)”

Berekening

W2S400+5

57,0 m - 1925 - 500

Mast 4, 9 t/m 11 en 13 t/m 16 (A + B)

Tracé Beverwijk - Vijfhuizen

2.1 - Overzicht mast

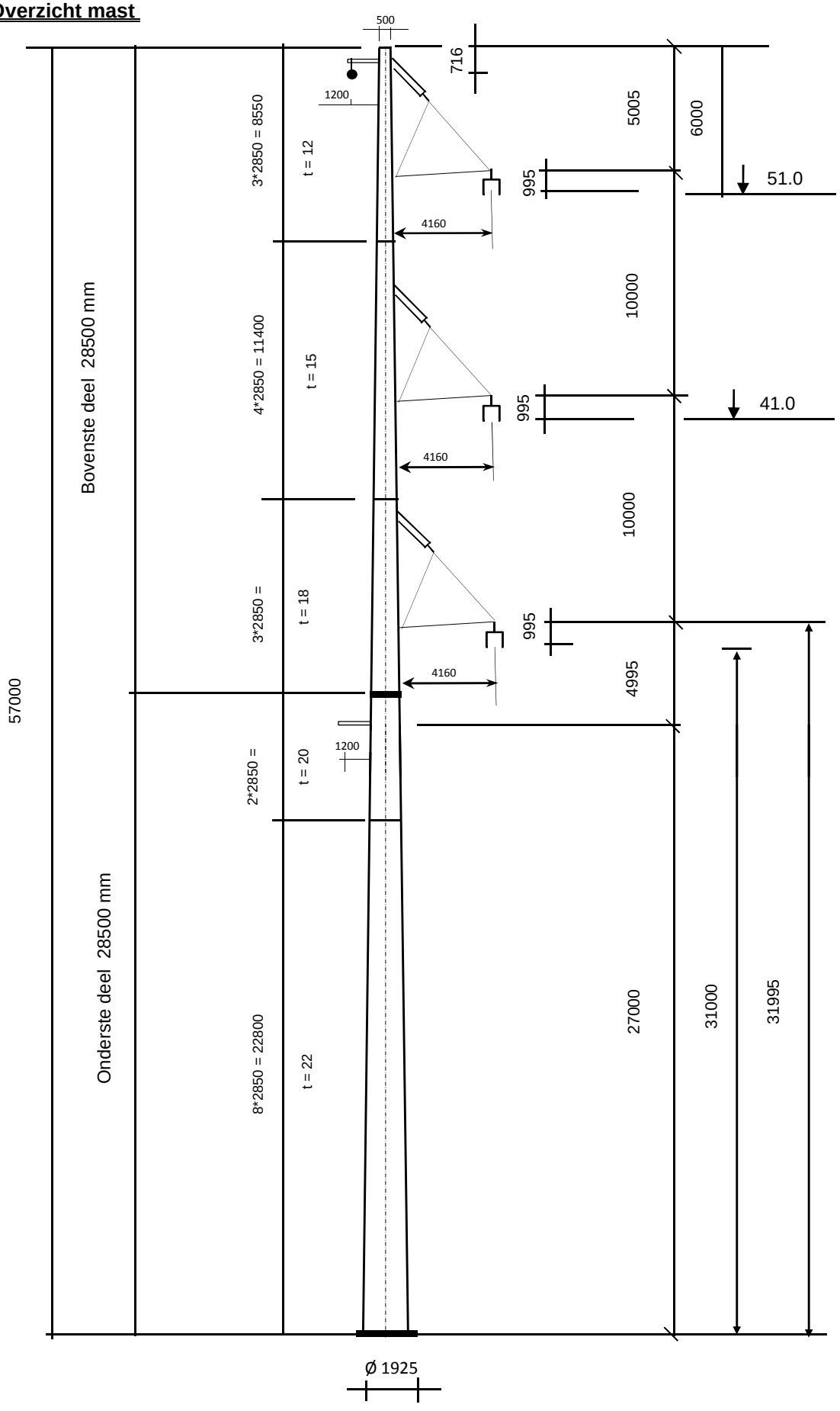

2.2 - Mast gegevens

Buismast type W2S400(+5)

Voet van de mast op :	0,00	meter

Wind gebied : II - onbebouwd

aantal staven	27	gem. breedte (m)	1,213

staaf nummer	staaf lengte mm	voet-breedte mm	top-breedte mm	diago-nalen	aantal knopen	aantal staven	gem. hoogte m
1	700	518	500	n.v.t.	2	1	56,65
2	2150	571	518	n.v.t.	2	1	55,23
3	2155	625	571	n.v.t.	2	1	53,07
4	695	643	625	n.v.t.	2	1	51,65
5	1425	678	643	n.v.t.	2	1	50,59
6	1425	714	678	n.v.t.	2	1	49,16
7	1425	749	714	n.v.t.	2	1	47,74
8	1425	785	749	n.v.t.	2	1	46,31
9	2850	856	785	n.v.t.	2	1	44,18
10	755	875	856	n.v.t.	2	1	42,37
11	2095	928	875	n.v.t.	2	1	40,95
12	2850	999	928	n.v.t.	2	1	38,48
13	2850	1070	999	n.v.t.	2	1	35,63
14	2205	1125	1070	n.v.t.	2	1	33,10
15	645	1141	1125	n.v.t.	2	1	31,67
16	2850	1213	1141	n.v.t.	2	1	29,93
17	1500	1250	1213	n.v.t.	2	1	27,75
18	1350	1284	1250	n.v.t.	2	1	26,33
19	2850	1355	1284	n.v.t.	2	1	24,23
20	2850	1426	1355	n.v.t.	2	1	21,38
21	2850	1498	1426	n.v.t.	2	1	18,53
22	2850	1569	1498	n.v.t.	2	1	15,68
23	2850	1640	1569	n.v.t.	2	1	12,83
24	2850	1711	1640	n.v.t.	2	1	9,98
25	2850	1783	1711	n.v.t.	2	1	7,13
26	2850	1854	1783	n.v.t.	2	1	4,28
27	2850	1925	1854	n.v.t.	2	1	1,43
	57000				28	27	

Profielgegevens

profielgegevens buisprofiel - Staal kwaliteit : S 355							
staaf	D_{gem} (mm)	t (mm)	A (mm^2)	m(kg/m)	I (mm^4)	i (mm)	W_b (mm^3)
1	509	12,0	18727	147,01	5,78E+08	175,68	2,27E+06
2	544	12,0	20070	157,55	7,11E+08	188,27	2,61E+06
3	598	12,0	22099	173,48	9,50E+08	207,29	3,17E+06
4	634	12,0	23442	184,02	1,13E+09	219,88	3,58E+06
5	660	12,0	24441	191,86	1,28E+09	229,25	3,89E+06
6	696	12,0	25784	202,40	1,51E+09	241,85	4,33E+06
7	732	15,0	33767	265,07	2,17E+09	253,40	5,93E+06
8	767	15,0	35446	278,25	2,51E+09	265,99	6,54E+06
9	821	15,0	37964	298,02	3,08E+09	284,88	7,51E+06
10	866	15,0	40088	314,69	3,63E+09	300,81	8,38E+06
11	901	15,0	41766	327,87	4,10E+09	313,40	9,10E+06
12	963	15,0	44679	350,73	5,02E+09	335,25	1,04E+07
13	1034	18,0	57475	451,18	7,42E+09	359,40	1,44E+07
14	1098	18,0	61048	479,23	8,90E+09	381,74	1,62E+07
15	1133	18,0	63062	495,04	9,81E+09	394,33	1,73E+07
16	1177	18,0	65533	514,43	1,10E+10	409,77	1,87E+07
17	1231	20,0	76105	597,42	1,40E+10	428,30	2,27E+07
18	1267	20,0	78343	615,00	1,52E+10	440,89	2,40E+07
19	1319	20,0	81642	640,89	1,72E+10	459,45	2,61E+07
20	1391	22,0	94593	742,55	2,22E+10	483,94	3,19E+07
21	1462	22,0	99517	781,21	2,58E+10	509,13	3,53E+07
22	1533	22,0	104441	819,87	2,98E+10	534,32	3,89E+07
23	1604	22,0	109366	858,52	3,42E+10	559,51	4,27E+07
24	1676	22,0	114290	897,18	3,91E+10	584,70	4,66E+07
25	1747	22,0	119215	935,84	4,43E+10	609,89	5,08E+07
26	1818	22,0	124139	974,49	5,01E+10	635,07	5,51E+07
27	1889	22,0	129064	1013,15	5,63E+10	660,26	5,96E+07

Elasticiteitsmodulus E-	N/mm^2	210000
Vloeigrens f_y	N/mm^2	355
Volumieke massa	kg/m^3	7850

2.3 - Computerschema

knoop nummer	knoop cord. "Z" - in mm	staaf i -- j	benaming staven	L_{staaf} mm	A_{eff} mm^2	I_x of I_y mm^4
1	57000	1 -- 2	1	700	1,87E+04	5,78E+08
2	56300	2 -- 3	2	2150	2,01E+04	7,11E+08
3	54150	3 -- 4	3	2155	2,21E+04	9,50E+08
4	51995	4 -- 5	4	695	2,34E+04	1,13E+09
5	51300	5 -- 6	5	1425	2,44E+04	1,28E+09
6	49875	6 -- 7	6	1425	2,58E+04	1,51E+09
7	48450	7 -- 8	7	1425	3,38E+04	2,17E+09
8	47025	8 -- 9	8	1425	3,54E+04	2,51E+09
9	45600	9 -- 10	9	2850	3,80E+04	3,08E+09
10	42750	10 -- 11	10	755	4,01E+04	3,63E+09
11	41995	11 -- 12	11	2095	4,18E+04	4,10E+09
12	39900	12 -- 13	12	2850	4,47E+04	5,02E+09
13	37050	13 -- 14	13	2850	5,75E+04	7,42E+09
14	34200	14 -- 15	14	2205	6,10E+04	8,90E+09
15	31995	15 -- 16	15	645	6,31E+04	9,81E+09
16	31350	16 -- 17	16	2850	6,55E+04	1,10E+10
17	28500	17 -- 18	17	1500	7,61E+04	1,40E+10
18	27000	18 -- 19	18	1350	7,83E+04	1,52E+10
19	25650	19 -- 20	19	2850	8,16E+04	1,72E+10
20	22800	20 -- 21	20	2850	9,46E+04	2,22E+10
21	19950	21 -- 22	21	2850	9,95E+04	2,58E+10
22	17100	22 -- 23	22	2850	1,04E+05	2,98E+10
23	14250	23 -- 24	23	2850	1,09E+05	3,42E+10
24	11400	24 -- 25	24	2850	1,14E+05	3,91E+10
25	8550	25 -- 26	25	2850	1,19E+05	4,43E+10
26	5700	26 -- 27	26	2850	1,24E+05	5,01E+10
27	2850	27 -- 28	27	2850	1,29E+05	5,63E+10
28	0				0,00E+00	0,00E+00

3.0 - Berekening belastingen

3,1 - Berekening stuwdruk

Algemene gegevens:

Wind gebied : II - onbebouwd

Basiswindsnelheid $V_{b,0}$ = 27 m/s

Terreincategorie : II - Onbebouwd gebied

Richtingsfactor C_{dir} = 1,0

Seizoensfactor C_{season} = 1,0

Orografiefactor $C_o(z)$ = 1,0

Veiligheidsklaae 2

Volumieke massa van lucht; ρ = 1,25 kg/m^3

z_0 = 0,200 m

z_{min} = 4,0 m

Gemiddelde windsnelheid $V_m(z) = (V_{b,0} * C_{dir} * C_{season}) * c_r(z)$

$c_r(z) = k_r * \ln\{ z / z_0\}$ voor $z_{min} \le z \le z_{max}$

$c_r(z) = c_r(z_{min})$ voor $z \le z_{min}$

$k_r = 0{,}19 \ln\{ z_0 / z_{0,II}\}^{0,07}$ $z_{0;II}$ = 0,05 m

Extreme stuwdruk $q_p(z) = (1 + 7*I_v(z)) * ½ * \rho * V_m^2(z)$

$I_v(z) = k_I / \{ c_o(z) * \ln(z / z_0) \}$ voor $z_{min} \le z \le z_{max}$; k_I = 1,0

$I_v(z) = I_v(z_{min})$ voor $z \le z_{min}$

Sectie	hoogte z m	kr	$c_r(z)$	$V_m(z)$ m/s	$I_v(z)$	$q_p(z)$ N/m^2
1	56,65	0,21	1,18	31,92	0,18	1426
2	55,23	0,21	1,18	31,77	0,18	1417
3	53,07	0,21	1,17	31,55	0,18	1402
4	51,65	0,21	1,16	31,39	0,18	1392
5	50,59	0,21	1,16	31,28	0,18	1385
6	49,16	0,21	1,15	31,12	0,18	1375
7	47,74	0,21	1,15	30,95	0,18	1364
8	46,31	0,21	1,14	30,78	0,18	1353
9	44,18	0,21	1,13	30,51	0,19	1336
10	42,37	0,21	1,12	30,28	0,19	1322
11	40,95	0,21	1,11	30,08	0,19	1310
12	38,48	0,21	1,10	29,73	0,19	1288
13	35,63	0,21	1,09	29,30	0,19	1261
14	33,10	0,21	1,07	28,88	0,20	1235
15	31,67	0,21	1,06	28,63	0,20	1220
16	29,93	0,21	1,05	28,31	0,20	1201
17	27,75	0,21	1,03	27,88	0,20	1176
18	26,33	0,21	1,02	27,59	0,20	1158
19	24,23	0,21	1,00	27,12	0,21	1130
20	21,38	0,21	0,98	26,41	0,21	1089
21	18,53	0,21	0,95	25,60	0,22	1043
22	15,68	0,21	0,91	24,65	0,23	990
23	12,83	0,21	0,87	23,52	0,24	927
24	9,98	0,21	0,82	22,10	0,26	852
25	7,13	0,21	0,75	20,20	0,28	754
26	4,28	0,21	0,64	17,31	0,33	615
27	1,43	0,21	0,63	16,93	0,33	598

3.2 - Berekening eigenfrequentie mast en meewerkende massa

Verplaatsing van de mast t.g.v e.g mast en toplast

knoop nummer	staaf nummer	gewicht mast N	gewicht travese N	dwarskr. kN	moment kNm	hoekver.φ rad.	verpl. δ mm
1	1 -- 2	1134	400	0,40	0,00	4,24E-02	1385,0
2	2 -- 3	3710	3710	5,24	0,68	4,24E-02	1355,3
3	3 -- 4	4062		8,95	15,94	4,23E-02	1264,2
4	4 -- 5	1383	28404	41,42	39,61	4,20E-02	1173,3
5	5 -- 6	2948		42,80	68,88	4,18E-02	1144,2
6	6 -- 7	3098		45,75	131,97	4,13E-02	1084,9
7	7 -- 8	3991		48,85	199,37	4,06E-02	1026,5
8	8 -- 9	4179		52,84	271,83	3,98E-02	969,1
9	9 -- 10	8921		57,02	350,10	3,90E-02	912,9
10	10 -- 11	2489		65,94	525,32	3,71E-02	804,3
11	11 -- 12	7183	28404	96,83	576,04	3,65E-02	776,6
12	12 -- 13	10423		104,02	786,43	3,49E-02	701,7
13	13 -- 14	13286		114,44	1097,73	3,23E-02	605,7
14	14 -- 15	10898		127,72	1442,81	3,00E-02	516,6
15	15 -- 16	3290	28404	167,03	1736,46	2,82E-02	452,4
16	16 -- 17	15089		170,32	1845,25	2,76E-02	434,4
17	17 -- 18	9186	6512	191,92	2352,15	2,50E-02	359,3
18	18 -- 19	8505	7694	208,80	2646,92	2,37E-02	322,8
19	19 -- 20	18693		217,30	2934,54	2,26E-02	291,5
20	20 -- 21	21590		236,00	3580,49	2,00E-02	230,8
21	21 -- 22	22692		257,59	4283,84	1,76E-02	177,1
22	22 -- 23	23794		280,28	5050,30	1,51E-02	130,4
23	23 -- 24	24895		304,07	5882,99	1,26E-02	90,7
24	24 -- 25	25997		328,97	6785,07	1,01E-02	58,2
25	25 -- 26	27099		354,96	7759,68	7,61E-03	32,8
26	26 -- 27	28201		382,06	8809,94	5,08E-03	14,6
27	27 -- 28	29302		410,26	9939,00	2,54E-03	3,7
28			10993	450,56	11150,01	0,00E+00	0,0

Voor de berekening van de eigenfrequentie is de Rayleigh-Ritz methode toegepast.
Bij benadering kan eigenfrequentie bepaald worden door alle massa's m_i van het dynamische model dezelfde versnelling g in de richting van de beweging te geven en vervolgen eigen-trillingsvorm te berekenen onder invloed van krachten $F_i = m_i * g$

De eigenfrequentie van de eerste trillingsvorm kan berekend worden door:

$$n_{1,x} = 1 / 2\pi * \{ g * \Sigma m_i * \delta_i / \Sigma m_i * \delta_i^2 \}^{0,5}$$

m_i : de geconcentreerde massa in kg.

δ_i : de verplaatsing van het punt (i) in meter

g = 9,81 m/s^2 - versnelling van de zwaartekracht

knoop nummer	staaf nummer	gewicht mast kg	gewicht traverse kg	verpl. δ m	$g\Sigma m_i.\delta_i$	$\Sigma m_i.\delta_i^2$
1	1 -- 2	113,4	40,0	1,385	2067,74	289,618
2	2 -- 3	371,0	371,0	1,355	9699,18	1317,847
3	3 -- 4	406,2		1,264	4856,05	603,292
4	4 -- 5	138,3	2840,4	1,173	34265,56	4095,918
5	5 -- 6	294,8		1,144	3222,88	366,150
6	6 -- 7	309,8		1,085	3208,31	345,250
7	7 -- 8	399,1		1,026	3906,63	397,358
8	8 -- 9	417,9		0,969	3857,76	370,066
9	9 -- 10	892,1		0,913	7514,50	657,728
10	10 -- 11	248,9		0,804	1930,17	155,525
11	11 -- 12	718,3	2840,4	0,777	26846,33	2105,259
12	12 -- 13	1042,3		0,702	6683,85	445,355
13	13 -- 14	1328,6		0,606	7313,71	418,353
14	14 -- 15	1089,8		0,517	5179,88	255,840
15	15 -- 16	329,0	2840,4	0,452	14037,52	646,078
16	16 -- 17	1508,9		0,434	5874,84	237,683
17	17 -- 18	918,6	651,2	0,359	5369,12	190,941
18	18 -- 19	850,5	769,4	0,323	4998,75	160,386
19	19 -- 20	1869,3		0,292	4788,71	127,474
20	20 -- 21	2159,0		0,231	4319,53	89,800
21	21 -- 22	2269,2		0,177	3422,84	53,649
22	22 -- 23	2379,4		0,130	2580,74	29,086
23	23 -- 24	2489,5		0,091	1818,23	13,799
24	24 -- 25	2599,7		0,058	1159,96	5,378
25	25 -- 26	2709,9		0,033	630,31	1,523
26	26 -- 27	2820,1		0,015	253,38	0,237
27	27 -- 28	2930,2		0,004	53,05	0,010
28			1099,3	0,000	0,00	0,000
				Som	169860	13380

$$n_{1,x} = 1 / 2\pi * \{ g * \Sigma m_i * \delta_i / \Sigma m_i * \delta_i^2 \}^{0,5}$$

$n_{1,x}$	=	0,57	Hz

Meewerkende massa

$m_{i;e}$ is de equivalente massa m_e per lengte eenheid, in kg/m, gewogen naar de trillingsvorm :

$$m_e = \frac{\int_0^{l} m(s) * \phi^2_i(s)\, ds}{\int_0^{l} \phi^2_i(s)\, ds}$$

staaf nummer	massa m kg/m	ϕ_i	s m	$\phi_i^2 * (s)$	$\phi_i^2 *(s)*m$	$\phi_i * (s)$
1 -- 2	749	0,989	0,700	0,69	513,22	0,69
2 -- 3	173	0,946	2,150	1,92	331,77	2,03
3 -- 4	1507	0,880	2,155	1,67	2514,00	1,90
4 -- 5	199	0,837	0,695	0,49	96,82	0,58
5 -- 6	207	0,805	1,425	0,92	190,89	1,15
6 -- 7	217	0,762	1,425	0,83	179,99	1,09
7 -- 8	280	0,720	1,425	0,74	207,16	1,03
8 -- 9	293	0,679	1,425	0,66	192,93	0,97
9 -- 10	313	0,620	2,850	1,10	342,90	1,77
10 -- 11	4092	0,571	0,755	0,25	1006,30	0,43
11 -- 12	343	0,534	2,095	0,60	204,57	1,12
12 -- 13	366	0,472	2,850	0,63	232,18	1,35
13 -- 14	466	0,405	2,850	0,47	218,10	1,15
14 -- 15	1782	0,350	2,205	0,27	481,02	0,77
15 -- 16	510	0,320	0,645	0,07	33,72	0,21
16 -- 17	758	0,287	2,850	0,23	177,39	0,82
17 -- 18	1125	0,246	1,500	0,09	102,36	0,37
18 -- 19	630	0,222	1,350	0,07	41,83	0,30
19 -- 20	656	0,189	2,850	0,10	66,46	0,54
20 -- 21	758	0,147	2,850	0,06	46,82	0,42
21 -- 22	796	0,111	2,850	0,04	27,97	0,32
22 -- 23	835	0,080	2,850	0,02	15,16	0,23
23 -- 24	874	0,054	2,850	0,01	7,19	0,15
24 -- 25	912	0,033	2,850	0,00	2,80	0,09
25 -- 26	951	0,017	2,850	0,00	0,79	0,05
26 -- 27	989	0,007	2,850	0,00	0,12	0,02
27 -- 28	1414	0,001	2,850	0,00	0,01	0,00
		Σ	57,00	11,91	7234,46	19,53

m_e = 7234,5 / 11,9 = 607,5 kg/m

3.3 - Berekening bouwwerkfactor $c_s c_d$

Eurocode 1- 4 : 6.3.1 - Procedure volgens bijlage C

$c_s c_d = 1 + 2 * k_p * I_v(z_s) * (B^2 + R^2)^{0,5} / (1 + 7 * I_v(z_s))$

$n = n_{1,x}$ =	0,57	Hz
b =	1,21	m
h =	57,00	m
$z_s = h_0 + 0,6 * h$ =	34,20	m
$\alpha = 0,67 + 0,05 * \ln(z_0)$ =	0,59	
De referentiehoogte z_t =	200	m
De referentielengteschaal L_t =	300	m
$L(z) = L_t * (z / z_t)^{\alpha}$ =	105,91	

$B^2 = 1 / \{1+1,5*[(b/L(z_s))^2 + (h/L(z_s))^2 + (b*h / L(z_s).L(z_s))^2]^{0,5}\}$

B^2 = 0,55

δ_s =	0,012	(buismast)
$\delta_a = c_f * \rho * b * v_m(z_s) / (2*n_1*m_e)$ =	0,077	
δ_d =	0	nvt, geen dempinstallatie
$\delta = \delta_s + \delta_a + \delta_d$ =	0,089	
$v_m(z_s)$ =	29,06	m/s
$v_m(z)$ =	31,95	m/s
$I_v(z_s)$ =	0,19	

$S_L(z,n) = 6,8 * f_L(z,n) / \{1+10,2*f_L(z,n)\}^{5/3}$ = 0,09

$f_L(z,n) = n * L(z) / v_m(z)$ =	1,88	
$c_y = c_z$ =	11,5	
$\phi_y = c_y * b * n / V_m(z_s)$	0,27	
$\phi_z = c_y * h * n / V_m(z_s)$	12,79	
G_y =	0,5	
G_z =	0,28	

$K_s(n) = 1 / \{ 1 + [(G_y.\phi_y)_2 + G_z.\phi_z)^2 + (2.G_y.\phi_y.G_z.\phi_z/\pi)^2]^{0,5} \}$

$K_s(n)$ =	0,22	
R^2 =	1,04	
T =	600	s
$v = n_{1,x} * (R^2/(B^2+R^2))^{0,5}$ =	0,46	Hz

$k_p = \{2*\ln(v*T)\}^{0,5} + 0,6 / \{ (2*\ln(v*T))^{0,5}\}$ = 3,53

$c_s c_d$ = 1,16

3.4 - Bepaling krachtcoëfficiënt C_f

$C_f = C_{f,0} * \psi_\lambda$ doorsnede : Cirkelvormige doorsnede

$R_e = b * v(z_e) / \nu$; $v(z_e) = \{ 2 * q_p / \rho \}^{0,5}$

b is de diameter

ν is de kinematische viscositeit van de lucht $\nu = 15*10^{-6}$ m^2/s

$C_{f,0} = 1,2 + [(0,18 * \log(10*k/b)) / (1 + 0,4*\log(R_e / 10^6))]$

k = 0,20 (gegalvaniseerd staal)

ψ_λ confom EN-1991-1-4 - 7,13

member number	$v(z_e)$ m/s	R_e	$C_{f,0}$	ψ_λ	C_f
1	47,8	1,62E+06	0,80	0,83	0,66
2	47,6	1,73E+06	0,80	0,83	0,66
3	47,4	1,89E+06	0,80	0,83	0,66
4	47,2	1,99E+06	0,80	0,83	0,66
5	47,1	2,07E+06	0,80	0,83	0,66
6	46,9	2,18E+06	0,80	0,83	0,66
7	46,7	2,28E+06	0,80	0,83	0,66
8	46,5	2,38E+06	0,80	0,83	0,66
9	46,2	2,53E+06	0,79	0,83	0,66
10	46,0	2,65E+06	0,79	0,83	0,66
11	45,8	2,75E+06	0,79	0,83	0,66
12	45,4	2,91E+06	0,79	0,83	0,66
13	44,9	3,10E+06	0,79	0,83	0,66
14	44,5	3,25E+06	0,79	0,83	0,66
15	44,2	3,34E+06	0,79	0,83	0,65
16	43,8	3,44E+06	0,79	0,83	0,65
17	43,4	3,56E+06	0,79	0,83	0,65
18	43,0	3,64E+06	0,79	0,83	0,65
19	42,5	3,74E+06	0,79	0,83	0,65
20	41,7	3,87E+06	0,79	0,83	0,65
21	40,8	3,98E+06	0,78	0,83	0,65
22	39,8	4,07E+06	0,78	0,83	0,65
23	38,5	4,12E+06	0,78	0,83	0,65
24	36,9	4,12E+06	0,78	0,83	0,64
25	34,7	4,05E+06	0,77	0,83	0,64
26	31,4	3,80E+06	0,77	0,83	0,64
27	30,9	3,90E+06	0,77	0,83	0,64

3.5 - Gewicht, windoppervlak en windlast per staaf .

Gewicht (verticale belasting) bliksem en fase draden

	opstel hoogte m	aantal	gewicht / ophanging N	gewicht bevestiging N	totaal gewicht N
Bliksem	56,300	1	Vlg. KEMA rapport 74100706-ETD/POL 12-00138 REV 003 Appendix - Q en Q2		
1e traverse - 380C1F1	51,995	1			
2e traverse - 380C1F2	41,995	1			
3e traverse - 380C1F3	31,995	1			
Passieve run	27,000	1			
				Σ Gew (kg)	0

Excentriciteit ophanging t.o.v hart mast

	opstel hoogte m	excet. in m
Bliksem	56,300	1,459
1e traverse - 380C1F1	51,995	4,473
2e traverse - 380C1F2	41,995	4,598
3e traverse - 380C1F3	31,995	4,723
Passieve run	27,000	1,825

Windlast (horizontale belasting) bliksem en fase draden

	opstel hoogte m	aantal	F_{hor} ophanging N	F_{hor} bevestiging N	totaal $F_{hor.}$ N
Bliksem	56,300	1	Vlg. KEMA rapport		
1e traverse - 380C1F1	51,995	1			
2e traverse - 380C1F2	41,995	1			
3e traverse - 380C1F3	31,995	1			
Passieve run	27,000	1			

3.6 - Gewicht en windbelasting van het mastlichaam

$F_{wind} = q_p(z) * C_s C_d * A$

staaf nummer	gewicht staven in N.	gewicht kab/ladder in N.	totaal gewicht in N.	windopp. staven in m².	windopp. ladder in m².	windlast in N	windlast in kN/m'.
1	1029	105	1134	0,236	0,084	529	0,755
2	3387	323	3710	0,776	0,258	1695	0,789
3	3738	323	4062	0,853	0,259	1805	0,838
4	1279	104	1383	0,291	0,083	604	0,869
5	2734	214	2948	0,622	0,171	1271	0,892
6	2884	214	3098	0,655	0,171	1314	0,922
7	3777	214	3991	0,688	0,171	1356	0,952
8	3965	214	4179	0,721	0,171	1397	0,981
9	8494	428	8921	1,540	0,342	2913	1,022
10	2376	113	2489	0,430	0,091	797	1,055
11	6869	314	7183	1,242	0,251	2264	1,081
12	9996	428	10423	1,803	0,342	3198	1,122
13	12859	428	13286	1,934	0,342	3322	1,166
14	10567	331	10898	1,586	0,265	2647	1,200
15	3193	97	3290	0,479	0,077	786	1,218
16	14661	428	15089	2,194	0,342	3527	1,237
17	8961	225	9186	1,207	0,180	1887	1,258
18	8302	203	8505	1,117	0,162	1714	1,270
19	18265	428	18693	2,452	0,342	3656	1,283
20	21163	428	21590	2,580	0,342	3684	1,293
21	22264	428	22692	2,707	0,342	3681	1,292
22	23366	428	23794	2,833	0,342	3638	1,276
23	24468	428	24895	2,957	0,342	3542	1,243
24	25570	428	25997	3,077	0,342	3372	1,183
25	26671	428	27099	3,193	0,342	3088	1,083
26	27773	428	28201	3,296	0,342	2592	0,909
27	28875	428	29302	3,421	0,342	2605	0,914
	327487	8550	336037	inkl. C_t	inkl. C_t	$\Sigma F_{mast =}$	62885

Gewicht ladder = 15 kg / m'
Windoppervlak ladder = 0,12 m^2 / m'

3.7 - Berekende belastingen

1 - Eigen gewichten (Ultimate limit state)

knoop nummer	staaf i--j	eg mast inc. Ladder in N/m'	eg draden BG - 1a in N	eg draden BG - 1b in N	eg draden BG - 3 in N	eg draden BG - 4 in N
1	1 -- 2	1944	480	480	480	480
2	2 -- 3	2071	4452	4450	18488	5956
3	3 -- 4	2262				
4	4 -- 5	2388	34090	34072	58752	40106
5	5 -- 6	2482				
6	6 -- 7	2609				
7	7 -- 8	3361				
8	8 -- 9	3519				
9	9 -- 10	3756				
10	10 -- 11	3956				
11	11 -- 12	4114	34090	34072	58752	40106
12	12 -- 13	4389				
13	13 -- 14	5594				
14	14 -- 15	5931				
15	15 -- 16	6120	34090	34072	58752	40106
16	16 -- 17	6353				
17	17 -- 18	7349	7815	7815	7815	7815
18	18 -- 19	7560	9234	9230	37352	12244
19	19 -- 20	7871				
20	20 -- 21	9091				
21	21 -- 22	9555				
22	22 -- 23	10018				
23	23 -- 24	10482				
24	24 -- 25	10946				
25	25 -- 26	11410				
26	26 -- 27	11874				
27	27 -- 28	12338				
28			13192	13192	13192	13192

KEMA rapport - bijlage Q - windhoek 90 graden

eg flenzen+ringen * γ_g (γ_g = 1,2)

eg mast * γ_g (γ_g = 1,2)

Berekende gewichten voor voetplaat, flenzen en ringen

Voetplaat : rond 2295 / 1515 , t = 60 mm ; G = 1099 kg
Flenzen op 28,5m : 2 * rond 1213 / 900 , t = 80 mm ; G = 651 kg
Topplaat / Hijsplaat + kap : rond 500 / 300 , t = 30 mm ; G = 40 kg

2 - Horizontale belasting (Serviceability limit state)

knoop nummer	staaf i--j	wind belasting mast in N/m'	hor. Bel. draden BG - 1a in N	hor. Bel. draden BG - 1b in N	hor. Bel. draden BG - 3 in N	hor. Bel. draden BG - 4 in N
1	1 -- 2	755				
2	2 -- 3	789	10176	3240	12168	3354
3	3 -- 4	838				
4	4 -- 5	869	60112	21836	42312	21468
5	5 -- 6	892				
6	6 -- 7	922				
7	7 -- 8	952				
8	8 -- 9	981				
9	9 -- 10	1022				
10	10 -- 11	1055				
11	11 -- 12	1081	55920	21088	40160	20732
12	12 -- 13	1122				
13	13 -- 14	1166				
14	14 -- 15	1200				
15	15 -- 16	1218	50600	20146	37446	19802
16	16 -- 17	1237				
17	17 -- 18	1258				
18	18 -- 19	1270	14532	5508	19008	5780
19	19 -- 20	1283				
20	20 -- 21	1293				
21	21 -- 22	1292				
22	22 -- 23	1276				
23	23 -- 24	1243				
24	24 -- 25	1183				
25	25 -- 26	1083				
26	26 -- 27	909				
27	27 -- 28	914				
28						

KEMA rapport - bijlage Q2 - windhoek 90 graden

wind mast * γ_q (γ_q = 1,0)

3 - Horizontale belasting (Ultimate limit state)

knoop nummer	staaf i--j	wind belasting mast in N/m'	hor. Bel. draden BG - 1a in N	hor. Bel. draden BG - 1b in N	hor. Bel. draden BG - 3 in N	hor. Bel. draden BG - 4 in N
1	1 -- 2	1208				
2	2 -- 3	1262	14796	4302	17356	4514
3	3 -- 4	1340				
4	4 -- 5	1391	86756	28240	58878	28266
5	5 -- 6	1427				
6	6 -- 7	1476				
7	7 -- 8	1523				
8	8 -- 9	1569				
9	9 -- 10	1635				
10	10 -- 11	1689				
11	11 -- 12	1729	80508	27106	55648	27152
12	12 -- 13	1795				
13	13 -- 14	1865				
14	14 -- 15	1920				
15	15 -- 16	1949	72560	25676	51566	25746
16	16 -- 17	1980				
17	17 -- 18	2013				
18	18 -- 19	2032	20912	7092	26732	7588
19	19 -- 20	2053				
20	20 -- 21	2068				
21	21 -- 22	2067				
22	22 -- 23	2042				
23	23 -- 24	1988				
24	24 -- 25	1893				
25	25 -- 26	1733				
26	26 -- 27	1455				
27	27 -- 28	1463				
28						

KEMA rapport - bijlage Q - windhoek 90 graden

wind mast * γ_q (γ_q = 1,6)

4.0 - Resultaat berekeningen

4.1 - Berekenen verplaatsingen in SLS-toestand (Servieability limit state)

A - Wind belasting mastlichaam (incl. 2e orde effect)

knoop nummer	staaf i--j	$Q_{last;hor}$ N	$F_{last;hor}$ N	dwarskr. N	moment Nmm	hoekver. rad.	hor. verpl. mm
1	1 -- 2	529		0	0,00E+00	7,03E-03	227
2	2 -- 3	1695		529	2,10E+05	7,03E-03	222
3	3 -- 4	1805		2224	3,30E+06	7,01E-03	207
4	4 -- 5	604		4029	1,06E+07	6,94E-03	192
5	5 -- 6	1271		4633	1,39E+07	6,91E-03	187
6	6 -- 7	1314		5904	2,18E+07	6,81E-03	177
7	7 -- 8	1356		7218	3,16E+07	6,70E-03	168
8	8 -- 9	1397		8575	4,33E+07	6,58E-03	158
9	9 -- 10	2913		9972	5,71E+07	6,44E-03	149
10	10 -- 11	797		12885	9,08E+07	6,12E-03	131
11	11 -- 12	2264		13682	1,01E+08	6,03E-03	126
12	12 -- 13	3198		15946	1,34E+08	5,75E-03	114
13	13 -- 14	3322		19144	1,85E+08	5,32E-03	98
14	14 -- 15	2647		22466	2,46E+08	4,93E-03	84
15	15 -- 16	786		25112	3,01E+08	4,61E-03	73
16	16 -- 17	3527		25898	3,18E+08	4,51E-03	70
17	17 -- 18	1887		29425	3,99E+08	4,07E-03	58
18	18 -- 19	1714		31312	4,45E+08	3,86E-03	52
19	19 -- 20	3656		33026	4,90E+08	3,66E-03	47
20	20 -- 21	3684		36682	5,92E+08	3,23E-03	37
21	21 -- 22	3681		40367	7,03E+08	2,84E-03	28
22	22 -- 23	3638		44048	8,26E+08	2,44E-03	21
23	23 -- 24	3542		47685	9,58E+08	2,03E-03	15
24	24 -- 25	3372		51227	1,10E+09	1,63E-03	9
25	25 -- 26	3088		54600	1,25E+09	1,22E-03	5
26	26 -- 27	2592		57687	1,41E+09	8,09E-04	2
27	27 -- 28	2605		60279	1,58E+09	4,03E-04	1
28				62885	1,76E+09	0,00E+00	0

B - Horizontale belasting - belastinggeval 1a (incl. 2e orde effect)

knoop nummer	staaf i--j	$Q_{last;hor}$ N	$F_{last;hor}$ N	dwarskr. N	moment Nmm	hoekver. rad.	hor. verpl. mm
1	1 -- 2			0	0,00E+00	4,62E-02	1375
2	2 -- 3		10176	10176	1,65E+05	4,62E-02	1342
3	3 -- 4			10176	2,29E+07	4,60E-02	1243
4	4 -- 5		60112	70288	4,88E+07	4,57E-02	1144
5	5 -- 6			70288	9,90E+07	4,54E-02	1113
6	6 -- 7			70288	2,02E+08	4,47E-02	1048
7	7 -- 8			70288	3,05E+08	4,35E-02	985
8	8 -- 9			70288	4,08E+08	4,24E-02	924
9	9 -- 10			70288	5,12E+08	4,12E-02	865
10	10 -- 11			70288	7,20E+08	3,85E-02	751
11	11 -- 12		55920	126208	7,75E+08	3,77E-02	722
12	12 -- 13			126208	1,05E+09	3,55E-02	645
13	13 -- 14			126208	1,42E+09	3,22E-02	548
14	14 -- 15			126208	1,79E+09	2,93E-02	461
15	15 -- 16		50600	176808	2,08E+09	2,70E-02	399
16	16 -- 17			176808	2,19E+09	2,63E-02	381
17	17 -- 18			176808	2,71E+09	2,33E-02	310
18	18 -- 19		14532	191340	2,98E+09	2,19E-02	276
19	19 -- 20			191340	3,25E+09	2,06E-02	248
20	20 -- 21			191340	3,81E+09	1,78E-02	193
21	21 -- 22			191340	4,36E+09	1,53E-02	146
22	22 -- 23			191340	4,92E+09	1,29E-02	106
23	23 -- 24			191340	5,47E+09	1,05E-02	72
24	24 -- 25			191340	6,03E+09	8,21E-03	46
25	25 -- 26			191340	6,58E+09	6,02E-03	25
26	26 -- 27			191340	7,13E+09	3,93E-03	11
27	27 -- 28			191340	7,68E+09	1,92E-03	3
28	28 -- 29			191340	8,23E+09	0,00E+00	0

C - Horizontale belasting - belastinggeval 1b (incl. 2e orde effect)

knoop nummer	staaf i--j	$Q_{last;hor}$ N	$F_{last;hor}$ N	dwarskr. N	moment Nmm	hoekver. rad.	hor. verpl. mm
1	1 -- 2			0	0,00E+00	1,68E-02	504
2	2 -- 3		3240	3240	5,98E+04	1,68E-02	492
3	3 -- 4			3240	7,34E+06	1,67E-02	456
4	4 -- 5		21836	25076	1,58E+07	1,66E-02	420
5	5 -- 6			25076	3,37E+07	1,65E-02	409
6	6 -- 7			25076	7,04E+07	1,63E-02	385
7	7 -- 8			25076	1,07E+08	1,59E-02	362
8	8 -- 9			25076	1,44E+08	1,55E-02	340
9	9 -- 10			25076	1,81E+08	1,50E-02	318
10	10 -- 11			25076	2,55E+08	1,41E-02	277
11	11 -- 12		21088	46164	2,75E+08	1,38E-02	266
12	12 -- 13			46164	3,75E+08	1,30E-02	238
13	13 -- 14			46164	5,10E+08	1,18E-02	203
14	14 -- 15			46164	6,46E+08	1,08E-02	170
15	15 -- 16		20146	66310	7,51E+08	9,96E-03	148
16	16 -- 17			66310	7,95E+08	9,71E-03	141
17	17 -- 18			66310	9,89E+08	8,62E-03	115
18	18 -- 19		5508	71818	1,09E+09	8,08E-03	102
19	19 -- 20			71818	1,19E+09	7,60E-03	92
20	20 -- 21			71818	1,40E+09	6,59E-03	72
21	21 -- 22			71818	1,61E+09	5,67E-03	54
22	22 -- 23			71818	1,82E+09	4,77E-03	39
23	23 -- 24			71818	2,03E+09	3,89E-03	27
24	24 -- 25			71818	2,23E+09	3,05E-03	17
25	25 -- 26			71818	2,44E+09	2,24E-03	9
26	26 -- 27			71818	2,65E+09	1,46E-03	4
27	27 -- 28			71818	2,85E+09	7,13E-04	1
28				71818	3,06E+09	0,00E+00	0

D - Horizontale belasting - belastinggeval 3 (incl. 2e orde effect)

knoop nummer	staaf i--j	$Q_{last;hor}$ N	$F_{last;hor}$ N	dwarskr. N	moment Nmm	hoekver. rad.	hor. verpl. mm
1	1 -- 2			0	0,00E+00	3,64E-02	1068
2	2 -- 3		12168	12168	1,30E+05	3,64E-02	1043
3	3 -- 4			12168	2,70E+07	3,62E-02	965
4	4 -- 5		42312	54480	5,63E+07	3,58E-02	887
5	5 -- 6			54480	9,52E+07	3,56E-02	862
6	6 -- 7			54480	1,75E+08	3,49E-02	812
7	7 -- 8			54480	2,55E+08	3,39E-02	763
8	8 -- 9			54480	3,35E+08	3,30E-02	715
9	9 -- 10			54480	4,15E+08	3,20E-02	669
10	10 -- 11			54480	5,76E+08	2,98E-02	581
11	11 -- 12		40160	94640	6,19E+08	2,92E-02	559
12	12 -- 13			94640	8,24E+08	2,75E-02	499
13	13 -- 14			94640	1,10E+09	2,49E-02	425
14	14 -- 15			94640	1,38E+09	2,26E-02	357
15	15 -- 16		37446	132086	1,60E+09	2,08E-02	309
16	16 -- 17			132086	1,68E+09	2,03E-02	296
17	17 -- 18			132086	2,07E+09	1,80E-02	241
18	18 -- 19		19008	151094	2,27E+09	1,69E-02	215
19	19 -- 20			151094	2,48E+09	1,59E-02	192
20	20 -- 21			151094	2,92E+09	1,38E-02	150
21	21 -- 22			151094	3,36E+09	1,19E-02	113
22	22 -- 23			151094	3,80E+09	9,98E-03	82
23	23 -- 24			151094	4,24E+09	8,15E-03	56
24	24 -- 25			151094	4,68E+09	6,39E-03	36
25	25 -- 26			151094	5,11E+09	4,69E-03	20
26	26 -- 27			151094	5,55E+09	3,06E-03	9
27	27 -- 28			151094	5,98E+09	1,49E-03	2
28				151094	6,41E+09	0,00E+00	0

E - Horizontale belasting - belastinggeval 4 (incl. 2e orde effect)

knoop nummer	staaf i--j	$Q_{last;hor}$ N	$F_{last;hor}$ N	dwarskr. N	moment Nmm	hoekver. rad.	hor. verpl. mm
1	1 -- 2			0	0,00E+00	1,66E-02	499
2	2 -- 3		3354	3354	5,92E+04	1,66E-02	487
3	3 -- 4			3354	7,58E+06	1,66E-02	451
4	4 -- 5		21468	24822	1,62E+07	1,64E-02	416
5	5 -- 6			24822	3,40E+07	1,64E-02	404
6	6 -- 7			24822	7,04E+07	1,61E-02	381
7	7 -- 8			24822	1,07E+08	1,57E-02	358
8	8 -- 9			24822	1,43E+08	1,53E-02	336
9	9 -- 10			24822	1,80E+08	1,49E-02	315
10	10 -- 11			24822	2,53E+08	1,39E-02	274
11	11 -- 12		20732	45554	2,73E+08	1,37E-02	263
12	12 -- 13			45554	3,71E+08	1,29E-02	236
13	13 -- 14			45554	5,05E+08	1,17E-02	200
14	14 -- 15			45554	6,39E+08	1,07E-02	169
15	15 -- 16		19802	65356	7,43E+08	9,84E-03	146
16	16 -- 17			65356	7,86E+08	9,60E-03	140
17	17 -- 18			65356	9,77E+08	8,52E-03	114
18	18 -- 19		5780	71136	1,08E+09	7,99E-03	101
19	19 -- 20			71136	1,18E+09	7,52E-03	91
20	20 -- 21			71136	1,38E+09	6,51E-03	71
21	21 -- 22			71136	1,59E+09	5,60E-03	54
22	22 -- 23			71136	1,80E+09	4,71E-03	39
23	23 -- 24			71136	2,00E+09	3,85E-03	27
24	24 -- 25			71136	2,21E+09	3,02E-03	17
25	25 -- 26			71136	2,41E+09	2,21E-03	9
26	26 -- 27			71136	2,62E+09	1,44E-03	4
27	27 -- 28			71136	2,82E+09	7,05E-04	1
28				71136	3,03E+09	0,00E+00	0

F - Excentriciteit moment t.g.v. eigengewicht draden

knoop nummer	staaf i--j	$Q_{last;hor}$ N	$F_{last;hor}$ N	dwarskr. N	moment Nmm	hoekver. rad.	hor. verpl. mm
1	1 -- 2				0,00E+00	7,25E-03	153
2	2 -- 3				-5,41E+06	7,25E-03	147
3	3 -- 4				-5,41E+06	7,33E-03	132
4	4 -- 5				1,22E+08	7,39E-03	116
5	5 -- 6				1,22E+08	7,03E-03	111
6	6 -- 7				1,22E+08	6,39E-03	101
7	7 -- 8				1,22E+08	5,84E-03	93
8	8 -- 9				1,22E+08	5,46E-03	85
9	9 -- 10				1,22E+08	5,13E-03	77
10	10 -- 11				1,22E+08	4,59E-03	63
11	11 -- 12				2,52E+08	4,47E-03	60
12	12 -- 13				2,52E+08	3,86E-03	51
13	13 -- 14				2,52E+08	3,18E-03	41
14	14 -- 15				2,52E+08	2,72E-03	33
15	15 -- 16				3,86E+08	2,42E-03	27
16	16 -- 17				3,86E+08	2,30E-03	25
17	17 -- 18				3,86E+08	1,82E-03	20
18	18 -- 19				3,72E+08	1,63E-03	17
19	19 -- 20				3,72E+08	1,47E-03	15
20	20 -- 21				3,72E+08	1,17E-03	11
21	21 -- 22				3,72E+08	9,47E-04	8
22	22 -- 23				3,72E+08	7,51E-04	6
23	23 -- 24				3,72E+08	5,82E-04	4
24	24 -- 25				3,72E+08	4,34E-04	2
25	25 -- 26				3,72E+08	3,05E-04	1
26	26 -- 27				3,72E+08	1,91E-04	1
27	27 -- 28				3,72E+08	8,98E-05	0
28					3,72E+08	0,00E+00	0

4.2 - Maximale horizontale verplaatsingen in SLS-toestand

Maatgevende combinatie - Serviceability limit state:

Eigengewicht conductors, insulators	G_k =	1,00
Windbelasting mastlichaam	Q_{wk} =	1,00
Belasting geval 1a	Q_{wk} =	1,00
Belasting geval 1b	Q_{wk} =	0,00
Belasting geval 3	Q_{ik} =	0,00
Belasting geval 4	Q_{pk} =	0,00

knoop nummer	staaf i--j	hoekver. φ radian	verpl. δ_{hor} mm
1	1 -- 2	6,0E-02	1754
2	2 -- 3	6,0E-02	1712
3	3 -- 4	6,0E-02	1582
4	4 -- 5	6,0E-02	1452
5	5 -- 6	5,9E-02	1411
6	6 -- 7	5,8E-02	1327
7	7 -- 8	5,6E-02	1246
8	8 -- 9	5,4E-02	1167
9	9 -- 10	5,3E-02	1091
10	10 -- 11	4,9E-02	945
11	11 -- 12	4,8E-02	908
12	12 -- 13	4,5E-02	810
13	13 -- 14	4,1E-02	688
14	14 -- 15	3,7E-02	577
15	15 -- 16	3,4E-02	499
16	16 -- 17	3,3E-02	477
17	17 -- 18	2,9E-02	388
18	18 -- 19	2,7E-02	345
19	19 -- 20	2,6E-02	310
20	20 -- 21	2,2E-02	241
21	21 -- 22	1,9E-02	182
22	22 -- 23	1,6E-02	132
23	23 -- 24	1,3E-02	91
24	24 -- 25	1,0E-02	57
25	25 -- 26	7,5E-03	32
26	26 -- 27	4,9E-03	14
27	27 -- 28	2,4E-03	3
28	28 -- 29	0,0E+00	0

4.3 - Toetsing maximale horizontale verplaatsingen

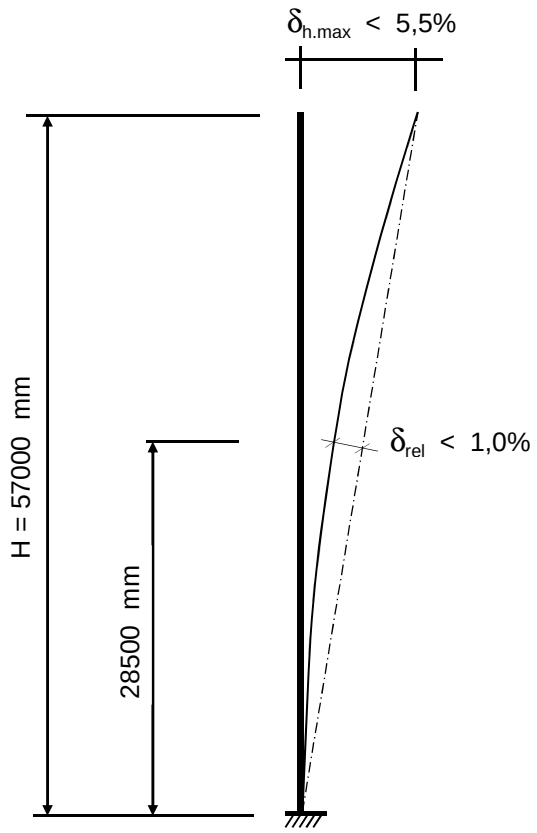

Controle verplaatsingen

δ_h = 1754 mm ----> δ_h *100 / 57000

Percentage uitbuig. = 3,08 % voldoet , max verpl. < 5,5 %

max. relatieve verplaatsing mast, t.p.v knoop x :

δ_{rel} = [{δ_{hor} * (hoogte knoop x) / (totale hoogte)} - $\delta_{knoop\ x}$] * Cosα

Knoop 17 ; Hoogte = 28500 mm
$\delta_{knoop\ x}$ = 388 mm
α = 1,76 graden

δ_{rel} = 489 mm ----> δ_h *100 / 57000

Percentage uitbuig. = 0,86 % voldoet , max verpl. < 1 %

De maximale verplaatsing voldoet aan stijfheidseisen volgen NEN -EN 50341-3 (november 2001) .

4.4 - Berekening krachten in ULS-toestand - (Ultimate limit state)

A - Wind belasting mastlichaam

knoop nummer	staaf i--j	$Q_{last;hor}$ N	normaalkr. N	dwarskr. N	moment Nmm	hoekver. rad.	hor. verpl. mm
1	1 -- 2	793	480	0	0,00E+00	1,09E-02	354
2	2 -- 3	2543	6293	846	2,96E+05	1,09E-02	346
3	3 -- 4	2707	10745	3558	5,03E+06	1,09E-02	322
4	4 -- 5	906	49709	6446	1,58E+07	1,08E-02	299
5	5 -- 6	1907	51368	7413	2,06E+07	1,07E-02	292
6	6 -- 7	1972	54906	9447	3,26E+07	1,06E-02	277
7	7 -- 8	2035	58623	11550	4,76E+07	1,04E-02	262
8	8 -- 9	2096	63413	13720	6,56E+07	1,02E-02	247
9	9 -- 10	4369	68427	15955	8,67E+07	1,00E-02	232
10	10 -- 11	1195	79132	20616	1,39E+08	9,52E-03	205
11	11 -- 12	3396	116209	21891	1,55E+08	9,38E-03	197
12	12 -- 13	4797	124829	25513	2,05E+08	8,94E-03	178
13	13 -- 14	4983	137337	30630	2,85E+08	8,28E-03	154
14	14 -- 15	3970	153280	35945	3,79E+08	7,68E-03	131
15	15 -- 16	1178	200448	40180	4,63E+08	7,18E-03	114
16	16 -- 17	5290	204395	41437	4,90E+08	7,03E-03	110
17	17 -- 18	2831	230316	47079	6,16E+08	6,35E-03	91
18	18 -- 19	2571	250574	50099	6,89E+08	6,02E-03	81
19	19 -- 20	5484	260780	52842	7,58E+08	5,72E-03	73
20	20 -- 21	5527	283212	58692	9,17E+08	5,06E-03	58
21	21 -- 22	5522	309120	64587	1,09E+09	4,44E-03	45
22	22 -- 23	5457	336350	70476	1,29E+09	3,82E-03	33
23	23 -- 24	5313	364903	76297	1,49E+09	3,18E-03	23
24	24 -- 25	5058	394777	81964	1,72E+09	2,55E-03	15
25	25 -- 26	4632	425974	87359	1,96E+09	1,91E-03	8
26	26 -- 27	3888	458492	92300	2,22E+09	1,27E-03	4
27	27 -- 28	3908	492333	96447	2,49E+09	6,33E-04	1
28			540688	100616	2,77E+09	0,00E+00	0

B - Horizontale belasting - belastinggeval 1a

knoop nummer	staaf i--j	$Q_{last;hor}$ N	$F_{last;hor.}$ N	dwarskr. N	moment Nmm	hoekver. rad.	hor. verpl. mm
1	1 -- 2			0	0,00E+00	6,48E-02	1930
2	2 -- 3		14796	14796	0,00E+00	6,48E-02	1885
3	3 -- 4			14796	3,18E+07	6,45E-02	1745
4	4 -- 5		86756	101552	6,37E+07	6,40E-02	1607
5	5 -- 6			101552	1,34E+08	6,37E-02	1563
6	6 -- 7			101552	2,79E+08	6,26E-02	1472
7	7 -- 8			101552	4,24E+08	6,10E-02	1384
8	8 -- 9			101552	5,68E+08	5,95E-02	1298
9	9 -- 10			101552	7,13E+08	5,78E-02	1215
10	10 -- 11			101552	1,00E+09	5,40E-02	1055
11	11 -- 12		80508	182060	1,08E+09	5,30E-02	1015
12	12 -- 13			182060	1,46E+09	4,99E-02	907
13	13 -- 14			182060	1,98E+09	4,52E-02	771
14	14 -- 15			182060	2,50E+09	4,11E-02	648
15	15 -- 16		72560	254620	2,90E+09	3,79E-02	561
16	16 -- 17			254620	3,06E+09	3,70E-02	536
17	17 -- 18			254620	3,79E+09	3,28E-02	437
18	18 -- 19		20912	275532	4,17E+09	3,07E-02	389
19	19 -- 20			275532	4,54E+09	2,89E-02	349
20	20 -- 21			275532	5,33E+09	2,50E-02	272
21	21 -- 22			275532	6,11E+09	2,15E-02	205
22	22 -- 23			275532	6,90E+09	1,81E-02	149
23	23 -- 24			275532	7,68E+09	1,48E-02	102
24	24 -- 25			275532	8,47E+09	1,16E-02	64
25	25 -- 26			275532	9,26E+09	8,49E-03	36
26	26 -- 27			275532	1,00E+10	5,53E-03	16
27	27 -- 28			275532	1,08E+10	2,71E-03	4
28				275532	1,16E+10	0,00E+00	0

C - Horizontale belasting - belastinggeval 1b

knoop nummer	staaf i--j	$Q_{last;hor}$ N	$F_{last;hor.}$ N	dwarskr. N	moment Nmm	hoekver. rad.	hor. verpl. mm
1	1 -- 2			0	0,00E+00	2,11E-02	634
2	2 -- 3		4302	4302	0,00E+00	2,11E-02	619
3	3 -- 4			4302	9,25E+06	2,10E-02	574
4	4 -- 5		28240	32542	1,85E+07	2,09E-02	528
5	5 -- 6			32542	4,11E+07	2,08E-02	514
6	6 -- 7			32542	8,75E+07	2,04E-02	485
7	7 -- 8			32542	1,34E+08	1,99E-02	456
8	8 -- 9			32542	1,80E+08	1,94E-02	428
9	9 -- 10			32542	2,27E+08	1,89E-02	400
10	10 -- 11			32542	3,19E+08	1,77E-02	348
11	11 -- 12		27106	59648	3,44E+08	1,74E-02	335
12	12 -- 13			59648	4,69E+08	1,64E-02	300
13	13 -- 14			59648	6,39E+08	1,49E-02	255
14	14 -- 15			59648	8,09E+08	1,35E-02	214
15	15 -- 16		25676	85324	9,40E+08	1,25E-02	186
16	16 -- 17			85324	9,95E+08	1,22E-02	178
17	17 -- 18			85324	1,24E+09	1,08E-02	145
18	18 -- 19		7092	92416	1,37E+09	1,02E-02	129
19	19 -- 20			92416	1,49E+09	9,57E-03	116
20	20 -- 21			92416	1,75E+09	8,29E-03	90
21	21 -- 22			92416	2,02E+09	7,13E-03	68
22	22 -- 23			92416	2,28E+09	6,00E-03	49
23	23 -- 24			92416	2,54E+09	4,90E-03	34
24	24 -- 25			92416	2,81E+09	3,84E-03	21
25	25 -- 26			92416	3,07E+09	2,82E-03	12
26	26 -- 27			92416	3,34E+09	1,84E-03	5
27	27 -- 28			92416	3,60E+09	9,00E-04	1
28				92416	3,86E+09	0,00E+00	0

D - Horizontale belasting - belastinggeval 3

knoop nummer	staaf i--j	$Q_{last;hor}$ N	$F_{last;hor.}$ N	dwarskr. N	moment Nmm	hoekver. rad.	hor. verpl. mm
1	1 -- 2			0	0,00E+00	4,94E-02	1451
2	2 -- 3		17356	17356	0,00E+00	4,94E-02	1416
3	3 -- 4			17356	3,73E+07	4,92E-02	1310
4	4 -- 5		58878	76234	7,47E+07	4,86E-02	1204
5	5 -- 6			76234	1,28E+08	4,83E-02	1171
6	6 -- 7			76234	2,36E+08	4,73E-02	1103
7	7 -- 8			76234	3,45E+08	4,60E-02	1036
8	8 -- 9			76234	4,54E+08	4,47E-02	971
9	9 -- 10			76234	5,62E+08	4,34E-02	909
10	10 -- 11			76234	7,80E+08	4,04E-02	789
11	11 -- 12		55648	131882	8,37E+08	3,96E-02	759
12	12 -- 13			131882	1,11E+09	3,72E-02	678
13	13 -- 14			131882	1,49E+09	3,37E-02	577
14	14 -- 15			131882	1,87E+09	3,07E-02	485
15	15 -- 16		51566	183448	2,16E+09	2,83E-02	420
16	16 -- 17			183448	2,27E+09	2,76E-02	402
17	17 -- 18			183448	2,80E+09	2,45E-02	327
18	18 -- 19		26732	210180	3,07E+09	2,30E-02	292
19	19 -- 20			210180	3,36E+09	2,16E-02	262
20	20 -- 21			210180	3,95E+09	1,87E-02	204
21	21 -- 22			210180	4,55E+09	1,61E-02	154
22	22 -- 23			210180	5,15E+09	1,36E-02	112
23	23 -- 24			210180	5,75E+09	1,11E-02	77
24	24 -- 25			210180	6,35E+09	8,69E-03	48
25	25 -- 26			210180	6,95E+09	6,38E-03	27
26	26 -- 27			210180	7,55E+09	4,17E-03	12
27	27 -- 28			210180	8,15E+09	2,04E-03	3
28				210180	8,75E+09	0,00E+00	0

E - Horizontale belasting - belastinggeval 4

knoop nummer	staaf i--j	$Q_{last;hor}$ N	F_{last} N	dwarskr. N	moment Nmm	hoekver. rad.	hor. verpl. mm
1	1 -- 2			0	0,00E+00	2,13E-02	638
2	2 -- 3		4514	4514	0,00E+00	2,13E-02	623
3	3 -- 4			4514	9,71E+06	2,12E-02	578
4	4 -- 5		28266	32780	1,94E+07	2,10E-02	532
5	5 -- 6			32780	4,22E+07	2,09E-02	518
6	6 -- 7			32780	8,89E+07	2,06E-02	488
7	7 -- 8			32780	1,36E+08	2,01E-02	459
8	8 -- 9			32780	1,82E+08	1,96E-02	431
9	9 -- 10			32780	2,29E+08	1,90E-02	403
10	10 -- 11			32780	3,22E+08	1,78E-02	351
11	11 -- 12		27152	59932	3,47E+08	1,75E-02	337
12	12 -- 13			59932	4,73E+08	1,65E-02	302
13	13 -- 14			59932	6,44E+08	1,50E-02	257
14	14 -- 15			59932	8,14E+08	1,36E-02	216
15	15 -- 16		25746	85678	9,47E+08	1,26E-02	187
16	16 -- 17			85678	1,00E+09	1,23E-02	179
17	17 -- 18			85678	1,25E+09	1,09E-02	146
18	18 -- 19		7588	93266	1,37E+09	1,02E-02	130
19	19 -- 20			93266	1,50E+09	9,63E-03	117
20	20 -- 21			93266	1,77E+09	8,35E-03	91
21	21 -- 22			93266	2,03E+09	7,19E-03	69
22	22 -- 23			93266	2,30E+09	6,05E-03	50
23	23 -- 24			93266	2,56E+09	4,94E-03	34
24	24 -- 25			93266	2,83E+09	3,87E-03	22
25	25 -- 26			93266	3,10E+09	2,84E-03	12
26	26 -- 27			93266	3,36E+09	1,85E-03	5
27	27 -- 28			93266	3,63E+09	9,07E-04	1
28				93266	3,89E+09	0,00E+00	0

F - Excentriciteit moment t.g.v. eigengewicht draden

knoop nummer	staaf i--j	$Q_{last;hor}$ N	F_{last} N	dwarskr. N	moment Nmm	hoekver. rad.	hor. verpl. mm
1	1 -- 2				0,00E+00	8,70E-03	183
2	2 -- 3				-6,49E+06	8,70E-03	177
3	3 -- 4				-6,49E+06	8,79E-03	158
4	4 -- 5				1,46E+08	8,86E-03	139
5	5 -- 6				1,46E+08	8,44E-03	133
6	6 -- 7				1,46E+08	7,67E-03	122
7	7 -- 8				1,46E+08	7,01E-03	111
8	8 -- 9				1,46E+08	6,55E-03	102
9	9 -- 10				1,46E+08	6,16E-03	92
10	10 -- 11				1,46E+08	5,51E-03	76
11	11 -- 12				3,03E+08	5,37E-03	72
12	12 -- 13				3,03E+08	4,63E-03	61
13	13 -- 14				3,03E+08	3,82E-03	49
14	14 -- 15				3,03E+08	3,26E-03	39
15	15 -- 16				4,64E+08	2,91E-03	32
16	16 -- 17				4,64E+08	2,76E-03	30
17	17 -- 18				4,64E+08	2,19E-03	23
18	18 -- 19				4,47E+08	1,95E-03	20
19	19 -- 20				4,47E+08	1,76E-03	18
20	20 -- 21				4,47E+08	1,41E-03	13
21	21 -- 22				4,47E+08	1,14E-03	10
22	22 -- 23				4,47E+08	9,01E-04	7
23	23 -- 24				4,47E+08	6,98E-04	4
24	24 -- 25				4,47E+08	5,21E-04	3
25	25 -- 26				4,47E+08	3,66E-04	1
26	26 -- 27				4,47E+08	2,29E-04	1
27	27 -- 28				4,47E+08	1,08E-04	0
28					4,47E+08	0,00E+00	0

4.5 - Maximale krachten in ULS-toestand

		)*	)**
Eigengewicht conductors, insulators	G_k =	1,20	1,20
Eigengewicht mast	G_k =	1,20	1,20
Windbelasting mastlichaam	Q_{wk} =	1,60	0,45
Belasting geval 1a	Q_{wk} =	1,50	0,00
Belasting geval 1b	Q_{wk} =	0,00	0,00
Belasting geval 3	Q_{ik} =	0,00	1,50
Belasting geval 4	Q_{pk} =	0,00	0,00

knoop nummer	staaf i--j	normaal kr. kN	dwars kr. kN	moment kNm
1	1 -- 2	0,48	0,00	0,00
2	2 -- 3	6,29	17,59	26,89
3	3 -- 4	10,74	18,36	30,35
4	4 -- 5	49,71	108,00	314,97
5	5 -- 6	51,37	108,96	369,30
6	6 -- 7	54,91	111,00	481,32
7	7 -- 8	58,62	113,10	617,27
8	8 -- 9	63,41	115,27	779,99
9	9 -- 10	68,43	117,51	945,84
10	10 -- 11	79,13	122,17	1287,38
11	11 -- 12	116,21	203,95	1536,83
12	12 -- 13	124,83	207,57	1967,90
13	13 -- 14	137,34	212,69	2566,77
14	14 -- 15	153,28	218,01	3180,51
15	15 -- 16	200,45	294,80	3826,88
16	16 -- 17	204,40	296,06	4017,43
17	17 -- 18	230,32	301,70	4869,23
18	18 -- 19	250,57	325,63	5307,19
19	19 -- 20	260,78	328,37	5748,65
20	20 -- 21	283,21	334,22	6692,85
21	21 -- 22	309,12	340,12	7653,79
22	22 -- 23	336,35	346,01	8631,52
23	23 -- 24	364,90	351,83	9625,93
24	24 -- 25	394,78	357,50	10636,72
25	25 -- 26	425,97	362,89	11663,27
26	26 -- 27	458,49	367,83	12704,55
27	27 -- 28	492,33	371,98	13758,78
28		540,69	376,15	14824,86

)* - Maatgevende belastingcombinatie voor staven 8 t/m 27
)** - Maatgevende belastingcombinatie voor staven 1 t/m 7

4.6 - Toetsing van de doorsnede

Elasticiteitsmodulus E-	N/mm^2	210000	
Vloeigrens f_y	N/mm^2	355	Voor wanddikte t < 40
Vloeigrens f_y	N/mm^2	335	Voor wanddikte t >= 40

A- Controle buigspanning

Toetsingregel :

$$N_{Ed} / N_{Rd} + M_{y,Ed} / M_{y,Rd} <= 1$$

waarin: $M_{y,Ed} = M_{1;y,Ed} + \Sigma N_{Ed,i} * \delta_{rel.i}$

$M_{1;y,Ed}$ = buigende moment uit komputer

$N_{Ed,i}$ = normaal kracht uit komputer uitvoer ter plaatse knoop i

$\delta_{rel,i}$ = maximale horizontale verplaatsing t.p.v. knoop i = $\delta_{i,max} - \delta_{j,max}$

$M_{y;el,Rd} = W_{y;el} * f_y$; $N_{Rd} = A * f_y$

staaf nummer	profiel $D_{voet} - D_{top}$ mm	moment $M_{1;y,Ed}$ kNm	drukkracht $N_{c,Rd}$ kN	rel.verpl. $\delta_{rel.}$ mm	$M_{y,Ed}$ in kNm	$M_{y;el,Rd}$ in kNm	toetsings-regel
1	500 / 748	26,89	6,29	42	27,2	835,6	0,03
2	500 / 748	30,35	10,74	130	32,0	1024,9	0,03
3	500 / 748	314,97	49,71	130	323,1	1234,1	0,27
4	500 / 748	369,30	51,37	41	379,5	1305,7	0,30
5	500 / 748	481,32	54,91	84	496,1	1458,8	0,35
6	500 / 748	617,27	58,62	81	636,9	1620,4	0,40
7	749 / 999	779,99	63,41	79	804,6	2211,3	0,37
8	749 / 999	945,84	68,43	76	975,7	2433,2	0,41
9	749 / 999	1287,38	79,13	146	1328,7	2908,9	0,46
10	749 / 999	1536,83	116,21	37	1582,4	3042,0	0,53
11	749 / 999	1967,90	124,83	98	2025,7	3427,0	0,60
12	749 / 999	2566,77	137,34	123	2641,4	3987,6	0,67
13	999 / 1213	3180,51	153,28	111	3272,2	5462,4	0,61
14	999 / 1213	3826,88	200,45	78	3934,2	6054,7	0,66
15	999 / 1213	4017,43	204,40	22	4129,2	6233,8	0,67
16	999 / 1213	4869,23	230,32	89	5001,5	7056,1	0,72
17	1213/ 1355	5307,19	250,57	42	5450,1	8303,6	0,67
18	1213/ 1355	5748,65	260,78	36	5900,9	8769,2	0,68
19	1213/ 1355	6692,85	283,21	68	6864,5	9793,8	0,71
20	1355/ 1925	7653,79	309,12	59	7843,6	11912,0	0,67
21	1355/ 1925	8631,52	336,35	50	8838,2	13161,0	0,68
22	1355/ 1925	9625,93	364,90	42	9847,8	14472,2	0,69
23	1355/ 1925	10636,72	394,78	33	10871,8	15845,8	0,70
24	1355/ 1925	11663,27	425,97	25	11909,2	17281,6	0,70
25	1355/ 1925	12704,55	458,49	18	12958,6	18779,6	0,70
26	1355/ 1925	13758,78	492,33	10	14018,0	20340,0	0,70
27	1355/ 1925	14824,86	540,69	3	15086,0	21962,6	0,70

B- Controle plooistabiliteit

Toetsing regel :volgens NEN -EN 50341-3 (NEN 1060).

$$(\sigma_{N;Ed} / \sigma_{N;plooi}) + (\sigma_{MEd} / \sigma_{M;plooi}) <= 1$$

Plooispanning t.g.v normaalkracht

Indien $d / t < 90 * a_y^2$ ---> $\sigma_{N;plooi;d} = f_y$; $a_y = (f_{ref} / f_y)^{0,5}$; $f_{ref} = 235$ N/mm^2

Indien $90 * a_y^2 < d / t < 315\ a_y^2$ ---> $\sigma_{N;plooi;d} = 0,3 * f_{y;d} + 14805 / (d/t)$

Plooispanning t.g.v moment

Indien $d / t < 157,5 * a_y^2$ ---> $\sigma_{N;plooi;d} = f_{y;d}$

Indien $157,5 * a_y^2 < d / t < 315\ a_y^2$ ---> $\sigma_{N;plooi;d} = 0,6 * f_{y;d} + 14805 / (d/t)$

d mm	t mm	d/t	a_y	$\sigma_{N;plooi;d}$ N/mm^2	$\sigma_{M;plooi;d}$ N/mm^2
518	12,0	43,13	0,81	355	355
571	12,0	47,60	0,81	355	355
625	12,0	52,09	0,81	355	355
643	12,0	53,54	0,81	355	355
678	12,0	56,51	0,81	355	355
714	12,0	59,48	0,81	355	355
749	15,0	49,96	0,81	355	355
785	15,0	52,33	0,81	355	355
856	15,0	57,08	0,81	355	355
875	15,0	58,34	0,81	355	355
928	15,0	61,83	0,81	346	355
999	15,0	66,58	0,81	329	355
1070	18,0	59,44	0,81	355	355
1125	18,0	62,51	0,81	343	355
1141	18,0	63,40	0,81	340	355
1213	18,0	67,36	0,81	326	355
1250	20,0	62,50	0,81	343	355
1284	20,0	64,19	0,81	337	355
1355	20,0	67,75	0,81	325	355
1426	22,0	64,83	0,81	335	355
1498	22,0	68,07	0,81	324	355
1569	22,0	71,31	0,81	314	355
1640	22,0	74,55	0,81	305	355
1711	22,0	77,78	0,81	297	355
1783	22,0	81,02	0,81	289	355
1854	22,0	84,26	0,81	282	355
1925	22,0	87,50	0,81	276	355

staaf nummer	profiel D_{voet} - D_{top}	σ_{MEd} N/mm^2	σ_{NEd} N/mm^2	$\sigma_{M;plooi;d}$ N/mm^2	$\sigma_{N;plooi;d}$ N/mm^2	toetsings-regel
1	500 / 748	11,95	0,34	355	355	0,03
2	500 / 748	12,25	0,54	355	355	0,04
3	500 / 748	101,76	2,25	355	355	0,29
4	500 / 748	106,12	2,19	355	355	0,31
5	500 / 748	127,52	2,25	355	355	0,37
6	500 / 748	146,95	2,27	355	355	0,42
7	749 / 999	135,73	1,88	355	355	0,39
8	749 / 999	149,23	1,93	355	355	0,43
9	749 / 999	176,95	2,08	355	355	0,50
10	749 / 999	188,83	2,90	355	355	0,54
11	749 / 999	222,53	2,99	355	346	0,64
12	749 / 999	253,30	3,07	355	329	0,72
13	999 / 1213	227,96	2,67	355	355	0,65
14	999 / 1213	242,70	3,28	355	343	0,69
15	999 / 1213	238,59	3,24	355	340	0,68
16	999 / 1213	267,46	3,51	355	326	0,76
17	1213/ 1355	240,33	3,29	355	343	0,69
18	1213/ 1355	245,44	3,33	355	337	0,70
19	1213/ 1355	262,75	3,47	355	325	0,75
20	1355/ 1925	246,18	3,27	355	335	0,70
21	1355/ 1925	250,43	3,38	355	324	0,72
22	1355/ 1925	253,17	3,49	355	314	0,72
23	1355/ 1925	254,73	3,61	355	305	0,73
24	1355/ 1925	255,36	3,73	355	297	0,73
25	1355/ 1925	255,25	3,85	355	289	0,73
26	1355/ 1925	254,52	3,97	355	282	0,73
27	1355/ 1925	253,29	4,19	355	276	0,73

5.0 - Berekening ankers, bouten en flensverbindingen

uitgangspunt: gerolde draad

bouten	A_s in mm²	f_{ub} in N/mm²	$F_{t,Rd}$ in kN	$F_{v,Rd}$ in kN
M 48 - 8,8	1473	800	848,45	565,63
M 48 - 10,9	1473	1000	1060,56	589,20
M 45 - 8,8	1306	800	752,26	501,50
M 45 - 10,9	1306	1000	940,32	522,40
M 42 - 8.8	1121	800	645,64	430,43
M 42 - 10,9	1121	1000	807,05	448,36
M 39 - 8.8	976	800	562,04	374,70
M 39 - 10,9	976	1000	702,55	390,31
M 39 - 12,9	976	1200	843,07	468,37
M 36 - 8.8	817	800	470,59	313,73
M 36 - 10,9	817	1000	588,24	326,80
M 33 - 8.8	694	800	399,49	266,33
M 33 - 10,9	694	1000	499,36	277,42
M 30 - 8.8	561	800	322,90	215,27
M 30 - 10,9	561	1000	403,62	224,24

Max. trekkracht in de ankers en boutverbindingen :

$$F_{Ed} = M_{y,Ed} * a / I_p - N_{Ed} / n$$

Waarin :

$M_{y,Ed}$ = max. moment t.p.v aansluiting t.g.v rekenbelasting

N_{Ed} = max. normaal kracht t.p.v aansluiting t.g.v rekenbelasting

a = max. afstand bout tot zwaartepunt boutenpatroon = diameter stc. / 2

n = aantal bouten en $I_p = \Sigma (I_x^2 + I_y^2) = (n / 2) * (d_{stc}./ 2)^2$

Flensverbinding met één boutrij : $I_p = (n / 2) * (d_{stc}./ 2)^2$

Flensverbinding met twee boutrij : $I_p = (n / 4) * [(d_{stc1}./ 2)^2 + (d_{stc2}./ 2)^2]$

Flensverbinding met twee boutrij symmetrisch (voetplaat) :

$$I_p = (n / 2) * (d_{stc.gemiddeld}./ 2)^2$$

Flenzen en voetplaat:

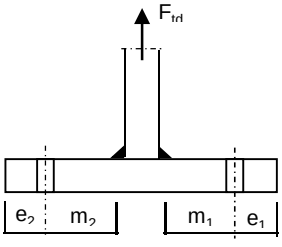

1 -Voetplaat

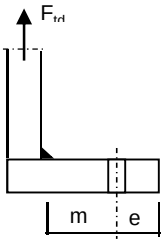

2 -Flens met 1 rij bouten

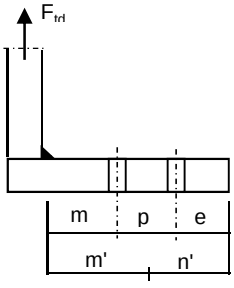

3 -Flens met 2 rij bouten

1 - Voetplaat :

$m = \max.(m_1;m_2)$
$e = \max.(e_1;e_2)$
$n = \min.(1{,}25*m;e)$

Bezwijkvorm 1 : $F_{t,Rd} = 4 * M_{pl} / m$
Bezwijkvorm 2 : $F_{t,Rd} = (2 * M_{pl} + n * 2 * F_{t;u;d}) / (m + n)$
Bezwijkvorm 3 : $F_{t,Rd} = 2 * F_{t;u;d}$

2 - Flens met 1 rij bouten :

m, n en e zoals bij voetplaat

Bezwijkvorm 1 : $F_{t,Rd} = 2 * M_{pl} / m$
Bezwijkvorm 2 : $F_{t,Rd} = (M_{pl} + n * F_{t;u;d}) / (m + n)$
Bezwijkvorm 3 : $F_{t,Rd} = F_{t;u;d}$

3 - Flens met 2 rij bouten :

$m' = m + p / 2$
$n' = n + p / 3$
$n = \min.(1{,}25*m;e)$

Bezwijkvorm 1 : $F_{tEd} = M_{pl} * (1+n'/n) / m'$
Bezwijkvorm 2 : $F_{t,Ed} = (M_{pl} + n' * F_{t;u;d}) / (m' + n')$
Bezwijkvorm 3 : $F_{t,Ed} = 2 * F_{t;u;d}$

$M_{pl} = (1/4) * L_{eff} * t_{fl}^2 * f_y$

$L_{eff} = \min(p ; 4*m + 1{,}25*e ; 2*\pi*m)$

Bouten en ankers

st.c in mm	aantal bouten	$F_{t,Ed}$ kN	$F_{v,Ed}$ kN	knoop nummer	aanwezig bout	$F_{t,Rd}$ kN	toetsing-regel
Ankers							
st.c buitenkant		2085,00					
st.c binnenkant		1721,00					
1903	56	546,79	6,72	28	M 48 - 8,8	848,4	0,64
flenzen op 28,5 m hoogte.							
st.c buitenkant		1020,00					
1020,00	24	786,03	12,57	17	M 48 - 10,9	1060,6	0,74

Dikte voetplaat en flenzen - conform NEN - EN 1993-1-8,

Stc1	Stc2 mm	m mm	e mm	n mm	m' mm	n' mm	l_{ef} mm
voetplaat							
2085,00	1721,00	73,2	103,0	91,5			193,1
2085,00	1721,00	73,2	105,0	91,5			233,9
flenzen op 28,5 m hoogte.							
1020,00	1020,0	69,5	60,0	60,0			133,5
1020,00	1020,0	71,5	60,0	60,0			133,5

flens dikte mm	$M_{pl;d}$ Nmm	bezwijk-vorm 1	bezwijk-vorm 2	bezwijk-vorm 3	maatgev. $F_{t,Rd}$	$F_{t,Ed}$ kN	toetsing-regel
voetplaat							
60	5,82E+07	3180,82	1649,57	1696,90	1649,57	1093,58	0,66
60	7,05E+07	3853,58	1799,07	1696,90	1696,90	1093,58	0,64
flenzen op 28,5 m hoogte.							
80	7,16E+07	2060,57	1044,32	1060,56	1044,32	786,03	0,75
80	7,16E+07	2002,90	1028,43	1060,56	1028,43	786,03	0,76
	Krachten in kN						

Lassen

A - Flenzen

Alle lassen: voorbewerkt 1/2 V- las met een tegenlas (K35 , lasdetail 301 van NEN 2063).

B - Buizen

Alle lassen: voorbewerkt X- las
Bij gelijke wanddikte (K50 , lasdetail 102 van NEN 2063).
Bij dikte overgang asymmetrisch (K45 , lasdetail 112 van NEN 2063).

Bouten

Alle bouten: Voorspanning 70% van de trekkracht met betrekking tot de capaciteit van de bout in de uiterste grenstoestand

6.0 - Controle berekening vortex shedding

Belasting loodrecht op windrichting (respons door wervelvorming) - Eurocode 1

De respons is bepaald volgens Eurocode 1, Deel 1 - 4 ,bijlage E

De kritische windsnelheid $v_{crit,1} = b * n_{i,y} / St$

b is de referentiebreedte van de doorsnede waarbij resonantie met de wervelvorming optreedt voor cirkelvormige cilinders is de referentiebreedte de uitwendige diameter.

St is de Strouhal getal conform E.1.3.2 ; voor cirkelcilinders St = 0,18

buis	$n_{1,y}$ Hz	$d_{buis;gem}$ m	St	$v_{krit,1}$ m/s
500 / 1925	0,57	1,213	0,18	3,82

Scrutongetal Sc

De Scrutongetal Sc word bepaald met:

$$Sc = 2 * \delta_s * m_{i;e} / \rho * b^2$$

ρ is de dichtheid van lucht: $\rho = 1,25$ kg/m^3

b is de referentiebreedte van de doorsnede waarbij resonantie met de wervelvorming optreedt

$$b = d_{w;gem}$$

δ_s is het logaritmische decrement van de constructieve demping

$$\delta_s = 0,030$$

Opmerking:
In Eurocode 1, Tabel F.2 is geen waarde gegeven voor de constructieve demping voor een hoogspanningsmast met een enkel buisprofiel. In de tabel wordt alleen de benaderde waarde van de constructieve demping van een stalen schoorsteen (met of zonder isolatie) aangegeven. In de NEN 1060 (Bovengrondse hoogspanningslijnen – voorloper van NEN-EN 50341) art. 9.2.6.5 wordt het logaritmisch decrement beschreven als $\delta = 2.\pi.D$. D is de dempingsmaat bij responsie loodrecht op de windrichting en is gelijk aan 0.005. Dit resulteert $\delta = 2.\pi.0.005 = 0.0314$. Deze formule is ook aangegeven in de DIN 4133 (Schornsteine aus Stahl) en als benaderde waarde van de constructieve demping van een stalen schoorsteen met 2 of 3 koppelingen is 0.025 en 0.03 aangegeven.
Daarom wordt in deze berekening voor de constructieve demping 0.03 aangehouden.

$m_{i;e}$ is de equivalente massa m_e per lengte eenheid, in kg/m, gewogen naar de trillingsvorm :

$$m_e = \frac{\int_0^{l} m(s) * \phi^2_i(s)\, ds}{\int_0^{l} \phi^2_i(s)\, ds}$$

Zie berekening eigenfrequentie

knoop nummer	verpl. δ mm	$\phi_{i;1}$	staaf nummer	ϕ_i	gewicht mast kg	gewicht traverse kg	massa m kg/m
1	1385	1,000		1,000			
2	1355	0,979	1 -- 2	0,989	113	411	749,2
3	1264	0,913	2 -- 3	0,946	371		172,6
4	1173	0,847	3 -- 4	0,880	406	2840	1506,5
5	1144	0,826	4 -- 5	0,837	138		199,0
6	1085	0,783	5 -- 6	0,805	295		206,9
7	1026	0,741	6 -- 7	0,762	310		217,4
8	969	0,700	7 -- 8	0,720	399		280,1
9	913	0,659	8 -- 9	0,679	418		293,3
10	804	0,581	9 -- 10	0,620	892		313,0
11	777	0,561	10 -- 11	0,571	249	2840	4091,8
12	702	0,507	11 -- 12	0,534	718		342,9
13	606	0,437	12 -- 13	0,472	1042		365,7
14	517	0,373	13 -- 14	0,405	1329		466,2
15	452	0,327	14 -- 15	0,350	1090	2840	1782,4
16	434	0,314	15 -- 16	0,320	329		510,0
17	359	0,259	16 -- 17	0,287	1509	651	757,9
18	323	0,233	17 -- 18	0,246	919	769	1125,4
19	292	0,210	18 -- 19	0,222	850		630,0
20	231	0,167	19 -- 20	0,189	1869		655,9
21	177	0,128	20 -- 21	0,147	2159		757,6
22	130	0,094	21 -- 22	0,111	2269		796,2
23	91	0,066	22 -- 23	0,080	2379		834,9
24	58	0,042	23 -- 24	0,054	2490		873,5
25	33	0,024	24 -- 25	0,033	2600		912,2
26	15	0,011	25 -- 26	0,017	2710		950,8
27	4	0,003	26 -- 27	0,007	2820		989,5
28	0	0,000	27 -- 28	0,001	2930	1099	1413,9

staaf nummer	massa m kg/m	ϕ_i	s m	ϕ_i^2 * (s)	ϕ_i^2 *(s)*m	ϕ_i * (s)
1 -- 2	749	0,989	0,700	0,69	513,22	0,69
2 -- 3	173	0,946	2,150	1,92	331,77	2,03
3 -- 4	1507	0,880	2,155	1,67	2514,00	1,90
4 -- 5	199	0,837	0,695	0,49	96,82	0,58
5 -- 6	207	0,805	1,425	0,92	190,89	1,15
6 -- 7	217	0,762	1,425	0,83	179,99	1,09
7 -- 8	280	0,720	1,425	0,74	207,16	1,03
8 -- 9	293	0,679	1,425	0,66	192,93	0,97
9 -- 10	313	0,620	2,850	1,10	342,90	1,77
10 -- 11	4092	0,571	0,755	0,25	1006,30	0,43
11 -- 12	343	0,534	2,095	0,60	204,57	1,12
12 -- 13	366	0,472	2,850	0,63	232,18	1,35
13 -- 14	466	0,405	2,850	0,47	218,10	1,15
14 -- 15	1782	0,350	2,205	0,27	481,02	0,77
15 -- 16	510	0,320	0,645	0,07	33,72	0,21
16 -- 17	758	0,287	2,850	0,23	177,39	0,82
17 -- 18	1125	0,246	1,500	0,09	102,36	0,37
18 -- 19	630	0,222	1,350	0,07	41,83	0,30
19 -- 20	656	0,189	2,850	0,10	66,46	0,54
20 -- 21	758	0,147	2,850	0,06	46,82	0,42
21 -- 22	796	0,111	2,850	0,04	27,97	0,32
22 -- 23	835	0,080	2,850	0,02	15,16	0,23
23 -- 24	874	0,054	2,850	0,01	7,19	0,15
24 -- 25	912	0,033	2,850	0,00	2,80	0,09
25 -- 26	951	0,017	2,850	0,00	0,79	0,05
26 -- 27	989	0,007	2,850	0,00	0,12	0,02
27 -- 28	1414	0,001	2,850	0,00	0,01	0,00
		Σ	57,00	11,91	7234,46	19,53

m_e = 7234,5 / 11,9 = 607,5 kg/m

$Sc = 2 * \delta_s * m_{i;e} / \rho * b^2$

buis	$m_{1;e}$ kg/m	δ_s	ρ kg/m^3	b = d_w in m	Sc
500 / 1925	607,5	0,030	1,25	1,213	19,8

Berekening van verplaatsingen

de grootste $y_{f;max}$ verplaatsing kan berekend worden met:

$y_{F;max} / b = (1/St^2) * (1/Sc) * K * K_w * C_{lat}$

St is de Strouhal getal = 0,18

Sc is de Scrutongetal = 19,8

K is trillingsvormfactor en is gelijk aan

$$K = \frac{\sum_{i=1}^{m} \int_{\ell_i} |\phi_i(s)| \, ds}{4.\pi.\sum_{i=1}^{n} \int_{\ell_i} \phi^2_i(s) \, ds}$$

Voor i = 1 (eerste trillingsvorm) is m = n = 1

K = 19,53 / (4 * π * 11,91) = 0,131 (tabel E.5)

C_{lat} is de laterale krachtcoëfficiënt gegeven in E.1.5/2.5

C_{lat} : $R_e (V_{crit}) < 3*10^5$; $C_{lat} = 0,7$

$5*10^5 < R_e (V_{crit}) < 5*10^6$; $C_{lat} = 0,2$

$R_e (V_{crit}) > 7*10^7$; $C_{lat} = 0,3$

$R_e (V_{crit}) = b * v(crit) / \nu$;
ν is de kinematische viscositeit van de lucht $\nu = 15*10^{-6}$ m^2/s

$R_e (V_{crit})$ = 1,213 * 3,82 / $15*10^{-6}$ = 3,1E+05

C_{lat} = 0,67

K_w is de effectieve correlatiefactor gegeven in E.1.5.2.4

$$K_w = \frac{\sum_{i=1}^{m} \int_{L_j} |\phi_i(s)| \, ds}{\sum_{i=1}^{n} \int_{\ell_i} |\phi_i(s)| \, ds} \leq 0,6$$

Voor i = 1 (eerste trillingsvorm) is m = n = 1

Lj / b = 6
Lj = 7,28 m - (effectieve correlatielengte)

K_w = 6,47 / 19,53 = 0,33

$y_{F;max}$ / b = 30,86 * 0,050 * 0,131 * 0,33 * 0,6717782 = 0,045

$y_{F;max}$ = 1,213 * 0,045 = 0,055 m

$\Delta\sigma_{dyn} = 2 * C_{rd} * y_{F;max}$

De factor C_{rd} volgt uit de spanning door een opgelegde verplaatsing volgens de eerste eigentrilling.

Opgelegde verplaatsing van 1000 mm

knoop nummer	staaf i--j	q_{last} N	F_{last} N	dwarskr. N	moment Nmm	hoekver. rad.	verpl. mm
1	1 -- 2		69869	69869	0,00E+00	4,7E-02	1000
2	2 -- 3			69869	4,89E+07	4,7E-02	967
3	3 -- 4			69869	1,99E+08	4,5E-02	868
4	4 -- 5			69869	3,50E+08	4,2E-02	774
5	5 -- 6			69869	3,98E+08	4,1E-02	745
6	6 -- 7			69869	4,98E+08	3,9E-02	688
7	7 -- 8			69869	5,97E+08	3,6E-02	635
8	8 -- 9			69869	6,97E+08	3,4E-02	584
9	9 -- 10			69869	7,97E+08	3,2E-02	537
10	10 -- 11			69869	9,96E+08	2,8E-02	451
11	11 -- 12			69869	1,05E+09	2,7E-02	430
12	12 -- 13			69869	1,19E+09	2,4E-02	376
13	13 -- 14			69869	1,39E+09	2,1E-02	311
14	14 -- 15			69869	1,59E+09	1,8E-02	255
15	15 -- 16			69869	1,75E+09	1,6E-02	217
16	16 -- 17			69869	1,79E+09	1,6E-02	207
17	17 -- 18			69869	1,99E+09	1,3E-02	165
18	18 -- 19			69869	2,10E+09	1,2E-02	146
19	19 -- 20			69869	2,19E+09	1,1E-02	130
20	20 -- 21			69869	2,39E+09	9,6E-03	100
21	21 -- 22			69869	2,59E+09	8,1E-03	75
22	22 -- 23			69869	2,79E+09	6,7E-03	53
23	23 -- 24			69869	2,99E+09	5,4E-03	36
24	24 -- 25			69869	3,19E+09	4,1E-03	23
25	25 -- 26			69869	3,39E+09	3,0E-03	13
26	26 -- 27			69869	3,58E+09	1,9E-03	5
27	27 -- 28			69869	3,78E+09	9,4E-04	1
28	28 -- 29			69869	3,98E+09	0,0E+00	0

Wissel spanning

$$\Delta\sigma_{dyn} = 2 * C_{rd} * y_{F;max}$$

staaf	profiel		$W_{y;el}$	$\sigma_{buiging}$ (C_{rd})	$y_{F;max}$	$\Delta\sigma_{dyn}$
nummer	D (mm)	t (mm)	mm^3	N/mm^2	m	MPa
1	518	12,0	2353797	21	0,0548	2,3
2	571	12,0	2887106	69	0,0548	7,6
3	625	12,0	3476303	101	0,0548	11,0
4	643	12,0	3677990	108	0,0548	11,9
5	678	12,0	4109316	121	0,0548	13,3
6	714	12,0	4564563	131	0,0548	14,3
7	749	15,0	6228977	112	0,0548	12,3
8	785	15,0	6854068	116	0,0548	12,7
9	856	15,0	8193960	122	0,0548	13,3
10	875	15,0	8568954	122	0,0548	13,4
11	928	15,0	9653464	124	0,0548	13,6
12	999	15,0	11232581	124	0,0548	13,6
13	1070	18,0	15386965	104	0,0548	11,3
14	1125	18,0	17055575	102	0,0548	11,2
15	1141	18,0	17559914	102	0,0548	11,2
16	1213	18,0	19876399	100	0,0548	11,0
17	1250	20,0	23390527	90	0,0548	9,8
18	1284	20,0	24701975	89	0,0548	9,7
19	1355	20,0	27588103	87	0,0548	9,5
20	1426	22,0	33554965	77	0,0548	8,5
21	1498	22,0	37073186	75	0,0548	8,2
22	1569	22,0	40766840	73	0,0548	8,0
23	1640	22,0	44635926	71	0,0548	7,8
24	1711	22,0	48680445	70	0,0548	7,6
25	1783	22,0	52900396	68	0,0548	7,4
26	1854	22,0	57295781	66	0,0548	7,2
27	1925	22,0	61866598	64	0,0548	7,1

Bepaling van het aantal spanningscycli

Het aantal spanningswisseling N veroorzaakt door trilling door wervelvorming wordt berekend met:

$$N = 2 * T * n_{i;y} * \varepsilon_o * [V_{crit} / V_o]^2 * \exp[-(V_{crit} / V_o)^2] >= 10^4$$

$n_y = n_{1;y}$ = 0,57 Hz eigenfrequentie van trillingsvorm loodrecht op wind

T is levensduur in seconden = $3,2 * 10^7$ maal de vervachte levensduur in jaren

$V_{crit,1}$ = 3,82 m/s De kritische windsnelheid

ε_o is bandbreedtefactor = 0,3

V_o is wortel(2) maal de modus van de Weibull waarschijnlijkheidsverdeling van de windsnelheid in m/s
V_o = 20% van de karakteristieke gemiddelde windsnelheid op hoogte waar wervelvorming plaatsvind

z_s = 53,3625 m - hoogte waar wervelvorming plaatsvindt = $L_{mast} - L_j / 2$

Wedgebied II - onbebouwd

Basiswindsnelheid $V_{b,0}$ = 27 m/s

Terreincategorie : II - Onbebouwd gebied

Richtingsfactor C_{dir} = 1,0
Seizoensfactor C_{season} = 1,0
Orografiefactor $C_o(z)$ = 1,0

z_0 = 0,200 m

Gemiddelde windsnelheid $V_m(z) = (V_{b,0} * C_{dir} * C_{season}) * c_r(z)$

$c_r(z) = k_r * \ln\{ z / z_0\}$ voor $z_{min} \le z \le z_{max}$
$c_r(z) = c_r (z_{min})$ voor $z \le z_{min}$

$k_r = 0,19 \ln\{ z_0 / z_{0,II}\}^{0,07}$ $z_{0;II}$ = 0,05 m

$k_r = 0,19 \ln\{ 0,200 / 0,05\}^{0,07}$ = 0,21

$c_r(z) = 0,21 * \ln\{ 28,5 / 0,200\}$ = 1,17

$V_m(z)$ = 31,6 m/s

V_o = 31,6 * 20 / 100 = 6,32 m/s

$N = 2 * 50 * 3,2.10^7 * 0,3 * 0,57 * [3,82 / 6,32]^2 * \exp[-(3,82 / 6,32)^2]$ = 1,38E+08 aantal/per

Vermoeiingsschade t.g.v. dwarstrilling

De vermoeiingsschade vindt plaats door het belastingspectrum te toetsen aan de bij het detail behorende $\Delta\sigma$-N lijn conform NEN 2063.

$\Delta\sigma < 0{,}55\,\Delta\sigma_k$ ------> $N = \infty$

$0{,}55\,\Delta\sigma_k < \Delta\sigma < \Delta\sigma_k$ ------> $N.\Delta\sigma^5 = N_k.\Delta\sigma^5_k$

$\Delta\sigma > \Delta\sigma_k$ ------> $N.\Delta\sigma^3 = N_k.\Delta\sigma^3_k$

$N_k = 10^7$

$\Delta\sigma_i$ is het i^e spanningsniveau

$\Delta\sigma_k$ is het spanningsinterval behorende bij 10^7 wisselingen op de $\Delta\sigma_i$-N lijn.

$\gamma * \Delta\sigma =$ 1,2 * $\Delta\sigma$

$\Delta\sigma k =$	45	MPa	Voorbewerkt X- las (K45 , lasdetail 112 van NEN 2063).
$\Delta\sigma k =$	35	MPa	Voorbewerkt 1/2V- las (K35 , lasdetail 301 van NEN 2063).

Plaats van trilling		$\gamma * \Delta\sigma =$	$\Delta\sigma_k$	$0{,}55\,\Delta\sigma_k$	N - wissel.	N	D
		in	in	in	$\Delta\sigma_i$-N lijn	aantal	beschadiging
Knoop		MPa	MPa	MPa		span.wissl.	< 1
3	Lasnaad	9,07	45	24,75	1,000E+10	1,38E+08	0,01
		13,23					
5	Lasnaad	14,24	45	24,75	1,000E+10	1,38E+08	0,01
		15,93					
7	Lasnaad	17,21	45	24,75	1,000E+10	1,38E+08	0,01
		14,72					
9	Lasnaad	15,29	45	24,75	1,000E+10	1,38E+08	0,01
10	Lasnaad	15,98	45	24,75	1,000E+10	1,38E+08	0,01
		16,09					
12	Lasnaad	16,28	45	24,75	1,000E+10	1,38E+08	0,01
13	Lasnaad	16,32	45	24,75	1,000E+10	1,38E+08	0,01
14	Lasnaad	13,62	45	24,75	1,000E+10	1,38E+08	0,01
15	Lasnaad	13,47	45	24,75	1,000E+10		
17	flenzen	13,18	35	19,25	1,000E+10	1,38E+08	0,01
19	Lasnaad	11,66	45	24,75	1,000E+10	1,38E+08	0,01
20	Lasnaad	11,39	45	24,75	1,000E+10	1,38E+08	0,01
21	Lasnaad	10,15	45	24,75	1,000E+10	1,38E+08	0,01
22	Lasnaad	9,89	45	24,75	1,000E+10	1,38E+08	0,01
23	Lasnaad	9,64	45	24,75	1,000E+10	1,38E+08	0,01
24	Lasnaad	9,39	45	24,75	1,000E+10	1,38E+08	0,01
25	Lasnaad	9,15	45	24,75	1,000E+10	1,38E+08	0,01
26	Lasnaad	8,91	45	24,75	1,000E+10	1,38E+08	0,01
27	Lasnaad	8,69	45	24,75	1,000E+10	1,38E+08	0,01
28	voetplaat	8,47	35	19,25	1,000E+10	1,38E+08	0,01

7.0 - Fundatie belastingen

Fundatie belastingen in ULS-toestand - (Ultimate limit state)

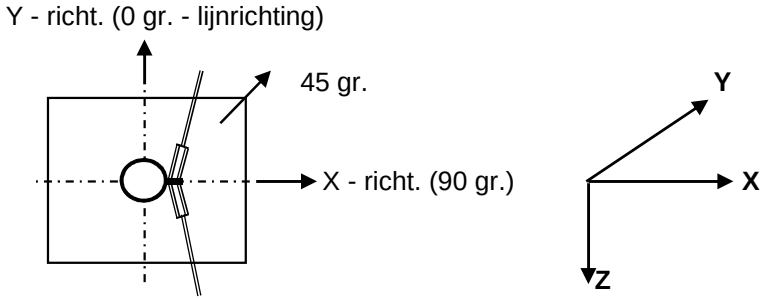

Belasting geval / comb	X - reactie kN	Y - reactie kN	Z - reactie kN	M_x - reactie kNm	M_y - reactie kNm	M_z - reactie kNm
Windrich. 90 graden						
1 - EG mast			425			
2 - Windbelasting mast	101				2767	
3 - Belasting geval 1a	276		116		12058	
4 - Belasting geval 1b	92		116		4308	
5 - Belasting geval 3	210		232		9462	
6 - Belasting geval 4	93		139		4415	
Combinatie 1 : BG1 * 1,2 + BG2 * 1,6 + BG3 * (1,2 eg, 1,5 windbel.)						
	376		**541**		**14825**	
Combinatie 2 : BG1 * 1,2 + BG2 * 0,3 + BG4 * (1,2 eg, 0,3 windbel.)						
	111		541		4827	
Combinatie 3 : BG1 * 1,2 + BG2 * 0,45 + BG5 * (1,2 eg, 1,5 windbel.)						
	238		657		10240	
Combinatie 4 : BG1 * 1,2 + BG2 * 0,3 + BG5 * (1,2 eg, 1,5 windbel.)						
	112		563		4934	

Samenvatting Fundatiebelastingen

	B.C. 1 - SLS γ_{eg}=1.0 , γ_q=1.0		B.C. 2 - ULS γ_{eg}=1.2 , γ_q=1.6		B.C. 3 - ULS γ_{eg}=0.9 , γ_q=1.6	
Voetmoment	10160	kNm	14825	kNm	14825	kNm
Dwarskracht	254	kN	376	kN	376	kN
Verticale kracht	451	kN	541	kN	406	kN

8,0 - Betonspanning onder voetplaat en instortring

st.c in mm	aantal ankers	$F_{t,Ed}$ kN	$F_{v,Ed}$ kN	knoop nummer	aanwezig anker	$F_{t,Rd}$ kN	Percentage belasting
Ankers krachten in ULS-toestand							
st.c buitenkant		2085,00					
st.c binnenkant		1721,00					
1903	56	546,79	6,72	28	M 48 - 8,8	848,45	0,64
Voorspanning ankers in SLS-toestand (100%)							
st.c buitenkant		2085,00					
st.c binnenkant		1721,00					
1903	56	373,30	4,54	28	M 48 - 8,8	848,45	0,44

Maximale trekkracht in de anker :

$F_{t,Ed}$ = 546,8 kN

Maximale voorspanning in de anker :

$F_{t,Ed}$ = 373,3 kN

Maximale drukkrackt :

$F_{c,Ed}$ = 566,1 + 1,00 * 373,3 = 939,4 kN

A - drukspanning onder voetplaat

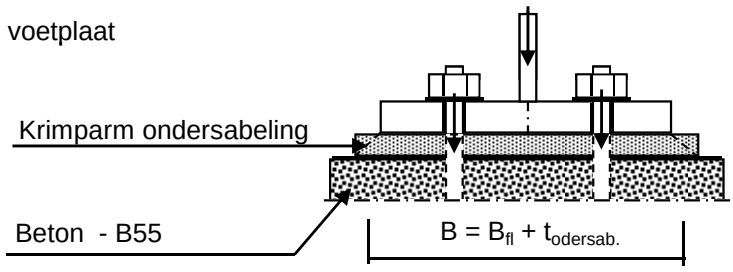

Toetsing :

$\sigma_b < 0,7 * f_{cd} = 0,7 * 45 / 1,5 = 21,0$ N/mm^2

B_{fl} =	390,0	mm	D =	1903	mm
$t_{ondersab.}$ =	40,0	mm	n =	56	
B =	430,0	mm			

A_{voetpl} = 430 * 2*π*D / n = 91812 mm^2

$\sigma_{b;voet} = 2 * F_{c,Ed} / A$ = 20,5 N/mm^2 < 21,0 -- Voldoet

B - drukspanning onder instortring

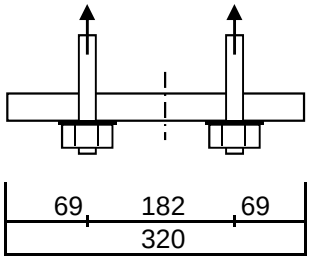

D = 1903 mm
n = 56

$A_{stortring}$ = 320 * $2*\pi*D / n$ = 68325 mm^2

$\sigma_{b;stortr.} = 2 * F_{c,Ed} / A$ = 16,0 N/mm^2 < 21,0 -- Voldoet

Dikte instortring

$L_{uitkr.}$ = 69 mm
L_{veld} = 182 mm

t = 30 mm
$f_{y;d}$ = 355 N/mm^2

$M_{Ed;st}$ = 38101 Nmm/mm' ; $V_{z;Ed;st}$ = 1457 N/mm'

of $M_{Ed;veld}$ = 28170 Nmm/mm' ; $V_{z;Ed;st}$ = 0 N/mm'

$M_{Ed;max}$ = 38101 Nmm/mm' ; $V_{z;Ed;st}$ = 1457 N/mm'

$M_{Rd} = (1/4) *1,0 * t^2 * f_y$ = 79875 Nmm/mm'
$V_{Rd} = 1,0 * t * f_y / 3^{0,5}$ = 6149 N/mm'

M_{Ed} / M_{Rd} = 38101 / 79875,0 = 0,48 < 1,0 -- Voldoet
σ_b = 169,3 N/mm^2

V_{Ed} / V_{Rd} = 1457 / 6149 = 0,24 < 1,0 -- Voldoet
τ_z = 48,6 N/mm^2

vergelijkingsspanning :

$\sigma_{vlg} = (169,3^2 + 3*48,6^2)^{0,5}$
σ_{vlg} = 189 N/mm^2 < 355 MPa -- Voldoet

9.0 - Detailberekeningen

9.1 - Berekening V-brace - 380 kV

9.1.1 - Berekening uithouder V-brace - 380 kV

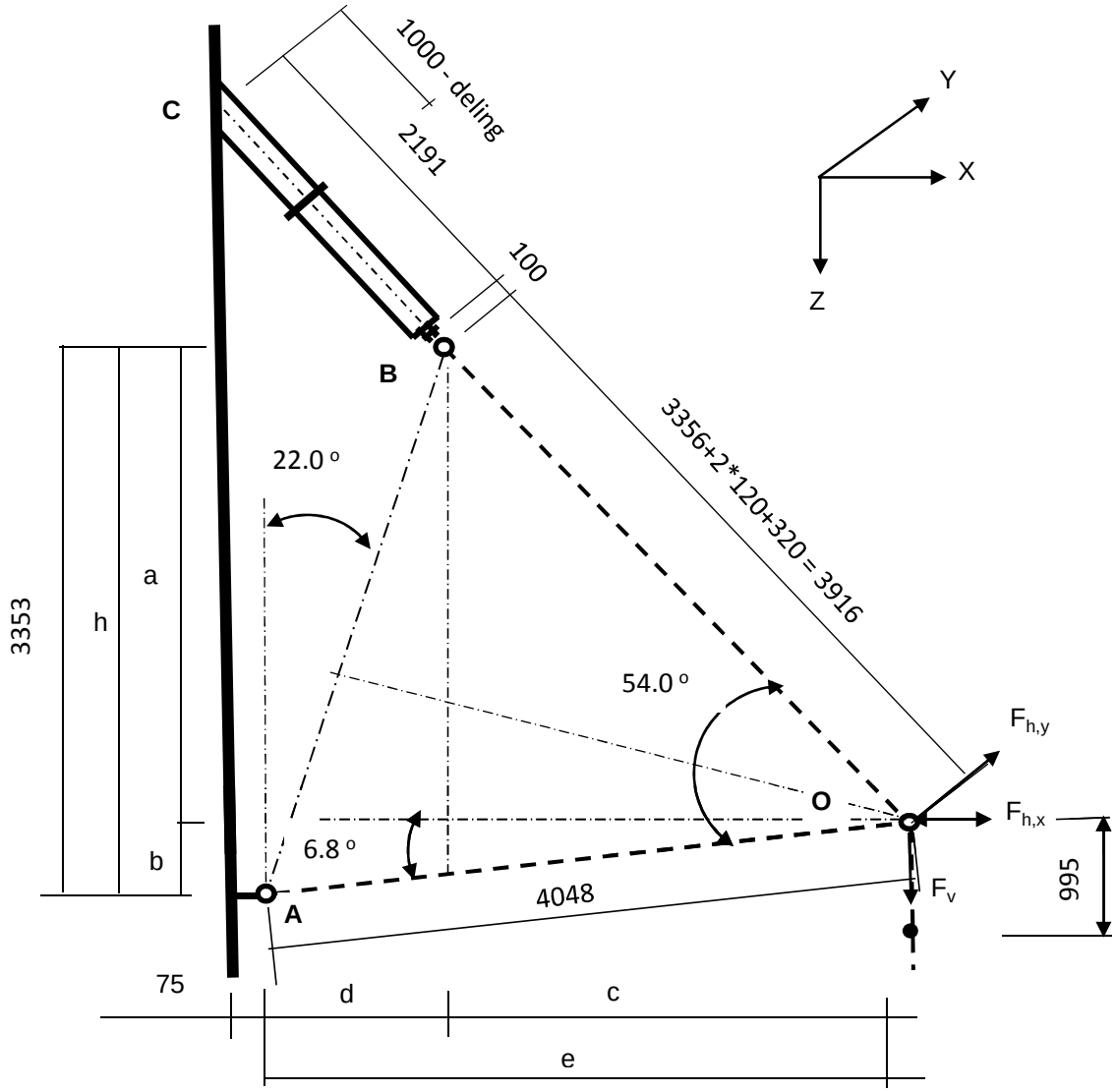

Belastingen : Zie KEMA rapport 74100706-ETD/POL 12-001 38 REV 002 - Appendix Q
Afmeting en hoeken van de V-brace : Conform tekening SEFAG 180 480-099 en tekening KEMA 74104749-40-005 (14-01-2014)

A - Belastinggeval wind / ijs

	AHEAD			BACK		
	$F_{h,x}$	$F_{h,y}$	F_v	$F_{h,x}$	$F_{h,y}$	F_v
	N	N	N	N	N	N
BG 1a - (+wind (90 gr))	43378	264457	17059	43378	-264457	17059
BG 3 - (+wind (90) + ijs)	29439	267163	29382	29439	-267163	29382
BG 1a - (+wind (45 gr))	22543	183132	17049	25846	-195119	17051
BG 3 - (+wind (45) + ijs)	18822	244963	29377	20489	-247581	29378

$F_{h,x}$ = Transverse kracht
$F_{h,y}$ = Longitudinale kracht
F_v = Verticale kracht

	F_v (N)		$F_{h,x}$ (N)	$F_{h,y}$ (N)
BG 1a - (wind (90 gr))	34118	±	86756	0
BG 3 - (wind (90) + ijs)	58764	±	58878	0
BG 1a - (wind (45 gr))	34100	±	48389	-11987
BG 3 - (wind (45) + ijs)	58755	±	39311	-2618

a =	2873	mm	b =	479	mm
h =	3353	mm	c =	2661	mm
d =	1359	mm	e =	4020	mm

$\gamma_{m;extra}$ = 1,5 (extra materiaalfactor)

	$R_{X,A,Ed}$ kN	$R_{y,A,Ed}$ kN	$R_{z,A,Ed}$ kN	$R_{X,B,Ed}$ kN	$R_{y,B,Ed}$ kN	$R_{z,B,Ed}$ kN
BG 1a - (+wind (90 gr))	49,7	0,00	-5,9	37,1	0,00	40,0
BG 1a - (-wind (90 gr))	-106,6	0,00	12,7	19,8	0,00	21,4
BG 3 - (+wind (90) + ijs)	4,0	0,00	-0,5	54,9	0,00	59,2
BG 3 - (-wind (90) + ijs)	-102,0	0,00	12,2	43,2	0,00	46,6
BG 1a - (+wind (45 gr))	15,1	-10,27	-1,8	33,2	-1,71	35,9
BG 1a - (-wind (45 gr))	-72,0	-10,27	8,6	23,6	-1,71	25,5
BG 3 - (+wind (45) + ijs)	-13,6	-2,24	1,6	52,9	-0,37	57,1
BG 3 - (-wind (45) + ijs)	-84,4	-2,24	10,1	45,1	-0,37	48,7

Ter plaatse van aansluiting buis aan mast (punt C)

	$R_{x,C,Ed}$ kN	$R_{y,C,Ed}$ kN	$R_{z,C}$,Ed kN	$M_{y;C,Ed}$ kNm	$M_{z,C,Ed}$ kNm
BG 1a - (+wind (90 gr))	37,08	0,00	40,04	0,00	0,00
BG 1a - (-wind (90 gr))	19,82	0,00	21,41	0,00	0,00
BG 3 - (+wind (90) + ijs)	54,86	0,00	59,24	0,00	0,00
BG 3 - (-wind (90) + ijs)	43,15	0,00	46,60	0,00	0,00
BG 1a - (+wind (45 gr))	33,25	-1,71	35,91	0,00	-2,55
BG 1a - (-wind (45 gr))	23,63	-1,71	25,51	0,00	-2,55
BG 3 - (+wind (45) + ijs)	52,91	-0,37	57,13	0,00	-0,56
BG 3 - (-wind (45) + ijs)	45,09	-0,37	48,69	0,00	-0,56

B - Belastinggeval bundelbreuk

	F_v (N)	F_h (N))*
BG 1a / 1,2	28432	60000

)* - Zie rapoportage Kema 18 maart 2011

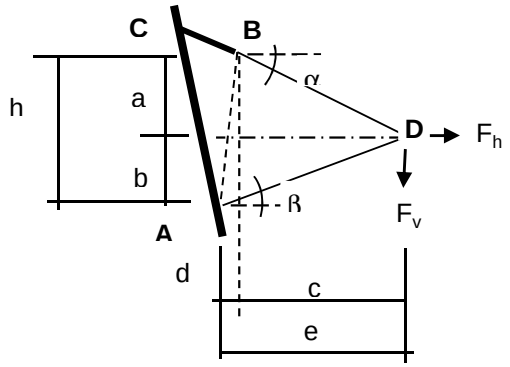

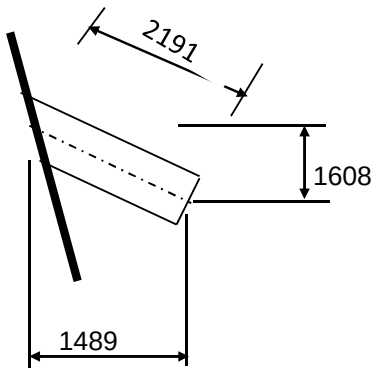

a =	1663	mm	b =	1954	mm
h =	3617	mm	c =	3719	mm
d =	0	mm	e =	3719	mm

Belasting geval bundelbreuk

$F_{h,Ed}$ =	60,00	kN	$F_{v,Ed}$ =	28,43	kN		
$R_{H,A,Ed}$ =	-1,64	kN		$R_{V,A,Ed}$ =	-0,86	kN	
$R_{H,B,Ed}$ =	61,64	kN		$R_{V,B,Ed}$ =	27,57	kN	

Ter plaatse van aansluiting isolator aan de steunarm (punt B)

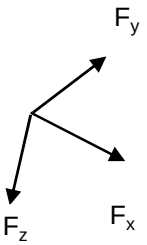

$F_{y,Ed} = R_{H,B,Ed}$ =

$F_{z,Ed} = R_{V,B,Ed} * Cos16,3^o * Cos47,2^o - R_{V,B,Ed} * Sin16,3^o * Sin47,2^o$ =

$F_{x,Ed} = R_{V,B,Ed} * Cos16,3^o * Sin47,2^o - R_{V,B,Ed} * Sin16,3^o * Cos47,2^o$ =

$F_{y,Ed}$ =	61,64	kN
$F_{z,Ed}$ =	9,76	kN
$F_{x,Ed}$ =	25,78	kN

Lokaal assenstelsel

Ter plaatse van aansluiting steunarm aan de mast (punt C)

N_{Ed}	$V_{y,Ed}$	$V_{z,Ed}$	$M_{x,Ed}$	$M_{y,Ed}$	$M_{z,Ed}$
kN	kN	kN	kNm	kNm	kNm
25,78	61,64	9,76	91,76	21,39	135,05

Buis Ø323,9 * 12,5 - S355 ;

A =	12229	mm^2	$N_{Ed} = A * f_y / 1,5$ =	2894	kN
$W_y = W_z$ =	9,17E+05	mm^3	$M_{y,Ed} = W_y * f_y / 1,5$ =	217,0	kNm
W_x =	1,83E+06	mm^3	$M_{z,Ed} = W_z * f_y / 1,5$ =	217,0	kNm
			$M_{x,Ed} = W_x * f_y / 1,5 * 3^{0,5}$ =	250,5	kNm
			$V_{Rd} = 0,5*A* f_y / 1,5*3^{0,5}$ =	835,5	kN

BG 3 - (+wind + ijs)

N_{Ed} = { $54,9^2$ + $59,2^2$ }^{0,5} = 80,74 kN

N_{Ed} / N_{Rd} = 80,74 / 2894 = 0,03 < 1,0 -- Voldoet

σ_N = 6,6 N/mm^2

BG 1a - (+wind (45 gr))

$M_{y,Ed}$ =	2,55	kNm ;	$\sigma_{b,y}$ =	2,8	N/mm^2
N_{Ed} =	48,94	kN ;	σ_N =	4,0	N/mm^2
			σ_{max} =	6,8	N/mm^2

Belasting geval bundelbreuk

N_{Ed} / N_{Rd} =	25,78	/	2894	=	0,01	< 1,0 -- Voldoet
			σ_N =		2,1	N/mm^2
$M_{y,Ed} / M_{y,Rd}$ =	21,39	/	217	=	0,10	< 1,0 -- Voldoet
			$\sigma_{b,y}$ =		23,3	N/mm^2
$M_{z,Ed} / M_{z,Rd}$ =	135,05	/	217	=	0,62	< 1,0 -- Voldoet
			$\sigma_{b,z}$ =		147,3	N/mm^2
$M_{x,Ed} / M_{x,Rd}$ =	91,76	/	251	=	0,37	< 1,0 -- Voldoet
			τ_w =		50,0	N/mm^2

$V_{y,Ed} / V_{y,Rd}$ = 61,64 / 835 = 0,07 < 1,0 -- Voldoet

τ_y = 10,1 N/mm^2

$V_{z,Ed} / V_{z,Rd}$ = 9,76 / 835 = 0,01 < 1,0 -- Voldoet

τ_z = 1,6 N/mm^2

Maximale buigspanning

$\sigma_{b,max} = \{ 23,3^2 + 149,4^2 \}^{0,5} = 151,2$ N/mm^2

vergelijkingsspanning :

$$\sigma_{vlg} = (\sigma^2_{b,max} + 3*\tau^2_y + 3*\tau^2_z + 3*\tau^2_w)^{0,5}$$

σ_{vlg} = 175 N/mm^2 < 237 MPa -- Voldoet

Controle spanningen in las:

Toetsing regel :

$\sigma_{Ed} \leq f_u / (\beta_w * \gamma_{M2})$ of $\sigma_1 = \sigma_{loodrecht} \leq 0,9 * f_u / \gamma_{M2}$

$f_{v,w,d} = f_u / (\beta_w * \gamma_M *$ wortel(3))

$\gamma_M = 1,25$; $\gamma_{m;extra}$ = 1,5 (extra materiaalfactor)

Materiaal S 355 ----> f_u = 510 N/mm^2 en β_w = 0,9

$f_u / (\beta_w * \gamma_{M2})$ = 302 N/mm^2 $0,9 * f_u / \gamma_{M2}$ = 245 N/mm^2

Lassen : Rondom voorbewerkte V- las met volledige doorsnede doorlassen

Berekening versterkingsplaat V-brace

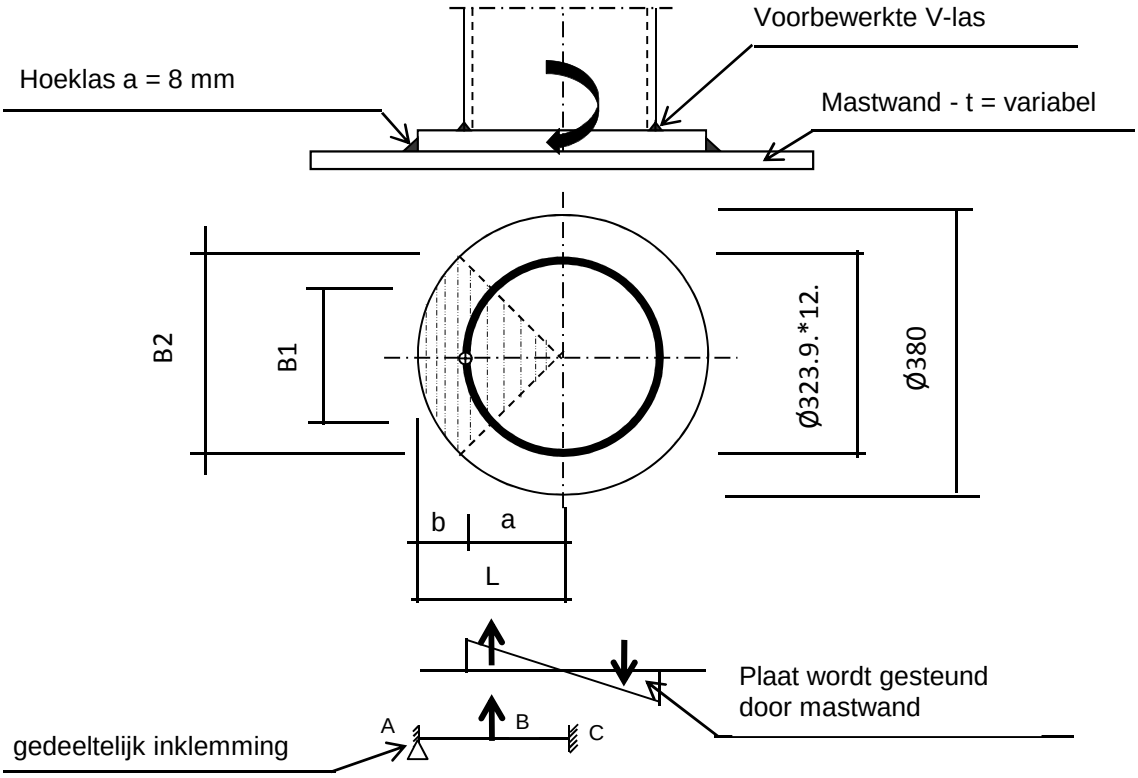

Plaat rond 380 * 25 - S355

Buis Ø323,9 * 12,5 - S355 ;

A =	12229	mm^2
W =	916735	mm^3
I =	148465296	mm^4
R =	162	mm

Hoeklas a= 8,0 mm

$\gamma_{m;extra}$ = 1,5 (extra materiaalfactor)

Maatgevend belasting

$M_{Ed} = (M_{y,Ed}^2 + M_{z,Ed}^2)^{0,5}$

M_{Ed} = 136,7 kNm

$F_{Ed} = [((M_{Ed} * R_{buis} / I) * (1+\cos 45^o))/2] * (A_{buis} / 4)$

F_{Ed} = 389,2 kN

a = R_{buis} = 162,0

b = R_{pl} - a = 28,1

B1 =	229,0	mm ;	Boog B1 =	254	mm
B2 =	268,7	mm ;	Boog B2 =	298	mm

Percentage inklemming= a_{las} / t_{pl} = 32,0%

Percentage vrij oplegging = 68,0%

Volledig opleggingg:

$M_{A;Ed}$ = 0 — 0,00 kNm

$M_{B;Ed}$ = (F_{Ed} * b/2)*(2 - 3*b/L + b^3/L^3) = 8,52 kNm

$R_{A;Ed}$ = (F_{Ed} * a^2 / 2.L^3)* (b + 2.L) = 303,6 kN

Volledig inklemming:

$M_{A;Ed}$ = (F_{Ed} * b * a^2 / L^2) = 7,93 kNm

$M_{B;Ed}$ = (2 * F_{Ed} * a^2 * b^2 / L^3) = 2,34 kNm

$R_{A;Ed}$ = F_{Ed} * (a / L)^2 * (1 + 2* b / L) = 366,3 kN

Gedeeltelijk inklemming:

$M_{A;Ed}$ = 0,0 * 68,0% + 7,9 * 32,0% = 2,54 kNm

$M_{B;Ed}$ = 8,5 * 68,0% + 2,3 * 32,0% = 6,54 kNm

$R_{A;Ed}$ = 303,6 * 68,0% + 366,3 * 32,0% = 323,7 kN

$M_{A;Rd}$ = ((1/4) * t_{pl}^2 * Boog B2 * 355 / 1,5) / 10^{-6} = 11,04 kNm

$M_{B;Rd}$ = ((1/4) * t_{pl}^2 * Boog B1 * 355 / 1,5) / 10^{-6} = 9,41 kNm

$M_{A,Ed}$ / $M_{A,Rd}$ = 2,54 / 11,04 = 0,23 < 1,0 -- Voldoet

$\sigma_{b,A}$ = 54,4 N/mm^2

$M_{B,Ed}$ / $M_{B,Rd}$ = 6,54 / 9,41 = 0,70 < 1,0 -- Voldoet

$\sigma_{b,B}$ = 164,6 N/mm^2

Ter plaatse van buiten ring:

V_{Ed} = 323,7 kN

τ = V_{Ed} * 1000 / t_{pl} * Boog B2 = 43,4 N/mm^2

Ter plaatse van binnen ring :

τ = V_{Ed} * 1000 / t_{pl} * Boog B1 = 50,9 N/mm^2

$\sigma_{vlg,max}$ = $\{\sigma_b^2 + 3*\tau^2\}^{0,5}$ = 186,7 N/mm^2

< 237 MPa -- Voldoet

Controle spanningen in las.

Toetsing regel :

$\sigma_{Ed} \leq f_u / (\beta_w * \gamma_{M2})$ of $\sigma_1 = \sigma_{loodrecht} \leq 0{,}9 * f_u / \gamma_{M2}$

$f_{v,w,d} = f_u / (\beta_w * \gamma_M *$ wortel(3))

$\gamma_M = 1{,}25$; $\gamma_{m;extra} =$ 1,5 (extra materiaalfactor)

Materiaal S 355 ----> $f_u = 510$ N/mm^2 en $\beta_w = 0{,}9$

$f_u / (\beta_w * \gamma_{M2}) = 302$ N/mm^2 $0{,}9 * f_u / \gamma_{M2} = 245$ N/mm^2

Lassen hoeklas a = 8 mm rondom

Per mm las:

t.g.v buigspanning:

$\sigma_1 = \tau_1 = \sigma_b * t / (1 * a * 2^{0,5}) =$ 120,3 N/mm^2

t.g.v schuifspanning:

$\sigma_1 = \tau_1 = \pm \tau * t / (1 * a * 2^{0,5}) =$ 95,9 N/mm^2

$\sigma_{1,max} =$ 120,3 + 95,9 = 216,1 N/mm^2

$\tau_{1,max} =$ 120,3 - 95,9 = 24,4 N/mm^2

$\tau_2 = 0$

$\sigma_{Ed} = \{\sigma_1^2 + 3 * (\tau_1^2 + \tau_2^2)\}^{0,5} =$ 220,2 N/mm^2

$\sigma_{Ed} \leq f_u / (\beta_w * \gamma_{M2}) =$ 220,2 / 302,2 = 0,73 < 1,0 -- Voldoet

$\sigma_1 \leq 0{,}9 * f_u / \gamma_{M2}$ 216,1 / 244,8 = 0,88 < 1,0 -- Voldoet

9.1.2 - Controle capaciteit van de aansluiting - uithouder V-brace aan mast

A - Aansluiting op 56,549 m hoogte (380 kV op 51,0m)

Momentcapaciteit in het vlak

buis	d_i (mm)	t_i (mm)	A (mm^2)	kwaliteit	f_y	W_b (mm^3)
0	511	12,0	18822	S355	355	2295451
Plaat	380,0		113411	S355	355	5387046

$M_{ip,1,Rd} = \{4{,}85 * (f_{y0} * t^2_0 * d_1 / \sin\theta_1) * (\beta * k_p * g^{0,5})\} / \gamma_{M5}$

γ_{M5} = 1,50 (extra materiaalfactor)

θ_1 = 32,2 graden ; $\beta = d_i / d_0$ = 0,74

$\gamma = d_0 / 2{*}t_0$ = 21,3

$n_p = \{N_{0,Ed} / (A_0 * f_{y,0})\} + \{M_{0,Ed} / (W_0 * f_{y,0})\}$

$N_{0,Ed}$ = 6,29 kN drukkracht
$M_{0,Ed}$ = 26,89 kNm
} t.g.v. max. belasting

n_p = 0,03 of n_p = -0,032

k_p = 1,0 , voor $n_p \leq 0$ (trek) ;

$k_p = 1{,}0 - 0{,}3 * n_p - 0{,}3 * n_p^2$, voor $n_p > 0$ (druk) maar $k_p \leq 1$

k_p = 0,99

$M_{ip,1,Rd}$ = 400,1 kNm

Pons controle ; Voor $d_1 \leq d_0 - 2{*}t_0$:

$M_{ip,1,Rd} = \{(f_{y0} * t_0 * d_{21} / 3^{0,5})*((1+ 3*\sin\theta_1)/ 4*\sin^2\theta_1)\} / \gamma_{M5}$

$M_{ip,1,Rd}$ = 541,7 kNm

$M_{y,Ed} / M_{ip,1,Rd}$ = 21,39 / 400,1 = 0,05 < 1,0 -- Voldoet

Momentcapaciteit uit het vlak

$M_{op,1,Rd} = \{(f_{y0} * t^2_0 * d_1 / \sin\theta_1) * (2{,}7 / (1 - 0{,}81*\beta)) * k_p \} / \gamma_{M5}$

$M_{op,1,Rd}$ = 163,1 kNm

$M_{z,Ed} / M_{op,1,Rd}$ = 135,05 / 163,1 = 0,83 < 1,0 -- Voldoet

Pons controle ; Voor $d_1 \leq d_0 - 2{*}t_0$:

$M_{op,1,Rd} = \{(f_{y0} * t_0 * d_{21} / 3^{0,5})*((3+ \sin\theta_1)/ 4*\sin^2\theta_1)\} / \gamma_{M5}$

$M_{op,1,Rd}$ = 736,4 kNm

$M_{z,Ed} / M_{op,1,Rd}$ = 135,05 / 163,1 = 0,83 < 1,0 -- Voldoet

B - Aansluiting op 46,5496 m hoogte (380 kV op 41m)

Momentcapaciteit in het vlak

buis	d_i (mm)	t_i (mm)	A (mm^2)	kwaliteit	f_y	W_b (mm^3)
0	761	15,0	35167	S355	355	6434268
Plaat	380,0		113411	S355	355	5387046

$M_{ip,1,Rd} = \{4{,}85 * (f_{y0} * t^2_0 * d_1 / \sin\theta_1) * (\beta * k_p * g^{0,5})\} / \gamma_{M5}$

γ_{M5} = 1,50 (extra materiaalfactor)

θ_1 = 32,2 graden ; $\beta = d_i / d_0$ = 0,50

$\gamma = d_0 / 2{*}t_0$ = 25,4

$n_p = \{N_{0,Ed} / (A_0 * f_{y,0})\} + \{M_{0,Ed} / (W_0 * f_{y,0})\}$

$N_{0,Ed}$ = 65,92 kN drukkracht
$M_{0,Ed}$ = 834,81 kNm
} t.g.v. max. belasting

n_p = 0,37 of n_p = -0,360

k_p = 1,0 , voor $n_p \leq 0$ (trek) ;

$k_p = 1{,}0 - 0{,}3 * n_p - 0{,}3 * n_p^2$, voor $n_p > 0$ (druk) maar $k_p \leq 1$

k_p = 0,85

$M_{ip,1,Rd}$ = 392,5 kNm

Pons controle ; Voor $d_1 \leq d_0 - 2{*}t_0$:

$M_{ip,1,Rd} = \{(f_{y0} * t_0 * d_{21} / 3^{0,5})*((1+ 3*\sin\theta_1)/ 4*\sin^2\theta_1)\} / \gamma_{M5}$

$M_{ip,1,Rd}$ = 677,1 kNm

$M_{y,Ed} / M_{ip,1,Rd}$ = 21,39 / 392,5 = 0,05 < 1,0 -- Voldoet

Momentcapaciteit uit het vlak

$M_{op,1,Rd} = \{(f_{y0} * t^2_0 * d_1 / \sin\theta_1) * (2{,}7 / (1 - 0{,}81*\beta)) * k_p \} / \gamma_{M5}$

$M_{op,1,Rd}$ = 145,9 kNm

$M_{z,Ed} / M_{op,1,Rd}$ = 135,05 / 145,9 = 0,93 < 1,0 -- Voldoet

Pons controle ; Voor $d_1 \leq d_0 - 2{*}t_0$:

$M_{op,1,Rd} = \{(f_{y0} * t_0 * d_{21} / 3^{0,5})*((3+ \sin\theta_1)/ 4*\sin^2\theta_1)\} / \gamma_{M5}$

$M_{op,1,Rd}$ = 920,6 kNm

$M_{z,Ed} / M_{op,1,Rd}$ = 135,05 / 145,9 = 0,93 < 1,0 -- Voldoet

C - Aansluiting op 36,549 m hoogte (380 kV op 31,0m)

Momentcapaciteit in het vlak

buis	d_i (mm)	t_i (mm)	A (mm^2)	kwaliteit	f_y	W_b (mm^3)
0	1011	18,0	56168	S355	355	13703604
Plaat	380,0		113411	S355	355	5387046

$M_{ip,1,Rd} = \{4{,}85 * (f_{y0} * t^2_0 * d_1 / \sin\theta_1) * (\beta * k_p * g^{0,5})\} / \gamma_{M5}$

γ_{M5} = 1,50 (extra materiaalfactor)

θ_1 = 32,2 graden ; $\beta = d_i / d_0$ = 0,38

$\gamma = d_0 / 2{*}t_0$ = 28,1

$n_p = \{N_{0,Ed} / (A_0 * f_{y,0})\} + \{M_{0,Ed} / (W_0 * f_{y,0})\}$

$N_{0,Ed}$ = 145,31 kN drukkracht
$M_{0,Ed}$ = 2673,24 kNm
} t.g.v. max. belasting

n_p = 0,56 of n_p = -0,542

k_p = 1,0 , voor $n_p \leq 0$ (trek) ;

$k_p = 1{,}0 - 0{,}3 * n_p - 0{,}3 * n_p^2$, voor $n_p > 0$ (druk) maar $k_p \leq 1$

k_p = 0,74

$M_{ip,1,Rd}$ = 390,8 kNm

Pons controle ; Voor $d_1 \leq d_0 - 2{*}t_0$:

$M_{ip,1,Rd} = \{(f_{y0} * t_0 * d_{21} / 3^{0,5})*((1+ 3*\sin\theta_1)/ 4*\sin^2\theta_1)\} / \gamma_{M5}$

$M_{ip,1,Rd}$ = 812,5 kNm

$M_{y,Ed} / M_{ip,1,Rd}$ = 21,39 / 390,8 = 0,05 < 1,0 -- Voldoet

Momentcapaciteit uit het vlak

$M_{op,1,Rd} = \{(f_{y0} * t^2_0 * d_1 / \sin\theta_1) * (2{,}7 / (1 - 0{,}81*\beta)) * k_p \} / \gamma_{M5}$

$M_{op,1,Rd}$ = 157,0 kNm

$M_{z,Ed} / M_{op,1,Rd}$ = 135,05 / 157,0 = 0,86 < 1,0 -- Voldoet

Pons controle ; Voor $d_1 \leq d_0 - 2{*}t_0$:

$M_{op,1,Rd} = \{(f_{y0} * t_0 * d_{21} / 3^{0,5})*((3+ \sin\theta_1)/ 4*\sin^2\theta_1)\} / \gamma_{M5}$

$M_{op,1,Rd}$ = 1104,7 kNm

$M_{z,Ed} / M_{op,1,Rd}$ = 135,05 / 157,0 = 0,86 < 1,0 -- Voldoet

9.1.3 Berekening clips 14,5 - clips op einde buis Ø 323,9*12,5

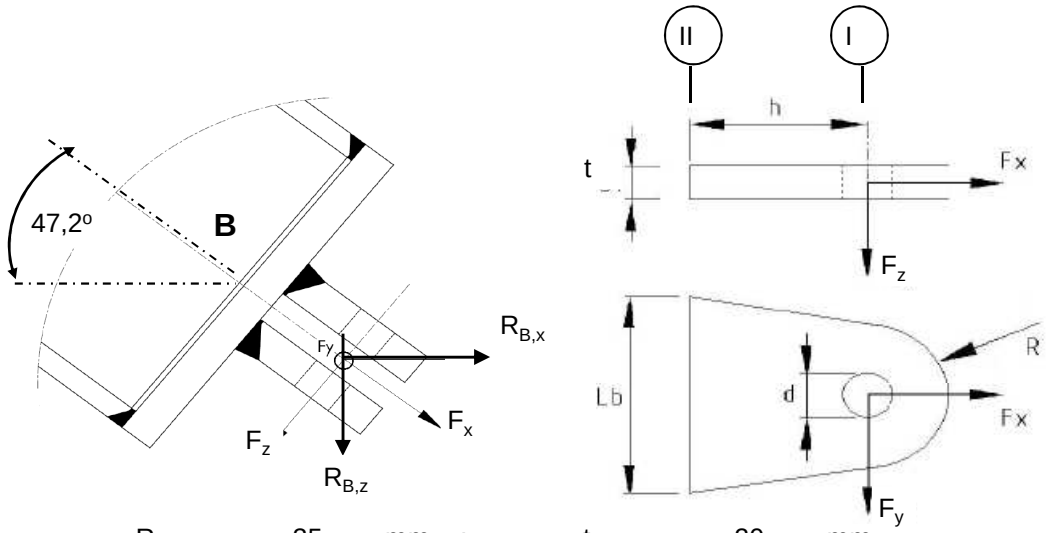

R =	35	mm ;	t =	20	mm
Lb =	200	mm ;	d =	24	mm
h =	40	mm ;	Las =	voorbewerkt	mm

$\gamma_{m;extra}$ = 1,5 (extra materiaalfactor)

Materiaal - S 355 ; f_y = 355 / $\gamma_{m;extra}$ = 236,7 N/mm^2

	$R_{X,B,Ed}$ kN	$R_{y,B,Ed}$ kN	$R_{z,B,Ed}$ kN	$F_{x,Ed}$ kN	$F_{y,Ed}$ kN	$F_{z,Ed}$ kN
BG 1a - (+wind (90 gr))	37,08	0,00	40,04	54,57	0,00	0,000
BG 1a - (-wind (90 gr))	19,82	0,00	21,41	29,18	0,00	0,000
BG 3 - (+wind (90) + ijs)	54,86	0,00	59,24	80,74	0,00	0,000
BG 3 - (-wind (90) + ijs)	43,15	0,00	46,60	63,51	0,00	0,000
BG 1a - (+wind (45 gr))	33,25	-1,71	35,91	48,94	-1,71	0,000
BG 1a - (-wind (45 gr))	23,63	-1,71	25,51	34,77	-1,71	0,000
BG 3 - (+wind (45) + ijs)	52,91	-0,37	57,13	77,87	-0,37	0,000
BG 3 - (-wind (45) + ijs)	45,09	-0,37	48,69	66,36	-0,37	0,000
BG bundelbreuk	0,00	61,64	27,57	25,78	61,64	9,762

Doorsnede I ; ter hoogte van het gat

$F_{Ed;max}$ = $0,5 * (F_{y,Ed}^2 + F_{x,Ed}^2)^{0,5}$ = 40,4 kN

τ_{toel} = (355 / 1,5) / $3^{0,5}$ = 137 N/mm^2

τ = $F_{Ed,max}$ / (2 *(t * (R - d/2)) = 44 N/mm^2 < 137 MPa -- Voldoet

Doorsnede II ; per clips

A =	4000	mm^2	N_{Rd} = A * F_y =	947 kN
W_y =	1,33E+05	mm^3	$M_{y,Rd}$ = W_y * F_y =	31,6 kNm
W_z =	1,33E+04	mm^3	$M_{z,Rd}$ = W_z * F_y =	3,2 kNm
			V_{Rd} = A* F_y / $3^{0,5}$ =	546,6 kN

Maatgevend belastinggeval bundelbreuk.

Per clip:

N_{Ed} =	12,89	kN	$M_{z,Ed} = V_{z,Ed} * h$ =	0,390	kNm
$V_{z,Ed}$ =	9,76	kN	$M_{y,Ed} = V_{y,Ed} * h$ =	1,233	kNm
$V_{y,Ed}$ =	30,82	kN			

N_{Ed} / N_{Rd} =	12,89	/	947	=	0,01	< 1,0 -- Voldoet
			σ_N =		3,2	N/mm^2
$M_{y,Ed} / M_{y,Rd}$ =	1,23	/	32	=	0,04	< 1,0 -- Voldoet
			$\sigma_{b,y}$ =		9,2	N/mm^2
$M_{z,Ed} / M_{z,Rd}$ =	0,39	/	3,2	=	0,12	< 1,0 -- Voldoet
			$\sigma_{b,z}$ =		29,3	N/mm^2
$V_{y,Ed} / V_{y,Rd}$ =	9,76	/	547	=	0,02	< 1,0 -- Voldoet
			τ_y =		2,4	N/mm^2
$V_{z,Ed} / V_{z,Rd}$ =	30,82	/	547	=	0,06	< 1,0 -- Voldoet
			τ_z =		7,7	N/mm^2

$\sigma_{b,max}$ = 41,8 N/mm^2

vergelijkingsspanning :

$$\sigma_{vlg} = (\sigma^2_{b,max} + 3*\tau^2_y + 3*\tau^2_z)^{0,5}$$

σ_{vlg} = 44 N/mm^2 < 236 MPa -- Voldoet

Controle spanningen in las.

Toetsing regel :

$\sigma_{Ed} \leq f_u / (\beta_w * \gamma_{M2})$ of $\sigma_1 = \sigma_{loodrecht} \leq 0,9 * f_u / \gamma_{M2}$

$f_{v,w,d} = f_u / (\beta_w * \gamma_M *$ wortel(3))

$\gamma_M = 1,25$; $\gamma_{m;extra}$ = 1,5 (extra materiaalfactor)

Materiaal S 355 ----> $f_u = 510$ N/mm^2 en $\beta_w = 0,9$

$f_u / (\beta_w * \gamma_{M2})$ = 302 N/mm^2 $0,9 * f_u / \gamma_{M2}$ = 245 N/mm^2

Lassen : Voorbewerkte V- las met volledige doorsnede doorlassen

9.1.4 - Berekening clips 15 - bevestigingspunt druk isolator

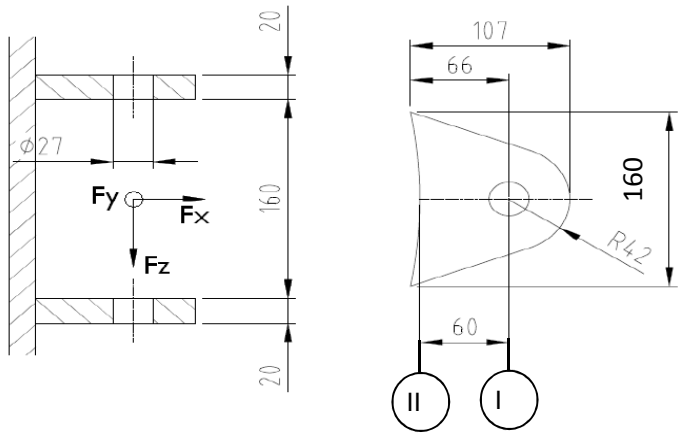

R =	42	mm	;	t =	20	mm
Lb =	160	mm	;	d =	27	mm
h =	60	mm	;	a las =	5	mm (hoeklas)

$\gamma_{m;extra}$ = 1,5 (extra materiaalfactor)

Materiaal - S 355 ; f_y = 355 / $\gamma_{m;extra}$ = 236,7 N/mm^2

$F_{x,Ed}$ en $F_{y,Ed}$ worden gelijkmatig verdeeld over de bovenste en onderste clip.
$F_{z,Ed}$ wordt volledig opgenomen door de onderste clip.

	$R_{X,A,Ed}$ kN	$R_{y,A,Ed}$ kN	$R_{z,A,Ed}$ kN	$F_{x,Ed}$ kN	$F_{y,Ed}$ kN	$F_{z,Ed}$ kN
BG 1a - (+wind (90 gr))	49,68	0,00	-5,92	49,68	0,00	5,92
BG 1a - (-wind (90 gr))	-106,58	0,00	12,71	106,58	0,00	12,71
BG 3 - (+wind (90) + ijs)	4,02	0,00	-0,48	4,02	0,00	0,48
BG 3 - (-wind (90) + ijs)	-102,03	0,00	12,17	102,03	0,00	12,17
BG 1a - (+wind (45 gr))	15,14	-10,27	-1,81	15,14	10,27	1,81
BG 1a - (-wind (45 gr))	-72,01	-10,27	8,59	72,01	10,27	8,59
BG 3 - (+wind (45) + ijs)	-13,60	-2,24	1,62	13,60	2,24	1,62
BG 3 - (-wind (45) + ijs)	-84,40	-2,24	10,06	84,40	2,24	10,06
BG bundelbreuk	0,00	-1,64	-0,86	0,00	1,64	0,86

Doorsnede I ; ter hoogte van het gat

$F_{Ed;max}$ = 0,5 * ($F_{y,Ed}^2$ + $F_{x,Ed}^2$)^{0,5} = 53,3 kN

τ_{toel} = (355 / 1,5) / 3^{0,5} = 137 N/mm^2

τ = $F_{Ed,max}$ / (2 *(t * (R - d/2)) = 47 N/mm^2 < 137 MPa -- Voldoet

Doorsnede II ; per clips

A =	3200	mm^2	N_{Rd} = A * f_y =	757 kN
W_y =	8,53E+04	mm^3	$M_{y,Rd}$ = W_y * f_y =	20,2 kNm
W_z =	1,07E+04	mm^3	$M_{z,Rd}$ = W_z * f_y =	2,5 kNm
			V_{Rd} = A* f_y / 3^{0,5} =	437,2 kN

Maatgevend belastinggeval BG 1a - (-wind 90 gr)

N_{Ed} =	53,29	kN	$M_{z,Ed} = V_{z,Ed} * h$ =	0,763	kNm
$V_{z,Ed}$ =	12,71	kN	$M_{y,Ed} = V_{y,Ed} * h$ =	0,000	kNm
$V_{y,Ed}$ =	0,00	kN			

N_{Ed} / N_{Rd} =	53,29	/	757	=	0,07	< 1,0 -- Voldoet
			σ_N =		16,7	N/mm^2
$M_{z,Ed} / M_{z,Rd}$ =	0,76	/	2,5	=	0,30	< 1,0 -- Voldoet
			$\sigma_{b,z}$ =		71,5	N/mm^2
$V_{y,Ed} / V_{y,Rd}$ =	12,71	/	437	=	0,03	< 1,0 -- Voldoet
			τ_y =		4,0	N/mm^2

$\sigma_{max} = \sigma_{b,z} + \sigma_N$ = 88,1 N/mm^2 < 236 MPa -- Voldoet

vergelijkingsspanning :

$$\sigma_{vlg} = (\sigma^2_{b,max} + 3*\tau^2_y)^{0,5}$$

σ_{vlg} = 88 N/mm^2 < 236 MPa -- Voldoet

Controle spanningen in las:

Toetsing regel :

$\sigma_{Ed} \leq f_u / (\beta_w * \gamma_{M2})$ of $\sigma_1 = \sigma_{loodrecht} \leq 0,9 * f_u / \gamma_{M2}$

$f_{v,w,d} = f_u / (\beta_w * \gamma_M *$ wortel(3))

$\gamma_M = 1,25$; $\gamma_{m;extra}$ = 1,5 (extra materiaalfactor)

Materiaal S 355 ----> f_u = 510 N/mm^2 en β_w = 0,9

$f_u / (\beta_w * \gamma_{M2})$ = 302 N/mm^2 $0,9 * f_u / \gamma_{M2}$ = 245 N/mm^2

Lassen : hoeklas 5 mm rondom

$\sigma_1 = \tau_1 = F_{las} / (L_{las} * a * 2^{0,5})$ L_{las} = 160 mm

a = 5 mm

$F_{las} = N_{Ed} / 2 + M_{z,Ed} / (t + 2*a / 3)$

F_{las} = 26,6 + 32,7 = 59,3 kN

σ_1 =					52,4	N/mm^2
τ_1 =					52,4	N/mm^2
τ_2 =	0					
σ_{Ed} =	$\{\sigma_1^2 + 3 * (\tau_1^2 + \tau_2^2)\}^{0,5}$	=			104,9	N/mm^2
$\sigma_{Ed} \leq f_u / (\beta_w * \gamma_{M2})$ =	104,9	/	302,2	=	0,35	< 1,0 -- Voldoet
$\sigma_1 \leq 0,9 * f_u / \gamma_{M2}$	52,4	/	244,8	=	0,21	< 1,0 -- Voldoet

9.1.5 - Berekening deling van de steunarm

Deling op één meter afstand van de mast

Afstand tot schanierpunt = 2191 - 1000 = 1191 mm

N_{Ed}	$V_{y,Ed}$	$V_{z,Ed}$	$M_{x,Ed}$	$M_{y,Ed}$	$M_{z,Ed}$
kN	kN	kN	kNm	kNm	kNm
25,78	61,64	9,76	49,88	11,63	73,41

$M_{Ed} = (M_{y,Ed}^2 + M_{z,Ed}^2)^{0,5} =$ 74,3 kNm

$V_{Ed} = (V_{y,Ed}^2 + V_{z,Ed}^2)^{0,5} =$ 62,4 kN

Verbinding met 8 bouten M24 - 8,8 : $F_{t,Rd} =$ 203,3 kN

$F_{v,Rd} =$ 135,6 kN

diameter Stc :	390	mm
uitwendige diameter flens :	450	mm
flensdikte	20	mm
Materiaal - S 355 ; $f_y = 355 / \gamma_{m;extra}$	237	N/mm^2

$F_{v,Ed} = V_{Ed} / n + 2* M_{x,Ed} / n * d_{stc} =$ 39,8 kN

$F_{t,Ed} = M_{Ed} * a / I_p + N_{Ed} / n =$ 98,5 kN

$F_{t,Ed} / F_{t,Rd} =$ 98,51 / 203 = 0,48 < 1,0 -- Voldoet

$F_{v,Ed} / F_{v,Rd} =$ 39,78 / 136 = 0,29 < 1,0 -- Voldoet

$F_{v,Ed} / F_{v,Rd} + F_{t,Ed} / 1,4.F_{t,Rd} =$ 0,64 < 1,0 -- Voldoet

Controle flens:

$t_{flens} =$ 20,00 mm

$L_{eff} = \min(p ; 4*m + 1,25*e ; 2*\pi*m) =$ 153,2 mm

m = 27,4 mm

n = 30,0 mm

$M_{pl} = (1/4) * L_{eff} * t_{fl}^2 * f_y =$ 3624613 Nmm

Bezwijkvorm 1 : $F_{t,Rd} = 2 * M_{pl} / m =$ 264,6 kN

Bezwijkvorm 2 : $F_{t,Rd} = (M_{pl} + n * F_{t,Rd,b}) / (m + n) =$ 169,4 kN

Bezwijkvorm 3 : $F_{t,Rd} = F_{t,Rd,b} =$ 203,3 kN

$F_{t,Rd,min} =$ 169,4 kN

$F_{t,Ed} / F_{t,Rd,min} =$ 0,58 < 1,0 -- Voldoet

9.2 - Berekening draagarm bliksemdraad

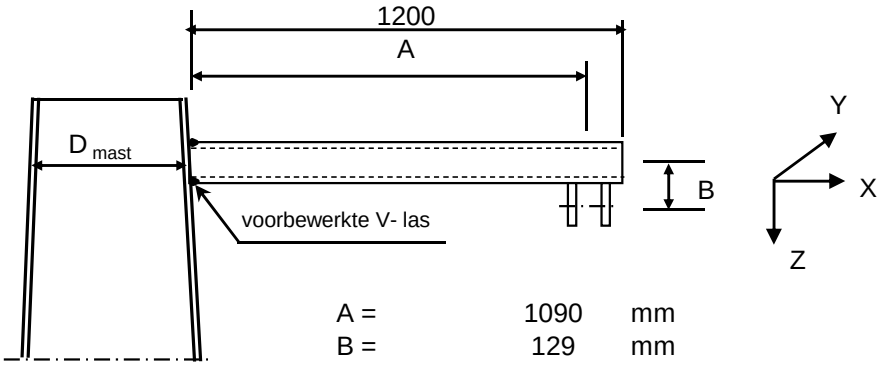

A =	1090	mm
B =	129	mm
D_{mast} =	505	mm
t_{mast} =	12	mm
Hoogte:	56,784	m

Buisgegevens

Buis Ø168,3 * 8 - S355 ;

$\gamma_{m;extra}$ = 1,5 (extra materiaalfactor)

Materiaal - S 355 ; f_y = 355 / $\gamma_{m;extra}$ = 236,7 N/mm^2

A =	4029	mm^2	$N_{Ed} = A * f_y$ =	953	kN
$W_y = W_z$ =	1,54E+05	mm^3	$M_{y,Ed} = W_y * f_y$ =	36,5	kNm
W_x =	3,08E+05	mm^3	$M_{z,Ed} = W_z * f_y$ =	36,5	kNm
			$M_{x,Ed} = W_x * f_y / 3^{0,5}$ =	42,1	kNm
			$V_{Rd} = 0,5*A* f_y / 3^{0,5}$ =	275,2	kN

Belastingen : Zie KEMA rapport 74100706-ETD/POL 12-001 38 REV 002 - Appendix Q

	AHEAD			BACK		
	F_x	F_y	F_z	F_x	F_y	F_z
	N	N	N	N	N	N
BG 1a - (+wind (90 gr))	7398	42270	2228	7398	-42270	2228
BG 3 - (+wind (90) + ijs)	8678	68065	9247	8678	-68065	9247
BG 1a - (+wind (45 gr))	3719	27068	2227	4308	-29443	2227
BG 3 - (+wind (45) + ijs)	5332	62378	9245	5860	-63049	9245

F_x = Transverse kracht

F_y = Longitudinale kracht

F_z = Verticale kracht

	$F_{x,Ed}$	$F_{y,Ed}$	$F_{z,Ed}$	$M_{x,Ed}$	$M_{y,Ed}$	$M_{z,Ed}$
	kN	kN	kN	kNm	kNm	kNm
BG 1a - (+wind (90 gr))	14,796	0	4,456	0,00	6,77	0,00
BG 3 - (+wind (90) + ijs)	17,356	0	18,494	0,00	22,40	0,00
BG 1a - (+wind (45 gr))	8,027	2,375	4,454	0,31	5,89	2,59
BG 3 - (+wind (45) + ijs)	11,192	0,671	18,49	0,09	21,60	0,73

$M_{x,Ed} = F_{y,Ed} * B$

$M_{y,Ed} = F_{z,Ed} * A \pm F_{x,Ed} * B$; $M_{y,Ed,max} = F_{z,Ed} * A + F_{x,Ed} * B$

$M_{z,Ed} = F_{y,Ed} * A$

Maatgevend belastinggeval : BG 3 - (wind 90 gr + ijs)

$M_{y,Ed} / M_{y,Rd}$ =	22,40	/	36	=	0,61	< 1,0 -- Voldoet
			$\sigma_{b,y}$ =		145,3	N/mm^2
N_{Ed} / N_{Rd} =	17,36	/	953	=	0,02	< 1,0 -- Voldoet
			σ_N =		4,3	N/mm^2
$V_{z,Ed} / V_{z,Rd}$ =	18,49	/	275	=	0,07	< 1,0 -- Voldoet
			τ_z =		9,2	N/mm^2

Maximale spanning

σ_{max} = 145,3 + 4,3 = 149,6 N/mm^2

vergelijkingsspanning :

$\sigma_{vlg} = (\sigma^2_{max} + 3*\tau^2_y + 3*\tau^2_z + 3*\tau^2_w)^{0,5}$

σ_{vlg} = 150 N/mm^2 < 237 MPa -- Voldoet

Controle spanningen in las:

Toetsing regel :

$\sigma_{Ed} \leq f_u / (\beta_w * \gamma_{M2})$ of $\sigma_1 = \sigma_{loodrecht} \leq 0,9 * f_u / \gamma_{M2}$

$f_{v,w,d} = f_u / (\beta_w * \gamma_M *$ wortel(3))

γ_M = 1,25 ; $\gamma_{m;extra}$ = 1,5 (extra materiaalfactor)

Materiaal S 355 ----> f_u = 510 N/mm^2 en β_w = 0,9

$f_u / (\beta_w * \gamma_{M2})$ = 302 N/mm^2 $0,9 * f_u / \gamma_{M2}$ = 245 N/mm^2

Buis 168,3*8 :

Lassen : Rondom voorbewerkte V- las met volledige doorsnede doorlassen

9.2.1 - Controle capaciteit van de aansluiting - draagarm aan mast

Momentcapaciteit in het vlak

buis	d_i (mm)	t_i (mm)	A (mm^2)	kwaliteit	f_y	W_b (mm^3)
0	505,4	12,0	18601	S355	355	2241249
1	168,3	8,0	4029	S355	355	154162

$M_{ip,1,Rd} = \{4{,}85 * (f_{y0} * t^2_0 * d_1 / \sin\theta_1) * (\beta * k_p * g^{0,5})\} / \gamma_{M5}$

γ_{M5} = 1,50 (extra materiaalfactor)

θ_1 = 90 graden ; $\beta = d_i / d_0$ = 0,33

$\gamma = d_0 / 2{*}t_0$ = 21,1

$n_p = \{N_{0,Ed} / (A_0 * f_{y,0})\} + \{M_{0,Ed} / (W_0 * f_{y,0})\}$

$N_{0,Ed}$ = 6,29 kN drukkracht
$M_{0,Ed}$ = 26,89 kNm
} t.g.v. max. belasting

n_p = 0,03 of n_p = -0,033

k_p = 1,0 , voor $n_p \leq 0$ (trek) ;

$k_p = 1{,}0 - 0{,}3 * n_p - 0{,}3 * n_p^2$, voor $n_p > 0$ (druk) maar $k_p \leq 1$

k_p = 0,99

$M_{ip,1,Rd}$ = 42,1 kNm

Pons controle ; Voor $d_1 \leq d_0 - 2{*}t_0$:

$M_{ip,1,Rd} = \{(f_{y0} * t_0 * d_{21} / 3^{0,5})*((1+ 3*\sin\theta_1)/ 4*\sin^2\theta_1)\} / \gamma_{M5}$

$M_{ip,1,Rd}$ = 46,4 kNm

$M_{y,Ed} / M_{ip,1,Rd}$ = 22,40 / 42,1 = 0,53 < 1,0 -- Voldoet

Momentcapaciteit uit het vlak

$M_{op,1,Rd} = \{(f_{y0} * t^2_0 * d_1 / \sin\theta_1) * (2{,}7 / (1 - 0{,}81*\beta)) * k_p \} / \gamma_{M5}$

$M_{op,1,Rd}$ = 21,0 kNm

Pons controle ; Voor $d_1 \leq d_0 - 2{*}t_0$:

$M_{op,1,Rd} = \{(f_{y0} * t_0 * d_{21} / 3^{0,5})*((3+ \sin\theta_1)/ 4*\sin^2\theta_1)\} / \gamma_{M5}$

$M_{op,1,Rd}$ = 46,4 kNm

$M_{z,Ed} / M_{op,1,Rd}$ = 2,59 / 21,0 = 0,12 < 1,0 -- Voldoet

9.2,2 - Berekening clip bliksemdraad (clip 5.4)

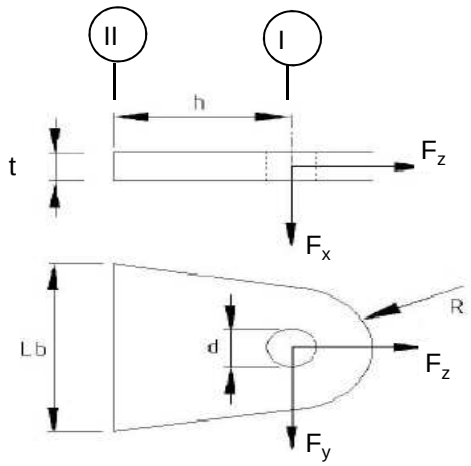

R =	42	mm ;	t =	20	mm
Lb =	120	mm ;	d =	27	mm
h =	78	mm ;	a las =	5	mm (hoeklas)

Materiaal - S 355 ; f_y = 355 / 1,5 = 236,7 N/mm^2

	$F_{x,Ed}$ kN	$F_{y,Ed}$ kN	$F_{z,Ed}$ kN
BG 1a - (+wind (90 gr))	14,80	0,00	4,46
BG 3 - (+wind (90) + ijs)	17,36	0,00	18,49
BG 1a - (+wind (45 gr))	8,03	2,38	4,45
BG 3 - (+wind (45) + ijs)	11,19	0,67	18,49

Doorsnede I ; ter hoogte van het gat

Per clip: $F_{Ed;max}$ = 0,5 * ($F_{y,Ed}^2$ + $F_{z,Ed}^2$)^{0,5} = 9,3 kN

τ_{toel} = (355 / 1,5) / 3^{0,5} =	137	N/mm^2	
τ = $F_{Ed,max}$ / (2 *(t * (R - d/2)) =	8	N/mm^2	< 137 MPa -- Voldoet

Doorsnede II ; per clips

A =	2400	mm^2	N_{Rd} = A * f_y =	568 kN
W_x =	4,80E+04	mm^3	$M_{x,Rd}$ = W_x * f_y =	11,4 kNm
W_y =	8,00E+03	mm^3	$M_{y,Rd}$ = W_y * f_y =	1,9 kNm
			V_{Rd} = A* f_y / 3^{0,5} =	327,9 kN

Maatgevend BG 3 - (wind 90 gr. + ijs)

N_{Ed} =	9,25	kN	$M_{y,Ed}$ = $V_{x,Ed}$ * h =	0,677	kNm
$V_{x,Ed}$ =	8,68	kN			

N_{Ed} / N_{Rd} =	9,25	/	568	=	0,02	< 1,0 -- Voldoet
			σ_N =		3,9	N/mm^2
$M_{y,Ed} / M_{y,Rd}$ =	0,68	/	1,9	=	0,36	< 1,0 -- Voldoet
			$\sigma_{b,y}$ =		84,6	N/mm^2
$V_{x,Ed} / V_{x,Rd}$ =	8,68	/	328	/	0,03	< 1,0 -- Voldoet
			τ_x =		3,6	N/mm^2

vergelijkingsspanning :

$\sigma_{vlg} = ((\sigma_{b,y} + \sigma_N)^2 + 3*\tau^2_z)^{0,5}$

σ_{vlg} = 89 N/mm^2 < 236 MPa -- Voldoet

Controle spanningen in las:

Toetsing regel :

$\sigma_{Ed} \leq f_u / (\beta_w * \gamma_{M2})$ of $\sigma_1 = \sigma_{loodrecht} \leq 0,9 * f_u / \gamma_{M2}$

$f_{v,w,d} = f_u / (\beta_w * \gamma_M *$ wortel(3))

γ_M = 1,25 ; $\gamma_{m;extra}$ = 1,5 (extra materiaalfactor)

Materiaal S 355 ----> f_u = 510 N/mm^2 en β_w = 0,9

$f_u / (\beta_w * \gamma_{M2})$ = 302 N/mm^2 $0,9 * f_u / \gamma_{M2}$ = 245 N/mm^2

Lassen : hoeklas 5 mm rondom

$\sigma_1 = \tau_1 = F_{las} / (L_{las} * a * 2^{0,5})$ L_{las} = 120 mm

a = 5 mm

$F_{las} = N_{Ed} / 2 + M_{y,Ed} / (t + 2*a / 3)$

F_{las} = 4,6 + 29,0 = 33,6 kN

σ_1 =	39,6	N/mm^2	
τ_1 =	39,6	N/mm^2	
τ_2 = 0			
σ_{Ed} = $\{\sigma_1^2 + 3 * (\tau_1^2 + \tau_2^2)\}^{0,5}$ =	79,3	N/mm^2	
$\sigma_{Ed} \leq f_u / (\beta_w * \gamma_{M2})$= 79,3 / 302,2 =	0,26	< 1,0 -- Voldoet	
$\sigma_1 \leq 0,9 * f_u / \gamma_{M2}$ 39,6 / 244,8 =	0,16	< 1,0 -- Voldoet	

9.3 - Berekening draagarm "Passieve Loop geleider"

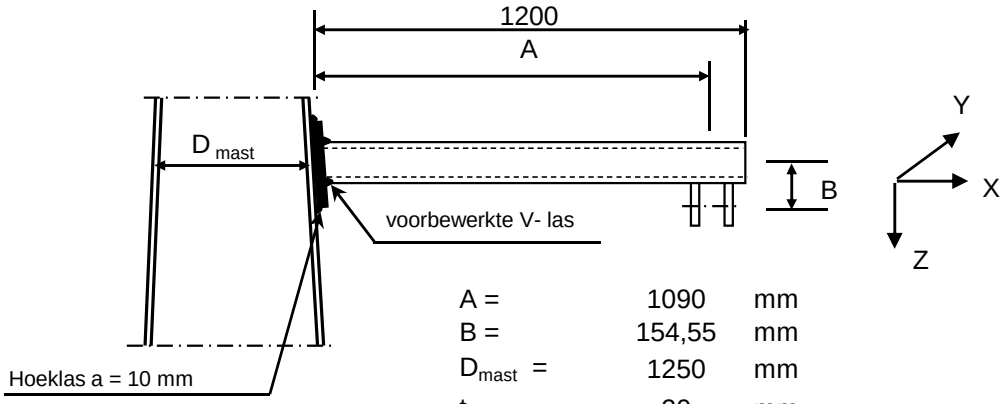

A =	1090	mm
B =	154,55	mm
D_{mast} =	1250	mm
t_{mast} =	20	mm
Hoogte:	27	m

Buisgegevens

Buis Ø219,7 * 8 - S355 ;

$\gamma_{m;extra}$ = 1,5 (extra materiaalfactor)

Materiaal - S 355 ; f_y = 355 / $\gamma_{m;extra}$ = 236,7 N/mm^2

$\gamma_{m;extra}$ = 1,5 (extra materiaalfactor)

A =	5306	mm^2	$N_{Ed} = A * f_y$ =	1256	kN
$W_y = W_z$ =	2,70E+05	mm^3	$M_{y,Ed} = W_y * f_y$ =	63,9	kNm
W_x =	5,40E+05	mm^3	$M_{z,Ed} = W_z * f_y$ =	63,9	kNm
			$M_{x,Ed} = W_x * f_y / 3^{0,5}$ =	73,8	kNm
			$V_{Rd} = 0,5*A* f_y / 3^{0,5}$ =	362,5	kN

Belastingen : Zie KEMA rapport 74100706-ETD/POL 12-001 38 REV 002 - Appendix Q

	AHEAD			BACK		
	F_x	F_y	F_z	F_x	F_y	F_z
	N	N	N	N	N	N
BG 1a - (+wind (90 gr))	10456	67128	4620	10456	-67128	4620
BG 3 - (+wind (90) + ijs)	13366	129367	18679	13366	-129367	18679
BG 1a - (+wind (45 gr))	5531	47908	4618	6308	-50647	4618
BG 3 - (+wind (45) + ijs)	8939	123915	18677	9640	-124532	18677

F_x = Transverse kracht

F_y = Longitudinale kracht

F_z = Verticale kracht

	$F_{x,Ed}$	$F_{y,Ed}$	$F_{z,Ed}$	$M_{x,Ed}$	$M_{y,Ed}$	$M_{z,Ed}$
	kN	kN	kN	kNm	kNm	kNm
BG 1a - (+wind (90 gr))	20,912	0	9,24	0,00	13,30	0,00
BG 3 - (+wind (90) + ijs)	26,732	0	37,358	0,00	44,85	0,00
BG 1a - (+wind (45 gr))	11,839	2,739	9,236	0,42	11,90	2,99
BG 3 - (+wind (45) + ijs)	18,579	0,617	37,354	0,10	43,59	0,67

$M_{x,Ed} = F_{y,Ed} * B$

$M_{y,Ed} = F_{z,Ed} * A \pm F_{x,Ed} * B$; $M_{y,Ed,max} = F_{z,Ed} * A + F_{x,Ed} * B$;

$M_{z,Ed} = F_{y,Ed} * A$

Maatgevend belastinggeval : BG 3 - (wind 90 gr + ijs)

$M_{y,Ed} / M_{y,Rd}$ =	44,85	/	64	=	0,70	< 1,0 -- Voldoet
			$\sigma_{b,y}$ =		166,0	N/mm^2
N_{Ed} / N_{Rd} =	26,73	/	1256	=	0,02	< 1,0 -- Voldoet
			σ_N =		5,0	N/mm^2
$V_{z,Ed} / V_{z,Rd}$ =	37,36	/	362	=	0,10	< 1,0 -- Voldoet
			τ_z =		14,1	N/mm^2

Maximale spanning

σ_{max} = 166,0 + 5,0 = 171,1 N/mm^2

vergelijkingsspanning :

$\sigma_{vlg} = (\sigma^2_{max} + 3*\tau^2_y + 3*\tau^2_z + 3*\tau^2_w)^{0,5}$

σ_{vlg} = 173 N/mm^2 < 237 MPa -- Voldoet

Controle spanningen in las:

Toetsing regel :

$\sigma_{Ed} \leq f_u / (\beta_w * \gamma_{M2})$ of $\sigma_1 = \sigma_{loodrecht} \leq 0,9 * f_u / \gamma_{M2}$

$f_{v,w,d} = f_u / (\beta_w * \gamma_M *$ wortel(3))

γ_M = 1,25 ; $\gamma_{m;extra}$ = 1,5 (extra materiaalfactor)

Materiaal S 355 ----> f_u = 510 N/mm^2 en β_w = 0,9

$f_u / (\beta_w * \gamma_{M2})$ = 302 N/mm^2 $0,9 * f_u / \gamma_{M2}$ = 245 N/mm^2

Buis 219,1*8 aan de versterkingsplaat
Lassen : Rondom voorbewerkte V- las met volledige doorsnede doorlassen

Berekening versterkingsplaat

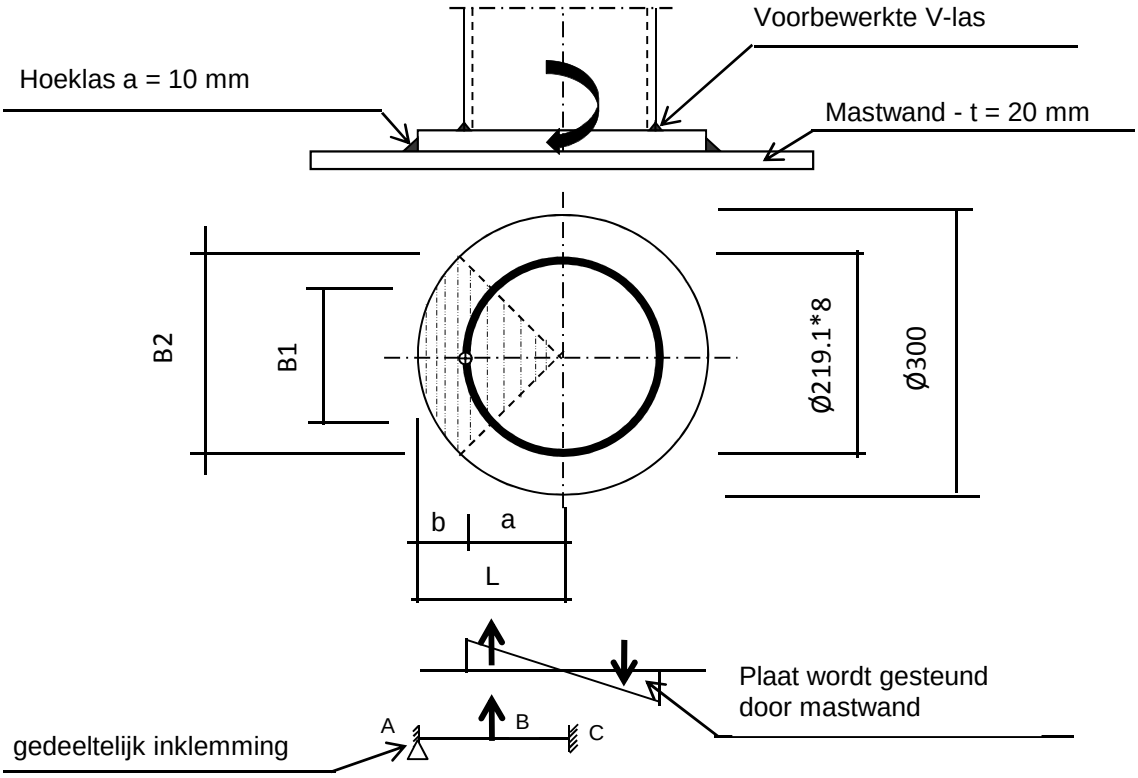

Plaat rond 300 * 20 - S355

Buis Ø219,1 * 8 - S355 ; A = 5306 mm^2
W = 270163 mm^3
I = 29596329 mm^4
R = 110 mm

Hoeklas a= 10,0 mm
$\gamma_{m;extra}$ = 1,5 (extra materiaalfactor)

Maatgevend belasting

M_{Ed} = 44,9 kNm

$F_{Ed} = [((M_{Ed} * R_{buis} / I) * (1+\cos 45^{o}))/2] * (A_{buis} / 4)$

F_{Ed} = 188,0 kN

a = R_{buis} = 109,6
b = R_{pl} - a = 40,5

B1 = 154,9 mm ; Boog B1 = 172 mm
B2 = 212,1 mm ; Boog B2 = 236 mm

Percentage inklemming = a_{las} / t_{pl} = 50,0%
Percentage vrij oplegging = 50,0%

Volledig opleggingg:

$M_{A;Ed}$ = 0 0,00 kNm
$M_{B;Ed}$ = (F_{Ed} * b/2)*(2 - 3*b/L + b^3/L^3) = 4,60 kNm
$R_{A;Ed}$ = (F_{Ed} * a^2 / 2.L^3)* (b + 2.L) = 113,8 kN

Volledig inklemming:

$M_{A;Ed} = (F_{Ed} * b * a^2 / L^2) =$ 4,06 kNm

$M_{B;Ed} = (2 * F_{Ed} * a^2 * b^2 / L^3) =$ 2,19 kNm

$R_{A;Ed} = F_{Ed} * (a / L)^2 * (1 + 2* b / L) =$ 154,3 kN

Gedeeltelijk inklemming:

$M_{A;Ed}$ = 0,0 * 50,0% + 4,1 * 50,0% = 2,03 kNm

$M_{B;Ed}$ = 4,6 * 50,0% + 2,2 * 50,0% = 3,39 kNm

$R_{A;Ed}$ = 113,8 * 50,0% + 154,3 * 50,0% = 134,0 kN

$M_{A;Rd} = ((1/4) * t_{pl}^2 * \text{Boog B2} * 355 / 1,5) / 10^{-6} =$ 5,58 kNm

$M_{B;Rd} = ((1/4) * t_{pl}^2 * \text{Boog B1} * 355 / 1,5) / 10^{-6} =$ 4,07 kNm

$M_{A,Ed} / M_{A,Rd}$ = 2,03 / 5,58 = 0,36 < 1,0 -- Voldoet

$\sigma_{b,A} =$ 86,1 N/mm^2

$M_{B,Ed} / M_{B,Rd}$ = 3,39 / 4,07 = 0,83 < 1,0 -- Voldoet

$\sigma_{b,B} =$ 197,3 N/mm^2

Ter plaatse van buiten ring:

$V_{Ed} =$ 134,0 kN

$\tau = V_{Ed} * 1000 / t_{pl} * \text{Boog B2} =$ 28,4 N/mm^2

Ter plaatse van binnen ring :

$\tau = V_{Ed} * 1000 / t_{pl} * \text{Boog B1} =$ 38,9 N/mm^2

$\sigma_{vlg,max} = \{\sigma_b^2 + 3*\tau^2\}^{0,5} =$ 208,5 N/mm^2

< 237 MPa -- Voldoet

Controle spanningen in las.

Toetsing regel :

$\sigma_{Ed} \leq f_u / (\beta_w * \gamma_{M2})$ of $\sigma_1 = \sigma_{loodrecht} \leq 0,9 * f_u / \gamma_{M2}$

$f_{v,w,d} = f_u / (\beta_w * \gamma_M * \text{wortel(3)})$

$\gamma_M = 1,25$; $\gamma_{m;extra} =$ 1,5 (extra materiaalfactor)

Materiaal S 355 ----> $f_u = 510$ N/mm^2 en $\beta_w = 0,9$

$f_u / (\beta_w * \gamma_{M2}) =$ 302 N/mm^2 $0,9 * f_u / \gamma_{M2} =$ 245 N/mm^2

Lassen hoeklas a = 10 mm rondom

Per mm las:

t.g.v buigspanning:

$\sigma_1 = \tau_1 = \sigma_b * t / (1 * a * 2^{0,5}) =$ 121,7 N/mm^2

t.g.v schuifspanning:

$\sigma_1 = \tau_1 = \pm \tau * t / (1 * a * 2^{0,5}) =$ 40,2 N/mm^2

$\sigma_{1,max}$ =	121,7	+	40,2	=	161,9	N/mm^2
$\tau_{1,max}$ =	121,7	-	40,2	=	81,5	N/mm^2
$\tau_2 = 0$						
σ_{Ed} =	$\{\sigma_1^2 + 3 * (\tau_1^2 + \tau_2^2)\}^{0,5}$			=	214,8	N/mm^2
$\sigma_{Ed} \leq f_u / (\beta_w * \gamma_{M2})$ =	214,8	/	302,2	=	0,71	< 1,0 -- Voldoet
$\sigma_1 \leq 0,9 * f_u / \gamma_{M2}$	161,9	/	244,8	=	0,66	< 1,0 -- Voldoet

9.3.1 - Controle capaciteit van de aansluiting - draagarm aan mast

Momentcapaciteit in het vlak

buis	d_i (mm)	t_i (mm)	A (mm^2)	kwaliteit	f_y	W_b (mm^3)
0	1250,0	20,0	77283	S355	355	23390527
Plaat	300,0		70686	S355	355	2650719

$M_{ip,1,Rd} = \{4,85 * (f_{y0} * t^2_0 * d_1 / \sin\theta_1) * (\beta * k_p * g^{0,5})\} / \gamma_{M5}$

γ_{M5} = 1,50 (extra materiaalfactor)

θ_1 = 90 graden ; $\beta = d_i / d_0$ = 0,24

$\gamma = d_0 / 2*t_0$ = 31,3

$n_p = \{N_{0,Ed} / (A_0 * f_{y,0})\} + \{M_{0,Ed} / (W_0 * f_{y,0})\}$

$N_{0,Ed}$ = 250,57 kN drukkracht
$M_{0,Ed}$ = 5307,19 kNm
} t.g.v. max. belasting

n_p = 0,65 of n_p = -0,630

k_p = 1,0 , voor $n_p \leq 0$ (trek) ;

$k_p = 1,0 - 0,3 * n_p - 0,3 * n_p^2$, voor $n_p > 0$ (druk) maar $k_p \leq 1$

k_p = 0,68

$M_{ip,1,Rd}$ = 125,6 kNm

Pons controle ; Voor $d_1 \leq d_0 - 2*t_0$:

$M_{ip,1,Rd} = \{(f_{y0} * t_0 * d_{21} / 3^{0,5})*((1+ 3*\sin\theta_1)/ 4*\sin^2\theta_1)\} / \gamma_{M5}$

$M_{ip,1,Rd}$ = 246,0 kNm

$M_{y,Ed} / M_{ip,1,Rd}$ = 44,85 / 125,6 = 0,36 < 1,0 -- Voldoet

Momentcapaciteit uit het vlak

$M_{op,1,Rd} = \{(f_{y0} * t^2_0 * d_1 / \sin\theta_1) * (2,7 / (1 - 0,81*\beta)) * k_p \} / \gamma_{M5}$

$M_{op,1,Rd}$ = 64,7 kNm

Pons controle ; Voor $d_1 \leq d_0 - 2*t_0$:

$M_{op,1,Rd} = \{(f_{y0} * t_0 * d_{21} / 3^{0,5})*((3+ \sin\theta_1)/ 4*\sin^2\theta_1)\} / \gamma_{M5}$

$M_{op,1,Rd}$ = 246,0 kNm

$M_{z,Ed} / M_{op,1,Rd}$ = 2,99 / 64,7 = 0,05 < 1,0 -- Voldoet

9.3.2 - Berekening clip draagarm Passieve Loop geleider (clip 5.4)

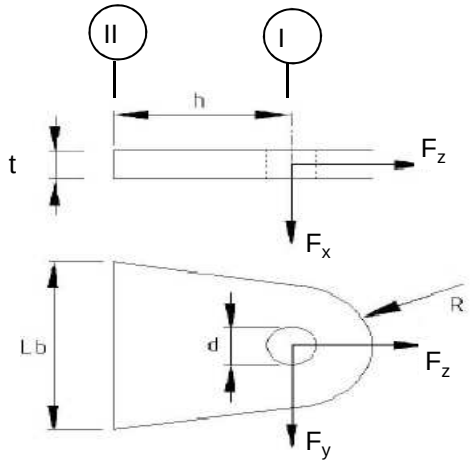

R =	42	mm ;	t =	20	mm
Lb =	120	mm ;	d =	27	mm
h =	62	mm ;	a las =	5	mm (hoeklas)

Materiaal - S 355 ; f_y = 355 / 1,5 = 236,7 N/mm^2

	$F_{x,Ed}$ kN	$F_{y,Ed}$ kN	$F_{z,Ed}$ kN
BG 1a - (+wind (90 gr))	20,91	0,00	9,24
BG 3 - (+wind (90) + ijs)	26,73	0,00	37,36
BG 1a - (+wind (45 gr))	11,84	2,74	9,24
BG 3 - (+wind (45) + ijs)	18,58	0,62	37,35

Doorsnede I ; ter hoogte van het gat

Per clip: $F_{Ed;max}$ = 0,5 * ($F_{y,Ed}^2$ + $F_{z,Ed}^2$)^{0,5} = 18,7 kN

τ_{toel} = (355 / 1,5) / 3^{0,5} =	137	N/mm^2	
τ = $F_{Ed,max}$ / (2 *(t * (R - d/2)) =	16	N/mm^2	< 137 MPa -- Voldoet

Doorsnede II ; per clips

A =	2400	mm^2	N_{Rd} = A * f_y =	568 kN
W_x =	4,80E+04	mm^3	$M_{x,Rd}$ = W_x * f_y =	11,4 kNm
W_y =	8,00E+03	mm^3	$M_{y,Rd}$ = W_y * f_y =	1,9 kNm
			V_{Rd} = A* f_y / 3^{0,5} =	327,9 kN

Maatgevend BG 3 - (wind 90 gr. + ijs)

N_{Ed} =	18,68	kN	$M_{y,Ed}$ = $V_{z,Ed}$ * h =	0,829	kNm
$V_{z,Ed}$ =	13,37	kN			

N_{Ed} / N_{Rd} =	18,68	/	568	=	0,03	< 1,0 -- Voldoet
			σ_N =		7,8	N/mm^2
$M_{y,Ed} / M_{y,Rd}$ =	0,83	/	1,9	=	0,44	< 1,0 -- Voldoet
			$\sigma_{b,y}$ =		103,6	N/mm^2
$V_{x,Ed} / V_{x,Rd}$ =	13,37	/	328	/	0,04	< 1,0 -- Voldoet
			τ_z =		5,6	N/mm^2

vergelijkingsspanning :

$\sigma_{vlg} = ((\sigma_{b,y} + \sigma_N)^2 + 3*\tau^2_x)^{0,5}$

σ_{vlg} = 112 N/mm^2 < 236 MPa -- Voldoet

Controle spanningen in las:

Toetsing regel :

$\sigma_{Ed} \leq f_u / (\beta_w * \gamma_{M2})$ of $\sigma_1 = \sigma_{loodrecht} \leq 0,9 * f_u / \gamma_{M2}$

$f_{v,w,d} = f_u / (\beta_w * \gamma_M *$ wortel(3))

γ_M = 1,25 ; $\gamma_{m;extra}$ = 1,5 (extra materiaalfactor)

Materiaal S 355 ----> f_u = 510 N/mm^2 en β_w = 0,9

$f_u / (\beta_w * \gamma_{M2})$ = 302 N/mm^2 $0,9 * f_u / \gamma_{M2}$ = 245 N/mm^2

Lassen : hoeklas 5 mm rondom

$\sigma_1 = \tau_1 = F_{las} / (L_{las} * a * 2^{0,5})$ L_{las} = 120 mm

a = 5 mm

$F_{las} = N_{Ed} / 2 + M_{y,Ed} / (t + 2*a / 3)$

F_{las} = 9,3 + 35,5 = 44,9 kN

σ_1 =	52,9	N/mm^2
τ_1 =	52,9	N/mm^2
τ_2 = 0		
σ_{Ed} = $\{\sigma_1^2 + 3 * (\tau_1^2 + \tau_2^2)\}^{0,5}$ =	105,7	N/mm^2

$\sigma_{Ed} \leq f_u / (\beta_w * \gamma_{M2})$=	105,7	/	302,2	=	0,35	< 1,0 -- Voldoet
$\sigma_1 \leq 0,9 * f_u / \gamma_{M2}$	52,9	/	244,8	=	0,22	< 1,0 -- Voldoet

9.4 - Berekening Clip 17 - t.b.v installatie geleiders (op 0,5m hoogte)

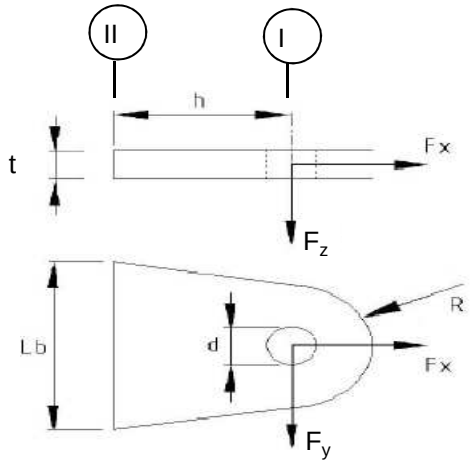

R =	55	mm ;	t =	20	mm
Lb =	110	mm ;	d =	27	mm
h =	55	mm ;	las :	Voorbeverklte K-las	

$\gamma_{m;extra}$ = 1,5 (extra materiaalfactor)

Materiaal - S 355 ; f_y = 355 / 1,5 = 236,7 N/mm^2

	$F_{x,Ed}$ kN	$F_{y,Ed}$ kN	$F_{z,Ed}$ kN
BG 60 kN	42,43	42,43	0,00
of	0,00	60,00	

Doorsnede I ; ter hoogte van het gat

Per clip: $F_{Ed;max}$ = $(F_{y,Ed}^2 + F_{x,Ed}^2)^{0,5}$ = 60,0 kN

τ_{toel} = (355 / 1,5) / $3^{0,5}$ = 137 N/mm^2

τ = $F_{Ed,max}$ / (2 *(t * (R - d/2)) = 36 N/mm^2 < 137 MPa -- Voldoet

Doorsnede II ; per clips

A =	2200	mm^2	N_{Rd} = A * f_y =	521	kN
W_y =	4,03E+04	mm^3	$M_{x,Rd}$ = W_y * f_y =	9,5	kNm
W_z =	7,33E+03	mm^3	$M_{y,Rd}$ = W_z * f_y =	1,7	kNm
			V_{Rd} = A* f_y / $3^{0,5}$ =	300,6	kN

N_{Ed} =	42,43	kN	$M_{y,Ed}$ = $V_{y,Ed}$ * h =	2,333	kNm
$V_{y,Ed}$ =	42,43	kN			

N_{Ed} / N_{Rd} =	42,43	/	521	=	0,08	< 1,0	-- Voldoet
			σ_N =		19,3	N/mm^2	
$M_{y,Ed}$ / $M_{y,Rd}$ =	2,33	/	10	=	0,24	< 1,0	-- Voldoet
			$\sigma_{b,y}$ =		57,9	N/mm^2	
$V_{z,Ed}$ / $V_{z,Rd}$ =	42,43	/	301	=	0,14	< 1,0	-- Voldoet
			τ_y =		19,3	N/mm^2	

Maximale buigspanning

$\sigma_{b,max}$ = { 19,3 + 57,9 } = 77,1 N/mm^2

vergelijkingsspanning :

$\sigma_{vlg} = (\sigma^2_{b,max} + 3*\tau^2_y)^{0,5}$

σ_{vlg} = 84 N/mm^2 < 237 MPa -- Voldoet

N_{Ed} = 0,00 kN
$V_{y,Ed}$ = 60,00 kN

$M_{y,Ed} = V_{y,Ed} * h$ = 3,300 kNm

$M_{y,Ed}$ / $M_{y,Rd}$ =	3,30	/	10	=	0,35	< 1,0	-- Voldoet
			$\sigma_{b,y}$ =		81,8	N/mm^2	
$V_{z,Ed}$ / $V_{z,Rd}$ =	60,00	/	301	=	0,20	< 1,0	-- Voldoet
			τ_y =		27,3	N/mm^2	

vergelijkingsspanning :

$\sigma_{vlg} = (\sigma^2_{b,max} + 3*\tau^2_y)^{0,5}$

σ_{vlg} = 94 N/mm^2 < 230 MPa -- Voldoet

Controle spanningen in las.

Toetsing regel :

$\sigma_{Ed} \leq f_u / (\beta_w * \gamma_{M2})$ of $\sigma_1 = \sigma_{loodrecht} \leq 0,9 * f_u / \gamma_{M2}$

$f_{v,w,d} = f_u / (\beta_w * \gamma_M *$ wortel(3))

γ_M = 1,25 ; $\gamma_{m;extra}$ = 1,5 (extra materiaalfactor)

Materiaal S 355 ----> f_u = 510 N/mm^2 en β_w = 0,9

$f_u / (\beta_w * \gamma_{M2})$ = 302 N/mm^2 $0,9 * f_u / \gamma_{M2}$ = 245 N/mm^2

Lassen : Voorbewerkte K- las met volledige doorsnede doorlassen

9.4.1 - Controle capaciteit van de aansluiting

Plaats van de aansluiting ; 0,5m boven voetplaat

buis/plaat	d_i / h_i (mm)	t_i (mm)	A (mm^2)	kwaliteit	f_y	W_b (mm^3)
0	1912,5	22,0	130662	S355	355	61052011
clip	110,0	20,0	2200	S355	355	40333

$N_{i,Rd} = \{(5 * k_p * f_{y0} * t^2_0) * (1 + 0,25 * \eta)\} / \gamma_{M5}$

$M_{ip,i,Rd} = h_i * N_{i,Rd}$; $M_{op,i,Rd} = 0$

Toepassingsgebied:

$\eta = h_i / d_0 \leq 4$ $h_i / d_0 =$ 0,06 voldoet

$\gamma_{M5} =$ 1,50 (extra materiaalfactor)

$\eta = h_i / d_0 =$ 0,06

$n_p = \{N_{0,Ed} / (A_0 * f_{y,0})\} + \{M_{0,Ed} / (W_0 * f_{y,0})\}$

$N_{0,Ed} =$ 540,7 kN drukkracht
$M_{0,Ed} =$ 14824,9 kNm
} t.g.v. max. belasting

$n_p =$ 0,70 of $n_p =$ -0,672

$k_p = 1,0$, voor $n_p \leq 0$ (trek)

$k_p = 1,0 - 0,3 * n_p - 0,3 * n_p^2$, voor $n_p > 0$ (druk) maar $k_p \leq 1$

$k_p =$ 0,65

$N_{1,Rd} =$ 375,4 kN

$N_{1,Ed} / N_{1,Rd} =$ 42,43 / 375,4 = 0,11 < 1,0 -- Voldoet

$M_{op,i,Rd} =$ 41,3 kNm

$M_{1,Ed} / M_{op,1,Rd} =$ 2,33 / 41,3 = 0,06 < 1,0 -- Voldoet

Pons controle

$\sigma_{max.}t_i = (N_{Ed} / A + M_{Ed} / W_{el}) * t_i \leq \{(f_{y,0} / 3^{0,5}) * 2 * t_0 \} / \gamma_{M5}$

$N_{1,Ed} =$ 42,43 kN ; $M_{1,Ed} =$ 2,333 kNm

$\sigma_{max.}t_i =$ 1543 N/mm'
$\{(f_{y,0} / 3^{0,5}) * 2 * t_0 \} / \gamma_{M5} =$ 6012 N/mm' ---> voldoet

9.5 - Berekening clip hulprail - clip 8

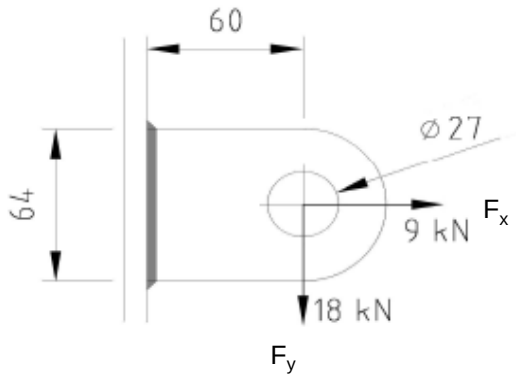

R =	32	mm ;	t =	20	mm
Lb =	64	mm ;	d =	27	mm
h =	60	mm ;	a las =	5	mm - hoeklas

$\gamma_{m;extra}$ = 1,5 (extra materiaalfactor)

Materiaal - S 355 ; f_y = 355 / 1,5 = 236,7 N/mm^2

$F_{x,Ed}$	$F_{y,Ed}$	$F_{z,Ed}$
kN	kN	kN
9,00	18,00	0,00

Doorsnede I ; ter hoogte van het gat

Per clip: $F_{Ed;max}$ = $(F_{y,Ed}^2 + F_{y,Ed}^2)^{0,5}$ = 20,1 kN

τ_{toel} = (355 / 1,5) / $3^{0,5}$ = 137 N/mm^2

τ = $F_{Ed,max}$ / (2 *(t * (R - d/2)) = 27 N/mm^2 < 137 MPa -- Voldoet

Doorsnede II ; per clips

A =	1280	mm^2	N_{Rd} = A * f_y =	303	kN
W_y =	1,37E+04	mm^3	$M_{x,Rd}$ = W_y * f_y =	3,2	kNm
W_z =	4,27E+03	mm^3	$M_{y,Rd}$ = W_z * f_y =	1,0	kNm
			V_{Rd} = A* f_y / $3^{0,5}$ =	174,9	kN
N_{Ed} =	9,00	kN	$M_{y,Ed}$ = $V_{y,Ed}$ * h =	1,080	kNm
$V_{y,Ed}$ =	18,00	kN			

N_{Ed} / N_{Rd} = 9,00 / 303 = 0,03 < 1,0 -- Voldoet

σ_N = 7,0 N/mm^2

$M_{y,Ed}$ / $M_{y,Rd}$ = 1,08 / 3 = 0,33 < 1,0 -- Voldoet

$\sigma_{b,y}$ = 79,1 N/mm^2

$V_{z,Ed}$ / $V_{z,Rd}$ = 18,00 / 175 = 0,10 < 1,0 -- Voldoet

τ_y = 14,1 N/mm^2

Maximale buigspanning

$\sigma_{b,max}$ = { 7,0 + 79,1 } = 86,1 N/mm^2

$\sigma_{vlg} = (\sigma^2_{b,max} + 3*\tau^2_y)^{0,5}$

σ_{vlg} = 90 N/mm^2 < 237 MPa -- Voldoet

Controle spanningen in las:

Toetsing regel :

$\sigma_{Ed} \leq f_u / (\beta_w * \gamma_{M2})$ of $\sigma_1 = \sigma_{loodrecht} \leq 0,9 * f_u / \gamma_{M2}$

$f_{v,w,d} = f_u / (\beta_w * \gamma_M *$ wortel(3))

$\gamma_M = 1,25$; $\gamma_{m;extra}$ = 1,5 (extra materiaalfactor)

Materiaal S 355 ----> f_u = 510 N/mm^2 en β_w = 0,9

$f_u / (\beta_w * \gamma_{M2})$ = 302 N/mm^2 $0,9 * f_u / \gamma_{M2}$ = 245 N/mm^2

Lassen : hoeklas 5 mm rondom

a = 5 mm t = 20 mm

Per mm las: : $\sigma_1 = \tau_1 = \sigma_{max} * t / (2 * a * 2^{0,5})$

$\tau_2 = \tau_{max} * t / (2 * a)$

σ_1 =			121,8	N/mm^2
τ_1 =			121,8	N/mm^2
τ_2 = 0			28,1	N/mm^2
σ_{Ed} =	$\{\sigma_1^2 + 3 * (\tau_1^2 + \tau_2^2)\}^{0,5}$ =		248,4	N/mm^2
$\sigma_{Ed} \leq f_u / (\beta_w * \gamma_{M2})$=	248,4 /	302,2 =	0,82	< 1,0 -- Voldoet
$\sigma_1 \leq 0,9 * f_u / \gamma_{M2}$	121,8 /	244,8 =	0,50	< 1,0 -- Voldoet

9.5.1 - Controle capaciteit van de aansluiting

Clip op 29.987 meter hoogte - (diameter buis maximum)

buis/plaat	d_i / h_i (mm)	t_i (mm)	A (mm^2)	kwaliteit	f_y	W_b (mm^3)
0	1175,3	18,0	65445	S355	355	18649855
clip	64,0	20,0	1280	S355	355	13653

$N_{i,Rd} = \{(5 * k_p * f_{y0} * t^2_0) * (1 + 0{,}25 * \eta)\} / \gamma_{M5}$

$M_{ip,i,Rd} = h_i * N_{i,Rd}$; $M_{op,i,Rd} = 0$

Toepassingsgebied:

$\eta = h_i / d_0 \leq 4$ $h_i / d_0 =$ 0,05 voldoet

$\gamma_{M5} =$ 1,50 (extra materiaalfactor)

$\eta = h_i / d_0 =$ 0,05

$n_p = \{N_{0,Ed} / (A_0 * f_{y,0})\} + \{M_{0,Ed} / (W_0 * f_{y,0})\}$

$N_{0,Ed} =$ 217,4 kN drukkracht
$M_{0,Ed} =$ 4421,0 kNm
} t.g.v. max. belasting

$n_p =$ 0,68 of $n_p =$ -0,658

$k_p = 1{,}0$, voor $n_p \leq 0$ (trek)

$k_p = 1{,}0 - 0{,}3 * n_p - 0{,}3 * n_p^2$, voor $n_p > 0$ (druk) maar $k_p \leq 1$

$k_p =$ 0,66

$N_{1,Rd} =$ 256,2 kN

$N_{1,Ed} / N_{1,Rd} =$ 9,00 / 256,2 = 0,04 < 1,0 -- Voldoet

$M_{op,i,Rd} =$ 16,4 kNm

$M_{1,Ed} / M_{op,1,Rd} =$ 1,08 / 16,4 = 0,07 < 1,0 -- Voldoet

Pons controle

$\sigma_{max.}t_i = (N_{Ed} / A + M_{Ed} / W_{el}) * t_i \leq \{(f_{y,0} / 3^{0,5}) * 2 * t_0 \} / \gamma_{M5}$

$N_{1,Ed} =$ 9,00 kN ; $M_{1,Ed} =$ 1,080 kNm

$\sigma_{max.}t_i =$ 1723 N/mm'

$\{(f_{y,0} / 3^{0,5}) * 2 * t_0 \} / \gamma_{M5} =$ 4919 N/mm' ---> voldoet

Clip op 49,987 m hoogte -(wanddikte buis minimum / diameter maximum)

buis/plaat	d_i / h_i (mm)	t_i (mm)	A (mm^2)	kwaliteit	f_y	W_b (mm^3)
0	675,3	12,0	25007	S355	355	4074549
1	64,0	20,0	1280	S355	355	13653

$N_{i,Rd} = \{(5 * k_p * f_{y0} * t^2_0) * (1 + 0{,}25 * \eta)\} / \gamma_{M5}$

$M_{ip,i,Rd} = h_i * N_{i,Rd}$; $M_{op,i,Rd} = 0$

Toepassingsgebied:

$\eta = h_i / d_0 \leq 4$ $h_i / d_0 =$ 0,09 voldoet

$\gamma_{M5} =$ 1,50 (extra materiaalfactor)

$\eta = h_i / d_0 =$ 0,09

$n_p = \{N_{0,Ed} / (A_0 * f_{y,0})\} + \{M_{0,Ed} / (W_0 * f_{y,0})\}$

$N_{0,Ed} =$ 53,1 kN drukkracht
$M_{0,Ed} =$ 512,4 kNm
} t.g.v. max. belasting

$n_p =$ 0,36 of $n_p =$ -0,348

$k_p = 1{,}0$, voor $n_p \leq 0$ (trek)

$k_p = 1{,}0 - 0{,}3 * n_p - 0{,}3 * n_p^2$, voor $n_p > 0$ (druk) maar $k_p \leq 1$

$k_p =$ 0,85

$N_{1,Rd} =$ 148,8 kN

$N_{1,Ed} / N_{1,Rd} =$ 9,00 / 148,8 = 0,06 < 1,0 -- Voldoet

$M_{op,i,Rd} =$ 9,5 kNm

$M_{1,Ed} / M_{op,1,Rd} =$ 1,08 / 9,5 = 0,11 < 1,0 -- Voldoet

Pons controle

$\sigma_{max.}t_i = (N_{Ed} / A + M_{Ed} / W_{el}) * t_i \leq \{(f_{y,0} / 3^{0,5}) * 2 * t_0 \} / \gamma_{M5}$

$N_{1,Ed} =$ 9,00 kN ; $M_{1,Ed} =$ 1,080 kNm

$\sigma_{max.}t_i =$ 1723 N/mm'
$\{(f_{y,0} / 3^{0,5}) * 2 * t_0 \} / \gamma_{M5} =$ 3279 N/mm' ---> voldoet

9.6 - Ondersteuning hijsbalk op de top van de mast

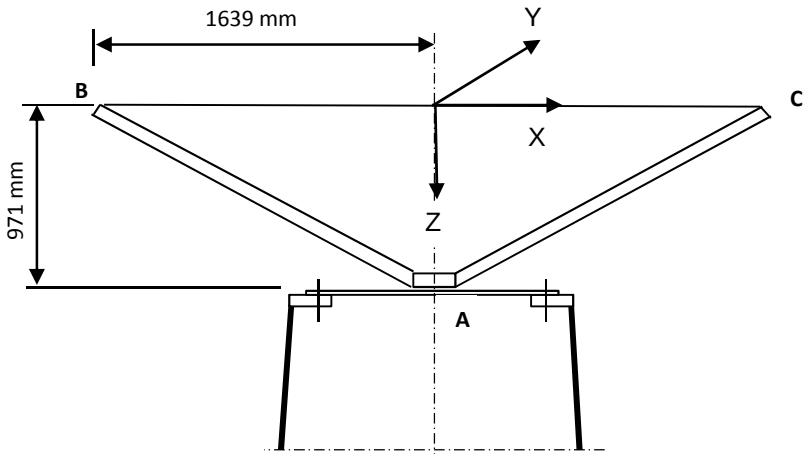

Buis rond 500 * 12

Afstand aangrijpingspunt tot as =	1639	mm
Hoogte aangrijpingspunt boven ring =	971	mm
Verticale belasting $F_{z,Ed}$ =	35	kN
Horizontale belasting $F_{x,Ed} = F_{y,Ed}$ =	15	kN

	BG 1	BG 2	BG 3	BG 4
$F_{z;B,Ed}$	35	35	35	35
$F_{z;c,Ed}$	35	0	35	0
$F_{x;B,Ed}$	15	15	0	0
$F_{x;c,Ed}$	15	0	0	0
$F_{y;B,Ed}$	0	0	15	15
$F_{y;c,Ed}$	0	0	-15	0

Verticaal:	$R_{z;A}$ (kN)	70	35	70	35
Horizontaal:	$R_{x(y);A}$ (kN)	30	15	0	0
Moment:	$M_{y(x);A}$ (kNm)	29,13	71,93	0	57,365
Wringing:	$M_{z;A}$ (kNm)	0	0	49,17	24,585

Ringgegevens ;

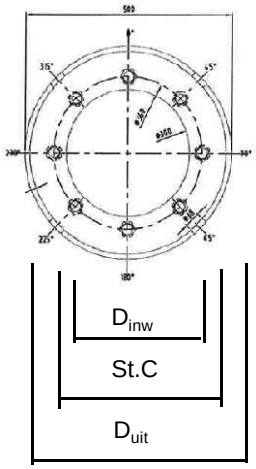

D-uitwendig	500	mm
D-inwendig	300	mm
StC	360	mm
plaat dikte t =	30	mm
Staalkwaliteit S-355; f_y =	355	N/mm^2
Aantal bouten	8	
BoutenM24 - 8,8		

M24 -8,8 :	$F_{t,Rd}$ =	203,03	/ 1,5	=	135,4	kN
	$F_{v,Rd}$ =	135,36	/ 1,5	=	90,2	kN

$\gamma_{m;extra}$ = 1,5 (extra materiaalfactor)

controle bouten

	BG 1	BG 2	BG 3	BG 4	
$F_{t,Ed}$ - kN	31,7	95,5	0,0	75,3	
$F_{v,Ed}$ - kN	3,8	1,9	34,1	17,1	
$F_{t,Ed} / F_{t,Rd}$ =	0,23	0,71	0,00	0,56	< 1 ; voldoet
$F_{v,Ed} / F_{v,Rd}$ =	0,04	0,02	0,38	0,19	< 1 ; voldoet
$F_{v,Ed} / F_{v,Rd} + F_{t,Ed} / 1,4 * F_{t,Rd}$ =	0,21	0,52	0,38	0,59	< 1 ; voldoet

Controle ring :

maatgevend belastinggeval : BG2.

Ten gevolge van verticale belasting ; F_z = 35 kN

Voor de formule zie: Roark's formulas for stress & strain - Tabel 11,2 - 1

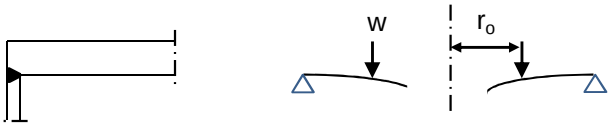

Voor de formule zie: Roark's formulas for stress & strain - Tabel 11,2 - 1e

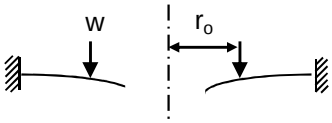

De ring wordt ondersteunt door buis met een las gelijk aan de dikte van de buis.

Verdeling van belasting:

Percentage inklemming (tabel 11,2-1e) = t_{buis} / t_{pl} =	40,0%
Percentage vrij oplegging =	60,0%

W =	35,0	kN			
$w_{(ro)}$ =	31	N/mm'	ν =	0,3	
a =	250	mm	E =	210000	N/mm^2
b =	150	mm	f_y =	237	N/mm^2
r_o =	180	mm			

$D = E.t^3 / 12.(1-\nu^2)$ =	519230769
$C_1 = 0,5.(1+\nu).((b/a).\ln(a/b)) + 0,25.((1-\nu).((a/b)-(b/a))$ =	0,3859
$C_4 = 0,5.[(1+\nu).(b/a).+ (1-\nu).(a/b)]$ =	0,9733
$C_7 = 0,5.(1-\nu^2).((a/b)-(b/a))$ =	0,4853
$L_3 = (r_o/4a).\{[(r_o/a)^2+1].\ln(a/r_o) + (r_o/a)^2 -1\}$ =	0,0031
$L_6 = (r_o/4a).[(r_o/a)^2 -1+ 2.\ln(a/r_o)]$ =	0,0316
$L_9 = (r_o/a).\{ 0,5*(1+\nu).\ln(a/r_o) +0,25*(1-\nu).[1 - (r_o/a)^2]\}-$ =	0,2144
$F_7 = 0,5.(1-\nu^2).((r/b)-(b/r))$; en voor r = r_o =	0,1668
$\theta_b = w . a^2 . L_6 / D. C_4$ =	0,0001
M_{ra} =percentage inkl. * $w . a (L_9 - C_7 . L_6 / C_4)$ =	615 Nmm/mm'

$Q_a = w \cdot r_o / a$ = 22 N/mm'

Ten gevolge van moment ; $M_{y;Ed}$ = 71,93 kNm

$w = F_{bout,max} / (2 * \pi * r_o / n_{bout})$

$w = (4*M_{y,Ed}*1000 / (360 * 8)) / (2\pi * 180 / 8)$ = 707 N/mm'

M_{ra} =percentage inkl. * $w \cdot a (L_9 - C_7 \cdot L_6 / C_4)$ = 14040 Nmm/mm'

$M_{ra;max,Ed}$ = 14655 Nmm/mm'

$Q_a = w \cdot r_o / a$ = 509 N/mm'

Q_{amax} = 531

$M_{Rd} = (1/6) * 1 * t^2 * f_y$ = 35500 Nmm/mm'

M_{Ed} / M_{Rd} = 14655 / 35500 = 0,41 < 1,0 -- Voldoet

σ_b = 97,7 N/mm^2

$\tau_z = w_{tot} / t$ = 531 / 30 = 17,70 N/mm^2

$\sigma_{vlg} = (\sigma^2_{b,max} + 3*\tau^2_z)^{0,5}$

σ_{vlg} = 102 N/mm^2 < 237 MPa -- Voldoet

Controle spanning in de buis

Buis Ø500 * 12 - S355 ;

A = 18397 mm^2 $N_{Ed} = A * f_y$ = 6531 kN

$W_y = W_z$ = 2,19E+06 mm^3 $M_{y,Ed} = W_y * f_y$ = 778,1 kNm

N_{Ed} = 35 kN

$M_{y,Ed}$ = 71,93 kNm

N_{Ed} / N_{Rd} = 35,00 / 6531 = 0,01 < 1,0 -- Voldoet

σ_N = 1,9 N/mm^2

$M_{y,Ed} / M_{y,Rd}$ = 71,93 / 778 = 0,09 < 1,0 -- Voldoet

$\sigma_{b,y}$ = 32,8 N/mm^2

σ_{max} = 34,7 N/mm^2

Controle spanningen in las:

Toetsing regel :

$\sigma_{Ed} \leq f_u / (\beta_w * \gamma_{M2})$ of $\sigma_1 = \sigma_{loodrecht} \leq 0,9 * f_u / \gamma_{M2}$

$f_{v,w,d} = f_u / (\beta_w * \gamma_M *$ wortel(3))

γ_M = 1,25 ; $\gamma_{m;extra}$ = 1,5 (extra materiaalfactor)

Materiaal S 355 ----> f_u = 510 N/mm^2 en β_w = 0,9

$f_u / (\beta_w * \gamma_{M2})$ = 302 N/mm^2 $0,9 * f_u / \gamma_{M2}$ = 245 N/mm^2

Lassen : Rondom voorbewerkte V- las met volledige doorsnede doorlassen

9.7 - Berekening clips voor 4,5m hijsbalk

9.7.1 - Hijsbalk op 55,75 / 53,25

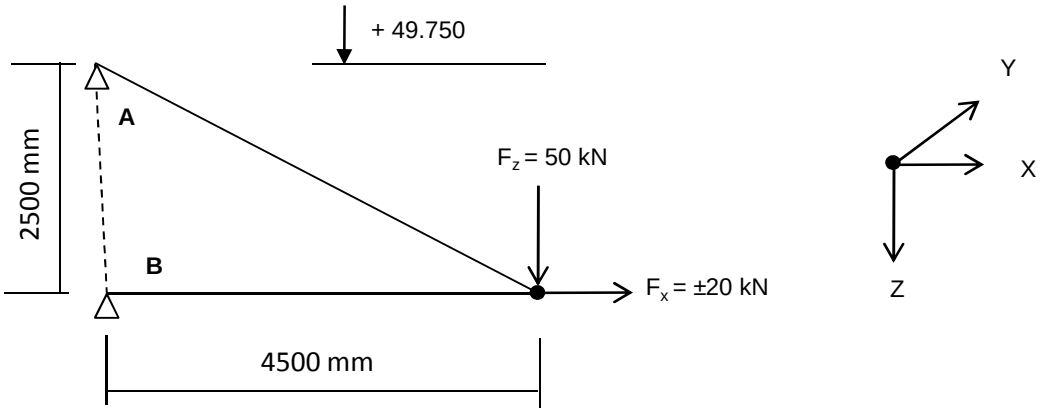

Excenticiteit van de verticale last is 200 mm

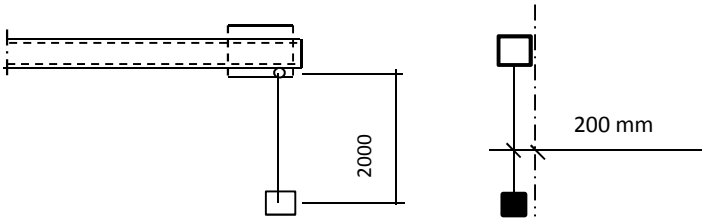

Ten gevolge van excentriciteit :

$F_{y;Ed} = F_{z;Ed} * \text{Tan}\alpha$; $\alpha = 5{,}7^o$

Speling t.p.v. verbinding is 2 mm over 82 mm.
De verplaatsing t.p.v. last is $\delta = 2*4500 / 82 = 110$ mm

α = boogtan ((200-110) / 2000 = 2,6°

$F_{y;Ed}$ = 2,3 kN

$R_{z,Ed,A}$ =	-50	kN	$R_{z,Ed,B}$ =	0	kN
$R_{x,Ed,A}$ =	-90	kN	$R_{x,Ed,B}$ =	70	kN
$M_{z,Ed,A}$ =	4,03	kNm	$M_{z,Ed,B}$ =	6,12	kNm
of					
$R_{z,Ed,A}$ =	-50	kN	$R_{z,Ed,B}$ =	0	kN
$R_{x,Ed,A}$ =	-90	kN	$R_{x,Ed,B}$ =	110	kN
$M_{z,Ed,A}$ =	4,03	kNm	$M_{z,Ed,B}$ =	6,12	kNm

9.7.1.1 - Berekening clip

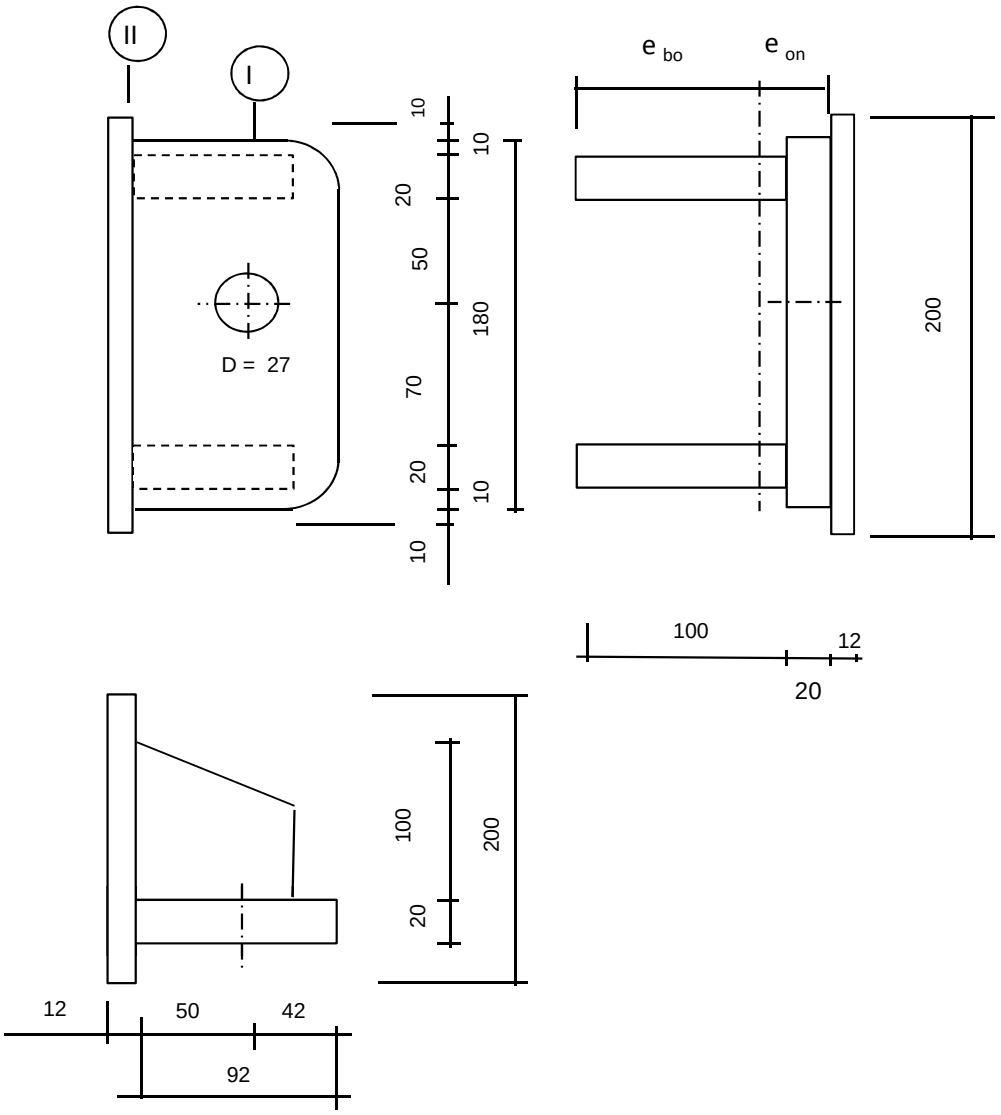

R =	42	mm ;	t =	20	mm
Lb =	180	mm ;	d =	27	mm
h =	50	mm ;	a las :	5	mm (hoeklas)

$\gamma_{m;extra}$ = 1,5 (extra materiaalfactor)

Materiaal - S 355 ; f_y = 355 / 1,5 = 236,7 N/mm^2

A =	7600	mm^2			
I_y =	9,85E+06	mm^4 ;	W_y =	1,09E+05	mm^3
e_o =	41,58	mm ;	$W_{z,min}$ =	1,31E+05	mm^3
e_b =	78,42	mm ;	$W_{z,max}$ =	2,47E+05	mm^3
I_z =	1,03E+07	mm^4 ;			

$N_{Rd} = A * f_y$ =	1799	kN
$M_{y,Rd} = W_y * f_y$ =	25,9	kNm
$M_{z,Rd} = W_z * f_y$ =	31,0	kNm
$V_{Rd} = L_b * t * f_y / 3^{0,5}$ =	491,9	kN

Doorsnede I ; ter hoogte van het gat

$F_{x,Ed}$	$F_{z,Ed}$
kN	kN
90,00	50,00
0,00	110,00

Per clip: $F_{Ed;max} = (F_{z,Ed}^2 + F_{x,Ed}^2)^{0,5} =$ 110,0 kN

$\tau_{toel} = (355 / 1,5) / 3^{0,5} =$ 137 N/mm^2

$\tau = F_{Ed,max} / (2 *(t * (R - d/2)) =$ 96 N/mm^2 < 137 MPa -- Voldoet

Doorsnede II ; per clips

N_{Ed} = 90,00 kN
$V_{z,Ed}$ = 50,00 kN

$M_{y,Ed} = V_{z,Ed} * h + N_{Ed} * e =$ 3,4 kNm (e = 10 mm)
$M_{z,Ed} = 8,94 + N_{Ed} * (e_o - t/2)$ 6,87 kNm

N_{Ed} / N_{Rd} =	90,00	/	1799	=	0,05	< 1,0 -- Voldoet
			σ_N =		11,8 N/mm^2	
$M_{y,Ed} / M_{y,Rd}$ =	3,40	/	26	=	0,13	< 1,0 -- Voldoet
			$\sigma_{b,y}$ =		31,1 N/mm^2	
$M_{z,Ed} / M_{z,Rd}$ =	6,87	/	31	=	0,22	< 1,0 -- Voldoet
			$\sigma_{b,z}$ =		52,5 N/mm^2	
$V_{z,Ed} / V_{z,Rd}$ =	50,00	/	492	=	0,10	< 1,0 -- Voldoet
			τ_y =		13,9 N/mm^2	

Maximale buigspanning

$\sigma_{b,max}$ = { 11,8 + 24,2 + 52,5 } = 88,5 N/mm^2

vergelijkingsspanning :

$\sigma_{vlg} = (\sigma^2_{b,max} + 3*\tau^2_y)^{0,5}$

σ_{vlg} = 92 N/mm^2 < 237 MPa -- Voldoet

N_{Ed} = 110,00 kN
$V_{z,Ed}$ = 0,00 kN

$M_{y,Ed} = V_{z,Ed} * h + N_{Ed} * e =$ 1,1 kNm (e = 10 mm)
$M_{z,Ed} = 13,56 + N_{Ed} * (e_o - t/2)$ 9,59 kNm

N_{Ed} / N_{Rd} =	110,00	/	1799	=	0,06	< 1,0 -- Voldoet
			σ_N =		14,5 N/mm^2	
$M_{y,Ed} / M_{y,Rd}$ =	1,10	/	26	=	0,04	< 1,0 -- Voldoet
			$\sigma_{b,y}$ =		10,0 N/mm^2	
$M_{z,Ed} / M_{z,Rd}$ =	9,59	/	31	=	0,31	< 1,0 -- Voldoet
			$\sigma_{b,z}$ =		73,2 N/mm^2	

Maximale buigspanning

$\sigma_{b,max}$ = { 14,5 + 7,8 + 73,2 } = 95,5 N/mm^2

vergelijkingsspanning :

$\sigma_{vlg} = (\sigma^2_{b,max} + 3*\tau^2_y)^{0,5}$

σ_{vlg} = 96 N/mm^2 < 237 MPa -- Voldoet

Controle spanningen in las:

Toetsing regel :

$\sigma_{Ed} \leq f_u / (\beta_w * \gamma_{M2})$ of $\sigma_1 = \sigma_{loodrecht} \leq 0,9 * f_u / \gamma_{M2}$

$f_{v,w,d} = f_u / (\beta_w * \gamma_M *$ wortel(3))

γ_M = 1,25 ; $\gamma_{m;extra}$ = 1,5 (extra materiaalfactor)

Materiaal S 355 ----> f_u = 510 N/mm^2 en β_w = 0,9

$f_u / (\beta_w * \gamma_{M2})$ = 302 N/mm^2 $0,9 * f_u / \gamma_{M2}$ = 245 N/mm^2

Lassen : hoeklas 5 mm rondom

a = 5 mm t = 20 mm

Per mm las: : $\sigma_1 = \tau_1 = \sigma_{max} * t / (2 * a * 2^{0,5})$

$\tau_2 = \tau_{max} * t / (2 * a)$

σ_1 =			125,1	N/mm^2
τ_1 =			125,1	N/mm^2
τ_2 =			27,8	N/mm^2
σ_{Ed} =	$\{\sigma_1^2 + 3 * (\tau_1^2 + \tau_2^2)\}^{0,5}$ =		254,8	N/mm^2
$\sigma_{Ed} \leq f_u / (\beta_w * \gamma_{M2})$=	254,8 /	302,2 =	0,84	< 1,0 -- Voldoet
$\sigma_1 \leq 0,9 * f_u / \gamma_{M2}$	125,1 /	244,8 =	0,51	< 1,0 -- Voldoet

of

σ_1 =			135,1	N/mm^2
τ_1 =			135,1	N/mm^2
τ_2 =			0,0	N/mm^2
σ_{Ed} =	$\{\sigma_1^2 + 3 * (\tau_1^2 + \tau_2^2)\}^{0,5}$ =		270,2	N/mm^2
$\sigma_{Ed} \leq f_u / (\beta_w * \gamma_{M2})$=	270,2 /	302,2 =	0,89	< 1,0 -- Voldoet
$\sigma_1 \leq 0,9 * f_u / \gamma_{M2}$	135,1 /	244,8 =	0,55	< 1,0 -- Voldoet

Versterkingsplaat 200 * 200 * 12 - S355

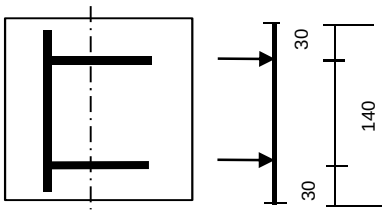

$F = \sigma_{max} * t * e_b / 4$

σ_{max} =	95,5	N/mm^2
t =	20	mm
e_b =	78,42	mm
F =	37,45	kN

$M_{y,Ed,max} = (F * 30 * (200 - 30) / 200) * 10^{-3} =$ 0,96 kNm

$M_{y,Rd} = W_y * f_y = ((1/6) * 200* 12^2 * 355 / 1,5) * 10^{-6} =$ 1,136 kNm

$M_{y,Ed} / M_{y,Rd} =$ 0,96 / 1,14 = 0,84 < 1,0 -- Voldoet

$\sigma_{b,y} =$ 199,0 N/mm^2

Lassen : hoeklas 5 mm rondom

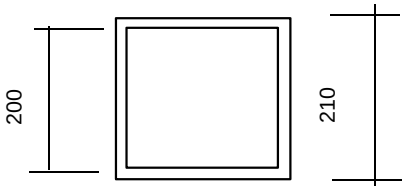

A_{las} =	4100	mm^2
W_{las} =	273659	mm^3

N_{Ed} =	110,00	kN ;	σ_N =	26,8	N/mm^2
$M_{y,Ed}$ =	1,1	kNm ;	$\sigma_{b,y}$ =	4,0	N/mm^2
$M_{z,Ed}$ =	9,59	kNm ;	$\sigma_{b,z}$ =	35,1	N/mm^2

$\sigma_{b,max} =$ 65,9 N/mm^2

σ_1 =	65,9	N/mm^2
τ_1 =	65,9	N/mm^2
τ_2 =	0,0	N/mm^2
$\sigma_{Ed} = \{\sigma_1^2 + 3 * (\tau_1^2 + \tau_2^2)\}^{0,5}$ =	131,8	N/mm^2

$\sigma_{Ed} \leq f_u / (\beta_w * \gamma_{M2})=$ 131,8 / 302,2 = 0,44 < 1,0 -- Voldoet

$\sigma_1 \leq 0,9 * f_u / \gamma_{M2}$ 65,9 / 244,8 = 0,27 < 1,0 -- Voldoet

9.7.1.2 - Controle capaciteit van de aansluiting

Clip hijsbalk 4,5m - plaats van de aansluiting ; +55,750 / 53,250

buis/plaat	d_i / h_i (mm)	t_i (mm)	A (mm^2)	kwaliteit	f_y	W_b (mm^3)
0	594	12,0	21931	S355	355	3126522
plaat	210,0	5,0	4100	S355	355	273659

$N_{i,Rd} = k_p * f_{y0} * t^2_0 * (4 + 20*\beta^2) * (1 + 0,25 * \eta)\} / \gamma_{M5}$

$M_{ip,i,Rd} = h_i * N_{i,Rd}$; $M_{op,i,Rd} = 0,5 * b_i * N_{i,Rd}$;

Toepassingsgebied:

$\eta = h_i / d_0$ $h_i / d_0 =$ 0,35

$\beta = b_i / d_0$ $b_i / d_0 =$ 0,35

$\gamma_{M5} =$ 1,50 (extra materiaalfactor)

$n_p = \{N_{0,Ed} / (A_0 * f_{y,0})\} + \{M_{0,Ed} / (W_0 * f_{y,0})\}$

$N_{0,Ed} =$ 10,7 kN drukkracht
$M_{0,Ed} =$ 46,9 kNm
} t.g.v. max. belasting

$n_p =$ 0,04 of $n_p =$ -0,041

$k_p = 1,0$, voor $n_p \leq 0$ (trek)

$k_p = 1,0 - 0,3 * n_p - 0,3 * n_p^2$, voor $n_p > 0$ (druk) maar $k_p \leq 1$

$k_p =$ 0,99

$N_{1,Rd} =$ 237,9 kN

$N_{1,Ed} / N_{1,Rd} =$ 110,00 / 237,9 = 0,46 < 1,0 -- Voldoet

$M_{op,i,Rd} =$ 25,0 kNm

$M_{1,Ed} / M_{op,1,Rd} =$ 9,59 / 25,0 = 0,38 < 1,0 -- Voldoet

$M_{ip,i,Rd} =$ 50,0 kNm

$M_{1,Ed} / M_{op,1,Rd} =$ 3,40 / 50,0 = 0,07 < 1,0 -- Voldoet

Pons controle

$\sigma_{max.}t_i = (N_{Ed} / A + M_{Ed} / W_{el}) * t_i \leq \{(f_{y,0} / 3^{0,5}) * 2 * t_0 \} / \gamma_{M5}$

$N_{1,Ed} =$ 110,00 kN ; $M_{1,Ed} =$ 9,594 kNm

$\sigma_{max.}t_i =$ 309 N/mm'

$\{(f_{y,0} / 3^{0,5}) * 2 * t_0 \} / \gamma_{M5} =$ 3279 N/mm' ---> voldoet

9.7.2 - Hijsbalk op 51,33 / 46,83 en 41,33 / 36,83

Hijsbalk 4,5m op 51,33 / 46,83 en 41,33 / 36,83

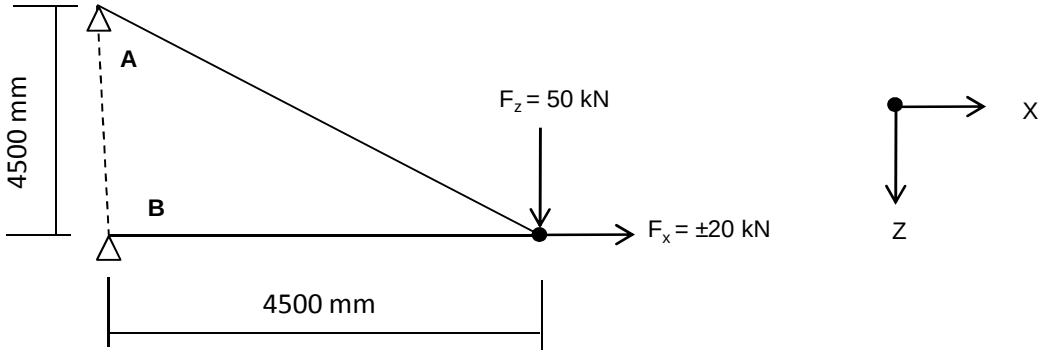

$R_{z,Ed,A}$ =	-50,00	kN	$R_{z,Ed,B}$ =	0	kN
$R_{x,Ed,A}$ =	-50,00	kN	$R_{x,Ed,B}$ =	30,0	kN

of

$R_{z,Ed,A}$ =	-50,00	kN	$R_{z,Ed,B}$ =	0	kN
$R_{x,Ed,A}$ =	-50,00	kN	$R_{x,Ed,B}$ =	70,0	kN

9.7.2.1 - Berekening clip positie 9 - t.b.v hijsmast 4,5m

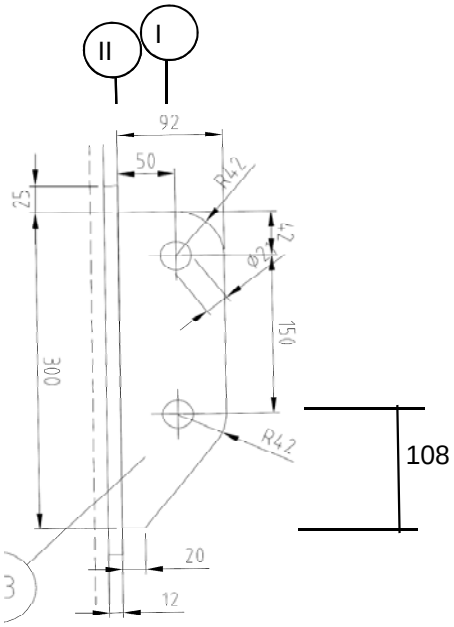

R =	42	mm ;	t =	20	mm
Lb =	300	mm ;	d =	27	mm
h =	50	mm ;	a las :	5	mm (hoeklas)

$\gamma_{m;extra}$ = 1,5 (extra materiaalfactor)

Materiaal - S 355 ; f_y = 355 / 1,5 = 236,7 N/mm^2

$F_{x,Ed}$ kN	$F_{z,Ed}$ kN
50,00	50,00

Doorsnede I ; ter hoogte van het gat

Per clip: $F_{Ed;max} = (F_{z,Ed}^2 + F_{x,Ed}^2)^{0,5} =$ 70,7 kN

$\tau_{toel} = (355 / 1,5) / 3^{0,5} =$ 137 N/mm^2

$\tau = F_{Ed,max} / (2 *(t * (R - d/2)) =$ 62 N/mm^2 < 137 MPa -- Voldoet

Doorsnede II ; per clips

A =	6000	mm^2	$N_{Rd} = A * f_y =$	1420	kN
W_y =	3,00E+05	mm^3	$M_{x,Rd} = W_y * f_y =$	71,0	kNm
W_z =	2,00E+04	mm^3	$M_{y,Rd} = W_z * f_y =$	4,7	kNm
			$V_{Rd} = A* f_y / 3^{0,5} =$	819,8	kN

N_{Ed} = 50,00 kN

$V_{z,Ed}$ = 50,00 kN

$M_{y,Ed} = V_{z,Ed} * h + N_{Ed} * (h/2 - 108) =$ 4,60 kNm

$N_{Ed} / N_{Rd} =$ 50,00 / 1420 = 0,04 < 1,0 -- Voldoet

$\sigma_N =$ 8,3 N/mm^2

$M_{y,Ed} / M_{y,Rd} =$ 4,60 / 71 = 0,06 < 1,0 -- Voldoet

$\sigma_{b,y} =$ 15,3 N/mm^2

$V_{z,Ed} / V_{z,Rd} =$ 50,00 / 820 = 0,06 < 1,0 -- Voldoet

$\tau_y =$ 8,3 N/mm^2

Maximale buigspanning

$\sigma_{b,max} = \{ 8,3 + 15,3 \} =$ 23,7 N/mm^2

vergelijkingsspanning :

$\sigma_{vlg} = (\sigma^2_{b,max} + 3*\tau^2_y)^{0,5}$

$\sigma_{vlg} =$ 28 N/mm^2 < 237 MPa -- Voldoet

Controle spanningen in las:

Toetsing regel :

$\sigma_{Ed} \leq f_u / (\beta_w * \gamma_{M2})$ of $\sigma_1 = \sigma_{loodrecht} \leq 0,9 * f_u / \gamma_{M2}$

$f_{v,w,d} = f_u / (\beta_w * \gamma_M *$ wortel(3))

$\gamma_M = 1,25$; $\gamma_{m;extra} =$ 1,5 (extra materiaalfactor)

Materiaal S 355 ----> $f_u = 510$ N/mm^2 en $\beta_w = 0,9$

$f_u / (\beta_w * \gamma_{M2}) =$ 302 N/mm^2 $0,9 * f_u / \gamma_{M2} =$ 245 N/mm^2

Lassen : hoeklas 5 mm rondom

a = 5 mm t = 20 mm

Per mm las: : $\sigma_1 = \tau_1 = \sigma_{max} * t / (2 * a * 2^{0,5})$

$\tau_2 = \tau_{max} * t / (2 * a)$

σ_1 =				33,5	N/mm^2
τ_1 =				33,5	N/mm^2
τ_2 = 0				16,7	N/mm^2
σ_{Ed} =	$\{\sigma_1^2 + 3 * (\tau_1^2 + \tau_2^2)\}^{0,5}$ =			72,9	N/mm^2
$\sigma_{Ed} \leq f_u / (\beta_w * \gamma_{M2})$=	72,9	/	302,2 =	0,24	< 1,0 -- Voldoet
$\sigma_1 \leq 0,9 * f_u / \gamma_{M2}$	33,5	/	244,8 =	0,14	< 1,0 -- Voldoet

9.7.2.2 - Controle capaciteit van de aansluiting

Clip hijsbalk 4,5m - plaats van de aansluiting ; +51,33 / 46,83

buis/plaat	d_i / h_i (mm)	t_i (mm)	A (mm^2)	kwaliteit	f_y	W_b (mm^3)
0	642	12,0	23741	S355	355	3669167
clip	300,0	20,0	6000	S355	355	300000

$N_{i,Rd} = \{(5 * k_p * f_{y0} * t^2_0) * (1 + 0{,}25 * \eta)\} / \gamma_{M5}$

$M_{ip,i,Rd} = h_i * N_{i,Rd}$; $M_{op,i,Rd} = 0$

Toepassingsgebied:

$\eta = h_i / d_0 \leq 4$ $h_i / d_0 =$ 0,47 voldoet

$\gamma_{M5} =$ 1,50 (extra materiaalfactor)

$\eta = h_i / d_0 =$ 0,47

$n_p = \{N_{0,Ed} / (A_0 * f_{y,0})\} + \{M_{0,Ed} / (W_0 * f_{y,0})\}$

$N_{0,Ed} =$ 50,5 kN drukkracht
$M_{0,Ed} =$ 386,8 kNm
} t.g.v. max. belasting

$n_p =$ 0,30 of $n_p =$ -0,291

$k_p = 1{,}0$, voor $n_p \leq 0$ (trek)

$k_p = 1{,}0 - 0{,}3 * n_p - 0{,}3 * n_p^2$, voor $n_p > 0$ (druk) maar $k_p \leq 1$

$k_p =$ 0,88

$N_{1,Rd} =$ 167,8 kN

$N_{1,Ed} / N_{1,Rd} =$ 50,00 / 167,8 = 0,30 < 1,0 -- Voldoet

$M_{op,i,Rd} =$ 50,3 kNm

$M_{1,Ed} / M_{op,1,Rd} =$ 4,60 / 50,3 = 0,09 < 1,0 -- Voldoet

Pons controle

$\sigma_{max.}t_i = (N_{Ed} / A + M_{Ed} / W_{el}) * t_i \leq \{(f_{y,0} / 3^{0,5}) * 2 * t_0 \} / \gamma_{M5}$

$N_{1,Ed} =$ 50,00 kN ; $M_{1,Ed} =$ 4,600 kNm

$\sigma_{max.}t_i =$ 473 N/mm'

$\{(f_{y,0} / 3^{0,5}) * 2 * t_0 \} / \gamma_{M5} =$ 3279 N/mm' ---> voldoet

Clip hijsbalk 4,5m - plaats van de aansluiting ; +41,33 / 36,83

buis/plaat	d_i / h_i (mm)	t_i (mm)	A (mm^2)	kwaliteit	f_y	W_b (mm^3)
0	892	15,0	41316	S355	355	8906200
clip	300,0	20,0	6000	S355	355	300000

$N_{i,Rd} = \{(5 * k_p * f_{y0} * t^2_0) * (1 + 0{,}25 * \eta)\} / \gamma_{M5}$

$M_{ip,i,Rd} = h_i * N_{i,Rd}$; $M_{op,i,Rd} = 0$

Toepassingsgebied:

$\eta = h_i / d_0 \leq 4$ $h_i / d_0 =$ 0,34 voldoet

$\gamma_{M5} =$ 1,50 (extra materiaalfactor)

$\eta = h_i / d_0 =$ 0,34

$n_p = \{N_{0,Ed} / (A_0 * f_{y,0})\} + \{M_{0,Ed} / (W_0 * f_{y,0})\}$

$N_{0,Ed} =$ 105,0 kN drukkracht
$M_{0,Ed} =$ 1672,5 kNm
} t.g.v. max. belasting

$n_p =$ 0,54 of $n_p =$ -0,522

$k_p = 1{,}0$, voor $n_p \leq 0$ (trek)

$k_p = 1{,}0 - 0{,}3 * n_p - 0{,}3 * n_p^2$, voor $n_p > 0$ (druk) maar $k_p \leq 1$

$k_p =$ 0,75

$N_{1,Rd} =$ 217,3 kN

$N_{1,Ed} / N_{1,Rd} =$ 50,00 / 217,3 = 0,23 < 1,0 -- Voldoet

$M_{op,i,Rd} =$ 65,2 kNm

$M_{1,Ed} / M_{op,1,Rd} =$ 4,60 / 65,2 = 0,07 < 1,0 -- Voldoet

Pons controle

$\sigma_{max.}t_i = (N_{Ed} / A + M_{Ed} / W_{el}) * t_i \leq \{(f_{y,0} / 3^{0,5}) * 2 * t_0 \} / \gamma_{M5}$

$N_{1,Ed} =$ 50,00 kN ; $M_{1,Ed} =$ 4,60 kNm

$\sigma_{max.}t_i =$ 473 N/mm'

$\{(f_{y,0} / 3^{0,5}) * 2 * t_0 \} / \gamma_{M5} =$ 4099 N/mm' ---> voldoet

9.8 - Berekening clips voor 1,5m hijsbalk

Computer model

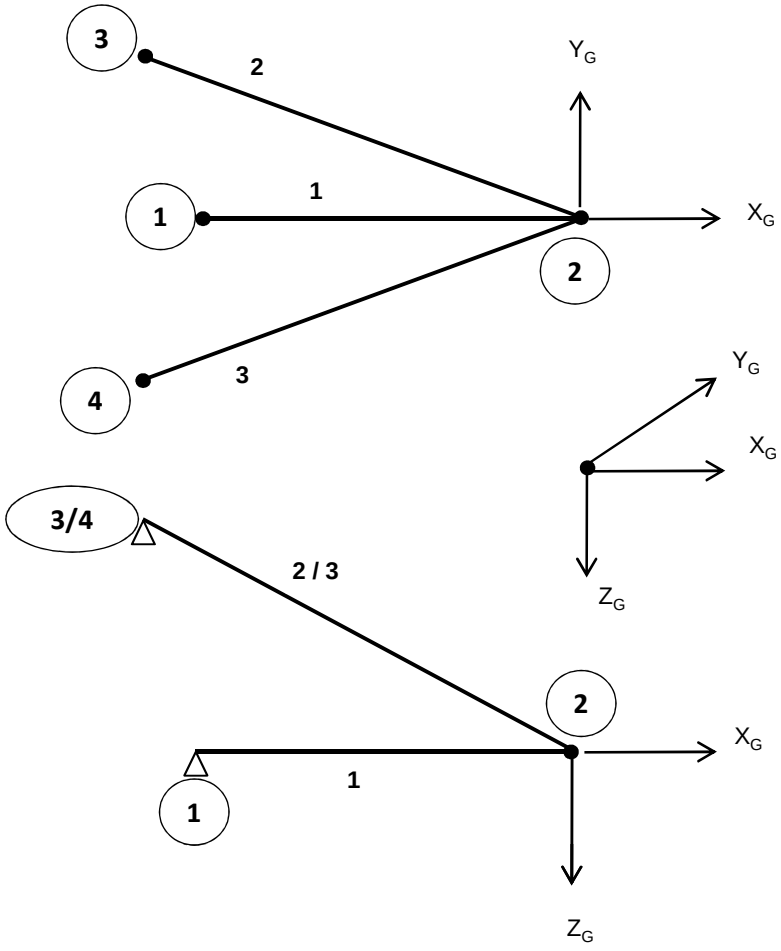

Belastingen :

$F_{z,Ed}$	=	50	kN
$F_{x,Ed}$	=	20	kN
$F_{y,Ed}$	=	40	kN

Gebruikte staven: Hijsbalk : staaf 1 - buis 180*6
druk- en trek stangen : staaf 2 en 3 - buis 88,9*8

Matrix Bouwframe Project :Wintrack Datum 25-01-2013
Onderdeel:1.5 meter hijsmast

AANTAL KNOPEN : 4
AANTAL STAVEN : 3
AANTAL OPLEGGINGEN : 3

KNOOPCOORDINATEN

NR.	-X-	-Y-	-Z-
1	-1.500	0.000	0.000
2	0.000	0.000	0.000
3	-1.720	0.389	-1.156
4	-1.720	-0.389	-1.156

KONSTRUKTIE SCHEMA

STAAF	-i-	SCHARNIERCODE	-j-	SCHARNIERCODE	GAMMA	PROF	MAT	V/EXC	LENGTE
1	1	NxDyDz MxMyMz	2	NxDyDz MxMyMz	0	1	1	0	1.500
2	2	NxDyDz Mx- -	3	NxDyDz MxMyMz	0	2	1	0	2.109
3	2	NxDyDz Mx- -	4	NxDyDz MxMyMz	0	2	1	0	2.109

PROFIEL EIGENSCHAPPEN

PROF.NR.	DOORSNEDE	Ix-torsie	Iy-buig	Iz-buig	PROFIELNAAM
1	3.2798E-03	2.4854E-05	1.2427E-05	1.2427E-05	B180/6
2	2.0332E-03	3.3593E-06	1.6797E-06	1.6797E-06	B88.9/8

MATERIAAL EIGENSCHAPPEN

MAT.NR	ELAST. MOD	POISON	DICHTHEID	MATERIAALNAAM
1	2.1000E+08	0.30	78.500	S355

OPLEGGINGEN

KNOOP	LINEAIR	ROTATIE	X-(r)-veer	Y-(r)-veer	Z-(r)-veer
1	XYZ	- - -	0.0000E+00	0.0000E+00	0.0000E+00
3	XYZ	- - -	0.0000E+00	0.0000E+00	0.0000E+00
4	XYZ	- - -	0.0000E+00	0.0000E+00	0.0000E+00

BELASTINGEN

BELASTING GEVAL 1 eg constructie

TYPE	STF KNP	P1	P2	A	Richt.	Onschrijving
7	alle staven	factor = 1.00			Z	Eigen gewicht

BELASTING GEVAL 2 hijs last

TYPE	STF KNP	P1	P2	A	Richt.	Onschrijving
9	2 t/m 2	50.00			Z	Knooplast
9	2 t/m 2	20.00			X	Knooplast
9	2 t/m 2	40.00			Y	Knooplast

Matrix Bouwframe Project :Wintrack Datum 25-01-2013
Onderdeel:1.5 meter hijsmast

COMBINATIES

B.G.	Omschrijving	1
1	eg constructie	1.00
2	hijs last	1.00

KNOOPVERPLAATSINGEN GLOB. (B.C.)

KNP	B.C.	X-VERPL.	Y-VERPL.	Z-VERPL.	X-ROTATIE	Y-ROTATIE	Z-ROTATIE
1	1	0.00000	0.00000	0.00000	-3.6792E-03	-4.0932E-04	1.9346E-03
2	1	-0.00012	0.00290	0.00059	-3.6792E-03	-3.8207E-04	1.9346E-03
3	1	0.00000	0.00000	0.00000	-2.3645E-03	-6.0138E-05	9.6872E-05
4	1	0.00000	0.00000	0.00000	-2.3104E-03	-7.7620E-04	3.0615E-05

N/D/M IN DE KNOPEN LOKAAL (B.C.)

STAAF	B.C.	KNOOP	Nx	Dy	Dz	Mx	My	Mz
1	1	1	55.18	-0.00	-0.19	0.00	0.00	0.00
		2	-55.18	0.00	-0.19	0.00	-0.00	-0.00
2	1	2	62.42	-0.00	-0.14	-0.00	0.00	-0.00
		3	-62.23	0.00	-0.14	-0.00	-0.00	0.00
3	1	2	-154.40	-0.00	-0.14	-0.00	-0.00	-0.00
		4	154.59	0.00	-0.14	-0.00	-0.00	0.00

REACTIES GLOBAAL (B.C.)

B.C.	KNOOP	X-REACTIE	Y-REACTIE	Z-REAKTIE	Mx-REACT.	My-REACT.	Mz-REACT.
1	1	55.18	-0.00	-0.19	0.000	0.000	0.000
1	3	50.84	-11.50	34.00	0.000	0.000	0.000
1	4	-126.02	-28.50	-84.87	0.000	0.000	0.000
SOM REACT.		-20.00	-40.00	-51.06			
SOM LASTEN		20.00	40.00	51.06			

knoop nummer	hoogte mm	D_{mast} mm	t_{mast} mm	$F_{x,Ed}$ kN	$F_{y,Ed}$ kN	$F_{z,Ed}$ kN
1	51330	642	12	55,18	0,00	-0,20
3	52487	613	12	50,84	-11,50	34,00
4	52487	613	12	-126,02	-28,50	-84,87
1	41330	892	15	55,18	0,00	-0,20
3	42487	863	15	50,84	-11,50	34,00
4	42487	863	15	-126,02	-28,50	-84,87
1	31330	1142	18	55,18	0,00	-0,20
3	32487	1113	18	50,84	-11,50	34,00
4	32487	1113	18	-126,02	-28,50	-84,87

Ontbinden van de krachten in knoop 3 en 4

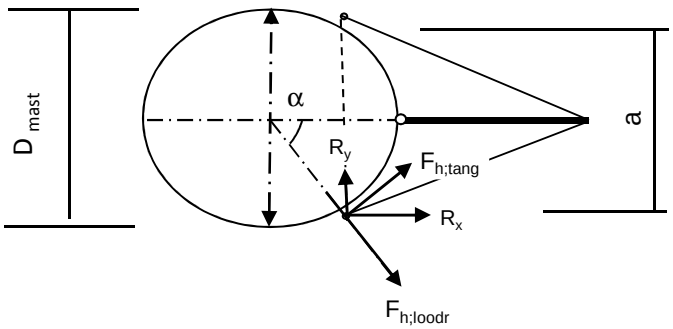

α = arcsin(a/2 / (d/2 + 50))

$F_{h,loodr,Ed} = R_x * Cos\alpha + R_y * Sin\alpha$

$F_{h,tang,Ed} = R_x * Sin\alpha + R_y * Cos\alpha$

knoop nummer	hoogte mm	D_{mast} mm	a mm	α gr	$F_{h,lood,Ed}$ kN	$F_{h,tang,Ed}$ kN	$F_{z,Ed}$ kN
1	51330	642		0,00	55,18	0,00	0,20
3	52487	613	704	81,0	19,33	48,41	34,00
4	52487	613	704	81,0	8,38	128,93	84,87
1	41330	892		0,00	55,18	0,00	0,20
3	42487	863	854	62,5	33,68	39,78	34,00
4	42487	863	854	62,5	32,92	124,94	84,87
1	31330	1142		0,00	55,18	0,00	0,20
3	32487	1113	960	52,3	40,17	33,21	34,00
4	32487	1113	960	52,3	54,45	117,17	84,87

Beasting per clip :

Clip type 9,3 - 51,330 en 41,330m hoogte
Clip type 16,3 - 31,330 m hoogte

$F_{h,loodr,Ed}$ = 55,18 kN
$F_{z,Ed}$ = 0,20 kN

Clip type 16,1 - bovenste ribbe- 52,487m hoogte;per cilp
$F_{h,loodr,Ed}$ = 4,19 kN
$F_{h,tang,Ed}$ = 64,47 kN

Clip type 16,1 - bovenste ribbe- 42,487m hoogte;per cilp
$F_{h,loodr,Ed}$ = 16,46 kN
$F_{h,tang,Ed}$ = 62,47 kN

Clip type 16,1 - bovenste ribbe- 32,487m hoogte;per cilp
$F_{h,loodr,Ed}$ = 27,23 kN
$F_{h,tang,Ed}$ = 58,58 kN

Clip type 16,1 - onderste ribbe- 52,487m, 42,487m en 32,487m hoogte;per cilp

Belasting als de bovenste clip + $F_{z,Ed}$ = 84,87 kN

9.8.1 - Berekening clip type 9,3 - 51,330 en 41,330m hoogte

en clip type16,3 op 31,330m hoogte

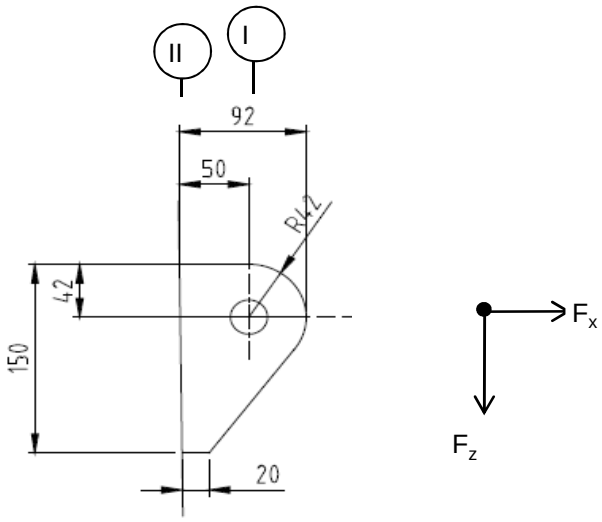

R =	42	mm	;	t =	20	mm
Lb =	150	mm	;	d =	27	mm
h =	50	mm	;	a las :	5	mm (hoeklas)

$\gamma_{m;extra}$ = 1,5 (extra materiaalfactor)

Materiaal - S 355 ; f_y = 355 / 1,5 = 236,7 N/mm^2

$F_{x,Ed}$	$F_{z,Ed}$
kN	kN
55,18	0,20

Doorsnede I ; ter hoogte van het gat

Per clip: $F_{Ed;max}$ = $(F_{z,Ed}^2 + F_{x,Ed}^2)^{0,5}$ = 55,2 kN

τ_{toel} = (355 / 1,5) / $3^{0,5}$ = 137 N/mm^2

τ = $F_{Ed,max}$ / (2 *(t * (R - d/2)) = 48 N/mm^2 < 137 MPa -- Voldoet

Doorsnede II ; per clips

A =	3000	mm^2	N_{Rd} = A * f_y =	710	kN
W_y =	7,50E+04	mm^3	$M_{x,Rd}$ = W_y * f_y =	17,8	kNm
W_z =	1,00E+04	mm^3	$M_{y,Rd}$ = W_z * f_y =	2,4	kNm
			V_{Rd} = A* f_y / $3^{0,5}$ =	409,9	kN

N_{Ed} =	55,18	kN
$V_{z,Ed}$ =	0,20	kN

$M_{y,Ed}$ = $V_{z,Ed}$ * h + N_{Ed} * (h/2 - R) = 1,83 kNm

N_{Ed} / N_{Rd} =	55,18	/	710	=	0,08	< 1,0	-- Voldoet
			σ_N =		18,4	N/mm^2	
$M_{y,Ed} / M_{y,Rd}$ =	1,83	/	18	=	0,10	< 1,0	-- Voldoet
			$\sigma_{b,y}$ =		24,4	N/mm^2	
$V_{z,Ed} / V_{z,Rd}$ =	0,20	/	410	=	0,00	< 1,0	-- Voldoet
			τ_y =		0,1	N/mm^2	

Maximale buigspanning

$\sigma_{b,max}$ = { 18,4 + 24,4 } = 42,8 N/mm^2

vergelijkingsspanning :

$\sigma_{vlg} = (\sigma^2_{b,max} + 3*\tau^2_y)^{0,5}$

σ_{vlg} = 43 N/mm^2 > 237 MPa -- Voldoet niet

Controle spanningen in las:

Toetsing regel :

$\sigma_{Ed} \leq f_u / (\beta_w * \gamma_{M2})$ of $\sigma_1 = \sigma_{loodrecht} \leq 0,9 * f_u / \gamma_{M2}$

$f_{v,w,d} = f_u / (\beta_w * \gamma_M *$ wortel(3))

$\gamma_M = 1,25$; $\gamma_{m;extra}$ = 1,5 (extra materiaalfactor)

Materiaal S 355 ----> $f_u = 510$ N/mm^2 en $\beta_w = 0,9$

$f_u / (\beta_w * \gamma_{M2})$ = 302 N/mm^2 $0,9 * f_u / \gamma_{M2}$ = 245 N/mm^2

Lassen : hoeklas 5 mm rondom

a = 5 mm t = 20 mm

Per mm las: : $\sigma_1 = \tau_1 = \sigma_{max} * t / (2 * a * 2^{0,5})$

$\tau_2 = \tau_{max} * t / (2 * a)$

σ_1 =		60,5	N/mm^2
τ_1 =		60,5	N/mm^2
τ_2 = 0		0,1	N/mm^2
σ_{Ed} =	$\{\sigma_1^2 + 3 * (\tau_1^2 + \tau_2^2)\}^{0,5}$ =	121,1	N/mm^2

$\sigma_{Ed} \leq f_u / (\beta_w * \gamma_{M2})$ =	121,1	/	302,2	=	0,40	< 1,0	-- Voldoet
$\sigma_1 \leq 0,9 * f_u / \gamma_{M2}$	60,5	/	244,8	=	0,25	< 1,0	-- Voldoet

9.8.2 - Controle capaciteit van de aansluiting clip 9,3 / 16,3

Clip hijsbalk 1,5m - plaats van de aansluiting ; +29396 (maatgevend)

buis/plaat	d_i / h_i (mm)	t_i (mm)	A (mm^2)	kwaliteit	f_y	W_b (mm^3)
0	1142	18,0	63547	S355	355	17575670
clip	150,0	20,0	3000	S355	355	75000

$N_{i,Rd} = \{(5 * k_p * f_{y0} * t^2_0) * (1 + 0,25 * \eta)\} / \gamma_{M5}$

$M_{ip,i,Rd} = h_i * N_{i,Rd}$; $M_{op,i,Rd} = 0$

Toepassingsgebied:

$\eta = h_i / d_0 \leq 4$ $h_i / d_0 =$ 0,13 voldoet

$\gamma_{M5} =$ 1,50 (extra materiaalfactor)

$\eta = h_i / d_0 =$ 0,13

$n_p = \{N_{0,Ed} / (A_0 * f_{y,0})\} + \{M_{0,Ed} / (W_0 * f_{y,0})\}$

$N_{0,Ed} =$ 202,4 kN drukkracht
$M_{0,Ed} =$ 3922,2 kNm
} t.g.v. max. belasting

$n_p =$ 0,64 of $n_p =$ -0,620

$k_p = 1,0$, voor $n_p \leq 0$ (trek)

$k_p = 1,0 - 0,3 * n_p - 0,3 * n_p^2$, voor $n_p > 0$ (druk) maar $k_p \leq 1$

$k_p =$ 0,69

$N_{1,Rd} =$ 272,0 kN

$N_{1,Ed} / N_{1,Rd} =$ 55,18 / 272,0 = 0,20 < 1,0 -- Voldoet

$M_{op,i,Rd} =$ 40,8 kNm

$M_{1,Ed} / M_{op,1,Rd} =$ 1,83 / 40,8 = 0,04 < 1,0 -- Voldoet

Pons controle

$\sigma_{max.}t_i = (N_{Ed} / A + M_{Ed} / W_{el}) * t_i \leq \{(f_{y,0} / 3^{0,5}) * 2 * t_0 \} / \gamma_{M5}$

$N_{1,Ed} =$ 55,18 kN ; $M_{1,Ed} =$ 1,831 kNm

$\sigma_{max.}t_i =$ 856 N/mm'

$\{(f_{y,0} / 3^{0,5}) * 2 * t_0 \} / \gamma_{M5} =$ 4919 N/mm' ---> voldoet

9.8.3 - Berekening clip type 16,3 - bovenste ribbe - op 52,487m, 42,487 en 32,487 m hoogte.

A - Bovenste ribbe - op 52,487m, 42,487 en 32,487 m hoogte.

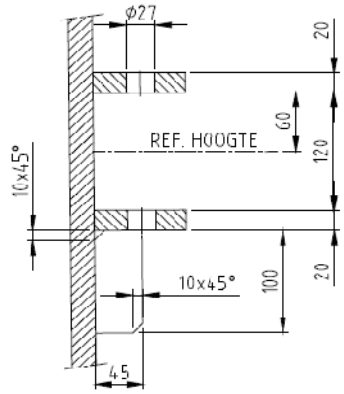

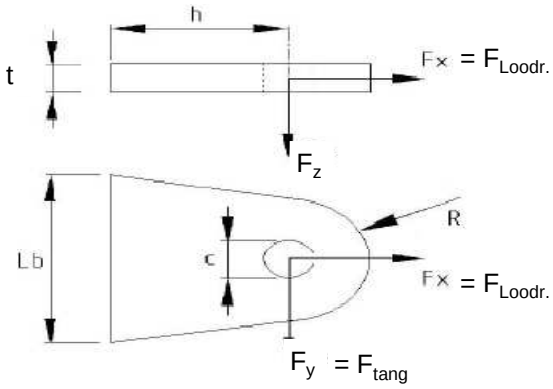

R =	42	mm ;	t =	20	mm
Lb =	140	mm ;	d =	27	mm
h =	45	mm ;	a las :	5	mm (hoeklas)

Materiaal - S 355 ; f_y = 355 / 1,5 = 236,7 N/mm^2

	52,487m kN	42,487m kN	32,487m kN
$F_{x,Ed}$ =	4,19	16,46	27,23
$F_{y,Ed}$ =	64,47	62,47	58,58

Doorsnede I ; ter hoogte van het gat

$F_{Ed;max}$-kN=	64,60	64,60	64,60		
τ_{toel} = (355 / 1,5) / 3^{0,5} =			137	N/mm^2	
τ = $F_{Ed,max}$ / (2 *(t * (R - d/2)) =			57	N/mm^2	< 137 MPa -- Voldoet

Doorsnede II ; per clips

A =	2800	mm^2	N_{Rd} = A * f_y =		663	kN
W_z =	6,53E+04	mm^3	$M_{z,Rd}$ = W_z * f_y =		15,5	kNm
W_y =	9,33E+03	mm^3	$M_{y,Rd}$ = W_y * f_y =		2,2	kNm
			V_{Rd} = A* f_y / 3^{0,5} =		382,6	kN

Clip op 52,487m hoogte

N_{Ed} =	4,19	kN	$M_{z,Ed}$ = $V_{y,Ed}$ * h =	2,90	kNm
$V_{y,Ed}$ =	64,47	kN			

Clip op 42,487m hoogte

N_{Ed} =	16,46	kN	$M_{z,Ed}$ = $V_{y,Ed}$ * h =	2,81	kNm
$V_{y,Ed}$ =	62,47	kN			

Clip op 32,487m hoogte

N_{Ed} =	27,23	kN	$M_{z,Ed}$ = $V_{y,Ed}$ * h =	2,64	kNm
$V_{y,Ed}$ =	58,58	kN			

	52,487m hoogte spanning in N/mm^2	42,487m hoogte spanning in N/mm^2	32,487m hoogte spanning in N/mm^2
σ_N =	1,5	5,9	9,7
$\sigma_{b,z}$ =	44,4	43,0	43,0
τ_y =	23,0	22,3	20,9
$\sigma_{b,max}$ =	45,9	48,9	52,8
σ_{vlg} =	60,8	62,3	64,0

< 237 MPa -- Voldoet

Controle spanningen in las:

Toetsing regel :

$\sigma_{Ed} \leq f_u / (\beta_w * \gamma_{M2})$ of $\sigma_1 = \sigma_{loodrecht} \leq 0{,}9 * f_u / \gamma_{M2}$

$f_{v,w,d} = f_u / (\beta_w * \gamma_M *$ wortel(3))

$\gamma_M = 1{,}25$; $\gamma_{m;extra}$ = 1,5 (extra materiaalfactor)

Materiaal S 355 ----> $f_u = 510$ N/mm^2 en $\beta_w = 0{,}9$

$f_u / (\beta_w * \gamma_{M2})$ = 302 N/mm^2 $0{,}9 * f_u / \gamma_{M2}$ = 245 N/mm^2

Lassen : hoeklas 5 mm rondom

a = 5 mm t = 20 mm

Per mm las: : $\sigma_1 = \tau_1 = \sigma_{max} * t / (2 * a * 2^{0,5})$

$\tau_2 = \tau_{max} * t / (2 * a)$

σ_1 =			74,6	N/mm^2
τ_1 =			74,6	N/mm^2
τ_2 = 0			105,5	N/mm^2
σ_{Ed} =	$\{\sigma_1^2 + 3 * (\tau_1^2 + \tau_2^2)\}^{0,5}$ =		235,9	N/mm^2
$\sigma_{Ed} \leq f_u / (\beta_w * \gamma_{M2})$ =	235,9 /	302,2 =	0,78	< 1,0 -- Voldoet
$\sigma_1 \leq 0{,}9 * f_u / \gamma_{M2}$	74,6 /	244,8 =	0,30	< 1,0 -- Voldoet

B- Onderste ribbe - op 52,487m, 42,487 en 32,487 m hoogte.

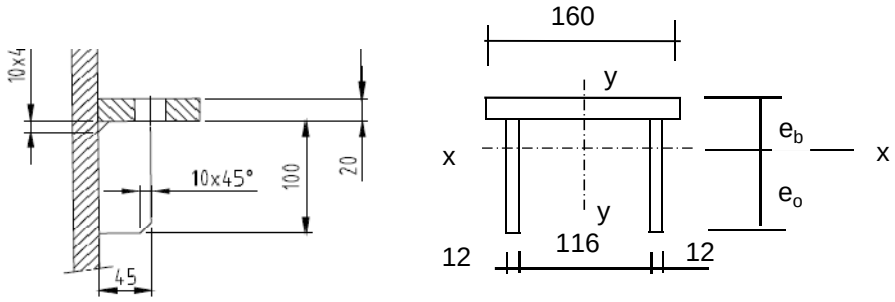

Materiaal - S 355 ; f_y = 355 / 1,5 = 236,7 N/mm^2

e_b =	35,7	mm
e_o =	84,3	mm
A =	5600	mm^2
A_{schot} =	2400	mm^3

I_x =	8377143	mm^4	I_y =	16790400	mm^4
$W_{x,min}$ =	99390	mm^3	W_y =	209880	mm^3

$N_{Rd} = A * f_y$ =	1325	kN
$M_{y,Rd} = W_{x,min} * f_y$ =	23,5	kNm
$M_{x,Rd} = W_y * f_y$ =	49,7	kNm
$V_{z,Rd} = A_{schot} * f_y / 3^{0,5}$ =	327,9	kN
$V_{y,Rd} = A_{ribbe} * f_y / 3^{0,5}$ =	437,2	kN

Doorsnede I ; ter hoogte van het gat

Zie berekening boven ribbe

Doorsnede II ;

	52,487m kN	42,487m kN	32,487m kN
$F_{x,Ed}$ =	4,19	16,46	27,23
$F_{y,Ed}$ =	64,47	62,47	58,58
$F_{z,Ed}$ =	84,87	84,87	84,87

Clip op 52,487m hoogte

N_{Ed} =	4,19	kN ;	$M_{z,Ed} = V_{y,Ed} * h$ =	2,90	kNm
$V_{y,Ed}$ =	64,47	kN	$M_{y,Ed} = V_{z,Ed} * h + N_{Ed} * (e_b - t/2)$ =	3,927	kNm
$V_{z,Ed}$ =	84,87	kN			

Clip op 42,487m hoogte

N_{Ed} =	16,46	kN ;	$M_{z,Ed} = V_{y,Ed} * h$ =	2,81	kNm
$V_{y,Ed}$ =	62,47	kN ;	$M_{y,Ed} = V_{z,Ed} * h + N_{Ed} * (e_b - t/2)$ =	4,242	kNm
$V_{z,Ed}$ =	84,87	kN			

Clip op 32,487m hoogte

N_{Ed} =	27,23	kN ;	$M_{z,Ed} = V_{y,Ed} * h$ =	2,64	kNm
$V_{y,Ed}$ =	58,58	kN ;	$M_{y,Ed} = V_{z,Ed} * h + N_{Ed} * (e_b - t/2)$ =	4,519	kNm
$V_{z,Ed}$ =	84,87	kN			

	52,487m hoogte spanning in N/mm^2	42,487m hoogte spanning in N/mm^2	32,487m hoogte spanning in N/mm^2
σ_N =	0,7	2,9	4,9
$\sigma_{b,z}$ =	13,8	13,4	12,6
$\sigma_{b,y}$ =	39,5	42,7	45,5
τ_y =	20,1	19,5	18,3
τ_z =	35,4	35,4	35,4
$\sigma_{b,max}$ =	54,1	59,0	62,9
σ_{vlg} =	88,8	91,5	93,3

> 237 MPa -- Voldoet niet

Controle spanningen in las:

Toetsing regel :

$\sigma_{Ed} \leq f_u / (\beta_w * \gamma_{M2})$ of $\sigma_1 = \sigma_{loodrecht} \leq 0,9 * f_u / \gamma_{M2}$

$f_{v,w,d} = f_u / (\beta_w * \gamma_M *$ wortel(3))

$\gamma_M = 1,25$; $\gamma_{m;extra}$ = 1,5 (extra materiaalfactor)

Materiaal S 355 ----> $f_u = 510$ N/mm^2 en $\beta_w = 0,9$

$f_u / (\beta_w * \gamma_{M2})$ = 302 N/mm^2 $0,9 * f_u / \gamma_{M2}$ = 245 N/mm^2

Lassen : hoeklas 5 mm rondom

a =	5	mm	t =	20	mm
			t_1 =	12	mm

Per mm las: : $\sigma_1 = \tau_1 = \sigma_{max} * t / (2 * a * 2^{0,5})$

$\tau_2 = \tau_{y,max} * t / (2 * a)$ of $\tau_2 = \tau_{z,max} * t_1 / (2 * a)$

σ_1 =			88,9	N/mm^2
τ_1 =			88,9	N/mm^2
τ_2 =	0		42,4	N/mm^2
σ_{Ed} =	$\{\sigma_1^2 + 3 * (\tau_1^2 + \tau_2^2)\}^{0,5}$ =		192,5	N/mm^2

$\sigma_{Ed} \leq f_u / (\beta_w * \gamma_{M2})$ =	192,5	/	302,2	= 0,64	< 1,0 -- Voldoet
$\sigma_1 \leq 0,9 * f_u / \gamma_{M2}$	88,9	/	244,8	= 0,36	< 1,0 -- Voldoet

9.8.4 - Controle capaciteit van de aansluiting clip 16,3 (boveste clip hijsmast)

Bovenste clip hijsbalk 1,5m - plaats van de aansluiting ; +52,487m hoogte

buis/plaat	d_i / b_i (mm)	t_i (mm)	A (mm^2)	kwaliteit	f_y	W_b (mm^3)
0	613	12,0	22651	S355	355	3336966
clip	140,0	20,0	2800	S355	355	65333

$N_{i,Rd} = \{(k_p * f_{y0} * t^2_0) * (4 + 20 * \beta^2)\} / \gamma_{M5}$

$M_{op,i,Rd} = 0,5 * b_i * N_{i,Rd}$; $M_{ip,i,Rd} = 0$

γ_{M5} = 1,00 (extra materiaalfactor)

$\beta = b_i / d_0$ = 0,23

$n_p = \{N_{0,Ed} / (A_0 * f_{y,0})\} + \{M_{0,Ed} / (W_0 * f_{y,0})\}$

$N_{0,Ed}$ = 30,2 kN drukkracht
$M_{0,Ed}$ = 172,7 kNm
} t.g.v. max. belasting

n_p = 0,15 of n_p = -0,142

k_p = 1,0 , voor $n_p \leq 0$ (trek)

$k_p = 1,0 - 0,3 * n_p - 0,3 * n_p^2$, voor $n_p > 0$ (druk) maar $k_p \leq 1$

k_p = 0,95

$N_{1,Rd}$ = 244,5 kN

$N_{1,Ed} / N_{1,Rd}$ = 4,19 / 244,5 = 0,02 < 1,0 -- Voldoet

$M_{op,i,Rd}$ = 17,1 kNm

$M_{1,Ed} / M_{op,1,Rd}$ = 2,90 / 17,1 = 0,17 < 1,0 -- Voldoet

Pons controle

$\sigma_{max.}t_i = (N_{Ed} / A + M_{Ed} / W_{el}) * t_i \leq \{(f_{y,0} / 3^{0,5}) * 2 * t_0 \} / \gamma_{M5}$

$N_{1,Ed}$ = 4,19 kN ; $M_{1,Ed}$ = 2,90 kNm

$\sigma_{max.}t_i$ = 918,0 N/mm'

$\{(f_{y,0} / 3^{0,5}) * 2 * t_0 \} / \gamma_{M5}$ = 4919 N/mm' ---> voldoet

Bovenste clip hijsbalk 1,5m - plaats van de aansluiting ; +42,487m hoogte

buis/plaat	d_i / b_i (mm)	t_i (mm)	A (mm^2)	kwaliteit	f_y	W_b (mm^3)
0	863	15,0	39953	S355	355	8323634
clip	140,0	20,0	2800	S355	355	65333

$N_{i,Rd} = \{(k_p * f_{y0} * t^2_0) * (4 + 20 * \beta^2)\} / \gamma_{M5}$

$M_{op,i,Rd} = 0,5 * b_i * N_{i,Rd}$; $M_{ip,i,Rd} = 0$

γ_{M5} = 1,00 (extra materiaalfactor)

$\beta = b_i / d_0$ = 0,16

$n_p = \{N_{0,Ed} / (A_0 * f_{y,0})\} + \{M_{0,Ed} / (W_0 * f_{y,0})\}$

$N_{0,Ed}$ = 97,7 kN drukkracht
$M_{0,Ed}$ = 1412,1 kNm
} t.g.v. max. belasting

n_p = 0,48 of n_p = -0,471

k_p = 1,0 , voor $n_p \leq 0$ (trek)

$k_p = 1,0 - 0,3 * n_p - 0,3 * n_p^2$, voor $n_p > 0$ (druk) maar $k_p \leq 1$

k_p = 0,78

$N_{1,Rd}$ = 283,5 kN

$N_{1,Ed} / N_{1,Rd}$ = 16,46 / 283,5 = 0,06 < 1,0 -- Voldoet

$M_{op,i,Rd}$ = 19,8 kNm

$M_{1,Ed} / M_{op,1,Rd}$ = 2,81 / 19,8 = 0,14 < 1,0 -- Voldoet

Pons controle

$\sigma_{max.}t_i = (N_{Ed} / A + M_{Ed} / W_{el}) * t_i \leq \{(f_{y,0} / 3^{0,5}) * 2 * t_0 \} / \gamma_{M5}$

$N_{1,Ed}$ = 16,46 kN ; $M_{1,Ed}$ = 2,81 kNm

$\sigma_{max.}t_i$ = 978,1 N/mm'
$\{(f_{y,0} / 3^{0,5}) * 2 * t_0 \} / \gamma_{M5}$ = 6149 N/mm' ---> voldoet

Bovenste clip hijsbalk 1,5m - plaats van de aansluiting ; +32,487m hoogte

buis/plaat	d_i / b_i (mm)	t_i (mm)	A (mm^2)	kwaliteit	f_y	W_b (mm^3)
0	1113	18,0	61911	S355	355	16675813
clip	140,0	20,0	2800	S355	355	65333

$N_{i,Rd} = \{(k_p * f_{y0} * t^2_0) * (4 + 20 * \beta^2)\} / \gamma_{M5}$

$M_{op,i,Rd} = 0,5 * b_i * N_{i,Rd}$; $M_{ip,i,Rd} = 0$

γ_{M5} = 1,00 (extra materiaalfactor)

$\beta = b_i / d_0$ = 0,13

$n_p = \{N_{0,Ed} / (A_0 * f_{y,0})\} + \{M_{0,Ed} / (W_0 * f_{y,0})\}$

$N_{0,Ed}$ = 176,9 kN drukkracht
$M_{0,Ed}$ = 3503,7 kNm
} t.g.v. max. belasting

n_p = 0,60 of n_p = -0,584

$k_p = 1,0$, voor $n_p \leq 0$ (trek)

$k_p = 1,0 - 0,3 * n_p - 0,3 * n_p^2$, voor $n_p > 0$ (druk) maar $k_p \leq 1$

k_p = 0,71

$N_{1,Rd}$ = 353,5 kN

$N_{1,Ed} / N_{1,Rd}$ = 27,23 / 353,5 = 0,08 < 1,0 -- Voldoet

$M_{op,i,Rd}$ = 24,7 kNm

$M_{1,Ed} / M_{op,1,Rd}$ = 2,64 / 24,7 = 0,11 < 1,0 -- Voldoet

Pons controle

$\sigma_{max.}t_i = (N_{Ed} / A + M_{Ed} / W_{el}) * t_i \leq \{(f_{y,0} / 3^{0,5}) * 2 * t_0 \} / \gamma_{M5}$

$N_{1,Ed}$ = 27,23 kN ; $M_{1,Ed}$ = 2,64 kNm

$\sigma_{max.}t_i$ = 1001,5 N/mm'

$\{(f_{y,0} / 3^{0,5}) * 2 * t_0 \} / \gamma_{M5}$ = 7379 N/mm' ---> voldoet

9.9 - Berekening versterking deur

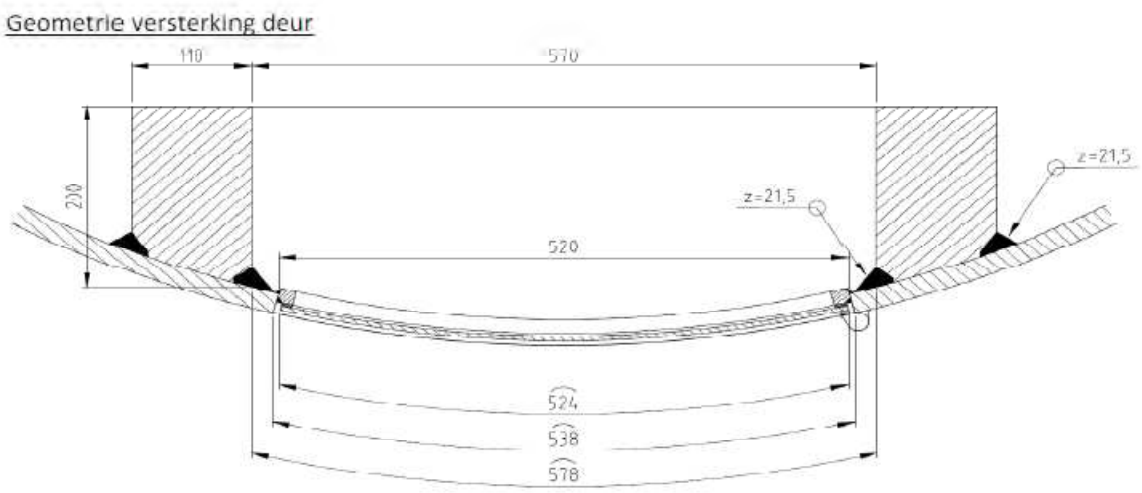

Doorsnede ter hoogte van de hart opening (1,225m hoogte):

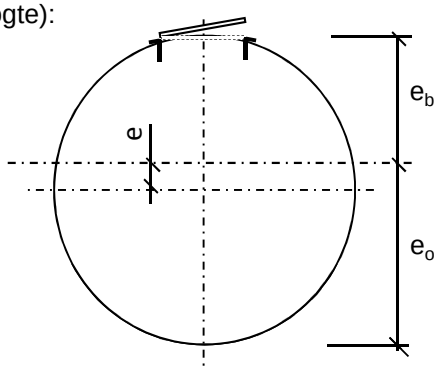

Buisdiameter : 1894 mm
dikte t ; 22 mm

A_{buis} = 129409 mm^2
$A_{versterking}$ = 39207 mm^2
$A_{verlies}$ = 11454 mm^2

A_{tot} = 157163 mm^2

e = 124,6 mm
e_b = 822,6 mm ; e_o = 1071,7 mm

I_{tot} = 6,78E+10 mm^4
W_{min} = 6,33E+07 mm^3
W_{max} = 8,24E+07 mm^3

Krachten: Maximale krachten t.p.v. mastvoet - knoop 28 (inclusief 2e orde effect)

M_{Ed} = 15086 kNm ; N_{Ed} = 541 kN

σ_N = N_{Ed} / A_{tot} = 3,4 N/mm^2
σ_b = M_{Ed} / W_{min} = 238,5 N/mm^2

σ_{max} = 3,4 + 238,5 = 241,9 N/mm^2 < 355 MPa -- Voldoet

Bijlage A

Rapport KEMA - 74100224-ETD/POL 12-00138 REV 003 - bijlage Q en Q2

W2S400+5 TOWER

APPENDIX: Q

Loadcases for tower strength (ultimate limit state)

Loadcase according to 50341-3-15		**AHEAD**			**BACK**		
		Vertical	Transverse	Longitudinal	Vertical	Transverse	Longitudinal
	Attachment point	[N]	[N]	[N]	[N]	[N]	[N]
1a	380C1F1 / 380C2F1	17045	6513	147783	17045	6513	-147783
Wind, 10 dgr	380C1F2 / 380C2F2	17045	6508	147783	17045	6508	-147783
Permanent loads yg= 1.2	380C1F3 / 380C2F3	17045	6502	147783	17045	6502	-147783
Wind angle: 0 dgr	GW / opgw	2226	857	19378	2226	857	-19378
	Comp. gl	4617	1768	40154	4617	1768	-40154
1b	380C1F1 / 380C2F1	17036	7424	169771	17036	7424	-169771
Wind, -20 dgr	380C1F2 / 380C2F2	17036	7423	169771	17036	7423	-169771
Permanent loads yg= 1.2	380C1F3 / 380C2F3	17036	7422	169771	17036	7422	-169771
Wind angle: 0 dgr	GW / opgw	2225	961	21970	2225	961	-21970
	Comp. gl	4615	1971	45077	4615	1971	-45077
3	380C1F1 / 380C2F1	29376	10455	238677	29376	10455	-238677
Wind+ice, -5 dgr	380C1F2 / 380C2F2	29376	10452	238677	29376	10452	-238677
Permanent loads yg= 1.2	380C1F3 / 380C2F3	29376	10449	238677	29376	10449	-238677
Wind angle: 0 dgr	GW / opgw	9244	2664	60775	9244	2664	-60775
	Comp. gl	18676	5363	122498	18676	5363	-122498
4	380C1F1 / 380C2F1	20053	7508	171693	20053	7508	-171693
Construction/maintenance, +5 dgr	380C1F2 / 380C2F2	20053	7507	171693	20053	7507	-171693
Permanent loads yg= 1.2	380C1F3 / 380C2F3	20053	7506	171693	20053	7506	-171693
Wind angle: 0 dgr	GW / opgw	2978	1094	25008	2978	1094	-25008
	Comp. gl	6122	2243	51307	6122	2243	-51307
6	380C1F1 / 380C2F1	19177	7092	162441	19177	7092	-162441
Permanent, +10 dgr	380C1F2 / 380C2F2	19177	7092	162441	19177	7092	-162441
Permanent loads yg= 1.35	380C1F3 / 380C2F3	19177	7092	162441	19177	7092	-162441
	GW / opgw	2505	932	21353	2505	932	-21353
	Comp. gl	5195	1931	44221	5195	1931	-44221
1a	380C1F1 / 380C2F1	17049	22543	183132	17051	25846	-195119
Wind, 10 dgr	380C1F2 / 380C2F2	17049	21159	178348	17050	24178	-188973
Permanent loads yg= 1.2	380C1F3 / 380C2F3	17048	19411	172571	17049	22068	-181469
Wind angle: 45 dgr	GW / opgw	2227	3719	27068	2227	4308	-29443

W2S400+5 TOWER **APPENDIX: Q**

Loadcases for tower strength (ultimate limit state)

Loadcase according to 50341-3-15		**AHEAD**			**BACK**		
		Vertical	Transverse	Longitudinal	Vertical	Transverse	Longitudinal
	Attachment point	[N]	[N]	[N]	[N]	[N]	[N]
	Comp. gl	4618	5531	47908	4618	6308	-50647
1b	380C1F1 / 380C2F1	17036	10392	171437	17036	10979	-172153
Wind, -20 dgr	380C1F2 / 380C2F2	17036	10146	171172	17036	10683	-171777
Permanent loads yg= 1.2	380C1F3 / 380C2F3	17036	9834	170867	17036	10308	-171344
Wind angle: 45 dgr	GW / opgw	2225	1484	22378	2225	1588	-22550
	Comp. gl	4615	2671	45427	4615	2809	-45579
3	380C1F1 / 380C2F1	29377	18822	244963	29378	20489	-247581
Wind+ice, -5 dgr	380C1F2 / 380C2F2	29377	18123	243983	29377	19647	-246210
Permanent loads yg= 1.2	380C1F3 / 380C2F3	29377	17238	242850	29377	18582	-244618
Wind angle: 45 dgr	GW / opgw	9245	5332	62378	9245	5860	-63049
	Comp. gl	18677	8939	123915	18677	9640	-124532
4	380C1F1 / 380C2F1	20053	10461	172975	20053	11041	-173535
Construction/maintenance, +5 dgr	380C1F2 / 380C2F2	20053	10217	172769	20053	10748	-173241
Permanent loads yg= 1.2	380C1F3 / 380C2F3	20053	9908	172531	20053	10377	-172903
Wind angle: 45 dgr	GW / opgw	2978	1611	25273	2978	1713	-25388
	Comp. gl	6122	2938	51534	6122	3074	-51635
1a	380C1F1 / 380C2F1	17059	43378	264457	17059	43378	-264457
Wind, 10 dgr	380C1F2 / 380C2F2	17058	40254	251855	17058	40254	-251855
Permanent loads yg= 1.2	380C1F3 / 380C2F3	17056	36280	235871	17056	36280	-235871
Wind angle: 90 dgr	GW / opgw	2228	7398	42270	2228	7398	-42270
	Comp. gl	4620	10456	67128	4620	10456	-67128
1b	380C1F1 / 380C2F1	17037	14120	177780	17037	14120	-177780
Wind, -20 dgr	380C1F2 / 380C2F2	17037	13553	176563	17037	13553	-176563
Permanent loads yg= 1.2	380C1F3 / 380C2F3	17036	12838	175146	17036	12838	-175146
Wind angle: 90 dgr	GW / opgw	2225	2151	23864	2225	2151	-23864
	Comp. gl	4615	3546	46782	4615	3546	-46782
3	380C1F1 / 380C2F1	29382	29439	267163	29382	29439	-267163
Wind+ice, -5 dgr	380C1F2 / 380C2F2	29381	27824	263059	29381	27824	-263059
Permanent loads yg= 1.2	380C1F3 / 380C2F3	29380	25783	258193	29380	25783	-258193
Wind angle: 90 dgr	GW / opgw	9247	8678	68065	9247	8678	-68065
	Comp. gl	18679	13366	129367	18679	13366	-129367
4	380C1F1 / 380C2F1	20054	14133	177989	20054	14133	-177989

W2S400+5 TOWER

APPENDIX: Q

Loadcases for tower strength (ultimate limit state)

Loadcase according to 50341-3-15		**AHEAD**			**BACK**		
		Vertical	Transverse	Longitudinal	Vertical	Transverse	Longitudinal
	Attachment point	[N]	[N]	[N]	[N]	[N]	[N]
Construction/maintenance, +5 dgr	380C1F2 / 380C2F2	20053	13576	177019	20053	13576	-177019
Permanent loads yg= 1.2	380C1F3 / 380C2F3	20053	12873	175893	20053	12873	-175893
Wind angle: 90 dgr	GW / opgw	2978	2257	26289	2978	2257	-26289
	Comp. gl	6122	3794	52450	6122	3794	-52450
1a	380C1F1 / 380C2F1	17051	25846	195119	17049	22543	-183132
Wind, 10 dgr	380C1F2 / 380C2F2	17050	24178	188973	17049	21159	-178348
Permanent loads yg= 1.2	380C1F3 / 380C2F3	17049	22068	181469	17048	19411	-172571
Wind angle: -45 dgr	GW / opgw	2227	4308	29443	2227	3719	-27068
	Comp. gl	4618	6308	50647	4618	5531	-47908
1b	380C1F1 / 380C2F1	17036	10979	172153	17036	10392	-171437
Wind, -20 dgr	380C1F2 / 380C2F2	17036	10683	171777	17036	10146	-171172
Permanent loads yg= 1.2	380C1F3 / 380C2F3	17036	10308	171344	17036	9834	-170867
Wind angle: -45 dgr	GW / opgw	2225	1588	22550	2225	1484	-22378
	Comp. gl	4615	2809	45579	4615	2671	-45427
3	380C1F1 / 380C2F1	29378	20489	247581	29377	18822	-244963
Wind+ice, -5 dgr	380C1F2 / 380C2F2	29377	19647	246210	29377	18123	-243983
Permanent loads yg= 1.2	380C1F3 / 380C2F3	29377	18582	244618	29377	17238	-242850
Wind angle: -45 dgr	GW / opgw	9245	5860	63049	9245	5332	-62378
0	Comp. gl	18677	9640	124532	18677	8939	-123915
4	380C1F1 / 380C2F1	20053	11041	173535	20053	10461	-172975
Construction/maintenance, +5 dgr	380C1F2 / 380C2F2	20053	10748	173241	20053	10217	-172769
Permanent loads yg= 1.2	380C1F3 / 380C2F3	20053	10377	172903	20053	9908	-172531
Wind angle: -45 dgr	GW / opgw	2978	1713	25388	2978	1611	-25273
	Comp. gl	6122	3074	51635	6122	2938	-51534
1a	380C1F1 / 380C2F1	12781	5163	116856	12781	5163	-116856
Wind, 10 dgr	380C1F2 / 380C2F2	12781	5158	116856	12781	5158	-116856
Permanent loads yg= 0.9	380C1F3 / 380C2F3	12781	5152	116856	12781	5152	-116856
Wind angle: 0 dgr	GW / opgw	1669	675	15226	1669	675	-15226
	Comp. gl	3462	1394	31599	3462	1394	-31599
1b	380C1F1 / 380C2F1	12774	6004	137241	12774	6004	-137241
Wind, -20 dgr	380C1F2 / 380C2F2	12774	6003	137241	12774	6003	-137241
Permanent loads yg= 0.9	380C1F3 / 380C2F3	12774	6002	137241	12774	6002	-137241

W2S400+5 TOWER

APPENDIX: Q

Loadcases for tower strength (ultimate limit state)

Loadcase according to 50341-3-15		AHEAD			BACK		
		Vertical	Transverse	Longitudinal	Vertical	Transverse	Longitudinal
	Attachment point	[N]	[N]	[N]	[N]	[N]	[N]
Wind angle: 0 dgr	GW / opgw	1668	769	17575	1668	769	-17575
	Comp. gl	3461	1578	36072	3461	1578	-36072
3	380C1F1 / 380C2F1	25109	9299	212205	25109	9299	-212205
Wind+ice, -5 dgr	380C1F2 / 380C2F2	25109	9296	212205	25109	9296	-212205
Permanent loads yg= 0.9	380C1F3 / 380C2F3	25109	9293	212206	25109	9293	-212206
Wind angle: 0 dgr	GW / opgw	8685	2547	58077	8685	2547	-58077
	Comp. gl	17518	5120	116923	17518	5120	-116923
4	380C1F1 / 380C2F1	15788	6214	142035	15788	6214	-142035
Construction/maintenance, +5 dgr	380C1F2 / 380C2F2	15788	6213	142035	15788	6213	-142035
Permanent loads yg= 0.9	380C1F3 / 380C2F3	15788	6211	142035	15788	6211	-142035
Wind angle: 0 dgr	GW / opgw	2421	926	21162	2421	926	-21162
	Comp. gl	4966	1897	43378	4966	1897	-43378
6	380C1F1 / 380C2F1	12781	5102	116857	12781	5102	-116857
Permanent, +10 dgr	380C1F2 / 380C2F2	12781	5102	116857	12781	5102	-116857
Permanent loads yg= 1.35	380C1F3 / 380C2F3	12781	5102	116857	12781	5102	-116857
	GW / opgw	1669	665	15226	1669	665	-15226
	Comp. gl	3462	1380	31600	3462	1380	-31600
1a	380C1F1 / 380C2F1	12785	21663	163009	12786	25064	-177259
Wind, 10 dgr	380C1F2 / 380C2F2	12785	20233	157183	12786	23347	-170010
Permanent loads yg= 0.9	380C1F3 / 380C2F3	12784	18424	150020	12785	21172	-160994
Wind angle: 45 dgr	GW / opgw	1670	3622	24855	1670	4224	-27536
	Comp. gl	3463	5267	41858	3463	6069	-45189
1b	380C1F1 / 380C2F1	12774	9007	139715	12774	9607	-140754
Wind, -20 dgr	380C1F2 / 380C2F2	12774	8755	139328	12774	9304	-140209
Permanent loads yg= 0.9	380C1F3 / 380C2F3	12774	8437	138881	12774	8920	-139579
Wind angle: 45 dgr	GW / opgw	1668	1300	18170	1668	1408	-18414
	Comp. gl	3461	2285	36591	3461	2426	-36811
3	380C1F1 / 380C2F1	25110	17728	219938	25111	19418	-223104
Wind+ice, -5 dgr	380C1F2 / 380C2F2	25110	17020	218747	25110	18564	-221449
Permanent loads yg= 0.9	380C1F3 / 380C2F3	25110	16124	217365	25110	17485	-219519
Wind angle: 45 dgr	GW / opgw	8686	5220	59821	8686	5750	-60546
	Comp. gl	17518	8701	118475	17519	9404	-119147

W2S400+5 TOWER

APPENDIX: Q

Loadcases for tower strength (ultimate limit state)

Loadcase according to 50341-3-15		AHEAD			BACK		
		Vertical	Transverse	Longitudinal	Vertical	Transverse	Longitudinal
	Attachment point	[N]	[N]	[N]	[N]	[N]	[N]
4	380C1F1 / 380C2F1	15788	9188	143816	15788	9776	-144577
Construction/maintenance, +5 dgr	380C1F2 / 380C2F2	15788	8940	143533	15788	9479	-144177
Permanent loads yg= 0.9	380C1F3 / 380C2F3	15788	8627	143207	15788	9103	-143716
Wind angle: 45 dgr	GW / opgw	2421	1447	21512	2421	1550	-21660
	Comp. gl	4966	2595	43682	4966	2732	-43815
1a	380C1F1 / 380C2F1	12793	42929	254216	12793	42929	-254216
Wind, 10 dgr	380C1F2 / 380C2F2	12792	39763	240668	12792	39763	-240668
Permanent loads yg= 0.9	380C1F3 / 380C2F3	12791	35728	223269	12791	35728	-223269
Wind angle: 90 dgr	GW / opgw	1671	7354	41259	1671	7354	-41259
	Comp. gl	3465	10311	63835	3465	10311	-63835
1b	380C1F1 / 380C2F1	12775	12849	148701	12775	12849	-148701
Wind, -20 dgr	380C1F2 / 380C2F2	12775	12262	147011	12775	12262	-147011
Permanent loads yg= 0.9	380C1F3 / 380C2F3	12775	11521	145023	12775	11521	-145023
Wind angle: 90 dgr	GW / opgw	1669	1991	20212	1669	1991	-20212
	Comp. gl	3461	3185	38518	3461	3185	-38518
3	380C1F1 / 380C2F1	25115	28522	246207	25115	28522	-246207
Wind+ice, -5 dgr	380C1F2 / 380C2F2	25114	26877	241439	25114	26877	-241439
Permanent loads yg= 0.9	380C1F3 / 380C2F3	25113	24801	235739	25113	24801	-235739
Wind angle: 90 dgr	GW / opgw	8689	8583	65910	8689	8583	-65910
	Comp. gl	17521	13148	124374	17521	13148	-124374
4	380C1F1 / 380C2F1	15789	12933	150536	15789	12933	-150536
Construction/maintenance, +5 dgr	380C1F2 / 380C2F2	15789	12363	149251	15789	12363	-149251
Permanent loads yg= 0.9	380C1F3 / 380C2F3	15788	11643	147752	15788	11643	-147752
Wind angle: 90 dgr	GW / opgw	2421	2105	22810	2421	2105	-22810
	Comp. gl	4966	3463	44876	4966	3463	-44876
1a	380C1F1 / 380C2F1	12786	25064	177259	12785	21663	-163009
Wind, 10 dgr	380C1F2 / 380C2F2	12786	23347	170010	12785	20233	-157183
Permanent loads yg= 0.9	380C1F3 / 380C2F3	12785	21172	160994	12784	18424	-150020
Wind angle: -45 dgr	GW / opgw	1670	4224	27536	1670	3622	-24855
	Comp. gl	3463	6069	45189	3463	5267	-41858
1b	380C1F1 / 380C2F1	12774	9607	140754	12774	9007	-139715
Wind, -20 dgr	380C1F2 / 380C2F2	12774	9304	140209	12774	8755	-139328

W2S400+5 TOWER

APPENDIX: Q

Loadcases for tower strength (ultimate limit state)

Loadcase according to 50341-3-15		**AHEAD**			**BACK**		
		Vertical	Transverse	Longitudinal	Vertical	Transverse	Longitudinal
	Attachment point	[N]	[N]	[N]	[N]	[N]	[N]
Permanent loads yg= 0.9	380C1F3 / 380C2F3	12774	8920	139579	12774	8437	-138881
Wind angle: -45 dgr	GW / opgw	1668	1408	18414	1668	1300	-18170
	Comp. gl	3461	2426	36811	3461	2285	-36591
3	380C1F1 / 380C2F1	25111	19418	223104	25110	17728	-219938
Wind+ice, -5 dgr	380C1F2 / 380C2F2	25110	18564	221449	25110	17020	-218747
Permanent loads yg= 0.9	380C1F3 / 380C2F3	25110	17485	219519	25110	16124	-217365
Wind angle: -45 dgr	GW / opgw	8686	5750	60546	8686	5220	-59821
	Comp. gl	17519	9404	119147	17518	8701	-118475
4	380C1F1 / 380C2F1	15788	9776	144577	15788	9188	-143816
Construction/maintenance, +5 dgr	380C1F2 / 380C2F2	15788	9479	144177	15788	8940	-143533
Permanent loads yg= 0.9	380C1F3 / 380C2F3	15788	9103	143716	15788	8627	-143207
Wind angle: -45 dgr	GW / opgw	2421	1550	21660	2421	1447	-21512
	Comp. gl	4966	2732	43815	4966	2595	-43682

Appendixe

W2S400+5 TOWER **APPENDIX: Q2**

Loadcases for tower defliction analyses (Servicability limit state)

Loadcase according to 50341-3-15		**AHEAD**			**BACK**		
		Vertical	Transverse	Longitudinal	Vertical	Transverse	Longitudinal
	Attachment point	[N]	[N]	[N]	[N]	[N]	[N]
1a	380C1F1 / 380C2F1	14202	5604	127432	14202	5604	-127432
Wind, 10 dgr	380C1F2 / 380C2F2	14202	5601	127432	14202	5601	-127432
Permanent loads yg= 1.0	380C1F3 / 380C2F3	14202	5597	127433	14202	5597	-127433
Wind angle: 0 dgr	GW / opgw	1855	734	16643	1855	734	-16643
	Comp. gl	3847	1517	34520	3847	1517	-34520
1b	380C1F1 / 380C2F1	14194	6488	148420	14194	6488	-148420
Wind, -20 dgr	380C1F2 / 380C2F2	14194	6488	148420	14194	6488	-148420
Permanent loads yg= 1.0	380C1F3 / 380C2F3	14194	6487	148420	14194	6487	-148420
Wind angle: 0 dgr	GW / opgw	1854	835	19082	1854	835	-19082
	Comp. gl	3845	1712	39161	3845	1712	-39161
3	380C1F1 / 380C2F1	22419	8527	194794	22419	8527	-194794
Wind+ice, -5 dgr	380C1F2 / 380C2F2	22419	8526	194794	22419	8526	-194794
Permanent loads yg= 1.0	380C1F3 / 380C2F3	22419	8523	194794	22419	8523	-194794
Wind angle: 0 dgr	GW / opgw	6530	2063	47087	6530	2063	-47087
	Comp. gl	13213	4160	95055	13213	4160	-95055
4	380C1F1 / 380C2F1	16206	6341	145038	16206	6341	-145038
Construction/maintenance, +5 dgr	380C1F2 / 380C2F2	16206	6340	145038	16206	6340	-145038
Permanent loads yg= 1.0	380C1F3 / 380C2F3	16206	6339	145038	16206	6339	-145038
Wind angle: 0 dgr	GW / opgw	2356	905	20697	2356	905	-20697
	Comp. gl	4850	1860	42552	4850	1860	-42552
1a	380C1F1 / 380C2F1	14204	16175	148395	14205	18358	-155965
Wind, 10 dgr	380C1F2 / 380C2F2	14204	15262	145430	14205	17254	-152061
Permanent loads yg= 1.0	380C1F3 / 380C2F3	14203	14111	141896	14204	15861	-147361
Wind angle: 45 dgr	GW / opgw	1855	2622	21312	1855	3013	-22871
	Comp. gl	3848	3998	39053	3848	4509	-40744
1b	380C1F1 / 380C2F1	14194	8459	149353	14194	8847	-149759
Wind, -20 dgr	380C1F2 / 380C2F2	14194	8296	149203	14194	8651	-149545
Permanent loads yg= 1.0	380C1F3 / 380C2F3	14194	8089	149031	14194	8403	-149300
Wind angle: 45 dgr	GW / opgw	1854	1181	19311	1854	1250	-19409

W2S400+5 TOWER **APPENDIX: Q2**

Loadcases for tower defliction analyses (Servicability limit state)

Loadcase according to 50341-3-15		**AHEAD**			**BACK**		
		Vertical	Transverse	Longitudinal	Vertical	Transverse	Longitudinal
	Attachment point	[N]	[N]	[N]	[N]	[N]	[N]
	Comp. gl	3845	2177	39356	3845	2268	-39441
3	380C1F1 / 380C2F1	22419	14095	198786	22419	15203	-200465
Wind+ice, -5 dgr	380C1F2 / 380C2F2	22419	13630	198160	22419	14643	-199585
Permanent loads yg= 1.0	380C1F3 / 380C2F3	22419	13042	197437	22419	13936	-198566
Wind angle: 45 dgr	GW / opgw	6530	3843	48220	6531	4196	-48696
	Comp. gl	13213	6545	96055	13214	7013	-96490
4	380C1F1 / 380C2F1	16206	8304	145779	16206	8688	-146105
Construction/maintenance, +5 dgr	380C1F2 / 380C2F2	16206	8142	145658	16206	8494	-145934
Permanent loads yg= 1.0	380C1F3 / 380C2F3	16206	7937	145520	16206	8248	-145736
Wind angle: 45 dgr	GW / opgw	2356	1249	20855	2356	1316	-20924
	Comp. gl	4850	2322	42686	4850	2412	-42746
1a	380C1F1 / 380C2F1	14210	30056	202579	14210	30056	-202579
Wind, 10 dgr	380C1F2 / 380C2F2	14209	27960	193836	14209	27960	-193836
Permanent loads yg= 1.0	380C1F3 / 380C2F3	14208	25300	182892	14208	25300	-182892
Wind angle: 90 dgr	GW / opgw	1856	5088	31783	1856	5088	-31783
	Comp. gl	3849	7266	51574	3849	7266	-51574
1b	380C1F1 / 380C2F1	14195	10918	152991	14195	10918	-152991
Wind, -20 dgr	380C1F2 / 380C2F2	14195	10544	152286	14195	10544	-152286
Permanent loads yg= 1.0	380C1F3 / 380C2F3	14195	10073	151469	14195	10073	-151469
Wind angle: 90 dgr	GW / opgw	1854	1620	20172	1854	1620	-20172
	Comp. gl	3846	2754	40126	3846	2754	-40126
3	380C1F1 / 380C2F1	22422	21156	213242	22422	21156	-213242
Wind+ice, -5 dgr	380C1F2 / 380C2F2	22421	20080	210534	22421	20080	-210534
Permanent loads yg= 1.0	380C1F3 / 380C2F3	22421	18723	207344	22421	18723	-207344
Wind angle: 90 dgr	GW / opgw	6532	6084	52276	6532	6084	-52276
	Comp. gl	13215	9504	99911	13215	9504	-99911
4	380C1F1 / 380C2F1	16207	10734	148732	16207	10734	-148732
Construction/maintenance, +5 dgr	380C1F2 / 380C2F2	16207	10366	148156	16207	10366	-148156
Permanent loads yg= 1.0	380C1F3 / 380C2F3	16207	9901	147491	16207	9901	-147491
Wind angle: 90 dgr	GW / opgw	2356	1677	21471	2356	1677	-21471
	Comp. gl	4850	2890	43235	4850	2890	-43235
1a	380C1F1 / 380C2F1	14205	18358	155965	14204	16175	-148395

W2S400+5 TOWER **APPENDIX: Q2**

Loadcases for tower defliction analyses (Servicability limit state)

Loadcase according to 50341-3-15	Attachment point	AHEAD Vertical [N]	AHEAD Transverse [N]	AHEAD Longitudinal [N]	BACK Vertical [N]	BACK Transverse [N]	BACK Longitudinal [N]
Wind, 10 dgr	380C1F2 / 380C2F2	14205	17254	152061	14204	15262	-145430
Permanent loads yg= 1.0	380C1F3 / 380C2F3	14204	15861	147361	14203	14111	-141896
Wind angle: -45 dgr	GW / opgw	1855	3013	22871	1855	2622	-21312
	Comp. gl	3848	4509	40744	3848	3998	-39053
1b	380C1F1 / 380C2F1	14194	8847	149759	14194	8459	-149353
Wind, -20 dgr	380C1F2 / 380C2F2	14194	8651	149545	14194	8296	-149203
Permanent loads yg= 1.0	380C1F3 / 380C2F3	14194	8403	149300	14194	8089	-149031
Wind angle: -45 dgr	GW / opgw	1854	1250	19409	1854	1181	-19311
	Comp. gl	3845	2268	39441	3845	2177	-39356
3	380C1F1 / 380C2F1	22419	15203	200465	22419	14095	-198786
Wind+ice, -5 dgr	380C1F2 / 380C2F2	22419	14643	199585	22419	13630	-198160
Permanent loads yg= 1.0	380C1F3 / 380C2F3	22419	13936	198566	22419	13042	-197437
Wind angle: -45 dgr	GW / opgw	6531	4196	48696	6530	3843	-48220
	Comp. gl	13214	7013	96490	13213	6545	-96055
4	380C1F1 / 380C2F1	16206	8688	146105	16206	8304	-145779
Construction/maintenance, +5 dgr	380C1F2 / 380C2F2	16206	8494	145934	16206	8142	-145658
Permanent loads yg= 1.0	380C1F3 / 380C2F3	16206	8248	145736	16206	7937	-145520
Wind angle: -45 dgr	GW / opgw	2356	1316	20924	2356	1249	-20855
	Comp. gl	4850	2412	42746	4850	2322	-42686

Postbus 676
7300 AR Apeldoorn
Tel: 088 - 1860200

Statische ontwerpberekening

Masttype "W4H400ZA(+10)"

Tracé Vijfhuizen - Bleiswijk

Revisie	Datum	Samensteller	Gecontroleerd
00	6 - 12 - 12	ing. Miko Hakhverdian	
01-Detailberekening toegevoegd	15 - 05 - 13	ing. Miko Hakhverdian	
02-Mast nummers verwijderd	07 - 02 - 14	ing. Miko Hakhverdian	
03-Travers lengte 150 kV en bliksemgeleider gewijzigd	14 - 02 - 14	ing. Miko Hakhverdian	14-2-14

Inhoudsopgave.

	blz.
1.0 Uitgangspunten berekening	4
1.1 Inleiding	4
1.2 Toegepaste normen	4
1.3 Randvoorwaarden	4
1.4 Constructie onderdelen	4
1.5 Toegepaste materiaal	5
1.6 Belastingen	6
2.0 Berekening masttype “W4H400ZA(+10)”	7
2.1 Overzicht mast	8
2.2 Mast gegevens	9
2.3 Computerschema	11
3.0 Berekening Belastingen	12
3.1 Berekening stuwdruk	13
3.2 Berekening eigenfrequentie mast	14
3.3 Berekening bouwwerkfactor C_sC_d	16
3.4 Bepaling krachtcoëfficiënt C_f	17
3.5 Gewicht en horizontale belasting geleiders	18
3.6 Gewicht en windbelasting mastlichaam	19
3.7 Berekende belastingen	20
4.0 Resultaat berekeningen	23
4.1 Berekening verplaatsingen in SLS- toestand (belasting gevallen)	23
4.2 Maximale verplaatsingen in SLS- toestand	29
4.3 Toetsing maximale verplaatsingen	30
4.4 Berekening Krachten in ULS- toestand (belasting gevallen)	31
4.5 Maximale Krachten in ULS- toestand	37
4.6 Toetsing doorsnede	38
5.0 Berekening ankers, bouten en flensverbindingen	41
6.0 Controleberekening vortex shedding	44
7.0 Fundatie belastingen	52
8.0 Betonspanning onder voetplaat en instortring	53
9.0 Detailberekening	55

	blz.
9.1 Berekening crossbeam - trekisolatoren 150 kV	55
9.1.1 Berekening clip crossbeam	58
9.2 Berekening afspanpunt trekisolatoren 380 kV	60
9.2.1 Berekening afspanpunt trekisolatoren 380 kV op 49m hoogte	61
9.2.2 Berekening afspanpunt trekisolatoren 380 kV op 40,5m hoogte	73
9.2.3 Berekening afspanpunt trekisolatoren 380 kV op 32m hoogte	78
9.3 Berekening draagarm bliksemdraad	83
9.3.1 Controle capaciteit van de aansluiting - draagarm aan mast	85
9.3.2 Berekening clip bliksemdraad (clip 5.4)	86
9.3.3 Berekening deling van de steunarm	89
9.4 Berekening draagarm "Retourstroomgeleider"	90
9.4.1 Controle capaciteit van de aansluiting - draagarm aan mast	95
9.4.2 Berekening clip "Retourstroomgeleider"	96
9.5 Berekening Clip 17 - t.b.v. installatie geleiders (op 0,5m hoogte)	98
9.5.1 Controle capaciteit van de aansluiting	100
9.6 Berekening clip hulprail - clip 8	101
9.6.1 Controle capaciteit van de aansluiting	103
9.7 Ondersteuning hijsbalk op de top van de mast	105
9.8 Berekening versterking deur	108

Bijlage: KEMA rapport 74100224-ETD/POL 12-00138 V10.0 - bijlage AL, AL1 en AL2

1.0 - Uitgangspunten berekening.

1.1 - Inleiding.

In dit rapport wordt in opdracht van TenneT de statische ontwerpberekening van het masttype W4H400ZA(+10) van het project “R380 Wintrack hoogspanningslijn” Noordring , tracé Vijfhuizen – Bleiswijk gepresenteerd.

1.2 – Toegepaste normen.

De berekening is gebaseerd op de volgende normen:

- NEN-EN 50341-1 – Bovengrondse elektrische lijnen boven 45 kV wisselspanning – Deel 1: Algemene eisen – Gemeenschappelijke specificaties, uitgave november 2001.
- NEN-EN 50341-3 – Bovengrondse elektrische lijnen boven 45 kV wisselspanning – Deel 3: Verzameling van nationale normatieve aspecten, uitgave november 2001 en correctieblad mei 2006.
- NEN-EN 1990 - Grondslagen van het constructief ontwerp, uitgave december 2007 (+NB).
- NEN-EN 1991 – Algemene belastingen, uitgave december 2007 (+NB)
- NEN-EN 1991-1-4 - Algemene belastingen – Windbelasting, uitgave december 2007.
- NEN-EN 1993-1-1 - Ontwerp en berekenen van staalconstructies, uitgave december 2007(+NB).
- NEN-EN 1993-1-8 - Ontwerp en berekenen van verbindingen, uitgave december 2007 (+NB).
- NEN-EN 1993-3-1 – Torens, maten en schoorstenen, uitgave juli 2007.
- NEN 2063 – Op vermoeiing belaste constructies- Het berekenen van gelaste verbindingen in ongelegeerd en zwakgelegeerd staal t/m S355.

De belastingopgave is volgens KEMA rapport 74100224-ETD/POL 12-00138 V10.0 “Design Loads for Wintrack II – R380 BEV-VHZ & VHZ-BEV” 18 november 2013.
Voor het masttype W4H400ZA(+10) zijn de bijlage AL en AL1 (berekening maststerkte) en bijlage AL2 (berekening verplaatsingen) van het KEMA rapport van toepassing.

1.3 – Randvoorwaarden.

Volgens Eurocode 3, deel 3-1 wordt de constructie ingedeeld in ontwerp levensduurklasse 3, gevolgklasse CC3 en referentieperiode 50 jaar. Mast bevindt zich in het gebied (windgebied II – onbebouwd) dat de terreincategorie II is van toepassing.

In de bruikbaarheidsgrenstoestand (SLS- toestand) dient voldaan te worden aan de volgende randvoorwaarden:

- De maximale horizontale uitbuiging mag niet groter zijn dan 5,5% van de hoogte van de mast.
- De relatieve verplaatsing van mast mag niet groter zijn dan 1% van de hoogte van de mast.

1.4 – Constructieonderdelen.

A - Mast constructie.

De mast is een buismast met een totale hoogte van 63,0 meter. De basis diameter van de mast is 2,758 meter en verloopt conisch tot de top van de mast naar een diameter van 0,5 meter. De mast is opgebouwd uit drie segmenten van 17,10m, 22,80m en 23,10 meter. Deze segmenten worden door middel van een binnenflensaansluiting aan elkaar verbonden.
De mast is voorzien van een klimvoorziening aan de binnenkant van de mast.

B - Fundatie.

De berekening van de fundatie en draagkracht van de grond valt buiten deze berekening. Aan de hand van locatiegegevens en grondmechanisch onderzoek dient de fundatie van de mast alsnog te worden berekend.

1.5 – Toegepaste materialen.

A - Mastconstructie.

De materiaalkwaliteit is S355 ($f_{y;d}$ = 355 N/mm^2, $f_{t;d}$ = 510 N/mm^2), tenzij anders vermeld.

B - Bouten en moeren.

De toegepaste bouten zijn kwaliteit 10.9. De ankers zijn kwaliteit 8.8.
Alle bouten en moeren zijn thermisch verzinkt, ISO-passend en gerolde draad.

C - Lassen in de primaire constructie.

Alle lassen zijn voorbewerkte ½ V las met een tegen las, klasse K35 of een voorbewerkte X las klasse K45. De lasdetails worden door de fabrikant opgegeven.

1.6 - Belastingen.

A – Geleiders (bliksemdraad, fasedraden en retourstroomgeleider) en isolatoren,

De belastingopgave is volgens KEMA rapport 74100224-ETD/POL 12-00138 V10.0 “Design Loads for Wintrack II – R380 BEV-VHZ & VHZ-BEV” 18 november 2013.
Voor het masttype W4H400ZA(+10) zijn de bijlage AL en AL1 (berekening maststerkte) en bijlage AL2 (berekening verplaatsingen) van het KEMA rapport van toepassing.

In de bovengenoemde bijlagen zijn de krachten inclusief de belastingfactoren volgens NEN-EN 50341-3-15 paragraaf 4.2, tabel 4.2.11/NL.1 voor de ULS- toestand (Ultimate limit state), tabel 4.2.11/NL.3 voor de SPLS- toestand (Special limit state) en tabel 4.2.11/NL.4 voor de SLS-toestand (Serviceability limit state) aangegeven.

B – Mastlichaam

Het gewicht van de mast is een centrisch en gelijkmatig verdeelde belasting. Deze wordt gecombineerd met het gewicht van de geleiders en isolatoren. De belastingfactoren voor het eigengewicht zijn volgens NEN-EN 50341-3-15 en NEN-EN 1993-3-1, γ_g = 1,2 voor de ULS-toestand en γ_g = 1,0 voor de SLS- toestand.

De windbelasting van het mastlichaam is een horizontaal verdeelde belasting over de hele hoogte. Gezien het feit dat het windoppervlak van het mastlichaam in alle richtingen gelijk is, wordt deze eenmaal berekend en gecombineerd met de belasting van de geleiders in de verschillende windrichtingen. De belastingfactoren voor de windbelasting van het mastlichaam zijn volgens NEN-EN 1993-3-1, γ_q = 1,6 voor de ULS- toestand en γ_q = 1,0 voor de SLS-toestand.

2.0 - Berekening masttype "W4H400ZA(+10)"

Berekening

W4H400ZA+10 (Afstap 150 kV)

63,0 m - 2758 - 500

Tracé Vijfhuizen - Bleiswijk

2.1 - Overzicht mast

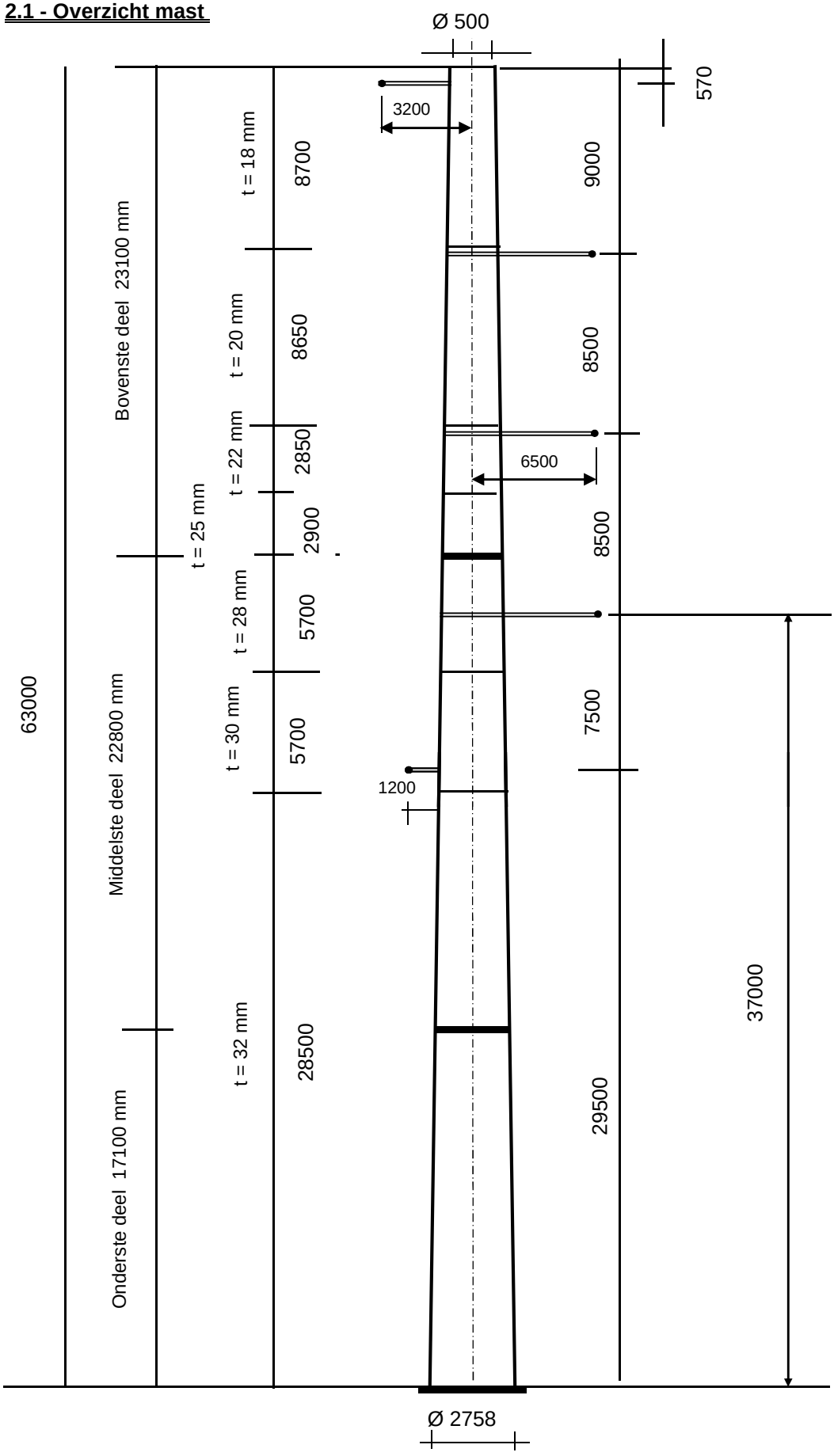

2.2 - Mast gegevens

Buismast type W4H400ZA(+10)

Voet van de mast op :	0,00	meter

Wind gebied : II - onbebouwd

aantal staven	27	gem. breedte (m)	1,629

staaf nummer	staaf lengte mm	voet-breedte mm	top-breedte mm	diago-nalen	aantal knopen	aantal staven	gem. hoogte m
1	570	520	500	n.v.t.	2	1	62,72
2	2330	604	520	n.v.t.	2	1	61,27
3	2900	708	604	n.v.t.	2	1	58,65
4	2900	812	708	n.v.t.	2	1	55,75
5	300	823	812	n.v.t.	2	1	54,15
6	2600	916	823	n.v.t.	2	1	52,70
7	2900	1020	916	n.v.t.	2	1	49,95
8	2850	1122	1020	n.v.t.	2	1	47,08
9	150	1127	1122	n.v.t.	2	1	45,58
10	2700	1224	1127	n.v.t.	2	1	44,15
11	2900	1328	1224	n.v.t.	2	1	41,35
12	2850	1430	1328	n.v.t.	2	1	38,48
13	50	1432	1430	n.v.t.	2	1	37,03
14	2800	1532	1432	n.v.t.	2	1	35,60
15	2850	1634	1532	n.v.t.	2	1	32,78
16	1850	1701	1634	n.v.t.	2	1	30,43
17	1000	1737	1701	n.v.t.	2	1	29,00
18	2850	1839	1737	n.v.t.	2	1	27,08
19	2850	1941	1839	n.v.t.	2	1	24,23
20	2850	2043	1941	n.v.t.	2	1	21,38
21	2850	2145	2043	n.v.t.	2	1	18,53
22	2920	2250	2145	n.v.t.	2	1	15,64
23	2820	2351	2250	n.v.t.	2	1	12,77
24	2820	2452	2351	n.v.t.	2	1	9,95
25	2820	2553	2452	n.v.t.	2	1	7,13
26	2820	2654	2553	n.v.t.	2	1	4,31
27	2900	2758	2654	n.v.t.	2	1	1,45
	63000				28	27	

Profielgegevens

profielgegevens buisprofiel - Staal kwaliteit : S 355							
staaf	D_{gem} (mm)	t (mm)	A (mm^2)	m(kg/m)	I (mm^4)	i (mm)	W_b (mm^3)
1	510	18,0	27834	218,50	8,44E+08	174,14	3,31E+06
2	562	18,0	30773	241,57	1,14E+09	192,50	4,06E+06
3	656	18,0	36073	283,17	1,84E+09	225,62	5,60E+06
4	760	18,0	41951	329,31	2,89E+09	262,36	7,60E+06
5	817	20,0	50089	393,20	3,98E+09	281,94	9,74E+06
6	869	20,0	53355	418,83	4,81E+09	300,31	1,11E+07
7	968	20,0	59548	467,45	6,69E+09	335,15	1,38E+07
8	1071	20,0	66022	518,27	9,12E+09	371,57	1,70E+07
9	1125	22,0	76202	598,18	1,16E+10	389,88	2,06E+07
10	1176	22,0	79732	625,89	1,33E+10	407,94	2,26E+07
11	1276	25,0	98250	771,27	1,92E+10	442,37	3,01E+07
12	1379	28,0	118841	932,90	2,71E+10	477,76	3,93E+07
13	1431	28,0	123412	968,79	3,04E+10	496,13	4,25E+07
14	1482	28,0	127905	1004,05	3,38E+10	514,18	4,56E+07
15	1583	30,0	146395	1149,20	4,42E+10	549,28	5,58E+07
16	1668	30,0	154334	1211,52	5,17E+10	579,05	6,21E+07
17	1719	30,0	159147	1249,30	5,67E+10	597,11	6,60E+07
18	1788	32,0	176492	1385,46	6,80E+10	620,80	7,61E+07
19	1890	32,0	186761	1466,07	8,06E+10	656,91	8,53E+07
20	1992	32,0	197030	1546,68	9,46E+10	693,02	9,50E+07
21	2094	32,0	207299	1627,30	1,10E+11	729,13	1,05E+08
22	2197	32,0	217694	1708,90	1,28E+11	765,68	1,16E+08
23	2300	32,0	228035	1790,08	1,47E+11	802,05	1,28E+08
24	2401	32,0	238196	1869,84	1,67E+11	837,78	1,39E+08
25	2502	32,0	248357	1949,60	1,90E+11	873,51	1,51E+08
26	2604	32,0	258518	2029,36	2,14E+11	909,24	1,64E+08
27	2706	32,0	268823	2110,26	2,40E+11	945,48	1,78E+08

Elasticiteitsmodulus E-	N/mm^2	210000
Vloeigrens f_y	N/mm^2	355
Volumieke massa	kg/m^3	7850

2.3 - Computerschema

knoop nummer	knoop cord. "Z" - in mm	staaf i -- j	benaming staven	L_{staaf} mm	A_{eff} mm^2	I_x of I_y mm^4
1	63000	1 -- 2	1	570	2,78E+04	8,44E+08
2	62430	2 -- 3	2	2330	3,08E+04	1,14E+09
3	60100	3 -- 4	3	2900	3,61E+04	1,84E+09
4	57200	4 -- 5	4	2900	4,20E+04	2,89E+09
5	54300	5 -- 6	5	300	5,01E+04	3,98E+09
6	54000	6 -- 7	6	2600	5,34E+04	4,81E+09
7	51400	7 -- 8	7	2900	5,95E+04	6,69E+09
8	48500	8 -- 9	8	2850	6,60E+04	9,12E+09
9	45650	9 -- 10	9	150	7,62E+04	1,16E+10
10	45500	10 -- 11	10	2700	7,97E+04	1,33E+10
11	42800	11 -- 12	11	2900	9,83E+04	1,92E+10
12	39900	12 -- 13	12	2850	1,19E+05	2,71E+10
13	37050	13 -- 14	13	50	1,23E+05	3,04E+10
14	37000	14 -- 15	14	2800	1,28E+05	3,38E+10
15	34200	15 -- 16	15	2850	1,46E+05	4,42E+10
16	31350	16 -- 17	16	1850	1,54E+05	5,17E+10
17	29500	17 -- 18	17	1000	1,59E+05	5,67E+10
18	28500	18 -- 19	18	2850	1,76E+05	6,80E+10
19	25650	19 -- 20	19	2850	1,87E+05	8,06E+10
20	22800	20 -- 21	20	2850	1,97E+05	9,46E+10
21	19950	21 -- 22	21	2850	2,07E+05	1,10E+11
22	17100	22 -- 23	22	2920	2,18E+05	1,28E+11
23	14180	23 -- 24	23	2820	2,28E+05	1,47E+11
24	11360	24 -- 25	24	2820	2,38E+05	1,67E+11
25	8540	25 -- 26	25	2820	2,48E+05	1,90E+11
26	5720	26 -- 27	26	2820	2,59E+05	2,14E+11
27	2900	27 -- 28	27	2900	2,69E+05	2,40E+11
28	0				0,00E+00	0,00E+00

3.0 - Berekening belastingen

3,1 - Berekening stuwdruk

Algemene gegevens:

Wind gebied : II - onbebouwd

Basiswindsnelheid $V_{b,0}$ = 27 m/s

Terreincategorie : II - Onbebouwd gebied

Richtingsfactor C_{dir} = 1,0

Seizoensfactor C_{season} = 1,0

Orografiefactor $C_o(z)$ = 1,0

Veiligheidsklaae 2

Volumieke massa van lucht; ρ = 1,25 kg/m^3

z_0 = 0,200 m

z_{min} = 4,0 m

Gemiddelde windsnelheid $V_m(z) = (V_{b,0} * C_{dir} * C_{season}) * c_r(z)$

$c_r(z) = k_r * \ln\{ z / z_0\}$ voor $z_{min} \le z \le z_{max}$

$c_r(z) = c_r(z_{min})$ voor $z \le z_{min}$

$k_r = 0{,}19 \ln\{ z_0 / z_{0,II}\}^{0,07}$ $z_{0;II}$ = 0,05 m

Extreme stuwdruk $q_p(z) = (1 + 7*I_v(z)) * ½ * \rho * V_m^2(z)$

$I_v(z) = k_I / \{ c_o(z) * \ln(z / z_0) \}$ voor $z_{min} \le z \le z_{max}$; k_I = 1,0

$I_v(z) = I_v(z_{min})$ voor $z \le z_{min}$

Sectie	hoogte z m	kr	$c_r(z)$	$V_m(z)$ m/s	$I_v(z)$	$q_p(z)$ N/m^2
1	62,72	0,21	1,20	32,49	0,17	1463
2	61,27	0,21	1,20	32,36	0,17	1455
3	58,65	0,21	1,19	32,11	0,18	1439
4	55,75	0,21	1,18	31,83	0,18	1420
5	54,15	0,21	1,17	31,66	0,18	1410
6	52,70	0,21	1,17	31,51	0,18	1400
7	49,95	0,21	1,16	31,21	0,18	1380
8	47,08	0,21	1,14	30,87	0,18	1359
9	45,58	0,21	1,14	30,69	0,18	1348
10	44,15	0,21	1,13	30,51	0,19	1336
11	41,35	0,21	1,12	30,14	0,19	1313
12	38,48	0,21	1,10	29,73	0,19	1288
13	37,03	0,21	1,09	29,51	0,19	1274
14	35,60	0,21	1,08	29,29	0,19	1261
15	32,78	0,21	1,07	28,82	0,20	1232
16	30,43	0,21	1,05	28,40	0,20	1207
17	29,00	0,21	1,04	28,13	0,20	1190
18	27,08	0,21	1,03	27,74	0,20	1167
19	24,23	0,21	1,00	27,12	0,21	1130
20	21,38	0,21	0,98	26,41	0,21	1089
21	18,53	0,21	0,95	25,60	0,22	1043
22	15,64	0,21	0,91	24,64	0,23	989
23	12,77	0,21	0,87	23,50	0,24	926
24	9,95	0,21	0,82	22,09	0,26	851
25	7,13	0,21	0,75	20,20	0,28	755
26	4,31	0,21	0,64	17,36	0,33	618
27	1,45	0,21	0,63	16,93	0,33	598

3.2 - Berekening eigenfrequentie mast en meewerkende massa

Verplaatsing van de mast t.g.v e.g mast en toplast

knoop nummer	staaf nummer	gewicht mast N	gewicht flenzen+ ge-leiders-N	dwarskr. kN	moment kNm	hoekver.φ rad.	verpl. δ mm
1	1 -- 2	1331	400	0,40	0,00	2,10E-02	757,88
2	2 -- 3	5978	3368	5,10	0,61	2,10E-02	745,88
3	3 -- 4	8647		11,08	19,45	2,10E-02	696,91
4	4 -- 5	9985		19,72	64,12	2,07E-02	636,48
5	5 -- 6	1225		29,71	135,80	2,02E-02	577,15
6	6 -- 7	11280	32095	63,03	144,89	2,01E-02	571,10
7	7 -- 8	13991		74,31	323,43	1,95E-02	519,40
8	8 -- 9	15198		88,30	559,22	1,86E-02	463,91
9	9 -- 10	920		103,50	832,53	1,76E-02	412,14
10	10 -- 11	17304	33263	137,68	848,12	1,76E-02	409,50
11	11 -- 12	22802		154,98	1243,22	1,66E-02	363,36
12	12 -- 13	27015	7332	185,12	1725,74	1,55E-02	316,82
13	13 -- 14	492		212,13	2291,82	1,45E-02	274,03
14	14 -- 15	28534	34446	247,07	2302,44	1,45E-02	273,31
15	15 -- 16	33180		275,61	3034,19	1,34E-02	234,19
16	16 -- 17	22691		308,79	3866,95	1,24E-02	197,39
17	17 -- 18	12643	6767	338,24	4459,19	1,17E-02	175,16
18	18 -- 19	39913		350,89	4803,76	1,13E-02	163,70
19	19 -- 20	42211		390,80	5860,66	1,02E-02	133,05
20	20 -- 21	44508		433,01	7034,59	9,12E-03	105,47
21	21 -- 22	46805		477,52	8332,10	8,02E-03	81,00
22	22 -- 23	50338	29558	553,88	9759,72	6,91E-03	59,69
23	23 -- 24	50903		604,22	11450,55	5,75E-03	41,16
24	24 -- 25	53152		655,12	13226,23	4,62E-03	26,49
25	25 -- 26	55402		708,28	15148,62	3,49E-03	15,01
26	26 -- 27	57651		763,68	17224,07	2,34E-03	6,77
27	27 -- 28	61633		821,33	19458,93	1,19E-03	1,76
28			29042	912,00	21930,15	0,00E+00	0,00

Voor de berekening van de eigenfrequentie is de Rayleigh-Ritz methode toegepast.
Bij benadering kan eigenfrequentie bepaald worden door alle massa's m_i van het dynamische model dezelfde versnelling g in de richting van de beweging te geven en vervolgen eigen-trillingsvorm te berekenen onder invloed van krachten $F_i = m_i * g$

De eigenfrequentie van de eerste trillingsvorm kan berekend worden door:

$$n_{1,x} = 1 / 2\pi * \{ g * \Sigma m_i * \delta_i / \Sigma m_i * \delta_i^2 \}^{0,5}$$

m_i : de geconcentreerde massa in kg.

δ_t : de verplaatsing van het punt (i) in meter

g = 9,81 m/s^2 - versnelling van de zwaartekracht

knoop nummer	staaf nummer	gewicht mast N	gewicht flenzen+ geleiders-kg	verpl. δ m	$g\Sigma m_i.\delta_i$	$\Sigma m_i.\delta_i^2$
1	1 -- 2	133,1	40,0	0,758	1279,09	98,217
2	2 -- 3	597,8	336,8	0,746	6695,34	498,507
3	3 -- 4	864,7		0,697	5655,38	384,344
4	4 -- 5	998,5		0,636	5943,97	367,676
5	5 -- 6	122,5		0,577	689,72	40,366
6	6 -- 7	1128,0	3209,5	0,571	24014,92	1382,164
7	7 -- 8	1399,1		0,519	6748,03	338,195
8	8 -- 9	1519,8		0,464	6530,71	291,601
9	9 -- 10	92,0		0,412	370,68	15,523
10	10 -- 11	1730,4	3326,3	0,410	19922,17	816,193
11	11 -- 12	2280,2		0,363	7607,31	263,728
12	12 -- 13	2701,5	733,2	0,317	10108,22	309,375
13	13 -- 14	49,2		0,274	132,06	3,684
14	14 -- 15	2853,4	3444,6	0,273	16338,42	441,030
15	15 -- 16	3318,0		0,234	7023,89	154,506
16	16 -- 17	2269,1		0,197	4146,38	78,733
17	17 -- 18	1264,3	676,7	0,175	3264,24	57,056
18	18 -- 19	3991,3		0,164	5809,53	87,867
19	19 -- 20	4221,1		0,133	4938,34	60,035
20	20 -- 21	4450,8		0,105	4070,76	38,688
21	21 -- 22	4680,5		0,081	3229,84	23,159
22	22 -- 23	5033,8	2955,8	0,060	4220,58	23,327
23	23 -- 24	5090,3		0,041	1688,94	5,823
24	24 -- 25	5315,2		0,026	1082,00	2,289
25	25 -- 26	5540,2		0,015	591,86	0,657
26	26 -- 27	5765,1		0,007	241,01	0,105
27	27 -- 28	6163,3		0,002	53,13	0,005
28			2904,2	0,000	0,00	0,000
				Som	152396	5783

$$n_{1,x} = 1 / 2\pi * \{ g * \Sigma m_i * \delta_i / \Sigma m_i * \delta_i^2 \}^{0,5}$$

$n_{1,x}$	=	0,82	Hz

Meewerkende massa

$m_{i;e}$ is de equivalente massa m_e per lengte eenheid, in kg/m, gewogen naar de trillingsvorm :

$$m_e = \frac{\int_0^{l} m(s) * \phi^2_i(s)\, ds}{\int_0^{l} \phi^2_i(s)\, ds}$$

staaf nummer	massa m kg/m	ϕ_i	s m	$\phi_i^2 * (s)$	$\phi_i^2 *(s)*m$	$\phi_i * (s)$
1 -- 2	895	0,992	0,570	0,56	501,90	0,57
2 -- 3	257	0,952	2,330	2,11	541,63	2,22
3 -- 4	298	0,880	2,900	2,24	669,14	2,55
4 -- 5	344	0,801	2,900	1,86	640,12	2,32
5 -- 6	11107	0,758	0,300	0,17	1912,15	0,23
6 -- 7	434	0,719	2,600	1,35	583,84	1,87
7 -- 8	482	0,649	2,900	1,22	588,80	1,88
8 -- 9	533	0,578	2,850	0,95	507,68	1,65
9 -- 10	22788	0,542	0,150	0,04	1004,40	0,08
10 -- 11	641	0,510	2,700	0,70	449,88	1,38
11 -- 12	1039	0,449	2,900	0,58	606,80	1,30
12 -- 13	948	0,390	2,850	0,43	410,49	1,11
13 -- 14	69877	0,361	0,050	0,01	455,57	0,02
14 -- 15	1019	0,335	2,800	0,31	319,87	0,94
15 -- 16	1164	0,285	2,850	0,23	268,99	0,81
16 -- 17	1592	0,246	1,850	0,11	177,96	0,45
17 -- 18	1264	0,224	1,000	0,05	63,19	0,22
18 -- 19	1400	0,196	2,850	0,11	152,98	0,56
19 -- 20	1481	0,157	2,850	0,07	104,52	0,45
20 -- 21	1562	0,123	2,850	0,04	67,36	0,35
21 -- 22	2679	0,093	2,850	0,02	65,78	0,26
22 -- 23	1724	0,067	2,920	0,01	22,28	0,19
23 -- 24	1805	0,045	2,820	0,01	10,14	0,13
24 -- 25	1885	0,027	2,820	0,00	3,98	0,08
25 -- 26	1965	0,014	2,820	0,00	1,14	0,04
26 -- 27	2044	0,006	2,820	0,00	0,18	0,02
27 -- 28	3127	0,001	2,900	0,00	0,01	0,00
		Σ	63,00	13,21	10130,77	21,68

m_e = 10130,8 / 13,2 = 766,9 kg/m

3.3 - Berekening bouwwerkfactor $c_s c_d$

Eurocode 1- 4 : 6.3.1 - Procedure volgens bijlage C

$c_s c_d = 1 + 2 * k_p * I_v(z_s) * (B^2 + R^2)^{0,5} / (1 + 7 * I_v(z_s))$

$n = n_{1,x}$ =	0,82	Hz
b =	1,63	m
h =	63,00	m
$z_s = h_0 + 0,6 * h$ =	37,80	m
$\alpha = 0,67 + 0,05 * \ln(z_0)$ =	0,59	
De referentiehoogte z_t =	200	m
De referentielengteschaal L_t =	300	m
$L(z) = L_t * (z / z_t)^{\alpha}$ =	112,35	

$B^2 = 1 / \{1+1,5*[(b/L(z_s))^2 + (h/L(z_s))^2 + (b*h / L(z_s).L(z_s))^2]^{0,5}\}$

B^2 = 0,54

δ_s =	0,012	(buismast)
$\delta_a = c_f * \rho * b * v_m(z_s) / (2*n_1*m_e)$ =	0,058	
δ_d =	0	nvt, geen dempinstallatie
$\delta = \delta_s + \delta_a + \delta_d$ =	0,070	
$v_m(z_s)$ =	29,63	m/s
$v_m(z)$ =	32,52	m/s
$I_v(z_s)$ =	0,19	

$S_L(z,n) = 6,8 * f_L(z,n) / \{1+10,2*f_L(z,n)\}^{5/3}$ = 0,07

$f_L(z,n) = n * L(z) / v_m(z)$ =	2,82
$c_y = c_z$ =	11,5
$\phi_y = c_y * b * n / V_m(z_s)$	0,52
$\phi_z = c_y * h * n / V_m(z_s)$	19,98
G_y =	0,5
G_z =	0,28

$K_s(n) = 1 / \{ 1 + [(G_y.\phi_y)_2 + G_z.\phi_z)^2 + (2.G_y.\phi_y.G_z.\phi_z/\pi)^2]^{0,5} \}$

$K_s(n)$ =	0,15
R^2 =	0,72
T =	600 s
$v = n_{1,x} * (R^2/(B^2+R^2))^{0,5}$ =	0,62 Hz

$k_p = \{2*\ln(v*T)\}^{0,5} + 0,6 / \{ (2*\ln(v*T))^{0,5}\}$ = 3,61

$c_s c_d$ = 1,09

3.4 - Bepaling krachtcoëfficiënt C_f

$C_f = C_{f,0} * \psi_\lambda$ doorsnede : Cirkelvormige doorsnede

$R_e = b * v(z_e) / \nu$; $v(z_e) = \{ 2 * q_p / \rho \}^{0,5}$

b is de diameter

ν is de kinematische viscositeit van de lucht $\nu = 15*10^{-6}$ m^2/s

$C_{f,0} = 1,2 + [(0,18 * \log(10*k/b)) / (1 + 0,4*\log(R_e / 10^6))]$

k = 0,20 (gegalvaniseerd staal)

ψ_λ confom EN-1991-1-4 - 7,13

member number	$v(z_e)$ m/s	R_e	$C_{f,0}$	ψ_λ	C_f
1	48,39	1,65E+06	0,80	0,81	0,65
2	48,25	1,81E+06	0,80	0,81	0,65
3	47,98	2,10E+06	0,80	0,81	0,65
4	47,67	2,41E+06	0,80	0,81	0,64
5	47,49	2,59E+06	0,80	0,81	0,64
6	47,32	2,74E+06	0,80	0,81	0,64
7	47,00	3,03E+06	0,79	0,81	0,64
8	46,63	3,33E+06	0,79	0,81	0,64
9	46,43	3,48E+06	0,79	0,81	0,64
10	46,24	3,62E+06	0,79	0,81	0,64
11	45,83	3,90E+06	0,79	0,81	0,64
12	45,39	4,17E+06	0,79	0,81	0,64
13	45,15	4,31E+06	0,79	0,81	0,64
14	44,91	4,44E+06	0,79	0,81	0,64
15	44,40	4,69E+06	0,79	0,81	0,64
16	43,94	4,88E+06	0,79	0,81	0,64
17	43,64	5,00E+06	0,79	0,81	0,64
18	43,22	5,15E+06	0,79	0,81	0,64
19	42,52	5,36E+06	0,79	0,81	0,63
20	41,74	5,54E+06	0,78	0,81	0,63
21	40,84	5,70E+06	0,78	0,81	0,63
22	39,78	5,83E+06	0,78	0,81	0,63
23	38,49	5,90E+06	0,78	0,81	0,63
24	36,90	5,91E+06	0,78	0,81	0,63
25	34,75	5,80E+06	0,77	0,81	0,62
26	31,43	5,46E+06	0,77	0,81	0,62
27	30,93	5,58E+06	0,77	0,81	0,62

3.5 - Gewicht, windoppervlak en windlast per staaf .

Gewicht (verticale belasting) bliksem en fase draden

	opstel hoogte m	aantal	gewicht / ophanging N	gewicht bevestiging N	totaal gewicht N
Bliksem	62,43	1	Vlg. KEMA rapport 74100706-ETD/POL 12-00138 V10.0 (18 - 11 - 2013) Appendix - AL, AL1 en AL2		
1e traverse - 380C1F1	54,00	1			
1e traverse - 150C1F1	54,00	1			
2e traverse - 380C1F2	45,50	1			
2e traverse - 150C1F2	45,50	1			
3e traverse - 380C1F3	37,00	1			
3e traverse - 150C1F3	37,00	1			
Retourstroomgeleider	29,50	1			
				Σ Gew (kg)	0

Excentriciteit ophanging t.o.v hart mast

	opstel hoogte m	excet. in m
Bliksem	62,43	3,200
1e traverse - 380C1F1	54,00	0,000
1e traverse - 150C1F1	54,00	6,500
2e traverse - 380C1F2	45,50	0,000
2e traverse - 150C1F2	45,50	6,500
3e traverse - 380C1F3	37,00	0,000
3e traverse - 150C1F3	37,00	6,500
Retourstroomgeleider	29,50	2,119

Windlast (horizontale belasting) bliksem en fase draden

	opstel hoogte m	aantal	F_{hor} ophanging N	F_{hor} bevestiging N	totaal $F_{hor.}$ N
Bliksem	62,43	1	Vlg. KEMA rapport		
1e traverse - 380C1F1	54,00	1			
1e traverse - 150C1F1	54,00	1			
2e traverse - 380C1F2	45,50	1			
2e traverse - 150C1F2	45,50	1			
3e traverse - 380C1F3	37,00	1			
3e traverse - 150C1F3	37,00	1			
Retourstroomgeleider	29,50	1			

3.6 - Gewicht en windbelasting van het mastlichaam

$F_{wind} = q_p(z) * C_s C_d * A$

staaf nummer	gewicht staven in N.	gewicht kab/ladder in N.	totaal gewicht in N.	windopp. staven in m².	windopp. ladder in m².	windlast in N	windlast in kN/m'.
1	1245	86	1331	0,188	0,068	409	0,718
2	5629	350	5978	0,847	0,280	1786	0,767
3	8212	435	8647	1,227	0,348	2471	0,852
4	9550	435	9985	1,419	0,348	2736	0,943
5	1180	45	1225	0,158	0,036	298	0,992
6	10890	390	11280	1,452	0,312	2693	1,036
7	13556	435	13991	1,801	0,348	3235	1,115
8	14771	428	15198	1,956	0,342	3405	1,195
9	897	23	920	0,108	0,018	185	1,234
10	16899	405	17304	2,032	0,324	3432	1,271
11	22367	435	22802	2,365	0,348	3885	1,339
12	26588	428	27015	2,509	0,342	4003	1,405
13	484	8	492	0,046	0,006	72	1,435
14	28114	420	28534	2,646	0,336	4099	1,464
15	32752	428	33180	2,874	0,342	4320	1,516
16	22413	278	22691	1,962	0,222	2874	1,553
17	12493	150	12643	1,092	0,120	1574	1,574
18	39486	428	39913	3,236	0,342	4553	1,598
19	41783	428	42211	3,415	0,342	4630	1,624
20	44081	428	44508	3,594	0,342	4673	1,640
21	46378	428	46805	3,772	0,342	4676	1,641
22	49900	438	50338	4,046	0,350	4741	1,624
23	50480	423	50903	4,080	0,338	4462	1,582
24	52729	423	53152	4,246	0,338	4253	1,508
25	54979	423	55402	4,404	0,338	3902	1,384
26	57228	423	57651	4,547	0,338	3289	1,166
27	61198	435	61633	4,854	0,348	3392	1,170
	726280	9450	735730	inkl. C_t	inkl. C_t	$\Sigma F_{mast =}$	84046

Gewicht ladder = 15 kg / m'
Windoppervlak ladder = 0,12 m^2 / m'

3.7 - Berekende belastingen

1 - Eigen gewichten (Ultimate limit state / Special limit state)

			ULS		SpLS	
knoop nummer	staaf i--j	eg mast inc. Ladder in N/m'	eg draden BG - 1a in N	eg draden BG - 3 in N	eg draden BG - 1a in N	eg draden BG - 3 in N
1	1 -- 2	2802	480	480	480	480
2	2 -- 3	3079	4074	16478	2295	3906
3	3 -- 4	3578				
4	4 -- 5	4132				
5	5 -- 6	4898				
6	6 -- 7	5206	38913	61673	26408	30371
7	7 -- 8	5789				
8	8 -- 9	6399				
9	9 -- 10	7358				
10	10 -- 11	7691	40255	63552	27644	31607
11	11 -- 12	9435				
12	12 -- 13	11375	8799	8799	8799	8799
13	13 -- 14	11805				
14	14 -- 15	12229	41613	65455	28895	32855
15	15 -- 16	13970				
16	16 -- 17	14718				
17	17 -- 18	15172	8244	32014	4834	8099
18	18 -- 19	16806				
19	19 -- 20	17773				
20	20 -- 21	18740				
21	21 -- 22	19708				
22	22 -- 23	20687	35470	35470	35470	35470
23	23 -- 24	21661				
24	24 -- 25	22618				
25	25 -- 26	23575				
26	26 -- 27	24532				
27	27 -- 28	25503				
28			34851	34851	34851	34851

KEMA rapport - bijlage AL / AL1 - windhoek 90 graden

eg flenzen + ringen * γ_g (γ_g = 1,2)

eg mast * γ_g (γ_g = 1,2)

Berekende gewichten voor voetplaat, flenzen en ringen

Voetplaat : rond 3266 / 2186 , t = 80 mm ; G = 2904 kg
Flenzen op 17,1m : 2 * rond 2146 / 1615 , t = 120 mm ; G = 2956 kg
Flenzen op 39,9m : 2 * rond 1328 / 1010 , t = 80 mm ; G = 733 kg
Topplaat / Hijsplaat + kap : rond 500 / 300 , t = 30 mm ; G = 40 kg
Bevestigingsringen op 54m : 2 * rond 1343 / 823 , t = 25 mm ; G = 347 kg
Bevestigingsringen op 45,5m : 2 * rond 1647 / 1127 , t = 25 mm ; G = 445 kg
Bevestigingsringen op 37m : 2 * rond 1952 / 1432 , t = 25 mm ; G = 542 kg

2 - Horizontale belasting (Serviceability limit state)

knoop nummer	staaf i--j	wind belasting mast in N/m'	hor. Bel. draden BG - 1a in N	hor. Bel. draden BG - 1b in N	hor. Bel. draden BG - 3 in N	hor. Bel. draden BG - 4 in N
1	1 -- 2	718				
2	2 -- 3	767	14416	6169	18877	7004
3	3 -- 4	852				
4	4 -- 5	943				
5	5 -- 6	992				
6	6 -- 7	1036	137173	83912	123893	77215
7	7 -- 8	1115				
8	8 -- 9	1195				
9	9 -- 10	1234				
10	10 -- 11	1271	131582	83154	121507	76545
11	11 -- 12	1339				
12	12 -- 13	1405				
13	13 -- 14	1435				
14	14 -- 15	1464	124963	82268	118723	75763
15	15 -- 16	1516				
16	16 -- 17	1553				
17	17 -- 18	1574	23907	11651	33545	13686
18	18 -- 19	1598				
19	19 -- 20	1624				
20	20 -- 21	1640				
21	21 -- 22	1641				
22	22 -- 23	1624				
23	23 -- 24	1582				
24	24 -- 25	1508				
25	25 -- 26	1384				
26	26 -- 27	1166				
27	27 -- 28	1170				
28						

KEMA rapport - bijlage AL2 - windhoek 90 graden

wind mast * γ_q (γ_q = 1,0)

3 - Horizontale belasting (Ultimate limit state / Special limit state)

			ULS		SPLS	
knoop nummer	staaf i--j	wind belasting mast in N/m'	hor. Bel. draden BG - 1a in N	hor. Bel. draden BG - 3 in N	hor. Bel. draden BG - 1a in N	hor. Bel. draden BG - 3 in N
1	1 -- 2	1149				
2	2 -- 3	1227	20317	25921	28592	42966
3	3 -- 4	1363				
4	4 -- 5	1509				
5	5 -- 6	1588				
6	6 -- 7	1657	185992	159478	236792	257571
7	7 -- 8	1785				
8	8 -- 9	1912				
9	9 -- 10	1975				
10	10 -- 11	2034	177834	155893	231081	253469
11	11 -- 12	2143				
12	12 -- 13	2247				
13	13 -- 14	2296				
14	14 -- 15	2342	168133	151702	224446	248770
15	15 -- 16	2425				
16	16 -- 17	2486				
17	17 -- 18	2518	33356	45550	50830	76870
18	18 -- 19	2556				
19	19 -- 20	2599				
20	20 -- 21	2624				
21	21 -- 22	2625				
22	22 -- 23	2598				
23	23 -- 24	2531				
24	24 -- 25	2413				
25	25 -- 26	2214				
26	26 -- 27	1866				
27	27 -- 28	1871				
28						

KEMA rapport - bijlage AL / AL1 - windhoek 90 graden

wind mast * γ_q (γ_q = 1,6)

Opmerking:
De maximale horizontale belasting is gerekend met de vectoriele som van transversale en longitudinale belastingen.

$$F_{hor} = \{ F^2_{transver.} + F^2_{longit.} \}^{0,5}$$

4.0 - Resultaat berekeningen

4.1 - Berekenen verplaatsingen in SLS-toestand (Servieability limit state)

A - Wind belasting mastlichaam (incl. 2e orde effect)

knoop nummer	staaf i--j	$Q_{last;hor}$ N	$F_{last;hor}$ N	dwarskr. N	moment Nmm	hoekver. rad.	hor. verpl. mm
1	1 -- 2	409		0	0,00E+00	2,92E-03	98
2	2 -- 3	1786		409	1,25E+05	2,92E-03	96
3	3 -- 4	2471		2196	3,23E+06	2,91E-03	89
4	4 -- 5	2736		4666	1,33E+07	2,85E-03	81
5	5 -- 6	298		7402	3,11E+07	2,75E-03	73
6	6 -- 7	2693		7700	3,34E+07	2,74E-03	72
7	7 -- 8	3235		10392	5,74E+07	2,62E-03	65
8	8 -- 9	3405		13627	9,29E+07	2,47E-03	58
9	9 -- 10	185		17032	1,37E+08	2,30E-03	51
10	10 -- 11	3432		17217	1,40E+08	2,29E-03	51
11	11 -- 12	3885		20649	1,92E+08	2,13E-03	45
12	12 -- 13	4003		24534	2,59E+08	1,97E-03	39
13	13 -- 14	72		28537	3,35E+08	1,82E-03	33
14	14 -- 15	4099		28608	3,37E+08	1,82E-03	33
15	15 -- 16	4320		32707	4,24E+08	1,67E-03	28
16	16 -- 17	2874		37027	5,25E+08	1,53E-03	24
17	17 -- 18	1574		39901	5,97E+08	1,43E-03	21
18	18 -- 19	4553		41475	6,38E+08	1,38E-03	20
19	19 -- 20	4630		46028	7,64E+08	1,24E-03	16
20	20 -- 21	4673		50657	9,03E+08	1,10E-03	12
21	21 -- 22	4676		55331	1,06E+09	9,59E-04	10
22	22 -- 23	4741		60007	1,22E+09	8,19E-04	7
23	23 -- 24	4462		64748	1,40E+09	6,77E-04	5
24	24 -- 25	4253		69209	1,59E+09	5,39E-04	3
25	25 -- 26	3902		73463	1,80E+09	4,03E-04	2
26	26 -- 27	3289		77365	2,01E+09	2,68E-04	1
27	27 -- 28	3392		80655	2,23E+09	1,35E-04	0
28				84046	2,47E+09	0,00E+00	0

B - Horizontale belasting - belastinggeval 1a (incl. 2e orde effect)

knoop nummer	staaf i--j	$Q_{last;hor}$ N	$F_{last;hor}$ N	dwarskr. N	moment Nmm	hoekver. rad.	hor. verpl. mm
1	1 -- 2			0	0,00E+00	2,94E-02	985
2	2 -- 3		14416	14416	8,44E+04	2,94E-02	968
3	3 -- 4			14416	3,44E+07	2,93E-02	899
4	4 -- 5			14416	7,79E+07	2,89E-02	815
5	5 -- 6			14416	1,22E+08	2,84E-02	732
6	6 -- 7		137173	151589	1,27E+08	2,83E-02	724
7	7 -- 8			151589	5,26E+08	2,75E-02	651
8	8 -- 9			151589	9,73E+08	2,60E-02	573
9	9 -- 10			151589	1,41E+09	2,42E-02	501
10	10 -- 11		131582	283171	1,44E+09	2,41E-02	498
11	11 -- 12			283171	2,21E+09	2,23E-02	435
12	12 -- 13			283171	3,04E+09	2,05E-02	373
13	13 -- 14			283171	3,86E+09	1,87E-02	317
14	14 -- 15		124963	408134	3,88E+09	1,87E-02	316
15	15 -- 16			408134	5,03E+09	1,70E-02	266
16	16 -- 17			408134	6,21E+09	1,52E-02	220
17	17 -- 18		23907	432041	6,97E+09	1,41E-02	193
18	18 -- 19			432041	7,41E+09	1,35E-02	179
19	19 -- 20			432041	8,66E+09	1,19E-02	143
20	20 -- 21			432041	9,90E+09	1,03E-02	111
21	21 -- 22			432041	1,11E+10	8,83E-03	83
22	22 -- 23			432041	1,24E+10	7,39E-03	60
23	23 -- 24			432041	1,37E+10	5,97E-03	41
24	24 -- 25			432041	1,49E+10	4,66E-03	26
25	25 -- 26			432041	1,61E+10	3,42E-03	14
26	26 -- 27			432041	1,73E+10	2,23E-03	6
27	27 -- 28			432041	1,86E+10	1,10E-03	2
28	28 -- 29			432041	1,98E+10	0,00E+00	0

C - Horizontale belasting - belastinggeval 1b (incl. 2e orde effect)

knoop nummer	staaf i--j	$Q_{last;hor}$ N	$F_{last;hor}$ N	dwarskr. N	moment Nmm	hoekver. rad.	hor. verpl. mm
1	1 -- 2			0	0,00E+00	1,75E-02	598
2	2 -- 3		6169	6169	5,03E+04	1,75E-02	588
3	3 -- 4			6169	1,49E+07	1,75E-02	547
4	4 -- 5			6169	3,37E+07	1,73E-02	497
5	5 -- 6			6169	5,31E+07	1,71E-02	447
6	6 -- 7		83912	90081	5,53E+07	1,71E-02	442
7	7 -- 8			90081	2,93E+08	1,66E-02	398
8	8 -- 9			90081	5,58E+08	1,57E-02	351
9	9 -- 10			90081	8,19E+08	1,47E-02	307
10	10 -- 11		83154	173235	8,33E+08	1,47E-02	305
11	11 -- 12			173235	1,31E+09	1,36E-02	267
12	12 -- 13			173235	1,82E+09	1,25E-02	229
13	13 -- 14			173235	2,32E+09	1,15E-02	195
14	14 -- 15		82268	255503	2,33E+09	1,15E-02	194
15	15 -- 16			255503	3,05E+09	1,04E-02	163
16	16 -- 17			255503	3,79E+09	9,35E-03	135
17	17 -- 18		11651	267154	4,26E+09	8,67E-03	118
18	18 -- 19			267154	4,53E+09	8,30E-03	110
19	19 -- 20			267154	5,30E+09	7,32E-03	88
20	20 -- 21			267154	6,07E+09	6,36E-03	68
21	21 -- 22			267154	6,84E+09	5,43E-03	51
22	22 -- 23			267154	7,61E+09	4,54E-03	37
23	23 -- 24			267154	8,40E+09	3,67E-03	25
24	24 -- 25			267154	9,16E+09	2,87E-03	16
25	25 -- 26			267154	9,92E+09	2,10E-03	9
26	26 -- 27			267154	1,07E+10	1,37E-03	4
27	27 -- 28			267154	1,14E+10	6,79E-04	1
28				267154	1,22E+10	0,00E+00	0

D - Horizontale belasting - belastinggeval 3 (incl. 2e orde effect)

knoop nummer	staaf i--j	$Q_{last;hor}$ N	$F_{last;hor}$ N	dwarskr. N	moment Nmm	hoekver. rad.	hor. verpl. mm
1	1 -- 2			0	0,00E+00	2,86E-02	943
2	2 -- 3		18877	18877	8,22E+04	2,86E-02	926
3	3 -- 4			18877	4,48E+07	2,84E-02	860
4	4 -- 5			18877	1,01E+08	2,79E-02	778
5	5 -- 6			18877	1,58E+08	2,73E-02	698
6	6 -- 7		123893	142769	1,64E+08	2,72E-02	690
7	7 -- 8			142769	5,41E+08	2,63E-02	620
8	8 -- 9			142769	9,61E+08	2,48E-02	546
9	9 -- 10			142769	1,38E+09	2,30E-02	477
10	10 -- 11		121507	264277	1,40E+09	2,29E-02	474
11	11 -- 12			264277	2,12E+09	2,12E-02	414
12	12 -- 13			264277	2,90E+09	1,94E-02	355
13	13 -- 14			264277	3,66E+09	1,78E-02	302
14	14 -- 15		118723	383000	3,67E+09	1,78E-02	301
15	15 -- 16			383000	4,76E+09	1,61E-02	253
16	16 -- 17			383000	5,86E+09	1,45E-02	210
17	17 -- 18		33545	416544	6,58E+09	1,34E-02	184
18	18 -- 19			416544	7,00E+09	1,29E-02	171
19	19 -- 20			416544	8,20E+09	1,13E-02	136
20	20 -- 21			416544	9,40E+09	9,87E-03	106
21	21 -- 22			416544	1,06E+10	8,43E-03	80
22	22 -- 23			416544	1,18E+10	7,05E-03	58
23	23 -- 24			416544	1,30E+10	5,70E-03	39
24	24 -- 25			416544	1,42E+10	4,45E-03	25
25	25 -- 26			416544	1,54E+10	3,27E-03	14
26	26 -- 27			416544	1,66E+10	2,13E-03	6
27	27 -- 28			416544	1,78E+10	1,06E-03	2
28				416544	1,90E+10	0,00E+00	0

E - Horizontale belasting - belastinggeval 4 (incl. 2e orde effect)

knoop nummer	staaf i--j	$Q_{last;hor}$ N	$F_{last;hor}$ N	dwarskr. N	moment Nmm	hoekver. rad.	hor. verpl. mm
1	1 -- 2			0	0,00E+00	1,65E-02	560
2	2 -- 3		7004	7004	4,74E+04	1,65E-02	550
3	3 -- 4			7004	1,68E+07	1,65E-02	512
4	4 -- 5			7004	3,80E+07	1,63E-02	464
5	5 -- 6			7004	5,97E+07	1,60E-02	417
6	6 -- 7		77215	84219	6,21E+07	1,60E-02	413
7	7 -- 8			84219	2,84E+08	1,56E-02	372
8	8 -- 9			84219	5,32E+08	1,47E-02	328
9	9 -- 10			84219	7,76E+08	1,37E-02	287
10	10 -- 11		76545	160764	7,89E+08	1,37E-02	285
11	11 -- 12			160764	1,23E+09	1,27E-02	249
12	12 -- 13			160764	1,70E+09	1,17E-02	214
13	13 -- 14			160764	2,17E+09	1,07E-02	182
14	14 -- 15		75763	236527	2,17E+09	1,07E-02	181
15	15 -- 16			236527	2,84E+09	9,70E-03	152
16	16 -- 17			236527	3,53E+09	8,73E-03	126
17	17 -- 18		13686	250213	3,97E+09	8,09E-03	111
18	18 -- 19			250213	4,22E+09	7,74E-03	103
19	19 -- 20			250213	4,94E+09	6,83E-03	82
20	20 -- 21			250213	5,66E+09	5,94E-03	64
21	21 -- 22			250213	6,39E+09	5,07E-03	48
22	22 -- 23			250213	7,11E+09	4,24E-03	35
23	23 -- 24			250213	7,84E+09	3,43E-03	23
24	24 -- 25			250213	8,55E+09	2,68E-03	15
25	25 -- 26			250213	9,26E+09	1,96E-03	8
26	26 -- 27			250213	9,97E+09	1,28E-03	4
27	27 -- 28			250213	1,07E+10	6,35E-04	1
28				250213	1,14E+10	0,00E+00	0

F - Excentriciteit moment t.g.v. eigengewicht draden

knoop nummer	staaf i--j	$Q_{last;hor}$ N	$F_{last;hor}$ N	dwarskr. N	moment Nmm	hoekver. rad.	hor. verpl. mm
1	1 -- 2				0,00E+00	7,69E-04	14
2	2 -- 3				1,08E+07	7,69E-04	13
3	3 -- 4				1,08E+07	6,64E-04	11
4	4 -- 5				1,08E+07	5,83E-04	10
5	5 -- 6				1,08E+07	5,31E-04	8
6	6 -- 7				3,45E+07	5,28E-04	8
7	7 -- 8				3,45E+07	4,39E-04	7
8	8 -- 9				3,45E+07	3,68E-04	5
9	9 -- 10				3,45E+07	3,16E-04	4
10	10 -- 11				5,82E+07	3,14E-04	4
11	11 -- 12				5,82E+07	2,58E-04	4
12	12 -- 13				5,82E+07	2,16E-04	3
13	13 -- 14				5,82E+07	1,87E-04	2
14	14 -- 15				8,21E+07	1,86E-04	2
15	15 -- 16				8,21E+07	1,54E-04	2
16	16 -- 17				8,21E+07	1,29E-04	2
17	17 -- 18				9,65E+07	1,15E-04	1
18	18 -- 19				9,65E+07	1,07E-04	1
19	19 -- 20				9,65E+07	8,75E-05	1
20	20 -- 21				9,65E+07	7,12E-05	1
21	21 -- 22				9,65E+07	5,74E-05	0
22	22 -- 23				9,65E+07	4,55E-05	0
23	23 -- 24				9,65E+07	3,50E-05	0
24	24 -- 25				9,65E+07	2,62E-05	0
25	25 -- 26				9,65E+07	1,84E-05	0
26	26 -- 27				9,65E+07	1,16E-05	0
27	27 -- 28				9,65E+07	5,54E-06	0
28					9,65E+07	0,00E+00	0

4.2 - Maximale horizontale verplaatsingen in SLS-toestand

Maatgevende combinatie - Serviceability limit state:)*

Eigengewicht conductors, insulators	G_k =	1,00	1,00
Windbelasting mastlichaam	Q_{wk} =	1,00	0,30
Belasting geval 1a	Q_{wk} =	1,00	0,00
Belasting geval 1b	Q_{wk} =	0,00	0,00
Belasting geval 3	Q_{ik} =	0,00	1,00
Belasting geval 4	Q_{pk} =	0,00	0,00

knoop nummer	staaf i--j	hoekver. φ radian	verpl. δ_{hor} mm
1	1 -- 2	3,3E-02	1096
2	2 -- 3	3,3E-02	1077
3	3 -- 4	3,3E-02	1000
4	4 -- 5	3,2E-02	906
5	5 -- 6	3,2E-02	813
6	6 -- 7	3,2E-02	803
7	7 -- 8	3,1E-02	722
8	8 -- 9	2,9E-02	636
9	9 -- 10	2,7E-02	557
10	10 -- 11	2,7E-02	553
11	11 -- 12	2,5E-02	483
12	12 -- 13	2,3E-02	414
13	13 -- 14	2,1E-02	352
14	14 -- 15	2,1E-02	351
15	15 -- 16	1,9E-02	296
16	16 -- 17	1,7E-02	245
17	17 -- 18	1,6E-02	215
18	18 -- 19	1,5E-02	199
19	19 -- 20	1,3E-02	159
20	20 -- 21	1,2E-02	124
21	21 -- 22	9,9E-03	93
22	22 -- 23	8,3E-03	68
23	23 -- 24	6,7E-03	46
24	24 -- 25	5,2E-03	29
25	25 -- 26	3,8E-03	16
26	26 -- 27	2,5E-03	7
27	27 -- 28	1,2E-03	2
28	28 -- 29	0,0E+00	0

)* - Maatgevende belastingcombinatie

4.3 - Toetsing maximale horizontale verplaatsingen

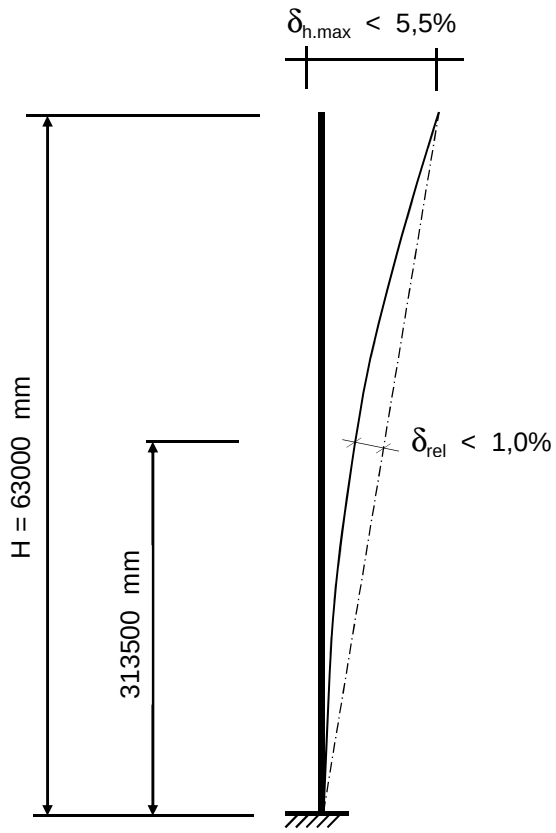

Controle verplaatsingen

δ_h = 1096 mm ----> δ_h *100 / 63000

Percentage uitbuig. = 1,74 % voldoet , max verpl. < 5,5 %

max. relatieve verplaatsing mast, t.p.v knoop x :

δ_{rel} = [{δ_{hor} * (hoogte knoop x) / (totale hoogte)} - $\delta_{knoop\ x}$] * Cosα

Knoop 16 ; Hoogte = 31350 mm
$\delta_{knoop\ x}$ = 245 mm
α = 1,00 graden

δ_{rel} = 300 mm ----> δ_h *100 / 63000

Percentage uitbuig. = 0,48 % voldoet , max verpl. < 1 %

De maximale verplaatsing voldoet aan stijfheidseisen volgen NEN -EN 50341-3 (november 2001) .

4.4 - Berekening krachten in ULS/SpLS-toestand - (Ultimate en Special limit state)

A - Wind belasting mastlichaam

knoop nummer	staaf i--j	$Q_{last;hor}$ N	normaalkr. N	dwarskr. N	moment Nmm	hoekver. rad.	hor. verpl. mm
1	1 -- 2	614	480	0	0,00E+00	4,61E-03	155
2	2 -- 3	2679	6151	655	1,87E+05	4,61E-03	152
3	3 -- 4	3706	13324	3513	5,04E+06	4,59E-03	141
4	4 -- 5	4104	23701	7466	2,10E+07	4,50E-03	128
5	5 -- 6	447	35683	11843	4,90E+07	4,34E-03	115
6	6 -- 7	4039	76066	12319	5,26E+07	4,32E-03	114
7	7 -- 8	4852	89601	16628	9,02E+07	4,14E-03	103
8	8 -- 9	5108	106391	21803	1,46E+08	3,90E-03	91
9	9 -- 10	278	124628	27251	2,16E+08	3,63E-03	81
10	10 -- 11	5148	165987	27548	2,20E+08	3,62E-03	80
11	11 -- 12	5827	186752	33039	3,02E+08	3,37E-03	71
12	12 -- 13	6005	222913	39254	4,07E+08	3,11E-03	61
13	13 -- 14	108	255331	45659	5,28E+08	2,88E-03	53
14	14 -- 15	6148	297535	45774	5,30E+08	2,88E-03	52
15	15 -- 16	6480	331775	52332	6,67E+08	2,64E-03	45
16	16 -- 17	4311	371591	59243	8,26E+08	2,41E-03	37
17	17 -- 18	2361	407063	63842	9,40E+08	2,26E-03	33
18	18 -- 19	6829	422235	66360	1,01E+09	2,18E-03	31
19	19 -- 20	6945	470131	73644	1,20E+09	1,96E-03	25
20	20 -- 21	7010	520784	81052	1,43E+09	1,74E-03	20
21	21 -- 22	7015	574193	88529	1,67E+09	1,52E-03	15
22	22 -- 23	7111	665829	96011	1,93E+09	1,30E-03	11
23	23 -- 24	6692	726235	103597	2,22E+09	1,07E-03	8
24	24 -- 25	6380	787319	110735	2,52E+09	8,55E-04	5
25	25 -- 26	5853	851101	117541	2,85E+09	6,39E-04	3
26	26 -- 27	4934	917584	123784	3,19E+09	4,26E-04	1
27	27 -- 28	5088	986765	129047	3,54E+09	2,14E-04	0
28			1095575	134474	3,92E+09	0,00E+00	0

B - Horizontale belasting - belastinggeval 1a (ULS)

knoop nummer	staaf i--j	$Q_{last;hor}$ N	$F_{last;hor.}$ N	dwarskr. N	moment Nmm	hoekver. rad.	hor. verpl. mm
1	1 -- 2			0	0,00E+00	3,96E-02	1321
2	2 -- 3		20317	20317	0,00E+00	3,96E-02	1298
3	3 -- 4			20317	4,73E+07	3,93E-02	1206
4	4 -- 5			20317	1,06E+08	3,87E-02	1093
5	5 -- 6			20317	1,65E+08	3,81E-02	982
6	6 -- 7		185992	206309	1,71E+08	3,80E-02	970
7	7 -- 8			206309	7,08E+08	3,69E-02	873
8	8 -- 9			206309	1,31E+09	3,48E-02	768
9	9 -- 10			206309	1,89E+09	3,24E-02	672
10	10 -- 11		177834	384143	1,92E+09	3,23E-02	667
11	11 -- 12			384143	2,96E+09	3,00E-02	583
12	12 -- 13			384143	4,08E+09	2,74E-02	500
13	13 -- 14			384143	5,17E+09	2,51E-02	425
14	14 -- 15		168133	552276	5,19E+09	2,51E-02	423
15	15 -- 16			552276	6,74E+09	2,27E-02	356
16	16 -- 17			552276	8,31E+09	2,04E-02	295
17	17 -- 18		33356	585632	9,33E+09	1,89E-02	258
18	18 -- 19			585632	9,92E+09	1,81E-02	240
19	19 -- 20			585632	1,16E+10	1,60E-02	191
20	20 -- 21			585632	1,33E+10	1,39E-02	149
21	21 -- 22			585632	1,49E+10	1,18E-02	112
22	22 -- 23			585632	1,66E+10	9,90E-03	81
23	23 -- 24			585632	1,83E+10	8,00E-03	55
24	24 -- 25			585632	2,00E+10	6,25E-03	35
25	25 -- 26			585632	2,16E+10	4,58E-03	19
26	26 -- 27			585632	2,33E+10	2,99E-03	9
27	27 -- 28			585632	2,49E+10	1,48E-03	2
28				585632	2,66E+10	0,00E+00	0

C - Horizontale belasting - belastinggeval 3 (ULS)

knoop nummer	staaf i--j	$Q_{last;hor}$ N	$F_{last;hor.}$ N	dwarskr. N	moment Nmm	hoekver. rad.	hor. verpl. mm
1	1 -- 2			0	0,00E+00	3,68E-02	1207
2	2 -- 3		25921	25921	0,00E+00	3,68E-02	1186
3	3 -- 4			25921	6,04E+07	3,65E-02	1100
4	4 -- 5			25921	1,36E+08	3,58E-02	995
5	5 -- 6			25921	2,11E+08	3,50E-02	893
6	6 -- 7		159478	185400	2,19E+08	3,49E-02	882
7	7 -- 8			185400	7,01E+08	3,37E-02	793
8	8 -- 9			185400	1,24E+09	3,17E-02	698
9	9 -- 10			185400	1,77E+09	2,95E-02	610
10	10 -- 11		155893	341293	1,79E+09	2,93E-02	606
11	11 -- 12			341293	2,72E+09	2,72E-02	529
12	12 -- 13			341293	3,71E+09	2,49E-02	454
13	13 -- 14			341293	4,68E+09	2,28E-02	386
14	14 -- 15		151702	492995	4,70E+09	2,27E-02	385
15	15 -- 16			492995	6,08E+09	2,06E-02	324
16	16 -- 17			492995	7,48E+09	1,85E-02	268
17	17 -- 18		45550	538545	8,39E+09	1,72E-02	235
18	18 -- 19			538545	8,93E+09	1,64E-02	218
19	19 -- 20			538545	1,05E+10	1,45E-02	174
20	20 -- 21			538545	1,20E+10	1,26E-02	135
21	21 -- 22			538545	1,35E+10	1,08E-02	102
22	22 -- 23			538545	1,51E+10	9,02E-03	74
23	23 -- 24			538545	1,66E+10	7,29E-03	50
24	24 -- 25			538545	1,82E+10	5,70E-03	31
25	25 -- 26			538545	1,97E+10	4,18E-03	18
26	26 -- 27			538545	2,12E+10	2,73E-03	8
27	27 -- 28			538545	2,27E+10	1,35E-03	2
28				538545	2,43E+10	0,00E+00	0

D - Horizontale belasting - belastinggeval 1a (SpLS)

knoop nummer	staaf i--j	$Q_{last;hor}$ N	$F_{last;hor.}$ N	dwarskr. N	moment Nmm	hoekver. rad.	hor. verpl. mm
1	1 -- 2			0	0,00E+00	5,17E-02	1724
2	2 -- 3		28592	28592	0,00E+00	5,17E-02	1695
3	3 -- 4			28592	6,66E+07	5,14E-02	1574
4	4 -- 5			28592	1,50E+08	5,06E-02	1426
5	5 -- 6			28592	2,32E+08	4,97E-02	1281
6	6 -- 7		236792	265383	2,41E+08	4,96E-02	1266
7	7 -- 8			265383	9,31E+08	4,81E-02	1139
8	8 -- 9			265383	1,70E+09	4,53E-02	1003
9	9 -- 10			265383	2,46E+09	4,23E-02	878
10	10 -- 11		231081	496464	2,50E+09	4,21E-02	871
11	11 -- 12			496464	3,84E+09	3,90E-02	762
12	12 -- 13			496464	5,28E+09	3,58E-02	653
13	13 -- 14			496464	6,69E+09	3,28E-02	555
14	14 -- 15		224446	720911	6,72E+09	3,27E-02	554
15	15 -- 16			720911	8,74E+09	2,97E-02	466
16	16 -- 17			720911	1,08E+10	2,67E-02	386
17	17 -- 18		50830	771741	1,21E+10	2,47E-02	338
18	18 -- 19			771741	1,29E+10	2,37E-02	314
19	19 -- 20			771741	1,51E+10	2,09E-02	250
20	20 -- 21			771741	1,73E+10	1,81E-02	195
21	21 -- 22			771741	1,95E+10	1,55E-02	147
22	22 -- 23			771741	2,17E+10	1,30E-02	106
23	23 -- 24			771741	2,39E+10	1,05E-02	72
24	24 -- 25			771741	2,61E+10	8,19E-03	45
25	25 -- 26			771741	2,83E+10	6,01E-03	25
26	26 -- 27			771741	3,05E+10	3,92E-03	11
27	27 -- 28			771741	3,27E+10	1,94E-03	3
28				771741	3,49E+10	0,00E+00	0

E - Horizontale belasting - belastinggeval 3 (SpLS)

knoop nummer	staaf i--j	$Q_{last;hor}$ N	F_{last} N	dwarskr. N	moment Nmm	hoekver. rad.	hor. verpl. mm
1	1 -- 2			0	0,00E+00	6,00E-02	1965
2	2 -- 3		42966	42966	0,00E+00	6,00E-02	1931
3	3 -- 4			42966	1,00E+08	5,95E-02	1792
4	4 -- 5			42966	2,25E+08	5,83E-02	1621
5	5 -- 6			42966	3,49E+08	5,69E-02	1453
6	6 -- 7		257571	300537	3,62E+08	5,68E-02	1436
7	7 -- 8			300537	1,14E+09	5,48E-02	1291
8	8 -- 9			300537	2,02E+09	5,16E-02	1136
9	9 -- 10			300537	2,87E+09	4,79E-02	994
10	10 -- 11		253469	554007	2,92E+09	4,78E-02	987
11	11 -- 12			554007	4,41E+09	4,42E-02	862
12	12 -- 13			554007	6,02E+09	4,05E-02	739
13	13 -- 14			554007	7,60E+09	3,71E-02	629
14	14 -- 15		248770	802777	7,63E+09	3,70E-02	627
15	15 -- 16			802777	9,87E+09	3,35E-02	528
16	16 -- 17			802777	1,22E+10	3,02E-02	437
17	17 -- 18		76870	879647	1,36E+10	2,80E-02	383
18	18 -- 19			879647	1,45E+10	2,68E-02	356
19	19 -- 20			879647	1,70E+10	2,36E-02	284
20	20 -- 21			879647	1,95E+10	2,06E-02	221
21	21 -- 22			879647	2,20E+10	1,76E-02	166
22	22 -- 23			879647	2,46E+10	1,47E-02	120
23	23 -- 24			879647	2,71E+10	1,19E-02	81
24	24 -- 25			879647	2,96E+10	9,29E-03	51
25	25 -- 26			879647	3,21E+10	6,81E-03	29
26	26 -- 27			879647	3,46E+10	4,45E-03	13
27	27 -- 28			879647	3,70E+10	2,20E-03	3
28				879647	3,96E+10	0,00E+00	0

F - Excentriciteit moment t.g.v. eigengewicht draden

knoop nummer	staaf i--j	$Q_{last;hor}$ N	F_{last} N	dwarskr. N	moment Nmm	hoekver. rad.	hor. verpl. mm
1	1 -- 2				0,00E+00	9,21E-04	16
2	2 -- 3				1,30E+07	9,21E-04	16
3	3 -- 4				1,30E+07	7,94E-04	14
4	4 -- 5				1,30E+07	6,96E-04	12
5	5 -- 6				1,30E+07	6,33E-04	10
6	6 -- 7				4,11E+07	6,29E-04	9
7	7 -- 8				4,11E+07	5,23E-04	8
8	8 -- 9				4,11E+07	4,38E-04	7
9	9 -- 10				4,11E+07	3,77E-04	5
10	10 -- 11				6,93E+07	3,74E-04	5
11	11 -- 12				6,93E+07	3,07E-04	4
12	12 -- 13				6,93E+07	2,57E-04	4
13	13 -- 14				6,93E+07	2,23E-04	3
14	14 -- 15				9,76E+07	2,22E-04	3
15	15 -- 16				9,76E+07	1,84E-04	2
16	16 -- 17				9,76E+07	1,54E-04	2
17	17 -- 18				1,15E+08	1,37E-04	2
18	18 -- 19				1,15E+08	1,27E-04	1
19	19 -- 20				1,15E+08	1,04E-04	1
20	20 -- 21				1,15E+08	8,50E-05	1
21	21 -- 22				1,15E+08	6,85E-05	1
22	22 -- 23				1,15E+08	5,43E-05	0
23	23 -- 24				1,15E+08	4,18E-05	0
24	24 -- 25				1,15E+08	3,12E-05	0
25	25 -- 26				1,15E+08	2,20E-05	0
26	26 -- 27				1,15E+08	1,38E-05	0
27	27 -- 28				1,15E+08	6,61E-06	0
28					1,15E+08	0,00E+00	0

4.5 - Maximale krachten in ULS / SpLS -toestand

			)**
Eigengewicht conductors, insulators	G_k =	1,20	1,20
Eigengewicht conductors, insulators	G_k =	1,20	1,20
Windbelasting mastlichaam	Q_{wk} =	0,78	0,36
Belasting geval 1a (ULS)	Q_{wk} =	0,00	0,00
Belasting geval 3 (ULS)	Q_{ik} =	0,00	0,00
Belasting geval 1a (SpLS)	Q_{wk} =	1,50	0,00
Belasting geval 3 (SpLS)	Q_{ik} =	0,00	1,50

knoop nummer	staaf i--j	normaal kr. kN	dwars kr. kN	moment kNm
1	1 -- 2	0,48	0,00	0,00
2	2 -- 3	18,56	43,11	52,78
3	3 -- 4	25,73	43,76	114,55
4	4 -- 5	36,11	44,65	241,93
5	5 -- 6	48,09	45,63	372,83
6	6 -- 7	111,23	303,31	420,60
7	7 -- 8	124,77	304,28	1210,46
8	8 -- 9	141,55	305,44	2094,56
9	9 -- 10	159,79	306,67	2966,82
10	10 -- 11	224,45	560,20	3046,98
11	11 -- 12	245,21	561,44	4561,20
12	12 -- 13	281,37	562,84	6191,40
13	13 -- 14	313,79	564,28	7797,54
14	14 -- 15	379,84	813,08	7860,01
15	15 -- 16	414,08	814,55	10138,69
16	16 -- 17	453,89	816,11	12462,38
17	17 -- 18	513,14	894,01	13990,29
18	18 -- 19	528,31	894,58	14884,59
19	19 -- 20	576,20	896,22	17436,47
20	20 -- 21	626,86	897,88	19993,07
21	21 -- 22	680,27	899,57	22554,43
22	22 -- 23	771,90	901,25	25120,59
23	23 -- 24	832,31	902,96	27754,74
24	24 -- 25	893,39	904,56	30303,34
25	25 -- 26	957,17	906,09	32856,36
26	26 -- 27	1023,66	907,50	35413,53
27	27 -- 28	1092,84	908,68	37974,34
28		1201,65	909,90	40611,29

)** - Maatgevende belastingcombinatie voor alle staven (geval 3 - SpLS)

4.6 - Toetsing van de doorsnede

Elasticiteitsmodulus E-	N/mm^2	210000	
Vloeigrens f_y	N/mm^2	355	Voor wanddikte t < 40
Vloeigrens f_y	N/mm^2	335	Voor wanddikte t >= 40

A- Controle buigspanning

Toetsingregel :

$$N_{Ed} / N_{Rd} + M_{y,Ed} / M_{y,Rd} <= 1$$

waarin: $M_{y,Ed} = M_{1;y,Ed} + \Sigma N_{Ed,i} * \delta_{rel.i}$

$M_{1;y,Ed}$ = buigende moment uit komputer

$N_{Ed,i}$ = normaal kracht uit komputer uitvoer ter plaatse knoop i

$\delta_{rel,i}$ = maximale horizontale verplaatsing t.p.v. knoop i = $\delta_{i,max} - \delta_{j,max}$

$M_{y;el,Rd} = W_{y;el} * f_y$; $N_{Rd} = A * f_y$

staaf nummer	profiel $D_{voet} - D_{top}$ mm	moment $M_{1;y,Ed}$ kNm	drukkracht $N_{c,Rd}$ kN	rel.verpl. $\delta_{rel.}$ mm	$M_{y,Ed}$ in kNm	$M_{y;el,Rd}$ in kNm	toetsings-regel
1	500 / 708	52,78	18,56	19	53,1	1224,6	0,05
2	500 / 708	114,55	25,73	77	116,9	1673,3	0,07
3	500 / 708	241,93	36,11	95	247,7	2329,4	0,11
4	708 / 812	372,83	48,09	93	383,0	3094,0	0,13
5	812 / 1122	420,60	111,23	9	431,9	3506,7	0,13
6	812 / 1122	1210,46	124,77	81	1231,8	4378,8	0,29
7	812 / 1122	2094,56	141,55	86	2128,2	5465,8	0,40
8	812 / 1122	2966,82	159,79	79	3013,1	6651,5	0,46
9	1122/ 1224	3046,98	224,45	4	3094,2	7349,4	0,43
10	1122/ 1224	4561,20	245,21	70	4625,5	8705,9	0,54
11	1224/ 1328	6191,40	281,37	69	6275,0	11614,7	0,55
12	1328/ 1532	7797,54	313,79	62	7900,6	15052,5	0,53
13	1328/ 1532	7860,01	379,84	1	7963,5	15091,3	0,54
14	1328/ 1532	10138,69	414,08	55	10265,1	17347,8	0,60
15	1532/ 1737	12462,38	453,89	51	12611,9	21142,6	0,60
16	1532/ 1737	13990,29	513,14	30	14155,3	22942,4	0,63
17	1532/ 1737	14884,59	528,31	15	15057,6	23945,8	0,64
18	1737/ 2758	17436,47	576,20	40	17632,7	28624,5	0,62
19	1737/ 2758	19993,07	626,86	35	20211,5	31981,5	0,64
20	1737/ 2758	22554,43	680,27	30	22793,6	35524,8	0,65
21	1737/ 2758	25120,59	771,90	26	25379,7	39254,2	0,66
22	1737/ 2758	27754,74	832,31	22	28032,0	43268,3	0,66
23	1737/ 2758	30303,34	893,39	17	30595,6	47330,5	0,66
24	1737/ 2758	32856,36	957,17	13	33160,9	51575,0	0,65
25	1737/ 2758	35413,53	1023,66	9	35727,3	56001,8	0,65
26	1737/ 2758	37974,34	1092,84	5	38293,9	60610,8	0,64
27	1737/ 2758	40611,29	1201,65	2	40933,0	65540,7	0,64

B- Controle plooistabiliteit

Toetsing regel :volgens NEN -EN 50341-3 (NEN 1060).

$$(\sigma_{N;Ed} / \sigma_{N;plooi}) + (\sigma_{MEd} / \sigma_{M;plooi}) <= 1$$

Plooispanning t.g.v normaalkracht

Indien $d / t < 90 * a_y^2$ ---> $\sigma_{N;plooi;d} = f_y$; $a_y = (f_{ref} / f_y)^{0,5}$; $f_{ref} = 235$ N/mm^2

Indien $90 * a_y^2 < d / t < 315\ a_y^2$ ---> $\sigma_{N;plooi;d} = 0,3 * f_{y;d} + 14805 / (d/t)$

Plooispanning t.g.v moment

Indien $d / t < 157,5 * a_y^2$ ---> $\sigma_{N;plooi;d} = f_{y;d}$

Indien $157,5 * a_y^2 < d / t < 315\ a_y^2$ ---> $\sigma_{N;plooi;d} = 0,6 * f_{y;d} + 14805 / (d/t)$

d mm	t mm	d/t	a_y	$\sigma_{N;plooi;d}$ N/mm^2	$\sigma_{M;plooi;d}$ N/mm^2
520	18,0	28,91	0,81	355	355
604	18,0	33,55	0,81	355	355
708	18,0	39,33	0,81	355	355
812	18,0	45,10	0,81	355	355
823	20,0	41,13	0,81	355	355
916	20,0	45,79	0,81	355	355
1020	20,0	50,98	0,81	355	355
1122	20,0	56,09	0,81	355	355
1127	22,0	51,24	0,81	355	355
1224	22,0	55,64	0,81	355	355
1328	25,0	53,12	0,81	355	355
1430	28,0	51,07	0,81	355	355
1432	28,0	51,14	0,81	355	355
1532	28,0	54,72	0,81	355	355
1634	30,0	54,48	0,81	355	355
1701	30,0	56,69	0,81	355	355
1737	30,0	57,88	0,81	355	355
1839	32,0	57,46	0,81	355	355
1941	32,0	60,65	0,81	351	355
2043	32,0	63,84	0,81	338	355
2145	32,0	67,03	0,81	327	355
2250	32,0	70,31	0,81	317	355
2351	32,0	73,46	0,81	308	355
2452	32,0	76,62	0,81	300	355
2553	32,0	79,78	0,81	292	355
2654	32,0	82,94	0,81	285	355
2758	32,0	86,19	0,81	278	355

staaf nummer	profiel D_{voet} - D_{top}	σ_{MEd} N/mm^2	σ_{NEd} N/mm^2	$\sigma_{M;plooi;d}$ N/mm^2	$\sigma_{N;plooi;d}$ N/mm^2	toetsings-regel
1	500 / 708	16,06	0,67	355	355	0,05
2	500 / 708	28,81	0,84	355	355	0,08
3	500 / 708	44,23	1,00	355	355	0,13
4	708 / 812	50,40	1,15	355	355	0,15
5	812 / 1122	44,32	2,22	355	355	0,13
6	812 / 1122	111,25	2,34	355	355	0,32
7	812 / 1122	153,95	2,38	355	355	0,44
8	812 / 1122	176,97	2,42	355	355	0,51
9	1122/ 1224	150,19	2,95	355	355	0,43
10	1122/ 1224	204,91	3,08	355	355	0,59
11	1224/ 1328	208,22	2,86	355	355	0,59
12	1328/ 1532	200,83	2,64	355	355	0,57
13	1328/ 1532	187,57	3,08	355	355	0,54
14	1328/ 1532	224,95	3,24	355	355	0,64
15	1532/ 1737	226,05	3,10	355	355	0,65
16	1532/ 1737	228,07	3,32	355	355	0,65
17	1532/ 1737	228,04	3,32	355	355	0,65
18	1737/ 2758	231,70	3,26	355	355	0,66
19	1737/ 2758	236,96	3,36	355	351	0,68
20	1737/ 2758	239,90	3,45	355	338	0,69
21	1737/ 2758	241,12	3,72	355	327	0,69
22	1737/ 2758	241,32	3,82	355	317	0,69
23	1737/ 2758	239,89	3,92	355	308	0,69
24	1737/ 2758	238,16	4,02	355	300	0,68
25	1737/ 2758	235,90	4,12	355	292	0,68
26	1737/ 2758	233,24	4,23	355	285	0,67
27	1737/ 2758	230,47	4,47	355	278	0,67

5.0 - Berekening ankers, bouten en flensverbindingen

uitgangspunt: gerolde draad

bouten	A_s in mm²	f_{ub} in N/mm²	$F_{t,Rd}$ in kN	$F_{v,Rd}$ in kN
M 48 - 8,8	1473	800	848,45	565,63
M 48 - 10,9	1473	1000	1060,56	589,20
M 45 - 8,8	1306	800	752,26	501,50
M 45 - 10,9	1306	1000	940,32	522,40
M 42 - 8.8	1121	800	645,64	430,43
M 42 - 10,9	1121	1000	807,05	448,36
M 39 - 8.8	976	800	562,04	374,70
M 39 - 10,9	976	1000	702,55	390,31
M 39 - 12,9	976	1200	843,07	468,37
M 36 - 8.8	817	800	470,59	313,73
M 36 - 10,9	817	1000	588,24	326,80
M 33 - 8.8	694	800	399,49	266,33
M 33 - 10,9	694	1000	499,36	277,42
M 30 - 8.8	561	800	322,90	215,27
M 30 - 10,9	561	1000	403,62	224,24

Max. trekkracht in de ankers en boutverbindingen :

$$F_{Ed} = M_{y,Ed} * a / I_p - N_{Ed} / n$$

Waarin :

$M_{y,Ed}$ = max. moment t.p.v aansluiting t.g.v rekenbelasting

N_{Ed} = max. normaal kracht t.p.v aansluiting t.g.v rekenbelasting

a = max. afstand bout tot zwaartepunt boutenpatroon = diameter stc. / 2

n = aantal bouten en $I_p = \Sigma (I_x^2 + I_y^2) = (n / 2) * (d_{stc}./ 2)^2$

Flensverbinding met één boutrij : $I_p = (n / 2) * (d_{stc}./ 2)^2$

Flensverbinding met twee boutrij : $I_p = (n / 4) * [(d_{stc1}./ 2)^2 + (d_{stc2}./ 2)^2]$

Flensverbinding met twee boutrij symmetrisch (voetplaat) :

$$I_p = (n / 2) * (d_{stc.gemiddeld}./ 2)^2$$

Flenzen en voetplaat:

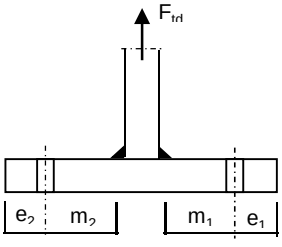

1 -Voetplaat

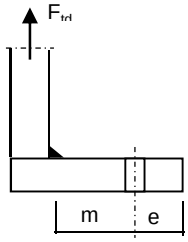

2 -Flens met 1 rij bouten

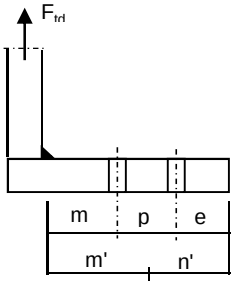

3 -Flens met 2 rij bouten

1 - Voetplaat : $m = \max.(m_1;m_2)$
$e = \max.(e_1;e_2)$
$n = \min.(1{,}25*m;e)$

Bezwijkvorm 1 : $F_{t,Rd} = 4 * M_{pl} / m$
Bezwijkvorm 2 : $F_{t,Rd} = (2 * M_{pl} + n * 2 * F_{t;u;d}) / (m + n)$
Bezwijkvorm 3 : $F_{t,Rd} = 2 * F_{t;u;d}$

2 - Flens met 1 rij bouten :
m, n en e zoals bij voetplaat

Bezwijkvorm 1 : $F_{t,Rd} = 2 * M_{pl} / m$
Bezwijkvorm 2 : $F_{t,Rd} = (M_{pl} + n * F_{t;u;d}) / (m + n)$
Bezwijkvorm 3 : $F_{t,Rd} = F_{t;u;d}$

3 - Flens met 2 rij bouten :
$m' = m + p / 2$
$n' = n + p / 3$
$n = \min.(1{,}25*m;e)$

Bezwijkvorm 1 : $F_{tEd} = M_{pl} * (1+n'/n) / m'$
Bezwijkvorm 2 : $F_{t,Ed} = (M_{pl} + n' * F_{t;u;d}) / (m' + n')$
Bezwijkvorm 3 : $F_{t,Ed} = 2 * F_{t;u;d}$

$M_{pl} = (1/4) * L_{eff} * t_{fl}^2 * f_y$
$L_{eff} = \min(p ; 4*m + 1{,}25*e ; 2*\pi*m)$

Bouten en ankers

st.c in mm	aantal bouten	$F_{t,Ed}$ kN	$F_{v,Ed}$ kN	knoop nummer	aanwezig bout	$F_{t,Rd}$ kN	toetsing-regel
Ankers							
st.c buitenkant		3058,00					
st.c binnenkant		2394,00					
2726	108	540,64	8,43	28	M 48 - 8,8	848,4	0,64
flenzen op 17,10 m hoogte.							
st.c buitenkant		1925,00					
st.c binnenkant		1735,00					
	88	645,81	10,24	22	M 48 - 10,9	1060,6	0,61
flenzen op 39,90 m hoogte.							
st.c buitenkant		1130,00					
1130,00	32	676,10	17,59	12	M 48 - 10,9	1060,6	0,64

Dikte voetplaat en flenzen - conform NEN - EN 1993-1-8,

Stc1	Stc2 mm	m mm	e mm	n mm	m' mm	n' mm	l_{ef} mm
voetplaat							
3058,00	2394,00	143,2	104,0	104,0			139,3
3058,00	2394,00	143,2	104,0	104,0			177,9
flenzen op 17,10 m hoogte.							
1925,00	1735,0	71,3	60,0	60,0	118,8	107,5	123,9
1925,00	1735,0	71,3	60,0	60,0	118,8	107,5	123,9
flenzen op 39,90 m hoogte.							
1130,00	1130,0	64,2	60,0	60,0			110,9
1130,00	1130,0	67,2	60,0	60,0			110,9

flens dikte mm	$M_{pl;d}$ Nmm	bezwijk-vorm 1	bezwijk-vorm 2	bezwijk-vorm 3	maatgev. $F_{t,Rd}$	$F_{t,Ed}$ kN	toetsing-regel
voetplaat							
80	7,47E+07	2085,10	1317,83	1696,90	1317,83	1081,29	0,82
80	9,54E+07	2663,42	1485,34	1696,90	1485,34	1081,29	0,73
flenzen op 17,10 m hoogte.							
120	1,23E+08	2882,65	1549,75	2121,12	1549,75	1291,63	0,83
120	1,23E+08	2882,65	1549,75	2121,12	1549,75	1291,63	0,83
flenzen op 39,90 m hoogte.							
80	5,95E+07	1853,04	991,28	1060,56	991,28	676,10	0,68
80	5,95E+07	1770,29	967,90	1060,56	967,90	676,10	0,70
	Krachten in kN						

Lassen

A - Flenzen

Alle lassen: voorbewerkt 1/2 V- las met een tegenlas (K35 , lasdetail 301 van NEN 2063).

B - Buizen

Alle lassen: voorbewerkt X- las
Bij gelijke wanddikte (K50 , lasdetail 102 van NEN 2063).
Bij dikte overgang asymmetrisch (K45 , lasdetail 112 van NEN 2063).

Bouten

Alle bouten: Voorspanning 70% van de trekkracht met betrekking tot de capaciteit van de bout in de uiterste grenstoestand

6.0 - Controle berekening vortex shedding

Belasting loodrecht op windrichting (respons door wervelvorming) - Eurocode 1

De respons is bepaald volgens Eurocode 1, Deel 1 - 4 ,bijlage E

De kritische windsnelheid $v_{crit,1} = b * n_{i,y} / St$

b is de referentiebreedte van de doorsnede waarbij resonantie met de wervelvorming optreedt voor cirkelvormige cilinders is de referentiebreedte de uitwendige diameter.

St is de Strouhal getal conform E.1.3.2 ; voor cirkelcilinders St = 0,18

buis	$n_{1,y}$ Hz	$d_{buis;gem}$ m	St	$v_{krit,1}$ m/s
500 / 2758	0,82	1,629	0,18	7,39

Scrutongetal Sc

De Scrutongetal Sc word bepaald met:

$$Sc = 2 * \delta_s * m_{i;e} / \rho * b^2$$

ρ is de dichtheid van lucht: $\rho = 1,25$ kg/m^3

b is de referentiebreedte van de doorsnede waarbij resonantie met de wervelvorming optreedt

$$b = d_{w;gem}$$

δ_s is het logaritmische decrement van de constructieve demping

$$\delta_s = 0,030$$

Opmerking:
In Eurocode 1, Tabel F.2 is geen waarde gegeven voor de constructieve demping voor een hoogspanningsmast met een enkel buisprofiel. In de tabel wordt alleen de benaderde waarde van de constructieve demping van een stalen schoorsteen (met of zonder isolatie) aangegeven. In de NEN 1060 (Bovengrondse hoogspanningslijnen – voorloper van NEN-EN 50341) art. 9.2.6.5 wordt het logaritmisch decrement beschreven als $\delta = 2.\pi.D$. D is de dempingsmaat bij responsie loodrecht op de windrichting en is gelijk aan 0.005. Dit resulteert $\delta = 2.\pi.0.005 = 0.0314$. Deze formule is ook aangegeven in de DIN 4133 (Schornsteine aus Stahl) en als benaderde waarde van de constructieve demping van een stalen schoorsteen met 2 of 3 koppelingen is 0.025 en 0.03 aangegeven.
Daarom wordt in deze berekening voor de constructieve demping 0.03 aangehouden.

$m_{i;e}$ is de equivalente massa m_e per lengte eenheid, in kg/m, gewogen naar de trillingsvorm :

$$m_e = \frac{\int_0^{l} m(s) * \phi^2_i(s)\, ds}{\int_0^{l} \phi^2_i(s)\, ds}$$

Zie berekening eigenfrequentie

knoop nummer	verpl. δ mm	$\phi_{i;1}$	staaf nummer	ϕ_i	gewicht mast kg	gewicht flenzen+ geleiders-kg	massa m kg/m
1	758	1,000		1,000			
2	746	0,984	1 -- 2	0,992	133	377	894,6
3	697	0,920	2 -- 3	0,952	598		256,6
4	636	0,840	3 -- 4	0,880	865		298,2
5	577	0,762	4 -- 5	0,801	999		344,3
6	571	0,754	5 -- 6	0,758	122	3210	11106,7
7	519	0,685	6 -- 7	0,719	1128		433,8
8	464	0,612	7 -- 8	0,649	1399		482,4
9	412	0,544	8 -- 9	0,578	1520		533,3
10	410	0,540	9 -- 10	0,542	92	3326	22788,3
11	363	0,479	10 -- 11	0,510	1730		640,9
12	317	0,418	11 -- 12	0,449	2280	733	1039,1
13	274	0,362	12 -- 13	0,390	2702		947,9
14	273	0,361	13 -- 14	0,361	49	3445	69876,6
15	234	0,309	14 -- 15	0,335	2853		1019,1
16	197	0,260	15 -- 16	0,285	3318		1164,2
17	175	0,231	16 -- 17	0,246	2269	677	1592,3
18	164	0,216	17 -- 18	0,224	1264		1264,3
19	133	0,176	18 -- 19	0,196	3991		1400,5
20	105	0,139	19 -- 20	0,157	4221		1481,1
21	81	0,107	20 -- 21	0,123	4451		1561,7
22	60	0,079	21 -- 22	0,093	4681	2956	2679,4
23	41	0,054	22 -- 23	0,067	5034		1723,9
24	26	0,035	23 -- 24	0,045	5090		1805,1
25	15	0,020	24 -- 25	0,027	5315		1884,8
26	7	0,009	25 -- 26	0,014	5540		1964,6
27	2	0,002	26 -- 27	0,006	5765		2044,4
28	0	0,000	27 -- 28	0,001	6163	2904	3126,7

staaf nummer	massa m kg/m	ϕ_i	s m	ϕ_i^2 * (s)	ϕ_i^2 *(s)*m	ϕ_i * (s)
1 -- 2	895	0,992	0,570	0,56	501,90	0,57
2 -- 3	257	0,952	2,330	2,11	541,63	2,22
3 -- 4	298	0,880	2,900	2,24	669,14	2,55
4 -- 5	344	0,801	2,900	1,86	640,12	2,32
5 -- 6	11107	0,758	0,300	0,17	1912,15	0,23
6 -- 7	434	0,719	2,600	1,35	583,84	1,87
7 -- 8	482	0,649	2,900	1,22	588,80	1,88
8 -- 9	533	0,578	2,850	0,95	507,68	1,65
9 -- 10	22788	0,542	0,150	0,04	1004,40	0,08
10 -- 11	641	0,510	2,700	0,70	449,88	1,38
11 -- 12	1039	0,449	2,900	0,58	606,80	1,30
12 -- 13	948	0,390	2,850	0,43	410,49	1,11
13 -- 14	69877	0,361	0,050	0,01	455,57	0,02
14 -- 15	1019	0,335	2,800	0,31	319,87	0,94
15 -- 16	1164	0,285	2,850	0,23	268,99	0,81
16 -- 17	1592	0,246	1,850	0,11	177,96	0,45
17 -- 18	1264	0,224	1,000	0,05	63,19	0,22
18 -- 19	1400	0,196	2,850	0,11	152,98	0,56
19 -- 20	1481	0,157	2,850	0,07	104,52	0,45
20 -- 21	1562	0,123	2,850	0,04	67,36	0,35
21 -- 22	2679	0,093	2,850	0,02	65,78	0,26
22 -- 23	1724	0,067	2,920	0,01	22,28	0,19
23 -- 24	1805	0,045	2,820	0,01	10,14	0,13
24 -- 25	1885	0,027	2,820	0,00	3,98	0,08
25 -- 26	1965	0,014	2,820	0,00	1,14	0,04
26 -- 27	2044	0,006	2,820	0,00	0,18	0,02
27 -- 28	3127	0,001	2,900	0,00	0,01	0,00
		Σ	63,00	13,21	10130,77	21,68

m_e = 10130,8 / 13,2 = 766,9 kg/m

$Sc = 2 * \delta_s * m_{i;e} / \rho * b^2$

buis	$m_{1;e}$ kg/m	δ_s	ρ kg/m^3	b = d_w in m	Sc
500 / 2758	766,9	0,030	1,25	1,629	13,9

Berekening van verplaatsingen

de grootste $y_{f;max}$ verplaatsing kan berekend worden met:

$y_{F;max} / b = (1/St^2) * (1/Sc) * K * K_w * C_{lat}$

St is de Strouhal getal = 0,18

Sc is de Scrutongetal = 13,9

K is trillingsvormfactor en is gelijk aan

$$K = \frac{\sum_{i=1}^{m} \int_{\ell_i} |\phi_i(s)| \, ds}{4.\pi.\sum_{i=1}^{n} \int_{\ell_i} \phi^2_i(s) \, ds}$$

Voor i = 1 (eerste trillingsvorm) is m = n = 1

K = 21,68 / (4 * π * 13,21) = 0,131 (tabel E.5)

C_{lat} is de laterale krachtcoëfficiënt gegeven in E.1.5/2.5

C_{lat} : $R_e (V_{crit}) < 3*10^5$; $C_{lat} = 0,7$

$5*10^5 < R_e (V_{crit}) < 5*10^6$; $C_{lat} = 0,2$

$R_e (V_{crit}) > 7*10^7$; $C_{lat} = 0,3$

$R_e (V_{crit}) = b * v(crit) / \nu$;
ν is de kinematische viscositeit van de lucht $\nu = 15*10^{-6}$ m^2/s

$R_e (V_{crit})$ = 1,629 * 7,39 / $15*10^{-6}$ = 8,0E+05

C_{lat} = 0,20

K_w is de effectieve correlatiefactor gegeven in E.1.5.2.4

$$K_w = \frac{\sum_{i=1}^{m} \int_{L_j} |\phi_i(s)| \, ds}{\sum_{i=1}^{n} \int_{\ell_i} |\phi_i(s)| \, ds} \leq 0,6$$

Voor i = 1 (eerste trillingsvorm) is m = n = 1

Lj / b = 6
Lj = 9,77 m - (effectieve correlatielengte)

K_w = 8,44 / 21,68 = 0,39

$y_{F;max}$ / b = 30,86 * 0,072 * 0,131 * 0,39 * 0,2 = 0,023

$y_{F;max}$ = 1,629 * 0,023 = 0,037 m

$\Delta\sigma_{dyn} = 2 * C_{rd} * y_{F;max}$

De factor C_{rd} volgt uit de spanning door een opgelegde verplaatsing volgens de eerste eigentrilling.

Opgelegde verplaatsing van 1000 mm

knoop nummer	staaf i--j	q_{last} N	F_{last} N	dwarskr. N	moment Nmm	hoekver. rad.	verpl. mm
1	1 -- 2		175655	175655	0,00E+00	5,1E-02	1000
2	2 -- 3			175655	1,00E+08	5,1E-02	971
3	3 -- 4			175655	5,09E+08	4,8E-02	854
4	4 -- 5			175655	1,02E+09	4,2E-02	722
5	5 -- 6			175655	1,53E+09	3,6E-02	608
6	6 -- 7			175655	1,58E+09	3,6E-02	597
7	7 -- 8			175655	2,04E+09	3,1E-02	510
8	8 -- 9			175655	2,55E+09	2,6E-02	426
9	9 -- 10			175655	3,05E+09	2,2E-02	357
10	10 -- 11			175655	3,07E+09	2,2E-02	354
11	11 -- 12			175655	3,55E+09	1,9E-02	299
12	12 -- 13			175655	4,06E+09	1,6E-02	248
13	13 -- 14			175655	4,56E+09	1,4E-02	205
14	14 -- 15			175655	4,57E+09	1,4E-02	205
15	15 -- 16			175655	5,06E+09	1,2E-02	169
16	16 -- 17			175655	5,56E+09	1,0E-02	137
17	17 -- 18			175655	5,88E+09	9,3E-03	119
18	18 -- 19			175655	6,06E+09	8,8E-03	109
19	19 -- 20			175655	6,56E+09	7,6E-03	86
20	20 -- 21			175655	7,06E+09	6,4E-03	66
21	21 -- 22			175655	7,56E+09	5,4E-03	49
22	22 -- 23			175655	8,06E+09	4,4E-03	35
23	23 -- 24			175655	8,58E+09	3,5E-03	24
24	24 -- 25			175655	9,07E+09	2,7E-03	15
25	25 -- 26			175655	9,57E+09	2,0E-03	8
26	26 -- 27			175655	1,01E+10	1,3E-03	4
27	27 -- 28			175655	1,06E+10	6,2E-04	1
28	28 -- 29			175655	1,11E+10	0,0E+00	0

Wissel spanning

$$\Delta\sigma_{dyn} = 2 * C_{rd} * y_{F;max}$$

staaf	profiel		$W_{y;el}$	$\sigma_{buiging}$ (C_{rd})	$y_{F;max}$	$\Delta\sigma_{dyn}$
nummer	D (mm)	t (mm)	mm^3	N/mm^2	m	MPa
1	520	18,0	3,4497E+06	29	0,0369	2,1
2	604	18,0	4,7134E+06	108	0,0369	8,0
3	708	18,0	6,5617E+06	155	0,0369	11,4
4	812	18,0	8,7155E+06	175	0,0369	12,9
5	823	20,0	9,8780E+06	160	0,0369	11,8
6	916	20,0	1,2335E+07	165	0,0369	12,2
7	1020	20,0	1,5397E+07	165	0,0369	12,2
8	1122	20,0	1,8737E+07	163	0,0369	12,0
9	1127	22,0	2,0703E+07	148	0,0369	10,9
10	1224	22,0	2,4524E+07	145	0,0369	10,7
11	1328	25,0	3,2717E+07	124	0,0369	9,1
12	1430	28,0	4,2401E+07	108	0,0369	7,9
13	1432	28,0	4,2511E+07	107	0,0369	7,9
14	1532	28,0	4,8867E+07	104	0,0369	7,6
15	1634	30,0	5,9557E+07	93	0,0369	6,9
16	1701	30,0	6,4626E+07	91	0,0369	6,7
17	1737	30,0	6,7453E+07	90	0,0369	6,6
18	1839	32,0	8,0632E+07	81	0,0369	6,0
19	1941	32,0	9,0089E+07	78	0,0369	5,8
20	2043	32,0	1,0007E+08	76	0,0369	5,6
21	2145	32,0	1,1058E+08	73	0,0369	5,4
22	2250	32,0	1,2188E+08	70	0,0369	5,2
23	2351	32,0	1,3333E+08	68	0,0369	5,0
24	2452	32,0	1,4528E+08	66	0,0369	4,9
25	2553	32,0	1,5775E+08	64	0,0369	4,7
26	2654	32,0	1,7073E+08	62	0,0369	4,6
27	2758	32,0	1,8462E+08	60	0,0369	4,4

Bepaling van het aantal spanningscycli

Het aantal spanningswisseling N veroorzaakt door trilling door wervelvorming wordt berekend met:

$$N = 2 * T * n_{i;y} * \varepsilon_o * [V_{crit} / V_o]^2 * \exp[-(V_{crit} / V_o)^2] >= 10^4$$

$n_y = n_{1;y}$ = 0,82 Hz eigenfrequentie van trillingsvorm loodrecht op wind

T is levensduur in seconden = $3,2 * 10^7$ maal de vervachte levensduur in jaren

$V_{crit,1}$ = 7,39 m/s De kritische windsnelheid

ε_o is bandbreedtefactor = 0,3

V_o is wortel(2) maal de modus van de Weibull waarschijnlijkheidsverdeling van de windsnelheid in m/s
V_o = 20% van de karakteristieke gemiddelde windsnelheid op hoogte waar wervelvorming plaatsvindt

z_s = 58,113 m - hoogte waar wervelvorming plaatsvindt = $L_{mast} - L_j / 2$

Wedgebied II - onbebouwd

Basiswindsnelheid $V_{b,0}$ = 27 m/s

Terreincategorie : II - Onbebouwd gebied

Richtingsfactor C_{dir} = 1,0
Seizoensfactor C_{season} = 1,0
Orografiefactor $C_o(z)$ = 1,0

z_0 = 0,200 m

Gemiddelde windsnelheid $V_m(z) = (V_{b,0} * C_{dir} * C_{season}) * c_r(z)$

$c_r(z) = k_r * \ln\{ z / z_0\}$ voor $z_{min} \le z \le z_{max}$
$c_r(z) = c_r (z_{min})$ voor $z \le z_{min}$

$k_r = 0,19 \ln\{ z_0 / z_{0,II}\}^{0,07}$ $z_{0;II}$ = 0,05 m

$k_r = 0,19 \ln\{ 0,200 / 0,05\}^{0,07}$ = 0,21

$c_r(z) = 0,21 * \ln\{ 28,5 / 0,200\}$ = 1,19

$V_m(z)$ = 32,1 m/s

V_o = 32,1 * 20 / 100 = 6,41 m/s

$N = 2 * 50 * 3,2.10^7 * 0,3 * 0,82 * [7,39 / 6,41]^2 * \exp[-(7,39 / 6,41)^2]$ = 2,76E+08

Vermoeiingsschade t.g.v. dwarstrilling

De vermoeiingsschade vindt plaats door het belastingspectrum te toetsen aan de bij het detail behorende $\Delta\sigma$-N lijn conform NEN 2063.

$\Delta\sigma < 0{,}55\,\Delta\sigma_k$ ------> $N = \infty$

$0{,}55\,\Delta\sigma_k < \Delta\sigma < \Delta\sigma_k$ ------> $N.\Delta\sigma^5 = N_k.\Delta\sigma^5_k$

$\Delta\sigma > \Delta\sigma_k$ ------> $N.\Delta\sigma^3 = N_k.\Delta\sigma^3_k$

$N_k = 10^7$

$\Delta\sigma_i$ is het i^e spanningsniveau

$\Delta\sigma_k$ is het spanningsinterval behorende bij 10^7 wisselingen op de $\Delta\sigma_i$-N lijn.

$\gamma * \Delta\sigma =$ 1,2 * $\Delta\sigma$

$\Delta\sigma$k =	45	MPa	Voorbewerkt X- las (K45 , lasdetail 112 van NEN 2063).
$\Delta\sigma$k =	35	MPa	Voorbewerkt 1/2V- las (K35 , lasdetail 301 van NEN 2063).

Plaats van trilling Knoop		$\gamma * \Delta\sigma$ = in MPa	$\Delta\sigma_k$ in MPa	0,55 $\Delta\sigma_k$ in MPa	N - wissel. $\Delta\sigma_i$-N lijn	N span.wissl.	D beschadiging < 1
3	Lasnaad	9,56	45	24,75	1,000E+10	2,76E+08	0,03
4	Lasnaad	13,73	45	24,75	1,000E+10	2,76E+08	0,03
5	Lasnaad	15,51	45	24,75	1,000E+10	2,76E+08	0,03
6							
7	Lasnaad	14,61	45	24,75	1,000E+10	2,76E+08	0,03
8	Lasnaad	14,63	45	24,75	1,000E+10	2,76E+08	0,03
9	Lasnaad	14,39	45	24,75	1,000E+10	2,76E+08	0,03
10							
11	Lasnaad	12,80	45	24,75	1,000E+10	2,76E+08	0,03
12	flenzen	10,97	35	19,25	1,000E+10	2,76E+08	0,03
13	Lasnaad	9,51	45	24,75	1,000E+10	2,76E+08	0,03
14							
15	Lasnaad	9,16	46	25,30	1,000E+10	2,76E+08	0,03
16	Lasnaad	8,26	45	24,75	1,000E+10	2,76E+08	0,03
17							
18	Lasnaad	7,95	45	24,75	1,000E+10	2,76E+08	0,03
19	Lasnaad	7,20	45	24,75	1,000E+10	2,76E+08	0,03
20	Lasnaad	6,93	45	24,75	1,000E+10	2,76E+08	0,03
21	Lasnaad	6,68	45	24,75	1,000E+10	2,76E+08	0,03
22	flenzen	6,45	35	19,25	1,000E+10	2,76E+08	0,03
23	Lasnaad	6,22	45	24,75	1,000E+10	2,76E+08	0,03
24	Lasnaad	6,02	45	24,75	1,000E+10	2,76E+08	0,03
25	Lasnaad	5,82	45	24,75	1,000E+10	2,76E+08	0,03
26	Lasnaad	5,64	45	24,75	1,000E+10	2,76E+08	0,03
27	Lasnaad	5,47	45	24,75	1,000E+10	2,76E+08	0,03
28	voetplaat	5,30	35	19,25	1,000E+10	2,76E+08	0,03

7.0 - Fundatie belastingen

Fundatie belastingen in ULS-toestand - (Ultimate limit state)

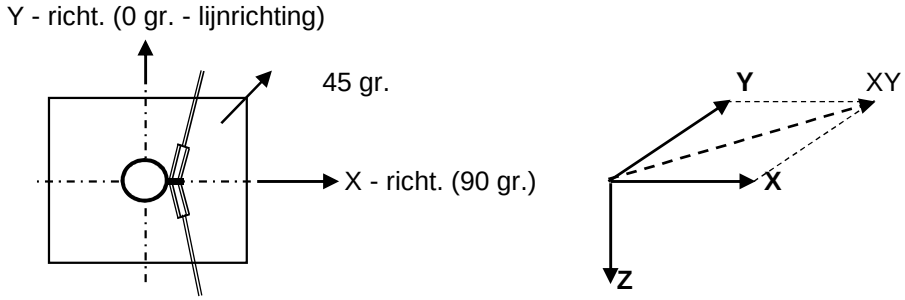

Belasting geval / comb	XY - reactie kN	Z - reactie kN	M_x - reactie kNm	M_{xy} - reactie kNm	M_t - reactie kNm
Windrich. 90 graden					
1 - EG mast		978			
2 - Windbelasting mast	134			3924	
3 - BG 1a (ULS)	586	117		26723	1198
4 - BG 3 (ULS)	539	223		24552	1252
5 - BG 1a (SpLS)	772	74		34995	1078
6 - BG 3 (SpLS)	880	91		39728	1266
Combinatie 1 : BG1 * 1,2 + BG2 * 1,6 + BG3 * (1,2 eg, 1,5 windbel.)					
	720	1096		30647	1198
Combinatie 2 : BG1 * 1,2 + BG2 * 0,45 + BG4 * (1,2 eg, 1,5 windbel.)					
	576	1202		25655	1252
Combinatie 3 : BG1 * 1,2 + BG2 * 0,78 + BG5 * (1,2 eg, 1,5 windbel.)					
	837	1053		36908	1078
Combinatie 4 : BG1 * 1,2 + BG2 * 0,36 + BG5 * (1,2 eg, 1,5 windbel.)					
	910	**1069**		**40611**	**1266**

Samenvatting Fundatiebelastingen

	B.C. 1 - SLS γ_{eg}=1.0 , γ_q=1.0		B.C. 2 - ULS / SpLS γ_{eg}=1.2 , γ_q=1.6		B.C. 3 - ULS / SpLS γ_{eg}=0.9 , γ_q=1.6	
Voetmoment - XY	22172	kNm	40611	kNm	40611	kNm
Dwarskracht - XY	516	kN	910	kN	910	kN
Verticale kracht	912	kN	1069	kN	821	kN

Opmerking:
In SLS- toestand is de belastingcombinatie met geleiderbelasting 1a maatgevend.

8,0 - Betonspanning onder voetplaat en instortring

st.c in mm	aantal ankers	$F_{t,Ed}$ kN	$F_{v,Ed}$ kN	knoop nummer	aanwezig anker	$F_{t,Rd}$ kN	Percentage belasting
Ankers krachten in ULS-toestand							
st.c buitenkant		3058,00					
st.c binnenkant		2394,00					
2726	108	540,64	8,43	28	M 48 - 8,8	848,45	0,64
Voorspanning ankers in SLS-toestand (100%)							
st.c buitenkant		3058,00					
st.c binnenkant		2394,00					
2726	108	292,80	4,78	28	M 48 - 8,8	848,45	0,35

Maximale trekkracht in de anker :

$F_{t,Ed}$ = 540,6 kN

Maximale voorspanning in de anker :

$F_{t,Ed}$ = 292,8 kN

Maximale drukkrackt :

$F_{c,Ed}$ = 561,7 + 1,00 * 292,8 = 854,5 kN

A - drukspanning onder voetplaat

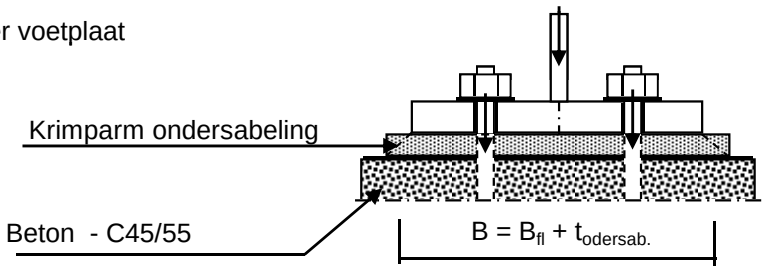

Toetsing :

$\sigma_b < 0,7 * f_{cd} = 0,7 * 45 / 1,5 = 21,0$ N/mm^2

B_{fl} =	540,0	mm	D =	2726	mm
$t_{ondersab.}$ =	40,0	mm	n =	108	
B =	580,0	mm			

A_{voetpl} = 580 * 2*π*D / n = 91984 mm^2

$\sigma_{b;voet} = 2 * F_{c,Ed} / A =$ 18,6 N/mm^2 < 21,0 -- Voldoet

B - drukspanning onder instortring

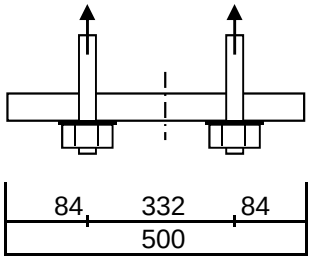

D = 2726 mm
n = 108

$A_{stortring}$ = 500 * $2*\pi*D / n$ = 79296 mm^2

$\sigma_{b;stortr.} = 2 * F_{c,Ed} / A$ = 13,6 N/mm^2 < 21,0 -- Voldoet

Dikte instortring

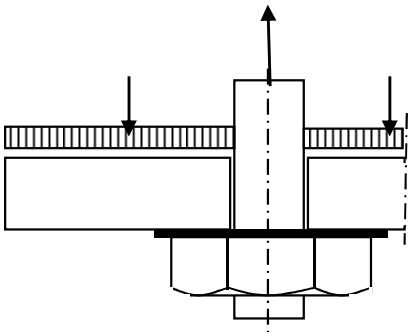

$L_{uitkr.}$ = 84 mm
L_{veld} = 332 mm

t = 45 mm
$f_{y;d}$ = 355 N/mm^2

$M_{Ed;st}$ = 48108 Nmm/mm' ; $V_{z;Ed;st}$ = 2264 N/mm'

of $M_{Ed;veld}$ = 139769 Nmm/mm' ; $V_{z;Ed;st}$ = 0 N/mm'

$M_{Ed;max}$ = 139769 Nmm/mm' ; $V_{z;Ed;st}$ = 2264 N/mm'

$M_{Rd} = (1/4) *1,0 * t^2 * f_y$ = 179719 Nmm/mm'
$V_{Rd} = 1,0 * t * f_y / 3^{0,5}$ = 9223 N/mm'

M_{Ed} / M_{Rd} = 139769 / 179718,8 = 0,78 < 1,0 -- Voldoet
σ_b = 276,1 N/mm^2

V_{Ed} / V_{Rd} = 2264 / 9223 = 0,25 < 1,0 -- Voldoet
τ_z = 50,3 N/mm^2

vergelijkingsspanning :

$\sigma_{vlg} = (276,1^2 + 3*50,3^2)^{0,5}$
σ_{vlg} = 290 N/mm^2 < 355 MPa -- Voldoet

9.0 - Detailberekeningen

9.1 - Berekening crossbeam - hoogte 54,0m, 45,5m en 37m

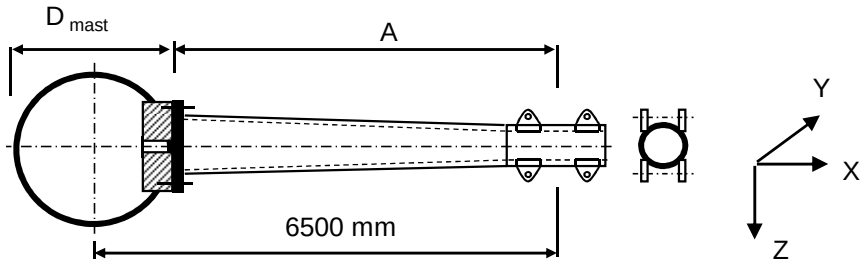

A = 6089 mm

D_{mast} = 823 mm

Buisgegevens

Buis Ø450 * 16 - S355 (aansluiting mast) ; buis 219,1*12,5 -S355 - op uiteinde

$\gamma_{m;extra}$ = 1,5 (extra materiaalfactor)

Materiaal - S 355 ; f_y = 355 / $\gamma_{m;extra}$ = 236,7 N/mm^2

A =	21815	mm^2	$N_{Ed} = A * f_y$ =	5163	kN
$W_y = W_z$ =	2,29E+06	mm^3	$M_{y,Ed} = W_y * f_y$ =	541,0	kNm
W_x =	4,57E+06	mm^3	$M_{z,Ed} = W_z * f_y$ =	541,0	kNm
			$M_{x,Ed} = W_x * f_y / 3^{0,5}$ =	624,7	kNm
			$V_{Rd} = 0,5*A* f_y / 3^{0,5}$ =	1490,4	kN

Bouten: 24 * M24 - 10.9

$F_{t,Rd}$ = 254,2 / 1,5 = 169,4 kN

$F_{v,Rd}$ = 141,2 / 1,5 = 94,1 kN

Steek bouten - Ø 542 mm

Flensdikte t_{flens} = 35 mm

Belastingen : Zie KEMA rapport 74100706-ETD/POL 12-001 38 REV V10.0 - Appendix AL, AL1

	AHEAD			BACK		
	F_x	F_y	F_z	F_x	F_y	F_z
	N	N	N	N	N	N
BG 1a - (wind (90 gr))	14973	63018	4323	0	0	0
BG 3 - (wind (90) + ijs)	11697	64461	7745	0	0	0
BG 1a - (wind (45 gr))	7910	42587	4498	0	0	0
BG 3 - (wind (45) + ijs)	8448	59141	7856	0	0	0
BG 1a - (wind (-45 gr))	10500	49732	4414	0	0	0
BG 3 - (wind (-45) + ijs)	9613	60662	7821	0	0	0

F_x = Transverse kracht

F_y = Longitudinale kracht

F_z = Verticale kracht

	$F_{x,Ed}$ kN	$F_{y,Ed}$ kN	$F_{z,Ed}$ kN	$M_{x,Ed}$ kNm	$M_{y,Ed}$ kNm	$M_{z,Ed}$ kNm
BG 1a - (wind (90 gr))	14,97	63,02	4,32	0,00	26,32	383,70
BG 3 - (wind (90) + ijs)	**11,70**	**64,46**	**7,74**	**0,00**	**47,15**	**392,48**
BG 1a - (wind (45 gr))	7,91	42,59	4,50	0,00	27,38	259,30
BG 3 - (wind (45) + ijs)	8,45	59,14	7,86	0,00	47,83	360,09
BG 1a - (wind (-45 gr))	10,50	49,73	4,41	0,00	26,88	302,81
BG 3 - (wind (-45) + ijs)	9,61	60,66	7,82	0,00	47,62	369,35

$M_{x,Ed} = F_{y,Ed} * B \quad ; \quad B = 0$

$M_{y,Ed} = F_{z,Ed} * A \pm F_{x,Ed} * B \quad ; \qquad M_{y,Ed,max} = F_{z,Ed} * A$

$M_{z,Ed} = F_{y,Ed} * A$

Maatgevend belastinggeval : BG 3 - (- wind 90 gr + ijs)

$M_{y,Ed} / M_{y,Rd}$ =	47,15	/ 541	=	0,09	< 1,0	-- Voldoet
		$\sigma_{b,y}$ =		20,6	N/mm^2	
$M_{z,Ed} / M_{z,Rd}$ =	392,48	/ 541	=	0,73	< 1,0	-- Voldoet
		$\sigma_{b,z}$ =		171,7	N/mm^2	
N_{Ed} / N_{Rd} =	11,70	/ 5163	=	0,00	< 1,0	-- Voldoet
		σ_N =		0,3	N/mm^2	
$V_{z,Ed} / V_{z,Rd}$ =	7,74	/ 1490	=	0,01	< 1,0	-- Voldoet
		τ_y =		0,7	N/mm^2	
$V_{y,Ed} / V_{y,Rd}$ =	64,46	/ 1490	=	0,04	< 1,0	-- Voldoet
		τ_z =		5,9	N/mm^2	

Maximale spanning

$\sigma_{max} = (\sigma^2_{b,y} + \sigma^2_{b,z})^{0,5} + \sigma_N =$ 173,2 N/mm^2

vergelijkingsspanning :

$\sigma_{vlg} = (\sigma^2_{max} + 3*\tau^2_y + 3*\tau^2_z)^{0,5}$

$\sigma_{vlg} =$ 173,5 N/mm^2 < 237 MPa -- Voldoet

Controle spanningen in las:

Toetsing regel :

$\sigma_{Ed} \le f_u / (\beta_w * \gamma_{M2})$ of $\sigma_1 = \sigma_{loodrecht} \le 0,9 * f_u / \gamma_{M2}$

$f_{v,w,d} = f_u / (\beta_w * \gamma_M *$ wortel(3))

$\gamma_M = 1,25$; $\gamma_{m;extra} =$ 1,5 (extra materiaalfactor)

Materiaal S 355 ----> $f_u = 510$ N/mm^2 en $\beta_w = 0,9$

$f_u / (\beta_w * \gamma_{M2}) = 302$ N/mm^2 $\qquad 0,9 * f_u / \gamma_{M2} = 245$ N/mm^2

Buis 450*16 aan de flens
Lassen : Rondom voorbewerkte V- las met volledige doorsnede doorlassen

Controle bouten:

$M_{Ed,max} = (M_{y,Ed}^2 + M_{z,Ed}^2)^{0,5}$ =	395,3	kNm	
$V_{Ed,max} = (V_{y,Ed}^2 + V_{z,Ed}^2)^{0,5}$ =	64,9	kN	
N_{Ed} =	11,7	kN	
$F_{t,Ed}$ =	122,04	kN	
$F_{v,Ed}$ =	2,71	kN	
$F_{t,Ed} / F_{t,Rd}$ =	0,72	< 1,0	-- Voldoet
$F_{v,Ed} / F_{v,Rd}$ =	0,03	< 1,0	-- Voldoet
$F_{v,Ed} / F_{v,Rd} + F_{t,Ed} / 1,4 * F_{t,Rd}$ =	0,54	< 1,0	-- Voldoet

Controle flens:

t_{flens} =	35,00	mm
L_{eff} = min(p ; 4*m + 1,25*e ; 2*π*m) =	70,9	mm
m =	39,2	mm
n =	30,0	mm

$M_{pl} = (1/4) * L_{eff} * t_{fl}^2 * f_y$ = 5142225 Nmm

Bezwijkvorm 1 :	$F_{t,Rd} = 2 * M_{pl} / m$ =	262,3	kN
Bezwijkvorm 2 :	$F_{t,Rd} = (M_{pl} + n * F_{t,Rd,b}) / (m + n)$ =	147,7	kN
Bezwijkvorm 3 :	$F_{t,Rd} = F_{t,Rd,b}$ =	169,4	kN
	$F_{t,Rd,min}$ =	147,7	kN
$F_{t,Ed} / F_{t,Rd,min}$ =	0,83	< 1,0	-- Voldoet

9.1.1 - Berekening clip crossbeam (clip type 20,6)

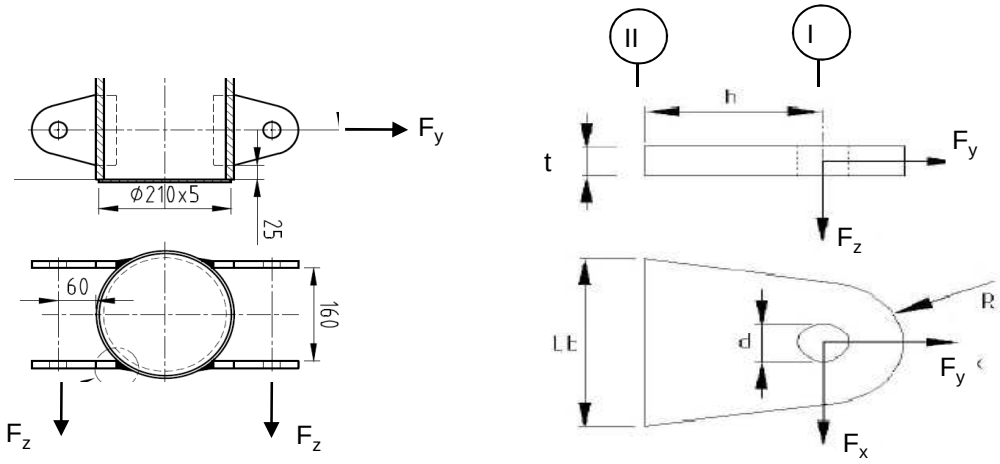

R =	42	mm ;	t =	12	mm
Lb =	120	mm ;	d =	27	mm
h =	93	mm ;	a las =	voorbewerkte V-las	

Materiaal - S 355 ; f_y = 355 / 1,5 = 236,7 N/mm^2

	$F_{x,Ed}$ kN	$F_{y,Ed}$ kN	$F_{z,Ed}$ kN
BG 1a - (wind (90 gr))	14,97	63,02	4,32
BG 3 - (wind (90) + ijs)	**11,70**	**64,46**	**7,74**
BG 1a - (wind (45 gr))	7,91	42,59	4,50
BG 3 - (wind (45) + ijs)	8,45	59,14	7,86
BG 1a - (wind (-45 gr))	10,50	49,73	4,41
BG 3 - (wind (-45) + ijs)	9,61	60,66	7,82

Maatgevend belastinggeval : BG 3 - (wind 90 gr + ijs)

Per clip (4 clip per kant):	**2,92**	**16,12**	**3,87**

Doorsnede I ; ter hoogte van de gat

Per clip: $F_{Ed;max}$ = $(F_{x,Ed}^2 + F_{y,Ed}^2)^{0,5}$ = 16,4 kN

τ_{toel} = (355 / 1,5) / $3^{0,5}$ = 137 N/mm^2

τ = $F_{Ed,max}$ / (2 *(t * (R - d/2)) = 24 N/mm^2 < 137 MPa -- Voldoet

Doorsnede II ; per clips

A =	1440	mm^2	N_{Rd} = A * f_y =	341 kN
W_z =	2,88E+04	mm^3	$M_{z,Rd}$ = W_z * f_y =	6,8 kNm
W_x =	2,88E+03	mm^3	$M_{x,Rd}$ = W_x * f_y =	0,7 kNm
			V_{Rd} = A* f_y / $3^{0,5}$ =	196,8 kN

N_{Ed} =	16,12	kN	$M_{z,Ed} = V_{x,Ed} * h$ =	0,27	kNm
$V_{z,Ed}$ =	3,87	kN	$M_{x,Ed} = V_{z,Ed} * h$ =	0,36	kNm
$V_{x,Ed}$ =	2,92	kN			

N_{Ed} / N_{Rd} =	16,12	/	341	=	0,05	< 1,0	-- Voldoet
			σ_N =		11,2	N/mm^2	
$M_{z,Ed} / M_{z,Rd}$ =	0,27	/	6,8	=	0,04	< 1,0	-- Voldoet
			$\sigma_{b,z}$ =		9,4	N/mm^2	
$M_{x,Ed} / M_{x,Rd}$ =	0,36	/	0,7	=	0,53	< 1,0	-- Voldoet
			$\sigma_{b,x}$ =		125,0	N/mm^2	
$V_{z,Ed} / V_{z,Rd}$ =	3,87	/	197	/	0,02	< 1,0	-- Voldoet
			τ_z =		2,7	N/mm^2	
$V_{x,Ed} / V_{x,Rd}$ =	2,92	/	197	/	0,01	< 1,0	-- Voldoet
			τ_x =		2,0	N/mm^2	

Maximale spanning

σ_{max} = 145,7 N/mm^2 < 236 MPa -- Voldoet

vergelijkingsspanning :

$\sigma_{vlg} = (\sigma^2_{max} + 3*\tau^2_x + 3*\tau^2_z)^{0,5}$

σ_{vlg} = 146 N/mm^2 < 236 MPa -- Voldoet

Controle spanningen in las:

Toetsing regel :

$\sigma_{Ed} \leq f_u / (\beta_w * \gamma_{M2})$ of $\sigma_1 = \sigma_{loodrecht} \leq 0,9 * f_u / \gamma_{M2}$

$f_{v,w,d} = f_u / (\beta_w * \gamma_M * \text{wortel(3)})$

$\gamma_M = 1,25$; $\gamma_{m;extra}$ = 1,5 (extra materiaalfactor)

Materiaal S 355 ----> f_u = 510 N/mm^2 en β_w = 0,9

$f_u / (\beta_w * \gamma_{M2})$ = 302 N/mm^2 $0,9 * f_u / \gamma_{M2}$ = 245 N/mm^2

Lassen : Rondom voorbewerkte V- las met volledige doorsnede doorlassen

9.2 - Berekening afspanpunt trekisolatoren 380 / 150 kV

Schema

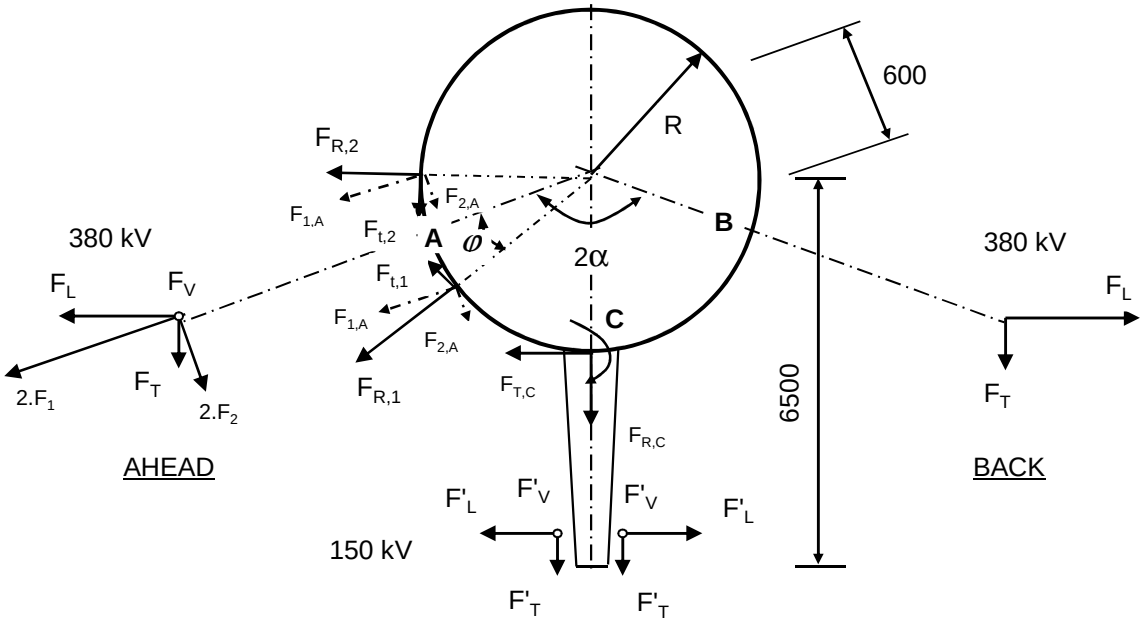

F_V en F'_V : Verticale kracht resp. 380kV en 150kV
F_T en F'_T : Transverse kracht resp. 380kV en 150kV
F_L en F'_L : Longitudinale kracht resp. 380kV en 150kV

2α is hoek tussen lijnen en α is bissectrice van hoek tussen de lijnen

380 kV: Per bevevestigingsring

$F_{1;A} = (F_{L,Ah}.\text{Sin}\alpha + F_{T,Ah}.\text{Cos}\alpha) / 4$; $F_{1;B} = (F_{L,Ba}.\text{Sin}\alpha + F_{T,Ba}.\text{Cos}\alpha) / 4$

$F_{2;A} = (F_{L,Ah}.\text{Cos}\alpha - F_{T,Ah}.\text{Sin}\alpha) / 4$; $F_{2;B} = (F_{L,Ba}.\text{Cos}\alpha - F_{T,Ba}.\text{Sin}\alpha) / 4$

$F_{3;A} = F_{V,ah} / 4$; $F_{3;B} = F_{V,bh} / 4$;

$F_{R;1;A} = F_{1,A}.\text{Cos}\varphi + F_{2;A}.\text{Sin}\varphi$; $F_{T;1;A} = F_{1,A}.\text{Sin}\varphi - F_{2;A}.\text{Cos}\varphi$

$F_{R;2;A} = F_{1,A}.\text{Cos}\varphi - F_{2;A}.\text{Sin}\varphi$; $F_{T;2;A} = F_{1,A}.\text{Sin}\varphi + F_{2;A}.\text{Cos}\varphi$

; $M_w = \text{I } F_{T;1;A} + F_{T;2;A} \text{ I} * R$

$F_{R;1;B} = F_{1,B}.\text{Cos}\varphi + F_{2;B}.\text{Sin}\varphi$; $F_{T;1;B} = F_{1,B}.\text{Sin}\varphi - F_{2;B}.\text{Cos}\varphi$

$F_{R;2;B} = F_{1,B}.\text{Cos}\varphi - F_{2;B}.\text{Sin}\varphi$; $F_{T;2;B} = F_{1,B}.\text{Sin}\varphi + F_{2;B}.\text{Cos}\varphi$

; $M_w = \text{I } F_{T;1;B} + F_{T;2;B} \text{ I} * R$

150 kV: Per bevevestigingsring

$F_{T;C} = \Sigma F'_L / 2$ $M_{T;C} = F_{T;C} * (6500 - R)$

$F_{R;C} = \Sigma F'_T / 2$

$F_{V;C} = \Sigma F'_V / 2$ $M_{V;C} = 2 * F_{V;C} * (6500 - R)$

$F'_{R;C} = \pm M_{C;L} / (2 * z)$

$z = 2*(d^3_{uit} - d^3_{inw}) / 3*\pi*(d^2_{uit} - d^2_{inw})$

$F_{R;C;max} = F_{R;C} + F'_{R;C}$

9.2.1 - Afspanpunt trekisolatoren op 54,0 meter hoogte

Ring gegevens:

$t_{buis;nom}$ =	20	mm
$t_{buis;reken}$ =	20	mm
$t_{ring;nom}$ =	25	mm
$t_{ring;reken}$ =	25	mm
b_{ring} =	280	mm
Afstand tussen ringen =	160	mm

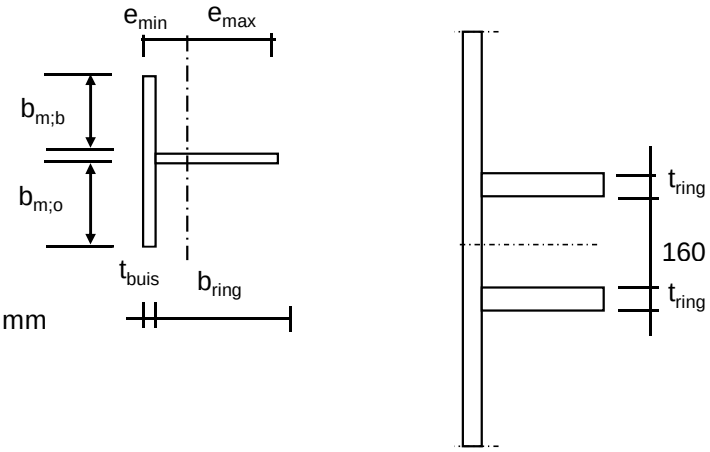

Mee werkende breedte :DIN 18801

$b_m = 0{,}138 * t * \lambda_a$

$\lambda_a = \pi * (E / f_y)^{0,5}$

Staal S355 ; f_y = 355,0 N/mm^2

E = 210000,0 N/mm^2

$b_{m;b}$ =	210,9	mm
$b_{m;o}$ =	80	mm
A =	13318	mm^2
e_{min} =	88,8	mm
e_{max} =	211,2	mm
I =	120659889	mm^4
W_{min} =	571420	mm^3
$\gamma_{m;extra}$ =	1,5	(extra materiaalfactor)
N_{Rd} =	3152	kN
$M_{y;Rd}$ =	135	kNm
$M_{w;Rd}$ =	4676	kNm (torsieweerstand mast)
V_{Rd} =	956	kN

Belastingen - bevestiging op 54,0 meter hoogte

Zie KEMA rapport 74100706-ETD/POL 12-001 38 REV V10.0 - Appendix AL en AL1
Geleiders 380 kV

	Ahead			Back		
	F_V N	F_T N	F_L N	F_V N	F_T N	F_L N
BG 1a - (wind (90 gr))	17290	59893	252074	13136	60808	-263276
BG 3 - (wind (90) + ijs)	30978	46789	257842	18785	47078	-262139
BG 1a - (wind (45 gr))	17990	31639	170349	11970	42532	-205556
BG 3 - (wind (45)+ ijs)	31424	33793	236564	17728	38577	-244827
Bundelbreuk-(90 gr)	17795	37362	185712	0	0	0
Bundelbreuk-(90 gr + ijs)	20965	37018	202705	0	0	0
Bundelbr.-(45 gr)	18280	23778	152859	0	0	0
Bundelbr.-(45 gr + ijs)	21391	26025	180420	0	0	0

Geleiders 150 kV

	Ahead			Back		
	F_V N	F_T N	F_L N	F_V N	F_T N	F_L N
BG 1a - (wind (90 gr))	4323	14973	63018	0	0	0
BG 3 - (wind (90) + ijs)	7745	11697	64461	0	0	0
BG 1a - (wind (45 gr))	4498	7910	42587	0	0	0
BG 3 - (wind (45)+ ijs)	7856	8448	59141	0	0	0
Bundelbreuk-(90 gr)	4449	9341	46428	0	0	0
Bundelbreuk-(90 gr + ijs)	5241	9254	50676	0	0	0
Bundelbr.-(45 gr)	4570	5945	38215	0	0	0
Bundelbr.-(45 gr + ijs)	5348	6506	45105	0	0	0

Diamete mast t.p.v ringen D = 823 mm

R = 411 mm

Mast 123: hoek tussen lijnen 2. α = 167 graden

Mast 109: hoek tussen lijnen 2. α = 180 graden

hoek tussen lijnen 2. α = 167 graden , maatgevend

hoek φ = boogsin(300 / (411+205)) = 29,1 graden

	A		B		C	
	$F_{R;1}$ kN	$F_{R;2}$ kN	$F_{R;1}$ kN	$F_{R;2}$ kN	$F_{R;max}$ kN	M_T kNm
BG 1a - (wind (90 gr))	59,9	52,4	62,4	54,9	102,7	191,9
BG 3 - (wind (90) + ijs)	59,2	55,0	60,1	56,0	176,4	196,2
BG 1a - (wind (45 gr))	39,2	36,3	48,0	43,3	103,0	129,7
BG 3 - (wind (45)+ ijs)	53,0	51,3	55,4	52,8	177,3	180,0
Bundelbreuk-(90 gr)	43,2	39,3	0,0	0,0	102,7	141,3
Bundelbreuk-(90 gr + ijs)	46,6	43,2	0,0	0,0	120,1	154,3
Bundelbr.-(45 gr)	34,5	33,0	0,0	0,0	103,6	116,3
Bundelbr.-(45 gr + ijs)	40,5	39,1	0,0	0,0	121,1	137,3

Roark's Formulas for stress & strain - tabel 9.2 - 20

Roark's Formulas for stress & strain - tabel 9.2 - 19

Belastinggeval : BG 1a - wind 90 gr.

φ in gr.	$M_{s;d}$ kNm	$T_{s;d}$ kN	$V_{s;d}$ kN	$\Delta M_{s;d}$ kN	$F_{s;d,langs}$ kN
0,0	-1,45	-14,18	-124,70	11,49	93,35
15,0	-12,94	-82,34	-119,30	9,19	74,60
30,0	-22,12	-145,03	-91,36	5,13	41,64
45,0	-27,25	-195,23	-43,68	0,33	2,70
60,0	-26,92	-226,98	15,70	3,53	28,71
75,0	-23,38	-243,53	75,29	7,59	61,62
90,0	-15,80	-241,12	133,67	14,32	116,32
105,0	-1,47	-212,12	187,61	20,24	164,41
120,0	18,77	-158,12	227,64	20,64	167,62
135,0	39,41	-92,88	243,34	20,54	166,82
150,0	59,94	-18,62	236,82	21,04	
165,0	80,99	64,46	210,25	18,05	
180,0	99,03	143,07	167,95	180,01	Flens crossbea
195,0	-80,97	-251,77	-116,15	17,71	
210,0	-63,26	-168,35	-151,59	22,44	
225,0	-40,82	-76,05	-163,19	22,01	178,73
240,0	-18,81	10,01	-154,95	17,89	145,27
255,0	-0,93	78,65	-134,87	15,70	127,54
270,0	14,78	132,86	-101,68	12,00	97,49
285,0	26,78	167,87	-56,88	4,70	38,14
300,0	31,48	174,51	-9,34	3,17	25,75
315,0	28,30	151,73	30,03	7,40	60,12
330,0	20,90	109,42	61,71	10,45	84,88
345,0	10,45	52,09	85,27	11,10	90,12
360,0	-0,64	-9,62	97,52	0,80	6,51

$F_{s;d;langs} = \Delta M_{s;d} * S / I$

$S =$ 980000 mm^3

$I =$ 120659889 mm^4

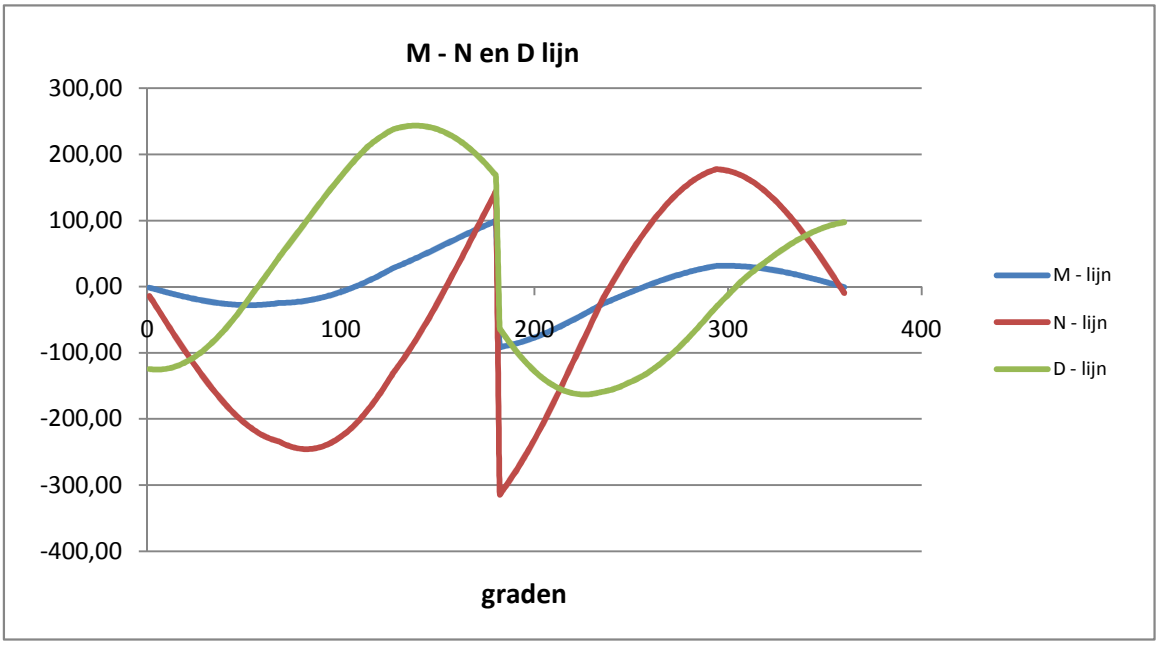

Belastinggeval : BG 3 - wind 90 gr + ijs.

φ in gr.	$M_{s;d}$ kNm	$T_{s;d}$ kN	$V_{s;d}$ kN	$\Delta M_{s;d}$ kN	$F_{s;d,langs}$ kN
0,0	0,83	1,98	-126,62	11,97	97,22
15,0	-11,14	-68,77	-125,66	10,04	81,54
30,0	-21,18	-136,40	-101,07	6,22	50,51
45,0	-27,40	-193,36	-55,07	0,81	6,57
60,0	-28,21	-232,94	4,74	2,50	20,31
75,0	-25,71	-257,69	66,97	6,90	56,02
90,0	-18,81	-262,85	130,10	14,24	115,66
105,0	-4,57	-239,78	190,62	20,93	170,03
120,0	16,37	-189,26	238,34	22,34	181,48
135,0	38,71	-124,11	262,27	23,21	188,54
150,0	61,92	-46,39	263,77	24,49	
165,0	86,42	43,46	244,00	21,80	
180,0	108,22	131,05	206,18	187,47	Flens crossbea
195,0	-79,25	-280,46	-89,46	15,16	
210,0	-64,09	-200,38	-132,76	20,78	
225,0	-43,30	-108,01	-152,48	21,27	172,79
240,0	-22,03	-18,66	-151,76	18,00	146,23
255,0	-4,02	55,94	-137,94	16,46	133,67
270,0	12,43	117,89	-109,27	13,18	107,03
285,0	25,61	161,48	-66,89	5,92	48,09
300,0	31,53	176,25	-19,77	2,14	17,38
315,0	29,39	160,23	21,15	6,61	53,66
330,0	22,79	122,88	56,09	10,03	81,46
345,0	12,76	68,21	83,90	11,11	90,21
360,0	1,65	6,61	100,40	0,82	6,64

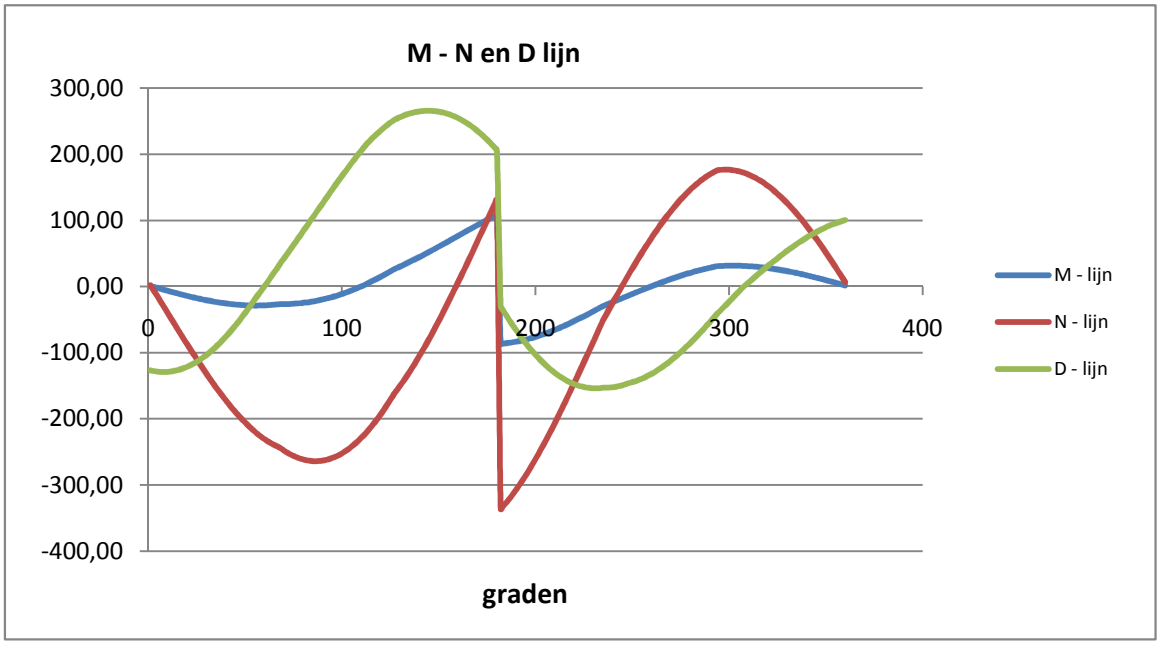

Belastinggeval : BG 1a - wind 45 gr.

φ in gr.	$M_{s;d}$ kNm	$T_{s;d}$ kN	$V_{s;d}$ kN	$\Delta M_{s;d}$ kN	$F_{s;d,langs}$ kN
0,0	-0,18	-4,18	-84,62	7,93	64,37
15,0	-8,11	-51,87	-82,39	6,47	52,55
30,0	-14,58	-96,76	-64,40	3,76	30,54
45,0	-18,34	-133,81	-32,31	0,02	0,14
60,0	-18,35	-158,60	8,64	1,94	15,72
75,0	-16,42	-173,81	50,31	4,62	37,53
90,0	-11,80	-176,29	91,67	9,54	77,52
105,0	-2,25	-159,66	130,77	14,00	113,72
120,0	11,75	-124,62	160,97	14,39	116,89
135,0	26,14	-81,11	174,47	14,59	118,47
150,0	40,73	-30,20	172,62	15,42	
165,0	56,15	28,61	156,89	13,69	
180,0	69,84	85,84	129,83	123,20	Flens crossbea
195,0	-53,36	-183,46	-65,46	10,67	
210,0	-42,69	-128,36	-93,27	14,27	
225,0	-28,41	-65,75	-105,01	14,44	117,26
240,0	-13,98	-5,89	-102,95	12,09	98,19
255,0	-1,89	43,41	-92,55	10,89	88,43
270,0	9,00	83,60	-72,73	8,56	69,53
285,0	17,56	111,00	-43,96	3,65	29,65
300,0	21,21	118,87	-12,20	1,74	14,13
315,0	19,47	106,13	14,68	4,70	38,16
330,0	14,77	79,26	37,09	6,91	56,09
345,0	7,87	41,14	54,86	7,50	60,92
360,0	0,37	-1,03	65,39	0,55	4,45

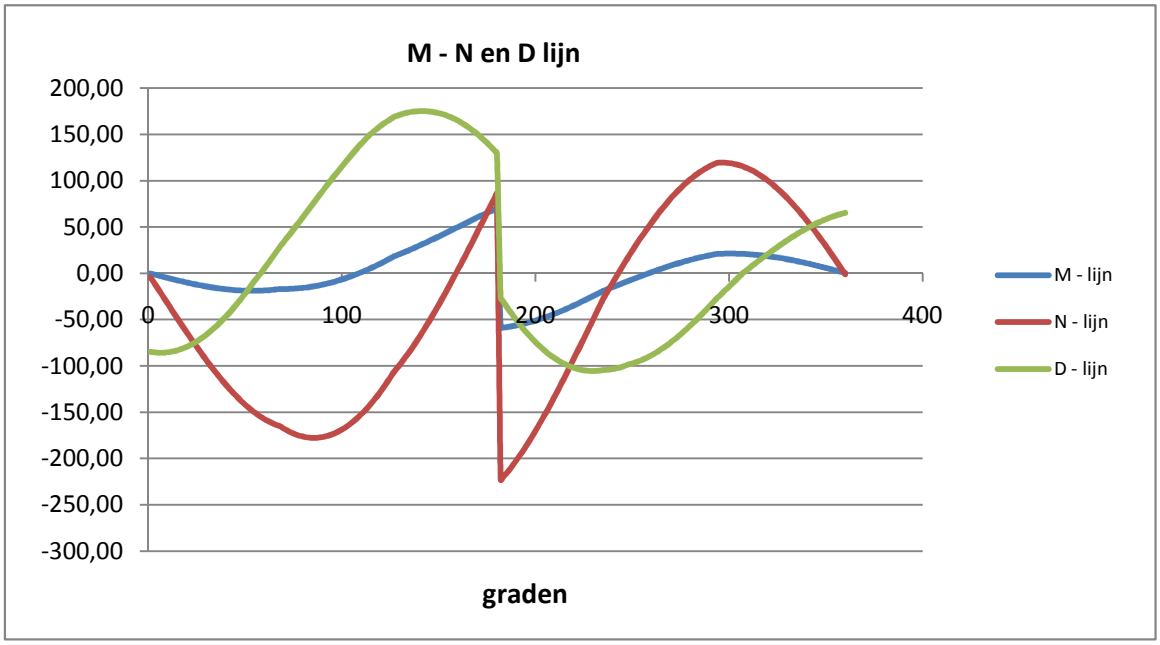

Belastinggeval : BG 3 - wind 45 gr + ijs.

φ in gr.	$M_{s;d}$ kNm	$T_{s;d}$ kN	$V_{s;d}$ kN	$\Delta M_{s;d}$ kN	$F_{s;d,langs}$ kN
0,0	1,18	4,58	-115,88	11,04	89,68
15,0	-9,87	-60,77	-115,89	9,33	75,82
30,0	-19,20	-123,69	-94,06	5,87	47,68
45,0	-25,07	-177,17	-52,29	0,91	7,42
60,0	-25,98	-214,90	2,59	2,07	16,85
75,0	-23,91	-239,25	60,13	6,12	49,67
90,0	-17,79	-245,67	118,82	12,98	105,41
105,0	-4,81	-225,83	175,50	19,28	156,63
120,0	14,47	-180,29	220,65	20,75	168,54
135,0	35,22	-120,73	244,07	21,73	176,50
150,0	56,95	-48,96	246,91	23,08	
165,0	80,03	34,66	230,07	20,70	
180,0	100,74	116,71	196,31	172,73	Flens crossbea
195,0	-71,99	-262,32	-76,23	13,26	
210,0	-58,73	-189,84	-117,59	18,59	
225,0	-40,14	-105,44	-137,40	19,27	156,54
240,0	-20,87	-23,07	-138,30	16,53	134,22
255,0	-4,34	46,51	-126,94	15,24	123,79
270,0	10,90	104,85	-101,67	12,32	100,10
285,0	23,22	146,53	-63,40	5,67	46,04
300,0	28,89	161,66	-20,37	1,78	14,43
315,0	27,12	148,24	17,34	5,91	47,99
330,0	21,21	114,93	49,94	9,11	73,99
345,0	12,10	65,30	76,28	10,17	82,62
360,0	1,93	8,85	92,34	0,75	6,11

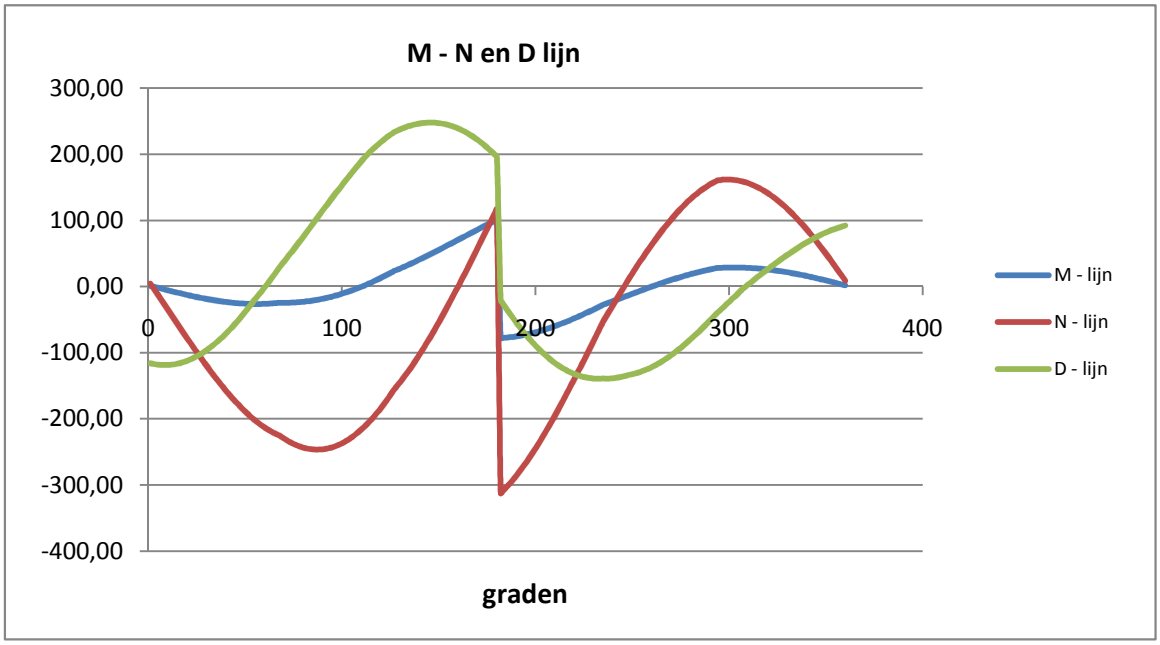

Belastinggeval : BG 1a - Bundelbreuk 90 gr

φ in gr.	$M_{s;d}$ kNm	$T_{s;d}$ kN	$V_{s;d}$ kN	$\Delta M_{s;d}$ kN	$F_{s;d,langs}$ kN
0,0	1,61	10,32	-86,68	8,27	67,20
15,0	-6,67	-33,47	-89,18	7,33	59,56
30,0	-14,00	-75,81	-76,45	5,21	42,32
45,0	-19,21	-112,15	-49,76	2,07	16,84
60,0	-21,28	-138,41	-14,09	1,80	14,60
75,0	-19,49	-151,36	25,72	6,03	48,96
90,0	-13,46	-148,94	68,70	10,19	82,75
105,0	-3,27	-130,50	110,09	13,83	112,34
120,0	10,56	-96,85	142,76	16,53	134,27
135,0	27,09	-50,30	162,27	17,93	145,60
150,0	45,02	5,55	168,28	17,76	
165,0	62,78	66,08	158,95	14,93	
180,0	77,71	122,10	135,90	134,12	Flens crossbea
195,0	-56,41	-178,81	-70,03	11,26	
210,0	-45,15	-126,92	-95,79	14,82	
225,0	-30,33	-67,22	-106,29	14,85	120,63
240,0	-15,48	-9,89	-103,95	12,36	100,39
255,0	-3,12	37,48	-91,34	11,32	91,96
270,0	8,20	77,25	-67,59	9,17	74,48
285,0	17,38	105,88	-36,14	4,25	34,52
300,0	21,63	116,20	-3,45	1,24	10,06
315,0	20,39	106,83	26,05	4,22	34,27
330,0	16,17	84,30	51,34	6,57	53,36
345,0	9,60	50,98	69,24	7,44	60,39
360,0	2,16	13,18	77,18	0,55	4,51

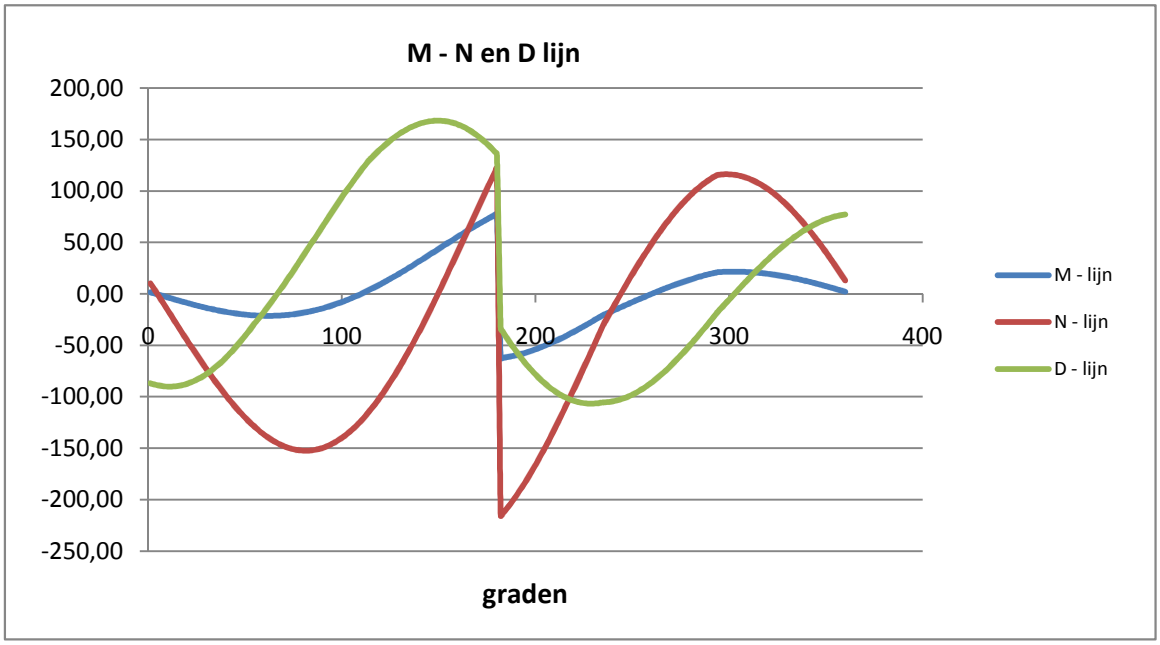

Belastinggeval : BG 3 - Bundelbreuk 90 gr + ijs

φ in gr.	$M_{s;d}$ kNm	$T_{s;d}$ kN	$V_{s;d}$ kN	$\Delta M_{s;d}$ kN	$F_{s;d,langs}$ kN
0,0	2,00	13,03	-94,51	9,07	73,63
15,0	-7,06	-34,95	-97,77	8,08	65,66
30,0	-15,15	-81,60	-84,33	5,80	47,10
45,0	-20,94	-121,93	-55,51	2,39	19,39
60,0	-23,33	-151,39	-16,65	1,85	15,00
75,0	-21,48	-166,39	27,02	6,50	52,77
90,0	-14,99	-164,58	74,38	11,09	90,11
105,0	-3,89	-145,13	120,22	15,15	123,02
120,0	11,25	-108,87	156,67	18,18	147,67
135,0	29,43	-58,21	178,82	19,80	160,79
150,0	49,23	2,94	186,23	19,70	
165,0	68,93	69,54	176,80	16,66	
180,0	85,59	131,50	152,19	146,78	Flens crossbea
195,0	-61,19	-197,80	-73,23	11,95	
210,0	-49,24	-141,76	-102,20	15,92	
225,0	-33,32	-76,82	-114,57	16,08	130,58
240,0	-17,24	-14,07	-112,88	13,48	109,52
255,0	-3,76	38,21	-99,82	12,43	100,93
270,0	8,67	82,41	-74,43	10,13	82,29
285,0	18,80	114,57	-40,42	4,77	38,75
300,0	23,57	126,73	-4,85	1,24	10,06
315,0	22,33	117,28	27,43	4,51	36,63
330,0	17,82	93,29	55,29	7,11	57,76
345,0	10,71	57,31	75,23	8,10	65,80
360,0	2,61	16,15	84,31	0,61	4,92

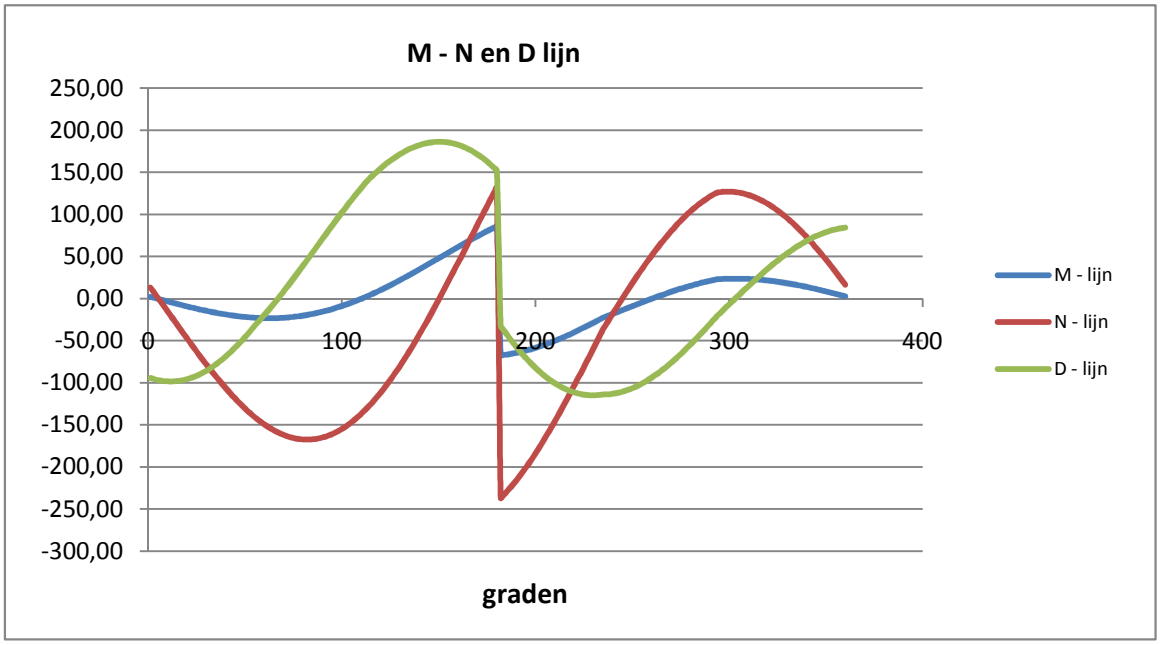

Belastinggeval : BG 1a - Bundelbreuk 45 gr

φ in gr.	$M_{s;d}$ kNm	$T_{s;d}$ kN	$V_{s;d}$ kN	$\Delta M_{s;d}$ kN	$F_{s;d,langs}$ kN
0,0	1,93	12,79	-71,16	6,89	55,96
15,0	-4,96	-23,67	-74,46	6,22	50,55
30,0	-11,19	-59,57	-65,05	4,55	36,99
45,0	-15,74	-91,07	-43,79	2,01	16,30
60,0	-17,75	-114,62	-14,59	1,20	9,74
75,0	-16,55	-127,37	18,67	4,76	38,66
90,0	-11,79	-127,38	55,09	8,32	67,56
105,0	-3,47	-113,87	90,72	11,50	93,38
120,0	8,03	-87,30	119,50	13,93	113,15
135,0	21,96	-49,39	137,62	15,30	124,30
150,0	37,26	-2,99	144,62	15,38	
165,0	52,64	48,11	138,77	13,16	
180,0	65,80	96,15	121,11	111,31	Flens crossbea
195,0	-45,52	-153,55	-49,89	8,46	
210,0	-37,06	-112,21	-73,10	11,61	
225,0	-25,45	-63,57	-83,92	11,91	96,71
240,0	-13,55	-15,94	-84,07	10,14	82,35
255,0	-3,41	24,38	-75,42	9,47	76,88
270,0	6,06	58,98	-57,19	7,82	63,55
285,0	13,88	84,71	-32,11	3,81	30,94
300,0	17,69	95,36	-5,49	0,74	6,00
315,0	16,95	89,52	18,96	3,24	26,28
330,0	13,72	72,47	40,40	5,26	42,69
345,0	8,46	45,98	56,08	6,08	49,37
360,0	2,38	15,14	63,64	0,46	3,72

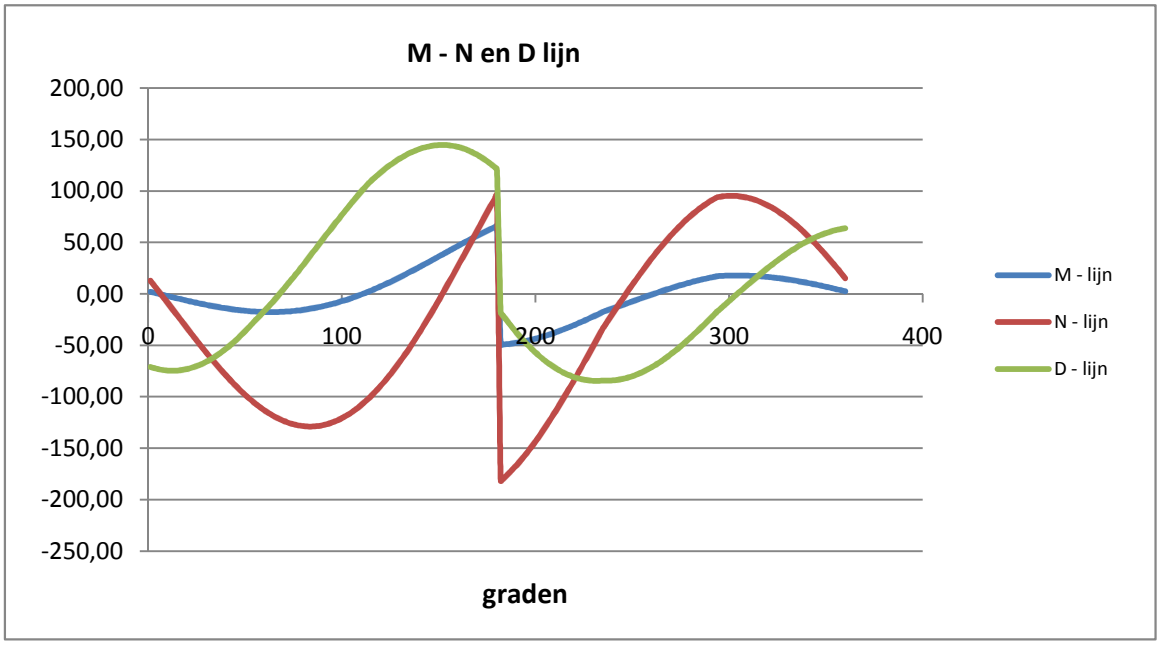

Belastinggeval : BG 3 - Bundelbreuk 45 gr + ijs

φ in gr.	$M_{s;d}$ kNm	$T_{s;d}$ kN	$V_{s;d}$ kN	$\Delta M_{s;d}$ kN	$F_{s;d,langs}$ kN
0,0	2,22	14,71	-83,93	8,13	66,05
15,0	-5,91	-28,31	-87,78	7,34	59,58
30,0	-13,24	-70,62	-76,62	5,36	43,51
45,0	-18,60	-107,67	-51,51	2,34	19,04
60,0	-20,95	-135,32	-17,05	1,44	11,69
75,0	-19,51	-150,20	22,20	5,64	45,79
90,0	-13,87	-150,04	65,15	9,83	79,84
105,0	-4,04	-133,93	107,11	13,57	110,21
120,0	9,53	-102,45	140,96	16,43	133,41
135,0	25,96	-57,65	162,18	18,03	146,42
150,0	43,98	-2,89	170,28	18,10	
165,0	62,08	57,34	163,21	15,46	
180,0	77,55	113,91	142,25	131,33	Flens crossbea
195,0	-53,79	-180,70	-59,52	10,02	
210,0	-43,76	-131,85	-86,81	13,72	
225,0	-30,04	-74,46	-99,45	14,07	114,31
240,0	-15,97	-18,29	-99,46	11,99	97,40
255,0	-3,98	29,24	-89,08	11,18	90,84
270,0	7,21	69,98	-67,41	9,24	75,02
285,0	16,44	100,23	-37,69	4,48	36,39
300,0	20,92	112,64	-6,22	0,90	7,32
315,0	20,02	105,58	22,65	3,85	31,24
330,0	16,18	85,30	47,91	6,22	50,56
345,0	9,95	53,93	66,34	7,19	58,36
360,0	2,77	17,49	75,18	0,54	4,39

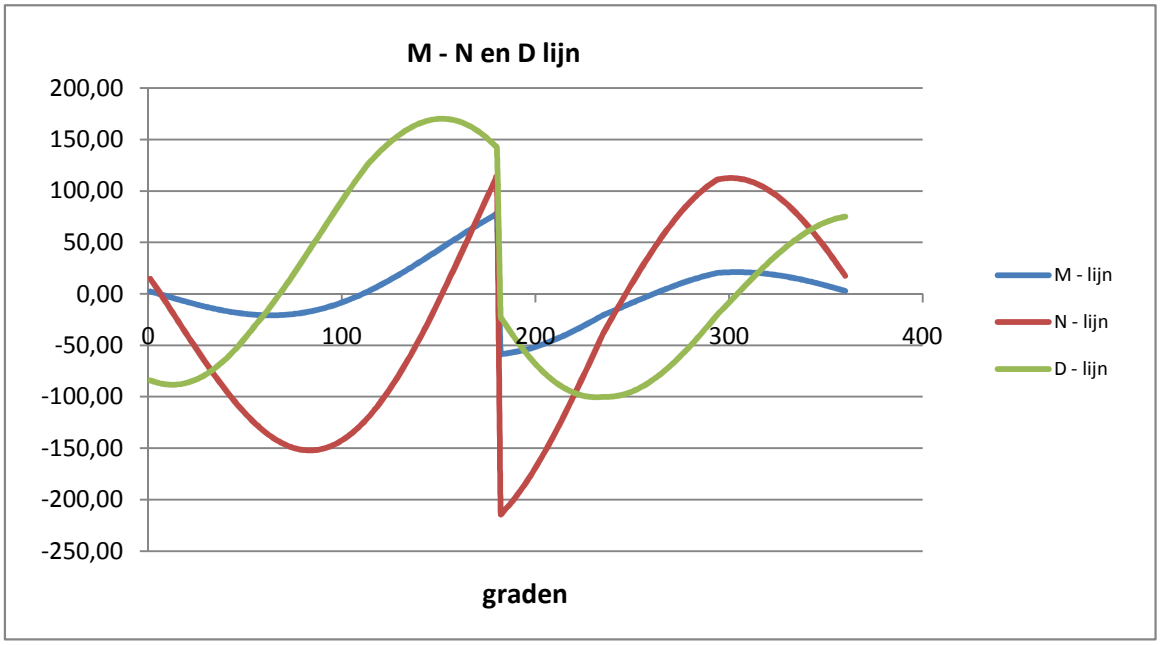

Maatgevende belastinggeval : BG 3 - wind 90 gr. + ijs

Controle spanningen :

$N_{Ed;max}$ =	336,7	kN	N_{Rd} =	3152	kN
$M_{y,Ed;max}$ =	108,22	kNm	M_{Rd} =	135	kNm
$V_{Ed;max}$ =	265,7	kN	V_{Rd} =	956	kN

$N_{Ed;max} / N_{Rd}$ = 336,70 / 3152 = 0,11 < 1,0 -- Voldoet

σ_N = 25,3 N/mm^2

$M_{y,Ed;max} / M_{y,Rd}$ = 108,22 / 135,2 = 0,80 < 1,0 -- Voldoet

σ_b = 189,4 N/mm^2

$V_{Ed;max} / V_{Rd}$ = 265,65 / 956 = 0,28 < 1,0 -- Voldoet

τ_z = 38,0 N/mm^2

Bij maximale moment : N_{Ed} = 131,05

V_{Ed} = 206,18

$\sigma_b + \sigma_N$ = 189,4 + 9,8 = 199,2 N/mm^2 < 236 MPa -- Voldoet

τ_z = 29,5 N/mm^2

$\sigma_{vlg} = \{ (\sigma_b + \sigma_{N)}^2 + 3*\tau^2 \}^{0,5}$

σ_{vlg} = 206 N/mm^2 < 236 MPa -- Voldoet

Controle spanningen in las.

Per bevestiging (2 * bevestigingspunten en 2 * ringen)

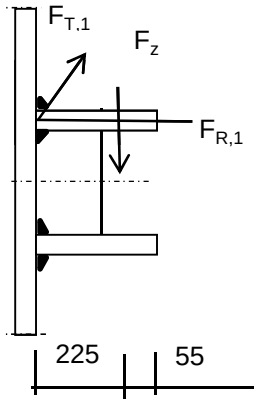

$F_{R,1,h}$ = 59,21 kN

$F_{T,1,h}$ = 35,60 kN

F_z = 15,49 kN

$F_{Langs,Ed}$ = 188,54 kN

$L_{las} = b_{m;ring} = 0,138*t*\pi * (E/fy)^{0,5}$ = 264 mm

of

L_{las} = 2 * 225 = 450 mm

L_{las} = 264 mm - maatgevend

lasdikte a = 5 mm - hoeklas

t.g.v. $F_{R,1,h}$:

$\sigma_1 = \tau_1 = F_{R,1,h} / (2*a*L_{las,min}*2^{0,5})$ = 15,9 N/mm^2

t.g.v. $F_{T,1,h}$:

$\tau_2 = F_{T,1,h} / (2*a*L_{las,min})$ = 13,50 N/mm^2

t.g.v. $F_{Langs,Ed}$:

$\tau_2 = F_{Langs,Ed;max} / (2*a*L_{las,min})$ = 71,52 N/mm^2

t.g.v. F_z :

$\sigma_1 = \tau_1 = [(F_z * 1000 * 205)/(t_{ring}+2*a/3)] / (a*L_{las,min}*2^{0,5})$ = 65,99 N/mm^2

$\sigma_1 = \tau_1$ = 81,9 N/mm^2

$\sigma_{Ed} = \{\sigma_1^2 + 3 * (\tau_1^2 + \tau_2^2)\}^{0,5}$ = 220,2 N/mm^2

Toetsing regel :

$\sigma_{Ed} \leq f_u / (\beta_w * \gamma_{M2})$ of $\sigma_1 = \sigma_{loodrecht} \leq 0{,}9 * f_u / \gamma_{M2}$

$f_{v,w,d} = f_u / (\beta_w * \gamma_M * \text{wortel(3)})$

$\gamma_{M2} = 1{,}25$

$\gamma_{m;extra} =$ 1,5 (extra materiaalfactor)

Materiaal S 355 ----> $f_u = 510$ N/mm^2 en $\beta_w = 0{,}9$

$f_u / (\beta_w * \gamma_{M2}) = 302$ N/mm^2 $0{,}9 * f_u / \gamma_{M2} = 245$ N/mm^2

$\sigma_{Ed} \leq f_u / (\beta_w * \gamma_{M2})=$	220,2	/	302,2	=	0,73	< 1,0 -- Voldoet
$\sigma_1 \leq 0{,}9 * f_u / \gamma_{M2}$	81,9	/	244,8	=	0,33	< 1,0 -- Voldoet

9.2.2 - Afspanpunt trekisolatoren op 45,5 meter hoogte

Ring gegevens:

$t_{buis;nom}$ =	22	mm
$t_{buis;reken}$ =	22	mm
$t_{ring;nom}$ =	25	mm
$t_{ring;reken}$ =	25	mm
b_{ring} =	260	mm
Afstand tussen ringen =	160	mm

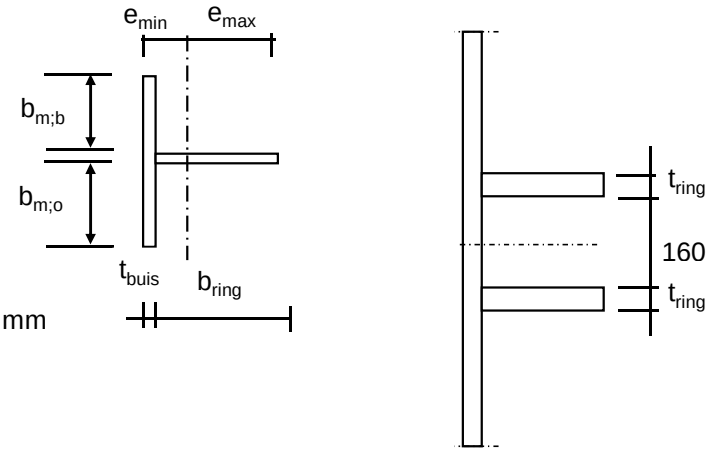

Mee werkende breedte :DIN 18801

$b_m = 0{,}138 * t * \lambda_a$

$\lambda_a = \pi * (E / f_y)^{0,5}$

Staal S355 ; f_y = 355,0 N/mm^2

E = 210000,0 N/mm^2

$b_{m;b}$ =	232,0	mm
$b_{m;o}$ =	80	mm
A =	13914	mm^2
e_{min} =	76,9	mm
e_{max} =	205,1	mm
I =	105771239	mm^4
W_{min} =	515633	mm^3
$\gamma_{m;extra}$ =	1,5	(extra materiaalfactor)
N_{Rd} =	3293	kN
$M_{y;Rd}$ =	122	kNm
$M_{w;Rd}$ =	9799	kNm (torsieweerstand mast)
V_{Rd} =	888	kN

Belastingen - De belastingen van de bevestiging op 54,0 meter hoogte aangehouden

Geleiders 380 kV

	Ahead			Back		
	F_V N	F_T N	F_L N	F_V N	F_T N	F_L N
BG 1a - (wind (90 gr))	17290	59893	252074	13136	60808	-263276
BG 3 - (wind (90) + ijs)	30978	46789	257842	18785	47078	-262139
BG 1a - (wind (45 gr))	17990	31639	170349	11970	42532	-205556
BG 3 - (wind (45)+ ijs)	31424	33793	236564	17728	38577	-244827
Bundelbreuk-(90 gr)	17795	37362	185712	0	0	0
Bundelbreuk-(90 gr + ijs)	20965	37018	202705	0	0	0
Bundelbr.-(45 gr)	18280	23778	152859	0	0	0
Bundelbr.-(45 gr + ijs)	21391	26025	180420	0	0	0

Geleiders 150 kV

	Ahead			Back		
	F_V N	F_T N	F_L N	F_V N	F_T N	F_L N
BG 1a - (wind (90 gr))	4323	14973	63018	0	0	0
BG 3 - (wind (90) + ijs)	7745	11697	64461	0	0	0
BG 1a - (wind (45 gr))	4498	7910	42587	0	0	0
BG 3 - (wind (45)+ ijs)	7856	8448	59141	0	0	0
Bundelbreuk-(90 gr)	4449	9341	46428	0	0	0
Bundelbreuk-(90 gr + ijs)	5241	9254	50676	0	0	0
Bundelbr.-(45 gr)	4570	5945	38215	0	0	0
Bundelbr.-(45 gr + ijs)	5348	6506	45105	0	0	0

Diamete mast t.p.v ringen D = 1127 mm

R = 564 mm

Mast 123: hoek tussen lijnen 2. α = 167 graden

Mast 109: hoek tussen lijnen 2. α = 180 graden

hoek tussen lijnen 2. α = 167 graden , maatgevend

hoek φ = boogsin(300 / (564+205)) = 23,0 graden

	A		B		C	
	$F_{R;1}$ kN	$F_{R;2}$ kN	$F_{R;1}$ kN	$F_{R;2}$ kN	$F_{R;max}$ kN	M_T kNm
BG 1a - (wind (90 gr))	62,2	56,2	64,8	58,8	100,3	187,1
BG 3 - (wind (90) + ijs)	61,9	58,5	62,8	59,5	172,2	191,3
BG 1a - (wind (45 gr))	41,0	38,6	50,0	46,3	100,5	126,4
BG 3 - (wind (45)+ ijs)	55,6	54,3	58,0	56,0	172,9	175,5
Bundelbreuk-(90 gr)	45,0	41,9	0,0	0,0	100,2	137,8
Bundelbreuk-(90 gr + ijs)	48,7	46,0	0,0	0,0	117,2	150,4
Bundelbr.-(45 gr)	36,2	35,0	0,0	0,0	101,1	113,4
Bundelbr.-(45 gr + ijs)	42,5	41,4	0,0	0,0	118,1	133,9

Roark's Formulas for stress & strain - tabel 9.2 - 20

Roark's Formulas for stress & strain - tabel 9.2 - 19

Maatgevend belastinggeval :BG 3 - 90 gr + ijs

φ in gr.	$M_{s;d}$ kNm	$T_{s;d}$ kN	$V_{s;d}$ kN	$\Delta M_{s;d}$ kN	$F_{s;d,langs}$ kN
0,0	-1,00	-4,11	-99,41	11,57	92,46
15,0	-12,57	-54,93	-100,34	9,46	75,55
30,0	-22,03	-104,27	-81,76	5,45	43,55
45,0	-27,48	-146,57	-45,25	0,17	1,37
60,0	-27,31	-176,72	5,54	6,36	50,81
75,0	-20,95	-191,65	57,68	5,59	44,64
90,0	-15,36	-201,92	106,02	13,32	106,41
105,0	-2,04	-191,07	152,85	20,01	159,89
120,0	17,97	-160,07	185,70	17,57	140,33
135,0	35,54	-124,84	200,20	22,33	178,42
150,0	57,87	-72,83	201,89	25,11	
165,0	82,98	-8,45	189,50	23,76	
180,0	106,74	57,77	164,94	185,27	Flens crossbea
195,0	-78,53	-238,78	-47,86	13,56	
210,0	-64,97	-182,16	-80,43	20,56	
225,0	-44,41	-113,06	-95,16	24,91	198,99
240,0	-19,51	-38,41	-92,21	17,96	143,49
255,0	-1,54	19,67	-81,24	16,62	132,75
270,0	15,07	69,34	-64,62	13,98	111,66
285,0	29,05	106,92	-37,87	1,92	15,34
300,0	30,97	114,84	-12,11	3,04	24,27
315,0	27,93	105,38	8,79	7,06	56,39
330,0	20,87	80,48	29,92	10,13	80,90
345,0	10,75	42,68	48,69	10,95	87,45
360,0	-0,20	-0,81	61,92	0,80	6,38

$F_{s;d;langs} = \Delta M_{s;d} * S / I$

$S =$ 845000 mm^3

$I =$ 105771239 mm^4

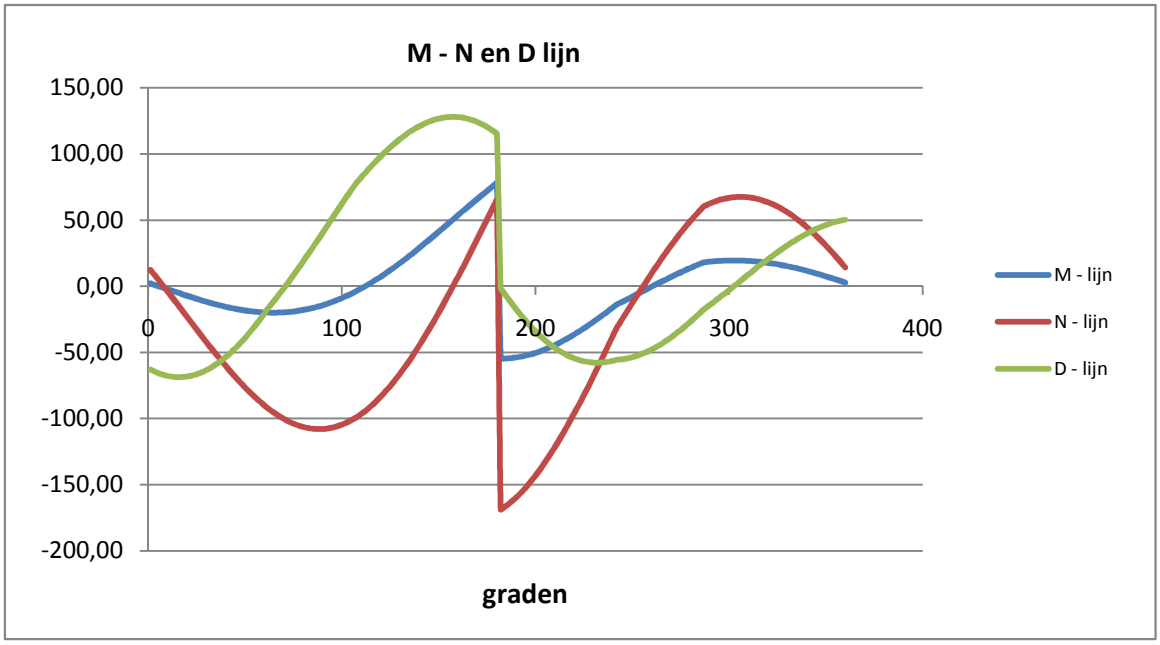

Maatgevende belastinggeval : Bundelbreuk - wind 45 gr. + ijs

Controle spanningen :

$N_{Ed;max}$ =	275,0	kN	N_{Rd} =	3293	kN
$M_{y,Ed;max}$ =	106,74	kNm	M_{Rd} =	122	kNm
$V_{Ed;max}$ =	202,9	kN	V_{Rd} =	888	kN

$N_{Ed;max} / N_{Rd}$ = 275,01 / 3293 = 0,08 < 1,0 -- Voldoet

σ_N = 19,8 N/mm^2

$M_{y,Ed;max} / M_{y,Rd}$ = 106,74 / 122,0 = 0,87 < 1,0 -- Voldoet

σ_b = 207,0 N/mm^2

$V_{Ed;max} / V_{Rd}$ = 202,85 / 888 = 0,23 < 1,0 -- Voldoet

τ_z = 31,2 N/mm^2

Bij maximale moment : N_{Ed} = 57,77

V_{Ed} = 164,94

$\sigma_b + \sigma_N$ = 207,0 + 4,2 = 211,2 N/mm^2 < 236 MPa -- Voldoet

τ_z = 25,4 N/mm^2

$\sigma_{vlg} = \{ (\sigma_b + \sigma_N)^2 + 3*\tau^2 \}^{0,5}$

σ_{vlg} = 216 N/mm^2 < 236 MPa -- Voldoet

Controle spanningen in las.

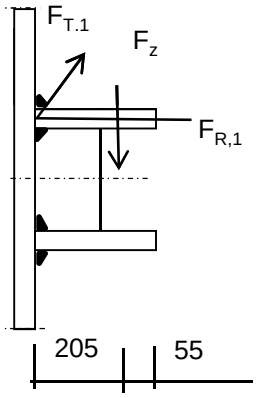

Per bevestiging (2 * bevestigingspunten en 2 * ringen)

$F_{R,1,h}$ =	61,87	kN
$F_{T,1,h}$ =	29,50	kN
F_z =	15,49	kN
$F_{Langs,Ed}$ =	198,99	kN

$L_{las} = b_{m;ring} = 0,138*t*\pi * (E/fy)^{0,5}$ = 264 mm

of

L_{las} = 2 * 205 = 410 mm

L_{las} =264 mm - maatgevend

lasdikte a = 5 mm - hoeklas

t.g.v. $F_{R,1,h}$:

$\sigma_1 = \tau_1 = F_{R,1,h} / (2*a*L_{las,min}*2^{0,5})$ = 16,6 N/mm^2

t.g.v. $F_{T,1,h}$:

$\tau_2 = F_{T,1,h} / (2*a*L_{las,min})$ = 11,19 N/mm^2

t.g.v. $F_{Langs,Ed}$:

$\tau_2 = F_{Langs,Ed;max} / (2*a*L_{las,min})$ = 75,49 N/mm^2

t.g.v. F_z :

$\sigma_1 = \tau_1 = [(F_z * 1000 * 205)/(t_{ring}+2*a/3)] / (a*L_{las,min}*2^{0,5})$ = 60,12 N/mm^2

$\sigma_1 = \tau_1$ = 76,7 N/mm^2

$\sigma_{Ed} = \{\sigma_1^2 + 3 * (\tau_1^2 + \tau_2^2)\}^{0,5}$ = 214,7 N/mm^2

Toetsing regel :

$\sigma_{Ed} \leq f_u / (\beta_w * \gamma_{M2})$ of $\sigma_1 = \sigma_{loodrecht} \leq 0{,}9 * f_u / \gamma_{M2}$

$f_{v,w,d} = f_u / (\beta_w * \gamma_M * \text{wortel(3)})$

$\gamma_{M2} = 1{,}25$

$\gamma_{m;extra} =$ 1,5 (extra materiaalfactor)

Materiaal S 355 ----> $f_u = 510$ N/mm^2 en $\beta_w = 0{,}9$

$f_u / (\beta_w * \gamma_{M2}) = 302$ N/mm^2 $0{,}9 * f_u / \gamma_{M2} = 245$ N/mm^2

$\sigma_{Ed} \leq f_u / (\beta_w * \gamma_{M2})=$ 214,7 / 302,2 = 0,71 < 1,0 -- Voldoet

$\sigma_1 \leq 0{,}9 * f_u / \gamma_{M2}$ 76,7 / 244,8 = 0,31 < 1,0 -- Voldoet

9.2.3 - Afspanpunt trekisolatoren op 37,0 meter hoogte

Ring gegevens:

$t_{buis;nom}$ = 28 mm
$t_{buis;reken}$ = 28 mm

$t_{ring;nom}$ = 25 mm
$t_{ring;reken}$ = 25 mm

b_{ring} = 260 mm
Afstand tussen ringen = 160 mm

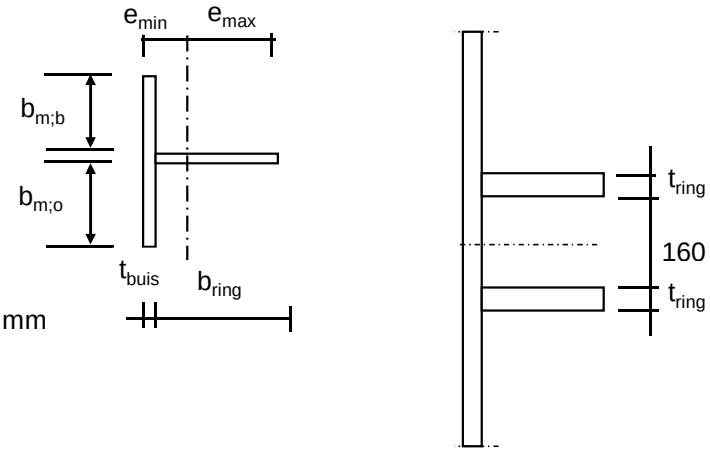

Mee werkende breedte :DIN 18801

$b_m = 0{,}138 * t * \lambda_a$

$\lambda_a = \pi * (E / f_y)^{0,5}$

Staal S355 ; f_y = 355,0 N/mm^2
E = 210000,0 N/mm^2

$b_{m;b}$ = 295,2 mm
$b_{m;o}$ = 80 mm

A = 17707 mm^2
e_{min} = 66,9 mm
e_{max} = 221,1 mm

I = 122655070 mm^4
W_{min} = 554651 mm^3

$\gamma_{m;extra}$ = 1,5 (extra materiaalfactor)

N_{Rd} = 4191 kN
$M_{y;Rd}$ = 131 kNm
$M_{w;Rd}$ = 20122 kNm (torsieweerstand mast)
V_{Rd} = 888 kN

Belastingen - De belastingen van de bevestiging op 54,0 meter hoogte aangehouden

Geleiders 380 kV

	Ahead			Back		
	F_V N	F_T N	F_L N	F_V N	F_T N	F_L N
BG 1a - (wind (90 gr))	17290	59893	252074	13136	60808	-263276
BG 3 - (wind (90) + ijs)	30978	46789	257842	18785	47078	-262139
BG 1a - (wind (45 gr))	17990	31639	170349	11970	42532	-205556
BG 3 - (wind (45)+ ijs)	31424	33793	236564	17728	38577	-244827
Bundelbreuk-(90 gr)	17795	37362	185712	0	0	0
Bundelbreuk-(90 gr + ijs)	20965	37018	202705	0	0	0
Bundelbr.-(45 gr)	18280	23778	152859	0	0	0
Bundelbr.-(45 gr + ijs)	21391	26025	180420	0	0	0

Geleiders 150 kV

	Ahead			Back		
	F_V N	F_T N	F_L N	F_V N	F_T N	F_L N
BG 1a - (wind (90 gr))	4323	14973	63018	0	0	0
BG 3 - (wind (90) + ijs)	7745	11697	64461	0	0	0
BG 1a - (wind (45 gr))	4498	7910	42587	0	0	0
BG 3 - (wind (45)+ ijs)	7856	8448	59141	0	0	0
Bundelbreuk-(90 gr)	4449	9341	46428	0	0	0
Bundelbreuk-(90 gr + ijs)	5241	9254	50676	0	0	0
Bundelbr.-(45 gr)	4570	5945	38215	0	0	0
Bundelbr.-(45 gr + ijs)	5348	6506	45105	0	0	0

Diamete mast t.p.v ringen D = 1432 mm

R = 716 mm

Mast 123: hoek tussen lijnen 2. α = 167 graden

Mast 109: hoek tussen lijnen 2. α = 180 graden

hoek tussen lijnen 2. α = 167 graden , maatgevend

hoek φ = boogsin(300 / (716+205)) = 19,0 graden

	A		B		C	
	$F_{R;1}$ kN	$F_{R;2}$ kN	$F_{R;1}$ kN	$F_{R;2}$ kN	$F_{R;max}$ kN	M_T kNm
BG 1a - (wind (90 gr))	63,3	58,3	65,9	61,0	97,9	182,3
BG 3 - (wind (90) + ijs)	63,2	60,4	64,2	61,4	167,9	186,4
BG 1a - (wind (45 gr))	41,8	39,9	51,0	47,9	98,1	123,2
BG 3 - (wind (45)+ ijs)	57,0	55,9	59,4	57,7	168,6	171,0
Bundelbreuk-(90 gr)	45,9	43,3	0,0	0,0	97,8	134,3
Bundelbreuk-(90 gr + ijs)	49,7	47,5	0,0	0,0	114,3	146,6
Bundelbr.-(45 gr)	37,0	36,0	0,0	0,0	98,6	110,5
Bundelbr.-(45 gr + ijs)	43,5	42,6	0,0	0,0	115,2	130,4

Roark's Formulas for stress & strain - tabel 9.2 - 20

Roark's Formulas for stress & strain - tabel 9.2 - 19

Maatgevend belastinggeval :BG 3 - 90 gr + ijs

φ in gr.	$M_{s;d}$ kNm	$T_{s;d}$ kN	$V_{s;d}$ kN	$\Delta M_{s;d}$ kN	$F_{s;d;langs}$ kN
0,0	-2,55	-7,45	-82,81	11,18	77,02
15,0	-13,73	-46,80	-84,77	8,89	72,17
30,0	-22,61	-85,59	-69,74	4,71	38,22
45,0	-27,32	-119,39	-38,93	1,11	9,05
60,0	-26,20	-144,04	4,64	8,13	66,04
75,0	-18,07	-156,10	50,63	5,84	47,40
90,0	-12,24	-166,97	91,33	12,42	100,91
105,0	0,19	-162,95	129,20	17,14	139,22
120,0	17,33	-145,74	153,58	15,45	125,49
135,0	32,78	-123,84	164,53	21,46	174,33
150,0	54,24	-86,50	166,41	25,66	
165,0	79,90	-36,77	158,26	25,60	
180,0	105,50	17,02	141,25	182,96	Flens crossbea
195,0	-77,46	-213,35	-23,88	12,02	
210,0	-65,44	-170,18	-50,29	20,32	
225,0	-45,11	-114,57	-62,23	25,92	210,50
240,0	-19,20	-52,15	-59,84	19,84	161,12
255,0	0,64	-1,03	-50,63	16,75	136,04
270,0	17,39	41,39	-39,81	13,24	107,57
285,0	30,64	73,22	-22,89	0,03	0,23
300,0	30,61	79,91	-9,08	3,90	31,66
315,0	26,71	74,15	2,37	7,49	60,81
330,0	19,22	56,33	15,82	10,21	82,91
345,0	9,01	28,18	29,48	10,78	87,56
360,0	-1,77	-4,91	40,79	0,78	6,33

$F_{s;d;langs} = \Delta M_{s;d} * S / I$

$S = 845000\ mm^3$

$I = 122655070\ mm^4$

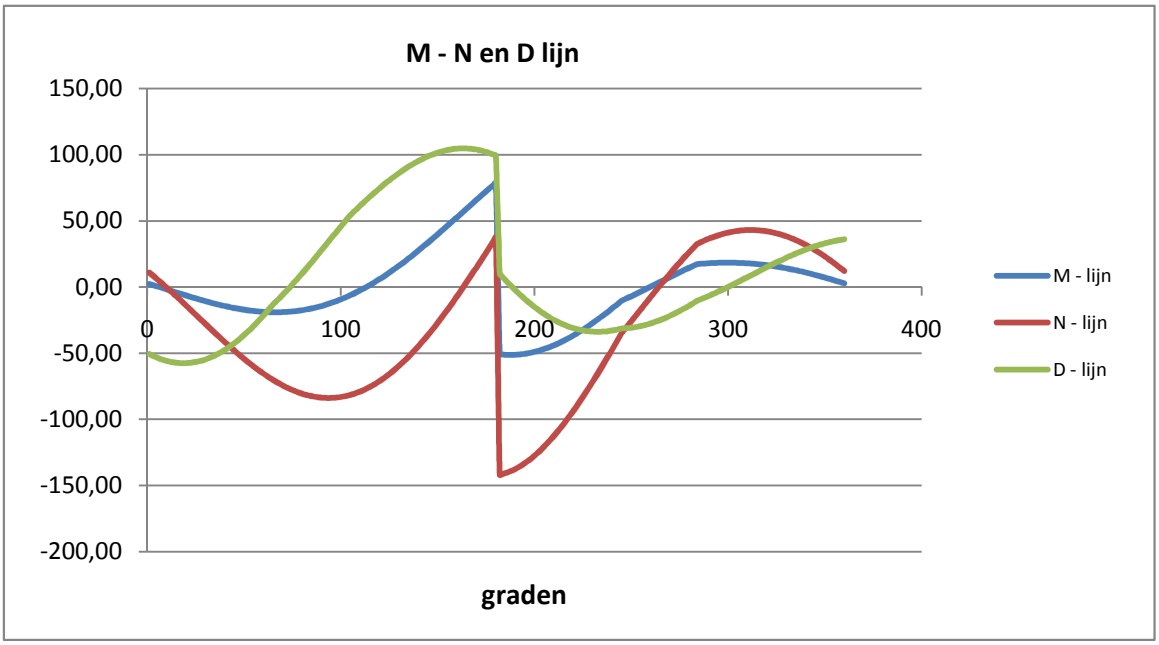

Maatgevende belastinggeval : Bundelbreuk - wind 45 gr. + ijs

Controle spanningen :

$N_{Ed;max}$ =	238,2	kN	N_{Rd} =	4191	kN
$M_{y,Ed;max}$ =	105,50	kNm	M_{Rd} =	131	kNm
$V_{Ed;max}$ =	166,9	kN	V_{Rd} =	888	kN

$N_{Ed;max} / N_{Rd}$ = 238,24 / 4191 = 0,06 < 1,0 -- Voldoet

σ_N = 13,5 N/mm^2

$M_{y,Ed;max} / M_{y,Rd}$ = 105,50 / 131,3 = 0,80 < 1,0 -- Voldoet

σ_b = 190,2 N/mm^2

$V_{Ed;max} / V_{Rd}$ = 166,86 / 888 = 0,19 < 1,0 -- Voldoet

τ_z = 25,7 N/mm^2

Bij maximale moment : N_{Ed} = 17,02

V_{Ed} = 141,25

$\sigma_b + \sigma_N$ = 190,2 + 1,0 = 191,2 N/mm^2 < 236 MPa -- Voldoet

τ_z = 21,7 N/mm^2

$\sigma_{vlg} = \{ (\sigma_b + \sigma_N)^2 + 3*\tau^2 \}^{0,5}$

σ_{vlg} = 195 N/mm^2 < 236 MPa -- Voldoet

Controle spanningen in las.

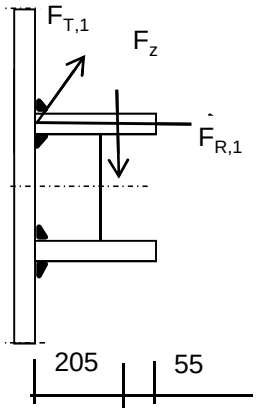

Per bevestiging (2 * bevestigingspunten en 2 * ringen)

$F_{R,1,h}$ =	63,21	kN
$F_{T,1,h}$ =	25,38	kN
F_z =	15,49	kN
$F_{Langs,Ed}$ =	146,42	kN

$L_{las} = b_{m;ring} = 0,138*t*\pi * (E/fy)^{0,5}$ = 264 mm

of

L_{las} = 2 * 205 = 410 mm

L_{las} = 264 mm - maatgevend

lasdikte a = 5 mm - hoeklas

t.g.v. $F_{R,1,h}$:

$\sigma_1 = \tau_1 = F_{R,1,h} / (2*a*L_{las,min}*2^{0,5})$ = 17,0 N/mm^2

t.g.v. $F_{T,1,h}$:

$\tau_2 = F_{T,1,h} / (2*a*L_{las,min})$ = 9,63 N/mm^2

t.g.v. $F_{Langs,Ed}$:

$\tau_2 = F_{Langs,Ed;max} / (2*a*L_{las,min})$ = 55,54 N/mm^2

t.g.v. F_z :

$\sigma_1 = \tau_1 = [(F_z * 1000 * 205)/(t_{ring}+2*a/3)] / (a*L_{las,min}*2^{0,5})$ = 60,12 N/mm^2

$\sigma_1 = \tau_1$ = 77,1 N/mm^2

$\sigma_{Ed} = \{\sigma_1^2 + 3 * (\tau_1^2 + \tau_2^2)\}^{0,5}$ = 191,1 N/mm^2

Toetsing regel :

$\sigma_{Ed} \leq f_u / (\beta_w * \gamma_{M2})$ of $\sigma_1 = \sigma_{loodrecht} \leq 0{,}9 * f_u / \gamma_{M2}$

$f_{v,w,d} = f_u / (\beta_w * \gamma_M * \text{wortel(3)})$

$\gamma_{M2} = 1{,}25$

$\gamma_{m;extra} =$ 1,5 (extra materiaalfactor)

Materiaal S 355 ----> $f_u = 510$ N/mm^2 en $\beta_w = 0{,}9$

$f_u / (\beta_w * \gamma_{M2}) = 302$ N/mm^2 $0{,}9 * f_u / \gamma_{M2} = 245$ N/mm^2

$\sigma_{Ed} \leq f_u / (\beta_w * \gamma_{M2})=$ 191,1 / 302,2 = 0,63 < 1,0 -- Voldoet

$\sigma_1 \leq 0{,}9 * f_u / \gamma_{M2}$ 77,1 / 244,8 = 0,31 < 1,0 -- Voldoet

9.3 - Berekening draagarm bliksemdraad

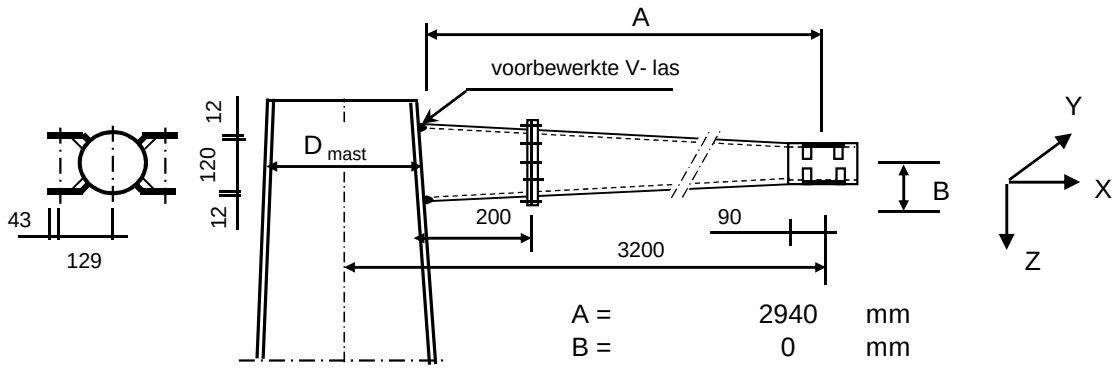

A =	2940	mm
B =	0	mm
D_{mast} =	520	mm
t_{mast} =	18	mm
Hoogte :	62,43	m

Buisgegevens

Buis Ø330 * 10 - S355 (aansluiting mast) ; buis 168,3*8 -S355 - op uiteinde

$\gamma_{m;extra}$ = 1,5 (extra materiaalfactor)

Materiaal - S 355 ; f_y = 355 / $\gamma_{m;extra}$ = 236,7 N/mm^2

A =	10053	mm^2	$N_{Ed} = A * f_y$ =	2379	kN
$W_y = W_z$ =	7,81E+05	mm^3	$M_{y,Ed} = W_y * f_y$ =	184,8	kNm
W_x =	1,56E+06	mm^3	$M_{z,Ed} = W_z * f_y$ =	184,8	kNm
			$M_{x,Ed} = W_x * f_y / 3^{0,5}$ =	213,3	kNm
			$V_{Rd} = 0,5*A* f_y / 3^{0,5}$ =	686,8	kN

Belastingen : Zie KEMA rapport 74100706-ETD/POL 12-001 38 REV V10.0 - Appendix AL, AL1

	AHEAD			BACK		
	F_x	F_y	F_z	F_x	F_y	F_z
	N	N	N	N	N	N
BG 1a - (wind (90 gr))	10132	40451	2234	10130	-41937	1840
BG 3 - (wind (90) + ijs)	12979	64084	9579	12921	-65131	6899
BG 1a - (wind (45 gr))	4989	24775	2324	6906	-31480	1739
BG 3 - (wind (45) + ijs)	8902	58561	9694	10339	-60784	6698
BG 1a - bundelbr. (90gr)	6054	-27943	2295	0	0	0
BG 3 - bundelbr. (90gr+ij	9314	-41944	3906	0	0	0
BG 1a - bundelbr. (45gr)	3505	-20875	2375	0	0	0
BG 3 - bundelbr. (45gr+ij	5510	-32739	4031	0	0	0
BG 1a - bundelbr. (-45gr	4421	-23176	2342	0	0	0
BG 3 - bundelbr. (-45gr+	6881	-35697	3981	0	0	0

F_x = Transverse kracht

F_y = Longitudinale kracht

F_z = Verticale kracht

	$F_{x,Ed}$ kN	$F_{y,Ed}$ kN	$F_{z,Ed}$ kN	$M_{x,Ed}$ kNm	$M_{y,Ed}$ kNm	$M_{z,Ed}$ kNm
BG 1a - (wind (90 gr))	20,26	1,49	4,07	0,00	11,98	4,37
BG 3 - (wind (90) + ijs)	25,90	1,05	16,48	0,00	48,44	3,08
BG 1a - (wind (45 gr))	11,90	6,70	4,06	0,00	11,94	19,71
BG 3 - (wind (45) + ijs)	19,24	2,22	16,39	0,00	48,19	6,54
BG 1a - bundelbr. (90gr)	6,05	27,94	2,29	0,00	6,75	82,15
BG 3 - bundelbr. (90gr+ij	**9,31**	**41,94**	**3,91**	**0,00**	**11,48**	**123,31**
BG 1a - bundelbr. (45gr)	3,51	20,88	2,38	0,00	6,98	61,37
BG 3 - bundelbr. (45gr+ij	5,51	32,74	4,03	0,00	11,85	96,25
BG 1a - bundelbr. (-45gr	4,42	23,18	2,34	0,00	6,89	68,13
BG 3 - bundelbr. (-45gr+	6,88	35,70	3,98	0,00	11,70	104,94

$M_{x,Ed} = F_{y,Ed} * B$; $B = 0$

$M_{y,Ed} = F_{z,Ed} * A \pm F_{x,Ed} * B$; $M_{y,Ed,max} = F_{z,Ed} * A$

$M_{z,Ed} = F_{y,Ed} * A$

Maatgevend belastinggeval : BG 3 - bundelbreuk (wind 90 gr + ijs)

$M_{y,Ed} / M_{y,Rd}$ = 11,48 / 185 = 0,06 < 1,0 -- Voldoet

$\sigma_{b,y}$ = 14,7 N/mm^2

$M_{z,Ed} / M_{z,Rd}$ = 123,31 / 185 = 0,67 < 1,0 -- Voldoet

$\sigma_{b,y}$ = 158,0 N/mm^2

N_{Ed} / N_{Rd} = 9,31 / 2379 = 0,00 < 1,0 -- Voldoet

σ_N = 0,9 N/mm^2

$V_{z,Ed} / V_{z,Rd}$ = 3,91 / 687 = 0,01 < 1,0 -- Voldoet

τ_z = 0,8 N/mm^2

$V_{y,Ed} / V_{y,Rd}$ = 41,94 / 687 = 0,06 < 1,0 -- Voldoet

τ_y = 8,3 N/mm^2

Maximale spanning

$\sigma_{max} = (\sigma^2_{b,y} + \sigma^2_{b,z})^{0,5} + \sigma_N$ = 160 N/mm^2

vergelijkingsspanning :

$\sigma_{vlg} = (\sigma^2_{max} + 3*\tau^2_y + 3*\tau^2_z)^{0,5}$

σ_{vlg} = 160 N/mm^2 < 237 MPa -- Voldoet

Controle spanningen in las:

Toetsing regel :

$\sigma_{Ed} \leq f_u / (\beta_w * \gamma_{M2})$ of $\sigma_1 = \sigma_{loodrecht} \leq 0,9 * f_u / \gamma_{M2}$

$f_{v,w,d} = f_u / (\beta_w * \gamma_M * \text{wortel(3)})$

$\gamma_M = 1,25$; $\gamma_{m;extra}$ = 1,5 (extra materiaalfactor)

Materiaal S 355 ----> f_u = 510 N/mm^2 en $\beta_w = 0,9$

$f_u / (\beta_w * \gamma_{M2})$ = 302 N/mm^2 $0,9 * f_u / \gamma_{M2}$ = 245 N/mm^2

Buis 330*10 aan mast :

Lassen : Rondom voorbewerkte V- las met volledige doorsnede doorlassen

9.3.1 - Controle capaciteit van de aansluiting - draagarm aan mast

Momentcapaciteit in het vlak

buis	d_i (mm)	t_i (mm)	A (mm^2)	kwaliteit	f_y	W_b (mm^3)
0	520	18,0	28412	S355	355	3449713
1	330,0	10,0	10053	S355	355	780638

$M_{ip,1,Rd} = \{4{,}85 * (f_{y0} * t^2_0 * d_1 / \sin\theta_1) * (\beta * k_p * g^{0,5})\} / \gamma_{M5}$

γ_{M5} = 1,50 (extra materiaalfactor)

θ_1 = 90 graden ; $\beta = d_i / d_0$ = 0,63

$\gamma = d_0 / 2*t_0$ = 14,5

$n_p = \{N_{0,Ed} / (A_0 * f_{y,0})\} + \{M_{0,Ed} / (W_0 * f_{y,0})\}$

$N_{0,Ed}$ = 20,41 kN drukkracht
$M_{0,Ed}$ = 14,11 kNm
} t.g.v. max. belasting

n_p = 0,01 of n_p = -0,009

k_p = 1,0 , voor $n_p \leq 0$ (trek) ;

$k_p = 1{,}0 - 0{,}3 * n_p - 0{,}3 * n_p^2$, voor $n_p > 0$ (druk) maar $k_p \leq 1$

k_p = 1,00

$M_{ip,1,Rd}$ = 294,7 kNm

Pons controle ; Voor $d_1 \leq d_0 - 2*t_0$:

$M_{ip,1,Rd} = \{(f_{y0} * t_0 * d^2_1 / 3^{0,5})*((1+ 3*\sin\theta_1)/ 4*\sin^2\theta_1)\} / \gamma_{M5}$

$M_{ip,1,Rd}$ = 267,8 kNm

$M_{y,Ed} / M_{ip,1,Rd}$ = 48,44 / 267,8 = 0,18 < 1,0 -- Voldoet

Momentcapaciteit uit het vlak

$M_{op,1,Rd} = \{(f_{y0} * t^2_0 * d_1 / \sin\theta_1) * (2{,}7 / (1 - 0{,}81*\beta)) * k_p \} / \gamma_{M5}$

$M_{op,1,Rd}$ = 139,9 kNm

Pons controle ; Voor $d_1 \leq d_0 - 2*t_0$:

$M_{op,1,Rd} = \{(f_{y0} * t_0 * d^2_1 / 3^{0,5})*((3+ \sin\theta_1)/ 4*\sin^2\theta_1)\} / \gamma_{M5}$

$M_{op,1,Rd}$ = 267,8 kNm

$M_{z,Ed} / M_{op,1,Rd}$ = 123,31 / 139,9 = 0,88 < 1,0 -- Voldoet

9.3.2 - Berekening clip bliksemdraad (clip type 2)

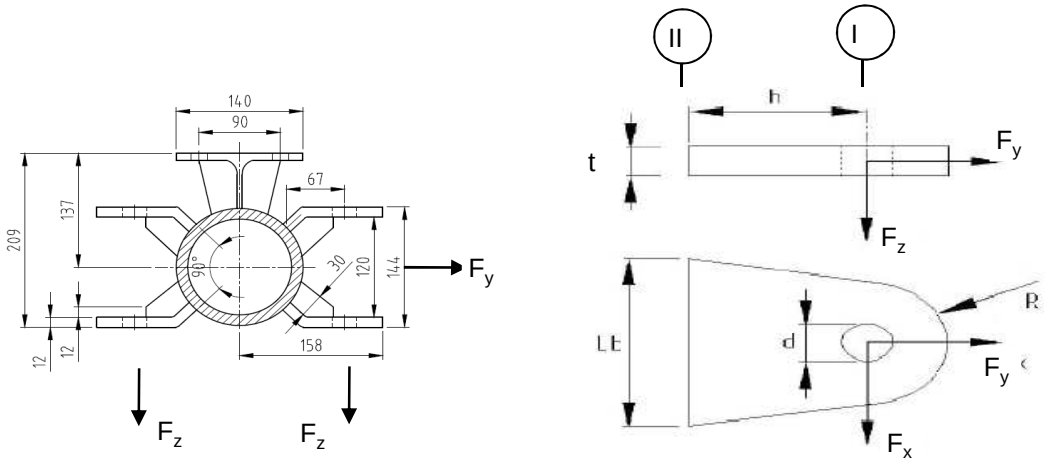

R =	42	mm ;	t =	12	mm
Lb =	120	mm ;	d =	27	mm
h =	65	mm ;	a las =	5	mm (hoeklas)

Materiaal - S 355 ; f_y = 355 / 1,5 = 236,7 N/mm^2

	$F_{x,Ed}$ kN	$F_{y,Ed}$ kN	$F_{z,Ed}$ kN
BG 1a - (wind (90 gr))	10,13	40,45	2,23
BG 3 - (wind (90) + ijs)	**12,98**	**64,08**	**9,58**
BG 1a - (wind (45 gr))	4,99	24,78	2,32
BG 3 - (wind (45) + ijs)	8,90	58,56	9,69

Maatgevend belastinggeval : BG 3 - (wind 90 gr + ijs)

Per clip :	**6,49**	**32,04**	**9,58**

Doorsnede I ; ter hoogte van het gat

Per clip: $F_{Ed;max}$ = $(F_{x,Ed}^2 + F_{y,Ed}^2)^{0,5}$ = 32,4 kN

τ_{toel} = (355 / 1,5) / $3^{0,5}$ =	137	N/mm^2	
τ = $F_{Ed,max}$ / (2 *(t * (R - d/2)) =	47	N/mm^2	< 137 MPa -- Voldoet

Doorsnede II ; per clips

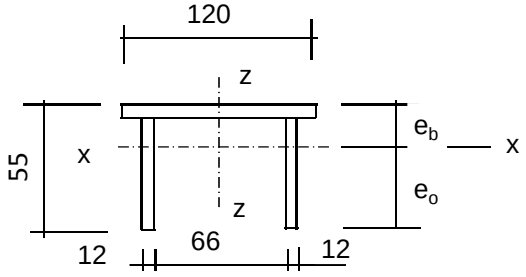

e_b =	17,5	mm
e_o =	37,5	mm
A =	2472	mm^2
A_{schot} =	1032	mm^3

I_x =	630925	mm^4	I_z =	3310056	mm^4
$W_{x,min}$ =	16816	mm^3	W_z =	55168	mm^3

$N_{Rd} = A * f_y$ =	585	kN
$M_{x,Rd} = W_{x,min} * f_y$ =	4,0	kNm
$M_{z,Rd} = W_z * f_y$ =	10,5	kNm
$V_{z,Rd} = A_{schot} * f_y / 3^{0,5}$ =	141,0	kN
$V_{x,Rd} = A_{ribbe} * f_y / 3^{0,5}$ =	196,8	kN

N_{Ed} =	32,04	kN	$M_{z,Ed} = V_{x,Ed} * h$ =	0,42	kNm
$V_{z,Ed}$ =	9,58	kN	$M_{x,Ed} = V_{z,Ed} * h$ =	0,62	kNm
$V_{x,Ed}$ =	6,49	kN			

N_{Ed} / N_{Rd} =	32,04	/	585	=	0,05	< 1,0	-- Voldoet
			σ_N =		13,0	N/mm^2	
$M_{z,Ed} / M_{z,Rd}$ =	0,42	/	10,5	=	0,04	< 1,0	-- Voldoet
			$\sigma_{b,z}$ =		9,5	N/mm^2	
$M_{x,Ed} / M_{x,Rd}$ =	0,62	/	4,0	=	0,16	< 1,0	-- Voldoet
			$\sigma_{b,x}$ =		37,0	N/mm^2	
$V_{z,Ed} / V_{z,Rd}$ =	9,58	/	141	/	0,07	< 1,0	-- Voldoet
			τ_z =		9,3	N/mm^2	
$V_{x,Ed} / V_{x,Rd}$ =	6,49	/	197	/	0,03	< 1,0	-- Voldoet
			τ_x =		4,5	N/mm^2	

Maximale spanning

σ_{max} = 59,5 N/mm^2

vergelijkingsspanning :

$\sigma_{vlg} = (\sigma^2_{max} + 3*\tau^2_x + 3*\tau^2_z)^{0,5}$

σ_{vlg} = 62 N/mm^2 < 236 MPa -- Voldoet

Controle spanningen in las:

Toetsing regel :

$\sigma_{Ed} \leq f_u / (\beta_w * \gamma_{M2})$ of $\sigma_1 = \sigma_{loodrecht} \leq 0{,}9 * f_u / \gamma_{M2}$

$f_{v,w,d} = f_u / (\beta_w * \gamma_M *$ wortel(3))

$\gamma_M = 1{,}25$; $\gamma_{m;extra} =$ 1,5 (extra materiaalfactor)

Materiaal S 355 ----> $f_u = 510$ N/mm^2 en $\beta_w = 0{,}9$

$f_u / (\beta_w * \gamma_{M2}) = 302$ N/mm^2 $0{,}9 * f_u / \gamma_{M2} = 245$ N/mm^2

Lassen : hoeklas 5 mm rondom

a =	5	mm	t =	12	mm
			t_1 =	12	mm

Per mm las: : $\sigma_1 = \tau_1 = \sigma_{max} * t / (2 * a * 2^{0,5})$

$\tau_2 = \tau_{y,max} * t / (2 * a)$ of $\tau_2 = \tau_{z,max} * t_1 / (2 * a)$

σ_1 =		50,5	N/mm^2
τ_1 =		50,5	N/mm^2
τ_2 =	0	11,1	N/mm^2
σ_{Ed} =	$\{\sigma_1^2 + 3 * (\tau_1^2 + \tau_2^2)\}^{0,5}$ =	102,7	N/mm^2

$\sigma_{Ed} \leq f_u / (\beta_w * \gamma_{M2})$ =	102,7	/	302,2	= 0,34	< 1,0 -- Voldoet
$\sigma_1 \leq 0{,}9 * f_u / \gamma_{M2}$	50,5	/	244,8	= 0,21	< 1,0 -- Voldoet

9.3.3 - Berekening deling van de steunarm

Deling op 0,2 meter afstand van de mast

Afstand tot geleidert = 2940 - 200 = 2740 mm

N_{Ed}	$V_{y,Ed}$	$V_{z,Ed}$	$M_{x,Ed}$	$M_{y,Ed}$	$M_{z,Ed}$
kN	kN	kN	kNm	kNm	kNm
9,31	41,94	3,91	0,00	10,70	114,92

$M_{Ed} = (M_{y,Ed}^2 + M_{z,Ed}^2)^{0,5} =$ 115,4 kNm

$V_{Ed} = (V_{y,Ed}^2 + V_{z,Ed}^2)^{0,5} =$ 42,1 kN

Verbinding met 12 bouten M24 - 10,9 $F_{t,Rd} =$ 254,2 kN

$F_{v,Rd} =$ 169,4 kN

diameter Stc :	390	mm
uitwendige diameter flens :	450	mm
flensdikte	20	mm
Materiaal - S 355 ; $f_y = 355 / \gamma_{m;extra}$	237	N/mm^2

$F_{v,Ed} = V_{Ed} / n + 2* M_{x,Ed} / n * d_{stc} =$ 3,5 kN

$F_{t,Ed} = M_{Ed} * a / I_p + N_{Ed} / n =$ 99,4 kN

$F_{t,Ed} / F_{t,Rd}$ =	99,42	/ 254	=	0,39	< 1,0 -- Voldoet
$F_{v,Ed} / F_{v,Rd}$ =	3,51	/ 169	=	0,02	< 1,0 -- Voldoet
$F_{v,Ed} / F_{v,Rd} + F_{t,Ed} / 1,4.F_{t,Rd}$			=	0,30	< 1,0 -- Voldoet

Controle flens:

$t_{flens} =$ 20 mm

$L_{eff} = \min(p ; 4*m + 1,25*e ; 2*\pi*m) =$ 102,1 mm

m = 30,0 mm

n = 30,0 mm

$M_{pl} = (1/4) * L_{eff} * t_{fl}^2 * f_y =$ 2416408 Nmm

Bezwijkvorm 1 :	$F_{t,Rd} = 2 * M_{pl} / m =$	161,0	kN
Bezwijkvorm 2 :	$F_{t,Rd} = (M_{pl} + n * F_{t,Rd,b}) / (m + n) =$	167,3	kN
Bezwijkvorm 3 :	$F_{t,Rd} = F_{t,Rd,b} =$	254,2	kN

$F_{t,Rd,min} =$ 161,0 kN

$F_{t,Ed} / F_{t,Rd,min} =$ 0,62 < 1,0 -- Voldoet

Lassen : Rondom voorbewerkte V- las met volledige doorsnede doorlassen

9.4 - Berekening draagarm "Retourstroomgeleider"

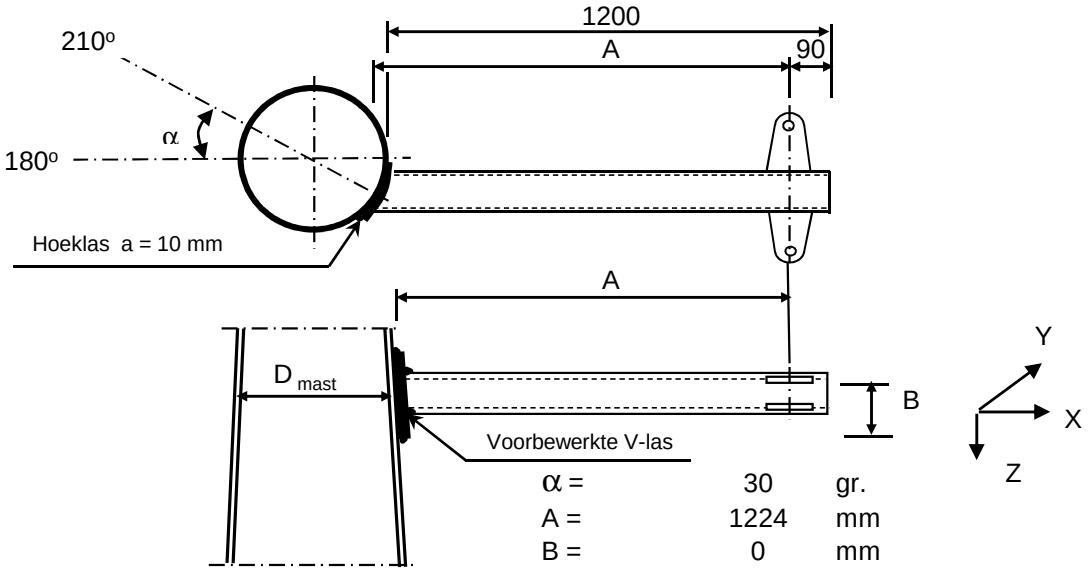

α =	30	gr.
A =	1224	mm
B =	0	mm
D_{mast} =	1701	mm
t_{mast} =	30	mm
Hoogte :	29,5	m

Buisgegevens

Buis Ø273 * 8 - S355 ;

$\gamma_{m;extra}$ = 1,5 (extra materiaalfactor)

Materiaal - S 355 ; f_y = 355 / $\gamma_{m;extra}$ = 236,7 N/mm^2

A =	6660	mm^2	$N_{Ed} = A * f_y$ =	1576	kN
$W_y = W_z$ =	4,29E+05	mm^3	$M_{y,Ed} = W_y * f_y$ =	101,5	kNm
W_x =	8,57E+05	mm^3	$M_{z,Ed} = W_z * f_y$ =	101,5	kNm
			$M_{x,Ed} = W_x * f_y / 3^{0,5}$ =	117,2	kNm
			$V_{Rd} = 0,5*A* f_y / 3^{0,5}$ =	455,0	kN

Belastingen : Zie KEMA rapport 74100706-ETD/POL 12-001 38 REV V10.0 - Appendix AL, AL1

	AHEAD			BACK		
	F_x	F_y	F_z	F_x	F_y	F_z
	N	N	N	N	N	N
BG 1a - (wind (90 gr))	15699	67388	4697	17025	-73854	3547
BG 3 - (wind (90) + ijs)	22237	122931	19470	23202	-126118	12544
BG 1a - (wind (45 gr))	8375	45886	4885	11851	-57141	3223
BG 3 - (wind (45) + ijs)	16563	116987	19608	19191	-120323	12135
BG 1a - bundelbr. (90gr).	9851	-49867	4834	0	0	0
BG 3 - bundelbr. (90gr+ijs).	15160	-75361	8099	0	0	0
BG 1a - bundelbr. (45gr).	6356	-41414	4958	0	0	0
BG 3 - bundelbr. (45gr+ijs).	9921	-64417	8285	0	0	0
BG 1a - bundelbr. (-45gr).	7599	-43986	4913	0	0	0
BG 3 - bundelbr. (-45gr+ijs)	11794	-67714	8219	0	0	0

F_x = Transverse kracht

F_y = Longitudinale kracht

F_z = Verticale kracht

	$F_{x,Ed}$ kN	$F_{y,Ed}$ kN	$F_{z,Ed}$ kN	$M_{x,Ed}$ kNm	$M_{y,Ed}$ kNm	$M_{z,Ed}$ kNm
BG 1a - (wind (90 gr))	32,72	6,47	8,24	0,00	10,09	7,91
BG 3 - (wind (90) + ijs)	45,44	3,19	32,01	0,00	39,18	3,90
BG 1a - (wind (45 gr))	20,23	11,26	8,11	0,00	9,92	13,78
BG 3 - (wind (45) + ijs)	35,75	3,34	31,74	0,00	38,85	4,08
BG 1a - bundelbr. (90gr).	9,85	49,87	4,83	0,00	5,92	61,03
BG 3 - bundelbr. (90gr+ijs).	**15,16**	**75,36**	**8,10**	**0,00**	**9,91**	**92,24**
BG 1a - bundelbr. (45gr).	6,36	41,41	4,96	0,00	6,07	50,69
BG 3 - bundelbr. (45gr+ijs).	9,92	64,42	8,29	0,00	10,14	78,84
BG 1a - bundelbr. (-45gr).	7,60	43,99	4,91	0,00	6,01	53,84
BG 3 - bundelbr. (-45gr+ijs)	11,79	67,71	8,22	0,00	10,06	82,88

$M_{x,Ed} = F_{y,Ed} * B$; $B = 0$

$M_{y,Ed} = F_{z,Ed} * A \pm F_{x,Ed} * B$; $M_{y,Ed,max} = F_{z,Ed} * A$

$M_{z,Ed} = F_{y,Ed} * A$

Maatgevend belastinggeval : BG 3 - bundelbreuk (wind 90 gr + ijs)

$M_{y,Ed} / M_{y,Rd}$ = 9,91 / 101 = 0,10 < 1,0 -- Voldoet

$\sigma_{b,y}$ = 23,1 N/mm^2

$M_{z,Ed} / M_{z,Rd}$ = 92,24 / 101 = 0,91 < 1,0 -- Voldoet

$\sigma_{b,y}$ = 215,2 N/mm^2

N_{Ed} / N_{Rd} = 15,16 / 1576 = 0,01 < 1,0 -- Voldoet

σ_N = 2,3 N/mm^2

$V_{z,Ed} / V_{z,Rd}$ = 8,10 / 455 = 0,02 < 1,0 -- Voldoet

τ_z = 2,4 N/mm^2

$V_{y,Ed} / V_{y,Rd}$ = 75,36 / 455 = 0,17 < 1,0 -- Voldoet

τ_y = 22,6 N/mm^2

Maximale spanning

$\sigma_{max} = (\sigma^2_{b,y} + \sigma^2_{b,z})^{0,5} + \sigma_N$ = 219 N/mm^2

vergelijkingsspanning :

$\sigma_{vlg} = (\sigma^2_{max} + 3*\tau^2_y + 3*\tau^2_z)^{0,5}$

σ_{vlg} = 222 N/mm^2 < 237 MPa -- Voldoet

Controle spanningen in las:

Toetsing regel :

$\sigma_{Ed} \leq f_u / (\beta_w * \gamma_{M2})$ of $\sigma_1 = \sigma_{loodrecht} \leq 0,9 * f_u / \gamma_{M2}$

$f_{v,w,d} = f_u / (\beta_w * \gamma_M * \text{wortel(3)})$

$\gamma_M = 1,25$; $\gamma_{m;extra}$ = 1,5 (extra materiaalfactor)

Materiaal S 355 ----> f_u = 510 N/mm^2 en $\beta_w = 0,9$

$f_u / (\beta_w * \gamma_{M2})$ = 302 N/mm^2 $0,9 * f_u / \gamma_{M2}$ = 245 N/mm^2

Buis 273*8 aan de versterkingsplaat
Lassen : Rondom voorbewerkte V- las met volledige doorsnede doorlassen

Berekening versterkingsplaat

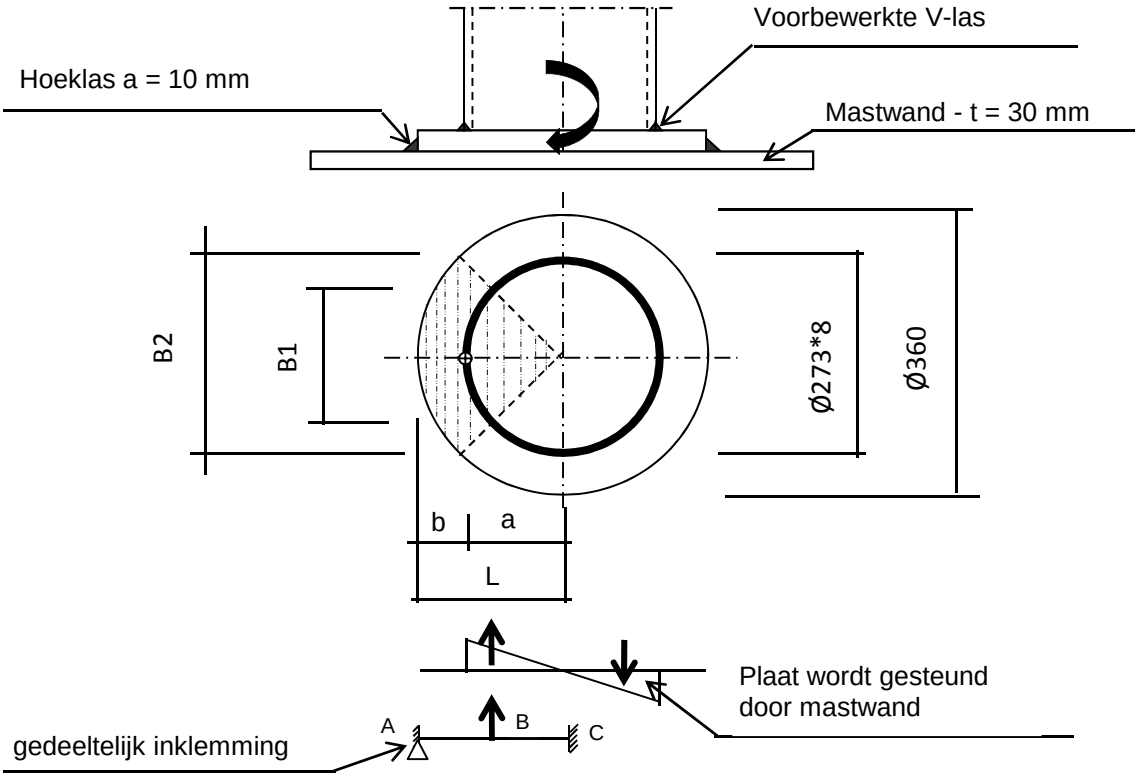

Plaat rond 360 * 25 - S355

Buis Ø273 * 8 - S355 ; A = 6660 mm^2
W = 428697 mm^3
I = 58517143 mm^4
R = 137 mm

Hoeklas a= 10,0 mm
$\gamma_{m;extra}$ = 1,5 (extra materiaalfactor)

Maatgevend belasting

$M_{ed,max} = (M_{y,Ed}^2 + M_{z,Ed}^2)^{0,5}$ = 92,8 kNm

$F_{Ed} = [((M_{Ed} * R_{buis} / I) * (1+\cos 45^o))/2] * (A_{buis} / 4)$

F_{Ed} = 307,5 kN

a = R_{buis} = 136,5
b = R_{pl} - a = 43,5

B1 = 193,0 mm ; Boog B1 = 214 mm
B2 = 254,6 mm ; Boog B2 = 283 mm

Percentage inklemming= a_{las} / t_{pl} = 40,0%
Percentage vrij oplegging = 60,0%

Volledig opleggingg:

$M_{A;Ed}$ = 0 0,00 kNm
$M_{B;Ed} = (F_{Ed} * b/2)*(2 - 3*b/L + b^3/L^3)$ = 8,62 kNm
$R_{A;Ed} = (F_{Ed} * a^2 / 2.L^3)* (b + 2.L)$ = 198,2 kN

Volledig inklemming:

$M_{A;Ed} = (F_{Ed} * b * a^2 / L^2) =$ 7,69 kNm

$M_{B;Ed} = (2 * F_{Ed} * a^2 * b^2 / L^3) =$ 3,72 kNm

$R_{A;Ed} = F_{Ed} * (a / L)^2 * (1 + 2* b / L) =$ 262,3 kN

Gedeeltelijk inklemming:

$M_{A;Ed}$ = 0,0 * 60,0% + 7,7 * 40,0% = 3,08 kNm

$M_{B;Ed}$ = 8,6 * 60,0% + 3,7 * 40,0% = 6,66 kNm

$R_{A;Ed}$ = 198,2 * 60,0% + 262,3 * 40,0% = 223,9 kN

$M_{A;Rd} = ((1/4) * t_{pl}^2 * \text{Boog B2} * 355 / 1,5) / 10^{-6} =$ 10,46 kNm

$M_{B;Rd} = ((1/4) * t_{pl}^2 * \text{Boog B1} * 355 / 1,5) / 10^{-6} =$ 7,93 kNm

$M_{A,Ed} / M_{A,Rd}$ = 3,08 / 10,46 = 0,29 < 1,0 -- Voldoet

$\sigma_{b,A} =$ 69,7 N/mm^2

$M_{B,Ed} / M_{B,Rd}$ = 6,66 / 7,93 = 0,84 < 1,0 -- Voldoet

$\sigma_{b,B} =$ 198,8 N/mm^2

Ter plaatse van buiten ring:

$V_{Ed} =$ 223,9 kN

$\tau = V_{Ed} * 1000 / t_{pl} * \text{Boog B2} =$ 31,7 N/mm^2

Ter plaatse van binnen ring :

$\tau = V_{Ed} * 1000 / t_{pl} * \text{Boog B1} =$ 41,8 N/mm^2

$\sigma_{vlg,max} = \{\sigma_b^2 + 3*\tau^2\}^{0,5} =$ 211,6 N/mm^2

< 237 MPa -- Voldoet

Controle spanningen in las.

Toetsing regel :

$\sigma_{Ed} \leq f_u / (\beta_w * \gamma_{M2})$ of $\sigma_1 = \sigma_{loodrecht} \leq 0,9 * f_u / \gamma_{M2}$

$f_{v,w,d} = f_u / (\beta_w * \gamma_M * \text{wortel(3)})$

$\gamma_M = 1,25$; $\gamma_{m;extra} =$ 1,5 (extra materiaalfactor)

Materiaal S 355 ----> $f_u = 510$ N/mm^2 en $\beta_w = 0,9$

$f_u / (\beta_w * \gamma_{M2}) =$ 302 N/mm^2 $0,9 * f_u / \gamma_{M2} =$ 245 N/mm^2

Lassen hoeklas a = 10 mm rondom

Per mm las:

t.g.v buigspanning:

$\sigma_1 = \tau_1 = \sigma_b * t / (1 * a * 2^{0,5}) =$ 123,1 N/mm^2

t.g.v schuifspanning:

$\sigma_1 = \tau_1 = \pm \tau * t / (1 * a * 2^{0,5}) =$ 56,0 N/mm^2

$\sigma_{1,max}$ =	123,1	+	56,0	=		179,1	N/mm^2
$\tau_{1,max}$ =	123,1	-	56,0	=		67,1	N/mm^2
$\tau_2 = 0$							
σ_{Ed} =	$\{\sigma_1^2 + 3 * (\tau_1^2 + \tau_2^2)\}^{0,5}$			=		213,6	N/mm^2
$\sigma_{Ed} \leq f_u / (\beta_w * \gamma_{M2})$ =	213,6	/	302,2	=	0,71	< 1,0	-- Voldoet
$\sigma_1 \leq 0,9 * f_u / \gamma_{M2}$	179,1	/	244,8	=	0,73	< 1,0	-- Voldoet

9.4.1 - Controle capaciteit van de aansluiting - draagarm aan mast

Momentcapaciteit in het vlak

buis	d_i (mm)	t_i (mm)	A (mm^2)	kwaliteit	f_y	W_b (mm^3)
0	1700,7	30,0	157458	S355	355	64626360
Plaat	360,0		101788	S355	355	4580442

$M_{ip,1,Rd} = \{4{,}85 * (f_{y0} * t^2_0 * d_1 / \sin\theta_1) * (\beta * k_p * g^{0,5})\} / \gamma_{M5}$

γ_{M5} = 1,50 (extra materiaalfactor)

θ_1 = 90 graden ; $\beta = d_i / d_0$ = 0,21

$\gamma = d_0 / 2*t_0$ = 28,3

$n_p = \{N_{0,Ed} / (A_0 * f_{y,0})\} + \{M_{0,Ed} / (W_0 * f_{y,0})\}$

$N_{0,Ed}$ = 511,2 kN drukkracht
$M_{0,Ed}$ = 13964,5 kNm
} t.g.v. max. belasting

n_p = 0,62 of n_p = -0,600

k_p = 1,0 , voor $n_p \leq 0$ (trek) ;

$k_p = 1{,}0 - 0{,}3 * n_p - 0{,}3 * n_p^2$, voor $n_p > 0$ (druk) maar $k_p \leq 1$

k_p = 0,70

$M_{ip,1,Rd}$ = 293,4 kNm

Pons controle ; Voor $d_1 \leq d_0 - 2*t_0$:

$M_{ip,1,Rd} = \{(f_{y0} * t_0 * d^2_1 / 3^{0,5})*((1+ 3*\sin\theta_1)/ 4*\sin^2\theta_1)\} / \gamma_{M5}$

$M_{ip,1,Rd}$ = 531,3 kNm

$M_{y,Ed} / M_{ip,1,Rd}$ = 39,18 / 293,4 = 0,13 < 1,0 -- Voldoet

Momentcapaciteit uit het vlak

$M_{op,1,Rd} = \{(f_{y0} * t^2_0 * d_1 / \sin\theta_1) * (2{,}7 / (1 - 0{,}81*\beta)) * k_p \} / \gamma_{M5}$

$M_{op,1,Rd}$ = 175,0 kNm

Pons controle ; Voor $d_1 \leq d_0 - 2*t_0$:

$M_{op,1,Rd} = \{(f_{y0} * t_0 * d^2_1 / 3^{0,5})*((3+ \sin\theta_1)/ 4*\sin^2\theta_1)\} / \gamma_{M5}$

$M_{op,1,Rd}$ = 531,3 kNm

$M_{z,Ed} / M_{op,1,Rd}$ = 92,24 / 175,0 = 0,53 < 1,0 -- Voldoet

9.4,2 - Berekening clip "Retourstroomgeleider" (clip type 2)

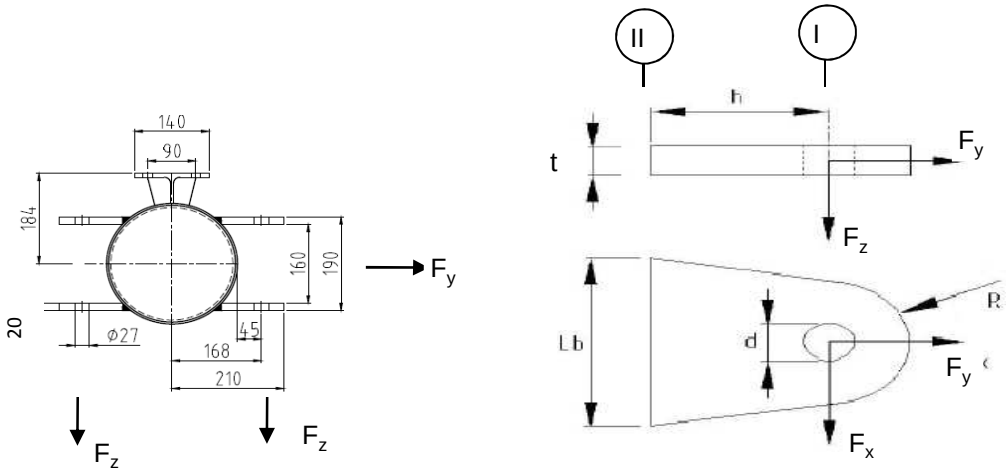

R =	42	mm ;	t =	20	mm
Lb =	140	mm ;	d =	27	mm
h =	75	mm ;	a las =	voorbewerkte V-las	

Materiaal - S 355 ; f_y = 355 / 1,5 = 236,7 N/mm^2

	$F_{x,Ed}$ kN	$F_{y,Ed}$ kN	$F_{z,Ed}$ kN
BG 1a - (wind (90 gr))	15,70	67,39	4,70
BG 3 - (wind (90) + ijs)	**22,24**	**122,93**	**19,47**
BG 1a - (wind (45 gr))	8,38	45,89	4,88
BG 3 - (wind (45) + ijs)	16,56	116,99	19,61

Maatgevend belastinggeval : BG 3 - (wind 90 gr + ijs)

Per clip :	**11,12**	**61,47**	**19,47**

Doorsnede I ; ter hoogte van het gat

Per clip: $F_{Ed;max}$ = $(F_{x,Ed}^2 + F_{y,Ed}^2)^{0,5}$ = 62,2 kN

τ_{toel} = (355 / 1,5) / $3^{0,5}$ = 137 N/mm^2

τ = $F_{Ed,max}$ / (2 *(t * (R - d/2)) = 55 N/mm^2 < 137 MPa -- Voldoet

Doorsnede II ; per clips

A =	2800	mm^2	N_{Rd} = A * f_y =	663 kN
W_z =	6,53E+04	mm^3	$M_{z,Rd}$ = W_z * f_y =	15,5 kNm
W_x =	9,33E+03	mm^3	$M_{x,Rd}$ = W_x * f_y =	2,2 kNm
			V_{Rd} = A* f_y / $3^{0,5}$ =	382,6 kN

N_{Ed} =	61,47	kN	$M_{z,Ed}$ = $V_{x,Ed}$ * h =	0,83	kNm
$V_{z,Ed}$ =	19,47	kN	$M_{x,Ed}$ = $V_{z,Ed}$ * h =	1,46	kNm
$V_{x,Ed}$ =	11,12	kN			

N_{Ed} / N_{Rd} =	61,47	/	663	=	0,09	< 1,0	-- Voldoet
			σ_N =		22,0	N/mm^2	
$M_{z,Ed} / M_{z,Rd}$ =	0,83	/	15,5	=	0,05	< 1,0	-- Voldoet
			$\sigma_{b,z}$ =		12,8	N/mm^2	
$M_{x,Ed} / M_{x,Rd}$ =	1,46	/	2,2	=	0,66	< 1,0	-- Voldoet
			$\sigma_{b,x}$ =		156,5	N/mm^2	
$V_{z,Ed} / V_{z,Rd}$ =	19,47	/	383	/	0,05	< 1,0	-- Voldoet
			τ_z =		7,0	N/mm^2	
$V_{x,Ed} / V_{x,Rd}$ =	11,12	/	383	/	0,03	< 1,0	-- Voldoet
			τ_x =		4,0	N/mm^2	

Maximale spanning

σ_{max} = 191,2 N/mm^2 < 236 MPa -- Voldoet

vergelijkingsspanning :

$\sigma_{vlg} = (\sigma^2_{max} + 3*\tau^2_x + 3*\tau^2_z)^{0,5}$

σ_{vlg} = 192 N/mm^2 < 236 MPa -- Voldoet

Controle spanningen in las:

Toetsing regel :

$\sigma_{Ed} \leq f_u / (\beta_w * \gamma_{M2})$ of $\sigma_1 = \sigma_{loodrecht} \leq 0,9 * f_u / \gamma_{M2}$

$f_{v,w,d} = f_u / (\beta_w * \gamma_M *$ wortel(3))

γ_M = 1,25 ; $\gamma_{m;extra}$ = 1,5 (extra materiaalfactor)

Materiaal S 355 ----> f_u = 510 N/mm^2 en β_w = 0,9

$f_u / (\beta_w * \gamma_{M2})$ = 302 N/mm^2 $0,9 * f_u / \gamma_{M2}$ = 245 N/mm^2

Lassen : Rondom voorbewerkte V- las met volledige doorsnede doorlassen

9.5 - Berekening Clip 17 - t.b.v installatie geleiders (op 0,5m hoogte)

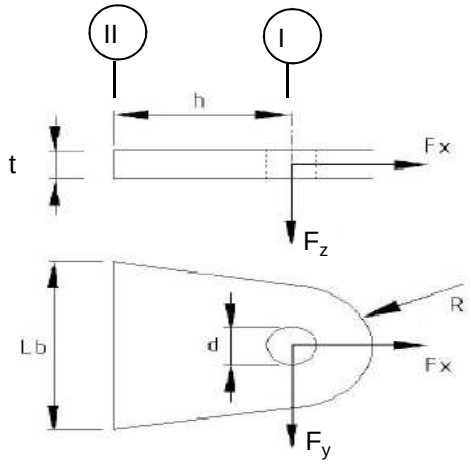

R =	55	mm ;	t =	20	mm
Lb =	110	mm ;	d =	27	mm
h =	55	mm ;	las :	Voorbeverklte K-las	

$\gamma_{m;extra}$ = 1,5 (extra materiaalfactor)

Materiaal - S 355 ; f_y = 355 / 1,5 = 236,7 N/mm^2

	$F_{x,Ed}$ kN	$F_{y,Ed}$ kN	$F_{z,Ed}$ kN
BG 200 kN	141,42	141,42	0,00
of	0,00	200,00	

Doorsnede I ; ter hoogte van de gat (twee clips)

Per clip: $F_{Ed;max}$ = $0,5 * (F_{y,Ed}^2 + F_{x,Ed}^2)^{0,5}$ = 100,0 kN

τ_{toel} = (355 / 1,5) / $3^{0,5}$ = 137 N/mm^2

τ = $F_{Ed,max}$ / (2 *(t * (R - d/2)) = 60 N/mm^2 < 137 MPa -- Voldoet

Doorsnede II ; per clips (twee clips)

A =	2200	mm^2	$N_{Rd} = A * f_y$ =	521	kN
W_y =	4,03E+04	mm^3	$M_{x,Rd} = W_y * f_y$ =	9,5	kNm
W_z =	7,33E+03	mm^3	$M_{y,Rd} = W_z * f_y$ =	1,7	kNm
			$V_{Rd} = A * f_y / 3^{0,5}$ =	300,6	kN

N_{Ed} =	70,71	kN	$M_{y,Ed} = V_{y,Ed} * h$ =	3,889	kNm
$V_{y,Ed}$ =	70,71	kN			

N_{Ed} / N_{Rd} = 70,71 / 521 = 0,14 < 1,0 -- Voldoet
σ_N = 32,1 N/mm^2

$M_{y,Ed} / M_{y,Rd}$ = 3,89 / 10 = 0,41 < 1,0 -- Voldoet
$\sigma_{b,y}$ = 96,4 N/mm^2

$V_{z,Ed} / V_{z,Rd}$ = 70,71 / 301 = 0,24 < 1,0 -- Voldoet
τ_y = 32,1 N/mm^2

Maximale buigspanning

$\sigma_{b,max}$ = { 32,1 + 96,4 } = 128,6 N/mm^2

vergelijkingsspanning :

$\sigma_{vlg} = (\sigma^2_{b,max} + 3*\tau^2_y)^{0,5}$

σ_{vlg} = 140 N/mm^2 < 237 MPa -- Voldoet

N_{Ed} = 0,00 kN
$V_{y,Ed}$ = 100,00 kN

$M_{y,Ed} = V_{y,Ed} * h$ = 5,500 kNm

$M_{y,Ed} / M_{y,Rd}$ = 5,50 / 10 = 0,58 < 1,0 -- Voldoet
$\sigma_{b,y}$ = 136,4 N/mm^2

$V_{z,Ed} / V_{z,Rd}$ = 100,00 / 301 = 0,33 < 1,0 -- Voldoet
τ_y = 45,5 N/mm^2

vergelijkingsspanning :

$\sigma_{vlg} = (\sigma^2_{b,max} + 3*\tau^2_y)^{0,5}$

σ_{vlg} = 157 N/mm^2 < 230 MPa -- Voldoet

Controle spanningen in las.

Toetsing regel :

$\sigma_{Ed} \leq f_u / (\beta_w * \gamma_{M2})$ of $\sigma_1 = \sigma_{loodrecht} \leq 0,9 * f_u / \gamma_{M2}$

$f_{v,w,d} = f_u / (\beta_w * \gamma_M *$ wortel(3))

γ_M = 1,25 ; $\gamma_{m;extra}$ = 1,5 (extra materiaalfactor)

Materiaal S 355 ----> f_u = 510 N/mm^2 en β_w = 0,9

$f_u / (\beta_w * \gamma_{M2})$ = 302 N/mm^2 $0,9 * f_u / \gamma_{M2}$ = 245 N/mm^2

Lassen : Voorbewerkte K- las met volledige doorsnede doorlassen

9.5.1 - Controle capaciteit van de aansluiting

Plaats van de aansluiting ; 0,5m boven voetplaat

buis/plaat	d_i / h_i (mm)	t_i (mm)	A (mm^2)	kwaliteit	f_y	W_b (mm^3)
0	2740	32,0	272246	S355	355	182188734
clip	110,0	20,0	2200	S355	355	40333

$N_{i,Rd} = \{(5 * k_p * f_{y0} * t^2_0) * (1 + 0{,}25 * \eta)\} / \gamma_{M5}$

$M_{ip,i,Rd} = h_i * N_{i,Rd}$; $M_{op,i,Rd} = 0$

Toepassingsgebied:

$\eta = h_i / d_0 \leq 4$ $h_i / d_0 =$ 0,04 voldoet

$\gamma_{M5} =$ 1,50 (extra materiaalfactor)

$\eta = h_i / d_0 =$ 0,04

$n_p = \{N_{0,Ed} / (A_0 * f_{y,0})\} + \{M_{0,Ed} / (W_0 * f_{y,0})\}$

$N_{0,Ed} =$ 1199,7 kN drukkracht
$M_{0,Ed} =$ 40583,9 kNm
} t.g.v. max. belasting

$n_p =$ 0,64 of $n_p =$ -0,615

$k_p = 1{,}0$, voor $n_p \leq 0$ (trek)

$k_p = 1{,}0 - 0{,}3 * n_p - 0{,}3 * n_p^2$, voor $n_p > 0$ (druk) maar $k_p \leq 1$

$k_p =$ 0,69

$N_{1,Rd} =$ 838,6 kN ---> > N1,Ed ; voldoet

$N_{1,Ed} / N_{1,Rd} =$ 70,71 / 838,6 = 0,08 < 1,0 -- Voldoet

$M_{op,i,Rd} =$ 92,2 kNm ---> > M1,Ed ; voldoet

$M_{1,Ed} / M_{op,1,Rd} =$ 3,89 / 92,2 = 0,04 < 1,0 -- Voldoet

Pons controle

$\sigma_{max.}t_i = (N_{Ed} / A + M_{Ed} / W_{el}) * t_i \leq \{(f_{y,0} / 3^{0,5}) * 2 * t_0 \} / \gamma_{M5}$

$N_{1,Ed} =$ 70,71 kN ; $M_{1,Ed} =$ 3,889 kNm

$\sigma_{max.}t_i =$ 2571 N/mm'

$\{(f_{y,0} / 3^{0,5}) * 2 * t_0 \} / \gamma_{M5} =$ 8745 N/mm' ---> voldoet

9.6 - Berekening clip hulprail - clip 8

Clip hoogte:
62,43 - 50,93 - 53,8 - 51,3 - 45,3 - 42,8 - 36,8 -34,3 m

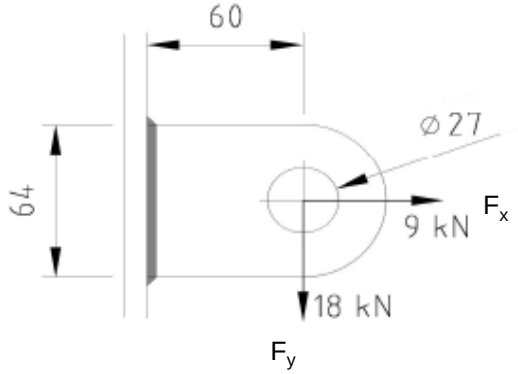

R =	32	mm ;	t =	20	mm
Lb =	64	mm ;	d =	27	mm
h =	60	mm ;	a las =	5	mm - hoeklas

$\gamma_{m;extra}$ = 1,5 (extra materiaalfactor)
Materiaal - S 355 ; f_y = 355 / 1,5 = 236,7 N/mm^2

$F_{x,Ed}$	$F_{y,Ed}$	$F_{z,Ed}$
kN	kN	kN
9,00	18,00	0,00

Doorsnede I ; ter hoogte van het gat

Per clip: $F_{Ed;max}$ = $(F_{y,Ed}^2 + F_{y,Ed}^2)^{0,5}$ = 20,1 kN

τ_{toel} = (355 / 1,5) / $3^{0,5}$ = 137 N/mm^2
τ = $F_{Ed,max}$ / (2 *(t * (R - d/2)) = 27 N/mm^2 < 137 MPa -- Voldoet

Doorsnede II ; per clips

A =	1280	mm^2	N_{Rd} = A * f_y =	303	kN
W_y =	1,37E+04	mm^3	$M_{x,Rd}$ = W_y * f_y =	3,2	kNm
W_z =	4,27E+03	mm^3	$M_{y,Rd}$ = W_z * f_y =	1,0	kNm
			V_{Rd} = A* f_y / $3^{0,5}$ =	174,9	kN
N_{Ed} =	9,00	kN	$M_{y,Ed}$ = $V_{y,Ed}$ * h =	1,080	kNm
$V_{y,Ed}$ =	18,00	kN			

N_{Ed} / N_{Rd} = 9,00 / 303 = 0,03 < 1,0 -- Voldoet
σ_N = 7,0 N/mm^2

$M_{y,Ed}$ / $M_{y,Rd}$ = 1,08 / 3 = 0,33 < 1,0 -- Voldoet
$\sigma_{b,y}$ = 79,1 N/mm^2

$V_{z,Ed}$ / $V_{z,Rd}$ = 18,00 / 175 = 0,10 < 1,0 -- Voldoet
τ_y = 14,1 N/mm^2

Maximale buigspanning

$\sigma_{b,max}$ = { 7,0 + 79,1 } = 86,1 N/mm^2

$\sigma_{vlg} = (\sigma^2_{b,max} + 3*\tau^2_y)^{0,5}$

σ_{vlg} = 90 N/mm^2 < 237 MPa -- Voldoet

Controle spanningen in las:

Toetsing regel :

$\sigma_{Ed} \leq f_u / (\beta_w * \gamma_{M2})$ of $\sigma_1 = \sigma_{loodrecht} \leq 0,9 * f_u / \gamma_{M2}$

$f_{v,w,d} = f_u / (\beta_w * \gamma_M *$ wortel(3))

$\gamma_M = 1,25$; $\gamma_{m;extra}$ = 1,5 (extra materiaalfactor)

Materiaal S 355 ----> f_u = 510 N/mm^2 en β_w = 0,9

$f_u / (\beta_w * \gamma_{M2})$ = 302 N/mm^2 $0,9 * f_u / \gamma_{M2}$ = 245 N/mm^2

Lassen : hoeklas 5 mm rondom

a = 5 mm t = 20 mm

Per mm las: : $\sigma_1 = \tau_1 = \sigma_{max} * t / (2 * a * 2^{0,5})$

$\tau_2 = \tau_{max} * t / (2 * a)$

σ_1 =			121,8	N/mm^2
τ_1 =			121,8	N/mm^2
τ_2 = 0			28,1	N/mm^2
σ_{Ed} =	$\{\sigma_1^2 + 3 * (\tau_1^2 + \tau_2^2)\}^{0,5}$ =		248,4	N/mm^2
$\sigma_{Ed} \leq f_u / (\beta_w * \gamma_{M2})$=	248,4 /	302,2 =	0,82	< 1,0 -- Voldoet
$\sigma_1 \leq 0,9 * f_u / \gamma_{M2}$	121,8 /	244,8 =	0,50	< 1,0 -- Voldoet

9.6.1 - Controle capaciteit van de aansluiting

Clip op 34.3 meter hoogte - (diameter buis maximum)

buis/plaat	d_i / h_i (mm)	t_i (mm)	A (mm^2)	kwaliteit	f_y	W_b (mm^3)
0	1529	28,0	132004	S355	355	48632435
clip	64,0	20,0	1280	S355	355	13653

$N_{i,Rd} = \{(5 * k_p * f_{y0} * t^2_0) * (1 + 0{,}25 * \eta)\} / \gamma_{M5}$

$M_{ip,i,Rd} = h_i * N_{i,Rd}$; $M_{op,i,Rd} = 0$

Toepassingsgebied:

$\eta = h_i / d_0 \leq 4$ $h_i / d_0 =$ 0,04 voldoet

$\gamma_{M5} =$ 1,50 (extra materiaalfactor)

$\eta = h_i / d_0 =$ 0,04

$n_p = \{N_{0,Ed} / (A_0 * f_{y,0})\} + \{M_{0,Ed} / (W_0 * f_{y,0})\}$

$N_{0,Ed} =$ 412,1 kN drukkracht
$M_{0,Ed} =$ 10113,0 kNm
} t.g.v. max. belasting

$n_p =$ 0,59 of $n_p =$ -0,577

$k_p = 1{,}0$, voor $n_p \leq 0$ (trek)

$k_p = 1{,}0 - 0{,}3 * n_p - 0{,}3 * n_p^2$, voor $n_p > 0$ (druk) maar $k_p \leq 1$

$k_p =$ 0,72

$N_{1,Rd} =$ 670,8 kN

$N_{1,Ed} / N_{1,Rd} =$ 9,00 / 670,8 = 0,01 < 1,0 -- Voldoet

$M_{op,i,Rd} =$ 42,9 kNm

$M_{1,Ed} / M_{op,1,Rd} =$ 1,08 / 42,9 = 0,03 < 1,0 -- Voldoet

Pons controle

$\sigma_{max.}t_i = (N_{Ed} / A + M_{Ed} / W_{el}) * t_i \leq \{(f_{y,0} / 3^{0,5}) * 2 * t_0 \} / \gamma_{M5}$

$N_{1,Ed} =$ 9,00 kN ; $M_{1,Ed} =$ 1,080 kNm

$\sigma_{max.}t_i =$ 1723 N/mm'

$\{(f_{y,0} / 3^{0,5}) * 2 * t_0 \} / \gamma_{M5} =$ 7652 N/mm' ---> voldoet

Clip op 60,93 m hoogte -(wanddikte buis minimum / diameter maximum)

buis/plaat	d_i / h_i (mm)	t_i (mm)	A (mm^2)	kwaliteit	f_y	W_b (mm^3)
0	574	16,0	28058	S355	355	3809424
clip	64,0	20,0	1280	S355	355	13653

$N_{i,Rd} = \{(5 * k_p * f_{y0} * t^2_0) * (1 + 0{,}25 * \eta)\} / \gamma_{M5}$

$M_{ip,i,Rd} = h_i * N_{i,Rd}$; $M_{op,i,Rd} = 0$

Toepassingsgebied:

$\eta = h_i / d_0 \leq 4$ $h_i / d_0 =$ 0,11 voldoet

$\gamma_{M5} =$ 1,50 (extra materiaalfactor)

$\eta = h_i / d_0 =$ 0,11

$n_p = \{N_{0,Ed} / (A_0 * f_{y,0})\} + \{M_{0,Ed} / (W_0 * f_{y,0})\}$

$N_{0,Ed} =$ 24,8 kN drukkracht
$M_{0,Ed} =$ 104,2 kNm
} t.g.v. max. belasting

$n_p =$ 0,08 of $n_p =$ -0,075

$k_p = 1{,}0$, voor $n_p \leq 0$ (trek)

$k_p = 1{,}0 - 0{,}3 * n_p - 0{,}3 * n_p^2$, voor $n_p > 0$ (druk) maar $k_p \leq 1$

$k_p =$ 0,97

$N_{1,Rd} =$ 303,4 kN

$N_{1,Ed} / N_{1,Rd} =$ 9,00 / 303,4 = 0,03 < 1,0 -- Voldoet

$M_{op,i,Rd} =$ 19,4 kNm

$M_{1,Ed} / M_{op,1,Rd} =$ 1,08 / 19,4 = 0,06 < 1,0 -- Voldoet

Pons controle

$\sigma_{max.}t_i = (N_{Ed} / A + M_{Ed} / W_{el}) * t_i \leq \{(f_{y,0} / 3^{0,5}) * 2 * t_0 \} / \gamma_{M5}$

$N_{1,Ed} =$ 9,00 kN ; $M_{1,Ed} =$ 1,080 kNm

$\sigma_{max.}t_i =$ 1723 N/mm'

$\{(f_{y,0} / 3^{0,5}) * 2 * t_0 \} / \gamma_{M5} =$ 4372 N/mm' ---> voldoet

9.7 - Ondersteuning hijsbalk op de top van de mast

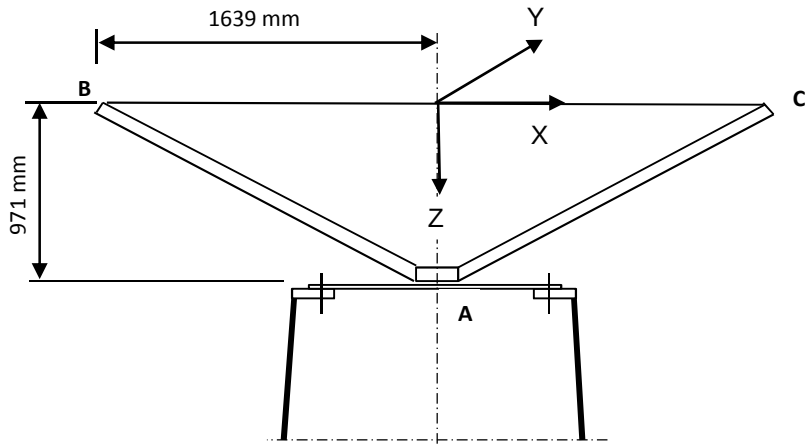

Buis rond 500 * 16

Afstand aangrijpingspunt tot as =	1639	mm
Hoogte aangrijpingspunt boven ring =	971	mm
Verticale belasting $F_{z,Ed}$ =	35	kN
Horizontale belasting $F_{x,Ed}$ = $F_{y,Ed}$ =	15	kN

	BG 1	BG 2	BG 3	BG 4
$F_{z;B,Ed}$	35	35	35	35
$F_{z;c,Ed}$	35	0	35	0
$F_{x;B,Ed}$	15	15	0	0
$F_{x;c,Ed}$	15	0	0	0
$F_{y;B,Ed}$	0	0	15	15
$F_{y;c,Ed}$	0	0	-15	0

Verticaal:	$R_{z;A}$ (kN)	70	35	70	35
Horizontaal:	$R_{x(y);A}$ (kN)	30	15	0	0
Moment:	$M_{y(x);A}$ (kNm)	29,13	71,93	0	57,365
Wringing:	$M_{z;A}$ (kNm)	0	0	49,17	24,585

Ringgegevens ;

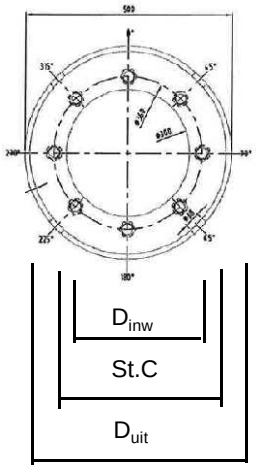

D-uitwendig	500	mm
D-inwendig	300	mm
StC	360	mm
plaat dikte t =	30	mm
Staalkwaliteit S-355; f_y =	355	N/mm²
Aantal bouten	8	
BoutenM24 - 8,8		

M24 -8,8 :	$F_{t,Rd}$ =	203,03	/ 1,5	=	135,4	kN
	$F_{v,Rd}$ =	135,36	/ 1,5	=	90,2	kN

$\gamma_{m;extra}$ = 1,5 (extra materiaalfactor)

controle bouten

	BG 1	BG 2	BG 3	BG 4	
$F_{t,Ed}$ - kN	31,7	95,5	0,0	75,3	
$F_{v,Ed}$ - kN	3,8	1,9	34,1	17,1	
$F_{t,Ed} / F_{t,Rd}$ =	0,23	0,71	0,00	0,56	< 1 ; voldoet
$F_{v,Ed} / F_{v,Rd}$ =	0,04	0,02	0,38	0,19	< 1 ; voldoet
$F_{v,Ed} / F_{v,Rd} + F_{t,Ed} / 1,4 * F_{t,Rd}$ =	0,21	0,52	0,38	0,59	< 1 ; voldoet

Controle ring :

maatgevend belastinggeval : BG2.

Ten gevolge van verticale belasting ; F_z = 35 kN

Voor de formule zie: Roark's formulas for stress & strain - Tabel 11,2 - 1

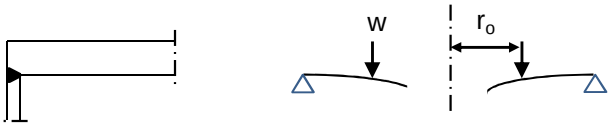

Voor de formule zie: Roark's formulas for stress & strain - Tabel 11,2 - 1e

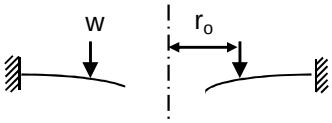

De ring wordt ondersteunt door buis met een las gelijk aan de dikte van de buis.

Verdeling van belasting:

Percentage inklemming (tabel 11,2-1e) = t_{buis} / t_{pl} = 53,3%

Percentage vrij oplegging = 46,7%

W =	35,0	kN			
$w_{(ro)}$ =	31	N/mm'	ν =	0,3	
a =	250	mm	E =	210000	N/mm^2
b =	150	mm	f_y =	237	N/mm^2
r_o =	180	mm			

$D = E.t^3 / 12.(1-\nu^2)$ = 519230769

$C_1 = 0,5.(1+\nu).((b/a).\ln(a/b)) + 0,25.((1-\nu).((a/b)-(b/a))$ = 0,3859

$C_4 = 0,5.[(1+\nu).(b/a).+ (1-\nu).(a/b)]$ = 0,9733

$C_7 = 0,5.(1-\nu^2).((a/b)-(b/a))$ = 0,4853

$L_3 = (r_o/4a).\{[(r_o/a)^2+1].\ln(a/r_o) + (r_o/a)^2 -1\}$ = 0,0031

$L_6 = (r_o/4a).[(r_o/a)^2 -1+ 2.\ln(a/r_o)]$ = 0,0316

$L_9 = (r_o/a).\{ 0,5*(1+\nu).\ln(a/r_o) +0,25*(1-\nu).[1 - (r_o/a)^2]\}-$ = 0,2144

$F_7 = 0,5.(1-\nu^2).((r/b)-(b/r))$; en voor $r = r_o$ = 0,1668

$\theta_b = w . a^2 . L_6 / D. C_4$ = 0,0001

M_{ra} =percentage inkl. * $w . a (L_9 - C_7 . L_6 / C_4)$ = 820 Nmm/mm'

$Q_a = w \cdot r_o / a$ = 22 N/mm'

Ten gevolge van moment ; $M_{y;Ed}$ = 71,93 kNm

$w = F_{bout,max} / (2 * \pi * r_o / n_{bout})$

$w = (4*M_{y,Ed}*1000 / (360 * 8)) / (2\pi * 180 / 8)$ = 707 N/mm'

M_{ra} =percentage inkl. * $w \cdot a (L_9 - C_7 \cdot L_6 / C_4)$ = 18720 Nmm/mm'

$M_{ra;max,Ed}$ = 19540 Nmm/mm'

$Q_a = w \cdot r_o / a$ = 509 N/mm'

Q_{amax} = 531

$M_{Rd} = (1/6) * 1 * t^2 * f_y$ = 35500 Nmm/mm'

M_{Ed} / M_{Rd} = 19540 / 35500 = 0,55 < 1,0 -- Voldoet

σ_b = 130,3 N/mm^2

$\tau_z = w_{tot} / t$ = 531 / 30 = 17,70 N/mm^2

$\sigma_{vlg} = (\sigma^2_{b,max} + 3*\tau^2_z)^{0,5}$

σ_{vlg} = 134 N/mm^2 < 237 MPa -- Voldoet

Controle spanning in de buis

Buis Ø500 * 16 - S355 ;

A = 24328 mm^2 $N_{Ed} = A * f_y$ = 8637 kN

$W_y = W_z$ = 2,85E+06 mm^3 $M_{y,Ed} = W_y * f_y$ = 1012,7 kNm

N_{Ed} = 35 kN

$M_{y,Ed}$ = 71,93 kNm

N_{Ed} / N_{Rd} = 35,00 / 8637 = 0,00 < 1,0 -- Voldoet

σ_N = 1,4 N/mm^2

$M_{y,Ed} / M_{y,Rd}$ = 71,93 / 1013 = 0,07 < 1,0 -- Voldoet

$\sigma_{b,y}$ = 25,2 N/mm^2

σ_{max} = 26,7 N/mm^2

Controle spanningen in las:

Toetsing regel :

$\sigma_{Ed} \leq f_u / (\beta_w * \gamma_{M2})$ of $\sigma_1 = \sigma_{loodrecht} \leq 0,9 * f_u / \gamma_{M2}$

$f_{v,w,d} = f_u / (\beta_w * \gamma_M * \text{wortel(3)})$

γ_M = 1,25 ; $\gamma_{m;extra}$ = 1,5 (extra materiaalfactor)

Materiaal S 355 ----> f_u = 510 N/mm^2 en β_w = 0,9

$f_u / (\beta_w * \gamma_{M2})$ = 302 N/mm^2 $0,9 * f_u / \gamma_{M2}$ = 245 N/mm^2

Lassen : Rondom voorbewerkte V- las met volledige doorsnede doorlassen

9.8 - Berekening versterking deur

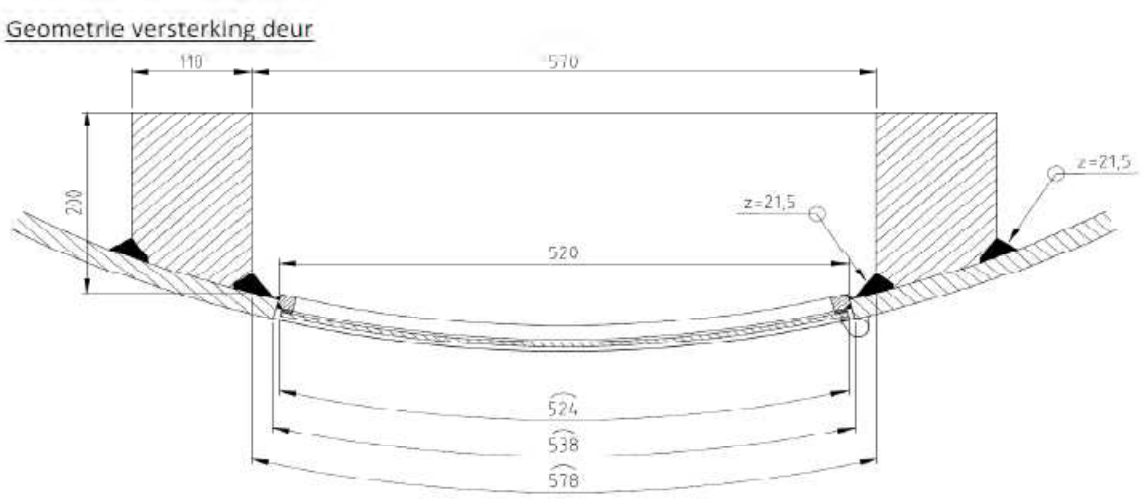

Doorsnede ter hoogte van de hart opening (1,225m hoogte):

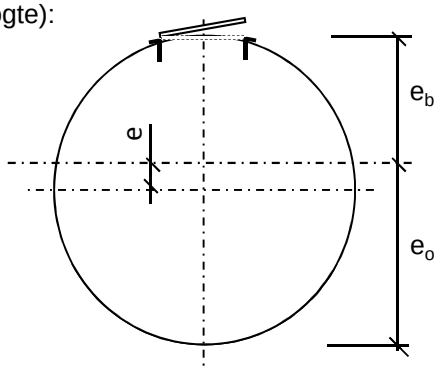

Buisdiameter :	2714	mm
dikte t ;	32	mm

A_{buis} =	269634	mm^2
$A_{versterking}$ =	40784	mm^2
$A_{verlies}$ =	16546	mm^2
A_{tot} =	293872	mm^2

e =	89,7	mm			
e_b =	1267,4	mm ;	e_o =	1446,7	mm

I_{tot} =	2,68E+11	mm^4
W_{min} =	1,85E+08	mm^3
W_{max} =	2,12E+08	mm^3

Krachten: Maximale krachten t.p.v. mastvoet - knoop 28 (inclusief 2e orde effect)

M_{Ed} =	40903	kNm ;	N_{Ed} =	1200 kN

σ_N =	N_{Ed} / A_{tot} =	4,1	N/mm^2
σ_b =	M_{Ed} / W_{min} =	220,6	N/mm^2

σ_{max} = 4,1 + 220,6 = 224,6 N/mm^2 < 355 MPa -- Voldoet

Bijlage A

Rapport KEMA - 74100224-ETD/POL 12-00138 V10,0 - 18 -11-2013

bijlage AL, AL1 en AL2

W4H400ZA+10 (Aftakmast mast 92) (rev 8.0, date: 23-11-2012)

Loadcases for tower strength (ultimate limit state) **APPENDIX:** AL

Loadcase according to 50341-3-15	Attachment point	AHEAD			BACK		
		Vertical [N]	Transverse [N]	Longitudinal [N]	Vertical [N]	Transverse [N]	Longitudinal [N]
1a	Comp. gl	4995	4622	39634	2472	4634	-39673
Wind, 10 dgr	GW / opgw	2408	2252	19132	1416	2252	-19150
Permanent loads yg= 1.2	380C1F1 / 380C2F1	18431	17024	145797	9349	17036	-145944
Wind angle: 0 dgr	380C1F2 / 380C2F2	18431	16997	145796	9963	17014	-145943
	380C1F3 / 380C2F3	18432	16965	145795	10576	16987	-145941
	150C1F1 / 150C2F1	4608	4256	36449	0	0	0
	150C1F2 / 150C2F2	4608	4249	36449	0	0	0
	150C1F3 / 150C2F3	4608	4241	36449	0	0	0
1b	Comp. gl	5072	5240	45788	2218	5228	-45669
Wind, -20 dgr	GW / opgw	2449	2566	22385	1319	2558	-22318
Permanent loads yg= 1.2	380C1F1 / 380C2F1	18776	19821	173170	8257	19759	-172638
Wind angle: 0 dgr	380C1F2 / 380C2F2	18776	19815	173170	8983	19755	-172638
	380C1F3 / 380C2F3	18776	19809	173171	9709	19749	-172638
	150C1F1 / 150C2F1	4694	4955	43292	0	0	0
	150C1F2 / 150C2F2	4694	4954	43293	0	0	0
	150C1F3 / 150C2F3	4694	4952	43293	0	0	0
3	Comp. gl	19637	13339	116079	11823	13422	-116740
Wind+ice, -5 dgr	GW / opgw	9721	6639	57599	6529	6674	-57926
Permanent loads yg= 1.2	380C1F1 / 380C2F1	31529	26759	232761	16847	26818	-233306
Wind angle: 0 dgr	380C1F2 / 380C2F2	31529	26744	232762	17828	26806	-233307
	380C1F3 / 380C2F3	31529	26726	232763	18810	26791	-233308
	150C1F1 / 150C2F1	7882	6690	58190	0	0	0
	150C1F2 / 150C2F2	7882	6686	58190	0	0	0
	150C1F3 / 150C2F3	7882	6681	58191	0	0	0
4	Comp. gl	5006	4641	40529	3479	5885	-51428
Construction/maintenance, +5 dgr	GW / opgw	2414	2248	19597	1987	2874	-25091
Permanent loads yg= 1.2	380C1F1 / 380C2F1	18481	17145	149695	11318	19613	-171356
Wind angle: 0 dgr	380C1F2 / 380C2F2	18481	17139	149695	12039	19608	-171356
	380C1F3 / 380C2F3	18481	17133	149696	12760	19603	-171356
	150C1F1 / 150C2F1	4620	4286	37424	0	0	0
	150C1F2 / 150C2F2	4620	4285	37424	0	0	0
	150C1F3 / 150C2F3	4620	4283	37424	0	0	0
6	Comp. gl	5605	4953	43449	2827	4960	-43513
Permanent, +10 dgr	GW / opgw	2703	2392	20985	1609	2396	-21016
Permanent loads yg= 1.35	380C1F1 / 380C2F1	20680	18180	159484	10698	18208	-159734
	380C1F2 / 380C2F2	20680	18180	159484	11369	18208	-159734
	380C1F3 / 380C2F3	20680	18180	159484	12041	18208	-159734
	150C1F1 / 150C2F1	5170	4545	39871	0	0	0
	150C1F2 / 150C2F2	5170	4545	39871	0	0	0
	150C1F3 / 150C2F3	5170	4545	39871	0	0	0
1a	Comp. gl	4885	8375	45886	3223	11851	-57141
Wind, 10 dgr	GW / opgw	2324	4989	24775	1739	6906	-31480
Permanent loads yg= 1.2	380C1F1 / 380C2F1	17990	31639	170349	11970	42532	-205556
Wind angle: 45 dgr	380C1F2 / 380C2F2	18032	30502	167490	12183	40900	-200512
	380C1F3 / 380C2F3	18082	29156	164217	12398	38979	-194635

W4H400ZA+10 (Aftakmast mast 92) (rev 8.0, date: 23-11-2012)

Loadcases for tower strength (ultimate limit state) **APPENDIX:** AL

Loadcase according to 50341-3-15	Attachment point	AHEAD			BACK		
		Vertical [N]	Transverse [N]	Longitudinal [N]	Vertical [N]	Transverse [N]	Longitudinal [N]
	150C1F1 / 150C2F1	4498	7910	42587	0	0	0
	150C1F2 / 150C2F2	4508	7625	41872	0	0	0
	150C1F3 / 150C2F3	4521	7289	41054	0	0	0
1b	Comp. gl	5065	5875	46029	2295	6377	-46589
Wind, -20 dgr	GW / opgw	2442	3014	22644	1363	3293	-23076
Permanent loads yg= 1.2	380C1F1 / 380C2F1	18744	22291	174125	8532	23844	-175697
Wind angle: 45 dgr	380C1F2 / 380C2F2	18748	22113	173987	9204	23594	-175353
	380C1F3 / 380C2F3	18752	21901	173836	9879	23301	-174971
	150C1F1 / 150C2F1	4686	5573	43531	0	0	0
	150C1F2 / 150C2F2	4687	5528	43497	0	0	0
	150C1F3 / 150C2F3	4688	5475	43459	0	0	0
3	Comp. gl	19608	16563	116987	12135	19191	-120323
Wind+ice, -5 dgr	GW / opgw	9694	8902	58561	6698	10339	-60784
Permanent loads yg= 1.2	380C1F1 / 380C2F1	31424	33793	236564	17728	38577	-244827
Wind angle: 45 dgr	380C1F2 / 380C2F2	31436	33281	236041	18542	37845	-243586
	380C1F3 / 380C2F3	31451	32671	235461	19365	36988	-242198
	150C1F1 / 150C2F1	7856	8448	59141	0	0	0
	150C1F2 / 150C2F2	7859	8320	59010	0	0	0
	150C1F3 / 150C2F3	7863	8168	58865	0	0	0
4	Comp. gl	5000	5275	40763	3525	6994	-51991
Construction/maintenance, +5 dgr	GW / opgw	2408	2695	19847	2013	3577	-25558
Permanent loads yg= 1.2	380C1F1 / 380C2F1	18455	19614	150629	11501	23613	-173647
Wind angle: 45 dgr	380C1F2 / 380C2F2	18458	19436	150494	12185	23372	-173383
	380C1F3 / 380C2F3	18462	19225	150346	12872	23088	-173090
	150C1F1 / 150C2F1	4614	4903	37657	0	0	0
	150C1F2 / 150C2F2	4615	4859	37624	0	0	0
	150C1F3 / 150C2F3	4615	4806	37586	0	0	0
1a	Comp. gl	4697	15699	67388	3547	17025	-73854
Wind, 10 dgr	GW / opgw	2234	10132	40451	1840	10130	-41937
Permanent loads yg= 1.2	380C1F1 / 380C2F1	17290	59893	252074	13136	60808	-263276
Wind angle: 90 dgr	380C1F2 / 380C2F2	17340	56751	242669	13243	58139	-254819
	380C1F3 / 380C2F3	17406	52982	231392	13346	54978	-244789
	150C1F1 / 150C2F1	4323	14973	63018	0	0	0
	150C1F2 / 150C2F2	4335	14188	60667	0	0	0
	150C1F3 / 150C2F3	4352	13246	57848	0	0	0
1b	Comp. gl	5028	7022	47556	2404	7201	-48089
Wind, -20 dgr	GW / opgw	2409	3853	24128	1420	3833	-24253
Permanent loads yg= 1.2	380C1F1 / 380C2F1	18588	26754	180122	8920	26752	-180727
Wind angle: 90 dgr	380C1F2 / 380C2F2	18609	26239	179224	9520	26313	-179862
	380C1F3 / 380C2F3	18635	25629	178220	10126	25800	-178894
	150C1F1 / 150C2F1	4647	6689	45031	0	0	0
	150C1F2 / 150C2F2	4652	6560	44806	0	0	0
	150C1F3 / 150C2F3	4659	6407	44555	0	0	0
3	Comp. gl	19470	22237	122931	12544	23202	-126118
Wind+ice, -5 dgr	GW / opgw	9579	12979	64084	6899	12921	-65131

W4H400ZA+10 (Aftakmast mast 92) (rev 8.0, date: 23-11-2012)

Loadcases for tower strength (ultimate limit state) **APPENDIX:** AL

Loadcase according to 50341-3-15	Attachment point	AHEAD			BACK		
		Vertical [N]	Transverse [N]	Longitudinal [N]	Vertical [N]	Transverse [N]	Longitudinal [N]
Permanent loads γg= 1.2	380C1F1 / 380C2F1	30978	46789	257842	18785	47078	-262139
Wind angle: 90 dgr	380C1F2 / 380C2F2	31034	45288	254801	19422	45798	-259257
	380C1F3 / 380C2F3	31101	43509	251349	20070	44299	-255989
	150C1F1 / 150C2F1	7745	11697	64461	0	0	0
	150C1F2 / 150C2F2	7759	11322	63700	0	0	0
	150C1F3 / 150C2F3	7775	10877	62837	0	0	0
4	Comp. gl	4969	6418	42250	3594	7759	-52976
Construction/maintenance, +5 dgr	GW / opgw	2381	3530	21290	2050	4071	-26338
Permanent loads γg= 1.2	380C1F1 / 380C2F1	18328	24067	156522	11768	26396	-177571
Wind angle: 90 dgr	380C1F2 / 380C2F2	18346	23554	155639	12402	25978	-176889
	380C1F3 / 380C2F3	18366	22945	154652	13041	25488	-176130
	150C1F1 / 150C2F1	4582	6017	39130	0	0	0
	150C1F2 / 150C2F2	4587	5888	38910	0	0	0
	150C1F3 / 150C2F3	4592	5736	38663	0	0	0
1a	Comp. gl	4797	11050	53321	2915	8838	-47917
Wind, 10 dgr	GW / opgw	2277	6906	30552	1627	4983	-25310
Permanent loads γg= 1.2	380C1F1 / 380C2F1	17658	42000	198929	10879	31904	-173913
Wind angle: -45 dgr	380C1F2 / 380C2F2	17712	40090	193429	11230	30930	-171232
	380C1F3 / 380C2F3	17781	37816	186983	11587	29790	-168170
	150C1F1 / 150C2F1	4414	10500	49732	0	0	0
	150C1F2 / 150C2F2	4428	10023	48357	0	0	0
	150C1F3 / 150C2F3	4445	9454	46746	0	0	0
1b	Comp. gl	5054	6288	46446	2250	5920	-46016
Wind, -20 dgr	GW / opgw	2432	3313	23062	1338	2997	-22612
Permanent loads γg= 1.2	380C1F1 / 380C2F1	18698	23896	175766	8370	22224	-173783
Wind angle: -45 dgr	380C1F2 / 380C2F2	18708	23600	175413	9074	22075	-173648
	380C1F3 / 380C2F3	18719	23248	175022	9778	21900	-173498
	150C1F1 / 150C2F1	4675	5974	43941	0	0	0
	150C1F2 / 150C2F2	4677	5900	43853	0	0	0
	150C1F3 / 150C2F3	4680	5812	43755	0	0	0
3	Comp. gl	19566	18624	118620	11954	16922	-118071
Wind+ice, -5 dgr	GW / opgw	9657	10375	60139	6602	8885	-59025
Permanent loads γg= 1.2	380C1F1 / 380C2F1	31282	38453	242646	17226	33855	-237802
Wind angle: -45 dgr	380C1F2 / 380C2F2	31311	37590	241358	18133	33424	-237291
0	380C1F3 / 380C2F3	31344	36567	239920	19044	32918	-236724
	150C1F1 / 150C2F1	7821	9613	60662	0	0	0
	150C1F2 / 150C2F2	7828	9397	60340	0	0	0
	150C1F3 / 150C2F3	7836	9142	59980	0	0	0
4	Comp. gl	4991	5687	41168	3498	6560	-51628
Construction/maintenance, +5 dgr	GW / opgw	2400	2993	20253	1998	3299	-25264
Permanent loads γg= 1.2	380C1F1 / 380C2F1	18418	21217	152240	11393	22043	-172186
Wind angle: -45 dgr	380C1F2 / 380C2F2	18426	20921	151893	12099	21898	-172084
	380C1F3 / 380C2F3	18434	20569	151509	12805	21727	-171972
	150C1F1 / 150C2F1	4605	5304	38060	0	0	0
	150C1F2 / 150C2F2	4606	5230	37973	0	0	0

W4H400ZA+10 (Aftakmast mast 92) (rev 8.0, date: 23-11-2012)

Loadcases for tower strength (ultimate limit state) **APPENDIX:** AL

Loadcase according to 50341-3-15	Attachment point	AHEAD			BACK		
		Vertical [N]	Transverse [N]	Longitudinal [N]	Vertical [N]	Transverse [N]	Longitudinal [N]
	150C1F3 / 150C2F3	4609	5142	37877	0	0	0
1a	Comp. gl	3769	3702	31566	1778	3708	-31552
Wind, 10 dgr	GW / opgw	1817	1806	15212	1037	1803	-15205
Permanent loads yg= 0.9	380C1F1 / 380C2F1	13916	13716	116774	6718	13704	-116713
Wind angle: 0 dgr	380C1F2 / 380C2F2	13916	13688	116771	7208	13681	-116710
	380C1F3 / 380C2F3	13916	13656	116768	7698	13655	-116706
	150C1F1 / 150C2F1	3479	3429	29194	0	0	0
	150C1F2 / 150C2F2	3479	3422	29193	0	0	0
	150C1F3 / 150C2F3	3479	3414	29192	0	0	0
1b	Comp. gl	3843	4284	37396	1539	4263	-37203
Wind, -20 dgr	GW / opgw	1856	2099	18286	945	2087	-18183
Permanent loads yg= 0.9	380C1F1 / 380C2F1	14252	16414	143287	5665	16316	-142434
Wind angle: 0 dgr	380C1F2 / 380C2F2	14252	16409	143287	6264	16312	-142434
	380C1F3 / 380C2F3	14252	16402	143288	6862	16306	-142434
	150C1F1 / 150C2F1	3563	4104	35822	0	0	0
	150C1F2 / 150C2F2	3563	4102	35822	0	0	0
	150C1F3 / 150C2F3	3563	4101	35822	0	0	0
3	Comp. gl	18446	12759	110989	11002	12836	-111599
Wind+ice, -5 dgr	GW / opgw	9147	6359	55136	6104	6391	-55438
Permanent loads yg= 0.9	380C1F1 / 380C2F1	27070	23984	208418	14023	24017	-208730
Wind angle: 0 dgr	380C1F2 / 380C2F2	27070	23969	208419	14900	24004	-208731
	380C1F3 / 380C2F3	27070	23951	208420	15778	23990	-208732
	150C1F1 / 150C2F1	6768	5996	52104	0	0	0
	150C1F2 / 150C2F2	6768	5992	52105	0	0	0
	150C1F3 / 150C2F3	6768	5988	52105	0	0	0
4	Comp. gl	3779	3713	32388	2754	5043	-44040
Construction/maintenance, +5 dgr	GW / opgw	1822	1797	15635	1596	2465	-21504
Permanent loads yg= 0.9	380C1F1 / 380C2F1	13962	13807	120414	8622	16455	-143655
Wind angle: 0 dgr	380C1F2 / 380C2F2	13962	13802	120414	9226	16451	-143655
	380C1F3 / 380C2F3	13962	13795	120415	9831	16446	-143655
	150C1F1 / 150C2F1	3491	3452	30104	0	0	0
	150C1F2 / 150C2F2	3491	3450	30104	0	0	0
	150C1F3 / 150C2F3	3491	3449	30104	0	0	0
6	Comp. gl	3769	3598	31565	1777	3596	-31548
Permanent, +10 dgr	GW / opgw	1817	1734	15208	1036	1733	-15200
Permanent loads yg= 1.35	380C1F1 / 380C2F1	13917	13311	116772	6714	13303	-116703
	380C1F2 / 380C2F2	13917	13311	116772	7205	13303	-116703
	380C1F3 / 380C2F3	13917	13311	116772	7696	13303	-116703
	150C1F1 / 150C2F1	3479	3328	29193	0	0	0
	150C1F2 / 150C2F2	3479	3328	29193	0	0	0
	150C1F3 / 150C2F3	3479	3328	29193	0	0	0
1a	Comp. gl	3641	7708	40034	2529	11411	-53282
Wind, 10 dgr	GW / opgw	1727	4728	22490	1341	6738	-30005
Permanent loads yg= 0.9	380C1F1 / 380C2F1	13406	29308	149924	9367	40913	-191370
Wind angle: 45 dgr	380C1F2 / 380C2F2	13447	28087	146321	9484	39200	-185615

W4H400ZA+10 (Aftakmast mast 92) (rev 8.0, date: 23-11-2012)

Loadcases for tower strength (ultimate limit state) **APPENDIX:** AL

Loadcase according to 50341-3-15	Attachment point	AHEAD Vertical [N]	AHEAD Transverse [N]	AHEAD Longitudinal [N]	BACK Vertical [N]	BACK Transverse [N]	BACK Longitudinal [N]
	380C1F3 / 380C2F3	13498	26637	142137	9599	37176	-178836
	150C1F1 / 150C2F1	3352	7327	37481	0	0	0
	150C1F2 / 150C2F2	3362	7022	36580	0	0	0
	150C1F3 / 150C2F3	3374	6659	35534	0	0	0
1b	Comp. gl	3832	4935	37779	1646	5464	-38582
Wind, -20 dgr	GW / opgw	1846	2562	18683	1005	2862	-19297
Permanent loads yg= 0.9	380C1F1 / 380C2F1	14206	18948	144803	6053	20577	-147044
Wind angle: 45 dgr	380C1F2 / 380C2F2	14211	18762	144595	6577	20309	-146543
	380C1F3 / 380C2F3	14218	18541	144365	7105	19996	-145984
	150C1F1 / 150C2F1	3551	4737	36201	0	0	0
	150C1F2 / 150C2F2	3553	4690	36149	0	0	0
	150C1F3 / 150C2F3	3554	4635	36091	0	0	0
3	Comp. gl	18414	15995	112008	11337	18644	-115534
Wind+ice, -5 dgr	GW / opgw	9117	8632	56198	6284	10084	-58553
Permanent loads yg= 0.9	380C1F1 / 380C2F1	26944	31133	213237	15054	36078	-222922
Wind angle: 45 dgr	380C1F2 / 380C2F2	26959	30606	212589	15739	35318	-221429
	380C1F3 / 380C2F3	26976	29981	211870	16433	34428	-219751
	150C1F1 / 150C2F1	6736	7783	53309	0	0	0
	150C1F2 / 150C2F2	6740	7652	53147	0	0	0
	150C1F3 / 150C2F3	6744	7495	52967	0	0	0
4	Comp. gl	3771	4362	32756	2812	6174	-44805
Construction/maintenance, +5 dgr	GW / opgw	1814	2258	16016	1629	3185	-22127
Permanent loads yg= 0.9	380C1F1 / 380C2F1	13927	16337	121888	8860	20562	-146893
Wind angle: 45 dgr	380C1F2 / 380C2F2	13931	16152	121685	9417	20310	-146530
	380C1F3 / 380C2F3	13936	15932	121461	9978	20014	-146128
	150C1F1 / 150C2F1	3482	4084	30472	0	0	0
	150C1F2 / 150C2F2	3483	4038	30421	0	0	0
	150C1F3 / 150C2F3	3484	3983	30365	0	0	0
1a	Comp. gl	3491	15381	64611	2754	16752	-71470
Wind, 10 dgr	GW / opgw	1663	10028	39542	1406	10031	-41069
Permanent loads yg= 0.9	380C1F1 / 380C2F1	12856	58821	242692	10187	59802	-254471
Wind angle: 90 dgr	380C1F2 / 380C2F2	12889	55598	232575	10243	57069	-245448
	380C1F3 / 380C2F3	12934	51718	220325	10295	53822	-234670
	150C1F1 / 150C2F1	3214	14705	60673	0	0	0
	150C1F2 / 150C2F2	3222	13899	58144	0	0	0
	150C1F3 / 150C2F3	3234	12929	55081	0	0	0
1b	Comp. gl	3783	6159	39990	1784	6358	-40698
Wind, -20 dgr	GW / opgw	1805	3468	20758	1073	3451	-20908
Permanent loads yg= 0.9	380C1F1 / 380C2F1	13995	23714	153464	6556	23724	-154175
Wind angle: 90 dgr	380C1F2 / 380C2F2	14023	23157	152202	6991	23247	-152971
	380C1F3 / 380C2F3	14056	22500	150779	7433	22690	-151613
	150C1F1 / 150C2F1	3499	5929	38366	0	0	0
	150C1F2 / 150C2F2	3506	5789	38050	0	0	0
	150C1F3 / 150C2F3	3514	5625	37695	0	0	0
3	Comp. gl	18267	21726	118463	11766	22707	-121782

W4H400ZA+10 (Aftakmast mast 92) (rev 8.0, date: 23-11-2012)

Loadcases for tower strength (ultimate limit state) **APPENDIX:** AL

Loadcase according to 50341-3-15	Attachment point	AHEAD			BACK		
		Vertical [N]	Transverse [N]	Longitudinal [N]	Vertical [N]	Transverse [N]	Longitudinal [N]
Wind+ice, -5 dgr	GW / opgw	8997	12756	62134	6492	12700	-63198
Permanent loads yg= 0.9	380C1F1 / 380C2F1	26448	44599	238649	16192	44926	-243289
Wind angle: 90 dgr	380C1F2 / 380C2F2	26507	43039	235100	16695	43595	-239951
	380C1F3 / 380C2F3	26579	41192	231043	17208	42034	-236142
	150C1F1 / 150C2F1	6612	11150	59662	0	0	0
	150C1F2 / 150C2F2	6627	10760	58775	0	0	0
	150C1F3 / 150C2F3	6645	10298	57761	0	0	0
4	Comp. gl	3731	5579	34890	2896	6973	-46084
Construction/maintenance, +5 dgr	GW / opgw	1781	3156	18016	1673	3705	-23123
Permanent loads yg= 0.9	380C1F1 / 380C2F1	13762	21082	130347	9192	23499	-152170
Wind angle: 90 dgr	380C1F2 / 380C2F2	13784	20529	129113	9688	23056	-151265
	380C1F3 / 380C2F3	13810	19874	127722	10190	22537	-150250
	150C1F1 / 150C2F1	3441	5271	32587	0	0	0
	150C1F2 / 150C2F2	3446	5132	32278	0	0	0
	150C1F3 / 150C2F3	3452	4969	31930	0	0	0
1a	Comp. gl	3564	10555	48981	2274	8218	-42486
Wind, 10 dgr	GW / opgw	1691	6731	29019	1257	4730	-23087
Permanent loads yg= 0.9	380C1F1 / 380C2F1	13119	40301	184042	8451	29642	-154078
Wind angle: -45 dgr	380C1F2 / 380C2F2	13162	38293	177684	8663	28594	-150748
	380C1F3 / 380C2F3	13218	35892	170126	8878	27364	-146899
	150C1F1 / 150C2F1	3280	10075	46010	0	0	0
	150C1F2 / 150C2F2	3290	9573	44421	0	0	0
	150C1F3 / 150C2F3	3305	8973	42531	0	0	0
1b	Comp. gl	3817	5370	38398	1584	4977	-37741
Wind, -20 dgr	GW / opgw	1832	2882	19288	971	2543	-18629
Permanent loads yg= 0.9	380C1F1 / 380C2F1	14142	20643	147238	5828	18854	-144225
Wind angle: -45 dgr	380C1F2 / 380C2F2	14155	20328	146720	6395	18697	-144021
	380C1F3 / 380C2F3	14170	19955	146142	6963	18514	-143796
	150C1F1 / 150C2F1	3535	5161	36809	0	0	0
	150C1F2 / 150C2F2	3539	5082	36680	0	0	0
	150C1F3 / 150C2F3	3542	4989	36536	0	0	0
3	Comp. gl	18370	18073	113794	11144	16353	-113078
Wind+ice, -5 dgr	GW / opgw	9078	10120	57910	6183	8614	-56648
Permanent loads yg= 0.9	380C1F1 / 380C2F1	26780	35945	220661	14476	31185	-214388
Wind angle: -45 dgr	380C1F2 / 380C2F2	26812	35051	219103	15266	30740	-213759
0	380C1F3 / 380C2F3	26850	33992	217354	16061	30219	-213059
	150C1F1 / 150C2F1	6695	8986	55165	0	0	0
	150C1F2 / 150C2F2	6703	8763	54776	0	0	0
	150C1F3 / 150C2F3	6713	8498	54338	0	0	0
4	Comp. gl	3759	4796	33352	2778	5727	-44323
Construction/maintenance, +5 dgr	GW / opgw	1803	2576	16597	1610	2898	-21741
Permanent loads yg= 0.9	380C1F1 / 380C2F1	13877	18026	124263	8720	18929	-144874
Wind angle: -45 dgr	380C1F2 / 380C2F2	13887	17713	123757	9305	18780	-144731
	380C1F3 / 380C2F3	13899	17341	123194	9891	18603	-144572
	150C1F1 / 150C2F1	3469	4507	31066	0	0	0

W4H400ZA+10 (Aftakmast mast 92) (rev 8.0, date: 23-11-2012)

Loadcases for tower strength (ultimate limit state) **APPENDIX:** AL

Loadcase according to 50341-3-15	Attachment point	AHEAD Vertical [N]	AHEAD Transverse [N]	AHEAD Longitudinal [N]	BACK Vertical [N]	BACK Transverse [N]	BACK Longitudinal [N]
	150C1F2 / 150C2F2	3472	4428	30939	0	0	0
	150C1F3 / 150C2F3	3475	4335	30799	0	0	0

W4H400ZA+10 (Aftakmast mast 92) (r Appendix AL1

Loadcases for tower strength (Special limit state)

	3	4	5	6	66	67	68
Loadcase according to 50341-3-15		**AHEAD**			**BACK**		
	Attachment point	Vertcal [N]	Transverse [N]	Longitudinal [N]	Vertcal [N]	Transverse [N]	Longitudinal [N]
1a	Comp. gl	4995	4572	39634	2471	4580	-39671
Wind, 10 dgr	GW / opgw	2408	2218	19129	1416	2219	-19147
Permanent loads yg= 1.2	380C1F1 / 380C2F1	18432	16830	145795	9348	16843	-145938
Wind angle: 0 dgr	380C1F2 / 380C2F2	18432	16816	145796	9961	16832	-145939
	380C1F3 / 380C2F3	18432	16799	145796	10575	16818	-145939
	150C1F1 / 150C2F1	4608	4207	36449	0	0	0
	150C1F2 / 150C2F2	4608	4204	36449	0	0	0
	150C1F3 / 150C2F3	4608	4200	36449	0	0	0
1b	Comp. gl	5072	5236	45788	2218	5224	-45669
Wind, -20 dgr	GW / opgw	2449	2563	22385	1319	2555	-22319
Permanent loads yg= 1.2	380C1F1 / 380C2F1	18776	19805	173171	8257	19743	-172639
Wind angle: 0 dgr	380C1F2 / 380C2F2	18776	19800	173171	8983	19740	-172639
	380C1F3 / 380C2F3	18776	19795	173172	9709	19735	-172640
	150C1F1 / 150C2F1	4694	4951	43293	0	0	0
	150C1F2 / 150C2F2	4694	4950	43293	0	0	0
	150C1F3 / 150C2F3	4694	4949	43293	0	0	0
3	Comp. gl	8339	7174	62185	4337	7196	-62322
Wind+ice, -5 dgr	GW / opgw	4080	3541	30550	2475	3547	-30616
Permanent loads yg= 1.2	380C1F1 / 380C2F1	21501	20259	176140	10592	20258	-176153
Wind angle: 0 dgr	380C1F2 / 380C2F2	21501	20247	176141	11333	20249	-176154
	380C1F3 / 380C2F3	21501	20233	176141	12073	20237	-176154
	150C1F1 / 150C2F1	5375	5065	44035	0	0	0
	150C1F2 / 150C2F2	5375	5062	44035	0	0	0
	150C1F3 / 150C2F3	5375	5058	44035	0	0	0
4	Comp. gl	5006	4637	40530	3267	5641	-49330
Construction/maintenance, +5 dgr	GW / opgw	2414	2245	19597	1869	2751	-24034
Permanent loads yg= 1.2	380C1F1 / 380C2F1	18481	17129	149696	10889	19115	-167130
Wind angle: 0 dgr	380C1F2 / 380C2F2	18481	17124	149697	11592	19112	-167131
	380C1F3 / 380C2F3	18481	17119	149697	12295	19108	-167131
	150C1F1 / 150C2F1	4620	4282	37424	0	0	0
	150C1F2 / 150C2F2	4620	4281	37424	0	0	0
	150C1F3 / 150C2F3	4620	4280	37424	0	0	0
6	Comp. gl	5605	4953	43449	2827	4960	-43513
Permanent, +10 dgr	GW / opgw	2703	2392	20985	1609	2396	-21016
Permanent loads yg= 1.35	380C1F1 / 380C2F1	20680	18180	159484	10698	18208	-159734
	380C1F2 / 380C2F2	20680	18180	159484	11369	18208	-159734
	380C1F3 / 380C2F3	20680	18180	159484	12041	18208	-159734
	150C1F1 / 150C2F1	5170	4545	39871	0	0	0
	150C1F2 / 150C2F2	5170	4545	39871	0	0	0
	150C1F3 / 150C2F3	5170	4545	39871	0	0	0
1a	Comp. gl	4958	6356	41414	2807	7959	-45480
Wind, 10 dgr	GW / opgw	2375	3505	20875	1582	4413	-23585
Permanent loads yg= 1.2	380C1F1 / 380C2F1	18280	23778	152859	10501	28806	-165602
Wind angle: 45 dgr	380C1F2 / 380C2F2	18298	23253	151948	10908	28034	-163640
	380C1F3 / 380C2F3	18318	22631	150930	11323	27130	-161415
	150C1F1 / 150C2F1	4570	5945	38215	0	0	0

W4H400ZA+10 (Aftakmast mast 92) (r Appendix AL1

Loadcases for tower strength (Special limit state)

	3	4	5	6	66	67	68
Loadcase according to 50341-3-15		**AHEAD**			**BACK**		
	Attachment point	Vertcal [N]	Transverse [N]	Longitudinal [N]	Vertcal [N]	Transverse [N]	Longitudinal [N]
	150C1F2 / 150C2F2	4574	5813	37987	0	0	0
	150C1F3 / 150C2F3	4579	5658	37732	0	0	0
1b	Comp. gl	5067	5739	45932	2268	6125	-46244
Wind, -20 dgr	GW / opgw	2445	2916	22544	1348	3129	-22799
Permanent loads yg= 1.2	380C1F1 / 380C2F1	18755	21759	173742	8436	22950	-174546
Wind angle: 45 dgr	380C1F2 / 380C2F2	18758	21619	173656	9126	22756	-174326
	380C1F3 / 380C2F3	18761	21453	173562	9819	22528	-174083
	150C1F1 / 150C2F1	4689	5440	43435	0	0	0
	150C1F2 / 150C2F2	4689	5405	43414	0	0	0
	150C1F3 / 150C2F3	4690	5363	43391	0	0	0
3	Comp. gl	8285	9921	64417	4835	12326	-69755
Wind+ice, -5 dgr	GW / opgw	4031	5510	32739	2725	6861	-36285
Permanent loads yg= 1.2	380C1F1 / 380C2F1	21391	26025	180420	11479	30037	-188660
Wind angle: 45 dgr	380C1F2 / 380C2F2	21405	25598	179849	12054	29416	-187350
	380C1F3 / 380C2F3	21420	25091	179214	12637	28689	-185878
	150C1F1 / 150C2F1	5348	6506	45105	0	0	0
	150C1F2 / 150C2F2	5351	6399	44962	0	0	0
	150C1F3 / 150C2F3	5355	6273	44803	0	0	0
4	Comp. gl	5002	5139	40669	3298	6520	-49706
Construction/maintenance, +5 dgr	GW / opgw	2410	2598	19751	1887	3306	-24350
Permanent loads yg= 1.2	380C1F1 / 380C2F1	18464	19082	150254	11012	22275	-168616
Wind angle: 45 dgr	380C1F2 / 380C2F2	18466	18943	150170	11690	22087	-168440
	380C1F3 / 380C2F3	18468	18777	150078	12371	21864	-168246
	150C1F1 / 150C2F1	4616	4771	37563	0	0	0
	150C1F2 / 150C2F2	4617	4736	37542	0	0	0
	150C1F3 / 150C2F3	4617	4694	37519	0	0	0
1a	Comp. gl	4834	9851	49867	3098	10504	-52907
Wind, 10 dgr	GW / opgw	2295	6054	27943	1696	6052	-28704
Permanent loads yg= 1.2	380C1F1 / 380C2F1	17795	37362	185712	11526	37778	-191001
Wind angle: 90 dgr	380C1F2 / 380C2F2	17846	35792	181367	11791	36434	-186982
	380C1F3 / 380C2F3	17909	33927	176323	12059	34856	-182335
	150C1F1 / 150C2F1	4449	9341	46428	0	0	0
	150C1F2 / 150C2F2	4461	8948	45342	0	0	0
	150C1F3 / 150C2F3	4477	8482	44081	0	0	0
1b	Comp. gl	5043	6628	46909	2342	6758	-47219
Wind, -20 dgr	GW / opgw	2422	3562	23513	1388	3542	-23576
Permanent loads yg= 1.2	380C1F1 / 380C2F1	18651	25221	177586	8700	25189	-177805
Wind angle: 90 dgr	380C1F2 / 380C2F2	18666	24824	177001	9340	24852	-177239
	380C1F3 / 380C2F3	18683	24353	176351	9985	24458	-176607
	150C1F1 / 150C2F1	4663	6305	44397	0	0	0
	150C1F2 / 150C2F2	4666	6206	44250	0	0	0
	150C1F3 / 150C2F3	4671	6088	44088	0	0	0
3	Comp. gl	8099	15160	75361	5286	16112	-79481
Wind+ice, -5 dgr	GW / opgw	3906	9314	41944	2907	9296	-43017
Permanent loads yg= 1.2	380C1F1 / 380C2F1	20965	37018	202705	12449	37288	-206477
Wind angle: 90 dgr	380C1F2 / 380C2F2	21016	35741	199601	12870	36195	-203562

W4H400ZA+10 (Aftakmast mast 92) (r Appendix AL1

Loadcases for tower strength (Special limit state)

	3	4	5	6	66	67	68
Loadcase according to 50341-3-15		**AHEAD**			**BACK**		
	Attachment point	Vertcal [N]	Tranvverse [N]	Longitudinal [N]	Vertcal [N]	Tranvverse [N]	Longitudinal [N]
	380C1F3 / 380C2F3	21077	34228	196051	13299	34915	-200233
	150C1F1 / 150C2F1	5241	9254	50676	0	0	0
	150C1F2 / 150C2F2	5254	8935	49900	0	0	0
	150C1F3 / 150C2F3	5269	8557	49013	0	0	0
4	Comp. gl	4982	6026	41619	3347	7119	-50382
Construction/maintenance, +5 dgr	GW / opgw	2392	3241	20691	1913	3693	-24892
Permanent loads yg= 1.2	380C1F1 / 380C2F1	18379	22538	154029	11197	24444	-171247
Wind angle: 90 dgr	380C1F2 / 380C2F2	18392	22142	153454	11840	24119	-170787
	380C1F3 / 380C2F3	18405	21673	152815	12486	23739	-170275
	150C1F1 / 150C2F1	4595	5634	38507	0	0	0
	150C1F2 / 150C2F2	4598	5536	38364	0	0	0
	150C1F3 / 150C2F3	4601	5418	38204	0	0	0
1a	Comp. gl	4913	7599	43986	2629	6554	-42102
Wind, 10 dgr	GW / opgw	2342	4421	23176	1500	3494	-21080
Permanent loads yg= 1.2	380C1F1 / 380C2F1	18102	28621	162955	9887	23850	-154129
Wind angle: -45 dgr	380C1F2 / 380C2F2	18136	27717	160880	10398	23403	-153254
	380C1F3 / 380C2F3	18176	26649	158526	10915	22880	-152275
	150C1F1 / 150C2F1	4526	7155	40739	0	0	0
	150C1F2 / 150C2F2	4534	6929	40220	0	0	0
	150C1F3 / 150C2F3	4544	6662	39631	0	0	0
1b	Comp. gl	5060	6061	46194	2238	5770	-45880
Wind, -20 dgr	GW / opgw	2438	3147	22812	1331	2900	-22500
Permanent loads yg= 1.2	380C1F1 / 380C2F1	18725	23011	174777	8330	21690	-173333
Wind angle: -45 dgr	380C1F2 / 380C2F2	18732	22781	174552	9041	21573	-173248
	380C1F3 / 380C2F3	18739	22507	174305	9753	21436	-173154
	150C1F1 / 150C2F1	4681	5753	43694	0	0	0
	150C1F2 / 150C2F2	4683	5695	43638	0	0	0
	150C1F3 / 150C2F3	4685	5627	43576	0	0	0
3	Comp. gl	8219	11794	67714	4568	10222	-65396
Wind+ice, -5 dgr	GW / opgw	3981	6881	35697	2600	5491	-33052
Permanent loads yg= 1.2	380C1F1 / 380C2F1	21250	29941	186949	10983	26047	-181165
Wind angle: -45 dgr	380C1F2 / 380C2F2	21278	29212	185580	11647	25686	-180611
0	380C1F3 / 380C2F3	21311	28350	184044	12317	25262	-179994
	150C1F1 / 150C2F1	5312	7485	46737	0	0	0
	150C1F2 / 150C2F2	5319	7303	46395	0	0	0
	150C1F3 / 150C2F3	5328	7087	46011	0	0	0
4	Comp. gl	4996	5460	40924	3279	6178	-49460
Construction/maintenance, +5 dgr	GW / opgw	2405	2828	20010	1876	3088	-24148
Permanent loads yg= 1.2	380C1F1 / 380C2F1	18440	20333	151269	10939	21043	-167653
Wind angle: -45 dgr	380C1F2 / 380C2F2	18445	20103	151049	11632	20929	-167586
	380C1F3 / 380C2F3	18451	19829	150806	12325	20794	-167513
	150C1F1 / 150C2F1	4610	5083	37817	0	0	0
	150C1F2 / 150C2F2	4611	5026	37762	0	0	0
	150C1F3 / 150C2F3	4613	4957	37701	0	0	0
1a	Comp. gl	3769	3652	31563	1778	3654	-31546
Wind, 10 dgr	GW / opgw	1817	1771	15207	1036	1769	-15199

W4H400ZA+10 (Aftakmast mast 92) (r Appendix AL1

Loadcases for tower strength (Special limit state)

	3	4	5	6	66	67	68
Loadcase according to 50341-3-15		**AHEAD**			**BACK**		
	Attachment point	Vertcal [N]	Tranvverse [N]	Longitudinal [N]	Vertcal [N]	Tranvverse [N]	Longitudinal [N]
Permanent loads yg= 0.9	380C1F1 / 380C2F1	13916	13520	116761	6715	13510	-116695
Wind angle: 0 dgr	380C1F2 / 380C2F2	13916	13506	116761	7206	13498	-116694
	380C1F3 / 380C2F3	13916	13489	116761	7696	13485	-116694
	150C1F1 / 150C2F1	3479	3380	29190	0	0	0
	150C1F2 / 150C2F2	3479	3376	29190	0	0	0
	150C1F3 / 150C2F3	3479	3372	29190	0	0	0
1b	Comp. gl	3843	4279	37396	1539	4259	-37203
Wind, -20 dgr	GW / opgw	1856	2096	18286	945	2084	-18183
Permanent loads yg= 0.9	380C1F1 / 380C2F1	14252	16398	143288	5665	16300	-142435
Wind angle: 0 dgr	380C1F2 / 380C2F2	14252	16394	143289	6263	16297	-142435
	380C1F3 / 380C2F3	14252	16389	143289	6862	16292	-142435
	150C1F1 / 150C2F1	3563	4100	35822	0	0	0
	150C1F2 / 150C2F2	3563	4098	35822	0	0	0
	150C1F3 / 150C2F3	3563	4097	35822	0	0	0
3	Comp. gl	7128	6390	55305	3593	6405	-55382
Wind+ice, -5 dgr	GW / opgw	3496	3161	27210	2078	3163	-27246
Permanent loads yg= 0.9	380C1F1 / 380C2F1	16998	17060	148077	7922	17031	-147844
Wind angle: 0 dgr	380C1F2 / 380C2F2	16998	17048	148078	8543	17022	-147844
	380C1F3 / 380C2F3	16998	17034	148078	9165	17010	-147844
	150C1F1 / 150C2F1	4249	4265	37019	0	0	0
	150C1F2 / 150C2F2	4249	4262	37019	0	0	0
	150C1F3 / 150C2F3	4249	4258	37020	0	0	0
4	Comp. gl	3779	3709	32388	2548	4783	-41805
Construction/maintenance, +5 dgr	GW / opgw	1822	1794	15635	1480	2334	-20379
Permanent loads yg= 0.9	380C1F1 / 380C2F1	13962	13791	120415	8207	15920	-139104
Wind angle: 0 dgr	380C1F2 / 380C2F2	13962	13787	120416	8791	15917	-139104
	380C1F3 / 380C2F3	13962	13782	120416	9376	15913	-139104
	150C1F1 / 150C2F1	3491	3448	30104	0	0	0
	150C1F2 / 150C2F2	3491	3447	30104	0	0	0
	150C1F3 / 150C2F3	3491	3445	30104	0	0	0
6	Comp. gl	3769	3598	31565	1777	3596	-31548
Permanent, +10 dgr	GW / opgw	1817	1734	15208	1036	1733	-15200
Permanent loads yg= 1.35	380C1F1 / 380C2F1	13917	13311	116772	6714	13303	-116703
	380C1F2 / 380C2F2	13917	13311	116772	7205	13303	-116703
	380C1F3 / 380C2F3	13917	13311	116772	7696	13303	-116703
	150C1F1 / 150C2F1	3479	3328	29193	0	0	0
	150C1F2 / 150C2F2	3479	3328	29193	0	0	0
	150C1F3 / 150C2F3	3479	3328	29193	0	0	0
1a	Comp. gl	3721	5526	34140	2171	7271	-39447
Wind, 10 dgr	GW / opgw	1776	3137	17651	1219	4122	-21035
Permanent loads yg= 0.9	380C1F1 / 380C2F1	13718	20828	126992	8083	26300	-143630
Wind angle: 45 dgr	380C1F2 / 380C2F2	13740	20262	125724	8343	25463	-141105
	380C1F3 / 380C2F3	13765	19593	124294	8608	24483	-138210
	150C1F1 / 150C2F1	3430	5207	31748	0	0	0
	150C1F2 / 150C2F2	3435	5066	31431	0	0	0
	150C1F3 / 150C2F3	3441	4898	31073	0	0	0

W4H400ZA+10 (Aftakmast mast 92) (r Appendix AL1

Loadcases for tower strength (Special limit state)

		3	4	5	6	66	67	68
Loadcase according to 50341-3-15			**AHEAD**			**BACK**		
	Attachment point	Vertcal [N]	Transverse [N]	Longitudinal [N]		Vertcal [N]	Transverse [N]	Longitudinal [N]
1b	Comp. gl	3836	4792	37632		1610	5194	-38080
Wind, -20 dgr	GW / opgw	1849	2459	18535		985	2685	-18901
Permanent loads yg= 0.9	380C1F1 / 380C2F1	14222	18393	144221		5921	19622	-145358
Wind angle: 45 dgr	380C1F2 / 380C2F2	14226	18248	144090		6469	19416	-145033
	380C1F3 / 380C2F3	14230	18076	143945		7021	19175	-144672
	150C1F1 / 150C2F1	3555	4598	36055		0	0	0
	150C1F2 / 150C2F2	3556	4562	36022		0	0	0
	150C1F3 / 150C2F3	3557	4519	35986		0	0	0
3	Comp. gl	7064	9199	58093		4152	11709	-64343
Wind+ice, -5 dgr	GW / opgw	3440	5185	29886		2350	6594	-33947
Permanent loads yg= 0.9	380C1F1 / 380C2F1	16855	23024	154103		9018	27309	-164740
Wind angle: 45 dgr	380C1F2 / 380C2F2	16871	22573	153322		9442	26643	-163040
	380C1F3 / 380C2F3	16891	22039	152451		9873	25865	-161116
	150C1F1 / 150C2F1	4214	5756	38526		0	0	0
	150C1F2 / 150C2F2	4218	5643	38331		0	0	0
	150C1F3 / 150C2F3	4223	5510	38113		0	0	0
4	Comp. gl	3774	4221	32614		2588	5679	-42331
Construction/maintenance, +5 dgr	GW / opgw	1817	2156	15874		1503	2903	-20812
Permanent loads yg= 0.9	380C1F1 / 380C2F1	13939	15784	121321		8369	19156	-141259
Wind angle: 45 dgr	380C1F2 / 380C2F2	13942	15639	121193		8922	18960	-141013
	380C1F3 / 380C2F3	13945	15468	121052		9477	18729	-140741
	150C1F1 / 150C2F1	3485	3946	30330		0	0	0
	150C1F2 / 150C2F2	3486	3910	30298		0	0	0
	150C1F3 / 150C2F3	3486	3867	30263		0	0	0
1a	Comp. gl	3594	9286	44917		2432	9993	-48434
Wind, 10 dgr	GW / opgw	1704	5847	26130		1310	5852	-26952
Permanent loads yg= 0.9	380C1F1 / 380C2F1	13230	35411	168621		9016	35906	-174598
Wind angle: 90 dgr	380C1F2 / 380C2F2	13274	33745	163430		9166	34481	-169865
	380C1F3 / 380C2F3	13330	31758	157314		9315	32802	-164327
	150C1F1 / 150C2F1	3308	8853	42155		0	0	0
	150C1F2 / 150C2F2	3319	8436	40858		0	0	0
	150C1F3 / 150C2F3	3333	7939	39329		0	0	0
1b	Comp. gl	3802	5734	39070		1707	5876	-39482
Wind, -20 dgr	GW / opgw	1820	3152	19921		1036	3134	-19993
Permanent loads yg= 0.9	380C1F1 / 380C2F1	14077	22060	149873		6277	22027	-150073
Wind angle: 90 dgr	380C1F2 / 380C2F2	14097	21634	149032		6760	21663	-149266
	380C1F3 / 380C2F3	14120	21131	148091		7249	21237	-148360
	150C1F1 / 150C2F1	3519	5515	37468		0	0	0
	150C1F2 / 150C2F2	3524	5409	37258		0	0	0
	150C1F3 / 150C2F3	3530	5283	37023		0	0	0
3	Comp. gl	6869	14643	70832		4592	15640	-75342
Wind+ice, -5 dgr	GW / opgw	3318	9119	40232		2517	9107	-41357
Permanent loads yg= 0.9	380C1F1 / 380C2F1	16379	34727	182634		10032	35059	-186940
Wind angle: 90 dgr	380C1F2 / 380C2F2	16430	33370	178824		10311	33895	-183406
	380C1F3 / 380C2F3	16493	31759	174414		10594	32530	-179329
	150C1F1 / 150C2F1	4095	8682	45658		0	0	0

W4H400ZA+10 (Aftakmast mast 92) (r Appendix AL1

Loadcases for tower strength (Special limit state)

	3	4	5	6	66	67	68
Loadcase according to 50341-3-15		**AHEAD**			**BACK**		
	Attachment point	Vertcal [N]	Tranvverse [N]	Longitudinal [N]	Vertcal [N]	Tranvverse [N]	Longitudinal [N]
	150C1F2 / 150C2F2	4107	8342	44706	0	0	0
	150C1F3 / 150C2F3	4123	7940	43603	0	0	0
4	Comp. gl	3747	5157	34001	2649	6304	-43231
Construction/maintenance, +5 dgr	GW / opgw	1793	2843	17207	1535	3308	-21521
Permanent loads yg= 0.9	380C1F1 / 380C2F1	13826	19437	126836	8605	21437	-144880
Wind angle: 90 dgr	380C1F2 / 380C2F2	13842	19013	126015	9113	21094	-144253
	380C1F3 / 380C2F3	13860	18512	125096	9626	20692	-143553
	150C1F1 / 150C2F1	3457	4859	31709	0	0	0
	150C1F2 / 150C2F2	3461	4753	31504	0	0	0
	150C1F3 / 150C2F3	3465	4628	31274	0	0	0
1a	Comp. gl	3670	6870	37598	1979	5746	-35011
Wind, 10 dgr	GW / opgw	1743	4124	20570	1139	3129	-17885
Permanent loads yg= 0.9	380C1F1 / 380C2F1	13519	26059	140505	7411	20922	-128450
Wind angle: -45 dgr	380C1F2 / 380C2F2	13555	25084	137797	7774	20437	-127245
	380C1F3 / 380C2F3	13598	23930	134685	8141	19871	-125885
	150C1F1 / 150C2F1	3380	6515	35126	0	0	0
	150C1F2 / 150C2F2	3389	6271	34449	0	0	0
	150C1F3 / 150C2F3	3400	5982	33671	0	0	0
1b	Comp. gl	3826	5129	38027	1568	4819	-37538
Wind, -20 dgr	GW / opgw	1840	2705	18928	962	2440	-18464
Permanent loads yg= 0.9	380C1F1 / 380C2F1	14179	19705	145779	5771	18294	-143546
Wind angle: -45 dgr	380C1F2 / 380C2F2	14188	19462	145445	6348	18172	-143417
	380C1F3 / 380C2F3	14198	19174	145074	6927	18030	-143274
	150C1F1 / 150C2F1	3545	4926	36445	0	0	0
	150C1F2 / 150C2F2	3547	4866	36361	0	0	0
	150C1F3 / 150C2F3	3550	4794	36269	0	0	0
3	Comp. gl	6991	11147	62044	3864	9513	-59184
Wind+ice, -5 dgr	GW / opgw	3387	6609	33320	2221	5167	-30212
Permanent loads yg= 0.9	380C1F1 / 380C2F1	16684	27186	162795	8429	23046	-154841
Wind angle: -45 dgr	380C1F2 / 380C2F2	16717	26409	161002	8953	22662	-154090
0	380C1F3 / 380C2F3	16755	25490	158971	9483	22213	-153250
	150C1F1 / 150C2F1	4171	6796	40699	0	0	0
	150C1F2 / 150C2F2	4179	6602	40250	0	0	0
	150C1F3 / 150C2F3	4189	6373	39743	0	0	0
4	Comp. gl	3766	4556	32994	2564	5327	-41996
Construction/maintenance, +5 dgr	GW / opgw	1810	2400	16251	1490	2677	-20541
Permanent loads yg= 0.9	380C1F1 / 380C2F1	13906	17092	122840	8273	17879	-139899
Wind angle: -45 dgr	380C1F2 / 380C2F2	13913	16850	122514	8845	17761	-139803
	380C1F3 / 380C2F3	13921	16563	122152	9417	17623	-139698
	150C1F1 / 150C2F1	3477	4273	30710	0	0	0
	150C1F2 / 150C2F2	3478	4212	30628	0	0	0
	150C1F3 / 150C2F3	3480	4141	30538	0	0	0

Loadcase according to 50341-3-15	Attachment point	AHEAD			BACK		
		Vertcal [N]	Transverse [N]	Longitudinal [N]	Vertcal [N]	Transverse [N]	Longitudinal [N]
1a	Comp. gl	4995	4572	39634	0	0	0
Wind, 10 dgr	GW / opgw	2408	2218	19129	0	0	0
Permanent loads yg= 1.2	380C1F1 / 380C2F1	18432	16830	145795	0	0	0
Wind angle: 0 dgr	380C1F2 / 380C2F2	18432	16816	145796	0	0	0
	380C1F3 / 380C2F3	18432	16799	145796	0	0	0
	150C1F1 / 150C2F1	4608	4207	36449	0	0	0
	150C1F2 / 150C2F2	4608	4204	36449	0	0	0
	150C1F3 / 150C2F3	4608	4200	36449	0	0	0
1b	Comp. gl	5072	5236	45788	0	0	0
Wind, -20 dgr	GW / opgw	2449	2563	22385	0	0	0
Permanent loads yg= 1.2	380C1F1 / 380C2F1	18776	19805	173171	0	0	0
Wind angle: 0 dgr	380C1F2 / 380C2F2	18776	19800	173171	0	0	0
	380C1F3 / 380C2F3	18776	19795	173172	0	0	0
	150C1F1 / 150C2F1	4694	4951	43293	0	0	0
	150C1F2 / 150C2F2	4694	4950	43293	0	0	0
	150C1F3 / 150C2F3	4694	4949	43293	0	0	0
3	Comp. gl	8339	7174	62185	0	0	0
Wind+ice, -5 dgr	GW / opgw	4080	3541	30550	0	0	0
Permanent loads yg= 1.2	380C1F1 / 380C2F1	21501	20259	176140	0	0	0
Wind angle: 0 dgr	380C1F2 / 380C2F2	21501	20247	176141	0	0	0
	380C1F3 / 380C2F3	21501	20233	176141	0	0	0
	150C1F1 / 150C2F1	5375	5065	44035	0	0	0
	150C1F2 / 150C2F2	5375	5062	44035	0	0	0
	150C1F3 / 150C2F3	5375	5058	44035	0	0	0
4	Comp. gl	5006	4637	40530	0	0	0
Construction/maintenance, +5 dgr	GW / opgw	2414	2245	19597	0	0	0
Permanent loads yg= 1.2	380C1F1 / 380C2F1	18481	17129	149696	0	0	0
Wind angle: 0 dgr	380C1F2 / 380C2F2	18481	17124	149697	0	0	0
	380C1F3 / 380C2F3	18481	17119	149697	0	0	0
	150C1F1 / 150C2F1	4620	4282	37424	0	0	0
	150C1F2 / 150C2F2	4620	4281	37424	0	0	0
	150C1F3 / 150C2F3	4620	4280	37424	0	0	0
6	Comp. gl	5605	4953	43449	0	0	0
Permanent, +10 dgr	GW / opgw	2703	2392	20985	0	0	0
Permanent loads yg= 1.35	380C1F1 / 380C2F1	20680	18180	159484	0	0	0
	380C1F2 / 380C2F2	20680	18180	159484	0	0	0
	380C1F3 / 380C2F3	20680	18180	159484	0	0	0
	150C1F1 / 150C2F1	5170	4545	39871	0	0	0
	150C1F2 / 150C2F2	5170	4545	39871	0	0	0
	150C1F3 / 150C2F3	5170	4545	39871	0	0	0
1a	Comp. gl	4958	6356	41414	0	0	0
Wind, 10 dgr	GW / opgw	2375	3505	20875	0	0	0
Permanent loads yg= 1.2	380C1F1 / 380C2F1	18280	23778	152859	0	0	0
Wind angle: 45 dgr	380C1F2 / 380C2F2	18298	23253	151948	0	0	0
	380C1F3 / 380C2F3	18318	22631	150930	0	0	0
	150C1F1 / 150C2F1	4570	5945	38215	0	0	0

Loadcase according to 50341-3-15	Attachment point	AHEAD			BACK		
		Vertcal [N]	Transverse [N]	Longitudinal [N]	Vertcal [N]	Transverse [N]	Longitudinal [N]
	150C1F2 / 150C2F2	4574	5813	37987	0	0	0
	150C1F3 / 150C2F3	4579	5658	37732	0	0	0
1b	Comp. gl	5067	5739	45932	0	0	0
Wind, -20 dgr	GW / opgw	2445	2916	22544	0	0	0
Permanent loads yg= 1.2	380C1F1 / 380C2F1	18755	21759	173742	0	0	0
Wind angle: 45 dgr	380C1F2 / 380C2F2	18758	21619	173656	0	0	0
	380C1F3 / 380C2F3	18761	21453	173562	0	0	0
	150C1F1 / 150C2F1	4689	5440	43435	0	0	0
	150C1F2 / 150C2F2	4689	5405	43414	0	0	0
	150C1F3 / 150C2F3	4690	5363	43391	0	0	0
3	Comp. gl	8285	9921	64417	0	0	0
Wind+ice, -5 dgr	GW / opgw	4031	5510	32739	0	0	0
Permanent loads yg= 1.2	380C1F1 / 380C2F1	21391	26025	180420	0	0	0
Wind angle: 45 dgr	380C1F2 / 380C2F2	21405	25598	179849	0	0	0
	380C1F3 / 380C2F3	21420	25091	179214	0	0	0
	150C1F1 / 150C2F1	5348	6506	45105	0	0	0
	150C1F2 / 150C2F2	5351	6399	44962	0	0	0
	150C1F3 / 150C2F3	5355	6273	44803	0	0	0
4	Comp. gl	5002	5139	40669	0	0	0
Construction/maintenance, +5 dgr	GW / opgw	2410	2598	19751	0	0	0
Permanent loads yg= 1.2	380C1F1 / 380C2F1	18464	19082	150254	0	0	0
Wind angle: 45 dgr	380C1F2 / 380C2F2	18466	18943	150170	0	0	0
	380C1F3 / 380C2F3	18468	18777	150078	0	0	0
	150C1F1 / 150C2F1	4616	4771	37563	0	0	0
	150C1F2 / 150C2F2	4617	4736	37542	0	0	0
	150C1F3 / 150C2F3	4617	4694	37519	0	0	0
1a	Comp. gl	4834	9851	49867	0	0	0
Wind, 10 dgr	GW / opgw	2295	6054	27943	0	0	0
Permanent loads yg= 1.2	380C1F1 / 380C2F1	17795	37362	185712	0	0	0
Wind angle: 90 dgr	380C1F2 / 380C2F2	17846	35792	181367	0	0	0
	380C1F3 / 380C2F3	17909	33927	176323	0	0	0
	150C1F1 / 150C2F1	4449	9341	46428	0	0	0
	150C1F2 / 150C2F2	4461	8948	45342	0	0	0
	150C1F3 / 150C2F3	4477	8482	44081	0	0	0
1b	Comp. gl	5043	6628	46909	0	0	0
Wind, -20 dgr	GW / opgw	2422	3562	23513	0	0	0
Permanent loads yg= 1.2	380C1F1 / 380C2F1	18651	25221	177586	0	0	0
Wind angle: 90 dgr	380C1F2 / 380C2F2	18666	24824	177001	0	0	0
	380C1F3 / 380C2F3	18683	24353	176351	0	0	0
	150C1F1 / 150C2F1	4663	6305	44397	0	0	0
	150C1F2 / 150C2F2	4666	6206	44250	0	0	0
	150C1F3 / 150C2F3	4671	6088	44088	0	0	0
3	Comp. gl	8099	15160	75361	0	0	0
Wind+ice, -5 dgr	GW / opgw	3906	9314	41944	0	0	0
Permanent loads yg= 1.2	380C1F1 / 380C2F1	20965	37018	202705	0	0	0
Wind angle: 90 dgr	380C1F2 / 380C2F2	21016	35741	199601	0	0	0

Loadcase according to 50341-3-15	Attachment point	AHEAD Vertcal [N]	AHEAD Transverse [N]	AHEAD Longitudinal [N]	BACK Vertcal [N]	BACK Transverse [N]	BACK Longitudinal [N]
	380C1F3 / 380C2F3	21077	34228	196051	0	0	0
	150C1F1 / 150C2F1	5241	9254	50676	0	0	0
	150C1F2 / 150C2F2	5254	8935	49900	0	0	0
	150C1F3 / 150C2F3	5269	8557	49013	0	0	0
4	Comp. gl	4982	6026	41619	0	0	0
Construction/maintenance, +5 dgr	GW / opgw	2392	3241	20691	0	0	0
Permanent loads yg= 1.2	380C1F1 / 380C2F1	18379	22538	154029	0	0	0
Wind angle: 90 dgr	380C1F2 / 380C2F2	18392	22142	153454	0	0	0
	380C1F3 / 380C2F3	18405	21673	152815	0	0	0
	150C1F1 / 150C2F1	4595	5634	38507	0	0	0
	150C1F2 / 150C2F2	4598	5536	38364	0	0	0
	150C1F3 / 150C2F3	4601	5418	38204	0	0	0
1a	Comp. gl	4913	7599	43986	0	0	0
Wind, 10 dgr	GW / opgw	2342	4421	23176	0	0	0
Permanent loads yg= 1.2	380C1F1 / 380C2F1	18102	28621	162955	0	0	0
Wind angle: -45 dgr	380C1F2 / 380C2F2	18136	27717	160880	0	0	0
	380C1F3 / 380C2F3	18176	26649	158526	0	0	0
	150C1F1 / 150C2F1	4526	7155	40739	0	0	0
	150C1F2 / 150C2F2	4534	6929	40220	0	0	0
	150C1F3 / 150C2F3	4544	6662	39631	0	0	0
1b	Comp. gl	5060	6061	46194	0	0	0
Wind, -20 dgr	GW / opgw	2438	3147	22812	0	0	0
Permanent loads yg= 1.2	380C1F1 / 380C2F1	18725	23011	174777	0	0	0
Wind angle: -45 dgr	380C1F2 / 380C2F2	18732	22781	174552	0	0	0
	380C1F3 / 380C2F3	18739	22507	174305	0	0	0
	150C1F1 / 150C2F1	4681	5753	43694	0	0	0
	150C1F2 / 150C2F2	4683	5695	43638	0	0	0
	150C1F3 / 150C2F3	4685	5627	43576	0	0	0
3	Comp. gl	8219	11794	67714	0	0	0
Wind+ice, -5 dgr	GW / opgw	3981	6881	35697	0	0	0
Permanent loads yg= 1.2	380C1F1 / 380C2F1	21250	29941	186949	0	0	0
Wind angle: -45 dgr	380C1F2 / 380C2F2	21278	29212	185580	0	0	0
0	380C1F3 / 380C2F3	21311	28350	184044	0	0	0
	150C1F1 / 150C2F1	5312	7485	46737	0	0	0
	150C1F2 / 150C2F2	5319	7303	46395	0	0	0
	150C1F3 / 150C2F3	5328	7087	46011	0	0	0
4	Comp. gl	4996	5460	40924	0	0	0
Construction/maintenance, +5 dgr	GW / opgw	2405	2828	20010	0	0	0
Permanent loads yg= 1.2	380C1F1 / 380C2F1	18440	20333	151269	0	0	0
Wind angle: -45 dgr	380C1F2 / 380C2F2	18445	20103	151049	0	0	0
	380C1F3 / 380C2F3	18451	19829	150806	0	0	0
	150C1F1 / 150C2F1	4610	5083	37817	0	0	0
	150C1F2 / 150C2F2	4611	5026	37762	0	0	0
	150C1F3 / 150C2F3	4613	4957	37701	0	0	0
1a	Comp. gl	3769	3652	31563	0	0	0
Wind, 10 dgr	GW / opgw	1817	1771	15207	0	0	0

Loadcase according to 50341-3-15	Attachment point	AHEAD Vertcal [N]	AHEAD Transverse [N]	AHEAD Longitudinal [N]	BACK Vertcal [N]	BACK Transverse [N]	BACK Longitudinal [N]
Permanent loads yg= 0.9	380C1F1 / 380C2F1	13916	13520	116761	0	0	0
Wind angle: 0 dgr	380C1F2 / 380C2F2	13916	13506	116761	0	0	0
	380C1F3 / 380C2F3	13916	13489	116761	0	0	0
	150C1F1 / 150C2F1	3479	3380	29190	0	0	0
	150C1F2 / 150C2F2	3479	3376	29190	0	0	0
	150C1F3 / 150C2F3	3479	3372	29190	0	0	0
1b	Comp. gl	3843	4279	37396	0	0	0
Wind, -20 dgr	GW / opgw	1856	2096	18286	0	0	0
Permanent loads yg= 0.9	380C1F1 / 380C2F1	14252	16398	143288	0	0	0
Wind angle: 0 dgr	380C1F2 / 380C2F2	14252	16394	143289	0	0	0
	380C1F3 / 380C2F3	14252	16389	143289	0	0	0
	150C1F1 / 150C2F1	3563	4100	35822	0	0	0
	150C1F2 / 150C2F2	3563	4098	35822	0	0	0
	150C1F3 / 150C2F3	3563	4097	35822	0	0	0
3	Comp. gl	7128	6390	55305	0	0	0
Wind+ice, -5 dgr	GW / opgw	3496	3161	27210	0	0	0
Permanent loads yg= 0.9	380C1F1 / 380C2F1	16998	17060	148077	0	0	0
Wind angle: 0 dgr	380C1F2 / 380C2F2	16998	17048	148078	0	0	0
	380C1F3 / 380C2F3	16998	17034	148078	0	0	0
	150C1F1 / 150C2F1	4249	4265	37019	0	0	0
	150C1F2 / 150C2F2	4249	4262	37019	0	0	0
	150C1F3 / 150C2F3	4249	4258	37020	0	0	0
4	Comp. gl	3779	3709	32388	0	0	0
Construction/maintenance, +5 dgr	GW / opgw	1822	1794	15635	0	0	0
Permanent loads yg= 0.9	380C1F1 / 380C2F1	13962	13791	120415	0	0	0
Wind angle: 0 dgr	380C1F2 / 380C2F2	13962	13787	120416	0	0	0
	380C1F3 / 380C2F3	13962	13782	120416	0	0	0
	150C1F1 / 150C2F1	3491	3448	30104	0	0	0
	150C1F2 / 150C2F2	3491	3447	30104	0	0	0
	150C1F3 / 150C2F3	3491	3445	30104	0	0	0
6	Comp. gl	3769	3598	31565	0	0	0
Permanent, +10 dgr	GW / opgw	1817	1734	15208	0	0	0
Permanent loads yg= 1.35	380C1F1 / 380C2F1	13917	13311	116772	0	0	0
	380C1F2 / 380C2F2	13917	13311	116772	0	0	0
	380C1F3 / 380C2F3	13917	13311	116772	0	0	0
	150C1F1 / 150C2F1	3479	3328	29193	0	0	0
	150C1F2 / 150C2F2	3479	3328	29193	0	0	0
	150C1F3 / 150C2F3	3479	3328	29193	0	0	0
1a	Comp. gl	3721	5526	34140	0	0	0
Wind, 10 dgr	GW / opgw	1776	3137	17651	0	0	0
Permanent loads yg= 0.9	380C1F1 / 380C2F1	13718	20828	126992	0	0	0
Wind angle: 45 dgr	380C1F2 / 380C2F2	13740	20262	125724	0	0	0
	380C1F3 / 380C2F3	13765	19593	124294	0	0	0
	150C1F1 / 150C2F1	3430	5207	31748	0	0	0
	150C1F2 / 150C2F2	3435	5066	31431	0	0	0
	150C1F3 / 150C2F3	3441	4898	31073	0	0	0

Loadcase according to 50341-3-15	Attachment point	AHEAD Vertcal [N]	AHEAD Transverse [N]	AHEAD Longitudinal [N]	BACK Vertcal [N]	BACK Transverse [N]	BACK Longitudinal [N]
1b	Comp. gl	3836	4792	37632	0	0	0
Wind, -20 dgr	GW / opgw	1849	2459	18535	0	0	0
Permanent loads yg= 0.9	380C1F1 / 380C2F1	14222	18393	144221	0	0	0
Wind angle: 45 dgr	380C1F2 / 380C2F2	14226	18248	144090	0	0	0
	380C1F3 / 380C2F3	14230	18076	143945	0	0	0
	150C1F1 / 150C2F1	3555	4598	36055	0	0	0
	150C1F2 / 150C2F2	3556	4562	36022	0	0	0
	150C1F3 / 150C2F3	3557	4519	35986	0	0	0
3	Comp. gl	7064	9199	58093	0	0	0
Wind+ice, -5 dgr	GW / opgw	3440	5185	29886	0	0	0
Permanent loads yg= 0.9	380C1F1 / 380C2F1	16855	23024	154103	0	0	0
Wind angle: 45 dgr	380C1F2 / 380C2F2	16871	22573	153322	0	0	0
	380C1F3 / 380C2F3	16891	22039	152451	0	0	0
	150C1F1 / 150C2F1	4214	5756	38526	0	0	0
	150C1F2 / 150C2F2	4218	5643	38331	0	0	0
	150C1F3 / 150C2F3	4223	5510	38113	0	0	0
4	Comp. gl	3774	4221	32614	0	0	0
Construction/maintenance, +5 dgr	GW / opgw	1817	2156	15874	0	0	0
Permanent loads yg= 0.9	380C1F1 / 380C2F1	13939	15784	121321	0	0	0
Wind angle: 45 dgr	380C1F2 / 380C2F2	13942	15639	121193	0	0	0
	380C1F3 / 380C2F3	13945	15468	121052	0	0	0
	150C1F1 / 150C2F1	3485	3946	30330	0	0	0
	150C1F2 / 150C2F2	3486	3910	30298	0	0	0
	150C1F3 / 150C2F3	3486	3867	30263	0	0	0
1a	Comp. gl	3594	9286	44917	0	0	0
Wind, 10 dgr	GW / opgw	1704	5847	26130	0	0	0
Permanent loads yg= 0.9	380C1F1 / 380C2F1	13230	35411	168621	0	0	0
Wind angle: 90 dgr	380C1F2 / 380C2F2	13274	33745	163430	0	0	0
	380C1F3 / 380C2F3	13330	31758	157314	0	0	0
	150C1F1 / 150C2F1	3308	8853	42155	0	0	0
	150C1F2 / 150C2F2	3319	8436	40858	0	0	0
	150C1F3 / 150C2F3	3333	7939	39329	0	0	0
1b	Comp. gl	3802	5734	39070	0	0	0
Wind, -20 dgr	GW / opgw	1820	3152	19921	0	0	0
Permanent loads yg= 0.9	380C1F1 / 380C2F1	14077	22060	149873	0	0	0
Wind angle: 90 dgr	380C1F2 / 380C2F2	14097	21634	149032	0	0	0
	380C1F3 / 380C2F3	14120	21131	148091	0	0	0
	150C1F1 / 150C2F1	3519	5515	37468	0	0	0
	150C1F2 / 150C2F2	3524	5409	37258	0	0	0
	150C1F3 / 150C2F3	3530	5283	37023	0	0	0
3	Comp. gl	6869	14643	70832	0	0	0
Wind+ice, -5 dgr	GW / opgw	3318	9119	40232	0	0	0
Permanent loads yg= 0.9	380C1F1 / 380C2F1	16379	34727	182634	0	0	0
Wind angle: 90 dgr	380C1F2 / 380C2F2	16430	33370	178824	0	0	0
	380C1F3 / 380C2F3	16493	31759	174414	0	0	0
	150C1F1 / 150C2F1	4095	8682	45658	0	0	0

Loadcase according to 50341-3-15	Attachment point	AHEAD Vertcal [N]	AHEAD Transverse [N]	AHEAD Longitudinal [N]	BACK Vertcal [N]	BACK Transverse [N]	BACK Longitudinal [N]
	150C1F2 / 150C2F2	4107	8342	44706	0	0	0
	150C1F3 / 150C2F3	4123	7940	43603	0	0	0
4	Comp. gl	3747	5157	34001	0	0	0
Construction/maintenance, +5 dgr	GW / opgw	1793	2843	17207	0	0	0
Permanent loads yg= 0.9	380C1F1 / 380C2F1	13826	19437	126836	0	0	0
Wind angle: 90 dgr	380C1F2 / 380C2F2	13842	19013	126015	0	0	0
	380C1F3 / 380C2F3	13860	18512	125096	0	0	0
	150C1F1 / 150C2F1	3457	4859	31709	0	0	0
	150C1F2 / 150C2F2	3461	4753	31504	0	0	0
	150C1F3 / 150C2F3	3465	4628	31274	0	0	0
1a	Comp. gl	3670	6870	37598	0	0	0
Wind, 10 dgr	GW / opgw	1743	4124	20570	0	0	0
Permanent loads yg= 0.9	380C1F1 / 380C2F1	13519	26059	140505	0	0	0
Wind angle: -45 dgr	380C1F2 / 380C2F2	13555	25084	137797	0	0	0
	380C1F3 / 380C2F3	13598	23930	134685	0	0	0
	150C1F1 / 150C2F1	3380	6515	35126	0	0	0
	150C1F2 / 150C2F2	3389	6271	34449	0	0	0
	150C1F3 / 150C2F3	3400	5982	33671	0	0	0
1b	Comp. gl	3826	5129	38027	0	0	0
Wind, -20 dgr	GW / opgw	1840	2705	18928	0	0	0
Permanent loads yg= 0.9	380C1F1 / 380C2F1	14179	19705	145779	0	0	0
Wind angle: -45 dgr	380C1F2 / 380C2F2	14188	19462	145445	0	0	0
	380C1F3 / 380C2F3	14198	19174	145074	0	0	0
	150C1F1 / 150C2F1	3545	4926	36445	0	0	0
	150C1F2 / 150C2F2	3547	4866	36361	0	0	0
	150C1F3 / 150C2F3	3550	4794	36269	0	0	0
3	Comp. gl	6991	11147	62044	0	0	0
Wind+ice, -5 dgr	GW / opgw	3387	6609	33320	0	0	0
Permanent loads yg= 0.9	380C1F1 / 380C2F1	16684	27186	162795	0	0	0
Wind angle: -45 dgr	380C1F2 / 380C2F2	16717	26409	161002	0	0	0
0	380C1F3 / 380C2F3	16755	25490	158971	0	0	0
	150C1F1 / 150C2F1	4171	6796	40699	0	0	0
	150C1F2 / 150C2F2	4179	6602	40250	0	0	0
	150C1F3 / 150C2F3	4189	6373	39743	0	0	0
4	Comp. gl	3766	4556	32994	0	0	0
Construction/maintenance, +5 dgr	GW / opgw	1810	2400	16251	0	0	0
Permanent loads yg= 0.9	380C1F1 / 380C2F1	13906	17092	122840	0	0	0
Wind angle: -45 dgr	380C1F2 / 380C2F2	13913	16850	122514	0	0	0
	380C1F3 / 380C2F3	13921	16563	122152	0	0	0
	150C1F1 / 150C2F1	3477	4273	30710	0	0	0
	150C1F2 / 150C2F2	3478	4212	30628	0	0	0
	150C1F3 / 150C2F3	3480	4141	30538	0	0	0

W4H400Z+10 TOWER **APPENDIX: AL2**

Loadcases for tower strength (serviceability limit state)

Loadcase according to 50341-3-15	Attachment point	AHEAD			BACK		
		Vertical [N]	Transverse [N]	Longitudinal [N]	Vertical [N]	Transverse [N]	Longitudinal [N]
1a	Comp. gl	4178	3982	34328	2006	3988	-34329
Wind, 10 dgr	GW / opgw	2014	1934	16551	1162	1933	-16552
Permanent loads γg= 1.0	380C1F1 / 380C2F1	15425	14715	126723	7582	14712	-126726
Wind angle: 0 dgr	380C1F2 / 380C2F2	15425	14697	126722	8114	14697	-126725
	380C1F3 / 380C2F3	15425	14675	126722	8647	14680	-126725
	150C1F1 / 150C2F1	3856	3679	31681	0	0	0
	150C1F2 / 150C2F2	3856	3674	31681	0	0	0
	150C1F3 / 150C2F3	3856	3669	31681	0	0	0
1b	Comp. gl	4254	4606	40283	1761	4588	-40116
Wind, -20 dgr	GW / opgw	2054	2255	19696	1069	2244	-19606
Permanent loads γg= 1.0	380C1F1 / 380C2F1	15764	17560	153574	6516	17475	-152831
Wind angle: 0 dgr	380C1F2 / 380C2F2	15764	17556	153574	7158	17472	-152831
	380C1F3 / 380C2F3	15764	17552	153575	7800	17468	-152832
	150C1F1 / 150C2F1	3941	4390	38394	0	0	0
	150C1F2 / 150C2F2	3941	4389	38394	0	0	0
	150C1F3 / 150C2F3	3941	4388	38394	0	0	0
3	Comp. gl	14006	10444	91000	7996	10496	-91411
Wind+ice, -5 dgr	GW / opgw	6923	5189	45088	4481	5210	-45291
Permanent loads γg= 1.0	380C1F1 / 380C2F1	24251	22079	192372	12271	22096	-192534
Wind angle: 0 dgr	380C1F2 / 380C2F2	24251	22069	192373	13080	22088	-192535
	380C1F3 / 380C2F3	24251	22057	192374	13890	22078	-192535
	150C1F1 / 150C2F1	6063	5520	48093	0	0	0
	150C1F2 / 150C2F2	6063	5517	48093	0	0	0
	150C1F3 / 150C2F3	6063	5514	48093	0	0	0
4	Comp. gl	4189	4024	35180	2647	4904	-42888
Construction/maintenance, +5 dgr	GW / opgw	2020	1947	16994	1531	2389	-20878
Permanent loads γg= 1.0	380C1F1 / 380C2F1	15472	14926	130471	8812	16662	-145700
Wind angle: 0 dgr	380C1F2 / 380C2F2	15472	14923	130471	9424	16659	-145700
	380C1F3 / 380C2F3	15472	14919	130471	10037	16655	-145701
	150C1F1 / 150C2F1	3868	3732	32618	0	0	0
	150C1F2 / 150C2F2	3868	3731	32618	0	0	0
	150C1F3 / 150C2F3	3868	3730	32618	0	0	0
1a	Comp. gl	4111	6425	37975	2517	8703	-45139
Wind, 10 dgr	GW / opgw	1960	3717	19948	1392	4992	-24398
Permanent loads γg= 1.0	380C1F1 / 380C2F1	15152	24234	141140	9362	31377	-163587
Wind angle: 45 dgr	380C1F2 / 380C2F2	15181	23494	139391	9605	30293	-160256
	380C1F3 / 380C2F3	15214	22619	137408	9853	29022	-156413
	150C1F1 / 150C2F1	3788	6058	35285	0	0	0
	150C1F2 / 150C2F2	3795	5873	34848	0	0	0
	150C1F3 / 150C2F3	3804	5655	34352	0	0	0
1b	Comp. gl	4249	5026	40414	1805	5342	-40629
Wind, -20 dgr	GW / opgw	2050	2550	19839	1094	2725	-20033
Permanent loads γg= 1.0	380C1F1 / 380C2F1	15746	19193	154091	6674	20160	-154537
Wind angle: 45 dgr	380C1F2 / 380C2F2	15748	19076	154014	7285	19997	-154342
	380C1F3 / 380C2F3	15750	18937	153930	7898	19806	-154125

W4H400Z+10 TOWER **APPENDIX: AL2**

Loadcases for tower strength (serviceability limit state)

Loadcase according to 50341-3-15	Attachment point	AHEAD Vertical [N]	AHEAD Transverse [N]	AHEAD Longitudinal [N]	BACK Vertical [N]	BACK Transverse [N]	BACK Longitudinal [N]
	150C1F1 / 150C2F1	3936	4798	38523	0	0	0
	150C1F2 / 150C2F2	3937	4769	38504	0	0	0
	150C1F3 / 150C2F3	3938	4734	38483	0	0	0
3	Comp. gl	13986	12598	91653	8213	14359	-93964
Wind+ice, -5 dgr	GW / opgw	6904	6701	45777	4599	7667	-47331
Permanent loads yg= 1.0	380C1F1 / 380C2F1	24184	26753	194782	12837	29899	-199919
Wind angle: 45 dgr	380C1F2 / 380C2F2	24192	26413	194447	13538	29414	-199113
	380C1F3 / 380C2F3	24202	26009	194078	14245	28846	-198215
	150C1F1 / 150C2F1	6046	6688	48696	0	0	0
	150C1F2 / 150C2F2	6048	6603	48612	0	0	0
	150C1F3 / 150C2F3	6050	6502	48519	0	0	0
4	Comp. gl	4186	4444	35305	2674	5638	-43223
Construction/maintenance, +5 dgr	GW / opgw	2017	2241	17130	1547	2854	-21159
Permanent loads yg= 1.0	380C1F1 / 380C2F1	15458	16558	130973	8918	19305	-147026
Wind angle: 45 dgr	380C1F2 / 380C2F2	15460	16442	130898	9509	19146	-146871
	380C1F3 / 380C2F3	15462	16303	130816	10102	18960	-146699
	150C1F1 / 150C2F1	3864	4140	32743	0	0	0
	150C1F2 / 150C2F2	3865	4110	32724	0	0	0
	150C1F3 / 150C2F3	3865	4076	32704	0	0	0
1a	Comp. gl	3961	11289	52170	2806	12193	-56655
Wind, 10 dgr	GW / opgw	1880	7187	30780	1488	7192	-31820
Permanent loads yg= 1.0	380C1F1 / 380C2F1	14580	43060	195618	10399	43697	-203305
Wind angle: 90 dgr	380C1F2 / 380C2F2	14627	40932	189037	10531	41881	-197340
	380C1F3 / 380C2F3	14689	38387	181226	10661	39736	-190319
	150C1F1 / 150C2F1	3645	10765	48905	0	0	0
	150C1F2 / 150C2F2	3657	10233	47259	0	0	0
	150C1F3 / 150C2F3	3672	9597	45306	0	0	0
1b	Comp. gl	4228	5773	41283	1870	5876	-41494
Wind, -20 dgr	GW / opgw	2030	3094	20700	1129	3074	-20723
Permanent loads yg= 1.0	380C1F1 / 380C2F1	15653	22102	157513	6907	22046	-157435
Wind angle: 90 dgr	380C1F2 / 380C2F2	15666	21768	156993	7474	21762	-156931
	380C1F3 / 380C2F3	15681	21372	156415	8045	21430	-156371
	150C1F1 / 150C2F1	3913	5526	39378	0	0	0
	150C1F2 / 150C2F2	3917	5442	39248	0	0	0
	150C1F3 / 150C2F3	3920	5343	39104	0	0	0
3	Comp. gl	13888	16409	95890	8503	17063	-98105
Wind+ice, -5 dgr	GW / opgw	6822	9449	49740	4743	9414	-50458
Permanent loads yg= 1.0	380C1F1 / 380C2F1	23885	35381	208677	13559	35549	-211327
Wind angle: 90 dgr	380C1F2 / 380C2F2	23924	34381	206660	14134	34696	-209407
	380C1F3 / 380C2F3	23970	33198	204382	14718	33699	-207239
	150C1F1 / 150C2F1	5971	8845	52169	0	0	0
	150C1F2 / 150C2F2	5981	8595	51665	0	0	0
	150C1F3 / 150C2F3	5992	8300	51095	0	0	0
4	Comp. gl	4168	5188	36145	2716	6142	-43822
Construction/maintenance, +5 dgr	GW / opgw	2001	2782	17960	1570	3179	-21638
Permanent loads yg= 1.0	380C1F1 / 380C2F1	15385	19460	134318	9078	21128	-149358

W4H400Z+10 TOWER **APPENDIX: AL2**

Loadcases for tower strength (serviceability limit state)

Loadcase according to 50341-3-15	Attachment point	AHEAD Vertical [N]	AHEAD Transverse [N]	AHEAD Longitudinal [N]	BACK Vertical [N]	BACK Transverse [N]	BACK Longitudinal [N]
Wind angle: 90 dgr	380C1F2 / 380C2F2	15395	19127	133810	9639	20854	-148950
	380C1F3 / 380C2F3	15407	18732	133244	10202	20534	-148497
	150C1F1 / 150C2F1	3846	4865	33580	0	0	0
	150C1F2 / 150C2F2	3849	4782	33452	0	0	0
	150C1F3 / 150C2F3	3852	4683	33311	0	0	0
1a	Comp. gl	4048	8177	42664	2282	6718	-39198
Wind, 10 dgr	GW / opgw	1921	4993	23785	1299	3710	-20277
Permanent loads γg= 1.0	380C1F1 / 380C2F1	14904	31043	159350	8534	24379	-143241
Wind angle: -45 dgr	380C1F2 / 380C2F2	14947	29778	155755	8896	23745	-141586
	380C1F3 / 380C2F3	15000	28278	151593	9263	23005	-139711
	150C1F1 / 150C2F1	3726	7761	39838	0	0	0
	150C1F2 / 150C2F2	3737	7444	38939	0	0	0
	150C1F3 / 150C2F3	3750	7069	37898	0	0	0
1b	Comp. gl	4243	5296	40648	1779	5044	-40305
Wind, -20 dgr	GW / opgw	2044	2744	20077	1079	2533	-19769
Permanent loads γg= 1.0	380C1F1 / 380C2F1	15719	20243	155014	6580	19102	-153456
Wind angle: -45 dgr	380C1F2 / 380C2F2	15725	20050	154814	7210	19004	-153381
	380C1F3 / 380C2F3	15731	19820	154593	7840	18889	-153297
	150C1F1 / 150C2F1	3930	5061	38753	0	0	0
	150C1F2 / 150C2F2	3931	5012	38703	0	0	0
	150C1F3 / 150C2F3	3933	4955	38648	0	0	0
3	Comp. gl	13957	13979	92814	8087	12836	-92363
Wind+ice, -5 dgr	GW / opgw	6878	7691	46904	4531	6689	-46076
Permanent loads γg= 1.0	380C1F1 / 380C2F1	24092	29843	198698	12510	26770	-195387
Wind angle: -45 dgr	380C1F2 / 380C2F2	24111	29270	197864	13273	26484	-195060
0	380C1F3 / 380C2F3	24132	28592	196936	14038	26148	-194698
	150C1F1 / 150C2F1	6023	7461	49674	0	0	0
	150C1F2 / 150C2F2	6028	7318	49466	0	0	0
	150C1F3 / 150C2F3	6033	7148	49234	0	0	0
4	Comp. gl	4181	4713	35531	2658	5352	-43005
Construction/maintenance, +5 dgr	GW / opgw	2012	2435	17359	1538	2671	-20981
Permanent loads γg= 1.0	380C1F1 / 380C2F1	15437	17607	131874	8855	18272	-146171
Wind angle: -45 dgr	380C1F2 / 380C2F2	15441	17414	131679	9459	18176	-146112
	380C1F3 / 380C2F3	15446	17184	131463	10063	18064	-146047
	150C1F1 / 150C2F1	3859	4402	32969	0	0	0
	150C1F2 / 150C2F2	3860	4353	32920	0	0	0
	150C1F3 / 150C2F3	3862	4296	32866	0	0	0

Postbus 676
7300 AR Apeldoorn
Tel: 088 - 1860200

Statische ontwerpberekening

Masttype “W4S400Z(+5)”

Tracé Vijfhuizen - Bleiswijk

Revisie	Datum	Samensteller	Gecontroleerd
00	15 - 11 - 12	ing. Miko Hakhverdian	
01-Detailberekening toegevoegd	11 - 04 - 13	ing. Miko Hakhverdian	
02-mast met nieuwe V-brace	21 - 01 - 14	ing. Miko Hakhverdian	27-1-14

Inhoudsopgave.

	blz.
1.0 Uitgangspunten berekening	4
1.1 Inleiding	4
1.2 Toegepaste normen	4
1.3 Randvoorwaarden	4
1.4 Constructie onderdelen	4
1.5 Toegepaste materiaal	5
1.6 Belastingen	6
2.0 Berekening masttype “W4S400Z(+5)”	7
2.1 Overzicht mast	8
2.2 Mast gegevens	9
2.3 Computerschema	11
3.0 Berekening Belastingen	12
3.1 Berekening stuwdruk	12
3.2 Berekening eigenfrequentie mast	14
3.3 Berekening bouwwerkfactor C_sC_d	16
3.4 Bepaling krachtcoëfficiënt C_f	17
3.5 Gewicht en horizontale belasting geleiders	18
3.6 Gewicht en windbelasting mastlichaam	19
3.7 Berekende belastingen	20
4.0 Resultaat berekeningen	23
4.1 Berekening verplaatsingen in SLS- toestand (belasting gevallen)	23
4.2 Maximale verplaatsingen in SLS- toestand	29
4.3 Toetsing maximale verplaatsingen	30
4.4 Berekening Krachten in ULS- toestand (belasting gevallen)	31
4.5 Maximale Krachten in ULS- toestand	37
4.6 Toetsing doorsnede	38
5.0 Berekening ankers, bouten en flensverbindingen	41
6.0 Controleberekening vortex shedding	44
7.0 Fundatie belastingen	52
8.0 Betonspanning onder voetplaat en instortring	53
9.0 Detailberekening	55
9.1 Berekening V-brace - 380 kV	55

blz.

9.1.1 Berekening uithouder V-brace - 380 kV 55
9.1.2 Controle capaciteit van de aansluiting - uithouder V-brace aan mast 62
9.1.3 Berekening clips 14,5 65
9.1.4 Berekening clips 15 – druk isolator 67
9.1.5 Berekening deling van de steunarm 69
9.2 Berekening V-brace - 150 kV 70
9.2.1 Berekening uithouder V-brace - 150 kV 70
9.2.2 Controle capaciteit van de aansluiting - uithouder V-brace aan mast 77
9.2.3 Berekening clips 14,5 80
9.2.4 Berekening clips 15– druk isolator 82
9.2.5 Berekening deling van de steunarm 84
9.3 Berekening draagarm bliksemdraad 85
9.3.1 Controle capaciteit van de aansluiting - draagarm aan mast 87
9.3.2 Berekening clip bliksemdraad (clip 5.4) 88
9.4 Berekening draagarm "Passieve Loop geleider" 90
9.4.1 Controle capaciteit van de aansluiting - draagarm aan mast 95
9.4.2 Berekening clip "Passieve Loop geleider" 96
9.5 Berekening Clip 17 - t.b.v. installatie geleiders (op 0,5m hoogte) 98
9.5.1 Controle capaciteit van de aansluiting 100
9.6 Berekening clip hulprail - clip 8 101
9.6.1 Controle capaciteit van de aansluiting 103
9.7 Ondersteuning hijsbalk op de top van de mast 105
9.8 Berekening clips voor 4,5m hijsbalk 108
9.8.1 Berekening clip positie 9 - t.b.v hijsmast 4,5m 109
9.8.2 Controle capaciteit van de aansluiting 113
9.9 Berekening clips voor 1,5m hijsbalk 115
9.9.1 Berekening clip positie 9.3 en 16.3 – onderste clip 120
9.9.2 Controle capaciteit van de aansluiting 122
9.9.3 Berekening clip positie 16.3 – bovenste clip 123
9.9.4 Controle capaciteit van de aansluiting 127
9.10 Berekening versterking deur 130

Bijlage: KEMA rapport 74100224-ETD/POL 12-00138 REV 007 - bijlage AA en AA2

1.0 - Uitgangspunten berekening.

1.1 - Inleiding.

In dit rapport wordt in opdracht van TenneT de statische ontwerpberekening van het masttype W4S400Z(+5) van het project “R380 Wintrack hoogspanningslijn” Noordring , tracé Vijfhuizen – Bleiswijk gepresenteerd.

1.2 – Toegepaste normen.

De berekening is gebaseerd op de volgende normen:

- NEN-EN 50341-1 – Bovengrondse elektrische lijnen boven 45 kV wisselspanning – Deel 1: Algemene eisen – Gemeenschappelijke specificaties, uitgave november 2001.
- NEN-EN 50341-3 – Bovengrondse elektrische lijnen boven 45 kV wisselspanning – Deel 3: Verzameling van nationale normatieve aspecten, uitgave november 2001 en correctieblad mei 2006.
- NEN-EN 1990 - Grondslagen van het constructief ontwerp, uitgave december 2007 (+NB).
- NEN-EN 1991 – Algemene belastingen, uitgave december 2007 (+NB)
- NEN-EN 1991-1-4 - Algemene belastingen – Windbelasting, uitgave december 2007.
- NEN-EN 1993-1-1 - Ontwerp en berekenen van staalconstructies, uitgave december 2007(+NB).
- NEN-EN 1993-1-8 - Ontwerp en berekenen van verbindingen, uitgave december 2007 (+NB).
- NEN-EN 1993-3-1 – Torens, maten en schoorstenen, uitgave juli 2007.
- NEN 2063 – Op vermoeiing belaste constructies- Het berekenen van gelaste verbindingen in ongelegeerd en zwakgelegeerd staal t/m S355.

De belastingopgave is volgens KEMA rapport 74100224-ETD/POL 12-00138 REV 007 “Design Loads for Wintrack II – R380 BEV-VHZ & VHZ-BEV” 13 november 2012.
Voor het masttype W4S400Z(+5) zijn de bijlage AA (berekening maststerkte) en bijlage AA2 (berekening verplaatsingen) van het KEMA rapport van toepassing.

De afmeting van de nieuwe V-brace is conform tekening SEFAG 180 480-099 (380 kV) Rev 03, d.d. 27-11-2013, SEFAG 138 141-217 (150 kV), d.d. 14-01-2014 en tekening KEMA 74104749-40-005, V-brace study R380N, d.d. 14-01-2014.

1.3 – Randvoorwaarden.

Volgens Eurocode 3, deel 3-1 wordt de constructie ingedeeld in ontwerp levensduurklasse 3, gevolgklasse CC3 en referentieperiode 50 jaar. Mast bevindt zich in het gebied (windgebied II – onbebouwd) dat de terreincategorie II is van toepassing.

In de bruikbaarheidsgrenstoestand (SLS- toestand) dient voldaan te worden aan de volgende randvoorwaarden:

- De maximale horizontale uitbuiging mag niet groter zijn dan 5,5% van de hoogte van de mast.
- De relatieve verplaatsing van mast mag niet groter zijn dan 1% van de hoogte van de mast.

1.4 – Constructieonderdelen.

A - Mast constructie.

De mast is een buismast met een totale hoogte van 58,0 meter. De basis diameter van de mast is 2,008 meter en verloopt conisch tot de top van de mast naar een diameter van 0,5 meter. De mast is opgebouwd uit twee segmenten van 29,0 meter. Deze segmenten worden door middel van een binnenflensaansluiting aan elkaar verbonden.
De mast is voorzien van een klimvoorziening aan de binnenkant van de mast.

B - Fundatie.

De berekening van de fundatie en draagkracht van de grond valt buiten deze berekening. Aan de hand van locatiegegevens en grondmechanisch onderzoek dient de fundatie van de mast alsnog te worden berekend.

1.5 – Toegepaste materialen.

A - Mastconstructie.

De materiaalkwaliteit is S355 ($f_{y;d}$ = 355 N/mm^2, $f_{t;d}$ = 510 N/mm^2), tenzij anders vermeld.

B - Bouten en moeren.

De toegepaste bouten zijn kwaliteit 10.9. De ankers zijn kwaliteit 8.8.
Alle bouten en moeren zijn thermisch verzinkt, ISO-passend en gerolde draad.

C - Lassen in de primaire constructie.

Alle lassen zijn voorbewerkte ½ V las met een tegen las, klasse K35 of een voorbewerkte X las klasse K45. De lasdetails worden door de fabrikant opgegeven.

1.6 - Belastingen.

A – Geleiders (bliksemdraad, fasedraden en passieve lijn) en isolatoren,

De belastingopgave is volgens KEMA rapport 74100224-ETD/POL 12-00138 REV 007 “Design Loads for Wintrack II – R380 BEV-VHZ & VHZ-BEV” 13 november 2012.
Voor het masttype W4S400Z(+5) zijn de bijlage AA (berekening maststerkte) en bijlage AA2 (berekening verplaatsingen) van het KEMA rapport van toepassing.

In de bovengenoemde bijlagen zijn de krachten inclusief de belastingfactoren volgens NEN-EN 50341-3-15 paragraaf 4.2, tabel 4.2.11/NL.1 voor de ULS- toestand (Ultimate limit state) en tabel 4.2.11/NL.4 voor de SLS-toestand (Serviceability limit state) aangegeven.

B – Mastlichaam

Het gewicht van de mast is een centrisch en gelijkmatig verdeelde belasting. Deze wordt gecombineerd met het gewicht van de geleiders en isolatoren. De belastingfactoren voor het eigengewicht zijn volgens NEN-EN 50341-3-15 en NEN-EN 1993-3-1, γ_g = 1,2 voor de ULS-toestand en γ_g = 1,0 voor de SLS- toestand.

De windbelasting van het mastlichaam is een horizontaal verdeelde belasting over de hele hoogte. Gezien het feit dat het windoppervlak van het mastlichaam in alle richtingen gelijk is, wordt deze eenmaal berekend en gecombineerd met de belasting van de geleiders in de verschillende windrichtingen. De belastingfactoren voor de windbelasting van het mastlichaam zijn volgens NEN-EN 1993-3-1, γ_q = 1,6 voor de ULS- toestand en γ_q = 1,0 voor de SLS-toestand.

2.0 - Berekening masttype "W4S400Z (+5)"

Berekening

W4S400Z +5

58,0 m - 2008 - 500

Tracé Vijfhuizen - Bleiswijk

2.1 - Overzicht mast

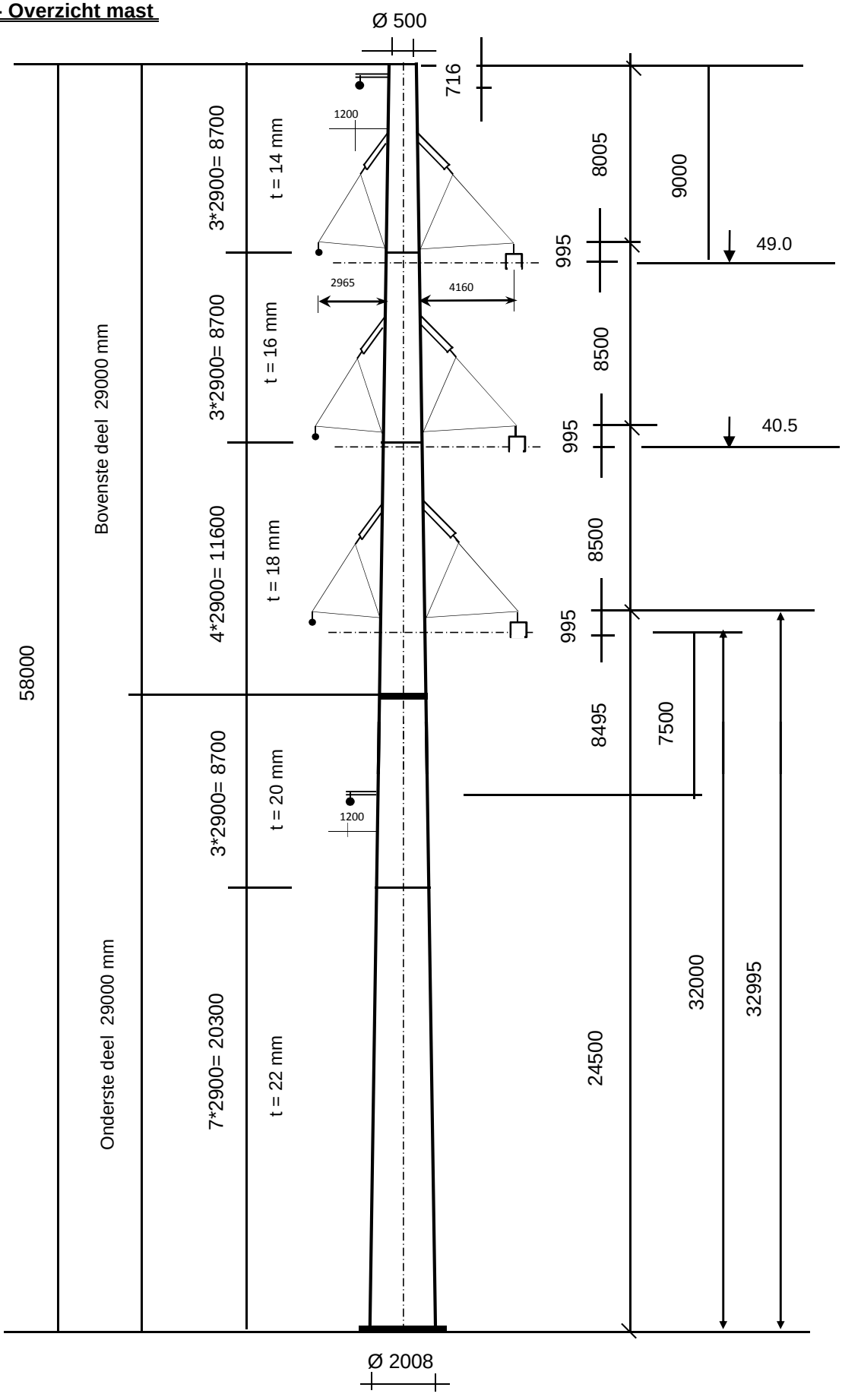

2.2 - Mast gegevens

Buismast type W4S400Z(+5)

Voet van de mast op :	0,00	meter

Wind gebied : II - onbebouwd

aantal staven	27	gem. breedte (m)	1,254

staaf nummer	staaf lengte mm	voet-breedte mm	top-breedte mm	diago-nalen	aantal knopen	aantal staven	gem. hoogte m
1	716	519	500	n.v.t.	2	1	57,64
2	2184	575	519	n.v.t.	2	1	56,19
3	2900	651	575	n.v.t.	2	1	53,65
4	2205	708	651	n.v.t.	2	1	51,10
5	695	726	708	n.v.t.	2	1	49,65
6	2900	802	726	n.v.t.	2	1	47,85
7	2900	877	802	n.v.t.	2	1	44,95
8	2005	929	877	n.v.t.	2	1	42,50
9	895	952	929	n.v.t.	2	1	41,05
10	1450	990	952	n.v.t.	2	1	39,88
11	1450	1028	990	n.v.t.	2	1	38,43
12	1450	1066	1028	n.v.t.	2	1	36,98
13	1450	1103	1066	n.v.t.	2	1	35,53
14	1805	1150	1103	n.v.t.	2	1	33,90
15	1095	1179	1150	n.v.t.	2	1	32,45
16	2900	1254	1179	n.v.t.	2	1	30,45
17	2900	1329	1254	n.v.t.	2	1	27,55
18	1600	1371	1254	n.v.t.	2	1	25,30
19	1300	1405	1371	n.v.t.	2	1	23,85
20	2900	1480	1405	n.v.t.	2	1	21,75
21	2900	1556	1480	n.v.t.	2	1	18,85
22	2900	1631	1556	n.v.t.	2	1	15,95
23	2900	1706	1631	n.v.t.	2	1	13,05
24	2900	1782	1706	n.v.t.	2	1	10,15
25	2900	1857	1782	n.v.t.	2	1	7,25
26	2900	1933	1857	n.v.t.	2	1	4,35
27	2900	2008	1933	n.v.t.	2	1	1,45
	58000				28	27	

Profielgegevens

profielgegevens buisprofiel - Staal kwaliteit : S 355							
staaf	D_{gem} (mm)	t (mm)	A (mm^2)	m(kg/m)	I (mm^4)	i (mm)	W_b (mm^3)
1	509	14,0	21785	171,01	6,69E+08	175,19	2,63E+06
2	547	14,0	23443	184,03	8,33E+08	188,51	3,05E+06
3	613	14,0	26350	206,85	1,18E+09	211,87	3,86E+06
4	679	14,0	29269	229,76	1,62E+09	235,33	4,77E+06
5	717	14,0	30927	242,78	1,91E+09	248,66	5,33E+06
6	764	16,0	37594	295,11	2,63E+09	264,48	6,88E+06
7	839	16,0	41384	324,86	3,51E+09	291,14	8,36E+06
8	903	16,0	44589	350,02	4,39E+09	313,68	9,72E+06
9	941	16,0	46484	364,90	4,97E+09	327,00	1,06E+07
10	971	18,0	53905	423,15	6,13E+09	337,08	1,26E+07
11	1009	18,0	56037	439,89	6,88E+09	350,41	1,36E+07
12	1047	18,0	58169	456,62	7,70E+09	363,74	1,47E+07
13	1084	18,0	60301	473,36	8,57E+09	377,07	1,58E+07
14	1127	18,0	62694	492,14	9,63E+09	392,02	1,71E+07
15	1164	18,0	64825	508,88	1,07E+10	405,35	1,83E+07
16	1216	18,0	67762	531,93	1,22E+10	423,71	2,00E+07
17	1292	20,0	79903	627,24	1,62E+10	449,67	2,50E+07
18	1313	20,0	81210	637,50	1,70E+10	457,02	2,58E+07
19	1388	20,0	85948	674,69	2,01E+10	483,68	2,90E+07
20	1443	20,0	89378	701,62	2,26E+10	502,98	3,14E+07
21	1518	22,0	103389	811,61	2,89E+10	528,94	3,81E+07
22	1593	22,0	108600	852,51	3,35E+10	555,59	4,21E+07
23	1669	22,0	113812	893,42	3,86E+10	582,25	4,62E+07
24	1744	22,0	119023	934,33	4,41E+10	608,90	5,06E+07
25	1820	22,0	124234	975,24	5,02E+10	635,56	5,52E+07
26	1895	22,0	129446	1016,15	5,68E+10	662,22	5,99E+07
27	1970	22,0	134657	1057,06	6,39E+10	688,87	6,49E+07

Elasticiteitsmodulus E-	N/mm^2	210000
Vloeigrens f_y	N/mm^2	355
Volumieke massa	kg/m^3	7850

2.3 - Computerschema

knoop nummer	knoop cord. "Z" - in mm	staaf i -- j	benaming staven	L_{staaf} mm	A_{eff} mm^2	I_x of I_y mm^4
1	58000	1 -- 2	1	716	2,18E+04	6,69E+08
2	57284	2 -- 3	2	2184	2,34E+04	8,33E+08
3	55100	3 -- 4	3	2900	2,63E+04	1,18E+09
4	52200	4 -- 5	4	2205	2,93E+04	1,62E+09
5	49995	5 -- 6	5	695	3,09E+04	1,91E+09
6	49300	6 -- 7	6	2900	3,76E+04	2,63E+09
7	46400	7 -- 8	7	2900	4,14E+04	3,51E+09
8	43500	8 -- 9	8	2005	4,46E+04	4,39E+09
9	41495	9 -- 10	9	895	4,65E+04	4,97E+09
10	40600	10 -- 11	10	1450	5,39E+04	6,13E+09
11	39150	11 -- 12	11	1450	5,60E+04	6,88E+09
12	37700	12 -- 13	12	1450	5,82E+04	7,70E+09
13	36250	13 -- 14	13	1450	6,03E+04	8,57E+09
14	34800	14 -- 15	14	1805	6,27E+04	9,63E+09
15	32995	15 -- 16	15	1095	6,48E+04	1,07E+10
16	31900	16 -- 17	16	2900	6,78E+04	1,22E+10
17	29000	17 -- 18	17	2900	7,99E+04	1,62E+10
18	26100	18 -- 19	18	1600	8,12E+04	1,70E+10
19	24500	19 -- 20	19	1300	8,59E+04	2,01E+10
20	23200	20 -- 21	20	2900	8,94E+04	2,26E+10
21	20300	21 -- 22	21	2900	1,03E+05	2,89E+10
22	17400	22 -- 23	22	2900	1,09E+05	3,35E+10
23	14500	23 -- 24	23	2900	1,14E+05	3,86E+10
24	11600	24 -- 25	24	2900	1,19E+05	4,41E+10
25	8700	25 -- 26	25	2900	1,24E+05	5,02E+10
26	5800	26 -- 27	26	2900	1,29E+05	5,68E+10
27	2900	27 -- 28	27	2900	1,35E+05	6,39E+10
28	0				0,00E+00	0,00E+00

3.0 - Berekening belastingen

3,1 - Berekening stuwdruk

Algemene gegevens:

Wind gebied : II - onbebouwd

Basiswindsnelheid $V_{b,0}$ = 27 m/s

Terreincategorie : II - Onbebouwd gebied

Richtingsfactor C_{dir} = 1,0

Seizoensfactor C_{season} = 1,0

Orografiefactor $C_o(z)$ = 1,0

Veiligheidsklaae 2

Volumieke massa van lucht; ρ = 1,25 kg/m^3

z_0 = 0,200 m

z_{min} = 4,0 m

Gemiddelde windsnelheid $V_m(z) = (V_{b,0} * C_{dir} * C_{season}) * c_r(z)$

$c_r(z) = k_r * \ln\{ z / z_0\}$ voor $z_{min} \le z \le z_{max}$

$c_r(z) = c_r(z_{min})$ voor $z \le z_{min}$

$k_r = 0{,}19 \ln\{ z_0 / z_{0,II}\}^{0,07}$ $z_{0;II}$ = 0,05 m

Extreme stuwdruk $q_p(z) = (1 + 7*I_v(z)) * ½ * \rho * V_m^2(z)$

$I_v(z) = k_I / \{ c_o(z) * \ln(z / z_0) \}$ voor $z_{min} \le z \le z_{max}$; k_I = 1,0

$I_v(z) = I_v(z_{min})$ voor $z \le z_{min}$

Sectie	hoogte z m	kr	$c_r(z)$	$V_m(z)$ m/s	$I_v(z)$	$q_p(z)$ N/m^2
1	57,64	0,21	1,19	32,02	0,18	1432
2	56,19	0,21	1,18	31,87	0,18	1423
3	53,65	0,21	1,17	31,61	0,18	1406
4	51,10	0,21	1,16	31,33	0,18	1389
5	49,65	0,21	1,15	31,17	0,18	1378
6	47,85	0,21	1,15	30,96	0,18	1365
7	44,95	0,21	1,13	30,61	0,18	1343
8	42,50	0,21	1,12	30,29	0,19	1323
9	41,05	0,21	1,11	30,10	0,19	1310
10	39,88	0,21	1,11	29,93	0,19	1300
11	38,43	0,21	1,10	29,72	0,19	1287
12	36,98	0,21	1,09	29,51	0,19	1274
13	35,53	0,21	1,08	29,28	0,19	1260
14	33,90	0,21	1,07	29,01	0,19	1244
15	32,45	0,21	1,07	28,77	0,20	1229
16	30,45	0,21	1,05	28,41	0,20	1207
17	27,55	0,21	1,03	27,84	0,20	1173
18	25,30	0,21	1,01	27,36	0,21	1145
19	23,85	0,21	1,00	27,03	0,21	1125
20	21,75	0,21	0,98	26,51	0,21	1095
21	18,85	0,21	0,95	25,70	0,22	1048
22	15,95	0,21	0,92	24,75	0,23	995
23	13,05	0,21	0,87	23,62	0,24	933
24	10,15	0,21	0,82	22,20	0,25	857
25	7,25	0,21	0,75	20,30	0,28	759
26	4,35	0,21	0,64	17,41	0,32	620
27	1,45	0,21	0,63	16,93	0,33	598

3.2 - Berekening eigenfrequentie mast en meewerkende massa

Verplaatsing van de mast t.g.v e.g mast en toplast

knoop nummer	staaf nummer	gewicht mast N	gewicht travese N	dwarskr. kN	moment kNm	hoekver.φ rad.	verpl. δ mm
1	1 -- 2	1332	400	0,40	0,00	4,46E-02	1499,47
2	2 -- 3	4347	3876	5,61	0,76	4,46E-02	1467,51
3	3 -- 4	6434		9,95	17,76	4,45E-02	1370,08
4	4 -- 5	5397	37569	53,96	55,95	4,41E-02	1241,42
5	5 -- 6	1792		59,35	180,88	4,34E-02	1144,81
6	6 -- 7	8993		61,15	222,75	4,30E-02	1114,79
7	7 -- 8	9856		70,14	413,11	4,14E-02	992,21
8	8 -- 9	7319		79,99	630,81	3,93E-02	875,03
9	9 -- 10	3400		87,31	798,53	3,78E-02	797,71
10	10 -- 11	6353		90,71	878,20	3,70E-02	764,23
11	11 -- 12	6596	37700	134,77	1014,34	3,60E-02	711,27
12	12 -- 13	6839		141,36	1214,53	3,49E-02	659,90
13	13 -- 14	7081		148,20	1424,46	3,37E-02	610,19
14	14 -- 15	9154		155,28	1644,49	3,24E-02	562,24
15	15 -- 16	5736	37885	202,32	1933,03	3,08E-02	505,08
16	16 -- 17	15861		208,06	2157,72	2,98E-02	471,85
17	17 -- 18	18625	6796	230,71	2784,08	2,70E-02	389,19
18	18 -- 19	10440		249,34	3480,16	2,44E-02	314,50
19	19 -- 20	8966	8190	267,97	3887,45	2,27E-02	276,81
20	20 -- 21	20782		276,94	4241,64	2,15E-02	248,08
21	21 -- 22	23972		297,72	5074,89	1,86E-02	189,83
22	22 -- 23	25158		321,69	5973,03	1,60E-02	139,54
23	23 -- 24	26344		346,85	6942,40	1,33E-02	96,93
24	24 -- 25	27531		373,19	7986,46	1,07E-02	62,06
25	25 -- 26	28717		400,72	9108,63	7,99E-03	34,93
26	26 -- 27	29903		429,44	10312,36	5,32E-03	15,56
27	27 -- 28	31090		459,34	11601,09	2,65E-03	3,92
28			17319	507,75	12978,27	0,00E+00	0,00

Voor de berekening van de eigenfrequentie is de Rayleigh-Ritz methode toegepast.
Bij benadering kan eigenfrequentie bepaald worden door alle massa's m_i van het dynamische model dezelfde versnelling g in de richting van de beweging te geven en vervolgen eigen-trillingsvorm te berekenen onder invloed van krachten $F_i = m_i * g$

De eigenfrequentie van de eerste trillingsvorm kan berekend worden door:

$$n_{1,x} = 1 / 2\pi * \{ g * \Sigma m_i * \delta_i / \Sigma m_i * \delta_i^2 \}^{0,5}$$

m_i : de geconcentreerde massa in kg.

δ_i : de verplaatsing van het punt (i) in meter

g = 9,81 m/s^2 - versnelling van de zwaartekracht

knoop nummer	staaf nummer	gewicht mast kg	gewicht traverse kg	verpl. δ m	$g\Sigma m_i.\delta_i$	$\Sigma m_i.\delta_i^2$
1	1 -- 2	133,2	40,0	1,499	2526,62	383,039
2	2 -- 3	434,7	387,6	1,468	11629,69	1709,679
3	3 -- 4	643,4		1,370	8240,97	1096,905
4	4 -- 5	539,7	3756,9	1,241	52069,18	6558,039
5	5 -- 6	179,2		1,145	1985,62	228,680
6	6 -- 7	899,3		1,115	9294,27	998,114
7	7 -- 8	985,6		0,992	9026,88	859,089
8	8 -- 9	731,9		0,875	6004,81	511,950
9	9 -- 10	340,0		0,798	2604,90	207,374
10	10 -- 11	635,3		0,764	4598,05	345,792
11	11 -- 12	659,6	3770,0	0,711	30741,50	2217,295
12	12 -- 13	683,9		0,660	4260,27	275,785
13	13 -- 14	708,1		0,610	4072,23	243,343
14	14 -- 15	915,4		0,562	4792,29	260,699
15	15 -- 16	573,6	3788,5	0,505	21520,38	1103,357
16	16 -- 17	1586,1		0,472	6698,77	293,981
17	17 -- 18	1862,5	679,6	0,389	9023,27	333,507
18	18 -- 19	1044,0		0,315	3027,99	91,258
19	19 -- 20	896,6	819,0	0,277	4532,43	124,511
20	20 -- 21	2078,2		0,248	4463,87	99,632
21	21 -- 22	2397,2		0,190	3872,79	65,015
22	22 -- 23	2515,8		0,140	2918,11	35,172
23	23 -- 24	2634,4		0,097	2054,46	16,648
24	24 -- 25	2753,1		0,062	1309,69	6,474
25	25 -- 26	2871,7		0,035	711,14	1,830
26	26 -- 27	2990,3		0,016	285,68	0,284
27	27 -- 28	3109,0		0,004	59,79	0,012
28			1731,9	0,000	0,00	0,000
				Som	212326	18067

$$n_{1,x} = 1 / 2\pi * \{ g * \Sigma m_i * \delta_i / \Sigma m_i * \delta_i^2 \}^{0,5}$$

$n_{1,x}$	=	0,55	Hz

Meewerkende massa

$m_{i;e}$ is de equivalente massa m_e per lengte eenheid, in kg/m, gewogen naar de trillingsvorm :

$$m_e = \frac{\int_0^{l} m(s) * \phi^2_i(s)\, ds}{\int_0^{l} \phi^2_i(s)\, ds}$$

staaf nummer	massa m kg/m	ϕ_i	s m	$\phi_i^2 * (s)$	$\phi_i^2 *(s)*m$	$\phi_i * (s)$
1 -- 2	783	0,989	0,716	0,70	548,88	0,71
2 -- 3	199	0,946	2,184	1,96	389,16	2,07
3 -- 4	1517	0,871	2,900	2,20	3336,71	2,53
4 -- 5	245	0,796	2,205	1,40	341,69	1,75
5 -- 6	258	0,753	0,695	0,39	101,71	0,52
6 -- 7	310	0,703	2,900	1,43	443,92	2,04
7 -- 8	340	0,623	2,900	1,12	382,09	1,81
8 -- 9	365	0,558	2,005	0,62	227,69	1,12
9 -- 10	380	0,521	0,895	0,24	92,23	0,47
10 -- 11	3038	0,492	1,450	0,35	1066,40	0,71
11 -- 12	455	0,457	1,450	0,30	137,89	0,66
12 -- 13	472	0,424	1,450	0,26	122,66	0,61
13 -- 14	488	0,391	1,450	0,22	108,23	0,57
14 -- 15	2606	0,356	1,805	0,23	595,81	0,64
15 -- 16	524	0,326	1,095	0,12	60,87	0,36
16 -- 17	781	0,287	2,900	0,24	186,77	0,83
17 -- 18	642	0,235	2,900	0,16	102,55	0,68
18 -- 19	1164	0,197	1,600	0,06	72,43	0,32
19 -- 20	690	0,175	1,300	0,04	27,47	0,23
20 -- 21	717	0,146	2,900	0,06	44,31	0,42
21 -- 22	827	0,110	2,900	0,03	28,92	0,32
22 -- 23	868	0,079	2,900	0,02	15,64	0,23
23 -- 24	908	0,053	2,900	0,01	7,40	0,15
24 -- 25	949	0,032	2,900	0,00	2,88	0,09
25 -- 26	990	0,017	2,900	0,00	0,81	0,05
26 -- 27	1031	0,006	2,900	0,00	0,13	0,02
27 -- 28	1669	0,001	2,900	0,00	0,01	0,00
		Σ	58,00	12,18	8445,25	19,91

m_e = 8445,3 / 12,2 = 693,6 kg/m

3.3 - Berekening bouwwerkfactor $c_s c_d$

Eurocode 1- 4 : 6.3.1 - Procedure volgens bijlage C

$c_s c_d = 1 + 2 * k_p * I_v(z_s) * (B^2 + R^2)^{0,5} / (1 + 7 * I_v(z_s))$

$n = n_{1,x}$ =	0,55	Hz
b =	1,25	m
h =	58,00	m
$z_s = h_0 + 0,6 * h$ =	34,80	m
$\alpha = 0,67 + 0,05 * \ln(z_0)$ =	0,59	
De referentiehoogte z_t =	200	m
De referentielengteschaal L_t =	300	m
$L(z) = L_t * (z / z_t)^{\alpha}$ =	107,00	

$B^2 = 1 / \{1+1,5*[(b/L(z_s))^2 + (h/L(z_s))^2 + (b*h / L(z_s).L(z_s))^2]^{0,5}\}$

B^2 = 0,55

δ_s =	0,012	(buismast)
$\delta_a = c_f * \rho * b * v_m(z_s) / (2*n_1*m_e)$ =	0,072	
δ_d =	0	nvt, geen dempinstallatie
$\delta = \delta_s + \delta_a + \delta_d$ =	0,084	
$v_m(z_s)$ =	29,16	m/s
$v_m(z)$ =	32,05	m/s
$I_v(z_s)$ =	0,19	

$S_L(z,n) = 6,8 * f_L(z,n) / \{1+10,2*f_L(z,n)\}^{5/3}$ = 0,09

$f_L(z,n) = n * L(z) / v_m(z)$ =	1,82	
$c_y = c_z$ =	11,5	
$\phi_y = c_y * b * n / V_m(z_s)$	0,27	
$\phi_z = c_y * h * n / V_m(z_s)$	12,48	
G_y =	0,5	
G_z =	0,28	

$K_s(n) = 1 / \{ 1 + [(G_y.\phi_y)_2 + G_z.\phi_z)^2 + (2.G_y.\phi_y.G_z.\phi_z/\pi)^2]^{0,5} \}$

$K_s(n)$ =	0,22	
R^2 =	1,14	
T =	600	s
$v = n_{1,x} * (R^2/(B^2+R^2))^{0,5}$ =	0,45	Hz

$k_p = \{2*\ln(v*T)\}^{0,5} + 0,6 / \{ (2*\ln(v*T))^{0,5}\}$ = 3,52

$c_s c_d$ = 1,18

3.4 - Bepaling krachtcoëfficiënt C_f

$C_f = C_{f,0} * \psi_\lambda$ doorsnede : Cirkelvormige doorsnede

$R_e = b * v(z_e) / \nu$; $v(z_e) = \{ 2 * q_p / \rho \}^{0,5}$

b is de diameter

ν is de kinematische viscositeit van de lucht $\nu = 15*10^{-6}$ m^2/s

$C_{f,0} = 1,2 + [(0,18 * \log(10*k/b)) / (1 + 0,4*\log(R_e / 10^6))]$

k = 0,20 (gegalvaniseerd staal)

ψ_λ confom EN-1991-1-4 - 7,13

member number	$v(z_e)$ m/s	R_e	$C_{f,0}$	ψ_λ	C_f
1	47,9	1,63E+06	0,80	0,83	0,66
2	47,7	1,74E+06	0,80	0,83	0,66
3	47,4	1,94E+06	0,80	0,83	0,66
4	47,1	2,14E+06	0,80	0,83	0,66
5	47,0	2,25E+06	0,80	0,83	0,66
6	46,7	2,38E+06	0,80	0,83	0,66
7	46,3	2,59E+06	0,79	0,83	0,66
8	46,0	2,77E+06	0,79	0,83	0,66
9	45,8	2,87E+06	0,79	0,83	0,66
10	45,6	2,95E+06	0,79	0,83	0,66
11	45,4	3,05E+06	0,79	0,83	0,66
12	45,1	3,15E+06	0,79	0,83	0,65
13	44,9	3,25E+06	0,79	0,83	0,65
14	44,6	3,35E+06	0,79	0,83	0,65
15	44,3	3,44E+06	0,79	0,83	0,65
16	43,9	3,56E+06	0,79	0,83	0,65
17	43,3	3,73E+06	0,79	0,83	0,65
18	42,8	3,74E+06	0,79	0,83	0,65
19	42,4	3,93E+06	0,79	0,83	0,65
20	41,8	4,02E+06	0,79	0,83	0,65
21	41,0	4,14E+06	0,78	0,83	0,65
22	39,9	4,24E+06	0,78	0,83	0,65
23	38,6	4,30E+06	0,78	0,83	0,65
24	37,0	4,31E+06	0,78	0,83	0,64
25	34,9	4,23E+06	0,77	0,83	0,64
26	31,5	3,98E+06	0,77	0,83	0,63
27	30,9	4,06E+06	0,77	0,83	0,63

3.5 - Gewicht, windoppervlak en windlast per staaf .

Gewicht (verticale belasting) bliksem en fase draden

	opstel hoogte m	aantal	gewicht / ophanging N	gewicht bevestiging N	totaal gewicht N
Bliksem	57,284	1	Vlg. KEMA rapport 74100706-ETD/POL 12-00138 REV 007 (13 - 11 - 2012) Appendix - AA en AA2		
1e traverse - 380C1F1	49,995	1			
1e traverse - 150C1F1	49,995	1			
2e traverse - 380C1F2	41,495	1			
2e traverse - 150C1F2	41,495	1			
3e traverse - 380C1F3	32,995	1			
3e traverse - 150C1F3	32,995	1			
Passieve run	24,500	1			
				Σ Gew (kg)	0

Excentriciteit ophanging t.o.v hart mast

	opstel hoogte m	excet. in m
Bliksem	57,284	1,459
1e traverse - 380C1F1	49,995	4,479
1e traverse - 150C1F1	49,995	3,284
2e traverse - 380C1F2	41,495	4,595
2e traverse - 150C1F2	41,495	3,400
3e traverse - 380C1F3	32,995	4,712
3e traverse - 150C1F3	32,995	3,517
Passieve run	24,500	1,886

Windlast (horizontale belasting) bliksem en fase draden

	opstel hoogte m	aantal	F_{hor} ophanging N	F_{hor} bevestiging N	totaal $F_{hor.}$ N
Bliksem	57,284	1	Vlg. KEMA rapport		
1e traverse - 380C1F1	49,995	1			
1e traverse - 150C1F1	49,995	1			
2e traverse - 380C1F2	41,495	1			
2e traverse - 150C1F2	41,495	1			
3e traverse - 380C1F3	32,995	1			
3e traverse - 150C1F3	32,995	1			
Passieve run	24,500	1			

3.6 - Gewicht en windbelasting van het mastlichaam

$F_{wind} = q_p(z) * C_s C_d * A$

staaf nummer	gewicht staven in N.	gewicht kab/ladder in N.	totaal gewicht in N.	windopp. staven in m².	windopp. ladder in m².	windlast in N	windlast in kN/m'.
1	1224	107	1332	0,241	0,086	552	0,771
2	4019	328	4347	0,790	0,262	1762	0,807
3	5999	435	6434	1,174	0,348	2519	0,869
4	5066	331	5397	0,988	0,265	2047	0,928
5	1687	104	1792	0,328	0,083	668	0,961
6	8558	435	8993	1,458	0,348	2902	1,001
7	9421	435	9856	1,600	0,348	3078	1,061
8	7018	301	7319	1,189	0,241	2225	1,110
9	3266	134	3400	0,552	0,107	1018	1,137
10	6136	218	6353	0,923	0,174	1679	1,158
11	6378	218	6596	0,959	0,174	1716	1,183
12	6621	218	6839	0,994	0,174	1751	1,207
13	6864	218	7081	1,029	0,174	1784	1,230
14	8883	271	9154	1,330	0,217	2264	1,254
15	5572	164	5736	0,833	0,131	1395	1,274
16	15426	435	15861	2,302	0,348	3765	1,298
17	18190	435	18625	2,442	0,348	3852	1,328
18	10200	240	10440	1,367	0,192	2101	1,313
19	8771	195	8966	1,174	0,156	1761	1,354
20	20347	435	20782	2,718	0,348	3950	1,362
21	23537	435	23972	2,854	0,348	3951	1,362
22	24723	435	25158	2,989	0,348	3909	1,348
23	25909	435	26344	3,123	0,348	3810	1,314
24	27096	435	27531	3,253	0,348	3632	1,252
25	28282	435	28717	3,377	0,348	3330	1,148
26	29468	435	29903	3,489	0,348	2800	0,965
27	30655	435	31090	3,622	0,348	2795	0,964
	349316	8700	358016	inkl. C_t	inkl. C_t	$\Sigma F_{mast =}$	67013

Gewicht ladder = 15 kg / m'
Windoppervlak ladder = 0,12 m^2 / m'

3.7 - Berekende belastingen

1 - Eigen gewichten (Ultimate limit state)

knoop nummer	staaf i--j	eg mast inc. Ladder in N/m'	eg draden BG - 1a in N	eg draden BG - 1b in N	eg draden BG - 3 in N	eg draden BG - 4 in N
1	1 -- 2	2232	480	480	480	480
2	2 -- 3	2388	4607	4933	19749	6540
3	3 -- 4	2662				
4	4 -- 5	2937	44582	47528	79703	55247
5	5 -- 6	3093				
6	6 -- 7	3721				
7	7 -- 8	4078				
8	8 -- 9	4380				
9	9 -- 10	4559				
10	10 -- 11	5258				
11	11 -- 12	5459	44725	47580	79851	55286
12	12 -- 13	5659				
13	13 -- 14	5860				
14	14 -- 15	6086				
15	15 -- 16	6287	44934	47644	80037	55333
16	16 -- 17	6563				
17	17 -- 18	7707	8155	8155	8155	8155
18	18 -- 19	7830				
19	19 -- 20	8276	9716	10298	40169	13492
20	20 -- 21	8599				
21	21 -- 22	9919				
22	22 -- 23	10410				
23	23 -- 24	10901				
24	24 -- 25	11392				
25	25 -- 26	11883				
26	26 -- 27	12374				
27	27 -- 28	12865				
28			20782	20782	20782	20782

KEMA rapport - bijlage AA - windhoek 90 graden

eg flenzen + ringen * γ_g (γ_g = 1,2)

eg mast * γ_g (γ_g = 1,2)

Berekende gewichten voor voetplaat, flenzen en ringen

Voetplaat : rond 2428 / 1544 , t = 80 mm ; G = 1732 kg
Flenzen op 29,0m : 2 * rond 1150 / 940 , t = 80 mm ; G = 680 kg
Topplaat / Hijsplaat + kap : rond 500 / 300 , t = 30 mm ; G = 40 kg

2 - Horizontale belasting (Serviceability limit state)

knoop nummer	staaf i--j	wind belasting mast in N/m'	hor. Bel. draden BG - 1a in N	hor. Bel. draden BG - 1b in N	hor. Bel. draden BG - 3 in N	hor. Bel. draden BG - 4 in N
1	1 -- 2	771				
2	2 -- 3	807	11116	3582	13309	3651
3	3 -- 4	869				
4	4 -- 5	928	80958	29493	57456	28687
5	5 -- 6	961				
6	6 -- 7	1001				
7	7 -- 8	1061				
8	8 -- 9	1110				
9	9 -- 10	1137				
10	10 -- 11	1158				
11	11 -- 12	1183	75817	28460	54644	27689
12	12 -- 13	1207				
13	13 -- 14	1230				
14	14 -- 15	1254				
15	15 -- 16	1274	69205	27138	51041	26413
16	16 -- 17	1298				
17	17 -- 18	1328				
18	18 -- 19	1313				
19	19 -- 20	1354	15859	5942	20456	6153
20	20 -- 21	1362				
21	21 -- 22	1362				
22	22 -- 23	1348				
23	23 -- 24	1314				
24	24 -- 25	1252				
25	25 -- 26	1148				
26	26 -- 27	965				
27	27 -- 28	964				
28						

KEMA rapport - bijlage AA2 - windhoek 90 graden

wind mast * γ_q (γ_q = 1,0)

3 - Horizontale belasting (Ultimate limit state)

knoop nummer	staaf i--j	wind belasting mast in N/m'	hor. Bel. draden BG - 1a in N	hor. Bel. draden BG - 1b in N	hor. Bel. draden BG - 3 in N	hor. Bel. draden BG - 4 in N
1	1 -- 2	1233				
2	2 -- 3	1291	16012	4779	18887	4934
3	3 -- 4	1390				
4	4 -- 5	1485	115682	38349	79703	37928
5	5 -- 6	1538				
6	6 -- 7	1601				
7	7 -- 8	1698				
8	8 -- 9	1776				
9	9 -- 10	1819				
10	10 -- 11	1853				
11	11 -- 12	1894	108116	36808	75547	36437
12	12 -- 13	1932				
13	13 -- 14	1968				
14	14 -- 15	2006				
15	15 -- 16	2038	98377	34836	70219	34530
16	16 -- 17	2077				
17	17 -- 18	2125				
18	18 -- 19	2101				
19	19 -- 20	2167	22618	7703	28664	8114
20	20 -- 21	2179				
21	21 -- 22	2180				
22	22 -- 23	2157				
23	23 -- 24	2102				
24	24 -- 25	2004				
25	25 -- 26	1837				
26	26 -- 27	1545				
27	27 -- 28	1542				
28						

KEMA rapport - bijlage AA - windhoek 90 graden

wind mast * γ_q (γ_q = 1,6)

4.0 - Resultaat berekeningen

4.1 - Berekenen verplaatsingen in SLS-toestand (Servieability limit state)

A - Wind belasting mastlichaam (incl. 2e orde effect)

knoop nummer	staaf i--j	$Q_{last;hor}$ N	$F_{last;hor}$ N	dwarskr. N	moment Nmm	hoekver. rad.	hor. verpl. mm
1	1 -- 2	552		0	0,00E+00	6,84E-03	226
2	2 -- 3	1762		552	2,24E+05	6,84E-03	221
3	3 -- 4	2519		2314	3,50E+06	6,82E-03	206
4	4 -- 5	2047		4833	1,49E+07	6,72E-03	187
5	5 -- 6	668		6880	2,86E+07	6,59E-03	172
6	6 -- 7	2902		7548	3,39E+07	6,53E-03	167
7	7 -- 8	3078		10450	6,13E+07	6,29E-03	149
8	8 -- 9	2225		13528	9,74E+07	5,98E-03	131
9	9 -- 10	1018		15753	1,28E+08	5,74E-03	119
10	10 -- 11	1679		16771	1,43E+08	5,63E-03	114
11	11 -- 12	1716		18450	1,69E+08	5,45E-03	106
12	12 -- 13	1751		20166	1,98E+08	5,27E-03	98
13	13 -- 14	1784		21917	2,30E+08	5,07E-03	91
14	14 -- 15	2264		23701	2,64E+08	4,88E-03	84
15	15 -- 16	1395		25964	3,11E+08	4,62E-03	75
16	16 -- 17	3765		27359	3,41E+08	4,46E-03	70
17	17 -- 18	3852		31124	4,28E+08	4,03E-03	58
18	18 -- 19	2101		34976	5,27E+08	3,62E-03	47
19	19 -- 20	1761		37077	5,86E+08	3,37E-03	41
20	20 -- 21	3950		38837	6,37E+08	3,18E-03	37
21	21 -- 22	3951		42787	7,57E+08	2,76E-03	28
22	22 -- 23	3909		46738	8,90E+08	2,37E-03	21
23	23 -- 24	3810		50647	1,03E+09	1,97E-03	14
24	24 -- 25	3632		54458	1,19E+09	1,58E-03	9
25	25 -- 26	3330		58089	1,35E+09	1,18E-03	5
26	26 -- 27	2800		61419	1,53E+09	7,83E-04	2
27	27 -- 28	2795		64219	1,71E+09	3,90E-04	1
28				67013	1,90E+09	0,00E+00	0

B - Horizontale belasting - belastinggeval 1a (incl. 2e orde effect)

knoop nummer	staaf i--j	$Q_{last;hor}$ N	$F_{last;hor}$ N	dwarskr. N	moment Nmm	hoekver. rad.	hor. verpl. mm
1	1 -- 2			0	0,00E+00	5,07E-02	1587
2	2 -- 3		11116	11116	1,97E+05	5,07E-02	1550
3	3 -- 4			11116	2,55E+07	5,06E-02	1440
4	4 -- 5		80958	92074	6,54E+07	5,01E-02	1294
5	5 -- 6			92074	2,75E+08	4,90E-02	1184
6	6 -- 7			92074	3,41E+08	4,85E-02	1150
7	7 -- 8			92074	6,17E+08	4,60E-02	1013
8	8 -- 9			92074	8,94E+08	4,30E-02	884
9	9 -- 10			92074	1,09E+09	4,09E-02	799
10	10 -- 11			92074	1,17E+09	3,99E-02	763
11	11 -- 12		75817	167890	1,31E+09	3,85E-02	706
12	12 -- 13			167890	1,56E+09	3,71E-02	652
13	13 -- 14			167890	1,81E+09	3,56E-02	599
14	14 -- 15			167890	2,07E+09	3,40E-02	548
15	15 -- 16		69205	237095	2,38E+09	3,20E-02	489
16	16 -- 17			237095	2,65E+09	3,08E-02	454
17	17 -- 18			237095	3,35E+09	2,74E-02	370
18	18 -- 19			237095	4,06E+09	2,43E-02	295
19	19 -- 20		15859	252954	4,45E+09	2,23E-02	257
20	20 -- 21			252954	4,78E+09	2,09E-02	229
21	21 -- 22			252954	5,53E+09	1,78E-02	173
22	22 -- 23			252954	6,28E+09	1,50E-02	125
23	23 -- 24			252954	7,03E+09	1,22E-02	86
24	24 -- 25			252954	7,78E+09	9,57E-03	54
25	25 -- 26			252954	8,52E+09	7,03E-03	30
26	26 -- 27			252954	9,26E+09	4,58E-03	13
27	27 -- 28			252954	1,00E+10	2,24E-03	3
28	28 -- 29			252954	1,07E+10	0,00E+00	0

C - Horizontale belasting - belastinggeval 1b (incl. 2e orde effect)

knoop nummer	staaf i--j	$Q_{last;hor}$ N	$F_{last;hor}$ N	dwarskr. N	moment Nmm	hoekver. rad.	hor. verpl. mm
1	1 -- 2			0	0,00E+00	1,85E-02	582
2	2 -- 3		3582	3582	7,18E+04	1,85E-02	569
3	3 -- 4			3582	8,28E+06	1,84E-02	529
4	4 -- 5		29493	33075	2,14E+07	1,83E-02	475
5	5 -- 6			33075	9,67E+07	1,79E-02	436
6	6 -- 7			33075	1,20E+08	1,77E-02	423
7	7 -- 8			33075	2,20E+08	1,68E-02	373
8	8 -- 9			33075	3,19E+08	1,58E-02	326
9	9 -- 10			33075	3,88E+08	1,50E-02	295
10	10 -- 11			33075	4,19E+08	1,46E-02	282
11	11 -- 12		28460	61535	4,70E+08	1,41E-02	261
12	12 -- 13			61535	5,62E+08	1,36E-02	241
13	13 -- 14			61535	6,54E+08	1,31E-02	221
14	14 -- 15			61535	7,46E+08	1,25E-02	203
15	15 -- 16		27138	88673	8,61E+08	1,18E-02	181
16	16 -- 17			88673	9,61E+08	1,14E-02	168
17	17 -- 18			88673	1,22E+09	1,01E-02	137
18	18 -- 19			88673	1,49E+09	8,96E-03	109
19	19 -- 20		5942	94615	1,63E+09	8,26E-03	95
20	20 -- 21			94615	1,76E+09	7,74E-03	85
21	21 -- 22			94615	2,04E+09	6,58E-03	64
22	22 -- 23			94615	2,32E+09	5,54E-03	46
23	23 -- 24			94615	2,60E+09	4,53E-03	32
24	24 -- 25			94615	2,88E+09	3,55E-03	20
25	25 -- 26			94615	3,16E+09	2,61E-03	11
26	26 -- 27			94615	3,43E+09	1,70E-03	5
27	27 -- 28			94615	3,71E+09	8,31E-04	1
28				94615	3,98E+09	0,00E+00	0

D - Horizontale belasting - belastinggeval 3 (incl. 2e orde effect)

knoop nummer	staaf i--j	$Q_{last;hor}$ N	$F_{last;hor}$ N	dwarskr. N	moment Nmm	hoekver. rad.	hor. verpl. mm
1	1 -- 2			0	0,00E+00	3,97E-02	1223
2	2 -- 3		13309	13309	1,54E+05	3,97E-02	1194
3	3 -- 4			13309	3,01E+07	3,95E-02	1108
4	4 -- 5		57456	70765	7,46E+07	3,89E-02	994
5	5 -- 6			70765	2,36E+08	3,80E-02	909
6	6 -- 7			70765	2,86E+08	3,75E-02	883
7	7 -- 8			70765	4,99E+08	3,55E-02	777
8	8 -- 9			70765	7,12E+08	3,31E-02	677
9	9 -- 10			70765	8,59E+08	3,14E-02	612
10	10 -- 11			70765	9,25E+08	3,06E-02	584
11	11 -- 12		54644	125409	1,03E+09	2,95E-02	541
12	12 -- 13			125409	1,22E+09	2,84E-02	499
13	13 -- 14			125409	1,41E+09	2,72E-02	459
14	14 -- 15			125409	1,60E+09	2,60E-02	420
15	15 -- 16		51041	176450	1,83E+09	2,45E-02	374
16	16 -- 17			176450	2,03E+09	2,35E-02	348
17	17 -- 18			176450	2,56E+09	2,10E-02	283
18	18 -- 19			176450	3,08E+09	1,85E-02	226
19	19 -- 20		20456	196906	3,37E+09	1,71E-02	197
20	20 -- 21			196906	3,63E+09	1,60E-02	176
21	21 -- 22			196906	4,22E+09	1,36E-02	133
22	22 -- 23			196906	4,80E+09	1,15E-02	96
23	23 -- 24			196906	5,38E+09	9,38E-03	66
24	24 -- 25			196906	5,96E+09	7,36E-03	42
25	25 -- 26			196906	6,54E+09	5,40E-03	23
26	26 -- 27			196906	7,12E+09	3,52E-03	10
27	27 -- 28			196906	7,69E+09	1,72E-03	3
28				196906	8,26E+09	0,00E+00	0

E - Horizontale belasting - belastinggeval 4 (incl. 2e orde effect)

knoop nummer	staaf i--j	$Q_{last;hor}$ N	$F_{last;hor}$ N	dwarskr. N	moment Nmm	hoekver. rad.	hor. verpl. mm
1	1 -- 2			0	0,00E+00	1,81E-02	569
2	2 -- 3		3651	3651	7,02E+04	1,81E-02	556
3	3 -- 4			3651	8,42E+06	1,80E-02	517
4	4 -- 5		28687	32338	2,17E+07	1,79E-02	465
5	5 -- 6			32338	9,53E+07	1,75E-02	426
6	6 -- 7			32338	1,18E+08	1,73E-02	414
7	7 -- 8			32338	2,16E+08	1,64E-02	365
8	8 -- 9			32338	3,13E+08	1,54E-02	318
9	9 -- 10			32338	3,80E+08	1,46E-02	288
10	10 -- 11			32338	4,10E+08	1,43E-02	275
11	11 -- 12		27689	60028	4,60E+08	1,38E-02	255
12	12 -- 13			60028	5,50E+08	1,33E-02	235
13	13 -- 14			60028	6,39E+08	1,28E-02	216
14	14 -- 15			60028	7,29E+08	1,22E-02	198
15	15 -- 16		26413	86441	8,42E+08	1,15E-02	177
16	16 -- 17			86441	9,39E+08	1,11E-02	164
17	17 -- 18			86441	1,20E+09	9,89E-03	134
18	18 -- 19			86441	1,45E+09	8,76E-03	107
19	19 -- 20		6153	92593	1,60E+09	8,07E-03	93
20	20 -- 21			92593	1,72E+09	7,56E-03	83
21	21 -- 22			92593	1,99E+09	6,43E-03	63
22	22 -- 23			92593	2,27E+09	5,42E-03	45
23	23 -- 24			92593	2,54E+09	4,43E-03	31
24	24 -- 25			92593	2,81E+09	3,47E-03	20
25	25 -- 26			92593	3,09E+09	2,55E-03	11
26	26 -- 27			92593	3,36E+09	1,66E-03	5
27	27 -- 28			92593	3,63E+09	8,13E-04	1
28				92593	3,90E+09	0,00E+00	0

F - Excentriciteit moment t.g.v. eigengewicht draden

knoop nummer	staaf i--j	$Q_{last;hor}$ N	$F_{last;hor}$ N	dwarskr. N	moment Nmm	hoekver. rad.	hor. verpl. mm
1	1 -- 2				0,00E+00	4,89E-03	113
2	2 -- 3				-5,66E+06	4,89E-03	110
3	3 -- 4				-5,66E+06	4,96E-03	99
4	4 -- 5				1,04E+08	5,03E-03	84
5	5 -- 6				1,04E+08	4,35E-03	74
6	6 -- 7				1,04E+08	4,17E-03	71
7	7 -- 8				1,04E+08	3,62E-03	60
8	8 -- 9				1,04E+08	3,21E-03	50
9	9 -- 10				1,04E+08	2,99E-03	44
10	10 -- 11				1,04E+08	2,90E-03	41
11	11 -- 12				2,17E+08	2,78E-03	37
12	12 -- 13				2,17E+08	2,56E-03	33
13	13 -- 14				2,17E+08	2,37E-03	29
14	14 -- 15				2,17E+08	2,19E-03	26
15	15 -- 16				3,33E+08	2,00E-03	22
16	16 -- 17				3,33E+08	1,83E-03	20
17	17 -- 18				3,33E+08	1,46E-03	16
18	18 -- 19				3,33E+08	1,17E-03	12
19	19 -- 20				3,18E+08	1,02E-03	10
20	20 -- 21				3,18E+08	9,24E-04	9
21	21 -- 22				3,18E+08	7,30E-04	6
22	22 -- 23				3,18E+08	5,78E-04	4
23	23 -- 24				3,18E+08	4,47E-04	3
24	24 -- 25				3,18E+08	3,33E-04	2
25	25 -- 26				3,18E+08	2,34E-04	1
26	26 -- 27				3,18E+08	1,46E-04	0
27	27 -- 28				3,18E+08	6,87E-05	0
28					3,18E+08	0,00E+00	0

4.2 - Maximale horizontale verplaatsingen in SLS-toestand

Maatgevende combinatie - Serviceability limit state:

Eigengewicht conductors, insulators	G_k =	1,00
Windbelasting mastlichaam	Q_{wk} =	0,30
Belasting geval 1a	Q_{wk} =	0,00
Belasting geval 1b	Q_{wk} =	0,00
Belasting geval 3	Q_{ik} =	1,00
Belasting geval 4	Q_{pk} =	0,00

knoop nummer	staaf i--j	hoekver. φ radian	verpl. δ_{hor} mm
1	1 -- 2	6,2E-02	1926
2	2 -- 3	6,2E-02	1881
3	3 -- 4	6,2E-02	1745
4	4 -- 5	6,2E-02	1565
5	5 -- 6	6,0E-02	1430
6	6 -- 7	5,9E-02	1389
7	7 -- 8	5,6E-02	1222
8	8 -- 9	5,2E-02	1064
9	9 -- 10	5,0E-02	962
10	10 -- 11	4,8E-02	918
11	11 -- 12	4,7E-02	849
12	12 -- 13	4,5E-02	783
13	13 -- 14	4,3E-02	719
14	14 -- 15	4,1E-02	658
15	15 -- 16	3,9E-02	586
16	16 -- 17	3,7E-02	545
17	17 -- 18	3,3E-02	443
18	18 -- 19	2,9E-02	353
19	19 -- 20	2,7E-02	308
20	20 -- 21	2,5E-02	275
21	21 -- 22	2,1E-02	207
22	22 -- 23	1,8E-02	150
23	23 -- 24	1,5E-02	103
24	24 -- 25	1,1E-02	65
25	25 -- 26	8,4E-03	36
26	26 -- 27	5,5E-03	16
27	27 -- 28	2,7E-03	4
28	28 -- 29	0,0E+00	0

4.3 - Toetsing maximale horizontale verplaatsingen

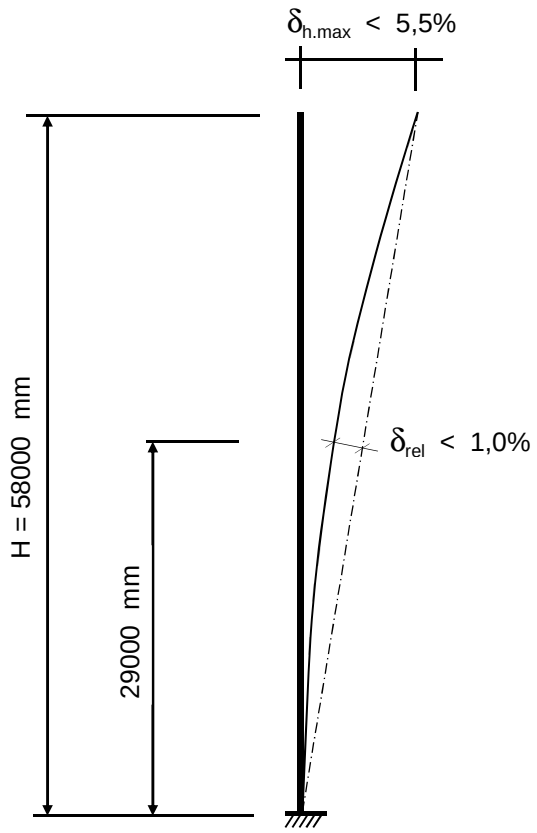

Controle verplaatsingen

δ_h = 1926 mm ----> δ_h *100 / 58000

Percentage uitbuig. = 3,32 % voldoet , max verpl. < 5,5 %

max. relatieve verplaatsing mast, t.p.v knoop x :

δ_{rel} = [{δ_{hor} * (hoogte knoop x) / (totale hoogte)} - $\delta_{knoop\ x}$] * Cosα

Knoop 17 ; Hoogte = 29000 mm
$\delta_{knoop\ x}$ = 443 mm
α = 1,90 graden

δ_{rel} = 520 mm ----> δ_h *100 / 58000

Percentage uitbuig. = 0,90 % voldoet , max verpl. < 1 %

De maximale verplaatsing voldoet aan stijfheidseisen volgen NEN -EN 50341-3 (november 2001) .

4.4 - Berekening krachten in ULS-toestand - (Ultimate limit state)

A - Wind belasting mastlichaam

knoop nummer	staaf i--j	$Q_{last;hor}$ N	normaalkr. N	dwarskr. N	moment Nmm	hoekver. rad.	hor. verpl. mm
1	1 -- 2	828	480	0	0,00E+00	1,06E-02	351
2	2 -- 3	2644	6686	883	3,16E+05	1,06E-02	344
3	3 -- 4	3779	11902	3703	5,32E+06	1,06E-02	321
4	4 -- 5	3070	64204	7733	2,19E+07	1,04E-02	290
5	5 -- 6	1002	70680	11008	4,26E+07	1,02E-02	267
6	6 -- 7	4353	72830	12077	5,06E+07	1,01E-02	260
7	7 -- 8	4617	83622	16720	9,23E+07	9,75E-03	232
8	8 -- 9	3338	95449	21645	1,48E+08	9,28E-03	204
9	9 -- 10	1526	104232	25205	1,95E+08	8,91E-03	186
10	10 -- 11	2519	108312	26833	2,18E+08	8,73E-03	178
11	11 -- 12	2574	160661	29520	2,59E+08	8,46E-03	165
12	12 -- 13	2626	168576	32266	3,04E+08	8,18E-03	153
13	13 -- 14	2676	176782	35067	3,53E+08	7,89E-03	142
14	14 -- 15	3395	185280	37921	4,06E+08	7,58E-03	130
15	15 -- 16	2092	241198	41543	4,77E+08	7,19E-03	117
16	16 -- 17	5648	248082	43775	5,24E+08	6,94E-03	109
17	17 -- 18	5778	275270	49799	6,60E+08	6,27E-03	90
18	18 -- 19	3151	297620	55962	8,13E+08	5,64E-03	73
19	19 -- 20	2641	319865	59323	9,05E+08	5,26E-03	64
20	20 -- 21	5925	330624	62140	9,84E+08	4,97E-03	57
21	21 -- 22	5926	355562	68460	1,17E+09	4,31E-03	44
22	22 -- 23	5864	384328	74781	1,38E+09	3,70E-03	32
23	23 -- 24	5715	414517	81036	1,61E+09	3,09E-03	22
24	24 -- 25	5448	446130	87132	1,85E+09	2,47E-03	14
25	25 -- 26	4994	479167	92943	2,11E+09	1,85E-03	8
26	26 -- 27	4199	513628	98270	2,39E+09	1,23E-03	4
27	27 -- 28	4192	549511	102750	2,68E+09	6,12E-04	1
28			607601	107221	2,99E+09	0,00E+00	0

B - Horizontale belasting - belastinggeval 1a

knoop nummer	staaf i--j	$Q_{last;hor}$ N	$F_{last;hor.}$ N	dwarskr. N	moment Nmm	hoekver. rad.	hor. verpl. mm
1	1 -- 2			0	0,00E+00	7,02E-02	2201
2	2 -- 3		16012	16012	0,00E+00	7,02E-02	2150
3	3 -- 4			16012	3,50E+07	7,00E-02	1997
4	4 -- 5		115682	131695	8,14E+07	6,93E-02	1795
5	5 -- 6			131695	3,72E+08	6,79E-02	1643
6	6 -- 7			131695	4,63E+08	6,71E-02	1596
7	7 -- 8			131695	8,45E+08	6,37E-02	1406
8	8 -- 9			131695	1,23E+09	5,96E-02	1227
9	9 -- 10			131695	1,49E+09	5,67E-02	1110
10	10 -- 11			131695	1,61E+09	5,53E-02	1060
11	11 -- 12		108116	239811	1,80E+09	5,34E-02	982
12	12 -- 13			239811	2,15E+09	5,14E-02	905
13	13 -- 14			239811	2,50E+09	4,93E-02	832
14	14 -- 15			239811	2,84E+09	4,72E-02	762
15	15 -- 16		98377	338188	3,28E+09	4,45E-02	680
16	16 -- 17			338188	3,65E+09	4,28E-02	632
17	17 -- 18			338188	4,63E+09	3,81E-02	514
18	18 -- 19			338188	5,61E+09	3,37E-02	410
19	19 -- 20		22618	360807	6,15E+09	3,11E-02	358
20	20 -- 21			360807	6,62E+09	2,91E-02	319
21	21 -- 22			360807	7,66E+09	2,47E-02	241
22	22 -- 23			360807	8,71E+09	2,08E-02	175
23	23 -- 24			360807	9,76E+09	1,70E-02	120
24	24 -- 25			360807	1,08E+10	1,33E-02	76
25	25 -- 26			360807	1,18E+10	9,80E-03	42
26	26 -- 27			360807	1,29E+10	6,39E-03	18
27	27 -- 28			360807	1,39E+10	3,13E-03	5
28				360807	1,50E+10	0,00E+00	0

C - Horizontale belasting - belastinggeval 1b

knoop nummer	staaf i--j	$Q_{last;hor}$ N	$F_{last;hor.}$ N	dwarskr. N	moment Nmm	hoekver. rad.	hor. verpl. mm
1	1 -- 2			0	0,00E+00	2,33E-02	734
2	2 -- 3		4779	4779	0,00E+00	2,33E-02	718
3	3 -- 4			4779	1,04E+07	2,32E-02	667
4	4 -- 5		38349	43128	2,43E+07	2,30E-02	600
5	5 -- 6			43128	1,19E+08	2,25E-02	550
6	6 -- 7			43128	1,49E+08	2,23E-02	534
7	7 -- 8			43128	2,74E+08	2,12E-02	471
8	8 -- 9			43128	4,00E+08	1,98E-02	411
9	9 -- 10			43128	4,86E+08	1,89E-02	372
10	10 -- 11			43128	5,25E+08	1,85E-02	356
11	11 -- 12		36808	79936	5,87E+08	1,78E-02	329
12	12 -- 13			79936	7,03E+08	1,72E-02	304
13	13 -- 14			79936	8,19E+08	1,65E-02	279
14	14 -- 15			79936	9,35E+08	1,58E-02	256
15	15 -- 16		34836	114773	1,08E+09	1,49E-02	228
16	16 -- 17			114773	1,20E+09	1,43E-02	212
17	17 -- 18			114773	1,54E+09	1,28E-02	173
18	18 -- 19			114773	1,87E+09	1,13E-02	138
19	19 -- 20		7703	122476	2,05E+09	1,04E-02	121
20	20 -- 21			122476	2,21E+09	9,78E-03	107
21	21 -- 22			122476	2,57E+09	8,32E-03	81
22	22 -- 23			122476	2,92E+09	7,01E-03	59
23	23 -- 24			122476	3,28E+09	5,73E-03	40
24	24 -- 25			122476	3,63E+09	4,49E-03	25
25	25 -- 26			122476	3,99E+09	3,30E-03	14
26	26 -- 27			122476	4,34E+09	2,15E-03	6
27	27 -- 28			122476	4,70E+09	1,05E-03	2
28				122476	5,05E+09	0,00E+00	0

D - Horizontale belasting - belastinggeval 3

knoop nummer	staaf i--j	$Q_{last;hor}$ N	$F_{last;hor.}$ N	dwarskr. N	moment Nmm	hoekver. rad.	hor. verpl. mm
1	1 -- 2			0	0,00E+00	5,35E-02	1650
2	2 -- 3		18887	18887	0,00E+00	5,35E-02	1612
3	3 -- 4			18887	4,13E+07	5,33E-02	1495
4	4 -- 5		79703	98591	9,60E+07	5,25E-02	1341
5	5 -- 6			98591	3,13E+08	5,12E-02	1227
6	6 -- 7			98591	3,82E+08	5,06E-02	1191
7	7 -- 8			98591	6,68E+08	4,78E-02	1049
8	8 -- 9			98591	9,54E+08	4,46E-02	914
9	9 -- 10			98591	1,15E+09	4,23E-02	827
10	10 -- 11			98591	1,24E+09	4,13E-02	790
11	11 -- 12		75547	174137	1,38E+09	3,98E-02	731
12	12 -- 13			174137	1,64E+09	3,83E-02	674
13	13 -- 14			174137	1,89E+09	3,67E-02	620
14	14 -- 15			174137	2,14E+09	3,51E-02	568
15	15 -- 16		70219	244356	2,45E+09	3,30E-02	506
16	16 -- 17			244356	2,72E+09	3,18E-02	471
17	17 -- 18			244356	3,43E+09	2,83E-02	383
18	18 -- 19			244356	4,14E+09	2,51E-02	306
19	19 -- 20		28664	273020	4,53E+09	2,31E-02	267
20	20 -- 21			273020	4,89E+09	2,17E-02	238
21	21 -- 22			273020	5,68E+09	1,84E-02	180
22	22 -- 23			273020	6,47E+09	1,55E-02	130
23	23 -- 24			273020	7,26E+09	1,27E-02	89
24	24 -- 25			273020	8,05E+09	9,97E-03	57
25	25 -- 26			273020	8,84E+09	7,32E-03	31
26	26 -- 27			273020	9,64E+09	4,78E-03	14
27	27 -- 28			273020	1,04E+10	2,34E-03	3
28				273020	1,12E+10	0,00E+00	0

E - Horizontale belasting - belastinggeval 4

knoop nummer	staaf i--j	$Q_{last;hor}$ N	F_{last} N	dwarskr. N	moment Nmm	hoekver. rad.	hor. verpl. mm
1	1 -- 2			0	0,00E+00	2,31E-02	730
2	2 -- 3		4934	4934	0,00E+00	2,31E-02	713
3	3 -- 4			4934	1,08E+07	2,31E-02	663
4	4 -- 5		37928	42862	2,51E+07	2,29E-02	596
5	5 -- 6			42862	1,20E+08	2,24E-02	546
6	6 -- 7			42862	1,49E+08	2,22E-02	531
7	7 -- 8			42862	2,74E+08	2,11E-02	468
8	8 -- 9			42862	3,98E+08	1,97E-02	409
9	9 -- 10			42862	4,84E+08	1,88E-02	370
10	10 -- 11			42862	5,22E+08	1,83E-02	353
11	11 -- 12		36437	79299	5,84E+08	1,77E-02	327
12	12 -- 13			79299	6,99E+08	1,71E-02	302
13	13 -- 14			79299	8,14E+08	1,64E-02	278
14	14 -- 15			79299	9,29E+08	1,57E-02	255
15	15 -- 16		34530	113829	1,07E+09	1,48E-02	227
16	16 -- 17			113829	1,20E+09	1,42E-02	211
17	17 -- 18			113829	1,53E+09	1,27E-02	172
18	18 -- 19			113829	1,86E+09	1,12E-02	137
19	19 -- 20		8114	121944	2,04E+09	1,04E-02	120
20	20 -- 21			121944	2,20E+09	9,72E-03	107
21	21 -- 22			121944	2,55E+09	8,27E-03	81
22	22 -- 23			121944	2,91E+09	6,97E-03	59
23	23 -- 24			121944	3,26E+09	5,70E-03	40
24	24 -- 25			121944	3,61E+09	4,47E-03	25
25	25 -- 26			121944	3,97E+09	3,28E-03	14
26	26 -- 27			121944	4,32E+09	2,14E-03	6
27	27 -- 28			121944	4,67E+09	1,05E-03	2
28				121944	5,03E+09	0,00E+00	0

F - Excentriciteit moment t.g.v. eigengewicht draden

knoop nummer	staaf i--j	$Q_{last;hor}$ N	F_{last} N	dwarskr. N	moment Nmm	hoekver. rad.	hor. verpl. mm
1	1 -- 2				0,00E+00	5,80E-03	134
2	2 -- 3				-6,72E+06	5,80E-03	130
3	3 -- 4				-6,72E+06	5,89E-03	117
4	4 -- 5				1,24E+08	5,96E-03	100
5	5 -- 6				1,24E+08	5,16E-03	88
6	6 -- 7				1,24E+08	4,95E-03	84
7	7 -- 8				1,24E+08	4,30E-03	71
8	8 -- 9				1,24E+08	3,81E-03	59
9	9 -- 10				1,24E+08	3,54E-03	52
10	10 -- 11				1,24E+08	3,44E-03	49
11	11 -- 12				2,58E+08	3,30E-03	44
12	12 -- 13				2,58E+08	3,04E-03	39
13	13 -- 14				2,58E+08	2,81E-03	35
14	14 -- 15				2,58E+08	2,60E-03	31
15	15 -- 16				3,95E+08	2,37E-03	27
16	16 -- 17				3,95E+08	2,18E-03	24
17	17 -- 18				3,95E+08	1,73E-03	18
18	18 -- 19				3,95E+08	1,39E-03	14
19	19 -- 20				3,77E+08	1,21E-03	12
20	20 -- 21				3,77E+08	1,10E-03	10
21	21 -- 22				3,77E+08	8,66E-04	7
22	22 -- 23				3,77E+08	6,85E-04	5
23	23 -- 24				3,77E+08	5,30E-04	3
24	24 -- 25				3,77E+08	3,95E-04	2
25	25 -- 26				3,77E+08	2,77E-04	1
26	26 -- 27				3,77E+08	1,73E-04	0
27	27 -- 28				3,77E+08	8,15E-05	0
28					3,77E+08	0,00E+00	0

4.5 - Maximale krachten in ULS-toestand

		)**	
Eigengewicht conductors, insulators	G_k =	1,20	1,20
Eigengewicht mast	G_k =	1,20	1,20
Windbelasting mastlichaam	Q_{wk} =	1,60	0,45
Belasting geval 1a	Q_{wk} =	1,50	0,00
Belasting geval 1b	Q_{wk} =	0,00	0,00
Belasting geval 3	Q_{ik} =	0,00	1,50
Belasting geval 4	Q_{pk} =	0,00	0,00

knoop nummer	staaf i--j	normaal kr. kN	dwars kr. kN	moment kNm
1	1 -- 2	0,48	0,00	0,00
2	2 -- 3	21,83	19,14	28,73
3	3 -- 4	27,04	19,93	33,57
4	4 -- 5	114,47	139,43	306,59
5	5 -- 6	120,94	142,70	538,09
6	6 -- 7	123,09	143,77	637,64
7	7 -- 8	133,88	148,41	1061,32
8	8 -- 9	145,71	153,34	1498,86
9	9 -- 10	154,49	156,90	1809,87
10	10 -- 11	158,57	158,53	1951,03
11	11 -- 12	246,05	269,33	2316,84
12	12 -- 13	253,96	272,08	2709,36
13	13 -- 14	262,17	274,88	3105,91
14	14 -- 15	270,67	277,73	3506,55
15	15 -- 16	361,69	379,73	4148,89
16	16 -- 17	368,57	381,96	4565,92
17	17 -- 18	395,76	387,99	5682,35
18	18 -- 19	418,11	394,15	6816,45
19	19 -- 20	470,81	420,13	7431,46
20	20 -- 21	481,57	422,95	7979,46
21	21 -- 22	506,51	429,27	9215,17
22	22 -- 23	535,27	435,59	10469,21
23	23 -- 24	565,46	441,84	11741,48
24	24 -- 25	597,07	447,94	13031,66
25	25 -- 26	630,11	453,75	14339,11
26	26 -- 27	664,57	459,08	15662,71
27	27 -- 28	700,45	463,56	17000,53
28		758,54	468,03	18351,32

)** - Maatgevende belastingcombinatie voor alle staven

4.6 - Toetsing van de doorsnede

Elasticiteitsmodulus E-	N/mm^2	210000	
Vloeigrens f_y	N/mm^2	355	Voor wanddikte t < 40
Vloeigrens f_y	N/mm^2	335	Voor wanddikte t >= 40

A- Controle buigspanning

Toetsingregel :

$$N_{Ed} / N_{Rd} + M_{y,Ed} / M_{y,Rd} <= 1$$

waarin: $M_{y,Ed} = M_{1;y,Ed} + \Sigma N_{Ed,i} * \delta_{rel.i}$

$M_{1;y,Ed}$ = buigende moment uit komputer

$N_{Ed,i}$ = normaal kracht uit komputer uitvoer ter plaatse knoop i

$\delta_{rel,i}$ = maximale horizontale verplaatsing t.p.v. knoop i = $\delta_{i,max} - \delta_{j,max}$

$M_{y;el,Rd} = W_{y;el} * f_y$; $N_{Rd} = A * f_y$

staaf nummer	profiel $D_{voet} - D_{top}$ mm	moment $M_{1;y,Ed}$ kNm	drukkracht $N_{c,Rd}$ kN	rel.verpl. $\delta_{rel.}$ mm	$M_{y,Ed}$ in kNm	$M_{y;el,Rd}$ in kNm	toetsings-regel
1	500 / 952	28,73	21,83	45	29,7	967,9	0,03
2	500 / 952	33,57	27,04	136	38,2	1201,1	0,03
3	500 / 952	306,59	114,47	180	331,9	1549,6	0,23
4	500 / 952	538,09	120,94	135	579,7	1844,3	0,33
5	500 / 952	637,64	123,09	41	684,3	1942,5	0,36
6	952 / 1103	1061,32	133,88	167	1130,4	2699,4	0,43
7	952 / 1103	1498,86	145,71	157	1590,8	3247,9	0,50
8	952 / 1103	1809,87	154,49	102	1917,6	3656,7	0,53
9	952 / 1103	1951,03	158,57	44	2065,7	3847,1	0,55
10	1103 / 1254	2316,84	246,05	69	2448,5	4657,9	0,54
11	1103 / 1254	2709,36	253,96	66	2857,9	5029,5	0,58
12	1103 / 1254	3105,91	262,17	64	3271,2	5415,4	0,62
13	1103 / 1254	3506,55	270,67	61	3688,3	5815,5	0,65
14	1103 / 1254	4148,89	361,69	72	4356,7	6333,5	0,70
15	1103 / 1254	4565,92	368,57	41	4789,0	6658,5	0,74
16	1103 / 1254	5682,35	395,76	102	5945,7	7558,6	0,80
17	1254/ 1480	6816,45	418,11	90	7117,5	9419,1	0,77
18	1254/ 1480	7431,46	470,81	45	7753,5	10031,6	0,79
19	1254/ 1480	7979,46	481,57	34	8317,7	10543,5	0,80
20	1254/ 1480	9215,17	506,51	67	9587,5	11731,3	0,83
21	1480/ 2008	10469,21	535,27	57	10872,0	14225,5	0,78
22	1480/ 2008	11741,48	565,46	47	12171,0	15668,8	0,79
23	1480/ 2008	13031,66	597,07	38	13483,8	17181,8	0,80
24	1480/ 2008	14339,11	630,11	29	14809,5	18764,6	0,80
25	1480/ 2008	15662,71	664,57	20	16146,6	20417,1	0,81
26	1480/ 2008	17000,53	700,45	12	17492,8	22139,4	0,81
27	1480/ 2008	18351,32	758,54	4	18846,6	23931,4	0,80

B- Controle plooistabiliteit

Toetsing regel :volgens NEN -EN 50341-3 (NEN 1060).

$$(\sigma_{N;Ed} / \sigma_{N;plooi}) + (\sigma_{MEd} / \sigma_{M;plooi}) <= 1$$

Plooispanning t.g.v normaalkracht

Indien $d / t < 90 * a_y^2$ ---> $\sigma_{N;plooi;d} = f_y$; $a_y = (f_{ref} / f_y)^{0,5}$; $f_{ref} = 235$ N/mm^2

Indien $90 * a_y^2 < d / t < 315\ a_y^2$ ---> $\sigma_{N;plooi;d} = 0,3 * f_{y;d} + 14805 / (d/t)$

Plooispanning t.g.v moment

Indien $d / t < 157,5 * a_y^2$ ---> $\sigma_{N;plooi;d} = f_{y;d}$

Indien $157,5 * a_y^2 < d / t < 315\ a_y^2$ ---> $\sigma_{N;plooi;d} = 0,6 * f_{y;d} + 14805 / (d/t)$

d mm	t mm	d/t	a_y	$\sigma_{N;plooi;d}$ N/mm^2	$\sigma_{M;plooi;d}$ N/mm^2
519	14,0	37,04	0,81	355	355
575	14,0	41,10	0,81	355	355
651	14,0	46,49	0,81	355	355
708	14,0	50,58	0,81	355	355
726	14,0	51,87	0,81	355	355
802	16,0	50,10	0,81	355	355
877	16,0	54,81	0,81	355	355
929	16,0	58,07	0,81	355	355
952	16,0	59,52	0,81	355	355
990	18,0	55,01	0,81	355	355
1028	18,0	57,10	0,81	355	355
1066	18,0	59,19	0,81	355	355
1103	18,0	61,29	0,81	348	355
1150	18,0	63,90	0,81	338	355
1179	18,0	65,48	0,81	333	355
1254	18,0	69,67	0,81	319	355
1329	20,0	66,47	0,81	329	355
1371	20,0	68,55	0,81	322	355
1405	20,0	70,24	0,81	317	355
1480	20,0	74,01	0,81	307	355
1556	22,0	70,71	0,81	316	355
1631	22,0	74,14	0,81	306	355
1706	22,0	77,56	0,81	297	355
1782	22,0	80,99	0,81	289	355
1857	22,0	84,42	0,81	282	355
1933	22,0	87,85	0,81	275	355
2008	22,0	91,27	0,81	269	355

staaf nummer	profiel D_{voet} - D_{top}	σ_{MEd} N/mm^2	σ_{NEd} N/mm^2	$\sigma_{M;plooi;d}$ N/mm^2	$\sigma_{N;plooi;d}$ N/mm^2	toetsings-regel
1	500 / 952	11,31	1,00	355	355	0,03
2	500 / 952	12,55	1,15	355	355	0,04
3	500 / 952	86,01	4,34	355	355	0,25
4	500 / 952	121,49	4,13	355	355	0,35
5	500 / 952	128,32	3,98	355	355	0,37
6	952 / 1103	164,18	3,56	355	355	0,47
7	952 / 1103	190,32	3,52	355	355	0,55
8	952 / 1103	197,36	3,46	355	355	0,57
9	952 / 1103	195,49	3,41	355	355	0,56
10	1103 / 1254	194,13	4,56	355	355	0,56
11	1103 / 1254	209,54	4,53	355	355	0,60
12	1103 / 1254	222,44	4,51	355	355	0,64
13	1103 / 1254	233,25	4,49	355	348	0,67
14	1103 / 1254	254,73	5,77	355	338	0,73
15	1103 / 1254	261,76	5,69	355	333	0,75
16	1103 / 1254	297,23	5,84	355	319	0,86
17	1254/ 1480	284,51	5,23	355	329	0,82
18	1254/ 1480	299,97	5,80	355	322	0,86
19	1254/ 1480	287,07	5,60	355	317	0,83
20	1254/ 1480	305,81	5,67	355	307	0,88
21	1480/ 2008	285,26	5,18	355	316	0,82
22	1480/ 2008	289,23	5,21	355	306	0,83
23	1480/ 2008	291,58	5,25	355	297	0,84
24	1480/ 2008	292,65	5,29	355	289	0,84
25	1480/ 2008	292,72	5,35	355	282	0,84
26	1480/ 2008	291,96	5,41	355	275	0,84
27	1480/ 2008	290,56	5,63	355	269	0,84

5.0 - Berekening ankers, bouten en flensverbindingen

uitgangspunt: gerolde draad

bouten	A_s in mm²	f_{ub} in N/mm²	$F_{t,Rd}$ in kN	$F_{v,Rd}$ in kN
M 48 - 8,8	1473	800	848,45	565,63
M 48 - 10,9	1473	1000	1060,56	589,20
M 45 - 8,8	1306	800	752,26	501,50
M 45 - 10,9	1306	1000	940,32	522,40
M 42 - 8.8	1121	800	645,64	430,43
M 42 - 10,9	1121	1000	807,05	448,36
M 39 - 8.8	976	800	562,04	374,70
M 39 - 10,9	976	1000	702,55	390,31
M 39 - 12,9	976	1200	843,07	468,37
M 36 - 8.8	817	800	470,59	313,73
M 36 - 10,9	817	1000	588,24	326,80
M 33 - 8.8	694	800	399,49	266,33
M 33 - 10,9	694	1000	499,36	277,42
M 30 - 8.8	561	800	322,90	215,27
M 30 - 10,9	561	1000	403,62	224,24

Max. trekkracht in de ankers en boutverbindingen :

$$F_{Ed} = M_{y,Ed} * a / I_p - N_{Ed} / n$$

Waarin :

$M_{y,Ed}$ = max. moment t.p.v aansluiting t.g.v rekenbelasting

N_{Ed} = max. normaal kracht t.p.v aansluiting t.g.v rekenbelasting

a = max. afstand bout tot zwaartepunt boutenpatroon = diameter stc. / 2

n = aantal bouten en $I_p = \Sigma (I_x^2 + I_y^2) = (n / 2) * (d_{stc}./ 2)^2$

Flensverbinding met één boutrij : $I_p = (n / 2) * (d_{stc}./ 2)^2$

Flensverbinding met twee boutrij : $I_p = (n / 4) * [(d_{stc1}./ 2)^2 + (d_{stc2}./ 2)^2]$

Flensverbinding met twee boutrij symmetrisch (voetplaat) :

$$I_p = (n / 2) * (d_{stc.gemiddeld}./ 2)^2$$

Flenzen en voetplaat:

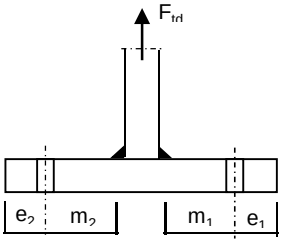

1 -Voetplaat

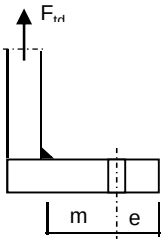

2 -Flens met 1 rij bouten

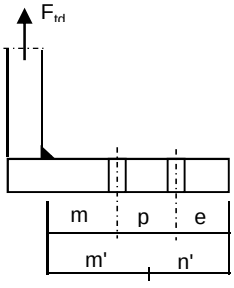

3 -Flens met 2 rij bouten

1 - Voetplaat : $m = \max.(m_1;m_2)$
$e = \max.(e_1;e_2)$
$n = \min.(1{,}25*m;e)$

Bezwijkvorm 1 : $F_{t,Rd} = 4 * M_{pl} / m$
Bezwijkvorm 2 : $F_{t,Rd} = (2 * M_{pl} + n * 2 * F_{t;u;d}) / (m + n)$
Bezwijkvorm 3 : $F_{t,Rd} = 2 * F_{t;u;d}$

2 - Flens met 1 rij bouten :
m, n en e zoals bij voetplaat

Bezwijkvorm 1 : $F_{t,Rd} = 2 * M_{pl} / m$
Bezwijkvorm 2 : $F_{t,Rd} = (M_{pl} + n * F_{t;u;d}) / (m + n)$
Bezwijkvorm 3 : $F_{t,Rd} = F_{t;u;d}$

3 - Flens met 2 rij bouten :
$m' = m + p / 2$
$n' = n + p / 3$
$n = \min.(1{,}25*m;e)$

Bezwijkvorm 1 : $F_{tEd} = M_{pl} * (1+n'/n) / m'$
Bezwijkvorm 2 : $F_{t,Ed} = (M_{pl} + n' * F_{t;u;d}) / (m' + n')$
Bezwijkvorm 3 : $F_{t,Ed} = 2 * F_{t;u;d}$

$M_{pl} = (1/4) * L_{eff} * t_{fl}^2 * f_y$

$L_{eff} = \min(p ; 4*m + 1{,}25*e ; 2*\pi*m)$

Bouten en ankers

st.c in mm	aantal bouten	$F_{t,Ed}$ kN	$F_{v,Ed}$ kN	knoop nummer	aanwezig bout	$F_{t,Rd}$ kN	toetsing-regel
Ankers							
st.c buitenkant		2258,00					
st.c binnenkant		1714,00					
1986	64	565,67	7,31	28	M 48 - 8,8	848,4	0,67
flenzen op 29,0 m hoogte.							
st.c buitenkant		1060,00					
1060,00	28	751,68	13,86	17	M 48 - 10,9	1060,6	0,71

Dikte voetplaat en flenzen - conform NEN - EN 1993-1-8,

Stc1	Stc2 mm	m mm	e mm	n mm	m' mm	n' mm	l_{ef} mm
voetplaat							
2258,00	1714,00	118,2	85,0	85,0			168,3
2258,00	1714,00	118,2	85,0	85,0			221,7
flenzen op 29,0 m hoogte.							
1060,00	1060,0	70,2	60,0	60,0			118,9
1060,00	1060,0	72,2	60,0	60,0			118,9

flens dikte mm	$M_{pl;d}$ Nmm	bezwijk-vorm 1	bezwijk-vorm 2	bezwijk-vorm 3	maatgev. $F_{t,Rd}$	$F_{t,Ed}$ kN	toetsing-regel
voetplaat							
80	9,02E+07	3051,93	1597,46	1696,90	1597,46	1131,34	0,71
80	1,19E+08	4020,57	1879,20	1696,90	1696,90	1131,34	0,67
flenzen op 29,0 m hoogte.							
80	6,37E+07	1815,86	978,26	1060,56	978,26	751,68	0,77
80	6,37E+07	1765,57	963,46	1060,56	963,46	751,68	0,78
	Krachten in kN						

Lassen

A - Flenzen

Alle lassen: voorbewerkt 1/2 V- las met een tegenlas (K35 , lasdetail 301 van NEN 2063).

B - Buizen

Alle lassen: voorbewerkt X- las
Bij gelijke wanddikte (K50 , lasdetail 102 van NEN 2063).
Bij dikte overgang asymmetrisch (K45 , lasdetail 112 van NEN 2063).

Bouten

Alle bouten: Voorspanning 70% van de trekkracht met betrekking tot de capaciteit van de bout in de uiterste grenstoestand

6.0 - Controle berekening vortex shedding

Belasting loodrecht op windrichting (respons door wervelvorming) - Eurocode 1

De respons is bepaald volgens Eurocode 1, Deel 1 - 4 ,bijlage E

De kritische windsnelheid $v_{crit,1} = b * n_{i,y} / St$

b is de referentiebreedte van de doorsnede waarbij resonantie met de wervelvorming optreedt voor cirkelvormige cilinders is de referentiebreedte de uitwendige diameter.

St is de Strouhal getal conform E.1.3.2 ; voor cirkelcilinders St = 0,18

buis	$n_{1,y}$ Hz	$d_{buis;gem}$ m	St	$v_{krit,1}$ m/s
500 /1930	0,55	1,254	0,18	3,80

Scrutongetal Sc

De Scrutongetal Sc word bepaald met:

$$Sc = 2 * \delta_s * m_{i;e} / \rho * b^2$$

ρ is de dichtheid van lucht: $\rho = 1,25$ kg/m^3

b is de referentiebreedte van de doorsnede waarbij resonantie met de wervelvorming optreedt

$$b = d_{w;gem}$$

δ_s is het logaritmische decrement van de constructieve demping

$$\delta_s = 0,030$$

Opmerking:
In Eurocode 1, Tabel F.2 is geen waarde gegeven voor de constructieve demping voor een hoogspanningsmast met een enkel buisprofiel. In de tabel wordt alleen de benaderde waarde van de constructieve demping van een stalen schoorsteen (met of zonder isolatie) aangegeven. In de NEN 1060 (Bovengrondse hoogspanningslijnen – voorloper van NEN-EN 50341) art. 9.2.6.5 wordt het logaritmisch decrement beschreven als $\delta = 2.\pi.D$. D is de dempingsmaat bij responsie loodrecht op de windrichting en is gelijk aan 0.005. Dit resulteert $\delta = 2.\pi.0.005 = 0.0314$. Deze formule is ook aangegeven in de DIN 4133 (Schornsteine aus Stahl) en als benaderde waarde van de constructieve demping van een stalen schoorsteen met 2 of 3 koppelingen is 0.025 en 0.03 aangegeven.
Daarom wordt in deze berekening voor de constructieve demping 0.03 aangehouden.

$m_{i;e}$ is de equivalente massa m_e per lengte eenheid, in kg/m, gewogen naar de trillingsvorm :

$$m_e = \frac{\int_0^{l} m(s) * \phi^2_i(s)\, ds}{\int_0^{l} \phi^2_i(s)\, ds}$$

Zie berekening eigenfrequentie

knoop nummer	verpl. δ mm	$\phi_{i;1}$	staaf nummer	ϕ_i	gewicht mast kg	gewicht traverse kg	massa m kg/m
1	1499	1,000		1,000			
2	1468	0,979	1 -- 2	0,989	133	428	783,2
3	1370	0,914	2 -- 3	0,946	435		199,0
4	1241	0,828	3 -- 4	0,871	643	3757	1517,3
5	1145	0,763	4 -- 5	0,796	540		244,8
6	1115	0,743	5 -- 6	0,753	179		257,8
7	992	0,662	6 -- 7	0,703	899		310,1
8	875	0,584	7 -- 8	0,623	986		339,9
9	798	0,532	8 -- 9	0,558	732		365,0
10	764	0,510	9 -- 10	0,521	340		379,9
11	711	0,474	10 -- 11	0,492	635	3770	3038,1
12	660	0,440	11 -- 12	0,457	660		454,9
13	610	0,407	12 -- 13	0,424	684		471,6
14	562	0,375	13 -- 14	0,391	708		488,4
15	505	0,337	14 -- 15	0,356	915	3788	2606,0
16	472	0,315	15 -- 16	0,326	574		523,9
17	389	0,260	16 -- 17	0,287	1586	680	781,3
18	315	0,210	17 -- 18	0,235	1862		642,2
19	277	0,185	18 -- 19	0,197	1044	819	1164,4
20	248	0,165	19 -- 20	0,175	897		689,7
21	190	0,127	20 -- 21	0,146	2078		716,6
22	140	0,093	21 -- 22	0,110	2397		826,6
23	97	0,065	22 -- 23	0,079	2516		867,5
24	62	0,041	23 -- 24	0,053	2634		908,4
25	35	0,023	24 -- 25	0,032	2753		949,3
26	16	0,010	25 -- 26	0,017	2872		990,2
27	4	0,003	26 -- 27	0,006	2990		1031,1
28	0	0,000	27 -- 28	0,001	3109	1732	1669,2

staaf nummer	massa m kg/m	ϕ_i	s m	ϕ_i^2 * (s)	ϕ_i^2 *(s)*m	ϕ_i * (s)
1 -- 2	783	0,989	0,716	0,70	548,88	0,71
2 -- 3	199	0,946	2,184	1,96	389,16	2,07
3 -- 4	1517	0,871	2,900	2,20	3336,71	2,53
4 -- 5	245	0,796	2,205	1,40	341,69	1,75
5 -- 6	258	0,753	0,695	0,39	101,71	0,52
6 -- 7	310	0,703	2,900	1,43	443,92	2,04
7 -- 8	340	0,623	2,900	1,12	382,09	1,81
8 -- 9	365	0,558	2,005	0,62	227,69	1,12
9 -- 10	380	0,521	0,895	0,24	92,23	0,47
10 -- 11	3038	0,492	1,450	0,35	1066,40	0,71
11 -- 12	455	0,457	1,450	0,30	137,89	0,66
12 -- 13	472	0,424	1,450	0,26	122,66	0,61
13 -- 14	488	0,391	1,450	0,22	108,23	0,57
14 -- 15	2606	0,356	1,805	0,23	595,81	0,64
15 -- 16	524	0,326	1,095	0,12	60,87	0,36
16 -- 17	781	0,287	2,900	0,24	186,77	0,83
17 -- 18	642	0,235	2,900	0,16	102,55	0,68
18 -- 19	1164	0,197	1,600	0,06	72,43	0,32
19 -- 20	690	0,175	1,300	0,04	27,47	0,23
20 -- 21	717	0,146	2,900	0,06	44,31	0,42
21 -- 22	827	0,110	2,900	0,03	28,92	0,32
22 -- 23	868	0,079	2,900	0,02	15,64	0,23
23 -- 24	908	0,053	2,900	0,01	7,40	0,15
24 -- 25	949	0,032	2,900	0,00	2,88	0,09
25 -- 26	990	0,017	2,900	0,00	0,81	0,05
26 -- 27	1031	0,006	2,900	0,00	0,13	0,02
27 -- 28	1669	0,001	2,900	0,00	0,01	0,00
		Σ	58,00	12,18	8445,25	19,91

m_e = 8445,3 / 12,2 = 693,6 kg/m

$Sc = 2 * \delta_s * m_{i;e} / \rho * b^2$

buis	$m_{1;e}$ kg/m	δ_s	ρ kg/m^3	b = d_w in m	Sc
500 /1930	693,6	0,030	1,25	1,254	21,2

Berekening van verplaatsingen

de grootste $y_{f;max}$ verplaatsing kan berekend worden met:

$$y_{F;max} / b = (1/St^2) * (1/Sc) * K * K_w * C_{lat}$$

St is de Strouhal getal = 0,18

Sc is de Scrutongetal = 21,2

K is trillingsvormfactor en is gelijk aan

$$K = \frac{\sum_{i=1}^{m} \int_{\ell_i} |\phi_i(s)| \, ds}{4.\pi.\sum_{i=1}^{n} \int_{\ell_i} \phi^2_i(s) \, ds}$$

Voor i = 1 (eerste trillingsvorm) is m = n = 1

K = 19,91 / (4 * π * 12,18) = 0,130 (tabel E.5)

C_{lat} is de laterale krachtcoëfficiënt gegeven in E.1.5/2.5

C_{lat} : $R_e (V_{crit}) < 3*10^5$; $C_{lat} = 0,7$

$5*10^5 < R_e (V_{crit}) < 5*10^6$; $C_{lat} = 0,2$

$R_e (V_{crit}) > 7*10^7$; $C_{lat} = 0,3$

$R_e (V_{crit}) = b * v(crit) / \nu$;
ν is de kinematische viscositeit van de lucht $\nu = 15*10^{-6}$ m^2/s

$R_e (V_{crit})$ = 1,254 * 3,80 / $15*10^{-6}$ = 3,2E+05

C_{lat} = 0,64

K_w is de effectieve correlatiefactor gegeven in E.1.5.2.4

$$K_w = \frac{\sum_{i=1}^{m} \int_{L_j} |\phi_i(s)| \, ds}{\sum_{i=1}^{n} \int_{\ell_i} |\phi_i(s)| \, ds} \leq 0,6$$

Voor i = 1 (eerste trillingsvorm) is m = n = 1

Lj / b = 6
Lj = 7,52 m - (effectieve correlatielengte)

K_w = 6,67 / 19,91 = 0,34

$y_{F;max}$ / b = 30,86 * 0,047 * 0,130 * 0,34 * 0,64369² = 0,041

$y_{F;max}$ = 1,254 * 0,041 = 0,051 m

$\Delta\sigma_{dyn} = 2 * C_{rd} * y_{F;max}$

De factor C_{rd} volgt uit de spanning door een opgelegde verplaatsing volgens de eerste eigentrilling.

Opgelegde verplaatsing van 1000 mm

knoop nummer	staaf i--j	q_{last} N	F_{last} N	dwarskr. N	moment Nmm	hoekver. rad.	verpl. mm
1	1 -- 2		74669	74669	0,00E+00	4,5E-02	1000
2	2 -- 3			74669	5,35E+07	4,5E-02	967
3	3 -- 4			74669	2,17E+08	4,4E-02	870
4	4 -- 5			74669	4,33E+08	4,0E-02	748
5	5 -- 6			74669	5,98E+08	3,7E-02	664
6	6 -- 7			74669	6,50E+08	3,5E-02	639
7	7 -- 8			74669	8,66E+08	3,1E-02	541
8	8 -- 9			74669	1,08E+09	2,8E-02	455
9	9 -- 10			74669	1,23E+09	2,5E-02	402
10	10 -- 11			74669	1,30E+09	2,4E-02	380
11	11 -- 12			74669	1,41E+09	2,3E-02	347
12	12 -- 13			74669	1,52E+09	2,1E-02	315
13	13 -- 14			74669	1,62E+09	2,0E-02	285
14	14 -- 15			74669	1,73E+09	1,8E-02	258
15	15 -- 16			74669	1,87E+09	1,7E-02	226
16	16 -- 17			74669	1,95E+09	1,6E-02	209
17	17 -- 18			74669	2,17E+09	1,3E-02	166
18	18 -- 19			74669	2,38E+09	1,1E-02	130
19	19 -- 20			74669	2,50E+09	1,0E-02	113
20	20 -- 21			74669	2,60E+09	9,6E-03	100
21	21 -- 22			74669	2,82E+09	7,9E-03	74
22	22 -- 23			74669	3,03E+09	6,5E-03	53
23	23 -- 24			74669	3,25E+09	5,2E-03	36
24	24 -- 25			74669	3,46E+09	4,0E-03	23
25	25 -- 26			74669	3,68E+09	2,9E-03	12
26	26 -- 27			74669	3,90E+09	1,9E-03	5
27	27 -- 28			74669	4,11E+09	9,1E-04	1
28	28 -- 29			74669	4,33E+09	0,0E+00	0

Wissel spanning

$$\Delta\sigma_{dyn} = 2 * C_{rd} * y_{F;max}$$

staaf nummer	profiel		$W_{y;el}$	$\sigma_{buiging}$ (C_{rd})	$y_{F;max}$	$\Delta\sigma_{dyn}$
	D (mm)	t (mm)	mm^3	N/mm^2	m	MPa
1	519	14,0	2726398	20	0,0513	2,0
2	575	14,0	3383259	64	0,0513	6,6
3	651	14,0	4365052	99	0,0513	10,2
4	708	14,0	5195221	115	0,0513	11,8
5	726	14,0	5471865	119	0,0513	12,2
6	802	16,0	7603905	114	0,0513	11,7
7	877	16,0	9148917	118	0,0513	12,1
8	929	16,0	10300648	120	0,0513	12,3
9	952	16,0	10836810	120	0,0513	12,3
10	990	18,0	13120943	107	0,0513	11,0
11	1028	18,0	14167651	107	0,0513	11,0
12	1066	18,0	15254545	106	0,0513	10,9
13	1103	18,0	16381624	106	0,0513	10,9
14	1150	18,0	17840792	105	0,0513	10,7
15	1179	18,0	18756340	104	0,0513	10,7
16	1254	18,0	21291799	102	0,0513	10,4
17	1329	20,0	26532766	90	0,0513	9,2
18	1371	20,0	28258144	89	0,0513	9,1
19	1405	20,0	29700046	87	0,0513	9,0
20	1480	20,0	33045930	85	0,0513	8,7
21	1556	22,0	40071933	76	0,0513	7,8
22	1631	22,0	44137519	74	0,0513	7,6
23	1706	22,0	48399569	72	0,0513	7,3
24	1782	22,0	52858084	70	0,0513	7,1
25	1857	22,0	57513063	68	0,0513	7,0
26	1933	22,0	62364506	66	0,0513	6,8
27	2008	22,0	67412414	64	0,0513	6,6

Bepaling van het aantal spanningscycli

Het aantal spanningswisseling N veroorzaakt door trilling door wervelvorming wordt berekend met:

$$N = 2 * T * n_{i;y} * \varepsilon_o * [V_{crit} / V_o]^2 * \exp[-(V_{crit} / V_o)^2] >= 10^4$$

$n_y = n_{1;y}$ = 0,55 Hz eigenfrequentie van trillingsvorm loodrecht op wind

T is levensduur in seconden = $3,2 * 10^7$ maal de vervachte levensduur in jaren

$V_{crit,1}$ = 3,80 m/s De kritische windsnelheid

ε_o is bandbreedtefactor = 0,3

V_o is wortel(2) maal de modus van de Weibull waarschijnlijkheidsverdeling van de windsnelheid in m/s
V_o = 20% van de karakteristieke gemiddelde windsnelheid op hoogte waar wervelvorming plaatsvind

z_s = 54,238 m - hoogte waar wervelvorming plaatsvindt = $L_{mast} - L_j / 2$

Wedgebied II - onbebouwd

Basiswindsnelheid $V_{b,0}$ = 27 m/s

Terreincategorie : II - Onbebouwd gebied

Richtingsfactor C_{dir} = 1,0
Seizoensfactor C_{season} = 1,0
Orografiefactor $C_o(z)$ = 1,0

z_0 = 0,200 m

Gemiddelde windsnelheid $V_m(z) = (V_{b,0} * C_{dir} * C_{season}) * c_r(z)$

$c_r(z) = k_r * \ln\{ z / z_0\}$ voor $z_{min} \le z \le z_{max}$
$c_r(z) = c_r(z_{min})$ voor $z \le z_{min}$

$k_r = 0,19 \ln\{ z_0 / z_{0,II}\}^{0,07}$ $z_{0;II}$ = 0,05 m

$k_r = 0,19 \ln\{ 0,200 / 0,05\}^{0,07}$ = 0,21

$c_r(z) = 0,21 * \ln\{ 28,5 / 0,200\}$ = 1,17

$V_m(z)$ = 31,7 m/s

V_o = 31,7 * 20 / 100 = 6,33 m/s

$N = 2 * 50 * 3,2.10^7 * 0,3 * 0,55 * [3,80 / 6,33]^2 * \exp[-(3,80 / 6,33)^2]$ = 1,32E+08 aantal/per

Vermoeiingsschade t.g.v. dwarstrilling

De vermoeiingsschade vindt plaats door het belastingspectrum te toetsen aan de bij het detail behorende $\Delta\sigma$-N lijn conform NEN 2063.

$\Delta\sigma < 0{,}55\,\Delta\sigma_k$ ------> $N = \infty$

$0{,}55\,\Delta\sigma_k < \Delta\sigma < \Delta\sigma_k$ ------> $N.\Delta\sigma^5 = N_k.\Delta\sigma^5_k$

$\Delta\sigma > \Delta\sigma_k$ ------> $N.\Delta\sigma^3 = N_k.\Delta\sigma^3_k$

$N_k = 10^7$

$\Delta\sigma_i$ is het i^e spanningsniveau

$\Delta\sigma_k$ is het spanningsinterval behorende bij 10^7 wisselingen op de $\Delta\sigma_i$-N lijn.

$\gamma * \Delta\sigma =$ 1,2 * $\Delta\sigma$

$\Delta\sigma k =$	45	MPa	Voorbewerkt X- las (K45 , lasdetail 112 van NEN 2063).
$\Delta\sigma k =$	35	MPa	Voorbewerkt 1/2V- las (K35 , lasdetail 301 van NEN 2063).

Plaats van trilling		$\gamma * \Delta\sigma =$	$\Delta\sigma_k$	$0{,}55\,\Delta\sigma_k$	N - wissel.	N	D
		in	in	in	$\Delta\sigma_i$-N lijn	aantal	beschadiging
Knoop		MPa	MPa	MPa		span.wissl.	< 1
3	Lasnaad	7,88	45	24,75	1,000E+10	1,32E+08	0,01
4	Lasnaad	12,22	45	24,75	1,000E+10	1,32E+08	0,01
5							
6	Lasnaad	14,62	45	24,75	1,000E+10	1,32E+08	0,01
7	Lasnaad	14,03	45	24,75	1,000E+10	1,32E+08	0,01
8	Lasnaad	14,57	45	24,75	1,000E+10	1,32E+08	0,01
9							
10	Lasnaad	14,76	45	24,75	1,000E+10	1,32E+08	0,01
11							
12	Lasnaad	13,18	45	24,75	1,000E+10	1,32E+08	0,01
13							
14	Lasnaad	13,02	45	24,75	1,000E+10	1,32E+08	0,01
15							
16	Lasnaad	12,80	45	24,75	1,000E+10	1,32E+08	0,01
17	flenzen	12,52	35	19,25	1,000E+10	1,32E+08	0,01
18	Lasnaad	11,06	45	24,75	1,000E+10	1,32E+08	0,01
19							
20	Lasnaad	10,77	45	24,75	1,000E+10	1,32E+08	0,01
21	Lasnaad	10,49	45	24,75	1,000E+10	1,32E+08	0,01
22	Lasnaad	9,32	45	24,75	1,000E+10	1,32E+08	0,01
23	Lasnaad	9,06	45	24,75	1,000E+10	1,32E+08	0,01
24	Lasnaad	8,82	45	24,75	1,000E+10	1,32E+08	0,01
25	Lasnaad	8,58	45	24,75	1,000E+10	1,32E+08	0,01
26	Lasnaad	8,35	45	24,75	1,000E+10	1,32E+08	0,01
27	Lasnaad	8,12	45	24,75	1,000E+10	1,32E+08	0,01
28	voetplaat	7,91	35	19,25	1,000E+10	1,32E+08	0,01

7.0 - Fundatie belastingen

Fundatie belastingen in ULS-toestand - (Ultimate limit state)

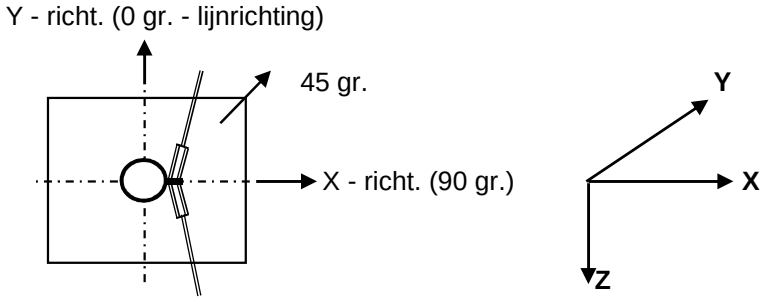

Belasting geval / comb	X - reactie kN	Y - reactie kN	Z - reactie kN	M_x - reactie kNm	M_y - reactie kNm	M_z - reactie kNm
Windrich. 90 graden						
1 - EG mast			459			
2 - Windbelasting mast	107				2985	
3 - Belasting geval 1a	361		149		15366	
4 - Belasting geval 1b	122		158		5456	
5 - Belasting geval 3	273		300		11833	
6 - Belasting geval 4	122		186		5489	
Combinatie 1 : BG1 * 1,2 + BG2 * 1,6 + BG3 * (1,2 eg, 1,5 windbel.)						
	468		**608**		**18351**	
Combinatie 2 : BG1 * 1,2 + BG2 * 0,3 + BG4 * (1,2 eg, 0,3 windbel.)						
	143		617		6016	
Combinatie 3 : BG1 * 1,2 + BG2 * 0,45 + BG5 * (1,2 eg, 1,5 windbel.)						
	303		759		12672	
Combinatie 4 : BG1 * 1,2 + BG2 * 0,3 + BG5 * (1,2 eg, 1,5 windbel.)						
	142		645		6049	

Samenvatting Fundatiebelastingen

	B.C. 1 - SLS γ_{eg}=1.0 , γ_q=1.0		B.C. 2 - ULS γ_{eg}=1.2 , γ_q=1.6		B.C. 3 - ULS γ_{eg}=0.9 , γ_q=1.6	
Voetmoment	12687	kNm	18351	kNm	18351	kNm
Dwarskracht	320	kN	468	kN	468	kN
Verticale kracht	508	kN	608	kN	457	kN

8,0 - Betonspanning onder voetplaat en instortring

st.c in mm	aantal ankers	$F_{t,Ed}$ kN	$F_{v,Ed}$ kN	knoop nummer	aanwezig anker	$F_{t,Rd}$ kN	Percentage belasting
Ankers krachten in ULS-toestand							
st.c buitenkant		2258,00					
st.c binnenkant		1714,00					
1986	64	565,67	7,31	28	M 48 - 8,8	848,45	0,67
Voorspanning ankers in SLS-toestand (100%)							
st.c buitenkant		2258,00					
st.c binnenkant		1714,00					
1986	64	391,32	5,00	28	M 48 - 8,8	848,45	0,46

Maximale trekkracht in de anker :

$F_{t,Ed}$ = 565,7 kN

Maximale voorspanning in de anker :

$F_{t,Ed}$ = 391,3 kN

Maximale drukkrackt :

$F_{c,Ed}$ = 587,0 + 1,00 * 391,3 = 978,3 kN

A - drukspanning onder voetplaat

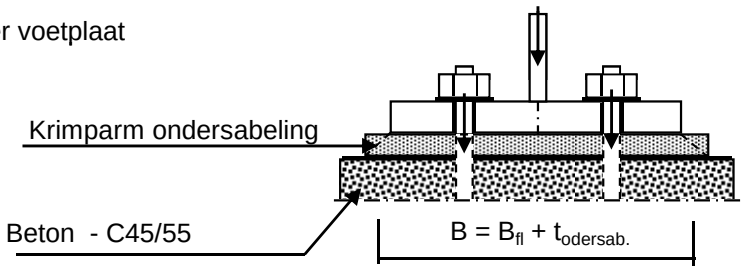

Toetsing :

$\sigma_b < 0,7 * f_{cd} = 0,7 * 45 / 1,5 = 21,0$ N/mm^2

B_{fl} =	442,0	mm	D =	1986	mm
$t_{ondersab.}$ =	40,0	mm	n =	64	
B =	482,0	mm			

A_{voetpl} = 482 * 2*π*D / n = 93978 mm^2

$\sigma_{b;voet} = 2 * F_{c,Ed} / A$ = 20,8 N/mm^2 < 21,0 -- Voldoet

B - drukspanning onder instortring

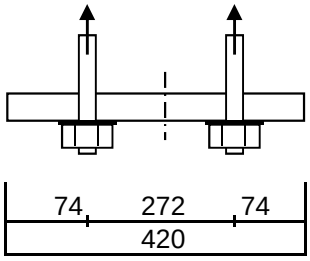

D = 1986 mm
n = 64

$A_{stortring}$ = 420 * $2*\pi*D / n$ = 81890 mm^2

$\sigma_{b;stortr.} = 2 * F_{c,Ed} / A$ = 13,8 N/mm^2 < 21,0 -- Voldoet

Dikte instortring

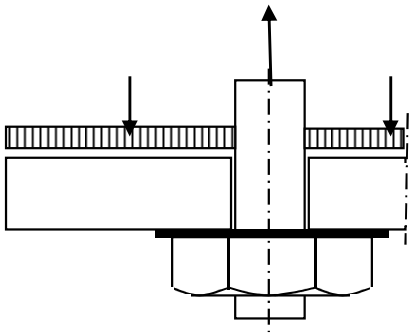

$L_{uitkr.}$ = 74 mm
L_{veld} = 272 mm

t = 35 mm
$f_{y;d}$ = 355 N/mm^2

$M_{Ed;st}$ = 37827 Nmm/mm' ; $V_{z;Ed;st}$ = 1879 N/mm'

of $M_{Ed;veld}$ = 89938 Nmm/mm' ; $V_{z;Ed;st}$ = 0 N/mm'

$M_{Ed;max}$ = 89938 Nmm/mm' ; $V_{z;Ed;st}$ = 1879 N/mm'

$M_{Rd} = (1/4) *1,0 * t^2 * f_y$ = 108719 Nmm/mm'
$V_{Rd} = 1,0 * t * f_y / 3^{0,5}$ = 7174 N/mm'

M_{Ed} / M_{Rd} = 89938 / 108718,8 = 0,83 < 1,0 -- Voldoet
σ_b = 293,7 N/mm^2

V_{Ed} / V_{Rd} = 1879 / 7174 = 0,26 < 1,0 -- Voldoet
τ_z = 53,7 N/mm^2

vergelijkingsspanning :

$\sigma_{vlg} = (293,7^2 + 3*53,7^2)^{0,5}$
σ_{vlg} = 308 N/mm^2 < 355 MPa -- Voldoet

9.0 - Detailberekeningen

9.1 - Berekening V-brace - 380 kV

9.1.1 - Berekening uithouder V-brace - 380 kV

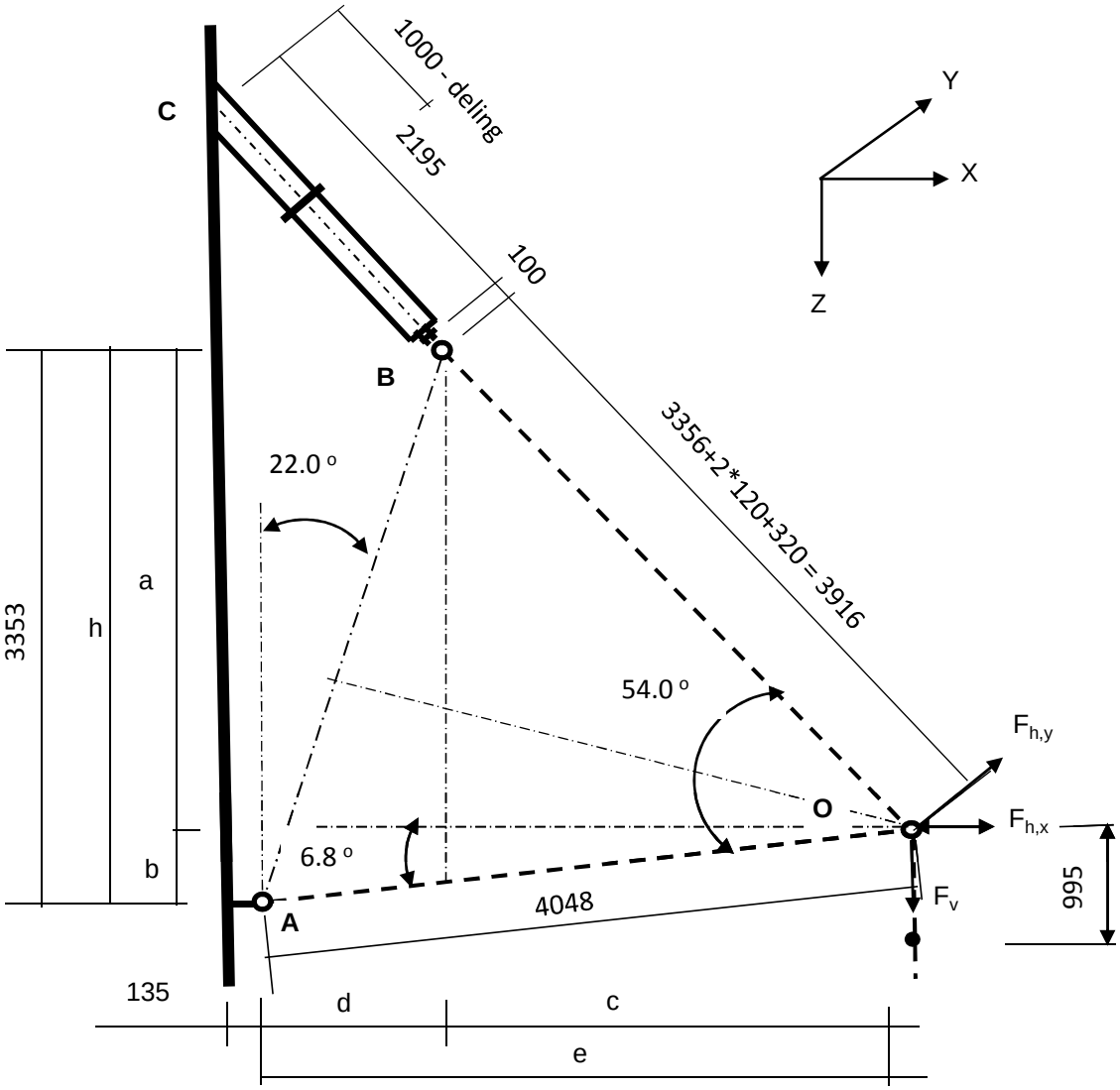

Belastingen : Zie KEMA rapport 74100706-ETD/POL 12-001 38 REV 002 - Appendix AA
Afmeting en hoeken van de V-brace : Conform tekening SEFAG 180 480-099 en tekening KEMA 74104749-40-005 (14-01-2014)

A - Belastinggeval wind / ijs

	AHEAD			BACK		
	$F_{h,x}$	$F_{h,y}$	F_v	$F_{h,x}$	$F_{h,y}$	F_v
	N	N	N	N	N	N
BG 1a - (+wind (90 gr))	46273	258559	17833	46273	-258559	17833
BG 3 - (+wind (90) + ijs)	31881	265134	31881	31881	-265134	31881
BG 1a - (+wind (45 gr))	28035	192197	18290	28035	-192197	18290
BG 3 - (+wind (45) + ijs)	21964	246866	32206	21964	-246866	32206

$F_{h,x}$ = Transverse kracht
$F_{h,y}$ = Longitudinale kracht
F_v = Verticale kracht

	F_v (N)		$F_{h,x}$ (N)	$F_{h,y}$ (N)
BG 1a - (wind (90 gr))	35666	±	92546	0
BG 3 - (wind (90) + ijs)	63762	±	63763	0
BG 1a - (wind (45 gr))	36581	±	56070	0
BG 3 - (wind (45) + ijs)	64411	±	43928	0

a =	2873	mm	b =	479	mm
h =	3353	mm	c =	2661	mm
d =	1359	mm	e =	4020	mm

$\gamma_{m;extra}$ = 1,5 (extra materiaalfactor)

	$R_{X,A,Ed}$ kN	$R_{y,A,Ed}$ kN	$R_{z,A,Ed}$ kN	$R_{X,B,Ed}$ kN	$R_{y,B,Ed}$ kN	$R_{z,B,Ed}$ kN
BG 1a - (+wind (90 gr))	53,6	0,00	-6,4	38,9	0,00	42,1
BG 1a - (-wind (90 gr))	-113,1	0,00	13,5	20,5	0,00	22,2
BG 3 - (+wind (90) + ijs)	4,2	0,00	-0,5	59,5	0,00	64,3
BG 3 - (-wind (90) + ijs)	-110,6	0,00	13,2	46,8	0,00	50,6
BG 1a - (+wind (45 gr))	20,0	0,00	-2,4	36,1	0,00	39,0
BG 1a - (-wind (45 gr))	-81,0	0,00	9,7	24,9	0,00	26,9
BG 3 - (+wind (45) + ijs)	-14,2	0,00	1,7	58,1	0,00	62,7
BG 3 - (-wind (45) + ijs)	-93,3	0,00	11,1	49,3	0,00	53,3

Ter plaatse van aansluiting buis aan mast (punt C)

	$R_{x,C,Ed}$ kN	$R_{y,C,Ed}$ kN	$R_{z,C}$,Ed kN	$M_{y;C,Ed}$ kNm	$M_{z,C,Ed}$ kNm
BG 1a - (+wind (90 gr))	38,95	0,00	42,06	0,00	0,00
BG 1a - (-wind (90 gr))	20,54	0,00	22,18	0,00	0,00
BG 3 - (+wind (90) + ijs)	59,51	0,00	64,27	0,00	0,00
BG 3 - (-wind (90) + ijs)	46,83	0,00	50,57	0,00	0,00
BG 1a - (+wind (45 gr))	36,08	0,00	38,96	0,00	0,00
BG 1a - (-wind (45 gr))	24,93	0,00	26,92	0,00	0,00
BG 3 - (+wind (45) + ijs)	58,08	0,00	62,72	0,00	0,00
BG 3 - (-wind (45) + ijs)	49,35	0,00	53,29	0,00	0,00

B - Belastinggeval bundelbreuk

	F_v (N)	F_h (N))*
BG 1a / 1,2	29721	60000

)* - Zie rapoportage Kema 18 maart 2011

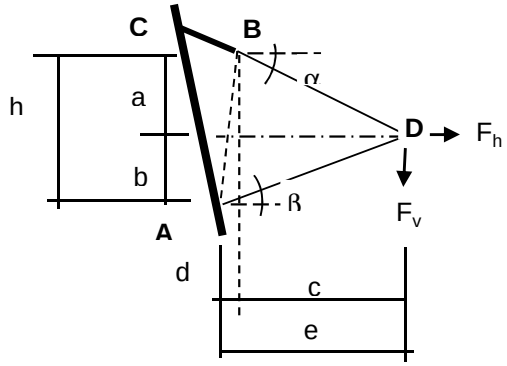

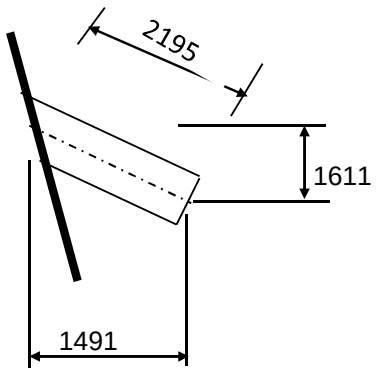

a =	1663	mm	b =	1954	mm
h =	3617	mm	c =	3719	mm
d =	0	mm	e =	3719	mm

Belasting geval bundelbreuk

$F_{h,Ed}$ =	60,00	kN	$F_{v,Ed}$ =	29,72	kN	
$R_{H,A,Ed}$ =	-2,97	kN	$R_{V,A,Ed}$ =	-1,56	kN	
$R_{H,B,Ed}$ =	62,97	kN	$R_{V,B,Ed}$ =	28,16	kN	

Ter plaatse van aansluiting isolator aan de steunarm (punt B)

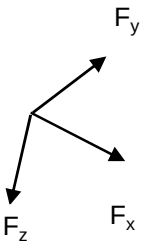

$F_{y,Ed} = R_{H,B,Ed}$ =

$F_{z,Ed} = R_{V,B,Ed} * Cos16,3^o * Cos47,2^o - R_{V,B,Ed} * Sin16,3^o * Sin47,2^o$ =

$F_{x,Ed} = R_{V,B,Ed} * Cos16,3^o * Sin47,2^o - R_{V,B,Ed} * Sin16,3^o * Cos47,2^o$ =

$F_{y,Ed}$ =	62,97	kN
$F_{z,Ed}$ =	9,97	kN
$F_{x,Ed}$ =	26,34	kN

Lokaal assenstelsel

Ter plaatse van aansluiting steunarm aan de mast (punt C)

N_{Ed}	$V_{y,Ed}$	$V_{z,Ed}$	$M_{x,Ed}$	$M_{y,Ed}$	$M_{z,Ed}$
kN	kN	kN	kNm	kNm	kNm
26,34	62,97	9,97	93,90	21,89	138,21

Buis Ø323,9 * 12,5 - S355 ;

A =	12229	mm^2	$N_{Ed} = A * f_y / 1,5$ =	2894	kN
$W_y = W_z$ =	9,17E+05	mm^3	$M_{y,Ed} = W_y * f_y / 1,5$ =	217,0	kNm
W_x =	1,83E+06	mm^3	$M_{z,Ed} = W_z * f_y / 1,5$ =	217,0	kNm
			$M_{x,Ed} = W_x * f_y / 1,5 * 3^{0,5}$ =	250,5	kNm
			$V_{Rd} = 0,5*A* f_y / 1,5*3^{0,5}$ =	835,5	kN

BG 3 - (+wind + ijs)

N_{Ed} = { $59,5^2$ + $64,3^2$ }^{0,5} = 87,59 kN

N_{Ed} / N_{Rd} = 87,59 / 2894 = 0,03 < 1,0 -- Voldoet

σ_N = 7,2 N/mm²

BG 1a - (+wind (45 gr))

$M_{y,Ed}$ =	0,00	kNm ;	$\sigma_{b,y}$ =	0,0	N/mm²
N_{Ed} =	53,10	kN ;	σ_N =	4,3	N/mm²
			σ_{max} =	4,3	N/mm²

Belasting geval bundelbreuk

N_{Ed} / N_{Rd} =	26,34	/	2894	=	0,01	< 1,0 -- Voldoet
			σ_N =		2,2	N/mm²
$M_{y,Ed} / M_{y,Rd}$ =	21,89	/	217	=	0,10	< 1,0 -- Voldoet
			$\sigma_{b,y}$ =		23,9	N/mm²
$M_{z,Ed} / M_{z,Rd}$ =	138,21	/	217	=	0,64	< 1,0 -- Voldoet
			$\sigma_{b,z}$ =		150,8	N/mm²
$M_{x,Ed} / M_{x,Rd}$ =	93,90	/	251	=	0,37	< 1,0 -- Voldoet
			τ_w =		51,2	N/mm²

$V_{y,Ed} / V_{y,Rd}$ = 62,97 / 835 = 0,08 < 1,0 -- Voldoet

τ_y = 10,3 N/mm^2

$V_{z,Ed} / V_{z,Rd}$ = 9,97 / 835 = 0,01 < 1,0 -- Voldoet

τ_z = 1,6 N/mm^2

Maximale buigspanning

$\sigma_{b,max} = \{ 23,9^2 + 152,9^2 \}^{0,5} = 154,8$ N/mm^2

vergelijkingsspanning :

$$\sigma_{vlg} = (\sigma^2_{b,max} + 3*\tau^2_y + 3*\tau^2_z + 3*\tau^2_w)^{0,5}$$

σ_{vlg} = 179 N/mm^2 < 237 MPa -- Voldoet

Controle spanningen in las:

Toetsing regel :

$\sigma_{Ed} \leq f_u / (\beta_w * \gamma_{M2})$ of $\sigma_1 = \sigma_{loodrecht} \leq 0,9 * f_u / \gamma_{M2}$

$f_{v,w,d} = f_u / (\beta_w * \gamma_M *$ wortel(3))

$\gamma_M = 1,25$; $\gamma_{m;extra}$ = 1,5 (extra materiaalfactor)

Materiaal S 355 ----> f_u = 510 N/mm^2 en β_w = 0,9

$f_u / (\beta_w * \gamma_{M2})$ = 302 N/mm^2 $0,9 * f_u / \gamma_{M2}$ = 245 N/mm^2

Lassen : Rondom voorbewerkte V- las met volledige doorsnede doorlassen

Berekening versterkingsplaat V-brace

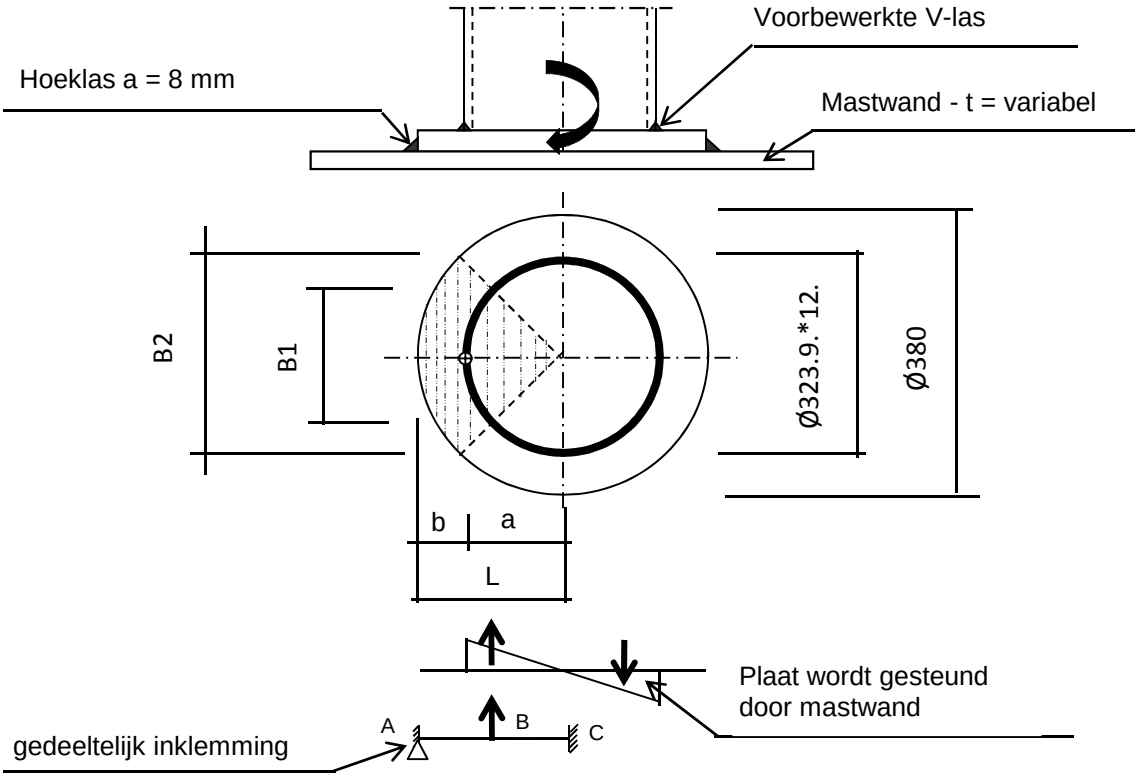

Plaat rond 380 * 25 - S355

Buis Ø323,9 * 12,5 - S355 ;

A =	12229	mm^2
W =	916735	mm^3
I =	148465296	mm^4
R =	162	mm

Hoeklas a= 8,0 mm

$\gamma_{m;extra}$ = 1,5 (extra materiaalfactor)

Maatgevend belasting

$M_{Ed} = (M_{y,Ed}^2 + M_{z,Ed}^2)^{0,5}$

M_{Ed} = 139,9 kNm

$F_{Ed} = [((M_{Ed} * R_{buis} / I) * (1+\cos 45^o))/2] * (A_{buis} / 4)$

F_{Ed} = 398,3 kN

a = R_{buis} = 162,0

b = R_{pl} - a = 28,1

B1 = 229,0 mm ; Boog B1 = 254 mm

B2 = 268,7 mm ; Boog B2 = 298 mm

Percentage inklemming= a_{las} / t_{pl} = 32,0%

Percentage vrij oplegging = 68,0%

Volledig opleggingg:

$M_{A;Ed}$ = 0 — 0,00 kNm

$M_{B;Ed}$ = (F_{Ed} * b/2)*(2 - 3*b/L + b^3/L^3) = 8,72 kNm

$R_{A;Ed}$ = (F_{Ed} * a^2 / 2.L^3)* (b + 2.L) = 310,7 kN

Volledig inklemming:

$M_{A;Ed}$ = (F_{Ed} * b * a^2 / L^2) = 8,12 kNm

$M_{B;Ed}$ = (2 * F_{Ed} * a^2 * b^2 / L^3) = 2,40 kNm

$R_{A;Ed}$ = F_{Ed} * (a / L)^2 * (1 + 2* b / L) = 374,8 kN

Gedeeltelijk inklemming:

$M_{A;Ed}$ = 0,0 * 68,0% + 8,1 * 32,0% = 2,60 kNm

$M_{B;Ed}$ = 8,7 * 68,0% + 2,4 * 32,0% = 6,69 kNm

$R_{A;Ed}$ = 310,7 * 68,0% + 374,8 * 32,0% = 331,3 kN

$M_{A;Rd}$ = ((1/4) * t_{pl}^2 * Boog B2 * 355 / 1,5) / 10^{-6} = 11,04 kNm

$M_{B;Rd}$ = ((1/4) * t_{pl}^2 * Boog B1 * 355 / 1,5) / 10^{-6} = 9,41 kNm

$M_{A,Ed}$ / $M_{A,Rd}$ = 2,60 / 11,04 = 0,24 < 1,0 -- Voldoet

$\sigma_{b,A}$ = 55,7 N/mm^2

$M_{B,Ed}$ / $M_{B,Rd}$ = 6,69 / 9,41 = 0,71 < 1,0 -- Voldoet

$\sigma_{b,B}$ = 168,4 N/mm^2

Ter plaatse van buiten ring:

V_{Ed} = 331,3 kN

τ = V_{Ed} * 1000 / t_{pl} * Boog B2 = 44,4 N/mm^2

Ter plaatse van binnen ring :

τ = V_{Ed} * 1000 / t_{pl} * Boog B1 = 52,1 N/mm^2

$\sigma_{vlg,max}$ = $\{\sigma_b^2 + 3*\tau^2\}^{0,5}$ = 191,1 N/mm^2

< 237 MPa -- Voldoet

Controle spanningen in las.

Toetsing regel :

$\sigma_{Ed} \leq f_u / (\beta_w * \gamma_{M2})$ of $\sigma_1 = \sigma_{loodrecht} \leq 0{,}9 * f_u / \gamma_{M2}$

$f_{v,w,d} = f_u / (\beta_w * \gamma_M *$ wortel(3))

$\gamma_M = 1{,}25$; $\gamma_{m;extra} =$ 1,5 (extra materiaalfactor)

Materiaal S 355 ----> $f_u = 510$ N/mm^2 en $\beta_w = 0{,}9$

$f_u / (\beta_w * \gamma_{M2}) = 302$ N/mm^2 $0{,}9 * f_u / \gamma_{M2} = 245$ N/mm^2

Lassen hoeklas a = 8 mm rondom

Per mm las:

t.g.v buigspanning:

$\sigma_1 = \tau_1 = \sigma_b * t / (1 * a * 2^{0,5}) =$ 123,1 N/mm^2

t.g.v schuifspanning:

$\sigma_1 = \tau_1 = \pm \tau * t / (1 * a * 2^{0,5}) =$ 98,1 N/mm^2

$\sigma_{1,max} =$ 123,1 + 98,1 = 221,2 N/mm^2

$\tau_{1,max} =$ 123,1 - 98,1 = 25,0 N/mm^2

$\tau_2 = 0$

$\sigma_{Ed} = \{\sigma_1^2 + 3 * (\tau_1^2 + \tau_2^2)\}^{0,5} =$ 225,4 N/mm^2

$\sigma_{Ed} \leq f_u / (\beta_w * \gamma_{M2}) =$ 225,4 / 302,2 = 0,75 < 1,0 -- Voldoet

$\sigma_1 \leq 0{,}9 * f_u / \gamma_{M2}$ 221,2 / 244,8 = 0,90 < 1,0 -- Voldoet

9.1.2 - Controle capaciteit van de aansluiting - uithouder V-brace aan mast

A - Aansluiting op 54,552 m hoogte (380 kV op 49,0m)

Momentcapaciteit in het vlak

buis	d_i (mm)	t_i (mm)	A (mm^2)	kwaliteit	f_y	W_b (mm^3)
0	590	14,0	25318	S355	355	3559144
Plaat	380,0		113411	S355	355	5387046

$M_{ip,1,Rd} = \{4{,}85 * (f_{y0} * t^2_0 * d_1 / \sin\theta_1) * (\beta * k_p * g^{0,5})\} / \gamma_{M5}$

γ_{M5} = 1,50 (extra materiaalfactor)

θ_1 = 32,2 graden ; $\beta = d_i / d_0$ = 0,64

$\gamma = d_0 / 2{*}t_0$ = 21,1

$n_p = \{N_{0,Ed} / (A_0 * f_{y,0})\} + \{M_{0,Ed} / (W_0 * f_{y,0})\}$

$N_{0,Ed}$ = 70,75 kN drukkracht
$M_{0,Ed}$ = 44,49 kNm
} t.g.v. max. belasting

n_p = 0,04 of n_p = -0,027

k_p = 1,0 , voor $n_p \leq 0$ (trek) ;

$k_p = 1{,}0 - 0{,}3 * n_p - 0{,}3 * n_p^2$, voor $n_p > 0$ (druk) maar $k_p \leq 1$

k_p = 0,99

$M_{ip,1,Rd}$ = 468,1 kNm

Pons controle ; Voor $d_1 \leq d_0 - 2{*}t_0$:

$M_{ip,1,Rd} = \{(f_{y0} * t_0 * d_{21} / 3^{0,5})*((1+ 3*\sin\theta_1)/ 4*\sin^2\theta_1)\} / \gamma_{M5}$

$M_{ip,1,Rd}$ = 632,0 kNm

$M_{y,Ed} / M_{ip,1,Rd}$ = 21,89 / 468,1 = 0,05 < 1,0 -- Voldoet

Momentcapaciteit uit het vlak

$M_{op,1,Rd} = \{(f_{y0} * t^2_0 * d_1 / \sin\theta_1) * (2{,}7 / (1 - 0{,}81*\beta)) * k_p \} / \gamma_{M5}$

$M_{op,1,Rd}$ = 184,3 kNm

$M_{z,Ed} / M_{op,1,Rd}$ = 138,21 / 184,3 = 0,75 < 1,0 -- Voldoet

Pons controle ; Voor $d_1 \leq d_0 - 2{*}t_0$:

$M_{op,1,Rd} = \{(f_{y0} * t_0 * d_{21} / 3^{0,5})*((3+ \sin\theta_1)/ 4*\sin^2\theta_1)\} / \gamma_{M5}$

$M_{op,1,Rd}$ = 859,2 kNm

$M_{z,Ed} / M_{op,1,Rd}$ = 138,21 / 184,3 = 0,75 < 1,0 -- Voldoet

B - Aansluiting op 46,052 m hoogte (380 kv op 40,5m)

Momentcapaciteit in het vlak

buis	d_i (mm)	t_i (mm)	A (mm^2)	kwaliteit	f_y	W_b (mm^3)
0	811	16,0	39943	S355	355	7781668
Plaat	380,0		113411	S355	355	5387046

$M_{ip,1,Rd} = \{4{,}85 * (f_{y0} * t^2_0 * d_1 / \sin\theta_1) * (\beta * k_p * g^{0,5})\} / \gamma_{M5}$

γ_{M5} = 1,50 (extra materiaalfactor)

θ_1 = 32,2 graden ; $\beta = d_i / d_0$ = 0,47

$\gamma = d_0 / 2{*}t_0$ = 25,3

$n_p = \{N_{0,Ed} / (A_0 * f_{y,0})\} + \{M_{0,Ed} / (W_0 * f_{y,0})\}$

$N_{0,Ed}$ = 139,80 kN drukkracht
$M_{0,Ed}$ = 1112,94 kNm
} t.g.v. max. belasting

n_p = 0,41 of n_p = -0,393

k_p = 1,0 , voor $n_p \leq 0$ (trek) ;

$k_p = 1{,}0 - 0{,}3 * n_p - 0{,}3 * n_p^2$, voor $n_p > 0$ (druk) maar $k_p \leq 1$

k_p = 0,83

$M_{ip,1,Rd}$ = 407,9 kNm

Pons controle ; Voor $d_1 \leq d_0 - 2{*}t_0$:

$M_{ip,1,Rd} = \{(f_{y0} * t_0 * d_{21} / 3^{0,5})*((1+ 3*\sin\theta_1)/ 4*\sin^2\theta_1)\} / \gamma_{M5}$

$M_{ip,1,Rd}$ = 722,3 kNm

$M_{y,Ed} / M_{ip,1,Rd}$ = 21,89 / 407,9 = 0,05 < 1,0 -- Voldoet

Momentcapaciteit uit het vlak

$M_{op,1,Rd} = \{(f_{y0} * t^2_0 * d_1 / \sin\theta_1) * (2{,}7 / (1 - 0{,}81*\beta)) * k_p \} / \gamma_{M5}$

$M_{op,1,Rd}$ = 155,2 kNm

$M_{z,Ed} / M_{op,1,Rd}$ = 138,21 / 155,2 = 0,89 < 1,0 -- Voldoet

Pons controle ; Voor $d_1 \leq d_0 - 2{*}t_0$:

$M_{op,1,Rd} = \{(f_{y0} * t_0 * d_{21} / 3^{0,5})*((3+ \sin\theta_1)/ 4*\sin^2\theta_1)\} / \gamma_{M5}$

$M_{op,1,Rd}$ = 981,9 kNm

$M_{z,Ed} / M_{op,1,Rd}$ = 138,21 / 155,2 = 0,89 < 1,0 -- Voldoet

C - Aansluiting op 37,552 m hoogte (380 kV op 32,0m)

Momentcapaciteit in het vlak

buis	d_i (mm)	t_i (mm)	A (mm^2)	kwaliteit	f_y	W_b (mm^3)
0	1032	18,0	57320	S355	355	14276612
Plaat	380,0		113411	S355	355	5387046

$M_{ip,1,Rd} = \{4{,}85 * (f_{y0} * t^2_0 * d_1 / \sin\theta_1) * (\beta * k_p * g^{0,5})\} / \gamma_{M5}$

γ_{M5} = 1,50 (extra materiaalfactor)

θ_1 = 32,2 graden ; $\beta = d_i / d_0$ = 0,37

$\gamma = d_0 / 2{*}t_0$ = 28,7

$n_p = \{N_{0,Ed} / (A_0 * f_{y,0})\} + \{M_{0,Ed} / (W_0 * f_{y,0})\}$

$N_{0,Ed}$ = 258,07 kN drukkracht
$M_{0,Ed}$ = 2749,58 kNm
} t.g.v. max. belasting

n_p = 0,56 of n_p = -0,530

k_p = 1,0 , voor $n_p \leq 0$ (trek) ;

$k_p = 1{,}0 - 0{,}3 * n_p - 0{,}3 * n_p^2$, voor $n_p > 0$ (druk) maar $k_p \leq 1$

k_p = 0,74

$M_{ip,1,Rd}$ = 387,5 kNm

Pons controle ; Voor $d_1 \leq d_0 - 2{*}t_0$:

$M_{ip,1,Rd} = \{(f_{y0} * t_0 * d_{21} / 3^{0,5})*((1+ 3*\sin\theta_1)/ 4*\sin^2\theta_1)\} / \gamma_{M5}$

$M_{ip,1,Rd}$ = 812,5 kNm

$M_{y,Ed} / M_{ip,1,Rd}$ = 21,89 / 387,5 = 0,06 < 1,0 -- Voldoet

Momentcapaciteit uit het vlak

$M_{op,1,Rd} = \{(f_{y0} * t^2_0 * d_1 / \sin\theta_1) * (2{,}7 / (1 - 0{,}81*\beta)) * k_p \} / \gamma_{M5}$

$M_{op,1,Rd}$ = 155,9 kNm

$M_{z,Ed} / M_{op,1,Rd}$ = 138,21 / 155,9 = 0,89 < 1,0 -- Voldoet

Pons controle ; Voor $d_1 \leq d_0 - 2{*}t_0$:

$M_{op,1,Rd} = \{(f_{y0} * t_0 * d_{21} / 3^{0,5})*((3+ \sin\theta_1)/ 4*\sin^2\theta_1)\} / \gamma_{M5}$

$M_{op,1,Rd}$ = 1104,7 kNm

$M_{z,Ed} / M_{op,1,Rd}$ = 138,21 / 155,9 = 0,89 < 1,0 -- Voldoet

9.1.3 Berekening clips 14,5 - clips op einde buis Ø 323,9*12,5

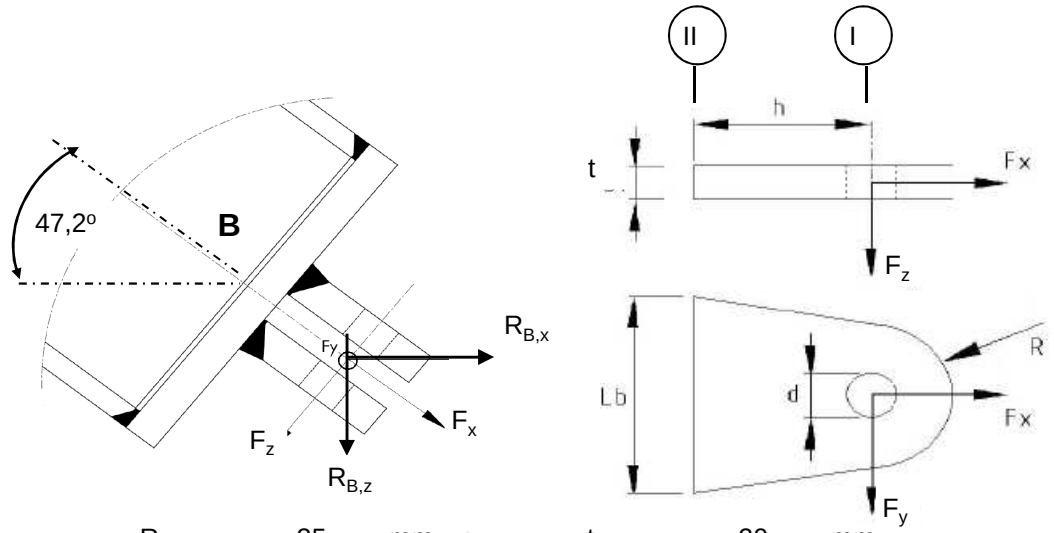

R =	35	mm ;	t =	20	mm
Lb =	200	mm ;	d =	24	mm
h =	40	mm ;	Las =	voorbewerkt	mm

$\gamma_{m;extra}$ = 1,5 (extra materiaalfactor)

Materiaal - S 355 ; f_y = 355 / $\gamma_{m;extra}$ = 236,7 N/mm^2

	$R_{X,B,Ed}$ kN	$R_{y,B,Ed}$ kN	$R_{z,B,Ed}$ kN	$F_{x,Ed}$ kN	$F_{y,Ed}$ kN	$F_{z,Ed}$ kN
BG 1a - (+wind (90 gr))	38,95	0,00	42,06	57,32	0,00	0,000
BG 1a - (-wind (90 gr))	20,54	0,00	22,18	30,23	0,00	0,000
BG 3 - (+wind (90) + ijs)	59,51	0,00	64,27	87,59	0,00	0,000
BG 3 - (-wind (90) + ijs)	46,83	0,00	50,57	68,93	0,00	0,000
BG 1a - (+wind (45 gr))	36,08	0,00	38,96	53,10	0,00	0,000
BG 1a - (-wind (45 gr))	24,93	0,00	26,92	36,69	0,00	0,000
BG 3 - (+wind (45) + ijs)	58,08	0,00	62,72	85,49	0,00	0,000
BG 3 - (-wind (45) + ijs)	49,35	0,00	53,29	72,63	0,00	0,000
BG bundelbreuk	0,00	62,97	28,16	26,34	62,97	9,972

Doorsnede I ; ter hoogte van het gat

$F_{Ed;max}$ = $0,5 * (F_{y,Ed}^2 + F_{x,Ed}^2)^{0,5}$ = 43,8 kN

τ_{toel} = (355 / 1,5) / $3^{0,5}$ = 137 N/mm^2

τ = $F_{Ed,max}$ / (2 *(t * (R - d/2)) = 48 N/mm^2 < 137 MPa -- Voldoet

Doorsnede II ; per clips

A =	4000	mm^2	N_{Rd} = A * F_y =	947 kN
W_y =	1,33E+05	mm^3	$M_{y,Rd}$ = W_y * F_y =	31,6 kNm
W_z =	1,33E+04	mm^3	$M_{z,Rd}$ = W_z * F_y =	3,2 kNm
			V_{Rd} = A* F_y / $3^{0,5}$ =	546,6 kN

Maatgevend belastinggeval bundelbreuk.

Per clip:

N_{Ed} =	13,17	kN	$M_{z,Ed} = V_{z,Ed} * h$ =	0,399	kNm
$V_{z,Ed}$ =	9,97	kN	$M_{y,Ed} = V_{y,Ed} * h$ =	1,259	kNm
$V_{y,Ed}$ =	31,48	kN			

N_{Ed} / N_{Rd} =	13,17	/	947	=	0,01	< 1,0 -- Voldoet
			σ_N =		3,3	N/mm^2
$M_{y,Ed} / M_{y,Rd}$ =	1,26	/	32	=	0,04	< 1,0 -- Voldoet
			$\sigma_{b,y}$ =		9,4	N/mm^2
$M_{z,Ed} / M_{z,Rd}$ =	0,40	/	3,2	=	0,13	< 1,0 -- Voldoet
			$\sigma_{b,z}$ =		29,9	N/mm^2
$V_{y,Ed} / V_{y,Rd}$ =	9,97	/	547	=	0,02	< 1,0 -- Voldoet
			τ_y =		2,5	N/mm^2
$V_{z,Ed} / V_{z,Rd}$ =	31,48	/	547	=	0,06	< 1,0 -- Voldoet
			τ_z =		7,9	N/mm^2

$\sigma_{b,max}$ = 42,7 N/mm^2

vergelijkingsspanning :

$$\sigma_{vlg} = (\sigma^2_{b,max} + 3*\tau^2_y + 3*\tau^2_z)^{0,5}$$

σ_{vlg} = 45 N/mm^2 < 236 MPa -- Voldoet

Controle spanningen in las.

Toetsing regel :

$\sigma_{Ed} \leq f_u / (\beta_w * \gamma_{M2})$ of $\sigma_1 = \sigma_{loodrecht} \leq 0,9 * f_u / \gamma_{M2}$

$f_{v,w,d} = f_u / (\beta_w * \gamma_M *$ wortel(3))

γ_M = 1,25 ; $\gamma_{m;extra}$ = 1,5 (extra materiaalfactor)

Materiaal S 355 ----> f_u = 510 N/mm^2 en β_w = 0,9

$f_u / (\beta_w * \gamma_{M2})$ = 302 N/mm^2 $0,9 * f_u / \gamma_{M2}$ = 245 N/mm^2

Lassen : Voorbewerkte V- las met volledige doorsnede doorlassen

9.1.4 - Berekening clips 15 - bevestigingspunt druk isolator

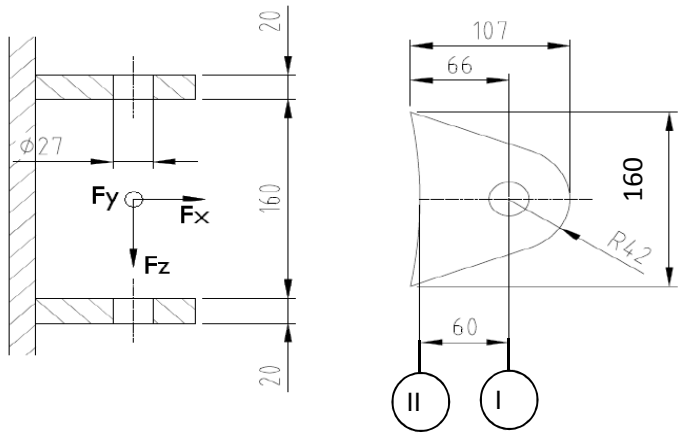

R =	42	mm	;	t =	20	mm
Lb =	160	mm	;	d =	27	mm
h =	60	mm	;	a las =	5	mm (hoeklas)

$\gamma_{m;extra}$ = 1,5 (extra materiaalfactor)

Materiaal - S 355 ; f_y = 355 / $\gamma_{m;extra}$ = 236,7 N/mm^2

$F_{x,Ed}$ en $F_{y,Ed}$ worden gelijkmatig verdeeld over de bovenste en onderste clip.
$F_{z,Ed}$ wordt volledig opgenomen door de onderste clip.

	$R_{X,A,Ed}$ kN	$R_{y,A,Ed}$ kN	$R_{z,A,Ed}$ kN	$F_{x,Ed}$ kN	$F_{y,Ed}$ kN	$F_{z,Ed}$ kN
BG 1a - (+wind (90 gr))	53,60	0,00	-6,39	53,60	0,00	6,39
BG 1a - (-wind (90 gr))	-113,09	0,00	13,48	113,09	0,00	13,48
BG 3 - (+wind (90) + ijs)	4,25	0,00	-0,51	4,25	0,00	0,51
BG 3 - (-wind (90) + ijs)	-110,59	0,00	13,19	110,59	0,00	13,19
BG 1a - (+wind (45 gr))	19,99	0,00	-2,38	19,99	0,00	2,38
BG 1a - (-wind (45 gr))	-81,00	0,00	9,66	81,00	0,00	9,66
BG 3 - (+wind (45) + ijs)	-14,15	0,00	1,69	14,15	0,00	1,69
BG 3 - (-wind (45) + ijs)	-93,27	0,00	11,12	93,27	0,00	11,12
BG bundelbreuk	0,00	-2,97	-1,56	0,00	2,97	1,56

Doorsnede I ; ter hoogte van het gat

$F_{Ed;max}$ = 0,5 * ($F_{y,Ed}^2$ + $F_{x,Ed}^2$)^{0,5} = 56,5 kN

τ_{toel} = (355 / 1,5) / 3^{0,5} = 137 N/mm^2

τ = $F_{Ed,max}$ / (2 *(t * (R - d/2)) = 50 N/mm^2 < 137 MPa -- Voldoet

Doorsnede II ; per clips

A =	3200	mm^2	N_{Rd} = A * f_y =	757 kN
W_y =	8,53E+04	mm^3	$M_{y,Rd}$ = W_y * f_y =	20,2 kNm
W_z =	1,07E+04	mm^3	$M_{z,Rd}$ = W_z * f_y =	2,5 kNm
			V_{Rd} = A* f_y / 3^{0,5} =	437,2 kN

Maatgevend belastinggeval BG 1a - (-wind 90 gr)

N_{Ed} =	56,54	kN	$M_{z,Ed} = V_{z,Ed} * h$ =	0,809	kNm
$V_{z,Ed}$ =	13,48	kN	$M_{y,Ed} = V_{y,Ed} * h$ =	0,000	kNm
$V_{y,Ed}$ =	0,00	kN			

N_{Ed} / N_{Rd} =	56,54	/	757	=	0,07	< 1,0 -- Voldoet
			σ_N =		17,7	N/mm^2
$M_{z,Ed} / M_{z,Rd}$ =	0,81	/	2,5	=	0,32	< 1,0 -- Voldoet
			$\sigma_{b,z}$ =		75,9	N/mm^2
$V_{y,Ed} / V_{y,Rd}$ =	13,48	/	437	=	0,03	< 1,0 -- Voldoet
			τ_y =		4,2	N/mm^2

$\sigma_{max} = \sigma_{b,z} + \sigma_N$ = 93,5 N/mm^2 < 236 MPa -- Voldoet

vergelijkingsspanning :

$$\sigma_{vlg} = (\sigma^2_{b,max} + 3*\tau^2_y)^{0,5}$$

σ_{vlg} = 94 N/mm^2 < 236 MPa -- Voldoet

Controle spanningen in las:

Toetsing regel :

$\sigma_{Ed} \leq f_u / (\beta_w * \gamma_{M2})$ of $\sigma_1 = \sigma_{loodrecht} \leq 0,9 * f_u / \gamma_{M2}$

$f_{v,w,d} = f_u / (\beta_w * \gamma_M *$ wortel(3))

$\gamma_M = 1,25$; $\gamma_{m;extra}$ = 1,5 (extra materiaalfactor)

Materiaal S 355 ----> f_u = 510 N/mm^2 en β_w = 0,9

$f_u / (\beta_w * \gamma_{M2})$ = 302 N/mm^2 $0,9 * f_u / \gamma_{M2}$ = 245 N/mm^2

Lassen : hoeklas 5 mm rondom

$\sigma_1 = \tau_1 = F_{las} / (L_{las} * a * 2^{0,5})$ L_{las} = 160 mm

a = 5 mm

$F_{las} = N_{Ed} / 2 + M_{z,Ed} / (t + 2*a / 3)$

F_{las} = 28,3 + 34,7 = 62,9 kN

σ_1 =					55,6	N/mm^2
τ_1 =					55,6	N/mm^2
τ_2 = 0						
σ_{Ed} =	$\{\sigma_1^2 + 3 * (\tau_1^2 + \tau_2^2)\}^{0,5}$	=			111,3	N/mm^2
$\sigma_{Ed} \leq f_u / (\beta_w * \gamma_{M2})$ =	111,3	/	302,2	=	0,37	< 1,0 -- Voldoet
$\sigma_1 \leq 0,9 * f_u / \gamma_{M2}$	55,6	/	244,8	=	0,23	< 1,0 -- Voldoet

9.1.5 - Berekening deling van de steunarm

Deling op één meter afstand van de mast

Afstand tot schanierpunt = 2195 - 1000 = 1195 mm

N_{Ed}	$V_{y,Ed}$	$V_{z,Ed}$	$M_{x,Ed}$	$M_{y,Ed}$	$M_{z,Ed}$
kN	kN	kN	kNm	kNm	kNm
26,34	62,97	9,97	51,12	11,92	75,24

$M_{Ed} = (M_{y,Ed}^2 + M_{z,Ed}^2)^{0,5} =$ 76,2 kNm

$V_{Ed} = (V_{y,Ed}^2 + V_{z,Ed}^2)^{0,5} =$ 63,8 kN

Verbinding met 8 bouten M24 - 8,8 : $F_{t,Rd} =$ 203,3 kN

$F_{v,Rd} =$ 135,6 kN

diameter Stc :	390	mm
uitwendige diameter flens :	450	mm
flensdikte	20	mm
Materiaal - S 355 ; $f_y = 355 / \gamma_{m;extra}$	237	N/mm^2

$F_{v,Ed} = V_{Ed} / n + 2* M_{x,Ed} / n * d_{stc} =$ 40,7 kN

$F_{t,Ed} = M_{Ed} * a / I_p + N_{Ed} / n =$ 101,0 kN

$F_{t,Ed} / F_{t,Rd} =$ 100,96 / 203 = 0,50 < 1,0 -- Voldoet

$F_{v,Ed} / F_{v,Rd} =$ 40,74 / 136 = 0,30 < 1,0 -- Voldoet

$F_{v,Ed} / F_{v,Rd} + F_{t,Ed} / 1,4.F_{t,Rd} =$ 0,66 < 1,0 -- Voldoet

Controle flens:

$t_{flens} =$ 20,00 mm

$L_{eff} = \min(p ; 4*m + 1,25*e ; 2*\pi*m) =$ 153,2 mm

m = 27,4 mm

n = 30,0 mm

$M_{pl} = (1/4) * L_{eff} * t_{fl}^2 * f_y =$ 3624613 Nmm

Bezwijkvorm 1 :	$F_{t,Rd} = 2 * M_{pl} / m =$	264,6	kN
Bezwijkvorm 2 :	$F_{t,Rd} = (M_{pl} + n * F_{t,Rd,b}) / (m + n) =$	169,4	kN
Bezwijkvorm 3 :	$F_{t,Rd} = F_{t,Rd,b} =$	203,3	kN

$F_{t,Rd,min} =$ 169,4 kN

$F_{t,Ed} / F_{t,Rd,min} =$ 0,60 < 1,0 -- Voldoet

9.2 - Berekening V-brace - 150 kV

9.2.1 - Berekening uithouder V-brace - 150 kV

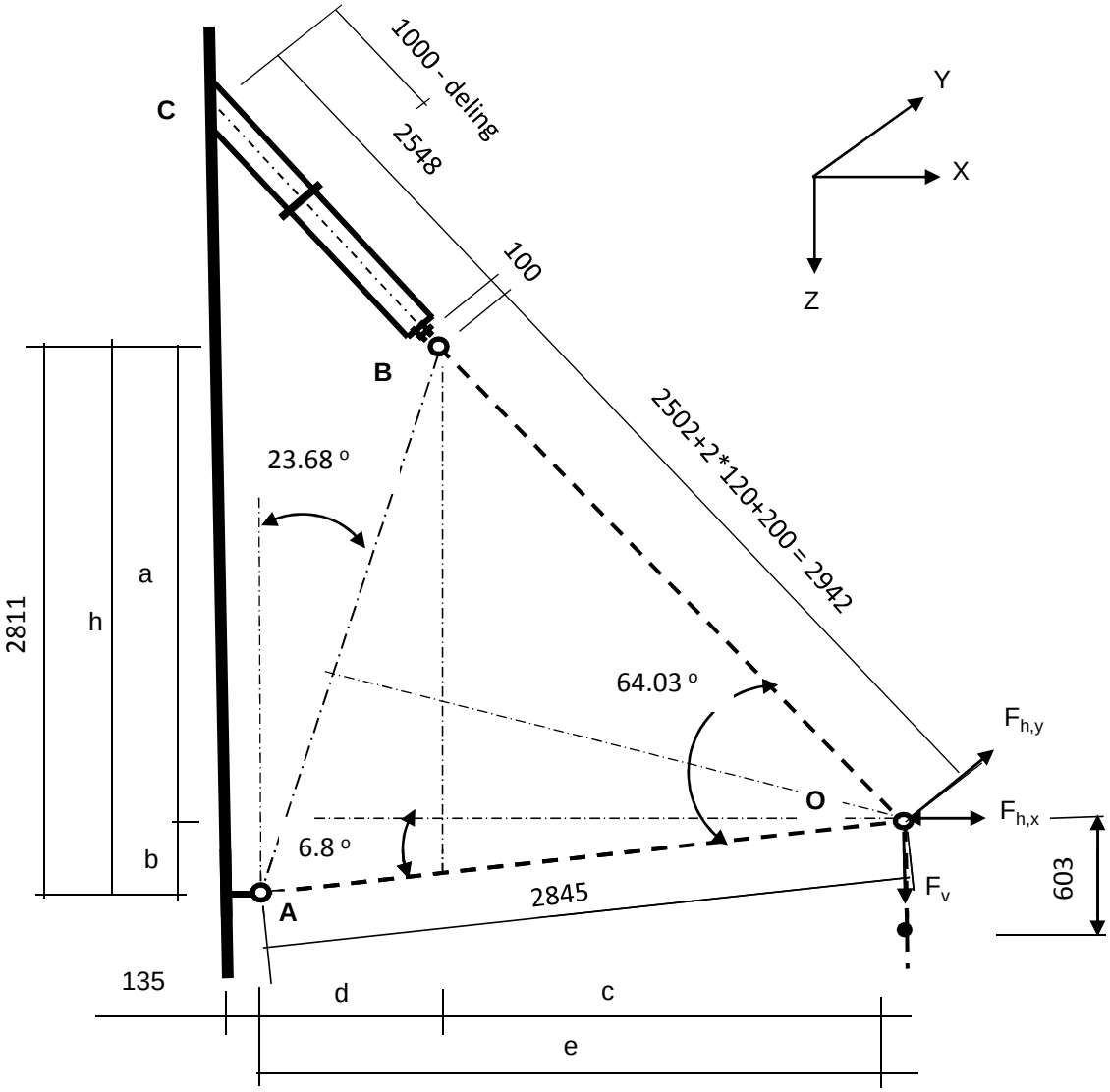

Belastingen : Zie KEMA rapport 74100706-ETD/POL 12-001 38 REV 002 - Appendix AA
Afmeting en hoeken van de V-brace : Conform tekening SEFAG 138 141-217 en tekening KEMA 74104749-40-005 (14-01-2014)

A - Belastinggeval wind / ijs

	AHEAD			BACK		
	$F_{h,x}$	$F_{h,y}$	F_v	$F_{h,x}$	$F_{h,y}$	F_v
	N	N	N	N	N	N
BG 1a - (+wind (90 gr))	11568	64640	4458	11568	-64640	4458
BG 3 - (+wind (90) + ijs)	7970	66284	7970	7970	-66284	7970
BG 1a - (+wind (45 gr))	7009	48049	4573	7009	-48049	4573
BG 3 - (+wind (45) + ijs)	5491	61716	8051	5491	-61716	8051

$F_{h,x}$ = Transverse kracht
$F_{h,y}$ = Longitudinale kracht
F_v = Verticale kracht

	F_v (N)		$F_{h,x}$ (N)	$F_{h,y}$ (N)
BG 1a - (wind (90 gr))	8916	±	23136	0
BG 3 - (wind (90) + ijs)	15941	±	15941	0
BG 1a - (wind (45 gr))	9145	±	14017	0
BG 3 - (wind (45) + ijs)	16103	±	10982	0

a =	2474	mm	b =	337	mm
h =	2811	mm	c =	1592	mm
d =	1233	mm	e =	2825	mm

$\gamma_{m;extra}$ = 1,5 (extra materiaalfactor)

	$R_{X,A,Ed}$ kN	$R_{y,A,Ed}$ kN	$R_{z,A,Ed}$ kN	$R_{X,B,Ed}$ kN	$R_{y,B,Ed}$ kN	$R_{z,B,Ed}$ kN
BG 1a - (+wind (90 gr))	16,2	0,00	-1,9	7,0	0,00	10,8
BG 1a - (-wind (90 gr))	-26,8	0,00	3,2	3,7	0,00	5,7
BG 3 - (+wind (90) + ijs)	5,3	0,00	-0,6	10,7	0,00	16,6
BG 3 - (-wind (90) + ijs)	-24,3	0,00	2,9	8,4	0,00	13,0
BG 1a - (+wind (45 gr))	7,6	0,00	-0,9	6,5	0,00	10,0
BG 1a - (-wind (45 gr))	-18,5	0,00	2,2	4,5	0,00	6,9
BG 3 - (+wind (45) + ijs)	0,6	0,00	-0,1	10,4	0,00	16,2
BG 3 - (-wind (45) + ijs)	-19,8	0,00	2,4	8,8	0,00	13,7

Ter plaatse van aansluiting buis aan mast (punt C)

	$R_{x,C,Ed}$ kN	$R_{y,C,Ed}$ kN	$R_{z,C}$,Ed kN	$M_{y;C,Ed}$ kNm	$M_{z,C,Ed}$ kNm
BG 1a - (+wind (90 gr))	6,98	0,00	10,84	0,00	0,00
BG 1a - (-wind (90 gr))	3,68	0,00	5,72	0,00	0,00
BG 3 - (+wind (90) + ijs)	10,67	0,00	16,57	0,00	0,00
BG 3 - (-wind (90) + ijs)	8,39	0,00	13,04	0,00	0,00
BG 1a - (+wind (45 gr))	6,47	0,00	10,05	0,00	0,00
BG 1a - (-wind (45 gr))	4,47	0,00	6,94	0,00	0,00
BG 3 - (+wind (45) + ijs)	10,41	0,00	16,17	0,00	0,00
BG 3 - (-wind (45) + ijs)	8,84	0,00	13,74	0,00	0,00

B - Belastinggeval bundelbreuk

	F_v (N)	F_h (N))*
BG 1a / 1,2	7430	24000

)* - Zie rapoportage Kema 18 maart 2011

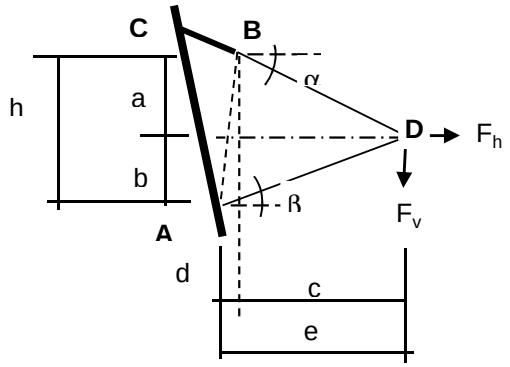

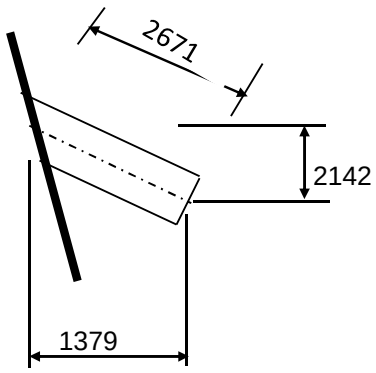

a =	1626	mm	b =	1443	mm
h =	3069	mm	c =	3719	mm
d =	0	mm	e =	3719	mm

Belasting geval bundelbreuk

$F_{h,Ed}$ =	24,00	kN	$F_{v,Ed}$ =	7,43	kN		
$R_{H,A,Ed}$ =	3,71	kN		$R_{V,A,Ed}$ =	1,44	kN	
$R_{H,B,Ed}$ =	20,29	kN		$R_{V,B,Ed}$ =	8,87	kN	

Ter plaatse van aansluiting isolator aan de steunarm (punt B)

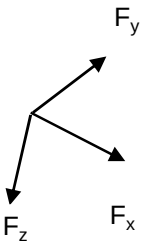

$F_{y,Ed} = R_{H,B,Ed}$ =

$F_{z,Ed} = R_{V,B,Ed} * \cos 16{,}3^{o} * \cos 47{,}2^{o} - R_{V,B,Ed} * \sin 16{,}3^{o} * \sin 47{,}2^{o}$ =

$F_{x,Ed} = R_{V,B,Ed} * \cos 16{,}3^{o} * \sin 47{,}2^{o} - R_{V,B,Ed} * \sin 16{,}3^{o} * \cos 47{,}2^{o}$ =

$F_{y,Ed}$ =	20,29	kN
$F_{z,Ed}$ =	1,40	kN
$F_{x,Ed}$ =	8,76	kN

Lokaal assenstelsel

Ter plaatse van aansluiting steunarm aan de mast (punt C)

N_{Ed}	$V_{y,Ed}$	$V_{z,Ed}$	$M_{x,Ed}$	$M_{y,Ed}$	$M_{z,Ed}$
kN	kN	kN	kNm	kNm	kNm
8,76	20,29	1,40	27,98	3,57	51,70

Buis Ø219,1 * 10 - S355 ;

A =	6569	mm^2	$N_{Ed} = A * f_y / 1{,}5$ =	1555	kN
$W_y = W_z$ =	3,28E+05	mm^3	$M_{y,Ed} = W_y * f_y / 1{,}5$ =	77,7	kNm
W_x =	6,57E+05	mm^3	$M_{z,Ed} = W_z * f_y / 1{,}5$ =	77,7	kNm
			$M_{x,Ed} = W_x * f_y / 1{,}5 * 3^{0,5}$ =	89,8	kNm
			$V_{Rd} = 0{,}5 * A * f_y / 1{,}5 * 3^{0,5}$ =	448,8	kN

BG 3 - (+wind + ijs)

N_{Ed} = { $10{,}7^2$ + $16{,}6^2$ }^{0,5} = 19,71 kN

N_{Ed} / N_{Rd} = 19,71 / 1555 = 0,01 < 1,0 -- Voldoet

σ_N = 3,0 N/mm^2

BG 1a - (+wind (45 gr))

$M_{y,Ed}$ =	0,00	kNm ;	$\sigma_{b,y}$ =	0,0	N/mm^2
N_{Ed} =	11,95	kN ;	σ_N =	1,8	N/mm^2
			σ_{max} =	1,8	N/mm^2

Belasting geval bundelbreuk

N_{Ed} / N_{Rd} =	8,76	/	1555	=	0,01	< 1,0 -- Voldoet
			σ_N =		1,3	N/mm^2
$M_{y,Ed} / M_{y,Rd}$ =	3,57	/	78	=	0,05	< 1,0 -- Voldoet
			$\sigma_{b,y}$ =		10,9	N/mm^2
$M_{z,Ed} / M_{z,Rd}$ =	51,70	/	78	=	0,66	< 1,0 -- Voldoet
			$\sigma_{b,z}$ =		157,4	N/mm^2
$M_{x,Ed} / M_{x,Rd}$ =	27,98	/	90	=	0,31	< 1,0 -- Voldoet
			τ_w =		42,6	N/mm^2

$V_{y,Ed} / V_{y,Rd}$ = 20,29 / 449 = 0,05 < 1,0 -- Voldoet

τ_y = 6,2 N/mm^2

$V_{z,Ed} / V_{z,Rd}$ = 1,40 / 449 = 0,00 < 1,0 -- Voldoet

τ_z = 0,4 N/mm^2

Maximale buigspanning

$\sigma_{b,max} = \{ 10,9^2 + 158,7^2 \}^{0,5} = 159,1$ N/mm^2

vergelijkingsspanning :

$$\sigma_{vlg} = (\sigma^2_{b,max} + 3*\tau^2_y + 3*\tau^2_z + 3*\tau^2_w)^{0,5}$$

σ_{vlg} = 176 N/mm^2 < 237 MPa -- Voldoet

Controle spanningen in las:

Toetsing regel :

$\sigma_{Ed} \leq f_u / (\beta_w * \gamma_{M2})$ of $\sigma_1 = \sigma_{loodrecht} \leq 0,9 * f_u / \gamma_{M2}$

$f_{v,w,d} = f_u / (\beta_w * \gamma_M *$ wortel(3))

$\gamma_M = 1,25$; $\gamma_{m;extra}$ = 1,5 (extra materiaalfactor)

Materiaal S 355 ----> f_u = 510 N/mm^2 en β_w = 0,9

$f_u / (\beta_w * \gamma_{M2})$ = 302 N/mm^2 $0,9 * f_u / \gamma_{M2}$ = 245 N/mm^2

Lassen : Rondom voorbewerkte V- las met volledige doorsnede doorlassen

Berekening versterkingsplaat V-brace

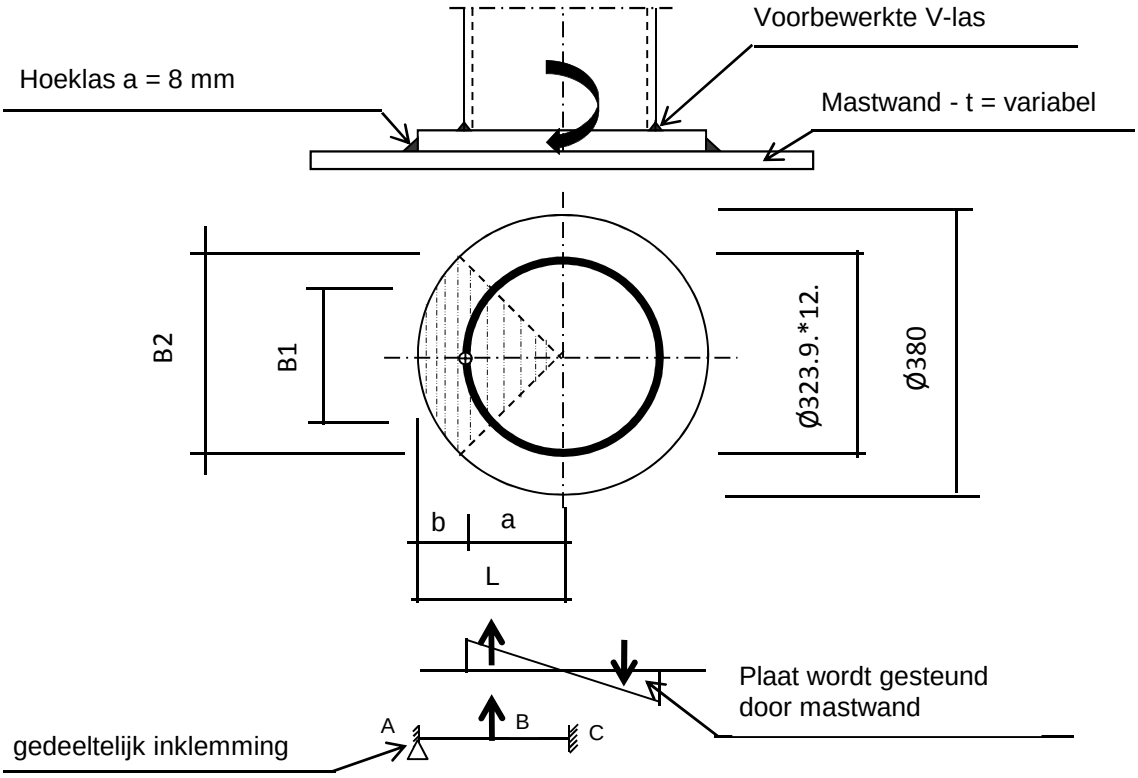

Plaat rond 300 * 25 - S355

Buis Ø219,1 * 10 - S355 ;

A =	6569	mm^2
W =	328475	mm^3
I =	35984390	mm^4
R =	110	mm

Hoeklas a= 8,0 mm

$\gamma_{m;extra}$ = 1,5 (extra materiaalfactor)

Maatgevend belasting

$M_{Ed} = (M_{y,Ed}^2 + M_{z,Ed}^2)^{0,5}$

M_{Ed} = 51,8 kNm

$F_{Ed} = [((M_{Ed} * R_{buis} / I) * (1+\cos 45^o))/2] * (A_{buis} / 4)$

F_{Ed} = 221,1 kN

a = R_{buis} = 109,6

b = R_{pl} - a = 40,5

B1 =	154,9	mm ;	Boog B1 =	172	mm
B2 =	212,1	mm ;	Boog B2 =	236	mm

Percentage inklemming= a_{las} / t_{pl} = 32,0%

Percentage vrij oplegging = 68,0%

Volledig opleggingg:

$M_{A;Ed}$ = 0 — 0,00 kNm

$M_{B;Ed}$ = (F_{Ed} * b/2)*(2 - 3*b/L + b^3/L^3) = 5,41 kNm

$R_{A;Ed}$ = (F_{Ed} * a^2 / $2.L^3$)* (b + 2.L) = 133,9 kN

Volledig inklemming:

$M_{A;Ed}$ = (F_{Ed} * b * a^2 / L^2) = 4,77 kNm

$M_{B;Ed}$ = (2 * F_{Ed} * a^2 * b^2 / L^3) = 2,57 kNm

$R_{A;Ed}$ = F_{Ed} * (a / L)^2 * (1 + 2* b / L) = 181,6 kN

Gedeeltelijk inklemming:

$M_{A;Ed}$ = 0,0 * 68,0% + 4,8 * 32,0% = 1,53 kNm

$M_{B;Ed}$ = 5,4 * 68,0% + 2,6 * 32,0% = 4,51 kNm

$R_{A;Ed}$ = 133,9 * 68,0% + 181,6 * 32,0% = 149,1 kN

$M_{A;Rd}$ = ((1/4) * t_{pl}^2 * Boog B2 * 355 / 1,5) / 10^{-6} = 8,71 kNm

$M_{B;Rd}$ = ((1/4) * t_{pl}^2 * Boog B1 * 355 / 1,5) / 10^{-6} = 6,36 kNm

$M_{A,Ed}$ / $M_{A,Rd}$ = 1,53 / 8,71 = 0,18 < 1,0 -- Voldoet

$\sigma_{b,A}$ = 41,5 N/mm^2

$M_{B,Ed}$ / $M_{B,Rd}$ = 4,51 / 6,36 = 0,71 < 1,0 -- Voldoet

$\sigma_{b,B}$ = 167,6 N/mm^2

Ter plaatse van buiten ring:

V_{Ed} = 149,1 kN

τ = V_{Ed} * 1000 / t_{pl} * Boog B2 = 25,3 N/mm^2

Ter plaatse van binnen ring :

τ = V_{Ed} * 1000 / t_{pl} * Boog B1 = 34,7 N/mm^2

$\sigma_{vlg,max}$ = $\{\sigma_b^2 + 3*\tau^2\}^{0,5}$ = 178,0 N/mm^2

< 237 MPa -- Voldoet

Controle spanningen in las.

Toetsing regel :

$\sigma_{Ed} \leq f_u / (\beta_w * \gamma_{M2})$ of $\sigma_1 = \sigma_{loodrecht} \leq 0{,}9 * f_u / \gamma_{M2}$

$f_{v,w,d} = f_u / (\beta_w * \gamma_M *$ wortel(3))

$\gamma_M = 1{,}25$; $\gamma_{m;extra} =$ 1,5 (extra materiaalfactor)

Materiaal S 355 ----> $f_u = 510$ N/mm^2 en $\beta_w = 0{,}9$

$f_u / (\beta_w * \gamma_{M2}) = 302$ N/mm^2 $0{,}9 * f_u / \gamma_{M2} = 245$ N/mm^2

Lassen hoeklas a = 8 mm rondom

Per mm las:

t.g.v buigspanning:

$\sigma_1 = \tau_1 = \sigma_b * t / (1 * a * 2^{0,5}) =$ 91,6 N/mm^2

t.g.v schuifspanning:

$\sigma_1 = \tau_1 = \pm \tau * t / (1 * a * 2^{0,5}) =$ 55,9 N/mm^2

$\sigma_{1,max} =$ 91,6 + 55,9 = 147,6 N/mm^2

$\tau_{1,max} =$ 91,6 - 55,9 = 35,7 N/mm^2

$\tau_2 = 0$

$\sigma_{Ed} = \{\sigma_1^2 + 3 * (\tau_1^2 + \tau_2^2)\}^{0,5} =$ 160,0 N/mm^2

$\sigma_{Ed} \leq f_u / (\beta_w * \gamma_{M2}) =$ 160,0 / 302,2 = 0,53 < 1,0 -- Voldoet

$\sigma_1 \leq 0{,}9 * f_u / \gamma_{M2}$ 147,6 / 244,8 = 0,60 < 1,0 -- Voldoet

9.2.2 - Controle capaciteit van de aansluiting - uithouder V-brace aan mast

A - Aansluiting op 54,552 m hoogte (150 kV op 49,0m)

Momentcapaciteit in het vlak

buis	d_i (mm)	t_i (mm)	A (mm^2)	kwaliteit	f_y	W_b (mm^3)
0	590	12,0	21777	S355	355	3082111
Plaat	300,0		70686	S355	355	2650719

$M_{ip,1,Rd} = \{4{,}85 * (f_{y0} * t^2_0 * d_1 / \sin\theta_1) * (\beta * k_p * g^{0,5})\} / \gamma_{M5}$

γ_{M5} = 1,50 (extra materiaalfactor)

θ_1 = 32,2 graden ; $\beta = d_i / d_0$ = 0,51

$\gamma = d_0 / 2{*}t_0$ = 24,6

$n_p = \{N_{0,Ed} / (A_0 * f_{y,0})\} + \{M_{0,Ed} / (W_0 * f_{y,0})\}$

$N_{0,Ed}$ = 70,75 kN drukkracht
$M_{0,Ed}$ = -12,31 kNm
} t.g.v. max. belasting

n_p = 0,00 of n_p = 0,020

k_p = 1,0 , voor $n_p \leq 0$ (trek) ;

$k_p = 1{,}0 - 0{,}3 * n_p - 0{,}3 * n_p^2$, voor $n_p > 0$ (druk) maar $k_p \leq 1$

k_p = 0,99

$M_{ip,1,Rd}$ = 233,2 kNm

Pons controle ; Voor $d_1 \leq d_0 - 2{*}t_0$:

$M_{ip,1,Rd} = \{(f_{y0} * t_0 * d_{21} / 3^{0,5})*((1+ 3*\sin\theta_1)/ 4*\sin^2\theta_1)\} / \gamma_{M5}$

$M_{ip,1,Rd}$ = 337,6 kNm

$M_{y,Ed} / M_{ip,1,Rd}$ = 3,57 / 233,2 = 0,02 < 1,0 -- Voldoet

Momentcapaciteit uit het vlak

$M_{op,1,Rd} = \{(f_{y0} * t^2_0 * d_1 / \sin\theta_1) * (2{,}7 / (1 - 0{,}81*\beta)) * k_p \} / \gamma_{M5}$

$M_{op,1,Rd}$ = 87,6 kNm

$M_{z,Ed} / M_{op,1,Rd}$ = 51,70 / 87,6 = 0,59 < 1,0 -- Voldoet

Pons controle ; Voor $d_1 \leq d_0 - 2{*}t_0$:

$M_{op,1,Rd} = \{(f_{y0} * t_0 * d_{21} / 3^{0,5})*((3+ \sin\theta_1)/ 4*\sin^2\theta_1)\} / \gamma_{M5}$

$M_{op,1,Rd}$ = 459,0 kNm

$M_{z,Ed} / M_{op,1,Rd}$ = 51,70 / 87,6 = 0,59 < 1,0 -- Voldoet

B - Aansluiting op 46,052 m hoogte (150 kv op 40,5m)

Momentcapaciteit in het vlak

buis	d_i (mm)	t_i (mm)	A (mm^2)	kwaliteit	f_y	W_b (mm^3)
0	811	16,0	39943	S355	355	7781668
Plaat	300,0		70686	S355	355	2650719

$M_{ip,1,Rd} = \{4,85 * (f_{y0} * t^2_0 * d_1 / \sin\theta_1) * (\beta * k_p * g^{0,5})\} / \gamma_{M5}$

γ_{M5} = 1,50 (extra materiaalfactor)

θ_1 = 32,2 graden ; $\beta = d_i / d_0$ = 0,37

$\gamma = d_0 / 2*t_0$ = 25,3

$n_p = \{N_{0,Ed} / (A_0 * f_{y,0})\} + \{M_{0,Ed} / (W_0 * f_{y,0})\}$

$N_{0,Ed}$ = 139,80 kN drukkracht
$M_{0,Ed}$ = 756,74 kNm
} t.g.v. max. belasting

n_p = 0,28 of n_p = -0,264

k_p = 1,0 , voor $n_p \leq 0$ (trek) ;

$k_p = 1,0 - 0,3 * n_p - 0,3 * n_p^2$, voor $n_p > 0$ (druk) maar $k_p \leq 1$

k_p = 0,89

$M_{ip,1,Rd}$ = 274,5 kNm

Pons controle ; Voor $d_1 \leq d_0 - 2*t_0$:

$M_{ip,1,Rd} = \{(f_{y0} * t_0 * d_{21} / 3^{0,5})*((1+ 3*\sin\theta_1)/ 4*\sin^2\theta_1)\} / \gamma_{M5}$

$M_{ip,1,Rd}$ = 450,2 kNm

$M_{y,Ed} / M_{ip,1,Rd}$ = 3,57 / 274,5 = 0,01 < 1,0 -- Voldoet

Momentcapaciteit uit het vlak

$M_{op,1,Rd} = \{(f_{y0} * t^2_0 * d_1 / \sin\theta_1) * (2,7 / (1 - 0,81*\beta)) * k_p \} / \gamma_{M5}$

$M_{op,1,Rd}$ = 117,1 kNm

$M_{z,Ed} / M_{op,1,Rd}$ = 51,70 / 117,1 = 0,44 < 1,0 -- Voldoet

Pons controle ; Voor $d_1 \leq d_0 - 2*t_0$:

$M_{op,1,Rd} = \{(f_{y0} * t_0 * d_{21} / 3^{0,5})*((3+ \sin\theta_1)/ 4*\sin^2\theta_1)\} / \gamma_{M5}$

$M_{op,1,Rd}$ = 612,0 kNm

$M_{z,Ed} / M_{op,1,Rd}$ = 51,70 / 117,1 = 0,44 < 1,0 -- Voldoet

C - Aansluiting op 37,552 m hoogte (150 kV op 32,0m)

Momentcapaciteit in het vlak

buis	d_i (mm)	t_i (mm)	A (mm^2)	kwaliteit	f_y	W_b (mm^3)
0	1032	18,0	57320	S355	355	14276612
Plaat	300,0		70686	S355	355	2650719

$M_{ip,1,Rd} = \{4{,}85 * (f_{y0} * t^2_0 * d_1 / \sin\theta_1) * (\beta * k_p * g^{0,5})\} / \gamma_{M5}$

γ_{M5} = 1,50 (extra materiaalfactor)

θ_1 = 32,2 graden ; $\beta = d_i / d_0$ = 0,29

$\gamma = d_0 / 2{*}t_0$ = 28,7

$n_p = \{N_{0,Ed} / (A_0 * f_{y,0})\} + \{M_{0,Ed} / (W_0 * f_{y,0})\}$

$N_{0,Ed}$ = 258,07 kN drukkracht
$M_{0,Ed}$ = 2219,03 kNm
} t.g.v. max. belasting

n_p = 0,45 of n_p = -0,425

k_p = 1,0 , voor $n_p \leq 0$ (trek) ;

$k_p = 1{,}0 - 0{,}3 * n_p - 0{,}3 * n_p^2$, voor $n_p > 0$ (druk) maar $k_p \leq 1$

k_p = 0,80

$M_{ip,1,Rd}$ = 262,0 kNm

Pons controle ; Voor $d_1 \leq d_0 - 2{*}t_0$:

$M_{ip,1,Rd} = \{(f_{y0} * t_0 * d_{21} / 3^{0,5})*((1+ 3*\sin\theta_1)/ 4*\sin^2\theta_1)\} / \gamma_{M5}$

$M_{ip,1,Rd}$ = 506,4 kNm

$M_{y,Ed} / M_{ip,1,Rd}$ = 3,57 / 262,0 = 0,01 < 1,0 -- Voldoet

Momentcapaciteit uit het vlak

$M_{op,1,Rd} = \{(f_{y0} * t^2_0 * d_1 / \sin\theta_1) * (2{,}7 / (1 - 0{,}81*\beta)) * k_p \} / \gamma_{M5}$

$M_{op,1,Rd}$ = 122,6 kNm

$M_{z,Ed} / M_{op,1,Rd}$ = 51,70 / 122,6 = 0,42 < 1,0 -- Voldoet

Pons controle ; Voor $d_1 \leq d_0 - 2{*}t_0$:

$M_{op,1,Rd} = \{(f_{y0} * t_0 * d_{21} / 3^{0,5})*((3+ \sin\theta_1)/ 4*\sin^2\theta_1)\} / \gamma_{M5}$

$M_{op,1,Rd}$ = 688,5 kNm

$M_{z,Ed} / M_{op,1,Rd}$ = 51,70 / 122,6 = 0,42 < 1,0 -- Voldoet

9.2.3 Berekening clips 14,5 - clips op einde buis Ø 219,1*10

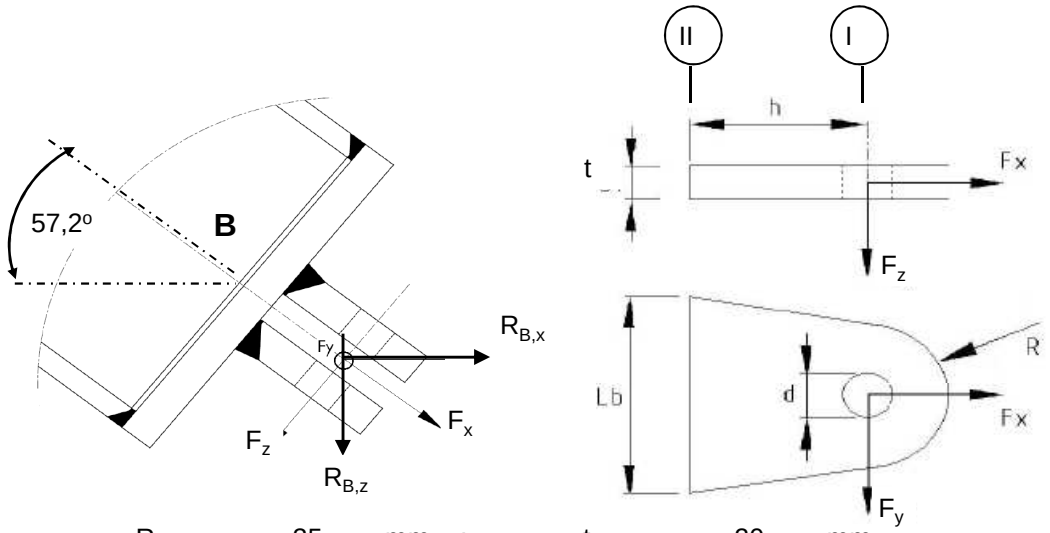

R =	35	mm ;	t =	20	mm
Lb =	200	mm ;	d =	24	mm
h =	40	mm ;	Las =	voorbewerkt	mm

$\gamma_{m;extra}$ = 1,5 (extra materiaalfactor)

Materiaal - S 355 ; f_y = 355 / $\gamma_{m;extra}$ = 236,7 N/mm^2

	$R_{X,B,Ed}$ kN	$R_{y,B,Ed}$ kN	$R_{z,B,Ed}$ kN	$F_{x,Ed}$ kN	$F_{y,Ed}$ kN	$F_{z,Ed}$ kN
BG 1a - (+wind (90 gr))	6,98	0,00	10,84	12,90	0,00	0,000
BG 1a - (-wind (90 gr))	3,68	0,00	5,72	6,80	0,00	0,000
BG 3 - (+wind (90) + ijs)	10,67	0,00	16,57	19,71	0,00	0,000
BG 3 - (-wind (90) + ijs)	8,39	0,00	13,04	15,51	0,00	0,000
BG 1a - (+wind (45 gr))	6,47	0,00	10,05	11,95	0,00	0,000
BG 1a - (-wind (45 gr))	4,47	0,00	6,94	8,25	0,00	0,000
BG 3 - (+wind (45) + ijs)	10,41	0,00	16,17	19,23	0,00	0,000
BG 3 - (-wind (45) + ijs)	8,84	0,00	13,74	16,34	0,00	0,000
BG bundelbreuk	0,00	20,29	8,87	8,76	20,29	1,401

Doorsnede I ; ter hoogte van het gat

$F_{Ed;max}$ = $0,5 * (F_{y,Ed}^2 + F_{x,Ed}^2)^{0,5}$ = 9,9 kN

τ_{toel} = (355 / 1,5) / $3^{0,5}$ = 137 N/mm^2

τ = $F_{Ed,max}$ / (2 *(t * (R - d/2)) = 11 N/mm^2 < 137 MPa -- Voldoet

Doorsnede II ; per clips

A =	4000	mm^2	N_{Rd} = A * F_y =	947 kN
W_y =	1,33E+05	mm^3	$M_{y,Rd}$ = W_y * F_y =	31,6 kNm
W_z =	1,33E+04	mm^3	$M_{z,Rd}$ = W_z * F_y =	3,2 kNm
			V_{Rd} = A* F_y / $3^{0,5}$ =	546,6 kN

Maatgevend belastinggeval bundelbreuk.

Per clip:

N_{Ed} =	4,38	kN	$M_{z,Ed} = V_{z,Ed} * h$ =	0,056	kNm
$V_{z,Ed}$ =	1,40	kN	$M_{y,Ed} = V_{y,Ed} * h$ =	0,406	kNm
$V_{y,Ed}$ =	10,14	kN			

N_{Ed} / N_{Rd} =	4,38	/	947	=	0,00	< 1,0 -- Voldoet
			σ_N =		1,1	N/mm^2
$M_{y,Ed} / M_{y,Rd}$ =	0,41	/	32	=	0,01	< 1,0 -- Voldoet
			$\sigma_{b,y}$ =		3,0	N/mm^2
$M_{z,Ed} / M_{z,Rd}$ =	0,06	/	3,2	=	0,02	< 1,0 -- Voldoet
			$\sigma_{b,z}$ =		4,2	N/mm^2
$V_{y,Ed} / V_{y,Rd}$ =	1,40	/	547	=	0,00	< 1,0 -- Voldoet
			τ_y =		0,4	N/mm^2
$V_{z,Ed} / V_{z,Rd}$ =	10,14	/	547	=	0,02	< 1,0 -- Voldoet
			τ_z =		2,5	N/mm^2

$\sigma_{b,max}$ = 8,3 N/mm^2

vergelijkingsspanning :

$$\sigma_{vlg} = (\sigma^2_{b,max} + 3*\tau^2_y + 3*\tau^2_z)^{0,5}$$

σ_{vlg} = 9 N/mm^2 < 236 MPa -- Voldoet

Controle spanningen in las.

Toetsing regel :

$\sigma_{Ed} \leq f_u / (\beta_w * \gamma_{M2})$ of $\sigma_1 = \sigma_{loodrecht} \leq 0,9 * f_u / \gamma_{M2}$

$f_{v,w,d} = f_u / (\beta_w * \gamma_M *$ wortel(3))

$\gamma_M = 1,25$; $\gamma_{m;extra}$ = 1,5 (extra materiaalfactor)

Materiaal S 355 ----> $f_u = 510$ N/mm^2 en $\beta_w = 0,9$

$f_u / (\beta_w * \gamma_{M2})$ = 302 N/mm^2 $0,9 * f_u / \gamma_{M2}$ = 245 N/mm^2

Lassen : Voorbewerkte V- las met volledige doorsnede doorlassen

9.2.4 - Berekening clips 15 - bevestigingspunt druk isolator

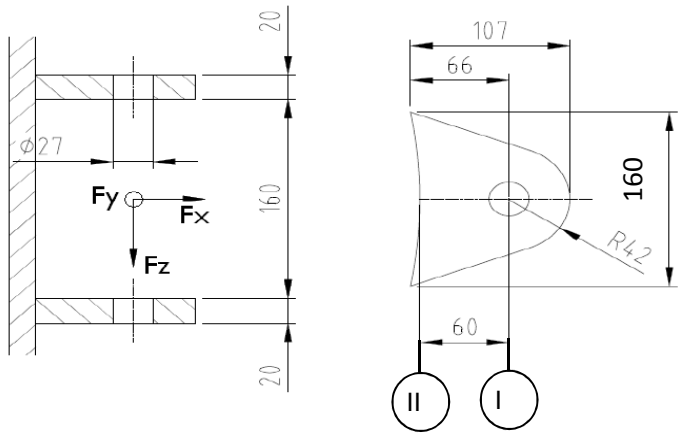

R =	42	mm	;	t =	20	mm
Lb =	160	mm	;	d =	27	mm
h =	60	mm	;	a las =	5	mm (hoeklas)

$\gamma_{m;extra}$ = 1,5 (extra materiaalfactor)

Materiaal - S 355 ; f_y = 355 / $\gamma_{m;extra}$ = 236,7 N/mm^2

$F_{x,Ed}$ en $F_{y,Ed}$ worden gelijkmatig verdeeld over de bovenste en onderste clip.
$F_{z,Ed}$ wordt volledig opgenomen door de onderste clip.

	$R_{X,A,Ed}$ kN	$R_{y,A,Ed}$ kN	$R_{z,A,Ed}$ kN	$F_{x,Ed}$ kN	$F_{y,Ed}$ kN	$F_{z,Ed}$ kN
BG 1a - (+wind (90 gr))	16,16	0,00	-1,93	16,16	0,00	1,93
BG 1a - (-wind (90 gr))	-26,82	0,00	3,20	26,82	0,00	3,20
BG 3 - (+wind (90) + ijs)	5,27	0,00	-0,63	5,27	0,00	0,63
BG 3 - (-wind (90) + ijs)	-24,33	0,00	2,90	24,33	0,00	2,90
BG 1a - (+wind (45 gr))	7,55	0,00	-0,90	7,55	0,00	0,90
BG 1a - (-wind (45 gr))	-18,49	0,00	2,20	18,49	0,00	2,20
BG 3 - (+wind (45) + ijs)	0,57	0,00	-0,07	0,57	0,00	0,07
BG 3 - (-wind (45) + ijs)	-19,83	0,00	2,36	19,83	0,00	2,36
BG bundelbreuk	0,00	3,71	1,44	0,00	3,71	1,44

Doorsnede I ; ter hoogte van het gat

$F_{Ed;max}$ = 0,5 * ($F_{y,Ed}^2$ + $F_{x,Ed}^2$)^{0,5} = 13,4 kN

τ_{toel} = (355 / 1,5) / 3^{0,5} = 137 N/mm^2

τ = $F_{Ed,max}$ / (2 *(t * (R - d/2)) = 12 N/mm^2 < 137 MPa -- Voldoet

Doorsnede II ; per clips

A =	3200	mm^2	N_{Rd} = A * f_y =	757 kN
W_y =	8,53E+04	mm^3	$M_{y,Rd}$ = W_y * f_y =	20,2 kNm
W_z =	1,07E+04	mm^3	$M_{z,Rd}$ = W_z * f_y =	2,5 kNm
			V_{Rd} = A* f_y / 3^{0,5} =	437,2 kN

Maatgevend belastinggeval BG 1a - (-wind 90 gr)

N_{Ed} =	13,41	kN	$M_{z,Ed} = V_{z,Ed} * h$ =	0,192	kNm
$V_{z,Ed}$ =	3,20	kN	$M_{y,Ed} = V_{y,Ed} * h$ =	0,000	kNm
$V_{y,Ed}$ =	0,00	kN			

N_{Ed} / N_{Rd} =	13,41	/	757	=	0,02	< 1,0 -- Voldoet
			σ_N =		4,2	N/mm^2
$M_{z,Ed} / M_{z,Rd}$ =	0,19	/	2,5	=	0,08	< 1,0 -- Voldoet
			$\sigma_{b,z}$ =		18,0	N/mm^2
$V_{y,Ed} / V_{y,Rd}$ =	3,20	/	437	=	0,01	< 1,0 -- Voldoet
			τ_y =		1,0	N/mm^2

$\sigma_{max} = \sigma_{b,z} + \sigma_N$ = 22,2 N/mm^2 < 236 MPa -- Voldoet

vergelijkingsspanning :

$$\sigma_{vlg} = (\sigma^2_{b,max} + 3*\tau^2_y)^{0,5}$$

σ_{vlg} = 22 N/mm^2 < 236 MPa -- Voldoet

Controle spanningen in las:

Toetsing regel :

$\sigma_{Ed} \le f_u / (\beta_w * \gamma_{M2})$ of $\sigma_1 = \sigma_{loodrecht} \le 0,9 * f_u / \gamma_{M2}$

$f_{v,w,d} = f_u / (\beta_w * \gamma_M *$ wortel(3))

$\gamma_M = 1,25$; $\gamma_{m;extra}$ = 1,5 (extra materiaalfactor)

Materiaal S 355 ----> f_u = 510 N/mm^2 en β_w = 0,9

$f_u / (\beta_w * \gamma_{M2})$ = 302 N/mm^2 $0,9 * f_u / \gamma_{M2}$ = 245 N/mm^2

Lassen : hoeklas 5 mm rondom

$\sigma_1 = \tau_1 = F_{las} / (L_{las} * a * 2^{0,5})$ L_{las} = 160 mm

a = 5 mm

$F_{las} = N_{Ed} / 2 + M_{z,Ed} / (t + 2*a / 3)$

F_{las} = 6,7 + 8,2 = 14,9 kN

σ_1 =					13,2	N/mm^2
τ_1 =					13,2	N/mm^2
τ_2 = 0						
σ_{Ed} =	$\{\sigma_1^2 + 3 * (\tau_1^2 + \tau_2^2)\}^{0,5}$	=			26,4	N/mm^2

$\sigma_{Ed} \le f_u / (\beta_w * \gamma_{M2})$ =	26,4	/	302,2	=	0,09	< 1,0 -- Voldoet
$\sigma_1 \le 0,9 * f_u / \gamma_{M2}$	13,2	/	244,8	=	0,05	< 1,0 -- Voldoet

9.2.5 - Berekening deling van de steunarm

Deling op één meter afstand van de mast

Afstand tot schanierpunt = 2548 - 1000 = 1548 mm

N_{Ed}	$V_{y,Ed}$	$V_{z,Ed}$	$M_{x,Ed}$	$M_{y,Ed}$	$M_{z,Ed}$
kN	kN	kN	kNm	kNm	kNm
8,76	20,29	1,40	17,00	2,17	31,41

$M_{Ed} = (M_{y,Ed}^2 + M_{z,Ed}^2)^{0,5} =$ 31,5 kNm

$V_{Ed} = (V_{y,Ed}^2 + V_{z,Ed}^2)^{0,5} =$ 20,3 kN

Verbinding met 8 bouten M24 - 8,8 : $F_{t,Rd} =$ 203,3 kN

$F_{v,Rd} =$ 135,6 kN

diameter Stc :	290	mm
uitwendige diameter flens :	350	mm
flensdikte	20	mm
Materiaal - S 355 ; $f_y = 355 / \gamma_{m;extra}$	237	N/mm^2

$F_{v,Ed} = V_{Ed} / n + 2 * M_{x,Ed} / n * d_{stc} =$ 22,9 kN

$F_{t,Ed} = M_{Ed} * a / I_p + N_{Ed} / n =$ 73,8 kN

$F_{t,Ed} / F_{t,Rd} =$ 73,83 / 203 = 0,36 < 1,0 -- Voldoet

$F_{v,Ed} / F_{v,Rd} =$ 22,93 / 136 = 0,17 < 1,0 -- Voldoet

$F_{v,Ed} / F_{v,Rd} + F_{t,Ed} / 1,4.F_{t,Rd} =$ 0,43 < 1,0 -- Voldoet

Controle flens:

$t_{flens} =$ 20,00 mm

$L_{eff} = \min(p ; 4*m + 1,25*e ; 2*\pi*m) =$ 151,8 mm

m = 29,8 mm

n = 30,0 mm

$M_{pl} = (1/4) * L_{eff} * t_{fl}^2 * f_y =$ 3593633 Nmm

Bezwijkvorm 1 :	$F_{t,Rd} = 2 * M_{pl} / m =$	241,2	kN
Bezwijkvorm 2 :	$F_{t,Rd} = (M_{pl} + n * F_{t,Rd,b}) / (m + n) =$	162,1	kN
Bezwijkvorm 3 :	$F_{t,Rd} = F_{t,Rd,b} =$	203,3	kN

$F_{t,Rd,min} =$ 162,1 kN

$F_{t,Ed} / F_{t,Rd,min} =$ 0,46 < 1,0 -- Voldoet

9.3 - Berekening draagarm bliksemdraad

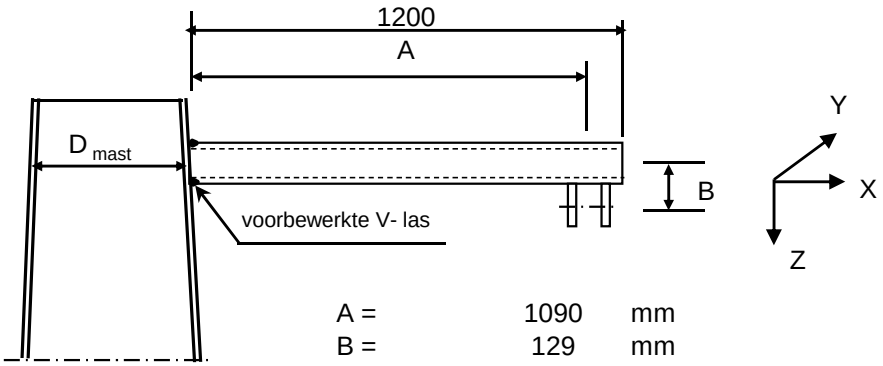

A =	1090	mm
B =	129	mm
D_{mast} =	506	mm
t_{mast} =	14	mm
Hoogte:	57,784	m

Buisgegevens

Buis Ø168,3 * 8 - S355 ;

$\gamma_{m;extra}$ = 1,5 (extra materiaalfactor)

Materiaal - S 355 ; f_y = 355 / $\gamma_{m;extra}$ = 236,7 N/mm^2

A =	4029	mm^2	$N_{Ed} = A * f_y$ =	953	kN
$W_y = W_z$ =	1,54E+05	mm^3	$M_{y,Ed} = W_y * f_y$ =	36,5	kNm
W_x =	3,08E+05	mm^3	$M_{z,Ed} = W_z * f_y$ =	36,5	kNm
			$M_{x,Ed} = W_x * f_y / 3^{0,5}$ =	42,1	kNm
			$V_{Rd} = 0,5*A* f_y / 3^{0,5}$ =	275,2	kN

Belastingen : Zie KEMA rapport 74100706-ETD/POL 12-001 38 REV 002 - Appendix AA

	AHEAD			BACK		
	F_x	F_y	F_z	F_x	F_y	F_z
	N	N	N	N	N	N
BG 1a - (+wind (90 gr))	8006	41910	2304	8006	-41910	2304
BG 3 - (+wind (90) + ijs)	9444	67863	9874	9444	-67863	9874
BG 1a - (+wind (45 gr))	4744	29248	2359	4744	-29248	2359
BG 3 - (+wind (45) + ijs)	6316	62972	9963	6316	-62972	9963

F_x = Transverse kracht

F_y = Longitudinale kracht

F_z = Verticale kracht

	$F_{x,Ed}$	$F_{y,Ed}$	$F_{z,Ed}$	$M_{x,Ed}$	$M_{y,Ed}$	$M_{z,Ed}$
	kN	kN	kN	kNm	kNm	kNm
BG 1a - (+wind (90 gr))	16,01	0,00	4,61	0,00	7,09	0,00
BG 3 - (+wind (90) + ijs)	18,89	0,00	19,75	0,00	31,08	0,00
BG 1a - (+wind (45 gr))	9,49	0,00	4,72	0,00	5,28	0,00
BG 3 - (+wind (45) + ijs)	12,63	0,00	19,93	0,00	21,72	0,00

$M_{x,Ed} = F_{y,Ed} * B$

$M_{y,Ed} = F_{z,Ed} * A \pm F_{x,Ed} * B$; $M_{y,Ed,max} = F_{z,Ed} * A + F_{x,Ed} * B$

$M_{z,Ed} = F_{y,Ed} * A$

Maatgevend belastinggeval : BG 3 - (wind 90 gr + ijs)

$M_{y,Ed} / M_{y,Rd}$ =	31,08	/	36	=	0,85	< 1,0 -- Voldoet
			$\sigma_{b,y}$ =		201,6	N/mm^2
N_{Ed} / N_{Rd} =	18,89	/	953	=	0,02	< 1,0 -- Voldoet
			σ_N =		4,7	N/mm^2
$V_{z,Ed} / V_{z,Rd}$ =	19,75	/	275	=	0,07	< 1,0 -- Voldoet
			τ_z =		9,8	N/mm^2

Maximale spanning

σ_{max} = 201,6 + 4,7 = 206,3 N/mm^2

vergelijkingsspanning :

$\sigma_{vlg} = (\sigma^2_{max} + 3*\tau^2_y + 3*\tau^2_z + 3*\tau^2_w)^{0,5}$

σ_{vlg} = 207 N/mm^2 < 237 MPa -- Voldoet

Controle spanningen in las:

Toetsing regel :

$\sigma_{Ed} \leq f_u / (\beta_w * \gamma_{M2})$ of $\sigma_1 = \sigma_{loodrecht} \leq 0,9 * f_u / \gamma_{M2}$

$f_{v,w,d} = f_u / (\beta_w * \gamma_M *$ wortel(3))

γ_M = 1,25 ; $\gamma_{m;extra}$ = 1,5 (extra materiaalfactor)

Materiaal S 355 ----> f_u = 510 N/mm^2 en β_w = 0,9

$f_u / (\beta_w * \gamma_{M2})$ = 302 N/mm^2 $0,9 * f_u / \gamma_{M2}$ = 245 N/mm^2

Buis 168,3*8 :

Lassen : Rondom voorbewerkte V- las met volledige doorsnede doorlassen

9.3.1 - Controle capaciteit van de aansluiting - draagarm aan mast

Momentcapaciteit in het vlak

buis	d_i (mm)	t_i (mm)	A (mm^2)	kwaliteit	f_y	W_b (mm^3)
0	505,6	14,0	21622	S355	355	2585992
1	168,3	8,0	4029	S355	355	154162

$M_{ip,1,Rd} = \{4{,}85 * (f_{y0} * t^2_0 * d_1 / \sin\theta_1) * (\beta * k_p * g^{0,5})\} / \gamma_{M5}$

γ_{M5} = 1,50 (extra materiaalfactor)

θ_1 = 90 graden ; $\beta = d_i / d_0$ = 0,33

$\gamma = d_0 / 2{*}t_0$ = 18,1

$n_p = \{N_{0,Ed} / (A_0 * f_{y,0})\} + \{M_{0,Ed} / (W_0 * f_{y,0})\}$

$N_{0,Ed}$ = 21,83 kN drukkracht
$M_{0,Ed}$ = 28,73 kNm
} t.g.v. max. belasting

n_p = 0,03 of n_p = -0,028

k_p = 1,0 , voor $n_p \leq 0$ (trek) ;

$k_p = 1{,}0 - 0{,}3 * n_p - 0{,}3 * n_p^2$, voor $n_p > 0$ (druk) maar $k_p \leq 1$

k_p = 0,99

$M_{ip,1,Rd}$ = 53,0 kNm

Pons controle ; Voor $d_1 \leq d_0 - 2{*}t_0$:

$M_{ip,1,Rd} = \{(f_{y0} * t_0 * d^2_1 / 3^{0,5})*((1+ 3*\sin\theta_1)/ 4*\sin^2\theta_1)\} / \gamma_{M5}$

$M_{ip,1,Rd}$ = 54,2 kNm

$M_{y,Ed} / M_{ip,1,Rd}$ = 31,08 / 53,0 = 0,59 < 1,0 -- Voldoet

Momentcapaciteit uit het vlak

$M_{op,1,Rd} = \{(f_{y0} * t^2_0 * d_1 / \sin\theta_1) * (2{,}7 / (1 - 0{,}81{*}\beta)) * k_p \} / \gamma_{M5}$

$M_{op,1,Rd}$ = 28,6 kNm

Moment uit het vlak $M_{z;Ed}$ = 0

9.2,2 - Berekening clip bliksemdraad (clip 5.4)

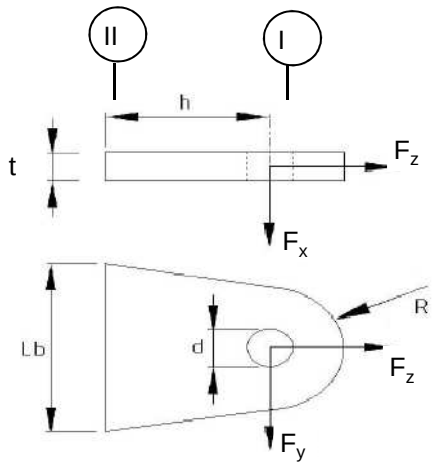

R =	42	mm ;	t =	20	mm
Lb =	120	mm ;	d =	27	mm
h =	78	mm ;	a las =	5	mm (hoeklas)

Materiaal - S 355 ; f_y = 355 / 1,5 = 236,7 N/mm^2

	$F_{x,Ed}$ kN	$F_{y,Ed}$ kN	$F_{z,Ed}$ kN
BG 1a - (+wind (90 gr))	16,01	0,00	4,61
BG 3 - (+wind (90) + ijs)	18,89	0,00	19,75
BG 1a - (+wind (45 gr))	9,49	0,00	4,72
BG 3 - (+wind (45) + ijs)	12,63	0,00	19,93

Doorsnede I ; ter hoogte van het gat

Per clip: $F_{Ed;max}$ = 0,5 * ($F_{y,Ed}^2$ + $F_{z,Ed}^2$)^{0,5} = 10,0 kN

τ_{toel} = (355 / 1,5) / 3^{0,5} = 137 N/mm^2

τ = $F_{Ed,max}$ / (2 *(t * (R - d/2)) = 9 N/mm^2 < 137 MPa -- Voldoet

Doorsnede II ; per clips

A =	2400	mm^2	N_{Rd} = A * f_y =	568 kN
W_x =	4,80E+04	mm^3	$M_{x,Rd}$ = W_x * f_y =	11,4 kNm
W_y =	8,00E+03	mm^3	$M_{y,Rd}$ = W_y * f_y =	1,9 kNm
			V_{Rd} = A* f_y / 3^{0,5} =	327,9 kN

Maatgevend BG 3 - (wind 90 gr. + ijs)

N_{Ed} =	9,87	kN	$M_{y,Ed}$ = $V_{x,Ed}$ * h =	0,737	kNm
$V_{x,Ed}$ =	9,44	kN			

N_{Ed} / N_{Rd} =	9,87	/	568	=	0,02	< 1,0 -- Voldoet
			σ_N =		4,1	N/mm^2
$M_{y,Ed} / M_{y,Rd}$ =	0,74	/	1,9	=	0,39	< 1,0 -- Voldoet
			$\sigma_{b,y}$ =		92,1	N/mm^2
$V_{x,Ed} / V_{x,Rd}$ =	9,44	/	328	/	0,03	< 1,0 -- Voldoet
			τ_x =		3,9	N/mm^2

vergelijkingsspanning :

$\sigma_{vlg} = ((\sigma_{b,y} + \sigma_N)^2 + 3*\tau^2_z)^{0,5}$

σ_{vlg} = 96 N/mm^2 < 236 MPa -- Voldoet

Controle spanningen in las:

Toetsing regel :

$\sigma_{Ed} \leq f_u / (\beta_w * \gamma_{M2})$ of $\sigma_1 = \sigma_{loodrecht} \leq 0,9 * f_u / \gamma_{M2}$

$f_{v,w,d} = f_u / (\beta_w * \gamma_M *$ wortel(3))

γ_M = 1,25 ; $\gamma_{m;extra}$ = 1,5 (extra materiaalfactor)

Materiaal S 355 ----> f_u = 510 N/mm^2 en β_w = 0,9

$f_u / (\beta_w * \gamma_{M2})$ = 302 N/mm^2 $0,9 * f_u / \gamma_{M2}$ = 245 N/mm^2

Lassen : hoeklas 5 mm rondom

$\sigma_1 = \tau_1 = F_{las} / (L_{las} * a * 2^{0,5})$ L_{las} = 120 mm

a = 5 mm

$F_{las} = N_{Ed} / 2 + M_{y,Ed} / (t + 2*a / 3)$

F_{las} = 4,9 + 31,6 = 36,5 kN

σ_1 =	43,0	N/mm^2	
τ_1 =	43,0	N/mm^2	
τ_2 = 0			
σ_{Ed} = $\{\sigma_1^2 + 3 * (\tau_1^2 + \tau_2^2)\}^{0,5}$ =	86,0	N/mm^2	
$\sigma_{Ed} \leq f_u / (\beta_w * \gamma_{M2})$ = 86,0 / 302,2 =	0,28	< 1,0 -- Voldoet	
$\sigma_1 \leq 0,9 * f_u / \gamma_{M2}$ 43,0 / 244,8 =	0,18	< 1,0 -- Voldoet	

9.4 - Berekening draagarm "Passieve Loop geleider"

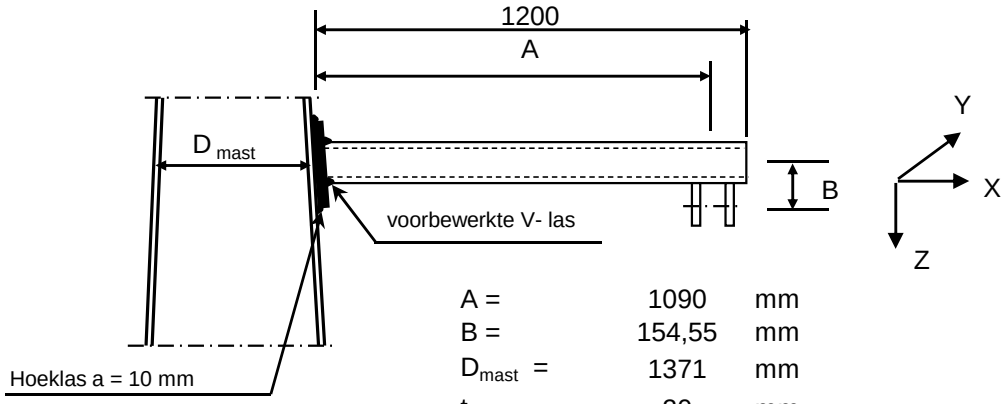

A =	1090	mm
B =	154,55	mm
D_{mast} =	1371	mm
t_{mast} =	20	mm
Hoogte:	24,5	m

Buisgegevens

Buis Ø219,1 * 8 - S355 ;

$\gamma_{m;extra}$ = 1,5 (extra materiaalfactor)

Materiaal - S 355 ; f_y = 355 / $\gamma_{m;extra}$ = 236,7 N/mm^2

$\gamma_{m;extra}$ = 1,5 (extra materiaalfactor)

A =	5306	mm^2	$N_{Ed} = A * f_y$ =	1256	kN
$W_y = W_z$ =	2,70E+05	mm^3	$M_{y,Ed} = W_y * f_y$ =	63,9	kNm
W_x =	5,40E+05	mm^3	$M_{z,Ed} = W_z * f_y$ =	63,9	kNm
			$M_{x,Ed} = W_x * f_y / 3^{0,5}$ =	73,8	kNm
			$V_{Rd} = 0,5*A* f_y / 3^{0,5}$ =	362,5	kN

Belastingen : Zie KEMA rapport 74100706-ETD/POL 12-001 38 REV 002 - Appendix AA

	AHEAD			BACK		
	F_x	F_y	F_z	F_x	F_y	F_z
	N	N	N	N	N	N
BG 1a - (+wind (90 gr))	11309	66072	4858	11309	-66072	4858
BG 3 - (+wind (90) + ijs)	14332	128955	20084	14332	-128955	20084
BG 1a - (+wind (45 gr))	6913	50148	4981	6913	-50148	4981
BG 3 - (+wind (45) + ijs)	10195	124390	20178	10195	-124390	20178

F_x = Transverse kracht

F_y = Longitudinale kracht

F_z = Verticale kracht

	$F_{x,Ed}$	$F_{y,Ed}$	$F_{z,Ed}$	$M_{x,Ed}$	$M_{y,Ed}$	$M_{z,Ed}$
	kN	kN	kN	kNm	kNm	kNm
BG 1a - (+wind (90 gr))	22,62	0,00	9,72	0,00	14,09	0,00
BG 3 - (+wind (90) + ijs)	28,66	0,00	40,17	0,00	48,21	0,00
BG 1a - (+wind (45 gr))	13,83	0,00	9,96	0,00	13,00	0,00
BG 3 - (+wind (45) + ijs)	20,39	0,00	40,36	0,00	47,14	0,00

$M_{x,Ed} = F_{y,Ed} * B$

$M_{y,Ed} = F_{z,Ed} * A \pm F_{x,Ed} * B$; $M_{y,Ed,max} = F_{z,Ed} * A + F_{x,Ed} * B$;

$M_{z,Ed} = F_{y,Ed} * A$

Maatgevend belastinggeval : BG 3 - (wind 90 gr + ijs)

$M_{y,Ed} / M_{y,Rd}$ =	48,21	/	64	=	0,75	< 1,0 -- Voldoet
			$\sigma_{b,y}$ =		178,5	N/mm^2
N_{Ed} / N_{Rd} =	28,66	/	1256	=	0,02	< 1,0 -- Voldoet
			σ_N =		5,4	N/mm^2
$V_{z,Ed} / V_{z,Rd}$ =	40,17	/	362	=	0,11	< 1,0 -- Voldoet
			τ_z =		15,1	N/mm^2

Maximale spanning

σ_{max} = 178,5 + 5,4 = 183,9 N/mm^2

vergelijkingsspanning :

$\sigma_{vlg} = (\sigma^2_{max} + 3*\tau^2_y + 3*\tau^2_z + 3*\tau^2_w)^{0,5}$

σ_{vlg} = 186 N/mm^2 < 237 MPa -- Voldoet

Controle spanningen in las:

Toetsing regel :

$\sigma_{Ed} \leq f_u / (\beta_w * \gamma_{M2})$ of $\sigma_1 = \sigma_{loodrecht} \leq 0,9 * f_u / \gamma_{M2}$

$f_{v,w,d} = f_u / (\beta_w * \gamma_M *$ wortel(3))

γ_M = 1,25 ; $\gamma_{m;extra}$ = 1,5 (extra materiaalfactor)

Materiaal S 355 ----> f_u = 510 N/mm^2 en β_w = 0,9

$f_u / (\beta_w * \gamma_{M2})$ = 302 N/mm^2 $0,9 * f_u / \gamma_{M2}$ = 245 N/mm^2

Buis 219,1*8 aan de versterkingsplaat
Lassen : Rondom voorbewerkte V- las met volledige doorsnede doorlassen

Berekening versterkingsplaat

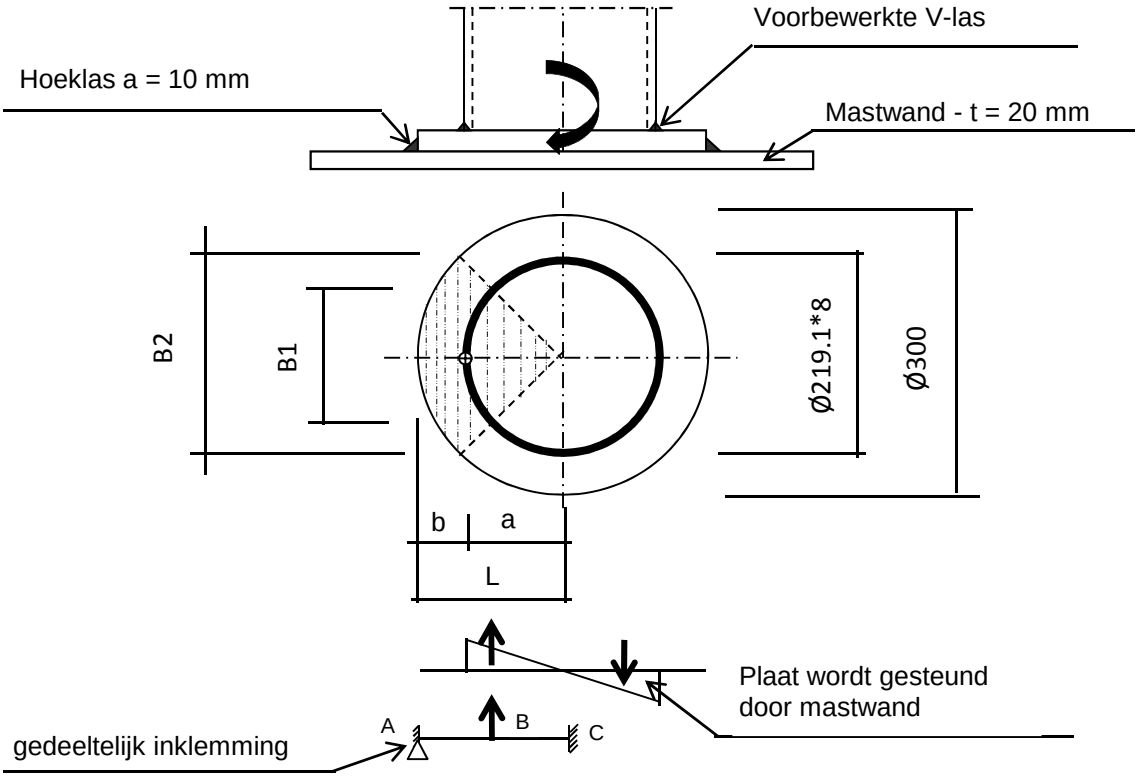

Plaat rond 300 * 20 - S355

Buis Ø219,1 * 8 - S355 ; A = 5306 mm^2
W = 270163 mm^3
I = 29596329 mm^4
R = 110 mm

Hoeklas a= 10,0 mm
$\gamma_{m;extra}$ = 1,5 (extra materiaalfactor)

Maatgevend belasting

M_{Ed} = 48,2 kNm

$F_{Ed} = [((M_{Ed} * R_{buis} / I) * (1+\cos 45^{o}))/2] * (A_{buis} / 4)$

F_{Ed} = 202,0 kN

a = R_{buis} = 109,6
b = R_{pl} - a = 40,5

B1 = 154,9 mm ; Boog B1 = 172 mm
B2 = 212,1 mm ; Boog B2 = 236 mm

Percentage inklemming = a_{las} / t_{pl} = 50,0%
Percentage vrij oplegging = 50,0%

Volledig opleggingg:

$M_{A;Ed}$ = 0 0,00 kNm
$M_{B;Ed}$ = (F_{Ed} * b/2)*(2 - 3*b/L + b^3/L^3) = 4,95 kNm
$R_{A;Ed}$ = (F_{Ed} * a^2 / 2.L^3)* (b + 2.L) = 122,3 kN

Volledig inklemming:

$M_{A;Ed} = (F_{Ed} * b * a^2 / L^2) =$ 4,36 kNm
$M_{B;Ed} = (2 * F_{Ed} * a^2 * b^2 / L^3) =$ 2,35 kNm
$R_{A;Ed} = F_{Ed} * (a / L)^2 * (1 + 2* b / L) =$ 165,9 kN

Gedeeltelijk inklemming:

$M_{A;Ed}$ = 0,0 * 50,0% + 4,4 * 50,0% = 2,18 kNm
$M_{B;Ed}$ = 4,9 * 50,0% + 2,4 * 50,0% = 3,65 kNm
$R_{A;Ed}$ = 122,3 * 50,0% + 165,9 * 50,0% = 144,1 kN

$M_{A;Rd} = ((1/4) * t_{pl}^2 * \text{Boog B2} * 355 / 1,5) / 10^{-6} =$ 5,58 kNm
$M_{B;Rd} = ((1/4) * t_{pl}^2 * \text{Boog B1} * 355 / 1,5) / 10^{-6} =$ 4,07 kNm

$M_{A,Ed} / M_{A,Rd}$ = 2,18 / 5,58 = 0,39 < 1,0 -- Voldoet
$\sigma_{b,A} =$ 92,5 N/mm^2
$M_{B,Ed} / M_{B,Rd}$ = 3,65 / 4,07 = 0,90 < 1,0 -- Voldoet
$\sigma_{b,B} =$ 212,1 N/mm^2

Ter plaatse van buiten ring:

$V_{Ed} =$ 144,1 kN

$\tau = V_{Ed} * 1000 / t_{pl} * \text{Boog B2} =$ 30,6 N/mm^2

Ter plaatse van binnen ring :

$\tau = V_{Ed} * 1000 / t_{pl} * \text{Boog B1} =$ 41,9 N/mm^2

$\sigma_{vlg,max} = \{\sigma_b^2 + 3*\tau^2\}^{0,5} =$ 224,1 N/mm^2
< 237 MPa -- Voldoet

Controle spanningen in las.

Toetsing regel :

$\sigma_{Ed} \leq f_u / (\beta_w * \gamma_{M2})$ of $\sigma_1 = \sigma_{loodrecht} \leq 0,9 * f_u / \gamma_{M2}$

$f_{v,w,d} = f_u / (\beta_w * \gamma_M * \text{wortel(3)})$

$\gamma_M = 1,25$; $\gamma_{m;extra} =$ 1,5 (extra materiaalfactor)

Materiaal S 355 ----> $f_u = 510$ N/mm^2 en $\beta_w = 0,9$

$f_u / (\beta_w * \gamma_{M2}) =$ 302 N/mm^2 $0,9 * f_u / \gamma_{M2} =$ 245 N/mm^2

Lassen hoeklas a = 10 mm rondom

Per mm las:

t.g.v buigspanning:

$\sigma_1 = \tau_1 = \sigma_b * t / (1 * a * 2^{0,5}) =$ 130,8 N/mm^2

t.g.v schuifspanning:

$\sigma_1 = \tau_1 = \pm \tau * t / (1 * a * 2^{0,5}) =$ 43,2 N/mm^2

$\sigma_{1,max}$ =	130,8	+	43,2	=		174,1	N/mm^2
$\tau_{1,max}$ =	130,8	-	43,2	=		87,6	N/mm^2
$\tau_2 = 0$							
σ_{Ed} =	$\{\sigma_1^2 + 3 * (\tau_1^2 + \tau_2^2)\}^{0,5}$			=		230,9	N/mm^2
$\sigma_{Ed} \leq f_u / (\beta_w * \gamma_{M2})$ =	230,9	/	302,2	=	0,76	< 1,0	-- Voldoet
$\sigma_1 \leq 0,9 * f_u / \gamma_{M2}$	174,1	/	244,8	=	0,71	< 1,0	-- Voldoet

9.4.1 - Controle capaciteit van de aansluiting - draagarm aan mast

Momentcapaciteit in het vlak

buis	d_i (mm)	t_i (mm)	A (mm^2)	kwaliteit	f_y	W_b (mm^3)
0	1371,0	20,0	84886	S355	355	28258144
Plaat	300,0		70686	S355	355	2650719

$M_{ip,1,Rd} = \{4,85 * (f_{y0} * t^2_0 * d_1 / \sin\theta_1) * (\beta * k_p * g^{0,5})\} / \gamma_{M5}$

γ_{M5} = 1,50 (extra materiaalfactor)

θ_1 = 90 graden ; $\beta = d_i / d_0$ = 0,22

$\gamma = d_0 / 2*t_0$ = 34,3

$n_p = \{N_{0,Ed} / (A_0 * f_{y,0})\} + \{M_{0,Ed} / (W_0 * f_{y,0})\}$

$N_{0,Ed}$ = 470,81 kN drukkracht
$M_{0,Ed}$ = 7431,46 kNm
} t.g.v. max. belasting

n_p = 0,76 of n_p = -0,725

k_p = 1,0 , voor $n_p \leq 0$ (trek) ;

$k_p = 1,0 - 0,3 * n_p - 0,3 * n_p^2$, voor $n_p > 0$ (druk) maar $k_p \leq 1$

k_p = 0,60

$M_{ip,1,Rd}$ = 106,1 kNm

Pons controle ; Voor $d_1 \leq d_0 - 2*t_0$:

$M_{ip,1,Rd} = \{(f_{y0} * t_0 * d^2_1 / 3^{0,5})*((1+ 3*\sin\theta_1)/ 4*\sin^2\theta_1)\} / \gamma_{M5}$

$M_{ip,1,Rd}$ = 246,0 kNm

$M_{y,Ed} / M_{ip,1,Rd}$ = 48,21 / 106,1 = 0,45 < 1,0 -- Voldoet

Momentcapaciteit uit het vlak

$M_{op,1,Rd} = \{(f_{y0} * t^2_0 * d_1 / \sin\theta_1) * (2,7 / (1 - 0,81*\beta)) * k_p \} / \gamma_{M5}$

$M_{op,1,Rd}$ = 56,1 kNm

Moment uit het vlak $M_{z;Ed}$ = 0

9.4.2 - Berekening clip draagarm Passieve Loop geleider (clip 5.4)

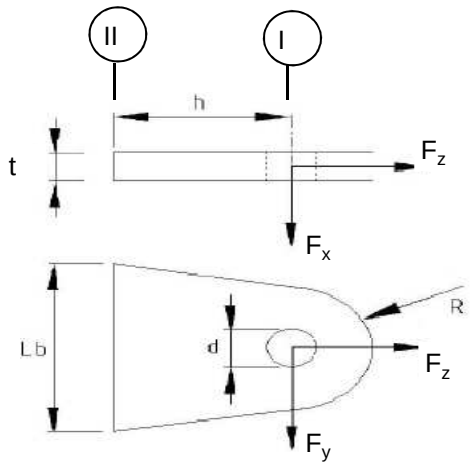

R =	42	mm ;	t =	20	mm
Lb =	120	mm ;	d =	27	mm
h =	62	mm ;	a las =	5	mm (hoeklas)

Materiaal - S 355 ; f_y = 355 / 1,5 = 236,7 N/mm^2

	$F_{x,Ed}$ kN	$F_{y,Ed}$ kN	$F_{z,Ed}$ kN
BG 1a - (+wind (90 gr))	22,62	0,00	9,72
BG 3 - (+wind (90) + ijs)	28,66	0,00	40,17
BG 1a - (+wind (45 gr))	13,83	0,00	9,96
BG 3 - (+wind (45) + ijs)	20,39	0,00	40,36

Doorsnede I ; ter hoogte van het gat

Per clip: $F_{Ed;max}$ = $0,5 * (F_{y,Ed}^2 + F_{z,Ed}^2)^{0,5}$ = 20,2 kN

τ_{toel} = (355 / 1,5) / $3^{0,5}$ =	137	N/mm^2	
τ = $F_{Ed,max}$ / (2 *(t * (R - d/2)) =	18	N/mm^2	< 137 MPa -- Voldoet

Doorsnede II ; per clips

A =	2400	mm^2	N_{Rd} = A * f_y =	568 kN
W_x =	4,80E+04	mm^3	$M_{x,Rd}$ = W_x * f_y =	11,4 kNm
W_y =	8,00E+03	mm^3	$M_{y,Rd}$ = W_y * f_y =	1,9 kNm
			V_{Rd} = A* f_y / $3^{0,5}$ =	327,9 kN

Maatgevend BG 3 - (wind 90 gr. + ijs)

N_{Ed} =	20,08	kN	$M_{y,Ed}$ = $V_{z,Ed}$ * h =	0,889	kNm
$V_{z,Ed}$ =	14,33	kN			

N_{Ed} / N_{Rd} =	20,08	/	568	=	0,04	< 1,0 -- Voldoet
			σ_N =		8,4	N/mm^2
$M_{y,Ed} / M_{y,Rd}$ =	0,89	/	1,9	=	0,47	< 1,0 -- Voldoet
			$\sigma_{b,y}$ =		111,1	N/mm^2
$V_{x,Ed} / V_{x,Rd}$ =	14,33	/	328	/	0,04	< 1,0 -- Voldoet
			τ_z =		6,0	N/mm^2

vergelijkingsspanning :

$\sigma_{vlg} = ((\sigma_{b,y} + \sigma_N)^2 + 3*\tau^2_x)^{0,5}$

σ_{vlg} = 120 N/mm^2 < 236 MPa -- Voldoet

Controle spanningen in las:

Toetsing regel :

$\sigma_{Ed} \leq f_u / (\beta_w * \gamma_{M2})$ of $\sigma_1 = \sigma_{loodrecht} \leq 0,9 * f_u / \gamma_{M2}$

$f_{v,w,d} = f_u / (\beta_w * \gamma_M *$ wortel(3))

γ_M = 1,25 ; $\gamma_{m;extra}$ = 1,5 (extra materiaalfactor)

Materiaal S 355 ----> f_u = 510 N/mm^2 en β_w = 0,9

$f_u / (\beta_w * \gamma_{M2})$ = 302 N/mm^2 $0,9 * f_u / \gamma_{M2}$ = 245 N/mm^2

Lassen : hoeklas 5 mm rondom

$\sigma_1 = \tau_1 = F_{las} / (L_{las} * a * 2^{0,5})$ L_{las} = 120 mm

a = 5 mm

$F_{las} = N_{Ed} / 2 + M_{y,Ed} / (t + 2*a / 3)$

F_{las} = 10,0 + 38,1 = 48,1 kN

σ_1 =		56,7	N/mm^2
τ_1 =		56,7	N/mm^2
τ_2 =	0		
σ_{Ed} =	$\{\sigma_1^2 + 3 * (\tau_1^2 + \tau_2^2)\}^{0,5}$ =	113,4	N/mm^2

$\sigma_{Ed} \leq f_u / (\beta_w * \gamma_{M2})$=	113,4	/	302,2	=	0,38	< 1,0 -- Voldoet
$\sigma_1 \leq 0,9 * f_u / \gamma_{M2}$	56,7	/	244,8	=	0,23	< 1,0 -- Voldoet

9.5 - Berekening Clip 17 - t.b.v installatie geleiders (op 0,5m hoogte)

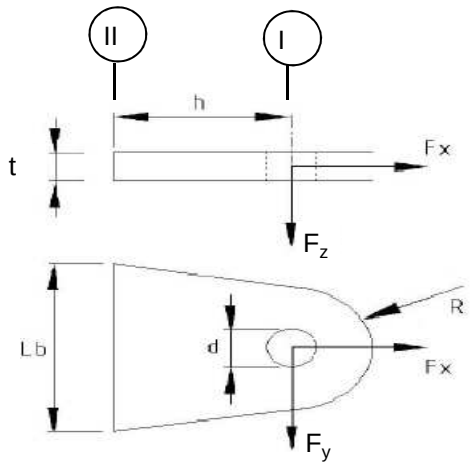

R =	55	mm ;	t =	20	mm
Lb =	110	mm ;	d =	27	mm
h =	55	mm ;	las :	Voorbeverklte K-las	

$\gamma_{m;extra}$ = 1,5 (extra materiaalfactor)

Materiaal - S 355 ; f_y = 355 / 1,5 = 236,7 N/mm^2

	$F_{x,Ed}$ kN	$F_{y,Ed}$ kN	$F_{z,Ed}$ kN
BG 60 kN	42,43	42,43	0,00
of	0,00	60,00	

Doorsnede I ; ter hoogte van het gat

Per clip: $F_{Ed;max}$ = $(F_{y,Ed}^2 + F_{x,Ed}^2)^{0,5}$ = 60,0 kN

τ_{toel} = (355 / 1,5) / $3^{0,5}$ = 137 N/mm^2

τ = $F_{Ed,max}$ / (2 *(t * (R - d/2)) = 36 N/mm^2 < 137 MPa -- Voldoet

Doorsnede II ; per clips

A =	2200	mm^2	N_{Rd} = A * f_y =	521	kN
W_y =	4,03E+04	mm^3	$M_{x,Rd}$ = W_y * f_y =	9,5	kNm
W_z =	7,33E+03	mm^3	$M_{y,Rd}$ = W_z * f_y =	1,7	kNm
			V_{Rd} = A* f_y / $3^{0,5}$ =	300,6	kN

N_{Ed} =	42,43	kN	$M_{y,Ed}$ = $V_{y,Ed}$ * h =	2,333	kNm
$V_{y,Ed}$ =	42,43	kN			

N_{Ed} / N_{Rd} = 42,43 / 521 = 0,08 < 1,0 -- Voldoet
σ_N = 19,3 N/mm^2

$M_{y,Ed} / M_{y,Rd}$ = 2,33 / 10 = 0,24 < 1,0 -- Voldoet
$\sigma_{b,y}$ = 57,9 N/mm^2

$V_{z,Ed} / V_{z,Rd}$ = 42,43 / 301 = 0,14 < 1,0 -- Voldoet
τ_y = 19,3 N/mm^2

Maximale buigspanning

$\sigma_{b,max}$ = { 19,3 + 57,9 } = 77,1 N/mm^2

vergelijkingsspanning :

$\sigma_{vlg} = (\sigma^2_{b,max} + 3*\tau^2_y)^{0,5}$

σ_{vlg} = 84 N/mm^2 < 237 MPa -- Voldoet

N_{Ed} = 0,00 kN
$V_{y,Ed}$ = 60,00 kN

$M_{y,Ed} = V_{y,Ed} * h$ = 3,300 kNm

$M_{y,Ed} / M_{y,Rd}$ = 3,30 / 10 = 0,35 < 1,0 -- Voldoet
$\sigma_{b,y}$ = 81,8 N/mm^2

$V_{z,Ed} / V_{z,Rd}$ = 60,00 / 301 = 0,20 < 1,0 -- Voldoet
τ_y = 27,3 N/mm^2

vergelijkingsspanning :

$\sigma_{vlg} = (\sigma^2_{b,max} + 3*\tau^2_y)^{0,5}$

σ_{vlg} = 94 N/mm^2 < 230 MPa -- Voldoet

Controle spanningen in las.

Toetsing regel :

$\sigma_{Ed} \leq f_u / (\beta_w * \gamma_{M2})$ of $\sigma_1 = \sigma_{loodrecht} \leq 0,9 * f_u / \gamma_{M2}$

$f_{v,w,d} = f_u / (\beta_w * \gamma_M *$ wortel(3))

γ_M = 1,25 ; $\gamma_{m;extra}$ = 1,5 (extra materiaalfactor)

Materiaal S 355 ----> f_u = 510 N/mm^2 en β_w = 0,9

$f_u / (\beta_w * \gamma_{M2})$ = 302 N/mm^2 $0,9 * f_u / \gamma_{M2}$ = 245 N/mm^2

Lassen : Voorbewerkte K- las met volledige doorsnede doorlassen

9.5.1 - Controle capaciteit van de aansluiting

Plaats van de aansluiting ; 0,5m boven voetplaat

buis/plaat	d_i / h_i (mm)	t_i (mm)	A (mm^2)	kwaliteit	f_y	W_b (mm^3)
0	1995,0	22,0	136364	S355	355	66528068
clip	110,0	20,0	2200	S355	355	40333

$N_{i,Rd} = \{(5 * k_p * f_{y0} * t^2_0) * (1 + 0,25 * \eta)\} / \gamma_{M5}$

$M_{ip,i,Rd} = h_i * N_{i,Rd}$; $M_{op,i,Rd} = 0$

Toepassingsgebied:

$\eta = h_i / d_0 \leq 4$ $h_i / d_0 =$ 0,06 voldoet

$\gamma_{M5} =$ 1,50 (extra materiaalfactor)

$\eta = h_i / d_0 =$ 0,06

$n_p = \{N_{0,Ed} / (A_0 * f_{y,0})\} + \{M_{0,Ed} / (W_0 * f_{y,0})\}$

$N_{0,Ed} =$ 758,5 kN drukkracht
$M_{0,Ed} =$ 18351,3 kNm
} t.g.v. max. belasting

$n_p =$ 0,79 of $n_p =$ -0,761

$k_p = 1,0$, voor $n_p \leq 0$ (trek)

$k_p = 1,0 - 0,3 * n_p - 0,3 * n_p^2$, voor $n_p > 0$ (druk) maar $k_p \leq 1$

$k_p =$ 0,57

$N_{1,Rd} =$ 333,1 kN

$N_{1,Ed} / N_{1,Rd} =$ 42,43 / 333,1 = 0,13 < 1,0 -- Voldoet

$M_{op,i,Rd} =$ 36,6 kNm

$M_{1,Ed} / M_{op,1,Rd} =$ 2,33 / 36,6 = 0,06 < 1,0 -- Voldoet

Pons controle

$\sigma_{max.}t_i = (N_{Ed} / A + M_{Ed} / W_{el}) * t_i \leq \{(f_{y,0} / 3^{0,5}) * 2 * t_0 \} / \gamma_{M5}$

$N_{1,Ed} =$ 42,43 kN ; $M_{1,Ed} =$ 2,333 kNm

$\sigma_{max.}t_i =$ 1543 N/mm'
$\{(f_{y,0} / 3^{0,5}) * 2 * t_0 \} / \gamma_{M5} =$ 6012 N/mm' ---> voldoet

9.6 - Berekening clip hulprail - clip 8

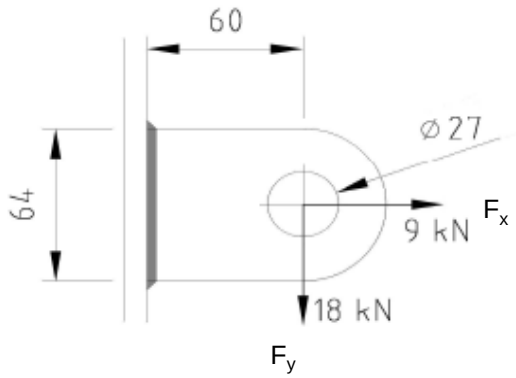

R =	32	mm ;	t =	20	mm
Lb =	64	mm ;	d =	27	mm
h =	60	mm ;	a las =	5	mm - hoeklas

$\gamma_{m;extra}$ = 1,5 (extra materiaalfactor)

Materiaal - S 355 ; f_y = 355 / 1,5 = 236,7 N/mm^2

$F_{x,Ed}$	$F_{y,Ed}$	$F_{z,Ed}$
kN	kN	kN
9,00	18,00	0,00

Doorsnede I ; ter hoogte van het gat

Per clip: $F_{Ed;max} = (F_{y,Ed}^2 + F_{y,Ed}^2)^{0,5}$ = 20,1 kN

τ_{toel} = (355 / 1,5) / $3^{0,5}$ = 137 N/mm^2

τ = $F_{Ed,max}$ / (2 *(t * (R - d/2)) = 27 N/mm^2 < 137 MPa -- Voldoet

Doorsnede II ; per clips

A =	1280	mm^2	N_{Rd} = A * f_y =	303	kN
W_y =	1,37E+04	mm^3	$M_{x,Rd}$ = W_y * f_y =	3,2	kNm
W_z =	4,27E+03	mm^3	$M_{y,Rd}$ = W_z * f_y =	1,0	kNm
			V_{Rd} = A* f_y / $3^{0,5}$ =	174,9	kN
N_{Ed} =	9,00	kN	$M_{y,Ed}$ = $V_{y,Ed}$ * h =	1,080	kNm
$V_{y,Ed}$ =	18,00	kN			

N_{Ed} / N_{Rd} = 9,00 / 303 = 0,03 < 1,0 -- Voldoet

σ_N = 7,0 N/mm^2

$M_{y,Ed}$ / $M_{y,Rd}$ = 1,08 / 3 = 0,33 < 1,0 -- Voldoet

$\sigma_{b,y}$ = 79,1 N/mm^2

$V_{z,Ed}$ / $V_{z,Rd}$ = 18,00 / 175 = 0,10 < 1,0 -- Voldoet

τ_y = 14,1 N/mm^2

Maximale buigspanning

$\sigma_{b,max}$ = { 7,0 + 79,1 } = 86,1 N/mm^2

$\sigma_{vlg} = (\sigma^2_{b,max} + 3*\tau^2_y)^{0,5}$

σ_{vlg} = 90 N/mm^2 < 237 MPa -- Voldoet

Controle spanningen in las:

Toetsing regel :

$\sigma_{Ed} \leq f_u / (\beta_w * \gamma_{M2})$ of $\sigma_1 = \sigma_{loodrecht} \leq 0,9 * f_u / \gamma_{M2}$

$f_{v,w,d} = f_u / (\beta_w * \gamma_M *$ wortel(3))

$\gamma_M = 1,25$; $\gamma_{m;extra}$ = 1,5 (extra materiaalfactor)

Materiaal S 355 ----> f_u = 510 N/mm^2 en β_w = 0,9

$f_u / (\beta_w * \gamma_{M2})$ = 302 N/mm^2 $0,9 * f_u / \gamma_{M2}$ = 245 N/mm^2

Lassen : hoeklas 5 mm rondom

a = 5 mm t = 20 mm

Per mm las: : $\sigma_1 = \tau_1 = \sigma_{max} * t / (2 * a * 2^{0,5})$

$\tau_2 = \tau_{max} * t / (2 * a)$

σ_1 =			121,8	N/mm^2
τ_1 =			121,8	N/mm^2
τ_2 =	0		28,1	N/mm^2
σ_{Ed} =	$\{\sigma_1^2 + 3 * (\tau_1^2 + \tau_2^2)\}^{0,5}$ =		248,4	N/mm^2
$\sigma_{Ed} \leq f_u / (\beta_w * \gamma_{M2})$=	248,4 /	302,2 =	0,82	< 1,0 -- Voldoet
$\sigma_1 \leq 0,9 * f_u / \gamma_{M2}$	121,8 /	244,8 =	0,50	< 1,0 -- Voldoet

9.6.1 - Controle capaciteit van de aansluiting

Clip op 30,987 meter hoogte - (diameter buis maximum)

buis/plaat	d_i / h_i (mm)	t_i (mm)	A (mm^2)	kwaliteit	f_y	W_b (mm^3)
0	1202,3	18,0	66973	S355	355	19537236
clip	64,0	20,0	1280	S355	355	13653

$N_{i,Rd} = \{(5 * k_p * f_{y0} * t^2_0) * (1 + 0,25 * \eta)\} / \gamma_{M5}$

$M_{ip,i,Rd} = h_i * N_{i,Rd}$; $M_{op,i,Rd} = 0$

Toepassingsgebied:

$\eta = h_i / d_0 \leq 4$ $h_i / d_0 =$ 0,05 voldoet

$\gamma_{M5} =$ 1,50 (extra materiaalfactor)

$\eta = h_i / d_0 =$ 0,05

$n_p = \{N_{0,Ed} / (A_0 * f_{y,0})\} + \{M_{0,Ed} / (W_0 * f_{y,0})\}$

$N_{0,Ed} =$ 382,2 kN drukkracht
$M_{0,Ed} =$ 5124,1 kNm
} t.g.v. max. belasting

$n_p =$ 0,75 of $n_p =$ -0,723

$k_p = 1,0$, voor $n_p \leq 0$ (trek)

$k_p = 1,0 - 0,3 * n_p - 0,3 * n_p^2$, voor $n_p > 0$ (druk) maar $k_p \leq 1$

$k_p =$ 0,60

$N_{1,Rd} =$ 234,1 kN

$N_{1,Ed} / N_{1,Rd} =$ 9,00 / 234,1 = 0,04 < 1,0 -- Voldoet

$M_{op,i,Rd} =$ 15,0 kNm

$M_{1,Ed} / M_{op,1,Rd} =$ 1,08 / 15,0 = 0,07 < 1,0 -- Voldoet

Pons controle

$\sigma_{max.}t_i = (N_{Ed} / A + M_{Ed} / W_{el}) * t_i \leq \{(f_{y,0} / 3^{0,5}) * 2 * t_0 \} / \gamma_{M5}$

$N_{1,Ed} =$ 9,00 kN ; $M_{1,Ed} =$ 1,080 kNm

$\sigma_{max.}t_i =$ 1723 N/mm'

$\{(f_{y,0} / 3^{0,5}) * 2 * t_0 \} / \gamma_{M5} =$ 4919 N/mm' ---> voldoet

Clip op 50,487 m hoogte -(wanddikte buis minimum / diameter maximum)

buis/plaat	d_i / h_i (mm)	t_i (mm)	A (mm^2)	kwaliteit	f_y	W_b (mm^3)
0	695,3	14,0	29967	S355	355	5003721
1	64,0	20,0	1280	S355	355	13653

$N_{i,Rd} = \{(5 * k_p * f_{y0} * t^2_0) * (1 + 0,25 * \eta)\} / \gamma_{M5}$

$M_{ip,i,Rd} = h_i * N_{i,Rd}$; $M_{op,i,Rd} = 0$

Toepassingsgebied:

$\eta = h_i / d_0 \leq 4$ $h_i / d_0 =$ 0,09 voldoet

$\gamma_{M5} =$ 1,50 (extra materiaalfactor)

$\eta = h_i / d_0 =$ 0,09

$n_p = \{N_{0,Ed} / (A_0 * f_{y,0})\} + \{M_{0,Ed} / (W_0 * f_{y,0})\}$

$N_{0,Ed} =$ 117,7 kN drukkracht
$M_{0,Ed} =$ 422,3 kNm
} t.g.v. max. belasting

$n_p =$ 0,25 of $n_p =$ -0,227

$k_p = 1,0$, voor $n_p \leq 0$ (trek)

$k_p = 1,0 - 0,3 * n_p - 0,3 * n_p^2$, voor $n_p > 0$ (druk) maar $k_p \leq 1$

$k_p =$ 0,91

$N_{1,Rd} =$ 215,2 kN

$N_{1,Ed} / N_{1,Rd} =$ 9,00 / 215,2 = 0,04 < 1,0 -- Voldoet

$M_{op,i,Rd} =$ 13,8 kNm

$M_{1,Ed} / M_{op,1,Rd} =$ 1,08 / 13,8 = 0,08 < 1,0 -- Voldoet

Pons controle

$\sigma_{max.}t_i = (N_{Ed} / A + M_{Ed} / W_{el}) * t_i \leq \{(f_{y,0} / 3^{0,5}) * 2 * t_0 \} / \gamma_{M5}$

$N_{1,Ed} =$ 9,00 kN ; $M_{1,Ed} =$ 1,080 kNm

$\sigma_{max.}t_i =$ 1723 N/mm'
$\{(f_{y,0} / 3^{0,5}) * 2 * t_0 \} / \gamma_{M5} =$ 3826 N/mm' ---> voldoet

9.7 - Ondersteuning hijsbalk op de top van de mast

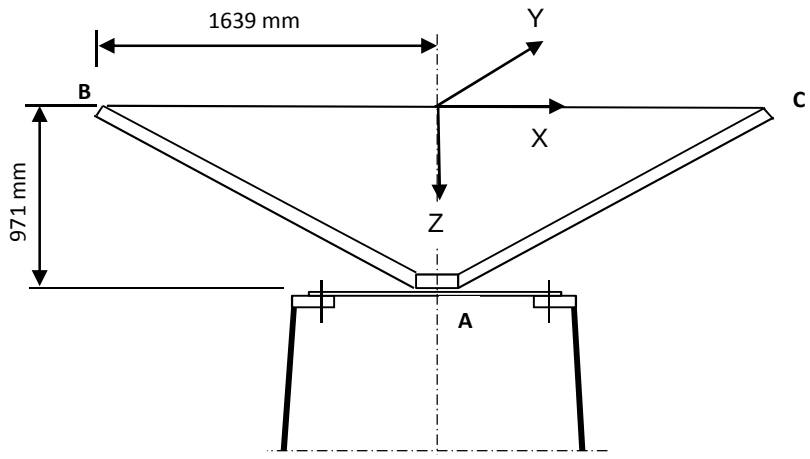

Buis rond 500 * 14

Afstand aangrijpingspunt tot as =	1639	mm
Hoogte aangrijpingspunt boven ring =	971	mm
Verticale belasting $F_{z,Ed}$ =	35	kN
Horizontale belasting $F_{x,Ed}$ = $F_{y,Ed}$ =	15	kN

	BG 1	BG 2	BG 3	BG 4
$F_{z;B,Ed}$	35	35	35	35
$F_{z;c,Ed}$	35	0	35	0
$F_{x;B,Ed}$	15	15	0	0
$F_{x;c,Ed}$	15	0	0	0
$F_{y;B,Ed}$	0	0	15	15
$F_{y;c,Ed}$	0	0	-15	0

Verticaal:	$R_{z;A}$ (kN)	70	35	70	35
Horizontaal:	$R_{x(y);A}$ (kN)	30	15	0	0
Moment:	$M_{y(x);A}$ (kNm)	29,13	71,93	0	57,365
Wringing:	$M_{z;A}$ (kNm)	0	0	49,17	24,585

Ringgegevens ;

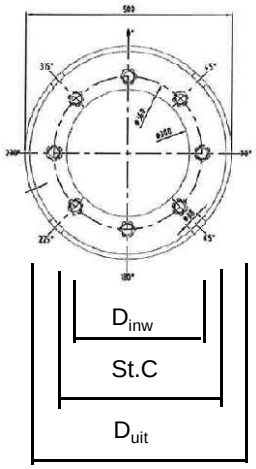

D-uitwendig	500	mm
D-inwendig	300	mm
StC	360	mm
plaat dikte t =	30	mm
Staalkwaliteit S-355; f_y =	355	N/mm^2
Aantal bouten	8	
BoutenM24 - 8,8		

M24 -8,8 :	$F_{t,Rd}$ =	203,03	/ 1,5	=	135,4	kN
	$F_{v,Rd}$ =	135,36	/ 1,5	=	90,2	kN

$\gamma_{m;extra}$ = 1,5 (extra materiaalfactor)

controle bouten

	BG 1	BG 2	BG 3	BG 4	
$F_{t,Ed}$ - kN	31,7	95,5	0,0	75,3	
$F_{v,Ed}$ - kN	3,8	1,9	34,1	17,1	
$F_{t,Ed} / F_{t,Rd}$ =	0,23	0,71	0,00	0,56	< 1 ; voldoet
$F_{v,Ed} / F_{v,Rd}$ =	0,04	0,02	0,38	0,19	< 1 ; voldoet
$F_{v,Ed} / F_{v,Rd} + F_{t,Ed} / 1,4 * F_{t,Rd}$ =	0,21	0,52	0,38	0,59	< 1 ; voldoet

Controle ring :

maatgevend belastinggeval : BG2.

Ten gevolge van verticale belasting ; F_z = 35 kN

Voor de formule zie: Roark's formulas for stress & strain - Tabel 11,2 - 1

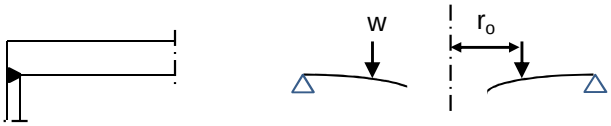

Voor de formule zie: Roark's formulas for stress & strain - Tabel 11,2 - 1e

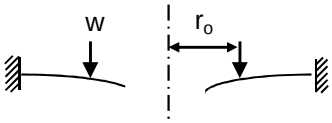

De ring wordt ondersteunt door buis met een las gelijk aan de dikte van de buis.

Verdeling van belasting:

Percentage inklemming (tabel 11,2-1e) = t_{buis} / t_{pl} = 46,7%

Percentage vrij oplegging = 53,3%

W =	35,0	kN			
$w_{(ro)}$ =	31	N/mm'	ν =	0,3	
a =	250	mm	E =	210000	N/mm^2
b =	150	mm	f_y =	237	N/mm^2
r_o =	180	mm			

$D = E.t^3 / 12.(1-\nu^2)$ = 519230769

$C_1 = 0,5.(1+\nu).((b/a).\ln(a/b)) + 0,25.((1-\nu).((a/b)-(b/a))$ = 0,3859

$C_4 = 0,5.[(1+\nu).(b/a).+ (1-\nu).(a/b)]$ = 0,9733

$C_7 = 0,5.(1-\nu^2).((a/b)-(b/a))$ = 0,4853

$L_3 = (r_o/4a).\{[(r_o/a)^2+1].\ln(a/r_o) + (r_o/a)^2 -1\}$ = 0,0031

$L_6 = (r_o/4a).[(r_o/a)^2 -1+ 2.\ln(a/r_o)]$ = 0,0316

$L_9 = (r_o/a).\{ 0,5*(1+\nu).\ln(a/r_o) +0,25*(1-\nu).[1 - (r_o/a)^2]\}-$ = 0,2144

$F_7 = 0,5.(1-\nu^2).((r/b)-(b/r))$; en voor $r = r_o$ = 0,1668

$\theta_b = w . a^2 . L_6 / D. C_4$ = 0,0001

M_{ra} =percentage inkl. * $w . a (L_9 - C_7 . L_6 / C_4)$ = 717 Nmm/mm'

$Q_a = w \cdot r_o / a$ = 22 N/mm'

Ten gevolge van moment ; $M_{y;Ed}$ = 71,93 kNm

$w = F_{bout,max} / (2 * \pi * r_o / n_{bout})$

$w = (4*M_{y,Ed}*1000 / (360 * 8)) / (2\pi * 180 / 8)$ = 707 N/mm'

M_{ra} =percentage inkl. * $w \cdot a (L_9 - C_7 \cdot L_6 / C_4)$ = 16380 Nmm/mm'

$M_{ra;max,Ed}$ = 17097 Nmm/mm'

$Q_a = w \cdot r_o / a$ = 509 N/mm'

Q_{amax} = 531

$M_{Rd} = (1/6) * 1 * t^2 * f_y$ = 35500 Nmm/mm'

M_{Ed} / M_{Rd} = 17097 / 35500 = 0,48 < 1,0 -- Voldoet

σ_b = 114,0 N/mm^2

$\tau_z = w_{tot} / t$ = 531 / 30 = 17,70 N/mm^2

$\sigma_{vlg} = (\sigma^2_{b,max} + 3*\tau^2_z)^{0,5}$

σ_{vlg} = 118 N/mm^2 < 237 MPa -- Voldoet

Controle spanning in de buis

Buis Ø500 * 12 - S355 ;

A = 21375 mm^2 $N_{Ed} = A * f_y$ = 7588 kN

$W_y = W_z$ = 2,53E+06 mm^3 $M_{y,Ed} = W_y * f_y$ = 896,9 kNm

N_{Ed} = 35 kN

$M_{y,Ed}$ = 71,93 kNm

N_{Ed} / N_{Rd} = 35,00 / 7588 = 0,00 < 1,0 -- Voldoet

σ_N = 1,6 N/mm^2

$M_{y,Ed} / M_{y,Rd}$ = 71,93 / 897 = 0,08 < 1,0 -- Voldoet

$\sigma_{b,y}$ = 28,5 N/mm^2

σ_{max} = 30,1 N/mm^2

Controle spanningen in las:

Toetsing regel :

$\sigma_{Ed} \leq f_u / (\beta_w * \gamma_{M2})$ of $\sigma_1 = \sigma_{loodrecht} \leq 0,9 * f_u / \gamma_{M2}$

$f_{v,w,d} = f_u / (\beta_w * \gamma_M * \text{wortel(3)})$

$\gamma_M = 1,25$; $\gamma_{m;extra}$ = 1,5 (extra materiaalfactor)

Materiaal S 355 ----> f_u = 510 N/mm^2 en β_w = 0,9

$f_u / (\beta_w * \gamma_{M2})$ = 302 N/mm^2 $0,9 * f_u / \gamma_{M2}$ = 245 N/mm^2

Lassen : Rondom voorbewerkte V- las met volledige doorsnede doorlassen

9.8 - Berekening clips voor 4,5m hijsbalk

Hijsbalk 4,5m op 57,335 / 54,835

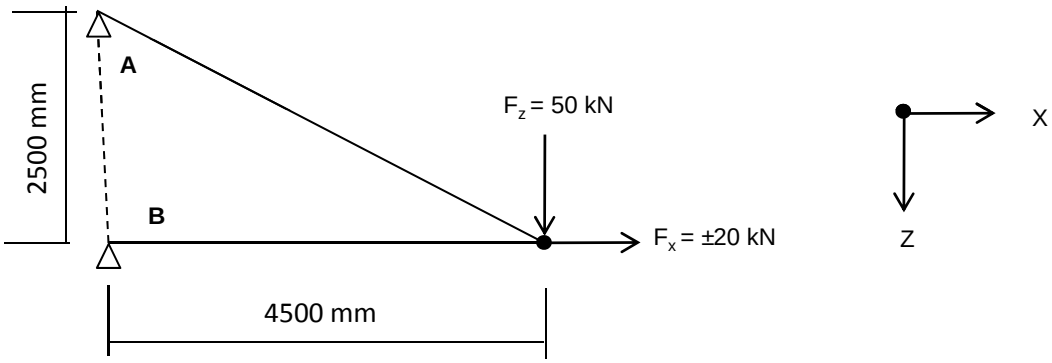

$R_{z,Ed,A}$	=	-50	kN	$R_{z,Ed,B}$	=	0 kN
$R_{x,Ed,A}$	=	-90,00	kN	$R_{x,Ed,B}$	=	70,00 kN

of

$R_{z,Ed,A}$	=	-50	kN	$R_{z,Ed,B}$	=	0 kN
$R_{x,Ed,A}$	=	-90,00	kN	$R_{x,Ed,B}$	=	110,00 kN

Hijsbalk 4,5m op 49,335 / 46,335 en 40,835 / 37,835

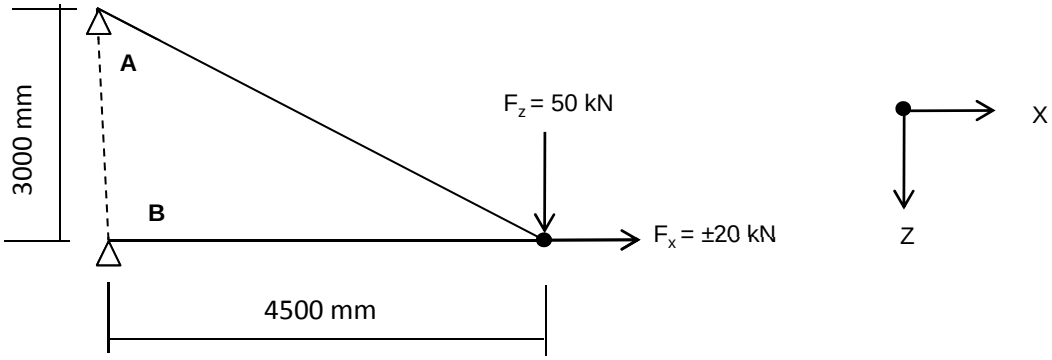

$R_{z,Ed,A}$	=	-50,00	kN	$R_{z,Ed,B}$	=	0,00 kN
$R_{x,Ed,A}$	=	-75,00	kN	$R_{x,Ed,B}$	=	55,00 kN

of

$R_{z,Ed,A}$	=	-50,00	kN	$R_{z,Ed,B}$	=	0,00 kN
$R_{x,Ed,A}$	=	-75,00	kN	$R_{x,Ed,B}$	=	95,00 kN

9.8.1 - Berekening clip positie 9 - t.b.v hijsmast 4,5m

A - Clip op 57,335m

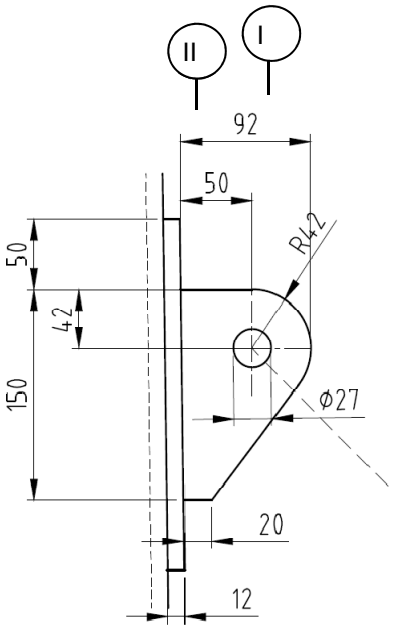

R =	42	mm ;	t =	20	mm
Lb =	150	mm ;	d =	27	mm
h =	50	mm ;	a las :	5	mm (hoeklas)

$\gamma_{m;extra}$ = 1,5 (extra materiaalfactor)

Materiaal - S 355 ; f_y = 355 / 1,5 = 236,7 N/mm^2

$F_{x,Ed}$	$F_{z,Ed}$
kN	kN
90,00	50,00

Doorsnede I ; ter hoogte van het gat

Per clip: $F_{Ed;max}$ = $(F_{z,Ed}^2 + F_{x,Ed}^2)^{0,5}$ = 103,0 kN

τ_{toel} = (355 / 1,5) / $3^{0,5}$ =	137	N/mm^2	
τ = $F_{Ed,max}$ / (2 *(t * (R - d/2)) =	90	N/mm^2	< 137 MPa -- Voldoet

Doorsnede II ; per clips

A =	3000	mm^2	N_{Rd} = A * f_y =	710	kN
W_y =	7,50E+04	mm^3	$M_{x,Rd}$ = W_y * f_y =	17,8	kNm
W_z =	1,00E+04	mm^3	$M_{y,Rd}$ = W_z * f_y =	2,4	kNm
			V_{Rd} = A* f_y / $3^{0,5}$ =	409,9	kN

N_{Ed} =	90,00	kN
$V_{z,Ed}$ =	50,00	kN

$M_{y,Ed}$ = $V_{z,Ed}$ * h + N_{Ed} * (h/2 - R) = 5,47 kNm

N_{Ed} / N_{Rd} =	90,00	/	710	=	0,13	< 1,0 -- Voldoet
			σ_N =		30,0	N/mm^2
$M_{y,Ed}$ / $M_{y,Rd}$ =	5,47	/	18	=	0,31	< 1,0 -- Voldoet
			$\sigma_{b,y}$ =		72,9	N/mm^2
$V_{z,Ed}$ / $V_{z,Rd}$ =	50,00	/	410	=	0,12	< 1,0 -- Voldoet
			τ_y =		16,7	N/mm^2

Maximale buigspanning

$\sigma_{b,max}$ = { 30,0 + 72,9 } = 102,9 N/mm^2

vergelijkingsspanning :

$\sigma_{vlg} = (\sigma^2_{b,max} + 3*\tau^2_y)^{0,5}$

σ_{vlg} = 107 N/mm^2 < 237 MPa -- Voldoet

Controle spanningen in las:

Toetsing regel :

$\sigma_{Ed} \leq f_u / (\beta_w * \gamma_{M2})$ of $\sigma_1 = \sigma_{loodrecht} \leq 0,9 * f_u / \gamma_{M2}$

$f_{v,w,d} = f_u / (\beta_w * \gamma_M *$ wortel(3))

γ_M = 1,25 ; $\gamma_{m;extra}$ = 1,5 (extra materiaalfactor)

Materiaal S 355 ----> f_u = 510 N/mm^2 en β_w = 0,9

$f_u / (\beta_w * \gamma_{M2})$ = 302 N/mm^2 $0,9 * f_u / \gamma_{M2}$ = 245 N/mm^2

Lassen : hoeklas 5 mm rondom

a = 5 mm t = 20 mm

Per mm las: : $\sigma_1 = \tau_1 = \sigma_{max} * t / (2 * a * 2^{0,5})$

$\tau_2 = \tau_{max} * t / (2 * a)$

σ_1 =					145,6	N/mm^2
τ_1 =					145,6	N/mm^2
τ_2 = 0					33,3	N/mm^2
σ_{Ed} =	$\{\sigma_1^2 + 3 * (\tau_1^2 + \tau_2^2)\}^{0,5}$	=			296,8	N/mm^2
$\sigma_{Ed} \leq f_u / (\beta_w * \gamma_{M2})$=	296,8	/	302,2	=	0,98	< 1,0 -- Voldoet
$\sigma_1 \leq 0,9 * f_u / \gamma_{M2}$	145,6	/	244,8	=	0,59	< 1,0 -- Voldoet

A - Clip op 49,335m en 40,835m

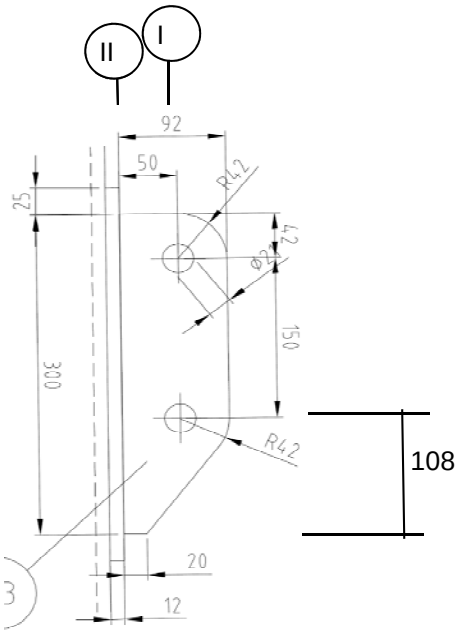

R =	42	mm	;	t =	20	mm
Lb =	300	mm	;	d =	27	mm
h =	50	mm	;	a las :	5	mm (hoeklas)

$\gamma_{m;extra}$ = 1,5 (extra materiaalfactor)

Materiaal - S 355 ; f_y = 355 / 1,5 = 236,7 N/mm^2

$F_{x,Ed}$ kN	$F_{z,Ed}$ kN
75,00	50,00

Doorsnede I ; ter hoogte van het gat

Per clip: $F_{Ed;max}$ = $(F_{z,Ed}^2 + F_{x,Ed}^2)^{0,5}$ = 90,1 kN

τ_{toel} = (355 / 1,5) / $3^{0,5}$ =	137	N/mm^2	
τ = $F_{Ed,max}$ / (2 *(t * (R - d/2)) =	79	N/mm^2	< 137 MPa -- Voldoet

Doorsnede II ; per clips

A =	6000	mm^2	N_{Rd} = A * f_y =	1420	kN
W_y =	3,00E+05	mm^3	$M_{x,Rd}$ = W_y * f_y =	71,0	kNm
W_z =	2,00E+04	mm^3	$M_{y,Rd}$ = W_z * f_y =	4,7	kNm
			V_{Rd} = A* f_y / $3^{0,5}$ =	819,8	kN

N_{Ed} =	75,00	kN
$V_{z,Ed}$ =	50,00	kN

$M_{y,Ed} = V_{z,Ed} * h + N_{Ed} * (h/2 - 108) =$ 5,65 kNm

$N_{Ed} / N_{Rd} =$	75,00	/	1420	=	0,05	< 1,0 -- Voldoet
			σ_N =		12,5	N/mm^2
$M_{y,Ed} / M_{y,Rd} =$	5,65	/	71	=	0,08	< 1,0 -- Voldoet
			$\sigma_{b,y}$ =		18,8	N/mm^2
$V_{z,Ed} / V_{z,Rd} =$	50,00	/	820	=	0,06	< 1,0 -- Voldoet
			τ_y =		8,3	N/mm^2

Maximale buigspanning

$\sigma_{b,max}$ = { 12,5 + 18,8 } = 31,3 N/mm^2

vergelijkingsspanning :

$\sigma_{vlg} = (\sigma^2_{b,max} + 3*\tau^2_y)^{0,5}$

σ_{vlg} = 34 N/mm^2 < 237 MPa -- Voldoet

Controle spanningen in las:

Toetsing regel :

$\sigma_{Ed} \leq f_u / (\beta_w * \gamma_{M2})$ of $\sigma_1 = \sigma_{loodrecht} \leq 0,9 * f_u / \gamma_{M2}$

$f_{v,w,d} = f_u / (\beta_w * \gamma_M *$ wortel(3))

$\gamma_M = 1,25$; $\gamma_{m;extra}$ = 1,5 (extra materiaalfactor)

Materiaal S 355 ----> f_u = 510 N/mm^2 en β_w = 0,9

$f_u / (\beta_w * \gamma_{M2})$ = 302 N/mm^2 $0,9 * f_u / \gamma_{M2}$ = 245 N/mm^2

Lassen : hoeklas 5 mm rondom

a = 5 mm t = 20 mm

Per mm las: : $\sigma_1 = \tau_1 = \sigma_{max} * t / (2 * a * 2^{0,5})$

$\tau_2 = \tau_{max} * t / (2 * a)$

σ_1 =					44,3	N/mm^2
τ_1 =					44,3	N/mm^2
τ_2 = 0					16,7	N/mm^2
σ_{Ed} =	$\{\sigma_1^2 + 3 * (\tau_1^2 + \tau_2^2)\}^{0,5}$			=	93,2	N/mm^2
$\sigma_{Ed} \leq f_u / (\beta_w * \gamma_{M2})$=	93,2	/	302,2	=	0,31	< 1,0 -- Voldoet
$\sigma_1 \leq 0,9 * f_u / \gamma_{M2}$	44,3	/	244,8	=	0,18	< 1,0 -- Voldoet

9.8.2 - Controle capaciteit van de aansluiting

Clip hijsbalk 4,5m - plaats van de aansluiting ; +57,335 / 54,835

buis/plaat	d_i / h_i (mm)	t_i (mm)	A (mm^2)	kwaliteit	f_y	W_b (mm^3)
0	517	14,0	22136	S355	355	2711906
clip	150,0	20,0	3000	S355	355	75000

$N_{i,Rd} = \{(5 * k_p * f_{y0} * t^2_0) * (1 + 0,25 * \eta)\} / \gamma_{M5}$

$M_{ip,i,Rd} = h_i * N_{i,Rd}$; $M_{op,i,Rd} = 0$

Toepassingsgebied:

$\eta = h_i / d_0 \leq 4$ $h_i / d_0 =$ 0,29 voldoet

$\gamma_{M5} =$ 1,50 (extra materiaalfactor)

$\eta = h_i / d_0 =$ 0,29

$n_p = \{N_{0,Ed} / (A_0 * f_{y,0})\} + \{M_{0,Ed} / (W_0 * f_{y,0})\}$

$N_{0,Ed} =$ 21,8 kN drukkracht
$M_{0,Ed} =$ 28,7 kNm
} t.g.v. max. belasting

$n_p =$ 0,03 of $n_p =$ -0,027

$k_p = 1,0$, voor $n_p \leq 0$ (trek)

$k_p = 1,0 - 0,3 * n_p - 0,3 * n_p^2$, voor $n_p > 0$ (druk) maar $k_p \leq 1$

$k_p =$ 0,99

$N_{1,Rd} =$ 246,2 kN

$N_{1,Ed} / N_{1,Rd} =$ 90,00 / 246,2 = 0,37 < 1,0 -- Voldoet

$M_{op,i,Rd} =$ 36,9 kNm

$M_{1,Ed} / M_{op,1,Rd} =$ 5,47 / 36,9 = 0,15 < 1,0 -- Voldoet

Pons controle

$\sigma_{max.}t_i = (N_{Ed} / A + M_{Ed} / W_{el}) * t_i \leq \{(f_{y,0} / 3^{0,5}) * 2 * t_0 \} / \gamma_{M5}$

$N_{1,Ed} =$ 90,00 kN ; $M_{1,Ed} =$ 5,470 kNm

$\sigma_{max.}t_i =$ 2059 N/mm'

$\{(f_{y,0} / 3^{0,5}) * 2 * t_0 \} / \gamma_{M5} =$ 3826 N/mm' ---> voldoet

Clip hijsbalk 4,5m - plaats van de aansluiting ; +49,335 / 46,835

buis/plaat	d_i / h_i (mm)	t_i (mm)	A (mm^2)	kwaliteit	f_y	W_b (mm^3)
0	725	14,0	31284	S355	355	5457761
clip	300,0	20,0	6000	S355	355	300000

$N_{i,Rd} = \{(5 * k_p * f_{y0} * t^2_0) * (1 + 0{,}25 * \eta)\} / \gamma_{M5}$

$M_{ip,i,Rd} = h_i * N_{i,Rd}$; $M_{op,i,Rd} = 0$

Toepassingsgebied:

$\eta = h_i / d_0 \leq 4$ $h_i / d_0 =$ 0,41 voldoet

$\gamma_{M5} =$ 1,50 (extra materiaalfactor)

$\eta = h_i / d_0 =$ 0,41

$n_p = \{N_{0,Ed} / (A_0 * f_{y,0})\} + \{M_{0,Ed} / (W_0 * f_{y,0})\}$

$N_{0,Ed} =$ 123,1 kN drukkracht
$M_{0,Ed} =$ 637,6 kNm
} t.g.v. max. belasting

$n_p =$ 0,34 of $n_p =$ -0,318

$k_p = 1{,}0$, voor $n_p \leq 0$ (trek)

$k_p = 1{,}0 - 0{,}3 * n_p - 0{,}3 * n_p^2$, voor $n_p > 0$ (druk) maar $k_p \leq 1$

$k_p =$ 0,86

$N_{1,Rd} =$ 220,9 kN

$N_{1,Ed} / N_{1,Rd} =$ 75,00 / 220,9 = 0,34 < 1,0 -- Voldoet

$M_{op,i,Rd} =$ 66,3 kNm

$M_{1,Ed} / M_{op,1,Rd} =$ 5,65 / 66,3 = 0,09 < 1,0 -- Voldoet

Pons controle

$\sigma_{max.}t_i = (N_{Ed} / A + M_{Ed} / W_{el}) * t_i \leq \{(f_{y,0} / 3^{0,5}) * 2 * t_0 \} / \gamma_{M5}$

$N_{1,Ed} =$ 75,00 kN ; $M_{1,Ed} =$ 5,650 kNm

$\sigma_{max.}t_i =$ 627 N/mm'

$\{(f_{y,0} / 3^{0,5}) * 2 * t_0 \} / \gamma_{M5} =$ 3826 N/mm' ---> voldoet

Clip hijsbalk 4,5m - plaats van de aansluiting ; +40,835 / 37,835

buis/plaat	d_i / h_i (mm)	t_i (mm)	A (mm^2)	kwaliteit	f_y	W_b (mm^3)
0	946	16,0	46761	S355	355	10694713
clip	300,0	20,0	6000	S355	355	300000

$N_{i,Rd} = \{(5 * k_p * f_{y0} * t^2_0) * (1 + 0,25 * \eta)\} / \gamma_{M5}$

$M_{ip,i,Rd} = h_i * N_{i,Rd}$; $M_{op,i,Rd} = 0$

Toepassingsgebied:

$\eta = h_i / d_0 \leq 4$ $h_i / d_0 =$ 0,32 voldoet

$\gamma_{M5} =$ 1,50 (extra materiaalfactor)

$\eta = h_i / d_0 =$ 0,32

$n_p = \{N_{0,Ed} / (A_0 * f_{y,0})\} + \{M_{0,Ed} / (W_0 * f_{y,0})\}$

$N_{0,Ed} =$ 158,6 kN drukkracht
$M_{0,Ed} =$ 1951,0 kNm
} t.g.v. max. belasting

$n_p =$ 0,52 of $n_p =$ -0,504

$k_p = 1,0$, voor $n_p \leq 0$ (trek)

$k_p = 1,0 - 0,3 * n_p - 0,3 * n_p^2$, voor $n_p > 0$ (druk) maar $k_p \leq 1$

$k_p =$ 0,76

$N_{1,Rd} =$ 248,7 kN

$N_{1,Ed} / N_{1,Rd} =$ 75,00 / 248,7 = 0,30 < 1,0 -- Voldoet

$M_{op,i,Rd} =$ 74,6 kNm

$M_{1,Ed} / M_{op,1,Rd} =$ 5,65 / 74,6 = 0,08 < 1,0 -- Voldoet

Pons controle

$\sigma_{max.}t_i = (N_{Ed} / A + M_{Ed} / W_{el}) * t_i \leq \{(f_{y,0} / 3^{0,5}) * 2 * t_0 \} / \gamma_{M5}$

$N_{1,Ed} =$ 75,00 kN ; $M_{1,Ed} =$ 5,65 kNm

$\sigma_{max.}t_i =$ 627 N/mm'

$\{(f_{y,0} / 3^{0,5}) * 2 * t_0 \} / \gamma_{M5} =$ 4372 N/mm' ---> voldoet

9.9 - Berekening clips voor 1,5m hijsbalk

Computer model

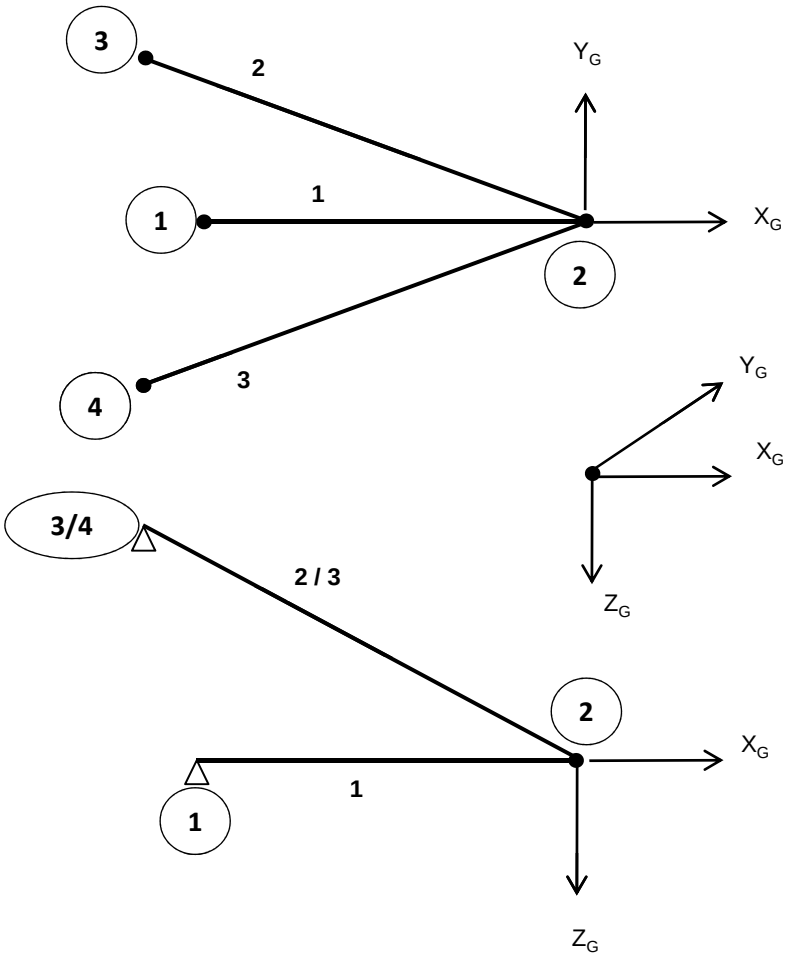

Belastingen :

$F_{z,Ed}$	=	50	kN
$F_{x,Ed}$	=	20	kN
$F_{y,Ed}$	=	40	kN

Gebruikte staven: Hijsbalk : staaf 1 - buis 180*6
druk- en trek stangen : staaf 2 en 3 - buis 88,9*8

Matrix Bouwframe Project :Wintrack Datum 25-01-2013
Onderdeel:1.5 meter hijsmast

AANTAL KNOPEN : 4
AANTAL STAVEN : 3
AANTAL OPLEGGINGEN : 3

KNOOPCOORDINATEN

NR.	-X-	-Y-	-Z-
1	-1.500	0.000	0.000
2	0.000	0.000	0.000
3	-1.720	0.389	-1.156
4	-1.720	-0.389	-1.156

KONSTRUKTIE SCHEMA

STAAF	-i-	SCHARNIERCODE	-j-	SCHARNIERCODE	GAMMA	PROF	MAT	V/EXC	LENGTE
1	1	NxDyDz MxMyMz	2	NxDyDz MxMyMz	0	1	1	0	1.500
2	2	NxDyDz Mx- -	3	NxDyDz MxMyMz	0	2	1	0	2.109
3	2	NxDyDz Mx- -	4	NxDyDz MxMyMz	0	2	1	0	2.109

PROFIEL EIGENSCHAPPEN

PROF.NR.	DOORSNEDE	Ix-torsie	Iy-buig	Iz-buig	PROFIELNAAM
1	3.2798E-03	2.4854E-05	1.2427E-05	1.2427E-05	B180/6
2	2.0332E-03	3.3593E-06	1.6797E-06	1.6797E-06	B88.9/8

MATERIAAL EIGENSCHAPPEN

MAT.NR	ELAST. MOD	POISON	DICHTHEID	MATERIAALNAAM
1	2.1000E+08	0.30	78.500	S355

OPLEGGINGEN

KNOOP	LINEAIR	ROTATIE	X-(r)-veer	Y-(r)-veer	Z-(r)-veer
1	XYZ	- - -	0.0000E+00	0.0000E+00	0.0000E+00
3	XYZ	- - -	0.0000E+00	0.0000E+00	0.0000E+00
4	XYZ	- - -	0.0000E+00	0.0000E+00	0.0000E+00

BELASTINGEN
BELASTING GEVAL 1 eg constructie

TYPE	STF	KNP	P1	P2	A	Richt.	Omschrijving
7	alle staven	factor =	1.00			Z	Eigen gewicht

BELASTING GEVAL 2 hijs last

TYPE	STF	KNP	P1	P2	A	Richt.	Omschrijving
9	2	t/m 2	50.00			Z	Knooplast
9	2	t/m 2	20.00			X	Knooplast
9	2	t/m 2	40.00			Y	Knooplast

Matrix Bouwframe Project :Wintrack Datum 25-01-2013
Onderdeel:1.5 meter hijsmast

COMBINATIES

B.G.	Omschrijving	1
1	eg constructie	1.00
2	hijs last	1.00

KNOOPVERPLAATSINGEN GLOB. (B.C.)

KNP	B.C.	X-VERPL.	Y-VERPL.	Z-VERPL.	X-ROTATIE	Y-ROTATIE	Z-ROTATIE
1	1	0.00000	0.00000	0.00000	-3.6792E-03	-4.0982E-04	1.9346E-03
2	1	-0.00012	0.00290	0.00059	-3.6792E-03	-3.8207E-04	1.9346E-03
3	1	0.00000	0.00000	0.00000	-2.3645E-03	-6.0188E-05	8.6872E-05
4	1	0.00000	0.00000	0.00000	-2.3104E-03	-7.7620E-04	3.0615E-05

N/D/M IN DE KNOPEN LOKAAL (B.C.)

STAAF	B.C.	KNOOP	Nx	Dy	Dz	Mx	My	Mz
1	1	1	55.18	-0.00	-0.19	0.00	0.00	0.00
		2	-55.18	0.00	-0.19	0.00	-0.00	-0.00
2	1	2	62.42	-0.00	-0.14	-0.00	0.00	-0.00
		3	-62.23	0.00	-0.14	-0.00	-0.00	0.00
3	1	2	-154.40	-0.00	-0.14	-0.00	-0.00	-0.00
		4	154.59	0.00	-0.14	-0.00	-0.00	0.00

REACTIES GLOBAAL (B.C.)

B.C.	KNOOP	X-REACTIE	Y-REACTIE	Z-REAKTIE	Mx-REACT.	My-REACT.	Mz-REACT.
1	1	55.18	-0.00	-0.19	0.000	0.000	0.000
1	3	50.84	-11.50	34.00	0.000	0.000	0.000
1	4	-126.02	-28.50	-84.87	0.000	0.000	0.000
SOM REACT.		-20.00	-40.00	-51.06			
SOM LASTEN		20.00	40.00	51.06			

knoop nummer	hoogte mm	D_{mast} mm	t_{mast} mm	$F_{x,Ed}$ kN	$F_{y,Ed}$ kN	$F_{z,Ed}$ kN
1	49330	725	14	55,18	0,00	-0,20
3	50487	695	14	50,84	-11,50	34,00
4	50487	695	14	-126,02	-28,50	-84,87
1	40830	946	16	55,18	0,00	-0,20
3	41987	916	16	50,84	-11,50	34,00
4	41987	916	16	-126,02	-28,50	-84,87
1	32330	1167	18	55,18	0,00	-0,20
3	33487	1137	18	50,84	-11,50	34,00
4	33487	1137	18	-126,02	-28,50	-84,87

Ontbinden van de krachten in knoop 3 en 4

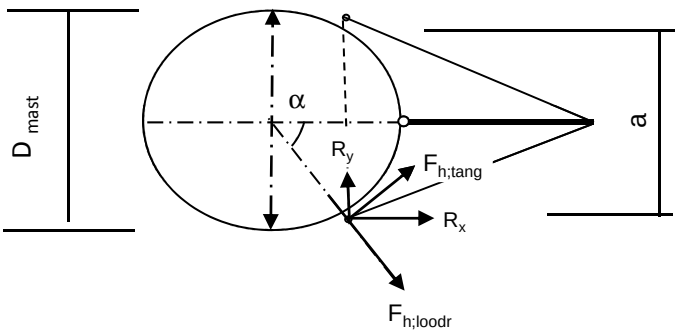

α = arcsin(a/2 / (d/2 + 50))

$F_{h,loodr,Ed} = R_x * Cos\alpha + R_y * Sin\alpha$

$F_{h,tang,Ed} = R_x * Sin\alpha + R_y * Cos\alpha$

knoop nummer	hoogte mm	D_{mast} mm	a mm	α gr	$F_{h,lood,Ed}$ kN	$F_{h,tang,Ed}$ kN	$F_{z,Ed}$ kN
1	49330	725		0,00	55,18	0,00	0,20
3	50487	695	704	62,3	33,83	39,65	34,00
4	50487	695	704	62,3	33,41	124,81	84,87
1	40830	946		0,00	55,18	0,00	0,20
3	41987	916	854	57,2	37,23	36,48	34,00
4	41987	916	854	57,2	44,38	121,34	84,87
1	32330	1167		0,00	55,18	0,00	0,20
3	33487	1137	960	50,9	41,00	32,19	34,00
4	33487	1137	960	50,9	57,39	115,75	84,87

Beasting per clip :

Clip type 9,3 - 49,330 en 40,830m hoogte
Clip type 16,3 - 32,330 m hoogte

$F_{h,loodr,Ed}$ = 55,18 kN
$F_{z,Ed}$ = 0,20 kN

Clip type 16,1 - bovenste ribbe- 50,487m hoogte;per cilp
$F_{h,loodr,Ed}$ = 16,70 kN
$F_{h,tang,Ed}$ = 62,40 kN

Clip type 16,1 - bovenste ribbe- 41,987m hoogte;per cilp
$F_{h,loodr,Ed}$ = 22,19 kN
$F_{h,tang,Ed}$ = 60,67 kN

Clip type 16,1 - bovenste ribbe- 33,487m hoogte;per cilp
$F_{h,loodr,Ed}$ = 28,70 kN
$F_{h,tang,Ed}$ = 57,88 kN

Clip type 16,1 - onderste ribbe- 50,487m, 41,987m en 33,487m hoogte;per cilp

Belasting als de bovenste clip + $F_{z,Ed}$ = 84,87 kN

9.9.1 - Berekening clip type 9,3 - 49,330 en 40,830m hoogte

en clip type16,3 op 32,330m hoogte

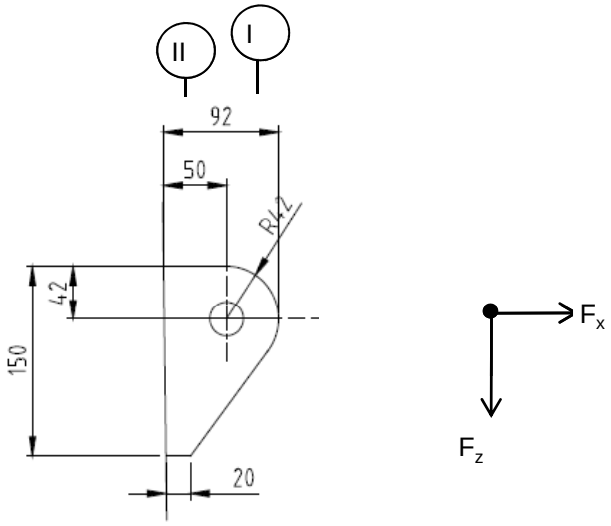

R =	42	mm	;	t =	20	mm
Lb =	150	mm	;	d =	27	mm
h =	50	mm	;	a las :	5	mm (hoeklas)

$\gamma_{m;extra}$ = 1,5 (extra materiaalfactor)

Materiaal - S 355 ; f_y = 355 / 1,5 = 236,7 N/mm^2

$F_{x,Ed}$	$F_{z,Ed}$
kN	kN
55,18	0,20

Doorsnede I ; ter hoogte van het gat

Per clip: $F_{Ed;max}$ = $(F_{z,Ed}^2 + F_{x,Ed}^2)^{0,5}$ = 55,2 kN

τ_{toel} = (355 / 1,5) / $3^{0,5}$ =	137	N/mm^2	
τ = $F_{Ed,max}$ / (2 *(t * (R - d/2)) =	48	N/mm^2	< 137 MPa -- Voldoet

Doorsnede II ; per clips

A =	3000	mm^2	N_{Rd} = A * f_y =	710	kN
W_y =	7,50E+04	mm^3	$M_{x,Rd}$ = W_y * f_y =	17,8	kNm
W_z =	1,00E+04	mm^3	$M_{y,Rd}$ = W_z * f_y =	2,4	kNm
			V_{Rd} = A* f_y / $3^{0,5}$ =	409,9	kN

N_{Ed} =	55,18	kN
$V_{z,Ed}$ =	0,20	kN

$M_{y,Ed}$ = $V_{z,Ed}$ * h + N_{Ed} * (h/2 - R) = 1,83 kNm

N_{Ed} / N_{Rd} =	55,18	/	710	=	0,08	< 1,0	-- Voldoet
			σ_N =		18,4	N/mm^2	
$M_{y,Ed} / M_{y,Rd}$ =	1,83	/	18	=	0,10	< 1,0	-- Voldoet
			$\sigma_{b,y}$ =		24,4	N/mm^2	
$V_{z,Ed} / V_{z,Rd}$ =	0,20	/	410	=	0,00	< 1,0	-- Voldoet
			τ_y =		0,1	N/mm^2	

Maximale buigspanning

$\sigma_{b,max}$ = { 18,4 + 24,4 } = 42,8 N/mm^2

vergelijkingsspanning :

$\sigma_{vlg} = (\sigma^2_{b,max} + 3*\tau^2_y)^{0,5}$

σ_{vlg} = 43 N/mm^2 > 237 MPa -- Voldoet niet

Controle spanningen in las:

Toetsing regel :

$\sigma_{Ed} \leq f_u / (\beta_w * \gamma_{M2})$ of $\sigma_1 = \sigma_{loodrecht} \leq 0,9 * f_u / \gamma_{M2}$

$f_{v,w,d} = f_u / (\beta_w * \gamma_M *$ wortel(3))

$\gamma_M = 1,25$; $\gamma_{m;extra}$ = 1,5 (extra materiaalfactor)

Materiaal S 355 ----> f_u = 510 N/mm^2 en β_w = 0,9

$f_u / (\beta_w * \gamma_{M2})$ = 302 N/mm^2 $0,9 * f_u / \gamma_{M2}$ = 245 N/mm^2

Lassen : hoeklas 5 mm rondom

a = 5 mm t = 20 mm

Per mm las: : $\sigma_1 = \tau_1 = \sigma_{max} * t / (2 * a * 2^{0,5})$

$\tau_2 = \tau_{max} * t / (2 * a)$

σ_1 =					60,5	N/mm^2	
τ_1 =					60,5	N/mm^2	
τ_2 = 0					0,1	N/mm^2	
σ_{Ed} =	$\{\sigma_1^2 + 3 * (\tau_1^2 + \tau_2^2)\}^{0,5}$	=			121,1	N/mm^2	
$\sigma_{Ed} \leq f_u / (\beta_w * \gamma_{M2})$ =	121,1	/	302,2	=	0,40	< 1,0	-- Voldoet
$\sigma_1 \leq 0,9 * f_u / \gamma_{M2}$	60,5	/	244,8	=	0,25	< 1,0	-- Voldoet

9.9.2 - Controle capaciteit van de aansluiting clip 9,3 / 16,3

Clip hijsbalk 1,5m - plaats van de aansluiting ; +32,330 (maatgevend)

buis/plaat	d_i / h_i (mm)	t_i (mm)	A (mm^2)	kwaliteit	f_y	W_b (mm^3)
0	1167	18,0	64998	S355	355	18394077
clip	150,0	20,0	3000	S355	355	75000

$N_{i,Rd} = \{(5 * k_p * f_{y0} * t^2_0) * (1 + 0,25 * \eta)\} / \gamma_{M5}$

$M_{ip,i,Rd} = h_i * N_{i,Rd}$; $M_{op,i,Rd} = 0$

Toepassingsgebied:

$\eta = h_i / d_0 \leq 4$ $h_i / d_0 =$ 0,13 voldoet

$\gamma_{M5} =$ 1,50 (extra materiaalfactor)

$\eta = h_i / d_0 =$ 0,13

$n_p = \{N_{0,Ed} / (A_0 * f_{y,0})\} + \{M_{0,Ed} / (W_0 * f_{y,0})\}$

$N_{0,Ed} =$ 365,1 kN drukkracht
$M_{0,Ed} =$ 4401,4 kNm
} t.g.v. max. belasting

$n_p =$ 0,69 of $n_p =$ -0,658

$k_p = 1,0$, voor $n_p \leq 0$ (trek)

$k_p = 1,0 - 0,3 * n_p - 0,3 * n_p^2$, voor $n_p > 0$ (druk) maar $k_p \leq 1$

$k_p =$ 0,65

$N_{1,Rd} =$ 257,3 kN

$N_{1,Ed} / N_{1,Rd} =$ 55,18 / 257,3 = 0,21 < 1,0 -- Voldoet

$M_{op,i,Rd} =$ 38,6 kNm

$M_{1,Ed} / M_{op,1,Rd} =$ 1,83 / 38,6 = 0,05 < 1,0 -- Voldoet

Pons controle

$\sigma_{max.}t_i = (N_{Ed} / A + M_{Ed} / W_{el}) * t_i \leq \{(f_{y,0} / 3^{0,5}) * 2 * t_0 \} / \gamma_{M5}$

$N_{1,Ed} =$ 55,18 kN ; $M_{1,Ed} =$ 1,831 kNm

$\sigma_{max.}t_i =$ 856 N/mm'

$\{(f_{y,0} / 3^{0,5}) * 2 * t_0 \} / \gamma_{M5} =$ 4919 N/mm' ---> voldoet

9.9.3 - Berekening clip type 16,3 - bovenste ribbe - op 50,487m, 41,987 en 33,487 m hoogte.

A - Bovenste ribbe - op 50,487m, 41,987 en 33,487 m hoogte.

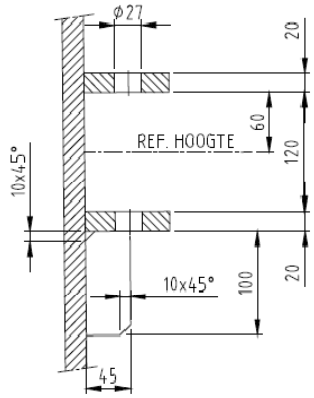

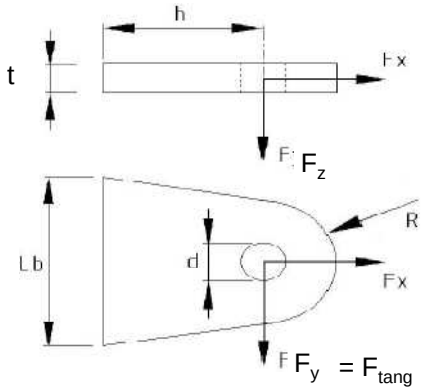

R =	42	mm	;	t =	20	mm
Lb =	140	mm	;	d =	27	mm
h =	45	mm	;	a las :	5	mm (hoeklas)

Materiaal - S 355 ; f_y = 355 / 1,5 = 236,7 N/mm^2

	50,487m kN	41,987m kN	33,487m kN
$F_{x,Ed}$ =	16,70	22,19	28,70
$F_{y,Ed}$ =	62,40	60,67	57,88

Doorsnede I ; ter hoogte van het gat

$F_{Ed;max}$-kN=	64,60	64,60	64,60		
τ_{toel} = (355 / 1,5) / 3^{0,5} =			137	N/mm^2	
τ = $F_{Ed,max}$ / (2 *(t * (R - d/2)) =			57	N/mm^2	< 137 MPa -- Voldoet

Doorsnede II ; per clips

A =	2800	mm^2	N_{Rd} = A * f_y =	663	kN
W_z =	6,53E+04	mm^3	$M_{z,Rd}$ = W_z * f_y =	15,5	kNm
W_y =	9,33E+03	mm^3	$M_{y,Rd}$ = W_y * f_y =	2,2	kNm
			V_{Rd} = A* f_y / 3^{0,5} =	382,6	kN

Clip op 50,487m hoogte

N_{Ed} =	16,70	kN	$M_{z,Ed}$ = $V_{y,Ed}$ * h =	2,81	kNm
$V_{y,Ed}$ =	62,40	kN			

Clip op 41,987m hoogte

N_{Ed} =	22,19	kN	$M_{z,Ed}$ = $V_{y,Ed}$ * h =	2,73	kNm
$V_{y,Ed}$ =	60,67	kN			

Clip op 33,487m hoogte

N_{Ed} =	28,70	kN	$M_{z,Ed}$ = $V_{y,Ed}$ * h =	2,60	kNm
$V_{y,Ed}$ =	57,88	kN			

	50,487m hoogte spanning in N/mm^2	41,987m hoogte spanning in N/mm^2	33,487m hoogte spanning in N/mm^2
σ_N =	6,0	7,9	10,2
$\sigma_{b,z}$ =	43,0	41,8	41,8
τ_y =	22,3	21,7	20,7
$\sigma_{b,max}$ =	48,9	49,7	52,0
σ_{vlg} =	62,3	62,3	63,2

< 237 MPa -- Voldoet

Controle spanningen in las:

Toetsing regel :

$\sigma_{Ed} \leq f_u / (\beta_w * \gamma_{M2})$ of $\sigma_1 = \sigma_{loodrecht} \leq 0{,}9 * f_u / \gamma_{M2}$

$f_{v,w,d} = f_u / (\beta_w * \gamma_M *$ wortel(3))

$\gamma_M = 1{,}25$; $\gamma_{m;extra}$ = 1,5 (extra materiaalfactor)

Materiaal S 355 ----> $f_u = 510$ N/mm^2 en $\beta_w = 0{,}9$

$f_u / (\beta_w * \gamma_{M2}) = 302$ N/mm^2 $0{,}9 * f_u / \gamma_{M2} = 245$ N/mm^2

Lassen : hoeklas 5 mm rondom

a = 5 mm t = 20 mm

Per mm las: : $\sigma_1 = \tau_1 = \sigma_{max} * t / (2 * a * 2^{0,5})$

$\tau_2 = \tau_{max} * t / (2 * a)$

σ_1 =			73,6	N/mm^2
τ_1 =			73,6	N/mm^2
τ_2 = 0			104,1	N/mm^2
σ_{Ed} =	$\{\sigma_1^2 + 3 * (\tau_1^2 + \tau_2^2)\}^{0,5}$ =		232,7	N/mm^2
$\sigma_{Ed} \leq f_u / (\beta_w * \gamma_{M2})$=	232,7 /	302,2 =	0,77	< 1,0 -- Voldoet
$\sigma_1 \leq 0{,}9 * f_u / \gamma_{M2}$	73,6 /	244,8 =	0,30	< 1,0 -- Voldoet

B- Onderste ribbe - op 50,487m, 41,987 en 33,487 m hoogte.

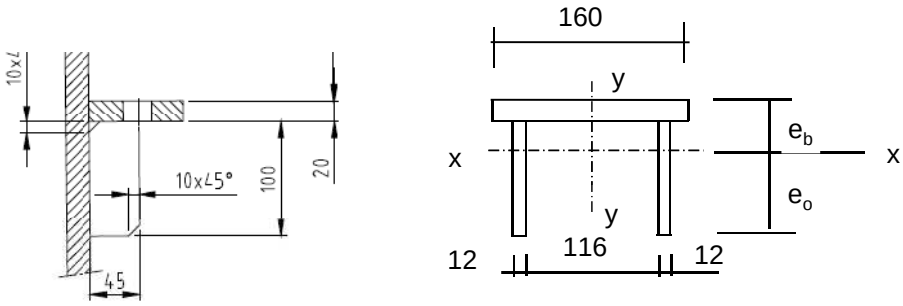

Materiaal - S 355 ; f_y = 355 / 1,5 = 236,7 N/mm^2

e_b =	35,7	mm
e_o =	84,3	mm
A =	5600	mm^2
A_{schot} =	2400	mm^3

I_x =	8377143	mm^4	I_y =	16790400	mm^4
$W_{x,min}$ =	99390	mm^3	W_y =	209880	mm^3

$N_{Rd} = A * f_y$ =	1325	kN
$M_{y,Rd} = W_{x,min} * f_y$ =	23,5	kNm
$M_{x,Rd} = W_y * f_y$ =	49,7	kNm
$V_{z,Rd} = A_{schot} * f_y / 3^{0,5}$ =	327,9	kN
$V_{y,Rd} = A_{ribbe} * f_y / 3^{0,5}$ =	437,2	kN

Doorsnede I ; ter hoogte van het gat

Zie berekening boven ribbe

Doorsnede II ;

	50,487m kN	41,987m kN	33,487m kN
$F_{x,Ed}$ =	16,70	22,19	28,70
$F_{y,Ed}$ =	62,40	60,67	57,88
$F_{z,Ed}$ =	84,87	84,87	84,87

Clip op 50,487m hoogte

N_{Ed} =	16,70	kN ;	$M_{z,Ed} = V_{y,Ed} * h$ =	2,81	kNm
$V_{y,Ed}$ =	62,40	kN	$M_{y,Ed} = V_{z,Ed} * h + N_{Ed} * (e_b - t/2)$ =	4,249	kNm
$V_{z,Ed}$ =	84,87	kN			

Clip op 41,987m hoogte

N_{Ed} =	22,19	kN ;	$M_{z,Ed} = V_{y,Ed} * h$ =	2,73	kNm
$V_{y,Ed}$ =	60,67	kN ;	$M_{y,Ed} = V_{z,Ed} * h + N_{Ed} * (e_b - t/2)$ =	4,390	kNm
$V_{z,Ed}$ =	84,87	kN			

Clip op 33,487m hoogte

N_{Ed} =	28,70	kN ;	$M_{z,Ed} = V_{y,Ed} * h$ =	2,60	kNm
$V_{y,Ed}$ =	57,88	kN ;	$M_{y,Ed} = V_{z,Ed} * h + N_{Ed} * (e_b - t/2)$ =	4,557	kNm
$V_{z,Ed}$ =	84,87	kN			

	50,487m hoogte spanning in N/mm^2	41,987m hoogte spanning in N/mm^2	33,487m hoogte spanning in N/mm^2
σ_N =	3,0	4,0	5,1
$\sigma_{b,z}$ =	13,4	13,0	12,4
$\sigma_{b,y}$ =	42,7	44,2	45,9
τ_y =	19,5	19,0	18,1
τ_z =	35,4	35,4	35,4
$\sigma_{b,max}$ =	59,1	61,1	63,4
σ_{vlg} =	91,6	92,6	93,5

< 237 MPa -- Voldoet

Controle spanningen in las:

Toetsing regel :

$\sigma_{Ed} \leq f_u / (\beta_w * \gamma_{M2})$ of $\sigma_1 = \sigma_{loodrecht} \leq 0,9 * f_u / \gamma_{M2}$

$f_{v,w,d} = f_u / (\beta_w * \gamma_M *$ wortel(3))

$\gamma_M = 1,25$; $\gamma_{m;extra}$ = 1,5 (extra materiaalfactor)

Materiaal S 355 ----> f_u = 510 N/mm^2 en $\beta_w = 0,9$

$f_u / (\beta_w * \gamma_{M2})$ = 302 N/mm^2 $0,9 * f_u / \gamma_{M2}$ = 245 N/mm^2

Lassen : hoeklas 5 mm rondom

a = 5 mm t = 20 mm

t_1 = 12 mm

Per mm las: : $\sigma_1 = \tau_1 = \sigma_{max} * t / (2 * a * 2^{0,5})$

$\tau_2 = \tau_{y,max} * t / (2 * a)$ of $\tau_2 = \tau_{z,max} * t_1 / (2 * a)$

σ_1 =	89,6	N/mm^2
τ_1 =	89,6	N/mm^2
τ_2 = 0	42,4	N/mm^2
σ_{Ed} = $\{\sigma_1^2 + 3 * (\tau_1^2 + \tau_2^2)\}^{0,5}$ =	193,8	N/mm^2

$\sigma_{Ed} \leq f_u / (\beta_w * \gamma_{M2})$ = 193,8 / 302,2 = 0,64 < 1,0 -- Voldoet

$\sigma_1 \leq 0,9 * f_u / \gamma_{M2}$ 89,6 / 244,8 = 0,37 < 1,0 -- Voldoet

9.9.4 - Controle capaciteit van de aansluiting clip 16,3 (boveste clip hijsmast)

Bovenste clip hijsbalk 1,5m - plaats van de aansluiting ; +50,487m hoogte

buis/plaat	d_i / b_i (mm)	t_i (mm)	A (mm^2)	kwaliteit	f_y	W_b (mm^3)
0	695	14,0	29967	S355	355	5003721
clip	140,0	20,0	2800	S355	355	65333

$N_{i,Rd} = \{(k_p * f_{y0} * t^2_0) * (4 + 20 * \beta^2)\} / \gamma_{M5}$

$M_{op,i,Rd} = 0,5 * b_i * N_{i,Rd}$; $M_{ip,i,Rd} = 0$

γ_{M5} = 1,50 (extra materiaalfactor)

$\beta = b_i / d_0$ = 0,20

$n_p = \{N_{0,Ed} / (A_0 * f_{y,0})\} + \{M_{0,Ed} / (W_0 * f_{y,0})\}$

$N_{0,Ed}$ = 117,7 kN drukkracht
$M_{0,Ed}$ = 545,4 kNm
} t.g.v. max. belasting

n_p = 0,32 of n_p = -0,296

k_p = 1,0 , voor $n_p \leq 0$ (trek)

$k_p = 1,0 - 0,3 * n_p - 0,3 * n_p^2$, voor $n_p > 0$ (druk) maar $k_p \leq 1$

k_p = 0,87

$N_{1,Rd}$ = 195,1 kN

$N_{1,Ed} / N_{1,Rd}$ = 16,70 / 195,1 = 0,09 < 1,0 -- Voldoet

$M_{op,i,Rd}$ = 13,7 kNm

$M_{1,Ed} / M_{op,1,Rd}$ = 2,81 / 13,7 = 0,21 < 1,0 -- Voldoet

Pons controle

$\sigma_{max.}t_i = (N_{Ed} / A + M_{Ed} / W_{el}) * t_i \leq \{(f_{y,0} / 3^{0,5}) * 2 * t_0 \} / \gamma_{M5}$

$N_{1,Ed}$ = 16,70 kN ; $M_{1,Ed}$ = 2,81 kNm

$\sigma_{max.}t_i$ = 979,0 N/mm'
$\{(f_{y,0} / 3^{0,5}) * 2 * t_0 \} / \gamma_{M5}$ = 3826 N/mm' ---> voldoet

Bovenste clip hijsbalk 1,5m - plaats van de aansluiting ; +41,987m hoogte

buis/plaat	d_i / b_i (mm)	t_i (mm)	A (mm^2)	kwaliteit	f_y	W_b (mm^3)
0	916	16,0	45256	S355	355	10011705
clip	140,0	20,0	2800	S355	355	65333

$N_{i,Rd} = \{(k_p * f_{y0} * t^2_0) * (4 + 20 * \beta^2)\} / \gamma_{M5}$

$M_{op,i,Rd} = 0,5 * b_i * N_{i,Rd}$; $M_{ip,i,Rd} = 0$

γ_{M5} = 1,50 (extra materiaalfactor)

$\beta = b_i / d_0$ = 0,15

$n_p = \{N_{0,Ed} / (A_0 * f_{y,0})\} + \{M_{0,Ed} / (W_0 * f_{y,0})\}$

$N_{0,Ed}$ = 150,1 kN drukkracht
$M_{0,Ed}$ = 1730,9 kNm
} t.g.v. max. belasting

n_p = 0,50 of n_p = -0,478

$k_p = 1,0$, voor $n_p \leq 0$ (trek)

$k_p = 1,0 - 0,3 * n_p - 0,3 * n_p^2$, voor $n_p > 0$ (druk) maar $k_p \leq 1$

k_p = 0,78

$N_{1,Rd}$ = 210,3 kN

$N_{1,Ed} / N_{1,Rd}$ = 22,19 / 210,3 = 0,11 < 1,0 -- Voldoet

$M_{op,i,Rd}$ = 14,7 kNm

$M_{1,Ed} / M_{op,1,Rd}$ = 2,73 / 14,7 = 0,19 < 1,0 -- Voldoet

Pons controle

$\sigma_{max.}t_i = (N_{Ed} / A + M_{Ed} / W_{el}) * t_i \leq \{(f_{y,0} / 3^{0,5}) * 2 * t_0 \} / \gamma_{M5}$

$N_{1,Ed}$ = 22,19 kN ; $M_{1,Ed}$ = 2,73 kNm

$\sigma_{max.}t_i$ = 994,3 N/mm'
$\{(f_{y,0} / 3^{0,5}) * 2 * t_0 \} / \gamma_{M5}$ = 4372 N/mm' ---> voldoet

Bovenste clip hijsbalk 1,5m - plaats van de aansluiting ; +33,487m hoogte

buis/plaat	d_i / b_i (mm)	t_i (mm)	A (mm^2)	kwaliteit	f_y	W_b (mm^3)
0	1137	18,0	63297	S355	355	17436884
clip	140,0	20,0	2800	S355	355	65333

$N_{i,Rd} = \{(k_p * f_{y0} * t^2_0) * (4 + 20 * \beta^2)\} / \gamma_{M5}$

$M_{op,i,Rd} = 0,5 * b_i * N_{i,Rd}$; $M_{ip,i,Rd} = 0$

γ_{M5} = 1,50 (extra materiaalfactor)

$\beta = b_i / d_0$ = 0,12

$n_p = \{N_{0,Ed} / (A_0 * f_{y,0})\} + \{M_{0,Ed} / (W_0 * f_{y,0})\}$

$N_{0,Ed}$ = 316,2 kN drukkracht
$M_{0,Ed}$ = 3871,2 kNm
} t.g.v. max. belasting

n_p = 0,64 of n_p = -0,611

k_p = 1,0 , voor $n_p \leq 0$ (trek)

$k_p = 1,0 - 0,3 * n_p - 0,3 * n_p^2$, voor $n_p > 0$ (druk) maar $k_p \leq 1$

k_p = 0,69

$N_{1,Rd}$ = 226,2 kN

$N_{1,Ed} / N_{1,Rd}$ = 28,70 / 226,2 = 0,13 < 1,0 -- Voldoet

$M_{op,i,Rd}$ = 15,8 kNm

$M_{1,Ed} / M_{op,1,Rd}$ = 2,60 / 15,8 = 0,16 < 1,0 -- Voldoet

Pons controle

$\sigma_{max.}t_i = (N_{Ed} / A + M_{Ed} / W_{el}) * t_i \leq \{(f_{y,0} / 3^{0,5}) * 2 * t_0 \} / \gamma_{M5}$

$N_{1,Ed}$ = 28,70 kN ; $M_{1,Ed}$ = 2,60 kNm

$\sigma_{max.}t_i$ = 1002,3 N/mm'
$\{(f_{y,0} / 3^{0,5}) * 2 * t_0 \} / \gamma_{M5}$ = 4919 N/mm' ---> voldoet

9.10 - Berekening versterking deur

Geometrie versterking deur

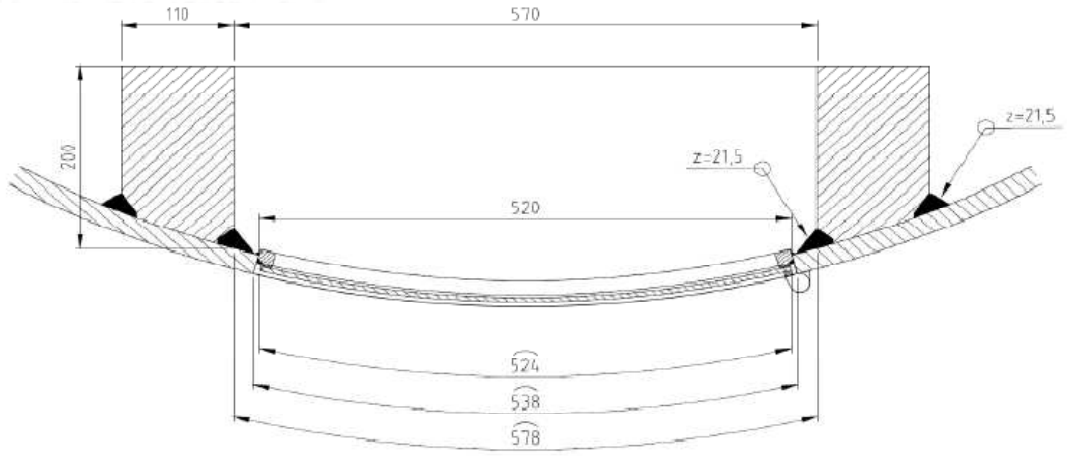

Doorsnede ter hoogte van de hart opening (1,225m hoogte):

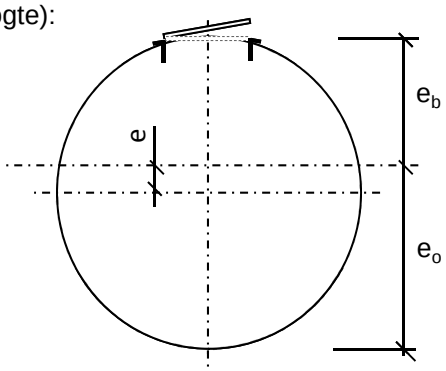

Buisdiameter : 1976 mm
dikte t ; 22 mm

A_{buis} = 135061 mm^2
$A_{versterking}$ = 39441 mm^2
$A_{verlies}$ = 11447 mm^2

A_{tot} = 163055 mm^2

e = 128,8 mm
e_b = 859,3 mm ; e_o = 1116,9 mm

I_{tot} = 7,73E+10 mm^4
W_{min} = 6,92E+07 mm^3
W_{max} = 8,99E+07 mm^3

Krachten: Maximale krachten t.p.v. mastvoet - knoop 28 (inclusief 2^e orde effect)

M_{Ed} = 18847 kNm ; N_{Ed} = 759 kN

σ_N = N_{Ed} / A_{tot} = 4,7 N/mm^2
σ_b = M_{Ed} / W_{min} = 272,5 N/mm^2

σ_{max} = 4,7 + 272,5 = 277,1 N/mm^2 < 355 MPa -- Voldoet

Bijlage A

Rapport KEMA - 74100224-ETD/POL 12-00138 REV 007 - bijlage AA en AA2

W4S400Z+5 TOWER APPENDIX: AA

Loadcases for tower strength (ultimate limit state)

Loadcase according to 50341-3-15	Attachment point	AHEAD Vertical [N]	AHEAD Transverse [N]	AHEAD Longitudinal [N]	BACK Vertical [N]	BACK Transverse [N]	BACK Longitudinal [N]
1a	Comp. gl	5122	1770	40154	5122	1770	-40154
Wind, 10 dgr	GW / opgw	2470	859	19377	2470	859	-19377
Permanent loads yg= 1.2	380C1F1 / 380C2F1	18903	6524	147783	18903	6524	-147783
Wind angle: 0 dgr	380C1F2 / 380C2F2	18903	6518	147783	18903	6518	-147783
	380C1F3 / 380C2F3	18903	6511	147783	18903	6511	-147783
	150C1F1 / 150C2F1	4726	1631	36946	4726	1631	-36946
	150C1F2 / 150C2F2	4726	1630	36946	4726	1630	-36946
	150C1F3 / 150C2F3	4726	1628	36946	4726	1628	-36946
1b	Comp. gl	5181	1972	45077	5181	1972	-45077
Wind, -20 dgr	GW / opgw	2501	962	21970	2501	962	-21970
Permanent loads yg= 1.2	380C1F1 / 380C2F1	19168	7427	169771	19168	7427	-169771
Wind angle: 0 dgr	380C1F2 / 380C2F2	19168	7426	169771	19168	7426	-169771
	380C1F3 / 380C2F3	19168	7424	169771	19168	7424	-169771
	150C1F1 / 150C2F1	4792	1857	42443	4792	1857	-42443
	150C1F2 / 150C2F2	4792	1856	42443	4792	1856	-42443
	150C1F3 / 150C2F3	4792	1856	42443	4792	1856	-42443
3	Comp. gl	20222	5365	122498	20222	5365	-122498
Wind+ice, -5 dgr	GW / opgw	10011	2666	60775	10011	2666	-60775
Permanent loads yg= 1.2	380C1F1 / 380C2F1	32379	10460	238677	32379	10460	-238677
Wind angle: 0 dgr	380C1F2 / 380C2F2	32379	10457	238677	32379	10457	-238677
	380C1F3 / 380C2F3	32379	10453	238677	32379	10453	-238677
	150C1F1 / 150C2F1	8095	2615	59669	8095	2615	-59669
	150C1F2 / 150C2F2	8095	2614	59669	8095	2614	-59669
	150C1F3 / 150C2F3	8095	2613	59669	8095	2613	-59669
4	Comp. gl	6767	2243	51307	6767	2243	-51307
Construction/maintenanc	GW / opgw	3293	1094	25008	3293	1094	-25008
Permanent loads yg= 1.2	380C1F1 / 380C2F1	22212	7511	171693	22212	7511	-171693
Wind angle: 0 dgr	380C1F2 / 380C2F2	22212	7509	171693	22212	7509	-171693
	380C1F3 / 380C2F3	22212	7508	171693	22212	7508	-171693
	150C1F1 / 150C2F1	5553	1878	42923	5553	1878	-42923
	150C1F2 / 150C2F2	5553	1877	42923	5553	1877	-42923
	150C1F3 / 150C2F3	5553	1877	42923	5553	1877	-42923
6	Comp. gl	5751	1931	44221	5751	1931	-44221
Permanent, +10 dgr	GW / opgw	2773	932	21353	2773	932	-21353
Permanent loads yg= 1.3	380C1F1 / 380C2F1	21221	7092	162441	21221	7092	-162441
	380C1F2 / 380C2F2	21221	7092	162441	21221	7092	-162441
	380C1F3 / 380C2F3	21221	7092	162441	21221	7092	-162441
	150C1F1 / 150C2F1	5305	1773	40610	5305	1773	-40610
	150C1F2 / 150C2F2	5305	1773	40610	5305	1773	-40610
	150C1F3 / 150C2F3	5305	1773	40610	5305	1773	-40610
1a	Comp. gl	4981	6913	50148	4981	6913	-50148
Wind, 10 dgr	GW / opgw	2359	4744	29248	2359	4744	-29248
Permanent loads yg= 1.2	380C1F1 / 380C2F1	18290	28035	192197	18290	28035	-192197
Wind angle: 45 dgr	380C1F2 / 380C2F2	18347	26365	186705	18347	26365	-186705
	380C1F3 / 380C2F3	18422	24221	179939	18422	24221	-179939
	150C1F1 / 150C2F1	4573	7009	48049	4573	7009	-48049
	150C1F2 / 150C2F2	4587	6591	46676	4587	6591	-46676
	150C1F3 / 150C2F3	4606	6055	44985	4606	6055	-44985

1b	Comp. gl	5171	2981	45544	5171	2981	-45544
Wind, -20 dgr	GW / opgw	2489	1726	22530	2489	1726	-22530
Permanent loads yg= 1.2	380C1F1 / 380C2F1	19118	11675	171945	19118	11675	-171945
Wind angle: 45 dgr	380C1F2 / 380C2F2	19125	11345	171617	19125	11345	-171617
	380C1F3 / 380C2F3	19134	10923	171236	19134	10923	-171236
	150C1F1 / 150C2F1	4780	2919	42986	4780	2919	-42986
	150C1F2 / 150C2F2	4781	2836	42904	4781	2836	-42904
	150C1F3 / 150C2F3	4783	2731	42809	4783	2731	-42809
3	Comp. gl	20178	10195	124390	20178	10195	-124390
Wind+ice, -5 dgr	GW / opgw	9963	6316	62972	9963	6316	-62972
Permanent loads yg= 1.2	380C1F1 / 380C2F1	32206	21964	246866	32206	21964	-246866
Wind angle: 45 dgr	380C1F2 / 380C2F2	32229	21069	245667	32229	21069	-245667
	380C1F3 / 380C2F3	32258	19924	244257	32258	19924	-244257
	150C1F1 / 150C2F1	8051	5491	61716	8051	5491	-61716
	150C1F2 / 150C2F2	8057	5267	61417	8057	5267	-61417
	150C1F3 / 150C2F3	8064	4981	61064	8064	4981	-61064
4	Comp. gl	6761	3220	51609	6761	3220	-51609
Construction/maintenanc	GW / opgw	3285	1831	25373	3285	1831	-25373
Permanent loads yg= 1.2	380C1F1 / 380C2F1	22177	11627	173368	22177	11627	-173368
Wind angle: 45 dgr	380C1F2 / 380C2F2	22182	11308	173113	22182	11308	-173113
	380C1F3 / 380C2F3	22188	10900	172815	22188	10900	-172815
	150C1F1 / 150C2F1	5544	2907	43342	5544	2907	-43342
	150C1F2 / 150C2F2	5545	2827	43278	5545	2827	-43278
	150C1F3 / 150C2F3	5547	2725	43204	5547	2725	-43204
1a	Comp. gl	4858	11309	66072	4858	11309	-66072
Wind, 10 dgr	GW / opgw	2304	8006	41910	2304	8006	-41910
Permanent loads yg= 1.2	380C1F1 / 380C2F1	17833	46273	258559	17833	46273	-258559
Wind angle: 90 dgr	380C1F2 / 380C2F2	17890	43247	247150	17890	43247	-247150
	380C1F3 / 380C2F3	17973	39351	232576	17973	39351	-232576
	150C1F1 / 150C2F1	4458	11568	64640	4458	11568	-64640
	150C1F2 / 150C2F2	4473	10812	61787	4473	10812	-61787
	150C1F3 / 150C2F3	4493	9838	58144	4493	9838	-58144
1b	Comp. gl	5149	3852	46679	5149	3852	-46679
Wind, -20 dgr	GW / opgw	2466	2390	23812	2466	2390	-23812
Permanent loads yg= 1.2	380C1F1 / 380C2F1	19011	15340	177159	19011	15340	-177159
Wind angle: 90 dgr	380C1F2 / 380C2F2	19032	14723	176092	19032	14723	-176092
	380C1F3 / 380C2F3	19058	13935	174834	19058	13935	-174834
	150C1F1 / 150C2F1	4753	3835	44290	4753	3835	-44290
	150C1F2 / 150C2F2	4758	3681	44023	4758	3681	-44023
	150C1F3 / 150C2F3	4764	3484	43708	4764	3484	-43708
3	Comp. gl	20084	14332	128955	20084	14332	-128955
Wind+ice, -5 dgr	GW / opgw	9874	9444	67863	9874	9444	-67863
Permanent loads yg= 1.2	380C1F1 / 380C2F1	31881	31881	265134	31881	31881	-265134
Wind angle: 90 dgr	380C1F2 / 380C2F2	31940	30219	261510	31940	30219	-261510
	380C1F3 / 380C2F3	32015	28087	257166	32015	28087	-257166
	150C1F1 / 150C2F1	7970	7970	66284	7970	7970	-66284
	150C1F2 / 150C2F2	7985	7555	65377	7985	7555	-65377
	150C1F3 / 150C2F3	8004	7022	64291	8004	7022	-64291
4	Comp. gl	6746	4057	52376	6746	4057	-52376
Construction/maintenanc	GW / opgw	3270	2467	26251	3270	2467	-26251
Permanent loads yg= 1.2	380C1F1 / 380C2F1	22099	15171	177487	22099	15171	-177487
Wind angle: 90 dgr	380C1F2 / 380C2F2	22114	14575	176638	22114	14575	-176638
	380C1F3 / 380C2F3	22133	13812	175640	22133	13812	-175640
	150C1F1 / 150C2F1	5525	3793	44372	5525	3793	-44372
	150C1F2 / 150C2F2	5529	3644	44159	5529	3644	-44159
	150C1F3 / 150C2F3	5533	3453	43910	5533	3453	-43910
1a	Comp. gl	5011	6067	47521	5011	6067	-47521
Wind, 10 dgr	GW / opgw	2377	4111	26910	2377	4111	-26910
Permanent loads yg= 1.2	380C1F1 / 380C2F1	18412	24513	180840	18412	24513	-180840

Wind angle: -45 dgr	380C1F2 / 380C2F2	18462	23111	176582	18462	23111	-176582
	380C1F3 / 380C2F3	18528	21312	171391	18528	21312	-171391
	150C1F1 / 150C2F1	4603	6128	45210	4603	6128	-45210
	150C1F2 / 150C2F2	4616	5778	44145	4616	5778	-44145
	150C1F3 / 150C2F3	4632	5328	42848	4632	5328	-42848
1b	Comp. gl	5174	2816	45401	5174	2816	-45401
Wind, -20 dgr	GW / opgw	2493	1601	22363	2493	1601	-22363
Permanent loads yg= 1.2	380C1F1 / 380C2F1	19133	10981	171285	19133	10981	-171285
Wind angle: -45 dgr	380C1F2 / 380C2F2	19138	10705	171055	19138	10705	-171055
	380C1F3 / 380C2F3	19144	10352	170786	19144	10352	-170786
	150C1F1 / 150C2F1	4783	2745	42821	4783	2745	-42821
	150C1F2 / 150C2F2	4784	2676	42764	4784	2676	-42764
	150C1F3 / 150C2F3	4786	2588	42697	4786	2588	-42697
3	Comp. gl	20190	9409	123811	20190	9409	-123811
Wind+ice, -5 dgr	GW / opgw	9976	5720	62320	9976	5720	-62320
Permanent loads yg= 1.2	380C1F1 / 380C2F1	32254	20080	244441	32254	20080	-244441
Wind angle: -45 dgr	380C1F2 / 380C2F2	32272	19333	243586	32272	19333	-243586
	380C1F3 / 380C2F3	32292	18376	242584	32292	18376	-242584
	150C1F1 / 150C2F1	8064	5020	61110	8064	5020	-61110
	150C1F2 / 150C2F2	8068	4833	60896	8068	4833	-60896
	150C1F3 / 150C2F3	8073	4594	60646	8073	4594	-60646
4	Comp. gl	6762	3061	51515	6762	3061	-51515
Construction/maintenanc	GW / opgw	3288	1710	25262	3288	1710	-25262
Permanent loads yg= 1.2	380C1F1 / 380C2F1	22187	10956	172854	22187	10956	-172854
Wind angle: -45 dgr	380C1F2 / 380C2F2	22191	10689	172675	22191	10689	-172675
	380C1F3 / 380C2F3	22195	10348	172466	22195	10348	-172466
	150C1F1 / 150C2F1	5547	2739	43213	5547	2739	-43213
	150C1F2 / 150C2F2	5548	2672	43169	5548	2672	-43169
	150C1F3 / 150C2F3	5549	2587	43117	5549	2587	-43117
1a	Comp. gl	3859	1397	31599	3859	1397	-31599
Wind, 10 dgr	GW / opgw	1861	678	15226	1861	678	-15226
Permanent loads yg= 0.9	380C1F1 / 380C2F1	14250	5174	116855	14250	5174	-116855
Wind angle: 0 dgr	380C1F2 / 380C2F2	14250	5169	116855	14250	5169	-116855
	380C1F3 / 380C2F3	14250	5161	116856	14250	5161	-116856
	150C1F1 / 150C2F1	3562	1293	29214	3562	1293	-29214
	150C1F2 / 150C2F2	3562	1292	29214	3562	1292	-29214
	150C1F3 / 150C2F3	3562	1290	29214	3562	1290	-29214
1b	Comp. gl	3914	1578	36072	3914	1578	-36072
Wind, -20 dgr	GW / opgw	1889	770	17575	1889	770	-17575
Permanent loads yg= 0.9	380C1F1 / 380C2F1	14497	6007	137241	14497	6007	-137241
Wind angle: 0 dgr	380C1F2 / 380C2F2	14497	6006	137241	14497	6006	-137241
	380C1F3 / 380C2F3	14497	6004	137241	14497	6004	-137241
	150C1F1 / 150C2F1	3624	1502	34310	3624	1502	-34310
	150C1F2 / 150C2F2	3624	1501	34310	3624	1501	-34310
	150C1F3 / 150C2F3	3624	1501	34310	3624	1501	-34310
3	Comp. gl	18993	5122	116923	18993	5122	-116923
Wind+ice, -5 dgr	GW / opgw	9418	2548	58077	9418	2548	-58077
Permanent loads yg= 0.9	380C1F1 / 380C2F1	27778	9305	212205	27778	9305	-212205
Wind angle: 0 dgr	380C1F2 / 380C2F2	27778	9302	212205	27778	9302	-212205
	380C1F3 / 380C2F3	27778	9298	212205	27778	9298	-212205
	150C1F1 / 150C2F1	6944	2326	53051	6944	2326	-53051
	150C1F2 / 150C2F2	6944	2325	53051	6944	2325	-53051
	150C1F3 / 150C2F3	6944	2324	53051	6944	2324	-53051
4	Comp. gl	5512	1897	43378	5512	1897	-43378
Construction/maintenanc	GW / opgw	2687	926	21162	2687	926	-21162
Permanent loads yg= 0.9	380C1F1 / 380C2F1	17573	6216	142035	17573	6216	-142035
Wind angle: 0 dgr	380C1F2 / 380C2F2	17573	6215	142035	17573	6215	-142035
	380C1F3 / 380C2F3	17573	6213	142035	17573	6213	-142035
	150C1F1 / 150C2F1	4393	1554	35509	4393	1554	-35509

	150C1F2 / 150C2F2	4393	1554	35509	4393	1554	-35509
	150C1F3 / 150C2F3	4393	1553	35509	4393	1553	-35509
6	Comp. gl	3859	1380	31600	3859	1380	-31600
Permanent, +10 dgr	GW / opgw	1861	665	15226	1861	665	-15226
Permanent loads yg= 1.3	380C1F1 / 380C2F1	14250	5102	116857	14250	5102	-116857
	380C1F2 / 380C2F2	14250	5102	116857	14250	5102	-116857
	380C1F3 / 380C2F3	14250	5102	116857	14250	5102	-116857
	150C1F1 / 150C2F1	3562	1276	29214	3562	1276	-29214
	150C1F2 / 150C2F2	3562	1276	29214	3562	1276	-29214
	150C1F3 / 150C2F3	3562	1276	29214	3562	1276	-29214
1a	Comp. gl	3706	6647	44599	3706	6647	-44599
Wind, 10 dgr	GW / opgw	1753	4635	27323	1753	4635	-27323
Permanent loads yg= 0.9	380C1F1 / 380C2F1	13599	27124	173862	13599	27124	-173862
Wind angle: 45 dgr	380C1F2 / 380C2F2	13647	25428	167340	13647	25428	-167340
	380C1F3 / 380C2F3	13714	23248	159166	13714	23248	-159166
	150C1F1 / 150C2F1	3400	6781	43466	3400	6781	-43466
	150C1F2 / 150C2F2	3412	6357	41835	3412	6357	-41835
	150C1F3 / 150C2F3	3428	5812	39791	3428	5812	-39791
1b	Comp. gl	3900	2609	36764	3900	2609	-36764
Wind, -20 dgr	GW / opgw	1874	1552	18389	1874	1552	-18389
Permanent loads yg= 0.9	380C1F1 / 380C2F1	14427	10354	140467	14427	10354	-140467
Wind angle: 45 dgr	380C1F2 / 380C2F2	14437	10015	139991	14437	10015	-139991
	380C1F3 / 380C2F3	14449	9582	139433	14449	9582	-139433
	150C1F1 / 150C2F1	3607	2589	35117	3607	2589	-35117
	150C1F2 / 150C2F2	3609	2504	34998	3609	2504	-34998
	150C1F3 / 150C2F3	3612	2395	34858	3612	2395	-34858
3	Comp. gl	18945	9969	118995	18945	9969	-118995
Wind+ice, -5 dgr	GW / opgw	9366	6211	60465	9366	6211	-60465
Permanent loads yg= 0.9	380C1F1 / 380C2F1	27573	20938	222258	27573	20938	-222258
Wind angle: 45 dgr	380C1F2 / 380C2F2	27601	20032	220807	27601	20032	-220807
	380C1F3 / 380C2F3	27634	18872	219095	27634	18872	-219095
	150C1F1 / 150C2F1	6893	5235	55565	6893	5235	-55565
	150C1F2 / 150C2F2	6900	5008	55202	6900	5008	-55202
	150C1F3 / 150C2F3	6908	4718	54774	6908	4718	-54774
4	Comp. gl	5503	2884	43784	5503	2884	-43784
Construction/maintenanc	GW / opgw	2678	1672	21643	2678	1672	-21643
Permanent loads yg= 0.9	380C1F1 / 380C2F1	17527	10391	144361	17527	10391	-144361
Wind angle: 45 dgr	380C1F2 / 380C2F2	17534	10067	144013	17534	10067	-144013
	380C1F3 / 380C2F3	17542	9651	143605	17542	9651	-143605
	150C1F1 / 150C2F1	4382	2598	36090	4382	2598	-36090
	150C1F2 / 150C2F2	4383	2517	36003	4383	2517	-36003
	150C1F3 / 150C2F3	4385	2413	35901	4385	2413	-35901
1a	Comp. gl	3610	11100	62695	3610	11100	-62695
Wind, 10 dgr	GW / opgw	1715	7924	40888	1715	7924	-40888
Permanent loads yg= 0.9	380C1F1 / 380C2F1	13259	45567	247926	13259	45567	-247926
Wind angle: 90 dgr	380C1F2 / 380C2F2	13297	42514	235608	13297	42514	-235608
	380C1F3 / 380C2F3	13355	38581	219684	13355	38581	-219684
	150C1F1 / 150C2F1	3315	11392	61981	3315	11392	-61981
	150C1F2 / 150C2F2	3324	10629	58902	3324	10629	-58902
	150C1F3 / 150C2F3	3339	9645	54921	3339	9645	-54921
1b	Comp. gl	3871	3504	38381	3871	3504	-38381
Wind, -20 dgr	GW / opgw	1846	2234	20148	1846	2234	-20148
Permanent loads yg= 0.9	380C1F1 / 380C2F1	14288	14125	147865	14288	14125	-147865
Wind angle: 90 dgr	380C1F2 / 380C2F2	14314	13491	146376	14314	13491	-146376
	380C1F3 / 380C2F3	14347	12680	144605	14347	12680	-144605
	150C1F1 / 150C2F1	3572	3531	36966	3572	3531	-36966
	150C1F2 / 150C2F2	3579	3373	36594	3579	3373	-36594
	150C1F3 / 150C2F3	3587	3170	36151	3587	3170	-36151
3	Comp. gl	18846	14124	123934	18846	14124	-123934

Wind+ice, -5 dgr	GW / opgw	9275	9352	65698	9275	9352	-65698
Permanent loads yg= 0.9	380C1F1 / 380C2F1	27217	30976	243880	27217	30976	-243880
Wind angle: 90 dgr	380C1F2 / 380C2F2	27280	29295	239654	27280	29295	-239654
	380C1F3 / 380C2F3	27360	27139	234551	27360	27139	-234551
	150C1F1 / 150C2F1	6804	7744	60970	6804	7744	-60970
	150C1F2 / 150C2F2	6820	7324	59914	6820	7324	-59914
	150C1F3 / 150C2F3	6840	6785	58638	6840	6785	-58638
4	Comp. gl	5485	3735	44785	5485	3735	-44785
Construction/maintenanc	GW / opgw	2659	2319	22764	2659	2319	-22764
Permanent loads yg= 0.9	380C1F1 / 380C2F1	17430	14007	149890	17430	14007	-149890
Wind angle: 90 dgr	380C1F2 / 380C2F2	17449	13398	148762	17449	13398	-148762
	380C1F3 / 380C2F3	17472	12620	147430	17472	12620	-147430
	150C1F1 / 150C2F1	4357	3502	37472	4357	3502	-37472
	150C1F2 / 150C2F2	4362	3350	37190	4362	3350	-37190
	150C1F3 / 150C2F3	4368	3155	36857	4368	3155	-36857
1a	Comp. gl	3733	5786	41388	3733	5786	-41388
Wind, 10 dgr	GW / opgw	1766	3994	24677	1766	3994	-24677
Permanent loads yg= 0.9	380C1F1 / 380C2F1	13704	23546	160264	13704	23546	-160264
Wind angle: -45 dgr	380C1F2 / 380C2F2	13751	22118	155043	13751	22118	-155043
	380C1F3 / 380C2F3	13814	20285	148570	13814	20285	-148570
	150C1F1 / 150C2F1	3426	5886	40066	3426	5886	-40066
	150C1F2 / 150C2F2	3438	5529	38761	3438	5529	-38761
	150C1F3 / 150C2F3	3453	5071	37143	3453	5071	-37143
1b	Comp. gl	3904	2440	36556	3904	2440	-36556
Wind, -20 dgr	GW / opgw	1878	1423	18151	1878	1423	-18151
Permanent loads yg= 0.9	380C1F1 / 380C2F1	14447	9641	139506	14447	9641	-139506
Wind angle: -45 dgr	380C1F2 / 380C2F2	14454	9358	139168	14454	9358	-139168
	380C1F3 / 380C2F3	14462	8996	138773	14462	8996	-138773
	150C1F1 / 150C2F1	3612	2410	34876	3612	2410	-34876
	150C1F2 / 150C2F2	3614	2339	34792	3614	2339	-34792
	150C1F3 / 150C2F3	3616	2249	34693	3616	2249	-34693
3	Comp. gl	18959	9180	118364	18959	9180	-118364
Wind+ice, -5 dgr	GW / opgw	9381	5613	59760	9381	5613	-59760
Permanent loads yg= 0.9	380C1F1 / 380C2F1	27629	19030	219318	27629	19030	-219318
Wind angle: -45 dgr	380C1F2 / 380C2F2	27650	18273	218276	27650	18273	-218276
	380C1F3 / 380C2F3	27674	17303	217052	27674	17303	-217052
	150C1F1 / 150C2F1	6907	4758	54830	6907	4758	-54830
	150C1F2 / 150C2F2	6912	4568	54569	6912	4568	-54569
	150C1F3 / 150C2F3	6918	4326	54263	6918	4326	-54263
4	Comp. gl	5506	2723	43659	5506	2723	-43659
Construction/maintenanc	GW / opgw	2681	1550	21499	2681	1550	-21499
Permanent loads yg= 0.9	380C1F1 / 380C2F1	17541	9708	143658	17541	9708	-143658
Wind angle: -45 dgr	380C1F2 / 380C2F2	17545	9437	143412	17545	9437	-143412
	380C1F3 / 380C2F3	17551	9090	143126	17551	9090	-143126
	150C1F1 / 150C2F1	4385	2427	35915	4385	2427	-35915
	150C1F2 / 150C2F2	4386	2359	35853	4386	2359	-35853
	150C1F3 / 150C2F3	4388	2272	35781	4388	2272	-35781

W4S400Z+5 TOWER APPENDIX: AA2

Loadcases for tower strength (ultimate limit state)

Loadcase according to 50341-3-15	Attachment point	AHEAD Vertical [N]	AHEAD Transverse [N]	AHEAD Longitudinal [N]	BACK Vertical [N]	BACK Transverse [N]	BACK Longitudinal [N]
1a	Comp. gl	4281	1519	34520	4281	1519	-34520
Wind, 10 dgr	GW / opgw	2064	735	16643	2064	735	-16643
Permanent loads yg= 1.0	380C1F1 / 380C2F1	15804	5612	127432	15804	5612	-127432
Wind angle: 0 dgr	380C1F2 / 380C2F2	15804	5608	127432	15804	5608	-127432
	380C1F3 / 380C2F3	15804	5603	127432	15804	5603	-127432
	150C1F1 / 150C2F1	3951	1403	31858	3951	1403	-31858
	150C1F2 / 150C2F2	3951	1402	31858	3951	1402	-31858
	150C1F3 / 150C2F3	3951	1401	31858	3951	1401	-31858
1b	Comp. gl	4337	1712	39161	4337	1712	-39161
Wind, -20 dgr	GW / opgw	2094	835	19082	2094	835	-19082
Permanent loads yg= 1.0	380C1F1 / 380C2F1	16058	6490	148420	16058	6490	-148420
Wind angle: 0 dgr	380C1F2 / 380C2F2	16058	6489	148420	16058	6489	-148420
	380C1F3 / 380C2F3	16058	6488	148420	16058	6488	-148420
	150C1F1 / 150C2F1	4015	1623	37105	4015	1623	-37105
	150C1F2 / 150C2F2	4015	1622	37105	4015	1622	-37105
	150C1F3 / 150C2F3	4015	1622	37105	4015	1622	-37105
3	Comp. gl	14411	4161	95055	14411	4161	-95055
Wind+ice, -5 dgr	GW / opgw	7123	2064	47087	7123	2064	-47087
Permanent loads yg= 1.0	380C1F1 / 380C2F1	24868	8531	194794	24868	8531	-194794
Wind angle: 0 dgr	380C1F2 / 380C2F2	24868	8529	194794	24868	8529	-194794
	380C1F3 / 380C2F3	24868	8527	194794	24868	8527	-194794
	150C1F1 / 150C2F1	6217	2133	48698	6217	2133	-48698
	150C1F2 / 150C2F2	6217	2132	48698	6217	2132	-48698
	150C1F3 / 150C2F3	6217	2132	48698	6217	2132	-48698
4	Comp. gl	5385	1860	42552	5385	1860	-42552
Construction/maintenanc	GW / opgw	2616	905	20697	2616	905	-20697
Permanent loads yg= 1.0	380C1F1 / 380C2F1	18030	6342	145038	18030	6342	-145038
Wind angle: 0 dgr	380C1F2 / 380C2F2	18030	6341	145038	18030	6341	-145038
	380C1F3 / 380C2F3	18030	6340	145038	18030	6340	-145038
	150C1F1 / 150C2F1	4507	1586	36260	4507	1586	-36260
	150C1F2 / 150C2F2	4507	1585	36260	4507	1585	-36260
	150C1F3 / 150C2F3	4507	1585	36260	4507	1585	-36260
1a	Comp. gl	4193	4957	40431	4193	4957	-40431
Wind, 10 dgr	GW / opgw	1989	3341	22741	1989	3341	-22741
Permanent loads yg= 1.0	380C1F1 / 380C2F1	15410	20023	154097	15410	20023	-154097
Wind angle: 45 dgr	380C1F2 / 380C2F2	15452	18896	150625	15452	18896	-150625
	380C1F3 / 380C2F3	15505	17453	146405	15505	17453	-146405
	150C1F1 / 150C2F1	3853	5006	38524	3853	5006	-38524
	150C1F2 / 150C2F2	3863	4724	37656	3863	4724	-37656
	150C1F3 / 150C2F3	3876	4363	36601	3876	4363	-36601
1b	Comp. gl	4332	2389	39420	4332	2389	-39420
Wind, -20 dgr	GW / opgw	2087	1347	19397	2087	1347	-19397
Permanent loads yg= 1.0	380C1F1 / 380C2F1	16030	9341	149636	16030	9341	-149636
Wind angle: 45 dgr	380C1F2 / 380C2F2	16034	9120	149451	16034	9120	-149451
	380C1F3 / 380C2F3	16039	8837	149235	16039	8837	-149235
	150C1F1 / 150C2F1	4007	2335	37409	4007	2335	-37409
	150C1F2 / 150C2F2	4008	2280	37363	4008	2280	-37363
	150C1F3 / 150C2F3	4010	2209	37309	4010	2209	-37309

3	Comp. gl	14380	7426	96390	14380	7426	-96390
Wind+ice, -5 dgr	GW / opgw	7090	4533	48641	7090	4533	-48641
Permanent loads yg= 1.0	380C1F1 / 380C2F1	24759	16283	200001	24759	16283	-200001
Wind angle: 45 dgr	380C1F2 / 380C2F2	24774	15680	199233	24774	15680	-199233
	380C1F3 / 380C2F3	24792	14908	198331	24792	14908	-198331
	150C1F1 / 150C2F1	6190	4071	50000	6190	4071	-50000
	150C1F2 / 150C2F2	6194	3920	49808	6194	3920	-49808
	150C1F3 / 150C2F3	6198	3727	49583	6198	3727	-49583
4	Comp. gl	5381	2515	42730	5381	2515	-42730
Construction/maintenanc	GW / opgw	2612	1399	20915	2612	1399	-20915
Permanent loads yg= 1.0	380C1F1 / 380C2F1	18010	9102	146005	18010	9102	-146005
Wind angle: 45 dgr	380C1F2 / 380C2F2	18012	8889	145856	18012	8889	-145856
	380C1F3 / 380C2F3	18016	8615	145683	18016	8615	-145683
	150C1F1 / 150C2F1	4502	2276	36501	4502	2276	-36501
	150C1F2 / 150C2F2	4503	2222	36464	4503	2222	-36464
	150C1F3 / 150C2F3	4504	2154	36421	4504	2154	-36421
1a	Comp. gl	4095	7929	50856	4095	7929	-50856
Wind, 10 dgr	GW / opgw	1938	5558	31528	1938	5558	-31528
Permanent loads yg= 1.0	380C1F1 / 380C2F1	15028	32383	198484	15028	32383	-198484
Wind angle: 90 dgr	380C1F2 / 380C2F2	15080	30327	190602	15080	30327	-190602
	380C1F3 / 380C2F3	15154	27682	180662	15154	27682	-180662
	150C1F1 / 150C2F1	3757	8096	49621	3757	8096	-49621
	150C1F2 / 150C2F2	3770	7582	47650	3770	7582	-47650
	150C1F3 / 150C2F3	3788	6920	45165	3788	6920	-45165
1b	Comp. gl	4319	2971	40066	4319	2971	-40066
Wind, -20 dgr	GW / opgw	2073	1791	20141	2073	1791	-20141
Permanent loads yg= 1.0	380C1F1 / 380C2F1	15967	11797	152623	15967	11797	-152623
Wind angle: 90 dgr	380C1F2 / 380C2F2	15980	11384	152007	15980	11384	-152007
	380C1F3 / 380C2F3	15995	10855	151283	15995	10855	-151283
	150C1F1 / 150C2F1	3992	2949	38156	3992	2949	-38156
	150C1F2 / 150C2F2	3995	2846	38002	3995	2846	-38002
	150C1F3 / 150C2F3	3999	2714	37821	3999	2714	-37821
3	Comp. gl	14316	10228	99620	14316	10228	-99620
Wind+ice, -5 dgr	GW / opgw	7027	6655	52133	7027	6655	-52133
Permanent loads yg= 1.0	380C1F1 / 380C2F1	24544	22983	211899	24544	22983	-211899
Wind angle: 90 dgr	380C1F2 / 380C2F2	24584	21857	209512	24584	21857	-209512
	380C1F3 / 380C2F3	24634	20416	206669	24634	20416	-206669
	150C1F1 / 150C2F1	6136	5746	52975	6136	5746	-52975
	150C1F2 / 150C2F2	6146	5464	52378	6146	5464	-52378
	150C1F3 / 150C2F3	6159	5104	51667	6159	5104	-51667
4	Comp. gl	5372	3076	43190	5372	3076	-43190
Construction/maintenanc	GW / opgw	2603	1825	21446	2603	1825	-21446
Permanent loads yg= 1.0	380C1F1 / 380C2F1	17964	11475	148428	17964	11475	-148428
Wind angle: 90 dgr	380C1F2 / 380C2F2	17973	11076	147926	17973	11076	-147926
	380C1F3 / 380C2F3	17984	10565	147337	17984	10565	-147337
	150C1F1 / 150C2F1	4491	2869	37107	4491	2869	-37107
	150C1F2 / 150C2F2	4493	2769	36981	4493	2769	-36981
	150C1F3 / 150C2F3	4496	2641	36834	4496	2641	-36834
1a	Comp. gl	4214	4389	38815	4214	4389	-38815
Wind, 10 dgr	GW / opgw	2003	2913	21209	2003	2913	-21209
Permanent loads yg= 1.0	380C1F1 / 380C2F1	15498	17649	146963	15498	17649	-146963
Wind angle: -45 dgr	380C1F2 / 380C2F2	15533	16706	144336	15533	16706	-144336
	380C1F3 / 380C2F3	15578	15498	141173	15578	15498	-141173
	150C1F1 / 150C2F1	3875	4412	36741	3875	4412	-36741
	150C1F2 / 150C2F2	3883	4176	36084	3883	4176	-36084
	150C1F3 / 150C2F3	3894	3874	35293	3894	3874	-35293
1b	Comp. gl	4333	2278	39340	4333	2278	-39340
Wind, -20 dgr	GW / opgw	2089	1263	19302	2089	1263	-19302
Permanent loads yg= 1.0	380C1F1 / 380C2F1	16038	8876	149263	16038	8876	-149263

Wind angle: -45 dgr	380C1F2 / 380C2F2	16041	8691	149133	16041	8691	-149133
	380C1F3 / 380C2F3	16044	8455	148982	16044	8455	-148982
	150C1F1 / 150C2F1	4010	2219	37316	4010	2219	-37316
	150C1F2 / 150C2F2	4010	2173	37283	4010	2173	-37283
	150C1F3 / 150C2F3	4011	2114	37246	4011	2114	-37246
3	Comp. gl	14389	6894	95982	14389	6894	-95982
Wind+ice, -5 dgr	GW / opgw	7099	4129	48179	7099	4129	-48179
Permanent loads yg= 1.0	380C1F1 / 380C2F1	24790	15013	198449	24790	15013	-198449
Wind angle: -45 dgr	380C1F2 / 380C2F2	24801	14509	197903	24801	14509	-197903
0	380C1F3 / 380C2F3	24814	13865	197265	24814	13865	-197265
	150C1F1 / 150C2F1	6197	3753	49612	6197	3753	-49612
	150C1F2 / 150C2F2	6200	3627	49476	6200	3627	-49476
	150C1F3 / 150C2F3	6203	3466	49316	6203	3466	-49316
4	Comp. gl	5382	2409	42674	5382	2409	-42674
Construction/maintenanc	GW / opgw	2613	1319	20848	2613	1319	-20848
Permanent loads yg= 1.0	380C1F1 / 380C2F1	18015	8653	145705	18015	8653	-145705
Wind angle: -45 dgr	380C1F2 / 380C2F2	18017	8474	145601	18017	8474	-145601
	380C1F3 / 380C2F3	18020	8245	145480	18020	8245	-145480
	150C1F1 / 150C2F1	4504	2163	36426	4504	2163	-36426
	150C1F2 / 150C2F2	4504	2119	36400	4504	2119	-36400
	150C1F3 / 150C2F3	4505	2061	36370	4505	2061	-36370

Bijlage 2b
Lengteprofielen

PLS-CADD Drawing

Legenda		Del:	0.72	0.72	2.1	2.1	3.10	3.10				
		1/2 Bundel:	0.125	0.125	0.00	0.00	0.25	0.25				
Feature Code	Feature code Description	Symbool	Req Vert Clear 0kV (m)	Req Horiz Clear 0kV (m)	Req Vert Clear 150kV (m)	Req Horiz Clear 150kV (m)	Req Vert Clear 380kV (m)	Req Horiz Clear 380kV (m)	EXTRA TenneT	Norm Verticaal	Norm Horizontaal	Marge vlgs PVE TenneT
1	Onbebouwd/Landbouwgebied		7.95	2.85	9.2	4.1	10.45	5.35	1.50	5.60	2.00	
2	Industrieel gebied		8.35	3.35	9.6	4.6	10.85	5.85		7.00	2.00	0.50
3	Vegetatie		2.35	2.85	3.6	4.1	4.85	5.35	1.50		2.00	
4	Daken (helling > 15gr)		3.35	3.35	4.6	4.6	5.85	5.85		2.00	2.00	0.50
5	Daken (helling < 15gr)		5.35	3.35	6.6	4.6	7.85	5.85		4.00	2.00	0.50
6	Wegen		7.95	3.35	9.2	4.6	10.45	5.85		6.60	2.00	0.50
7	Land- en argrarischewegen		8.95	2.85	10.2	4.1	11.45	5.35	1.50	6.60	2.00	
8	Snelwegen en autowegen		10.35	3.35	11.6	4.6	12.85	5.85		9.00	2.00	0.50
9	Spoorlijnen zonder tractie		8.35	3.35	9.6	4.6	10.85	5.85		7.00	2.00	0.50
10	Spoorlijnen met tractie		11.65	3.35	12.9	4.6	14.15	5.85		10.30	2.00	0.50
11	Waterwegen VDH 15 meter	15	16.35	3.35	17.6	4.6	18.85	5.85	15.00		2.00	0.50
12	Waterwegen VDH 20 meter	20	21.35	3.35	22.6	4.6	23.85	5.85	20.00		2.00	0.50
13	Waterwegen VDH 25 meter	25	26.35	3.35	27.6	4.6	28.85	5.85	25.00		2.00	0.50
14	Waterwegen VDH 30 meter	30	31.35	3.35	32.6	4.6	33.85	5.85	30.00		2.00	0.50
15	Water	W	6.95	3.35	8.2	4.6	9.45	5.85		5.60	2.00	0.50
16	Lantaarnpalen, vlaggenmasten, borden e.d.		3.35	3.35	4.6	4.6	5.85	5.85		2.00	2.00	0.50

= Compensatie geleider
= Bliksemdraad
= OPGW
= 150kV
= 380kV
= 13.9 meter i.v.m. 5kV/m W2, 300m masten
= 14.2 meter i.v.m. 5kV/m W2, 350m masten
= 14.4 meter i.v.m. 5kV/m W2, 400m masten
= 14.4 meter i.v.m. 5kV/m W4, 400m masten
= Minimale vrije ruimte voor 45kV (onbebouwd)
= Verschijnen waar extra ruimte nodig is bovenop de minimale vrije ruimte

Project: Randstad 380kv Noord Engineering

Hoogspanningslijn:150-380kv Bleiswijk - Vijfhuizen

Calculaties volgens:
- NEN - EN 50341-1 en NEN - EN 50341-1-3 (NNA)
- TenneT specificaties
Wind zone: Zone 2
Vr = 22.5 m/s0
Zo(m) = 0.2
Ct bij beijsde geleider = 1.2
Ijs regio = B

Voor fasen geldt 1.8*v(d)
Voor overige geleiders geldt 5*v(d)

LEGENDA onderleggers
Aansluitingen en bestaande HS-lijnen
Waterleidingen
Kabels en leidingen
Perceelgrenzen
Waterkeringen en beschermzones

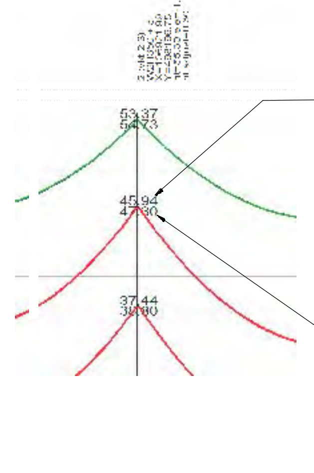

WIJZ	OMSCHRIJVING	DATUM	OPGST.	BEOORD.	GGK.
5.0	Update VKT 5.0 mastlocatie 124, 107 en check lichtmasten 146 - 147 conform RFC 15	24/10/2013	MLC	EKA	AW
5.0	Update VKT 5.0 mastlocatie 193 en mastvoeten	09/09/2013	MLC	EKA	CS
5.0	Wintrack Masten update	03/02/2014	MLC	EKA	AW
5.0	Update VKT 5.0 mastlocatie 124 conform RFC 16	29/10/2013	MLC	EKA	AW
		7-2-2014	GRB	EGB	CS

KEMA DNV

380 kV / 150 kV Bleiswijk - Vijfhuizen
Trace en lengte profiel mast 113 (VKT5.0) tot Portaal BWK Oranje (VKT5.0)

30.0 m Horiz. Scale
3.0 m Vert. Scale
A2+
TEK.NR. 30813059-50-13 VKT 5.0 (03-02-2014)
Blad 10 van 11
Wijz 5.0

DNV KEMA Energy & Sustainability, Utrechtseweg 310, 6812 AR Arnhem, tel: +31 26 3 56 91 11, www.dnvkema.com

© 2014

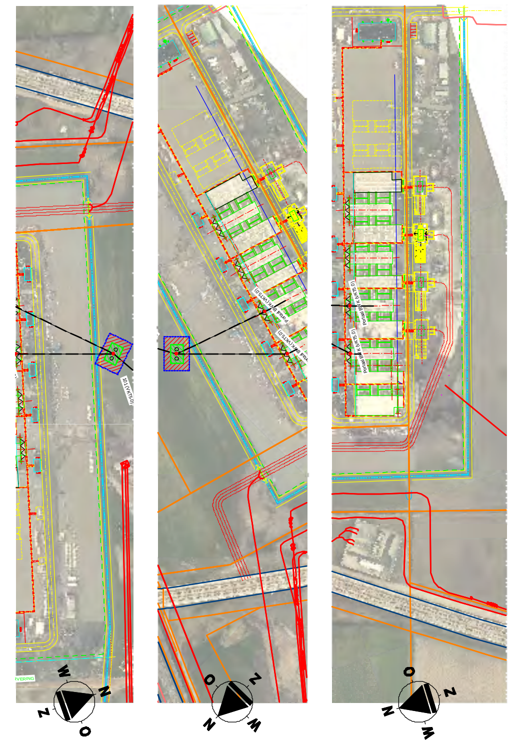

Legenda			Del:	0.72	0.72	2.1	2.1	3.10	3.10				
			1/2 Bundel:	0.125	0.125	0.00	0.00	0.25	0.25				
Feature Code	Feature code Description	Symbool		Req Vert Clear 0kV (m)	Req Horiz Clear 0kV (m)	Req Vert Clear 150kV (m)	Req Horiz Clear 150kV (m)	Req Vert Clear 380kV (m)	Req Horiz Clear 380kV (m)	EXTRA TenneT	Norm Verticaal	Norm Horizontaal	Marge vlgs PVE TenneT
1	Onbebouwd/Landbouwgebied			7.95	2.85	9.2	4.1	10.45	5.35	1.50	5.60	2.00	
2	Industrieel gebied			8.35	3.35	9.6	4.6	10.85	5.85		7.00	2.00	0.50
3	Vegetatie			2.35	2.85	3.6	4.1	4.85	5.35	1.50		2.00	
4	Daken (helling > 15gr)			3.35	3.35	4.6	4.6	5.85	5.85		2.00	2.00	0.50
5	Daken (helling < 15gr)			5.35	3.35	6.6	4.6	7.85	5.85		4.00	2.00	0.50
6	Wegen			7.95	3.35	9.2	4.6	10.45	5.85		6.60	2.00	0.50
7	Land- en argrarischewegen			8.95	2.85	10.2	4.1	11.45	5.35	1.50	6.60	2.00	
8	Snelwegen en autowegen			10.35	3.35	11.6	4.6	12.85	5.85		9.00	2.00	0.50
9	Spoorlijnen zonder tractie			8.35	3.35	9.6	4.6	10.85	5.85		7.00	2.00	0.50
10	Spoorlijnen met tractie			11.65	3.35	12.9	4.6	14.15	5.85		10.30	2.00	0.50
11	Waterwegen VDH 15 meter	15		16.35	3.35	17.6	4.6	18.85	5.85	15.00		2.00	0.50
12	Waterwegen VDH 20 meter	20		21.35	3.35	22.6	4.6	23.85	5.85	20.00		2.00	0.50
13	Waterwegen VDH 25 meter	25		26.35	3.35	27.6	4.6	28.85	5.85	25.00		2.00	0.50
14	Waterwegen VDH 30 meter	30		31.35	3.35	32.6	4.6	33.85	5.85	30.00		2.00	0.50
15	Water	W		6.95	3.35	8.2	4.6	9.45	5.85		5.60	2.00	0.50
16	Lantaarnpalen, vlaggenmasten, borden e.d.			3.35	3.35	4.6	4.6	5.85	5.85		2.00	2.00	0.50

= Compensatie geleider
= Bliksemdraad
= OPGW
= 150kV
= 380kV
= 13.9 meter i.v.m. 5kV/m W2, 300m masten
= 14.2 meter i.v.m. 5kV/m W2, 350m masten
= 14.4 meter i.v.m. 5kV/m W2, 400m masten
= 14.4 meter i.v.m. 5kV/m W4, 400m masten
= Minimale vrije ruimte voor 45kV (onbebouwd)
= Verschijnen waar extra ruimte nodig is bovenop de minimale vrije ruimte

Project: Randstad 380kv Noord Engineering

Hoogspanningslijn:150-380kv Bleiswijk - Vijfhuizen

Calculaties volgens:
- NEN - EN 50341-1 en NEN - EN 50341-1-3 (NNA)
- TenneT specificaties
Wind zone: Zone 2
Vr = 22.5 m/s0
Zo(m) = 0.2
Ct bij beijsde geleider = 1.2
Ijs regio = B

Voor fasen geldt 1.8*v(d)
Voor overige geleiders geldt 5*v(d)

LEGENDA onderleggers
Aansluitingen en bestaande HS-lijnen
Waterleidingen
Kabels en leidingen
Perceelgrenzen
Waterkeringen en beschermzones

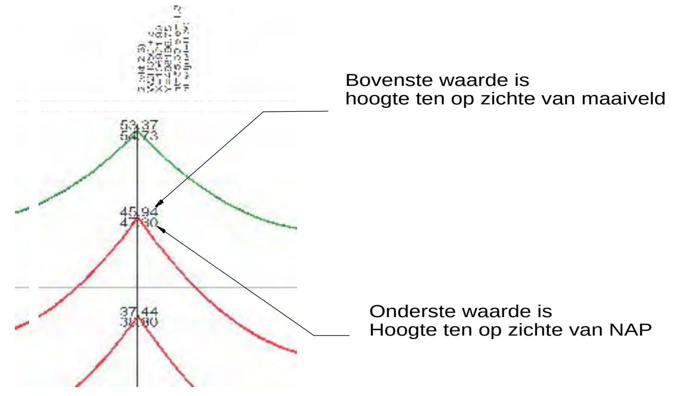

WIJZ	OMSCHRIJVING	DATUM	OPGST.	BEOORD.	GGK.
5.0	Update VKT 5.0 mastlocatie 124, 107 en check lichtmasten 146 - 147 conform RFC 15	24/10/2013	MLC	EKA	AW
5.0	Update VKT 5.0 mastlocatie 193 en mastvoeten	09/09/2013	MLC	EKA	CS
5.0	Wintrack Masten update	03/02/2014	MLC	EKA	AW
5.0	Update VKT 5.0 mastlocatie 124 conform RFC 16	29/10/2013	MLC	EKA	AW
		7-2-2014	GRB	EGB	CS

KEMA DNV

380 kV / 150 kV Bleiswijk - Vijfhuizen

Trace en lengte profiel mast Portaal BWK Oranje (VKT5.0) tot Portaal BWK Paars (VKT5.0)

Scale	Format	TEK.NR.	Blad	Wijz
30.0 m Horiz. Scale / 3.0 m Vert. Scale	A2+	30813059-50-13 VKT 5.0 (03-02-2014)	11 van 11	5.0

DNV KEMA Energy & Sustainability, Utrechtseweg 310, 6812 AR Arnhem, tel: +31 26 3 56 91 11, www.dnvkema.com

© 2014

Bijlage 2c

Constructietekeningen en berekeningen mastfundaties

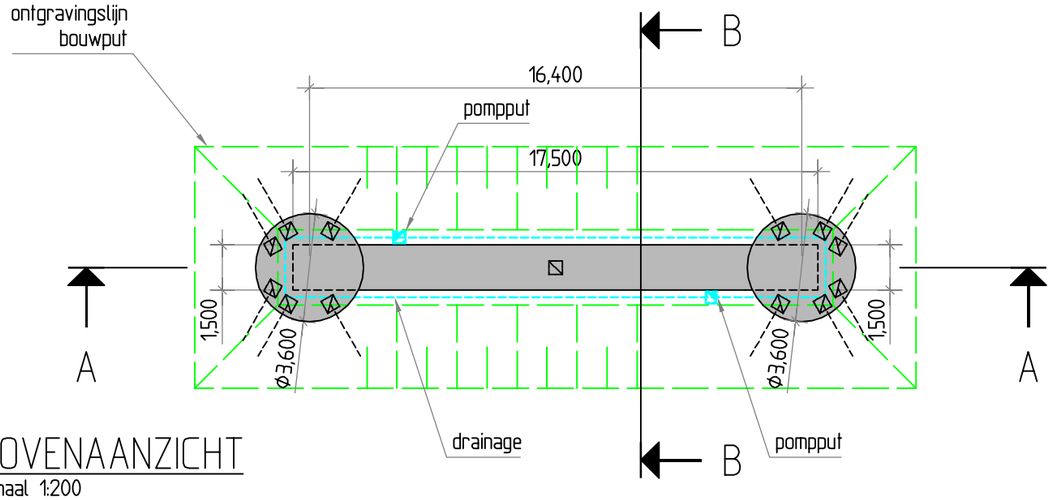

BOVENAANZICHT
Schaal 1:200

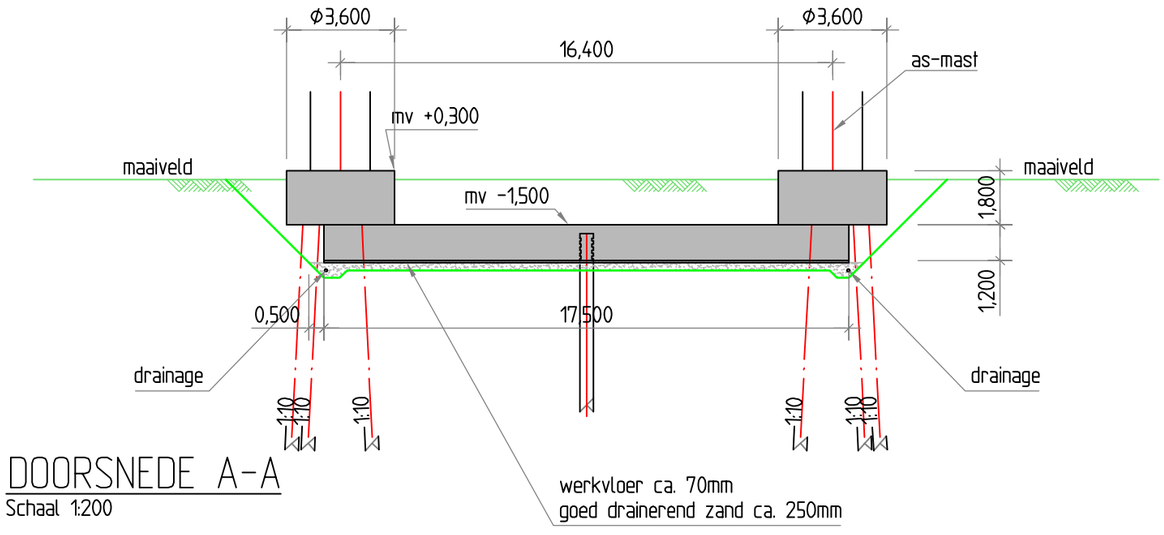

DOORSNEDE A-A
Schaal 1:200

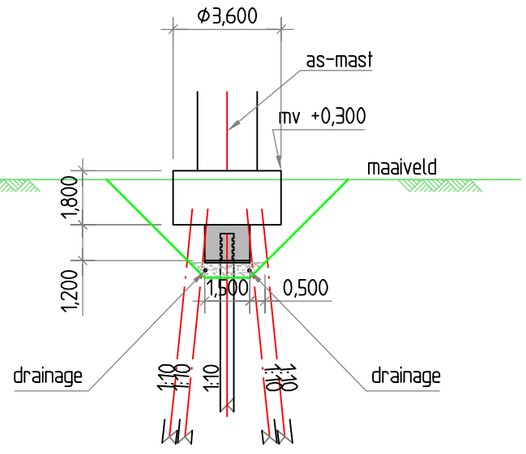

DOORSNEDE B-B
Schaal 1:200

OPMERKINGEN:

Aantal van deze funderingen op verschillende locaties tbv. masten type A = 25 stuks

Toe te passen palen: beton 450mm x 450mm, lengte n.t.b.

Toe te passen betonwerk;
- Betonkwaliteit onderbalk C30/37, montagebalk C35/45, milieuklasse XC2
- Wapeningsstaal kwaliteit B500B

wijzigingen rev 02:
Onderbalk aangepast, ontgravingsprofiel aangepast, werkvloer, zandbed, drainage en pompputten toegevoegd.
Aantal aangepast (mast 126 heeft funderingstype C gekregen).

Combining Knowledge and Experience

bam COFELY FABRICOM GDF SUEZ

Randstad 380kV Noordring

			P. de Jager	A. Hogenboom
			Controleur	Vrijgegeven door
Omschrijving: Definitief Ontwerp Mastfundaties Mastfundatie type A	03			
	02	onderbalk, ontgraving,drain	04-10-2013	R.G.J. Caspers
	01	zie opmerkingen	06-08-2013	R.G.J. Caspers
	Rev.	Wijziging	Datum	Naam
	Schaal: 1:100		Formaat: A3	
Projekt: Randstad 380kV Noordring	Naam: R.G.J. Caspers		Datum: 19-07-2013	

TenneT Taking power further

Tekeningnummer: R3N-TEK-0019 blad 001

AutoCAD filename:: Systnr:

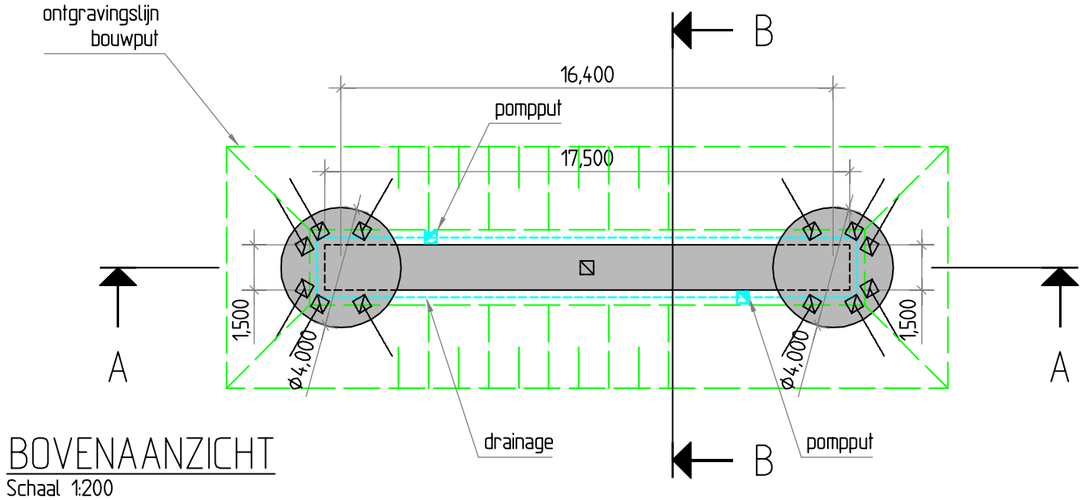

BOVENAANZICHT
Schaal 1:200

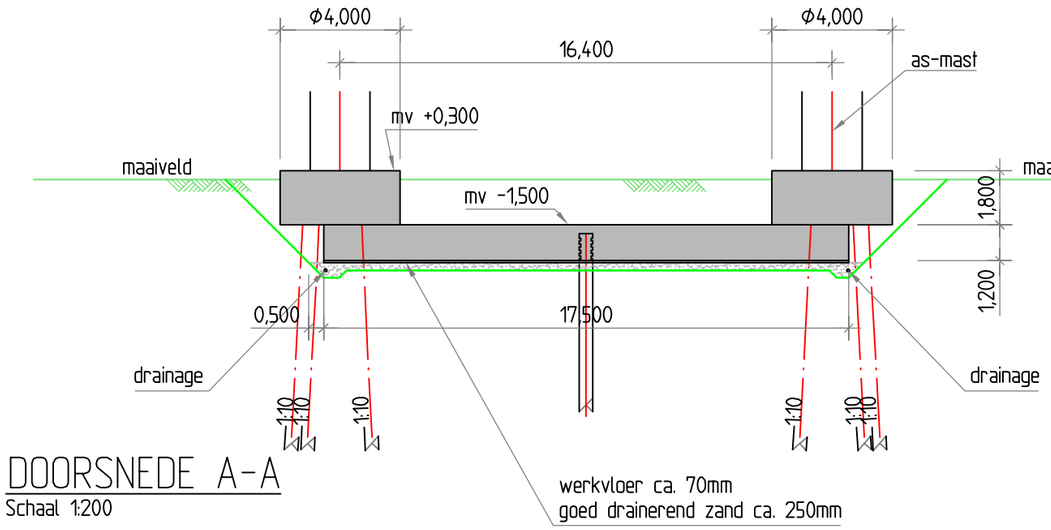

DOORSNEDE A-A
Schaal 1:200

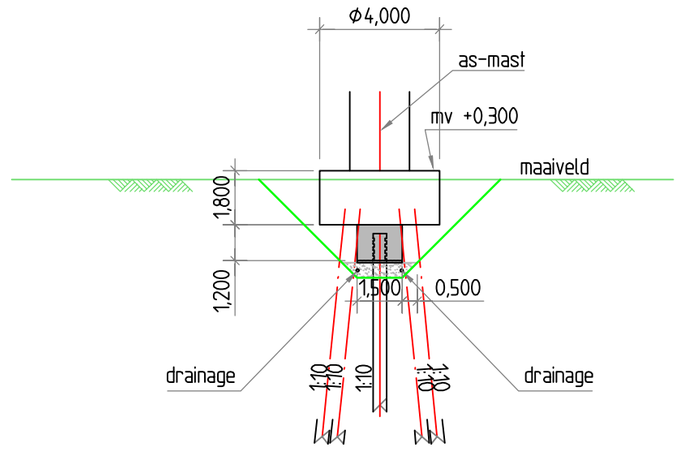

DOORSNEDE B-B
Schaal 1:200

OPMERKINGEN:
Aantal van deze funderingen op verschillende locaties tbv. masten type B = 15 stuks

Toe te passen palen: beton 450mm x 450mm, lengte n.t.b.

Toe te passen betonwerk;
- Betonkwaliteit onderbalk C30/37, montagebalk C35/45, milieuklasse XC2
- Wapeningsstaal kwaliteit B500B

wijzigingen rev 02:
Onderbalk aangepast, ontgravingsprofiel aangepast, werkvloer, zandbed, drainage en pompputten toegevoegd.
Aantal aangepast (mast 118 heeft funderingstype D gekregen).

Combining Knowledge and Experience

bam COFELY FABRICOM GDF SUEZ

Randstad 380kV Noordring

			P. de Jager	A. Hogenboom
			Controleur	Vrijgegeven door
Omschrijving: Definitief Ontwerp Mastfundaties Mastfundatie type B	03			
	02	onderbalk, ontgraving,drain	04-10-2013	R.G.J. Caspers
	01	zie opmerkingen	06-08-2013	R.G.J. Caspers
	Rev.	Wijziging	Datum	Naam
	Schaal: 1:100		Formaat: A3	
Projekt: Randstad 380kV Noordring	Naam: R.G.J. Caspers		Datum: 19-07-2013	

TenneT Taking power further

Tekeningnummer: R3N-TEK-0020 blad 001

AutoCAD filename:: Systnr:

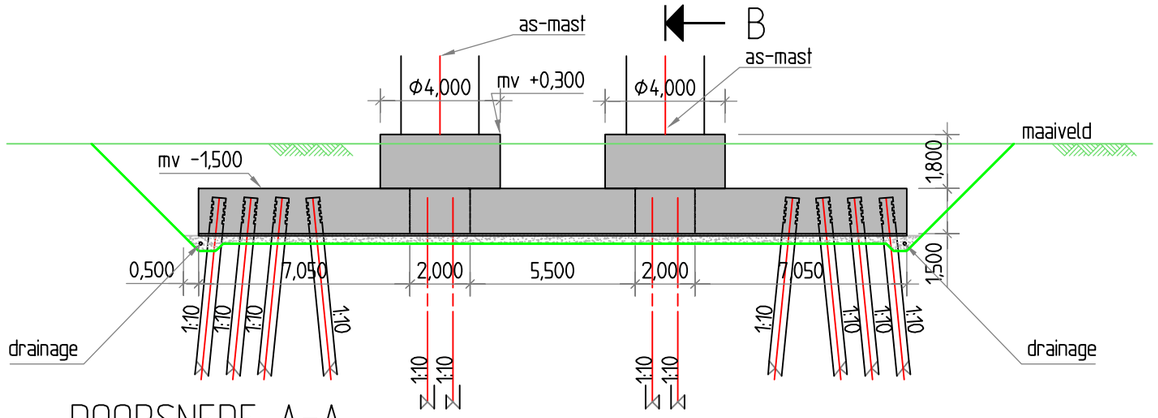

DOORSNEDE A-A
Schaal 1:200

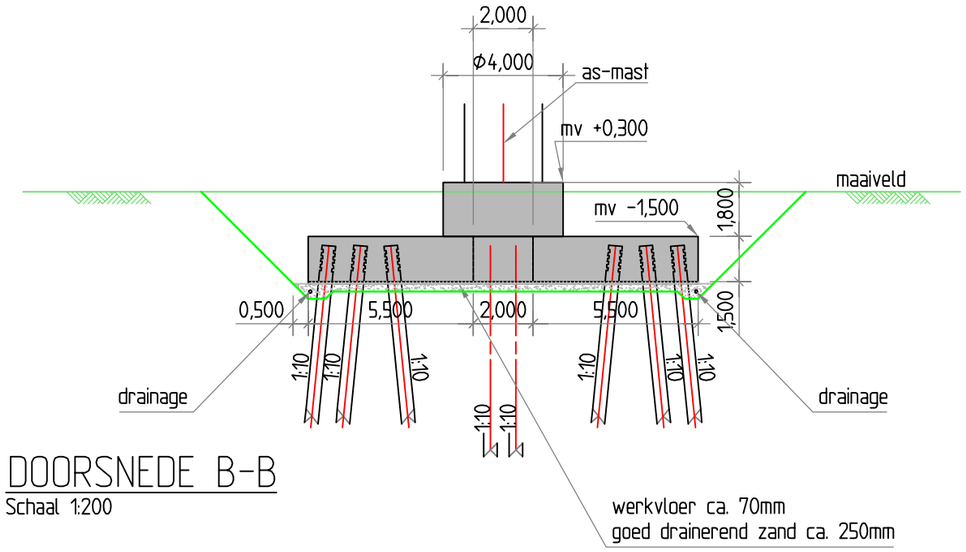

DOORSNEDE B-B
Schaal 1:200

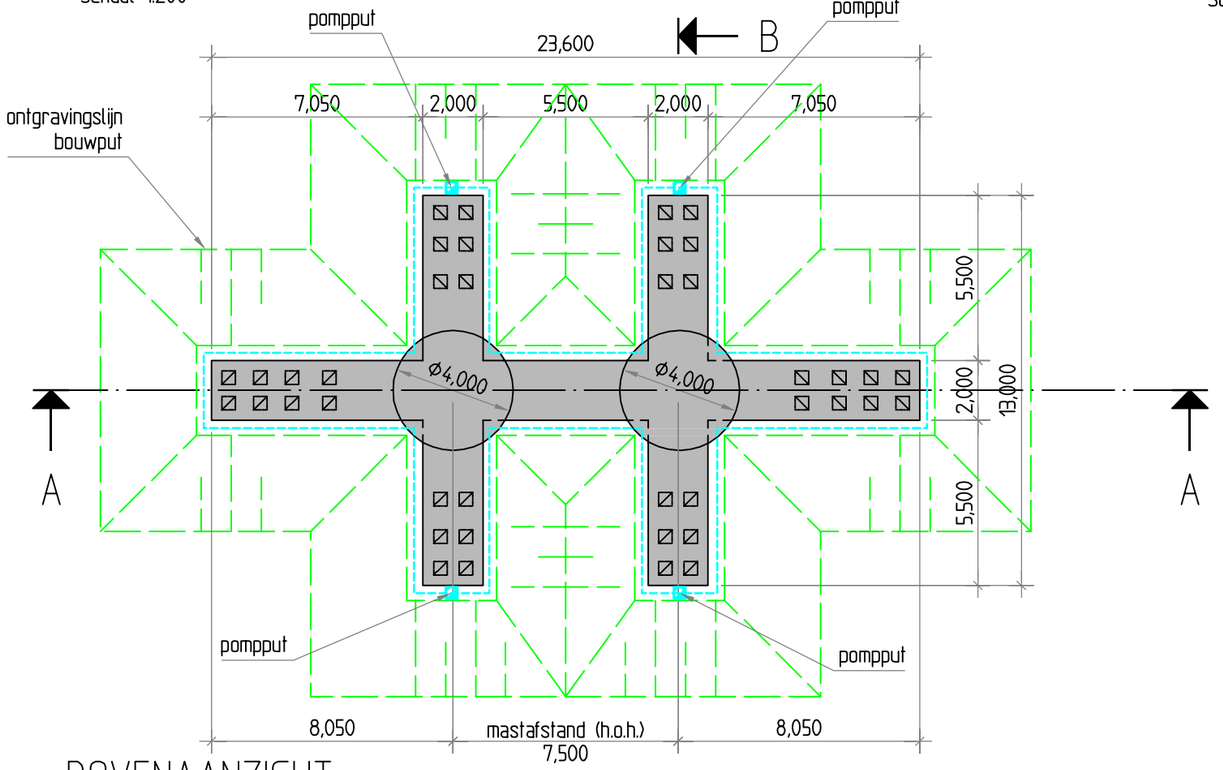

BOVENAANZICHT
Schaal 1:200

OPMERKINGEN:

Aantal van deze funderingen op verschillende locaties tbv. masten type C = 14 stuks

Toe te passen palen: beton 450mm x 450mm, lengte n.t.b.

Toe te passen betonwerk;
- Betonkwaliteit onderbalk C28/35, montagebalk C35/45, milieuklasse XC2
- Wapeningsstaal kwaliteit B500B

wijzigingen rev 02:
Ontgravingsprofiel aangepast, werkvloer, zandbed, drainage en pompputten toegevoegd.
Aantal aangepast (mast 126 heeft nu ook funderingstype C gekregen).

Combining Knowledge and Experience

bam COFELY FABRICOM GDF SUEZ

Randstad 380kV Noordring

		P. de Jager	A. Hogenboom
		Controleur	Vrijgegeven door
	03		
	02	Ontgravingen en voorz.	04-10-2013	R.G.J. caspers
	01	AFW-0050: mastafstand	06-09-2013	R.G.J. Caspers
Omschrijving: Definitief Ontwerp Mastfundaties Mastfundatie type C	Rev.	Wijziging	Datum	Naam
	Schaal: 1:100		Formaat: A3	
Projekt: Randstad 380kV Noordring	Naam: R.G.J. Caspers		Datum: 19-07-2013	

TenneT Taking power further

Tekeningnummer: R3N-TEK-0021 blad 001

AutoCAD filename:: Systnr:

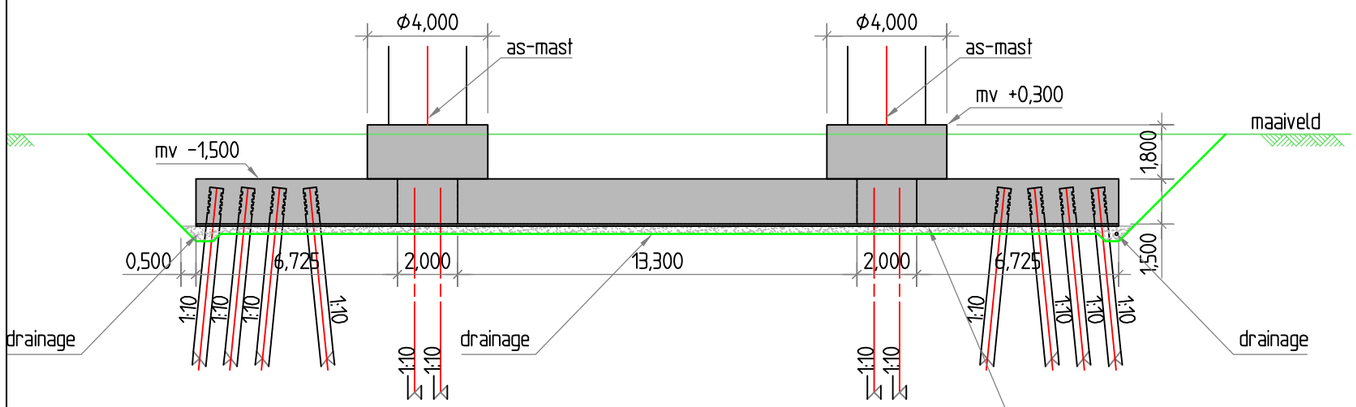

DOORSNEDE A-A
Schaal 1:200

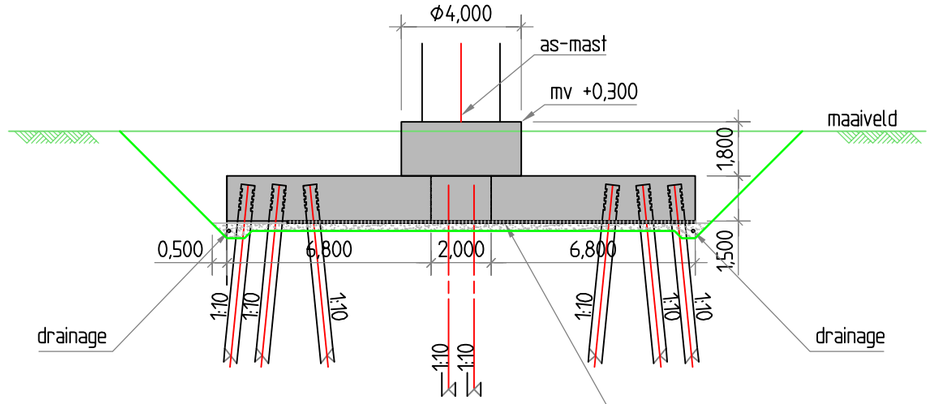

DOORSNEDE B-B
Schaal 1:200

werkvloer ca. 70mm
goed drainerend zand ca. 250mm

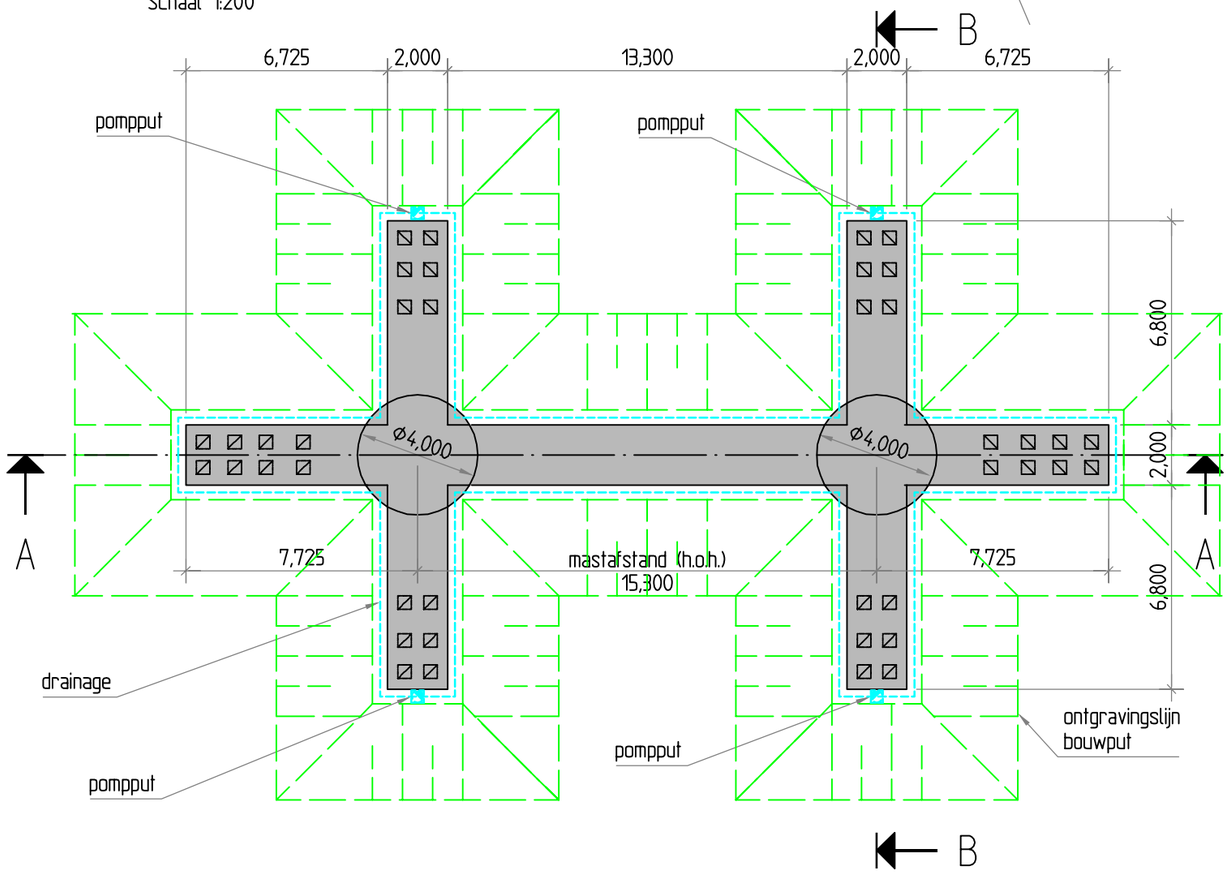

BOVENAANZICHT
Schaal 1:200

OPMERKINGEN:

Aantal van deze funderingen op verschillende locaties tbv. masten type D = 4 stuks

Toe te passen palen: beton 450mm x 450mm, lengte n.t.b.

Toe te passen betonwerk;
- Betonkwaliteit onderbalk C28/35, montagebalk C35/45, milieuklasse XC2
- Wapeningsstaal kwaliteit B500B

wijzigingen rev 02:
Ontgravingsprofiel aangepast, werkvloer, zandbed, drainage en pompputen toegevoegd.
Aantal aangepast (mast 118 heeft nu ook funderingstype D gekregen).

Combining Knowledge and Experience

bam COFELY FABRICOM GDF SUEZ

Randstad 380kV Noordring

		P. de Jager	A. Hogenboom
		Controleur	Vrijgegeven door
03			
02	Ontgravingen en voorz.	04-10-2013	R.G.J. Caspers
01	AFW-0050: mastafstand	06-09-2013	R.G.J. Caspers
Rev.	Wijziging	Datum	Naam

Omschrijving: Definitief Ontwerp
Mastfundaties
Mastfundatie type D

Schaal: 1:100 Formaat: A3

Projekt: Randstad 380kV Noordring

Naam: R.G.J. Caspers Datum: 19-07-2013

TenneT Taking power further

Tekeningnummer: R3N-TEK-0022 blad 001

AutoCAD filename:: Systnr:

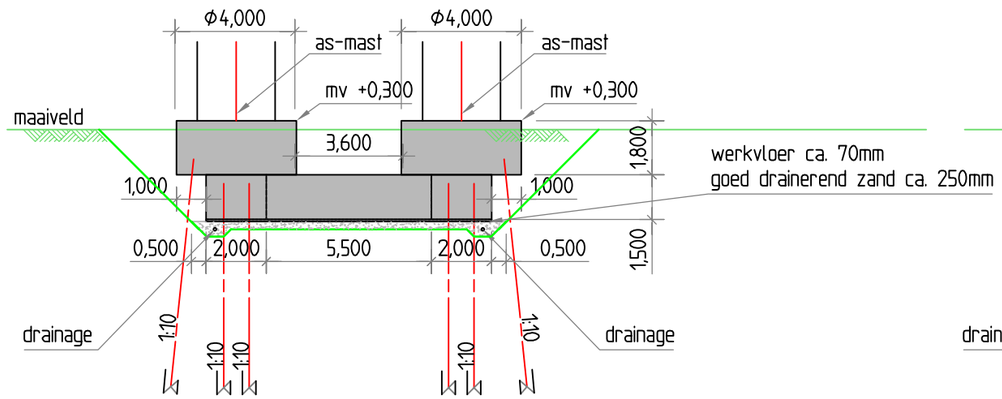

DOORSNEDE A-A
Schaal 1:200

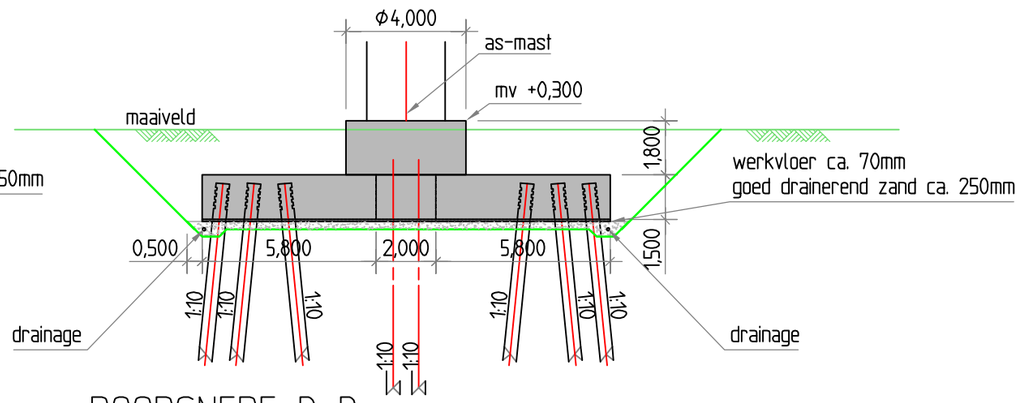

DOORSNEDE B-B
Schaal 1:200

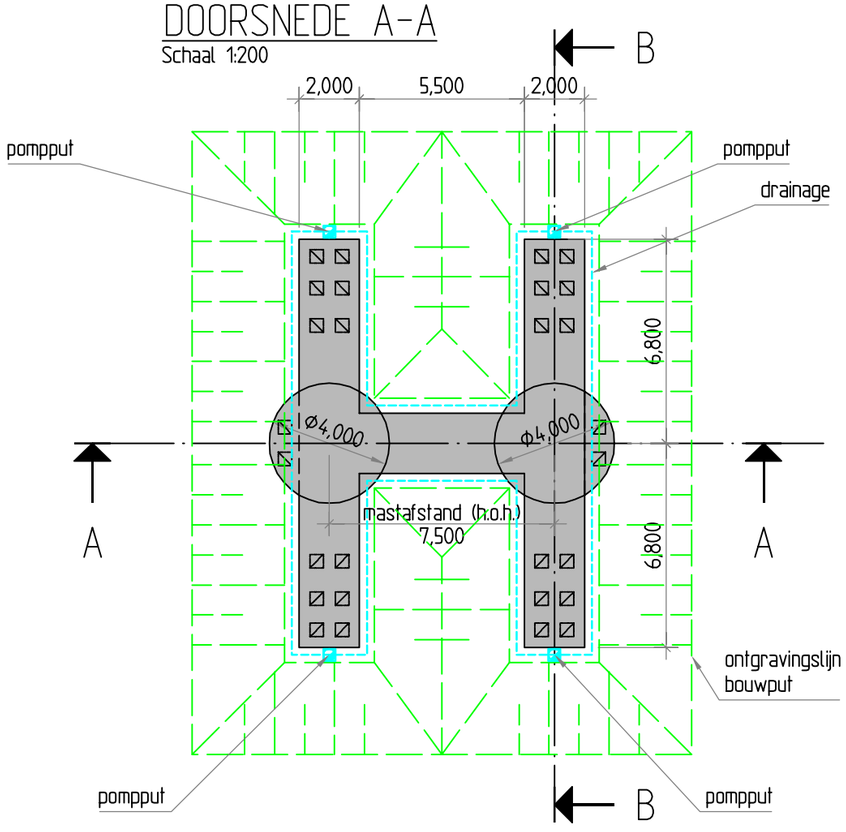

BOVENAANZICHT
Schaal 1:200

OPMERKINGEN:

Aantal van deze funderingen op verschillende locaties tbv. masten type F = 3 stuks

Toe te passen palen: beton 450mm x 450mm, lengte n.t.b.

Toe te passen betonwerk;
- Betonkwaliteit onderbalk C28/35, montagebalk C35/45, milieuklasse XC2
- Wapeningsstaal kwaliteit B500B

Combining Knowledge and Experience

bam COFELY FABRICOM GDF SUEZ

Randstad 380kV Noordring

			P. de Jager (Controleur)	A. Hogenboom (Vrijgegeven door)
Omschrijving: Defintief Ontwerp Mastfundaties Mastfundatie type F	03			
	02	Ontgraving en voorz.	04-10-2013	R.G.J. Caspers
	01	AFW-0050: mastafstand	06-09-2013	R.G.J. Caspers
	Rev.	Wijziging	Datum	Naam
	Schaal: 1:100		Formaat: A3	
Projekt: Randstad 380kV Noordring	Naam: R.G.J. Caspers		Datum: 19-07-2013	

TenneT Taking power further

Tekeningnummer: R3N-TEK-0023 blad 001

AutoCAD filename:: Systnr:

Constructieberekening mastfundatie type A

Project:
Randstad 380kV Noordring

Opdrachtgever:
TenneT TSO

Revisie	Datum	Wijzigingen ten opzichte van vorige revisie
00	19-07-2013	Eerste uitgave
01	06-08-2013	Definitief. Externe review verwerkt
02	02-10-2013	T.b.v. 2e uitgave

Documentnummer: R3N-OWR-0003

Opsteller	*Controleur*	*Vrijgever*
A.L.A. van Noort Constructeur	P. de Jager Ontwerpmanager	Arjan Hogenboom Project Manager

Distributie

Naam	Bedrijf
Extern	
Guido Volman	TenneT TSO
Intern	
Arjan Hogenboom	BAM
Pieter de Jager	BAM
Eric van Rooijen	BAM
David van Loenen	BAM
Rob Bakker	BAM
Erwin ten Cate	BAM
Michael DeSmet	Fabricom
Hein Pijnappel	Mott MacDonald

Beheer

De documentbeheerder van de combinatie verzorgt de distributie. Alleen houders van een geregistreerde kopie ontvangen automatisch aanvullingen en/of wijzigingen. Het is de verantwoordelijkheid van de houders het document up to date te houden. De laatste versie is altijd beschikbaar in ThinkProject!

Indien documenten worden geprint, geldt het volgende: een geregistreerde kopie is geldig vanaf de datum van uitgifte. Bij uitgifte van een document met een hoger revisienummer verliest de voorgaande versie automatisch haar geldigheid. Kopiehouders dienen het voorblad van een ongeldige versie te markeren met een diagonale lijn samen met de tekst 'vervallen'.

Neem bij twijfel over de geldende versie contact op met de documentbeheerder.

Inhoudsopgave

1. Inleiding *5*
1.1. Overzicht verschillende typen 5
1.1.1. Fundatietype A 6
1.1.2. Fundatietype B 6
1.1.3. Fundatietype C 7
1.1.4. Fundatietype D 7
1.1.5. Fundatietype F 8
1.2. Mastbeeld bij fundatie type A 9
1.3. Gerelateerde documenten 9
1.4. Openstaande punten 9
1.5. Revisiebeheer 10
2. Uitgangspunten en eisen *11*
2.1. Uitgangspunten 11
2.2. Gehanteerde normen 11
2.3. Eisen 11
2.4. Vermoeiing 11
2.5. Materiaalgegevens 11
2.5.1. Betonkwaliteiten 11
2.5.2. Milieuklasse *12*
2.5.3. Betondekking 12
2.5.4. Staalkwaliteiten *12*
2.6. Veerconstante funderingspalen 12
3. Berekening poer type A *14*
3.1. Geometrie 14
3.2. Belastingen en belastingcombinaties 14
3.2.1. Belastingsfactoren 14
3.2.2. Belastingsgevallen 15
3.2.3. Belastingcombinaties 17
3.3. Wisselende belastingen en vermoeiing 18
3.4. Berekening fundering 21
4. Verbinding mast-fundering *21*

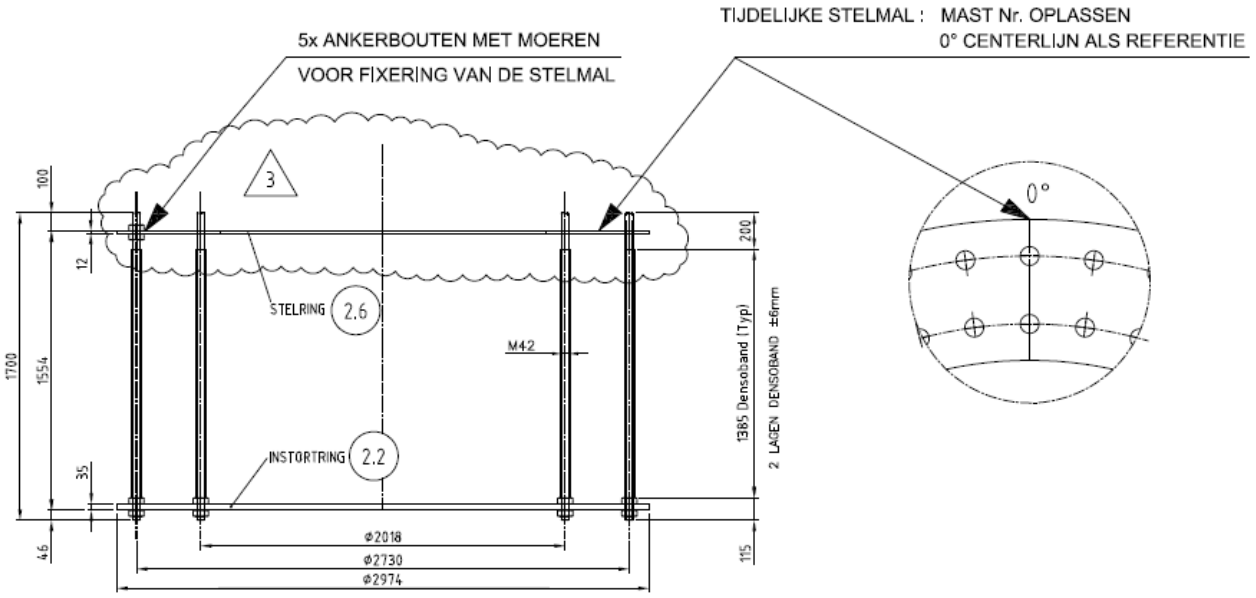

DETAIL VERANKERING

NOTA : ALLE RESTERENDE MOEREN EN ONDERLEGRINGEN WORDEN LOS MEEGELEVERD

Prepared by: LV Revision: 3 Date: 5-7-2011	Material: – Quantity: 2 Equipm. no.: W4E350	**VDL KTI**	Project No.: 36002 Workprep. No.: Pos. No.: ANKERKOOI

..... 21

DE ANKERS EN PLATEN ZIJN BEREKEND DOOR VOLKER INFRA DESIGN BIJ HET ONTWERP VAN DE MASTEN. DE ANKERKOOI BEVINDT ZICH IN DE RONDE OPSTORT. DE RONDE OPSTORT IS D.M.V. STEKKEN VERBONDEN MET DE KRUISVORMIGE BALKEN. 21

DE STEKKEN WORDEN IN DE UO FASE BEREKEND. 21

5. Bijlagen 22
Bijlage 1 Uitvoer SCIA Engineer – lage E-waarde (model 1) 23
Bijlage 2 Uitvoer SCIA Engineer – Matige E-waarde (model 2) 24

1. INLEIDING

De komende jaren werken het ministerie van Economische Zaken en TenneT aan de aanleg van een nieuwe 380 kV hoogspanningsverbinding in de Randstad. De nieuwe verbinding stelt de voorziening van elektriciteit in de Randstad veilig.

Het ontwerptracé van de nieuwe Randstad 380 kV verbinding is sinds eind 2008 bekend. De plannen gaan uit van twee ringen, tussen Wateringen en Zoetermeer (de Zuidring) en tussen Zoetermeer en Beverwijk (de Noordring). Eind 2012 heeft Tennet de aanbesteding opgestart voor het gedeelte van de Noordring tussen station Vijfhuizen en Bleiswijk. Het contract is opgedeeld in twee percelen, waarbij de grens ligt bij Zuidelijke Ringvaart. Dit document heeft betrekking op perceel 2 (het zuidelijke gedeelte).

BAM heeft op 8 juli 2013 het contract ondertekend met TenneT voor het ontwerp en realiseren van perceel 2. Het voorliggende document is onderdeel van het Definitief Ontwerp en behandelt de mastfundaties. Dit betreft ook de masten welke ter plaatse van een OSP zijn gelokaliseerd. De overige onderdelen van de OSP's zijn in een afzonderlijk document berekend evenals de funderingspalen.

Dit rapport betreft een poer A. Op poer A worden de volgende masttypen geplaatst: W2S400 + 5, W2S350 + 5.

De wapening wordt in het UO ontwerp uitgewerkt.

1.1. OVERZICHT VERSCHILLENDE TYPEN

Binnen het project komen verschillende typen masten voor.
De verschillen komen voort uit:

- aantal systemen dat een mastenpaar draagt, 2 systemen (2x380 kV) of 4 systemen (2x380 kV en 2x150 kV),
- de functie van de mast, Steunmast, Hoekmast of Eindmast,
- maximale veldlengte tussen masten 350 of 400 m,
- aanpassingen aan mast (b.v. +10 m extra hoogte).

Elke mast heeft een eigen belastingpatroon. Na analyse van de verschillende belastingen en geometrische eisen zijn er uiteindelijk 5 mastfundatie typen bepaal. Met deze 5 typen is er voor elke mast een geschikte fundatie beschikbaar.

De fundatietypen zijn hieronder weergegeven.

1.1.1. FUNDATIETYPE A

Toegepast bij masttype:
- W2S400 + 5
- W2S350 + 5
- W2S400A+10

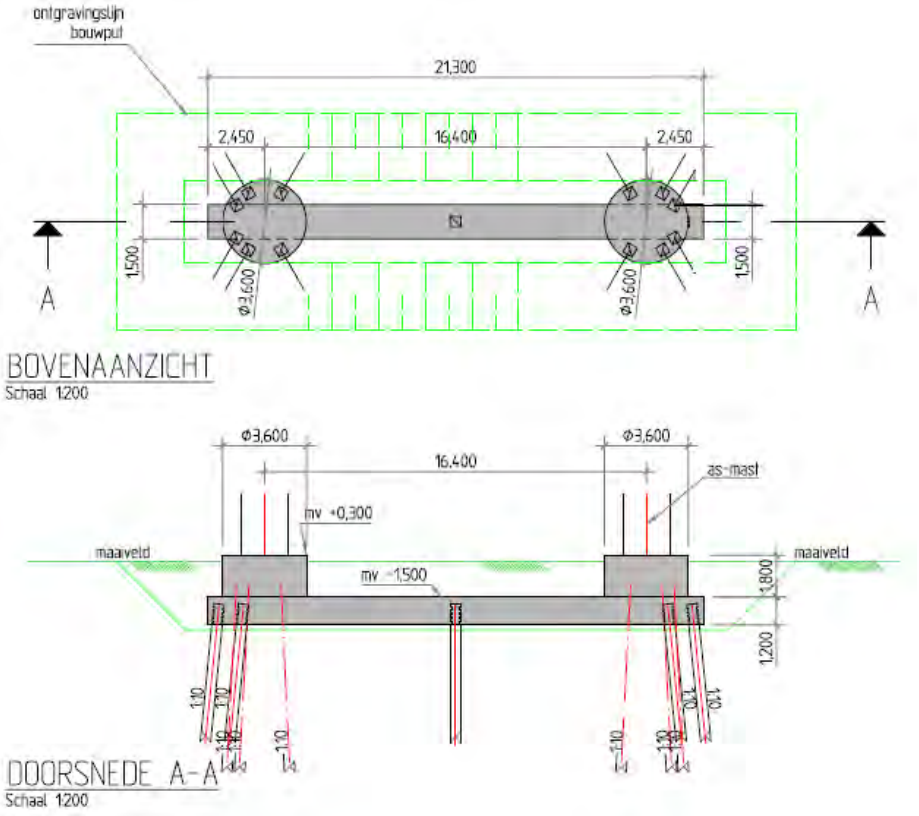

1.1.2. FUNDATIETYPE B

Toegepast bij masttype:
- W4S400Z + 5
- W2S400 + 24
- W2S400 + 24
- W4S400Z + 14

Opm: verschil met type A is diameter opstort.

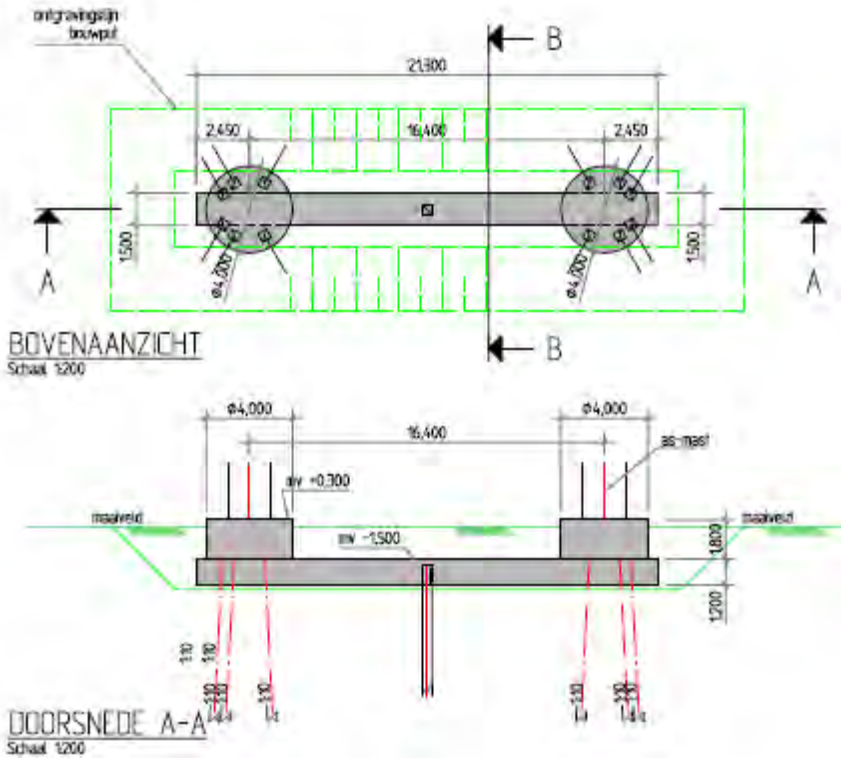

1.1.3. FUNDATIETYPE C

Toegepast bij masttype:
- W2H400 + 5
- W2H400 + 5
- W2H400 + 10
- W2H400 + 10 mast 133
- W2H400 + 15

Opm: mast 133 was in de oude nummering mast 82.

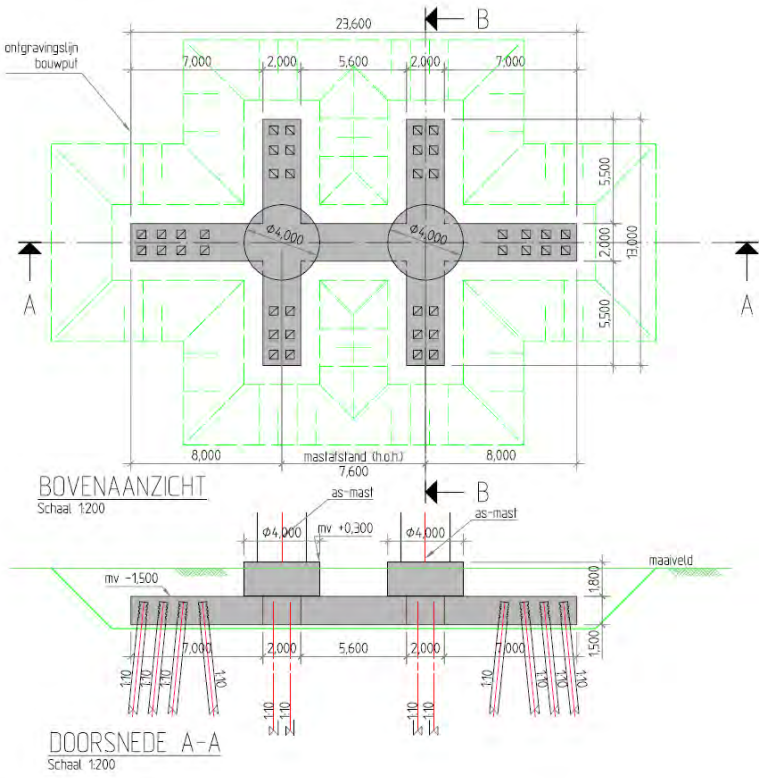

1.1.4. FUNDATIETYPE D

Toegepast bij masttype:
- W4H400Z + 5 (Afstap 150kV)
- W4H400Z +10 (Afstap 150kV)

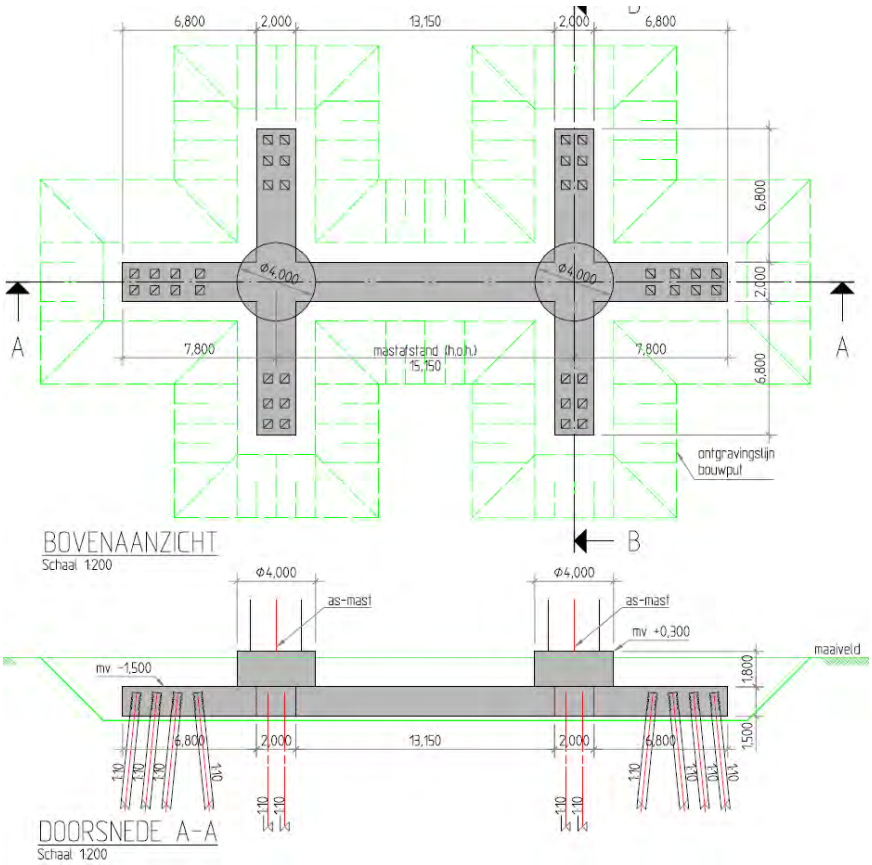

1.1.5. FUNDATIETYPE F

Toegepast bij masttype:
- W2E350 + 5
- W2E400
- W2E350

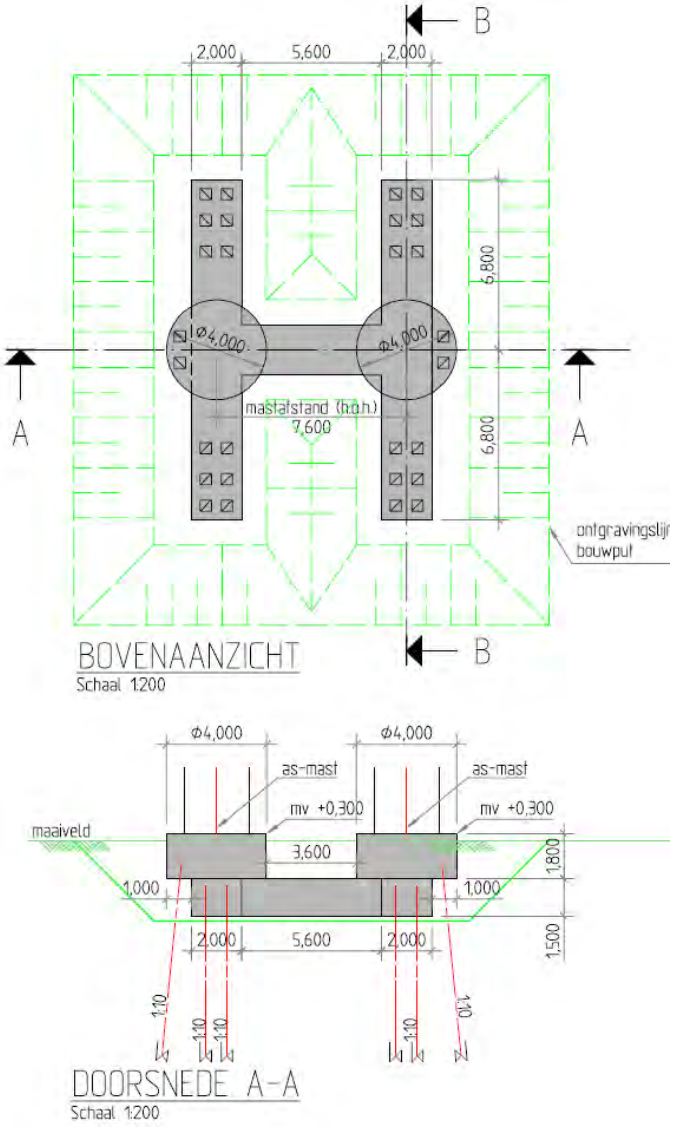

1.2. MASTBEELD BIJ FUNDATIE TYPE A

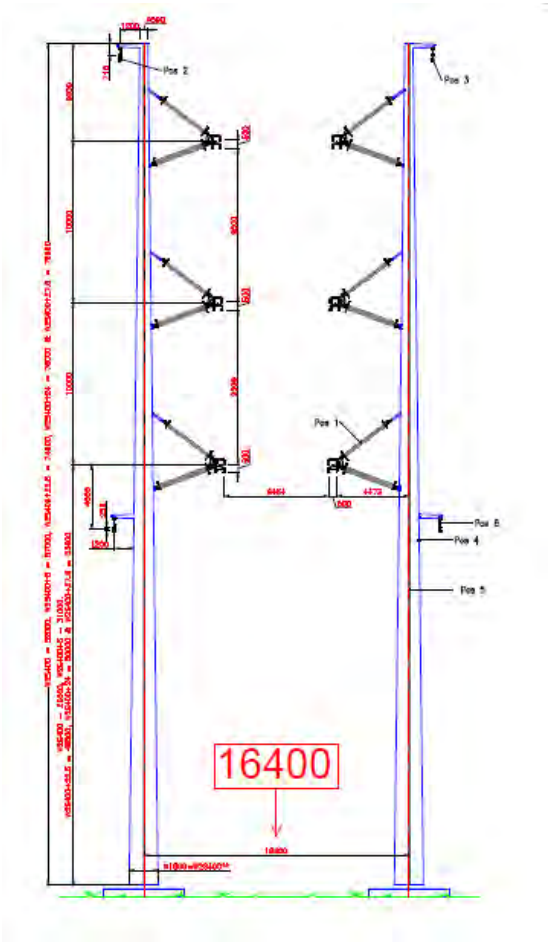

1.3. GERELATEERDE DOCUMENTEN

R3N-OWN-0001 Ontwerpnota Systeem Noordring
R3N-OWR-0003 Constructieberekening mastfundaties type A
R3N-OWR-0004 Constructieberekening mastfundaties type B
R3N-OWR-0005 Constructieberekening mastfundaties type C
R3N-OWR-0006 Constructieberekening mastfundaties type D
R3N-OWR-0007 Constructieberekening mastfundaties type F
R3N-OWR-0008 Ontwerpberekening paalfundering mastfundaties
R3N-OWR-0033 Bepaling belastingen mastfundaties
R3N-OWR-0039 Bemalingsadvies beheersgebied Rijnland
R3N-OWR-0040 Bemalingsadvies beheersgebied Schieland en de Krimpenerwaard

1.4. OPENSTAANDE PUNTEN

De volgende punten dienen in een latere fase nader uitgewerkt te worden:

- Aarding, de wijze van aarden kan invloed hebben op de vermoeiing van het wapeningsstaal.
- Temperatuursinvloeden op fundering
- Model verbeteren d.m.v. dummy elementen aan bovenzijde palen
- Invloed krimp op fundering
- Optimalisatie wapening
- Optimalisatie palen
- Detailontwerp prefab beton

1.5. REVISIEBEHEER

Aangepast in 2e uitgave
Er zijn nog vrijwel geen grondgegevens beschikbaar. Dit rapport is een principe berekening. Toegevoegd zijn enkele betonberekeningen. Daarnaast zijn er nu 2 modellen van de fundering gedraaid.

Aangepast in 3e uitgave
Dit is de 3e uitgave. In deze revisie is toegevoegd:

- Mastbeeld toegevoegd,
- Nadere uitwerking milieuklasse
- Masttype W2H400 + 15 was in het overzicht zowel bij poer type C als D genoemd. Mast komt op type C.
- Masttype W2S400A+10 ontbrak in het overzicht. Toegevoegd bij poertype A
- Toelichting koppeling mast met fundatie

2. UITGANGSPUNTEN EN EISEN

2.1. UITGANGSPUNTEN

Op de funderingen worden de lasten geplaatst zoals afgeleid in document R3N-OWR-0033 'Bepaling belasting mastfundaties'. Deze zijn afgeleid van de mastberekeningen zoals door TenneT beschikbaar gesteld.

2.2. GEHANTEERDE NORMEN

De eurocode serie NEN-EN-1990 tm 1997 wordt gehanteerd

NEN-EN50341

2.3. EISEN

De eisen zoals vermeld in ontwerpnota R3N-OWN-0001 §3 zijn gehanteerd bij het ontwerp.
Voor de masten gelden specifiek onderstaande eisen:

- De fundamenten van de staalconstructies ten behoeve van de masten worden gedimensioneerd op een maximale vervorming van 0.005 RAD onder representatieve waarden van de belastingen,
- Tot 1,5 m diepte mag de straalomtrek van de fundering niet groter zijn dan 1,0 m meer dan de straal van de mast,
- De ZRO-breedte tussen de (schoor)paalpunten en andere ondergrondse constructies van de masten is maximaal 2x 22 m voor de 2x 380kV (solo) verbinding en 2 x 27 m voor de 2 x 150 kV/380 kV (combi) verbinding.
- Tolerantie van mastlocatie naar buiten is 10 cm, tollerantie naar binnen is 0 cm.

2.4. VERMOEIING

De aan te leggen fundamenten worden gedimensioneerd op een vermoeiingsbelasting. De wisseling van belasting komt uit wind. Het aantal en de grote van de wisselingen gedurende 50 jaar is bepaald conform de ROK. De toetsingsprocedure van de constructie conform NEN-EN 1992-1-1:2005.

2.5. MATERIAALGEGEVENS

In onderstaande paragrafen worden de gehanteerde materiaaleigenschappen benoemd.

2.5.1. BETONKWALITEITEN

Voor het constructief beton worden bij de detaillering de volgende sterkteklassen aangehouden. De betonkwaliteit van de ronde opstort (C35/45) is voorgeschreven. Bij gescheurd beton wordt in eerste instantie gerekend met $E_{beton;gescheurd} \approx 1/3\ E_{beton;ongescheurd}$. Tevens is een ca. 2 x zo hoge E-modulus beschouwd.

Onderdeel	Sterkteklasse	Elastisciteitsmodulus [N/mm²]		
		ongescheurd	Gescheurd lage E	Gescheurd matige E
in het werk gestort gewapend beton:	C30/37	31.000	11.000	22.000
in het werk gestort gewapend beton, ronde opstort	C35/45	33.500		
geprefabriceerd beton (U-bakken):	C35/45	33.500		
geprefabriceerd voorgespannen beton (palen):	C45/55	36.000		

Tabel 2.5.1-1 Betonkwaliteiten

2.5.2. MILIEUKLASSE

Voor de betondelen welke meer dan 1,0 m onder maaiveld liggen geldt milieuklasse XC2
Voor de hoger gelegen betondelen is de milieuklasse afhankelijk van de aanwezigheid van openbare wegen. De wegen naar de OSP's zullen niet gestrooid worden en bovendien nauwelijks bereden worden, waardoor het wegspatten van water met dooizouten niet aan de orde is. De afstanden in onderstaande schets geldt voor snelwegen, bij ander wegen zou deze eventueel kleiner kunnen.

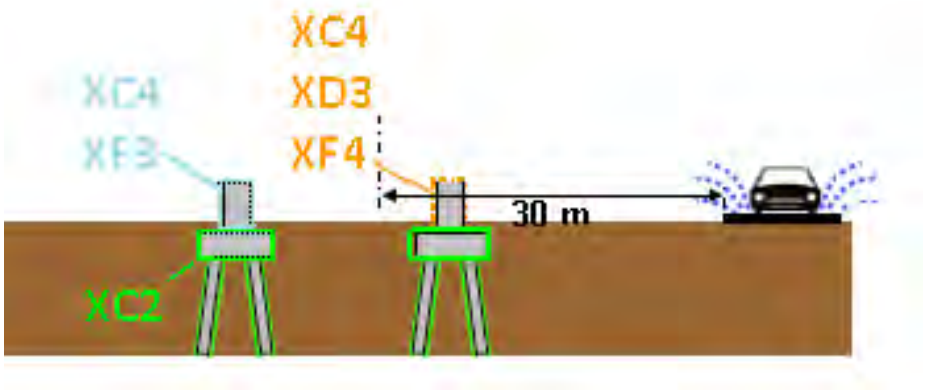

2.5.3. BETONDEKKING

Betondekking conform NEN EN 1992-1-1:2011

$$c_{min} = \max \{c_{min,b};\ c_{min,dur} + \Delta c_{dur,\gamma} - \Delta c_{dur,st} - \Delta c_{dur,add};\ 10\ mm\} \qquad (4.2)$$

waarin:

$c_{min,b}$	is de minimumdekking op basis van de aanhechtingseisen, zie 4.4.1.2 (3);
$c_{min,dur}$	is de minimumdekking op basis van de milieu-omstandigheden, zie 4.4.1.2 (5);
$\Delta c_{dur,\gamma}$	is een aanvullende veiligheidsmarge, zie 4.4.1.2 (6);
$\Delta c_{dur,st}$	is een reductie van de minimumdekking bij gebruik van roestvast staal, zie 4.4.1.2 (7);
$\Delta c_{dur,add}$	is een reductie van de minimumdekking bij gebruik van aanvullende bescherming, zie 4.4.1.2 (8).

De verwachting is dat $c_{min;b}$ maatgevend wordt. Deze warade is afhankelijk van de staafdiameter, welk enog niet bekend is. Betondekking wordt in UO bepaald.

2.5.4. STAALKWALITEITEN

Voor het wapeningsstaal worden de volgende staalkwaliteiten aangehouden:

Omschrijving	Kwaliteit
betonstaal (staven)	B500 B

Tabel 2.5.2 Staalkwaliteiten

2.6. VEERCONSTANTE FUNDERINGSPALEN

De constructie wordt gefundeerd op prefab betonpalen. De palen worden horizontaal gesteund door de grond wat resulteert in een horizontale beddingconstante op de funderingspaal. Verticaal wordt de funderingspaal gesteund door een verticale puntveer. Beide veerconstanten zijn bepaald door de geotechnische adviseur in rapport R3N-OWR-0008.

In het model wordt gerekend met een verticale veerstijfheid van 120.000 kN/m.
Voor de horizontale bedding worden onderstaande waarden aangehouden.

Bij de palen voor funderingstype A staan er geen palen in elkaars schaduw. De factor voor groepswerking is daarom niet aanwezig. De groepswerking reduceerde de stijfheid in rapport R3N-OWR-0008 tot resp 39% in Y richting en 54 % in X richting.
Zonder groepswerking zijn de waarden dus aanzienlijk hoger. Pas een factor van 1,5 op de gegeven horizontale bedding in X-richting toe voor de palen bij fundatietype A. Hiermee is er nog steeds een reductie tot 81% van de bedding van een vrijstaande paal.

In de volgende tabel wordt de gehanteerde beddingsconstanten gepresenteerd. Er wordt alleen met de lage veerstijfheid gerekend, omdta dzee resulteerd in de grootste vervormingen.

X-richting		Voor ESA berekeningen			
soort	b.k. laag			per m'paal	
	[m+ NAP]			$k_{h,rep,laag}$ [kN/m/m]	
Veen	-1.6			1,050	
Klei	-2.7			450	
Veen	-5.1			1,050	
Klei	-6.0			600	
Veen	-11.2			1,050	
Zand	-12.1			10,35	
Zand	-22.0			12,45	

Figuur 3 Horizontale beddingsconstanten per belastingsrichting

3. BEREKENING POER TYPE A

3.1. GEOMETRIE

De geometrie van de type A poeren is als volgt:

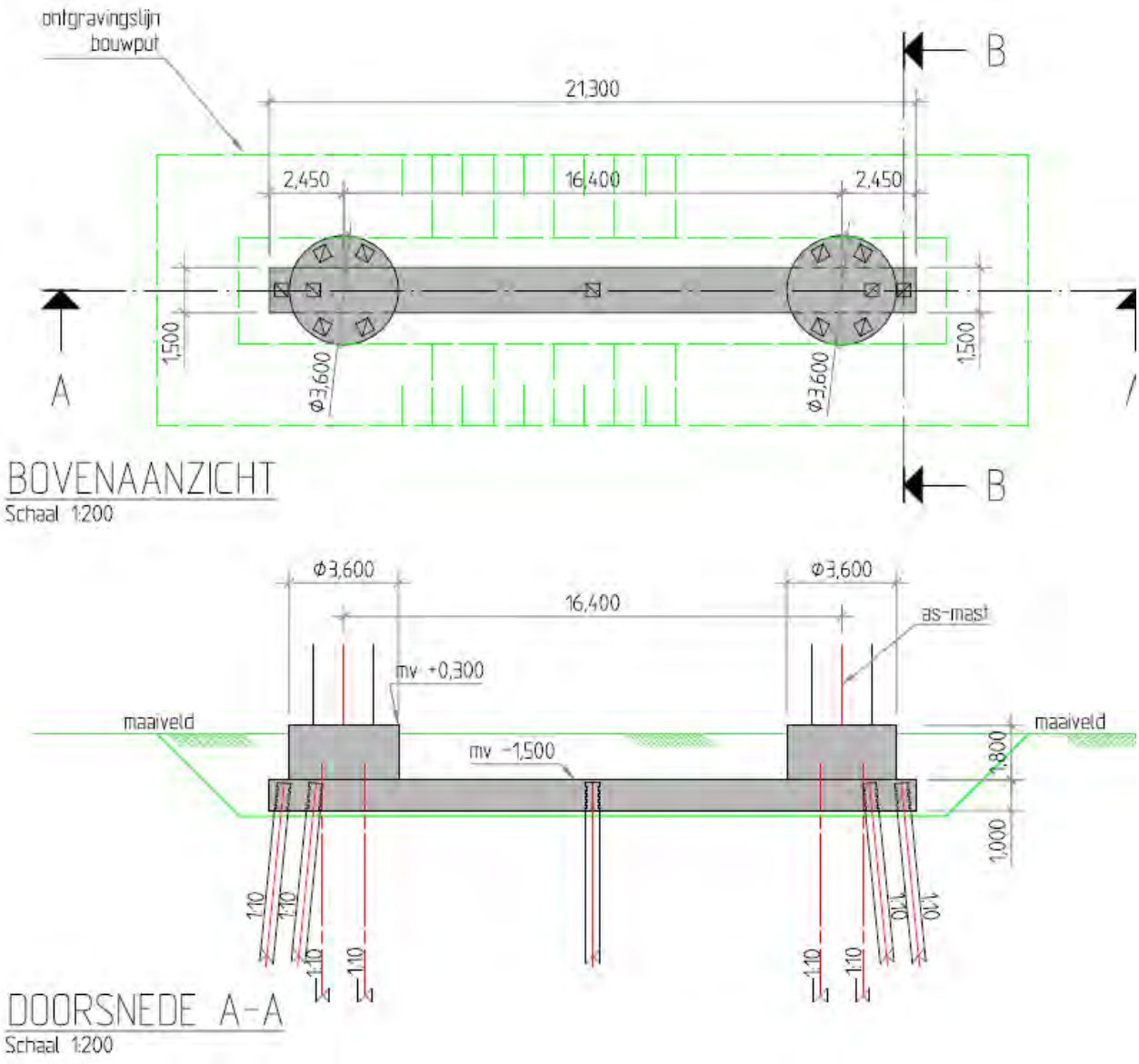

3.2. BELASTINGEN EN BELASTINGCOMBINATIES

3.2.1. BELASTINGSFACTOREN

De opdrachtgever schrijft veiligheidsklasse 3 voor in combinatie met de Eurocode. Voorlopig wordt gewerkt met CC3.

De belasting uit de poeren bestaat vooral uit lasten uit de mast cq lijnen. Deze lasten zijn, incl. partiële factoren gegeven door de opdrachtgever op basis van een rapport van KEMA.

Daarnaast zijn er lasten op de poeren zelf. Hiervoor geldt dat vergelijking 6.10 b van de EN 1990 maatgevend is. Gecombineerd met CC3 gelden de volgende partiële factoren:

γ_G (ongunstig)	=	1,3	
γ_G (gunstig)	=	0,9	(zie §3.2.2, op eigen gewicht fundering wordt factor 0,54 toegepast)
γ_Q	=	1,65	

Opm: De meeste lasten zijn door de klant incl de factoren gegeven. Bovenstaande factoren hebben dus alleen invloed op het eigen gewicht , grond en belastingen op maaiveld.

3.2.2. BELASTINGSGEVALLEN

Eigen gewichtpoer
Eigen gewicht van de betonconstructie wordt gegenereerd in het model. Er wordt gerekend met een eigengewicht voor beton van 2500 kg/m$^{3.}$

Omdat er ook trek op de palen komt, is eigen gewicht al snel een gunstige belasting (druk eenvoudiger op te nemen dan trek).Indien de poer zich onderwater bevindt zal er een opwaartse kracht gelijk aan het gewicht van het verplaatste water op de poer aanwezig zijn. Het effectieve gewicht van de poer reduceert hierdoor tot 1500 kg/m^3. Inclusief partiële factor van 0,9 volgt 1350 kg/m^3. In totaal bedraagt de factor dan dus 1350/2500 = 0,54.

Eigen gewicht grond op poer
Op de poer ligt 1,5 m grond. Indien het grondwater lager ligt, is de last:
1,5 * 17 = 25,5 kN/m^2

Bij waterstand gelijk aan 0,5m onder maaiveld niveau is de last:
0,5 * 17 + 1,0 * (17-10) = 15,5 kN/m^2

Inclusief partiële factor van 0,9 volgt 13,95 kN/m^2. In totaal bedraagt de factor dan dus 13,95/25,5 = 0,54.

Reken met droge grond en pas een partiële factor van 0,54 op eigen gewicht poer en grond toe in het geval deze gunstig werken.

Belastingen uit de mast
Zie rapport 'Afleiding belasting uit masten'.

Er wordt gerekend met de volgende, donker aangegeven ULS en SLS lasten uit het rapport. De overige lasten zijn met deze gevallen afgedekt.

Voor het variabele deel dat zijn oorsprong vindt in wind, wordt gerekend met:

ψ_0	ψ_1	ψ_2
0,6	0,2	0

ULS

Mast	Wind	Loadcase	M_{langs}	M_{dwars}	N	V_{langs}	V_{dwars}
W2S400+5	90 deg	1a	0	14507	565	0	374
W2S400+5	90 deg	3	0	10025	681	0	238
W2S400+5	45 deg	1a	3748	8380	424	113	218
W2S350+5	90 deg	1a	0	11432	419	0	327
W2S350+5	90 deg	3	0	8116	521	0	215
W2S350+5	45 deg	1a	2951	6660	315	98	192
W2S400A+10	0 deg	1a	4809	461	617	158	0
W2S400A+10	0 deg	3	4914	862	737	156	0
W2S400A+10	90 deg	1a	2270	13052	603	71	312

SLS

Type	Wind	Loadcase	M_{langs}	M_{dwars}	N	V_{langs}	V_{dwars}
W2S400+5	0 deg	1b	1805	3943	471	65	109
W2S400+5	45 deg	1a	2765	6731	471	88	176
W2S400+5	90 deg	1a	1805	10053	471	65	257
W2S400+5	90 deg	3	1805	8494	548	65	216
W2S350+5	45 deg	1a	2148	5387	350	75	156
W2S350+5	45 deg	1b	1397	3750	349	55	112
W2S350+5	90 deg	1a	1356	7975	350	54	226
W2S350+5	90 deg	3	1356	6860	417	54	193
W2S400A+10	90 deg	1a	4083	8775	505	133	208
W2S400A+10	90 deg	3	5585	6660	592	180	157

Belastingen op maaiveld
Op het maaiveld wordt gerekend met een verdeelde last van 10 kN/m^2 . Er is geen stempellast op de fundering voorzien. Echter, door spreiding van een puntlast over een diepte van 1,5 m, zal een lastvlak van 2 (breedte balk) x 3 (2*1,5) = 6 m^2 ontstaan, waardoor bij 10 kN/m^2 dus ook een puntlast van 60 kN toelaatbaar is.

Voor deze belastingen wordt in de combinatie gerekend met:

ψ_0	ψ_1	ψ_2
0,7	0,5	0,3

3.2.3. BELASTINGCOMBINATIES

Belastingcombinaties in ULS conform vergelijking 6.10b van NEN EN 1990, waarbij:
0,7 * 1,65 = 1,16

En de belastingsfactoren voor de last uit de masten reeds in de ingevoerde belasting is meegenomen (factor 1,0 toegepast).

ULS

Belastinggeval	Omschrijving	Combi 1	Combi 2	Combi 3	Combi 4	Combi 5	Combi 6
1	Eigen gewicht	1,3	1,3	1,3	1,3	0,54	0,54
2	Grond	1,3	1,3	1,3	1,3	0,54	0,54
3	Belasting mast ULS 1	1,0		0,6		1,0	
4	Belasting mast ULS 2		1,0		0,6		1,0
7	Belasting op maaiveld	1,16	1,16	1,65	1,65		

SLS

Belastinggeval	Omschrijving	Combi 7	Combi 8	Combi 9	Comb i 10	Combi 11	Combi 12
5	Eigen gewicht	1,0	1,0	1,0	1,0	0,6	0,6
6	Grond	1,0	1,0	1,0	1,0	0,6	0,6
5	Belasting mast SLS 1	1,0		0,6		1,0	
6	Belasting mast SLS 2		1,0		0,6		1,0
7	Belasting op maaiveld	0,7	0,7	1,0	1,0		

3.3. WISSELENDE BELASTINGEN EN VERMOEIING

Door de wisselende belastingen van wind dient belasting door vermoeiing te worden meegenomen. Bij vermoeiing is het aantal wisselingen en de grootte van de wisseling van belang. In de NEN-EN 1991-1-4:2005 is in bijlage B.3 een figuur opgenomen waarin de verhouding tussen de grootte van de windlast en het aantal keren dat deze optreedt weergegeven.

B.3 Aantal belastingen voor dynamische respons

(1) Figuur B.3 geeft het aantal keren N_g dat de waarden ΔS van een windeffect worden bereikt of overschreden gedurende een periode van 50 jaar. ΔS wordt uitgedrukt in percentage van de waarde S_k, waar S_k het effect is van een windbelasting met een herhalingstijd van 50 jaar.

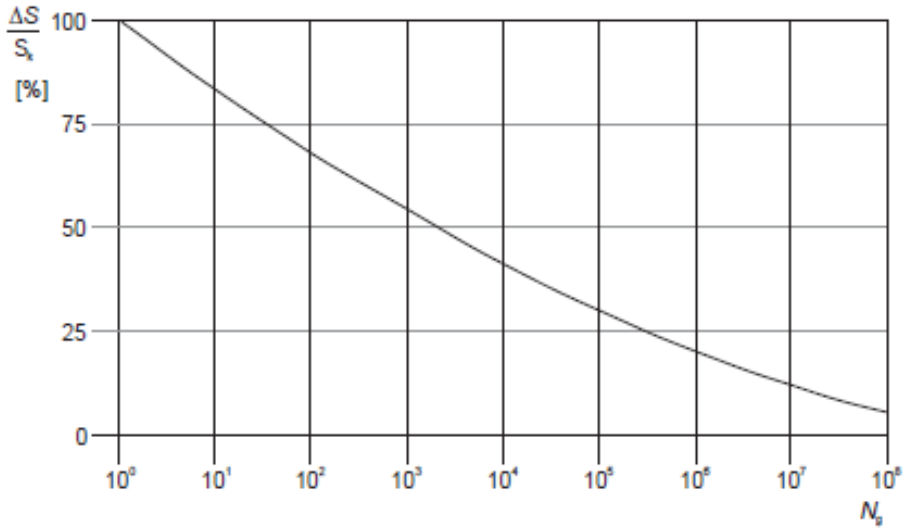

Figuur B.3 — Aantal windvlaagbelastingen N_g voor een effect $\Delta S/S_k$ gedurende een herhalingstijd van 50 jaar

De relatie wordt omschreven met de volgende uitdrukking

$$\frac{\Delta S}{S_k} = 0{,}7 \cdot (\log(N_g))^2 - 17{,}4 \cdot \log(N_g) + 100 \qquad (B.9)$$

Bij vermoeiing wordt bij een bepaald spanningsniveau het aantal wisselingen op dit spanningsniveau bepaald en vervolgens wordt dit vergeleken met het aantal toelaatbare wisselingen op dat spanningsniveau. Door dit voor de voorkomende spanningsniveaus te doen is de weerstand tegen vermoeiing te controleren.

In de ROK van RWS is bovenstaande verdeling gediscretiseerd tot onderstaande tabel:

Tabel 5-1: Aantal wisselingen per windbelasting (referentieperiode 50 jaar)

ΔS / S_k (%)	n
100	1
98	1
90	8
75	90
61	900
48	9000
36	90000
25	900000
16	9000000
9	90000000

Van beton en wapeningsstaal is bekend hoeveel wisselingen bij een bepaald spanningsniveau toelaatbaar zijn. S_K is de spanning met een herhalingstijd van 50 jaar (de spanning waarop de constructie ontworpen is).

Met bovenstaande gegevens is te bepalen welke maximale spanning t.g.v. wind eens in de 50 jaar toelaatbaar is opdat de constructie ook voldoende weerstand tegen vermoeiing heeft.

Wapening

De totale schade van de belastingen dient volgens de beschadigingsregel van Miner kleiner dan 1 te zijn.
De toetsingsprocedure per wisseling conform NEN-EN 1992-1-1:2005, §6.8.4:
Voor de wapening is gekeken naar de toelaatbare spanning voor:

- Rechte staven
- Staven gebogen met een doordiameter 2,5*D
- Gelaste staven

Er volgt (zie berekening hieronder) dat voor gewone rechte staven er geen beperking is, echter gebogen of gelaste staven hebben de volgende spanningsbeperking

Buigdoorn 2,5ø → 244 N/mm^2
Buigdoorn 5ø → 283 N/mm^2
Gelaste staven → 317 N/mm^2

Omdat bij de toetsing van vermoeiing een ULS toestand met veiligheid 1,0 wordt getoetst, is de spanning altijd minimaal een factor van ca. 1,3 lager dan de normale ULS toestanden.

Bij een toelaatbare spanning van 435 N/mm^2 in ULS volgt bij toetsing op vermoeiing een spanning van maximaal 335 N/mm^2. De toelaatbare spanningen bij vermoeiing zijn nog iets lager. Hier dient in de detaillering rekening mee gehouden te worden. Een toetsing achteraf zal volstaan.

Rechte staven

maximale gebruiksspanning			435	
Toelaatbare spanningswisseling bij N* wisselingen			162,5	
		k1	5	
		k2	9	
		N*	1,00E+06	
	ROK	Wisseling spanning	Toelaatbaar aantal	
aantal wisselingen	dS/S	wapening	wisselingen	Schade
[-]	[-]	[N/mm2]	[-]	[-]
1	100	435	7275	0,000137
1	98	426	8048	0,000124
8	90	392	12320	0,000649
90	75	326	30656	0,002936
900	61	265	86133	0,010449
9000	48	209	285505	0,031523
90000	36	157	1394937	0,064519
900000	25	109	37137862	0,024234
9000000	16	70	2061565470	0,004366
90000000	9	39	365674259232	0,000246
			Totale schade	**0,139183665**

Staven gebogen met doorndiameter 2,5*D

maximale gebruiksspanning		244	
Toelaatbare spanningswisseling bij N* wisselingen		67,4	
	k1	5	
	k2	9	
	N*	1,00E+06	

	ROK	Wisseling spanning	Toelaatbaar aantal	
aantal wisselingen	dS/S	wapening	wisselingen	Schade
[-]	[-]	[N/mm2]	[-]	[-]
1	100	244	1613	0,000620
1	98	239	1784	0,000560
8	90	220	2731	0,002929
90	75	183	6796	0,013243
900	61	149	19095	0,047134
9000	48	117	63292	0,142197
90000	36	88	266714	0,337440
900000	25	61	2466861	0,364836
9000000	16	39	136938283	0,065723
90000000	9	22	24289699180	0,003705
			Totale schade	**0,978388484**

Staven gebogen met doorndiameter 5*D

maximale gebruiksspanning		283	
Toelaatbare spanningswisseling bij N* wisselingen		78,0	
	k1	5	
	k2	9	
	N*	1,00E+06	

	ROK	Wisseling spanning	Toelaatbaar aantal	
aantal wisselingen	dS/S	wapening	wisselingen	Schade
[-]	[-]	[N/mm2]	[-]	[-]
1	100	283	1591	0,000629
1	98	277	1760	0,000568
8	90	255	2694	0,002970
90	75	212	6702	0,013428
900	61	173	18832	0,047792
9000	48	136	62422	0,144181
90000	36	102	263044	0,342148
900000	25	71	2406099	0,374050
9000000	16	45	133565305	0,067383
90000000	9	25	23691410595	0,003799
			Totale schade	**0,996946687**

Gelaste staven

maximale gebruiksspanning		317	
Toelaatbare spanningswisseling bij N* wisselingen		58,5	
	k1	3	
	k2	5	
	N*	1,00E+07	

	ROK	Wisseling spanning	Toelaatbaar aantal	
aantal wisselingen	dS/S	wapening	wisselingen	Schade
[-]	[-]	[N/mm2]	[-]	[-]
1	100	317	62848	0,000016
1	98	311	66775	0,000015
8	90	285	86211	0,000093
90	75	238	148972	0,000604
900	61	193	276886	0,003250
9000	48	152	568285	0,015837
90000	36	114	1347046	0,066813
900000	25	79	4022257	0,223755
9000000	16	51	20411885	0,440920
90000000	9	29	362468668	0,248297
			Totale schade	**0,999600179**

3.4. BEREKENING FUNDERING

De poer is ingevoerd in een SCIA engineer model.

Er zijn 2 modellen gedraaid:

Model 1: Lage gescheurde E modulus
Model 2: Matige gescheurde E modulus

4. VERBINDING MAST-FUNDERING

De masten worden verbonden met de fundering d.m.v. een ingestorte ankerkooi. Een ankerkooi is hieronder weergegeven

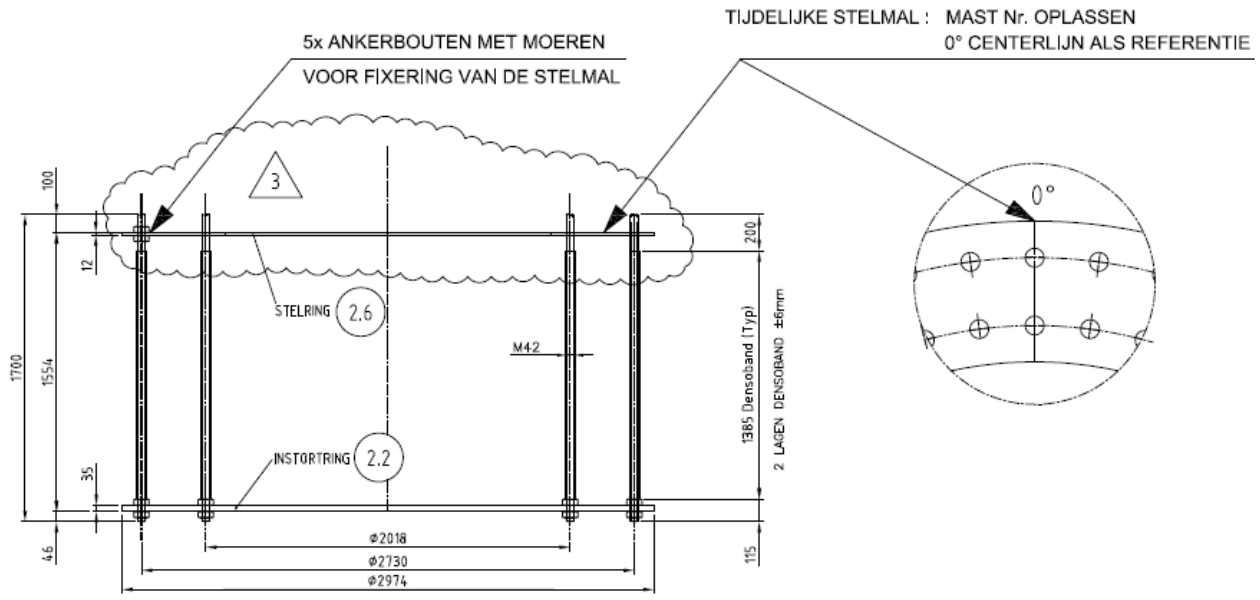

DETAIL VERANKERING

NOTA : ALLE RESTERENDE MOEREN EN ONDERLEGRINGEN WORDEN LOS MEEGELEVERD

Prepared by: LV Revision: 3 Date: 5-7-2011	Material: – Quantity: 2 Equipm. no.: W4E350	**VDL KTI**	Project No.: 36002 Workprep. No.: Pos. No.: ANKERKOOI

De ankers en platen zijn berekend door Volker Infra Design bij het ontwerp van de masten. De ankerkooi bevindt zich in de ronde opstort. De ronde opstort is d.m.v. stekken verbonden met de kruisvormige balken. De stekken worden in de UO fase berekend.

5. BIJLAGEN

Bijlage 1 Uitvoer SCIA Engineer – lage E-waarde (model 1)

Bijlage 2 Uitvoer SCIA Engineer – matige E-waarde (model 2)

BIJLAGE 1 UITVOER SCIA ENGINEER – LAGE E-WAARDE (MODEL 1)

1. Inhoudsopgave

1. Inhoudsopgave	1
2. Overzicht	2
3. Materialen	2
4. Doorsneden	2
5. Knoop	3
6. 1D-staaf	3
7. 2D-element	3
8. Subregio	3
9. Knoopondersteuningen	4
10. Lijnondersteuning op staaf	4
11. Belastingsgevallen	7
11.1. Belastingsgevallen - BG1	7
11.1.1. Belasting grafisch	7
11.2. Belastingsgevallen - BG3	7
11.2.1. Vrije puntmomenten	7
11.2.2. Genereer vrije lasten	7
11.2.3. Belasting grafisch	8
11.3. Belastingsgevallen - BG2	8
11.3.1. Lasten op oppervlak	8
11.3.2. Belasting grafisch	9
11.4. Belastingsgevallen - BG4	9
11.4.1. Vrije puntmomenten	9
11.4.2. Genereer vrije lasten	9
11.4.3. Belasting grafisch	10
11.5. Belastingsgevallen - BG5	10
11.5.1. Vrije puntmomenten	10
11.5.2. Genereer vrije lasten	11
11.5.3. Belasting grafisch	11
11.6. Belastingsgevallen - BG6	12
11.6.1. Vrije puntmomenten	12
11.6.2. Genereer vrije lasten	12
11.6.3. Belasting grafisch	12
11.7. Belastingsgevallen - BG7	13
11.7.1. Lasten op oppervlak	13
11.7.2. Belasting grafisch	13
12. Combinaties	13
13. Verplaatsing van knopen SLS 1	14
14. Verplaatsing van knopen SLS 2	14
15. Reacties	14
16. 2D element - Interne krachten; mxD+	15
17. 2D element - Interne krachten; mxD-	16
18. 2D element - Interne krachten; myD+	16
19. 2D element - Interne krachten; myD-	17
20. 2D element - Interne krachten; vx	17
21. 2D element - Interne krachten; vy	18

2.Overzicht

3. Materialen

Naam	Type	Massa eenheid [kg/m³]	E-mod [MPa]	Poisson - nu	G-mod [MPa]	Thermisch uitz. [m/mK]	Karakteristieke cylinderdruksterkte fck(28) [MPa]
C30/37	Beton	2500,0	1,1000e+04	0,2	4,5833e+03	0,00	30,00
C45/55	Beton	2500,0	3,6300e+04	0,2	1,5125e+04	0,00	45,00

4. Doorsneden

Naam	CS1	
Type	Rechthoek	
Uitgebreid	450; 450	
Onderdeelmateriaal	C45/55	
Bouwwijze	Algemeen	
Knik y-y, z-z	b	b
EEM berekening	×	

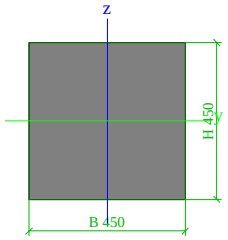

A [m²]	2,0250e-01	
A y, z [m²]	1,6875e-01	1,6875e-01
I y, z [m⁴]	3,4172e-03	3,4172e-03
I w [m⁶], t [m⁴]	0,0000e+00	5,7655e-03
Wel y, z [m³]	1,5188e-02	1,5188e-02
Wpl y, z [m³]	2,2781e-02	2,2781e-02
d y, z [mm]	0	0
c YLCS, ZLCS [mm]	225	225
alpha [deg]	0,00	
AL [m²/m]	1,8000e+00	

5. Knoop

Naam	Coördinaat X [m]	Coördinaat Y [m]	Coördinaat Z [m]
K81	0,400	-2,962	-19,000
K86	1,950	-0,762	0,000
K92	0,400	4,462	-19,000
K94	1,950	2,262	0,000
K143	-1,000	0,000	0,000
K144	0,814	0,000	0,000
K145	4,086	0,000	0,000
K146	2,450	-1,050	0,000
K147	17,214	0,000	0,000
K148	20,486	0,000	0,000
K149	18,850	-1,050	0,000
K150	22,300	0,000	0,000
K151	22,300	1,500	0,000
K152	20,486	1,500	0,000
K153	17,214	1,500	0,000
K154	18,850	2,550	0,000
K155	4,086	1,500	0,000
K156	0,814	1,500	0,000

Naam	Coördinaat X [m]	Coördinaat Y [m]	Coördinaat Z [m]
K157	2,450	2,550	0,000
K158	-1,000	1,500	0,000
K159	0,650	0,750	0,000
K160	4,100	0,000	0,000
K161	4,100	1,500	0,000
K162	4,300	0,750	0,000
K163	17,200	1,500	0,000
K164	17,200	0,000	0,000
K165	17,000	0,750	0,000
K166	20,650	0,750	0,000
K169	2,950	-0,762	0,000
K171	2,950	2,262	0,000
K175	20,900	-2,932	-19,000
K176	20,900	4,462	-19,000
K177	18,350	-0,762	0,000
K178	18,350	2,262	0,000
K179	19,350	-0,762	0,000
K180	19,350	2,262	0,000

Naam	Coördinaat X [m]	Coördinaat Y [m]	Coördinaat Z [m]
K181	21,600	-1,500	-19,000
K183	20,050	0,000	0,000
K186	20,050	1,500	0,000
K187	21,600	3,000	-19,000
K218	-0,300	-1,500	-19,000
K219	-0,300	3,000	-19,000
K220	1,250	0,000	0,000
K221	1,250	1,500	0,000
K242	1,750	0,750	0,000
K246	19,550	0,750	0,000
K252	4,500	-2,962	-19,000
K253	4,500	4,462	-19,000
K254	16,800	-2,962	-19,000
K255	16,800	4,462	-19,000
K258	10,650	0,750	-19,000
K259	10,650	0,750	0,000

6. 1D-staaf

Naam	Doorsnede	Lengte [m]	Vorm	Beginknoop	Eindknoop	Type	EEM-type	Laag
S19	CS1 - Rechthoek (450; 450)	19,190	Lijn	K86	K81	Algemeen (0)	standaard	Laag2
S24	CS1 - Rechthoek (450; 450)	19,190	Lijn	K94	K92	Algemeen (0)	standaard	Laag2
S54	CS1 - Rechthoek (450; 450)	19,186	Lijn	K179	K175	Algemeen (0)	standaard	Laag2
S55	CS1 - Rechthoek (450; 450)	19,190	Lijn	K180	K176	Algemeen (0)	standaard	Laag2
S56	CS1 - Rechthoek (450; 450)	19,122	Lijn	K183	K181	Algemeen (0)	standaard	Laag2
S59	CS1 - Rechthoek (450; 450)	19,122	Lijn	K186	K187	Algemeen (0)	standaard	Laag2
S66	CS1 - Rechthoek (450; 450)	19,122	Lijn	K220	K218	Algemeen (0)	standaard	Laag2
S67	CS1 - Rechthoek (450; 450)	19,122	Lijn	K221	K219	Algemeen (0)	standaard	Laag2
S79	CS1 - Rechthoek (450; 450)	19,190	Lijn	K169	K252	Algemeen (0)	standaard	Laag2
S80	CS1 - Rechthoek (450; 450)	19,190	Lijn	K171	K253	Algemeen (0)	standaard	Laag2
S81	CS1 - Rechthoek (450; 450)	19,190	Lijn	K177	K254	Algemeen (0)	standaard	Laag2
S82	CS1 - Rechthoek (450; 450)	19,190	Lijn	K178	K255	Algemeen (0)	standaard	Laag2
S83	CS1 - Rechthoek (450; 450)	19,000	Lijn	K259	K258	Algemeen (0)	standaard	Laag2

7. 2D-element

Naam	Materiaal	D. [mm]	Dikte type	Type	Laag
E2	C30/37	3000	konstant	vloer (90)	Laag1

8. Subregio

Naam, 2D-element, Materiaal, Dikte type						
2D-element systeemvlak op, Exc. z [mm], D. [mm], Punt 4, Knoop, Rand, Gewicht	Regio3	E2	C30/37	konstant	K156	Cirkelboog
	Boven	0		1800	K157	
					K155	Lijn
Naam, 2D-element, Materiaal, Dikte type	Regio4	E2	C30/37	konstant		
2D-element systeemvlak op, Exc. z [mm], D. [mm], Punt 4, Knoop, Rand, Gewicht	Boven	0		1800	K144	Lijn
					K145	Cirkelboog
					K146	
Naam, 2D-element, Materiaal, Dikte type	Regio6	E2	C30/37	konstant		
2D-element systeemvlak op, Exc. z [mm], D. [mm], Punt 4, Knoop, Rand, Gewicht	Boven	0		1800	K153	Cirkelboog
					K154	
					K152	Lijn
Naam, 2D-element, Materiaal, Dikte type	Regio7	E2	C30/37	konstant		
2D-element systeemvlak op, Exc. z [mm], D. [mm], Punt 4, Knoop, Rand, Gewicht	Boven	0		1800	K147	Lijn
					K148	Cirkelboog
					K149	
Naam, 2D-element, Materiaal, Dikte type	Regio8	E2	C30/37	konstant		
2D-element systeemvlak op, Exc. z [mm], D. [mm], Punt 4, Knoop, Rand, Gewicht	Onder	0		1200	K158	Lijn
					K156	Cirkelboog
					K159	
					K144	Lijn
					K143	Lijn
Naam, 2D-element, Materiaal, Dikte type	Regio9	E2	C30/37	konstant		
2D-element systeemvlak op, Exc. z [mm], D. [mm], Punt 4, Knoop, Rand, Gewicht	Onder	0		1200	K160	Cirkelboog
					K162	
					K161	Lijn
					K163	Cirkelboog

2D-element systeemvlak op, Exc. z [mm], D. [mm], Punt 4, Knoop, Rand, Gewicht	Onder	0		1200	K165 K164	 Lijn
Naam, 2D-element, Materiaal, Dikte type	Regio10	E2	C30/37	konstant		
2D-element systeemvlak op, Exc. z [mm], D. [mm], Punt 4, Knoop, Rand, Gewicht	Onder	0		1200	K152 K151 K150 K148 K166	Lijn Lijn Lijn Cirkelboog

9. Knoopondersteuningen

Naam	Knoop	Systeem	Type	X	Y	Z	Stijfheid Z [MN/m]	Rx	Ry	Rz
Sn9	K81	GCS	Standaard	Vrij	Vrij	Verend	1,2000e+02	Vrij	Vrij	Vrij
Sn14	K92	GCS	Standaard	Vrij	Vrij	Verend	1,2000e+02	Vrij	Vrij	Vrij
Sn43	K181	GCS	Standaard	Vrij	Vrij	Verend	1,2000e+02	Vrij	Vrij	Vrij
Sn47	K176	GCS	Standaard	Vrij	Vrij	Verend	1,2000e+02	Vrij	Vrij	Vrij
Sn49	K175	GCS	Standaard	Vrij	Vrij	Verend	1,2000e+02	Vrij	Vrij	Vrij
Sn50	K187	GCS	Standaard	Vrij	Vrij	Verend	1,2000e+02	Vrij	Vrij	Vrij
Sn58	K218	GCS	Standaard	Vrij	Vrij	Verend	1,2000e+02	Vrij	Vrij	Vrij
Sn59	K219	GCS	Standaard	Vrij	Vrij	Verend	1,2000e+02	Vrij	Vrij	Vrij
Sn71	K252	GCS	Standaard	Vrij	Vrij	Verend	1,2000e+02	Vrij	Vrij	Vrij
Sn72	K253	GCS	Standaard	Vrij	Vrij	Verend	1,2000e+02	Vrij	Vrij	Vrij
Sn73	K254	GCS	Standaard	Vrij	Vrij	Verend	1,2000e+02	Vrij	Vrij	Vrij
Sn74	K255	GCS	Standaard	Vrij	Vrij	Verend	1,2000e+02	Vrij	Vrij	Vrij
Sn75	K258	GCS	Standaard	Vrij	Vrij	Verend	1,2000e+02	Vrij	Vrij	Vrij

10. Lijnondersteuning op staaf

Staaf	Naam Systeem	Pos x_1 [m] Pos x_2 [m]	Coör Oors	X	Y	Stijfheid Y [MN/m²]	Z	Stijfheid Z [MN/m²]	Rx	Ry	Rz
S19	Slb14 LCS	1,100 3,500	Abso Vanaf begin	Vrij	Verend	4,5000e-01	Verend	4,5000e-01	Vrij	Vrij	Vrij
S19	Slb79 LCS	20,400 22,000	Abso Vanaf begin	Vrij	Verend	1,2450e+01	Verend	1,2450e+01	Vrij	Vrij	Vrij
S19	Slb53 LCS	9,600 10,500	Abso Vanaf begin	Vrij	Verend	1,0500e+00	Verend	1,0500e+00	Vrij	Vrij	Vrij
S19	Slb27 LCS	3,500 4,400	Abso Vanaf begin	Vrij	Verend	1,0500e+00	Verend	1,0500e+00	Vrij	Vrij	Vrij
S19	Slb66 LCS	10,500 20,400	Abso Vanaf begin	Vrij	Verend	1,0350e+01	Verend	1,0350e+01	Vrij	Vrij	Vrij
S19	Slb40 LCS	4,400 9,600	Abso Vanaf begin	Vrij	Verend	6,0000e-01	Verend	6,0000e-01	Vrij	Vrij	Vrij
S19	Slb1 LCS	0,000 1,100	Abso Vanaf begin	Vrij	Verend	1,0500e+00	Verend	1,0500e+00	Vrij	Vrij	Vrij
S24	Slb2 LCS	0,000 1,100	Abso Vanaf begin	Vrij	Verend	1,0500e+00	Verend	1,0500e+00	Vrij	Vrij	Vrij
S24	Slb41 LCS	4,400 9,600	Abso Vanaf begin	Vrij	Verend	6,0000e-01	Verend	6,0000e-01	Vrij	Vrij	Vrij
S24	Slb80 LCS	20,400 22,000	Abso Vanaf begin	Vrij	Verend	1,2450e+01	Verend	1,2450e+01	Vrij	Vrij	Vrij
S24	Slb15 LCS	1,100 3,500	Abso Vanaf begin	Vrij	Verend	4,5000e-01	Verend	4,5000e-01	Vrij	Vrij	Vrij
S24	Slb28 LCS	3,500 4,400	Abso Vanaf begin	Vrij	Verend	1,0500e+00	Verend	1,0500e+00	Vrij	Vrij	Vrij
S24	Slb54 LCS	9,600 10,500	Abso Vanaf begin	Vrij	Verend	1,0500e+00	Verend	1,0500e+00	Vrij	Vrij	Vrij
S24	Slb67 LCS	10,500 20,400	Abso Vanaf begin	Vrij	Verend	1,0350e+01	Verend	1,0350e+01	Vrij	Vrij	Vrij
S54	Slb81 LCS	20,400 22,000	Abso Vanaf begin	Vrij	Verend	1,2450e+01	Verend	1,2450e+01	Vrij	Vrij	Vrij
S54	Slb29 LCS	3,500 4,400	Abso Vanaf begin	Vrij	Verend	1,0500e+00	Verend	1,0500e+00	Vrij	Vrij	Vrij
S54	Slb68 LCS	10,500 20,400	Abso Vanaf begin	Vrij	Verend	1,0350e+01	Verend	1,0350e+01	Vrij	Vrij	Vrij
S54	Slb42 LCS	4,400 9,600	Abso Vanaf begin	Vrij	Verend	6,0000e-01	Verend	6,0000e-01	Vrij	Vrij	Vrij
S54	Slb55 LCS	9,600 10,500	Abso Vanaf begin	Vrij	Verend	1,0500e+00	Verend	1,0500e+00	Vrij	Vrij	Vrij
S54	Slb16 LCS	1,100 3,500	Abso Vanaf begin	Vrij	Verend	4,5000e-01	Verend	4,5000e-01	Vrij	Vrij	Vrij

Staaf	Naam Systeem	Pos x_1 [m] Pos x_2 [m]	Coör Oors	X	Y	Stijfheid Y [MN/m²]	Z	Stijfheid Z [MN/m²]	Rx	Ry	Rz
S54	Slb3 LCS	0,000 1,100	Abso Vanaf begin	Vrij	Verend	1,0500e+00	Verend	1,0500e+00	Vrij	Vrij	Vrij
S55	Slb43 LCS	4,400 9,600	Abso Vanaf begin	Vrij	Verend	6,0000e-01	Verend	6,0000e-01	Vrij	Vrij	Vrij
S55	Slb56 LCS	9,600 10,500	Abso Vanaf begin	Vrij	Verend	1,0500e+00	Verend	1,0500e+00	Vrij	Vrij	Vrij
S55	Slb82 LCS	20,400 22,000	Abso Vanaf begin	Vrij	Verend	1,2450e+01	Verend	1,2450e+01	Vrij	Vrij	Vrij
S55	Slb30 LCS	3,500 4,400	Abso Vanaf begin	Vrij	Verend	1,0500e+00	Verend	1,0500e+00	Vrij	Vrij	Vrij
S55	Slb17 LCS	1,100 3,500	Abso Vanaf begin	Vrij	Verend	4,5000e-01	Verend	4,5000e-01	Vrij	Vrij	Vrij
S55	Slb69 LCS	10,500 20,400	Abso Vanaf begin	Vrij	Verend	1,0350e+01	Verend	1,0350e+01	Vrij	Vrij	Vrij
S55	Slb4 LCS	0,000 1,100	Abso Vanaf begin	Vrij	Verend	1,0500e+00	Verend	1,0500e+00	Vrij	Vrij	Vrij
S56	Slb18 LCS	1,100 3,500	Abso Vanaf begin	Vrij	Verend	4,5000e-01	Verend	4,5000e-01	Vrij	Vrij	Vrij
S56	Slb70 LCS	10,500 20,400	Abso Vanaf begin	Vrij	Verend	1,0350e+01	Verend	1,0350e+01	Vrij	Vrij	Vrij
S56	Slb57 LCS	9,600 10,500	Abso Vanaf begin	Vrij	Verend	1,0500e+00	Verend	1,0500e+00	Vrij	Vrij	Vrij
S56	Slb5 LCS	0,000 1,100	Abso Vanaf begin	Vrij	Verend	1,0500e+00	Verend	1,0500e+00	Vrij	Vrij	Vrij
S56	Slb44 LCS	4,400 9,600	Abso Vanaf begin	Vrij	Verend	6,0000e-01	Verend	6,0000e-01	Vrij	Vrij	Vrij
S56	Slb83 LCS	20,400 22,000	Abso Vanaf begin	Vrij	Verend	1,2450e+01	Verend	1,2450e+01	Vrij	Vrij	Vrij
S56	Slb31 LCS	3,500 4,400	Abso Vanaf begin	Vrij	Verend	1,0500e+00	Verend	1,0500e+00	Vrij	Vrij	Vrij
S59	Slb71 LCS	10,500 20,400	Abso Vanaf begin	Vrij	Verend	1,0350e+01	Verend	1,0350e+01	Vrij	Vrij	Vrij
S59	Slb45 LCS	4,400 9,600	Abso Vanaf begin	Vrij	Verend	6,0000e-01	Verend	6,0000e-01	Vrij	Vrij	Vrij
S59	Slb58 LCS	9,600 10,500	Abso Vanaf begin	Vrij	Verend	1,0500e+00	Verend	1,0500e+00	Vrij	Vrij	Vrij
S59	Slb84 LCS	20,400 22,000	Abso Vanaf begin	Vrij	Verend	1,2450e+01	Verend	1,2450e+01	Vrij	Vrij	Vrij
S59	Slb6 LCS	0,000 1,100	Abso Vanaf begin	Vrij	Verend	1,0500e+00	Verend	1,0500e+00	Vrij	Vrij	Vrij
S59	Slb19 LCS	1,100 3,500	Abso Vanaf begin	Vrij	Verend	4,5000e-01	Verend	4,5000e-01	Vrij	Vrij	Vrij
S59	Slb32 LCS	3,500 4,400	Abso Vanaf begin	Vrij	Verend	1,0500e+00	Verend	1,0500e+00	Vrij	Vrij	Vrij
S66	Slb72 LCS	10,500 20,400	Abso Vanaf begin	Vrij	Verend	1,0350e+01	Verend	1,0350e+01	Vrij	Vrij	Vrij
S66	Slb85 LCS	20,400 22,000	Abso Vanaf begin	Vrij	Verend	1,2450e+01	Verend	1,2450e+01	Vrij	Vrij	Vrij
S66	Slb7 LCS	0,000 1,100	Abso Vanaf begin	Vrij	Verend	1,0500e+00	Verend	1,0500e+00	Vrij	Vrij	Vrij
S66	Slb20 LCS	1,100 3,500	Abso Vanaf begin	Vrij	Verend	4,5000e-01	Verend	4,5000e-01	Vrij	Vrij	Vrij
S66	Slb46 LCS	4,400 9,600	Abso Vanaf begin	Vrij	Verend	6,0000e-01	Verend	6,0000e-01	Vrij	Vrij	Vrij
S66	Slb33 LCS	3,500 4,400	Abso Vanaf begin	Vrij	Verend	1,0500e+00	Verend	1,0500e+00	Vrij	Vrij	Vrij
S66	Slb59 LCS	9,600 10,500	Abso Vanaf begin	Vrij	Verend	1,0500e+00	Verend	1,0500e+00	Vrij	Vrij	Vrij
S67	Slb21 LCS	1,100 3,500	Abso Vanaf begin	Vrij	Verend	4,5000e-01	Verend	4,5000e-01	Vrij	Vrij	Vrij
S67	Slb60 LCS	9,600 10,500	Abso Vanaf begin	Vrij	Verend	1,0500e+00	Verend	1,0500e+00	Vrij	Vrij	Vrij
S67	Slb86 LCS	20,400 22,000	Abso Vanaf begin	Vrij	Verend	1,2450e+01	Verend	1,2450e+01	Vrij	Vrij	Vrij
S67	Slb47 LCS	4,400 9,600	Abso Vanaf begin	Vrij	Verend	6,0000e-01	Verend	6,0000e-01	Vrij	Vrij	Vrij
S67	Slb8 LCS	0,000 1,100	Abso Vanaf begin	Vrij	Verend	1,0500e+00	Verend	1,0500e+00	Vrij	Vrij	Vrij
S67	Slb34 LCS	3,500 4,400	Abso Vanaf begin	Vrij	Verend	1,0500e+00	Verend	1,0500e+00	Vrij	Vrij	Vrij
S67	Slb73 LCS	10,500 20,400	Abso Vanaf begin	Vrij	Verend	1,0350e+01	Verend	1,0350e+01	Vrij	Vrij	Vrij

Staaf	Naam Systeem	Pos x_1 [m] Pos x_2 [m]	Coör Oors	X	Y	Stijfheid Y [MN/m²]	Z	Stijfheid Z [MN/m²]	Rx	Ry	Rz
S79	Slb62 LCS	9,600 10,500	Abso Vanaf begin	Vrij	Verend	1,0500e+00	Verend	1,0500e+00	Vrij	Vrij	Vrij
S79	Slb23 LCS	1,100 3,500	Abso Vanaf begin	Vrij	Verend	4,5000e-01	Verend	4,5000e-01	Vrij	Vrij	Vrij
S79	Slb88 LCS	20,400 22,000	Abso Vanaf begin	Vrij	Verend	1,2450e+01	Verend	1,2450e+01	Vrij	Vrij	Vrij
S79	Slb10 LCS	0,000 1,100	Abso Vanaf begin	Vrij	Verend	1,0500e+00	Verend	1,0500e+00	Vrij	Vrij	Vrij
S79	Slb36 LCS	3,500 4,400	Abso Vanaf begin	Vrij	Verend	1,0500e+00	Verend	1,0500e+00	Vrij	Vrij	Vrij
S79	Slb75 LCS	10,500 20,400	Abso Vanaf begin	Vrij	Verend	1,0350e+01	Verend	1,0350e+01	Vrij	Vrij	Vrij
S79	Slb49 LCS	4,400 9,600	Abso Vanaf begin	Vrij	Verend	6,0000e-01	Verend	6,0000e-01	Vrij	Vrij	Vrij
S80	Slb89 LCS	20,400 22,000	Abso Vanaf begin	Vrij	Verend	1,2450e+01	Verend	1,2450e+01	Vrij	Vrij	Vrij
S80	Slb76 LCS	10,500 20,400	Abso Vanaf begin	Vrij	Verend	1,0350e+01	Verend	1,0350e+01	Vrij	Vrij	Vrij
S80	Slb24 LCS	1,100 3,500	Abso Vanaf begin	Vrij	Verend	4,5000e-01	Verend	4,5000e-01	Vrij	Vrij	Vrij
S80	Slb37 LCS	3,500 4,400	Abso Vanaf begin	Vrij	Verend	1,0500e+00	Verend	1,0500e+00	Vrij	Vrij	Vrij
S80	Slb50 LCS	4,400 9,600	Abso Vanaf begin	Vrij	Verend	6,0000e-01	Verend	6,0000e-01	Vrij	Vrij	Vrij
S80	Slb11 LCS	0,000 1,100	Abso Vanaf begin	Vrij	Verend	1,0500e+00	Verend	1,0500e+00	Vrij	Vrij	Vrij
S80	Slb63 LCS	9,600 10,500	Abso Vanaf begin	Vrij	Verend	1,0500e+00	Verend	1,0500e+00	Vrij	Vrij	Vrij
S81	Slb38 LCS	3,500 4,400	Abso Vanaf begin	Vrij	Verend	1,0500e+00	Verend	1,0500e+00	Vrij	Vrij	Vrij
S81	Slb90 LCS	20,400 22,000	Abso Vanaf begin	Vrij	Verend	1,2450e+01	Verend	1,2450e+01	Vrij	Vrij	Vrij
S81	Slb12 LCS	0,000 1,100	Abso Vanaf begin	Vrij	Verend	1,0500e+00	Verend	1,0500e+00	Vrij	Vrij	Vrij
S81	Slb25 LCS	1,100 3,500	Abso Vanaf begin	Vrij	Verend	4,5000e-01	Verend	4,5000e-01	Vrij	Vrij	Vrij
S81	Slb77 LCS	10,500 20,400	Abso Vanaf begin	Vrij	Verend	1,0350e+01	Verend	1,0350e+01	Vrij	Vrij	Vrij
S81	Slb51 LCS	4,400 9,600	Abso Vanaf begin	Vrij	Verend	6,0000e-01	Verend	6,0000e-01	Vrij	Vrij	Vrij
S81	Slb64 LCS	9,600 10,500	Abso Vanaf begin	Vrij	Verend	1,0500e+00	Verend	1,0500e+00	Vrij	Vrij	Vrij
S82	Slb52 LCS	4,400 9,600	Abso Vanaf begin	Vrij	Verend	6,0000e-01	Verend	6,0000e-01	Vrij	Vrij	Vrij
S82	Slb91 LCS	20,400 22,000	Abso Vanaf begin	Vrij	Verend	1,2450e+01	Verend	1,2450e+01	Vrij	Vrij	Vrij
S82	Slb65 LCS	9,600 10,500	Abso Vanaf begin	Vrij	Verend	1,0500e+00	Verend	1,0500e+00	Vrij	Vrij	Vrij
S82	Slb78 LCS	10,500 20,400	Abso Vanaf begin	Vrij	Verend	1,0350e+01	Verend	1,0350e+01	Vrij	Vrij	Vrij
S82	Slb39 LCS	3,500 4,400	Abso Vanaf begin	Vrij	Verend	1,0500e+00	Verend	1,0500e+00	Vrij	Vrij	Vrij
S82	Slb13 LCS	0,000 1,100	Abso Vanaf begin	Vrij	Verend	1,0500e+00	Verend	1,0500e+00	Vrij	Vrij	Vrij
S82	Slb26 LCS	1,100 3,500	Abso Vanaf begin	Vrij	Verend	4,5000e-01	Verend	4,5000e-01	Vrij	Vrij	Vrij
S83	Slb96 LCS	9,600 10,500	Abso Vanaf begin	Vrij	Verend	1,0500e+00	Verend	1,0500e+00	Vrij	Vrij	Vrij
S83	Slb97 LCS	10,500 20,400	Abso Vanaf begin	Vrij	Verend	1,0350e+01	Verend	1,0350e+01	Vrij	Vrij	Vrij
S83	Slb98 LCS	20,400 22,000	Abso Vanaf begin	Vrij	Verend	1,2450e+01	Verend	1,2450e+01	Vrij	Vrij	Vrij
S83	Slb95 LCS	4,400 9,600	Abso Vanaf begin	Vrij	Verend	6,0000e-01	Verend	6,0000e-01	Vrij	Vrij	Vrij
S83	Slb92 LCS	0,000 1,100	Abso Vanaf begin	Vrij	Verend	1,0500e+00	Verend	1,0500e+00	Vrij	Vrij	Vrij
S83	Slb93 LCS	1,100 3,500	Abso Vanaf begin	Vrij	Verend	4,5000e-01	Verend	4,5000e-01	Vrij	Vrij	Vrij
S83	Slb94 LCS	3,500 4,400	Abso Vanaf begin	Vrij	Verend	1,0500e+00	Verend	1,0500e+00	Vrij	Vrij	Vrij

11. Belastingsgevallen

11.1. Belastingsgevallen - BG1

Naam	Omschrijving	Actie type	Lastgroep	Belastingtype	Richting
BG1	Eigengewicht	Permanent	LG8	Eigen gewicht	-Z

11.1.1. Belasting grafisch

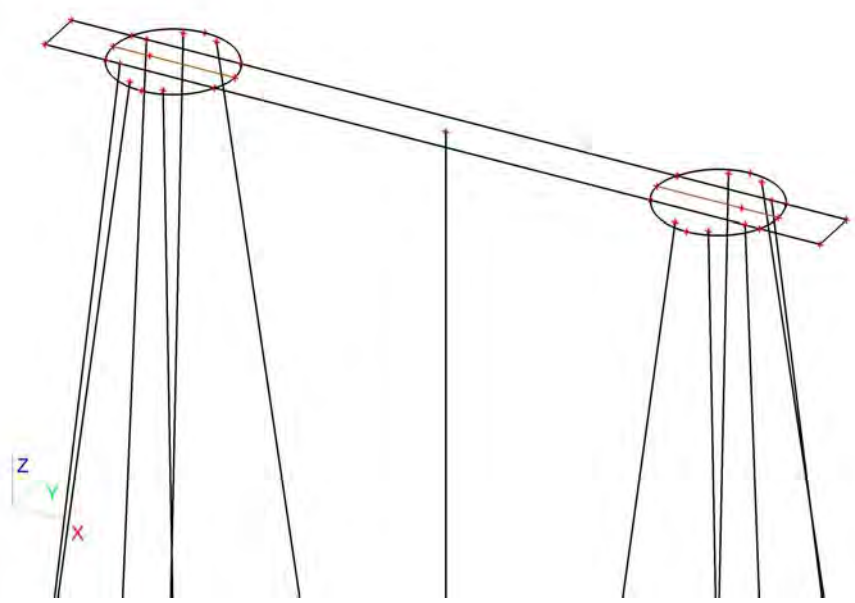

11.2. Belastingsgevallen - BG3

Naam	Omschrijving	Actie type	Lastgroep	Belastingtype	Spec	Duur	'Master' belastingsgeval
BG3	ULS 1	Variabel	LG7	Statisch	Standaard	Kort	Geen

11.2.1. Vrije puntmomenten

Typenaam	Naam	Rich	Type	Geldigheid	Selecteer	Waarde - F [kNm]	Belastingsgeval	Coördinaat X [m]	Coördinaat Y [m]	Coördinaat Z [m]	Coördinaat ux [m]	Coördinaat uy [m]	Coördinaat uz [m]	Systeem
Vrij puntmoment	FM1	Mx	Moment	Alle	Auto	0,00	BG3 - ULS 1	2,450	0,750	0,000	2,450	0,750	0,000	GCS
Vrij puntmoment	FM2	Mx	Moment	Alle	Auto	0,00	BG3 - ULS 1	18,850	0,750	0,000	18,850	0,750	0,000	GCS
Vrij puntmoment	FM3	My	Moment	Alle	Auto	14507,00	BG3 - ULS 1	2,450	0,750	0,000	2,450	0,750	0,000	GCS
Vrij puntmoment	FM4	My	Moment	Alle	Auto	14507,00	BG3 - ULS 1	18,850	0,750	0,000	18,850	0,750	0,000	GCS
Vrij puntmoment	FM5	Mx	Moment	Alle	Auto	0,00	BG3 - ULS 1	2,450	0,750	0,000	2,450	0,750	0,000	GCS
Vrij puntmoment	FM6	Mx	Moment	Alle	Auto	0,00	BG3 - ULS 1	18,850	0,750	0,000	18,850	0,750	0,000	GCS
Vrij puntmoment	FM7	My	Moment	Alle	Auto	953,70	BG3 - ULS 1	2,450	0,750	0,000	-13,960	0,757	0,000	GCS
Vrij puntmoment	FM8	My	Moment	Alle	Auto	953,70	BG3 - ULS 1	18,850	0,750	0,000	2,440	0,757	0,000	GCS

11.2.2. Genereer vrije lasten

Naam	Belastingsgeval	2D-element	Rich	Belastingstype Type	Oorspronkelijke belasting	Waarde - F [kN] Waarde - F [kNm]	Systeem Locatie
GFF1	BG3 - ULS 1	E2	Z	Punt Kracht	FF1	-565,00	GCS Lengte
GFF4	BG3 - ULS 1	E2	Z	Punt Kracht	FF2	-565,00	GCS Lengte
GFF5	BG3 - ULS 1	E2	Mx	Punt Moment	FM6	0,00	GCS Lengte
GFF6	BG3 - ULS 1	E2	Y	Punt Kracht	FF3	0,00	GCS Lengte
GFF7	BG3 - ULS 1	E2	X	Punt Kracht	FF5	374,00	GCS Lengte

Naam	Belastingsgeval	2D-element	Rich	Belastingstype Type	Oorspronkelijke belasting	Waarde - F [kN] Waarde - F [kNm]	Systeem Locatie
GFF9	BG3 - ULS 1	E2	Y	Punt Kracht	FF4	0,00	GCS Lengte
GFF10	BG3 - ULS 1	E2	X	Punt Kracht	FF6	374,00	GCS Lengte
GFF25	BG3 - ULS 1	E2	My	Punt Moment	FM7	953,70	GCS Lengte
GFF27	BG3 - ULS 1	E2	My	Punt Moment	FM8	953,70	GCS Lengte
GFF41	BG3 - ULS 1	E2	Mx	Punt Moment	FM1	0,00	GCS Lengte
GFF42	BG3 - ULS 1	E2	Mx	Punt Moment	FM2	0,00	GCS Lengte
GFF43	BG3 - ULS 1	E2	My	Punt Moment	FM3	14507,00	GCS Lengte
GFF44	BG3 - ULS 1	E2	My	Punt Moment	FM4	14507,00	GCS Lengte
GFF45	BG3 - ULS 1	E2	Mx	Punt Moment	FM5	0,00	GCS Lengte

11.2.3. Belasting grafisch

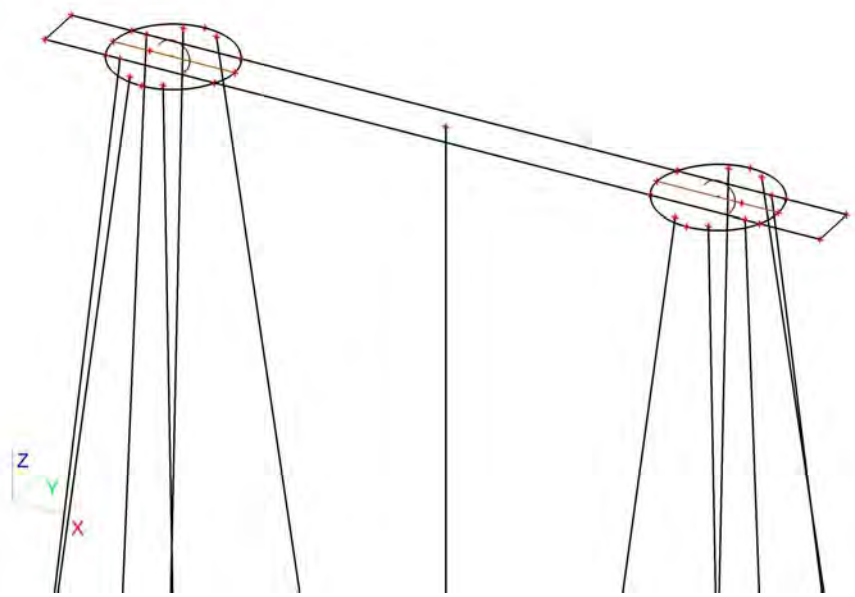

11.3. Belastingsgevallen - BG2

Naam	Omschrijving	Actie type	Lastgroep	Belastingtype
BG2	Grond	Permanent	LG8	Standaard

11.3.1. Lasten op oppervlak

Naam	Rich	Type	Waarde [kN/m²]	Belastingsgeval	Systeem	Loc
SF1	Z	Kracht	-25,50	BG2 - Grond	LCS	Lengte
SF2	Z	Kracht	-25,50	BG2 - Grond	LCS	Lengte
SF3	Z	Kracht	-25,50	BG2 - Grond	LCS	Lengte

11.3.2. Belasting grafisch

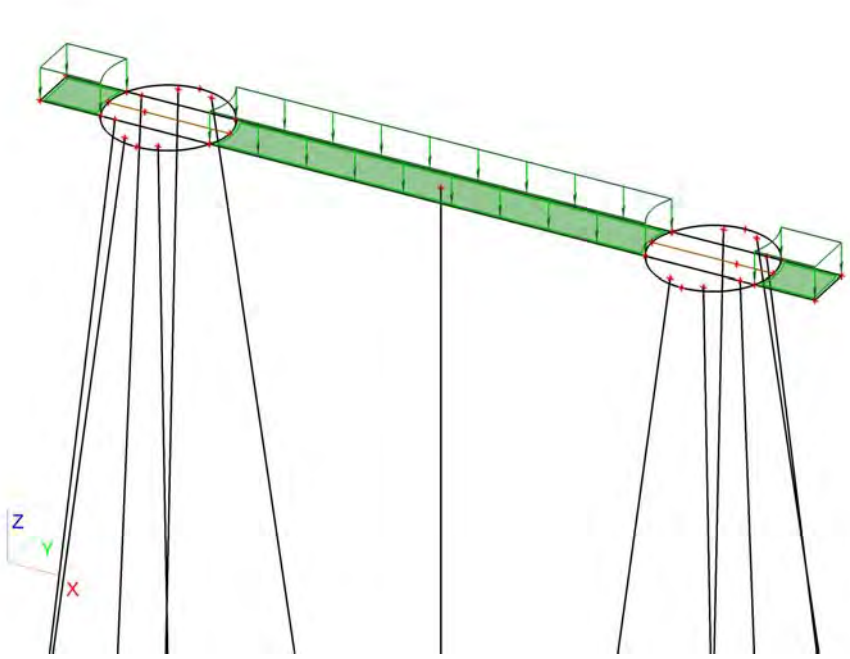

11.4. Belastingsgevallen - BG4

Naam	Omschrijving	Actie type	Lastgroep	Belastingtype	Spec	Duur	'Master' belastingsgeval
BG4	ULS 2	Variabel	LG9	Statisch	Standaard	Kort	Geen

11.4.1. Vrije puntmomenten

Typenaam	Naam	Rich	Type	Geldigheid	Selecteer	Waarde - F [kNm]	Belastingsgeval	Coördinaat X [m]	Coördinaat Y [m]	Coördinaat Z [m]	Coördinaat ux [m]	Coördinaat uy [m]	Coördinaat uz [m]	Systeem
Vrij puntmoment	FM9	Mx	Moment	Alle	Auto	-4914,00	BG4 - ULS 2	2,450	0,750	0,000	3,703	0,750	0,000	GCS
Vrij puntmoment	FM10	Mx	Moment	Alle	Auto	-4914,00	BG4 - ULS 2	18,850	0,750	0,000	20,275	0,744	0,000	GCS
Vrij puntmoment	FM11	My	Moment	Alle	Auto	862,00	BG4 - ULS 2	2,450	0,750	0,000	-12,525	0,744	0,000	GCS
Vrij puntmoment	FM12	My	Moment	Alle	Auto	862,00	BG4 - ULS 2	18,850	0,750	0,000	3,703	0,750	0,000	GCS
Vrij puntmoment	FM13	Mx	Moment	Alle	Auto	397,80	BG4 - ULS 2	2,450	0,750	0,000	-13,950	0,750	0,000	GCS
Vrij puntmoment	FM14	Mx	Moment	Alle	Auto	397,80	BG4 - ULS 2	18,850	0,750	0,000	2,450	0,750	0,000	GCS
Vrij puntmoment	FM15	My	Moment	Alle	Auto	0,00	BG4 - ULS 2	2,450	0,750	0,000	-13,950	0,750	0,000	GCS
Vrij puntmoment	FM16	My	Moment	Alle	Auto	0,00	BG4 - ULS 2	18,850	0,750	0,000	2,450	0,750	0,000	GCS

11.4.2. Genereer vrije lasten

Naam	Belastingsgeval	2D-element	Rich	Belastingstype Type	Oorspronkelijke belasting	Waarde - F [kN] Waarde - F [kNm]	Systeem Locatie
GFF2	BG4 - ULS 2	E2	Y	Punt Kracht	FF9	156,00	GCS Lengte
GFF12	BG4 - ULS 2	E2	Z	Punt Kracht	FF7	-737,00	GCS Lengte
GFF13	BG4 - ULS 2	E2	Mx	Punt Moment	FM13	397,80	GCS Lengte
GFF14	BG4 - ULS 2	E2	Z	Punt Kracht	FF8	-737,00	GCS Lengte
GFF15	BG4 - ULS 2	E2	Mx	Punt Moment	FM14	397,80	GCS Lengte
GFF16	BG4 - ULS 2	E2	Y	Punt Kracht	FF10	156,00	GCS Lengte
GFF18	BG4 - ULS 2	E2	X	Punt Kracht	FF11	0,00	GCS Lengte
GFF19	BG4 - ULS 2	E2	X	Punt Kracht	FF12	0,00	GCS Lengte
GFF20	BG4 - ULS 2	E2	Mx	Punt Moment	FM10	-4914,00	GCS Lengte

Naam	Belastingsgeval	2D-element	Rich	Belastingstype Type	Oorspronkelijke belasting	Waarde - F [kN] Waarde - F [kNm]	Systeem Locatie
GFF22	BG4 - ULS 2	E2	My	Punt Moment	FM15	 0,00	GCS Lengte
GFF24	BG4 - ULS 2	E2	My	Punt Moment	FM16	 0,00	GCS Lengte
GFF29	BG4 - ULS 2	E2	My	Punt Moment	FM11	 862,00	GCS Lengte
GFF31	BG4 - ULS 2	E2	My	Punt Moment	FM12	 862,00	GCS Lengte
GFF46	BG4 - ULS 2	E2	Mx	Punt Moment	FM9	 -4914,00	GCS Lengte

11.4.3. Belasting grafisch

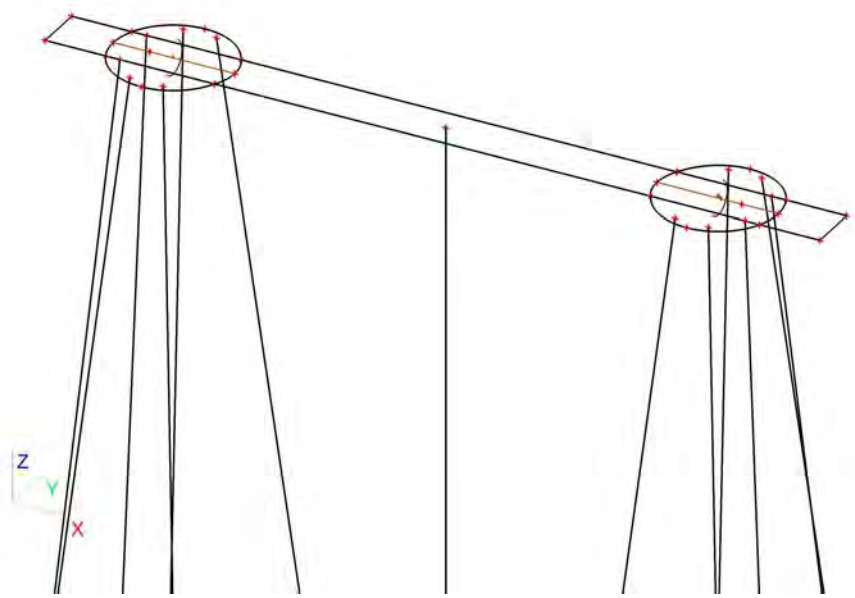

11.5. Belastingsgevallen - BG5

Naam	Omschrijving	Actie type	Lastgroep	Belastingtype	Spec	Duur	'Master' belastingsgeval
BG5	SLS 1	Variabel	LG9	Statisch	Standaard	Kort	Geen

11.5.1. Vrije puntmomenten

Typenaam	Naam	Rich	Type	Geldigheid	Selecteer	Waarde - F [kNm]	Belastingsgeval	Coördinaat X [m]	Coördinaat Y [m]	Coördinaat Z [m]	Coördinaat ux [m]	Coördinaat uy [m]	Coördinaat uz [m]	Systeem
Vrij puntmoment	FM17	Mx	Moment	Alle	Auto	-1805,00	BG5 - SLS 1	2,450	0,750	0,000	1,450	0,750	0,000	GCS
Vrij puntmoment	FM18	Mx	Moment	Alle	Auto	-1805,00	BG5 - SLS 1	18,850	0,750	0,000	17,850	0,750	0,000	GCS
Vrij puntmoment	FM19	My	Moment	Alle	Auto	10053,00	BG5 - SLS 1	2,450	0,750	0,000	1,450	0,750	0,000	GCS
Vrij puntmoment	FM20	My	Moment	Alle	Auto	10053,00	BG5 - SLS 1	18,850	0,750	0,000	17,850	0,750	0,000	GCS
Vrij puntmoment	FM21	Mx	Moment	Alle	Auto	165,75	BG5 - SLS 1	2,450	0,750	0,000	1,450	0,750	0,000	GCS
Vrij puntmoment	FM22	Mx	Moment	Alle	Auto	165,75	BG5 - SLS 1	18,850	0,750	0,000	17,850	0,750	0,000	GCS
Vrij puntmoment	FM23	My	Moment	Alle	Auto	165,75	BG5 - SLS 1	2,450	0,750	0,000	1,450	0,750	0,000	GCS
Vrij puntmoment	FM24	My	Moment	Alle	Auto	165,75	BG5 - SLS 1	18,850	0,750	0,000	17,850	0,750	0,000	GCS
Vrij puntmoment	FM29	Mx	Moment	Alle	Auto	459,00	BG5 - SLS 1	2,450	0,750	0,000	1,450	0,750	0,000	GCS
Vrij puntmoment	FM30	Mx	Moment	Alle	Auto	459,00	BG5 - SLS 1	18,850	0,750	0,000	17,850	0,750	0,000	GCS
Vrij puntmoment	FM31	My	Moment	Alle	Auto	400,35	BG5 - SLS 1	2,450	0,750	0,000	-14,960	0,757	0,000	GCS
Vrij puntmoment	FM32	My	Moment	Alle	Auto	400,35	BG5 - SLS 1	18,850	0,750	0,000	1,440	0,757	0,000	GCS

11.5.2. Genereer vrije lasten

Naam	Belastingsgeval	2D-element	Rich	Belastingstype Type	Oorspronkelijke belasting	Waarde - F [kN] Waarde - F [kNm]	Systeem Locatie
GFF3	BG5 - SLS 1	E2	My	Punt Moment	FM19	 10053,00	GCS Lengte
GFF8	BG5 - SLS 1	E2	Mx	Punt Moment	FM17	 -1805,00	GCS Lengte
GFF11	BG5 - SLS 1	E2	Mx	Punt Moment	FM18	 -1805,00	GCS Lengte
GFF17	BG5 - SLS 1	E2	My	Punt Moment	FM20	 10053,00	GCS Lengte
GFF21	BG5 - SLS 1	E2	Z	Punt Kracht	FF13	-471,00	GCS Lengte
GFF23	BG5 - SLS 1	E2	Z	Punt Kracht	FF14	-471,00	GCS Lengte
GFF26	BG5 - SLS 1	E2	Y	Punt Kracht	FF15	65,00	GCS Lengte
GFF28	BG5 - SLS 1	E2	Y	Punt Kracht	FF16	65,00	GCS Lengte
GFF30	BG5 - SLS 1	E2	X	Punt Kracht	FF17	257,00	GCS Lengte
GFF32	BG5 - SLS 1	E2	X	Punt Kracht	FF18	257,00	GCS Lengte
GFF38	BG5 - SLS 1	E2	Mx	Punt Moment	FM29	 459,00	GCS Lengte
GFF40	BG5 - SLS 1	E2	Mx	Punt Moment	FM30	 459,00	GCS Lengte
GFF47	BG5 - SLS 1	E2	Mx	Punt Moment	FM21	 165,75	GCS Lengte
GFF48	BG5 - SLS 1	E2	Mx	Punt Moment	FM22	 165,75	GCS Lengte
GFF49	BG5 - SLS 1	E2	My	Punt Moment	FM23	 165,75	GCS Lengte
GFF50	BG5 - SLS 1	E2	My	Punt Moment	FM24	 165,75	GCS Lengte
GFF55	BG5 - SLS 1	E2	My	Punt Moment	FM31	 400,35	GCS Lengte
GFF56	BG5 - SLS 1	E2	My	Punt Moment	FM32	 400,35	GCS Lengte

11.5.3. Belasting grafisch

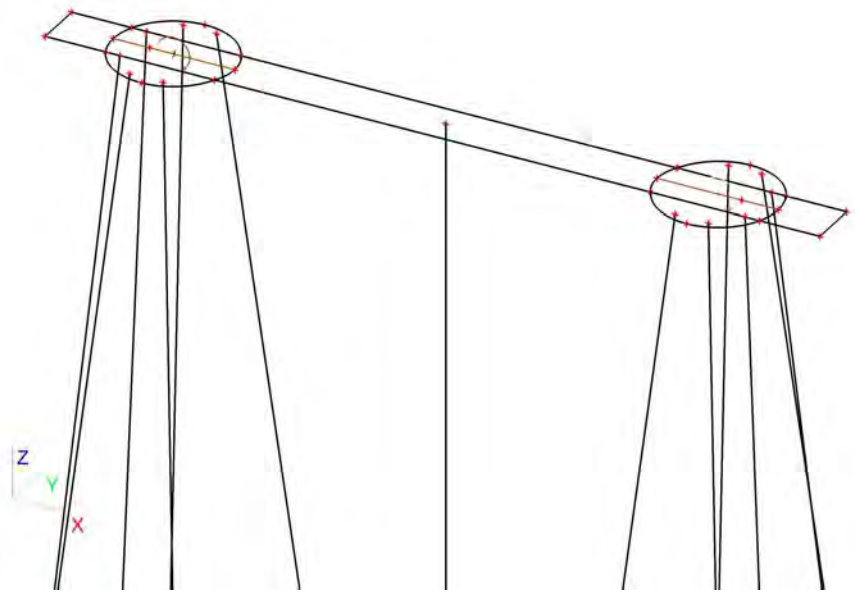

11.6. Belastingsgevallen - BG6

Naam	Omschrijving	Actie type	Lastgroep	Belastingtype	Spec	Duur	'Master' belastingsgeval
BG6	SLS 2	Variabel	LG9	Statisch	Standaard	Kort	Geen

11.6.1. Vrije puntmomenten

Typenaam	Naam	Rich	Type	Geldigheid	Selecteer	Waarde - F [kNm]	Belastingsgeval	Coördinaat X [m]	Coördinaat Y [m]	Coördinaat Z [m]	Coördinaat ux [m]	Coördinaat uy [m]	Coördinaat uz [m]	Systeem
Vrij puntmoment	FM25	Mx	Moment	Alle	Auto	-5585,00	BG6 - SLS 2	2,450	0,750	0,000	1,450	0,750	0,000	GCS
Vrij puntmoment	FM26	Mx	Moment	Alle	Auto	-5585,00	BG6 - SLS 2	18,850	0,750	0,000	17,850	0,750	0,000	GCS
Vrij puntmoment	FM27	My	Moment	Alle	Auto	6660,00	BG6 - SLS 2	2,450	0,750	0,000	1,450	0,750	0,000	GCS
Vrij puntmoment	FM28	My	Moment	Alle	Auto	6660,00	BG6 - SLS 2	18,850	0,750	0,000	17,850	0,750	0,000	GCS

11.6.2. Genereer vrije lasten

Naam	Belastingsgeval	2D-element	Rich	Belastingstype Type	Oorspronkelijke belasting	Waarde - F [kN] Waarde - F [kNm]	Systeem Locatie
GFF33	BG6 - SLS 2	E2	Z	Punt Kracht	FF19	-592,00	GCS Lengte
GFF34	BG6 - SLS 2	E2	Z	Punt Kracht	FF20	-592,00	GCS Lengte
GFF35	BG6 - SLS 2	E2	Y	Punt Kracht	FF21	180,00	GCS Lengte
GFF36	BG6 - SLS 2	E2	Y	Punt Kracht	FF22	180,00	GCS Lengte
GFF37	BG6 - SLS 2	E2	X	Punt Kracht	FF23	157,00	GCS Lengte
GFF39	BG6 - SLS 2	E2	X	Punt Kracht	FF24	157,00	GCS Lengte
GFF51	BG6 - SLS 2	E2	Mx	Punt Moment	FM25	-5585,00	GCS Lengte
GFF52	BG6 - SLS 2	E2	Mx	Punt Moment	FM26	-5585,00	GCS Lengte
GFF53	BG6 - SLS 2	E2	My	Punt Moment	FM27	6660,00	GCS Lengte
GFF54	BG6 - SLS 2	E2	My	Punt Moment	FM28	6660,00	GCS Lengte

11.6.3. Belasting grafisch

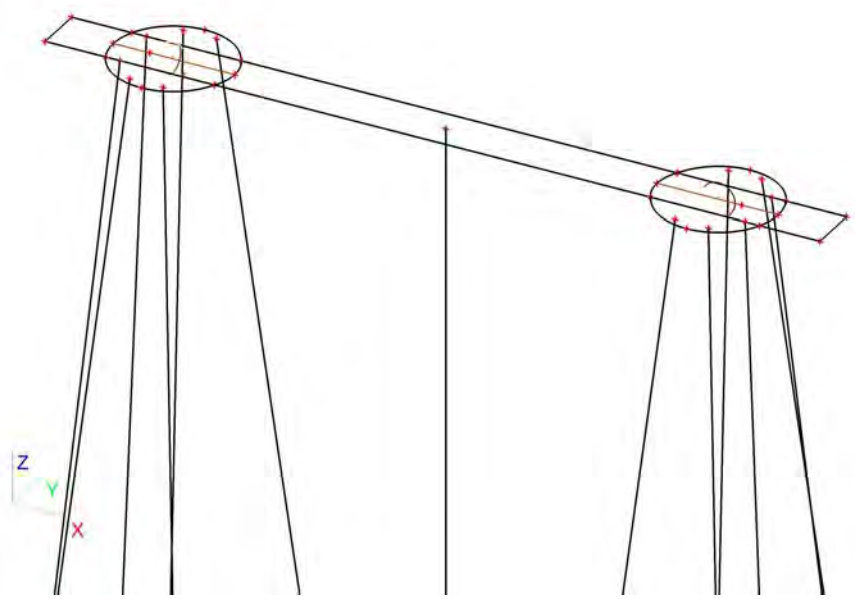

11.7. Belastingsgevallen - BG7

Naam	Omschrijving	Actie type	Lastgroep	Belastingtype	Spec	Duur	'Master' belastingsgeval
BG7	Belasting op maaiveld	Variabel	LG7	Statisch	Standaard	Kort	Geen

11.7.1. Lasten op oppervlak

Naam	Rich	Type	Waarde [kN/m^2]	Belastingsgeval	Systeem	Loc
SF4	Z	Kracht	-10,00	BG7 - Belasting op maaiveld	LCS	Lengte
SF5	Z	Kracht	-10,00	BG7 - Belasting op maaiveld	LCS	Lengte
SF6	Z	Kracht	-10,00	BG7 - Belasting op maaiveld	LCS	Lengte

11.7.2. Belasting grafisch

12. Combinaties

Naam	Type	Belastingsgevallen	Coëff. [-]
Combi1	Omhullende - uiterst	BG1 - Eigengewicht	1,30
		BG3 - ULS 1	1,00
		BG7 - Belasting op maaiveld	1,16
		BG2 - Grond	1,30
Combi2	Omhullende - uiterst	BG1 - Eigengewicht	1,30
		BG4 - ULS 2	1,00
		BG7 - Belasting op maaiveld	1,16
		BG2 - Grond	1,30
Combi3	Omhullende - uiterst	BG1 - Eigengewicht	1,30
		BG3 - ULS 1	0,60
		BG7 - Belasting op maaiveld	1,65
		BG2 - Grond	1,30
Combi4	Omhullende - uiterst	BG1 - Eigengewicht	1,30
		BG4 - ULS 2	0,60
		BG7 - Belasting op maaiveld	1,65
		BG2 - Grond	1,30
Combi5	Omhullende - uiterst	BG1 - Eigengewicht	0,54
		BG3 - ULS 1	1,00
		BG2 - Grond	0,54
Combi6	Omhullende -	BG1 - Eigengewicht	0,54

Naam	Type	Belastingsgevallen	Coëff. [-]
Combi6	Omhullende - uiterste	BG4 - ULS 2	1,00
		BG2 - Grond	0,54
Combi7	Omhullende - bruikbaarheid	BG1 - Eigengewicht	1,00
		BG5 - SLS 1	1,00
		BG7 - Belasting op maaiveld	1,16
		BG2 - Grond	1,00
Combi8	Omhullende - bruikbaarheid	BG1 - Eigengewicht	1,00
		BG6 - SLS 2	1,00
		BG7 - Belasting op maaiveld	0,70
		BG2 - Grond	1,00
Combi9	Omhullende - bruikbaarheid	BG1 - Eigengewicht	1,00
		BG5 - SLS 1	0,60
		BG7 - Belasting op maaiveld	1,00
		BG2 - Grond	1,00
Combi10	Omhullende - bruikbaarheid	BG1 - Eigengewicht	1,00
		BG6 - SLS 2	0,60
		BG7 - Belasting op maaiveld	1,00
		BG2 - Grond	1,00
Combi11	Omhullende - bruikbaarheid	BG1 - Eigengewicht	0,60
		BG5 - SLS 1	1,00
		BG2 - Grond	0,60
Combi12	Omhullende - bruikbaarheid	BG1 - Eigengewicht	0,60
		BG6 - SLS 2	1,00
		BG2 - Grond	0,60

13. Verplaatsing van knopen SLS 1

Lineaire berekening, Extreem : Globaal
Selectie : Alle
Belastingsgevallen : BG5

BG	Snede	elem	dx [m]	Ux [mm]	Uy [mm]	Uz [mm]	Fix [mrad]	Fiy [mrad]	Fiz [mrad]
BG5	Snede3	155	3,650	**13,9**	2,0	-9,0	-1,0	4,7	**0,4**
BG5	Snede2	18	2,750	**13,9**	2,0	-5,6	-1,0	4,7	-0,4
BG5	Snede3	126	2,250	13,9	**2,0**	-2,5	-1,0	4,8	0,4
BG5	Snede2	77	3,626	13,9	**2,0**	**-9,6**	-1,0	4,5	-0,4
BG5	Snede3	174	0,000	13,9	2,0	**7,8**	-1,0	**4,4**	0,4
BG5	Snede2	14	1,750	13,9	2,0	-1,0	**-1,0**	**5,0**	-0,4
BG5	Snede2	57	0,000	13,9	2,0	7,4	**-1,0**	4,8	**-0,5**

14. Verplaatsing van knopen SLS 2

Lineaire berekening, Extreem : Globaal
Selectie : Alle
Belastingsgevallen : BG6

BG	Snede	elem	dx [m]	Ux [mm]	Uy [mm]	Uz [mm]	Fix [mrad]	Fiy [mrad]	Fiz [mrad]
BG6	Snede3	155	3,650	**8,5**	5,1	-6,2	-4,7	2,9	**2,8**
BG6	Snede2	18	2,750	**8,6**	5,1	-4,1	-4,8	2,9	-2,5
BG6	Snede2	90	1,500	8,6	**5,1**	-0,4	-4,8	3,1	-2,6
BG6	Snede3	174	0,000	8,5	**5,1**	**4,3**	-4,8	**2,8**	2,3
BG6	Snede2	77	3,626	8,6	5,1	**-6,6**	-4,8	2,8	-2,3
BG6	Snede2	14	1,750	8,6	5,1	-1,2	**-5,0**	**3,2**	-2,6
BG6	Snede2	57	0,000	8,6	5,1	4,1	**-4,7**	3,0	**-2,8**

15. Reacties

Lineaire berekening, Extreem : Globaal
Selectie : Alle
Klasse : UGT

Steunpunt	BG	dx [m]	Rx [kN]	Ry [kN]	Rz [kN]	Mx [kNm]	My [kNm]	Mz [kNm]
Slb70/S56	Combi1/1	18,164	**-46,28**	44,54	-7,29	0,00	0,00	0,00
Slb78/S82	Combi2/2	18,224	**42,16**	-59,92	-10,38	0,00	0,00	0,00
Slb76/S80	Combi2/2	18,224	-43,61	**-61,95**	-10,73	0,00	0,00	0,00
Slb75/S79	Combi1/1	18,224	-39,34	**55,41**	-9,63	0,00	0,00	0,00
Sn58/K218	Combi5/3		-20,66	-20,06	**-609,06**	0,00	0,00	0,00
Sn43/K181	Combi1/1		-39,47	38,18	**1172,73**	0,00	0,00	0,00
Sn47/K176	Combi6/4		-26,62	-37,63	787,55	**0,00**	0,00	0,00
Sn59/K219	Combi1/5		-15,40	15,00	-450,20	**0,00**	0,00	0,00

Steunpunt	BG	dx [m]	Rx [kN]	Ry [kN]	Rz [kN]	Mx [kNm]	My [kNm]	Mz [kNm]
Sn50/K187	Combi1/1		-39,46	-38,17	1172,50	0,00	**0,00**	0,00
Sn47/K176	Combi1/5		-26,63	-37,77	791,36	0,00	**0,00**	0,00
Sn72/K253	Combi5/3		-24,34	-34,64	722,02	0,00	0,00	**0,00**
Sn9/K81	Combi5/3		-5,52	-7,92	-161,29	0,00	0,00	**0,00**

BIJLAGE 2 UITVOER SCIA ENGINEER – MATIGE E-WAARDE (MODEL 2)

1. Inhoudsopgave

1. Inhoudsopgave	1
2. Overzicht	2
3. Materialen	2
4. Doorsneden	2
5. Knoop	3
6. 1D-staaf	3
7. 2D-element	3
8. Subregio	3
9. Knoopondersteuningen	4
10. Lijnondersteuning op staaf	4
11. Belastingsgevallen	7
11.1. Belastingsgevallen - BG1	7
11.1.1. Belasting grafisch	7
11.2. Belastingsgevallen - BG3	7
11.2.1. Vrije puntmomenten	7
11.2.2. Genereer vrije lasten	7
11.2.3. Belasting grafisch	8
11.3. Belastingsgevallen - BG2	8
11.3.1. Lasten op oppervlak	8
11.3.2. Belasting grafisch	9
11.4. Belastingsgevallen - BG4	9
11.4.1. Vrije puntmomenten	9
11.4.2. Genereer vrije lasten	9
11.4.3. Belasting grafisch	10
11.5. Belastingsgevallen - BG5	10
11.5.1. Vrije puntmomenten	10
11.5.2. Genereer vrije lasten	11
11.5.3. Belasting grafisch	11
11.6. Belastingsgevallen - BG6	12
11.6.1. Vrije puntmomenten	12
11.6.2. Genereer vrije lasten	12
11.6.3. Belasting grafisch	12
11.7. Belastingsgevallen - BG7	13
11.7.1. Lasten op oppervlak	13
11.7.2. Belasting grafisch	13
12. Combinaties	13
13. Verplaatsing van knopen SLS 1	14
14. Verplaatsing van knopen SLS 2	14
15. Reacties	14
16. 2D element - Interne krachten; mxD+	15
17. 2D element - Interne krachten; mxD-	15
18. 2D element - Interne krachten; myD+	16
19. 2D element - Interne krachten; myD-	16
20. 2D element - Interne krachten; vx	17
21. 2D element - Interne krachten; vy	17

2. Overzicht

3. Materialen

Naam	Type	Massa eenheid [kg/m³]	E-mod [MPa]	Poisson - nu	G-mod [MPa]	Thermisch uitz. [m/mK]	Karakteristieke cylinderdruksterkte fck(28) [MPa]
C30/37	Beton	2500,0	2,2000e+04	0,2	9,1667e+03	0,00	30,00
C45/55	Beton	2500,0	3,6300e+04	0,2	1,5125e+04	0,00	45,00

4. Doorsneden

Naam	CS1	
Type	Rechthoek	
Uitgebreid	450; 450	
Onderdeelmateriaal	C45/55	
Bouwwijze	Algemeen	
Knik y-y, z-z	b	b
EEM berekening	×	

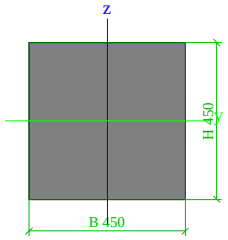

A [m²]	2,0250e-01	
A y, z [m²]	1,6875e-01	1,6875e-01
I y, z [m⁴]	3,4172e-03	3,4172e-03
I w [m⁶], t [m⁴]	0,0000e+00	5,7655e-03
Wel y, z [m³]	1,5188e-02	1,5188e-02
Wpl y, z [m³]	2,2781e-02	2,2781e-02
d y, z [mm]	0	0
c YLCS, ZLCS [mm]	225	225
alpha [deg]	0,00	
AL [m²/m]	1,8000e+00	

5. Knoop

Naam	Coördinaat X [m]	Coördinaat Y [m]	Coördinaat Z [m]
K81	0,400	-2,962	-19,000
K86	1,950	-0,762	0,000
K92	0,400	4,462	-19,000
K94	1,950	2,262	0,000
K143	-1,000	0,000	0,000
K144	0,814	0,000	0,000
K145	4,086	0,000	0,000
K146	2,450	-1,050	0,000
K147	17,214	0,000	0,000
K148	20,486	0,000	0,000
K149	18,850	-1,050	0,000
K150	22,300	0,000	0,000
K151	22,300	1,500	0,000
K152	20,486	1,500	0,000
K153	17,214	1,500	0,000
K154	18,850	2,550	0,000
K155	4,086	1,500	0,000
K156	0,814	1,500	0,000

Naam	Coördinaat X [m]	Coördinaat Y [m]	Coördinaat Z [m]
K157	2,450	2,550	0,000
K158	-1,000	1,500	0,000
K159	0,650	0,750	0,000
K160	4,100	0,000	0,000
K161	4,100	1,500	0,000
K162	4,300	0,750	0,000
K163	17,200	1,500	0,000
K164	17,200	0,000	0,000
K165	17,000	0,750	0,000
K166	20,650	0,750	0,000
K169	2,950	-0,762	0,000
K171	2,950	2,262	0,000
K175	20,900	-2,932	-19,000
K176	20,900	4,462	-19,000
K177	18,350	-0,762	0,000
K178	18,350	2,262	0,000
K179	19,350	-0,762	0,000
K180	19,350	2,262	0,000

Naam	Coördinaat X [m]	Coördinaat Y [m]	Coördinaat Z [m]
K181	21,600	-1,500	-19,000
K183	20,050	0,000	0,000
K186	20,050	1,500	0,000
K187	21,600	3,000	-19,000
K218	-0,300	-1,500	-19,000
K219	-0,300	3,000	-19,000
K220	1,250	0,000	0,000
K221	1,250	1,500	0,000
K242	1,750	0,750	0,000
K246	19,550	0,750	0,000
K252	4,500	-2,962	-19,000
K253	4,500	4,462	-19,000
K254	16,800	-2,962	-19,000
K255	16,800	4,462	-19,000
K258	10,650	0,750	-19,000
K259	10,650	0,750	0,000

6. 1D-staaf

Naam	Doorsnede	Lengte [m]	Vorm	Beginknoop	Eindknoop	Type	EEM-type	Laag
S19	CS1 - Rechthoek (450; 450)	19,190	Lijn	K86	K81	Algemeen (0)	standaard	Laag2
S24	CS1 - Rechthoek (450; 450)	19,190	Lijn	K94	K92	Algemeen (0)	standaard	Laag2
S54	CS1 - Rechthoek (450; 450)	19,186	Lijn	K179	K175	Algemeen (0)	standaard	Laag2
S55	CS1 - Rechthoek (450; 450)	19,190	Lijn	K180	K176	Algemeen (0)	standaard	Laag2
S56	CS1 - Rechthoek (450; 450)	19,122	Lijn	K183	K181	Algemeen (0)	standaard	Laag2
S59	CS1 - Rechthoek (450; 450)	19,122	Lijn	K186	K187	Algemeen (0)	standaard	Laag2
S66	CS1 - Rechthoek (450; 450)	19,122	Lijn	K220	K218	Algemeen (0)	standaard	Laag2
S67	CS1 - Rechthoek (450; 450)	19,122	Lijn	K221	K219	Algemeen (0)	standaard	Laag2
S79	CS1 - Rechthoek (450; 450)	19,190	Lijn	K169	K252	Algemeen (0)	standaard	Laag2
S80	CS1 - Rechthoek (450; 450)	19,190	Lijn	K171	K253	Algemeen (0)	standaard	Laag2
S81	CS1 - Rechthoek (450; 450)	19,190	Lijn	K177	K254	Algemeen (0)	standaard	Laag2
S82	CS1 - Rechthoek (450; 450)	19,190	Lijn	K178	K255	Algemeen (0)	standaard	Laag2
S83	CS1 - Rechthoek (450; 450)	19,000	Lijn	K259	K258	Algemeen (0)	standaard	Laag2

7. 2D-element

Naam	Materiaal	D. [mm]	Dikte type	Type	Laag
E2	C30/37	3000	konstant	vloer (90)	Laag1

8. Subregio

Naam, 2D-element, Materiaal, Dikte type						
2D-element systeemvlak op, Exc. z [mm], D. [mm], Punt 4, Knoop, Rand, Gewicht	Regio3	E2	C30/37	konstant	K156	Cirkelboog
	Boven	0		1800	K157	
					K155	Lijn
Naam, 2D-element, Materiaal, Dikte type	Regio4	E2	C30/37	konstant		
2D-element systeemvlak op, Exc. z [mm], D. [mm], Punt 4, Knoop, Rand, Gewicht	Boven	0		1800	K144	Lijn
					K145	Cirkelboog
					K146	
Naam, 2D-element, Materiaal, Dikte type	Regio6	E2	C30/37	konstant		
2D-element systeemvlak op, Exc. z [mm], D. [mm], Punt 4, Knoop, Rand, Gewicht	Boven	0		1800	K153	Cirkelboog
					K154	
					K152	Lijn
Naam, 2D-element, Materiaal, Dikte type	Regio7	E2	C30/37	konstant		
2D-element systeemvlak op, Exc. z [mm], D. [mm], Punt 4, Knoop, Rand, Gewicht	Boven	0		1800	K147	Lijn
					K148	Cirkelboog
					K149	
Naam, 2D-element, Materiaal, Dikte type	Regio8	E2	C30/37	konstant		
2D-element systeemvlak op, Exc. z [mm], D. [mm], Punt 4, Knoop, Rand, Gewicht	Onder	0		1200	K158	Lijn
					K156	Cirkelboog
					K159	
					K144	Lijn
					K143	Lijn
Naam, 2D-element, Materiaal, Dikte type	Regio9	E2	C30/37	konstant		
2D-element systeemvlak op, Exc. z [mm], D. [mm], Punt 4, Knoop, Rand, Gewicht	Onder	0		1200	K160	Cirkelboog
					K162	
					K161	Lijn
					K163	Cirkelboog

2D-element systeemvlak op, Exc. z [mm], D. [mm], Punt 4, Knoop, Rand, Gewicht	Onder	0		1200	K165 K164	 Lijn
Naam, 2D-element, Materiaal, Dikte type	Regio10	E2	C30/37	konstant		
2D-element systeemvlak op, Exc. z [mm], D. [mm], Punt 4, Knoop, Rand, Gewicht	Onder	0		1200	K152 K151 K150 K148 K166	Lijn Lijn Lijn Cirkelboog

9. Knoopondersteuningen

Naam	Knoop	Systeem	Type	X	Y	Z	Stijfheid Z [MN/m]	Rx	Ry	Rz
Sn9	K81	GCS	Standaard	Vrij	Vrij	Verend	1,2000e+02	Vrij	Vrij	Vrij
Sn14	K92	GCS	Standaard	Vrij	Vrij	Verend	1,2000e+02	Vrij	Vrij	Vrij
Sn43	K181	GCS	Standaard	Vrij	Vrij	Verend	1,2000e+02	Vrij	Vrij	Vrij
Sn47	K176	GCS	Standaard	Vrij	Vrij	Verend	1,2000e+02	Vrij	Vrij	Vrij
Sn49	K175	GCS	Standaard	Vrij	Vrij	Verend	1,2000e+02	Vrij	Vrij	Vrij
Sn50	K187	GCS	Standaard	Vrij	Vrij	Verend	1,2000e+02	Vrij	Vrij	Vrij
Sn58	K218	GCS	Standaard	Vrij	Vrij	Verend	1,2000e+02	Vrij	Vrij	Vrij
Sn59	K219	GCS	Standaard	Vrij	Vrij	Verend	1,2000e+02	Vrij	Vrij	Vrij
Sn71	K252	GCS	Standaard	Vrij	Vrij	Verend	1,2000e+02	Vrij	Vrij	Vrij
Sn72	K253	GCS	Standaard	Vrij	Vrij	Verend	1,2000e+02	Vrij	Vrij	Vrij
Sn73	K254	GCS	Standaard	Vrij	Vrij	Verend	1,2000e+02	Vrij	Vrij	Vrij
Sn74	K255	GCS	Standaard	Vrij	Vrij	Verend	1,2000e+02	Vrij	Vrij	Vrij
Sn75	K258	GCS	Standaard	Vrij	Vrij	Verend	1,2000e+02	Vrij	Vrij	Vrij

10. Lijnondersteuning op staaf

Staaf	Naam Systeem	Pos x_1 [m] Pos x_2 [m]	Coör Oors	X	Y	Stijfheid Y [MN/m²]	Z	Stijfheid Z [MN/m²]	Rx	Ry	Rz
S19	Slb14 LCS	1,100 3,500	Abso Vanaf begin	Vrij	Verend	4,5000e-01	Verend	4,5000e-01	Vrij	Vrij	Vrij
S19	Slb79 LCS	20,400 22,000	Abso Vanaf begin	Vrij	Verend	1,2450e+01	Verend	1,2450e+01	Vrij	Vrij	Vrij
S19	Slb53 LCS	9,600 10,500	Abso Vanaf begin	Vrij	Verend	1,0500e+00	Verend	1,0500e+00	Vrij	Vrij	Vrij
S19	Slb27 LCS	3,500 4,400	Abso Vanaf begin	Vrij	Verend	1,0500e+00	Verend	1,0500e+00	Vrij	Vrij	Vrij
S19	Slb66 LCS	10,500 20,400	Abso Vanaf begin	Vrij	Verend	1,0350e+01	Verend	1,0350e+01	Vrij	Vrij	Vrij
S19	Slb40 LCS	4,400 9,600	Abso Vanaf begin	Vrij	Verend	6,0000e-01	Verend	6,0000e-01	Vrij	Vrij	Vrij
S19	Slb1 LCS	0,000 1,100	Abso Vanaf begin	Vrij	Verend	1,0500e+00	Verend	1,0500e+00	Vrij	Vrij	Vrij
S24	Slb2 LCS	0,000 1,100	Abso Vanaf begin	Vrij	Verend	1,0500e+00	Verend	1,0500e+00	Vrij	Vrij	Vrij
S24	Slb41 LCS	4,400 9,600	Abso Vanaf begin	Vrij	Verend	6,0000e-01	Verend	6,0000e-01	Vrij	Vrij	Vrij
S24	Slb80 LCS	20,400 22,000	Abso Vanaf begin	Vrij	Verend	1,2450e+01	Verend	1,2450e+01	Vrij	Vrij	Vrij
S24	Slb15 LCS	1,100 3,500	Abso Vanaf begin	Vrij	Verend	4,5000e-01	Verend	4,5000e-01	Vrij	Vrij	Vrij
S24	Slb28 LCS	3,500 4,400	Abso Vanaf begin	Vrij	Verend	1,0500e+00	Verend	1,0500e+00	Vrij	Vrij	Vrij
S24	Slb54 LCS	9,600 10,500	Abso Vanaf begin	Vrij	Verend	1,0500e+00	Verend	1,0500e+00	Vrij	Vrij	Vrij
S24	Slb67 LCS	10,500 20,400	Abso Vanaf begin	Vrij	Verend	1,0350e+01	Verend	1,0350e+01	Vrij	Vrij	Vrij
S54	Slb81 LCS	20,400 22,000	Abso Vanaf begin	Vrij	Verend	1,2450e+01	Verend	1,2450e+01	Vrij	Vrij	Vrij
S54	Slb29 LCS	3,500 4,400	Abso Vanaf begin	Vrij	Verend	1,0500e+00	Verend	1,0500e+00	Vrij	Vrij	Vrij
S54	Slb68 LCS	10,500 20,400	Abso Vanaf begin	Vrij	Verend	1,0350e+01	Verend	1,0350e+01	Vrij	Vrij	Vrij
S54	Slb42 LCS	4,400 9,600	Abso Vanaf begin	Vrij	Verend	6,0000e-01	Verend	6,0000e-01	Vrij	Vrij	Vrij
S54	Slb55 LCS	9,600 10,500	Abso Vanaf begin	Vrij	Verend	1,0500e+00	Verend	1,0500e+00	Vrij	Vrij	Vrij
S54	Slb16 LCS	1,100 3,500	Abso Vanaf begin	Vrij	Verend	4,5000e-01	Verend	4,5000e-01	Vrij	Vrij	Vrij

Staaf	Naam Systeem	Pos x_1 [m] Pos x_2 [m]	Coör Oors	X	Y	Stijfheid Y [MN/m²]	Z	Stijfheid Z [MN/m²]	Rx	Ry	Rz
S54	Slb3 LCS	0,000 1,100	Abso Vanaf begin	Vrij	Verend	1,0500e+00	Verend	1,0500e+00	Vrij	Vrij	Vrij
S55	Slb43 LCS	4,400 9,600	Abso Vanaf begin	Vrij	Verend	6,0000e-01	Verend	6,0000e-01	Vrij	Vrij	Vrij
S55	Slb56 LCS	9,600 10,500	Abso Vanaf begin	Vrij	Verend	1,0500e+00	Verend	1,0500e+00	Vrij	Vrij	Vrij
S55	Slb82 LCS	20,400 22,000	Abso Vanaf begin	Vrij	Verend	1,2450e+01	Verend	1,2450e+01	Vrij	Vrij	Vrij
S55	Slb30 LCS	3,500 4,400	Abso Vanaf begin	Vrij	Verend	1,0500e+00	Verend	1,0500e+00	Vrij	Vrij	Vrij
S55	Slb17 LCS	1,100 3,500	Abso Vanaf begin	Vrij	Verend	4,5000e-01	Verend	4,5000e-01	Vrij	Vrij	Vrij
S55	Slb69 LCS	10,500 20,400	Abso Vanaf begin	Vrij	Verend	1,0350e+01	Verend	1,0350e+01	Vrij	Vrij	Vrij
S55	Slb4 LCS	0,000 1,100	Abso Vanaf begin	Vrij	Verend	1,0500e+00	Verend	1,0500e+00	Vrij	Vrij	Vrij
S56	Slb18 LCS	1,100 3,500	Abso Vanaf begin	Vrij	Verend	4,5000e-01	Verend	4,5000e-01	Vrij	Vrij	Vrij
S56	Slb70 LCS	10,500 20,400	Abso Vanaf begin	Vrij	Verend	1,0350e+01	Verend	1,0350e+01	Vrij	Vrij	Vrij
S56	Slb57 LCS	9,600 10,500	Abso Vanaf begin	Vrij	Verend	1,0500e+00	Verend	1,0500e+00	Vrij	Vrij	Vrij
S56	Slb5 LCS	0,000 1,100	Abso Vanaf begin	Vrij	Verend	1,0500e+00	Verend	1,0500e+00	Vrij	Vrij	Vrij
S56	Slb44 LCS	4,400 9,600	Abso Vanaf begin	Vrij	Verend	6,0000e-01	Verend	6,0000e-01	Vrij	Vrij	Vrij
S56	Slb83 LCS	20,400 22,000	Abso Vanaf begin	Vrij	Verend	1,2450e+01	Verend	1,2450e+01	Vrij	Vrij	Vrij
S56	Slb31 LCS	3,500 4,400	Abso Vanaf begin	Vrij	Verend	1,0500e+00	Verend	1,0500e+00	Vrij	Vrij	Vrij
S59	Slb71 LCS	10,500 20,400	Abso Vanaf begin	Vrij	Verend	1,0350e+01	Verend	1,0350e+01	Vrij	Vrij	Vrij
S59	Slb45 LCS	4,400 9,600	Abso Vanaf begin	Vrij	Verend	6,0000e-01	Verend	6,0000e-01	Vrij	Vrij	Vrij
S59	Slb58 LCS	9,600 10,500	Abso Vanaf begin	Vrij	Verend	1,0500e+00	Verend	1,0500e+00	Vrij	Vrij	Vrij
S59	Slb84 LCS	20,400 22,000	Abso Vanaf begin	Vrij	Verend	1,2450e+01	Verend	1,2450e+01	Vrij	Vrij	Vrij
S59	Slb6 LCS	0,000 1,100	Abso Vanaf begin	Vrij	Verend	1,0500e+00	Verend	1,0500e+00	Vrij	Vrij	Vrij
S59	Slb19 LCS	1,100 3,500	Abso Vanaf begin	Vrij	Verend	4,5000e-01	Verend	4,5000e-01	Vrij	Vrij	Vrij
S59	Slb32 LCS	3,500 4,400	Abso Vanaf begin	Vrij	Verend	1,0500e+00	Verend	1,0500e+00	Vrij	Vrij	Vrij
S66	Slb72 LCS	10,500 20,400	Abso Vanaf begin	Vrij	Verend	1,0350e+01	Verend	1,0350e+01	Vrij	Vrij	Vrij
S66	Slb85 LCS	20,400 22,000	Abso Vanaf begin	Vrij	Verend	1,2450e+01	Verend	1,2450e+01	Vrij	Vrij	Vrij
S66	Slb7 LCS	0,000 1,100	Abso Vanaf begin	Vrij	Verend	1,0500e+00	Verend	1,0500e+00	Vrij	Vrij	Vrij
S66	Slb20 LCS	1,100 3,500	Abso Vanaf begin	Vrij	Verend	4,5000e-01	Verend	4,5000e-01	Vrij	Vrij	Vrij
S66	Slb46 LCS	4,400 9,600	Abso Vanaf begin	Vrij	Verend	6,0000e-01	Verend	6,0000e-01	Vrij	Vrij	Vrij
S66	Slb33 LCS	3,500 4,400	Abso Vanaf begin	Vrij	Verend	1,0500e+00	Verend	1,0500e+00	Vrij	Vrij	Vrij
S66	Slb59 LCS	9,600 10,500	Abso Vanaf begin	Vrij	Verend	1,0500e+00	Verend	1,0500e+00	Vrij	Vrij	Vrij
S67	Slb21 LCS	1,100 3,500	Abso Vanaf begin	Vrij	Verend	4,5000e-01	Verend	4,5000e-01	Vrij	Vrij	Vrij
S67	Slb60 LCS	9,600 10,500	Abso Vanaf begin	Vrij	Verend	1,0500e+00	Verend	1,0500e+00	Vrij	Vrij	Vrij
S67	Slb86 LCS	20,400 22,000	Abso Vanaf begin	Vrij	Verend	1,2450e+01	Verend	1,2450e+01	Vrij	Vrij	Vrij
S67	Slb47 LCS	4,400 9,600	Abso Vanaf begin	Vrij	Verend	6,0000e-01	Verend	6,0000e-01	Vrij	Vrij	Vrij
S67	Slb8 LCS	0,000 1,100	Abso Vanaf begin	Vrij	Verend	1,0500e+00	Verend	1,0500e+00	Vrij	Vrij	Vrij
S67	Slb34 LCS	3,500 4,400	Abso Vanaf begin	Vrij	Verend	1,0500e+00	Verend	1,0500e+00	Vrij	Vrij	Vrij
S67	Slb73 LCS	10,500 20,400	Abso Vanaf begin	Vrij	Verend	1,0350e+01	Verend	1,0350e+01	Vrij	Vrij	Vrij

Staaf	Naam Systeem	Pos x_1 [m] Pos x_2 [m]	Coör Oors	X	Y	Stijfheid Y [MN/m²]	Z	Stijfheid Z [MN/m²]	Rx	Ry	Rz
S79	Slb62 LCS	9,600 10,500	Abso Vanaf begin	Vrij	Verend	1,0500e+00	Verend	1,0500e+00	Vrij	Vrij	Vrij
S79	Slb23 LCS	1,100 3,500	Abso Vanaf begin	Vrij	Verend	4,5000e-01	Verend	4,5000e-01	Vrij	Vrij	Vrij
S79	Slb88 LCS	20,400 22,000	Abso Vanaf begin	Vrij	Verend	1,2450e+01	Verend	1,2450e+01	Vrij	Vrij	Vrij
S79	Slb10 LCS	0,000 1,100	Abso Vanaf begin	Vrij	Verend	1,0500e+00	Verend	1,0500e+00	Vrij	Vrij	Vrij
S79	Slb36 LCS	3,500 4,400	Abso Vanaf begin	Vrij	Verend	1,0500e+00	Verend	1,0500e+00	Vrij	Vrij	Vrij
S79	Slb75 LCS	10,500 20,400	Abso Vanaf begin	Vrij	Verend	1,0350e+01	Verend	1,0350e+01	Vrij	Vrij	Vrij
S79	Slb49 LCS	4,400 9,600	Abso Vanaf begin	Vrij	Verend	6,0000e-01	Verend	6,0000e-01	Vrij	Vrij	Vrij
S80	Slb89 LCS	20,400 22,000	Abso Vanaf begin	Vrij	Verend	1,2450e+01	Verend	1,2450e+01	Vrij	Vrij	Vrij
S80	Slb76 LCS	10,500 20,400	Abso Vanaf begin	Vrij	Verend	1,0350e+01	Verend	1,0350e+01	Vrij	Vrij	Vrij
S80	Slb24 LCS	1,100 3,500	Abso Vanaf begin	Vrij	Verend	4,5000e-01	Verend	4,5000e-01	Vrij	Vrij	Vrij
S80	Slb37 LCS	3,500 4,400	Abso Vanaf begin	Vrij	Verend	1,0500e+00	Verend	1,0500e+00	Vrij	Vrij	Vrij
S80	Slb50 LCS	4,400 9,600	Abso Vanaf begin	Vrij	Verend	6,0000e-01	Verend	6,0000e-01	Vrij	Vrij	Vrij
S80	Slb11 LCS	0,000 1,100	Abso Vanaf begin	Vrij	Verend	1,0500e+00	Verend	1,0500e+00	Vrij	Vrij	Vrij
S80	Slb63 LCS	9,600 10,500	Abso Vanaf begin	Vrij	Verend	1,0500e+00	Verend	1,0500e+00	Vrij	Vrij	Vrij
S81	Slb38 LCS	3,500 4,400	Abso Vanaf begin	Vrij	Verend	1,0500e+00	Verend	1,0500e+00	Vrij	Vrij	Vrij
S81	Slb90 LCS	20,400 22,000	Abso Vanaf begin	Vrij	Verend	1,2450e+01	Verend	1,2450e+01	Vrij	Vrij	Vrij
S81	Slb12 LCS	0,000 1,100	Abso Vanaf begin	Vrij	Verend	1,0500e+00	Verend	1,0500e+00	Vrij	Vrij	Vrij
S81	Slb25 LCS	1,100 3,500	Abso Vanaf begin	Vrij	Verend	4,5000e-01	Verend	4,5000e-01	Vrij	Vrij	Vrij
S81	Slb77 LCS	10,500 20,400	Abso Vanaf begin	Vrij	Verend	1,0350e+01	Verend	1,0350e+01	Vrij	Vrij	Vrij
S81	Slb51 LCS	4,400 9,600	Abso Vanaf begin	Vrij	Verend	6,0000e-01	Verend	6,0000e-01	Vrij	Vrij	Vrij
S81	Slb64 LCS	9,600 10,500	Abso Vanaf begin	Vrij	Verend	1,0500e+00	Verend	1,0500e+00	Vrij	Vrij	Vrij
S82	Slb52 LCS	4,400 9,600	Abso Vanaf begin	Vrij	Verend	6,0000e-01	Verend	6,0000e-01	Vrij	Vrij	Vrij
S82	Slb91 LCS	20,400 22,000	Abso Vanaf begin	Vrij	Verend	1,2450e+01	Verend	1,2450e+01	Vrij	Vrij	Vrij
S82	Slb65 LCS	9,600 10,500	Abso Vanaf begin	Vrij	Verend	1,0500e+00	Verend	1,0500e+00	Vrij	Vrij	Vrij
S82	Slb78 LCS	10,500 20,400	Abso Vanaf begin	Vrij	Verend	1,0350e+01	Verend	1,0350e+01	Vrij	Vrij	Vrij
S82	Slb39 LCS	3,500 4,400	Abso Vanaf begin	Vrij	Verend	1,0500e+00	Verend	1,0500e+00	Vrij	Vrij	Vrij
S82	Slb13 LCS	0,000 1,100	Abso Vanaf begin	Vrij	Verend	1,0500e+00	Verend	1,0500e+00	Vrij	Vrij	Vrij
S82	Slb26 LCS	1,100 3,500	Abso Vanaf begin	Vrij	Verend	4,5000e-01	Verend	4,5000e-01	Vrij	Vrij	Vrij
S83	Slb96 LCS	9,600 10,500	Abso Vanaf begin	Vrij	Verend	1,0500e+00	Verend	1,0500e+00	Vrij	Vrij	Vrij
S83	Slb97 LCS	10,500 20,400	Abso Vanaf begin	Vrij	Verend	1,0350e+01	Verend	1,0350e+01	Vrij	Vrij	Vrij
S83	Slb98 LCS	20,400 22,000	Abso Vanaf begin	Vrij	Verend	1,2450e+01	Verend	1,2450e+01	Vrij	Vrij	Vrij
S83	Slb95 LCS	4,400 9,600	Abso Vanaf begin	Vrij	Verend	6,0000e-01	Verend	6,0000e-01	Vrij	Vrij	Vrij
S83	Slb92 LCS	0,000 1,100	Abso Vanaf begin	Vrij	Verend	1,0500e+00	Verend	1,0500e+00	Vrij	Vrij	Vrij
S83	Slb93 LCS	1,100 3,500	Abso Vanaf begin	Vrij	Verend	4,5000e-01	Verend	4,5000e-01	Vrij	Vrij	Vrij
S83	Slb94 LCS	3,500 4,400	Abso Vanaf begin	Vrij	Verend	1,0500e+00	Verend	1,0500e+00	Vrij	Vrij	Vrij

11. Belastingsgevallen

11.1. Belastingsgevallen - BG1

Naam	Omschrijving	Actie type	Lastgroep	Belastingtype	Richting
BG1	Eigengewicht	Permanent	LG8	Eigen gewicht	-Z

11.1.1. Belasting grafisch

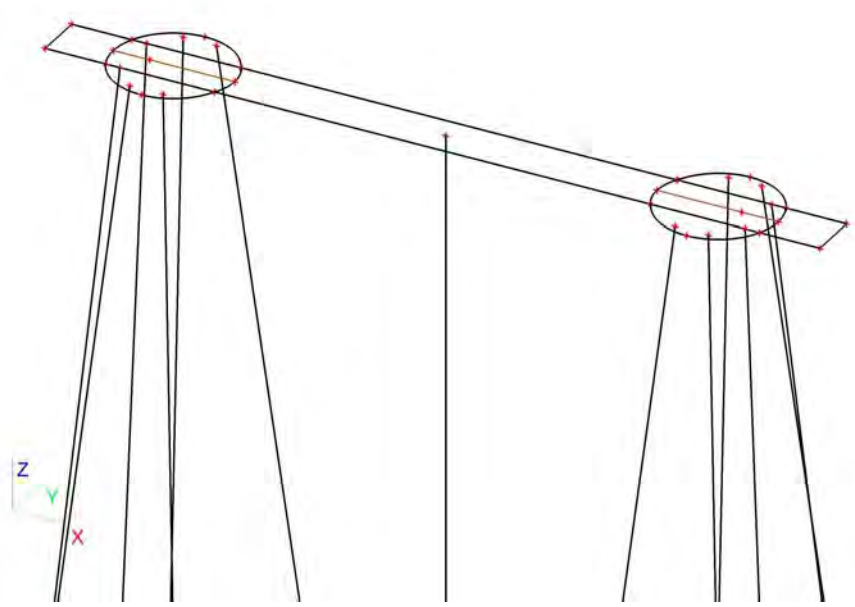

11.2. Belastingsgevallen - BG3

Naam	Omschrijving	Actie type	Lastgroep	Belastingtype	Spec	Duur	'Master' belastingsgeval
BG3	ULS 1	Variabel	LG7	Statisch	Standaard	Kort	Geen

11.2.1. Vrije puntmomenten

Typenaam	Naam	Rich	Type	Geldigheid	Selecteer	Waarde - F [kNm]	Belastingsgeval	Coördinaat X [m]	Coördinaat Y [m]	Coördinaat Z [m]	Coördinaat ux [m]	Coördinaat uy [m]	Coördinaat uz [m]	Systeem
Vrij puntmoment	FM1	Mx	Moment	Alle	Auto	0,00	BG3 - ULS 1	2,450	0,750	0,000	2,450	0,750	0,000	GCS
Vrij puntmoment	FM2	Mx	Moment	Alle	Auto	0,00	BG3 - ULS 1	18,850	0,750	0,000	18,850	0,750	0,000	GCS
Vrij puntmoment	FM3	My	Moment	Alle	Auto	14507,00	BG3 - ULS 1	2,450	0,750	0,000	2,450	0,750	0,000	GCS
Vrij puntmoment	FM4	My	Moment	Alle	Auto	14507,00	BG3 - ULS 1	18,850	0,750	0,000	18,850	0,750	0,000	GCS
Vrij puntmoment	FM5	Mx	Moment	Alle	Auto	0,00	BG3 - ULS 1	2,450	0,750	0,000	2,450	0,750	0,000	GCS
Vrij puntmoment	FM6	Mx	Moment	Alle	Auto	0,00	BG3 - ULS 1	18,850	0,750	0,000	18,850	0,750	0,000	GCS
Vrij puntmoment	FM7	My	Moment	Alle	Auto	953,70	BG3 - ULS 1	2,450	0,750	0,000	-13,960	0,757	0,000	GCS
Vrij puntmoment	FM8	My	Moment	Alle	Auto	953,70	BG3 - ULS 1	18,850	0,750	0,000	2,440	0,757	0,000	GCS

11.2.2. Genereer vrije lasten

Naam	Belastingsgeval	2D-element	Rich	Belastingstype Type	Oorspronkelijke belasting	Waarde - F [kN] Waarde - F [kNm]	Systeem Locatie
GFF1	BG3 - ULS 1	E2	Z	Punt Kracht	FF1	-565,00	GCS Lengte
GFF4	BG3 - ULS 1	E2	Z	Punt Kracht	FF2	-565,00	GCS Lengte
GFF5	BG3 - ULS 1	E2	Mx	Punt Moment	FM6	0,00	GCS Lengte
GFF6	BG3 - ULS 1	E2	Y	Punt Kracht	FF3	0,00	GCS Lengte
GFF7	BG3 - ULS 1	E2	X	Punt Kracht	FF5	374,00	GCS Lengte

Naam	Belastingsgeval	2D-element	Rich	Belastingstype Type	Oorspronkelijke belasting	Waarde - F [kN] Waarde - F [kNm]	Systeem Locatie
GFF9	BG3 - ULS 1	E2	Y	Punt Kracht	FF4	0,00	GCS Lengte
GFF10	BG3 - ULS 1	E2	X	Punt Kracht	FF6	374,00	GCS Lengte
GFF25	BG3 - ULS 1	E2	My	Punt Moment	FM7	953,70	GCS Lengte
GFF27	BG3 - ULS 1	E2	My	Punt Moment	FM8	953,70	GCS Lengte
GFF41	BG3 - ULS 1	E2	Mx	Punt Moment	FM1	0,00	GCS Lengte
GFF42	BG3 - ULS 1	E2	Mx	Punt Moment	FM2	0,00	GCS Lengte
GFF43	BG3 - ULS 1	E2	My	Punt Moment	FM3	14507,00	GCS Lengte
GFF44	BG3 - ULS 1	E2	My	Punt Moment	FM4	14507,00	GCS Lengte
GFF45	BG3 - ULS 1	E2	Mx	Punt Moment	FM5	0,00	GCS Lengte

11.2.3. Belasting grafisch

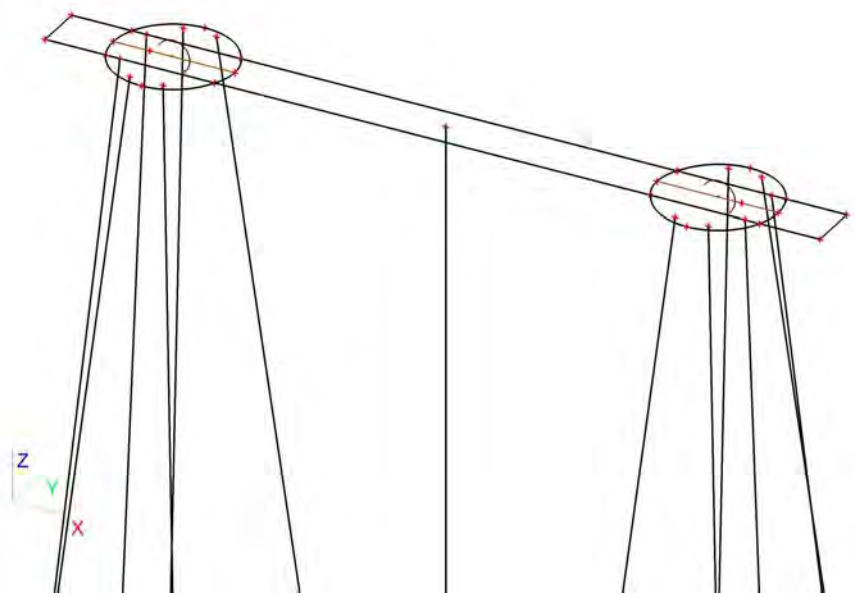

11.3. Belastingsgevallen - BG2

Naam	Omschrijving	Actie type	Lastgroep	Belastingtype
BG2	Grond	Permanent	LG8	Standaard

11.3.1. Lasten op oppervlak

Naam	Rich	Type	Waarde [kN/m²]	Belastingsgeval	Systeem	Loc
SF1	Z	Kracht	-25,50	BG2 - Grond	LCS	Lengte
SF2	Z	Kracht	-25,50	BG2 - Grond	LCS	Lengte
SF3	Z	Kracht	-25,50	BG2 - Grond	LCS	Lengte

11.3.2. Belasting grafisch

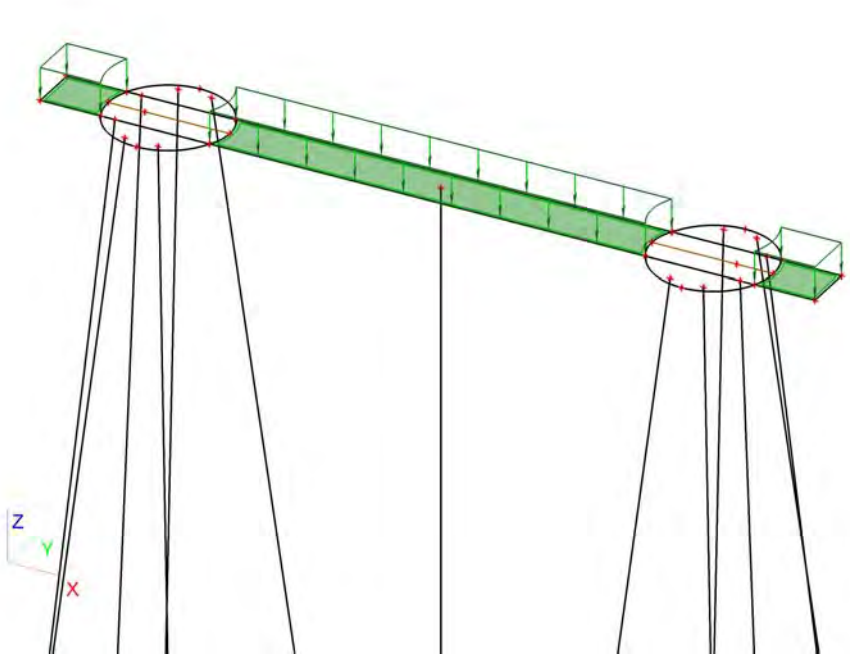

11.4. Belastingsgevallen - BG4

Naam	Omschrijving	Actie type	Lastgroep	Belastingtype	Spec	Duur	'Master' belastingsgeval
BG4	ULS 2	Variabel	LG9	Statisch	Standaard	Kort	Geen

11.4.1. Vrije puntmomenten

Typenaam	Naam	Rich	Type	Geldigheid	Selecteer	Waarde - F [kNm]	Belastingsgeval	Coördinaat X [m]	Coördinaat Y [m]	Coördinaat Z [m]	Coördinaat ux [m]	Coördinaat uy [m]	Coördinaat uz [m]	Systeem
Vrij puntmoment	FM9	Mx	Moment	Alle	Auto	-4914,00	BG4 - ULS 2	2,450	0,750	0,000	3,703	0,750	0,000	GCS
Vrij puntmoment	FM10	Mx	Moment	Alle	Auto	-4914,00	BG4 - ULS 2	18,850	0,750	0,000	20,275	0,744	0,000	GCS
Vrij puntmoment	FM11	My	Moment	Alle	Auto	862,00	BG4 - ULS 2	2,450	0,750	0,000	-12,525	0,744	0,000	GCS
Vrij puntmoment	FM12	My	Moment	Alle	Auto	862,00	BG4 - ULS 2	18,850	0,750	0,000	3,703	0,750	0,000	GCS
Vrij puntmoment	FM13	Mx	Moment	Alle	Auto	397,80	BG4 - ULS 2	2,450	0,750	0,000	-13,950	0,750	0,000	GCS
Vrij puntmoment	FM14	Mx	Moment	Alle	Auto	397,80	BG4 - ULS 2	18,850	0,750	0,000	2,450	0,750	0,000	GCS
Vrij puntmoment	FM15	My	Moment	Alle	Auto	0,00	BG4 - ULS 2	2,450	0,750	0,000	-13,950	0,750	0,000	GCS
Vrij puntmoment	FM16	My	Moment	Alle	Auto	0,00	BG4 - ULS 2	18,850	0,750	0,000	2,450	0,750	0,000	GCS

11.4.2. Genereer vrije lasten

Naam	Belastingsgeval	2D-element	Rich	Belastingstype Type	Oorspronkelijke belasting	Waarde - F [kN] Waarde - F [kNm]	Systeem Locatie
GFF2	BG4 - ULS 2	E2	Y	Punt Kracht	FF9	156,00	GCS Lengte
GFF12	BG4 - ULS 2	E2	Z	Punt Kracht	FF7	-737,00	GCS Lengte
GFF13	BG4 - ULS 2	E2	Mx	Punt Moment	FM13	397,80	GCS Lengte
GFF14	BG4 - ULS 2	E2	Z	Punt Kracht	FF8	-737,00	GCS Lengte
GFF15	BG4 - ULS 2	E2	Mx	Punt Moment	FM14	397,80	GCS Lengte
GFF16	BG4 - ULS 2	E2	Y	Punt Kracht	FF10	156,00	GCS Lengte
GFF18	BG4 - ULS 2	E2	X	Punt Kracht	FF11	0,00	GCS Lengte
GFF19	BG4 - ULS 2	E2	X	Punt Kracht	FF12	0,00	GCS Lengte
GFF20	BG4 - ULS 2	E2	Mx	Punt Moment	FM10	-4914,00	GCS Lengte

Naam	Belastingsgeval	2D-element	Rich	Belastingstype Type	Oorspronkelijke belasting	Waarde - F [kN] Waarde - F [kNm]	Systeem Locatie
GFF22	BG4 - ULS 2	E2	My	Punt Moment	FM15	 0,00	GCS Lengte
GFF24	BG4 - ULS 2	E2	My	Punt Moment	FM16	 0,00	GCS Lengte
GFF29	BG4 - ULS 2	E2	My	Punt Moment	FM11	 862,00	GCS Lengte
GFF31	BG4 - ULS 2	E2	My	Punt Moment	FM12	 862,00	GCS Lengte
GFF46	BG4 - ULS 2	E2	Mx	Punt Moment	FM9	 -4914,00	GCS Lengte

11.4.3. Belasting grafisch

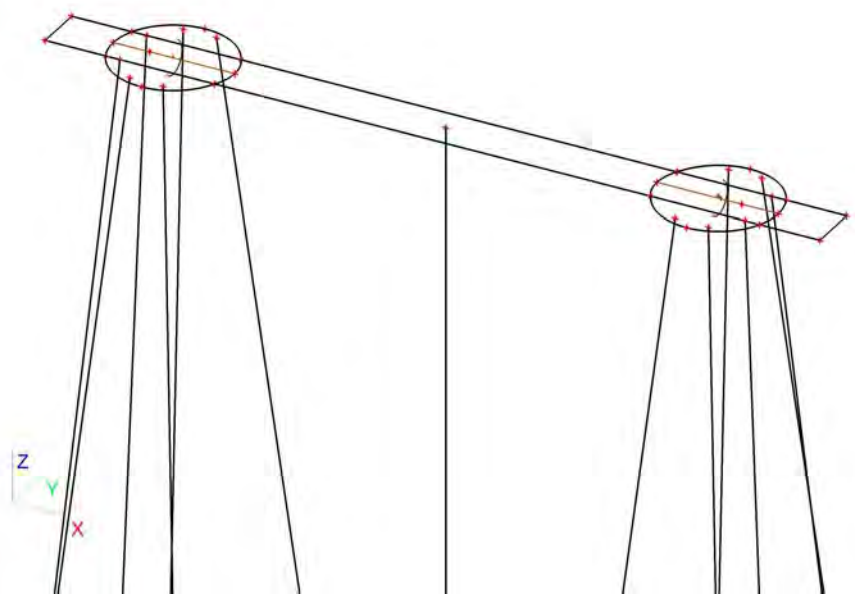

11.5. Belastingsgevallen - BG5

Naam	Omschrijving	Actie type	Lastgroep	Belastingtype	Spec	Duur	'Master' belastingsgeval
BG5	SLS 1	Variabel	LG9	Statisch	Standaard	Kort	Geen

11.5.1. Vrije puntmomenten

Typenaam	Naam	Rich	Type	Geldigheid	Selecteer	Waarde - F [kNm]	Belastingsgeval	Coördinaat X [m]	Coördinaat Y [m]	Coördinaat Z [m]	Coördinaat ux [m]	Coördinaat uy [m]	Coördinaat uz [m]	Systeem
Vrij puntmoment	FM17	Mx	Moment	Alle	Auto	-1805,00	BG5 - SLS 1	2,450	0,750	0,000	1,450	0,750	0,000	GCS
Vrij puntmoment	FM18	Mx	Moment	Alle	Auto	-1805,00	BG5 - SLS 1	18,850	0,750	0,000	17,850	0,750	0,000	GCS
Vrij puntmoment	FM19	My	Moment	Alle	Auto	10053,00	BG5 - SLS 1	2,450	0,750	0,000	1,450	0,750	0,000	GCS
Vrij puntmoment	FM20	My	Moment	Alle	Auto	10053,00	BG5 - SLS 1	18,850	0,750	0,000	17,850	0,750	0,000	GCS
Vrij puntmoment	FM21	Mx	Moment	Alle	Auto	165,75	BG5 - SLS 1	2,450	0,750	0,000	1,450	0,750	0,000	GCS
Vrij puntmoment	FM22	Mx	Moment	Alle	Auto	165,75	BG5 - SLS 1	18,850	0,750	0,000	17,850	0,750	0,000	GCS
Vrij puntmoment	FM23	My	Moment	Alle	Auto	165,75	BG5 - SLS 1	2,450	0,750	0,000	1,450	0,750	0,000	GCS
Vrij puntmoment	FM24	My	Moment	Alle	Auto	165,75	BG5 - SLS 1	18,850	0,750	0,000	17,850	0,750	0,000	GCS
Vrij puntmoment	FM29	Mx	Moment	Alle	Auto	459,00	BG5 - SLS 1	2,450	0,750	0,000	1,450	0,750	0,000	GCS
Vrij puntmoment	FM30	Mx	Moment	Alle	Auto	459,00	BG5 - SLS 1	18,850	0,750	0,000	17,850	0,750	0,000	GCS
Vrij puntmoment	FM31	My	Moment	Alle	Auto	400,35	BG5 - SLS 1	2,450	0,750	0,000	-14,960	0,757	0,000	GCS
Vrij puntmoment	FM32	My	Moment	Alle	Auto	400,35	BG5 - SLS 1	18,850	0,750	0,000	1,440	0,757	0,000	GCS

11.5.2. Genereer vrije lasten

Naam	Belastingsgeval	2D-element	Rich	Belastingstype Type	Oorspronkelijke belasting	Waarde - F [kN] Waarde - F [kNm]	Systeem Locatie
GFF3	BG5 - SLS 1	E2	My	Punt Moment	FM19	 10053,00	GCS Lengte
GFF8	BG5 - SLS 1	E2	Mx	Punt Moment	FM17	 -1805,00	GCS Lengte
GFF11	BG5 - SLS 1	E2	Mx	Punt Moment	FM18	 -1805,00	GCS Lengte
GFF17	BG5 - SLS 1	E2	My	Punt Moment	FM20	 10053,00	GCS Lengte
GFF21	BG5 - SLS 1	E2	Z	Punt Kracht	FF13	-471,00	GCS Lengte
GFF23	BG5 - SLS 1	E2	Z	Punt Kracht	FF14	-471,00	GCS Lengte
GFF26	BG5 - SLS 1	E2	Y	Punt Kracht	FF15	65,00	GCS Lengte
GFF28	BG5 - SLS 1	E2	Y	Punt Kracht	FF16	65,00	GCS Lengte
GFF30	BG5 - SLS 1	E2	X	Punt Kracht	FF17	257,00	GCS Lengte
GFF32	BG5 - SLS 1	E2	X	Punt Kracht	FF18	257,00	GCS Lengte
GFF38	BG5 - SLS 1	E2	Mx	Punt Moment	FM29	 459,00	GCS Lengte
GFF40	BG5 - SLS 1	E2	Mx	Punt Moment	FM30	 459,00	GCS Lengte
GFF47	BG5 - SLS 1	E2	Mx	Punt Moment	FM21	 165,75	GCS Lengte
GFF48	BG5 - SLS 1	E2	Mx	Punt Moment	FM22	 165,75	GCS Lengte
GFF49	BG5 - SLS 1	E2	My	Punt Moment	FM23	 165,75	GCS Lengte
GFF50	BG5 - SLS 1	E2	My	Punt Moment	FM24	 165,75	GCS Lengte
GFF55	BG5 - SLS 1	E2	My	Punt Moment	FM31	 400,35	GCS Lengte
GFF56	BG5 - SLS 1	E2	My	Punt Moment	FM32	 400,35	GCS Lengte

11.5.3. Belasting grafisch

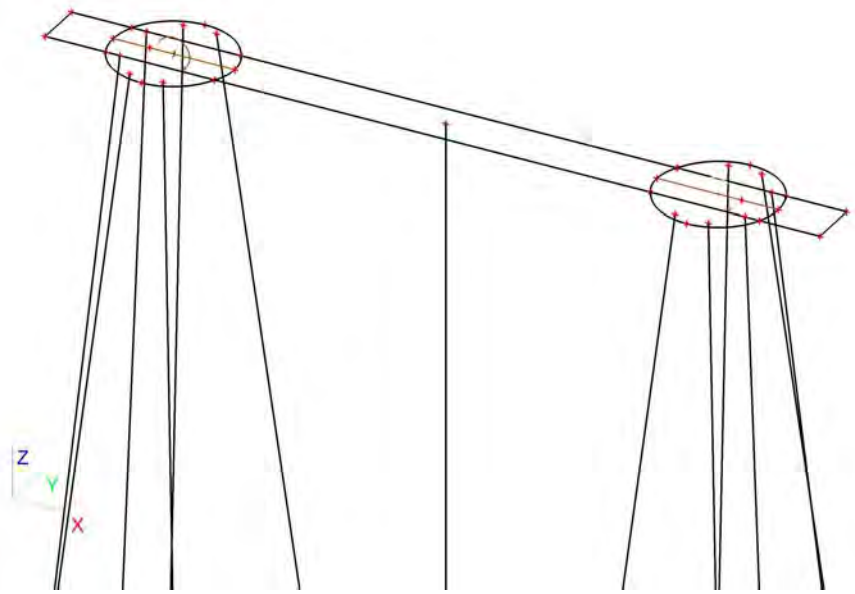

11.6. Belastingsgevallen - BG6

Naam	Omschrijving	Actie type	Lastgroep	Belastingtype	Spec	Duur	'Master' belastingsgeval
BG6	SLS 2	Variabel	LG9	Statisch	Standaard	Kort	Geen

11.6.1. Vrije puntmomenten

Typenaam	Naam	Rich	Type	Geldigheid	Selecteer	Waarde - F [kNm]	Belastingsgeval	Coördinaat X [m]	Coördinaat Y [m]	Coördinaat Z [m]	Coördinaat ux [m]	Coördinaat uy [m]	Coördinaat uz [m]	Systeem
Vrij puntmoment	FM25	Mx	Moment	Alle	Auto	-5585,00	BG6 - SLS 2	2,450	0,750	0,000	1,450	0,750	0,000	GCS
Vrij puntmoment	FM26	Mx	Moment	Alle	Auto	-5585,00	BG6 - SLS 2	18,850	0,750	0,000	17,850	0,750	0,000	GCS
Vrij puntmoment	FM27	My	Moment	Alle	Auto	6660,00	BG6 - SLS 2	2,450	0,750	0,000	1,450	0,750	0,000	GCS
Vrij puntmoment	FM28	My	Moment	Alle	Auto	6660,00	BG6 - SLS 2	18,850	0,750	0,000	17,850	0,750	0,000	GCS

11.6.2. Genereer vrije lasten

Naam	Belastingsgeval	2D-element	Rich	Belastingstype Type	Oorspronkelijke belasting	Waarde - F [kN] Waarde - F [kNm]	Systeem Locatie
GFF33	BG6 - SLS 2	E2	Z	Punt Kracht	FF19	-592,00	GCS Lengte
GFF34	BG6 - SLS 2	E2	Z	Punt Kracht	FF20	-592,00	GCS Lengte
GFF35	BG6 - SLS 2	E2	Y	Punt Kracht	FF21	180,00	GCS Lengte
GFF36	BG6 - SLS 2	E2	Y	Punt Kracht	FF22	180,00	GCS Lengte
GFF37	BG6 - SLS 2	E2	X	Punt Kracht	FF23	157,00	GCS Lengte
GFF39	BG6 - SLS 2	E2	X	Punt Kracht	FF24	157,00	GCS Lengte
GFF51	BG6 - SLS 2	E2	Mx	Punt Moment	FM25	-5585,00	GCS Lengte
GFF52	BG6 - SLS 2	E2	Mx	Punt Moment	FM26	-5585,00	GCS Lengte
GFF53	BG6 - SLS 2	E2	My	Punt Moment	FM27	6660,00	GCS Lengte
GFF54	BG6 - SLS 2	E2	My	Punt Moment	FM28	6660,00	GCS Lengte

11.6.3. Belasting grafisch

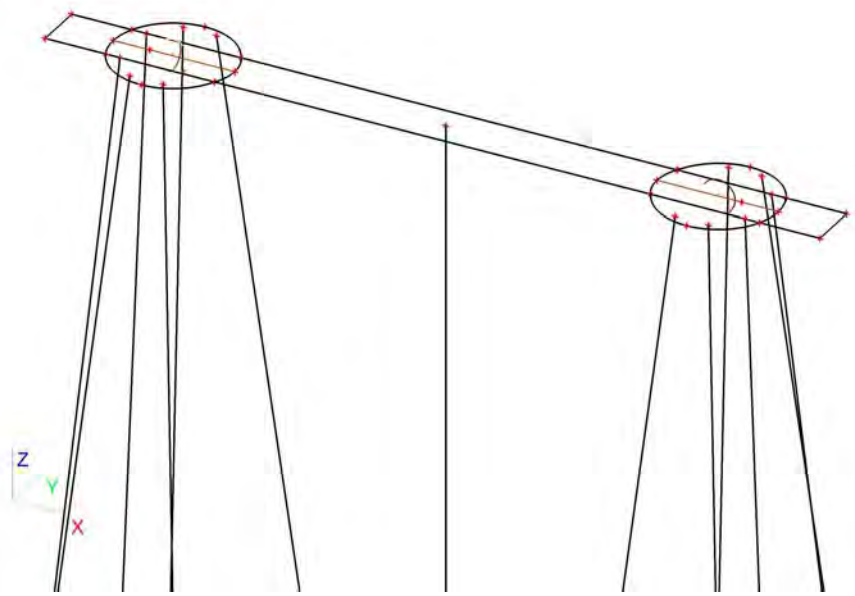

11.7. Belastingsgevallen - BG7

Naam	Omschrijving	Actie type	Lastgroep	Belastingtype	Spec	Duur	'Master' belastingsgeval
BG7	Belasting op maaiveld	Variabel	LG7	Statisch	Standaard	Kort	Geen

11.7.1. Lasten op oppervlak

Naam	Rich	Type	Waarde [kN/m²]	Belastingsgeval	Systeem	Loc
SF4	Z	Kracht	-10,00	BG7 - Belasting op maaiveld	LCS	Lengte
SF5	Z	Kracht	-10,00	BG7 - Belasting op maaiveld	LCS	Lengte
SF6	Z	Kracht	-10,00	BG7 - Belasting op maaiveld	LCS	Lengte

11.7.2. Belasting grafisch

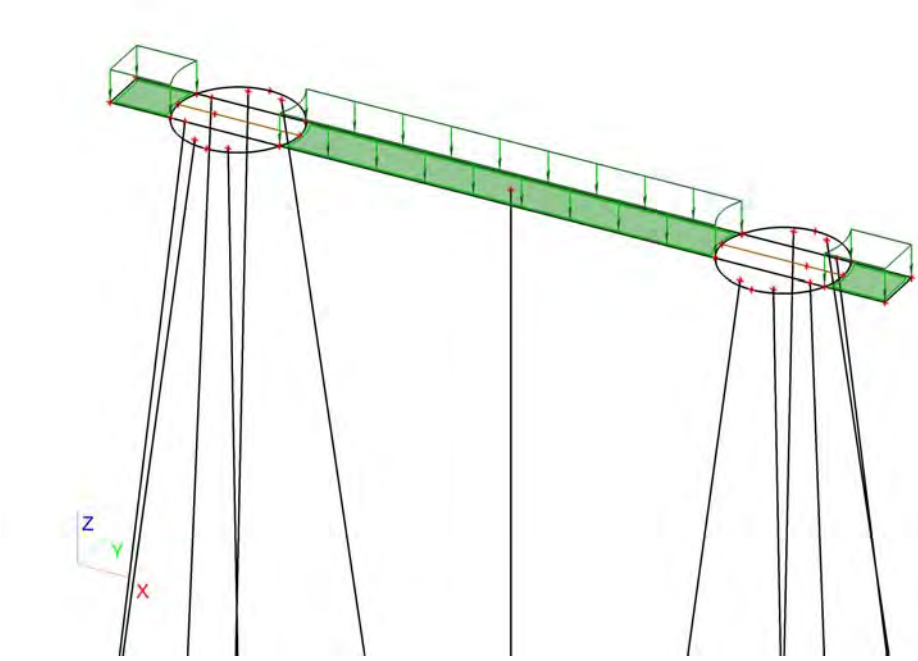

12. Combinaties

Naam	Type	Belastingsgevallen	Coëff. [-]
Combi1	Omhullende - uiterst	BG1 - Eigengewicht	1,30
		BG3 - ULS 1	1,00
		BG7 - Belasting op maaiveld	1,16
		BG2 - Grond	1,30
Combi2	Omhullende - uiterst	BG1 - Eigengewicht	1,30
		BG4 - ULS 2	1,00
		BG7 - Belasting op maaiveld	1,16
		BG2 - Grond	1,30
Combi3	Omhullende - uiterst	BG1 - Eigengewicht	1,30
		BG3 - ULS 1	0,60
		BG7 - Belasting op maaiveld	1,65
		BG2 - Grond	1,30
Combi4	Omhullende - uiterst	BG1 - Eigengewicht	1,30
		BG4 - ULS 2	0,60
		BG7 - Belasting op maaiveld	1,65
		BG2 - Grond	1,30
Combi5	Omhullende - uiterst	BG1 - Eigengewicht	0,54
		BG3 - ULS 1	1,00
		BG2 - Grond	0,54
Combi6	Omhullende -	BG1 - Eigengewicht	0,54

Naam	Type	Belastingsgevallen	Coëff. [-]
Combi6	Omhullende - uiterst	BG4 - ULS 2	1,00
		BG2 - Grond	0,54
Combi7	Omhullende - bruikbaarheid	BG1 - Eigengewicht	1,00
		BG5 - SLS 1	1,00
		BG7 - Belasting op maaiveld	1,16
		BG2 - Grond	1,00
Combi8	Omhullende - bruikbaarheid	BG1 - Eigengewicht	1,00
		BG6 - SLS 2	1,00
		BG7 - Belasting op maaiveld	0,70
		BG2 - Grond	1,00
Combi9	Omhullende - bruikbaarheid	BG1 - Eigengewicht	1,00
		BG5 - SLS 1	0,60
		BG7 - Belasting op maaiveld	1,00
		BG2 - Grond	1,00
Combi10	Omhullende - bruikbaarheid	BG1 - Eigengewicht	1,00
		BG6 - SLS 2	0,60
		BG7 - Belasting op maaiveld	1,00
		BG2 - Grond	1,00
Combi11	Omhullende - bruikbaarheid	BG1 - Eigengewicht	0,60
		BG5 - SLS 1	1,00
		BG2 - Grond	0,60
Combi12	Omhullende - bruikbaarheid	BG1 - Eigengewicht	0,60
		BG6 - SLS 2	1,00
		BG2 - Grond	0,60

13. Verplaatsing van knopen SLS 1

Lineaire berekening, Extreem : Globaal
Selectie : Alle
Belastingsgevallen : BG5

BG	Snede	elem	dx [m]	Ux [mm]	Uy [mm]	Uz [mm]	Fix [mrad]	Fiy [mrad]	Fiz [mrad]
BG5	Snede3	155	3,650	**11,6**	2,0	**-6,6**	-1,0	2,8	**0,3**
BG5	Snede2	19	3,000	**11,7**	2,0	-3,4	-1,0	2,7	-0,3
BG5	Snede3	126	2,250	11,6	**2,0**	-2,8	-1,0	2,8	0,3
BG5	Snede2	57	0,000	11,7	**2,0**	**4,9**	**-1,0**	2,8	**-0,3**
BG5	Snede2	14	1,750	11,7	2,0	0,0	**-1,0**	**2,9**	-0,3
BG5	Snede3	174	0,000	11,6	2,0	3,2	-1,0	**2,6**	0,2

14. Verplaatsing van knopen SLS 2

Lineaire berekening, Extreem : Globaal
Selectie : Alle
Belastingsgevallen : BG6

BG	Snede	elem	dx [m]	Ux [mm]	Uy [mm]	Uz [mm]	Fix [mrad]	Fiy [mrad]	Fiz [mrad]
BG6	Snede3	155	3,650	**7,1**	**5,2**	**-4,7**	-4,7	1,7	**1,8**
BG6	Snede2	19	3,000	**7,2**	5,1	-2,7	-4,7	1,7	-1,6
BG6	Snede2	16	2,250	7,2	**5,1**	-1,4	-4,8	1,8	-1,6
BG6	Snede2	57	0,000	7,2	5,2	**2,5**	**-4,7**	1,8	**-1,7**
BG6	Snede2	14	1,750	7,2	5,1	-0,5	**-4,8**	**1,8**	-1,6
BG6	Snede3	174	0,000	7,1	5,2	1,5	-4,7	**1,6**	1,5

15. Reacties

Lineaire berekening, Extreem : Globaal
Selectie : Alle
Klasse : UGT

Steunpunt	BG	dx [m]	Rx [kN]	Ry [kN]	Rz [kN]	Mx [kNm]	My [kNm]	Mz [kNm]
Slb76/S80	Combi2/1	18,224	**-42,45**	**-60,32**	-10,45	0,00	0,00	0,00
Slb78/S82	Combi2/1	18,224	**42,17**	-59,92	-10,38	0,00	0,00	0,00
Slb68/S54	Combi1/2	18,221	-31,64	**44,05**	-7,61	0,00	0,00	0,00
Sn58/K218	Combi5/3		-14,45	-13,91	**-421,41**	0,00	0,00	0,00
Sn72/K253	Combi2/1		-36,50	-51,69	**1084,25**	0,00	0,00	0,00
Sn50/K187	Combi1/2		-34,24	-33,00	1014,63	**0,00**	0,00	0,00
Sn14/K92	Combi6/4		25,60	-36,13	756,50	**0,00**	0,00	0,00
Sn9/K81	Combi1/2		1,63	2,37	56,84	0,00	**0,00**	0,00
Sn47/K176	Combi1/2		-27,24	-38,46	805,56	0,00	**0,00**	0,00
Sn50/K187	Combi2/5		-23,90	-22,94	712,73	0,00	0,00	**0,00**

Steunpunt	BG	dx [m]	Rx [kN]	Ry [kN]	Rz [kN]	Mx [kNm]	My [kNm]	Mz [kNm]
Sn9/K81	Combi1/6		1,14	1,68	42,59	0,00	0,00	**0,00**

16. 2D element - Interne krachten; mxD+

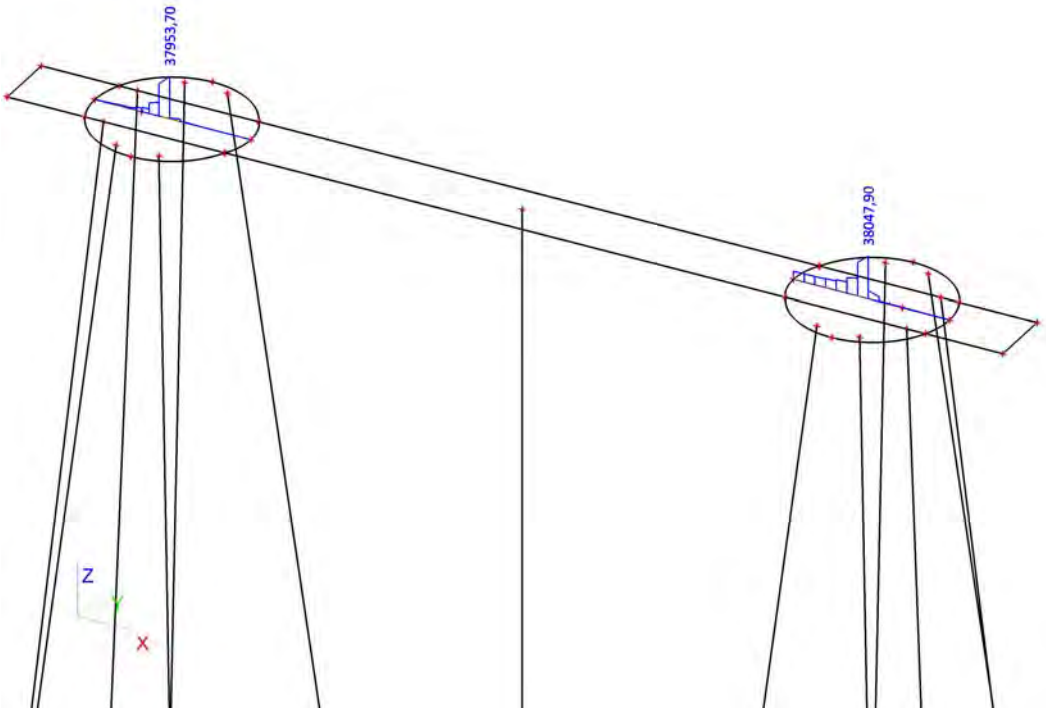

17. 2D element - Interne krachten; mxD-

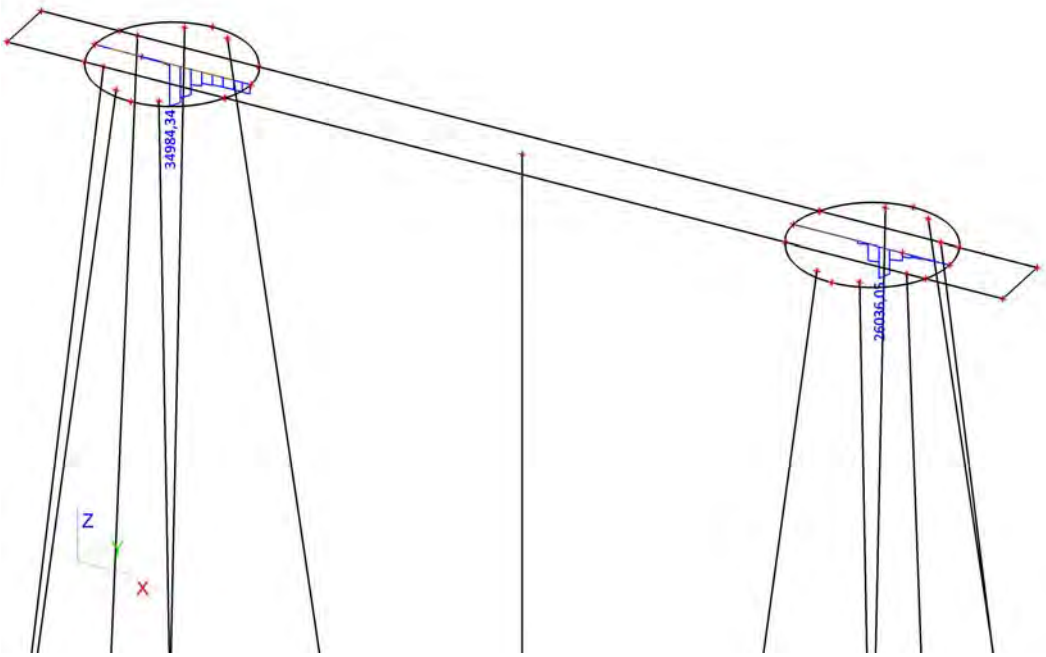

18. 2D element - Interne krachten; myD+

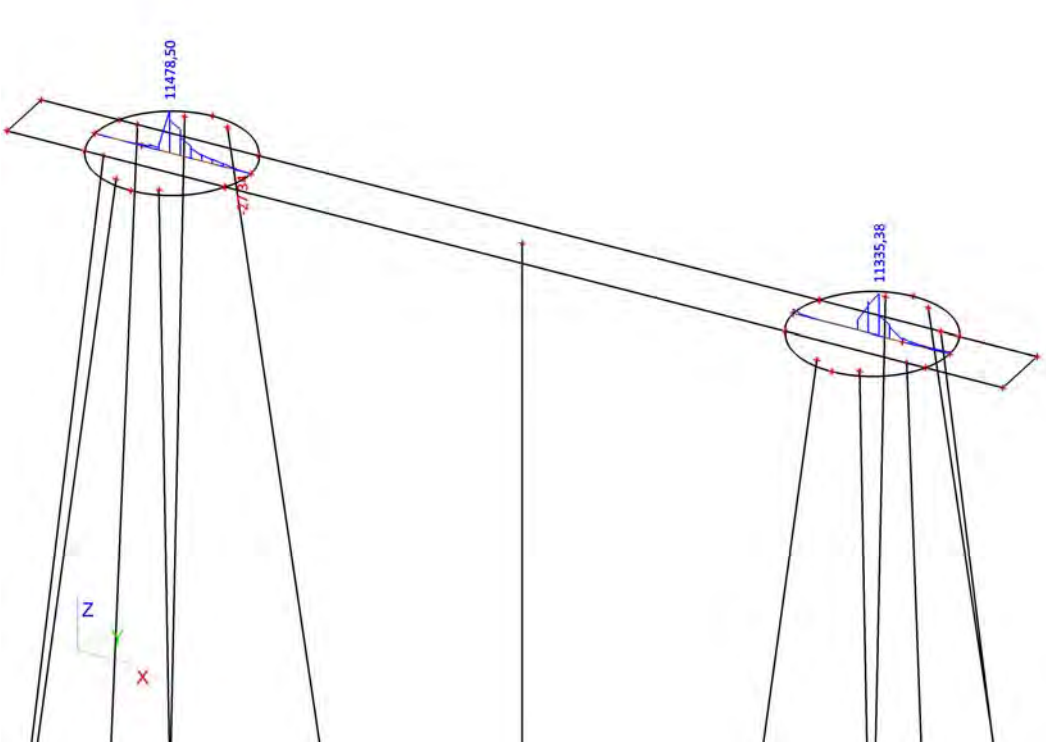

19. 2D element - Interne krachten; myD-

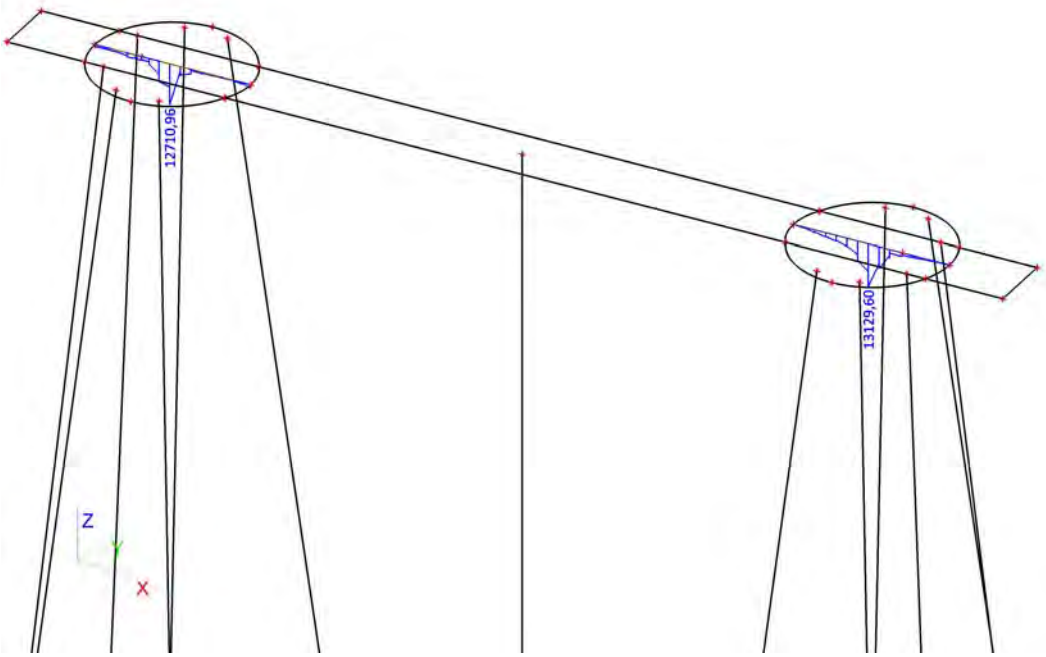

20. 2D element - Interne krachten; vx

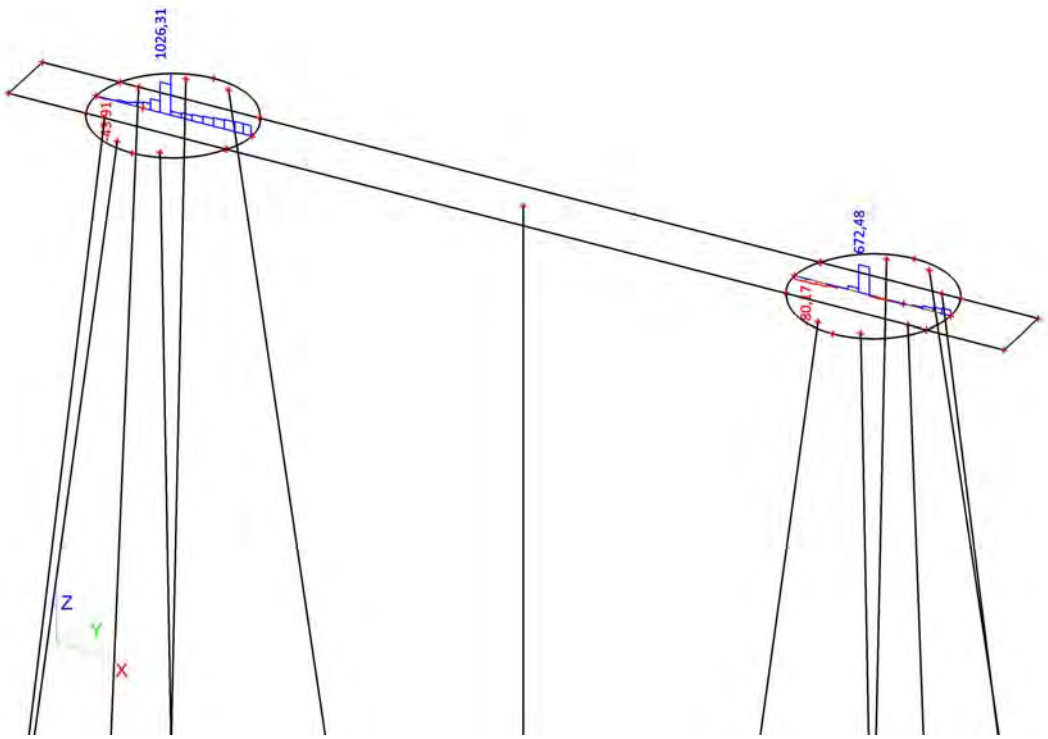

21. 2D element - Interne krachten; vy

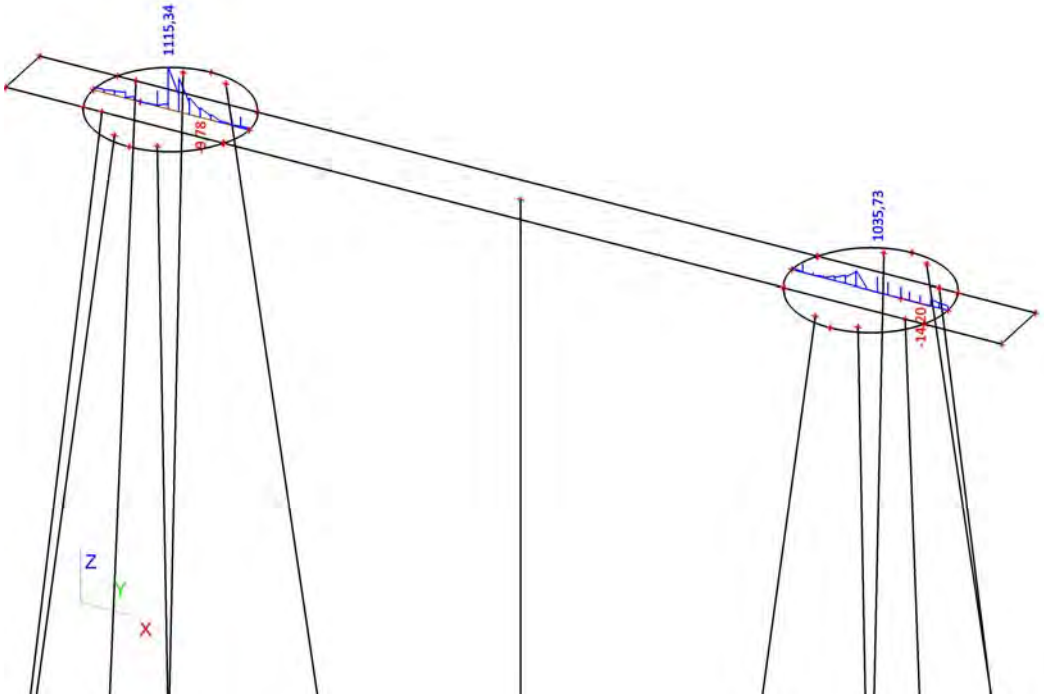

Constructieberekening mastfundatie type B

Project:
Randstad 380kV Noordring

Opdrachtgever:
TenneT TSO

Revisie	Datum	Wijzigingen ten opzichte van vorige revisie
00	19-07-2013	Eerste uitgave
01	06-08-2013	Definitief. Tweede uitgave
02	02-10-2013	T.b.v. 3e uitgave

Documentnummer: R3N-OWR-0004

Opsteller	*Controleur*	*Vrijgever*
A.L.A. van Noort Constructeur	P. de Jager Ontwerpmanager	Arjan Hogenboom Project Manager

Distributie

Naam	Bedrijf
Extern	
Guido Volman	TenneT TSO
Intern	
Arjan Hogenboom	BAM
Pieter de Jager	BAM
Eric van Rooijen	BAM
David van Loenen	BAM
Rob Bakker	BAM
Erwin ten Cate	BAM
Michael DeSmet	Fabricom
Hein Pijnappel	Mott MacDonald

Beheer

De documentbeheerder van de combinatie verzorgt de distributie. Alleen houders van een geregistreerde kopie ontvangen automatisch aanvullingen en/of wijzigingen. Het is de verantwoordelijkheid van de houders het document up to date te houden. De laatste versie is altijd beschikbaar in ThinkProject!

Indien documenten worden geprint, geldt het volgende: een geregistreerde kopie is geldig vanaf de datum van uitgifte. Bij uitgifte van een document met een hoger revisienummer verliest de voorgaande versie automatisch haar geldigheid. Kopiehouders dienen het voorblad van een ongeldige versie te markeren met een diagonale lijn samen met de tekst 'vervallen'.

Neem bij twijfel over de geldende versie contact op met de documentbeheerder.

Inhoudsopgave

1. Inleiding *4*
1.1. Overzicht verschillende typen 4
1.1.1. Fundatietype A 5
1.1.2. Fundatietype B 5
1.1.3. Fundatietype C 6
1.1.4. Fundatietype D 6
1.1.5. Fundatietype F 7
1.2. Mastbeeld bij fundatie type B 8
1.3. Gerelateerde documenten 8
1.4. Openstaande punten 8
1.5. Revisiebeheer 9
2. Uitgangspunten en eisen *10*
2.1. Uitgangspunten 10
2.2. Gehanteerde normen 10
2.3. Eisen 10
2.4. Vermoeiing 10
2.5. Materiaalgegevens 10
2.5.1. Betonkwaliteiten 10
2.5.2. Milieuklasse *11*
2.5.3. Betondekking 11
2.6. Veerconstante funderingspalen 11
3. Berekening poer type B *13*
3.1. Geometrie 13
3.2. Belastingen en belastingcombinaties 13
3.2.1. Belastingsfactoren 13
3.2.2. Belastingsgevallen 14
3.2.3. Belastingcombinaties 16
3.3. Wisselende belastingen en vermoeiing 17
4. Verbinding mast-fundering *20*
4.1. Controle ronde opstort ..... **Fout! Bladwijzer niet gedefinieerd.**
4.2. Berekening fundering 20
5. Bijlagen *21*
Bijlage 1 Uitvoer SCIA Engineer – lage E-waarde 22
Bijlage 2 Uitvoer SCIA Engineer – Matige-waarde 23

1. INLEIDING

De komende jaren werken het ministerie van Economische Zaken en TenneT aan de aanleg van een nieuwe 380 kV hoogspanningsverbinding in de Randstad. De nieuwe verbinding stelt de voorziening van elektriciteit in de Randstad veilig.

Het ontwerptracé van de nieuwe Randstad 380 kV verbinding is sinds eind 2008 bekend. De plannen gaan uit van twee ringen, tussen Wateringen en Zoetermeer (de Zuidring) en tussen Zoetermeer en Beverwijk (de Noordring). Eind 2012 heeft Tennet de aanbesteding opgestart voor het gedeelte van de Noordring tussen station Vijfhuizen en Bleiswijk. Het contract is opgedeeld in twee percelen, waarbij de grens ligt bij Zuidelijke Ringvaart. Dit document heeft betrekking op perceel 2 (het zuidelijke gedeelte).

BAM heeft op 8 juli 2013 het contract ondertekend met TenneT voor het ontwerp en realiseren van perceel 2. Het voorliggende document is onderdeel van het Definitief Ontwerp en behandelt de mastfundaties. Dit betreft ook de masten welke ter plaatse van een OSP zijn gelokaliseerd. De overige onderdelen van de OSP's zijn in een afzonderlijk document berekend evenals de funderingspalen.

Dit rapport betreft poer B . p poer B worden de volgende masttypen geplaatst W4S400Z + 5, W2S400 + 24, W2S400 + 24, W4S400Z + 14

De wapening wordt in het UO ontwerp uitgewerkt.

1.1. OVERZICHT VERSCHILLENDE TYPEN

Binnen het project komen verschillende typen masten voor.
De verschillen komen voort uit:

- aantal systemen dat een mastenpaar draagt, 2 systemen (2x380 kV) of 4 systemen (2x380 kV en 2x150 kV),
- de functie van de mast, Steunmast, Hoekmast of Eindmast,
- maximale veldlengte tussen masten 350 of 400 m,
- aanpassingen aan mast (b.v. +10 m extra hoogte).

Elke mast heeft een eigen belastingpatroon. Na analyse van de verschillende belastingen en geometrische eisen zijn er uiteindelijk 5 mastfundatie typen bepaal. Met deze 5 typen is er voor elke mast een geschikte fundatie beschikbaar.

De fundatietypen zijn hieronder weergegeven.

1.1.1. FUNDATIETYPE A

Toegepast bij masttype:
- W2S400 + 5
- W2S350 + 5
- W2S400A+10

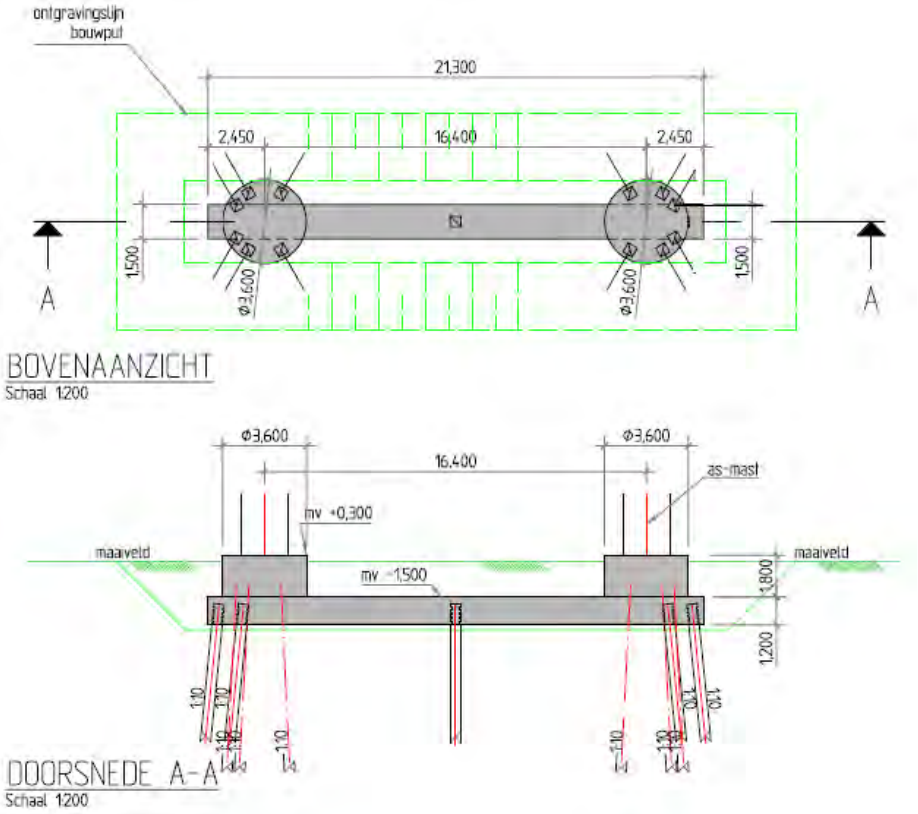

1.1.2. FUNDATIETYPE B

Toegepast bij masttype:
- W4S400Z + 5
- W2S400 + 24
- W2S400 + 24
- W4S400Z + 14

Opm: verschil met type A is diameter opstort.

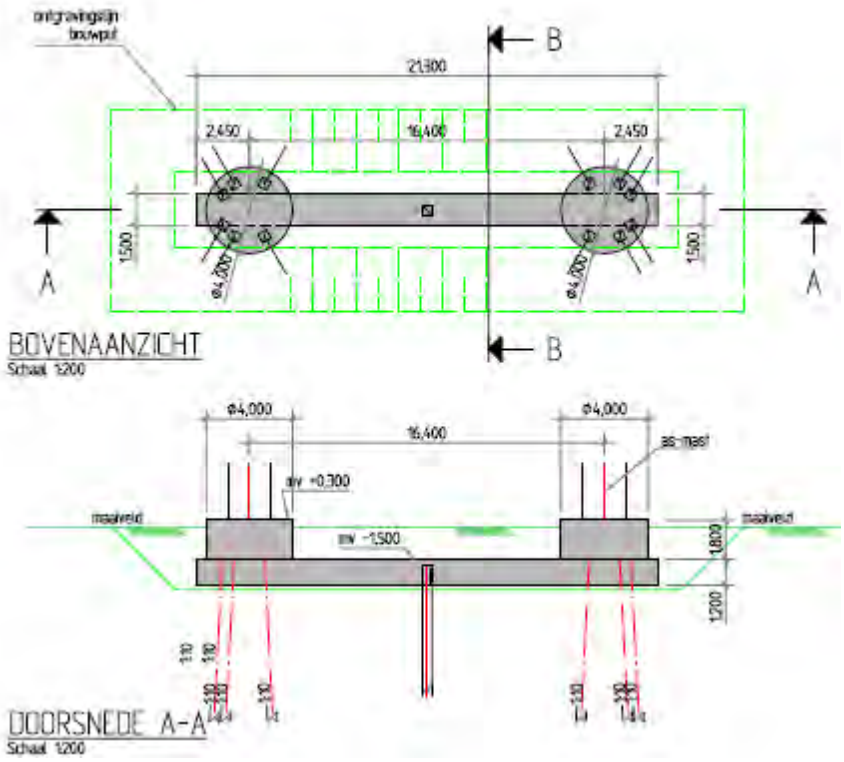

1.1.3. FUNDATIETYPE C

Toegepast bij masttype:
- W2H400 + 5
- W2H400 + 5
- W2H400 + 10
- W2H400 + 10 mast 133
- W2H400 + 15

Opm: mast 133 was in de oude nummering mast 82.

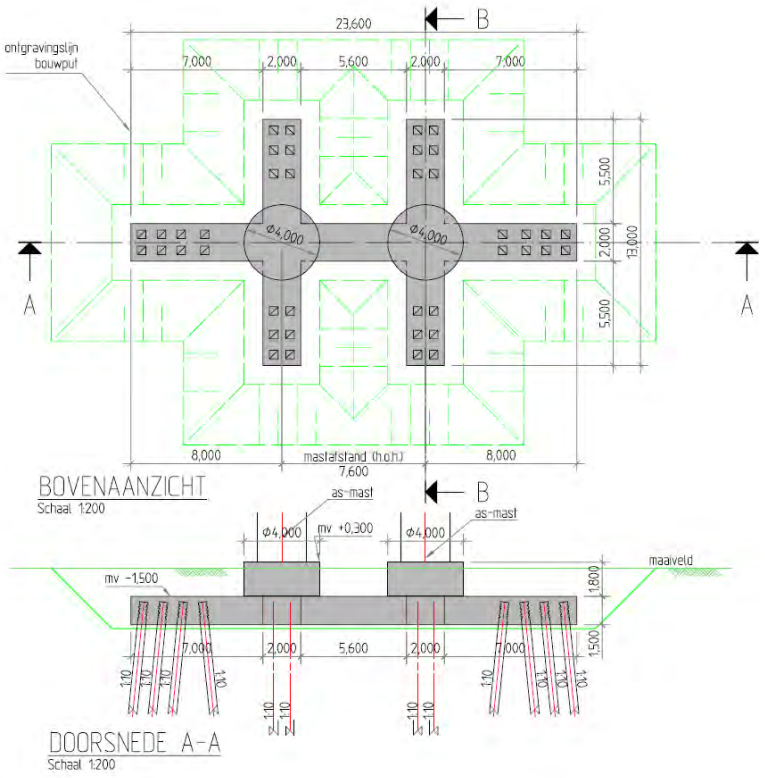

1.1.4. FUNDATIETYPE D

Toegepast bij masttype:
- W4H400Z + 5 (Afstap 150kV)
- W4H400Z +10 (Afstap 150kV)

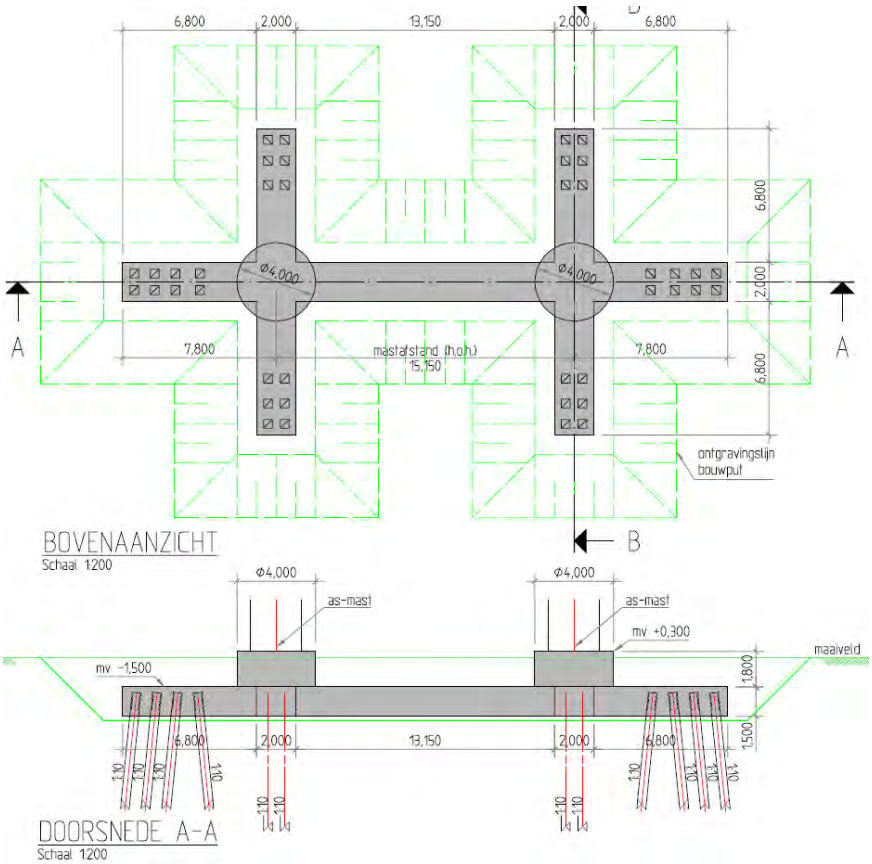

1.1.5. FUNDATIETYPE F

Toegepast bij masttype:
- W2E350 + 5
- W2E400
- W2E350

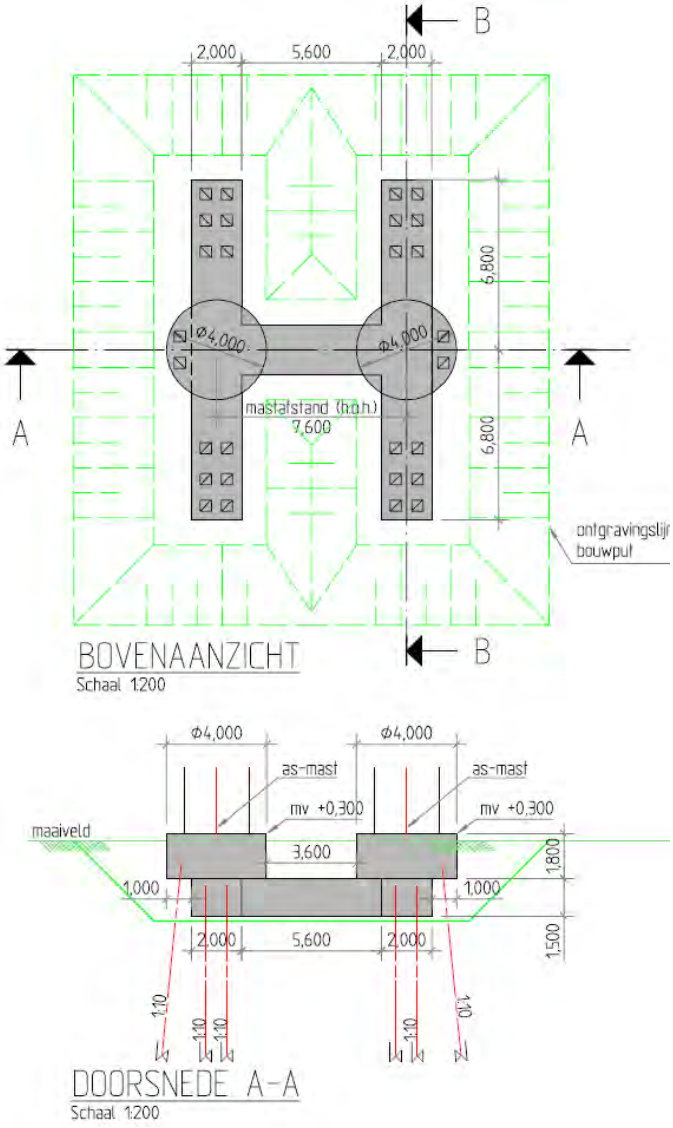

1.2. MASTBEELD BIJ FUNDATIE TYPE B

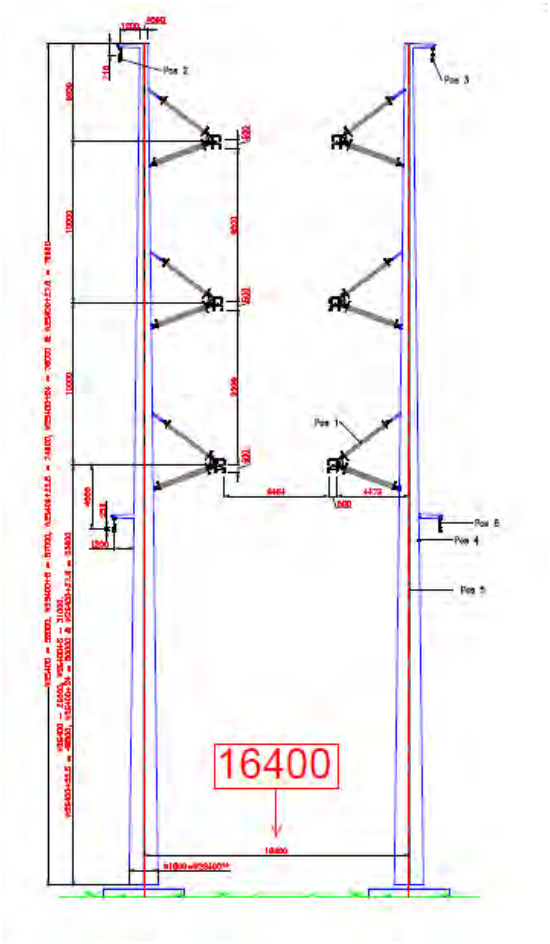

1.3. GERELATEERDE DOCUMENTEN

R3N-OWN-0001 Ontwerpnota Systeem Noordring
R3N-OWR-0003 Constructieberekening mastfundaties type A
R3N-OWR-0004 Constructieberekening mastfundaties type B
R3N-OWR-0005 Constructieberekening mastfundaties type C
R3N-OWR-0006 Constructieberekening mastfundaties type D
R3N-OWR-0007 Constructieberekening mastfundaties type F
R3N-OWR-0008 Ontwerpberekening paalfundering mastfundaties
R3N-OWR-0033 Bepaling belastingen mastfundaties
R3N-OWR-0039 Bemalingsadvies beheersgebied Rijnland
R3N-OWR-0040 Bemalingsadvies beheersgebied Schieland en de Krimpenerwaard

1.4. OPENSTAANDE PUNTEN

De volgende punten dienen in een latere fase nader uitgewerkt te worden:

- Aarding
- Temperatuursinvloeden op fundering
- Model verbetyeren d.m.v. dummy elementen aan bovenzijde palen
- Invloed krimp op fundering
- Optimalisatie wapening
- Optimalisatie palen
- Detailontwerp prefab beton

1.5. REVISIEBEHEER

Dit is de tweede uitgave. Er zijn nog vrijwel geen grondgegevens beschikbaar. Daarom is dit document voornamelijk bedoeld als 'proof of concept'.

Aangepast in 3e uitgave
Dit is de 3e uitgave. In deze revisie is toegevoegd:

- Mastbeeld toegevoegd,
- Nadere uitwerking milieuklasse
- Masttype W2H400 + 15 was in het overzicht zowel bij poer type C als D genoemd. Mast komt op type C.
- Masttype W2S400A+10 ontbrak in het overzicht. Toegevoegd bij poertype A
- Toelichting koppeling mast met fundatie

2. UITGANGSPUNTEN EN EISEN

2.1. UITGANGSPUNTEN

Op de funderingen worden de lasten geplaatst zoals afgeleid in document R3N-OWR-0033 'Bepaling belasting mastfundaties'. Deze zijn afgeleid van de mastberekeningen zoals door TenneT beschikbaar gesteld.

2.2. GEHANTEERDE NORMEN

De eurocode serie NEN-EN-1990 tm 1997 wordt gehanteerd

NEN-EN50341

2.3. EISEN

De eisen zoals vermeld in ontwerpnota R3N-OWN-0001 §3 zijn gehanteerd bij het ontwerp.
Voor de masten gelden specifiek onderstaande eisen:

- De fundamenten van de staalconstructies ten behoeve van de masten worden gedimensioneerd op een maximale vervorming van 0.005 RAD onder representatieve waarden van de belastingen,
- Tot 1,5 m diepte mag de straalomtrek van de fundering niet groter zijn dan 1,0 m meer dan de straal van de mast,
- De ZRO-breedte tussen de (schoor)paalpunten en andere ondergrondse constructies van de masten is maximaal 2x 22 m voor de 2x 380kV (solo) verbinding en 2 x 27 m voor de 2 x 150 kV/380 kV (combi) verbinding.
- Tolerantie van mastlocatie naar buiten is 10 cm, tolerantie naar binnen is 0 cm.

2.4. VERMOEIING

De aan te leggen fundamenten worden gedimensioneerd op een vermoeiingsbelasting. De wisseling van belasting komt uit wind. Het aantal en de grote van de wisselingen gedurende 50 jaar is bepaald conform de ROK. De toetsingsprocedure van de constructie conform NEN-EN 1992-1-1:2005.

2.5. MATERIAALGEGEVENS

In onderstaande paragrafen worden de gehanteerde materiaaleigenschappen benoemd.

2.5.1. BETONKWALITEITEN

Voor het constructief beton worden bij de detaillering de volgende sterkteklassen aangehouden. De betonkwaliteit van de ronde opstort (C35/45) is voorgeschreven. Bij gescheurd beton wordt in eerste instantie gerekend met $E_{beton;gescheurd} \approx 1/3\ E_{beton;ongescheurd}$. Tevens is een ca. 2 x zo hoge E-modulus beschouwd.

Onderdeel	Sterkteklasse	Elastisciteitsmodulus [N/mm²]		
		ongescheurd	Gescheurd lage E	Gescheurd matige E
in het werk gestort gewapend beton:	C30/37	31.000	11.000	22.000
in het werk gestort gewapend beton, ronde opstort	C35/45	33.500		
geprefabriceerd beton (U-bakken):	C35/45	33.500		
geprefabriceerd voorgespannen beton (palen):	C45/55	36.000		

Tabel 2.5.1-1 Betonkwaliteiten

2.5.2. MILIEUKLASSE

Voor de betondelen welke meer dan 1,0 m onder maaiveld liggen geldt milieuklasse XC2
Voor de hoger gelegen betondelen is de milieuklasse afhankelijk van de aanwezigheid van openbare wegen. De wegen naar de OSP's zullen niet gestrooid worden en bovendien nauwelijks bereden worden, waardoor het wegspatten van water met dooizouten niet aan de orde is. De afstanden in onderstaande schets geldt voor snelwegen, bij ander wegen zou deze eventueel kleiner kunnen.

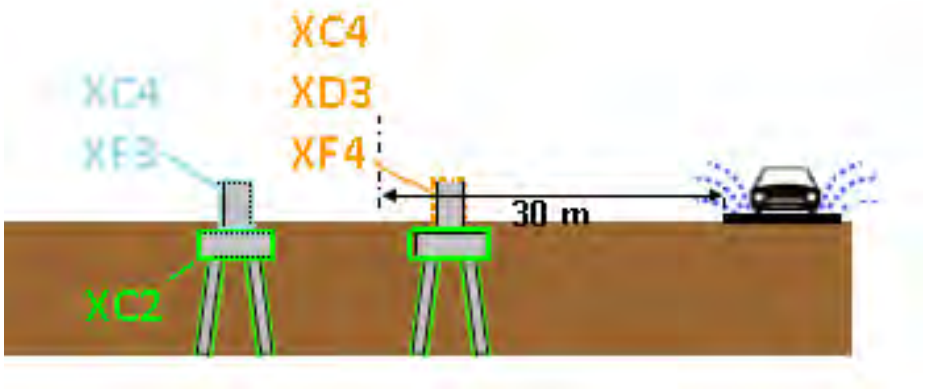

2.5.3. BETONDEKKING

Betondekking conform NEN EN 1992-1-1:2011

$$c_{min} = \max \{c_{min,b};\ c_{min,dur} + \Delta c_{dur,\gamma} - \Delta c_{dur,st} - \Delta c_{dur,add};\ 10\ mm\} \qquad (4.2)$$

waarin:

$c_{min,b}$	is de minimumdekking op basis van de aanhechtingseisen, zie 4.4.1.2 (3);
$c_{min,dur}$	is de minimumdekking op basis van de milieu-omstandigheden, zie 4.4.1.2 (5);
$\Delta c_{dur,\gamma}$	is een aanvullende veiligheidsmarge, zie 4.4.1.2 (6);
$\Delta c_{dur,st}$	is een reductie van de minimumdekking bij gebruik van roestvast staal, zie 4.4.1.2 (7);
$\Delta c_{dur,add}$	is een reductie van de minimumdekking bij gebruik van aanvullende bescherming, zie 4.4.1.2 (8).

De verwachting is dat $c_{min;b}$ maatgevend wordt. Deze warade is afhankelijk van de staafdiameter, welk enog niet bekend is. Betondekking wordt in UO bepaald.Staalkwaliteiten
Voor het wapeningsstaal worden de volgende staalkwaliteiten aangehouden:

Omschrijving	Kwaliteit
betonstaal (staven)	B500 B
betonstaal (gepuntlaste wapeningsnetten):	B500 B

Tabel 2.5.2 Staalkwaliteiten

2.6. VEERCONSTANTE FUNDERINGSPALEN

De constructie wordt gefundeerd op prefab betonpalen. De palen worden horizontaal gesteund door de grond wat resulteert in een horizontale beddingconstante op de funderingspaal. Verticaal wordt de funderingspaal gesteund door een verticale puntveer. Beide veerconstanten zijn bepaald door de geotechnische adviseur in rapport R3N-OWR-0008.

In het model wordt gerekend met een verticale veerstijfheid van 120.000 kN/m.
Voor de horizontale bedding worden onderstaande waarden aangehouden.

Bij de palen voor funderingstype A staan er geen palen in elkaars schaduw. De factor voor groepswerking is daarom niet aanwezig. De groepswerking reduceerde de stijfheid in rapport R3N-OWR-0008 tot resp 39% in Y richting en 54 % in X richting.
Zonder groepswerking zijn de waarden dus aanzienlijk hoger. Pas een factor van 1,5 op de gegeven horizontale bedding in X-richting toe voor de palen bij fundatietype A. Hiermee is er nog steeds een reductie tot 81% van de bedding van een vrijstaande paal.

In de volgende tabel wordt de gehanteerde bedding constanten gepresenteerd. Er wordt alleen met de lage veerstijfheid gerekend, omdat deze resulteert in de grootste vervormingen.

X-richting		Voor ESA berekeningen			
soort	b.k. laag			per m'paal	
	[m+ NAP]			$k_{h,rep,laag}$ [kN/m/m]	
Veen	-1.6			1,050	
Klei	-2.7			450	
Veen	-5.1			1,050	
Klei	-6.0			600	
Veen	-11.2			1,050	
Zand	-12.1			10,35	
Zand	-22.0			12,45	

Figuur 3 Horizontale beddingsconstanten per belastingsrichting

3. BEREKENING POER TYPE B

3.1. GEOMETRIE

De geometrie van de type B poeren is als volgt:

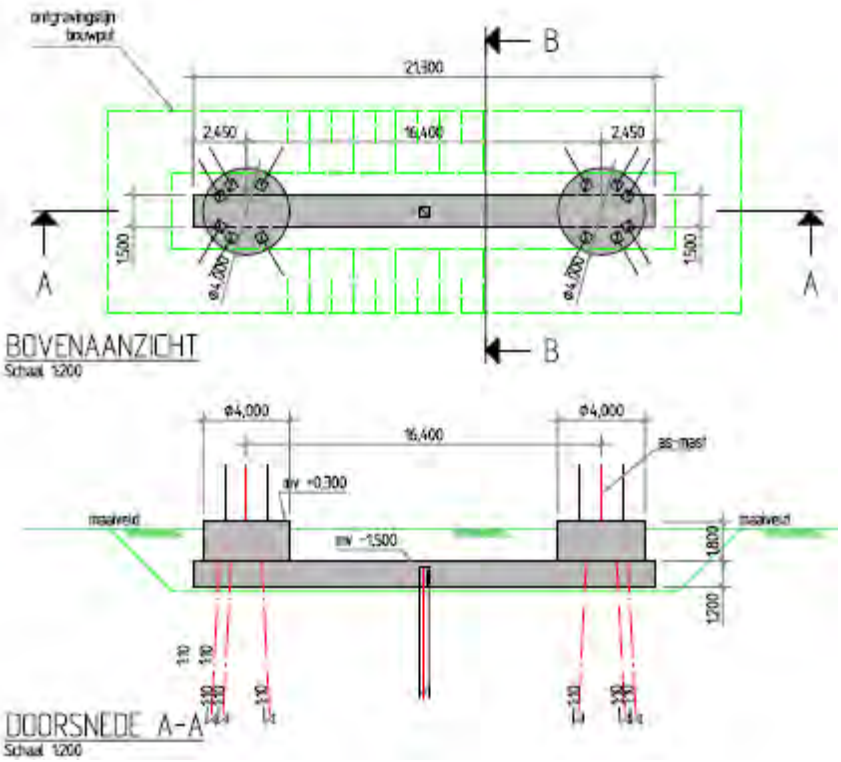

3.2. BELASTINGEN EN BELASTINGCOMBINATIES

3.2.1. BELASTINGSFACTOREN

De belasting uit de poeren bestaat vooral uit lasten uit de mast cq lijnen. Deze lasten zijn, incl. partiële factoren gegeven door de opdrachtgever op basis van een rapport van KEMA.

Daarnaast zijn er lasten op de poeren zelf. Hiervoor geldt dat vergelijking 6.10 b van de EN 1990 maatgevend is. Gecombineerd met CC3 gelden de volgende partiële factoren:

γ_G (ongunstig)	=	1,3	
γ_G (gunstig)	=	0,9	(zie §3.2.2, op eigen gewicht fundering wordt factor 0,54 toegepast)
γ_Q	=	1,65	

Opm: De meeste lasten zijn door de klant incl de factoren gegeven. Bovenstaande factoren hebben dus alleen invloed op het eigen gewicht, grond en belastingen op maaiveld.

3.2.2. BELASTINGSGEVALLEN

Eigen gewichtpoer
Eigen gewicht van de betonconstructie wordt gegenereerd in het model. Er wordt gerekend met een eigengewicht voor beton van 2500 kg/m$^{3.}$

Omdat er ook trek op de palen komt, is eigen gewicht al snel een gunstige belasting (druk eenvoudiger op te nemen dan trek).Indien de poer zich onderwater bevindt zal er een opwaartse kracht gelijk aan het gewicht van het verplaatste water op de poer aanwezig zijn. Het effectieve gewicht van de poer reduceert hierdoor tot 1500 kg/m^3. Inclusief partiële factor van 0,9 volgt 1350 kg/m^3. In totaal bedraagt de factor dan dus 1350/2500 = 0,54.

Eigen gewicht grond op poer
Op de poer ligt 1,5 m grond. Indien het grondwater lager ligt, is de last:
1,5 * 17 = 25,5 kN/m^2

Bij waterstand gelijk aan 0,5m onder maaiveld niveau is de last:
0,5 * 17 + 1,0 * (17-10) = 15,5 kN/m^2

Inclusief partiële factor van 0,9 volgt 13,95 kN/m^2. In totaal bedraagt de factor dan dus 13,95/25,5 = 0,54. Reken met droge grond en pas een partiële factor van 0,54 op eigen gewicht poer en grond toe in het geval deze gunstig werken.

Belastingen uit de mast
Zie rapport 'Afleiding belasting uit masten'.

Er wordt gerekend met de volgende, donker aangegeven ULS en SLS lasten uit het rapport. De overige lasten zijn met deze gevallen afgedekt.

Voor het variabele deel dat zijn oorsprong vindt in wind, wordt gerekend met:

ψ_0	ψ_1	ψ_2
0,6	0,2	0

ULS

Mast	Wind	Loadcase	M_{langs}	M_{dwars}	N	V_{langs}	V_{dwars}
W4S400Z+5	0 deg	1a	2857	2634	600	102	54
W4S400Z+5	0 deg	3	804	4607	746	29	94
W4S400Z+5	90 deg	1a	0	17967	592	0	463
W4S400Z+5	0 deg	1a	2857	2069	561	102	43
W2S400+24	0 deg	1a	5841	547	921	163	0
W2S400+24	0 deg	3	1643	1036	1075	46	0
W2S400+24	90 deg	1a	0	19609	892	0	383
W2S400+24	0 deg	1a	5841	417	693	163	0
W2S400+22.5	0 deg	1a	5508	1538	878	157	18
W2S400+22.5	0 deg	3	1549	2784	1019	44	31
W2S400+22.5	90 deg	1a	0	21005	859	0	412
W2S400+22.5	0 deg	1a	5508	1201	659	157	14
W4S400Z+14	0 deg	1a	4319	443	777	136	0
W4S400Z+14	0 deg	3	1215	897	944	38	0
W4S400Z+14	90 deg	1a	0	18317	752	0	385
W4S400Z+14	0 deg	1a	4319	284	732	136	0

SLS

Type	Wind	Loadcase	M_{langs}	M_{dwars}	N	V_{langs}	V_{dwars}
W4S400Z+5	0 deg	3	1905	5592	599	68	144
W4S400Z+5	90 deg	1a	1905	12556	494	68	321
W2S400+24	0 deg	1a	3894	4355	769	109	109
W2S400+24	0 deg	3	3894	4689	874	109	109
W2S400+24	90 deg	1a	3894	13158	748	109	255
W2S400+22.5	0 deg	3	3672	5880	828	105	130
W2S400+22.5	45 deg	1a	4314	9532	726	116	197
W2S400+22.5	90 deg	1a	3672	14266	718	105	278
W4S400Z+14	0 deg	3	2879	3560	763	91	91
W4S400Z+14	90 deg	1a	2879	12281	631	91	257

Belastingen op maaiveld
Op het maaiveld wordt gerekend met een verdeelde last van 10 kN/m^2 . Er is geen stempellast op de fundering voorzien. Echter, door spreiding van een puntlast over een diepte van 1,5 m, zal een lastvlak van 2 (breedte balk) x 3 (2*1,5) = 6 m^2 ontstaan, waardoor bij 10 kN/m^2 dus ook een puntlast van 60 kN toelaatbaar is.

Voor deze belastingen wordt in de combinatie gerekend met:

ψ_0	ψ_1	ψ_2
0,7	0,5	0,3

3.2.3. BELASTINGCOMBINATIES

Belastingcombinaties in ULS conform vergelijking 6.10b van NEN EN 1990, waarbij:
0,7 * 1,65 = 1,16

En de belastingsfactoren voor de last uit de masten reeds in de ingevoerde belasting is meegenomen (factor 1,0 toegepast)

ULS							
Belastinggeval	Omschrijving	Combi 1	Combi 2	Combi 3	Combi 4	Combi 5	Combi6
1	Eigen gewicht	1,3	1,3	1,3	1,3	0,54	0,54
2	Grond	1,3	1,3	1,3	1,3	0,54	0,54
3	Belasting mast ULS 1	1,0		0,6		1,0	
4	Belasting mast ULS 2		1,0		0,6		1,0
7	Belasting op maaiveld	1,16	1,16	1,65	1,65		

SLS							
Belastinggeval	Omschrijving	Combi 7	Combi 8	Combi 9	Comb i 10	Combi 11	Combi 12
5	Eigen gewicht	1,0	1,0	1,0	1,0	0,6	0,6
6	Grond	1,0	1,0	1,0	1,0	0,6	0,6
5	Belasting mast SLS 1	1,0		0,6		1,0	
6	Belasting mast SLS 2		1,0		0,6		1,0
7	Belasting op maaiveld	0,7	0,7	1,0	1,0		

3.3. WISSELENDE BELASTINGEN EN VERMOEIING

Door de wisselende belastingen van wind dient belasting door vermoeiing te worden meegenomen. Bij vermoeiing is het aantal wisselingen en de grootte van de wisseling van belang. In de NEN-EN 1991-1-4:2005 is in bijlage B.3 een figuur opgenomen waarin de verhouding tussen de grootte van de windlast en het aantal keren dat deze optreedt weergegeven.

B.3 Aantal belastingen voor dynamische respons

(1) Figuur B.3 geeft het aantal keren N_g dat de waarden ΔS van een windeffect worden bereikt of overschreden gedurende een periode van 50 jaar. ΔS wordt uitgedrukt in percentage van de waarde S_k, waar S_k het effect is van een windbelasting met een herhalingstijd van 50 jaar.

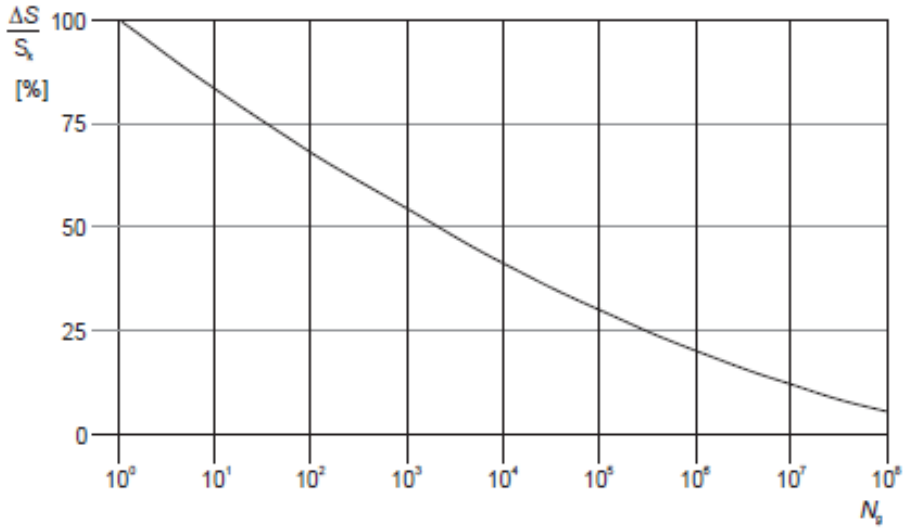

Figuur B.3 — Aantal windvlaagbelastingen N_g voor een effect $\Delta S/S_k$ gedurende een herhalingstijd van 50 jaar

De relatie wordt omschreven met de volgende uitdrukking

$$\frac{\Delta S}{S_k} = 0{,}7 \cdot (\log(N_g))^2 - 17{,}4 \cdot \log(N_g) + 100 \qquad (B.9)$$

Bij vermoeiing wordt bij een bepaald spanningsniveau het aantal wisselingen op dit spanningsniveau bepaald en vervolgens wordt dit vergeleken met het aantal toelaatbare wisselingen op dat spanningsniveau. Door dit voor de voorkomende spanningsniveaus te doen is de weerstand tegen vermoeiing te controleren.

In de ROK van RWS is bovenstaande verdeling gediscretiseerd tot onderstaande tabel:

Tabel 5-1: Aantal wisselingen per windbelasting (referentieperiode 50 jaar)

ΔS / S_k (%)	n
100	1
98	1
90	8
75	90
61	900
48	9000
36	90000
25	900000
16	9000000
9	90000000

Van beton en wapeningsstaal is bekend hoeveel wisselingen bij een bepaald spanningsniveau toelaatbaar zijn. S_K is de spanning met een herhalingstijd van 50 jaar (de spanning waarop de constructie ontworpen is).

Met bovenstaande gegevens is te bepalen welke maximale spanning t.g.v. wind eens in de 50 jaar toelaatbaar is opdat de constructie ook voldoende weerstand tegen vermoeiing heeft.

Wapening

De totale schade van de belastingen dient volgens de beschadigingsregel van Miner kleiner dan 1 te zijn.
De toetsingsprocedure per wisseling conform NEN-EN 1992-1-1:2005, §6.8.4:
Voor de wapening is gekeken naar de toelaatbare spanning voor:

- Rechte staven
- Staven gebogen met een doordiameter 2,5*D
- Gelaste staven

Er volgt (zie berekening hieronder) dat voor gewone rechte staven er geen beperking is, echter gebogen of gelaste staven hebben de volgende spanningsbeperking

Buigdoorn 2,5ø → 244 N/mm^2
Buigdoorn 5ø → 283 N/mm^2
Gelaste staven → 317 N/mm^2

Omdat bij de toetsing van vermoeiing een ULS toestand met veiligheid 1,0 wordt getoetst, is de spanning altijd minimaal een factor van ca. 1,3 lager dan de normale ULS toestanden.

Bij een toelaatbare spanning van 435 N/mm^2 in ULS volgt bij toetsing op vermoeiing een spanning van maximaal 335 N/mm^2. De toelaatbare spanningen bij vermoeiing zijn nog iets lager. Hier dient in de detaillering rekening mee gehouden te worden. Een toetsing achteraf zal volstaan.

Rechte staven

maximale gebruiksspanning			435	
Toelaatbare spanningswisseling bij N* wisselingen			162,5	
		k1	5	
		k2	9	
		N*	1,00E+06	
	ROK	Wisseling spanning	Toelaatbaar aantal	
aantal wisselingen	dS/S	wapening	wisselingen	Schade
[-]	[-]	[N/mm2]	[-]	[-]
1	100	435	7275	0,000137
1	98	426	8048	0,000124
8	90	392	12320	0,000649
90	75	326	30656	0,002936
900	61	265	86133	0,010449
9000	48	209	285505	0,031523
90000	36	157	1394937	0,064519
900000	25	109	37137862	0,024234
9000000	16	70	2061565470	0,004366
90000000	9	39	365674259232	0,000246
			Totale schade	**0,139183665**

Staven gebogen met doorndiameter 2,5*D

maximale gebruiksspanning			244	
Toelaatbare spanningswisseling bij N* wisselingen			67,4	
		k1	5	
		k2	9	
		N*	1,00E+06	

	ROK	Wisseling spanning	Toelaatbaar aantal	
aantal wisselingen	dS/S	wapening	wisselingen	Schade
[-]	[-]	[N/mm2]	[-]	[-]
1	100	244	1613	0,000620
1	98	239	1784	0,000560
8	90	220	2731	0,002929
90	75	183	6796	0,013243
900	61	149	19095	0,047134
9000	48	117	63292	0,142197
90000	36	88	266714	0,337440
900000	25	61	2466861	0,364836
9000000	16	39	136938283	0,065723
90000000	9	22	24289699180	0,003705
			Totale schade	**0,978388484**

Staven gebogen met doorndiameter 5*D

maximale gebruiksspanning			283	
Toelaatbare spanningswisseling bij N* wisselingen			78,0	
		k1	5	
		k2	9	
		N*	1,00E+06	

	ROK	Wisseling spanning	Toelaatbaar aantal	
aantal wisselingen	dS/S	wapening	wisselingen	Schade
[-]	[-]	[N/mm2]	[-]	[-]
1	100	283	1591	0,000629
1	98	277	1760	0,000568
8	90	255	2694	0,002970
90	75	212	6702	0,013428
900	61	173	18832	0,047792
9000	48	136	62422	0,144181
90000	36	102	263044	0,342148
900000	25	71	2406099	0,374050
9000000	16	45	133565305	0,067383
90000000	9	25	23691410595	0,003799
			Totale schade	**0,996946687**

Gelaste staven

maximale gebruiksspanning			317	
Toelaatbare spanningswisseling bij N* wisselingen			58,5	
		k1	3	
		k2	5	
		N*	1,00E+07	

	ROK	Wisseling spanning	Toelaatbaar aantal	
aantal wisselingen	dS/S	wapening	wisselingen	Schade
[-]	[-]	[N/mm2]	[-]	[-]
1	100	317	62848	0,000016
1	98	311	66775	0,000015
8	90	285	86211	0,000093
90	75	238	148972	0,000604
900	61	193	276886	0,003250
9000	48	152	568285	0,015837
90000	36	114	1347046	0,066813
900000	25	79	4022257	0,223755
9000000	16	51	20411885	0,440920
90000000	9	29	362468668	0,248297
			Totale schade	**0,999600179**

4. VERBINDING MAST-FUNDERING

De masten worden verbonden met de fundering d.m.v. een ingestorte ankerkooi. Een ankerkooi is hieronder weergegeven

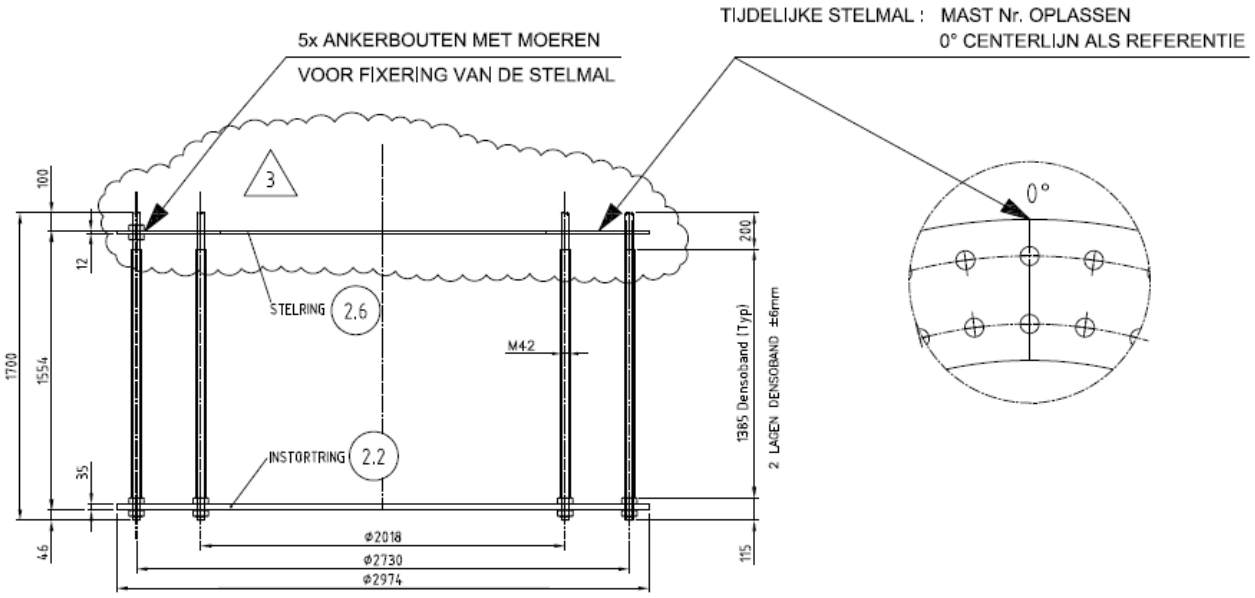

DETAIL VERANKERING

NOTA : ALLE RESTERENDE MOEREN EN ONDERLEGRINGEN WORDEN LOS MEEGELEVERD

Prepared by: LV Revision: 3 Date: 5-7-2011	Material: – Quantity: 2 Equipm. no.: W4E350	**VDL KTI**	Project No.: 36002 Workprep. No.: Pos. No.: ANKERKOOI

De ankers en platen zijn berekend door Volker Infra Design bij het ontwerp van de masten. De ankerkooi bevindt zich in de ronde opstort. De ronde opstort is d.m.v. stekken verbonden met de kruisvormige balken. De stekken worden in de UO fase berekend.

4.1. BEREKENING FUNDERING

De poer is ingevoerd in een SCIA engineer model.

Er zijn 2 modellen gedraaid:

Model 1: Lage gescheurde E modulus
Model 2: Matige gescheurde E modulus

5. BIJLAGEN

Bijlage 1 Uitvoer SCIA Engineer – lage E-waarde
Bijlage 2 Uitvoer SCIA Engineer – matige E-waarde

BIJLAGE 1 UITVOER SCIA ENGINEER – LAGE E-WAARDE

1. Inhoudsopgave

1. Inhoudsopgave	1
2. Overzicht	2
3. Materialen	2
4. Doorsneden	2
5. Knoop	3
6. 1D-staaf	3
7. 2D-element	3
8. Subregio	3
9. Knoopondersteuningen	4
10. Lijnondersteuning op staaf	4
11. Belastingsgevallen	6
11.1. Belastingsgevallen - BG1	6
11.1.1. Belasting grafisch	6
11.2. Belastingsgevallen - BG3	6
11.2.1. Vrije puntmomenten	7
11.2.2. Genereer vrije lasten	7
11.2.3. Belasting grafisch	8
11.3. Belastingsgevallen - BG2	8
11.3.1. Lasten op oppervlak	8
11.3.2. Belasting grafisch	9
11.4. Belastingsgevallen - BG4	9
11.4.1. Vrije puntmomenten	9
11.4.2. Genereer vrije lasten	9
11.4.3. Belasting grafisch	10
11.5. Belastingsgevallen - BG5	10
11.5.1. Vrije puntmomenten	10
11.5.2. Genereer vrije lasten	11
11.5.3. Belasting grafisch	11
11.6. Belastingsgevallen - BG6	12
11.6.1. Vrije puntmomenten	12
11.6.2. Genereer vrije lasten	12
11.6.3. Belasting grafisch	12
11.7. Belastingsgevallen - BG7	13
11.7.1. Lasten op oppervlak	13
11.7.2. Belasting grafisch	13
12. Combinaties	13
13. Verplaatsing van knopen SLS 1	14
14. Reacties	14
15. 2D element - Interne krachten; mxD+	15
16. 2D element - Interne krachten; mxD-	15
17. 2D element - Interne krachten; myD+	16
18. 2D element - Interne krachten; myD-	16
19. 2D element - Interne krachten; vx	17
20. 2D element - Interne krachten; vy	17

2. Overzicht

3. Materialen

Naam	Type	Massa eenheid [kg/m³]	E-mod [MPa]	Poisson - nu	G-mod [MPa]	Thermisch uitz. [m/mK]	Karakteristieke cylinderdruksterkte fck(28) [MPa]
C30/37	Beton	2500,0	1,1000e+04	0,2	4,5833e+03	0,00	30,00
C35/45	Beton	2500,0	3,4100e+04	0,2	1,4208e+04	0,00	35,00

4. Doorsneden

Naam	CS1	
Type	Rechthoek	
Uitgebreid	450; 450	
Onderdeelmateriaal	C35/45	
Bouwwijze	Algemeen	
Knik y-y, z-z	b	b
EEM berekening	×	

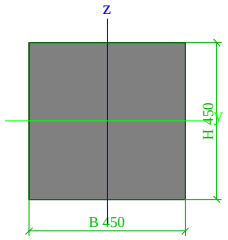

A [m²]	2,0250e-01	
A y, z [m²]	1,6875e-01	1,6875e-01
I y, z [m⁴]	3,4172e-03	3,4172e-03
I w [m⁶], t [m⁴]	0,0000e+00	5,7655e-03
Wel y, z [m³]	1,5188e-02	1,5188e-02
Wpl y, z [m³]	2,2781e-02	2,2781e-02
d y, z [mm]	0	0
c YLCS, ZLCS [mm]	225	225
alpha [deg]	0,00	
AL [m²/m]	1,8000e+00	

5. Knoop

Naam	Coördinaat X [m]	Coördinaat Y [m]	Coördinaat Z [m]
K47	0,400	0,750	0,000
K51	10,650	0,750	0,000
K52	10,650	0,750	-19,000
K81	0,100	-3,212	-19,000
K86	1,650	-0,662	0,000
K92	0,100	4,712	-19,000
K94	1,650	2,162	0,000
K143	0,000	0,000	0,000
K144	0,814	0,000	0,000
K145	4,086	0,000	0,000
K146	2,450	-1,050	0,000
K147	17,214	0,000	0,000
K148	20,486	0,000	0,000
K149	18,850	-1,050	0,000
K150	21,300	0,000	0,000
K151	21,300	1,500	0,000
K152	20,486	1,500	0,000
K153	17,214	1,500	0,000
K154	18,850	2,550	0,000

Naam	Coördinaat X [m]	Coördinaat Y [m]	Coördinaat Z [m]
K155	4,086	1,500	0,000
K156	0,814	1,500	0,000
K157	2,450	2,550	0,000
K158	0,000	1,500	0,000
K159	0,650	0,750	0,000
K160	4,100	0,000	0,000
K161	4,100	1,500	0,000
K162	4,300	0,750	0,000
K163	17,200	1,500	0,000
K164	17,200	0,000	0,000
K165	17,000	0,750	0,000
K166	20,650	0,750	0,000
K167	1,450	0,750	0,000
K169	3,250	-0,662	0,000
K170	4,800	-3,212	-19,000
K171	3,250	2,162	0,000
K172	4,800	4,712	-19,000
K173	16,500	-3,212	-19,000
K174	16,500	4,712	-19,000

Naam	Coördinaat X [m]	Coördinaat Y [m]	Coördinaat Z [m]
K175	21,200	-3,212	-19,000
K176	21,200	4,712	-19,000
K177	18,050	-0,662	0,000
K178	18,050	2,162	0,000
K179	19,650	-0,662	0,000
K180	19,650	2,162	0,000
K183	20,900	0,750	0,000
K184	19,850	0,750	0,000
K185	21,336	-1,550	-19,000
K187	21,336	3,050	-19,000
K188	19,786	0,000	0,000
K189	19,786	1,500	0,000
K190	-0,036	3,050	-19,000
K191	-0,036	-1,550	-19,000
K192	1,514	0,000	0,000
K193	1,514	1,500	0,000

6. 1D-staaf

Naam	Doorsnede	Lengte [m]	Vorm	Beginknoop	Eindknoop	Type	EEM-type	Laag
S3	CS1 - Rechthoek (450; 450)	19,000	Lijn	K51	K52	Algemeen (0)	standaard	Laag1
S19	CS1 - Rechthoek (450; 450)	19,233	Lijn	K86	K81	Algemeen (0)	standaard	Laag1
S24	CS1 - Rechthoek (450; 450)	19,233	Lijn	K94	K92	Algemeen (0)	standaard	Laag1
S50	CS1 - Rechthoek (450; 450)	19,233	Lijn	K169	K170	Algemeen (0)	standaard	Laag1
S51	CS1 - Rechthoek (450; 450)	19,233	Lijn	K171	K172	Algemeen (0)	standaard	Laag1
S52	CS1 - Rechthoek (450; 450)	19,233	Lijn	K177	K173	Algemeen (0)	standaard	Laag1
S53	CS1 - Rechthoek (450; 450)	19,233	Lijn	K178	K174	Algemeen (0)	standaard	Laag1
S54	CS1 - Rechthoek (450; 450)	19,233	Lijn	K179	K175	Algemeen (0)	standaard	Laag1
S55	CS1 - Rechthoek (450; 450)	19,233	Lijn	K180	K176	Algemeen (0)	standaard	Laag1
S56	CS1 - Rechthoek (450; 450)	19,126	Lijn	K188	K185	Algemeen (0)	standaard	Laag1
S58	CS1 - Rechthoek (450; 450)	19,126	Lijn	K189	K187	Algemeen (0)	standaard	Laag1
S59	CS1 - Rechthoek (450; 450)	19,126	Lijn	K193	K190	Algemeen (0)	standaard	Laag1
S60	CS1 - Rechthoek (450; 450)	19,126	Lijn	K192	K191	Algemeen (0)	standaard	Laag1

7. 2D-element

Naam	Materiaal	D. [mm]	Dikte type	Type	Laag
E2	C30/37	3000	konstant	vloer (90)	Laag1

8. Subregio

Naam, 2D-element, Materiaal, Dikte type						
2D-element systeemvlak op, Exc. z [mm], D. [mm], Punt 4, Knoop, Rand, Gewicht	Regio3	E2	C30/37	konstant	K156	Cirkelboog
	Boven	0		1800	K157	
					K155	Lijn
Naam, 2D-element, Materiaal, Dikte type	Regio4	E2	C30/37	konstant		
2D-element systeemvlak op, Exc. z [mm], D. [mm], Punt 4, Knoop, Rand, Gewicht	Boven	0		1800	K144	Lijn
					K145	Cirkelboog
					K146	
Naam, 2D-element, Materiaal, Dikte type	Regio6	E2	C30/37	konstant		
2D-element systeemvlak op, Exc. z [mm], D. [mm], Punt 4, Knoop, Rand, Gewicht	Boven	0		1800	K153	Cirkelboog
					K154	
					K152	Lijn
Naam, 2D-element, Materiaal, Dikte type	Regio7	E2	C30/37	konstant		
2D-element systeemvlak op, Exc. z [mm], D. [mm], Punt 4, Knoop, Rand, Gewicht	Boven	0		1800	K147	Lijn
					K148	Cirkelboog
					K149	
Naam, 2D-element, Materiaal, Dikte type	Regio8	E2	C30/37	konstant		
2D-element systeemvlak op, Exc. z [mm], D. [mm], Punt 4, Knoop, Rand, Gewicht	Onder	0		1200	K158	Lijn
					K156	Cirkelboog
					K159	
					K144	Lijn
					K143	Lijn
Naam, 2D-element, Materiaal, Dikte type	Regio9	E2	C30/37	konstant		
2D-element systeemvlak op, Exc. z [mm], D. [mm], Punt 4, Knoop, Rand, Gewicht	Onder	0		1200	K160	Cirkelboog
					K162	
					K161	Lijn

2D-element systeemvlak op, Exc. z [mm], D. [mm], Punt 4, Knoop, Rand, Gewicht	Onder	0		1200	K163 K165 K164	Cirkelboog Lijn
Naam, 2D-element, Materiaal, Dikte type	Regio10	E2	C30/37	konstant		
2D-element systeemvlak op, Exc. z [mm], D. [mm], Punt 4, Knoop, Rand, Gewicht	Onder	0		1200	K152 K151 K150 K148 K166	Lijn Lijn Lijn Cirkelboog

9. Knoopondersteuningen

Naam	Knoop	Systeem	Type	X	Y	Z	Stijfheid Z [MN/m]	Rx	Ry	Rz
Sn3	K52	GCS	Standaard	Vast	Vast	Verend	1,2000e+02	Vrij	Vrij	Vrij
Sn9	K81	GCS	Standaard	Vast	Vast	Verend	1,2000e+02	Vrij	Vrij	Vrij
Sn14	K92	GCS	Standaard	Vast	Vast	Verend	1,2000e+02	Vrij	Vrij	Vrij
Sn41	K173	GCS	Standaard	Vast	Vast	Verend	1,2000e+02	Vrij	Vrij	Vrij
Sn42	K174	GCS	Standaard	Vast	Vast	Verend	1,2000e+02	Vrij	Vrij	Vrij
Sn45	K172	GCS	Standaard	Vast	Vast	Verend	1,2000e+02	Vrij	Vrij	Vrij
Sn46	K170	GCS	Standaard	Vast	Vast	Verend	1,2000e+02	Vrij	Vrij	Vrij
Sn47	K176	GCS	Standaard	Vast	Vast	Verend	1,2000e+02	Vrij	Vrij	Vrij
Sn49	K175	GCS	Standaard	Vast	Vast	Verend	1,2000e+02	Vrij	Vrij	Vrij
Sn50	K185	GCS	Standaard	Vast	Vast	Verend	1,2000e+02	Vrij	Vrij	Vrij
Sn52	K187	GCS	Standaard	Vast	Vast	Verend	1,2000e+02	Vrij	Vrij	Vrij
Sn53	K190	GCS	Standaard	Vast	Vast	Verend	1,2000e+02	Vrij	Vrij	Vrij
Sn54	K191	GCS	Standaard	Vast	Vast	Verend	1,2000e+02	Vrij	Vrij	Vrij

10. Lijnondersteuning op staaf

Staaf	Naam Systeem	Pos x_1 [m] Pos x_2 [m]	Coör Oors	X	Y	Stijfheid Y [MN/m²]	Z	Stijfheid Z [MN/m²]	Rx	Ry	Rz
S3	Slb43 LCS	0,900 6,400	Abso Vanaf begin	Vrij	Verend	6,0000e+00	Verend	6,0000e+00	Vrij	Vrij	Vrij
S3	Slb163 LCS	12,900 22,000	Abso Vanaf begin	Vrij	Verend	1,4400e+01	Verend	1,4400e+01	Vrij	Vrij	Vrij
S3	Slb83 LCS	6,400 10,900	Abso Vanaf begin	Vrij	Verend	1,2000e+00	Verend	1,2000e+00	Vrij	Vrij	Vrij
S3	Slb3 LCS	0,000 0,900	Abso Vanaf begin	Vrij	Verend	1,2000e+00	Verend	1,2000e+00	Vrij	Vrij	Vrij
S3	Slb123 LCS	10,900 12,900	Abso Vanaf begin	Vrij	Verend	7,2000e+00	Verend	7,2000e+00	Vrij	Vrij	Vrij
S19	Slb97 LCS	6,400 10,900	Abso Vanaf begin	Vrij	Verend	1,2000e+00	Verend	1,2000e+00	Vrij	Vrij	Vrij
S19	Slb137 LCS	10,900 12,900	Abso Vanaf begin	Vrij	Verend	7,2000e+00	Verend	7,2000e+00	Vrij	Vrij	Vrij
S19	Slb17 LCS	0,000 0,900	Abso Vanaf begin	Vrij	Verend	1,2000e+00	Verend	1,2000e+00	Vrij	Vrij	Vrij
S19	Slb57 LCS	0,900 6,400	Abso Vanaf begin	Vrij	Verend	6,0000e+00	Verend	6,0000e+00	Vrij	Vrij	Vrij
S19	Slb177 LCS	12,900 22,000	Abso Vanaf begin	Vrij	Verend	1,4400e+01	Verend	1,4400e+01	Vrij	Vrij	Vrij
S24	Slb182 LCS	12,900 22,000	Abso Vanaf begin	Vrij	Verend	1,4400e+01	Verend	1,4400e+01	Vrij	Vrij	Vrij
S24	Slb142 LCS	10,900 12,900	Abso Vanaf begin	Vrij	Verend	7,2000e+00	Verend	7,2000e+00	Vrij	Vrij	Vrij
S24	Slb22 LCS	0,000 0,900	Abso Vanaf begin	Vrij	Verend	1,2000e+00	Verend	1,2000e+00	Vrij	Vrij	Vrij
S24	Slb62 LCS	0,900 6,400	Abso Vanaf begin	Vrij	Verend	6,0000e+00	Verend	6,0000e+00	Vrij	Vrij	Vrij
S24	Slb102 LCS	6,400 10,900	Abso Vanaf begin	Vrij	Verend	1,2000e+00	Verend	1,2000e+00	Vrij	Vrij	Vrij
S50	Slb209 LCS	10,900 12,900	Abso Vanaf begin	Vrij	Verend	7,2000e+00	Verend	7,2000e+00	Vrij	Vrij	Vrij
S50	Slb210 LCS	12,900 22,000	Abso Vanaf begin	Vrij	Verend	1,4400e+01	Verend	1,4400e+01	Vrij	Vrij	Vrij
S50	Slb208 LCS	6,400 10,900	Abso Vanaf begin	Vrij	Verend	1,2000e+00	Verend	1,2000e+00	Vrij	Vrij	Vrij
S50	Slb206 LCS	0,000 0,900	Abso Vanaf begin	Vrij	Verend	1,2000e+00	Verend	1,2000e+00	Vrij	Vrij	Vrij
S50	Slb207 LCS	0,900 6,400	Abso Vanaf begin	Vrij	Verend	6,0000e+00	Verend	6,0000e+00	Vrij	Vrij	Vrij

Staaf	Naam Systeem	Pos x_1 [m] Pos x_2 [m]	Coör Oors	X	Y	Stijfheid Y [MN/m²]	Z	Stijfheid Z [MN/m²]	Rx	Ry	Rz
S51	Slb214 LCS	10,900 12,900	Abso Vanaf begin	Vrij	Verend	7,2000e+00	Verend	7,2000e+00	Vrij	Vrij	Vrij
S51	Slb215 LCS	12,900 22,000	Abso Vanaf begin	Vrij	Verend	1,4400e+01	Verend	1,4400e+01	Vrij	Vrij	Vrij
S51	Slb213 LCS	6,400 10,900	Abso Vanaf begin	Vrij	Verend	1,2000e+00	Verend	1,2000e+00	Vrij	Vrij	Vrij
S51	Slb211 LCS	0,000 0,900	Abso Vanaf begin	Vrij	Verend	1,2000e+00	Verend	1,2000e+00	Vrij	Vrij	Vrij
S51	Slb212 LCS	0,900 6,400	Abso Vanaf begin	Vrij	Verend	6,0000e+00	Verend	6,0000e+00	Vrij	Vrij	Vrij
S52	Slb219 LCS	10,900 12,900	Abso Vanaf begin	Vrij	Verend	7,2000e+00	Verend	7,2000e+00	Vrij	Vrij	Vrij
S52	Slb220 LCS	12,900 22,000	Abso Vanaf begin	Vrij	Verend	1,4400e+01	Verend	1,4400e+01	Vrij	Vrij	Vrij
S52	Slb218 LCS	6,400 10,900	Abso Vanaf begin	Vrij	Verend	1,2000e+00	Verend	1,2000e+00	Vrij	Vrij	Vrij
S52	Slb216 LCS	0,000 0,900	Abso Vanaf begin	Vrij	Verend	1,2000e+00	Verend	1,2000e+00	Vrij	Vrij	Vrij
S52	Slb217 LCS	0,900 6,400	Abso Vanaf begin	Vrij	Verend	6,0000e+00	Verend	6,0000e+00	Vrij	Vrij	Vrij
S53	Slb224 LCS	10,900 12,900	Abso Vanaf begin	Vrij	Verend	7,2000e+00	Verend	7,2000e+00	Vrij	Vrij	Vrij
S53	Slb225 LCS	12,900 22,000	Abso Vanaf begin	Vrij	Verend	1,4400e+01	Verend	1,4400e+01	Vrij	Vrij	Vrij
S53	Slb223 LCS	6,400 10,900	Abso Vanaf begin	Vrij	Verend	1,2000e+00	Verend	1,2000e+00	Vrij	Vrij	Vrij
S53	Slb221 LCS	0,000 0,900	Abso Vanaf begin	Vrij	Verend	1,2000e+00	Verend	1,2000e+00	Vrij	Vrij	Vrij
S53	Slb222 LCS	0,900 6,400	Abso Vanaf begin	Vrij	Verend	6,0000e+00	Verend	6,0000e+00	Vrij	Vrij	Vrij
S54	Slb229 LCS	10,900 12,900	Abso Vanaf begin	Vrij	Verend	7,2000e+00	Verend	7,2000e+00	Vrij	Vrij	Vrij
S54	Slb230 LCS	12,900 22,000	Abso Vanaf begin	Vrij	Verend	1,4400e+01	Verend	1,4400e+01	Vrij	Vrij	Vrij
S54	Slb228 LCS	6,400 10,900	Abso Vanaf begin	Vrij	Verend	1,2000e+00	Verend	1,2000e+00	Vrij	Vrij	Vrij
S54	Slb226 LCS	0,000 0,900	Abso Vanaf begin	Vrij	Verend	1,2000e+00	Verend	1,2000e+00	Vrij	Vrij	Vrij
S54	Slb227 LCS	0,900 6,400	Abso Vanaf begin	Vrij	Verend	6,0000e+00	Verend	6,0000e+00	Vrij	Vrij	Vrij
S55	Slb234 LCS	10,900 12,900	Abso Vanaf begin	Vrij	Verend	7,2000e+00	Verend	7,2000e+00	Vrij	Vrij	Vrij
S55	Slb235 LCS	12,900 22,000	Abso Vanaf begin	Vrij	Verend	1,4400e+01	Verend	1,4400e+01	Vrij	Vrij	Vrij
S55	Slb233 LCS	6,400 10,900	Abso Vanaf begin	Vrij	Verend	1,2000e+00	Verend	1,2000e+00	Vrij	Vrij	Vrij
S55	Slb231 LCS	0,000 0,900	Abso Vanaf begin	Vrij	Verend	1,2000e+00	Verend	1,2000e+00	Vrij	Vrij	Vrij
S55	Slb232 LCS	0,900 6,400	Abso Vanaf begin	Vrij	Verend	6,0000e+00	Verend	6,0000e+00	Vrij	Vrij	Vrij
S56	Slb239 LCS	10,900 12,900	Abso Vanaf begin	Vrij	Verend	7,2000e+00	Verend	7,2000e+00	Vrij	Vrij	Vrij
S56	Slb240 LCS	12,900 22,000	Abso Vanaf begin	Vrij	Verend	1,4400e+01	Verend	1,4400e+01	Vrij	Vrij	Vrij
S56	Slb238 LCS	6,400 10,900	Abso Vanaf begin	Vrij	Verend	1,2000e+00	Verend	1,2000e+00	Vrij	Vrij	Vrij
S56	Slb236 LCS	0,000 0,900	Abso Vanaf begin	Vrij	Verend	1,2000e+00	Verend	1,2000e+00	Vrij	Vrij	Vrij
S56	Slb237 LCS	0,900 6,400	Abso Vanaf begin	Vrij	Verend	6,0000e+00	Verend	6,0000e+00	Vrij	Vrij	Vrij
S58	Slb249 LCS	10,900 12,900	Abso Vanaf begin	Vrij	Verend	7,2000e+00	Verend	7,2000e+00	Vrij	Vrij	Vrij
S58	Slb250 LCS	12,900 22,000	Abso Vanaf begin	Vrij	Verend	1,4400e+01	Verend	1,4400e+01	Vrij	Vrij	Vrij
S58	Slb248 LCS	6,400 10,900	Abso Vanaf begin	Vrij	Verend	1,2000e+00	Verend	1,2000e+00	Vrij	Vrij	Vrij
S58	Slb246 LCS	0,000 0,900	Abso Vanaf begin	Vrij	Verend	1,2000e+00	Verend	1,2000e+00	Vrij	Vrij	Vrij
S58	Slb247 LCS	0,900 6,400	Abso Vanaf begin	Vrij	Verend	6,0000e+00	Verend	6,0000e+00	Vrij	Vrij	Vrij
S59	Slb254 LCS	10,900 12,900	Abso Vanaf begin	Vrij	Verend	7,2000e+00	Verend	7,2000e+00	Vrij	Vrij	Vrij

Staaf	Naam Systeem	Pos x_1 [m] Pos x_2 [m]	Coör Oors	X	Y	Stijfheid Y [MN/m²]	Z	Stijfheid Z [MN/m²]	Rx	Ry	Rz
S59	Slb255 LCS	12,900 22,000	Abso Vanaf begin	Vrij	Verend	1,4400e+01	Verend	1,4400e+01	Vrij	Vrij	Vrij
S59	Slb253 LCS	6,400 10,900	Abso Vanaf begin	Vrij	Verend	1,2000e+00	Verend	1,2000e+00	Vrij	Vrij	Vrij
S59	Slb251 LCS	0,000 0,900	Abso Vanaf begin	Vrij	Verend	1,2000e+00	Verend	1,2000e+00	Vrij	Vrij	Vrij
S59	Slb252 LCS	0,900 6,400	Abso Vanaf begin	Vrij	Verend	6,0000e+00	Verend	6,0000e+00	Vrij	Vrij	Vrij
S60	Slb259 LCS	10,900 12,900	Abso Vanaf begin	Vrij	Verend	7,2000e+00	Verend	7,2000e+00	Vrij	Vrij	Vrij
S60	Slb260 LCS	12,900 22,000	Abso Vanaf begin	Vrij	Verend	1,4400e+01	Verend	1,4400e+01	Vrij	Vrij	Vrij
S60	Slb258 LCS	6,400 10,900	Abso Vanaf begin	Vrij	Verend	1,2000e+00	Verend	1,2000e+00	Vrij	Vrij	Vrij
S60	Slb256 LCS	0,000 0,900	Abso Vanaf begin	Vrij	Verend	1,2000e+00	Verend	1,2000e+00	Vrij	Vrij	Vrij
S60	Slb257 LCS	0,900 6,400	Abso Vanaf begin	Vrij	Verend	6,0000e+00	Verend	6,0000e+00	Vrij	Vrij	Vrij

11. Belastingsgevallen

11.1. Belastingsgevallen - BG1

Naam	Omschrijving	Actie type	Lastgroep	Belastingtype	Richting
BG1	Eigengewicht	Permanent	LG8	Eigen gewicht	-Z

11.1.1. Belasting grafisch

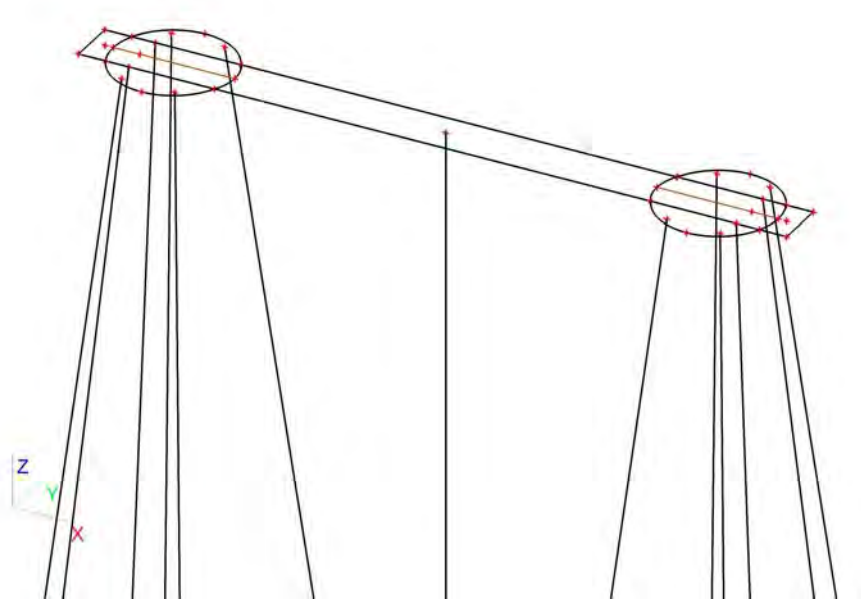

11.2. Belastingsgevallen - BG3

Naam	Omschrijving	Actie type	Lastgroep	Belastingtype	Spec	Duur	'Master' belastingsgeval
BG3	ULS 1	Variabel	LG7	Statisch	Standaard	Kort	Geen

11.2.1. Vrije puntmomenten

Typenaam	Naam	Rich	Type	Geldigheid	Selecteer	Waarde - F [kNm]	Belastingsgeval	Coördinaat X [m]	Coördinaat Y [m]	Coördinaat Z [m]	Coördinaat ux [m]	Coördinaat uy [m]	Coördinaat uz [m]	Systeem
Vrij puntmoment	FM1	Mx	Moment	Alle	Auto	-5841,00	BG3 - ULS 1	2,450	0,750	0,000	2,450	0,750	0,000	GCS
Vrij puntmoment	FM2	Mx	Moment	Alle	Auto	-5841,00	BG3 - ULS 1	18,850	0,750	0,000	18,850	0,750	0,000	GCS
Vrij puntmoment	FM3	My	Moment	Alle	Auto	547,00	BG3 - ULS 1	2,450	0,750	0,000	2,450	0,750	0,000	GCS
Vrij puntmoment	FM4	My	Moment	Alle	Auto	547,00	BG3 - ULS 1	18,850	0,750	0,000	18,850	0,750	0,000	GCS
Vrij puntmoment	FM5	Mx	Moment	Alle	Auto	415,65	BG3 - ULS 1	2,450	0,750	0,000	2,450	0,750	0,000	GCS
Vrij puntmoment	FM6	Mx	Moment	Alle	Auto	415,65	BG3 - ULS 1	18,850	0,750	0,000	18,850	0,750	0,000	GCS
Vrij puntmoment	FM7	My	Moment	Alle	Auto	0,00	BG3 - ULS 1	2,450	0,750	0,000	-13,960	0,757	0,000	GCS
Vrij puntmoment	FM8	My	Moment	Alle	Auto	0,00	BG3 - ULS 1	18,850	0,750	0,000	2,440	0,757	0,000	GCS

11.2.2. Genereer vrije lasten

Naam	Belastingsgeval	2D-element	Rich	Belastingstype Type	Oorspronkelijke belasting	Waarde - F [kN] Waarde - F [kNm]	Systeem Locatie
GFF1	BG3 - ULS 1	E2	Z	Punt Kracht	FF1	-921,00	GCS Lengte
GFF4	BG3 - ULS 1	E2	Z	Punt Kracht	FF2	-921,00	GCS Lengte
GFF5	BG3 - ULS 1	E2	Mx	Punt Moment	FM6	415,65	GCS Lengte
GFF6	BG3 - ULS 1	E2	Y	Punt Kracht	FF3	163,00	GCS Lengte
GFF7	BG3 - ULS 1	E2	X	Punt Kracht	FF5	0,00	GCS Lengte
GFF9	BG3 - ULS 1	E2	Y	Punt Kracht	FF4	163,00	GCS Lengte
GFF10	BG3 - ULS 1	E2	X	Punt Kracht	FF6	0,00	GCS Lengte
GFF25	BG3 - ULS 1	E2	My	Punt Moment	FM7	0,00	GCS Lengte
GFF27	BG3 - ULS 1	E2	My	Punt Moment	FM8	0,00	GCS Lengte
GFF41	BG3 - ULS 1	E2	Mx	Punt Moment	FM1	-5841,00	GCS Lengte
GFF42	BG3 - ULS 1	E2	Mx	Punt Moment	FM2	-5841,00	GCS Lengte
GFF43	BG3 - ULS 1	E2	My	Punt Moment	FM3	547,00	GCS Lengte
GFF44	BG3 - ULS 1	E2	My	Punt Moment	FM4	547,00	GCS Lengte
GFF45	BG3 - ULS 1	E2	Mx	Punt Moment	FM5	415,65	GCS Lengte

11.2.3. Belasting grafisch

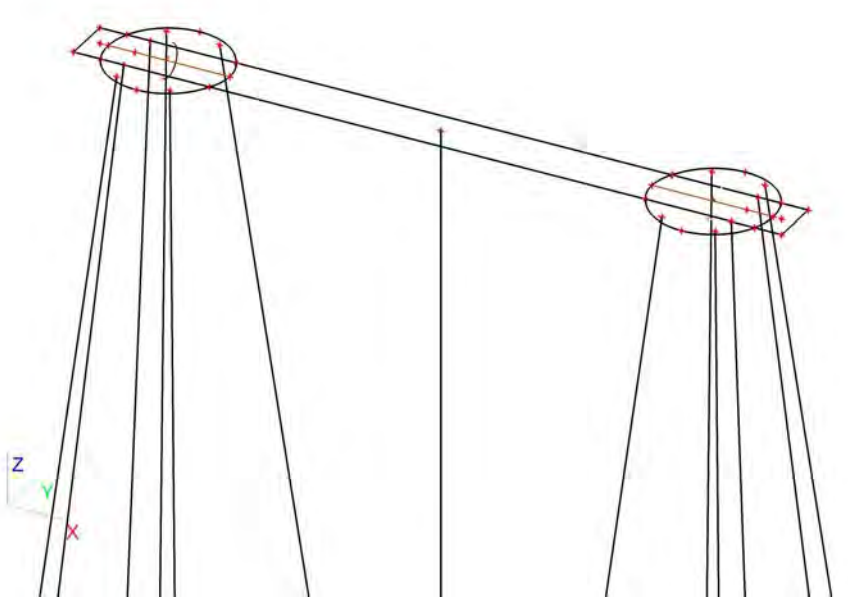

11.3. Belastingsgevallen - BG2

Naam	Omschrijving	Actie type	Lastgroep	Belastingtype
BG2	Grond	Permanent	LG8	Standaard

11.3.1. Lasten op oppervlak

Naam	Rich	Type	Waarde [kN/m^2]	Belastingsgeval	Systeem	Loc
SF1	Z	Kracht	-25,50	BG2 - Grond	LCS	Lengte
SF2	Z	Kracht	-25,50	BG2 - Grond	LCS	Lengte
SF3	Z	Kracht	-25,50	BG2 - Grond	LCS	Lengte

11.3.2. Belasting grafisch

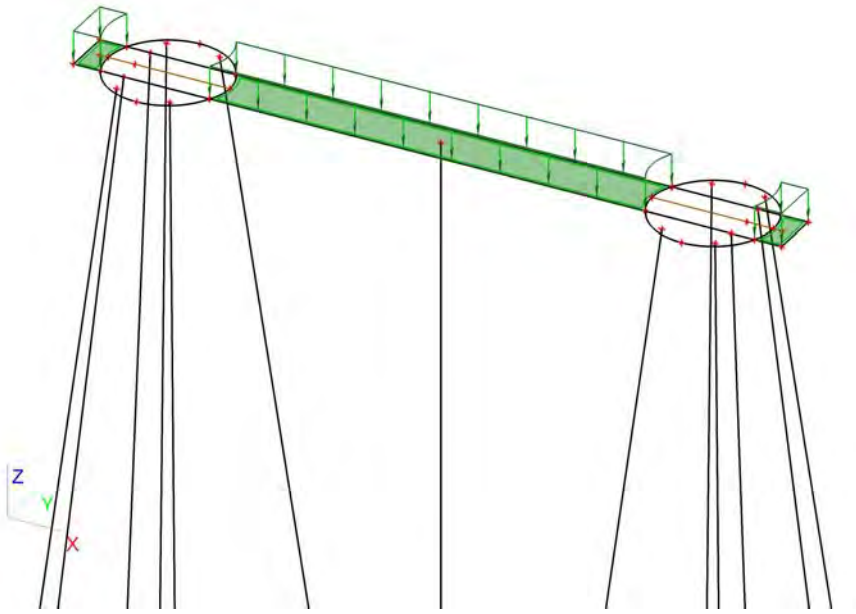

11.4. Belastingsgevallen - BG4

Naam	Omschrijving	Actie type	Lastgroep	Belastingtype	Spec	Duur	'Master' belastingsgeval
BG4	ULS 2	Variabel	LG9	Statisch	Standaard	Kort	Geen

11.4.1. Vrije puntmomenten

Typenaam	Naam	Rich	Type	Geldigheid	Selecteer	Waarde - F [kNm]	Belastingsgeval	Coördinaat X [m]	Coördinaat Y [m]	Coördinaat Z [m]	Coördinaat ux [m]	Coördinaat uy [m]	Coördinaat uz [m]	Systeem
Vrij puntmoment	FM9	Mx	Moment	Alle	Auto	0,00	BG4 - ULS 2	2,450	0,750	0,000	3,703	0,750	0,000	GCS
Vrij puntmoment	FM10	Mx	Moment	Alle	Auto	0,00	BG4 - ULS 2	18,850	0,750	0,000	20,275	0,744	0,000	GCS
Vrij puntmoment	FM11	My	Moment	Alle	Auto	21005,00	BG4 - ULS 2	2,450	0,750	0,000	-12,525	0,744	0,000	GCS
Vrij puntmoment	FM12	My	Moment	Alle	Auto	21005,00	BG4 - ULS 2	18,850	0,750	0,000	3,703	0,750	0,000	GCS
Vrij puntmoment	FM13	Mx	Moment	Alle	Auto	0,00	BG4 - ULS 2	2,450	0,750	0,000	-13,950	0,750	0,000	GCS
Vrij puntmoment	FM14	Mx	Moment	Alle	Auto	0,00	BG4 - ULS 2	18,850	0,750	0,000	2,450	0,750	0,000	GCS
Vrij puntmoment	FM15	My	Moment	Alle	Auto	1050,60	BG4 - ULS 2	2,450	0,750	0,000	-13,950	0,750	0,000	GCS
Vrij puntmoment	FM16	My	Moment	Alle	Auto	1050,60	BG4 - ULS 2	18,850	0,750	0,000	2,450	0,750	0,000	GCS

11.4.2. Genereer vrije lasten

Naam	Belastingsgeval	2D-element	Rich	Belastingstype Type	Oorspronkelijke belasting	Waarde - F [kN] Waarde - F [kNm]	Systeem Locatie
GFF2	BG4 - ULS 2	E2	Y	Punt Kracht	FF9	0,00	GCS Lengte
GFF12	BG4 - ULS 2	E2	Z	Punt Kracht	FF7	-859,00	GCS Lengte
GFF13	BG4 - ULS 2	E2	Mx	Punt Moment	FM13	0,00	GCS Lengte
GFF14	BG4 - ULS 2	E2	Z	Punt Kracht	FF8	-859,00	GCS Lengte
GFF15	BG4 - ULS 2	E2	Mx	Punt Moment	FM14	0,00	GCS Lengte
GFF16	BG4 - ULS 2	E2	Y	Punt Kracht	FF10	0,00	GCS Lengte
GFF18	BG4 - ULS 2	E2	X	Punt Kracht	FF11	412,00	GCS Lengte
GFF19	BG4 - ULS 2	E2	X	Punt Kracht	FF12	412,00	GCS Lengte
GFF20	BG4 - ULS 2	E2	Mx	Punt Moment	FM10	0,00	GCS Lengte

Naam	Belastingsgeval	2D-element	Rich	Belastingstype Type	Oorspronkelijke belasting	Waarde - F [kN] Waarde - F [kNm]	Systeem Locatie
GFF22	BG4 - ULS 2	E2	My	Punt Moment	FM15	 1050,60	GCS Lengte
GFF24	BG4 - ULS 2	E2	My	Punt Moment	FM16	 1050,60	GCS Lengte
GFF29	BG4 - ULS 2	E2	My	Punt Moment	FM11	 21005,00	GCS Lengte
GFF31	BG4 - ULS 2	E2	My	Punt Moment	FM12	 21005,00	GCS Lengte
GFF46	BG4 - ULS 2	E2	Mx	Punt Moment	FM9	 0,00	GCS Lengte

11.4.3. Belasting grafisch

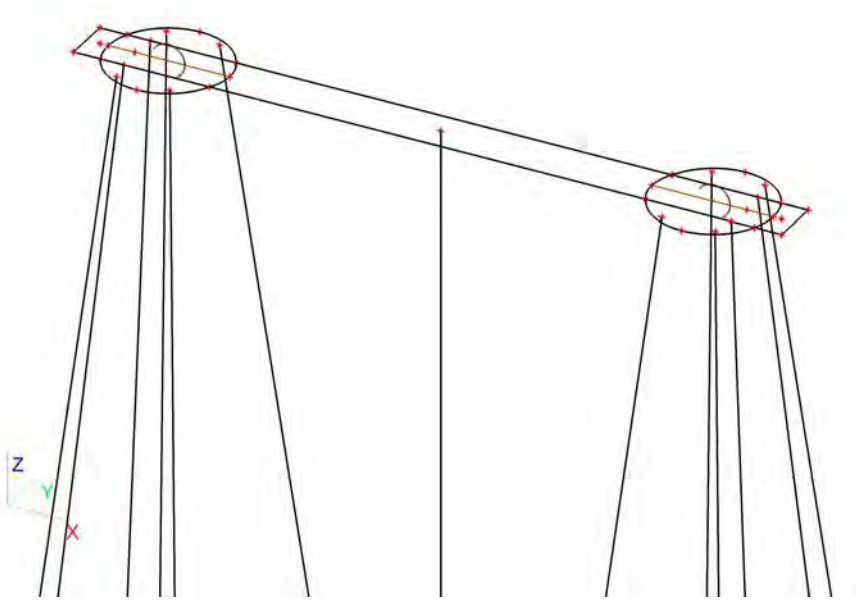

11.5. Belastingsgevallen - BG5

Naam	Omschrijving	Actie type	Lastgroep	Belastingtype	Spec	Duur	'Master' belastingsgeval
BG5	SLS 1	Variabel	LG9	Statisch	Standaard	Kort	Geen

11.5.1. Vrije puntmomenten

Typenaam	Naam	Rich	Type	Geldigheid	Selecteer	Waarde - F [kNm]	Belastingsgeval	Coördinaat X [m]	Coördinaat Y [m]	Coördinaat Z [m]	Coördinaat ux [m]	Coördinaat uy [m]	Coördinaat uz [m]	Systeem
Vrij puntmoment	FM17	Mx	Moment	Alle	Auto	-4314,00	BG5 - SLS 1	2,450	0,750	0,000	1,450	0,750	0,000	GCS
Vrij puntmoment	FM18	Mx	Moment	Alle	Auto	-4314,00	BG5 - SLS 1	18,850	0,750	0,000	17,850	0,750	0,000	GCS
Vrij puntmoment	FM19	My	Moment	Alle	Auto	9532,00	BG5 - SLS 1	2,450	0,750	0,000	1,450	0,750	0,000	GCS
Vrij puntmoment	FM20	My	Moment	Alle	Auto	9532,00	BG5 - SLS 1	18,850	0,750	0,000	17,850	0,750	0,000	GCS
Vrij puntmoment	FM21	Mx	Moment	Alle	Auto	295,80	BG5 - SLS 1	2,450	0,750	0,000	1,450	0,750	0,000	GCS
Vrij puntmoment	FM22	Mx	Moment	Alle	Auto	295,80	BG5 - SLS 1	18,850	0,750	0,000	17,850	0,750	0,000	GCS
Vrij puntmoment	FM23	My	Moment	Alle	Auto	295,80	BG5 - SLS 1	2,450	0,750	0,000	1,450	0,750	0,000	GCS
Vrij puntmoment	FM24	My	Moment	Alle	Auto	295,80	BG5 - SLS 1	18,850	0,750	0,000	17,850	0,750	0,000	GCS
Vrij puntmoment	FM29	Mx	Moment	Alle	Auto	267,75	BG5 - SLS 1	2,450	0,750	0,000	1,450	0,750	0,000	GCS
Vrij puntmoment	FM30	Mx	Moment	Alle	Auto	267,75	BG5 - SLS 1	18,850	0,750	0,000	17,850	0,750	0,000	GCS
Vrij puntmoment	FM31	My	Moment	Alle	Auto	708,90	BG5 - SLS 1	2,450	0,750	0,000	-14,960	0,757	0,000	GCS
Vrij puntmoment	FM32	My	Moment	Alle	Auto	708,90	BG5 - SLS 1	18,850	0,750	0,000	1,440	0,757	0,000	GCS

11.5.2. Genereer vrije lasten

Naam	Belastingsgeval	2D-element	Rich	Belastingstype Type	Oorspronkelijke belasting	Waarde - F [kN] Waarde - F [kNm]	Systeem Locatie
GFF3	BG5 - SLS 1	E2	My	Punt Moment	FM19	 9532,00	GCS Lengte
GFF8	BG5 - SLS 1	E2	Mx	Punt Moment	FM17	 -4314,00	GCS Lengte
GFF11	BG5 - SLS 1	E2	Mx	Punt Moment	FM18	 -4314,00	GCS Lengte
GFF17	BG5 - SLS 1	E2	My	Punt Moment	FM20	 9532,00	GCS Lengte
GFF21	BG5 - SLS 1	E2	Z	Punt Kracht	FF13	-726,00	GCS Lengte
GFF23	BG5 - SLS 1	E2	Z	Punt Kracht	FF14	-726,00	GCS Lengte
GFF26	BG5 - SLS 1	E2	Y	Punt Kracht	FF15	116,00	GCS Lengte
GFF28	BG5 - SLS 1	E2	Y	Punt Kracht	FF16	116,00	GCS Lengte
GFF30	BG5 - SLS 1	E2	X	Punt Kracht	FF17	197,00	GCS Lengte
GFF32	BG5 - SLS 1	E2	X	Punt Kracht	FF18	197,00	GCS Lengte
GFF38	BG5 - SLS 1	E2	Mx	Punt Moment	FM29	 267,75	GCS Lengte
GFF40	BG5 - SLS 1	E2	Mx	Punt Moment	FM30	 267,75	GCS Lengte
GFF47	BG5 - SLS 1	E2	Mx	Punt Moment	FM21	 295,80	GCS Lengte
GFF48	BG5 - SLS 1	E2	Mx	Punt Moment	FM22	 295,80	GCS Lengte
GFF49	BG5 - SLS 1	E2	My	Punt Moment	FM23	 295,80	GCS Lengte
GFF50	BG5 - SLS 1	E2	My	Punt Moment	FM24	 295,80	GCS Lengte
GFF55	BG5 - SLS 1	E2	My	Punt Moment	FM31	 708,90	GCS Lengte
GFF56	BG5 - SLS 1	E2	My	Punt Moment	FM32	 708,90	GCS Lengte

11.5.3. Belasting grafisch

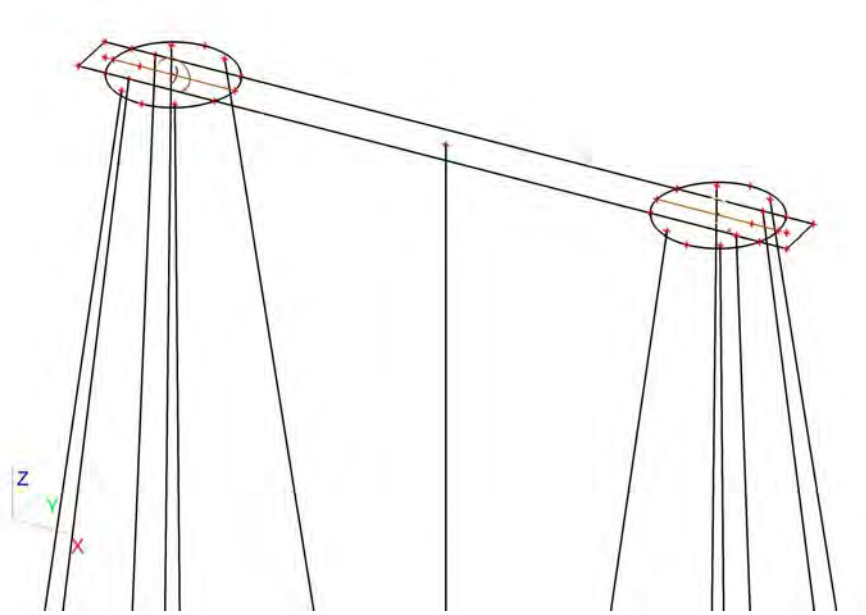

11.6. Belastingsgevallen - BG6

Naam	Omschrijving	Actie type	Lastgroep	Belastingtype	Spec	Duur	'Master' belastingsgeval
BG6	SLS 2	Variabel	LG9	Statisch	Standaard	Kort	Geen

11.6.1. Vrije puntmomenten

Typenaam	Naam	Rich	Type	Geldigheid	Selecteer	Waarde - F [kNm]	Belastingsgeval	Coördinaat X [m]	Coördinaat Y [m]	Coördinaat Z [m]	Coördinaat ux [m]	Coördinaat uy [m]	Coördinaat uz [m]	Systeem
Vrij puntmoment	FM25	Mx	Moment	Alle	Auto	-3672,00	BG6 - SLS 2	2,450	0,750	0,000	1,450	0,750	0,000	GCS
Vrij puntmoment	FM26	Mx	Moment	Alle	Auto	-3672,00	BG6 - SLS 2	18,850	0,750	0,000	17,850	0,750	0,000	GCS
Vrij puntmoment	FM27	My	Moment	Alle	Auto	14266,00	BG6 - SLS 2	2,450	0,750	0,000	1,450	0,750	0,000	GCS
Vrij puntmoment	FM28	My	Moment	Alle	Auto	14266,00	BG6 - SLS 2	18,850	0,750	0,000	17,850	0,750	0,000	GCS

11.6.2. Genereer vrije lasten

Naam	Belastingsgeval	2D-element	Rich	Belastingstype Type	Oorspronkelijke belasting	Waarde - F [kN] Waarde - F [kNm]	Systeem Locatie
GFF33	BG6 - SLS 2	E2	Z	Punt Kracht	FF19	-718,00	GCS Lengte
GFF34	BG6 - SLS 2	E2	Z	Punt Kracht	FF20	-718,00	GCS Lengte
GFF35	BG6 - SLS 2	E2	Y	Punt Kracht	FF21	105,00	GCS Lengte
GFF36	BG6 - SLS 2	E2	Y	Punt Kracht	FF22	105,00	GCS Lengte
GFF37	BG6 - SLS 2	E2	X	Punt Kracht	FF23	278,00	GCS Lengte
GFF39	BG6 - SLS 2	E2	X	Punt Kracht	FF24	278,00	GCS Lengte
GFF51	BG6 - SLS 2	E2	Mx	Punt Moment	FM25	-3672,00	GCS Lengte
GFF52	BG6 - SLS 2	E2	Mx	Punt Moment	FM26	-3672,00	GCS Lengte
GFF53	BG6 - SLS 2	E2	My	Punt Moment	FM27	14266,00	GCS Lengte
GFF54	BG6 - SLS 2	E2	My	Punt Moment	FM28	14266,00	GCS Lengte

11.6.3. Belasting grafisch

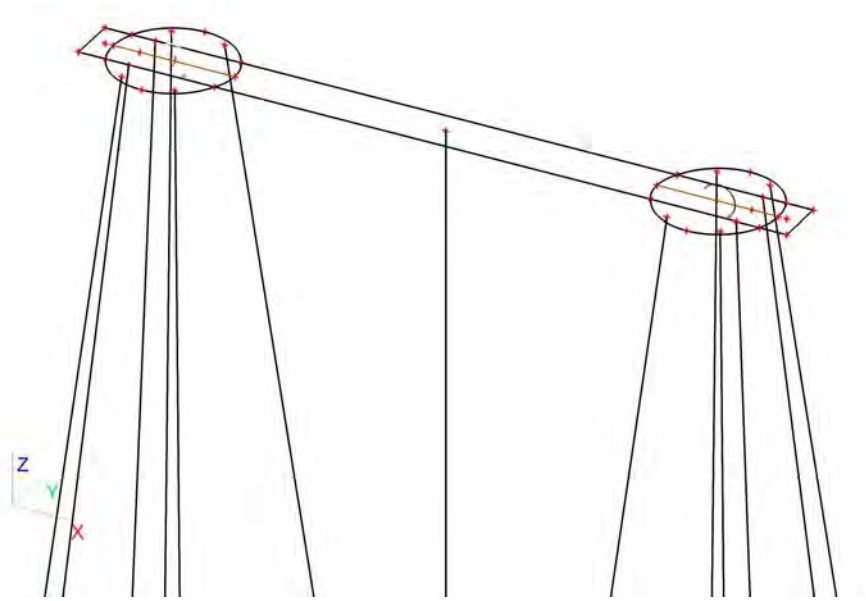

11.7. Belastingsgevallen - BG7

Naam	Omschrijving	Actie type	Lastgroep	Belastingtype	Spec	Duur	'Master' belastingsgeval
BG7	Belasting op maaiveld	Variabel	LG7	Statisch	Standaard	Kort	Geen

11.7.1. Lasten op oppervlak

Naam	Rich	Type	Waarde [kN/m²]	Belastingsgeval	Systeem	Loc
SF4	Z	Kracht	-10,00	BG7 - Belasting op maaiveld	LCS	Lengte
SF5	Z	Kracht	-10,00	BG7 - Belasting op maaiveld	LCS	Lengte
SF6	Z	Kracht	-10,00	BG7 - Belasting op maaiveld	LCS	Lengte

11.7.2. Belasting grafisch

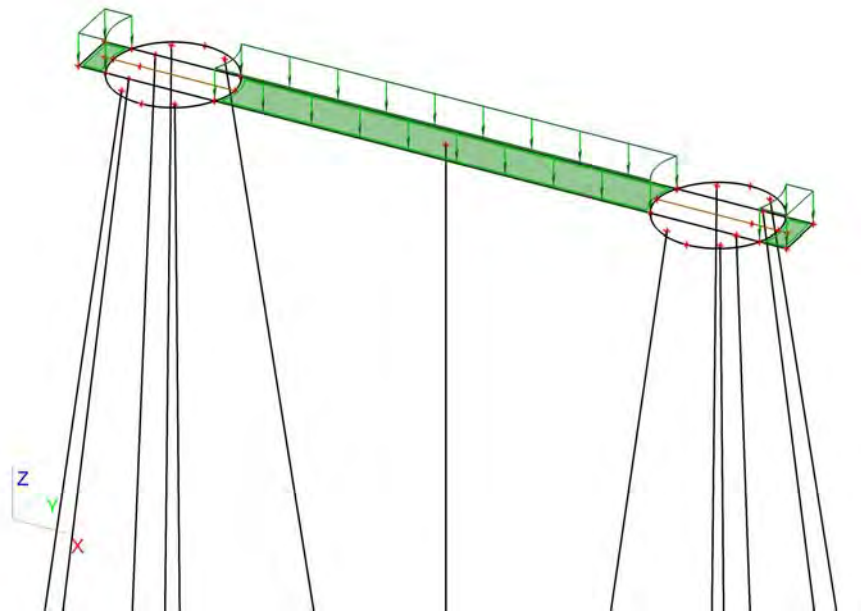

12. Combinaties

Naam	Type	Belastingsgevallen	Coëff. [-]
Combi1	Omhullende - uiterst	BG1 - Eigengewicht	1,30
		BG3 - ULS 1	1,00
		BG7 - Belasting op maaiveld	1,16
		BG2 - Grond	1,30
Combi2	Omhullende - uiterst	BG1 - Eigengewicht	1,30
		BG4 - ULS 2	1,00
		BG7 - Belasting op maaiveld	1,16
		BG2 - Grond	1,30
Combi3	Omhullende - uiterst	BG1 - Eigengewicht	1,30
		BG3 - ULS 1	0,60
		BG7 - Belasting op maaiveld	1,65
		BG2 - Grond	1,30
Combi4	Omhullende - uiterst	BG1 - Eigengewicht	1,30
		BG4 - ULS 2	0,60
		BG7 - Belasting op maaiveld	1,65
		BG2 - Grond	1,30
Combi5	Omhullende - uiterst	BG1 - Eigengewicht	0,54
		BG3 - ULS 1	1,00
		BG2 - Grond	0,54
Combi6	Omhullende -	BG1 - Eigengewicht	0,54

Naam	Type	Belastingsgevallen	Coëff. [-]
Combi6	Omhullende - bruikbaarheid	BG4 - ULS 2	1,00
		BG2 - Grond	0,54
Combi7	Omhullende - bruikbaarheid	BG1 - Eigengewicht	1,00
		BG5 - SLS 1	1,00
		BG7 - Belasting op maaiveld	1,16
		BG2 - Grond	1,00
Combi8	Omhullende - bruikbaarheid	BG1 - Eigengewicht	1,00
		BG6 - SLS 2	1,00
		BG7 - Belasting op maaiveld	0,70
		BG2 - Grond	1,00
Combi9	Omhullende - bruikbaarheid	BG1 - Eigengewicht	1,00
		BG5 - SLS 1	0,60
		BG7 - Belasting op maaiveld	1,00
		BG2 - Grond	1,00
Combi10	Omhullende - bruikbaarheid	BG1 - Eigengewicht	1,00
		BG6 - SLS 2	0,60
		BG7 - Belasting op maaiveld	1,00
		BG2 - Grond	1,00
Combi11	Omhullende - bruikbaarheid	BG1 - Eigengewicht	0,60
		BG5 - SLS 1	1,00
		BG2 - Grond	0,60
Combi12	Omhullende - bruikbaarheid	BG1 - Eigengewicht	0,60
		BG6 - SLS 2	1,00
		BG2 - Grond	0,60

13. Verplaatsing van knopen SLS 1

Lineaire berekening, Extreem : Globaal
Selectie : Alle
Belastingsgevallen : BG5

BG	Snede	elem	dx [m]	Ux [mm]	Uy [mm]	Uz [mm]	Fix [mrad]	Fiy [mrad]	Fiz [mrad]
BG5	Snede2	709	3,674	**7,6**	**4,0**	**-9,6**	-3,1	4,5	**1,6**
BG5	Snede1	27	2,750	**7,6**	4,1	-5,3	-3,1	4,4	-1,4
BG5	Snede1	80	3,650	7,6	**4,1**	-9,2	-3,1	4,2	-1,3
BG5	Snede1	58	0,000	7,6	4,0	**7,0**	**-3,1**	4,5	**-1,6**
BG5	Snede1	23	1,750	7,6	4,0	-0,9	**-3,2**	**4,8**	-1,5
BG5	Snede2	168	0,000	7,6	4,1	6,5	-3,1	**4,2**	1,3

14. Reacties

Lineaire berekening, Extreem : Globaal
Selectie : Alle
Klasse : UGT

Steunpunt	BG	Rx [kN]	Ry [kN]	Rz [kN]	Mx [kNm]	My [kNm]	Mz [kNm]
Sn45/K172	Combi2/1	**-120,16**	**-197,09**	**1348,75**	0,00	0,00	0,00
Sn42/K174	Combi1/2	**108,92**	-179,25	1226,78	0,00	0,00	0,00
Sn46/K170	Combi2/1	-120,16	**197,09**	1348,74	0,00	0,00	0,00
Sn54/K191	Combi6/3	-61,88	-61,48	**-686,23**	0,00	0,00	0,00
Sn3/K52	Combi2/1	-0,57	0,00	1049,97	**0,00**	0,00	0,00
Sn42/K174	Combi2/4	-15,75	25,30	-166,39	**0,00**	0,00	0,00
Sn3/K52	Combi4/5	-0,34	0,00	1053,09	0,00	**0,00**	0,00
Sn41/K173	Combi3/6	42,55	70,02	483,05	0,00	**0,00**	0,00
Sn3/K52	Combi1/7	0,00	0,00	847,07	0,00	0,00	**0,00**

15. 2D element - Interne krachten; mxD+

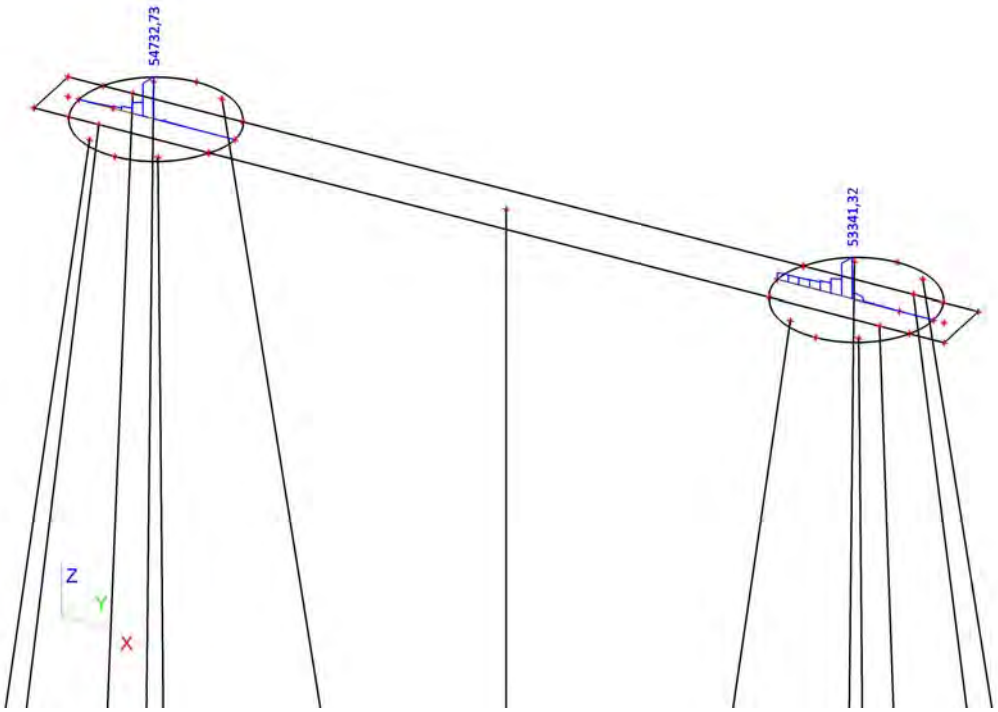

16. 2D element - Interne krachten; mxD-

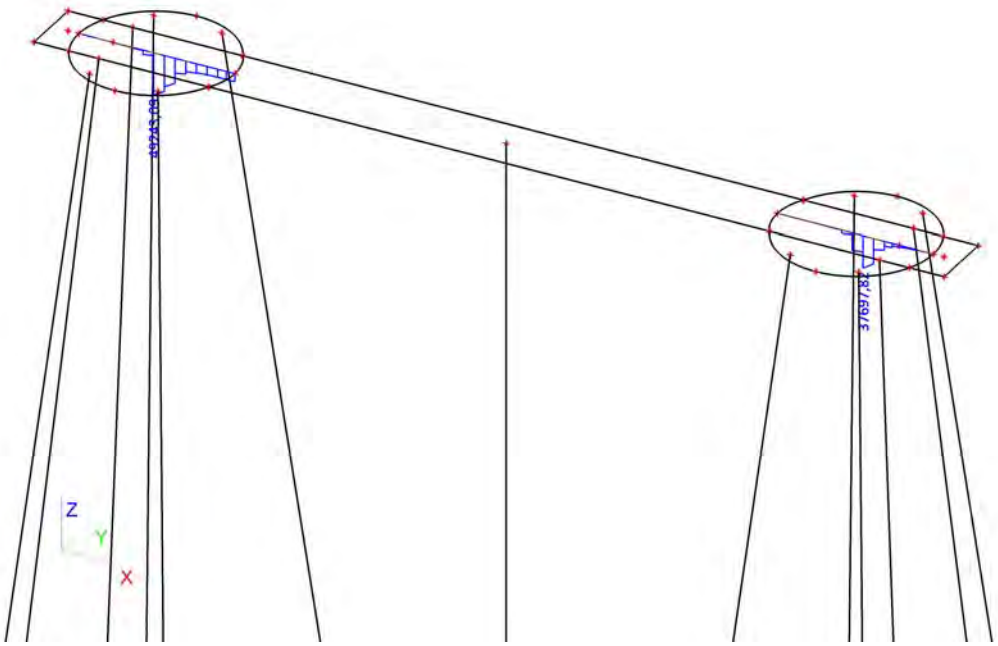

17. 2D element - Interne krachten; myD+

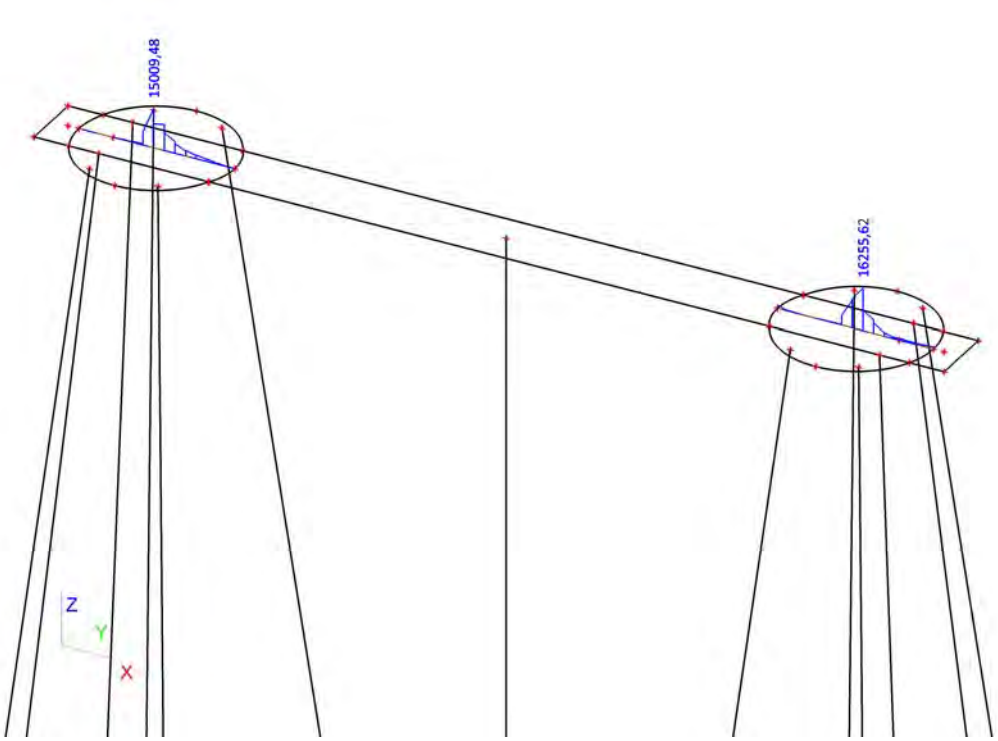

18. 2D element - Interne krachten; myD-

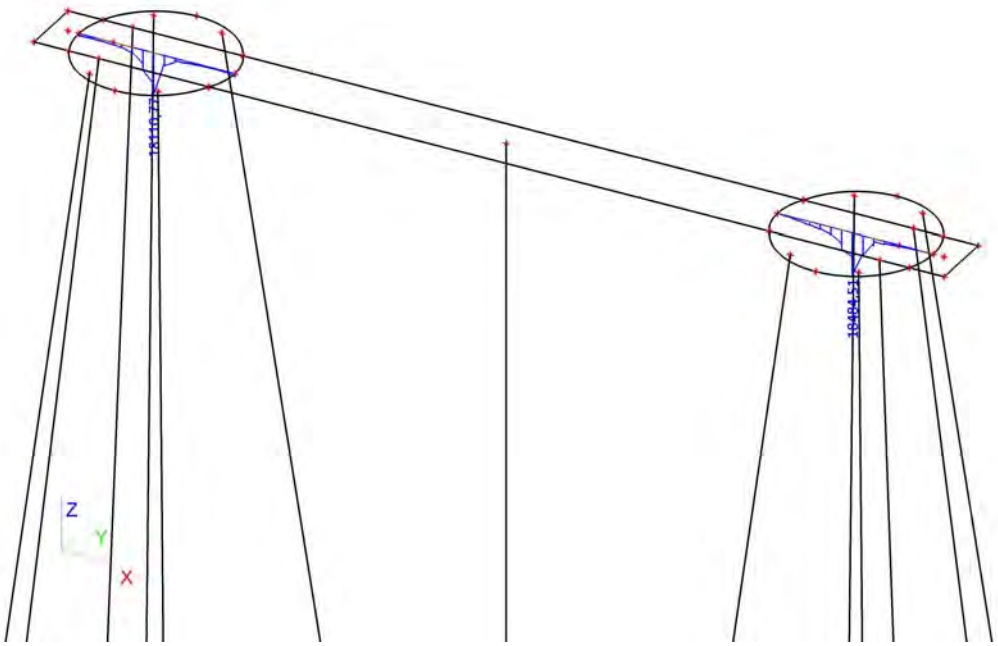

19. 2D element - Interne krachten; vx

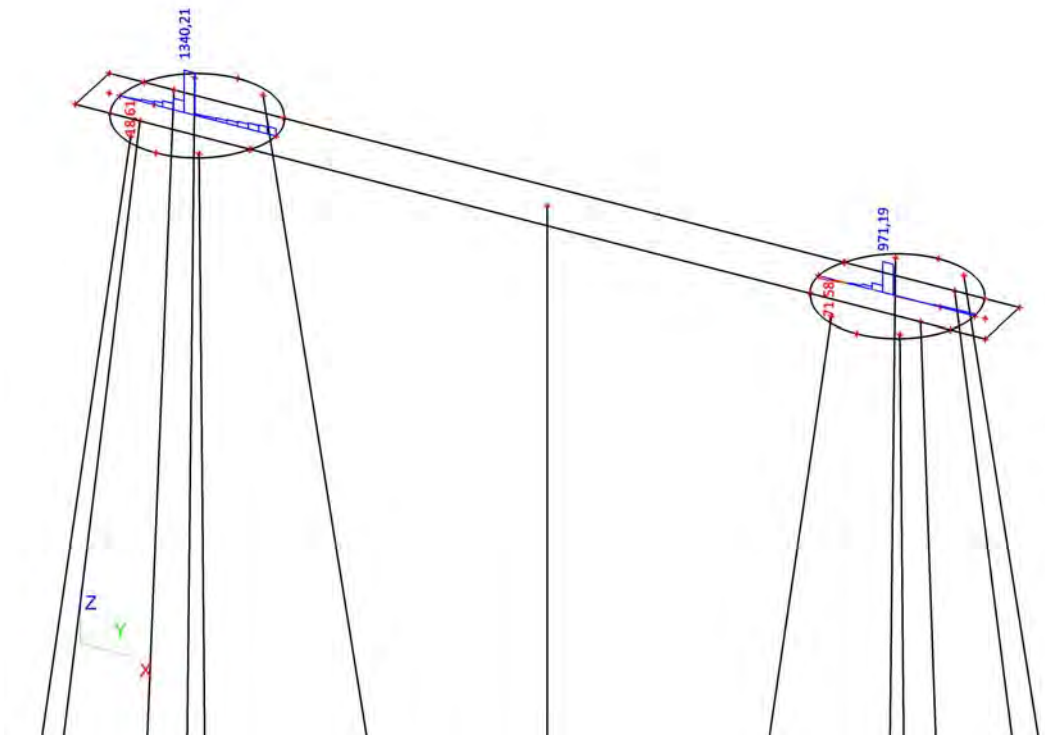

20. 2D element - Interne krachten; vy

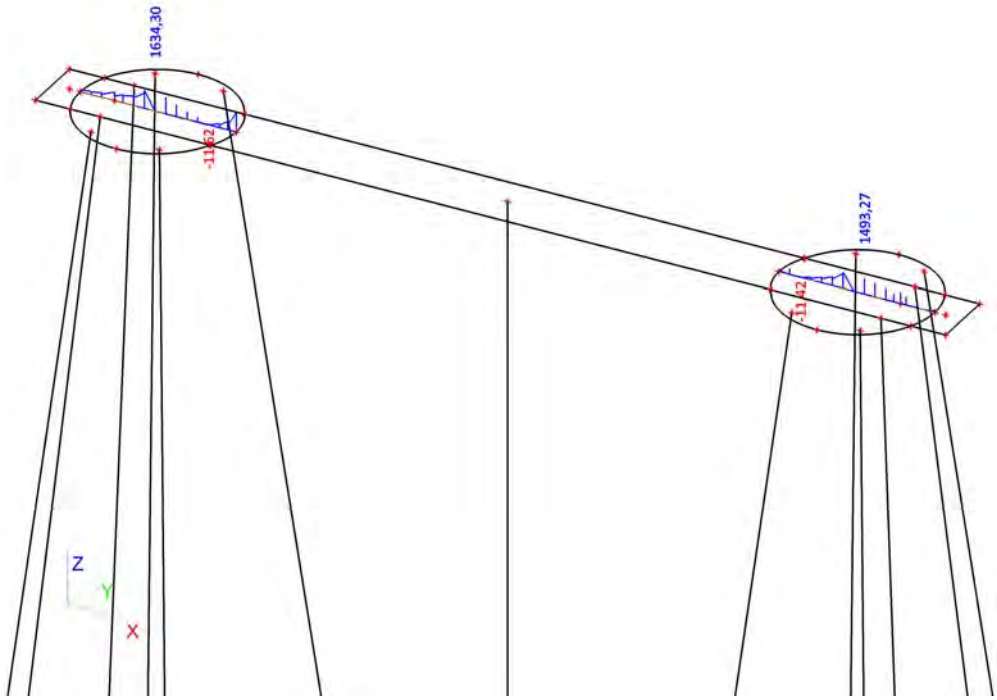

BIJLAGE 2 UITVOER SCIA ENGINEER – MATIGE-WAARDE

1. Inhoudsopgave

1. Inhoudsopgave	1
2. Overzicht	2
3. Materialen	2
4. Doorsneden	2
5. Knoop	3
6. 1D-staaf	3
7. 2D-element	3
8. Subregio	3
9. Knoopondersteuningen	4
10. Lijnondersteuning op staaf	4
11. Belastingsgevallen	6
11.1. Belastingsgevallen - BG1	6
11.1.1. Belasting grafisch	6
11.2. Belastingsgevallen - BG3	6
11.2.1. Vrije puntmomenten	7
11.2.2. Genereer vrije lasten	7
11.2.3. Belasting grafisch	8
11.3. Belastingsgevallen - BG2	8
11.3.1. Lasten op oppervlak	8
11.3.2. Belasting grafisch	9
11.4. Belastingsgevallen - BG4	9
11.4.1. Vrije puntmomenten	9
11.4.2. Genereer vrije lasten	9
11.4.3. Belasting grafisch	10
11.5. Belastingsgevallen - BG5	10
11.5.1. Vrije puntmomenten	10
11.5.2. Genereer vrije lasten	11
11.5.3. Belasting grafisch	11
11.6. Belastingsgevallen - BG6	12
11.6.1. Vrije puntmomenten	12
11.6.2. Genereer vrije lasten	12
11.6.3. Belasting grafisch	12
11.7. Belastingsgevallen - BG7	13
11.7.1. Lasten op oppervlak	13
11.7.2. Belasting grafisch	13
12. Combinaties	13
13. Verplaatsing van knopen SLS 1	14
14. Verplaatsing van knopen SLS 2	14
15. Reacties	14
16. 2D element - Interne krachten; mxD+	15
17. 2D element - Interne krachten; mxD-	15
18. 2D element - Interne krachten; myD+	16
19. 2D element - Interne krachten; myD-	16
20. 2D element - Interne krachten; vx	17
21. 2D element - Interne krachten; vy	17

2. Overzicht

3. Materialen

Naam	Type	Massa eenheid [kg/m³]	E-mod [MPa]	Poisson - nu	G-mod [MPa]	Thermisch uitz. [m/mK]	Karakteristieke cylinderdruksterkte fck(28) [MPa]
C30/37	Beton	2500,0	2,2000e+04	0,2	9,1667e+03	0,00	30,00
C35/45	Beton	2500,0	3,4100e+04	0,2	1,4208e+04	0,00	35,00

4. Doorsneden

Naam	CS1	
Type	Rechthoek	
Uitgebreid	450; 450	
Onderdeelmateriaal	C35/45	
Bouwwijze	Algemeen	
Knik y-y, z-z	b	b
EEM berekening	×	

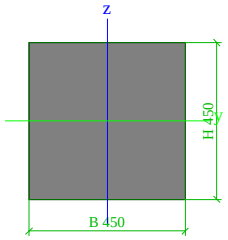

A [m²]	2,0250e-01	
A y, z [m²]	1,6875e-01	1,6875e-01
I y, z [m⁴]	3,4172e-03	3,4172e-03
I w [m⁶], t [m⁴]	0,0000e+00	5,7655e-03
Wel y, z [m³]	1,5188e-02	1,5188e-02
Wpl y, z [m³]	2,2781e-02	2,2781e-02
d y, z [mm]	0	0
c YLCS, ZLCS [mm]	225	225
alpha [deg]	0,00	
AL [m²/m]	1,8000e+00	

5. Knoop

Naam	Coördinaat X [m]	Coördinaat Y [m]	Coördinaat Z [m]
K47	0,400	0,750	0,000
K51	10,650	0,750	0,000
K52	10,650	0,750	-19,000
K81	0,100	-3,212	-19,000
K86	1,650	-0,662	0,000
K92	0,100	4,712	-19,000
K94	1,650	2,162	0,000
K143	0,000	0,000	0,000
K144	0,814	0,000	0,000
K145	4,086	0,000	0,000
K146	2,450	-1,050	0,000
K147	17,214	0,000	0,000
K148	20,486	0,000	0,000
K149	18,850	-1,050	0,000
K150	21,300	0,000	0,000
K151	21,300	1,500	0,000
K152	20,486	1,500	0,000
K153	17,214	1,500	0,000
K154	18,850	2,550	0,000

Naam	Coördinaat X [m]	Coördinaat Y [m]	Coördinaat Z [m]
K155	4,086	1,500	0,000
K156	0,814	1,500	0,000
K157	2,450	2,550	0,000
K158	0,000	1,500	0,000
K159	0,650	0,750	0,000
K160	4,100	0,000	0,000
K161	4,100	1,500	0,000
K162	4,300	0,750	0,000
K163	17,200	1,500	0,000
K164	17,200	0,000	0,000
K165	17,000	0,750	0,000
K166	20,650	0,750	0,000
K167	1,450	0,750	0,000
K169	3,250	-0,662	0,000
K170	4,800	-3,212	-19,000
K171	3,250	2,162	0,000
K172	4,800	4,712	-19,000
K173	16,500	-3,212	-19,000
K174	16,500	4,712	-19,000

Naam	Coördinaat X [m]	Coördinaat Y [m]	Coördinaat Z [m]
K175	21,200	-3,212	-19,000
K176	21,200	4,712	-19,000
K177	18,050	-0,662	0,000
K178	18,050	2,162	0,000
K179	19,650	-0,662	0,000
K180	19,650	2,162	0,000
K183	20,900	0,750	0,000
K184	19,850	0,750	0,000
K185	21,336	-1,550	-19,000
K187	21,336	3,050	-19,000
K188	19,786	0,000	0,000
K189	19,786	1,500	0,000
K190	-0,036	3,050	-19,000
K191	-0,036	-1,550	-19,000
K192	1,514	0,000	0,000
K193	1,514	1,500	0,000

6. 1D-staaf

Naam	Doorsnede	Lengte [m]	Vorm	Beginknoop	Eindknoop	Type	EEM-type	Laag
S3	CS1 - Rechthoek (450; 450)	19,000	Lijn	K51	K52	Algemeen (0)	standaard	Laag1
S19	CS1 - Rechthoek (450; 450)	19,233	Lijn	K86	K81	Algemeen (0)	standaard	Laag1
S24	CS1 - Rechthoek (450; 450)	19,233	Lijn	K94	K92	Algemeen (0)	standaard	Laag1
S50	CS1 - Rechthoek (450; 450)	19,233	Lijn	K169	K170	Algemeen (0)	standaard	Laag1
S51	CS1 - Rechthoek (450; 450)	19,233	Lijn	K171	K172	Algemeen (0)	standaard	Laag1
S52	CS1 - Rechthoek (450; 450)	19,233	Lijn	K177	K173	Algemeen (0)	standaard	Laag1
S53	CS1 - Rechthoek (450; 450)	19,233	Lijn	K178	K174	Algemeen (0)	standaard	Laag1
S54	CS1 - Rechthoek (450; 450)	19,233	Lijn	K179	K175	Algemeen (0)	standaard	Laag1
S55	CS1 - Rechthoek (450; 450)	19,233	Lijn	K180	K176	Algemeen (0)	standaard	Laag1
S56	CS1 - Rechthoek (450; 450)	19,126	Lijn	K188	K185	Algemeen (0)	standaard	Laag1
S58	CS1 - Rechthoek (450; 450)	19,126	Lijn	K189	K187	Algemeen (0)	standaard	Laag1
S59	CS1 - Rechthoek (450; 450)	19,126	Lijn	K193	K190	Algemeen (0)	standaard	Laag1
S60	CS1 - Rechthoek (450; 450)	19,126	Lijn	K192	K191	Algemeen (0)	standaard	Laag1

7. 2D-element

Naam	Materiaal	D. [mm]	Dikte type	Type	Laag
E2	C30/37	3000	konstant	vloer (90)	Laag1

8. Subregio

Naam, 2D-element, Materiaal, Dikte type						
2D-element systeemvlak op, Exc. z [mm], D. [mm], Punt 4, Knoop, Rand, Gewicht	Regio3	E2	C30/37	konstant	K156	Cirkelboog
	Boven	0		1800	K157	
					K155	Lijn
Naam, 2D-element, Materiaal, Dikte type	Regio4	E2	C30/37	konstant		
2D-element systeemvlak op, Exc. z [mm], D. [mm], Punt 4, Knoop, Rand, Gewicht	Boven	0		1800	K144	Lijn
					K145	Cirkelboog
					K146	
Naam, 2D-element, Materiaal, Dikte type	Regio6	E2	C30/37	konstant		
2D-element systeemvlak op, Exc. z [mm], D. [mm], Punt 4, Knoop, Rand, Gewicht	Boven	0		1800	K153	Cirkelboog
					K154	
					K152	Lijn
Naam, 2D-element, Materiaal, Dikte type	Regio7	E2	C30/37	konstant		
2D-element systeemvlak op, Exc. z [mm], D. [mm], Punt 4, Knoop, Rand, Gewicht	Boven	0		1800	K147	Lijn
					K148	Cirkelboog
					K149	
Naam, 2D-element, Materiaal, Dikte type	Regio8	E2	C30/37	konstant		
2D-element systeemvlak op, Exc. z [mm], D. [mm], Punt 4, Knoop, Rand, Gewicht	Onder	0		1200	K158	Lijn
					K156	Cirkelboog
					K159	
					K144	Lijn
					K143	Lijn
Naam, 2D-element, Materiaal, Dikte type	Regio9	E2	C30/37	konstant		
2D-element systeemvlak op, Exc. z [mm], D. [mm], Punt 4, Knoop, Rand, Gewicht	Onder	0		1200	K160	Cirkelboog
					K162	
					K161	Lijn

2D-element systeemvlak op, Exc. z [mm], D. [mm], Punt 4, Knoop, Rand, Gewicht	Onder	0		1200	K163 K165 K164	Cirkelboog Lijn
Naam, 2D-element, Materiaal, Dikte type	Regio10	E2	C30/37	konstant		
2D-element systeemvlak op, Exc. z [mm], D. [mm], Punt 4, Knoop, Rand, Gewicht	Onder	0		1200	K152 K151 K150 K148 K166	Lijn Lijn Lijn Cirkelboog

9. Knoopondersteuningen

Naam	Knoop	Systeem	Type	X	Y	Z	Stijfheid Z [MN/m]	Rx	Ry	Rz
Sn3	K52	GCS	Standaard	Vast	Vast	Verend	1,2000e+02	Vrij	Vrij	Vrij
Sn9	K81	GCS	Standaard	Vast	Vast	Verend	1,2000e+02	Vrij	Vrij	Vrij
Sn14	K92	GCS	Standaard	Vast	Vast	Verend	1,2000e+02	Vrij	Vrij	Vrij
Sn41	K173	GCS	Standaard	Vast	Vast	Verend	1,2000e+02	Vrij	Vrij	Vrij
Sn42	K174	GCS	Standaard	Vast	Vast	Verend	1,2000e+02	Vrij	Vrij	Vrij
Sn45	K172	GCS	Standaard	Vast	Vast	Verend	1,2000e+02	Vrij	Vrij	Vrij
Sn46	K170	GCS	Standaard	Vast	Vast	Verend	1,2000e+02	Vrij	Vrij	Vrij
Sn47	K176	GCS	Standaard	Vast	Vast	Verend	1,2000e+02	Vrij	Vrij	Vrij
Sn49	K175	GCS	Standaard	Vast	Vast	Verend	1,2000e+02	Vrij	Vrij	Vrij
Sn50	K185	GCS	Standaard	Vast	Vast	Verend	1,2000e+02	Vrij	Vrij	Vrij
Sn52	K187	GCS	Standaard	Vast	Vast	Verend	1,2000e+02	Vrij	Vrij	Vrij
Sn53	K190	GCS	Standaard	Vast	Vast	Verend	1,2000e+02	Vrij	Vrij	Vrij
Sn54	K191	GCS	Standaard	Vast	Vast	Verend	1,2000e+02	Vrij	Vrij	Vrij

10. Lijnondersteuning op staaf

Staaf	Naam Systeem	Pos x_1 [m] Pos x_2 [m]	Coör Oors	X	Y	Stijfheid Y [MN/m²]	Z	Stijfheid Z [MN/m²]	Rx	Ry	Rz
S3	Slb43 LCS	0,900 6,400	Abso Vanaf begin	Vrij	Verend	6,0000e+00	Verend	6,0000e+00	Vrij	Vrij	Vrij
S3	Slb163 LCS	12,900 22,000	Abso Vanaf begin	Vrij	Verend	1,4400e+01	Verend	1,4400e+01	Vrij	Vrij	Vrij
S3	Slb83 LCS	6,400 10,900	Abso Vanaf begin	Vrij	Verend	1,2000e+00	Verend	1,2000e+00	Vrij	Vrij	Vrij
S3	Slb3 LCS	0,000 0,900	Abso Vanaf begin	Vrij	Verend	1,2000e+00	Verend	1,2000e+00	Vrij	Vrij	Vrij
S3	Slb123 LCS	10,900 12,900	Abso Vanaf begin	Vrij	Verend	7,2000e+00	Verend	7,2000e+00	Vrij	Vrij	Vrij
S19	Slb97 LCS	6,400 10,900	Abso Vanaf begin	Vrij	Verend	1,2000e+00	Verend	1,2000e+00	Vrij	Vrij	Vrij
S19	Slb137 LCS	10,900 12,900	Abso Vanaf begin	Vrij	Verend	7,2000e+00	Verend	7,2000e+00	Vrij	Vrij	Vrij
S19	Slb17 LCS	0,000 0,900	Abso Vanaf begin	Vrij	Verend	1,2000e+00	Verend	1,2000e+00	Vrij	Vrij	Vrij
S19	Slb57 LCS	0,900 6,400	Abso Vanaf begin	Vrij	Verend	6,0000e+00	Verend	6,0000e+00	Vrij	Vrij	Vrij
S19	Slb177 LCS	12,900 22,000	Abso Vanaf begin	Vrij	Verend	1,4400e+01	Verend	1,4400e+01	Vrij	Vrij	Vrij
S24	Slb182 LCS	12,900 22,000	Abso Vanaf begin	Vrij	Verend	1,4400e+01	Verend	1,4400e+01	Vrij	Vrij	Vrij
S24	Slb142 LCS	10,900 12,900	Abso Vanaf begin	Vrij	Verend	7,2000e+00	Verend	7,2000e+00	Vrij	Vrij	Vrij
S24	Slb22 LCS	0,000 0,900	Abso Vanaf begin	Vrij	Verend	1,2000e+00	Verend	1,2000e+00	Vrij	Vrij	Vrij
S24	Slb62 LCS	0,900 6,400	Abso Vanaf begin	Vrij	Verend	6,0000e+00	Verend	6,0000e+00	Vrij	Vrij	Vrij
S24	Slb102 LCS	6,400 10,900	Abso Vanaf begin	Vrij	Verend	1,2000e+00	Verend	1,2000e+00	Vrij	Vrij	Vrij
S50	Slb209 LCS	10,900 12,900	Abso Vanaf begin	Vrij	Verend	7,2000e+00	Verend	7,2000e+00	Vrij	Vrij	Vrij
S50	Slb210 LCS	12,900 22,000	Abso Vanaf begin	Vrij	Verend	1,4400e+01	Verend	1,4400e+01	Vrij	Vrij	Vrij
S50	Slb208 LCS	6,400 10,900	Abso Vanaf begin	Vrij	Verend	1,2000e+00	Verend	1,2000e+00	Vrij	Vrij	Vrij
S50	Slb206 LCS	0,000 0,900	Abso Vanaf begin	Vrij	Verend	1,2000e+00	Verend	1,2000e+00	Vrij	Vrij	Vrij
S50	Slb207 LCS	0,900 6,400	Abso Vanaf begin	Vrij	Verend	6,0000e+00	Verend	6,0000e+00	Vrij	Vrij	Vrij

Staaf	Naam Systeem	Pos x_1 [m] Pos x_2 [m]	Coör Oors	X	Y	Stijfheid Y [MN/m²]	Z	Stijfheid Z [MN/m²]	Rx	Ry	Rz
S51	Slb214 LCS	10,900 12,900	Abso Vanaf begin	Vrij	Verend	7,2000e+00	Verend	7,2000e+00	Vrij	Vrij	Vrij
S51	Slb215 LCS	12,900 22,000	Abso Vanaf begin	Vrij	Verend	1,4400e+01	Verend	1,4400e+01	Vrij	Vrij	Vrij
S51	Slb213 LCS	6,400 10,900	Abso Vanaf begin	Vrij	Verend	1,2000e+00	Verend	1,2000e+00	Vrij	Vrij	Vrij
S51	Slb211 LCS	0,000 0,900	Abso Vanaf begin	Vrij	Verend	1,2000e+00	Verend	1,2000e+00	Vrij	Vrij	Vrij
S51	Slb212 LCS	0,900 6,400	Abso Vanaf begin	Vrij	Verend	6,0000e+00	Verend	6,0000e+00	Vrij	Vrij	Vrij
S52	Slb219 LCS	10,900 12,900	Abso Vanaf begin	Vrij	Verend	7,2000e+00	Verend	7,2000e+00	Vrij	Vrij	Vrij
S52	Slb220 LCS	12,900 22,000	Abso Vanaf begin	Vrij	Verend	1,4400e+01	Verend	1,4400e+01	Vrij	Vrij	Vrij
S52	Slb218 LCS	6,400 10,900	Abso Vanaf begin	Vrij	Verend	1,2000e+00	Verend	1,2000e+00	Vrij	Vrij	Vrij
S52	Slb216 LCS	0,000 0,900	Abso Vanaf begin	Vrij	Verend	1,2000e+00	Verend	1,2000e+00	Vrij	Vrij	Vrij
S52	Slb217 LCS	0,900 6,400	Abso Vanaf begin	Vrij	Verend	6,0000e+00	Verend	6,0000e+00	Vrij	Vrij	Vrij
S53	Slb224 LCS	10,900 12,900	Abso Vanaf begin	Vrij	Verend	7,2000e+00	Verend	7,2000e+00	Vrij	Vrij	Vrij
S53	Slb225 LCS	12,900 22,000	Abso Vanaf begin	Vrij	Verend	1,4400e+01	Verend	1,4400e+01	Vrij	Vrij	Vrij
S53	Slb223 LCS	6,400 10,900	Abso Vanaf begin	Vrij	Verend	1,2000e+00	Verend	1,2000e+00	Vrij	Vrij	Vrij
S53	Slb221 LCS	0,000 0,900	Abso Vanaf begin	Vrij	Verend	1,2000e+00	Verend	1,2000e+00	Vrij	Vrij	Vrij
S53	Slb222 LCS	0,900 6,400	Abso Vanaf begin	Vrij	Verend	6,0000e+00	Verend	6,0000e+00	Vrij	Vrij	Vrij
S54	Slb229 LCS	10,900 12,900	Abso Vanaf begin	Vrij	Verend	7,2000e+00	Verend	7,2000e+00	Vrij	Vrij	Vrij
S54	Slb230 LCS	12,900 22,000	Abso Vanaf begin	Vrij	Verend	1,4400e+01	Verend	1,4400e+01	Vrij	Vrij	Vrij
S54	Slb228 LCS	6,400 10,900	Abso Vanaf begin	Vrij	Verend	1,2000e+00	Verend	1,2000e+00	Vrij	Vrij	Vrij
S54	Slb226 LCS	0,000 0,900	Abso Vanaf begin	Vrij	Verend	1,2000e+00	Verend	1,2000e+00	Vrij	Vrij	Vrij
S54	Slb227 LCS	0,900 6,400	Abso Vanaf begin	Vrij	Verend	6,0000e+00	Verend	6,0000e+00	Vrij	Vrij	Vrij
S55	Slb234 LCS	10,900 12,900	Abso Vanaf begin	Vrij	Verend	7,2000e+00	Verend	7,2000e+00	Vrij	Vrij	Vrij
S55	Slb235 LCS	12,900 22,000	Abso Vanaf begin	Vrij	Verend	1,4400e+01	Verend	1,4400e+01	Vrij	Vrij	Vrij
S55	Slb233 LCS	6,400 10,900	Abso Vanaf begin	Vrij	Verend	1,2000e+00	Verend	1,2000e+00	Vrij	Vrij	Vrij
S55	Slb231 LCS	0,000 0,900	Abso Vanaf begin	Vrij	Verend	1,2000e+00	Verend	1,2000e+00	Vrij	Vrij	Vrij
S55	Slb232 LCS	0,900 6,400	Abso Vanaf begin	Vrij	Verend	6,0000e+00	Verend	6,0000e+00	Vrij	Vrij	Vrij
S56	Slb239 LCS	10,900 12,900	Abso Vanaf begin	Vrij	Verend	7,2000e+00	Verend	7,2000e+00	Vrij	Vrij	Vrij
S56	Slb240 LCS	12,900 22,000	Abso Vanaf begin	Vrij	Verend	1,4400e+01	Verend	1,4400e+01	Vrij	Vrij	Vrij
S56	Slb238 LCS	6,400 10,900	Abso Vanaf begin	Vrij	Verend	1,2000e+00	Verend	1,2000e+00	Vrij	Vrij	Vrij
S56	Slb236 LCS	0,000 0,900	Abso Vanaf begin	Vrij	Verend	1,2000e+00	Verend	1,2000e+00	Vrij	Vrij	Vrij
S56	Slb237 LCS	0,900 6,400	Abso Vanaf begin	Vrij	Verend	6,0000e+00	Verend	6,0000e+00	Vrij	Vrij	Vrij
S58	Slb249 LCS	10,900 12,900	Abso Vanaf begin	Vrij	Verend	7,2000e+00	Verend	7,2000e+00	Vrij	Vrij	Vrij
S58	Slb250 LCS	12,900 22,000	Abso Vanaf begin	Vrij	Verend	1,4400e+01	Verend	1,4400e+01	Vrij	Vrij	Vrij
S58	Slb248 LCS	6,400 10,900	Abso Vanaf begin	Vrij	Verend	1,2000e+00	Verend	1,2000e+00	Vrij	Vrij	Vrij
S58	Slb246 LCS	0,000 0,900	Abso Vanaf begin	Vrij	Verend	1,2000e+00	Verend	1,2000e+00	Vrij	Vrij	Vrij
S58	Slb247 LCS	0,900 6,400	Abso Vanaf begin	Vrij	Verend	6,0000e+00	Verend	6,0000e+00	Vrij	Vrij	Vrij
S59	Slb254 LCS	10,900 12,900	Abso Vanaf begin	Vrij	Verend	7,2000e+00	Verend	7,2000e+00	Vrij	Vrij	Vrij

Staaf	Naam Systeem	Pos x_1 [m] Pos x_2 [m]	Coör Oors	X	Y	Stijfheid Y [MN/m²]	Z	Stijfheid Z [MN/m²]	Rx	Ry	Rz
S59	Slb255 LCS	12,900 22,000	Abso Vanaf begin	Vrij	Verend	1,4400e+01	Verend	1,4400e+01	Vrij	Vrij	Vrij
S59	Slb253 LCS	6,400 10,900	Abso Vanaf begin	Vrij	Verend	1,2000e+00	Verend	1,2000e+00	Vrij	Vrij	Vrij
S59	Slb251 LCS	0,000 0,900	Abso Vanaf begin	Vrij	Verend	1,2000e+00	Verend	1,2000e+00	Vrij	Vrij	Vrij
S59	Slb252 LCS	0,900 6,400	Abso Vanaf begin	Vrij	Verend	6,0000e+00	Verend	6,0000e+00	Vrij	Vrij	Vrij
S60	Slb259 LCS	10,900 12,900	Abso Vanaf begin	Vrij	Verend	7,2000e+00	Verend	7,2000e+00	Vrij	Vrij	Vrij
S60	Slb260 LCS	12,900 22,000	Abso Vanaf begin	Vrij	Verend	1,4400e+01	Verend	1,4400e+01	Vrij	Vrij	Vrij
S60	Slb258 LCS	6,400 10,900	Abso Vanaf begin	Vrij	Verend	1,2000e+00	Verend	1,2000e+00	Vrij	Vrij	Vrij
S60	Slb256 LCS	0,000 0,900	Abso Vanaf begin	Vrij	Verend	1,2000e+00	Verend	1,2000e+00	Vrij	Vrij	Vrij
S60	Slb257 LCS	0,900 6,400	Abso Vanaf begin	Vrij	Verend	6,0000e+00	Verend	6,0000e+00	Vrij	Vrij	Vrij

11. Belastingsgevallen

11.1. Belastingsgevallen - BG1

Naam	Omschrijving	Actie type	Lastgroep	Belastingtype	Richting
BG1	Eigengewicht	Permanent	LG8	Eigen gewicht	-Z

11.1.1. Belasting grafisch

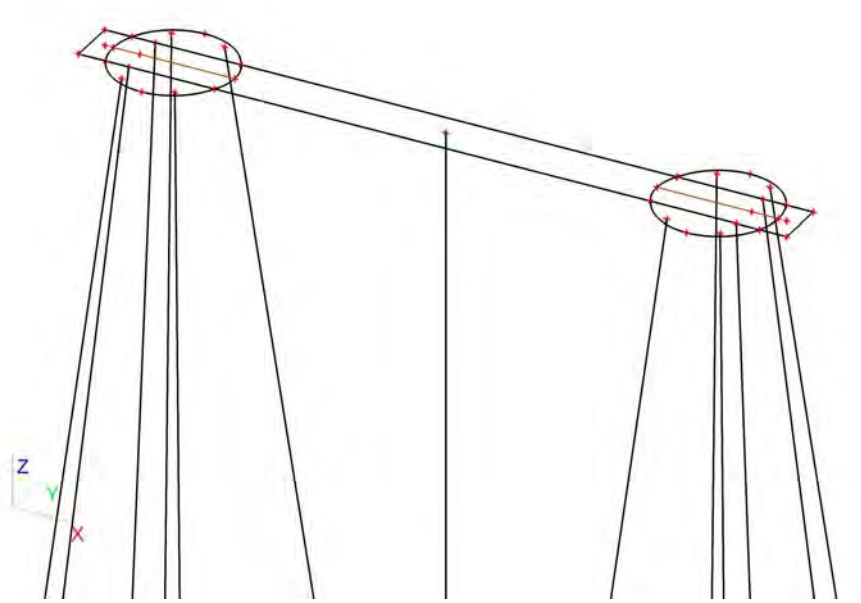

11.2. Belastingsgevallen - BG3

Naam	Omschrijving	Actie type	Lastgroep	Belastingtype	Spec	Duur	'Master' belastingsgeval
BG3	ULS 1	Variabel	LG7	Statisch	Standaard	Kort	Geen

11.2.1. Vrije puntmomenten

Typenaam	Naam	Rich	Type	Geldigheid	Selecteer	Waarde - F [kNm]	Belastingsgeval	Coördinaat X [m]	Coördinaat Y [m]	Coördinaat Z [m]	Coördinaat ux [m]	Coördinaat uy [m]	Coördinaat uz [m]	Systeem
Vrij puntmoment	FM1	Mx	Moment	Alle	Auto	-5841,00	BG3 - ULS 1	2,450	0,750	0,000	2,450	0,750	0,000	GCS
Vrij puntmoment	FM2	Mx	Moment	Alle	Auto	-5841,00	BG3 - ULS 1	18,850	0,750	0,000	18,850	0,750	0,000	GCS
Vrij puntmoment	FM3	My	Moment	Alle	Auto	547,00	BG3 - ULS 1	2,450	0,750	0,000	2,450	0,750	0,000	GCS
Vrij puntmoment	FM4	My	Moment	Alle	Auto	547,00	BG3 - ULS 1	18,850	0,750	0,000	18,850	0,750	0,000	GCS
Vrij puntmoment	FM5	Mx	Moment	Alle	Auto	415,65	BG3 - ULS 1	2,450	0,750	0,000	2,450	0,750	0,000	GCS
Vrij puntmoment	FM6	Mx	Moment	Alle	Auto	415,65	BG3 - ULS 1	18,850	0,750	0,000	18,850	0,750	0,000	GCS
Vrij puntmoment	FM7	My	Moment	Alle	Auto	0,00	BG3 - ULS 1	2,450	0,750	0,000	-13,960	0,757	0,000	GCS
Vrij puntmoment	FM8	My	Moment	Alle	Auto	0,00	BG3 - ULS 1	18,850	0,750	0,000	2,440	0,757	0,000	GCS

11.2.2. Genereer vrije lasten

Naam	Belastingsgeval	2D-element	Rich	Belastingstype Type	Oorspronkelijke belasting	Waarde - F [kN] Waarde - F [kNm]	Systeem Locatie
GFF1	BG3 - ULS 1	E2	Z	Punt Kracht	FF1	-921,00	GCS Lengte
GFF4	BG3 - ULS 1	E2	Z	Punt Kracht	FF2	-921,00	GCS Lengte
GFF5	BG3 - ULS 1	E2	Mx	Punt Moment	FM6	415,65	GCS Lengte
GFF6	BG3 - ULS 1	E2	Y	Punt Kracht	FF3	163,00	GCS Lengte
GFF7	BG3 - ULS 1	E2	X	Punt Kracht	FF5	0,00	GCS Lengte
GFF9	BG3 - ULS 1	E2	Y	Punt Kracht	FF4	163,00	GCS Lengte
GFF10	BG3 - ULS 1	E2	X	Punt Kracht	FF6	0,00	GCS Lengte
GFF25	BG3 - ULS 1	E2	My	Punt Moment	FM7	0,00	GCS Lengte
GFF27	BG3 - ULS 1	E2	My	Punt Moment	FM8	0,00	GCS Lengte
GFF41	BG3 - ULS 1	E2	Mx	Punt Moment	FM1	-5841,00	GCS Lengte
GFF42	BG3 - ULS 1	E2	Mx	Punt Moment	FM2	-5841,00	GCS Lengte
GFF43	BG3 - ULS 1	E2	My	Punt Moment	FM3	547,00	GCS Lengte
GFF44	BG3 - ULS 1	E2	My	Punt Moment	FM4	547,00	GCS Lengte
GFF45	BG3 - ULS 1	E2	Mx	Punt Moment	FM5	415,65	GCS Lengte

11.2.3. Belasting grafisch

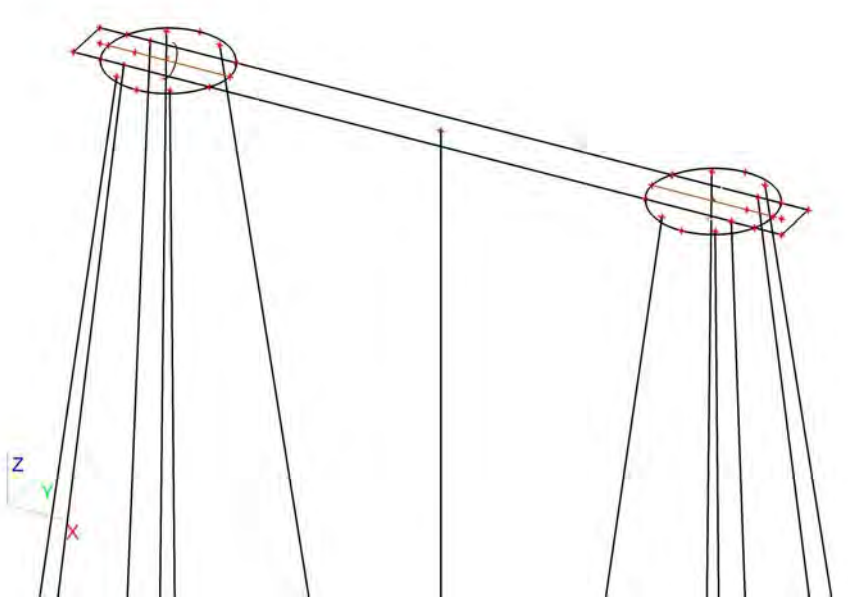

11.3. Belastingsgevallen - BG2

Naam	Omschrijving	Actie type	Lastgroep	Belastingtype
BG2	Grond	Permanent	LG8	Standaard

11.3.1. Lasten op oppervlak

Naam	Rich	Type	Waarde [kN/m^2]	Belastingsgeval	Systeem	Loc
SF1	Z	Kracht	-25,50	BG2 - Grond	LCS	Lengte
SF2	Z	Kracht	-25,50	BG2 - Grond	LCS	Lengte
SF3	Z	Kracht	-25,50	BG2 - Grond	LCS	Lengte

11.3.2. Belasting grafisch

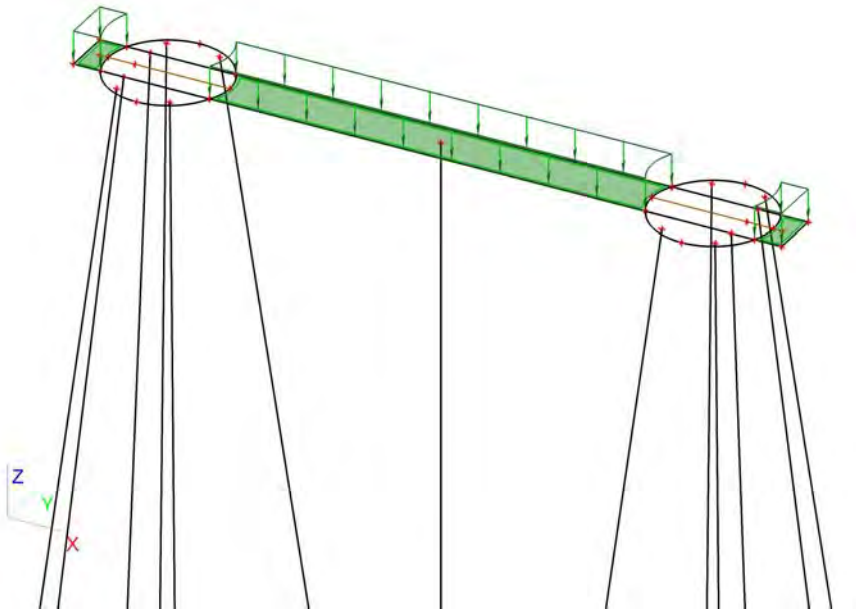

11.4. Belastingsgevallen - BG4

Naam	Omschrijving	Actie type	Lastgroep	Belastingtype	Spec	Duur	'Master' belastingsgeval
BG4	ULS 2	Variabel	LG9	Statisch	Standaard	Kort	Geen

11.4.1. Vrije puntmomenten

Typenaam	Naam	Rich	Type	Geldigheid	Selecteer	Waarde - F [kNm]	Belastingsgeval	Coördinaat X [m]	Coördinaat Y [m]	Coördinaat Z [m]	Coördinaat ux [m]	Coördinaat uy [m]	Coördinaat uz [m]	Systeem
Vrij puntmoment	FM9	Mx	Moment	Alle	Auto	0,00	BG4 - ULS 2	2,450	0,750	0,000	3,703	0,750	0,000	GCS
Vrij puntmoment	FM10	Mx	Moment	Alle	Auto	0,00	BG4 - ULS 2	18,850	0,750	0,000	20,275	0,744	0,000	GCS
Vrij puntmoment	FM11	My	Moment	Alle	Auto	21005,00	BG4 - ULS 2	2,450	0,750	0,000	-12,525	0,744	0,000	GCS
Vrij puntmoment	FM12	My	Moment	Alle	Auto	21005,00	BG4 - ULS 2	18,850	0,750	0,000	3,703	0,750	0,000	GCS
Vrij puntmoment	FM13	Mx	Moment	Alle	Auto	0,00	BG4 - ULS 2	2,450	0,750	0,000	-13,950	0,750	0,000	GCS
Vrij puntmoment	FM14	Mx	Moment	Alle	Auto	0,00	BG4 - ULS 2	18,850	0,750	0,000	2,450	0,750	0,000	GCS
Vrij puntmoment	FM15	My	Moment	Alle	Auto	1050,60	BG4 - ULS 2	2,450	0,750	0,000	-13,950	0,750	0,000	GCS
Vrij puntmoment	FM16	My	Moment	Alle	Auto	1050,60	BG4 - ULS 2	18,850	0,750	0,000	2,450	0,750	0,000	GCS

11.4.2. Genereer vrije lasten

Naam	Belastingsgeval	2D-element	Rich	Belastingstype Type	Oorspronkelijke belasting	Waarde - F [kN] Waarde - F [kNm]	Systeem Locatie
GFF2	BG4 - ULS 2	E2	Y	Punt Kracht	FF9	0,00	GCS Lengte
GFF12	BG4 - ULS 2	E2	Z	Punt Kracht	FF7	-859,00	GCS Lengte
GFF13	BG4 - ULS 2	E2	Mx	Punt Moment	FM13	0,00	GCS Lengte
GFF14	BG4 - ULS 2	E2	Z	Punt Kracht	FF8	-859,00	GCS Lengte
GFF15	BG4 - ULS 2	E2	Mx	Punt Moment	FM14	0,00	GCS Lengte
GFF16	BG4 - ULS 2	E2	Y	Punt Kracht	FF10	0,00	GCS Lengte
GFF18	BG4 - ULS 2	E2	X	Punt Kracht	FF11	412,00	GCS Lengte
GFF19	BG4 - ULS 2	E2	X	Punt Kracht	FF12	412,00	GCS Lengte
GFF20	BG4 - ULS 2	E2	Mx	Punt Moment	FM10	0,00	GCS Lengte

Naam	Belastingsgeval	2D-element	Rich	Belastingstype Type	Oorspronkelijke belasting	Waarde - F [kN] Waarde - F [kNm]	Systeem Locatie
GFF22	BG4 - ULS 2	E2	My	Punt Moment	FM15	 1050,60	GCS Lengte
GFF24	BG4 - ULS 2	E2	My	Punt Moment	FM16	 1050,60	GCS Lengte
GFF29	BG4 - ULS 2	E2	My	Punt Moment	FM11	 21005,00	GCS Lengte
GFF31	BG4 - ULS 2	E2	My	Punt Moment	FM12	 21005,00	GCS Lengte
GFF46	BG4 - ULS 2	E2	Mx	Punt Moment	FM9	 0,00	GCS Lengte

11.4.3. Belasting grafisch

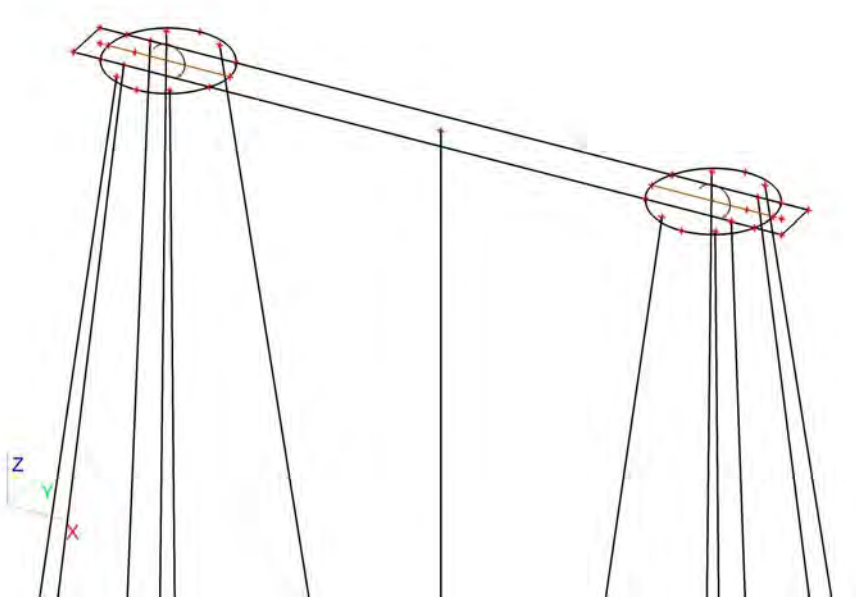

11.5. Belastingsgevallen - BG5

Naam	Omschrijving	Actie type	Lastgroep	Belastingtype	Spec	Duur	'Master' belastingsgeval
BG5	SLS 1	Variabel	LG9	Statisch	Standaard	Kort	Geen

11.5.1. Vrije puntmomenten

Typenaam	Naam	Rich	Type	Geldigheid	Selecteer	Waarde - F [kNm]	Belastingsgeval	Coördinaat X [m]	Coördinaat Y [m]	Coördinaat Z [m]	Coördinaat ux [m]	Coördinaat uy [m]	Coördinaat uz [m]	Systeem
Vrij puntmoment	FM17	Mx	Moment	Alle	Auto	-4314,00	BG5 - SLS 1	2,450	0,750	0,000	1,450	0,750	0,000	GCS
Vrij puntmoment	FM18	Mx	Moment	Alle	Auto	-4314,00	BG5 - SLS 1	18,850	0,750	0,000	17,850	0,750	0,000	GCS
Vrij puntmoment	FM19	My	Moment	Alle	Auto	9532,00	BG5 - SLS 1	2,450	0,750	0,000	1,450	0,750	0,000	GCS
Vrij puntmoment	FM20	My	Moment	Alle	Auto	9532,00	BG5 - SLS 1	18,850	0,750	0,000	17,850	0,750	0,000	GCS
Vrij puntmoment	FM21	Mx	Moment	Alle	Auto	295,80	BG5 - SLS 1	2,450	0,750	0,000	1,450	0,750	0,000	GCS
Vrij puntmoment	FM22	Mx	Moment	Alle	Auto	295,80	BG5 - SLS 1	18,850	0,750	0,000	17,850	0,750	0,000	GCS
Vrij puntmoment	FM23	My	Moment	Alle	Auto	295,80	BG5 - SLS 1	2,450	0,750	0,000	1,450	0,750	0,000	GCS
Vrij puntmoment	FM24	My	Moment	Alle	Auto	295,80	BG5 - SLS 1	18,850	0,750	0,000	17,850	0,750	0,000	GCS
Vrij puntmoment	FM29	Mx	Moment	Alle	Auto	267,75	BG5 - SLS 1	2,450	0,750	0,000	1,450	0,750	0,000	GCS
Vrij puntmoment	FM30	Mx	Moment	Alle	Auto	267,75	BG5 - SLS 1	18,850	0,750	0,000	17,850	0,750	0,000	GCS
Vrij puntmoment	FM31	My	Moment	Alle	Auto	708,90	BG5 - SLS 1	2,450	0,750	0,000	-14,960	0,757	0,000	GCS
Vrij puntmoment	FM32	My	Moment	Alle	Auto	708,90	BG5 - SLS 1	18,850	0,750	0,000	1,440	0,757	0,000	GCS

11.5.2. Genereer vrije lasten

Naam	Belastingsgeval	2D-element	Rich	Belastingstype Type	Oorspronkelijke belasting	Waarde - F [kN] Waarde - F [kNm]	Systeem Locatie
GFF3	BG5 - SLS 1	E2	My	Punt Moment	FM19	 9532,00	GCS Lengte
GFF8	BG5 - SLS 1	E2	Mx	Punt Moment	FM17	 -4314,00	GCS Lengte
GFF11	BG5 - SLS 1	E2	Mx	Punt Moment	FM18	 -4314,00	GCS Lengte
GFF17	BG5 - SLS 1	E2	My	Punt Moment	FM20	 9532,00	GCS Lengte
GFF21	BG5 - SLS 1	E2	Z	Punt Kracht	FF13	-726,00	GCS Lengte
GFF23	BG5 - SLS 1	E2	Z	Punt Kracht	FF14	-726,00	GCS Lengte
GFF26	BG5 - SLS 1	E2	Y	Punt Kracht	FF15	116,00	GCS Lengte
GFF28	BG5 - SLS 1	E2	Y	Punt Kracht	FF16	116,00	GCS Lengte
GFF30	BG5 - SLS 1	E2	X	Punt Kracht	FF17	197,00	GCS Lengte
GFF32	BG5 - SLS 1	E2	X	Punt Kracht	FF18	197,00	GCS Lengte
GFF38	BG5 - SLS 1	E2	Mx	Punt Moment	FM29	 267,75	GCS Lengte
GFF40	BG5 - SLS 1	E2	Mx	Punt Moment	FM30	 267,75	GCS Lengte
GFF47	BG5 - SLS 1	E2	Mx	Punt Moment	FM21	 295,80	GCS Lengte
GFF48	BG5 - SLS 1	E2	Mx	Punt Moment	FM22	 295,80	GCS Lengte
GFF49	BG5 - SLS 1	E2	My	Punt Moment	FM23	 295,80	GCS Lengte
GFF50	BG5 - SLS 1	E2	My	Punt Moment	FM24	 295,80	GCS Lengte
GFF55	BG5 - SLS 1	E2	My	Punt Moment	FM31	 708,90	GCS Lengte
GFF56	BG5 - SLS 1	E2	My	Punt Moment	FM32	 708,90	GCS Lengte

11.5.3. Belasting grafisch

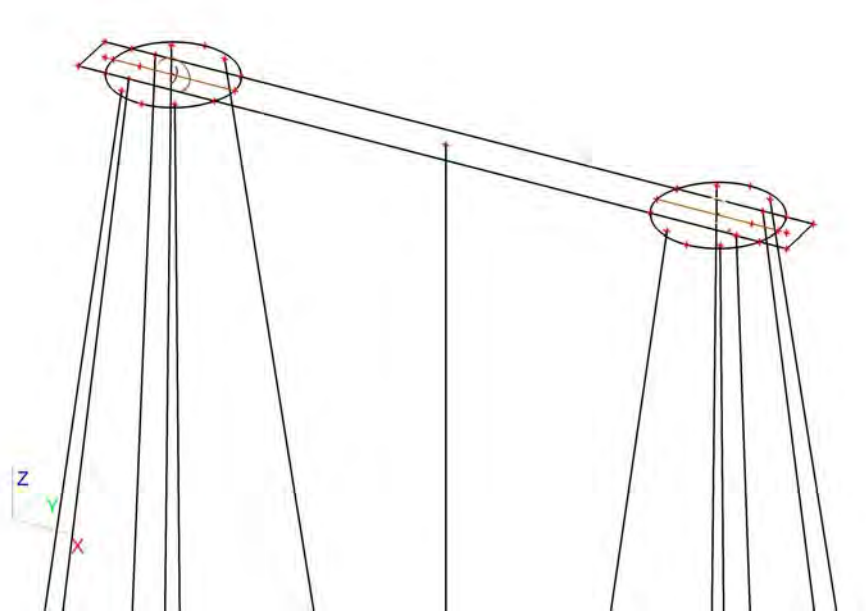

11.6. Belastingsgevallen - BG6

Naam	Omschrijving	Actie type	Lastgroep	Belastingtype	Spec	Duur	'Master' belastingsgeval
BG6	SLS 2	Variabel	LG9	Statisch	Standaard	Kort	Geen

11.6.1. Vrije puntmomenten

Typenaam	Naam	Rich	Type	Geldigheid	Selecteer	Waarde - F [kNm]	Belastingsgeval	Coördinaat X [m]	Coördinaat Y [m]	Coördinaat Z [m]	Coördinaat ux [m]	Coördinaat uy [m]	Coördinaat uz [m]	Systeem
Vrij puntmoment	FM25	Mx	Moment	Alle	Auto	-3672,00	BG6 - SLS 2	2,450	0,750	0,000	1,450	0,750	0,000	GCS
Vrij puntmoment	FM26	Mx	Moment	Alle	Auto	-3672,00	BG6 - SLS 2	18,850	0,750	0,000	17,850	0,750	0,000	GCS
Vrij puntmoment	FM27	My	Moment	Alle	Auto	14266,00	BG6 - SLS 2	2,450	0,750	0,000	1,450	0,750	0,000	GCS
Vrij puntmoment	FM28	My	Moment	Alle	Auto	14266,00	BG6 - SLS 2	18,850	0,750	0,000	17,850	0,750	0,000	GCS

11.6.2. Genereer vrije lasten

Naam	Belastingsgeval	2D-element	Rich	Belastingstype Type	Oorspronkelijke belasting	Waarde - F [kN] Waarde - F [kNm]	Systeem Locatie
GFF33	BG6 - SLS 2	E2	Z	Punt Kracht	FF19	-718,00	GCS Lengte
GFF34	BG6 - SLS 2	E2	Z	Punt Kracht	FF20	-718,00	GCS Lengte
GFF35	BG6 - SLS 2	E2	Y	Punt Kracht	FF21	105,00	GCS Lengte
GFF36	BG6 - SLS 2	E2	Y	Punt Kracht	FF22	105,00	GCS Lengte
GFF37	BG6 - SLS 2	E2	X	Punt Kracht	FF23	278,00	GCS Lengte
GFF39	BG6 - SLS 2	E2	X	Punt Kracht	FF24	278,00	GCS Lengte
GFF51	BG6 - SLS 2	E2	Mx	Punt Moment	FM25	-3672,00	GCS Lengte
GFF52	BG6 - SLS 2	E2	Mx	Punt Moment	FM26	-3672,00	GCS Lengte
GFF53	BG6 - SLS 2	E2	My	Punt Moment	FM27	14266,00	GCS Lengte
GFF54	BG6 - SLS 2	E2	My	Punt Moment	FM28	14266,00	GCS Lengte

11.6.3. Belasting grafisch

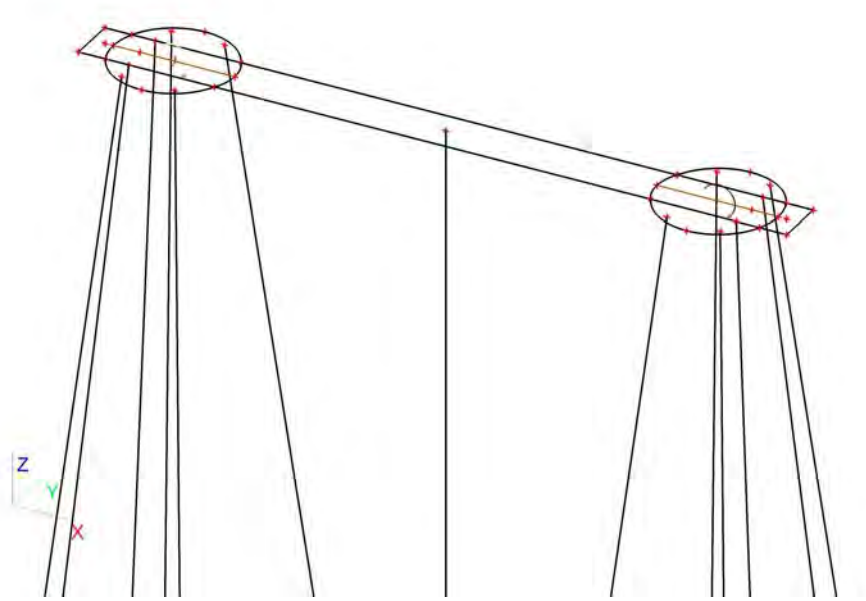

11.7. Belastingsgevallen - BG7

Naam	Omschrijving	Actie type	Lastgroep	Belastingtype	Spec	Duur	'Master' belastingsgeval
BG7	Belasting op maaiveld	Variabel	LG7	Statisch	Standaard	Kort	Geen

11.7.1. Lasten op oppervlak

Naam	Rich	Type	Waarde [kN/m²]	Belastingsgeval	Systeem	Loc
SF4	Z	Kracht	-10,00	BG7 - Belasting op maaiveld	LCS	Lengte
SF5	Z	Kracht	-10,00	BG7 - Belasting op maaiveld	LCS	Lengte
SF6	Z	Kracht	-10,00	BG7 - Belasting op maaiveld	LCS	Lengte

11.7.2. Belasting grafisch

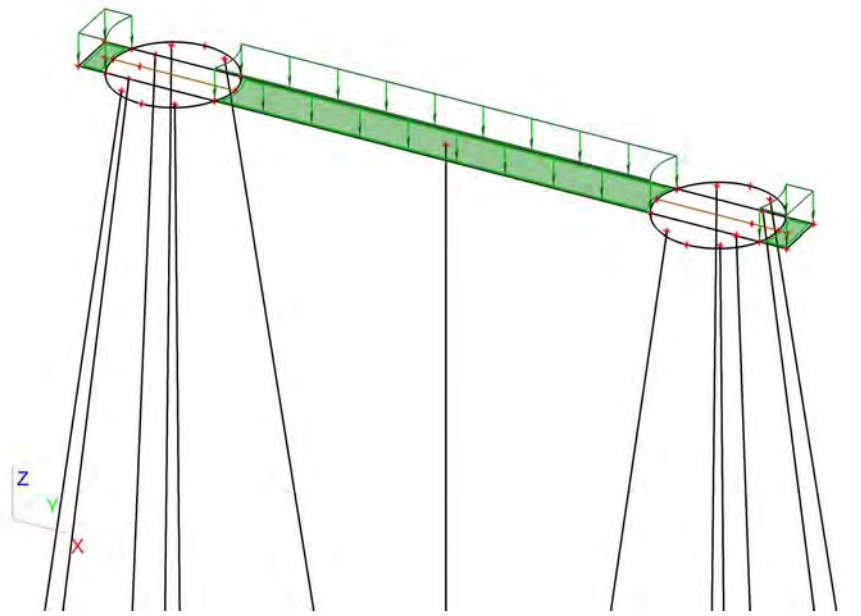

12. Combinaties

Naam	Type	Belastingsgevallen	Coëff. [-]
Combi1	Omhullende - uiterst	BG1 - Eigengewicht	1,30
		BG3 - ULS 1	1,00
		BG7 - Belasting op maaiveld	1,16
		BG2 - Grond	1,30
Combi2	Omhullende - uiterst	BG1 - Eigengewicht	1,30
		BG4 - ULS 2	1,00
		BG7 - Belasting op maaiveld	1,16
		BG2 - Grond	1,30
Combi3	Omhullende - uiterst	BG1 - Eigengewicht	1,30
		BG3 - ULS 1	0,60
		BG7 - Belasting op maaiveld	1,65
		BG2 - Grond	1,30
Combi4	Omhullende - uiterst	BG1 - Eigengewicht	1,30
		BG4 - ULS 2	0,60
		BG7 - Belasting op maaiveld	1,65
		BG2 - Grond	1,30
Combi5	Omhullende - uiterst	BG1 - Eigengewicht	0,54
		BG3 - ULS 1	1,00
		BG2 - Grond	0,54
Combi6	Omhullende -	BG1 - Eigengewicht	0,54

Naam	Type	Belastingsgevallen	Coëff. [-]
Combi6	Omhullende - bruikbaarheid	BG4 - ULS 2	1,00
		BG2 - Grond	0,54
Combi7	Omhullende - bruikbaarheid	BG1 - Eigengewicht	1,00
		BG5 - SLS 1	1,00
		BG7 - Belasting op maaiveld	1,16
		BG2 - Grond	1,00
Combi8	Omhullende - bruikbaarheid	BG1 - Eigengewicht	1,00
		BG6 - SLS 2	1,00
		BG7 - Belasting op maaiveld	0,70
		BG2 - Grond	1,00
Combi9	Omhullende - bruikbaarheid	BG1 - Eigengewicht	1,00
		BG5 - SLS 1	0,60
		BG7 - Belasting op maaiveld	1,00
		BG2 - Grond	1,00
Combi10	Omhullende - bruikbaarheid	BG1 - Eigengewicht	1,00
		BG6 - SLS 2	0,60
		BG7 - Belasting op maaiveld	1,00
		BG2 - Grond	1,00
Combi11	Omhullende - bruikbaarheid	BG1 - Eigengewicht	0,60
		BG5 - SLS 1	1,00
		BG2 - Grond	0,60
Combi12	Omhullende - bruikbaarheid	BG1 - Eigengewicht	0,60
		BG6 - SLS 2	1,00
		BG2 - Grond	0,60

13. Verplaatsing van knopen SLS 1

Lineaire berekening, Extreem : Globaal
Selectie : Alle
Belastingsgevallen : BG5

BG	Snede	elem	dx [m]	Ux [mm]	Uy [mm]	Uz [mm]	Fix [mrad]	Fiy [mrad]	Fiz [mrad]
BG5	Snede2	709	3,674	**5,3**	4,0	**-7,2**	-3,1	2,7	**1,1**
BG5	Snede1	28	3,000	**5,3**	4,1	-3,4	-3,1	2,6	-0,9
BG5	Snede2	150	3,650	5,3	**4,0**	-7,1	-3,1	2,7	1,1
BG5	Snede1	80	3,650	5,3	**4,1**	-5,1	-3,1	**2,5**	-0,9
BG5	Snede1	58	0,000	5,3	4,0	**4,6**	**-3,1**	2,7	**-1,1**
BG5	Snede1	23	1,750	5,3	4,1	-0,1	**-3,1**	**2,8**	-1,0

14. Verplaatsing van knopen SLS 2

Lineaire berekening, Extreem : Globaal
Selectie : Alle
Belastingsgevallen : BG6

BG	Snede	elem	dx [m]	Ux [mm]	Uy [mm]	Uz [mm]	Fix [mrad]	Fiy [mrad]	Fiz [mrad]
BG6	Snede2	709	3,674	**7,3**	3,9	**-9,3**	-3,0	3,7	**1,1**
BG6	Snede1	28	3,000	**7,4**	3,9	-4,2	-3,0	3,5	-0,9
BG6	Snede2	150	3,650	7,3	**3,9**	-9,2	-3,0	3,7	1,1
BG6	Snede1	80	3,650	7,4	**3,9**	-6,4	-3,0	**3,4**	-0,9
BG6	Snede1	58	0,000	7,4	3,9	**6,7**	**-3,0**	3,7	**-1,1**
BG6	Snede1	23	1,750	7,4	3,9	0,3	**-3,1**	**3,8**	-1,0

15. Reacties

Lineaire berekening, Extreem : Globaal
Selectie : Alle
Klasse : UGT

Steunpunt	BG	Rx [kN]	Ry [kN]	Rz [kN]	Mx [kNm]	My [kNm]	Mz [kNm]
Sn45/K172	Combi1/1	**-109,19**	**-179,70**	**1229,81**	0,00	0,00	0,00
Sn42/K174	Combi1/1	**108,11**	-177,92	1217,70	0,00	0,00	0,00
Sn49/K175	Combi2/2	-96,41	**158,10**	1083,03	0,00	0,00	0,00
Sn54/K191	Combi6/3	-44,75	-44,41	**-494,97**	0,00	0,00	0,00
Sn3/K52	Combi2/2	-0,46	0,00	984,90	**0,00**	0,00	0,00
Sn9/K81	Combi3/4	25,05	41,20	286,67	**0,00**	0,00	0,00
Sn3/K52	Combi4/5	-0,27	0,00	979,53	0,00	**0,00**	0,00
Sn41/K173	Combi3/4	41,08	67,60	466,55	0,00	**0,00**	0,00
Sn3/K52	Combi1/6	0,00	0,00	784,38	0,00	0,00	**0,00**

16. 2D element - Interne krachten; mxD+

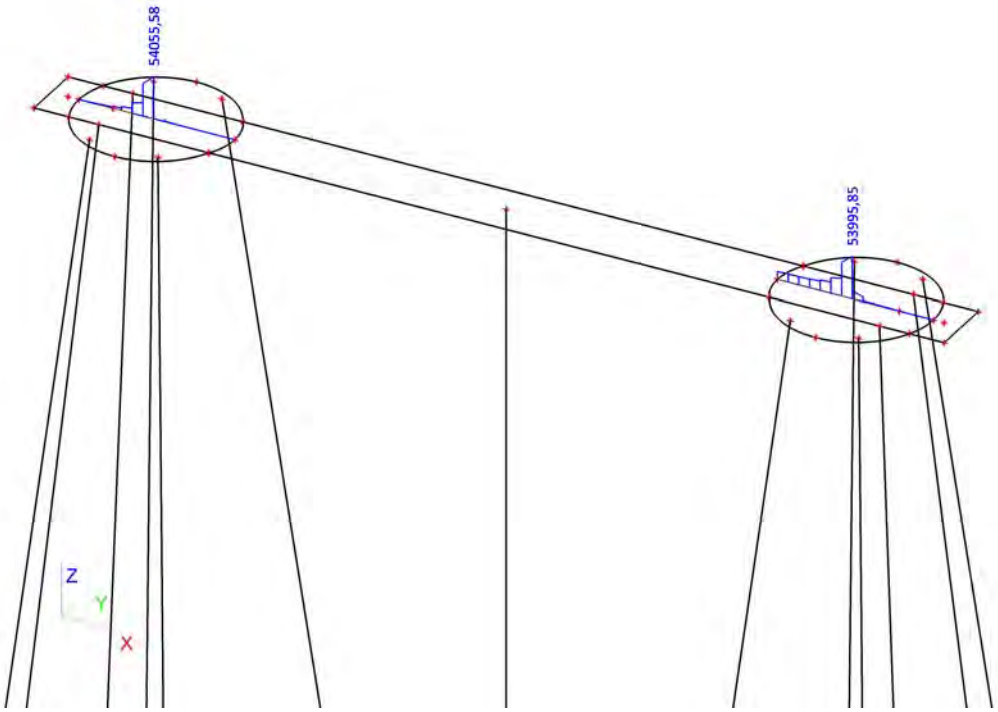

17. 2D element - Interne krachten; mxD-

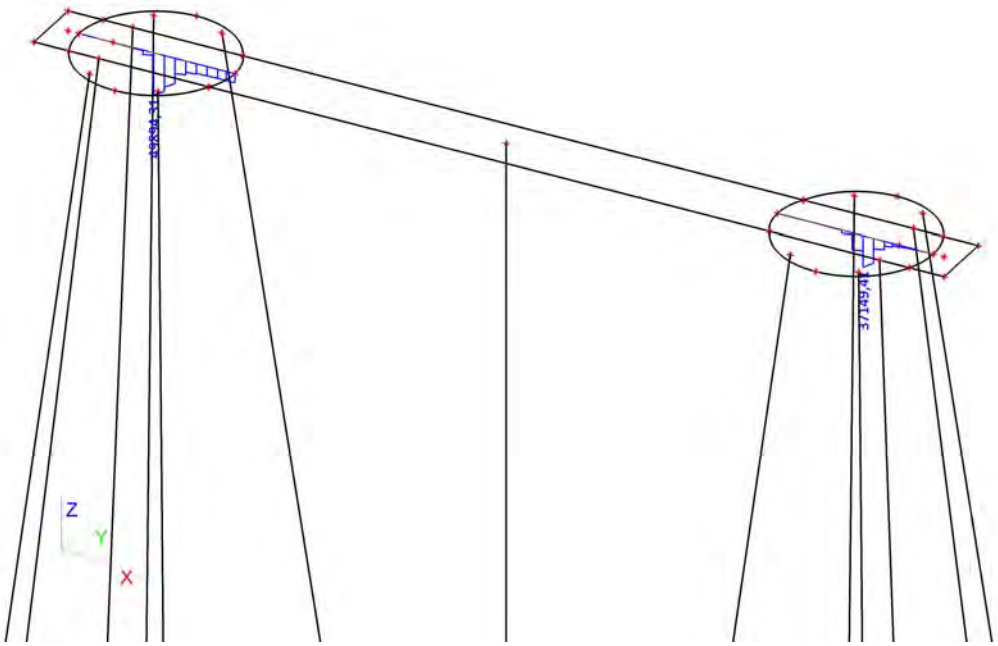

18. 2D element - Interne krachten; myD+

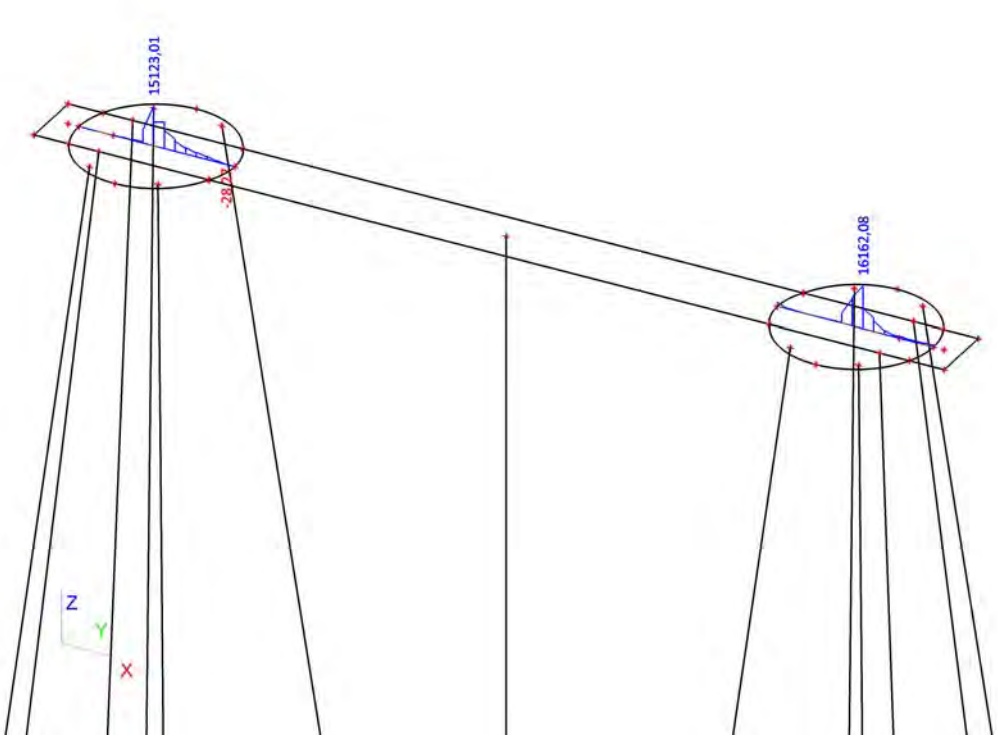

19. 2D element - Interne krachten; myD-

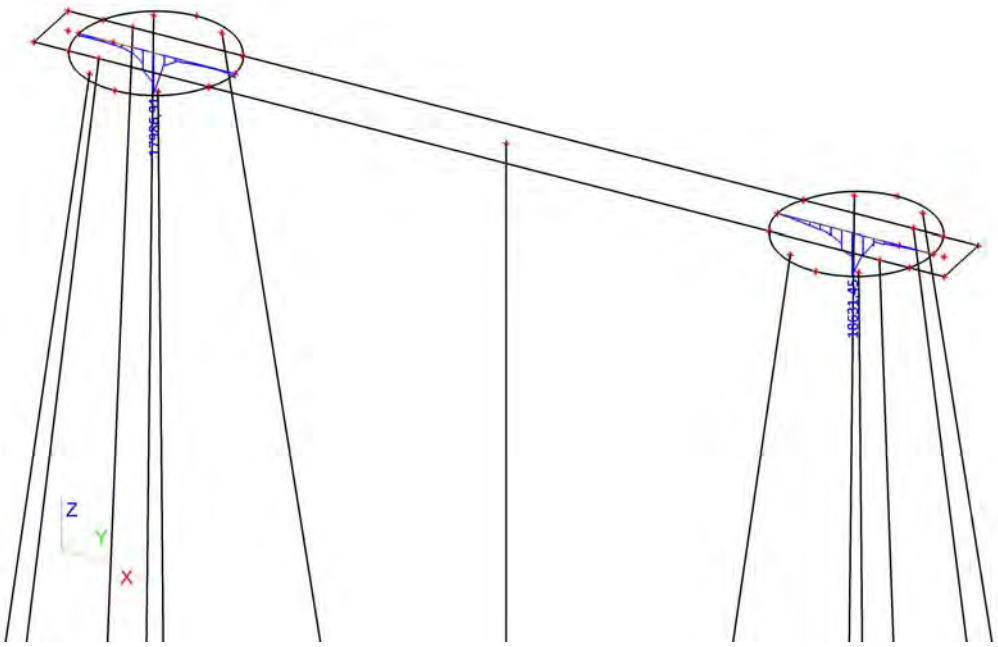

20. 2D element - Interne krachten; vx

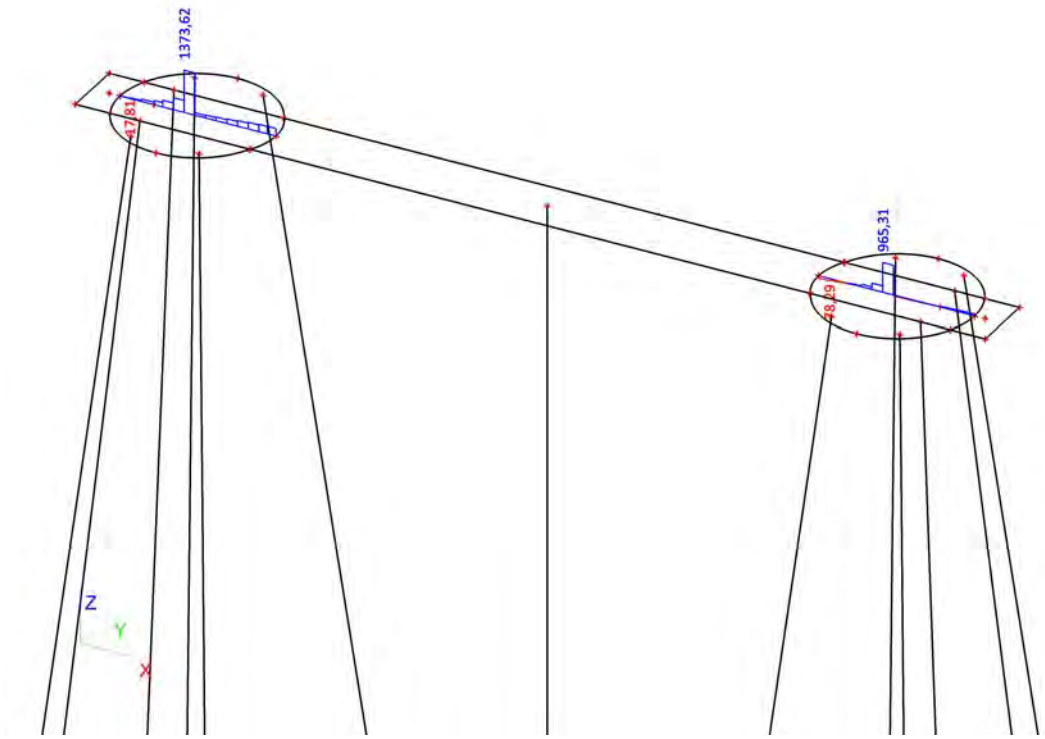

21. 2D element - Interne krachten; vy

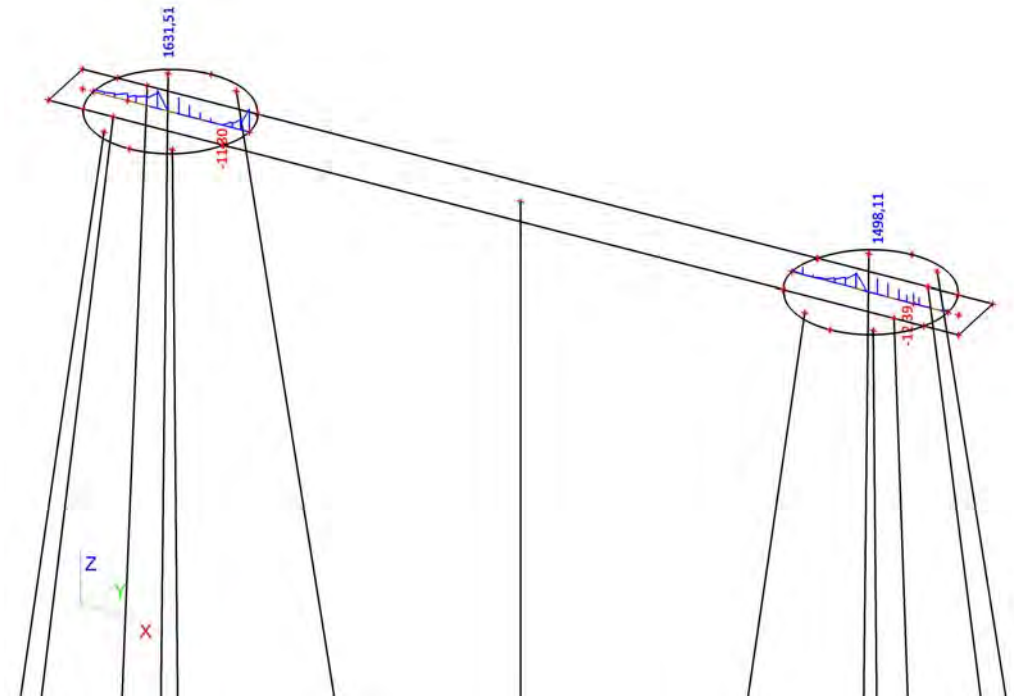

Constructieberekening mastfundatie type C

Project:
Randstad 380 kV Noordring

Opdrachtgever:
TenneT TSO

Revisie	Datum	Wijzigingen ten opzichte van vorige revisie
00	19-07-2013	Eerste uitgave
01	06-08-2013	Tweede uitgave
02	02-10-2013	T.b.v. 3e uitgave

Documentnummer: R3N-OWR-0005

Opsteller	*Controleur*	*Vrijgever*
A.L.A. van Noort Constructeur	P. de Jager Ontwerpmanager	Arjan Hogenboom Project Manager

Distributie

Naam	Bedrijf
Extern	
Guido Volman	TenneT TSO
Intern	
Arjan Hogenboom	BAM
Pieter de Jager	BAM
Eric van Rooijen	BAM
David van Loenen	BAM
Rob Bakker	BAM
Erwin ten Cate	BAM
Michael Desmet	Fabricom
Hein Pijnappel	Mott MacDonald

Beheer

De documentbeheerder van de combinatie verzorgt de distributie. Alleen houders van een geregistreerde kopie ontvangen automatisch aanvullingen en/of wijzigingen. Het is de verantwoordelijkheid van de houders het document up to date te houden. De laatste versie is altijd beschikbaar in ThinkProject!

Indien documenten worden geprint, geldt het volgende: een geregistreerde kopie is geldig vanaf de datum van uitgifte. Bij uitgifte van een document met een hoger revisienummer verliest de voorgaande versie automatisch haar geldigheid. Kopiehouders dienen het voorblad van een ongeldige versie te markeren met een diagonale lijn samen met de tekst 'vervallen'.

Neem bij twijfel over de geldende versie contact op met de documentbeheerder.

Inhoudsopgave

1. Inleiding *4*
1.1. Overzicht verschillende typen 4
1.1.1. Fundatietype A 5
1.1.2. Fundatietype B 5
1.1.3. Fundatietype C 6
1.1.4. Fundatietype D 6
1.1.5. Fundatietype F 7
1.2. Mastbeeld bij fundatie type C 8
1.3. Gerelateerde documenten 8
1.4. Openstaande punten 9
1.5. Revisiebeheer 9
2. Uitgangspunten en eisen *11*
2.1. Uitgangspunten 11
2.2. Gehanteerde normen 11
2.3. Eisen 11
2.4. Vermoeiing 11
2.5. Materiaalgegevens 11
2.5.1. Betonkwaliteiten 11
2.5.2. Milieuklasse *12*
2.5.3. Betondekking 12
2.5.4. Staalkwaliteiten *12*
2.6. Veerconstante funderingspalen 12
3. Berekening poer type C *15*
3.1. Geometrie 15
3.2. Belastingen en belastingcombinaties 15
3.2.1. Belastingsfactoren 15
3.2.2. Belastingsgevallen 16
3.2.3. Belastingcombinaties 18
3.3. Wisselende belastingen en vermoeiing 20
4. Verbinding mast-fundering *23*
4.1. Berekening fundering 23
5. Bijlagen *24*
Bijlage 1 Uitvoer SCIA Engineer – lage E-waarde (model 1) 25
Bijlage 2 Uitvoer SCIA Engineer – Matige E-waarde (model 2) 26

1. INLEIDING

De komende jaren werken het ministerie van Economische Zaken en TenneT aan de aanleg van een nieuwe 380 kV hoogspanningsverbinding in de Randstad. De nieuwe verbinding stelt de voorziening van elektriciteit in de Randstad veilig.

Het ontwerptracé van de nieuwe Randstad 380 kV verbinding is sinds eind 2008 bekend. De plannen gaan uit van twee ringen, tussen Wateringen en Zoetermeer (de Zuidring) en tussen Zoetermeer en Beverwijk (de Noordring). Eind 2012 heeft Tennet de aanbesteding opgestart voor het gedeelte van de Noordring tussen station Vijfhuizen en Bleiswijk. Het contract is opgedeeld in twee percelen, waarbij de grens ligt bij Zuidelijke Ringvaart. Dit document heeft betrekking op perceel 2 (het zuidelijke gedeelte).

BAM heeft op 8 juli 2013 het contract ondertekend met TenneT voor het ontwerp en realiseren van perceel 2. Het voorliggende document is onderdeel van het Definitief Ontwerp en behandelt de mastfundaties. Dit betreft ook de masten welke ter plaatse van een OSP zijn gelokaliseerd. De overige onderdelen van de OSP's zijn in een afzonderlijk document berekend evenals de funderingspalen.

Dit rapport betreft poer C. Een overzicht van de verschillende poertypen is gegeven is de ontwerpbasis R3N-OWR-0001.

1.1. OVERZICHT VERSCHILLENDE TYPEN

Binnen het project komen verschillende typen masten voor.
De verschillen komen voort uit:

- aantal systemen dat een mastenpaar draagt, 2 systemen (2x380 kV) of 4 systemen (2x380 kV en 2x150 kV),
- de functie van de mast, Steunmast, Hoekmast of Eindmast,
- maximale veldlengte tussen masten 350 of 400 m,
- aanpassingen aan mast (b.v. +10 m extra hoogte).

Elke mast heeft een eigen belastingpatroon. Na analyse van de verschillende belastingen en geometrische eisen zijn er uiteindelijk 5 mastfundatie typen bepaal. Met deze 5 typen is er voor elke mast een geschikte fundatie beschikbaar.

De fundatietypen zijn hieronder weergegeven.

1.1.1. FUNDATIETYPE A

Toegepast bij masttype:
- W2S400 + 5
- W2S350 + 5
- W2S400A+10

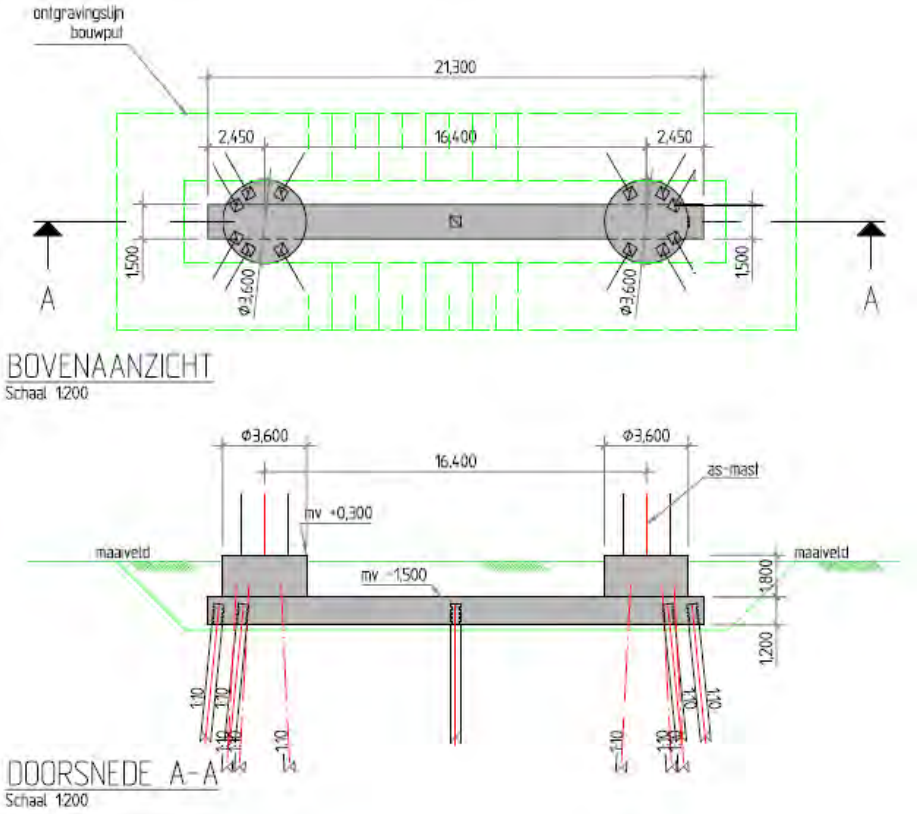

1.1.2. FUNDATIETYPE B

Toegepast bij masttype:
- W4S400Z + 5
- W2S400 + 24
- W2S400 + 24
- W4S400Z + 14

Opm: verschil met type A is diameter opstort.

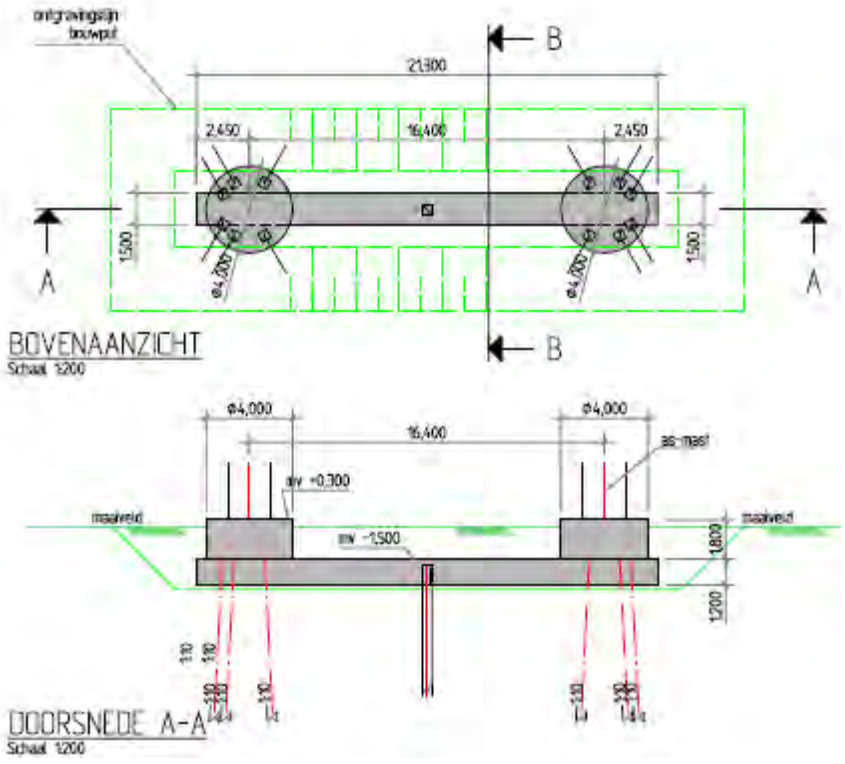

1.1.3. FUNDATIETYPE C

Toegepast bij masttype:
- W2H400 + 5
- W2H400 + 5
- W2H400 + 10
- W2H400 + 10 mast 133
- W2H400 + 15

Opm: mast 133 was in de oude nummering mast 82.

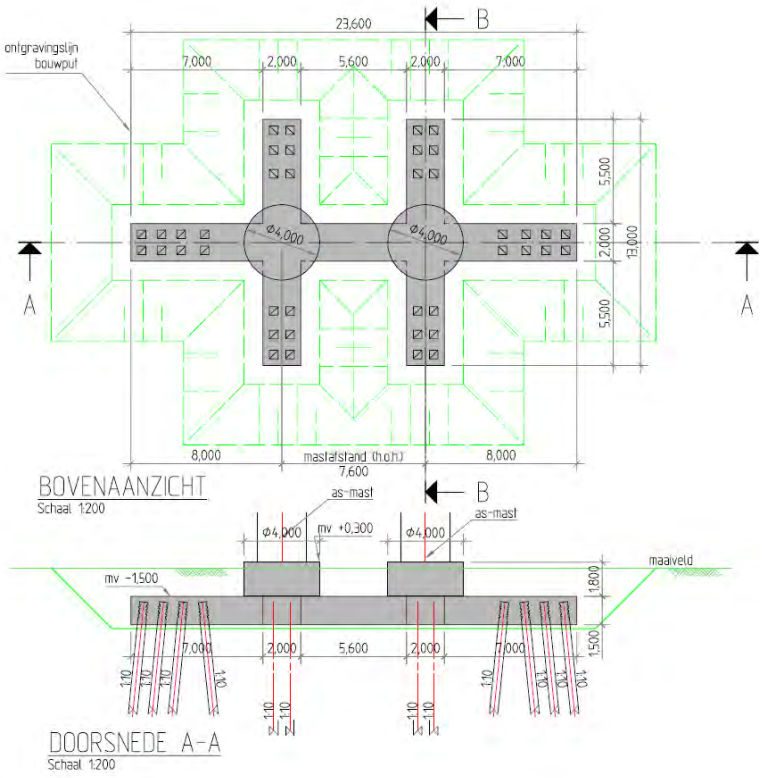

1.1.4. FUNDATIETYPE D

Toegepast bij masttype:
- W4H400Z + 5 (Afstap 150kV)
- W4H400Z +10 (Afstap 150kV)

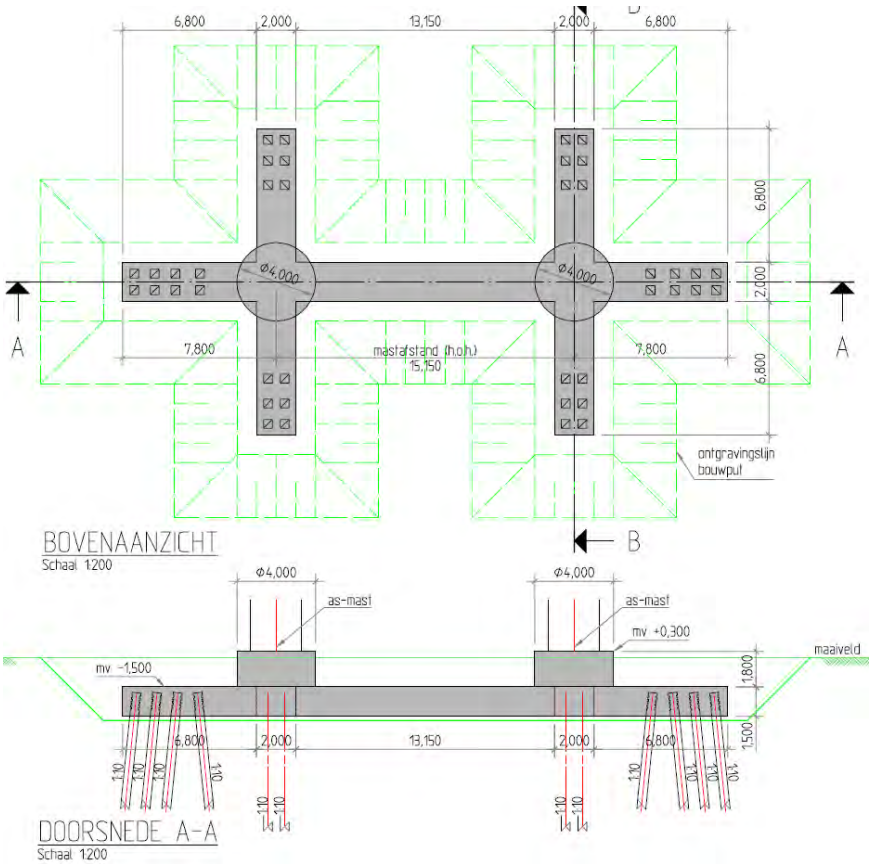

1.1.5. FUNDATIETYPE F

Toegepast bij masttype:
- W2E350 + 5
- W2E400
- W2E350

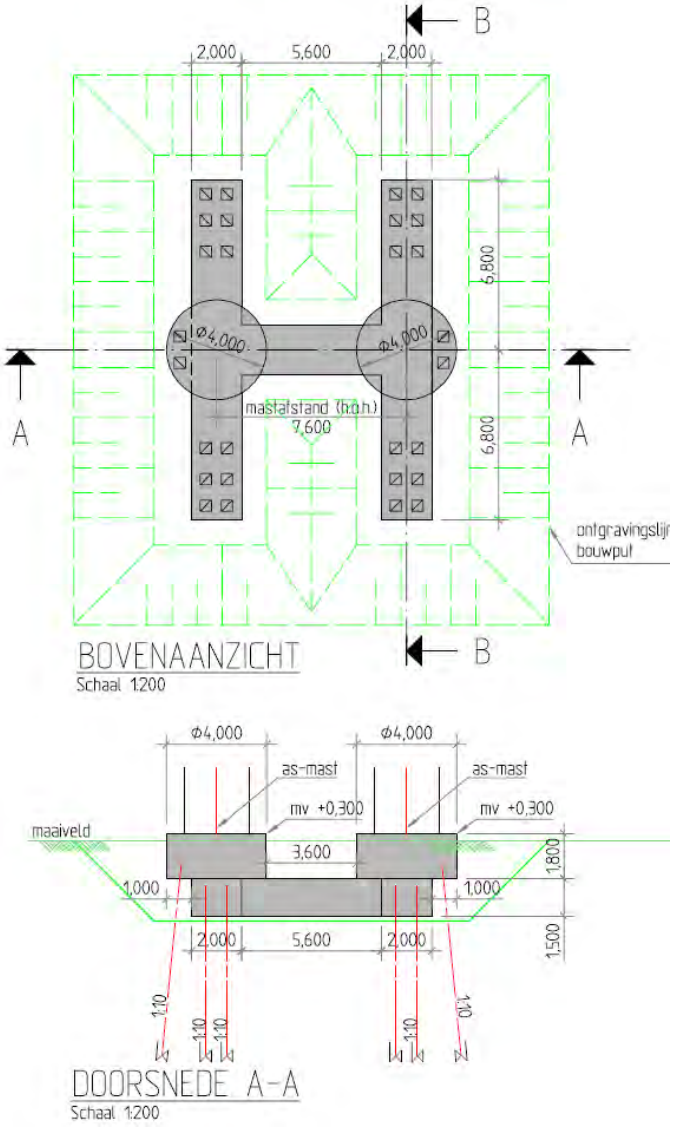

1.2. MASTBEELD BIJ FUNDATIE TYPE C

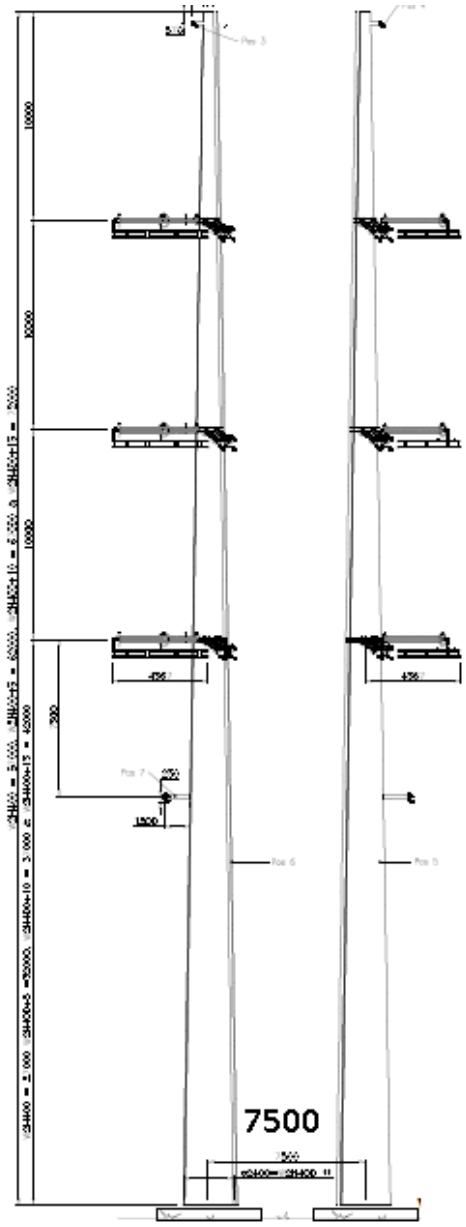

De h.o.h. afstand van de masten bedraagt 7500 mm i.p.v. de in de berekening aangehouden 7600mm. Dit kleine verschil heeft voor de berekening geen invloed

1.3. GERELATEERDE DOCUMENTEN

R3N-OWN-0001 Ontwerpnota Systeem Noordring
R3N-OWR-0003 Constructieberekening mastfundaties type A
R3N-OWR-0004 Constructieberekening mastfundaties type B
R3N-OWR-0005 Constructieberekening mastfundaties type C
R3N-OWR-0006 Constructieberekening mastfundaties type D
R3N-OWR-0007 Constructieberekening mastfundaties type F
R3N-OWR-0008 Ontwerpberekening paalfundering mastfundaties
R3N-OWR-0033 Bepaling belastingen mastfundaties
R3N-OWR-0039 Bemalingsadvies beheersgebied Rijnland
R3N-OWR-0040 Bemalingsadvies beheersgebied Schieland en de Krimpenerwaard

1.4. OPENSTAANDE PUNTEN

De volgende punten dienen in een latere fase nader uitgewerkt te worden:

- Aarding, de wijze van aarden kan invloed hebben op de vermoeiing van het wapeningsstaal.
- Temperatuursinvloeden op fundering
- Model verbeteren d.m.v. dummy elementen aan bovenzijde palen
- Invloed krimp op fundering
- Optimalisatie wapening
- Optimalisatie palen
- Detailontwerp prefab beton\
- H.o.h afstand masten aanpassen van 7600 naar 7500 mm

1.5. REVISIEBEHEER

Aangepast in 2e uitgave
Er zijn nog vrijwel geen grondgegevens beschikbaar. Dit rapport is een principe berekening. Toegevoegd zijn enkele betonberekeningen. Daarnaast zijn er nu 2 modellen van de fundering gedraaid.

Aangepast in 3e uitgave
Dit is de 3e uitgave. In deze revisie is toegevoegd:

- Mastbeeld toegevoegd,
- Nadere uitwerking milieuklasse
- Masttype W2H400 + 15 was in het overzicht zowel bij poer type C als D genoemd. Mast komt op type C.
- Masttype W2S400A+10 ontbrak in het overzicht. Toegevoegd bij poertype A
- Toelichting koppeling mast met fundatie

2. UITGANGSPUNTEN EN EISEN

2.1. UITGANGSPUNTEN

De uitgangspunten vermeldt in de ontwerpnota R3N-OWR-00001 dienen als basis voor het ontwerp van de fundatie van de Wintrackmasten.

Op de funderingen worden de lasten geplaatst zoals afgeleid in document R3N-OWR-0033 'Bepaling belasting mastfundaties'.

2.2. GEHANTEERDE NORMEN

De normen zoals vermeld in ontwerpnota R3N-OWN-0001 §3 zijn gehanteerd bij het ontwerp.

2.3. EISEN

De eisen zoals vermeld in ontwerpnota R3N-OWN-0001 §3 zijn gehanteerd bij het ontwerp.
Voor de masten gelden specifiek onderstaande eisen:

- De fundamenten van de staalconstructies ten behoeve van de masten worden gedimensioneerd op een maximale vervorming van 0.005 RAD onder representatieve waarden van de belastingen;
- Tot 1,5 m diepte mag de straalomtrek van de fundering niet groter zijn dan 1,0 m meer dan de straal van de mast;
- De ZRO-breedte tussen de (schoor)paalpunten en andere ondergrondse constructies van de masten is maximaal 2x 22 m voor de 2x 380kV (solo) verbinding en 2 x 27 m voor de 2 x 150 kV/380 kV (combi) verbinding;
- Tolerantie van mastlocatie naar buiten is 10 cm, tolerantie naar binnen is 0 cm.

2.4. VERMOEIING

De aan te leggen fundamenten worden gedimensioneerd op een vermoeiingsbelasting. De wisseling van belasting komt uit wind. Het aantal en de grote van de wisselingen gedurende 50 jaar is bepaald conform de ROK. De toetsingsprocedure van de constructie conform NEN-EN 1992-1-1:2005.

2.5. MATERIAALGEGEVENS

In onderstaande paragrafen worden de gehanteerde materiaaleigenschappen benoemd.

2.5.1. BETONKWALITEITEN

Voor het constructief beton worden bij de detaillering de volgende sterkteklassen aangehouden. De betonkwaliteit van de ronde opstort (C35/45) is voorgeschreven. Bij gescheurd beton wordt in eerste instantie gerekend met $E_{beton;gescheurd} \approx 1/3\ E_{beton;ongescheurd}$. Tevens is een ca. 2 x zo hoge E-modulus beschouwd.

Onderdeel	Sterkteklasse	Elastisciteitsmodulus [N/mm²]		
		ongescheurd	Gescheurd lage E	Gescheurd matige E
in het werk gestort gewapend beton:	C30/37	31.000	11.000	22.00
in het werk gestort gewapend beton, ronde opstort	C35/45	33.500		
geprefabriceerd beton (U-bakken):	C35/45	33.500		
geprefabriceerd voorgespannen beton (palen):	C45/55	36.000		

Tabel 2.5.1-1 Betonkwaliteiten

2.5.2. MILIEUKLASSE

Voor de betondelen welke meer dan 1,0 m onder maaiveld liggen geldt milieuklasse XC2
Voor de hoger gelegen betondelen is de milieuklasse afhankelijk van de aanwezigheid van openbare wegen. De wegen naar de OSP's zullen niet gestrooid worden en bovendien nauwelijks bereden worden, waardoor het wegspatten van water met dooizouten niet aan de orde is. De afstanden in onderstaande schets geldt voor snelwegen, bij ander wegen zou deze eventueel kleiner kunnen.

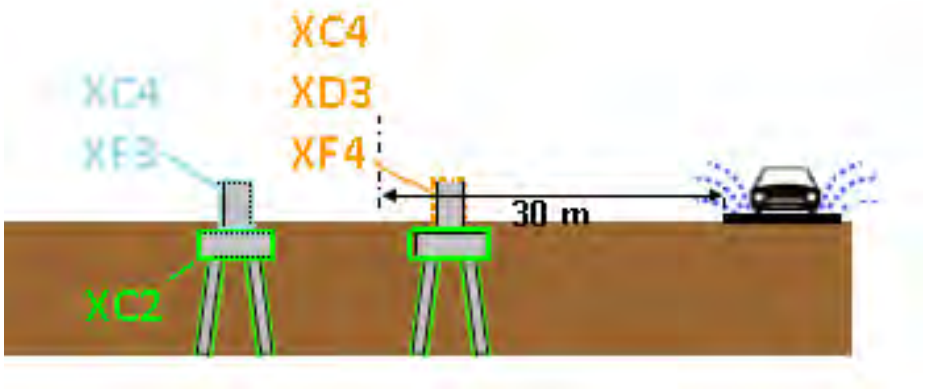

2.5.3. BETONDEKKING

Betondekking conform NEN EN 1992-1-1:2011

$$c_{min} = \max \{c_{min,b};\ c_{min,dur} + \Delta c_{dur,\gamma} - \Delta c_{dur,st} - \Delta c_{dur,add};\ 10\ mm\} \qquad (4.2)$$

waarin:

$c_{min,b}$	is de minimumdekking op basis van de aanhechtingseisen, zie 4.4.1.2 (3);
$c_{min,dur}$	is de minimumdekking op basis van de milieu-omstandigheden, zie 4.4.1.2 (5);
$\Delta c_{dur,\gamma}$	is een aanvullende veiligheidsmarge, zie 4.4.1.2 (6);
$\Delta c_{dur,st}$	is een reductie van de minimumdekking bij gebruik van roestvast staal, zie 4.4.1.2 (7);
$\Delta c_{dur,add}$	is een reductie van de minimumdekking bij gebruik van aanvullende bescherming, zie 4.4.1.2 (8).

De verwachting is dat $c_{min;b}$ maatgevend wordt. Deze warade is afhankelijk van de staafdiameter, welk enog niet bekend is. Betondekking wordt in UO bepaald.

2.5.4. STAALKWALITEITEN

Voor het wapeningsstaal worden de volgende staalkwaliteiten aangehouden:

Omschrijving	Kwaliteit
betonstaal (staven)	B500 B
betonstaal (gepuntlaste wapeningsnetten):	B500 B

Tabel 2.5.2 Staalkwaliteiten

2.6. VEERCONSTANTE FUNDERINGSPALEN

De constructie wordt gefundeerd op prefab betonpalen. De palen worden horizontaal gesteund door de grond wat resulteert in een horizontale beddingconstante op de funderingspaal. Verticaal wordt de funderingspaal gesteund door een verticale puntveer. Beide veerconstanten zijn bepaald door de geotechnische adviseur in rapport R3N-OWR-0008.

In het model wordt gerekend met een verticale veerstijfheid van 90.000 kN/m.
Voor de horizontale bedding worden onderstaande waarden aangehouden.

In de volgende tabellen worden deze gereduceerde beddingsconstanten gepresenteerd.

X-richting		Voor ESA berekeningen			
soort	b.k. laag	per m^2 paal		per m'paal	
	[m+ NAP]	$k_{h,rep,laag}$ [kN/m^3]	$k_{h,rep,hoog}$ [kN/m^3]	$k_{h,rep,laag}$ [kN/m/m]	$k_{h,rep,hoog}$ [kN/m/m]
Veen	-1.6	1,400	3,200	700	1,600
Klei	-2.7	500	1,200	300	600
Veen	-5.1	1,400	3,200	700	1,600
Klei	-6.0	800	1,800	400	900
Veen	-11.2	1,400	3,200	700	1,600
Zand	-12.1	13,600	30,600	6,900	15,600
Zand	-22.0	16,300	36,700	8,300	18,700

Tabel 6 - Horizontale beddingsconstanten voor belasting uit de X-richting

Y-richting		Voor ESA berekeningen			
soort	b.k. laag	per m^2 paal		per m'paal	
	[m+ NAP]	$k_{h,rep,laag}$ [kN/m^3]	$k_{h,rep,hoog}$ [kN/m^3]	$k_{h,rep,laag}$ [kN/m/m]	$k_{h,rep,hoog}$ [kN/m/m]
Veen	-1.6	1,000	2,300	500	1,200
Klei	-2.7	400	900	200	400
Veen	-5.1	1,000	2,300	500	1,200
Klei	-6.0	600	1,300	300	700
Veen	-11.2	1,000	2,300	500	1,200
Zand	-12.1	9,800	22,100	5,000	11,300
Zand	-22.0	11,800	26,500	6,000	13,500

Tabel 7 - Horizontale beddingsconstanten voor belasting uit de Y-richting

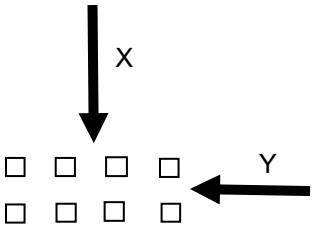

Figuur 3 Horizontale beddingsconstanten per belastingsrichting

Voor alle richtingen is steeds de lage waarde van de beddingsconstante, richting Y aangehouden.

3. BEREKENING POER TYPE C

3.1. GEOMETRIE

De geometrie van de type C poeren is als volgt:

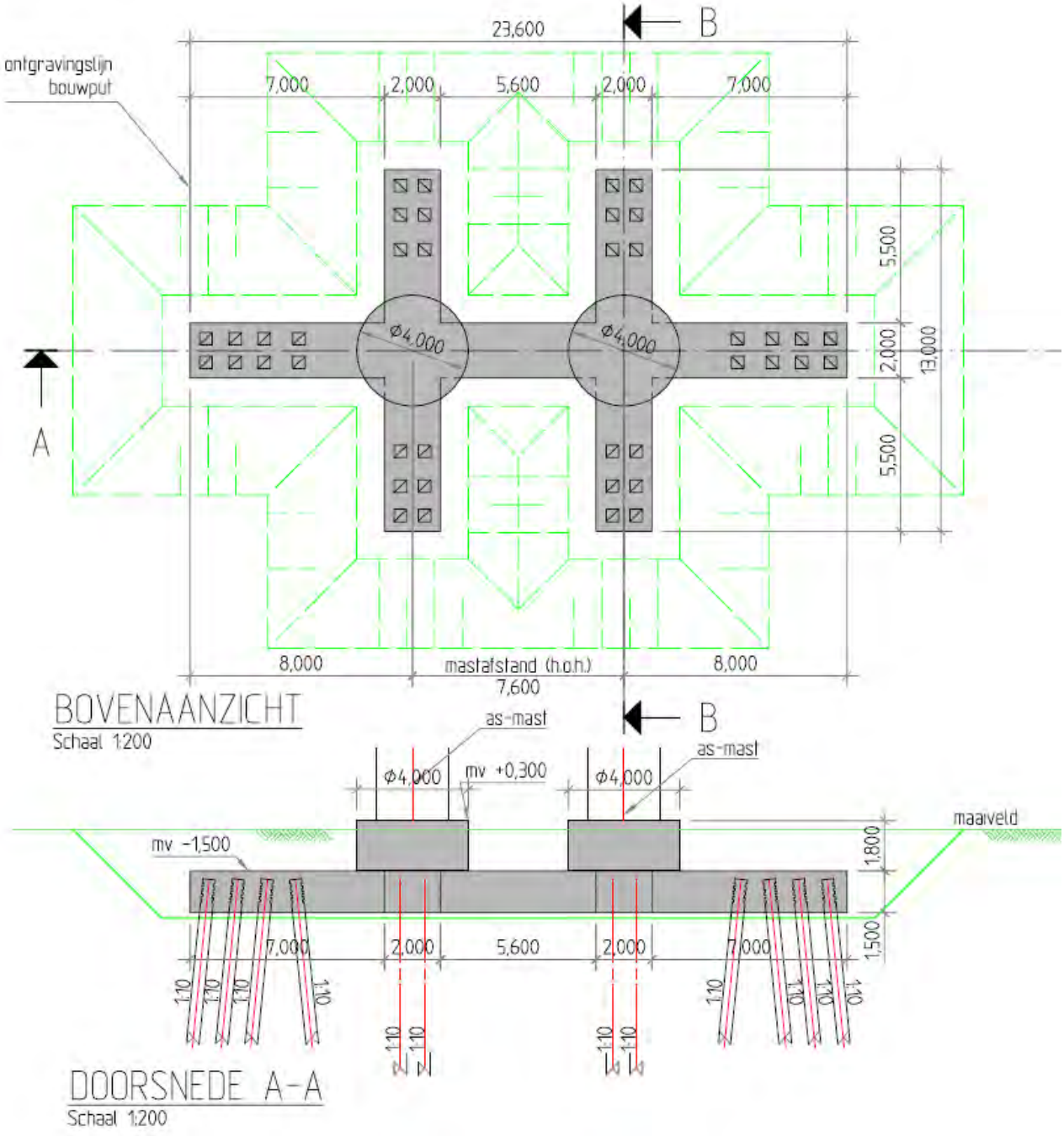

3.2. BELASTINGEN EN BELASTINGCOMBINATIES

3.2.1. BELASTINGSFACTOREN

De belasting uit de poeren bestaat vooral uit lasten uit de mast cq lijnen. Deze lasten zijn, incl. partiële factoren gegeven door de opdrachtgever op basis van een rapport van KEMA.

Daarnaast zijn er lasten op de poeren zelf. Hiervoor geldt dat vergelijking 6.10 b van de EN 1990 maatgevend is. Gecombineerd met CC3 gelden de volgende partiële factoren:

γ_G (ongunstig)	=	1,3	
γ_G (gunstig)	=	0,9	(zie §3.2.2, op eigen gewicht fundering wordt factor 0,54 toegepast)
γ_Q	=	1,65	

Opm: De meeste lasten zijn door de klant incl de factoren gegeven. Bovenstaande factoren hebben dus alleen invloed op het eigen gewicht , grond en belastingen op maaiveld.

3.2.2. BELASTINGSGEVALLEN

Eigen gewichtpoer
Eigen gewicht van de b etonconstructie wordt gegenereerd in het model. Er wordt gerekend met een eigengewicht voor beton van 2500 kg/m$^{3.}$

Omdat er ook trek op de palen komt, is eigen gewicht al snel een gunstige belasting (druk eenvoudiger op te nemen dan trek).Indien de poer zich onderwater bevindt zal er een opwaartse kracht gelijk aan het gewicht van het verplaatste water op de poer aanwezig zijn. Het effectieve gewicht van de poer reduceert hierdoor tot 1500 kg/m^3. Inclusief partiële factor van 0,9 volgt 1350 kg/m^3. In totaal bedraagt de factor dan dus 1350/2500 = 0,54.

Eigen gewicht grond op poer
Op de poer ligt 1,5 m grond. Indien het grondwater lager ligt, is de last:
1,5 * 17 = 25,5 kN/m^2

Bij waterstand gelijk aan 0,5m onder maaiveld niveau is de last:
0,5 * 17 + 1,0 * (17-10) = 15,5 kN/m^2

Inclusief partiële factor van 0,9 volgt 13,95 kN/m^2. In totaal bedraagt de factor dan dus 13,95/25,5 = 0,54.

Reken met droge grond en pas een partiële factor van 0,54 op eigen gewicht poer en grond toe in het geval deze gunstig werken.

Belastingen uit de mast
Zie rapport 'Afleiding belasting uit masten'.

Er wordt gerekend met de volgende, donker aangegeven ULS en SLS lasten uit het rapport. De overige lasten zijn met deze gevallen afgedekt.

Voor het variabele deel dat zijn oorsprong vindt in wind, wordt gerekend met:

ψ_0	ψ_1	ψ_2
0,6	0,2	0

ULS

Mast	Wind	Loadcase	M_{langs}	M_{dwars}	N	V_{langs}	V_{dwars}
W2H400+5	90 deg	3	0	37867	1025	0	943
W2H400+5	0 deg	1b	665	16478	682	23	401
W2H400+5	45 deg	1a	14930	27013	682	382	678
W2H400+5	90 deg	1a	21715	14294	385	527	379
W2H400+5	-45 deg	3	26019	14403	398	644	358
W2H400A+5 (mast 74)	0 deg	3	1034	31674	1024	36	784
W2H400A+5 (mast 74)	90 deg	1a	1308	36670	903	53	910
W2H400A+5 (mast 74)	-45 deg	1a	15738	26743	678	415	667
W2H400A+5 (mast 74)	90 deg	1a	21715	14294	385	527	379
W2H400A+5 (mast 74)	-45 deg	3	26019	14403	398	644	358
W2H400+10	0 deg	3	1300	38231	1280	42	829
W2H400+10	90 deg	3	0	45178	1276	0	990
W2H400+10	45 deg	1a	17515	32392	853	404	726
W2H400+10	0 deg	3	1300	26959	1176	42	582
W2H400+10	90 deg	1a	0	33107	1139	0	757
W2H400+10	90 deg	3	0	33678	1172	0	738
W2H400+10	45 deg	1a	8721	25248	855	218	575
W2H400+10 (mast 82)	0 deg	3	4565	34528	1258	152	731
W2H400+10 (mast 82)	90 deg	1a	1574	41927	1127	53	931
W2H400+10 (mast 82)	-45 deg	1a	18211	30577	848	430	682
W2H400+10 (mast 82)	0 deg	3	3002	24614	1167	99	522
W2H400+10 (mast 82)	90 deg	1a	1233	31402	1133	42	712
W2H400+10 (mast 82)	0 deg	1b	21118	11542	847	471	245
W2H400+15	0 deg	3	1560	40126	1413	47	785
W2H400+15	90 deg	1a	0	49086	1264	0	1006
W2H400+15	45 deg	1a	20418	35375	952	433	725
W2H400+15	0 deg	1a	5546	1538	1284	167	18
W2H400+15	0 deg	3	1560	2784	1425	47	31
W2H400+15	90 deg	1a	0	21043	1265	0	422
W2H400+15	0 deg	1a	5546	1201	964	167	14

SLS

Type	Wind	Loadcase	M_{langs}	M_{dwars}	N	V_{langs}	V_{dwars}
W2H400+5	0 deg	1b	2363	20045	757	81	512
W2H400+5	45 deg	1a	8801	23569	757	234	595
W2H400+5	90 deg	3	2363	31280	835	81	794
W2H400+5	-45 deg	1a	8108	23569	757	234	595
W2H400A+5 (mast 74)	0 deg	1b	3321	19716	753	120	499
W2H400A+5 (mast 74)	90 deg	3	4602	30221	821	172	751
W2H400A+5 (mast 74)	-45 deg	1a	8941	23276	753	269	583
W2H400+10	0 deg	3	3081	33806	1046	99	765
W2H400+10	45 deg	1a	10468	28323	949	253	639
W2H400+10	90 deg	1a	3081	32890	946	99	734
W2H400+10	90 deg	3	3081	37539	1043	99	843
W2H400+10 (mast 82)	0 deg	1a	4010	21112	949	130	481
W2H400+10 (mast 82)	45 deg	3	4263	32798	1029	158	726
W2H400+10 (mast 82)	90 deg	1a	4307	31284	941	140	691
W2H400+10 (mast 82)	90 deg	3	5665	34675	1028	186	765
W2H400+10 (mast 82)	-45 deg	1a	10407	26626	945	283	597
W2H400+15	0 deg	3	3697	35947	1157	111	742
W2H400+15	45 deg	1a	12353	30742	1060	276	634
W2H400+15	90 deg	1a	3697	36518	1056	111	745
W2H400+15	90 deg	3	3697	40557	1154	111	830
W2H400+15	-45 deg	1a	11270	30742	1060	276	634

Belastingen op maaiveld

Op het maaiveld wordt gerekend met een verdeelde last van 10 kN/m^2 . Er is geen stempellast op de fundering voorzien. Echter, door spreiding van een puntlast over een diepte van 1,5 m, zal een lastvlak van 2 (breedte balk) x 3 (2*1,5) = 6 m^2 ontstaan, waardoor bij 10 kN/m^2 dus ook een puntlast van 60 kN toelaatbaar is.

Voor deze belastingen wordt in de combinatie gerekend met:

ψ_0	ψ_1	ψ_2
0,7	0,5	0,3

3.2.3. BELASTINGCOMBINATIES

Belastingcombinaties in ULS conform vergelijking 6.10b van NEN EN 1990, waarbij:

0,7 * 1,65 = 1,16

En de belastingsfactoren voor de last uit de masten reeds in de ingevoerde belasting is meegenomen (factor 1,0 toegepast).

ULS

Belastinggeval	Omschrijving	Combi 1	Combi 2	Combi 3	Combi 4	Combi 5	Combi 6
1	Eigen gewicht	1,3	1,3	1,3	1,3	0,54	0,54
2	Grond	1,3	1,3	1,3	1,3	0,54	0,54
3	Belasting mast ULS 1	1,0		0,6		1,0	
4	Belasting mast ULS 2		1,0		0,6		1,0
7	Belasting op maaiveld	1,16	1,16	1,65	1,65		

SLS

Belastinggeval	Omschrijving	Combi 7	Combi 8	Combi 9	Comb i 10	Combi 11	Combi 12
5	Eigen gewicht	1,0	1,0	1,0	1,0	0,6	0,6
6	Grond	1,0	1,0	1,0	1,0	0,6	0,6
5	Belasting mast SLS 1	1,0		0,6		1,0	
6	Belasting mast SLS 2		1,0		0,6		1,0
7	Belasting op maaiveld	0,7	0,7	1,0	1,0		

3.3. WISSELENDE BELASTINGEN EN VERMOEIING

Door de wisselende belastingen van wind dient belasting door vermoeiing te worden meegenomen. Bij vermoeiing is het aantal wisselingen en de grootte van de wisseling van belang. In de NEN-EN 1991-1-4:2005 is in bijlage B.3 een figuur opgenomen waarin de verhouding tussen de grootte van de windlast en het aantal keren dat deze optreedt weergegeven.

B.3 Aantal belastingen voor dynamische respons

(1) Figuur B.3 geeft het aantal keren N_g dat de waarden ΔS van een windeffect worden bereikt of overschreden gedurende een periode van 50 jaar. ΔS wordt uitgedrukt in percentage van de waarde S_k, waar S_k het effect is van een windbelasting met een herhalingstijd van 50 jaar.

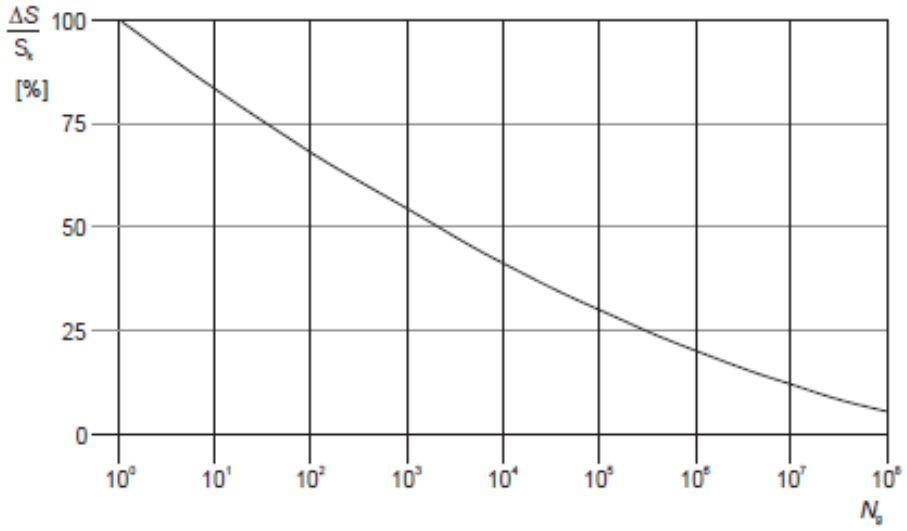

Figuur B.3 — Aantal windvlaagbelastingen N_g voor een effect $\Delta S/S_k$ gedurende een herhalingstijd van 50 jaar

De relatie wordt omschreven met de volgende uitdrukking

$$\frac{\Delta S}{S_k} = 0{,}7 \cdot (\log(N_g))^2 - 17{,}4 \cdot \log(N_g) + 100 \qquad \text{(B.9)}$$

Bij vermoeiing wordt bij een bepaald spanningsniveau het aantal wisselingen op dit spanningsniveau bepaald en vervolgens wordt dit vergeleken met het aantal toelaatbare wisselingen op dat spanningsniveau. Door dit voor de voorkomende spanningsniveaus te doen is de weerstand tegen vermoeiing te controleren.

In de ROK van RWS is bovenstaande verdeling gediscretiseerd tot onderstaande tabel:

Tabel 5-1: Aantal wisselingen per windbelasting (referentieperiode 50 jaar)

ΔS / S_k (%)	n
100	1
98	1
90	8
75	90
61	900
48	9000
36	90000
25	900000
16	9000000
9	90000000

Van beton en wapeningsstaal is bekend hoeveel wisselingen bij een bepaald spanningsniveau toelaatbaar zijn. S_K is de spanning met een herhalingstijd van 50 jaar (de spanning waarop de constructie ontworpen is).

Met bovenstaande gegevens is te bepalen welke maximale spanning t.g.v. wind eens in de 50 jaar toelaatbaar is opdat de constructie ook voldoende weerstand tegen vermoeiing heeft.

Wapening

De totale schade van de belastingen dient volgens de beschadigingsregel van Miner kleiner dan 1 te zijn.
De toetsingsprocedure per wisseling conform NEN-EN 1992-1-1:2005, §6.8.4:
Voor de wapening is gekeken naar de toelaatbare spanning voor:

- Rechte staven
- Staven gebogen met een doordiameter 2,5*D
- Gelaste staven

Er volgt (zie berekening hieronder) dat voor gewone rechte staven er geen beperking is, echter gebogen of gelaste staven hebben de volgende spanningsbeperking:

Buigdoorn 2,5ø → 244 N/mm^2
Buigdoorn 5ø → 283 N/mm^2
Gelaste staven → 317 N/mm^2

Omdat bij de toetsing van vermoeiing een ULS toestand met veiligheid 1,0 wordt getoetst, is de spanning altijd minimaal een factor van ca. 1,3 lager dan de normale ULS toestanden.

Bij een toelaatbare spanning van 435 N/mm^2 in ULS volgt bij toetsing op vermoeiing een spanning van maximaal 335 N/mm^2. De toelaatbare spanningen bij vermoeiing zijn nog iets lager. Hier dient in de detaillering rekening mee gehouden te worden. Een toetsing achteraf zal volstaan.

Rechte staven

maximale gebruiksspanning			435	
Toelaatbare spanningswisseling bij N* wisselingen			162,5	
		k1	5	
		k2	9	
		N*	1,00E+06	
	ROK	Wisseling spanning	Toelaatbaar aantal	
aantal wisselingen	dS/S	wapening	wisselingen	Schade
[-]	[-]	[N/mm2]	[-]	[-]
1	100	435	7275	0,000137
1	98	426	8048	0,000124
8	90	392	12320	0,000649
90	75	326	30656	0,002936
900	61	265	86133	0,010449
9000	48	209	285505	0,031523
90000	36	157	1394937	0,064519
900000	25	109	37137862	0,024234
9000000	16	70	2061565470	0,004366
90000000	9	39	365674259232	0,000246
			Totale schade	**0,139183665**

Staven gebogen met doorndiameter 2,5*D

maximale gebruiksspanning			244	
Toelaatbare spanningswisseling bij N* wisselingen			67,4	
		k1	5	
		k2	9	
		N*	1,00E+06	

	ROK	Wisseling spanning	Toelaatbaar aantal	
aantal wisselingen	dS/S	wapening	wisselingen	Schade
[-]	[-]	[N/mm2]	[-]	[-]
1	100	244	1613	0,000620
1	98	239	1784	0,000560
8	90	220	2731	0,002929
90	75	183	6796	0,013243
900	61	149	19095	0,047134
9000	48	117	63292	0,142197
90000	36	88	266714	0,337440
900000	25	61	2466861	0,364836
9000000	16	39	136938283	0,065723
90000000	9	22	24289699180	0,003705
			Totale schade	**0,978388484**

Staven gebogen met doorndiameter 5*D

maximale gebruiksspanning			283	
Toelaatbare spanningswisseling bij N* wisselingen			78,0	
		k1	5	
		k2	9	
		N*	1,00E+06	

	ROK	Wisseling spanning	Toelaatbaar aantal	
aantal wisselingen	dS/S	wapening	wisselingen	Schade
[-]	[-]	[N/mm2]	[-]	[-]
1	100	283	1591	0,000629
1	98	277	1760	0,000568
8	90	255	2694	0,002970
90	75	212	6702	0,013428
900	61	173	18832	0,047792
9000	48	136	62422	0,144181
90000	36	102	263044	0,342148
900000	25	71	2406099	0,374050
9000000	16	45	133565305	0,067383
90000000	9	25	23691410595	0,003799
			Totale schade	**0,996946687**

Gelaste staven

maximale gebruiksspanning			317	
Toelaatbare spanningswisseling bij N* wisselingen			58,5	
		k1	3	
		k2	5	
		N*	1,00E+07	

	ROK	Wisseling spanning	Toelaatbaar aantal	
aantal wisselingen	dS/S	wapening	wisselingen	Schade
[-]	[-]	[N/mm2]	[-]	[-]
1	100	317	62848	0,000016
1	98	311	66775	0,000015
8	90	285	86211	0,000093
90	75	238	148972	0,000604
900	61	193	276886	0,003250
9000	48	152	568285	0,015837
90000	36	114	1347046	0,066813
900000	25	79	4022257	0,223755
9000000	16	51	20411885	0,440920
90000000	9	29	362468668	0,248297
			Totale schade	**0,999600179**

4. VERBINDING MAST-FUNDERING

De masten worden verbonden met de fundering d.m.v. een ingestorte ankerkooi. Een ankerkooi is hieronder weergegeven

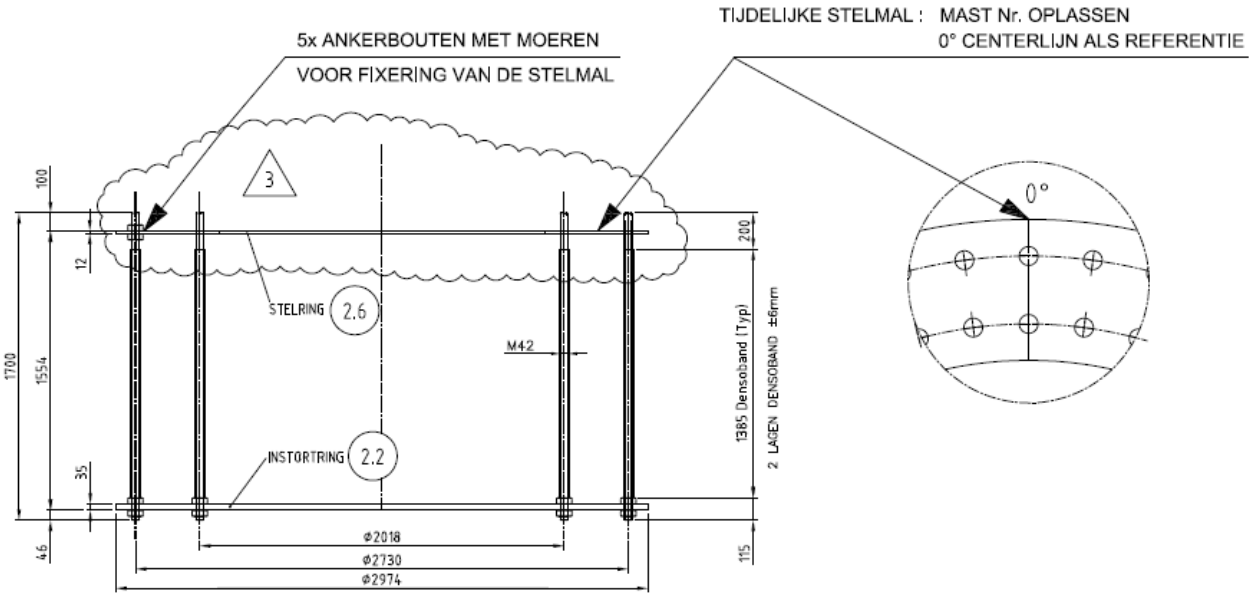

DETAIL VERANKERING

NOTA : ALLE RESTERENDE MOEREN EN ONDERLEGRINGEN WORDEN LOS MEEGELEVERD

Prepared by: LV Revision: 3 Date: 5-7-2011	Material: – Quantity: 2 Equipm. no.: W4E350	**VDL KTI**	Project No.: 36002 Workprep. No.: Pos. No.: ANKERKOOI

De ankers en platen zijn berekend door Volker Infra Design bij het ontwerp van de masten. De ankerkooi bevindt zich in de ronde opstort. De ronde opstort is d.m.v. stekken verbonden met de kruisvormige balken. De stekken worden in de UO fase berekend.

4.1. BEREKENING FUNDERING

De poer is ingevoerd in een SCIA engineer model.

Er zijn 2 modellen gedraaid:

Model 1: Lage gescheurde E modulus
Model 2: Matige gescheurde E modulus

5. BIJLAGEN

Bijlage 1 Uitvoer SCIA Engineer – lage E-waarde (model 1)

Bijlage 2 Uitvoer SCIA Engineer – matige E-waarde (model 2)

BIJLAGE 1 UITVOER SCIA ENGINEER – LAGE E-WAARDE (MODEL 1)

BIJLAGE 2 UITVOER SCIA ENGINEER – MATIGE E-WAARDE (MODEL 2)

Constructieberekening mastfundaties type D

Project:
Randstad 380kV Noordring

Opdrachtgever:
TenneT TSO

Revisie	Datum	Wijzigingen ten opzichte van vorige revisie
00	10-07-2013	Eerste uitgave
01	19-07-2013	Opmerkingen review verwerkt
02	06-08-2013	Definitief. Tweede uitgave
03	02-10-2013	T.b.v. 3e uitgave

Documentnummer: R3N-OWR-0006

Opsteller	*Controleur*	*Vrijgever*
A.L.A. van Noort Constructeur	P. de Jager Ontwerpmanager	Arjan Hogenboom Project Manager

Distributie

Naam	Bedrijf
Extern	
Guido Volman	TenneT TSO
Intern	
Arjan Hogenboom	BAM
Pieter de Jager	BAM
Eric van Rooijen	BAM
David van Loenen	BAM
Rob Bakker	BAM
Erwin ten Cate	BAM
Michael Desmet	Fabricom
Hein Pijnappel	Mott MacDonald

Beheer

De documentbeheerder van de combinatie verzorgt de distributie. Alleen houders van een geregistreerde kopie ontvangen automatisch aanvullingen en/of wijzigingen. Het is de verantwoordelijkheid van de houders het document up to date te houden. De laatste versie is altijd beschikbaar in ThinkProject!

Indien documenten worden geprint, geldt het volgende: een geregistreerde kopie is geldig vanaf de datum van uitgifte. Bij uitgifte van een document met een hoger revisienummer verliest de voorgaande versie automatisch haar geldigheid. Kopiehouders dienen het voorblad van een ongeldige versie te markeren met een diagonale lijn samen met de tekst 'vervallen'.

Neem bij twijfel over de geldende versie contact op met de documentbeheerder.

Inhoudsopgave

1. Inleiding *4*
1.1. Overzicht verschillende typen 4
1.1.1. Fundatietype A 5
1.1.2. Fundatietype B 5
1.1.3. Fundatietype C 6
1.1.4. Fundatietype D 6
1.1.5. Fundatietype F 7
1.2. Mastbeeld bij fundatie type D 8
1.3. Gerelateerde documenten 8
1.4. Openstaande punten 9
1.5. Revisiebeheer 9
2. Uitgangspunten en eisen *10*
2.1. Uitgangspunten 10
2.2. Gehanteerde normen 10
2.3. Eisen 10
2.4. Vermoeiing 10
2.5. Materiaalgegevens 10
2.5.1. Betonkwaliteiten 10
2.5.2. Milieuklasse *11*
2.5.3. Betondekking 11
2.6. Staalkwaliteiten 11
2.7. Veerconstante funderingspalen 11
3. Berekening poer type D *13*
3.1. Geometrie 13
3.2. Belastingen en belastingcombinaties 13
3.2.1. Belastingsfactoren 13
3.2.2. Belastingsgevallen 14
3.2.3. Belastingcombinaties 16
3.3. Wisselende belastingen en vermoeiing 17
4. Verbinding mast-fundering *20*
4.1. Controle ronde opstort 20
4.2. Berekening fundering 22
5. Bijlagen *23*
Bijlage 1 Uitvoer SCIA Engineer – lage E-waarde 24
Bijlage 2 Uitvoer SCIA Engineer – matige E-waarde 25

1. INLEIDING

De komende jaren werken het ministerie van Economische Zaken en TenneT aan de aanleg van een nieuwe 380 kV hoogspanningsverbinding in de Randstad. De nieuwe verbinding stelt de voorziening van elektriciteit in de Randstad veilig.

Het ontwerptracé van de nieuwe Randstad 380 kV verbinding is sinds eind 2008 bekend. De plannen gaan uit van twee ringen, tussen Wateringen en Zoetermeer (de Zuidring) en tussen Zoetermeer en Beverwijk (de Noordring). Eind 2012 heeft Tennet de aanbesteding opgestart voor het gedeelte van de Noordring tussen station Vijfhuizen en Bleiswijk. Het contract is opgedeeld in twee percelen, waarbij de grens ligt bij Zuidelijke Ringvaart. Dit document heeft betrekking op perceel 2 (het zuidelijke gedeelte).

BAM heeft op 8 juli 2013 het contract ondertekend met TenneT voor het ontwerp en realiseren van perceel 2. Het voorliggende document is onderdeel van het Definitief Ontwerp en behandelt de mastfundaties. Dit betreft ook de masten welke ter plaatse van een OSP zijn gelokaliseerd. De overige onderdelen van de OSP's zijn in een afzonderlijk document berekend evenals de funderingspalen.

Dit rapport betreft een poer D. Op poer D worden de volgende masttypen geplaatst: W2H400 + 15, W4H400Z + 5 (Afstap 150kV), W4H400Z +10 (Afstap 150kV)

De wapening wordt in het UO ontwerp uitgewerkt.

1.1. OVERZICHT VERSCHILLENDE TYPEN

Binnen het project komen verschillende typen masten voor.

De verschillen komen voort uit:
- aantal systemen dat een mastenpaar draagt, 2 systemen (2x380 kV) of 4 systemen (2x380 kV en 2x150 kV);
- de functie van de mast, Steunmast, Hoekmast of Eindmast;
- maximale veldlengte tussen masten 350 of 400 m;
- aanpassingen aan mast (b.v. +10 m extra hoogte).

Elke mast heeft een eigen belastingpatroon. Na analyse van de verschillende belastingen en geometrische eisen zijn er uiteindelijk 5 mastfundatie typen bepaal. Met deze 5 typen is er voor elke mast een geschikte fundatie beschikbaar.

De fundatietypen zijn hieronder weergegeven

1.1.1. FUNDATIETYPE A

Toegepast bij masttype:
- W2S400 + 5
- W2S350 + 5
- W2S400A+10

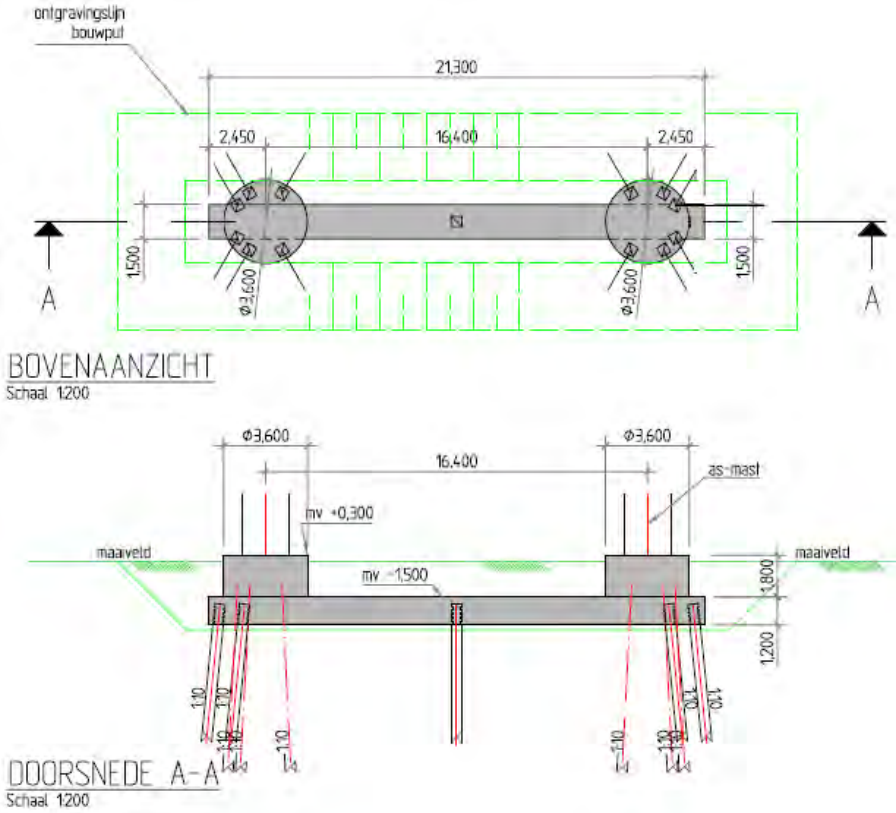

1.1.2. FUNDATIETYPE B

Toegepast bij masttype:
- W4S400Z + 5
- W2S400 + 24
- W2S400 + 24
- W4S400Z + 14

Opm: verschil met type A is diameter opstort.

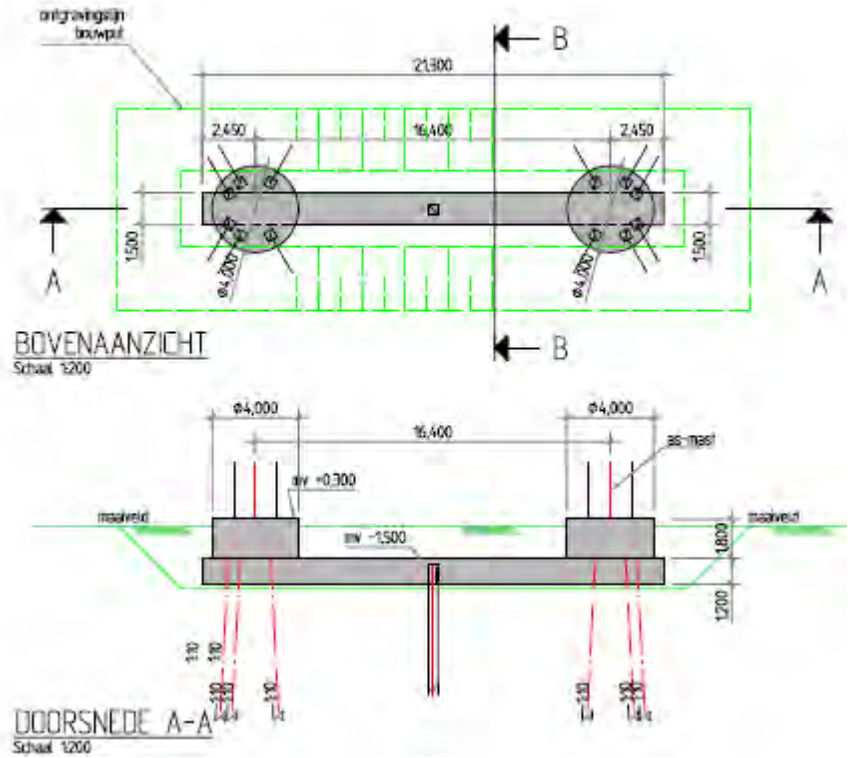

1.1.3. FUNDATIETYPE C

Toegepast bij masttype:
- W2H400 + 5
- W2H400 + 5
- W2H400 + 10
- W2H400 + 10 mast 133
- W2H400 + 15

Opm: mast 133 was in de oude nummering mast 82.

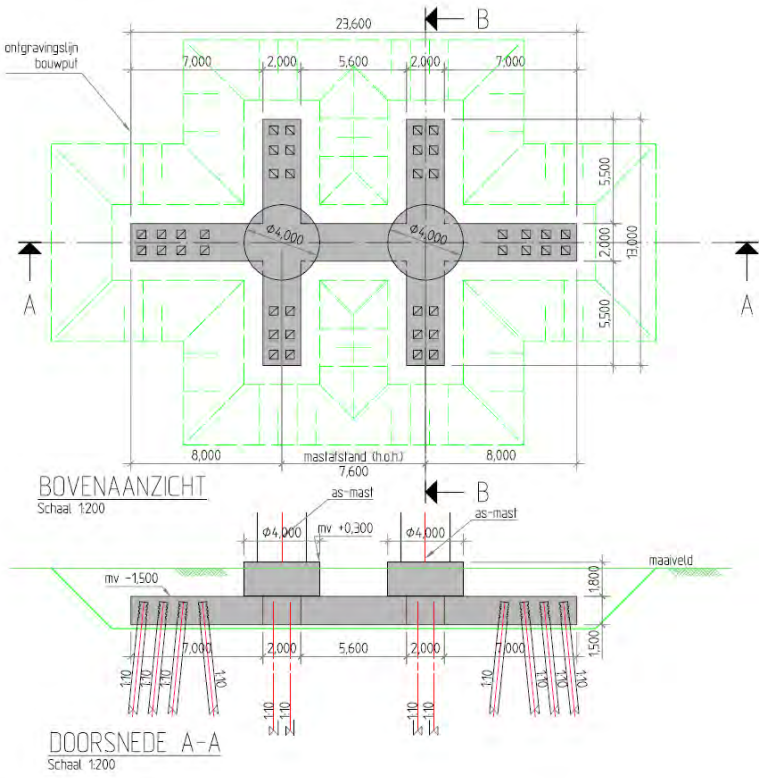

1.1.4. FUNDATIETYPE D

Toegepast bij masttype:
- W4H400Z + 5 (Afstap 150kV)
- W4H400Z +10 (Afstap 150kV)

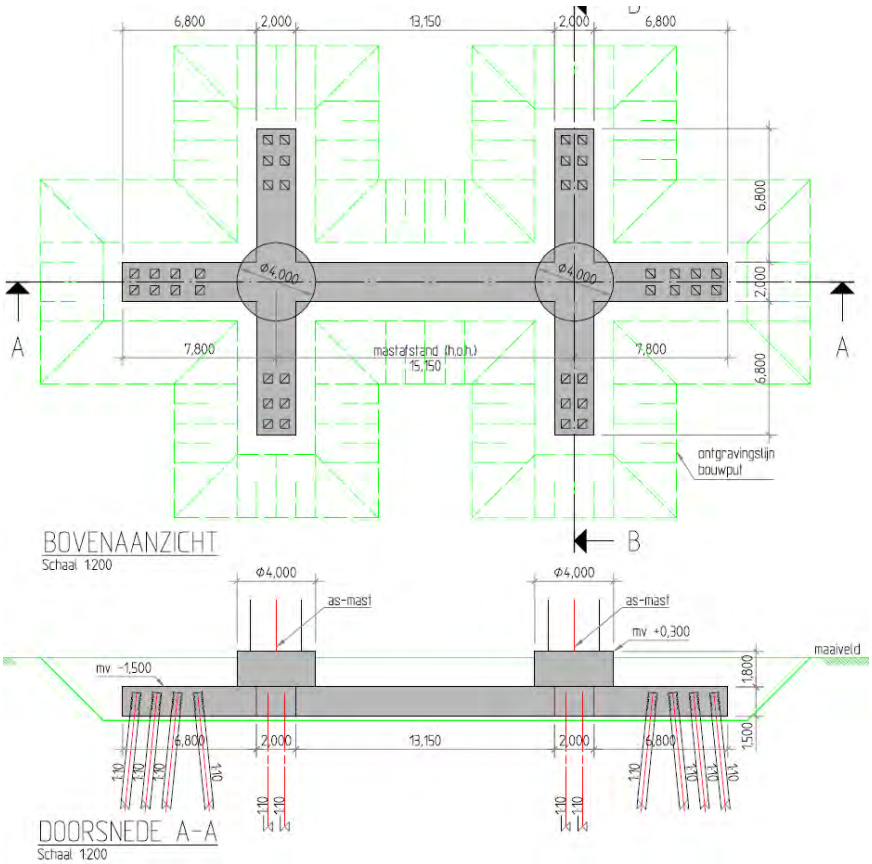

1.1.5. FUNDATIETYPE F

Toegepast bij masttype:
- W2E350 + 5
- W2E400
- W2E350

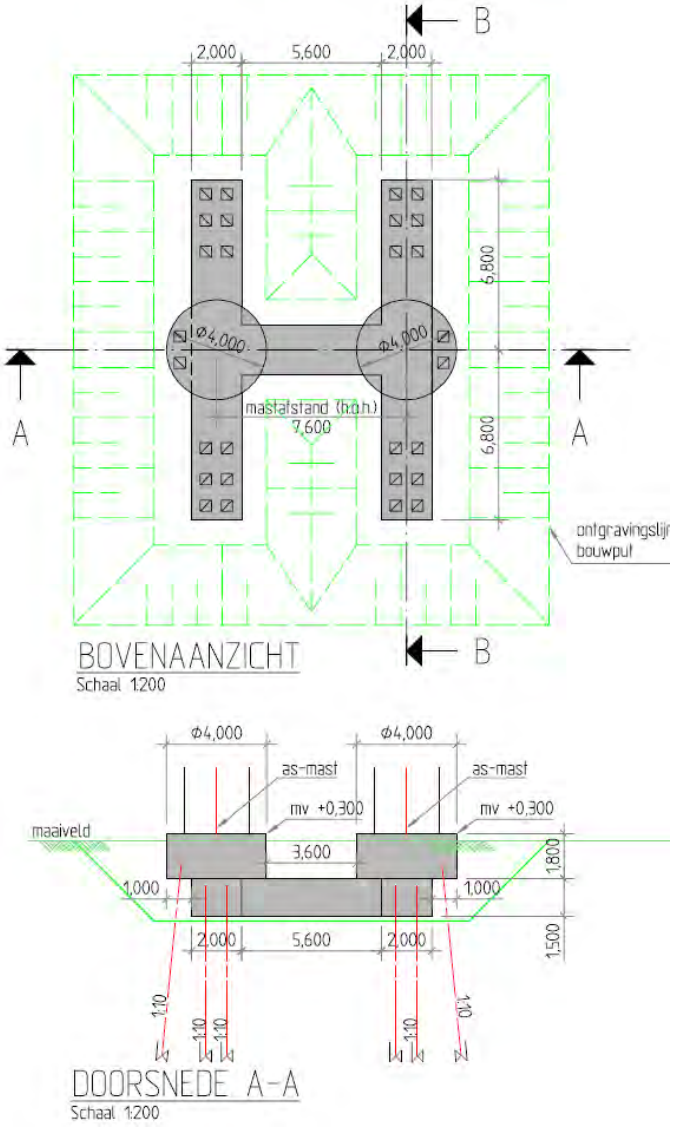

1.2. MASTBEELD BIJ FUNDATIE TYPE D

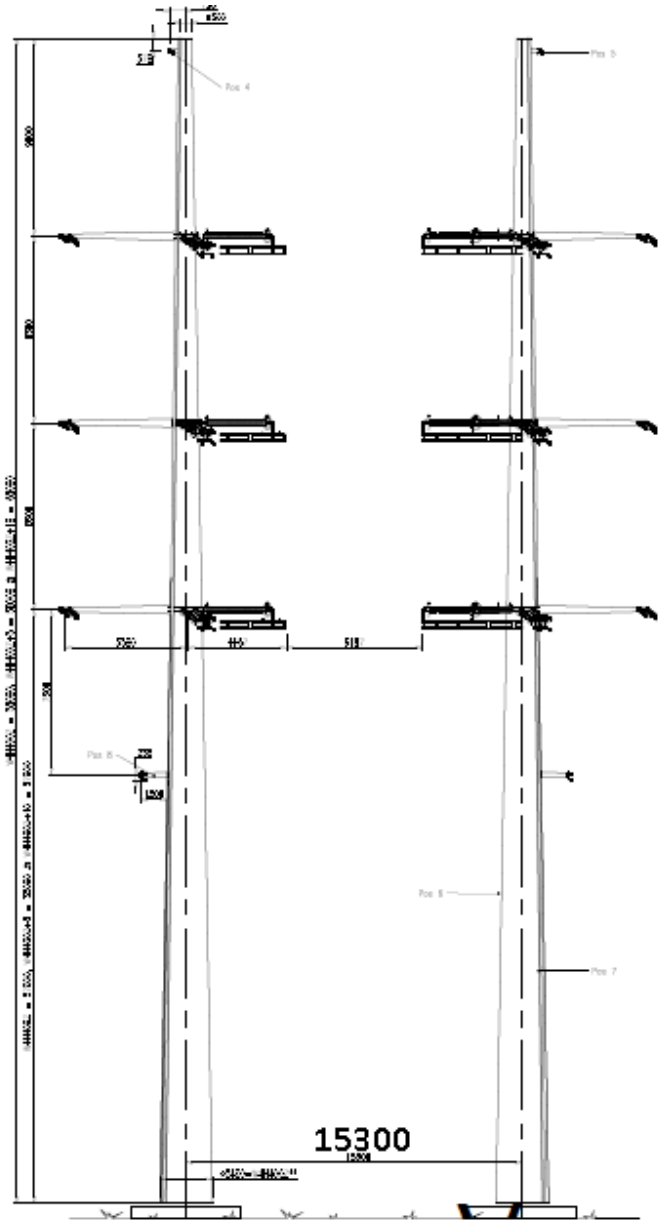

De h.o.h. afstand van de masten bedraagt 15300 mm i.p.v. de in de berekening aangehouden 15150mm. Dit kleine verschil heeft voor de berekening geen invloed

1.3. GERELATEERDE DOCUMENTEN

R3N-OWN-0001 Ontwerpnota Systeem Noordring
R3N-OWR-0003 Constructieberekening mastfundaties type A
R3N-OWR-0004 Constructieberekening mastfundaties type B
R3N-OWR-0005 Constructieberekening mastfundaties type C
R3N-OWR-0006 Constructieberekening mastfundaties type D
R3N-OWR-0007 Constructieberekening mastfundaties type F
R3N-OWR-0008 Ontwerpberekening paalfundering mastfundaties
R3N-OWR-0033 Bepaling belastingen mastfundaties
R3N-OWR-0039 Bemalingsadvies beheersgebied Rijnland
R3N-OWR-0040 Bemalingsadvies beheersgebied Schieland en de Krimpenerwaard

1.4. OPENSTAANDE PUNTEN

De volgende punten dienen in een latere fase nader uitgewerkt te worden:

- Aarding, de wijze van aarden kan invloed hebben op de vermoeiing van het wapeningsstaal.
- Temperatuursinvloeden op fundering
- Model verbetyeren d.m.v. dummy elementen aan bovenzijde palen
- Invloed krimp op fundering
- Optimalisatie wapening
- Optimalisatie palen
- Detailontwerp prefab beton
- H.o.h. afstand masten aanpassen van 15150 naar 15300

1.5. REVISIEBEHEER

Dit is de 2e uitgave. Er zijn nog vrijwel geen grondgegevens beschikbaar. Dit rapport is een principe berekening. Toegevoegd zijn enkele betonberekeningen.

Aangepast in 3e uitgave
Dit is de 3e uitgave. In deze revisie is toegevoegd:

- Mastbeeld toegevoegd,
- Nadere uitwerking milieuklasse
- Masttype W2H400 + 15 was in het overzicht zowel bij poer type C als D genoemd. Mast komt op type C.
- Masttype W2S400A+10 ontbrak in het overzicht. Toegevoegd bij poertype A
- Toelichting koppeling mast met fundatie

2. UITGANGSPUNTEN EN EISEN

2.1. UITGANGSPUNTEN

Op de funderingen worden de lasten geplaatst zoals afgeleid in document R3N-OWR-0033 'Bepaling belasting mastfundaties'. Deze zijn afgeleid van de mastberekeningen zoals door TenneT beschikbaar gesteld.

2.2. GEHANTEERDE NORMEN

De eurocode serie NEN-EN-1990tm1997 wordt gehanteerd

NEN-EN50341

2.3. EISEN

Voor de masten gelden specifiek onderstaande eisen:

- De fundamenten van de staalconstructies ten behoeve van de masten worden gedimensioneerd op een maximale vervorming van 0.005 RAD onder representatieve waarden van de belastingen.
- Tot 1,5 m diepte mag de straalomtrek van de fundering niet groter zijn dan 1,0 m meer dan de straal van de mast.
- De ZRO-breedte tussen de (schoor)paalpunten en andere ondergrondse constructies van de masten is maximaal 2x 22 m voor de 2x 380kV (solo) verbinding en 2 x 27 m voor de 2 x 150 kV/380 kV (combi) verbinding.
- Tolerantie van mastlocatie naar buiten is 10 cm, tolerantie naar binnen is 0 cm.

2.4. VERMOEIING

De aan te leggen fundamenten worden gedimensioneerd op een vermoeiingsbelasting. De wisseling van belasting komt uit wind. Het aantal en de grote van de wisselingen gedurende 50 jaar is bepaald conform de ROK. De toetsingsprocedure van de constructie conform NEN-EN 1992-1-1:2005

2.5. MATERIAALGEGEVENS

In onderstaande paragrafen worden de gehanteerde materiaaleigenschappen benoemd.

2.5.1. BETONKWALITEITEN

Voor het constructief beton worden bij de detaillering de volgende sterkteklassen aangehouden. De betonkwaliteit van de ronde opstort (C35/45) is voorgeschreven. Bij gescheurd beton wordt in eerste instantie gerekend met $E_{beton;gescheurd}$ = 1/3 $E_{beton;ongescheurd}$. Tevens is een 2 x zo hoge E-modulus beschouwd.

Onderdeel	Sterkteklasse	Elastisciteitsmodulus [N/mm²]		
		ongescheurd	Gescheurd lage E	Gescheurd matige E
in het werk gestort gewapend beton:	C30/37	31.000	11.000	22.000
in het werk gestort gewapend beton, ronde opstort	C35/45	33.500		
geprefabriceerd beton (U-bakken):	C35/45	33.500		
geprefabriceerd voorgespannen beton (palen):	C45/55	36.000		

Tabel 2.5.1-1 Betonkwaliteiten

2.5.2. MILIEUKLASSE

Voor de betondelen welke meer dan 1,0 m onder maaiveld liggen geldt milieuklasse XC2
Voor de hoger gelegen betondelen is de milieuklasse afhankelijk van de aanwezigheid van openbare wegen. De wegen naar de OSP's zullen niet gestrooid worden en bovendien nauwelijks bereden worden, waardoor het wegspatten van water met dooizouten niet aan de orde is. De afstanden in onderstaande schets geldt voor snelwegen, bij ander wegen zou deze eventueel kleiner kunnen.

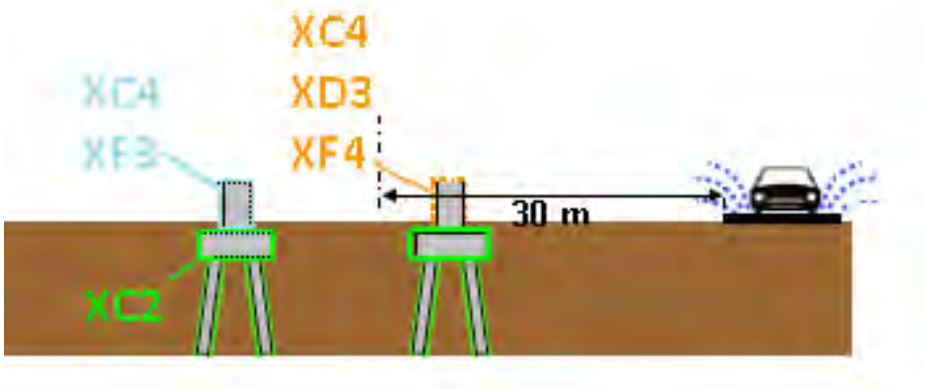

2.5.3. BETONDEKKING

Betondekking conform NEN EN 1992-1-1:2011

$$c_{min} = \max \{c_{min,b};\ c_{min,dur} + \Delta c_{dur,\gamma} - \Delta c_{dur,st} - \Delta c_{dur,add};\ 10\ mm\} \qquad (4.2)$$

waarin:

$c_{min,b}$	is de minimumdekking op basis van de aanhechtingseisen, zie 4.4.1.2 (3);
$c_{min,dur}$	is de minimumdekking op basis van de milieu-omstandigheden, zie 4.4.1.2 (5);
$\Delta c_{dur,\gamma}$	is een aanvullende veiligheidsmarge, zie 4.4.1.2 (6);
$\Delta c_{dur,st}$	is een reductie van de minimumdekking bij gebruik van roestvast staal, zie 4.4.1.2 (7);
$\Delta c_{dur,add}$	is een reductie van de minimumdekking bij gebruik van aanvullende bescherming, zie 4.4.1.2 (8).

De verwachting is dat $c_{min;b}$ maatgevend wordt. Deze warade is afhankelijk van de staafdiameter, welk enog niet bekend is. Betondekking wordt in UO bepaald.

2.6. STAALKWALITEITEN

Voor het wapeningsstaal worden de volgende staalkwaliteiten aangehouden:

Omschrijving	Kwaliteit
betonstaal (staven)	B500 B

Tabel 2.5.2 Staalkwaliteiten

2.7. VEERCONSTANTE FUNDERINGSPALEN

De constructie wordt gefundeerd op prefab betonpalen. De palen worden horizontaal gesteund door de grond wat resulteert in een horizontale beddingconstante op de funderingspaal. Verticaal wordt de funderingspaal gesteund door een verticale puntveer. Beide veerconstanten zijn bepaald door de geotechnische adviseur in rapport R3N-OWR-0008.

In het model wordt gerekend met een vertivcale veerstijfheid van laag 60.000 kN/m en hoog 120.000 kN/m.

Voor de horizontale bedding worden onderstaande waarden aangehouden.

In de volgende tabellen worden deze gereduceerde beddingsconstanten gepresenteerd.

X-richting		Voor ESA berekeningen			
soort	b.k. laag	per m^2 paal		per m'paal	
	[m+ NAP]	$k_{h,rep,laag}$ [kN/m^3]	$k_{h,rep,hoog}$ [kN/m^3]	$k_{h,rep,laag}$ [kN/m/m]	$k_{h,rep,hoog}$ [kN/m/m]
Veen	-1.6	1,400	3,200	700	1,600
Klei	-2.7	500	1,200	300	600
Veen	-5.1	1,400	3,200	700	1,600
Klei	-6.0	800	1,800	400	900
Veen	-11.2	1,400	3,200	700	1,600
Zand	-12.1	13,600	30,600	6,900	15,600
Zand	-22.0	16,300	36,700	8,300	18,700

Tabel 6 Horizontale beddingsconstanten voor belasting uit de X-richting

Y-richting		Voor ESA berekeningen			
soort	b.k. laag	per m^2 paal		per m'paal	
	[m+ NAP]	$k_{h,rep,laag}$ [kN/m^3]	$k_{h,rep,hoog}$ [kN/m^3]	$k_{h,rep,laag}$ [kN/m/m]	$k_{h,rep,hoog}$ [kN/m/m]
Veen	-1.6	1,000	2,300	500	1,200
Klei	-2.7	400	900	200	400
Veen	-5.1	1,000	2,300	500	1,200
Klei	-6.0	600	1,300	300	700
Veen	-11.2	1,000	2,300	500	1,200
Zand	-12.1	9,800	22,100	5,000	11,300
Zand	-22.0	11,800	26,500	6,000	13,500

Tabel 7 Horizontale beddingsconstanten voor belasting uit de Y-richting

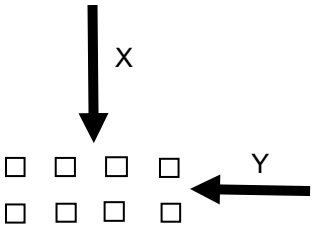

Figuur 3 - Horizontale beddingsconstanten per belastingsrichting

Voor alle richtingen is steeds de lage waarde van de beddingsconstante in Y-richting aangehouden.

3. BEREKENING POER TYPE D

3.1. GEOMETRIE

De geometrie van de type D poeren is als volgt:

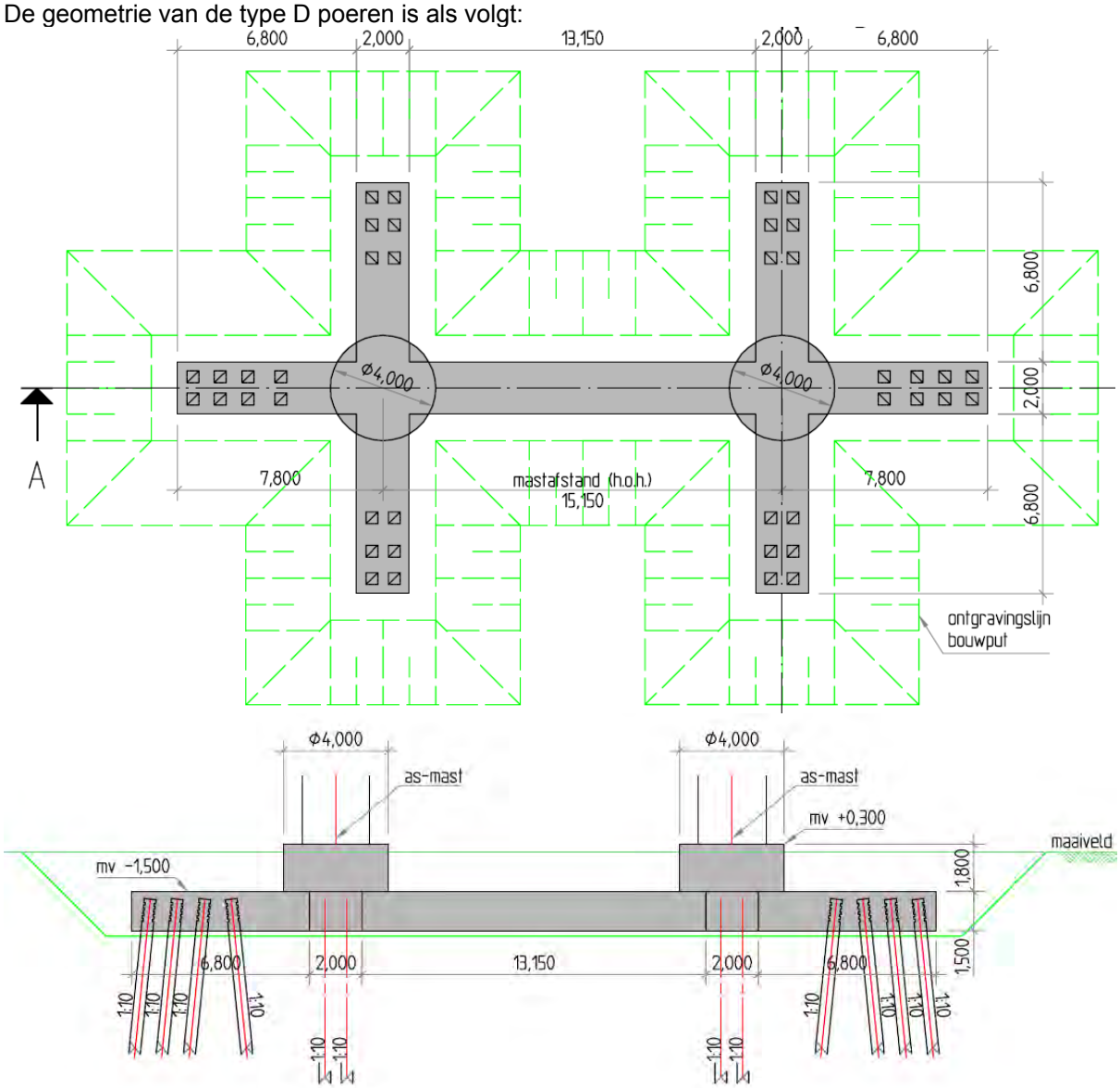

3.2. BELASTINGEN EN BELASTINGCOMBINATIES

3.2.1. BELASTINGSFACTOREN

De belasting uit de poeren bestaat vooral uit lasten uit de mast cq lijnen. Deze lasten zijn, incl. partiële factoren gegeven door de opdrachtgever op basis van een rapport van KEMA (zie ons rapport R3N-OWR-0033).

Daarnaast zijn er lasten op de poeren zelf. Hiervoor geldt dat vergelijking 6.10 b van de EN 1990 maatgevend is. Gecombineerd met CC3 gelden de volgende partiële factoren:

γ_G (ongunstig)	=	1,3	
γ_G (gunstig)	=	0,9	(zie §3.2.2, op eigen gewicht fundering wordt factor 0,54 toegepast)
γ_Q	=	1,65	

Opm: De meeste lasten zijn door de klant incl de factoren gegeven. Bovenstaande factoren hebben dus alleen invloed op het eigen gewicht , grond en belastingen op maaiveld.

3.2.2. BELASTINGSGEVALLEN

Eigengewicht poer
Eigen gewicht van de betonconstructie wordt gegenereerd in het model. Er wordt gerekend met een eigengewicht voor beton van 2500 kg/m^3.

Omdat er ook trek op de palen komt, is eigen gewicht al snel een gunstige belasting (druk eenvoudiger op te nemen dan trek). Indien de poer zich onderwater bevindt zal er een opwaartse kracht gelijk aan het gewicht van het verplaatste water op de poer aanwezig zijn. Het effectieve gewicht van de poer reduceert hierdoor tot 1500 kg/m^3. Inclusief partiële factor van 0,9 volgt 1350 kg/m^3. In totaal bedraagt de factor dan dus 1350/2500 = 0,54.

Eigen gewicht grond op poer
Op de poer ligt 1,5 m grond. Indien het grondwater lager ligt, is de last:

1,5 * 17 = 25,5 kN/m^2

Bij waterstand gelijk aan 0,5m onder maaiveld niveau is de last:

0,5 * 17 + 1,0 * (17-10) = 15,5 kN/m^2

Inclusief partiële factor van 0,9 volgt 13,95 kN/m^2. In totaal bedraagt de factor dan dus 13,95/25,5 = 0,54.

Reken met droge grond en pas een partiële factor van 0,54 op eigen gewicht poer en grond toe in het geval deze gunstig werken.

Belastingen uit de mast
Zie rapport 'Afleiding belasting uit masten' (§0).

Er wordt gerekend met de volgende, donker aangegeven ULS en SLS lasten uit het rapport. De overige lasten zijn met deze gevallen afgedekt.

Voor het variabele deel dat zijn oorsprong vindt in wind, wordt gerekend met

ψ_0	ψ_1	ψ_2
0,6	0,2	0

ULS Mast	Wind	Loadcase	M_{langs}	M_{dwars}	N	V_{langs}	V_{dwars}
W4H400Z+5	90 deg	3	0	44494	1133	0	1119
W4H400Z+5	45 deg	1a	16697	31259	749	436	799
W4H400Z+5	45 deg	3	24827	13896	943	780	434
W4H400Z+5	90 deg	1a	-9505	20923	970	-260	683
W4H400Z+5	90 deg	3	-11374	20604	992	-318	663
W4H400ZA+5	90 deg	1a	7658	15619	986	188	421
W4H400ZA+5	90 deg	3	7995	10376	1111	197	264
W4H400ZA+5	-45 deg	1a	9456	9314	986	259	254
W4H400ZA+5	90 deg	1a	5652	10385	986	139	292
W4H400ZA+5	90 deg	3	6162	8221	1014	152	212
W4H400ZA+5	90 deg	3	35215	4924	943	880	130

W4H400ZA+10 (Aftakmast 92)	90 deg	1a	6367	23846	1084	137	570
W4H400ZA+10 (Aftakmast 92)	90 deg	3	43362	18257	1190	951	415
W4H400ZA+10 (Aftakmast 92)	90 deg	1a	3804	12106	971	115	390
W4H400ZA+10 (Aftakmast 92)	90 deg	3	4371	10353	995	132	324
W4H400ZA+10 (Aftakmast 92)	90 deg	3	27696	6071	948	865	191

SLS

Type	Wind	Loadcase	M_{langs}	M_{dwars}	N	V_{langs}	V_{dwars}
W4H400Z+5	0 deg	1b	2098	23277	832	77	603
W4H400Z+5	45 deg	1a	9556	27308	832	259	700
W4H400Z+5	90 deg	3	2098	36338	922	77	931
W4H400ZA+5	0 deg	1b	6590	4113	821	188	126
W4H400ZA+5	45 deg	1b	6564	4721	821	187	141
W4H400ZA+5	90 deg	1a	7976	10768	821	221	289
W4H400ZA+5	90 deg	3	8480	8911	905	234	243
W4H400ZA+5	-45 deg	1b	6065	4732	821	190	141
W4H400ZA+10 (Aftakmast 92)	0 deg	1b	7912	8572	896	205	219
W4H400ZA+10 (Aftakmast 92)	90 deg	1a	7700	16972	902	198	403
W4H400ZA+10 (Aftakmast 92)	90 deg	3	9134	15504	972	231	372
W4H400ZA+10 (Aftakmast 92)	-45 deg	1a	9410	11965	898	253	293

Belastingen op maaiveld

Op het maaiveld wordt gerekend met een verdeelde last van 10 kN/m^2 . Er is geen stempellast op de fundering voorzien. Echter, door spreiding van een puntlast over een diepte van 1,5 m, zal een lastvlak van 2 (breedte balk) x 3 (2*1,5) = 6 m^2 ontstaan, waardoor bij 10 kN/m^2 dus ook een puntlast van 60 kN toelaatbaar is.

Voor deze belastingen wordt in de combinatie gerekend met

ψ_0	ψ_1	ψ_2
0,7	0,5	0,3

Belasting t.g.v. temperatuurvariaties in fundering

N.t.b.

Belasting t.g.v. krimp

N.t.b.

3.2.3. BELASTINGCOMBINATIES

Belastingcombinaties in ULS conform vergelijking 6.10b van NEN EN 1990, waarbij:

0,7 * 1,65 = 1,16

En de belastingsfactoren voor de last uit de masten reeds in de ingevoerde belasting is meegenomen (factor 1,0 toegepast)

ULS	Combinatie												
BG	Omschrijving	1	2	3	4	5	6	7	8	9	10	11	12
1	Eigen gewicht	1,3	1,3	1,3	1,3	0,54	0,54	1,3	1,3	1,3	1,3	0,54	0,54
2	Grond	1,3	1,3	1,3	1,3	0,54	0,54	1,3	1,3	1,3	1,3	0,54	0,54
3	Belasting mast ULS 1	1,0		0,6		1,0		-1,0		-0,6		-1,0	
4	Belasting mast ULS 2		1,0		0,6		1,0		-1,0		-0,6		-1,0
7	Belasting op maaiveld	1,16	1,16	1,65	1,65			1,16	1,16	1,65	1,65		

SLS							
Belastinggeval	Omschrijving	Combi 7	Combi 8	Combi 9	Comb i 10	Combi 11	Combi 12
5	Eigen gewicht	1,0	1,0	1,0	1,0	0,6	0,6
6	Grond	1,0	1,0	1,0	1,0	0,6	0,6
5	Belasting mast SLS 1	1,0		0,6		1,0	
6	Belasting mast SLS 2		1,0		0,6		1,0
7	Belasting op maaiveld	0,7	0,7	1,0	1,0		

SLS	Combinatie												
BG	Omschrijving	13	14	15	16	17	18	19	20	21	22	23	24
1	Eigen gewicht	1,0	1,0	1,0	1,0	0,6	0,6	1,0	1,0	1,0	1,0	0,6	0,6
2	Grond	1,0	1,0	1,0	1,0	0,6	0,6	1,0	1,0	1,0	1,0	0,6	0,6
5	Belasting mast SLS 1	1,0		0,6		1,0		-1,0		-0,6		-1,0	
6	Belasting mast SLS 2		1,0		0,6		1,0		-1,0		-0,6		-1,0
7	Belasting op maaiveld	0,7	0,7	1,0	1,0			0,7	0,7	1,0	1,0		

3.3. WISSELENDE BELASTINGEN EN VERMOEIING

Door de wisselende belastingen van wind dient belasting door vermoeiing te worden meegenomen. Bij vermoeiing is het aantal wisselingen en de grootte van de wisseling van belang. In de NEN-EN 1991-1-4:2005 is in bijlage B.3 een figuur opgenomen waarin de verhouding tussen de grootte van de windlast en het aantal keren dat deze optreedt weergegeven.

B.3 Aantal belastingen voor dynamische respons

(1) Figuur B.3 geeft het aantal keren N_g dat de waarden ΔS van een windeffect worden bereikt of overschreden gedurende een periode van 50 jaar. ΔS wordt uitgedrukt in percentage van de waarde S_k, waar S_k het effect is van een windbelasting met een herhalingstijd van 50 jaar.

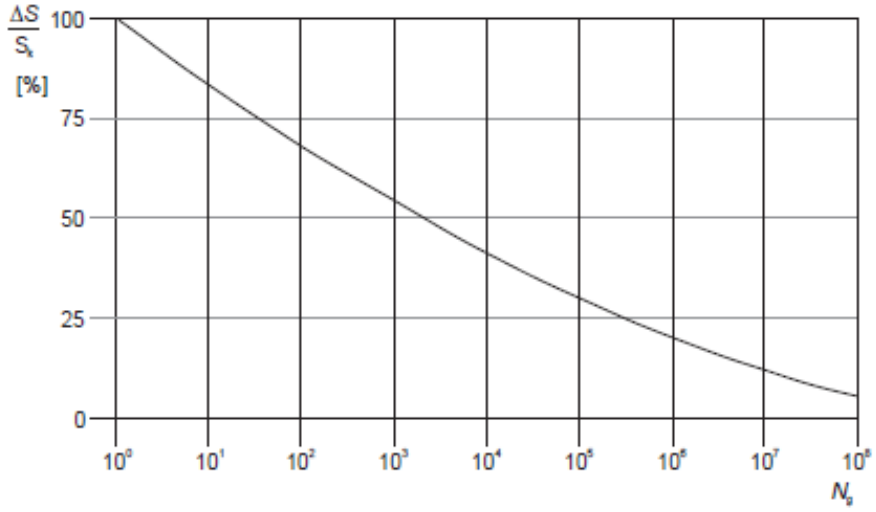

Figuur B.3 — Aantal windvlaagbelastingen N_g voor een effect $\Delta S/S_k$ gedurende een herhalingstijd van 50 jaar

De relatie wordt omschreven met de volgende uitdrukking

$$\frac{\Delta S}{S_k} = 0{,}7 \cdot (\log(N_g))^2 - 17{,}4 \cdot \log(N_g) + 100 \qquad \text{(B.9)}$$

Bij vermoeiing wordt bij een bepaald spanningsniveau het aantal wisselingen op dit spanningsniveau bepaald en vervolgens wordt dit vergeleken met het aantal toelaatbare wisselingen op dat spanningsniveau. Door dit voor de voorkomende spanningsniveaus te doen is de weerstand tegen vermoeiing te controleren.

In de ROK van RWS is bovenstaande verdeling gediscretiseerd tot onderstaande tabel:

Tabel 5-1: Aantal wisselingen per windbelasting (referentieperiode 50 jaar)

ΔS / S_k (%)	n
100	1
98	1
90	8
75	90
61	900
48	9000
36	90000
25	900000
16	9000000
9	90000000

Van beton en wapeningsstaal is bekend hoeveel wisselingen bij een bepaald spanningsniveau toelaatbaar zijn. S_K is de spanning met een herhalingstijd van 50 jaar (de spanning waarop de constructie ontworpen is).

Met bovenstaande gegevens is te bepalen welke maximale spanning t.g.v. wind eens in de 50 jaar toelaatbaar is opdat de constructie ook voldoende weerstand tegen vermoeiing heeft.

Wapening
De totale schade van de belastingen dient volgens de beschadigingsregel van Miner kleiner dan 1 te zijn.
De toetsingsprocedure per wisseling conform NEN-EN 1992-1-1:2005, §6.8.4:
Voor de wapening is gekeken naar de toelaatbare spanning voor:

- Rechte staven
- Staven gebogen met een doordiameter 2,5*D
- Gelaste staven

Er volgt (zie berekening hieronder) dat voor gewone rechte staven er geen beperking is, echter gebogen of gelaste staven hebben de volgende spanningsbeperking

Buigdoorn 2,5ø → 244 N/mm^2
Buigdoorn 5ø → 283 N/mm^2
Gelaste staven → 317 N/mm^2

Omdat bij de toetsing van vermoeiing een ULS toestand met veiligheid 1,0 wordt getoetst, is de spanning altijd minimaal een factor van ca. 1,3 lager dan de normale ULS toestanden.

Bij een toelaatbare spanning van 435 N/mm^2 in ULS volgt bij toetsing op vermoeiing een spanning van maximaal 335 N/mm^2. De toelaatbare spanningen bij vermoeiing zijn nog iets lager. Hier dient in de detaillering rekening mee gehouden te worden. Een toetsing achteraf zal volstaan.

Rechte staven

maximale gebruiksspanning			435	
Toelaatbare spanningswisseling bij N* wisselingen			162,5	
		k1	5	
		k2	9	
		N*	1,00E+06	

	ROK	Wisseling spanning	Toelaatbaar aantal	
aantal wisselingen	dS/S	wapening	wisselingen	Schade
[-]	[-]	[N/mm2]	[-]	[-]
1	100	435	7275	0,000137
1	98	426	8048	0,000124
8	90	392	12320	0,000649
90	75	326	30656	0,002936
900	61	265	86133	0,010449
9000	48	209	285505	0,031523
90000	36	157	1394937	0,064519
900000	25	109	37137862	0,024234
9000000	16	70	2061565470	0,004366
90000000	9	39	365674259232	0,000246
			Totale schade	**0,139183665**

Staven gebogen met doorndiameter 2,5*D

maximale gebruiksspanning			244	
Toelaatbare spanningswisseling bij N* wisselingen			67,4	
		k1	5	
		k2	9	
		N*	1,00E+06	

	ROK	Wisseling spanning	Toelaatbaar aantal	
aantal wisselingen	dS/S	wapening	wisselingen	Schade
[-]	[-]	[N/mm2]	[-]	[-]
1	100	244	1613	0,000620
1	98	239	1784	0,000560
8	90	220	2731	0,002929
90	75	183	6796	0,013243
900	61	149	19095	0,047134
9000	48	117	63292	0,142197
90000	36	88	266714	0,337440
900000	25	61	2466861	0,364836
9000000	16	39	136938283	0,065723
90000000	9	22	24289699180	0,003705
			Totale schade	**0,978388484**

Staven gebogen met doorndiameter 5*D

maximale gebruiksspanning			283	
Toelaatbare spanningswisseling bij N* wisselingen			78,0	
		k1	5	
		k2	9	
		N*	1,00E+06	

	ROK	Wisseling spanning	Toelaatbaar aantal	
aantal wisselingen	dS/S	wapening	wisselingen	Schade
[-]	[-]	[N/mm2]	[-]	[-]
1	100	283	1591	0,000629
1	98	277	1760	0,000568
8	90	255	2694	0,002970
90	75	212	6702	0,013428
900	61	173	18832	0,047792
9000	48	136	62422	0,144181
90000	36	102	263044	0,342148
900000	25	71	2406099	0,374050
9000000	16	45	133565305	0,067383
90000000	9	25	23691410595	0,003799
			Totale schade	**0,996946687**

Gelaste staven

maximale gebruiksspanning			317	
Toelaatbare spanningswisseling bij N* wisselingen			58,5	
		k1	3	
		k2	5	
		N*	1,00E+07	

	ROK	Wisseling spanning	Toelaatbaar aantal	
aantal wisselingen	dS/S	wapening	wisselingen	Schade
[-]	[-]	[N/mm2]	[-]	[-]
1	100	317	62848	0,000016
1	98	311	66775	0,000015
8	90	285	86211	0,000093
90	75	238	148972	0,000604
900	61	193	276886	0,003250
9000	48	152	568285	0,015837
90000	36	114	1347046	0,066813
900000	25	79	4022257	0,223755
9000000	16	51	20411885	0,440920
90000000	9	29	362468668	0,248297
			Totale schade	**0,999600179**

4. VERBINDING MAST-FUNDERING

De masten worden verbonden met de fundering d.m.v. een ingestorte ankerkooi. Een ankerkooi is hieronder weergegeven

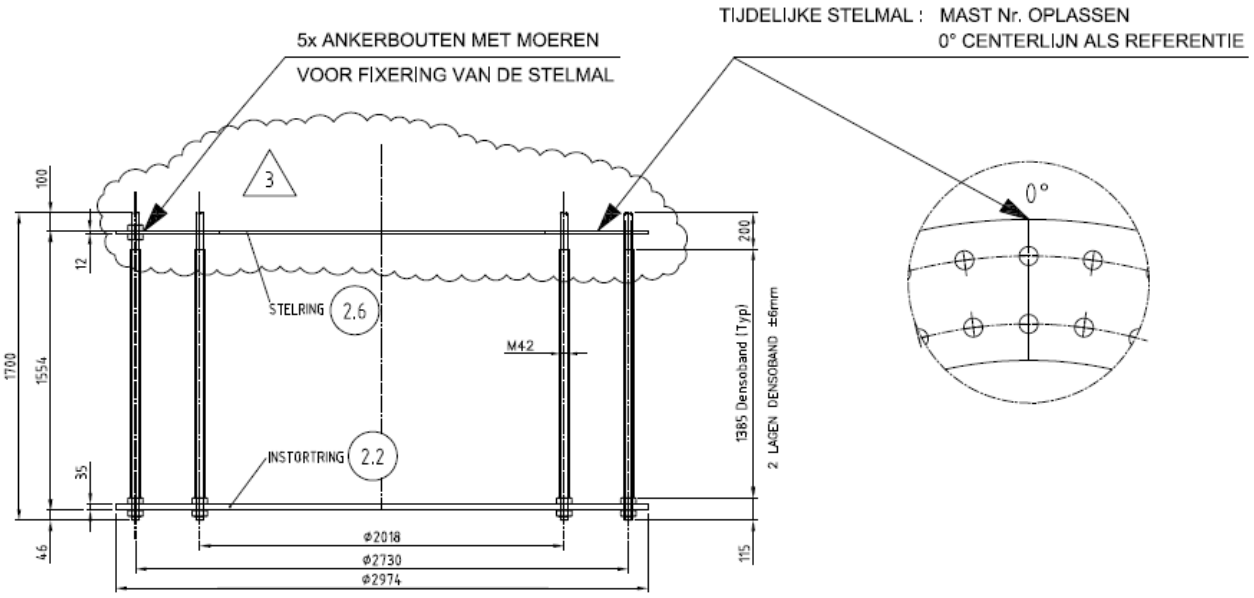

DETAIL VERANKERING

NOTA : ALLE RESTERENDE MOEREN EN ONDERLEGRINGEN WORDEN LOS MEEGELEVERD

Prepared by: LV Revision: 3 Date: 5-7-2011	Material: – Quantity: 2 Equipm. no.: W4E350	**VDL KTI**	Project No.: 36002 Workprep. No.: Pos. No.: ANKERKOOI

De ankers en platen zijn berekend door Volker Infra Design bij het ontwerp van de masten. De ankerkooi bevindt zich in de ronde opstort. De ronde opstort is d.m.v. stekken verbonden met de kruisvormige balken.

4.1. CONTROLE RONDE OPSTORT

De ronde opstort bevat het ankerpakket. Dit ankerpakket verschilt per masttype. De ronde opstort is op het kruisvormige balkrooster geplaatst. Hierdoor is de verbinding met de onderbouw niet continue. In de blauwe gebieden is geen verbinding.

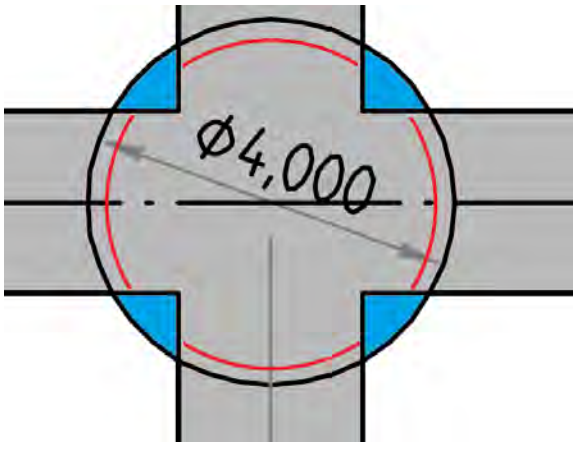

Bij de opstort is alleen de belasting uit de mast van toepassing

De diameter bij de voet van de mast is 2579 en 2758 mm. De belasting uit de mast wordt door de ankers aan de binnen en buitenzijde van de mast centrisch onder de mastwand ingeleid. In deze berekening wordt de mast met de kleinste basis beschouwd (2579mm)

De opstort wordt uitgevoerd in C35/45.

Voor opname van het moment, verwaarloos in de beschouwing het deel van de opstort dat niet boven de balken zit.

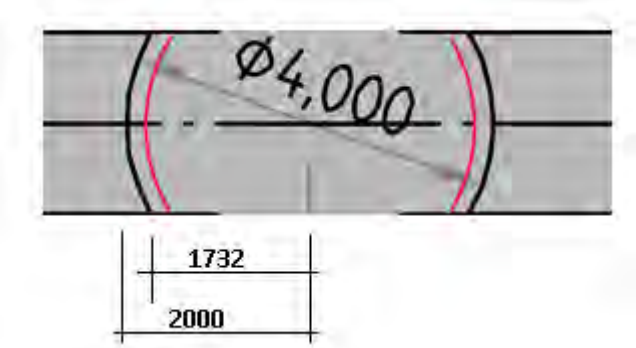

Opname horizontale belasting gelijkmatig over de 4 segmenten verdeelt.
In de berekening wordt de ronding verwaarloosd en een maat van 2x1800 = =3600 lang aangehouden.

Wapening ronde opstort :
M_d = 43362 kNm
d= (0,5* 2579) + 1800-50-16-40= 2980 mm
z ≈ 2700 mm
$N_{d;trek}$ = 16060 kN
$A_{s;d}$ = 16060*10^3 / 435 = 36920 mm^2
Kies 36ø40 = 45238 mm^2
In 2 lagen. Staafafstand:
Balk 2000 mm breed, - 2x100 mm wand = 1800 mm, 18 staven per laag → h.o.h. 100 mm

Toetsing verticale wapening in SLS
$M_{rep;max}$ = 36338 kNm
Staalspanning 36338/43362 * 36920/45238 * 435 = 297 N/mm^2
Conform tabel 7.3N NEN-EN 1992-1-1 geldt bij w_k=0,3mm en h.o.h. 100 mm een toelaatbare spanning van 320 N/mm^2 > 297 N/mm^2, ok

Verankeringslengte (NEN-EN 1992-1-1 §8.4) – in funderingsbalk
$f_{bd;C30/35}$ = 2,25 * 1 * (132-40)/100 * 1,3 = 2,69
$L_{b;rqd}$ = 40/4 * 297/2,69 = 1105 mm
l_{bd} = 1 * 0,7 * 1 *1 * 1 * 1105 = 774 mm

In opstort loopt de staaf door tot bovenzijde. De staaf wordt “gelast” aan het anker, waarbij het anker alle last vanaf de verankeringsplaat in de constructie invoert. Controleer als normale overlapping, conservatief.
Anker zit 1500 mm diep, afstand van anker tot wapeningsstaaf is ca 430 mm. Benodigde overlapping:
$f_{bd;C35/45}$ = 2,25 * 1 * (132-40)/100 * 1,46 = 3,02
$L_{b;rqd}$ = 40/4 * 297/3,02 = 984 mm
l_0 = 1 * 1 * 1 * 1 * 1 * 984 = 984
Verhoogt lengte l_0 met tussenafstand van 430 mm, volgt benodigde lengte 1414 mm. ok

Horizontale wapening bovenzijde opstort

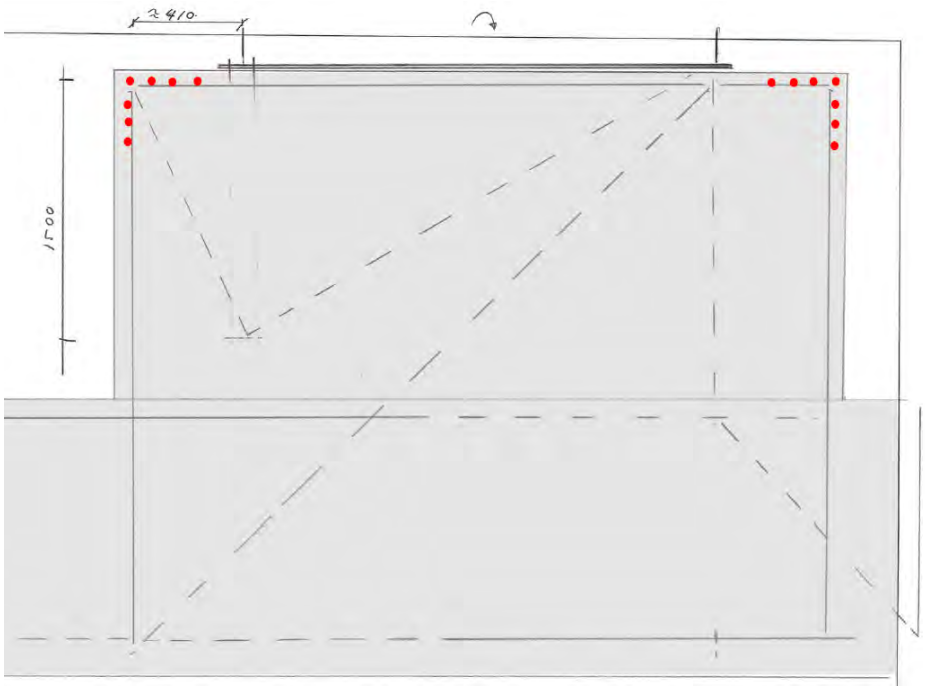

Bepaal spanning bovenzijde met vakwerkmodel. Anker (links) geeft drukdiagonaal welke in bovenvlak evenwicht maakt. Bij verticale last van 16060 kN volgt horizontaal 16060/1500*410 = 4400 kN.
A_{sd} = 4400*10^3 / 435 = 10115 mm^2
Bovenzijde afwapenen met ø25-100 op 2 m breedte dus 21 staven aanwezig is 10290 mm^2. Daarnaast wordt er nog rondlopende wapening bovenin de opstort geplaatst. Pas hiervoor 7 ø20 toe (3 verticaal, 3 horizontaal 1 in de hoek, zie rode stippen in bovenstaande schets). Dit geeft 2 x7ø20 = 4396 mm^2 extra wapening

Toetsing horizontale wapening in SLS (last is gevolg van moment
Staalspanning 36338/43362 * 10115/(10290+4396) * 435 = 251 N/mm^2
Conform tabel 7.3N NEN-EN 1992-1-1 geldt bij w_k=0,3mm en h.o.h. 100 mm een toelaatbare spanning van 320 N/mm^2 > 251 N/mm^2, ok

Flankwapening n.t.b.

4.2. BEREKENING FUNDERING

De poer is ingevoerd in een SCIA engineer model.

Er zijn 2 modellen gedraaid:

Model 1: Lage gescheurde E modulus
Model 2: Matige gescheurde E modulus

5. BIJLAGEN

Bijlage 1 Uitvoer SCIA Engineer – lage E-waarde

Bijlage 2 Uitvoer SCIA Engineer – matige E-waarde

BIJLAGE 1 UITVOER SCIA ENGINEER – LAGE E-WAARDE

1. Inhoudsopgave

1. Inhoudsopgave	1
2. Overzicht	2
3. Materialen	2
4. Doorsneden	2
5. Knoop	3
6. 1D-staaf	3
7. 2D-element	4
8. Subregio	4
9. Knoopondersteuningen	4
10. Lijnondersteuning op staaf	5
11. Belastingsgevallen	11
11.1. Belastingsgevallen - BG1	11
11.1.1. Belasting grafisch	11
11.2. Belastingsgevallen - BG2	11
11.2.1. Vrije oppervlakte last	11
11.2.2. Genereer vrije lasten	12
11.2.3. Belasting grafisch	12
11.3. Belastingsgevallen - BG3	12
11.3.1. Vrije puntmomenten	12
11.3.2. Genereer vrije lasten	13
11.3.3. Belasting grafisch	13
11.4. Belastingsgevallen - BG4	13
11.4.1. Vrije puntmomenten	14
11.4.2. Genereer vrije lasten	14
11.4.3. Belasting grafisch	15
11.5. Belastingsgevallen - BG5	15
11.5.1. Vrije puntmomenten	15
11.5.2. Genereer vrije lasten	15
11.5.3. Belasting grafisch	16
11.6. Belastingsgevallen - BG6	16
11.6.1. Vrije puntmomenten	16
11.6.2. Genereer vrije lasten	17
11.6.3. Belasting grafisch	17
11.7. Belastingsgevallen - BG7	17
11.7.1. Lasten op oppervlak	17
11.7.2. Belasting grafisch	18
12. Combinaties	18
13. Verplaatsing van knopen SLS 1	19
14. Verplaatsing van knopen SLS 2	19
15. Reacties	19
16. 2D element - Interne krachten; mxD+	20
17. 2D element - Interne krachten; mxD-	20
18. 2D element - Interne krachten; myD+	21
19. 2D element - Interne krachten; myD-	21
20. 2D element - Interne krachten; vx	22
21. 2D element - Interne krachten; vy	22

2. Overzicht

3. Materialen

Naam	Type	Massa eenheid [kg/m³]	E-mod [MPa]	Poisson - nu	G-mod [MPa]	Thermisch uitz. [m/mK]	Karakteristieke cylinderdruksterkte fck(28) [MPa]
C30/37	Beton	2500,0	1,1000e+04	0,2	4,5833e+03	0,00	30,00
C35/45	Beton	2500,0	3,4100e+04	0,2	1,4208e+04	0,00	35,00

4. Doorsneden

Naam	CS1	
Type	Rechthoek	
Uitgebreid	450; 450	
Onderdeelmateriaal	C35/45	
Bouwwijze	Algemeen	
Knik y-y, z-z	b	b
EEM berekening	×	

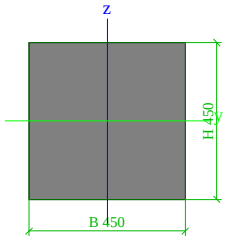

A [m²]	2,0250e-01	
A y, z [m²]	1,6875e-01	1,6875e-01
I y, z [m⁴]	3,4172e-03	3,4172e-03
I w [m⁶], t [m⁴]	0,0000e+00	5,7655e-03
Wel y, z [m³]	1,5188e-02	1,5188e-02
Wpl y, z [m³]	2,2781e-02	2,2781e-02
d y, z [mm]	0	0
c YLCS, ZLCS [mm]	225	225
alpha [deg]	0,00	
AL [m²/m]	1,8000e+00	

5. Knoop

Naam	Coördinaat X [m]	Coördinaat Y [m]	Coördinaat Z [m]
K1	0,000	0,000	0,000
K2	0,000	2,000	0,000
K3	6,800	2,000	0,000
K4	6,800	8,800	0,000
K5	8,800	8,800	0,000
K6	8,800	2,000	0,000
K7	21,950	2,000	0,000
K8	21,950	8,800	0,000
K9	23,950	8,800	0,000
K10	23,950	2,000	0,000
K11	30,750	2,000	0,000
K12	30,750	0,000	0,000
K13	23,950	0,000	0,000
K14	23,950	-6,800	0,000
K15	21,950	-6,800	0,000
K16	21,950	0,000	0,000
K17	8,800	0,000	0,000
K18	8,800	-6,800	0,000
K19	6,800	-6,800	0,000
K20	6,800	0,000	0,000
K21	5,800	1,000	0,000
K23	20,950	1,000	0,000
K25	6,800	-0,732	0,000
K26	8,800	-0,732	0,000
K27	7,800	-1,000	0,000
K28	9,516	0,000	0,000
K29	9,532	2,000	0,000
K30	9,800	1,000	0,000
K31	8,800	2,732	0,000
K32	6,800	2,732	0,000
K33	7,800	3,000	0,000
K34	6,065	2,000	0,000
K35	6,068	0,000	0,000
K36	21,950	-0,732	0,000
K37	23,950	-0,732	0,000
K38	22,950	-1,000	0,000
K39	24,682	0,000	0,000
K40	24,682	2,000	0,000
K41	24,950	1,000	0,000
K42	23,950	2,732	0,000
K43	21,950	2,732	0,000
K44	22,950	3,000	0,000
K45	21,257	2,000	0,000
K46	21,218	0,000	0,000
K47	0,500	0,500	0,000
K48	-1,700	0,500	-22,000
K49	1,700	0,500	0,000
K50	-0,500	0,500	-22,000
K51	2,900	0,500	0,000
K52	2,900	0,500	-22,000
K53	4,100	0,500	0,000
K54	6,300	0,500	-22,000
K55	-1,700	1,500	-22,000
K56	-0,500	1,500	-22,000
K57	2,900	1,500	-22,000
K58	6,300	1,500	-22,000
K59	0,500	1,500	0,000
K60	1,700	1,500	0,000
K61	2,900	1,500	0,000
K62	4,100	1,500	0,000
K63	24,450	0,500	-22,000
K64	27,850	0,500	-22,000
K65	31,250	0,500	-22,000
K66	24,450	1,500	-22,000
K67	27,850	1,500	-22,000
K68	31,250	1,500	-22,000
K69	26,650	0,500	0,000
K70	27,850	0,500	0,000
K71	29,050	0,500	0,000
K72	26,650	1,500	0,000
K73	27,850	1,500	0,000
K74	29,050	1,500	0,000
K75	32,450	0,500	-22,000
K76	32,450	1,500	-22,000
K77	30,250	0,500	0,000
K78	30,250	1,500	0,000
K81	7,300	-8,500	-22,000
K82	7,300	-5,300	-22,000
K85	7,300	-5,300	0,000
K86	7,300	-6,300	0,000
K87	8,300	-8,500	-22,000
K88	8,300	-5,300	-22,000
K89	8,300	-6,300	0,000
K90	8,300	-5,300	0,000
K91	7,300	-1,900	-22,000
K92	8,300	-1,900	-22,000
K93	7,300	-4,100	0,000
K94	8,300	-4,100	0,000
K95	22,475	10,500	-22,000
K96	23,475	10,500	-22,000
K97	22,475	3,900	-22,000
K98	22,475	7,100	-22,000
K99	23,475	3,900	-22,000
K100	23,475	7,100	-22,000
K101	22,475	6,100	0,000
K102	22,475	7,100	0,000
K103	23,475	6,100	0,000
K104	23,475	7,100	0,000
K105	22,475	8,300	0,000
K106	23,475	8,300	0,000
K107	22,450	-8,500	-22,000
K108	22,450	-5,300	-22,000
K109	23,450	-8,500	-22,000
K110	23,450	-5,300	-22,000
K111	22,450	-1,900	-22,000
K112	23,450	-1,900	-22,000
K113	22,450	-6,300	0,000
K114	22,450	-5,300	0,000
K115	23,450	-6,300	0,000
K116	23,450	-5,300	0,000
K117	22,450	-4,100	0,000
K118	23,450	-4,100	0,000
K131	7,325	6,100	0,000
K132	7,325	3,900	-22,000
K133	7,325	7,100	0,000
K134	7,325	7,100	-22,000
K135	8,325	6,100	0,000
K136	8,325	3,900	-22,000
K137	8,325	7,100	0,000
K138	8,325	7,100	-22,000
K139	7,325	8,300	0,000
K140	7,325	10,500	-22,000
K141	8,325	8,300	0,000
K142	8,325	10,500	-22,000

6. 1D-staaf

Naam	Doorsnede	Lengte [m]	Vorm	Beginknoop	Eindknoop	Type	EEM-type	Laag
S1	CS1 - Rechthoek (450; 450)	22,110	Lijn	K47	K48	Algemeen (0)	standaard	Laag1
S2	CS1 - Rechthoek (450; 450)	22,110	Lijn	K49	K50	Algemeen (0)	standaard	Laag1
S3	CS1 - Rechthoek (450; 450)	22,000	Lijn	K51	K52	Algemeen (0)	standaard	Laag1
S4	CS1 - Rechthoek (450; 450)	22,110	Lijn	K53	K54	Algemeen (0)	standaard	Laag1
S5	CS1 - Rechthoek (450; 450)	22,110	Lijn	K59	K55	Algemeen (0)	standaard	Laag1
S6	CS1 - Rechthoek (450; 450)	22,110	Lijn	K60	K56	Algemeen (0)	standaard	Laag1
S7	CS1 - Rechthoek (450; 450)	22,000	Lijn	K61	K57	Algemeen (0)	standaard	Laag1
S8	CS1 - Rechthoek (450; 450)	22,110	Lijn	K62	K58	Algemeen (0)	standaard	Laag1
S9	CS1 - Rechthoek (450; 450)	22,110	Lijn	K69	K63	Algemeen (0)	standaard	Laag1
S10	CS1 - Rechthoek (450; 450)	22,000	Lijn	K70	K64	Algemeen (0)	standaard	Laag1
S11	CS1 - Rechthoek (450; 450)	22,110	Lijn	K71	K65	Algemeen (0)	standaard	Laag1
S12	CS1 - Rechthoek (450; 450)	22,110	Lijn	K72	K66	Algemeen (0)	standaard	Laag1
S13	CS1 - Rechthoek (450; 450)	22,000	Lijn	K73	K67	Algemeen (0)	standaard	Laag1
S14	CS1 - Rechthoek (450; 450)	22,110	Lijn	K74	K68	Algemeen (0)	standaard	Laag1
S15	CS1 - Rechthoek (450; 450)	22,110	Lijn	K77	K75	Algemeen (0)	standaard	Laag1
S16	CS1 - Rechthoek (450; 450)	22,110	Lijn	K78	K76	Algemeen (0)	standaard	Laag1
S19	CS1 - Rechthoek (450; 450)	22,110	Lijn	K86	K81	Algemeen (0)	standaard	Laag1
S20	CS1 - Rechthoek (450; 450)	22,000	Lijn	K85	K82	Algemeen (0)	standaard	Laag1
S21	CS1 - Rechthoek (450; 450)	22,110	Lijn	K89	K87	Algemeen (0)	standaard	Laag1
S22	CS1 - Rechthoek (450; 450)	22,000	Lijn	K90	K88	Algemeen (0)	standaard	Laag1
S23	CS1 - Rechthoek (450; 450)	22,110	Lijn	K93	K91	Algemeen (0)	standaard	Laag1
S24	CS1 - Rechthoek (450; 450)	22,110	Lijn	K94	K92	Algemeen (0)	standaard	Laag1
S25	CS1 - Rechthoek (450; 450)	22,110	Lijn	K101	K97	Algemeen (0)	standaard	Laag1
S26	CS1 - Rechthoek (450; 450)	22,000	Lijn	K102	K98	Algemeen (0)	standaard	Laag1

Naam	Doorsnede	Lengte [m]	Vorm	Beginknoop	Eindknoop	Type	EEM-type	Laag
S27	CS1 - Rechthoek (450; 450)	22,110	Lijn	K103	K99	Algemeen (0)	standaard	Laag1
S28	CS1 - Rechthoek (450; 450)	22,000	Lijn	K104	K100	Algemeen (0)	standaard	Laag1
S29	CS1 - Rechthoek (450; 450)	22,110	Lijn	K105	K95	Algemeen (0)	standaard	Laag1
S30	CS1 - Rechthoek (450; 450)	22,110	Lijn	K106	K96	Algemeen (0)	standaard	Laag1
S31	CS1 - Rechthoek (450; 450)	22,110	Lijn	K113	K107	Algemeen (0)	standaard	Laag1
S32	CS1 - Rechthoek (450; 450)	22,000	Lijn	K114	K108	Algemeen (0)	standaard	Laag1
S33	CS1 - Rechthoek (450; 450)	22,110	Lijn	K115	K109	Algemeen (0)	standaard	Laag1
S34	CS1 - Rechthoek (450; 450)	22,000	Lijn	K116	K110	Algemeen (0)	standaard	Laag1
S35	CS1 - Rechthoek (450; 450)	22,110	Lijn	K117	K111	Algemeen (0)	standaard	Laag1
S36	CS1 - Rechthoek (450; 450)	22,110	Lijn	K118	K112	Algemeen (0)	standaard	Laag1
S43	CS1 - Rechthoek (450; 450)	22,110	Lijn	K131	K132	Algemeen (0)	standaard	Laag1
S44	CS1 - Rechthoek (450; 450)	22,000	Lijn	K133	K134	Algemeen (0)	standaard	Laag1
S45	CS1 - Rechthoek (450; 450)	22,110	Lijn	K135	K136	Algemeen (0)	standaard	Laag1
S46	CS1 - Rechthoek (450; 450)	22,000	Lijn	K137	K138	Algemeen (0)	standaard	Laag1
S47	CS1 - Rechthoek (450; 450)	22,110	Lijn	K139	K140	Algemeen (0)	standaard	Laag1
S48	CS1 - Rechthoek (450; 450)	22,110	Lijn	K141	K142	Algemeen (0)	standaard	Laag1

7. 2D-element

Naam	Materiaal	D. [mm]	Dikte type	Type	Laag
E1	C30/37	1500	konstant	vloer (90)	Laag1

8. Subregio

Naam, 2D-element, Materiaal, Dikte type	Regio1	E1	C30/37	konstant		
2D-element systeemvlak op, Exc. z [mm], D. [mm], Punt 4, Knoop, Rand, Gewicht	Midden	900		3300	K20	Lijn
					K25	Cirkelboog
					K27	
					K26	Lijn
					K17	Lijn
					K28	Cirkelboog
					K30	
					K29	Lijn
					K6	Lijn
					K31	Cirkelboog
					K33	
					K32	Lijn
					K3	Lijn
					K34	Cirkelboog
					K21	
					K35	Lijn

Naam, 2D-element, Materiaal, Dikte type	Regio2	E1	C30/37	konstant		
2D-element systeemvlak op, Exc. z [mm], D. [mm], Punt 4, Knoop, Rand, Gewicht	Midden	900		3300	K16	Lijn
					K36	Cirkelboog
					K38	
					K37	Lijn
					K13	Lijn
					K39	Cirkelboog
					K41	
					K40	Lijn
					K10	Lijn
					K42	Cirkelboog
					K44	
					K43	Lijn
					K7	Lijn
					K45	Cirkelboog
					K23	
					K46	Lijn

9. Knoopondersteuningen

Naam	Knoop	Systeem	Type	X	Y	Z	Stijfheid Z [MN/m]	Rx	Ry	Rz
Sn1	K48	GCS	Standaard	Vrij	Vrij	Verend	9,0000e+01	Vrij	Vrij	Vrij
Sn2	K50	GCS	Standaard	Vrij	Vrij	Verend	9,0000e+01	Vrij	Vrij	Vrij
Sn3	K52	GCS	Standaard	Vrij	Vrij	Verend	9,0000e+01	Vrij	Vrij	Vrij
Sn4	K54	GCS	Standaard	Vrij	Vrij	Verend	9,0000e+01	Vrij	Vrij	Vrij
Sn5	K55	GCS	Standaard	Vrij	Vrij	Verend	9,0000e+01	Vrij	Vrij	Vrij

Naam	Knoop	Systeem	Type	X	Y	Z	Stijfheid Z [MN/m]	Rx	Ry	Rz
Sn6	K56	GCS	Standaard	Vrij	Vrij	Verend	9,0000e+01	Vrij	Vrij	Vrij
Sn7	K57	GCS	Standaard	Vrij	Vrij	Verend	9,0000e+01	Vrij	Vrij	Vrij
Sn8	K58	GCS	Standaard	Vrij	Vrij	Verend	9,0000e+01	Vrij	Vrij	Vrij
Sn9	K81	GCS	Standaard	Vrij	Vrij	Verend	9,0000e+01	Vrij	Vrij	Vrij
Sn10	K82	GCS	Standaard	Vrij	Vrij	Verend	9,0000e+01	Vrij	Vrij	Vrij
Sn11	K87	GCS	Standaard	Vrij	Vrij	Verend	9,0000e+01	Vrij	Vrij	Vrij
Sn12	K88	GCS	Standaard	Vrij	Vrij	Verend	9,0000e+01	Vrij	Vrij	Vrij
Sn13	K91	GCS	Standaard	Vrij	Vrij	Verend	9,0000e+01	Vrij	Vrij	Vrij
Sn14	K92	GCS	Standaard	Vrij	Vrij	Verend	9,0000e+01	Vrij	Vrij	Vrij
Sn15	K132	GCS	Standaard	Vrij	Vrij	Verend	9,0000e+01	Vrij	Vrij	Vrij
Sn16	K134	GCS	Standaard	Vrij	Vrij	Verend	9,0000e+01	Vrij	Vrij	Vrij
Sn17	K136	GCS	Standaard	Vrij	Vrij	Verend	9,0000e+01	Vrij	Vrij	Vrij
Sn18	K138	GCS	Standaard	Vrij	Vrij	Verend	9,0000e+01	Vrij	Vrij	Vrij
Sn19	K140	GCS	Standaard	Vrij	Vrij	Verend	9,0000e+01	Vrij	Vrij	Vrij
Sn20	K142	GCS	Standaard	Vrij	Vrij	Verend	9,0000e+01	Vrij	Vrij	Vrij
Sn21	K63	GCS	Standaard	Vrij	Vrij	Verend	9,0000e+01	Vrij	Vrij	Vrij
Sn22	K64	GCS	Standaard	Vrij	Vrij	Verend	9,0000e+01	Vrij	Vrij	Vrij
Sn23	K65	GCS	Standaard	Vrij	Vrij	Verend	9,0000e+01	Vrij	Vrij	Vrij
Sn24	K66	GCS	Standaard	Vrij	Vrij	Verend	9,0000e+01	Vrij	Vrij	Vrij
Sn25	K67	GCS	Standaard	Vrij	Vrij	Verend	9,0000e+01	Vrij	Vrij	Vrij
Sn26	K68	GCS	Standaard	Vrij	Vrij	Verend	9,0000e+01	Vrij	Vrij	Vrij
Sn27	K75	GCS	Standaard	Vrij	Vrij	Verend	9,0000e+01	Vrij	Vrij	Vrij
Sn28	K76	GCS	Standaard	Vrij	Vrij	Verend	9,0000e+01	Vrij	Vrij	Vrij
Sn29	K95	GCS	Standaard	Vrij	Vrij	Verend	9,0000e+01	Vrij	Vrij	Vrij
Sn30	K96	GCS	Standaard	Vrij	Vrij	Verend	9,0000e+01	Vrij	Vrij	Vrij
Sn31	K97	GCS	Standaard	Vrij	Vrij	Verend	9,0000e+01	Vrij	Vrij	Vrij
Sn32	K98	GCS	Standaard	Vrij	Vrij	Verend	9,0000e+01	Vrij	Vrij	Vrij
Sn33	K99	GCS	Standaard	Vrij	Vrij	Verend	9,0000e+01	Vrij	Vrij	Vrij
Sn34	K100	GCS	Standaard	Vrij	Vrij	Verend	9,0000e+01	Vrij	Vrij	Vrij
Sn35	K107	GCS	Standaard	Vrij	Vrij	Verend	9,0000e+01	Vrij	Vrij	Vrij
Sn36	K108	GCS	Standaard	Vrij	Vrij	Verend	9,0000e+01	Vrij	Vrij	Vrij
Sn37	K109	GCS	Standaard	Vrij	Vrij	Verend	9,0000e+01	Vrij	Vrij	Vrij
Sn38	K110	GCS	Standaard	Vrij	Vrij	Verend	9,0000e+01	Vrij	Vrij	Vrij
Sn39	K111	GCS	Standaard	Vrij	Vrij	Verend	9,0000e+01	Vrij	Vrij	Vrij
Sn40	K112	GCS	Standaard	Vrij	Vrij	Verend	9,0000e+01	Vrij	Vrij	Vrij

10. Lijnondersteuning op staaf

Staaf	Naam Systeem	Pos x_1 [m] Pos x_2 [m]	Coör Oors	X	Y	Stijfheid Y [MN/m²]	Z	Stijfheid Z [MN/m²]	Rx	Ry	Rz
S1	Slb121 LCS	10,900 12,900	Abso Vanaf begin	Vrij	Verend	7,2000e+00	Verend	7,2000e+00	Vrij	Vrij	Vrij
S1	Slb81 LCS	6,400 10,900	Abso Vanaf begin	Vrij	Verend	1,2000e+00	Verend	1,2000e+00	Vrij	Vrij	Vrij
S1	Slb41 LCS	0,900 6,400	Abso Vanaf begin	Vrij	Verend	6,0000e+00	Verend	6,0000e+00	Vrij	Vrij	Vrij
S1	Slb161 LCS	12,900 22,000	Abso Vanaf begin	Vrij	Verend	1,4400e+01	Verend	1,4400e+01	Vrij	Vrij	Vrij
S1	Slb1 LCS	0,000 0,900	Abso Vanaf begin	Vrij	Verend	1,2000e+00	Verend	1,2000e+00	Vrij	Vrij	Vrij
S2	Slb82 LCS	6,400 10,900	Abso Vanaf begin	Vrij	Verend	1,2000e+00	Verend	1,2000e+00	Vrij	Vrij	Vrij
S2	Slb162 LCS	12,900 22,000	Abso Vanaf begin	Vrij	Verend	1,4400e+01	Verend	1,4400e+01	Vrij	Vrij	Vrij
S2	Slb2 LCS	0,000 0,900	Abso Vanaf begin	Vrij	Verend	1,2000e+00	Verend	1,2000e+00	Vrij	Vrij	Vrij
S2	Slb122 LCS	10,900 12,900	Abso Vanaf begin	Vrij	Verend	7,2000e+00	Verend	7,2000e+00	Vrij	Vrij	Vrij
S2	Slb42 LCS	0,900 6,400	Abso Vanaf begin	Vrij	Verend	6,0000e+00	Verend	6,0000e+00	Vrij	Vrij	Vrij
S3	Slb83 LCS	6,400 10,900	Abso Vanaf begin	Vrij	Verend	1,2000e+00	Verend	1,2000e+00	Vrij	Vrij	Vrij
S3	Slb123 LCS	10,900 12,900	Abso Vanaf begin	Vrij	Verend	7,2000e+00	Verend	7,2000e+00	Vrij	Vrij	Vrij
S3	Slb163 LCS	12,900 22,000	Abso Vanaf begin	Vrij	Verend	1,4400e+01	Verend	1,4400e+01	Vrij	Vrij	Vrij
S3	Slb3 LCS	0,000 0,900	Abso Vanaf begin	Vrij	Verend	1,2000e+00	Verend	1,2000e+00	Vrij	Vrij	Vrij
S3	Slb43 LCS	0,900 6,400	Abso Vanaf begin	Vrij	Verend	6,0000e+00	Verend	6,0000e+00	Vrij	Vrij	Vrij

Staaf	Naam Systeem	Pos x_1 [m] Pos x_2 [m]	Coör Oors	X	Y	Stijfheid Y [MN/m²]	Z	Stijfheid Z [MN/m²]	Rx	Ry	Rz
S4	Slb124 LCS	10,900 12,900	Abso Vanaf begin	Vrij	Verend	7,2000e+00	Verend	7,2000e+00	Vrij	Vrij	Vrij
S4	Slb4 LCS	0,000 0,900	Abso Vanaf begin	Vrij	Verend	1,2000e+00	Verend	1,2000e+00	Vrij	Vrij	Vrij
S4	Slb84 LCS	6,400 10,900	Abso Vanaf begin	Vrij	Verend	1,2000e+00	Verend	1,2000e+00	Vrij	Vrij	Vrij
S4	Slb164 LCS	12,900 22,000	Abso Vanaf begin	Vrij	Verend	1,4400e+01	Verend	1,4400e+01	Vrij	Vrij	Vrij
S4	Slb44 LCS	0,900 6,400	Abso Vanaf begin	Vrij	Verend	6,0000e+00	Verend	6,0000e+00	Vrij	Vrij	Vrij
S5	Slb45 LCS	0,900 6,400	Abso Vanaf begin	Vrij	Verend	6,0000e+00	Verend	6,0000e+00	Vrij	Vrij	Vrij
S5	Slb165 LCS	12,900 22,000	Abso Vanaf begin	Vrij	Verend	1,4400e+01	Verend	1,4400e+01	Vrij	Vrij	Vrij
S5	Slb85 LCS	6,400 10,900	Abso Vanaf begin	Vrij	Verend	1,2000e+00	Verend	1,2000e+00	Vrij	Vrij	Vrij
S5	Slb125 LCS	10,900 12,900	Abso Vanaf begin	Vrij	Verend	7,2000e+00	Verend	7,2000e+00	Vrij	Vrij	Vrij
S5	Slb5 LCS	0,000 0,900	Abso Vanaf begin	Vrij	Verend	1,2000e+00	Verend	1,2000e+00	Vrij	Vrij	Vrij
S6	Slb46 LCS	0,900 6,400	Abso Vanaf begin	Vrij	Verend	6,0000e+00	Verend	6,0000e+00	Vrij	Vrij	Vrij
S6	Slb86 LCS	6,400 10,900	Abso Vanaf begin	Vrij	Verend	1,2000e+00	Verend	1,2000e+00	Vrij	Vrij	Vrij
S6	Slb126 LCS	10,900 12,900	Abso Vanaf begin	Vrij	Verend	7,2000e+00	Verend	7,2000e+00	Vrij	Vrij	Vrij
S6	Slb6 LCS	0,000 0,900	Abso Vanaf begin	Vrij	Verend	1,2000e+00	Verend	1,2000e+00	Vrij	Vrij	Vrij
S6	Slb166 LCS	12,900 22,000	Abso Vanaf begin	Vrij	Verend	1,4400e+01	Verend	1,4400e+01	Vrij	Vrij	Vrij
S7	Slb7 LCS	0,000 0,900	Abso Vanaf begin	Vrij	Verend	1,2000e+00	Verend	1,2000e+00	Vrij	Vrij	Vrij
S7	Slb87 LCS	6,400 10,900	Abso Vanaf begin	Vrij	Verend	1,2000e+00	Verend	1,2000e+00	Vrij	Vrij	Vrij
S7	Slb167 LCS	12,900 22,000	Abso Vanaf begin	Vrij	Verend	1,4400e+01	Verend	1,4400e+01	Vrij	Vrij	Vrij
S7	Slb47 LCS	0,900 6,400	Abso Vanaf begin	Vrij	Verend	6,0000e+00	Verend	6,0000e+00	Vrij	Vrij	Vrij
S7	Slb127 LCS	10,900 12,900	Abso Vanaf begin	Vrij	Verend	7,2000e+00	Verend	7,2000e+00	Vrij	Vrij	Vrij
S8	Slb8 LCS	0,000 0,900	Abso Vanaf begin	Vrij	Verend	1,2000e+00	Verend	1,2000e+00	Vrij	Vrij	Vrij
S8	Slb128 LCS	10,900 12,900	Abso Vanaf begin	Vrij	Verend	7,2000e+00	Verend	7,2000e+00	Vrij	Vrij	Vrij
S8	Slb88 LCS	6,400 10,900	Abso Vanaf begin	Vrij	Verend	1,2000e+00	Verend	1,2000e+00	Vrij	Vrij	Vrij
S8	Slb48 LCS	0,900 6,400	Abso Vanaf begin	Vrij	Verend	6,0000e+00	Verend	6,0000e+00	Vrij	Vrij	Vrij
S8	Slb168 LCS	12,900 22,000	Abso Vanaf begin	Vrij	Verend	1,4400e+01	Verend	1,4400e+01	Vrij	Vrij	Vrij
S9	Slb129 LCS	10,900 12,900	Abso Vanaf begin	Vrij	Verend	7,2000e+00	Verend	7,2000e+00	Vrij	Vrij	Vrij
S9	Slb89 LCS	6,400 10,900	Abso Vanaf begin	Vrij	Verend	1,2000e+00	Verend	1,2000e+00	Vrij	Vrij	Vrij
S9	Slb49 LCS	0,900 6,400	Abso Vanaf begin	Vrij	Verend	6,0000e+00	Verend	6,0000e+00	Vrij	Vrij	Vrij
S9	Slb9 LCS	0,000 0,900	Abso Vanaf begin	Vrij	Verend	1,2000e+00	Verend	1,2000e+00	Vrij	Vrij	Vrij
S9	Slb169 LCS	12,900 22,000	Abso Vanaf begin	Vrij	Verend	1,4400e+01	Verend	1,4400e+01	Vrij	Vrij	Vrij
S10	Slb10 LCS	0,000 0,900	Abso Vanaf begin	Vrij	Verend	1,2000e+00	Verend	1,2000e+00	Vrij	Vrij	Vrij
S10	Slb50 LCS	0,900 6,400	Abso Vanaf begin	Vrij	Verend	6,0000e+00	Verend	6,0000e+00	Vrij	Vrij	Vrij
S10	Slb90 LCS	6,400 10,900	Abso Vanaf begin	Vrij	Verend	1,2000e+00	Verend	1,2000e+00	Vrij	Vrij	Vrij
S10	Slb170 LCS	12,900 22,000	Abso Vanaf begin	Vrij	Verend	1,4400e+01	Verend	1,4400e+01	Vrij	Vrij	Vrij
S10	Slb130 LCS	10,900 12,900	Abso Vanaf begin	Vrij	Verend	7,2000e+00	Verend	7,2000e+00	Vrij	Vrij	Vrij
S11	Slb91 LCS	6,400 10,900	Abso Vanaf begin	Vrij	Verend	1,2000e+00	Verend	1,2000e+00	Vrij	Vrij	Vrij

Staaf	Naam Systeem	Pos x_1 [m] Pos x_2 [m]	Coör Oors	X	Y	Stijfheid Y [MN/m²]	Z	Stijfheid Z [MN/m²]	Rx	Ry	Rz
S11	Slb131 LCS	10,900 12,900	Abso Vanaf begin	Vrij	Verend	7,2000e+00	Verend	7,2000e+00	Vrij	Vrij	Vrij
S11	Slb11 LCS	0,000 0,900	Abso Vanaf begin	Vrij	Verend	1,2000e+00	Verend	1,2000e+00	Vrij	Vrij	Vrij
S11	Slb51 LCS	0,900 6,400	Abso Vanaf begin	Vrij	Verend	6,0000e+00	Verend	6,0000e+00	Vrij	Vrij	Vrij
S11	Slb171 LCS	12,900 22,000	Abso Vanaf begin	Vrij	Verend	1,4400e+01	Verend	1,4400e+01	Vrij	Vrij	Vrij
S12	Slb172 LCS	12,900 22,000	Abso Vanaf begin	Vrij	Verend	1,4400e+01	Verend	1,4400e+01	Vrij	Vrij	Vrij
S12	Slb132 LCS	10,900 12,900	Abso Vanaf begin	Vrij	Verend	7,2000e+00	Verend	7,2000e+00	Vrij	Vrij	Vrij
S12	Slb12 LCS	0,000 0,900	Abso Vanaf begin	Vrij	Verend	1,2000e+00	Verend	1,2000e+00	Vrij	Vrij	Vrij
S12	Slb52 LCS	0,900 6,400	Abso Vanaf begin	Vrij	Verend	6,0000e+00	Verend	6,0000e+00	Vrij	Vrij	Vrij
S12	Slb92 LCS	6,400 10,900	Abso Vanaf begin	Vrij	Verend	1,2000e+00	Verend	1,2000e+00	Vrij	Vrij	Vrij
S13	Slb13 LCS	0,000 0,900	Abso Vanaf begin	Vrij	Verend	1,2000e+00	Verend	1,2000e+00	Vrij	Vrij	Vrij
S13	Slb133 LCS	10,900 12,900	Abso Vanaf begin	Vrij	Verend	7,2000e+00	Verend	7,2000e+00	Vrij	Vrij	Vrij
S13	Slb93 LCS	6,400 10,900	Abso Vanaf begin	Vrij	Verend	1,2000e+00	Verend	1,2000e+00	Vrij	Vrij	Vrij
S13	Slb53 LCS	0,900 6,400	Abso Vanaf begin	Vrij	Verend	6,0000e+00	Verend	6,0000e+00	Vrij	Vrij	Vrij
S13	Slb173 LCS	12,900 22,000	Abso Vanaf begin	Vrij	Verend	1,4400e+01	Verend	1,4400e+01	Vrij	Vrij	Vrij
S14	Slb174 LCS	12,900 22,000	Abso Vanaf begin	Vrij	Verend	1,4400e+01	Verend	1,4400e+01	Vrij	Vrij	Vrij
S14	Slb14 LCS	0,000 0,900	Abso Vanaf begin	Vrij	Verend	1,2000e+00	Verend	1,2000e+00	Vrij	Vrij	Vrij
S14	Slb54 LCS	0,900 6,400	Abso Vanaf begin	Vrij	Verend	6,0000e+00	Verend	6,0000e+00	Vrij	Vrij	Vrij
S14	Slb134 LCS	10,900 12,900	Abso Vanaf begin	Vrij	Verend	7,2000e+00	Verend	7,2000e+00	Vrij	Vrij	Vrij
S14	Slb94 LCS	6,400 10,900	Abso Vanaf begin	Vrij	Verend	1,2000e+00	Verend	1,2000e+00	Vrij	Vrij	Vrij
S15	Slb15 LCS	0,000 0,900	Abso Vanaf begin	Vrij	Verend	1,2000e+00	Verend	1,2000e+00	Vrij	Vrij	Vrij
S15	Slb95 LCS	6,400 10,900	Abso Vanaf begin	Vrij	Verend	1,2000e+00	Verend	1,2000e+00	Vrij	Vrij	Vrij
S15	Slb175 LCS	12,900 22,000	Abso Vanaf begin	Vrij	Verend	1,4400e+01	Verend	1,4400e+01	Vrij	Vrij	Vrij
S15	Slb135 LCS	10,900 12,900	Abso Vanaf begin	Vrij	Verend	7,2000e+00	Verend	7,2000e+00	Vrij	Vrij	Vrij
S15	Slb55 LCS	0,900 6,400	Abso Vanaf begin	Vrij	Verend	6,0000e+00	Verend	6,0000e+00	Vrij	Vrij	Vrij
S16	Slb56 LCS	0,900 6,400	Abso Vanaf begin	Vrij	Verend	6,0000e+00	Verend	6,0000e+00	Vrij	Vrij	Vrij
S16	Slb16 LCS	0,000 0,900	Abso Vanaf begin	Vrij	Verend	1,2000e+00	Verend	1,2000e+00	Vrij	Vrij	Vrij
S16	Slb176 LCS	12,900 22,000	Abso Vanaf begin	Vrij	Verend	1,4400e+01	Verend	1,4400e+01	Vrij	Vrij	Vrij
S16	Slb136 LCS	10,900 12,900	Abso Vanaf begin	Vrij	Verend	7,2000e+00	Verend	7,2000e+00	Vrij	Vrij	Vrij
S16	Slb96 LCS	6,400 10,900	Abso Vanaf begin	Vrij	Verend	1,2000e+00	Verend	1,2000e+00	Vrij	Vrij	Vrij
S19	Slb137 LCS	10,900 12,900	Abso Vanaf begin	Vrij	Verend	7,2000e+00	Verend	7,2000e+00	Vrij	Vrij	Vrij
S19	Slb97 LCS	6,400 10,900	Abso Vanaf begin	Vrij	Verend	1,2000e+00	Verend	1,2000e+00	Vrij	Vrij	Vrij
S19	Slb177 LCS	12,900 22,000	Abso Vanaf begin	Vrij	Verend	1,4400e+01	Verend	1,4400e+01	Vrij	Vrij	Vrij
S19	Slb57 LCS	0,900 6,400	Abso Vanaf begin	Vrij	Verend	6,0000e+00	Verend	6,0000e+00	Vrij	Vrij	Vrij
S19	Slb17 LCS	0,000 0,900	Abso Vanaf begin	Vrij	Verend	1,2000e+00	Verend	1,2000e+00	Vrij	Vrij	Vrij
S20	Slb58 LCS	0,900 6,400	Abso Vanaf begin	Vrij	Verend	6,0000e+00	Verend	6,0000e+00	Vrij	Vrij	Vrij
S20	Slb98 LCS	6,400 10,900	Abso Vanaf begin	Vrij	Verend	1,2000e+00	Verend	1,2000e+00	Vrij	Vrij	Vrij

Staaf	Naam Systeem	Pos x_1 [m] Pos x_2 [m]	Coör Oors	X	Y	Stijfheid Y [MN/m²]	Z	Stijfheid Z [MN/m²]	Rx	Ry	Rz
S20	Slb18 LCS	0,000 0,900	Abso Vanaf begin	Vrij	Verend	1,2000e+00	Verend	1,2000e+00	Vrij	Vrij	Vrij
S20	Slb138 LCS	10,900 12,900	Abso Vanaf begin	Vrij	Verend	7,2000e+00	Verend	7,2000e+00	Vrij	Vrij	Vrij
S20	Slb178 LCS	12,900 22,000	Abso Vanaf begin	Vrij	Verend	1,4400e+01	Verend	1,4400e+01	Vrij	Vrij	Vrij
S21	Slb19 LCS	0,000 0,900	Abso Vanaf begin	Vrij	Verend	1,2000e+00	Verend	1,2000e+00	Vrij	Vrij	Vrij
S21	Slb179 LCS	12,900 22,000	Abso Vanaf begin	Vrij	Verend	1,4400e+01	Verend	1,4400e+01	Vrij	Vrij	Vrij
S21	Slb139 LCS	10,900 12,900	Abso Vanaf begin	Vrij	Verend	7,2000e+00	Verend	7,2000e+00	Vrij	Vrij	Vrij
S21	Slb59 LCS	0,900 6,400	Abso Vanaf begin	Vrij	Verend	6,0000e+00	Verend	6,0000e+00	Vrij	Vrij	Vrij
S21	Slb99 LCS	6,400 10,900	Abso Vanaf begin	Vrij	Verend	1,2000e+00	Verend	1,2000e+00	Vrij	Vrij	Vrij
S22	Slb180 LCS	12,900 22,000	Abso Vanaf begin	Vrij	Verend	1,4400e+01	Verend	1,4400e+01	Vrij	Vrij	Vrij
S22	Slb100 LCS	6,400 10,900	Abso Vanaf begin	Vrij	Verend	1,2000e+00	Verend	1,2000e+00	Vrij	Vrij	Vrij
S22	Slb140 LCS	10,900 12,900	Abso Vanaf begin	Vrij	Verend	7,2000e+00	Verend	7,2000e+00	Vrij	Vrij	Vrij
S22	Slb60 LCS	0,900 6,400	Abso Vanaf begin	Vrij	Verend	6,0000e+00	Verend	6,0000e+00	Vrij	Vrij	Vrij
S22	Slb20 LCS	0,000 0,900	Abso Vanaf begin	Vrij	Verend	1,2000e+00	Verend	1,2000e+00	Vrij	Vrij	Vrij
S23	Slb141 LCS	10,900 12,900	Abso Vanaf begin	Vrij	Verend	7,2000e+00	Verend	7,2000e+00	Vrij	Vrij	Vrij
S23	Slb181 LCS	12,900 22,000	Abso Vanaf begin	Vrij	Verend	1,4400e+01	Verend	1,4400e+01	Vrij	Vrij	Vrij
S23	Slb61 LCS	0,900 6,400	Abso Vanaf begin	Vrij	Verend	6,0000e+00	Verend	6,0000e+00	Vrij	Vrij	Vrij
S23	Slb21 LCS	0,000 0,900	Abso Vanaf begin	Vrij	Verend	1,2000e+00	Verend	1,2000e+00	Vrij	Vrij	Vrij
S23	Slb101 LCS	6,400 10,900	Abso Vanaf begin	Vrij	Verend	1,2000e+00	Verend	1,2000e+00	Vrij	Vrij	Vrij
S24	Slb62 LCS	0,900 6,400	Abso Vanaf begin	Vrij	Verend	6,0000e+00	Verend	6,0000e+00	Vrij	Vrij	Vrij
S24	Slb182 LCS	12,900 22,000	Abso Vanaf begin	Vrij	Verend	1,4400e+01	Verend	1,4400e+01	Vrij	Vrij	Vrij
S24	Slb142 LCS	10,900 12,900	Abso Vanaf begin	Vrij	Verend	7,2000e+00	Verend	7,2000e+00	Vrij	Vrij	Vrij
S24	Slb22 LCS	0,000 0,900	Abso Vanaf begin	Vrij	Verend	1,2000e+00	Verend	1,2000e+00	Vrij	Vrij	Vrij
S24	Slb102 LCS	6,400 10,900	Abso Vanaf begin	Vrij	Verend	1,2000e+00	Verend	1,2000e+00	Vrij	Vrij	Vrij
S25	Slb183 LCS	12,900 22,000	Abso Vanaf begin	Vrij	Verend	1,4400e+01	Verend	1,4400e+01	Vrij	Vrij	Vrij
S25	Slb23 LCS	0,000 0,900	Abso Vanaf begin	Vrij	Verend	1,2000e+00	Verend	1,2000e+00	Vrij	Vrij	Vrij
S25	Slb63 LCS	0,900 6,400	Abso Vanaf begin	Vrij	Verend	6,0000e+00	Verend	6,0000e+00	Vrij	Vrij	Vrij
S25	Slb103 LCS	6,400 10,900	Abso Vanaf begin	Vrij	Verend	1,2000e+00	Verend	1,2000e+00	Vrij	Vrij	Vrij
S25	Slb143 LCS	10,900 12,900	Abso Vanaf begin	Vrij	Verend	7,2000e+00	Verend	7,2000e+00	Vrij	Vrij	Vrij
S26	Slb24 LCS	0,000 0,900	Abso Vanaf begin	Vrij	Verend	1,2000e+00	Verend	1,2000e+00	Vrij	Vrij	Vrij
S26	Slb104 LCS	6,400 10,900	Abso Vanaf begin	Vrij	Verend	1,2000e+00	Verend	1,2000e+00	Vrij	Vrij	Vrij
S26	Slb184 LCS	12,900 22,000	Abso Vanaf begin	Vrij	Verend	1,4400e+01	Verend	1,4400e+01	Vrij	Vrij	Vrij
S26	Slb64 LCS	0,900 6,400	Abso Vanaf begin	Vrij	Verend	6,0000e+00	Verend	6,0000e+00	Vrij	Vrij	Vrij
S26	Slb144 LCS	10,900 12,900	Abso Vanaf begin	Vrij	Verend	7,2000e+00	Verend	7,2000e+00	Vrij	Vrij	Vrij
S27	Slb145 LCS	10,900 12,900	Abso Vanaf begin	Vrij	Verend	7,2000e+00	Verend	7,2000e+00	Vrij	Vrij	Vrij
S27	Slb65 LCS	0,900 6,400	Abso Vanaf begin	Vrij	Verend	6,0000e+00	Verend	6,0000e+00	Vrij	Vrij	Vrij
S27	Slb185 LCS	12,900 22,000	Abso Vanaf begin	Vrij	Verend	1,4400e+01	Verend	1,4400e+01	Vrij	Vrij	Vrij

Staaf	Naam Systeem	Pos x_1 [m] Pos x_2 [m]	Coör Oors	X	Y	Stijfheid Y [MN/m²]	Z	Stijfheid Z [MN/m²]	Rx	Ry	Rz
S27	Slb25 LCS	0,000 0,900	Abso Vanaf begin	Vrij	Verend	1,2000e+00	Verend	1,2000e+00	Vrij	Vrij	Vrij
S27	Slb105 LCS	6,400 10,900	Abso Vanaf begin	Vrij	Verend	1,2000e+00	Verend	1,2000e+00	Vrij	Vrij	Vrij
S28	Slb66 LCS	0,900 6,400	Abso Vanaf begin	Vrij	Verend	6,0000e+00	Verend	6,0000e+00	Vrij	Vrij	Vrij
S28	Slb26 LCS	0,000 0,900	Abso Vanaf begin	Vrij	Verend	1,2000e+00	Verend	1,2000e+00	Vrij	Vrij	Vrij
S28	Slb106 LCS	6,400 10,900	Abso Vanaf begin	Vrij	Verend	1,2000e+00	Verend	1,2000e+00	Vrij	Vrij	Vrij
S28	Slb186 LCS	12,900 22,000	Abso Vanaf begin	Vrij	Verend	1,4400e+01	Verend	1,4400e+01	Vrij	Vrij	Vrij
S28	Slb146 LCS	10,900 12,900	Abso Vanaf begin	Vrij	Verend	7,2000e+00	Verend	7,2000e+00	Vrij	Vrij	Vrij
S29	Slb27 LCS	0,000 0,900	Abso Vanaf begin	Vrij	Verend	1,2000e+00	Verend	1,2000e+00	Vrij	Vrij	Vrij
S29	Slb187 LCS	12,900 22,000	Abso Vanaf begin	Vrij	Verend	1,4400e+01	Verend	1,4400e+01	Vrij	Vrij	Vrij
S29	Slb107 LCS	6,400 10,900	Abso Vanaf begin	Vrij	Verend	1,2000e+00	Verend	1,2000e+00	Vrij	Vrij	Vrij
S29	Slb67 LCS	0,900 6,400	Abso Vanaf begin	Vrij	Verend	6,0000e+00	Verend	6,0000e+00	Vrij	Vrij	Vrij
S29	Slb147 LCS	10,900 12,900	Abso Vanaf begin	Vrij	Verend	7,2000e+00	Verend	7,2000e+00	Vrij	Vrij	Vrij
S30	Slb68 LCS	0,900 6,400	Abso Vanaf begin	Vrij	Verend	6,0000e+00	Verend	6,0000e+00	Vrij	Vrij	Vrij
S30	Slb28 LCS	0,000 0,900	Abso Vanaf begin	Vrij	Verend	1,2000e+00	Verend	1,2000e+00	Vrij	Vrij	Vrij
S30	Slb108 LCS	6,400 10,900	Abso Vanaf begin	Vrij	Verend	1,2000e+00	Verend	1,2000e+00	Vrij	Vrij	Vrij
S30	Slb188 LCS	12,900 22,000	Abso Vanaf begin	Vrij	Verend	1,4400e+01	Verend	1,4400e+01	Vrij	Vrij	Vrij
S30	Slb148 LCS	10,900 12,900	Abso Vanaf begin	Vrij	Verend	7,2000e+00	Verend	7,2000e+00	Vrij	Vrij	Vrij
S31	Slb189 LCS	12,900 22,000	Abso Vanaf begin	Vrij	Verend	1,4400e+01	Verend	1,4400e+01	Vrij	Vrij	Vrij
S31	Slb149 LCS	10,900 12,900	Abso Vanaf begin	Vrij	Verend	7,2000e+00	Verend	7,2000e+00	Vrij	Vrij	Vrij
S31	Slb29 LCS	0,000 0,900	Abso Vanaf begin	Vrij	Verend	1,2000e+00	Verend	1,2000e+00	Vrij	Vrij	Vrij
S31	Slb109 LCS	6,400 10,900	Abso Vanaf begin	Vrij	Verend	1,2000e+00	Verend	1,2000e+00	Vrij	Vrij	Vrij
S31	Slb69 LCS	0,900 6,400	Abso Vanaf begin	Vrij	Verend	6,0000e+00	Verend	6,0000e+00	Vrij	Vrij	Vrij
S32	Slb110 LCS	6,400 10,900	Abso Vanaf begin	Vrij	Verend	1,2000e+00	Verend	1,2000e+00	Vrij	Vrij	Vrij
S32	Slb150 LCS	10,900 12,900	Abso Vanaf begin	Vrij	Verend	7,2000e+00	Verend	7,2000e+00	Vrij	Vrij	Vrij
S32	Slb190 LCS	12,900 22,000	Abso Vanaf begin	Vrij	Verend	1,4400e+01	Verend	1,4400e+01	Vrij	Vrij	Vrij
S32	Slb70 LCS	0,900 6,400	Abso Vanaf begin	Vrij	Verend	6,0000e+00	Verend	6,0000e+00	Vrij	Vrij	Vrij
S32	Slb30 LCS	0,000 0,900	Abso Vanaf begin	Vrij	Verend	1,2000e+00	Verend	1,2000e+00	Vrij	Vrij	Vrij
S33	Slb191 LCS	12,900 22,000	Abso Vanaf begin	Vrij	Verend	1,4400e+01	Verend	1,4400e+01	Vrij	Vrij	Vrij
S33	Slb31 LCS	0,000 0,900	Abso Vanaf begin	Vrij	Verend	1,2000e+00	Verend	1,2000e+00	Vrij	Vrij	Vrij
S33	Slb111 LCS	6,400 10,900	Abso Vanaf begin	Vrij	Verend	1,2000e+00	Verend	1,2000e+00	Vrij	Vrij	Vrij
S33	Slb151 LCS	10,900 12,900	Abso Vanaf begin	Vrij	Verend	7,2000e+00	Verend	7,2000e+00	Vrij	Vrij	Vrij
S33	Slb71 LCS	0,900 6,400	Abso Vanaf begin	Vrij	Verend	6,0000e+00	Verend	6,0000e+00	Vrij	Vrij	Vrij
S34	Slb72 LCS	0,900 6,400	Abso Vanaf begin	Vrij	Verend	6,0000e+00	Verend	6,0000e+00	Vrij	Vrij	Vrij
S34	Slb32 LCS	0,000 0,900	Abso Vanaf begin	Vrij	Verend	1,2000e+00	Verend	1,2000e+00	Vrij	Vrij	Vrij
S34	Slb112 LCS	6,400 10,900	Abso Vanaf begin	Vrij	Verend	1,2000e+00	Verend	1,2000e+00	Vrij	Vrij	Vrij
S34	Slb152 LCS	10,900 12,900	Abso Vanaf begin	Vrij	Verend	7,2000e+00	Verend	7,2000e+00	Vrij	Vrij	Vrij

Staaf	Naam Systeem	Pos x_1 [m] Pos x_2 [m]	Coör Oors	X	Y	Stijfheid Y [MN/m²]	Z	Stijfheid Z [MN/m²]	Rx	Ry	Rz
S34	Slb192 LCS	12,900 22,000	Abso Vanaf begin	Vrij	Verend	1,4400e+01	Verend	1,4400e+01	Vrij	Vrij	Vrij
S35	Slb113 LCS	6,400 10,900	Abso Vanaf begin	Vrij	Verend	1,2000e+00	Verend	1,2000e+00	Vrij	Vrij	Vrij
S35	Slb33 LCS	0,000 0,900	Abso Vanaf begin	Vrij	Verend	1,2000e+00	Verend	1,2000e+00	Vrij	Vrij	Vrij
S35	Slb193 LCS	12,900 22,000	Abso Vanaf begin	Vrij	Verend	1,4400e+01	Verend	1,4400e+01	Vrij	Vrij	Vrij
S35	Slb153 LCS	10,900 12,900	Abso Vanaf begin	Vrij	Verend	7,2000e+00	Verend	7,2000e+00	Vrij	Vrij	Vrij
S35	Slb73 LCS	0,900 6,400	Abso Vanaf begin	Vrij	Verend	6,0000e+00	Verend	6,0000e+00	Vrij	Vrij	Vrij
S36	Slb154 LCS	10,900 12,900	Abso Vanaf begin	Vrij	Verend	7,2000e+00	Verend	7,2000e+00	Vrij	Vrij	Vrij
S36	Slb74 LCS	0,900 6,400	Abso Vanaf begin	Vrij	Verend	6,0000e+00	Verend	6,0000e+00	Vrij	Vrij	Vrij
S36	Slb194 LCS	12,900 22,000	Abso Vanaf begin	Vrij	Verend	1,4400e+01	Verend	1,4400e+01	Vrij	Vrij	Vrij
S36	Slb114 LCS	6,400 10,900	Abso Vanaf begin	Vrij	Verend	1,2000e+00	Verend	1,2000e+00	Vrij	Vrij	Vrij
S36	Slb34 LCS	0,000 0,900	Abso Vanaf begin	Vrij	Verend	1,2000e+00	Verend	1,2000e+00	Vrij	Vrij	Vrij
S43	Slb115 LCS	6,400 10,900	Abso Vanaf begin	Vrij	Verend	1,2000e+00	Verend	1,2000e+00	Vrij	Vrij	Vrij
S43	Slb195 LCS	12,900 22,000	Abso Vanaf begin	Vrij	Verend	1,4400e+01	Verend	1,4400e+01	Vrij	Vrij	Vrij
S43	Slb75 LCS	0,900 6,400	Abso Vanaf begin	Vrij	Verend	6,0000e+00	Verend	6,0000e+00	Vrij	Vrij	Vrij
S43	Slb35 LCS	0,000 0,900	Abso Vanaf begin	Vrij	Verend	1,2000e+00	Verend	1,2000e+00	Vrij	Vrij	Vrij
S43	Slb155 LCS	10,900 12,900	Abso Vanaf begin	Vrij	Verend	7,2000e+00	Verend	7,2000e+00	Vrij	Vrij	Vrij
S44	Slb196 LCS	12,900 22,000	Abso Vanaf begin	Vrij	Verend	1,4400e+01	Verend	1,4400e+01	Vrij	Vrij	Vrij
S44	Slb36 LCS	0,000 0,900	Abso Vanaf begin	Vrij	Verend	1,2000e+00	Verend	1,2000e+00	Vrij	Vrij	Vrij
S44	Slb156 LCS	10,900 12,900	Abso Vanaf begin	Vrij	Verend	7,2000e+00	Verend	7,2000e+00	Vrij	Vrij	Vrij
S44	Slb76 LCS	0,900 6,400	Abso Vanaf begin	Vrij	Verend	6,0000e+00	Verend	6,0000e+00	Vrij	Vrij	Vrij
S44	Slb116 LCS	6,400 10,900	Abso Vanaf begin	Vrij	Verend	1,2000e+00	Verend	1,2000e+00	Vrij	Vrij	Vrij
S45	Slb37 LCS	0,000 0,900	Abso Vanaf begin	Vrij	Verend	1,2000e+00	Verend	1,2000e+00	Vrij	Vrij	Vrij
S45	Slb197 LCS	12,900 22,000	Abso Vanaf begin	Vrij	Verend	1,4400e+01	Verend	1,4400e+01	Vrij	Vrij	Vrij
S45	Slb157 LCS	10,900 12,900	Abso Vanaf begin	Vrij	Verend	7,2000e+00	Verend	7,2000e+00	Vrij	Vrij	Vrij
S45	Slb77 LCS	0,900 6,400	Abso Vanaf begin	Vrij	Verend	6,0000e+00	Verend	6,0000e+00	Vrij	Vrij	Vrij
S45	Slb117 LCS	6,400 10,900	Abso Vanaf begin	Vrij	Verend	1,2000e+00	Verend	1,2000e+00	Vrij	Vrij	Vrij
S46	Slb78 LCS	0,900 6,400	Abso Vanaf begin	Vrij	Verend	6,0000e+00	Verend	6,0000e+00	Vrij	Vrij	Vrij
S46	Slb158 LCS	10,900 12,900	Abso Vanaf begin	Vrij	Verend	7,2000e+00	Verend	7,2000e+00	Vrij	Vrij	Vrij
S46	Slb198 LCS	12,900 22,000	Abso Vanaf begin	Vrij	Verend	1,4400e+01	Verend	1,4400e+01	Vrij	Vrij	Vrij
S46	Slb38 LCS	0,000 0,900	Abso Vanaf begin	Vrij	Verend	1,2000e+00	Verend	1,2000e+00	Vrij	Vrij	Vrij
S46	Slb118 LCS	6,400 10,900	Abso Vanaf begin	Vrij	Verend	1,2000e+00	Verend	1,2000e+00	Vrij	Vrij	Vrij
S47	Slb199 LCS	12,900 22,000	Abso Vanaf begin	Vrij	Verend	1,4400e+01	Verend	1,4400e+01	Vrij	Vrij	Vrij
S47	Slb119 LCS	6,400 10,900	Abso Vanaf begin	Vrij	Verend	1,2000e+00	Verend	1,2000e+00	Vrij	Vrij	Vrij
S47	Slb39 LCS	0,000 0,900	Abso Vanaf begin	Vrij	Verend	1,2000e+00	Verend	1,2000e+00	Vrij	Vrij	Vrij
S47	Slb79 LCS	0,900 6,400	Abso Vanaf begin	Vrij	Verend	6,0000e+00	Verend	6,0000e+00	Vrij	Vrij	Vrij
S47	Slb159 LCS	10,900 12,900	Abso Vanaf begin	Vrij	Verend	7,2000e+00	Verend	7,2000e+00	Vrij	Vrij	Vrij

Staaf	Naam Systeem	Pos x_1 [m] Pos x_2 [m]	Coör Oors	X	Y	Stijfheid Y [MN/m²]	Z	Stijfheid Z [MN/m²]	Rx	Ry	Rz
S48	Slb200 LCS	12,900 22,000	Abso Vanaf begin	Vrij	Verend	1,4400e+01	Verend	1,4400e+01	Vrij	Vrij	Vrij
S48	Slb120 LCS	6,400 10,900	Abso Vanaf begin	Vrij	Verend	1,2000e+00	Verend	1,2000e+00	Vrij	Vrij	Vrij
S48	Slb80 LCS	0,900 6,400	Abso Vanaf begin	Vrij	Verend	6,0000e+00	Verend	6,0000e+00	Vrij	Vrij	Vrij
S48	Slb40 LCS	0,000 0,900	Abso Vanaf begin	Vrij	Verend	1,2000e+00	Verend	1,2000e+00	Vrij	Vrij	Vrij
S48	Slb160 LCS	10,900 12,900	Abso Vanaf begin	Vrij	Verend	7,2000e+00	Verend	7,2000e+00	Vrij	Vrij	Vrij

11. Belastingsgevallen

11.1. Belastingsgevallen - BG1

Naam	Omschrijving	Actie type	Lastgroep	Belastingtype	Richting
BG1	Eigengewicht	Permanent	LG8	Eigen gewicht	-Z

11.1.1. Belasting grafisch

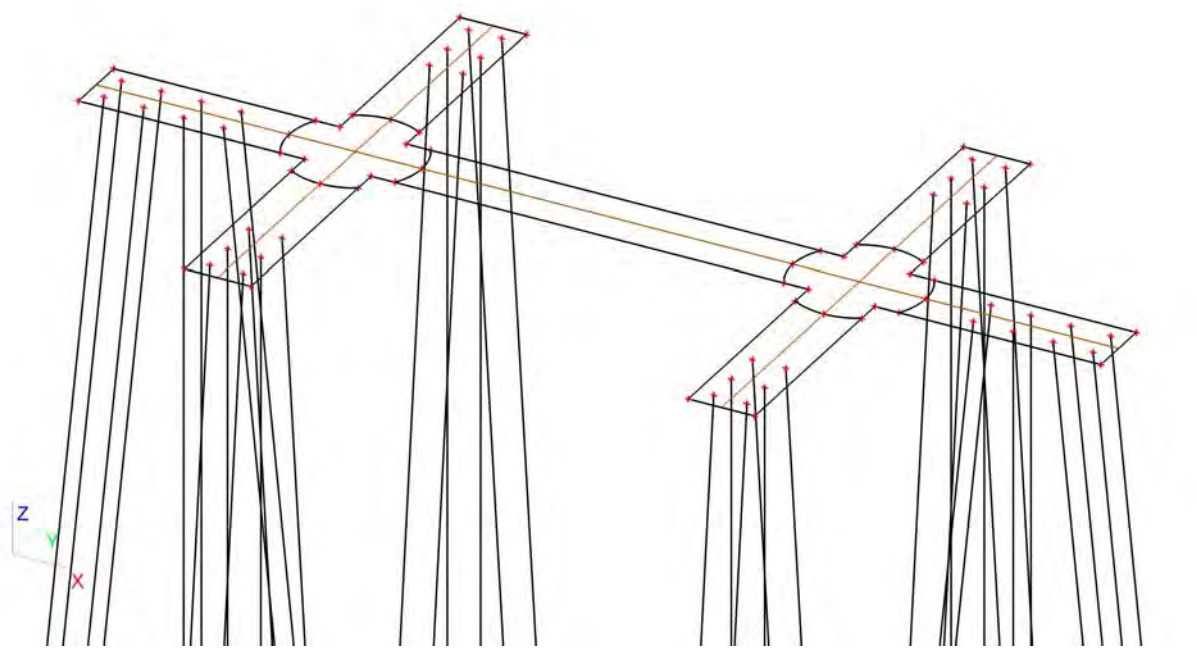

11.2. Belastingsgevallen - BG2

Naam	Omschrijving	Actie type	Lastgroep	Belastingtype
BG2	Grond	Permanent	LG1	Standaard

11.2.1. Vrije oppervlakte last

Naam	Belastingsgeval	Rich	Type	Verdeling	q [kN/m²]	Geldigheid	Selecteer	Systeem	Locatie
FF1	BG2 - Grond	Z	Kracht	Gelijkmatig	-25,50	Alle	Auto	GCS	Lengte
FF2	BG2 - Grond	Z	Kracht	Gelijkmatig	-25,50	Alle	Auto	GCS	Lengte
FF3	BG2 - Grond	Z	Kracht	Gelijkmatig	-25,50	Alle	Auto	GCS	Lengte
FF4	BG2 - Grond	Z	Kracht	Gelijkmatig	-25,50	Alle	Auto	GCS	Lengte
FF5	BG2 - Grond	Z	Kracht	Gelijkmatig	-25,50	Alle	Auto	GCS	Lengte
FF6	BG2 - Grond	Z	Kracht	Gelijkmatig	-25,50	Alle	Auto	GCS	Lengte
FF7	BG2 - Grond	Z	Kracht	Gelijkmatig	-25,50	Alle	Auto	GCS	Lengte

11.2.2. Genereer vrije lasten

Naam	Belastingsgeval	2D-element	Rich Verdeling	Belastingstype Type	Oorspronkelijke belasting	q [kN/m²]	Systeem Locatie
GFF43	BG2 - Grond	E1	Z Gelijkmatig	Oppervlak Kracht	FF1	-25,50	GCS Lengte
GFF44	BG2 - Grond	E1	Z Gelijkmatig	Oppervlak Kracht	FF2	-25,50	GCS Lengte
GFF45	BG2 - Grond	E1	Z Gelijkmatig	Oppervlak Kracht	FF3	-25,50	GCS Lengte
GFF46	BG2 - Grond	E1	Z Gelijkmatig	Oppervlak Kracht	FF4	-25,50	GCS Lengte
GFF47	BG2 - Grond	E1	Z Gelijkmatig	Oppervlak Kracht	FF5	-25,50	GCS Lengte
GFF48	BG2 - Grond	E1	Z Gelijkmatig	Oppervlak Kracht	FF6	-25,50	GCS Lengte
GFF49	BG2 - Grond	E1	Z Gelijkmatig	Oppervlak Kracht	FF7	-25,50	GCS Lengte

11.2.3. Belasting grafisch

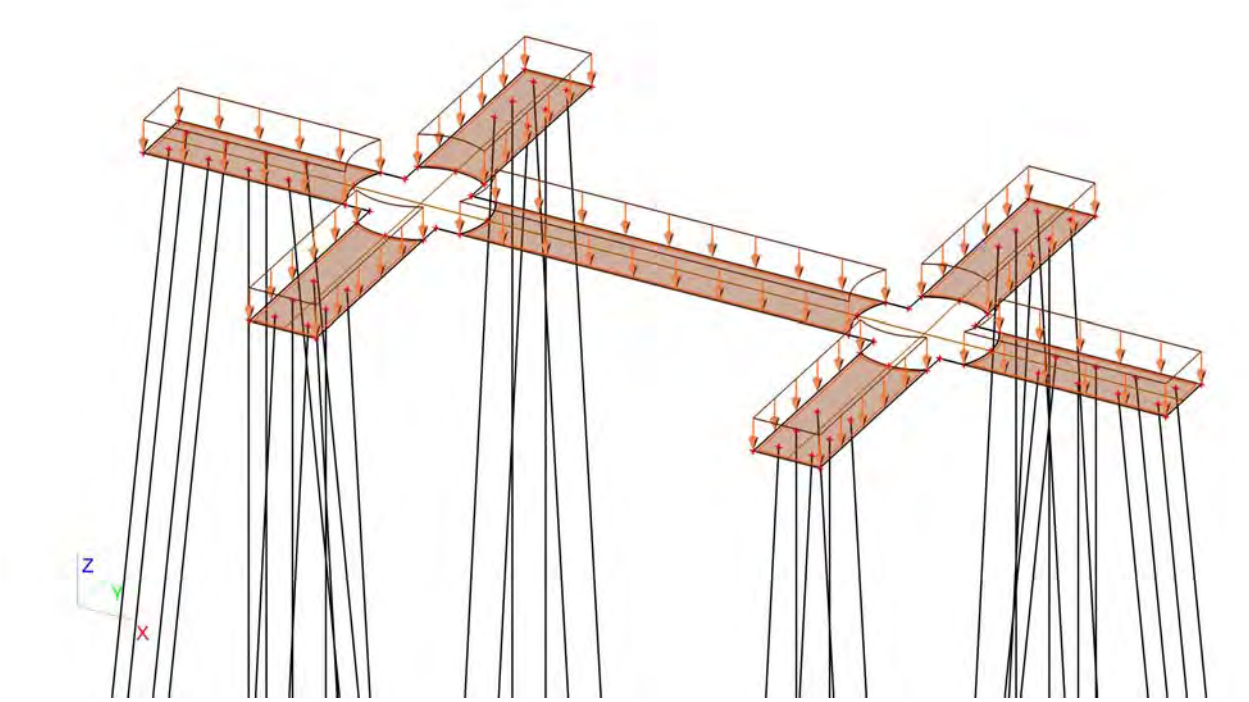

11.3. Belastingsgevallen - BG3

Naam	Omschrijving	Actie type	Lastgroep	Belastingtype	Spec	Duur	'Master' belastingsgeval
BG3	ULS 1	Variabel	LG7	Statisch	Standaard	Kort	Geen

11.3.1. Vrije puntmomenten

Typenaam	Naam	Rich	Type	Geldigheid	Selecteer	Waarde - F [kNm]	Belastingsgeval	Coördinaat X [m]	Coördinaat Y [m]	Coördinaat Z [m]	Coördinaat ux [m]	Coördinaat uy [m]	Coördinaat uz [m]	Systeem
Vrij puntmoment	FM1	Mx	Moment	Alle	Auto	-16697,00	BG3 - ULS 1	7,800	1,000	0,000	7,800	1,000	0,000	GCS
Vrij puntmoment	FM2	Mx	Moment	Alle	Auto	-16697,00	BG3 - ULS 1	22,950	1,000	0,000	7,800	1,000	0,000	GCS
Vrij puntmoment	FM3	My	Moment	Alle	Auto	31259,00	BG3 - ULS 1	7,800	1,000	0,000	7,800	1,000	0,000	GCS
Vrij puntmoment	FM4	My	Moment	Alle	Auto	31259,00	BG3 - ULS 1	22,950	1,000	0,000	22,950	1,000	0,000	GCS
Vrij puntmoment	FM5	Mx	Moment	Alle	Auto	1111,80	BG3 - ULS 1	7,800	1,000	0,000	7,800	1,000	0,000	GCS
Vrij puntmoment	FM6	Mx	Moment	Alle	Auto	1111,80	BG3 - ULS 1	22,950	1,000	0,000	22,950	1,000	0,000	GCS
Vrij puntmoment	FM7	My	Moment	Alle	Auto	2037,45	BG3 - ULS 1	7,800	1,000	0,000	6,800	1,000	0,000	GCS
Vrij puntmoment	FM8	My	Moment	Alle	Auto	2037,45	BG3 - ULS 1	22,950	1,000	0,000	21,950	1,000	0,000	GCS

11.3.2. Genereer vrije lasten

Naam	Belastingsgeval	2D-element	Rich	Belastingstype Type	Oorspronkelijke belasting	Waarde - F [kN] Waarde - F [kNm]	Systeem Locatie
GFF1	BG3 - ULS 1	E1	Z	Punt Kracht	FF1	-749,00	GCS Lengte
GFF2	BG3 - ULS 1	E1	My	Punt Moment	FM7	2037,45	GCS Lengte
GFF4	BG3 - ULS 1	E1	Z	Punt Kracht	FF2	-749,00	GCS Lengte
GFF7	BG3 - ULS 1	E1	Y	Punt Kracht	FF3	436,00	GCS Lengte
GFF8	BG3 - ULS 1	E1	Y	Punt Kracht	FF4	436,00	GCS Lengte
GFF9	BG3 - ULS 1	E1	X	Punt Kracht	FF5	799,00	GCS Lengte
GFF10	BG3 - ULS 1	E1	My	Punt Moment	FM8	2037,45	GCS Lengte
GFF11	BG3 - ULS 1	E1	X	Punt Kracht	FF6	799,00	GCS Lengte
GFF50	BG3 - ULS 1	E1	Mx	Punt Moment	FM1	-16697,00	GCS Lengte
GFF51	BG3 - ULS 1	E1	Mx	Punt Moment	FM2	-16697,00	GCS Lengte
GFF52	BG3 - ULS 1	E1	My	Punt Moment	FM3	31259,00	GCS Lengte
GFF53	BG3 - ULS 1	E1	My	Punt Moment	FM4	31259,00	GCS Lengte
GFF54	BG3 - ULS 1	E1	Mx	Punt Moment	FM5	1111,80	GCS Lengte
GFF55	BG3 - ULS 1	E1	Mx	Punt Moment	FM6	1111,80	GCS Lengte

11.3.3. Belasting grafisch

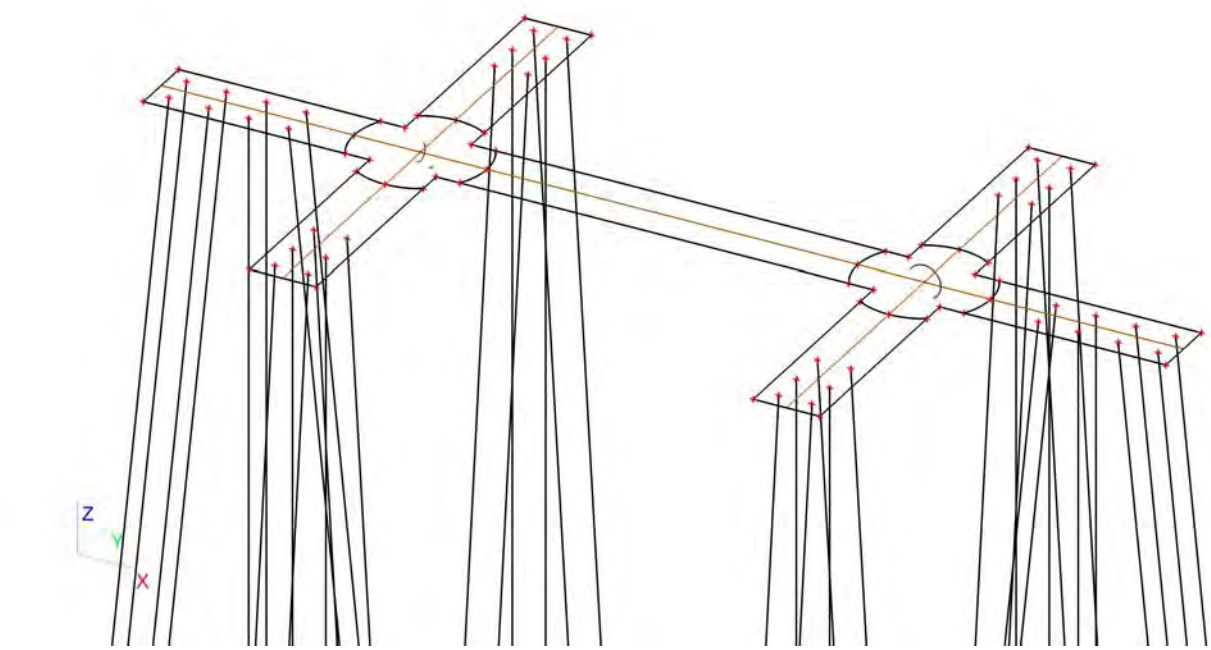

11.4. Belastingsgevallen - BG4

Naam	Omschrijving	Actie type	Lastgroep	Belastingtype	Spec	Duur	'Master' belastingsgeval
BG4	ULS 2	Variabel	LG9	Statisch	Standaard	Kort	Geen

11.4.1. Vrije puntmomenten

Typenaam	Naam	Rich	Type	Geldigheid	Selecteer	Waarde - F [kNm]	Belastingsgeval	Coördinaat X [m]	Coördinaat Y [m]	Coördinaat Z [m]	Coördinaat ux [m]	Coördinaat uy [m]	Coördinaat uz [m]	Systeem
Vrij puntmoment	FM9	Mx	Moment	Alle	Auto	-43362,00	BG4 - ULS 2	7,800	1,000	0,000	6,800	1,000	0,000	GCS
Vrij puntmoment	FM10	Mx	Moment	Alle	Auto	-43362,00	BG4 - ULS 2	22,950	1,000	0,000	21,950	1,000	0,000	GCS
Vrij puntmoment	FM11	My	Moment	Alle	Auto	18257,00	BG4 - ULS 2	7,800	1,000	0,000	6,800	1,000	0,000	GCS
Vrij puntmoment	FM12	My	Moment	Alle	Auto	18257,00	BG4 - ULS 2	22,950	1,000	0,000	21,950	1,000	0,000	GCS
Vrij puntmoment	FM13	Mx	Moment	Alle	Auto	2425,05	BG4 - ULS 2	7,800	1,000	0,000	6,800	1,000	0,000	GCS
Vrij puntmoment	FM14	Mx	Moment	Alle	Auto	2425,05	BG4 - ULS 2	22,950	1,000	0,000	21,950	1,000	0,000	GCS
Vrij puntmoment	FM15	My	Moment	Alle	Auto	1058,25	BG4 - ULS 2	7,800	1,000	0,000	6,800	1,000	0,000	GCS
Vrij puntmoment	FM16	My	Moment	Alle	Auto	1058,25	BG4 - ULS 2	22,950	1,000	0,000	21,950	1,000	0,000	GCS

11.4.2. Genereer vrije lasten

Naam	Belastingsgeval	2D-element	Rich	Belastingstype Type	Oorspronkelijke belasting	Waarde - F [kN] Waarde - F [kNm]	Systeem Locatie
GFF3	BG4 - ULS 2	E1	Z	Punt Kracht	FF8	-1190,00	GCS Lengte
GFF5	BG4 - ULS 2	E1	My	Punt Moment	FM12	18257,00	GCS Lengte
GFF6	BG4 - ULS 2	E1	Y	Punt Kracht	FF9	951,00	GCS Lengte
GFF12	BG4 - ULS 2	E1	Mx	Punt Moment	FM9	-43362,00	GCS Lengte
GFF13	BG4 - ULS 2	E1	Z	Punt Kracht	FF7	-1190,00	GCS Lengte
GFF14	BG4 - ULS 2	E1	Y	Punt Kracht	FF10	951,00	GCS Lengte
GFF15	BG4 - ULS 2	E1	X	Punt Kracht	FF11	415,00	GCS Lengte
GFF17	BG4 - ULS 2	E1	X	Punt Kracht	FF12	415,00	GCS Lengte
GFF32	BG4 - ULS 2	E1	Mx	Punt Moment	FM14	2425,05	GCS Lengte
GFF34	BG4 - ULS 2	E1	My	Punt Moment	FM15	1058,25	GCS Lengte
GFF39	BG4 - ULS 2	E1	Mx	Punt Moment	FM10	-43362,00	GCS Lengte
GFF41	BG4 - ULS 2	E1	My	Punt Moment	FM11	18257,00	GCS Lengte
GFF56	BG4 - ULS 2	E1	Mx	Punt Moment	FM13	2425,05	GCS Lengte
GFF57	BG4 - ULS 2	E1	My	Punt Moment	FM16	1058,25	GCS Lengte

11.4.3. Belasting grafisch

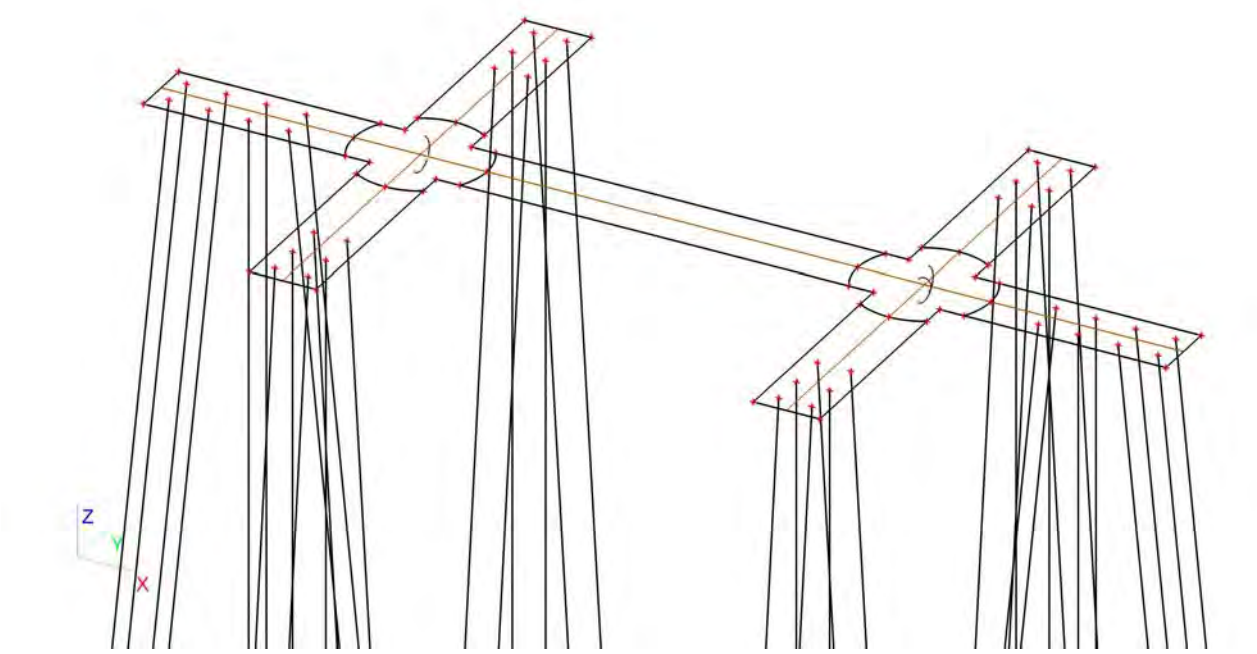

11.5. Belastingsgevallen - BG5

Naam	Omschrijving	Actie type	Lastgroep	Belastingtype	Spec	Duur	'Master' belastingsgeval
BG5	SLS 1	Variabel	LG9	Statisch	Standaard	Kort	Geen

11.5.1. Vrije puntmomenten

Typenaam	Naam	Rich	Type	Geldigheid	Selecteer	Waarde - F [kNm]	Belastingsgeval	Coördinaat X [m]	Coördinaat Y [m]	Coördinaat Z [m]	Coördinaat ux [m]	Coördinaat uy [m]	Coördinaat uz [m]	Systeem
Vrij puntmoment	FM17	Mx	Moment	Alle	Auto	-9556,00	BG5 - SLS 1	7,800	1,000	0,000	6,800	1,000	0,000	GCS
Vrij puntmoment	FM18	Mx	Moment	Alle	Auto	-9556,00	BG5 - SLS 1	22,950	1,000	0,000	6,800	1,000	0,000	GCS
Vrij puntmoment	FM19	My	Moment	Alle	Auto	27308,00	BG5 - SLS 1	7,800	1,000	0,000	6,800	1,000	0,000	GCS
Vrij puntmoment	FM20	My	Moment	Alle	Auto	27308,00	BG5 - SLS 1	22,950	1,000	0,000	21,950	1,000	0,000	GCS
Vrij puntmoment	FM21	Mx	Moment	Alle	Auto	660,45	BG5 - SLS 1	7,800	1,000	0,000	6,800	1,000	0,000	GCS
Vrij puntmoment	FM22	Mx	Moment	Alle	Auto	660,45	BG5 - SLS 1	22,950	1,000	0,000	21,950	1,000	0,000	GCS
Vrij puntmoment	FM23	My	Moment	Alle	Auto	660,45	BG5 - SLS 1	7,800	1,000	0,000	5,800	1,000	0,000	GCS
Vrij puntmoment	FM24	My	Moment	Alle	Auto	660,45	BG5 - SLS 1	22,950	1,000	0,000	20,950	1,000	0,000	GCS
Vrij puntmoment	FM29	Mx	Moment	Alle	Auto	196,35	BG5 - SLS 1	7,800	1,000	0,000	5,800	1,000	0,000	GCS
Vrij puntmoment	FM30	Mx	Moment	Alle	Auto	196,35	BG5 - SLS 1	22,950	1,000	0,000	20,950	1,000	0,000	GCS
Vrij puntmoment	FM31	My	Moment	Alle	Auto	2374,05	BG5 - SLS 1	7,800	1,000	0,000	5,800	1,000	0,000	GCS
Vrij puntmoment	FM32	My	Moment	Alle	Auto	2374,05	BG5 - SLS 1	22,950	1,000	0,000	20,950	1,000	0,000	GCS

11.5.2. Genereer vrije lasten

Naam	Belastingsgeval	2D-element	Rich	Belastingstype Type	Oorspronkelijke belasting	Waarde - F [kN] Waarde - F [kNm]	Systeem Locatie
GFF16	BG5 - SLS 1	E1	Mx	Punt Moment	FM22	 660,45	GCS Lengte
GFF18	BG5 - SLS 1	E1	My	Punt Moment	FM23	 660,45	GCS Lengte
GFF19	BG5 - SLS 1	E1	Z	Punt Kracht	FF13	-832,00	GCS Lengte
GFF21	BG5 - SLS 1	E1	Z	Punt Kracht	FF14	-832,00	GCS Lengte
GFF22	BG5 - SLS 1	E1	Mx	Punt Moment	FM29	 196,35	GCS Lengte
GFF23	BG5 - SLS 1	E1	Y	Punt Kracht	FF15	259,00	GCS Lengte
GFF24	BG5 - SLS 1	E1	Mx	Punt Moment	FM18	 -9556,00	GCS Lengte
GFF25	BG5 - SLS 1	E1	Y	Punt Kracht	FF16	259,00	GCS Lengte

Naam	Belastingsgeval	2D-element	Rich	Belastingstype Type	Oorspronkelijke belasting	Waarde - F [kN] Waarde - F [kNm]	Systeem Locatie
GFF26	BG5 - SLS 1	E1	My	Punt Moment	FM19	 27308,00	GCS Lengte
GFF27	BG5 - SLS 1	E1	X	Punt Kracht	FF17	700,00	GCS Lengte
GFF28	BG5 - SLS 1	E1	My	Punt Moment	FM24	 660,45	GCS Lengte
GFF29	BG5 - SLS 1	E1	X	Punt Kracht	FF18	700,00	GCS Lengte
GFF36	BG5 - SLS 1	E1	My	Punt Moment	FM20	 27308,00	GCS Lengte
GFF38	BG5 - SLS 1	E1	Mx	Punt Moment	FM21	 660,45	GCS Lengte
GFF58	BG5 - SLS 1	E1	Mx	Punt Moment	FM17	 -9556,00	GCS Lengte
GFF61	BG5 - SLS 1	E1	Mx	Punt Moment	FM30	 196,35	GCS Lengte
GFF62	BG5 - SLS 1	E1	My	Punt Moment	FM31	 2374,05	GCS Lengte
GFF63	BG5 - SLS 1	E1	My	Punt Moment	FM32	 2374,05	GCS Lengte

11.5.3. Belasting grafisch

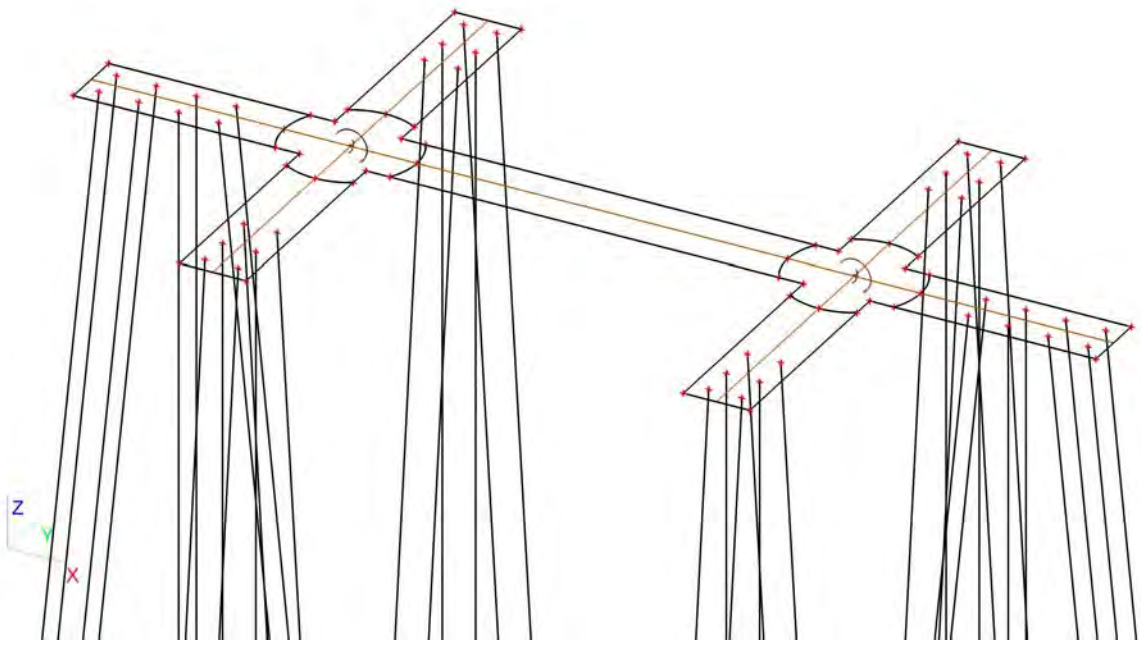

11.6. Belastingsgevallen - BG6

Naam	Omschrijving	Actie type	Lastgroep	Belastingtype	Spec	Duur	'Master' belastingsgeval
BG6	SLS 2	Variabel	LG9	Statisch	Standaard	Kort	Geen

11.6.1. Vrije puntmomenten

Typenaam	Naam	Rich	Type	Geldigheid	Selecteer	Waarde - F [kNm]	Belastingsgeval	Coördinaat X [m]	Coördinaat Y [m]	Coördinaat Z [m]	Coördinaat ux [m]	Coördinaat uy [m]	Coördinaat uz [m]	Systeem
Vrij puntmoment	FM25	Mx	Moment	Alle	Auto	-2098,00	BG6 - SLS 2	7,800	1,000	0,000	5,800	1,000	0,000	GCS
Vrij puntmoment	FM26	Mx	Moment	Alle	Auto	-2098,00	BG6 - SLS 2	22,950	1,000	0,000	20,950	1,000	0,000	GCS
Vrij puntmoment	FM27	My	Moment	Alle	Auto	36338,00	BG6 - SLS 2	7,800	1,000	0,000	5,800	1,000	0,000	GCS
Vrij puntmoment	FM28	My	Moment	Alle	Auto	36338,00	BG6 - SLS 2	22,950	1,000	0,000	20,950	1,000	0,000	GCS

11.6.2. Genereer vrije lasten

Naam	Belastingsgeval	2D-element	Rich	Belastingstype Type	Oorspronkelijke belasting	Waarde - F [kN] Waarde - F [kNm]	Systeem Locatie
GFF20	BG6 - SLS 2	E1	My	Punt Moment	FM28	 36338,00	GCS Lengte
GFF30	BG6 - SLS 2	E1	Mx	Punt Moment	FM25	 -2098,00	GCS Lengte
GFF31	BG6 - SLS 2	E1	Z	Punt Kracht	FF19	-922,00	GCS Lengte
GFF33	BG6 - SLS 2	E1	Z	Punt Kracht	FF20	-922,00	GCS Lengte
GFF35	BG6 - SLS 2	E1	Y	Punt Kracht	FF21	77,00	GCS Lengte
GFF37	BG6 - SLS 2	E1	Y	Punt Kracht	FF22	77,00	GCS Lengte
GFF40	BG6 - SLS 2	E1	X	Punt Kracht	FF23	931,00	GCS Lengte
GFF42	BG6 - SLS 2	E1	X	Punt Kracht	FF24	931,00	GCS Lengte
GFF59	BG6 - SLS 2	E1	Mx	Punt Moment	FM26	 -2098,00	GCS Lengte
GFF60	BG6 - SLS 2	E1	My	Punt Moment	FM27	 36338,00	GCS Lengte

11.6.3. Belasting grafisch

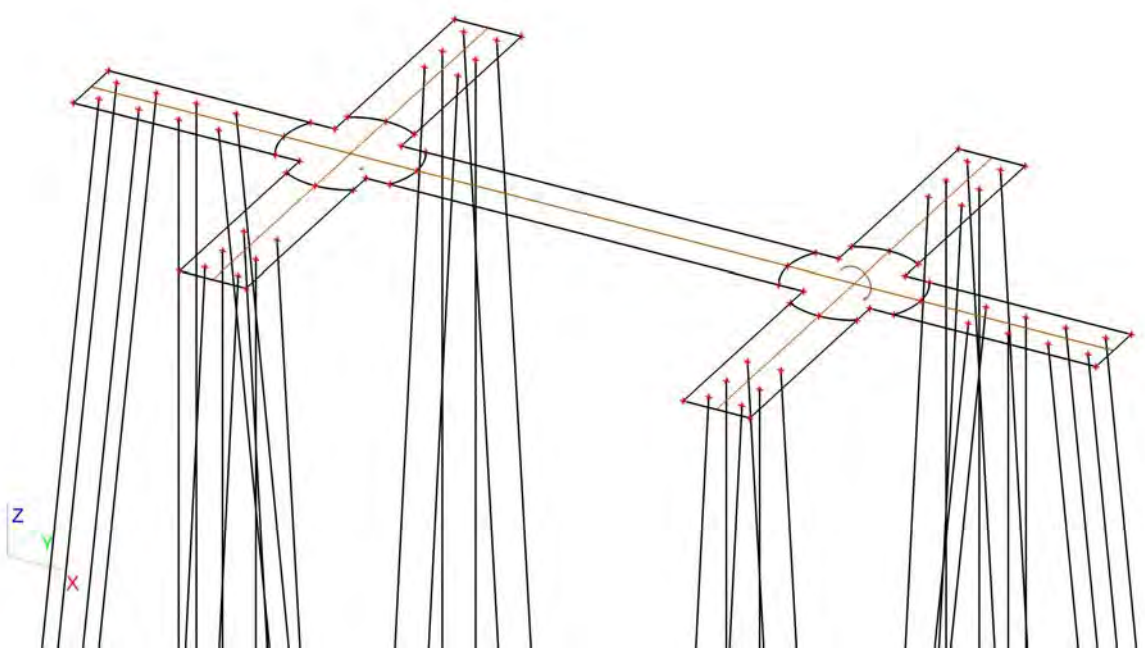

11.7. Belastingsgevallen - BG7

Naam	Omschrijving	Actie type	Lastgroep	Belastingtype	Spec	Duur	'Master' belastingsgeval
BG7	Belasting op maaiveld	Variabel	LG7	Statisch	Standaard	Kort	Geen

11.7.1. Lasten op oppervlak

Naam	Rich	Type	Waarde [kN/m²]	2D-element	Belastingsgeval	Systeem	Loc
SF1	Z	Kracht	-10,00	E1	BG7 - Belasting op maaiveld	LCS	Lengte

11.7.2. Belasting grafisch

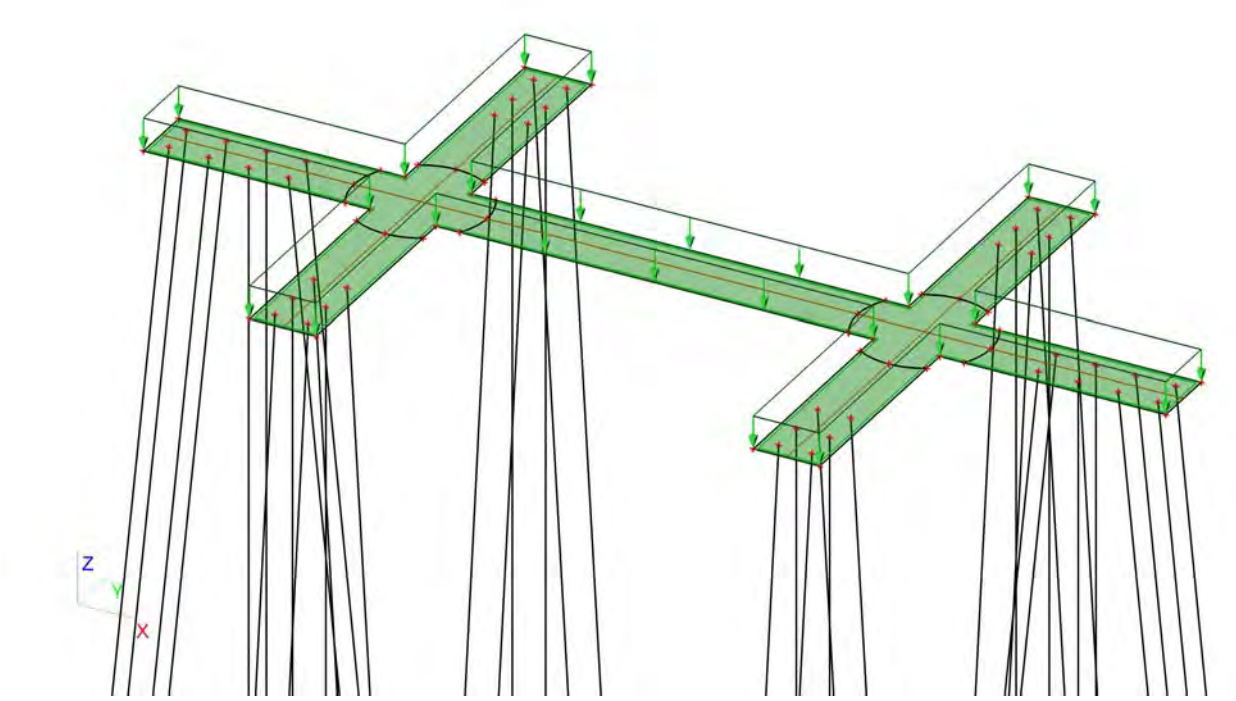

12. Combinaties

Naam	Type	Belastingsgevallen	Coëff. [-]
Combi1	Omhullende - uiterst	BG1 - Eigengewicht	1,30
		BG3 - ULS 1	1,00
		BG7 - Belasting op maaiveld	1,16
		BG2 - Grond	1,30
Combi2	Omhullende - uiterst	BG1 - Eigengewicht	1,30
		BG4 - ULS 2	1,00
		BG7 - Belasting op maaiveld	1,16
		BG2 - Grond	1,30
Combi3	Omhullende - uiterst	BG1 - Eigengewicht	1,30
		BG3 - ULS 1	0,60
		BG7 - Belasting op maaiveld	1,65
		BG2 - Grond	1,30
Combi4	Omhullende - uiterst	BG1 - Eigengewicht	1,30
		BG4 - ULS 2	0,60
		BG7 - Belasting op maaiveld	1,65
		BG2 - Grond	1,30
Combi5	Omhullende - uiterst	BG1 - Eigengewicht	0,54
		BG3 - ULS 1	1,00
		BG2 - Grond	0,54
Combi6	Omhullende - uiterst	BG1 - Eigengewicht	0,54
		BG4 - ULS 2	1,00
		BG2 - Grond	0,54
Combi7	Omhullende - bruikbaarheid	BG1 - Eigengewicht	1,00
		BG5 - SLS 1	1,00
		BG7 - Belasting op maaiveld	1,16
		BG2 - Grond	1,00
Combi8	Omhullende - bruikbaarheid	BG1 - Eigengewicht	1,00
		BG6 - SLS 2	1,00
		BG7 - Belasting op maaiveld	0,70
		BG2 - Grond	1,00
Combi9	Omhullende - bruikbaarheid	BG1 - Eigengewicht	1,00
		BG5 - SLS 1	0,60
		BG7 - Belasting op maaiveld	1,00
		BG2 - Grond	1,00
Combi10	Omhullende -	BG1 - Eigengewicht	1,00
		BG6 - SLS 2	0,60

Naam	Type	Belastingsgevallen	Coëff. [-]
Combi10	Omhullende - bruikbaarheid	BG7 - Belasting op maaiveld	1,00
		BG2 - Grond	1,00
Combi11	Omhullende - bruikbaarheid	BG1 - Eigengewicht	0,60
		BG5 - SLS 1	1,00
		BG2 - Grond	0,60
Combi12	Omhullende - bruikbaarheid	BG1 - Eigengewicht	0,60
		BG6 - SLS 2	1,00
		BG2 - Grond	0,60

13. Verplaatsing van knopen SLS 1

Lineaire berekening, Extreem : Globaal
Selectie : Alle
Belastingsgevallen : BG5

BG	Snede	elem	dx [m]	Ux [mm]	Uy [mm]	Uz [mm]	Fix [mrad]	Fiy [mrad]	Fiz [mrad]
BG5	Snede9	158	0,000	**4,5**	1,3	1,5	0,2	2,0	-0,1
BG5	Snede3	179	0,000	**5,0**	1,3	-9,7	-0,8	2,7	0,0
BG5	Snede2	173	2,000	4,5	**1,2**	-4,1	**-0,9**	**3,3**	0,0
BG5	Snede7	170	4,000	4,9	**1,4**	-5,5	-0,7	2,9	0,0
BG5	Snede3	74	1,707	5,0	1,3	**-11,3**	-0,8	-0,2	0,0
BG5	Snede3	59	10,134	5,0	1,3	**5,5**	-0,8	0,4	0,0
BG5	Snede8	34	4,731	4,9	1,3	-2,9	**0,9**	2,4	0,0
BG5	Snede3	69	6,239	5,0	1,3	-1,5	-0,8	**-2,8**	0,0
BG5	Snede9	168	2,114	4,6	1,3	1,9	0,2	2,1	**-0,1**
BG5	Snede11	120	3,576	4,7	1,3	-1,9	0,1	2,1	**0,1**

14. Verplaatsing van knopen SLS 2

Lineaire berekening, Extreem : Globaal
Selectie : Alle
Belastingsgevallen : BG6

BG	Snede	elem	dx [m]	Ux [mm]	Uy [mm]	Uz [mm]	Fix [mrad]	Fiy [mrad]	Fiz [mrad]
BG6	Snede9	158	0,000	**5,7**	0,4	0,4	0,1	2,5	-0,1
BG6	Snede3	179	0,000	**6,5**	0,4	-11,5	-0,2	3,2	0,0
BG6	Snede5	131	5,800	6,2	**0,3**	-5,1	-0,2	-0,5	0,0
BG6	Snede7	170	4,000	6,3	**0,4**	-5,0	-0,1	3,4	0,0
BG6	Snede3	74	1,707	6,4	0,4	**-13,3**	-0,2	-0,2	0,0
BG6	Snede3	59	10,134	6,4	0,4	**6,8**	-0,2	0,5	0,0
BG6	Snede6	97	2,114	6,2	0,3	-1,9	**-0,8**	3,0	-0,1
BG6	Snede8	34	4,731	6,1	0,4	-1,8	**0,9**	2,9	0,1
BG6	Snede3	69	6,239	6,4	0,4	-1,5	-0,2	**-3,3**	0,0
BG6	Snede2	173	2,000	5,8	0,3	-4,8	-0,2	**4,0**	0,0
BG6	Snede9	168	2,114	5,9	0,4	0,6	0,1	2,5	**-0,1**
BG6	Snede11	120	3,576	6,0	0,4	-0,3	0,0	2,5	**0,1**

15. Reacties

Lineaire berekening, Extreem : Globaal
Selectie : Alle
Klasse : UGT

Steunpunt	BG	dx [m]	Rx [kN]	Ry [kN]	Rz [kN]	Mx [kNm]	My [kNm]	Mz [kNm]
Slb52/S12	Combi1/1	1,817	**-32,99**	-2,38	3,30	0,00	0,00	0,00
Slb172/S12	Combi1/1	21,090	**40,41**	0,01	-4,04	0,00	0,00	0,00
Slb200/S48	Combi2/2	21,090	0,02	**-49,62**	-4,96	0,00	0,00	0,00
Slb197/S45	Combi2/2	21,090	0,03	**69,49**	-6,95	0,00	0,00	0,00
Sn9/K81	Combi6/3		0,00	0,00	**-390,29**	0,00	0,00	0,00
Sn17/K136	Combi2/2		0,00	0,00	**1483,54**	0,00	0,00	0,00
Sn1/K48	Combi1/4		0,00	0,00	147,22	**0,00**	**0,00**	**0,00**

16. 2D element - Interne krachten; mxD+

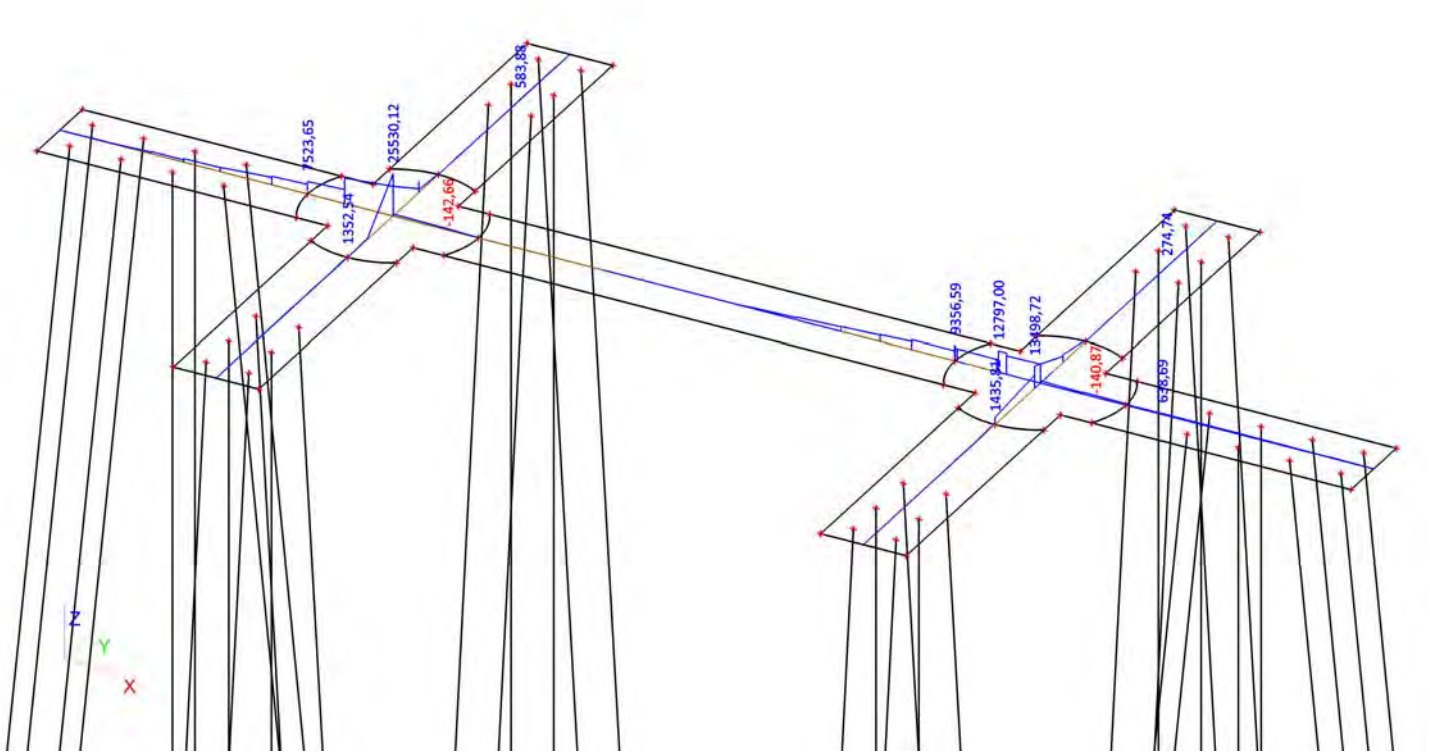

17. 2D element - Interne krachten; mxD-

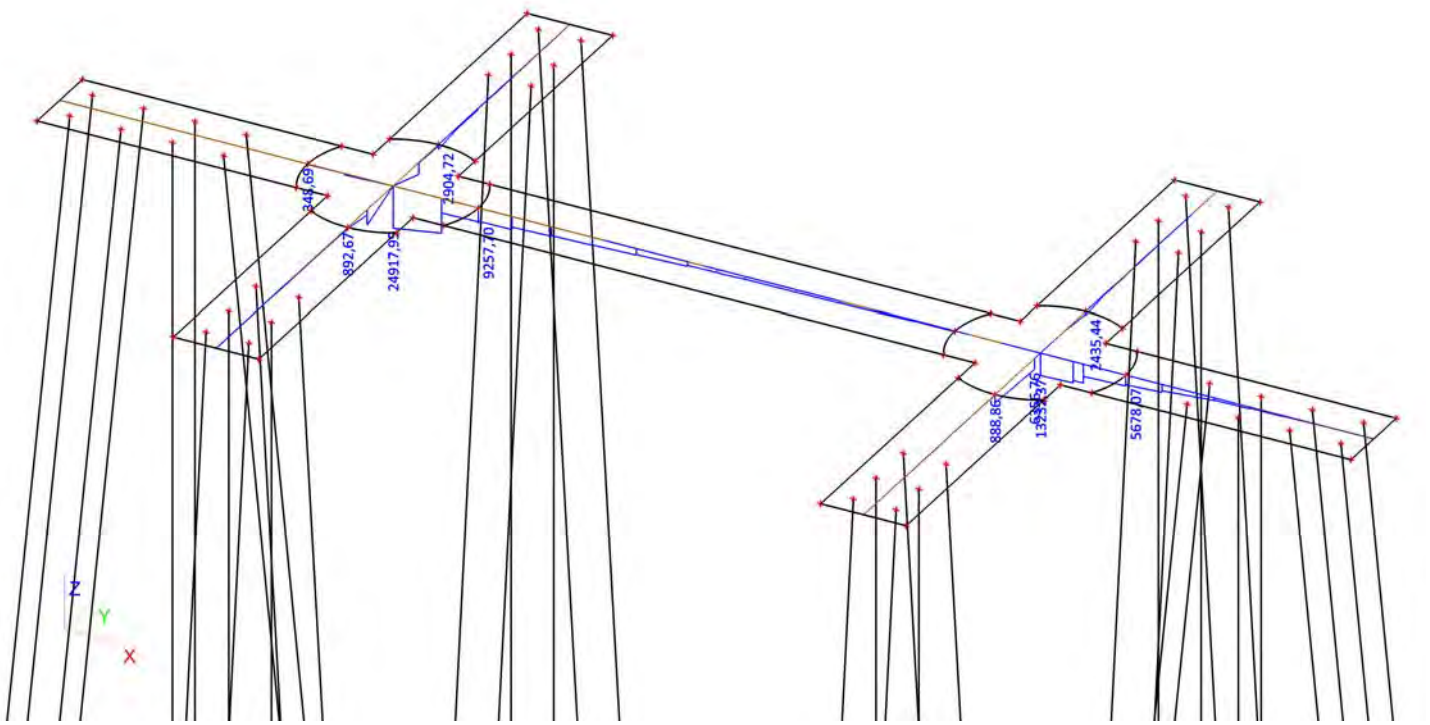

18. 2D element - Interne krachten; myD+

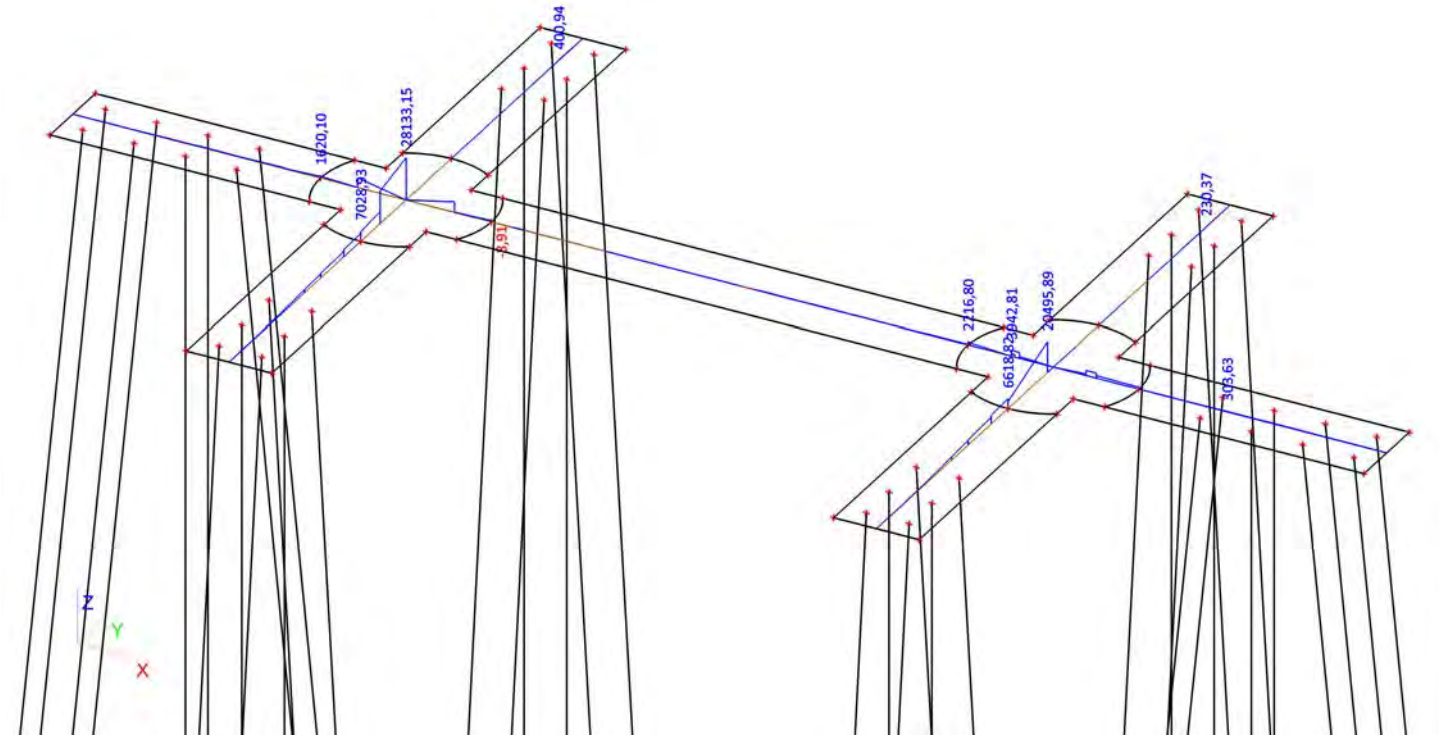

19. 2D element - Interne krachten; myD-

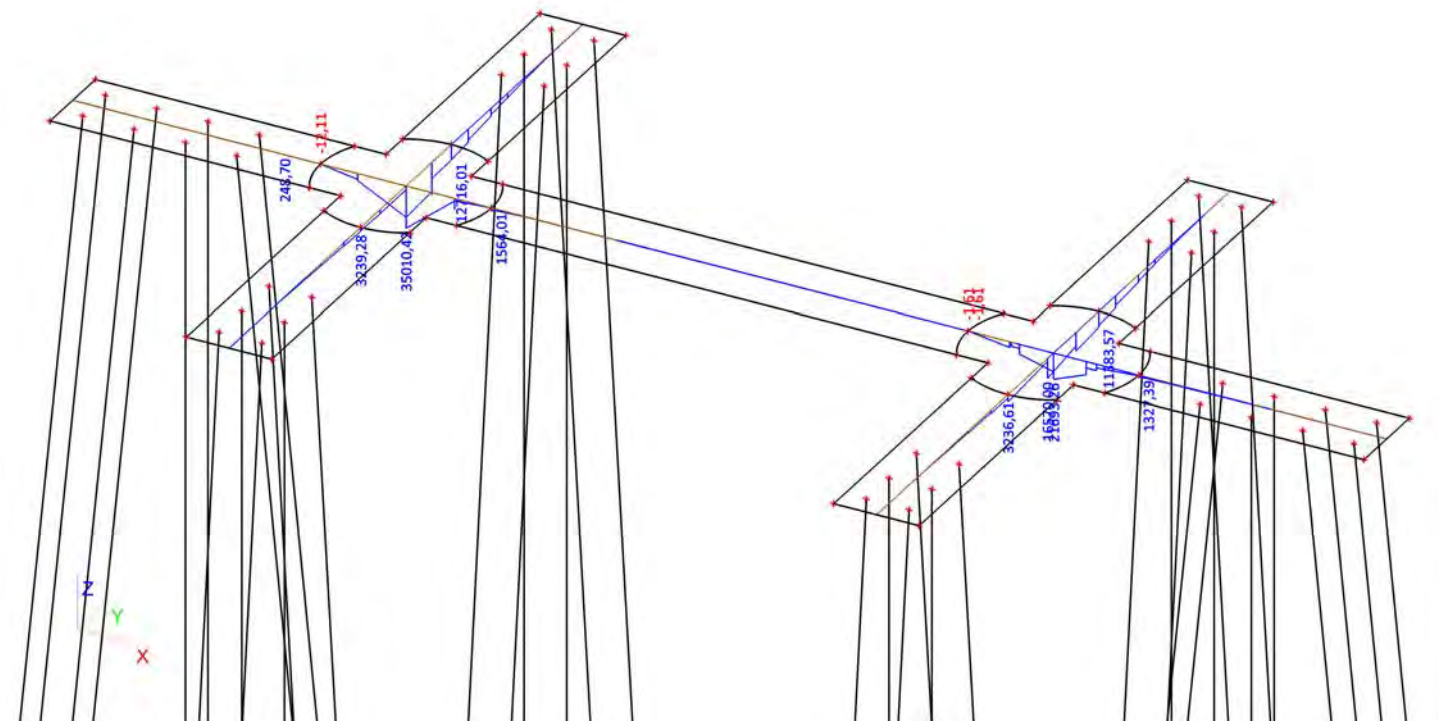

20. 2D element - Interne krachten; vx

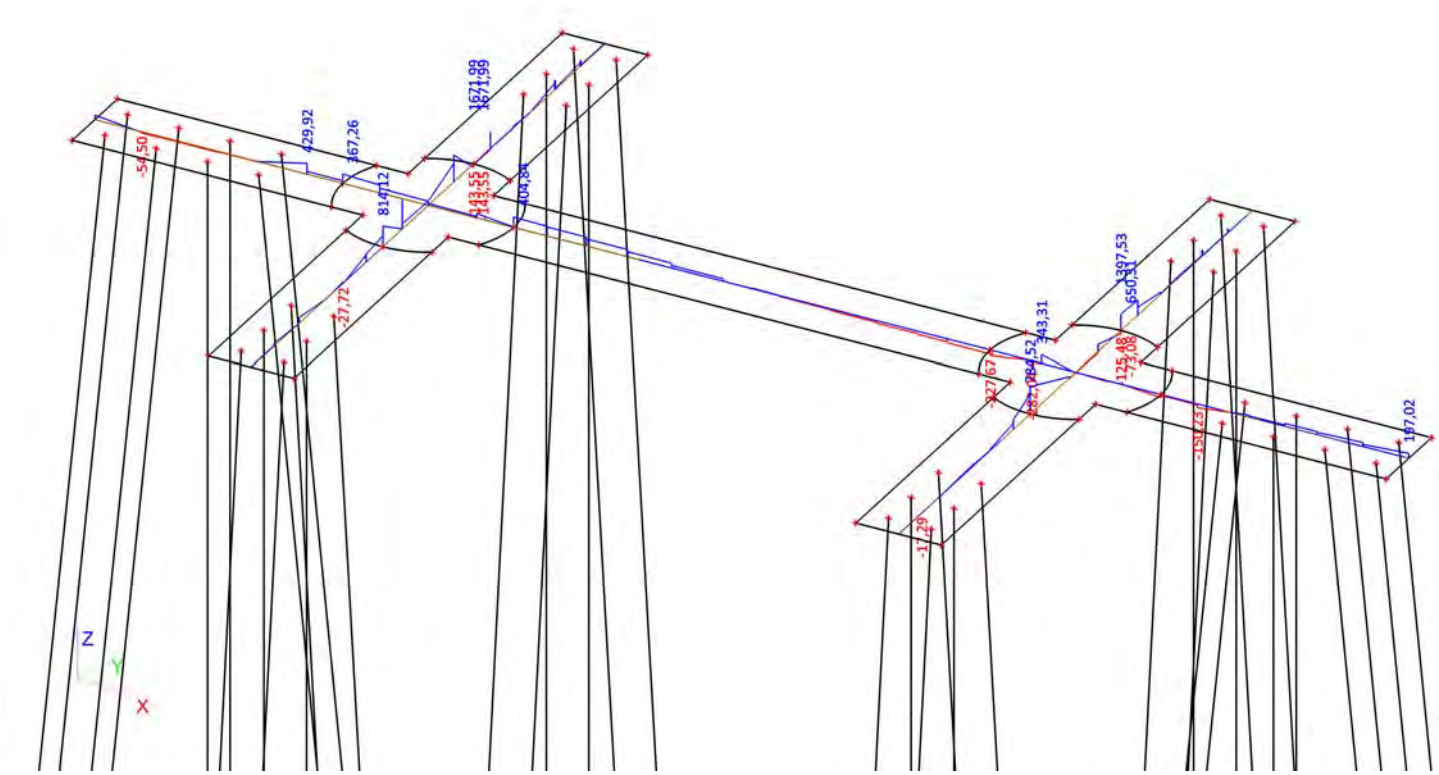

21. 2D element - Interne krachten; vy

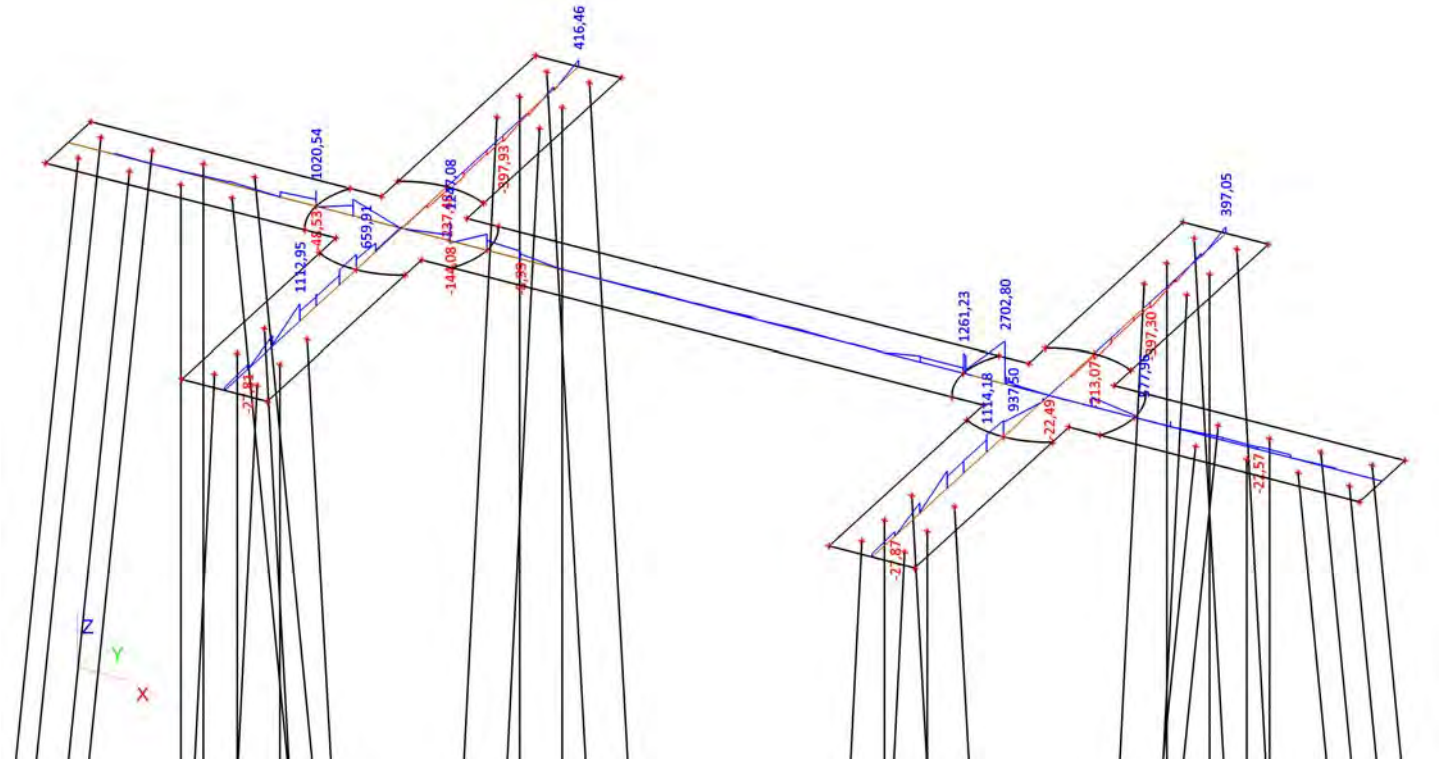

BIJLAGE 2 UITVOER SCIA ENGINEER – MATIGE E-WAARDE

1. Inhoudsopgave

1. Inhoudsopgave	1
2. Overzicht	2
3. Materialen	2
4. Doorsneden	2
5. Knoop	3
6. 1D-staaf	3
7. 2D-element	4
8. Subregio	4
9. Knoopondersteuningen	4
10. Lijnondersteuning op staaf	5
11. Belastingsgevallen	11
11.1. Belastingsgevallen - BG1	11
11.1.1. Belasting grafisch	11
11.2. Belastingsgevallen - BG2	11
11.2.1. Vrije oppervlakte last	11
11.2.2. Genereer vrije lasten	12
11.2.3. Belasting grafisch	12
11.3. Belastingsgevallen - BG3	12
11.3.1. Vrije puntmomenten	12
11.3.2. Genereer vrije lasten	13
11.3.3. Belasting grafisch	13
11.4. Belastingsgevallen - BG4	13
11.4.1. Vrije puntmomenten	14
11.4.2. Genereer vrije lasten	14
11.4.3. Belasting grafisch	15
11.5. Belastingsgevallen - BG5	15
11.5.1. Vrije puntmomenten	15
11.5.2. Genereer vrije lasten	15
11.5.3. Belasting grafisch	16
11.6. Belastingsgevallen - BG6	16
11.6.1. Vrije puntmomenten	16
11.6.2. Genereer vrije lasten	17
11.6.3. Belasting grafisch	17
11.7. Belastingsgevallen - BG7	17
11.7.1. Lasten op oppervlak	17
11.7.2. Belasting grafisch	18
12. Combinaties	18
13. Verplaatsing van knopen SLS 1	19
14. Verplaatsing van knopen SLS 2	19
15. Reacties	19
16. 2D element - Interne krachten; mxD+	20
17. 2D element - Interne krachten; mxD-	20
18. 2D element - Interne krachten; myD+	21
19. 2D element - Interne krachten; myD-	21
20. 2D element - Interne krachten; vx	22
21. 2D element - Interne krachten; vy	22

2. Overzicht

3. Materialen

Naam	Type	Massa eenheid [kg/m³]	E-mod [MPa]	Poisson - nu	G-mod [MPa]	Thermisch uitz. [m/mK]	Karakteristieke cylinderdruksterkte fck(28) [MPa]
C30/37	Beton	2500,0	2,2000e+04	0,2	9,1667e+03	0,00	30,00
C35/45	Beton	2500,0	3,4100e+04	0,2	1,4208e+04	0,00	35,00

4. Doorsneden

Naam	CS1	
Type	Rechthoek	
Uitgebreid	450; 450	
Onderdeelmateriaal	C35/45	
Bouwwijze	Algemeen	
Knik y-y, z-z	b	b
EEM berekening	×	

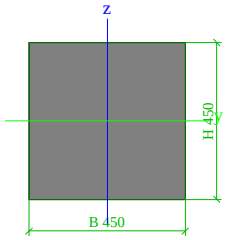

A [m²]	2,0250e-01	
A y, z [m²]	1,6875e-01	1,6875e-01
I y, z [m⁴]	3,4172e-03	3,4172e-03
I w [m⁶], t [m⁴]	0,0000e+00	5,7655e-03
Wel y, z [m³]	1,5188e-02	1,5188e-02
Wpl y, z [m³]	2,2781e-02	2,2781e-02
d y, z [mm]	0	0
c YLCS, ZLCS [mm]	225	225
alpha [deg]	0,00	
AL [m²/m]	1,8000e+00	

5. Knoop

Naam	Coördinaat X [m]	Coördinaat Y [m]	Coördinaat Z [m]
K1	0,000	0,000	0,000
K2	0,000	2,000	0,000
K3	6,800	2,000	0,000
K4	6,800	8,800	0,000
K5	8,800	8,800	0,000
K6	8,800	2,000	0,000
K7	21,950	2,000	0,000
K8	21,950	8,800	0,000
K9	23,950	8,800	0,000
K10	23,950	2,000	0,000
K11	30,750	2,000	0,000
K12	30,750	0,000	0,000
K13	23,950	0,000	0,000
K14	23,950	-6,800	0,000
K15	21,950	-6,800	0,000
K16	21,950	0,000	0,000
K17	8,800	0,000	0,000
K18	8,800	-6,800	0,000
K19	6,800	-6,800	0,000
K20	6,800	0,000	0,000
K21	5,800	1,000	0,000
K23	20,950	1,000	0,000
K25	6,800	-0,732	0,000
K26	8,800	-0,732	0,000
K27	7,800	-1,000	0,000
K28	9,516	0,000	0,000
K29	9,532	2,000	0,000
K30	9,800	1,000	0,000
K31	8,800	2,732	0,000
K32	6,800	2,732	0,000
K33	7,800	3,000	0,000
K34	6,065	2,000	0,000
K35	6,068	0,000	0,000
K36	21,950	-0,732	0,000
K37	23,950	-0,732	0,000
K38	22,950	-1,000	0,000
K39	24,682	0,000	0,000
K40	24,682	2,000	0,000
K41	24,950	1,000	0,000
K42	23,950	2,732	0,000
K43	21,950	2,732	0,000
K44	22,950	3,000	0,000
K45	21,257	2,000	0,000
K46	21,218	0,000	0,000
K47	0,500	0,500	0,000
K48	-1,700	0,500	-22,000
K49	1,700	0,500	0,000
K50	-0,500	0,500	-22,000
K51	2,900	0,500	0,000
K52	2,900	0,500	-22,000
K53	4,100	0,500	0,000
K54	6,300	0,500	-22,000
K55	-1,700	1,500	-22,000
K56	-0,500	1,500	-22,000
K57	2,900	1,500	-22,000
K58	6,300	1,500	-22,000
K59	0,500	1,500	0,000
K60	1,700	1,500	0,000
K61	2,900	1,500	0,000
K62	4,100	1,500	0,000
K63	24,450	0,500	-22,000
K64	27,850	0,500	-22,000
K65	31,250	0,500	-22,000
K66	24,450	1,500	-22,000
K67	27,850	1,500	-22,000
K68	31,250	1,500	-22,000
K69	26,650	0,500	0,000
K70	27,850	0,500	0,000
K71	29,050	0,500	0,000
K72	26,650	1,500	0,000
K73	27,850	1,500	0,000
K74	29,050	1,500	0,000
K75	32,450	0,500	-22,000
K76	32,450	1,500	-22,000
K77	30,250	0,500	0,000
K78	30,250	1,500	0,000
K81	7,300	-8,500	-22,000
K82	7,300	-5,300	-22,000
K85	7,300	-5,300	0,000
K86	7,300	-6,300	0,000
K87	8,300	-8,500	-22,000
K88	8,300	-5,300	-22,000
K89	8,300	-6,300	0,000
K90	8,300	-5,300	0,000
K91	7,300	-1,900	-22,000
K92	8,300	-1,900	-22,000
K93	7,300	-4,100	0,000
K94	8,300	-4,100	0,000
K95	22,475	10,500	-22,000
K96	23,475	10,500	-22,000
K97	22,475	3,900	-22,000
K98	22,475	7,100	-22,000
K99	23,475	3,900	-22,000
K100	23,475	7,100	-22,000
K101	22,475	6,100	0,000
K102	22,475	7,100	0,000
K103	23,475	6,100	0,000
K104	23,475	7,100	0,000
K105	22,475	8,300	0,000
K106	23,475	8,300	0,000
K107	22,450	-8,500	-22,000
K108	22,450	-5,300	-22,000
K109	23,450	-8,500	-22,000
K110	23,450	-5,300	-22,000
K111	22,450	-1,900	-22,000
K112	23,450	-1,900	-22,000
K113	22,450	-6,300	0,000
K114	22,450	-5,300	0,000
K115	23,450	-6,300	0,000
K116	23,450	-5,300	0,000
K117	22,450	-4,100	0,000
K118	23,450	-4,100	0,000
K131	7,325	6,100	0,000
K132	7,325	3,900	-22,000
K133	7,325	7,100	0,000
K134	7,325	7,100	-22,000
K135	8,325	6,100	0,000
K136	8,325	3,900	-22,000
K137	8,325	7,100	0,000
K138	8,325	7,100	-22,000
K139	7,325	8,300	0,000
K140	7,325	10,500	-22,000
K141	8,325	8,300	0,000
K142	8,325	10,500	-22,000

6. 1D-staaf

Naam	Doorsnede	Lengte [m]	Vorm	Beginknoop	Eindknoop	Type	EEM-type	Laag
S1	CS1 - Rechthoek (450; 450)	22,110	Lijn	K47	K48	Algemeen (0)	standaard	Laag1
S2	CS1 - Rechthoek (450; 450)	22,110	Lijn	K49	K50	Algemeen (0)	standaard	Laag1
S3	CS1 - Rechthoek (450; 450)	22,000	Lijn	K51	K52	Algemeen (0)	standaard	Laag1
S4	CS1 - Rechthoek (450; 450)	22,110	Lijn	K53	K54	Algemeen (0)	standaard	Laag1
S5	CS1 - Rechthoek (450; 450)	22,110	Lijn	K59	K55	Algemeen (0)	standaard	Laag1
S6	CS1 - Rechthoek (450; 450)	22,110	Lijn	K60	K56	Algemeen (0)	standaard	Laag1
S7	CS1 - Rechthoek (450; 450)	22,000	Lijn	K61	K57	Algemeen (0)	standaard	Laag1
S8	CS1 - Rechthoek (450; 450)	22,110	Lijn	K62	K58	Algemeen (0)	standaard	Laag1
S9	CS1 - Rechthoek (450; 450)	22,110	Lijn	K69	K63	Algemeen (0)	standaard	Laag1
S10	CS1 - Rechthoek (450; 450)	22,000	Lijn	K70	K64	Algemeen (0)	standaard	Laag1
S11	CS1 - Rechthoek (450; 450)	22,110	Lijn	K71	K65	Algemeen (0)	standaard	Laag1
S12	CS1 - Rechthoek (450; 450)	22,110	Lijn	K72	K66	Algemeen (0)	standaard	Laag1
S13	CS1 - Rechthoek (450; 450)	22,000	Lijn	K73	K67	Algemeen (0)	standaard	Laag1
S14	CS1 - Rechthoek (450; 450)	22,110	Lijn	K74	K68	Algemeen (0)	standaard	Laag1
S15	CS1 - Rechthoek (450; 450)	22,110	Lijn	K77	K75	Algemeen (0)	standaard	Laag1
S16	CS1 - Rechthoek (450; 450)	22,110	Lijn	K78	K76	Algemeen (0)	standaard	Laag1
S19	CS1 - Rechthoek (450; 450)	22,110	Lijn	K86	K81	Algemeen (0)	standaard	Laag1
S20	CS1 - Rechthoek (450; 450)	22,000	Lijn	K85	K82	Algemeen (0)	standaard	Laag1
S21	CS1 - Rechthoek (450; 450)	22,110	Lijn	K89	K87	Algemeen (0)	standaard	Laag1
S22	CS1 - Rechthoek (450; 450)	22,000	Lijn	K90	K88	Algemeen (0)	standaard	Laag1
S23	CS1 - Rechthoek (450; 450)	22,110	Lijn	K93	K91	Algemeen (0)	standaard	Laag1
S24	CS1 - Rechthoek (450; 450)	22,110	Lijn	K94	K92	Algemeen (0)	standaard	Laag1
S25	CS1 - Rechthoek (450; 450)	22,110	Lijn	K101	K97	Algemeen (0)	standaard	Laag1
S26	CS1 - Rechthoek (450; 450)	22,000	Lijn	K102	K98	Algemeen (0)	standaard	Laag1

Naam	Doorsnede	Lengte [m]	Vorm	Beginknoop	Eindknoop	Type	EEM-type	Laag
S27	CS1 - Rechthoek (450; 450)	22,110	Lijn	K103	K99	Algemeen (0)	standaard	Laag1
S28	CS1 - Rechthoek (450; 450)	22,000	Lijn	K104	K100	Algemeen (0)	standaard	Laag1
S29	CS1 - Rechthoek (450; 450)	22,110	Lijn	K105	K95	Algemeen (0)	standaard	Laag1
S30	CS1 - Rechthoek (450; 450)	22,110	Lijn	K106	K96	Algemeen (0)	standaard	Laag1
S31	CS1 - Rechthoek (450; 450)	22,110	Lijn	K113	K107	Algemeen (0)	standaard	Laag1
S32	CS1 - Rechthoek (450; 450)	22,000	Lijn	K114	K108	Algemeen (0)	standaard	Laag1
S33	CS1 - Rechthoek (450; 450)	22,110	Lijn	K115	K109	Algemeen (0)	standaard	Laag1
S34	CS1 - Rechthoek (450; 450)	22,000	Lijn	K116	K110	Algemeen (0)	standaard	Laag1
S35	CS1 - Rechthoek (450; 450)	22,110	Lijn	K117	K111	Algemeen (0)	standaard	Laag1
S36	CS1 - Rechthoek (450; 450)	22,110	Lijn	K118	K112	Algemeen (0)	standaard	Laag1
S43	CS1 - Rechthoek (450; 450)	22,110	Lijn	K131	K132	Algemeen (0)	standaard	Laag1
S44	CS1 - Rechthoek (450; 450)	22,000	Lijn	K133	K134	Algemeen (0)	standaard	Laag1
S45	CS1 - Rechthoek (450; 450)	22,110	Lijn	K135	K136	Algemeen (0)	standaard	Laag1
S46	CS1 - Rechthoek (450; 450)	22,000	Lijn	K137	K138	Algemeen (0)	standaard	Laag1
S47	CS1 - Rechthoek (450; 450)	22,110	Lijn	K139	K140	Algemeen (0)	standaard	Laag1
S48	CS1 - Rechthoek (450; 450)	22,110	Lijn	K141	K142	Algemeen (0)	standaard	Laag1

7. 2D-element

Naam	Materiaal	D. [mm]	Dikte type	Type	Laag
E1	C30/37	1500	konstant	vloer (90)	Laag1

8. Subregio

Naam, 2D-element, Materiaal, Dikte type	Regio1	E1	C30/37	konstant		
2D-element systeemvlak op, Exc. z [mm], D. [mm], Punt 4, Knoop, Rand, Gewicht	Midden	900		3300	K20	Lijn
					K25	Cirkelboog
					K27	
					K26	Lijn
					K17	Lijn
					K28	Cirkelboog
					K30	
					K29	Lijn
					K6	Lijn
					K31	Cirkelboog
					K33	
					K32	Lijn
					K3	Lijn
					K34	Cirkelboog
					K21	
					K35	Lijn

Naam, 2D-element, Materiaal, Dikte type	Regio2	E1	C30/37	konstant		
2D-element systeemvlak op, Exc. z [mm], D. [mm], Punt 4, Knoop, Rand, Gewicht	Midden	900		3300	K16	Lijn
					K36	Cirkelboog
					K38	
					K37	Lijn
					K13	Lijn
					K39	Cirkelboog
					K41	
					K40	Lijn
					K10	Lijn
					K42	Cirkelboog
					K44	
					K43	Lijn
					K7	Lijn
					K45	Cirkelboog
					K23	
					K46	Lijn

9. Knoopondersteuningen

Naam	Knoop	Systeem	Type	X	Y	Z	Stijfheid Z [MN/m]	Rx	Ry	Rz
Sn1	K48	GCS	Standaard	Vrij	Vrij	Verend	9,0000e+01	Vrij	Vrij	Vrij
Sn2	K50	GCS	Standaard	Vrij	Vrij	Verend	9,0000e+01	Vrij	Vrij	Vrij
Sn3	K52	GCS	Standaard	Vrij	Vrij	Verend	9,0000e+01	Vrij	Vrij	Vrij
Sn4	K54	GCS	Standaard	Vrij	Vrij	Verend	9,0000e+01	Vrij	Vrij	Vrij
Sn5	K55	GCS	Standaard	Vrij	Vrij	Verend	9,0000e+01	Vrij	Vrij	Vrij

Naam	Knoop	Systeem	Type	X	Y	Z	Stijfheid Z [MN/m]	Rx	Ry	Rz
Sn6	K56	GCS	Standaard	Vrij	Vrij	Verend	9,0000e+01	Vrij	Vrij	Vrij
Sn7	K57	GCS	Standaard	Vrij	Vrij	Verend	9,0000e+01	Vrij	Vrij	Vrij
Sn8	K58	GCS	Standaard	Vrij	Vrij	Verend	9,0000e+01	Vrij	Vrij	Vrij
Sn9	K81	GCS	Standaard	Vrij	Vrij	Verend	9,0000e+01	Vrij	Vrij	Vrij
Sn10	K82	GCS	Standaard	Vrij	Vrij	Verend	9,0000e+01	Vrij	Vrij	Vrij
Sn11	K87	GCS	Standaard	Vrij	Vrij	Verend	9,0000e+01	Vrij	Vrij	Vrij
Sn12	K88	GCS	Standaard	Vrij	Vrij	Verend	9,0000e+01	Vrij	Vrij	Vrij
Sn13	K91	GCS	Standaard	Vrij	Vrij	Verend	9,0000e+01	Vrij	Vrij	Vrij
Sn14	K92	GCS	Standaard	Vrij	Vrij	Verend	9,0000e+01	Vrij	Vrij	Vrij
Sn15	K132	GCS	Standaard	Vrij	Vrij	Verend	9,0000e+01	Vrij	Vrij	Vrij
Sn16	K134	GCS	Standaard	Vrij	Vrij	Verend	9,0000e+01	Vrij	Vrij	Vrij
Sn17	K136	GCS	Standaard	Vrij	Vrij	Verend	9,0000e+01	Vrij	Vrij	Vrij
Sn18	K138	GCS	Standaard	Vrij	Vrij	Verend	9,0000e+01	Vrij	Vrij	Vrij
Sn19	K140	GCS	Standaard	Vrij	Vrij	Verend	9,0000e+01	Vrij	Vrij	Vrij
Sn20	K142	GCS	Standaard	Vrij	Vrij	Verend	9,0000e+01	Vrij	Vrij	Vrij
Sn21	K63	GCS	Standaard	Vrij	Vrij	Verend	9,0000e+01	Vrij	Vrij	Vrij
Sn22	K64	GCS	Standaard	Vrij	Vrij	Verend	9,0000e+01	Vrij	Vrij	Vrij
Sn23	K65	GCS	Standaard	Vrij	Vrij	Verend	9,0000e+01	Vrij	Vrij	Vrij
Sn24	K66	GCS	Standaard	Vrij	Vrij	Verend	9,0000e+01	Vrij	Vrij	Vrij
Sn25	K67	GCS	Standaard	Vrij	Vrij	Verend	9,0000e+01	Vrij	Vrij	Vrij
Sn26	K68	GCS	Standaard	Vrij	Vrij	Verend	9,0000e+01	Vrij	Vrij	Vrij
Sn27	K75	GCS	Standaard	Vrij	Vrij	Verend	9,0000e+01	Vrij	Vrij	Vrij
Sn28	K76	GCS	Standaard	Vrij	Vrij	Verend	9,0000e+01	Vrij	Vrij	Vrij
Sn29	K95	GCS	Standaard	Vrij	Vrij	Verend	9,0000e+01	Vrij	Vrij	Vrij
Sn30	K96	GCS	Standaard	Vrij	Vrij	Verend	9,0000e+01	Vrij	Vrij	Vrij
Sn31	K97	GCS	Standaard	Vrij	Vrij	Verend	9,0000e+01	Vrij	Vrij	Vrij
Sn32	K98	GCS	Standaard	Vrij	Vrij	Verend	9,0000e+01	Vrij	Vrij	Vrij
Sn33	K99	GCS	Standaard	Vrij	Vrij	Verend	9,0000e+01	Vrij	Vrij	Vrij
Sn34	K100	GCS	Standaard	Vrij	Vrij	Verend	9,0000e+01	Vrij	Vrij	Vrij
Sn35	K107	GCS	Standaard	Vrij	Vrij	Verend	9,0000e+01	Vrij	Vrij	Vrij
Sn36	K108	GCS	Standaard	Vrij	Vrij	Verend	9,0000e+01	Vrij	Vrij	Vrij
Sn37	K109	GCS	Standaard	Vrij	Vrij	Verend	9,0000e+01	Vrij	Vrij	Vrij
Sn38	K110	GCS	Standaard	Vrij	Vrij	Verend	9,0000e+01	Vrij	Vrij	Vrij
Sn39	K111	GCS	Standaard	Vrij	Vrij	Verend	9,0000e+01	Vrij	Vrij	Vrij
Sn40	K112	GCS	Standaard	Vrij	Vrij	Verend	9,0000e+01	Vrij	Vrij	Vrij

10. Lijnondersteuning op staaf

Staaf	Naam Systeem	Pos x_1 [m] Pos x_2 [m]	Coör Oors	X	Y	Stijfheid Y [MN/m²]	Z	Stijfheid Z [MN/m²]	Rx	Ry	Rz
S1	Slb121 LCS	10,900 12,900	Abso Vanaf begin	Vrij	Verend	7,2000e+00	Verend	7,2000e+00	Vrij	Vrij	Vrij
S1	Slb81 LCS	6,400 10,900	Abso Vanaf begin	Vrij	Verend	1,2000e+00	Verend	1,2000e+00	Vrij	Vrij	Vrij
S1	Slb41 LCS	0,900 6,400	Abso Vanaf begin	Vrij	Verend	6,0000e+00	Verend	6,0000e+00	Vrij	Vrij	Vrij
S1	Slb161 LCS	12,900 22,000	Abso Vanaf begin	Vrij	Verend	1,4400e+01	Verend	1,4400e+01	Vrij	Vrij	Vrij
S1	Slb1 LCS	0,000 0,900	Abso Vanaf begin	Vrij	Verend	1,2000e+00	Verend	1,2000e+00	Vrij	Vrij	Vrij
S2	Slb82 LCS	6,400 10,900	Abso Vanaf begin	Vrij	Verend	1,2000e+00	Verend	1,2000e+00	Vrij	Vrij	Vrij
S2	Slb162 LCS	12,900 22,000	Abso Vanaf begin	Vrij	Verend	1,4400e+01	Verend	1,4400e+01	Vrij	Vrij	Vrij
S2	Slb2 LCS	0,000 0,900	Abso Vanaf begin	Vrij	Verend	1,2000e+00	Verend	1,2000e+00	Vrij	Vrij	Vrij
S2	Slb122 LCS	10,900 12,900	Abso Vanaf begin	Vrij	Verend	7,2000e+00	Verend	7,2000e+00	Vrij	Vrij	Vrij
S2	Slb42 LCS	0,900 6,400	Abso Vanaf begin	Vrij	Verend	6,0000e+00	Verend	6,0000e+00	Vrij	Vrij	Vrij
S3	Slb83 LCS	6,400 10,900	Abso Vanaf begin	Vrij	Verend	1,2000e+00	Verend	1,2000e+00	Vrij	Vrij	Vrij
S3	Slb123 LCS	10,900 12,900	Abso Vanaf begin	Vrij	Verend	7,2000e+00	Verend	7,2000e+00	Vrij	Vrij	Vrij
S3	Slb163 LCS	12,900 22,000	Abso Vanaf begin	Vrij	Verend	1,4400e+01	Verend	1,4400e+01	Vrij	Vrij	Vrij
S3	Slb3 LCS	0,000 0,900	Abso Vanaf begin	Vrij	Verend	1,2000e+00	Verend	1,2000e+00	Vrij	Vrij	Vrij
S3	Slb43 LCS	0,900 6,400	Abso Vanaf begin	Vrij	Verend	6,0000e+00	Verend	6,0000e+00	Vrij	Vrij	Vrij

Staaf	Naam Systeem	Pos x_1 [m] Pos x_2 [m]	Coör Oors	X	Y	Stijfheid Y [MN/m²]	Z	Stijfheid Z [MN/m²]	Rx	Ry	Rz
S4	Slb124 LCS	10,900 12,900	Abso Vanaf begin	Vrij	Verend	7,2000e+00	Verend	7,2000e+00	Vrij	Vrij	Vrij
S4	Slb4 LCS	0,000 0,900	Abso Vanaf begin	Vrij	Verend	1,2000e+00	Verend	1,2000e+00	Vrij	Vrij	Vrij
S4	Slb84 LCS	6,400 10,900	Abso Vanaf begin	Vrij	Verend	1,2000e+00	Verend	1,2000e+00	Vrij	Vrij	Vrij
S4	Slb164 LCS	12,900 22,000	Abso Vanaf begin	Vrij	Verend	1,4400e+01	Verend	1,4400e+01	Vrij	Vrij	Vrij
S4	Slb44 LCS	0,900 6,400	Abso Vanaf begin	Vrij	Verend	6,0000e+00	Verend	6,0000e+00	Vrij	Vrij	Vrij
S5	Slb45 LCS	0,900 6,400	Abso Vanaf begin	Vrij	Verend	6,0000e+00	Verend	6,0000e+00	Vrij	Vrij	Vrij
S5	Slb165 LCS	12,900 22,000	Abso Vanaf begin	Vrij	Verend	1,4400e+01	Verend	1,4400e+01	Vrij	Vrij	Vrij
S5	Slb85 LCS	6,400 10,900	Abso Vanaf begin	Vrij	Verend	1,2000e+00	Verend	1,2000e+00	Vrij	Vrij	Vrij
S5	Slb125 LCS	10,900 12,900	Abso Vanaf begin	Vrij	Verend	7,2000e+00	Verend	7,2000e+00	Vrij	Vrij	Vrij
S5	Slb5 LCS	0,000 0,900	Abso Vanaf begin	Vrij	Verend	1,2000e+00	Verend	1,2000e+00	Vrij	Vrij	Vrij
S6	Slb46 LCS	0,900 6,400	Abso Vanaf begin	Vrij	Verend	6,0000e+00	Verend	6,0000e+00	Vrij	Vrij	Vrij
S6	Slb86 LCS	6,400 10,900	Abso Vanaf begin	Vrij	Verend	1,2000e+00	Verend	1,2000e+00	Vrij	Vrij	Vrij
S6	Slb126 LCS	10,900 12,900	Abso Vanaf begin	Vrij	Verend	7,2000e+00	Verend	7,2000e+00	Vrij	Vrij	Vrij
S6	Slb6 LCS	0,000 0,900	Abso Vanaf begin	Vrij	Verend	1,2000e+00	Verend	1,2000e+00	Vrij	Vrij	Vrij
S6	Slb166 LCS	12,900 22,000	Abso Vanaf begin	Vrij	Verend	1,4400e+01	Verend	1,4400e+01	Vrij	Vrij	Vrij
S7	Slb7 LCS	0,000 0,900	Abso Vanaf begin	Vrij	Verend	1,2000e+00	Verend	1,2000e+00	Vrij	Vrij	Vrij
S7	Slb87 LCS	6,400 10,900	Abso Vanaf begin	Vrij	Verend	1,2000e+00	Verend	1,2000e+00	Vrij	Vrij	Vrij
S7	Slb167 LCS	12,900 22,000	Abso Vanaf begin	Vrij	Verend	1,4400e+01	Verend	1,4400e+01	Vrij	Vrij	Vrij
S7	Slb47 LCS	0,900 6,400	Abso Vanaf begin	Vrij	Verend	6,0000e+00	Verend	6,0000e+00	Vrij	Vrij	Vrij
S7	Slb127 LCS	10,900 12,900	Abso Vanaf begin	Vrij	Verend	7,2000e+00	Verend	7,2000e+00	Vrij	Vrij	Vrij
S8	Slb8 LCS	0,000 0,900	Abso Vanaf begin	Vrij	Verend	1,2000e+00	Verend	1,2000e+00	Vrij	Vrij	Vrij
S8	Slb128 LCS	10,900 12,900	Abso Vanaf begin	Vrij	Verend	7,2000e+00	Verend	7,2000e+00	Vrij	Vrij	Vrij
S8	Slb88 LCS	6,400 10,900	Abso Vanaf begin	Vrij	Verend	1,2000e+00	Verend	1,2000e+00	Vrij	Vrij	Vrij
S8	Slb48 LCS	0,900 6,400	Abso Vanaf begin	Vrij	Verend	6,0000e+00	Verend	6,0000e+00	Vrij	Vrij	Vrij
S8	Slb168 LCS	12,900 22,000	Abso Vanaf begin	Vrij	Verend	1,4400e+01	Verend	1,4400e+01	Vrij	Vrij	Vrij
S9	Slb129 LCS	10,900 12,900	Abso Vanaf begin	Vrij	Verend	7,2000e+00	Verend	7,2000e+00	Vrij	Vrij	Vrij
S9	Slb89 LCS	6,400 10,900	Abso Vanaf begin	Vrij	Verend	1,2000e+00	Verend	1,2000e+00	Vrij	Vrij	Vrij
S9	Slb49 LCS	0,900 6,400	Abso Vanaf begin	Vrij	Verend	6,0000e+00	Verend	6,0000e+00	Vrij	Vrij	Vrij
S9	Slb9 LCS	0,000 0,900	Abso Vanaf begin	Vrij	Verend	1,2000e+00	Verend	1,2000e+00	Vrij	Vrij	Vrij
S9	Slb169 LCS	12,900 22,000	Abso Vanaf begin	Vrij	Verend	1,4400e+01	Verend	1,4400e+01	Vrij	Vrij	Vrij
S10	Slb10 LCS	0,000 0,900	Abso Vanaf begin	Vrij	Verend	1,2000e+00	Verend	1,2000e+00	Vrij	Vrij	Vrij
S10	Slb50 LCS	0,900 6,400	Abso Vanaf begin	Vrij	Verend	6,0000e+00	Verend	6,0000e+00	Vrij	Vrij	Vrij
S10	Slb90 LCS	6,400 10,900	Abso Vanaf begin	Vrij	Verend	1,2000e+00	Verend	1,2000e+00	Vrij	Vrij	Vrij
S10	Slb170 LCS	12,900 22,000	Abso Vanaf begin	Vrij	Verend	1,4400e+01	Verend	1,4400e+01	Vrij	Vrij	Vrij
S10	Slb130 LCS	10,900 12,900	Abso Vanaf begin	Vrij	Verend	7,2000e+00	Verend	7,2000e+00	Vrij	Vrij	Vrij
S11	Slb91 LCS	6,400 10,900	Abso Vanaf begin	Vrij	Verend	1,2000e+00	Verend	1,2000e+00	Vrij	Vrij	Vrij

Staaf	Naam Systeem	Pos x_1 [m] Pos x_2 [m]	Coör Oors	X	Y	Stijfheid Y [MN/m²]	Z	Stijfheid Z [MN/m²]	Rx	Ry	Rz
S11	Slb131 LCS	10,900 12,900	Abso Vanaf begin	Vrij	Verend	7,2000e+00	Verend	7,2000e+00	Vrij	Vrij	Vrij
S11	Slb11 LCS	0,000 0,900	Abso Vanaf begin	Vrij	Verend	1,2000e+00	Verend	1,2000e+00	Vrij	Vrij	Vrij
S11	Slb51 LCS	0,900 6,400	Abso Vanaf begin	Vrij	Verend	6,0000e+00	Verend	6,0000e+00	Vrij	Vrij	Vrij
S11	Slb171 LCS	12,900 22,000	Abso Vanaf begin	Vrij	Verend	1,4400e+01	Verend	1,4400e+01	Vrij	Vrij	Vrij
S12	Slb172 LCS	12,900 22,000	Abso Vanaf begin	Vrij	Verend	1,4400e+01	Verend	1,4400e+01	Vrij	Vrij	Vrij
S12	Slb132 LCS	10,900 12,900	Abso Vanaf begin	Vrij	Verend	7,2000e+00	Verend	7,2000e+00	Vrij	Vrij	Vrij
S12	Slb12 LCS	0,000 0,900	Abso Vanaf begin	Vrij	Verend	1,2000e+00	Verend	1,2000e+00	Vrij	Vrij	Vrij
S12	Slb52 LCS	0,900 6,400	Abso Vanaf begin	Vrij	Verend	6,0000e+00	Verend	6,0000e+00	Vrij	Vrij	Vrij
S12	Slb92 LCS	6,400 10,900	Abso Vanaf begin	Vrij	Verend	1,2000e+00	Verend	1,2000e+00	Vrij	Vrij	Vrij
S13	Slb13 LCS	0,000 0,900	Abso Vanaf begin	Vrij	Verend	1,2000e+00	Verend	1,2000e+00	Vrij	Vrij	Vrij
S13	Slb133 LCS	10,900 12,900	Abso Vanaf begin	Vrij	Verend	7,2000e+00	Verend	7,2000e+00	Vrij	Vrij	Vrij
S13	Slb93 LCS	6,400 10,900	Abso Vanaf begin	Vrij	Verend	1,2000e+00	Verend	1,2000e+00	Vrij	Vrij	Vrij
S13	Slb53 LCS	0,900 6,400	Abso Vanaf begin	Vrij	Verend	6,0000e+00	Verend	6,0000e+00	Vrij	Vrij	Vrij
S13	Slb173 LCS	12,900 22,000	Abso Vanaf begin	Vrij	Verend	1,4400e+01	Verend	1,4400e+01	Vrij	Vrij	Vrij
S14	Slb174 LCS	12,900 22,000	Abso Vanaf begin	Vrij	Verend	1,4400e+01	Verend	1,4400e+01	Vrij	Vrij	Vrij
S14	Slb14 LCS	0,000 0,900	Abso Vanaf begin	Vrij	Verend	1,2000e+00	Verend	1,2000e+00	Vrij	Vrij	Vrij
S14	Slb54 LCS	0,900 6,400	Abso Vanaf begin	Vrij	Verend	6,0000e+00	Verend	6,0000e+00	Vrij	Vrij	Vrij
S14	Slb134 LCS	10,900 12,900	Abso Vanaf begin	Vrij	Verend	7,2000e+00	Verend	7,2000e+00	Vrij	Vrij	Vrij
S14	Slb94 LCS	6,400 10,900	Abso Vanaf begin	Vrij	Verend	1,2000e+00	Verend	1,2000e+00	Vrij	Vrij	Vrij
S15	Slb15 LCS	0,000 0,900	Abso Vanaf begin	Vrij	Verend	1,2000e+00	Verend	1,2000e+00	Vrij	Vrij	Vrij
S15	Slb95 LCS	6,400 10,900	Abso Vanaf begin	Vrij	Verend	1,2000e+00	Verend	1,2000e+00	Vrij	Vrij	Vrij
S15	Slb175 LCS	12,900 22,000	Abso Vanaf begin	Vrij	Verend	1,4400e+01	Verend	1,4400e+01	Vrij	Vrij	Vrij
S15	Slb135 LCS	10,900 12,900	Abso Vanaf begin	Vrij	Verend	7,2000e+00	Verend	7,2000e+00	Vrij	Vrij	Vrij
S15	Slb55 LCS	0,900 6,400	Abso Vanaf begin	Vrij	Verend	6,0000e+00	Verend	6,0000e+00	Vrij	Vrij	Vrij
S16	Slb56 LCS	0,900 6,400	Abso Vanaf begin	Vrij	Verend	6,0000e+00	Verend	6,0000e+00	Vrij	Vrij	Vrij
S16	Slb16 LCS	0,000 0,900	Abso Vanaf begin	Vrij	Verend	1,2000e+00	Verend	1,2000e+00	Vrij	Vrij	Vrij
S16	Slb176 LCS	12,900 22,000	Abso Vanaf begin	Vrij	Verend	1,4400e+01	Verend	1,4400e+01	Vrij	Vrij	Vrij
S16	Slb136 LCS	10,900 12,900	Abso Vanaf begin	Vrij	Verend	7,2000e+00	Verend	7,2000e+00	Vrij	Vrij	Vrij
S16	Slb96 LCS	6,400 10,900	Abso Vanaf begin	Vrij	Verend	1,2000e+00	Verend	1,2000e+00	Vrij	Vrij	Vrij
S19	Slb137 LCS	10,900 12,900	Abso Vanaf begin	Vrij	Verend	7,2000e+00	Verend	7,2000e+00	Vrij	Vrij	Vrij
S19	Slb97 LCS	6,400 10,900	Abso Vanaf begin	Vrij	Verend	1,2000e+00	Verend	1,2000e+00	Vrij	Vrij	Vrij
S19	Slb177 LCS	12,900 22,000	Abso Vanaf begin	Vrij	Verend	1,4400e+01	Verend	1,4400e+01	Vrij	Vrij	Vrij
S19	Slb57 LCS	0,900 6,400	Abso Vanaf begin	Vrij	Verend	6,0000e+00	Verend	6,0000e+00	Vrij	Vrij	Vrij
S19	Slb17 LCS	0,000 0,900	Abso Vanaf begin	Vrij	Verend	1,2000e+00	Verend	1,2000e+00	Vrij	Vrij	Vrij
S20	Slb58 LCS	0,900 6,400	Abso Vanaf begin	Vrij	Verend	6,0000e+00	Verend	6,0000e+00	Vrij	Vrij	Vrij
S20	Slb98 LCS	6,400 10,900	Abso Vanaf begin	Vrij	Verend	1,2000e+00	Verend	1,2000e+00	Vrij	Vrij	Vrij

Staaf	Naam Systeem	Pos x_1 [m] Pos x_2 [m]	Coör Oors	X	Y	Stijfheid Y [MN/m²]	Z	Stijfheid Z [MN/m²]	Rx	Ry	Rz
S20	Slb18 LCS	0,000 0,900	Abso Vanaf begin	Vrij	Verend	1,2000e+00	Verend	1,2000e+00	Vrij	Vrij	Vrij
S20	Slb138 LCS	10,900 12,900	Abso Vanaf begin	Vrij	Verend	7,2000e+00	Verend	7,2000e+00	Vrij	Vrij	Vrij
S20	Slb178 LCS	12,900 22,000	Abso Vanaf begin	Vrij	Verend	1,4400e+01	Verend	1,4400e+01	Vrij	Vrij	Vrij
S21	Slb19 LCS	0,000 0,900	Abso Vanaf begin	Vrij	Verend	1,2000e+00	Verend	1,2000e+00	Vrij	Vrij	Vrij
S21	Slb179 LCS	12,900 22,000	Abso Vanaf begin	Vrij	Verend	1,4400e+01	Verend	1,4400e+01	Vrij	Vrij	Vrij
S21	Slb139 LCS	10,900 12,900	Abso Vanaf begin	Vrij	Verend	7,2000e+00	Verend	7,2000e+00	Vrij	Vrij	Vrij
S21	Slb59 LCS	0,900 6,400	Abso Vanaf begin	Vrij	Verend	6,0000e+00	Verend	6,0000e+00	Vrij	Vrij	Vrij
S21	Slb99 LCS	6,400 10,900	Abso Vanaf begin	Vrij	Verend	1,2000e+00	Verend	1,2000e+00	Vrij	Vrij	Vrij
S22	Slb180 LCS	12,900 22,000	Abso Vanaf begin	Vrij	Verend	1,4400e+01	Verend	1,4400e+01	Vrij	Vrij	Vrij
S22	Slb100 LCS	6,400 10,900	Abso Vanaf begin	Vrij	Verend	1,2000e+00	Verend	1,2000e+00	Vrij	Vrij	Vrij
S22	Slb140 LCS	10,900 12,900	Abso Vanaf begin	Vrij	Verend	7,2000e+00	Verend	7,2000e+00	Vrij	Vrij	Vrij
S22	Slb60 LCS	0,900 6,400	Abso Vanaf begin	Vrij	Verend	6,0000e+00	Verend	6,0000e+00	Vrij	Vrij	Vrij
S22	Slb20 LCS	0,000 0,900	Abso Vanaf begin	Vrij	Verend	1,2000e+00	Verend	1,2000e+00	Vrij	Vrij	Vrij
S23	Slb141 LCS	10,900 12,900	Abso Vanaf begin	Vrij	Verend	7,2000e+00	Verend	7,2000e+00	Vrij	Vrij	Vrij
S23	Slb181 LCS	12,900 22,000	Abso Vanaf begin	Vrij	Verend	1,4400e+01	Verend	1,4400e+01	Vrij	Vrij	Vrij
S23	Slb61 LCS	0,900 6,400	Abso Vanaf begin	Vrij	Verend	6,0000e+00	Verend	6,0000e+00	Vrij	Vrij	Vrij
S23	Slb21 LCS	0,000 0,900	Abso Vanaf begin	Vrij	Verend	1,2000e+00	Verend	1,2000e+00	Vrij	Vrij	Vrij
S23	Slb101 LCS	6,400 10,900	Abso Vanaf begin	Vrij	Verend	1,2000e+00	Verend	1,2000e+00	Vrij	Vrij	Vrij
S24	Slb62 LCS	0,900 6,400	Abso Vanaf begin	Vrij	Verend	6,0000e+00	Verend	6,0000e+00	Vrij	Vrij	Vrij
S24	Slb182 LCS	12,900 22,000	Abso Vanaf begin	Vrij	Verend	1,4400e+01	Verend	1,4400e+01	Vrij	Vrij	Vrij
S24	Slb142 LCS	10,900 12,900	Abso Vanaf begin	Vrij	Verend	7,2000e+00	Verend	7,2000e+00	Vrij	Vrij	Vrij
S24	Slb22 LCS	0,000 0,900	Abso Vanaf begin	Vrij	Verend	1,2000e+00	Verend	1,2000e+00	Vrij	Vrij	Vrij
S24	Slb102 LCS	6,400 10,900	Abso Vanaf begin	Vrij	Verend	1,2000e+00	Verend	1,2000e+00	Vrij	Vrij	Vrij
S25	Slb183 LCS	12,900 22,000	Abso Vanaf begin	Vrij	Verend	1,4400e+01	Verend	1,4400e+01	Vrij	Vrij	Vrij
S25	Slb23 LCS	0,000 0,900	Abso Vanaf begin	Vrij	Verend	1,2000e+00	Verend	1,2000e+00	Vrij	Vrij	Vrij
S25	Slb63 LCS	0,900 6,400	Abso Vanaf begin	Vrij	Verend	6,0000e+00	Verend	6,0000e+00	Vrij	Vrij	Vrij
S25	Slb103 LCS	6,400 10,900	Abso Vanaf begin	Vrij	Verend	1,2000e+00	Verend	1,2000e+00	Vrij	Vrij	Vrij
S25	Slb143 LCS	10,900 12,900	Abso Vanaf begin	Vrij	Verend	7,2000e+00	Verend	7,2000e+00	Vrij	Vrij	Vrij
S26	Slb24 LCS	0,000 0,900	Abso Vanaf begin	Vrij	Verend	1,2000e+00	Verend	1,2000e+00	Vrij	Vrij	Vrij
S26	Slb104 LCS	6,400 10,900	Abso Vanaf begin	Vrij	Verend	1,2000e+00	Verend	1,2000e+00	Vrij	Vrij	Vrij
S26	Slb184 LCS	12,900 22,000	Abso Vanaf begin	Vrij	Verend	1,4400e+01	Verend	1,4400e+01	Vrij	Vrij	Vrij
S26	Slb64 LCS	0,900 6,400	Abso Vanaf begin	Vrij	Verend	6,0000e+00	Verend	6,0000e+00	Vrij	Vrij	Vrij
S26	Slb144 LCS	10,900 12,900	Abso Vanaf begin	Vrij	Verend	7,2000e+00	Verend	7,2000e+00	Vrij	Vrij	Vrij
S27	Slb145 LCS	10,900 12,900	Abso Vanaf begin	Vrij	Verend	7,2000e+00	Verend	7,2000e+00	Vrij	Vrij	Vrij
S27	Slb65 LCS	0,900 6,400	Abso Vanaf begin	Vrij	Verend	6,0000e+00	Verend	6,0000e+00	Vrij	Vrij	Vrij
S27	Slb185 LCS	12,900 22,000	Abso Vanaf begin	Vrij	Verend	1,4400e+01	Verend	1,4400e+01	Vrij	Vrij	Vrij

Staaf	Naam Systeem	Pos x_1 [m] Pos x_2 [m]	Coör Oors	X	Y	Stijfheid Y [MN/m²]	Z	Stijfheid Z [MN/m²]	Rx	Ry	Rz
S27	Slb25 LCS	0,000 0,900	Abso Vanaf begin	Vrij	Verend	1,2000e+00	Verend	1,2000e+00	Vrij	Vrij	Vrij
S27	Slb105 LCS	6,400 10,900	Abso Vanaf begin	Vrij	Verend	1,2000e+00	Verend	1,2000e+00	Vrij	Vrij	Vrij
S28	Slb66 LCS	0,900 6,400	Abso Vanaf begin	Vrij	Verend	6,0000e+00	Verend	6,0000e+00	Vrij	Vrij	Vrij
S28	Slb26 LCS	0,000 0,900	Abso Vanaf begin	Vrij	Verend	1,2000e+00	Verend	1,2000e+00	Vrij	Vrij	Vrij
S28	Slb106 LCS	6,400 10,900	Abso Vanaf begin	Vrij	Verend	1,2000e+00	Verend	1,2000e+00	Vrij	Vrij	Vrij
S28	Slb186 LCS	12,900 22,000	Abso Vanaf begin	Vrij	Verend	1,4400e+01	Verend	1,4400e+01	Vrij	Vrij	Vrij
S28	Slb146 LCS	10,900 12,900	Abso Vanaf begin	Vrij	Verend	7,2000e+00	Verend	7,2000e+00	Vrij	Vrij	Vrij
S29	Slb27 LCS	0,000 0,900	Abso Vanaf begin	Vrij	Verend	1,2000e+00	Verend	1,2000e+00	Vrij	Vrij	Vrij
S29	Slb187 LCS	12,900 22,000	Abso Vanaf begin	Vrij	Verend	1,4400e+01	Verend	1,4400e+01	Vrij	Vrij	Vrij
S29	Slb107 LCS	6,400 10,900	Abso Vanaf begin	Vrij	Verend	1,2000e+00	Verend	1,2000e+00	Vrij	Vrij	Vrij
S29	Slb67 LCS	0,900 6,400	Abso Vanaf begin	Vrij	Verend	6,0000e+00	Verend	6,0000e+00	Vrij	Vrij	Vrij
S29	Slb147 LCS	10,900 12,900	Abso Vanaf begin	Vrij	Verend	7,2000e+00	Verend	7,2000e+00	Vrij	Vrij	Vrij
S30	Slb68 LCS	0,900 6,400	Abso Vanaf begin	Vrij	Verend	6,0000e+00	Verend	6,0000e+00	Vrij	Vrij	Vrij
S30	Slb28 LCS	0,000 0,900	Abso Vanaf begin	Vrij	Verend	1,2000e+00	Verend	1,2000e+00	Vrij	Vrij	Vrij
S30	Slb108 LCS	6,400 10,900	Abso Vanaf begin	Vrij	Verend	1,2000e+00	Verend	1,2000e+00	Vrij	Vrij	Vrij
S30	Slb188 LCS	12,900 22,000	Abso Vanaf begin	Vrij	Verend	1,4400e+01	Verend	1,4400e+01	Vrij	Vrij	Vrij
S30	Slb148 LCS	10,900 12,900	Abso Vanaf begin	Vrij	Verend	7,2000e+00	Verend	7,2000e+00	Vrij	Vrij	Vrij
S31	Slb189 LCS	12,900 22,000	Abso Vanaf begin	Vrij	Verend	1,4400e+01	Verend	1,4400e+01	Vrij	Vrij	Vrij
S31	Slb149 LCS	10,900 12,900	Abso Vanaf begin	Vrij	Verend	7,2000e+00	Verend	7,2000e+00	Vrij	Vrij	Vrij
S31	Slb29 LCS	0,000 0,900	Abso Vanaf begin	Vrij	Verend	1,2000e+00	Verend	1,2000e+00	Vrij	Vrij	Vrij
S31	Slb109 LCS	6,400 10,900	Abso Vanaf begin	Vrij	Verend	1,2000e+00	Verend	1,2000e+00	Vrij	Vrij	Vrij
S31	Slb69 LCS	0,900 6,400	Abso Vanaf begin	Vrij	Verend	6,0000e+00	Verend	6,0000e+00	Vrij	Vrij	Vrij
S32	Slb110 LCS	6,400 10,900	Abso Vanaf begin	Vrij	Verend	1,2000e+00	Verend	1,2000e+00	Vrij	Vrij	Vrij
S32	Slb150 LCS	10,900 12,900	Abso Vanaf begin	Vrij	Verend	7,2000e+00	Verend	7,2000e+00	Vrij	Vrij	Vrij
S32	Slb190 LCS	12,900 22,000	Abso Vanaf begin	Vrij	Verend	1,4400e+01	Verend	1,4400e+01	Vrij	Vrij	Vrij
S32	Slb70 LCS	0,900 6,400	Abso Vanaf begin	Vrij	Verend	6,0000e+00	Verend	6,0000e+00	Vrij	Vrij	Vrij
S32	Slb30 LCS	0,000 0,900	Abso Vanaf begin	Vrij	Verend	1,2000e+00	Verend	1,2000e+00	Vrij	Vrij	Vrij
S33	Slb191 LCS	12,900 22,000	Abso Vanaf begin	Vrij	Verend	1,4400e+01	Verend	1,4400e+01	Vrij	Vrij	Vrij
S33	Slb31 LCS	0,000 0,900	Abso Vanaf begin	Vrij	Verend	1,2000e+00	Verend	1,2000e+00	Vrij	Vrij	Vrij
S33	Slb111 LCS	6,400 10,900	Abso Vanaf begin	Vrij	Verend	1,2000e+00	Verend	1,2000e+00	Vrij	Vrij	Vrij
S33	Slb151 LCS	10,900 12,900	Abso Vanaf begin	Vrij	Verend	7,2000e+00	Verend	7,2000e+00	Vrij	Vrij	Vrij
S33	Slb71 LCS	0,900 6,400	Abso Vanaf begin	Vrij	Verend	6,0000e+00	Verend	6,0000e+00	Vrij	Vrij	Vrij
S34	Slb72 LCS	0,900 6,400	Abso Vanaf begin	Vrij	Verend	6,0000e+00	Verend	6,0000e+00	Vrij	Vrij	Vrij
S34	Slb32 LCS	0,000 0,900	Abso Vanaf begin	Vrij	Verend	1,2000e+00	Verend	1,2000e+00	Vrij	Vrij	Vrij
S34	Slb112 LCS	6,400 10,900	Abso Vanaf begin	Vrij	Verend	1,2000e+00	Verend	1,2000e+00	Vrij	Vrij	Vrij
S34	Slb152 LCS	10,900 12,900	Abso Vanaf begin	Vrij	Verend	7,2000e+00	Verend	7,2000e+00	Vrij	Vrij	Vrij

Staaf	Naam Systeem	Pos x_1 [m] Pos x_2 [m]	Coör Oors	X	Y	Stijfheid Y [MN/m²]	Z	Stijfheid Z [MN/m²]	Rx	Ry	Rz
S34	Slb192 LCS	12,900 22,000	Abso Vanaf begin	Vrij	Verend	1,4400e+01	Verend	1,4400e+01	Vrij	Vrij	Vrij
S35	Slb113 LCS	6,400 10,900	Abso Vanaf begin	Vrij	Verend	1,2000e+00	Verend	1,2000e+00	Vrij	Vrij	Vrij
S35	Slb33 LCS	0,000 0,900	Abso Vanaf begin	Vrij	Verend	1,2000e+00	Verend	1,2000e+00	Vrij	Vrij	Vrij
S35	Slb193 LCS	12,900 22,000	Abso Vanaf begin	Vrij	Verend	1,4400e+01	Verend	1,4400e+01	Vrij	Vrij	Vrij
S35	Slb153 LCS	10,900 12,900	Abso Vanaf begin	Vrij	Verend	7,2000e+00	Verend	7,2000e+00	Vrij	Vrij	Vrij
S35	Slb73 LCS	0,900 6,400	Abso Vanaf begin	Vrij	Verend	6,0000e+00	Verend	6,0000e+00	Vrij	Vrij	Vrij
S36	Slb154 LCS	10,900 12,900	Abso Vanaf begin	Vrij	Verend	7,2000e+00	Verend	7,2000e+00	Vrij	Vrij	Vrij
S36	Slb74 LCS	0,900 6,400	Abso Vanaf begin	Vrij	Verend	6,0000e+00	Verend	6,0000e+00	Vrij	Vrij	Vrij
S36	Slb194 LCS	12,900 22,000	Abso Vanaf begin	Vrij	Verend	1,4400e+01	Verend	1,4400e+01	Vrij	Vrij	Vrij
S36	Slb114 LCS	6,400 10,900	Abso Vanaf begin	Vrij	Verend	1,2000e+00	Verend	1,2000e+00	Vrij	Vrij	Vrij
S36	Slb34 LCS	0,000 0,900	Abso Vanaf begin	Vrij	Verend	1,2000e+00	Verend	1,2000e+00	Vrij	Vrij	Vrij
S43	Slb115 LCS	6,400 10,900	Abso Vanaf begin	Vrij	Verend	1,2000e+00	Verend	1,2000e+00	Vrij	Vrij	Vrij
S43	Slb195 LCS	12,900 22,000	Abso Vanaf begin	Vrij	Verend	1,4400e+01	Verend	1,4400e+01	Vrij	Vrij	Vrij
S43	Slb75 LCS	0,900 6,400	Abso Vanaf begin	Vrij	Verend	6,0000e+00	Verend	6,0000e+00	Vrij	Vrij	Vrij
S43	Slb35 LCS	0,000 0,900	Abso Vanaf begin	Vrij	Verend	1,2000e+00	Verend	1,2000e+00	Vrij	Vrij	Vrij
S43	Slb155 LCS	10,900 12,900	Abso Vanaf begin	Vrij	Verend	7,2000e+00	Verend	7,2000e+00	Vrij	Vrij	Vrij
S44	Slb196 LCS	12,900 22,000	Abso Vanaf begin	Vrij	Verend	1,4400e+01	Verend	1,4400e+01	Vrij	Vrij	Vrij
S44	Slb36 LCS	0,000 0,900	Abso Vanaf begin	Vrij	Verend	1,2000e+00	Verend	1,2000e+00	Vrij	Vrij	Vrij
S44	Slb156 LCS	10,900 12,900	Abso Vanaf begin	Vrij	Verend	7,2000e+00	Verend	7,2000e+00	Vrij	Vrij	Vrij
S44	Slb76 LCS	0,900 6,400	Abso Vanaf begin	Vrij	Verend	6,0000e+00	Verend	6,0000e+00	Vrij	Vrij	Vrij
S44	Slb116 LCS	6,400 10,900	Abso Vanaf begin	Vrij	Verend	1,2000e+00	Verend	1,2000e+00	Vrij	Vrij	Vrij
S45	Slb37 LCS	0,000 0,900	Abso Vanaf begin	Vrij	Verend	1,2000e+00	Verend	1,2000e+00	Vrij	Vrij	Vrij
S45	Slb197 LCS	12,900 22,000	Abso Vanaf begin	Vrij	Verend	1,4400e+01	Verend	1,4400e+01	Vrij	Vrij	Vrij
S45	Slb157 LCS	10,900 12,900	Abso Vanaf begin	Vrij	Verend	7,2000e+00	Verend	7,2000e+00	Vrij	Vrij	Vrij
S45	Slb77 LCS	0,900 6,400	Abso Vanaf begin	Vrij	Verend	6,0000e+00	Verend	6,0000e+00	Vrij	Vrij	Vrij
S45	Slb117 LCS	6,400 10,900	Abso Vanaf begin	Vrij	Verend	1,2000e+00	Verend	1,2000e+00	Vrij	Vrij	Vrij
S46	Slb78 LCS	0,900 6,400	Abso Vanaf begin	Vrij	Verend	6,0000e+00	Verend	6,0000e+00	Vrij	Vrij	Vrij
S46	Slb158 LCS	10,900 12,900	Abso Vanaf begin	Vrij	Verend	7,2000e+00	Verend	7,2000e+00	Vrij	Vrij	Vrij
S46	Slb198 LCS	12,900 22,000	Abso Vanaf begin	Vrij	Verend	1,4400e+01	Verend	1,4400e+01	Vrij	Vrij	Vrij
S46	Slb38 LCS	0,000 0,900	Abso Vanaf begin	Vrij	Verend	1,2000e+00	Verend	1,2000e+00	Vrij	Vrij	Vrij
S46	Slb118 LCS	6,400 10,900	Abso Vanaf begin	Vrij	Verend	1,2000e+00	Verend	1,2000e+00	Vrij	Vrij	Vrij
S47	Slb199 LCS	12,900 22,000	Abso Vanaf begin	Vrij	Verend	1,4400e+01	Verend	1,4400e+01	Vrij	Vrij	Vrij
S47	Slb119 LCS	6,400 10,900	Abso Vanaf begin	Vrij	Verend	1,2000e+00	Verend	1,2000e+00	Vrij	Vrij	Vrij
S47	Slb39 LCS	0,000 0,900	Abso Vanaf begin	Vrij	Verend	1,2000e+00	Verend	1,2000e+00	Vrij	Vrij	Vrij
S47	Slb79 LCS	0,900 6,400	Abso Vanaf begin	Vrij	Verend	6,0000e+00	Verend	6,0000e+00	Vrij	Vrij	Vrij
S47	Slb159 LCS	10,900 12,900	Abso Vanaf begin	Vrij	Verend	7,2000e+00	Verend	7,2000e+00	Vrij	Vrij	Vrij

Staaf	Naam Systeem	Pos x_1 [m] Pos x_2 [m]	Coör Oors	X	Y	Stijfheid Y [MN/m²]	Z	Stijfheid Z [MN/m²]	Rx	Ry	Rz
S48	Slb200 LCS	12,900 22,000	Abso Vanaf begin	Vrij	Verend	1,4400e+01	Verend	1,4400e+01	Vrij	Vrij	Vrij
S48	Slb120 LCS	6,400 10,900	Abso Vanaf begin	Vrij	Verend	1,2000e+00	Verend	1,2000e+00	Vrij	Vrij	Vrij
S48	Slb80 LCS	0,900 6,400	Abso Vanaf begin	Vrij	Verend	6,0000e+00	Verend	6,0000e+00	Vrij	Vrij	Vrij
S48	Slb40 LCS	0,000 0,900	Abso Vanaf begin	Vrij	Verend	1,2000e+00	Verend	1,2000e+00	Vrij	Vrij	Vrij
S48	Slb160 LCS	10,900 12,900	Abso Vanaf begin	Vrij	Verend	7,2000e+00	Verend	7,2000e+00	Vrij	Vrij	Vrij

11. Belastingsgevallen

11.1. Belastingsgevallen - BG1

Naam	Omschrijving	Actie type	Lastgroep	Belastingtype	Richting
BG1	Eigengewicht	Permanent	LG8	Eigen gewicht	-Z

11.1.1. Belasting grafisch

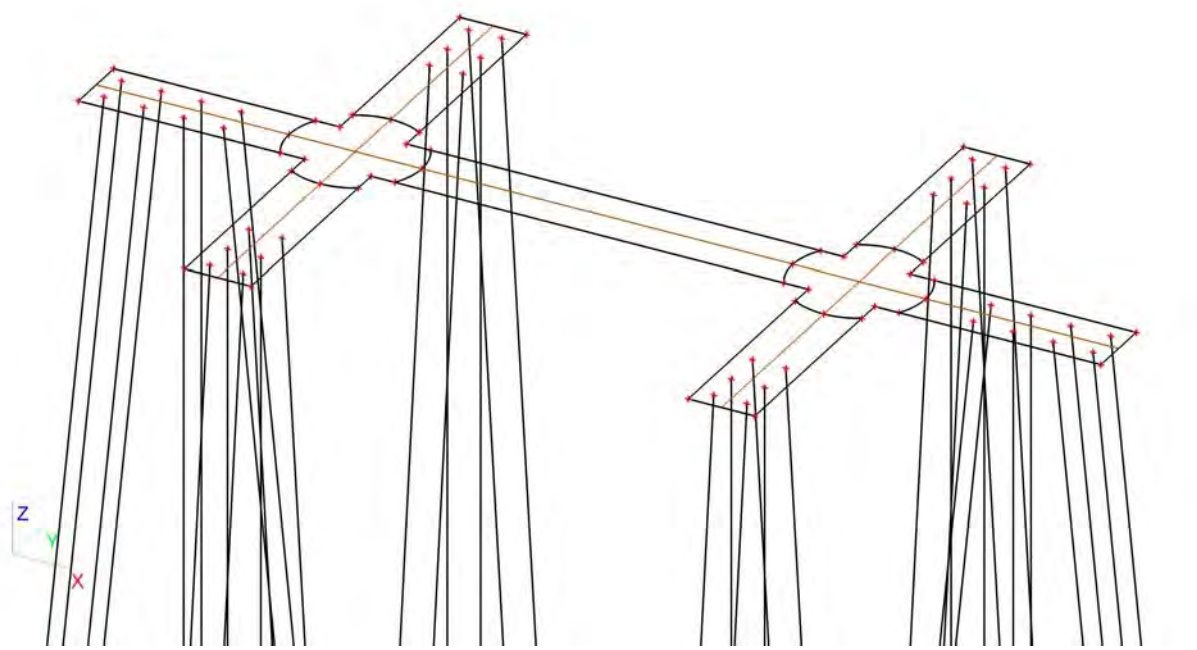

11.2. Belastingsgevallen - BG2

Naam	Omschrijving	Actie type	Lastgroep	Belastingtype
BG2	Grond	Permanent	LG1	Standaard

11.2.1. Vrije oppervlakte last

Naam	Belastingsgeval	Rich	Type	Verdeling	q [kN/m²]	Geldigheid	Selecteer	Systeem	Locatie
FF1	BG2 - Grond	Z	Kracht	Gelijkmatig	-25,50	Alle	Auto	GCS	Lengte
FF2	BG2 - Grond	Z	Kracht	Gelijkmatig	-25,50	Alle	Auto	GCS	Lengte
FF3	BG2 - Grond	Z	Kracht	Gelijkmatig	-25,50	Alle	Auto	GCS	Lengte
FF4	BG2 - Grond	Z	Kracht	Gelijkmatig	-25,50	Alle	Auto	GCS	Lengte
FF5	BG2 - Grond	Z	Kracht	Gelijkmatig	-25,50	Alle	Auto	GCS	Lengte
FF6	BG2 - Grond	Z	Kracht	Gelijkmatig	-25,50	Alle	Auto	GCS	Lengte
FF7	BG2 - Grond	Z	Kracht	Gelijkmatig	-25,50	Alle	Auto	GCS	Lengte

11.2.2. Genereer vrije lasten

Naam	Belastingsgeval	2D-element	Rich Verdeling	Belastingstype Type	Oorspronkelijke belasting	q [kN/m²]	Systeem Locatie
GFF43	BG2 - Grond	E1	Z Gelijkmatig	Oppervlak Kracht	FF1	-25,50	GCS Lengte
GFF44	BG2 - Grond	E1	Z Gelijkmatig	Oppervlak Kracht	FF2	-25,50	GCS Lengte
GFF45	BG2 - Grond	E1	Z Gelijkmatig	Oppervlak Kracht	FF3	-25,50	GCS Lengte
GFF46	BG2 - Grond	E1	Z Gelijkmatig	Oppervlak Kracht	FF4	-25,50	GCS Lengte
GFF47	BG2 - Grond	E1	Z Gelijkmatig	Oppervlak Kracht	FF5	-25,50	GCS Lengte
GFF48	BG2 - Grond	E1	Z Gelijkmatig	Oppervlak Kracht	FF6	-25,50	GCS Lengte
GFF49	BG2 - Grond	E1	Z Gelijkmatig	Oppervlak Kracht	FF7	-25,50	GCS Lengte

11.2.3. Belasting grafisch

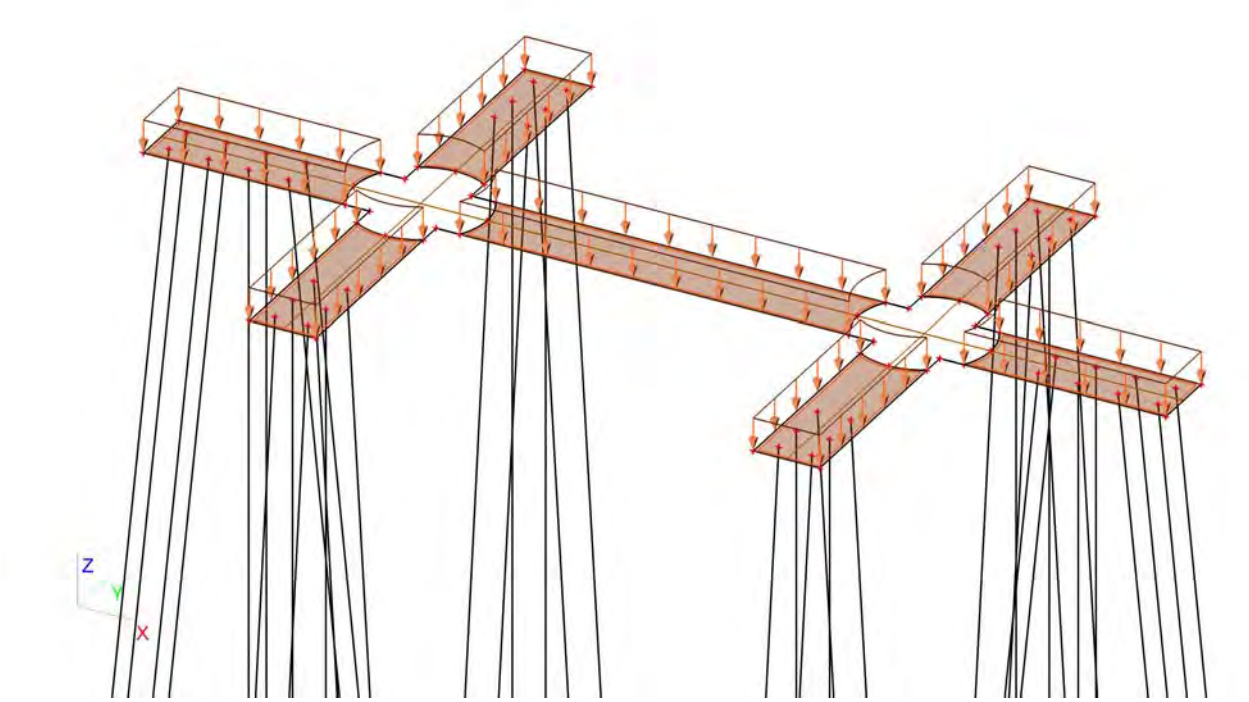

11.3. Belastingsgevallen - BG3

Naam	Omschrijving	Actie type	Lastgroep	Belastingtype	Spec	Duur	'Master' belastingsgeval
BG3	ULS 1	Variabel	LG7	Statisch	Standaard	Kort	Geen

11.3.1. Vrije puntmomenten

Typenaam	Naam	Rich	Type	Geldigheid	Selecteer	Waarde - F [kNm]	Belastingsgeval	Coördinaat X [m]	Coördinaat Y [m]	Coördinaat Z [m]	Coördinaat ux [m]	Coördinaat uy [m]	Coördinaat uz [m]	Systeem
Vrij puntmoment	FM1	Mx	Moment	Alle	Auto	-16697,00	BG3 - ULS 1	7,800	1,000	0,000	7,800	1,000	0,000	GCS
Vrij puntmoment	FM2	Mx	Moment	Alle	Auto	-16697,00	BG3 - ULS 1	22,950	1,000	0,000	7,800	1,000	0,000	GCS
Vrij puntmoment	FM3	My	Moment	Alle	Auto	31259,00	BG3 - ULS 1	7,800	1,000	0,000	7,800	1,000	0,000	GCS
Vrij puntmoment	FM4	My	Moment	Alle	Auto	31259,00	BG3 - ULS 1	22,950	1,000	0,000	22,950	1,000	0,000	GCS
Vrij puntmoment	FM5	Mx	Moment	Alle	Auto	1111,80	BG3 - ULS 1	7,800	1,000	0,000	7,800	1,000	0,000	GCS
Vrij puntmoment	FM6	Mx	Moment	Alle	Auto	1111,80	BG3 - ULS 1	22,950	1,000	0,000	22,950	1,000	0,000	GCS
Vrij puntmoment	FM7	My	Moment	Alle	Auto	2037,45	BG3 - ULS 1	7,800	1,000	0,000	6,800	1,000	0,000	GCS
Vrij puntmoment	FM8	My	Moment	Alle	Auto	2037,45	BG3 - ULS 1	22,950	1,000	0,000	21,950	1,000	0,000	GCS

11.3.2. Genereer vrije lasten

Naam	Belastingsgeval	2D-element	Rich	Belastingstype Type	Oorspronkelijke belasting	Waarde - F [kN] Waarde - F [kNm]	Systeem Locatie
GFF1	BG3 - ULS 1	E1	Z	Punt Kracht	FF1	-749,00	GCS Lengte
GFF2	BG3 - ULS 1	E1	My	Punt Moment	FM7	2037,45	GCS Lengte
GFF4	BG3 - ULS 1	E1	Z	Punt Kracht	FF2	-749,00	GCS Lengte
GFF7	BG3 - ULS 1	E1	Y	Punt Kracht	FF3	436,00	GCS Lengte
GFF8	BG3 - ULS 1	E1	Y	Punt Kracht	FF4	436,00	GCS Lengte
GFF9	BG3 - ULS 1	E1	X	Punt Kracht	FF5	799,00	GCS Lengte
GFF10	BG3 - ULS 1	E1	My	Punt Moment	FM8	2037,45	GCS Lengte
GFF11	BG3 - ULS 1	E1	X	Punt Kracht	FF6	799,00	GCS Lengte
GFF50	BG3 - ULS 1	E1	Mx	Punt Moment	FM1	-16697,00	GCS Lengte
GFF51	BG3 - ULS 1	E1	Mx	Punt Moment	FM2	-16697,00	GCS Lengte
GFF52	BG3 - ULS 1	E1	My	Punt Moment	FM3	31259,00	GCS Lengte
GFF53	BG3 - ULS 1	E1	My	Punt Moment	FM4	31259,00	GCS Lengte
GFF54	BG3 - ULS 1	E1	Mx	Punt Moment	FM5	1111,80	GCS Lengte
GFF55	BG3 - ULS 1	E1	Mx	Punt Moment	FM6	1111,80	GCS Lengte

11.3.3. Belasting grafisch

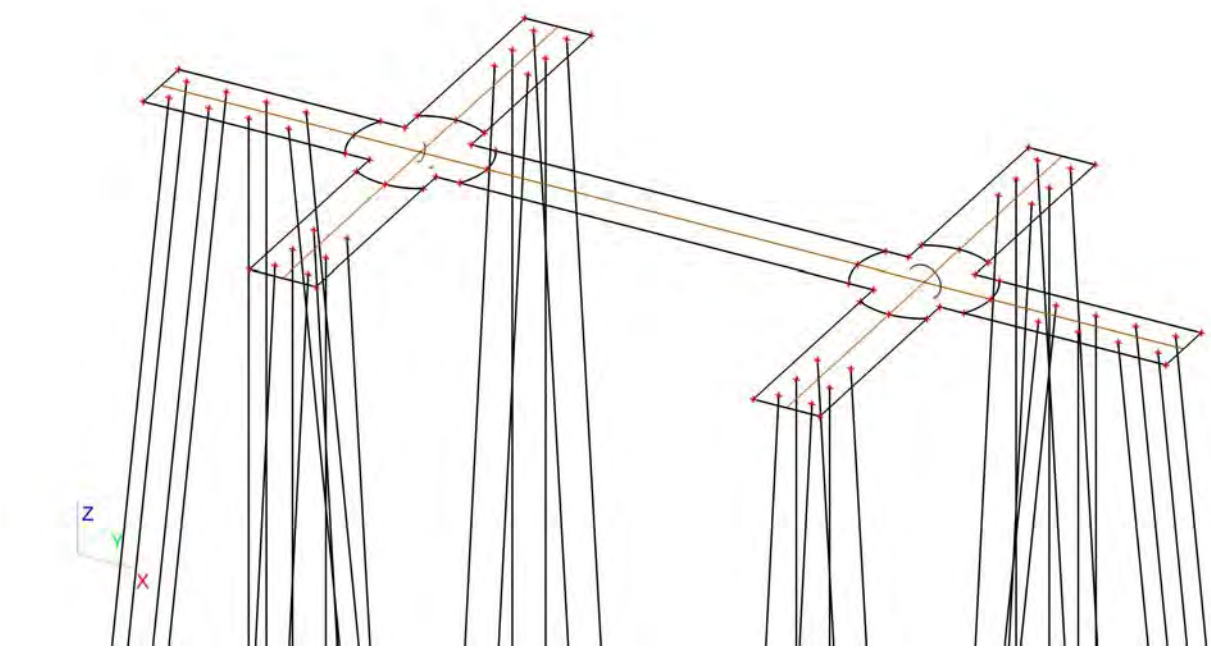

11.4. Belastingsgevallen - BG4

Naam	Omschrijving	Actie type	Lastgroep	Belastingtype	Spec	Duur	'Master' belastingsgeval
BG4	ULS 2	Variabel	LG9	Statisch	Standaard	Kort	Geen

11.4.1. Vrije puntmomenten

Typenaam	Naam	Rich	Type	Geldigheid	Selecteer	Waarde - F [kNm]	Belastingsgeval	Coördinaat X [m]	Coördinaat Y [m]	Coördinaat Z [m]	Coördinaat ux [m]	Coördinaat uy [m]	Coördinaat uz [m]	Systeem
Vrij puntmoment	FM9	Mx	Moment	Alle	Auto	-43362,00	BG4 - ULS 2	7,800	1,000	0,000	6,800	1,000	0,000	GCS
Vrij puntmoment	FM10	Mx	Moment	Alle	Auto	-43362,00	BG4 - ULS 2	22,950	1,000	0,000	21,950	1,000	0,000	GCS
Vrij puntmoment	FM11	My	Moment	Alle	Auto	18257,00	BG4 - ULS 2	7,800	1,000	0,000	6,800	1,000	0,000	GCS
Vrij puntmoment	FM12	My	Moment	Alle	Auto	18257,00	BG4 - ULS 2	22,950	1,000	0,000	21,950	1,000	0,000	GCS
Vrij puntmoment	FM13	Mx	Moment	Alle	Auto	2425,05	BG4 - ULS 2	7,800	1,000	0,000	6,800	1,000	0,000	GCS
Vrij puntmoment	FM14	Mx	Moment	Alle	Auto	2425,05	BG4 - ULS 2	22,950	1,000	0,000	21,950	1,000	0,000	GCS
Vrij puntmoment	FM15	My	Moment	Alle	Auto	1058,25	BG4 - ULS 2	7,800	1,000	0,000	6,800	1,000	0,000	GCS
Vrij puntmoment	FM16	My	Moment	Alle	Auto	1058,25	BG4 - ULS 2	22,950	1,000	0,000	21,950	1,000	0,000	GCS

11.4.2. Genereer vrije lasten

Naam	Belastingsgeval	2D-element	Rich	Belastingstype Type	Oorspronkelijke belasting	Waarde - F [kN] Waarde - F [kNm]	Systeem Locatie
GFF3	BG4 - ULS 2	E1	Z	Punt Kracht	FF8	-1190,00	GCS Lengte
GFF5	BG4 - ULS 2	E1	My	Punt Moment	FM12	18257,00	GCS Lengte
GFF6	BG4 - ULS 2	E1	Y	Punt Kracht	FF9	951,00	GCS Lengte
GFF12	BG4 - ULS 2	E1	Mx	Punt Moment	FM9	-43362,00	GCS Lengte
GFF13	BG4 - ULS 2	E1	Z	Punt Kracht	FF7	-1190,00	GCS Lengte
GFF14	BG4 - ULS 2	E1	Y	Punt Kracht	FF10	951,00	GCS Lengte
GFF15	BG4 - ULS 2	E1	X	Punt Kracht	FF11	415,00	GCS Lengte
GFF17	BG4 - ULS 2	E1	X	Punt Kracht	FF12	415,00	GCS Lengte
GFF32	BG4 - ULS 2	E1	Mx	Punt Moment	FM14	2425,05	GCS Lengte
GFF34	BG4 - ULS 2	E1	My	Punt Moment	FM15	1058,25	GCS Lengte
GFF39	BG4 - ULS 2	E1	Mx	Punt Moment	FM10	-43362,00	GCS Lengte
GFF41	BG4 - ULS 2	E1	My	Punt Moment	FM11	18257,00	GCS Lengte
GFF56	BG4 - ULS 2	E1	Mx	Punt Moment	FM13	2425,05	GCS Lengte
GFF57	BG4 - ULS 2	E1	My	Punt Moment	FM16	1058,25	GCS Lengte

11.4.3. Belasting grafisch

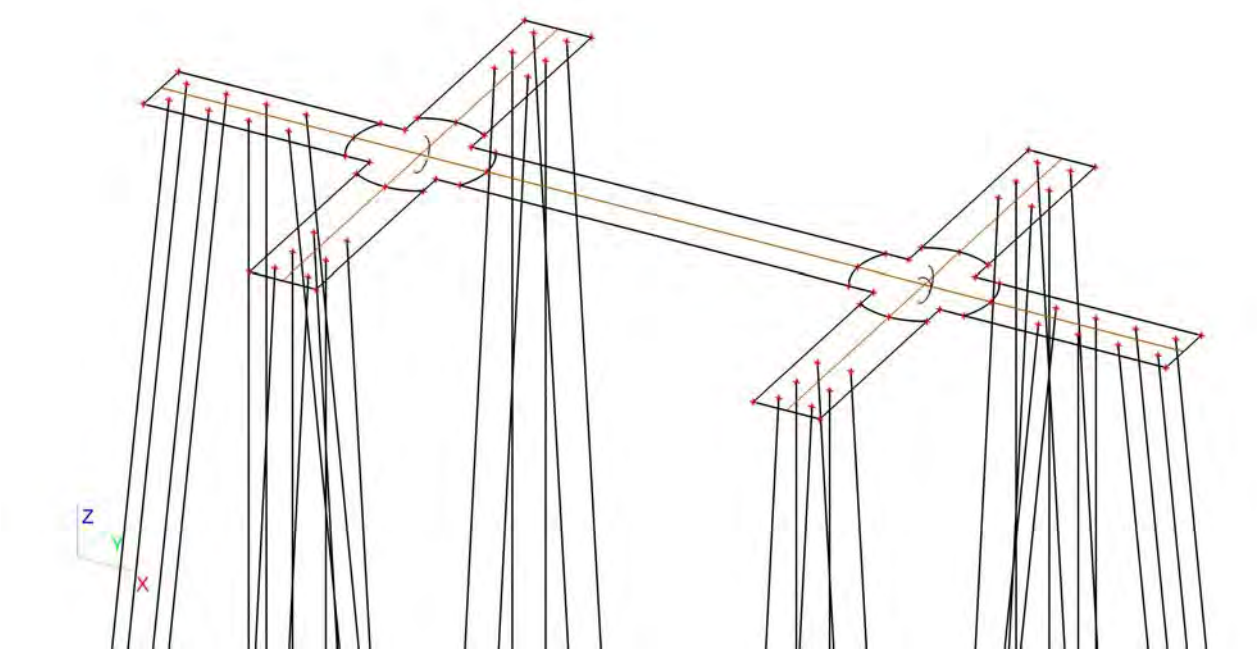

11.5. Belastingsgevallen - BG5

Naam	Omschrijving	Actie type	Lastgroep	Belastingtype	Spec	Duur	'Master' belastingsgeval
BG5	SLS 1	Variabel	LG9	Statisch	Standaard	Kort	Geen

11.5.1. Vrije puntmomenten

Typenaam	Naam	Rich	Type	Geldigheid	Selecteer	Waarde - F [kNm]	Belastingsgeval	Coördinaat X [m]	Coördinaat Y [m]	Coördinaat Z [m]	Coördinaat ux [m]	Coördinaat uy [m]	Coördinaat uz [m]	Systeem
Vrij puntmoment	FM17	Mx	Moment	Alle	Auto	-9556,00	BG5 - SLS 1	7,800	1,000	0,000	6,800	1,000	0,000	GCS
Vrij puntmoment	FM18	Mx	Moment	Alle	Auto	-9556,00	BG5 - SLS 1	22,950	1,000	0,000	6,800	1,000	0,000	GCS
Vrij puntmoment	FM19	My	Moment	Alle	Auto	27308,00	BG5 - SLS 1	7,800	1,000	0,000	6,800	1,000	0,000	GCS
Vrij puntmoment	FM20	My	Moment	Alle	Auto	27308,00	BG5 - SLS 1	22,950	1,000	0,000	21,950	1,000	0,000	GCS
Vrij puntmoment	FM21	Mx	Moment	Alle	Auto	660,45	BG5 - SLS 1	7,800	1,000	0,000	6,800	1,000	0,000	GCS
Vrij puntmoment	FM22	Mx	Moment	Alle	Auto	660,45	BG5 - SLS 1	22,950	1,000	0,000	21,950	1,000	0,000	GCS
Vrij puntmoment	FM23	My	Moment	Alle	Auto	660,45	BG5 - SLS 1	7,800	1,000	0,000	5,800	1,000	0,000	GCS
Vrij puntmoment	FM24	My	Moment	Alle	Auto	660,45	BG5 - SLS 1	22,950	1,000	0,000	20,950	1,000	0,000	GCS
Vrij puntmoment	FM29	Mx	Moment	Alle	Auto	196,35	BG5 - SLS 1	7,800	1,000	0,000	5,800	1,000	0,000	GCS
Vrij puntmoment	FM30	Mx	Moment	Alle	Auto	196,35	BG5 - SLS 1	22,950	1,000	0,000	20,950	1,000	0,000	GCS
Vrij puntmoment	FM31	My	Moment	Alle	Auto	2374,05	BG5 - SLS 1	7,800	1,000	0,000	5,800	1,000	0,000	GCS
Vrij puntmoment	FM32	My	Moment	Alle	Auto	2374,05	BG5 - SLS 1	22,950	1,000	0,000	20,950	1,000	0,000	GCS

11.5.2. Genereer vrije lasten

Naam	Belastingsgeval	2D-element	Rich	Belastingstype Type	Oorspronkelijke belasting	Waarde - F [kN] Waarde - F [kNm]	Systeem Locatie
GFF16	BG5 - SLS 1	E1	Mx	Punt Moment	FM22	 660,45	GCS Lengte
GFF18	BG5 - SLS 1	E1	My	Punt Moment	FM23	 660,45	GCS Lengte
GFF19	BG5 - SLS 1	E1	Z	Punt Kracht	FF13	-832,00	GCS Lengte
GFF21	BG5 - SLS 1	E1	Z	Punt Kracht	FF14	-832,00	GCS Lengte
GFF22	BG5 - SLS 1	E1	Mx	Punt Moment	FM29	 196,35	GCS Lengte
GFF23	BG5 - SLS 1	E1	Y	Punt Kracht	FF15	259,00	GCS Lengte
GFF24	BG5 - SLS 1	E1	Mx	Punt Moment	FM18	 -9556,00	GCS Lengte
GFF25	BG5 - SLS 1	E1	Y	Punt Kracht	FF16	259,00	GCS Lengte

Naam	Belastingsgeval	2D-element	Rich	Belastingstype Type	Oorspronkelijke belasting	Waarde - F [kN] Waarde - F [kNm]	Systeem Locatie
GFF26	BG5 - SLS 1	E1	My	Punt Moment	FM19	 27308,00	GCS Lengte
GFF27	BG5 - SLS 1	E1	X	Punt Kracht	FF17	700,00	GCS Lengte
GFF28	BG5 - SLS 1	E1	My	Punt Moment	FM24	 660,45	GCS Lengte
GFF29	BG5 - SLS 1	E1	X	Punt Kracht	FF18	700,00	GCS Lengte
GFF36	BG5 - SLS 1	E1	My	Punt Moment	FM20	 27308,00	GCS Lengte
GFF38	BG5 - SLS 1	E1	Mx	Punt Moment	FM21	 660,45	GCS Lengte
GFF58	BG5 - SLS 1	E1	Mx	Punt Moment	FM17	 -9556,00	GCS Lengte
GFF61	BG5 - SLS 1	E1	Mx	Punt Moment	FM30	 196,35	GCS Lengte
GFF62	BG5 - SLS 1	E1	My	Punt Moment	FM31	 2374,05	GCS Lengte
GFF63	BG5 - SLS 1	E1	My	Punt Moment	FM32	 2374,05	GCS Lengte

11.5.3. Belasting grafisch

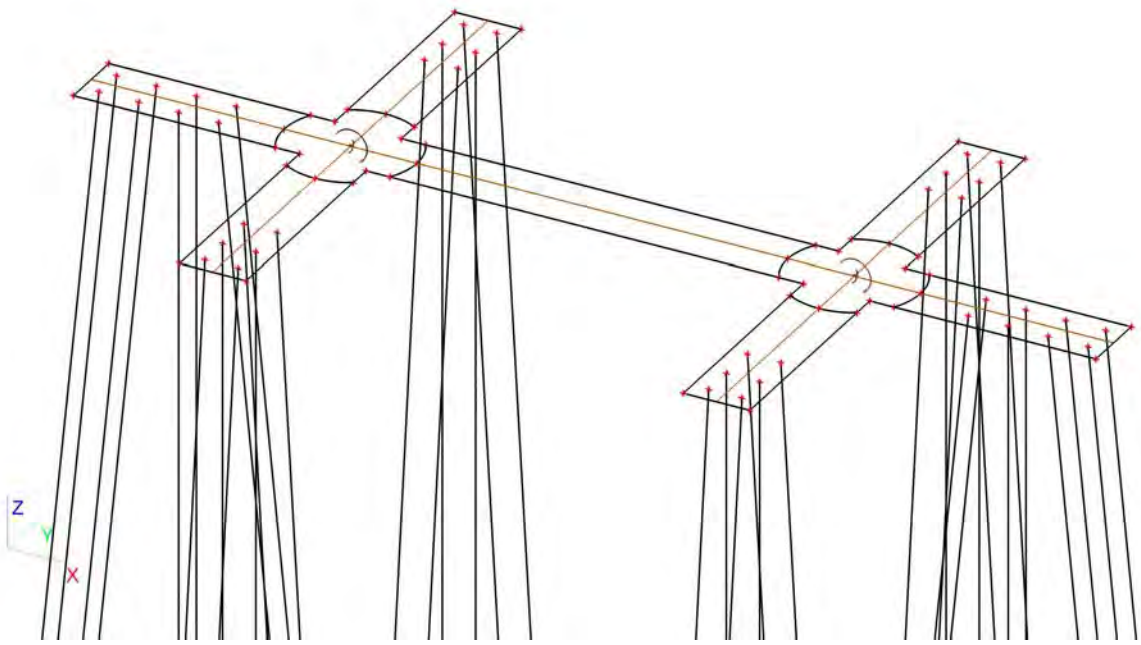

11.6. Belastingsgevallen - BG6

Naam	Omschrijving	Actie type	Lastgroep	Belastingtype	Spec	Duur	'Master' belastingsgeval
BG6	SLS 2	Variabel	LG9	Statisch	Standaard	Kort	Geen

11.6.1. Vrije puntmomenten

Typenaam	Naam	Rich	Type	Geldigheid	Selecteer	Waarde - F [kNm]	Belastingsgeval	Coördinaat X [m]	Coördinaat Y [m]	Coördinaat Z [m]	Coördinaat ux [m]	Coördinaat uy [m]	Coördinaat uz [m]	Systeem
Vrij puntmoment	FM25	Mx	Moment	Alle	Auto	-2098,00	BG6 - SLS 2	7,800	1,000	0,000	5,800	1,000	0,000	GCS
Vrij puntmoment	FM26	Mx	Moment	Alle	Auto	-2098,00	BG6 - SLS 2	22,950	1,000	0,000	20,950	1,000	0,000	GCS
Vrij puntmoment	FM27	My	Moment	Alle	Auto	36338,00	BG6 - SLS 2	7,800	1,000	0,000	5,800	1,000	0,000	GCS
Vrij puntmoment	FM28	My	Moment	Alle	Auto	36338,00	BG6 - SLS 2	22,950	1,000	0,000	20,950	1,000	0,000	GCS

11.6.2. Genereer vrije lasten

Naam	Belastingsgeval	2D-element	Rich	Belastingstype Type	Oorspronkelijke belasting	Waarde - F [kN] Waarde - F [kNm]	Systeem Locatie
GFF20	BG6 - SLS 2	E1	My	Punt Moment	FM28	 36338,00	GCS Lengte
GFF30	BG6 - SLS 2	E1	Mx	Punt Moment	FM25	 -2098,00	GCS Lengte
GFF31	BG6 - SLS 2	E1	Z	Punt Kracht	FF19	-922,00	GCS Lengte
GFF33	BG6 - SLS 2	E1	Z	Punt Kracht	FF20	-922,00	GCS Lengte
GFF35	BG6 - SLS 2	E1	Y	Punt Kracht	FF21	77,00	GCS Lengte
GFF37	BG6 - SLS 2	E1	Y	Punt Kracht	FF22	77,00	GCS Lengte
GFF40	BG6 - SLS 2	E1	X	Punt Kracht	FF23	931,00	GCS Lengte
GFF42	BG6 - SLS 2	E1	X	Punt Kracht	FF24	931,00	GCS Lengte
GFF59	BG6 - SLS 2	E1	Mx	Punt Moment	FM26	 -2098,00	GCS Lengte
GFF60	BG6 - SLS 2	E1	My	Punt Moment	FM27	 36338,00	GCS Lengte

11.6.3. Belasting grafisch

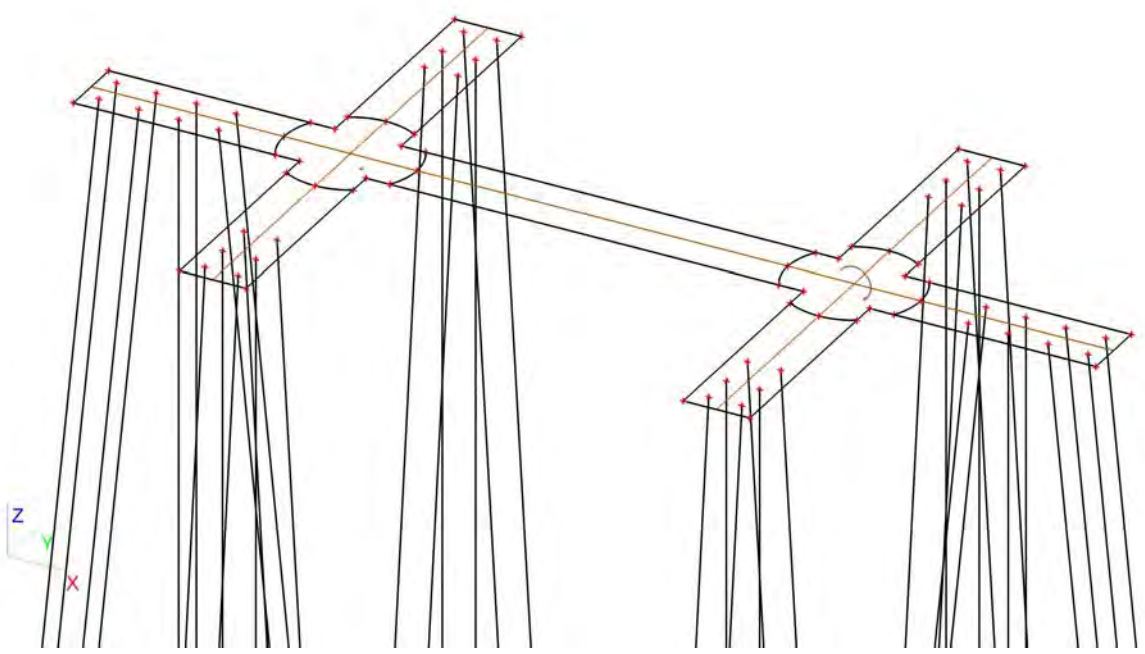

11.7. Belastingsgevallen - BG7

Naam	Omschrijving	Actie type	Lastgroep	Belastingtype	Spec	Duur	'Master' belastingsgeval
BG7	Belasting op maaiveld	Variabel	LG7	Statisch	Standaard	Kort	Geen

11.7.1. Lasten op oppervlak

Naam	Rich	Type	Waarde [kN/m²]	2D-element	Belastingsgeval	Systeem	Loc
SF1	Z	Kracht	-10,00	E1	BG7 - Belasting op maaiveld	LCS	Lengte

11.7.2. Belasting grafisch

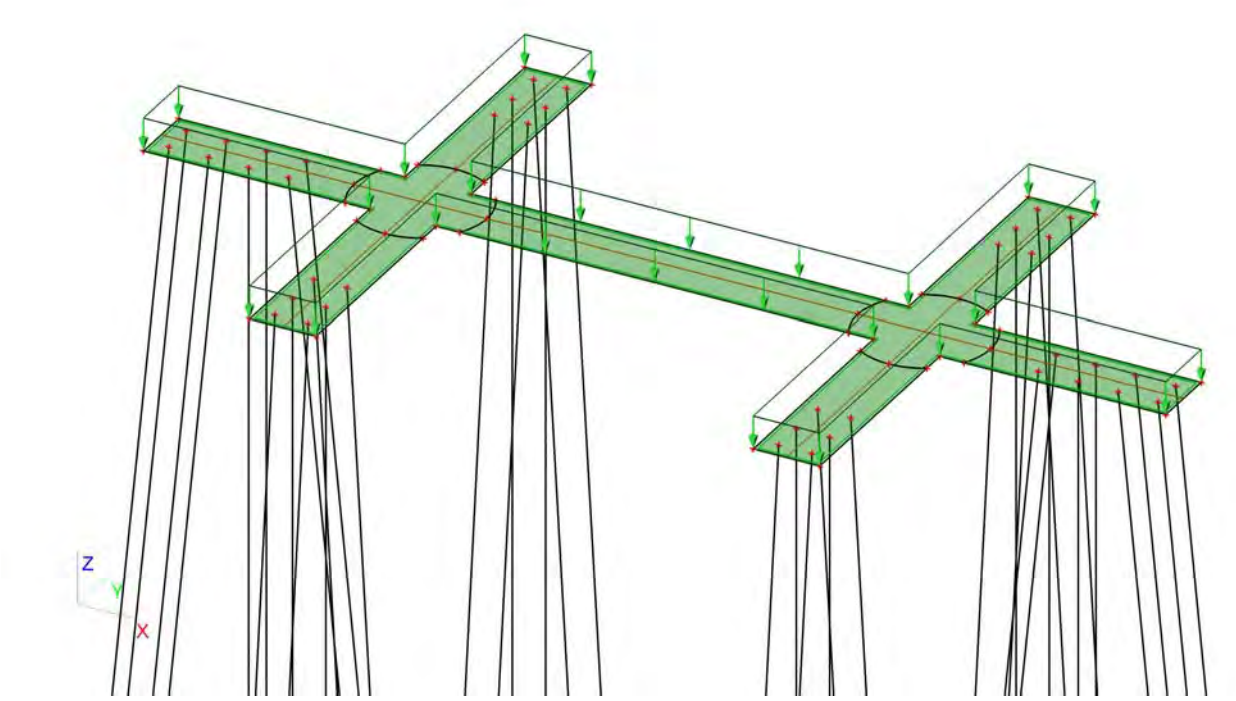

12. Combinaties

Naam	Type	Belastingsgevallen	Coëff. [-]
Combi1	Omhullende - uiterst	BG1 - Eigengewicht	1,30
		BG3 - ULS 1	1,00
		BG7 - Belasting op maaiveld	1,16
		BG2 - Grond	1,30
Combi2	Omhullende - uiterst	BG1 - Eigengewicht	1,30
		BG4 - ULS 2	1,00
		BG7 - Belasting op maaiveld	1,16
		BG2 - Grond	1,30
Combi3	Omhullende - uiterst	BG1 - Eigengewicht	1,30
		BG3 - ULS 1	0,60
		BG7 - Belasting op maaiveld	1,65
		BG2 - Grond	1,30
Combi4	Omhullende - uiterst	BG1 - Eigengewicht	1,30
		BG4 - ULS 2	0,60
		BG7 - Belasting op maaiveld	1,65
		BG2 - Grond	1,30
Combi5	Omhullende - uiterst	BG1 - Eigengewicht	0,54
		BG3 - ULS 1	1,00
		BG2 - Grond	0,54
Combi6	Omhullende - uiterst	BG1 - Eigengewicht	0,54
		BG4 - ULS 2	1,00
		BG2 - Grond	0,54
Combi7	Omhullende - bruikbaarheid	BG1 - Eigengewicht	1,00
		BG5 - SLS 1	1,00
		BG7 - Belasting op maaiveld	1,16
		BG2 - Grond	1,00
Combi8	Omhullende - bruikbaarheid	BG1 - Eigengewicht	1,00
		BG6 - SLS 2	1,00
		BG7 - Belasting op maaiveld	0,70
		BG2 - Grond	1,00
Combi9	Omhullende - bruikbaarheid	BG1 - Eigengewicht	1,00
		BG5 - SLS 1	0,60
		BG7 - Belasting op maaiveld	1,00
		BG2 - Grond	1,00
Combi10	Omhullende -	BG1 - Eigengewicht	1,00
		BG6 - SLS 2	0,60

Naam	Type	Belastingsgevallen	Coëff. [-]
Combi10	Omhullende - bruikbaarheid	BG7 - Belasting op maaiveld	1,00
		BG2 - Grond	1,00
Combi11	Omhullende - bruikbaarheid	BG1 - Eigengewicht	0,60
		BG5 - SLS 1	1,00
		BG2 - Grond	0,60
Combi12	Omhullende - bruikbaarheid	BG1 - Eigengewicht	0,60
		BG6 - SLS 2	1,00
		BG2 - Grond	0,60

13. Verplaatsing van knopen SLS 1

Lineaire berekening, Extreem : Globaal
Selectie : Alle
Belastingsgevallen : BG5

BG	Snede	elem	dx [m]	Ux [mm]	Uy [mm]	Uz [mm]	Fix [mrad]	Fiy [mrad]	Fiz [mrad]
BG5	Snede9	158	0,000	**3,7**	1,4	1,5	-0,2	1,3	-0,1
BG5	Snede3	179	0,000	**4,3**	1,4	-5,3	-0,5	1,6	0,0
BG5	Snede5	131	5,800	4,2	**1,2**	-4,6	-0,5	-0,1	0,0
BG5	Snede3	69	6,239	4,3	**1,5**	-1,4	-0,5	**-1,4**	0,0
BG5	Snede3	74	1,707	4,3	1,5	**-6,4**	-0,5	0,0	0,0
BG5	Snede1	11	0,000	4,2	1,2	**5,0**	-0,5	0,3	0,0
BG5	Snede2	173	2,000	4,0	1,3	-2,0	**-0,6**	**2,0**	0,0
BG5	Snede8	37	5,800	3,9	1,4	-2,4	**0,2**	1,6	0,1
BG5	Snede9	158	1,011	3,8	1,4	1,3	-0,2	1,3	**-0,1**
BG5	Snede8	47	3,576	4,0	1,4	-3,0	0,2	1,6	**0,1**

14. Verplaatsing van knopen SLS 2

Lineaire berekening, Extreem : Globaal
Selectie : Alle
Belastingsgevallen : BG6

BG	Snede	elem	dx [m]	Ux [mm]	Uy [mm]	Uz [mm]	Fix [mrad]	Fiy [mrad]	Fiz [mrad]
BG6	Snede9	158	0,000	**4,9**	0,4	0,1	-0,2	1,6	-0,1
BG6	Snede3	179	0,000	**5,5**	0,4	-6,2	-0,1	1,9	0,0
BG6	Snede5	131	5,800	5,4	**0,3**	-5,6	-0,1	-0,1	0,0
BG6	Snede3	69	6,239	5,5	**0,4**	-1,5	-0,1	**-1,7**	0,0
BG6	Snede3	74	1,707	5,5	0,4	**-7,5**	-0,1	0,0	0,0
BG6	Snede1	11	0,000	5,4	0,3	**6,0**	-0,1	0,4	0,0
BG6	Snede6	87	1,011	5,2	0,4	-0,6	**-0,3**	2,0	-0,1
BG6	Snede8	34	4,731	5,1	0,4	-1,4	**0,3**	2,0	0,1
BG6	Snede2	173	2,000	5,2	0,4	-2,3	-0,1	**2,3**	0,0
BG6	Snede9	158	1,011	5,0	0,4	-0,1	-0,2	1,6	**-0,1**
BG6	Snede11	107	4,731	5,1	0,4	-0,9	0,2	1,6	**0,1**

15. Reacties

Lineaire berekening, Extreem : Globaal
Selectie : Alle
Klasse : UGT

Steunpunt	BG	dx [m]	Rx [kN]	Ry [kN]	Rz [kN]	Mx [kNm]	My [kNm]	Mz [kNm]
Slb174/S14	Combi1/1	21,090	**-30,63**	0,00	-3,06	0,00	0,00	0,00
Slb172/S12	Combi1/1	21,090	**35,11**	0,00	-3,51	0,00	0,00	0,00
Slb200/S48	Combi2/2	21,090	0,02	**-53,95**	-5,39	0,00	0,00	0,00
Slb197/S45	Combi2/2	21,090	0,02	**59,20**	-5,92	0,00	0,00	0,00
Sn9/K81	Combi6/3		0,00	0,00	**-412,82**	0,00	0,00	0,00
Sn18/K138	Combi2/2		0,02	0,01	**1281,78**	0,00	0,00	0,00
Sn1/K48	Combi1/4		0,00	0,00	169,21	**0,00**	**0,00**	**0,00**

16. 2D element - Interne krachten; mxD+

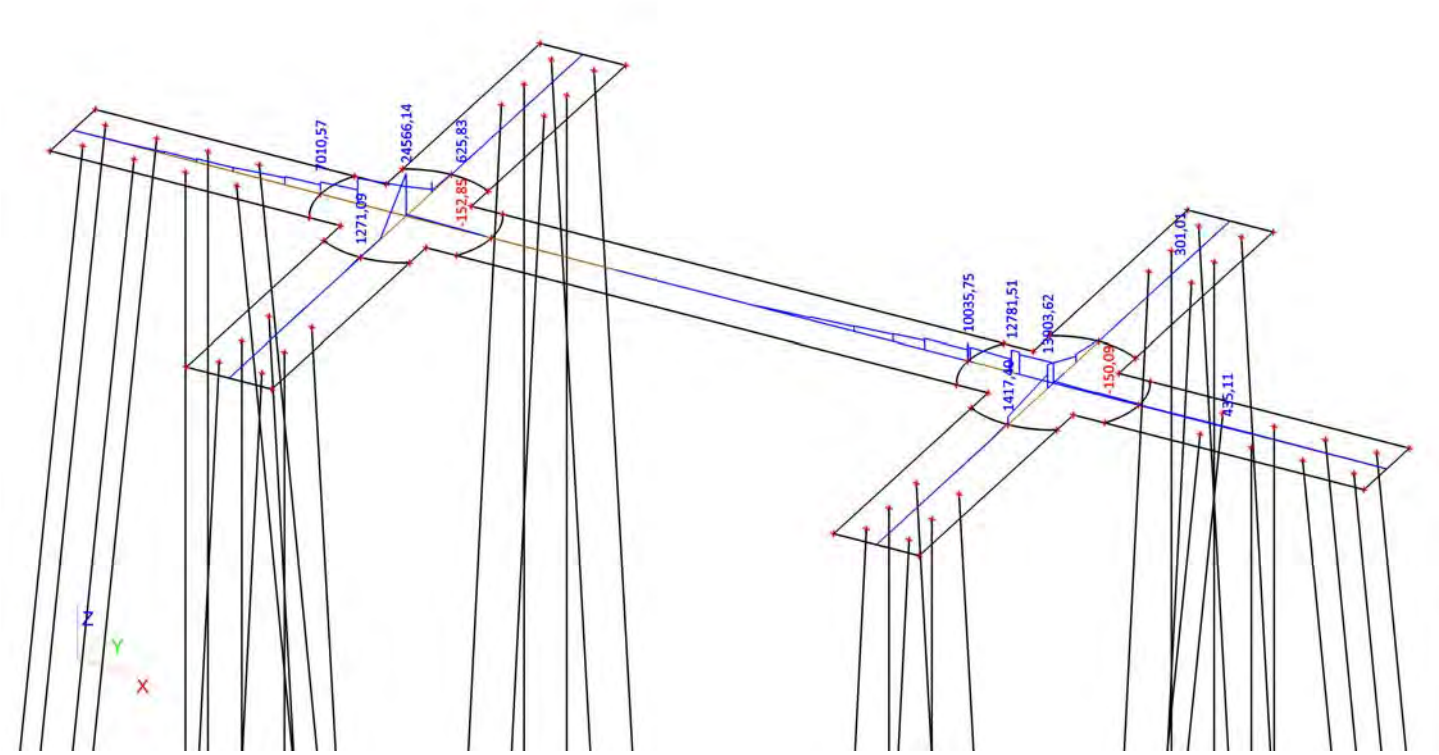

17. 2D element - Interne krachten; mxD-

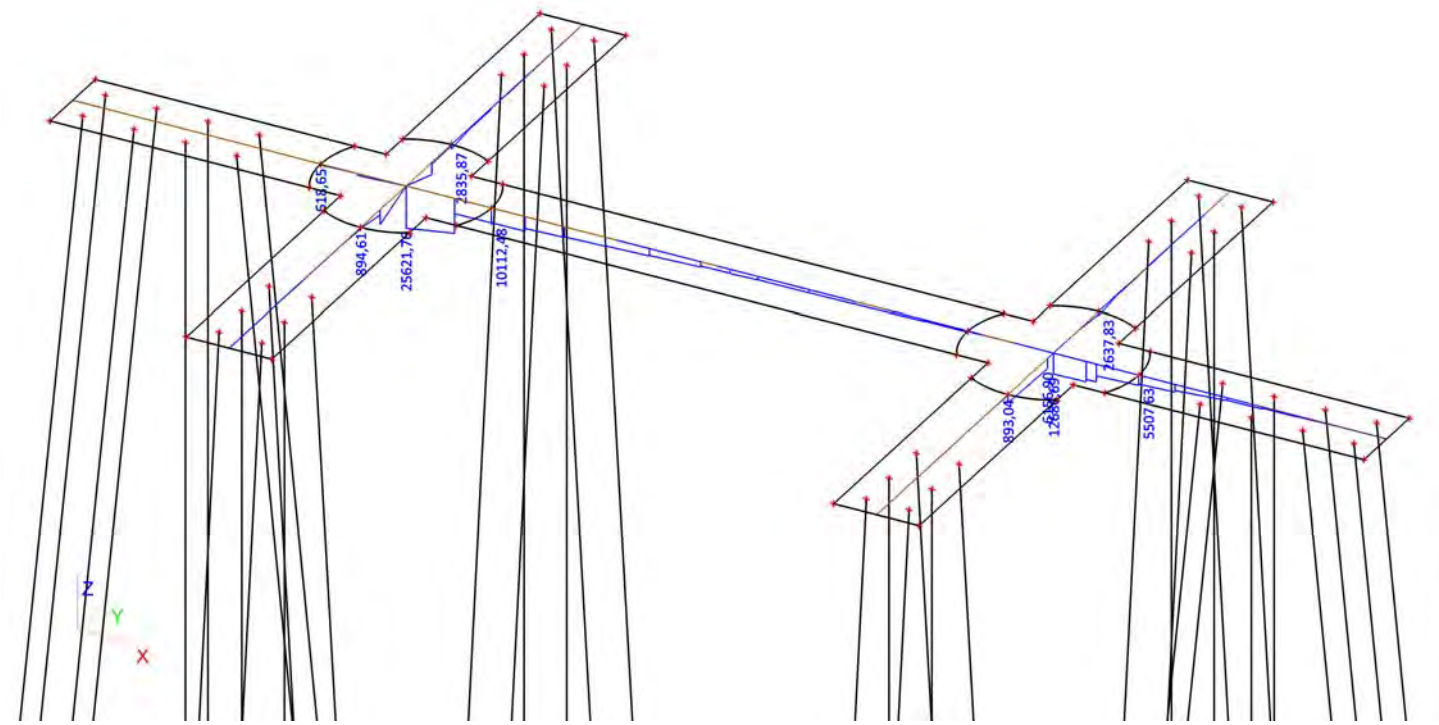

18. 2D element - Interne krachten; myD+

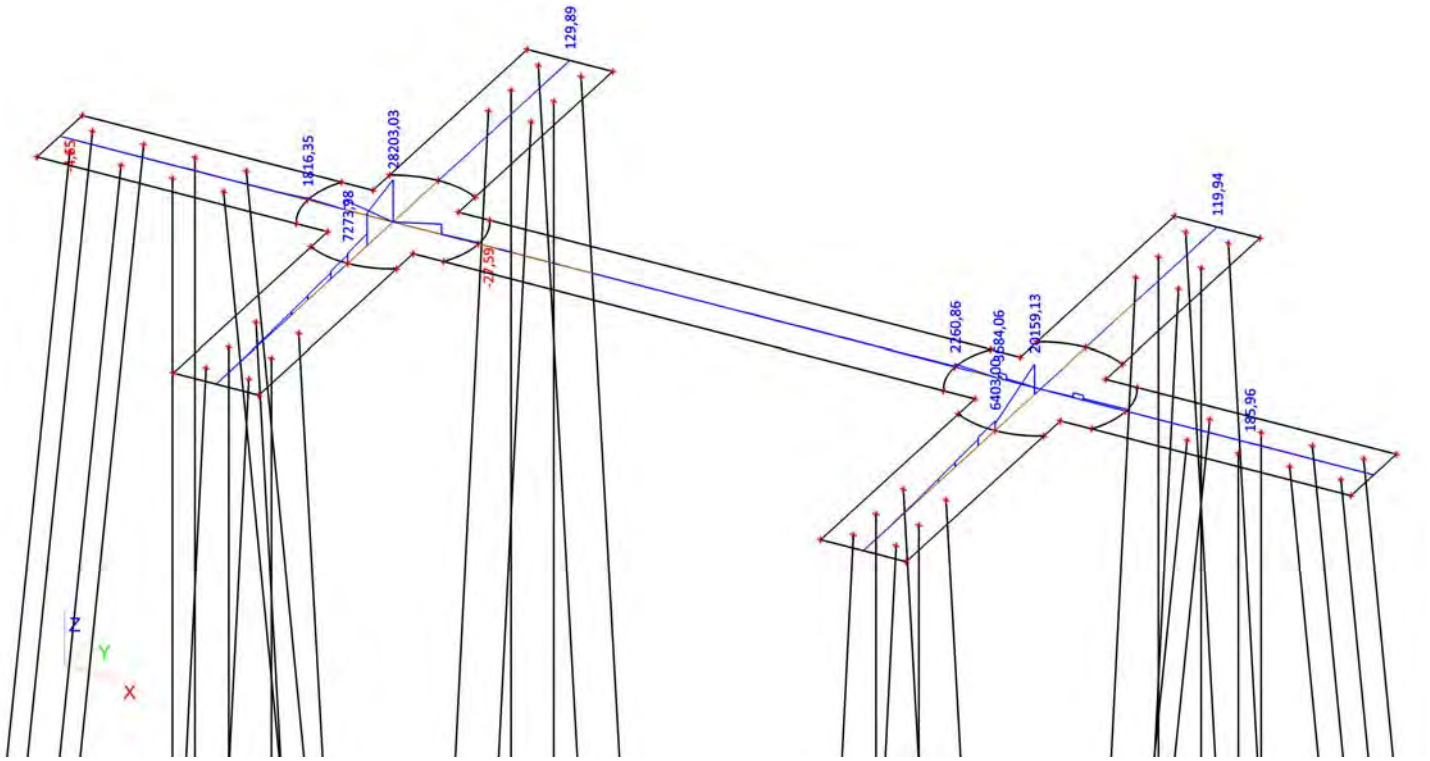

19. 2D element - Interne krachten; myD-

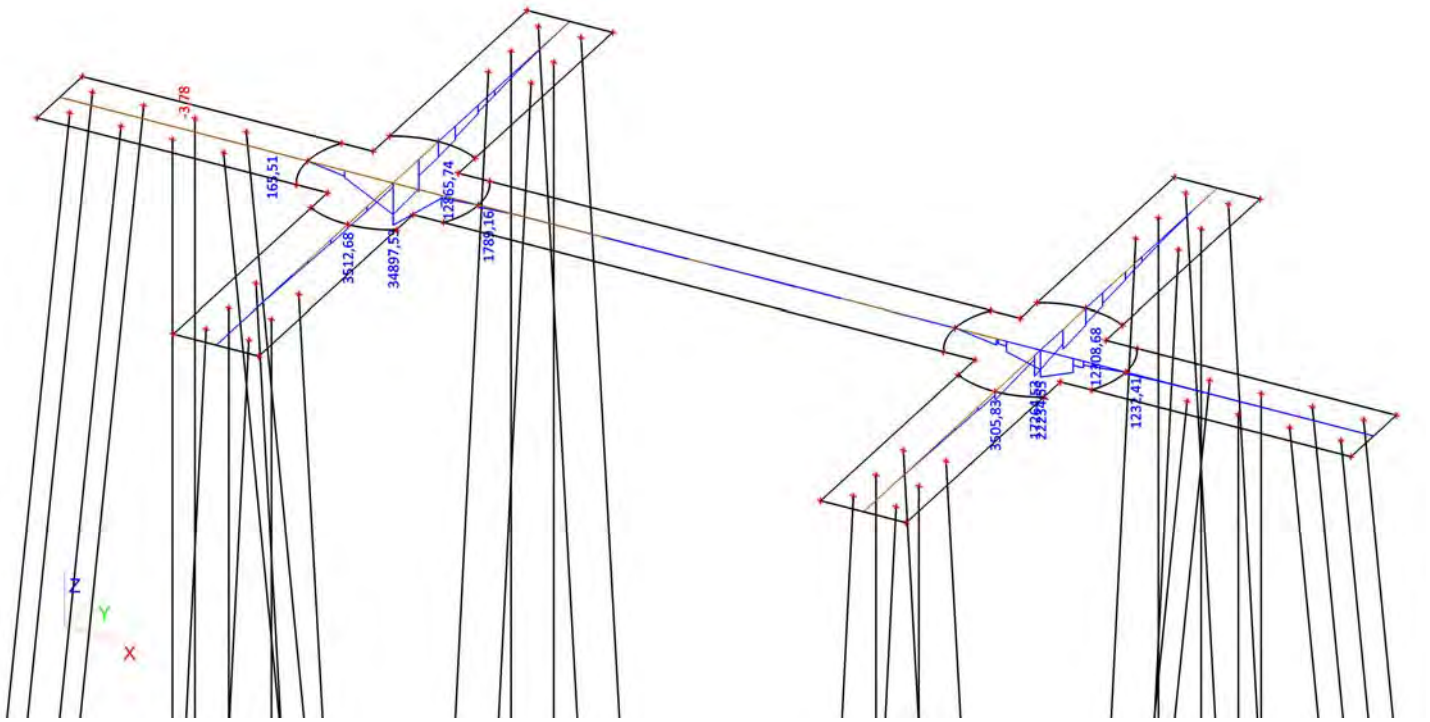

20. 2D element - Interne krachten; vx

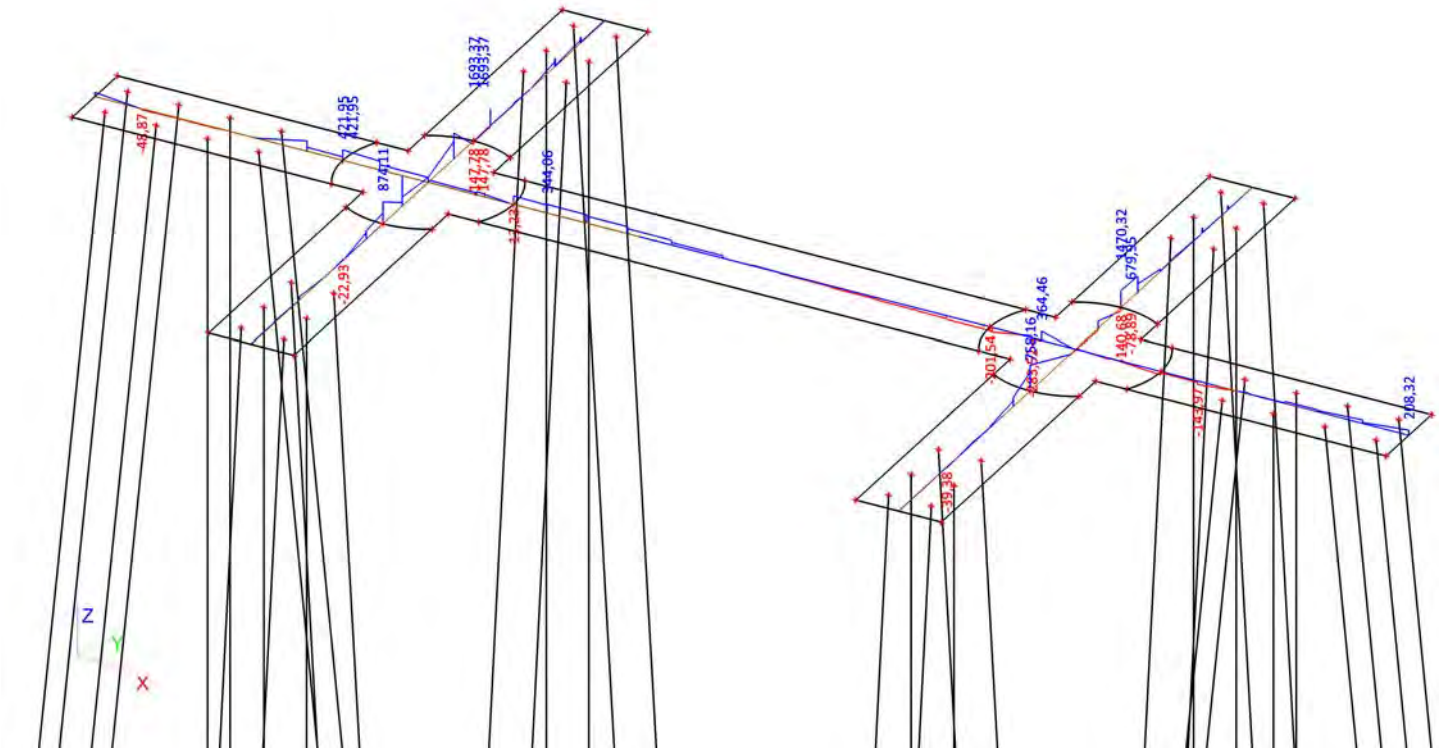

21. 2D element - Interne krachten; vy

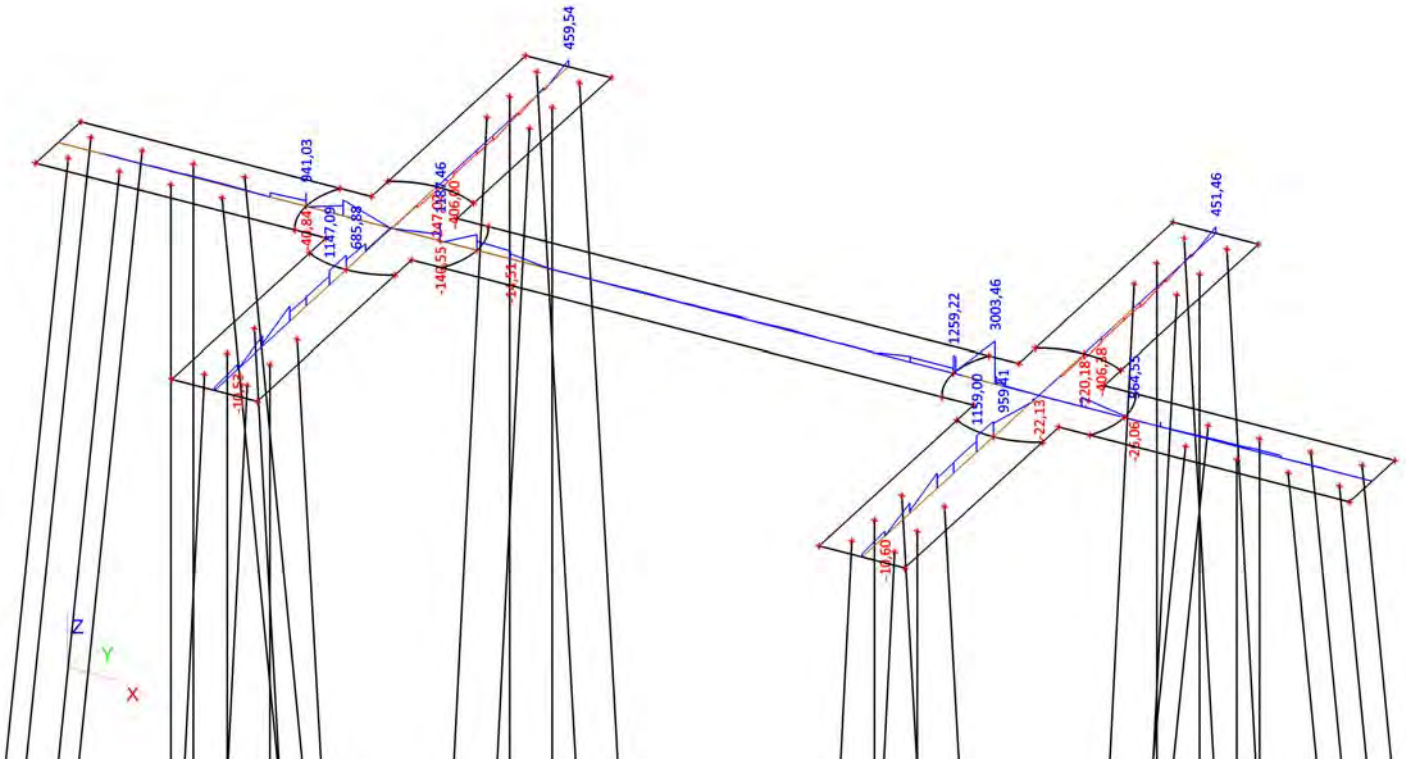

Constructieberekening mastfundatie type F

Project:
Randstad 380 Kv Noordring

Opdrachtgever:
TenneT TSO

Revisie	Datum	Wijzigingen ten opzichte van vorige revisie
00	19-07-2013	Eerste uitgave
01	06-08-2013	Definitief,. Tweede uitgave
02	02-10-2013	T.b.v. 3e uitgave

Documentnummer: R3N-OWR-0007

Opsteller	*Controleur*	*Vrijgever*
A.L.A. van Noort Constructeur	P. de Jager Ontwerpmanager	Arjan Hogenboom Project Manager

Distributie

Naam	Bedrijf
Extern	
Guido Volman	TenneT TSO
Intern	
Arjan Hogenboom	BAM
Pieter de Jager	BAM
Eric van Rooijen	BAM
David van Loenen	BAM
Rob Bakker	BAM
Erwin ten Cate	BAM
Michael Desmet	Fabricom
Hein Pijnappel	Mott MacDonald

Beheer

De documentbeheerder van de combinatie verzorgt de distributie. Alleen houders van een geregistreerde kopie ontvangen automatisch aanvullingen en/of wijzigingen. Het is de verantwoordelijkheid van de houders het document up to date te houden. De laatste versie is altijd beschikbaar in ThinkProject!

Indien documenten worden geprint, geldt het volgende: een geregistreerde kopie is geldig vanaf de datum van uitgifte. Bij uitgifte van een document met een hoger revisienummer verliest de voorgaande versie automatisch haar geldigheid. Kopiehouders dienen het voorblad van een ongeldige versie te markeren met een diagonale lijn samen met de tekst 'vervallen'.

Neem bij twijfel over de geldende versie contact op met de documentbeheerder.

Inhoudsopgave

1. Inleiding *4*
1.1. Overzicht verschillende typen 4
1.1.1. Fundatietype A 5
1.1.2. Fundatietype B 5
1.1.3. Fundatietype C 6
1.1.4. Fundatietype D 6
1.1.5. Fundatietype F 7
1.2. Mastbeeld bij fundatie type F 8
1.3. Gerelateerde documenten 8
1.4. Openstaande punten 9
1.5. Revisiebeheer 9
2. Uitgangspunten en eisen *10*
2.1. Uitgangspunten 10
2.2. Gehanteerde normen 10
2.3. Eisen 10
2.4. Vermoeiing 10
2.5. Materiaalgegevens 10
2.5.1. Betonkwaliteiten 10
2.5.2. Milieuklasse *11*
2.5.3. Betondekking 11
2.5.4. Staalkwaliteiten 11
2.6. Veerconstante funderingspalen 11
3. Berekening poer type F *13*
3.1. Geometrie 13
3.2. Belastingen en belastingcombinaties 14
3.2.1. Belastingsfactoren 14
3.2.2. Belastingsgevallen 14
3.2.3. Belastingcombinaties 16
3.3. Wisselende belastingen en vermoeiing 17
3.4. Berekening fundering 20
4. Verbinding mast-fundering *20*
5. Berekening fundering *20*
6. Bijlagen *21*
Bijlage 1 Uitvoer SCIA Engineer – lage E-waarde 22
Bijlage 2 Uitvoer SCIA Engineer – Matige E-waarde 23

1. INLEIDING

De komende jaren werken het ministerie van Economische Zaken en TenneT aan de aanleg van een nieuwe 380 kV hoogspanningsverbinding in de Randstad. De nieuwe verbinding stelt de voorziening van elektriciteit in de Randstad veilig.

Het ontwerptracé van de nieuwe Randstad 380 kV verbinding is sinds eind 2008 bekend. De plannen gaan uit van twee ringen, tussen Wateringen en Zoetermeer (de Zuidring) en tussen Zoetermeer en Beverwijk (de Noordring). Eind 2012 heeft Tennet de aanbesteding opgestart voor het gedeelte van de Noordring tussen station Vijfhuizen en Bleiswijk. Het contract is opgedeeld in twee percelen, waarbij de grens ligt bij Zuidelijke Ringvaart. Dit document heeft betrekking op perceel 2 (het zuidelijke gedeelte).

BAM heeft op 8 juli 2013 het contract ondertekend met TenneT voor het ontwerp en realiseren van perceel 2. Het voorliggende document is onderdeel van het Definitief Ontwerp en behandelt de mastfundaties. Dit betreft ook de masten welke ter plaatse van een OSP zijn gelokaliseerd. De overige onderdelen van de OSP's zijn in een afzonderlijk document berekend evenals de funderingspalen.

Dit rapport betreft poer F. Op poer F worden de volgende masttypen geplaatst: W2E350 + 5, W2E400, W2E350

De wapening wordt in het UO ontwerp uitgewerkt.

1.1. OVERZICHT VERSCHILLENDE TYPEN

Binnen het project komen verschillende typen masten voor.
De verschillen komen voort uit:

- aantal systemen dat een mastenpaar draagt, 2 systemen (2x380 kV) of 4 systemen (2x380 kV en 2x150 kV),
- de functie van de mast, Steunmast, Hoekmast of Eindmast,
- maximale veldlengte tussen masten 350 of 400 m,
- aanpassingen aan mast (b.v. +10 m extra hoogte).

Elke mast heeft een eigen belastingpatroon. Na analyse van de verschillende belastingen en geometrische eisen zijn er uiteindelijk 5 mastfundatie typen bepaal. Met deze 5 typen is er voor elke mast een geschikte fundatie beschikbaar.

De fundatietypen zijn hieronder weergegeven.

1.1.1. FUNDATIETYPE A

Toegepast bij masttype:
- W2S400 + 5
- W2S350 + 5
- W2S400A+10

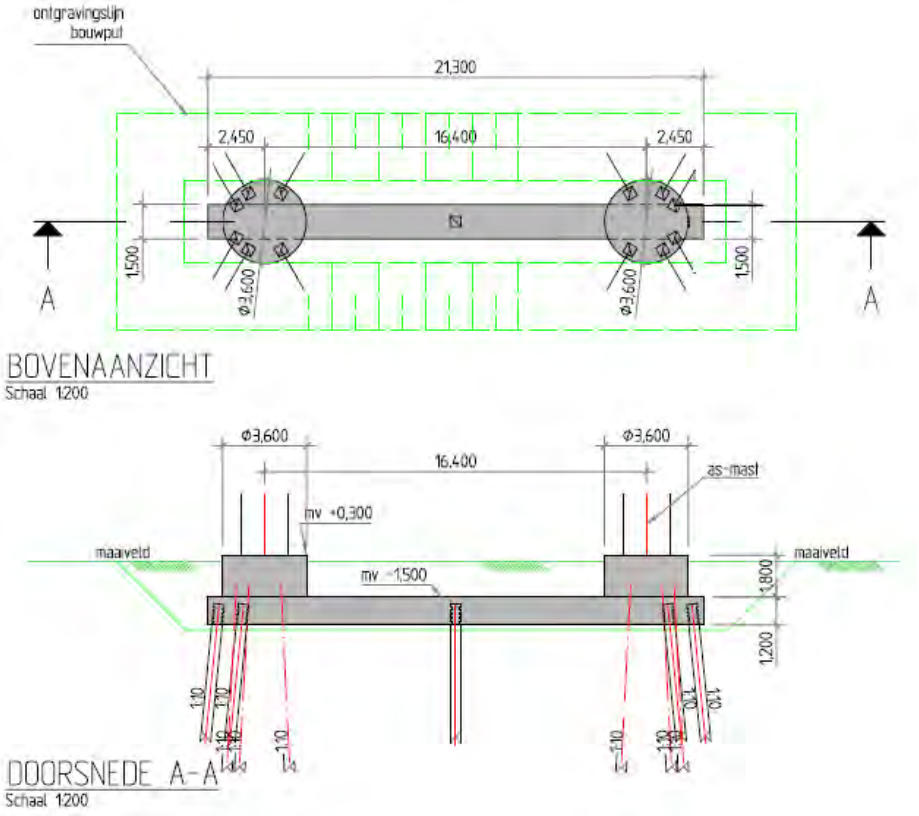

1.1.2. FUNDATIETYPE B

Toegepast bij masttype:
- W4S400Z + 5
- W2S400 + 24
- W2S400 + 24
- W4S400Z + 14

Opm: verschil met type A is diameter opstort.

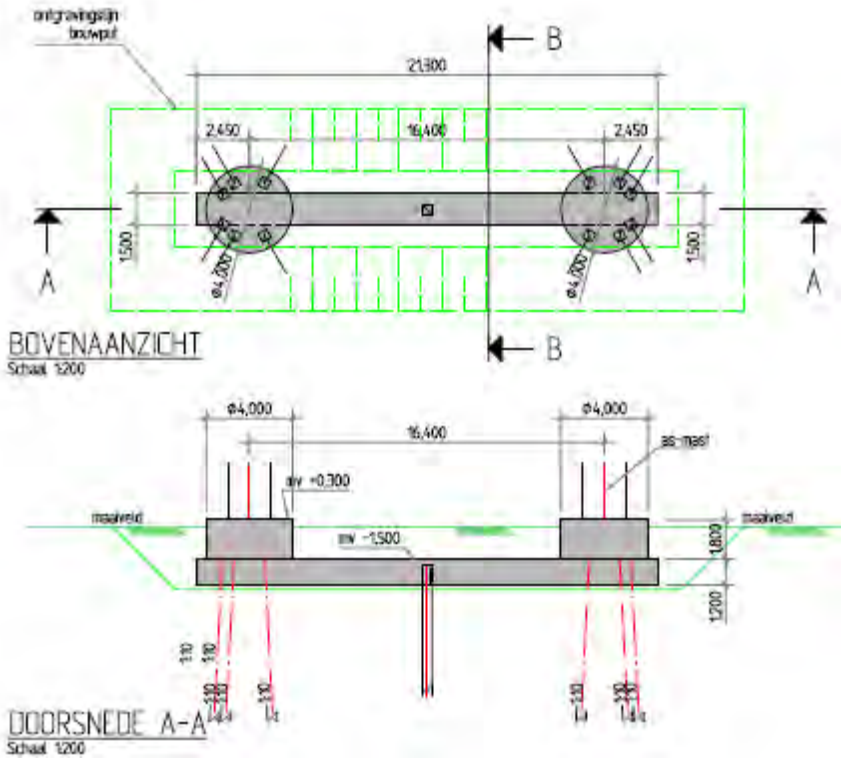

1.1.3. FUNDATIETYPE C

Toegepast bij masttype:
- W2H400 + 5
- W2H400 + 5
- W2H400 + 10
- W2H400 + 10 mast 133
- W2H400 + 15

Opm: mast 133 was in de oude nummering mast 82.

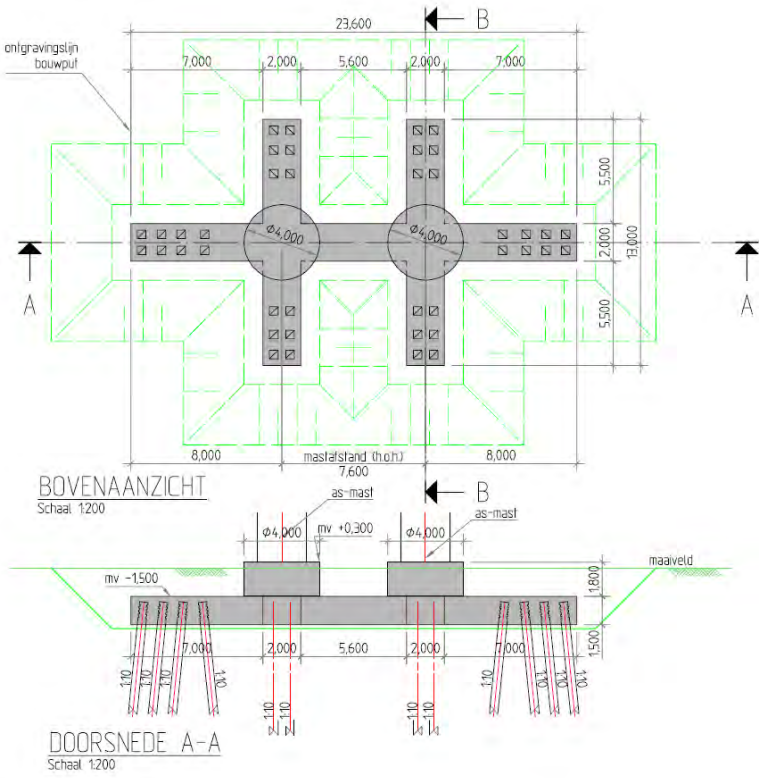

1.1.4. FUNDATIETYPE D

Toegepast bij masttype:
- W4H400Z + 5 (Afstap 150kV)
- W4H400Z +10 (Afstap 150kV)

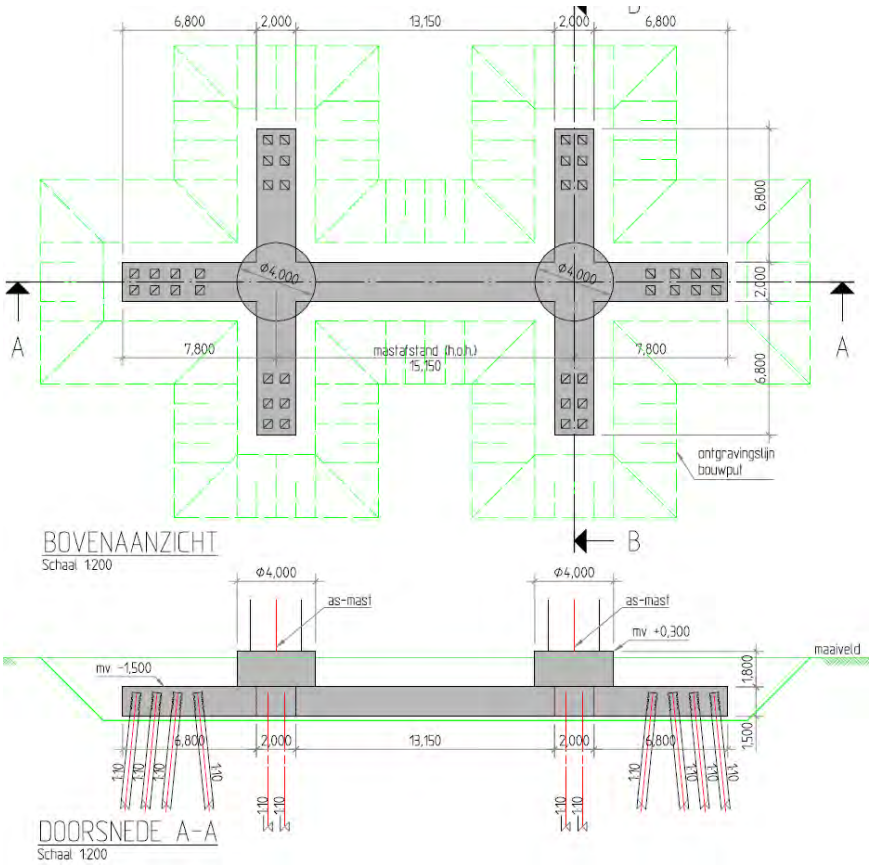

1.1.5. FUNDATIETYPE F

Toegepast bij masttype:

W2E350 + 5
W2E400
W2E350

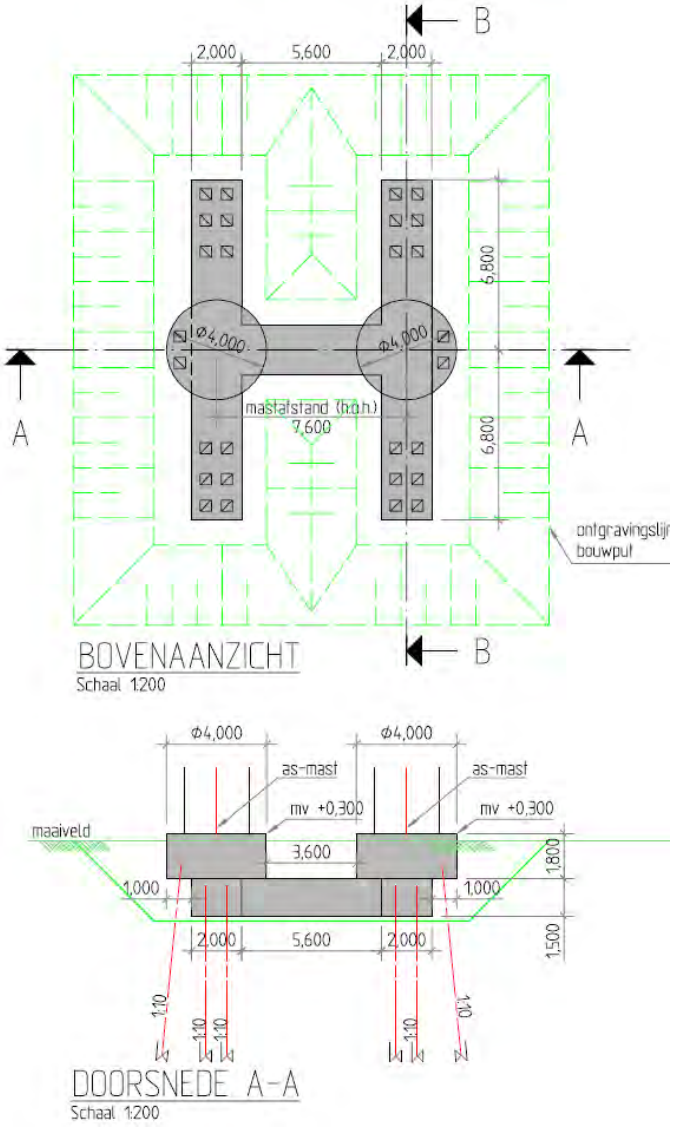

1.2. MASTBEELD BIJ FUNDATIE TYPE F

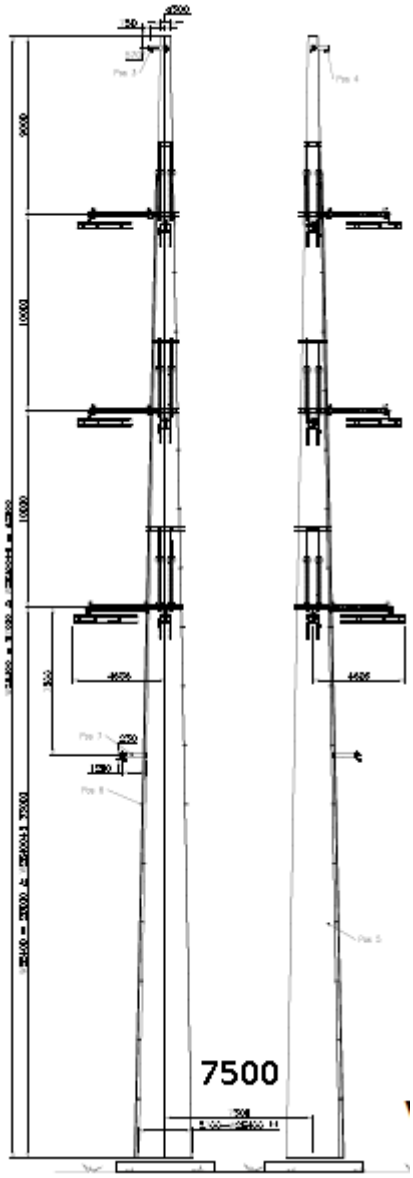

De h.o.h. afstand van de masten bedraagt 7500 mm i.p.v. de in de berekening aangehouden 7600mm. Dit kleine verschil heeft voor de berekening geen invloed

1.3. GERELATEERDE DOCUMENTEN

R3N-OWN-0001 Ontwerpnota Systeem Noordring
R3N-OWR-0003 Constructieberekening mastfundaties type A
R3N-OWR-0004 Constructieberekening mastfundaties type B
R3N-OWR-0005 Constructieberekening mastfundaties type C
R3N-OWR-0006 Constructieberekening mastfundaties type D
R3N-OWR-0007 Constructieberekening mastfundaties type F
R3N-OWR-0008 Ontwerpberekening paalfundering mastfundaties
R3N-OWR-0033 Bepaling belastingen mastfundaties
R3N-OWR-0039 Bemalingsadvies beheersgebied Rijnland
R3N-OWR-0040 Bemalingsadvies beheersgebied Schieland en de Krimpenerwaard

1.4. OPENSTAANDE PUNTEN

De volgende punten dienen in een latere fase nader uitgewerkt te worden:

- Aarding
- Temperatuursinvloeden op fundering
- Model verbetyeren d.m.v. dummy elementen aan bovenzijde palen
- Invloed krimp op fundering
- Optimalisatie wapening
- Optimalisatie palen
- Detailontwerp prefab beton
- Afstand masten aanpassen van 7600mm naar 7500 mm

1.5. REVISIEBEHEER

Dit is de tweede uitgave. Er zijn nog vrijwel geen grondgegevens beschikbaar. Daarom is dit document voornamelijk bedoeld als ‘proof of concept’.

Aangepast in 3^{e} uitgave
Dit is de 3^{e} uitgave. In deze revisie is toegevoegd:

- Mastbeeld toegevoegd,
- Nadere uitwerking milieuklasse
- Masttype W2H400 + 15 was in het overzicht zowel bij poer type C als D genoemd. Mast komt op type C.
- Masttype W2S400A+10 ontbrak in het overzicht. Toegevoegd bij poertype A
- Toelichting koppeling mast met fundatie

2. UITGANGSPUNTEN EN EISEN

2.1. UITGANGSPUNTEN

Op de funderingen worden de lasten geplaatst zoals afgeleid in document R3N-OWR-0033 'Bepaling belasting mastfundaties'. Deze zijn afgeleid van de mastberekeningen zoals door TenneT beschikbaar gesteld.

2.2. GEHANTEERDE NORMEN

De eurocode serie NEN-EN-1990 tm 1997 wordt gehanteerd

NEN-EN50341

2.3. EISEN

De eisen zoals vermeld in ontwerpnota R3N-OWN-0001 §3 zijn gehanteerd bij het ontwerp.
Voor de masten gelden specifiek onderstaande eisen:

- De fundamenten van de staalconstructies ten behoeve van de masten worden gedimensioneerd op een maximale vervorming van 0.005 RAD onder representatieve waarden van de belastingen,
- Tot 1,5 m diepte mag de straalomtrek van de fundering niet groter zijn dan 1,0 m meer dan de straal van de mast,
- De ZRO-breedte tussen de (schoor)paalpunten en andere ondergrondse constructies van de masten is maximaal 2x 22 m voor de 2x 380kV (solo) verbinding en 2 x 27 m voor de 2 x 150 kV/380 kV (combi) verbinding.
- Tolerantie van mastlocatie naar buiten is 10 cm, tollerantie naar binnen is 0 cm.

2.4. VERMOEIING

De aan te leggen fundamenten worden gedimensioneerd op een vermoeiingsbelasting. De wisseling van belasting komt uit wind. Het aantal en de grote van de wisselingen gedurende 50 jaar is bepaald conform de ROK. De toetsingsprocedure van de constructie conform NEN-EN 1992-1-1:2005.

2.5. MATERIAALGEGEVENS

In onderstaande paragrafen worden de gehanteerde materiaaleigenschappen benoemd.

2.5.1. BETONKWALITEITEN

Voor het constructief beton worden bij de detaillering de volgende sterkteklassen aangehouden. De betonkwaliteit van de ronde opstort (C35/45) is voorgeschreven. Bij gescheurd beton wordt in eerste instantie gerekend met $E_{beton;gescheurd} \approx 1/3\ E_{beton;ongescheurd}$. Tevens is een ca. 2 x zo hoge E-modulus beschouwd.

Onderdeel	Sterkteklasse	Elastisciteitsmodulus [N/mm²]		
		ongescheurd	Gescheurd lage E	Gescheurd matige E
in het werk gestort gewapend beton:	C30/37	31.000	11.000	22.000
in het werk gestort gewapend beton, ronde opstort	C35/45	33.500		
geprefabriceerd beton (U-bakken):	C35/45	33.500		
geprefabriceerd voorgespannen beton (palen):	C45/55	36.000		

Tabel 2.5.1-1 Betonkwaliteiten

2.5.2. MILIEUKLASSE

Voor de betondelen welke meer dan 1,0 m onder maaiveld liggen geldt milieuklasse XC2
Voor de hoger gelegen betondelen is de milieuklasse afhankelijk van de aanwezigheid van openbare wegen. De wegen naar de OSP's zullen niet gestrooid worden en bovendien nauwelijks bereden worden, waardoor het wegspatten van water met dooizouten niet aan de orde is. De afstanden in onderstaande schets geldt voor snelwegen, bij ander wegen zou deze eventueel kleiner kunnen.

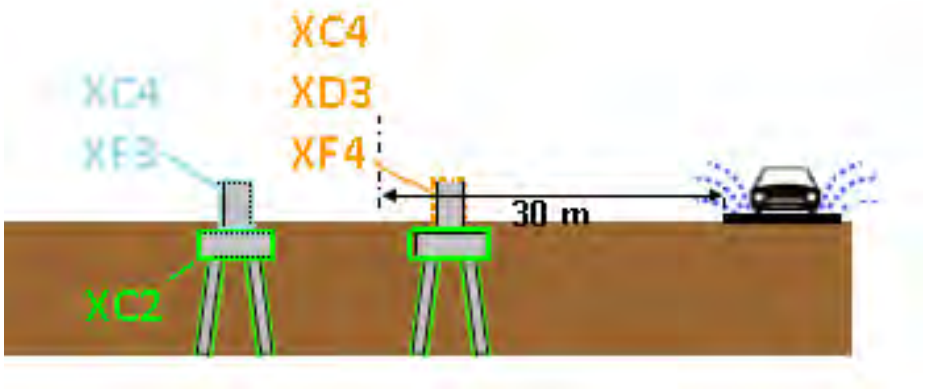

2.5.3. BETONDEKKING

Betondekking conform NEN EN 1992-1-1:2011

$$c_{min} = \max \{c_{min,b};\ c_{min,dur} + \Delta c_{dur,\gamma} - \Delta c_{dur,st} - \Delta c_{dur,add};\ 10\ mm\} \qquad (4.2)$$

waarin:

$c_{min,b}$	is de minimumdekking op basis van de aanhechtingseisen, zie 4.4.1.2 (3);
$c_{min,dur}$	is de minimumdekking op basis van de milieu-omstandigheden, zie 4.4.1.2 (5);
$\Delta c_{dur,\gamma}$	is een aanvullende veiligheidsmarge, zie 4.4.1.2 (6);
$\Delta c_{dur,st}$	is een reductie van de minimumdekking bij gebruik van roestvast staal, zie 4.4.1.2 (7);
$\Delta c_{dur,add}$	is een reductie van de minimumdekking bij gebruik van aanvullende bescherming, zie 4.4.1.2 (8).

De verwachting is dat $c_{min;b}$ maatgevend wordt. Deze warade is afhankelijk van de staafdiameter, welk enog niet bekend is. Betondekking wordt in UO bepaald.

2.5.4. STAALKWALITEITEN

Voor het wapeningsstaal worden de volgende staalkwaliteiten aangehouden:

Omschrijving	Kwaliteit
betonstaal (staven)	B500 B

Tabel 2.5.2 Staalkwaliteiten

2.6. VEERCONSTANTE FUNDERINGSPALEN

De constructie wordt gefundeerd op prefab betonpalen. De palen worden horizontaal gesteund door de grond wat resulteert in een horizontale beddingconstante op de funderingspaal. Verticaal wordt de funderingspaal gesteund door een verticale puntveer. Beide veerconstanten zijn bepaald door de geotechnische adviseur in rapport R3N-OWR-0008.

In het model wordt gerekend met een verticale veerstijfheid van laag 90.000 kN/m

In de volgende tabellen worden deze gereduceerde beddingsconstanten gepresenteerd.

X-richting		Voor ESA berekeningen			
soort	b.k. laag	per m^2 paal		per m'paal	
	[m+ NAP]	$k_{h,rep,laag}$ [kN/m^3]	$k_{h,rep,hoog}$ [kN/m^3]	$k_{h,rep,laag}$ [kN/m/m]	$k_{h,rep,hoog}$ [kN/m/m]
Veen	-1.6	1,400	3,200	700	1,600
Klei	-2.7	500	1,200	300	600
Veen	-5.1	1,400	3,200	700	1,600
Klei	-6.0	800	1,800	400	900
Veen	-11.2	1,400	3,200	700	1,600
Zand	-12.1	13,600	30,600	6,900	15,600
Zand	-22.0	16,300	36,700	8,300	18,700

Tabel 6 - Horizontale beddingsconstanten voor belasting uit de X-richting

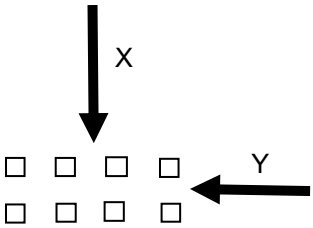

Y-richting		Voor ESA berekeningen			
soort	b.k. laag	per m^2 paal		per m'paal	
	[m+ NAP]	$k_{h,rep,laag}$ [kN/m^3]	$k_{h,rep,hoog}$ [kN/m^3]	$k_{h,rep,laag}$ [kN/m/m]	$k_{h,rep,hoog}$ [kN/m/m]
Veen	-1.6	1,000	2,300	500	1,200
Klei	-2.7	400	900	200	400
Veen	-5.1	1,000	2,300	500	1,200
Klei	-6.0	600	1,300	300	700
Veen	-11.2	1,000	2,300	500	1,200
Zand	-12.1	9,800	22,100	5,000	11,300
Zand	-22.0	11,800	26,500	6,000	13,500

Tabel 7 - Horizontale beddingsconstanten voor belasting uit de Y-richting

Figuur 3 Horizontale beddingsconstanten per belastingsrichting

Voor alle richtingen is steeds de lage waarde van de beddingsconstante aangehouden.

3. BEREKENING POER TYPE F

3.1. GEOMETRIE

De geometrie van de type F poeren is als volgt:

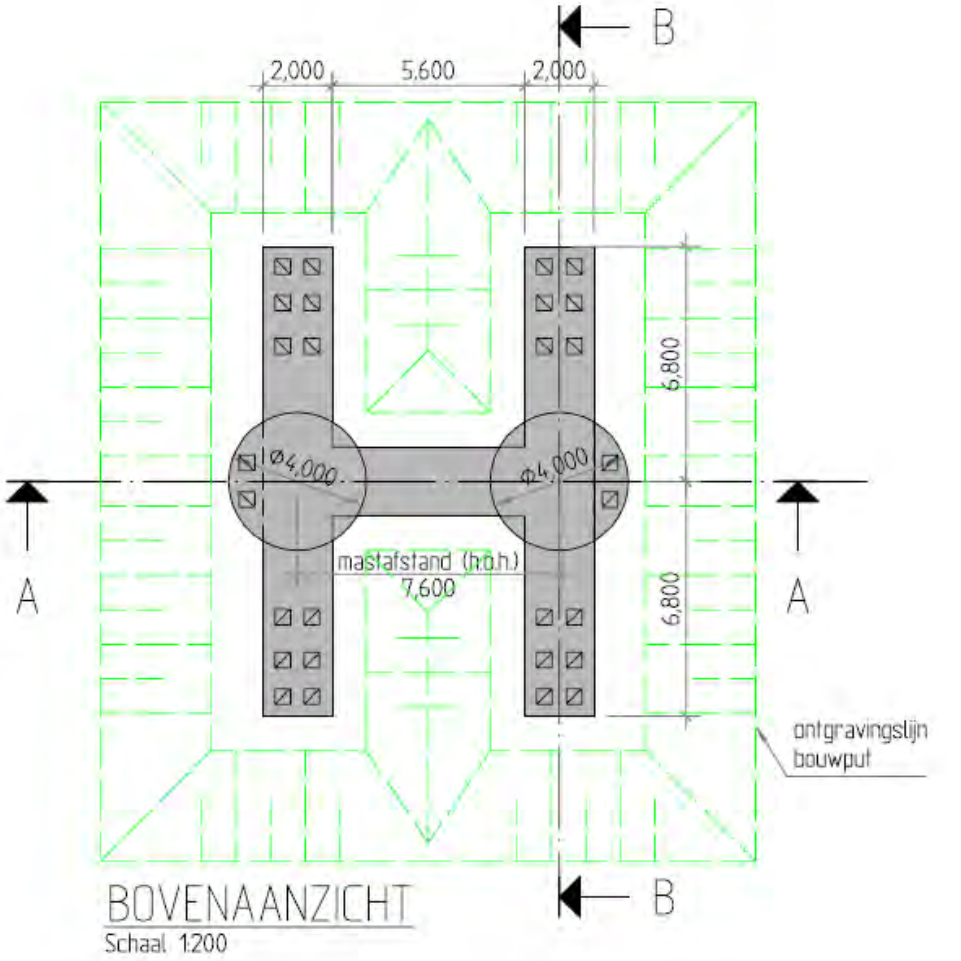

BOVENAANZICHT
Schaal 1:200

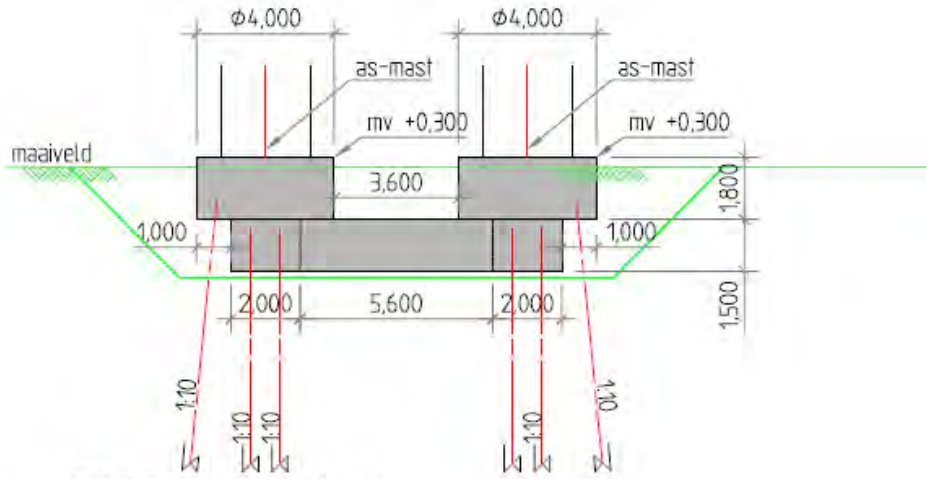

DOORSNEDE A-A
Schaal 1:200

3.2. BELASTINGEN EN BELASTINGCOMBINATIES

3.2.1. BELASTINGSFACTOREN

De belasting uit de poeren bestaat vooral uit lasten uit de mast cq lijnen. Deze lasten zijn, incl. partiële factoren gegeven door de opdrachtgever op basis van een rapport van KEMA.
Daarnaast zijn er lasten op de poeren zelf. Hiervoor geldt dat vergelijking 6.10 b van de EN 1990 maatgevend is. Gecombineerd met CC3 gelden de volgende partiële factoren:

γ_G (ongunstig)	=	1,3	
γ_G (gunstig)	=	0,9	(zie §3.2.2, op eigen gewicht fundering wordt factor 0,54 toegepast)
γ_Q	=	1,65	

Opm: De meeste lasten zijn door de klant incl de factoren gegeven. Bovenstaande factoren hebben dus alleen invloed op het eigen gewicht , grond en belastingen op maaiveld.

3.2.2. BELASTINGSGEVALLEN

Eigen gewichtpoer
Eigen gewicht van de betonconstructie wordt gegenereerd in het model. Er wordt gerekend met een eigengewicht voor beton van 2500 kg/m$^{3.}$

Omdat er ook trek op de palen komt, is eigen gewicht al snel een gunstige belasting (druk eenvoudiger op te nemen dan trek).Indien de poer zich onderwater bevindt zal er een opwaartse kracht gelijk aan het gewicht van het verplaatste water op de poer aanwezig zijn. Het effectieve gewicht van de poer reduceert hierdoor tot 1500 kg/m^3. Inclusief partiële factor van 0,9 volgt 1350 kg/m^3. In totaal bedraagt de factor dan dus 1350/2500 = 0,54.

Eigen gewicht grond op poer
Op de poer ligt 1,5 m grond. Indien het grondwater lager ligt, is de last:
1,5 * 17 = 25,5 kN/m^2

Bij waterstand gelijk aan 0,5m onder maaiveld niveau is de last:
0,5 * 17 + 1,0 * (17-10) = 15,5 kN/m^2

Inclusief partiële factor van 0,9 volgt 13,95 kN/m^2. In totaal bedraagt de factor dan dus 13,95/25,5 = 0,54.

Reken met droge grond en pas een partiële factor van 0,54 op eigen gewicht poer en grond toe in het geval deze gunstig werken.

Belastingen uit de mast
Zie rapport 'Afleiding belasting uit masten'.

Er wordt gerekend met de volgende, donker aangegeven ULS en SLS lasten uit het rapport. De overige lasten zijn met deze gevallen afgedekt.

Voor het variabele deel dat zijn oorsprong vindt in wind, wordt gerekend met:

ψ_0	ψ_1	ψ_2
0,6	0,2	0

ULS

Mast	Wind	Loadcase	M_{langs}	M_{dwars}	N	V_{langs}	V_{dwars}
W2E350+5	90 deg	1a	33589	4631	725	933	225
W2E350+5	90 deg	3	35789	3589	776	985	125
W2E350+5	-45 deg	1b	18592	1449	544	508	43
W2E400	90 deg	1a	34497	5038	819	940	235
W2E400	90 deg	3	37033	3864	877	1007	131
W2E400	45 deg	1b	18118	1547	614	489	45
W2E350	90 deg	1a	28011	3814	616	888	202
W2E350	90 deg	3	30575	2997	667	972	116
W2E350	45 deg	1b	16106	1260	462	507	42

SLS

Type	Wind	Loadcase	M_{langs}	M_{dwars}	N	V_{langs}	V_{dwars}
W2E350+5	0 deg	1b	21038	2595	604	591	91
W2E350+5	90 deg	1a	25824	4981	604	715	154
W2E350+5	90 deg	3	29952	4348	638	838	138
W2E400	0 deg	1b	20659	2688	682	573	91
W2E400	45 deg	1b	20800	2957	682	576	98
W2E400	90 deg	1a	26286	5362	682	715	161
W2E400	90 deg	3	30704	4640	721	847	143
W2E350	45 deg	1b	18150	2296	513	583	86
W2E350	90 deg	1a	21622	4034	513	684	139
W2E350	90 deg	1b	18412	2470	513	591	91
W2E350	90 deg	3	25542	3543	547	821	124

OPM: op de SLS last wordt voorlopig een extra factor van 1,4 geplaatst opdat deze lasten gelijk worden aan de lasten zoals opgenomen in rapport Volker Wessels Telecom.

Belastingen op maaiveld
Op het maaiveld wordt gerekend met een verdeelde last van 10 kN/m^2 . Er is geen stempellast op de fundering voorzien. Echter, door spreiding van een puntlast over een diepte van 1,5 m, zal een lastvlak van 2 (breedte balk) x 3 (2*1,5) = 6 m^2 ontstaan, waardoor bij 10 kN/m^2 dus ook een puntlast van 60 kN toelaatbaar is.

Voor deze belastingen wordt in de combinatie gerekend met:

ψ_0	ψ_1	ψ_2
0,7	0,5	0,3

3.2.3. BELASTINGCOMBINATIES

Belastingcombinaties in ULS conform vergelijking 6.10b van NEN EN 1990, waarbij:
0,7 * 1,65 = 1,16

En de belastingsfactoren voor de last uit de masten reeds in de ingevoerde belasting is meegenomen (factor 1,0 toegepast).

ULS

Belastinggeval	**Omschrijving**	**Combi 1**	**Combi 2**	**Combi 3**	**Combi 4**	**Combi 5**	**Combi 6**
1	Eigen gewicht	1,3	1,3	1,3	1,3	0,54	0,54
2	Grond	1,3	1,3	1,3	1,3	0,54	0,54
3	Belasting mast ULS 1	1,0		0,6		1,0	
4	Belasting mast ULS 2		1,0		0,6		1,0
7	Belasting op maaiveld	1,16	1,16	1,65	1,65		

SLS

Belastinggeval	**Omschrijving**	**Combi 7**	**Combi 8**	**Combi 9**	**Comb i 10**	**Combi 11**	**Combi 12**
1	Eigen gewicht	1,0	1,0	1,0	1,0	0,6	0,6
2	Grond	1,0	1,0	1,0	1,0	0,6	0,6
5	Belasting mast SLS 1	1,0		0,6		1,0	
6	Belasting mast SLS 2		1,0		0,6		1,0
7	Belasting op maaiveld	0,7	0,7	1,0	1,0		

3.3. WISSELENDE BELASTINGEN EN VERMOEIING

Door de wisselende belastingen van wind dient belasting door vermoeiing te worden meegenomen. Bij vermoeiing is het aantal wisselingen en de grootte van de wisseling van belang. In de NEN-EN 1991-1-4:2005 is in bijlage B.3 een figuur opgenomen waarin de verhouding tussen de grootte van de windlast en het aantal keren dat deze optreedt weergegeven.

B.3 Aantal belastingen voor dynamische respons

(1) Figuur B.3 geeft het aantal keren N_g dat de waarden ΔS van een windeffect worden bereikt of overschreden gedurende een periode van 50 jaar. ΔS wordt uitgedrukt in percentage van de waarde S_k, waar S_k het effect is van een windbelasting met een herhalingstijd van 50 jaar.

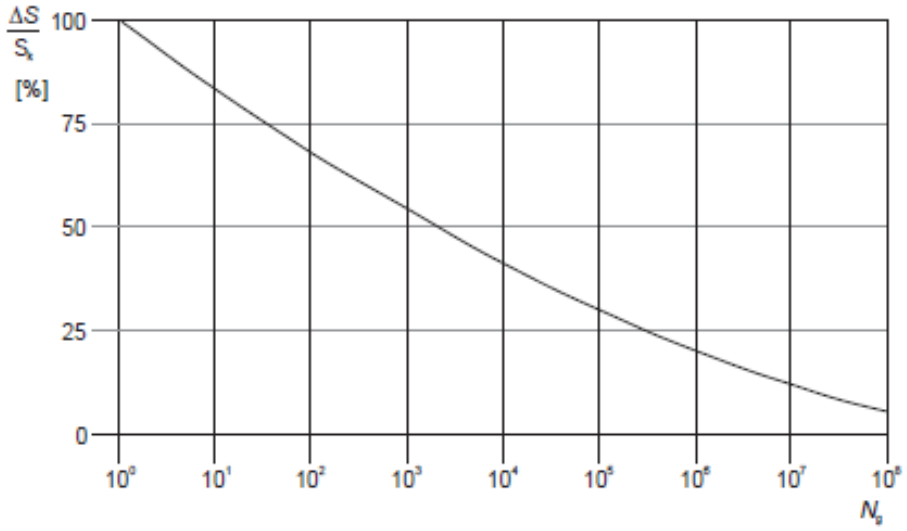

Figuur B.3 — Aantal windvlaagbelastingen N_g voor een effect $\Delta S/S_k$ gedurende een herhalingstijd van 50 jaar

De relatie wordt omschreven met de volgende uitdrukking

$$\frac{\Delta S}{S_k} = 0{,}7 \cdot (\log(N_g))^2 - 17{,}4 \cdot \log(N_g) + 100 \qquad \text{(B.9)}$$

Bij vermoeiing wordt bij een bepaald spanningsniveau het aantal wisselingen op dit spanningsniveau bepaald en vervolgens wordt dit vergeleken met het aantal toelaatbare wisselingen op dat spanningsniveau. Door dit voor de voorkomende spanningsniveaus te doen is de weerstand tegen vermoeiing te controleren.

In de ROK van RWS is bovenstaande verdeling gediscretiseerd tot onderstaande tabel:

Tabel 5-1: Aantal wisselingen per windbelasting (referentieperiode 50 jaar)

ΔS / S_k (%)	n
100	1
98	1
90	8
75	90
61	900
48	9000
36	90000
25	900000
16	9000000
9	90000000

Van beton en wapeningsstaal is bekend hoeveel wisselingen bij een bepaald spanningsniveau toelaatbaar zijn. S_K is de spanning met een herhalingstijd van 50 jaar (de spanning waarop de constructie ontworpen is).

Met bovenstaande gegevens is te bepalen welke maximale spanning t.g.v. wind eens in de 50 jaar toelaatbaar is opdat de constructie ook voldoende weerstand tegen vermoeiing heeft.

Wapening

De totale schade van de belastingen dient volgens de beschadigingsregel van Miner kleiner dan 1 te zijn.
De toetsingsprocedure per wisseling conform NEN-EN 1992-1-1:2005, §6.8.4:
Voor de wapening is gekeken naar de toelaatbare spanning voor:

- Rechte staven
- Staven gebogen met een doordiameter 2,5*D
- Gelaste staven

Er volgt (zie berekening hieronder) dat voor gewone rechte staven er geen beperking is, echter gebogen of gelaste staven hebben de volgende spanningsbeperking:

Buigdoorn 2,5ø → 244 N/mm^2
Buigdoorn 5ø → 283 N/mm^2
Gelaste staven → 317 N/mm^2

Omdat bij de toetsing van vermoeiing een ULS toestand met veiligheid 1,0 wordt getoetst, is de spanning altijd minimaal een factor van ca. 1,3 lager dan de normale ULS toestanden.

Bij een toelaatbare spanning van 435 N/mm^2 in ULS volgt bij toetsing op vermoeiing een spanning van maximaal 335 N/mm^2. De toelaatbare spanningen bij vermoeiing zijn nog iets lager. Hier dient in de detaillering rekening mee gehouden te worden. Een toetsing achteraf zal volstaan.

Rechte staven

maximale gebruiksspanning			435	
Toelaatbare spanningswisseling bij N* wisselingen			162,5	
		k1	5	
		k2	9	
		N*	1,00E+06	
	ROK	Wisseling spanning	Toelaatbaar aantal	
aantal wisselingen	dS/S	wapening	wisselingen	Schade
[-]	[-]	[N/mm2]	[-]	[-]
1	100	435	7275	0,000137
1	98	426	8048	0,000124
8	90	392	12320	0,000649
90	75	326	30656	0,002936
900	61	265	86133	0,010449
9000	48	209	285505	0,031523
90000	36	157	1394937	0,064519
900000	25	109	37137862	0,024234
9000000	16	70	2061565470	0,004366
90000000	9	39	365674259232	0,000246
			Totale schade	**0,139183665**

Staven gebogen met doorndiameter 2,5*D

maximale gebruiksspanning			244	
Toelaatbare spanningswisseling bij N* wisselingen			67,4	
		k1	5	
		k2	9	
		N*	1,00E+06	

	ROK	Wisseling spanning	Toelaatbaar aantal	
aantal wisselingen	dS/S	wapening	wisselingen	Schade
[-]	[-]	[N/mm2]	[-]	[-]
1	100	244	1613	0,000620
1	98	239	1784	0,000560
8	90	220	2731	0,002929
90	75	183	6796	0,013243
900	61	149	19095	0,047134
9000	48	117	63292	0,142197
90000	36	88	266714	0,337440
900000	25	61	2466861	0,364836
9000000	16	39	136938283	0,065723
90000000	9	22	24289699180	0,003705
			Totale schade	**0,978388484**

Staven gebogen met doorndiameter 5*D

maximale gebruiksspanning			283	
Toelaatbare spanningswisseling bij N* wisselingen			78,0	
		k1	5	
		k2	9	
		N*	1,00E+06	

	ROK	Wisseling spanning	Toelaatbaar aantal	
aantal wisselingen	dS/S	wapening	wisselingen	Schade
[-]	[-]	[N/mm2]	[-]	[-]
1	100	283	1591	0,000629
1	98	277	1760	0,000568
8	90	255	2694	0,002970
90	75	212	6702	0,013428
900	61	173	18832	0,047792
9000	48	136	62422	0,144181
90000	36	102	263044	0,342148
900000	25	71	2406099	0,374050
9000000	16	45	133565305	0,067383
90000000	9	25	23691410595	0,003799
			Totale schade	**0,996946687**

Gelaste staven

maximale gebruiksspanning			317	
Toelaatbare spanningswisseling bij N* wisselingen			58,5	
		k1	3	
		k2	5	
		N*	1,00E+07	

	ROK	Wisseling spanning	Toelaatbaar aantal	
aantal wisselingen	dS/S	wapening	wisselingen	Schade
[-]	[-]	[N/mm2]	[-]	[-]
1	100	317	62848	0,000016
1	98	311	66775	0,000015
8	90	285	86211	0,000093
90	75	238	148972	0,000604
900	61	193	276886	0,003250
9000	48	152	568285	0,015837
90000	36	114	1347046	0,066813
900000	25	79	4022257	0,223755
9000000	16	51	20411885	0,440920
90000000	9	29	362468668	0,248297
			Totale schade	**0,999600179**

3.4. BEREKENING FUNDERING

De poer is ingevoerd in ene SCIA engineer model. De resultaten zijn bijgesloten in de bijlage

4. VERBINDING MAST-FUNDERING

De masten worden verbonden met de fundering d.m.v. een ingestorte ankerkooi. Een ankerkooi is hieronder weergegeven

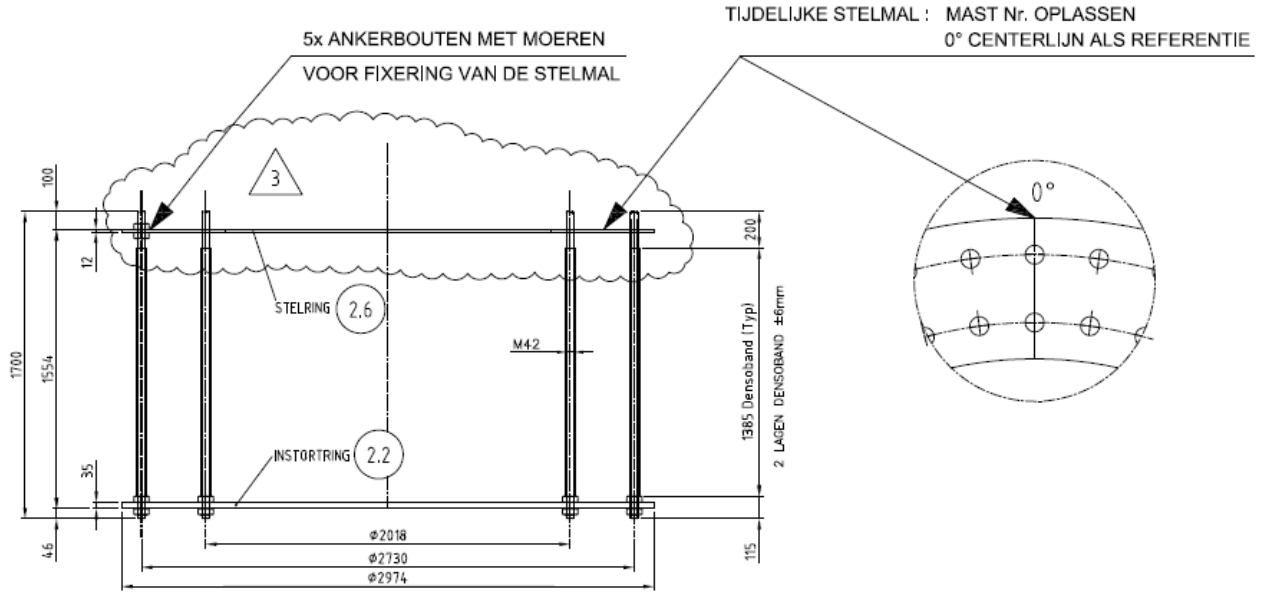

DETAIL VERANKERING

NOTA : ALLE RESTERENDE MOEREN EN ONDERLEGRINGEN WORDEN LOS MEEGELEVERD

Prepared by: LV Revision: 3 Date: 5-7-2011	Material: – Quantity: 2 Equipm. no.: W4E350	**VDL KTI**	Project No.: 36002 Workprep. No.: Pos. No.: ANKERK001

De ankers en platen zijn berekend door Volker Infra Design bij het ontwerp van de masten. De ankerkooi bevindt zich in de ronde opstort. De ronde opstort is d.m.v. stekken verbonden met de kruisvormige balken. De stekken worden in de UO fase berekend.

5. BEREKENING FUNDERING

De poer is ingevoerd in een SCIA engineer model.

Er zijn 2 modellen gedraaid:

Model 1: Lage gescheurde E modulus
Model 2: Matige gescheurde E modulus

6. BIJLAGEN

Bijlage 1 Uitvoer SCIA Engineer – lage E-waarde

Bijlage 2 Uitvoer SCIA Engineer – Matige E-waarde

BIJLAGE 1 UITVOER SCIA ENGINEER – LAGE E-WAARDE

1. Inhoudsopgave

1. Inhoudsopgave	1
2. Overzicht	2
3. Materialen	2
4. Doorsneden	2
5. Knoop	3
6. 1D-staaf	3
7. 2D-element	4
8. Subregio	4
9. Knoopondersteuningen	4
10. Lijnondersteuning op staaf	5
11. Belastingsgevallen	9
11.1. Belastingsgevallen - BG1	9
11.1.1. Belasting grafisch	9
11.2. Belastingsgevallen - BG3	9
11.2.1. Vrije puntmomenten	10
11.2.2. Genereer vrije lasten	10
11.2.3. Belasting grafisch	11
11.3. Belastingsgevallen - BG2	11
11.3.1. Lasten op oppervlak	11
11.3.2. Belasting grafisch	12
11.4. Belastingsgevallen - BG4	12
11.4.1. Vrije puntmomenten	12
11.4.2. Genereer vrije lasten	12
11.4.3. Belasting grafisch	13
11.5. Belastingsgevallen - BG5	13
11.5.1. Vrije puntmomenten	13
11.5.2. Genereer vrije lasten	14
11.5.3. Belasting grafisch	14
11.6. Belastingsgevallen - BG6	15
11.6.1. Vrije puntmomenten	15
11.6.2. Genereer vrije lasten	15
11.6.3. Belasting grafisch	15
11.7. Belastingsgevallen - BG7	16
11.7.1. Lasten op oppervlak	16
11.7.2. Belasting grafisch	16
12. Combinaties	16
13. Verplaatsing van knopen SLS 1	17
14. Verplaatsing van knopen SLS 2	17
15. Reacties	17
16. 2D element - Interne krachten; mxD+	18
17. 2D element - Interne krachten; mxD-	19
18. 2D element - Interne krachten; myD+	19
19. 2D element - Interne krachten; myD-	20
20. 2D element - Interne krachten; vx	20
21. 2D element - Interne krachten; vy	21

2. Overzicht

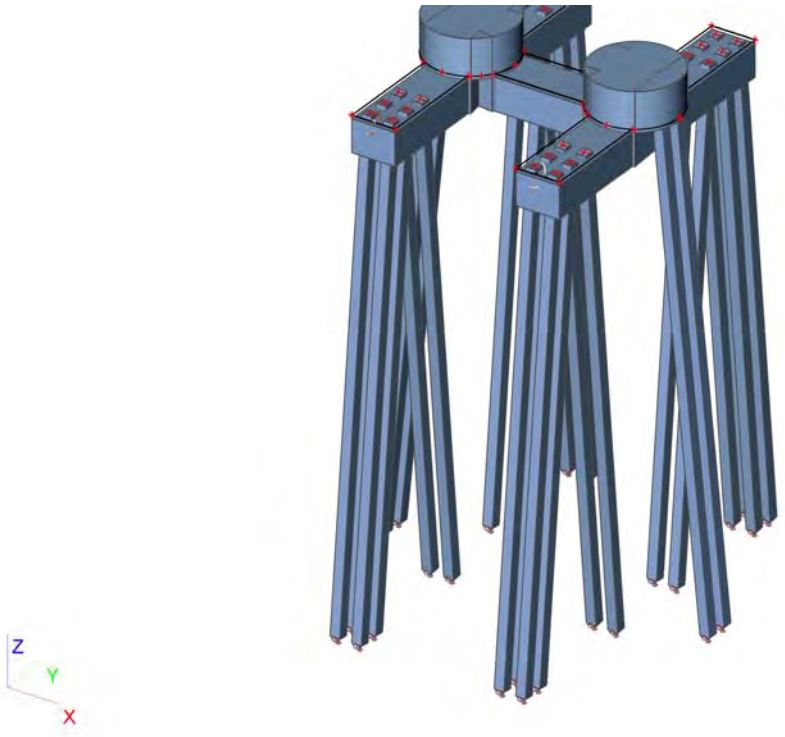

3. Materialen

Naam	Type	Massa eenheid [kg/m³]	E-mod [MPa]	Poisson - nu	G-mod [MPa]	Thermisch uitz. [m/mK]	Karakteristieke cylinderdruksterkte fck(28) [MPa]
C30/37	Beton	2500,0	1,1000e+04	0,2	4,5833e+03	0,00	30,00
C35/45	Beton	2500,0	3,4100e+04	0,2	1,4208e+04	0,00	35,00

4. Doorsneden

Naam	CS1	
Type	Rechthoek	
Uitgebreid	450; 450	
Onderdeelmateriaal	C35/45	
Bouwwijze	Algemeen	
Knik y-y, z-z	b	b
EEM berekening	×	

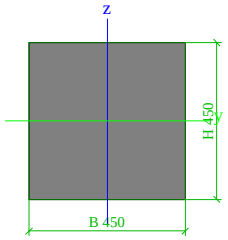

A [m²]	2,0250e-01	
A y, z [m²]	1,6875e-01	1,6875e-01
I y, z [m⁴]	3,4172e-03	3,4172e-03
I w [m⁶], t [m⁴]	0,0000e+00	5,7655e-03
Wel y, z [m³]	1,5188e-02	1,5188e-02
Wpl y, z [m³]	2,2781e-02	2,2781e-02
d y, z [mm]	0	0
c YLCS, ZLCS [mm]	225	225
alpha [deg]	0,00	
AL [m²/m]	1,8000e+00	

5. Knoop

Naam	Coördinaat X [m]	Coördinaat Y [m]	Coördinaat Z [m]
K185	0,000	0,000	0,000
K186	0,000	5,070	0,000
K187	0,000	8,530	0,000
K188	-1,000	6,800	0,000
K189	0,000	13,600	0,000
K190	2,000	13,600	0,000
K191	2,000	8,530	0,000
K192	2,730	7,800	0,000
K193	2,410	8,210	0,000
K194	6,870	7,800	0,000
K195	7,600	8,530	0,000
K196	7,190	8,210	0,000
K197	7,600	13,600	0,000
K198	9,600	13,600	0,000
K199	9,600	8,530	0,000
K200	9,600	5,070	0,000
K201	10,600	6,800	0,000
K202	9,600	0,000	0,000
K203	7,600	0,000	0,000
K204	7,600	5,070	0,000
K205	6,870	5,800	0,000
K206	7,190	5,390	0,000
K207	2,730	5,800	0,000
K208	2,000	5,070	0,000
K209	2,410	5,390	0,000
K210	2,000	0,000	0,000
K211	1,000	8,800	0,000
K212	8,600	8,800	0,000
K213	1,000	4,800	0,000
K214	8,600	4,800	0,000
K215	3,000	6,800	0,000
K216	6,600	6,800	0,000
K217	2,088	5,126	0,000
K218	2,000	5,800	0,000
K219	2,674	5,712	0,000
K220	2,674	7,888	0,000
K221	2,000	7,800	0,000
K222	2,088	8,474	0,000
K223	7,600	7,800	0,000
K224	7,512	8,474	0,000
K225	6,926	7,888	0,000
K226	6,926	5,712	0,000
K227	7,600	5,800	0,000
K228	7,512	5,126	0,000
K229	9,689	8,475	0,000
K230	9,689	5,125	0,000
K231	10,597	6,905	0,000
K232	9,600	6,800	0,000
K233	-0,089	8,475	0,000
K234	0,000	6,800	0,000
K235	-0,089	5,125	0,000
K1	0,500	0,500	0,000
K236	0,500	-1,700	-19,000
K237	1,500	0,500	0,000
K238	1,500	-1,700	-19,000
K239	0,500	1,500	0,000
K240	0,500	-0,700	-19,000
K241	1,500	1,500	0,000
K242	1,500	-0,700	-19,000
K243	0,500	2,500	0,000
K244	0,500	4,700	-19,000
K245	1,500	2,500	0,000
K246	1,500	4,700	-19,000
K247	8,100	4,700	-19,000
K248	9,100	4,700	-19,000
K249	8,100	-0,700	-19,000
K250	9,100	-0,700	-19,000
K251	8,100	0,500	0,000
K252	8,100	-1,700	-19,000
K253	9,100	0,500	0,000
K254	9,100	-1,700	-19,000
K255	8,100	1,500	0,000
K256	9,100	1,500	0,000
K257	8,100	2,500	0,000
K258	9,100	2,500	0,000
K259	0,500	8,900	-19,000
K260	1,500	8,900	-19,000
K261	0,500	14,300	-19,000
K262	1,500	14,300	-19,000
K263	0,500	15,300	-19,000
K264	1,500	15,300	-19,000
K265	8,100	8,900	-19,000
K266	9,100	8,900	-19,000
K267	8,100	14,300	-19,000
K268	9,100	14,300	-19,000
K269	8,100	15,300	-19,000
K270	9,100	15,300	-19,000
K271	0,500	13,100	0,000
K272	1,500	13,100	0,000
K273	0,500	12,100	0,000
K274	1,500	12,100	0,000
K275	0,500	11,100	0,000
K276	1,500	11,100	0,000
K277	8,100	13,100	0,000
K278	9,100	13,100	0,000
K279	8,100	12,100	0,000
K280	9,100	12,100	0,000
K281	8,100	11,100	0,000
K282	9,100	11,100	0,000
K283	-0,500	6,300	0,000
K284	-2,700	6,300	-19,000
K285	-0,500	7,300	0,000
K286	-2,700	7,300	-19,000
K287	10,100	6,300	0,000
K288	12,300	6,300	-19,000
K289	10,100	7,300	0,000
K290	12,300	7,300	-19,000

6. 1D-staaf

Naam	Doorsnede	Lengte [m]	Vorm	Beginknoop	Eindknoop	Type	EEM-type	Laag
S58	CS1 - Rechthoek (450; 450)	19,127	Lijn	K1	K236	Algemeen (0)	standaard	Laag1
S59	CS1 - Rechthoek (450; 450)	19,127	Lijn	K237	K238	Algemeen (0)	standaard	Laag1
S60	CS1 - Rechthoek (450; 450)	19,127	Lijn	K239	K240	Algemeen (0)	standaard	Laag1
S61	CS1 - Rechthoek (450; 450)	19,127	Lijn	K241	K242	Algemeen (0)	standaard	Laag1
S62	CS1 - Rechthoek (450; 450)	19,127	Lijn	K243	K244	Algemeen (0)	standaard	Laag1
S63	CS1 - Rechthoek (450; 450)	19,127	Lijn	K245	K246	Algemeen (0)	standaard	Laag1
S64	CS1 - Rechthoek (450; 450)	19,127	Lijn	K251	K252	Algemeen (0)	standaard	Laag1
S65	CS1 - Rechthoek (450; 450)	19,127	Lijn	K253	K254	Algemeen (0)	standaard	Laag1
S66	CS1 - Rechthoek (450; 450)	19,127	Lijn	K255	K249	Algemeen (0)	standaard	Laag1
S67	CS1 - Rechthoek (450; 450)	19,127	Lijn	K256	K250	Algemeen (0)	standaard	Laag1
S68	CS1 - Rechthoek (450; 450)	19,127	Lijn	K257	K247	Algemeen (0)	standaard	Laag1
S69	CS1 - Rechthoek (450; 450)	19,127	Lijn	K258	K248	Algemeen (0)	standaard	Laag1
S70	CS1 - Rechthoek (450; 450)	19,127	Lijn	K271	K263	Algemeen (0)	standaard	Laag1
S71	CS1 - Rechthoek (450; 450)	19,127	Lijn	K272	K264	Algemeen (0)	standaard	Laag1
S72	CS1 - Rechthoek (450; 450)	19,127	Lijn	K273	K261	Algemeen (0)	standaard	Laag1
S73	CS1 - Rechthoek (450; 450)	19,127	Lijn	K274	K262	Algemeen (0)	standaard	Laag1
S74	CS1 - Rechthoek (450; 450)	19,127	Lijn	K275	K259	Algemeen (0)	standaard	Laag1
S75	CS1 - Rechthoek (450; 450)	19,127	Lijn	K276	K260	Algemeen (0)	standaard	Laag1
S76	CS1 - Rechthoek (450; 450)	19,127	Lijn	K277	K269	Algemeen (0)	standaard	Laag1
S77	CS1 - Rechthoek (450; 450)	19,127	Lijn	K278	K270	Algemeen (0)	standaard	Laag1
S78	CS1 - Rechthoek (450; 450)	19,127	Lijn	K279	K267	Algemeen (0)	standaard	Laag1
S79	CS1 - Rechthoek (450; 450)	19,127	Lijn	K280	K268	Algemeen (0)	standaard	Laag1
S80	CS1 - Rechthoek (450; 450)	19,127	Lijn	K281	K265	Algemeen (0)	standaard	Laag1
S81	CS1 - Rechthoek (450; 450)	19,127	Lijn	K282	K266	Algemeen (0)	standaard	Laag1
S82	CS1 - Rechthoek (450; 450)	19,127	Lijn	K283	K284	Algemeen (0)	standaard	Laag1
S83	CS1 - Rechthoek (450; 450)	19,127	Lijn	K285	K286	Algemeen (0)	standaard	Laag1
S84	CS1 - Rechthoek (450; 450)	19,127	Lijn	K287	K288	Algemeen (0)	standaard	Laag1
S85	CS1 - Rechthoek (450; 450)	19,127	Lijn	K289	K290	Algemeen (0)	standaard	Laag1

7. 2D-element

Naam	Materiaal	D. [mm]	Dikte type	Type	Laag
E3	C30/37	3300	konstant	vloer (90)	Laag1

8. Subregio

Naam, 2D-element, Materiaal, Dikte type	Regio11	E3	C30/37	konstant		
2D-element systeemvlak op, Exc. z [mm], D. [mm], Punt 4, Knoop, Rand, Gewicht	Onder	0		1500	K187	Lijn
					K189	Lijn
					K190	Lijn
					K191	Cirkelboog
					K211	

Naam, 2D-element, Materiaal, Dikte type	Regio12	E3	C30/37	konstant		
2D-element systeemvlak op, Exc. z [mm], D. [mm], Punt 4, Knoop, Rand, Gewicht	Onder	0		1500	K195	Lijn
					K197	Lijn
					K198	Lijn
					K199	Cirkelboog
					K212	

Naam, 2D-element, Materiaal, Dikte type	Regio13	E3	C30/37	konstant		
2D-element systeemvlak op, Exc. z [mm], D. [mm], Punt 4, Knoop, Rand, Gewicht	Onder	0		1500	K186	Cirkelboog
					K213	
					K208	Lijn
					K210	Lijn
					K185	Lijn

Naam, 2D-element, Materiaal, Dikte type	Regio14	E3	C30/37	konstant		
2D-element systeemvlak op, Exc. z [mm], D. [mm], Punt 4, Knoop, Rand, Gewicht	Onder	0		1500	K204	Cirkelboog
					K214	
					K200	Lijn
					K202	Lijn
					K203	Lijn

Naam, 2D-element, Materiaal, Dikte type	Regio15	E3	C30/37	konstant		
2D-element systeemvlak op, Exc. z [mm], D. [mm], Punt 4, Knoop, Rand, Gewicht	Onder	0		1500	K207	Cirkelboog
					K215	
					K192	Lijn
					K194	Cirkelboog
					K216	
					K205	Lijn

Naam, 2D-element, Materiaal, Dikte type	Regio16	E3	C30/37	konstant		
2D-element systeemvlak op, Exc. z [mm], D. [mm], Punt 4, Knoop, Rand, Gewicht	Boven	0		1800	K217	Lijn
					K218	Lijn
					K219	Cirkelboog
					K209	

Naam, 2D-element, Materiaal, Dikte type	Regio17	E3	C30/37	konstant		
2D-element systeemvlak op, Exc. z [mm], D. [mm], Punt 4, Knoop, Rand, Gewicht	Boven	0		1800	K220	Lijn
					K221	Lijn
					K222	Cirkelboog
					K193	

Naam, 2D-element, Materiaal, Dikte type	Regio18	E3	C30/37	konstant		
2D-element systeemvlak op, Exc. z [mm], D. [mm], Punt 4, Knoop, Rand, Gewicht	Boven	0		1800	K223	Lijn
					K224	Cirkelboog
					K196	
					K225	Lijn

Naam, 2D-element, Materiaal, Dikte type	Regio19	E3	C30/37	konstant		
2D-element systeemvlak op, Exc. z [mm], D. [mm], Punt 4, Knoop, Rand, Gewicht	Boven	0		1800	K226	Lijn
					K227	Lijn
					K228	Cirkelboog
					K206	

Naam, 2D-element, Materiaal, Dikte type	Regio20	E3	C30/37	konstant		
2D-element systeemvlak op, Exc. z [mm], D. [mm], Punt 4, Knoop, Rand, Gewicht	Boven	0		1800	K229	Cirkelboog
					K231	
					K230	Lijn
					K232	Lijn

Naam, 2D-element, Materiaal, Dikte type	Regio21	E3	C30/37	konstant		
2D-element systeemvlak op, Exc. z [mm], D. [mm], Punt 4, Knoop, Rand, Gewicht	Boven	0		1800	K233	Lijn
					K234	Lijn
					K235	Cirkelboog
					K188	

9. Knoopondersteuningen

Naam	Knoop	Systeem	Type	X	Y	Z	Stijfheid Z [MN/m]	Rx	Ry	Rz
Sn1	K236	GCS	Standaard	Vast	Vast	Verend	9,0000e+01	Vrij	Vrij	Vrij
Sn2	K238	GCS	Standaard	Vast	Vast	Verend	9,0000e+01	Vrij	Vrij	Vrij
Sn3	K240	GCS	Standaard	Vast	Vast	Verend	9,0000e+01	Vrij	Vrij	Vrij
Sn4	K242	GCS	Standaard	Vast	Vast	Verend	9,0000e+01	Vrij	Vrij	Vrij
Sn5	K244	GCS	Standaard	Vast	Vast	Verend	9,0000e+01	Vrij	Vrij	Vrij
Sn6	K246	GCS	Standaard	Vast	Vast	Verend	9,0000e+01	Vrij	Vrij	Vrij

Naam	Knoop	Systeem	Type	X	Y	Z	Stijfheid Z [MN/m]	Rx	Ry	Rz
Sn7	K247	GCS	Standaard	Vast	Vast	Verend	9,0000e+01	Vrij	Vrij	Vrij
Sn8	K248	GCS	Standaard	Vast	Vast	Verend	9,0000e+01	Vrij	Vrij	Vrij
Sn9	K249	GCS	Standaard	Vast	Vast	Verend	9,0000e+01	Vrij	Vrij	Vrij
Sn10	K250	GCS	Standaard	Vast	Vast	Verend	9,0000e+01	Vrij	Vrij	Vrij
Sn11	K252	GCS	Standaard	Vast	Vast	Verend	9,0000e+01	Vrij	Vrij	Vrij
Sn12	K254	GCS	Standaard	Vast	Vast	Verend	9,0000e+01	Vrij	Vrij	Vrij
Sn13	K259	GCS	Standaard	Vast	Vast	Verend	9,0000e+01	Vrij	Vrij	Vrij
Sn14	K260	GCS	Standaard	Vast	Vast	Verend	9,0000e+01	Vrij	Vrij	Vrij
Sn15	K261	GCS	Standaard	Vast	Vast	Verend	9,0000e+01	Vrij	Vrij	Vrij
Sn16	K262	GCS	Standaard	Vast	Vast	Verend	9,0000e+01	Vrij	Vrij	Vrij
Sn17	K263	GCS	Standaard	Vast	Vast	Verend	9,0000e+01	Vrij	Vrij	Vrij
Sn18	K264	GCS	Standaard	Vast	Vast	Verend	9,0000e+01	Vrij	Vrij	Vrij
Sn19	K265	GCS	Standaard	Vast	Vast	Verend	9,0000e+01	Vrij	Vrij	Vrij
Sn20	K266	GCS	Standaard	Vast	Vast	Verend	9,0000e+01	Vrij	Vrij	Vrij
Sn21	K267	GCS	Standaard	Vast	Vast	Verend	9,0000e+01	Vrij	Vrij	Vrij
Sn22	K268	GCS	Standaard	Vast	Vast	Verend	9,0000e+01	Vrij	Vrij	Vrij
Sn23	K269	GCS	Standaard	Vast	Vast	Verend	9,0000e+01	Vrij	Vrij	Vrij
Sn24	K270	GCS	Standaard	Vast	Vast	Verend	9,0000e+01	Vrij	Vrij	Vrij
Sn25	K284	GCS	Standaard	Vast	Vast	Verend	9,0000e+01	Vrij	Vrij	Vrij
Sn26	K286	GCS	Standaard	Vast	Vast	Verend	9,0000e+01	Vrij	Vrij	Vrij
Sn27	K288	GCS	Standaard	Vast	Vast	Verend	9,0000e+01	Vrij	Vrij	Vrij
Sn28	K290	GCS	Standaard	Vast	Vast	Verend	9,0000e+01	Vrij	Vrij	Vrij

10. Lijnondersteuning op staaf

Staaf	Naam Systeem	Pos x_1 [m] Pos x_2 [m]	Coör Oors	X	Y	Stijfheid Y [MN/m²]	Z	Stijfheid Z [MN/m²]	Rx	Ry	Rz
S58	Slb246 LCS	0,000 0,900	Abso Vanaf begin	Vrij	Verend	1,2000e+00	Verend	1,2000e+00	Vrij	Vrij	Vrij
S58	Slb247 LCS	0,900 6,400	Abso Vanaf begin	Vrij	Verend	6,0000e+00	Verend	6,0000e+00	Vrij	Vrij	Vrij
S58	Slb248 LCS	6,400 10,900	Abso Vanaf begin	Vrij	Verend	1,2000e+00	Verend	1,2000e+00	Vrij	Vrij	Vrij
S58	Slb249 LCS	10,900 12,900	Abso Vanaf begin	Vrij	Verend	7,2000e+00	Verend	7,2000e+00	Vrij	Vrij	Vrij
S58	Slb250 LCS	12,900 22,000	Abso Vanaf begin	Vrij	Verend	1,4400e+01	Verend	1,4400e+01	Vrij	Vrij	Vrij
S59	Slb251 LCS	0,000 0,900	Abso Vanaf begin	Vrij	Verend	1,2000e+00	Verend	1,2000e+00	Vrij	Vrij	Vrij
S59	Slb252 LCS	0,900 6,400	Abso Vanaf begin	Vrij	Verend	6,0000e+00	Verend	6,0000e+00	Vrij	Vrij	Vrij
S59	Slb253 LCS	6,400 10,900	Abso Vanaf begin	Vrij	Verend	1,2000e+00	Verend	1,2000e+00	Vrij	Vrij	Vrij
S59	Slb254 LCS	10,900 12,900	Abso Vanaf begin	Vrij	Verend	7,2000e+00	Verend	7,2000e+00	Vrij	Vrij	Vrij
S59	Slb255 LCS	12,900 22,000	Abso Vanaf begin	Vrij	Verend	1,4400e+01	Verend	1,4400e+01	Vrij	Vrij	Vrij
S60	Slb256 LCS	0,000 0,900	Abso Vanaf begin	Vrij	Verend	1,2000e+00	Verend	1,2000e+00	Vrij	Vrij	Vrij
S60	Slb257 LCS	0,900 6,400	Abso Vanaf begin	Vrij	Verend	6,0000e+00	Verend	6,0000e+00	Vrij	Vrij	Vrij
S60	Slb258 LCS	6,400 10,900	Abso Vanaf begin	Vrij	Verend	1,2000e+00	Verend	1,2000e+00	Vrij	Vrij	Vrij
S60	Slb259 LCS	10,900 12,900	Abso Vanaf begin	Vrij	Verend	7,2000e+00	Verend	7,2000e+00	Vrij	Vrij	Vrij
S60	Slb260 LCS	12,900 22,000	Abso Vanaf begin	Vrij	Verend	1,4400e+01	Verend	1,4400e+01	Vrij	Vrij	Vrij
S61	Slb261 LCS	0,000 0,900	Abso Vanaf begin	Vrij	Verend	1,2000e+00	Verend	1,2000e+00	Vrij	Vrij	Vrij
S61	Slb262 LCS	0,900 6,400	Abso Vanaf begin	Vrij	Verend	6,0000e+00	Verend	6,0000e+00	Vrij	Vrij	Vrij
S61	Slb263 LCS	6,400 10,900	Abso Vanaf begin	Vrij	Verend	1,2000e+00	Verend	1,2000e+00	Vrij	Vrij	Vrij
S61	Slb264 LCS	10,900 12,900	Abso Vanaf begin	Vrij	Verend	7,2000e+00	Verend	7,2000e+00	Vrij	Vrij	Vrij
S61	Slb265 LCS	12,900 22,000	Abso Vanaf begin	Vrij	Verend	1,4400e+01	Verend	1,4400e+01	Vrij	Vrij	Vrij
S62	Slb266 LCS	0,000 0,900	Abso Vanaf begin	Vrij	Verend	1,2000e+00	Verend	1,2000e+00	Vrij	Vrij	Vrij
S62	Slb267 LCS	0,900 6,400	Abso Vanaf begin	Vrij	Verend	6,0000e+00	Verend	6,0000e+00	Vrij	Vrij	Vrij

Staaf	Naam Systeem	Pos x_1 [m] Pos x_2 [m]	Coör Oors	X	Y	Stijfheid Y [MN/m²]	Z	Stijfheid Z [MN/m²]	Rx	Ry	Rz
S62	Slb268 LCS	6,400 10,900	Abso Vanaf begin	Vrij	Verend	1,2000e+00	Verend	1,2000e+00	Vrij	Vrij	Vrij
S62	Slb269 LCS	10,900 12,900	Abso Vanaf begin	Vrij	Verend	7,2000e+00	Verend	7,2000e+00	Vrij	Vrij	Vrij
S62	Slb270 LCS	12,900 22,000	Abso Vanaf begin	Vrij	Verend	1,4400e+01	Verend	1,4400e+01	Vrij	Vrij	Vrij
S63	Slb271 LCS	0,000 0,900	Abso Vanaf begin	Vrij	Verend	1,2000e+00	Verend	1,2000e+00	Vrij	Vrij	Vrij
S63	Slb272 LCS	0,900 6,400	Abso Vanaf begin	Vrij	Verend	6,0000e+00	Verend	6,0000e+00	Vrij	Vrij	Vrij
S63	Slb273 LCS	6,400 10,900	Abso Vanaf begin	Vrij	Verend	1,2000e+00	Verend	1,2000e+00	Vrij	Vrij	Vrij
S63	Slb274 LCS	10,900 12,900	Abso Vanaf begin	Vrij	Verend	7,2000e+00	Verend	7,2000e+00	Vrij	Vrij	Vrij
S63	Slb275 LCS	12,900 22,000	Abso Vanaf begin	Vrij	Verend	1,4400e+01	Verend	1,4400e+01	Vrij	Vrij	Vrij
S64	Slb276 LCS	0,000 0,900	Abso Vanaf begin	Vrij	Verend	1,2000e+00	Verend	1,2000e+00	Vrij	Vrij	Vrij
S64	Slb277 LCS	0,900 6,400	Abso Vanaf begin	Vrij	Verend	6,0000e+00	Verend	6,0000e+00	Vrij	Vrij	Vrij
S64	Slb278 LCS	6,400 10,900	Abso Vanaf begin	Vrij	Verend	1,2000e+00	Verend	1,2000e+00	Vrij	Vrij	Vrij
S64	Slb279 LCS	10,900 12,900	Abso Vanaf begin	Vrij	Verend	7,2000e+00	Verend	7,2000e+00	Vrij	Vrij	Vrij
S64	Slb280 LCS	12,900 22,000	Abso Vanaf begin	Vrij	Verend	1,4400e+01	Verend	1,4400e+01	Vrij	Vrij	Vrij
S65	Slb281 LCS	0,000 0,900	Abso Vanaf begin	Vrij	Verend	1,2000e+00	Verend	1,2000e+00	Vrij	Vrij	Vrij
S65	Slb282 LCS	0,900 6,400	Abso Vanaf begin	Vrij	Verend	6,0000e+00	Verend	6,0000e+00	Vrij	Vrij	Vrij
S65	Slb283 LCS	6,400 10,900	Abso Vanaf begin	Vrij	Verend	1,2000e+00	Verend	1,2000e+00	Vrij	Vrij	Vrij
S65	Slb284 LCS	10,900 12,900	Abso Vanaf begin	Vrij	Verend	7,2000e+00	Verend	7,2000e+00	Vrij	Vrij	Vrij
S65	Slb285 LCS	12,900 22,000	Abso Vanaf begin	Vrij	Verend	1,4400e+01	Verend	1,4400e+01	Vrij	Vrij	Vrij
S66	Slb286 LCS	0,000 0,900	Abso Vanaf begin	Vrij	Verend	1,2000e+00	Verend	1,2000e+00	Vrij	Vrij	Vrij
S66	Slb287 LCS	0,900 6,400	Abso Vanaf begin	Vrij	Verend	6,0000e+00	Verend	6,0000e+00	Vrij	Vrij	Vrij
S66	Slb288 LCS	6,400 10,900	Abso Vanaf begin	Vrij	Verend	1,2000e+00	Verend	1,2000e+00	Vrij	Vrij	Vrij
S66	Slb289 LCS	10,900 12,900	Abso Vanaf begin	Vrij	Verend	7,2000e+00	Verend	7,2000e+00	Vrij	Vrij	Vrij
S66	Slb290 LCS	12,900 22,000	Abso Vanaf begin	Vrij	Verend	1,4400e+01	Verend	1,4400e+01	Vrij	Vrij	Vrij
S67	Slb291 LCS	0,000 0,900	Abso Vanaf begin	Vrij	Verend	1,2000e+00	Verend	1,2000e+00	Vrij	Vrij	Vrij
S67	Slb292 LCS	0,900 6,400	Abso Vanaf begin	Vrij	Verend	6,0000e+00	Verend	6,0000e+00	Vrij	Vrij	Vrij
S67	Slb293 LCS	6,400 10,900	Abso Vanaf begin	Vrij	Verend	1,2000e+00	Verend	1,2000e+00	Vrij	Vrij	Vrij
S67	Slb294 LCS	10,900 12,900	Abso Vanaf begin	Vrij	Verend	7,2000e+00	Verend	7,2000e+00	Vrij	Vrij	Vrij
S67	Slb295 LCS	12,900 22,000	Abso Vanaf begin	Vrij	Verend	1,4400e+01	Verend	1,4400e+01	Vrij	Vrij	Vrij
S68	Slb296 LCS	0,000 0,900	Abso Vanaf begin	Vrij	Verend	1,2000e+00	Verend	1,2000e+00	Vrij	Vrij	Vrij
S68	Slb297 LCS	0,900 6,400	Abso Vanaf begin	Vrij	Verend	6,0000e+00	Verend	6,0000e+00	Vrij	Vrij	Vrij
S68	Slb298 LCS	6,400 10,900	Abso Vanaf begin	Vrij	Verend	1,2000e+00	Verend	1,2000e+00	Vrij	Vrij	Vrij
S68	Slb299 LCS	10,900 12,900	Abso Vanaf begin	Vrij	Verend	7,2000e+00	Verend	7,2000e+00	Vrij	Vrij	Vrij
S68	Slb300 LCS	12,900 22,000	Abso Vanaf begin	Vrij	Verend	1,4400e+01	Verend	1,4400e+01	Vrij	Vrij	Vrij
S69	Slb301 LCS	0,000 0,900	Abso Vanaf begin	Vrij	Verend	1,2000e+00	Verend	1,2000e+00	Vrij	Vrij	Vrij
S69	Slb302 LCS	0,900 6,400	Abso Vanaf begin	Vrij	Verend	6,0000e+00	Verend	6,0000e+00	Vrij	Vrij	Vrij
S69	Slb303 LCS	6,400 10,900	Abso Vanaf begin	Vrij	Verend	1,2000e+00	Verend	1,2000e+00	Vrij	Vrij	Vrij

Staaf	Naam Systeem	Pos x_1 [m] Pos x_2 [m]	Coör Oors	X	Y	Stijfheid Y [MN/m²]	Z	Stijfheid Z [MN/m²]	Rx	Ry	Rz
S69	Slb304 LCS	10,900 12,900	Abso Vanaf begin	Vrij	Verend	7,2000e+00	Verend	7,2000e+00	Vrij	Vrij	Vrij
S69	Slb305 LCS	12,900 22,000	Abso Vanaf begin	Vrij	Verend	1,4400e+01	Verend	1,4400e+01	Vrij	Vrij	Vrij
S70	Slb306 LCS	0,000 0,900	Abso Vanaf begin	Vrij	Verend	1,2000e+00	Verend	1,2000e+00	Vrij	Vrij	Vrij
S70	Slb307 LCS	0,900 6,400	Abso Vanaf begin	Vrij	Verend	6,0000e+00	Verend	6,0000e+00	Vrij	Vrij	Vrij
S70	Slb308 LCS	6,400 10,900	Abso Vanaf begin	Vrij	Verend	1,2000e+00	Verend	1,2000e+00	Vrij	Vrij	Vrij
S70	Slb309 LCS	10,900 12,900	Abso Vanaf begin	Vrij	Verend	7,2000e+00	Verend	7,2000e+00	Vrij	Vrij	Vrij
S70	Slb310 LCS	12,900 22,000	Abso Vanaf begin	Vrij	Verend	1,4400e+01	Verend	1,4400e+01	Vrij	Vrij	Vrij
S71	Slb311 LCS	0,000 0,900	Abso Vanaf begin	Vrij	Verend	1,2000e+00	Verend	1,2000e+00	Vrij	Vrij	Vrij
S71	Slb312 LCS	0,900 6,400	Abso Vanaf begin	Vrij	Verend	6,0000e+00	Verend	6,0000e+00	Vrij	Vrij	Vrij
S71	Slb313 LCS	6,400 10,900	Abso Vanaf begin	Vrij	Verend	1,2000e+00	Verend	1,2000e+00	Vrij	Vrij	Vrij
S71	Slb314 LCS	10,900 12,900	Abso Vanaf begin	Vrij	Verend	7,2000e+00	Verend	7,2000e+00	Vrij	Vrij	Vrij
S71	Slb315 LCS	12,900 22,000	Abso Vanaf begin	Vrij	Verend	1,4400e+01	Verend	1,4400e+01	Vrij	Vrij	Vrij
S72	Slb316 LCS	0,000 0,900	Abso Vanaf begin	Vrij	Verend	1,2000e+00	Verend	1,2000e+00	Vrij	Vrij	Vrij
S72	Slb317 LCS	0,900 6,400	Abso Vanaf begin	Vrij	Verend	6,0000e+00	Verend	6,0000e+00	Vrij	Vrij	Vrij
S72	Slb318 LCS	6,400 10,900	Abso Vanaf begin	Vrij	Verend	1,2000e+00	Verend	1,2000e+00	Vrij	Vrij	Vrij
S72	Slb319 LCS	10,900 12,900	Abso Vanaf begin	Vrij	Verend	7,2000e+00	Verend	7,2000e+00	Vrij	Vrij	Vrij
S72	Slb320 LCS	12,900 22,000	Abso Vanaf begin	Vrij	Verend	1,4400e+01	Verend	1,4400e+01	Vrij	Vrij	Vrij
S73	Slb321 LCS	0,000 0,900	Abso Vanaf begin	Vrij	Verend	1,2000e+00	Verend	1,2000e+00	Vrij	Vrij	Vrij
S73	Slb322 LCS	0,900 6,400	Abso Vanaf begin	Vrij	Verend	6,0000e+00	Verend	6,0000e+00	Vrij	Vrij	Vrij
S73	Slb323 LCS	6,400 10,900	Abso Vanaf begin	Vrij	Verend	1,2000e+00	Verend	1,2000e+00	Vrij	Vrij	Vrij
S73	Slb324 LCS	10,900 12,900	Abso Vanaf begin	Vrij	Verend	7,2000e+00	Verend	7,2000e+00	Vrij	Vrij	Vrij
S73	Slb325 LCS	12,900 22,000	Abso Vanaf begin	Vrij	Verend	1,4400e+01	Verend	1,4400e+01	Vrij	Vrij	Vrij
S74	Slb326 LCS	0,000 0,900	Abso Vanaf begin	Vrij	Verend	1,2000e+00	Verend	1,2000e+00	Vrij	Vrij	Vrij
S74	Slb327 LCS	0,900 6,400	Abso Vanaf begin	Vrij	Verend	6,0000e+00	Verend	6,0000e+00	Vrij	Vrij	Vrij
S74	Slb328 LCS	6,400 10,900	Abso Vanaf begin	Vrij	Verend	1,2000e+00	Verend	1,2000e+00	Vrij	Vrij	Vrij
S74	Slb329 LCS	10,900 12,900	Abso Vanaf begin	Vrij	Verend	7,2000e+00	Verend	7,2000e+00	Vrij	Vrij	Vrij
S74	Slb330 LCS	12,900 22,000	Abso Vanaf begin	Vrij	Verend	1,4400e+01	Verend	1,4400e+01	Vrij	Vrij	Vrij
S75	Slb331 LCS	0,000 0,900	Abso Vanaf begin	Vrij	Verend	1,2000e+00	Verend	1,2000e+00	Vrij	Vrij	Vrij
S75	Slb332 LCS	0,900 6,400	Abso Vanaf begin	Vrij	Verend	6,0000e+00	Verend	6,0000e+00	Vrij	Vrij	Vrij
S75	Slb333 LCS	6,400 10,900	Abso Vanaf begin	Vrij	Verend	1,2000e+00	Verend	1,2000e+00	Vrij	Vrij	Vrij
S75	Slb334 LCS	10,900 12,900	Abso Vanaf begin	Vrij	Verend	7,2000e+00	Verend	7,2000e+00	Vrij	Vrij	Vrij
S75	Slb335 LCS	12,900 22,000	Abso Vanaf begin	Vrij	Verend	1,4400e+01	Verend	1,4400e+01	Vrij	Vrij	Vrij
S76	Slb336 LCS	0,000 0,900	Abso Vanaf begin	Vrij	Verend	1,2000e+00	Verend	1,2000e+00	Vrij	Vrij	Vrij
S76	Slb337 LCS	0,900 6,400	Abso Vanaf begin	Vrij	Verend	6,0000e+00	Verend	6,0000e+00	Vrij	Vrij	Vrij
S76	Slb338 LCS	6,400 10,900	Abso Vanaf begin	Vrij	Verend	1,2000e+00	Verend	1,2000e+00	Vrij	Vrij	Vrij
S76	Slb339 LCS	10,900 12,900	Abso Vanaf begin	Vrij	Verend	7,2000e+00	Verend	7,2000e+00	Vrij	Vrij	Vrij

Staaf	Naam Systeem	Pos x_1 [m] Pos x_2 [m]	Coör Oors	X	Y	Stijfheid Y [MN/m²]	Z	Stijfheid Z [MN/m²]	Rx	Ry	Rz
S76	Slb340 LCS	12,900 22,000	Abso Vanaf begin	Vrij	Verend	1,4400e+01	Verend	1,4400e+01	Vrij	Vrij	Vrij
S77	Slb341 LCS	0,000 0,900	Abso Vanaf begin	Vrij	Verend	1,2000e+00	Verend	1,2000e+00	Vrij	Vrij	Vrij
S77	Slb342 LCS	0,900 6,400	Abso Vanaf begin	Vrij	Verend	6,0000e+00	Verend	6,0000e+00	Vrij	Vrij	Vrij
S77	Slb343 LCS	6,400 10,900	Abso Vanaf begin	Vrij	Verend	1,2000e+00	Verend	1,2000e+00	Vrij	Vrij	Vrij
S77	Slb344 LCS	10,900 12,900	Abso Vanaf begin	Vrij	Verend	7,2000e+00	Verend	7,2000e+00	Vrij	Vrij	Vrij
S77	Slb345 LCS	12,900 22,000	Abso Vanaf begin	Vrij	Verend	1,4400e+01	Verend	1,4400e+01	Vrij	Vrij	Vrij
S78	Slb346 LCS	0,000 0,900	Abso Vanaf begin	Vrij	Verend	1,2000e+00	Verend	1,2000e+00	Vrij	Vrij	Vrij
S78	Slb347 LCS	0,900 6,400	Abso Vanaf begin	Vrij	Verend	6,0000e+00	Verend	6,0000e+00	Vrij	Vrij	Vrij
S78	Slb348 LCS	6,400 10,900	Abso Vanaf begin	Vrij	Verend	1,2000e+00	Verend	1,2000e+00	Vrij	Vrij	Vrij
S78	Slb349 LCS	10,900 12,900	Abso Vanaf begin	Vrij	Verend	7,2000e+00	Verend	7,2000e+00	Vrij	Vrij	Vrij
S78	Slb350 LCS	12,900 22,000	Abso Vanaf begin	Vrij	Verend	1,4400e+01	Verend	1,4400e+01	Vrij	Vrij	Vrij
S79	Slb351 LCS	0,000 0,900	Abso Vanaf begin	Vrij	Verend	1,2000e+00	Verend	1,2000e+00	Vrij	Vrij	Vrij
S79	Slb352 LCS	0,900 6,400	Abso Vanaf begin	Vrij	Verend	6,0000e+00	Verend	6,0000e+00	Vrij	Vrij	Vrij
S79	Slb353 LCS	6,400 10,900	Abso Vanaf begin	Vrij	Verend	1,2000e+00	Verend	1,2000e+00	Vrij	Vrij	Vrij
S79	Slb354 LCS	10,900 12,900	Abso Vanaf begin	Vrij	Verend	7,2000e+00	Verend	7,2000e+00	Vrij	Vrij	Vrij
S79	Slb355 LCS	12,900 22,000	Abso Vanaf begin	Vrij	Verend	1,4400e+01	Verend	1,4400e+01	Vrij	Vrij	Vrij
S80	Slb356 LCS	0,000 0,900	Abso Vanaf begin	Vrij	Verend	1,2000e+00	Verend	1,2000e+00	Vrij	Vrij	Vrij
S80	Slb357 LCS	0,900 6,400	Abso Vanaf begin	Vrij	Verend	6,0000e+00	Verend	6,0000e+00	Vrij	Vrij	Vrij
S80	Slb358 LCS	6,400 10,900	Abso Vanaf begin	Vrij	Verend	1,2000e+00	Verend	1,2000e+00	Vrij	Vrij	Vrij
S80	Slb359 LCS	10,900 12,900	Abso Vanaf begin	Vrij	Verend	7,2000e+00	Verend	7,2000e+00	Vrij	Vrij	Vrij
S80	Slb360 LCS	12,900 22,000	Abso Vanaf begin	Vrij	Verend	1,4400e+01	Verend	1,4400e+01	Vrij	Vrij	Vrij
S81	Slb361 LCS	0,000 0,900	Abso Vanaf begin	Vrij	Verend	1,2000e+00	Verend	1,2000e+00	Vrij	Vrij	Vrij
S81	Slb362 LCS	0,900 6,400	Abso Vanaf begin	Vrij	Verend	6,0000e+00	Verend	6,0000e+00	Vrij	Vrij	Vrij
S81	Slb363 LCS	6,400 10,900	Abso Vanaf begin	Vrij	Verend	1,2000e+00	Verend	1,2000e+00	Vrij	Vrij	Vrij
S81	Slb364 LCS	10,900 12,900	Abso Vanaf begin	Vrij	Verend	7,2000e+00	Verend	7,2000e+00	Vrij	Vrij	Vrij
S81	Slb365 LCS	12,900 22,000	Abso Vanaf begin	Vrij	Verend	1,4400e+01	Verend	1,4400e+01	Vrij	Vrij	Vrij
S82	Slb366 LCS	0,000 0,900	Abso Vanaf begin	Vrij	Verend	1,2000e+00	Verend	1,2000e+00	Vrij	Vrij	Vrij
S82	Slb367 LCS	0,900 6,400	Abso Vanaf begin	Vrij	Verend	6,0000e+00	Verend	6,0000e+00	Vrij	Vrij	Vrij
S82	Slb368 LCS	6,400 10,900	Abso Vanaf begin	Vrij	Verend	1,2000e+00	Verend	1,2000e+00	Vrij	Vrij	Vrij
S82	Slb369 LCS	10,900 12,900	Abso Vanaf begin	Vrij	Verend	7,2000e+00	Verend	7,2000e+00	Vrij	Vrij	Vrij
S82	Slb370 LCS	12,900 22,000	Abso Vanaf begin	Vrij	Verend	1,4400e+01	Verend	1,4400e+01	Vrij	Vrij	Vrij
S83	Slb371 LCS	0,000 0,900	Abso Vanaf begin	Vrij	Verend	1,2000e+00	Verend	1,2000e+00	Vrij	Vrij	Vrij
S83	Slb372 LCS	0,900 6,400	Abso Vanaf begin	Vrij	Verend	6,0000e+00	Verend	6,0000e+00	Vrij	Vrij	Vrij
S83	Slb373 LCS	6,400 10,900	Abso Vanaf begin	Vrij	Verend	1,2000e+00	Verend	1,2000e+00	Vrij	Vrij	Vrij
S83	Slb374 LCS	10,900 12,900	Abso Vanaf begin	Vrij	Verend	7,2000e+00	Verend	7,2000e+00	Vrij	Vrij	Vrij
S83	Slb375 LCS	12,900 22,000	Abso Vanaf begin	Vrij	Verend	1,4400e+01	Verend	1,4400e+01	Vrij	Vrij	Vrij

Staaf	Naam Systeem	Pos x_1 [m] Pos x_2 [m]	Coör Oors	X	Y	Stijfheid Y [MN/m²]	Z	Stijfheid Z [MN/m²]	Rx	Ry	Rz
S84	Slb376 LCS	0,000 0,900	Abso Vanaf begin	Vrij	Verend	1,2000e+00	Verend	1,2000e+00	Vrij	Vrij	Vrij
S84	Slb377 LCS	0,900 6,400	Abso Vanaf begin	Vrij	Verend	6,0000e+00	Verend	6,0000e+00	Vrij	Vrij	Vrij
S84	Slb378 LCS	6,400 10,900	Abso Vanaf begin	Vrij	Verend	1,2000e+00	Verend	1,2000e+00	Vrij	Vrij	Vrij
S84	Slb379 LCS	10,900 12,900	Abso Vanaf begin	Vrij	Verend	7,2000e+00	Verend	7,2000e+00	Vrij	Vrij	Vrij
S84	Slb380 LCS	12,900 22,000	Abso Vanaf begin	Vrij	Verend	1,4400e+01	Verend	1,4400e+01	Vrij	Vrij	Vrij
S85	Slb381 LCS	0,000 0,900	Abso Vanaf begin	Vrij	Verend	1,2000e+00	Verend	1,2000e+00	Vrij	Vrij	Vrij
S85	Slb382 LCS	0,900 6,400	Abso Vanaf begin	Vrij	Verend	6,0000e+00	Verend	6,0000e+00	Vrij	Vrij	Vrij
S85	Slb383 LCS	6,400 10,900	Abso Vanaf begin	Vrij	Verend	1,2000e+00	Verend	1,2000e+00	Vrij	Vrij	Vrij
S85	Slb384 LCS	10,900 12,900	Abso Vanaf begin	Vrij	Verend	7,2000e+00	Verend	7,2000e+00	Vrij	Vrij	Vrij
S85	Slb385 LCS	12,900 22,000	Abso Vanaf begin	Vrij	Verend	1,4400e+01	Verend	1,4400e+01	Vrij	Vrij	Vrij

11. Belastingsgevallen

11.1. Belastingsgevallen - BG1

Naam	Omschrijving	Actie type	Lastgroep	Belastingtype	Richting
BG1	Eigengewicht	Permanent	LG8	Eigen gewicht	-Z

11.1.1. Belasting grafisch

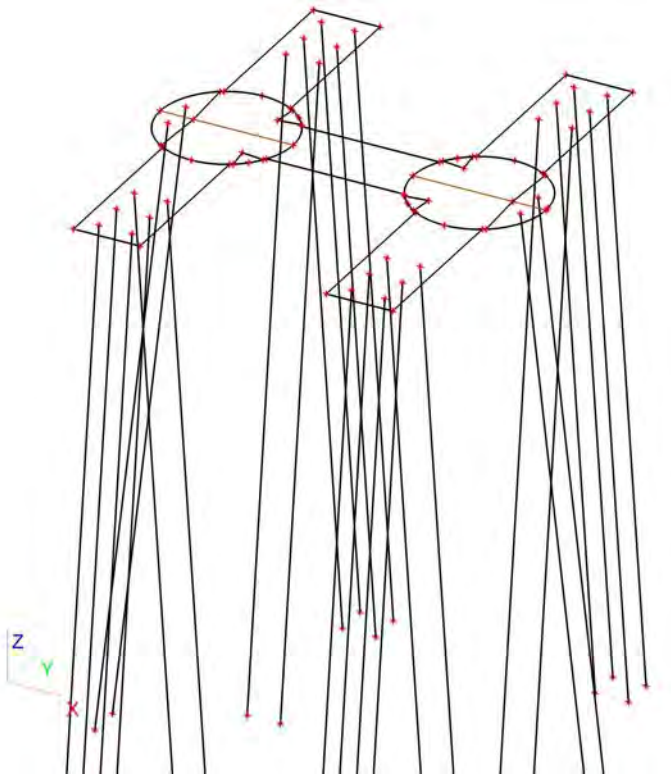

11.2. Belastingsgevallen - BG3

Naam	Omschrijving	Actie type	Lastgroep	Belastingtype	Spec	Duur	'Master' belastingsgeval
BG3	ULS 1	Variabel	LG7	Statisch	Standaard	Kort	Geen

11.2.1. Vrije puntmomenten

Typenaam	Naam	Rich	Type	Geldigheid	Selecteer	Waarde - F [kNm]	Belastingsgeval	Coördinaat X [m]	Coördinaat Y [m]	Coördinaat Z [m]	Coördinaat ux [m]	Coördinaat uy [m]	Coördinaat uz [m]	Systeem
Vrij puntmoment	FM1	Mx	Moment	Alle	Auto	-33589,00	BG3 - ULS 1	1,000	6,800	0,000	1,000	6,800	0,000	GCS
Vrij puntmoment	FM2	Mx	Moment	Alle	Auto	-33589,00	BG3 - ULS 1	8,600	6,800	0,000	8,600	6,800	0,000	GCS
Vrij puntmoment	FM3	My	Moment	Alle	Auto	4631,00	BG3 - ULS 1	1,000	6,800	0,000	1,000	6,800	0,000	GCS
Vrij puntmoment	FM4	My	Moment	Alle	Auto	4631,00	BG3 - ULS 1	8,600	6,800	0,000	8,600	6,800	0,000	GCS
Vrij puntmoment	FM5	Mx	Moment	Alle	Auto	2379,15	BG3 - ULS 1	1,000	6,800	0,000	1,000	6,800	0,000	GCS
Vrij puntmoment	FM6	Mx	Moment	Alle	Auto	2379,15	BG3 - ULS 1	8,600	6,800	0,000	8,600	6,800	0,000	GCS
Vrij puntmoment	FM7	My	Moment	Alle	Auto	573,75	BG3 - ULS 1	1,000	6,800	0,000	-15,410	6,807	0,000	GCS
Vrij puntmoment	FM8	My	Moment	Alle	Auto	573,75	BG3 - ULS 1	8,600	6,800	0,000	-7,810	6,807	0,000	GCS

11.2.2. Genereer vrije lasten

Naam	Belastingsgeval	2D-element	Rich	Belastingstype Type	Oorspronkelijke belasting	Waarde - F [kN] Waarde - F [kNm]	Systeem Locatie
GFF1	BG3 - ULS 1	E3	Z	Punt Kracht	FF1	-725,00	GCS Lengte
GFF4	BG3 - ULS 1	E3	Z	Punt Kracht	FF2	-725,00	GCS Lengte
GFF5	BG3 - ULS 1	E3	Mx	Punt Moment	FM6	2379,15	GCS Lengte
GFF6	BG3 - ULS 1	E3	Y	Punt Kracht	FF3	933,00	GCS Lengte
GFF7	BG3 - ULS 1	E3	X	Punt Kracht	FF5	225,00	GCS Lengte
GFF9	BG3 - ULS 1	E3	Y	Punt Kracht	FF4	933,00	GCS Lengte
GFF10	BG3 - ULS 1	E3	X	Punt Kracht	FF6	225,00	GCS Lengte
GFF25	BG3 - ULS 1	E3	My	Punt Moment	FM7	573,75	GCS Lengte
GFF27	BG3 - ULS 1	E3	My	Punt Moment	FM8	573,75	GCS Lengte
GFF41	BG3 - ULS 1	E3	Mx	Punt Moment	FM1	-33589,00	GCS Lengte
GFF42	BG3 - ULS 1	E3	Mx	Punt Moment	FM2	-33589,00	GCS Lengte
GFF43	BG3 - ULS 1	E3	My	Punt Moment	FM3	4631,00	GCS Lengte
GFF44	BG3 - ULS 1	E3	My	Punt Moment	FM4	4631,00	GCS Lengte
GFF45	BG3 - ULS 1	E3	Mx	Punt Moment	FM5	2379,15	GCS Lengte

11.2.3. Belasting grafisch

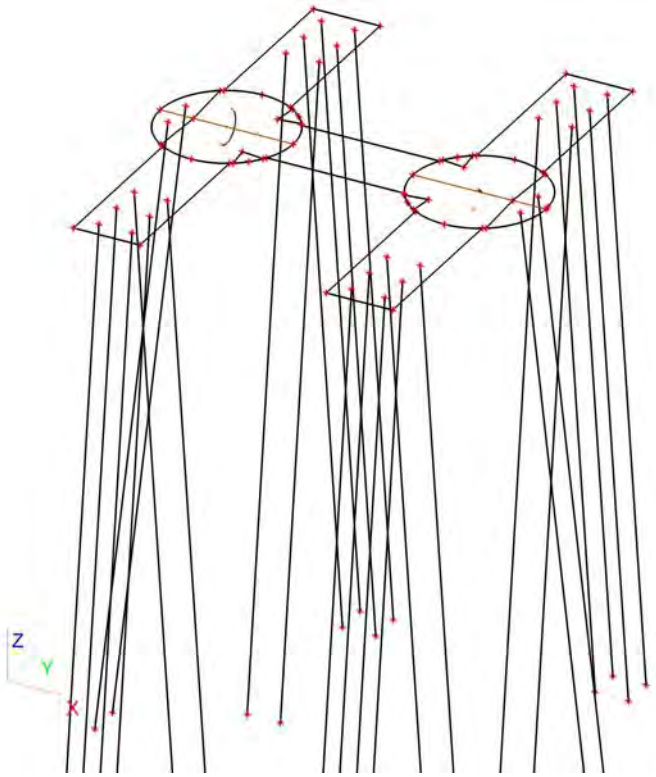

11.3. Belastingsgevallen - BG2

Naam	Omschrijving	Actie type	Lastgroep	Belastingtype
BG2	Grond	Permanent	LG8	Standaard

11.3.1. Lasten op oppervlak

Naam	Rich	Type	Waarde [kN/m²]	Belastingsgeval	Systeem	Loc
SF8	Z	Kracht	-25,50	BG2 - Grond	LCS	Lengte
SF9	Z	Kracht	-25,50	BG2 - Grond	LCS	Lengte
SF10	Z	Kracht	-25,50	BG2 - Grond	LCS	Lengte
SF11	Z	Kracht	-25,50	BG2 - Grond	LCS	Lengte
SF12	Z	Kracht	-25,50	BG2 - Grond	LCS	Lengte

11.3.2. Belasting grafisch

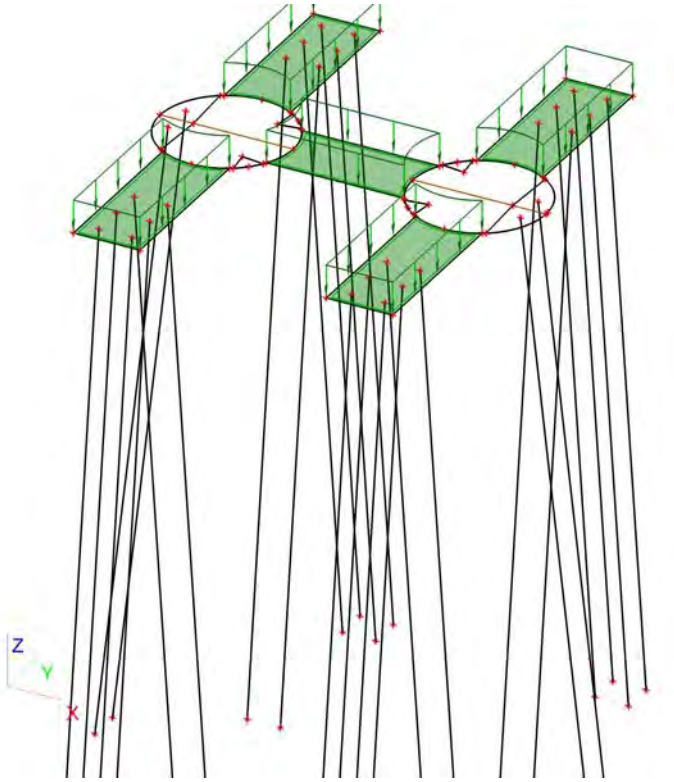

11.4. Belastingsgevallen - BG4

Naam	Omschrijving	Actie type	Lastgroep	Belastingtype	Spec	Duur	'Master' belastingsgeval
BG4	ULS 2	Variabel	LG9	Statisch	Standaard	Kort	Geen

11.4.1. Vrije puntmomenten

Typenaam	Naam	Rich	Type	Geldigheid	Selecteer	Waarde - F [kNm]	Belastingsgeval	Coördinaat X [m]	Coördinaat Y [m]	Coördinaat Z [m]	Coördinaat ux [m]	Coördinaat uy [m]	Coördinaat uz [m]	Systeem
Vrij puntmoment	FM9	Mx	Moment	Alle	Auto	-37033,00	BG4 - ULS 2	1,000	6,800	0,000	2,253	6,800	0,000	GCS
Vrij puntmoment	FM10	Mx	Moment	Alle	Auto	-37033,00	BG4 - ULS 2	8,600	6,800	0,000	10,025	6,794	0,000	GCS
Vrij puntmoment	FM11	My	Moment	Alle	Auto	3864,00	BG4 - ULS 2	1,000	6,800	0,000	-13,975	6,794	0,000	GCS
Vrij puntmoment	FM12	My	Moment	Alle	Auto	3864,00	BG4 - ULS 2	8,600	6,800	0,000	-6,547	6,800	0,000	GCS
Vrij puntmoment	FM13	Mx	Moment	Alle	Auto	2567,85	BG4 - ULS 2	1,000	6,800	0,000	-15,400	6,800	0,000	GCS
Vrij puntmoment	FM14	Mx	Moment	Alle	Auto	2567,85	BG4 - ULS 2	8,600	6,800	0,000	-7,800	6,800	0,000	GCS
Vrij puntmoment	FM15	My	Moment	Alle	Auto	334,05	BG4 - ULS 2	1,000	6,800	0,000	-15,400	6,800	0,000	GCS
Vrij puntmoment	FM16	My	Moment	Alle	Auto	334,05	BG4 - ULS 2	8,600	6,800	0,000	-7,800	6,800	0,000	GCS

11.4.2. Genereer vrije lasten

Naam	Belastingsgeval	2D-element	Rich	Belastingstype Type	Oorspronkelijke belasting	Waarde - F [kN] Waarde - F [kNm]	Systeem Locatie
GFF2	BG4 - ULS 2	E3	Y	Punt Kracht	FF9	1007,00	GCS Lengte
GFF12	BG4 - ULS 2	E3	Z	Punt Kracht	FF7	-877,00	GCS Lengte
GFF13	BG4 - ULS 2	E3	Mx	Punt Moment	FM13	2567,85	GCS Lengte
GFF14	BG4 - ULS 2	E3	Z	Punt Kracht	FF8	-877,00	GCS Lengte
GFF15	BG4 - ULS 2	E3	Mx	Punt Moment	FM14	2567,85	GCS Lengte
GFF16	BG4 - ULS 2	E3	Y	Punt Kracht	FF10	1007,00	GCS Lengte
GFF18	BG4 - ULS 2	E3	X	Punt Kracht	FF11	131,00	GCS Lengte
GFF19	BG4 - ULS 2	E3	X	Punt Kracht	FF12	131,00	GCS Lengte
GFF20	BG4 - ULS 2	E3	Mx	Punt Moment	FM10	-37033,00	GCS Lengte

Naam	Belastingsgeval	2D-element	Rich	Belastingstype Type	Oorspronkelijke belasting	Waarde - F [kN] Waarde - F [kNm]	Systeem Locatie
GFF22	BG4 - ULS 2	E3	My	Punt Moment	FM15	 334,05	GCS Lengte
GFF24	BG4 - ULS 2	E3	My	Punt Moment	FM16	 334,05	GCS Lengte
GFF29	BG4 - ULS 2	E3	My	Punt Moment	FM11	 3864,00	GCS Lengte
GFF31	BG4 - ULS 2	E3	My	Punt Moment	FM12	 3864,00	GCS Lengte
GFF46	BG4 - ULS 2	E3	Mx	Punt Moment	FM9	 -37033,00	GCS Lengte

11.4.3. Belasting grafisch

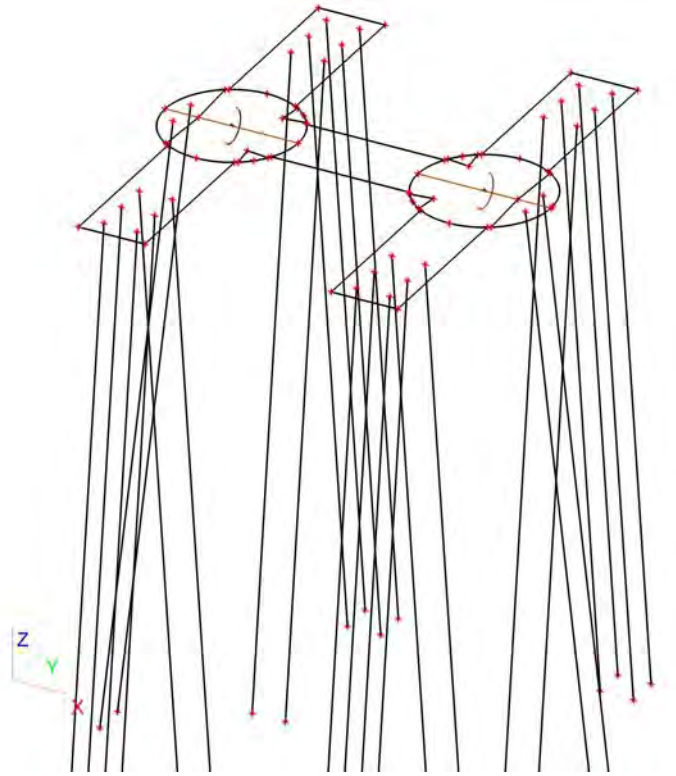

11.5. Belastingsgevallen - BG5

Naam	Omschrijving	Actie type	Lastgroep	Belastingtype	Spec	Duur	'Master' belastingsgeval
BG5	SLS 1	Variabel	LG9	Statisch	Standaard	Kort	Geen

11.5.1. Vrije puntmomenten

Typenaam	Naam	Rich	Type	Geldigheid	Selecteer	Waarde - F [kNm]	Belastingsgeval	Coördinaat X [m]	Coördinaat Y [m]	Coördinaat Z [m]	Coördinaat ux [m]	Coördinaat uy [m]	Coördinaat uz [m]	Systeem
Vrij puntmoment	FM17	Mx	Moment	Alle	Auto	-36800,40	BG5 - SLS 1	1,000	6,800	0,000	0,000	6,800	0,000	GCS
Vrij puntmoment	FM18	Mx	Moment	Alle	Auto	-36800,40	BG5 - SLS 1	8,600	6,800	0,000	7,600	6,800	0,000	GCS
Vrij puntmoment	FM19	My	Moment	Alle	Auto	7506,80	BG5 - SLS 1	1,000	6,800	0,000	0,000	6,800	0,000	GCS
Vrij puntmoment	FM20	My	Moment	Alle	Auto	7506,80	BG5 - SLS 1	8,600	6,800	0,000	7,600	6,800	0,000	GCS
Vrij puntmoment	FM21	Mx	Moment	Alle	Auto	2552,55	BG5 - SLS 1	1,000	6,800	0,000	0,000	6,800	0,000	GCS
Vrij puntmoment	FM22	Mx	Moment	Alle	Auto	2552,55	BG5 - SLS 1	8,600	6,800	0,000	7,600	6,800	0,000	GCS
Vrij puntmoment	FM23	My	Moment	Alle	Auto	2552,55	BG5 - SLS 1	1,000	6,800	0,000	0,000	6,800	0,000	GCS
Vrij puntmoment	FM24	My	Moment	Alle	Auto	2552,55	BG5 - SLS 1	8,600	6,800	0,000	7,600	6,800	0,000	GCS
Vrij puntmoment	FM29	Mx	Moment	Alle	Auto	3023,79	BG5 - SLS 1	1,000	6,800	0,000	0,000	6,800	0,000	GCS
Vrij puntmoment	FM30	Mx	Moment	Alle	Auto	3023,79	BG5 - SLS 1	8,600	6,800	0,000	7,600	6,800	0,000	GCS
Vrij puntmoment	FM31	My	Moment	Alle	Auto	510,51	BG5 - SLS 1	1,000	6,800	0,000	-16,410	6,807	0,000	GCS
Vrij puntmoment	FM32	My	Moment	Alle	Auto	510,51	BG5 - SLS 1	8,600	6,800	0,000	-8,810	6,807	0,000	GCS

11.5.2. Genereer vrije lasten

Naam	Belastingsgeval	2D-element	Rich	Belastingstype Type	Oorspronkelijke belasting	Waarde - F [kN] Waarde - F [kNm]	Systeem Locatie
GFF3	BG5 - SLS 1	E3	My	Punt Moment	FM19	 7506,80	GCS Lengte
GFF8	BG5 - SLS 1	E3	Mx	Punt Moment	FM17	 -36800,40	GCS Lengte
GFF11	BG5 - SLS 1	E3	Mx	Punt Moment	FM18	 -36800,40	GCS Lengte
GFF17	BG5 - SLS 1	E3	My	Punt Moment	FM20	 7506,80	GCS Lengte
GFF21	BG5 - SLS 1	E3	Z	Punt Kracht	FF13	-954,80	GCS Lengte
GFF23	BG5 - SLS 1	E3	Z	Punt Kracht	FF14	-954,80	GCS Lengte
GFF26	BG5 - SLS 1	E3	Y	Punt Kracht	FF15	1001,00	GCS Lengte
GFF28	BG5 - SLS 1	E3	Y	Punt Kracht	FF16	1001,00	GCS Lengte
GFF30	BG5 - SLS 1	E3	X	Punt Kracht	FF17	225,40	GCS Lengte
GFF32	BG5 - SLS 1	E3	X	Punt Kracht	FF18	225,40	GCS Lengte
GFF38	BG5 - SLS 1	E3	Mx	Punt Moment	FM29	 3023,79	GCS Lengte
GFF40	BG5 - SLS 1	E3	Mx	Punt Moment	FM30	 3023,79	GCS Lengte
GFF47	BG5 - SLS 1	E3	Mx	Punt Moment	FM21	 2552,55	GCS Lengte
GFF48	BG5 - SLS 1	E3	Mx	Punt Moment	FM22	 2552,55	GCS Lengte
GFF49	BG5 - SLS 1	E3	My	Punt Moment	FM23	 2552,55	GCS Lengte
GFF50	BG5 - SLS 1	E3	My	Punt Moment	FM24	 2552,55	GCS Lengte
GFF55	BG5 - SLS 1	E3	My	Punt Moment	FM31	 510,51	GCS Lengte
GFF56	BG5 - SLS 1	E3	My	Punt Moment	FM32	 510,51	GCS Lengte

11.5.3. Belasting grafisch

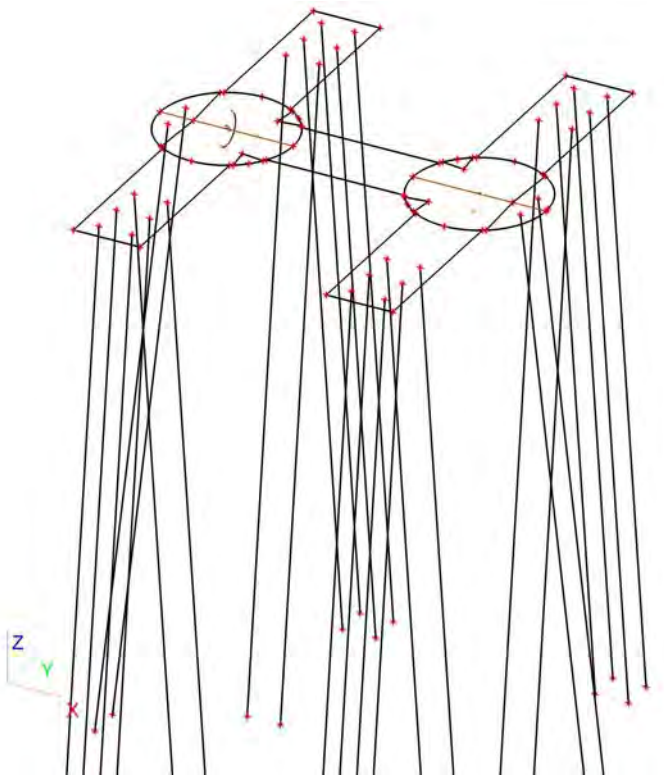

11.6. Belastingsgevallen - BG6

Naam	Omschrijving	Actie type	Lastgroep	Belastingtype	Spec	Duur	'Master' belastingsgeval
BG6	SLS 2	Variabel	LG9	Statisch	Standaard	Kort	Geen

11.6.1. Vrije puntmomenten

Typenaam	Naam	Rich	Type	Geldigheid	Selecteer	Waarde - F [kNm]	Belastingsgeval	Coördinaat X [m]	Coördinaat Y [m]	Coördinaat Z [m]	Coördinaat ux [m]	Coördinaat uy [m]	Coördinaat uz [m]	Systeem
Vrij puntmoment	FM25	Mx	Moment	Alle	Auto	-42985,60	BG6 - SLS 2	1,000	6,800	0,000	0,000	6,800	0,000	GCS
Vrij puntmoment	FM26	Mx	Moment	Alle	Auto	-42985,60	BG6 - SLS 2	8,600	6,800	0,000	7,600	6,800	0,000	GCS
Vrij puntmoment	FM27	My	Moment	Alle	Auto	6496,00	BG6 - SLS 2	1,000	6,800	0,000	0,000	6,800	0,000	GCS
Vrij puntmoment	FM28	My	Moment	Alle	Auto	6496,00	BG6 - SLS 2	8,600	6,800	0,000	7,600	6,800	0,000	GCS

11.6.2. Genereer vrije lasten

Naam	Belastingsgeval	2D-element	Rich	Belastingstype Type	Oorspronkelijke belasting	Waarde - F [kN] Waarde - F [kNm]	Systeem Locatie
GFF33	BG6 - SLS 2	E3	Z	Punt Kracht	FF19	-1009,40	GCS Lengte
GFF34	BG6 - SLS 2	E3	Z	Punt Kracht	FF20	-1009,40	GCS Lengte
GFF35	BG6 - SLS 2	E3	Y	Punt Kracht	FF21	1185,80	GCS Lengte
GFF36	BG6 - SLS 2	E3	Y	Punt Kracht	FF22	1185,80	GCS Lengte
GFF37	BG6 - SLS 2	E3	X	Punt Kracht	FF23	200,20	GCS Lengte
GFF39	BG6 - SLS 2	E3	X	Punt Kracht	FF24	200,20	GCS Lengte
GFF51	BG6 - SLS 2	E3	Mx	Punt Moment	FM25	-42985,60	GCS Lengte
GFF52	BG6 - SLS 2	E3	Mx	Punt Moment	FM26	-42985,60	GCS Lengte
GFF53	BG6 - SLS 2	E3	My	Punt Moment	FM27	6496,00	GCS Lengte
GFF54	BG6 - SLS 2	E3	My	Punt Moment	FM28	6496,00	GCS Lengte

11.6.3. Belasting grafisch

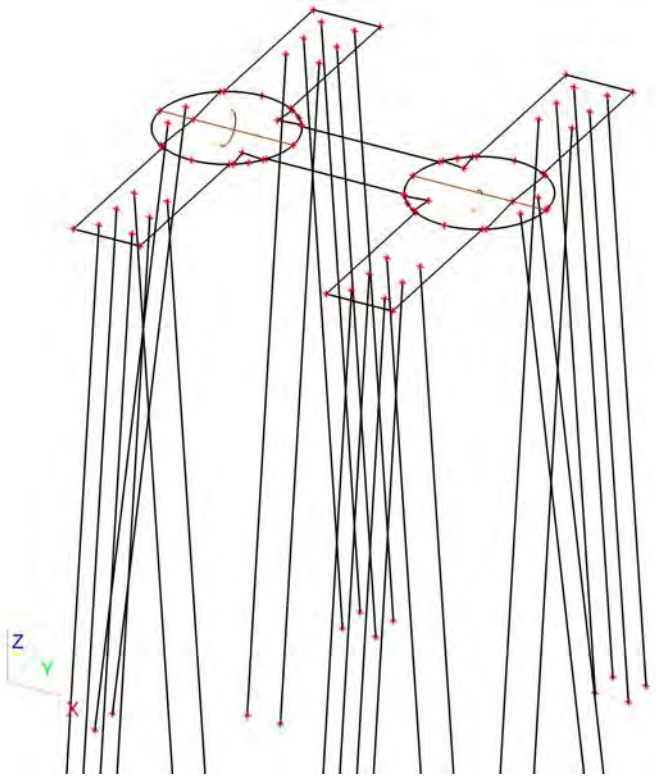

11.7. Belastingsgevallen - BG7

Naam	Omschrijving	Actie type	Lastgroep	Belastingtype	Spec	Duur	'Master' belastingsgeval
BG7	Belasting op maaiveld	Variabel	LG7	Statisch	Standaard	Kort	Geen

11.7.1. Lasten op oppervlak

Naam	Rich	Type	Waarde [kN/m^2]	Belastingsgeval	Systeem	Loc
SF7	Z	Kracht	-10,00	BG7 - Belasting op maaiveld	LCS	Lengte

11.7.2. Belasting grafisch

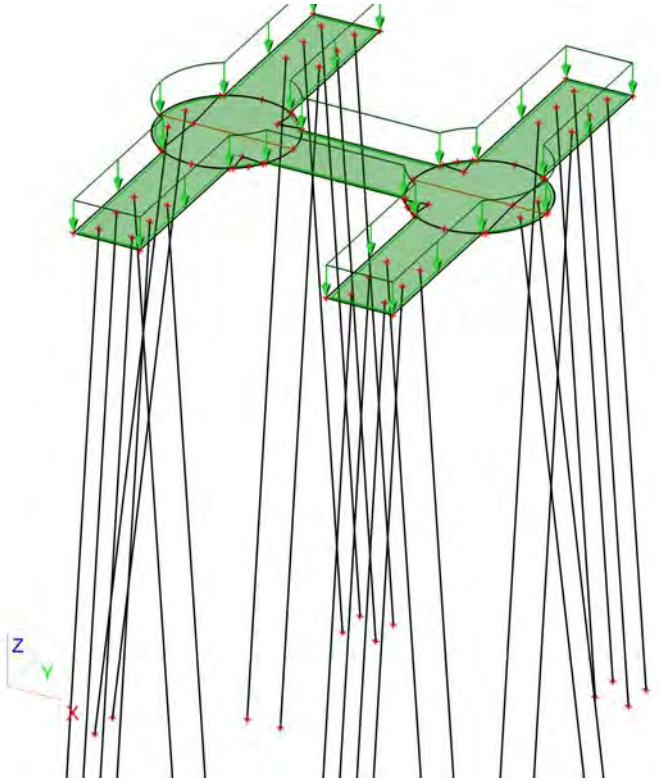

12. Combinaties

Naam	Type	Belastingsgevallen	Coëff. [-]
Combi1	Omhullende - uiterst	BG1 - Eigengewicht	1,30
		BG3 - ULS 1	1,00
		BG7 - Belasting op maaiveld	1,16
		BG2 - Grond	1,30
Combi2	Omhullende - uiterst	BG1 - Eigengewicht	1,30
		BG4 - ULS 2	1,00
		BG7 - Belasting op maaiveld	1,16
		BG2 - Grond	1,30
Combi3	Omhullende - uiterst	BG1 - Eigengewicht	1,30
		BG3 - ULS 1	0,60
		BG7 - Belasting op maaiveld	1,65
		BG2 - Grond	1,30
Combi4	Omhullende - uiterst	BG1 - Eigengewicht	1,30
		BG4 - ULS 2	0,60
		BG7 - Belasting op maaiveld	1,65
		BG2 - Grond	1,30
Combi5	Omhullende - uiterst	BG1 - Eigengewicht	0,54
		BG3 - ULS 1	1,00
		BG2 - Grond	0,54
Combi6	Omhullende - uiterst	BG1 - Eigengewicht	0,54
		BG4 - ULS 2	1,00
		BG2 - Grond	0,54

Naam	Type	Belastingsgevallen	Coëff. [-]
Combi7	Omhullende - bruikbaarheid	BG1 - Eigengewicht	1,00
		BG5 - SLS 1	1,00
		BG7 - Belasting op maaiveld	1,16
		BG2 - Grond	1,00
Combi8	Omhullende - bruikbaarheid	BG1 - Eigengewicht	1,00
		BG6 - SLS 2	1,00
		BG7 - Belasting op maaiveld	0,70
		BG2 - Grond	1,00
Combi9	Omhullende - bruikbaarheid	BG1 - Eigengewicht	1,00
		BG5 - SLS 1	0,60
		BG7 - Belasting op maaiveld	1,00
		BG2 - Grond	1,00
Combi10	Omhullende - bruikbaarheid	BG1 - Eigengewicht	1,00
		BG6 - SLS 2	0,60
		BG7 - Belasting op maaiveld	1,00
		BG2 - Grond	1,00
Combi11	Omhullende - bruikbaarheid	BG1 - Eigengewicht	0,60
		BG5 - SLS 1	1,00
		BG2 - Grond	0,60
Combi12	Omhullende - bruikbaarheid	BG1 - Eigengewicht	0,60
		BG6 - SLS 2	1,00
		BG2 - Grond	0,60

13. Verplaatsing van knopen SLS 1

Lineaire berekening, Extreem : Globaal
Selectie : Alle
Belastingsgevallen : BG5

BG	Snede	elem	dx [m]	Ux [mm]	Uy [mm]	Uz [mm]	Fix [mrad]	Fiy [mrad]	Fiz [mrad]
BG5	Snede2	342	0,000	**3,0**	6,8	-2,9	-2,7	**1,1**	0,2
BG5	Snede1	1256	0,258	**3,2**	6,8	4,3	-2,7	1,5	-0,3
BG5	Snede1	110	4,000	3,2	**6,8**	-0,9	-2,7	1,3	-0,2
BG5	Snede2	229	2,048	3,0	**6,8**	-5,3	**-3,5**	1,5	0,2
BG5	Snede2	1207	4,000	3,0	6,8	**-7,7**	-2,7	1,3	0,2
BG5	Snede1	1256	0,000	3,2	6,8	**4,6**	**-2,7**	1,5	-0,3
BG5	Snede1	57	1,971	3,2	6,8	1,8	-3,5	**1,7**	-0,2
BG5	Snede1	1229	0,516	3,2	6,8	3,9	-2,8	1,5	**-0,3**
BG5	Snede2	1179	3,516	3,0	6,8	-7,1	-2,7	1,3	**0,3**

14. Verplaatsing van knopen SLS 2

Lineaire berekening, Extreem : Globaal
Selectie : Alle
Belastingsgevallen : BG6

BG	Snede	elem	dx [m]	Ux [mm]	Uy [mm]	Uz [mm]	Fix [mrad]	Fiy [mrad]	Fiz [mrad]
BG6	Snede2	342	0,000	**2,2**	**8,3**	-2,6	-3,8	**0,7**	0,4
BG6	Snede1	57	1,971	**2,4**	8,4	0,3	-4,7	**1,1**	-0,5
BG6	Snede2	229	2,048	2,2	**8,4**	-4,1	**-4,8**	0,9	0,5
BG6	Snede2	1207	4,000	2,2	8,4	**-5,5**	-3,7	0,8	0,5
BG6	Snede1	1256	0,000	2,4	8,4	**2,2**	**-3,7**	1,0	-0,5
BG6	Snede1	1256	0,258	2,4	8,4	2,0	-3,8	1,0	**-0,5**
BG6	Snede2	1226	3,757	2,2	8,4	-5,3	-3,8	0,8	**0,5**

15. Reacties

Lineaire berekening, Extreem : Globaal
Selectie : Alle
Klasse : UGT

Steunpunt	BG	Rx [kN]	Ry [kN]	Rz [kN]	Mx [kNm]	My [kNm]	Mz [kNm]
Sn28/K290	Combi1/1	**-108,27**	-0,24	835,50	0,00	0,00	0,00
Sn26/K286	Combi2/2	**61,24**	-0,25	475,94	0,00	0,00	0,00
Sn21/K267	Combi2/2	-0,05	**-135,87**	1045,75	0,00	0,00	0,00
Sn19/K265	Combi2/2	-0,06	**141,97**	**1097,02**	0,00	0,00	0,00
Sn3/K240	Combi6/3	-0,05	-61,47	**-467,04**	0,00	0,00	0,00
Sn27/K288	Combi4/4	-70,70	-0,15	547,73	**0,00**	0,00	0,00
Sn28/K290	Combi4/4	-87,83	-0,15	679,19	**0,00**	0,00	0,00
Sn2/K238	Combi3/5	-0,05	3,95	37,14	0,00	**0,00**	0,00

Steunpunt	BG	Rx [kN]	Ry [kN]	Rz [kN]	Mx [kNm]	My [kNm]	Mz [kNm]
Sn12/K254	Combi3/5	-0,05	5,30	47,43	0,00	**0,00**	0,00
Sn12/K254	Combi4/4	-0,03	0,71	12,37	0,00	0,00	**0,00**
Sn2/K238	Combi3/6	-0,01	42,50	331,71	0,00	0,00	**0,00**

16. 2D element - Interne krachten; mxD+

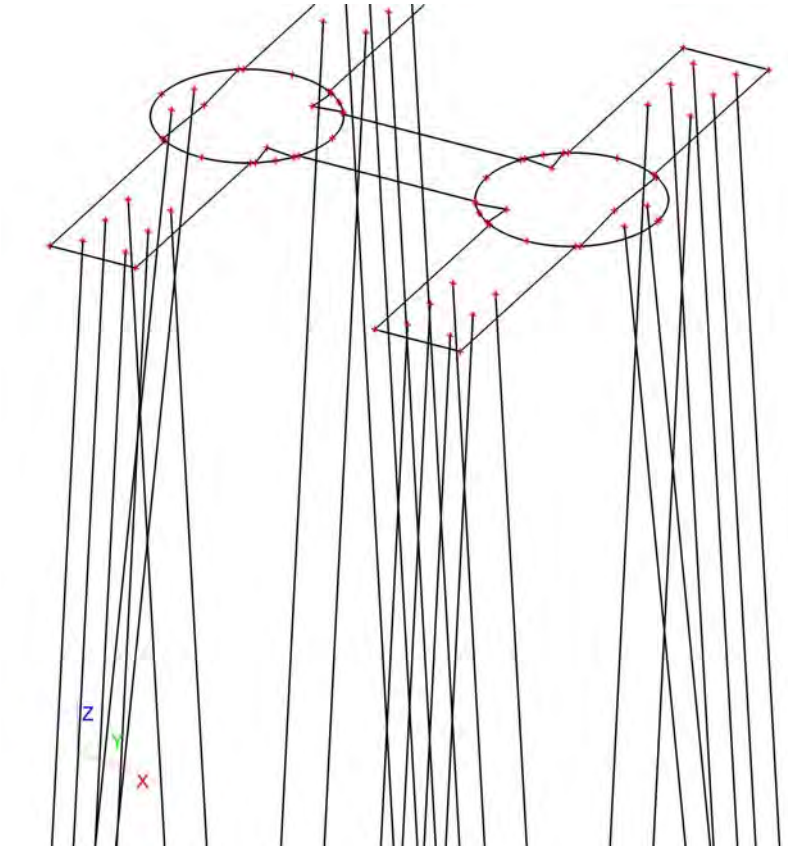

17. 2D element - Interne krachten; mxD-

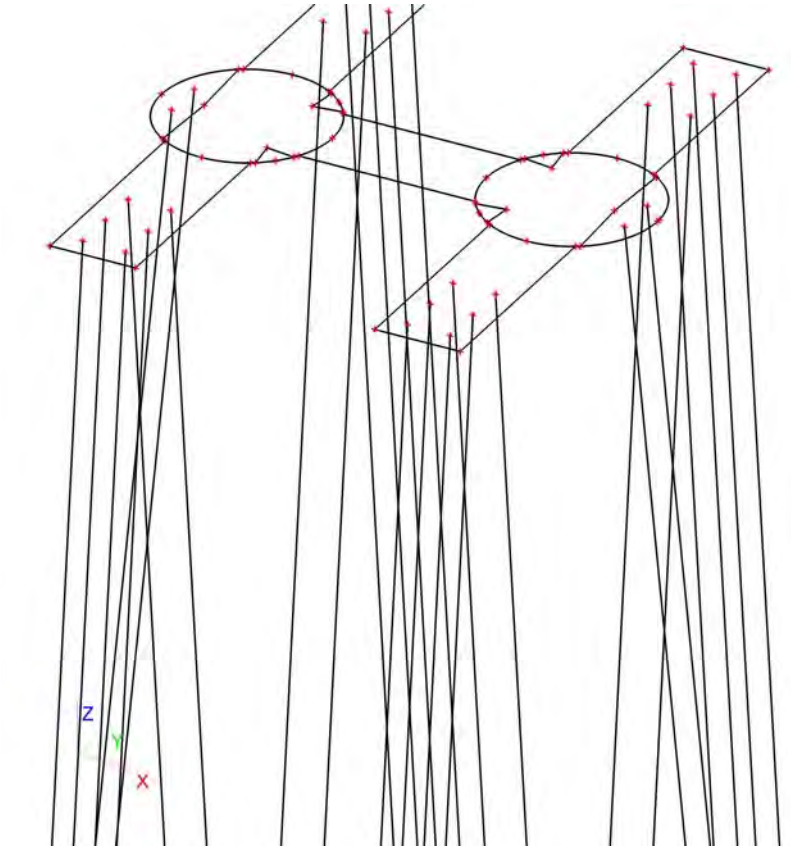

18. 2D element - Interne krachten; myD+

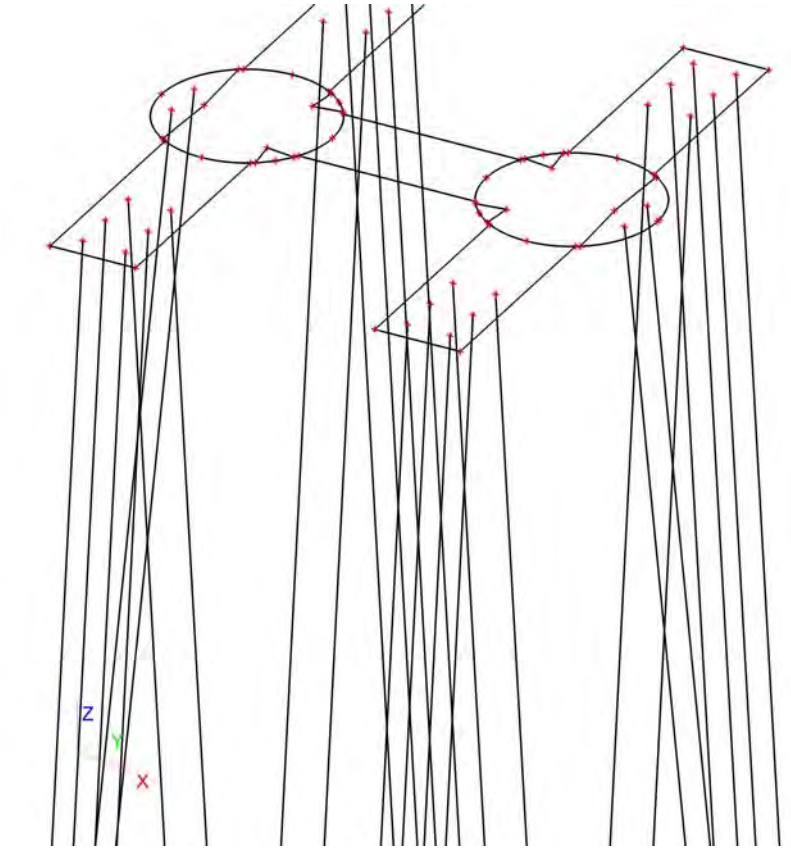

19. 2D element - Interne krachten; myD-

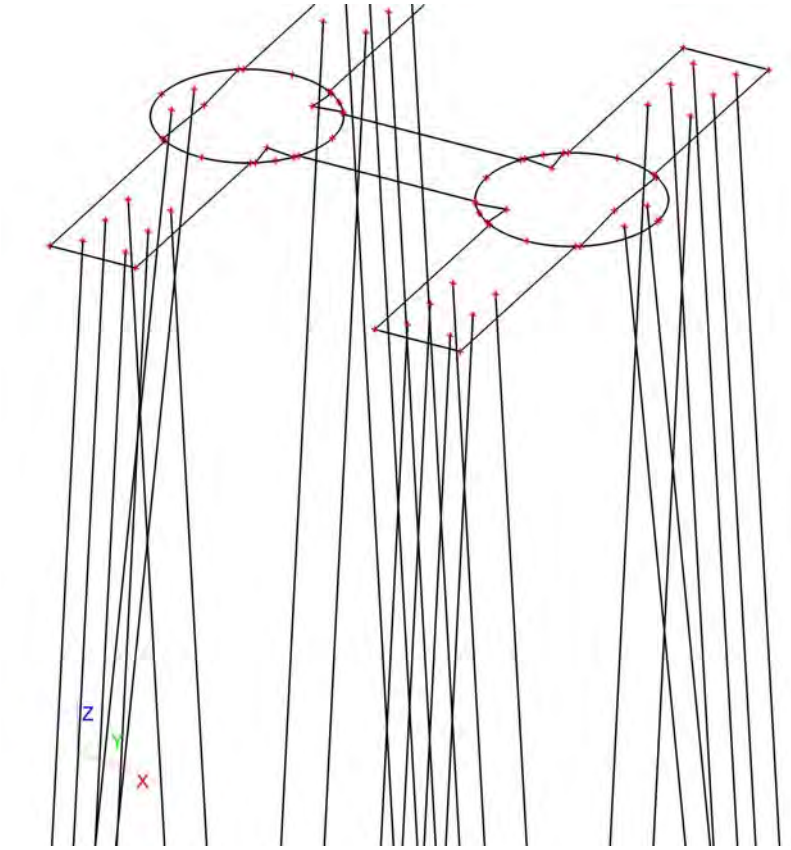

20. 2D element - Interne krachten; vx

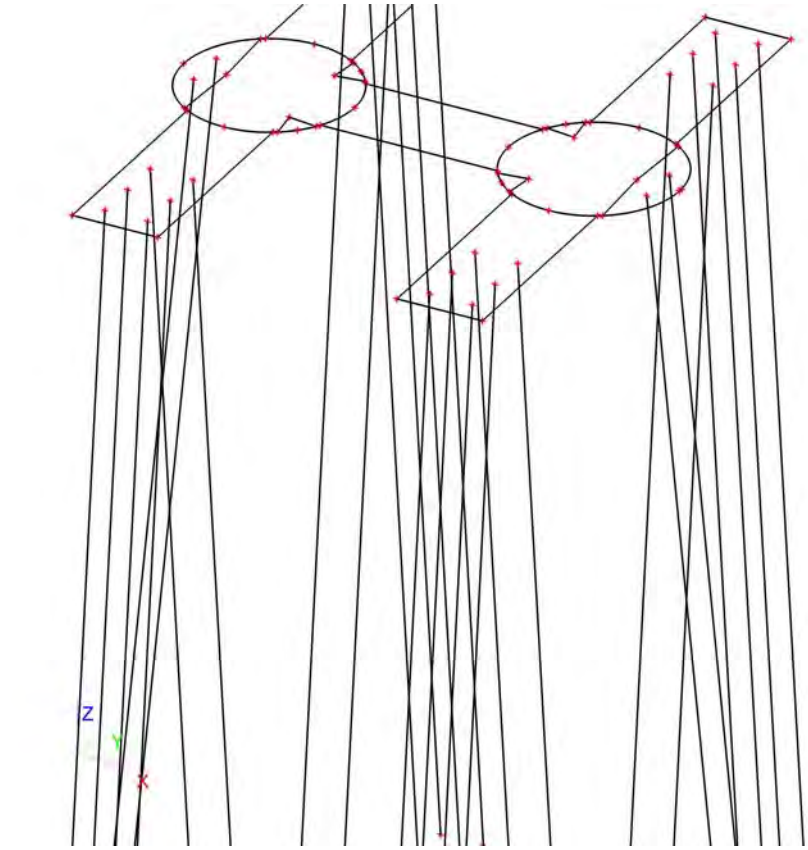

21. 2D element - Interne krachten; vy

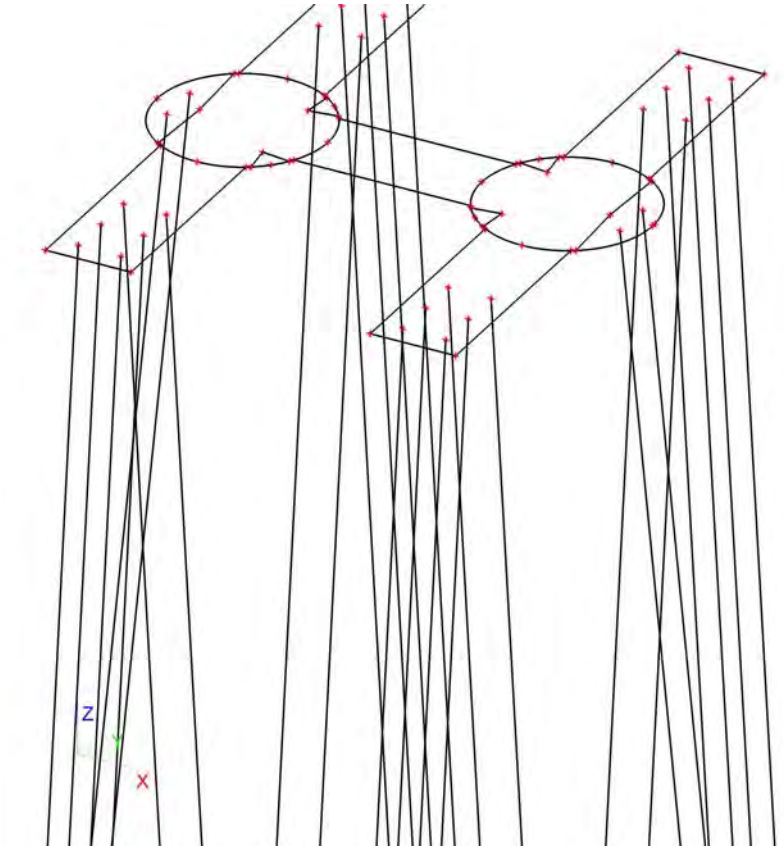

BIJLAGE 2 UITVOER SCIA ENGINEER – MATIGE E-WAARDE

1. Inhoudsopgave

1. Inhoudsopgave	1
2. Overzicht	2
3. Materialen	2
4. Doorsneden	2
5. Knoop	3
6. 1D-staaf	3
7. 2D-element	4
8. Subregio	4
9. Knoopondersteuningen	4
10. Lijnondersteuning op staaf	5
11. Belastingsgevallen	9
11.1. Belastingsgevallen - BG1	9
11.1.1. Belasting grafisch	9
11.2. Belastingsgevallen - BG3	9
11.2.1. Vrije puntmomenten	10
11.2.2. Genereer vrije lasten	10
11.2.3. Belasting grafisch	11
11.3. Belastingsgevallen - BG2	11
11.3.1. Lasten op oppervlak	11
11.3.2. Belasting grafisch	12
11.4. Belastingsgevallen - BG4	12
11.4.1. Vrije puntmomenten	12
11.4.2. Genereer vrije lasten	12
11.4.3. Belasting grafisch	13
11.5. Belastingsgevallen - BG5	13
11.5.1. Vrije puntmomenten	13
11.5.2. Genereer vrije lasten	14
11.5.3. Belasting grafisch	14
11.6. Belastingsgevallen - BG6	15
11.6.1. Vrije puntmomenten	15
11.6.2. Genereer vrije lasten	15
11.6.3. Belasting grafisch	15
11.7. Belastingsgevallen - BG7	16
11.7.1. Lasten op oppervlak	16
11.7.2. Belasting grafisch	16
12. Combinaties	16
13. Verplaatsing van knopen SLS 1	17
14. Verplaatsing van knopen SLS 2	17
15. Reacties	17
16. 2D element - Interne krachten; mxD+	18
17. 2D element - Interne krachten; mxD-	18
18. 2D element - Interne krachten; myD+	19
19. 2D element - Interne krachten; myD-	19
20. 2D element - Interne krachten; vx	20
21. 2D element - Interne krachten; vy	20

2. Overzicht

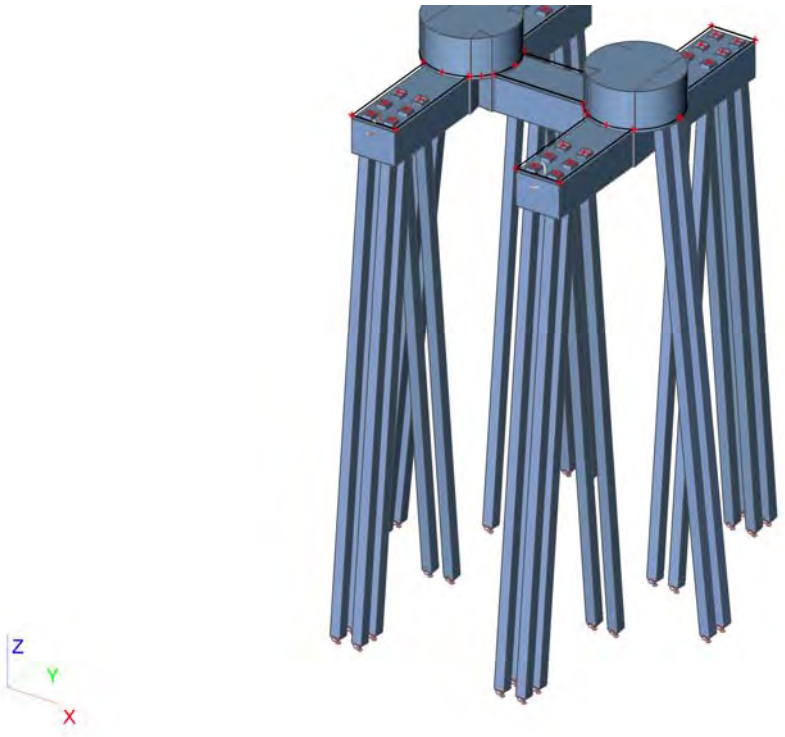

3. Materialen

Naam	Type	Massa eenheid [kg/m³]	E-mod [MPa]	Poisson - nu	G-mod [MPa]	Thermisch uitz. [m/mK]	Karakteristieke cylinderdruksterkte fck(28) [MPa]
C30/37	Beton	2500,0	2,2000e+04	0,2	9,1667e+03	0,00	30,00
C35/45	Beton	2500,0	3,4100e+04	0,2	1,4208e+04	0,00	35,00

4. Doorsneden

Naam	CS1	
Type	Rechthoek	
Uitgebreid	450; 450	
Onderdeelmateriaal	C35/45	
Bouwwijze	Algemeen	
Knik y-y, z-z	b	b
EEM berekening	×	

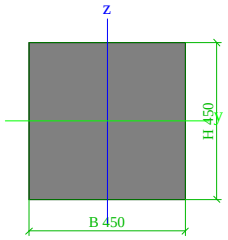

A [m²]	2,0250e-01	
A y, z [m²]	1,6875e-01	1,6875e-01
I y, z [m⁴]	3,4172e-03	3,4172e-03
I w [m⁶], t [m⁴]	0,0000e+00	5,7655e-03
Wel y, z [m³]	1,5188e-02	1,5188e-02
Wpl y, z [m³]	2,2781e-02	2,2781e-02
d y, z [mm]	0	0
c YLCS, ZLCS [mm]	225	225
alpha [deg]	0,00	
AL [m²/m]	1,8000e+00	

5. Knoop

Naam	Coördinaat X [m]	Coördinaat Y [m]	Coördinaat Z [m]
K185	0,000	0,000	0,000
K186	0,000	5,070	0,000
K187	0,000	8,530	0,000
K188	-1,000	6,800	0,000
K189	0,000	13,600	0,000
K190	2,000	13,600	0,000
K191	2,000	8,530	0,000
K192	2,730	7,800	0,000
K193	2,410	8,210	0,000
K194	6,870	7,800	0,000
K195	7,600	8,530	0,000
K196	7,190	8,210	0,000
K197	7,600	13,600	0,000
K198	9,600	13,600	0,000
K199	9,600	8,530	0,000
K200	9,600	5,070	0,000
K201	10,600	6,800	0,000
K202	9,600	0,000	0,000
K203	7,600	0,000	0,000
K204	7,600	5,070	0,000
K205	6,870	5,800	0,000
K206	7,190	5,390	0,000
K207	2,730	5,800	0,000
K208	2,000	5,070	0,000
K209	2,410	5,390	0,000
K210	2,000	0,000	0,000
K211	1,000	8,800	0,000
K212	8,600	8,800	0,000
K213	1,000	4,800	0,000
K214	8,600	4,800	0,000
K215	3,000	6,800	0,000
K216	6,600	6,800	0,000
K217	2,088	5,126	0,000
K218	2,000	5,800	0,000
K219	2,674	5,712	0,000
K220	2,674	7,888	0,000
K221	2,000	7,800	0,000
K222	2,088	8,474	0,000
K223	7,600	7,800	0,000
K224	7,512	8,474	0,000
K225	6,926	7,888	0,000
K226	6,926	5,712	0,000
K227	7,600	5,800	0,000
K228	7,512	5,126	0,000
K229	9,689	8,475	0,000
K230	9,689	5,125	0,000
K231	10,597	6,905	0,000
K232	9,600	6,800	0,000
K233	-0,089	8,475	0,000
K234	0,000	6,800	0,000
K235	-0,089	5,125	0,000
K1	0,500	0,500	0,000
K236	0,500	-1,700	-22,000
K237	1,500	0,500	0,000
K238	1,500	-1,700	-22,000
K239	0,500	1,500	0,000
K240	0,500	-0,700	-22,000
K241	1,500	1,500	0,000
K242	1,500	-0,700	-22,000
K243	0,500	2,500	0,000
K244	0,500	4,700	-22,000
K245	1,500	2,500	0,000
K246	1,500	4,700	-22,000
K247	8,100	4,700	-22,000
K248	9,100	4,700	-22,000
K249	8,100	-0,700	-22,000
K250	9,100	-0,700	-22,000
K251	8,100	0,500	0,000
K252	8,100	-1,700	-22,000
K253	9,100	0,500	0,000
K254	9,100	-1,700	-22,000
K255	8,100	1,500	0,000
K256	9,100	1,500	0,000
K257	8,100	2,500	0,000
K258	9,100	2,500	0,000
K259	0,500	8,900	-22,000
K260	1,500	8,900	-22,000
K261	0,500	14,300	-22,000
K262	1,500	14,300	-22,000
K263	0,500	15,300	-22,000
K264	1,500	15,300	-22,000
K265	8,100	8,900	-22,000
K266	9,100	8,900	-22,000
K267	8,100	14,300	-22,000
K268	9,100	14,300	-22,000
K269	8,100	15,300	-22,000
K270	9,100	15,300	-22,000
K271	0,500	13,100	0,000
K272	1,500	13,100	0,000
K273	0,500	12,100	0,000
K274	1,500	12,100	0,000
K275	0,500	11,100	0,000
K276	1,500	11,100	0,000
K277	8,100	13,100	0,000
K278	9,100	13,100	0,000
K279	8,100	12,100	0,000
K280	9,100	12,100	0,000
K281	8,100	11,100	0,000
K282	9,100	11,100	0,000
K283	-0,500	6,300	0,000
K284	-2,700	6,300	-22,000
K285	-0,500	7,300	0,000
K286	-2,700	7,300	-22,000
K287	10,100	6,300	0,000
K288	12,300	6,300	-22,000
K289	10,100	7,300	0,000
K290	12,300	7,300	-22,000

6. 1D-staaf

Naam	Doorsnede	Lengte [m]	Vorm	Beginknoop	Eindknoop	Type	EEM-type	Laag
S58	CS1 - Rechthoek (450; 450)	22,110	Lijn	K1	K236	Algemeen (0)	standaard	Laag1
S59	CS1 - Rechthoek (450; 450)	22,110	Lijn	K237	K238	Algemeen (0)	standaard	Laag1
S60	CS1 - Rechthoek (450; 450)	22,110	Lijn	K239	K240	Algemeen (0)	standaard	Laag1
S61	CS1 - Rechthoek (450; 450)	22,110	Lijn	K241	K242	Algemeen (0)	standaard	Laag1
S62	CS1 - Rechthoek (450; 450)	22,110	Lijn	K243	K244	Algemeen (0)	standaard	Laag1
S63	CS1 - Rechthoek (450; 450)	22,110	Lijn	K245	K246	Algemeen (0)	standaard	Laag1
S64	CS1 - Rechthoek (450; 450)	22,110	Lijn	K251	K252	Algemeen (0)	standaard	Laag1
S65	CS1 - Rechthoek (450; 450)	22,110	Lijn	K253	K254	Algemeen (0)	standaard	Laag1
S66	CS1 - Rechthoek (450; 450)	22,110	Lijn	K255	K249	Algemeen (0)	standaard	Laag1
S67	CS1 - Rechthoek (450; 450)	22,110	Lijn	K256	K250	Algemeen (0)	standaard	Laag1
S68	CS1 - Rechthoek (450; 450)	22,110	Lijn	K257	K247	Algemeen (0)	standaard	Laag1
S69	CS1 - Rechthoek (450; 450)	22,110	Lijn	K258	K248	Algemeen (0)	standaard	Laag1
S70	CS1 - Rechthoek (450; 450)	22,110	Lijn	K271	K263	Algemeen (0)	standaard	Laag1
S71	CS1 - Rechthoek (450; 450)	22,110	Lijn	K272	K264	Algemeen (0)	standaard	Laag1
S72	CS1 - Rechthoek (450; 450)	22,110	Lijn	K273	K261	Algemeen (0)	standaard	Laag1
S73	CS1 - Rechthoek (450; 450)	22,110	Lijn	K274	K262	Algemeen (0)	standaard	Laag1
S74	CS1 - Rechthoek (450; 450)	22,110	Lijn	K275	K259	Algemeen (0)	standaard	Laag1
S75	CS1 - Rechthoek (450; 450)	22,110	Lijn	K276	K260	Algemeen (0)	standaard	Laag1
S76	CS1 - Rechthoek (450; 450)	22,110	Lijn	K277	K269	Algemeen (0)	standaard	Laag1
S77	CS1 - Rechthoek (450; 450)	22,110	Lijn	K278	K270	Algemeen (0)	standaard	Laag1
S78	CS1 - Rechthoek (450; 450)	22,110	Lijn	K279	K267	Algemeen (0)	standaard	Laag1
S79	CS1 - Rechthoek (450; 450)	22,110	Lijn	K280	K268	Algemeen (0)	standaard	Laag1
S80	CS1 - Rechthoek (450; 450)	22,110	Lijn	K281	K265	Algemeen (0)	standaard	Laag1
S81	CS1 - Rechthoek (450; 450)	22,110	Lijn	K282	K266	Algemeen (0)	standaard	Laag1
S82	CS1 - Rechthoek (450; 450)	22,110	Lijn	K283	K284	Algemeen (0)	standaard	Laag1
S83	CS1 - Rechthoek (450; 450)	22,110	Lijn	K285	K286	Algemeen (0)	standaard	Laag1
S84	CS1 - Rechthoek (450; 450)	22,110	Lijn	K287	K288	Algemeen (0)	standaard	Laag1
S85	CS1 - Rechthoek (450; 450)	22,110	Lijn	K289	K290	Algemeen (0)	standaard	Laag1

7. 2D-element

Naam	Materiaal	D. [mm]	Dikte type	Type	Laag
E3	C30/37	3300	konstant	vloer (90)	Laag1

8. Subregio

Naam, 2D-element, Materiaal, Dikte type	Regio11	E3	C30/37	konstant		
2D-element systeemvlak op, Exc. z [mm], D. [mm], Punt 4, Knoop, Rand, Gewicht	Onder	0		1500	K187	Lijn
					K189	Lijn
					K190	Lijn
					K191	Cirkelboog
					K211	

Naam, 2D-element, Materiaal, Dikte type	Regio12	E3	C30/37	konstant		
2D-element systeemvlak op, Exc. z [mm], D. [mm], Punt 4, Knoop, Rand, Gewicht	Onder	0		1500	K195	Lijn
					K197	Lijn
					K198	Lijn
					K199	Cirkelboog
					K212	

Naam, 2D-element, Materiaal, Dikte type	Regio13	E3	C30/37	konstant		
2D-element systeemvlak op, Exc. z [mm], D. [mm], Punt 4, Knoop, Rand, Gewicht	Onder	0		1500	K186	Cirkelboog
					K213	
					K208	Lijn
					K210	Lijn
					K185	Lijn

Naam, 2D-element, Materiaal, Dikte type	Regio14	E3	C30/37	konstant		
2D-element systeemvlak op, Exc. z [mm], D. [mm], Punt 4, Knoop, Rand, Gewicht	Onder	0		1500	K204	Cirkelboog
					K214	
					K200	Lijn
					K202	Lijn
					K203	Lijn

Naam, 2D-element, Materiaal, Dikte type	Regio15	E3	C30/37	konstant		
2D-element systeemvlak op, Exc. z [mm], D. [mm], Punt 4, Knoop, Rand, Gewicht	Onder	0		1500	K207	Cirkelboog
					K215	
					K192	Lijn
					K194	Cirkelboog
					K216	
					K205	Lijn

Naam, 2D-element, Materiaal, Dikte type	Regio16	E3	C30/37	konstant		
2D-element systeemvlak op, Exc. z [mm], D. [mm], Punt 4, Knoop, Rand, Gewicht	Boven	0		1800	K217	Lijn
					K218	Lijn
					K219	Cirkelboog
					K209	

Naam, 2D-element, Materiaal, Dikte type	Regio17	E3	C30/37	konstant		
2D-element systeemvlak op, Exc. z [mm], D. [mm], Punt 4, Knoop, Rand, Gewicht	Boven	0		1800	K220	Lijn
					K221	Lijn
					K222	Cirkelboog
					K193	

Naam, 2D-element, Materiaal, Dikte type	Regio18	E3	C30/37	konstant		
2D-element systeemvlak op, Exc. z [mm], D. [mm], Punt 4, Knoop, Rand, Gewicht	Boven	0		1800	K223	Lijn
					K224	Cirkelboog
					K196	
					K225	Lijn

Naam, 2D-element, Materiaal, Dikte type	Regio19	E3	C30/37	konstant		
2D-element systeemvlak op, Exc. z [mm], D. [mm], Punt 4, Knoop, Rand, Gewicht	Boven	0		1800	K226	Lijn
					K227	Lijn
					K228	Cirkelboog
					K206	

Naam, 2D-element, Materiaal, Dikte type	Regio20	E3	C30/37	konstant		
2D-element systeemvlak op, Exc. z [mm], D. [mm], Punt 4, Knoop, Rand, Gewicht	Boven	0		1800	K229	Cirkelboog
					K231	
					K230	Lijn
					K232	Lijn

Naam, 2D-element, Materiaal, Dikte type	Regio21	E3	C30/37	konstant		
2D-element systeemvlak op, Exc. z [mm], D. [mm], Punt 4, Knoop, Rand, Gewicht	Boven	0		1800	K233	Lijn
					K234	Lijn
					K235	Cirkelboog
					K188	

9. Knoopondersteuningen

Naam	Knoop	Systeem	Type	X	Y	Z	Stijfheid Z [MN/m]	Rx	Ry	Rz
Sn1	K236	GCS	Standaard	Vast	Vast	Verend	9,0000e+01	Vrij	Vrij	Vrij
Sn2	K238	GCS	Standaard	Vast	Vast	Verend	9,0000e+01	Vrij	Vrij	Vrij
Sn3	K240	GCS	Standaard	Vast	Vast	Verend	9,0000e+01	Vrij	Vrij	Vrij
Sn4	K242	GCS	Standaard	Vast	Vast	Verend	9,0000e+01	Vrij	Vrij	Vrij
Sn5	K244	GCS	Standaard	Vast	Vast	Verend	9,0000e+01	Vrij	Vrij	Vrij
Sn6	K246	GCS	Standaard	Vast	Vast	Verend	9,0000e+01	Vrij	Vrij	Vrij

Naam	Knoop	Systeem	Type	X	Y	Z	Stijfheid Z [MN/m]	Rx	Ry	Rz
Sn7	K247	GCS	Standaard	Vast	Vast	Verend	9,0000e+01	Vrij	Vrij	Vrij
Sn8	K248	GCS	Standaard	Vast	Vast	Verend	9,0000e+01	Vrij	Vrij	Vrij
Sn9	K249	GCS	Standaard	Vast	Vast	Verend	9,0000e+01	Vrij	Vrij	Vrij
Sn10	K250	GCS	Standaard	Vast	Vast	Verend	9,0000e+01	Vrij	Vrij	Vrij
Sn11	K252	GCS	Standaard	Vast	Vast	Verend	9,0000e+01	Vrij	Vrij	Vrij
Sn12	K254	GCS	Standaard	Vast	Vast	Verend	9,0000e+01	Vrij	Vrij	Vrij
Sn13	K259	GCS	Standaard	Vast	Vast	Verend	9,0000e+01	Vrij	Vrij	Vrij
Sn14	K260	GCS	Standaard	Vast	Vast	Verend	9,0000e+01	Vrij	Vrij	Vrij
Sn15	K261	GCS	Standaard	Vast	Vast	Verend	9,0000e+01	Vrij	Vrij	Vrij
Sn16	K262	GCS	Standaard	Vast	Vast	Verend	9,0000e+01	Vrij	Vrij	Vrij
Sn17	K263	GCS	Standaard	Vast	Vast	Verend	9,0000e+01	Vrij	Vrij	Vrij
Sn18	K264	GCS	Standaard	Vast	Vast	Verend	9,0000e+01	Vrij	Vrij	Vrij
Sn19	K265	GCS	Standaard	Vast	Vast	Verend	9,0000e+01	Vrij	Vrij	Vrij
Sn20	K266	GCS	Standaard	Vast	Vast	Verend	9,0000e+01	Vrij	Vrij	Vrij
Sn21	K267	GCS	Standaard	Vast	Vast	Verend	9,0000e+01	Vrij	Vrij	Vrij
Sn22	K268	GCS	Standaard	Vast	Vast	Verend	9,0000e+01	Vrij	Vrij	Vrij
Sn23	K269	GCS	Standaard	Vast	Vast	Verend	9,0000e+01	Vrij	Vrij	Vrij
Sn24	K270	GCS	Standaard	Vast	Vast	Verend	9,0000e+01	Vrij	Vrij	Vrij
Sn25	K284	GCS	Standaard	Vast	Vast	Verend	9,0000e+01	Vrij	Vrij	Vrij
Sn26	K286	GCS	Standaard	Vast	Vast	Verend	9,0000e+01	Vrij	Vrij	Vrij
Sn27	K288	GCS	Standaard	Vast	Vast	Verend	9,0000e+01	Vrij	Vrij	Vrij
Sn28	K290	GCS	Standaard	Vast	Vast	Verend	9,0000e+01	Vrij	Vrij	Vrij

10. Lijnondersteuning op staaf

Staaf	Naam Systeem	Pos x_1 [m] Pos x_2 [m]	Coör Oors	X	Y	Stijfheid Y [MN/m²]	Z	Stijfheid Z [MN/m²]	Rx	Ry	Rz
S58	Slb246 LCS	0,000 0,900	Abso Vanaf begin	Vrij	Verend	1,2000e+00	Verend	1,2000e+00	Vrij	Vrij	Vrij
S58	Slb247 LCS	0,900 6,400	Abso Vanaf begin	Vrij	Verend	6,0000e+00	Verend	6,0000e+00	Vrij	Vrij	Vrij
S58	Slb248 LCS	6,400 10,900	Abso Vanaf begin	Vrij	Verend	1,2000e+00	Verend	1,2000e+00	Vrij	Vrij	Vrij
S58	Slb249 LCS	10,900 12,900	Abso Vanaf begin	Vrij	Verend	7,2000e+00	Verend	7,2000e+00	Vrij	Vrij	Vrij
S58	Slb250 LCS	12,900 22,000	Abso Vanaf begin	Vrij	Verend	1,4400e+01	Verend	1,4400e+01	Vrij	Vrij	Vrij
S59	Slb251 LCS	0,000 0,900	Abso Vanaf begin	Vrij	Verend	1,2000e+00	Verend	1,2000e+00	Vrij	Vrij	Vrij
S59	Slb252 LCS	0,900 6,400	Abso Vanaf begin	Vrij	Verend	6,0000e+00	Verend	6,0000e+00	Vrij	Vrij	Vrij
S59	Slb253 LCS	6,400 10,900	Abso Vanaf begin	Vrij	Verend	1,2000e+00	Verend	1,2000e+00	Vrij	Vrij	Vrij
S59	Slb254 LCS	10,900 12,900	Abso Vanaf begin	Vrij	Verend	7,2000e+00	Verend	7,2000e+00	Vrij	Vrij	Vrij
S59	Slb255 LCS	12,900 22,000	Abso Vanaf begin	Vrij	Verend	1,4400e+01	Verend	1,4400e+01	Vrij	Vrij	Vrij
S60	Slb256 LCS	0,000 0,900	Abso Vanaf begin	Vrij	Verend	1,2000e+00	Verend	1,2000e+00	Vrij	Vrij	Vrij
S60	Slb257 LCS	0,900 6,400	Abso Vanaf begin	Vrij	Verend	6,0000e+00	Verend	6,0000e+00	Vrij	Vrij	Vrij
S60	Slb258 LCS	6,400 10,900	Abso Vanaf begin	Vrij	Verend	1,2000e+00	Verend	1,2000e+00	Vrij	Vrij	Vrij
S60	Slb259 LCS	10,900 12,900	Abso Vanaf begin	Vrij	Verend	7,2000e+00	Verend	7,2000e+00	Vrij	Vrij	Vrij
S60	Slb260 LCS	12,900 22,000	Abso Vanaf begin	Vrij	Verend	1,4400e+01	Verend	1,4400e+01	Vrij	Vrij	Vrij
S61	Slb261 LCS	0,000 0,900	Abso Vanaf begin	Vrij	Verend	1,2000e+00	Verend	1,2000e+00	Vrij	Vrij	Vrij
S61	Slb262 LCS	0,900 6,400	Abso Vanaf begin	Vrij	Verend	6,0000e+00	Verend	6,0000e+00	Vrij	Vrij	Vrij
S61	Slb263 LCS	6,400 10,900	Abso Vanaf begin	Vrij	Verend	1,2000e+00	Verend	1,2000e+00	Vrij	Vrij	Vrij
S61	Slb264 LCS	10,900 12,900	Abso Vanaf begin	Vrij	Verend	7,2000e+00	Verend	7,2000e+00	Vrij	Vrij	Vrij
S61	Slb265 LCS	12,900 22,000	Abso Vanaf begin	Vrij	Verend	1,4400e+01	Verend	1,4400e+01	Vrij	Vrij	Vrij
S62	Slb266 LCS	0,000 0,900	Abso Vanaf begin	Vrij	Verend	1,2000e+00	Verend	1,2000e+00	Vrij	Vrij	Vrij
S62	Slb267 LCS	0,900 6,400	Abso Vanaf begin	Vrij	Verend	6,0000e+00	Verend	6,0000e+00	Vrij	Vrij	Vrij

Staaf	Naam Systeem	Pos x_1 [m] Pos x_2 [m]	Coör Oors	X	Y	Stijfheid Y [MN/m²]	Z	Stijfheid Z [MN/m²]	Rx	Ry	Rz
S62	Slb268 LCS	6,400 10,900	Abso Vanaf begin	Vrij	Verend	1,2000e+00	Verend	1,2000e+00	Vrij	Vrij	Vrij
S62	Slb269 LCS	10,900 12,900	Abso Vanaf begin	Vrij	Verend	7,2000e+00	Verend	7,2000e+00	Vrij	Vrij	Vrij
S62	Slb270 LCS	12,900 22,000	Abso Vanaf begin	Vrij	Verend	1,4400e+01	Verend	1,4400e+01	Vrij	Vrij	Vrij
S63	Slb271 LCS	0,000 0,900	Abso Vanaf begin	Vrij	Verend	1,2000e+00	Verend	1,2000e+00	Vrij	Vrij	Vrij
S63	Slb272 LCS	0,900 6,400	Abso Vanaf begin	Vrij	Verend	6,0000e+00	Verend	6,0000e+00	Vrij	Vrij	Vrij
S63	Slb273 LCS	6,400 10,900	Abso Vanaf begin	Vrij	Verend	1,2000e+00	Verend	1,2000e+00	Vrij	Vrij	Vrij
S63	Slb274 LCS	10,900 12,900	Abso Vanaf begin	Vrij	Verend	7,2000e+00	Verend	7,2000e+00	Vrij	Vrij	Vrij
S63	Slb275 LCS	12,900 22,000	Abso Vanaf begin	Vrij	Verend	1,4400e+01	Verend	1,4400e+01	Vrij	Vrij	Vrij
S64	Slb276 LCS	0,000 0,900	Abso Vanaf begin	Vrij	Verend	1,2000e+00	Verend	1,2000e+00	Vrij	Vrij	Vrij
S64	Slb277 LCS	0,900 6,400	Abso Vanaf begin	Vrij	Verend	6,0000e+00	Verend	6,0000e+00	Vrij	Vrij	Vrij
S64	Slb278 LCS	6,400 10,900	Abso Vanaf begin	Vrij	Verend	1,2000e+00	Verend	1,2000e+00	Vrij	Vrij	Vrij
S64	Slb279 LCS	10,900 12,900	Abso Vanaf begin	Vrij	Verend	7,2000e+00	Verend	7,2000e+00	Vrij	Vrij	Vrij
S64	Slb280 LCS	12,900 22,000	Abso Vanaf begin	Vrij	Verend	1,4400e+01	Verend	1,4400e+01	Vrij	Vrij	Vrij
S65	Slb281 LCS	0,000 0,900	Abso Vanaf begin	Vrij	Verend	1,2000e+00	Verend	1,2000e+00	Vrij	Vrij	Vrij
S65	Slb282 LCS	0,900 6,400	Abso Vanaf begin	Vrij	Verend	6,0000e+00	Verend	6,0000e+00	Vrij	Vrij	Vrij
S65	Slb283 LCS	6,400 10,900	Abso Vanaf begin	Vrij	Verend	1,2000e+00	Verend	1,2000e+00	Vrij	Vrij	Vrij
S65	Slb284 LCS	10,900 12,900	Abso Vanaf begin	Vrij	Verend	7,2000e+00	Verend	7,2000e+00	Vrij	Vrij	Vrij
S65	Slb285 LCS	12,900 22,000	Abso Vanaf begin	Vrij	Verend	1,4400e+01	Verend	1,4400e+01	Vrij	Vrij	Vrij
S66	Slb286 LCS	0,000 0,900	Abso Vanaf begin	Vrij	Verend	1,2000e+00	Verend	1,2000e+00	Vrij	Vrij	Vrij
S66	Slb287 LCS	0,900 6,400	Abso Vanaf begin	Vrij	Verend	6,0000e+00	Verend	6,0000e+00	Vrij	Vrij	Vrij
S66	Slb288 LCS	6,400 10,900	Abso Vanaf begin	Vrij	Verend	1,2000e+00	Verend	1,2000e+00	Vrij	Vrij	Vrij
S66	Slb289 LCS	10,900 12,900	Abso Vanaf begin	Vrij	Verend	7,2000e+00	Verend	7,2000e+00	Vrij	Vrij	Vrij
S66	Slb290 LCS	12,900 22,000	Abso Vanaf begin	Vrij	Verend	1,4400e+01	Verend	1,4400e+01	Vrij	Vrij	Vrij
S67	Slb291 LCS	0,000 0,900	Abso Vanaf begin	Vrij	Verend	1,2000e+00	Verend	1,2000e+00	Vrij	Vrij	Vrij
S67	Slb292 LCS	0,900 6,400	Abso Vanaf begin	Vrij	Verend	6,0000e+00	Verend	6,0000e+00	Vrij	Vrij	Vrij
S67	Slb293 LCS	6,400 10,900	Abso Vanaf begin	Vrij	Verend	1,2000e+00	Verend	1,2000e+00	Vrij	Vrij	Vrij
S67	Slb294 LCS	10,900 12,900	Abso Vanaf begin	Vrij	Verend	7,2000e+00	Verend	7,2000e+00	Vrij	Vrij	Vrij
S67	Slb295 LCS	12,900 22,000	Abso Vanaf begin	Vrij	Verend	1,4400e+01	Verend	1,4400e+01	Vrij	Vrij	Vrij
S68	Slb296 LCS	0,000 0,900	Abso Vanaf begin	Vrij	Verend	1,2000e+00	Verend	1,2000e+00	Vrij	Vrij	Vrij
S68	Slb297 LCS	0,900 6,400	Abso Vanaf begin	Vrij	Verend	6,0000e+00	Verend	6,0000e+00	Vrij	Vrij	Vrij
S68	Slb298 LCS	6,400 10,900	Abso Vanaf begin	Vrij	Verend	1,2000e+00	Verend	1,2000e+00	Vrij	Vrij	Vrij
S68	Slb299 LCS	10,900 12,900	Abso Vanaf begin	Vrij	Verend	7,2000e+00	Verend	7,2000e+00	Vrij	Vrij	Vrij
S68	Slb300 LCS	12,900 22,000	Abso Vanaf begin	Vrij	Verend	1,4400e+01	Verend	1,4400e+01	Vrij	Vrij	Vrij
S69	Slb301 LCS	0,000 0,900	Abso Vanaf begin	Vrij	Verend	1,2000e+00	Verend	1,2000e+00	Vrij	Vrij	Vrij
S69	Slb302 LCS	0,900 6,400	Abso Vanaf begin	Vrij	Verend	6,0000e+00	Verend	6,0000e+00	Vrij	Vrij	Vrij
S69	Slb303 LCS	6,400 10,900	Abso Vanaf begin	Vrij	Verend	1,2000e+00	Verend	1,2000e+00	Vrij	Vrij	Vrij

Staaf	Naam Systeem	Pos x_1 [m] Pos x_2 [m]	Coör Oors	X	Y	Stijfheid Y [MN/m²]	Z	Stijfheid Z [MN/m²]	Rx	Ry	Rz
S69	Slb304 LCS	10,900 12,900	Abso Vanaf begin	Vrij	Verend	7,2000e+00	Verend	7,2000e+00	Vrij	Vrij	Vrij
S69	Slb305 LCS	12,900 22,000	Abso Vanaf begin	Vrij	Verend	1,4400e+01	Verend	1,4400e+01	Vrij	Vrij	Vrij
S70	Slb306 LCS	0,000 0,900	Abso Vanaf begin	Vrij	Verend	1,2000e+00	Verend	1,2000e+00	Vrij	Vrij	Vrij
S70	Slb307 LCS	0,900 6,400	Abso Vanaf begin	Vrij	Verend	6,0000e+00	Verend	6,0000e+00	Vrij	Vrij	Vrij
S70	Slb308 LCS	6,400 10,900	Abso Vanaf begin	Vrij	Verend	1,2000e+00	Verend	1,2000e+00	Vrij	Vrij	Vrij
S70	Slb309 LCS	10,900 12,900	Abso Vanaf begin	Vrij	Verend	7,2000e+00	Verend	7,2000e+00	Vrij	Vrij	Vrij
S70	Slb310 LCS	12,900 22,000	Abso Vanaf begin	Vrij	Verend	1,4400e+01	Verend	1,4400e+01	Vrij	Vrij	Vrij
S71	Slb311 LCS	0,000 0,900	Abso Vanaf begin	Vrij	Verend	1,2000e+00	Verend	1,2000e+00	Vrij	Vrij	Vrij
S71	Slb312 LCS	0,900 6,400	Abso Vanaf begin	Vrij	Verend	6,0000e+00	Verend	6,0000e+00	Vrij	Vrij	Vrij
S71	Slb313 LCS	6,400 10,900	Abso Vanaf begin	Vrij	Verend	1,2000e+00	Verend	1,2000e+00	Vrij	Vrij	Vrij
S71	Slb314 LCS	10,900 12,900	Abso Vanaf begin	Vrij	Verend	7,2000e+00	Verend	7,2000e+00	Vrij	Vrij	Vrij
S71	Slb315 LCS	12,900 22,000	Abso Vanaf begin	Vrij	Verend	1,4400e+01	Verend	1,4400e+01	Vrij	Vrij	Vrij
S72	Slb316 LCS	0,000 0,900	Abso Vanaf begin	Vrij	Verend	1,2000e+00	Verend	1,2000e+00	Vrij	Vrij	Vrij
S72	Slb317 LCS	0,900 6,400	Abso Vanaf begin	Vrij	Verend	6,0000e+00	Verend	6,0000e+00	Vrij	Vrij	Vrij
S72	Slb318 LCS	6,400 10,900	Abso Vanaf begin	Vrij	Verend	1,2000e+00	Verend	1,2000e+00	Vrij	Vrij	Vrij
S72	Slb319 LCS	10,900 12,900	Abso Vanaf begin	Vrij	Verend	7,2000e+00	Verend	7,2000e+00	Vrij	Vrij	Vrij
S72	Slb320 LCS	12,900 22,000	Abso Vanaf begin	Vrij	Verend	1,4400e+01	Verend	1,4400e+01	Vrij	Vrij	Vrij
S73	Slb321 LCS	0,000 0,900	Abso Vanaf begin	Vrij	Verend	1,2000e+00	Verend	1,2000e+00	Vrij	Vrij	Vrij
S73	Slb322 LCS	0,900 6,400	Abso Vanaf begin	Vrij	Verend	6,0000e+00	Verend	6,0000e+00	Vrij	Vrij	Vrij
S73	Slb323 LCS	6,400 10,900	Abso Vanaf begin	Vrij	Verend	1,2000e+00	Verend	1,2000e+00	Vrij	Vrij	Vrij
S73	Slb324 LCS	10,900 12,900	Abso Vanaf begin	Vrij	Verend	7,2000e+00	Verend	7,2000e+00	Vrij	Vrij	Vrij
S73	Slb325 LCS	12,900 22,000	Abso Vanaf begin	Vrij	Verend	1,4400e+01	Verend	1,4400e+01	Vrij	Vrij	Vrij
S74	Slb326 LCS	0,000 0,900	Abso Vanaf begin	Vrij	Verend	1,2000e+00	Verend	1,2000e+00	Vrij	Vrij	Vrij
S74	Slb327 LCS	0,900 6,400	Abso Vanaf begin	Vrij	Verend	6,0000e+00	Verend	6,0000e+00	Vrij	Vrij	Vrij
S74	Slb328 LCS	6,400 10,900	Abso Vanaf begin	Vrij	Verend	1,2000e+00	Verend	1,2000e+00	Vrij	Vrij	Vrij
S74	Slb329 LCS	10,900 12,900	Abso Vanaf begin	Vrij	Verend	7,2000e+00	Verend	7,2000e+00	Vrij	Vrij	Vrij
S74	Slb330 LCS	12,900 22,000	Abso Vanaf begin	Vrij	Verend	1,4400e+01	Verend	1,4400e+01	Vrij	Vrij	Vrij
S75	Slb331 LCS	0,000 0,900	Abso Vanaf begin	Vrij	Verend	1,2000e+00	Verend	1,2000e+00	Vrij	Vrij	Vrij
S75	Slb332 LCS	0,900 6,400	Abso Vanaf begin	Vrij	Verend	6,0000e+00	Verend	6,0000e+00	Vrij	Vrij	Vrij
S75	Slb333 LCS	6,400 10,900	Abso Vanaf begin	Vrij	Verend	1,2000e+00	Verend	1,2000e+00	Vrij	Vrij	Vrij
S75	Slb334 LCS	10,900 12,900	Abso Vanaf begin	Vrij	Verend	7,2000e+00	Verend	7,2000e+00	Vrij	Vrij	Vrij
S75	Slb335 LCS	12,900 22,000	Abso Vanaf begin	Vrij	Verend	1,4400e+01	Verend	1,4400e+01	Vrij	Vrij	Vrij
S76	Slb336 LCS	0,000 0,900	Abso Vanaf begin	Vrij	Verend	1,2000e+00	Verend	1,2000e+00	Vrij	Vrij	Vrij
S76	Slb337 LCS	0,900 6,400	Abso Vanaf begin	Vrij	Verend	6,0000e+00	Verend	6,0000e+00	Vrij	Vrij	Vrij
S76	Slb338 LCS	6,400 10,900	Abso Vanaf begin	Vrij	Verend	1,2000e+00	Verend	1,2000e+00	Vrij	Vrij	Vrij
S76	Slb339 LCS	10,900 12,900	Abso Vanaf begin	Vrij	Verend	7,2000e+00	Verend	7,2000e+00	Vrij	Vrij	Vrij

Staaf	Naam Systeem	Pos x_1 [m] Pos x_2 [m]	Coör Oors	X	Y	Stijfheid Y [MN/m²]	Z	Stijfheid Z [MN/m²]	Rx	Ry	Rz
S76	Slb340 LCS	12,900 22,000	Abso Vanaf begin	Vrij	Verend	1,4400e+01	Verend	1,4400e+01	Vrij	Vrij	Vrij
S77	Slb341 LCS	0,000 0,900	Abso Vanaf begin	Vrij	Verend	1,2000e+00	Verend	1,2000e+00	Vrij	Vrij	Vrij
S77	Slb342 LCS	0,900 6,400	Abso Vanaf begin	Vrij	Verend	6,0000e+00	Verend	6,0000e+00	Vrij	Vrij	Vrij
S77	Slb343 LCS	6,400 10,900	Abso Vanaf begin	Vrij	Verend	1,2000e+00	Verend	1,2000e+00	Vrij	Vrij	Vrij
S77	Slb344 LCS	10,900 12,900	Abso Vanaf begin	Vrij	Verend	7,2000e+00	Verend	7,2000e+00	Vrij	Vrij	Vrij
S77	Slb345 LCS	12,900 22,000	Abso Vanaf begin	Vrij	Verend	1,4400e+01	Verend	1,4400e+01	Vrij	Vrij	Vrij
S78	Slb346 LCS	0,000 0,900	Abso Vanaf begin	Vrij	Verend	1,2000e+00	Verend	1,2000e+00	Vrij	Vrij	Vrij
S78	Slb347 LCS	0,900 6,400	Abso Vanaf begin	Vrij	Verend	6,0000e+00	Verend	6,0000e+00	Vrij	Vrij	Vrij
S78	Slb348 LCS	6,400 10,900	Abso Vanaf begin	Vrij	Verend	1,2000e+00	Verend	1,2000e+00	Vrij	Vrij	Vrij
S78	Slb349 LCS	10,900 12,900	Abso Vanaf begin	Vrij	Verend	7,2000e+00	Verend	7,2000e+00	Vrij	Vrij	Vrij
S78	Slb350 LCS	12,900 22,000	Abso Vanaf begin	Vrij	Verend	1,4400e+01	Verend	1,4400e+01	Vrij	Vrij	Vrij
S79	Slb351 LCS	0,000 0,900	Abso Vanaf begin	Vrij	Verend	1,2000e+00	Verend	1,2000e+00	Vrij	Vrij	Vrij
S79	Slb352 LCS	0,900 6,400	Abso Vanaf begin	Vrij	Verend	6,0000e+00	Verend	6,0000e+00	Vrij	Vrij	Vrij
S79	Slb353 LCS	6,400 10,900	Abso Vanaf begin	Vrij	Verend	1,2000e+00	Verend	1,2000e+00	Vrij	Vrij	Vrij
S79	Slb354 LCS	10,900 12,900	Abso Vanaf begin	Vrij	Verend	7,2000e+00	Verend	7,2000e+00	Vrij	Vrij	Vrij
S79	Slb355 LCS	12,900 22,000	Abso Vanaf begin	Vrij	Verend	1,4400e+01	Verend	1,4400e+01	Vrij	Vrij	Vrij
S80	Slb356 LCS	0,000 0,900	Abso Vanaf begin	Vrij	Verend	1,2000e+00	Verend	1,2000e+00	Vrij	Vrij	Vrij
S80	Slb357 LCS	0,900 6,400	Abso Vanaf begin	Vrij	Verend	6,0000e+00	Verend	6,0000e+00	Vrij	Vrij	Vrij
S80	Slb358 LCS	6,400 10,900	Abso Vanaf begin	Vrij	Verend	1,2000e+00	Verend	1,2000e+00	Vrij	Vrij	Vrij
S80	Slb359 LCS	10,900 12,900	Abso Vanaf begin	Vrij	Verend	7,2000e+00	Verend	7,2000e+00	Vrij	Vrij	Vrij
S80	Slb360 LCS	12,900 22,000	Abso Vanaf begin	Vrij	Verend	1,4400e+01	Verend	1,4400e+01	Vrij	Vrij	Vrij
S81	Slb361 LCS	0,000 0,900	Abso Vanaf begin	Vrij	Verend	1,2000e+00	Verend	1,2000e+00	Vrij	Vrij	Vrij
S81	Slb362 LCS	0,900 6,400	Abso Vanaf begin	Vrij	Verend	6,0000e+00	Verend	6,0000e+00	Vrij	Vrij	Vrij
S81	Slb363 LCS	6,400 10,900	Abso Vanaf begin	Vrij	Verend	1,2000e+00	Verend	1,2000e+00	Vrij	Vrij	Vrij
S81	Slb364 LCS	10,900 12,900	Abso Vanaf begin	Vrij	Verend	7,2000e+00	Verend	7,2000e+00	Vrij	Vrij	Vrij
S81	Slb365 LCS	12,900 22,000	Abso Vanaf begin	Vrij	Verend	1,4400e+01	Verend	1,4400e+01	Vrij	Vrij	Vrij
S82	Slb366 LCS	0,000 0,900	Abso Vanaf begin	Vrij	Verend	1,2000e+00	Verend	1,2000e+00	Vrij	Vrij	Vrij
S82	Slb367 LCS	0,900 6,400	Abso Vanaf begin	Vrij	Verend	6,0000e+00	Verend	6,0000e+00	Vrij	Vrij	Vrij
S82	Slb368 LCS	6,400 10,900	Abso Vanaf begin	Vrij	Verend	1,2000e+00	Verend	1,2000e+00	Vrij	Vrij	Vrij
S82	Slb369 LCS	10,900 12,900	Abso Vanaf begin	Vrij	Verend	7,2000e+00	Verend	7,2000e+00	Vrij	Vrij	Vrij
S82	Slb370 LCS	12,900 22,000	Abso Vanaf begin	Vrij	Verend	1,4400e+01	Verend	1,4400e+01	Vrij	Vrij	Vrij
S83	Slb371 LCS	0,000 0,900	Abso Vanaf begin	Vrij	Verend	1,2000e+00	Verend	1,2000e+00	Vrij	Vrij	Vrij
S83	Slb372 LCS	0,900 6,400	Abso Vanaf begin	Vrij	Verend	6,0000e+00	Verend	6,0000e+00	Vrij	Vrij	Vrij
S83	Slb373 LCS	6,400 10,900	Abso Vanaf begin	Vrij	Verend	1,2000e+00	Verend	1,2000e+00	Vrij	Vrij	Vrij
S83	Slb374 LCS	10,900 12,900	Abso Vanaf begin	Vrij	Verend	7,2000e+00	Verend	7,2000e+00	Vrij	Vrij	Vrij
S83	Slb375 LCS	12,900 22,000	Abso Vanaf begin	Vrij	Verend	1,4400e+01	Verend	1,4400e+01	Vrij	Vrij	Vrij

Staaf	Naam Systeem	Pos x_1 [m] Pos x_2 [m]	Coör Oors	X	Y	Stijfheid Y [MN/m²]	Z	Stijfheid Z [MN/m²]	Rx	Ry	Rz
S84	Slb376 LCS	0,000 0,900	Abso Vanaf begin	Vrij	Verend	1,2000e+00	Verend	1,2000e+00	Vrij	Vrij	Vrij
S84	Slb377 LCS	0,900 6,400	Abso Vanaf begin	Vrij	Verend	6,0000e+00	Verend	6,0000e+00	Vrij	Vrij	Vrij
S84	Slb378 LCS	6,400 10,900	Abso Vanaf begin	Vrij	Verend	1,2000e+00	Verend	1,2000e+00	Vrij	Vrij	Vrij
S84	Slb379 LCS	10,900 12,900	Abso Vanaf begin	Vrij	Verend	7,2000e+00	Verend	7,2000e+00	Vrij	Vrij	Vrij
S84	Slb380 LCS	12,900 22,000	Abso Vanaf begin	Vrij	Verend	1,4400e+01	Verend	1,4400e+01	Vrij	Vrij	Vrij
S85	Slb381 LCS	0,000 0,900	Abso Vanaf begin	Vrij	Verend	1,2000e+00	Verend	1,2000e+00	Vrij	Vrij	Vrij
S85	Slb382 LCS	0,900 6,400	Abso Vanaf begin	Vrij	Verend	6,0000e+00	Verend	6,0000e+00	Vrij	Vrij	Vrij
S85	Slb383 LCS	6,400 10,900	Abso Vanaf begin	Vrij	Verend	1,2000e+00	Verend	1,2000e+00	Vrij	Vrij	Vrij
S85	Slb384 LCS	10,900 12,900	Abso Vanaf begin	Vrij	Verend	7,2000e+00	Verend	7,2000e+00	Vrij	Vrij	Vrij
S85	Slb385 LCS	12,900 22,000	Abso Vanaf begin	Vrij	Verend	1,4400e+01	Verend	1,4400e+01	Vrij	Vrij	Vrij

11. Belastingsgevallen

11.1. Belastingsgevallen - BG1

Naam	Omschrijving	Actie type	Lastgroep	Belastingtype	Richting
BG1	Eigengewicht	Permanent	LG8	Eigen gewicht	-Z

11.1.1. Belasting grafisch

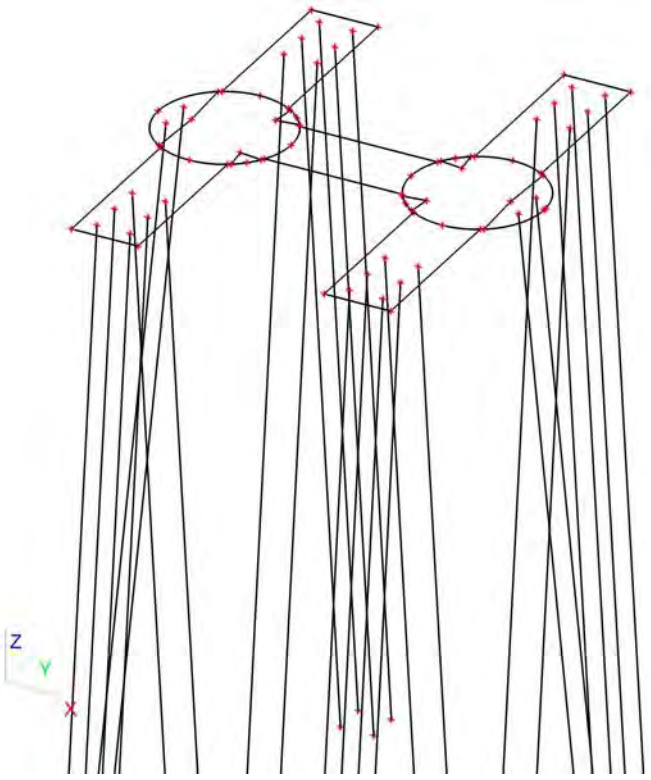

11.2. Belastingsgevallen - BG3

Naam	Omschrijving	Actie type	Lastgroep	Belastingtype	Spec	Duur	'Master' belastingsgeval
BG3	ULS 1	Variabel	LG7	Statisch	Standaard	Kort	Geen

11.2.1. Vrije puntmomenten

Typenaam	Naam	Rich	Type	Geldigheid	Selecteer	Waarde - F [kNm]	Belastingsgeval	Coördinaat X [m]	Coördinaat Y [m]	Coördinaat Z [m]	Coördinaat ux [m]	Coördinaat uy [m]	Coördinaat uz [m]	Systeem
Vrij puntmoment	FM1	Mx	Moment	Alle	Auto	-33589,00	BG3 - ULS 1	1,000	0,000	0,000	1,000	0,000	0,000	GCS
Vrij puntmoment	FM2	Mx	Moment	Alle	Auto	-33589,00	BG3 - ULS 1	8,600	0,000	0,000	8,600	0,000	0,000	GCS
Vrij puntmoment	FM3	My	Moment	Alle	Auto	4631,00	BG3 - ULS 1	1,000	0,000	0,000	1,000	0,000	0,000	GCS
Vrij puntmoment	FM4	My	Moment	Alle	Auto	4631,00	BG3 - ULS 1	8,600	0,000	0,000	8,600	0,000	0,000	GCS
Vrij puntmoment	FM5	Mx	Moment	Alle	Auto	2379,15	BG3 - ULS 1	1,000	0,000	0,000	1,000	0,000	0,000	GCS
Vrij puntmoment	FM6	Mx	Moment	Alle	Auto	2379,15	BG3 - ULS 1	8,600	0,000	0,000	8,600	0,000	0,000	GCS
Vrij puntmoment	FM7	My	Moment	Alle	Auto	573,75	BG3 - ULS 1	1,000	0,000	0,000	-15,410	0,007	0,000	GCS
Vrij puntmoment	FM8	My	Moment	Alle	Auto	573,75	BG3 - ULS 1	8,600	0,000	0,000	-7,810	0,007	0,000	GCS

11.2.2. Genereer vrije lasten

Naam	Belastingsgeval	2D-element	Rich	Belastingstype Type	Oorspronkelijke belasting	Waarde - F [kN] Waarde - F [kNm]	Systeem Locatie
GFF1	BG3 - ULS 1	E3	Z	Punt Kracht	FF1	-725,00	GCS Lengte
GFF4	BG3 - ULS 1	E3	Z	Punt Kracht	FF2	-725,00	GCS Lengte
GFF5	BG3 - ULS 1	E3	Mx	Punt Moment	FM6	2379,15	GCS Lengte
GFF6	BG3 - ULS 1	E3	Y	Punt Kracht	FF3	933,00	GCS Lengte
GFF7	BG3 - ULS 1	E3	X	Punt Kracht	FF5	225,00	GCS Lengte
GFF9	BG3 - ULS 1	E3	Y	Punt Kracht	FF4	933,00	GCS Lengte
GFF10	BG3 - ULS 1	E3	X	Punt Kracht	FF6	225,00	GCS Lengte
GFF25	BG3 - ULS 1	E3	My	Punt Moment	FM7	573,75	GCS Lengte
GFF27	BG3 - ULS 1	E3	My	Punt Moment	FM8	573,75	GCS Lengte
GFF41	BG3 - ULS 1	E3	Mx	Punt Moment	FM1	-33589,00	GCS Lengte
GFF42	BG3 - ULS 1	E3	Mx	Punt Moment	FM2	-33589,00	GCS Lengte
GFF43	BG3 - ULS 1	E3	My	Punt Moment	FM3	4631,00	GCS Lengte
GFF44	BG3 - ULS 1	E3	My	Punt Moment	FM4	4631,00	GCS Lengte
GFF45	BG3 - ULS 1	E3	Mx	Punt Moment	FM5	2379,15	GCS Lengte

11.2.3. Belasting grafisch

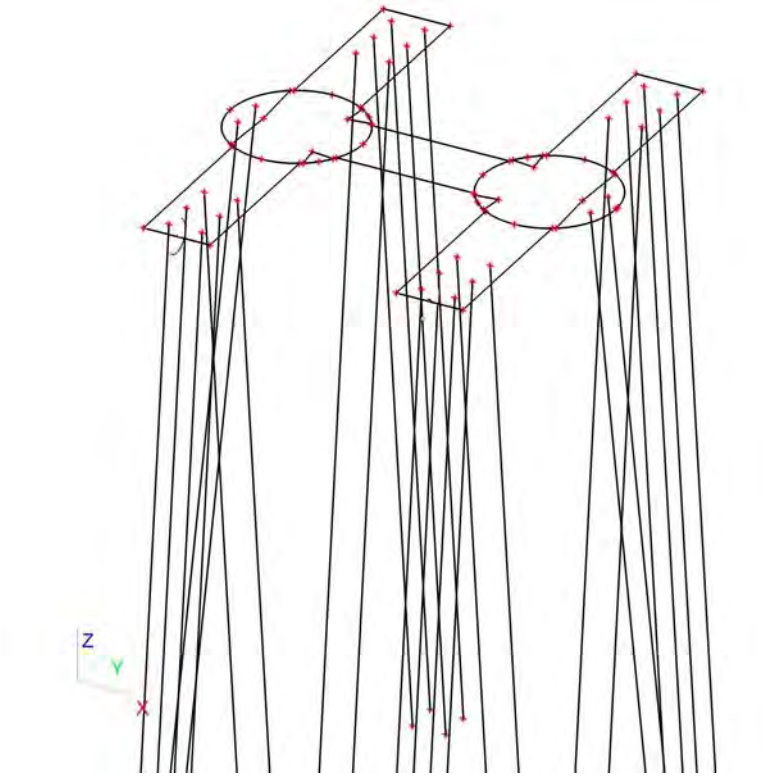

11.3. Belastingsgevallen - BG2

Naam	Omschrijving	Actie type	Lastgroep	Belastingtype
BG2	Grond	Permanent	LG8	Standaard

11.3.1. Lasten op oppervlak

Naam	Rich	Type	Waarde [kN/m²]	Belastingsgeval	Systeem	Loc
SF8	Z	Kracht	-25,50	BG2 - Grond	LCS	Lengte
SF9	Z	Kracht	-25,50	BG2 - Grond	LCS	Lengte
SF10	Z	Kracht	-25,50	BG2 - Grond	LCS	Lengte
SF11	Z	Kracht	-25,50	BG2 - Grond	LCS	Lengte
SF12	Z	Kracht	-25,50	BG2 - Grond	LCS	Lengte

11.3.2. Belasting grafisch

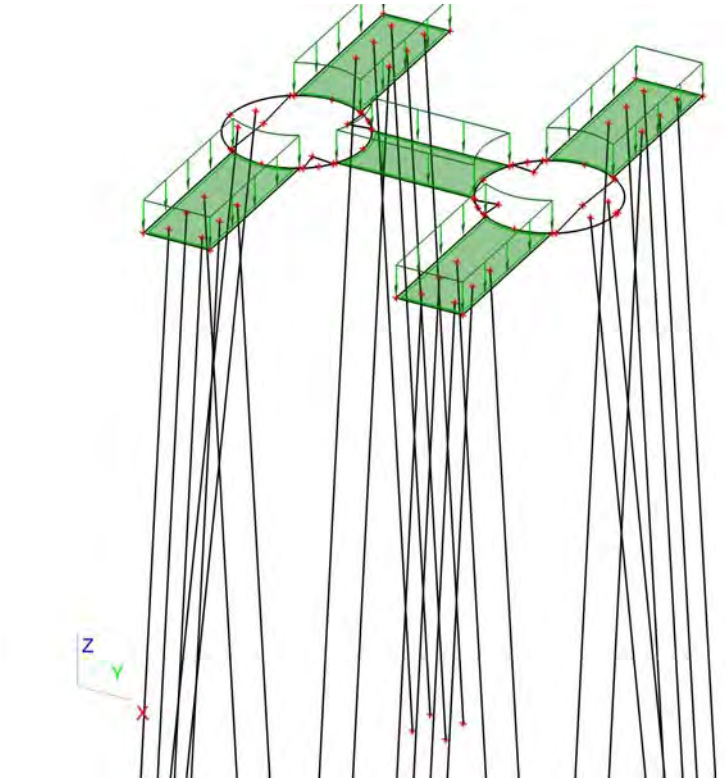

11.4. Belastingsgevallen - BG4

Naam	Omschrijving	Actie type	Lastgroep	Belastingtype	Spec	Duur	'Master' belastingsgeval
BG4	ULS 2	Variabel	LG9	Statisch	Standaard	Kort	Geen

11.4.1. Vrije puntmomenten

Typenaam	Naam	Rich	Type	Geldigheid	Selecteer	Waarde - F [kNm]	Belastingsgeval	Coördinaat X [m]	Coördinaat Y [m]	Coördinaat Z [m]	Coördinaat ux [m]	Coördinaat uy [m]	Coördinaat uz [m]	Systeem
Vrij puntmoment	FM9	Mx	Moment	Alle	Auto	-37033,00	BG4 - ULS 2	1,000	0,000	0,000	2,253	0,000	0,000	GCS
Vrij puntmoment	FM10	Mx	Moment	Alle	Auto	-37033,00	BG4 - ULS 2	8,600	0,000	0,000	10,025	-0,006	0,000	GCS
Vrij puntmoment	FM11	My	Moment	Alle	Auto	3864,00	BG4 - ULS 2	1,000	0,000	0,000	-13,975	-0,006	0,000	GCS
Vrij puntmoment	FM12	My	Moment	Alle	Auto	3864,00	BG4 - ULS 2	8,600	0,000	0,000	-6,547	0,000	0,000	GCS
Vrij puntmoment	FM13	Mx	Moment	Alle	Auto	2567,85	BG4 - ULS 2	1,000	0,000	0,000	-15,400	0,000	0,000	GCS
Vrij puntmoment	FM14	Mx	Moment	Alle	Auto	2567,85	BG4 - ULS 2	8,600	0,000	0,000	-7,800	0,000	0,000	GCS
Vrij puntmoment	FM15	My	Moment	Alle	Auto	334,05	BG4 - ULS 2	1,000	0,000	0,000	-15,400	0,000	0,000	GCS
Vrij puntmoment	FM16	My	Moment	Alle	Auto	334,05	BG4 - ULS 2	8,600	0,000	0,000	-7,800	0,000	0,000	GCS

11.4.2. Genereer vrije lasten

Naam	Belastingsgeval	2D-element	Rich	Belastingstype Type	Oorspronkelijke belasting	Waarde - F [kN] Waarde - F [kNm]	Systeem Locatie
GFF2	BG4 - ULS 2	E3	Y	Punt Kracht	FF9	1007,00	GCS Lengte
GFF12	BG4 - ULS 2	E3	Z	Punt Kracht	FF7	-877,00	GCS Lengte
GFF13	BG4 - ULS 2	E3	Mx	Punt Moment	FM13	2567,85	GCS Lengte
GFF14	BG4 - ULS 2	E3	Z	Punt Kracht	FF8	-877,00	GCS Lengte
GFF15	BG4 - ULS 2	E3	Mx	Punt Moment	FM14	2567,85	GCS Lengte
GFF16	BG4 - ULS 2	E3	Y	Punt Kracht	FF10	1007,00	GCS Lengte
GFF18	BG4 - ULS 2	E3	X	Punt Kracht	FF11	131,00	GCS Lengte
GFF19	BG4 - ULS 2	E3	X	Punt Kracht	FF12	131,00	GCS Lengte
GFF20	BG4 - ULS 2	E3	Mx	Punt Moment	FM10	-37033,00	GCS Lengte

Naam	Belastingsgeval	2D-element	Rich	Belastingstype Type	Oorspronkelijke belasting	Waarde - F [kN] Waarde - F [kNm]	Systeem Locatie
GFF22	BG4 - ULS 2	E3	My	Punt Moment	FM15	 334,05	GCS Lengte
GFF24	BG4 - ULS 2	E3	My	Punt Moment	FM16	 334,05	GCS Lengte
GFF29	BG4 - ULS 2	E3	My	Punt Moment	FM11	 3864,00	GCS Lengte
GFF31	BG4 - ULS 2	E3	My	Punt Moment	FM12	 3864,00	GCS Lengte
GFF46	BG4 - ULS 2	E3	Mx	Punt Moment	FM9	 -37033,00	GCS Lengte

11.4.3. Belasting grafisch

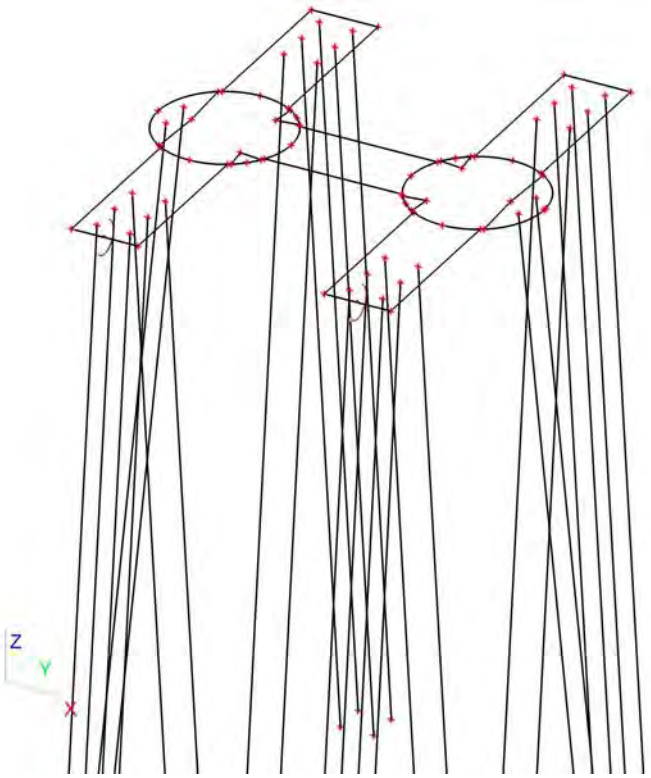

11.5. Belastingsgevallen - BG5

Naam	Omschrijving	Actie type	Lastgroep	Belastingtype	Spec	Duur	'Master' belastingsgeval
BG5	SLS 1	Variabel	LG9	Statisch	Standaard	Kort	Geen

11.5.1. Vrije puntmomenten

Typenaam	Naam	Rich	Type	Geldigheid	Selecteer	Waarde - F [kNm]	Belastingsgeval	Coördinaat X [m]	Coördinaat Y [m]	Coördinaat Z [m]	Coördinaat ux [m]	Coördinaat uy [m]	Coördinaat uz [m]	Systeem
Vrij puntmoment	FM17	Mx	Moment	Alle	Auto	-36800,40	BG5 - SLS 1	1,000	0,000	0,000	0,000	0,000	0,000	GCS
Vrij puntmoment	FM18	Mx	Moment	Alle	Auto	-36800,40	BG5 - SLS 1	8,600	0,000	0,000	7,600	0,000	0,000	GCS
Vrij puntmoment	FM19	My	Moment	Alle	Auto	7506,80	BG5 - SLS 1	1,000	0,000	0,000	0,000	0,000	0,000	GCS
Vrij puntmoment	FM20	My	Moment	Alle	Auto	7506,80	BG5 - SLS 1	8,600	0,000	0,000	7,600	0,000	0,000	GCS
Vrij puntmoment	FM21	Mx	Moment	Alle	Auto	2552,55	BG5 - SLS 1	1,000	0,000	0,000	0,000	0,000	0,000	GCS
Vrij puntmoment	FM22	Mx	Moment	Alle	Auto	2552,55	BG5 - SLS 1	8,600	0,000	0,000	7,600	0,000	0,000	GCS
Vrij puntmoment	FM23	My	Moment	Alle	Auto	2552,55	BG5 - SLS 1	1,000	0,000	0,000	0,000	0,000	0,000	GCS
Vrij puntmoment	FM24	My	Moment	Alle	Auto	2552,55	BG5 - SLS 1	8,600	0,000	0,000	7,600	0,000	0,000	GCS
Vrij puntmoment	FM29	Mx	Moment	Alle	Auto	3023,79	BG5 - SLS 1	1,000	0,000	0,000	0,000	0,000	0,000	GCS
Vrij puntmoment	FM30	Mx	Moment	Alle	Auto	3023,79	BG5 - SLS 1	8,600	0,000	0,000	7,600	0,000	0,000	GCS
Vrij puntmoment	FM31	My	Moment	Alle	Auto	510,51	BG5 - SLS 1	1,000	0,000	0,000	-16,410	0,007	0,000	GCS
Vrij puntmoment	FM32	My	Moment	Alle	Auto	510,51	BG5 - SLS 1	8,600	0,000	0,000	-8,810	0,007	0,000	GCS

11.5.2. Genereer vrije lasten

Naam	Belastingsgeval	2D-element	Rich	Belastingstype Type	Oorspronkelijke belasting	Waarde - F [kN] Waarde - F [kNm]	Systeem Locatie
GFF3	BG5 - SLS 1	E3	My	Punt Moment	FM19	 7506,80	GCS Lengte
GFF8	BG5 - SLS 1	E3	Mx	Punt Moment	FM17	 -36800,40	GCS Lengte
GFF11	BG5 - SLS 1	E3	Mx	Punt Moment	FM18	 -36800,40	GCS Lengte
GFF17	BG5 - SLS 1	E3	My	Punt Moment	FM20	 7506,80	GCS Lengte
GFF21	BG5 - SLS 1	E3	Z	Punt Kracht	FF13	-954,80	GCS Lengte
GFF23	BG5 - SLS 1	E3	Z	Punt Kracht	FF14	-954,80	GCS Lengte
GFF26	BG5 - SLS 1	E3	Y	Punt Kracht	FF15	1001,00	GCS Lengte
GFF28	BG5 - SLS 1	E3	Y	Punt Kracht	FF16	1001,00	GCS Lengte
GFF30	BG5 - SLS 1	E3	X	Punt Kracht	FF17	225,40	GCS Lengte
GFF32	BG5 - SLS 1	E3	X	Punt Kracht	FF18	225,40	GCS Lengte
GFF38	BG5 - SLS 1	E3	Mx	Punt Moment	FM29	 3023,79	GCS Lengte
GFF40	BG5 - SLS 1	E3	Mx	Punt Moment	FM30	 3023,79	GCS Lengte
GFF47	BG5 - SLS 1	E3	Mx	Punt Moment	FM21	 2552,55	GCS Lengte
GFF48	BG5 - SLS 1	E3	Mx	Punt Moment	FM22	 2552,55	GCS Lengte
GFF49	BG5 - SLS 1	E3	My	Punt Moment	FM23	 2552,55	GCS Lengte
GFF50	BG5 - SLS 1	E3	My	Punt Moment	FM24	 2552,55	GCS Lengte
GFF55	BG5 - SLS 1	E3	My	Punt Moment	FM31	 510,51	GCS Lengte
GFF56	BG5 - SLS 1	E3	My	Punt Moment	FM32	 510,51	GCS Lengte

11.5.3. Belasting grafisch

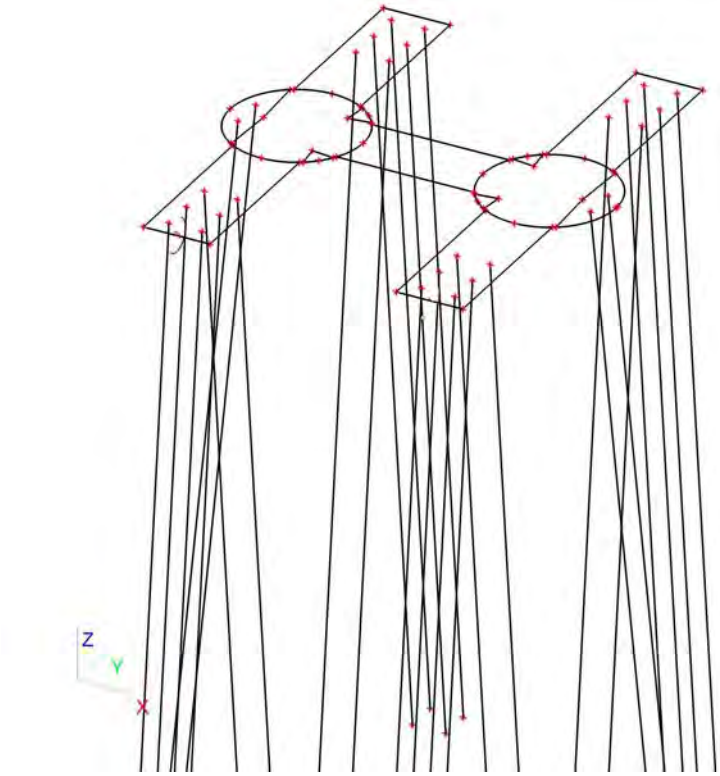

11.6. Belastingsgevallen - BG6

Naam	Omschrijving	Actie type	Lastgroep	Belastingtype	Spec	Duur	'Master' belastingsgeval
BG6	SLS 2	Variabel	LG9	Statisch	Standaard	Kort	Geen

11.6.1. Vrije puntmomenten

Typenaam	Naam	Rich	Type	Geldigheid	Selecteer	Waarde - F [kNm]	Belastingsgeval	Coördinaat X [m]	Coördinaat Y [m]	Coördinaat Z [m]	Coördinaat ux [m]	Coördinaat uy [m]	Coördinaat uz [m]	Systeem
Vrij puntmoment	FM25	Mx	Moment	Alle	Auto	-42985,60	BG6 - SLS 2	1,000	0,000	0,000	0,000	0,000	0,000	GCS
Vrij puntmoment	FM26	Mx	Moment	Alle	Auto	-42985,60	BG6 - SLS 2	8,600	0,000	0,000	7,600	0,000	0,000	GCS
Vrij puntmoment	FM27	My	Moment	Alle	Auto	6496,00	BG6 - SLS 2	1,000	0,000	0,000	0,000	0,000	0,000	GCS
Vrij puntmoment	FM28	My	Moment	Alle	Auto	6496,00	BG6 - SLS 2	8,600	0,000	0,000	7,600	0,000	0,000	GCS

11.6.2. Genereer vrije lasten

Naam	Belastingsgeval	2D-element	Rich	Belastingstype Type	Oorspronkelijke belasting	Waarde - F [kN] Waarde - F [kNm]	Systeem Locatie
GFF33	BG6 - SLS 2	E3	Z	Punt Kracht	FF19	-1009,40	GCS Lengte
GFF34	BG6 - SLS 2	E3	Z	Punt Kracht	FF20	-1009,40	GCS Lengte
GFF35	BG6 - SLS 2	E3	Y	Punt Kracht	FF21	1185,80	GCS Lengte
GFF36	BG6 - SLS 2	E3	Y	Punt Kracht	FF22	1185,80	GCS Lengte
GFF37	BG6 - SLS 2	E3	X	Punt Kracht	FF23	200,20	GCS Lengte
GFF39	BG6 - SLS 2	E3	X	Punt Kracht	FF24	200,20	GCS Lengte
GFF51	BG6 - SLS 2	E3	Mx	Punt Moment	FM25	-42985,60	GCS Lengte
GFF52	BG6 - SLS 2	E3	Mx	Punt Moment	FM26	-42985,60	GCS Lengte
GFF53	BG6 - SLS 2	E3	My	Punt Moment	FM27	6496,00	GCS Lengte
GFF54	BG6 - SLS 2	E3	My	Punt Moment	FM28	6496,00	GCS Lengte

11.6.3. Belasting grafisch

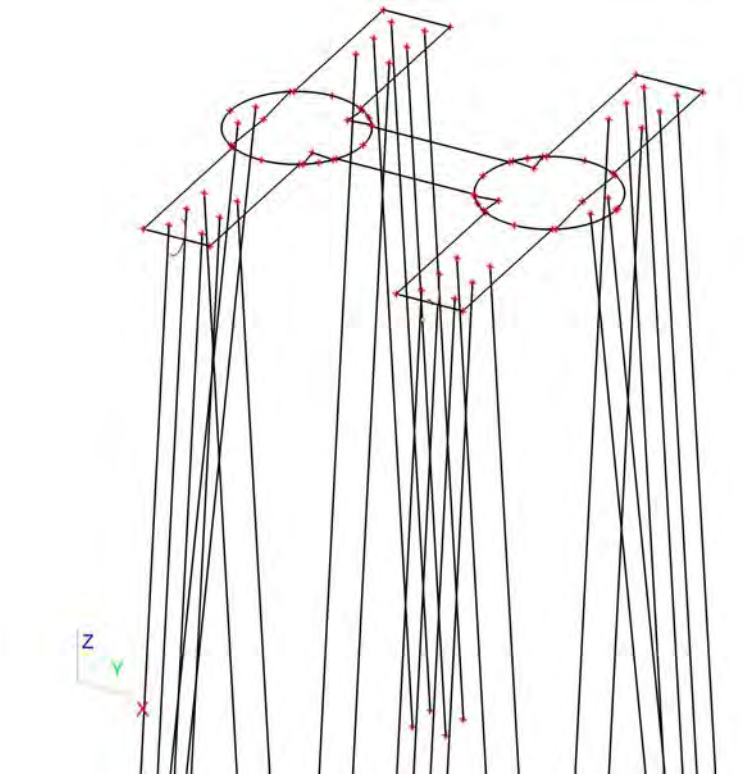

11.7. Belastingsgevallen - BG7

Naam	Omschrijving	Actie type	Lastgroep	Belastingtype	Spec	Duur	'Master' belastingsgeval
BG7	Belasting op maaiveld	Variabel	LG7	Statisch	Standaard	Kort	Geen

11.7.1. Lasten op oppervlak

Naam	Rich	Type	Waarde [kN/m^2]	Belastingsgeval	Systeem	Loc
SF7	Z	Kracht	-10,00	BG7 - Belasting op maaiveld	LCS	Lengte

11.7.2. Belasting grafisch

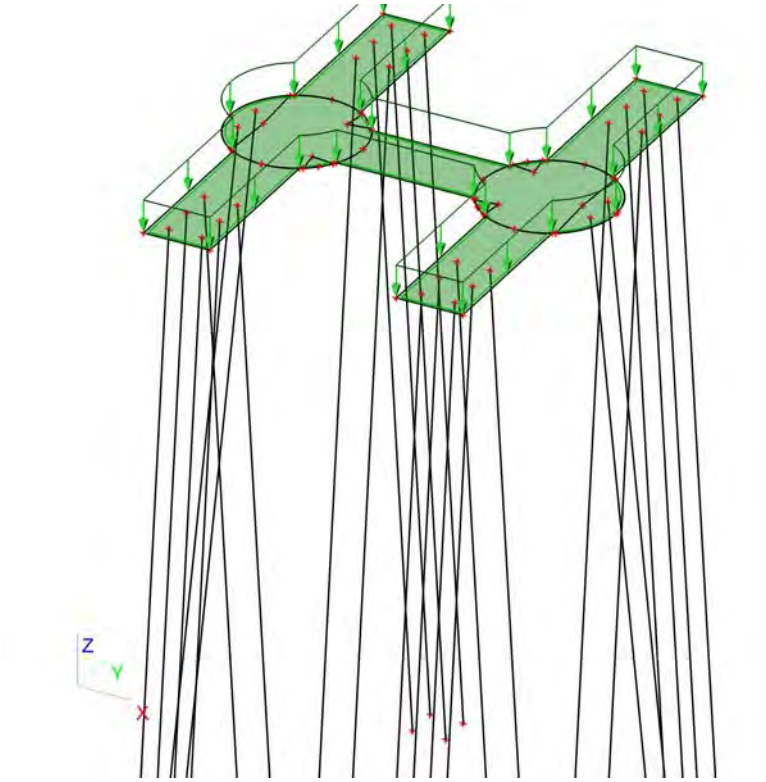

12. Combinaties

Naam	Type	Belastingsgevallen	Coëff. [-]
Combi1	Omhullende - uiterst	BG1 - Eigengewicht	1,30
		BG3 - ULS 1	1,00
		BG7 - Belasting op maaiveld	1,16
		BG2 - Grond	1,30
Combi2	Omhullende - uiterst	BG1 - Eigengewicht	1,30
		BG4 - ULS 2	1,00
		BG7 - Belasting op maaiveld	1,16
		BG2 - Grond	1,30
Combi3	Omhullende - uiterst	BG1 - Eigengewicht	1,30
		BG3 - ULS 1	0,60
		BG7 - Belasting op maaiveld	1,65
		BG2 - Grond	1,30
Combi4	Omhullende - uiterst	BG1 - Eigengewicht	1,30
		BG4 - ULS 2	0,60
		BG7 - Belasting op maaiveld	1,65
		BG2 - Grond	1,30
Combi5	Omhullende - uiterst	BG1 - Eigengewicht	0,54
		BG3 - ULS 1	1,00
		BG2 - Grond	0,54
Combi6	Omhullende - uiterst	BG1 - Eigengewicht	0,54
		BG4 - ULS 2	1,00
		BG2 - Grond	0,54

Naam	Type	Belastingsgevallen	Coëff. [-]
Combi7	Omhullende - bruikbaarheid	BG1 - Eigengewicht	1,00
		BG5 - SLS 1	1,00
		BG7 - Belasting op maaiveld	1,16
		BG2 - Grond	1,00
Combi8	Omhullende - bruikbaarheid	BG1 - Eigengewicht	1,00
		BG6 - SLS 2	1,00
		BG7 - Belasting op maaiveld	0,70
		BG2 - Grond	1,00
Combi9	Omhullende - bruikbaarheid	BG1 - Eigengewicht	1,00
		BG5 - SLS 1	0,60
		BG7 - Belasting op maaiveld	1,00
		BG2 - Grond	1,00
Combi10	Omhullende - bruikbaarheid	BG1 - Eigengewicht	1,00
		BG6 - SLS 2	0,60
		BG7 - Belasting op maaiveld	1,00
		BG2 - Grond	1,00
Combi11	Omhullende - bruikbaarheid	BG1 - Eigengewicht	0,60
		BG5 - SLS 1	1,00
		BG2 - Grond	0,60
Combi12	Omhullende - bruikbaarheid	BG1 - Eigengewicht	0,60
		BG6 - SLS 2	1,00
		BG2 - Grond	0,60

13. Verplaatsing van knopen SLS 1

Lineaire berekening, Extreem : Globaal
Selectie : Alle
Belastingsgevallen : BG5

14. Verplaatsing van knopen SLS 2

Lineaire berekening, Extreem : Globaal
Selectie : Alle
Belastingsgevallen : BG6

15. Reacties

Lineaire berekening, Extreem : Globaal
Selectie : Alle
Klasse : UGT

Steunpunt	BG	Rx [kN]	Ry [kN]	Rz [kN]	Mx [kNm]	My [kNm]	Mz [kNm]
Sn28/K290	Combi2/1	**-123,76**	0,06	**1053,93**	0,00	0,00	0,00
Sn26/K286	Combi2/1	**92,58**	0,05	789,86	0,00	0,00	0,00
Sn1/K236	Combi6/2	0,06	**-115,12**	**-973,32**	0,00	0,00	0,00
Sn19/K265	Combi2/1	0,00	**104,54**	891,12	0,00	0,00	0,00
Sn1/K236	Combi1/3	0,01	37,02	320,01	**0,00**	**0,00**	**0,00**

16. 2D element - Interne krachten; mxD+

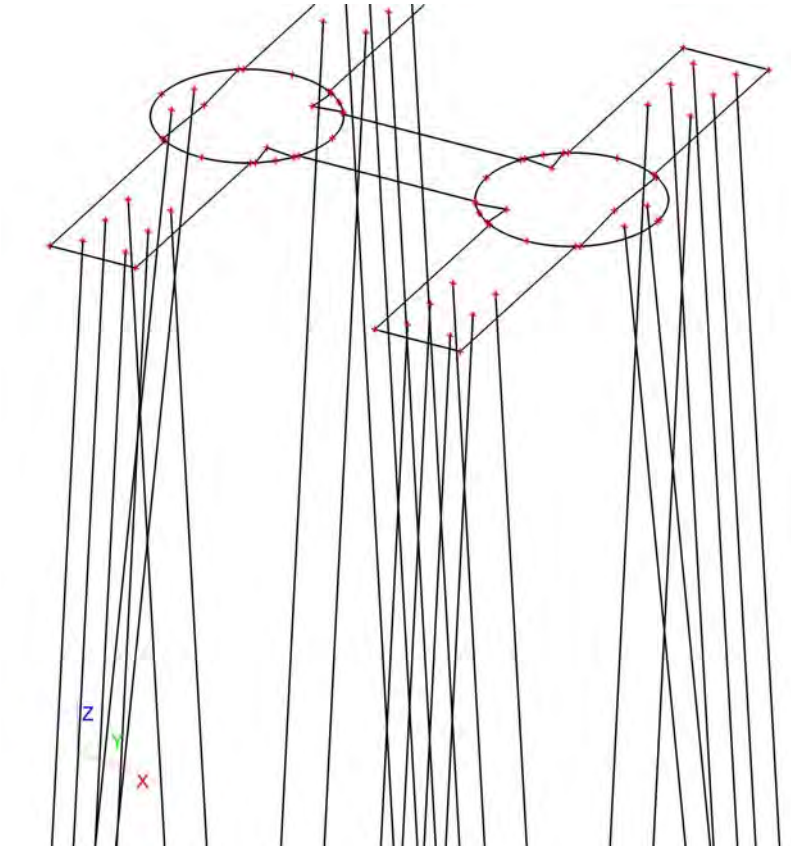

17. 2D element - Interne krachten; mxD-

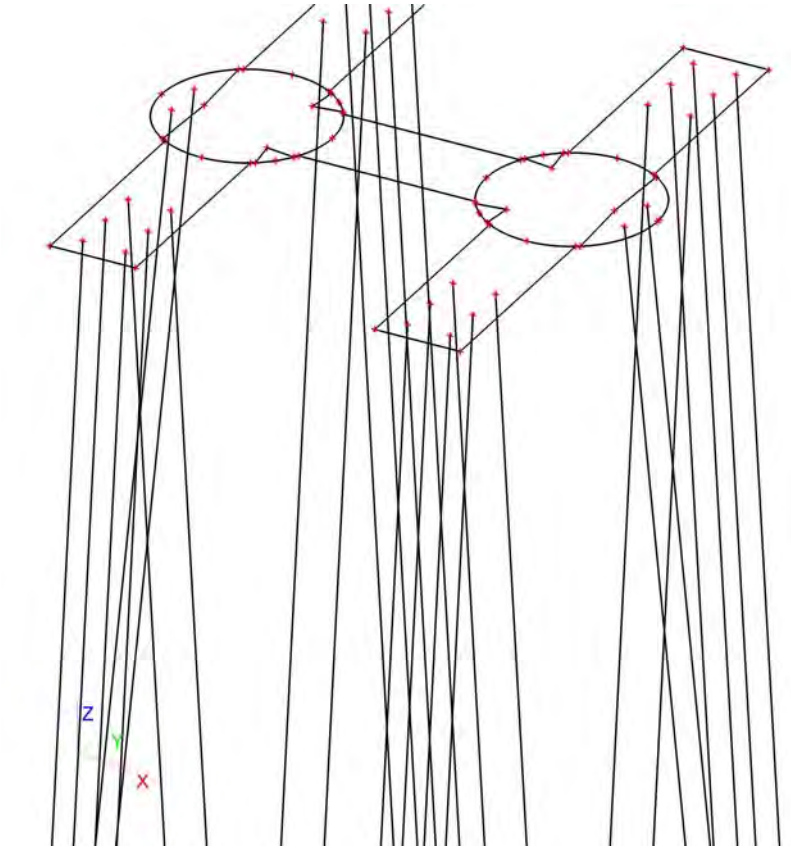

18. 2D element - Interne krachten; myD+

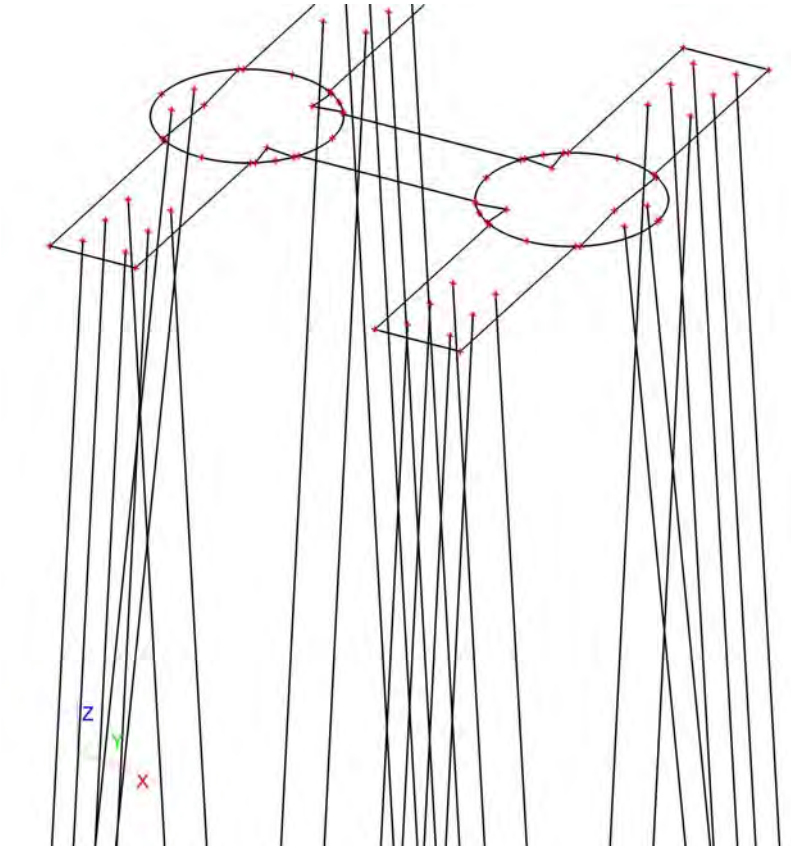

19. 2D element - Interne krachten; myD-

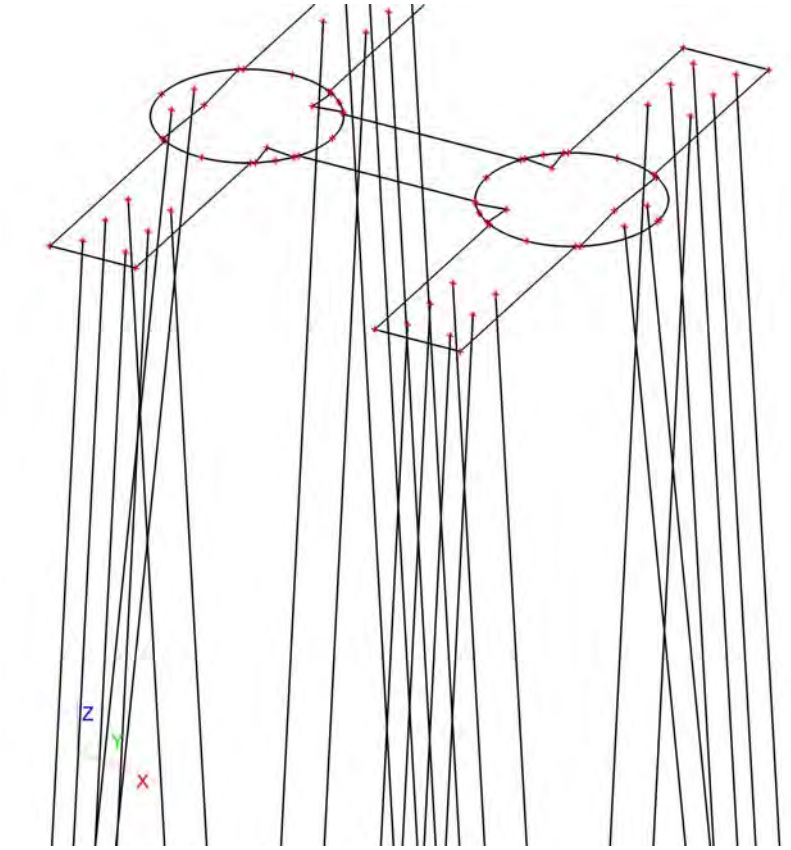

20. 2D element - Interne krachten; vx

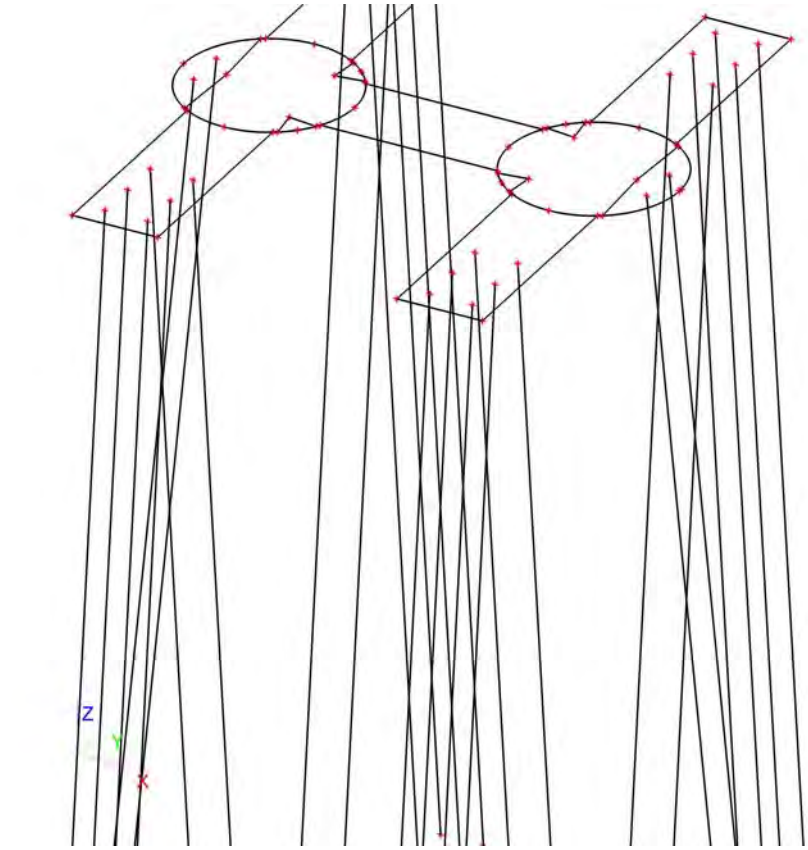

21. 2D element - Interne krachten; vy

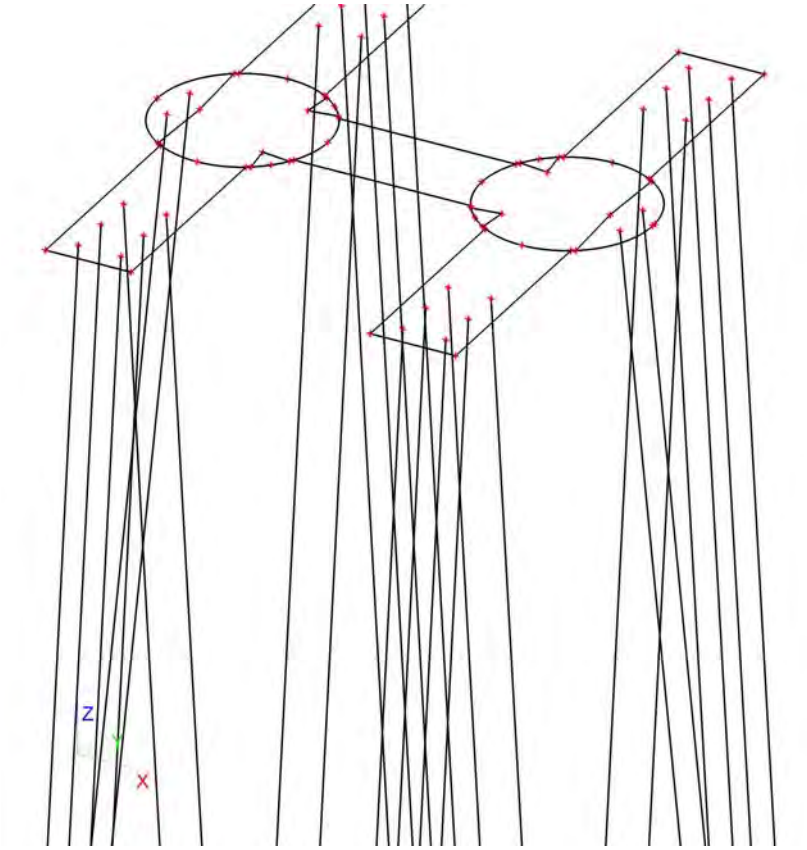

Ontwerpberekening paalfundering mastfundaties

Project:
Randstad 380 kV Noordring

Opdrachtgever:
TenneT TSO

Revisie	Datum	Wijzigingen ten opzichte van vorige revisie
00	18-07-2013	Eerste uitgave
01	05-08-2013	Definitief - aanvulling naar aanleiding overleg Tennet TSO

Documentnummer: R3N-OWR-0008

Opsteller	*Controleur*	*Vrijgever*
R. Meeuwsen Geotechnisch specialist	P. de Jager Ontwerp Manager	Arjan Hogenboom Project Manager

Distributie

Naam	Bedrijf
Extern	
Guido Volman	TenneT TSO
Intern	
Arjan Hogenboom	BAM
Pieter de Jager	BAM
Eric van Rooijen	BAM
David van Loenen	BAM
Rob Bakker	BAM
Erwin ten Cate	BAM
Michael Desmet	Fabricom
Hein Pijnappel	Mott MacDonald

Beheer

De documentbeheerder van de combinatie verzorgt de distributie. Alleen houders van een geregistreerde kopie ontvangen automatisch aanvullingen en/of wijzigingen. Het is de verantwoordelijkheid van de houders het document up to date te houden. De laatste versie is altijd beschikbaar in ThinkProject!

Indien documenten worden geprint, geldt het volgende: een geregistreerde kopie is geldig vanaf de datum van uitgifte. Bij uitgifte van een document met een hoger revisienummer verliest de voorgaande versie automatisch haar geldigheid. Kopiehouders dienen het voorblad van een ongeldige versie te markeren met een diagonale lijn samen met de tekst 'vervallen'.

Neem bij twijfel over de geldende versie contact op met de documentbeheerder.

Inhoudsopgave

1. Inleiding *4*
2. Uitgangspunten *5*
2.1. Inleiding 5
2.2. Normen, richtlijnen en gebruikte programmateur 5
2.3. Grondonderzoek en bodemopbouw 5
2.4. Negatieve kleef 6
2.5. Paalconfiguratie en belastingen 6
2.6. Overige uitgangspunten 7
3. Uitwerking ontwerp *8*
3.1. Berekening draagkracht palen op druk en trek 8
3.2. Berekening vervormingen door verticale belasting 8
3.3. Berekening horizontale beddingsconstanten 9
4. Conclusies en aanbevelingen *11*
4.1. Conclusies 11
5. Bijlagen *12*
Bijlage 1 Sonderingen (DKM428 en DKM430) 13
Bijlage 2 Berekening palen op druk 17
Bijlage 3 Berekening palen op trek 27
Bijlage 4 Berekening horizontale beddingsconstanten 37

1. INLEIDING

De komende jaren werken het ministerie van Economische Zaken en TenneT aan de aanleg van een nieuwe 380 kV hoogspanningsverbinding in de Randstad. De nieuwe verbinding stelt de voorziening van elektriciteit in de Randstad veilig.

Het ontwerptracé van de nieuwe Randstad 380 kV verbinding is sinds eind 2008 bekend. De plannen gaan uit van twee ringen, tussen Wateringen en Zoetermeer (de Zuidring) en tussen Zoetermeer en Beverwijk (de Noordring). Eind 2012 heeft Tennet de aanbesteding opgestart voor het gedeelte van de Noordring tussen station Vijfhuizen en Bleiswijk. Het contract is opgedeeld in twee percelen, waarbij de grens ligt bij Zuidelijke Ringvaart. Dit document heeft betrekking op perceel 2 (het zuidelijke gedeelte).

BAM heeft op 8 juli 2013 het contract ondertekend met TenneT voor het ontwerp en realiseren van perceel 2. Het voorliggende document is onderdeel van het Definitief Ontwerp en behandelt de paalfundering van de mastfundaties.

Op dit moment is nog niet ter plaatse van alle masten grondonderzoek beschikbaar. Om toch inzicht te krijgen of het gekozen paalsysteem kan voldoen is een representatieve mastlocatie gekozen om door te rekenen. Op basis van het wel beschikbare grondonderzoek is gekozen voor mast 133. In het uitvoeringsontwerp (UO) zullen de berekeningen voor alle masten worden uitgevoerd.

2. UITGANGSPUNTEN

2.1. INLEIDING

Op dit moment is het aanwezige grondonderzoek nog zeer summier. Het is dan ook niet mogelijk of zinvol om voor alle poeren een berekening van het paaldraagvermogen te maken.

Om toch een beeld van de mogelijk opneembare belastingen op en de veerstijfheid van de palen te verkrijgen is ervoor gekozen om voor één poer een berekening te maken.

De verschillende typen funderingen zijn zo ontworpen dat de palen een maximale trek van ca. 500 kN krijgen. Verder worden overall palen 450x450 toegepast. Belastingtechnisch gezien worden veel palen dus ongeveer gelijk belast.

Er is gekozen voor poer type C omdat bij deze poer de palen relatief dicht op elkaar in een groep staan. De nadelige groepswerking komt daarbij het beste tot uiting. Door de groepswerking neemt de horizontale bedding van de palen af en wordt ook het verticaal trekvermogen beperkt.

Extra druk of trekvermogen is te behalen door palen dieper te slaan. De horizontale bedding is echter niet eenvoudig te verhogen. Dit maakt dat de berekening van poer C een goede veilige indicatie geeft voor de overige poeren.

2.2. NORMEN, RICHTLIJNEN EN GEBRUIKTE PROGRAMMATEUR

De berekeningen van de draagkracht van de palen op druk en trek is uitgevoerd conform NEN –EN 9997, Eurocode 7, inclusief nationale bijlage.

De berekening van de paaldraagkracht is uitgevoerd met het programma D-Foundations versie 8.1. De berekening van de horizontale beddingsconstanten is uitgevoerd met een spread sheet volgens Ménard.

2.3. GRONDONDERZOEK EN BODEMOPBOUW

Bij mast 133 zijn twee bruikbare sonderingen beschikbaar, te weten de sonderingen DKM428 en DMK430, waarvan DKM428 maatgevend is.

De sonderingen zijn opgenomen in bijlage 1.

De grondwaterstand is aangehouden op 0,5m onder maaiveld.

In tabel 1 is de globale bodemopbouw opgenomen, met bijbehorende parameters.

Bovenkant laag (m t.o.v. NAP)	Grondsoort	□/□□$_s$ (kN/m^3)	□' (°)	c' (kPa)
-1,6	Veen	10,5/10,5	15	2
-2,7	Klei humeus	14,4/14,4	17,5	2
-5,1	Veen	10,5/10,5	15	2
-6,0	Klei siltig	15,8/15,8	22,5	3,8
-11,2	Basisveen	10,8/10,8	15	2
-12,1	Zand	18/20	30	0

Tabel 1 Bodemopbouw op basis van DKM428

2.4. NEGATIEVE KLEEF

Voor de drukpalen is gerekend met negatieve kleef op de palen tot aan de onderkant basisveenlaag op NAP-12,1 m, voor trekpalen is de kleef uit het Holoceen verwaarloosd. Hoewel er geen sprake is van bovenbelasting, is enige maaiveldzakking niet uitgesloten gezien de sterk samendrukbare ondergrond. Er is geen ophoging in rekening gebracht.

2.5. PAALCONFIGURATIE EN BELASTINGEN

Er is uitgegaan van prefab betonnen palen 450 x 450 mm^2. De palen staan schoor onder 1:10. Op basis van de paalconfiguratie (weergegeven in figuur 1) en de belastingen op de constructie is een paalbelasting afgeleid (R3N-OWR-0005 Constructieberekening mastfundaties type C).

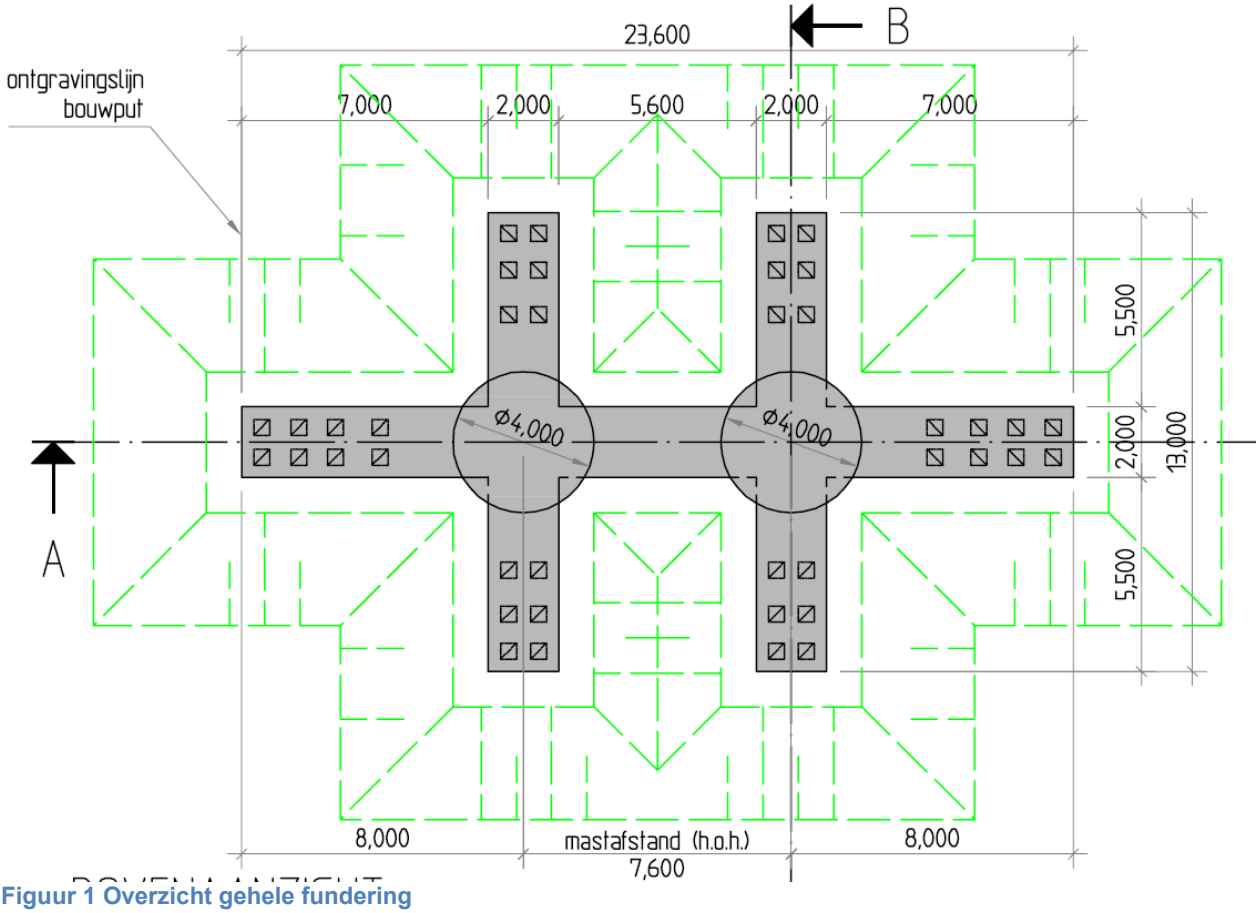

Figuur 1 Overzicht gehele fundering

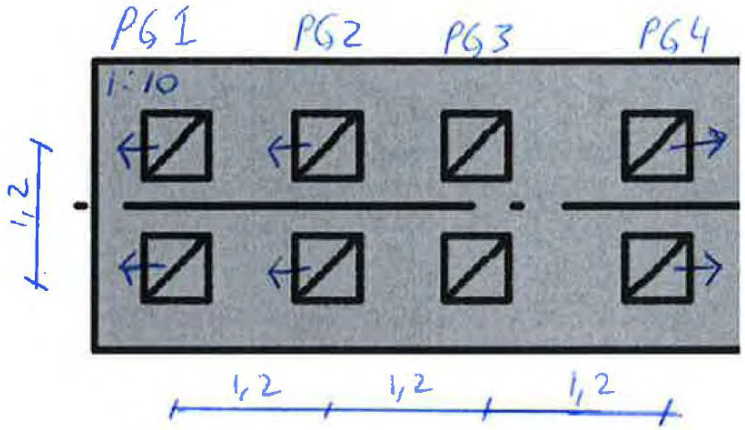

Figuur 2 Paalconfiguratie ter bepaling van draagvermogen en horizontale beddingsconstanten, paalgroep 1 t/m 4

De maximale paalbelasting is conform opgaaf weergegeven in tabel 2.

Mast 133 funderingtype C	Druk		Trek	
	$F_{c;d}$ (kN)	$F_{c;k}$ (kN)	$F_{t;d}$ (kN)	$F_{t;k}$ (kN)
paalgroep 1	785	581	268	199
paalgroep 2	805	596	282	209
paalgroep 3	837	620	299	221
paalgroep 4	875	648	319	236

Tabel 2 Paalbelastingen

De representatieve belasting is in dit geval aangehouden als de rekenwaarde van de belasting / 1,35.

Horizontale belasting is niet apart beschouwd. Daarentegen zijn horizontale beddingsconstanten bepaald waarmee in een raamwerkmodel de vervormingen van de paal en de momenten in de paal berekend kunnen worden, invoer hiervoor is de beddingsconstante.

2.6. OVERIGE UITGANGSPUNTEN

Er is ter plaatse van de constructie geen reductie als gevolg van ontgraven toegepast. Ontgraving van een sleuf t.b.v. constructie van de poer is verwaarloosd, gezien de smalle afmetingen en de diepte van de draagkrachtige laag.

Voor de ξ_3 is een waarde van 1,20 gehanteerd, voor ξ_4 is een waarde van 0,96 gehanteerd (stijve constructie) en voor γ_R een waarde van 1,2 voor drukpalen en 1,35 voor trekpalen (conform de NEN 9997-1).

Door windbelasting ontstaat afwisselend druk en trek in de palen. Hierdoor is ter bepaling van het trekdraagvermogen gerekend met γ_{VAR} =1,50. De gehanteerde paalklassefactoren zijn die van geprefabriceerde betonpalen conform tabel 7.c uit NEN-9997-1 ; α_p= 1,0, α_s = 0,010 en α_t = 0,007.

Voor de berekening van het groepseffect voor horizontaal belaste palen is een reductiefactor berekend op basis van de methode van Reese en van Impe. Voor een beschrijving van deze methode wordt verwezen naar ‘Single piles and pile groups under lateral loading’, Reese L.C., van Impe W.F.

3. UITWERKING ONTWERP

3.1. BEREKENING DRAAGKRACHT PALEN OP DRUK EN TREK

De berekening van de draagkracht van de palen op druk ter plaatse van mast 133 is bijgevoegd in bijlage 2.
De berekening van de draagkracht van de palen op trek ter plaatse van mast 133 is bijgevoegd in bijlage 3.

Belasting op trek is maatgevend. Voor de rekenwaarde van de palen op trek is onderscheid gemaakt tussen de vier paalgroepen, zie figuur 2. Alle palen kunnen gelijktijdig op trek belast worden.

De berekende negatieve kleef door maaiveldzakking is 127kN.

In tabel 3 zijn de rekenwaarde van de draagkracht met paalpuntniveau NAP-21,5 m ter plaatse van mast 133 weergegeven.

Mast 133	Druk	Trek
funderingtype C	$R_{c;d}$ (kN)	$R_{t;d}$ (kN)
paalgroep 1	2118	316
paalgroep 2	2118	282
paalgroep 3	2118	325
paalgroep 4	2118	359

Tabel 3 Paalpuntniveau (NAP -21,5m) en bijhorende draagkracht

Bij een paalpuntniveau van NAP -21,5 m voldoet de paal juist voor maatgevende paalgroep 2.

3.2. BEREKENING VERVORMINGEN DOOR VERTICALE BELASTING

In bijlage 2 is een berekening van de zakking van de paal belast op druk opgenomen. De maximale zakking van de paal is 18mm. Dit is grotendeels toe te rekenen aan s_2, zakking van de paalgroep door samendrukking van de lagen tot 4D onder de paalpunt (zie 7.6.4.2, NEN9997-1). De gemiddelde elasticiteitsmodulus van deze laag is aangenomen op $E_{ea;gem} = 5xq_c \approx 50.000kN/m^2$. Aangezien de kracht grotendeels wordt afgedragen via de schacht (±75%) is ter bepaling van de veerconstante de helft van de berekende s_2 meegenomen.

Rijzing van de paal op trek is berekend conform paragraaf 7.6.4.3 van NEN 9997-1. De rijzing van paalpunt (s_b) als gevolg van belasting op de paal is bepaald volgens figuur 7.o van paragraaf 7.6.4.2 van NEN 9997-1 uit de verhouding $R_{s;cal;i}$ / $R_{s;cal;max;i}$ en bedraagt ca. 2 mm.

De gemiddelde axiale veerstijfheid voor druk en trek zijn weergegeven in tabel 4 en tabel 5.

Axiale veerstijfheid Druk			
	$R_{c;k}$ (kN)	s (mm)	$k_{v;SLS}$ (kN/m)
paalgroep1	581	10	58100
paalgroep2	596	10	59600
paalgroep3	620	10	62000
paalgroep4	648	10	64800

Tabel 4 Axiale veerstijfheid druk

Axiale veerstijfheid Trek			
	$R_{c;k}$ (kN)	s (mm)	$k_{v;SLS}$ (kN/m)
paalgroep1	199	2	99500
paalgroep2	209	2	104500
paalgroep3	221	2	110500
paalgroep4	236	2	118000

Tabel 5 Axiale veerstijfheid trek

Elastische vervorming is buiten beschouwing gelaten en dient in het raamwerkmodel ESA te worden meegenomen.

3.3. BEREKENING HORIZONTALE BEDDINGSCONSTANTEN

De horizontale beddingsconstanten zijn berekend volgens de methode Ménard op basis van conusweerstand en grondsoort.

In bijlage 4 is de berekening van de horizontale beddingsconstanten opgenomen. De horizontale beddingsconstanten die als input voor ESA gebruikt kunnen worden zijn te vinden in tabellen 6 en 7. Tabel 6 geldt indien de horizontale belasting uit de X-richting komt en tabel 7 wanneer de belasting uit de Y-richting komt, zie figuur 3.

De verschillen in horizontale beddingsconstanten per richting wordt veroorzaakt door groepswerking. Komt de belasting uit de X-richting wordt een kleiner grondmassief gemobiliseerd dan wanneer de belasting uit de Y-richting komt. Ter illustratie;

Wanneer de belasting uit de X-richting komt, vervormen alle palen in het verlengde van de belasting. De vervorming wordt gehinderd door de grond. Palen 2, 4, 6 en 8 ondervinden minder weerstand van de grond, omdat palen 1, 3, 5 en 7 ook vervormen en de grond waar palen 2, 4, 6 en 8 weerstand van zouden moeten ondervinden, al wordt ontspannen.

De gemiddelde groepsfactor over de 8 palen is berekend op 0,54 in de X-richting en 0,39 in de Y-richting. Deze gemiddelde reductie kan op de beddingsconstanten worden gezet die in ESA worden gebruikt.

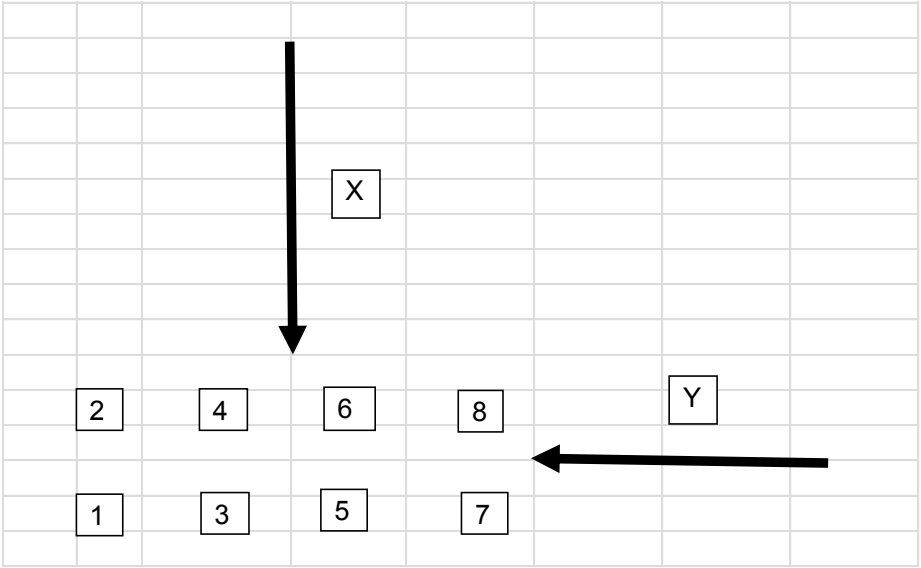

Figuur 3 Horizontale beddingsconstanten per belastingsrichting

In de volgende tabellen worden deze gereduceerde beddingsconstanten gepresenteerd. $k_{h;rep;laag}$ en $k_{h;rep;hoog}$ zijn berekend door een deling respectievelijk vermenigvuldiging van 1,5 van de verwachtingswaarde.

X-richting		Voor ESA berekeningen			
soort	b.k. laag	per m^2 paal		per m'paal	
	(m+ NAP)	$k_{h,rep,laag}$ (kN/m^3)	$k_{h,rep,hoog}$ (kN/m^3)	$k_{h,rep,laag}$ (kN/m/m)	$k_{h,rep,hoog}$ (kN/m/m)
Veen	-1.6	1,400	3,200	700	1,600
Klei	-2.7	500	1,200	300	600
Veen	-5.1	1,400	3,200	700	1,600
Klei	-6.0	800	1,800	400	900
Veen	-11.2	1,400	3,200	700	1,600
Zand	-12.1	13,600	30,600	6,900	15,600
Zand	-22.0	16,300	36,700	8,300	18,700

Tabel 6 Horizontale beddingsconstanten voor belasting uit de X-richting (zie figuur 3)

Y-richting		Voor ESA berekeningen			
soort	b.k. laag	per m^2 paal		per m'paal	
	(m+ NAP)	$k_{h,rep,laag}$ (kN/m^3)	$k_{h,rep,hoog}$ (kN/m^3)	$k_{h,rep,laag}$ (kN/m/m)	$k_{h,rep,hoog}$ (kN/m/m)
Veen	-1.6	1,000	2,300	500	1,200
Klei	-2.7	400	900	200	400
Veen	-5.1	1,000	2,300	500	1,200
Klei	-6.0	600	1,300	300	700
Veen	-11.2	1,000	2,300	500	1,200
Zand	-12.1	9,800	22,100	5,000	11,300
Zand	-22.0	11,800	26,500	6,000	13,500

Tabel 7 Horizontale beddingsconstanten voor belasting uit de Y-richting (zie figuur 3)

4. CONCLUSIES EN AANBEVELINGEN

4.1. CONCLUSIES

Mast 133 kan gefundeerd worden op 450x450 prefab beton palen tot een diepte van -21,5m NAP. De palen hebben een lengte van ca. 20,0m. Trek voor paalgroep 2 is maatgevend.

In het uitvoeringsontwerp (UO) – als al het grondonderzoek beschikbaar is gekomen – worden de paalfunderingsberekeningen voor alle masten uitgevoerd.

5. BIJLAGEN

Bijlage 1 Sonderingen (DKM428 en DKM430)

Bijlage 2 Berekening palen op druk

Bijlage 3 Berekening palen op trek

Bijlage 4 Berekening horizontale beddingsconstanten

BIJLAGE 1 SONDERINGEN (DKM428 EN DKM430)

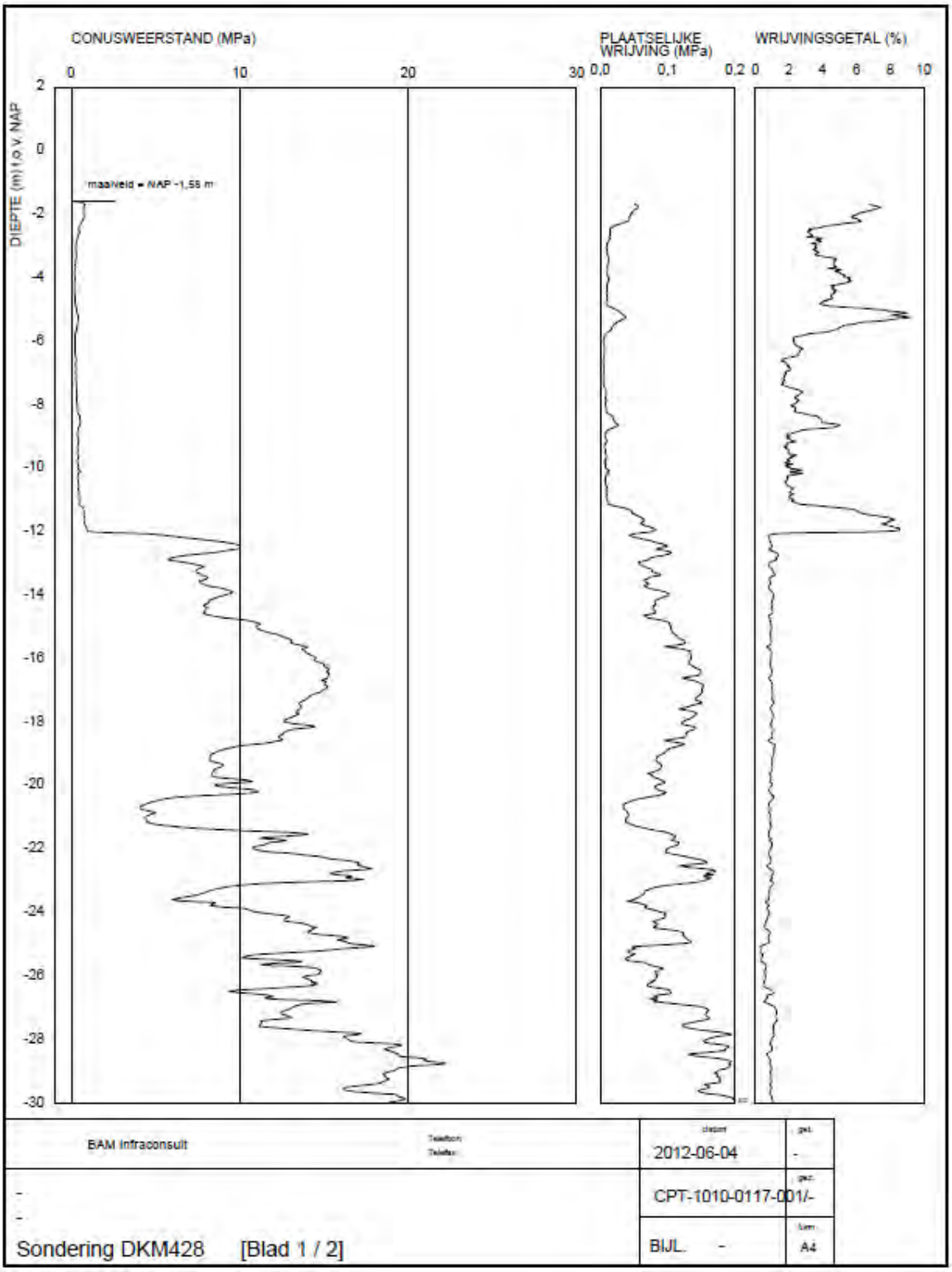

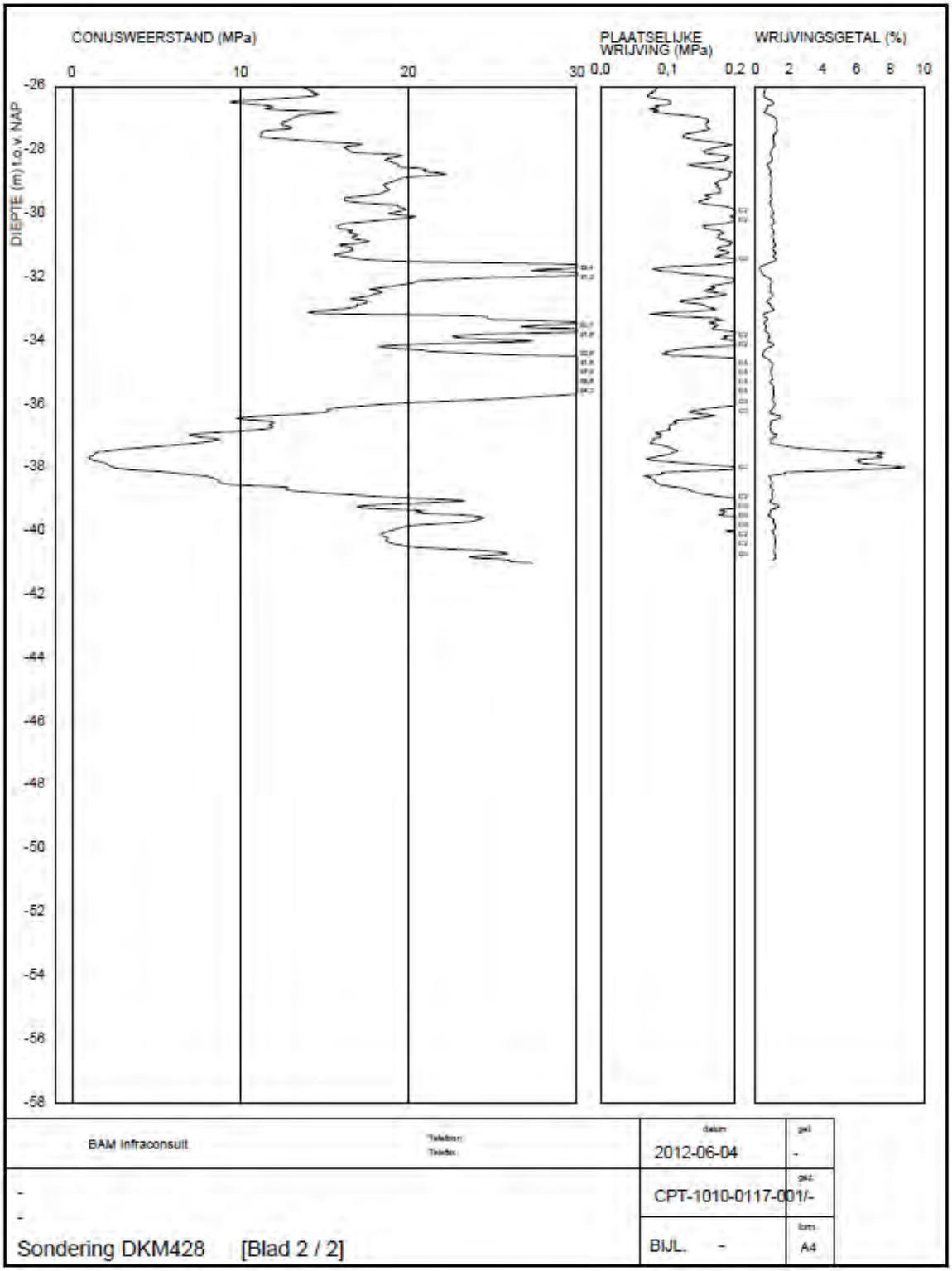
CONUSWEERSTAND (MPa)
PLAATSELIJKE WRIJVING (MPa)
WRIJVINGSGETAL (%)
DIEPTE (m) t.o.v. NAP
0
10
20
30
0,0
0,1
0,2
0
2
4
6
8
10
-26
-28
-30
-32
-34
-36
-38
-40
-42
-44
-46
-48
-50
-52
-54
-56
-58
BAM Infraconsult
2012-06-04
CPT-1010-0117-001/-
Sondering DKM428 [Blad 2 / 2]
BIJL. -
A4

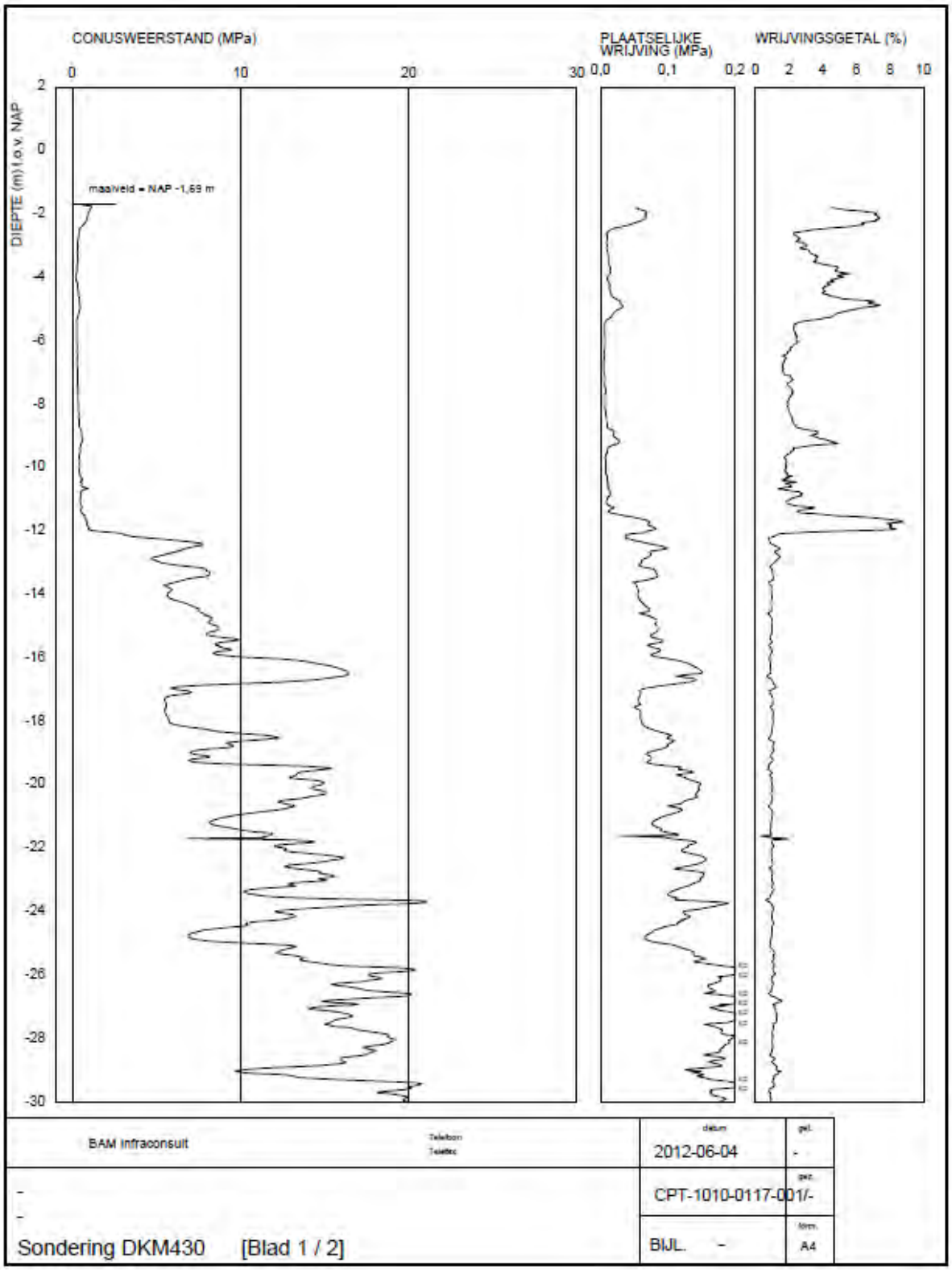
CONUSWEERSTAND (MPa)
PLAATSELIJKE WRIJVING (MPa)
WRIJVINGSGETAL (%)
DIEPTE (m) t.o.v. NAP
maaiveld = NAP -1,69 m
BAM Infraconsult
2012-06-04
CPT-1010-0117-001/-
Sondering DKM430 [Blad 1 / 2]
BIJL. -
A4

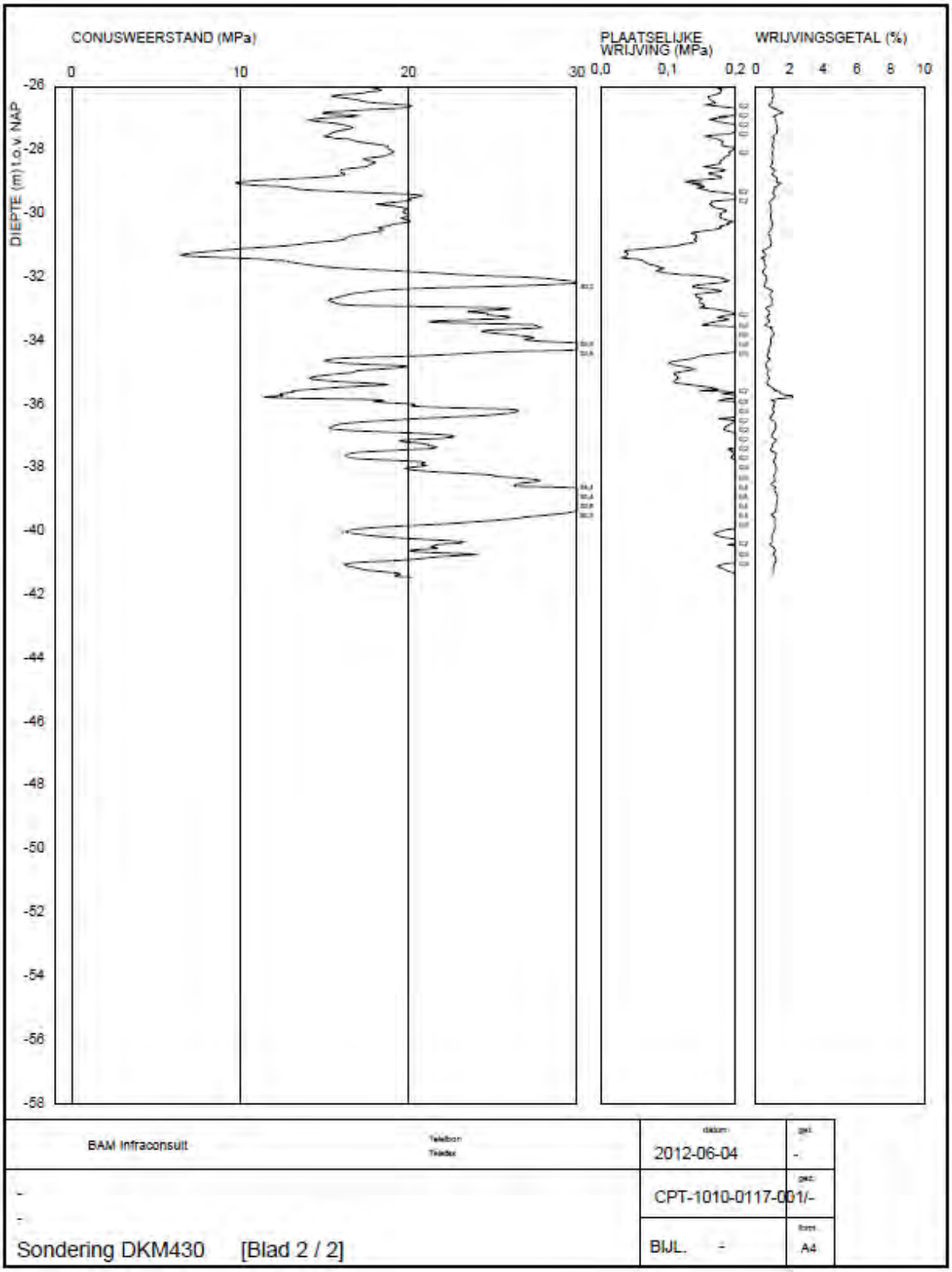
CONUSWEERSTAND (MPa)
PLAATSELIJKE WRIJVING (MPa)
WRIJVINGSGETAL (%)
DIEPTE (m) t.o.v NAP
0
10
20
30
0,0
0,1
0,2
0
2
4
6
8
10
-26
-28
-30
-32
-34
-36
-38
-40
-42
-44
-46
-48
-50
-52
-54
-56
-58
BAM Infraconsult
2012-06-04
CPT-1010-0117-001/-
Sondering DKM430 [Blad 2 / 2]
BIJL. -
A4

Report for D-Foundations 8.1

Design and Verification according to Eurocode 7 of Bearing/Tension Piles and Shallow Foundations
Developed by Deltares

Company:	BAM Infraconsult
Date of report:	15-7-2013
Time of report:	12:31:28
Date of calculation:	15-7-2013
Time of calculation:	12:31:22
Filename:	D:\..\berekeningen\Dfoundations\druk\Mast 133_DKM428-430 DRUK DO
Project identification:	
	D-Foundations Mast 133_DKM428-430 DRUK DO

1 Table of Contents

1 Table of Contents 2
2 Input Data 3
2.1 General Input Data 3
2.2 General Report Data 3
2.3 Application Area Model Bearing Piles 3
2.4 Superstructure 3
2.5 General CPT Data 3
2.5.1 View of CPT's in Foundation Plan 3
2.6 Soil Data 4
2.6.1 Soil Profile DKM428 4
2.6.2 Soil Profile DKM430 4
2.7 Pile Types 5
2.7.1 Pile type : Rect 450x450 5
2.8 Foundation Plan 6
2.8.1 View of Foundation Plan 6
2.9 Excavation Data 6
2.10 Totalized Loads (design values) 7
2.11 Requirements 7
2.12 Overruled Parameters 7
2.13 Calculation Options 7
2.14 Model Options 7
3 Bearing Piles (EC7-NL): Results of the Option Complete Verification 8
3.1 Errors and Warnings 8
3.2 Remarks 8
3.3 Calculation Parameters 8
3.3.1 Pile Factors 8
3.3.2 Pile type : Rect 450x450 8
3.4 Verification of Limit State EQU 9
3.5 Verification of Limit State GEO 9
3.6 Verification of Serviceability limit state 9
3.7 Additional Information 9
3.7.1 The bearing capacity of shaft and point at Limit state GEO 10
3.7.2 The bearing capacity of shaft and point at the Serviceability Limit State 10

2 Input Data

2.1 General Input Data

Model	Bearing Piles (EC7-NL)

2.2 General Report Data

Geotechnical consultant :	
Design engineer superstructure :	
Principal :	
Title 1 :	
Title 2 :	
Title 3 :	D-Foundations Mast 133_DKM428-430 DRUK DO
Number of project :	-
Location of project :	

2.3 Application Area Model Bearing Piles

The verifications performed by the model BEARING PILES of D-FOUNDATIONS concern pile foundations on which axial static or quasi-static loads cause pressures in the piles. The calculations of pile forces and pile displacements are based on Cone Penetration Tests. Possible rise of (tension-)piles and horizontal displacements of piles and/or pile groups are not taken into account.

2.4 Superstructure

Rigidity of the superstructure :	Rigid

2.5 General CPT Data

Number of CPT's :	2
Timing of CPT's :	CPT - Excavation - Install

2.5.1 View of CPT's in Foundation Plan

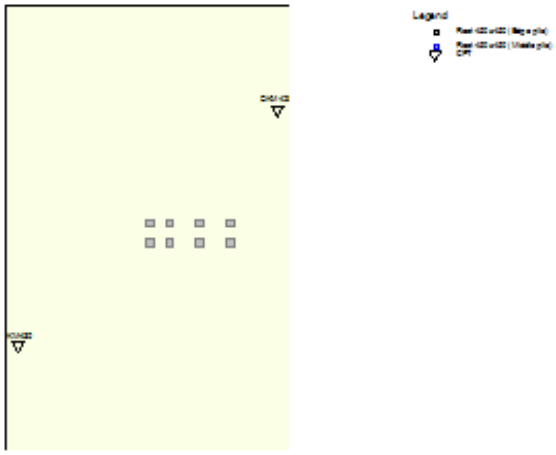

Number/Name CPT	Pile tip level [m R.L.]	Top of pos. friction zone [m R.L.]	Bottom of neg. friction zone [m R.L.]	X-coor-dinate [m]	Y-coor-dinate [m]
1: DKM428	-21.50	-12.10	-12.10	99583.01	459853.26
2: DKM430	-21.50	-12.00	-12.00	99566.81	459838.51

2.6 Soil Data

Number of soil profiles (= number of CPT's) : 2

2.6.1 Soil Profile DKM428

Belonging to CPT	DKM428
Surface level in [m. reference level] :	-1.580
Phreatic level in [m. reference level] :	-2.180
Pile tip level in [m. reference level] :	-21.500
Top of positive skin friction zone in [m. reference level] :	-12.100
Bottom of negative skin friction zone in [m. reference level] :	-12.100
OCR-value foundation layer :	1.00
Expected groundlevel settlement in [m] :	0.110
Number of layers in profile :	6

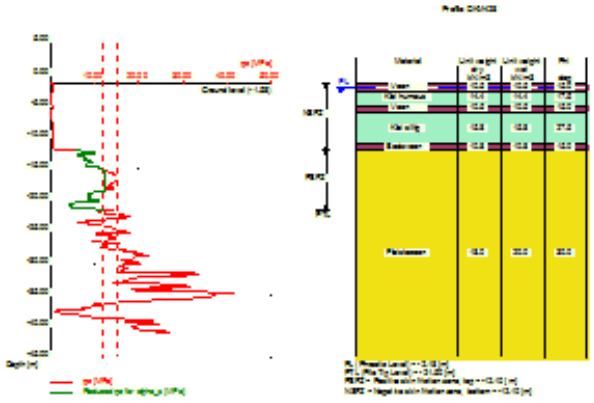

Number layer	Top layer [m R.L.]	Gamma [kN/m3]	Gamma;sat [kN/m3]	Phi [deg]	Soil Type	Median (Sand/Gravel) [mm]
1	-1.580	10.50	10.50	15.00	Peat	--
2	-2.700	14.40	14.40	17.50	Clay	--
3	-5.100	10.50	10.50	15.00	Peat	--
4	-6.000	15.80	15.80	27.50	Clay	--
5	-11.200	10.80	10.80	15.00	Peat	--
6	-12.100	18.00	20.00	30.00	Sand	0.200

2.6.2 Soil Profile DKM430

Belonging to CPT	DKM430
Surface level in [m. reference level] :	-1.690
Phreatic level in [m. reference level] :	-2.290

Pile tip level in [m. reference level] :	-21.500
Top of positive skin friction zone in [m. reference level] :	-12.000
Bottom of negative skin friction zone in [m. reference level] :	-12.000
OCR-value foundation layer :	1.00
Expected groundlevel settlement in [m] :	0.110
Number of layers in profile :	6

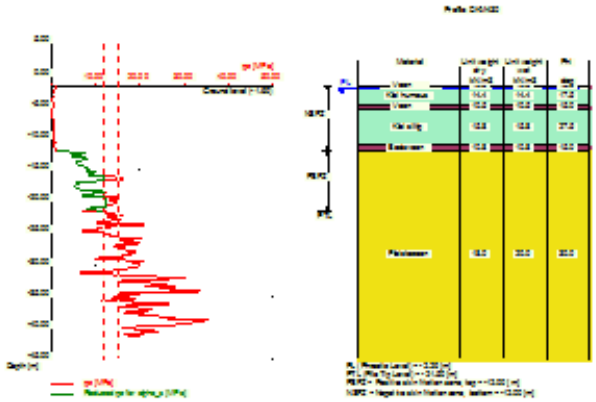

Number layer	Top layer [m R.L.]	Gamma [kN/m3]	Gamma;sat [kN/m3]	Phi [deg]	Soil Type	Median (Sand/Gravel) [mm]
1	-1.690	10.50	10.50	15.00	Peat	--
2	-2.200	14.40	14.40	17.50	Clay	--
3	-4.800	10.50	10.50	15.00	Peat	--
4	-5.500	15.80	15.80	27.50	Clay	--
5	-11.100	10.80	10.80	15.00	Peat	--
6	-12.000	18.00	20.00	30.00	Sand	0.200

2.7 Pile Types

2.7.1 Pile type : Rect 450x450

Pile type :	Prefabricated concrete pile
Materialtype for pile :	Concrete
Slip layer :	None
Pile shape :	Rectangular pile

beta (Shape factor) according to figure 7I, NEN-EN 1997-1:2005.
s (factor for the influence of the shape of the crossection of the pile base) according to NEN-EN 1997-1:2005.

Pile dimensions :	
Smallest side pile tip [m] :	0.450
Largest side pile tip [m] :	0.450

2.8 Foundation Plan

Number of piles : 8
Number of collaborating piles* : 8
* : 0 = not defined, 1 = non rigid superstructure, >1 = rigid superstructure

2.8.1 View of Foundation Plan

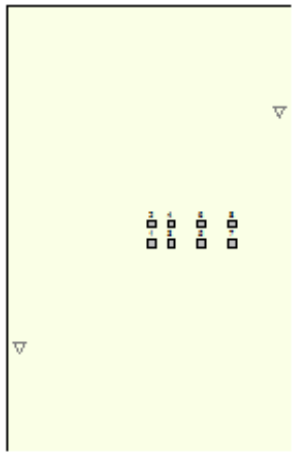

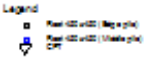

Pile nr/name	X-coordinate [m]	Y-coordinate [m]	Fc;d (EQU/GEO) [kN]	Fc;d (SLS) [kN]	P0 [kN/m2]	Pile head level [m R.L.]
1: 1	99575.00	459845.00	785.00	581.00	0.00	-1.69
2: 2	99575.00	459846.20	785.00	581.00	0.00	-1.69
3: 3	99576.20	459845.00	805.00	596.00	0.00	-1.69
4: 4	99576.20	459846.20	805.00	596.00	0.00	-1.69
5: 5	99578.10	459845.00	837.00	620.00	0.00	-1.69
6: 6	99578.10	459846.20	837.00	620.00	0.00	-1.69
7: 7	99580.00	459845.00	875.00	648.00	0.00	-1.69
8: 8	99580.00	459846.20	875.00	648.00	0.00	-1.69

2.9 Excavation Data

Excavation level in [m. reference level] : -1.580
Reduction model : Safe (NEN)

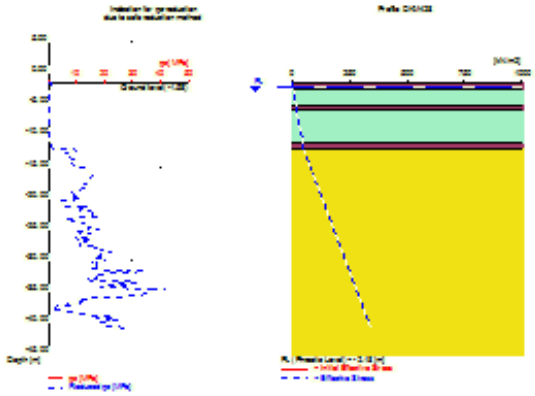

2.10 Totalized Loads (design values)

Total load on all piles
For limit state EQU/GEO in [kN] : 6604.00
For Serviceability limit state in [kN] : 4890.00

2.11 Requirements

Limit state GEO
Maximum allowed settlement in [m] : 0.150
Serviceability Limit State
Maximum allowed settlement in [m] : 0.150

2.12 Overruled Parameters

User defined Factor xi3 [-] : 1.20
User defined Factor xi4 [-] : 0.96

2.13 Calculation Options

Use pilegroup for negative skin friction (standard)
Do not create intermediate results file
Use reduction for continuous flight auger piles (standard)
Suppress the influence of excavations.

2.14 Model Options

Selected pile types :
-Rect 450x450

Selected profiles :
-DKM428
-DKM430

3 Bearing Piles (EC7-NL): Results of the Option Complete Verification

3.1 Errors and Warnings

Warning : The factor xi3 (NEN-EN 1997 1:2005 NEN 9097-1, annex A) is user defined. Is user defined. Evidence to support this from the NEN deviating value has to be provided.
Warning : The factor xi4 (NEN-EN 1997 1:2005 NEN 9097-1, annex A) is user defined. Is user defined. Evidence to support this from the NEN deviating value has to be provided.
Soil profile DKM428
Warning : The lowest pile head level lies below the surface level. The maximum value for the top of the friction zones is therefor reset to -1.69 m relative to reference level.

3.2 Remarks

When checking the survey and testing of soil according to NEN 9097-1 art 3.2.3 lid (e), the program uses the provided CPT test level. It does NOT take into account possible different pile tip levels. When different pile tip levels are used in this calculation, the user itself must check for possibly required additional survey and testing of soil.

Performing the check on NEN 9097-1 par 3.2.3, the average distance between the different CPT's used for this check is 25 m.
The requirements set by NEN 9097-1 par 3.2.3 are met.

3.3 Calculation Parameters

3.3.1 Pile Factors

gamma;b (NEN-EN 1997-1:2005, annex A.6 A.7 A.8, Limit State EQU/GEO) :	1.20
gamma;b (NEN-EN 1997-1:2005, annex A.6 A.7 A.8, the Serviceability Limit State) :	1.00
gamma;s (NEN-EN 1997-1:2005, annex A.6 A.7 A.8, Limit State EQU/GEO) :	1.20
gamma;s (NEN-EN 1997-1:2005, annex A.6 A.7 A.8, the Serviceability Limit State) :	1.00
xi3 (user defined) :	1.20
xi4 (user defined) :	0.96

Note: The excavation(s) is not taken into account in the calculation!

3.3.2 Pile type : Rect 450x450

Pile type :	Prefabricated concrete pile
Materialtype for pile :	Concrete
Slip layer :	None
Pile shape :	Rectangular pile
beta (Shape factor: figuur 7I, NEN-EN 1997 1:2005 par. 7.6.2.3(g): NEN 9097-1 : Pile tip) :	1.00
s (NEN-EN 1997 1:2005 par. 7.6.2.3(h), NEN 9097-1 : factor for the influence of the shape of the crossection of the pile base) :	1.00
Pile dimensions :	
Smallest side pile tip [m] :	0.450
Largest side pile tip [m] :	0.450

CPT	Alpha_s Sand/ Gravel	Alpha_s Clay/Loam Peat	Alpha_p
DKM428	0.0100	--	1.0000
DKM430	0.0100	--	1.0000

3.4 Verification of Limit State EQU

Required by NEN-EN 1997-1 section 2.4.7 / 2.4.8: Ed <= Cd.
Rigid superstructure, verify total load on all piles with total bearing capacity

Fc;d = 6604.000 [kN]
Rc;d = 17427.252 [kN]

The requirements of limit state EQU are met, limit state EQU is ok.

Note: Negative skin friction plays NO part in Limit State EQU. Its influence is incorporated in the tests for Limit State GEO and the Serviceability limit state. The intermediate results provide a full overview of all values that are calculated for the negative skin friction.
Purely indicative, the values for the negative skin friction vary from 118 [kN] to 127 [kN] per pile.

3.5 Verification of Limit State GEO

Required by NEN-EN 1997-1:2005 paragraaf 2.4.9; NEN 9097-1: Sd <= Sreq.

Sd = 0.027 [m]
Sreq = 0.150 [m]

The settlement requirements of limit state GEO are met, this is ok.

As the superstructure was indicated to be rigid, settlement differences may be neglected, so rotations are not taken into consideration (NEN EN 1997 1:2005 par. 6.6.2: NEN 9097-1 part c)!

3.6 Verification of Serviceability limit state

Required by NEN-EN 1997-1:2005 paragraaf 2.4.9; NEN 9097-1: Sd <= Sreq.
For houses, the requirement is : Sreq = 0.05 m. For other types of superstructures a different (well considered) requirement can be specified.

Sd = 0.020 [m]
Sreq = 0.150 [m]

The settlement requirements of the Serviceability Limit State are met, this is ok.

As the superstructure was indicated to be rigid, settlement differences may be neglected, so rotations are not taken into consideration (NEN EN 1997 1:2005 par. 6.6.2: NEN 9097-1 part c)!

3.7 Additional Information

The design values of the maximum shaft tensions (calculated at the transition of positive to negative skin friction) are

At Limit state EQU, GEO :sigma = 4.95 [N/mm2]
At Serviceability Limit Statesigma = 3.83 [N/mm2]

The maximum settlement was found at :
Limit state GEO
CPT name DKM428
Pile name: 7

Components of the maximum settlement are :
sneg = 0.000 [m]
sb = 0.002 [m]
sel;d = 0.004 [m]
s2 = 0.023 [m]

Serviceability Limit State
CPT name DKM428
Pile name: 7

Components of the maximum settlement are :
sneg = 0.000 [m]

sb =	0.001 [m]
sel;d =	0.003 [m]
s2 =	0.018 [m]

sneg stands for the settlement due to negative skin friction when the expected ground level settlement (egls) is within the next boundaries : 0.02 <= egls <= 0.10 meter.

For expected ground level settlement beyond the boundaries, sneg = 0.

3.7.1 The bearing capacity of shaft and point at Limit state GEO

name CPT	Bearing Cap. Shaft [kN] Rs;d	Bearing Cap. Point [kN] Rb;d	Bearing Cap. Total [kN]
DKM428	1136.166	981.897	2118.063
DKM430	1012.161	1226.590	2238.751

3.7.2 The bearing capacity of shaft and point at the Serviceability Limit State

name CPT	Bearing Cap. Shaft [kN] Rs;d	Bearing Cap. Point [kN] Rb;d	Bearing Cap. Total [kN]
DKM428	1363.399	1178.276	2541.675
DKM430	1214.593	1471.908	2686.501

End of Report

Report for D-Foundations 8.1

Design and Verification according to Eurocode 7 of Bearing/Tension Piles and Shallow Foundations
Developed by Deltares

Company:	BAM Infraconsult
Date of report:	15-7-2013
Time of report:	12:42:45
Date of calculation:	15-7-2013
Time of calculation:	12:42:38
Filename:	D:\..\berekeningen\D\foundations\trek\Mast 133_DKM428-430 TREK DO
Project identification:	
	D-Foundations Mast 133_DKM428-430 TREK DO

1 Table of Contents

1 Table of Contents 2
2 Input Data 3
2.1 General Input Data 3
2.2 General Report Data 3
2.3 Application Area Model Tension Piles (NEN-EN) 3
2.4 General CPT Data 3
2.4.1 View of CPT's in Foundation Plan 3
2.5 Soil Data 4
2.5.1 Soil Profile DKM428 4
2.5.2 Soil Profile DKM430 5
2.6 Pile Types 5
2.6.1 Pile type : Rect 450x450 6
2.7 Foundation Plan 6
2.7.1 View of Foundation Plan 6
2.8 Excavation Data 7
2.9 Optional Parameters 7
2.10 Overruled Parameters 7
2.11 Calculation Options 7
2.12 Model Options 7
3 Tension Piles (EC7-NL): Bearing capacity at fixed pile tip levels 8
3.1 Errors and Warnings 8
3.2 Remarks 8
3.3 Calculation Parameters 8
3.3.1 Pile Factors 8
3.3.2 Pile type : Rect 450x450 8
3.4 Results for all CPT's 8
3.4.1 Results for pile type : Rect 450x450 8
3.4.1.1 Pile group 1 8
3.4.1.2 Pile group 2 8
3.4.1.3 Pile group 3 9
3.4.1.4 Pile group 4 9
3.5 INDICATIVE: Results using Ksi3 9
3.5.1 Results for pile type : Rect 450x450 9
3.5.1.1 Pile group 1 9
3.5.1.2 Pile group 2 9
3.5.1.3 Pile group 3 10
3.5.1.4 Pile group 4 10

2 Input Data

2.1 General Input Data

Model	Tension Piles (EC7-NL)

2.2 General Report Data

Geotechnical consultant :	
Design engineer superstructure :	
Principal :	
Title 1 :	
Title 2 :	
Title 3 :	D-Foundations Mast 133_DKM428-430 TREK DO
Number of project :	-
Location of project :	

2.3 Application Area Model Tension Piles (NEN-EN)

The design and verifications performed by the TENSION PILES (NEN-EN) model of D-FOUNDATIONS concern pile foundations on which axial static or quasi-static loads cause tensile forces in the piles. Pilegroup effects are taken into account. Calculation of pile forces is based on Cone Penetration Tests. Pile capacities are based on the NEN-EN 1997-1, chapter 7 and where pile/safety factors are concerned, on Dutch Standards NEN-EN 1997-1. Horizontal displacements of piles are not taken into account. Vertical displacements of piles are not calculated. Design of Tension piles based on NEN-EN 1997-1 is limited to piles with lengths between 7 and 50 m and a minimum Length over (equivalent) diameter ratio of 13.5.

2.4 General CPT Data

Number of CPT's :	2
Timing of CPT's :	CPT - Excavation - Install

2.4.1 View of CPT's in Foundation Plan

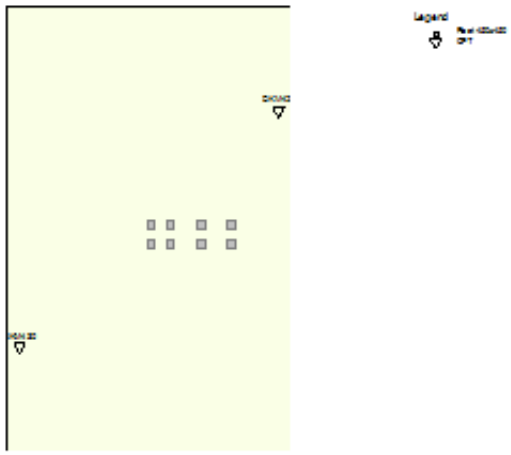

Number/name CPT	X-coor-dinate [m]	Y-coor-dinate [m]
1: DKM428	99583.01	459853.26
2: DKM430	99566.81	459838.51

2.5 Soil Data

Number of soil profiles (= number of CPT's) : 2

2.5.1 Soil Profile DKM428

Belonging to CPT	DKM428
Surface level in [m. reference level] :	-1.580
Phreatic level in [m. reference level] :	-2.180
Top of tension zone [m. reference level]:	-12.100
Pile tip level in [m. reference level] :	-21.500
Number of layers in profile :	6

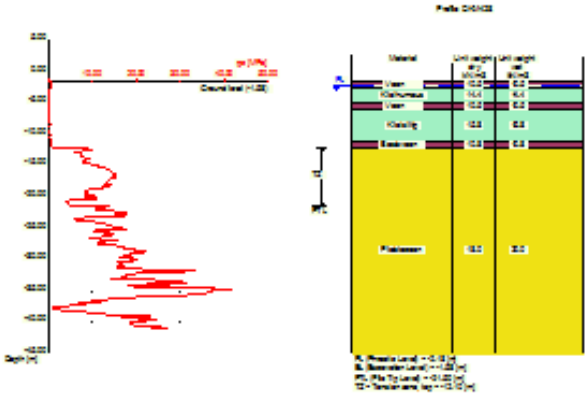

Number layer	Top layer [m R.L.]	Soil Type	Gamma [kN/m3]	Gamma sat [kN/m3]	Min. Void Ratio [%]	Max. Void Ratio [%]	Median [mm]	Max. Cone resistance [kPa]	Use Max. Cone resistance
1	-1.580	Peat	10.50	10.50	0.40	0.80		12/15	Standard
2	-2.700	Clay	14.40	14.40	0.40	0.80		12/15	Standard
3	-5.100	Peat	10.50	10.50	0.40	0.80		12/15	Standard
4	-6.000	Clay	15.80	15.80	0.40	0.80		12/15	Standard
5	-11.200	Peat	10.80	10.80	0.40	0.80		12/15	Standard
6	-12.100	Sand	18.00	20.00	0.40	0.80	0.200	12/15	Standard

Number layer	Top layer [m R.L.]	Soil Type	Phi [deg]	Addit. PP at top [kN/m2]	Addit. PP at bottom [kN/m2]	OCR value [-]	Use Tension
1	-1.580	Peat	15.00	0.00	0.00	1.000	False
2	-2.700	Clay	17.50	0.00	0.00	1.000	True
3	-5.100	Peat	15.00	0.00	0.00	1.000	False
4	-6.000	Clay	27.50	0.00	0.00	1.000	True
5	-11.200	Peat	15.00	0.00	0.00	1.000	False

Number layer	Top layer [m R.L.]	Soil Type	Phi [deg]	Addit. PP at top [kN/m2]	Addit. PP at bottom [kN/m2]	OCR value [-]	Use Tension
6	-12.100	Sand	30.00	0.00	0.00	1.000	True

2.5.2 Soil Profile DKM430

Belonging to CPT	DKM430
Surface level in [m. reference level] :	-1.690
Phreatic level in [m. reference level] :	-2.290
Top of tension zone [m. reference level]:	-12.000
Pile tip level in [m. reference level] :	-21.500
Number of layers in profile :	6

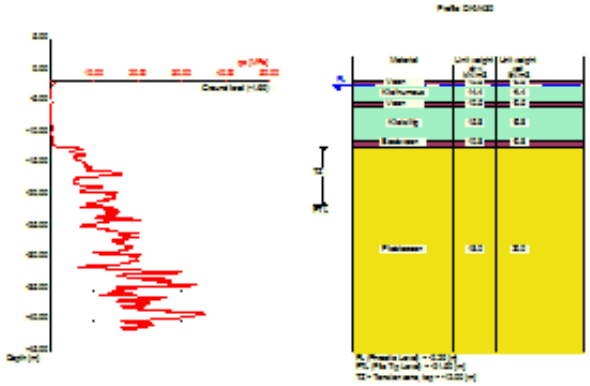

Number layer	Top layer [m R.L.]	Soil Type	Gamma [kN/m3]	Gamma sat [kN/m3]	Min. Void Ratio [%]	Max. Void Ratio [%]	Median [mm]	Max. Cone resistance [kPa]	Use Max. Cone resistance
1	-1.690	Peat	10.50	10.50	0.40	0.80		12/15	Standard
2	-2.200	Clay	14.40	14.40	0.40	0.80		12/15	Standard
3	-4.800	Peat	10.50	10.50	0.40	0.80		12/15	Standard
4	-5.500	Clay	15.80	15.80	0.40	0.80		12/15	Standard
5	-11.100	Peat	10.80	10.80	0.40	0.80		12/15	Standard
6	-12.000	Sand	18.00	20.00	0.40	0.80	0.200	12/15	Standard

Number layer	Top layer [m R.L.]	Soil Type	Phi [deg]	Addit. PP at top [kN/m2]	Addit. PP at bottom [kN/m2]	OCR value [-]	Use Tension
1	-1.690	Peat	15.00	0.00	0.00	1.000	False
2	-2.200	Clay	17.50	0.00	0.00	1.000	True
3	-4.800	Peat	15.00	0.00	0.00	1.000	False
4	-5.500	Clay	27.50	0.00	0.00	1.000	True
5	-11.100	Peat	15.00	0.00	0.00	1.000	False
6	-12.000	Sand	30.00	0.00	0.00	1.000	True

2.6 Pile Types

Note : If alpha;t is not user defined, the next rules apply :
- alpha;t according to table 7.g and table 7.h of NEN 9097-1

- for clay: alpha;t depends on the CPT-value and relative depth
- for peat: alpha;t = 0
- for sand/gravel: alpha;t also depends on the median

Number of pile types : 1

2.6.1 Pile type : Rect 450x450

Pile type for shaft friction factor (alpha;t) sand/gravel/loam : Driven straight-sided precast concrete pile
Pile type for shaft friction factor (alpha;t) clay : According to standard
Material/type for pile : Concrete
Pile shape : Rectangular pile

Pile dimensions :
Smallest side pile tip [m] : 0.450
Largest side pile tip [m] : 0.450

2.7 Foundation Plan

Number of piles : 8
Number of collaborating piles* : 8
* : 0 = not defined, 1 = non rigid superstructure, >1 = rigid superstructure

2.7.1 View of Foundation Plan

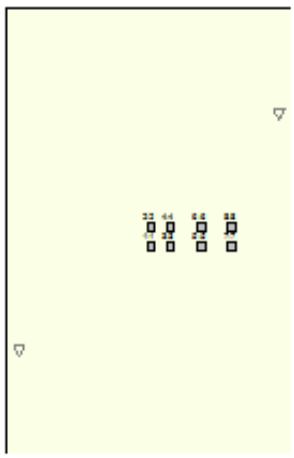

Pile nr./code	X-coordinate [m]	Y-coordinate [m]	Maximum load [kN]	Minimum load [kN]	Pile head level [m R.L.]	Use alternat. loads	Factor Gamma;var
1: 1:1	99575.00	459845.00	199.00	-581.00	-1.69	True	1.50
2: 2:2	99575.00	459846.20	199.00	-581.00	-1.69	True	1.50
3: 3:3	99576.20	459845.00	209.00	-596.00	-1.69	True	1.50
4: 4:4	99576.20	459846.20	209.00	-596.00	-1.69	True	1.50
5: 5:5	99578.10	459845.00	221.00	-620.00	-1.69	True	1.50
6: 6:6	99578.10	459846.20	221.00	-620.00	-1.69	True	1.50
7: 7:7	99580.00	459845.00	236.00	-648.00	-1.69	True	1.50
8: 8:8	99580.00	459846.20	236.00	-648.00	-1.69	True	1.50

Note regarding the loads: tension forces are positive, compressive forces are negative

2.8 Excavation Data

Excavation level in [m. reference level] :	-1.580
Reduction model :	Safe (NEN)

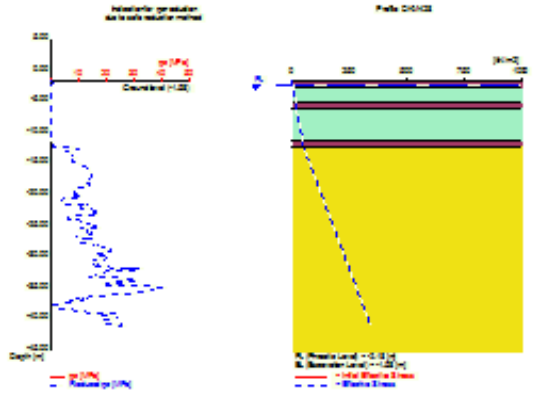

2.9 Optional Parameters

Unit weight water [kN/m3] :	9.81
Surcharge [kN/m2] :	0.00

2.10 Overruled Parameters

User defined Factor xi3 [-] :	1.20
User defined Factor xi4 [-] :	0.96

2.11 Calculation Options

Suppress compaction
If compaction is used, according to NEN 9097-1 CPT's should be made after installation to verify this assumption
Suppress the influence of excavations.
Use excess pore pressure

2.12 Model Options

Selected pile types :
-Rect 450x450

Selected profiles :
-DKM428
-DKM430

3 Tension Piles (EC7-NL): Bearing capacity at fixed pile tip levels

3.1 Errors and Warnings

Warning : The factor xi3 (NEN-EN 1997 1:2005 NEN 9097-1, annex A) is user defined. Is user defined. Evidence to support this from the NEN deviating value has to be provided.
Warning : The factor xi4 (NEN-EN 1997 1:2005 NEN 9097-1, annex A) is user defined. Is user defined. Evidence to support this from the NEN deviating value has to be provided.

3.2 Remarks

When calculating the max. mobilized soil weight, the topangle is used according to NEN 9097-1.

3.3 Calculation Parameters

3.3.1 Pile Factors

xi3 (user defined) :	1.20
xi4 (user defined) :	0.96
For factor gamma;var values, see FOUNDATION PLAN table	
Factor gamma;st according to NEN 1997-1 annex A.3.3.2 [-]	1.350
Factor gamma;gamma according to NEN-EN 1997-1 annex A.3 table A2 [-]	
Above excavation level	1.0
Below excavation level	1.1

3.3.2 Pile type : Rect 450x450

Pile type for shaft friction factor (alpha;t) sand/gravel/loam :	Driven straight-sided precast concrete pile
Pile type for shaft friction factor (alpha;t) clay :	According to standard
Materialtype for pile :	Concrete
Pile shape :	Rectangular pile
Pile dimensions :	
Smallest side pile tip [m] :	0.450
Largest side pile tip [m] :	0.450

3.4 Results for all CPT's

3.4.1 Results for pile type : Rect 450x450

3.4.1.1 Pile group 1

Number of piles belonging to this pile group : 2
Names of piles belonging to this pile group
1:1
2:2

Level [m R.L.]	Rt;d min [kN]	Rt;d avg [kN]	Rt;d [kN]	Ksi used [-]
-21.50	352.73	315.80	315.80	Ksi3

3.4.1.2 Pile group 2

Number of piles belonging to this pile group : 2
Names of piles belonging to this pile group
3:3
4:4

Level [m R.L.]	Rt;d min [kN]	Rt;d avg [kN]	Rt;d [kN]	Ksi used [-]
-21.50	308.38	281.79	281.79	Ksi3

3.4.1.3 Pile group 3

Number of piles belonging to this pile group : 2
Names of piles belonging to this pile group
5:5
6:6

Level [m R.L.]	Rt;d min [kN]	Rt;d avg [kN]	Rt;d [kN]	Ksi used [-]
-21.50	360.52	325.39	325.39	Ksi3

3.4.1.4 Pile group 4

Number of piles belonging to this pile group : 2
Names of piles belonging to this pile group
7:7
8:8

Level [m R.L.]	Rt;d min [kN]	Rt;d avg [kN]	Rt;d [kN]	Ksi used [-]
-21.50	404.87	359.40	359.40	Ksi3

3.5 INDICATIVE: Results using Ksi3

3.5.1 Results for pile type : Rect 450x450

3.5.1.1 Pile group 1

Number of piles belonging to this pile group : 2
Names of piles belonging to this pile group
1:1
2:2

CPT name	Level [m R.L.]	Rt;d indicative [kN]	Max. mobilized soil weight [kN]	Pile weight [kN]	Tension derived from clay [%]
DKM428	-21.50	322.64	4265.61	49.15	0.00
DKM430	-21.50	308.96	4623.72	49.36	0.00

CPT name	Alpha t aver. overall	Alpha t aver. sand/gravel/loam	Alpha t aver. clay/peat
DKM428	0.0070	0.0070	0.0000
DKM430	0.0070	0.0070	0.0000

3.5.1.2 Pile group 2

Number of piles belonging to this pile group : 2
Names of piles belonging to this pile group
3:3
4:4

CPT name	Level [m R.L.]	Rt;d indicative [kN]	Max. mobilized soil weight [kN]	Pile weight [kN]	Tension derived from clay [%]
DKM428	-21.50	283.87	1363.76	49.15	0.00
DKM430	-21.50	279.70	1461.80	49.36	0.00

CPT name	Alpha t aver. overall	Alpha t aver. sand/gravel/loam	Alpha t aver. clay/peat
DKM428	0.0070	0.0070	0.0000
DKM430	0.0070	0.0070	0.0000

3.5.1.3 Pile group 3

Number of piles belonging to this pile group : 2
Names of piles belonging to this pile group
5:5
6:6

CPT name	Level [m R.L.]	Rt;d indicative [kN]	Max. mobilized soil weight [kN]	Pile weight [kN]	Tension derived from clay [%]
DKM428	-21.50	329.59	1480.63	49.15	0.00
DKM430	-21.50	321.19	1582.52	49.36	0.00

CPT name	Alpha t aver. overall	Alpha t aver. sand/gravel/loam	Alpha t aver. clay/peat
DKM428	0.0070	0.0070	0.0000
DKM430	0.0070	0.0070	0.0000

3.5.1.4 Pile group 4

Number of piles belonging to this pile group : 2
Names of piles belonging to this pile group
7:7
8:8

CPT name	Level [m R.L.]	Rt;d indicative [kN]	Max. mobilized soil weight [kN]	Pile weight [kN]	Tension derived from clay [%]
DKM428	-21.50	368.36	4382.49	49.15	0.00
DKM430	-21.50	350.45	4744.44	49.36	0.00

CPT name	Alpha t aver. overall	Alpha t aver. sand/gravel/loam	Alpha t aver. clay/peat
DKM428	0.0070	0.0070	0.0000
DKM430	0.0070	0.0070	0.0000

End of Report

BIJLAGE 4 BEREKENING HORIZONTALE BEDDINGSCONSTANTEN

bam infra
BAM Infraconsult bv

Horizontale beddingsconstante paal volgens Menard
Auteur: Vincent Bosch
Versie: Augustus 2010
Ref: CUR 228 - Ontwerprichtlijn door grond horizontaal belaste palen

Adviseur	Robert Meeuwsen
Datum	15-07-13
Project	Tennet A380 Noordring
Locatie	Mast 133 (x-richting)

Sondering	DKM428
D_{eq}	0.51 m

b.k. laag	soort	q_c	β	E_p	α	$k_{h\ R>0.3}$	$k_{h\ R<0.3}$	$k_{h,gem}$	corr.	Voor ESA berekeningen			
										per m² paal		per m'paal	
[m+ NAP]		[MPa]	[-]	[kPa]	[-]	[kN/m³]	[kN/m³]	**[kN/m³]**	**factor** *)	$k_{h,rep,laag}$ [kN/m³]	$k_{h,rep,hoog}$ [kN/m³]	$k_{h,rep,laag}$ [kN/m/m]	$k_{h,rep,hoog}$ [kN/m/m]
-1.6	Veen	0.5	3.00	1,500	1.00	3970	3893	**3893**	**0.54**	1,400	3,200	700	1,600
-2.7	Klei	0.2	2.00	400	0.67	1428	1461	**1461**	**0.54**	500	1,200	300	600
-5.1	Veen	0.5	3.00	1,500	1.00	3970	3893	**3893**	**0.54**	1,400	3,200	700	1,600
-6.0	Klei	0.3	2.00	600	0.67	2142	2192	**2192**	**0.54**	800	1,800	400	900
-11.2	Veen	0.5	3.00	1,500	1.00	3970	3893	**3893**	**0.54**	1,400	3,200	700	1,600
-12.1	Zand	10.0	0.70	7,000	0.33	35221	37804	**37804**	**0.54**	13,600	30,600	6,900	15,600
-22.0	Zand	12.0	0.70	8,400	0.33	42265	45364	**45364**	**0.54**	16,300	36,700	8,300	18,700

*) In geval van dynamische belastingen: beddingsconstanten vergroten met een factor 3
In geval van kleine h.o.h. afstanden: beddingsconstanten reduceren met groepsfactor

Reductiefactoren Horizontale beddingsconstante palen door groepswerking

vlg. Reese en van Impe ('Single Piles and Pile Groups under Lateral Loading')

Deq	0.51	m
dx	1.2	m
dy	1.2	m

Paal:	X	Y	L= Leading	Paalnummer								
	[m]	[m]	T = Trailing	**1**	**2**	**3**	**4**	**5**	**6**	**7**	**8**	**9**
1	0	0	L	1.00	0.86	1.00	1.00	1.00	1.00	1.00	1.00	1.00
2	1.2	0	L	0.86	1.00	0.86	1.00	1.00	1.00	1.00	1.00	1.00
3	2.4	0	L	1.00	0.86	1.00	0.86	1.00	1.00	1.00	1.00	1.00
4	3.6	0	L	1.00	1.00	0.86	1.00	1.00	1.00	1.00	1.00	1.00
5	100	0	L	1.00	1.00	1.00	1.00	1.00	0.86	1.00	1.00	1.00
6	101	0	L	1.00	1.00	1.00	1.00	0.86	1.00	0.86	1.00	1.00
7	102	0	L	1.00	1.00	1.00	1.00	1.00	0.86	1.00	0.86	1.00
8	104	0	L	1.00	1.00	1.00	1.00	1.00	1.00	0.86	1.00	0.86
9	105	0	L	1.00	1.00	1.00	1.00	1.00	1.00	1.00	0.86	1.00
10	0	1.2	T	0.87	0.36	1.00	1.00	1.00	1.00	1.00	1.00	1.00
11	1.2	1.2	T	0.36	0.87	0.36	1.00	1.00	1.00	1.00	1.00	1.00
12	2.4	1.2	T	1.00	0.36	0.87	0.36	1.00	1.00	1.00	1.00	1.00
13	3.6	1.2	T	1.00	1.00	0.36	0.87	1.00	1.00	1.00	1.00	1.00
14	100	1.2	T	1.00	1.00	1.00	1.00	0.87	0.36	1.00	1.00	1.00
15	101	1.2	T	1.00	1.00	1.00	1.00	0.36	0.87	0.36	1.00	1.00
16	102	1.2	T	1.00	1.00	1.00	1.00	1.00	0.36	0.87	0.36	1.00
17	104	1.2	T	1.00	1.00	1.00	1.00	1.00	1.00	0.36	0.87	0.36
18	105	1.2	T	1.00	1.00	1.00	1.00	1.00	1.00	1.00	0.36	0.87
			redfactor:	**0.72**	**0.59**	**0.59**	**0.72**	**0.72**	**0.59**	**0.59**	**0.59**	**0.72**

				Paalnummer								
				10	**11**	**12**	**13**	**14**	**15**	**16**	**17**	**18**
1			L	0.66	0.87	0.98	1.00	1.00	1.00	1.00	1.00	1.00
2			L	0.87	0.66	0.87	0.98	1.00	1.00	1.00	1.00	1.00
3			L	0.98	0.87	0.66	0.87	1.00	1.00	1.00	1.00	1.00
4			L	1.00	0.98	0.87	0.66	1.00	1.00	1.00	1.00	1.00
5			L	1.00	1.00	1.00	1.00	0.66	0.87	0.98	1.00	1.00
6			L	1.00	1.00	1.00	1.00	0.87	0.66	0.87	0.98	1.00
7			L	1.00	1.00	1.00	1.00	0.98	0.87	0.66	0.87	0.98
8			L	1.00	1.00	1.00	1.00	1.00	0.98	0.87	0.66	0.87
9			L	1.00	1.00	1.00	1.00	1.00	1.00	0.98	0.87	0.66
10			T	1.00	0.86	1.00	1.00	1.00	1.00	1.00	1.00	1.00
11			T	0.86	1.00	0.86	1.00	1.00	1.00	1.00	1.00	1.00
12			T	1.00	0.86	1.00	0.86	1.00	1.00	1.00	1.00	1.00
13			T	1.00	1.00	0.86	1.00	1.00	1.00	1.00	1.00	1.00
14			T	1.00	1.00	1.00	1.00	1.00	0.86	1.00	1.00	1.00
15			T	1.00	1.00	1.00	1.00	0.86	1.00	0.86	1.00	1.00
16			T	1.00	1.00	1.00	1.00	1.00	0.86	1.00	0.86	1.00
17			T	1.00	1.00	1.00	1.00	1.00	1.00	0.86	1.00	0.86
18			T	1.00	1.00	1.00	1.00	1.00	1.00	1.00	0.86	1.00
			redfactor:	**0.48**	**0.36**	**0.36**	**0.48**	**0.48**	**0.36**	**0.35**	**0.36**	**0.48**

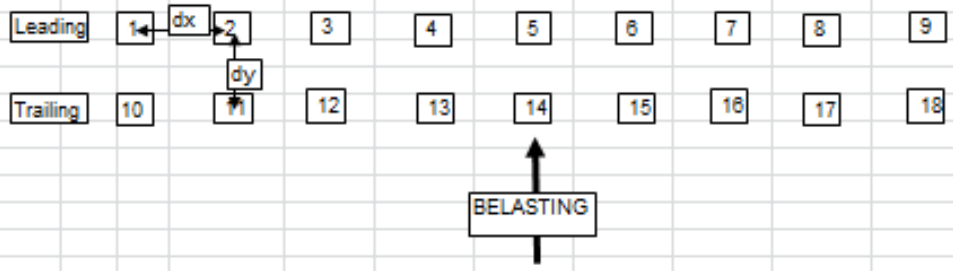

bam infra
BAM Infraconsult bv

Horizontale beddingsconstante paal volgens Menard

Auteur: Vincent Bosch
Versie: Augustus 2010
Ref: CUR 228 - Ontwerprichtlijn door grond horizontaal belaste palen

Adviseur	Robert Meeuwsen
Datum	15-07-13
Project	Tennet A380 Noordring
Locatie	Mast 133 (y-richting)

Sondering	DKM428
D_{eq}	0.51 m

b.k. laag	soort	q_c	β	E_p	α	$k_{h\ R>0.3}$	$k_{h\ R<0.3}$	$k_{h,gem}$	corr.	Voor ESA berekeningen			
										per m^2 paal		per m'paal	
[m+ NAP]		[MPa]	[-]	[kPa]	[-]	[kN/m^3]	[kN/m^3]	**[kN/m^3]**	**factor *)**	$k_{h,rep,laag}$ [kN/m^3]	$k_{h,rep,hoog}$ [kN/m^3]	$k_{h,rep,laag}$ [kN/m/m]	$k_{h,rep,hoog}$ [kN/m/m]
-1.6	Veen	0.5	3.00	1,500	1.00	3970	3893	**3893**	**0.39**	1,000	2,300	500	1,200
-2.7	Klei	0.2	2.00	400	0.67	1428	1461	**1461**	**0.39**	400	900	200	400
-5.1	Veen	0.5	3.00	1,500	1.00	3970	3893	**3893**	**0.39**	1,000	2,300	500	1,200
-6.0	Klei	0.3	2.00	600	0.67	2142	2192	**2192**	**0.39**	600	1,300	300	700
-11.2	Veen	0.5	3.00	1,500	1.00	3970	3893	**3893**	**0.39**	1,000	2,300	500	1,200
-12.1	Zand	10.0	0.70	7,000	0.33	35221	37804	**37804**	**0.39**	9,800	22,100	5,000	11,300
-22.0	Zand	12.0	0.70	8,400	0.33	42265	45364	**45364**	**0.39**	11,800	26,500	6,000	13,500

*) In geval van dynamische belastingen: beddingsconstanten vergroten met een factor 3
In geval van kleine h.o.h. afstanden: beddingsconstanten reduceren met groepsfactor

Reductiefactoren Horizontale beddingsconstante palen door groepswerking

vlg. Reese en van Impe ('Single Piles and Pile Groups under Lateral Loading')

Deq	0.51	m
dx	1.2	m
dy	1.2	m

Paal:	X	Y	L= Leading	Paalnummer								
	[m]	[m]	T = Trailing	**1**	**2**	**3**	**4**	**5**	**6**	**7**	**8**	**9**
1	0	0	L	1.00	0.66	0.86	1.00	1.00	1.00	1.00	1.00	1.00
2	0	1.2	T	0.87	1.00	0.66	0.86	1.00	1.00	1.00	1.00	1.00
3	0	2.4	T	1.00	0.66	1.00	0.66	1.00	1.00	1.00	1.00	1.00
4	0	3.6	T	1.00	0.86	0.66	1.00	1.00	1.00	1.00	1.00	1.00
5	100	100	L	1.00	1.00	1.00	1.00	1.00	0.86	1.00	1.00	1.00
6	101	100	L	1.00	1.00	1.00	1.00	0.86	1.00	1.00	1.00	1.00
7	102	0	L	1.00	1.00	1.00	1.00	1.00	1.00	1.00	0.86	1.00
8	104	0	L	1.00	1.00	1.00	1.00	1.00	1.00	0.86	1.00	0.86
9	105	0	L	1.00	1.00	1.00	1.00	1.00	1.00	1.00	0.86	1.00
10	1.2	0	L	0.86	0.87	0.92	1.00	1.00	1.00	1.00	1.00	1.00
11	1.2	1.2	T	0.96	0.86	0.87	0.92	1.00	1.00	1.00	1.00	1.00
12	1.2	2.4	T	1.00	0.87	0.86	0.87	1.00	1.00	1.00	1.00	1.00
13	1.2	3.6	T	1.00	0.92	0.87	0.86	1.00	1.00	1.00	1.00	1.00
14	100	101	T	1.00	1.00	1.00	1.00	0.87	0.96	1.00	1.00	1.00
15	101	101	T	1.00	1.00	1.00	1.00	0.96	0.87	1.00	1.00	1.00
16	102	1.2	T	1.00	1.00	1.00	1.00	1.00	1.00	0.87	0.96	1.00
17	104	1.2	T	1.00	1.00	1.00	1.00	1.00	1.00	0.96	0.87	0.96
18	105	1.2	T	1.00	1.00	1.00	1.00	1.00	1.00	1.00	0.96	0.87
			redfactor:	**0.72**	**0.23**	**0.23**	**0.39**	**0.72**	**0.72**	**0.72**	**0.59**	**0.72**

				Paalnummer								
				10	**11**	**12**	**13**	**14**	**15**	**16**	**17**	**18**
1			L	0.86	0.87	0.92	1.00	1.00	1.00	1.00	1.00	1.00
2			T	0.96	0.86	0.87	0.92	1.00	1.00	1.00	1.00	1.00
3			T	1.00	0.87	0.86	0.87	1.00	1.00	1.00	1.00	1.00
4			T	1.00	0.92	0.87	0.86	1.00	1.00	1.00	1.00	1.00
5			L	1.00	1.00	1.00	1.00	0.66	0.87	1.00	1.00	1.00
6			L	1.00	1.00	1.00	1.00	0.87	0.66	1.00	1.00	1.00
7			L	1.00	1.00	1.00	1.00	1.00	1.00	0.66	0.87	0.98
8			L	1.00	1.00	1.00	1.00	1.00	1.00	0.87	0.66	0.87
9			L	1.00	1.00	1.00	1.00	1.00	1.00	0.98	0.87	0.66
10			L	1.00	0.66	0.86	1.00	1.00	1.00	1.00	1.00	1.00
11			T	0.87	1.00	0.66	0.86	1.00	1.00	1.00	1.00	1.00
12			T	1.00	0.66	1.00	0.66	1.00	1.00	1.00	1.00	1.00
13			T	1.00	0.86	0.66	1.00	1.00	1.00	1.00	1.00	1.00
14			T	1.00	1.00	1.00	1.00	1.00	0.86	1.00	1.00	1.00
15			T	1.00	1.00	1.00	1.00	0.86	1.00	1.00	1.00	1.00
16			T	1.00	1.00	1.00	1.00	1.00	1.00	1.00	0.86	1.00
17			T	1.00	1.00	1.00	1.00	1.00	1.00	0.86	1.00	0.86
18			T	1.00	1.00	1.00	1.00	1.00	1.00	1.00	0.86	1.00
			redfactor:	**0.72**	**0.23**	**0.23**	**0.39**	**0.43**	**0.43**	**0.48**	**0.37**	**0.48**

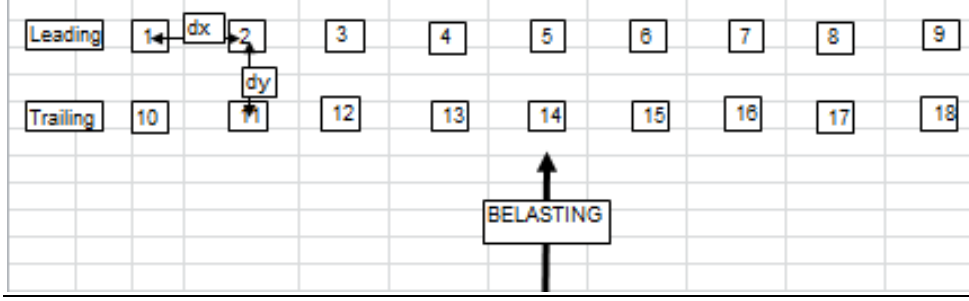

Bepaling belasting mastfundaties

Project:
Randstad 380 kV Noordring

Opdrachtgever:
TenneT TSO

Revisie	Datum	Wijzigingen ten opzichte van vorige revisie
00	19-07-2013	Eerste uitgave
01	06-08-2013	Status naar definitief
02	08-04-2014	Bijlagen toegevoegd

Documentnummer: R3N-OWR-0033

Opsteller	*Verificateur*	*Vrijgever*
A.L.A. van Noort Constructeur	Pieter de Jager Ontwerpmanager	Erik Duwel Project Manager

Distributie

Naam	Bedrijf
Extern	
Guido Volman	TenneT TSO
Intern	
Arjan Hogenboom	BAM
Pieter de Jager	BAM
Eric van Rooijen	BAM
David van Loenen	BAM
Rob Bakker	BAM
Erwin ten Cate	BAM
Michael Desmet	Fabricom
Hein Pijnappel	Mott MacDonald

Beheer

De documentbeheerder van de combinatie verzorgt de distributie. Alleen houders van een geregistreerde kopie ontvangen automatisch aanvullingen en/of wijzigingen. Het is de verantwoordelijkheid van de houders het document up to date te houden. De laatste versie is altijd beschikbaar in ThinkProject!

Indien documenten worden geprint, geldt het volgende: een geregistreerde kopie is geldig vanaf de datum van uitgifte. Bij uitgifte van een document met een hoger revisienummer verliest de voorgaande versie automatisch haar geldigheid. Kopiehouders dienen het voorblad van een ongeldige versie te markeren met een diagonale lijn samen met de tekst 'vervallen'.

Neem bij twijfel over de geldende versie contact op met de documentbeheerder.

Inhoudsopgave

1. Inleiding *4*
2. Bron van de belastingen *5*
3. Overzicht masttypen in het werk *6*
4. Verificatie *7*
4.1. Afwijkingen in ULS 8
4.2. Afwijkingen in SLS 9
4.3. Conclusie verificatie 11
5. Fundatietype A *12*
6. Fundatietype B *13*
7. Fundatietype C *14*
8. Fundatietype D *16*
9. Fundatietype F *17*
Bijlagen *18*
Bijlage 1 Afleiding belastingen per masttype 19

1. INLEIDING

De komende jaren werken het ministerie van Economische Zaken en TenneT aan de aanleg van een nieuwe 380 kV hoogspanningsverbinding in de Randstad. De nieuwe verbinding stelt de voorziening van elektriciteit in de Randstad veilig.

Het ontwerptracé van de nieuwe Randstad 380 kV verbinding is sinds eind 2008 bekend. De plannen gaan uit van twee ringen, tussen Wateringen en Zoetermeer (de Zuidring) en tussen Zoetermeer en Beverwijk (de Noordring). Eind 2012 heeft Tennet de aanbesteding opgestart voor het gedeelte van de Noordring tussen station Vijfhuizen en Bleiswijk. Het contract is opgedeeld in twee percelen, waarbij de grens ligt bij Zuidelijke Ringvaart. Dit document heeft betrekking op perceel 2 (het zuidelijke gedeelte).

BAM heeft op 8 juli 2013 het contract ondertekend met TenneT voor het ontwerp en realiseren van perceel 2. Het voorliggende document is onderdeel van het ontwerp van de mastfundaties.

De leverancier van de masten, Volker Wessels Telecom, heeft de masten berekend en daarbij ook de belasting op de fundering bepaald. Omdat de masten rond zijn is hierbij alleen naar de maatgevende belasting gekeken.

De verschillende typen masten hebben echter een duidelijk richting waarin de belasting dominant is. In het ontwerp van de mastfundaties is wel rekening gehouden met deze richting afhankelijke belasting. Daarvoor zijn de belastingen opnieuw afgeleid. Dit document bevat de afleiding en de verificatie van deze lasten.

2. BRON VAN DE BELASTINGEN

De belastingen uit de lijnen zijn berekend door KEMA in rapport 74100224-ETD/POL 12-00138 Rev 003 'Design Loads for Wintrack II – R380 BEV-VHZ & VHZ-BEV' 18 juli 2012.

Dit rapport is niet in ons bezit.

Onderdeel van het rapport van KEMA zijn de verschillende bijlagen waarbij telkens per type mast de lasten uit de lijnen zijn gegeven. Deze bijlagen zijn door Volker Wessels Telecom (VWT) in de verschillende berekeningsrapporten opgenomen.

Daarnaast heeft VWT de belasting uit de mast zelf (exclusief last uit lijnen) bepaald. Deze lasten heeft VWT gecombineerd tot de maatgevende belasting op de fundering.

Onderstaand stroomschema geeft de wijze waarop de lasten door VWT (linker zijde schema) en in dit rapport (rechter zijde schema) zijn bepaald. Vervolgens is uit de lasten zoals bepaald in dit rapport een selectie van maatgevende belastingen gemaakt, welke is vergeleken met de maatgevende lasten zoals bepaald door VWT. Deze verificatie is opgenomen in dit rapport.

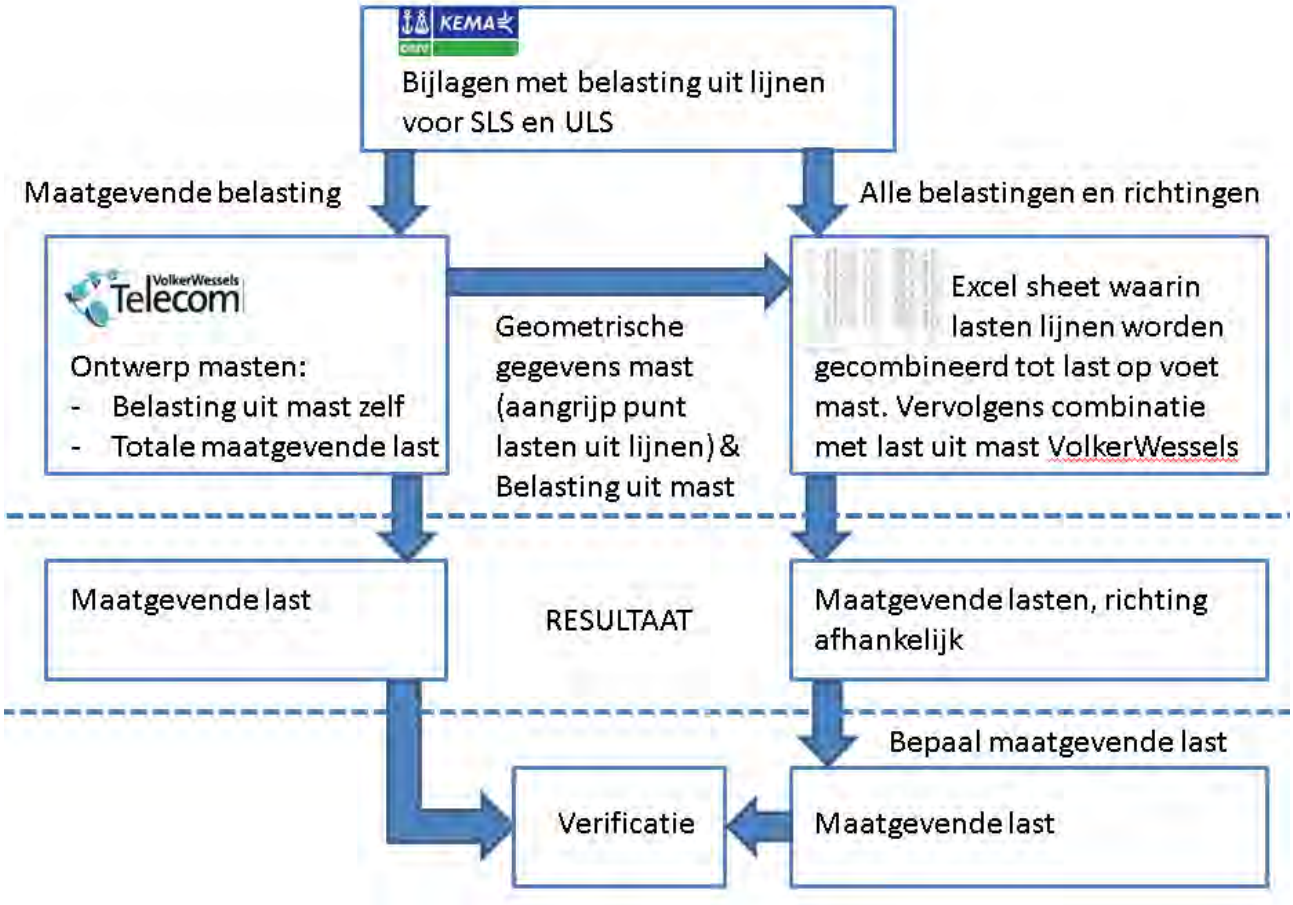

3. OVERZICHT MASTTYPEN IN HET WERK

In onderstaande tabel zijn de verschillende masttypen welke in het werk voorkomen aangegeven. Tijdens de Tenderfase zijn de verschillende berekeningen van de masten arbitrair genummerd (in volgorde van de mastenlijst in bijlage 1 van de vraagspecificatie voor de tender). Omdat in het gewonnen perceel niet meer alle masttypen aanwezig zijn, is de nummeringen van de berekeningen ook niet meer doorlopend. Al naar gelang de grote en richting van de belasting uit de masten en de diameter van de mastvoet zijn een 5-tal fundatietypen bepaald. In Tabel 1 zijn deze ook weergegeven.

Masttype	Berekeningsnummer	Fundatietype
W2S400+5	03	A
W2S350+5	09	A
W2S400A+10	27	A
W4S400Z+5	15	B
W2S400+24	21	B
W2S400+22.5	23	B
W4S400Z+14	24	B
W2H400+5	08	C
W2H400A+5 (mast 74)	08A	C
W2H400+10	17	C
W2H400+10 (mast 82)	17A	C
W2H400+15	22	C
W4H400Z+5	14	D
W4H400ZA+5	25	D
W4H400ZA+10 (Aftakm ast m ast 92)	26	D
W2E350+5	05	F
W2E400	07	F
W2E350	10	F

Tabel 1 Overzicht masttypen met bijhorende berekeningsnummer en fundatietype

4. VERIFICATIE

De waarden zoals door ons berekend zijn vergeleken met de waarden zoals gegeven door VWT in de samenvatting fundatiebelastingen.

Dit resulteert in onderstaande tabel, waarin de verhouding tussen de resultaten van VWT en de door ons afgeleide waarden gegeven zijn.

De kleurcodering is als volgt:
waarde bepaald door VWT > 102% van onze waarde → rood
waarde bepaald door VWT > 99,5% en < 100,5% van onze waarde →groen
waarde bepaald door VWT < 98% van onze waarde → geel

De groene waarden geven dus aan waar de resultaten gelijk zijn.

Geen kleur hebben de waarden met een kleine afwijking en de rode en gele waarden verdienen extra aandacht.

		Verhouding opgegeven waarde t.o.v. afgeleide waarde						
		Kleiner dan 100% is veilig, afgeleide waarde hoger						
		SLS			ULS			
		M	V	N	Mmax	V	Nmax	Nmin
W2S400 + 5	3	99%	99%	86%	100%	100%	83%	100%
W2E350 + 5	5	110%	118%	95%	101%	100%	100%	100%
W2E400	7	110%	111%	95%	101%	100%	100%	100%
W2H400 + 5	8	106%	106%	91%	102%	100%	100%	177%
W2H400 + 5	8a	106%	107%	64%	101%	98%	88%	123%
W2S350 + 5	9	99%	99%	100%	100%	100%	81%	100%
W2E350	10	106%	108%	94%	101%	101%	100%	100%
W4H400Z + 5	14	103%	104%	90%	100%	100%	100%	100%
W4S400Z + 5	15	99%	99%	99%	100%	100%	79%	79%
W2H400 + 10	17	104%	106%	59%	100%	100%	100%	66%
W2H400 + 10	17a	105%	103%	52%	100%	100%	90%	66%
W2S400 + 24	21	98%	98%	62%	100%	100%	83%	70%
W2H400 + 15	22	105%	107%	62%	100%	100%	89%	68%
W2S400 + 22.5	23	99%	100%	63%	100%	100%	84%	70%
W4S400Z + 14	24	100%	100%	67%	93%	100%	80%	54%
W4H400Z + 5 (Afst	25	146%	142%	91%	103%	104%	85%	78%
W4H400Z +10 (Afst	26	130%	127%	93%	94%	96%	89%	86%
W2S400 + 10 (afs. c	27	101%	103%	58%	102%	104%	82%	52%

Tabel 2 Verhouding tussen resultatenVWT en door ons afgeleide waarden BAM/Cofely Fabricom

4.1. AFWIJKINGEN IN ULS

Over het algemeen zijn de normaalkrachten welke wij afleiden iets hoger dan de waarden zoals bepaald door VWT. Dit komt omdat in de samenvatting van de lasten zoals gegeven door VWT niet de hoogste verticale kracht is aangegeven. Zie bijvoorbeeld onderstaand fragment uit berekening W2S400(+24).
De afwijking is dus geen gevolg van onjuistheden in onze afleiding.

Belasting geval / comb	X - reactie kN	Y - reactie kN	Z - reactie kN	M_x - reactie kNm	M_y - reactie kNm	M_z - reactie kNm
Windrich. 90 graden						
1 - EG mast			757			
2 - Windbelasting mast	163				5841	
3 - Belasting geval 1a	220		135		13718	
4 - Belasting geval 1b	44		167		3256	
5 - Belasting geval 3	137		304		9105	
6 - Belasting geval 4	44		192		3335	
Combinatie 1 : BG1 * 1,2 + BG2 * 1,6 + BG3 * (1,2 eg, 1,5 windbel.)						
	383		892		19559	
Combinatie 2 : BG1 * 1,2 + BG2 * 0,3 + BG4 * (1,2 eg, 0,3 windbel.)						
	75		923		4351	
Combinatie 3 : BG1 * 1,2 + BG2 * 0,45 + BG5 * (1,2 eg, 1,5 windbel.)						
	183		1060		10748	
Combinatie 4 : BG1 * 1,2 + BG2 * 0,3 + BG5 * (1,2 eg, 1,5 windbel.)						
	75		949		4430	

Samenvatting Fundatiebelastingen

	B.C. 1 - SLS γ_{eg}=1.0 , γ_q=1.0		B.C. 2 - ULS γ_{eg}=1.2 , γ_q=1.6		B.C. 3 - ULS γ_{eg}=0.9 , γ_q=1.6	
Voetmoment	12892	kNm	19559	kNm	19559	kNm
Dwarskracht	249	kN	383	kN	383	kN
Verticale kracht	540	kN	892	kN	486	kN

Bij masttype W4H400Z + 5 (Afstap 150kV) en W2S400 + 10 (afs. comp.gl) is voor het moment een hogere waarde gegeven door VWT dan door ons afgeleid.

Bij masttype W4H400Z + 5 (Afstap 150kV komt het verschil doordat het maximale moment optreed in langsrichting van het trace, in een belastingsgeval waarbij de windbelasting haaks op deze richting is. In de opgave van de belasting door VWT worden deze 2 lasten echter bij elkaar geteld, hetgene resulteert in een hogere last.

Bij masttype W2S400 + 10 (afs. comp.gl) is in de samenvatting van de lasten een hoger moment (13349 kNm) gegeven dan dat er door VWT is afgeleid (12988 kNm). De afgeleide waarde van 12988 is zelfs iets lager dan de door ons bepaalde waarde van 13052. Met deze waarde zou het vak zelfs groen kleuren.

Hetzelfde geldt voor de dwarskracht, waar onze berekening op 312 kN uitkomt, de berekening van VWT op 308 kN , maar de opgave 324 kN bedraagt.

Belasting geval / comb	X - reactie kN	Y - reactie kN	Z - reactie kN	M_x - reactie kNm	M_y - reactie kNm	M_t - reactie kNm
Windrich. 90 graden						
1 - EG mast			481			
2 - Windbelasting mast	115	27		814	3428	
3 - Belasting geval 1a	194	71	122	2270	9561	129
4 - Belasting geval 1b	39	47	137	1511	2352	86
5 - Belasting geval 3	117	131	249	4195	6356	239
6 - Belasting geval 4	39	53	159	1689	2431	96
Combinatie 1 : BG1 * 1,2 + BG2 * 1,6 + BG3 * (1,2 eg, 1,5 windbel.)						
	308	98	603	3084	**12988**	**129**
Combinatie 2 : BG1 * 1,2 + BG2 * 0,3 + BG4 * (1,2 eg, 0,3 windbel.)						
	60	52	619	1663	2995	86
Combinatie 3 : BG1 * 1,2 + BG2 * 0,45 + BG5 * (1,2 eg, 1,5 windbel.)						
	149	139	731	4424	7320	239
Combinatie 4 : BG1 * 1,2 + BG2 * 0,3 + BG5 * (1,2 eg, 1,5 windbel.)						
	60	58	641	1842	3074	96

Samenvatting Fundatiebelastingen

	B.C. 1 - SLS γ_{eg}=1.0 , γ_q=1.0		B.C. 2 - ULS γ_{eg}=1.2 , γ_q=1.6		B.C. 3 - ULS γ_{eg}=0.9 , γ_q=1.6	
Voetmoment - XY	8897	kNm	13349	kNm	13349	kNm
Dwarskracht - XY	214	kN	324	kN	324	kN
Verticale kracht	348	kN	603	kN	313	kN

4.2. AFWIJKINGEN IN SLS

Uit de tabel volgt dat de waarden van de Steunmasten redelijk overeenkomen, maar onze waarden van de Hoek en Eindmasten zijn aanzienlijk lager.

Uit nadere analyse is het volgende gebleken. Conform NEN-EN 50341 dienen de verschillende belastingen als volgt gecombineerd te worden. (zie onderstaande tabellen) . Zoals te zien is bij combinatie 1b, 3 en 4 slechts een deel van de windbelasting aanwezig. In de bepaling door VWT is dit niet meegenomen, bij elke last is telkens de maximale belasting uit de mast in SLS meegerekend.

Daarnaast is geen rekening gehouden met de richting van de wind, de belasting uit de mast is altijd maximaal meegenomen.

Table 4.2.11/NL.4 - Partial factor and combination factor (serviceability limit state)

Load case and temperature	Value for γ_G, γ_Q, χ_Q and γ_A for the serviceability limit state				
	γ_G	γ_Q or χ_Q			γ_A
Loads	G_K	Q_{PK}	Q_{WK}	Q_{iK}	A_K
1a Wind, 10° C	1,0	-	1,0	-	-
1b Wind, - 20° C	1,0	-	0,2	-	-
3 Wind+ice - 5° C	1,0	-	0,3	1,0	-
4 Construction/maintenance + 5° C	1,0	1,0	0,2	-	-

Table 4.2.11/NL.1 - Partial factor and combination factor (ultimate limit state)

Load case and temperature	Value for γ_G, γ_Q, χ_Q and γ_A for the ultimate limit state				
	γ_G [1]	γ_Q or χ_Q [3]			γ_A
Loads	G_K	Q_{PK}	Q_{WK}	Q_{iK}	A_k
1a Wind, 10° C	1,2	-	1,5	-	-
1b Wind, - 20 °C	1,2	-	0,3	-	-
2 Not relevant	-	-	-	-	-
3 Wind+ice, - 5 °C	1,2		0,45	1,5	
4 Construction/maintenance + 5 °C	1,2	1,5	0,3	-	
5a Torsional, + 10 °C	1,0	1,0 [2]	-	-	1,0
5b Not relevant	-	-	-	-	-
6 Permanent, + 10 °C	1,35	-	-	-	-
7 Special, + 10 °C	1,0	-	-	-	1,0

[1] If permanent loads have a positive effect on the structural forces e.g. uplift forces on foundation $\gamma_G = 0,9$.
[2] Only the load at the end of the crossarm, see 4.2.6.
[3] $\chi_Q = \chi_0 - \gamma_Q$, with reference to ENV 1991-1 "Basis of Design".

Indien we bovenstaande uitgangspunten ook op onze afleiding toepassen, dan volgt onderstaande tabel:

		Verhouding opgegeven waarde t.o.v. afgeleide waarde						
		Kleiner dan 100% is veilig, afgeleide waarde hoger						
		SLS			ULS			
		M	V	N	Mmax	V	Nmax	Nmin
W2S400 + 5	3	99%	99%	86%	100%	100%	83%	100%
W2E350 + 5	5	100%	100%	95%	101%	100%	100%	100%
W2E400	7	100%	100%	95%	101%	100%	100%	100%
W2H400 + 5	8	101%	99%	91%	102%	100%	100%	177%
W2H400 + 5	8a	101%	100%	64%	101%	98%	88%	123%
W2S350 + 5	9	99%	99%	84%	100%	100%	81%	100%
W2E350	10	100%	100%	94%	101%	101%	100%	100%
W4H400Z + 5	14	99%	99%	90%	100%	100%	100%	100%
W4S400Z + 5	15	99%	99%	83%	100%	100%	79%	79%
W2H400 + 10	17	99%	99%	59%	100%	100%	100%	66%
W2H400 + 10	17a	100%	100%	60%	100%	100%	90%	66%
W2S400 + 24	21	98%	98%	62%	100%	100%	83%	70%
W2H400 + 15	22	99%	99%	62%	100%	100%	89%	68%
W2S400 + 22.5	23	98%	98%	62%	100%	100%	84%	70%
W4S400Z + 14	24	92%	98%	57%	93%	100%	80%	54%
W4H400Z + 5 (Afst	25	146%	142%	91%	103%	104%	85%	78%
W4H400Z +10 (Afst	26	130%	127%	93%	94%	96%	89%	86%
W2S400 + 10 (afs. c	27	101%	103%	59%	102%	104%	82%	52%

Tabel 3

Zoals te zien zijn nu vrijwel alle SLS lasten vrijwel gelijk aan de lasten welke VWT heeft afgeleid, behoudens de lasten van mast W4H400Z+5 (afstappunt) en W4H400Z+10 (afstappunt).

Bij deze masten zijn veel speciale belasting gevallen in de ULS aanwezig welke verband houden met installatie. Deze maken geen deel uit van de combinaties in de SLS. Indien de lasten voor SLS zijn bepaald op basis van de resultaten van de ULS geeft dit te hoge waarden voor de SLS.
Voorlopig zullen wij de afgeleide waarden in de SLS vermenigvuldigen met een extra veiligheid van 1,4 opdat de door ons afgeleide waarde overeenkomt met de waarde van de opdrachtgever. Nader onderzoek is gewenst.

4.3. CONCLUSIE VERIFICATIE

De waarden zoals door ons afgeleid komen goed overeen met de door de opdrachtgever verstrekte maximale waarden. Bij de SLS waarden zijn de combinaties zoals gemaakt door de opdrachtgever strenger dan de eisen uit de norm. Wij gaan hier toch de combinaties van de opdrachtgever volgen.

Twee afspanmasten hebben in de SLS een aanzienlijk lagere belasting in onze afleiding dan de waarde van de opdrachtgever. Hier wordt een extra factor van 1,4 op onze waarden toegepast.

5. FUNDATIETYPE A

Samenvatting maatgevende belastingcombinaties:

ULS

Mast	Wind	Loadcase	M_{langs}	M_{dwars}	N	V_{langs}	V_{dwars}
W2S400+5	90 deg	1a	0	14507	565	0	374
W2S400+5	90 deg	3	0	10025	681	0	238
W2S400+5	45 deg	1a	3748	8380	424	113	218
W2S350+5	90 deg	1a	0	11432	419	0	327
W2S350+5	90 deg	3	0	8116	521	0	215
W2S350+5	45 deg	1a	2951	6660	315	98	192
W2S400A+10	0 deg	1a	4809	461	617	158	0
W2S400A+10	0 deg	3	4914	862	737	156	0
W2S400A+10	90 deg	1a	2270	13052	603	71	312

SLS

Type	Wind	Loadcase	M_{langs}	M_{dwars}	N	V_{langs}	V_{dwars}
W2S400+5	0 deg	1b	1805	3943	471	65	109
W2S400+5	45 deg	1a	2765	6731	471	88	176
W2S400+5	90 deg	1a	1805	10053	471	65	257
W2S400+5	90 deg	3	1805	8494	548	65	216
W2S350+5	45 deg	1a	2148	5387	350	75	156
W2S350+5	45 deg	1b	1397	3750	349	55	112
W2S350+5	90 deg	1a	1356	7975	350	54	226
W2S350+5	90 deg	3	1356	6860	417	54	193
W2S400A+10	90 deg	1a	4083	8775	505	133	208
W2S400A+10	90 deg	3	5585	6660	592	180	157

6. FUNDATIETYPE B

ULS

Mast	Wind	Loadcase	M_{langs}	M_{dwars}	N	V_{langs}	V_{dwars}
W4S400Z+5	0 deg	1a	2857	2634	600	102	54
W4S400Z+5	0 deg	3	804	4607	746	29	94
W4S400Z+5	90 deg	1a	0	17967	592	0	463
W4S400Z+5	0 deg	1a	2857	2069	561	102	43
W2S400+24	0 deg	1a	5841	547	921	163	0
W2S400+24	0 deg	3	1643	1036	1075	46	0
W2S400+24	90 deg	1a	0	19609	892	0	383
W2S400+24	0 deg	1a	5841	417	693	163	0
W2S400+22.5	0 deg	1a	5508	1538	878	157	18
W2S400+22.5	0 deg	3	1549	2784	1019	44	31
W2S400+22.5	90 deg	1a	0	21005	859	0	412
W2S400+22.5	0 deg	1a	5508	1201	659	157	14
W4S400Z+14	0 deg	1a	4319	443	777	136	0
W4S400Z+14	0 deg	3	1215	897	944	38	0
W4S400Z+14	90 deg	1a	0	18317	752	0	385
W4S400Z+14	0 deg	1a	4319	284	732	136	0

SLS

Type	Wind	Loadcase	M_{langs}	M_{dwars}	N	V_{langs}	V_{dwars}
W4S400Z+5	0 deg	3	1905	5592	599	68	144
W4S400Z+5	90 deg	1a	1905	12556	494	68	321
W2S400+24	0 deg	1a	3894	4355	769	109	109
W2S400+24	0 deg	3	3894	4689	874	109	109
W2S400+24	90 deg	1a	3894	13158	748	109	255
W2S400+22.5	0 deg	3	3672	5880	828	105	130
W2S400+22.5	45 deg	1a	4314	9532	726	116	197
W2S400+22.5	90 deg	1a	3672	14266	718	105	278
W4S400Z+14	0 deg	3	2879	3560	763	91	91
W4S400Z+14	90 deg	1a	2879	12281	631	91	257

7. FUNDATIETYPE C

ULS

Mast	Wind	Loadcase	M_{langs}	M_{dwars}	N	V_{langs}	V_{dwars}
W2H400+5	90 deg	3	0	37867	1025	0	943
W2H400+5	0 deg	1b	665	16478	682	23	401
W2H400+5	45 deg	1a	14930	27013	682	382	678
W2H400+5	90 deg	1a	21715	14294	385	527	379
W2H400+5	-45 deg	3	26019	14403	398	644	358
W2H400A+5 (mast 74)	0 deg	3	1034	31674	1024	36	784
W2H400A+5 (mast 74)	90 deg	1a	1308	36670	903	53	910
W2H400A+5 (mast 74)	-45 deg	1a	15738	26743	678	415	667
W2H400A+5 (mast 74)	90 deg	1a	21715	14294	385	527	379
W2H400A+5 (mast 74)	-45 deg	3	26019	14403	398	644	358
W2H400+10	0 deg	3	1300	38231	1280	42	829
W2H400+10	90 deg	3	0	45178	1276	0	990
W2H400+10	45 deg	1a	17515	32392	853	404	726
W2H400+10	0 deg	3	1300	26959	1176	42	582
W2H400+10	90 deg	1a	0	33107	1139	0	757
W2H400+10	90 deg	3	0	33678	1172	0	738
W2H400+10	45 deg	1a	8721	25248	855	218	575
W2H400+10 (mast 82)	0 deg	3	4565	34528	1258	152	731
W2H400+10 (mast 82)	90 deg	1a	1574	41927	1127	53	931
W2H400+10 (mast 82)	-45 deg	1a	18211	30577	848	430	682
W2H400+10 (mast 82)	0 deg	3	3002	24614	1167	99	522
W2H400+10 (mast 82)	90 deg	1a	1233	31402	1133	42	712
W2H400+10 (mast 82)	0 deg	1b	21118	11542	847	471	245
W2H400+15	0 deg	3	1560	40126	1413	47	785
W2H400+15	90 deg	1a	0	49086	1264	0	1006
W2H400+15	45 deg	1a	20418	35375	952	433	725
W2H400+15	0 deg	1a	5546	1538	1284	167	18
W2H400+15	0 deg	3	1560	2784	1425	47	31
W2H400+15	90 deg	1a	0	21043	1265	0	422
W2H400+15	0 deg	1a	5546	1201	964	167	14

SLS

Type	Wind	Loadcase	M_{langs}	M_{dwars}	N	V_{langs}	V_{dwars}
W2H400+5	0 deg	1b	2363	20045	757	81	512
W2H400+5	45 deg	1a	8801	23569	757	234	595
W2H400+5	90 deg	3	2363	31280	835	81	794
W2H400+5	-45 deg	1a	8108	23569	757	234	595
W2H400A+5 (mast 74)	0 deg	1b	3321	19716	753	120	499
W2H400A+5 (mast 74)	90 deg	3	4602	30221	821	172	751
W2H400A+5 (mast 74)	-45 deg	1a	8941	23276	753	269	583
W2H400+10	0 deg	3	3081	33806	1046	99	765
W2H400+10	45 deg	1a	10468	28323	949	253	639
W2H400+10	90 deg	1a	3081	32890	946	99	734
W2H400+10	90 deg	3	3081	37539	1043	99	843
W2H400+10 (mast 82)	0 deg	1a	4010	21112	949	130	481
W2H400+10 (mast 82)	45 deg	3	4263	32798	1029	158	726
W2H400+10 (mast 82)	90 deg	1a	4307	31284	941	140	691
W2H400+10 (mast 82)	90 deg	3	5665	34675	1028	186	765
W2H400+10 (mast 82)	-45 deg	1a	10407	26626	945	283	597
W2H400+15	0 deg	3	3697	35947	1157	111	742
W2H400+15	45 deg	1a	12353	30742	1060	276	634
W2H400+15	90 deg	1a	3697	36518	1056	111	745
W2H400+15	90 deg	3	3697	40557	1154	111	830
W2H400+15	-45 deg	1a	11270	30742	1060	276	634

8. FUNDATIETYPE D

ULS

Mast	Wind	Loadcase	M_{langs}	M_{dwars}	N	V_{langs}	V_{dwars}
W4H400Z+5	90 deg	3	0	44494	1133	0	1119
W4H400Z+5	45 deg	1a	16697	31259	749	436	799
W4H400Z+5	45 deg	3	24827	13896	943	780	434
W4H400Z+5	90 deg	1a	-9505	20923	970	-260	683
W4H400Z+5	90 deg	3	-11374	20604	992	-318	663
W4H400ZA+5	90 deg	1a	7658	15619	986	188	421
W4H400ZA+5	90 deg	3	7995	10376	1111	197	264
W4H400ZA+5	-45 deg	1a	9456	9314	986	259	254
W4H400ZA+5	90 deg	1a	5652	10385	986	139	292
W4H400ZA+5	90 deg	3	6162	8221	1014	152	212
W4H400ZA+5	90 deg	3	35215	4924	943	880	130
W4H400ZA+10 (Aftakmast 92)	90 deg	1a	6367	23846	1084	137	570
W4H400ZA+10 (Aftakmast 92)	90 deg	3	43362	18257	1190	951	415
W4H400ZA+10 (Aftakmast 92)	90 deg	1a	3804	12106	971	115	390
W4H400ZA+10 (Aftakmast 92)	90 deg	3	4371	10353	995	132	324
W4H400ZA+10 (Aftakmast 92)	90 deg	3	27696	6071	948	865	191

SLS

Type	Wind	Loadcase	M_{langs}	M_{dwars}	N	V_{langs}	V_{dwars}
W4H400Z+5	0 deg	1b	2098	23277	832	77	603
W4H400Z+5	45 deg	1a	9556	27308	832	259	700
W4H400Z+5	90 deg	3	2098	36338	922	77	931
W4H400ZA+5	0 deg	1b	6590	4113	821	188	126
W4H400ZA+5	45 deg	1b	6564	4721	821	187	141
W4H400ZA+5	90 deg	1a	7976	10768	821	221	289
W4H400ZA+5	90 deg	3	8480	8911	905	234	243
W4H400ZA+5	-45 deg	1b	6065	4732	821	190	141
W4H400ZA+10 (Aftakmast 92)	0 deg	1b	7912	8572	896	205	219
W4H400ZA+10 (Aftakmast 92)	90 deg	1a	7700	16972	902	198	403
W4H400ZA+10 (Aftakmast 92)	90 deg	3	9134	15504	972	231	372
W4H400ZA+10 (Aftakmast 92)	-45 deg	1a	9410	11965	898	253	293

9. FUNDATIETYPE F

ULS

Mast	Wind	Loadcase	M_{langs}	M_{dwars}	N	V_{langs}	V_{dwars}
W2E350+5	90 deg	1a	33589	4631	725	933	225
W2E350+5	90 deg	3	35789	3589	776	985	125
W2E350+5	-45 deg	1b	18592	1449	544	508	43
W2E400	90 deg	1a	34497	5038	819	940	235
W2E400	90 deg	3	37033	3864	877	1007	131
W2E400	45 deg	1b	18118	1547	614	489	45
W2E350	90 deg	1a	28011	3814	616	888	202
W2E350	90 deg	3	30575	2997	667	972	116
W2E350	45 deg	1b	16106	1260	462	507	42

SLS

Type	Wind	Loadcase	M_{langs}	M_{dwars}	N	V_{langs}	V_{dwars}
W2E350+5	0 deg	1b	21038	2595	604	591	91
W2E350+5	90 deg	1a	25824	4981	604	715	154
W2E350+5	90 deg	3	29952	4348	638	838	138
W2E400	0 deg	1b	20659	2688	682	573	91
W2E400	45 deg	1b	20800	2957	682	576	98
W2E400	90 deg	1a	26286	5362	682	715	161
W2E400	90 deg	3	30704	4640	721	847	143
W2E350	45 deg	1b	18150	2296	513	583	86
W2E350	90 deg	1a	21622	4034	513	684	139
W2E350	90 deg	1b	18412	2470	513	591	91
W2E350	90 deg	3	25542	3543	547	821	124

BIJLAGEN

Bijlage 1 Afleiding belastingen per masttype

BIJLAGE 1 AFLEIDING BELASTINGEN PER MASTTYPE

Resultaat ULS

Type	Mast	Ber & bijlage		Wind	Loadcase	M_{langs}	M_{dwars}	N	V_{langs}	V_{dwars}
A	W2S400+5	03-Q	Perm load 1,2	90 deg	1a	0	14507	565	0	374
A	W2S400+5	03-Q	Perm load 1,2	90 deg	3	0	10025	681	0	238
A	W2S400+5	03-Q	Perm load 0,9	45 deg	1a	3748	8380	424	113	218
F	W2E350+5	05-F	Perm load 1,2	90 deg	1a	33589	4631	725	933	225
F	W2E350+5	05-F	Perm load 1,2	90 deg	3	35789	3589	776	985	125
F	W2E350+5	05-F	Perm load 0,9	-45 deg	1b	18592	1449	544	508	43
F	W2E400	07-L	Perm load 1,2	90 deg	1a	34497	5038	819	940	235
F	W2E400	07-L	Perm load 1,2	90 deg	3	37033	3864	877	1007	131
F	W2E400	07-L	Perm load 0,9	45 deg	1b	18118	1547	614	489	45
C	W2H400+5	08-N	Perm load 1,2	90 deg	3	0	37867	1025	0	943
C	W2H400+5	08-N	Perm load 0,9	0 deg	1b	665	16478	682	23	401
C	W2H400+5	08-N	Perm load 0,9	45 deg	1a	14930	27013	682	382	678
C	W2H400+5	08-N1	Perm load 1,2	90 deg	1a	21715	14294	385	527	379
C	W2H400+5	08-N1	Perm load 1,2	-45 deg	3	26019	14403	398	644	358
C	W2H400A+5 (m	08A-AN	Perm load 1,2	0 deg	3	1034	31674	1024	36	784
C	W2H400A+5 (m	08A-AN	Perm load 1,2	90 deg	1a	1308	36670	903	53	910
C	W2H400A+5 (m	08A-AN	Perm load 0,9	-45 deg	1a	15738	26743	678	415	667
C	W2H400A+5 (m	08A-AN1	Perm load 1,2	90 deg	1a	21715	14294	385	527	379
C	W2H400A+5 (m	08A-AN1	Perm load 1,2	-45 deg	3	26019	14403	398	644	358
A	W2S350+5	09-I	Perm load 1,2	90 deg	1a	0	11432	419	0	327
A	W2S350+5	09-I	Perm load 1,2	90 deg	3	0	8116	521	0	215
A	W2S350+5	09-I	Perm load 0,9	45 deg	1a	2951	6660	315	98	192
F	W2E350	10-E	Perm load 1,2	90 deg	1a	28011	3814	616	888	202
F	W2E350	10-E	Perm load 1,2	90 deg	3	30575	2997	667	972	116
F	W2E350	10-E	Perm load 0,9	45 deg	1b	16106	1260	462	507	42
D	W4H400Z+5	14-Y	Perm load 1,2	90 deg	3	0	44494	1133	0	1119
D	W4H400Z+5	14-Y	Perm load 0,9	45 deg	1a	16697	31259	749	436	799
D	W4H400Z+5	14-Y1	Perm load 1,2	45 deg	3	24827	13896	943	780	434
D	W4H400Z+5	14-Y1	Perm load 1,2	90 deg	1a	-9505	20923	970	-260	683
D	W4H400Z+5	14-Y1	Perm load 1,2	90 deg	3	-11374	20604	992	-318	663
B	W4S400Z+5	15-AA	Perm load 1,2	0 deg	1a	2857	2634	600	102	54
B	W4S400Z+5	15-AA	Perm load 1,2	0 deg	3	804	4607	746	29	94
B	W4S400Z+5	15-AA	Perm load 1,2	90 deg	1a	0	17967	592	0	463
B	W4S400Z+5	15-AA	Perm load 0,9	0 deg	1a	2857	2069	561	102	43
C	W2H400+10	17-O	Perm load 1,2	0 deg	3	1300	38231	1280	42	829
C	W2H400+10	17-O	Perm load 1,2	90 deg	3	0	45178	1276	0	990
C	W2H400+10	17-O	Perm load 0,9	45 deg	1a	17515	32392	853	404	726
C	W2H400+10	17-O1	Perm load 1,2	0 deg	3	1300	26959	1176	42	582
C	W2H400+10	17-O1	Perm load 1,2	90 deg	1a	0	33107	1139	0	757
C	W2H400+10	17-O1	Perm load 1,2	90 deg	3	0	33678	1172	0	738
C	W2H400+10	17-O1	Perm load 0,9	45 deg	1a	8721	25248	855	218	575
C	W2H400+10 (m	17A-AM	Perm load 1,2	0 deg	3	4565	34528	1258	152	731
C	W2H400+10 (m	17A-AM	Perm load 1,2	90 deg	1a	1574	41927	1127	53	931
C	W2H400+10 (m	17A-AM	Perm load 0,9	-45 deg	1a	18211	30577	848	430	682
C	W2H400+10 (m	17A-AM1	Perm load 1,2	0 deg	3	3002	24614	1167	99	522
C	W2H400+10 (m	17A-AM1	Perm load 1,2	90 deg	1a	1233	31402	1133	42	712

C	W2H400+10 (m	17A-AM1	Perm load 0,9	0 deg	1b	21118	11542	847	471	245
B	W2S400+24	21-AC	Perm load 1,2	0 deg	1a	5841	547	921	163	0
B	W2S400+24	21-AC	Perm load 1,2	0 deg	3	1643	1036	1075	46	0
B	W2S400+24	21-AC	Perm load 1,2	90 deg	1a	0	19609	892	0	383
B	W2S400+24	21-AC	Perm load 0,9	0 deg	1a	5841	417	693	163	0
C	W2H400+15	22-AE	Perm load 1,2	0 deg	3	1560	40126	1413	47	785
C	W2H400+15	22-AE	Perm load 1,2	90 deg	1a	0	49086	1264	0	1006
C	W2H400+15	22-AE	Perm load 0,9	45 deg	1a	20418	35375	952	433	725
C	W2H400+15	22-AE1	Perm load 1,2	0 deg	1a	5546	1538	1284	167	18
C	W2H400+15	22-AE1	Perm load 1,2	0 deg	3	1560	2784	1425	47	31
C	W2H400+15	22-AE1	Perm load 1,2	90 deg	1a	0	21043	1265	0	422
C	W2H400+15	22-AE1	Perm load 0,9	0 deg	1a	5546	1201	964	167	14
B	W2S400+22.5	23-AF	Perm load 1,2	0 deg	1a	5508	1538	878	157	18
B	W2S400+22.5	23-AF	Perm load 1,2	0 deg	3	1549	2784	1019	44	31
B	W2S400+22.5	23-AF	Perm load 1,2	90 deg	1a	0	21005	859	0	412
B	W2S400+22.5	23-AF	Perm load 0,9	0 deg	1a	5508	1201	659	157	14
B	W4S400Z+14	24-AB	Perm load 1,2	0 deg	1a	4319	443	777	136	0
B	W4S400Z+14	24-AB	Perm load 1,2	0 deg	3	1215	897	944	38	0
B	W4S400Z+14	24-AB	Perm load 1,2	90 deg	1a	0	18317	752	0	385
B	W4S400Z+14	24-AB	Perm load 0,9	0 deg	1a	4319	284	732	136	0
D	W4H400ZA+5	25-AK	Perm load 1,2	90 deg	1a	7658	15619	986	188	421
D	W4H400ZA+5	25-AK	Perm load 1,2	90 deg	3	7995	10376	1111	197	264
D	W4H400ZA+5	25-AK	Perm load 1,2	-45 deg	1a	9456	9314	986	259	254
D	W4H400ZA+5	25-AK1	Perm load 1,2	90 deg	1a	5652	10385	986	139	292
D	W4H400ZA+5	25-AK1	Perm load 1,2	90 deg	3	6162	8221	1014	152	212
D	W4H400ZA+5	25-AK1	Perm load 1,2	90 deg	3	35215	4924	943	880	130
D	W4H400ZA+10 (	26-AL	Perm load 1,2	90 deg	1a	6367	23846	1084	137	570
D	W4H400ZA+10 (	26-AL	Perm load 1,2	90 deg	3	43362	18257	1190	951	415
D	W4H400ZA+10 (	26-AL1	Perm load 1,2	90 deg	1a	3804	12106	971	115	390
D	W4H400ZA+10 (	26-AL1	Perm load 1,2	90 deg	3	4371	10353	995	132	324
D	W4H400ZA+10 (	26-AL1	Perm load 1,2	90 deg	3	27696	6071	948	865	191
A	W2S400A+10	27-AH	Perm load 1,2	0 deg	1a	4809	461	617	158	0
A	W2S400A+10	27-AH	Perm load 1,2	0 deg	3	4914	862	737	156	0
A	W2S400A+10	27-AH	Perm load 1,2	90 deg	1a	2270	13052	603	71	312

ULS

	Mmax	N	Nmin	V
3	14507	681	424	374
5	35789	776	544	985
7	37033	877	614	1007
8	37867	1025	385	943
9	11432	521	315	327
10	30575	667	462	972
14	44494	1133	749	1119
15	17967	746	561	463
17	45178	1280	853	990
21	19609	1075	693	383
22	49086	1425	952	1006
23	21005	1019	659	412

	24	18317	944	732	385
	25	35215	1111	943	880
	26	43362	1190	948	951
	27	13052	737	603	312
17a		41927	1258	847	931
8a		36670	1024	385	910

Resultaat SLS

Type	Mast	Ber & bijlag	Wind	Loadcase		M_{langs}	M_{dwars}	N	V_{langs}	V_{dwars}
W2S400+5	03-Q2	Perm load	0 deg	1b		1805	3943	471	65	109
W2S400+5	03-Q2	Perm load	45 deg	1a		2765	6731	471	88	176
W2S400+5	03-Q2	Perm load	90 deg	1a		1805	10053	471	65	257
W2S400+5	03-Q2	Perm load	90 deg		3	1805	8494	548	65	216
W2E350+5	05-F2	Perm load	0 deg	1b		21038	2595	604	591	91
W2E350+5	05-F2	Perm load	90 deg	1a		25824	4981	604	715	154
W2E350+5	05-F2	Perm load	90 deg		3	29952	4348	638	838	138
W2E400	07-L2	Perm load	0 deg	1b		20659	2688	682	573	91
W2E400	07-L2	Perm load	45 deg	1b		20800	2957	682	576	98
W2E400	07-L2	Perm load	90 deg	1a		26286	5362	682	715	161
W2E400	07-L2	Perm load	90 deg		3	30704	4640	721	847	143
W2H400+5	08-N2	Perm load	0 deg	1b		2363	20045	757	81	512
W2H400+5	08-N2	Perm load	45 deg	1a		8801	23569	757	234	595
W2H400+5	08-N2	Perm load	90 deg		3	2363	31280	835	81	794
W2H400+5	08-N2	Perm load	-45 deg	1a		8108	23569	757	234	595
W2H400A+	08-AN2	Perm load	0 deg	1b		3321	19716	753	120	499
W2H400A+	08-AN2	Perm load	90 deg		3	4602	30221	821	172	751
W2H400A+	08-AN2	Perm load	-45 deg	1a		8941	23276	753	269	583
W2S350+5	09-I2	Perm load	45 deg	1a		2148	5387	350	75	156
W2S350+5	09-I2	Perm load	45 deg	1b		1397	3750	349	55	112
W2S350+5	09-I2	Perm load	90 deg	1a		1356	7975	350	54	226
W2S350+5	09-I2	Perm load	90 deg		3	1356	6860	417	54	193
W2E350	10-E2	Perm load	45 deg	1b		18150	2296	513	583	86
W2E350	10-E2	Perm load	90 deg	1a		21622	4034	513	684	139
W2E350	10-E2	Perm load	90 deg	1b		18412	2470	513	591	91
W2E350	10-E2	Perm load	90 deg		3	25542	3543	547	821	124
W4H400Z+	14-Y2	Perm load	0 deg	1b		2098	23277	832	77	603
W4H400Z+	14-Y2	Perm load	45 deg	1a		9556	27308	832	259	700
W4H400Z+	14-Y2	Perm load	90 deg		3	2098	36338	922	77	931
W4S400Z+!	15-AA2	Perm load	0 deg		3	1905	5592	599	68	144
W4S400Z+!	15-AA2	Perm load	90 deg	1a		1905	12556	494	68	321
W2H400+1	17-O2	Perm load	0 deg		3	3081	33806	1046	99	765
W2H400+1	17-O2	Perm load	45 deg	1a		10468	28323	949	253	639
W2H400+1	17-O2	Perm load	90 deg	1a		3081	32890	946	99	734
W2H400+1	17-O2	Perm load	90 deg		3	3081	37539	1043	99	843
W2H400+1	17A-AM2	Perm load	0 deg	1a		4010	21112	949	130	481
W2H400+1	17A-AM2	Perm load	45 deg		3	4263	32798	1029	158	726
W2H400+1	17A-AM2	Perm load	90 deg	1a		4307	31284	941	140	691
W2H400+1	17A-AM2	Perm load	90 deg		3	5665	34675	1028	186	765
W2H400+1	17A-AM2	Perm load	-45 deg	1a		10407	26626	945	283	597
W2S400+2	21-AC2	Perm load	0 deg	1a		3894	4355	769	109	109
W2S400+2	21-AC2	Perm load	0 deg		3	3894	4689	874	109	109
W2S400+2	21-AC2	Perm load	90 deg	1a		3894	13158	748	109	255
W2H400+1	22-AE2	Perm load	0 deg		3	3697	35947	1157	111	742
W2H400+1	22-AE2	Perm load	45 deg	1a		12353	30742	1060	276	634
W2H400+1	22-AE2	Perm load	90 deg	1a		3697	36518	1056	111	745

W2H400+1	22-AE2	Perm load	90 deg		3	3697	40557	1154	111	830
W2H400+1	22-AE2	Perm load	-45 deg	1a		11270	30742	1060	276	634
W2S400+2	23-AF2	Perm load	0 deg		3	3672	5880	828	105	130
W2S400+2	23-AF2	Perm load	45 deg	1a		4314	9532	726	116	197
W2S400+2	23-AF2	Perm load	90 deg	1a		3672	14266	718	105	278
W4S400Z+	24-AB2	Perm load	0 deg		3	2879	3560	763	91	91
W4S400Z+	24-AB2	Perm load	90 deg	1a		2879	12281	631	91	257
W4H400ZA	25-AK2	Perm load	0 deg	1b		6590	4113	821	188	126
W4H400ZA	25-AK2	Perm load	45 deg	1b		6564	4721	821	187	141
W4H400ZA	25-AK2	Perm load	90 deg	1a		7976	10768	821	221	289
W4H400ZA	25-AK2	Perm load	90 deg		3	8480	8911	905	234	243
W4H400ZA	25-AK2	Perm load	-45 deg	1b		6065	4732	821	190	141
W4H400ZA	26-AL2	Perm load	0 deg	1b		7912	8572	896	205	219
W4H400ZA	26-AL2	Perm load	90 deg	1a		7700	16972	902	198	403
W4H400ZA	26-AL2	Perm load	90 deg		3	9134	15504	972	231	372
W4H400ZA	26-AL2	Perm load	-45 deg	1a		9410	11965	898	253	293
W2S400A+	27-AH2	Perm load	90 deg	1a		4083	8775	505	133	208
W2S400A+	27-AH2	Perm load	90 deg		3	5585	6660	592	180	157

SLS

Berekening	M	Nmax	Nmin	V
3	10053	548	471	257
5	29952	638	604	838
7	30704	721	682	847
8	31280	835	757	794
9	7975	417	349	226
10	25542	547	513	821
14	36338	922	832	931
15	12556	599	494	321
17	37539	1046	946	843
21	13158	874	748	255
22	40557	1157	1056	830
23	14266	828	718	278
24	12281	763	631	257
25	10768	905	821	289
26	16972	972	896	403
27	8775	592	505	208
17a	34675	1029	941	765
8a	30221	821	753	751

Deze sheet controleerd de resultaten van de spreadsheet met de resultaten zoal sin de berekeningen samengevat.

Voorbeeld opgave belasting in berekening, uit berekening 1

Samenvatting Fundatiebelastingen

	B.C. 1 - SLS γ_{eq}=1.0 ; γ_f=1.0	B.C. 2 - ULS γ_{eq}=1.2 ; γ_f=1.6	B.C. 3 - ULS γ_{eq}=0.9 ; γ_f=1.6
Voetmoment	27327 kNm	33406 kNm	33406 kNm
Dwarskracht	771 kN	927 kN	927 kN
Verticale kracht	631 kN	873 kN	568 kN

| | Berekening VolkerWessel Telecom | | |

W2S400+5 03-Q

Hoogte mast 57 m
Hoogte onderste stroomdraad (F3) 31 m

			Hoogte	Excentriciteit ophanging t.o.v. hart mast
Bliksemdraad = GW / OPGW	M_{mast} =	0,7 m =	56,3 m	-1,459 m
1e traverse - 380C1F1	F2 +	10 m =	51 m	4,41 m
2e traverse - 380C1F2	F3 +	10 m =	41 m	4,41 m
3e traverse - 380C1F3			31 m	4,41 m
Passieve lijn = Comp C.	F3 -	4 m =	27 m	-1,825 m

Uit mast (incl belastingsfactoren)

N	V	M
[kN]	[kN]	[kNm]
449	98	2707

Uit lijnen (incl belastingsfactoren)

Nmin		Nmax	Vmax	Mlangs;ma	Mdwars;max
[kN]		[kN]	[kN]	[kNm]	[kNm]
87	232	276	1834	11800	

Belastingen uit lijnen

			M_{langs}	M_{dwars}	N	V_{langs}	V_{dwars}
Perm load 1,2	0 deg	1a		0	2221	116	0	44
		1b		0	2468	116	0	50
		3		0	3843	232	0	79
		4		0	2591	139	0	52
		6		0	2435	130	0	48
	45 deg	1a		-1530	6812	116	-37	155
		1b		-90	3317	116	-2	71
		3		-334	6478	232	-8	143
		4		-69	3434	139	-2	72
	90 deg	1a		0	**11800**	116	0	**276**
		1b		0	4209	116	0	92
		3		0	9264	**232**	0	210
		4 Construc		0	4312	139	0	93
	-45 deg	1a		1530	6812	116	37	155
		1b		90	3317	116	2	71
		3		334	6478	232	8	143
		4		69	3434	139	2	72
Perm load 0,9	0 deg	1a		0	1741	87	0	35
		1b		0	1969	**87**	0	41
		3		0	3425	203	0	71
		4		0	2128	110	0	43
		6		0	**1725**	87	0	**35**
	45 deg	1a		**-1834**	6466	87	**-44**	149
		1b		-130	2828	**87**	-3	61
		3		-398	6077	203	-9	135
		4 Construc		-93	2977	110	-2	63
	90 deg	1a		0	11560	87	0	272
		1b		0	3747	87	0	84
		3		0	8902	203	0	204
		4		0	3871	110	0	85
	-45 deg	1a		**1834**	6466	87	**44**	149
		1b		130	2828	**87**	3	61
		3		398	6077	203	9	135
		4		93	2977	110	2	63

Belasting uit mast

	N	V	M
regel	[kN]	[kN]	[kNm]
	449	98	2707

Totaal

		Loadcase	M_{langs}	M_{dwars}	N	V_{langs}	V_{dwars}	Totaal moment
1	Perm load 1,2	0 deg	1a		2707	2221	565	98	44	3501,362
2	Perm load 1,2	0 deg	1b		508	2468	565	18	50	2519,824
3	Perm load 1,2	0 deg		3	761	3843	681	28	79	3917,717
4	Perm load 1,2	0 deg		4	508	2591	588	18	52	2639,889
5	Perm load 1,2	0 deg		6						
6										
7	Perm load 1,2	45 deg	1a		3445	8726	565	106	224	9381,266
8	Perm load 1,2	45 deg	1b		449	3676	565	15	84	3702,86
9	Perm load 1,2	45 deg		3	872	7016	681	27	162	7070,149
10	Perm load 1,2	45 deg		4	428	3793	588	15	85	3816,956
11										
12	Perm load 1,2	90 deg	1a		0	14507	565	0	374	14507,36
13	Perm load 1,2	90 deg	1b		0	4716	565	0	111	4716,244
14	Perm load 1,2	90 deg		3	0	10025	681	0	238	10025,4
15	Perm load 1,2	90 deg	4 Construc		0	4819	588	0	112	4819,077
16										
17	Perm load 1,2	-45 deg	1a		3445	8726	565	106	224	9381,266
18	Perm load 1,2	-45 deg	1b		449	3676	565	15	84	3702,86
19	Perm load 1,2	-45 deg		3	872	7016	681	27	162	7070,149
20	Perm load 1,2	-45 deg		4	428	3793	588	15	85	3816,956
21										
22	Perm load 0,9	0 deg	1a		2707	1741	424	98	35	3218,511
23	Perm load 0,9	0 deg	1b		508	1969	424	18	41	2033,444
24	Perm load 0,9	0 deg		3	761	3425	540	28	71	3508,901
25	Perm load 0,9	0 deg		4	508	2128	446	18	43	2187,345
26	Perm load 0,9	0 deg		6						
27										
28	Perm load 0,9	45 deg	1a		3748	8380	424	113	218	9179,969
29	Perm load 0,9	45 deg	1b		489	3187	424	16	74	3224,206
30	Perm load 0,9	45 deg		3	936	6615	540	29	155	6681,13
31	Perm load 0,9	45 deg	4 Construc		452	3336	446	15	76	3366,452
32										
33	Perm load 0,9	90 deg	1a		0	14267	424	0	370	14267,27
34	Perm load 0,9	90 deg	1b		0	4255	424	0	102	4254,647
35	Perm load 0,9	90 deg		3	0	9664	540	0	231	9663,812
36	Perm load 0,9	90 deg		4	0	4379	446	0	103	4378,963
37										
38	Perm load 0,9	-45 deg	1a		3748	8380	424	113	218	9179,969
39	Perm load 0,9	-45 deg	1b		489	3187	424	16	74	3224,206
40	Perm load 0,9	-45 deg		3	936	6615	540	29	155	6681,13
41	Perm load 0,9	-45 deg		4	452	3336	446	15	76	3366,452
			Max		3748	14507	681	113	374	14507

samenvatting

	Mast	Bijlage	Wind	Loadcase	M_{langs}	M_{dwars}	N	V_{langs}	V_{dwars}
12	W2S400+5 03-Q	Perm load	90 deg	1a	0	14507	565	0	374
14	W2S400+5 03-Q	Perm load	90 deg	3	0	10025	681	0	238
28	W2S400+5 03-Q	Perm load	45 deg	1a	3748	8380	424	113	218

W2S400+5
Loadcases for tower strength (ultimate limit state)
Loadcase according to
50341-3-15

APPENDIX: Q

	Attachment point	AHEAD [N]			BACK [N]			Totaal Vert [kN]	Dwars [kN]	Langs [kN]
1a	1a 380C1F1 / 380C2F1	17045	6513	147783	17045	6513	-147783	34,09	13,026	0
Wind, 10 dgr	Wind, 10 dgr 380C1F2/ 380C2F2	17045	6508	147783	17045	6508	-147783	34,09	13,016	0
Permanent loads ygr 1-7	Permanent loads yg= 1.238C1F3 / 380C2F3	17045	6502	147783	17045	6502	-147783	34,09	13,004	0
Wind angle: 0 dgr	Wind angle: 0 dgrGW / opgw	2226	857	19378	2226	857	-19378	4,452	1,714	0
	Comp. gl	4617	1768	40154	4617	1768	-40154	9,234	3,536	0
1b	1b 380C1F1 / 380C2F1	17036	7424	169771	17036	7424	-169771	34,072	14,848	0
Wind, -20 dgr	Wind, -20 dgr 380C1F2/ 380C2F2	17036	7423	169771	17036	7423	-169771	34,072	14,846	0
Permanent loads ygr 1-7	Permanent loads yg= 1.238C1F3 / 380C2F3	17036	7422	169771	17036	7422	-169771	34,072	14,844	0
Wind angle: 0 dgr	Wind angle: 0 dgrGW / opgw	2225	961	21970	2225	961	-21970	4,45	1,922	0
	Comp. gl	4615	1971	45077	4615	1971	-45077	9,23	3,942	0
3	3 380C1F1 / 380C2F1	29376	10455	238677	29376	10455	-238677	58,752	20,91	0
Wind+ice, -5 dgr	Wind+ice, -5 dgr 380C1F2/ 380C2F2	29376	10452	238677	29376	10452	-238677	58,752	20,904	0
Permanent loads ygr 1-7	Permanent loads yg= 1.238C1F3 / 380C2F3	29376	10449	238677	29376	10449	-238677	58,752	20,898	0
Wind angle: 0 dgr	Wind angle: 0 dgrGW / opgw	9244	2664	60775	9244	2664	-60775	18,488	5,328	0
	Comp. gl	18676	5363	122498	18676	5363	-122498	37,352	10,726	0
4	4 380C1F1 / 380C2F1	20053	7508	171693	20053	7508	-171693	40,106	15,016	0
Construction/maintenance, +5 dgr	Construction/maintenance, 5 dgr 380C1F2/ 380C2F2	20053	7507	171693	20053	7507	-171693	40,106	15,014	0
Permanent loads ygr 1-7	Permanent loads yg= 1.238C1F3 / 380C2F3	20053	7506	171693	20053	7506	-171693	40,106	15,012	0
Wind angle: 0 dgr	Wind angle: 0 dgrGW / opgw	2978	1094	25008	2978	1094	-25008	5,956	2,188	0
	Comp. gl	6122	2243	51307	6122	2243	-51307	12,244	4,486	0
6	6 380C1F1 / 380C2F1	19177	7092	162441	19177	7092	-162441	38,354	14,184	0
Permanent, +10 dgr	Permanent, 10 dgr 380C1F2/ 380C2F2	19177	7092	162441	19177	7092	-162441	38,354	14,184	0
Permanent loads ygr 1-7	Permanent loads yg= 1.35380C1F3 / 380C2F3	19177	7092	162441	19177	7092	-162441	38,354	14,184	0
	GW / opgw	2505	932	21353	2505	932	-21353	5,01	1,864	0
	Comp. gl	5195	1931	44221	5195	1931	-44221	10,39	3,862	0
1a	1a 380C1F1 / 380C2F1	17049	21543	183132	17051	25846	-195119	34,1	48,389	-11,987
Wind, 10 dgr	Wind, 10 dgr 380C1F2/ 380C2F2	17049	21159	178348	17050	24178	-188973	34,099	45,337	-10,625
Permanent loads ygr 1-7	Permanent loads yg= 1.238C1F3 / 380C2F3	17048	19411	172571	17049	22068	-181469	34,097	41,479	-8,898
Wind angle: 45 dgr	Wind angle: 45 dgrGW / opgw	2227	3719	27068	2227	4308	-29443	4,454	8,027	-2,375
	Comp. gl	4618	5531	47908	4618	6308	-50647	9,236	11,839	-2,739
1b	1b 380C1F1 / 380C2F1	17036	10392	171437	17036	10979	-172153	34,072	21,371	-0,716
Wind, -20 dgr	Wind, -20 dgr 380C1F2/ 380C2F2	17036	10146	171172	17036	10683	-171777	34,072	20,829	-0,605
Permanent loads ygr 1-7	Permanent loads yg= 1.238C1F3 / 380C2F3	17036	9834	170867	17036	10308	-171344	34,072	20,142	-0,477
Wind angle: 45 dgr	Wind angle: 45 dgrGW / opgw	2225	1484	22378	2225	1588	-22550	4,45	3,072	-0,172
	Comp. gl	4615	2671	45427	4615	2809	-45579	9,23	5,48	-0,152
3	3 380C1F1 / 380C2F1	29377	18822	244963	29378	20489	-247581	58,755	39,311	-2,618
Wind+ice, -5 dgr	Wind+ice, -5 dgr 380C1F2/ 380C2F2	29377	18123	243983	29377	19647	-246210	58,754	37,77	-2,227
Permanent loads ygr 1-7	Permanent loads yg= 1.238C1F3 / 380C2F3	29377	17238	242850	29377	18582	-244618	58,754	35,82	-1,768
Wind angle: 45 dgr	Wind angle: 45 dgrGW / opgw	9245	5332	62378	9245	5860	-63049	18,49	11,192	-0,671
	Comp. gl	18677	8939	123915	18677	9640	-124532	37,354	18,579	-0,617
4	4 380C1F1 / 380C2F1	20053	10461	172975	20053	11041	-173535	40,106	21,502	-0,56
Construction/maintenance, +5 dgr	Construction/maintenance, 5 dgr 380C1F2/ 380C2F2	20053	10217	172769	20053	10748	-173241	40,106	20,965	-0,472
Permanent loads ygr 1-7	Permanent loads yg= 1.238C1F3 / 380C2F3	20053	9908	172531	20053	10377	-172903	40,106	20,285	-0,372
Wind angle: 45 dgr	Wind angle: 45 dgrGW / opgw	2978	1611	25273	2978	1713	-25388	5,956	3,324	-0,115
	Comp. gl	6122	2938	51534	6122	3074	-51635	12,244	6,012	-0,101
1a	1a 380C1F1 / 380C2F1	17059	43378	264457	17059	43378	-264457	34,118	86,756	0
Wind, 10 dgr	Wind, 10 dgr 380C1F2/ 380C2F2	17058	40254	251855	17058	40254	-251855	34,116	80,508	0
Permanent loads ygr 1-7	Permanent loads yg= 1.238C1F3 / 380C2F3	17056	36280	235871	17056	36280	-235871	34,112	72,56	0
Wind angle: 90 dgr	Wind angle: 90 dgrGW / opgw	2228	7398	42270	2228	7398	-42270	4,456	14,796	0
	Comp. gl	4620	10456	67128	4620	10456	-67128	9,24	20,912	0
1b	1b 380C1F1 / 380C2F1	17037	14120	177780	17037	14120	-177780	34,074	28,24	0
Wind, -20 dgr	Wind, -20 dgr 380C1F2/ 380C2F2	17037	13553	176563	17037	13553	-176563	34,074	27,106	0
Permanent loads ygr 1-7	Permanent loads yg= 1.238C1F3 / 380C2F3	17036	12838	175146	17036	12838	-175146	34,072	25,676	0
Wind angle: 90 dgr	Wind angle: 90 dgrGW / opgw	2225	2151	21864	2225	2151	-23864	4,45	4,302	0
	Comp. gl	4615	3546	46782	4615	3546	-46782	9,23	7,092	0
3	3 380C1F1 / 380C2F1	29382	29439	267163	29382	29439	-267163	58,764	58,878	0
Wind+ice, -5 dgr	Wind+ice, -5 dgr 380C1F2/ 380C2F2	29381	27824	263059	29381	27824	-263059	58,762	55,648	0
Permanent loads ygr 1-7	Permanent loads yg= 1.238C1F3 / 380C2F3	29380	25783	258193	29380	25783	-258193	58,76	51,566	0
Wind angle: 90 dgr	Wind angle: 90 dgrGW / opgw	9247	8678	68065	9247	8678	-68065	18,494	17,356	0
	Comp. gl	18679	13366	129367	18679	13366	-129367	37,358	26,732	0
4 Construction/maintenance, +5 dgr Permanent loads ygr 1-7	4 380C1F1 / 380C2F1	20054	14133	177989	20054	14133	-177989	40,108	28,266	0
Construction/maintenance	Construction/maintenance, 5 dgr 380C1F2/ 380C2F2	20053	13576	177019	20053	13576	-177019	40,106	27,152	0
Permanent loads ygr	Permanent loads yg= 1.238C1F3 / 380C2F3	20053	12873	175893	20053	12873	-175893	40,106	25,746	0
Wind angle: 90 dgr	Wind angle: 90 dgrGW / opgw	2978	2257	26289	2978	2257	-26289	5,956	4,514	0
	Comp. gl	6122	3794	52450	6122	3794	-52450	12,244	7,588	0
1a	1a 380C1F1 / 380C2F1	17051	25846	195119	17049	22543	-183132	34,1	48,389	11,987
Wind, 10 dgr	Wind, 10 dgr 380C1F2/ 380C2F2	17050	24178	188973	17049	21159	-178348	34,099	45,337	10,625
Permanent loads ygr 1-7	Permanent loads yg= 1.238C1F3 / 380C2F3	17049	22068	181469	17048	19411	-172571	34,097	41,479	8,898
Wind angle: -45 dgr	Wind angle: -45 dgrGW / opgw	2227	4308	29443	2227	3719	-27068	4,454	8,027	2,375
	Comp. gl	4618	6308	50647	4618	5531	-47908	9,236	11,839	2,739
1b	1b 380C1F1 / 380C2F1	17036	10979	172153	17036	10392	-171437	34,072	21,371	0,716
Wind, -20 dgr	Wind, -20 dgr 380C1F2/ 380C2F2	17036	10683	171777	17036	10146	-171172	34,072	20,829	0,605
Permanent loads ygr 1-7	Permanent loads yg= 1.238C1F3 / 380C2F3	17036	10308	171344	17036	9834	-170867	34,072	20,142	0,477
Wind angle: -45 dgr	Wind angle: -45 dgrGW / opgw	2225	1588	22550	2225	1484	-22378	4,45	3,072	0,172
	Comp. gl	4615	2809	45579	4615	2671	-45427	9,23	5,48	0,152
3	3 380C1F1 / 380C2F1	29378	20489	247581	29377	18822	-244963	58,755	39,311	2,618
Wind+ice, -5 dgr	Wind+ice, -5 dgr 380C1F2/ 380C2F2	29377	19647	246210	29377	18123	-243983	58,754	37,77	2,227
Permanent loads ygr 1-7	Permanent loads yg= 1.238C1F3 / 380C2F3	29377	18582	244618	29377	17238	-242850	58,754	35,82	1,768
Wind angle: -45 dgr	Wind angle: -45 dgrGW / opgw	9245	5860	63049	9245	5332	-62378	18,49	11,192	0,671
	0 Comp. gl	18677	9640	124532	18677	8939	-123915	37,354	18,579	0,617
4	4 380C1F1 / 380C2F1	20053	11041	173535	20053	10461	-172975	40,106	21,502	0,56
Construction/maintenance, +5 dgr	Construction/maintenance, 5 dgr 380C1F2/ 380C2F2	20053	10748	173241	20053	10217	-172769	40,106	20,965	0,472
Permanent loads ygr 1-7	Permanent loads yg= 1.238C1F3 / 380C2F3	20053	10377	172903	20053	9908	-172531	40,106	20,285	0,372
Wind angle: -45 dgr	Wind angle: -45 dgrGW / opgw	2978	1713	25388	2978	1611	-25273	5,956	3,324	0,115
	Comp. gl	6122	3074	51635	6122	2938	-51534	12,244	6,012	0,101
1a	1a 380C1F1 / 380C2F1	12781	5163	116856	12781	5163	-116856	25,562	10,326	0
Wind, 10 dgr	Wind, 10 dgr 380C1F2/ 380C2F2	12781	5158	116856	12781	5158	-116856	25,562	10,316	0
Permanent loads ygr 0,9	Permanent loads yg= 0.9380C1F3 / 380C2F3	12781	5152	116856	12781	5152	-116856	25,562	10,304	0
Wind angle: 0 dgr	Wind angle: 0 dgrGW / opgw	1669	675	15226	1669	675	-15226	3,338	1,35	0
	Comp. gl	3462	1394	31599	3462	1394	-31599	6,924	2,788	0
1b	1b 380C1F1 / 380C2F1	12774	6004	137241	12774	6004	-137241	25,548	12,008	0
Wind, -20 dgr	Wind, -20 dgr 380C1F2/ 380C2F2	12774	6003	137241	12774	6003	-137241	25,548	12,006	0
Permanent loads ygr 0,9	Permanent loads yg= 0.9380C1F3 / 380C2F3	12774	6002	137241	12774	6002	-137241	25,548	12,004	0
Wind angle: 0 dgr	Wind angle: 0 dgrGW / opgw	1668	769	17575	1668	769	-17575	3,336	1,538	0
	Comp. gl	3461	1578	36072	3461	1578	-36072	6,922	3,156	0
3	3 380C1F1 / 380C2F1	25109	9299	212205	25109	9299	-212205	50,218	18,598	0
Wind+ice, -5 dgr	Wind+ice, -5 dgr 380C1F2/ 380C2F2	25109	9296	212205	25109	9296	-212205	50,218	18,592	0
Permanent loads ygr 0,9	Permanent loads yg= 0.9380C1F3 / 380C2F3	25109	9293	212206	25109	9293	-212206	50,218	18,586	0
Wind angle: 0 dgr	Wind angle: 0 dgrGW / opgw	8685	2547	58077	8685	2547	-58077	17,37	5,094	0
	Comp. gl	17518	5120	116923	17518	5120	-116923	35,036	10,24	0
4	4 380C1F1 / 380C2F1	15788	6214	142035	15788	6214	-142035	31,576	12,428	0
Construction/maintenance, +5 dgr	Construction/maintenance, 5 dgr 380C1F2/ 380C2F2	15788	6213	142035	15788	6213	-142035	31,576	12,426	0
Permanent loads ygr 0,9	Permanent loads yg= 0.9380C1F3 / 380C2F3	15788	6211	142035	15788	6211	-142035	31,576	12,422	0
Wind angle: 0 dgr	Wind angle: 0 dgrGW / opgw	2421	926	21162	2421	926	-21162	4,842	1,852	0
	Comp. gl	4966	1897	43378	4966	1897	-43378	9,932	3,794	0
6	6 380C1F1 / 380C2F1	12781	5102	116857	12781	5102	-116857	25,562	10,204	0
Permanent, +10 dgr	Permanent, 10 dgr 380C1F2/ 380C2F2	12781	5102	116857	12781	5102	-116857	25,562	10,204	0
Permanent loads ygr 0,9	Permanent loads yg= 1.35380C1F3 / 380C2F3	12781	5102	116857	12781	5102	-116857	25,562	10,204	0
	GW / opgw	1669	665	15226	1669	665	-15226	3,338	1,33	0
	Comp. gl	3462	1380	31600	3462	1380	-31600	6,924	2,76	0
1a	1a 380C1F1 / 380C2F1	12785	21663	163009	12786	25064	-177259	25,571	46,727	-14,25
Wind, 10 dgr	Wind, 10 dgr 380C1F2/ 380C2F2	12785	20233	157183	12786	23347	-170010	25,571	43,58	-12,827
Permanent loads ygr 0,9	Permanent loads yg= 0.9380C1F3 / 380C2F3	12784	18424	150020	12785	21172	-160994	25,569	39,596	-10,974
Wind angle: 45 dgr	Wind angle: 45 dgrGW / opgw	1670	3622	24851	1670	4224	-27536	3,34	7,846	-2,681
	Comp. gl	3463	5267	41858	3463	6069	-45189	6,926	11,336	-3,331
1b	1b 380C1F1 / 380C2F1	12774	9007	139715	12774	9607	-140754	25,548	18,614	-1,039
Wind, -20 dgr	Wind, -20 dgr 380C1F2/ 380C2F2	12774	8755	139328	12774	9304	-140209	25,548	18,059	-0,881
Permanent loads ygr 0,9	Permanent loads yg= 0.9380C1F3 / 380C2F3	12774	8437	138881	12774	8920	-139579	25,548	17,357	-0,698
Wind angle: 45 dgr	Wind angle: 45 dgrGW / opgw	1668	1300	18170	1668	1408	-18414	3,336	2,708	-0,244

Belastingen op mastvoet, per lijn

	M_{langs}	M_{dwars}	N	V_{langs}	V_{dwars}
1a	0	814,6629	34,09	0	13,026
1b	0	683,9929	34,09	0	13,016
3	0	553,4609	34,09	0	13,004
4	0	907,5055	34,072	0	14,848
6	0	758,9435	34,072	0	14,846
1a	0	610,4215	34,072	0	14,844
1b	0	101,7161	4,45	0	1,922
3	0	89,58925	9,23	0	3,942
4	0	1325,506	58,752	0	20,91
1a	0	1116,16	58,752	0	20,904
1b	0	906,9343	58,752	0	20,898
3	0	272,9924	18,488	0	5,328
4	0	221,4346	37,352	0	10,726
1a	0	942,6835	40,106	0	15,016
1b	0	792,4415	40,106	0	15,014
3	0	642,2395	40,106	0	15,012
4	0	114,4946	5,956	0	2,188
6	0	98,7767	12,244	0	4,486
1a	0	892,5251	38,354	0	14,184
1b	0	750,6851	38,354	0	14,184
3	0	608,8451	38,354	0	14,184
4	0	97,63361	5,01	0	1,864
6	0	85,31225	10,39	0	3,862
1a	-611,337	2618,22	34,1	-11,987	48,389
1b	-435,625	2009,194	34,099	-10,625	45,337
3	-275,838	1436,217	34,097	-8,898	41,479
4	-133,713	445,4217	4,454	-2,375	8,027
6	-73,953	302,7973	9,236	-2,739	11,839
1a	-36,516	1240,179	34,072	-0,716	21,371
1b	-24,805	1004,247	34,072	-0,605	20,829
3	-14,787	774,6595	34,072	-0,477	20,142
4	-9,6836	166,4611	4,45	-0,172	3,072
6	-4,104	131,1153	9,23	-0,152	5,48
1a	0	814,6629	34,09	0	13,026
1b	0	683,9929	34,09	0	13,016
3	0	553,4609	34,09	0	13,004
4	0	907,5055	34,072	0	14,848
6	0	758,9435	34,072	0	14,846
1a	0	610,4215	34,072	0	14,844
1b	0	101,7161	4,45	0	1,922
3	0	89,58925	9,23	0	3,942
4	0	1325,506	58,752	0	20,91
1a	0	1116,16	58,752	0	20,904
1b	0	906,9343	58,752	0	20,898
3	0	272,9924	18,488	0	5,328
4	0	221,4346	37,352	0	10,726
1a	0	942,6835	40,106	0	15,016
1b	0	792,4415	40,106	0	15,014
3	0	642,2395	40,106	0	15,012
4	0	114,4946	5,956	0	2,188
6	0	98,7767	12,244	0	4,486
1a	0	892,5251	38,354	0	14,184
1b	0	750,6851	38,354	0	14,184
3	0	608,8451	38,354	0	14,184
4	0	97,63361	5,01	0	1,864
6	0	85,31225	10,39	0	3,862
1a	-611,337	2618,22	34,1	-11,987	48,389
1b	-435,625	2009,194	34,099	-10,625	45,337
3	-275,838	1436,217	34,097	-8,898	41,479
4	-133,713	445,4217	4,454	-2,375	8,027
6	-73,953	302,7973	9,236	-2,739	11,839
1a	-36,516	1240,179	34,072	-0,716	21,371
1b	-24,805	1004,247	34,072	-0,605	20,829
3	-14,787	774,6595	34,072	-0,477	20,142
4	-9,6836	166,4611	4,45	-0,172	3,072
6	-4,104	131,1153	9,23	-0,152	5,48
1a	0	814,6629	34,09	0	13,026
1b	0	683,9929	34,09	0	13,016
3	0	553,4609	34,09	0	13,004
4	0	907,5055	34,072	0	14,848
6	0	758,9435	34,072	0	14,846
1a	0	610,4215	34,072	0	14,844
1b	0

	Comp. gl	3461	2285	36591	3461	2426	-36811	6,922	4,711	-0,22	-5,94	114,5644	6,922	-0,22	4,711										
	3 3 80C1F1 / 380C2F1	25110	17728	219938	25111	19418	-223104	50,221	37,146	-3,166	-161,466	2115,921	50,221	-3,166	37,146	3	-397,984	6076,842	203,07	-9,419	135,414				
Wind+ice, -5 dgr	Wind+ice, -5 dgr 380C1F2/ 380C2F2	25110	17020	218747	25110	18564	-221449	50,22	35,584	-2,702	-110,782	1680,414	50,22	-2,702	35,584	Wind angle: 45 dgr									
Permanent loads yg=0.9	Permanent loads yg= 0.9380C1F3 / 380C2F3	25110	16124	217365	25110	17485	-219519	50,22	33,609	-2,154	-66,774	1263,349	50,22	-2,154	33,609										
Wind angle: 45 dgr	Wind angle: 45 dgrGW / opgw	8686	5220	59821	8686	5750	-60546	17,372	10,97	-0,725	-40,8175	592,2653	17,372	-0,725	10,97										
	Comp. gl	17518	8701	118475	17519	9404	-119147	35,037	18,105	-0,672	-18,144	424,8925	35,037	-0,672	18,105										
Construction/maintenan	4 4 80C1F1 / 380C2F1	15788	9188	143816	15788	9776	-144577	31,576	18,964	-0,761	-38,811	1106,414	31,576	-0,761	18,964	4 Construc	-92,9174	2977,093	109,502	-2,195	63,437				
Construction/maintenan	Construction/maintenance, 5 dgr 380C1F2/ 380C2F2	15788	8940	143533	15788	9479	-144177	31,576	18,419	-0,644	-26,404	894,4292	31,576	-0,644	18,419	Wind angle: 45 dgr									
Permanent loads yg=	Permanent loads yg= 0.9380C1F3 / 380C2F3	15788	8627	143207	15788	9103	-143716	31,576	17,73	-0,509	-15,779	688,8802	31,576	-0,509	17,73										
Wind angle: 45 dgr	Wind angle: 45 dgrGW / opgw	2421	1447	21512	2421	1550	-21660	4,842	2,997	-0,148	-8,3324	161,6666	4,842	-0,148	2,997										
	Comp. gl	4966	2595	43682	4966	2732	-43815	9,932	5,327	-0,133	-3,591	125,7031	9,932	-0,133	5,327										
1a	1a 380C1F1 / 380C2F1	12793	42929	254216	12793	42929	-254216	25,586	85,858	0	0	4491,592	25,586	0	85,858	1a	0	11560,27	87,024	0	272,17				
Wind, 10 dgr	Wind, 10 dgr 380C1F2/ 380C2F2	12792	39763	240668	12792	39763	-240668	25,584	79,526	0	0	3373,391	25,584	0	79,526	Wind angle: 90 dgr									
Permanent loads yg=	Permanent loads yg= 0.9380C1F3 / 380C2F3	12791	35728	223269	12791	35728	-223269	25,582	71,456	0	0	2327,953	25,582	0	71,456										
Wind angle: 90 dgr	Wind angle: 90 dgrGW / opgw	1671	7354	41259	1671	7354	-41259	3,342	14,708	0	0	823,1844	3,342	0	14,708										
	Comp. gl	3465	10311	63835	3465	10311	-63835	6,93	20,622	0	0	544,1468	6,93	0	20,622										
1b	1b 380C1F1 / 380C2F1	12775	12849	148701	12775	12849	-148701	25,55	25,698	0	0	1423,274	25,55	0	25,698	1b	0	3747,084	86,91	0	83,616				
Wind, -20 dgr	Wind, -20 dgr 380C1F2/ 380C2F2	12775	12262	147011	12775	12262	-147011	25,55	24,524	0	0	1118,16	25,55	0	24,524	Wind angle: 90 dgr									
Permanent loads yg=	Permanent loads yg= 0.9380C1F3 / 380C2F3	12775	11521	145023	12775	11521	-145023	25,55	23,042	0	0	826,9775	25,55	0	23,042										
Wind angle: 90 dgr	Wind angle: 90 dgrGW / opgw	1669	1991	20212	1669	1991	-20212	3,338	3,982	0	0	219,3165	3,338	0	3,982										
	Comp. gl	3461	3185	38518	3461	3185	-38518	6,922	6,37	0	0	159,3574	6,922	0	6,37										
3	3 380C1F1 / 380C2F1	25115	28522	246207	25115	28522	-246207	50,23	57,044	0	0	3130,758	50,23	0	57,044	3	0	8902,468	203,104	0	203,862				
Wind+ice, -5 dgr	Wind+ice, -5 dgr 380C1F2/ 380C2F2	25114	26877	241439	25114	26877	-241439	50,228	53,754	0	0	2425,419	50,228	0	53,754	Wind angle: 90 dgr									
Permanent loads yg=	Permanent loads yg= 0.9380C1F3 / 380C2F3	25113	24801	235739	25113	24801	-235739	50,226	49,602	0	0	1759,159	50,226	0	49,602										
Wind angle: 90 dgr	Wind angle: 90 dgrGW / opgw	8689	8583	65910	8689	8583	-65910	17,378	17,166	0	0	941,0913	17,378	0	17,166										
	Comp. gl	17521	13148	124374	17521	13148	-124374	35,042	26,296	0	0	646,0404	35,042	0	26,296										
4	4 380C1F1 / 380C2F1	15789	12933	150536	15789	12933	-150536	31,578	25,866	0	0	1458,425	31,578	0	25,866	4	0	3871,401	109,506	0	85,014				
Construction/maintenan	Construction/maintenance, 5 dgr 380C1F2/ 380C2F2	15789	12363	149251	15789	12363	-149251	31,578	24,726	0	0	1153,025	31,578	0	24,726	Wind angle: 90 dgr									
Permanent loads yg=	Permanent loads yg= 0.9380C1F3 / 380C2F3	15788	11643	147752	15788	11643	-147752	31,576	23,286	0	0	861,1162	31,576	0	23,286										
Wind angle: 90 dgr	Wind angle: 90 dgrGW / opgw	2421	2105	22810	2421	2105	-22810	4,842	4,21	0	0	229,9585	4,842	0	4,21										
	Comp. gl	4966	3463	44876	4966	3463	-44876	9,932	6,926	0	0	168,8761	9,932	0	6,926										
1a	1a 380C1F1 / 380C2F1	12786	25064	177259	12785	21663	-163009	25,571	46,727	14,25	726,75	2495,845	25,571	14,25	46,727	1a	1833,728	6465,917	86,977	44,063	149,085				
Wind, 10 dgr	Wind, 10 dgr 380C1F2/ 380C2F2	12786	23347	170010	12785	20233	-157183	25,571	43,58	12,827	525,907	1899,548	25,571	12,827	43,58	Wind angle: -45 dgr									
Permanent loads yg=	Permanent loads yg= 0.9380C1F3 / 380C2F3	12785	21172	160994	12784	18424	-150020	25,569	39,596	10,974	340,194	1340,235	25,569	10,974	39,596										
Wind angle: -45 dgr	Wind angle: -45 dgrGW / opgw	1670	4224	27536	1670	3622	-24855	3,34	7,846	2,681	150,9403	436,8567	3,34	2,681	7,846										
	Comp. gl	3463	6069	45189	3463	5267	-41858	6,926	11,336	3,331	89,937	293,4321	6,926	3,331	11,336										
1b	1b 380C1F1 / 380C2F1	12774	9607	140754	12774	9007	-139715	25,548	18,614	1,039	52,989	1061,981	25,548	1,039	18,614	1b	130,4252	2827,958	86,902	3,082	61,449				
Wind, -20 dgr	Wind, -20 dgr 380C1F2/ 380C2F2	12774	9304	140209	12774	8755	-139128	25,548	18,059	0,881	36,121	853,0857	25,548	0,881	18,059	Wind angle: -45 dgr									
Permanent loads yg=	Permanent loads yg= 0.9380C1F3 / 380C2F3	12774	8920	139579	12774	8437	-138881	25,548	17,357	0,698	21,638	650,7337	25,548	0,698	17,357										
Wind angle: -45 dgr	Wind angle: -45 dgrGW / opgw	1668	1408	18414	1668	1300	-18170	3,336	2,708	0,244	13,7372	147,5932	3,336	0,244	2,708										
	Comp. gl	3461	2426	36811	3461	2285	-36591	6,922	4,711	0,22	5,94	114,5644	6,922	0,22	4,711										
3	3 380C1F1 / 380C2F1	25111	19418	223104	25110	17728	-219938	50,221	37,146	3,166	161,466	2115,921	50,221	3,166	37,146	3	397,9835	6076,842	203,07	9,419	135,414				
Wind+ice, -5 dgr	Wind+ice, -5 dgr 380C1F2/ 380C2F2	25110	18564	221449	25110	17020	-218747	50,22	35,584	2,702	110,782	1680,414	50,22	2,702	35,584	Wind angle: -45 dgr									
Permanent loads yg=	Permanent loads yg= 0.9380C1F3 / 380C2F3	25110	17485	219519	25110	16124	-217365	50,22	33,609	2,154	66,774	1263,349	50,22	2,154	33,609										
Wind angle: -45 dgr	Wind angle: -45 dgrGW / opgw	8686	5750	60546	8686	5220	-59821	17,372	10,97	0,725	40,8175	592,2653	17,372	0,725	10,97										
	Comp. gl	17519	9404	119147	17518	8701	-118475	35,037	18,105	0,672	18,144	424,8925	35,037	0,672	18,105										
4	4 380C1F1 / 380C2F1	15788	9776	144577	15788	9188	-143816	31,576	18,964	0,761	38,811	1106,414	31,576	0,761	18,964	4	92,9174	2977,093	109,502	2,195	63,437				
Construction/maintenan	Construction/maintenance, 5 dgr 380C1F2/ 380C2F2	15788	9479	144177	15788	8940	-143533	31,576	18,419	0,644	26,404	894,4292	31,576	0,644	18,419	Wind angle: -45 dgr									
Permanent loads yg=	Permanent loads yg= 0.9380C1F3 / 380C2F3	15788	9103	143716	15788	8627	-143207	31,576	17,73	0,509	15,779	688,8802	31,576	0,509	17,73										
Wind angle: -45 dgr	Wind angle: -45 dgrGW / opgw	2421	1550	21660	2421	1447	-21512	4,842	2,997	0,148	8,3324	161,6666	4,842	0,148	2,997										
	Comp. gl	4966	2732	43815	4966	2595	-43682	9,932	5,327	0,133	3,591	125,7031	9,932	0,133	5,327										

W2S400 03 -Q2

Hoogte mast 57 m
Hoogte onderste stroomdraad (F3) 31 m

		Hoogte	Excentriciteit ophanging t.o.v. hart mast
Bliksemdraad = GW / CM_{max} =	0,7 m =	56,3 m	-1,459 m
1e traverse - 380C1F1 F2 +	10 m =	51 m	4,41 m
2e traverse - 380C1F2 F3 +	10 m =	41 m	4,41 m
3e traverse - 380C1F3		31 m	4,41 m
Passieve lijn = Comp C. F3 -	4 m =	27 m	-1,825 m

Uit mast — ULS (incl bel factoren)

N [kN]	V [kN]	M [kNm]
449	98	2707

Uit lijnen — SLS

Nmin [kN]	Nmax [kN]	Vmax [kN]	Mlangs;max [kNm]	Mdwars;max [kNm]
97	174	191	961	8249

Perm load 1,2			Belastingen uit lijnen M_{langs}	M_{dwars}	N	V_{langs}	V_{dwars}	Belasting uit mast N	V	M
	0 deg	1a	0	**1899**	97	0	**38**	374	65	1805
		1b	0	2139	**97**	0	44	374	65	1805
		3	0	3080	174	0	64	374	65	1805
		4	0	2166	112	0	44	374	65	1805
	45 deg	1a	**-961**	4927	97	**-23**	111	374	65	1805
		1b	-51	2702	**97**	-1	58	374	65	1805
		3	-218	4834	174	-5	106	374	65	1805
		4	-40	2727	112	-1	57	374	65	1805
	90 deg	1a	0	**8249**	97	0	**191**	374	65	1805
		1b	0	3290	97	0	72	374	65	1805
		3	0	6690	**174**	0	151	374	65	1805
		4	0	3308	112	0	71	374	65	1805
	-45 deg	1a	**961**	4927	97	**23**	111	374	65	1805
		1b	51	2702	**97**	1	58	374	65	1805
		3	218	4834	174	5	106	374	65	1805
		4	40	2727	112	1	57	374	65	1805

regel			Loadcase	Totaal M_{langs}	M_{dwars}	N	V_{langs}	V_{dwars}	Totaal moment	M langs max	M dwars max	N max	V langs max	V dwars max	M tot max	N min
1	Perm load 1,2	0 deg	1a	1805	3703	471	65	103	4119,769	1						
2	Perm load 1,2	0 deg	1b	1805	3943	471	65	109	4336,594	2						x
3	Perm load 1,2	0 deg	3	1805	4885	548	65	129	5207,538	3						
4	Perm load 1,2	0 deg	4	1805	3971	486	65	109	4361,772	4						
5										5						
6	Perm load 1,2	45 deg	1a	2765	6731	471	88	176	7277,382	6	x			x		
7	Perm load 1,2	45 deg	1b	1856	4506	471	67	123	4873,432	7						x
8	Perm load 1,2	45 deg	3	2022	6639	548	70	171	6940,124	8						
9	Perm load 1,2	45 deg	4	1845	4532	486	66	122	4892,657	9						
10										10						
11	Perm load 1,2	90 deg	1a	1805	10053	471	65	257	10214,17	11	x		x	x		
12	Perm load 1,2	90 deg	1b	1805	5095	471	65	137	5404,901	12						
13	Perm load 1,2	90 deg	3	1805	8494	548	65	216	8683,805	13		x				
14	Perm load 1,2	90 deg	4 Construct	1805	5113	486	65	136	5421,723	14						
15										15						
16	Perm load 1,2	-45 deg	1a	2237	6731	471	88	176	7093,391	16				x		
17	Perm load 1,2	-45 deg	1b	1327	4506	471	67	123	4697,674	17						x
18	Perm load 1,2	-45 deg	3	1494	6639	548	70	171	6804,916	18						
19	Perm load 1,2	-45 deg	4	1316	4532	486	66	122	4718,818	19						
				2765	10053	548	88	257	10214							
						471										

samenvatting

Mast	Bijlage	Wind	Loadcase	M_{langs}	M_{dwars}	N	V_{langs}	V_{dwars}
2	W2S400+5 03-Q2	Perm load :0 deg	1b	1805	3943	471	65	109
6	W2S400+5 03-Q2	Perm load :45 deg	1a	2765	6731	471	88	176
11	W2S400+5 03-Q2	Perm load :90 deg	1a	1805	10053	471	65	257
13	W2S400+5 03-Q2	Perm load :90 deg	3	1805	8494	548	65	216
	W2S400+5 03-Q2	#N/B	#N/B	#N/B	#N/B	#N/B	#N/B	#N/B
	W2S400+5 03-Q2	#N/B	#N/B	#N/B	#N/B	#N/B	#N/B	#N/B

W2S400+5 TOWER APPENDIX: Q2

Loadcases for tower deflection analyses (Serviceability limit state)

Loadcase according to S0341-3-15

		AHEAD		BACK		Totaal Vert	Dwars	Langs
	Attachment point	[N]	[N]	[N]	[N]	[kN]	[kN]	[kN]
1a	1a 380C1F1 / 380C2F1	14202	5604	14202	5604	-127432	28,404	11,208	0
Wind, 10 dgr	Wind, 10 dgr 380C1F2/	14202	5601	14202	5601	-127432	28,404	11,202	0
Permanent lo	Permanent loads yg= 1	14202	5597	14202	5597	-127433	28,404	11,194	0
Wind angle:	Wind angle: 0 dgrGW /	1855	734	16643	1855	734	-16643	3,71	1,468	0
	Comp. gl	3847	1517	34520	3847	1517	-34520	7,694	3,034	0
1b	1b 380C1F1 / 380C2F1	14194	6488	148420	14194	6488	-148420	28,388	12,976	0
Wind, -20 dg	Wind, -20 dgr 380C1F2	14194	6488	148420	14194	6488	-148420	28,388	12,976	0
Permanent lo	Permanent loads yg= 1	14194	6487	148420	14194	6487	-148420	28,388	12,974	0
Wind angle:	Wind angle: 0 dgrGW /	1854	835	19082	1854	835	-19082	3,708	1,67	0
	Comp. gl	3845	1712	39161	3845	1712	-39161	7,69	3,424	0
3	3 380C1F1 / 380C2F1	22419	8527	194794	22419	8527	-194794	44,838	17,054	0
Wind+ice, -5	Wind+ice, -5 dgr 380C1	22419	8526	194794	22419	8526	-194794	44,838	17,052	0
Permanent lo	Permanent loads yg= 1	22419	8523	194794	22419	8523	-194794	44,838	17,046	0
Wind angle:	Wind angle: 0 dgrGW /	6530	2063	47087	6530	2063	-47087	13,06	4,126	0
	Comp. gl	13213	4160	95055	13213	4160	-95055	26,426	8,32	0
4	4 380C1F1 / 380C2F1	16206	6341	145038	16206	6341	-145038	32,412	12,682	0
Construction	Construction/maintenu	16206	6340	145038	16206	6340	-145038	32,412	12,68	0
Permanent lo	Permanent loads yg= 1	16206	6339	145038	16206	6339	-145038	32,412	12,678	0
Wind angle:	Wind angle: 0 dgrGW /	2356	905	20697	2356	905	-20697	4,712	1,81	0
	Comp. gl	4850	1860	42552	4850	1860	-42552	9,7	3,72	0
1a	1a 380C1F1 / 380C2F1	14204	16175	148395	14205	18358	-155965	28,409	34,533	-7,57
Wind, 10 dgr	Wind, 10 dgr 380C1F2/	14204	15262	145430	14205	17254	-152061	28,409	32,516	-6,631
Permanent lo	Permanent loads yg= 1	14203	14111	141896	14204	15861	-147361	28,407	29,972	-5,465
Wind angle:	Wind angle: 45 dgrGW	1855	2622	21312	1855	3013	-22871	3,71	5,635	-1,559
	Comp. gl	3848	3998	39053	3848	4509	-40744	7,696	8,507	-1,691
1b	1b 380C1F1 / 380C2F1	14194	8459	149353	14194	8847	-149759	28,388	17,306	-0,406
Wind, -20 dg	Wind, -20 dgr 380C1F2	14194	8296	149203	14194	8651	-149545	28,388	16,947	-0,342
Permanent lo	Permanent loads yg= 1	14194	8089	149031	14194	8403	-149300	28,388	16,492	-0,269
Wind angle:	Wind angle: 45 dgrGW	1854	1181	19311	1854	1250	-19409	3,708	2,431	-0,098
	Comp. gl	3845	2177	39356	3845	2268	-39441	7,69	4,445	-0,085
3	3 380C1F1 / 380C2F1	22419	14095	198786	22419	15203	-200465	44,838	29,298	-1,679
Wind+ice, -5	Wind+ice, -5 dgr 380C1	22419	13630	198160	22419	14643	-199585	44,838	28,273	-1,425
Permanent lo	Permanent loads yg= 1	22419	13042	197437	22419	13936	-198566	44,838	26,978	-1,129
Wind angle:	Wind angle: 45 dgrGW	6530	3843	48220	6531	4196	-48696	13,061	8,039	-0,476
	Comp. gl	13213	6545	96055	13214	7013	-96490	26,427	13,558	-0,435
4	4 380C1F1 / 380C2F1	16206	8304	145779	16206	8688	-146105	32,412	16,992	-0,326
Construction	Construction/maintenu	16206	8142	145658	16206	8494	-145934	32,412	16,636	-0,276
Permanent lo	Permanent loads yg= 1	16206	7937	145520	16206	8248	-145736	32,412	16,185	-0,216
Wind angle:	Wind angle: 45 dgrGW	2356	1249	20855	2356	1316	-20924	4,712	2,565	-0,069
	Comp. gl	4850	2322	42686	4850	2412	-42746	9,7	4,734	-0,06
1a	1a 380C1F1 / 380C2F1	14210	30056	202579	14210	30056	-202579	28,42	60,112	0
Wind, 10 dgr	Wind, 10 dgr 380C1F2/	14209	27960	193836	14209	27960	-193836	28,418	55,92	0
Permanent lo	Permanent loads yg= 1	14208	25300	182892	14208	25300	-182892	28,416	50,6	0
Wind angle:	Wind angle: 90 dgrGW	1856	5088	31783	1856	5088	-31783	3,712	10,176	0
	Comp. gl	3849	7266	51574	3849	7266	-51574	7,698	14,532	0
1b	1b 380C1F1 / 380C2F1	14195	10918	152991	14195	10918	-152991	28,39	21,836	0
Wind, -20 dg	Wind, -20 dgr 380C1F2	14195	10544	152286	14195	10544	-152286	28,39	21,088	0
Permanent lo	Permanent loads yg= 1	14195	10073	151469	14195	10073	-151469	28,39	20,146	0
Wind angle:	Wind angle: 90 dgrGW	1854	1620	20172	1854	1620	-20172	3,708	3,24	0
	Comp. gl	3846	2754	40126	3846	2754	-40126	7,692	5,508	0
3	3 380C1F1 / 380C2F1	22422	21156	213242	22422	21156	-213242	44,844	42,312	0
Wind+ice, -5	Wind+ice, -5 dgr 380C1	22421	20080	210534	22421	20080	-210534	44,842	40,16	0
Permanent lo	Permanent loads yg= 1	22421	18723	207344	22421	18723	-207344	44,842	37,446	0
Wind angle:	Wind angle: 90 dgrGW	6532	6084	52276	6532	6084	-52276	13,064	12,168	0
	Comp. gl	13215	9504	99911	13215	9504	-99911	26,43	19,008	0
4	4 380C1F1 / 380C2F1	16207	10734	148732	16207	10734	-148732	32,414	21,468	0
Construction	Construction/maintenu	16207	10366	148156	16207	10366	-148156	32,414	20,732	0
Permanent lo	Permanent loads yg= 1	16207	9901	147491	16207	9901	-147491	32,414	19,802	0
Wind angle:	Wind angle: 90 dgrGW	2356	1677	21471	2356	1677	-21471	4,712	3,354	0
	Comp. gl	4850	2890	43235	4850	2890	-43235	9,7	5,78	0
1a	1a 380C1F1 / 380C2F1	14205	18358	155965	14204	16175	-148395	28,409	34,533	7,57
Wind, 10 dgr	Wind, 10 dgr 380C1F2/	14205	17254	152061	14204	15262	-145430	28,409	32,516	6,631
Permanent lo	Permanent loads yg= 1	14204	15861	147361	14203	14111	-141896	28,407	29,972	5,465
Wind angle:	Wind angle: -45 dgrGW	1855	3013	22871	1855	2622	-21312	3,71	5,635	1,559
	Comp. gl	3848	4509	40744	3848	3998	-39053	7,696	8,507	1,691
1b	1b 380C1F1 / 380C2F1	14194	8847	149759	14194	8459	-149353	28,388	17,306	0,406
Wind, -20 dg	Wind, -20 dgr 380C1F2	14194	8651	149545	14194	8296	-149203	28,388	16,947	0,342
Permanent lo	Permanent loads yg= 1	14194	8403	149300	14194	8089	-149031	28,388	16,492	0,269
Wind angle:	Wind angle: -45 dgrGW	1854	1250	19409	1854	1181	-19311	3,708	2,431	0,098
	Comp. gl	3845	2268	39441	3845	2177	-39356	7,69	4,445	0,085
3	3 380C1F1 / 380C2F1	22419	15203	200465	22419	14095	-198786	44,838	29,298	1,679
Wind+ice, -5	Wind+ice, -5 dgr 380C1	22419	14643	199585	22419	13630	-198160	44,838	28,273	1,425
Permanent lo	Permanent loads yg= 1	22419	13936	198566	22419	13042	-197437	44,838	26,978	1,129
Wind angle:	Wind angle: -45 dgrGW	6531	4196	48696	6530	3843	-48220	13,061	8,039	0,476
	Comp. gl	13214	7013	96490	13213	6545	-96055	26,427	13,558	0,435
4	4 380C1F1 / 380C2F1	16206	8688	146105	16206	8304	-145779	32,412	16,992	0,326
Construction	Construction/maintenu	16206	8494	145934	16206	8142	-145658	32,412	16,636	0,276
Permanent lo	Permanent loads yg= 1	16206	8248	145736	16206	7937	-145520	32,412	16,185	0,216
Wind angle:	Wind angle: -45 dgrGW	2356	1316	20924	2356	1249	-20855	4,712	2,565	0,069
	Comp. gl	4850	2412	42746	4850	2322	-42686	9,7	4,734	0,06

Belastingen op mastvoet, per lijn

		M_{langs}	M_{dwars}	N	V_{langs}	V_{dwars}
1a	380C1F1 / 380C2F1	0	696,8696	28,404	0	11,208
1b	380C1F1 / 380C2F1	0	584,5436	28,404	0	11,202
3	380C1F1 / 380C2F1	0	472,2756	28,404	0	11,194
4	380C1F1 / 380C2F1	0	77,23551	3,71	0	1,468
		0	67,87645	7,694	0	3,034
1a	380C1F1 / 380C2F1	0	786,9671	28,388	0	12,976
1b	380C1F1 / 380C2F1	0	657,2071	28,388	0	12,976
3	380C1F1 / 380C2F1	0	527,3851	28,388	0	12,974
4	380C1F1 / 380C2F1	0	88,61103	3,708	0	1,67
		0	78,41375	7,69	0	3,424
3	380C1F1 / 380C2F1	0	1067,49	44,838	0	17,054
3	380C1F1 / 380C2F1	0	896,8676	44,838	0	17,052
3	380C1F1 / 380C2F1	0	726,1616	44,838	0	17,046
3	380C1F1 / 380C2F1	0	213,2393	13,06	0	4,126
3	380C1F1 / 380C2F1	0	176,4126	26,426	0	8,32
4	380C1F1 / 380C2F1	0	789,7189	32,412	0	12,682
4	380C1F1 / 380C2F1	0	662,8169	32,412	0	12,68
4	380C1F1 / 380C2F1	0	535,9549	32,412	0	12,678
4	380C1F1 / 380C2F1	0	95,02819	4,712	0	1,81
4	380C1F1 / 380C2F1	0	82,7375	9,7	0	3,72
1a	380C1F1 / 380C2F1	-386,07	1886,467	28,409	-7,57	34,533
1b	380C1F1 / 380C2F1	-271,871	1458,44	28,409	-6,631	32,516
3	380C1F1 / 380C2F1	-169,415	1054,407	28,407	-5,465	29,972
4	380C1F1 / 380C2F1	-87,7717	311,8376	3,71	-1,559	5,635
		-45,657	215,6438	7,696	-1,691	8,507
1a	380C1F1 / 380C2F1	-20,706	1007,797	28,388	-0,406	17,306
1b	380C1F1 / 380C2F1	-14,022	820,0181	28,388	-0,342	16,947
3	380C1F1 / 380C2F1	-8,339	636,4431	28,388	-0,269	16,492
4	380C1F1 / 380C2F1	-5,5174	131,4553	3,708	-0,098	2,431
		-2,295	105,9808	7,69	-0,085	4,445
3	380C1F1 / 380C2F1	-85,629	1691,934	44,838	-1,679	29,298
3	380C1F1 / 380C2F1	-58,425	1356,929	44,838	-1,425	28,273
3	380C1F1 / 380C2F1	-34,999	1034,054	44,838	-1,129	26,978
3	380C1F1 / 380C2F1	-26,7988	433,5397	13,061	-0,476	8,039
3	380C1F1 / 380C2F1	-11,745	317,8367	26,427	-0,435	13,558
4	380C1F1 / 380C2F1	-16,626	1009,529	32,412	-0,326	16,992
4	380C1F1 / 380C2F1	-11,316	825,0129	32,412	-0,276	16,636
4	380C1F1 / 380C2F1	-6,696	644,6719	32,412	-0,216	16,185
4	380C1F1 / 380C2F1	-3,8847	137,5347	4,712	-0,069	2,565
4	380C1F1 / 380C2F1	-1,62	110,1155	9,7	-0,06	4,734
1a	380C1F1 / 380C2F1	0	3191,044	28,42	0	60,112
1b	380C1F1 / 380C2F1	0	2418,043	28,418	0	55,92
3	380C1F1 / 380C2F1	0	1693,915	28,416	0	50,6
4	380C1F1 / 380C2F1	0	567,493	3,712	0	10,176
		0	378,3152	7,698	0	14,532
1a	380C1F1 / 380C2F1	0	1238,836	28,39	0	21,836
1b	380C1F1 / 380C2F1	0	989,8079	28,39	0	21,088
3	380C1F1 / 380C2F1	0	749,7259	28,39	0	20,146
4	380C1F1 / 380C2F1	0	177,002	3,708	0	3,24
		0	134,6781	7,692	0	5,508
3	380C1F1 / 380C2F1	0	2355,674	44,844	0	42,312
3	380C1F1 / 380C2F1	0	1844,313	44,842	0	40,16
3	380C1F1 / 380C2F1	0	1358,579	44,842	0	37,446
3	380C1F1 / 380C2F1	0	665,998	13,064	0	12,168
4	380C1F1 / 380C2F1	0	464,9813	26,43	0	19,008
4	380C1F1 / 380C2F1	0	1237,814	32,414	0	21,468
4	380C1F1 / 380C2F1	0	992,9577	32,414	0	20,732
4	380C1F1 / 380C2F1	0	756,8077	32,414	0	19,802
4	380C1F1 / 380C2F1	0	181,9554	4,712	0	3,354
4	380C1F1 / 380C2F1	0	138,3575	9,7	0	5,78
1a	380C1F1 / 380C2F1	386,07	1886,467	28,409	7,57	34,533
1b	380C1F1 / 380C2F1	271,871	1458,44	28,409	6,631	32,516
3	380C1F1 / 380C2F1	169,415	1054,407	28,407	5,465	29,972
4	380C1F1 / 380C2F1	87,7717	311,8376	3,71	1,559	5,635
		45,657	215,6438	7,696	1,691	8,507
1a	380C1F1 / 380C2F1	20,706	1007,797	28,388	0,406	17,306
1b	380C1F1 / 380C2F1	14,022	820,0181	28,388	0,342	16,947
3	380C1F1 / 380C2F1	8,339	636,4431	28,388	0,269	16,492
4	380C1F1 / 380C2F1	5,5174	131,4553	3,708	0,098	2,431
		2,295	105,9808	7,69	0,085	4,445
3	380C1F1 / 380C2F1	85,629	1691,934	44,838	1,679	29,298
3	380C1F1 / 380C2F1	58,425	1356,929	44,838	1,425	28,273
3	380C1F1 / 380C2F1	34,999	1034,054	44,838	1,129	26,978
3	380C1F1 / 380C2F1	26,7988	433,5397	13,061	0,476	8,039
3	380C1F1 / 380C2F1	11,745	317,8367	26,427	0,435	13,558
4	380C1F1 / 380C2F1	16,626	1009,529	32,412	0,326	16,992
4	380C1F1 / 380C2F1	11,316	825,0129	32,412	0,276	16,636
4	380C1F1 / 380C2F1	6,696	644,6719	32,412	0,216	16,185
4	380C1F1 / 380C2F1	3,8847	137,5347	4,712	0,069	2,565
4	380C1F1 / 380C2F1	1,62	110,1155	9,7	0,06	4,734

Belasting op mastvoet, belastinggeval

		M_{langs}	M_{dwars}	N	V_{langs}	V_{dwars}
1a	380C1F1 / 380C2F1	0	1898,801	96,616	0	38,106
1b	380C1F1 / 380C2F1	0	2138,584	96,562	0	44,02
3	380C1F1 / 380C2F1	0	3080,171	174	0	63,598
4	380C1F1 / 380C2F1	0	2166,256	111,648	0	43,57
1a	380C1F1 / 380C2F1	-960,785	4926,795	96,631	-22,916	111,163
1b	380C1F1 / 380C2F1	-50,8794	2701,694	96,562	-1,2	57,621
3	380C1F1 / 380C2F1	-217,597	4834,292	174,002	-5,144	106,146
4	380C1F1 / 380C2F1	-40,1427	2726,864	111,648	-0,947	57,112
1a	380C1F1 / 380C2F1	0	8248,81	96,664	0	191,34
1b	380C1F1 / 380C2F1	0	3290,05	96,57	0	71,818
3	380C1F1 / 380C2F1	0	6689,546	174,022	0	151,094
4	380C1F1 / 380C2F1	0	3307,892	111,654	0	71,136
1a	380C1F1 / 380C2F1	960,7847	4926,795	96,631	22,916	111,163
1b	380C1F1 / 380C2F1	50,8794	2701,694	96,562	1,2	57,621
3	380C1F1 / 380C2F1	217,5968	4834,292	174,002	5,144	106,146
4	380C1F1 / 380C2F1	40,1427	2726,864	111,648	0,947	57,112

W2E350+5 05-F

Hoogte mast 55 m
Hoogte onderste stroomdraad (F3) 29 m

			Hoogte		Excentriciteit ophanging t.o.v. hart mast
Bliksemdraad = GW / OPGW	H_{mast} -	0,512 m =	54,488 m		0,761 m
1e traverse - 380C1F1	F2 +	8,5 m =	46 m		0 m
2e traverse - 380C1F2	F3 +	8,5 m =	37,5 m		0 m
3e traverse - 380C1F3			29 m		0 m
Passieve lijn = Comp C.	F3 -	7,5 m =	21,5 m		2,087 m

Uit mast (excl belastingsfactoren)

N	V	M
[kN]	[kN]	[kNm]
674	102	2615

Uit lijnen (incl belastingsfactoren)

Nmin	Nmax	Vmax	Mlangs;ma	Mdwars;max
[kN]	[kN]	[kN]	[kNm]	[kNm]
38	102	957	35054	4631

Belastingen uit lijnen

			M_{langs}	M_{dwars}	N	V_{langs}	V_{dwars}
Perm load 1,2	0 deg	1a	-18405	820	51	-499	22
		1b	-21786	962	51	-590	26
		3	-32027	1442	101	-878	38
		4	-21923	972	62	-595	26
		6	-20140	890	57	-546	24
	45 deg	1a	-23451	2813	51	-632	75
		1b	-22034	1327	51	-597	36
		3	-32963	2579	101	-902	69
		4	-22106	1335	62	-600	36
	90 deg	1a	-30974	**4631**	51	-831	**123**
		1b	-22620	1650	51	-612	44
		3	**-35054**	3589	**102**	**-957**	96
		4	-22551	1652	62	-612	44
	-45 deg	1a	-22165	2472	51	-598	66
		1b	-21959	1267	51	-595	34
		3	-32687	2390	101	-895	64
		4	-22051	1275	62	-599	34
Perm load 0,9	0 deg	1a	**-14722**	656	38	**-399**	18
		1b	-17987	794	**38**	-487	21
		3	-29019	1309	89	-796	35
		4	-18458	818	49	-501	22
		6	-14722	**650**	38	-399	**17**
	45 deg	1a	-21237	2714	38	-571	72
		1b	-18354	1164	38	-497	31
		3	-30148	2453	89	-826	66
		4	-18709	1184	49	-508	32
	90 deg	1a	-29677	4571	38	-795	122
		1b	-19186	1498	38	-519	40
		3	-32591	3479	89	-890	93
		4	-19303	1507	49	-523	40
	-45 deg	1a	-19688	2361	38	-530	63
		1b	-18246	1103	**38**	-494	30
		3	-29818	2262	89	-817	60
		4	-18634	1123	49	-506	30

Belasting uit mast

N	V	M
674	102	2615
674	19	490
674	29	735
674	19	490
674	102	2615
674	19	490
674	29	735
674	19	490
674	102	2615
674	19	490
674	29	735
674	19	490
674	102	2615
674	19	490
674	29	735
674	19	490
506	102	2615
506	19	490
506	29	735
506	19	490
506	102	2615
506	19	490
506	29	735
506	19	490
506	102	2615
506	19	490
506	29	735
506	19	490

Totaal

regel			Loadcase	M_{langs}	M_{dwars}	N	V_{langs}	V_{dwars}	Totaal moment
1	Perm load 1,2	0 deg	1a	21020	820	725	601	22	21035,49
2	Perm load 1,2	0 deg	1b	22276	962	725	610	26	22296,98
3	Perm load 1,2	0 deg	3	32762	1442	775	906	38	32794,09
4	Perm load 1,2	0 deg	4	22414	972	736	614	26	22434,74
5	Perm load 1,2	0 deg	6						
6									
7	Perm load 1,2	45 deg	1a	25300	4662	725	704	147	25726,42
8	Perm load 1,2	45 deg	1b	22380	1674	725	610	49	22442,92
9	Perm load 1,2	45 deg	3	33483	3099	775	922	89	33626,29
10	Perm load 1,2	45 deg	4	22453	1681	736	614	49	22515,71
11									
12	Perm load 1,2	90 deg	1a	33589	4631	725	933	225	33906,42
13	Perm load 1,2	90 deg	1b	23110	1650	725	631	63	23168,82
14	Perm load 1,2	90 deg	3	35789	3589	776	985	125	35968,81
15	Perm load 1,2	90 deg	4 Construc	23041	1652	736	631	63	23100,41
16									
17	Perm load 1,2	-45 deg	1a	24014	4321	725	670	138	24395,5
18	Perm load 1,2	-45 deg	1b	22306	1614	725	608	47	22364,26
19	Perm load 1,2	-45 deg	3	33207	2910	775	915	84	33333,87
20	Perm load 1,2	-45 deg	4	22397	1622	736	612	48	22455,94
21									
22	Perm load 0,9	0 deg	1a	17337	656	544	501	18	17349,6
23	Perm load 0,9	0 deg	1b	18477	794	544	506	21	18494,38
24	Perm load 0,9	0 deg	3	29755	1309	594	825	35	29783,42
25	Perm load 0,9	0 deg	4	18949	818	555	521	22	18966,44
26	Perm load 0,9	0 deg	6						
27									
28	Perm load 0,9	45 deg	1a	23086	4563	544	643	144	23532,95
29	Perm load 0,9	45 deg	1b	18701	1511	544	510	45	18761,74
30	Perm load 0,9	45 deg	3	30668	2973	594	846	86	30811,8
31	Perm load 0,9	45 deg	4 Construc	19056	1530	555	521	45	19117,55
32									
33	Perm load 0,9	90 deg	1a	32292	4571	544	897	224	32613,95
34	Perm load 0,9	90 deg	1b	19677	1498	544	538	59	19733,72
35	Perm load 0,9	90 deg	3	33327	3479	594	919	122	33507,9
36	Perm load 0,9	90 deg	4	19793	1507	555	543	59	19850,38
37									
38	Perm load 0,9	-45 deg	1a	21537	4210	544	602	135	21944,31
39	Perm load 0,9	-45 deg	1b	18592	1449	544	508	43	18648,61
40	Perm load 0,9	-45 deg	3	30338	2782	594	837	81	30465,33
41	Perm load 0,9	-45 deg	4	18981	1470	555	519	44	19037,64
			Max	35789	4662	776	985	225	35969
						544			

| | | | | | | | | |

Permanent loads y	380C1F3 / 11181	19225	-158726	0	0	0	11,181	19,225	-158,726	-4603,05	557,525	11,181	-158,726	19,225									
Wind angle: 45 dg	GW / opgw1461	3768	-26690	0	0	0	1,461	3,768	-26,69	-1454,28	206,42261	1,461	-26,69	3,768									
	Comp. gl 3029	5865	-46147	0	0	0	3,029	5,865	-46,147	-992,161	132,41902	3,029	-46,147	5,865									
1b	380C1F1 / 11173	9385	-146964	0	0	0	11,173	9,385	-146,964	-6760,34	431,71	11,173	-146,964	9,385	1b	-18354,1	1164,297	38,003	-496,917	31,153			
Wind, -20 dgr	380C1F2 / 11172	9139	-146503	0	0	0	11,172	9,139	-146,503	-5493,86	342,7125	11,172	-146,503	9,139	Wind angle: 45 dgr								
Permanent loads y	380C1F3 / 11172	8830	-145971	0	0	0	11,172	8,83	-145,971	-4233,16	256,07	11,172	-145,971	8,83									
Wind angle: 45 dg	GW / opgw1459	1355	-19126	0	0	0	1,459	1,355	-19,126	-1042,14	74,941539	1,459	-19,126	1,355									
	Comp. gl 3027	2444	-38353	0	0	0	3,027	2,444	-38,353	-824,59	58,863349	3,027	-38,353	2,444									
3	380C1F1 / 21961	17878	-219437	0	0	0	21,961	17,878	-219,437	-10094,1	822,388	21,961	-219,437	17,878	3	-30148	2452,965	88,797	-825,815	65,51			
Wind+ice, -5 dgr	380C1F2 / 21960	17185	-218037	0	0	0	21,96	17,185	-218,037	-8176,39	644,4375	21,96	-218,037	17,185	Wind angle: 45 dgr								
Permanent loads y	380C1F3 / 21960	16316	-216409	0	0	0	21,96	16,316	-216,409	-6275,86	473,164	21,96	-216,409	16,316									
Wind angle: 45 dg	GW / opgw7596	5196	-57751	0	0	0	7,596	5,196	-57,751	-3146,74	288,9002	7,596	-57,751	5,196									
	Comp. gl 15320	8935	-114181	0	0	0	15,32	8,935	-114,181	-2454,89	224,07534	15,32	-114,181	8,935									
4	380C1F1 / 14184	9399	-147257	0	0	0	14,184	9,399	-147,257	-6773,82	432,354	14,184	-147,257	9,399	4	-18709,5	1183,722	49,294	-507,905	31,638			
Construction/maintenance, +514184		9159	-146926	0	0	0	14,184	9,159	-146,926	-5509,73	343,4625	14,184	-146,926	9,159	Wind angle: 45 dgr								
Permanent loads y	380C1F3 / 14184	8857	-146544	0	0	0	14,184	8,857	-146,544	-4249,78	256,853	14,184	-146,544	8,857									
Wind angle: 45 dg	GW / opgw2211	1489	-22185	0	0	0	2,211	1,489	-22,185	-1208,82	82,815203	2,211	-22,185	1,489									
	Comp. gl 4531	2734	-44993	0	0	0	4,531	2,734	-44,993	-967,35	68,237197	4,531	-44,993	2,734									
1a	380C1F1 / 11188	37902	-243059	0	0	0	11,188	37,902	-243,059	-11180,7	1743,492	11,188	-243,059	37,902	1a	-29677	4571,349	38,053	-795,297	121,66			
Wind, 10 dgr	380C1F2 / 11187	35313	-231406	0	0	0	11,187	35,313	-231,406	-8677,73	1324,2375	11,187	-231,406	35,313	Wind angle: 90 dgr								
Permanent loads y	380C1F3 / 11186	32039	-216560	0	0	0	11,186	32,039	-216,56	-6280,24	929,131	11,186	-216,56	32,039									
Wind angle: 90 dg	GW / opgw1462	6497	-39301	0	0	0	1,462	6,497	-39,301	-2141,43	355,12112	1,462	-39,301	6,497									
	Comp. gl 3030	9909	-64971	0	0	0	3,03	9,909	-64,971	-1396,88	219,36711	3,03	-64,971	9,909									
1b	380C1F1 / 11173	12178	-154081	0	0	0	11,173	12,178	-154,081	-7087,73	560,188	11,173	-154,081	12,178	1b	-19186,5	1497,921	38,005	-518,673	40,011			
Wind, -20 dgr	380C1F2 / 11173	11700	-152650	0	0	0	11,173	11,7	-152,65	-5724,38	438,75	11,173	-152,65	11,7	Wind angle: 90 dgr								
Permanent loads y	380C1F3 / 11173	11103	-150973	0	0	0	11,173	11,103	-150,973	-4378,22	321,987	11,173	-150,973	11,103									
Wind angle: 90 dg	GW / opgw1459	1862	-20775	0	0	0	1,459	1,862	-20,775	-1131,99	102,56696	1,459	-20,775	1,862									
	Comp. gl 3027	3168	-40194	0	0	0	3,027	3,168	-40,194	-864,171	74,429349	3,027	-40,194	3,168									
3	380C1F1 / 21964	25723	-240154	0	0	0	21,964	25,723	-240,154	-11047,1	1181,258	21,964	-240,154	25,723	3	-32591,3	3478,916	88,809	-889,824	92,943			
Wind+ice, -5 dgr	380C1F2 / 21963	24386	-236112	0	0	0	21,963	24,386	-236,112	-8854,2	914,475	21,963	-236,112	24,386	Wind angle: 90 dgr								
Permanent loads y	380C1F3 / 21962	22711	-231302	0	0	0	21,962	22,711	-231,302	-6707,76	658,619	21,962	-231,302	22,711									
Wind angle: 90 dg	GW / opgw7598	7644	-62562	0	0	0	7,598	7,644	-62,562	-3408,88	422,28835	7,598	-62,562	7,644									
	Comp. gl 15322	12479	-119694	0	0	0	15,322	12,479	-119,694	-2573,42	300,27551	15,322	-119,694	12,479									
4	380C1F1 / 14184	12112	-152494	0	0	0	14,184	12,112	-152,494	-7014,72	557,152	14,184	-152,494	12,112	4	-19302,8	1507,117	49,295	-523,376	40,227			
Construction/maintenance, +514184		11650	-151426	0	0	0	14,184	11,65	-151,426	-5678,48	436,875	14,184	-151,426	11,65	Wind angle: 90 dgr								
Permanent loads y	380C1F3 / 14184	11071	-150183	0	0	0	14,184	11,071	-150,183	-4355,31	321,059	14,184	-150,183	11,071									
Wind angle: 90 dg	GW / opgw2212	1968	-23187	0	0	0	2,212	1,968	-23,187	-1263,41	108,91572	2,212	-23,187	1,968									
	Comp. gl 4531	3426	-46086	0	0	0	4,531	3,426	-46,086	-990,849	83,115197	4,531	-46,086	3,426									
1a	380C1F1 / 11181	19444	-159676	0	0	0	11,181	19,444	-159,676	-7345,1	894,424	11,181	-159,676	19,444	1a	-19687,6	2360,675	38,031	-529,716	62,861			
Wind, 10 dgr	380C1F2 / 11181	18273	-154641	0	0	0	11,181	18,273	-154,641	-5799,04	685,2375	11,181	-154,641	18,273	Wind angle: 45 dgr								
Permanent loads y	380C1F3 / 11180	16805	-148484	0	0	0	11,18	16,805	-148,484	-4306,04	487,345	11,18	-148,484	16,805									
Wind angle: -45 d	GW / opgw1460	3242	-24215	0	0	0	1,46	3,242	-24,215	-1319,43	177,76116	1,46	-24,215	3,242									
	Comp. gl 3029	5097	-42700	0	0	0	3,029	5,097	-42,7	-918,05	115,90702	3,029	-42,7	5,097									
1b	380C1F1 / 11172	8868	-146034	0	0	0	11,172	8,868	-146,034	-6717,56	407,928	11,172	-146,034	8,868	1b	-18245,5	1102,517	38,002	-494,086	29,512			
Wind, -20 dgr	380C1F2 / 11172	8664	-145707	0	0	0	11,172	8,664	-145,707	-5464,01	324,9	11,172	-145,707	8,664	Wind angle: 45 dgr								
Permanent loads y	380C1F3 / 11172	8408	-145330	0	0	0	11,172	8,408	-145,33	-4214,57	243,832	11,172	-145,33	8,408									
Wind angle: -45 d	GW / opgw1459	1262	-18902	0	0	0	1,459	1,262	-18,902	-1029,93	69,874155	1,459	-18,902	1,262									
	Comp. gl 3027	2310	-38113	0	0	0	3,027	2,31	-38,113	-819,43	55,982349	3,027	-38,113	2,31									
3	380C1F1 / 21960	16424	-216603	0	0	0	21,96	16,424	-216,603	-9963,74	755,504	21,96	-216,603	16,424	3	-29818	2262,395	88,795	-817,197	60,412			
Wind+ice, -5 dgr	380C1F2 / 21960	15850	-215596	0	0	0	21,96	15,85	-215,596	-8084,85	594,375	21,96	-215,596	15,85	Wind angle: -45 dgr								
Permanent loads y	380C1F3 / 21960	15129	-214430	0	0	0	21,96	15,129	-214,43	-6218,47	438,741	21,96	-214,43	15,129									
Wind angle: -45 d	GW / opgw7596	4739	-57102	0	0	0	7,596	4,739	-57,102	-3111,37	263,99919	7,596	-57,102	4,739									
0 Comp. gl	15319	8270	-113466	0	0	0	15,319	8,27	-113,466	-2439,52	209,77575	15,319	-113,466	8,27									
4	380C1F1 / 14184	8894	-146589	0	0	0	14,184	8,894	-146,589	-6743,09	409,124	14,184	-146,589	8,894	4	-18634,1	1123,396	49,294	-505,942	30,035			
Construction/maintenance, +514184		8694	-146355	0	0	0	14,184	8,694	-146,355	-5488,31	326,025	14,184	-146,355	8,694	Wind angle: -45 dgr								
Permanent loads y	380C1F3 / 14184	8442	-146086	0	0	0	14,184	8,442	-146,086	-4236,49	244,818	14,184	-146,086	8,442									
Wind angle: -45 d	GW / opgw2211	1400	-22056	0	0	0	2,211	1,4	-22,056	-1201,79	77,965771	2,211	-22,056	1,4									
	Comp. gl 4531	2605	-44856	0	0	0	4,531	2,605	-44,856	-964,404	65,463697	4,531	-44,856	2,605									

W2E350+5 05 - F2

| | | |

W2E400 07-L

| | | |

Permanen	380C1F3 / 380C2F3	12781	5102	-116857	0	0	0	12,781	5,102	-116,857		-3272	142,856	12,781	-116,857	5,102							
	GW / opgw	1669	665	-15226	0	0	0	1,669	0,665	-15,226		-859,203	38,79439	1,669	-15,226	0,665							
	Comp. gl	3462	1380	-31600	0	0	0	3,462	1,38	-31,6		-647,8	32,9914	3,462	-31,6	1,38							
1a	380C1F1 / 380C2F1	12786	24257	-173840	0	0	0	12,786	24,257	-173,84		-8344,32	1164,336	12,786	-173,84	24,257	1a	-21433,1	2926,277	43,488	-566,654	76,422	
Wind, 10 (	380C1F2 / 380C2F2	12785	22336	-165790	0	0	0	12,785	22,336	-165,79		-6300,02	848,768	12,785	-165,79	22,336	Wind angle:	45	dgr				
Permanen	380C1F3 / 380C2F3	12784	19781	-155368	0	0	0	12,784	19,781	-155,368		-4350,3	553,868	12,784	-155,368	19,781							
Wind angl	GW / opgw	1670	4101	-26984	0	0	0	1,67	4,101	-26,984		-1522,71	232,6886	1,67	-26,984	4,101							
	Comp. gl	3463	5947	-44672	0	0	0	3,463	5,947	-44,672		-915,776	126,6163	3,463	-44,672	5,947							
1b	380C1F1 / 380C2F1	12774	9464	-140493	0	0	0	12,774	9,464	-140,493		-6743,66	454,272	12,774	-140,493	9,464	1b	-17748,1	1177,384	43,451	-474,749	31,054	
Wind, -20	380C1F2 / 380C2F2	12774	9125	-139908	0	0	0	12,774	9,125	-139,908		-5316,5	346,75	12,774	-139,908	9,125	Wind angle:	45	dgr				
Permanen	380C1F3 / 380C2F3	12774	8675	-139212	0	0	0	12,774	8,675	-139,212		-3897,94	242,9	12,774	-139,212	8,675							
Wind angl	GW / opgw	1668	1386	-18361	0	0	0	1,668	1,386	-18,361		-1036,11	79,47966	1,668	-18,361	1,386							
	Comp. gl	3461	2404	-36775	0	0	0	3,461	2,404	-36,775		-753,888	53,98204	3,461	-36,775	2,404							
3	380C1F1 / 380C2F1	25110	19016	-222312	0	0	0	25,11	19,016	-222,312		-10671	912,768	25,11	-222,312	19,016	3	-31013,9	2608,714	101,535	-840,653	68,812	
Wind+ice,	380C1F2 / 380C2F2	25110	18062	-220528	0	0	0	25,11	18,062	-220,528		-8380,06	686,356	25,11	-220,528	18,062	Wind angle:	45	dgr				
Permanen	380C1F3 / 380C2F3	25110	16796	-218388	0	0	0	25,11	16,796	-218,388		-6114,86	470,288	25,11	-218,388	16,796							
Wind angl	GW / opgw	8686	5641	-60388	0	0	0	8,686	5,641	-60,388		-3407,69	324,923	8,686	-60,388	5,641							
	Comp. gl	17519	9297	-119037	0	0	0	17,519	9,297	-119,037		-2440,26	214,3793	17,519	-119,037	9,297							
4	380C1F1 / 380C2F1	15788	9636	-144385	0	0	0	15,788	9,636	-144,385		-6930,48	462,528	15,788	-144,385	9,636	4	-18535,6	1214,657	54,751	-497,211	32,042	
Construction/maintenance, +5 dgr		15788	9304	-143956	0	0	0	15,788	9,304	-143,956		-5470,33	353,552	15,788	-143,956	9,304	Wind angle:	45	dgr				
Permanen	380C1F3 / 380C2F3	15788	8862	-143448	0	0	0	15,788	8,862	-143,448		-4016,54	248,136	15,788	-143,448	8,862							
Wind angl	GW / opgw	2421	1529	-21628	0	0	0	2,421	1,529	-21,628		-1220,47	88,12143	2,421	-21,628	1,529							
	Comp. gl	4966	2711	-43794	0	0	0	4,966	2,711	-43,794		-897,777	62,31933	4,966	-43,794	2,711							
1a	380C1F1 / 380C2F1	12793	41442	-247868	0	0	0	12,793	41,442	-247,868		-11897,7	1989,216	12,793	-247,868	41,442	1a	-30235,8	4971,719	43,51	-795,636	129,677	
Wind, 10 (	380C1F2 / 380C2F2	12791	37890	-232608	0	0	0	12,791	37,89	-232,608		-8839,1	1439,82	12,791	-232,608	37,89	Wind angle:	90	dgr				
Permanen	380C1F3 / 380C2F3	12790	33132	-212028	0	0	0	12,79	33,132	-212,028		-5936,78	927,696	12,79	-212,028	33,132							
Wind angl	GW / opgw	1671	7129	-40302	0	0	0	1,671	7,129	-40,302		-2274,24	403,5594	1,671	-40,302	7,129							
	Comp. gl	3465	10084	-62830	0	0	0	3,465	10,084	-62,83		-1288,02	211,4275	3,465	-62,83	10,084							
1b	380C1F1 / 380C2F1	12775	12573	-147893	0	0	0	12,775	12,573	-147,893		-7098,86	603,504	12,775	-147,893	12,573	1b	-18596,2	1546,076	43,454	-496,268	40,631	
Wind, -20	380C1F2 / 380C2F2	12775	11917	-146064	0	0	0	12,775	11,917	-146,064		-5550,43	452,846	12,775	-146,064	11,917	Wind angle:	90	dgr				
Permanen	380C1F3 / 380C2F3	12774	11050	-143849	0	0	0	12,774	11,05	-143,849		-4027,77	309,4	12,774	-143,849	11,05							
Wind angl	GW / opgw	1669	1948	-20057	0	0	0	1,669	1,948	-20,057		-1131,82	111,1941	1,669	-20,057	1,948							
	Comp. gl	3461	3143	-38405	0	0	0	3,461	3,143	-38,405		-787,303	69,13154	3,461	-38,405	3,143							
3	380C1F1 / 380C2F1	25114	27748	-243938	0	0	0	25,114	27,748	-243,938		-11709	1331,904	25,114	-243,938	27,748	3	-33521,8	3742,2	101,548	-904,47	98,454	
Wind+ice,	380C1F2 / 380C2F2	25113	25911	-238738	0	0	0	25,113	25,911	-238,738		-9072,04	984,618	25,113	-238,738	25,911	Wind angle:	90	dgr				
Permanent	380C1F3 / 380C2F3	25112	23476	-232319	0	0	0	25,112	23,476	-232,319		-6504,93	657,328	25,112	-232,319	23,476							
Wind angle	GW / opgw	8688	8375	-65448	0	0	0	8,688	8,375	-65,448		-3693,23	479,2041	8,688	-65,448	8,375							
	Comp. gl	17521	12944	-124027	0	0	0	17,521	12,944	-124,027		-2542,55	289,1455	17,521	-124,027	12,944							
4	380C1F1 / 380C2F1	15789	12665	-149921	0	0	0	15,789	12,665	-149,921		-7196,21	607,92	15,789	-149,921	12,665	4	-19152,9	1573,411	54,753	-512,841	41,366	
Construction/maintenance, +5 dgr		15789	12028	-148536	0	0	0	15,789	12,028	-148,536		-5644,37	457,064	15,789	-148,536	12,028	Wind angle:	90	dgr				
Permanent	380C1F3 / 380C2F3	15788	11185	-146872	0	0	0	15,788	11,185	-146,872		-4112,42	313,18	15,788	-146,872	11,185							
Wind angle	GW / opgw	2421	2064	-22708	0	0	0	2,421	2,064	-22,708		-1281,41	118,3115	2,421	-22,708	2,064							
	Comp. gl	4966	3424	-44804	0	0	0	4,966	3,424	-44,804		-918,482	76,93583	4,966	-44,804	3,424							
1a	380C1F1 / 380C2F1	12785	20990	-160254	0	0	0	12,785	20,99	-160,254		-7692,19	1007,52	12,785	-160,254	20,99	1a	-19840,5	2538,342	43,485	-525,519	66,334	
Wind, 10 (	380C1F2 / 380C2F2	12784	19391	-153818	0	0	0	12,784	19,391	-153,818		-5845,08	736,858	12,784	-153,818	19,391	Wind angle:	-45	dgr				
Permanent	380C1F3 / 380C2F3	12783	17269	-145602	0	0	0	12,783	17,269	-145,602		-4076,86	483,532	12,783	-145,602	17,269							
Wind angle	GW / opgw	1670	3519	-24397	0	0	0	1,67	3,519	-24,397		-1376,72	199,8464	1,67	-24,397	3,519							
	Comp. gl	3463	5165	-41448	0	0	0	3,463	5,165	-41,448		-849,684	110,5853	3,463	-41,448	5,165							
1b	380C1F1 / 380C2F1	12774	8888	-139529	0	0	0	12,774	8,888	-139,529		-6697,39	426,624	12,774	-139,529	8,888	1b	-17637,9	1108,998	43,451	-471,962	29,277	
Wind, -20 (	380C1F2 / 380C2F2	12774	8607	-139114	0	0	0	12,774	8,607	-139,114		-5286,33	327,066	12,774	-139,114	8,607	Wind angle:	-45	dgr				
Permanent	380C1F3 / 380C2F3	12774	8233	-138621	0	0	0	12,774	8,233	-138,621		-3881,39	230,524	12,774	-138,621	8,233							
Wind angle	GW / opgw	1668	1282	-18132	0	0	0	1,668	1,282	-18,132		-1023,19	73,61094	1,668	-18,132	1,282							
	Comp. gl	3461	2267	-36566	0	0	0	3,461	2,267	-36,566		-749,603	51,17354	3,461	-36,566	2,267							
3	380C1F1 / 380C2F1	25110	17395	-219367	0	0	0	25,11	17,395	-219,367		-10529,6	834,96	25,11	-219,367	17,395	3	-30677	2397,696	101,533	-832,116	63,291	
Wind+ice,	380C1F2 / 380C2F2	25110	16603	-218086	0	0	0	25,11	16,603	-218,086		-8287,27	630,914	25,11	-218,086	16,603	Wind angle:	-45	dgr				
Permanent	380C1F3 / 380C2F3	25109	15552	-216557	0	0	0	25,109	15,552	-216,557		-6063,6	435,456	25,109	-216,557	15,552							
Wind angle	GW / opgw	8686	5129	-59708	0	0	0	8,686	5,129	-59,708		-3369,32	296,0308	8,686	-59,708	5,129							
0 Comp. gl		17518	8612	-118398	0	0	0	17,518	8,612	-118,398		-2427,16	200,3354	17,518	-118,398	8,612							
4	380C1F1 / 380C2F1	15788	9071	-143680	0	0	0	15,788	9,071	-143,68		-6896,64	435,408	15,788	-143,68	9,071	4	-18457,3	1147,645	54,751	-495,232	30,3	
Construction/maintenance, +5 dgr		15788	8795	-143377	0	0	0	15,788	8,795	-143,377		-5448,33	334,21	15,788	-143,377	8,795	Wind angle:	-45	dgr				
Permanent	380C1F3 / 380C2F3	15788	8427	-143019	0	0	0	15,788	8,427	-143,019		-4004,53	235,956	15,788	-143,019	8,427							
Wind angle	GW / opgw	2421	1429	-21489	0	0	0	2,421	1,429	-21,489		-1212,62	82,47843	2,421	-21,489	1,429							
	Comp. gl	4966	2578	-43667	0	0	0	4,966	2,578	-43,667		-895,174	59,59283	4,966	-43,667	2,578							

W2E400 07-L2

Hoogte mast 57 m
Hoogte onderste stroomdraad (F3) 28 m

		Hoogte		Excentriciteit ophanging t.o.v. hart mast
Blikvemdraad = GW / CH_{mast} -	0,57 m =	56,43 m	0,76 m	
1e traverse - 380C1F1 F2 +	10 m =	48 m	0 m	
2e traverse - 380C1F2 F3 +	10 m =	38 m	0 m	
3e traverse - 380C1F3		28 m	0 m	
Passieve lijn = Comp C. F3 -	7,5 m =	20,5 m	1,358 m	

Uit mast
ULS (incl bel factoren)

N	V	M	Nmin	Nmax	Vmax	Mlangs;ma	Mdwars;max
[kN]	[kN]	[kNm]	[kN]	[kN]	[kN]	[kNm]	[kNm]
761	104	2789	48	87	778	28845	3503

Uit lijnen
SLS

Nmin	Nmax	Vmax	Mlangs;ma	Mdwars;max
[kN]	[kN]	[kN]	[kNm]	[kNm]
48	87	778	28845	3503

Belastingen uit lijnen

			M_{langs}	M_{dwars}	N	V_{langs}	V_{dwars}
SLS	0 deg	1a	**-16174**	**717**	48	**-433**	**19**
		1b	-18799	828	**48**	-504	22
		3	-26812	1196	87	-727	32
		4	-18575	820	56	-498	22
	45 deg	1a	-19240	2169	48	-511	57
		1b	-18940	1098	**48**	-507	29
		3	-27430	2036	87	-742	54
		4	-18684	1089	56	-501	29
	90 deg	1a	-24427	**3503**	48	-645	**91**
		1b	-19283	1334	48	-516	35
		3	**-28845**	2781	**87**	**-778**	73
		4	-18957	1322	56	-508	35
	-45 deg	1a	-18416	1921	48	-490	50
		1b	-18898	1054	**48**	-506	28
		3	-27246	1898	87	-737	50
		4	-18651	1045	56	-500	28

Belasting uit mast

N	V	M
634	69	1859
634	69	1859
634	69	1859
634	69	1859
634	69	1859
634	69	1859
634	69	1859
634	69	1859
634	69	1859
634	69	1859
634	69	1859
634	69	1859
634	69	1859
634	69	1859
634	69	1859
634	69	1859

Totaal

regel		Loadcase	M_{langs}	M_{dwars}	N	V_{langs}	V_{dwars}	Totaal moment
1	Perm load 1,2	0 deg	1a	18033	2577	682	503	88	18216,6
2	Perm load 1,2	0 deg	1b	20659	2688	682	573	91	20832,91
3	Perm load 1,2	0 deg	3	28672	3056	721	796	101	28833,98
4	Perm load 1,2	0 deg	4	20434	2680	690	568	91	20608,86
5									
6	Perm load 1,2	45 deg	1a	21099	4029	682	581	126	21480,16
7	Perm load 1,2	45 deg	1b	20800	2957	682	576	98	21009,01
8	Perm load 1,2	45 deg	3	29289	3896	721	811	123	29546,93
9	Perm load 1,2	45 deg	4	20544	2948	690	570	98	20754,16
10									
11	Perm load 1,2	90 deg	1a	26286	5362	682	715	161	26827,5
12	Perm load 1,2	90 deg	1b	21143	3193	682	585	104	21382,37
13	Perm load 1,2	90 deg	3	30704	4640	721	847	143	31052,68
14	Perm load 1,2	90 deg	4	Construct	20816	3181	690	577	104	21058,04
15									
16	Perm load 1,2	-45 deg	1a	19731	3781	682	560	120	20090,02
17	Perm load 1,2	-45 deg	1b	20212	2913	682	575	97	20421,16
18	Perm load 1,2	-45 deg	3	28560	3757	721	807	120	28806,51
19	Perm load 1,2	-45 deg	4	19965	2904	690	570	97	20175,43
				30704	5362	721	847	161	31053
						682			

	M langs max	M dwars max	N max	V langs max	V dwars max	M tot max	N min
1							
2							x
3							
4							
5							
6							
7							x
8							
9							
10							
11	x			x			
12							
13	x		x		x		
14							
15							
16							
17							
18							x
19							

samenvatting

Mast	Bijlage	Wind	Loadcase	M_{langs}	M_{dwars}	N	V_{langs}	V_{dwars}
2	W2E400	07-L2	Perm load :0 deg	1b	20659	2688	682	573	91
7	W2E400	07-L2	Perm load :45 deg	1b	20800	2957	682	576	98
11	W2E400	07-L2	Perm load :90 deg	1a	26286	5362	682	715	161
13	W2E400	07-L2	Perm load :90 deg	3	30704	4640	721	847	143
17	W2E400	07-L2	Perm load :-45 deg	1b	20212	2913	682	575	97
7	W2E400	07-L2	Perm load :45 deg	1b	20800	2957	682	576	98

W2E400 TOWER (rev 6.0, date Appendix: L2
Loadcase according to 50341-3-15

	Attachmer	BACK [N]	[N]	[N]	AHEAD [N]	[N]	[N]
1a	380C1F1 / 14202	5603	-127432	0	0	0	
Wind, 10 c	380C1F2 / 14202	5599	-127432	0	0	0	
Permanen	380C1F3 / 14202	5594	-127433	0	0	0	
Wind angl	GW / opgv1855	733	-16643	0	0	0	
	Comp. gl 3847	1517	-34520	0	0	0	
1b	380C1F1 / 14194	6488	-148420	0	0	0	
Wind, -20	380C1F2 / 14194	6487	-148420	0	0	0	
Permanen	380C1F3 / 14194	6486	-148420	0	0	0	
Wind angl	GW / opgv1854	835	-19082	0	0	0	
	Comp. gl 3845	1712	-39161	0	0	0	
3	380C1F1 / 22419	8527	-194794	0	0	0	
Wind+ice,	380C1F2 / 22419	8525	-194794	0	0	0	
Permanen	380C1F3 / 22419	8522	-194794	0	0	0	
Wind angl	GW / opgv6530	2063	-47087	0	0	0	
	Comp. gl 13213	4160	-95055	0	0	0	
4	380C1F1 / 16206	6340	-145038	0	0	0	
Constructi	380C1F2 / 16206	6340	-145038	0	0	0	
Permanen	380C1F3 / 16206	6339	-145038	0	0	0	
Wind angl	GW / opgv2356	905	-20697	0	0	0	
	Comp. gl 4850	1860	-42552	0	0	0	
1a	380C1F1 / 14205	17838	-154110	0	0	0	
Wind, 10 c	380C1F2 / 14204	16606	-149838	0	0	0	
Permanen	380C1F3 / 14204	14974	-144523	0	0	0	
Wind angl	GW / opgv1855	2932	-22543	0	0	0	
	Comp. gl 3848	4431	-40476	0	0	0	
1b	380C1F1 / 14194	8755	-149656	0	0	0	
Wind, -20	380C1F2 / 14194	8535	-149428	0	0	0	
Permanen	380C1F3 / 14194	8244	-149158	0	0	0	
Wind angl	GW / opgv1854	1236	-19388	0	0	0	
	Comp. gl 3845	2254	-39427	0	0	0	
3	380C1F1 / 22419	14940	-200043	0	0	0	
Wind+ice,	380C1F2 / 22419	14314	-199098	0	0	0	
Permanen	380C1F3 / 22419	13483	-197972	0	0	0	
Wind angl	GW / opgv6531	4123	-48592	0	0	0	
	Comp. gl 13214	6942	-96419	0	0	0	
4	380C1F1 / 16206	8597	-146023	0	0	0	
Constructi	380C1F2 / 16206	8380	-145839	0	0	0	
Permanen	380C1F3 / 16206	8091	-145622	0	0	0	
Wind angl	GW / opgv2356	1302	-20909	0	0	0	
	Comp. gl 4850	2399	-42736	0	0	0	
1a	380C1F1 / 14209	29071	-198460	0	0	0	
Wind, 10 c	380C1F2 / 14208	26723	-188723	0	0	0	
Permanen	380C1F3 / 14207	23597	-176017	0	0	0	
Wind angl	GW / opgv1856	4937	-31126	0	0	0	
	Comp. gl 3849	7117	-50945	0	0	0	
1b	380C1F1 / 14195	10742	-152653	0	0	0	
Wind, -20	380C1F2 / 14195	10325	-151895	0	0	0	
Permanen	380C1F3 / 14195	9772	-150992	0	0	0	
Wind angl	GW / opgv1854	1593	-20104	0	0	0	
	Comp. gl 3846	2728	-40080	0	0	0	
3	380C1F1 / 22421	20650	-211949	0	0	0	
Wind+ice,	380C1F2 / 22421	19448	-209016	0	0	0	
Permanen	380C1F3 / 22420	17857	-205455	0	0	0	
Wind angl	GW / opgv6532	5945	-51964	0	0	0	
	Comp. gl 13215	9369	-99683	0	0	0	
4	380C1F1 / 16207	10561	-148456	0	0	0	
Constructi	380C1F2 / 16207	10150	-147838	0	0	0	
Permanen	380C1F3 / 16207	9604	-147103	0	0	0	
Wind angl	GW / opgv2356	1651	-21421	0	0	0	
	Comp. gl 4850	2864	-43202	0	0	0	
1a	380C1F1 / 14204	15746	-146983	0	0	0	
Wind, 10 c	380C1F2 / 14204	14726	-143754	0	0	0	
Permanen	380C1F3 / 14203	13378	-139782	0	0	0	
Wind angl	GW / opgv1855	2555	-21055	0	0	0	
	Comp. gl 3848	3933	-38851	0	0	0	
1b	380C1F1 / 14194	8382	-149281	0	0	0	
Wind, -20	380C1F2 / 14194	8200	-149120	0	0	0	
Permanen	380C1F3 / 14194	7956	-148931	0	0	0	
Wind angl	GW / opgv1854	1169	-19296	0	0	0	
	Comp. gl 3845	2165	-39346	0	0	0	
3	380C1F1 / 22419	13877	-198486	0	0	0	
Wind+ice,	380C1F2 / 22419	13357	-197814	0	0	0	
Permanen	380C1F3 / 22419	12666	-197017	0	0	0	
Wind angl	GW / opgv6530	3783	-48146	0	0	0	
	Comp. gl 13213	6486	-96005	0	0	0	
4	380C1F1 / 16206	8228	-145721	0	0	0	
Constructi	380C1F2 / 16206	8046	-145592	0	0	0	
Permanen	380C1F3 / 16206	7805	-145440	0	0	0	
Wind angl	GW / opgv2356	1237	-20844	0	0	0	
	Comp. gl 4850	2311	-42679	0	0	0	

Totaal

	Vert [kN]	Dwars [kN]	Langs [kN]
	14,202	5,603	-127,432
	14,202	5,599	-127,432
	14,202	5,594	-127,433
	1,855	0,733	-16,643
	3,847	1,517	-34,52
	14,194	6,488	-148,42
	14,194	6,487	-148,42
	14,194	6,486	-148,42
	1,854	0,835	-19,082
	3,845	1,712	-39,161
	22,419	8,527	-194,794
	22,419	8,525	-194,794
	22,419	8,522	-194,794
	6,53	2,063	-47,087
	13,213	4,16	-95,055
	16,206	6,34	-145,038
	16,206	6,34	-145,038
	16,206	6,339	-145,038
	2,356	0,905	-20,697
	4,85	1,86	-42,552
	14,205	17,838	-154,11
	14,204	16,606	-149,838
	14,204	14,974	-144,523
	1,855	2,932	-22,543
	3,848	4,431	-40,476
	14,194	8,755	-149,656
	14,194	8,535	-149,428
	14,194	8,244	-149,158
	1,854	1,236	-19,388
	3,845	2,254	-39,427
	22,419	14,94	-200,043
	22,419	14,314	-199,098
	22,419	13,483	-197,972
	6,531	4,123	-48,592
	13,214	6,942	-96,419
	16,206	8,597	-146,023
	16,206	8,38	-145,839
	16,206	8,091	-145,622
	2,356	1,302	-20,909
	4,85	2,399	-42,736
	14,209	29,071	-198,46
	14,208	26,723	-188,723
	14,207	23,597	-176,017
	1,856	4,937	-31,126
	3,849	7,117	-50,945
	14,195	10,742	-152,653
	14,195	10,325	-151,895
	14,195	9,772	-150,992
	1,854	1,593	-20,104
	3,846	2,728	-40,08
	22,421	20,65	-211,949
	22,421	19,448	-209,016
	22,42	17,857	-205,455
	6,532	5,945	-51,964
	13,215	9,369	-99,683
	16,207	10,561	-148,456
	16,207	10,15	-147,838
	16,207	9,604	-147,103
	2,356	1,651	-21,421
	4,85	2,864	-43,202
	14,204	15,746	-146,983
	14,204	14,726	-143,754
	14,203	13,378	-139,782
	1,855	2,555	-21,055
	3,848	3,933	-38,851
	14,194	8,382	-149,281
	14,194	8,2	-149,12
	14,194	7,956	-148,931
	1,854	1,169	-19,296
	3,845	2,165	-39,346
	22,419	13,877	-198,486
	22,419	13,357	-197,814
	22,419	12,666	-197,017
	6,53	3,783	-48,146
	13,213	6,486	-96,005
	16,206	8,228	-145,721
	16,206	8,046	-145,592
	16,206	7,805	-145,44
	2,356	1,237	-20,844
	4,85	2,311	-42,679

Belastingen op mastvoet, per lijn

	M_{langs}	M_{dwars}	N	V_{langs}	V_{dwars}
	-6116,74	268,944	14,202	-127,432	5,603
	-4842,42	212,762	14,202	-127,432	5,599
	-3568,12	156,632	14,202	-127,433	5,594
	-939,164	42,77299	1,855	-16,643	0,733
	-707,66	36,32273	3,847	-34,52	1,517
	-7124,16	311,424	14,194	-148,42	6,488
	-5639,96	246,506	14,194	-148,42	6,487
	-4155,76	181,608	14,194	-148,42	6,486
	-1076,8	48,52809	1,854	-19,082	0,835
	-802,801	40,31751	3,845	-39,161	1,712
	-9350,11	409,296	22,419	-194,794	8,527
	-7402,17	323,95	22,419	-194,794	8,525
	-5454,23	238,616	22,419	-194,794	8,522
	-2657,12	121,3779	6,53	-47,087	2,063
	-1948,63	103,2233	13,213	-95,055	4,16
	-6961,82	304,32	16,206	-145,038	6,34
	-5511,44	240,92	16,206	-145,038	6,34
	-4061,06	177,492	16,206	-145,038	6,339
	-1167,93	52,85971	2,356	-20,697	0,905
	-872,316	44,7163	4,85	-42,552	1,86
	-7397,28	856,224	14,205	-154,11	17,838
	-5693,84	631,028	14,204	-149,838	16,606
	-4046,64	419,272	14,204	-144,523	14,974
	-1272,1	166,8626	1,855	-22,543	2,932
	-829,758	96,06108	3,848	-40,476	4,431
	-7183,49	420,24	14,194	-149,656	8,755
	-5678,26	324,33	14,194	-149,428	8,535
	-4176,42	230,832	14,194	-149,158	8,244
	-1094,06	71,15652	1,854	-19,388	1,236
	-808,254	51,42851	3,845	-39,427	2,254
	-9602,06	717,12	22,419	-200,043	14,94
	-7565,72	543,932	22,419	-199,098	14,314
	-5543,22	377,524	22,419	-197,972	13,483
	-2742,05	237,6245	6,531	-48,592	4,123
	-1976,59	160,2556	13,214	-96,419	6,942
	-7009,1	412,656	16,206	-146,023	8,597
	-5541,88	318,44	16,206	-145,839	8,38
	-4077,42	226,548	16,206	-145,622	8,091
	-1179,89	75,26242	2,356	-20,909	1,302
	-876,088	55,7658	4,85	-42,736	2,399
	-9526,08	1395,408	14,209	-198,46	29,071
	-7171,47	1015,474	14,208	-188,723	26,723
	-4928,48	660,716	14,207	-176,017	23,597
	-1756,44	280,0055	1,856	-31,126	4,937
	-1044,37	151,1254	3,849	-50,945	7,117
	-7327,34	515,616	14,195	-152,653	10,742
	-5772,01	392,35	14,195	-151,895	10,325
	-4227,78	273,616	14,195	-150,992	9,772
	-1134,47	91,30203	1,854	-20,104	1,593
	-821,64	61,14687	3,846	-40,08	2,728
	-10173,6	991,2	22,421	-211,949	20,65
	-7942,61	739,024	22,421	-209,016	19,448
	-5752,74	499,996	22,42	-205,455	17,857
	-2932,33	340,4407	6,532	-51,964	5,945
	-2043,5	210,0105	13,215	-99,683	9,369
	-7125,89	506,928	16,207	-148,456	10,561
	-5617,84	385,7	16,207	-147,838	10,15
	-4118,88	268,912	16,207	-147,103	9,604
	-1208,79	94,95649	2,356	-21,421	1,651
	-885,641	65,2983	4,85	-43,202	2,864
	-7055,18	755,808	14,204	-146,983	15,746
	-5462,65	559,588	14,204	-143,754	14,726
	-3913,9	374,584	14,203	-139,782	13,378
	-1188,13	145,5885	1,855	-21,055	2,555
	-796,446	85,85208	3,848	-38,851	3,933
	-7165,49	402,336	14,194	-149,281	8,382
	-5666,56	311,6	14,194	-149,12	8,2
	-4170,07	222,768	14,194	-148,931	7,956
	-1088,87	67,37571	1,854	-19,296	1,169
	-806,593	49,60401	3,845	-39,346	2,165
	-9527,33	666,096	22,419	-198,486	13,877
	-7516,93	507,566	22,419	-197,814	13,357
	-5516,48	354,648	22,419	-197,017	12,666
	-2716,88	218,4375	6,53	-48,146	3,783
	-1968,1	150,9063	13,213	-96,005	6,486
	-6994,61	394,944	16,206	-145,721	8,228
	-5532,5	305,748	16,206	-145,592	8,046
	-4072,32	218,54	16,206	-145,44	7,805
	-1176,23	71,59447	2,356	-20,844	1,237
	-874,92	53,9618	4,85	-42,679	2,311

Belasting op mastvoet, belastinggeval

		M_{langs}	M_{dwars}	N	V_{langs}	V_{dwars}
1a	-16174,1	717,4337	48,308	-433,46	19,046
Wind angle:	0 dgr				
1b	-18799,5	828,3836	48,281	-503,503	22,008
Wind angle:	0 dgr				
3	-26812,3	1196,463	87	-726,524	31,797
Wind angle:	0 dgr				
4	-18574,6	820,308	55,824	-498,363	21,784
Wind angle:	0 dgr				
1a	-19239,6	2169,448	48,316	-511,49	56,781
Wind angle:	45 dgr				
1b	-18940,5	1097,987	48,281	-507,057	29,024
Wind angle:	45 dgr				
3	-27429,6	2036,456	87,002	-742,124	53,802
Wind angle:	45 dgr				
4	-18684,4	1088,672	55,824	-501,129	28,769
Wind angle:	45 dgr				
1a	-24426,8	3502,729	48,329	-645,271	91,445
Wind angle:	90 dgr				
1b	-19283,2	1334,031	48,285	-515,724	35,16
Wind angle:	90 dgr				
3	-28844,7	2780,671	87,009	-778,067	73,269
Wind angle:	90 dgr				
4	-18957	1321,795	55,827	-508,02	34,83
Wind angle:	90 dgr				
1a	-18416,3	1921,421	48,314	-490,425	50,338
Wind angle:	-45 dgr				
1b	-18897,6	1053,684	48,281	-505,974	27,872
Wind angle:	-45 dgr				
3	-27245,7	1897,654	87	-737,468	50,169
Wind angle:	-45 dgr				
4	-18650,6	1044,788	55,824	-500,276	27,627
Wind angle:	-45 dgr				

Hoogte mast 52 m
Hoogte onderste stroomdraad (F3) 26 m

		Hoogte		Excentriciteit ophanging t.o.v. hart mast
Blikxemdraad + GW / $C_{H_{stat}}$ =	0,576 m =	51,424 m		0,76 m
1e traverse - 380C1F1 F2 +	10 m =	52 m		0 m
2e traverse - 380C1F2 F3 +	10 m =	42 m		0 m
3e traverse - 380C1F3		32 m		0 m
Passieve lijn = Comp C. F3 -	7,5 m =	24,5 m		2,075 m

	Uit mast (excl belastingsfactoren)			Uit lijnen (incl belastingsfactoren)				
	N [kN]	V [kN]	M [kNm]	Nmin [kN]	Nmax [kN]	Vmax [kN]	Mlangs;max [kNm]	Mdwars;max [kNm]
Sheet 08 - N	793	122	3544	87	232	909	12424	36870
Sheet 08 - N1				43	71	627	25589	13974
Max	793	122	3544	43	232,126	908,716	25589,39	36870,14

		Belastingen uit lijnen					Belasting uit mast		
			M_{langs}	M_{dwars}	N	V_{langs}	V_{dwars}	N	V	M
Perm load 1,2	0 deg	1a	0	19528	116	0	475	793	122	3544
		1b	0	20315	116	0	495	793	23	665
		3	0	31674	232	0	784	793	34	997
		4	0	20782	139	0	507	793	23	665
		6	0	19187	130	0	468			
	45 deg	1a	-10203	27002	116	-242	653	793	122	3544
		1b	-482	21144	116	-11	515	793	23	665
		3	-1912	34405	232	-45	849	793	34	997
		4	-312	21536	139	-7	525	793	23	665
	90 deg	1a	0	33784	116	0	815	793	122	3544
		1b	0	21897	116	0	533	793	23	665
		3	0	**36870**	**232**	0	**909**	793	34	997
		4	0	22230	139	0	542	793	23	665
	-45 deg	1a	10203	27002	116	242	653	793	122	3544
		1b	482	21144	116	11	515	793	23	665
		3	1912	34405	232	45	849	793	34	997
		4	312	21536	139	7	525	793	23	665
Perm load 0,9	0 deg	1a	0	16152	87	0	392	595	122	3544
		1b	0	16478	**87**	0	401	595	23	665
		3	0	28637	203	0	710	595	34	997
		4	0	17291	110	0	422	595	23	665
		6	0	**13791**	87	0	**336**			
	45 deg	1a	**-12424**	24507	87	**-296**	592	595	122	3544
		1b	-803	17448	87	-19	424	595	23	665
		3	-2405	31584	203	-56	781	595	34	997
		4	-508	18132	110	-12	442	595	23	665
	90 deg	1a	0	32219	87	0	776	595	122	3544
		1b	0	18313	87	0	445	595	23	665
		3	0	34226	203	0	844	595	34	997
		4	0	18894	110	0	461	595	23	665
	-45 deg	1a	**12424**	24507	87	**296**	592	595	122	3544
		1b	803	17448	87	19	424	595	23	665
		3	2405	31584	203	56	781	595	34	997
		4	508	18132	110	12	442	595	23	665

| | | | Totaal | | | | |

Permanent loads yg= 1,35	380C1/F3 / 380C12781	49433	106010	12781	49433	-106010	25,562	98,866	0	0	3163,712	25,562	0	98,866									
	GW / rqqve 1669	6441	13813	1669	6441	-13813	3,338	12,882	0	0	664,9808	3,338	0	12,882									
	Comp. gl 3462	13357	28666	3462	13357	-28666	6,924	26,734	0	0	669,3503	6,924	0	26,734									
1a	380C1/F1 / 380C12781	54545	108097	12792	126013	-203187	25,573	180,558	-95,09	-4944,68	9389,016	25,573	-95,09	180,558	1a	-12424,2	24506,54	86,982	-296,07	591,966			
Wind, 10 dgr	380C1/F2 / 380C12781	54030	107683	12791	119007	-193383	25,572	173,037	-85,7	-3599,4	7267,554	25,572	-85,7	173,037	Wind angle: 45 dgr								
Permanent loads yg=0,9	380C1/F3 / 380C12781	53398	107211	12789	110005	-180763	25,57	163,403	-73,552	-2353,66	5228,896	25,57	-73,552	163,403									
Wind angle: 45 dgr	GW / rqqve 1669	7466	14428	1671	21038	-33151	3,34	28,504	-18,723	-962,812	1468,328	3,34	-18,723	28,504									
	Comp. gl 3462	14575	29100	3465	31889	-52105	6,927	46,464	-23,005	-563,623	1152,742	6,927	-23,005	46,464									
1b	380C1/F1 / 380C12774	58810	124344	12775	67185	-130687	25,549	125,995	-6,343	-329,836	6551,74	25,549	-6,343	125,995	1b	-802,859	17448,41	86,905	-18,788	424,385			
Wind, -20 dgr	380C1/F2 / 380C12774	58746	124344	12775	66217	-129653	25,549	124,963	-5,309	-222,978	5248,446	25,549	-5,309	124,963	Wind angle: 45 dgr								
Permanent loads yg=0,9	380C1/F3 / 380C12774	58665	124348	12774	65032	-128446	25,548	123,697	-4,098	-131,136	3958,304	25,548	-4,098	123,697									
Wind angle: 45 dgr	GW / rqqve 1668	7574	15927	1669	9312	-17579	3,337	16,886	-1,652	-84,9524	870,8818	3,337	-1,652	16,886									
	Comp. gl 3461	15441	32682	3461	17403	-34068	6,922	32,844	-1,386	-33,957	819,0412	6,922	-1,386	32,844									
3	380C1/F1 / 380C25109	91902	192127	25114	116091	-211518	50,223	207,993	-19,391	-1008,33	10815,64	50,223	-19,391	207,993	3	-2404,78	31583,57	203,077	-56,131	780,918			
Wind+tox, -5 dgr	380C1/F2 / 380C25109	91720	192120	25113	113341	-208533	50,222	205,061	-16,413	-689,346	8612,562	50,222	-16,413	205,061	Wind angle: 45 dgr								
Permanent loads yg=0,9	380C1/F3 / 380C25109	91490	192121	25112	109949	-204991	50,221	201,439	-12,87	-411,84	6446,048	50,221	-12,87	201,439									
Wind angle: 45 dgr	GW / rqqve 8685	25248	52517	8688	32173	-56698	17,373	57,421	-4,181	-215,004	2966,021	17,373	-4,181	57,421									
	Comp. gl 17518	50360	105786	17520	58644	-109062	35,038	109,004	-3,276	-80,262	2743,302	35,038	-3,276	109,004									
4	380C1/F1 / 380C15788	60818	128950	15789	68194	-132843	31,577	129,012	-4,193	-218,036	6708,624	31,577	-4,193	129,012	4	-508,161	18131,95	109,503	-11,794	442,39			
Construction/maintenance, +5 dg	380C1/F2 / 380C15788	60757	128857	15788	67364	-132105	31,576	128,121	-3,448	-144,816	5381,082	31,576	-3,448	128,121									
Permanent loads yg=0,9	380C1/F3 / 380C15788	60680	128668	15788	66345	-131256	31,576	127,025	-2,588	-82,816	4064,8	31,576	-2,588	127,025									
Wind angle: 45 dgr	GW / rqqve 2421	9084	19165	2421	10470	-20062	4,842	19,554	-0,897	-46,1273	1009,225	4,842	-0,897	19,554									
	Comp. gl 4966	18525	39296	4966	20153	-39964	9,932	38,678	-0,668	-16,366	968,2199	9,932	-0,668	38,678									
1a	380C1/F1 / 380C12791	119726	194390	12791	119726	-194390	25,582	239,452	0	0	12451,5	25,582	0	239,452	1a	0	32218,86	87,01	0	775,948			
Wind, 10 dgr	380C1/F2 / 380C12790	113193	185234	12790	113193	-185234	25,58	226,386	0	0	9508,212	25,58	0	226,386	Wind angle: 90 dgr								
Permanent loads yg=0,9	380C1/F3 / 380C12789	104817	173489	12789	104817	-173489	25,578	209,634	0	0	6708,288	25,578	0	209,634									
Wind angle: 90 dgr	GW / rqqve 1671	19913	31574	1671	19913	-31574	3,342	39,826	0	0	2050,552	3,342	0	39,826									
	Comp. gl 3464	30325	49888	3464	30325	-49888	6,928	60,65	0	0	1500,301	6,928	0	60,65									
1b	380C1/F1 / 380C12775	66315	129755	12775	66315	-129755	25,55	132,63	0	0	6896,76	25,55	0	132,63	1b	0	18312,91	86,906	0	444,934			
Wind, -20 dgr	380C1/F2 / 380C12774	65444	128858	12774	65444	-128858	25,548	130,888	0	0	5497,296	25,548	0	130,888	Wind angle: 90 dgr								
Permanent loads yg=0,9	380C1/F3 / 380C12774	64379	127815	12774	64379	-127815	25,548	128,758	0	0	4120,256	25,548	0	128,758									
Wind angle: 90 dgr	GW / rqqve 1669	9129	17354	1669	9129	-17354	3,338	18,258	0	0	941,4363	3,338	0	18,258									
	Comp. gl 3461	17200	33860	3461	17200	-33860	6,922	34,4	0	0	857,1632	6,922	0	34,4									
3	380C1/F1 / 380C25113	113019	208830	25113	113019	-208830	50,226	227,238	0	0	11816,38	50,226	0	227,238	3	0	34226,13	203,09	0	844,288			
Wind+tox, -5 dgr	380C1/F2 / 380C25112	111132	206207	25112	111132	-206207	50,224	222,264	0	0	9335,088	50,224	0	222,264	Wind angle: 90 dgr								
Permanent loads yg=0,9	380C1/F3 / 380C25112	108069	203109	25112	108069	-203109	50,224	216,138	0	0	6916,416	50,224	0	216,138									
Wind angle: 90 dgr	GW / rqqve 8688	31486	56084	8688	31486	-56084	17,376	62,972	0	0	3251,478	17,376	0	62,972									
	Comp. gl 17520	57838	108499	17520	57838	-108499	35,04	115,676	0	0	2906,77	35,04	0	115,676									
4	380C1/F1 / 380C15788	67448	132178	15788	67448	-132178	31,576	134,896	0	0	7014,592	31,576	0	134,896	4	0	18893,7	109,502	0	460,504			
Construction/maintenance, +5 dg	380C1/F2 / 380C15788	66700	131544	15788	66700	-131544	31,576	133,4	0	0	5602,8	31,576	0	133,4	Wind angle: 90 dgr								
Permanent loads yg=0,9	380C1/F3 / 380C15788	65782	130818	15788	65782	-130818	31,576	131,564	0	0	4210,048	31,576	0	131,564									
Wind angle: 90 dgr	GW / rqqve 2421	10329	19926	2421	10329	-19926	4,842	20,658	0	0	1065,997	4,842	0	20,658									
	Comp. gl 4966	19993	39847	4966	19993	-39847	9,932	39,986	0	0	1000,266	9,932	0	39,986									
1a	380C1/F1 / 380C12792	126013	203187	12791	54545	-108097	25,573	180,558	95,09	4944,68	9389,016	25,573	95,09	180,558	1a	12424,18	24506,54	86,982	296,07	591,966			
Wind, 10 dgr	380C1/F2 / 380C12791	119007	193383	12781	54030	-107683	25,572	173,037	85,7	3599,4	7267,554	25,572	85,7	173,037	Wind angle: 45 dgr								
Permanent loads yg=0,9	380C1/F3 / 380C12789	110005	180763	12781	53398	-107211	25,57	163,403	73,552	2353,664	5228,896	25,57	73,552	163,403									
Wind angle: 45 dgr	GW / rqqve 1671	21038	33151	1669	7466	-14428	3,34	28,504	18,723	962,8116	1468,328	3,34	18,723	28,504									
	Comp. gl 3465	31889	52105	3462	14575	-29100	6,927	46,464	23,005	563,6225	1152,742	6,927	23,005	46,464									
1b	380C1/F1 / 380C12775	67185	130687	12774	58810	-124344	25,549	125,995	6,343	329,836	6551,74	25,549	6,343	125,995	1b	802,8594	17448,41	86,905	18,788	424,385			
Wind, -20 dgr	380C1/F2 / 380C12775	66217	129653	12774	58746	-124344	25,549	124,963	5,309	222,978	5248,446	25,549	5,309	124,963	Wind angle: -45 dgr								
Permanent loads yg=0,9	380C1/F3 / 380C12774	65032	128446	12774	58665	-124348	25,548	123,697	4,098	131,136	3958,304	25,548	4,098	123,697									
Wind angle: -45 dgr	GW / rqqve 1669	9312	17579	1668	7574	-15927	3,337	16,886	1,652	84,95245	870,8818	3,337	1,652	16,886									
	Comp. gl 3461	17403	34068	3461	15441	-32682	6,922	32,844	1,386	33,957	819,0412	6,922	1,386	32,844									
3	380C1/F1 / 380C25114	116091	211518	25109	91902	-192127	50,223	207,993	19,391	1008,332	10815,64	50,223	19,391	207,993	3	2404,784	31583,57	203,077	56,131	780,918			
Wind+tox, -5 dgr	380C1/F2 / 380C25113	113341	208533	25109	91720	-192120	50,222	205,061	16,413	689,346	8612,562	50,222	16,413	205,061	Wind angle: -45 dgr								
Permanent loads yg=0,9	380C1/F3 / 380C25112	109949	204991	25109	91490	-192121	50,221	201,439	12,87	411,84	6446,048	50,221	12,87	201,439									
Wind angle: -45 dgr	GW / rqqve 8688	32173	56698	8685	25248	-52517	17,373	57,421	4,181	215,0037	2966,021	17,373	4,181	57,421									
	Comp. gl 17520	58644	109062	17518	50360	-105786	35,038	109,004	3,276	80,262	2743,302	35,038	3,276	109,004									
4	380C1/F1 / 380C15789	68194	132843	15788	60818	-128950	31,577	129,012	4,193	218,036	6708,624	31,577	4,193	129,012	4	508,1613	18131,95	109,503	11,794	442,39			
Construction/maintenance, +5 dg	380C1/F2 / 380C15788	67364	132105	15788	60757	-128857	31,576	128,121	3,448	144,816	5381,082	31,576	3,448	128,121	Wind angle: -45 dgr								
Permanent loads yg=0,9	380C1/F3 / 380C15788	66345	131256	15788	60680	-128668	31,576	127,025	2,588	82,816	4064,8	31,576	2,588	127,025									
Wind angle: -45 dgr	GW / rqqve 2421	10470	20062	2421	9084	-19165	4,842	19,554	0,897	46,12733	1009,225	4,842	0,897	19,554									
	Comp. gl 4966	20153	39964	4966	18525	-39296	9,932	38,678	0,668	16,366	968,2199	9,932	0,668	38,678									

W2H400+5 08 - N1

Hoogte mast 52 m
Hoogte onderste stroomdraad (F3) 26 m

		Hoogte		Excentriciteit ophanging t.o.v. hart mast
Bliksemdraad = GW / tH$_{mast}$ -	0,576 m =	51,424 m		0,76 m
1e traverse - 380C1F1 F2 +	10 m =	52 m		0 m
2e traverse - 380C1F2 F3 +	10 m =	42 m		0 m
3e traverse - 380C1F3		32 m		0 m
Passieve lijn = Comp C.F3 -	7,5 m =	24,5 m		2,075 m

Uit mast (excl belastingsfactoren)

N	V	M
[kN]	[kN]	[kNm]
327	85	2159

Uit lijnen (incl belastingsfactoren)

Nmin	Nmax	Vmax	Mlangs;max	Mdwars;max
[kN]	[kN]	[kN]	[kNm]	[kNm]
43	71	627	25589	13974

Belastingen uit lijnen

			M$_{langs}$	M$_{dwars}$	N	V$_{langs}$	V$_{dwars}$
Perm load 1,2	0 deg	1a	18731	9180	58	457	224
		1b	21402	10125	58	522	247
		3	23126	11212	71	568	275
		4	21340	10099	67	522	247
		6	20547	9594	65	502	234
	45 deg	1a	18670	9002	58	456	219
		1b	21408	10081	58	522	246
		3	23095	11056	71	568	271
		4	21349	10057	67	522	246
	90 deg	1a	21715	12135	58	527	294
		1b	21630	10712	58	527	261
		3	25252	13675	71	619	334
		4	21488	10649	67	525	260
	-45 deg	1a	22159	12492	58	538	302
		1b	21678	10780	58	529	262
		3	**25589**	**13974**	**71**	**627**	**342**
		4	21523	10712	67	526	261
Perm load 0,9	0 deg	1a	14902	7392	43	364	180
		1b	17288	8203	**43**	422	200
		3	19386	9465	56	477	232
		4	17562	8334	52	430	204
		6	**14770**	**6896**	43	**361**	**168**
	45 deg	1a	14790	7190	43	361	175
		1b	17288	8158	**43**	422	199
		3	19326	9296	56	476	228
		4	17567	8290	52	430	202
	90 deg	1a	18985	10859	43	460	262
		1b	17697	8875	**43**	431	216
		3	22235	12265	56	545	300
		4	17827	8939	52	436	218
	-45 deg	1a	19539	11268	43	473	272
		1b	17772	8956	**43**	433	218
		3	22658	12604	56	555	308
		4	17881	9010	52	437	220

Belasting uit mast

N	V	M
327	85	2159
327	16	405
327	24	607
327	16	405
327	85	2159
327	16	405
327	24	607
327	16	405
327	85	2159
327	16	405
327	24	607
327	16	405
327	85	2159
327	16	405
327	24	607
327	16	405
245	85	2159
245	16	405
245	24	607
245	16	405
245	85	2159
245	16	405
245	24	607
245	16	405
245	85	2159
245	16	405
245	24	607
245	16	405
245	85	2159
245	16	405
245	24	607
245	16	405

Totaal

regel		Loadcase	M$_{langs}$	M$_{dwars}$	N	V$_{langs}$	V$_{dwars}$	Totaal moment
1	Perm load 1,2	0 deg	1a	20890	9180	385	542	224	22818,53
2	Perm load 1,2	0 deg	1b	21807	10125	385	538	247	24042,5
3	Perm load 1,2	0 deg	3	23733	11212	398	592	275	26248,49
4	Perm load 1,2	0 deg	4	21745	10099	394	538	247	23975,91
5	Perm load 1,2	0 deg	6						
6									
7	Perm load 1,2	45 deg	1a	20197	10528	385	516	279	22776,05
8	Perm load 1,2	45 deg	1b	21694	10368	385	534	257	24043,9
9	Perm load 1,2	45 deg	3	23524	11485	398	584	288	26178,06
10	Perm load 1,2	45 deg	4	21635	10343	394	533	257	23980,05
11									
12	Perm load 1,2	90 deg	1a	21715	14294	385	527	379	25997,25
13	Perm load 1,2	90 deg	1b	21630	11117	385	527	277	24319,37
14	Perm load 1,2	90 deg	3	25252	14283	398	619	358	29011,31
15	Perm load 1,2	90 deg	4	Construct	21488	11054	394	525	276	24164,19
16									
17	Perm load 1,2	-45 deg	1a	23686	14019	385	598	362	27523,45
18	Perm load 1,2	-45 deg	1b	21964	11067	385	540	274	24594,94
19	Perm load 1,2	-45 deg	3	26019	14403	398	644	358	29739,43
20	Perm load 1,2	-45 deg	4	21810	10998	394	537	272	24425,71
21									
22	Perm load 0,9	0 deg	1a	17061	7392	289	449	180	18593,33
23	Perm load 0,9	0 deg	1b	17693	8203	289	438	200	19502,06
24	Perm load 0,9	0 deg	3	19993	9465	302	501	232	22119,89
25	Perm load 0,9	0 deg	4	17967	8334	298	446	204	19805,75
26	Perm load 0,9	0 deg	6						
27									
28	Perm load 0,9	45 deg	1a	16317	8716	289	421	235	18498,9
29	Perm load 0,9	45 deg	1b	17574	8444	289	433	210	19497,65
30	Perm load 0,9	45 deg	3	19755	9725	302	493	245	22019,07
31	Perm load 0,9	45 deg	4	Construct	17853	8577	298	441	214	19806,14
32									
33	Perm load 0,9	90 deg	1a	18985	13018	289	460	347	23019,83
34	Perm load 0,9	90 deg	1b	17697	9280	289	431	232	19982,02
35	Perm load 0,9	90 deg	3	22235	12873	302	545	324	25692,11
36	Perm load 0,9	90 deg	4	17827	9344	298	436	234	20127,45
37									
38	Perm load 0,9	-45 deg	1a	21066	12794	289	533	332	24647
39	Perm load 0,9	-45 deg	1b	18059	9242	289	444	229	20286,37
40	Perm load 0,9	-45 deg	3	23087	13033	302	572	325	26511,66
41	Perm load 0,9	-45 deg	4	18167	9297	298	448	231	20407,83
			Max	26019	14403	398	644	379	29739

samenvatting

	Mast	Bijlage		Wind	Loadcase	M$_{langs}$	M$_{dwars}$	N	V$_{langs}$	V$_{dwars}$
12	W2H400+508-N1		Perm load	90 deg	1a	21715	14294	385	527	379
19	W2H400+508-N1		Perm load	-45 deg	3	26019	14403	398	644	358

x

x x x x x

W2H400+ TOWER **APPENDIN1**

Loadcases for tower strength (special limit state)

Loadcase according to 50341-3-15

		AHEAD			BACK			Totaal Vert	Dwars	Langs
	Attachmer	[N]	[N]	[N]	[N]	[N]	[N]	[kN]	[kN]	[kN]
1a	380C1F1	17045	65978	134443	0	0	0	17,045	65,978	134,443
Wind, 10 dgr	380C1F2	17045	65655	134298	0	0	0	17,045	65,655	134,298
Permanent loads yg=	380C1F3	17045	65254	134141	0	0	0	17,045	65,254	134,141
Wind angle: 0 dgr	GW / opgw	2226	8869	17762	0	0	0	2,226	8,869	17,762
	Comp. gl	4617	17812	36487	0	0	0	4,617	17,812	36,487
1b	380C1F1	17036	72723	153787	0	0	0	17,036	72,723	153,787
Wind, -20 dgr	380C1F2	17036	72647	153793	0	0	0	17,036	72,647	153,793
Permanent loads yg=	380C1F3	17036	72551	153803	0	0	0	17,036	72,551	153,803
Wind angle: 0 dgr	GW / opgw	2225	9461	19903	0	0	0	2,225	9,461	19,903
	Comp. gl	4615	19287	40835	0	0	0	4,615	19,287	40,835
3	380C1F1	19802	77768	160718	0	0	0	19,802	77,768	160,718
Wind+ice, -5 dgr	380C1F2	19802	77517	160650	0	0	0	19,802	77,517	160,65
Permanent loads yg=	380C1F3	19802	77203	160581	0	0	0	19,802	77,203	160,581
Wind angle: 0 dgr	GW / opgw	3796	14234	28538	0	0	0	3,796	14,234	28,538
	Comp. gl	7762	28198	57773	0	0	0	7,762	28,198	57,773
4	380C1F1	19451	71802	151812	0	0	0	19,451	71,802	151,812
Construction/maintena	380C1F2	19451	71728	151822	0	0	0	19,451	71,728	151,822
Permanent loads yg=	380C1F3	19451	71635	151838	0	0	0	19,451	71,635	151,838
Wind angle: 0 dgr	GW / opgw	2828	10310	21723	0	0	0	2,828	10,31	21,723
	Comp. gl	5821	21063	44642	0	0	0	5,821	21,063	44,642
6	380C1F1	19177	68716	147362	0	0	0	19,177	68,716	147,362
Permanent, +10 dgr	380C1F2	19177	68716	147362	0	0	0	19,177	68,716	147,362
Permanent loads yg=	380C1F3	19177	68716	147362	0	0	0	19,177	68,716	147,362
	GW / opgw	2505	9033	19371	0	0	0	2,505	9,033	19,371
	Comp. gl	5195	18706	40116	0	0	0	5,195	18,706	40,116
1a	380C1F1	17045	64613	133947	0	0	0	17,045	64,613	133,947
Wind, 10 dgr	380C1F2	17045	64427	133907	0	0	0	17,045	64,427	133,907
Permanent loads yg=	380C1F3	17045	64193	133866	0	0	0	17,045	64,193	133,866
Wind angle: 45 dgr	GW / opgw	2226	8595	17608	0	0	0	2,226	8,595	17,608
	Comp. gl	4617	17489	36384	0	0	0	4,617	17,489	36,384
1b	380C1F1	17036	72393	153827	0	0	0	17,036	72,393	153,827
Wind, -20 dgr	380C1F2	17036	72346	153837	0	0	0	17,036	72,346	153,837
Permanent loads yg=	380C1F3	17036	72286	153850	0	0	0	17,036	72,286	153,85
Wind angle: 45 dgr	GW / opgw	2225	9399	19903	0	0	0	2,225	9,399	19,903
	Comp. gl	4615	19208	40847	0	0	0	4,615	19,208	40,847
3	380C1F1	19802	76696	160509	0	0	0	19,802	76,696	160,509
Wind+ice, -5 dgr	380C1F2	19802	76547	160498	0	0	0	19,802	76,547	160,498
Permanent loads yg=	380C1F3	19802	76360	160493	0	0	0	19,802	76,36	160,493
Wind angle: 45 dgr	GW / opgw	3796	13832	28363	0	0	0	3,796	13,832	28,363
	Comp. gl	7762	27716	57669	0	0	0	7,762	27,716	57,669
4	380C1F1	19451	71480	151870	0	0	0	19,451	71,48	151,87
Construction/maintena	380C1F2	19451	71434	151881	0	0	0	19,451	71,434	151,881
Permanent loads yg=	380C1F3	19451	71375	151896	0	0	0	19,451	71,375	151,896
Wind angle: 45 dgr	GW / opgw	2828	10251	21731	0	0	0	2,828	10,251	21,731
	Comp. gl	5821	20986	44660	0	0	0	5,821	20,986	44,66
1a	380C1F1	17049	88694	157786	0	0	0	17,049	88,694	157,786
Wind, 10 dgr	380C1F2	17048	85924	154369	0	0	0	17,048	85,924	154,369
Permanent loads yg=	380C1F3	17048	82496	150248	0	0	0	17,048	82,496	150,248
Wind angle: 90 dgr	GW / opgw	2227	13529	23228	0	0	0	2,227	13,529	23,228
	Comp. gl	4618	23161	41797	0	0	0	4,618	23,161	41,797
1b	380C1F1	17036	77213	155617	0	0	0	17,036	77,213	155,617
Wind, -20 dgr	380C1F2	17036	76684	155257	0	0	0	17,036	76,684	155,257
Permanent loads yg=	380C1F3	17036	76032	154852	0	0	0	17,036	76,032	154,852
Wind angle: 90 dgr	GW / opgw	2225	10368	20455	0	0	0	2,225	10,368	20,455
	Comp. gl	4615	20350	41219	0	0	0	4,615	20,35	41,219
3	380C1F1	19805	94794	175433	0	0	0	19,805	94,794	175,433
Wind+ice, -5 dgr	380C1F2	19805	92704	173118	0	0	0	19,805	92,704	173,118
Permanent loads yg=	380C1F3	19804	90133	170380	0	0	0	19,804	90,133	170,38
Wind angle: 90 dgr	GW / opgw	3797	20828	35526	0	0	0	3,797	20,828	35,526
	Comp. gl	7763	35850	64466	0	0	0	7,763	35,85	64,466
4	380C1F1	19451	76022	153058	0	0	0	19,451	76,022	153,058
Construction/maintena	380C1F2	19451	75535	152787	0	0	0	19,451	75,535	152,787
Permanent loads yg=	380C1F3	19451	74931	152486	0	0	0	19,451	74,931	152,486
Wind angle: 90 dgr	GW / opgw	2828	11112	22051	0	0	0	2,828	11,112	22,051
	Comp. gl	5821	22032	44825	0	0	0	5,821	22,032	44,825
1a	380C1F1	17049	91433	161228	0	0	0	17,049	91,433	161,228
Wind, 10 dgr	380C1F2	17049	88385	157402	0	0	0	17,049	88,385	157,402
Permanent loads yg=	380C1F3	17048	84603	152765	0	0	0	17,048	84,603	152,765
Wind angle: -45 dgr	GW / opgw	2227	14071	23957	0	0	0	2,227	14,071	23,957
	Comp. gl	4618	23814	42605	0	0	0	4,618	23,814	42,605
1b	380C1F1	17036	77740	155999	0	0	0	17,036	77,74	155,999
Wind, -20 dgr	380C1F2	17036	77154	155575	0	0	0	17,036	77,154	155,575
Permanent loads yg=	380C1F3	17036	76433	155096	0	0	0	17,036	76,433	155,096
Wind angle: -45 dgr	GW / opgw	2225	10478	20558	0	0	0	2,225	10,478	20,558
	Comp. gl	4615	20473	41302	0	0	0	4,615	20,473	41,302
3	380C1F1	19806	96873	177802	0	0	0	19,806	96,873	177,802
Wind+ice, -5 dgr	380C1F2	19805	94560	175171	0	0	0	19,805	94,56	175,171
Permanent loads yg=	380C1F3	19805	91711	172045	0	0	0	19,805	91,711	172,045
Wind angle: -45 dgr	GW / opgw	3798	21594	36481	0	0	0	3,798	21,594	36,481
	Comp. gl	7764	36772	65513	0	0	0	7,764	36,772	65,513
4	380C1F1	19451	76507	153348	0	0	0	19,451	76,507	153,348
Construction/maintena	380C1F2	19451	75968	153026	0	0	0	19,451	75,968	153,026
Permanent loads yg=	380C1F3	19451	75302	152666	0	0	0	19,451	75,302	152,666
Wind angle: -45 dgr	GW / opgw	2828	11206	22119	0	0	0	2,828	11,206	22,119
	Comp. gl	5821	22141	44877	0	0	0	5,821	22,141	44,877
1a	380C1F1	12781	53222	107088	0	0	0	12,781	53,222	107,088
Wind, 10 dgr	380C1F2	12781	52851	106842	0	0	0	12,781	52,851	106,842
Permanent loads yg=	380C1F3	12781	52394	106564	0	0	0	12,781	52,394	106,564
Wind angle: 0 dgr	GW / opgw	1669	7191	14164	0	0	0	1,669	7,191	14,164
	Comp. gl	3462	14265	28881	0	0	0	3,462	14,265	28,881
1b	380C1F1	12774	58997	124352	0	0	0	12,774	58,997	124,352
Wind, -20 dgr	380C1F2	12774	58915	124346	0	0	0	12,774	58,915	124,346
Permanent loads yg=	380C1F3	12774	58813	124344	0	0	0	12,774	58,813	124,344
Wind angle: 0 dgr	GW / opgw	1668	7610	15934	0	0	0	1,668	7,61	15,934
	Comp. gl	3461	15485	32682	0	0	0	3,461	15,485	32,682
3	380C1F1	15538	65149	133659	0	0	0	15,538	65,149	133,659
Wind+ice, -5 dgr	380C1F2	15538	64872	133536	0	0	0	15,538	64,872	133,536
Permanent loads yg=	380C1F3	15538	64529	133402	0	0	0	15,538	64,529	133,402
Wind angle: 0 dgr	GW / opgw	3239	12761	25380	0	0	0	3,239	12,761	25,38
	Comp. gl	6606	25101	51132	0	0	0	6,606	25,101	51,132
4	380C1F1	15186	59156	124693	0	0	0	15,186	59,156	124,693
Construction/maintena	380C1F2	15186	59079	124696	0	0	0	15,186	59,079	124,696
Permanent loads yg=	380C1F3	15186	58981	124702	0	0	0	15,186	58,981	124,702

Belastingen op mastvoet, per lijn

	M$_{langs}$	M$_{dwars}$	N	V$_{langs}$	V$_{dwars}$
1a	6991,036	3430,856	17,045	134,443	65,978
Wind angle: 0 dgr	5640,516	2757,51	17,045	134,298	65,655
	4292,512	2088,128	17,045	134,141	65,254
	913,3931	457,7712	2,226	17,762	8,869
	893,9315	445,9743	4,617	36,487	17,812
1b	7996,924	3781,596	17,036	153,787	72,723
Wind angle: 0 dgr	6459,306	3051,174	17,036	153,793	72,647
	4921,696	2321,632	17,036	153,803	72,551
	1023,492	488,2135	2,225	19,903	9,461
	1000,458	482,1076	4,615	40,835	19,287
3	8357,336	4043,936	19,802	160,718	77,768
Wind angle: 0 dgr	6747,3	3255,714	19,802	160,65	77,517
	5138,592	2470,496	19,802	160,581	77,203
	1467,538	734,8542	3,796	28,538	14,234
	1415,439	706,9572	7,762	57,773	28,198
4	7894,224	3733,704	19,451	151,812	71,802
Wind angle: 0 dgr	6376,524	3012,576	19,451	151,822	71,728
	4858,816	2292,32	19,451	151,838	71,635
	1117,084	532,3307	2,828	21,723	10,31
	1093,729	528,1221	5,821	44,642	21,063
6	7662,824	3573,232	19,177	147,362	68,716
	6189,204	2886,072	19,177	147,362	68,716
	4715,584	2198,912	19,177	147,362	68,716
	996,1343	466,4168	2,505	19,371	9,033
	982,842	469,0766	5,195	40,116	18,706
1a	6965,244	3359,876	17,045	133,947	64,613
Wind angle: 45 dgr	5624,094	2705,934	17,045	133,907	64,427
	4283,712	2054,176	17,045	133,866	64,193
	905,4738	443,681	2,226	17,608	8,595
	891,408	438,0608	4,617	36,384	17,489
1b	7999,004	3764,436	17,036	153,827	72,393
Wind angle: 45 dgr	6461,154	3038,532	17,036	153,837	72,346
	4923,2	2313,152	17,036	153,85	72,286
	1023,492	485,0252	2,225	19,903	9,399
	1000,752	480,1721	4,615	40,847	19,208
3	8346,468	3988,192	19,802	160,509	76,696
Wind angle: 45 dgr	6740,916	3214,974	19,802	160,498	76,547
	5135,776	2443,52	19,802	160,493	76,36
	1458,539	714,1817	3,796	28,363	13,832
	1412,891	695,1482	7,762	57,669	27,716
4	7897,24	3716,96	19,451	151,87	71,48
Wind angle: 45 dgr	6379,002	3000,228	19,451	151,881	71,434
	4860,672	2284	19,451	151,896	71,375
	1117,495	529,2967	2,828	21,731	10,251
	1094,17	526,2356	5,821	44,66	20,986
1a	8204,872	4612,088	17,049	157,786	88,694
Wind angle: 90 dgr	6483,498	3608,808	17,048	154,369	85,924
	4807,936	2639,872	17,048	150,248	82,496
	1194,477	697,4078	2,227	23,228	13,529
	1024,027	577,0269	4,618	41,797	23,161
1b	8092,084	4015,076	17,036	155,617	77,213
Wind angle: 90 dgr	6520,794	3220,728	17,036	155,257	76,684
	4955,264	2431,024	17,036	154,852	76,032
	1051,878	534,855	2,225	20,455	10,368
	1009,866	508,1511	4,615	41,219	20,35
3	9122,516	4929,288	19,805	175,433	94,794
Wind angle: 90 dgr	7270,956	3893,568	19,805	173,118	92,704
	5452,16	2884,256	19,804	170,38	90,133
	1826,889	1073,945	3,797	35,526	20,828
	1579,417	894,4332	7,763	64,466	35,85
4	7959,016	3953,144	19,451	153,058	76,022
Wind angle: 90 dgr	6417,054	3172,47	19,451	152,787	75,535
	4879,552	2397,792	19,451	152,486	74,931
	1133,951	573,5728	2,828	22,051	11,112
	1098,213	551,8626	5,821	44,825	22,032
1a	8383,856	4754,516	17,049	161,228	91,433
Wind angle: -45 dgr	6610,884	3712,17	17,049	157,402	88,385
	4888,48	2707,296	17,048	152,765	84,603
	1231,965	725,2796	2,227	23,957	14,071
	1043,823	593,0254	4,618	42,605	23,814
1b	8111,948	4042,48	17,036	155,999	77,74
Wind angle: -45 dgr	6534,15	3240,468	17,036	155,575	77,154
	4963,072	2445,856	17,036	155,096	76,433
	1057,175	540,5117	2,225	20,558	10,478
	1011,899	511,1646	4,615	41,302	20,473
3	9245,704	5037,396	19,806	177,802	96,873
Wind angle: -45 dgr	7357,182	3971,52	19,805	175,171	94,56
	5505,44	2934,752	19,805	172,045	91,711
	1875,999	1113,336	3,798	36,481	21,594
	1605,069	917,0243	7,764	65,513	36,772
4	7974,096	3978,364	19,451	153,348	76,507
Wind angle: -45 dgr	6427,092	3190,656	19,451	153,026	75,968
	4885,312	2409,664	19,451	152,666	75,302
	1137,447	578,4066	2,828	22,119	11,206
	1099,487	554,5331	5,821	44,877	22,141
1a	5568,576	2767,544	12,781	107,088	53,222
Wind angle: 0 dgr	4487,364	2219,742	12,781	106,842	52,851
	3410,048	1676,608	12,781	106,564	52,394
	728,3695	371,0584	1,669	14,164	7,191
	707,5845	356,6762	3,462	28,881	14,265
1b	6466,304	3067,844	12,774	124,352	58,997
Wind angle: 0 dgr	5222,532	2474,43	12,774	124,346	58,915
	3979,008	1882,016	12,774	124,344	58,813
	819,39	392,6043	1,668	15,934	7,61
	800,709	386,5641	3,461	32,682	15,485
3	6950,268	3387,748	15,538	133,659	65,149
Wind angle: 0 dgr	5608,512	2724,624	15,538	133,536	64,872
	4268,864	2064,928	15,538	133,402	64,529
	1305,141	658,6833	3,239	25,38	12,761
	1252,734	628,682	6,606	51,132	25,101
4	6484,036	3076,112	15,186	124,693	59,156
Wind angle: 0 dgr	5237,232	2481,318	15,186	124,696	59,079
	3990,464	1887,392	15,186	124,702	58,981

Belasting op mastvoet, belastinggeval

	M$_{langs}$	M$_{dwars}$	N	V$_{langs}$	V$_{dwars}$
1a	18731,39	9180,239	57,978	457,131	223,568
Wind angle: 0 dgr					
1b	21401,88	10124,72	57,948	522,121	246,669
Wind angle: 0 dgr					
3	23126,2	11211,96	70,964	568,26	274,92
Wind angle: 0 dgr					
4	21340,38	10099,05	67,002	521,837	246,538
Wind angle: 0 dgr					
6	20546,59	9593,709	65,231	501,573	233,887
0					
1a	18669,93	9001,728	57,978	455,712	219,317
Wind angle: 45 dgr					
1b	21407,6	10081,32	57,948	522,264	245,632
Wind angle: 45 dgr					
3	23094,59	11056,02	70,964	567,532	271,151
Wind angle: 45 dgr					
4	21348,58	10056,72	67,002	522,038	245,526
Wind angle: 45 dgr					
1a	21714,81	12135,2	57,99	527,428	293,804
Wind angle: 90 dgr					
1b	21629,89	10711,83	57,948	527,4	260,647
Wind angle: 90 dgr					
3	25251,94	13675,49	70,974	618,923	334,309
Wind angle: 90 dgr					
4	21487,79	10648,84	67,002	525,207	259,632
Wind angle: 90 dgr					
1a	22159,01	12492,29	57,991	537,957	302,306
Wind angle: -45 dgr					
1b	21678,24	10780,48	57,948	528,53	262,278
Wind angle: -45 dgr					
3	25589,39	13974,03	70,978	627,012	341,51
Wind angle: -45 dgr		

| | | |

W2H400+5 08 - N2

Hoogte mast 52 m
Hoogte onderste stroomdraad (F3) 26 m

		Hoogte		Excentriciteit ophanging t.o.v. hart mast
Blikvemdraad + GW / CH_{mast} -	0,576 m =	51,424 m		0,76 m
1e traverse - 380C1F1 F2 +	10 m =	52 m		0 m
2e traverse - 380C1F2 F3 +	10 m =	42 m		0 m
3e traverse - 380C1F3		32 m		0 m
Passieve lijn = Comp C. F3 -	7,5 m =	24,5 m		2,075 m

Uit mast / Uit lijnen

ULS (incl bel factoren) / SLS

	N	V	M	Nmin	Nmax	Vmax	Mlangs;ma	Mdwars;max
	[kN]	[kN]	[kNm]	[kN]	[kN]	[kN]	[kNm]	[kNm]
Sheet 08 - N	793	122	3544	97	174	713	6438	28917

Belastingen uit lijnen

SLS			M_{langs}	M_{dwars}	N	V_{langs}	V_{dwars}
	0 deg	1a	0	**16356**	97	0	**398**
		1b	0	17682	**97**	0	431
		3	0	25483	174	0	630
		4	0	17464	112	0	426
	45 deg	1a	**-6438**	21207	97	**-153**	514
		1b	-250	18203	97	-6	443
		3	-1241	27289	174	-29	673
		4	-163	17947	112	-4	438
	90 deg	1a	0	25544	97	0	617
		1b	0	18680	97	0	455
		3	0	**28917**	**174**	0	**713**
		4	0	18394	112	0	448
	-45 deg	1a	**6438**	21207	97	**153**	514
		1b	250	18203	97	6	443
		3	1241	27289	174	29	673
		4	163	17947	112	4	438

Belasting uit mast

N	V	M	
661	81	2363	
661	81	2363	
661	81	2363	
661	81	2363	
661	81	2363	
661	81	2363	
661	81	2363	
661	81	2363	
661	81	2363	
661	81	2363	
661	81	2363	
661	81	2363	
661	81	2363	
661	81	2363	
661	81	2363	
661	81	2363	

Totaal

regel		Loadcase	M_{langs}	M_{dwars}	N	V_{langs}	V_{dwars}	Totaal moment
1	Perm load 1,2	0 deg 1a	2363	18719	757	81	479	18867,44
2	Perm load 1,2	0 deg 1b	2363	20045	757	81	512	20183,92
3	Perm load 1,2	0 deg 3	2363	27846	835	81	711	27946,15
4	Perm load 1,2	0 deg 4	2363	19827	772	81	508	19967,07
5								
6	Perm load 1,2	45 deg 1a	8801	23569	757	234	595	25158,74
7	Perm load 1,2	45 deg 1b	2612	20566	757	87	524	20731,31
8	Perm load 1,2	45 deg 3	3604	29652	835	110	755	29869,71
9	Perm load 1,2	45 deg 4	2526	20310	772	85	519	20466,11
10								
11	Perm load 1,2	90 deg 1a	2363	27907	757	81	698	28006,4
12	Perm load 1,2	90 deg 1b	2363	21043	757	81	536	21174,89
13	Perm load 1,2	90 deg 3	2363	31280	835	81	794	31369,22
14	Perm load 1,2	90 deg 4 Construct	2363	20757	772	81	530	20890,61
15								
16	Perm load 1,2	-45 deg 1a	8108	23569	757	234	595	24925,11
17	Perm load 1,2	-45 deg 1b	1920	20566	757	87	524	20655,52
18	Perm load 1,2	-45 deg 3	2912	29652	835	110	755	29794,15
19	Perm load 1,2	-45 deg 4	1834	20310	772	85	519	20392,26
			8801	31280	835	234	794	31369
					757			

	M langs max	M dwars max	N max	V langs max	V dwars max	M tot max	N min
1							
2							x
3							
4							
5							
6	x			x			
7							
8							
9							
10							
11							
12							
13	x	x		x	x		
14							
15							
16				x			
17							
18							
19							

samenvatting

	Mast	Bijlage	Wind	Loadcase	M_{langs}	M_{dwars}	N	V_{langs}	V_{dwars}
2	W2H400+5	08-N2	Perm load :0 deg	1b	2363	20045	757	81	512
6	W2H400+5	08-N2	Perm load :45 deg	1a	8801	23569	757	234	595
13	W2H400+5	08-N2	Perm load :90 deg	3	2363	31280	835	81	794
16	W2H400+5	08-N2	Perm load :-45 deg	1a	8108	23569	757	234	595
	W2H400+5	08-N2	#N/B	#N/B	#N/B	#N/B	#N/B	#N/B	#N/B
	W2H400+5	08-N2	#N/B	#N/B	#N/B	#N/B	#N/B	#N/B	#N/B

W2H400+ TOWER **APPENDI N2**

Loadcases for tower defliction analyses (Servicability limit state)

Loadcase according to 50341-3-15

	Attachmer	[N]	AHEAD [N]	[N]	[N]	BACK [N]	[N]
1a	380C1F1 / 14202	58927	117336	14202	58927	-117336	
Wind, 10 dgr	380C1F2 / 14202	58429	116970	14202	58429	-116970	
Permanent loads yg=	380C1F3 / 14202	57816	116556	14202	57816	-116556	
Wind angle: 0 dgr	GW / opgv	1855	8041	15633	1855	8041	-15633
	Comp. gl	3847	15792	31671	3847	15792	-31671
1b	380C1F1 / 14194		63543	134464	14194	63543	-134464
Wind, -20 dgr	380C1F2 / 14194		63480	134467	14194	63480	-134467
Permanent loads yg=	380C1F3 / 14194		63399	134474	14194	63399	-134474
Wind angle: 0 dgr	GW / opgv	1854	8213	17290	1854	8213	-17290
	Comp. gl	3845	16749	35479	3845	16749	-35479
3	380C1F1 / 22419		84618	176416	22419	84618	-176416
Wind+ice, -5 dgr	380C1F2 / 22419		84425	176396	22419	84425	-176396
Permanent loads yg=	380C1F3 / 22419		84184	176381	22419	84184	-176381
Wind angle: 0 dgr	GW / opgv	6530	20638	42602	6530	20638	-42602
	Comp. gl	13213	41150	85996	13213	41150	-85996
4	380C1F1 / 16206		62101	131369	16206	62101	-131369
Construction/mainter	380C1F2 / 16206		62039	131376	16206	62039	-131376
Permanent loads yg=	380C1F3 / 16206		61960	131388	16206	61960	-131388
Wind angle: 0 dgr	GW / opgv	2356	8891	18744	2356	8891	-18744
	Comp. gl	4850	18179	38547	4850	18179	-38547
1a	380C1F1 / 14202		56851	116000	14208	98189	-165882
Wind, 10 dgr	380C1F2 / 14202		56574	115867	14208	93717	-159769
Permanent loads yg=	380C1F3 / 14202		56231	115721	14207	88077	-152129
Wind angle: 45 dgr	GW / opgv	1855	7613	15270	1856	15816	-25944
	Comp. gl	3847	15304	31383	3849	25141	-43062
1b	380C1F1 / 14194		63266	134493	14195	67811	-136493
Wind, -20 dgr	380C1F2 / 14194		63227	134500	14195	67309	-136112
Wind angle: 45 dgr	GW / opgv	1854	8160	17289	1854	9080	-17879
	Comp. gl	3845	16682	35488	3846	17755	-35908
3	380C1F1 / 22419		83790	176382	22419	83790	-176382
Wind+ice, -5 dgr	380C1F2 / 22419		83526	176403	22420	94735	-182634
Permanent loads yg=	380C1F3 / 22419		83197	176414	22420	94735	-182634
Wind angle: 45 dgr	GW / opgv	6530	20371	42601	6531	24969	-45353
	Comp. gl	13213	40808	86040	13214	46287	-88135
4	380C1F1 / 16206		61831	131414	16207	66084	-132786
Construction/mainter	380C1F2 / 16206		61792	131422	16207	65626	-132496
Permanent loads yg=	380C1F3 / 16206		61743	131435	16207	65059	-132172
Wind angle: 45 dgr	GW / opgv	2356	8841	18749	2356	9651	-19102
	Comp. gl	4850	18115	38561	4850	19090	-38769
1a	380C1F1 / 14208		94173	160390	14208	94173	-160390
Wind, 10 dgr	380C1F2 / 14207		90060	154804	14207	90060	-154804
Permanent loads yg=	380C1F3 / 14206		84889	147858	14206	84889	-147858
Wind angle: 90 dgr	GW / opgv	1856	15062	24884	1856	15062	-24884
	Comp. gl	3848	24165	41727	3848	24165	-41727
1b	380C1F1 / 14195		67360	136149	14195	67360	-136149
Wind, -20 dgr	380C1F2 / 14195		66908	135825	14195	66908	-135825
Permanent loads yg=	380C1F3 / 14195		66351	135458	14195	66351	-135458
Wind angle: 90 dgr	GW / opgv	1854	8986	17788	1854	8986	-17788
	Comp. gl	3846	17650	35833	3846	17650	-35833
3	380C1F1 / 22421		96941	184679	22421	96941	-184679
Wind+ice, -5 dgr	380C1F2 / 22420		95445	183276	22420	95445	-183276
Permanent loads yg=	380C1F3 / 22420		93807	181648	22420	93807	-181648
Wind angle: 90 dgr	GW / opgv	6531	24509	44940	6531	24509	-44940
	Comp. gl	13214	45753	87767	13214	45753	-87767
4	380C1F1 / 16207		65672	132524	16207	65672	-132524
Construction/mainter	380C1F2 / 16207		65257	132281	16207	65257	-132281
Permanent loads yg=	380C1F3 / 16206		64744	132009	16206	64744	-132009
Wind angle: 90 dgr	GW / opgv	2356	9570	19041	2356	9570	-19041
	Comp. gl	4850	18997	38722	4850	18997	-38722
1a	380C1F1 / 14208		98189	165882	14202	56851	-116000
Wind, 10 dgr	380C1F2 / 14208		93717	159769	14202	56574	-115867
Permanent loads yg=	380C1F3 / 14207		88077	152129	14202	56231	-115721
Wind angle: -45 dgr	GW / opgv	1856	15816	25944	1855	7613	-15270
	Comp. gl	3849	25141	43062	3847	15304	-31383
1b	380C1F1 / 14195		67811	136493	14194	63266	-134493
Wind, -20 dgr	380C1F2 / 14195		67309	136112	14194	63227	-134500
Permanent loads yg=	380C1F3 / 14195		66693	135679	14194	63177	-134510
Wind angle: -45 dgr	GW / opgv	1854	9080	17879	1854	8160	-17289
	Comp. gl	3846	17755	35908	3845	16682	-35488
3	380C1F1 / 22421		98433	186136	22419	83790	-176382
Wind+ice, -5 dgr	380C1F2 / 22421		96774	184519	22419	83673	-176389
Permanent loads yg=	380C1F3 / 22420		94735	182634	22419	83526	-176403
Wind angle: -45 dgr	GW / opgv	6531	24969	45353	6530	20371	-42601
	Comp. gl	13214	46287	88135	13213	40808	-86040
4	380C1F1 / 16207		66084	132786	16206	61831	-131414
Construction/mainter	380C1F2 / 16207		65626	132496	16206	61792	-131422
Permanent loads yg=	380C1F3 / 16207		65059	132172	16206	61743	-131435
Wind angle: -45 dgr	GW / opgv	2356	9651	19102	2356	8841	-18749
	Comp. gl	4850	19090	38769	4850	18115	-38561

Totaal

	Vert	Dwars	Langs
	[kN]	[kN]	[kN]
	28,404	117,854	0
	28,404	116,858	0
	28,404	115,632	0
	3,71	16,082	0
	7,694	31,584	0
	28,388	127,086	0
	28,388	126,96	0
	28,388	126,798	0
	3,708	16,426	0
	7,69	33,498	0
	44,838	169,236	0
	44,838	168,85	0
	44,838	168,368	0
	13,06	41,276	0
	26,426	82,3	0
	32,412	124,202	0
	32,412	124,078	0
	32,412	123,92	0
	4,712	17,782	0
	9,7	36,358	0
	28,41	155,04	-49,882
	28,41	150,291	-43,902
	28,409	144,308	-36,408
	3,711	23,429	-10,674
	7,696	40,445	-11,679
	28,389	131,077	-2
	28,389	130,536	-1,612
	28,389	129,87	-1,169
	3,708	17,24	-0,59
	7,691	34,437	-0,42
	44,84	182,223	-9,754
	44,84	180,447	-8,13
	44,839	178,261	-6,231
	13,061	45,34	-2,752
	26,427	87,095	-2,095
	32,413	127,915	-1,372
	32,413	127,418	-1,074
	32,413	126,802	-0,737
	4,712	18,492	-0,353
	9,7	37,205	-0,208
	28,416	188,346	0
	28,414	180,12	0
	28,412	169,778	0
	3,712	30,124	0
	7,696	48,33	0
	28,39	134,72	0
	28,39	133,816	0
	28,39	132,702	0
	3,708	17,972	0
	7,692	35,3	0
	44,842	193,882	0
	44,84	190,89	0
	44,84	187,214	0
	13,062	49,018	0
	26,428	91,506	0
	32,414	131,344	0
	32,414	130,514	0
	32,412	129,488	0
	4,712	19,14	0
	9,7	37,994	0
	28,41	155,04	49,882
	28,41	150,291	43,902
	28,409	144,308	36,408
	3,711	23,429	10,674
	7,696	40,445	11,679
	28,389	131,077	2
	28,389	130,536	1,612
	28,389	129,87	1,169
	3,708	17,24	0,59
	7,691	34,437	0,42
	44,84	182,223	9,754
	44,84	180,447	8,13
	44,839	178,261	6,231
	13,061	45,34	2,752
	26,427	87,095	2,095
	32,413	127,915	1,372
	32,413	127,418	1,074
	32,413	126,802	0,737
	4,712	18,492	0,353
	9,7	37,205	0,208

Belastingen op mastvoet, per lijn

M_{langs}	M_{dwars}	N	V_{langs}	V_{dwars}
0	6128,408	28,404	0	117,854
0	4908,036	28,404	0	116,858
0	3700,224	28,404	0	115,632
0	829,8204	3,71	0	16,082
0	789,7731	7,694	0	31,584
0	6608,472	28,388	0	127,086
0	5332,32	28,388	0	126,96
0	4057,536	28,388	0	126,798
0	847,5087	3,708	0	16,426
0	836,6578	7,69	0	33,498
0	8800,272	44,838	0	169,236
0	7091,7	44,838	0	168,85
0	5387,776	44,838	0	168,368
0	2132,503	13,06	0	41,276
0	2071,184	26,426	0	82,3
0	6458,504	32,412	0	124,202
0	5211,276	32,412	0	124,078
0	3965,44	32,412	0	123,92
0	918,0027	4,712	0	17,782
0	910,8985	9,7	0	36,358
-2593,86	8062,08	28,41	-49,882	155,04
-1843,88	6312,222	28,41	-43,902	150,291
-1165,06	4617,856	28,409	-36,408	144,308
-548,9	1207,633	3,711	-10,674	23,429
-286,136	1006,872	7,696	-11,679	40,445
-104	6816,004	28,389	-2	131,077
-67,704	5482,512	28,389	-1,612	130,536
-37,408	4155,84	28,389	-1,169	129,87
-30,3402	889,3678	3,708	-0,59	17,24
-10,29	859,6653	7,691	-0,42	34,437
-507,208	9475,596	44,84	-9,754	182,223
-341,46	7578,774	44,84	-8,13	180,447
-199,392	5704,352	44,839	-6,231	178,261
-141,519	2341,491	13,061	-2,752	45,34
-51,3275	2188,664	26,427	-2,095	87,095
-71,344	6651,58	32,413	-1,372	127,915
-45,108	5351,556	32,413	-1,074	127,418
-23,584	4057,664	32,413	-0,737	126,802
-18,1527	954,5137	4,712	-0,353	18,492
-5,096	931,65	9,7	-0,208	37,205
0	9793,992	28,416	0	188,346
0	7565,04	28,414	0	180,12
0	5432,896	28,412	0	169,778
0	1551,918	3,712	0	30,124
0	1200,054	7,696	0	48,33
0	7005,44	28,39	0	134,72
0	5620,272	28,39	0	133,816
0	4246,464	28,39	0	132,702
0	927,0102	3,708	0	17,972
0	880,8109	7,692	0	35,3
0	10081,86	44,842	0	193,882
0	8017,38	44,84	0	190,89
0	5990,848	44,84	0	187,214
0	2530,629	13,062	0	49,018
0	2296,735	26,428	0	91,506
0	6829,888	32,414	0	131,344
0	5481,588	32,414	0	130,514
0	4143,616	32,412	0	129,488
0	987,8365	4,712	0	19,14
0	950,9805	9,7	0	37,994
2593,864	8062,08	28,41	49,882	155,04
1843,884	6312,222	28,41	43,902	150,291
1165,056	4617,856	28,409	36,408	144,308
548,8998	1207,633	3,711	10,674	23,429
286,1355	1006,872	7,696	11,679	40,445
104	6816,004	28,389	2	131,077
67,704	5482,512	28,389	1,612	130,536
37,408	4155,84	28,389	1,169	129,87
30,34016	889,3678	3,708	0,59	17,24
10,29	859,6653	7,691	0,42	34,437
507,208	9475,596	44,84	9,754	182,223
341,46	7578,774	44,84	8,13	180,447
199,392	5704,352	44,839	6,231	178,261
141,5188	2341,491	13,061	2,752	45,34
51,3275	2188,664	26,427	2,095	87,095
71,344	6651,58	32,413	1,372	127,915
45,108	5351,556	32,413	1,074	127,418
23,584	4057,664	32,413	0,737	126,802
18,15267	954,5137	4,712	0,353	18,492
5,096	931,65	9,7	0,208	37,205

Belasting op mastvoet, belastinggeval

		M_{langs}	M_{dwars}	N	V_{langs}	V_{dwars}
1a	0	16356,26	96,616	0	398,01	
Wind angle: 0 dgr						
1b	0	17682,49	96,562	0	430,768	
Wind angle: 0 dgr						
3	0	25483,43	174	0	630,03	
Wind angle: 0 dgr						
4	0	17464,12	111,648	0	426,34	
Wind angle: 0 dgr						
1a	-6437,84	21206,66	96,636	-152,545	513,513	
Wind angle: 45 dgr						
1b	-249,742	18203,39	96,566	-5,791	443,16	
Wind angle: 45 dgr						
3	-1240,91	27288,88	174,007	-28,962	673,366	
Wind angle: 45 dgr						
4	-163,285	17946,96	111,651	-3,744	437,832	
Wind angle: 45 dgr						
1a	0	25543,9	96,65	0	616,698	
Wind angle: 90 dgr						
1b	0	18680	96,57	0	454,51	
Wind angle: 90 dgr						
3	0	28917,46	174,012	0	712,51	
Wind angle: 90 dgr						
4	0	18393,91	111,652	0	448,48	
Wind angle: 90 dgr						
1a	6437,839	21206,66	96,636	152,545	513,513	
Wind angle: -45 dgr						
1b	249,7422	18203,39	96,566	5,791	443,16	
Wind angle: -45 dgr						
3	1240,906	27288,88	174,007	28,962	673,366	
Wind angle: -45 dgr						
4	163,2847	17946,96	111,651	3,744	437,832	
Wind angle: -45 dgr						

W2H400A 08A - AN

Hoogte mast	52	m	
Hoogte onderste stroomdraad (F3)	26	m	
	Hoogte		Excentriciteit ophanging t.o.v. hart mast
Bliksemdraad = GW / tl_{mast} -	0,576 m =	51,424 m	0,76 m
1e traverse - 380C1F1 F2 +	10 m =	52 m	0 m
2e traverse - 380C1F2 F3 +	10 m =	42 m	0 m
3e traverse - 380C1F3		32 m	0 m
Passieve lijn = Comp C.F.3 -	7,5 m =	24,5 m	2,075 m

	Uit mast (excl belastingsfactoren)			Uit lijnen (incl belastingsfactoren)				
	N	V	M	Nmin	Nmax	Vmax	Mlangs;ma	Mdwars;max
	[kN]	[kN]	[kNm]	[kN]	[kN]	[kN]	[kNm]	[kNm]
Sheet 08A - NA	792	127	3678	83	232	849	13137	35361
Sheet 08 - N1				43	71	627	25589	13974
Max	792	127	3678	43	232,096	848,704	25589,39	35361,09

W2H400A+5 TOWER (revision date 23- APPENDIX: AN

Loadcases for tower strength (ultimatelimitstate)

Loadcase according to SG341-3-13

		AHEAD			BACK			Totaal Vert	Dwars	Langs	Belastingen op mastvoet, per lijn M_{langs}	M_{dwars}	N	V_{langs}	V_{dwars}
	Attachment point [N]	[N]	[N]	[N]	[N]	[N]		[kN]	[kN]	[kN]					
1a	380C1F1 / 380	17046	70458	137544	17046	70458	-137544	34,092	140,916	0	0	7327,632	34,092	0	140,916
Wind, 10 dgr	380C1F2 / 380	17046	69655	136876	17046	69655	-136876	34,092	139,31	0	0	5851,02	34,092	0	139,31
Permanent loads wp= 1.2	380C1F3 / 380	17045	68668	136110	17045	68668	-136110	34,09	137,336	0	0	4394,752	34,09	0	137,336
Wind angle: 0 dgr	GW / opgw	2226	9796	18590	2226	9796	-18590	4,452	19,592	0	0	1010,883	4,452	0	19,592
	Comp. gl	4617	18864	37163				4,617	18,864	37,163	910,4935	471,7483	4,617	37,163	18,864
1b	380C1F1 / 380	17036	72973	153782	17036	72973	-153782	34,072	145,946	0	0	7589,192	34,072	0	145,946
Wind, -20 dgr	380C1F2 / 380	17036	72875	153781	17036	72875	-153781	34,072	145,75	0	0	6121,5	34,072	0	145,75
Permanent loads wp= 1.2	380C1F3 / 380	17036	72751	153785	17036	72751	-153785	34,072	145,502	0	0	4656,064	34,072	0	145,502
Wind angle: 0 dgr	GW / opgw	2225	9509	19909	2225	9509	-19909	4,45	19,018	0	0	981,3636	4,45	0	19,018
	Comp. gl	4615	19347	40832				4,615	19,347	40,832	1000,384	483,5776	4,615	40,832	19,347
3	380C1F1 / 380	29376	104312	216126	29376	104312	-216126	58,752	208,624	0	0	10848,45	58,752	0	208,624
Wind=ice, -5 dgr	380C1F2 / 380	29376	104020	216089	29376	104020	-216089	58,752	208,04	0	0	8737,68	58,752	0	208,04
Permanent loads wp= 1.2	380C1F3 / 380	29376	103654	216058	29376	103654	-216058	58,752	207,308	0	0	6633,856	58,752	0	207,308
Wind angle: 0 dgr	GW / opgw	9244	26783	54949	9244	26783	-54949	18,488	53,566	0	0	2768,629	18,488	0	53,566
	Comp. gl	18676	53224	110761	18676	53224	-110761	37,352	106,448	0	0	2685,481	37,352	0	106,448
4	380C1F1 / 380	20053	73762	155471	20053	73762	-155471	40,106	147,524	0	0	7671,248	40,106	0	147,524
Construction/maintenance, +/-	380C1F2 / 380	20053	73667	155479	20053	73667	-155479	40,106	147,334	0	0	6188,028	40,106	0	147,334
Permanent loads wp= 1.2	380C1F3 / 380	20053	73547	155493	20053	73547	-155493	40,106	147,094	0	0	4707,008	40,106	0	147,094
Wind angle: 0 dgr	GW / opgw	2978	10784	22643	2978	10784	-22643	5,956	21,568	0	0	1113,639	5,956	0	21,568
	Comp. gl	6122	21974	46465				6,122	21,974	46,465	1138,393	551,0662	6,122	46,465	21,974
6	380C1F1 / 380	19177	68716	147362	19177	68716	-147362	38,354	137,432	0	0	7146,464	38,354	0	137,432
Permanent, +10 dgr	380C1F2 / 380	19177	68716	147362	19177	68716	-147362	38,354	137,432	0	0	5772,144	38,354	0	137,432
Permanent loads wp= 1.35	380C1F3 / 380	19177	68716	147362	19177	68716	-147362	38,354	137,432	0	0	4397,824	38,354	0	137,432
	GW / opgw	2505	9033	19371	2505	9033	-19371	5,01	18,066	0	0	932,8336	5,01	0	18,066
	Comp. gl	5195	18706	40116				5,195	18,706	40,116	982,842	469,0766	5,195	40,116	18,706
1a	380C1F1 / 380	17045	67119	135061	17057	130900	-213662	34,102	198,019	-78,601	-4087,25	10296,99	34,102	-78,601	198,019
Wind, 10 dgr	380C1F2 / 380	17045	66677	134803	17056	124305	-204739	34,101	190,982	-69,936	-2937,31	8021,244	34,101	-69,936	190,982
Permanent loads wp= 1.2	380C1F3 / 380	17045	66131	134516	17054	115909	-193419	34,099	182,04	-58,903	-1884,9	5825,28	34,099	-58,903	182,04
Wind angle: 45 dgr	GW / opgw	2226	9102	17936	2228	21514	-34170	4,454	30,616	-16,234	-834,817	1577,782	4,454	-16,234	30,616
	Comp. gl	4617	18081	36619				4,617	18,081	36,619	897,1655	452,5648	4,617	36,619	18,081
1b	380C1F1 / 380	17036	72567	153803	17037	79755	-157640	34,073	152,302	-3,837	-199,524	7919,704	34,073	-3,837	152,302
Wind, -20 dgr	380C1F2 / 380	17036	72487	153812	17036	78948	-156952	34,072	151,435	-3,14	-131,88	6360,27	34,072	-3,14	151,435
Permanent loads wp= 1.2	380C1F3 / 380	17036	72410	153824	17036	77958	-156163	34,072	150,368	-2,339	-74,848	4811,776	34,072	-2,339	150,368
Wind angle: 45 dgr	GW / opgw	2225	9428	19902	2225	10900	-20985	4,45	20,328	-1,083	-55,6922	1048,729	4,45	-1,083	20,328
	Comp. gl	4615	19245	40840				4,615	19,245	40,84	1000,58	481,0786	4,615	40,84	19,245
3	380C1F1 / 380	29376	103058	216048	29381	125336	-231339	58,757	228,394	-15,291	-795,132	11876,49	58,757	-15,291	228,394
Wind=ice, -5 dgr	380C1F2 / 380	29376	102881	216055	29380	122823	-228863	58,756	225,704	-12,808	-537,936	9479,568	58,756	-12,808	225,704
Permanent loads wp= 1.2	380C1F3 / 380	29376	102659	216072	29379	119728	-225957	58,755	222,387	-9,885	-316,32	7116,384	58,755	-9,885	222,387
Wind angle: 45 dgr	GW / opgw	9244	26385	54955	9247	33116	-58719	18,491	59,501	-3,764	-193,56	3073,833	18,491	-3,764	59,501
	Comp. gl	18676	52715	110835				18,676	52,715	110,835	2715,458	1330,27	18,676	110,835	52,715
4	380C1F1 / 380	20053	73350	155525	20053	79986	-158127	40,106	153,336	-2,602	-135,304	7973,472	40,106	-2,602	153,336
Construction/maintenance, +/-	380C1F2 / 380	20053	73291	155536	20053	79261	-157616	40,106	152,552	-2,08	-87,36	6407,184	40,106	-2,08	152,552
Permanent loads wp= 1.2	380C1F3 / 380	20053	73217	155553	20053	78368	-157037	40,106	151,585	-1,484	-47,488	4850,72	40,106	-1,484	151,585
Wind angle: 45 dgr	GW / opgw	2978	10709	22648	2978	11966	-23269	5,956	22,675	-0,621	-31,9343	1170,566	5,956	-0,621	22,675
	Comp. gl	6122	21877	46484				6,122	21,877	46,484	1138,858	548,6897	6,122	46,484	21,877
1a	380C1F1 / 380	17056	124980	205651	17056	124980	-205651	34,112	249,96	0	0	12997,92	34,112	0	249,96
Wind, 10 dgr	380C1F2 / 380	17055	118872	197406	17055	118872	-197406	34,11	237,744	0	0	9985,248	34,11	0	237,744
Permanent loads wp= 1.2	380C1F3 / 380	17053	111117	186995	17053	111117	-186995	34,106	222,234	0	0	7111,488	34,106	0	222,234
Wind angle: 90 dgr	GW / opgw	2228	20429	32679	2228	20429	-32679	4,456	40,858	0	0	2104,468	4,456	0	40,858
	Comp. gl	4620	31951	53373				4,62	31,951	53,373	1307,639	792,386	4,62	53,373	31,951
1b	380C1F1 / 380	17036	79030	157020	17036	79030	-157020	34,072	158,06	0	0	8219,12	34,072	0	158,06
Wind, -20 dgr	380C1F2 / 380	17036	78303	156430	17036	78303	-156430	34,072	156,606	0	0	6577,452	34,072	0	156,606
Permanent loads wp= 1.2	380C1F3 / 380	17036	77410	155757	17036	77410	-155757	34,072	154,82	0	0	4954,24	34,072	0	154,82
Wind angle: 90 dgr	GW / opgw	2225	10748	20825	2225	10748	-20825	4,45	21,496	0	0	1108,792	4,45	0	21,496
	Comp. gl	4615	20776	41527				4,615	20,776	41,527	1017,412	518,5881	4,615	41,527	20,776
3	380C1F1 / 380	29380	123077	229108	29380	123077	-229108	58,76	246,154	0	0	12800,01	58,76	0	246,154
Wind=ice, -5 dgr	380C1F2 / 380	29380	120807	226950	29380	120807	-226950	58,76	241,614	0	0	10147,79	58,76	0	241,614
Permanent loads wp= 1.2	380C1F3 / 380	29379	118012	224428	29379	118012	-224428	58,758	236,024	0	0	7552,768	58,758	0	236,024
Wind angle: 90 dgr	GW / opgw	9246	32450	58151	9246	32450	-58151	18,492	64,9	0	0	3351,472	18,492	0	64,9
	Comp. gl	18678	60012	113159				18,678	60,012	113,159	2772,396	1509,051	18,678	113,159	60,012
4	380C1F1 / 380	20053	79334	157666	20053	79334	-157666	40,106	158,668	0	0	8250,736	40,106	0	158,668
Construction/maintenance, +/-	380C1F2 / 380	20053	78680	157232	20053	78680	-157232	40,106	157,36	0	0	6609,12	40,106	0	157,36
Permanent loads wp= 1.2	380C1F3 / 380	20053	77872	156743	20053	77872	-156743	40,106	155,744	0	0	4983,808	40,106	0	155,744
Wind angle: 90 dgr	GW / opgw	2978	11840	23167	2978	11840	-23167	5,956	23,68	0	0	1222,247	5,956	0	23,68
	Comp. gl	6122	23237	46803				6,122	23,237	46,803	1146,674	582,0097	6,122	46,803	23,237
1a	380C1F1 / 380	17057	130900	213662	17045	67119	-135061	34,102	198,019	78,601	4087,252	10296,99	34,102	78,601	198,019
Wind, 10 dgr	380C1F2 / 380	17056	124305	204739	17045	66677	-134803	34,101	190,982	69,936	2937,312	8021,244	34,101	69,936	190,982
Permanent loads wp= 1.2	380C1F3 / 380	17054	115909	193419	17045	66131	-134516	34,099	182,04	58,903	1884,896	5825,28	34,099	58,903	182,04
Wind angle: -45 dgr	GW / opgw	2228	21514	34170	2226	9102	-17936	4,454	30,616	16,234	834,8172	1577,782	4,454	16,234	30,616
	Comp. gl	4620	33409	55362				4,62	33,409	55,362	1356,369	828,107	4,62	55,362	33,409
1b	380C1F1 / 380	17037	79755	157640	17036	72547	-153803	34,073	152,302	3,837	199,524	7919,704	34,073	3,837	152,302
Wind, -20 dgr	380C1F2 / 380	17036	78948	156952	17036	72487	-153812	34,072	151,435	3,14	131,88	6360,27	34,072	3,14	151,435
Permanent loads wp= 1.2	380C1F3 / 380	17036	77958	156163	17036	72410	-153824	34,072	150,368	2,339	74,848	4811,776	34,072	2,339	150,368
Wind angle: -45 dgr	GW / opgw	2225	10900	20985	2225	9428	-19902	4,45	20,328	1,083	55,69219	1048,729	4,45	1,083	20,328
	Comp. gl	4615	20946	41664				4,615	20,946	41,664	1020,768	522,7531	4,615	41,664	20,946
3	380C1F1 / 380	29381	125336	231339	29376	103058	-216048	58,757	228,394	15,291	795,132	11876,49	58,757	15,291	228,394
Wind=ice, -5 dgr	380C1F2 / 380	29380	122823	228863	29376	102881	-216055	58,756	225,704	12,808	537,936	9479,568	58,756	12,808	225,704
Permanent loads wp= 1.2	380C1F3 / 380	29379	119728	225957	29376	102659	-216072	58,755	222,387	9,885	316,32	7116,384	58,755	9,885	222,387
Wind angle: -45 dgr	GW / opgw	9247	33116	58719	9244	26385	-54955	18,491	59,501	3,764	191,5599	3073,833	18,491	3,764	59,501
	Comp. gl	18679	60793	113667				18,679	60,793	113,667	2784,842	1528,187	18,679	113,667	60,793
4	380C1F1 / 380	20053	79986	158127	20053	73350	-155525	40,106	153,336	2,602	135,304	7973,472	40,106	2,602	153,336
Construction/maintenance, +/-	380C1F2 / 380	20053	79261	157616	20053	73291	-155536	40,106	152,552	2,08	87,36	6407,184	40,106	2,08	152,552
Permanent loads wp= 1.2	380C1F3 / 380	20053	78368	157037	20053	73217	-155553	40,106	151,585	1,484	47,488	4850,72	40,106	1,484	151,585
Wind angle: -45 dgr	GW / opgw	2978	11966	23269	2978	10709	-22648	5,956	22,675	0,621	31,9343	1170,566	5,956	0,621	22,675
	Comp. gl	6122	23381	46885				6,122	23,381	46,885	1148,683	585,5377	6,122	46,885	23,381
1a	380C1F1 / 380	12782	58487	111876	12782	58487	-111876	25,564	116,974	0	0	6082,648	25,564	0	116,974
Wind, 10 dgr	380C1F2 / 380	12782	57534	110884	12782	57534	-110884	25,564	115,068	0	0	4832,856	25,564	0	115,068
Permanentloads yg=0,9	380C1F3 / 380	12781	56365	109729	12781	56365	-109729	25,562	112,73	0	0	3607,36	25,562	0	112,73
Wind angle: 0 dgr	GW / opgw	1669	8291	15363	1669	8291	-15363	3,338	16,582	0	0	855,2496	3,338	0	16,582
	Comp. gl	3462	15495	29938				3,462	15,495	29,938	733,481	386,8112	3,462	29,938	15,495
1b	380C1F1 / 380	12774	59266	124389	12774	59266	-124389	25,548	118,532	0	0	6163,664	25,548	0	118,532
Wind, -20 dgr	380C1F2 / 380	12774	59160	124371	12774	59160	-124371	25,548	118,32	0	0	4969,44	25,548	0	118,32
Permanent loads yg=0,9	380C1F3 / 380	12774	59026	124354	12774	59026	-124354	25,548	118,052	0	0	3777,664	25,548	0	118,052
Wind angle: 0 dgr	GW / opgw	1668	7663	15950	1668	7663	-15950	3,336	15,326	0	0	790,6596	3,336	0	15,326
	Comp. gl	3461	15550	32688				3,461	15,55	32,688	800,856	388,1566	3,461	32,688	15,55
3	380C1F1 / 380	25109	93214	192328	25109	93214	-192328	50,218	186,428	0	0	9694,256	50,218	0	186,428
Wind=ice, -5 dgr	380C1F2 / 380	25109	92908	192258	25109	92908	-192258	50,218	185,816	0	0	7804,272	50,218	0	185,816
Permanent loads wp=0.9	380C1F3 / 380	25109	92524	192190	25109	92524	-192190	50,218	185,048	0	0	5921,536	50,218	0	185,048
Wind angle: 0 dgr	GW / opgw	8685	25652	52524	8685	25652	-52524	17,37	51,304	0	0	2651,458	17,37	0	51,304
	Comp. gl	17518	50875	105724				17,518	50,875	105,724	2590,238	1282,787	17,518	105,724	50,875
4	380C1F1 / 380	15788	61248	128638	15788	61248	-128638	31,576	122,496	0	0	6369,792	31,576	0	122,496
Construction/maintenance, +/-	380C1F2 / 380	15788	61149	128635	15788	61149	-128635	31,576	122,298	0	0	5136,516	31,576	0	122,298
Permanent loads wp=0.9	380C1F3 / 380	15788	61023	128636	15788	61023	-128636	31,576	122,046	0	0	3905,472	31,576	0	122,046

Belasting op mastvoet, belastinggeval

		M_{langs}	M_{dwars}	N	V_{langs}	V_{dwars}
1a		910,4935	19056,03	111,343	37,163	456,018
Wind angle: 0 dgr						
1b		1000,384	19831,7	111,281	40,832	475,563
Wind angle: 0 dgr						
3	0	31674,09	232,096	0	783,986	
Wind angle: 0 dgr						
4	1138,393	20230,99	132,396	46,465	485,494	
Wind angle: 0 dgr						
6	982,842	18718,34	125,267	40,116	449,068	
0						

regel		Loadcase	M_{langs}	M_{dwars}	N	V_{langs}	V_{dwars}	Totaal moment	
1	Perm load 1,2	0 deg	1a	4588	19056	903	164	456	19600,68
2	Perm load 1,2	0 deg	1b	1690	19832	903	65	476	19903,58
3	Perm load 1,2	0 deg	3	1034	31674	1024	36	784	31690,98
4	Perm load 1,2	0 deg	4	1828	20231	924	70	485	20313,41
5	Perm load 1,2	0 deg	6						
6									
7	Perm load 1,2	45 deg	1a	11448	28775	903	277	710	30968,22
8	Perm load 1,2	45 deg	1b	1026	21109	903	47	511	21134,13
9	Perm load 1,2	45 deg	3	1604	33608	1005	94	814	33646,25
10	Perm load 1,2	45 deg	4	1324	21438	924	57	519	21479,14
11									
12	Perm load 1,2	90 deg	1a	1308	36670	903	53	910	36692,82
13	Perm load 1,2	90 deg	1b	1017	22068	903	42	536	22091,26
14	Perm load 1,2	90 deg	3	2772	36396	1005	113	884	36500,96
15	Perm load 1,2	90 deg	4 Construct	1147	22338	924	47	543	22366,96
16									
17	Perm load 1,2	-45 deg	1a	13701	29150	903	369	725	32209,6
18	Perm load 1,2	-45 deg	1b	1970	21151	903	69	512	21242,45
19	Perm load 1,2	-45 deg	3	5359	33806	1005	181	822	34228,08
20	Perm load 1,2	-45 deg	4	1938	21475	924	71	520	21562,42
21									
22	Perm load 0,9	0 deg	1a	4411	15765	677	157	377	16370,52
23	Perm load 0,9	0 deg	1b	1490	16090	677	57	386	16158,47
24	Perm load 0,9	0 deg	3	3625	27354	780	141	659	27593,41
25	Perm load 0,9	0 deg	4	1652	16824	699	63	404	16905,39
26	Perm load 0,9	0 deg	6						
27									
28	Perm load 0,9	45 deg	1a	13748	26319	678	334	650	29693,37
29	Perm load 0,9	45 deg	1b	519	17502	677	32	424	17510,2
30	Perm load 0,9	45 deg	3	999	30842	780	78	748	30858,06
31	Perm load 0,9	45 deg	4 Construct	959	18116	699	45	439	18140,88
32									
33	Perm load 0,9	90 deg	1a	1222	35147	678	50	873	35167,95
34	Perm load 0,9	90 deg	1b	830	18574	677	34	452	18592,47
35	Perm load 0,9	90 deg	3	2658	33807	780	108	822	33911,53
36	Perm load 0,9	90 deg	4	976	19083	699	40	464	19108,15
37									
38	Perm load 0,9	-45 deg	1a	15738	26743	678	415	667	31030,13
39	Perm load 0,9	-45 deg	1b	2091	17551	677	68	426	17674,71
40	Perm load 0,9	-45 deg	3	5728	31045	780	187	756	31568,86
41	Perm load 0,9	-45 deg	4	1959	18155	699	68	441	18260,76
		Max		15738	36670	1024	415	910	36693

| | | | | | | | | |

| | | |

Hoogte mast 52 m
Hoogte onderste stroomdraad (F3) 26 m

		Hoogte		Excentriciteit ophanging t.o.v. hart mast
Bliksemdraad = GW / tN_{mast} -	0,576 m =	51,424 m		0,76 m
1e traverse - 380C1F1 F2 +	10 m +	52 m		0 m
2e traverse - 380C1F2 F3 +	10 m +	42 m		0 m
3e traverse - 380C1F3		32 m		0 m
Passieve lijn = Comp C.F3 -	7,5 m =	24,5 m		2,075 m

Uit mast (excl belastingsfactoren)

N	V	M
[kN]	[kN]	[kNm]
327	85	2159

Uit lijnen (incl belastingsfactoren)

Nmin	Nmax	Vmax	Mlangs;max	Mdwars;max
[kN]	[kN]	[kN]	[kNm]	[kNm]
43	71	627	25589	13974

			Belastingen uit lijnen					Belasting uit mast				Totaal												samenvatting										
			M_{langs}	M_{dwars}	N	V_{langs}	V_{dwars}	N	V	M	regel	Loadcase	M_{langs}	M_{dwars}	N	V_{langs}	V_{dwars}	Totaal moment						Mast	Bijlage	Wind	Loadcase	M_{langs}	M_{dwars}	N	V_{langs}	V_{dwars}	
Perm load 1,2	0 deg	1a	18731	9180	58	457	224	327	85	2159	1 Perm load 1,2	0 deg	1a	20890	9180	385	542	224	22818,53	1												
		1b	21402	10125	58	522	247	327	16	405	2 Perm load 1,2	0 deg	1b	21807	10125	385	538	247	24042,5	2				12	W2H400A+08A-AN1	Perm load	90 deg	1a	21715	14294	385	527	379
		3	23126	11212	71	568	275	327	24	607	3 Perm load 1,2	0 deg	3	21733	11212	398	592	275	26248,49	3				19	W2H400A+08A-AN1	Perm load	-45 deg	3	26019	14403	398	644	358
		4	21340	10099	67	522	247	327	16	405	4 Perm load 1,2	0 deg	4	21745	10099	394	538	247	23975,91	4													
		6	20547	9594	65	502	234				5 Perm load 1,2	0 deg	6							5												
											6									6												
	45 deg	1a	18670	9002	58	456	219	327	85	2159	7 Perm load 1,2	45 deg	1a	20197	10528	385	516	279	22776,05	7												
		1b	21408	10081	58	522	246	327	16	405	8 Perm load 1,2	45 deg	1b	21694	10368	385	534	257	24043,9	8												
		3	23095	11056	71	568	271	327	24	607	9 Perm load 1,2	45 deg	3	23524	11485	398	584	288	26178,06	9												
		4	21349	10057	67	522	246	327	16	405	10 Perm load 1,2	45 deg	4	21635	10343	394	533	257	23980,05	10												
											11									11												
	90 deg	1a	21715	12135	58	527	294	327	85	2159	12 Perm load 1,2	90 deg	1a	21715	14294	385	527	379	25997,25	12			x										
		1b	21630	10712	58	527	261	327	16	405	13 Perm load 1,2	90 deg	1b	21630	11117	385	527	277	24319,37	13												
		3	25252	13675	71	619	334	327	24	607	14 Perm load 1,2	90 deg	3	25252	14283	398	619	358	29011,31	14												
		4	21488	10649	67	525	260	327	16	405	15 Perm load 1,2	90 deg	4 Construct	21488	11054	394	525	276	24164,19	15												
											16									16												
	-45 deg	1a	22159	12492	58	538	302	327	85	2159	17 Perm load 1,2	-45 deg	1a	23686	14019	385	598	362	27523,45	17												
		1b	21678	10780	58	529	262	327	16	405	18 Perm load 1,2	-45 deg	1b	21964	11067	385	540	274	24594,94	18												
		3	**25589**	**13974**	**71**	**627**	**342**	327	24	607	19 Perm load 1,2	-45 deg	3	26019	14403	398	644	358	29739,43	19	x	x	x	x	x								
		4	21523	10712	67	526	261	327	16	405	20 Perm load 1,2	-45 deg	4	21810	10998	394	537	272	24425,71	20												
											21									21												
Perm load 0,9	0 deg	1a	14902	7392	43	364	180	245	85	2159	22 Perm load 0,9	0 deg	1a	17061	7392	289	449	180	18593,33	22												
		1b	17288	8203	**43**	422	200	245	16	405	23 Perm load 0,9	0 deg	1b	17693	8203	289	438	200	19502,06	23												
		3	19386	9465	56	477	232	245	24	607	24 Perm load 0,9	0 deg	3	19993	9465	302	501	232	22119,89	24												
		4	17562	8334	52	430	204	245	16	405	25 Perm load 0,9	0 deg	4	17967	8334	298	446	204	19805,75	25												
		6	**14770**	**6896**	43	**361**	**168**				26 Perm load 0,9	0 deg	6							26												
											27									27												
	45 deg	1a	14790	7190	43	361	175	245	85	2159	28 Perm load 0,9	45 deg	1a	16317	8716	289	421	235	18498,9	28												
		1b	17288	8158	**43**	422	199	245	16	405	29 Perm load 0,9	45 deg	1b	17574	8444	289	433	210	19497,65	29												
		3	19326	9296	56	476	228	245	24	607	30 Perm load 0,9	45 deg	3	19755	9725	302	493	245	22019,07	30												
		4	17567	8290	52	430	202	245	16	405	31 Perm load 0,9	45 deg	4 Construct	17853	8577	298	441	214	19806,14	31												
											32									32												
	90 deg	1a	18985	10859	43	460	262	245	85	2159	33 Perm load 0,9	90 deg	1a	18985	13018	289	460	347	23019,83	33												
		1b	17697	8875	**43**	431	216	245	16	405	34 Perm load 0,9	90 deg	1b	17697	9280	289	431	232	19982,02	34												
		3	22235	12265	56	545	300	245	24	607	35 Perm load 0,9	90 deg	3	22235	12873	302	545	324	25692,11	35												
		4	17827	8939	52	436	218	245	16	405	36 Perm load 0,9	90 deg	4	17827	9344	298	436	234	20127,45	36												
											37									37												
	-45 deg	1a	19539	11268	43	473	272	245	85	2159	38 Perm load 0,9	-45 deg	1a	21066	12794	289	533	332	24647	38												
		1b	17772	8956	**43**	433	218	245	16	405	39 Perm load 0,9	-45 deg	1b	18059	9242	289	444	229	20286,37	39												
		3	22658	12604	56	555	308	245	24	607	40 Perm load 0,9	-45 deg	3	23087	13033	302	572	325	26511,66	40												
		4	17881	9010	52	437	220	245	16	405	41 Perm load 0,9	-45 deg	4	18167	9297	298	448	231	20407,83	41												
													Max	26019	14403	398	644	379	29739													

W2H400A+5 TOWER — APPENDIX: AN1

Loadcases for tower strength (specialimitstate)
Loadcase according to SS341-3-15

		AHEAD			BACK			Totaal Vert	Dwars	Langs	Belastingen op mastvoet, per lijn M_{langs}	M_{dwars}	N	V_{langs}	V_{dwars}	Belasting op mastvoet, belastinggeval		M_{langs}	M_{dwars}	N	V_{langs}	V_{dwars}
	Attachment point [N]	[N]	[N]	[N]	[N]	[N]	[N]	[kN]	[kN]	[kN]												
1a	380C1F1 / 380C17045	65978	134443	0	0	0		17,045	65,978	134,443	6991,036	3430,856	17,045	134,443	65,978	1a	18731,39	9180,239	57,978	457,131	223,568	
Wind, 10 dgr	380C1F2 / 380C17045	65655	134298	0	0	0		17,045	65,655	134,298	5640,516	2757,51	17,045	134,298	65,655	Wind angle: 0 dgr						
Permanent loads wg= 1,2	380C1F3 / 380C17045	65254	134141	0	0	0		17,045	65,254	134,141	4292,512	2088,128	17,045	134,141	65,254							
Wind angle: 0 dgr	GW / ogw= 2226	8869	17762	0	0	0		2,226	8,869	17,762	913,3931	457,7712	2,226	17,762	8,869							
	Comp. gf 4617	17812	36487	0	0	0		4,617	17,812	36,487	893,9315	445,9743	4,617	36,487	17,812							
1b	380C1F1 / 380C17036	72723	153787	0	0	0		17,036	72,723	153,787	7996,924	3781,596	17,036	153,787	72,723	1b	21401,88	10124,72	57,948	522,121	246,669	
Wind, -20 dgr	380C1F2 / 380C17036	72647	153793	0	0	0		17,036	72,647	153,793	6459,306	3051,174	17,036	153,793	72,647	Wind angle: 0 dgr						
Permanent loads wg= 1,2	380C1F3 / 380C17036	72551	153803	0	0	0		17,036	72,551	153,803	4921,696	2321,632	17,036	153,803	72,551							
Wind angle: 0 dgr	GW / ogw= 2225	9461	19903	0	0	0		2,225	9,461	19,903	1023,492	488,2135	2,225	19,903	9,461							
	Comp. gf 4615	19287	40835	0	0	0		4,615	19,287	40,835	1000,458	482,1076	4,615	40,835	19,287							
3	380C1F1 / 380C19802	77768	160718	0	0	0		19,802	77,768	160,718	8357,336	4043,936	19,802	160,718	77,768	3	23126,2	11211,96	70,964	568,26	274,92	
Wind=ix, -5 dgr	380C1F2 / 380C19802	77517	160650	0	0	0		19,802	77,517	160,65	6747,3	3255,714	19,802	160,65	77,517	Wind angle: 0 dgr						
Permanent loads wg= 1,2	380C1F3 / 380C19802	77203	160581	0	0	0		19,802	77,203	160,581	5138,592	2470,496	19,802	160,581	77,203							
Wind angle: 0 dgr	GW / ogw= 3796	14234	28538	0	0	0		3,796	14,234	28,538	1467,538	734,8542	3,796	28,538	14,234							
	Comp. gf 7762	28198	57773	0	0	0		7,762	28,198	57,773	1415,439	706,9572	7,762	57,773	28,198							
4	380C1F1 / 380C19451	71802	151812	0	0	0		19,451	71,802	151,812	7894,224	3733,704	19,451	151,812	71,802	4	21340,38	10099,05	67,002	521,837	246,538	
Construction/maintenance, =1	380C1F2 / 380C19451	71728	151822	0	0	0		19,451	71,728	151,822	6376,524	3012,576	19,451	151,822	71,728	Wind angle: 0 dgr						
Permanent loads wg= 1,2	380C1F3 / 380C19451	71635	151838	0	0	0		19,451	71,635	151,838	4858,816	2292,32	19,451	151,838	71,635							
Wind angle: 0 dgr	GW / ogw= 2828	10310	21723	0	0	0		2,828	10,31	21,723	1117,084	532,3307	2,828	21,723	10,31							
	Comp. gf 5821	21063	44642	0	0	0		5,821	21,063	44,642	1093,729	528,1221	5,821	44,642	21,063							
6	380C1F1 / 380C19177	68716	147362	0	0	0		19,177	68,716	147,362	7662,824	3573,232	19,177	147,362	68,716	6	20546,59	9593,709	65,231	501,573	233,887	
Permanent, +10 dgr	380C1F2 / 380C19177	68716	147362	0	0	0		19,177	68,716	147,362	6189,204	2886,072	19,177	147,362	68,716	0						
Permanent loads wg= 1,35	380C1F3 / 380C19177	68716	147362	0	0	0		19,177	68,716	147,362	4715,584	2198,912	19,177	147,362	68,716							
	GW / ogw= 2505	9033	19371	0	0	0		2,505	9,033	19,371	996,1343	466,4168	2,505	19,371	9,033							
	Comp. gf 5195	18706	40116	0	0	0		5,195	18,706	40,116	982,842	469,0766	5,195	40,116	18,706							
1a	380C1F1 / 380C17045	64613	133947	0	0	0		17,045	64,613	133,947	6965,244	3359,876	17,045	133,947	64,613	1a	18669,93	9001,728	57,978	455,712	219,317	
Wind, 10 dgr	380C1F2 / 380C17045	64427	133907	0	0	0		17,045	64,427	133,907	5624,094	2705,934	17,045	133,907	64,427	Wind angle: 45 dgr						
Permanent loads wg= 1,2	380C1F3 / 380C17045	64193	133866	0	0	0		17,045	64,193	133,866	4283,712	2054,176	17,045	133,866	64,193							
Wind angle: 45 dgr	GW / ogw= 2226	8595	17608	0	0	0		2,226	8,595	17,608	905,4738	443,681	2,226	17,608	8,595							
	Comp. gf 4617	17489	36384	0	0	0		4,617	17,489	36,384	891,408	438,0608	4,617	36,384	17,489							
1b	380C1F1 / 380C17036	72393	153827	0	0	0		17,036	72,393	153,827	7999,004	3764,436	17,036	153,827	72,393	1b	21407,6	10081,32	57,948	522,264	245,632	
Wind, -20 dgr	380C1F2 / 380C17036	72346	153837	0	0	0		17,036	72,346	153,837	6461,154	3038,532	17,036	153,837	72,346	Wind angle: 45 dgr						
Permanent loads wg= 1,2	380C1F3 / 380C17036	72286	153850	0	0	0		17,036	72,286	153,85	4923,2	2313,152	17,036	153,85	72,286							
Wind angle: 45 dgr	GW / ogw= 2225	9399	19903	0	0	0		2,225	9,399	19,903	1023,492	485,0252	2,225	19,903	9,399							
	Comp. gf 4615	19208	40847	0	0	0		4,615	19,208	40,847	1000,752	480,1721	4,615	40,847	19,208							
3	380C1F1 / 380C19802	76696	160509	0	0	0		19,802	76,696	160,509	8346,468	3988,192	19,802	160,509	76,696	3	23094,59	11056,02	70,964	567,532	271,151	
Wind=ix, -5 dgr	380C1F2 / 380C19802	76547	160498	0	0	0		19,802	76,547	160,498	6740,916	3214,974	19,802	160,498	76,547	Wind angle: 45 dgr						
Permanent loads wg= 1,2	380C1F3 / 380C19802	76360	160493	0	0	0		19,802	76,36	160,493	5135,776	2443,52	19,802	160,493	76,36							
Wind angle: 45 dgr	GW / ogw= 3796	13832	28363	0	0	0		3,796	13,832	28,363	1458,539	714,1817	3,796	28,363	13,832							
	Comp. gf 7762	27716	57669	0	0	0		7,762	27,716	57,669	1412,891	695,1482	7,762	57,669	27,716							
4	380C1F1 / 380C19451	71480	151870	0	0	0		19,451	71,48	151,87	7897,24	3716,96	19,451	151,87	71,48	4	21348,58	10056,72	67,002	522,038	245,526	
Construction/maintenance, =1	380C1F2 / 380C19451	71434	151881	0	0	0		19,451	71,434	151,881	6379,002	3000,228	19,451	151,881	71,434	Wind angle: 45 dgr						
Permanent loads wg= 1,2	380C1F3 / 380C19451	71375	151896	0	0	0		19,451	71,375	151,896	4860,672	2284	19,451	151,896	71,375							
Wind angle: 45 dgr	GW / ogw= 2828	10251	21731	0	0	0		2,828	10,251	21,731	1117,495	529,2967	2,828	21,731	10,251							
	Comp. gf 5821	20986	44660	0	0	0		5,821	20,986	44,66	1094,17	526,2356	5,821	44,66	20,986							
1a	380C1F1 / 380C17049	88694	157786	0	0	0		17,049	88,694	157,786	8204,872	4612,088	17,049	157,786	88,694	1a	21714,81	12135,2	57,99	527,428	293,804	
Wind, 10 dgr	380C1F2 / 380C17048	85924	154369	0	0	0		17,048	85,924	154,369	6483,498	3608,808	17,048	154,369	85,924	Wind angle: 90 dgr						
Permanent loads wg= 1,2	380C1F3 / 380C17048	82496	150248	0	0	0		17,048	82,496	150,248	4807,936	2639,872	17,048	150,248	82,496							
Wind angle: 90 dgr	GW / ogw= 2227	13529	23228	0	0	0		2,227	13,529	23,228	1194,477	697,4078	2,227	23,228	13,529							
	Comp. gf 4618	23161	41797	0	0	0		4,618	23,161	41,797	1024,027	577,0269	4,618	41,797	23,161							
1b	380C1F1 / 380C17036	77213	155617	0	0	0		17,036	77,213	155,617	8092,084	4015,076	17,036	155,617	77,213	1b	21629,89	10711,83	57,948	527,4	260,647	
Wind, -20 dgr	380C1F2 / 380C17036	76684	155257	0	0	0		17,036	76,684	155,257	6520,794	3220,728	17,036	155,257	76,684	Wind angle: 90 dgr						
Permanent loads wg= 1,2	380C1F3 / 380C17036	76032	154852	0	0	0		17,036	76,032	154,852	4955,264	2431,024	17,036	154,852	76,032							
Wind angle: 90 dgr	GW / ogw= 2225	10368	20455	0	0	0		2,225	10,368	20,455	1051,878	534,855	2,225	20,455	10,368							
	Comp. gf 4615	20350	41219	0	0	0		4,615	20,35	41,219	1009,866	508,1511	4,615	41,219	20,35							
3	380C1F1 / 380C19805	94794	175433	0	0	0		19,805	94,794	175,433	9122,516	4929,288	19,805	175,433	94,794	3	25251,94	13675,49	70,974	618,923	334,309	
Wind=ix, -5 dgr	380C1F2 / 380C19805	92704	173118	0	0	0		19,805	92,704	173,118	7270,956	3893,568	19,805	173,118	92,704	Wind angle: 90 dgr						
Permanent loads wg= 1,2	380C1F3 / 380C19804	90133	170380	0	0	0		19,804	90,133	170,38	5452,16	2884,256	19,804	170,38	90,133							
Wind angle: 90 dgr	GW / ogw= 3797	20828	35526	0	0	0		3,797	20,828	35,526	1826,889	1073,945	3,797	35,526	20,828							
	Comp. gf 7763	35850	64466	0	0	0		7,763	35,85	64,466	1579,417	894,4332	7,763	64,466	35,85							
4	380C1F1 / 380C19451	76022	153058	0	0	0		19,451	76,022	153,058	7959,016	3953,144	19,451	153,058	76,022	4	21487,79	10648,84	67,002	525,207	259,632	
Construction/maintenance, =1	380C1F2 / 380C19451	75535	152787	0	0	0		19,451	75,535	152,787	6417,054	3172,47	19,451	152,787	75,535	Wind angle: 90 dgr						
Permanent loads wg= 1,2	380C1F3 / 380C19451	74931	152486	0	0	0		19,451	74,931	152,486	4879,552	2397,792	19,451	152,486	74,931							
Wind angle: 90 dgr	GW / ogw= 2828	11112	22051	0	0	0		2,828	11,112	22,051	1133,951	573,5728	2,828	22,051	11,112							
	Comp. gf 5821	22032	44825	0	0	0		5,821	22,032	44,825	1098,213	551,8626	5,821	44,825	22,032							
1a	380C1F1 / 380C17049	91433	161228	0	0	0		17,049	91,433	161,228	8383,856	4754,516	17,049	161,228	91,433	1a	22159,01	12492,29	57,991	537,957	302,306	
Wind, 10 dgr	380C1F2 / 380C17049	88385	157402	0	0	0		17,049	88,385	157,402	6610,884	3712,17	17,049	157,402	88,385	Wind angle: -45 dgr						
Permanent loads wg= 1,2	380C1F3 / 380C17048	84603	152765	0	0	0		17,048	84,603	152,765	4888,48	2707,296	17,048	152,765	84,603							
Wind angle: -45 dgr	GW / ogw= 2227	14071	23957	0	0	0		2,227	14,071	23,957	1231,965	725,2796	2,227	23,957	14,071							
	Comp. gf 4618	23814	42605	0	0	0		4,618	23,814	42,605	1043,823	593,0254	4,618	42,605	23,814							
1b	380C1F1 / 380C17036	77740	155999	0	0	0		17,036	77,74	155,999	8111,948	4042,48	17,036	155,999	77,74	1b	21678,24	10780,48	57,948	528,53	262,278	
Wind, -20 dgr	380C1F2 / 380C17036	77154	155575	0	0	0		17,036	77,154	155,575	6534,15	3240,468	17,036	155,575	77,154	Wind angle: -45 dgr						
Permanent loads wg= 1,2	380C1F3 / 380C17036	76433	155096	0	0	0		17,036	76,433	155,096	4963,072	2445,856	17,036	155,096	76,433							
Wind angle: -45 dgr	GW / ogw= 2225	10478	20558	0	0	0		2,225	10,478	20,558	1057,175	540,5117	2,225	20,558	10,478							
	Comp. gf 4615	20473	41302	0	0	0		4,615	20,473	41,302	1011,899	511,1646	4,615	41,302	20,473							
3	380C1F1 / 380C19806	96873	177802	0	0	0		19,806	96,873	177,802	9245,704	5037,396	19,806	177,802	96,873	3	25589,39	13974,03	70,978	627,012	341,51	
Wind=ix, -5 dgr	380C1F2 / 380C19805	94560	175171	0	0	0		19,805	94,56	175,171	7357,182	3971,52	19,805	175,171	94,56	Wind angle: -45 dgr						
Permanent loads wg= 1,2	380C1F3 / 380C19805	91711	172045	0	0	0		19,805	91,711	172,045	5505,44	2934,752	19,805	172,045	91,711							
Wind angle: -45 dgr	GW / ogw= 3798	21594	36481	0	0	0		3,798	21,594	36,481	1875,999	1113,336	3,798	36,481	21,594							
	Comp. gf 7764	36772	65513	0	0	0		7,764	36,772	65,513	1605,069	917,0243	7,764	65,513	36,772							
4	380C1F1 / 380C19451	76507	153348	0	0	0		19,451	76,507	153,348	7974,096	3978,364	19,451	153,348	76,507	4	21523,43	10711,62	67,002	526,036	261,124	
Construction/maintenance, =1	380C1F2 / 380C19451	75968	153026	0	0	0		19,451	75,968	153,026	6427,092	3190,656	19,451	153,026	75,968	Wind angle: -45 dgr						
Permanent loads wg= 1,2	380C1F3 / 380C19451	75302	152666	0	0	0		19,451	75,302	152,666	4885,312	2409,664	19,451	152,666	75,302							
Wind angle: -45 dgr	GW / ogw= 2828	11206	22119	0	0	0		2,828	11,206	22,119	1137,447	578,4066	2,828	22,119	11,206							
	Comp. gf 5821	22141	44877	0	0	0		5,821	22,141	44,877	1099,487	554,5331	5,821	44,877	22,141							
1a	380C1F1 / 380C12781	53222	107088	0	0	0		12,781	53,222	107,088	5568,576	2767,544	12,781	107,088	53,222	1a	14901,94	7391,629	43,474	363,539	179,923	
Wind, 10 dgr	380C1F2 / 380C12781	52851	106842	0	0	0		12,781	52,851	106,842	4487,364	2219,742	12,781	106,842	52,851	Wind angle: 0 dgr						
Permanentloads yg=0,9	380C1F3 / 380C12781	52394	106564	0	0	0		12,781	52,394	106,564	3410,048	1676,608	12,781	106,564	52,394							
Wind angle: 0 dgr	GW / ogw= 1669	7191	14164	0	0	0		1,669	7,191	14,164	728,3695	371,0584	1,669	14,164	7,191							
	Comp. gf 3462	14265	28881	0	0	0		3,462	14,265	28,881	707,5845	356,6762	3,462	28,881	14,265							
1b	380C1F1 / 380C12774	58997	124352	0	0	0		12,774	58,997	124,352	6466,304	3067,844	12,774	124,352	58,997	1b	17287,94	8203,458	43,451	421,658	199,82	
Wind, -20 dgr	380C1F2 / 380C12774	58915	124346	0	0	0		12,774	58,915	124,346	5222,532	2474,43	12,774	124,346	58,915	Wind angle: 0 dgr						
Permanent loads wg=0,9	380C1F3 / 380C12774	58813	124344	0	0	0		12,774	58,813	124,344	3979,008	1882,016	12,774	124,344	58,813							
Wind angle: 0 dgr	GW / ogw= 1668	7610	15934	0	0	0		1,668	7,61	15,934	819,39	392,6043	1,668	15,934	7,61							
	Comp. gf 3461	15485	32682	0	0	0	

Wind angle: 0 dgr	GW / opgw	2271	8662	18188	0	0	0	2,271	8,662	18,188	935,2997	447,1606	2,271	18,188	8,662								
	Comp. gl	4665	17660	37346	0	0	0	4,665	17,66	37,346	914,977	442,3499	4,665	37,346	17,66								
6	380C1F1 / 380i12781		49433	106010	0	0	0	12,781	49,433	106,01	5512,52	2570,516	12,781	106,01	49,433	6	14769,9	6895,724	43,474	360,509	168,107		
Permanent, +10 dgr	380C1F2 / 380i12781		49433	106010	0	0	0	12,781	49,433	106,01	4452,42	2076,186	12,781	106,01	49,433	0								
Permanent loads wg+ 1.35	380C1F3 / 380i12781		49433	106010	0	0	0	12,781	49,433	106,01	3392,32	1581,856	12,781	106,01	49,433								
	GW / opgw	1669	6441	13813	0	0	0	1,669	6,441	13,813	710,3197	332,4904	1,669	13,813	6,441								
	Comp. gl	3462	13367	28666	0	0	0	3,462	13,367	28,666	702,317	334,6752	3,462	28,666	13,367								
1a	380C1F1 / 380i12781		51673	106197	0	0	0	12,781	51,673	106,197	5522,244	2686,996	12,781	106,197	51,673	1a	14790,08	7189,665	43,474	360,934	175,12		
Wind, 10 dgr	380C1F2 / 380i12781		51465	106111	0	0	0	12,781	51,465	106,111	4456,662	2161,53	12,781	106,111	51,465	Wind angle: 45 dgr							
Permanent loads wg+0.9	380C1F3 / 380i12781		51207	106018	0	0	0	12,781	51,207	106,018	3392,576	1638,624	12,781	106,018	51,207								
Wind angle: 45 dgr	GW / opgw	1669	6874	13917	0	0	0	1,669	6,874	13,917	715,6678	354,757	1,669	13,917	6,874								
	Comp. gl	3462	13901	28691	0	0	0	3,462	13,901	28,691	702,9295	347,7582	3,462	28,691	13,901								
1b	380C1F1 / 380i12774		58647	124349	0	0	0	12,774	58,647	124,349	6466,148	3049,644	12,774	124,349	58,647	1b	17288,2	8157,527	43,451	421,672	198,724		
Wind, -20 dgr	380C1F2 / 380i12774		58597	124354	0	0	0	12,774	58,597	124,354	5222,868	2461,074	12,774	124,354	58,597	Wind angle: 45 dgr							
Permanent loads wg+0.9	380C1F3 / 380i12774		58535	124361	0	0	0	12,774	58,535	124,361	3979,552	1873,12	12,774	124,361	58,535								
Wind angle: 45 dgr	GW / opgw	1668	7543	15924	0	0	0	1,668	7,543	15,924	818,8758	389,1589	1,668	15,924	7,543								
	Comp. gl	3461	15402	32684	0	0	0	3,461	15,402	32,684	800,758	384,5306	3,461	32,684	15,402								
3	380C1F1 / 380i15538		63979	133237	0	0	0	15,538	63,979	133,237	6928,324	3326,908	15,538	133,237	63,979	3	19325,67	9295,744	56,458	475,714	228,336		
Wind+ice, -5 dgr	380C1F2 / 380i15538		63819	133203	0	0	0	15,538	63,819	133,203	5594,526	2680,398	15,538	133,203	63,819	Wind angle: 45 dgr							
Permanent loads wg+0.9	380C1F3 / 380i15538		63619	133169	0	0	0	15,538	63,619	133,169	4261,408	2035,808	15,538	133,169	63,619								
Wind angle: 45 dgr	GW / opgw	3238	12329	25139	0	0	0	3,238	12,329	25,139	1292,748	636,4674	3,238	25,139	12,329								
	Comp. gl	6606	24590	50966	0	0	0	6,606	24,59	50,966	1248,667	616,1625	6,606	50,966	24,59								
4	380C1F1 / 380i15186		58821	124722	0	0	0	15,186	58,821	124,722	6485,544	3058,692	15,186	124,722	58,821	4	17566,62	8290,361	52,494	429,742	202,488		
Construction/maintenance, +/	380C1F2 / 380i15186		58773	124730	0	0	0	15,186	58,773	124,73	5238,66	2468,466	15,186	124,73	58,773	Wind angle: 45 dgr							
Permanent loads wg+0.9	380C1F3 / 380i15186		58713	124742	0	0	0	15,186	58,713	124,742	3991,744	1878,816	15,186	124,742	58,713								
Wind angle: 45 dgr	GW / opgw	2271	8600	18190	0	0	0	2,271	8,6	18,19	935,4026	443,9724	2,271	18,19	8,6								
	Comp. gl	4665	17581	37358	0	0	0	4,665	17,581	37,358	915,271	440,4144	4,665	37,358	17,581								
1a	380C1F1 / 380i12785		79869	138866	0	0	0	12,785	79,869	138,866	7221,032	4153,188	12,785	138,866	79,869	1a	18985,21	10859,23	43,486	460,087	262,395		
Wind, 10 dgr	380C1F2 / 380i12784		76688	134567	0	0	0	12,784	76,688	134,567	5651,814	3220,896	12,784	134,567	76,688	Wind angle: 90 dgr							
Permanent loads wg+0.9	380C1F3 / 380i12784		72715	129277	0	0	0	12,784	72,715	129,277	4136,864	2326,88	12,784	129,277	72,715								
Wind angle: 90 dgr	GW / opgw	1670	12565	21162	0	0	0	1,67	12,565	21,162	1088,235	647,4118	1,67	21,162	12,565								
	Comp. gl	3463	20558	36215	0	0	0	3,463	20,558	36,215	887,2675	510,8567	3,463	36,215	20,558								
1b	380C1F1 / 380i12774		64146	127595	0	0	0	12,774	64,146	127,595	6634,94	3335,592	12,774	127,595	64,146	1b	17696,61	8874,791	43,451	431,191	215,781		
Wind, -20 dgr	380C1F2 / 380i12774		63519	127026	0	0	0	12,774	63,519	127,026	5335,092	2667,798	12,774	127,026	63,519	Wind angle: 90 dgr							
Permanent loads wg+0.9	380C1F3 / 380i12774		62750	126371	0	0	0	12,774	62,75	126,371	4043,872	2008	12,774	126,371	62,75								
Wind angle: 90 dgr	GW / opgw	1668	8672	16819	0	0	0	1,668	8,672	16,819	864,9003	447,2166	1,668	16,819	8,672								
	Comp. gl	3461	16694	33380	0	0	0	3,461	16,694	33,38	817,81	416,1846	3,461	33,38	16,694								
3	380C1F1 / 380i15541		84746	153890	0	0	0	15,541	84,746	153,89	8002,28	4406,792	15,541	153,89	84,746	3	22234,67	12265,38	56,471	545,03	299,844		
Wind+ice, -5 dgr	380C1F2 / 380i15541		82341	150899	0	0	0	15,541	82,341	150,899	6337,758	3458,322	15,541	150,899	82,341	Wind angle: 90 dgr							
Permanent loads wg+0.9	380C1F3 / 380i15541		79370	147304	0	0	0	15,541	79,37	147,304	4713,728	2539,84	15,541	147,304	79,37								
Wind angle: 90 dgr	GW / opgw	3240	19918	33574	0	0	0	3,24	19,918	33,574	1726,509	1026,726	3,24	33,574	19,918								
	Comp. gl	6608	33469	59363	0	0	0	6,608	33,469	59,363	1454,394	833,7021	6,608	59,363	33,469								
4	380C1F1 / 380i15187		63819	126890	0	0	0	15,187	63,819	126,89	6598,28	3318,588	15,187	126,89	63,819	4	17827,18	8938,963	52,495	435,758	217,919		
Construction/maintenance, +/	380C1F2 / 380i15186		63265	126476	0	0	0	15,186	63,265	126,476	5311,992	2657,13	15,186	126,476	63,265	Wind angle: 90 dgr							
Permanent loads wg+0.9	380C1F3 / 380i15186		62582	126005	0	0	0	15,186	62,582	126,005	4032,16	2002,624	15,186	126,005	62,582								
Wind angle: 90 dgr	GW / opgw	2271	9546	18692	0	0	0	2,271	9,546	18,692	961,2174	492,6195	2,271	18,692	9,546								
	Comp. gl	4665	18707	37695	0	0	0	4,665	18,707	37,695	923,5275	468,0014	4,665	37,695	18,707								
1a	380C1F1 / 380i12785		82990	143126	0	0	0	12,785	82,99	143,126	7442,552	4315,48	12,785	143,126	82,99	1a	19539,44	11267,69	43,487	473,277	272,139		
Wind, 10 dgr	380C1F2 / 380i12785		79515	138386	0	0	0	12,785	79,515	138,386	5812,212	3339,63	12,785	138,386	79,515	Wind angle: -45 dgr							
Permanent loads wg+0.9	380C1F3 / 380i12784		75162	132522	0	0	0	12,784	75,162	132,522	4240,704	2405,184	12,784	132,522	75,162								
Wind angle: -45 dgr	GW / opgw	1670	13162	22007	0	0	0	1,67	13,162	22,007	1131,688	678,1119	1,67	22,007	13,162								
	Comp. gl	3463	21310	37236	0	0	0	3,463	21,31	37,236	912,282	529,2807	3,463	37,236	21,31								
1b	380C1F1 / 380i12774		64772	128192	0	0	0	12,774	64,772	128,192	6665,984	3368,144	12,774	128,192	64,772	1b	17772,41	8956,132	43,451	432,969	217,712		
Wind, -20 dgr	380C1F2 / 380i12774		64075	127530	0	0	0	12,774	64,075	127,53	5356,26	2691,15	12,774	127,53	64,075	Wind angle: -45 dgr							
Permanent loads wg+0.9	380C1F3 / 380i12774		63221	126766	0	0	0	12,774	63,221	126,766	4056,512	2023,072	12,774	126,766	63,221								
Wind angle: -45 dgr	GW / opgw	1668	8804	16969	0	0	0	1,668	8,804	16,969	872,6139	454,0046	1,668	16,969	8,804								
	Comp. gl	3461	16840	33512	0	0	0	3,461	16,84	33,512	821,044	419,7616	3,461	33,512	16,84								
3	380C1F1 / 380i15542		87128	156909	0	0	0	15,542	87,128	156,909	8159,268	4530,656	15,542	156,909	87,128	3	22657,58	12603,71	56,472	555,174	308,003		
Wind+ice, -5 dgr	380C1F2 / 380i15541		84477	153553	0	0	0	15,541	84,477	153,553	6449,226	3548,034	15,541	153,553	84,477	Wind angle: -45 dgr							
Permanent loads wg+0.9	380C1F3 / 380i15541		81195	149498	0	0	0	15,541	81,195	149,498	4783,936	2598,24	15,541	149,498	81,195								
Wind angle: -45 dgr	GW / opgw	3240	20730	34631	0	0	0	3,24	20,73	34,631	1780,865	1068,482	3,24	34,631	20,73								
	Comp. gl	6608	34473	60583	0	0	0	6,608	34,473	60,583	1484,284	858,3001	6,608	60,583	34,473								
4	380C1F1 / 380i15187		64373	127328	0	0	0	15,187	64,373	127,328	6621,056	3347,396	15,187	127,328	64,373	4	17881,16	9010,258	52,496	437,018	219,611		
Construction/maintenance, +/	380C1F2 / 380i15187		63757	126842	0	0	0	15,187	63,757	126,842	5327,364	2677,794	15,187	126,842	63,757	Wind angle: -45 dgr							
Permanent loads wg+0.9	380C1F3 / 380i15186		63001	126289	0	0	0	15,186	63,001	126,289	4041,248	2016,032	15,186	126,289	63,001								
Wind angle: -45 dgr	GW / opgw	2271	9652	18786	0	0	0	2,271	9,652	18,786	966,0513	498,0704	2,271	18,786	9,652								
	Comp. gl	4665	18828	37773	0	0	0	4,665	18,828	37,773	925,4385	470,9659	4,665	37,773	18,828								

W2H400A

| | | |

Hoogte mast 51 m
Hoogte onderste stroomdraad (F3) 28 m

			Hoogte	Excentriciteit ophanging t.o.v. hart mast
Bliksemdraad = GW / OPGW	M_{stat} =	0,7 m =	50,3 m	-1,458 m
1e traverse - 380C1F1	F2 +	8,5 m =	45 m	4,41 m
2e traverse - 380C1F2	F3 +	8,5 m =	36,5 m	4,41 m
3e traverse - 380C1F3			28 m	4,41 m
Passieve lijn = Comp C.	F3 -	4 m =	24 m	-1,773 m

Uit mast (excl belastingsfactoren)

N [kN]	V [kN]	M [kNm]
318	81	2034

Uit lijnen (incl belastingsfactoren)

Nmin [kN]	Nmax [kN]	Vmax [kN]	Mlangs;ma [kNm]	Mdwars;max [kNm]
76	203	246	1513	9398

W2S350+5

Loadcases for tower strength (ultimate limit state)
Loadcase according to
50341-3-1S

APPENDIX: I

	Attachment:point	AHEAD [N]			BACK [N]			Totaal Vert [kN]	Dwars [kN]	Langs [kN]
1a	1a 380C1F1 / 380C2F1	14907	6455		146657	14907	6455	-146657	29,814	12,91	0
Wind, 10 dgr	Wind, 10 dgr 380C1F2/ 380C2F2	14907	6451		146657	14907	6451	-146657	29,814	12,902	0
Permanent loads vg=	Permanent loads vg= 1.2380C1F3 / 380C2F3	14907	6446		146657	14907	6446	-146657	29,814	12,892	0
Wind angle: 0 dgr	Wind angle: 0 dgrGW / opgw	1947	849		19242	1947	849	-19242	3,894	1,698	0
	Comp. gl	4038	1754		39867	4038	1754	-39867	8,076	3,508	0
1b	1b 380C1F1 / 380C2F1	14900	7606		173968	14900	7606	-173968	29,8	15,212	0
Wind, -20 dgr	Wind, -20 dgr 380C1F2/ 380C2F2	14900	7605		173968	14900	7605	-173968	29,8	15,21	0
Permanent loads vg=	Permanent loads vg= 1.2380C1F3 / 380C2F3	14900	7604		173968	14900	7604	-173968	29,8	15,208	0
Wind angle: 0 dgr	Wind angle: 0 dgrGW / opgw	1946	984		22489	1946	984	-22489	3,892	1,968	0
	Comp. gl	4036	2011		46005	4036	2011	-46005	8,072	4,022	0
3	3 380C1F1 / 380C2F1	25691	10256		234233	25691	10256	-234233	51,382	20,512	0
Wind+ice, -5 dgr	Wind+ice, -5 dgr 380C1F2/ 380C2F2	25691	10254		234233	25691	10254	-234233	51,382	20,508	0
Permanent loads vg=	Permanent loads vg= 1.2380C1F3 / 380C2F3	25691	10251		234233	25691	10251	-234233	51,382	20,502	0
Wind angle: 0 dgr	Wind angle: 0 dgrGW / opgw	8083	2543		58024	8083	2543	-58024	16,166	5,086	0
	Comp. gl	16332	5119		116933	16332	5119	-116933	32,664	10,238	0
4	4 380C1F1 / 380C2F1	17913	7550		172685	17913	7550	-172685	35,826	15,1	0
Construction/maintena	Construction/maintenance, 5 dgr 380C1F2/ 380C2F2	17913	7549		172685	17913	7549	-172685	35,826	15,098	0
Permanent loads vg=	Permanent loads vg= 1.2380C1F3 / 380C2F3	17913	7548		172685	17913	7548	-172685	35,826	15,096	0
Wind angle: 0 dgr	Wind angle: 0 dgrGW / opgw	2699	1108		25331	2699	1108	-25331	5,398	2,216	0
	Comp. gl	5542	2269		51910	5542	2269	-51910	11,084	4,538	0
6	6 380C1F1 / 380C2F1	16772	7005		160442	16772	7005	-160442	33,544	14,01	0
Permanent, +10 dgr	Permanent, 10 dgr 380C1F2/ 380C2F2	16772	7005		160442	16772	7005	-160442	33,544	14,01	0
Permanent loads vg=	Permanent loads vg= 1.35380C1F3 / 380C2F3	16772	7005		160442	16772	7005	-160442	33,544	14,01	0
	GW / oopw	2190	922		21111	2190	922	-21111	4,38	1,844	0
	Comp. gl	4543	1908		43708	4543	1908	-43708	9,086	3,816	0
1a	1a 380C1F1 / 380C2F1	14910	20279		178767	14912	23138	-189670	29,822	43,417	-10,903
Wind, 10 dgr	Wind, 10 dgr 380C1F2/ 380C2F2	14910	19149		174662	14911	21776	-184396	29,821	40,925	-9,734
Permanent loads vg=	Permanent loads vg= 1.2380C1F3 / 380C2F3	14909	17734		169727	14910	20067	-177988	29,819	37,801	-8,261
Wind angle: 45 dgr	Wind angle: 45 dgrGW / opgw	1947	3194		26317	1948	3847	-28499	3,895	7,181	-2,182
	Comp. gl	4039	5336		48171	4039	6079	-51032	8,078	11,415	-2,861
1b	1b 380C1F1 / 380C2F1	14900	10153		175454	14900	10657	-176091	29,8	20,81	-0,637
Wind, -20 dgr	Wind, -20 dgr 380C1F2/ 380C2F2	14900	9954		175230	14900	10417	-175775	29,8	20,371	-0,545
Permanent loads vg=	Permanent loads vg= 1.2380C1F3 / 380C2F3	14900	9703		174974	14900	10116	-175411	29,8	19,819	-0,437
Wind angle: 45 dgr	Wind angle: 45 dgrGW / opgw	1946	1435		22861	1946	1525	-23017	3,892	2,96	-0,156
	Comp. gl	4036	2672		46388	4036	2802	-46552	8,072	5,474	-0,164
3	3 380C1F1 / 380C2F1	25692	17440		239845	25692	18873	-242182	51,384	36,313	-2,337
Wind+ice, -5 dgr	Wind+ice, -5 dgr 380C1F2/ 380C2F2	25692	16873		239019	25692	18190	-241025	51,384	35,063	-2,006
Permanent loads vg=	Permanent loads vg= 1.2380C1F3 / 380C2F3	25691	16162		238064	25692	17334	-239686	51,383	33,496	-1,622
Wind angle: 45 dgr	Wind angle: 45 dgrGW / opgw	8084	4842		59459	8084	5298	-60060	16,168	10,14	-0,601
	Comp. gl	16332	8489		118455	16333	9151	-119112	32,665	17,64	-0,657
4	4 380C1F1 / 380C2F1	17913	10083		173811	17914	10581	-174301	35,827	20,664	-0,49
Construction/maintena	Construction/maintenance, 5 dgr 380C1F2/ 380C2F2	17913	9886		173639	17914	10344	-174057	35,827	20,23	-0,418
Permanent loads vg=	Permanent loads vg= 1.2380C1F3 / 380C2F3	17913	9637		173443	17913	10046	-173777	35,826	19,683	-0,334
Wind angle: 45 dgr	Wind angle: 45 dgrGW / opgw	2699	1553		25562	2699	1641	-25661	5,398	3,194	-0,099
	Comp. gl	5542	2923		52147	5542	3051	-52252	11,084	5,974	-0,105
1a	1a 380C1F1 / 380C2F1	14918	38327		252760	14918	38327	-252760	29,836	76,654	0
Wind, 10 dgr	Wind, 10 dgr 380C1F2/ 380C2F2	14917	35775		241952	14917	35775	-241952	29,834	71,55	0
Permanent loads vg=	Permanent loads vg= 1.2380C1F3 / 380C2F3	14916	32556		228346	14916	32556	-228346	29,832	65,112	0
Wind angle: 90 dgr	Wind angle: 90 dgrGW / opgw	1949	6539		40255	1949	6539	-40255	3,898	13,078	0
	Comp. gl	4041	10034		67819	4041	10034	-67819	8,082	20,068	0
1b	1b 380C1F1 / 380C2F1	14900	13359		181105	14900	13359	-181105	29,8	26,718	0
Wind, -20 dgr	Wind, -20 dgr 380C1F2/ 380C2F2	14900	12899		180081	14900	12899	-180081	29,8	25,798	0
Permanent loads vg=	Permanent loads vg= 1.2380C1F3 / 380C2F3	14900	12323		178890	14900	12323	-178890	29,8	24,646	0
Wind angle: 90 dgr	Wind angle: 90 dgrGW / opgw	1946	2012		24212	1946	2012	-24212	3,892	4,024	0
	Comp. gl	4037	3502		47847	4037	3502	-47847	8,074	7,004	0
3	3 380C1F1 / 380C2F1	25695	26578		259690	25695	26578	-259690	51,39	53,156	0
Wind+ice, -5 dgr	Wind+ice, -5 dgr 380C1F2/ 380C2F2	25695	25266		256221	25695	25266	-256221	51,39	50,532	0
Permanent loads vg=	Permanent loads vg= 1.2380C1F3 / 380C2F3	25694	23622		252124	25694	23622	-252124	51,388	47,244	0
Wind angle: 90 dgr	Wind angle: 90 dgrGW / opgw	8086	7732		64556	8086	7732	-64556	16,172	15,464	0
	Comp. gl	16335	12677		124217	16335	12677	-124217	32,67	25,354	0
4	4 380C1F1 / 380C2F1	17914	13236		178213	17914	13236	-178213	35,828	26,472	0
Construction/maintena	Construction/maintenance, 5 dgr 380C1F2/ 380C2F2	17914	12785		177407	17914	12785	-177407	35,828	25,57	0
Permanent loads vg=	Permanent loads vg= 1.2380C1F3 / 380C2F3	17914	12220		176474	17914	12220	-176474	35,828	24,44	0
Wind angle: 90 dgr	Wind angle: 90 dgrGW / opgw	2699	2110		26448	2699	2110	-26448	5,398	4,22	0
	Comp. gl	5542	3732		53097	5542	3732	-53097	11,084	7,464	0
1a	1a 380C1F1 / 380C2F1	14912	21138		189670	14910	20279	-178767	29,822	43,417	10,903
Wind, 10 dgr	Wind, 10 dgr 380C1F2/ 380C2F2	14911	21776		184396	14910	19149	-174662	29,821	40,925	9,734
Permanent loads vg=	Permanent loads vg= 1.2380C1F3 / 380C2F3	14910	20067		177988	14909	17734	-169727	29,819	37,801	8,261
Wind angle: 45 dgr	Wind angle: 45 dgrGW / opgw	1948	3847		28499	1947	3194	-26317	3,895	7,181	2,182
	Comp. gl	4039	6079		51032	4039	5336	-48171	8,078	11,415	2,861
1b	1b 380C1F1 / 380C2F1	14900	10657		176091	14900	10153	-175454	29,8	20,81	0,637
Wind, -20 dgr	Wind, -20 dgr 380C1F2/ 380C2F2	14900	10417		175775	14900	9954	-175230	29,8	20,371	0,545
Permanent loads vg=	Permanent loads vg= 1.2380C1F3 / 380C2F3	14900	10116		175411	14900	9703	-174974	29,8	19,819	0,437
Wind angle: 45 dgr	Wind angle: 45 dgrGW / opgw	1946	1525		23017	1946	1435	-22861	3,892	2,96	0,156
	Comp. gl	4036	2802		46552	4036	2672	-46388	8,072	5,474	0,164
3	3 380C1F1 / 380C2F1	25692	18873		242182	25692	17440	-239845	51,384	36,313	2,337
Wind+ice, -5 dgr	Wind+ice, -5 dgr 380C1F2/ 380C2F2	25692	18190		241025	25692	16873	-239019	51,384	35,063	2,006
Permanent loads vg=	Permanent loads vg= 1.2380C1F3 / 380C2F3	25692	17334		239686	25691	16162	-238064	51,383	33,496	1,622
Wind angle: 45 dgr	Wind angle: 45 dgrGW / opgw	8084	5298		60060	8084	4842	-59459	16,168	10,14	0,601
	0 Comp. gl	16333	9151		119112	16332	8489	-118455	32,665	17,64	0,657
4	4 380C1F1 / 380C2F1	17914	10581		174301	17913	10083	-173811	35,827	20,664	0,49
Construction/maintena	Construction/maintenance, 5 dgr 380C1F2/ 380C2F2	17914	10344		174057	17913	9886	-173639	35,827	20,23	0,418
Permanent loads vg=	Permanent loads vg= 1.2380C1F3 / 380C2F3	17913	10046		173777	17913	9637	-173443	35,826	19,683	0,334
Wind angle: 45 dgr	Wind angle: 45 dgrGW / opgw	2699	1641		25661	2699	1553	-25562	5,398	3,194	0,099
	Comp. gl	5542	3051		52252	5542	2923	-52147	11,084	5,974	0,105
1a	1a 380C1F1 / 380C2F1	11178	5177		117394	11178	5177	-117394	22,356	10,354	0
Wind, 10 dgr	Wind, 10 dgr 380C1F2/ 380C2F2	11178	5174		117394	11178	5174	-117394	22,356	10,348	0
Permanent loads vg=	Permanent loads vg= 0.9380C1F3 / 380C2F3	11178	5169		117394	11178	5169	-117394	22,356	10,338	0
Wind angle: 0 dgr	Wind angle: 0 dgrGW / opgw	1460	677		15289	1460	677	-15289	2,92	1,354	0
	Comp. gl	3028	1399		31734	3028	1399	-31734	6,056	2,798	0
1b	1b 380C1F1 / 380C2F1	11172	6290		143819	11172	6290	-143819	22,344	12,58	0
Wind, -20 dgr	Wind, -20 dgr 380C1F2/ 380C2F2	11172	6289		143819	11172	6289	-143819	22,344	12,578	0
Permanent loads vg=	Permanent loads vg= 0.9380C1F3 / 380C2F3	11172	6288		143819	11172	6288	-143819	22,344	12,576	0
Wind angle: 0 dgr	Wind angle: 0 dgrGW / opgw	1459	803		18356	1459	803	-18356	2,918	1,606	0
	Comp. gl	3027	1642		37544	3027	1642	-37544	6,054	3,284	0
3	3 380C1F1 / 380C2F1	21959	9184		209682	21959	9184	-209682	43,918	18,368	0
Wind+ice, -5 dgr	Wind+ice, -5 dgr 380C1F2/ 380C2F2	21959	9182		209682	21959	9182	-209682	43,918	18,364	0
Permanent loads vg=	Permanent loads vg= 0.9380C1F3 / 380C2F3	21959	9179		209682	21959	9179	-209682	43,918	18,358	0
Wind angle: 0 dgr	Wind angle: 0 dgrGW / opgw	7595	2434		55540	7595	2434	-55540	15,19	4,868	0
	Comp. gl	15319	4895		111800	15319	4895	-111800	30,638	9,79	0
4	4 380C1F1 / 380C2F1	14184	6342		145028	14184	6342	-145028	28,368	12,684	0
Construction/maintena	Construction/maintenance, 5 dgr 380C1F2/ 380C2F2	14184	6342		145028	14184	6342	-145028	28,368	12,684	0
Permanent loads vg=	Permanent loads vg= 0.9380C1F3 / 380C2F3	14184	6341		145028	14184	6341	-145028	28,368	12,682	0
Wind angle: 0 dgr	Wind angle: 0 dgrGW / opgw	2211	952		21752	2211	952	-21752	4,422	1,904	0
	Comp. gl	4531	1947		44539	4531	1947	-44539	9,062	3,894	0
6	6 380C1F1 / 380C2F1	11178	5126		117395	11178	5126	-117395	22,356	10,252	0
Permanent, +10 dgr	Permanent, 10 dgr 380C1F2/ 380C2F2	11178	5126		117395	11178	5126	-117395	22,356	10,252	0
Permanent loads vg=	Permanent loads vg= 1.35380C1F3 / 380C2F3	11178	5126		117395	11178	5126	-117395	22,356	10,252	0
	GW / oopw	1460	668		15289	1460	668	-15289	2,92	1,336	0
	Comp. gl	3028	1386		31734	3028	1386	-31734	6,056	2,772	0
1a	1a 380C1F1 / 380C2F1	11181	19444		159676	11182	22396	-172725	22,363	41,84	-13,049
Wind, 10 dgr	Wind, 10 dgr 380C1F2/ 380C2F2	11181	18273		156641	11182	20991	-166465	22,363	39,264	-11,824
Permanent loads vg=	Permanent loads vg= 0.9380C1F3 / 380C2F3	11180	16805		148484	11181	19225	-158726	22,361	36,03	-10,242
Wind angle: 45 dgr	Wind angle: 45 dgrGW / opgw	1460	3242		24215	1461	3768	-26690	2,921	7,01	-2,475
	Comp. gl	3029	5097		42700	3029	5865	-46147	6,058	10,962	-3,447
1b	1b 380C1F1 / 380C2F1	11172	8868		146034	11173	9385	-146964	22,345	18,253	-0,93
Wind, -20 dgr	Wind, -20 dgr 380C1F2/ 380C2F2	11172	8664		145707	11172	9139	-146503	22,344	17,803	-0,796
Permanent loads vg=	Permanent loads vg= 0.9380C1F3 / 380C2F3	11172	8408		145330	11172	8830	-145971	22,344	17,238	-0,641
Wind angle: 45 dgr	Wind angle: 45 dgrGW / opgw	1459	1262		18902	1459	1355	-19126	2,918	2,617	-0,224
	Comp. gl	3027	2310		38113	3027	2444	-38353	6,054	4,754	-0,24
3	3 380C1F1 / 380C2F1	21960	16424		216603	21961	17878	-219437	43,921	34,302	-2,834
Wind+ice, -5 dgr	Wind+ice, -5 dgr 380C1F2/ 380C2F2	21960	15850		215596	21960	17185	-218037	43,92	33,035	-2,441
Permanent loads vg=	Permanent loads vg= 0.9380C1F3 / 380C2F3	21960	15129		214430	21960	16316	-216409	43,92	31,445	-1,979
Wind angle: 45 dgr	Wind angle: 45 dgrGW / opgw	7596	4739		57102	7596	5196	-57751	15,192	9,935	-0,649
	Comp. gl	15319	8270		113466	15320	8935	-114181	30,639	17,205	-0,715
4	4 380C1F1 / 380C2F1	14184	8894		146589	14184	9399	-147257	28,368	18,293	-0,668

	Belastingen op mastvoet, per lijn M_{langs}	M_{dwars}	N	V_{langs}	V_{dwars}
	0	712,4297	29,814	0	12,91
	0	602,4027	29,814	0	12,902
	0	492,4557	29,814	0	12,892
	0	79,73195	3,894	0	1,698
	0	69,87325	8,076	0	3,508
	0	815,958	29,8	0	15,212
	0	686,583	29,8	0	15,21
	0	557,242	29,8	0	15,208
	0	93,31586	3,892	0	1,968
	0	82,21634	8,072	0	4,022
	0	1149,635	51,382	0	20,512
	0	975,1366	51,382	0	20,508
	0	800,6506	51,382	0	20,502
	0	232,2558	16,166	0	5,086
	0	187,7987	32,664	0	10,238
	0	837,4927	35,826	0	15,1
	0	709,0697	35,826	0	15,098
	0	580,6807	35,826	0	15,096
	0	103,5945	5,398	0	2,216
	0	89,26007	11,084	0	4,538
	0	778,379	33,544	0	14,01
	0	659,294	33,544	0	14,01
	0	540,209	33,544	0	14,01
	0	86,36716	4,38	0	1,844
	0	75,47452	9,086	0	3,816
	-490,635	2085,28	29,822	-10,903	43,417
	-355,291	1625,273	29,821	-9,734	40,925
	-231,308	1189,93	29,819	-8,261	37,801
	-109,755	355,5254	5,895	-2,182	7,181
	-68,664	259,6377	8,078	-2,861	11,415
	-28,665	1067,868	29,8	-0,637	20,81
	-19,8925	874,9595	29,8	-0,545	20,371
	-12,236	686,35	29,8	-0,437	19,819
	-7,8468	143,2135	3,892	-0,156	2,96
	-3,936	117,0643	8,072	-0,164	5,474
	-105,165	1860,688	51,384	-2,337	36,313
	-73,219	1506,403	51,384	-2,006	35,063
	-45,416	1164,487	51,383	-1,622	33,496
	-30,2303	486,4691	16,168	-0,601	10,14
	-15,768	365,445	32,665	-0,657	17,64
	-22,05	1087,877	35,827	-0,49	20,664
	-15,257	896,3921	35,827	-0,418	20,23
	-9,352	709,1167	35,826	-0,334	19,683
	-4,9797	152,7879	5,398	-0,099	3,194
	-2,52	123,7241	11,084	-0,105	5,974
	0	3581,007	29,836	0	76,654
	0	2743,143	29,834	0	71,55
	0	1954,695	29,832	0	65,112
	0	652,1401	3,898	0	13,078
	0	467,3026	8,082	0	20,068
	0	1333,728	29,8	0	26,718
	0	1073,045	29,8	0	25,798
	0	821,506	29,8	0	24,646
	0	196,7327	3,892	0	4,024
	0	153,7808	8,074	0	7,004
	0	2618,65	51,39	0	53,156
	0	2071,048	51,39	0	50,532
	0	1549,453	51,388	0	47,244
	0	754,2604	16,172	0	15,464
	0	550,5721	32,67	0	25,354
	0	1349,241	35,828	0	26,472
	0	1091,306	35,828	0	25,57
	0	842,3215	35,828	0	24,44
	0	204,3957	5,398	0	4,22
	0	159,4841	11,084	0	7,464
	490,635	2085,28	29,822	10,903	43,417
	355,291	1625,273	29,821	9,734	40,925
	231,308	1189,93	29,819	8,261	37,801
	109,7546	355,5254	5,895	2,182	7,181
	68,664	259,6377	8,078	2,861	11,415
	28,665	1067,868	29,8	0,637	20,81
	19,8925	874,9595	29,8	0,545	20,371
	12,236	686,35	29,8	0,437	19,819
	7,8468	143,2135	3,892	0,156	2,96
	3,936	117,0643	8,072	0,164	5,474
	105,165	1860,688	51,384	2,337	36,313
	73,219	1506,403	51,384	2,006	35,063
	45,416	1164,487	51,383	1,622	33,496
	30,2303	486,4691	16,168	0,601	10,14
	15,768	365,445	32,665	0,657	17,64
	22,05	1087,877	35,827	0,49	20,664
	15,257	896,3921	35,827	0,418	20,23
	9,352	709,1167	35,826	0,334	19,683
	4,9797	152,7879	5,398	0,099	3,194
	2,52	123,7241	11,084	0,105	5,974
	0	564,52	22,356	0	10,354
	0	476,292	22,356	0	10,348
	0	388,054	22,356	0	10,338
	0	63,84884	2,92	0	1,354
	0	56,41471	6,056	0	2,798
	0	664,637	22,344	0	12,58
	0	557,634	22,344	0	12,578
	0	450,665	22,344	0	12,576
	0	76,52736	2,918	0	1,606
	0	68,08226	6,054	0	3,284
	0	1020,238	43,918	0	18,368
	0	863,9644	43,918	0	18,364
	0	707,7024	43,918	0	18,358
	0	222,7134	15,19	0	4,868
	0	180,6388	30,638	0	9,79
	0	695,8829	28,368	0	12,684
	0	588,0689	28,368	0	12,684
	0	480,1989	28,368	0	12,682
	0	89,32392	4,422	0	1,904
	0	77,38907	9,062	0	3,894
	0	559,93	22,356	0	10,252
	0	472,788	22,356	0	10,252
	0	385,646	22,356	0	10,252
	0	62,94344	2,92	0	1,336
	0	55,79071	6,056	0	2,772
	-587,205	1981,421	22,363	-11,049	41,84
	-431,576	1531,757	22,363	-11,824	39,264
	-286,776	1107,452	22,361	-10,242	36,03
	-124,493	348,3442	2,921	-2,475	7,01
	-82,728	252,3472	6,058	-3,447	10,962
	-41,85	919,9265	22,345	-0,93	18,253
	-29,054	748,3465	22,344	-0,796	17,803
	-17,948	581,201	22,344	-0,641	17,238
	-11,2672	127,3807	2,918	-0,224	2,617
	-5,76	103,3623	6,054	-0,24	4,754
	-127,53	1737,282	43,921	-2,834	34,302
	-89,0965	1399,465	43,92	-2,441	33,035
	-55,412	1074,147	43,92	-1,979	31,445
	-32,6447	477,5806	15,192	-0,649	9,935
	-17,16	358,5971	30,639	-0,715	17,205
	-30,06	948,2879	28,368	-0,668	18,293

	Belasting op mastvoet, belastinggeval M_{langs}	M_{dwars}	N	V_{langs}	V_{dwars}
1a	0	1956,893	101,412	0	43,91
Wind angle: 0 dgr					
1b	0	2235,315	101,364	0	51,62
Wind angle: 0 dgr					
3	0	3345,476	202,976	0	76,846
Wind angle: 0 dgr					
4	0	2320,098	123,96	0	52,048
Wind angle: 0 dgr					
6	0	2139,724	114,098	0	47,69
0					
1a	-1255,65	5515,646	101,435	-33,941	140,739
Wind angle: 45 dgr					
1b	-72,5763	2889,455	101,364	-1,939	69,434
Wind angle: 45 dgr					
3	269,7983	5383,492	202,984	7,223	132,652
Wind angle: 45 dgr					
4	54,1587	2969,898	123,962	1,446	69,745
Wind angle: 45 dgr					
1a	0	1549,129	76,044	0	35,192
Wind angle: 0 dgr					
1b	0	1817,546	76,004	0	42,624
Wind angle: 0 dgr					
3	0	2995,257	177,582	0	69,748
Wind angle: 0 dgr					
4	0	1930,864	98,588	0	43,848
Wind angle: 0 dgr					
6	0	1537,098	76,044	0	34,864
0					
1a	-1512,78	5221,321	76,066	-41,037	135,106
Wind angle: 45 dgr					
1b	-105,879	2480,217	76,005	-2,831	60,665
Wind angle: 45 dgr					
3	-321,843	5047,071	177,592	-8,618	125,922
Wind angle: 45 dgr					
4	-73,5022	2585,439	98,588	-1,963	61,673

regel	Belasting uit mast N	V	M
1	318	81	2034
2	318	15	381
3	318	23	572
4	318	15	381
5			
6			
7	318	81	2034
8	318	15	381
9	318	23	572
10	318	15	381
11			
12	318	81	2034
13	318	15	381
14	318	23	572
15	318	15	381
16			
17	318	81	2034
18	318	15	381
19	318	23	572
20	318	15	381
21			
22	239	81	2034
23	239	15	381
24	239	23	572
25	239	15	381
26			
27			
28	239	81	2034
29	239	15	381
30	239	23	572

Construction/maintenar	Construction/maintenance, 5 dgr 380C1F2/ 380C2F2	14184	8694	146355	14184	9159	-146926	28,368	17,853	-0,571	-20,8415	776,7374	28,368	-0,571	17,853	Wind angle: 45 dgr													
Permanent loads yp	Permanent loads yp= 0.938OC1F3 / 380C2F3	14184	8442	146086	14184	8857	-146544	28,368	17,299	-0,458	-12,824	609,4749	28,368	-0,458	17,299														
Wind angle: 45 dgr	Wind angle: 45 dgrGW / ogpw	2211	1400	22056	2211	1489	-22185	4,422	2,889	-0,129	-6,4887	138,8694	4,422	-0,129	2,889														
	Comp. gl	4531	2605	44856	4531	2734	-44993	9,062	5,339	-0,137	-1,288	112,0691	9,062	-0,137	5,339														
1a	1a 380C1F1 / 380C2F1	11188	37902	243059	11188	37902	-243059	22,376	75,804	0	0	3509,858	22,376	0	75,804	1a	0	9193,444	76,106	0	243,32								
Wind, 10 dgr	Wind, 10 dgr 380C1F2/ 380C2F2	11187	35313	231406	11187	35313	-231406	22,374	70,626	0	0	2676,518	22,374	0	70,626	Wind angle: 90 dgr													
Permanent loads yp	Permanent loads yp= 0.938OC1F3 / 380C2F3	11186	32039	216560	11186	32039	-216560	22,372	64,078	0	0	1892,845	22,372	0	64,078														
Wind angle: 90 dgr	Wind angle: 90 dgrGW / ogpw	1462	6497	39301	1462	6497	-39301	2,924	12,994	0	0	649,335	2,924	0	12,994														
	Comp. gl	3030	9909	64971	3030	9909	-64971	6,06	19,818	0	0	464,8876	6,06	0	19,818														
1b	1b 380C1F1 / 380C2F1	11173	12178	154081	11173	12178	-154081	22,346	24,356	0	0	1194,566	22,346	0	24,356	1b	0	3191,919	76,01	0	80,022								
Wind, -20 dgr	Wind, -20 dgr 380C1F2/ 380C2F2	11173	11700	152650	11173	11700	-152650	22,346	23,4	0	0	952,6459	22,346	0	23,4	Wind angle: 90 dgr													
Permanent loads yp	Permanent loads yp= 0.938OC1F3 / 380C2F3	11173	11103	150973	11173	11103	-150973	22,346	22,206	0	0	720,3139	22,346	0	22,206														
Wind angle: 90 dgr	Wind angle: 90 dgrGW / ogpw	1459	1862	20775	1459	1862	-20775	2,918	3,724	0	0	183,0628	2,918	0	3,724														
	Comp. gl	3027	3168	40194	3027	3168	-40194	6,054	6,336	0	0	141,1303	6,054	0	6,336														
3	3 380C1F1 / 380C2F1	21964	25723	240154	21964	25723	-240154	43,928	51,446	0	0	2508,792	43,928	0	51,446	3	0	7239,696	177,618	0	185,886								
Wind+ice, -5 dgr	Wind+ice, -5 dgr 380C1F2/ 380C2F2	21963	24386	236112	21963	24386	-236112	43,926	48,772	0	0	1973,892	43,926	0	48,772	Wind angle: 90 dgr													
Permanent loads yp	Permanent loads yp= 0.938OC1F3 / 380C2F3	21962	22711	231302	21962	22711	-231302	43,924	45,422	0	0	1465,521	43,924	0	45,422														
Wind angle: 90 dgr	Wind angle: 90 dgrGW / ogpw	7598	7644	62562	7598	7644	-62562	15,196	15,288	0	0	746,8306	15,196	0	15,288														
	Comp. gl	15322	12479	119694	15322	12479	-119694	30,644	24,958	0	0	544,6602	30,644	0	24,958														
4	4 380C1F1 / 380C2F1	14184	12112	152494	14184	12112	-152494	28,368	24,224	0	0	1215,183	28,368	0	24,224	4	0	3275,726	98,59	0	80,454								
Construction/maintenar	Construction/maintenance, 5 dgr 380C1F2/ 380C2F2	14184	11650	151426	14184	11650	-151426	28,368	23,3	0	0	975,5529	28,368	0	23,3	Wind angle: 90 dgr													
Permanent loads yp	Permanent loads yp= 0.938OC1F3 / 380C2F3	14184	11071	150183	14184	11071	-150183	28,368	22,142	0	0	745,0789	28,368	0	22,142														
Wind angle: 90 dgr	Wind angle: 90 dgrGW / ogpw	2212	1968	23187	2212	1968	-23187	4,424	3,936	0	0	191,5306	4,424	0	3,936														
	Comp. gl	4531	3426	46086	4531	3426	-46086	9,062	6,852	0	0	148,3811	9,062	0	6,852														
1a	1a 380C1F1 / 380C2F1	11182	22396	172725	11181	19444	-159676	22,363	41,84	13,049	587,205	1981,421	22,363	13,049	41,84	1a	1512,778	5221,321	76,066	41,037	135,106								
Wind, 10 dgr	Wind, 10 dgr 380C1F2/ 380C2F2	11182	20991	166465	11181	18273	-154641	22,363	39,264	11,824	431,576	1531,757	22,363	11,824	39,264	Wind angle: -45 dgr													
Permanent loads yp	Permanent loads yp= 0.938OC1F3 / 380C2F3	11181	19225	158726	11180	16805	-148484	22,361	36,03	10,242	286,776	1107,452	22,361	10,242	36,03														
Wind angle: -45 dgr	Wind angle: -45 dgrGW / ogpw	1461	3768	26690	1460	3242	-24215	2,921	7,01	2,475	124,4925	348,3442	2,921	2,475	7,01														
	Comp. gl	3029	5865	46147	3029	5097	-42700	6,058	10,962	3,447	82,728	252,3472	6,058	3,447	10,962														
1b	1b 380C1F1 / 380C2F1	11173	9385	146964	11172	8868	-146034	22,345	18,253	0,93	41,85	919,9265	22,345	0,93	18,253	1b	105,8792	2480,217	76,005	2,831	60,665								
Wind, -20 dgr	Wind, -20 dgr 380C1F2/ 380C2F2	11172	9139	146503	11172	8664	-145707	22,344	17,803	0,796	29,054	748,3465	22,344	0,796	17,803	Wind angle: -45 dgr													
Permanent loads yp	Permanent loads yp= 0.938OC1F3 / 380C2F3	11172	8830	145971	11172	8408	-145330	22,344	17,238	0,641	17,948	581,201	22,344	0,641	17,238														
Wind angle: -45 dgr	Wind angle: -45 dgrGW / ogpw	1459	1355	19126	1459	1262	-18902	2,918	2,617	0,224	11,2672	127,3807	2,918	0,224	2,617														
	Comp. gl	3027	2444	38353	3027	2310	-38113	6,054	4,754	0,24	5,76	103,3623	6,054	0,24	4,754														
3	3 380C1F1 / 380C2F1	21961	17878	219437	21960	16424	-216603	43,921	34,302	2,834	127,53	1737,282	43,921	2,834	34,302	3	321,8432	5047,071	177,592	8,618	125,922								
Wind+ice, -5 dgr	Wind+ice, -5 dgr 380C1F2/ 380C2F2	21960	17185	218037	21960	15850	-215596	43,92	33,035	2,441	89,0965	1399,465	43,92	2,441	33,035	Wind angle: -45 dgr													
Permanent loads yp	Permanent loads yp= 0.938OC1F3 / 380C2F3	21960	16316	216409	21960	15129	-214430	43,92	31,445	1,979	55,412	1074,147	43,92	1,979	31,445														
Wind angle: -45 dgr	Wind angle: -45 dgrGW / ogpw	7596	5196	57751	7596	4739	-57102	15,192	9,935	0,649	32,6447	477,5806	15,192	0,649	9,935														
	0 Comp. gl	15320	8935	114181	15319	8270	-113466	30,639	17,205	0,715	17,16	358,5971	30,639	0,715	17,205														
4	4 380C1F1 / 380C2F1	14184	9399	147257	14184	8894	-146589	28,368	18,293	0,668	30,06	948,2879	28,368	0,668	18,293	4	73,5022	2585,439	98,588	1,963	61,673								
Construction/maintenar	Construction/maintenance, 5 dgr 380C1F2/ 380C2F2	14184	9159	146926	14184	8694	-146355	28,368	17,853	0,571	20,8415	776,7374	28,368	0,571	17,853	Wind angle: -45 dgr													
Permanent loads yp	Permanent loads yp= 0.938OC1F3 / 380C2F3	14184	8857	146544	14184	8442	-146086	28,368	17,299	0,458	12,824	609,4749	28,368	0,458	17,299														
Wind angle: -45 dgr	Wind angle: -45 dgrGW / ogpw	2211	1489	22185	2211	1400	-22056	4,422	2,889	0,129	6,4887	138,8694	4,422	0,129	2,889														
	Comp. gl	4531	2734	44993	4531	2605	-44856	9,062	5,339	0,137	3,288	112,0691	9,062	0,137	5,339														

W25350+5 09 - I2

Hoogte mast Ber & bijlage 51 m
Hoogte onderste stroomdraad (F3) 28 m

		Hoogte	Excentriciteit ophanging t.o.v. hart mast
Blikxemdraad = GW / $C_{H_{mast}}$ -	0,7 m =	50,3 m	-1,458 m
1e traverse - 380C1F1 F2 +	8,5 m =	45 m	4,41 m
2e traverse - 380C1F2 F3 +	8,5 m =	36,5 m	4,41 m
3e traverse - 380C1F3		28 m	4,41 m
Passieve lijn = Comp C. F3 -	4 m =	24 m	-1,773 m

Uit mast
ULS (incl bel factoren)

N	V	M
[kN]	[kN]	[kNm]
318	81	2034

Uit lijnen
SLS

Nmin	Nmax	Vmax	Mlangs;ma	Mdwars;max
[kN]	[kN]	[kN]	[kNm]	[kNm]
84	152	172	792	6619

Belastingen uit lijnen

			M_{langs}	M_{dwars}	N	V_{langs}	V_{dwars}
SLS	0 deg	1a 380C1F1	0	**1684**	85	0	**38**
		1b 380C1F1	0	1960	**84**	0	46
		3 380C1F1 ,	0	2708	152	0	63
		4 380C1F1 ,	0	1949	100	0	44
	45 deg	1a 380C1F1	**-792**	4031	85	**-21**	102
		1b 380C1F1	-41	2394	**84**	-1	58
		3 380C1F1 ,	-177	4065	152	-5	100
		4 380C1F1 ,	-32	2381	100	-1	56
	90 deg	1a 380C1F1	0	**6619**	85	0	**172**
		1b 380C1F1	0	2848	**84**	0	70
		3 380C1F1 ,	0	5504	**152**	0	139
		4 380C1F1 ,	0	2830	100	0	68
	-45 deg	1a 380C1F1	**792**	4031	85	**21**	102
		1b 380C1F1	41	2394	**84**	1	58
		3 380C1F1 ,	177	4065	152	5	100
		4 380C1F1 ,	32	2381	100	1	56

Belasting uit mast

N	V	M
265	54	1356
265	54	1356
265	54	1356
265	54	1356
265	54	1356
265	54	1356
265	54	1356
265	54	1356
265	54	1356
265	54	1356
265	54	1356
265	54	1356

Totaal

regel		Loadcase	M_{langs}	M_{dwars}	N	V_{langs}	V_{dwars}	Totaal moment
1 Perm load 1,2	0 deg	1a	1356	3040	350	54	92	3328,752
2 Perm load 1,2	0 deg	1b	1356	3316	349	54	100	3582,093
3 Perm load 1,2	0 deg	3	1356	4064	417	54	117	4284,13
4 Perm load 1,2	0 deg	4	1356	3305	365	54	98	3572,734
5								
6 Perm load 1,2	45 deg	1a	2148	5387	350	75	156	5799,545
7 Perm load 1,2	45 deg	1b	1397	3750	349	55	112	4001,523
8 Perm load 1,2	45 deg	3	1533	5421	417	59	154	5633,388
9 Perm load 1,2	45 deg	4	1388	3737	365	55	110	3986,872
10								
11 Perm load 1,2	90 deg	1a	1356	7975	350	54	226	8089,429
12 Perm load 1,2	90 deg	1b	1356	4204	349	54	124	4417,617
13 Perm load 1,2	90 deg	3	1356	6860	417	54	193	6992,56
14 Perm load 1,2	90 deg	4 Construct	1356	4186	365	54	122	4399,949
15								
16 Perm load 1,2	-45 deg	1a	1751	5387	350	75	156	5664,441
17 Perm load 1,2	-45 deg	1b	1000	3750	349	55	112	3880,727
18 Perm load 1,2	-45 deg	3	1135	5421	417	59	154	5538,543
19 Perm load 1,2	-45 deg	4	991	3737	365	55	110	3866,55
			2148	7975	417	75	226	8089
					349			

M langs max	M dwars max	N max
		x
		x
		x

V langs max	V dwars max	M tot max	N min
x			
			x
			x
x	x	x	
			x
x			
			x

samenvatting

Mast	Bijlage	Wind	Loadcase	M_{langs}	M_{dwars}	N	V_{langs}	V_{dwars}
6 W25350+5	09-I2	Perm load :45 deg	1a	2148	5387	350	75	156
7 W25350+5	09-I2	Perm load :45 deg	1b	1397	3750	349	55	112
11 W25350+5	09-I2	Perm load :90 deg	1a	1356	7975	350	54	226
13 W25350+5	09-I2	Perm load :90 deg	3	1356	6860	417	54	193
W25350+5	09-I2	#N/B	#N/B	#N/B	#N/B	#N/B	#N/B	#N/B
W25350+5	09-I2	#N/B	#N/B	#N/B	#N/B	#N/B	#N/B	#N/B
		#N/B	#N/B	#N/B	#N/B	#N/B	#N/B	#N/B

-116- 74100706-I12-00138 REV 3
W2350+5 TOWER APPENDIX: I2
Loadcases for tower according to 50341-3-15 deflection analyses (Servicabili limit state)

Loadcase	Totaal Vert [kN]	Dwars [kN]	Langs [kN]		Belastingen op mastvoet, per lijn M_{langs}	M_{dwars}	N	V_{langs}	V_{dwars}
1a 380C1F1 / 380C2F1	12421	5598	127433	12421	5598	-127433	0	613,3732	24,842	0	11,196
Wind, 10 dgr 380C1F2/ 380C2F2	12421	5596	127433	12421	5596	-127433	0	518,0612	24,842	0	11,192
Permanent loads yg= 1.0380C1F3 /	12421	5593	127433	12421	5593	-127433	0	422,7612	24,842	0	11,186
Wind angle: 0 dgrGW / opgw	1622	733	16643	1622	733	-16643	0	69,01005	3,244	0	1,466
Comp. gl	3365	1516	34520	3365	1516	-34520	0	60,83571	6,73	0	3,032
1b 380C1F1 / 380C2F1	12415	6739	154196	12415	6739	-154196	0	716,0103	24,83	0	13,478
Wind, -20 dgr 380C1F2/ 380C2F2	12415	6739	154196	12415	6739	-154196	0	601,4473	24,83	0	13,478
Permanent loads yg= 1.0380C1F3 /	12415	6738	154196	12415	6738	-154196	0	486,8283	24,83	0	13,476
Wind angle: 0 dgrGW / opgw	1621	865	19778	1621	865	-19778	0	82,29216	3,242	0	1,73
Comp. gl	3363	1768	40455	3363	1768	-40455	0	72,9388	6,726	0	3,536
3 380C1F1 / 380C2F1	19607	8468	193497	19607	8468	-193497	0	935,0537	39,214	0	16,936
Wind+ice, -5 dgr 380C1F2/ 380C2F	19607	8466	193497	19607	8466	-193497	0	790,9517	39,214	0	16,932
Permanent loads yg= 1.0380C1F3 /	19607	8464	193497	19607	8464	-193497	0	646,9177	39,214	0	16,928
Wind angle: 0 dgrGW / opgw	5711	1989	45404	5711	1989	-45404	0	183,4401	11,422	0	3,978
Comp. gl	11555	4010	91636	11555	4010	-91636	0	151,506	23,11	0	8,02
4 380C1F1 / 380C2F1	14424	6420	146877	14424	6420	-146877	0	705,0197	28,848	0	12,84
Construction/maintenance, 5 dgr	14424	6419	146877	14424	6419	-146877	0	595,8067	28,848	0	12,838
Permanent loads yg= 1.0380C1F3 /	14424	6419	146877	14424	6419	-146877	0	486,6837	28,848	0	12,838
Wind angle: 0 dgrGW / opgw	2123	922	21079	2123	922	-21079	0	86,56253	4,246	0	1,844
Comp. gl	4367	1892	43294	4367	1892	-43294	0	75,33062	8,734	0	3,784
1a 380C1F1 / 380C2F1	12422	14713	146571	12423	16603	-153485		24,845	31,316	-6,914	-311,13
Wind, 10 dgr 380C1F2/ 380C2F2	12422	13968	144014	12423	15702	-150118		24,845	29,67	-6,104	-222,796
Permanent loads yg= 1.0380C1F3 /	12422	13036	140978	12422	14574	-146083		24,844	27,61	-5,105	-142,94
Wind angle: 45 dgrGW / opgw	1622	2372	20964	1623	2713	-22404		3,245	5,085	-1,44	-72,432
Comp. gl	3365	3877	39438	3365	4367	-41236		6,73	8,244	-1,798	-43,152
1b 380C1F1 / 380C2F1	12415	8430	155030	12415	8764	-155393		24,83	17,194	-0,363	-16,335
Wind, -20 dgr 380C1F2/ 380C2F2	12415	8298	154904	12415	8605	-155213		24,83	16,903	-0,309	-11,2785
Permanent loads yg= 1.0380C1F3 /	12415	8132	154758	12415	8406	-155006		24,83	16,538	-0,248	-6,944
Wind angle: 45 dgrGW / opgw	1621	1164	19988	1621	1223	-20077		3,242	2,387	-0,089	-4,4767
Comp. gl	3363	2206	40669	3363	2293	-40762		6,726	4,499	-0,093	-2,232
3 380C1F1 / 380C2F1	19607	13249	197078	19607	14201	-198583		39,214	27,45	-1,505	-67,725
Wind+ice, -5 dgr 380C1F2/ 380C2F	19607	12872	196548	19607	13747	-197838		39,214	26,619	-1,29	-47,085
Permanent loads yg= 1.0380C1F3 /	19607	12399	195937	19607	13178	-196976		39,214	25,577	-1,039	-29,092
Wind angle: 45 dgrGW / opgw	5711	3523	46421	5711	3828	-46848		11,422	7,351	-0,427	-21,4781
Comp. gl	11555	6258	92713	11555	6700	-93178		23,11	12,958	-0,465	-11,16
4 380C1F1 / 380C2F1	14424	8104	147534	14424	8434	-147824		28,848	16,538	-0,29	-13,05
Construction/maintenance, 5 dgr	14424	7973	147433	14424	8277	-147680		28,848	16,25	-0,247	-9,0155
Permanent loads yg= 1.0380C1F3 /	14424	7808	147318	14424	8080	-147515		28,848	15,888	-0,197	-5,516
Wind angle: 45 dgrGW / opgw	2123	1218	21219	2123	1276	-21280		4,246	2,494	-0,061	-3,0683
Comp. gl	4367	2327	43436	4367	2413	-43500		8,734	4,74	-0,064	-1,536
1a 380C1F1 / 380C2F1	12427	26747	196063	12427	26747	-196063		24,854	53,494	0	0
Wind, 10 dgr 380C1F2/ 380C2F2	12426	25033	188534	12426	25033	-188534		24,852	50,066	0	0
Permanent loads yg= 1.0380C1F3 /	12425	22875	179172	12425	22875	-179172		24,85	45,75	0	0
Wind angle: 90 dgrGW / opgw	1623	4523	30615	1623	4523	-30615		3,246	9,046	0	0
Comp. gl	3366	7004	52466	3366	7004	-52466		6,732	14,008	0	0
1b 380C1F1 / 380C2F1	12415	10545	158280	12415	10545	-158280		24,83	21,09	0	0
Wind, -20 dgr 380C1F2/ 380C2F2	12415	10242	157685	12415	10242	-157685		24,83	20,484	0	0
Permanent loads yg= 1.0380C1F3 /	12415	9862	156996	12415	9862	-156996		24,83	19,724	0	0
Wind angle: 90 dgrGW / opgw	1621	1544	20775	1621	1544	-20775		3,242	3,088	0	0
Comp. gl	3363	2754	41506	3363	2754	-41506		6,726	5,508	0	0
3 380C1F1 / 380C2F1	19609	19327	210048	19609	19327	-210048		39,218	38,654	0	0
Wind+ice, -5 dgr 380C1F2/ 380C2F	19609	18453	207752	19609	18453	-207752		39,218	36,906	0	0
Permanent loads yg= 1.0380C1F3 /	19608	17359	205055	19608	17359	-205055		39,216	34,718	0	0
Wind angle: 90 dgrGW / opgw	5712	5459	50066	5712	5459	-50066		11,424	10,918	0	0
Comp. gl	11556	9059	96804	11556	9059	-96804		23,112	18,118	0	0
4 380C1F1 / 380C2F1	14425	10192	150154	14425	10192	-150154		28,85	20,384	0	0
Construction/maintenance, 5 dgr	14425	9894	149671	14425	9894	-149671		28,85	19,788	0	0
Permanent loads yg= 1.0380C1F3 /	14424	9520	149114	14424	9520	-149114		28,848	19,04	0	0
Wind angle: 90 dgrGW / opgw	2123	1587	21763	2123	1587	-21763		4,246	3,174	0	0
Comp. gl	4367	2864	44015	4367	2864	-44015		8,734	5,728	0	0
1a 380C1F1 / 380C2F1	12423	16603	153485	12422	14713	-146571		24,845	31,316	6,914	311,13
Wind, 10 dgr 380C1F2/ 380C2F2	12423	15702	150118	12422	13968	-144014		24,845	29,67	6,104	222,796
Permanent loads yg= 1.0380C1F3 /	12422	14574	146083	12422	13036	-140978		24,844	27,61	5,105	142,94
Wind angle: -45 dgrGW / opgw	1623	2713	22404	1622	2372	-20964		3,245	5,085	1,44	72,432
Comp. gl	3365	4367	41236	3365	3877	-39438		6,73	8,244	1,798	43,152
1b 380C1F1 / 380C2F1	12415	8764	155393	12415	8430	-155030		24,83	17,194	0,363	16,335
Wind, -20 dgr 380C1F2/ 380C2F2	12415	8605	155213	12415	8298	-154904		24,83	16,903	0,309	11,2785
Permanent loads yg= 1.0380C1F3 /	12415	8406	155006	12415	8132	-154758		24,83	16,538	0,248	6,944
Wind angle: -45 dgrGW / opgw	1621	1223	20077	1621	1164	-19988		3,242	2,387	0,089	4,4767
Comp. gl	3363	2293	40762	3363	2206	-40669		6,726	4,499	0,093	2,232
3 380C1F1 / 380C2F1	19607	14201	198583	19607	13249	-197078		39,214	27,45	1,505	67,725
Wind+ice, -5 dgr 380C1F2/ 380C2F	19607	13747	197838	19607	12872	-196548		39,214	26,619	1,29	47,085
Permanent loads yg= 1.0380C1F3 /	19607	13178	196976	19607	12399	-195937		39,214	25,577	1,039	29,092
Wind angle: -45 dgrGW / opgw	5711	3828	46848	5711	3523	-46421		11,422	7,351	0,427	21,4781
Comp. gl	11555	6700	93178	11555	6258	-92713		23,11	12,958	0,465	11,16
4 380C1F1 / 380C2F1	14424	8434	147824	14424	8104	-147534		28,848	16,538	0,29	13,05
Construction/maintenance, 5 dgr	14424	8277	147680	14424	7973	-147433		28,848	16,25	0,247	9,0155
Permanent loads yg= 1.0380C1F3 /	14424	8080	147515	14424	7808	-147318		28,848	15,888	0,197	5,516
Wind angle: -45 dgrGW / opgw	2123	1276	21280	2123	1218	-21219		4,246	2,494	0,061	3,0683
Comp. gl	4367	2413	43500	4367	2327	-43436		8,734	4,74	0,064	1,536

Belasting op mastvoet, belastinggeval

		M_{langs}	M_{dwars}	N	V_{langs}	V_{dwars}
1a 380C1F1	0	1684,041	84,5	0	38,072	
Wind angle: 0 dgrGW / opgw						
1b 380C1F1	0	1959,517	84,458	0	45,698	
Wind angle: 0 dgrGW / opgw						
3 380C1F1 ,	0	2707,869	152,174	0	62,794	
Wind angle: 0 dgrGW / opgw						
4 380C1F1 ,	0	1949,403	99,524	0	44,144	
Wind angle: 0 dgrGW / opgw						
1a 380C1F1	-792,45	4030,918	84,509	-21,361	101,925	
Wind angle: 45 dgrGW / opgw						
1b 380C1F1	-41,2662	2393,644	84,458	1,102	57,521	
Wind angle: 45 dgrGW / opgw						
3 380C1F1 ,	-176,54	4064,921	152,174	-4,726	99,955	
Wind angle: 45 dgrGW / opgw						
4 380C1F1 ,	-32,1858	2381,39	99,524	-0,859	55,91	
Wind angle: 45 dgrGW / opgw						
1a 380C1F1	0	6618,968	84,534	0	172,364	
Wind angle: 90 dgrGW / opgw						
1b 380C1F1	0	2848,355	84,458	0	69,894	
Wind angle: 90 dgrGW / opgw						
3 380C1F1 ,	0	5503,822	152,188	0	139,314	
Wind angle: 90 dgrGW / opgw						
4 380C1F1 ,	0	2829,787	99,528	0	68,114	
Wind angle: 90 dgrGW / opgw						
1a 380C1F1	792,45	4030,918	84,509	21,361	101,925	
Wind angle: -45 dgrGW / opgw						
1b 380C1F1	41,2662	2393,644	84,458	1,102	57,521	
Wind angle: -45 dgrGW / opgw						
3 380C1F1 ,	176,5401	4064,921	152,174	4,726	99,955	
Wind angle: -45 dgrGW / opgw						
4 380C1F1 ,	32,1858	2381,39	99,524	0,859	55,91	
Wind angle: -45 dgrGW / opgw						

W2E350 10-E

| | | |

Permanent loads yg=	380C1F3 / 11178	5126	-117395	0	0	0	11,178	5,126	-117,395	-2817,48	123,024	11,178	-117,395	5,126									
	GW / opgv	1460	668	-15289	0	0	0	1,46	0,668	-15,289	-756,622	34,16904	1,46	-15,289	0,668									
	Comp. gl	3028	1386	-31734	0	0	0	3,028	1,386	-31,734	-523,611	29,18844	3,028	-31,734	1,386									
1a	380C1F1 / 11182	21612	-169225	0	0	0	11,182	21,612	-169,225	-6938,23	886,092	11,182	-169,225	21,612	1a	-17897,8	2242,359	38,034	-554,366	68,518			
Wind, 10 dgr	380C1F2 / 11181	20003	-162117	0	0	0	11,181	20,003	-162,117	-5268,8	650,0975	11,181	-162,117	20,003	Wind angle:	45 dgr							
Permanent loads yg=	380C1F3 / 11181	17924	-153158	0	0	0	11,181	17,924	-153,158	-3675,79	430,176	11,181	-153,158	17,924									
Wind angle: 45 dgr	GW / opgv	1461	3650	-26136	0	0	0	1,461	3,65	-26,136	-1293,42	181,743	1,461	-26,136	3,65									
	Comp. gl	3029	5329	-43730	0	0	0	3,029	5,329	-43,73	-721,545	94,25002	3,029	-43,73	5,329									
1b	380C1F1 / 11172	9248	-146703	0	0	0	11,172	9,248	-146,703	-6014,82	379,168	11,172	-146,703	9,248	1b	-15834,9	989,2711	38,002	-495,77	30,502			
Wind, -20 dgr	380C1F2 / 11172	8966	-146199	0	0	0	11,172	8,966	-146,199	-4751,47	291,395	11,172	-146,199	8,966	Wind angle:	45 dgr							
Permanent loads yg=	380C1F3 / 11172	8603	-145613	0	0	0	11,172	8,603	-145,613	-3494,71	206,472	11,172	-145,613	8,603									
Wind angle: 45 dgr	GW / opgv	1459	1334	-19073	0	0	0	1,459	1,334	-19,073	-943,885	67,12729	1,459	-19,073	1,334									
	Comp. gl	3027	2351	-38182	0	0	0	3,027	2,351	-38,182	-630,003	45,10885	3,027	-38,182	2,351									
3	380C1F1 / 21960	17492	-218645	0	0	0	21,96	17,492	-218,645	-8964,45	717,172	21,96	-218,645	17,492	3	-25913,8	2065,793	88,795	-822,33	63,435			
Wind+ice, -5 dgr	380C1F2 / 21960	16699	-217109	0	0	0	21,96	16,699	-217,109	-7056,04	542,7175	21,96	-217,109	16,699	Wind angle:	45 dgr							
Permanent loads yg=	380C1F3 / 21960	15678	-215308	0	0	0	21,96	15,678	-215,308	-5167,39	376,272	21,96	-215,308	15,678									
Wind angle: 45 dgr	GW / opgv	7596	5094	-57597	0	0	0	7,596	5,094	-57,597	-2850,36	257,8724	7,596	-57,597	5,094									
	Comp. gl	15319	8472	-113671	0	0	0	15,319	8,472	-113,671	-1875,57	171,7588	15,319	-113,671	8,472									
4	380C1F1 / 14184	9265	-147069	0	0	0	14,184	9,265	-147,069	-6029,83	379,865	14,184	-147,069	9,265	4	-16145,8	1006,719	49,294	-507,113	31,002			
Construction/maintenance, +5 d	14184	8990	-146707	0	0	0	14,184	8,99	-146,707	-4767,98	292,175	14,184	-146,707	8,99	Wind angle:	45 dgr							
Permanent loads yg=	380C1F3 / 14184	8634	-146288	0	0	0	14,184	8,634	-146,288	-3510,91	207,216	14,184	-146,288	8,634									
Wind angle: 45 dgr	GW / opgv	2211	1469	-22154	0	0	0	2,211	1,469	-22,154	-1096,36	74,38044	2,211	-22,154	1,469									
	Comp. gl	4531	2644	-44895	0	0	0	4,531	2,644	-44,895	-740,768	53,0822	4,531	-44,895	2,644									
1a	380C1F1 / 11187	36459	-236577	0	0	0	11,187	36,459	-236,577	-9699,66	1494,819	11,187	-236,577	36,459	1a	-24777,2	3759,359	38,049	-763,922	114,759			
Wind, 10 dgr	380C1F2 / 11186	33485	-223131	0	0	0	11,186	33,485	-223,131	-7251,76	1088,263	11,186	-223,131	33,485	Wind angle:	90 dgr							
Permanent loads yg=	380C1F3 / 11185	29613	-205504	0	0	0	11,185	29,613	-205,504	-4932,1	710,712	11,185	-205,504	29,613									
Wind angle: 90 dgr	GW / opgv	1461	6284	-38347	0	0	0	1,461	6,284	-38,347	-1897,72	312,0944	1,461	-38,347	6,284									
	Comp. gl	3030	8918	-60363	0	0	0	3,03	8,918	-60,363	-995,99	153,4706	3,03	-60,363	8,918									
1b	380C1F1 / 11173	11911	-153273	0	0	0	11,173	11,911	-153,273	-6284,19	488,351	11,173	-153,273	11,911	1b	-16485	1260,537	38,005	-515,077	38,75			
Wind, -20 dgr	380C1F2 / 11173	11366	-151695	0	0	0	11,173	11,366	-151,695	-4930,09	369,395	11,173	-151,695	11,366	Wind angle:	90 dgr							
Permanent loads yg=	380C1F3 / 11173	10665	-149830	0	0	0	11,173	10,665	-149,83	-3595,92	255,96	11,173	-149,83	10,665									
Wind angle: 90 dgr	GW / opgv	1459	1821	-20621	0	0	0	1,459	1,821	-20,621	-1020,49	91,22795	1,459	-20,621	1,821									
	Comp. gl	3027	2987	-39658	0	0	0	3,027	2,987	-39,658	-654,357	55,60285	3,027	-39,658	2,987									
3	380C1F1 / 21964	24977	-237878	0	0	0	21,964	24,977	-237,878	-9753	1024,057	21,964	-237,878	24,977	3	-27831,6	2899,47	88,808	-879,434	88,955			
Wind+ice, -5 dgr	380C1F2 / 21963	23449	-233383	0	0	0	21,963	23,449	-233,383	-7584,95	762,0925	21,963	-233,383	23,449	Wind angle:	90 dgr							
Permanent loads yg=	380C1F3 / 21962	21481	-227974	0	0	0	21,962	21,481	-227,974	-5471,38	515,544	21,962	-227,974	21,481									
Wind angle: 90 dgr	GW / opgv	7598	7449	-62112	0	0	0	7,598	7,449	-62,112	-3073,8	374,4182	7,598	-62,112	7,449									
	Comp. gl	15321	11599	-118087	0	0	0	15,321	11,599	-118,087	-1948,44	223,3584	15,321	-118,087	11,599									
4	380C1F1 / 14184	11854	-151890	0	0	0	14,184	11,854	-151,89	-6227,49	486,014	14,184	-151,89	11,854	4	-16607,8	1269,906	49,295	-520,801	39,009			
Construction/maintenance, +5 d	14184	11326	-150717	0	0	0	14,184	11,326	-150,717	-4898,3	368,095	14,184	-150,717	11,326	Wind angle:	90 dgr							
Permanent loads yg=	380C1F3 / 14184	10646	-149342	0	0	0	14,184	10,646	-149,342	-3584,21	255,504	14,184	-149,342	10,646									
Wind angle: 90 dgr	GW / opgv	2212	1929	-23090	0	0	0	2,212	1,929	-23,09	-1142,68	97,14568	2,212	-23,09	1,929									
	Comp. gl	4531	3254	-45762	0	0	0	4,531	3,254	-45,762	-755,073	63,1472	4,531	-45,762	3,254									
1a	380C1F1 / 11181	18791	-156855	0	0	0	11,181	18,791	-156,855	-6431,06	770,431	11,181	-156,855	18,791	1a	-16651	1954,826	38,031	-516,658	59,765			
Wind, 10 dgr	380C1F2 / 11181	17452	-151172	0	0	0	11,181	17,452	-151,172	-4913,09	567,19	11,181	-151,172	17,452	Wind angle:	-45 dgr							
Permanent loads yg=	380C1F3 / 11180	15726	-144105	0	0	0	11,18	15,726	-144,105	-3458,52	377,424	11,18	-144,105	15,726									
Wind angle: -45 dgr	GW / opgv	1460	3144	-23755	0	0	0	1,46	3,144	-23,755	-1175,59	156,7013	1,46	-23,755	3,144									
	Comp. gl	3029	4652	-40771	0	0	0	3,029	4,652	-40,771	-672,722	83,07952	3,029	-40,771	4,652									
1b	380C1F1 / 11172	8754	-145848	0	0	0	11,172	8,754	-145,848	-5979,77	358,914	11,172	-145,848	8,754	1b	-15750,5	939,0112	38,002	-493,271	28,973			
Wind, -20 dgr	380C1F2 / 11172	8521	-145491	0	0	0	11,172	8,521	-145,491	-4728,46	276,9325	11,172	-145,491	8,521	Wind angle:	-45 dgr							
Permanent loads yg=	380C1F3 / 11172	8220	-145076	0	0	0	11,172	8,22	-145,076	-3481,82	197,28	11,172	-145,076	8,22									
Wind angle: -45 dgr	GW / opgv	1459	1245	-18864	0	0	0	1,459	1,245	-18,864	-933,542	62,72286	1,459	-18,864	1,245									
	Comp. gl	3027	2233	-37992	0	0	0	3,027	2,233	-37,992	-626,868	43,16185	3,027	-37,992	2,233									
3	380C1F1 / 21960	16103	-216033	0	0	0	21,96	16,103	-216,033	-8857,35	660,223	21,96	-216,033	16,103	3	-25656,7	1910,748	88,795	-814,704	58,686			
Wind+ice, -5 dgr	380C1F2 / 21960	15446	-214930	0	0	0	21,96	15,446	-214,93	-6985,23	501,995	21,96	-214,93	15,446	Wind angle:	-45 dgr							
Permanent loads yg=	380C1F3 / 21960	14599	-213644	0	0	0	21,96	14,599	-213,644	-5127,46	350,376	21,96	-213,644	14,599									
Wind angle: -45 dgr	GW / opgv	7596	4654	-56992	0	0	0	7,596	4,654	-56,992	-2820,42	236,0977	7,596	-56,992	4,654									
0 Comp. gl		15319	7884	-113105	0	0	0	15,319	7,884	-113,105	-1866,23	162,0568	15,319	-113,105	7,884									
4	380C1F1 / 14184	8782	-146456	0	0	0	14,184	8,782	-146,456	-6004,7	360,062	14,184	-146,456	8,782	4	-16087,4	957,5282	49,294	-505,383	29,505			
Construction/maintenance, +5 d	14184	8553	-146201	0	0	0	14,184	8,553	-146,201	-4751,53	277,9725	14,184	-146,201	8,553	Wind angle:	-45 dgr							
Permanent loads yg=	380C1F3 / 14184	8257	-145906	0	0	0	14,184	8,257	-145,906	-3501,74	198,168	14,184	-145,906	8,257									
Wind angle: -45 dgr	GW / opgv	2211	1383	-22034	0	0	0	2,211	1,383	-22,034	-1090,42	70,12448	2,211	-22,034	1,383									
	Comp. gl	4531	2530	-44786	0	0	0	4,531	2,53	-44,786	-738,969	51,2012	4,531	-44,786	2,53									

W2E350 | 10-E2

Hoogte mast | Ber & bijlage | 50 m
Hoogte onderste stroomdraad (F3) | | 24 m

			Hoogte		Excentriciteit ophanging t.o.v. hart mast
Bliksemdraad ~ GW / OPGW	H_{mast} -	0,512 m =	49,488 m		0,763 m
1e traverse - 380C1F1	F2 +	8,5 m =	41 m		0 m
2e traverse - 380C1F2	F3 +	8,5 m =	32,5 m		0 m
3e traverse - 380C1F3			24 m		0 m
Passieve lijn = Comp C.	F3 -	7,5 m =	16,5 m		2,087 m

Uit mast
ULS (incl bel factoren)

N	V	M	Nmin	Nmax	Vmax	Mlangs;max	Mdwars;max
[kN]	[kN]	[kNm]	[kN]	[kN]	[kN]	[kNm]	[kNm]
565	86	2042	42	76	764	24180	2672

Uit lijnen
SLS

Belastingen uit lijnen

SLS				M_{langs}	M_{dwars}	N	V_{langs}	V_{dwars}
0 deg	1a			**-13818**	**615**	42	**-433**	**19**
	1b			-16680	737	**42**	-523	23
		3		-22625	1018	76	-718	31
		4		-16078	713	50	-505	22
45 deg	1a			-16210	1685	42	-505	52
	1b			-16788	935	**42**	-526	29
		3		-23097	1635	76	-731	50
		4		-16161	910	50	-507	28
90 deg	1a			-20260	**2672**	42	-627	**82**
	1b			-17050	1108	**42**	-534	34
		3		**-24180**	2182	**76**	**-764**	67
		4		-16367	1081	50	-514	33
-45 deg	1a			-15568	1501	42	-485	46
	1b			-16755	902	**42**	-525	28
		3		-22957	1533	76	-727	47
		4		-16136	878	50	-507	27

Belasting uit mast

regel			N	V	M
1	Perm load 1,2	0 deg	471	57	1361
2	Perm load 1,2	0 deg	471	57	1361
3	Perm load 1,2	0 deg	471	57	1361
4	Perm load 1,2	0 deg	471	57	1361
5					
6	Perm load 1,2	45 deg	471	57	1361
7	Perm load 1,2	45 deg	471	57	1361
8	Perm load 1,2	45 deg	471	57	1361
9	Perm load 1,2	45 deg	471	57	1361
10					
11	Perm load 1,2	90 deg	471	57	1361
12	Perm load 1,2	90 deg	471	57	1361
13	Perm load 1,2	90 deg	471	57	1361
14	Perm load 1,2	90 deg	471	57	1361
15					
16	Perm load 1,2	-45 deg	471	57	1361
17	Perm load 1,2	-45 deg	471	57	1361
18	Perm load 1,2	-45 deg	471	57	1361
19	Perm load 1,2	-45 deg	471	57	1361

Totaal

Loadcase	M_{langs}	M_{dwars}	N	V_{langs}	V_{dwars}	Totaal moment
1a	15179	1976	513	491	76	15307,38
1b	18042	2099	513	580	80	18163,36
3	23986	2380	547	775	89	24103,99
4	17439	2075	521	562	79	17562,33
1a	17572	3046	513	562	109	17833,65
1b	18150	2296	513	583	86	18294,31
3	24459	2996	547	789	108	24641,34
4	17522	2271	521	565	85	17668,96
1a	21622	4034	513	684	139	21994,62
1b	18412	2470	513	591	91	18576,59
3	25542	3543	547	821	124	25786,18
4 Construc	17729	2442	521	571	91	17896,03
1a	16530	2863	513	543	103	16776,25
1b	17718	2264	513	582	85	17862,12
3	23919	2894	547	785	104	24093,61
4	17098	2239	521	564	84	17244,16
	25542	4034	547	821	139	25786
			513			

M langs ma	M dwars ma	N max	V langs max	V dwars ma	M tot max	N min
					x	
			x			
					x	
x		x	x			
					x	
x			x			
					x	

samenvatting

Mast	Bijlage	Wind	Loadcase	M_{langs}	M_{dwars}	N	V_{langs}	V_{dwars}
7 W2E350	10-E2	Perm load 45 deg	1b	18150	2296	513	583	86
11 W2E350	10-E2	Perm load 90 deg	1a	21622	4034	513	684	139
12 W2E350	10-E2	Perm load 90 deg	1b	18412	2470	513	591	91
13 W2E350	10-E2	Perm load 90 deg	3	25542	3543	547	821	124
W2E350	10-E2	#N/B	#N/B	#N/B	#N/B	#N/B	#N/B	#N/B
W2E350	10-E2	#N/B	#N/B	#N/B	#N/B	#N/B	#N/B	#N/B

W2E350 TOWER (rev 6.0, date: 05-11-2012) Appendix: E2
Loadcase according to 50341-3-15

		BACK			AHEAD			Totaal		
	Attachment point	[N]	[N]	[N]	[N]	[N]	[N]	Vert [kN]	Dwars [kN]	Langs [kN]
1a	380C1F1 / 380C2F1	12421	5597	-127433	0	0	0	12,421	5,597	-127,433
Wind, 10	380C1F2 / 380C2F2	12421	5594	-127433	0	0	0	12,421	5,594	-127,433
Permaner	380C1F3 / 380C2F3	12421	5590	-127433	0	0	0	12,421	5,59	-127,433
Wind ang	GW / opgw	1622	732	-16643	0	0	0	1,622	0,732	-16,643
	Comp. gl	3365	1515	-34521	0	0	0	3,365	1,515	-34,521
1b	380C1F1 / 380C2F1	12415	6739	-154196	0	0	0	12,415	6,739	-154,196
Wind, -20	380C1F2 / 380C2F2	12415	6738	-154196	0	0	0	12,415	6,738	-154,196
Permaner	380C1F3 / 380C2F3	12415	6738	-154196	0	0	0	12,415	6,738	-154,196
Wind ang	GW / opgw	1621	865	-19778	0	0	0	1,621	0,865	-19,778
	Comp. gl	3363	1768	-40455	0	0	0	3,363	1,768	-40,455
3	380C1F1 / 380C2F1	19607	8467	-193497	0	0	0	19,607	8,467	-193,497
Wind+ice,	380C1F2 / 380C2F2	19607	8465	-193497	0	0	0	19,607	8,465	-193,497
Permaner	380C1F3 / 380C2F3	19607	8463	-193497	0	0	0	19,607	8,463	-193,497
Wind ang	GW / opgw	5711	1988	-45404	0	0	0	5,711	1,988	-45,404
	Comp. gl	11555	4009	-91636	0	0	0	11,555	4,009	-91,636
4	380C1F1 / 380C2F1	14424	6419	-146877	0	0	0	14,424	6,419	-146,877
Construct	380C1F2 / 380C2F2	14424	6419	-146877	0	0	0	14,424	6,419	-146,877
Permaner	380C1F3 / 380C2F3	14424	6418	-146877	0	0	0	14,424	6,418	-146,877
Wind ang	GW / opgw	2123	922	-21079	0	0	0	2,123	0,922	-21,079
	Comp. gl	4367	1892	-43294	0	0	0	4,367	1,892	-43,294
1a	380C1F1 / 380C2F1	12423	16100	-151591	0	0	0	12,423	16,1	-151,591
Wind, 10	380C1F2 / 380C2F2	12423	15070	-147833	0	0	0	12,423	15,07	-147,833
Permaner	380C1F3 / 380C2F3	12422	13746	-143273	0	0	0	12,422	13,746	-143,273
Wind ang	GW / opgw	1623	2636	-22075	0	0	0	1,623	2,636	-22,075
	Comp. gl	3365	4025	-39965	0	0	0	3,365	4,025	-39,965
1b	380C1F1 / 380C2F1	12415	8675	-155290	0	0	0	12,415	8,675	-155,29
Wind, -20	380C1F2 / 380C2F2	12415	8494	-155094	0	0	0	12,415	8,494	-155,094
Permaner	380C1F3 / 380C2F3	12415	8259	-154868	0	0	0	12,415	8,259	-154,868
Wind ang	GW / opgw	1621	1210	-20056	0	0	0	1,621	1,21	-20,056
	Comp. gl	3363	2233	-40696	0	0	0	3,363	2,233	-40,696
3	380C1F1 / 380C2F1	19607	13948	-198161	0	0	0	19,607	13,948	-198,161
Wind+ice,	380C1F2 / 380C2F2	19607	13429	-197345	0	0	0	19,607	13,429	-197,345
Permaner	380C1F3 / 380C2F3	19607	12759	-196397	0	0	0	19,607	12,759	-196,397
Wind ang	GW / opgw	5711	3760	-46747	0	0	0	5,711	3,76	-46,747
	Comp. gl	11555	6392	-92846	0	0	0	11,555	6,392	-92,846
4	380C1F1 / 380C2F1	14424	8347	-147742	0	0	0	14,424	8,347	-147,742
Construct	380C1F2 / 380C2F2	14424	8167	-147585	0	0	0	14,424	8,167	-147,585
Permaner	380C1F3 / 380C2F3	14424	7934	-147405	0	0	0	14,424	7,934	-147,405
Wind ang	GW / opgw	2123	1263	-21265	0	0	0	2,123	1,263	-21,265
	Comp. gl	4367	2353	-43454	0	0	0	4,367	2,353	-43,454
1a	380C1F1 / 380C2F1	12427	25791	-191857	0	0	0	12,427	25,791	-191,857
Wind, 10	380C1F2 / 380C2F2	12426	23826	-183282	0	0	0	12,426	23,826	-183,282
Permaner	380C1F3 / 380C2F3	12425	21284	-172391	0	0	0	12,425	21,284	-172,391
Wind ang	GW / opgw	1623	4380	-29959	0	0	0	1,623	4,38	-29,959
	Comp. gl	3366	6350	-49542	0	0	0	3,366	6,35	-49,542
1b	380C1F1 / 380C2F1	12415	10376	-157943	0	0	0	12,415	10,376	-157,943
Wind, -20	380C1F2 / 380C2F2	12415	10030	-157291	0	0	0	12,415	10,03	-157,291
Permaner	380C1F3 / 380C2F3	12415	9584	-156533	0	0	0	12,415	9,584	-156,533
Wind ang	GW / opgw	1621	1518	-20707	0	0	0	1,621	1,518	-20,707
	Comp. gl	3363	2639	-41285	0	0	0	3,363	2,639	-41,285
3	380C1F1 / 380C2F1	19609	18840	-208752	0	0	0	19,609	18,84	-208,752
Wind+ice,	380C1F2 / 380C2F2	19608	17841	-206217	0	0	0	19,608	17,841	-206,217
Permaner	380C1F3 / 380C2F3	19608	16556	-203213	0	0	0	19,608	16,556	-203,213
Wind ang	GW / opgw	5712	5329	-49761	0	0	0	5,712	5,329	-49,761
	Comp. gl	11556	8473	-95741	0	0	0	11,556	8,473	-95,741
4	380C1F1 / 380C2F1	14425	10025	-149881	0	0	0	14,425	10,025	-149,881
Construct	380C1F2 / 380C2F2	14425	9685	-149353	0	0	0	14,425	9,685	-149,353
Permaner	380C1F3 / 380C2F3	14424	9245	-148740	0	0	0	14,424	9,245	-148,74
Wind ang	GW / opgw	2123	1562	-21716	0	0	0	2,123	1,562	-21,716
	Comp. gl	4367	2752	-43861	0	0	0	4,367	2,752	-43,861
1a	380C1F1 / 380C2F1	12422	14297	-145130	0	0	0	12,422	14,297	-145,13
Wind, 10	380C1F2 / 380C2F2	12422	13447	-142291	0	0	0	12,422	13,447	-142,291
Permaner	380C1F3 / 380C2F3	12422	12353	-138883	0	0	0	12,422	12,353	-138,883
Wind ang	GW / opgw	1622	2308	-20706	0	0	0	1,622	2,308	-20,706
	Comp. gl	3365	3594	-38479	0	0	0	3,365	3,594	-38,479
1b	380C1F1 / 380C2F1	12415	8357	-154958	0	0	0	12,415	8,357	-154,958
Wind, -20	380C1F2 / 380C2F2	12415	8206	-154820	0	0	0	12,415	8,206	-154,82
Permaner	380C1F3 / 380C2F3	12415	8010	-154661	0	0	0	12,415	8,01	-154,661
Wind ang	GW / opgw	1621	1153	-19973	0	0	0	1,621	1,153	-19,973
	Comp. gl	3363	2156	-40622	0	0	0	3,363	2,156	-40,622
3	380C1F1 / 380C2F1	19607	13038	-196778	0	0	0	19,607	13,038	-196,778
Wind+ice,	380C1F2 / 380C2F2	19607	12607	-196198	0	0	0	19,607	12,607	-196,198
Permaner	380C1F3 / 380C2F3	19607	12050	-195526	0	0	0	19,607	12,05	-195,526
Wind ang	GW / opgw	5711	3467	-46349	0	0	0	5,711	3,467	-46,349
	Comp. gl	11555	6001	-92479	0	0	0	11,555	6,001	-92,479
4	380C1F1 / 380C2F1	14424	8031	-147477	0	0	0	14,424	8,031	-147,477
Construct	380C1F2 / 380C2F2	14424	7881	-147367	0	0	0	14,424	7,881	-147,367
Permaner	380C1F3 / 380C2F3	14424	7686	-147241	0	0	0	14,424	7,686	-147,241
Wind ang	GW / opgw	2123	1207	-21209	0	0	0	2,123	1,207	-21,209
	Comp. gl	4367	2278	-43405	0	0	0	4,367	2,278	-43,405

Belastingen op mastvoet, per lijn

	M_{langs}	M_{dwars}	N	V_{langs}	V_{dwars}
	-5224,75	229,477	12,421	-127,433	5,597
	-4141,57	181,805	12,421	-127,433	5,594
	-3058,39	134,16	12,421	-127,433	5,59
	-823,629	37,45956	1,622	-16,643	0,732
	-569,597	32,02026	3,365	-34,521	1,515
	-6322,04	276,299	12,415	-154,196	6,739
	-5011,37	218,985	12,415	-154,196	6,738
	-3700,7	161,712	12,415	-154,196	6,738
	-978,774	44,0407	1,621	-19,778	0,865
	-667,508	36,19058	3,363	-40,455	1,768
	-7933,38	347,147	19,607	-193,497	8,467
	-6288,65	275,1125	19,607	-193,497	8,465
	-4643,93	203,112	19,607	-193,497	8,463
	-2246,95	102,7282	5,711	-45,404	1,988
	-1511,99	90,26379	11,555	-91,636	4,009
	-6021,96	263,179	14,424	-146,877	6,419
	-4773,5	208,6175	14,424	-146,877	6,419
	-3525,05	154,032	14,424	-146,877	6,418
	-1043,16	47,24354	2,123	-21,079	0,922
	-714,351	40,33193	4,367	-43,294	1,892
	-6215,23	660,1	12,423	-151,591	16,1
	-4804,57	489,775	12,423	-147,833	15,07
	-3438,55	329,904	12,422	-143,273	13,746
	-1092,45	131,6855	1,623	-22,075	2,636
	-659,423	73,43526	3,365	-39,965	4,025
	-6366,89	355,675	12,415	-155,29	8,675
	-5040,56	276,055	12,415	-155,094	8,494
	-3716,83	198,216	12,415	-154,868	8,259
	-992,531	61,11406	1,621	-20,056	1,21
	-671,484	43,86308	3,363	-40,696	2,233
	-8124,6	571,868	19,607	-198,161	13,948
	-6413,71	436,4425	19,607	-197,345	13,429
	-4713,53	306,216	19,607	-196,397	12,759
	-2313,42	190,421	5,711	-46,747	3,76
	-1531,96	129,5833	11,555	-92,846	6,392
	-6057,42	342,227	14,424	-147,742	8,347
	-4796,51	265,4275	14,424	-147,585	8,167
	-3537,72	190,416	14,424	-147,405	7,934
	-1052,36	64,11895	2,123	-21,265	1,263
	-716,991	47,93843	4,367	-43,454	2,353
	-7866,14	1057,431	12,427	-191,857	25,791
	-5956,67	774,345	12,426	-183,282	23,826
	-4137,38	510,816	12,425	-172,391	21,284
	-1482,61	217,9925	1,623	-29,959	4,38
	-817,443	111,7998	3,366	-49,542	6,35
	-6475,66	425,416	12,415	-157,943	10,376
	-5111,96	325,975	12,415	-157,291	10,03
	-3756,79	230,016	12,415	-156,533	9,584
	-1024,75	76,35637	1,621	-20,707	1,518
	-681,203	50,56208	3,363	-41,285	2,639
	-8558,83	772,44	19,609	-208,752	18,84
	-6702,05	579,8325	19,608	-206,217	17,841
	-4877,11	397,344	19,608	-203,213	16,556
	-2462,57	268,0684	5,712	-49,761	5,329
	-1579,73	163,9219	11,556	-95,741	8,473
	-6145,12	411,025	14,425	-149,881	10,025
	-4853,97	314,7625	14,425	-149,353	9,685
	-3569,76	221,88	14,424	-148,74	9,245
	-1074,68	78,91586	2,123	-21,716	1,562
	-723,707	54,52193	4,367	-43,861	2,752
	-5950,33	586,177	12,422	-145,13	14,297
	-4624,46	437,0275	12,422	-142,291	13,447
	-3333,19	296,472	12,422	-138,883	12,353
	-1024,7	115,4526	1,622	-20,706	2,308
	-634,904	66,32376	3,365	-38,479	3,594
	-6353,28	342,637	12,415	-154,958	8,357
	-5031,65	266,695	12,415	-154,82	8,206
	-3711,86	192,24	12,415	-154,661	8,01
	-988,424	58,29325	1,621	-19,973	1,153
	-670,263	42,59258	3,363	-40,622	2,156
	-8067,9	534,558	19,607	-196,778	13,038
	-6376,44	409,7275	19,607	-196,198	12,607
	-4692,62	289,2	19,607	-195,526	12,05
	-2293,72	175,921	5,711	-46,349	3,467
	-1525,9	123,1318	11,555	-92,479	6,001
	-6046,56	329,271	14,424	-147,477	8,031
	-4789,43	256,1325	14,424	-147,367	7,881
	-3533,78	184,464	14,424	-147,241	7,686
	-1049,59	61,34762	2,123	-21,209	1,207
	-716,183	46,70093	4,367	-43,405	2,278

Belasting op mastvoet, belastinggeval

		M_{langs}	M_{dwars}	N	V_{langs}	V_{dwars}
1a	-13817,9	614,9218	42,25	-433,463	19,028	
Wind angle:	0 dgr					
1b	-16680,4	737,2273	42,229	-522,821	22,848	
Wind angle:	0 dgr					
3	-22624,9	1018,364	76,087	-717,531	31,392	
Wind angle:	0 dgr					
4	-16078	713,404	49,762	-505,004	22,07	
Wind angle:	0 dgr					
1a	-16210,2	1684,9	42,256	-504,737	51,577	
Wind angle:	45 dgr					
1b	-16788,3	934,9231	42,229	-526,004	28,871	
Wind angle:	45 dgr					
3	-24180,3	2181,607	76,093	-763,684	67,039	
Wind angle:	90 dgr					
4	-16367,2	1081,105	49,764	-513,551	33,269	
Wind angle:	90 dgr					
1a	-15567,6	1501,453	42,253	-485,489	45,999	
Wind angle:	-45 dgr					
1b	-16755,5	902,4578	42,229	-525,034	27,882	
Wind angle:	-45 dgr					
3	-22956,6	1532,538	76,087	-727,33	47,163	
Wind angle:	-45 dgr					
4	-16135,5	877,916	49,762	-506,699	27,083	
Wind angle:	-45 dgr					

W4H400Z-14-Y

Hoogte mast Ber & bijlage 58 m
Hoogte onderste stroomdraad (F3) 32 m

		Hoogte		Excentriciteit ophanging t.o.v. hart mast
Bliksemdraad = GW / tN_{mast} -	0,57 m =	57,43 m		0,761 m
1e traverse - 380C1F1 / F2 +	8,5 m =	49 m		0 m
1e traverse - 150C1F1		49		5,5 m
2e traverse - 380C1F2 F3 +	8,5 m =	40,5 m		0 m
2e traverse - 150C1F2 F3 +		40,5 m		5,5 m
3e traverse - 380C1F3		32 m		0 m
3e traverse - 150C1F3		32		5,5 m
Passieve lijn = Comp C F3 -	7,5 m =	24,5 m		2,05 m

	Uit mast (excl belastingsfactoren)			Uit lijnen (incl belastingsfactoren)				
	N [kN]	V [kN]	M [kNm]	Nmin [kN]	Nmax [kN]	Vmax [kN]	Mlangs;ma [kNm]	Mdwars;max [kNm]
Belasting Y	857	116	3147	106	276	1087	14471	43609
Belasting Y1				53	135	756	24201	19719
	857	116	3147	53	276,194	1086,678	24201,5	43608,73

W4H400Z+5 TOWER (Rev.6.0 05-11-2 APPENDIX: Y

Loadcases for tower strength (ultimate limit state)

Loadcase according to 50341-3-15		AHEAD			BACK			Totaal Vert	Dwars	Langs
	Attachment pc[N]	[N]	[N]	[N]	[N]	[N]	[kN]	[kN]	[kN]	
1a	Comp. gl	4617	18864	37163	4617	18864	-37163	9,234	37,728	0
Wind, 10 deg	GW / opgw	2226	9744	18536	2226	9744	-18536	4,452	19,488	0
Permanent loads	yg= 1,17	046	70229	137350	17046	70229	-137350	34,092	140,458	0
Wind angle:	380C1F2 / 3	17045	69520	136767	17045	69520	-136767	34,09	139,04	0
	380C1F3 / 3	17045	68668	136110	17045	68668	-136110	34,09	137,336	0
	150C1F1 / 1	4261	17557	34338	4261	17557	-34338	8,522	35,114	0
	150C1F2 / 1	4261	17380	34192	4261	17380	-34192	8,522	34,76	0
	150C1F3 / 1	4261	17167	34028	4261	17167	-34028	8,522	34,334	0
1b	Comp. gl	4615	19347	40832	4615	19347	-40832	9,23	38,694	0
Wind, -20 deg	GW / opgw	2225	9503	19908	2225	9503	-19908	4,45	19,006	0
Permanent loads	yg= 1,17	036	72945	153781	17036	72945	-153781	34,072	145,89	0
Wind angle:	380C1F2 / 3	17036	72858	153782	17036	72858	-153782	34,072	145,716	0
	380C1F3 / 3	17036	72751	153785	17036	72751	-153785	34,072	145,502	0
	150C1F1 / 1	4259	18236	38445	4259	18236	-38445	8,518	36,472	0
	150C1F2 / 1	4259	18214	38445	4259	18214	-38445	8,518	36,428	0
	150C1F3 / 1	4259	18188	38446	4259	18188	-38446	8,518	36,376	0
3	Comp. gl	18676	53224	110761	18676	53224	-110761	37,352	106,448	0
Wind+ice, -10	GW / opgw	9244	26754	54947	9244	26754	-54947	18,488	53,508	0
Permanent loads	yg= 1,29	376	104230	216114	29376	104230	-216114	58,752	208,46	0
Wind angle:	380C1F2 / 3	29376	103971	216083	29376	103971	-216083	58,752	207,942	0
	380C1F3 / 3	29376	103654	216058	29376	103654	-216058	58,752	207,308	0
	150C1F1 / 1	7344	26057	54029	7344	26057	-54029	14,688	52,114	0
	150C1F2 / 1	7344	25993	54021	7344	25993	-54021	14,688	51,986	0
	150C1F3 / 1	7344	25914	54014	7344	25914	-54014	14,688	51,828	0
4	Comp. gl	6122	21974	46465	6122	21974	-46465	12,244	43,948	0
Construction	GW	opgw	2978	10779	22643	2978	10779	-22643	5,956	21,558	0
Permanent loads	yg= 1,20	053	73735	155473	20053	73735	-155473	40,106	147,47	0
Wind angle:	380C1F2 / 3	20053	73651	155481	20053	73651	-155481	40,106	147,302	0
	380C1F3 / 3	20053	73547	155493	20053	73547	-155493	40,106	147,094	0
	150C1F1 / 1	5013	18434	38868	5013	18434	-38868	10,026	36,868	0
	150C1F2 / 1	5013	18413	38870	5013	18413	-38870	10,026	36,826	0
	150C1F3 / 1	5013	18387	38873	5013	18387	-38873	10,026	36,774	0
6	Comp. gl	5195	18706	40116	5195	18706	-40116	10,39	37,412	0
Permanent, GW	/ opgw	2505	9033	19371	2505	9033	-19371	5,01	18,066	0
Permanent loads	yg= 1,19	177	68716	147362	19177	68716	-147362	38,354	137,432	0
	380C1F2 / 3	19177	68716	147362	19177	68716	-147362	38,354	137,432	0
	380C1F3 / 3	19177	68716	147362	19177	68716	-147362	38,354	137,432	0
	150C1F1 / 1	4794	17179	36841	4794	17179	-36841	9,588	34,358	0
	150C1F2 / 1	4794	17179	36841	4794	17179	-36841	9,588	34,358	0
	150C1F3 / 1	4794	17179	36841	4794	17179	-36841	9,588	34,358	0
1a	Comp. gl	4617	18081	36619	4620	33409	-55362	9,237	51,49	-18,743
Wind, 10 deg	GW / opgw	2226	9074	17914	2228	21142	-33659	4,454	30,216	-15,745
Permanent loads	yg= 1,17	045	66993	134985	17057	129043	-211148	34,102	196,036	-76,163
Wind angle:	380C1F2 / 3	17045	66603	134762	17056	123174	-203211	34,101	189,777	-68,449
	380C1F3 / 3	17045	66131	134516	17054	115909	-193419	34,099	182,04	-58,903
	150C1F1 / 1	4261	16748	33746	4264	32261	-52787	8,525	49,009	-19,041
	150C1F2 / 1	4261	16651	33691	4264	30794	-50803	8,525	47,445	-17,112
	150C1F3 / 1	4261	16533	33629	4264	28977	-48355	8,525	45,51	-14,726
1b	Comp. gl	4615	19245	40840	4615	20946	-41664	9,23	40,191	-0,824
Wind, -20 deg	GW / opgw	2225	9424	19902	2225	10847	-20929	4,45	20,271	-1,027
Permanent loads	yg= 1,17	036	72530	153806	17037	79525	-157441	34,073	152,055	-3,635
Wind angle:	380C1F2 / 3	17036	72476	153813	17036	78813	-156840	34,072	151,289	-3,027
	380C1F3 / 3	17036	72410	153824	17036	77958	-156163	34,072	150,368	-2,339
	150C1F1 / 1	4259	18133	38451	4259	19881	-39360	8,518	38,014	-0,909
	150C1F2 / 1	4259	18119	38453	4259	19703	-39210	8,518	37,822	-0,757
	150C1F3 / 1	4259	18103	38456	4259	19489	-39041	8,518	37,592	-0,585
3	Comp. gl	18676	52715	110835	18679	60793	-113667	37,355	113,508	-2,832
Wind+ice, -10	GW / opgw	9244	26368	54956	9247	32885	-58520	18,491	59,253	-3,564
Permanent loads	yg= 1,29	376	103008	216050	29381	124621	-230625	58,757	227,629	-14,575
Wind angle:	380C1F2 / 3	29376	102851	216057	29380	122400	-228455	58,756	225,251	-12,398
	380C1F3 / 3	29376	102659	216072	29379	119728	-225957	58,755	222,387	-9,885
	150C1F1 / 1	7344	25752	54012	7345	31155	-57656	14,689	56,907	-3,644
	150C1F2 / 1	7344	25713	54014	7345	30600	-57114	14,689	56,313	-3,1
	150C1F3 / 1	7344	25665	54018	7345	29932	-56489	14,689	55,597	-2,471
4	Comp. gl	6122	21877	46484	6122	23381	-46885	12,244	45,258	-0,401
Construction	GW	opgw	2978	10706	22649	2978	11922	-23233	5,956	22,628	-0,584
Permanent loads	yg= 1,20	053	73334	155528	20053	79779	-157978	40,106	153,113	-2,45
Wind angle:	380C1F2 / 3	20053	73281	155539	20053	79139	-157533	40,106	152,42	-1,994
	380C1F3 / 3	20053	73217	155553	20053	78368	-157037	40,106	151,585	-1,484
	150C1F1 / 1	5013	18333	38882	5013	19945	-39495	10,026	38,278	-0,613
	150C1F2 / 1	5013	18320	38885	5013	19785	-39383	10,026	38,105	-0,498
	150C1F3 / 1	5013	18304	38888	5013	19592	-39259	10,026	37,896	-0,371
1a	Comp. gl	4620	31951	53373	4620	31951	-53373	9,24	63,902	0
Wind, 10 deg	GW / opgw	2228	20081	32201	2228	20081	-32201	4,456	40,162	0
Permanent loads	yg= 1,17	056	123258	203324	17056	123258	-203324	34,112	246,516	0
Wind angle:	380C1F2 / 3	17055	117826	195998	17055	117826	-195998	34,11	235,652	0
	380C1F3 / 3	17053	111117	186995	17053	111117	-186995	34,106	222,234	0
	150C1F1 / 1	4264	30815	50831	4264	30815	-50831	8,528	61,63	0
	150C1F2 / 1	4264	29456	48999	4264	29456	-48999	8,528	58,912	0
	150C1F3 / 1	4263	27779	46749	4263	27779	-46749	8,526	55,558	0
1b	Comp. gl	4615	20776	41527	4615	20776	-41527	9,23	41,552	0
Wind, -20 deg	GW / opgw	2225	10700	20777	2225	10700	-20777	4,45	21,4	0
Permanent loads	yg= 1,17	036	78823	156849	17036	78823	-156849	34,072	157,646	0
Wind angle:	380C1F2 / 3	17036	78180	156335	17036	78180	-156335	34,072	156,36	0
	380C1F3 / 3	17036	77410	155757	17036	77410	-155757	34,072	154,82	0
	150C1F1 / 1	4259	19706	39212	4259	19706	-39212	8,518	39,412	0
	150C1F2 / 1	4259	19545	39084	4259	19545	-39084	8,518	39,09	0
	150C1F3 / 1	4259	19352	38939	4259	19352	-38939	8,518	38,704	0
3	Comp. gl	18678	60012	113159	18678	60012	-113159	37,356	120,024	0
Wind+ice, -10	GW / opgw	9246	32242	57978	9246	32242	-57978	18,492	64,484	0
Permanent loads	yg= 1,29	380	122431	228485	29380	122431	-228485	58,76	244,862	0
Wind angle:	380C1F2 / 3	29379	120425	226595	29379	120425	-226595	58,758	240,85	0
	380C1F3 / 3	29379	118012	224428	29379	118012	-224428	58,758	236,024	0
	150C1F1 / 1	7345	30608	57121	7345	30608	-57121	14,69	61,216	0
	150C1F2 / 1	7345	30106	56649	7345	30106	-56649	14,69	60,212	0
	150C1F3 / 1	7345	29503	56107	7345	29503	-56107	14,69	59,006	0
4	Comp. gl	6122	23237	46803	6122	23237	-46803	12,244	46,474	0
Construction	GW	opgw	2978	11801	23136	2978	11801	-23136	5,956	23,602	0
Permanent loads	yg= 1,20	053	78148	157539	20053	79148	-157539	40,106	158,296	0
Wind angle:	380C1F2 / 3	20053	78569	157162	20053	78569	-157162	40,106	157,138	0
	380C1F3 / 3	20053	77872	156743	20053	77872	-156743	40,106	155,744	0
	150C1F1 / 1	5013	19787	39385	5013	19787	-39385	10,026	39,574	0

Belastingen op mastvoet, per lijn

	M_{langs}	M_{dwars}	N	V_{langs}	V_{dwars}
	0	943,2657	9,234	0	37,728
	0	1122,584	4,452	0	19,488
	0	6882,442	34,092	0	140,458
	0	5631,12	34,09	0	139,04
	0	4394,752	34,09	0	137,336
	0	1767,457	8,522	0	35,114
	0	1454,651	8,522	0	34,76
	0	1145,559	8,522	0	34,334
	0	966,9245	9,23	0	38,694
	0	1094,901	4,45	0	19,006
	0	7148,61	34,072	0	145,89
	0	5901,498	34,072	0	145,716
	0	4656,064	34,072	0	145,502
	0	1833,977	8,518	0	36,472
	0	1522,183	8,518	0	36,428
	0	1210,881	8,518	0	36,376
	0	2684,548	37,352	0	106,448
	0	3087,034	18,488	0	53,508
	0	10214,54	58,752	0	208,46
	0	8421,651	58,752	0	207,942
	0	6633,856	58,752	0	207,308
	0	2634,37	14,688	0	52,114
	0	2186,217	14,688	0	51,986
	0	1739,28	14,688	0	51,828
	0	1101,826	12,244	0	43,948
	0	1242,608	5,956	0	21,558
	0	7226,03	40,106	0	147,47
	0	5965,731	40,106	0	147,302
	0	4707,008	40,106	0	147,094
	0	1861,675	10,026	0	36,868
	0	1546,596	10,026	0	36,826
	0	1231,911	10,026	0	36,774
	0	937,8935	10,39	0	37,412
	0	1041,343	5,01	0	18,066
	0	6734,168	38,354	0	137,432
	0	5565,996	38,354	0	137,432
	0	4397,824	38,354	0	137,432
	0	1736,276	9,588	0	34,358
	0	1444,233	9,588	0	34,358
	0	1152,19	9,588	0	34,358
-459,204	1280,441	9,237	-18,743	51,49	
-904,235	1738,694	4,454	-15,745	30,216	
-3731,99	9605,764	34,102	-76,163	196,036	
-2772,18	7685,969	34,101	-68,449	189,777	
-1884,9	5825,28	34,099	-58,903	182,04	
-933,009	2448,329	8,525	-19,041	49,009	
-693,036	1968,41	8,525	-17,112	47,445	
-471,232	1503,208	8,525	-14,726	45,51	
-20,188	1003,601	9,23	-0,824	40,191	
-58,9806	1167,55	4,45	-1,027	20,271	
-178,115	7450,695	34,073	-3,635	152,055	
-122,594	6127,205	34,072	-3,027	151,289	
-74,848	4811,776	34,072	-2,339	150,368	
-44,541	1909,535	8,518	-0,909	38,014	
-30,6585	1578,64	8,518	-0,757	37,822	
-18,72	1249,793	8,518	-0,585	37,592	
-69,384	2857,524	37,355	-2,832	113,508	
-204,681	3416,971	18,491	-3,564	59,253	
-714,175	11153,82	58,757	-14,575	227,629	
-502,119	9122,666	58,756	-12,398	225,251	
-316,32	7116,384	58,755	-9,885	222,387	
-178,556	2869,233	14,689	-3,644	56,907	
-125,55	2361,466	14,689	-3,1	56,313	
-79,072	1859,894	14,689	-2,471	55,597	
-9,8245	1133,921	12,244	-0,401	45,258	
-33,5391	1304,059	5,956	-0,584	22,628	
-120,05	7502,537	40,106	-2,45	153,113	
-80,757	6173,01	40,106	-1,994	152,42	
-47,488	4850,72	40,106	-1,484	151,585	
-30,037	1930,765	10,026	-0,613	38,278	
-20,169	1598,396	10,026	-0,498	38,105	
-11,872	1267,815	10,026	-0,371	37,896	
	1584,541	9,24	0	63,902	
	2309,895	4,456	0	40,162	
	12079,28	34,112	0	246,516	
	9543,906	34,11	0	235,652	
	7111,488	34,106	0	222,234	
	3066,774	8,528	0	61,63	
	2432,84	8,528	0	58,912	
	1824,749	8,526	0	55,558	
	1036,946	9,23	0	41,552	
	1232,388	4,45	0	21,4	
	6332,58	34,072	0	156,36	
	4954,24	34,072	0	154,82	
	1978,037	8,518	0	39,412	
	1629,994	8,518	0	39,09	
	1285,377	8,518	0	38,704	
	3017,168	37,356	0	120,024	
	3717,389	18,492	0	64,484	
	11998,24	58,76	0	244,862	
	9754,425	58,758	0	240,85	
	7552,768	58,758	0	236,024	
	3080,379	14,69	0	61,216	
	2519,381	14,69	0	60,212	
	1968,987	14,69	0	59,006	
	1163,713	12,244	0	46,474	
	1359,995	5,956	0	23,602	
	7756,504	40,106	0	158,296	
	6364,089	40,106	0	157,138	
	4983,808	40,106	0	155,744	
	1994,269	10,026	0	39,574	

Belasting op mastvoet, belastinggeval

		M_{langs}	M_{dwars}	N	V_{langs}	V_{dwars}
1a		0	23341,83	141,524	0	578,258
Wind angle: 0	dgr					
1b		0	24335,04	141,45	0	604,084
Wind angle: 0	dgr					
3		0	37601,5	276,16	0	939,594
Wind angle: 0	dgr					
4		0	24883,39	168,596	0	617,84
Wind angle: 0	dgr					
6		0	23009,92	159,226	0	570,848
0						
1a		-11849,8	32056,09	141,568	-288,882	791,523
Wind angle: 45	dgr					
1b		-548,645	25298,79	141,451	-13,103	627,602
Wind angle: 45	dgr					
3		-2189,86	40757,96	276,181	-52,469	1016,845
Wind angle: 45	dgr					
4		-353,737	25761,22	168,596	-8,395	639,283
Wind angle: 45	dgr					
1a		0	39953,48	141,606	0	984,566
Wind angle: 90	dgr					
1b		0	26174,22	141,45	0	648,984
Wind angle: 90	dgr					
3		0	43608,73	276,194	0	1086,678
Wind angle: 90	dgr					
4		0	26569,62	168,596	0	659,048
Wind angle: 90	dgr					

Belastingen uit lijnen

			M_{langs}	M_{dwars}	N	V_{langs}	V_{dwars}
Perm load 1,2	0 deg	1a	0	23342	142	0	578
		1b	0	24335	141	0	604
		3	0	37601	276	0	940
		4	0	24883	169	0	618
		6	0	23010	159	0	571
	45 deg	1a	-11850	32056	142	-289	792
		1b	-549	25299	141	-13	628
		3	-2190	40758	276	-52	1017
		4	-354	25761	169	-8	639
	90 deg	1a	0	39953	142	0	985
		1b	0	26174	141	0	649
		3	0	43609	276	0	1087
		4	0	26570	169	0	659
	-45 deg	1a	11850	32056	142	289	792
		1b	549	25299	141	13	628
		3	2190	40758	276	52	1017
		4	354	25761	169	8	639
	0 deg	1a	0	19276	106	0	477
		1b	0	19730	106	0	490
		3	0	33940	241	0	849
		4	0	20690	133	0	514
		6	0	16532	106	0	410
	45 deg	1a	-14471	29034	106	-354	717
		1b	-919	20857	106	-22	517
		3	-2764	37348	241	-66	933
		4	-581	21668	133	-14	538
	90 deg	1a	0	38028	106	0	937
		1b	0	21862	106	0	542
		3	0	40405	241	0	1007
		4	0	22555	133	0	560
	-45 deg	1a	**14471**	29034	106	**354**	717
		1b	919	**20857**	**106**	22	**517**
		3	2764	**37348**	**241**	66	**933**
		4	**581**	21668	133	**14**	538

Belasting uit mast

	N	V	M
	857	116	3147
	857	22	590
	857	33	885
	857	22	590
	857	116	3147
	857	22	590
	857	33	885
	857	22	590
	857	116	3147
	857	22	590
	857	33	885
	857	22	590
	857	116	3147
	857	22	590
	857	33	885
	857	22	590
	643	116	3147
	643	22	590
	643	33	885
	643	22	590
	643	116	3147
	643	22	590
	643	33	885
	643	22	590
	643	116	3147
	643	22	590
	643	33	885
	643	22	590

Totaal

regel		Loadcase	M_{langs}	M_{dwars}	N	V_{langs}	V_{dwars}	Totaal moment
1	Perm load 1,2	0 deg	1a	3147	23342	999	116	578	23553,02
2	Perm load 1,2	0 deg	1b	590	24335	998	22	604	24342,19
3	Perm load 1,2	0 deg	3	885	37601	1133	33	940	37611,91
4	Perm load 1,2	0 deg	4	590	24883	1026	22	618	24890,38
5	Perm load 1,2	0 deg	6						
6									
7	Perm load 1,2	45 deg	1a	14075	34281	999	371	874	37058,31
8	Perm load 1,2	45 deg	1b	966	25716	998	28	643	25734,16
9	Perm load 1,2	45 deg	3	2816	41384	1133	76	1040	41479,49
10	Perm load 1,2	45 deg	4	771	26178	1026	24	655	26189,81
11									
12	Perm load 1,2	90 deg	1a	0	43100	999	0	1101	43100,48
13	Perm load 1,2	90 deg	1b	0	26764	998	0	671	26764,28
14	Perm load 1,2	90 deg	3	0	44494	1133	0	1119	44493,83
15	Perm load 1,2	90 deg	4	Construct	0	27160	1026	0	681	27159,68
16									
17	Perm load 1,2	-45 deg	1a	14075	34281	999	371	874	37058,31
18	Perm load 1,2	-45 deg	1b	966	25716	998	28	643	25734,16
19	Perm load 1,2	-45 deg	3	2816	41384	1133	76	1040	41479,49
20	Perm load 1,2	-45 deg	4	771	26178	1026	24	655	26189,81
21									
22	Perm load 0,9	0 deg	1a	3147	19276	749	116	477	19531,44
23	Perm load 0,9	0 deg	1b	590	19730	749	22	490	19738,96
24	Perm load 0,9	0 deg	3	885	33940	883	33	849	33951,33
25	Perm load 0,9	0 deg	4	590	20690	776	22	514	20698,03
26	Perm load 0,9	0 deg	6						
27									
28	Perm load 0,9	45 deg	1a	16697	31259	749	436	799	35438,81
29	Perm load 0,9	45 deg	1b	1336	21274	749	37	533	21316,32
30	Perm load 0,9	45 deg	3	3390	37974	883	89	956	38124,93
31	Perm load 0,9	45 deg	4	Construct	998	22085	776	29	553	22107,61
32									
33	Perm load 0,9	90 deg	1a	0	41175	749	0	1053	41174,81
34	Perm load 0,9	90 deg	1b	0	22452	749	0	564	22451,94
35	Perm load 0,9	90 deg	3	0	41290	884	0	1040	41289,97
36	Perm load 0,9	90 deg	4	0	23145	776	0	581	23144,8
37									
38	Perm load 0,9	-45 deg	1a	16697	31259	749	436	799	35438,81
39	Perm load 0,9	-45 deg	1b	1336	21274	749	37	533	21316,32
40	Perm load 0,9	-45 deg	3	3390	37974	883	89	956	38124,93
41	Perm load 0,9	-45 deg	4	998	22085	776	29	553	22107,61
		Max		16697	44494	1133	436	1119	44494

| | | | | | | | | |

| | | |

Permanent loads yg= 0,1	25113	115309	210660	25109	91851	-192124		50,222	207,16	18,536		908,264	10150,84	50,222	18,536	207,16	
Wind angle: 380	C1F2 / 325113	112877	208039	25109	91689	-192120		50,222	204,566	15,919		644,7195	8284,923	50,222	15,919	204,566	
	380C1F3 / 325112	109949	204991	25109	91490	-192121		50,221	201,439	12,87		411,84	6446,048	50,221	12,87	201,439	
	150C1F1 / 16278	28827	52665	6277	22963	-48031		12,555	51,79	4,634		227,066	2606,763	12,555	4,634	51,79	
	150C1F2 / 16278	28219	52010	6277	22922	-48030		12,555	51,141	3,98		161,19	2140,263	12,555	3,98	51,141	
	150C1F3 / 16278	27487	51248	6277	22872	-48030		12,555	50,359	3,218		102,976	1680,541	12,555	3,218	50,359	
4	Comp. gl	4966	20153	39964	4966	18525	-39296	9,932	38,678	0,668		16,366	967,9716	9,932	0,668	38,678	
Constructior	GW	opgw	2421	10421	20014	2421	9081	-19165	4,842	19,502	0,849		48,75807	1123,685	4,842	0,849	19,502
Permanent loads yg= 0,1	15789	67957	132629	15788	60801	-128652		31,577	128,758	3,977		194,873	6309,142	31,577	3,977	128,758	
Wind angle: 380	C1F2 / 315788	67224	131985	15788	60747	-128658		31,576	127,971	3,327		134,7435	5182,826	31,576	3,327	127,971	
	380C1F3 / 315788	66345	131256	15788	60680	-128668		31,576	127,025	2,588		82,816	4064,8	31,576	2,588	127,025	
	150C1F1 / 13947	16989	33157	3947	15200	-32163		7,894	32,189	0,994		48,706	1620,678	7,894	0,994	32,189	
	150C1F2 / 13947	16806	32996	3947	15187	-32165		7,894	31,993	0,831		33,6555	1339,134	7,894	0,831	31,993	
	150C1F3 / 13947	16586	32814	3947	15170	-32167		7,894	31,756	0,647		20,704	1059,609	7,894	0,647	31,756	

4	580,6221	21667,84	133,185	13,881	537,872	
Wind angle: -45 dgr						

Hoogte meet | Ber & bijlage | 50 m
Hoogte detective stroomdraad (F3) | 24 m
Hoogte

Bliksemdraad = GW / I_{max} - | G57 m = | 49.43 m | 0,761 m
1e traverse - 150CIF1 | 41 | 41 m | 0 m
1e traverse - 180CIF1 FZ + | 8,5 m = | 24 | 5,5 m
2e traverse - 180CIF2 FZ + | 8,5 m = | 32,5 m | 0 m
2e traverse - 150CIF2 FZ + | | 32,5 m | 5,5 m
2e traverse - 180CIF2 | | 24 m | 0 m
Passieve lijn = Comp C.Fz - | 7,5 m = | 16,5 m | 2,087 m

Excentriciteit opbanging t.o.v. hart mast

Uit mast

| | | |

| | | |

	150C1F2 / 13195	12358	-26502	0	0	0	3,195	12,358	-26,502	-861,315	419,2075	3,195	-26,502	12,358									
	150C1F3 / 13195	12358	-26502	0	0	0	3,195	12,358	-26,502	-636,048	314,1645	3,195	-26,502	12,358									
1a	Comp. gl	3463	21310	-37236	0	0	0	3,463	21,31	-37,236	-614,394	358,8423	3,463	-37,236	21,31	1a	-18519,1	10717,32	53,075	-573,811	329,383		
Wind, 10 dg	GW / opgw	1670	12957	-21716	0	0	0	1,67	12,957	-21,716	-1073,42	641,7354	1,67	-21,716	12,957	Wind angle: 45 dgr							
Permanent loads yg= 0.112785			82007	-141781	0	0	0	12,785	82,007	-141,781	-5813,02	3362,287	12,785	-141,781	82,007								
Wind angle:	380C1F2 / 312785		78924	-137584	0	0	0	12,785	78,924	-137,584	-4471,48	2565,03	12,785	-137,584	78,924								
	380C1F3 / 312784		75162	-132522	0	0	0	12,784	75,162	-132,522	-3180,53	1803,888	12,784	-132,522	75,162								
	150C1F1 / 13196		20502	-35445	0	0	0	3,196	20,502	-35,445	-1453,25	858,16	3,196	-35,445	20,502								
	150C1F2 / 13196		19731	-34396	0	0	0	3,196	19,731	-34,396	-1117,87	658,8355	3,196	-34,396	19,731								
	150C1F3 / 13196		18790	-33131	0	0	0	3,196	18,79	-33,131	-795,144	468,538	3,196	-33,131	18,79								
1b	Comp. gl	3461	16840	-33512	0	0	0	3,461	16,84	-33,512	-552,948	285,0831	3,461	-33,512	16,84	1b	-16928,6	8576,292	53,033	-528,164	265,289		
Wind, -20 dg	GW / opgw	1668	8758	-16916	0	0	0	1,668	8,758	-16,916	-836,158	434,1773	1,668	-16,916	8,758	Wind angle: 45 dgr							
Permanent loads yg= 0.112774			64574	-128000	0	0	0	12,774	64,574	-128	-5248	2647,534	12,774	-128	64,574								
Wind angle:	380C1F2 / 312774		63958	-127422	0	0	0	12,774	63,958	-127,422	-4141,22	2078,635	12,774	-127,422	63,958								
	380C1F3 / 312774		63221	-126766	0	0	0	12,774	63,221	-126,766	-3042,38	1517,304	12,774	-126,766	63,221								
	150C1F1 / 13194		16143	-32000	0	0	0	3,194	16,143	-32	-1312	679,43	3,194	-32	16,143								
	150C1F2 / 13194		15990	-31856	0	0	0	3,194	15,99	-31,856	-1035,32	537,242	3,194	-31,856	15,99								
	150C1F3 / 13194		15805	-31692	0	0	0	3,194	15,805	-31,692	-760,608	396,887	3,194	-31,692	15,805								
3	Comp. gl	6608	34473	-60583	0	0	0	6,608	34,473	-60,583	-999,62	582,5954	6,608	-60,583	34,473	3	-21386	11936,35	68,127	-667,898	369,424		
Wind+ice, -(	GW / opgw	3240	20451	-34266	0	0	0	3,24	20,451	-34,266	-1693,77	1013,359	3,24	-34,266	20,451	Wind angle: 45 dgr							
Permanent loads yg= 0.115542			86376	-155950	0	0	0	15,542	86,376	-155,95	-6393,95	3541,416	15,542	-155,95	86,376								
Wind angle:	380C1F2 / 315541		84029	-152992	0	0	0	15,541	84,029	-152,992	-4972,24	2730,943	15,541	-152,992	84,029								
	380C1F3 / 315541		81195	-149498	0	0	0	15,541	81,195	-149,498	-3587,95	1948,68	15,541	-149,498	81,195								
	150C1F1 / 13885		21594	-38987	0	0	0	3,885	21,594	-38,987	-1598,47	906,7215	3,885	-38,987	21,594								
	150C1F2 / 13885		21007	-38248	0	0	0	3,885	21,007	-38,248	-1243,06	704,095	3,885	-38,248	21,007								
	150C1F3 / 13885		20299	-37374	0	0	0	3,885	20,299	-37,374	-896,976	508,5435	3,885	-37,374	20,299								
4	Comp. gl	4665	18828	-37773	0	0	0	4,665	18,828	-37,773	-623,255	320,3979	4,665	-37,773	18,828	4	-17007	8626,084	63,887	-531,826	267,007		
Construction	GW opgw	2271	9615	-18753	0	0	0	2,271	9,615	-18,753	-926,961	476,9977	2,271	-18,753	9,615	Wind angle: 45 dgr							
Permanent loads yg= 0.115187			64197	-127187	0	0	0	15,187	64,197	-127,187	-5214,67	2632,077	15,187	-127,187	64,197								
Wind angle:	380C1F2 / 315187		63654	-126764	0	0	0	15,187	63,654	-126,764	-4119,83	2068,755	15,187	-126,764	63,654								
	380C1F3 / 315186		63001	-126289	0	0	0	15,186	63,001	-126,289	-3030,94	1512,024	15,186	-126,289	63,001								
	150C1F1 / 13797		16049	-31797	0	0	0	3,797	16,049	-31,797	-1303,68	678,8925	3,797	-31,797	16,049								
	150C1F2 / 13797		15913	-31691	0	0	0	3,797	15,913	-31,691	-1029,96	538,056	3,797	-31,691	15,913								
	150C1F3 / 13797		15750	-31572	0	0	0	3,797	15,75	-31,572	-757,728	398,8835	3,797	-31,572	15,75								
1a	Comp. gl	3463	20558	-36215	0	0	0	3,463	20,558	-36,215	-597,548	346,4343	3,463	-36,215	20,558	1a	-18000,2	10334,26	53,074	-558,063	317,723		
Wind, 10 dg	GW / opgw	1670	12376	-20894	0	0	0	1,67	12,376	-20,894	-1032,79	613,0166	1,67	-20,894	12,376	Wind angle: 90 dgr							
Permanent loads yg= 0.112785			78968	-137644	0	0	0	12,785	78,968	-137,644	-5643,4	3237,688	12,785	-137,644	78,968								
Wind angle:	380C1F2 / 312784		76148	-133842	0	0	0	12,784	76,148	-133,842	-4349,87	2474,81	12,784	-133,842	76,148								
	380C1F3 / 312784		72715	-129277	0	0	0	12,784	72,715	-129,277	-3102,65	1745,16	12,784	-129,277	72,715								
	150C1F1 / 13196		19742	-34411	0	0	0	3,196	19,742	-34,411	-1410,85	827	3,196	-34,411	19,742								
	150C1F2 / 13196		19037	-33461	0	0	0	3,196	19,037	-33,461	-1087,48	636,2805	3,196	-33,461	19,037								
	150C1F3 / 13196		18179	-32319	0	0	0	3,196	18,179	-32,319	-775,656	453,874	3,196	-32,319	18,179								
1b	Comp. gl	3461	16694	-33380	0	0	0	3,461	16,694	-33,38	-550,77	282,6741	3,461	-33,38	16,694	1b	-16858,4	8500,251	53,033	-526,071	262,988		
Wind, -20 dg	GW / opgw	1668	8631	-16773	0	0	0	1,668	8,631	-16,773	-829,089	427,8997	1,668	-16,773	8,631	Wind angle: 90 dgr							
Permanent loads yg= 0.112774			63967	-127430	0	0	0	12,774	63,967	-127,43	-5224,63	2622,647	12,774	-127,43	63,967								
Wind angle:	380C1F2 / 312774		63413	-126933	0	0	0	12,774	63,413	-126,933	-4125,32	2060,923	12,774	-126,933	63,413								
	380C1F3 / 312774		62750	-126371	0	0	0	12,774	62,75	-126,371	-3032,9	1506	12,774	-126,371	62,75								
	150C1F1 / 13194		15992	-31858	0	0	0	3,194	15,992	-31,858	-1306,18	673,239	3,194	-31,858	15,992								
	150C1F2 / 13194		15853	-31733	0	0	0	3,194	15,853	-31,733	-1031,32	532,7895	3,194	-31,733	15,853								
	150C1F3 / 13194		15688	-31593	0	0	0	3,194	15,688	-31,593	-758,232	394,079	3,194	-31,593	15,688								
3	Comp. gl	6608	33469	-59363	0	0	0	6,608	33,469	-59,363	-979,49	566,0294	6,608	-59,363	33,469	3	-20994,7	11622,36	68,126	-656,027	359,84		
Wind+ice, -(	GW / opgw	3240	19660	-33241	0	0	0	3,24	19,66	-33,241	-1643,1	974,2594	3,24	-33,241	19,66	Wind angle: 90 dgr							
Permanent loads yg= 0.115541			84063	-153034	0	0	0	15,541	84,063	-153,034	-6274,39	3446,583	15,541	-153,034	84,063								
Wind angle:	380C1F2 / 315541		81935	-150401	0	0	0	15,541	81,935	-150,401	-4888,03	2662,888	15,541	-150,401	81,935								
	380C1F3 / 315541		79370	-147304	0	0	0	15,541	79,37	-147,304	-3535,3	1904,88	15,541	-147,304	79,37								
	150C1F1 / 13885		21016	-38258	0	0	0	3,885	21,016	-38,258	-1568,58	883,0235	3,885	-38,258	21,016								
	150C1F2 / 13885		20484	-37600	0	0	0	3,885	20,484	-37,6	-1222	687,0975	3,885	-37,6	20,484								
	150C1F3 / 13885		19843	-36826	0	0	0	3,885	19,843	-36,826	-883,824	497,5995	3,885	-36,826	19,843								
4	Comp. gl	4665	18707	-37695	0	0	0	4,665	18,707	-37,695	-621,968	318,4014	4,665	-37,695	18,707	4	-16956,9	8559,402	63,886	-530,336	264,987		
Construction	GW opgw	2271	9513	-18663	0	0	0	2,271	9,513	-18,663	-922,512	471,9558	2,271	-18,663	9,513	Wind angle: 90 dgr							
Permanent loads yg= 0.115187			63661	-126769	0	0	0	15,187	63,661	-126,769	-5197,53	2610,101	15,187	-126,769	63,661								
Wind angle:	380C1F2 / 315186		63171	-126409	0	0	0	15,186	63,171	-126,409	-4108,29	2053,058	15,186	-126,409	63,171								
	380C1F3 / 315186		62582	-126005	0	0	0	15,186	62,582	-126,005	-3024,12	1501,968	15,186	-126,005	62,582								
	150C1F1 / 13797		15915	-31692	0	0	0	3,797	15,915	-31,692	-1299,37	673,3985	3,797	-31,692	15,915								
	150C1F2 / 13797		15793	-31602	0	0	0	3,797	15,793	-31,602	-1027,07	534,156	3,797	-31,602	15,793								
	150C1F3 / 13797		15645	-31501	0	0	0	3,797	15,645	-31,501	-756,024	396,3635	3,797	-31,501	15,645								
1a	Comp. gl	3462	13901	-28691	0	0	0	3,462	13,901	-28,691	-473,402	236,5917	3,462	-28,691	13,901	1a	-14093	6900,41	53,059	-440,46	213,574		
Wind, 10 dg	GW / opgw	1669	6860	-13909	0	0	0	1,669	6,86	-13,909	-687,522	340,3599	1,669	-13,909	6,86	Wind angle: -45 dgr							
Permanent loads yg= 0.112781			51614	-106172	0	0	0	12,781	51,614	-106,172	-4353,05	2116,174	12,781	-106,172	51,614								
Wind angle:	380C1F2 / 312781		51430	-106098	0	0	0	12,781	51,43	-106,098	-3448,19	1671,475	12,781	-106,098	51,43								
	380C1F3 / 312781		51207	-106018	0	0	0	12,781	51,207	-106,018	-2544,43	1228,968	12,781	-106,018	51,207								
	150C1F1 / 13195		12903	-26543	0	0	0	3,195	12,903	-26,543	-1088,26	546,5955	3,195	-26,543	12,903								
	150C1F2 / 13195		12857	-26524	0	0	0	3,195	12,857	-26,524	-862,03	435,425	3,195	-26,524	12,857								
	150C1F3 / 13195		12802	-26505	0	0	0	3,195	12,802	-26,505	-636,12	324,8205	3,195	-26,505	12,802								
1b	Comp. gl	3461	15402	-32684	0	0	0	3,461	15,402	-32,684	-539,286	261,3561	3,461	-32,684	15,402	1b	-16482,2	7829,219	53,03	-514,942	242,639		
Wind, -20 dg	GW / opgw	1668	7541	-15924	0	0	0	1,668	7,541	-15,924	-787,123	374,021	1,668	-15,924	7,541	Wind angle: -45 dgr							
Permanent loads yg= 0.112774			58633	-124351	0	0	0	12,774	58,633	-124,351	-5098,39	2403,953	12,774	-124,351	58,633								
Wind angle:	380C1F2 / 312774		58589	-124355	0	0	0	12,774	58,589	-124,355	-4041,54	1904,143	12,774	-124,355	58,589								
	380C1F3 / 312774		58535	-124361	0	0	0	12,774	58,535	-124,361	-2984,66	1404,84	12,774	-124,361	58,535								
	150C1F1 / 13193		14658	-31088	0	0	0	3,193	14,658	-31,088	-1274,61	618,5395	3,193	-31,088	14,658								
	150C1F2 / 13193		14647	-31089	0	0	0	3,193	14,647	-31,089	-1010,39	493,589	3,193	-31,089	14,647								
	150C1F3 / 13193		14634	-31090	0	0	0	3,193	14,634	-31,09	-746,16	368,7775	3,193	-31,09	14,634								
3	Comp. gl	6606	24590	-50966	0	0	0	6,606	24,59	-50,966	-840,939	419,5217	6,606	-50,966	24,59	3	-18317,3	8871,303	68,113	-575,589	276,081		
Wind+ice, -(	GW / opgw	3238	12311	-25131	0	0	0	3,238	12,311	-25,131	-1242,23	610,9568	3,238	-25,131	12,311	Wind angle: -45 dgr							
Permanent loads yg= 0.115538			63933	-133227	0	0	0	15,538	63,933	-133,227	-5462,31	2621,253	15,538	-133,227	63,933								
Wind angle:	380C1F2 / 315538		63792	-133198	0	0	0	15,538	63,792	-133,198	-4328,94	2073,24	15,538	-133,198	63,792								
0	380C1F3 / 315538		63619	-133169	0	0	0	15,538	63,619	-133,169	-3196,06	1526,856	15,538	-133,169	63,619								
	150C1F1 / 13885		15983	-33307	0	0	0	3,885	15,983	-33,307	-1365,59	676,6705	3,885	-33,307	15,983								
	150C1F2 / 13885		15948	-33299	0	0	0	3,885	15,948	-33,299	-1082,22	539,6775	3,885	-33,299	15,948								
	150C1F3 / 13885		15905	-33292	0	0	0	3,885	15,905	-33,292	-799,008	403,0875	3,885	-33,292	15,905								
4	Comp. gl	4665	17581	-37358	0	0	0	4,665	17,581	-37,358	-616,407	299,8224	4,665	-37,358	17,581	4	-16717,1	7951,814	63,885	-523,295	246,536		
Construction	GW opgw	2271	8598	-18190	0	0	0	2,271	8,598	-18,19	-899,132	426,7274	2,271	-18,19	8,598	Wind angle: -45 dgr							
Permanent loads yg= 0.115186			58808	-124724	0	0	0	15,186	58,808	-124,724	-5113,68	2411,128	15,186	-124,724	58,808								
Wind angle:	380C1F2 / 315186		58765	-124732	0	0	0	15,186	58,765	-124,732	-4053,79	1909,863	15,186	-124,732	58,765								
	380C1F3 / 315186		58713	-124742	0	0	0	15,186	58,713	-124,742	-2993,81	1409,112	15,186	-124,742	58,713								
	150C1F1 / 13797		14702	-31181	0	0	0	3,797	14,702	-31,181	-1278,42	623,6655	3,797	-31,181	14,702								
	150C1F2 / 13797		14691	-31183	0	0	0	3,797	14,691	-31,183	-1013,45	498,341	3,797	-31,183	14,691								
	150C1F3 / 13797		14678	-31185	0	0	0	3,797	14,678	-31,185	-748,44	373,1555	3,797	-31,185	14,678								
1a	Comp. gl	4617	17812	-36487	0	0	0	4,617	17,812	-36,487	-602,036	303,5337	4,617	-36,487	17,812	1a	-8080,71	13624,17	113,373	-222,204	436,229		
Wind, 10 dg	GW / opgw	2226	8849	-17748	0	0	0	2,226	8,849	-17,748	-877,284	439,1001	2,226	-17,748	8,849	Wind angle: 0 dgr							
Permanent loads yg= 1.117045			65886	-134400	0	0	0	17,045	65,886	-134,4	-5510,4	2701,326	17,045	-134,4	65,886								
Wind angle:	380C1F2 / 317045		65601	-134276	17045	65601	134276	34,09	131,202	0	0	4264,065	34,09	0	131,202								
	380C1F3 / 317045		65254	-134141	17045	65254	134141	34,09	130,508	0	0	3132,192	34,09	0	130,508								
	150C1F1 / 14261		16472	-33600	4261	16472	33600	8,522	32,944	0	0	1397,575	8,522	0	32,944								
	150C1F2 / 14261		16400	-33569	0	0	0	4,261	16,4	-33,569	-1090,99	556,4355	4,261	-33,569	16,4								
	150C1F3 / 14261		16314	-33535	4261	16314	33535	8,522	32,628	0	0	829,943	8,522	0	32,628								
1b	Comp. gl	4615	19287	-40835	0	0	0	4,615	19,287	-40,835	-673,778	327,867	4,615	-40,835	19,287	1b	-9212,4	15049,65	113,315	-252,973	482,599		
Wind, -20 dg	GW / opgw	2225	9457	-19902	0	0	0	2,225	9,457	-19,902	-983,756	469,1527	2,225	-19,902	9,457	Wind angle: 0 dgr							
Permanent loads yg= 1.117036			72701	-153788	0	0	0	17,036	72,701	-153,788	-6305,31	2980,741	17,036	-153,788	72,701								
Wind angle:	380C1F2 / 317036		72634	-153794	17036	72634	153794	34,072	145,268	0	0	4721,21	34,072	0	145,268								
	380C1F3 / 317036		72551	-153803	17036	72551	153803	34,072	145,102	0	0	3482,448	34,072	0	145,102								
	150C1F1 / 14259		18175	-38447	4259	18175	38447	8,518	36,35	0	0	1537,199	8,518	0	36,35								
	150C1F2 / 14259		18158	-38448	0	0	0	4,259	18,158	-38,448	-1249,56	613,5595	4,259	-38,448	18,158								
	150C1F3 / 14259		18138	-38451	4259	18138	38451	8,518	36,276	0	0	917,473	8,518	0	36,276								
3	Comp. gl	7762	28198	-57773	0	0	0	7,762	28,198	-57,773	-953,255	481,4663	7,762	-57,773	28,198	3	-10256,9	16398,42	135,323	-287,153	526,271		
Wind+ice, -(	GW / opgw	3796	14204	-28522	0	0	0	3,796	14,204	-28,522	-1409,84	704,9925	3,796	-28,522	14,204	Wind angle: 0 dgr							
Permanent loads yg= 1.119802			77697	-160698	0	0	0	19,802	77,697	-160,698	-6588,62	3185,577	19,802	-160,698	77,697								
Wind angle:	380C1F2 / 319802		77474	-160640	19802	77474	160640	39,604	154,948	0	0	5035,81	39,604	0	154,948								
	380C1F3 / 319802		77203	-160581	19802	77203	160581	39,604	154,406	0	0	3705,744	39,604	0	154,406								
	150C1F1 / 14951		19424	-40174	4951	19424	40174	9,902	38,848	0	0	1647,229	9,902	0	38,848								
	150C1F2 / 14951		19368	-40160	0	0	0	4,951	19,368	-40,16	-1305,2	656,6905	4,951	-40,16	19,368								
	150C1F3 / 14951		19301	-40145	4951	19301	40145	9,902	38,602	0	0	980,909	9,902	0	38,602								
4	Comp. gl	5821	21063	-44642	0	0	0	5,821	21,063	-44,642	-736,593	359,6879	5,821	-44,642	21,063	4	-9268,4	14961,89	130,219	-256,137	479,49		
Construction	GW opgw	2828	10306	-21724	0	0	0	2,828	10,306	-21,724	-1073,82	511,5777	2,828	-21,724	10,306	Wind angle: 0 dgr							
Permanent loads yg= 1.119451			71782	-151815	0	0	0	19,451	71,782	-151,815	-6224,42	2943,062	19,451	-151,815	71,782								
Wind angle:	380C1F2 / 319451		71716	-151824	19451	71716	151824	38,902	143,432	0	0	4661,54	38,902	0	143,432								
	380C1F3 / 319451		71635	-151838	19451	71635	151838	38,902	143,27	0	0	3438,48	38,902	0	143,27								
	150C1F1 / 14863		17945	-37954	4863	17945	37954	9,726	35,89	0	0	1524,983	9,726	0	35,89								
	150C1F2 / 14863		17929	-37956	0	0	0	4,863	17,929	-37,956	-1233,57	609,439	4,863	-37,956	17,929								
	150C1F3 / 14863		17909	-37959	4863	17909	37959	9,726	35,818	0	0	913,125	9,726	0	35,818								
6	Comp. gl	5195	18706	-40116	0	0	0	5,195	18,706	-40,116	-661,914	319,491	5,195	-40,116	18,706	6	-8858,6	14273,58	127,555	-243,69	457,214		
Permanent,	GW / opgw	2505	9033	-19371	0	0	0	2,505	9,033	-19,371	-957,509	448,4075	2,505	-19,371	9,033	0							
Permanent loads yg= 1.119177			68716	-147362	0	0	0	19,177	68,716	-147,362	-6041,84	2817,356	19,177	-147,362	68,716								
	380C1F2 / 319177		68716	-147362	19177	68716	147362	38,354	137,432	0	0	4466,54	38,354	0	137,432								
	380C1F3 / 319177		68716	-147362	19177	68716	147362	38,354	137,432	0	0	3298,368	38,354	0	137,432								
	150C1F1 / 14794		17179	-36841	4794	17179	36841	9,588	34,358	0	0	1461,412	9,588	0	34,358								
	150C1F2 / 14794		17179	-36841	0	0	0	4,794	17,179	-36,841	-1197,33	584,6845	4,794	-36,841	17,179								
	150C1F3 / 14794		17179	-36841	4794	17179	36841	9,588	34,358	0	0	877,326	9,588	0	34,358								
1a	Comp. gl	4618	23814	-42605	0	0	0	4,618	23,814	-42,605	-702,983	402,5688	4,618	-42,605	23,814	1a	-11292,4	16637,48	113,389	-318,67	527,274		
Wind, 10 dg	GW / opgw	2227	13884	-23705	0	0	0	2,227	13,884	-23,705	-1171,74	687,9809	2,227	-23,705	13,884	Wind angle: 45 dgr							
Permanent loads yg= 1.117049			90568	-160135	0	0	0	17,049	90,568	-160,135	-6565,54	3713,288	17,049	-160,135	90,568								
Wind angle:	380C1F2 / 317049		87889	-156762	17045	64395	133900	34,094	152,264	-22,862	-743,015	4948,58	34,094	-22,862	152,264								
	380C1F3 / 317048		84603	-152765	17045	64193	133866	34,093	148,796	-18,899	-453,576	3571,104	34,093	-18,899	148,796								
	150C1F1 / 14262		22642	-40034	4261	16140	33484	8,523	38,782	-6,55	-268,55	1636,939	8,523	-6,55	38,782								
	150C1F2 / 14262		21967	-39190	0	0	0	4,262	21,967	-39,19	-1273,68	737,3685	4,262	-39,19	21,967								
	150C1F3 / 14262		21151	-38191	4261	16048	33467	8,523	37,199	-4,724	-113,376	939,6525	8,523	-4,724	37,199								
1b	Comp. gl	4615	20473	-41302	0	0	0	4,615	20,473	-41,302	-681,483	347,436	4,615	-41,302	20,473	1b	-9462,85	15642,71	113,315	-260,314	500,529		
Wind, -20 dg	GW / opgw	2225	10440	-20522	0	0	0	2,225	10,44	-20,522	-1014,4	517,7424	2,225	-20,522	10,44	Wind angle: 45 dgr							
Permanent loads yg= 1.117036			77573	-155875	0	0	0	17,036	77,573	-155,875	-6390,88	3180,493	17,036	-155,875	77,573								
Wind angle:	380C1F2 / 317036		77055	-155507	17036	72338	153838	34,072	149,393	-1,669	-54,2425	4855,273	34,072	-1,669	149,393								
	380C1F3 / 317036		76433	-155096	17036	72286	153850	34,072	148,719	-1,246	-29,904	3569,256	34,072	-1,246	148,719								
	150C1F1 / 14259		19393	-38969	4259	18095	38458	8,518	37,488	-0,511	-20,951	1583,857	8,518	-0,511	37,488								
	150C1F2 / 14259		19264	-38877	0	0	0	4,259	19,264	-38,877	-1263,5	649,5045	4,259	-38,877	19,264								
	150C1F3 / 14259		19108	-38774	4259	18071	38462	8,518	37,179	-0,312	-7,488	939,145	8,518	-0,312	37,179								
3	Comp. gl	7764	36772	-65513	0	0	0	7,764	36,772	-65,513	-1080,96	622

| | | |

| | | |

| | | |

	150C1F2 / 13193	14647	-31089	3194	15990	31856	6,387	30,637	0,767	24,9275	1030,831	6,387	0,767	30,637							
	150C1F3 / 13193	14634	-31090	0	0	0	3,193	14,634	-31,09	-746,16	368,7775	3,193	-31,09	14,634							
3	Comp. gl	6606	24590	-50966	6608	34473	60583	13,214	59,063	9,617	158,6805	1002,117	13,214	9,617	59,063	3	-7986,88	14712,77	97,388	-286,542	438,388
Wind+ice,	GW / opgw	3238	12311	-25131	3240	20451	34266	6,478	32,762	9,135	451,5431	1624,355	6,478	9,135	32,762	Wind angle: -45 dgr					
Permanent loads	yg= 0.1	15538	63933	-133227	15542	86376	155950	31,08	150,309	22,723	931,643	6162,669	31,08	22,723	150,309						
Wind angle:	380C1F2 / 31	5538	63792	-133198	0	0	0	15,538	63,792	-133,198	-4328,94	2073,24	15,538	-133,198	63,792						
	380C1F3 / 31	5538	63619	-133169	0	0	0	15,538	63,619	-133,169	-3196,06	1526,856	15,538	-133,169	63,619						
	150C1F1 / 13	885	15983	-33307	0	0	0	3,885	15,983	-33,307	-1365,59	676,6705	3,885	-33,307	15,983						
	150C1F2 / 13	885	15948	-33299	3885	21007	38248	7,77	36,955	4,949	160,8425	1243,773	7,77	4,949	36,955						
	150C1F3 / 13	885	15905	-33292	0	0	0	3,885	15,905	-33,292	-799,008	403,0875	3,885	-33,292	15,905						
4	Comp. gl	4665	17581	-37358	4665	18828	37773	9,33	36,409	0,415	6,8475	620,2202	9,33	0,415	36,409	4	-8922,29	11919,34	89,805	-307,891	355,089
Construction	GW opgw	2271	8598	-18190	2271	9615	18753	4,542	18,213	0,563	27,82909	903,7251	4,542	0,563	18,213	Wind angle: -45 dgr					
Permanent loads	yg= 0.1	15186	58808	-124724	15187	64197	127187	30,373	123,005	2,463	100,983	5043,205	30,373	2,463	123,005						
Wind angle:	380C1F2 / 31	5186	58765	-124732	0	0	0	15,186	58,765	-124,732	-4053,79	1909,863	15,186	-124,732	58,765						
	380C1F3 / 31	5186	58713	-124742	0	0	0	15,186	58,713	-124,742	-2993,81	1409,112	15,186	-124,742	58,713						
	150C1F1 / 13	797	14702	-31181	0	0	0	3,797	14,702	-31,181	-1278,42	623,6655	3,797	-31,181	14,702						
	150C1F2 / 13	797	14691	-31183	3797	15913	31691	7,594	30,604	0,508	16,51	1036,397	7,594	0,508	30,604						
	150C1F3 / 13	797	14678	-31185	0	0	0	3,797	14,678	-31,185	-748,44	373,1555	3,797	-31,185	14,678						

Hooglte rnasl
Hooglte ombertse stroondrand (f3)

	Ber & bJeglge	Hooglte
Bilakmendrand + GW / C Hₘₐₓ -	0,57 m	57,A3 m
1e traverse - 3OCIf1 f2 +	8,5 m	49
2e traverse - 3OCIf2 F3 =	8,5 m	40,5 m
1e traverse - 1OCIf3		49
2e traverse - 1OCIf2 F3 +		40,5 m
1e traverse - 1OCIf3		32 m
Passsrve sjin - ClonjC F3 -	7,5 m =	24,5 m

| Bilastingen ult lijnen | | |

| | | |

o o o o o

o o o o o

o o o o o

o o o o o

o o o o o

o o o o o

o o o o o

o o o o o

W4S400Z+15 - AA

Hoogte mast	Ber & bijlage	58	m
Hoogte onderste stroomdraad (F3)		32	m
	Hoogte		Excentriciteit ophanging t.o.v. hart mast
Bliksemdraad = GW / tM$_{mast}$ -	0,716 m =	57,284 m	1,459 m
1e traverse - 380C1F1 / F2 +	8,5 m =	49 m	4,737 m
1e traverse - 150C1F1		49	-3,358 m
2e traverse - 380C1F2 F3 +	8,5 m =	40,5 m	4,737 m
2e traverse - 150C1F2 F3 +		40,5 m	-3,358 m
3e traverse - 380C1F3		32 m	4,737 m
3e traverse - 150C1F3		32	-3,358 m
Passieve lijn = Comp CF3 -	7,5 m =	24,5 m	1,886 m

Uit mast (excl belastingsfactoren)			Uit lijnen (incl belastingsfactoren)					
N	V	M	Nmin	Nmax	Vmax	Mlangs;ma	Mdwars;max	
[kN]	[kN]	[kNm]	[kN]	[kN]	[kN]	[kNm]	[kNm]	
443	102	2857	110	303	361	0	15110	

W4S400Z+5 TOWER APPENDIX: AA

Loadcases for tower strength (ultimate limit state)

Loadcase	accordingto		AHEAD		BACK		Totaal			Belastingen op mastvoet, per lijn					Belasting op mastvoet, belastinggeval					
90343-3-35							Vert	Dwars	Langs	M$_{langs}$	M$_{dwars}$	N	V$_{langs}$	V$_{dwars}$	M$_{langs}$	M$_{dwars}$	N	V$_{langs}$	V$_{dwars}$	
	Attachmentpc[N]		[N]	[N]	[N]	[N]	[kN]	[kN]	[kN]											
1a	Comp. gl	5122	1770	40154	5122	1770	-40154	10,244	3,54	0	0	106,0502	10,244	0	3,54	1a	0	2633,787	156,958	0	54,142
Wind, 10 dg	GW / opgw	2470	859	19377	2470	859	-19377	4,94	1,718	0	0	105,6214	4,94	0	1,718	Wind angle: 0 dgr					
Permanent loads	yg= 1,118903		6524	147783	18903	6524	-147783	37,806	13,048	0	0	818,439	37,806	0	13,048						
Wind angle:	380C1F2 / 318903		6518	147783	18903	6518	-147783	37,806	13,036	0	0	707,045	37,806	0	13,036						
	380C1F3 / 318903		6511	147783	18903	6511	-147783	37,806	13,022	0	0	595,791	37,806	0	13,022						
	150C1F1 / 14726		1631	36946	4726	1631	-36946	9,452	3,262	0	0	128,0982	9,452	0	3,262						
	150C1F2 / 14726		1630	36946	4726	1630	-36946	9,452	3,26	0	0	100,2902	9,452	0	3,26						
	150C1F3 / 14726		1628	36946	4726	1628	-36946	9,452	3,256	0	0	72,45218	9,452	0	3,256						
1b	Comp. gl	5181	1972	45077	5181	1972	-45077	10,362	3,944	0	0	116,1707	10,362	0	3,944	1b	0	2937,521	159,124	0	61,56
Wind, -20 dg	GW / opgw	2501	962	21970	2501	962	-21970	5,002	1,924	0	0	117,5123	5,002	0	1,924	Wind angle: 0 dgr					
Permanent loads	yg= 1,119168		7427	169771	19168	7427	-169771	38,336	14,854	0	0	909,4436	38,336	0	14,854						
Wind angle:	380C1F2 / 319168		7426	169771	19168	7426	-169771	38,336	14,852	0	0	783,1036	38,336	0	14,852						
	380C1F3 / 319168		7424	169771	19168	7424	-169771	38,336	14,848	0	0	656,7336	38,336	0	14,848						
	150C1F1 / 14792		1857	42443	4792	1857	-42443	9,584	3,714	0	0	149,8029	9,584	0	3,714						
	150C1F2 / 14792		1856	42443	4792	1856	-42443	9,584	3,712	0	0	118,1529	9,584	0	3,712						
	150C1F3 / 14792		1856	42443	4792	1856	-42443	9,584	3,712	0	0	86,60093	9,584	0	3,712						
3	Comp. gl	20222	5365	122498	20222	5365	-122498	40,444	10,73	0	0	339,1624	40,444	0	10,73	3	0	4607,316	303,31	0	94,486
Wind+ice, -t	GW / opgw	10011	2666	60775	10011	2666	-60775	20,022	5,332	0	0	334,6504	20,022	0	5,332	Wind angle: 0 dgr					
Permanent loads	yg= 1,132379		10460	238677	32379	10460	-238677	64,758	20,92	0	0	1331,839	64,758	0	20,92						
Wind angle:	380C1F2 / 332379		10457	238677	32379	10457	-238677	64,758	20,914	0	0	1153,776	64,758	0	20,914						
	380C1F3 / 332379		10453	238677	32379	10453	-238677	64,758	20,906	0	0	975,7506	64,758	0	20,906						
	150C1F1 / 18095		2615	59669	8095	2615	-59669	16,19	5,23	0	0	201,904	16,19	0	5,23						
	150C1F2 / 18095		2614	59669	8095	2614	-59669	16,19	5,228	0	0	157,368	16,19	0	5,228						
	150C1F3 / 18095		2613	59669	8095	2613	-59669	16,19	5,226	0	0	112,866	16,19	0	5,226						
4	Comp. gl	6767	2243	51307	6767	2243	-51307	13,534	4,486	0	0	135,4321	13,534	0	4,486	4	0	3070,834	186,71	0	62,994
Construction	GW opgw	3293	1094	25008	3293	1094	-25008	6,586	2,188	0	0	134,9464	6,586	0	2,188	Wind angle: 0 dgr					
Permanent loads	yg= 1,122212		7511	171693	22212	7511	-171693	44,424	15,022	0	0	946,5145	44,424	0	15,022						
Wind angle:	380C1F2 / 322212		7509	171693	22212	7509	-171693	44,424	15,018	0	0	818,6655	44,424	0	15,018						
	380C1F3 / 322212		7508	171693	22212	7508	-171693	44,424	15,016	0	0	690,9485	44,424	0	15,016						
	150C1F1 / 15553		1878	42923	5553	1878	-42923	11,106	3,756	0	0	146,7501	11,106	0	3,756						
	150C1F2 / 15553		1877	42923	5553	1877	-42923	11,106	3,754	0	0	114,7431	11,106	0	3,754						
	150C1F3 / 15553		1877	42923	5553	1877	-42923	11,106	3,754	0	0	82,83405	11,106	0	3,754						
6	Comp. gl	5751	1931	44221	5751	1931	-44221	11,502	3,862	0	0	116,3118	11,502	0	3,862	6	0	2881,634	176,204	0	58,916
Permanent, GW / opgw		2773	932	21353	2773	932	-21353	5,546	1,864	0	0	114,869	5,546	0	1,864	0					
Permanent loads	yg= 1,121221		7092	162441	21221	7092	-162441	42,442	14,184	0	0	896,0638	42,442	0	14,184						
	380C1F2 / 321221		7092	162441	21221	7092	-162441	42,442	14,184	0	0	775,4998	42,442	0	14,184						
	380C1F3 / 321221		7092	162441	21221	7092	-162441	42,442	14,184	0	0	654,9358	42,442	0	14,184						
	150C1F1 / 15305		1773	40610	5305	1773	-40610	10,61	3,546	0	0	138,1256	10,61	0	3,546						
	150C1F2 / 15305		1773	40610	5305	1773	-40610	10,61	3,546	0	0	107,9846	10,61	0	3,546						
	150C1F3 / 15305		1773	40610	5305	1773	-40610	10,61	3,546	0	0	77,84362	10,61	0	3,546						
1a	Comp. gl	4981	6913	50148	4981	6913	-50148	9,962	13,826	0	0	357,5253	9,962	0	13,826	1a	0	9378,508	152,33	0	219,866
Wind, 10 dg	GW / opgw	2359	4744	29248	2359	4744	-29248	4,718	9,488	0	0	550,3942	4,718	0	9,488	Wind angle: 45 dgr					
Permanent loads	yg= 1,118290		28035	192197	18290	28035	-192197	36,58	56,07	0	0	2920,709	36,58	0	56,07						
Wind angle:	380C1F2 / 318347		26365	186705	18347	26365	-186705	36,694	52,73	0	0	2309,384	36,694	0	52,73						
	380C1F3 / 318422		24221	179939	18422	24221	-179939	36,844	48,442	0	0	1724,674	36,844	0	48,442						
	150C1F1 / 14573		7009	48049	4573	7009	-48049	9,146	14,018	0	0	656,1697	9,146	0	14,018						
	150C1F2 / 14587		6591	46676	4587	6591	-46676	9,174	13,182	0	0	503,0647	9,174	0	13,182						
	150C1F3 / 14606		6055	44985	4606	6055	-44985	9,212	12,11	0	0	356,5861	9,212	0	12,11						
1b	Comp. gl	5171	2981	45544	5171	2981	-45544	10,342	5,962	0	0	165,574	10,342	0	5,962	1b	0	4270,566	158,762	0	94,272
Wind, -20 dg	GW / opgw	2489	1726	22530	2489	1726	-22530	4,978	3,452	0	0	205,0073	4,978	0	3,452	Wind angle: 45 dgr					
Permanent loads	yg= 1,119118		11675	171945	19118	11675	-171945	38,236	23,35	0	0	1325,274	38,236	0	23,35						
Wind angle:	380C1F2 / 319125		11345	171617	19125	11345	-171617	38,25	22,69	0	0	1100,135	38,25	0	22,69						
	380C1F3 / 319134		10923	171236	19134	10923	-171236	38,268	21,846	0	0	880,3475	38,268	0	21,846						
	150C1F1 / 14780		2919	42986	4780	2919	-42986	9,56	5,838	0	0	253,9595	9,56	0	5,838						
	150C1F2 / 14781		2836	42904	4781	2836	-42904	9,562	5,672	0	0	197,6068	9,562	0	5,672						
	150C1F3 / 14783		2731	42809	4783	2731	-42809	9,566	5,462	0	0	142,6614	9,566	0	5,462						
3	Comp. gl	20178	10195	124390	20178	10195	-124390	40,356	20,39	0	0	575,6664	40,356	0	20,39	3	0	8499,806	302,012	0	190,414
Wind+ice, -t	GW / opgw	9963	6316	62972	9963	6316	-62972	19,926	12,632	0	0	752,6835	19,926	0	12,632	Wind angle: 45 dgr					
Permanent loads	yg= 1,232206		21964	246866	32206	21964	-246866	64,412	43,928	0	0	2457,592	64,412	0	43,928						
Wind angle:	380C1F2 / 322229		21069	245667	32229	21069	-245667	64,458	42,138	0	0	2011,927	64,458	0	42,138						
	380C1F3 / 332258		19924	244257	32258	19924	-244257	64,516	39,848	0	0	1580,748	64,516	0	39,848						
	150C1F1 / 18051		5491	61716	8051	5491	-61716	16,102	10,982	0	0	484,0475	16,102	0	10,982						
	150C1F2 / 18057		5267	61417	8057	5267	-61417	16,114	10,534	0	0	372,5162	16,114	0	10,534						
	150C1F3 / 18064		4981	61064	8064	4981	-61064	16,128	9,962	0	0	264,6262	16,128	0	9,962						
4	Comp. gl	6761	3220	51609	6761	3220	-51609	13,522	6,44	0	0	183,2825	13,522	0	6,44	4	0	4362,648	186,458	0	94,69
Construction	GW opgw	3285	1831	25373	3285	1831	-25373	6,57	3,662	0	0	219,3596	6,57	0	3,662	Wind angle: 45 dgr					
Permanent loads	yg= 1,122177		11627	173368	22177	11627	-173368	44,354	23,254	0	0	1349,551	44,354	0	23,254						
Wind angle:	380C1F2 / 322182		11308	173113	22182	11308	-173113	44,364	22,616	0	0	1126,1	44,364	0	22,616						
	380C1F3 / 322188		10900	172815	22188	10900	-172815	44,376	21,8	0	0	907,8091	44,376	0	21,8						
	150C1F1 / 15544		2907	43342	5544	2907	-43342	11,088	5,814	0	0	247,6525	11,088	0	5,814						
	150C1F2 / 15545		2827	43278	5545	2827	-43278	11,09	5,654	0	0	191,7468	11,09	0	5,654						
	150C1F3 / 15547		2725	43204	5547	2725	-43204	11,094	5,45	0	0	137,1463	11,094	0	5,45						
1a	Comp. gl	4858	11309	66072	4858	11309	-66072	9,716	22,618	0	0	572,4654	9,716	0	22,618	1a	0	15110,27	148,564	0	360,808
Wind, 10 dg	GW / opgw	2304	8006	41910	2304	8006	-41910	4,608	16,012	0	0	923,9545	4,608	0	16,012	Wind angle: 90 dgr					
Permanent loads	yg= 1,117833		46273	258559	17833	46273	-258559	35,666	92,546	0	0	4703,704	35,666	0	92,546						
Wind angle:	380C1F2 / 317890		43247	247150	17890	43247	-247150	35,78	86,494	0	0	3672,497	35,78	0	86,494						
	380C1F3 / 317973		39351	232576	17973	39351	-232576	35,946	78,702	0	0	2688,74	35,946	0	78,702						
	150C1F1 / 14458		11568	64640	4458	11568	-64640	8,916	23,136	0	0	1103,724	8,916	0	23,136						
	150C1F2 / 14473		10812	61787	4473	10812	-61787	8,946	21,624	0	0	845,7313	8,946	0	21,624						
	150C1F3 / 14493		9838	58144	4493	9838	-58144	8,986	19,676	0	0	599,457	8,986	0	19,676						
1b	Comp. gl	5149	3852	46679	5149	3852	-46679	10,298	7,704	0	0	208,17	10,298	0	7,704	1b	0	5418,977	157,982	0	122,48
Wind, -20 dg	GW / opgw	2466	2390	23812	2466	2390	-23812	4,932	4,78	0	0	281,0133	4,932	0	4,78	Wind angle: 90 dgr					
Permanent loads	yg= 1,119011		15340	177159	19011	15340	-177159	38,022	30,68	0	0	1683,43	38,022	0	30,68						
Wind angle:	380C1F2 / 319032		14723	176092	19032	14723	-176092	38,064	29,446	0	0	1372,872	38,064	0	29,446						
	380C1F3 / 319058		13935	174834	19058	13935	-174834	38,116	27,87	0	0	1072,395	38,116	0	27,87						
	150C1F1 / 14753		3835	44290	4753	3835	-44290	9,506	7,67	0	0	343,9089	9,506	0	7,67						
	150C1F2 / 14758		3681	44023	4758	3681	-44023	9,516	7,362	0	0	266,2063	9,516	0	7,362						
	150C1F3 / 14764		3484	43708	4764	3484	-43708	9,528	6,968	0	0	190,981	9,528	0	6,968						
3	Comp. gl	20084	14332	128955	20084	14332	-128955	40,168	28,664	0	0	778,0248	40,168	0	28,664	3	0	11847,93	299,506	0	273,02
Wind+ice, -t	GW / opgw	9874	9444	67863	9874	9444	-67863	19,748	18,888	0	0	1110,793	19,748	0	18,888	Wind angle: 90 dgr					
Permanent loads	yg= 1,131881		31881	265134	31881	31881	-265134	63,762	63,762	0	0	3426,379	63,762	0	63,762						
Wind angle:	380C1F2 / 331940		30219	261510	31940	30219	-261510	63,88	60,438	0	0	2750,339	63,88	0	60,438						
	380C1F3 / 332015		28087	257166	32015	28087	-257166	64,03	56,174	0	0	2100,878	64,03	0	56,174						
	150C1F1 / 17970		7970	66284	7970	7970	-66284	15,94	15,94	0	0	727,5335	15,94	0	15,94						
	150C1F2 / 17985		7555	65377	7985	7555	-65377	15,97	15,11	0	0	558,3277	15,97	0	15,11						
	150C1F3 / 18004		7022	64291	8004	7022	-64291	16,008	14,044	0	0	395,6531	16,008	0	14,044						
4	Comp. gl	6746	4057	52376	6746	4057	-52376	13,492	8,114	0	0	224,2389	13,492	0	8,114	4	0	5472,755	185,898	0	121,944
Construction	GW opgw	3270	2467	26251	3270	2467	-26251	6,54	4,934	0	0	292,1811	6,54	0	4,934	Wind angle: 90 dgr					
Permanent loads	yg= 1,122099		15171	177487	22099	15171	-177487	44,198	30,342	0	0	1696,124	44,198	0	30,342						
Wind angle:	380C1F2 / 322114		14575	176638	22114	14575	-176638	44,228	29,15	0	0	1390,083	44,228	0	29,15						
	380C1F3 / 322133		13812	175640	22133	13812	-175640	44,266	27,624	0	0	1093,656	44,266	0	27,624						
	150C1F1 / 15525		3793	44372	5525	3793	-44372	11,05	7,586	0	0	334,6081	11,05	0	7,586						

Belastingen uit lijnen

			M$_{langs}$	M$_{dwars}$	N	V$_{langs}$	V$_{dwars}$
Perm load 1,2	0 deg	1a	0	2634	157	0	54
		1b	0	2938	159	0	62
		3	0	4607	303	0	94
		4	0	3071	187	0	63
		6	0	2882	176	0	59
	45 deg	1a	0	9379	152	0	220
		1b	0	4271	159	0	94
		3	0	8500	302	0	190
		4	0	4363	186	0	95
	90 deg	1a	0	15110	149	0	361
		1b	0	5419	158	0	122
		3	0	11848	300	0	273
		4	0	5473	186	0	122
	-45 deg	1a	0	8274	153	0	193
		1b	0	4053	159	0	89
		3	0	7864	302	0	175
		4	0	4152	187	0	90
	0 deg	1a	0	2069	118	0	43
		1b	0	2349	120	0	50
		3	0	4117	265	0	85
		4	0	2526	148	0	52
		6	0	2047	118	0	42
	45 deg	1a	0	8952	113	0	212
		1b	0	3712	120	0	83
		3	0	8047	264	0	182
		4	0	3836	148	0	84
	90 deg	1a	0	14754	110	0	355
		1b	0	4893	119	0	112
		3	0	11432	261	0	265
		4	0	4967	147	0	112
	-45 deg	1a	**0**	**7829**	**114**	**0**	**184**
		1b	**0**	**3489**	120	**0**	**78**
		3	**0**	7404	**264**	**0**	166
		4	**0**	3622	148	**0**	79

Belasting uit mast

N	V	M
443	102	2857
443	19	536
443	29	804
443	19	536
443	102	2857
443	19	536
443	29	804
443	19	536
443	102	2857
443	19	536
443	29	804
443	19	536
443	102	2857
443	19	536
443	29	804
443	19	536
443	102	2857
443	19	536
443	29	804
443	19	536
443	102	2857
443	19	536
443	29	804
443	19	536
443	102	2857
443	19	536
443	29	804
443	19	536
443	102	2857
443	19	536
443	29	804
443	19	536

Totaal

regel		Loadcase	M$_{langs}$	M$_{dwars}$	N	V$_{langs}$	V$_{dwars}$	Totaal moment				
1	Perm load 1,2	0 deg	1a	2857	2634	600	102	54	3885,78	1	x	x
2	Perm load 1,2	0 deg	1b	536	2938	602	19	62	2985,965	2		
3	Perm load 1,2	0 deg	3	804	4607	746	29	94	4676,86	3	x	
4	Perm load 1,2	0 deg	4	536	3071	630	19	63	3117,208	4		
5	Perm load 1,2	0 deg	6							5		
6										6		
7	Perm load 1,2	45 deg	1a	2020	11399	595	72	292	11576,35	7		
8	Perm load 1,2	45 deg	1b	379	4649	602	14	108	4664,759	8		
9	Perm load 1,2	45 deg	3	568	9068	745	20	211	9085,772	9		
10	Perm load 1,2	45 deg	4	379	4741	629	14	108	4756,543	10		
11										11		
12	Perm load 1,2	90 deg	1a	0	17967	592	0	463	17967,27	12	x	x x
13	Perm load 1,2	90 deg	1b	0	5955	601	0	142	5954,665	13		
14	Perm load 1,2	90 deg	3	0	12651	743	0	302	12651,46	14		
15	Perm load 1,2	90 deg	4 Construct	0	6008	629	0	141	6008,442	15		
16										16		
17	Perm load 1,2	-45 deg	1a	2020	10294	596	72	265	10490,32	17		
18	Perm load 1,2	-45 deg	1b	379	4432	602	14	102	4447,869	18		
19	Perm load 1,2	-45 deg	3	568	8432	745	20	195	8450,96	19		
20	Perm load 1,2	-45 deg	4	379	4531	630	14	103	4546,718	20		
21										21		
22	Perm load 0,9	0 deg	1a	2857	2069	561	102	43	3527,689	22	x	x
23	Perm load 0,9	0 deg	1b	536	2349	563	19	50	2409,406	23		
24	Perm load 0,9	0 deg	3	804	4117	708	29	85	4194,733	24		
25	Perm load 0,9	0 deg	4	536	2526	591	19	52	2582,566	25		
26	Perm load 0,9	0 deg	6							26		
27										27		
28	Perm load 0,9	45 deg	1a	2020	10972	556	72	284	11156,85	28		
29	Perm load 0,9	45 deg	1b	379	4091	563	14	97	4108,723	29		
30	Perm load 0,9	45 deg	3	568	8615	707	20	202	8634,2	30		
31	Perm load 0,9	45 deg	4 Construct	379	4215	591	14	98	4231,589	31		
32										32		
33	Perm load 0,9	90 deg	1a	0	17611	553	0	457	17611,49	33		
34	Perm load 0,9	90 deg	1b	0	5429	562	0	131	5428,771	34		
35	Perm load 0,9	90 deg	3	0	12235	704	0	294	12235,11	35		
36	Perm load 0,9	90 deg	4	0	5503	590	0	131	5502,985	36		
37										37		
38	Perm load 0,9	-45 deg	1a	2020	9849	557	72	257	10053,82	38		
39	Perm load 0,9	-45 deg	1b	379	3868	563	14	91	3886,23	39		
40	Perm load 0,9	-45 deg	3	568	7972	707	20	186	7992,409	40		
41	Perm load 0,9	-45 deg	4	379	4001	591	14	93	4018,461	41		
		Max		2857	17967	746	102	463	17967			

samenvatting

	Mast	Bijlage		Wind	Loadcase	M$_{langs}$	M$_{dwars}$	N	V$_{langs}$	V$_{dwars}$
1	W4S400Z+	15-AA	Perm load	0 deg	1a	2857	2634	600	102	54
2	W4S400Z+	15-AA	Perm load	0 deg	3	804	4607	746	29	94
12	W4S400Z+	15-AA	Perm load	90 deg	1a	0	17967	592	0	463
22	W4S400Z+	15-AA	Perm load	0 deg	1a	2857	2069	561	102	43

	150C1F2 / 15529	3644	44159	5529	3644	-44159	11,058	7,288	0	0	258,0312	11,058	0	7,288															
	150C1F3 / 15533	3453	43910	5533	3453	-43910	11,066	6,906	0	0	183,8324	11,066	0	6,906															
1a	Comp. gl	5011	6067	47521	5011	6067	-47521	10,022	12,134	0	0	316,1845	10,022	0	12,134	1a	0	8273,752	153,282	0	192,696								
Wind, 10 dg	GW / opgw	2377	4111	26910	2377	4111	-26910	4,754	8,222	0	0	477,9251	4,754	0	8,222	Wind angle: -45 dgr													
Permanent loads yg= 1:		118412	24513	180840	18412	24513	-180840	36,824	49,026	0	0	2576,709	36,824	0	49,026														
Wind angle:	380C1F2 / 318462	23111	176582	18462	23111	-176582	36,924	46,222	0	0	2046,9	36,924	0	46,222															
	380C1F3 / 318528	21312	171391	18528	21312	-171391	37,056	42,624	0	0	1539,502	37,056	0	42,624															
	150C1F1 / 14603	6128	45210	4603	6128	-45210	9,206	12,256	0	0	569,6303	9,206	0	12,256															
	150C1F2 / 14616	5778	44145	4616	5778	-44145	9,232	11,556	0	0	437,0169	9,232	0	11,556															
	150C1F3 / 14632	5328	42848	4632	5328	-42848	9,264	10,656	0	0	309,8835	9,264	0	10,656															
1b	Comp. gl	5174	2816	45401	5174	2816	-45401	10,348	5,632	0	0	157,5003	10,348	0	5,632	1b	0	4052,922	158,87	0	88,928								
Wind, -20 dg	GW / opgw	2493	1601	22363	2493	1601	-22363	4,986	3,202	0	0	190,6979	4,986	0	3,202	Wind angle: -45 dgr													
Permanent loads yg= 1:		119133	10981	171285	19133	10981	-171285	38,266	21,962	0	0	1257,404	38,266	0	21,962														
Wind angle:	380C1F2 / 319138	10705	171055	19138	10705	-171055	38,276	21,41	0	0	1048,418	38,276	0	21,41															
	380C1F3 / 319144	10352	170786	19144	10352	-170786	38,288	20,704	0	0	843,8983	38,288	0	20,704															
	150C1F1 / 14783	2745	42821	4783	2745	-42821	9,566	5,49	0	0	236,8874	9,566	0	5,49															
	150C1F2 / 14784	2676	42764	4784	2676	-42764	9,568	5,352	0	0	184,6267	9,568	0	5,352															
	150C1F3 / 14786	2588	42697	4786	2588	-42697	9,572	5,176	0	0	133,4892	9,572	0	5,176															
3	Comp. gl	20190	9409	123811	20190	9409	-123811	40,38	18,818	0	0	537,1977	40,38	0	18,818	3	0	7863,656	302,378	0	174,73								
Wind+ice, -(	GW / opgw	9976	5720	62320	9976	5720	-62320	19,952	11,44	0	0	684,4389	19,952	0	11,44	Wind angle: -45 dgr													
Permanent loads yg= 1:		232254	20080	244441	32254	20080	-244441	64,508	40,16	0	0	2273,414	64,508	0	40,16														
Wind angle:	380C1F2 / 332272	19333	243586	32272	19333	-243586	64,544	38,666	0	0	1871,718	64,544	0	38,666															
	380C1F3 / 332292	18376	242584	32292	18376	-242584	64,584	36,752	0	0	1481,998	64,584	0	36,752															
	150C1F1 / 18064	5020	61110	8064	5020	-61110	16,128	10,04	0	0	437,8022	16,128	0	10,04															
	150C1F2 / 18068	4833	60896	8068	4833	-60896	16,136	9,666	0	0	337,2883	16,136	0	9,666															
	150C1F3 / 18073	4594	60646	8073	4594	-60646	16,146	9,188	0	0	239,7977	16,146	0	9,188															
4	Comp. gl	6762	3061	51515	6762	3061	-51515	13,524	6,122	0	0	175,4953	13,524	0	6,122	4	0	4152,123	186,534	0	89,524								
Construction	GW opgw	3288	1710	26262	3288	1710	-26262	6,576	3,42	0	0	205,5057	6,576	0	3,42	Wind angle: -45 dgr													
Permanent loads yg= 1:		122187	10956	172854	22187	10956	-172854	44,374	21,912	0	0	1283,888	44,374	0	21,912														
Wind angle:	380C1F2 / 322191	10689	172675	22191	10689	-172675	44,382	21,378	0	0	1076,047	44,382	0	21,378															
	380C1F3 / 322195	10348	172466	22195	10348	-172466	44,39	20,696	0	0	872,5474	44,39	0	20,696															
	150C1F1 / 15547	2739	43213	5547	2739	-43213	11,094	5,478	0	0	231,1683	11,094	0	5,478															
	150C1F2 / 15548	2672	43169	5548	2672	-43169	11,096	5,344	0	0	179,1716	11,096	0	5,344															
	150C1F3 / 15549	2587	43117	5549	2587	-43117	11,098	5,174	0	0	128,3009	11,098	0	5,174															
1a	Comp. gl	3859	1397	31599	3859	1397	-31599	7,718	2,794	0	0	83,00915	7,718	0	2,794	1a	0	2069,334	118,312	0	42,908								
Wind, 10 dg	GW / opgw	1861	678	15226	1861	678	-15226	3,722	1,356	0	0	83,1075	3,722	0	1,356	Wind angle: 0 dgr													
Permanent loads yg= 0:		114250	5174	116855	14250	5174	-116855	28,5	10,348	0	0	642,0565	28,5	0	10,348														
Wind angle:	380C1F2 / 314250	5169	116855	14250	5169	-116855	28,5	10,338	0	0	553,6935	28,5	0	10,338															
	380C1F3 / 314250	5161	116856	14250	5161	-116856	28,5	10,322	0	0	465,3085	28,5	0	10,322															
	150C1F1 / 13562	1293	29214	3562	1293	-29214	7,124	2,586	0	0	102,7916	7,124	0	2,586															
	150C1F2 / 13562	1292	29214	3562	1292	-29214	7,124	2,584	0	0	80,72961	7,124	0	2,584															
	150C1F3 / 13562	1290	29214	3562	1290	-29214	7,124	2,58	0	0	58,63761	7,124	0	2,58															
1b	Comp. gl	3914	1578	36072	3914	1578	-36072	7,828	3,156	0	0	92,08561	7,828	0	3,156	1b	0	2349,101	120,332	0	49,738								
Wind, -20 dg	GW / opgw	1889	770	17575	1889	770	-17575	3,778	1,54	0	0	93,72946	3,778	0	1,54	Wind angle: 0 dgr													
Permanent loads yg= 0:		114497	6007	137241	14497	6007	-137241	28,994	12,014	0	0	726,0306	28,994	0	12,014														
Wind angle:	380C1F2 / 314497	6006	137241	14497	6006	-137241	28,994	12,012	0	0	623,8306	28,994	0	12,012															
	380C1F3 / 314497	6004	137241	14497	6004	-137241	28,994	12,008	0	0	521,6006	28,994	0	12,008															
	150C1F1 / 13624	1502	34310	3624	1502	-34310	7,248	3,004	0	0	122,8572	7,248	0	3,004															
	150C1F2 / 13624	1501	34310	3624	1501	-34310	7,248	3,002	0	0	97,24222	7,248	0	3,002															
	150C1F3 / 13624	1501	34310	3624	1501	-34310	7,248	3,002	0	0	71,72522	7,248	0	3,002															
3	Comp. gl	18993	5122	116923	18993	5122	-116923	37,986	10,244	0	0	322,6196	37,986	0	10,244	3	0	4117,052	265,154	0	85,1								
Wind+ice, -(	GW / opgw	9418	2548	58077	9418	2548	-58077	18,836	5,096	0	0	319,401	18,836	0	5,096	Wind angle: 0 dgr													
Permanent loads yg= 0:		127778	9305	212205	27778	9305	-212205	55,556	18,61	0	0	1175,059	55,556	0	18,61														
Wind angle:	380C1F2 / 327778	9302	212205	27778	9302	-212205	55,556	18,604	0	0	1016,631	55,556	0	18,604															
	380C1F3 / 327778	9298	212205	27778	9298	-212205	55,556	18,596	0	0	858,2408	55,556	0	18,596															
	150C1F1 / 16944	2326	53051	6944	2326	-53051	13,888	4,652	0	0	181,3121	13,888	0	4,652															
	150C1F2 / 16944	2325	53051	6944	2325	-53051	13,888	4,65	0	0	141,6891	13,888	0	4,65															
	150C1F3 / 16944	2324	53051	6944	2324	-53051	13,888	4,648	0	0	102,1001	13,888	0	4,648															
4	Comp. gl	5512	1897	43378	5512	1897	-43378	11,024	3,794	0	0	113,7443	11,024	0	3,794	4	0	2526,398	148,194	0	52,256								
Construction	GW opgw	2687	926	21162	2687	926	-21162	5,374	1,852	0	0	113,9306	5,374	0	1,852	Wind angle: 0 dgr													
Permanent loads yg= 0:		117573	6216	142035	17573	6216	-142035	35,146	12,432	0	0	775,6546	35,146	0	12,432														
Wind angle:	380C1F2 / 317573	6215	142035	17573	6215	-142035	35,146	12,43	0	0	669,9016	35,146	0	12,43															
	380C1F3 / 317573	6213	142035	17573	6213	-142035	35,146	12,426	0	0	564,1186	35,146	0	12,426															
	150C1F1 / 14393	1554	35509	4393	1554	-35509	8,786	3,108	0	0	122,7886	8,786	0	3,108															
	150C1F2 / 14393	1554	35509	4393	1554	-35509	8,786	3,108	0	0	96,37061	8,786	0	3,108															
	150C1F3 / 14393	1553	35509	4393	1553	-35509	8,786	3,106	0	0	69,88861	8,786	0	3,106															
6	Comp. gl	3859	1380	31600	3859	1380	-31600	7,718	2,76	0	0	82,17615	7,718	0	2,76	6	0	2046,895	118,312	0	42,358								
Permanent,	GW / opgw	1861	665	15226	1861	665	-15226	3,722	1,33	0	0	81,61812	3,722	0	1,33	0													
Permanent loads yg= 1:		114250	5102	116857	14250	5102	-116857	28,5	10,204	0	0	635,0005	28,5	0	10,204														
	380C1F2 / 314250	5102	116857	14250	5102	-116857	28,5	10,204	0	0	548,2665	28,5	0	10,204															
	380C1F3 / 314250	5102	116857	14250	5102	-116857	28,5	10,204	0	0	461,5325	28,5	0	10,204															
	150C1F1 / 13562	1276	29214	3562	1276	-29214	7,124	2,552	0	0	101,1256	7,124	0	2,552															
	150C1F2 / 13562	1276	29214	3562	1276	-29214	7,124	2,552	0	0	79,43361	7,124	0	2,552															
	150C1F3 / 13562	1276	29214	3562	1276	-29214	7,124	2,552	0	0	57,74161	7,124	0	2,552															
1a	Comp. gl	3706	6647	44599	3706	6647	-44599	7,412	13,294	0	0	339,682	7,412	0	13,294	1a	0	8952,218	113,318	0	212,064								
Wind, 10 dg	GW / opgw	1753	4635	27323	1753	4635	-27323	3,506	9,27	0	0	536,1379	3,506	0	9,27	Wind angle: 45 dgr													
Permanent loads yg= 0:		113599	27124	173862	13599	27124	-173862	27,198	54,248	0	0	2786,989	27,198	0	54,248														
Wind angle:	380C1F2 / 313647	25428	167340	13647	25428	-167340	27,294	50,856	0	0	2188,96	27,294	0	50,856															
	380C1F3 / 313714	23248	159166	13714	23248	-159166	27,428	46,496	0	0	1617,798	27,428	0	46,496															
	150C1F1 / 13400	6781	43466	3400	6781	-43466	6,8	13,562	0	0	641,7036	6,8	0	13,562															
	150C1F2 / 13412	6357	41835	3412	6357	-41835	6,824	12,714	0	0	492,002	6,824	0	12,714															
	150C1F3 / 13428	5812	39791	3428	5812	-39791	6,856	11,624	0	0	348,9456	6,856	0	11,624															
1b	Comp. gl	3900	2609	36764	3900	2609	-36764	7,8	5,218	0	0	142,5518	7,8	0	5,218	1b	0	3712,437	119,83	0	83,2								
Wind, -20 dg	GW / opgw	1874	1552	18389	1874	1552	-18389	3,748	3,104	0	0	183,2779	3,748	0	3,104	Wind angle: 45 dgr													
Permanent loads yg= 0:		114427	10354	140467	14427	10354	-140467	28,854	20,708	0	0	1151,373	28,854	0	20,708														
Wind angle:	380C1F2 / 314437	10015	139991	14437	10015	-139991	28,874	20,03	0	0	947,9911	28,874	0	20,03															
	380C1F3 / 314449	9582	139433	14449	9582	-139433	28,898	19,164	0	0	750,1378	28,898	0	19,164															
	150C1F1 / 13607	2589	35117	3607	2589	-35117	7,214	5,178	0	0	229,4974	7,214	0	5,178															
	150C1F2 / 13609	2504	34998	3609	2504	-34998	7,218	5,008	0	0	178,586	7,218	0	5,008															
	150C1F3 / 13612	2395	34858	3612	2395	-34858	7,224	4,79	0	0	129,0218	7,224	0	4,79															
3	Comp. gl	18945	9969	118995	18945	9969	-118995	37,89	19,938	0	0	559,9415	37,89	0	19,938	3	0	8047,302	263,64	0	181,966								
Wind+ice, -(	GW / opgw	9366	6211	60465	9366	6211	-60465	18,732	12,422	0	0	738,9118	18,732	0	12,422	Wind angle: 45 dgr													
Permanent loads yg= 0:		127573	20938	222258	27573	20938	-222258	55,146	41,876	0	0	2313,151	55,146	0	41,876														
Wind angle:	380C1F2 / 327601	20032	220807	27601	20032	-220807	55,202	40,064	0	0	1884,084	55,202	0	40,064															
	380C1F3 / 327634	18872	219095	27634	18872	-219095	55,268	37,744	0	0	1469,613	55,268	0	37,744															
	150C1F1 / 16893	5235	55565	6893	5235	-55565	13,786	10,47	0	0	466,7366	13,786	0	10,47															
	150C1F2 / 16900	5008	55202	6900	5008	-55202	13,8	10,016	0	0	359,3076	13,8	0	10,016															
	150C1F3 / 16908	4718	54774	6908	4718	-54774	13,816	9,436	0	0	255,5579	13,816	0	9,436															
4	Comp. gl	5503	2884	43784	5503	2884	-43784	11,006	5,768	0	0	162,0733	11,006	0	5,768	4	0	3835,813	147,868	0	84,386								
Construction	GW opgw	2678	1672	21643	2678	1672	-21643	5,356	3,344	0	0	199,3721	5,356	0	3,344	Wind angle: 45 dgr													
Permanent loads yg= 0:		117527	10391	144361	17527	10391	-144361	35,054	20,782	0	0	1184,369	35,054	0	20,782														
Wind angle:	380C1F2 / 317534	10067	144013	17534	10067	-144013	35,068	20,134	0	0	981,5441	35,068	0	20,134															
	380C1F3 / 317542	9651	143605	17542	9651	-143605	35,084	19,302	0	0	783,8569	35,084	0	19,302															
	150C1F1 / 14382	2598	36090	4382	2598	-36090	8,764	5,196	0	0	225,1745	8,764	0	5,196															
	150C1F2 / 14383	2517	36003	4383	2517	-36003	8,766	5,034	0	0	174,4408	8,766	0	5,034															
	150C1F3 / 14385	2413	35901	4385	2413	-35901	8,77	4,826	0	0	124,9823	8,77	0	4,826															
1a	Comp. gl	3610	11100	62695	3610	11100	-62695	7,22	22,2	0	0	557,5169	7,22	0	22,2	1a	0	14754,49	110,428	0	354,704								
Wind, 10 dg	GW / opgw	1715	7924	40888	1715	7924	-40888	3,43	15,848	0	0	912,8412	3,43	0	15,848	Wind angle: 90 dgr													
Permanent loads yg= 0:		113259	45567	247926	13259	45567	-247926	26,518	91,134	0	0	4591,182	26,518	0	91,134														
Wind angle:	380C1F2 / 313297	42514	235608	13297	42514	-235608	26,594	85,028	0	0	3569,61	26,594	0	85,028															
	380C1F3 / 313355	38581	219684	13355	38581	-219684	26,71	77,162	0	0	2595,709	26,71	0	77,162															
	150C1F1 / 13315	11392	61981	3315	11392	-61981	6,63	22,784	0	0	1094,152	6,63	0	22,784															
	150C1F2 / 13324	10629	58902	3324	10629	-58902	6,648	21,258	0	0	838,625	6,648	0	21,258															
	150C1F3 / 13339	9645	54921	3339	9645	-54921	6,678	19,29	0	0	594,8553	6,678	0	19,29															
1b	Comp. gl	3871	3504	38381	3871	3504	-38381	7,742	7,008	0	0	186,2974	7,742	0	7,008	1b	0	4893,083	118,808	0	112,216								
Wind, -20 dg	GW / opgw	1846	2234	20148	1846	2234	-20148	3,692	4,468	0	0	261,3315	3,692	0	4,468	Wind angle: 90 dgr													
Permanent loads yg= 0:		114288	14125	147865	14288	14125	-147865	28,576	28,25	0	0	1519,615	28,576	0	28,25														
Wind angle:	380C1F2 / 314314	13491	146376	14314	13491	-146376	28,628	26,982	0	0	1228,382	28,628	0	26,982															
	380C1F3 / 314347	12680	144605	14347	12680	-144605	28,694	25,36	0	0	947,4435	28,694	0	25,36															
	150C1F1 / 13572	3531	36966	3572	3531	-36966	7,144	7,062	0	0	322,0484	7,144	0	7,062															
	150C1F2 / 13579	3373	36594	3579	3373	-36594	7,158	6,746	0	0	249,1764	7,158	0	6,746															
	150C1F3 / 13587	3170	36151	3587	3170	-36151	7,174	6,34	0	0	178,7897	7,174	0	6,34															
3	Comp. gl	18846	14124	123934	18846	14124	-123934	37,692	28,248	0	0	763,1631	37,692	0	28,248	3	0	11431,58	260,884	0	265,478								
Wind+ice, -(	GW / opgw	9275	9352	65698	9275	9352	-65698	18,55	18,704	0	0	1098,504	18,55	0	18,704	Wind angle: 90 dgr													
Permanent loads yg= 0:		127217	30976	243880	27217	30976	-243880	54,434	61,952	0	0	3293,502	54,434	0	61,952														
Wind angle:	380C1F2 / 327280	29295	239654	27280	29295	-239654	54,56	58,59	0	0	2631,346	54,56	0	58,59															
	380C1F3 / 327360	27139	234551	27360	27139	-234551	54,72	54,278	0	0	1996,105	54,72	0	54,278															
	150C1F1 / 16804	7744	60970	6804	7744	-60970	13,608	15,488	0	0	713,2163	13,608	0	15,488															
	150C1F2 / 16820	7324	59914	6820	7324	-59914	13,64	14,648	0	0	547,4409	13,64	0	14,648															
	150C1F3 / 16840	6785	58638	6840	6785	-58638	13,68	13,57	0	0	388,3026	13,68	0	13,57															
4	Comp. gl	5485	3735	44785	5485	3735	-44785	10,97	7,47	0	0	203,7044	10,97	0	7,47	4	0	4967,298	147,164	0	112,172								
Construction	GW opgw	2659	2319	22764	2659	2319	-22764	5,318	4,638	0	0	273,4422	5,318	0	4,638	Wind angle: 90 dgr													
Permanent loads yg= 0:		117430	14007	149890	17430	14007	-149890	34,86	28,014	0	0	1537,818	34,86	0	28,014														
Wind angle:	380C1F2 / 317449	13398	148762	17449	13398	-148762	34,898	26,796	0	0	1250,55	34,898	0	26,796															
	380C1F3 / 317472	12620	147430	17472	12620	-147430	34,944	25,24	0	0	973,2097	34,944	0	25,24															
	150C1F1 / 14357	3502	37472	4357	3502	-37472	8,714	7,004	0	0	313,9344	8,714	0	7,004															
	150C1F2 / 14362	3350	37190	4362	3350	-37190	8,724	6,7	0	0	242,0548	8,724	0	6,7															
	150C1F3 / 14368	3155	36857	4368	3155	-36857	8,736	6,31	0	0	172,5845	8,736	0	6,31															
1a	Comp. gl	3733	5786	41388	3733	5786	-41388	7,466	11,572	0	0	297,5949	7,466	0	11,572	1a	0	7828,553	114,17	0	184,43								
Wind, 10 dg	GW / opgw	1766	3994	24677	1766	3994	-24677	3,532	7,988	0	0	462,7378	3,532	0	7,988	Wind angle: -45 dgr													
Permanent loads yg= 0:		113704	23546	160264	13704	23546	-160264	27,408	47,092	0	0	2437,34	27,408	0	47,092														
Wind angle:	380C1F2 / 313751	22118	155043	13751	22118	-155043	27,502	44,236	0	0	1921,835	27,502	0	44,236															
	380C1F3 / 313814	20285	148570	13814	20285	-148570	27,628	40,57	0	0	1429,114	27,628	0	40,57															
	150C1F1 / 13426	5886	40066	3426	5886	-40066	6,852	11,772	0	0	553,819	6,852	0	11,772															
	150C1F2 / 13438	5529	38761	3438	5529	-38761	6,876	11,058	0	0	424,7594	6,876	0	11,058															
	150C1F3 / 13453	5071	37143	3453	5071	-37143	6,906	10,142	0	0	301,3537	6,906	0	10,142															
1b	Comp. gl	3904	2440	36556	3904	2440	-36556	7,808	4,88	0	0	134,2859	7,808	0	4,88	1b	0	3488,937	119,974	0	77,712								
Wind, -20 dg	GW / opgw	1878	1423	18151	1878	1423	-18151	3,756	2,846	0	0	168,5103	3,756	0	2,846	Wind angle: -45 dgr													
Permanent loads yg= 0:		114447	9641	139506	14447	9641	-139506	28,894	19,282	0	0	1081,689	28,894	0	19,282														
Wind angle:	380C1F2 / 314454	9358	139168	14454	9358	-139168	28,908	18,716	0	0	894,9352	28,908	0	18,716															
	380C1F3 / 314462	8996	138773	14462	8996	-138773	28,924	17,992	0	0	712,757	28,924

Permanent loads γg= 0,127629		19030	219318	27629	19030	-219318		55,258	38,06	0		0	2126,697	55,258	0	38,06							
Wind angle: 380C1F2 / 327650		18273	218276	27650	18273	-218276		55,3	36,546	0		0	1742,069	55,3	0	36,546							
380C1F3 / 327674		17303	217052	27674	17303	-217052		55,348	34,606	0		0	1369,575	55,348	0	34,606							
150C1F1 / 16907		4758	54830	6907	4758	-54830		13,814	9,516	0		0	419,8966	13,814	0	9,516							
150C1F2 / 16912		4568	54569	6912	4568	-54569		13,824	9,136	0		0	323,587	13,824	0	9,136							
150C1F3 / 16918		4326	54263	6918	4326	-54263		13,836	8,652	0		0	230,4027	13,836	0	8,652							
4	Comp. gl	5506	2723	43659	5506	2723	-43659	11,012	5,446	0		0	154,1956	11,012	0	5,446	4	0	3621,78	147,966	0	79,132	
Constructior GW	opgw	2681	1550	21499	2681	1550	-21499	5,362	3,1	0		0	185,4016	5,362	0	3,1	Wind angle: -45 dgr						
Permanent loads γg= 0,117541		9708	143658	17541	9708	-143658		35,082	19,416	0		0	1117,567	35,082	0	19,416							
Wind angle: 380C1F2 / 317545		9437	143412	17545	9437	-143412		35,09	18,874	0		0	930,6183	35,09	0	18,874							
380C1F3 / 317551		9090	143126	17551	9090	-143126		35,102	18,18	0		0	748,0382	35,102	0	18,18							
150C1F1 / 14385		2427	35915	4385	2427	-35915		8,77	4,854	0		0	208,3963	8,77	0	4,854							
150C1F2 / 14386		2359	35853	4386	2359	-35853		8,772	4,718	0		0	161,6226	8,772	0	4,718							
150C1F3 / 14388		2272	35781	4388	2272	-35781		8,776	4,544	0		0	115,9382	8,776	0	4,544							

W4S400Z+15-AA2

| | | |

| | | |

o o o o o

o o o o o

o o o o o

o o o o o

o o o o o

o o o o o

o o o o o

o o o o o

W2H400+ 17-O

| | | |

| | | |

W2H400+117-01

Hoogte mast	Ber & bijlage	67	m
Hoogte onderste stroomdraad (F3)		37	m

		Hoogte		Excentriciteit ophanging t.o.v. hart mast
Bliksemdraad = GW / tM$_{mast}$ -	0,57 m =	66,43	m	0,759 m
1e traverse - 380C1F1 F2 +	10 m =	57	m	0 m
2e traverse - 380C1F2 F3 +	10 m =	47	m	0 m
3e traverse - 380C1F3		37	m	0 m
Passieve lijn = Comp C.F3 -	7,5 m =	29,5	m	2,075 m

Uit mast (excl belastingsfactoren)

N [kN]	V [kN]	M [kNm]
1003	148	4621

Uit lijnen (incl belastingsfactoren)

Nmin [kN]	Nmax [kN]	Vmax [kN]	Mlangs;ma [kNm]	Mdwars;max [kNm]
101	173	696	5453	32379

Belastingen uit lijnen

				M$_{langs}$	M$_{dwars}$	N	V$_{langs}$	V$_{dwars}$
Perm load 1,2	0 deg	1a		0	22028	141	0	474
		1b		0	24206	145	0	521
			3	0	26959	**173**	0	582
			4	0	24166	163	0	521
			6	0	22922	158	0	494
	45 deg	1a		-4000	25597	138	-83	549
		1b		-299	24884	144	-6	535
			3	-2889	29943	170	-60	645
			4	-187	24792	163	-4	534
	90 deg	1a		0	28486	136	0	609
		1b		0	25465	144	0	548
			3	0	**32379**	169	0	**696**
			4	0	25340	162	0	546
	-45 deg	1a		4000	25597	138	83	549
		1b		299	24884	144	6	535
			3	2889	29943	170	60	645
			4	187	24792	163	4	534
Perm load 0,9	0 deg	1a		0	17778	106	0	382
		1b		0	19618	110	0	422
			3	0	22803	139	0	493
			4	0	19952	129	0	430
			6	0	**16475**	107	0	**355**
	45 deg	1a		**-5453**	21980	103	**-114**	470
		1b		-549	20410	110	-11	439
			3	-3859	26219	136	-80	564
			4	-349	20653	128	-7	445
	90 deg	1a		0	25398	**101**	0	542
		1b		0	21067	109	0	453
			3	0	28986	134	0	623
			4	0	21250	128	0	457
	-45 deg	1a		**5453**	21980	103	**114**	470
		1b		549	20410	110	11	439
			3	3859	26219	136	80	564
			4	349	20653	128	7	445

Belasting uit mast

N	V	M
1003	148	4621
1003	28	866
1003	42	1300
1003	28	866
1003	148	4621
1003	28	866
1003	42	1300
1003	28	866
1003	148	4621
1003	28	866
1003	42	1300
1003	28	866
1003	148	4621
1003	28	866
1003	42	1300
1003	28	866
752	148	4621
752	28	866
752	42	1300
752	28	866
752	148	4621
752	28	866
752	42	1300
752	28	866
752	148	4621
752	28	866
752	42	1300
752	28	866
752	148	4621
752	28	866
752	42	1300
752	28	866

Totaal

regel		Loadcase	M$_{langs}$	M$_{dwars}$	N	V$_{langs}$	V$_{dwars}$	Totaal moment
1	Perm load 1,2	0 deg	1a	4621	22028	1144	148	474 22507,8
2	Perm load 1,2	0 deg	1b	866	24206	1148	28	521 24221,32
3	Perm load 1,2	0 deg	3	1300	26959	1176	42	582 26990,61
4	Perm load 1,2	0 deg	4	866	24166	1166	28	521 24181,04
5	Perm load 1,2	0 deg	6					
6								
7	Perm load 1,2	45 deg	1a	7267	28864	1141	188	653 29764,99
8	Perm load 1,2	45 deg	1b	912	25496	1147	26	555 25512,56
9	Perm load 1,2	45 deg	3	3808	30862	1173	89	674 31095,85
10	Perm load 1,2	45 deg	4	799	25405	1166	23	554 25417,13
11								
12	Perm load 1,2	90 deg	1a	0	33107	1139	0	757 33107,48
13	Perm load 1,2	90 deg	1b	0	26332	1147	0	575 26331,82
14	Perm load 1,2	90 deg	3	0	33678	1172	0	738 33678,28
15	Perm load 1,2	90 deg	4 Construct	0	26207	1165	0	573 26206,88
16								
17	Perm load 1,2	-45 deg	1a	7267	28864	1141	188	653 29764,99
18	Perm load 1,2	-45 deg	1b	912	25496	1147	26	555 25512,56
19	Perm load 1,2	-45 deg	3	3808	30862	1173	89	674 31095,85
20	Perm load 1,2	-45 deg	4	799	25405	1166	23	554 25417,13
21								
22	Perm load 0,9	0 deg	1a	4621	17778	859	148	382 18369,01
23	Perm load 0,9	0 deg	1b	866	19618	862	28	422 19636,86
24	Perm load 0,9	0 deg	3	1300	22803	891	42	493 22840,1
25	Perm load 0,9	0 deg	4	866	19952	881	28	430 19970,61
26	Perm load 0,9	0 deg	6					
27								
28	Perm load 0,9	45 deg	1a	8721	25248	855	218	575 26711,15
29	Perm load 0,9	45 deg	1b	1161	21022	862	31	459 21054,46
30	Perm load 0,9	45 deg	3	4778	27138	888	110	594 27555,44
31	Perm load 0,9	45 deg	4 Construct	962	21265	881	27	464 21287,1
32								
33	Perm load 0,9	90 deg	1a	0	30019	853	0	690 30019,1
34	Perm load 0,9	90 deg	1b	0	21933	861	0	480 21933,17
35	Perm load 0,9	90 deg	3	0	30286	886	0	664 30285,61
36	Perm load 0,9	90 deg	4	0	22116	880	0	485 22116,05
37								
38	Perm load 0,9	-45 deg	1a	8721	25248	855	218	575 26711,15
39	Perm load 0,9	-45 deg	1b	1161	21022	862	31	459 21054,46
40	Perm load 0,9	-45 deg	3	4778	27138	888	110	594 27555,44
41	Perm load 0,9	-45 deg	4	962	21265	881	27	464 21287,1
		Max		8721	33678	1176	218	757 33678

samenvatting

	Mast	Bijlage		Wind	Loadcase	M$_{langs}$	M$_{dwars}$	N	V$_{langs}$	V$_{dwars}$
3	W2H400+117-01		Perm load	0 deg	3	1300	26959	1176	42	582
12	W2H400+117-01		Perm load	90 deg	1a	0	33107	1139	0	757
14	W2H400+117-01		Perm load	90 deg	3	0	33678	1172	0	738
28	W2H400+117-01		Perm load	45 deg	1a	8721	25248	855	218	575

W2H400+10 TOWER (rev 6.0, date: 05-Appendix O1
Loadcases for tower strength (special limit state)
Loadcase Attachment point

		AHEAD			BACK		
		[N]	[N]	[N]	[N]	[N]	[N]
1a	380C1F1	20683	69972	132902	20683	69972	-132902
Wind, 10 ◦	380C1F2	20695	69594	132721	20695	69594	-132721
Permaner	380C1F3	20709	69125	132523	20709	69125	-132523
Wind ang	GW / opg.	2695	9433	17592	2695	9433	-17592
	Comp. gl	5610	18878	36057	5610	18878	-36057
1b	380C1F1	21294	76841	151831	21294	76841	-151831
Wind, -20	380C1F2	21296	76755	151836	21296	76755	-151836
Permaner	380C1F3	21297	76647	151847	21297	76647	-151847
Wind ang	GW / opg.	2775	10001	19651	2775	10001	-19651
	Comp. gl	5747	20378	40315	5747	20378	-40315
3	380C1F1	24206	82332	158739	24206	82332	-158739
Wind+ice,	380C1F2	24214	82041	158652	24214	82041	-158652
Permaner	380C1F3	24224	81678	158562	24224	81678	-158562
Wind ang	GW / opg.	4555	15123	28235	4555	15123	-28235
	Comp. gl	9340	29873	57067	9340	29873	-57067
4	380C1F1	23663	75860	149863	23663	75860	-149863
Construction/mainte		23664	75777	149874	23664	75777	-149874
Permaner	380C1F3	23665	75672	149891	23665	75672	-149891
Wind ang	GW / opg.	3430	10895	21444	3430	10895	-21444
	Comp. gl	7060	22249	44069	7060	22249	-44069
6	380C1F1	23267	72548	145509	23267	72548	-145509
Permaner	380C1F2	23267	72548	145509	23267	72548	-145509
Permaner	380C1F3	23267	72548	145509	23267	72548	-145509
	GW / opg.	3042	9537	19127	3042	9537	-19127
	Comp. gl	6308	19750	39612	6308	19750	-39612
1a	380C1F1	20743	67763	132149	19687	96377	-159684
Wind, 10 ◦	380C1F2	20746	67608	132130	19796	93154	-155163
Permaner	380C1F3	20750	67414	132115	19939	89154	-151163
Wind ang	GW / opg.	2709	8987	17354	2514	14843	-23770
	Comp. gl	5623	18356	35903	5377	25102	-42181
1b	380C1F1	21301	76315	151907	21118	81945	-154021
Wind, -20	380C1F2	21302	76275	151917	21144	81333	-153596
Permaner	380C1F3	21302	76225	151932	21176	80580	-153115
Wind ang	GW / opg.	2777	9902	19653	2736	11043	-20305
	Comp. gl	5748	20251	40337	5709	21582	-40776
3	380C1F1	24247	80606	158438	23391	102069	-175833
Wind+ice,	380C1F2	24249	80482	158440	23493	99626	-173181
Permaner	380C1F3	24252	80325	158448	23622	96619	-170029
Wind ang	GW / opg.	4576	14472	27966	4276	22751	-36152
	Comp. gl	9359	29095	56915	8989	38728	-64802
4	380C1F1	23668	75348	149967	23533	80626	-151368
Construction/mainte		23668	75309	149978	23553	80064	-151046
Permaner	380C1F3	23669	75259	149994	23576	79372	-150688
Wind ang	GW / opg.	3431	10801	21458	3403	11807	-21835
	Comp. gl	7061	22128	44100	7035	23337	-44295
1a	380C1F1	19841	91866	154315	19841	91866	-154315
Wind, 10 ◦	380C1F2	19941	89104	151105	19941	89104	-151105
Permaner	380C1F3	20069	85690	147242	20069	85690	-147242
Wind ang	GW / opg.	2537	13947	22632	2537	13947	-22632
	Comp. gl	5416	24027	40920	5416	24027	-40920
1b	380C1F1	21154	81089	153435	21154	81089	-153435
Wind, -20	380C1F2	21176	80570	153109	21176	80570	-153109
Permaner	380C1F3	21201	79931	152744	21201	79931	-152744
Wind ang	GW / opg.	2743	10864	20147	2743	10864	-20147
	Comp. gl	5717	21381	40649	5717	21381	-40649
3	380C1F1	23535	98655	172148	23535	98655	-172148
Wind+ice,	380C1F2	23624	96581	169990	23624	96581	-169990
Permaner	380C1F3	23735	94034	167444	23735	94034	-167444
Wind ang	GW / opg.	4313	21490	34661	4313	21490	-34661
	Comp. gl	9047	37213	63173	9047	37213	-63173
4	380C1F1	23560	79841	150926	23560	79841	-150926
Construction/mainte		23576	79363	150684	23576	79363	-150684
Permaner	380C1F3	23595	78773	150417	23595	78773	-150417
Wind ang	GW / opg.	3409	11654	21731	3409	11654	-21731
	Comp. gl	7040	23161	44217	7040	23161	-44217
1a	380C1F1	19687	96377	159684	20743	67763	-132149
Wind, 10 ◦	380C1F2	19796	93154	155834	20746	67608	-132130
Permaner	380C1F3	19939	89154	151163	20750	67414	-132115
Wind ang	GW / opg.	2514	14843	23770	2709	8987	-17354
	Comp. gl	5377	25102	42181	5623	18356	-35903
1b	380C1F1	21118	81945	154021	21301	76315	-151907
Wind, -20	380C1F2	21144	81333	153596	21302	76275	-151917
Permaner	380C1F3	21176	80580	153115	21302	76225	-151932
Wind ang	GW / opg.	2736	11043	20305	2777	9902	-19653
	Comp. gl	5709	21582	40776	5748	20251	-40337
3	380C1F1	23391	102069	175833	24247	80606	-158438
Wind+ice,	380C1F2	23493	99626	173181	24249	80482	-158440
Permaner	380C1F3	23622	96619	170029	24252	80325	-158448
Wind ang	GW / opg.	4276	22751	36152	4576	14472	-27966
0 Comp. gl		8989	38728	64802	9359	29095	-56915
4	380C1F1	23533	80626	151368	23668	75348	-149967
Construction/mainte		23553	80064	151046	23668	75309	-149978
Permaner	380C1F3	23576	79372	150688	23669	75259	-149994
Wind ang	GW / opg.	3403	11807	21835	3431	10801	-21458
	Comp. gl	7035	23337	44295	7061	22128	-44100
1a	380C1F1	15611	56586	106055	15611	56586	-106055
Wind, 10 ◦	380C1F2	15626	56146	105751	15626	56146	-105751
Permaner	380C1F3	15645	55605	105407	15645	55605	-105407
Wind ang	GW / opg.	2027	7680	14077	2027	7680	-14077
	Comp. gl	4233	15152	28583	4233	15152	-28583
1b	380C1F1	16209	62360	122787	16209	62360	-122787
Wind, -20	380C1F2	16211	62267	122779	16211	62267	-122779
Permaner	380C1F3	16213	62151	122774	16213	62151	-122774
Wind ang	GW / opg.	2107	8050	15737	2107	8050	-15737
	Comp. gl	4364	16366	32269	4364	16366	-32269
3	380C1F1	19161	69055	132111	19161	69055	-132111
Wind+ice,	380C1F2	19172	68730	131956	19172	68730	-131956
Permaner	380C1F3	19185	68329	131788	19185	68329	-131788
Wind ang	GW / opg.	3902	13581	25143	3902	13581	-25143
	Comp. gl	7991	26617	50536	7991	26617	-50536
4	380C1F1	18641	62516	123099	18641	62516	-123099
Construction/mainte		18642	62428	123101	18642	62428	-123101
Permaner	380C1F3	18644	62318	123107	18644	62318	-123107

Totaal

	Vert [kN]	Dwars [kN]	Langs [kN]
	41,366	139,944	0
	41,39	139,188	0
	41,418	138,25	0
	5,39	18,866	0
	11,22	37,756	0
	42,588	153,682	0
	42,592	153,51	0
	42,594	153,294	0
	5,55	20,002	0
	11,494	40,756	0
	48,412	164,664	0
	48,428	164,082	0
	48,448	163,356	0
	9,11	30,246	0
	18,68	59,746	0
	47,326	151,72	0
	47,328	151,554	0
	47,33	151,344	0
	6,86	21,79	0
	14,12	44,498	0
	46,534	145,096	0
	46,534	145,096	0
	46,534	145,096	0
	6,084	19,074	0
	12,616	39,5	0
	40,43	164,14	-27,535
	40,542	160,762	-23,704
	40,689	156,568	-19,048
	5,223	23,83	-6,416
	11	43,458	-6,278
	42,419	158,26	-2,114
	42,446	157,608	-1,679
	42,478	156,805	-1,183
	5,513	20,945	-0,652
	11,457	41,833	-0,439
	47,638	182,675	-17,395
	47,742	180,108	-14,741
	47,874	176,944	-11,581
	8,852	37,223	-8,186
	18,348	67,823	-7,887
	47,201	155,974	-1,401
	47,221	155,373	-1,068
	47,245	154,631	-0,694
	6,834	22,608	-0,377
	14,096	45,465	-0,195
	39,682	183,732	0
	39,882	178,208	0
	40,138	171,38	0
	5,074	27,894	0
	10,832	48,054	0
	42,308	162,178	0
	42,352	161,14	0
	42,402	159,862	0
	5,486	21,728	0
	11,434	42,762	0
	47,07	197,31	0
	47,248	193,162	0
	47,47	188,068	0
	8,626	42,98	0
	18,094	74,426	0
	47,152	158,726	0
	47,19	157,546	0
	6,818	23,308	0
	14,08	46,322	0
	40,43	164,14	27,535
	40,542	160,762	23,704
	40,689	156,568	19,048
	5,223	23,83	6,416
	11	43,458	6,278
	42,419	158,26	2,114
	42,446	157,608	1,679
	42,478	156,805	1,183
	5,513	20,945	0,652
	11,457	41,833	0,439
	47,638	182,675	17,395
	47,742	180,108	14,741
	47,874	176,944	11,581
	8,852	37,223	8,186
	18,348	67,823	7,887
	47,201	155,974	1,401
	47,221	155,373	1,068
	47,245	154,631	0,694
	6,834	22,608	0,377
	14,096	45,465	0,195
	31,222	113,172	0
	31,252	112,292	0
	31,29	111,21	0
	4,054	15,36	0
	8,466	30,304	0
	32,418	124,72	0
	32,422	124,534	0
	32,426	124,302	0
	4,214	16,1	0
	8,728	32,732	0
	38,322	138,11	0
	38,344	137,46	0
	38,37	136,658	0
	7,804	27,162	0
	15,982	53,234	0
	37,282	125,032	0
	37,284	124,856	0
	37,288	124,636	0

Belastingen op mastvoet, per lijn

		M$_{langs}$	M$_{dwars}$	N	V$_{langs}$	V$_{dwars}$
	1a	0	7976,808	41,366	0	139,944
	1b	0	6541,836	41,39	0	139,188
	3	0	5115,25	41,418	0	138,25
	4	0	1257,359	5,39	0	18,866
	6	0	1137,084	11,22	0	37,756
	1a	0	8759,874	42,588	0	153,682
	1b	0	7214,97	42,592	0	153,51
	3	0	5671,878	42,594	0	153,294
	4	0	1332,945	5,55	0	20,002
	6	0	1226,152	11,494	0	40,756
	1a	0	9385,848	48,412	0	164,664
	1b	0	7711,854	48,428	0	164,082
	3	0	6044,172	48,448	0	163,356
	4	0	2016,156	9,11	0	30,246
	6	0	1801,268	18,68	0	59,746
	1a	0	8648,04	47,326	0	151,72
	1b	0	7123,038	47,328	0	151,554
	3	0	5599,728	47,33	0	151,344
	4	0	1452,716	6,86	0	21,79
	6	0	1341,99	14,12	0	44,498
	1a	0	8270,472	46,534	0	145,096
	1b	0	6819,512	46,534	0	145,096
	3	0	5368,552	46,534	0	145,096
	4	0	1271,704	6,084	0	19,074
	6	0	1191,428	12,616	0	39,5
	1a	0	7976,808	41,366	0	139,944
	1b	0	6541,836	41,39	0	139,188
	3	0	5115,25	41,418	0	138,25
	4	0	1257,359	5,39	0	18,866
	6	0	1137,084	11,22	0	37,756
	1a	0	8759,874	42,588	0	153,682
	1b	0	7214,97	42,592	0	153,51
	3	0	5671,878	42,594	0	153,294
	4	0	1332,945	5,55	0	20,002
	6	0	1226,152	11,494	0	40,756
	1a	0	9385,848	48,412	0	164,664
	1b	0	7711,854	48,428	0	164,082
	3	0	6044,172	48,448	0	163,356
	4	0	2016,156	9,11	0	30,246
	6	0	1801,268	18,68	0	59,746
	1a	0	8648,04	47,326	0	151,72
	1b	0	7123,038	47,328	0	151,554
	3	0	5599,728	47,33	0	151,344
	4	0	1452,716	6,86	0	21,79
	6	0	1341,99	14,12	0	44,498
	1a	0	8270,472	46,534	0	145,096
	1b	0	6819,512	46,534	0	145,096
	3	0	5368,552	46,534	0	145,096
	4	0	1271,704	6,084	0	19,074
	6	0	1191,428	12,616	0	39,5
	1a	0	7976,808	41,366	0	139,944
	1b	0	6541,836	41,39	0	139,188
	3	0	5115,25	41,418	0	138,25
	4	0	1257,359	5,39	0	18,866
	6	0	1137,084	11,22	0	37,756
	1a	0	8759,874	42,588	0	153,682
	1b	0	7214,97	42,592	0	153,51
	3	0	5671,878	42,594	0	153,294
	4	0	1332,945	5,55	0	20,002
	6	0	1226,152	11,494	0	40,756
	1a	0	9385,848	48,412	0	164,664
	1b	0	7711,854	48,428	0	164,082
	3	0	6044,172	48,448	0	163,356
	4	0	2016,156	9,11	0	30,246
	6	0	1801,268	18,68	0	59,746
	1a	0	8648,04	47,326	0	151,72
	1b	0	7123,038	47,328	0	151,554
	3	0	5599,728	47,33	0	151,344
	4	0	1452,716	6,86	0	21,79
	6	0	1341,99	14,12	0	44,498
	1a	0	8270,472	46,534	0	145,096
	1b	0	6819,512	46,534	0	145,096
	3	0	5368,552	46,534	0	145,096
	4	0	1271,704	6,084	0	19,074
	6	0	1191,428	12,616	0	39,5

Belasting op mastvoet, belastinggeval

		M$_{langs}$	M$_{dwars}$	N	V$_{langs}$	V$_{dwars}$
	1a	0	22028,34	140,784	0	474,004
Wind angle:	0 dgr					
	1b	0	24205,82	144,818	0	521,244
Wind angle:	0 dgr					
	3	0	26959,3	173,078	0	582,094
Wind angle:	0 dgr					
	4	0	24165,51	162,964	0	520,906
Wind angle:	0 dgr					
	6	0	22921,67	158,302	0	493,862
	0					
	1a	0	28486,48	135,608	0	609,268
Wind angle:	90 dgr					
	1b	0	25465,38	143,982	0	547,67
Wind angle:	90 dgr					
	3	0	32378,62	168,508	0	695,946
Wind angle:	90 dgr					
	4	0	25340,44	162,36	0	545,584
Wind angle:	90 dgr					
	1a	0	3999,775	25596,64	137,884	82,981 548,758
Wind angle:	-45 dgr					
	1b	0	299,4449	24883,59	144,313	6,067 535,451
Wind angle:	-45 dgr					
	3	0	2889,301	29942,77	170,454	59,79 644,773
Wind angle:	-45 dgr					
	4	0	186,5276	24791,9	162,597	3,735 534,051
Wind angle:	-45 dgr					
	1a	0	17778,27	106,284	0	382,338
Wind angle:	0 dgr					
	1b	0	19617,74	110,208	0	422,388
Wind angle:	0 dgr					
	3	0	22803,1	138,822	0	492,624
Wind angle:	0 dgr					
	4	0	19951,81	128,804	0	430,154
Wind angle:	0 dgr					

| | | |

Wind angl	GW / opg	2027	7680	14077	0	0	0
	Comp. gl	4233	15152	28583	0	0	0
1b	380C1F1	16209	62360	122787	0	0	0
Wind, -20	380C1F2	16211	62267	122779	0	0	0
Permaner	380C1F3	16213	62151	122774	0	0	0
Wind angl	GW / opg	2107	8050	15737	0	0	0
	Comp. gl	4364	16366	32269	0	0	0
3	380C1F1	19161	69055	132111	0	0	0
Wind+ice,	380C1F2	19172	68730	131956	0	0	0
Permaner	380C1F3	19185	68329	131788	0	0	0
Wind angl	GW / opg	3902	13581	25143	0	0	0
	Comp. gl	7991	26617	50536	0	0	0
4	380C1F1	18641	62516	123099	0	0	0
Construction/mainte		18642	62428	123101	0	0	0
Permaner	380C1F3	18644	62318	123107	0	0	0
Wind angl	GW / opg	2774	9156	17956	0	0	0
	Comp. gl	5701	18659	36867	0	0	0
6	380C1F1	15721	52192	104680	0	0	0
Permaner	380C1F2	15721	52192	104680	0	0	0
Permaner	380C1F3	15721	52192	104680	0	0	0
	GW / opg	2052	6800	13639	0	0	0
	Comp. gl	4257	14113	28307	0	0	0
1a	380C1F1	15691	54064	104673	0	0	0
Wind, 10 c	380C1F2	15696	53892	104621	0	0	0
Permaner	380C1F3	15701	53678	104567	0	0	0
Wind angl	GW / opg	2045	7160	13690	0	0	0
	Comp. gl	4251	14560	28290	0	0	0
1b	380C1F1	16219	61800	122795	0	0	0
Wind, -20	380C1F2	16219	61759	122802	0	0	0
Permaner	380C1F3	16220	61706	122812	0	0	0
Wind angl	GW / opg	2109	7942	15722	0	0	0
	Comp. gl	4366	16232	32276	0	0	0
3	380C1F1	19216	67161	131471	0	0	0
Wind+ice,	380C1F2	19219	67028	131455	0	0	0
Permaner	380C1F3	19222	66861	131443	0	0	0
Wind angl	GW / opg	3926	12879	24770	0	0	0
	Comp. gl	8014	25790	50286	0	0	0
4	380C1F1	18648	61981	123158	0	0	0
Construction/mainte		18648	61941	123167	0	0	0
Permaner	380C1F3	18648	61890	123180	0	0	0
Wind angl	GW / opg	2776	9058	17961	0	0	0
	Comp. gl	5702	18533	36890	0	0	0
1a	380C1F1	14684	82412	135359	0	0	0
Wind, 10 c	380C1F2	14778	79223	131291	0	0	0
Permaner	380C1F3	14904	75244	126295	0	0	0
Wind angl	GW / opg	1870	12910	20551	0	0	0
	Comp. gl	4014	21244	35338	0	0	0
1b	380C1F1	16017	67261	125701	0	0	0
Wind, -20	380C1F2	16045	66643	125177	0	0	0
Permaner	380C1F3	16080	65886	124577	0	0	0
Wind angl	GW / opg	2065	9066	16541	0	0	0
	Comp. gl	4324	17515	32894	0	0	0
3	380C1F1	18374	87941	150664	0	0	0
Wind+ice,	380C1F2	18469	85544	147857	0	0	0
Permaner	380C1F3	18592	82587	144489	0	0	0
Wind angl	GW / opg	3652	20511	32699	0	0	0
	Comp. gl	7669	34672	58078	0	0	0
4	380C1F1	18507	66936	125044	0	0	0
Construction/mainte		18528	66390	124666	0	0	0
Permaner	380C1F3	18552	65720	124240	0	0	0
Wind angl	GW / opg	2747	9996	18406	0	0	0
	Comp. gl	5676	19647	37169	0	0	0
1a	380C1F1	14545	87568	142020	0	0	0
Wind, 10 c	380C1F2	14643	83891	137260	0	0	0
Permaner	380C1F3	14776	79281	131365	0	0	0
Wind angl	GW / opg	1852	13897	21874	0	0	0
	Comp. gl	3978	22485	36934	0	0	0
1b	380C1F1	15968	68285	126625	0	0	0
Wind, -20	380C1F2	16003	67551	125957	0	0	0
Permaner	380C1F3	16045	66654	125187	0	0	0
Wind angl	GW / opg	2055	9283	16774	0	0	0
	Comp. gl	4314	17754	33098	0	0	0
3	380C1F1	18225	91866	155375	0	0	0
Wind+ice,	380C1F2	18330	89061	151995	0	0	0
Permaner	380C1F3	18467	85588	147907	0	0	0
Wind angl	GW / opg	3618	21852	34350	0	0	0
0 Comp. gl		7610	36322	59980	0	0	0
4	380C1F1	18472	67836	125718	0	0	0
Construction/mainte		18497	67191	125229	0	0	0
Permaner	380C1F3	18527	66400	124673	0	0	0
Wind angl	GW / opg	2741	10170	18553	0	0	0
	Comp. gl	5669	19843	37288	0	0	0

W2H400+1 17-O2

| | | |

W2H400x[17A - AM]

| | | |

| | | |

Hoogte mast	Ber & bijlage	67	m
Hoogte onderste stroomdraad (F3)		37	m
	Hoogte		Excentriciteit ophanging t.o.v. hart mast
Bliksemdraad = GW / tN_{stat} -	0,57 m =	66,43	m 0,759 m
1e traverse - 380C1F1 F2 +	10 m =	57	m 0 m
2e traverse - 380C1F2 F3 +	10 m =	47	m 0 m
3e traverse - 380C1F3		37	m 0 m
Passieve lijn = Comp C.F3 -	7,5 m =	29,5	m 2,075 m

Uit mast (excl belastingsfactoren)				Uit lijnen (incl belastingsfactoren)					
N	V	M		Nmin	Nmax	Vmax	Mlangs;ma	Mdwars;max	
[kN]	[kN]	[kNm]		[kN]	[kN]	[kN]	[kNm]	[kNm]	
1003	148	4614		95	164	633	20252	30040	

W2H400A+10 TOWER (rev 8.0, date: 2 Appendix AM1
Loadcases for tower strength (special limit state)
Loadcase Attachment point

		AHEAD			BACK		
		[N]	[N]	[N]	[N]	[N]	[N]
1a	380C1F1	20699	65977	134441	20699	65977	-134441
Wind, 10	380C1F2	20708	65654	134296	20708	65654	-134296
Permaner	380C1F3	20720	65253	134139	20720	65253	-134139
Wind ang	GW / opg	2698	8869	17762	2698	8869	-17762
	Comp. gl	5614	17812	36486			
1b	380C1F1	21296	72727	153795	21296	72727	-153795
Wind, -20	380C1F2	21297	72651	153801	21297	72651	-153801
Permaner	380C1F3	21299	72555	153811	21299	72555	-153811
Wind ang	GW / opg	2775	9462	19904	2775	9462	-19904
	Comp. gl	5747	19288	40837			
3	380C1F1	24217	77768	160718	24217	77768	-160718
Wind+ice,	380C1F2	24223	77516	160650	24223	77516	-160650
Permaner	380C1F3	24231	77203	160580	24231	77203	-160580
Wind ang	GW / opg	4560	14234	28537	4560	14234	-28537
	Comp. gl	9345	28197	57771			
4	380C1F1	23664	71801	151809	23664	71801	-151809
Construction/mainte		23665	71727	151819	23665	71727	-151819
Permaner	380C1F3	23666	71634	151835	23666	71634	-151835
Wind ang	GW / opg	3430	10310	21723	3430	10310	-21723
	Comp. gl	7060	21062	44641			
6	380C1F1	23267	68714	147358	23267	68714	-147358
Permaner	380C1F2	23267	68714	147358	23267	68714	-147358
Permaner	380C1F3	23267	68714	147358	23267	68714	-147358
	GW / opg	3042	9033	19370	3042	9033	-19370
	Comp. gl	6308	18706	40115			
1a	380C1F1	20736	64612	133945	19712	91430	-161221
Wind, 10	380C1F2	20740	64426	133904	19820	88382	-157396
Permaner	380C1F3	20745	64192	133864	19961	84600	-152759
Wind ang	GW / opg	2707	8595	17608	2518	14071	-23956
	Comp. gl	5622	17489	36384			
1b	380C1F1	21300	72397	153836	21124	77744	-156006
Wind, -20	380C1F2	21301	72350	153845	21150	77158	-155583
Permaner	380C1F3	21302	72290	153858	21180	76436	-155104
Wind ang	GW / opg	2777	9399	19904	2737	10478	-20559
	Comp. gl	5748	19209	40848			
3	380C1F1	24242	76696	160509	23415	96871	-177798
Wind+ice,	380C1F2	24245	76547	160498	23515	94559	-175168
Permaner	380C1F3	24249	76360	160492	23641	91710	-172042
Wind ang	GW / opg	4573	13832	28362	4282	21592	-36479
	Comp. gl	9357	27714	57666			
4	380C1F1	23668	71479	151867	23538	76505	-153345
Construction/mainte		23668	71433	151878	23557	75966	-153023
Permaner	380C1F3	23668	71374	151894	23579	75301	-152663
Wind ang	GW / opg	3431	10251	21730	3404	11206	-22118
	Comp. gl	7061	20986	44659			
1a	380C1F1	19809	88691	157780	19809	88691	-157780
Wind, 10	380C1F2	19910	85922	154364	19910	85922	-154364
Permaner	380C1F3	20042	82494	150243	20042	82494	-150243
Wind ang	GW / opg	2532	13529	23227	2532	13529	-23227
	Comp. gl	5408	23161	41795			
1b	380C1F1	21147	77217	155624	21147	77217	-155624
Wind, -20	380C1F2	21170	76688	155265	21170	76688	-155265
Permaner	380C1F3	21196	76036	154860	21196	76036	-154860
Wind ang	GW / opg	2742	10368	20456	2742	10368	-20456
	Comp. gl	5716	20350	41220			
3	380C1F1	23505	94792	175430	23505	94792	-175430
Wind+ice,	380C1F2	23597	92703	173116	23597	92703	-173116
Permaner	380C1F3	23711	90132	170378	23711	90132	-170378
Wind ang	GW / opg	4305	20827	35524	4305	20827	-35524
	Comp. gl	9035	35848	64462			
4	380C1F1	23555	76021	153054	23555	76021	-153054
Construction/mainte		23572	75533	152784	23572	75533	-152784
Permaner	380C1F3	23591	74930	152483	23591	74930	-152483
Wind ang	GW / opg	3408	11112	22050	3408	11112	-22050
	Comp. gl	7039	22031	44824			
1a	380C1F1	19712	91430	161221	20736	64612	-133945
Wind, 10	380C1F2	19820	88382	157396	20740	64426	-133904
Permaner	380C1F3	19961	84600	152759	20745	64192	-133864
Wind ang	GW / opg	2518	14071	23956	2707	8595	-17608
	Comp. gl	5384	23813	42604			
1b	380C1F1	21124	77744	156006	21300	72397	-153836
Wind, -20	380C1F2	21150	77158	155583	21301	72350	-153845
Permaner	380C1F3	21180	76436	155104	21302	72290	-153858
Wind ang	GW / opg	2737	10478	20559	2777	9399	-19904
	Comp. gl	5711	20474	41304			
3	380C1F1	23415	96871	177798	24242	76696	-160509
Wind+ice,	380C1F2	23515	94559	175168	24245	76547	-160498
Permaner	380C1F3	23641	91710	172042	24249	76360	-160492
Wind ang	GW / opg	4282	21592	36479	4573	13832	-28362
0	Comp. gl	8998	36770	65509			
4	380C1F1	23538	76505	153345	23668	71479	-151867
Construction/mainte		23557	75966	153023	23668	71433	-151878
Permaner	380C1F3	23579	75301	152663	23668	71374	-151894
Wind ang	GW / opg	3404	11206	22118	3431	10251	-21730
	Comp. gl	7036	22140	44876			
1a	380C1F1	15631	53222	107089	15631	53222	-107089
Wind, 10	380C1F2	15644	52852	106842	15644	52852	-106842
Permaner	380C1F3	15659	52395	106565	15659	52395	-106565
Wind ang	GW / opg	2032	7191	14164	2032	7191	-14164
	Comp. gl	4238	14265	28881			
1b	380C1F1	16211	59002	124364	12436	12436	12436
Wind, -20	380C1F2	16213	58921	124359	12435	12435	12435
Permaner	380C1F3	16215	58819	124356	12435	12435	12435
Wind ang	GW / opg	2107	7611	15936	2107	7611	-15936
	Comp. gl	4365	15487	32685			
3	380C1F1	19175	65151	133662	19175	65151	-133662
Wind+ice,	380C1F2	19184	64874	133539	19184	64874	-133539
Permaner	380C1F3	19194	64530	133405	19194	64530	-133405
Wind ang	GW / opg	3908	12761	25379	3908	12761	-25379
	Comp. gl	7997	25101	51130			
4	380C1F1	18642	59156	124693	18642	59156	-124693
Construction/mainte		18644	59079	124696	18644	59079	-124696
Permaner	380C1F3	18645	58982	124703	18645	58982	-124703

Totaal

		Vert	Dwars	Langs
		[kN]	[kN]	[kN]
1a	380C1F1	41,398	131,954	0
Wind, 10	380C1F2	41,416	131,308	0
Permaner	380C1F3	41,44	130,506	0
Wind ang	GW / opg	5,396	17,738	0
	Comp. gl	5,614	17,812	36,486
1b	380C1F1	42,592	145,454	0
Wind, -20	380C1F2	42,594	145,302	0
Permaner	380C1F3	42,598	145,11	0
Wind ang	GW / opg	5,55	18,924	0
	Comp. gl	5,747	19,288	40,837
3	380C1F1	48,434	155,536	0
Wind+ice,	380C1F2	48,446	155,032	0
Permaner	380C1F3	48,462	154,406	0
Wind ang	GW / opg	9,12	28,468	0
	Comp. gl	9,345	28,197	57,771
4	380C1F1	47,328	143,602	0
Construction/mainte		47,33	143,454	0
Permaner	380C1F3	47,332	143,268	0
Wind ang	GW / opg	6,86	20,62	0
	Comp. gl	7,06	21,062	44,641
6	380C1F1	46,534	137,428	0
Permaner	380C1F2	46,534	137,428	0
Permaner	380C1F3	46,534	137,428	0
	GW / opg	6,084	18,066	0
	Comp. gl	6,308	18,706	40,115
1a	380C1F1	40,448	156,042	-27,276
Wind, 10	380C1F2	40,56	152,808	-23,492
Permaner	380C1F3	40,706	148,792	-18,895
Wind ang	GW / opg	5,225	22,666	-6,348
	Comp. gl	5,622	17,489	36,384
1b	380C1F1	42,424	150,141	-2,17
Wind, -20	380C1F2	42,451	149,508	-1,738
Permaner	380C1F3	42,482	148,726	-1,246
Wind ang	GW / opg	5,514	19,877	-0,655
	Comp. gl	5,748	19,209	40,848
3	380C1F1	47,657	173,567	-17,289
Wind+ice,	380C1F2	47,76	171,106	-14,67
Permaner	380C1F3	47,89	168,07	-11,55
Wind ang	GW / opg	8,855	35,424	-8,117
	Comp. gl	9,357	27,714	57,666
4	380C1F1	47,206	147,984	-1,478
Construction/mainte		47,225	147,399	-1,145
Permaner	380C1F3	47,247	146,675	-0,769
Wind ang	GW / opg	6,835	21,457	-0,388
	Comp. gl	7,061	20,986	44,659
1a	380C1F1	39,618	177,382	0
Wind, 10	380C1F2	39,82	171,844	0
Permaner	380C1F3	40,084	164,988	0
Wind ang	GW / opg	5,064	27,058	0
	Comp. gl	5,408	23,161	41,795
1b	380C1F1	42,294	154,434	0
Wind, -20	380C1F2	42,34	153,376	0
Permaner	380C1F3	42,392	152,072	0
Wind ang	GW / opg	5,484	20,736	0
	Comp. gl	5,716	20,35	41,22
3	380C1F1	47,01	189,584	0
Wind+ice,	380C1F2	47,194	185,406	0
Permaner	380C1F3	47,422	180,264	0
Wind ang	GW / opg	8,61	41,654	0
	Comp. gl	9,035	35,848	64,462
4	380C1F1	47,11	152,042	0
Construction/mainte		47,144	151,066	0
Permaner	380C1F3	47,182	149,86	0
Wind ang	GW / opg	6,816	22,224	0
	Comp. gl	7,039	22,031	44,824
1a	380C1F1	40,448	156,042	27,276
Wind, 10	380C1F2	40,56	152,808	23,492
Permaner	380C1F3	40,706	148,792	18,895
Wind ang	GW / opg	5,225	22,666	6,348
	Comp. gl	5,384	23,813	42,604
1b	380C1F1	42,424	150,141	2,17
Wind, -20	380C1F2	42,451	149,508	1,738
Permaner	380C1F3	42,482	148,726	1,246
Wind ang	GW / opg	5,514	19,877	0,655
	Comp. gl	5,711	20,474	41,304
3	380C1F1	47,657	173,567	17,289
Wind+ice,	380C1F2	47,76	171,106	14,67
Permaner	380C1F3	47,89	168,07	11,55
Wind ang	GW / opg	8,855	35,424	8,117
0	Comp. gl	8,998	36,77	65,509
4	380C1F1	47,206	147,984	1,478
Construction/mainte		47,225	147,399	1,145
Permaner	380C1F3	47,247	146,675	0,769
Wind ang	GW / opg	6,835	21,457	0,388
	Comp. gl	7,036	22,14	44,876
1a	380C1F1	31,262	106,444	0
Wind, 10	380C1F2	31,288	105,704	0
Permaner	380C1F3	31,318	104,79	0
Wind ang	GW / opg	4,064	14,382	0
	Comp. gl	4,238	14,265	28,881
1b	380C1F1	28,647	71,438	136,8
Wind, -20	380C1F2	28,648	71,356	136,794
Permaner	380C1F3	28,65	71,254	136,791
Wind ang	GW / opg	4,214	15,222	0
	Comp. gl	4,365	15,487	32,685
3	380C1F1	38,35	130,302	0
Wind+ice,	380C1F2	38,368	129,748	0
Permaner	380C1F3	38,388	129,06	0
Wind ang	GW / opg	7,816	25,522	0
	Comp. gl	7,997	25,101	51,13
4	380C1F1	37,284	118,312	0
Construction/mainte		37,288	118,158	0
Permaner	380C1F3	37,29	117,964	0

Belastingen op mastvoet, per lijn

		M_{langs}	M_{dwars}	N	V_{langs}	V_{dwars}
		0	7521,378	41,398	0	131,954
		0	6171,476	41,416	0	131,308
		0	4828,722	41,44	0	130,506
		0	1182,431	5,396	0	17,738
		1076,337	537,1031	5,614	36,486	17,812
		0	8290,878	42,592	0	145,454
		0	6829,194	42,594	0	145,302
		0	5369,07	42,598	0	145,11
		0	1261,334	5,55	0	18,924
		1204,692	580,921	5,747	40,837	19,288
		0	8865,552	48,434	0	155,536
		0	7286,504	48,446	0	155,032
		0	5713,022	48,462	0	154,406
		0	1898,051	9,12	0	28,468
		1704,245	851,2024	9,345	57,771	28,197
		0	8185,314	47,328	0	143,602
		0	6742,338	47,33	0	143,454
		0	5300,916	47,332	0	143,268
		0	1374,993	6,86	0	20,62
		1316,91	635,9785	7,06	44,641	21,062
		0	7833,396	46,534	0	137,428
		0	6459,116	46,534	0	137,428
		0	5084,836	46,534	0	137,428
		0	1204,742	6,084	0	18,066
		1183,393	564,9161	6,308	40,115	18,706
		0	7521,378	41,398	0	131,954
		0	6171,476	41,416	0	131,308
		0	4828,722	41,44	0	130,506
		0	1182,431	5,396	0	17,738
		1076,337	537,1031	5,614	36,486	17,812
		0	8290,878	42,592	0	145,454
		0	6829,194	42,594	0	145,302
		0	5369,07	42,598	0	145,11
		0	1261,334	5,55	0	18,924
		1204,692	580,921	5,747	40,837	19,288
		0	8865,552	48,434	0	155,536
		0	7286,504	48,446	0	155,032
		0	5713,022	48,462	0	154,406
		0	1898,051	9,12	0	28,468
		1704,245	851,2024	9,345	57,771	28,197
		0	8185,314	47,328	0	143,602
		0	6742,338	47,33	0	143,454
		0	5300,916	47,332	0	143,268
		0	1374,993	6,86	0	20,62
		1316,91	635,9785	7,06	44,641	21,062
		0	7833,396	46,534	0	137,428
		0	6459,116	46,534	0	137,428
		0	5084,836	46,534	0	137,428
		0	1204,742	6,084	0	18,066
		1183,393	564,9161	6,308	40,115	18,706
		0	7427,214	38,35	0	130,302
		0	6098,156	38,368	0	129,748
		0	4775,22	38,388	0	129,06
		0	1701,359	7,816	0	25,522
		1508,335	757,0733	7,997	51,13	25,101
		0	6743,784	37,284	0	118,312
		0	5553,426	37,288	0	118,158
		0	4364,668	37,29	0	117,964

Belasting op mastvoet, belastinggeval

		M_{langs}	M_{dwars}	N	V_{langs}	V_{dwars}	
1a		1076,337	20241,11	135,264	36,486	429,318	
Wind angle:	0 dgr						
1b		1204,6915	22331,4	139,081	40,837	474,078	
Wind angle:	0 dgr						
3		1704,2445	24614,33	163,807	57,771	521,639	
Wind angle:	0 dgr						
4		1316,9095	22239,54	155,91	44,641	472,006	
Wind angle:	0 dgr						
6		1183,3925	21147,01	151,994	40,115	449,056	
0							
1a		-2706,34064	23618,93	132,561	-39,627	497,797	
Wind angle:	45 dgr						
1b		910,02635	22990,98	138,619	35,039	487,461	
Wind angle:	45 dgr						
3		-940,37831	27350,81	161,519	6,04	575,881	
Wind angle:	45 dgr						
4		1125,15166	22854,13	155,574	40,879	484,501	
Wind angle:	45 dgr						
1a		1232,9525	26787,78	129,994	41,795	564,433	
Wind angle:	90 dgr						
1b		1215,99	23631,91	138,226	41,22	500,968	
Wind angle:	90 dgr						
3		1901,629	30040,01	159,271	64,462	632,756	
Wind angle:	90 dgr						
4		1322,308	23457,35	155,291	44,824	497,223	
Wind angle:	90 dgr						
1a		5036,48664	23805	132,323	118,615	504,121	
Wind angle:	-45 dgr						
1b		1513,45765	23028,22	138,582	47,113	488,726	
Wind angle:	-45 dgr						
3		4574,04081	27617,21	161,16	117,135	584,937	
Wind angle:	-45 dgr						
4		1516,13084	22888,12	155,549	48,656	485,655	
Wind angle:	-45 dgr						
1a		851,9895	16300,72	102,17	28,881	345,585	
Wind angle:	0 dgr						
1b		20252,3925	11542,42	94,524	443,07	244,757	
Wind angle:	0 dgr						
3		1508,335	20759,02	130,919	51,13	439,733	
Wind angle:	0 dgr						
4		1101,6775	18349,72	123,113	37,345	389,418	
Wind angle:	0 dgr						

regel			Loadcase	M_{langs}	M_{dwars}	N	V_{langs}	V_{dwars}	Totaal moment	
1	Perm load 1,2	0 deg	1a	5690	20241	1138	184	429	21025,76	1
2	Perm load 1,2	0 deg	1b	2070	22331	1142	69	474	22427,11	2
3	Perm load 1,2	0 deg	3	3002	24614	1167	99	522	24796,71	3
4	Perm load 1,2	0 deg	4	2182	22240	1159	72	472	22346,33	4
5	Perm load 1,2	0 deg	6							5
6										6
7	Perm load 1,2	45 deg	1a	5969	26882	1136	144	602	27536,24	7
8	Perm load 1,2	45 deg	1b	1522	23603	1142	55	507	23651,72	8
9	Perm load 1,2	45 deg	3	1858	28268	1165	35	605	28329,4	9
10	Perm load 1,2	45 deg	4	1737	23466	1159	61	504	23530,06	10
11										11
12	Perm load 1,2	90 deg	1a	1233	31402	1133	42	712	31425,97	12
13	Perm load 1,2	90 deg	1b	1216	24497	1141	41	529	24527,2	13
14	Perm load 1,2	90 deg	3	1902	31338	1162	64	674	31395,34	14
15	Perm load 1,2	90 deg	4	Construct	1322	24322	1158	45	525	24358,39	15
16										16
17	Perm load 1,2	-45 deg	1a	8299	27068	1135	223	609	28311,29	17
18	Perm load 1,2	-45 deg	1b	2125	23640	1142	67	508	23735,29	18
19	Perm load 1,2	-45 deg	3	5492	28535	1164	147	614	29058,46	19
20	Perm load 1,2	-45 deg	4	2128	23500	1159	68	505	23596	20
21										21
22	Perm load 0,9	0 deg	1a	5466	16301	854	177	346	17192,74	22
23	Perm load 0,9	0 deg	1b	21118	11542	847	471	245	24066,09	23
24	Perm load 0,9	0 deg	3	2806	20759	883	93	440	20947,81	24
25	Perm load 0,9	0 deg	4	1967	18350	875	65	389	18454,83	25
26	Perm load 0,9	0 deg	6							26
27										27
28	Perm load 0,9	45 deg	1a	7555	23523	851	180	531	24706,33	28
29	Perm load 0,9	45 deg	1b	1049	19472	857	42	419	19499,8	29
30	Perm load 0,9	45 deg	3	2954	24803	881	48	531	24978,01	30
31	Perm load 0,9	45 deg	4	Construct	1369	19643	875	50	423	19690,97	31
32										32
33	Perm load 0,9	90 deg	1a	1068	28595	849	36	652	28615,19	33
34	Perm load 0,9	90 deg	1b	985	20450	857	33	443	20474,13	34
35	Perm load 0,9	90 deg	3	1751	28227	878	59	608	28281,4	35
36	Perm load 0,9	90 deg	4	1112	20555	875	38	445	20584,61	36
37										37
38	Perm load 0,9	-45 deg	1a	9500	23741	851	246	538	25571	38
39	Perm load 0,9	-45 deg	1b	2127	19514	857	64	421	19629,47	39
40	Perm load 0,9	-45 deg	3	6245	25093	880	160	541	25858,74	40
41	Perm load 0,9	-45 deg	4	2071	19680	875	64	424	19788,65	41
		Max		21118	31402	1167	471	712	31426	

| | | |

	Comp. gl	4238	14265	28881	0	0	0	
1b	380C1F1	16211	59002	124364	0	0	0	
Wind, -20	380C1F2	16213	58921	124359	0	0	0	
Permaner	380C1F3	16215	58819	124356	0	0	0	
Wind angl	GW / opg	2107	7611	15936	0	0	0	
	Comp. gl	4365	15487	32685	0	0	0	
3	380C1F1	19175	65151	133662	0	0	0	
Wind+ice,	380C1F2	19184	64874	133539	0	0	0	
Permaner	380C1F3	19194	64530	133405	0	0	0	
Wind angl	GW / opg	3908	12761	25379	0	0	0	
	Comp. gl	7997	25101	51130	0	0	0	
4	380C1F1	18642	59156	124693	0	0	0	
Construction/mainte		18644	59079	124696	0	0	0	
Permaner	380C1F3	18645	58982	124703	0	0	0	
Wind angl	GW / opg	2775	8662	18188	0	0	0	
	Comp. gl	5701	17660	37345	0	0	0	
6	380C1F1	15721	49434	106011	0	0	0	
Permaner	380C1F2	15721	49434	106011	0	0	0	
Permaner	380C1F3	15721	49434	106011	0	0	0	
	GW / opg	2052	6441	13813	0	0	0	
	Comp. gl	4257	13367	28666	0	0	0	
1a	380C1F1	15681	51673	106198	0	0	0	
Wind, 10 (	380C1F2	15687	51465	106112	0	0	0	
Permaner	380C1F3	15694	51208	106019	0	0	0	
Wind angl	GW / opg	2043	6874	13917	0	0	0	
	Comp. gl	4249	13902	28691	0	0	0	
1b	380C1F1	16218	58653	124362	0	0	0	
Wind, -20	380C1F2	16218	58603	124366	0	0	0	
Permaner	380C1F3	16219	58541	124374	0	0	0	
Wind angl	GW / opg	2109	7544	15925	0	0	0	
	Comp. gl	4366	15403	32687	0	0	0	
3	380C1F1	19209	63980	133241	0	0	0	
Wind+ice,	380C1F2	19213	63820	133206	0	0	0	
Permaner	380C1F3	19218	63620	133173	0	0	0	
Wind angl	GW / opg	3923	12329	25138	0	0	0	
	Comp. gl	8011	24589	50965	0	0	0	
4	380C1F1	18647	58821	124723	0	0	0	
Construction/mainte		18647	58774	124731	0	0	0	
Permaner	380C1F3	18648	58713	124742	0	0	0	
Wind angl	GW / opg	2775	8600	18190	0	0	0	
	Comp. gl	5702	17581	37358	0	0	0	
1a	380C1F1	14654	79867	138862	0	0	0	
Wind, 10 (	380C1F2	14749	76687	134564	0	0	0	
Permaner	380C1F3	14877	72714	129275	0	0	0	
Wind angl	GW / opg	1866	12565	21161	0	0	0	
	Comp. gl	4006	20558	36214	0	0	0	
1b	380C1F1	16007	64151	127607	0	0	0	
Wind, -20	380C1F2	16037	63524	127038	0	0	0	
Permaner	380C1F3	16073	62756	126383	0	0	0	
Wind angl	GW / opg	2063	8673	16820	0	0	0	
	Comp. gl	4322	16695	33383	0	0	0	
3	380C1F1	18342	84746	153890	0	0	0	
Wind+ice,	380C1F2	18440	82341	150900	0	0	0	
Permaner	380C1F3	18566	79371	147305	0	0	0	
Wind angl	GW / opg	3644	19917	33572	0	0	0	
	Comp. gl	7657	33468	59360	0	0	0	
4	380C1F1	18500	63819	126890	0	0	0	
Construction/mainte		18522	63265	126476	0	0	0	
Permaner	380C1F3	18547	62582	126006	0	0	0	
Wind angl	GW / opg	2746	9546	18691	0	0	0	
	Comp. gl	5674	18707	37694	0	0	0	
1a	380C1F1	14568	82988	143122	0	0	0	
Wind, 10 (	380C1F2	14665	79514	138382	0	0	0	
Permaner	380C1F3	14797	75160	132520	0	0	0	
Wind angl	GW / opg	1855	13161	22006	0	0	0	
	Comp. gl	3984	21310	37236	0	0	0	
1b	380C1F1	15976	64778	128204	0	0	0	
Wind, -20	380C1F2	16010	64081	127542	0	0	0	
Permaner	380C1F3	16051	63227	126778	0	0	0	
Wind angl	GW / opg	2057	8805	16970	0	0	0	
	Comp. gl	4316	16842	33515	0	0	0	
3	380C1F1	18249	87128	156908	0	0	0	
Wind+ice,	380C1F2	18353	84478	153553	0	0	0	
Permaner	380C1F3	18488	81196	149499	0	0	0	
Wind angl	GW / opg	3623	20729	34628	0	0	0	
0 Comp. gl		7620	34471	60580	0	0	0	
4	380C1F1	18478	64373	127328	0	0	0	
Construction/mainte		18503	63757	126843	0	0	0	
Permaner	380C1F3	18531	63001	126289	0	0	0	
Wind angl	GW / opg	2742	9652	18786	0	0	0	
	Comp. gl	5670	18828	37772	0	0	0	

W2H400+1 17A - AM2

| | | |

Hoogte mast	Ber & bijlage	76	m
Hoogte onderste stroomdraad (F3)		50	m
	Hoogte		Excentriciteit ophanging t.o.v. hart mast
Bliksemdraad = GW / rf$_{mast}$:	0,716 m =	75,284	m 1,459 m
1e traverse - 380C1F1 F2 +	10 m =	70	m 4,41 m
2e traverse - 380C1F2 F3 +	10 m =	60	m 4,41 m
3e traverse - 380C1F3		50	m 4,41 m
Passieve lijn = Comp CF3 -	4 m =	46	m 1,819 m

Uit mast (excl belastingsfactoren)

N	V	M
[kN]	[kN]	[kNm]
757	163	5841

Uit lijnen (incl belastingsfactoren)

Nmin	Nmax	Vmax	Mlangs;maMdwars;max	
[kN]	[kN]	[kN]	[kNm]	[kNm]
99	318	220	0	13768

WZS400+24 TOWER (rev 6.0, date: 05-11-2012) **Appendix AC**
Loadcases for tower strength (ultimate limit state)
-
Loadcase according to 50341-3-15

		AHEAD			BACK			Totaal				Belastingen op mastvoet, per lijn						Belasting op mastvoet, belastinggeval					
		[N]	[N]	[N]	[N]	[N]	[N]	Vert [kN]	Dwars [kN]	Langs [kN]		M$_{langs}$	M$_{dwars}$	N	V$_{langs}$	V$_{dwars}$		M$_{langs}$	M$_{dwars}$	N	V$_{langs}$	V$_{dwars}$	
	Attachment point																						
1a	GW / opg	3154	0	19396	3154	0	-19396	6,308	0	0		0	27,81828	6,308	0	0	1a	0	547,4903	164,114	0	0	
Wind, 10	380C1F1	24121	0	147923	24121	0	-147923	48,242	0	0		0	212,7472	48,242	0	0	Wind angle: 0 dgr						
Permaner	380C1F2	24121	0	147923	24121	0	-147923	48,242	0	0		0	212,7472	48,242	0	0							
Wind ang	380C1F3	24121	0	147923	24121	0	-147923	48,242	0	0		0	70,38508	48,242	0	0							
	Comp.cor	6540	0	40192	6540	0	-40192	13,08	0	0		0	23,79252	13,08	0	0							
1b	GW / opg	3276	0	21992	3276	0	-21992	6,552	0	0		0	28,89432	6,552	0	0	1b	0	570,6432	171,018	0	0	
Wind, -2	380C1F1	25154	0	169944	25154	0	-169944	50,308	0	0		0	221,8583	50,308	0	0	Wind angle: 0 dgr						
Permaner	380C1F2	25154	0	169944	25154	0	-169944	50,308	0	0		0	221,8583	50,308	0	0							
Wind ang	380C1F3	25154	0	169944	25154	0	-169944	50,308	0	0		0	73,39937	50,308	0	0							
	Comp.cor	6771	0	45123	6771	0	-45123	13,542	0	0		0	24,6329	13,542	0	0							
3	GW / opg	12165	0	60826	12165	0	-60826	24,33	0	0		0	107,2953	24,33	0	0	3	0	1035,696	318,338	0	0	
Wind+ice,	380C1F1	40813	0	238894	40813	0	-238894	81,626	0	0		0	359,9707	81,626	0	0	Wind angle: 0 dgr						
Permaner	380C1F2	40813	0	238894	40813	0	-238894	81,626	0	0		0	359,9707	81,626	0	0							
Wind ang	380C1F3	40813	0	238894	40813	0	-238894	81,626	0	0		0	119,0923	81,626	0	0							
	Comp.cor	24565	0	122600	24565	0	-122600	49,13	0	0		0	89,36747	49,13	0	0							
4	GW / opg	4176	0	25031	4176	0	-25031	8,352	0	0		0	36,83232	8,352	0	0	4	0	649,3202	195,16	0	0	
Construc	380C1F1	28275	0	171853	28275	0	-171853	56,55	0	0		0	249,3855	56,55	0	0	Wind angle: 0 dgr						
Permaner	380C1F2	28275	0	171853	28275	0	-171853	56,55	0	0		0	249,3855	56,55	0	0							
Wind ang	380C1F3	28275	0	171853	28275	0	-171853	56,55	0	0		0	82,50645	56,55	0	0							
	Comp.cor	8579	0	51354	8579	0	-51354	17,158	0	0		0	31,2104	17,158	0	0							
6	GW / opg	3527	0	21373	3527	0	-21373	7,054	0	0		0	31,10814	7,054	0	0	6	0	611,9154	183,428	0	0	
Permaner	380C1F1	26958	0	162590	26958	0	-162590	53,916	0	0		0	237,7696	53,916	0	0	0						
Permaner	380C1F2	26958	0	162590	26958	0	-162590	53,916	0	0		0	237,7696	53,916	0	0							
	380C1F3	26958	0	162590	26958	0	-162590	53,916	0	0		0	78,66344	53,916	0	0							
	Comp.cor	7313	0	44262	7313	0	-44262	14,626	0	0		0	26,60469	14,626	0	0							
1a	GW / opg	2739	2931	29156	2739	2931	-29156	5,478	5,862	0		0	434,498	5,478	0	5,862	1a	0	7150,414	148,844	0	109,992	
Wind, 10	380C1F1	21738	16936	194368	21738	16936	-194368	43,476	33,872	0		0	2224,049	43,476	0	33,872	Wind angle: 45 dgr						
Permaner	380C1F2	21919	15864	189629	21919	15864	-189629	43,838	31,728	0		0	1779,726	43,838	0	31,728							
Wind ang	380C1F3	22143	14577	184113	22143	14577	-184113	44,286	29,154	0		0	2259,443	44,286	0	29,154							
	Comp.cor	5883	4688	53561	5883	4688	-53561	11,766	9,376	0		0	452,6984	11,766	0	9,376							
1b	GW / opg	3233	586	22564	3233	586	-22564	6,466	1,172	0		0	110,5551	6,466	0	1,172	1b	0	1896,328	169,798	0	21,98	
Wind, -2	380C1F1	24958	3384	172372	24958	3384	-172372	49,916	6,768	0		0	626,2096	49,916	0	6,768	Wind angle: 45 dgr						
Permaner	380C1F2	24982	3170	172077	24982	3170	-172077	49,964	6,34	0		0	537,3412	49,964	0	6,34							
Wind ang	380C1F3	25008	2913	171749	25008	2913	-171749	50,016	5,826	0		0	511,5779	50,016	0	5,826							
	Comp.cor	6718	937	45826	6718	937	-45826	13,436	1,874	0		0	110,6441	13,436	0	1,874							
3	GW / opg	11986	3013	63102	11986	3013	-63102	23,972	6,026	0		0	527,5365	23,972	0	6,026	3	0	5132,265	313,91	0	68,576	
Wind+ice,	380C1F1	40131	9461	247838	40131	9461	-247838	80,262	18,922	0		0	1489,275	80,262	0	18,922	Wind angle: 45 dgr						
Permaner	380C1F2	40209	8862	246773	40209	8862	-246773	80,418	17,724	0		0	1240,843	80,418	0	17,724							
Wind ang	380C1F3	40297	8143	245576	40297	8143	-245576	80,594	16,286	0		0	1343,662	80,594	0	16,286							
	Comp.cor	24332	4809	125495	24332	4809	-125495	48,664	9,618	0		0	530,9478	48,664	0	9,618							
4	GW / opg	4149	586	25414	4149	586	-25414	8,298	1,172	0		0	118,6342	8,298	0	1,172	4	0	1977,025	194,31	0	21,992	
Construc	380C1F1	28136	3386	173762	28136	3386	-173762	56,272	6,772	0		0	654,4795	56,272	0	6,772	Wind angle: 45 dgr						
Permaner	380C1F2	28153	3172	173530	28153	3172	-173530	56,306	6,344	0		0	565,5095	56,306	0	6,344							
Wind ang	380C1F3	28172	2915	173271	28172	2915	-173271	56,344	5,83	0		0	521,1116	56,344	0	5,83							
	Comp.cor	8545	937	51830	8545	937	-51830	17,09	1,874	0		0	117,2907	17,09	0	1,874							
1a	GW / opg	2497	5866	44150	2497	5866	-44150	4,994	11,732	0		0	843,2635	4,994	0	11,732	1a	0	13767,77	135,336	0	220,104	
Wind, 10	380C1F1	19748	33892	276409	19748	33892	-276409	39,496	67,784	0		0	4241,217	39,496	0	67,784	Wind angle: 90 dgr						
Permaner	380C1F2	19922	31745	265794	19922	31745	-265794	39,844	63,49	0		0	3350,212	39,844	0	63,49							
Wind ang	380C1F3	20156	29168	253046	20156	29168	-253046	40,312	58,336	0		0	4450,583	40,312	0	58,336							
	Comp.co	5345	9381	77021	5345	9381	-77021	10,69	18,762	0		0	882,4971	10,69	0	18,762							
1b	GW / opg	3129	1171	24147	3129	1171	-24147	6,258	2,342	0		0	191,5378	6,258	0	2,342	1b	0	3215,023	166,53	0	43,962	
Wind, -2	380C1F1	24436	6769	179309	24436	6769	-179309	48,872	13,538	0		0	1027,806	48,872	0	13,538	Wind angle: 90 dgr						
Permaner	380C1F2	24516	6341	178208	24516	6341	-178208	49,032	12,682	0		0	850,3311	49,032	0	12,682							
Wind ang	380C1F3	24606	5826	176968	24606	5826	-176968	49,212	11,652	0		0	949,0095	49,212	0	11,652							
	Comp.co	6578	1874	47833	6578	1874	-47833	13,156	3,748	0		0	196,3388	13,156	0	3,748							
3	GW / opg	11582	6027	69163	11582	6027	-69163	23,164	12,054	0		0	945,9332	23,164	0	12,054	3	0	9209,903	303,546	0	137,172	
Wind+ice,	380C1F1	38586	18924	271731	38586	18924	-271731	77,172	37,848	0		0	2611,209	77,172	0	37,848	Wind angle: 90 dgr						
Permaner	380C1F2	38799	17726	268081	38799	17726	-268081	77,598	35,452	0		0	2114,807	77,598	0	35,452							
Wind ang	380C1F3	39052	16288	263909	39052	16288	-263909	78,104	32,576	0		0	2566,405	78,104	0	32,576							
	Comp.co	23754	9621	133523	23754	9621	-133523	47,508	19,242	0		0	971,5491	47,508	0	19,242							
4	GW / opg	4077	1172	26511	4077	1172	-26511	8,154	2,344	0		0	200,0391	8,154	0	2,344	4	0	3299,731	191,956	0	43,988	
Construc	380C1F1	27755	6773	179292	27755	6773	-179292	55,51	13,546	0		0	1057,559	55,51	0	13,546	Wind angle: 90 dgr						
Permaner	380C1F2	27814	6344	178408	27814	6344	-178408	55,628	12,688	0		0	879,7195	55,628	0	12,688							
Wind ang	380C1F3	27881	5830	177414	27881	5830	-177414	55,762	11,66	0		0	959,1682	55,762	0	11,66							
	Comp.co	8451	1875	53217	8451	1875	-53217	16,902	3,75	0		0	203,2447	16,902	0	3,75							
1a	GW / opg	2739	2931	29156	2739	2931	-29156	5,478	5,862	0		0	434,498	5,478	0	5,862	1a	0	7150,414	148,844	0	109,992	
Wind, 10	380C1F1	21738	16936	194368	21738	16936	-194368	43,476	33,872	0		0	2224,049	43,476	0	33,872	Wind angle: -45 dgr						
Permaner	380C1F2	21919	15864	189629	21919	15864	-189629	43,838	31,728	0		0	1779,726	43,838	0	31,728							
Wind ang	380C1F3	22143	14577	184113	22143	14577	-184113	44,286	29,154	0		0	2259,443	44,286	0	29,154							
	Comp.co	5883	4688	53561	5883	4688	-53561	11,766	9,376	0		0	452,6984	11,766	0	9,376							
1b	GW / opg	3233	586	22564	3233	586	-22564	6,466	1,172	0		0	110,5551	6,466	0	1,172	1b	0	1896,328	169,798	0	21,98	
Wind, -2	380C1F1	24958	3384	172372	24958	3384	-172372	49,916	6,768	0		0	626,2096	49,916	0	6,768	Wind angle: -45 dgr						
Permaner	380C1F2	24982	3170	172077	24982	3170	-172077	49,964	6,34	0		0	537,3412	49,964	0	6,34							
Wind ang	380C1F3	25008	2913	171749	25008	2913	-171749	50,016	5,826	0		0	511,5779	50,016	0	5,826							
	Comp.co	6718	937	45826	6718	937	-45826	13,436	1,874	0		0	110,6441	13,436	0	1,874							
3	GW / opg	11986	3013	63102	11986	3013	-63102	23,972	6,026	0		0	527,5365	23,972	0	6,026	3	0	5132,265	313,91	0	68,576	
Wind+ice,	380C1F1	40131	9461	247838	40131	9461	-247838	80,262	18,922	0		0	1489,275	80,262	0	18,922	Wind angle: -45 dgr						
Permaner	380C1F2	40209	8862	246773	40209	8862	-246773	80,418	17,724	0		0	1240,843	80,418	0	17,724							
Wind ang	380C1F3	40297	8143	245576	40297	8143	-245576	80,594	16,286	0		0	1343,662	80,594	0	16,286							
	Comp.co	24332	4809	125495	24332	4809	-125495	48,664	9,618	0		0	530,9478	48,664	0	9,618							
4	GW / opg	4149	586	25414	4149	586	-25414	8,298	1,172	0		0	118,6342	8,298	0	1,172	4	0	1977,025	194,31	0	21,992	
Construc	380C1F1	28136	3386	173762	28136	3386	-173762	56,272	6,772	0		0	654,4795	56,272	0	6,772	Wind angle: -45 dgr						
Permaner	380C1F2	28153	3172	173530	28153	3172	-173530	56,306	6,344	0		0	565,5095	56,306	0	6,344							
Wind ang	380C1F3	28172	2915	173271	28172	2915	-173271	56,344	5,83	0		0	521,1116	56,344	0	5,83							
	Comp.co	8545	937	51830	8545	937	-51830	17,09	1,874	0		0	117,2907	17,09	0	1,874							
1a	GW / opg	2398	0	15241	2398	0	-15241	4,796	0	0		0	21,15036	4,796	0	0	1a	0	416,9615	124,984	0	0	
Wind, 10	380C1F1	18373	0	116970	18373	0	-116970	36,746	0	0		0	162,0499	36,746	0	0	Wind angle: 0 dgr						
Permaner	380C1F2	18373	0	116970	18373	0	-116970	36,746	0	0		0	162,0499	36,746	0	0							
Wind ang	380C1F3	18373	0	116970	18373	0	-116970	36,746	0	0		0	53,61241	36,746	0	0							
	Comp.co	4975	0	31630	4975	0	-31630	9,95	0	0		0	18,09905	9,95	0	0							
1b	GW / opg	2508	0	17594	2508	0	-17594	5,016	0	0		0	22,12056	5,016	0	0	1b	0	438,4314	131,384	0	0	
Wind, -2	380C1F1	19333	0	137389	19333	0	-137389	38,666	0	0		0	170,5171	38,666	0	0	Wind angle: 0 dgr						
Permaner	380C1F2	19333	0	137389	19333	0	-137389	38,666	0	0		0	170,5171	38,666	0	0							
Wind ang	380C1F3	19333	0	137389	19333	0	-137389	38,666	0	0		0	56,41369	38,666	0	0							
	Comp.cor	5185	0	36110	5185	0	-36110	10,37	0	0		0	18,86303	10,37	0	0							
3	GW / opg	11476	0	58126	11476	0	-58126	22,952	0	0		0	101,2183	22,952	0	0	3	0	910,5331	280,864	0	0	
Wind+ice,	380C1F1	35273	0	212402	35273	0	-212402	70,546	0	0		0	311,1079	70,546	0	0	Wind angle: 0 dgr						
Permaner	380C1F2	35273	0	212402	35273	0	-212402	70,546	0	0		0	311,1079	70,546	0	0							
Wind ang	380C1F3	35273	0	212402	35273	0	-212402	70,546	0	0		0	102,9266	70,546	0	0							
	Comp.cor	23137	0	117021	23137	0	-117021	46,274	0	0		0	84,17241	46,274	0	0							
4	GW / opg	3434	0	21182	3434	0	-21182	6,868	0	0		0	30,28788	6,868	0	0	4	0	520,2333	156,47	0	0	
Construc	380C1F1	22586	0	142171	22586	0	-142171	45,172	0	0		0	199,2085	45,172	0	0	Wind angle: 0 dgr						
Permaner	380C1F2	22586	0	142171	22586	0	-142171	45,172	0	0		0	199,2085	45,172	0	0							
Wind ang	380C1F3	22586	0	142171	22586	0	-142171	45,172	0	0		0	65,90595	45,172	0	0							
	Comp.cor	7043	0	43419	7043	0	-43419	14,086	0	0		0	25,62243	14,086	0	0							
6	GW / opg	2398	0	15241	2398	0	-15241	4,796	0	0		0	21,15036	4,796	0	0	6	0	416,9615	124,984	0	0	
Permaner	380C1F1	18373	0	116970	18373	0	-116970	36,746	0	0		0	162,0499	36,746	0	0	0						
Permaner	380C1F2	18373	0	116970	18373	0	-116970	36,746	0	0		0	162,0499	36,746	0	0							
	380C1F3	18373	0	116970	18373	0	-116970	36,746	0	0		0	53,61241	36,746	0	0							
	Comp.cor	4975	0	31630	4975	0	-31630	9,95	0	0		0	18,09905	9,95	0	0							
1a	GW / opg	1990	2930	27195	1990	2930	-27195	3,98	5,86	0		0	427,7518	3,98	0	5,86	1a	0	7015,61	108,668	0	109,976	

Belastingen uit lijnen

regel		Loadcase	M$_{langs}$	M$_{dwars}$	N	V$_{langs}$	V$_{dwars}$	
Perm load 1,2	0 deg	1a	0	547	164	0	0	
		1b	0	571	171	0	0	
		3	0	1036	**318**	0	0	
		4	0	649	195	0	0	
		6	0	612	183	0	0	
	45 deg	1a	0	7150	149	0	110	
		1b	0	1896	170	0	22	
		3	0	5132	314	0	69	
		4	0	1977	194	0	22	
	90 deg	1a	0	**13768**	135	0	**220**	
		1b	0	3215	167	0	44	
		3	0	9210	304	0	137	
		4	0	3300	192	0	44	
	-45 deg	1a	0	7150	149	0	110	
		1b	0	1896	170	0	22	
		3	0	5132	314	0	69	
		4	0	1977	194	0	22	
Perm load 0,9	0 deg	1a	0	**417**	125	0	0	
		1b	0	438	131	0	0	
		3	0	911	281	0	0	
		4	0	520	156	0	0	
		6	0	**417**	125	0	0	
	45 deg	1a	0	7016	109	0	110	
		1b	0	1762	130	0	22	
		3	0	5004	276	0	69	
		4	0	1847	155	0	22	
	90 deg	1a	0	13645	**99**	0	220	
		1b	0	3077	125	0	44	
		3	0	9078	264	0	137	
		4	0	3167	152	0	44	
	-45 deg	1a	0	7016	109	0	110	
		1b	0	1762	130	0	22	
		3	0	5004	276	0	69	
		4	0	1847	155	0	22	

Belasting uit mast

N	V	M
757	163	5841
1095	571	928
1643	1036	1075
1095	649	952
757	163	5841
1095	774	2671
1643	1162	6294
1095	774	2751
757	163	5841
1095	0	4310
1643	0	10853
1095	0	4395
757	163	5841
1095	774	2671
1643	1162	6294
1095	774	2751
568	163	5841
1095	438	699
1643	911	849
1095	520	724
568	163	5841
1095	774	2536
1643	1162	6165
1095	774	2621
568	163	5841
1095	0	4173
1643	0	10721
1095	0	4263
568	163	5841
1095	774	2536
1643	1162	6165
1095	774	2621

Totaal

Loadcase	M$_{langs}$	M$_{dwars}$	N	V$_{langs}$	V$_{dwars}$	Totaal moment	
1a	5841	547	921	163	0	5866,603	1
1b	1095	571	928	31	0	1324,937	2
3	1643	1036	1075	46	0	1942,009	3
4	1095	649	952	31	0	1273,206	4
6							5
							6
1a	4130	11281	906	115	225	12012,96	7
1b	774	2671	927	22	44	2780,752	8
3	1162	6294	1071	32	101	6400,186	9
4	774	2751	951	22	44	2858,346	10
							11
1a	0	19609	892	0	383	19608,77	12
1b	0	4310	924	0	75	4310,21	13
3	0	10853	1061	0	183	10852,68	14
4	0	4395	949	0	75	4394,918	15
							16
1a	4130	11281	906	115	225	12012,96	17
1b	774	2671	927	22	44	2780,752	18
3	1162	6294	1071	32	101	6400,186	19
4	774	2751	951	22	44	2858,346	20
							21
1a	5841	417	693	163	0	5855,864	22
1b	1095	438	699	31	0	1179,685	23
3	1643	911	849	46	0	1878,244	24
4	1095	520	724	31	0	1212,468	25
6							26
							27
1a	4130	11146	676	115	225	11886,46	28
1b	774	2536	697	22	44	2652,072	29
3	1162	6165	843	32	101	6273,961	30
4	774	2621	723	22	44	2733,241	31
							32
1a	0	19486	666	0	383	19485,61	33
1b	0	4173	693	0	75	4172,682	34
3	0	10721	832	0	183	10721,24	35
4	0	4263	720	0	75	4262,634	36
							37
1a	4130	11146	676	115	225	11886,46	38
1b	774	2536	697	22	44	2652,072	39
3	1162	6165	843	32	101	6273,961	40
4	774	2621	723	22	44	2733,241	41
Max	5841	19609	1075	163	383	19609	

samenvatting

Mast	Bijlage	Wind	Loadcase	M$_{langs}$	M$_{dwars}$	N	V$_{langs}$	V$_{dwars}$	
1 W2S400+221-AC	Perm load	0 deg	1a	5841	547	921	163	0	
3 W2S400+221-AC	Perm load	0 deg	3	1643	1036	1075	46	0	
12 W2S400+221-AC	Perm load	90 deg	1a	0	19609	892	0	383	
22 W2S400+221-AC	Perm load	0 deg	1a	5841	417	693	163	0	

| | | |

| | | |

W2H400+122 - AE

| | | |

| | | |

W2H400+122 - AE1

Hoogte mast	Ber & bijlage	72	m	
Hoogte onderste stroomdraad (F3)		42	m	
	Hoogte			Excentriciteit ophanging t.o.v. hart mast
Bliksemdraad = GW / tM$_{mast}$ -	0,57	71,43	m	0,76 m
1e traverse - 380C1F1 F2 +	10	62	m	0 m
2e traverse - 380C1F2 F3 +	10	52	m	0 m
3e traverse - 380C1F3		42	m	0 m
Passieve lijn = Comp C F3 -	7,5	34,5	m	2,075 m

Uit mast (excl belastingsfactoren)

N	V	M
[kN]	[kN]	[kNm]
1136	167	5546

Uit lijnen (incl belastingsfactoren)

Nmin	Nmax	Vmax	Mlangs;max	Mdwars;max
[kN]	[kN]	[kN]	[kNm]	[kNm]
95	289	255	1196	15497

			Belastingen uit lijnen					Belasting uit mast		
			M$_{langs}$	M$_{dwars}$	N	V$_{langs}$	V$_{dwars}$	N	V	M
Perm load 1,2	0 deg	1a	0	1538	148	0	18	1136	167	5546
		1b	0	1703	152	0	20	1136	31	1040
		3	0	2784	**289**	0	31	1136	47	1560
		4	0	1809	176	0	21	1136	31	1040
		6	0	1697	165	0	19			
	45 deg	1a	-1012	8389	137	-17	134	1136	167	5546
		1b	-63	3030	151	-1	43	1136	31	1040
		3	-232	6896	286	-4	102	1136	47	1560
		4	-48	3134	175	-1	43	1136	31	1040
	90 deg	1a	0	**15497**	129	0	**255**	1136	167	5546
		1b	0	4383	149	0	66	1136	31	1040
		3	0	11098	279	0	174	1136	47	1560
		4	0	4480	174	0	66	1136	31	1040
	-45 deg	1a	1012	8389	137	17	134	1136	167	5546
		1b	63	3030	151	1	43	1136	31	1040
		3	232	6896	286	4	102	1136	47	1560
		4	48	3134	175	1	43	1136	31	1040
Perm load 0,9	0 deg	1a	0	1201	112	0	14	852	167	5546
		1b	0	1353	116	0	16	852	31	1040
		3	0	2486	254	0	28	852	47	1560
		4	0	1482	140	0	17	852	31	1040
		6	0	**1197**	112	0	**14**			
	45 deg	1a	**-1196**	8135	101	**-20**	132	852	167	5546
		1b	-90	2686	115	-2	39	852	31	1040
		3	-275	6607	251	-5	99	852	47	1560
		4	-65	2811	140	-1	40	852	31	1040
	90 deg	1a	0	15311	**95**	0	254	852	167	5546
		1b	0	4055	112	0	62	852	31	1040
		3	0	10833	243	0	172	852	47	1560
		4	0	4166	138	0	63	852	31	1040
	-45 deg	1a	**1196**	8135	101	**20**	132	852	167	5546
		1b	90	2686	115	2	39	852	31	1040
		3	275	6607	251	5	99	852	47	1560
		4	65	2811	140	1	40	852	31	1040

regel			Totaal						
		Loadcase	M$_{langs}$	M$_{dwars}$	N	V$_{langs}$	V$_{dwars}$	Totaal moment	
1	Perm load 1,2	0 deg	1a	5546	1538	1284	167	18	5755,39
2	Perm load 1,2	0 deg	1b	1040	1703	1288	31	20	1995,482
3	Perm load 1,2	0 deg	3	1560	2784	1425	47	31	3190,959
4	Perm load 1,2	0 deg	4	1040	1809	1312	31	21	2086,65
5	Perm load 1,2	0 deg	6						
6									
7	Perm load 1,2	45 deg	1a	4934	12310	1273	135	252	13262,3
8	Perm load 1,2	45 deg	1b	798	3766	1287	23	65	3849,244
9	Perm load 1,2	45 deg	3	1335	7999	1422	37	135	8109,168
10	Perm load 1,2	45 deg	4	783	3870	1311	23	65	3948,064
11									
12	Perm load 1,2	90 deg	1a	0	21043	1265	0	422	21042,55
13	Perm load 1,2	90 deg	1b	0	5423	1285	0	97	5422,83
14	Perm load 1,2	90 deg	3	0	12658	1415	0	221	12657,65
15	Perm load 1,2	90 deg	4 Construc	0	5519	1310	0	97	5519,454
16									
17	Perm load 1,2	-45 deg	1a	4934	12310	1273	135	252	13262,3
18	Perm load 1,2	-45 deg	1b	798	3766	1287	23	65	3849,244
19	Perm load 1,2	-45 deg	3	1335	7999	1422	37	135	8109,168
20	Perm load 1,2	-45 deg	4	783	3870	1311	23	65	3948,064
21									
22	Perm load 0,9	0 deg	1a	5546	1201	964	167	14	5674,528
23	Perm load 0,9	0 deg	1b	1040	1353	968	31	16	1706,653
24	Perm load 0,9	0 deg	3	1560	2486	1106	47	28	2934,838
25	Perm load 0,9	0 deg	4	1040	1482	992	31	17	1810,662
26	Perm load 0,9	0 deg	6						
27									
28	Perm load 0,9	45 deg	1a	5117	12056	953	138	250	13097,3
29	Perm load 0,9	45 deg	1b	826	3421	967	24	61	3519,639
30	Perm load 0,9	45 deg	3	1378	7710	1103	38	132	7832,205
31	Perm load 0,9	45 deg	4 Construc	800	3546	992	23	62	3635,423
32									
33	Perm load 0,9	90 deg	1a	0	20857	947	0	421	20857,35
34	Perm load 0,9	90 deg	1b	0	5095	964	0	94	5094,696
35	Perm load 0,9	90 deg	3	0	12393	1095	0	219	12392,83
36	Perm load 0,9	90 deg	4	0	5206	990	0	94	5206,093
37									
38	Perm load 0,9	-45 deg	1a	5117	12056	953	138	250	13097,3
39	Perm load 0,9	-45 deg	1b	826	3421	967	24	61	3519,639
40	Perm load 0,9	-45 deg	3	1378	7710	1103	38	132	7832,205
41	Perm load 0,9	-45 deg	4	800	3546	992	23	62	3635,423
		Max		5546	21043	1425	167	422	21043

1	x			x						
2										
3		x								
4										
5										
6										
7										
8										
9										
10										
11										
12	x				x	x				
13										
14										
15										
16										
17										
18										
19										
20										
21										
22	x			x						
23										
24										
25										
26										
27										
28										
29										
30										
31										
32										
33										
34										
35										
36										
37										
38										
39										
40										
41										

samenvatting

	Mast	Bijlage	Wind	Loadcase	M$_{langs}$	M$_{dwars}$	N	V$_{langs}$	V$_{dwars}$
1	W2H400+122	AE1	Perm load 0,9	0 deg	1a	5546	1538	1284	167	18
3	W2H400+122	AE1	Perm load 0,9	0 deg	3	1560	2784	1425	47	31
12	W2H400+122	AE1	Perm load 0,9	90 deg	1a	0	21043	1265	0	422
22	W2H400+122	AE1	Perm load 0,9	0 deg	1a	5546	1201	964	167	14

W2H400+15 TOWER (rev 6.0, date: 05 Appendix AE1
Loadcases for tower strength (special limit state)
Loadcase Attachment point

		AHEAD			BACK		
		[N]	[N]	[N]	[N]	[N]	[N]
1a	380C1F1	20694	66121	134510	20694	66121	-134510
Wind, 10 ◦	380C1F2	20703	65825	134370	20703	65825	-134370
Permaner	380C1F3	20714	65466	134219	20714	65466	-134219
Wind angl	GW / opg	2697	8891	17777	2697	8891	-17777
	Comp. gl	5611	17909	36530	5611	17909	-36530
1b	380C1F1	21295	72760	153793	21295	72760	-153793
Wind, -20	380C1F2	21297	72691	153798	21297	72691	-153798
Permaner	380C1F3	21298	72606	153805	21298	72606	-153805
Wind angl	GW / opg	2775	9466	19904	2775	9466	-19904
	Comp. gl	5747	19311	40835	5747	19311	-40835
3	380C1F1	24214	77879	160751	24214	77879	-160751
Wind+ice,	380C1F2	24220	77649	160684	24220	77649	-160684
Permaner	380C1F3	24227	77370	160615	24227	77370	-160615
Wind angl	GW / opg	4559	14266	28555	4559	14266	-28555
	Comp. gl	9341	28340	57819	9341	28340	-57819
4	380C1F1	23664	71834	151805	23664	71834	-151805
Construction/mainte		23665	71766	151814	23665	71766	-151814
Permaner	380C1F3	23666	71684	151826	23666	71684	-151826
Wind angl	GW / opg	3430	10315	21723	3430	10315	-21723
	Comp. gl	7060	21084	44637	7060	21084	-44637
6	380C1F1	23267	68714	147358	23267	68714	-147358
Permaner	380C1F2	23267	68714	147358	23267	68714	-147358
Permaner	380C1F3	23267	68714	147358	23267	68714	-147358
	GW / opg	3042	9033	19370	3042	9033	-19370
	Comp. gl	6308	18706	40115	6308	18706	-40115
1a	380C1F1	20734	64695	133966	19666	92787	-162944
Wind, 10 ◦	380C1F2	20738	64524	133925	19762	89992	-159407
Permaner	380C1F3	20743	64317	133884	19885	86611	-155207
Wind angl	GW / opg	2707	8607	17614	2513	14276	-24233
	Comp. gl	5620	17545	36396	5352	24735	-43768
1b	380C1F1	21300	72417	153832	21112	78006	-156205
Wind, -20	380C1F2	21301	72375	153840	21136	77466	-155803
Permaner	380C1F3	21301	72322	153851	21164	76819	-155352
Wind angl	GW / opg	2776	9402	19904	2735	10520	-20599
	Comp. gl	5748	19223	40846	5704	20650	-41431
3	380C1F1	24241	76762	160515	23371	97906	-178997
Wind+ice,	380C1F2	24244	76626	160503	23462	95778	-176546
Permaner	380C1F3	24247	76460	160494	23574	93222	-173684
Wind angl	GW / opg	4573	13851	28368	4273	21883	-36843
	Comp. gl	9355	27798	57677	8949	38072	-67021
4	380C1F1	23667	71499	151862	23529	76746	-153497
Construction/mainte		23668	71457	151872	23547	76251	-153190
Permaner	380C1F3	23668	71405	151885	23568	75654	-152849
Wind angl	GW / opg	3431	10254	21729	3403	11242	-22145
	Comp. gl	7061	20999	44655	7031	22294	-44957
1a	380C1F1	19765	89925	159324	19765	89925	-159324
Wind, 10 ◦	380C1F2	19856	87384	156158	19856	87384	-156158
Permaner	380C1F3	19971	84315	152416	19971	84315	-152416
Wind angl	GW / opg	2527	13717	23480	2527	13717	-23480
	Comp. gl	5377	23997	42834	5377	23997	-42834
1b	380C1F1	21137	77454	155793	21137	77454	-155793
Wind, -20	380C1F2	21158	76967	155451	21158	76967	-155451
Permaner	380C1F3	21182	76382	155070	21182	76382	-155070
Wind angl	GW / opg	2740	10406	20491	2740	10406	-20491
	Comp. gl	5709	20509	41328	5709	20509	-41328
3	380C1F1	23464	95728	176488	23464	95728	-176488
Wind+ice,	380C1F2	23548	93804	174327	23548	93804	-174327
Permaner	380C1F3	23650	91496	171814	23650	91496	-171814
Wind angl	GW / opg	4297	21093	35855	4297	21093	-35855
	Comp. gl	8988	37030	65807	8988	37030	-65807
4	380C1F1	23547	76239	153183	23547	76239	-153183
Construction/mainte		23563	75790	152924	23563	75790	-152924
Permaner	380C1F3	23581	75250	152638	23581	75250	-152638
Wind angl	GW / opg	3406	11144	22073	3406	11144	-22073
	Comp. gl	7035	22171	44891	7035	22171	-44891
1a	380C1F1	19666	92787	162944	20734	64695	-133966
Wind, 10 ◦	380C1F2	19762	89992	159407	20738	64524	-133925
Permaner	380C1F3	19885	86611	155207	20743	64317	-133884
Wind angl	GW / opg	2513	14276	24233	2707	8607	-17614
	Comp. gl	5352	24735	43768	5620	17545	-36396
1b	380C1F1	21112	78006	156205	21300	72417	-153832
Wind, -20	380C1F2	21136	77466	155803	21301	72375	-153840
Permaner	380C1F3	21164	76819	155352	21301	72322	-153851
Wind angl	GW / opg	2735	10520	20599	2776	9402	-19904
	Comp. gl	5704	20650	41431	5748	19223	-40846
3	380C1F1	23371	97906	178997	24241	76762	-160515
Wind+ice,	380C1F2	23462	95778	176546	24244	76626	-160503
Permaner	380C1F3	23574	93222	173684	24247	76460	-160494
Wind angl	GW / opg	4273	21883	36843	4573	13851	-28368
0	Comp. gl	8949	38072	67021	9355	27798	-57677
4	380C1F1	23529	76746	153497	23667	71499	-151862
Construction/mainte		23547	76251	153190	23668	71457	-151872
Permaner	380C1F3	23568	75654	152849	23668	71405	-151885
Wind angl	GW / opg	3403	11242	22145	3431	10254	-21729
	Comp. gl	7031	22294	44957	7061	20999	-44655
1a	380C1F1	15625	53388	107205	15625	53388	-107205
Wind, 10 ◦	380C1F2	15637	53047	106970	15637	53047	-106970
Permaner	380C1F3	15651	52637	106709	15651	52637	-106709
Wind angl	GW / opg	2031	7218	14188	2031	7218	-14188
	Comp. gl	4234	14376	28955	4234	14376	-28955
1b	380C1F1	16211	59038	124368	16211	59038	-124368
Wind, -20	380C1F2	16212	58964	124361	16212	58964	-124361
Permaner	380C1F3	16214	58874	124357	16214	58874	-124357
Wind angl	GW / opg	2107	7617	15937	2107	7617	-15937
3	380C1F1	19171	65274	133721	19171	65274	-133721
Wind+ice,	380C1F2	19180	65020	133602	19180	65020	-133602
Permaner	380C1F3	19189	64713	133474	19189	64713	-133474
Wind angl	GW / opg	3906	12796	25403	3906	12796	-25403
	Comp. gl	7992	25254	51200	7992	25254	-51200
4	380C1F1	18642	59191	124693	18642	59191	-124693
Construction/mainte		18643	59120	124694	18643	59120	-124694
Permaner	380C1F3	18644	59034	124699	18644	59034	-124699
Wind angl	GW / opg	2774	8667	18188	2774	8667	-18188

	Comp. gl	5701	17683	37343	5701	17683	-37343
6	380C1F1	15721	49434	106011	15721	49434	-106011
Permaner	380C1F2	15721	49434	106011	15721	49434	-106011
Permaner	380C1F3	15721	49434	106011	15721	49434	-106011
	GW / opg	2052	6441	13813	2052	6441	-13813
	Comp. gl	4257	13367	28666	4257	13367	-28666
1a	380C1F1	15679	51766	106240	14527	84525	-145232
Wind, 10 ◦	380C1F2	15684	51575	106156	14612	81352	-140885
Permaner	380C1F3	15690	51345	106067	14725	77481	-135633
Wind ang	GW / opg	2043	6888	13926	1851	13386	-22325
	Comp. gl	4247	13964	28717	3954	22362	-38681
1b	380C1F1	16217	58674	124360	15961	65091	-128511
Wind, -20	380C1F2	16218	58629	124364	15992	64448	-127886
Permaner	380C1F3	16219	58574	124370	16029	63680	-127176
Wind ang	GW / opg	2109	7547	15925	2055	8856	-17029
	Comp. gl	4366	15418	32686	4306	17050	-33713
3	380C1F1	19207	64051	133258	18205	88309	-158423
Wind+ice,	380C1F2	19211	63905	133224	18298	85877	-155316
Permaner	380C1F3	19215	63727	133189	18416	82940	-151638
Wind ang	GW / opg	3922	12349	25147	3616	21037	-35030
	Comp. gl	8009	24678	50985	7571	35881	-62325
4	380C1F1	18646	58842	124720	18467	64649	-127555
Construction/mainte		18647	58799	124726	18490	64082	-127095
Permaner	380C1F3	18647	58745	124736	18516	63402	-126576
Wind ang	GW / opg	2775	8603	18190	2740	9693	-18824
	Comp. gl	5702	17595	37355	5664	19000	-37892
1a	380C1F1	14614	81277	140782	14614	81277	-140782
Wind, 10 ◦	380C1F2	14698	78369	136831	14698	78369	-136831
Permaner	380C1F3	14808	74830	132079	14808	74830	-132079
Wind ang	GW / opg	1862	12773	21455	1862	12773	-21455
	Comp. gl	3978	21520	37523	3978	21520	-37523
1b	380C1F1	15993	64433	127872	15993	64433	-127872
Wind, -20	380C1F2	16021	63854	127334	16021	63854	-127334
Permaner	380C1F3	16054	63163	126724	16054	63163	-126724
Wind ang	GW / opg	2061	8718	16872	2061	8718	-16872
	Comp. gl	4314	16883	33553	4314	16883	-33553
3	380C1F1	18300	85819	155243	18300	85819	-155243
Wind+ice,	380C1F2	18388	83610	152470	18388	83610	-152470
Permaner	380C1F3	18498	80949	149199	18498	80949	-149199
Wind ang	GW / opg	3637	20200	33939	3637	20200	-33939
	Comp. gl	7610	34753	60925	7610	34753	-60925
4	380C1F1	18491	64068	127084	18491	64068	-127084
Construction/mainte		18510	63557	126691	18510	63557	-126691
Permaner	380C1F3	18534	62944	126249	18534	62944	-126249
Wind ang	GW / opg	2745	9582	18724	2745	9582	-18724
	Comp. gl	5669	18862	37795	5669	18862	-37795
1a	380C1F1	14527	84525	145232	15679	51766	-106240
Wind, 10 ◦	380C1F2	14612	81352	140885	15684	51575	-106156
Permaner	380C1F3	14725	77481	135633	15690	51345	-106067
Wind ang	GW / opg	1851	13386	22325	2043	6888	-13926
	Comp. gl	3954	22362	38681	4247	13964	-28717
1b	380C1F1	15961	65091	128511	16217	58674	-124360
Wind, -20	380C1F2	15992	64448	127886	16218	58629	-124364
Permaner	380C1F3	16029	63680	127176	16219	58574	-124370
Wind ang	GW / opg	2055	8856	17029	2109	7547	-15925
	Comp. gl	4306	17050	33713	4366	15418	-32686
3	380C1F1	18205	88309	158423	19207	64051	-133258
Wind+ice,	380C1F2	18298	85877	155316	19211	63905	-133224
Permaner	380C1F3	18416	82940	151638	19215	63727	-133189
Wind ang	GW / opg	3616	21037	35030	3922	12349	-25147
0 Comp. gl		7571	35881	62325	8009	24678	-50985
4	380C1F1	18467	64649	127555	18646	58842	-124720
Construction/mainte		18490	64082	127095	18647	58799	-124726
Permaner	380C1F3	18516	63402	126576	18647	58745	-124736
Wind ang	GW / opg	2740	9693	18824	2775	8603	-18190
	Comp. gl	5664	19000	37892	5702	17595	-37355
1a	380C1F1	20694	66121	134510	0	0	0
Wind, 10 ◦	380C1F2	20703	65825	134370	0	0	0
Permaner	380C1F3	20714	65466	134219	0	0	0
Wind ang	GW / opg	2697	8891	17777	0	0	0
	Comp. gl	5611	17909	36530	0	0	0
1b	380C1F1	21295	72760	153793	0	0	0
Wind, -20	380C1F2	21297	72691	153798	0	0	0
Permaner	380C1F3	21298	72606	153805	0	0	0
Wind ang	GW / opg	2775	9466	19904	0	0	0
	Comp. gl	5747	19311	40835	0	0	0
3	380C1F1	24214	77879	160751	0	0	0
Wind+ice,	380C1F2	24220	77649	160684	0	0	0
Permaner	380C1F3	24227	77370	160615	0	0	0
Wind ang	GW / opg	4559	14266	28555	0	0	0
	Comp. gl	9341	28340	57819	0	0	0
4	380C1F1	23664	71834	151805	0	0	0
Construction/mainte		23665	71766	151814	0	0	0
Permaner	380C1F3	23666	71684	151826	0	0	0
Wind ang	GW / opg	3430	10315	21723	0	0	0
	Comp. gl	7060	21084	44637	0	0	0
6	380C1F1	23267	68714	147358	0	0	0
Permaner	380C1F2	23267	68714	147358	0	0	0
Permaner	380C1F3	23267	68714	147358	0	0	0
	GW / opg	3042	9033	19370	0	0	0
	Comp. gl	6308	18706	40115	0	0	0
1a	380C1F1	20734	64695	133966	0	0	0
Wind, 10 ◦	380C1F2	20738	64524	133925	0	0	0
Permaner	380C1F3	20743	64317	133884	0	0	0
Wind ang	GW / opg	2707	8607	17614	0	0	0
	Comp. gl	5620	17545	36396	0	0	0
1b	380C1F1	21300	72417	153832	0	0	0
Wind, -20	380C1F2	21301	72375	153840	0	0	0
Permaner	380C1F3	21301	72322	153851	0	0	0
Wind ang	GW / opg	2776	9402	19904	0	0	0
	Comp. gl	5748	19223	40846	0	0	0
3	380C1F1	24241	76762	160515	0	0	0
Wind+ice,	380C1F2	24244	76626	160503	0	0	0
Permaner	380C1F3	24247	76460	160494	0	0	0
Wind ang	GW / opg	4573	13851	28368	0	0	0
	Comp. gl	9355	27798	57677	0	0	0
4	380C1F1	23667	71499	151862	0	0	0
Construction/mainte		23668	71457	151872	0	0	0
Permaner	380C1F3	23668	71405	151885	0	0	0
Wind ang	GW / opg	3431	10254	21729	0	0	0
	Comp. gl	7061	20999	44655	0	0	0
1a	380C1F1	19765	89925	159324	0	0	0
Wind, 10 ◦	380C1F2	19856	87384	156158	0	0	0
Permane	380C1F3	19971	84315	152416	0	0	0
Wind ang	GW / opg	2527	13717	23480	0	0	0
	Comp. gl	5377	23997	42834	0	0	0
1b	380C1F1	21137	77454	155793	0	0	0
Wind, -2(	380C1F2	21158	76967	155451	0	0	0
Permane	380C1F3	21182	76382	155070	0	0	0
Wind ang	GW / opg	2740	10406	20491	0	0	0
	Comp. gl	5709	20509	41328	0	0	0
3	380C1F1	23464	95728	176488	0	0	0
Wind+ice	380C1F2	23548	93804	174327	0	0	0
Permane	380C1F3	23650	91496	171814	0	0	0
Wind ang	GW / opg	4297	21093	35855	0	0	0
	Comp. gl	8988	37030	65807	0	0	0
4	380C1F1	23547	76239	153183	0	0	0
Construction/main		23563	75790	152924	0	0	0
Permane	380C1F3	23581	75250	152638	0	0	0
Wind ang	GW / opg	3406	11144	22073	0	0	0
	Comp. gl	7035	22171	44891	0	0	0
1a	380C1F1	19666	92787	162944	0	0	0
Wind, 10	380C1F2	19762	89992	159407	0	0	0
Permane	380C1F3	19885	86611	155207	0	0	0
Wind ang	GW / opg	2513	14276	24233	0	0	0
	Comp. gl	5352	24735	43768	0	0	0
1b	380C1F1	21112	78006	156205	0	0	0
Wind, -2(	380C1F2	21136	77466	155803	0	0	0
Permane	380C1F3	21164	76819	155352	0	0	0
Wind ang	GW / opg	2735	10520	20599	0	0	0
	Comp. gl	5704	20650	41431	0	0	0
3	380C1F1	23371	97906	178997	0	0	0
Wind+ice	380C1F2	23462	95778	176546	0	0	0
Permane	380C1F3	23574	93222	173684	0	0	0
Wind ang	GW / opg	4273	21883	36843	0	0	0
0 Comp. gl		8949	38072	67021	0	0	0
4	380C1F1	23529	76746	153497	0	0	0
Construction/main		23547	76251	153190	0	0	0
Permane	380C1F3	23568	75654	152849	0	0	0
Wind ang	GW / opg	3403	11242	22145	0	0	0
	Comp. gl	7031	22294	44957	0	0	0
1a	380C1F1	15625	53388	107205	0	0	0
Wind, 10	380C1F2	15637	53047	106970	0	0	0
Permane	380C1F3	15651	52637	106709	0	0	0

Wind anç	GW / opç	2031	7218	14188	0	0	0
	Comp. gl	4234	14376	28955	0	0	0
1b	380C1F	116211	59038	124368	0	0	0
Wind, -2(	380C1F	216212	58964	124361	0	0	0
Permane	380C1F	316214	58874	124357	0	0	0
Wind anç	GW / opç	2107	7617	15937	0	0	0
	Comp. gl	4364	15511	32686	0	0	0
3	380C1F	119171	65274	133721	0	0	0
Wind+ice	380C1F	219180	65020	133602	0	0	0
Permane	380C1F	319189	64713	133474	0	0	0
Wind anç	GW / opç	3906	12796	25403	0	0	0
	Comp. gl	7992	25254	51200	0	0	0
4	380C1F	118642	59191	124693	0	0	0
Construction/maint		18643	59120	124694	0	0	0
Permane	380C1F	318644	59034	124699	0	0	0
Wind anç	GW / opç	2774	8667	18188	0	0	0
	Comp. gl	5701	17683	37343	0	0	0
6	380C1F	115721	49434	106011	0	0	0
Permane	380C1F	215721	49434	106011	0	0	0
Permane	380C1F	315721	49434	106011	0	0	0
	GW / opç	2052	6441	13813	0	0	0
	Comp. gl	4257	13367	28666	0	0	0
1a	380C1F	115679	51766	106240	0	0	0
Wind, 10	380C1F	215684	51575	106156	0	0	0
Permane	380C1F	315690	51345	106067	0	0	0
Wind anç	GW / opç	2043	6888	13926	0	0	0
	Comp. gl	4247	13964	28717	0	0	0
1b	380C1F	116217	58674	124360	0	0	0
Wind, -2(	380C1F	216218	58629	124364	0	0	0
Permane	380C1F	316219	58574	124370	0	0	0
Wind anç	GW / opç	2109	7547	15925	0	0	0
	Comp. gl	4366	15418	32686	0	0	0
3	380C1F	119207	64051	133258	0	0	0
Wind+ice	380C1F	219211	63905	133224	0	0	0
Permane	380C1F	319215	63727	133189	0	0	0
Wind anç	GW / opç	3922	12349	25147	0	0	0
	Comp. gl	8009	24678	50985	0	0	0
4	380C1F	118646	58842	124720	0	0	0
Construction/maint		18647	58799	124726	0	0	0
Permane	380C1F	318647	58745	124736	0	0	0
Wind anç	GW / opç	2775	8603	18190	0	0	0
	Comp. gl	5702	17595	37355	0	0	0
1a	380C1F	114614	81277	140782	0	0	0
Wind, 10	380C1F	214698	78369	136831	0	0	0
Permane	380C1F	314808	74830	132079	0	0	0
Wind anç	GW / opç	1862	12773	21455	0	0	0
	Comp. gl	3978	21520	37523	0	0	0
1b	380C1F	115993	64433	127872	0	0	0
Wind, -2(	380C1F	216021	63854	127334	0	0	0
Permane	380C1F	316054	63163	126724	0	0	0
Wind anç	GW / opç	2061	8718	16872	0	0	0
	Comp. gl	4314	16883	33553	0	0	0
3	380C1F	118300	85819	155243	0	0	0
Wind+ice	380C1F	218388	83610	152470	0	0	0
Permane	380C1F	318498	80949	149199	0	0	0
Wind anç	GW / opç	3637	20200	33939	0	0	0
	Comp. gl	7610	34753	60925	0	0	0
4	380C1F	118491	64068	127084	0	0	0
Construction/maint		18510	63557	126691	0	0	0
Permane	380C1F	318534	62944	126249	0	0	0
Wind anç	GW / opç	2745	9582	18724	0	0	0
	Comp. gl	5669	18862	37795	0	0	0
1a	380C1F	114527	84525	145232	0	0	0
Wind, 10	380C1F	214612	81352	140885	0	0	0
Permane	380C1F	314725	77481	135633	0	0	0
Wind anç	GW / opç	1851	13386	22325	0	0	0
	Comp. gl	3954	22362	38681	0	0	0
1b	380C1F	115961	65091	128511	0	0	0
Wind, -2(	380C1F	215992	64448	127886	0	0	0
Permane	380C1F	316029	63680	127176	0	0	0
Wind anç	GW / opç	2055	8856	17029	0	0	0
	Comp. gl	4306	17050	33713	0	0	0
3	380C1F	118205	88309	158423	0	0	0
Wind+ice	380C1F	218298	85877	155316	0	0	0
Permane	380C1F	318416	82940	151638	0	0	0
Wind anç	GW / opç	3616	21037	35030	0	0	0
0 Comp. gl		7571	35881	62325	0	0	0
4	380C1F	118467	64649	127555	0	0	0
Construction/maint		18490	64082	127095	0	0	0
Permane	380C1F	318516	63402	126576	0	0	0
Wind anç	GW / opç	2740	9693	18824	0	0	0
	Comp. gl	5664	19000	37892	0	0	0

W2H400+[22- AE2]

| | | |

W2S400+2 F3 - AF

Hoogte mast	Ber & bijlage	74,5	m		
Hoogte onderste stroomdraad (F3)		48,5	m		
	Hoogte			Excentriciteit ophanging t.o.v. hart mast	
Bliksemdraad = GW / t_{Hmast} -	0,716	m =	73,784	m	1,459 m
1e traverse - 380C1F1 F2 +	10	m +	68,5	m	4,41 m
2e traverse - 380C1F2 F3 +	10	m +	58,5	m	4,41 m
3e traverse - 380C1F3			48,5	m	4,41 m
Passieve lijn = Comp C.F3 -	4	m =	44,5	m	1,819 m

Uit mast (excl belastingsfactoren)

N	V	M
[kN]	[kN]	[kNm]
730	157	5508

Uit lijnen (incl belastingsfactoren)

Nmin	Nmax	Vmax	Mlangs;ma	Mdwars;max
[kN]	[kN]	[kN]	[kNm]	[kNm]
95	289	255	1196	15497

Belastingen uit lijnen

				M_{langs}	M_{dwars}	N	V_{langs}	V_{dwars}	
Perm load 1,2	0 deg	1a		0	1538	148	0	18	
		1b		0	1703	152	0	20	
			3	0	2784	**289**	0	31	
			4	0	1809	176	0	21	
			6	0	1697	165	0	19	
	45 deg	1a		-1012	8389	137	-17	134	
		1b		-63	3030	151	-1	43	
			3	-232	6896	286	-4	102	
			4	-48	3134	175	-1	43	
	90 deg	1a		0	**15497**	129	0	**255**	
		1b		0	4383	149	0	66	
			3	0	11098	279	0	174	
			4	0	4480	174	0	66	
	-45 deg	1a		1012	8389	137	17	134	
		1b		63	3030	151	1	43	
			3	232	6896	286	4	102	
			4	48	3134	175	1	43	
Perm load 0,9	0 deg	1a		0	1201	112	0	14	
		1b		0	1353	116	0	16	
			3	0	2486	254	0	28	
			4	0	1482	140	0	17	
			6	0	**1197**	112	0	**14**	
	45 deg	1a		**-1196**	8135	101	**-20**	132	
		1b		-90	2686	115	-2	39	
			3	-275	6607	251	-5	99	
			4	-65	2811	140	-1	40	
	90 deg	1a		0	15311	**95**	0	254	
		1b		0	4055	112	0	62	
			3	0	10833	243	0	172	
			4	0	4166	138	0	63	
	-45 deg	1a		**1196**	8135	101	**20**	132	
		1b		90	2686	115	2	39	
			3	275	6607	251	5	99	
			4	65	2811	140	1	40	

Belasting uit mast

N	V	M
730	157	5508
730	29	1033
730	44	1549
730	29	1033
730	157	5508
730	29	1033
730	44	1549
730	29	1033
730	157	5508
730	29	1033
730	44	1549
730	29	1033
730	157	5508
730	29	1033
730	44	1549
730	29	1033
548	157	5508
548	29	1033
548	44	1549
548	29	1033
548	157	5508
548	29	1033
548	44	1549
548	29	1033
548	157	5508
548	29	1033
548	44	1549
548	29	1033

Totaal

regel		Loadcase	M_{langs}	M_{dwars}	N	V_{langs}	V_{dwars}	Totaal moment	
1	Perm load 1,2	0 deg	1a	5508	1538	878	157	18	5718,782
2	Perm load 1,2	0 deg	1b	1033	1703	882	29	20	1991,778
3	Perm load 1,2	0 deg	3	1549	2784	1019	44	31	3185,748
4	Perm load 1,2	0 deg	4	1033	1809	906	29	21	2083,108
5	Perm load 1,2	0 deg	6						
6									
7	Perm load 1,2	45 deg	1a	4907	12283	867	128	245	13227,37
8	Perm load 1,2	45 deg	1b	793	3761	881	22	64	3843,273
9	Perm load 1,2	45 deg	3	1327	7991	1016	35	133	8100,472
10	Perm load 1,2	45 deg	4	778	3865	905	22	64	3942,128
11									
12	Perm load 1,2	90 deg	1a	0	21005	859	0	412	21004,55
13	Perm load 1,2	90 deg	1b	0	5416	879	0	95	5415,705
14	Perm load 1,2	90 deg	3	0	12647	1009	0	218	12646,97
15	Perm load 1,2	90 deg	4 Construct	0	5512	904	0	95	5512,329
16									
17	Perm load 1,2	-45 deg	1a	4907	12283	867	128	245	13227,37
18	Perm load 1,2	-45 deg	1b	793	3761	881	22	64	3843,273
19	Perm load 1,2	-45 deg	3	1327	7991	1016	35	133	8100,472
20	Perm load 1,2	-45 deg	4	778	3865	905	22	64	3942,128
21									
22	Perm load 0,9	0 deg	1a	5508	1201	659	157	14	5637,395
23	Perm load 0,9	0 deg	1b	1033	1353	664	29	16	1702,321
24	Perm load 0,9	0 deg	3	1549	2486	801	44	28	2929,172
25	Perm load 0,9	0 deg	4	1033	1482	688	29	17	1806,58
26	Perm load 0,9	0 deg	6						
27									
28	Perm load 0,9	45 deg	1a	5090	12029	649	131	243	13062,08
29	Perm load 0,9	45 deg	1b	821	3416	662	22	60	3513,561
30	Perm load 0,9	45 deg	3	1370	7703	798	36	130	7823,439
31	Perm load 0,9	45 deg	4 Construct	795	3541	687	22	61	3629,402
32									
33	Perm load 0,9	90 deg	1a	0	20819	642	0	411	20819,35
34	Perm load 0,9	90 deg	1b	0	5088	660	0	92	5087,571
35	Perm load 0,9	90 deg	3	0	12382	791	0	216	12382,15
36	Perm load 0,9	90 deg	4	0	5199	685	0	92	5198,968
37									
38	Perm load 0,9	-45 deg	1a	5090	12029	649	131	243	13062,08
39	Perm load 0,9	-45 deg	1b	821	3416	662	22	60	3513,561
40	Perm load 0,9	-45 deg	3	1370	7703	798	36	130	7823,439
41	Perm load 0,9	-45 deg	4	795	3541	687	22	61	3629,402
			Max	5508	21005	1019	157	412	21005

samenvatting

	Mast	Bijlage		Wind	Loadcase	M_{langs}	M_{dwars}	N	V_{langs}	V_{dwars}
1	W2S400+2	23-AF	Perm load	0 deg	1a	5508	1538	878	157	18
3	W2S400+2	23-AF	Perm load	0 deg	3	1549	2784	1019	44	31
12	W2S400+2	23-AF	Perm load	90 deg	1a	0	21005	859	0	412
22	W2S400+2	23-AF	Perm load	0 deg	1a	5508	1201	659	157	14

W2S400+22.5 U TOWER (rev 6.0, date: Appendix AF
Loadcases for tower strength (ultimate limit state)
-
Loadcase according to 50341-3-15

		AHEAD			BACK		Totaal Vert	Dwars	Langs	Belastingen op mastvoet, per lijn M_{langs}	M_{dwars}	N	V_{langs}	V_{dwars}	Belasting op mastvoet, belastinggeval M_{langs}	M_{dwars}	N	V_{langs}	V_{dwars}
	Attachment point	[N]	[N]	[N]	[N]	[N]	[kN]	[kN]	[kN]										
1a	GW / opgv	2802	340	19393	2802	340	-19393		0	0	71,29364	5,604	0	0,68	1a	0	1538,311	147,542	0	17,636
Wind, 10 ◦	380C1F1	21696	2592	147901	21696	2592	-147901		0	0	494,6227	43,392	0	5,184	Wind angle:	0	dgr			
Permaner	380C1F2	21696	2591	147901	21696	2591	-147901		0	0	442,6857	43,392	0	5,182						
Wind angl	380C1F3	21696	2591	147901	21696	2591	-147901		0	0	445,6576	43,392	0	5,182						
	Comp.cor	5881	704	40186	5881	704	-40186		0	0	84,05108	11,762	0	1,408						
1b	GW / opgv	2877	384	21989	2877	384	-21989		0	0	77,98314	5,754	0	0,768	1b	0	1703,117	152,05	0	20,152
Wind, -20	380C1F1	22372	2968	169916	22372	2968	-169916		0	0	544,577	44,744	0	5,936	Wind angle:	0	dgr			
Permaner	380C1F2	22372	2968	169916	22372	2968	-169916		0	0	485,217	44,744	0	5,936						
Wind angl	380C1F3	22372	2968	169916	22372	2968	-169916		0	0	503,2633	44,744	0	5,936						
	Comp.cor	6032	788	45115	6032	788	-45115		0	0	92,07642	12,064	0	1,576						
3	GW / opgv	11056	1063	60818	11056	1063	-60818		0	0	243,1449	22,112	0	2,126	3	0	2783,739	288,562	0	31,46
Wind+ice,	380C1F1	36893	4175	238860	36893	4175	-238860		0	0	813,8713	73,786	0	8,35	Wind angle:	0	dgr			
Permaner	380C1F2	36893	4175	238860	36893	4175	-238860		0	0	730,3713	73,786	0	8,35						
Wind angl	380C1F3	36893	4174	238860	36893	4174	-238860		0	0	723,6026	73,786	0	8,348						
	Comp.cor	22546	2143	122585	22546	2143	-122585		0	0	272,7493	45,092	0	4,286						
4	GW / opgv	3721	437	25027	3721	437	-25027		0	0	92,68822	7,442	0	0,874	4	0	1809,079	175,658	0	20,674
Construct	380C1F1	25457	3001	171827	25457	3001	-171827		0	0	575,6477	50,914	0	6,002	Wind angle:	0	dgr			
Permaner	380C1F2	25457	3001	171827	25457	3001	-171827		0	0	515,6277	50,914	0	6,002						
Wind angl	380C1F3	25457	3001	171828	25457	3001	-171828		0	0	517,1351	50,914	0	6,002						
	Comp.cor	7737	897	51347	7737	897	-51347		0	0	107,5802	15,474	0	1,794						
6	GW / opgv	3139	373	21370	3139	373	-21370		0	0	78,78698	6,278	0	0,746	6	0	1696,963	165,198	0	19,318
Permaner	380C1F1	24291	2838	162567	24291	2838	-162567		0	0	546,2926	48,582	0	5,676	0					
Permaner	380C1F2	24291	2838	162567	24291	2838	-162567		0	0	489,5326	48,582	0	5,676						
	380C1F3	24291	2838	162567	24291	2838	-162567		0	0	489,6791	48,582	0	5,676						
	Comp.cor	6587	772	44255	6587	772	-44255		0	0	92,67151	13,174	0	1,544						
1a	GW / opgv	2551	3348	28685	2535	3572	-29715		5,086	6,92	-1,03	-70,555	496,4493	5,086	-1,03	6,92	1a	-1012,49	8388,678	137,377	-17,199	134,332
Wind, 10 ◦	380C1F1	20177	19871	192174	20048	21160	-197515		40,225	41,031	-5,341	-312,449	2577,706	40,225	-5,341	41,031	Wind angle:	45	dgr			
Permaner	380C1F2	20289	18798	187825	20163	20006	-192728		40,452	38,804	-4,903	-237,796	2060,387	40,452	-4,903	38,804						
Wind angl	380C1F3	20428	17504	182729	20308	18616	-187101		40,736	36,12	-4,372	-322,584	2724,512	40,736	-4,372	36,12						
	Comp.cor	5457	5548	53155	5421	5909	-54708		10,878	11,457	-1,553	-69,1085	529,6236	10,878	-1,553	11,457						
1b	GW / opgv	2852	962	22519	2849	1005	-22598		5,701	1,967	0,079	-5,4115	159,8809	5,701	-0,079	1,967	1b	-62,8439	3030,284	151,234	-1,069	42,692
Wind, -20	380C1F1	22250	6306	172168	22232	6550	-172505		44,482	12,856	-0,337	-19,7145	948,2416	44,482	-0,337	12,856	Wind angle:	45	dgr			
Permaner	380C1F2	22264	6102	171904	22248	6331	-172202		44,512	12,433	-0,298	-14,453	799,2984	44,512	-0,298	12,433						
Wind angl	380C1F3	22280	5856	171606	22266	6067	-171861		44,546	11,923	-0,255	-18,8149	944,7192	44,546	-0,255	11,923						
	Comp.cor	5999	1722	45782	5994	1791	-45882		11,993	3,513	-0,1	-4,45	178,1438	11,993	-0,1	3,513						
3	GW / opgv	10951	4026	62919	10936	4243	-63226		21,887	8,269	-0,307	-21,0295	662,9482	21,887	-0,307	8,269	3	-231,84	6895,604	285,589	-3,95	101,974
Wind+ice,	380C1F1	36465	13542	247216	36407	14230	-248437		72,872	27,772	-1,221	-71,4285	1946,028	72,872	-1,221	27,772	Wind angle:	45	dgr			
Permaner	380C1F2	36512	12968	246255	36459	13614	-247340		72,971	26,582	-1,085	-52,6225	1611,029	72,971	-1,085	26,582						
Wind angl	380C1F3	36566	12276	245167	36520	12871	-246098		73,086	25,147	-0,931	-68,6929	1962,079	73,086	-0,931	25,147						
	Comp.cor	22397	6927	125314	22376	7277	-125720		44,773	14,204	-0,406	-18,067	713,5201	44,773	-0,406	14,204						
4	GW / opgv	3706	1012	25379	3703	1054	-25432		7,409	2,066	-0,053	-3,6305	174,1947	7,409	-0,053	2,066	4	-48,195	3134,237	175,087	-0,819	43,165
Construct	380C1F1	25370	6332	173586	25358	6576	-173851		50,728	12,908	-0,265	-15,5025	978,8285	50,728	-0,265	12,908	Wind angle:	45	dgr			
Permaner	380C1F2	25380	6129	173378	25369	6358	-173613		50,749	12,487	-0,235	-11,3975	829,4226	50,749	-0,235	12,487						
Wind angl	380C1F3	25392	5885	173145	25382	6095	-173344		50,774	11,98	-0,199	-14,683	958,0116	50,774	-0,199	11,98						
	Comp.cor	7715	1828	51793	7712	1896	-51860		15,427	3,724	-0,067	-2,9815	193,7797	15,427	-0,067	3,724						
1a	GW / opgv	2394	6676	44229	2394	6676	-44229		4,788	13,352	0	0	935,7271	4,788	0	13,352	1a	0	15496,55	128,532	0	255,298
Wind, 10 ◦	380C1F1	18808	39082	277458	18808	39082	-277458		37,616	78,164	0	0	4738,481	37,616	0	78,164	Wind angle:	90	dgr			
Permaner	380C1F2	18916	36835	267273	18916	36835	-267273		37,832	73,67	0	0	3739,834	37,832	0	73,67						
Wind angl	380C1F3	19061	34121	254959	19061	34121	-254959		38,122	68,242	0	0	5090,788	38,122	0	68,242						
	Comp.cor	5087	10935	77830	5087	10935	-77830		10,174	21,87	0	0	991,7215	10,174	0	21,87						
1b	GW / opgv	2785	1600	24148	2785	1600	-24148		5,57	3,2	0	0	243,7637	5,57	0	3,2	1b	0	4382,955	149,046	0	65,746
Wind, -20	380C1F1	21893	9969	179340	21893	9969	-179340		43,786	19,938	0	0	1359,469	43,786	0	19,938	Wind angle:	90	dgr			
Permaner	380C1F2	21943	9537	178277	21943	9537	-178277		43,886	19,074	0	0	1118,626	43,886	0	19,074						
Wind angl	380C1F3	22001	9018	177068	22001	9018	-177068		44,002	18,036	0	0	1394,967	44,002	0	18,036						
	Comp.cor	5901	2749	47899	5901	2749	-47899		11,802	5,498	0	0	266,1288	11,802	0	5,498						
3	GW / opgv	10692	7273	69143	10692	7273	-69143		21,384	14,546	0	0	1090,704	21,384	0	14,546	3	0	11097,84	278,692	0	174,254
Wind+ice,	380C1F1	35409	23865	271953	35409	23865	-271953		70,818	47,73	0	0	3104,512	70,818	0	47,73	Wind angle:	90	dgr			
Permaner	380C1F2	35544	22649	268432	35544	22649	-268432		71,088	45,298	0	0	2510,451	71,088	0	45,298						
Wind angl	380C1F3	35705	21184	264371	35705	21184	-264371		71,41	42,368	0	0	3230,268	71,41	0	42,368						
	Comp.cor	21996	12156	133756	21996	12156	-133756		43,992	24,312	0	0	1161,905	43,992	0	24,312						
4	GW / opgv	3659	1642	26505	3659	1642	-26505		7,318	3,284	0	0	257,2264	7,318	0	3,284	4	0	4479,579	173,508	0	66,058
Construct	380C1F1	25109	9972	179292	25109	9972	-179292		50,218	19,944	0	0	1388,185	50,218	0	19,944	Wind angle:	90	dgr			
Permaner	380C1F2	25147	9544	178438	25147	9544	-178438		50,294	19,088	0	0	1147,565	50,294	0	19,088						
Wind angl	380C1F3	25190	9028	177471	25190	9028	-177471		50,38	18,056	0	0	1405,748	50,38	0	18,056						
	Comp.cor	7649	2843	53252	7649	2843	-53252		15,298	5,686	0	0	280,8541	15,298	0	5,686						
1a	GW / opgv	2535	3572	29715	2551	3348	-28685		5,086	6,92	1,03	70,555	496,4493	5,086	1,03	6,92	1a	1012,491	8388,678	137,377	17,199	134,332
Wind, 10 ◦	380C1F1	20048	21160	197515	20177	19871	-192174		40,225	41,031	5,341	312,4485	2577,706	40,225	5,341	41,031	Wind angle:	-45	dgr			
Permaner	380C1F2	20163	20006	192728	20289	18798	-187825		40,452	38,804	4,903	237,7955	2060,387	40,452	4,903	38,804						
Wind angl	380C1F3	20308	18616	187101	20428	17504	-182729		40,736	36,12	4,372	322,5836	2724,512	40,736	4,372	36,12						
	Comp.cor	5421	5909	54708	5457	5548	-53155		10,878	11,457	1,553	69,1085	529,6236	10,878	1,553	11,457						
1b	GW / opgv	2849	1005	22598	2852	962	-22519		5,701	1,967	0,079	5,4115	159,8809	5,701	0,079	1,967	1b	62,84392	3030,284	151,234	1,069	42,692
Wind, -20	380C1F1	22232	6550	172505	22250	6306	-172168		44,482	12,856	0,337	19,7145	948,2416	44,482	0,337	12,856	Wind angle:	-45	dgr			
Permaner	380C1F2	22248	6331	172202	22264	6102	-171904		44,512	12,433	0,298	14,453	799,2984	44,512	0,298	12,433						
Wind angl	380C1F3	22266	6067	171861	22280	5856	-171606		44,546	11,923	0,255	18,81492	944,7192	44,546	0,255	11,923						
	Comp.cor	5994	1791	45882	5999	1722	-45782		11,993	3,513	0,1	4,45	178,1438	11,993	0,1	3,513						
3	GW / opgv	10936	4243	63226	10951	4026	-62919		21,887	8,269	0,307	21,0295	662,9482	21,887	0,307	8,269	3	231,8404	6895,604	285,589	3,95	101,974
Wind+ice,	380C1F1	36407	14230	248437	36465	13542	-247216		72,872	27,772	1,221	71,4285	1946,028	72,872	1,221	27,772	Wind angle:	-45	dgr			
Permaner	380C1F2	36459	13614	247340	36512	12968	-246255		72,971	26,582	1,085	52,6225	1611,029	72,971	1,085	26,582						
Wind angl	380C1F3	36520	12871	246098	36566	12276	-245167		73,086	25,147	0,931	68,6929	1962,079	73,086	0,931	25,147						
	Comp.cor	22376	7277	125720	22397	6927	-125314		44,773	14,204	0,406	18,067	713,5201	44,773	0,406	14,204						
4	GW / opgv	3703	1054	25432	3706	1012	-25379		7,409	2,066	0,053	3,6305	174,1947	7,409	0,053	2,066	4	48,19502	3134,237	175,087	0,819	43,165
Construct	380C1F1	25358	6576	173851	25370	6332	-173586		50,728	12,908	0,265	15,5025	978,8285	50,728	0,265	12,908	Wind angle:	-45	dgr			
Permaner	380C1F2	25369	6358	173613	25380	6129	-173378		50,749	12,487	0,235	11,3975	829,4226	50,749	0,235	12,487						
Wind angl	380C1F3	25382	6095	173344	25392	5885	-173145		50,774	11,98	0,199	14,68302	958,0116	50,774	0,199	11,98						
	Comp.cor	7712	1896	51860	7715	1828	-51793		15,427	3,724	0,067	2,9815	193,7797	15,427	0,067	3,724						
1a	GW / opgv	2121	268	15238	2121	268	-15238		4,242	0,536	0	0	55,42322	4,242	0	0,536	1a	0	1200,898	111,896	0	13,952
Wind, 10 ◦	380C1F1	16457	2052	116952	16457	2052	-116952		32,914	4,104	0	0	385,2347	32,914	0	4,104	Wind angle:	0	dgr			
Permaner	380C1F2	16457	2051	116952	16457	2051	-116952		32,914	4,102	0	0	344,0977	32,914	0	4,102						
Wind angl	380C1F3	16457	2050	116952	16457	2050	-116952		32,914	4,1	0	0	350,5359	32,914	0	4,1						
	Comp.cor	4456	555	31625	4456	555	-31625		8,912	1,11	0	0	65,60593	8,912	0	1,11						
1b	GW / opgv	2190	307	17591	2190	307	-17591		4,38	0,614	0	0	61,3748	4,38	0	0,614	1b	0	1353,264	116,084	0	16,276
Wind, -20	380C1F1	17086	2400	137365	17086	2400	-137365		34,172	4,8	0	0	431,4985	34,172	0	4,8	Wind angle:	0	dgr			
Permaner	380C1F2	17086	2400	137365	17086	2400	-137365		34,172	4,8	0	0	383,4985	34,172	0	4,8						
Wind angl	380C1F3	17086	2400	137365	17086	2400	-137365		34,172	4,8	0	0	404,0201	34,172	0	4,8						
	Comp.cor	4594	631	36104	4594	631	-36104		9,188	1,262	0	0	72,87197	9,188	0	1,262						
3	GW / opgv	10417	1016	58119	10417	1016	-58119		20,834	2,032	0	0	231,0699	20,834	0	2,032	3	0	2486,013	253,988	0	28,396
Wind+ice,	380C1F1	31789	3713	212371	31789	3713	-212371		63,578	7,426	0	0	714,8	63,578	0	7,426	Wind angle:	0	dgr			
Permaner	380C1F2	31789	3712	212371	31789	3712	-212371		63,578	7,424	0	0	640,443	63,578	0	7,424						
Wind angl	380C1F3	31789	3712	212371	31789	3712	-212371		63,578	7,424	0	0	640,5327	63,578	0	7,424						
	Comp.cor	21210	2045	117006	21210	2045	-117006		42,42	4,09	0	0	259,167	42,42	0	4,09						
4	GW / opgv	3050	370	21178	3050	370	-21178		6,1	0,74	0	0	77,591	6,1	0	0,74	4	0	1482,281	140,298	0	17,154
Construct	380C1F1	20256	2483	142149	20256	2483	-142149		40,512	4,966	0	0	469,1689	40,512	0	4,966	Wind angle:	0	dgr			
Permaner	380C1F2	20256	2483	142149	20256	2483	-142149		40,512	4,966	0	0	419,5089	40,512	0	4,966						

Wind angl	380C1F3	20256	2483	142149	20256	2483	-142149		40,512	4,966	0		0	425,5184	40,512	0	4,966																				
	Comp.cor	6331	758	43412	6331	758	-43412		12,662	1,516	0		0	90,49418	12,662	0	1,516																				
6	GW / opg	2121	266	15238	2121	266	-15238		4,242	0,532	0		0	55,14922	4,242	0	0,532		6	0	1196,771	111,896	0	13,882												
Permaner	380C1F1	16457	2041	116952	16457	2041	-116952		32,914	4,082	0		0	383,9477	32,914	0	4,082		0																	
Permaner	380C1F2	16457	2041	116952	16457	2041	-116952		32,914	4,082	0		0	343,1277	32,914	0	4,082																			
	380C1F3	16457	2041	116952	16457	2041	-116952		32,914	4,082	0		0	349,2078	32,914	0	4,082																			
	Comp.cor	4456	552	31625	4456	552	-31625		8,912	1,104	0		0	65,33893	8,912	0	1,104																			
1a	GW / opg	1874	3313	26675	1861	3539	-27826		3,735	6,852	-1,151		-78,8435	485,8334	3,735	-1,151	6,852		1a		-1195,59	8134,652	101,072	-20,293	132,097											
Wind, 10	380C1F1	14840	19546	173683	14733	20851	-179945		29,573	40,397	-6,262		-366,327	2493,641	29,573	-6,262	40,397		Wind angle:		45	dgr												
Permaner	380C1F2	14935	18459	168524	14828	19683	-174337		29,763	38,142	-5,813		-281,931	1981,142	29,763	-5,813	38,142																			
Wind angl	380C1F3	15058	17147	162400	14952	18275	-167659		30,01	35,422	-5,259		-388,03	2657,361	30,01	-5,259	35,422																			
	Comp.cor	4010	5459	48127	3981	5825	-49935		7,991	11,284	-1,808		-80,456	516,6736	7,991	-1,808	11,284																			
1b	GW / opg	2156	889	18354	2151	932	-18464		4,307	1,821	-0,11		-7,535	143,7324	4,307	-0,11	1,821		1b		-90,327	2686,129	114,942	-1,537	38,932											
Wind, -20	380C1F1	16915	5755	140650	16891	6002	-141135		33,806	11,757	-0,485		-28,3725	836,869	33,806	-0,485	11,757		Wind angle:		45	dgr												
Permaner	380C1F2	16934	5549	140269	16913	5781	-140700		33,847	11,33	-0,431		-20,9035	698,7703	33,847	-0,431	11,33																			
Wind angl	380C1F3	16956	5301	139839	16937	5514	-140207		33,893	10,815	-0,368		-27,1525	847,4238	33,893	-0,368	10,815																			
	Comp.cor	4548	1570	37070	4541	1639	-37213		9,089	3,209	-0,143		-6,3635	159,3334	9,089	-0,143	3,209																			
3	GW / opg	10304	3981	60394	10288	4199	-60726		20,592	8,18	-0,332		-22,742	651,1407	20,592	-0,332	8,18		3		-274,723	6607,133	250,539	-4,674	99,095											
Wind+ice,	380C1F1	31285	13110	222560	31218	13802	-224028		62,503	26,912	-1,468		-85,878	1849,99	62,503	-1,468	26,912		Wind angle:		45	dgr												
Permaner	380C1F2	31339	12532	221401	31278	13182	-222710		62,617	25,714	-1,309		-63,4865	1523,27	62,617	-1,309	25,714																			
Wind angl	380C1F3	31401	11837	220085	31348	12435	-221211		62,749	24,272	-1,126		-83,0808	1882,436	62,749	-1,126	24,272																			
	Comp.cor	21050	6833	119975	21028	7184	-120414		42,078	14,017	-0,439		-19,5355	700,2964	42,078	-0,439	14,017																			
4	GW / opg	3030	947	21637	3027	989	-21705		6,057	1,936	-0,068		-4,658	159,3274	6,057	-0,068	1,936		4		-64,9455	2810,95	139,562	-1,103	39,715											
Constructi	380C1F1	20144	5825	144547	20128	6070	-144906		40,272	11,895	-0,359		-21,0015	873,457	40,272	-0,359	11,895		Wind angle:		45	dgr												
Permaner	380C1F2	20157	5621	144267	20142	5851	-144584		40,299	11,472	-0,317		-15,3745	734,1106	40,299	-0,317	11,472																			
Wind angl	380C1F3	20171	5374	143950	20159	5586	-144221		40,33	10,96	-0,271		-19,9955	867,5141	40,33	-0,271	10,96																			
	Comp.cor	6304	1692	43997	6300	1760	-44085		12,604	3,452	-0,088		-3,916	176,5407	12,604	-0,088	3,452																			
1a	GW / opg	1768	6659	43288	1768	6659	-43288		3,536	13,318	0		0	927,8768	3,536	0	13,318		1a		0	15311,35	94,51	0	254,092											
Wind, 10	380C1F1	13836	38914	267994	13836	38914	-267994		27,672	77,828	0		0	4674,972	27,672	0	77,828		Wind angle:		90	dgr												
Permaner	380C1F2	13906	36656	257149	13906	36656	-257149		27,812	73,312	0		0	3678,283	27,812	0	73,312																			
Wind angl	380C1F3	14003	33927	243935	14003	33927	-243935		28,006	67,854	0		0	5047,4	28,006	0	67,854																			
	Comp.cor	3742	10890	75275	3742	10890	-75275		7,484	21,78	0		0	982,8234	7,484	0	21,78																			
1b	GW / opg	2076	1538	20570	2076	1538	-20570		4,152	3,076	0		0	229,0163	4,152	0	3,076		1b		0	4054,821	112,134	0	62,294											
Wind, -20	380C1F1	16457	9467	150707	16457	9467	-150707		32,914	18,934	0		0	1252,79	32,914	0	18,934		Wind angle:		90	dgr												
Permaner	380C1F2	16518	9029	149247	16518	9029	-149247		33,036	18,058	0		0	1021,502	33,036	0	18,058																			
Wind angl	380C1F3	16591	8502	147575	16591	8502	-147575		33,182	17,004	0		0	1303,036	33,182	0	17,004																			
	Comp.cor	4425	2611	40017	4425	2611	-40017		8,85	5,222	0		0	248,4772	8,85	0	5,222																			
3	GW / opg	10036	7236	67039	10036	7236	-67039		20,072	14,472	0		0	1079,85	20,072	0	14,472		3		0	10833,02	243,064	0	171,806											
Wind+ice,	380C1F1	30140	23507	251613	30140	23507	-251613		60,28	47,014	0		0	3016,154	60,28	0	47,014		Wind angle:		90	dgr												
Permaner	380C1F2	30279	22282	247556	30279	22282	-247556		60,558	44,564	0		0	2428,415	60,558	0	44,564																			
Wind angl	380C1F3	30448	20806	242850	30448	20806	-242850		60,896	41,612	0		0	3159,147	60,896	0	41,612																			
	Comp.cor	20629	12072	129053	20629	12072	-129053		41,258	24,144	0		0	1149,456	41,258	0	24,144																			
4	GW / opg	2975	1582	23066	2975	1582	-23066		5,95	3,164	0		0	242,9735	5,95	0	3,164		4		0	4166,218	137,604	0	62,798											
Constructi	380C1F1	19820	9496	152133	19820	9496	-152133		39,64	18,992	0		0	1285,844	39,64	0	18,992		Wind angle:		90	dgr												
Permaner	380C1F2	19865	9064	151012	19865	9064	-151012		39,73	18,128	0		0	1054,417	39,73	0	18,128																			
Wind angl	380C1F3	19918	8543	149737	19918	8543	-149737		39,836	17,086	0		0	1318,794	39,836	0	17,086																			
	Comp.cor	6224	2714	45874	6224	2714	-45874		12,448	5,428	0		0	264,1889	12,448	0	5,428																			
1a	GW / opg	1861	3539	27826	1874	3313	-26675		3,735	6,852	1,151		78,8435	485,8334	3,735	1,151	6,852		1a		1195,587	8134,652	101,072	20,293	132,097											
Wind, 10	380C1F1	14733	20851	179945	14840	19546	-173683		29,573	40,397	6,262		366,327	2493,641	29,573	6,262	40,397		Wind angle:		-45	dgr												
Permaner	380C1F2	14828	19683	174337	14935	18459	-168524		29,763	38,142	5,813		281,9305	1981,142	29,763	5,813	38,142																			
Wind angl	380C1F3	14952	18275	167659	15058	17147	-162400		30,01	35,422	5,259		388,0301	2657,361	30,01	5,259	35,422																			
	Comp.cor	3981	5825	49935	4010	5459	-48127		7,991	11,284	1,808		80,456	516,6736	7,991	1,808	11,284																			
1b	GW / opg	2151	932	18464	2156	889	-18354		4,307	1,821	0,11		7,535	143,7324	4,307	0,11	1,821		1b		90,32701	2686,129	114,942	1,537	38,932											
Wind, -20	380C1F1	16891	6002	141135	16915	5755	-140650		33,806	11,757	0,485		28,3725	836,869	33,806	0,485	11,757		Wind angle:		-45	dgr												
Permaner	380C1F2	16913	5781	140700	16934	5549	-140269		33,847	11,33	0,431		20,9035	698,7703	33,847	0,431	11,33																			
Wind angl	380C1F3	16937	5514	140207	16956	5301	-139839		33,893	10,815	0,368		27,15251	847,4238	33,893	0,368	10,815																			
	Comp.cor	4541	1639	37213	4548	1570	-37070		9,089	3,209	0,143		6,3635	159,3334	9,089	0,143	3,209																			
3	GW / opg	10288	4199	60726	10304	3981	-60394		20,592	8,18	0,332		22,742	651,1407	20,592	0,332	8,18		3		274,7228	6607,133	250,539	4,674	99,095											
Wind+ice,	380C1F1	31218	13802	224028	31285	13110	-222560		62,503	26,912	1,468		85,878	1849,99	62,503	1,468	26,912		Wind angle:		-45	dgr												
Permaner	380C1F2	31278	13182	222710	31339	12532	-221401		62,617	25,714	1,309		63,4865	1523,27	62,617	1,309	25,714																			
Wind angl	380C1F3	31348	12435	221211	31401	11837	-220085		62,749	24,272	1,126		83,08078	1882,436	62,749	1,126	24,272																			
	Comp.cor	21028	7184	120414	21050	6833	-119975		42,078	14,017	0,439		19,5355	700,2964	42,078	0,439	14,017																			
4	GW / opg	3027	989	21705	3030	947	-21637		6,057	1,936	0,068		4,658	159,3274	6,057	0,068	1,936		4		64,94546	2810,95	139,562	1,103	39,715											
Constructi	380C1F1	20128	6070	144906	20144	5825	-144547		40,272	11,895	0,359		21,0015	873,457	40,272	0,359	11,895		Wind angle:		-45	dgr												
Permaner	380C1F2	20142	5851	144584	20157	5621	-144267		40,299	11,472	0,317		15,3745	734,1106	40,299	0,317	11,472																			
Wind angl	380C1F3	20159	5586	144221	20171	5374	-143950		40,33	10,96	0,271		19,99546	867,5141	40,33	0,271	10,96																			
	Comp.cor	6300	1760	44085	6304	1692	-43997		12,604	3,452	0,088		3,916	176,5407	12,604	0,088	3,452																			

W2S400+2 23 - AF2

| | | |

W4S400Z+ 24 - AB

Hoogte mast	Ber & bijlage	67	m
Hoogte onderste stroomdraad (F3)		41	m

		Hoogte		Excentriciteit ophanging t.o.v. hart mast
Bliksemdraad = GW / t_{Hmast} -	0,716 m =	66,284	m	1,459 m
1e traverse - 380C1F1 F2 +	8,5 m =	58	m	4,737 m
1e traverse - 150C1F1		58		-3,358 m
2e traverse - 380C1F2 F3 +	8,5 m =	49,5	m	4,737 m
2e traverse - 150C1F2 F3 +		49,5	m	-3,358 m
3e traverse - 380C1F3		41	m	4,737 m
3e traverse - 150C1F3		41		-3,358 m
Passieve lijn = Comp CF3 -	7,5 m =	33,5	m	1,886 m

Uit mast (excl belastingsfactoren)

N [kN]	V [kN]	M [kNm]
592	136	4319

Uit lijnen (incl belastingsfactoren)

Nmin [kN]	Nmax [kN]	Vmax [kN]	Mlangs;max [kNm]	Mdwars;max [kNm]
118	352	249	0	13998

W4S400Z+14 TOWER (rev 8.0, date: 23 Appendix AB
Loadcases for tower strength (ultimate limit state)

Loadcase according to 50341-3-15

		AHEAD			BACK			Totaal			Belastingen op mastvoet, per lijn					Belasting op mastvoet, belastinggeval					
		[N]	[N]	[N]	[N]	[N]		Vert [kN]	Dwars [kN]	Langs [kN]	M_{langs}	M_{dwars}	N	V_{langs}	V_{dwars}		M_{langs}	M_{dwars}	N	V_{langs}	V_{dwars}
	Attachment point																				
1a	GW / opgv	2909	0	19396	2909	0	-19396	5,818	0	0	0	10,97275	5,818	0	0	1a	0	442,6537	184,798	0	0
Wind, 10 deg	380C1F1	22255	0	147925	22255	0	-147925	44,51	0	0	0	64,94009	44,51	0	0	Wind angle: 0 dgr					
Permanent	380C1F2	22255	0	147925	22255	0	-147925	44,51	0	0	0	210,8439	44,51	0	0						
Wind angle	380C1F3	22255	0	147925	22255	0	-147925	44,51	0	0	0	210,8439	44,51	0	0						
	Comp. gl	6033	0	40193	6033	0	-40193	12,066	0	0	0	57,15664	12,066	0	0						
	150C1F1	5564	0	36981	5564	0	-36981	11,128	0	0	0	-37,3678	11,128	0	0						
	150C1F2	5564	0	36981	5564	0	-36981	11,128	0	0	0	-37,3678	11,128	0	0						
	150C1F3	5564	0	36981	5564	0	-36981	11,128	0	0	0	-37,3678	11,128	0	0						
1b	GW / opgv	2999	0	21992	2999	0	-21992	5,998	0	0	0	11,31223	5,998	0	0	1b	0	457,3921	191,006	0	0
Wind, -20 deg	380C1F1	23014	0	169938	23014	0	-169938	46,028	0	0	0	67,15485	46,028	0	0	Wind angle: 0 dgr					
Permanent	380C1F2	23014	0	169938	23014	0	-169938	46,028	0	0	0	218,0346	46,028	0	0						
Wind angle	380C1F3	23014	0	169938	23014	0	-169938	46,028	0	0	0	218,0346	46,028	0	0						
	Comp. gl	6203	0	45121	6203	0	-45121	12,406	0	0	0	58,76722	12,406	0	0						
	150C1F1	5753	0	42485	5753	0	-42485	11,506	0	0	0	-38,6371	11,506	0	0						
	150C1F2	5753	0	42485	5753	0	-42485	11,506	0	0	0	-38,6371	11,506	0	0						
	150C1F3	5753	0	42485	5753	0	-42485	11,506	0	0	0	-38,6371	11,506	0	0						
3	GW / opgv	11395	0	60830	11395	0	-60830	22,79	0	0	0	42,98194	22,79	0	0	3	0	897,0884	352,29	0	0
Wind+ice, 380	C1F1	37797	0	238900	37797	0	-238900	75,594	0	0	0	110,2916	75,594	0	0	Wind angle: 0 dgr					
Permanent	380C1F2	37797	0	238900	37797	0	-238900	75,594	0	0	0	358,0888	75,594	0	0						
Wind angle	380C1F3	37797	0	238900	37797	0	-238900	75,594	0	0	0	358,0888	75,594	0	0						
	Comp. gl	23012	0	122608	23012	0	-122608	46,024	0	0	0	218,0157	46,024	0	0						
	150C1F1	9449	0	59725	9449	0	-59725	18,898	0	0	0	-63,4595	18,898	0	0						
	150C1F2	9449	0	59725	9449	0	-59725	18,898	0	0	0	-63,4595	18,898	0	0						
	150C1F3	9449	0	59725	9449	0	-59725	18,898	0	0	0	-63,4595	18,898	0	0						
4	GW / opgv	3860	0	25031	3860	0	-25031	7,72	0	0	0	14,55992	7,72	0	0	4	0	529,0479	219,386	0	0
Constructio	380C1F1	26107	0	171855	26107	0	-171855	52,214	0	0	0	76,18023	52,214	0	0	Wind angle: 0 dgr					
Permanent	380C1F2	26107	0	171855	26107	0	-171855	52,214	0	0	0	247,3377	52,214	0	0						
Wind angle	380C1F3	26107	0	171855	26107	0	-171855	52,214	0	0	0	247,3377	52,214	0	0						
	Comp. gl	7931	0	51355	7931	0	-51355	15,862	0	0	0	75,13829	15,862	0	0						
	150C1F1	6527	0	42964	6527	0	-42964	13,054	0	0	0	-43,8353	13,054	0	0						
	150C1F2	6527	0	42964	6527	0	-42964	13,054	0	0	0	-43,8353	13,054	0	0						
	150C1F3	6527	0	42964	6527	0	-42964	13,054	0	0	0	-43,8353	13,054	0	0						
6	GW / opgv	3258	0	21373	3258	0	-21373	6,516	0	0	0	12,28918	6,516	0	0	6	0	495,4096	206,822	0	0
Permanent	380C1F1	24906	0	162593	24906	0	-162593	49,812	0	0	0	72,67571	49,812	0	0	0					
Permanent	380C1F2	24906	0	162593	24906	0	-162593	49,812	0	0	0	235,9594	49,812	0	0						
	380C1F3	24906	0	162593	24906	0	-162593	49,812	0	0	0	235,9594	49,812	0	0						
	Comp. gl	6754	0	44263	6754	0	-44263	13,508	0	0	0	63,9874	13,508	0	0						
	150C1F1	6227	0	40648	6227	0	-40648	12,454	0	0	0	-41,8205	12,454	0	0						
	150C1F2	6227	0	40648	6227	0	-40648	12,454	0	0	0	-41,8205	12,454	0	0						
	150C1F3	6227	0	40648	6227	0	-40648	12,454	0	0	0	-41,8205	12,454	0	0						
1a	GW / opgv	2614	2829	28651	2614	2829	-28651	5,228	5,658	0	0	199,403	5,228	0	5,658	1a	0	7216,815	172,302	0	124,554
Wind, 10 deg	380C1F1	20627	15922	189890	20627	15922	-189890	41,254	31,844	0	0	2170,937	41,254	0	31,844	Wind angle: 45 dgr					
Permanent	380C1F2	20764	14850	185271	20764	14850	-185271	41,528	29,7	0	0	1919,318	41,528	0	29,7						
Wind angle	380C1F3	20936	13544	179843	20936	13544	-179843	41,872	27,088	0	0	1539,204	41,872	0	27,088						
	Comp. gl	5628	4053	50697	5628	4053	-50697	11,256	8,106	0	0	385,6657	11,256	0	8,106						
	150C1F1	5157	3981	47472	5157	3981	-47472	10,314	7,962	0	0	427,1616	10,314	0	7,962						
	150C1F2	5191	3712	46318	5191	3712	-46318	10,382	7,424	0	0	332,6252	10,382	0	7,424						
	150C1F3	5234	3386	44961	5234	3386	-44961	10,468	6,772	0	0	242,5005	10,468	0	6,772						
1b	GW / opgv	2969	565	22526	2969	565	-22526	5,938	1,13	0	0	49,05407	5,938	0	1,13	1b	0	1814,809	190,056	0	24,892
Wind, -20 deg	380C1F1	22886	3182	172088	22886	3182	-172088	45,772	6,364	0	0	488,6127	45,772	0	6,364	Wind angle: 45 dgr					
Permanent	380C1F2	22902	2968	171811	22902	2968	-171811	45,804	5,936	0	0	561,2615	45,804	0	5,936						
Wind angle	380C1F3	22921	2707	171498	22921	2707	-171498	45,842	5,414	0	0	485,1466	45,842	0	5,414						
	Comp. gl	6173	810	45649	6173	810	-45649	12,346	1,62	0	0	124,903	12,346	0	1,62						
	150C1F1	5721	795	43022	5721	795	-43022	11,442	1,59	0	0	53,79776	11,442	0	1,59						
	150C1F2	5726	742	42953	5726	742	-42953	11,452	1,484	0	0	35,00218	11,452	0	1,484						
	150C1F3	5730	677	42875	5730	677	-42875	11,46	1,354	0	0	17,03132	11,46	0	1,354						
3	GW / opgv	11271	2909	62956	11271	2909	-62956	22,542	5,818	0	0	237,4172	22,542	0	5,818	3	0	4933,936	348,856	0	76,026
Wind+ice, 380	C1F1	37349	8894	246836	37349	8894	-246836	74,698	17,788	0	0	1288,044	74,698	0	17,788	Wind angle: 45 dgr					
Permanent	380C1F2	37404	8296	245829	37404	8296	-245829	74,808	16,592	0	0	1316,701	74,808	0	16,592						
Wind angle	380C1F3	37467	7566	244688	37467	7566	-244688	74,934	15,132	0	0	1103,996	74,934	0	15,132						
	Comp. gl	22882	4158	124784	22882	4158	-124784	45,764	8,316	0	0	557,7401	45,764	0	8,316						
	150C1F1	9337	2224	61709	9337	2224	-61709	18,674	4,448	0	0	195,2767	18,674	0	4,448						
	150C1F2	9351	2074	61457	9351	2074	-61457	18,702	4,148	0	0	142,5247	18,702	0	4,148						
	150C1F3	9367	1892	61172	9367	1892	-61172	18,734	3,784	0	0	92,23523	18,734	0	3,784						
4	GW / opgv	3842	566	25389	3842	566	-25389	7,684	1,132	0	0	52,41402	7,684	0	1,132	4	0	1887,809	218,722	0	24,904
Constructio	380C1F1	26017	3184	173545	26017	3184	-173545	52,034	6,368	0	0	898,0141	52,034	0	6,368	Wind angle: 45 dgr					
Permanent	380C1F2	26028	2969	173326	26028	2969	-173326	52,056	5,938	0	0	590,9933	52,056	0	5,938						
Wind angle	380C1F3	26041	2708	173080	26041	2708	-173080	52,082	5,416	0	0	514,8044	52,082	0	5,416						
	Comp. gl	7912	810	51712	7912	810	-51712	15,824	1,62	0	0	141,3783	15,824	0	1,62						
	150C1F1	6504	796	43386	6504	796	-43386	13,008	1,592	0	0	48,65514	13,008	0	1,592						
	150C1F2	6507	742	43332	6507	742	-43332	13,014	1,484	0	0	29,75699	13,014	0	1,484						
	150C1F3	6510	677	43270	6510	677	-43270	13,02	1,354	0	0	11,79284	13,02	0	1,354						
1a	GW / opgv	2434	5663	43132	2434	5663	-43132	4,868	11,326	0	0	388,602	4,868	0	11,326	1a	0	13997,89	160,206	0	249,236
Wind, 10 deg	380C1F1	19159	31862	266386	19159	31862	-266386	38,318	63,724	0	0	4279,788	38,318	0	63,724	Wind angle: 90 dgr					
Permanent	380C1F2	19299	29715	255761	19299	29715	-255761	38,598	59,43	0	0	3629,779	38,598	0	59,43						
Wind angle	380C1F3	19491	27100	242841	19491	27100	-242841	38,982	54,2	0	0	2867,558	38,982	0	54,2						
	Comp. gl	5232	8109	70532	5232	8109	-70532	10,464	16,218	0	0	714,506	10,464	0	16,218						
	150C1F1	4790	7965	66597	4790	7965	-66597	9,58	15,93	0	0	891,7704	9,58	0	15,93						
	150C1F2	4825	7429	63940	4825	7429	-63940	9,65	14,858	0	0	703,0663	9,65	0	14,858						
	150C1F3	4873	6775	60710	4873	6775	-60710	9,746	13,55	0	0	522,8229	9,746	0	13,55						
1b	GW / opgv	2897	1131	24011	2897	1131	-24011	5,794	2,262	0	0	86,70448	5,794	0	2,262	1b	0	3168,641	187,478	0	49,786
Wind, -20 deg	380C1F1	22541	6364	178262	22541	6364	-178262	45,082	12,728	0	0	909,4374	45,082	0	12,728	Wind angle: 90 dgr					
Permanent	380C1F2	22597	5936	177218	22597	5936	-177218	45,194	11,872	0	0	902,66	45,194	0	11,872						
Wind angle	380C1F3	22662	5414	176032	22662	5414	-176032	45,324	10,828	0	0	750,6858	45,324	0	10,828						
	Comp. gl	6093	1620	47172	6093	1620	-47172	12,186	3,24	0	0	190,5651	12,186	0	3,24						
	150C1F1	5635	1591	44565	5635	1591	-44565	11,27	3,182	0	0	146,7113	11,27	0	3,182						
	150C1F2	5649	1484	44305	5649	1484	-44305	11,298	2,968	0	0	108,9773	11,298	0	2,968						
	150C1F3	5665	1353	44008	5665	1353	-44008	11,33	2,706	0	0	72,89986	11,33	0	2,706						
3	GW / opgv	10988	5819	68659	10988	5819	-68659	21,976	11,638	0	0	431,3197	21,976	0	11,638	3	0	7286,762	275,272	0	121,148
Wind+ice, 380	C1F1	36307	17792	268286	36307	17792	-268286	72,614	35,584	0	0	2464,594	72,614	0	35,584	0					
Wind angle	380C1F3	36648	15134	260745	36648	15134	-260745	73,296	30,268	0	0	2102,747	73,296	0	30,268						
	Comp. gl	22546	8317	130929	22546	8317	-130929	45,092	16,634	0	0	1036,984	45,092	0	16,634						
	150C1F1	9077	4448	67071	9077	4448	-67071	18,154	8,896	0	0	450,7315	18,154	0	8,896						
	150C1F2	9116	4148	66196	9116	4148	-66196	18,232	8,296	0	0	419,9449	18,232	0	8,296						
	150C1F3	9162	3784	65186	9162	3784	-65186	18,324	7,568	0	0	313,084	18,324	0	7,568						
4	GW / opgv	3792	1132	26416	3792	1132	-26416	7,584	2,264	0	0	67,35693	7,584	0	2,264						
Constructio	380C1F1	25766	6368	178458	25766	6368	-178458	51,532	12,736	0	0	523,8454	51,532	0	12,736	Constructio	0	3120,28	214,516	0	53,21
Permanent	380C1F2	25807	5939	177621	25807	5939	-177621	51,614	11,878	0	0	862,6262	51,614	0	11,878	0					
Wind angle	380C1F3	25855	5417	176674	25855	5417	-176674	51,71	10,834	0	0	873,3223	51,71	0	10,834						
	Comp. gl	7859	1621	52758	7859	1621	-52758	15,718	3,242	0	0	234,9352	15,718	0	3,242						
	150C1F1	6441	1592	44614	6441	1592	-44614	12,882	3,184	0	0	191,566	12,882	0	3,184						
	150C1F2	6452	1485	44405	6452	1485	-44405	12,904	2,97	0	0	128,9284	12,904	0	2,97						

Belastingen uit lijnen

		M_{langs}	M_{dwars}	N	V_{langs}	V_{dwars}
Perm load 1,2	0 deg	1a	0	443	185	0	0
		1b	0	457	191	0	0
		3	0	897	352	0	0
		4	0	529	219	0	0
		6	0	495	207	0	0
	45 deg	1a	0	7217	172	0	125
		1b	0	1815	190	0	25
		3	0	4934	349	0	76
		4	0	1888	219	0	25
	90 deg	1a	0	13998	160	0	249
		1b	0	3169	187	0	50
		3	0	7287	275	0	121
		Constructi	0	3120	215	0	53
	-45 deg	Wind, 10 d	0	6495	173	0	120
		Wind, -20 (	0	1788	207	0	30
		Wind+ice,	0	4400	334	0	71
		Constructi	0	1675	215	0	24
	0 deg	Wind, 10 d	0	284	140	0	0
		Wind, -20 (	0	240	163	0	0
		Wind+ice,	0	678	294	0	0
		Constructi	0	362	173	0	0
		Permanent	0	519	140	0	6
	45 deg	Wind, 10 d	0	6402	127	0	120
		Wind, -20 (	0	1695	161	0	30
		Wind+ice,	0	4311	290	0	71
		Constructi	0	2047	172	0	35
	90 deg	Wind, 10 d	0	12534	118	0	240
		Wind, -20 (	0	3148	158	0	59
		Wind+ice,	0	7935	282	0	143
		Constructi	0	3029	170	0	53
	-45 deg	Wind, 10 d	**0**	**6402**	**127**	**0**	**120**
		Wind, -20 (	**0**	1695	161	**0**	30
		Wind+ice,	**0**	4311	**290**	**0**	71
		Constructi	**0**	**1595**	168	**0**	**24**

Belasting uit mast

N	V	M
592	136	4319
592	26	810
592	38	1215
592	26	810
592	136	4319
592	26	810
592	38	1215
592	26	810
592	136	4319
592	26	810
592	38	1215
592	26	810
592	136	4319
592	26	810
592	38	1215
592	26	810
592	136	4319
592	26	810
592	38	1215
592	26	810
592	136	4319
592	26	810
592	38	1215
592	26	810
592	136	4319
592	26	810
592	38	1215
592	26	810

Totaal

regel		Loadcase	M_{langs}	M_{dwars}	N	V_{langs}	V_{dwars}	Totaal moment
1	Perm load 1,2	0 deg	1a	4319	443	777	136	0	4341,625
2	Perm load 1,2	0 deg	1b	810	457	783	26	0	930,0558
3	Perm load 1,2	0 deg	3	1215	897	944	38	0	1510,069
4	Perm load 1,2	0 deg	4	810	529	811	26	0	967,3096
5	Perm load 1,2	0 deg	6						
6									
7	Perm load 1,2	45 deg	1a	3054	10271	764	96	221	10715,24
8	Perm load 1,2	45 deg	1b	573	2387	782	18	43	2455,145
9	Perm load 1,2	45 deg	3	859	5793	941	27	103	5856,205
10	Perm load 1,2	45 deg	4	573	2460	811	18	43	2526,189
11									
12	Perm load 1,2	90 deg	1a	0	18317	752	0	385	18316,89
13	Perm load 1,2	90 deg	1b	0	3978	779	0	75	3978,454
14	Perm load 1,2	90 deg	3	0	8501	867	0	159	8501,481
15	Perm load 1,2	90 deg	4 Construct	0	3930	807	0	79	3930,092
16									
17	Perm load 1,2	-45 deg	1a	3054	9549	765	96	216	10025,76
18	Perm load 1,2	-45 deg	1b	573	2361	799	18	48	2429,119
19	Perm load 1,2	-45 deg	3	859	5259	926	27	98	5328,983
20	Perm load 1,2	-45 deg	4	573	2247	807	18	42	2319,174
21									
22	Perm load 0,9	0 deg	1a	4319	284	732	136	0	4328,355
23	Perm load 0,9	0 deg	1b	810	240	755	26	0	844,5751
24	Perm load 0,9	0 deg	3	1215	678	886	38	0	1391,347
25	Perm load 0,9	0 deg	4	810	362	765	26	0	887,1458
26	Perm load 0,9	0 deg	6						
27									
28	Perm load 0,9	45 deg	1a	3054	9456	719	96	216	9936,624
29	Perm load 0,9	45 deg	1b	573	2268	753	18	48	2339,088
30	Perm load 0,9	45 deg	3	859	5170	882	27	98	5241,131
31	Perm load 0,9	45 deg	4 Construct	573	2620	764	18	53	2681,682
32									
33	Perm load 0,9	90 deg	1a	0	16853	710	0	376	16853,5
34	Perm load 0,9	90 deg	1b	0	3958	750	0	85	3957,684
35	Perm load 0,9	90 deg	3	0	9150	874	0	181	9149,699
36	Perm load 0,9	90 deg	4	0	3839	762	0	79	3838,727
37									
38	Perm load 0,9	-45 deg	1a	3054	9456	719	96	216	9936,624
39	Perm load 0,9	-45 deg	1b	573	2268	753	18	48	2339,088
40	Perm load 0,9	-45 deg	3	859	5170	882	27	98	5241,131
41	Perm load 0,9	-45 deg	4	573	2167	760	18	42	2241,859
		Max		4319	18317	944	136	385	18317

samenvatting

	Mast	Bijlage		Wind	Loadcase	M_{langs}	M_{dwars}	N	V_{langs}	V_{dwars}
1	W4S400Z+	24-AB	Perm load	0 deg	1a	4319	443	777	136	0
3	W4S400Z+	24-AB	Perm load	0 deg	3	1215	897	944	38	0
12	W4S400Z+	24-AB	Perm load	90 deg	1a	0	18317	752	0	385
22	W4S400Z+	24-AB	Perm load	0 deg	1a	4319	284	732	136	0

	150C1F3	6464	1354	44168	6464	1354	-44168		12,928	2,708	0	0	90,63378	12,928	0	2,708									
1a	GW / opg	2614	2829	28651	2614	2829	-28651		5,228	5,658	0	0	214,4224	5,228	0	5,658									
Wind, 10	380C1F1	20627	15922	189890	20627	15922	-189890		41,254	31,844	0	0	1144,579	41,254	0	31,844	Wind, 10 d	0	6495,303	173,012	0	120,026			
Permaner	380C1F2	20764	14850	185271	20764	14850	-185271		41,528	29,7	0	0	2029,224	41,528	0	29,7	0								
Wind angl	380C1F3	20936	13544	179843	20936	13544	-179843		41,872	27,088	0	0	1769,452	41,872	0	27,088									
	Comp. gl	5628	4053	50697	5628	4053	-50697		11,256	8,106	0	0	454,5667	11,256	0	8,106									
	150C1F1	5157	3981	47472	5157	3981	-47472		10,314	7,962	0	0	375,2994	10,314	0	7,962									
	150C1F2	5191	3712	46318	5191	3712	-46318		10,382	7,424	0	0	395,7292	10,382	0	7,424									
	150C1F3	5234	3386	44961	5234	3386	-44961		10,468	6,772	0	0	300,0625	10,468	0	6,772									
1b	GW / opg	2969	565	22526	2969	565	-22526		5,938	1,13	0	0	26,3902	5,938	0	1,13									
Wind, -20	380C1F1	22886	3182	172088	22886	3182	-172088		45,772	6,364	0	0	299,52	45,772	0	6,364	Wind, -20 (	0	1788,038	206,66	0	29,58			
Permaner	380C1F2	22902	2968	171811	22902	2968	-171811		45,804	5,936	0	0	460,2899	45,804	0	5,936	0								
Wind angl	380C1F3	22921	2707	171498	22921	2707	-171498		45,842	5,414	0	0	531,1656	45,842	0	5,414									
	Comp. gl	6173	810	45649	6173	810	-45649		12,346	1,62	0	0	138,673	12,346	0	1,62									
	150C1F1	5721	795	43022	5721	795	-43022		11,442	1,59	0	0	119,3908	11,442	0	1,59									
	150C1F2	5726	742	42953	5726	742	-42953		11,452	1,484	0	0	47,61618	11,452	0	1,484									
	150C1F3	5730	677	42875	5730	677	-42875		11,46	1,354	0	0	28,54032	11,46	0	1,354									
3	GW / opg	11271	2909	62956	11271	2909	-62956		22,542	5,818	0	0	162,842	22,542	0	5,818									
Wind+ice,	380C1F1	37349	8894	246836	37349	8894	-246836		74,698	17,788	0	0	736,7784	74,698	0	17,788	Wind+ice, -	0	4400,37	333,998	0	71,34			
Permaner	380C1F2	37404	8296	245829	37404	8296	-245829		74,808	16,592	0	0	1208,929	74,808	0	16,592	0								
Wind angl	380C1F3	37467	7566	244688	37467	7566	-244688		74,934	15,132	0	0	1232,618	74,934	0	15,132									
0	Comp. gl	22882	4158	124784	22882	4158	-124784		45,764	8,316	0	0	628,4261	45,764	0	8,316									
	150C1F1	9337	2224	61709	9337	2224	-61709		18,674	4,448	0	0	270,8267	18,674	0	4,448									
	150C1F2	9351	2074	61457	9351	2074	-61457		18,702	4,148	0	0	177,7827	18,702	0	4,148									
	150C1F3	9367	1892	61172	9367	1892	-61172		18,734	3,784	0	0	124,3992	18,734	0	3,784									
4	GW / opg	3842	566	25389	3842	566	-25389		7,684	1,132	0	0	20,60913	7,684	0	1,132									
Constructi	380C1F1	26017	3184	173545	26017	3184	-173545		52,034	6,368	0	0	311,4641	52,034	0	6,368	Constructi	0	1674,745	215,45	0	23,772			
Permaner	380C1F2	26028	2969	173326	26028	2969	-173326		52,056	5,938	0	0	469,5441	52,056	0	5,938	0								
Wind angl	380C1F3	26041	2708	173080	26041	2708	-173080		52,082	5,416	0	0	560,8404	52,082	0	5,416									
	Comp. gl	7912	810	51712	7912	810	-51712		15,824	1,62	0	0	155,1483	15,824	0	1,62									
	150C1F1	6504	796	43386	6504	796	-43386		13,008	1,592	0	0	126,8909	13,008	0	1,592									
	150C1F2	6507	742	43332	6507	742	-43332		13,014	1,484	0	0	42,37099	13,014	0	1,484									
	150C1F3	6510	677	43270	6510	677	-43270		13,02	1,354	0	0	23,30184	13,02	0	1,354									
1a	GW / opg	2206	0	15241	2206	0	-15241		4,412	0	0	0	-14,8155	4,412	0	0									
Wind, 10	380C1F1	16899	0	116969	16899	0	-116969		33,798	0	0	0	63,74303	33,798	0	0	Wind, 10 d	0	284,4264	140,47	0	0			
Permaner	380C1F2	16899	0	116969	16899	0	-116969		33,798	0	0	0	49,31128	33,798	0	0	0								
Wind angl	380C1F3	16899	0	116969	16899	0	-116969		33,798	0	0	0	160,1011	33,798	0	0									
	Comp. gl	4576	0	31630	4576	0	-31630		9,152	0	0	0	43,35302	9,152	0	0									
	150C1F1	4225	0	29242	4225	0	-29242		8,45	0	0	0	40,02765	8,45	0	0									
	150C1F2	4225	0	29242	4225	0	-29242		8,45	0	0	0	-28,3751	8,45	0	0									
	150C1F3	4225	0	29242	4225	0	-29242		8,45	0	0	0	-28,3751	8,45	0	0									
1b	GW / opg	2287	0	17593	2287	0	-17593		4,574	0	0	0	-15,3595	4,574	0	0									
Wind, -20	380C1F1	17604	0	137380	17604	0	-137380		35,208	0	0	0	66,40229	35,208	0	0	Wind, -20 (	0	239,8141	162,97	0	0			
Permaner	380C1F2	17604	0	137380	17604	0	-137380		35,208	0	0	0	51,36847	35,208	0	0	0								
Wind angl	380C1F3	17604	0	137380	17604	0	-137380		35,208	0	0	0	166,7803	35,208	0	0									
	Comp. gl	4730	0	36108	4730	0	-36108		9,46	0	0	0	44,81202	9,46	0	0									
	150C1F1	4401	0	34345	4401	0	-34345		8,802	0	0	0	41,69507	8,802	0	0									
	150C1F2	4401	0	34345	4401	0	-34345		8,802	0	0	0	-29,5571	8,802	0	0									
	150C1F3	4401	0	34345	4401	0	-34345		8,802	0	0	0	-29,5571	8,802	0	0									
3	GW / opg	10740	0	58130	10740	0	-58130		21,48	0	0	0	-72,1298	21,48	0	0									
Wind+ice,	380C1F1	32592	0	212406	32592	0	-212406		65,184	0	0	0	122,937	65,184	0	0	Wind+ice, -	0	678,4572	294,084	0	0			
Permaner	380C1F2	32592	0	212406	32592	0	-212406		65,184	0	0	0	95,10346	65,184	0	0	0								
Wind angl	380C1F3	32592	0	212406	32592	0	-212406		65,184	0	0	0	308,7766	65,184	0	0									
	Comp. gl	21655	0	117028	21655	0	-117028		43,31	0	0	0	205,1595	43,31	0	0									
	150C1F1	8148	0	53101	8148	0	-53101		16,296	0	0	0	77,19415	16,296	0	0									
	150C1F2	8148	0	53101	8148	0	-53101		16,296	0	0	0	-54,722	16,296	0	0									
	150C1F3	8148	0	53101	8148	0	-53101		16,296	0	0	0	-54,722	16,296	0	0									
4	GW / opg	3167	0	21182	3167	0	-21182		6,334	0	0	0	-21,2696	6,334	0	0									
Constructi	380C1F1	20794	0	142171	20794	0	-142171		41,588	0	0	0	78,43497	41,588	0	0	Constructi	0	362,2587	173,354	0	0			
Permaner	380C1F2	20794	0	142171	20794	0	-142171		41,588	0	0	0	60,67689	41,588	0	0	0								
Wind angl	380C1F3	20794	0	142171	20794	0	-142171		41,588	0	0	0	197,0024	41,588	0	0									
	Comp. gl	6495	0	43419	6495	0	-43419		12,99	0	0	0	61,53363	12,99	0	0									
	150C1F1	5198	0	35543	5198	0	-35543		10,396	0	0	0	49,24585	10,396	0	0									
	150C1F2	5198	0	35543	5198	0	-35543		10,396	0	0	0	-34,9098	10,396	0	0									
	150C1F3	5198	0	35543	5198	0	-35543		10,396	0	0	0	-34,9098	10,396	0	0									
6	GW / opg	2206	0	15241	2206	0	-15241		4,412	0	0	0	-14,8155	4,412	0	0									
Permaner	380C1F1	16899	0	116969	16899	0	-116969		33,798	0	0	0	63,74303	33,798	0	0	Permanent	0	518,9162	139,722	0	5,658			
Permaner	380C1F2	16899	0	116969	16899	0	-116969		33,798	0	0	0	49,31128	33,798	0	0	0								
	380C1F3	16899	0	116969	16899	0	-116969		33,798	0	0	0	160,1011	33,798	0	0									
	Comp. gl	4576	0	31630	4576	0	-31630		9,152	0	0	0	43,35302	9,152	0	0									
	150C1F1	4225	0	29242	4225	0	-29242		8,45	0	0	0	40,02765	8,45	0	0									
	150C1F2	4225	0	29242	4225	0	-29242		8,45	0	0	0	-28,3751	8,45	0	0									
	150C1F3	4225	0	29242	4225	0	-29242		8,45	0	0	0	-28,3751	8,45	0	0									
1a	GW / opg	1913	2829	26629	1913	2829	-26629		3,826	5,658	0	0	219,1303	3,826	0	5,658									
Wind, 10	380C1F1	15149	15920	170919	15149	15920	-170919		30,298	31,84	0	0	1123,782	30,298	0	31,84	Wind, 10 d	0	6401,671	127,368	0	120,008			
Permaner	380C1F2	15268	14848	165403	15268	14848	-165403		30,536	29,696	0	0	2012,922	30,536	0	29,696	0								
Wind angl	380C1F3	15423	13542	158827	15423	13542	-158827		30,846	27,084	0	0	1716,99	30,846	0	27,084									
	Comp. gl	4136	4052	45200	4136	4052	-45200		8,272	8,104	0	0	440,3325	8,272	0	8,104									
	150C1F1	3787	3980	42730	3787	3980	-42730		7,574	7,96	0	0	362,238	7,574	0	7,96									
	150C1F2	3817	3712	41351	3817	3712	-41351		7,634	7,424	0	0	404,957	7,634	0	7,424									
	150C1F3	3856	3385	39707	3856	3385	-39707		7,712	6,77	0	0	309,2181	7,712	0	6,77									
1b	GW / opg	2248	565	18357	2248	565	-18357		4,496	1,13	0	0	31,23243	4,496	0	1,13									
Wind, -20	380C1F1	17425	3181	140493	17425	3181	-140493		34,85	6,362	0	0	278,8541	34,85	0	6,362	Wind, -20 (	0	1695,291	161,46	0	29,572			
Permaner	380C1F2	17448	2967	140095	17448	2967	-140095		34,896	5,934	0	0	444,2425	34,896	0	5,934	0								
Wind angl	380C1F3	17473	2706	139645	17473	2706	-139645		34,946	5,412	0	0	479,4352	34,946	0	5,412									
	Comp. gl	4690	810	36869	4690	810	-36869		9,38	1,62	0	0	124,6231	9,38	0	1,62									
	150C1F1	4356	795	35123	4356	795	-35123		8,712	1,59	0	0	106,4587	8,712	0	1,59									
	150C1F2	4362	742	35024	4362	742	-35024		8,724	1,484	0	0	56,77681	8,724	0	1,484									
	150C1F3	4368	677	34911	4368	677	-34911		8,736	1,354	0	0	37,68751	8,736	0	1,354									
3	GW / opg	10608	2908	60429	10608	2908	-60429		21,216	5,816	0	0	167,2127	21,216	0	5,816									
Wind+ice,	380C1F1	32064	8893	222056	32064	8893	-222056		64,128	17,786	0	0	716,7764	64,128	0	17,786	Wind+ice, -	0	4311,334	290,296	0	71,326			
Permaner	380C1F2	32127	8294	220842	32127	8294	-220842		64,254	16,588	0	0	1193,266	64,254	0	16,588	0								

Wind angl	380C1F3	32200	7565	219463	32200	7565	-219463	64,4	15,13	0	0	1182,603	64,4	0	15,13								
0	Comp. gl	21515	4157	119390	21515	4157	-119390	43,03	8,314	0	0	615,3761	43,03	0	8,314								
	150C1F1	8016	2223	55514	8016	2223	-55514	16,032	4,446	0	0	258,2296	16,032	0	4,446								
	150C1F2	8032	2074	55210	8032	2074	-55210	16,064	4,148	0	0	186,6411	16,064	0	4,148								
	150C1F3	8050	1891	54866	8050	1891	-54866	16,1	3,782	0	0	133,1452	16,1	0	3,782								
4	GW / opgs	3144	566	21644	3144	566	-21644	6,288	1,132	0	0	25,2969	6,288	0	1,132								
Constructi	380C1F1	20676	3183	144456	20676	3183	-144456	41,352	6,366	0	0	291,2509	41,352	0	6,366	Constructic	0	1594,87	168,132	0	23,77		
Permaner	380C1F2	20691	2969	144162	20691	2969	-144162	41,382	5,938	0	0	453,9707	41,382	0	5,938	0							
Wind angl	380C1F3	20708	2708	143831	20708	2708	-143831	41,416	5,416	0	0	510,3156	41,416	0	5,416								
	Comp. gl	6472	810	43883	6472	810	-43883	12,944	1,62	0	0	141,5057	12,944	0	1,62								
	150C1F1	5169	796	36114	5169	796	-36114	10,338	1,592	0	0	114,2431	10,338	0	1,592								
	150C1F2	5173	742	36041	5173	742	-36041	10,346	1,484	0	0	51,33013	10,346	0	1,484								
	150C1F3	5177	677	35958	5177	677	-35958	10,354	1,354	0	0	32,25427	10,354	0	1,354								
								0	0	0	0	0	0	0	0								

W4S400Z+ 24 - AB2

Hoogte mast	Ber & bijlage	67	m
Hoogte onderste stroomdraad (F3)		41	m

		Hoogte		Excentriciteit ophanging t.o.v. hart mast
Bliksemdraad = GW / C H_{mast} =	0,716 m =	66,284	m	1,459 m
1e traverse - 380C1F1 F2 =	8,5 m =	58	m	4,737 m
1e traverse - 150C1F1		58		-3,358 m
2e traverse - 380C1F2 F3 =	8,5 m =	49,5	m	4,737 m
2e traverse - 150C1F2 F3 =		49,5	m	-3,358 m
3e traverse - 380C1F3		41	m	4,737 m
3e traverse - 150C1F3		41		-3,358 m
Passieve lijn = Comp C. F3 =	7,5 m =	33,5	m	1,886 m

Uit mast
ULS (incl bel factoren)

N [kN]	V [kN]	M [kNm]
592	136	4319
592	136	4319

Uit lijnen
SLS

Nmin [kN]	Nmax [kN]	Vmax [kN]	Mlangs;max [kNm]	Mdwars;max [kNm]
137	269	166	0	9402

Belastingen uit lijnen

SLS			M_{langs}	M_{dwars}	N	V_{langs}	V_{dwars}
	0 deg	1a		0	372	155	0 0
		1b		0	386	161	0 0
			3	0	681	269	0 0
			4	0	431	179	0 0
	45 deg	1a		0	4888	147	0 83
		1b		0	1291	161	0 17
			3	0	3371	267	0 51
			4	0	1336	178	0 17
	90 deg	1a		0	9402	137	0 166
		1b		0	2194	159	0 33
			3	0	6054	262	0 101
			4	0	2241	177	0 33
	-45 deg	1a		0	4888	147	0 83
		1b		0	1291	161	0 17
			3	0	3371	267	0 51
			4	0	1336	178	0 17

Belasting uit mast

N	V	M
493	91	2879
493	91	2879
493	91	2879
493	91	2879
493	91	2879
493	91	2879
493	91	2879
493	91	2879
493	91	2879
493	91	2879
493	91	2879
493	91	2879
493	91	2879
493	91	2879
493	91	2879
493	91	2879

Totaal

regel		Loadcase	M_{langs}	M_{dwars}	N	V_{langs}	V_{dwars}	Totaal moment
1	Perm load 1,2	0 deg 1a	2879	3251	649	91	91	4342,84
2	Perm load 1,2	0 deg 1b	2879	3265	654	91	91	4353,363
3	Perm load 1,2	0 deg 3	2879	3560	763	91	91	4578,732
4	Perm load 1,2	0 deg 4	2879	3310	672	91	91	4387,014
5								
6	Perm load 1,2	45 deg 1a	2879	7767	641	91	174	8283,676
7	Perm load 1,2	45 deg 1b	2879	4170	654	91	107	5067,629
8	Perm load 1,2	45 deg 3	2879	6251	760	91	141	6881,883
9	Perm load 1,2	45 deg 4	2879	4216	672	91	107	5105,194
10								
11	Perm load 1,2	90 deg 1a	2879	12281	631	91	257	12614,08
12	Perm load 1,2	90 deg 1b	2879	5073	652	91	124	5833,099
13	Perm load 1,2	90 deg 3	2879	8934	755	91	192	9386,129
14	Perm load 1,2	90 deg 4 Construct	2879	5120	671	91	124	5874,039
15								
16	Perm load 1,2	-45 deg 1a	2036	7767	641	91	174	8029,571
17	Perm load 1,2	-45 deg 1b	2036	4170	654	91	107	4640,645
18	Perm load 1,2	-45 deg 3	2036	6251	760	91	141	6573,814
19	Perm load 1,2	-45 deg 4	2036	4216	672	91	107	4681,637
			2879	12281	763	91	257	12614
					631			

	M langs max	M dwars max	N max	V langs max	V dwars max	M tot max	N min
1	x			x			
2	x			x			
3	x		x	x			
4	x			x			
5							
6	x			x			
7	x			x			
8	x			x			
9	x			x			
10							
11	x	x		x	x	x	x
12	x			x			
13	x			x			
14	x			x			
15							
16				x			
17				x			
18				x			
19				x			

samenvatting

	Mast	Bijlage	Wind	Loadcase	M_{langs}	M_{dwars}	N	V_{langs}	V_{dwars}
3	W4S400Z+	24-AB2	Perm load :0 deg	3	2879	3560	763	91	91
11	W4S400Z+	24-AB2	Perm load :90 deg	1a	2879	12281	631	91	257
	W4S400Z+	24-AB2	#N/B	#N/B	#N/B	#N/B	#N/B	#N/B	#N/B
	W4S400Z+	24-AB2	#N/B	#N/B	#N/B	#N/B	#N/B	#N/B	#N/B
	W4S400Z+	24-AB2	#N/B	#N/B	#N/B	#N/B	#N/B	#N/B	#N/B
	W4S400Z+	24-AB2	#N/B	#N/B	#N/B	#N/B	#N/B	#N/B	#N/B

W4S400Z+14 TOWER (rev 8.0, date: 23-1 Appendix AB2
W4S400Z+14 TOWER (rev 8.0, date: 23-1 Appendix AB2
Loadcases for tower strength (serviceabilityimit state)
Loadcase according to 50341-3-15

		AHEAD			BACK		Totaal			Belastingen op mastvoet, per lijn					Belasting op mastvoet, belastinggeval					
		[N]	[N]	[N]	[N]	[N]	[N]	Vert [kN]	Dwars [kN]	Langs [kN]	M_{langs}	M_{dwars}	N	V_{langs}	V_{dwars}		M_{langs}	M_{dwars}	N	V_{langs}	V_{dwars}
	Attachment point																				
1a	GW / opgv	2441	0	16659	2441	0	-16659	4,882	0	0	0	9,207452	4,882	0	0	1a	0	371,7733	155,206	0	0
Wind, 10 c	380C1F1 /	18693	0	127555	18693	0	-127555	37,386	0	0	0	54,54617	37,386	0	0	Wind angle: 0 dgr					
Permanen	380C1F2 /	18693	0	127555	18693	0	-127555	37,386	0	0	0	177,0975	37,386	0	0						
Wind angl	380C1F3 /	18693	0	127555	18693	0	-127555	37,386	0	0	0	177,0975	37,386	0	0						
	Comp. gl	5064	0	34554	5064	0	-34554	10,128	0	0	0	47,97634	10,128	0	0						
	150C1F1 /	4673	0	31889	4673	0	-31889	9,346	0	0	0	-31,3839	9,346	0	0						
	150C1F2 /	4673	0	31889	4673	0	-31889	9,346	0	0	0	-31,3839	9,346	0	0						
	150C1F3 /	4673	0	31889	4673	0	-31889	9,346	0	0	0	-31,3839	9,346	0	0						
1b	GW / opgv	2526	0	19101	2526	0	-19101	5,052	0	0	0	9,528072	5,052	0	0	1b	0	385,8176	161,144	0	0
Wind, -20	380C1F1 /	19419	0	148569	19419	0	-148569	38,838	0	0	0	56,66464	38,838	0	0	Wind angle: 0 dgr					
Permanen	380C1F2 /	19419	0	148569	19419	0	-148569	38,838	0	0	0	183,9756	38,838	0	0						
Wind angl	380C1F3 /	19419	0	148569	19419	0	-148569	38,838	0	0	0	183,9756	38,838	0	0						
	Comp. gl	5224	0	39200	5224	0	-39200	10,448	0	0	0	49,49218	10,448	0	0						
	150C1F1 /	4855	0	37142	4855	0	-37142	9,71	0	0	0	-32,6062	9,71	0	0						
	150C1F2 /	4855	0	37142	4855	0	-37142	9,71	0	0	0	-32,6062	9,71	0	0						
	150C1F3 /	4855	0	37142	4855	0	-37142	9,71	0	0	0	-32,6062	9,71	0	0						
3	GW / opgv	8194	0	47130	8194	0	-47130	16,388	0	0	0	30,90777	16,388	0	0	3	0	680,7549	269,18	0	0
Wind+ice,	380C1F1 /	29286	0	194979	29286	0	-194979	58,572	0	0	0	85,45655	58,572	0	0	Wind angle: 0 dgr					
Permanen	380C1F2 /	29286	0	194979	29286	0	-194979	58,572	0	0	0	277,4556	58,572	0	0						
Wind angl	380C1F3 /	29286	0	194979	29286	0	-194979	58,572	0	0	0	277,4556	58,572	0	0						
	Comp. gl	16572	0	95142	16572	0	-95142	33,144	0	0	0	157,0031	33,144	0	0						
	150C1F1 /	7322	0	48745	7322	0	-48745	14,644	0	0	0	-49,1746	14,644	0	0						
	150C1F2 /	7322	0	48745	7322	0	-48745	14,644	0	0	0	-49,1746	14,644	0	0						
	150C1F3 /	7322	0	48745	7322	0	-48745	14,644	0	0	0	-49,1746	14,644	0	0						
4	GW / opgv	3086	0	20717	3086	0	-20717	6,172	0	0	0	11,64697	6,172	0	0	4	0	430,5508	178,76	0	0
Constructi	380C1F1 /	21318	0	145177	21318	0	-145177	42,636	0	0	0	62,20592	42,636	0	0	Wind angle: 0 dgr					
Permanen	380C1F2 /	21318	0	145177	21318	0	-145177	42,636	0	0	0	201,9667	42,636	0	0						
Wind angl	380C1F3 /	21318	0	145177	21318	0	-145177	42,636	0	0	0	201,9667	42,636	0	0						
	Comp. gl	6350	0	42593	6350	0	-42593	12,7	0	0	0	60,1599	12,7	0	0						
	150C1F1 /	5330	0	36294	5330	0	-36294	10,66	0	0	0	-35,7963	10,66	0	0						
	150C1F2 /	5330	0	36294	5330	0	-36294	10,66	0	0	0	-35,7963	10,66	0	0						
	150C1F3 /	5330	0	36294	5330	0	-36294	10,66	0	0	0	-35,7963	10,66	0	0						
1a	GW / opgv	2243	1886	22351	2243	1886	-22351	4,486	3,772	0	0	134,8226	4,486	0	3,772	1a	0	4887,823	147,34	0	83,014
Wind, 10 c	380C1F1 /	17658	10612	152696	17658	10612	-152696	35,316	21,224	0	0	1458,338	35,316	0	21,224	Wind angle: 45 dgr					
Permanen	380C1F2 /	17757	9897	149792	17757	9897	-149792	35,514	19,794	0	0	1316,282	35,514	0	19,794						
Wind angl	380C1F3 /	17878	9027	146417	17878	9027	-146417	35,756	18,054	0	0	1063,049	35,756	0	18,054						
	Comp. gl	4811	2701	40792	4811	2701	-40792	9,622	5,402	0	0	267,0614	9,622	0	5,402						
	150C1F1 /	4414	2653	38174	4414	2653	-38174	8,828	5,306	0	0	278,1036	8,828	0	5,306						
	150C1F2 /	4439	2474	37448	4439	2474	-37448	8,878	4,948	0	0	215,1137	8,878	0	4,948						
	150C1F3 /	4470	2257	36604	4470	2257	-36604	8,94	4,514	0	0	155,0535	8,94	0	4,514						
1b	GW / opgv	2509	377	19404	2509	377	-19404	5,018	0,754	0	0	34,72295	5,018	0	0,754	1b	0	1290,835	160,608	0	16,592
Wind, -20	380C1F1 /	19347	2121	149789	19347	2121	-149789	38,694	4,242	0	0	337,6313	38,694	0	4,242	Wind angle: 45 dgr					
Permanen	380C1F2 /	19356	1978	149631	19356	1978	-149631	38,712	3,956	0	0	412,8267	38,712	0	3,956						
Wind angl	380C1F3 /	19366	1804	149454	19366	1804	-149454	38,732	3,608	0	0	362,0695	38,732	0	3,608						
	Comp. gl	5208	540	39498	5208	540	-39498	10,416	1,08	0	0	93,62059	10,416	0	1,08						
	150C1F1 /	4837	530	37447	4837	530	-37447	9,674	1,06	0	0	28,99471	9,674	0	1,06						
	150C1F2 /	4839	495	37408	4839	495	-37408	9,678	0,99	0	0	16,50628	9,678	0	0,99						
	150C1F3 /	4842	451	37363	4842	451	-37363	9,684	0,902	0	0	4,463128	9,684	0	0,902						
3	GW / opgv	8109	1938	48629	8109	1938	-48629	16,218	3,876	0	0	160,4331	16,218	0	3,876	3	0	3371,247	267	0	50,664
Wind+ice,	380C1F1 /	29006	5928	200038	29006	5928	-200038	58,012	11,856	0	0	870,5026	58,012	0	11,856	Wind angle: 45 dgr					
Permanen	380C1F2 /	29041	5529	199392	29041	5529	-199392	58,082	11,058	0	0	916,4984	58,082	0	11,058						
Wind angl	380C1F3 /	29080	5042	198662	29080	5042	-198662	58,16	10,084	0	0	774,6619	58,16	0	10,084						
	Comp. gl	16483	2770	96670	16483	2770	-96670	32,966	5,54	0	0	383,2999	32,966	0	5,54						
	150C1F1 /	7251	1482	50010	7251	1482	-50010	14,502	2,964	0	0	123,2143	14,502	0	2,964						
	150C1F2 /	7260	1382	49848	7260	1382	-49848	14,52	2,764	0	0	88,05984	14,52	0	2,764						
	150C1F3 /	7270	1261	49666	7270	1261	-49666	14,54	2,522	0	0	54,57668	14,54	0	2,522						
4	GW / opgv	3075	377	20932	3075	377	-20932	6,15	0,754	0	0	36,8579	6,15	0	0,754	4	0	1336,405	178,38	0	16,6
Constructi	380C1F1 /	21267	2122	146166	21267	2122	-146166	42,534	4,244	0	0	343,3664	42,534	0	4,244	Wind angle: 45 dgr					
Permanen	380C1F2 /	21273	1979	146038	21273	1979	-146038	42,546	3,958	0	0	431,1044	42,546	0	3,958						
Wind angl	380C1F3 /	21281	1805	145894	21281	1805	-145894	42,562	3,61	0	0	380,3112	42,562	0	3,61						
	Comp. gl	6339	540	42806	6339	540	-42806	12,678	1,08	0	0	104,3357	12,678	0	1,08						
	150C1F1 /	5317	531	36542	5317	531	-36542	10,634	1,062	0	0	25,88703	10,634	0	1,062						
	150C1F2 /	5318	495	36510	5318	495	-36510	10,636	0,99	0	0	13,28931	10,636	0	0,99						
	150C1F3 /	5320	451	36473	5320	451	-36473	10,64	0,902	0	0	1,25288	10,64	0	0,902						
1a	GW / opgv	2079	3773	32390	2079	3773	-32390	4,158	7,546	0	0	260,633	4,158	0	7,546	1a	0	9401,723	137,494	0	166,084
Wind, 10 c	380C1F1 /	16437	21232	203900	16437	21232	-203900	32,874	42,464	0	0	2862,647	32,874	0	42,464	Wind angle: 90 dgr					
Permanen	380C1F2 /	16567	19801	196523	16567	19801	-196523	33,134	39,602	0	0	2453,872	33,134	0	39,602						
Wind angl	380C1F3 /	16739	18059	187645	16739	18059	-187645	33,478	36,118	0	0	1946,426	33,478	0	36,118						
	Comp. gl	4489	5404	53910	4489	5404	-53910	8,978	10,808	0	0	485,6568	8,978	0	10,808						
	150C1F1 /	4109	5308	50975	4109	5308	-50975	8,218	10,616	0	0	588,132	8,218	0	10,616						
	150C1F2 /	4142	4950	49131	4142	4950	-49131	8,284	9,9	0	0	462,2323	8,284	0	9,9						
	150C1F3 /	4185	4515	46911	4185	4515	-46911	8,37	9,03	0	0	342,1235	8,37	0	9,03						
1b	GW / opgv	2466	754	20269	2466	754	-20269	4,932	1,508	0	0	59,81975	4,932	0	1,508	1b	0	2193,583	159,11	0	33,182
Wind, -20	380C1F1 /	19146	4242	153346	19146	4242	-153346	38,292	8,484	0	0	618,2215	38,292	0	8,484	Wind angle: 90 dgr					
Permanen	380C1F2 /	19179	3956	152739	19179	3956	-152739	38,358	7,912	0	0	640,5978	38,358	0	7,912						
Wind angl	380C1F3 /	19217	3608	152053	19217	3608	-152053	38,434	7,216	0	0	539,2539	38,434	0	7,216						
	Comp. gl	5162	1080	40371	5162	1080	-40371	10,324	2,16	0	0	137,4648	10,324	0	2,16						
	150C1F1 /	4786	1060	38337	4786	1060	-38337	9,572	2,12	0	0	90,81722	9,572	0	2,12						
	150C1F2 /	4795	989	38185	4795	989	-38185	9,59	1,978	0	0	65,70778	9,59	0	1,978						
	150C1F3 /	4804	902	38013	4804	902	-38013	9,608	1,804	0	0	41,70034	9,608	0	1,804						
3	GW / opgv	7909	3876	52693	7909	3876	-52693	15,818	7,752	0	0	289,5247	15,818	0	7,752	3	0	6054,247	261,53	0	101,334
Wind+ice,	380C1F1 /	28316	11856	214026	28316	11856	-214026	56,632	23,712	0	0	1654,352	56,632	0	23,712	Wind angle: 90 dgr					
Permanen	380C1F2 /	28422	11058	211713	28422	11058	-211713	56,844	22,116	0	0	1551,998	56,844	0	22,116						
Wind angl	380C1F3 /	28547	10086	209060	28547	10086	-209060	57,094	20,172	0	0	1268,968	57,094	0	20,172						
	Comp. gl	16250	5541	101013	16250	5541	-101013	32,5	11,082	0	0	608,1145	32,5	0	11,082						
	150C1F1 /	7079	2964	53506	7079	2964	-53506	14,158	5,928	0	0	296,2814	14,158	0	5,928						
	150C1F2 /	7105	2765	52928	7105	2765	-52928	14,21	5,53	0	0	226,0178	14,21	0	5,53						
	150C1F3 /	7137	2521	52265	7137	2521	-52265	14,274	5,042	0	0	158,7899	14,274	0	5,042						
4	GW / opgv	3045	754	21556	3045	754	-21556	6,09	1,508	0	0	62,00374	6,09	0	1,508	4	0	2240,606	177,294	0	33,2
Constructi	380C1F1 /	21120	4244	149073	21120	4244	-149073	42,24	8,488	0	0	624,2468	42,24	0	8,488	Wind angle: 90 dgr					
Permanen	380C1F2 /	21144	3958	148575	21144	3958	-148575	42,288	7,916	0	0	659,4463	42,288	0	7,916						
Wind angl	380C1F3 /	21172	3610	148012	21172	3610	-148012	42,344	7,22	0	0	557,9735	42,344	0	7,22						
	Comp. gl	6307	1080	43437	6307	1080	-43437	12,614	2,16	0	0	148,3125	12,614	0	2,16						
	150C1F1 /	5280	1061	37268	5280	1061	-37268	10,56	2,122	0	0	87,61552	10,56	0	2,122						
	150C1F2 /	5286	990	37144	5286	990	-37144	10,572	1,98	0	0	62,50922	10,572	0	1,98						
	150C1F3 /	5293	903	37003	5293	903	-37003	10,586	1,806	0	0	38,49821	10,586	0	1,806						
1a	GW / opgv	2243	1886	22351	2243	1886	-22351	4,486	3,772	0	0	134,8226	4,486	0	3,772	1a	0	4887,823	147,34	0	83,014
Wind, 10 c	380C1F1 /	17658	10612	152696	17658	10612	-152696	35,316	21,224	0	0	1458,338	35,316	0	21,224	Wind angle: -45 dgr					
Permanen	380C1F2 /	17757	9897	149792	17757	9897	-149792	35,514	19,794	0	0	1316,282	35,514	0	19,794						
Wind angl	380C1F3 /	17878	9027	146417	17878	9027	-146417	35,756	18,054	0	0	1063,049	35,756	0	18,054						
	Comp. gl	4811	2701	40792	4811	2701	-40792	9,622	5,402	0	0	267,0614	9,622	0	5,402						
	150C1F1 /	4414	2653	38174	4414	2653	-38174	8,828	5,306	0	0	278,1036	8,828	0	5,306						
	150C1F2 /	4439	2474	37448	4439	2474	-37448	8,878	4,948	0	0	215,1137	8,878	0	4,948						
	150C1F3 /	4470	2257	36604	4470	2257	-36604	8,94	4,514	0	0	155,0535	8,94	0	4,514						
1b	GW / opgv	2509	377	19404	2509	377	-19404	5,018	0,754	0	0	34,72295	5,018	0	0,754	1b	0	1290,835	160,608	0	16,592
Wind, -20	380C1F1 /	19347	2121	149789	19347	2121	-149789	38,694	4,242	0	0	337,6313	38,694	0	4,242	Wind angle: -45 dgr					

Permanen	380C1F2 / 19356	1978	149631	19356	1978	-149631		38,712	3,956	0		0	412,8267	38,712	0	3,956									
Wind angl	380C1F3 / 19366	1804	149454	19366	1804	-149454		38,732	3,608	0		0	362,0695	38,732	0	3,608									
	Comp. gl 5208	540	39498	5208	540	-39498		10,416	1,08	0		0	93,62059	10,416	0	1,08									
	150C1F1 / 4837	530	37447	4837	530	-37447		9,674	1,06	0		0	28,99471	9,674	0	1,06									
	150C1F2 / 4839	495	37408	4839	495	-37408		9,678	0,99	0		0	16,50628	9,678	0	0,99									
	150C1F3 / 4842	451	37363	4842	451	-37363		9,684	0,902	0		0	4,463128	9,684	0	0,902									
3	GW / opgv 8109	1938	48629	8109	1938	-48629		16,218	3,876	0		0	160,4331	16,218	0	3,876	3	0	3371,247	267	0	50,664			
Wind+Ice,	380C1F1 / 29006	5928	200038	29006	5928	-200038		58,012	11,856	0		0	870,5026	58,012	0	11,856	Wind angle: -45 dgr								
Permanen	380C1F2 / 29041	5529	199392	29041	5529	-199392		58,082	11,058	0		0	916,4984	58,082	0	11,058									
Wind angl	380C1F3 / 29080	5042	198662	29080	5042	-198662		58,16	10,084	0		0	774,6619	58,16	0	10,084									
	Comp. gl 16483	2770	96670	16483	2770	-96670		32,966	5,54	0		0	383,2999	32,966	0	5,54									
	150C1F1 / 7251	1482	50010	7251	1482	-50010		14,502	2,964	0		0	123,2143	14,502	0	2,964									
	150C1F2 / 7260	1382	49848	7260	1382	-49848		14,52	2,764	0		0	88,05984	14,52	0	2,764									
	150C1F3 / 7270	1261	49666	7270	1261	-49666		14,54	2,522	0		0	54,57668	14,54	0	2,522									
4	GW / opgv 3075	377	20932	3075	377	-20932		6,15	0,754	0		0	36,8579	6,15	0	0,754	4	0	1336,405	178,38	0	16,6			
Constructi	380C1F1 / 21267	2122	146166	21267	2122	-146166		42,534	4,244	0		0	343,3664	42,534	0	4,244	Wind angle: -45 dgr								
Permanen	380C1F2 / 21273	1979	146038	21273	1979	-146038		42,546	3,958	0		0	431,1044	42,546	0	3,958									
Wind angl	380C1F3 / 21281	1805	145894	21281	1805	-145894		42,562	3,61	0		0	380,3112	42,562	0	3,61									
	Comp. gl 6339	540	42806	6339	540	-42806		12,678	1,08	0		0	104,3357	12,678	0	1,08									
	150C1F1 / 5317	531	36542	5317	531	-36542		10,634	1,062	0		0	25,88703	10,634	0	1,062									
	150C1F2 / 5318	495	36510	5318	495	-36510		10,636	0,99	0		0	13,28931	10,636	0	0,99									
	150C1F3 / 5320	451	36473	5320	451	-36473		10,64	0,902	0		0	1,25288	10,64	0	0,902									

Hoogte mast	Ber & bijlage	58 m
Hoogte detector stroomdraad (F3)		32 m
Bliksemdraad - GW / (n$_{staven}$ -	0S7	5?,43 m
1e traverse - 3SOC1F1 F2 +	8,5 m =	49 m
2e traverse - 3SOC1F2 F3 +	8,5 m =	40,5 m
3e traverse - 3SOC1F3		32 m
3e traverse - 1SOC1F3		32 m
Passieve lijn = Comp.t.o.v. CF3 -	7,5 m =	2,5 m

Hoogte	Excentriciteit dylangte t.o.v. hart mast
49 m	0,76 m
49 m	0 m
40,5 m	5,5 m
32 m	0 m
32 m	5,5 m
2,5 m	2,05 m

Uit mast				Uit lijnen				Belastingen uit lijnen								Belasting uit mast							
(excl belastingfactoren)				(incl belastingfactoren)				M$_{kgm}$	M$_{daan}$	N	V$_{kgm}$	V$_{daan}$		Perm load 1,2	0 deg	18	7612	2057	129	111	49	857	115	385
N	V	M		Nmin	Nmax	Vmax		Mdagm/ma/kdwa/s/max						90 deg	18	7658	1286	306	188	188	421	1739S,49	12
[kN]	[kN]	[kNm]		[kN]	[kN]	[kN]	[kNm]	[kNm]							45 deg	18	7658	1286	306	188	188	421	1739S,49	12
4	5378	427k	154	133	103	857	115	3123							90 deg	18	7658	1286	306	188	188	421	1739S,49	12
3	7995	9498	254	197	231	857	32	878							45 deg	18	7658	1286	306	188	188	421	1739S,49	12
0	5365	4225	129	132	103	857	22	586							90 deg	18	7658	1286	306	188	188	421	1739S,49	12
0	5365	4225	129	132	103	857	22	586							45 deg	18	7658	1286	306	188	188	421	1739S,49	12
4	5181	311	154	138	80	857	22	586							90 deg	18	7658	1286	306	188	188	421	1739S,49	12
4	5306	362	129	131	79	857	22	586							45 deg	18	7658	1286	306	188	188	421	1739S,49	12
4	7248	710S	129	178	123	857	115	3123							-45 deg	18	9456	3914	986	259	254	1327,79	17 x
4	7800	6509	254	192	158	857	32	878							-45 deg	3	8429	7130	1111	215	180	1104O,22	19
4	5330	3328	154	132	80	857	22	586							-45 deg	4	5744	3742	1011	147	95	685A,916	20
0 deg	18	3550	1625	97	88	39	857	115	3123						22 Perm load 0,9	0 deg	18	6673	1625	954	203	39	6867,6	22
6	5550	1608	97	88	39										26 Perm load 0,9	0 deg								26
4	4314	1987	121	107	48	857	22	586							25 Perm load 0,9	0 deg	4	4900	1987	978	128	48	528?,356	25
3	6646	3273	222	159	78	857	32	878							26 Perm load 0,9	0 deg	3	7324	1073	1079	191	78	802?,268	24
4	4269	2905	121	105	70	857	22	586							31 Perm load 0,9	45 deg	4	Construct	4683	3319	978	121	85 5739,807	31
3	6256	6116	222	155	148	857	32	878							30 Perm load 0,9	45 deg	3	6877	6737	1079	177	171	962?,142	30
10	4105	2804	96	101	68	857	22	586							29 Perm load 0,9	45 deg	10	4519	3218	953	117	83	556?,511	29
6	3978	6727	97	73	164	857	115	3123							28 Perm load 0,9	45 deg	18	5187	8935	954	155	246	1033L,08	28
10	4169	1874	96	103	45	857	22	586							23 Perm load 0,9	0 deg	10	4754	1876	953	124	45	5111,045	23
10	4169	1874	96	103	45	857	22	586							23 Perm load 0,9	0 deg	10	4754	1876	953	124	45	5111,045	23
3	6646	3273	222	159	78	857	32	878							26 Perm load 0,9	0 deg	3	7324	1073	1079	191	78	802?,268	24
4	4269	2905	121	105	70	857	22	586							31 Perm load 0,9	45 deg	4	Construct	4683	3319	978	121	85 5739,807	31
3	6256	6116	222	155	148	857	32	878							30 Perm load 0,9	45 deg	3	6877	6737	1079	177	171	962?,142	30
10	4105	2804	96	101	68	857	22	586							29 Perm load 0,9	45 deg	10	4519	3218	953	117	83	556?,511	29
6	3978	6727	97	73	164	857	115	3123							28 Perm load 0,9	45 deg	18	5187	8935	954	155	246	1033L,08	28
10	4169	1874	96	103	45	857	22	586							23 Perm load 0,9	0 deg	10	4754	1876	953	124	45	5111,045	23
4	4314	1987	121	107	48	857	22	586							25 Perm load 0,9	0 deg	4	4900	1987	978	128	48	528?,356	25
6	3550	1608	97	88	39										26 Perm load 0,9	0 deg								26
3	6646	3273	222	159	78	857	32	878							26 Perm load 0,9	0 deg	3	7324	1073	1079	191	78	802?,268	24
4	4269	2905	121	105	70	857	22	586							31 Perm load 0,9	45 deg	4	Construct	4683	3319	978	121	85 5739,807	31
3	6256	6116	222	155	148	857	32	878							30 Perm load 0,9	45 deg	3	6877	6737	1079	177	171	962?,142	30
10	4105	2804	96	101	68	857	22	586							29 Perm load 0,9	45 deg	10	4519	3218	953	117	83	556?,511	29
6	3978	6727	97	73	164	857	115	3123							28 Perm load 0,9	45 deg	18	5187	8935	954	155	246	1033L,08	28
10	4169	1874	96	103	45	857	22	586							23 Perm load 0,9	0 deg	10	4754	1876	953	124	45	5111,045	23
10	4169	1874	96	103	45	857	22	586							23 Perm load 0,9	0 deg	10	4754	1876	953	124	45	5111,045	23

| | | |

| | | |

W4H400Z25-AK1

| | | |

| | | |

| | | |

Wind, 10 ı	GW / opç	1670	2446	19823	1669	2140	-18636	3,339	4,586	1,187	68,16941	265,9116	3,339	1,187	4,586	Wind angle: -45 dgr											
Permaner	380C1F1	12783	14850	136867	12782	13189	-131415	25,565	28,039	5,452	267,148	1373,911	25,565	5,452	28,039												
Wind angl	380C1F2	12782	14113	134385	12782	12580	-129558	25,564	26,693	4,827	195,4935	1081,067	25,564	4,827	26,693												
	380C1F3	12782	13202	131458	12782	11828	-127384	25,564	25,03	4,074	130,368	800,96	25,564	4,074	25,03												
	150C1F1	3196	3712	34217	0	0	0	3,196	3,712	34,217	1676,633	199,466	3,196	34,217	3,712												
	150C1F2	3196	3528	33596	0	0	0	3,196	3,528	33,596	1360,638	160,462	3,196	33,596	3,528												
	150C1F3	3196	3301	32864	0	0	0	3,196	3,301	32,864	1051,648	123,21	3,196	32,864	3,301												
1b	Comp. gl	3461	2275	36576	3461	2159	-36425	6,922	4,434	0,151	3,6995	122,8231	6,922	0,151	4,434	1b	4309,019	2625,064	96,483	106,314	63,62						
Wind, -20	GW / opç	1668	1277	18122	1668	1192	-17961	3,336	2,469	0,161	9,24623	144,33	3,336	0,161	2,469	Wind angle: -45 dgr											
Permaner	380C1F1	12774	8816	139418	12774	8350	-138766	25,548	17,166	0,652	31,948	841,134	25,548	0,652	17,166												
Wind angl	380C1F2	12774	8609	139116	12774	8178	-138553	25,548	16,787	0,563	22,8015	679,8735	25,548	0,563	16,787												
	380C1F3	12774	8354	138771	12774	7966	-138310	25,548	16,32	0,461	14,752	522,24	25,548	0,461	16,32												
	150C1F1	3194	2204	34854	0	0	0	3,194	2,204	34,854	1707,846	125,563	3,194	34,854	2,204												
	150C1F2	3194	2152	34779	0	0	0	3,194	2,152	34,779	1408,55	104,723	3,194	34,779	2,152												
	150C1F3	3193	2098	34693	0	0	0	3,193	2,088	34,693	1110,176	84,3775	3,193	34,693	2,088												
3	Comp. gl	6607	6166	61652	6606	5542	-60127	13,213	11,708	1,525	37,3625	313,9327	13,213	1,525	11,708	3	5300,494	4486,808	124,582	130,497	109,344						
Wind+ice,	GW / opç	3239	3937	32993	3239	3474	-31567	6,478	7,411	1,426	81,89518	430,537	6,478	1,426	7,411	Wind angle: -45 dgr											
Permaner	380C1F1	15540	14587	159465	15539	13210	-155921	31,079	27,797	3,544	173,656	1362,053	31,079	3,544	27,797												
Wind angl	380C1F2	15540	13976	157840	15539	12705	-154736	31,079	26,681	3,104	125,712	1080,581	31,079	3,104	26,681												
0	380C1F3	15539	13221	155949	15539	12080	-153364	31,078	25,301	2,585	82,72	809,632	31,078	2,585	25,301												
	150C1F1	3885	3647	39866	0	0	0	3,885	3,647	39,866	1953,434	200,0705	3,885	39,866	3,647												
	150C1F2	3885	3494	39460	0	0	0	3,885	3,494	39,46	1598,13	162,8745	3,885	39,46	3,494												
	150C1F3	3885	3305	38987	0	0	0	3,885	3,305	38,987	1247,584	127,1275	3,885	38,987	3,305												
4	Comp. gl	4665	2492	41555	4665	2379	-41456	9,33	4,871	0,099	2,4255	138,466	9,33	0,099	4,871	4	4287,308	2664,051	116,379	105,798	64,282						
Constructi	GW / opç	2271	1378	20433	2271	1296	-20328	4,542	2,674	0,105	6,03015	157,0197	4,542	0,105	2,674	Wind angle: -45 dgr											
Permaner	380C1F1	15186	8813	139326	15186	8354	-138827	30,372	17,167	0,499	24,451	841,183	30,372	0,499	17,167												
Wind angl	380C1F2	15186	8610	139095	15186	8184	-138665	30,372	16,794	0,43	17,415	680,157	30,372	0,43	16,794												
	380C1F3	15186	8358	138831	15186	7974	-138479	30,372	16,332	0,352	11,264	522,624	30,372	0,352	16,332												
	150C1F1	3797	2203	34831	0	0	0	3,797	2,203	34,831	1706,719	128,8305	3,797	34,831	2,203												
	150C1F2	3797	2152	34774	0	0	0	3,797	2,152	34,774	1408,347	108,0395	3,797	34,774	2,152												
	150C1F3	3797	2089	34708	0	0	0	3,797	2,089	34,708	1110,656	87,7315	3,797	34,708	2,089												
1a	Comp. gl	4617	1761	40155	0	0	0	4,617	1,761	40,155	983,7975	52,60935	4,617	40,155	1,761	1a	24541,37	1157,892	70,761	613,723	26,917						
Wind, 10	GW / opç	2226	852	19378	0	0	0	2,226	0,852	19,378	1112,879	50,62212	2,226	19,378	0,852	Wind angle: 0 dgr											
Permaner	380C1F1	17045	6483	147784	0	0	0	17,045	6,483	147,784	7241,416	317,667	17,045	147,784	6,483												
Wind angl	380C1F2	17045	6481	147784	0	0	0	17,045	6,481	147,784	5985,252	262,4805	17,045	147,784	6,481												
	380C1F3	17045	6479	147784	0	0	0	17,045	6,479	147,784	4729,088	207,328	17,045	147,784	6,479												
	150C1F1	4261	1621	36946	0	0	0	4,261	1,621	36,946	1810,354	102,8645	4,261	36,946	1,621												
	150C1F2	4261	1620	36946	0	0	0	4,261	1,62	36,946	1496,313	89,0455	4,261	36,946	1,62												
	150C1F3	4261	1620	36946	0	0	0	4,261	1,62	36,946	1182,272	75,2755	4,261	36,946	1,62												
1b	Comp. gl	4615	1970	45077	0	0	0	4,615	1,97	45,077	1104,387	57,72575	4,615	45,077	1,97	1b	28150	1311,931	70,725	703,686	30,759						
Wind, -20	GW / opç	2225	961	21970	0	0	0	2,225	0,961	21,97	1261,737	56,88123	2,225	21,97	0,961	Wind angle: 0 dgr											
Permaner	380C1F1	17036	7422	169770	0	0	0	17,036	7,422	169,77	8318,73	363,678	17,036	169,77	7,422												
Wind angl	380C1F2	17036	7421	169770	0	0	0	17,036	7,421	169,77	6875,685	300,5505	17,036	169,77	7,421												
	380C1F3	17036	7420	169770	0	0	0	17,036	7,42	169,77	5432,64	237,44	17,036	169,77	7,42												
	150C1F1	4259	1855	42443	0	0	0	4,259	1,855	42,443	2079,707	114,3195	4,259	42,443	1,855												
	150C1F2	4259	1855	42443	0	0	0	4,259	1,855	42,443	1718,942	98,552	4,259	42,443	1,855												
	150C1F3	4259	1855	42443	0	0	0	4,259	1,855	42,443	1358,176	82,7845	4,259	42,443	1,855												
3	Comp. gl	7762	2793	63692	0	0	0	7,762	2,793	63,692	1560,454	84,3406	7,762	63,692	2,793	3	30272,79	1426,832	85,817	759,567	33,277						
Wind+ice	GW / opç	3796	1374	31270	0	0	0	3,796	1,374	31,27	1795,836	81,79378	3,796	31,27	1,374	Wind angle: 0 dgr											
Permaner	380C1F1	19802	7765	177228	0	0	0	19,802	7,765	177,228	8684,172	380,485	19,802	177,228	7,765												
Wind angl	380C1F2	19802	7763	177228	0	0	0	19,802	7,763	177,228	7177,734	314,4015	19,802	177,228	7,763												
	380C1F3	19802	7760	177228	0	0	0	19,802	7,76	177,228	5671,296	248,32	19,802	177,228	7,76												
	150C1F1	4951	1941	44307	0	0	0	4,951	1,941	44,307	2171,043	122,3395	4,951	44,307	1,941												
	150C1F2	4951	1941	44307	0	0	0	4,951	1,941	44,307	1794,434	105,841	4,951	44,307	1,941												
	150C1F3	4951	1940	44307	0	0	0	4,951	1,94	44,307	1417,824	89,3105	4,951	44,307	1,94												
4	Comp. gl	5821	2154	49285	0	0	0	5,821	2,154	49,285	1207,483	64,70605	5,821	49,285	2,154	4	28043,61	1320,247	81,591	701,877	30,682						
Construc	GW / opç	2828	1049	23990	0	0	0	2,828	1,049	23,99	1377,746	62,39335	2,828	23,99	1,049	Wind angle: 0 dgr											
Permaner	380C1F1	19451	7328	167627	0	0	0	19,451	7,328	167,627	8213,723	359,072	19,451	167,627	7,328												
Wind angl	380C1F2	19451	7328	167627	0	0	0	19,451	7,328	167,627	6788,894	296,784	19,451	167,627	7,328												
	380C1F3	19451	7327	167627	0	0	0	19,451	7,327	167,627	5364,064	234,464	19,451	167,627	7,327												
	150C1F1	4863	1832	41907	0	0	0	4,863	1,832	41,907	2053,443	116,5145	4,863	41,907	1,832												
	150C1F2	4863	1832	41907	0	0	0	4,863	1,832	41,907	1697,234	100,9425	4,863	41,907	1,832												
	150C1F3	4863	1832	41907	0	0	0	4,863	1,832	41,907	1341,024	85,3705	4,863	41,907	1,832												
6	Comp. gl	5195	1931	44221	0	0	0	5,195	1,931	44,221	1083,415	57,95925	5,195	44,221	1,931	6	26980,41	1269,586	79,613	674,727	29,458						
Permane	GW / opç	2505	932	21353	0	0	0	2,505	0,932	21,353	1226,303	55,42856	2,505	21,353	0,932	0											
Permane	380C1F1	19177	7092	162441	0	0	0	19,177	7,092	162,441	7959,609	347,508	19,177	162,441	7,092												
	380C1F2	19177	7092	162441	0	0	0	19,177	7,092	162,441	6578,861	287,226	19,177	162,441	7,092												
	380C1F3	19177	7092	162441	0	0	0	19,177	7,092	162,441	5198,112	226,944	19,177	162,441	7,092												
	150C1F1	4794	1773	40610	0	0	0	4,794	1,773	40,61	1989,89	113,244	4,794	40,61	1,773												
	150C1F2	4794	1773	40610	0	0	0	4,794	1,773	40,61	1644,705	98,1735	4,794	40,61	1,773												
	150C1F3	4794	1773	40610	0	0	0	4,794	1,773	40,61	1299,52	83,103	4,794	40,61	1,773												
1a	Comp. gl	4618	3710	42599	0	0	0	4,618	3,71	42,599	1043,676	100,3619	4,618	42,599	3,71	1a	26139,82	2402,028	70,766	652,324	57,464						
Wind, 10	GW / opç	2226	2283	21897	0	0	0	2,226	2,283	21,897	1257,545	132,8045	2,226	21,897	2,283	Wind angle: 45 dgr											
Permaner	380C1F1	17046	14360	158203	0	0	0	17,046	14,36	158,203	7751,947	703,64	17,046	158,203	14,36												
Wind angl	380C1F2	17046	13772	156827	0	0	0	17,046	13,772	156,827	6351,494	557,766	17,046	156,827	13,772												
	380C1F3	17046	13045	155232	0	0	0	17,046	13,045	155,232	4967,424	417,44	17,046	155,232	13,045												
	150C1F1	4262	3590	39551	0	0	0	4,262	3,59	39,551	1937,999	199,351	4,262	39,551	3,59												
	150C1F2	4261	3443	39207	0	0	0	4,261	3,443	39,207	1587,884	162,877	4,261	39,207	3,443												
	150C1F3	4261	3261	38808	0	0	0	4,261	3,261	38,808	1241,856	127,7975	4,261	38,808	3,261												
1b	Comp. gl	4615	2548	45313	0	0	0	4,615	2,548	45,313	1110,169	71,88675	4,615	45,313	2,548	1b	28305,79	1679,948	70,725	707,435	39,801						
Wind, -20	GW / opç	2225	1379	22232	0	0	0	2,225	1,379	22,232	1276,784	80,88697	2,225	22,232	1,379	Wind angle: 45 dgr											
Permaner	380C1F1	17036	9748	170789	0	0	0	17,036	9,748	170,789	8368,661	477,652	17,036	170,789	9,748												
Wind angl	380C1F2	17036	9580	170644	0	0	0	17,036	9,58	170,644	6911,082	387,99	17,036	170,644	9,58												
	380C1F3	17036	9371	170479	0	0	0	17,036	9,371	170,479	5455,328	299,872	17,036	170,479	9,371												
	150C1F1	4259	2437	42697	0	0	0	4,259	2,437	42,697	2092,153	142,8375	4,259	42,697	2,437												
	150C1F2	4259	2395	42661	0	0	0	4,259	2,395	42,661	1727,771	120,422	4,259	42,661	2,395												
	150C1F3	4259	2343	42620	0	0	0	4,259	2,343	42,62	1363,84	98,4005	4,259	42,62	2,343												
3	Comp. gl	7762	5837	66862	0	0	0	7,762	5,837	66,862	1638,119	158,9186	7,762	66,862	5,837	3	31414,21	2572,754	85,82	787,138	61,554						
Wind+ice	GW / opç	3796	3604	34528	0	0	0	3,796	3,604	34,528	1982,943	209,8627	3,796	34,528	3,604	Wind angle: 45 dgr											
Permaner	380C1F1	19803	14428	183802	0	0	0	19,803	14,428	183,802	9006,298	706,972	19,803	183,802	14,428												
Wind angl	380C1F2	19803	13936	182911	0	0	0	19,803	13,936	182,911	7407,896	564,408	19,803	182,911	13,936												
	380C1F3	19803	13326	181886	0	0	0	19,803	13,326	181,886	5820,352	426,432	19,803	181,886	13,326												
	150C1F1	4951	3607	45950	0	0	0	4,951	3,607	45,95	2251,55	203,9735	4,951	45,95	3,607												
	150C1F2	4951	3484	45728	0	0	0	4,951	3,484	45,728	1851,984	168,3325	4,951	45,728	3,484												
	150C1F3	4951	3332	45471	0	0	0	4,951	3,332	45,471	1455,072	133,8545	4,951	45,471	3,332												
4	Comp. gl	5821	2728	49448	0	0	0	5,821	2,728	49,448	1211,476	78,76905	5,821	49,448	2,728	4	28165,45	1686,931	81,591	704,808	39,691						
Construc	GW / opç	2828	1464	24172	0	0	0	2,828	1,464	24,172	1388,198	86,2268	2,828	24,172	1,464	Wind angle: 45 dgr											
Permaner	380C1F1	19451	9647	168439	0	0	0	19,451	9,647	168,439	8253,511	472,703	19,451	168,439	9,647												
Wind angl	380C1F2	19451	9480	168322	0	0	0	19,451	9,48	168,322	6817,041	383,94	19,451	168,322	9,48												
	380C1F3	19451	9272	168189	0	0	0	19,451	9,272	168,189	5382,048	296,704	19,451	168,189	9,272												
	150C1F1	4863	2412	42110	0	0	0	4,863	2,412	42,11	2063,39	144,9345	4,863	42,11	2,412												
	150C1F2	4863	2370	42081	0	0	0	4,863	2,37	42,081	1704,281	122,7315	4,863	42,081	2,37												
	150C1F3	4863	2318	42047	0	0	0	4,863	2,318	42,047	1345,504	100,9225	4,863	42,047	2,318												
1a	Comp. gl	4618	6249	50434	0	0	0	4,618	6,249	50,434	1235,633	162,5674	4,618	50,434	6,249	1a	31152	4020,938	70,781	774,19	97,194						
Wind, 10	GW / opç	2227	4162	28849	0	0	0	2,227	4,162	28,849	1656,798	240,7162	2,227	28,849	4,162	Wind angle: 90 dgr											
Permaner	380C1F1	17050	24622	190595	0	0	0	17,05	24,622	190,595	9339,155	1206,478	17,05	190,595	24,622												
Wind angl	380C1F2	17050	23251	185638	0	0	0	17,05	23,251	185,638	7518,339	941,6655	17,05	185,638	23,251												
	380C1F3	17049	21553	179693	0	0	0	17,049	21,553	179,693	5750,176	689,696	17,049	179,693	21,553												
	150C1F1	4263	6156	47649	0	0	0	4,263	6,156	47,649	2334,801	325,0905	4,263	47,649	6,156												
	150C1F2	4262	5813	46409	0	0	0	4,262	5,813	46,409	1879,565	258,8675	4,262	46,409	5,813												
	150C1F3	4262	5388	44923	0	0	0	4,262	5,388	44,923	1437,536	195,857	4,262	44,923	5,388												
1b	Comp. gl	4615	3264	46248	0	0	0	4,615	3,264	46,248	1133,076	89,42875	4,615	46,248	3,264	1b	28918,61	2137,096	70,725	722,219	51,024						
Wind, -20	GW / opç	2225	1906	23220	0	0	0	2,225	1,906	23,22	1333,525	111,1526	2,225	23,22	1,906	Wind angle: 90 dgr											
Permaner	380C1F1	17036	12643	174784	0	0	0	17,036	12,643	174,784	8564,416	619,507	17,036	174,784	12,643												
Wind angl	380C1F2	17036	12258	174101	0	0	0	17,036	12,258	174,101	7051,091	496,449	17,036	174,101	12,258												
	380C1F3	17036	11782	173316	0	0	0	17,036	11,782	173,316	5546,112	377,024	17,036	173,316	11,782												
	150C1F1	4259	3161	43696	0	0	0	4,259	3,161	43,696	2141,104	178,3135	4,259	43,696	3,161												
	150C1F2	4259	3065	43525	0	0	0	4,259	3,065	43,525	1762,763	147,557	4,259	43,525	3,065												
	150C1F3	4259	2945	43329	0	0	0	4,259	2,945	43,329	1386,528	117,6645	4,259	43,329	2,945												
3	Comp. gl	7764	9752	77198	0	0	0	7,764	9,752	77,198	1891,351	254,8402	7,764	77,198	9,752	3	35215,1	4045,424	85,833	879,681	97,869						
Wind+ice	GW / opç	3798	6497	43749	0	0	0	3,798	6,497	43,749	2512,505	376,0092	3,798	43,749	6,497	Wind angle: 90 dgr											
Permaner	380C1F1	19806	23003	206105	0	0	0	19,806	23,003	206,105	10099,15	1127,147	19,806	206,105	23,003												
Wind angl	380C1F2	19806	21856	202544	0	0	0	19,806	21,856	202,544	8203,032	885,168	19,806	202,544	21,856												
	380C1F3	19805	20437	198338	0	0	0	19,805	20,437	198,338	6346,816	653,984	19,805	198,338	20,437												
	150C1F1	4952	5751	51526	0	0	0	4,952	5,751	51,526	2524,774	309,035	4,952	51,526	5,751												
	150C1F2	4951	5464	50636	0	0	0	4,951	5,464	50,636	2050,758	248,5225	4,951	50,636	5,464												
	150C1F3	4951	5109	49585	0	0	0	4,951	5,109	49,585	1586,72	190,7185	4,951	49,585	5,109												
4	Comp. gl	5821	3433	50119	0	0	0	5,821	3,433	50,119	1227,916	96,04155	5,821	50,119	3,433	4	28657,35	2138,969	81,591	716,672	50,791						
Construc	GW / opç	2828	1979	24882	0	0	0	2,828	1,979	24,882	1428,973	115,8033	2,828	24,882	1,979	Wind angle: 90 dgr											
Permaner	380C1F1	19451	12511	171700	0	0	0	19,451	12,511	171,7	8413,3	613,039	19,451	171,7	12,511												
Wind angl	380C1F2	19451	12131	171140	0	0	0	19,451	12,131	171,14	6931,17	491,3055	19,451	171,14	12,131												
	380C1F3	19451	11661	170497	0	0	0	19,451	11,661	170,497	5455,904	373,152	19,451	170,497	11,661												
	150C1F1	4863	3128	42925	0	0	0	4,863	3,128	42,925	2103,325	180,0185	4,863	42,925	3,128												
	150C1F2	4863	3033	42785	0	0	0	4,863	3,033	42,785	1732,793	149,583	4,863	42,785	3,033												
	150C1F3	4863	2915	42624	0	0	0	4,863	2,915	42,624	1363,968	120,0265	4,863	42,624	2,915												
1a	Comp. gl	4618	4106	43575	0	0	0	4,618	4,106	43,575	1067,588	110,0639	4,618	43,575	4,106	1a	26771,52	2654,817	70,769	667,625	63,667						
Wind, 10	GW / opç	2226	2577	22837	0	0	0	2,226	2,577	22,837	1311,529	149,6889	2,226	22,837	2,577	Wind angle: -45 dgr											
Permaner	380C1F1	17047	15962	162308	0	0	0	17,047	15,962	162,308	7953,092	782,138	17,047	162,308	15,962												
Wind angl	380C1F2	17046	15252	160427	0	0	0	17,046	15,252	160,427	6497,294	617,706	17,046	160,427	15,252												
	380C1F3	17046	14373	158235	0	0	0	17,046	14,373	158,235	5063,52	459,936	17,046	158,235	14,373												
	150C1F1	4262	3991	40577	0	0	0	4,262	3,991	40,577	1988,273	219	4,262	40,577	3,991												
	150C1F2	4262	3813	40107	0	0	0	4,262	3,813	40,107	1624,334	177,8675	4,262	40,107	3,813												
	150C1F3	4262	3593	39559	0	0	0	4,262	3,593	39,559	1265,888	138,417	4,262	39,559	3,593												
1b	Comp. gl	4615	2661	45417	0	0	0	4,615	2,661	45,417	1112,717	74,65525	4,615	45,417	2,661	1b	28373,87	1752,118	70,725	709,076	41,573						
Wind, -20	GW / opç	2225	1462	22344	0	0	0	2,225	1,462	22,344	1283,216	85,65366	2,225	22,344	1,462	Wind angle: -45 dgr											
Permaner	380C1F1	17036	10205	171233	0	0	0	17,036	10,205	171,233	8390,417	500,045	17,036	171,233	10,205												
Wind angl	380C1F2	17036	10003	171027	0	0	0	17,036	10,003	171,027	6926,594	405,1215	17,036	171,027	10,003												
	380C1F3	17036	9752	170792	0	0	0	17,036	9,752	170,792	5465,344	312,064	17,036	170,792	9,752												
	150C1F1	4259	2551	42808	0	0	0	4,259	2,551	42,808	2097,592	148,4235	4,259	42,808	2,551												

| | | |

	380C1F315186	8358	138831	0	0	0	15,186	8,358	138,831	4442,592	267,456	15,186	138,831	8,358													
	150C1F13797	2203	34831	0	0	0	3,797	2,203	34,831	1706,719	128,8305	3,797	34,831	2,203													
	150C1F23797	2152	34774	0	0	0	3,797	2,152	34,774	1408,347	108,0395	3,797	34,774	2,152													
	150C1F33797	2089	34708	0	0	0	3,797	2,089	34,708	1110,656	87,7315	3,797	34,708	2,089													
1a	Comp. gl	4617	1761	-40155	0	0	0	4,617	1,761	-40,155	-983,798	52,60935	4,617	-40,155	1,761	1a	-20052,4	890,707	57,978	-502,885	22,056						
Wind, 10	GW / opgv	2226	852	-19378	0	0	0	2,226	0,852	-19,378	-1112,88	50,62212	2,226	-19,378	0,852	Wind angle:	0 dgr										
Permaner	380C1F1	17045	6483	-147784	0	0	0	17,045	6,483	-147,784	-7241,42	317,667	17,045	-147,784	6,483												
Wind ang	380C1F2	17045	6481	-147784	0	0	0	17,045	6,481	-147,784	-5985,25	262,4805	17,045	-147,784	6,481												
	380C1F3	17045	6479	-147784	0	0	0	17,045	6,479	-147,784	-4729,09	207,328	17,045	-147,784	6,479												
	150C1F1	0	0	0	0	0	0	0	0	0	0	0	0	0	0												
	150C1F2	0	0	0	0	0	0	0	0	0	0	0	0	0	0												
	150C1F3	0	0	0	0	0	0	0	0	0	0	0	0	0	0												
1b	Comp. gl	4615	1970	-45077	0	0	0	4,615	1,97	-45,077	-1104,39	57,72575	4,615	-45,077	1,97	1b	-22993,2	1016,275	57,948	-576,357	25,194						
Wind, -20	GW / opgv	2225	961	-21970	0	0	0	2,225	0,961	-21,97	-1261,74	56,88123	2,225	-21,97	0,961	Wind angle:	0 dgr										
Permaner	380C1F1	17036	7422	-169770	0	0	0	17,036	7,422	-169,77	-8318,73	363,678	17,036	-169,77	7,422												
Wind ang	380C1F2	17036	7421	-169770	0	0	0	17,036	7,421	-169,77	-6875,69	300,5505	17,036	-169,77	7,421												
	380C1F3	17036	7420	-169770	0	0	0	17,036	7,42	-169,77	-5432,64	237,44	17,036	-169,77	7,42												
	150C1F1	0	0	0	0	0	0	0	0	0	0	0	0	0	0												
	150C1F2	0	0	0	0	0	0	0	0	0	0	0	0	0	0												
	150C1F3	0	0	0	0	0	0	0	0	0	0	0	0	0	0												
3	Comp. gl	7762	2793	-63692	0	0	0	7,762	2,793	-63,692	-1560,45	84,3406	7,762	-63,692	2,793	3	-24889,5	1109,341	70,964	-626,646	27,455						
Wind+ice,	GW / opgv	3796	1374	-31270	0	0	0	3,796	1,374	-31,27	-1795,84	81,79378	3,796	-31,27	1,374	Wind angle:	0 dgr										
Permaner	380C1F1	19802	7765	-177228	0	0	0	19,802	7,765	-177,228	-8684,17	380,485	19,802	-177,228	7,765												
Wind ang	380C1F2	19802	7763	-177228	0	0	0	19,802	7,763	-177,228	-7177,73	314,4015	19,802	-177,228	7,763												
	380C1F3	19802	7760	-177228	0	0	0	19,802	7,76	-177,228	-5671,3	248,32	19,802	-177,228	7,76												
	150C1F1	0	0	0	0	0	0	0	0	0	0	0	0	0	0												
	150C1F2	0	0	0	0	0	0	0	0	0	0	0	0	0	0												
	150C1F3	0	0	0	0	0	0	0	0	0	0	0	0	0	0												
4	Comp. gl	5821	2154	-49285	0	0	0	5,821	2,154	-49,285	-1207,48	64,70605	5,821	-49,285	2,154	4	-22951,9	1017,419	67,002	-576,156	25,186						
Construct	GW / opgv	2828	1049	-23990	0	0	0	2,828	1,049	-23,99	-1377,75	62,39335	2,828	-23,99	1,049	Wind angle:	0 dgr										
Permaner	380C1F1	19451	7328	-167627	0	0	0	19,451	7,328	-167,627	-8213,72	359,072	19,451	-167,627	7,328												
Wind ang	380C1F2	19451	7328	-167627	0	0	0	19,451	7,328	-167,627	-6788,89	296,784	19,451	-167,627	7,328												
	380C1F3	19451	7327	-167627	0	0	0	19,451	7,327	-167,627	-5364,06	234,464	19,451	-167,627	7,327												
	150C1F1	0	0	0	0	0	0	0	0	0	0	0	0	0	0												
	150C1F2	0	0	0	0	0	0	0	0	0	0	0	0	0	0												
	150C1F3	0	0	0	0	0	0	0	0	0	0	0	0	0	0												
6	Comp. gl	5195	1931	-44221	0	0	0	5,195	1,931	-44,221	-1083,41	57,95925	5,195	-44,221	1,931	6	-22046,3	975,0658	65,231	-552,897	24,139						
Permaner	GW / opgv	2505	932	-21353	0	0	0	2,505	0,932	-21,353	-1226,3	55,42856	2,505	-21,353	0,932	0											
Permaner	380C1F1	19177	7092	-162441	0	0	0	19,177	7,092	-162,441	-7959,61	347,508	19,177	-162,441	7,092												
	380C1F2	19177	7092	-162441	0	0	0	19,177	7,092	-162,441	-6578,86	287,226	19,177	-162,441	7,092												
	380C1F3	19177	7092	-162441	0	0	0	19,177	7,092	-162,441	-5198,11	226,944	19,177	-162,441	7,092												
	150C1F1	0	0	0	0	0	0	0	0	0	0	0	0	0	0												
	150C1F2	0	0	0	0	0	0	0	0	0	0	0	0	0	0												
	150C1F3	0	0	0	0	0	0	0	0	0	0	0	0	0	0												
1a	Comp. gl	4618	4106	-43575	0	0	0	4,618	4,106	-43,575	-1067,59	110,0639	4,618	-43,575	4,106	1a	-21893	2119,533	57,983	-547,382	52,27						
Wind, 10	GW / opgv	2226	2577	-22837	0	0	0	2,226	2,577	-22,837	-1311,53	149,6889	2,226	-22,837	2,577	Wind angle:	45 dgr										
Permaner	380C1F1	17047	15962	-162308	0	0	0	17,047	15,962	-162,308	-7953,09	782,138	17,047	-162,308	15,962												
Wind ang	380C1F2	17046	15252	-160427	0	0	0	17,046	15,252	-160,427	-6497,29	617,706	17,046	-160,427	15,252												
	380C1F3	17046	14373	-158235	0	0	0	17,046	14,373	-158,235	-5063,52	459,936	17,046	-158,235	14,373												
	150C1F1	0	0	0	0	0	0	0	0	0	0	0	0	0	0												
	150C1F2	0	0	0	0	0	0	0	0	0	0	0	0	0	0												
	150C1F3	0	0	0	0	0	0	0	0	0	0	0	0	0	0												
1b	Comp. gl	4615	2661	-45417	0	0	0	4,615	2,661	-45,417	-1112,72	74,65525	4,615	-45,417	2,661	1b	-23178,3	1377,539	57,948	-580,813	34,083						
Wind, -20	GW / opgv	2225	1462	-22344	0	0	0	2,225	1,462	-22,344	-1283,22	85,65366	2,225	-22,344	1,462	Wind angle:	45 dgr										
Permaner	380C1F1	17036	10205	-171233	0	0	0	17,036	10,205	-171,233	-8390,42	500,045	17,036	-171,233	10,205												
Wind ang	380C1F2	17036	10003	-171027	0	0	0	17,036	10,003	-171,027	-6926,59	405,1215	17,036	-171,027	10,003												
	380C1F3	17036	9752	-170792	0	0	0	17,036	9,752	-170,792	-5465,34	312,064	17,036	-170,792	9,752												
	150C1F1	0	0	0	0	0	0	0	0	0	0	0	0	0	0												
	150C1F2	0	0	0	0	0	0	0	0	0	0	0	0	0	0												
	150C1F3	0	0	0	0	0	0	0	0	0	0	0	0	0	0												
3	Comp. gl	7762	6450	-68138	0	0	0	7,762	6,45	-68,138	-1669,38	173,9371	7,762	-68,138	6,45	3	-26246,1	2259,1	70,968	-659,462	55,889						
Wind+ice,	GW / opgv	3796	4058	-35760	0	0	0	3,796	4,058	-35,76	-2053,7	235,9359	3,796	-35,76	4,058	Wind angle:	45 dgr										
Permaner	380C1F1	19804	15768	-186490	0	0	0	19,804	15,768	-186,49	-9138,01	772,632	19,804	-186,49	15,768												
Wind ang	380C1F2	19803	15174	-185252	0	0	0	19,803	15,174	-185,252	-7502,71	614,547	19,803	-185,252	15,174												
	380C1F3	19803	14439	-183822	0	0	0	19,803	14,439	-183,822	-5882,3	462,048	19,803	-183,822	14,439												
	150C1F1	0	0	0	0	0	0	0	0	0	0	0	0	0	0												
	150C1F2	0	0	0	0	0	0	0	0	0	0	0	0	0	0												
	150C1F3	0	0	0	0	0	0	0	0	0	0	0	0	0	0												
4	Comp. gl	5821	2840	-49522	0	0	0	5,821	2,84	-49,522	-1213,29	81,51305	5,821	-49,522	2,84	4	-23097	1377,123	67,002	-579,648	34,037						
Construct	GW / opgv	2828	1545	-24251	0	0	0	2,828	1,545	-24,251	-1392,73	90,87863	2,828	-24,251	1,545	Wind angle:	45 dgr										
Permaner	380C1F1	19451	10101	-168800	0	0	0	19,451	10,101	-168,8	-8271,2	494,949	19,451	-168,8	10,101												
Wind ang	380C1F2	19451	9900	-168633	0	0	0	19,451	9,9	-168,633	-6829,64	400,95	19,451	-168,633	9,9												
	380C1F3	19451	9651	-168442	0	0	0	19,451	9,651	-168,442	-5390,14	308,832	19,451	-168,442	9,651												
	150C1F1	0	0	0	0	0	0	0	0	0	0	0	0	0	0												
	150C1F2	0	0	0	0	0	0	0	0	0	0	0	0	0	0												
	150C1F3	0	0	0	0	0	0	0	0	0	0	0	0	0	0												
1a	Comp. gl	4618	6249	-50434	0	0	0	4,618	6,249	-50,434	-1235,63	162,5674	4,618	-50,434	6,249	1a	-25500,1	3241,123	57,994	-635,209	79,837						
Wind, 10	GW / opgv	2227	4162	-28849	0	0	0	2,227	4,162	-28,849	-1656,8	240,7162	2,227	-28,849	4,162	Wind angle:	90 dgr										
Permaner	380C1F1	17050	24622	-190595	0	0	0	17,05	24,622	-190,595	-9339,16	1206,478	17,05	-190,595	24,622												
Wind ang	380C1F2	17050	23251	-185638	0	0	0	17,05	23,251	-185,638	-7518,34	941,6655	17,05	-185,638	23,251												
	380C1F3	17049	21553	-179693	0	0	0	17,049	21,553	-179,693	-5750,18	689,696	17,049	-179,693	21,553												
	150C1F1	0	0	0	0	0	0	0	0	0	0	0	0	0	0												
	150C1F2	0	0	0	0	0	0	0	0	0	0	0	0	0	0												
	150C1F3	0	0	0	0	0	0	0	0	0	0	0	0	0	0												
1b	Comp. gl	4615	3264	-46248	0	0	0	4,615	3,264	-46,248	-1133,08	89,42875	4,615	-46,248	3,264	1b	-23628,2	1693,561	57,948	-591,669	41,853						
Wind, -20	GW / opgv	2225	1906	-23220	0	0	0	2,225	1,906	-23,22	-1333,52	111,1526	2,225	-23,22	1,906	Wind angle:	90 dgr										
Permaner	380C1F1	17036	12643	-174784	0	0	0	17,036	12,643	-174,784	-8564,42	619,507	17,036	-174,784	12,643												
Wind ang	380C1F2	17036	12258	-174101	0	0	0	17,036	12,258	-174,101	-7051,09	496,449	17,036	-174,101	12,258												
	380C1F3	17036	11782	-173316	0	0	0	17,036	11,782	-173,316	-5546,11	377,024	17,036	-173,316	11,782												
	150C1F1	0	0	0	0	0	0	0	0	0	0	0	0	0	0												
	150C1F2	0	0	0	0	0	0	0	0	0	0	0	0	0	0												
	150C1F3	0	0	0	0	0	0	0	0	0	0	0	0	0	0												
3	Comp. gl	7764	9752	-77198	0	0	0	7,764	9,752	-77,198	-1891,35	254,8402	7,764	-77,198	9,752	3	-29052,8	3297,148	70,979	-727,934	81,545						
Wind+ice,	GW / opgv	3798	6497	-43749	0	0	0	3,798	6,497	-43,749	-2512,51	376,0092	3,798	-43,749	6,497	Wind angle:	90 dgr										
Permaner	380C1F1	19806	23003	-206105	0	0	0	19,806	23,003	-206,105	-10099,1	1127,147	19,806	-206,105	23,003												
Wind ang	380C1F2	19806	21856	-202544	0	0	0	19,806	21,856	-202,544	-8203,03	885,168	19,806	-202,544	21,856												
	380C1F3	19805	20437	-198338	0	0	0	19,805	20,437	-198,338	-6346,82	653,984	19,805	-198,338	20,437												
	150C1F1	0	0	0	0	0	0	0	0	0	0	0	0	0	0												
	150C1F2	0	0	0	0	0	0	0	0	0	0	0	0	0	0												
	150C1F3	0	0	0	0	0	0	0	0	0	0	0	0	0	0												
4	Comp. gl	5821	3433	-50119	0	0	0	5,821	3,433	-50,119	-1227,92	96,04155	5,821	-50,119	3,433	4	-23457,3	1689,341	67,002	-588,338	41,715						
Construct	GW / opgv	2828	1979	-24882	0	0	0	2,828	1,979	-24,882	-1428,97	115,8033	2,828	-24,882	1,979	Wind angle:	90 dgr										
Permaner	380C1F1	19451	12511	-171700	0	0	0	19,451	12,511	-171,7	-8413,3	613,039	19,451	-171,7	12,511												
Wind ang	380C1F2	19451	12131	-171140	0	0	0	19,451	12,131	-171,14	-6931,17	491,3055	19,451	-171,14	12,131												
	380C1F3	19451	11661	-170497	0	0	0	19,451	11,661	-170,497	-5455,9	373,152	19,451	-170,497	11,661												
	150C1F1	0	0	0	0	0	0	0	0	0	0	0	0	0	0												
	150C1F2	0	0	0	0	0	0	0	0	0	0	0	0	0	0												
	150C1F3	0	0	0	0	0	0	0	0	0	0	0	0	0	0												
1a	Comp. gl	4618	3710	-42599	0	0	0	4,618	3,71	-42,599	-1043,68	100,3619	4,618	-42,599	3,71	1a	-21372,1	1912,012	57,982	-534,758	47,17						
Wind, 10	GW / opgv	2226	2283	-21897	0	0	0	2,226	2,283	-21,897	-1257,54	132,8045	2,226	-21,897	2,283	Wind angle:	-45 dgr										
Permaner	380C1F1	17046	14360	-158203	0	0	0	17,046	14,36	-158,203	-7751,95	703,64	17,046	-158,203	14,36												
Wind ang	380C1F2	17046	13772	-156827	0	0	0	17,046	13,772	-156,827	-6351,49	557,766	17,046	-156,827	13,772												
	380C1F3	17046	13045	-155232	0	0	0	17,046	13,045	-155,232	-4967,42	417,44	17,046	-155,232	13,045												
	150C1F1	0	0	0	0	0	0	0	0	0	0	0	0	0	0												
	150C1F2	0	0	0	0	0	0	0	0	0	0	0	0	0	0												
	150C1F3	0	0	0	0	0	0	0	0	0	0	0	0	0	0												
1b	Comp. gl	4615	2548	-45313	0	0	0	4,615	2,548	-45,313	-1110,17	71,88675	4,615	-45,313	2,548	1b	-23122	1318,288	57,948	-579,457	32,626						
Wind, -20	GW / opgv	2225	1379	-22232	0	0	0	2,225	1,379	-22,232	-1276,78	80,88697	2,225	-22,232	1,379	Wind angle:	-45 dgr										
Permaner	380C1F1	17036	9748	-170789	0	0	0	17,036	9,748	-170,789	-8368,66	477,652	17,036	-170,789	9,748												
Wind ang	380C1F2	17036	9580	-170644	0	0	0	17,036	9,58	-170,644	-6911,08	387,99	17,036	-170,644	9,58												
	380C1F3	17036	9371	-170479	0	0	0	17,036	9,371	-170,479	-5455,33	299,872	17,036	-170,479	9,371												
	150C1F1	0	0	0	0	0	0	0	0	0	0	0	0	0	0												
	150C1F2	0	0	0	0	0	0	0	0	0	0	0	0	0	0												
	150C1F3	0	0	0	0	0	0	0	0	0	0	0	0	0	0												
3	Comp. gl	7762	5837	-66862	0	0	0	7,762	5,837	-66,862	-1638,12	158,9186	7,762	-66,862	5,837	3	-25855,6	2066,593	70,967	-649,989	51,131						
Wind+ice,	GW / opgv	3796	3604	-34528	0	0	0	3,796	3,604	-34,528	-1982,94	209,8627	3,796	-34,528	3,604	Wind angle:	-45 dgr										
Permaner	380C1F1	19803	14428	-183802	0	0	0	19,803	14,428	-183,802	-9006,3	706,972	19,803	-183,802	14,428												
Wind ang	380C1F2	19803	13936	-182911	0	0	0	19,803	13,936	-182,911	-7407,9	564,408	19,803	-182,911	13,936												
0	380C1F3	19803	13326	-181886	0	0	0	19,803	13,326	-181,886	-5820,35	426,432	19,803	-181,886	13,326												
	150C1F1	0	0	0	0	0	0	0	0	0	0	0	0	0	0												
	150C1F2	0	0	0	0	0	0	0	0	0	0	0	0	0	0												
	150C1F3	0	0	0	0	0	0	0	0	0	0	0	0	0	0												
4	Comp. gl	5821	2728	-49448	0	0	0	5,821	2,728	-49,448	-1211,48	78,76905	5,821	-49,448	2,728	4	-23052,3	1318,343	67,002	-578,57	32,591						
Construct	GW / opgv	2828	1464	-24172	0	0	0	2,828	1,464	-24,172	-1388,2	86,2268	2,828	-24,172	1,464	Wind angle:	-45 dgr										
Permaner	380C1F1	19451	9647	-168439	0	0	0	19,451	9,647	-168,439	-8253,51	472,703	19,451	-168,439	9,647												
Wind ang	380C1F2	19451	9480	-168322	0	0	0	19,451	9,48	-168,322	-6817,04	383,94	19,451	-168,322	9,48												
	380C1F3	19451	9272	-168189	0	0	0	19,451	9,272	-168,189	-5382,05	296,704	19,451	-168,189	9,272												
	150C1F1	0	0	0	0	0	0	0	0	0	0	0	0	0	0												
	150C1F2	0	0	0	0	0	0	0	0	0	0	0	0	0	0												
	150C1F3	0	0	0	0	0	0	0	0	0	0	0	0	0	0												
1a	Comp. gl	3462	1387	-31599	0	0	0	3,462	1,387	-31,599	-774,176	41,0786	3,462	-31,599	1,387	1a	-15846,6	704,2436	43,474	-397,393	17,449						
Wind, 10	GW / opgv	1669	670	-15226	0	0	0	1,669	0,67	-15,226	-874,429	39,74654	1,669	-15,226	0,67	Wind angle:	0 dgr										
Permaner	380C1F1	12781	5133	-116856	0	0	0	12,781	5,133	-116,856	-5725,94	251,517	12,781	-116,856	5,133												
Wind ang	380C1F2	12781	5131	-116856	0	0	0	12,781	5,131	-116,856	-4732,67	207,8055	12,781	-116,856	5,131												
	380C1F3	12781	5128	-116856	0	0	0	12,781	5,128	-116,856	-3739,39	164,096	12,781	-116,856	5,128												
	150C1F1	0	0	0	0	0	0	0	0	0	0	0	0	0	0												
	150C1F2	0	0	0	0	0	0	0	0	0	0	0	0	0	0												
	150C1F3	0	0	0	0	0	0	0	0	0	0	0	0	0	0												
1b	Comp. gl	3461	1577	-36072	0	0	0	3,461	1,577	-36,072	-883,764	45,73155	3,461	-36,072	1,577	1b	-18567,8	820,3014	43,451	-465,367	20,349						
Wind, -20	GW / opgv	1668	769	-17575	0	0	0	1,668	0,769	-17,575	-1009,33	45,43135	1,668	-17,575	0,769	Wind angle:	0 dgr										
Permaner	380C1F1	12774	6002	-137240	0	0	0	12,774	6,002	-137,24	-6724,76	294,098	12,774	-137,24	6,002												
Wind ang	380C1F2	12774	6001	-137240	0	0	0	12,774	6,001	-137,24	-5558,22	243,0405	12,774	-137,24	6,001												
	380C1F3	12774	6000	-137240	0	0	0	12,774	6	-137,24	-4391,68	192	12,774	-137,24	6												
	150C1F1	0	0	0	0	0	0	0	0	0	0	0	0	0	0												
	150C1F2	0	0	0	0	0	0	0	0	0	0	0	0	0	0												
	150C1F3	0	0	0	0	0	0	0	0	0	0	0	0	0	0												

| | | |

| | | |

3	Comp. gl	6607	6166	-61652	0	0	0	6,607	6,166	-61,652		-1510,47	164,6114	6,607	-61,652	6,166		3	-8290,55	3299,323	95,313	-182,478	82,994				
Wind+ice, GW / opg		3239	3937	-32993	0	0	0	3,239	3,937	-32,993		-1894,79	228,5636	3,239	-32,993	3,937	Wind angle:	45	dgr								
Permaner	380C1F1	15540	14587	-159465	0	0	0	15,54	14,587	-159,465		-7813,79	714,763	15,54	-159,465	14,587											
Wind ang	380C1F2	15540	13976	-157840	15539	12705	154736	31,079	26,681	-3,104		-125,712	1080,581	31,079	-3,104	26,681											
	380C1F3	15539	13221	-155949	15539	12080	153364	31,078	25,301	-2,585		-82,72	809,632	31,078	-2,585	25,301											
	150C1F1	0	0	0	3885	3302	38980	3,885	3,302	38,98		1910,02	183,1655	3,885	38,98	3,302											
	150C1F2	0	0	0	0	0	0	0	0	0		0	0	0	0	0											
	150C1F3	0	0	0	3885	3020	38341	3,885	3,02	38,341		1226,912	118,0075	3,885	38,341	3,02											
4	Comp. gl	4665	2492	-41555	0	0	0	4,665	2,492	-41,555		-1018,1	70,61725	4,665	-41,555	2,492		4	-6238,73	1993,987	90,46	-132,769	49,891				
Constructi	GW / opg	2271	1378	-20433	0	0	0	2,271	1,378	-20,433		-1173,47	80,8645	2,271	-20,433	1,378	Wind angle:	45	dgr								
Permaner	380C1F1	15186	8813	-139326	0	0	0	15,186	8,813	-139,326		-6826,97	431,837	15,186	-139,326	8,813											
Wind ang	380C1F2	15186	8610	-139095	15186	8184	138665	30,372	16,794	-0,43		-17,415	680,157	30,372	-0,43	16,794											
	380C1F3	15186	8358	-138831	15186	7974	138479	30,372	16,332	-0,352		-11,264	522,624	30,372	-0,352	16,332											
	150C1F1	0	0	0	3797	2088	34707	3,797	2,088	34,707		1700,643	123,1955	3,797	34,707	2,088											
	150C1F2	0	0	0	0	0	0	0	0	0		0	0	0	0	0											
	150C1F3	0	0	0	3797	1994	34620	3,797	1,994	34,62		1107,84	84,6915	3,797	34,62	1,994											
1a	Comp. gl	3463	6009	-44934	0	0	0	3,463	6,009	-44,934		-1100,88	154,3197	3,463	-44,934	6,009		1a	-7692,08	5182,787	75,451	-161,049	131,067				
Wind, 10 ı	GW / opg	1670	4076	-26872	0	0	0	1,67	4,076	-26,872		-1543,26	235,3539	1,67	-26,872	4,076	Wind angle:	90	dgr								
Permaner	380C1F1	12786	23805	-171934	0	0	0	12,786	23,805	-171,934		-8424,77	1166,445	12,786	-171,934	23,805											
Wind ang	380C1F2	12785	22393	-166026	12785	22393	166026	25,57	44,786	0		0	1813,833	25,57	0	44,786											
	380C1F3	12785	20640	-158830	12785	20640	158830	25,57	41,28	0		0	1320,96	25,57	0	41,28											
	150C1F1	0	0	0	3196	5951	42983	3,196	5,951	42,983		2106,167	309,177	3,196	42,983	5,951											
	150C1F2	0	0	0	0	0	0	0	0	0		0	0	0	0	0											
	150C1F3	0	0	0	3196	5160	39708	3,196	5,16	39,708		1270,656	182,698	3,196	39,708	5,16											
1b	Comp. gl	3461	2893	-37768	0	0	0	3,461	2,893	-37,768		-925,316	77,97355	3,461	-37,768	2,893		1b	-6207,72	2543,349	75,389	-129,891	64,098				
Wind, -20	GW / opg	1669	1737	-19345	0	0	0	1,669	1,737	-19,345		-1110,98	101,0244	1,669	-19,345	1,737	Wind angle:	90	dgr								
Permaner	380C1F1	12775	11320	-144512	0	0	0	12,775	11,32	-144,512		-7081,09	554,68	12,775	-144,512	11,32											
Wind ang	380C1F2	12774	10923	-143544	12774	10923	143544	25,548	21,846	0		0	884,763	25,548	0	21,846											
	380C1F3	12774	10432	-142426	12774	10432	142426	25,548	20,864	0		0	667,648	25,548	0	20,864											
	150C1F1	0	0	0	3194	2830	36128	3,194	2,83	36,128		1770,272	156,237	3,194	36,128	2,83											
	150C1F2	0	0	0	0	0	0	0	0	0		0	0	0	0	0											
	150C1F3	0	0	0	3194	2608	35606	3,194	2,608	35,606		1139,392	101,023	3,194	35,606	2,608											
3	Comp. gl	6608	9529	-72110	0	0	0	6,608	9,529	-72,11		-1766,7	247,0069	6,608	-72,11	9,529		3	-9541,5	5097,045	95,329	-208,435	128,863				
Wind+ice, GW / opg		3241	6414	-41862	0	0	0	3,241	6,414	-41,862		-2404,13	370,8192	3,241	-41,862	6,414	Wind angle:	90	dgr								
Permaner	380C1F1	15543	22042	-184145	0	0	0	15,543	22,042	-184,145		-9023,11	1080,058	15,543	-184,145	22,042											
Wind ang	380C1F2	15542	20861	-179791	15542	20861	179791	31,084	41,722	0		0	1689,741	31,084	0	41,722											
	380C1F3	15541	19398	-174585	15541	19398	174585	31,082	38,796	0		0	1241,472	31,082	0	38,796											
	150C1F1	0	0	0	3886	5511	46036	3,886	5,511	46,036		2255,764	291,412	3,886	46,036	5,511											
	150C1F2	0	0	0	0	0	0	0	0	0		0	0	0	0	0											
	150C1F3	0	0	0	3885	4849	43646	3,885	4,849	43,646		1396,672	176,5355	3,885	43,646	4,849											
4	Comp. gl	4665	3094	-42346	0	0	0	4,665	3,094	-42,346		-1037,48	85,36625	4,665	-42,346	3,094		4	-6390,48	2553,878	90,465	-135,648	64,165				
Constructi	GW / opg	2271	1821	-21255	0	0	0	2,271	1,821	-21,255		-1220,67	106,306	2,271	-21,255	1,821	Wind angle:	90	dgr								
Permaner	380C1F1	15187	11269	-143280	0	0	0	15,187	11,269	-143,28		-7020,72	552,181	15,187	-143,28	11,269											
Wind ang	380C1F2	15187	10881	-142523	15187	10881	142523	30,374	21,762	0		0	881,361	30,374	0	21,762											
	380C1F3	15187	10401	-141650	15187	10401	141650	30,374	20,802	0		0	665,664	30,374	0	20,802											
	150C1F1	0	0	0	3797	2817	35820	3,797	2,817	35,82		1755,18	158,9165	3,797	35,82	2,817											
	150C1F2	0	0	0	0	0	0	0	0	0		0	0	0	0	0											
	150C1F3	0	0	0	3797	2600	35413	3,797	2,6	35,413		1133,216	104,0835	3,797	35,413	2,6											
1a	Comp. gl	3463	3379	-35022	0	0	0	3,463	3,379	-35,022		-858,039	89,88465	3,463	-35,022	3,379		1a	-5313,5	3065,017	75,434	-109,091	77,444				
Wind, 10 ı	GW / opg	1669	2140	-18636	0	0	0	1,669	2,14	-18,636		-1070,27	124,1686	1,669	-18,636	2,14	Wind angle:	45	dgr								
Permaner	380C1F1	12782	13189	-131415	0	0	0	12,782	13,189	-131,415		-6439,34	646,261	12,782	-131,415	13,189											
Wind ang	380C1F2	12782	12580	-129558	12782	14113	134385	25,564	26,693	4,827		195,4935	1081,067	25,564	4,827	26,693											
	380C1F3	12782	11828	-127384	12782	13202	131458	25,564	25,03	4,074		130,368	800,96	25,564	4,074	25,03											
	150C1F1	0	0	0	3196	3712	34217	3,196	3,712	34,217		1676,633	199,466	3,196	34,217	3,712											
	150C1F2	0	0	0	0	0	0	0	0	0		0	0	0	0	0											
	150C1F3	0	0	0	3196	3301	32864	3,196	3,301	32,864		1051,648	123,21	3,196	32,864	3,301											
1b	Comp. gl	3461	2159	-36425	0	0	0	3,461	2,159	-36,425		-892,413	59,99055	3,461	-36,425	2,159		1b	-5867,87	1950,919	75,386	-122,581	49,1				
Wind, -20	GW / opg	1668	1192	-17961	0	0	0	1,668	1,192	-17,961		-1031,5	69,72424	1,668	-17,961	1,192	Wind angle:	45	dgr								
Permaner	380C1F1	12774	8350	-138766	0	0	0	12,774	8,35	-138,766		-6799,53	409,15	12,774	-138,766	8,35											
Wind ang	380C1F2	12774	8178	-138553	12774	8609	139116	25,548	16,787	0,563		22,8015	679,8735	25,548	0,563	16,787											
	380C1F3	12774	7966	-138310	12774	8354	138771	25,548	16,32	0,461		14,752	522,24	25,548	0,461	16,32											
	150C1F1	0	0	0	3194	2204	34854	3,194	2,204	34,854		1707,846	125,563	3,194	34,854	2,204											
	150C1F2	0	0	0	0	0	0	0	0	0		0	0	0	0	0											
	150C1F3	0	0	0	3193	2088	34693	3,193	2,088	34,693		1110,176	84,3775	3,193	34,693	2,088											
3	Comp. gl	6606	5542	-60127	0	0	0	6,606	5,542	-60,127		-1473,11	149,3213	6,606	-60,127	5,542		3	-7516,68	3215,995	95,311	-163,073	81,16				
Wind+ice, GW / opg		3239	3474	-31567	0	0	0	3,239	3,474	-31,567		-1812,89	201,9735	3,239	-31,567	3,474	Wind angle:	45	dgr								
Permaner	380C1F1	15539	13210	-155921	0	0	0	15,539	13,21	-155,921		-7640,13	647,29	15,539	-155,921	13,21											
Wind ang	380C1F2	15539	12705	-154736	15540	13976	157840	31,079	26,681	3,104		125,712	1080,581	31,079	3,104	26,681											
0	380C1F3	15539	12080	-153364	15539	13221	155949	31,078	25,301	2,585		82,72	809,632	31,078	2,585	25,301											
	150C1F1	0	0	0	3885	3647	39866	3,885	3,647	39,866		1953,434	200,0705	3,885	39,866	3,647											
	150C1F2	0	0	0	0	0	0	0	0	0		0	0	0	0	0											
	150C1F3	0	0	0	3885	3305	38987	3,885	3,305	38,987		1247,584	127,1275	3,885	38,987	3,305											
4	Comp. gl	4665	2379	-41456	0	0	0	4,665	2,379	-41,456		-1015,67	67,84875	4,665	-41,456	2,379		4	-6139,58	1972,693	90,46	-130,29	49,447				
Constructi	GW / opg	2271	1296	-20328	0	0	0	2,271	1,296	-20,328		-1167,44	76,15524	2,271	-20,328	1,296	Wind angle:	45	dgr								
Permaner	380C1F1	15186	8354	-138827	0	0	0	15,186	8,354	-138,827		-6802,52	409,346	15,186	-138,827	8,354											
Wind ang	380C1F2	15186	8184	-138665	15186	8610	139095	30,372	16,794	0,43		17,415	680,157	30,372	0,43	16,794											
	380C1F3	15186	7974	-138479	15186	8358	138831	30,372	16,332	0,352		11,264	522,624	30,372	0,352	16,332											
	150C1F1	0	0	0	3797	2203	34831	3,797	2,203	34,831		1706,719	128,8305	3,797	34,831	2,203											
	150C1F2	0	0	0	0	0	0	0	0	0		0	0	0	0	0											
	150C1F3	0	0	0	3797	2089	34708	3,797	2,089	34,708		1110,656	87,7315	3,797	34,708	2,089											
1a	Comp. gl	4617	1761	-40155	4617	1761	40155	9,234	3,522	0		0	105,2187	9,234	0	3,522		1a	-9218,03	1400,651	86,127	-258,622	32,772				
Wind, 10 ı	GW / opg	2226	852	-19378	2226	852	19378	4,452	1,704	0		0	101,2442	4,452	0	1,704	Wind angle:	0	dgr								
Permaner	380C1F1	17045	6483	-147784	17045	6483	147784	34,09	12,966	0		0	635,334	34,09	0	12,966											
Wind ang	380C1F2	17045	6481	-147784	0	0	0	17,045	6,481	-147,784		-5985,25	262,4805	17,045	-147,784	6,481											
	380C1F3	17045	6479	-147784	0	0	0	17,045	6,479	-147,784		-4729,09	207,328	17,045	-147,784	6,479											
	150C1F1	0	0	0	0	0	0	0	0	0		0	0	0	0	0											
	150C1F2	0	0	0	4261	1620	36946	4,261	1,62	36,946		1496,313	89,0455	4,261	36,946	1,62											
	150C1F3	0	0	0	0	0	0	0	0	0		0	0	0	0	0											
1b	Comp. gl	4615	1970	-45077	4615	1970	45077	9,23	3,94	0		0	115,4515	9,23	0	3,94		1b	-10589,4	1593,112	86,083	-297,097	37,402				
Wind, -20	GW / opg	2225	961	-21970	2225	961	21970	4,45	1,922	0		0	113,7625	4,45	0	1,922	Wind angle:	0	dgr								
Permaner	380C1F1	17036	7422	-169770	17036	7422	169770	34,072	14,844	0		0	727,356	34,072	0	14,844											
Wind ang	380C1F2	17036	7421	-169770	0	0	0	17,036	7,421	-169,77		-6875,69	300,5505	17,036	-169,77	7,421											
	380C1F3	17036	7420	-169770	0	0	0	17,036	7,42	-169,77		-5432,64	237,44	17,036	-169,77	7,42											
	150C1F1	0	0	0	0	0	0	0	0	0		0	0	0	0	0											
	150C1F2	0	0	0	4259	1855	42443	4,259	1,855	42,443		1718,942	98,552	4,259	42,443	1,855											
	150C1F3	0	0	0	0	0	0	0	0	0		0	0	0	0	0											
3	Comp. gl	7762	2793	-63692	7762	2793	63692	15,524	5,586	0		0	168,6812	15,524	0	5,586		3	-11054,6	1761,801	107,275	-310,149	41,328				
Wind+ice, GW / opg		3796	1374	-31270	3796	1374	31270	7,592	2,748	0		0	163,5876	7,592	0	2,748	Wind angle:	0	dgr								
Permaner	380C1F1	19802	7765	-177228	19802	7765	177228	39,604	15,53	0		0	760,97	39,604	0	15,53											
Wind ang	380C1F2	19802	7763	-177228	0	0	0	19,802	7,763	-177,228		-7177,73	314,4015	19,802	-177,228	7,763											
	380C1F3	19802	7760	-177228	0	0	0	19,802	7,76	-177,228		-5671,3	248,32	19,802	-177,228	7,76											
	150C1F1	0	0	0	0	0	0	0	0	0		0	0	0	0	0											
	150C1F2	0	0	0	4951	1941	44307	4,951	1,941	44,307		1794,434	105,841	4,951	44,307	1,941											
	150C1F3	0	0	0	0	0	0	0	0	0		0	0	0	0	0											
4	Comp. gl	5821	2154	-49285	5821	2154	49285	11,642	4,308	0		0	129,4121	11,642	0	4,308		4	-10455,7	1604,533	99,965	-293,347	37,549				
Constructi	GW / opg	2828	1049	-23990	2828	1049	23990	5,656	2,098	0		0	124,7867	5,656	0	2,098	Wind angle:	0	dgr								
Permaner	380C1F1	19451	7328	-167627	19451	7328	167627	38,902	14,656	0		0	718,144	38,902	0	14,656											
Wind ang	380C1F2	19451	7328	-167627	0	0	0	19,451	7,328	-167,627		-6788,89	296,784	19,451	-167,627	7,328											
	380C1F3	19451	7327	-167627	0	0	0	19,451	7,327	-167,627		-5364,06	234,464	19,451	-167,627	7,327											
	150C1F1	0	0	0	0	0	0	0	0	0		0	0	0	0	0											
	150C1F2	0	0	0	4863	1832	41907	4,863	1,832	41,907		1697,234	100,9425	4,863	41,907	1,832											
	150C1F3	0	0	0	0	0	0	0	0	0		0	0	0	0	0											
6	Comp. gl	5195	1931	-44221	5195	1931	44221	10,39	3,862	0		0	115,9185	10,39	0	3,862		6	-10132,3	1534,135	96,902	-284,272	35,867				
Permaner	GW / opg	2505	932	-21353	2505	932	21353	5,01	1,864	0		0	110,8571	5,01	0	1,864		0									
Permaner	380C1F1	19177	7092	-162441	19177	7092	162441	38,354	14,184	0		0	695,016	38,354	0	14,184											
	380C1F2	19177	7092	-162441	0	0	0	19,177	7,092	-162,441		-6578,86	287,226	19,177	-162,441	7,092											
	380C1F3	19177	7092	-162441	0	0	0	19,177	7,092	-162,441		-5198,11	226,944	19,177	-162,441	7,092											
	150C1F1	0	0	0	0	0	0	0	0	0		0	0	0	0	0											
	150C1F2	0	0	0	4794	1773	40610	4,794	1,773	40,61		1644,705	98,1735	4,794	40,61	1,773											
	150C1F3	0	0	0	0	0	0	0	0	0		0	0	0	0	0											
1a	Comp. gl	4618	4106	-43575	4618	3710	42599	9,236	7,816	-0,976		-23,912	210,4258	9,236	-0,976	7,816		1a	-10252	3219,216	86,134	-285,476	76,066				
Wind, 10 ı	GW / opg	2226	2577	-22837	2226	2283	21897	4,452	4,86	-0,94		-53,9842	282,4933	4,452	-0,94	4,86	Wind angle:	45	dgr								
Permaner	380C1F1	17047	15962	-162308	17046	14360	158203	34,093	30,322	-4,105		-201,145	1485,778	34,093	-4,105	30,322											
Wind ang	380C1F2	17046	15252	-160427	0	0	0	17,046	15,252	-160,427		-6497,29	617,706	17,046	-160,427	15,252											
	380C1F3	17046	14373	-158235	0	0	0	17,046	14,373	-158,235		-5063,52	459,936	17,046	-158,235	14,373											
	150C1F1	0	0	0	0	0	0	0	0	0		0	0	0	0	0											
	150C1F2	0	0	0	4261	3443	39207	4,261	3,443	39,207		1587,884	162,877	4,261	39,207	3,443											
	150C1F3	0	0	0	0	0	0	0	0	0		0	0	0	0	0											
1b	Comp. gl	4615	2661	-45417	4615	2548	45313	9,23	5,209	-0,104		-2,548	146,542	9,23	-0,104	5,209		1b	-10694,9	2128,387	86,083	-299,818	50,153				
Wind, -20	GW / opg	2225	1462	-22344	2225	1379	22232	4,45	2,841	-0,112		-6,43216	166,5406	4,45	-0,112	2,841	Wind angle:	45	dgr								
Permaner	380C1F1	17036	10205	-171233	17036	9748	170789	34,072	19,953	-0,444		-21,756	977,697	34,072	-0,444	19,953											
Wind ang	380C1F2	17036	10003	-171027	0	0	0	17,036	10,003	-171,027		-6926,59	405,1215	17,036	-171,027	10,003											
	380C1F3	17036	9752	-170792	0	0	0	17,036	9,752	-170,792		-5465,34	312,064	17,036	-170,792	9,752											
	150C1F1	0	0	0	0	0	0	0	0	0		0	0	0	0	0											
	150C1F2	0	0	0	4259	2395	42661	4,259	2,395	42,661		1727,771	120,422	4,259	42,661	2,395											
	150C1F3	0	0	0	0	0	0	0	0	0		0	0	0	0	0											
3	Comp. gl	7762	6450	-68138	7762	5837	66862	15,524	12,287	-1,276		-31,262	332,8557	15,524	-1,276	12,287		3	-11766,8	3503,186	107,28	-328,542	83,242				
Wind+ice, GW / opg		3796	4058	-35760	3796	3604	34528	7,592	7,662	-1,232		-70,7538	445,7986	7,592	-1,232	7,662	Wind angle:	45	dgr								
Permaner	380C1F1	19804	15768	-186490	19803	14428	183802	39,607	30,196	-2,688		-131,712	1479,604	39,607	-2,688	30,196											
Wind ang	380C1F2	19803	15174	-185252	0	0	0	19,803	15,174	-185,252		-7502,71	614,547	19,803	-185,252	15,174											
	380C1F3	19803	14439	-183822	0	0	0	19,803	14,439	-183,822		-5882,3	462,048	19,803	-183,822	14,439											
	150C1F1	0	0	0	0	0	0	0	0	0		0	0	0	0	0											
	150C1F2	0	0	0	4951	3484	45728	4,951	3,484	45,728		1851,984	168,3325	4,951	45,728	3,484											
	150C1F3	0	0	0	0	0	0	0	0	0		0	0	0	0	0											
4	Comp. gl	5821	2728	-49522	5821	2728	49448	11,642	5,568	-0,074		-1,813	160,2821	11,642	-0,074	5,568		4	-10539,5	2137,553	99,965	-295,508	50,246				
Constructi	GW / opg	2828	1545	-24251	2828	1464	24172	5,656	3,009	-0,079		-4,51697	177,1054	5,656	-0,079	3,009	Wind angle:	45	dgr								
Permaner	380C1F1	19451	10101	-168800	19451	9647	168439	38,902	19,748	-0,361		-17,689	967,652	38,902	-0,361	19,748											
Wind ang	380C1F2	19451	9900	-168633	0	0	0	19,451	9,9	-168,633		-6829,64	400,95	19,451	-168,633	9,9											
	380C1F3	19451	9651	-168442	0	0	0	19,451	9,651	-168,442		-5390,14	308,832	19,451	-168,442	9,651											
	150C1F1	0	0	0	0	0	0	0	0	0		0	0	0	0	0											
	150C1F2	0	0	0	4863	2370	42081	4,863	2,37	42,081		1704,281	122,7315	4,863	42,081	2,37											
	150C1F3	0	0	0	0	0	0	0	0	0		0	0	0	0	0											
1a	Comp. gl	4618	6249	-50434	4618	6249	50434	9,236	12,498	0		0	325,1348	9,236	0	12,498		1a	-11389	5109,752	86,151	-318,922	120,683				
Wind, 10 ı	GW / opg	2227	4162	-28849	2227	4162	28849	4,454	8,324	0		0	481,4324	4,454	0	8,324	Wind angle:	90	dgr								
Permaner	380C1F1	17050	24622	-190595	17050	24622	190595	34,1	49,244	0		0	2412,956	34,1	0

	380C1F3	17049	21553	-179693	0	0	0	17,049	21,553	-179,693	-5750,18	689,696	17,049	-179,693	21,553												
	150C1F1	0	0	0	0	0	0	0	0	0	0	0	0	0	0												
	150C1F2	0	0	0	4262	5813	46409	4,262	5,813	46,409	1879,565	258,8675	4,262	46,409	5,813												
	150C1F3	0	0	0	0	0	0	0	0	0	0	0	0	0	0												
1b	Comp. gl	4615	3264	-46248	4615	3264	46248	9,23	6,528	0	0	178,8575	9,23	0	6,528	1b	-10834,4	2661,207	86,083	-303,892	62,731						
Wind, -20	GW / opg	2225	1906	-23220	2225	1906	23220	4,45	3,812	0	0	222,3052	4,45	0	3,812	Wind angle:	90 dgr										
Permaner	380C1F1	17036	12643	-174784	17036	12643	174784	34,072	25,286	0	0	1239,014	34,072	0	25,286												
Wind ang	380C1F2	17036	12258	-174101	0	0	0	17,036	12,258	-174,101	-7051,09	496,449	17,036	-174,101	12,258												
	380C1F3	17036	11782	-173316	0	0	0	17,036	11,782	-173,316	-5546,11	377,024	17,036	-173,316	11,782												
	150C1F1	0	0	0	0	0	0	0	0	0	0	0	0	0	0												
	150C1F2	0	0	0	4259	3065	43525	4,259	3,065	43,525	1762,763	147,557	4,259	43,525	3,065												
	150C1F3	0	0	0	0	0	0	0	0	0	0	0	0	0	0												
3	Comp. gl	7764	9752	-77198	7764	9752	77198	15,528	19,504	0	0	509,6804	15,528	0	19,504	3	-12499,1	5303,667	107,298	-350,246	126,261						
Wind+ice,	GW / opg	3798	6497	-43749	3798	6497	43749	7,596	12,994	0	0	752,0184	7,596	0	12,994	Wind angle:	90 dgr										
Permaner	380C1F1	19806	23003	-206105	19806	23003	206105	39,612	46,006	0	0	2254,294	39,612	0	46,006												
Wind ang	380C1F2	19806	21856	-202544	0	0	0	19,806	21,856	-202,544	-8203,03	885,168	19,806	-202,544	21,856												
	380C1F3	19805	20437	-198338	0	0	0	19,805	20,437	-198,338	-6346,82	653,984	19,805	-198,338	20,437												
	150C1F1	0	0	0	0	0	0	0	0	0	0	0	0	0	0												
	150C1F2	0	0	0	4951	5464	50636	4,951	5,464	50,636	2050,758	248,5225	4,951	50,636	5,464												
	150C1F3	0	0	0	0	0	0	0	0	0	0	0	0	0	0												
4	Comp. gl	5821	3433	-50119	5821	3433	50119	11,642	6,866	0	0	192,0831	11,642	0	6,866	4	-10654,3	2663,808	99,965	-298,852	62,671						
Constructi	GW / opg	2828	1979	-24882	2828	1979	24882	5,656	3,958	0	0	231,6065	5,656	0	3,958	Wind angle:	90 dgr										
Permaner	380C1F1	19451	12511	-171700	19451	12511	171700	38,902	25,022	0	0	1226,078	38,902	0	25,022												
Wind ang	380C1F2	19451	12131	-171140	0	0	0	19,451	12,131	-171,14	-6931,17	491,3055	19,451	-171,14	12,131												
	380C1F3	19451	11661	-170497	0	0	0	19,451	11,661	-170,497	-5455,9	373,152	19,451	-170,497	11,661												
	150C1F1	0	0	0	0	0	0	0	0	0	0	0	0	0	0												
	150C1F2	0	0	0	4863	3033	42785	4,863	3,033	42,785	1732,793	149,583	4,863	42,785	3,033												
	150C1F3	0	0	0	0	0	0	0	0	0	0	0	0	0	0												
1a	Comp. gl	4618	3710	-42599	4618	4106	43575	9,236	7,816	0,976	23,912	210,4258	9,236	0,976	7,816	1a	-9415,54	3131,771	86,135	-265,931	73,628						
Wind, 10	GW / opg	2226	2283	-21897	2226	2577	22837	4,452	4,86	0,94	53,9842	282,4933	4,452	0,94	4,86	Wind angle:	-45 dgr										
Permaner	380C1F1	17046	14360	-158203	17047	15962	162308	34,093	30,322	4,105	201,145	1485,778	34,093	4,105	30,322												
Wind ang	380C1F2	17046	13772	-156827	0	0	0	17,046	13,772	-156,827	-6351,49	557,766	17,046	-156,827	13,772												
	380C1F3	17046	13045	-155232	0	0	0	17,046	13,045	-155,232	-4967,42	417,44	17,046	-155,232	13,045												
	150C1F1	0	0	0	0	0	0	0	0	0	0	0	0	0	0												
	150C1F2	0	0	0	4262	3813	40107	4,262	3,813	40,107	1624,334	177,8675	4,262	40,107	3,813												
	150C1F3	0	0	0	0	0	0	0	0	0	0	0	0	0	0												
1b	Comp. gl	4615	2548	-45313	4615	2661	45417	9,23	5,209	0,104	2,548	146,542	9,23	0,104	5,209	1b	-10604	2103,357	86,083	-297,706	49,455						
Wind, -20	GW / opg	2225	1379	-22232	2225	1462	22344	4,45	2,841	0,112	6,43216	166,5406	4,45	0,112	2,841	Wind angle:	-45 dgr										
Permaner	380C1F1	17036	9748	-170789	17036	10205	171233	34,072	19,953	0,444	21,756	977,697	34,072	0,444	19,953												
Wind ang	380C1F2	17036	9580	-170644	0	0	0	17,036	9,58	-170,644	-6911,08	387,99	17,036	-170,644	9,58												
	380C1F3	17036	9371	-170479	0	0	0	17,036	9,371	-170,479	-5455,33	299,872	17,036	-170,479	9,371												
	150C1F1	0	0	0	0	0	0	0	0	0	0	0	0	0	0												
	150C1F2	0	0	0	4259	2501	42757	4,259	2,501	42,757	1731,659	124,715	4,259	42,757	2,501												
	150C1F3	0	0	0	0	0	0	0	0	0	0	0	0	0	0												
3	Comp. gl	7762	5837	-66862	7762	6450	68138	15,524	12,287	1,276	31,262	332,8557	15,524	1,276	12,287	3	-11118,8	3429,986	107,28	-313,288	81,201						
Wind+ice,	GW / opg	3796	3604	-34528	3796	4058	35760	7,592	7,662	1,232	70,75376	445,7986	7,592	1,232	7,662	Wind angle:	-45 dgr										
Permaner	380C1F1	19803	14428	-183802	19804	15768	186490	39,607	30,196	2,688	131,712	1479,604	39,607	2,688	30,196												
Wind ang	380C1F2	19803	13936	-182911	0	0	0	19,803	13,936	-182,911	-7407,9	564,408	19,803	-182,911	13,936												
0	380C1F3	19803	13326	-181886	0	0	0	19,803	13,326	-181,886	-5820,35	426,432	19,803	-181,886	13,326												
	150C1F1	0	0	0	0	0	0	0	0	0	0	0	0	0	0												
	150C1F2	0	0	0	4951	3794	46313	4,951	3,794	46,313	1875,677	180,8875	4,951	46,313	3,794												
	150C1F3	0	0	0	0	0	0	0	0	0	0	0	0	0	0												
4	Comp. gl	5821	2728	-49448	5821	2840	49522	11,642	5,568	0,074	1,813	160,2821	11,642	0,074	5,568	4	-10467,7	2112,668	99,965	-293,839	49,552						
Constructi	GW / opg	2828	1464	-24172	2828	1545	24251	5,656	3,009	0,079	4,53697	177,1054	5,656	0,079	3,009	Wind angle:	-45 dgr										
Permaner	380C1F1	19451	9647	-168439	19451	10101	168800	38,902	19,748	0,361	17,689	967,652	38,902	0,361	19,748												
Wind ang	380C1F2	19451	9480	-168322	0	0	0	19,451	9,48	-168,322	-6817,04	383,94	19,451	-168,322	9,48												
	380C1F3	19451	9272	-168189	0	0	0	19,451	9,272	-168,189	-5382,05	296,704	19,451	-168,189	9,272												
	150C1F1	0	0	0	0	0	0	0	0	0	0	0	0	0	0												
	150C1F2	0	0	0	4863	2475	42158	4,863	2,475	42,158	1707,399	126,984	4,863	42,158	2,475												
	150C1F3	0	0	0	0	0	0	0	0	0	0	0	0	0	0												
1a	Comp. gl	3462	1387	-31599	3462	1387	31599	6,924	2,774	0	0	82,1572	6,924	0	2,774	1a	-7288,89	1106,12	64,581	-204,498	25,922						
Wind, 10	GW / opg	1669	670	-15226	1669	670	15226	3,338	1,34	0	0	79,49308	3,338	0	1,34	Wind angle:	0 dgr										
Permaner	380C1F1	12781	5133	-116856	12781	5133	116856	25,562	10,266	0	0	503,034	25,562	0	10,266												
Wind ang	380C1F2	12781	5131	-116856	0	0	0	12,781	5,131	-116,856	-4732,67	207,8055	12,781	-116,856	5,131												
	380C1F3	12781	5128	-116856	0	0	0	12,781	5,128	-116,856	-3739,39	164,096	12,781	-116,856	5,128												
	150C1F1	0	0	0	0	0	0	0	0	0	0	0	0	0	0												
	150C1F2	0	0	0	3195	1283	29214	3,195	1,283	29,214	1183,167	69,534	3,195	29,214	1,283												
	150C1F3	0	0	0	0	0	0	0	0	0	0	0	0	0	0												
1b	Comp. gl	3461	1577	-36072	3461	1577	36072	6,922	3,154	0	0	91,4631	6,922	0	3,154	1b	-8560,35	1283,874	64,547	-240,17	30,197						
Wind, -20	GW / opg	1668	769	-17575	1668	769	17575	3,336	1,538	0	0	90,8627	3,336	0	1,538	Wind angle:	0 dgr										
Permaner	380C1F1	12774	6002	-137240	12774	6002	137240	25,548	12,004	0	0	588,196	25,548	0	12,004												
Wind ang	380C1F2	12774	6001	-137240	0	0	0	12,774	6,001	-137,24	-5558,22	243,0405	12,774	-137,24	6,001												
	380C1F3	12774	6000	-137240	0	0	0	12,774	6	-137,24	-4391,68	192	12,774	-137,24	6												
	150C1F1	0	0	0	0	0	0	0	0	0	0	0	0	0	0												
	150C1F2	0	0	0	3193	1500	34310	3,193	1,5	34,31	1389,555	78,3115	3,193	34,31	1,5												
	150C1F3	0	0	0	0	0	0	0	0	0	0	0	0	0	0												
3	Comp. gl	6606	2468	-56251	6606	2468	56251	13,212	4,936	0	0	148,0166	13,212	0	4,936	3	-9168,38	1477,714	85,725	-257,229	34,749						
Wind+ice,	GW / opg	3238	1216	-27659	3238	1216	27659	6,476	2,432	0	0	144,5915	6,476	0	2,432	Wind angle:	0 dgr										
Permaner	380C1F1	15538	6444	-146988	15538	6444	146988	31,076	12,888	0	0	631,512	31,076	0	12,888												
Wind ang	380C1F2	15538	6442	-146988	0	0	0	15,538	6,442	-146,988	-5953,01	260,901	15,538	-146,988	6,442												
	380C1F3	15538	6440	-146988	0	0	0	15,538	6,44	-146,988	-4703,62	206,08	15,538	-146,988	6,44												
	150C1F1	0	0	0	0	0	0	0	0	0	0	0	0	0	0												
	150C1F2	0	0	0	3885	1611	36747	3,885	1,611	36,747	1488,254	86,613	3,885	36,747	1,611												
	150C1F3	0	0	0	0	0	0	0	0	0	0	0	0	0	0												
4	Comp. gl	4665	1803	-41233	4665	1803	41233	9,33	3,606	0	0	107,4735	9,33	0	3,606	4	-8587,69	1320,199	78,413	-240,937	30,95						
Constructi	GW / opg	2271	879	-20083	2271	879	20083	4,542	1,758	0	0	104,4139	4,542	0	1,758	Wind angle:	0 dgr										
Permaner	380C1F1	15186	6021	-137677	15186	6021	137677	30,372	12,042	0	0	590,058	30,372	0	12,042												
Wind ang	380C1F2	15186	6020	-137678	0	0	0	15,186	6,02	-137,678	-5575,96	243,81	15,186	-137,678	6,02												
	380C1F3	15186	6019	-137678	0	0	0	15,186	6,019	-137,678	-4405,7	192,608	15,186	-137,678	6,019												
	150C1F1	0	0	0	0	0	0	0	0	0	0	0	0	0	0												
	150C1F2	0	0	0	3797	1505	34419	3,797	1,505	34,419	1393,97	81,836	3,797	34,419	1,505												
	150C1F3	0	0	0	0	0	0	0	0	0	0	0	0	0	0												
6	Comp. gl	3462	1380	-31600	3462	1380	31600	6,924	2,76	0	0	81,8142	6,924	0	2,76	6	-7288,97	1099,874	64,581	-204,5	25,774						
Permaner	GW / opg	1669	665	-15226	1669	665	15226	3,338	1,33	0	0	78,91878	3,338	0	1,33	0											
Permaner	380C1F1	12781	5102	-116857	12781	5102	116857	25,562	10,204	0	0	499,996	25,562	0	10,204												
	380C1F2	12781	5102	-116857	0	0	0	12,781	5,102	-116,857	-4732,71	206,631	12,781	-116,857	5,102												
	380C1F3	12781	5102	-116857	0	0	0	12,781	5,102	-116,857	-3739,42	163,264	12,781	-116,857	5,102												
	150C1F1	0	0	0	0	0	0	0	0	0	0	0	0	0	0												
	150C1F2	0	0	0	3195	1276	29214	3,195	1,276	29,214	1183,167	69,2505	3,195	29,214	1,276												
	150C1F3	0	0	0	0	0	0	0	0	0	0	0	0	0	0												
1a	Comp. gl	3463	3790	-36327	3463	3379	35022	6,926	7,169	-1,305	-31,9725	189,8388	6,926	-1,305	7,169	1a	-8704,78	2968,647	64,589	-241,398	70,254						
Wind, 10	GW / opg	1670	2446	-19823	1669	2140	18636	3,339	4,586	-1,187	-68,1694	265,9116	3,339	-1,187	4,586	Wind angle:	45 dgr										
Permaner	380C1F1	12783	14850	-136867	12782	13189	131415	25,565	28,039	-5,452	-267,148	1373,911	25,565	-5,452	28,039												
Wind ang	380C1F2	12782	14113	-134385	0	0	0	12,782	14,113	-134,385	-5442,59	571,5765	12,782	-134,385	14,113												
	380C1F3	12782	13202	-131458	0	0	0	12,782	13,202	-131,458	-4206,66	422,464	12,782	-131,458	13,202												
	150C1F1	0	0	0	0	0	0	0	0	0	0	0	0	0	0												
	150C1F2	0	0	0	3195	3145	32389	3,195	3,145	32,389	1311,755	144,945	3,195	32,389	3,145												
	150C1F3	0	0	0	0	0	0	0	0	0	0	0	0	0	0												
1b	Comp. gl	3461	2275	-36576	3461	2159	36425	6,922	4,434	-0,151	-3,6995	122,8231	6,922	-0,151	4,434	1b	-8716,92	1824,664	64,547	-244,213	43,077						
Wind, -20	GW / opg	1668	1277	-18122	1668	1192	17961	3,336	2,469	-0,161	-9,24623	144,33	3,336	-0,161	2,469	Wind angle:	45 dgr										
Permaner	380C1F1	12774	8816	-139418	12774	8350	138766	25,548	17,166	-0,652	-31,948	841,134	25,548	-0,652	17,166												
Wind ang	380C1F2	12774	8609	-139116	0	0	0	12,774	8,609	-139,116	-5634,2	348,6645	12,774	-139,116	8,609												
	380C1F3	12774	8354	-138771	0	0	0	12,774	8,354	-138,771	-4440,67	267,328	12,774	-138,771	8,354												
	150C1F1	0	0	0	0	0	0	0	0	0	0	0	0	0	0												
	150C1F2	0	0	0	3193	2045	34638	3,193	2,045	34,638	1402,839	100,384	3,193	34,638	2,045												
	150C1F3	0	0	0	0	0	0	0	0	0	0	0	0	0	0												
3	Comp. gl	6607	6166	-61652	6606	5542	60127	13,213	11,708	-1,525	-37,3625	313,9327	13,213	-1,525	11,708	3	-10109,1	3245,618	85,734	-281,6	77,289						
Wind+ice,	GW / opg	3239	3937	-32993	3239	3474	31567	6,478	7,411	-1,426	-81,8952	430,537	6,478	-1,426	7,411	Wind angle:	45 dgr										
Permaner	380C1F1	15540	14587	-159465	15539	13210	155921	31,079	27,797	-3,544	-173,656	1362,053	31,079	-3,544	27,797												
Wind ang	380C1F2	15540	13976	-157840	0	0	0	15,54	13,976	-157,84	-6392,52	566,028	15,54	-157,84	13,976												
	380C1F3	15539	13221	-155949	0	0	0	15,539	13,221	-155,949	-4990,37	423,072	15,539	-155,949	13,221												
	150C1F1	0	0	0	0	0	0	0	0	0	0	0	0	0	0												
	150C1F2	0	0	0	3885	3176	38684	3,885	3,176	38,684	1566,702	149,9955	3,885	38,684	3,176												
	150C1F3	0	0	0	0	0	0	0	0	0	0	0	0	0	0												
4	Comp. gl	4665	2492	-41555	4665	2379	41456	9,33	4,871	-0,099	-2,4255	138,466	9,33	-0,099	4,871	4	-8704,87	1856,576	78,413	-243,963	43,726						
Constructi	GW / opg	2271	1378	-20433	2271	1296	20328	4,542	2,674	-0,105	-6,03015	157,0197	4,542	-0,105	2,674	Wind angle:	45 dgr										
Permaner	380C1F1	15186	8813	-139326	15186	8354	138827	30,372	17,167	-0,499	-24,451	841,183	30,372	-0,499	17,167												
Wind ang	380C1F2	15186	8610	-139095	0	0	0	15,186	8,61	-139,095	-5633,35	348,705	15,186	-139,095	8,61												
	380C1F3	15186	8358	-138831	0	0	0	15,186	8,358	-138,831	-4442,59	267,456	15,186	-138,831	8,358												
	150C1F1	0	0	0	0	0	0	0	0	0	0	0	0	0	0												
	150C1F2	0	0	0	3797	2046	34666	3,797	2,046	34,666	1403,973	103,7465	3,797	34,666	2,046												
	150C1F3	0	0	0	0	0	0	0	0	0	0	0	0	0	0												
1a	Comp. gl	3463	6009	-44934	3463	6009	44934	6,926	12,018	0	0	308,6393	6,926	0	12,018	1a	-10125,6	4923,931	64,604	-283,349	116,411						
Wind, 10	GW / opg	1670	4076	-26872	1670	4076	26872	3,34	8,152	0	0	470,7078	3,34	0	8,152	Wind angle:	90 dgr										
Permaner	380C1F1	12786	23805	-171934	12786	23805	171934	25,572	47,61	0	0	2232,89	25,572	0	47,61												
Wind ang	380C1F2	12785	22393	-166026	0	0	0	12,785	22,393	-166,026	-6724,05	906,9165	12,785	-166,026	22,393												
	380C1F3	12785	20640	-158830	0	0	0	12,785	20,64	-158,83	-5082,56	660,48	12,785	-158,83	20,64												
	150C1F1	0	0	0	0	0	0	0	0	0	0	0	0	0	0												
	150C1F2	0	0	0	3196	5598	41507	3,196	5,598	41,507	1681,034	244,297	3,196	41,507	5,598												
	150C1F3	0	0	0	0	0	0	0	0	0	0	0	0	0	0												
1b	Comp. gl	3461	2893	-37768	3461	2893	37768	6,922	5,786	0	0	155,9471	6,922	0	5,786	1b	-8917,78	2371,734	64,552	-250,084	55,986						
Wind, -20	GW / opg	1669	1737	-19345	1669	1737	19345	3,338	3,474	0	0	202,0487	3,338	0	3,474	Wind angle:	90 dgr										
Permaner	380C1F1	12775	11320	-144512	12775	11320	144512	25,55	22,64	0	0	1109,36	25,55	0	22,64												
Wind ang	380C1F2	12774	10923	-143544	0	0	0	12,774	10,923	-143,544	-5813,53	442,3815	12,774	-143,544	10,923												
	380C1F3	12774	10432	-142426	0	0	0	12,774	10,432	-142,426	-4557,63	333,824	12,774	-142,426	10,432												
	150C1F1	0	0	0	0	0	0	0	0	0	0	0	0	0	0												
	150C1F2	0	0	0	3194	2731	35886	3,194	2,731	35,886	1453,383	128,1725	3,194	35,886	2,731												
	150C1F3	0	0	0	0	0	0	0	0	0	0	0	0	0	0												
3	Comp. gl	6608	9529	-72110	6608	9529	72110	13,216	19,058	0	0	494,0138	13,216	0	19,058	3	-11047,9	5093,955	85,753	-309,428	121,444						
Wind+ice,	GW / opg	3241	6414	-41862	3241	6414	41862	6,482	12,828	0	0	741,6384	6,482	0	12,828	Wind angle:	90 dgr										
Permaner	380C1F1	15543	22042	-184145	15543	22042	184145	31,086	44,084	0	0	2160,116	31,086	0	44,084												
Wind ang	380C1F2	15542	20861	-179791	0	0	0	15,542	20,861	-179,791	-7281,54	844,8705	15,542	-179,791	20,861												
	380C1F3	15541	19398	-174585	0	0	0	15,541	19,398	-174,585	-5586,72	620,736	15,541	-174,585	19,398												
	150C1F1	0	0	0	0	0	0	0	0	0	0	0	0	0	0												
	150C1F2	0	0	0	3886	5215	44948	3,886	5,215	44,948	1820,394	232,5805	3,886	44,948	5,215												
	150C1F3	0	0	0	0	0	0	0	0	0	0	0	0	0	0												

4	Comp. gl	4665	3094	-42346	4665	3094	42346	9,33	6,188	0	0	170,7325	9,33	0	6,188	4	-8861,93	2392,262	78,417	-248,542	56,37			
Constructi	GW / opg	2271	1821	-21255	2271	1821	21255	4,542	3,642	0	0	212,612	4,542	0	3,642	Wind angle:	90 dgr							
Permaner	380C1F1	15187	11269	-143280	15187	11269	143280	30,374	22,538	0	0	1104,362	30,374	0	22,538									
Wind angl	380C1F2	15187	10881	-142523	0	0	0	15,187	10,881	-142,523	-5772,18	440,6805	15,187	-142,523	10,881									
	380C1F3	15187	10401	-141650	0	0	0	15,187	10,401	-141,65	-4532,8	332,832	15,187	-141,65	10,401									
	150C1F1	0	0	0	0	0	0	0	0	0	0	0	0	0	0									
	150C1F2	0	0	0	3797	2720	35631	3,797	2,72	35,631	1443,056	131,0435	3,797	35,631	2,72									
	150C1F3	0	0	0	0	0	0	0	0	0	0	0	0	0	0									
1a	Comp. gl	3463	3379	-35022	3463	3790	36327	6,926	7,169	1,305	31,9725	189,8388	6,926	1,305	7,169	1a	-7595,46	2878,109	64,59	-215,402	67,73			
Wind, 10 r	GW / opg	1669	2140	-18636	1670	2446	19823	3,339	4,586	1,187	68,16941	265,9116	3,339	1,187	4,586	Wind angle:	-45 dgr							
Permaner	380C1F1	12782	13189	-131415	12783	14850	136867	25,565	28,039	5,452	267,148	1373,911	25,565	5,452	28,039									
Wind angl	380C1F2	12782	12580	-129558	0	0	0	12,782	12,58	-129,558	-5247,1	509,49	12,782	-129,558	12,58									
	380C1F3	12782	11828	-127384	0	0	0	12,782	11,828	-127,384	-4076,29	378,496	12,782	-127,384	11,828									
	150C1F1	0	0	0	0	0	0	0	0	0	0	0	0	0	0									
	150C1F2	0	0	0	3196	3528	33596	3,196	3,528	33,596	1360,638	160,462	3,196	33,596	3,528									
	150C1F3	0	0	0	0	0	0	0	0	0	0	0	0	0	0									
1b	Comp. gl	3461	2159	-36425	3461	2275	36576	6,922	4,434	0,151	3,6995	122,8231	6,922	0,151	4,434	1b	-8583,87	1799,131	64,548	-241,12	42,365			
Wind, -20	GW / opg	1668	1192	-17961	1668	1277	18122	3,336	2,469	0,161	9,24623	144,33	3,336	0,161	2,469	Wind angle:	-45 dgr							
Permaner	380C1F1	12774	8350	-138766	12774	8816	139418	25,548	17,166	0,652	31,948	841,134	25,548	0,652	17,166									
Wind angl	380C1F2	12774	8178	-138553	0	0	0	12,774	8,178	-138,553	-5611,4	331,209	12,774	-138,553	8,178									
	380C1F3	12774	7966	-138310	0	0	0	12,774	7,966	-138,31	-4425,92	254,912	12,774	-138,31	7,966									
	150C1F1	0	0	0	0	0	0	0	0	0	0	0	0	0	0									
	150C1F2	0	0	0	3194	2152	34779	3,194	2,152	34,779	1408,55	104,723	3,194	34,779	2,152									
	150C1F3	0	0	0	0	0	0	0	0	0	0	0	0	0	0									
3	Comp. gl	6606	5542	-60127	6607	6166	61652	13,213	11,708	1,525	37,3625	313,9327	13,213	1,525	11,708	3	-9283,41	3170,51	85,733	-262,145	75,195			
Wind+ice,	GW / opg	3239	3474	-31567	3239	3937	32993	6,478	7,411	1,426	81,89518	430,537	6,478	1,426	7,411	Wind angle:	-45 dgr							
Permaner	380C1F1	15539	13210	-155921	15540	14587	159465	31,079	27,797	3,544	173,656	1362,053	31,079	3,544	27,797									
Wind angl	380C1F2	15539	12705	-154736	0	0	0	15,539	12,705	-154,736	-6266,81	514,5525	15,539	-154,736	12,705									
0	380C1F3	15539	12080	-153364	0	0	0	15,539	12,08	-153,364	-4907,65	386,56	15,539	-153,364	12,08									
	150C1F1	0	0	0	0	0	0	0	0	0	0	0	0	0	0									
	150C1F2	0	0	0	3885	3494	39460	3,885	3,494	39,46	1598,13	162,8745	3,885	39,46	3,494									
	150C1F3	0	0	0	0	0	0	0	0	0	0	0	0	0	0									
4	Comp. gl	4665	2379	-41456	4665	2492	41555	9,33	4,871	0,099	2,4255	138,466	9,33	0,099	4,871	4	-8606,01	1831,328	78,413	-241,667	43,022			
Constructi	GW / opg	2271	1296	-20328	2271	1378	20433	4,542	2,674	0,105	6,03015	157,0197	4,542	0,105	2,674	Wind angle:	-45 dgr							
Permaner	380C1F1	15186	8354	-138827	15186	8813	139326	30,372	17,167	0,499	24,451	841,183	30,372	0,499	17,167									
Wind angl	380C1F2	15186	8184	-138665	0	0	0	15,186	8,184	-138,665	-5615,93	331,452	15,186	-138,665	8,184									
	380C1F3	15186	7974	-138479	0	0	0	15,186	7,974	-138,479	-4431,33	255,168	15,186	-138,479	7,974									
	150C1F1	0	0	0	0	0	0	0	0	0	0	0	0	0	0									
	150C1F2	0	0	0	3797	2152	34774	3,797	2,152	34,774	1408,347	108,0395	3,797	34,774	2,152									
	150C1F3	0	0	0	0	0	0	0	0	0	0	0	0	0	0									

Hoogte mast	Ber & bijlage	58	m
Hoogte onderste stroomdraad (F3)		32	m

	Hoogte		Excentriciteit ophanging t.o.v. hart mast
Bliksemdraad = GW / CH$_{mast}$ -	0,57 m =	57,43 m	0,76 m
1e traverse - 380C1F1 F2 +	8,5 m =	49 m	0 m
1e traverse - 150C1F1		49	5,5 m
2e traverse - 380C1F2 F3 +	8,5 m =	40,5 m	0 m
2e traverse - 150C1F2 F3 +		40,5 m	5,5 m
3e traverse - 380C1F3		32 m	0 m
3e traverse - 150C1F3		32	5,5 m
Passieve lijn = Comp C. F3 -	7,5 m =	24,5 m	2,05 m

Uit mast ULS (incl bel factoren)			Uit lijnen SLS					
N [kN]	V [kN]	M [kNm]	Nmin [kN]	Nmax [kN]	Vmax [kN]	Mlangs;max [kNm]	Mdwars;max [kNm]	
857	115	3123						
857	115	3123	107	191	212	6398	8686	

W4H400ZA+5 (Aftak m ast 34 en 106) (rev 8.0, date: 23-11-20 APPENDIX: AK2
Loadcases for tower strength (serviceabilityimit state)
Loadcase according to 50341-3-15

		AHEAD			BACK			Totaal			Belastingen op mastvoet, per lijn					Belasting op mastvoet, belastinggeval					
		[N]	[N]	[N]	[N]	[N]	[N]	Vert [kN]	Dwars [kN]	Langs [kN]	M$_{langs}$	M$_{dwars}$	N	V$_{langs}$	V$_{dwars}$		M$_{langs}$	M$_{dwars}$	N	V$_{langs}$	V$_{dwars}$
	Attachment point																				
1a	Comp. gl	3847	1517	34520	3847	1517	-34520	7,694	3,034	0	0	90,1057	7,694	0	3,034	1a	3870,747	1767,006	107,266	95,574	42,306
Wind, 10 c	GW / opgv	1855	734	16643	1855	734	-16643	3,71	1,468	0	0	87,12684	3,71	0	1,468	Wind angle:	0	dgr			
Permanen	380C1F1 / 14204	5604	127432	14202	5604	-127432		28,404	11,208	0	0	549,192	28,404	0	11,208						
Wind angl	380C1F2 / 14202	5601	127432	14202	5601	-127432		28,404	11,202	0	0	453,681	28,404	0	11,202						
	380C1F3 / 14202	5597	127433	14202	5597	-127433		28,404	11,194	0	0	358,208	28,404	0	11,194						
	150C1F1 / 3550	1401	31858	0	0	0		3,55	1,401	31,858	1561,042	88,174	3,55	31,858	1,401						
	150C1F2 / 3550	1400	31858	0	0	0		3,55	1,4	31,858	1290,249	76,225	3,55	31,858	1,4						
	150C1F3 / 3550	1399	31858	0	0	0		3,55	1,399	31,858	1019,456	64,293	3,55	31,858	1,399						
1b	Comp. gl	3845	1712	39161	3845	1712	-39161	7,69	3,424	0	0	99,6525	7,69	0	3,424	1b	4508,258	2030,53	107,209	111,315	48,886
Wind, -20	GW / opgv	1854	835	19082	1854	835	-19082	3,708	1,67	0	0	98,72618	3,708	0	1,67	Wind angle:	0	dgr			
Permanen	380C1F1 / 14194	6488	148419	14194	6488	-148419		28,388	12,976	0	0	635,824	28,388	0	12,976						
Wind angl	380C1F2 / 14194	6488	148419	14194	6488	-148419		28,388	12,976	0	0	525,528	28,388	0	12,976						
	380C1F3 / 14194	6487	148419	14194	6487	-148419		28,388	12,974	0	0	415,168	28,388	0	12,974						
	150C1F1 / 3549	1622	37105	0	0	0		3,549	1,622	37,105	1818,145	98,9975	3,549	37,105	1,622						
	150C1F2 / 3549	1622	37105	0	0	0		3,549	1,622	37,105	1502,753	85,2105	3,549	37,105	1,622						
	150C1F3 / 3549	1622	37105	0	0	0		3,549	1,622	37,105	1187,36	71,4235	3,549	37,105	1,622						
3	Comp. gl	13213	4160	95056	13213	4160	-95056	26,426	8,32	0	0	258,0133	26,426	0	8,32	3	5916,929	2928,131	190,815	146,097	69,994
Wind+ice,	GW / opgv	6530	2063	47087	6530	2063	-47087	13,06	4,126	0	0	246,8818	13,06	0	4,126	Wind angle:	0	dgr			
Permanen	380C1F1 / 22419	8527	194794	22419	8527	-194794		44,838	17,054	0	0	835,646	44,838	0	17,054						
Wind angl	380C1F2 / 22419	8526	194794	22419	8526	-194794		44,838	17,052	0	0	690,606	44,838	0	17,052						
	380C1F3 / 22419	8524	194794	22419	8524	-194794		44,838	17,048	0	0	545,536	44,838	0	17,048						
	150C1F1 / 5605	2132	48699	0	0	0		5,605	2,132	48,699	2386,251	135,2955	5,605	48,699	2,132						
	150C1F2 / 5605	2131	48699	0	0	0		5,605	2,131	48,699	1972,31	117,133	5,605	48,699	2,131						
	150C1F3 / 5605	2131	48699	0	0	0		5,605	2,131	48,699	1558,368	99,0195	5,605	48,699	2,131						
4	Comp. gl	4850	1860	42552	4850	1860	-42552	9,7	3,72	0	0	111,025	9,7	0	3,72	4	4405,59	2018,546	123,804	108,78	48,323
Constructi	GW / opgv	2356	905	20697	2356	905	-20697	4,712	1,81	0	0	107,5294	4,712	0	1,81	Wind angle:	0	dgr			
Permanen	380C1F1 / 16206	6340	145038	16206	6340	-145038		32,412	12,68	0	0	621,32	32,412	0	12,68						
Wind angl	380C1F2 / 16206	6340	145038	16206	6340	-145038		32,412	12,68	0	0	513,54	32,412	0	12,68						
	380C1F3 / 16206	6339	145038	16206	6339	-145038		32,412	12,678	0	0	405,696	32,412	0	12,678						
	150C1F1 / 4052	1585	36260	0	0	0		4,052	1,585	36,26	1776,74	99,951	4,052	36,26	1,585						
	150C1F2 / 4052	1585	36260	0	0	0		4,052	1,585	36,26	1468,53	86,4785	4,052	36,26	1,585						
	150C1F3 / 4052	1585	36260	0	0	0		4,052	1,585	36,26	1160,32	73,006	4,052	36,26	1,585						
1a	Comp. gl	3848	4090	39347	3848	4621	-41134	7,696	8,711	-1,787	-43,7815	229,1963	7,696	-1,787	8,711	1a	3478,059	5035,986	107,284	85,915	122,605
Wind, 10 c	GW / opgv	1855	2634	21359	1855	3027	-22930	3,71	5,661	-1,571	-90,2225	327,9308	3,71	-1,571	5,661	Wind angle:	45	dgr			
Permanen	380C1F1 / 14204	16009	147845	14205	18157	-155243		28,409	34,166	-7,398	-362,502	1674,134	28,409	-7,398	34,166						
Wind angl	380C1F2 / 14204	15221	145299	14204	17204	-151888		28,408	32,425	-6,589	-266,855	1313,213	28,408	-6,589	32,425						
	380C1F3 / 14204	14247	142302	14204	16026	-147903		28,408	30,273	-5,601	-179,232	968,736	28,408	-5,601	30,273						
	150C1F1 / 3551	4002	36961	0	0	0		3,551	4,002	36,961	1811,089	215,6285	3,551	36,961	4,002						
	150C1F2 / 3551	3805	36325	0	0	0		3,551	3,805	36,325	1471,163	173,633	3,551	36,325	3,805						
	150C1F3 / 3551	3562	35575	0	0	0		3,551	3,562	35,575	1138,4	133,5145	3,551	35,575	3,562						
1b	Comp. gl	3845	2193	39370	3845	2288	-39461	7,69	4,481	-0,091	-2,2295	125,549	7,69	-0,091	4,481	1b	4482,366	2638,688	107,209	110,691	63,838
Wind, -20	GW / opgv	1854	1183	19314	1854	1252	-19413	3,708	2,435	-0,099	-5,68557	142,6601	3,708	-0,099	2,435	Wind angle:	45	dgr			
Permanen	380C1F1 / 14194	8429	149324	14194	8811	-149718		28,388	17,24	-0,394	-19,306	844,76	28,388	-0,394	17,24						
Wind angl	380C1F2 / 14194	8288	149196	14194	8642	-149535		28,388	16,93	-0,339	-13,7295	685,665	28,388	-0,339	16,93						
	380C1F3 / 14194	8113	149049	14194	8432	-149327		28,388	16,545	-0,278	-8,896	529,44	28,388	-0,278	16,545						
	150C1F1 / 3549	2107	37331	0	0	0		3,549	2,107	37,331	1829,219	122,7625	3,549	37,331	2,107						
	150C1F2 / 3549	2072	37299	0	0	0		3,549	2,072	37,299	1510,61	103,4355	3,549	37,299	2,072						
	150C1F3 / 3549	2028	37262	0	0	0		3,549	2,028	37,262	1192,384	84,4155	3,549	37,262	2,028						
3	Comp. gl	13213	6630	96129	13214	7115	-96595	26,427	13,745	-0,466	-11,417	390,9279	26,427	-0,466	13,745	3	5806,519	4808,624	190,817	143,426	116,462
Wind+ice,	GW / opgv	6530	3854	48234	6531	4209	-48715	13,061	8,063	-0,481	-27,6238	472,9845	13,061	-0,481	8,063	Wind angle:	45	dgr			
Permanen	380C1F1 / 22419	14011	198669	22419	15101	-200300		44,838	29,112	-1,631	-79,919	1426,488	44,838	-1,631	29,112						
Wind angl	380C1F2 / 22419	13609	198133	22419	14618	-199547		44,838	28,227	-1,414	-57,267	1143,194	44,838	-1,414	28,227						
	380C1F3 / 22419	13112	197519	22419	14020	-198681		44,838	27,132	-1,162	-37,184	868,224	44,838	-1,162	27,132						
	150C1F1 / 5605	3503	49667	0	0	0		5,605	3,503	49,667	2433,683	202,4745	5,605	49,667	3,503						
	150C1F2 / 5605	3402	49533	0	0	0		5,605	3,402	49,533	2006,087	168,6085	5,605	49,533	3,402						
	150C1F3 / 5605	3278	49380	0	0	0		5,605	3,278	49,38	1580,16	135,7235	5,605	49,38	3,278						
4	Comp. gl	4850	2339	42696	4850	2432	-42761	9,7	4,771	-0,065	-1,5925	136,7745	9,7	-0,065	4,771	4	4385,219	2624,396	123,804	108,289	63,219
Constructi	GW / opgv	2356	1251	20857	2356	1319	-20927	4,712	2,57	-0,07	-4,0201	151,1762	4,712	-0,07	2,57	Wind angle:	45	dgr			
Permanen	380C1F1 / 16206	8274	145756	16206	8653	-146073		32,412	16,927	-0,317	-15,533	829,423	32,412	-0,317	16,927						
Wind angl	380C1F2 / 16206	8135	145653	16206	8485	-145926		32,412	16,62	-0,273	-11,0565	673,11	32,412	-0,273	16,62						
	380C1F3 / 16206	7961	145536	16206	8277	-145758		32,412	16,238	-0,222	-7,104	519,616	32,412	-0,222	16,238						
	150C1F1 / 4052	2069	36439	0	0	0		4,052	2,069	36,439	1785,511	123,667	4,052	36,439	2,069						
	150C1F2 / 4052	2034	36413	0	0	0		4,052	2,034	36,413	1474,727	104,663	4,052	36,413	2,034						
	150C1F3 / 4052	1990	36384	0	0	0		4,052	1,99	36,384	1164,288	85,966	4,052	36,384	1,99						
1a	Comp. gl	3849	7480	52478	3849	7480	-52478	7,698	14,96	0	0	382,3009	7,698	0	14,96	1a	5894,074	8686,46	107,32	144,651	212,291
Wind, 10 c	GW / opgv	1856	5115	31900	1856	5115	-31900	3,712	10,23	0	0	590,33	3,712	0	10,23	Wind angle:	90	dgr			
Permanen	380C1F1 / 14210	29675	200983	14210	29675	-200983		28,42	59,35	0	0	2908,15	28,42	0	59,35						
Wind angl	380C1F2 / 14209	27865	193442	14209	27865	-193442		28,418	55,73	0	0	2257,065	28,418	0	55,73						
	380C1F3 / 14208	25616	184181	14208	25616	-184181		28,416	51,232	0	0	1639,424	28,416	0	51,232						
	150C1F1 / 3552	7419	50246	0	0	0		3,552	7,419	50,246	2462,054	383,067	3,552	50,246	7,419						
	150C1F2 / 3552	6966	48360	0	0	0		3,552	6,966	48,36	1958,58	301,659	3,552	48,36	6,966						
	150C1F3 / 3552	6404	46045	0	0	0		3,552	6,404	46,045	1473,44	224,464	3,552	46,045	6,404						
1b	Comp. gl	3846	2792	40194	3846	2792	-40194	7,692	5,584	0	0	152,5766	7,692	0	5,584	1b	4626,558	3285,352	107,217	114,168	79,722
Wind, -20	GW / opgv	1854	1625	20184	1854	1625	-20184	3,708	3,25	0	0	189,4656	3,708	0	3,25	Wind angle:	90	dgr			
Permanen	380C1F1 / 14195	10850	152858	14195	10850	-152858		28,39	21,7	0	0	1063,1	28,39	0	21,7						
Wind angl	380C1F2 / 14195	10527	152254	14195	10527	-152254		28,39	21,054	0	0	852,687	28,39	0	21,054						
	380C1F3 / 14195	10129	151560	14195	10129	-151560		28,39	20,258	0	0	648,256	28,39	0	20,258						
	150C1F1 / 3549	2712	38214	0	0	0		3,549	2,712	38,214	1872,486	152,4075	3,549	38,214	2,712						
	150C1F2 / 3549	2632	38064	0	0	0		3,549	2,632	38,064	1541,592	126,1155	3,549	38,064	2,632						
	150C1F3 / 3549	2532	37890	0	0	0		3,549	2,532	37,89	1212,48	100,5435	3,549	37,89	2,532						
3	Comp. gl	13215	9698	100246	13215	9698	-100246	26,43	19,396	0	0	529,3835	26,43	0	19,396	3	6398,142	6829,166	190,835	157,715	166,331
Wind+ice,	GW / opgv	6532	6108	52333	6532	6108	-52333	13,064	12,216	0	0	711,4935	13,064	0	12,216	Wind angle:	90	dgr			
Permanen	380C1F1 / 22421	20959	212738	22421	20959	-212738		44,842	41,918	0	0	2053,982	44,842	0	41,918						
Wind angl	380C1F2 / 22421	20032	210416	22421	20032	-210416		44,842	40,064	0	0	1622,592	44,842	0	40,064						
	380C1F3 / 22421	18884	207708	22421	18884	-207708		44,842	37,768	0	0	1208,576	44,842	0	37,768						
	150C1F1 / 5605	5240	53184	0	0	0		5,605	5,24	53,184	2606,016	287,5875	5,605	53,184	5,24						
	150C1F2 / 5605	5008	52604	0	0	0		5,605	5,008	52,604	2130,462	233,6515	5,605	52,604	5,008						
	150C1F3 / 5605	4721	51927	0	0	0		5,605	4,721	51,927	1661,664	181,8995	5,605	51,927	4,721						
4	Comp. gl	4850	2927	43285	4850	2927	-43285	9,7	5,854	0	0	163,308	9,7	0	5,854	4	4500,993	3262,946	123,81	111,08	78,907
Constructi	GW / opgv	2356	1682	21480	2356	1682	-21480	4,712	3,364	0	0	196,7756	4,712	0	3,364	Wind angle:	90	dgr			
Permanen	380C1F1 / 16207	10667	148624	16207	10667	-148624		32,414	21,334	0	0	1045,366	32,414	0	21,334						
Wind angl	380C1F2 / 16207	10350	148131	16207	10350	-148131		32,414	20,7	0	0	838,35	32,414	0	20,7						
	380C1F3 / 16207	9956	147566	16207	9956	-147566		32,414	19,912	0	0	637,184	32,414	0	19,912						
	150C1F1 / 4052	2667	37156	0	0	0		4,052	2,667	37,156	1820,644	152,969	4,052	37,156	2,667						
	150C1F2 / 4052	2587	37033	0	0	0		4,052	2,587	37,033	1499,837	127,0595	4,052	37,033	2,587						
	150C1F3 / 4052	2489	36891	0	0	0		4,052	2,489	36,891	1180,512	101,934	4,052	36,891	2,489						
1a	Comp. gl	3848	4621	41134	3848	4090	-39347	7,696	8,711	1,787	43,7815	229,1963	7,696	1,787	8,711	1a	5565,43	5096,627	107,284	136,705	124,083
Wind, 10 c	GW / opgv	1855	3027	22930	1855	2634	-21359	3,71	5,661	1,571	90,22253	327,9308	3,71	1,571	5,661	Wind angle:	-45	dgr			
Permanen	380C1F1 / 14205	18157	155243	14204	16009	-147845		28,409	34,166	7,398	362,502	1674,134	28,409	7,398	34,166						
Wind angl	380C1F2 / 14204	17204	151888	14204	15221	-145299		28,408	32,425	6,589	266,8545	1313,213	28,408	6,589	32,425						
	380C1F3 / 14204	16026	147903	14204	14247	-142302		28,408	30,273	5,601	179,232	968,736	28,408	5,601	30,273						
	150C1F1 / 3551	4539	38811	0	0	0		3,551	4,539	38,811	1901,739	241,9415	3,551	38,811	4,539						
	150C1F2 / 3551	4301	37972	0	0	0		3,551	4,301	37,972	1537,866	193,721	3,551	37,972	4,301						
	150C1F3 / 3551	4007	36976	0	0	0		3,551	4,007	36,976	1183,232	147,7545	3,551	36,976	4,007						
1b	Comp. gl	3845	2288	39461	3845	2193	-39370	7,69	4,481	0,091	2,2295	125,549	7,69	0,091	4,481	1b	4592,544	2649,516	107,209	113,346	64,102
Wind, -20	GW / opgv	1854	1252	19413	1854	1183	-19314	3,708	2,435	0,099	5,68557	142,6601	3,708	0,099	2,435	Wind angle:	-45	dgr			

		Belastingen uit lijnen					Belasting uit mast			regel		Loadcase	Totaal					Totaal moment	M langs max	M dwars max	N max	V langs max	V dwars max	M tot max	N min
		M$_{langs}$	M$_{dwars}$	N	V$_{langs}$	V$_{dwars}$	N	V	M				M$_{langs}$	M$_{dwars}$	N	V$_{langs}$	V$_{dwars}$								
SLS	0 deg	1a	3871	1767	107	96	42	714	77	2082	1	Perm load 1,2	0 deg	1a	5953	3849	821	172	119	7088,726	1					
		1b	4508	2031	107	111	49	714	77	2082	2	Perm load 1,2	0 deg	1b	6590	4113	821	188	126	7768,166	2					x
		3	5917	2928	191	146	70	714	77	2082	3	Perm load 1,2	0 deg	3	7999	5010	905	223	147	9438,446	3					
		4	4406	2019	124	109	48	714	77	2082	4	Perm load 1,2	0 deg	4	6488	4101	838	185	125	7674,849	4					
	45 deg	1a	3478	5036	107	86	123	714	77	2082	5										5					
		1b	4482	2639	107	111	64	714	77	2082	6	Perm load 1,2	45 deg	1a	5560	7118	821	163	199	9032,163	6					
		3	5807	4809	191	143	116	714	77	2082	7	Perm load 1,2	45 deg	1b	6564	4721	821	187	141	8085,53	7					x
		4	4385	2624	124	108	63	714	77	2082	8	Perm load 1,2	45 deg	3	7889	6891	905	220	193	10474,23	8					
											9	Perm load 1,2	45 deg	4	6467	4706	838	185	140	7998,443	9					
	90 deg	1a	5894	8686	107	145	212	714	77	2082	10										10					
		1b	4627	3285	107	114	80	714	77	2082	11	Perm load 1,2	90 deg	1a	7976	10768	821	221	289	13400,65	11	x		x	x	
		3	6398	6829	191	158	166	714	77	2082	12	Perm load 1,2	90 deg	1b	6709	5367	821	191	156	8591,462	12					
		4	4501	3263	124	111	79	714	77	2082	13	Perm load 1,2	90 deg	3	8480	8911	905	234	243	12301,29	13	x	x	x		
											14	Perm load 1,2	90 deg	4 Construct	6583	5345	838	188	156	8479,637	14					
	-45 deg	1a	5565	5097	107	137	124	714	77	2082	15										15					
		1b	4593	2650	107	113	64	714	77	2082	16	Perm load 1,2	-45 deg	1a	7038	7179	821	213	201	10052,9	16					
											17	Perm load 1,2	-45 deg	1b	6065	4732	821	190	141	7692,094	17					x
		3	6277	4839	191	155	117	714	77	2082	18	Perm load 1,2	-45 deg	3	7749	6921	905	231	194	10390,18	18					
		4	4472	2635	124	110	63	714	77	2082	19	Perm load 1,2	-45 deg	4	5944	4717	838	187	140	7588,643	19					
															8480	10768	905	234	289	13401						
																	821									

samenvatting									
Mast	Bijlage	Wind	Loadcase	M$_{langs}$	M$_{dwars}$	N	V$_{langs}$	V$_{dwars}$	
2	W4H400ZA 25-AK2	Perm load :0 deg	1b	6590	4113	821	188	126	
7	W4H400ZA 25-AK2	Perm load :45 deg	1b	6564	4721	821	187	141	
11	W4H400ZA 25-AK2	Perm load :90 deg	1a	7976	10768	821	221	289	
13	W4H400ZA 25-AK2	Perm load :90 deg	3	8480	8911	905	234	243	
17	W4H400ZA 25-AK2	Perm load :-45 deg	1b	6065	4732	821	190	141	
	W4H400ZA 25-AK2	#N/B	#N/B	#N/B	#N/B	#N/B	#N/B	#N/B	#N/B

Permanen	380C1F1 / 14194	8811	149718	14194	8429	-149324	28,388	17,24	0,394	19,306	844,76	28,388	0,394	17,24									
Wind angl	380C1F2 / 14194	8642	149535	14194	8288	-149196	28,388	16,93	0,339	13,7295	685,665	28,388	0,339	16,93									
	380C1F3 / 14194	8432	149327	14194	8113	-149049	28,388	16,545	0,278	8,896	529,44	28,388	0,278	16,545									
	150C1F1 / 3549	2203	37429	0	0	0	3,549	2,203	37,429	1834,021	127,4665	3,549	37,429	2,203									
	150C1F2 / 3549	2160	37384	0	0	0	3,549	2,16	37,384	1514,052	106,9995	3,549	37,384	2,16									
	150C1F3 / 3549	2108	37332	0	0	0	3,549	2,108	37,332	1194,624	86,9755	3,549	37,332	2,108									
3	Comp. gl	13214	7115	96595	13213	6630	-96129	26,427	13,745	0,466	11,417	390,9279	26,427	0,466	13,745	3	6276,949	4839,463	190,817	154,786	117,214		
Wind+Ice,	GW / opgv	6531	4209	48715	6530	3854	-48234	13,061	8,063	0,481	27,62383	472,9845	13,061	0,481	8,063	Wind angle: -45 dgr							
Permanen	380C1F1 / 22419	15101	200300	22419	14011	-198669	44,838	29,112	1,631	79,919	1426,488	44,838	1,631	29,112									
Wind angl	380C1F2 / 22419	14618	199547	22419	13609	-198133	44,838	28,227	1,414	57,267	1143,194	44,838	1,414	28,227									
0	380C1F3 / 22419	14020	198681	22419	13112	-197519	44,838	27,132	1,162	37,184	868,224	44,838	1,162	27,132									
	150C1F1 / 5605	3775	50075	0	0	0	5,605	3,775	50,075	2453,675	215,8025	5,605	50,075	3,775									
	150C1F2 / 5605	3655	49887	0	0	0	5,605	3,655	49,887	2020,424	178,855	5,605	49,887	3,655									
	150C1F3 / 5605	3505	49670	0	0	0	5,605	3,505	49,67	1589,44	142,3875	5,605	49,67	3,505									
4	Comp. gl	4850	2432	42761	4850	2339	-42696	9,7	4,771	0,065	1,5925	136,7745	9,7	0,065	4,771	4	4472,289	2635,053	123,804	110,387	63,479		
Constructi	GW / opgv	2356	1319	20927	2356	1251	-20857	4,712	2,57	0,07	4,0201	151,1762	4,712	0,07	2,57	Wind angle: -45 dgr							
Permanen	380C1F1 / 16206	8653	146073	16206	8274	-145756	32,412	16,927	0,317	15,533	829,423	32,412	0,317	16,927									
Wind angl	380C1F2 / 16206	8485	145926	16206	8135	-145653	32,412	16,62	0,273	11,0565	673,11	32,412	0,273	16,62									
	380C1F3 / 16206	8277	145758	16206	7961	-145536	32,412	16,238	0,222	7,104	519,616	32,412	0,222	16,238									
	150C1F1 / 4052	2163	36518	0	0	0	4,052	2,163	36,518	1789,382	128,273	4,052	36,518	2,163									
	150C1F2 / 4052	2121	36482	0	0	0	4,052	2,121	36,482	1477,521	108,1865	4,052	36,482	2,121									
	150C1F3 / 4052	2069	36440	0	0	0	4,052	2,069	36,44	1166,08	88,494	4,052	36,44	2,069									

W4H40026-AL

| | | |

| | | |

| | | |

W4H400226 - AL1

Hoogte mast	Ber & bijlage	50 m
Hoogte onderste stroomdraad (F3)		24 m

		Hoogte		Excentriciteit ophanging t.o.v. hart mast
Bliksemdraad = GW / tH$_{mast}$ -	0,57 m =	49,43 m		0,76 m
1e traverse - 380C1F1 F2 +	8,5 m =	41 m		0 m
1e traverse - 150C1F1		41		5,5 m
2e traverse - 380C1F2 F3 +	8,5 m =	32,5 m		0 m
2e traverse - 150C1F2 F3 +		32,5 m		5,5 m
3e traverse - 380C1F3		24 m		0 m
3e traverse - 150C1F3		24		5,5 m
Passieve lijn = Comp CF3 -	7,5 m =	16,5 m		2,05 m

Uit mast (excl belastingsfactoren)

N [kN]	V [kN]	M [kNm]
857	115	3123
857	115	3123

Uit lijnen (incl belastingsfactoren)

Nmin [kN]	Nmax [kN]	Vmax [kN]	Mlangs;maMdwars;max [kNm]	[kNm]
55	138	865	27696	9474

Belastingen uit lijnen

				M$_{langs}$	M$_{dwars}$	N	V$_{langs}$	V$_{dwars}$
Perm load 1,2	0 deg	1a		3538	4155	110	109	127
		1b		4278	4859	108	132	149
			3	4287	5149	134	132	158
			4	1585	4464	117	47	137
			6	3860	4497	124	119	138
	45 deg	1a		2352	6307	113	72	193
		1b		4148	5448	109	128	167
			3	3381	7101	136	104	219
			4	1502	5047	117	44	155
	90 deg	1a		3804	8983	114	115	275
		1b		4285	6126	109	132	188
			3	4371	9474	138	132	292
			4	1702	5716	117	50	175
	-45 deg	1a		4823	6398	111	147	196
		1b		4405	5474	108	135	168
			3	5193	7175	134	159	221
			4	1727	5076	117	51	156
	0 deg	1a		2853	3329	82	88	102
		1b		3584	4006	80	110	123
			3	3629	4358	106	112	134
			4	723	3650	88	20	112
			6	2854	3280	82	88	100
	45 deg	1a		1298	5613	85	40	172
		1b		3392	4613	81	104	142
			3	2476	6389	109	76	197
			4	616	4246	89	17	130
	90 deg	1a		3279	8484	86	99	260
		1b		3603	5334	82	111	164
			3	3798	8904	110	115	275
			4	933	4951	89	26	152
	-45 deg	1a		4592	5708	83	140	175
		1b		3778	4639	80	116	143
			3	4819	**4464**	**106**	147	**199**
			4	**944**	4278	88	**27**	131
	0 deg	1a		19368	**2323**	77	605	**70**
		1b		22967	2716	78	718	82
			3	24003	2870	93	753	87
			4	19882	2363	77	621	71
			6	21191	2514	86	662	76
	45 deg	1a		20250	3208	76	632	97
		1b		23038	2965	78	720	90
			3	24610	3671	93	772	111
			4	19951	2612	77	624	79
	90 deg	1a		24380	4934	**74**	757	150
		1b		23519	3406	77	734	103
			3	**27696**	5193	91	**865**	158
			4	20422	3052	76	638	92
	-45 deg	1a		21514	3823	75	670	116
		1b		23167	3125	78	724	95
			3	25523	4214	92	799	128
			4	20077	2772	77	627	84
	0 deg	1a		15503	1861	58	485	56
		1b		18984	2240	59	593	68
			3	20304	2427	74	638	73
			4	15983	1897	58	500	57
			6	15504	1834	58	485	55
	45 deg	1a		16780	2790	57	523	85
		1b		19100	2495	59	596	76
			3	21136	3253	74	663	99
			4	16095	2151	58	503	65
	90 deg	1a		22033	4644	55	683	141
		1b		19807	2961	58	618	90
			3	25015	4865	72	781	149
			4	16784	2616	57	524	79
	-45 deg	1a		18477	3454	56	574	105
		1b		19295	2662	59	602	81
			3	22324	3827	73	699	117
			4	16285	2318	58	509	70

Belasting uit mast

N	V	M
857	115	3123
857	22	586
857	32	878
857	22	586
857	115	3123
857	22	586
857	32	878
857	22	586
857	115	3123
857	22	586
857	32	878
857	22	586
643	115	3123
643	22	586
643	32	878
643	22	586
643	115	3123
643	22	586
643	32	878
643	22	586
643	115	3123
643	22	586
643	32	878
643	22	586
643	115	3123
643	22	586
643	32	878
643	22	586
643	115	3123
643	22	586
643	32	878
643	22	586
643	115	3123
643	22	586
643	32	878
643	22	586
643	115	3123
643	22	586
643	32	878
643	22	586
643	115	3123
643	22	586
643	32	878
643	22	586

Totaal

regel		Loadcase	M$_{langs}$	M$_{dwars}$	N	V$_{langs}$	V$_{dwars}$	Totaal moment
1	Perm load 1,2	0 deg	1a	6661	4155	967	224	127 7851,188
2	Perm load 1,2	0 deg	1b	4864	4859	965	153	149 6874,803
3	Perm load 1,2	0 deg	3	5165	5149	991	164	158 7293,288
4	Perm load 1,2	0 deg	4	2170	4464	974	68	137 4963,084
5	Perm load 1,2	0 deg	6					
6								
7	Perm load 1,2	45 deg	1a	4560	8516	970	154	275 9659,871
8	Perm load 1,2	45 deg	1b	4562	5862	966	143	182 7428,221
9	Perm load 1,2	45 deg	3	4002	7722	993	126	242 8697,849
10	Perm load 1,2	45 deg	4	1916	5461	974	59	170 5787,618
11								
12	Perm load 1,2	90 deg	1a	3804	12106	971	115	390 12689,9
13	Perm load 1,2	90 deg	1b	4285	6712	966	132	210 7963,13
14	Perm load 1,2	90 deg	3	4371	10353	995	132	324 11237,54
15	Perm load 1,2	90 deg	4 Construct	1702	6302	974	50	197 6527,773
16								
17	Perm load 1,2	-45 deg	1a	7031	8606	968	229	277 11113,25
18	Perm load 1,2	-45 deg	1b	4819	5888	965	151	183 7608,991
19	Perm load 1,2	-45 deg	3	5814	7796	991	182	244 9725,04
20	Perm load 1,2	-45 deg	4	2141	5490	974	66	171 5893,147
21								
22	Perm load 0,9	0 deg	1a	5976	3329	725	203	102 6840,812
23	Perm load 0,9	0 deg	1b	4170	4006	723	132	123 5782,588
24	Perm load 0,9	0 deg	3	4507	4358	748	144	134 6269,477
25	Perm load 0,9	0 deg	4	1309	3650	731	42	112 3877,086
26	Perm load 0,9	0 deg	6					
27								
28	Perm load 0,9	45 deg	1a	3506	7821	728	121	253 8571,137
29	Perm load 0,9	45 deg	1b	3806	5027	724	120	157 6305,596
30	Perm load 0,9	45 deg	3	3097	7010	751	99	220 7663,605
31	Perm load 0,9	45 deg	4 Construct	1030	4660	731	32	146 4772,434
32								
33	Perm load 0,9	90 deg	1a	3279	11607	729	99	375 12061,52
34	Perm load 0,9	90 deg	1b	3603	5920	724	111	185 6929,981
35	Perm load 0,9	90 deg	3	3798	9783	753	115	307 10493,94
36	Perm load 0,9	90 deg	4	933	5536	732	26	174 5614,576
37								
38	Perm load 0,9	-45 deg	1a	6800	7916	725	221	256 10435,67
39	Perm load 0,9	-45 deg	1b	4192	5053	723	131	158 6565,867
40	Perm load 0,9	-45 deg	3	5441	7085	749	170	222 8932,83
41	Perm load 0,9	-45 deg	4	1358	4692	731	42	147 4884,28
42								
43	Perm load 1,2	0 deg	1a	22491	2323	934	720	70 22610,98
44	Perm load 1,2	0 deg	1b	23553	2716	935	739	82 23708,9
45	Perm load 1,2	0 deg	3	24882	2870	950	786	87 25046,59
46	Perm load 1,2	0 deg	4	20467	2363	934	643	71 20603,19
47	Perm load 1,2	0 deg	6					
48								
49	Perm load 1,2	45 deg	1a	22458	5416	933	713	178 23102,14
50	Perm load 1,2	45 deg	1b	23452	3380	935	735	105 23694,44
51	Perm load 1,2	45 deg	3	25232	4292	950	794	134 25593,97
52	Perm load 1,2	45 deg	4	20365	3026	934	639	94 20588,49
53								
54	Perm load 1,2	90 deg	1a	24380	8057	931	757	265 25676,29
55	Perm load 1,2	90 deg	1b	23519	3992	934	734	125 23855,1
56	Perm load 1,2	90 deg	3	27696	6071	948	865	191 28353,3
57	Perm load 1,2	90 deg	4 Construct	20422	3638	933	638	114 20743,47
58								
59	Perm load 1,2	-45 deg	1a	23723	6031	932	751	197 24477,29
60	Perm load 1,2	-45 deg	1b	23581	3539	935	739	110 23845,58
61	Perm load 1,2	-45 deg	3	26145	4835	949	822	151 26587,85
62	Perm load 1,2	-45 deg	4	20491	3186	934	643	99 20737,6
63								
64	Perm load 0,9	0 deg	1a	18626	1861	701	600	56 18718,39
65	Perm load 0,9	0 deg	1b	19570	2240	702	615	68 19697,58
66	Perm load 0,9	0 deg	3	21183	2427	717	670	73 21321,39
67	Perm load 0,9	0 deg	4	16568	1897	701	521	57 16676,7
68	Perm load 0,9	0 deg	6					
69								
70	Perm load 0,9	45 deg	1a	18989	4999	700	604	166 19635,67
71	Perm load 0,9	45 deg	1b	19514	2909	702	612	91 19730,08
72	Perm load 0,9	45 deg	3	21757	3874	717	686	122 22099,14
73	Perm load 0,9	45 deg	4 Construct	16510	2565	701	518	80 16707,65
74								
75	Perm load 0,9	90 deg	1a	22033	7767	698	683	256 23362,28
76	Perm load 0,9	90 deg	1b	19807	3547	701	618	111 20122,52
77	Perm load 0,9	90 deg	3	25015	5743	715	781	181 25665,36
78	Perm load 0,9	90 deg	4	16784	3201	700	524	101 17086,71
79								
80	Perm load 0,9	-45 deg	1a	20685	5663	699	656	186 21445,97
81	Perm load 0,9	-45 deg	1b	19709	3076	702	618	96 19947,8
82	Perm load 0,9	-45 deg	3	22945	4448	716	722	139 23372,13
83	Perm load 0,9	-45 deg	4	16699	2732	701	524	85 16920,93
				27696	12106	995	865	390 28353

samenvatting

	Mast	Bijlage		Wind	Loadcase	M$_{langs}$	M$_{dwars}$	N	V$_{langs}$	V$_{dwars}$
12	W4H4002	Z26-AL1	Perm load	90 deg	1a	3804	12106	971	115	390
14	W4H4002	Z26-AL1	Perm load	90 deg	3	4371	10353	995	132	324
56	W4H4002	Z26-AL1	Perm load	90 deg	3	27696	6071	948	865	191

W4H4002 Appendix AL1**date: 23-11-2012)**
Loadcases for tower strength (Special limit state)

Loadcase according to 50341-3-15

		AHEAD			BACK		Totaal			Belastingen op mastvoet, per lijn					Belasting op mastvoet, belastinggeval					
		[N]	[N]	[N]	[N]	[N]	Vert [kN]	Dwars [kN]	Langs [kN]	M$_{langs}$	M$_{dwars}$	N	V$_{langs}$	V$_{dwars}$		M$_{langs}$	M$_{dwars}$	N	V$_{langs}$	V$_{dwars}$
	Attachment point																			
1a	Comp. gl	4995	4572	39634	2471	4580	-39671	7,466	9,152	-0,037	-0,6105	166,3133	7,466	-0,037	9,152	1a	3538,335	4155,45	110,294	108,863	127,138
Wind, 10	GW / opg.	2408	2218	19129	1416	2219	-19147	3,824	4,437	-0,018	-0,88974	222,2272	3,824	-0,018	4,437	Wind angle: 0 dgr					
Permaner	380C1F1	18432	16830	145795	9348	16843	-145938	27,78	33,673	-0,143	-5,863	1380,593	27,78	-0,143	33,673						
Wind angl	380C1F2	18432	16816	145796	9961	16832	-145939	28,393	33,648	-0,143	-4,6475	1093,56	28,393	-0,143	33,648						
	380C1F3	18432	16799	145796	10575	16818	-145939	29,007	33,617	-0,143	-3,432	806,808	29,007	-0,143	33,617						
	150C1F1	4608	4207	36449	0	0	0	4,608	4,207	36,449	1494,409	197,831	4,608	36,449	4,207						
	150C1F2	4608	4204	36449	0	0	0	4,608	4,204	36,449	1184,593	161,974	4,608	36,449	4,204						
	150C1F3	4608	4200	36449	0	0	0	4,608	4,2	36,449	874,776	126,144	4,608	36,449	4,2						
1b	Comp. gl	5072	5236	45788	2218	5224	-45669	7,29	10,46	0,119	1,9635	187,5345	7,29	0,119	10,46	1b	4278,163	4858,712	108,417	131,66	149,046
Wind, -20	GW / opg.	2449	2563	22385	1319	2555	-22319	3,768	5,118	0,066	3,26238	255,8464	3,768	0,066	5,118	Wind angle: 0 dgr					
Permaner	380C1F1	18776	19805	173171	8257	19743	-172639	27,033	39,548	0,532	21,812	1621,468	27,033	0,532	39,548						
Wind angl	380C1F2	18776	19800	173171	8983	19740	-172639	27,759	39,54	0,532	17,29	1285,05	27,759	0,532	39,54						
	380C1F3	18776	19795	173172	9709	19735	-172640	28,485	39,53	0,532	12,768	948,72	28,485	0,532	39,53						
	150C1F1	4694	4951	43293	0	0	0	4,694	4,951	43,293	1775,013	228,808	4,694	43,293	4,951						
	150C1F2	4694	4950	43293	0	0	0	4,694	4,95	43,293	1407,023	186,692	4,694	43,293	4,95						
	150C1F3	4694	4949	43293	0	0	0	4,694	4,949	43,293	1039,032	144,593	4,694	43,293	4,949						
3	Comp. gl	8339	7174	62185	4337	7196	-62322	12,676	14,37	-0,137	-2,2605	263,0908	12,676	-0,137	14,37						
Wind+ice,	GW / opg.	4080	3541	30550	2475	3547	-30616	6,555	7,088	-0,066	-3,26238	355,3416	6,555	-0,066	7,088	Wind angle: 0 dgr					
Permaner	380C1F1	21501	20259	176140	10592	20258	-176153	32,093	40,517	-0,013	-0,533	1661,197	32,093	-0,013	40,517						
Wind angl	380C1F2	21501	20247	176141	11333	20249	-176154	32,834	40,496	-0,013	-0,4225	1316,12	32,834	-0,013	40,496						
	380C1F3	21501	20233	176141	12073	20237	-176154	33,574	40,47	-0,013	-0,312	971,28	33,574	-0,013	40,47						
	150C1F1	5375	5065	44035	0	0	0	5,375	5,065	44,035	1805,435	237,2275	5,375	44,035	5,065						
	150C1F2	5375	5062	44035	0	0	0	5,375	5,062	44,035	1431,138	194,0775	5,375	44,035	5,062						
	150C1F3	5375	5058	44035	0	0	0	5,375	5,058	44,035	1056,84	150,9545	5,375	44,035	5,058						
4	Comp. gl	5006	4637	40530	3267	5641	-49330	8,273	10,278	-8,8	-145,2	186,5467	8,273	-8,8	10,278	4	1584,504	4463,521	116,635	46,733	136,824
Construct	GW / opg.	2414	2245	19597	1869	2751	-24034	4,283	4,996	-4,437	-219,321	250,2074	4,283	-4,437	4,996	Wind angle: 0 dgr					
Permaner	380C1F1	18481	17129	149696	10889	19115	-167130	29,37	36,244	-17,434	-714,794	1486,004	29,37	-17,434	36,244						
Wind angl	380C1F2	18481	17124	149697	11592	19112	-167131	30,073	36,236	-17,434	-566,605	1177,67	30,073	-17,434	36,236						
	380C1F3	18481	17119	149697	12295	19108	-167131	30,776	36,227	-17,434	-418,416	869,448	30,776	-17,434	36,227						
	150C1F1	4620	4282	37424	0	0	0	4,62	4,282	37,424	1534,384	200,972	4,62	37,424	4,282						
	150C1F2	4620	4281	37424	0	0	0	4,62	4,281	37,424	1216,28	164,5425	4,62	37,424	4,281						
	150C1F3	4620	4280	37424	0	0	0	4,62	4,28	37,424	898,176	128,13	4,62	37,424	4,28						
6	Comp. gl	5605	4953	43449	2827	4960	-43513	8,432	9,913	-0,064	-1,056	180,8501	8,432	-0,064	9,913	6	3860,459	4497,071	124,402	118,768	137,5
Permaner	GW / opg.	2703	2392	20985	1609	2396	-21016	4,312	4,788	-0,031	-1,53233	239,948	4,312	-0,031	4,788	0					
Permaner	380C1F1	20680	18180	159484	10698	18208	-159734	31,378	36,388	-0,25	-10,25	1491,908	31,378	-0,25	36,388						
	380C1F2	20680	18180	159484	11369	18208	-159734	32,049	36,388	-0,25	-8,125	1182,61	32,049	-0,25	36,388						
	380C1F3	20680	18180	159484	12041	18208	-159734	32,721	36,388	-0,25	-6	873,312	32,721	-0,25	36,388						
	150C1F1	5170	4545	39871	0	0	0	5,17	4,545	39,871	1634,711	214,78	5,17	39,871	4,545						
	150C1F2	5170	4545	39871	0	0	0	5,17	4,545	39,871	1295,808	176,1475	5,17	39,871	4,545						
	150C1F3	5170	4545	39871	0	0	0	5,17	4,545	39,871	956,904	137,515	5,17	39,871	4,545						
1a	Comp. gl	4958	6356	41414	2807	7959	-45480	7,765	14,315	-4,066	-67,089	252,1158	7,765	-4,066	14,315	1a	2351,823	6307,481	113,073	72,238	193,281
Wind, 10	GW / opg.	2375	3505	20875	1582	4413	-23585	3,957	7,918	-2,71	-133,955	394,3941	3,957	-2,71	7,918	Wind angle: 45 dgr					
Permaner	380C1F1	18280	23778	152859	10501	28806	-165602	28,781	52,584	-12,743	-522,463	2155,944	28,781	-12,743	52,584						
Wind angl	380C1F2	18298	23253	151948	10908	28034	-163640	29,206	51,287	-11,692	-379,99	1666,828	29,206	-11,692	51,287						
	380C1F3	18318	22631	150930	11323	27130	-161415	29,641	49,761	-10,485	-251,64	1194,264	29,641	-10,485	49,761						
	150C1F1	4570	5945	38215	0	0	0	4,57	5,945	38,215	1566,815	268,88	4,57	38,215	5,945						
	150C1F2	4574	5813	37987	0	0	0	4,574	5,813	37,987	1234,578	214,0795	4,574	37,987	5,813						
	150C1F3	4579	5658	37732	0	0	0	4,579	5,658	37,732	905,568	160,9765	4,579	37,732	5,658						
1b	Comp. gl	5067	5739	45932	2268	6125	-46244	7,335	11,864	-0,312	-5,148	210,7928	7,335	-0,312	11,864	1b	4148,178	5448,069	108,851	127,678	167,182
Wind, -20	GW / opg.	2445	2916	22544	1348	3129	-22799	3,793	6,045	-0,255	-12,6047	301,687	3,793	-0,255	6,045	Wind angle: 45 dgr					
Permaner	380C1F1	18755	21759	173742	8436	22950	-174546	27,191	44,709	-0,804	-32,964	1833,069	27,191	-0,804	44,709						
Wind angl	380C1F2	18758	21619	173656	9126	22756	-174326	27,884	44,375	-0,67	-21,775	1442,188	27,884	-0,67	44,375						
	380C1F3	18761	21453	173562	9819	22528	-174083	28,58	43,981	-0,521	-12,504	1055,544	28,58	-0,521	43,981						
	150C1F1	4689	5440	43435	0	0	0	4,689	5,44	43,435	1780,835	248,8295	4,689	43,435	5,44						
	150C1F2	4689	5405	43414	0	0	0	4,689	5,405	43,414	1410,955	201,452	4,689	43,414	5,405						
	150C1F3	4690	5363	43391	0	0	0	4,69	5,363	43,391	1041,384	154,507	4,69	43,391	5,363						
3	Comp. gl	8285	9921	64417	4835	12326	-69755	13,12	22,247	-5,338	-88,077	393,9715	13,12	-5,338	22,247	3	3380,928	7101,384	136,316	103,581	218,652
Wind+ice,	GW / opg.	4031	5510	32739	2725	6861	-36285	6,756	12,371	-3,546	-175,279	616,6331	6,756	-3,546	12,371	Wind angle: 45 dgr					

| | | |

	150C1F2/15I3319	8436	40858	0	0	0	3,319	8,436	40,858	1327,885	292,4245	3,319	40,858	8,436													
	150C1F3/15I3333	7939	39329	0	0	0	3,333	7,939	39,329	943,896	208,8675	3,333	39,329	7,939													
1b	Comp. gl	3802	5734	39070	1707	5876	-39482	5,509	11,61	-0,412	-6,798	202,8585	5,509	-0,412	11,61	1b	3601,007	5334,148	81,518	110,562	163,855						
Wind, -20 dgr	GW / opgw	1820	3152	19921	1036	3134	-19993	2,856	6,286	-0,072	-3,5896	312,8875	2,856	-0,072	6,286	Wind angle: 90 dgr											
Permanentlos	380C1F1/38I14077	22060	149873	6277	22027	-150073	20,354	44,087	-0,2	-8,2	1807,567	20,354	-0,2	44,087													
Wind angle: 9	380C1F2/38I14097	21634	149032	6760	21663	-149266	20,857	43,297	-0,234	-7,605	1407,153	20,857	-0,234	43,297													
	380C1F3/38I14120	21131	148091	7249	21237	-148360	21,369	42,368	-0,269	-6,456	1016,832	21,369	-0,269	42,368													
	150C1F1/15I3519	5515	37468	0	0	0	3,519	5,515	37,468	1536,188	245,4695	3,519	37,468	5,515													
	150C1F2/15I3524	5409	37258	0	0	0	3,524	5,409	37,258	1210,885	195,1745	3,524	37,258	5,409													
	150C1F3/15I3530	5283	37023	0	0	0	3,53	5,283	37,023	888,552	146,207	3,53	37,023	5,283													
3	Comp. gl	6869	14643	70832	4692	15640	-75342	11,461	30,283	-4,51	-74,415	523,1646	11,461	-4,51	30,283	3	3797,95	8904,209	109,86	114,529	274,813						
Wind+ice, -5 c	GW / opgw	3318	9119	40232	2517	9107	-41357	5,835	18,226	-1,125	-55,6088	905,3458	5,835	-1,125	18,226	Wind angle: 90 dgr											
Permanentlos	380C1F1/38I16379	34727	182634	10032	35059	-186940	26,411	69,786	-4,306	-176,546	2861,226	26,411	-4,306	69,786													
Wind angle: 9	380C1F2/38I16430	33370	178824	10311	33895	-183406	26,741	67,265	-4,582	-148,915	2186,113	26,741	-4,582	67,265													
	380C1F3/38I16493	31759	174414	10594	32530	-179329	27,087	64,289	-4,915	-117,96	1542,936	27,087	-4,915	64,289													
	150C1F1/15I4095	8682	45658	0	0	0	4,095	8,682	45,658	1871,978	378,4845	4,095	45,658	8,682													
	150C1F2/15I4107	8342	44706	0	0	0	4,107	8,342	44,706	1452,945	293,7035	4,107	44,706	8,342													
	150C1F3/15I4123	7940	43903	0	0	0	4,123	7,94	43,603	1046,472	213,2365	4,123	43,603	7,94													
4	Comp. gl	3747	5157	34001	2649	6304	-43231	6,396	11,461	-9,23	-152,295	202,2183	6,396	-9,23	11,461	4	933,482	4950,869	88,979	26,204	152,037						
Construction+	GW / opgw	1793	2843	17207	1535	3308	-21521	3,328	6,151	-4,314	-213,241	306,5732	3,328	-4,314	6,151	Wind angle: 90 dgr											
Permanentlos	380C1F1/38I13826	19437	126836	8605	21437	-144880	22,431	40,874	-18,044	-739,804	1675,834	22,431	-18,044	40,874													
Wind angle: 9	380C1F2/38I13842	19013	126015	9113	21094	-144253	22,955	40,107	-18,238	-592,735	1303,478	22,955	-18,238	40,107													
	380C1F3/38I13860	18512	125096	9626	20692	-143553	23,486	39,204	-18,457	-442,968	940,896	23,486	-18,457	39,204													
	150C1F1/15I3457	4859	31709	0	0	0	3,457	4,859	31,709	1300,069	218,2325	3,457	31,709	4,859													
	150C1F2/15I3461	4753	31504	0	0	0	3,461	4,753	31,504	1023,88	173,508	3,461	31,504	4,753													
	150C1F3/15I3465	4628	31274	0	0	0	3,465	4,628	31,274	750,576	130,1295	3,465	31,274	4,628													
1a	Comp. gl	3670	6870	37598	1979	5746	-35011	5,649	12,616	2,587	42,6855	219,7445	5,649	2,587	12,616	1a	4591,663	5707,748	82,698	139,925	174,94						
Wind, 10 dgr	GW / opgw	1743	4124	20570	1139	3129	-17885	2,882	7,253	2,685	132,7196	360,7061	2,882	2,685	7,253	Wind angle: -45 dgr											
Permanentlos	380C1F1/38I13519	20922	160509	7411	20922	-128450	20,93	46,981	12,055	494,255	1926,221	20,93	12,055	46,981													
Wind angle: -4	380C1F2/38I13555	25084	137797	7774	20437	-127245	21,329	45,521	10,552	342,94	1479,433	21,329	10,552	45,521													
	380C1F3/38I13598	23930	134685	8141	19871	-125885	21,739	43,801	8,8	211,2	1051,224	21,739	8,8	43,801													
	150C1F1/15I3380	6515	35126	0	0	0	3,38	6,515	35,126	1440,166	285,705	3,38	35,126	6,515													
	150C1F2/15I3389	6271	34449	0	0	0	3,389	6,271	34,449	1119,593	222,447	3,389	34,449	6,271													
	150C1F3/15I3400	5982	33671	0	0	0	3,4	5,982	33,671	808,104	162,268	3,4	33,671	5,982													
1b	Comp. gl	3826	5129	38027	1568	4819	-37538	5,394	9,948	0,489	8,0685	175,1997	5,394	0,489	9,948	1b	3778,101	4639,305	80,449	116,089	142,516						
Wind, -20 dgr	GW / opgw	1840	2705	18928	962	2440	-18464	2,802	5,145	0,464	22,93552	256,4469	2,802	0,464	5,145	Wind angle: -45 dgr											
Permanentlos	380C1F1/38I14179	19705	145779	5771	18294	-143546	19,95	37,999	2,233	91,553	1557,959	19,95	2,233	37,999													
Wind angle: -4	380C1F2/38I14188	19462	145445	6348	18172	-143417	20,536	37,634	2,028	65,91	1223,105	20,536	2,028	37,634													
	380C1F3/38I14198	19174	145074	6927	18030	-143274	21,125	37,204	1,8	43,2	892,896	21,125	1,8	37,204													
	150C1F1/15I3545	4926	36445	0	0	0	3,545	4,926	36,445	1494,245	221,4635	3,545	36,445	4,926													
	150C1F2/15I3547	4866	36361	0	0	0	3,547	4,866	36,361	1181,733	177,6535	3,547	36,361	4,866													
	150C1F3/15I3550	4794	36269	0	0	0	3,55	4,794	36,269	870,456	134,581	3,55	36,269	4,794													
3	Comp. gl	6991	11147	62044	3864	9513	-59184	10,855	20,66	2,86	47,19	363,1428	10,855	2,86	20,66	3	4819,492	6463,802	106,023	147,247	199,213						
Wind+ice, -5 c	GW / opgw	3387	6609	33320	2221	5167	-30212	5,608	11,776	3,108	153,6284	586,3498	5,608	3,108	11,776	Wind angle: -45 dgr											
Permanentlos	380C1F1/38I16684	27186	162795	8429	23046	-154841	25,113	50,232	7,954	326,114	2059,512	25,113	7,954	50,232													
Wind angle: -4	380C1F2/38I16717	26409	161002	8953	23662	-154090	25,67	49,071	6,912	224,64	1594,808	25,67	6,912	49,071													
0	380C1F3/38I16755	25490	158971	9483	22213	-153250	26,238	47,703	5,721	137,304	1144,872	26,238	5,721	47,703													
	150C1F1/15I4171	6796	40699	0	0	0	4,171	6,796	40,699	1668,659	301,5765	4,171	40,699	6,796													
	150C1F2/15I4179	6602	40250	0	0	0	4,179	6,602	40,25	1308,125	237,5495	4,179	40,25	6,602													
	150C1F3/15I4189	6373	39743	0	0	0	4,189	6,373	39,743	953,832	175,9915	4,189	39,743	6,373													
4	Comp. gl	3766	4556	32994	2564	5327	-41996	6,33	9,883	-9,002	-148,533	176,046	6,33	-9,002	9,883	4	944,4288	4277,502	88,34	26,69	131,354						
Construction+	GW / opgw	1810	2400	16251	1490	2677	-20541	3,3	5,077	-4,29	-212,055	253,4641	3,3	-4,29	5,077	Wind angle: -45 dgr											
Permanentlos	380C1F1/38I13906	17092	122840	8273	17879	-139899	22,179	34,971	-17,059	-699,419	1433,811	22,179	-17,059	34,971													
Wind angle: -4	380C1F2/38I13913	16850	122514	8845	17761	-139803	22,758	34,611	-17,289	-561,893	1124,858	22,758	-17,289	34,611													
	380C1F3/38I13921	16563	122152	9417	17623	-139698	23,338	34,186	-17,546	-421,104	820,464	23,338	-17,546	34,186													
	150C1F1/15I3477	4273	30710	0	0	0	3,477	4,273	30,71	1259,11	194,3165	3,477	30,71	4,273													
	150C1F2/15I3478	4212	30628	0	0	0	3,478	4,212	30,628	995,41	156,019	3,478	30,628	4,212													
	150C1F3/15I3480	4141	30538	0	0	0	3,48	4,141	30,538	732,912	118,524	3,48	30,538	4,141													
1a	Comp. gl	4995	4572	39634	0	0	0	4,995	4,572	39,634	653,961	85,67775	4,995	39,634	4,572	1a	19368,35	2322,819	76,523	605,497	69,846						
Wind, 10 dgr	GW / opgw	2408	2218	19129	0	0	0	2,408	2,218	19,129	945,5465	111,4658	2,408	19,129	2,218	Wind angle: 0 dgr											
Permanentlos	380C1F1/38I18432	16830	145795	0	0	0	18,432	16,83	145,795	5977,595	690,03	18,432	145,795	16,83													
Wind angle: 0	380C1F2/38I18432	16816	145796	0	0	0	18,432	16,816	145,796	4738,17	546,52	18,432	145,796	16,816													
	380C1F3/38I18432	16799	145796	0	0	0	18,432	16,799	145,796	3499,104	403,176	18,432	145,796	16,799													
	150C1F1/15I4608	4207	36449	0	0	0	4,608	4,207	36,449	1494,409	197,831	4,608	36,449	4,207													
	150C1F2/15I4608	4204	36449	0	0	0	4,608	4,204	36,449	1184,593	161,974	4,608	36,449	4,204													
	150C1F3/15I4608	4200	36449	0	0	0	4,608	4,2	36,449	874,776	126,144	4,608	36,449	4,2													
1b	Comp. gl	5072	5236	45788	0	0	0	5,072	5,236	45,788	755,502	96,7916	5,072	45,788	5,236	1b	22967,26	2716,02	77,931	717,566	82,049						
Wind, -20 dgr	GW / opgw	2449	2563	22385	0	0	0	2,449	2,563	22,385	1106,491	128,5503	2,449	22,385	2,563	Wind angle: 0 dgr											
Permanentlos	380C1F1/38I18776	19805	173171	0	0	0	18,776	19,805	173,171	7100,011	812,005	18,776	173,171	19,805													
Wind angle: 0	380C1F2/38I18776	19800	173171	0	0	0	18,776	19,8	173,171	5628,058	643,5	18,776	173,171	19,8													
	380C1F3/38I18776	19795	173172	0	0	0	18,776	19,795	173,172	4156,128	475,08	18,776	173,172	19,795													
	150C1F1/15I4694	4951	43293	0	0	0	4,694	4,951	43,293	1775,013	228,808	4,694	43,293	4,951													
	150C1F2/15I4694	4950	43293	0	0	0	4,694	4,95	43,293	1407,023	186,692	4,694	43,293	4,95													
	150C1F3/15I4694	4949	43293	0	0	0	4,694	4,949	43,293	1039,032	144,593	4,694	43,293	4,949													
3	Comp. gl	8339	7174	62185	0	0	0	8,339	7,174	62,185	1026,053	135,466	8,339	62,185	7,174	3	24003,26	2870,096	93,047	753,262	86,639						
Wind+ice, -5 c	GW / opgw	4080	3541	30550	0	0	0	4,08	3,541	30,55	1510,087	178,1324	4,08	30,55	3,541	Wind angle: 0 dgr											
Permanentlos	380C1F1/38I21501	20259	176140	0	0	0	21,501	20,259	176,14	7221,74	830,619	21,501	176,14	20,259													
Wind angle: 0	380C1F2/38I21501	20247	176141	0	0	0	21,501	20,247	176,141	5724,583	658,0275	21,501	176,141	20,247													
	380C1F3/38I21501	20233	176141	0	0	0	21,501	20,233	176,141	4227,384	485,592	21,501	176,141	20,233													
	150C1F1/15I5375	5065	44035	0	0	0	5,375	5,065	44,035	1805,435	237,2275	5,375	44,035	5,065													
	150C1F2/15I5375	5062	44035	0	0	0	5,375	5,062	44,035	1431,138	194,0775	5,375	44,035	5,062													
	150C1F3/15I5375	5058	44035	0	0	0	5,375	5,058	44,035	1056,84	150,9545	5,375	44,035	5,058													
4	Comp. gl	5006	4637	40530	0	0	0	5,006	4,637	40,53	668,745	86,7728	5,006	40,53	4,637	4	19881,68	2362,897	76,723	621,489	71,097						
Construction+	GW / opgw	2414	2245	19597	0	0	0	2,414	2,245	19,597	968,6797	112,805	2,414	19,597	2,245	Wind angle: 0 dgr											
Permanentlos	380C1F1/38I18481	17129	149696	0	0	0	18,481	17,129	149,696	6137,536	702,289	18,481	149,696	17,129													
Wind angle: 0	380C1F2/38I18481	17124	149697	0	0	0	18,481	17,124	149,697	4865,153	556,53	18,481	149,697	17,124													
	380C1F3/38I18481	17119	149697	0	0	0	18,481	17,119	149,697	3592,728	410,856	18,481	149,697	17,119													
	150C1F1/15I4620	4282	37424	0	0	0	4,62	4,282	37,424	1534,384	200,972	4,62	37,424	4,282													
	150C1F2/15I4620	4281	37424	0	0	0	4,62	4,281	37,424	1216,28	164,5425	4,62	37,424	4,281													
	150C1F3/15I4620	4280	37424	0	0	0	4,62	4,28	37,424	898,176	128,13	4,62	37,424	4,28													
6	Comp. gl	5605	4953	43449	0	0	0	5,605	4,953	43,449	716,9085	93,21475	5,605	43,449	4,953	6	21191,31	2514,498	85,858	662,499	75,52						
Permanent, +1	GW / opgw	2703	2392	20985	0	0	0	2,703	2,392	20,985	1037,289	120,2908	2,703	20,985	2,392	0											
Permanentlos	380C1F1/38I20680	18180	159484	0	0	0	20,68	18,18	159,484	6538,844	745,38	20,68	159,484	18,18													
	380C1F2/38I20680	18180	159484	0	0	0	20,68	18,18	159,484	5183,23	590,85	20,68	159,484	18,18													
	380C1F3/38I20680	18180	159484	0	0	0	20,68	18,18	159,484	3827,616	436,32	20,68	159,484	18,18													
	150C1F1/15I5170	4545	39871	0	0	0	5,17	4,545	39,871	1634,711	214,78	5,17	39,871	4,545													
	150C1F2/15I5170	4545	39871	0	0	0	5,17	4,545	39,871	1295,808	176,1475	5,17	39,871	4,545													
	150C1F3/15I5170	4545	39871	0	0	0	5,17	4,545	39,871	956,904	137,515	5,17	39,871	4,545													
1a	Comp. gl	4958	6356	41414	0	0	0	4,958	6,356	41,414	683,331	115,0379	4,958	41,414	6,356	1a	20249,99	3207,796	75,952	631,96	96,939						
Wind, 10 dgr	GW / opgw	2375	3505	20875	0	0	0	2,375	3,505	20,875	1031,851	175,0572	2,375	20,875	3,505	Wind angle: 45 dgr											
Permanentlos	380C1F1/38I18280	23778	152859	0	0	0	18,28	23,778	152,859	6267,219	974,898	18,28	152,859	23,778													
Wind angle: 4	380C1F2/38I18298	23253	151948	0	0	0	18,298	23,253	151,948	4938,31	755,7225	18,298	151,948	23,253													
	380C1F3/38I18318	22631	150930	0	0	0	18,318	22,631	150,93	3622,32	543,144	18,318	150,93	22,631													
	150C1F1/15I4570	5945	38215	0	0	0	4,57	5,945	38,215	1566,815	268,88	4,57	38,215	5,945													
	150C1F2/15I4574	5813	37987	0	0	0	4,574	5,813	37,987	1234,578	214,0795	4,574	37,987	5,813													
	150C1F3/15I4579	5658	37732	0	0	0	4,579	5,658	37,732	905,568	160,9765	4,579	37,732	5,658													
1b	Comp. gl	5067	5739	45932	0	0	0	5,067	5,739	45,932	757,878	105,0809	5,067	45,932	5,739	1b	23038,13	2965,474	77,854	719,676	89,694						
Wind, -20 dgr	GW / opgw	2445	2916	22544	0	0	0	2,445	2,916	22,544	1114,35	145,9961	2,445	22,544	2,916	Wind angle: 45 dgr											
Permanentlos	380C1F1/38I18755	21759	173742	0	0	0	18,755	21,759	173,742	7123,422	892,119	18,755	173,742	21,759													
Wind angle: 4	380C1F2/38I18758	21619	173656	0	0	0	18,758	21,619	173,656	5643,82	702,6175	18,758	173,656	21,619													
	380C1F3/38I18761	21453	173562	0	0	0	18,761	21,453	173,562	4165,488	514,872	18,761	173,562	21,453													
	150C1F1/15I4689	5440	43435	0	0	0	4,689	5,44	43,435	1780,835	248,8295	4,689	43,435	5,44													
	150C1F2/15I4689	5405	43414	0	0	0	4,689	5,405	43,414	1410,955	201,452	4,689	43,414	5,405													
	150C1F3/15I4690	5363	43391	0	0	0	4,69	5,363	43,391	1041,384	154,507	4,69	43,391	5,363													
3	Comp. gl	8285	9921	64417	0	0	0	8,285	9,921	64,417	1062,881	180,6808	8,285	64,417	9,921	3	24610,46	3670,81	92,586	771,509	111,323						
Wind+ice, -5 c	GW / opgw	4031	5510	32739	0	0	0	4,031	5,51	32,739	1618,289	275,4229	4,031	32,739	5,51	Wind angle: 45 dgr											
Permanentlos	380C1F1/38I21391	26025	180420	0	0	0	21,391	26,025	180,42	7397,22	1067,025	21,391	180,42	26,025													
Wind angle: 4	380C1F2/38I21405	25598	179849	0	0	0	21,405	25,598	179,849	5845,093	831,935	21,405	179,849	25,598													
	380C1F3/38I21420	25091	179214	0	0	0	21,42	25,091	179,214	4301,136	602,184	21,42	179,214	25,091													
	150C1F1/15I5348	6506	45105	0	0	0	5,348	6,506	45,105	1849,305	296,16	5,348	45,105	6,506													
	150C1F2/15I5351	6399	44962	0	0	0	5,351	6,399	44,962	1461,265	237,398	5,351	44,962	6,399													
	150C1F3/15I5355	6273	44803	0	0	0	5,355	6,273	44,803	1075,272	180,0045	5,355	44,803	6,273													
4	Comp. gl	5002	5139	40669	0	0	0	5,002	5,139	40,669	671,0385	95,0476	5,002	40,669	5,139	4	19950,8	2612,318	76,66	623,546	78,74						
Construction+	GW / opgw	2410	2598	19751	0	0	0	2,41	2,598	19,751	976,2919	130,2507	2,41	19,751	2,598	Wind angle: 45 dgr											
Permanentlos	380C1F1/38I18464	19082	150254	0	0	0	18,464	19,082	150,254	6160,414	782,362	18,464	150,254	19,082													
Wind angle: 4	380C1F2/38I18466	18943	150170	0	0	0	18,466	18,943	150,17	4880,525	615,6475	18,466	150,17	18,943													
	380C1F3/38I18468	18777	150078	0	0	0	18,468	18,777	150,078	3601,872	450,648	18,468	150,078	18,777													
	150C1F1/15I4618	4771	37563	0	0	0	4,616	4,771	37,563	1540,083	220,999	4,616	37,563	4,771													
	150C1F2/15I4617	4736	37542	0	0	0	4,617	4,736	37,542	1220,115	179,3135	4,617	37,542	4,736													
	150C1F3/15I4617	4694	37519	0	0	0	4,617	4,694	37,519	900,456	138,0495	4,617	37,519	4,694													
1a	Comp. gl	4834	9851	49867	0	0	0	4,834	9,851	49,867	822,8055	172,4512	4,834	49,867	9,851	1a	24379,51	4933,762	74,066	757,063	149,757						
Wind, 10 dgr	GW / opgw	2295	6054	27943	0	0	0	2,295	6,054	27,943	1381,222	300,9934	2,295	27,943	6,054	Wind angle: 90 dgr											
Permanentlos	380C1F1/38I17795	37362	185712	0	0	0	17,795	37,362	185,712	7614,192	1531,842	17,795	185,712	37,362													
Wind angle: 9	380C1F2/38I17846	35792	181367	0	0	0	17,846	35,792	181,367	5894,428	1163,24	17,846	181,367	35,792													
	380C1F3/38I17909	33927	176323	0	0	0	17,909	33,927	176,323	4231,752	814,248	17,909	176,323	33,927													
	150C1F1/15I4449	9341	46428	0	0	0	4,449	9,341	46,428	1903,548	407,4505	4,449	46,428	9,341													
	150C1F2/15I4461	8948	45342	0	0	0	4,461	8,948	45,342	1473,615	315,3455	4,461	45,342	8,948													
	150C1F3/15I4477	8482	44081	0	0	0	4,477	8,482	44,081	1057,944	228,1915	4,477	44,081	8,482													
1b	Comp. gl	5043	6628	46909	0	0	0	5,043	6,628	46,909	773,9985	119,7002	5,043	46,909	6,628	1b	23518,74	3406,236	77,465	734,095	103,187						
Wind, -20 dgr	GW / opgw	2422	3562	23513	0	0	0	2,422	3,562	23,513	1162,248	177,9104	2,422	23,513	3,562	Wind angle: 90 dgr											
Permanentlos	380C1F1/38I18651	25221	177586	0	0	0	18,651	25,221	177,586	7281,026	1034,061	18,651	177,586	25,221													
Wind angle: 9	380C1F2/38I18666	24824	177001	0	0	0	18,666	24,824	177,001	5752,533	806,78	18,666	177,001	24,824													
	380C1F3/38I18683	24353	176351	0	0	0	18,683	24,353	176,351	4232,424	584,472	18,683	176,351	24,353													
	150C1F1/15I4663	6305	44397	0	0	0	4,663	6,305	44,397	1820,277	284,1515	4,663	44,397	6,305													
	150C1F2/15I4666	6206	44250	0	0	0	4,666	6,206	44,25	1438,125	227,358	4,666	44,25	6,206													
	150C1F3/15I4671	6088	44088	0	0	0	4,671	6,088	44,088	1058,112	171,8025	4,671	44,088	6,088													
3	Comp. g

Permaner	380C1F1	18379	22538	154029	0	0	0	18,379	22,538	154,029	6315,189	924,058	18,379	154,029	22,538														
Wind angl	380C1F2	18392	22142	153454	0	0	0	18,392	22,142	153,454	4987,255	719,615	18,392	153,454	22,142														
	380C1F3	18405	21673	152815	0	0	0	18,405	21,673	152,815	3667,56	520,152	18,405	152,815	21,673														
	150C1F1	4595	5634	38507	0	0	0	4,595	5,634	38,507	1578,787	256,2665	4,595	38,507	5,634														
	150C1F2	4598	5536	38364	0	0	0	4,598	5,536	38,364	1246,83	205,209	4,598	38,364	5,536														
	150C1F3	4601	5418	38204	0	0	0	4,601	5,418	38,204	916,896	155,3375	4,601	38,204	5,418														
1a	Comp. gl	4913	7599	43986	0	0	0	4,913	7,599	43,986	725,769	135,4552	4,913	43,986	7,599	1a	21514,33	3822,862	75,273	670,113	115,753								
Wind, 10	GW / opg	2342	4421	23176	0	0	0	2,342	4,421	23,176	1145,59	220,31	2,342	23,176	4,421	Wind angle: -45 dgr													
Permaner	380C1F1	18102	28621	162955	0	0	0	18,102	28,621	162,955	6681,155	1173,461	18,102	162,955	28,621														
Wind angl	380C1F2	18136	27717	160880	0	0	0	18,136	27,717	160,88	5228,6	900,8025	18,136	160,88	27,717														
	380C1F3	18176	26649	158526	0	0	0	18,176	26,649	158,526	3804,624	639,576	18,176	158,526	26,649														
	150C1F1	4526	7155	40739	0	0	0	4,526	7,155	40,739	1670,299	318,248	4,526	40,739	7,155														
	150C1F2	4534	6929	40220	0	0	0	4,534	6,929	40,22	1307,15	250,1295	4,534	40,22	6,929														
	150C1F3	4544	6662	39631	0	0	0	4,544	6,662	39,631	951,144	184,88	4,544	39,631	6,662														
1b	Comp. gl	5060	6061	46194	0	0	0	5,06	6,061	46,194	762,201	110,3795	5,06	46,194	6,061	1b	23167,43	3125,068	77,743	723,548	94,582								
Wind, -20	GW / opg	2438	3147	22812	0	0	0	2,438	3,147	22,812	1127,597	157,4091	2,438	22,812	3,147	Wind angle: -45 dgr													
Permaner	380C1F1	18725	23011	174777	0	0	0	18,725	23,011	174,777	7165,857	943,451	18,725	174,777	23,011														
Wind angl	380C1F2	18732	22781	174552	0	0	0	18,732	22,781	174,552	5672,94	740,3825	18,732	174,552	22,781														
	380C1F3	18739	22507	174305	0	0	0	18,739	22,507	174,305	4183,32	540,168	18,739	174,305	22,507														
	150C1F1	4681	5753	43694	0	0	0	4,681	5,753	43,694	1791,454	261,6185	4,681	43,694	5,753														
	150C1F2	4683	5695	43638	0	0	0	4,683	5,695	43,638	1418,235	210,844	4,683	43,638	5,695														
	150C1F3	4685	5627	43576	0	0	0	4,685	5,627	43,576	1045,824	160,8155	4,685	43,576	5,627														
3	Comp. gl	8219	11794	67714	0	0	0	8,219	11,794	67,714	1117,281	211,45	8,219	67,714	11,794	3	25523,42	4214,069	91,998	799,127	128,053								
Wind+ice,	GW / opg	3981	6881	35697	0	0	0	3,981	6,881	35,697	1764,503	343,1534	3,981	35,697	6,881	Wind angle: -45 dgr													
Permaner	380C1F1	21250	29941	186949	0	0	0	21,25	29,941	186,949	7664,909	1227,581	21,25	186,949	29,941														
Wind angl	380C1F2	21278	29212	185580	0	0	0	21,278	29,212	185,58	6031,35	949,39	21,278	185,58	29,212														
0	380C1F3	21311	28350	184044	0	0	0	21,311	28,35	184,044	4417,056	680,4	21,311	184,044	28,35														
	150C1F1	5312	7485	46737	0	0	0	5,312	7,485	46,737	1916,217	336,101	5,312	46,737	7,485														
	150C1F2	5319	7303	46395	0	0	0	5,319	7,303	46,395	1507,838	266,602	5,319	46,395	7,303														
	150C1F3	5328	7087	46011	0	0	0	5,328	7,087	46,011	1104,264	199,392	5,328	46,011	7,087														
4	Comp. gl	4996	5460	40924	0	0	0	4,996	5,46	40,924	675,246	100,3318	4,996	40,924	5,46	4	20077,39	2771,647	76,571	627,338	83,619								
Constructi	GW / opg	2405	2828	20010	0	0	0	2,405	2,828	20,01	989,0943	141,6158	2,405	20,01	2,828	Wind angle: -45 dgr													
Permaner	380C1F1	18440	20333	151269	0	0	0	18,44	20,333	151,269	6202,029	833,653	18,44	151,269	20,333														
Wind angl	380C1F2	18445	20103	151049	0	0	0	18,445	20,103	151,049	4909,093	653,3475	18,445	151,049	20,103														
	380C1F3	18451	19829	150806	0	0	0	18,451	19,829	150,806	3619,344	475,896	18,451	150,806	19,829														
	150C1F1	4610	5083	37817	0	0	0	4,61	5,083	37,817	1550,497	233,758	4,61	37,817	5,083														
	150C1F2	4611	5026	37762	0	0	0	4,611	5,026	37,762	1227,265	188,7055	4,611	37,762	5,026														
	150C1F3	4613	4957	37701	0	0	0	4,613	4,957	37,701	904,824	144,3395	4,613	37,701	4,957														
1a	Comp. gl	3769	3652	31563	0	0	0	3,769	3,652	31,563	520,7895	67,98445	3,769	31,563	3,652	1a	15502,69	1860,538	57,771	484,623	56,066								
Wind, 10	GW / opg	1817	1771	15207	0	0	0	1,817	1,771	15,207	751,682	88,92145	1,817	15,207	1,771	Wind angle: 0 dgr													
Permaner	380C1F1	13916	13520	116761	0	0	0	13,916	13,52	116,761	4787,201	554,32	13,916	116,761	13,52														
Wind angl	380C1F2	13916	13506	116761	0	0	0	13,916	13,506	116,761	3794,733	438,945	13,916	116,761	13,506														
	380C1F3	13916	13489	116761	0	0	0	13,916	13,489	116,761	2802,264	323,736	13,916	116,761	13,489														
	150C1F1	3479	3380	29190	0	0	0	3,479	3,38	29,19	1196,79	157,7145	3,479	29,19	3,38														
	150C1F2	3479	3376	29190	0	0	0	3,479	3,376	29,19	948,675	128,8545	3,479	29,19	3,376														
	150C1F3	3479	3372	29190	0	0	0	3,479	3,372	29,19	700,56	100,0625	3,479	29,19	3,372														
1b	Comp. gl	3843	4279	37396	0	0	0	3,843	4,279	37,396	617,034	78,48165	3,843	37,396	4,279	1b	18984,19	2240,359	59,144	593,014	67,851								
Wind, -20	GW / opg	1856	2096	18286	0	0	0	1,856	2,096	18,286	903,877	105,0158	1,856	18,286	2,096	Wind angle: 0 dgr													
Permaner	380C1F1	14252	16398	143288	0	0	0	14,252	16,398	143,288	5874,808	672,318	14,252	143,288	16,398														
Wind angl	380C1F2	14252	16394	143289	0	0	0	14,252	16,394	143,289	4656,893	532,805	14,252	143,289	16,394														
	380C1F3	14252	16389	143289	0	0	0	14,252	16,389	143,289	3438,936	393,336	14,252	143,289	16,389														
	150C1F1	3563	4100	35822	0	0	0	3,563	4,1	35,822	1468,702	187,6965	3,563	35,822	4,1														
	150C1F2	3563	4098	35822	0	0	0	3,563	4,098	35,822	1164,215	152,7815	3,563	35,822	4,098														
	150C1F3	3563	4097	35822	0	0	0	3,563	4,097	35,822	859,728	117,9245	3,563	35,822	4,097														
3	Comp. gl	7128	6390	55305	0	0	0	7,128	6,39	55,305	912,5325	120,0474	7,128	55,305	6,39	3	20304,46	2426,969	74,365	637,806	73,478								
Wind+ice,	GW / opg	3496	3161	27210	0	0	0	3,496	3,161	27,21	1344,99	158,9052	3,496	27,21	3,161	Wind angle: 0 dgr													
Permaner	380C1F1	16998	17060	148077	0	0	0	16,998	17,06	148,077	6071,157	699,46	16,998	148,077	17,06														
Wind angl	380C1F2	16998	17048	148078	0	0	0	16,998	17,048	148,078	4812,535	554,06	16,998	148,078	17,048														
	380C1F3	16998	17034	148078	0	0	0	16,998	17,034	148,078	3553,872	408,816	16,998	148,078	17,034														
	150C1F1	4249	4265	37019	0	0	0	4,249	4,265	37,019	1517,779	198,2345	4,249	37,019	4,265														
	150C1F2	4249	4262	37019	0	0	0	4,249	4,262	37,019	1203,118	161,8845	4,249	37,019	4,262														
	150C1F3	4249	4258	37020	0	0	0	4,249	4,258	37,02	888,48	125,5615	4,249	37,02	4,258														
4	Comp. gl	3779	3709	32388	0	0	0	3,779	3,709	32,388	534,402	68,94545	3,779	32,388	3,709	4	15982,9	1896,961	57,96	499,582	57,203								
Constructi	GW / opg	1822	1794	15635	0	0	0	1,822	1,794	15,635	772,8381	90,06214	1,822	15,635	1,794	Wind angle: 0 dgr													
Permaner	380C1F1	13962	13791	120415	0	0	0	13,962	13,791	120,415	4937,015	565,431	13,962	120,415	13,791														
Wind angl	380C1F2	13962	13787	120416	0	0	0	13,962	13,787	120,416	3913,52	448,0775	13,962	120,416	13,787														
	380C1F3	13962	13782	120416	0	0	0	13,962	13,782	120,416	2889,984	330,768	13,962	120,416	13,782														
	150C1F1	3491	3448	30104	0	0	0	3,491	3,448	30,104	1234,264	160,5685	3,491	30,104	3,448														
	150C1F2	3491	3447	30104	0	0	0	3,491	3,447	30,104	978,38	131,228	3,491	30,104	3,447														
	150C1F3	3491	3445	30104	0	0	0	3,491	3,445	30,104	722,496	101,8805	3,491	30,104	3,445														
6	Comp. gl	3769	3598	31565	0	0	0	3,769	3,598	31,565	520,8225	67,09345	3,769	31,565	3,598	6	15504,14	1833,892	57,774	484,668	55,249								
Permaner	GW / opg	1817	1734	15208	0	0	0	1,817	1,734	15,208	751,7314	87,09254	1,817	15,208	1,734	0														
Permaner	380C1F1	13917	13311	116772	0	0	0	13,917	13,311	116,772	4787,652	545,751	13,917	116,772	13,311														
	380C1F2	13917	13311	116772	0	0	0	13,917	13,311	116,772	3795,09	432,6075	13,917	116,772	13,311														
	380C1F3	13917	13311	116772	0	0	0	13,917	13,311	116,772	2802,528	319,464	13,917	116,772	13,311														
	150C1F1	3479	3328	29193	0	0	0	3,479	3,328	29,193	1196,913	155,5825	3,479	29,193	3,328														
	150C1F2	3479	3328	29193	0	0	0	3,479	3,328	29,193	948,7725	127,2945	3,479	29,193	3,328														
	150C1F3	3479	3328	29193	0	0	0	3,479	3,328	29,193	700,632	99,0065	3,479	29,193	3,328														
1a	Comp. gl	3721	5526	34140	0	0	0	3,721	5,526	34,14	563,31	98,80705	3,721	34,14	5,526	1a	16780,48	2790,281	57,026	523,053	84,517								
Wind, 10	GW / opg	1776	3137	17651	0	0	0	1,776	3,137	17,651	872,4889	156,4117	1,776	17,651	3,137	Wind angle: 45 dgr													
Permaner	380C1F1	13718	20828	126992	0	0	0	13,718	20,828	126,992	5206,672	853,948	13,718	126,992	20,828														
Wind angl	380C1F2	13740	20262	125724	0	0	0	13,74	20,262	125,724	4086,03	658,515	13,74	125,724	20,262														
	380C1F3	13765	19593	124294	0	0	0	13,765	19,593	124,294	2983,056	470,232	13,765	124,294	19,593														
	150C1F1	3430	5207	31748	0	0	0	3,43	5,207	31,748	1301,668	232,352	3,43	31,748	5,207														
	150C1F2	3435	5066	31431	0	0	0	3,435	5,066	31,431	1021,508	183,5375	3,435	31,431	5,066														
	150C1F3	3441	4898	31073	0	0	0	3,441	4,898	31,073	745,752	136,4775	3,441	31,073	4,898														
1b	Comp. gl	3836	4792	37632	0	0	0	3,836	4,792	37,632	620,928	86,9318	3,836	37,632	4,792	1b	19100,41	2494,795	59,031	596,486	75,647								
Wind, -20	GW / opg	1849	2459	18535	0	0	0	1,849	2,459	18,535	916,1851	122,9536	1,849	18,535	2,459	Wind angle: 45 dgr													
Permaner	380C1F1	14222	18393	144221	0	0	0	14,222	18,393	144,221	5913,061	754,113	14,222	144,221	18,393														
Wind angl	380C1F2	14226	18248	144090	0	0	0	14,226	18,248	144,09	4682,925	593,06	14,226	144,09	18,248														
	380C1F3	14230	18076	143945	0	0	0	14,23	18,076	143,945	3454,68	433,824	14,23	143,945	18,076														
	150C1F1	3555	4598	36055	0	0	0	3,555	4,598	36,055	1478,255	208,0705	3,555	36,055	4,598														
	150C1F2	3556	4562	36022	0	0	0	3,556	4,562	36,022	1170,715	167,823	3,556	36,022	4,562														
	150C1F3	3557	4519	35986	0	0	0	3,557	4,519	35,986	863,664	128,0195	3,557	35,986	4,519														
3	Comp. gl	7064	9199	58093	0	0	0	7,064	9,199	58,093	958,5345	166,2647	7,064	58,093	9,199	3	21135,85	3252,952	73,776	662,825	98,929								
Wind+ice,	GW / opg	3440	5185	29886	0	0	0	3,44	5,185	29,886	1477,265	258,909	3,44	29,886	5,185	Wind angle: 45 dgr													
Permaner	380C1F1	16855	23024	154103	0	0	0	16,855	23,024	154,103	6318,223	943,984	16,855	154,103	23,024														
Wind angl	380C1F2	16871	22573	153322	0	0	0	16,871	22,573	153,322	4982,965	733,6225	16,871	153,322	22,573														
	380C1F3	16891	22039	152451	0	0	0	16,891	22,039	152,451	3658,824	528,936	16,891	152,451	22,039														
	150C1F1	4214	5756	38526	0	0	0	4,214	5,756	38,526	1579,566	259,173	4,214	38,526	5,756														
	150C1F2	4218	5643	38331	0	0	0	4,218	5,643	38,331	1245,758	206,5965	4,218	38,331	5,643														
	150C1F3	4223	5510	38113	0	0	0	4,223	5,51	38,113	914,712	155,4665	4,223	38,113	5,51														
4	Comp. gl	3774	4221	32614	0	0	0	3,774	4,221	32,614	538,131	77,3832	3,774	32,614	4,221	4	16095,49	2151,161	57,874	502,945	64,991								
Constructi	GW / opg	1817	2156	15874	0	0	0	1,817	2,156	15,874	784,6518	107,952	1,817	15,874	2,156	Wind angle: 45 dgr													
Permaner	380C1F1	13939	15784	121321	0	0	0	13,939	15,784	121,321	4974,161	647,144	13,939	121,321	15,784														
Wind angl	380C1F2	13942	15639	121193	0	0	0	13,942	15,639	121,193	3938,773	508,2675	13,942	121,193	15,639														
	380C1F3	13945	15468	121052	0	0	0	13,945	15,468	121,052	2905,248	371,232	13,945	121,052	15,468														
	150C1F1	3485	3946	30330	0	0	0	3,485	3,946	30,33	1243,53	180,9535	3,485	30,33	3,946														
	150C1F2	3486	3910	30298	0	0	0	3,486	3,91	30,298	984,685	146,248	3,486	30,298	3,91														
	150C1F3	3486	3867	30263	0	0	0	3,486	3,867	30,263	726,312	111,981	3,486	30,263	3,867														
1a	Comp. gl	3594	9286	44917	0	0	0	3,594	9,286	44,917	741,1305	160,5867	3,594	44,917	9,286	1a	22033,34	4644,113	55,092	682,754	141,275								
Wind, 10	GW / opg	1704	5847	26130	0	0	0	1,704	5,847	26,13	1291,606	290,3123	1,704	26,13	5,847	Wind angle: 90 dgr													
Permaner	380C1F1	13230	35411	168621	0	0	0	13,23	35,411	168,621	6913,461	1451,851	13,23	168,621	35,411														
Wind angl	380C1F2	13274	33745	163430	0	0	0	13,274	33,745	163,43	5311,475	1096,713	13,274	163,43	33,745														
	380C1F3	13330	31758	157314	0	0	0	13,33	31,758	157,314	3775,536	762,192	13,33	157,314	31,758														
	150C1F1	3308	8853	42155	0	0	0	3,308	8,853	42,155	1728,355	381,167	3,308	42,155	8,853														
	150C1F2	3319	8436	40858	0	0	0	3,319	8,436	40,858	1327,885	292,4245	3,319	40,858	8,436														
	150C1F3	3333	7939	39329	0	0	0	3,333	7,939	39,329	943,896	208,8675	3,333	39,329	7,939														
1b	Comp. gl	3802	5734	39070	0	0	0	3,802	5,734	39,07	644,655	102,4051	3,802	39,07	5,734	1b	19807,49	2961,152	58,489	617,736	89,918								
Wind, -20	GW / opg	1820	3152	19921	0	0	0	1,82	3,152	19,921	984,695	157,1866	1,82	19,921	3,152	Wind angle: 90 dgr													
Permaner	380C1F1	14077	22060	149873	0	0	0	14,077	22,06	149,873	6144,793	904,46	14,077	149,873	22,06														
Wind angl	380C1F2	14097	21634	149032	0	0	0	14,097	21,634	149,032	4843,54	703,105	14,097	149,032	21,634														
	380C1F3	14120	21131	148091	0	0	0	14,12	21,131	148,091	3554,184	507,144	14,12	148,091	21,131														
	150C1F1	3519	5515	37468	0	0	0	3,519	5,515	37,468	1536,188	245,4695	3,519	37,468	5,515														
	150C1F2	3524	5409	37258	0	0	0	3,524	5,409	37,258	1210,885	195,1745	3,524	37,258	5,409														
	150C1F3	3530	5283	37023	0	0	0	3,53	5,283	37,023	888,552	146,207	3,53	37,023	5,283														
3	Comp. gl	6869	14643	70832	0	0	0	6,869	14,643	70,832	1168,728	255,691	6,869	70,832	14,643	3	25014,5	4864,937	71,814	780,903	148,582								
Wind+ice,	GW / opg	3318	9119	40232	0	0	0	3,318	9,119	40,232	1988,668	453,2739	3,318	40,232	9,119	Wind angle: 90 dgr													
Permaner	380C1F1	16379	34727	182634	0	0	0	16,379	34,727	182,634	7487,994	1423,807	16,379	182,634	34,727														
Wind angl	380C1F2	16430	33370	178824	0	0	0	16,43	33,37	178,824	5811,78	1084,525	16,43	178,824	33,37														
	380C1F3	16493	31759	174414	0	0	0	16,493	31,759	174,414	4185,936	762,216	16,493	174,414	31,759														
	150C1F1	4095	8682	45658	0	0	0	4,095	8,682	45,658	1871,978	378,4845	4,095	45,658	8,682														
	150C1F2	4107	8342	44706	0	0	0	4,107	8,342	44,706	1452,945	293,7035	4,107	44,706	8,342														
	150C1F3	4123	7940	43603	0	0	0	4,123	7,94	43,603	1046,472	213,2365	4,123	43,603	7,94														
4	Comp. gl	3747	5157	34001	0	0	0	3,747	5,157	34,001	561,0165	92,77185	3,747	34,001	5,157	4	16784,15	2615,662	57,451	523,642	79,202								
Constructi	GW / opg	1793	2843	17207	0	0	0	1,793	2,843	17,207	850,542	141,8922	1,793	17,207	2,843	Wind angle: 90 dgr													
Permaner	380C1F1	13826	19437	126836	0	0	0	13,826	19,437	126,836	5200,276	796,917	13,826	126,836	19,437														
Wind angl	380C1F2	13842	19013	126015	0	0	0	13,842	19,013	126,015	4095,488	617,9225	13,842	126,015	19,013														
	380C1F3	13860	18512	125096	0	0	0	13,86	18,512	125,096	3002,304	444,288	13,86	125,096	18,512														
	150C1F1	3457	4859	31709	0	0	0	3,457	4,859	31,709	1300,069	218,2325	3,457	31,709	4,859														
	150C1F2	3461	4753	31504	0	0	0	3,461	4,753	31,504	1023,88	173,508	3,461	31,504	4,753														
	150C1F3	3465	4628	31274	0	0	0	3,465	4,628	31,274	750,576	130,1295	3,465	31,274	4,628														
1a	Comp. gl	3670	6870	37598	0	0	0	3,67	6,87	37,598	620,367	120,8785	3,67	37,598	6,87	1a	18476,55	3454,442	56,254	574,401	104,835								
Wind, 10	GW / opg	1743	4124	20570	0	0	0	1,743	4,124	20,57	1016,775	205,174	1,743	20,57	4,124	Wind angle: -45 dgr													
Permaner	380C1F1	13519	26059	140505	0	0	0	13,519	26,059	140,505	5760,705	1068,419	13,519	140,505	26,059														
Wind angl	380C1F2	13555	25084	137797	0	0	0	13,555	25,084	137,797	4478,403	815,23	13,555	137,797	25,084														
	380C1F3	13598	23930	134685	0	0	0	13,598	23,93	134,685	3232,44	574,32	13,598	134,685	23

	150C1F2	3547	4866	36361	0	0	0	3,547	4,866	36,361	1181,733	177,6535	3,547	36,361	4,866							
	150C1F3	3550	4794	36269	0	0	0	3,55	4,794	36,269	870,456	134,581	3,55	36,269	4,794							
3	Comp. gl	6991	11147	62044	0	0	0	6,991	11,147	62,044	1023,726	198,2571	6,991	62,044	11,147	3	22323,81	3827,31	73,073	698,824	116,612	
Wind+ice,	GW / opp.	3387	6609	33320	0	0	0	3,387	6,609	33,32	1647,008	329,257	3,387	33,32	6,609	Wind angle: -45 dgr						
Permaner	380C1F1	16684	27186	162795	0	0	0	16,684	27,186	162,795	6674,595	1114,626	16,684	162,795	27,186							
Wind angl	380C1F2	16717	26409	161002	0	0	0	16,717	26,409	161,002	5232,565	858,2925	16,717	161,002	26,409							
0	380C1F3	16755	25490	158971	0	0	0	16,755	25,49	158,971	3815,304	611,76	16,755	158,971	25,49							
	150C1F1	4171	6796	40699	0	0	0	4,171	6,796	40,699	1668,659	301,5765	4,171	40,699	6,796							
	150C1F2	4179	6602	40250	0	0	0	4,179	6,602	40,25	1308,125	237,5495	4,179	40,25	6,602							
	150C1F3	4189	6373	39743	0	0	0	4,189	6,373	39,743	953,832	175,9915	4,189	39,743	6,373							
4	Comp. gl	3766	4556	32994	0	0	0	3,766	4,556	32,994	544,401	82,8943	3,766	32,994	4,556	4	16284,91	2317,67	57,751	508,627	70,087	
Constructi	GW / opp.	1810	2400	16251	0	0	0	1,81	2,4	16,251	803,2869	120,0076	1,81	16,251	2,4	Wind angle: -45 dgr						
Permaner	380C1F1	13906	17092	122840	0	0	0	13,906	17,092	122,84	5036,44	700,772	13,906	122,84	17,092							
Wind angl	380C1F2	13913	16850	122514	0	0	0	13,913	16,85	122,514	3981,705	547,625	13,913	122,514	16,85							
	380C1F3	13921	16563	122152	0	0	0	13,921	16,563	122,152	2931,648	397,512	13,921	122,152	16,563							
	150C1F1	3477	4273	30710	0	0	0	3,477	4,273	30,71	1259,11	194,3165	3,477	30,71	4,273							
	150C1F2	3478	4212	30628	0	0	0	3,478	4,212	30,628	995,41	156,019	3,478	30,628	4,212							
	150C1F3	3480	4141	30538	0	0	0	3,48	4,141	30,538	732,912	118,524	3,48	30,538	4,141							

W4H400Z 26-AL2

Hoogte mast	Ber & bijlage	63	m
Hoogte onderste stroomdraad (F3)		37	m
	Hoogte		Excentriciteit ophanging t.o.v. hart mast
Bliksemdraad = GW / $C_{H_{mast}}$ =	0,57	62,43	m 0,76 m
1e traverse - 380C1F1 F2 =	8,5	54	m 0 m
1e traverse - 150C1F1		54	5,5 m
2e traverse - 380C1F2 F3 =	8,5	45,5	m 0 m
2e traverse - 150C1F2 F3 =		45,5	m 5,5 m
3e traverse - 380C1F3		37	m 0 m
3e traverse - 150C1F3		37	5,5 m
Passieve lijn = Comp C. F3 =	7,5	29,5	m 2,119 m

Uit mast			Uit lijnen					
ULS (incl bel factoren)			SLS					
N	V	M	Nmin	Nmax	Vmax	Mlangs;ma	Mdwars;max	
[kN]	[kN]	[kNm]	[kN]	[kN]	[kN]	[kNm]	[kNm]	
967	131	3839						
967	131	3839	90	166	316	7601	14413	

			Belastingen uit lijnen					Belasting uit mast		
				M_{langs}	M_{dwars}	N	V_{langs}	V_{dwars}	N	V	M
SLS	0 deg	1a		4324	5070	92	95	111	806	87	2559
		1b		5353	6013	90	118	132	806	87	2559
			3	6518	8203	164	143	180	806	87	2559
			4	1904	5435	97	41	119	806	87	2559
	45 deg	1a		1408	9234	96	31	202	806	87	2559
		1b		5191	6703	90	114	147	806	87	2559
			3	5829	10379	165	128	228	806	87	2559
			4	1801	6118	97	38	134	806	87	2559
	90 deg	1a		5141	14413	97	111	316	806	87	2559
		1b		5360	7501	90	118	165	806	87	2559
			3	6574	12944	166	144	285	806	87	2559
			4	2046	6904	97	44	151	806	87	2559
	-45 deg	1a		7601	9405	92	166	206	806	87	2559
		1b		5510	6733	90	121	148	806	87	2559
			3	7209	10463	164	158	230	806	87	2559
			4	2079	6152	97	44	135	806	87	2559

			Totaal													
regel		Loadcase	M_{langs}	M_{dwars}	N	V_{langs}	V_{dwars}	Totaal moment	M langs max	M dwars max	N max	V langs max	V dwars max	M tot max	N min	
1	Perm load 1,2	0 deg	1a	6883	7629	897	182	198	10275,43	1						
2	Perm load 1,2	0 deg	1b	7912	8572	896	205	219	11665,41	2					x	
3	Perm load 1,2	0 deg	3	9077	10762	969	231	268	14079,14	3						
4	Perm load 1,2	0 deg	4	4463	7995	903	128	207	9156,068	4						
5										5						
6	Perm load 1,2	45 deg	1a	3967	11793	902	118	290	12442,64	6						
7	Perm load 1,2	45 deg	1b	7751	9262	896	201	234	12077,4	7						
8	Perm load 1,2	45 deg	3	8388	12938	971	215	316	15419,38	8						
9	Perm load 1,2	45 deg	4	4360	8678	903	126	222	9711,551	9						
10										10						
11	Perm load 1,2	90 deg	1a	7700	16972	902	198	403	18637,5	11	x		x	x		
12	Perm load 1,2	90 deg	1b	7919	10060	896	205	252	12803,12	12						
13	Perm load 1,2	90 deg	3	9134	15504	972	231	372	17994,02	13		x				
14	Perm load 1,2	90 deg	4	Construct	4606	9464	903	131	239	10525,05	14					
15										15						
16	Perm load 1,2	-45 deg	1a	9410	11965	898	253	293	15221,85	16	x			x		
17	Perm load 1,2	-45 deg	1b	7320	9292	896	208	235	11829,16	17						
18	Perm load 1,2	-45 deg	3	9019	13023	970	245	318	15840,58	18						
19	Perm load 1,2	-45 deg	4	3889	8712	903	132	222	9540,256	19						
				9410	16972	972	253	403	18638							
						896										

samenvatting								
Mast	Bijlage	Wind	Loadcase	M_{langs}	M_{dwars}	N	V_{langs}	V_{dwars}
2	W4H400ZA 26-AL2	Perm load :0 deg	1b	7912	8572	896	205	219
11	W4H400ZA 26-AL2	Perm load :90 deg	1a	7700	16972	902	198	403
13	W4H400ZA 26-AL2	Perm load :90 deg	3	9134	15504	972	231	372
16	W4H400ZA 26-AL2	Perm load :-45 deg	1a	9410	11965	898	253	293
6	W4H400ZA 26-AL2	#N/B	#N/B	#N/B	#N/B	#N/B	#N/B	#N/B
7	W4H400ZA 26-AL2	#N/B	#N/B	#N/B	#N/B	#N/B	#N/B	#N/B

W4H400Z+10 TOWE APPENDIX: AL2

Loadcases for tower strength (serviceability\limit state)

Loadcase according to 50341-3-15

		AHEAD			BACK		Totaal			Belastingen op mastvoet, per lijn					Belasting op mastvoet, belastinggeval					
	Attachmer	[N]	[N]	[N]	[N]	[N]	Vert [kN]	Dwars [kN]	Langs [kN]	M_{langs}	M_{dwars}	N	V_{langs}	V_{dwars}		M_{langs}	M_{dwars}	N	V_{langs}	V_{dwars}
1a	Comp. gl	4178	3982	34328	2006	3988	-34329	6,184	7,97	-0,001	-0,0295	248,2189	6,184	-0,001	7,97	1a 4323,955	5069,879	91,546	95,032	111,035
Wind, 10 c	GW / opgv	2014	1934	16551	1162	1933	-16552	3,176	3,867	-0,001	-0,06243	243,8306	3,176	-0,001	3,867	Wind angle: 0 dgr				
Permanen	380C1F1 / 1	5425	14715	126723	7582	14712	-126726	23,007	29,427	-0,003	-0,162	1589,058	23,007	-0,003	29,427					
Wind angl	380C1F2 / 1	5425	14697	126722	8114	14697	-126725	23,539	29,394	-0,003	-0,1365	1337,427	23,539	-0,003	29,394					
	380C1F3 / 1	5425	14675	126722	8647	14680	-126725	24,072	29,355	-0,003	-0,111	1086,135	24,072	-0,003	29,355					
	150C1F1 / 3	856	3679	31681	0	0	0	3,856	3,679	31,681	1710,774	219,874	3,856	31,681	3,679					
	150C1F2 / 3	856	3674	31681	0	0	0	3,856	3,674	31,681	1441,486	188,375	3,856	31,681	3,674					
	150C1F3 / 3	856	3669	31681	0	0	0	3,856	3,669	31,681	1172,197	156,961	3,856	31,681	3,669					
1b	Comp. gl	4254	4606	40283	1761	4588	-40116	6,015	9,194	0,167	4,9265	283,9688	6,015	0,167	9,194	1b 5352,746	6012,761	89,727	117,668	131,943
Wind, -20	GW / opgv	2054	2255	19696	1069	2244	-19606	3,123	4,499	0,09	5,6187	283,2461	3,123	0,09	4,499	Wind angle: 0 dgr				
Permanen	380C1F1 / 1	5764	17560	153574	6516	17475	-152831	22,28	35,035	0,743	40,122	1891,89	22,28	0,743	35,035					
Wind angl	380C1F2 / 1	5764	17556	153574	7158	17472	-152831	22,922	35,028	0,743	33,8065	1593,774	22,922	0,743	35,028					
	380C1F3 / 1	5764	17552	153575	7800	17468	-152832	23,564	35,02	0,743	27,491	1295,74	23,564	0,743	35,02					
	150C1F1 / 3	941	4390	38394	0	0	0	3,941	4,39	38,394	2073,276	258,7355	3,941	38,394	4,39					
	150C1F2 / 3	941	4389	38394	0	0	0	3,941	4,389	38,394	1746,927	221,375	3,941	38,394	4,389					
	150C1F3 / 3	941	4388	38394	0	0	0	3,941	4,388	38,394	1420,578	184,0315	3,941	38,394	4,388					
3	Comp. gl	14006	10444	91000	7996	10496	-91411	22,002	20,94	-0,411	-12,1245	664,3522	22,002	-0,411	20,94	3 6517,821	8202,978	163,589	143,18	180,357
Wind+ice,	GW / opgv	6923	5189	45088	4481	5210	-45291	11,404	10,399	-0,203	-12,6733	657,8766	11,404	-0,203	10,399	Wind angle: 0 dgr				
Permanen	380C1F1 / 2	4251	22079	192372	12271	22096	-192534	36,522	44,175	-0,162	-8,748	2385,45	36,522	-0,162	44,175					
Wind angl	380C1F2 / 2	4251	22069	192373	13080	22088	-192535	37,331	44,157	-0,162	-7,371	2009,144	37,331	-0,162	44,157					
	380C1F3 / 2	4251	22057	192374	13890	22078	-192535	38,141	44,135	-0,161	-5,957	1632,995	38,141	-0,161	44,135					
	150C1F1 / 6	063	5520	48093	0	0	0	6,063	5,52	48,093	2597,022	331,4265	6,063	48,093	5,52					
	150C1F2 / 6	063	5517	48093	0	0	0	6,063	5,517	48,093	2188,232	284,37	6,063	48,093	5,517					
	150C1F3 / 6	063	5514	48093	0	0	0	6,063	5,514	48,093	1779,441	237,3645	6,063	48,093	5,514					
4	Comp. gl	4189	4024	35180	2647	4904	-42888	6,836	8,928	-7,708	-227,386	277,8615	6,836	-7,708	8,928	4 1903,697	5435,348	96,68	40,574	119,201
Constructi	GW / opgv	2020	1947	16994	1531	2389	-20878	3,551	4,336	-3,884	-242,478	273,3952	3,551	-3,884	4,336	Wind angle: 0 dgr				
Permanen	380C1F1 / 1	5472	14926	130471	8812	16662	-145700	24,284	31,588	-15,229	-822,366	1705,752	24,284	-15,229	31,588					
Wind angl	380C1F2 / 1	5472	14923	130471	9424	16659	-145700	24,896	31,582	-15,229	-692,92	1436,981	24,896	-15,229	31,582					
	380C1F3 / 1	5472	14919	130471	10037	16655	-145701	25,509	31,574	-15,23	-563,51	1168,238	25,509	-15,23	31,574					
	150C1F1 / 3	868	3732	32618	0	0	0	3,868	3,732	32,618	1761,372	222,802	3,868	32,618	3,732					
	150C1F2 / 3	868	3731	32618	0	0	0	3,868	3,731	32,618	1484,119	191,0345	3,868	32,618	3,731					
	150C1F3 / 3	868	3730	32618	0	0	0	3,868	3,73	32,618	1206,866	159,284	3,868	32,618	3,73					
1a	Comp. gl	4111	6425	37975	2517	8703	-45139	6,628	15,128	-7,164	-211,338	460,3207	6,628	-7,164	15,128	1a 1408,166	9233,808	95,734	30,554	202,462
Wind, 10 c	GW / opgv	1960	3717	19948	1392	4992	-24398	3,352	8,709	-4,45	-277,814	546,2504	3,352	-4,45	8,709	Wind angle: 45 dgr				
Permanen	380C1F1 / 1	5152	24234	141140	9362	31377	-163587	24,514	55,611	-22,447	-1212,14	3002,994	24,514	-22,447	55,611					
Wind angl	380C1F2 / 1	5181	23494	139391	9605	30293	-160256	24,786	53,787	-20,865	-949,358	2447,309	24,786	-20,865	53,787					
	380C1F3 / 1	5214	22619	137408	9853	29022	-156413	25,067	51,641	-19,005	-703,185	1910,717	25,067	-19,005	51,641					
	150C1F1 / 3	788	6058	35285	0	0	0	3,788	6,058	35,285	1905,39	347,966	3,788	35,285	6,058					
	150C1F2 / 3	795	5873	34848	0	0	0	3,795	5,873	34,848	1585,584	288,094	3,795	34,848	5,873					
	150C1F3 / 3	804	5655	34352	0	0	0	3,804	5,655	34,352	1271,024	230,157	3,804	34,352	5,655					
1b	Comp. gl	4249	5026	40414	1805	5342	-40629	6,054	10,368	-0,215	-6,3425	318,6844	6,054	-0,215	10,368	1b 5191,368	6702,967	90,11	114,132	147,113
Wind, -20	GW / opgv	2050	2550	19839	1094	2725	-20033	3,144	5,275	-0,194	-12,1114	331,7077	3,144	-0,194	5,275	Wind angle: 45 dgr				
Permanen	380C1F1 / 1	5746	19193	154091	6674	20160	-154537	22,42	39,353	-0,446	-24,084	2125,062	22,42	-0,446	39,353					
Wind angl	380C1F2 / 1	5748	19076	154014	7285	19997	-154342	23,033	39,073	-0,328	-14,924	1777,822	23,033	-0,328	39,073					
	380C1F3 / 1	5750	18937	153930	7898	19806	-154125	23,648	38,743	-0,195	-7,215	1433,491	23,648	-0,195	38,743					
	150C1F1 / 3	936	4798	38523	0	0	0	3,936	4,798	38,523	2080,242	280,74	3,936	38,523	4,798					
	150C1F2 / 3	937	4769	38504	0	0	0	3,937	4,769	38,504	1751,932	238,643	3,937	38,504	4,769					
	150C1F3 / 3	938	4734	38483	0	0	0	3,938	4,734	38,483	1423,871	196,817	3,938	38,483	4,734					
3	Comp. gl	13986	12598	91653	8213	14359	-93964	22,199	26,957	-2,311	-68,1745	842,2712	22,199	-2,311	26,957	3 5828,672	10378,93	165,044	128,022	228,452
Wind+ice,	GW / opgv	6904	6701	45777	4599	7667	-47331	11,503	14,368	-1,554	-97,0162	905,7365	11,503	-1,554	14,368	Wind angle: 45 dgr				
Permanen	380C1F1 / 2	4184	26753	194782	12837	29899	-199919	37,021	56,652	-5,137	-277,398	3059,208	37,021	-5,137	56,652					
Wind angl	380C1F2 / 2	4192	26413	194447	13538	29414	-199113	37,73	55,827	-4,666	-212,303	2540,129	37,73	-4,666	55,827					
	380C1F3 / 2	4202	26009	194078	14245	28846	-198215	38,447	54,855	-4,137	-153,069	2029,635	38,447	-4,137	54,855					
	150C1F1 / 6	046	6688	48696	0	0	0	6,046	6,688	48,696	2629,584	394,405	6,046	48,696	6,688					
	150C1F2 / 6	048	6603	48612	0	0	0	6,048	6,603	48,612	2211,846	333,7005	6,048	48,612	6,603					
	150C1F3 / 6	050	6502	48519	0	0	0	6,05	6,502	48,519	1795,203	273,849	6,05	48,519	6,502					
4	Comp. gl	4186	4444	35305	2674	5638	-43223	6,86	10,082	-7,918	-233,581	311,9553	6,86	-7,918	10,082	4 1800,696	6118,476	96,927	38,315	134,217
Constructi	GW / opgv	2017	2241	17130	1547	2854	-21159	3,564	5,095	-4,029	-251,53	320,7895	3,564	-4,029	5,095	Wind angle: 45 dgr				
Permanen	380C1F1 / 1	5458	16558	130973	8918	19305	-147026	24,376	35,863	-16,053	-866,862	1936,602	24,376	-16,053	35,863					
Wind angl	380C1F2 / 1	5460	16442	130898	9509	19146	-146871	24,969	35,588	-15,973	-726,772	1619,254	24,969	-15,973	35,588					
	380C1F3 / 1	5462	16303	130816	10102	18960	-146699	25,564	35,263	-15,883	-587,671	1304,731	25,564	-15,883	35,263					
	150C1F1 / 3	864	4140	32743	0	0	0	3,864	4,14	32,743	1768,122	244,812	3,864	32,743	4,14					
	150C1F2 / 3	865	4110	32724	0	0	0	3,865	4,11	32,724	1488,942	208,2625	3,865	32,724	4,11					
	150C1F3 / 3	865	4076	32704	0	0	0	3,865	4,076	32,704	1210,048	172,0695	3,865	32,704	4,076					
1a	Comp. gl	3961	11289	52170	2806	12193	-56655	6,767	23,482	-4,485	-132,308	707,0583	6,767	-4,485	23,482	1a 5140,916	14413,08	96,596	110,862	316,149
Wind, 10 c	GW / opgv	1880	7187	30780	1488	7192	-31820	3,368	14,379	-1,04	-64,9272	900,2407	3,368	-1,04	14,379	Wind angle: 90 dgr				
Permanen	380C1F1 / 1	4580	43060	195618	10399	43697	-203305	24,979	86,757	-7,687	-415,098	4684,878	24,979	-7,687	86,757					
Wind angl	380C1F2 / 1	4627	40932	189037	10531	41881	-197340	25,158	82,813	-8,303	-377,787	3767,992	25,158	-8,303	82,813					
	380C1F3 / 1	4689	38387	181226	10661	39736	-190319	25,35	78,123	-9,093	-336,441	2890,551	25,35	-9,093	78,123					
	150C1F1 / 3	645	10765	48905	0	0	0	3,645	10,765	48,905	2640,87	601,3575	3,645	48,905	10,765					
	150C1F2 / 3	657	10233	47259	0	0	0	3,657	10,233	47,259	2150,285	485,715	3,657	47,259	10,233					
	150C1F3 / 3	672	9597	45306	0	0	0	3,672	9,597	45,306	1676,322	375,285	3,672	45,306	9,597					
1b	Comp. gl	4228	5773	41283	1870	5876	-41494	6,098	11,649	-0,211	-6,2245	356,5672	6,098	-0,211	11,649	1b 5360,045	7500,648	90,433	117,68	164,608
Wind, -20	GW / opgv	2030	3094	20700	1129	3074	-20723	3,159	6,168	-0,023	-1,4589	387,4691	3,159	-0,023	6,168	Wind angle: 90 dgr				
Permanen	380C1F1 / 1	5653	22102	157513	6907	22046	-157435	22,56	44,148	0,078	4,212	2383,992	22,56	0,078	44,148					
Wind angl	380C1F2 / 1	5666	21768	156993	7474	21762	-156931	23,14	43,53	0,062	2,821	1980,615	23,14	0,062	43,53					
	380C1F3 / 1	5681	21372	156415	8045	21430	-156371	23,726	42,802	0,044	1,628	1583,674	23,726	0,044	42,802					
	150C1F1 / 3	913	5526	39378	0	0	0	3,913	5,526	39,378	2126,412	319,9255	3,913	39,378	5,526					
	150C1F2 / 3	917	5442	39248	0	0	0	3,917	5,442	39,248	1785,784	269,1545	3,917	39,248	5,442					
	150C1F3 / 3	920	5343	39104	0	0	0	3,92	5,343	39,104	1446,848	219,251	3,92	39,104	5,343					
3	Comp. gl	13888	16409	95890	8503	17063	-98105	22,391	33,472	-2,215	-65,3425	1034,871	22,391	-2,215	33,472	3 6574,434	12944,18	166,09	143,742	284,979
Wind+ice,	GW / opgv	6822	9449	49740	4743	9414	-50458	11,565	18,863	-0,718	-44,8247	1186,406	11,565	-0,718	18,863	Wind angle: 90 dgr				
Permanen	380C1F1 / 2	3885	35381	208677	13559	35549	-211327	37,444	70,93	-2,65	-143,1	3830,22	37,444	-2,65	70,93					
Wind angl	380C1F2 / 2	3924	34381	206660	14134	34696	-209407	38,058	69,077	-2,747	-124,989	3143,004	38,058	-2,747	69,077					
	380C1F3 / 2	3970	33198	204382	14718	33699	-207239	38,688	66,897	-2,857	-105,709	2475,189	38,688	-2,857	66,897					
	150C1F1 / 5	971	8845	52169	0	0	0	5,971	8,845	52,169	2817,126	510,4705	5,971	52,169	8,845					
	150C1F2 / 5	981	8595	51665	0	0	0	5,981	8,595	51,665	2350,758	423,968	5,981	51,665	8,595					
	150C1F3 / 5	992	8300	51095	0	0	0	5,992	8,3	51,095	1890,515	340,056	5,992	51,095	8,3					
4	Comp. gl	4168	5188	36145	2716	6142	-43822	6,884	11,33	-7,677	-226,472	348,8222	6,884	-7,677	11,33	4 2046,413	6904,481	97,108	43,555	151,456
Constructi	GW / opgv	2001	2782	17960	1570	3179	-21638	3,571	5,961	-3,678	-229,618	374,8592	3,571	-3,678	5,961	Wind angle: 90 dgr				
Permanen	380C1F1 / 1	5385	19460	134318	9078	21128	-149358	24,463	40,588	-15,04	-812,16	2191,752	24,463	-15,04	40,588					
Wind angl	380C1F2 / 1	5395	19127	133810	9639	20854	-148950	25,034	39,981	-15,14	-688,87	1819,136	25,034	-15,14	39,981					
	380C1F3 / 1	5407	18732	133244	10202	20534	-148497	25,609	39,266	-15,253	-564,361	1452,842	25,609	-15,253	39,266					
	150C1F1 / 3	846	4865	33580	0	0	0	3,846	4,865	33,58	1813,32	283,863	3,846	33,58	4,865					
	150C1F2 / 3	849	4782	33452	0	0	0	3,849	4,782	33,452	1522,066	238,7505	3,849	33,452	4,782					
	150C1F3 / 3	852	4683	33311	0	0	0	3,852	4,683	33,311	1232,507	194,457	3,852	33,311	4,683					
1a	Comp. gl	4048	8177	42664	2282	6718	-39198	6,33	14,895	3,466	102,247	452,8158	6,33	3,466	14,895	1a 7600,663	9405,167	92,307	165,809	206,1
Wind, 10 c	GW / opgv	1921	4993	23785	1299	3710	-20277	3,22	8,703	3,508	219,0044	545,7755	3,22	3,508	8,703	Wind angle: -45 dgr				
Permanen	380C1F1 / 1	4904	24379	159350	8534	24379	-143241	23,438	55,422	16,109	869,886	2992,788	23,438	16,109	55,422					
Wind angl	380C1F2 / 1	4947	29778	155755	8896	23745	-141586	23,843	53,523	14,169	644,6895	2435,297	23,843	14,169	53,523					
	380C1F3 / 1	5000	28278	151593	9263	23005	-139711	24,263	51,283	11,882	439,634	1897,471	24,263	11,882	51,283					
	150C1F1 / 3	726	7761	39838	0	0	0	3,726	7,761	39,838	2151,252	439,587	3,726	39,838	7,761					
	150C1F2 / 3	737	7444	38939	0	0	0	3,737	7,444	38,939	1771,725	359,2555	3,737	38,939	7,444					
	150C1F3 / 3	750	7069	37898	0	0	0	3,75	7,069	37,898	1402,226	282,178	3,75	37,898	7,069					
1b	Comp. gl	4243	5296	40648	1779	5044	-40305	6,022	10,34	0,343	10,1185	317,7906	6,022	0,343	10,34	1b 5510,257	6732,969	89,744	121,042	147,753
Wind, -20	GW / opgv	2044	2744	20077	1079	2533	-19769	3,123	5,277	0,308	19,22844	331,8166	3,123	0,308	5,277	Wind angle: -45 dgr				

Permanen	380C1F1 / 15719	20243	155014	6580	19102	-153456	22,299	39,345	1,558	84,132	2124,63	22,299	1,558	39,345									
Wind angl	380C1F2 / 15725	20050	154814	7210	19004	-153381	22,935	39,054	1,433	65,2015	1776,957	22,935	1,433	39,054									
	380C1F3 / 15731	19820	154593	7840	18889	-153297	23,571	38,709	1,296	47,952	1432,233	23,571	1,296	38,709									
	150C1F1 / 3930	5061	38753	0	0	0	3,93	5,061	38,753	2092,662	294,909	3,93	38,753	5,061									
	150C1F2 / 3931	5012	38703	0	0	0	3,931	5,012	38,703	1760,987	249,6665	3,931	38,703	5,012									
	150C1F3 / 3933	4955	38648	0	0	0	3,933	4,955	38,648	1429,976	204,9665	3,933	38,648	4,955									
3	Comp. gl 13957	13979	92814	8087	12836	-92363	22,044	26,815	0,451	13,3045	837,7537	22,044	0,451	26,815	3	7208,936	10463,26	163,693	158,006	230,229			
Wind+Ice,	GW / opgv 6878	7691	46904	4531	6689	-46076	11,409	14,38	0,828	51,69204	906,4142	11,409	0,828	14,38	Wind angle: -45 dgr								
Permanen	380C1F1 / 24092	29843	198698	12510	26770	-195387	36,602	56,613	3,311	178,794	3057,102	36,602	3,311	56,613									
Wind angl	380C1F2 / 24111	29270	197864	13273	26484	-195060	37,384	55,754	2,804	127,582	2536,807	37,384	2,804	55,754									
0	380C1F3 / 24132	28592	196936	14038	26148	-194698	38,17	54,74	2,238	82,806	2025,38	38,17	2,238	54,74									
	150C1F1 / 6023	7461	49674	0	0	0	6,023	7,461	49,674	2682,396	436,0205	6,023	49,674	7,461									
	150C1F2 / 6028	7318	49466	0	0	0	6,028	7,318	49,466	2250,703	366,123	6,028	49,466	7,318									
	150C1F3 / 6033	7148	49234	0	0	0	6,033	7,148	49,234	1821,658	297,6575	6,033	49,234	7,148									
4	Comp. gl 4181	4713	35531	2658	5352	-43005	6,839	10,065	-7,474	-220,483	311,4093	6,839	-7,474	10,065	4	2079,276	6152,279	96,671	44,345	134,939			
Constructi	GW / opgv 2012	2435	17359	1538	2671	-20981	3,55	5,106	-3,622	-226,121	321,4656	3,55	-3,622	5,106	Wind angle: -45 dgr								
Permanen	380C1F1 / 15437	17607	131874	8855	18272	-146171	24,292	35,879	-14,297	-772,038	1937,466	24,292	-14,297	35,879									
Wind angl	380C1F2 / 15441	17414	131679	9459	18176	-146112	24,9	35,59	-14,433	-656,702	1619,345	24,9	-14,433	35,59									
	380C1F3 / 15446	17184	131463	10063	18064	-146047	25,509	35,248	-14,584	-539,608	1304,176	25,509	-14,584	35,248									
	150C1F1 / 3859	4402	32969	0	0	0	3,859	4,402	32,969	1780,326	258,9325	3,859	32,969	4,402									
	150C1F2 / 3860	4353	32920	0	0	0	3,86	4,353	32,92	1497,86	219,2915	3,86	32,92	4,353									
	150C1F3 / 3862	4296	32866	0	0	0	3,862	4,296	32,866	1216,042	180,193	3,862	32,866	4,296									

Hoogte mast		Ber & bijlage		62 m	
Hoogte onderste stroomdraad (F3)				36 m	
			Hoogte		Excentriciteit ophanging t.o.v. hart mast
Bliksemdraad = GW / OPGW	H_{mast} -	0,716 m =	61,284 m	1,459 m	
1e traverse - 380C1F1	F2 +	10 m =	56 m	4,41 m	
2e traverse - 380C1F2	F3 +	10 m =	46 m	4,41 m	
3e traverse - 380C1F3			36 m	4,41 m	
Passieve lijn = Comp C.	F3 -	4 m =	32 m	1,825 m	

Uit mast (excl belastingsfactoren)			Uit lijnen (incl belastingsfactoren)				
N	V	M	Nmin	Nmax	Vmax	Mlangs;ma	Mdwars;max
[kN]	[kN]	[kNm]	[kN]	[kN]	[kN]	[kNm]	[kNm]
481	118,1270502	3523,319458	90	256	194	4195	9528

W2S400A+10 (Afs.com.p.gl) TOWER (rev 8.0, date: 23-11-2012)Appendix AH
Loadcases for tower strength (ultimate limit state)
-
Loadcase according to 50341-3-15

		AHEAD			BACK		
		[N]	[N]	[N]	[N]	[N]	[N]
	Attachment point						
1a	GW / opgw	2714	0	19396	2714	0	-19396
Wind, 10	380C1F1 / 380C	20765	0	147925	20765	0	-147925
Permane	380C1F2 / 380C	20765	0	147925	20765	0	-147925
Wind ang	380C1F3 / 380C	20765	0	147925	20765	0	-147925
	Comp.conducto	5628	0	40193			
1b	GW / opgw	2777	0	21991	2777	0	-21991
Wind, -2(	380C1F1 / 380C	21304	0	169936	21304	0	-169936
Permane	380C1F2 / 380C	21304	0	169936	21304	0	-169936
Wind ang	380C1F3 / 380C	21304	0	169936	21304	0	-169936
	Comp.conducto	5749	0	45121			
3	GW / opgw	10779	0	60831	10779	0	-60831
Wind+ice	380C1F1 / 380C	35387	0	238903	35387	0	-238903
Permane	380C1F2 / 380C	35387	0	238903	35387	0	-238903
Wind ang	380C1F3 / 380C	35387	0	238903	35387	0	-238903
	Comp.conducto	21771	0	122611			
4	GW / opgw	3608	0	25032	3608	0	-25032
Construc	380C1F1 / 380C	24375	0	171856	24375	0	-171856
Permane	380C1F2 / 380C	24375	0	171856	24375	0	-171856
Wind ang	380C1F3 / 380C	24375	0	171856	24375	0	-171856
	Comp.conducto	7413	0	51355			
6	GW / opgw	3042	0	21373	3042	0	-21373
Permane	380C1F1 / 380C	23267	0	162594	23267	0	-162594
Permane	380C1F2 / 380C	23267	0	162594	23267	0	-162594
	380C1F3 / 380C	23267	0	162594	23267	0	-162594
	Comp.conducto	6308	0	44263			
1a	GW / opgw	2507	2777	28392	2507	2777	-28392
Wind, 10	380C1F1 / 380C	19603	15922	189892	19603	15922	-189892
Permane	380C1F2 / 380C	19719	14655	184448	19719	14655	-184448
Wind ang	380C1F3 / 380C	19876	12998	177650	19876	12998	-177650
	Comp.conducto	5336	4092	50870			
1b	GW / opgw	2757	555	22506	2757	555	-22506
Wind, -2(	380C1F1 / 380C	21212	3182	172085	21212	3182	-172085
Permane	380C1F2 / 380C	21226	2929	171760	21226	2929	-171760
Wind ang	380C1F3 / 380C	21242	2598	171374	21242	2598	-171374
	Comp.conducto	5727	818	45658			
3	GW / opgw	10694	2855	62882	10694	2855	-62882
Wind+ice	380C1F1 / 380C	35068	8894	246839	35068	8894	-246839
Permane	380C1F2 / 380C	35114	8187	245655	35114	8187	-245655
Wind ang	380C1F3 / 380C	35170	7261	244243	35170	7261	-244243
	Comp.conducto	21677	4198	124829			
4	GW / opgw	3595	555	25376	3595	555	-25376
Construc	380C1F1 / 380C	24310	3184	173546	24310	3184	-173546
Permane	380C1F2 / 380C	24320	2930	173289	24320	2930	-173289
Wind ang	380C1F3 / 380C	24331	2599	172985	24331	2599	-172985
	Comp.conducto	7400	818	51719			
1a	GW / opgw	2378	5558	42605	2378	5558	-42605
Wind, 10	380C1F1 / 380C	18557	31862	266391	18557	31862	-266391
Permane	380C1F2 / 380C	18677	29324	253834	18677	29324	-253834
Wind ang	380C1F3 / 380C	18856	26007	237467	18856	26007	-237467
	Comp.conductor	5053	8188	70935			
1b	GW / opgw	2707	1110	23942	2707	1110	-23942
Wind, -20	380C1F1 / 380C	20966	6364	178260	20966	6364	-178260
Permane	380C1F2 / 380C	21013	5858	177033	21013	5858	-177033
Wind ang	380C1F3 / 380C	21071	5195	175563	21071	5195	-175563
	Comp.conductor	5669	1636	47210			
3	GW / opgw	10498	5712	68402	10498	5712	-68402
Wind+ice	380C1F1 / 380C	34325	17792	268289	34325	17792	-268289
Permane	380C1F2 / 380C	34456	16376	264167	34456	16376	-264167
Wind ang	380C1F3 / 380C	34623	14524	259140	34623	14524	-259140
	Comp.conductor	21434	8398	131085			
4	GW / opgw	3561	1111	26367	3561	1111	-26367
Construc	380C1F1 / 380C	24131	6368	178459	24131	6368	-178459
Permane	380C1F2 / 380C	24166	5861	177476	24166	5861	-177476
Wind ang	380C1F3 / 380C	24208	5198	176302	24208	5198	-176302
	Comp.conductor	7361	1637	52785			
1a	GW / opgw	2507	2777	28392	2507	2777	-28392
Wind, 10	380C1F1 / 380C	19603	15922	189892	19603	15922	-189892
Permane	380C1F2 / 380C	19719	14655	184448	19719	14655	-184448
Wind ang	380C1F3 / 380C	19876	12998	177650	19876	12998	-177650
	Comp.conductor	5336	4092	50870			
1b	GW / opgw	2757	555	22506	2757	555	-22506
Wind, -20	380C1F1 / 380C	21212	3182	172085	21212	3182	-172085
Permane	380C1F2 / 380C	21226	2929	171760	21226	2929	-171760
Wind ang	380C1F3 / 380C	21242	2598	171374	21242	2598	-171374
	Comp.conductor	5727	818	45658			
3	GW / opgw	10694	2855	62882	10694	2855	-62882
Wind+ice	380C1F1 / 380C	35068	8894	246839	35068	8894	-246839
Permane	380C1F2 / 380C	35114	8187	245655	35114	8187	-245655
Wind ang	380C1F3 / 380C	35170	7261	244243	35170	7261	-244243
	Comp.conductor	21677	4198	124829			
4	GW / opgw	3595	555	25376	3595	555	-25376
Construc	380C1F1 / 380C	24310	3184	173546	24310	3184	-173546
Permane	380C1F2 / 380C	24320	2930	173289	24320	2930	-173289
Wind ang	380C1F3 / 380C	24331	2599	172985	24331	2599	-172985
	Comp.conductor	7400	818	51719			
1a	GW / opgw	2052	0	15241	2052	0	-15241
Wind, 10	380C1F1 / 380C	15721	0	116969	15721	0	-116969
Permane	380C1F2 / 380C	15721	0	116969	15721	0	-116969
Wind ang	380C1F3 / 380C	15721	0	116969	15721	0	-116969
	Comp.conductor	4257	0	31630			
1b	GW / opgw	2110	0	17592	2110	0	-17592
Wind, -20	380C1F1 / 380C	16222	0	137377	16222	0	-137377
Permane	380C1F2 / 380C	16222	0	137377	16222	0	-137377
Wind ang	380C1F3 / 380C	16222	0	137377	16222	0	-137377
	Comp.conductor	4367	0	36107			
3	GW / opgw	10152	0	58131	10152	0	-58131
Wind+ice	380C1F1 / 380C	30451	0	212407	30451	0	-212407
Permane	380C1F2 / 380C	30451	0	212407	30451	0	-212407
Wind ang	380C1F3 / 380C	30451	0	212407	30451	0	-212407
	Comp.conductor	20470	0	117031			
4	GW / opgw	2954	0	21182	2954	0	-21182
Construc	380C1F1 / 380C	19362	0	142171	19362	0	-142171
Permane	380C1F2 / 380C	19362	0	142171	19362	0	-142171
Wind ang	380C1F3 / 380C	19362	0	142171	19362	0	-142171
	Comp.conductor	6058	0	43419			
6	GW / opgw	2052	0	15241	2052	0	-15241
Permane	380C1F1 / 380C	15721	0	116969	15721	0	-116969
Permane	380C1F2 / 380C	15721	0	116969	15721	0	-116969
	380C1F3 / 380C	15721	0	116969	15721	0	-116969
	Comp.conductor	4257	0	31630			

Totaal					
Vert	Dwars	Langs			
[kN]	[kN]	[kN]			
5,428	0	0			
41,53	0	0			
41,53	0	0			
41,53	0	0			
5,628	0	40,193			
5,554	0	0			
42,608	0	0			
42,608	0	0			
42,608	0	0			
5,749	0	45,121			
21,558	0	0			
70,774	0	0			
70,774	0	0			
70,774	0	0			
21,771	0	122,611			
7,216	0	0			
48,75	0	0			
48,75	0	0			
48,75	0	0			
7,413	0	51,355			
6,084	0	0			
46,534	0	0			
46,534	0	0			
46,534	0	0			
6,308	0	44,263			
5,014	5,554	0			
39,206	31,844	0			
39,438	29,31	0			
5,014	5,554	0			
39,206	31,844	0			
39,438	29,31	0			
39,752	25,996	0			
5,336	4,092	50,87			
5,514	1,11	0			
42,424	6,364	0			
42,452	5,858	0			
42,484	5,196	0			
5,727	0,818	45,658			
21,388	5,71	0			
70,136	17,788	0			
70,228	16,374	0			
70,34	14,522	0			
21,677	4,198	124,829			
7,19	1,11	0			
48,62	6,368	0			
48,64	5,86	0			
48,662	5,198	0			
7,4	0,818	51,719			
4,104	0	0			
31,442	0	0			
31,442	0	0			
31,442	0	0			
4,257	0	31,63			
4,22	0	0			
32,444	0	0			
32,444	0	0			
32,444	0	0			
4,367	0	36,107			
20,304	0	0			
60,902	0	0			
60,902	0	0			
60,902	0	0			
20,47	0	117,031			
5,908	0	0			
38,724	0	0			
38,724	0	0			
38,724	0	0			
6,058	0	43,419			
4,104	0	0			
31,442	0	0			
31,442	0	0			
31,442	0	0			
4,257	0	31,63			

Belastingen op mastvoet, per lijn									
M_{langs}	M_{dwars}	N	V_{langs}	V_{dwars}					
0	23,93748	5,428	0	0					
0	183,1473	41,53	0	0					
0	183,1473	41,53	0	0					
0	60,59227	41,53	0	0					
1286,176	10,2711	5,628	40,193	0					
0	24,49314	5,554	0	0					
0	187,9013	42,608	0	0					
0	187,9013	42,608	0	0					
0	62,16507	42,608	0	0					
1443,872	10,49193	5,749	45,121	0					
0	95,07078	21,558	0	0					
0	312,1133	70,774	0	0					
0	312,1133	70,774	0	0					
0	103,2593	70,774	0	0					
3923,552	39,73208	21,771	122,611	0					
0	31,82256	7,216	0	0					
0	214,9875	48,75	0	0					
0	214,9875	48,75	0	0					
0	71,12625	48,75	0	0					
1643,36	13,52873	7,413	51,355	0					
0	26,83044	6,084	0	0					
0	205,2149	46,534	0	0					
0	205,2149	46,534	0	0					
0	67,89311	46,534	0	0					
1416,416	11,5121	6,308	44,263	0					
0	333,1357	5,014	0	5,554					
0	1637,722	39,206	0	31,844					
0	1229,082	39,438	0	29,31					
0	1651,137	39,752	0	25,996					
1627,84	140,6822	5,336	50,87	4,092					
0	86,47674	5,514	0	1,11					
0	479,8338	42,424	0	6,364					
0	398,1013	42,452	0	5,858					
0	380,4158	42,484	0	5,196					
1461,056	36,62778	5,727	45,658	0,818					
0	414,0811	21,388	0	5,71					
0	1127,548	70,136	0	17,788					
0	899,1695	70,228	0	16,374					
0	992,5923	70,34	0	14,522					
3994,528	173,8965	21,677	124,829	4,198					
0	93,8679	7,19	0	1,11					
0	507,3422	48,62	0	6,368					
0	425,4624	48,64	0	5,86					
0	389,5521	48,662	0	5,198					
1655,008	39,681	7,4	51,719	0,818					
0	643,47	4,756	0	11,116					
0	3094,977	37,114	0	63,724					
0	2276,059	37,354	0	58,648					
0	3242,648	37,712	0	52,014					
2269,92	271,2377	5,053	70,935	8,188					
0	148,1957	5,414	0	2,22					
0	770,4081	41,932	0	12,728					
0	607,1107	42,026	0	11,716					
0	698,2259	42,142	0	10,39					
1510,72	62,69793	5,669	47,21	1,636					
0	732,3364	20,996	0	11,424					
0	1939,611	68,65	0	35,584					
0	1482,974	68,912	0	32,752					
0	1881,208	69,246	0	29,048					
4194,72	307,8531	21,434	131,085	8,398					
0	155,84	7,122	0	2,222					
0	798,6914	48,262	0	12,736					
0	635,1361	48,332	0	11,722					
0	707,7474	48,416	0	10,396					
1689,12	65,81783	7,361	52,785	1,637					
0	333,1357	5,014	0	5,554					
0	1637,722	39,206	0	31,844					
0	1229,082	39,438	0	29,31					
0	1651,137	39,752	0	25,996					
1627,84	140,6822	5,336	50,87	4,092					
0	86,47674	5,514	0	1,11					
0	479,8338	42,424	0	6,364					
0	398,1013	42,452	0	5,858					
0	380,4158	42,484	0	5,196					
1461,056	36,62778	5,727	45,658	0,818					
0	414,0811	21,388	0	5,71					
0	1127,548	70,136	0	17,788					
0	899,1695	70,228	0	16,374					
0	992,5923	70,34	0	14,522					
3994,528	173,8965	21,677	124,829	4,198					
0	93,8679	7,19	0	1,11					
0	507,3422	48,62	0	6,368					
0	425,4624	48,64	0	5,86					
0	389,5521	48,662	0	5,198					
1655,008	39,681	7,4	51,719	0,818					
0	18,09864	4,104	0	0					
0	138,6592	31,442	0	0					
0	138,6592	31,442	0	0					
0	45,87388	31,442	0	0					
1012,16	7,769025	4,257	31,63	0					
0	18,6102	4,22	0	0					
0	143,078	32,444	0	0					
0	143,078	32,444	0	0					
0	47,3358	32,444	0	0					
1155,424	7,969775	4,367	36,107	0					
0	89,54064	20,304	0	0					
0	268,5778	60,902	0	0					
0	268,5778	60,902	0	0					
0	88,85602	60,902	0	0					
3744,992	37,35775	20,47	117,031	0					
0	26,05428	5,908	0	0					
0	170,7728	38,724	0	0					
0	170,7728	38,724	0	0					
0	56,49832	38,724	0	0					
1389,408	11,05585	6,058	43,419	0					
0	18,09864	4,104	0	0					
0	138,6592	31,442	0	0					
0	138,6592	31,442	0	0					
0	45,87388	31,442	0	0					
1012,16	7,769025	4,257	31,63	0					

Belasting op mastvoet, belastinggeval						
	M_{langs}	M_{dwars}	N	V_{langs}	V_{dwars}	
1a	1286,176	461,0955	135,646	40,193	0	
Wind angle:	0 dgr					
1b	1443,872	472,9527	139,127	45,121	0	
Wind angle:	0 dgr					
3	3923,552	862,2888	255,651	122,611	0	
Wind angle:	0 dgr					
4	1643,36	546,4525	160,879	51,355	0	
Wind angle:	0 dgr					
6	1416,416	516,6655	151,994	44,263	0	
0						
1a	1627,84	4991,759	128,746	50,87	96,796	
Wind angle:	45 dgr					
1b	1461,056	1381,455	138,601	45,658	19,346	
Wind angle:	45 dgr					
3	3994,528	3607,287	253,769	124,829	58,592	
Wind angle:	45 dgr					
4	1655,008	1455,906	160,512	51,719	19,354	
Wind angle:	45 dgr					
1a	2269,92	9528,391	121,989	70,935	193,69	
Wind angle:	90 dgr					
1b	1510,72	2286,638	137,183	47,21	38,69	
Wind angle:	90 dgr					
3	4194,72	6343,981	249,238	131,085	117,206	
Wind angle:	90 dgr					
4	1689,12	2363,233	159,493	52,785	38,713	
Wind angle:	90 dgr					
1a	1627,84	4991,759	128,746	50,87	96,796	
Wind angle:	-45 dgr					
1b	1461,056	1381,455	138,601	45,658	19,346	
Wind angle:	-45 dgr					
3	3994,528	3607,287	253,769	124,829	58,592	
Wind angle:	-45 dgr					
4	1655,008	1455,906	160,512	51,719	19,354	
Wind angle:	-45 dgr					
1a	1012,16	349,06	102,687	31,63	0	
Wind angle:	0 dgr					
1b	1155,424	360,0719	105,919	36,107	0	
Wind angle:	0 dgr					
3	3744,992	752,91	223,48	117,031	0	
Wind angle:	0 dgr					
4	1389,408	435,1541	128,138	43,419	0	
Wind angle:	0 dgr					
6	1012,16	349,06	102,687	31,63	0	
0						

Belastingen uit lijnen									
			M_{langs}	M_{dwars}	N	V_{langs}	V_{dwars}		
Perm load 1,2	0 deg	1a	1286	461	136	40	**0**		
		1b	1444	473	139	45	**0**		
		3	3924	862	**256**	123	**0**		
		4	1643	546	161	51	**0**		
		6	1416	517	152	44	**0**		
	45 deg	1a	1628	4992	129	51	97		
		1b	1461	1381	139	46	19		
		3	3995	3607	254	125	59		
		4	1655	1456	161	52	19		
	90 deg	1a	2270	**9528**	122	71	**194**		
		1b	1511	2287	137	47	39		
		3	**4195**	6344	249	**131**	117		
		4	1689	2363	159	53	39		
	-45 deg	1a	1628	4992	129	51	97		
		1b	1461	1381	139	46	19		
		3	3995	3607	254	125	59		
		4	1655	1456	161	52	19		
Perm load 0,9	0 deg	1a	**1012**	**349**	103	**32**	**0**		
		1b	1155	360	106	36	**0**		
		3	3745	753	223	117	**0**		
		4	1389	435	128	43	**0**		
		6	**1012**	**349**	103	**32**	**0**		
	45 deg	1a	1453	4877	95	45	97		
		1b	1180	1268	105	37	19		
		3	3822	3496	221	119	59		
		4	1405	1344	128	44	19		
	90 deg	1a	2173	9419	**90**	68	194		
		1b	1250	2171	103	39	39		
		3	4038	6231	216	126	117		
		4	1449	2250	126	45	39		
	-45 deg	1a	1453	4877	95	45	97		
		1b	1180	1268	105	37	19		
		3	3822	3496	221	119	59		
		4	1405	1344	128	44	19		

Belasting uit mast			
N	V	M	
481	118	3523	
481	22	661	
481	33	991	
481	22	661	
481	118	3523	
481	22	661	
481	33	991	
481	22	661	
481	118	3523	
481	22	661	
481	33	991	
481	22	661	
481	118	3523	
481	22	661	
481	33	991	
481	22	661	
481	118	3523	
481	22	661	
481	33	991	
481	22	661	
361	118	3523	
361	22	661	
361	33	991	
361

| | | |

| | | |

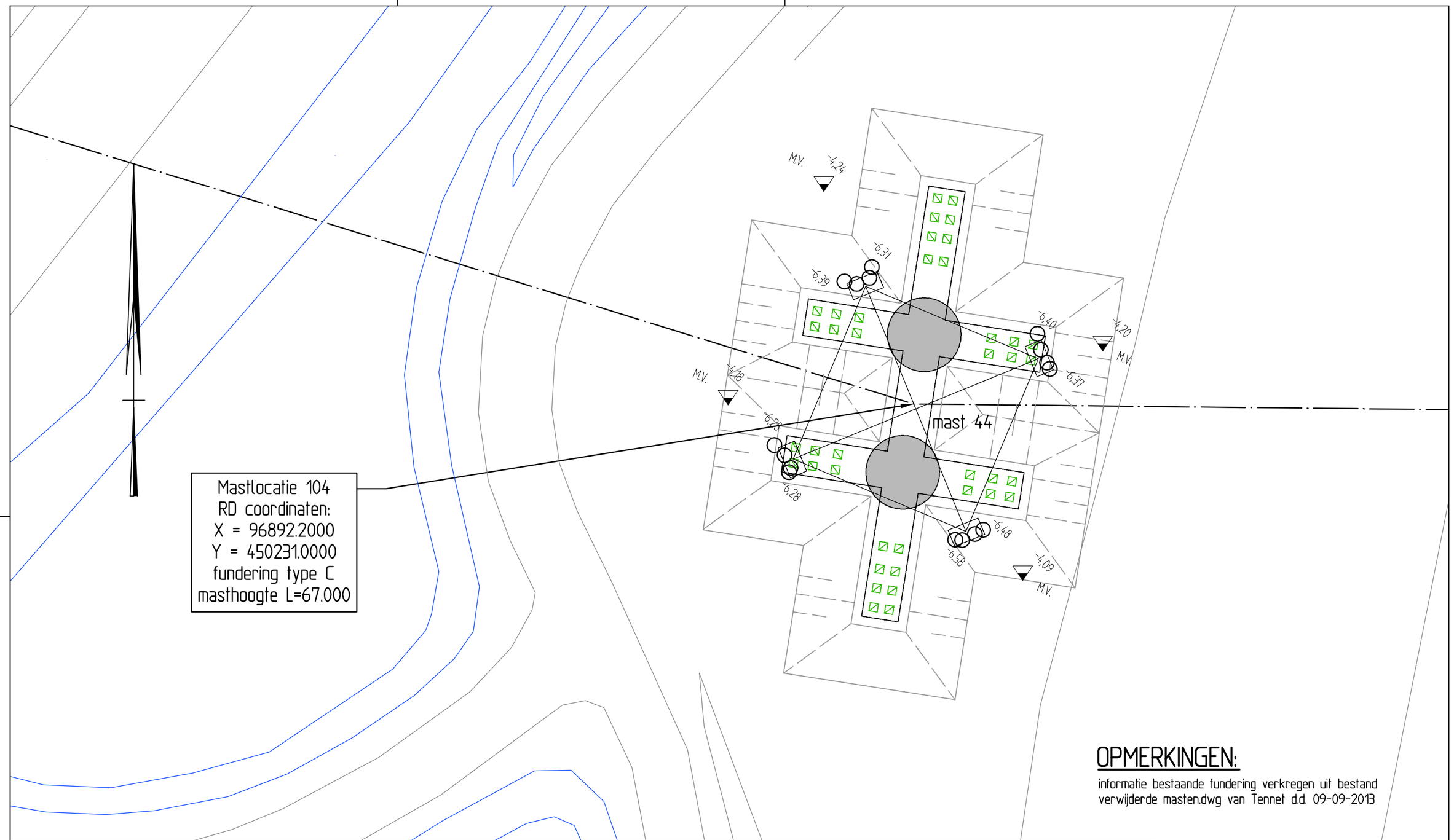

Mastlocatie 104
RD coordinaten:
X = 96892.2000
Y = 450231.0000
fundering type C
masthoogte L=67.000

OPMERKINGEN:

informatie bestaande fundering verkregen uit bestand verwijderde masten.dwg van Tennet d.d. 09-09-2013

Combining Knowledge and Experience

bam COFELY FABRICOM GDF SUEZ

Randstad 380kV Noordring

P. de Jager	A. Hogenboom		
Controleur	Vrijgegeven door		

Rev.	Wijziging	Datum	Naam
03			
02			
01			

Tennet Taking power further

Datum:	04-10-2013
Formaat:	A3
Schaal:	1:200
Naam:	R.G.J. Caspers

Omschrijving:	Definitief Ontwerp Positie bestaande palen mastlocatie 104 nabij Facetlaan in gemeente Lansingerland
Projekt:	Randstad 380kV Noordring

Tekeningnummer: R3N-TEK-0103 blad 001

AutoCAD filename: Systnr:

Bijlage 2d
Constructietekeningen
en berekeningen opstijgpunten

Constructieberekening fundaties OSP

Project:
Randstad 380kV Noordring

Opdrachtgever:
TenneT TSO

Revisie	Datum	Wijzigingen ten opzichte van vorige revisie
00	19-07-2013	Eerste uitgave
01	06-08-2013	Definitief. Tweede uitgave
02	04-10-2013	T.b.v. 3e uitgave
03.01	01-11-2013	T.b.v. 4e uitgave

Documentnummer: R3N-OWR-0034

Opsteller	*Controleur*	*Vrijgever*
A.L.A. van Noort Constructeur	P. de Jager Ontwerpmanager	Arjan Hogenboom Project Manager

Distributie

Naam	Bedrijf
Extern	
Guido Volman	TenneT TSO
Intern	
Arjan Hogenboom	BAM
Pieter de Jager	BAM
Eric van Rooijen	BAM
David van Loenen	BAM
Rob Bakker	BAM
Erwin ten Cate	BAM
Michael deSmet	Fabricom
Hein Pijnappel	Mott McDonald

Beheer

De documentbeheerder van de combinatie verzorgt de distributie. Alleen houders van een geregistreerde kopie ontvangen automatisch aanvullingen en/of wijzigingen. Het is de verantwoordelijkheid van de houders het document up to date te houden. De laatste versie is altijd beschikbaar in ThinkProject!

Indien documenten worden geprint, geldt het volgende: een geregistreerde kopie is geldig vanaf de datum van uitgifte. Bij uitgifte van een document met een hoger revisienummer verliest de voorgaande versie automatisch haar geldigheid. Kopiehouders dienen het voorblad van een ongeldige versie te markeren met een diagonale lijn samen met de tekst 'vervallen'.

Neem bij twijfel over de geldende versie contact op met de documentbeheerder.

Inhoudsopgave

1. Inleiding *4*
1.1. Gerelateerde documenten 4
1.2. Openstaande punten 4
1.3. Revisiebeheer 4
2. Uitgangspunten en eisen *5*
2.1. Uitgangspunten 5
2.2. Gehanteerde normen 5
2.3. Gevolgklasse en ontwerplevensduur 5
2.4. Eisen 5
2.5. Vermoeiing 5
2.6. Materiaalgegevens 5
2.6.1. Milieuklasse *5*
2.6.2. Betondekking 6
2.6.3. Staalkwaliteiten *6*
3. Belastingen *7*
3.1. Veldhuisje 7
3.2. Oliedrukhuisje 7
3.3. Pilonen 7
3.4. Wisselende belastingen en vermoeiing 8
4. Belastingcombinaties *12*
5. Berekening fundaties *14*
5.1. Fundatie Veldhuisje 14
5.2. Fundatie oliedrukhuisje 14

1. INLEIDING

De komende jaren werken het ministerie van Economische Zaken en TenneT aan de aanleg van een nieuwe 380 kV hoogspanningsverbinding in de Randstad. De nieuwe verbinding stelt de voorziening van elektriciteit in de Randstad veilig.

Het ontwerptracé van de nieuwe Randstad 380 kV verbinding is sinds eind 2008 bekend. De plannen gaan uit van twee ringen, tussen Wateringen en Zoetermeer (de Zuidring) en tussen Zoetermeer en Beverwijk (de Noordring). Eind 2012 heeft Tennet de aanbesteding opgestart voor het gedeelte van de Noordring tussen station Vijfhuizen en Bleiswijk. Het contract is opgedeeld in twee percelen, waarbij de grens ligt bij Zuidelijke Ringvaart. Dit document heeft betrekking op perceel 2 (het zuidelijke gedeelte).

BAM heeft op 8 juli 2013 het contract ondertekend met TenneT voor het ontwerp en realiseren van perceel 2. Het voorliggende document is onderdeel van het Definitief Ontwerp en behandelt de fundaties van de OSP. Dit betreft niet de masten welke ter plaatse van een OSP zijn gelokaliseerd. Deze zijn berekend in een afzonderlijk document evenals de funderingspalen.

1.1. GERELATEERDE DOCUMENTEN

R3N-OWN-0001 Ontwerpnota Systeem Noordring
R3N-OWR-0007 Constructieberekening mastfundaties type F
R3N-OWR-0008 Ontwerpberekening paalfundering mastfundaties
R3N-OWR-0033 Bepaling belastingen mastfundaties
R3N-OWR-0039 Bemalingsadvies beheersgebied Rijnland
R3N-OWR-0040 Bemalingsadvies beheersgebied Schieland en de Krimpenerwaard

1.2. OPENSTAANDE PUNTEN

De volgende punten dienen in een latere fase nader uitgewerkt te worden:

- Aarding
- Temperatuur invloeden op fundering
- Model verbeteren d.m.v. dummy elementen aan bovenzijde palen
- Invloed krimp op fundering
- Optimalisatie wapening
- Optimalisatie palen
- Detailontwerp prefab beton

1.3. REVISIEBEHEER

Dit is de vierde uitgave, oliedrukhuisje toegevoegd

2. UITGANGSPUNTEN EN EISEN

2.1. UITGANGSPUNTEN

Voor de OSP worden enkel de fundering van de volgende onderdelen beschouwd:
- het veldhuisje, prefab betonbak op 4 palen, alleen bij 380 kV OSP
- oliedrukhuisje, prefab betonbak op 4 palen (bij mast 109)
- fundering t.b.v. de eindsluitingen ontworpen. Hiervoor is eerst meer grondonderzoek nodig.

2.2. GEHANTEERDE NORMEN

- Eurocode serie NEN-EN-1990 tm 1997
- NEN-EN50341

2.3. GEVOLGKLASSE EN ONTWERPLEVENSDUUR

De veldfundaties vallen in gevolgklasse CC2 (voorheen veiligheidsklasse 3). De ontwerplevensduur is 50 jaar.

2.4. EISEN

De eisen zoals vermeld in ontwerpnota R3N-OWN-0001 §3 zijn gehanteerd bij het ontwerp.

2.5. VERMOEIING

De aan te leggen fundamenten worden gedimensioneerd op een vermoeiingsbelasting. De wisseling van belasting komt uit wind. Het aantal en de grote van de wisselingen gedurende 50 jaar is bepaald conform de ROK. De toetsingsprocedure van de constructie conform NEN-EN 1992-1-1:2005.

2.6. MATERIAALGEGEVENS

In onderstaande paragrafen worden de gehanteerde materiaaleigenschappen benoemd. Betonkwaliteiten
Voor het constructief beton worden bij de detaillering de volgende sterkteklassen aangehouden. Bij gescheurd beton wordt in eerste instantie gerekend met $E_{betron;gescheurd} = 1/3\ E_{beton;ongescheurd}$.

Onderdeel	Sterkteklasse	Elasticiteitsmodulus [N/mm²]		
		ongescheurd	Gescheurd lage E	Gescheurd matige E
in het werk gestort gewapend beton:	C30/37	31.000	11.000	22.000
geprefabriceerd voorgespannen beton (palen):	C45/55	36.000		

Tabel 2.1-1 Betonkwaliteiten

2.6.1. MILIEUKLASSE

Voor de betondelen welke meer dan 1,0 m onder maaiveld liggen geldt milieuklasse XC2
Voor de hoger gelegen betondelen is de milieuklasse afhankelijk van de aanwezigheid van openbare wegen. De wegen naar de OSP's zullen niet gestrooid worden en bovendien nauwelijks bereden worden, waardoor het wegspatten van water met dooizouten niet aan de orde is. De afstanden in onderstaande schets geldt voor snelwegen, bij ander wegen zou deze eventueel kleiner kunnen.

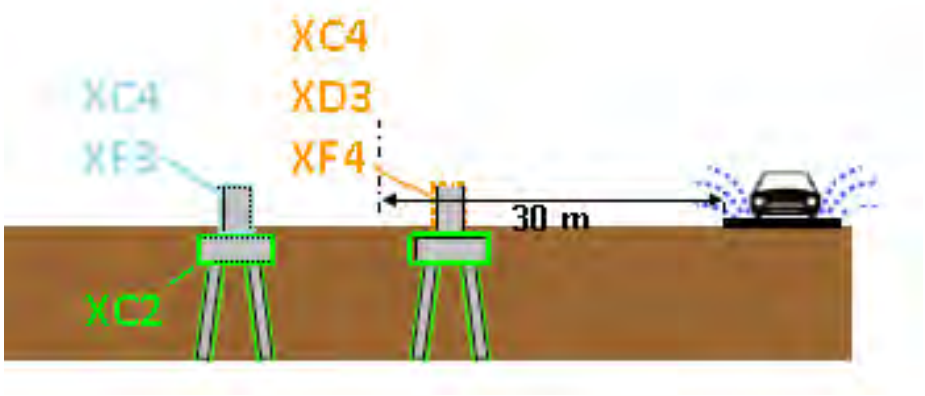

2.6.2. BETONDEKKING

Betondekking conform NEN EN 1992-1-1:2011

$$c_{min} = \max \{c_{min,b};\ c_{min,dur} + \Delta c_{dur,\gamma} - \Delta c_{dur,st} - \Delta c_{dur,add};\ 10\ mm\} \qquad (4.2)$$

waarin:

$c_{min,b}$	is de minimumdekking op basis van de aanhechtingseisen, zie 4.4.1.2 (3);
$c_{min,dur}$	is de minimumdekking op basis van de milieu-omstandigheden, zie 4.4.1.2 (5);
$\Delta c_{dur,\gamma}$	is een aanvullende veiligheidsmarge, zie 4.4.1.2 (6);
$\Delta c_{dur,st}$	is een reductie van de minimumdekking bij gebruik van roestvast staal, zie 4.4.1.2 (7);
$\Delta c_{dur,add}$	is een reductie van de minimumdekking bij gebruik van aanvullende bescherming, zie 4.4.1.2 (8).

De verwachting is dat $c_{min;b}$ maatgevend wordt. Deze waarde is afhankelijk van de staafdiameter, welke nog niet bekend is. Betondekking wordt in UO bepaald.

2.6.3. STAALKWALITEITEN

Voor het wapeningsstaal worden de volgende staalkwaliteiten aangehouden:

Omschrijving	Kwaliteit
betonstaal (staven)	B500 B

Tabel 2.6.3 Staalkwaliteiten

3. BELASTINGEN

De belastingen zijn gegeven door TenneT.

3.1. VELDHUISJE

In het veldhuisje wordt gerekend met een last van 10 kN/m^2 op de vloer. (aanname)

3.2. OLIEDRUKHUISJE

In het veldhuisje wordt gerekend met een last van 10 kN/m^2 op de vloer. (aanname)

3.3. PILONEN

Hoge piloon met afspanning 380kV en bliksemdraad

Afspanning 380kV en BL.draad

Componentbelasting

Fg = Te bepalen door leverancier

Fw = verwerkt in Fv en Fg

Bliksemdraad belasting Geleiderbelasting

Fv(bl) = 4 kN (Uplift)
Fh(bl) = 6.5 kN
Fd(bl) = 1.6 kN

Geleiderbelasting

Fv(gl) = 17.4 kN (Uplift)
Fh(gl) = 28.0 kN
Fd(gl) = 8.5 kN

Maatvoering

L_1 = 300 mm
L_2 = 15000 mm
L_3 = 7500 mm

Legenda

Fg = eigen gewicht component/geleider
Fw = windbelasting
Fv = Verticale belasting (uplift)
Fd = Dwarskracht

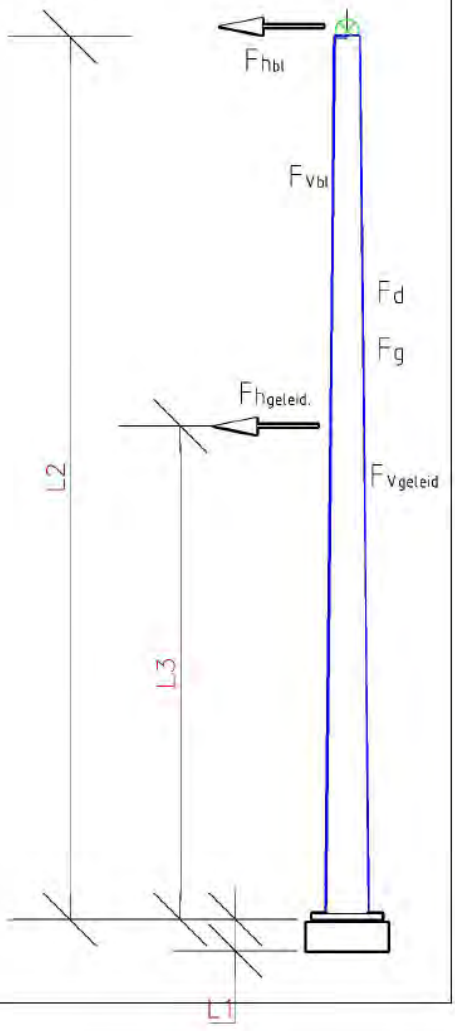

Piloon met afspanning 380 kV

Afspanning 380kV

Componentbelasting

Fg = 2500 N

Fw = 4000 N

Geleiderbelasting

Fv(gl) = 17.4 kN (Uplift)
Fh(gl) = 27.4 kN
Fd(gl) = 7 kN

Maatvoering

L_1 = 300 mm
L_3 = 15000 mm
L_3 = 7500 mm

Legenda

Fg = eigen gewicht component/geleider
Fw = windbelasting
Fv = Verticale belasting (uplift)
Fd = Dwarskracht

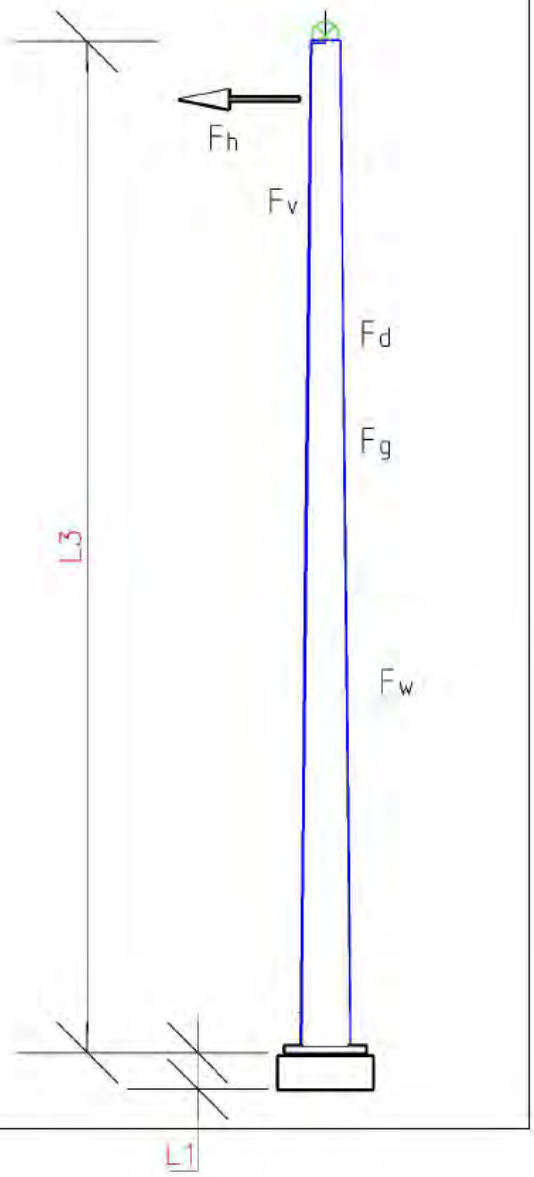

3.4. WISSELENDE BELASTINGEN EN VERMOEIING

Door de wisselende belastingen van wind dient belasting door vermoeiing te worden meegenomen. Bij vermoeiing is het aantal wisselingen en de grootte van de wisseling van belang. In de NEN-EN 1991-1-4:2005 is in bijlage B.3 een figuur opgenomen waarin de verhouding tussen de grootte van de windlast en het aantal keren dat deze optreedt weergegeven.

B.3 Aantal belastingen voor dynamische respons

(1) Figuur B.3 geeft het aantal keren N_g dat de waarden ΔS van een windeffect worden bereikt of overschreden gedurende een periode van 50 jaar. ΔS wordt uitgedrukt in percentage van de waarde S_k, waar S_k het effect is van een windbelasting met een herhalingstijd van 50 jaar.

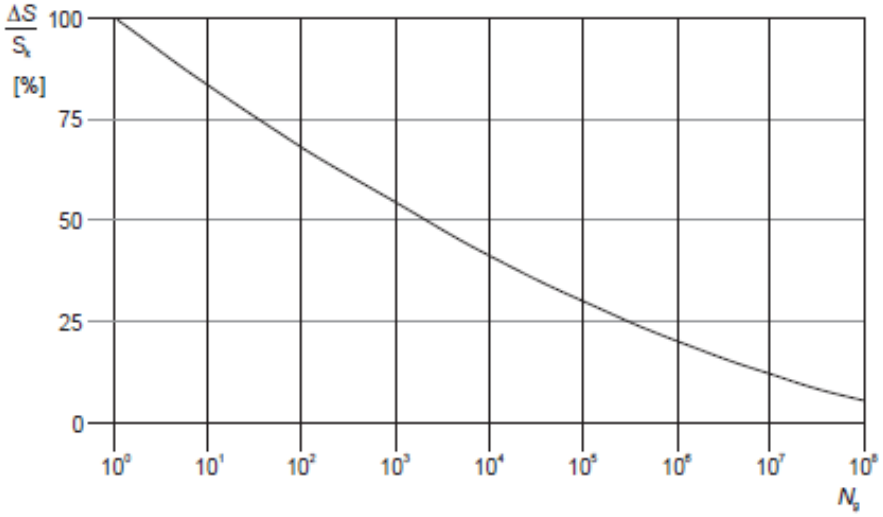

Figuur B.3 — Aantal windvlaagbelastingen N_g voor een effect $\Delta S/S_k$ gedurende een herhalingstijd van 50 jaar

De relatie wordt omschreven met de volgende uitdrukking

$$\frac{\Delta S}{S_k} = 0{,}7 \cdot (\log(N_g))^2 - 17{,}4 \cdot \log(N_g) + 100 \qquad \text{(B.9)}$$

Bij vermoeiing wordt bij een bepaald spanningsniveau het aantal wisselingen op dit spanningsniveau bepaald en vervolgens wordt dit vergeleken met het aantal toelaatbare wisselingen op dat spanningsniveau. Door dit voor de voorkomende spanningsniveaus te doen is de weerstand tegen vermoeiing te controleren.

In de ROK van RWS is bovenstaande verdeling gediscretiseerd tot onderstaande tabel:

Tabel 5-1: Aantal wisselingen per windbelasting (referentieperiode 50 jaar)

ΔS / S_k (%)	n
100	1
98	1
90	8
75	90
61	900
48	9000
36	90000
25	900000
16	9000000
9	90000000

Van beton en wapeningsstaal is bekend hoeveel wisselingen bij een bepaald spanningsniveau toelaatbaar zijn. S_K is de spanning met een herhalingstijd van 50 jaar (de spanning waarop de constructie ontworpen is).

Met bovenstaande gegevens is te bepalen welke maximale spanning t.g.v. wind eens in de 50 jaar toelaatbaar is opdat de constructie ook voldoende weerstand tegen vermoeiing heeft.

Wapening
De totale schade van de belastingen dient volgens de beschadigingsregel van Miner kleiner dan 1 te zijn.

De toetsingsprocedure per wisseling conform NEN-EN 1992-1-1:2005, §6.8.4:
Voor de wapening is gekeken naar de toelaatbare spanning voor:

- Rechte staven
- Staven gebogen met een doordiameter 2,5*D
- Gelaste staven

Er volgt (zie berekening hieronder) dat voor gewone rechte staven er geen beperking is, echter gebogen of gelaste staven hebben de volgende spanningsbeperking

Buigdoorn 2,5ø → 244 N/mm^2
Buigdoorn 5ø → 283 N/mm^2
Gelaste staven → 317 N/mm^2

Omdat bij de toetsing van vermoeiing een ULS toestand met veiligheid 1,0 wordt getoetst, is de spanning altijd minimaal een factor van ca. 1,3 lager dan de normale ULS toestanden.

Bij een toelaatbare spanning van 435 N/mm^2 in ULS volgt bij toetsing op vermoeiing een spanning van maximaal 335 N/mm^2. De toelaatbare spanningen bij vermoeiing zijn nog iets lager. Hier dient in de detaillering rekening mee gehouden te worden. Een toetsing achteraf zal volstaan.

Rechte staven

maximale gebruiksspanning			435	
Toelaatbare spanningswisseling bij N* wisselingen			162,5	
		k1	5	
		k2	9	
		N*	1,00E+06	

	ROK	Wisseling spanning	Toelaatbaar aantal	
aantal wisselingen	dS/S	wapening	wisselingen	Schade
[-]	[-]	[N/mm2]	[-]	[-]
1	100	435	7275	0,000137
1	98	426	8048	0,000124
8	90	392	12320	0,000649
90	75	326	30656	0,002936
900	61	265	86133	0,010449
9000	48	209	285505	0,031523
90000	36	157	1394937	0,064519
900000	25	109	37137862	0,024234
9000000	16	70	2061565470	0,004366
90000000	9	39	365674259232	0,000246
			Totale schade	**0,139183665**

Staven gebogen met doorndiameter 2,5*D

maximale gebruiksspanning			244	
Toelaatbare spanningswisseling bij N* wisselingen			67,4	
		k1	5	
		k2	9	
		N*	1,00E+06	

	ROK	Wisseling spanning	Toelaatbaar aantal	
aantal wisselingen	dS/S	wapening	wisselingen	Schade
[-]	[-]	[N/mm2]	[-]	[-]
1	100	244	1613	0,000620
1	98	239	1784	0,000560
8	90	220	2731	0,002929
90	75	183	6796	0,013243
900	61	149	19095	0,047134
9000	48	117	63292	0,142197
90000	36	88	266714	0,337440
900000	25	61	2466861	0,364836
9000000	16	39	136938283	0,065723
90000000	9	22	24289699180	0,003705
			Totale schade	**0,978388484**

Staven gebogen met doorndiameter 5*D

maximale gebruiksspanning			283	
Toelaatbare spanningswisseling bij N* wisselingen			78,0	
		k1	5	
		k2	9	
		N*	1,00E+06	

	ROK	Wisseling spanning	Toelaatbaar aantal	
aantal wisselingen	dS/S	wapening	wisselingen	Schade
[-]	[-]	[N/mm2]	[-]	[-]
1	100	283	1591	0,000629
1	98	277	1760	0,000568
8	90	255	2694	0,002970
90	75	212	6702	0,013428
900	61	173	18832	0,047792
9000	48	136	62422	0,144181
90000	36	102	263044	0,342148
900000	25	71	2406099	0,374050
9000000	16	45	133565305	0,067383
90000000	9	25	23691410595	0,003799
			Totale schade	**0,996946687**

Gelaste staven

maximale gebruiksspanning			317	
Toelaatbare spanningswisseling bij N* wisselingen			58,5	
		k1	3	
		k2	5	
		N*	1,00E+07	

	ROK	Wisseling spanning	Toelaatbaar aantal	
aantal wisselingen	dS/S	wapening	wisselingen	Schade
[-]	[-]	[N/mm2]	[-]	[-]
1	100	317	62848	0,000016
1	98	311	66775	0,000015
8	90	285	86211	0,000093
90	75	238	148972	0,000604
900	61	193	276886	0,003250
9000	48	152	568285	0,015837
90000	36	114	1347046	0,066813
900000	25	79	4022257	0,223755
9000000	16	51	20411885	0,440920
90000000	9	29	362468668	0,248297
			Totale schade	**0,999600179**

4. BELASTINGCOMBINATIES

Belastingcombinaties conform NENEN 50341-3-15 paragraph 4.2, table 4.2.11/NL.1, 4.2.11/NL.3 en 4.2.11/NL.4

Table 4.2.11/NL.1 - Partial factor and combination factor (ultimate limit state)

Load case and temperature	Value for γ_G, γ_Q, χ_Q and γ_A for the ultimate limit state				
	γ_G [1]	γ_Q or χ_Q [3]			γ_A
Loads	G_K	Q_{PK}	Q_{WK}	Q_{iK}	A_k
1a Wind, 10° C	1,2	-	1,5	-	-
1b Wind, - 20 °C	1,2	-	0,3	-	-
2 Not relevant	-	-	-	-	-
3 Wind+ice, - 5 °C	1,2		0,45	1,5	
4 Construction/maintenance + 5 °C	1,2	1,5	0,3	-	
5a Torsional, + 10 °C	1,0	1,0 [2]	-	-	1,0
5b Not relevant	-	-	-	-	-
6 Permanent, + 10 °C	1,35	-	-	-	-
7 Special, + 10 °C	1,0	-	-	-	1,0

[1] If permanent loads have a positive effect on the structural forces e.g. uplift forces on foundation γ_G = 0,9.
[2] Only the load at the end of the crossarm, see 4.2.6.
[3] $\chi_Q = \chi_0 - \gamma_Q$, with reference to ENV 1991-1 "Basis of Design".

Table 4.2.11/NL.3 - Partial factor and combination factor (special limit state)

Load case and temperature	Value for γ_G, γ_Q, χ_Q and γ_A for the ultimate limit state during specific circumstances				
	γ_G [1]	γ_Q or χ_Q [4),5)]			γ_A
Loads	G_K	Q_{PK}	Q_{WK}	Q_{iK}	A_K
1a Wind, 10° C	1,2	-	0,78	-	-
1b Wind, - 20° C	1,2	-	0,24	-	-
3 Wind+ice - 5° C	1,2	-	0,36	0,34 0,12	-
4 Construction/maintenance + 5° C	1,2	1,2	0,24	-	-

1) If permanent loads have a positive effect on the structural forces e.g. uplift forces on foundation γ_G = 0,9.
2) For ice region B.
3) For ice region C.
4) $\chi_Q = \chi_0 \gamma_Q$, with reference to ENV 1991-1 "Basis of Design".
5) γ_Q = 1,2, based on the assumption that the specific circumstances exist during a period of maximum 1 year.

Table 4.2.11/NL.4 - Partial factor and combination factor (serviceability limit state)

Load case and temperature	Value for γ_G, γ_Q, χ_Q and γ_A for the serviceability limit state				
	γ_G	γ_Q or χ_Q			γ_A
Loads	G_K	Q_{PK}	Q_{WK}	Q_{iK}	A_K
1a Wind, 10° C	1,0	-	1,0	-	-
1b Wind, - 20° C	1,0	-	0,2	-	-
3 Wind+ice - 5° C	1,0	-	0,3	1,0	-
4 Construction/maintenance + 5° C	1,0	1,0	0,2	-	-

De gegeven last uit de lijnen zijn niet nader gespecificeerd. De volgende combinaties worden gebruikt voor de fundaties van de pilonen. Voor de oliedruk en veldhuisjes worden de combinaties uit de eurocode gevolgd, behorende bij CC2.

		Permanente last	Var last uit lijn	Windbelasting	
1. Fund..Comb.	ULS	1,35			
2. Fund. Comb.	ULS	1,2	1,5	0,45	
3. Karakteristiek	SLS	1,0	1,0	0,3	
4. Frequent	SLS	1,0	1,0	0,3	

5. BEREKENING FUNDATIES

5.1. FUNDATIE VELDHUISJE

De veldhuisjes bestaan uit een prefab betonconstructie welke op 4 poeren wordt geplaatst.
De prefab word door de leverancier berekend.

Paalbelasting:

Eigen gewicht huisje		
Vloer, d=180 mm, 0,18 * 5 * 3 * 24 =	64,8 kN	
Wanden d=110+70 mm, 2 * (5 + 3) * 3 * 0,18 * 24 =	207,4 kN	
dak, d=160 mm, 0,16 * 5 * 3 * 24 =	57,6 kN	
Variabele belasting op vloer 10 kN/m^2, 5*3*10=		150 kN

Windbelasting 1,0 kN/m^2 , 5*3*1*(3/2) / 2,4 = 10 kN (trek/druk)

Totale paalbelasting (1,2 * 330 + 1,5 * 150) / 4 + 1,5 * 0,2 * 10 / 2 = 160 kN / paal

5.2. FUNDATIE OLIEDRUKHUISJE

De oliedrukhuisjes bestaan uit een prefab betonconstructie welke op 4 poeren wordt geplaatst.
De prefab word door de leverancier berekend.

Paalbelasting:

Eigen gewicht huisje		
Vloer, d=180 mm, 0,18 * 6 * 7 * 24 =	181,5 kN	
Wanden d=110+70 mm, 2 * (6 + 7) * 3 * 0,18 * 24 =	337,0 kN	
dak, d=160 mm, 0,16 * 6 * 7 * 24 =	161,3 kN	
Variabele belasting op vloer 10 kN/m^2, 6*7*10=		420 kN

Windbelasting 1,0 kN/m^2 , 7*3*1*(3/2) / 5,5 = 5,7 kN (trek/druk)
Wind verwaarloosbaar

Totale paalbelasting (1,2 * 680 + 1,5 * 420) / 4 =370 kN / paal

Ontwerprapport zettingen OSP's

Project:
Randstad 380 kV Noordring

Opdrachtgever:
TenneT TSO

Revisie	Datum	Wijzigingen ten opzichte van vorige revisie
00	10-07-2013	Eerste uitgave
01	6-08-2013	Tekstuele verbeteringen + bijlage 1 aangepast
02	3-10-2013	Aanpassingen t.g.v. nieuwe grondonderzoek, verwerking opmerkingen opdrachtgever
03	05-02-2014	Bijlagen toegevoegd DC

Documentnummer: R3N-OWR-0011

Opsteller	*Controleur*	*Vrijgever*
A. Daddah Adviseur Geotechniek	P. de Jager Ontwerpmanager	Erik Duwel Project Manager

Distributie

Naam	Bedrijf
Extern	
Guido Volman	TenneT TSO
Intern	
Erik Duwel	BAM
Pieter de Jager	BAM
Eric van Rooijen	BAM
Rob Bakker	BAM
Erwin ten Cate	BAM
Michael Desmet	Cofely Fabricom
Hein Pijnappel	Mott MacDonald

Beheer

De documentbeheerder van de combinatie verzorgt de distributie. Alleen houders van een geregistreerde kopie ontvangen automatisch aanvullingen en/of wijzigingen. Het is de verantwoordelijkheid van de houders het document up to date te houden. De laatste versie is altijd beschikbaar in ThinkProject!

Indien documenten worden geprint, geldt het volgende: een geregistreerde kopie is geldig vanaf de datum van uitgifte. Bij uitgifte van een document met een hoger revisienummer verliest de voorgaande versie automatisch haar geldigheid. Kopiehouders dienen het voorblad van een ongeldige versie te markeren met een diagonale lijn samen met de tekst 'vervallen'.

Neem bij twijfel over de geldende versie contact op met de documentbeheerder.

Inhoudsopgave

1. Inleiding *4*
2. Uitgangspunten Geotechniek *5*
2.1. Algemeen 5
2.2. Bodemopbouw en grondparameters 7
2.3. Programmatuur 8
2.4. Fasering 8
2.5. Bemaling 8
2.6. Berekeningsmethode 9
3. Uitgangspunten hydrologie *10*
4. Resultaten zettingen *13*
4.1. Resultaten zettingen OSP's 13
4.2. Conclusies en advies 19
5. Monitoring *20*
5.1. Zakbaken 20
5.2. Waterspanningsmeters 21
6. Bijlagen *24*
Bijlage 1 Geotechnische lengteprofielen 25
Bijlage 2 Resultaten zettingsberekeningen OSP's 26

1. INLEIDING

De komende jaren werken het ministerie van Economische Zaken en TenneT aan de aanleg van een nieuwe 380 kV hoogspanningsverbinding in de Randstad. De nieuwe verbinding stelt de voorziening van elektriciteit in de Randstad veilig.

Het ontwerptracé van de nieuwe Randstad 380 kV verbinding is sinds eind 2008 bekend. De plannen gaan uit van twee ringen, tussen Wateringen en Zoetermeer (de Zuidring) en tussen Zoetermeer en Beverwijk (de Noordring). Eind 2012 heeft Tennet de aanbesteding opgestart voor het gedeelte van de Noordring tussen station Vijfhuizen en Bleiswijk. Het contract is opgedeeld in twee percelen, waarbij de grens ligt bij Zuidelijke Ringvaart. Dit document heeft betrekking op perceel 2 (het zuidelijke gedeelte).

BAM heeft op 8 juli 2013 het contract ondertekend met TenneT voor het ontwerp en realiseren van perceel 2. Het voorliggende document is onderdeel van het Definitief Ontwerp en behandelt de zettingen ter plaatse van de OSP's (opstijgpunten) van Perceel 2.

2. UITGANGSPUNTEN GEOTECHNIEK

In de onderstaande paragrafen zijn de voor het ontwerp relevante uitgangspunten gegeven.

2.1. ALGEMEEN

Voor de uitvoering van de berekening zijn de volgende gegevens en uitgangspunten gehanteerd:

- CUR-publicatie 162 'Construeren met grond'. Civieltechnisch Centrum Uitvoering Research en Regelgeving, november 1992;
- NEN 9997-1: Geotechnisch ontwerp van constructies – Deel 1: Algemene regels, december 2012;
- Situatietekeningen en dwarsprofielen van het ondergrondse tracé;
- Grondonderzoek en laboratoriumonderzoek uitgevoerd door FUGRO. Het grondonderzoek en het laboratoriumonderzoek zijn gedurende verschillende nota's van inlichtingen beschikbaar gesteld;
- De aangehouden geometrie voor de berekeningen is overgenomen uit de dwarsprofielen;
- De berekeningen zijn uitgevoerd met representatieve waarden van de grondparameters conform Paragraaf 2.2;
- Voor zand in het cunet en ophoging zijn de volgende grondparameters conform tabel 2.b van NEN 9997-1 gehanteerd (γ_{nat} = 18 kN/m^3, γ_{sat} = 20 kN/m^3, φ = 32,50, c = 0 kN/m^2);
- De geometrie van de OSP's is conform de tekening met tekeningnummer 32995543-OSZZ-08-E0201, d.d. 31-05-2013;
- Bij de OSP's wordt 1,15 m ontgraven, waarop 1,0 m zand en 0,15 m grind wordt aangebracht;
- De aangebrachte zand in cunet en boven maaiveld dient goed verdicht te worden;
- De zettingen zijn berekend over een periode van 30 jaar;
- De restzettingseis bedraagt 0,10 m in 30 jaar na oplevering (nota van inlichtingen 2 en 12);
- Zettingen zullen de eerste 5 jaar na oplevering worden gemonitord.

Grote delen van Nederland worden gekenmerkt door een langzame, natuurlijke daling van de bodem. De kaart in figuur 1 (bron: www.geofoon.nl) toont de verwachte bodemdaling tot het jaar 2050 t.o.v. 1995 en is opgesteld door RWS, NAM en TNO. In deze kaart zijn de effecten van geologische processen en de gevolgen van menselijke activiteit, zoals peilaanpassingen en aardgaswinning, bij elkaar opgeteld.

De verwachte bodemdaling op de projectlocatie blijkt op de meeste gebieden maximaal 0,10 m in 30 jaar te bedragen. Op gebieden waar een dikke veenlaag aan het oppervlak voorkomt kan de bodemdaling maximaal 0,20 m in 30 jaar bedragen.

Aangezien binnen en buiten de projectlocatie vergelijkbare bodemdaling wordt verwacht, wordt deze voor het verdere ontwerp niet beschouwd.

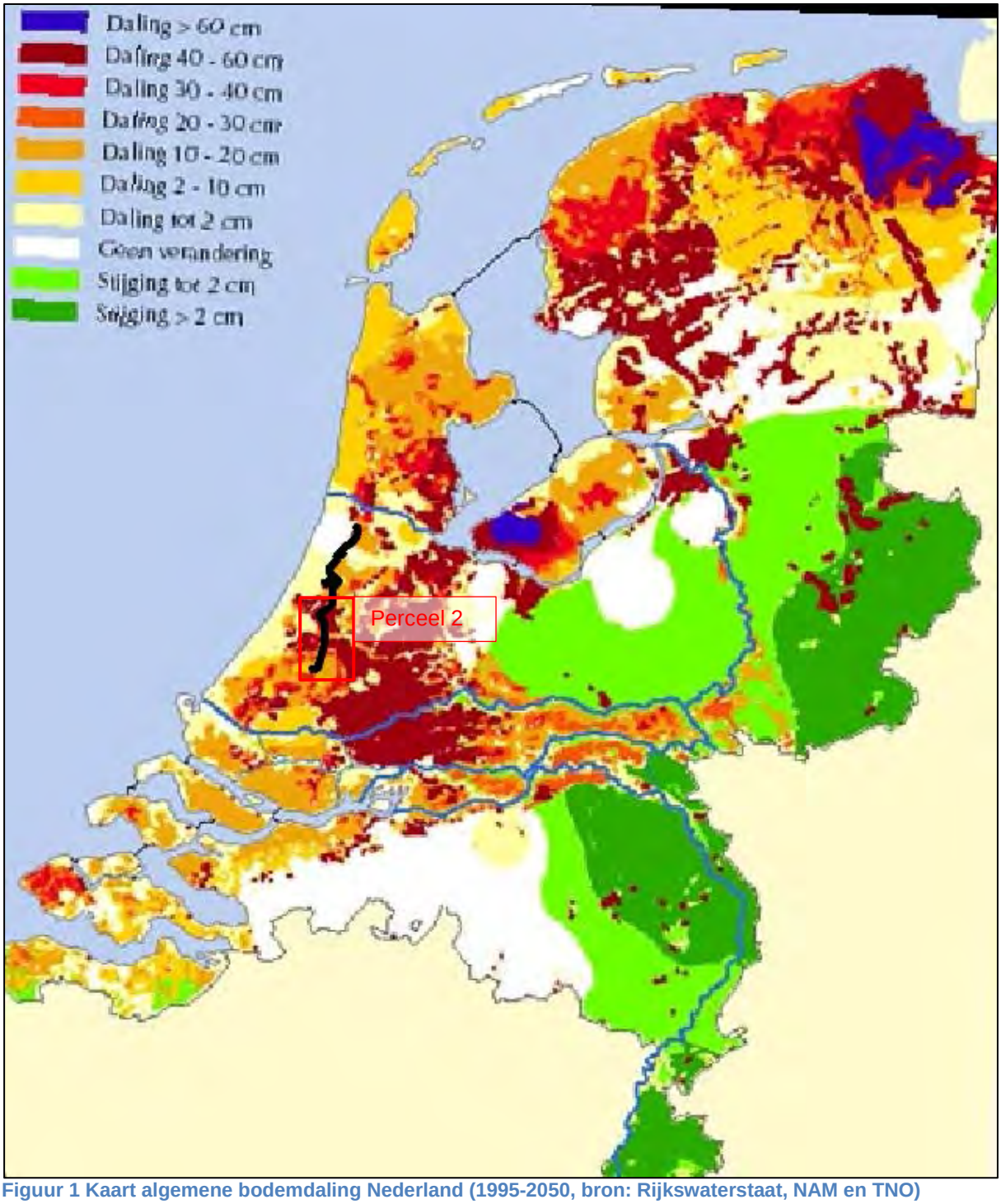

Figuur 1 Kaart algemene bodemdaling Nederland (1995-2050, bron: Rijkswaterstaat, NAM en TNO)

De kaart in figuur 2 toont de ondiepe geologie (toplaag) in het gebied aan (voorkomende grondlagen aan het oppervlak).

Figuur 2 Geologie t.p.v. Perceel 2 (bron: grondwaterkaart van Nederland, grondsoortenkaart Nederland)

Gezien de bodemopbouw wordt eveneens verwacht dat het grootste gedeelte van deze bodemdaling in de diepe holocene lagen (onder ontgravingsniveau) plaats vindt. Hierdoor wordt het aandeel van de algemene bodemdaling in de totale zettingen binnen en buiten het sleuftracé dezelfde. Op basis hiervan is algemene bodemdaling buiten beschouwing gelaten.

Wel zullen een paar meetpunten buiten het invloedsgebied van het tracé worden geplaatst om de bodemdaling te meten.

Beïnvloeding van eventueel aanwezige objecten en leidingen is niet in deze rapportage meegenomen.

2.2. BODEMOPBOUW EN GRONDPARAMETERS

Op basis van het uitgevoerde grondonderzoek zijn geotechnische lengteprofielen opgesteld. Deze zijn in bijlage 1 bijgevoegd.

Op basis van de opgestelde geotechnische lengteprofielen zijn bodemprofielen afgeleid die maatgevend zijn voor subsystemen (definitieve wegen, OSP's en sleuven) in perceel 2. De aangetroffen grondlagen met de gehanteerde laag representatieve waarden van de grondparameters zijn in tabel 1 weergegeven.
De grondparameters zijn gebaseerd op ervaringsgetallen (project verbreding A4 Burgerveen-Leiden, grondparameters aardebaan Noord en Zuid), beschikbare laboratoriumonderzoek en tabel 2.b van NEN

9997-1. De afleiding van de grondparameters uit de laboratoriumonderzoek is in de rapportage R3N-OWR-0043-01 Geotechnisch basisrapport gegeven.

Tabel 1 Aangetroffen grondlagen met de aangehouden laag representatieve waarden van de grondparameters

grondlaag	γ_{nat} [kN/m^3]	γ_{sat} [kN/m^3]	ϕ' [°]	c' [kN/m^2]	c_v [m^2/s]	C'$_p$ [-]	C$_p$ [-]	C'$_s$ [-]	C$_s$ [-]	POP [kN/m^2]
toplaag-A4 (N)	16	16	25	2	4,0E-07	15	65	200	275	10
Toplaag veen	13	13	17,5	2	7,7E-08	6,5	31	16	145	10
zand kleiig-A4 (N)	17,5	19	27,5	0	5,5E-06	200	400	-	-	-
veen-A4 (Z)	10,5	10,5	15	2	3,0E-08	5,7	33,2	22,8	114	10
klei humeus-A4 (N)*	13,2	13,2	18,9	2,6	7,7E-08	6,5	31	16	145	10
klei siltig-A4 (N)*	15,4	15,4	22,4	3,0	9,4E-08	13,8	56,7	89,8	257	10
klei zandig-A4 (N)	17,4	17,4	25	4,3	2,0E-07	28,7	70,6	195,9	321	10
basisveen-A4 (N)	10,8	10,8	15	2	4,7E-08	7,2	51,4	27,6	111	10
pleistoceen-A4 (N)	18	20	32,5	0	-	600	1800	-	-	-

γ_{nat}	representatieve waarde van het volumiek gewicht van de grondlaag met natuurlijke watergehalte
γ_{sat}	representatieve waarde van het volumiek gewicht van de verzadigde grondlaag
φ'	hoek van inwendige wrijving
c'	cohesie
c_v	verticale consolidatiecoëfficiënt
C'$_p$	primaire samendrukkingsconstante boven de grensspanning
C$_p$	primaire samendrukkingsconstante onder de grensspanning
C'$_s$	secundaire samendrukkingsconstante boven de grensspanning
C$_s$	secundaire samendrukkingsconstante onder de grensspanning
POP	Pre Overburden Pressure (voorconsolidatie spanning)
*	De volumieke gewichten en sterkteparameters van deze lagen zijn uit laboratoriumonderzoek afgeleid (zie rapport R3N-OWR-0043-01 Geotechnisch basisrapport)

2.3. PROGRAMMATUUR

Ten behoeve van de berekeningen is de volgende computerprogramma gebruikt:

- 2-D computerprogramma D-Settlement, versie 9.3 (build 2.2) uitgaande van het model NEN-Koppejan en met het consolidatiemodel Darcy t.b.v. de zettingsberekeningen.

2.4. FASERING

De volgende fasering is aangehouden:

1. verwijderen teelaardelaag
2. ontgraven cunet waar nodig
3. aanbrengen doek (folie) waar nodig
4. plaatsen zakbaken
5. aanvullen cunet met zand en een laag grind
6. na 365 dagen OSP's afwerken

2.5. BEMALING

In de uitvoeringsfase worden de OSP's droog gehouden door middel van sleufbemaling. Waar opbarsten van de bodem wordt verwacht zal een spanningsbemaling in de tussenzandlaag/diepe zandlaag plaats moeten vinden. Dit aspect wordt in de geohydrologische rapportages (R3N-OWR-0039-02 Bemalingsadvies Rijnland en R3N-OWR-0040-02 Bemalingsadvies Schieland) beschouwd.

2.6. BEREKENINGSMETHODE

Ten aanzien van de zettingsberekeningen worden hier de volgende punten aangegeven:

- Zettingen zijn berekend volgens de methode NEN-Koppejan met het consolidatiemodel Darcy;
- Gezien de verwachte zettingen (kleiner dan laagdikte) wordt met lineaire rek gerekend;
- Bij de berekeningen wordt spanningsspreiding volgens de methode Buisman toegepast;
- De berekeningen van de zetting zijn uitgevoerd t.p.v. de maatgevende dwarsprofielen. Waar grote variatie in bodemopbouw aanwezig is, is deze variatie in de profielen verwerkt;
- Bij zettingsberekeningen op basis van laboratoriumonderzoek is het gebruikelijk rekening te houden met een onnauwkeurigheid van ± 30% in de berekende zettingen. Omdat ter plaatse van het tracé geen laboratoriumonderzoek beschikbaar is, is conform CROW publicatie 204 (Betrouwbaarheid van zettingsprognoses) van een onnauwkeurigheid van ± 50% in de berekende zettingen uitgegaan;
- Het modeleren van een grondverbetering (vervangen van een materiaal met een ander) wordt boven water in model als gewichtsverschil aangegeven en onder water als gewichtsverschil + 10 (zie ook D-Settlement manual: ground improvement).

De zettingsanalyse van de OSP's bestaat uit de berekening van een aantal maatgevende dwarsprofielen. De ontgraven cunetten voor de OSP's worden met zand opgevuld en wordt daarna een laag grind aangebracht. Het aangebracht zand en grind dient goed verdicht te worden.
De geometrie van de OSP is in figuur 3 grafisch weergegeven.

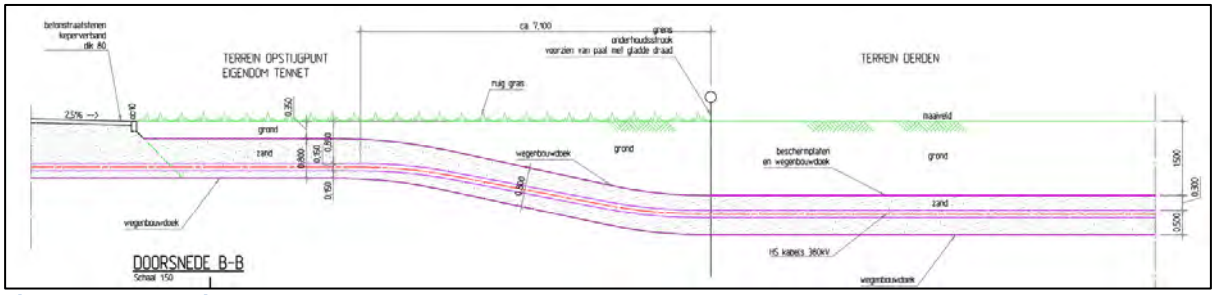

Figuur 3 Geometrie OSP

3. UITGANGSPUNTEN HYDROLOGIE

Een samenvatting van de geohydrologische gegevens (gemiddeld hoogste stijghoogtes en gemiddeld hoogste grondwater) is in tabel 2 weergegeven. Deze gegevens zijn conform de geohydrologische rapporten R3N-OWR-0039-02 Bemalingsadvies Rijnland en R3N-OWR-0040-02 Bemalingsadvies Schieland. De grafische weergaven van de gebieden met daarin aangegeven de geohydrologische gegevens zijn in figuur 4 t/m figuur 7 weergegeven.

Tabel 2 Geohydrologische gegevens

Locatie (SBS code)	Beschrijving	Stijghoogte (GHS)* [m NAP]	Grondwaterstand (GHG)** [m NAP]
OSP154	OSP Provinciale weg	-3,2	-4,5
OSP153	OSP Zuidweg	-3,0	-2,1
OSP YMM-74	OSP Hoogmade	-2,5	-1,7
OSP123	OSP Westeinde	-4,2	-5,1
OSP109	OSP Kruisweg	-5,0	-4,6
*	GHS: Gemiddeld Hoogste Stijghoogte		
**	GHG: Gemiddeld Hoogste Grondwaterstand		

Voor de berekeningen zijn de in tabel 2 weergegeven grondwaterstanden en stijghoogtes gehanteerd.

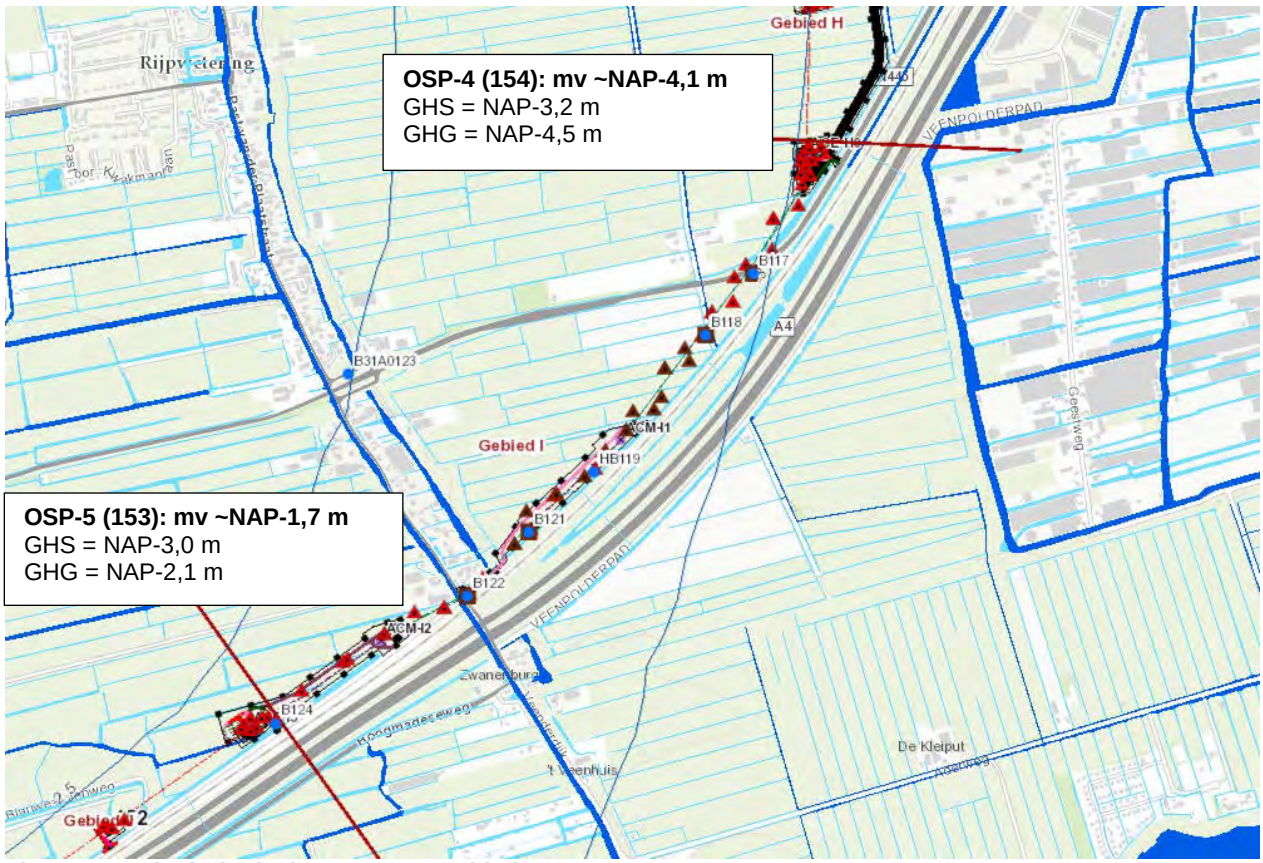

Figuur 4 Geohydrologische gegevens gebieden OSP154 en OSP153

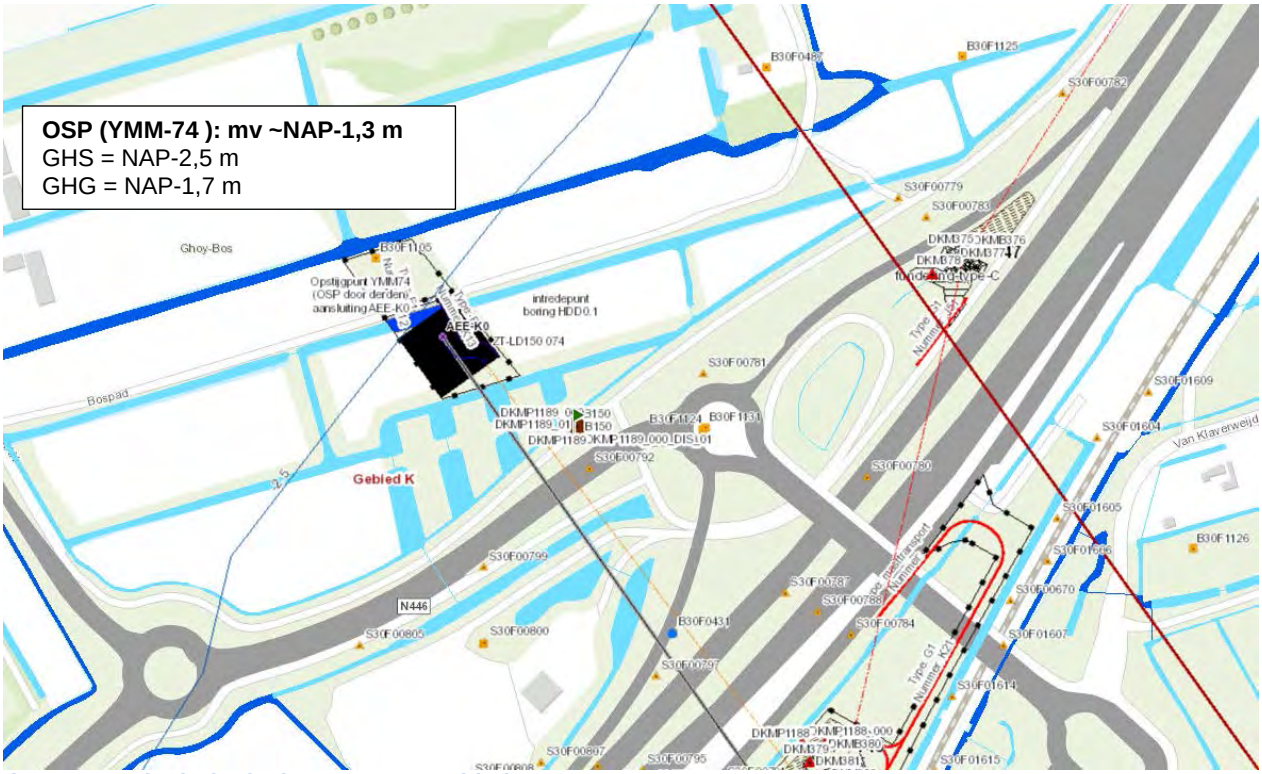

Figuur 5 Geohydrologische gegevens gebied OSP YMM-74

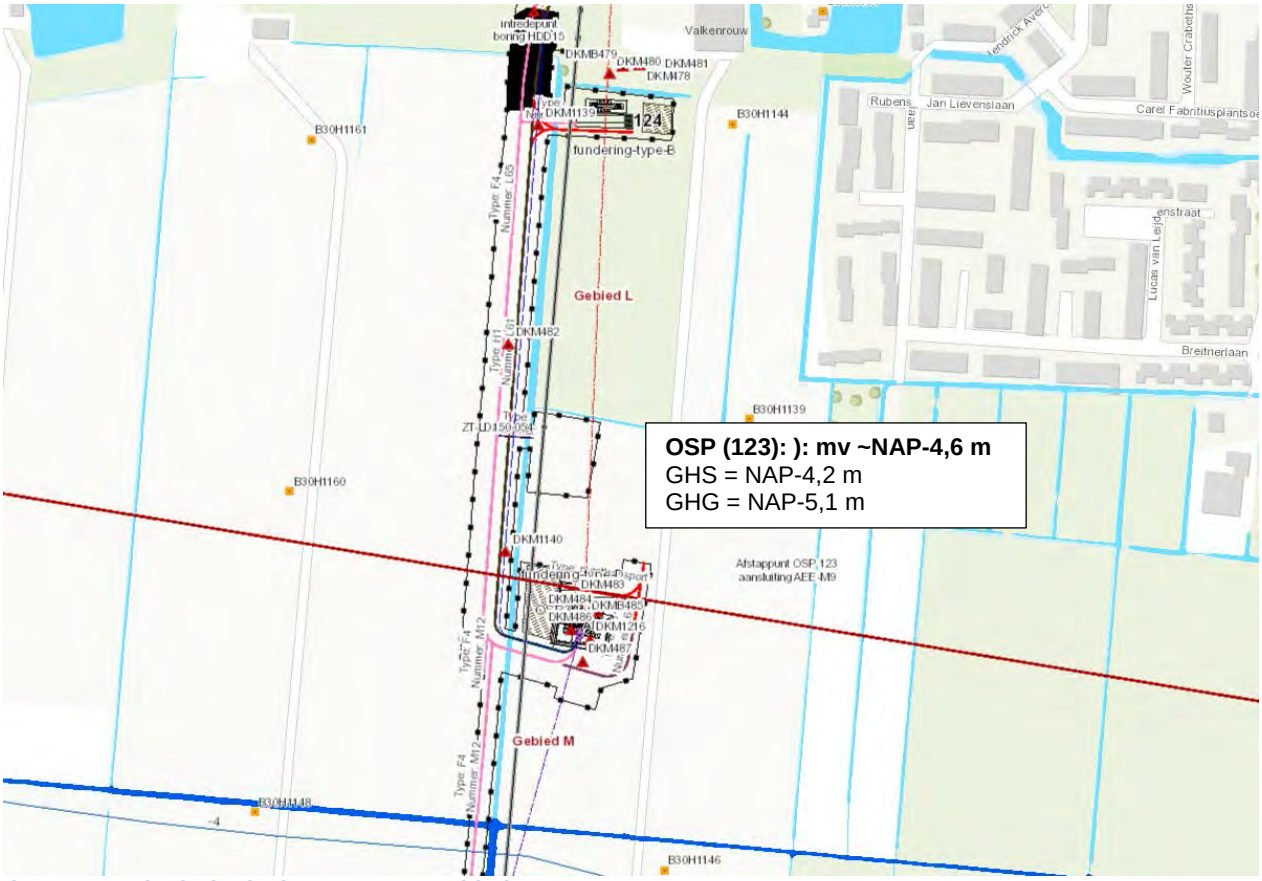

Figuur 6 Geohydrologische gegevens gebied OSP 123

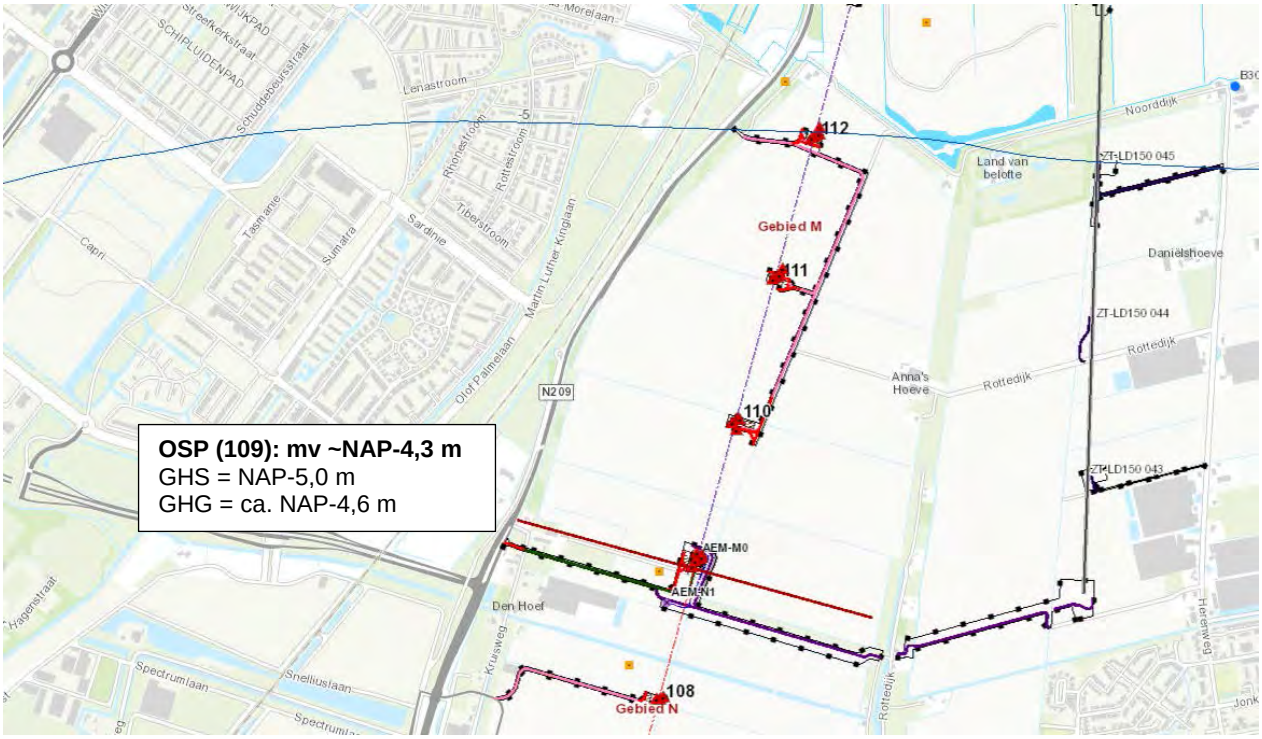

Figuur 7 Geohydrologische gegevens gebied OSP109

4. RESULTATEN ZETTINGEN

4.1. RESULTATEN ZETTINGEN OSP'S

Met inachtneming van de uitgangspunten en de gegevens van voorgaande hoofdstukken zijn zettingsberekeningen uitgevoerd. De zettingsberekeningen zijn gemaakt ter plaatse van de volgende dwarsprofielen:

- Dwarsprofiel bij OSP154;
- Dwarsprofiel bij OSP153 ;
- Dwarsprofiel bij OSP YMM-74;
- Dwarsprofiel bij OSP123;
- Dwarsprofiel bij OSP109.

Het doel van de berekeningen is:

- Het bepalen van de te verwachte zetting;
- Het bepalen van het verloop van de zettingen in de tijd.

Een samenvatting van de berekende zettingen na 30 jaar is in tabel 3 weergegeven. De geometrie van de ophogingen en maatgevende zettingslijnen (midden sleuf of grootste zetting bij variabele profiel) zijn in figuur 8 t/m figuur 17 weergegeven. De totale berekeningsresultaten zijn in bijlage 2 bijgevoegd.

Tabel 3 Resultaten zettingen OSP's

Locatie	Zetting 30 jaar* [m]	Restzetting na 1 jaar bij grootste zetting [m]	Restzetting na 5 jaar bij grootste zetting**** [m]	Toetsing zetting na 5 jaar** bij grootste zetting [%]
OSP 154 (Provinciale weg)***	0,28 à 0,34	0,08	0,07	80 %, restzetting klein dus voldoet
OSP 153 (Zuidweg)***	0,26 à 0,30	0,07	0,07	77 %, restzetting klein dus voldoet
OSP YMM-74 (Hoogmade)***	0,29	0,08	0,07	76 %, restzetting klein dus voldoet
OSP 123 (Westeinde)***	0,11	0,06	0,02	82 %, restzetting klein dus voldoet
OSP 109 (Kruisweg)***	0,07	0,02	0,005	92 %, restzetting klein dus voldoet

* Aan de rand van de ophoging is de zetting minder. De variabele zetting geldt bij grote OSP's (heterogene ondergrond)

** Toetsing zetting: zetting na 5 jaar/eindzetting. Deze dient minimaal 80 % te bedragen

*** In de berekeningen is uitgegaan dat na een voorbelastingsperiode (bouwperiode) van 1 jaar de ophoging op het huidig maaiveldniveau wordt afgewerkt (overhoogte t.o.v. huidig maaiveld verwijderen)

**** Zwel bij Darcy duurt erg lang, hetgeen niet helemaal correct is. Verwacht wordt dat zwel snel plaats vindt waardoor de restzetting kleiner zal zijn na 5 jaar

Uitgaande van een onnauwkeurigheid in de zettingen van 50% worden de volgende eindzettingen gevonden:

- Dwarsprofiel bij OSP154: 0,14 tot 0,17 m à 0,40 tot 0,51 m;
- Dwarsprofiel bij OSP153: 0,13 tot 0,15 m à 0,39 tot 0,45 m;
- Dwarsprofiel bij OSP YMM-74: 0,15 m à 0,44 m;
- Dwarsprofiel bij OSP123: 0,06 m à 0,17 m;
- Dwarsprofiel bij OSP109: 0,04 m à 0,11 m.

Uit de berekeningsresultaten volgen de onderstaande maatregelen:

- OSP154: 0,2 m hoger aanleggen, overhoogte: 1,0 m;
- OSP153: 0,2 m hoger aanleggen, overhoogte: 1,0 m;
- OSP YMM-74: 0,2 m hoger aanleggen, overhoogte: 1,0 m;

- OSP123: overhoogte: 0,10 m ter compensatie van verwachte zetting;
- OSP109: overhoogte: 0,10 m ter compensatie van verwachte zetting.

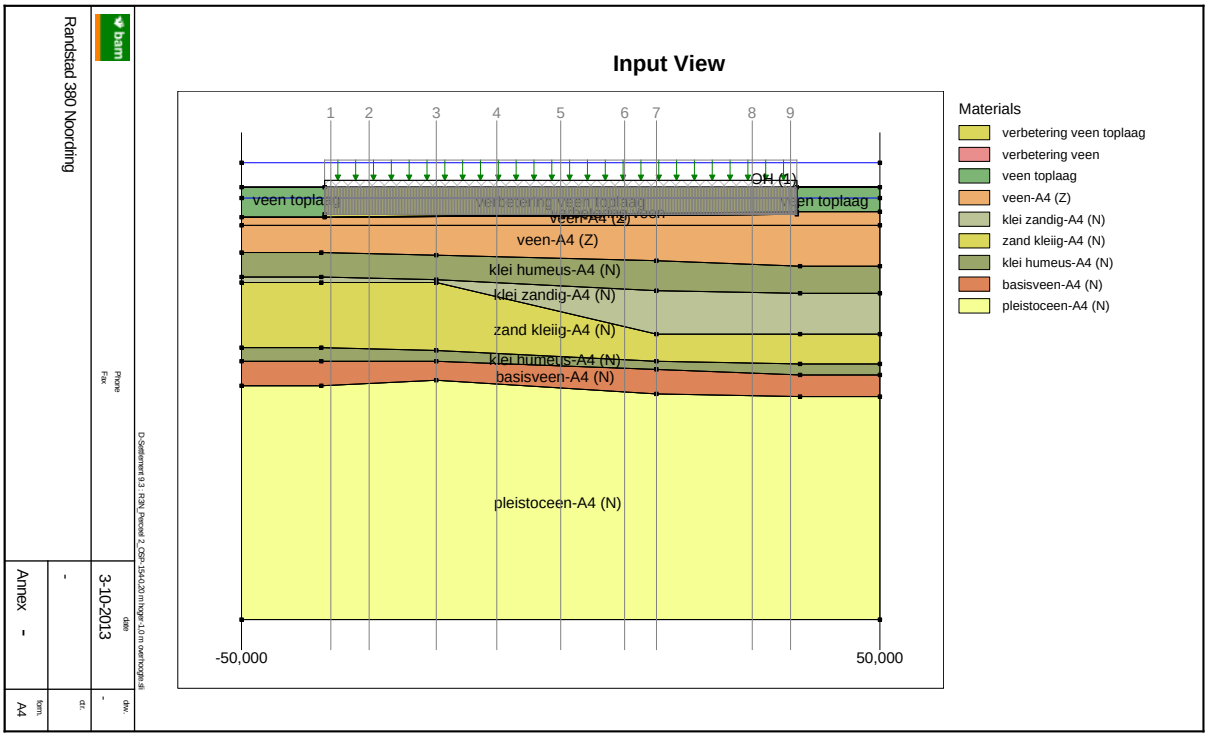

Figuur 8 Geometrie dwarsprofiel OSP 154

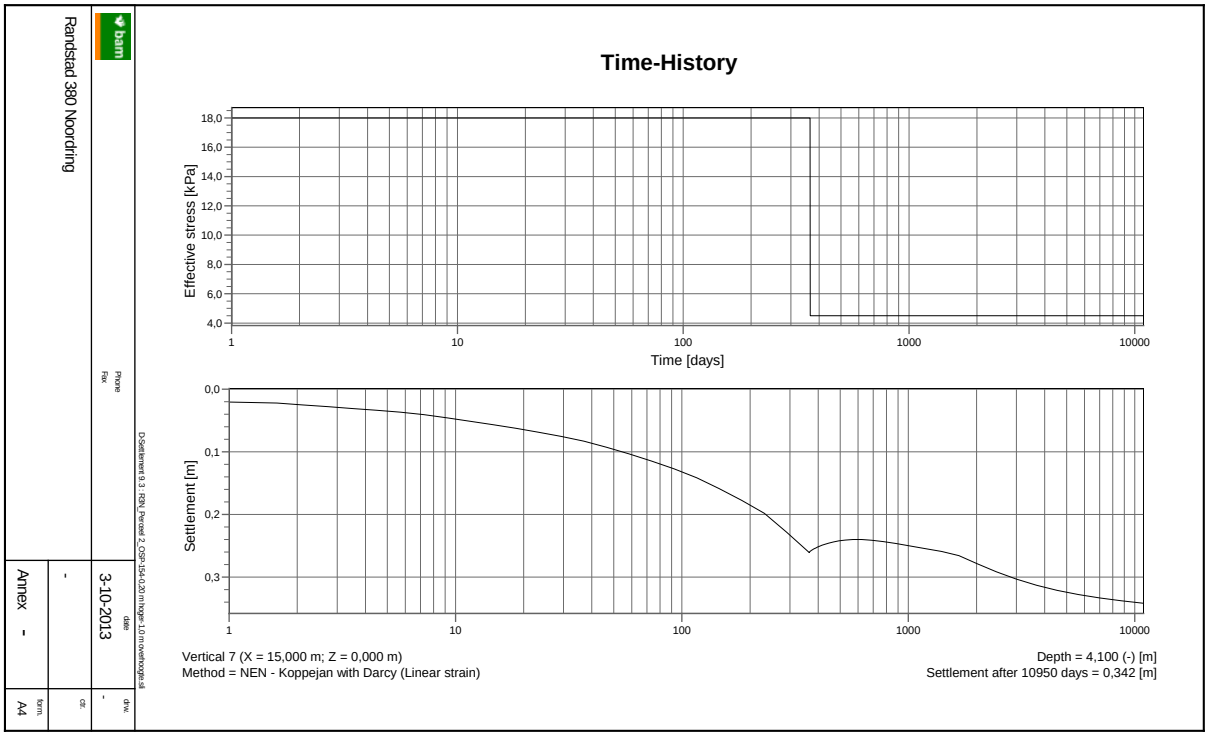

Figuur 9 Verloop zettingen dwarsprofiel OSP 154

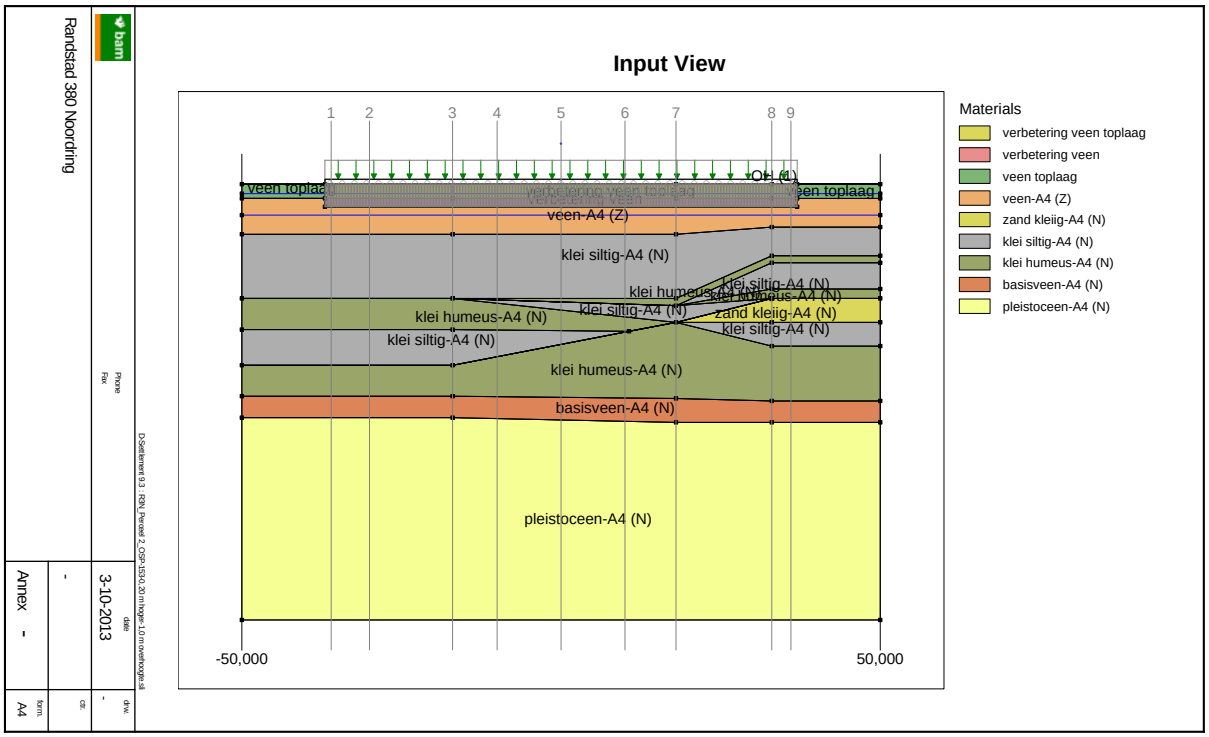

Figuur 10 Geometrie dwarsprofiel OSP 153

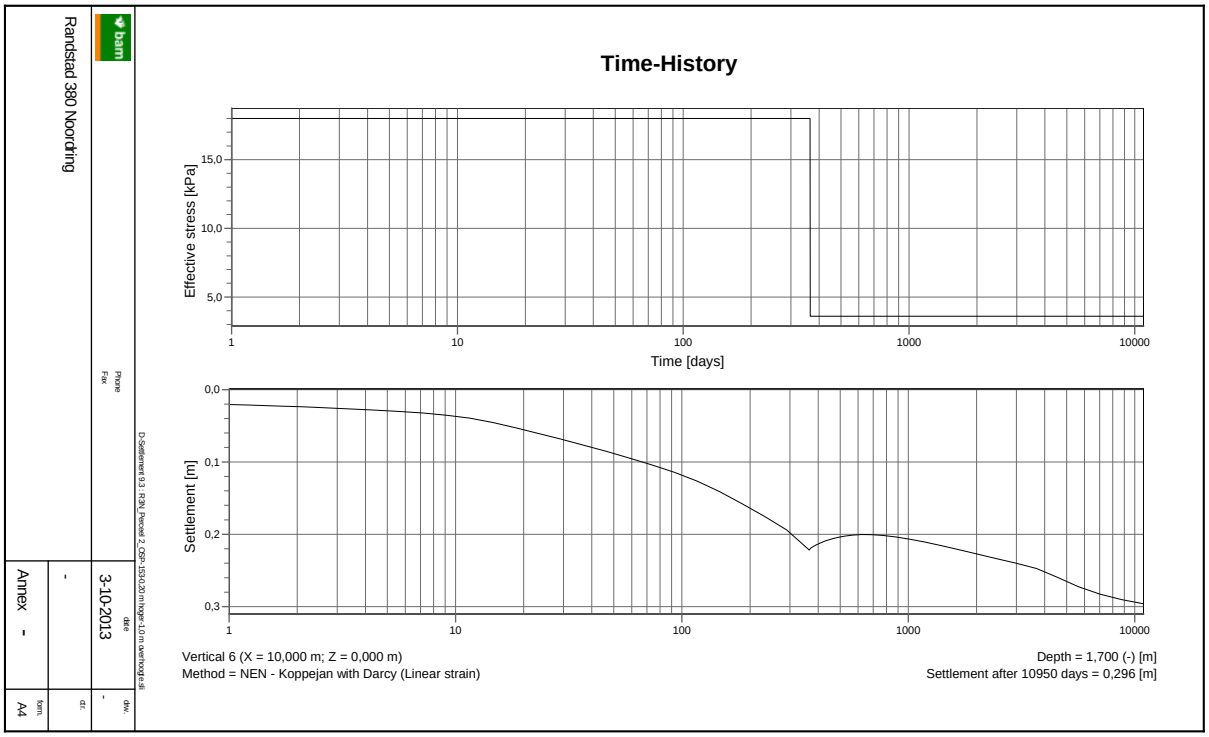

Figuur 11 Verloop zettingen dwarsprofiel OSP 153

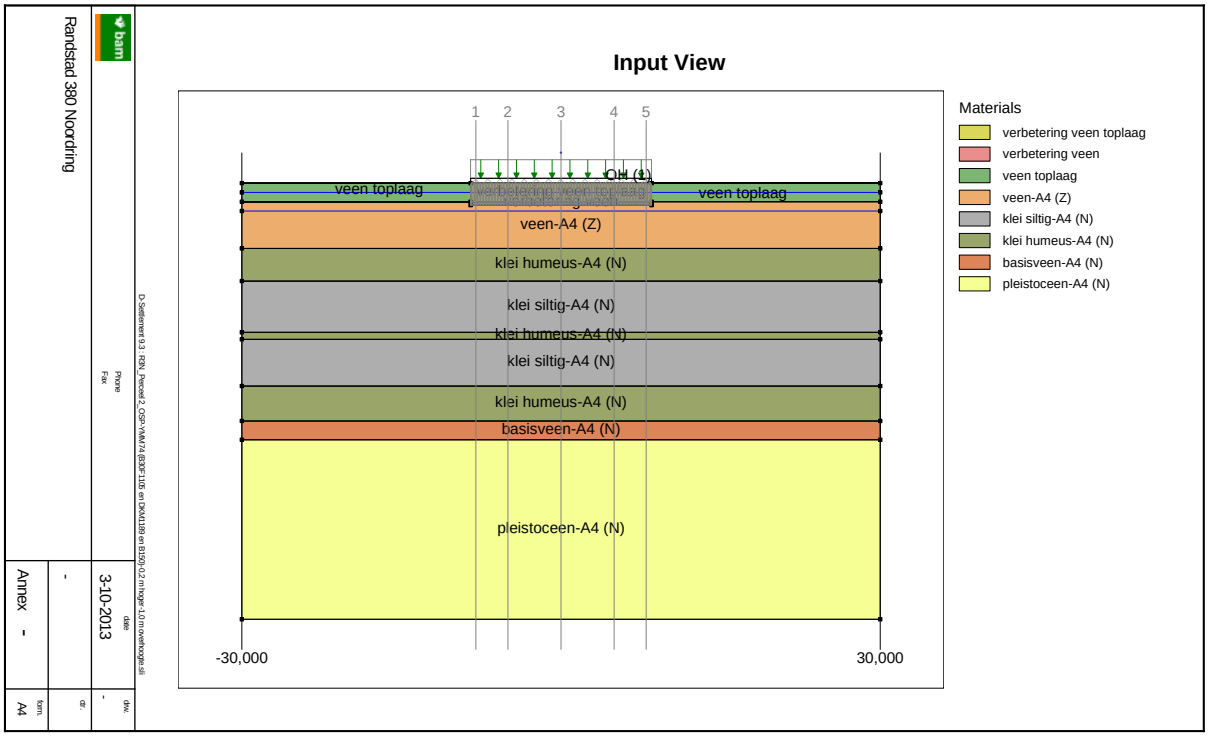

Figuur 12 Geometrie dwarsprofiel OSP YMM-74

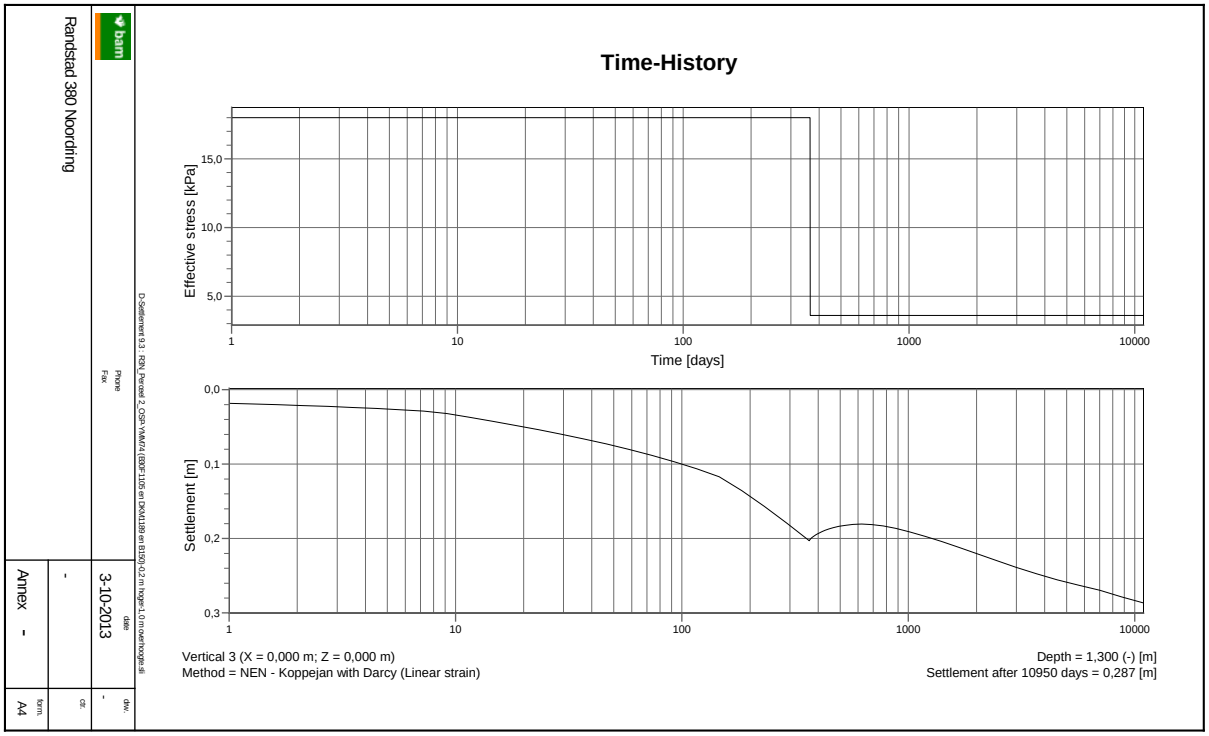

Figuur 13 Verloop zettingen dwarsprofiel OSP YMM-74

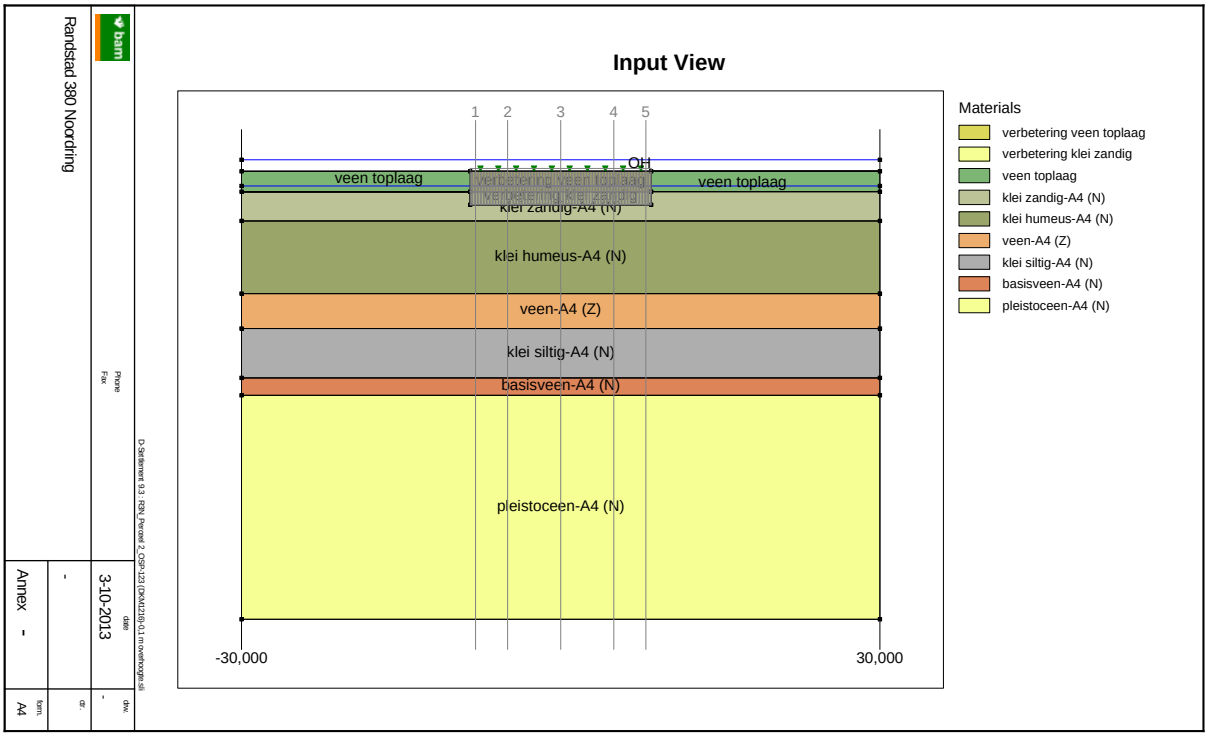

Figuur 14 Geometrie dwarsprofiel OSP 123

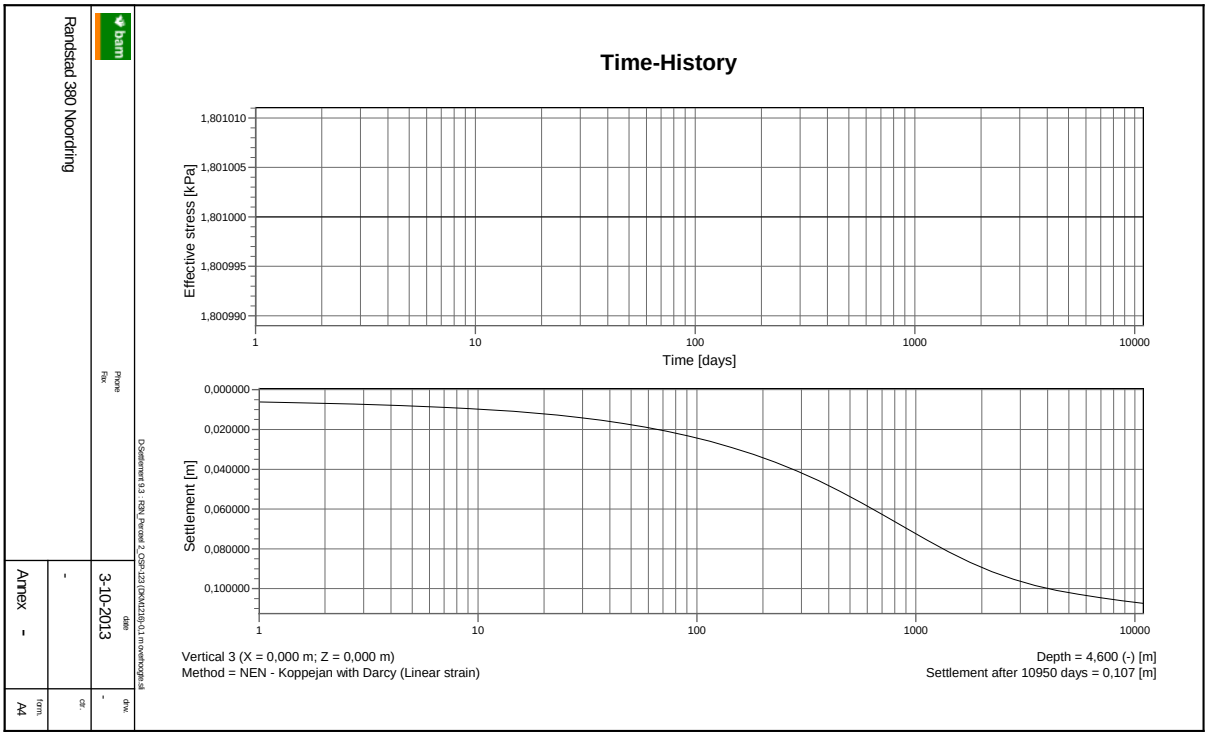

Figuur 15 Verloop zettingen dwarsprofiel OSP 123

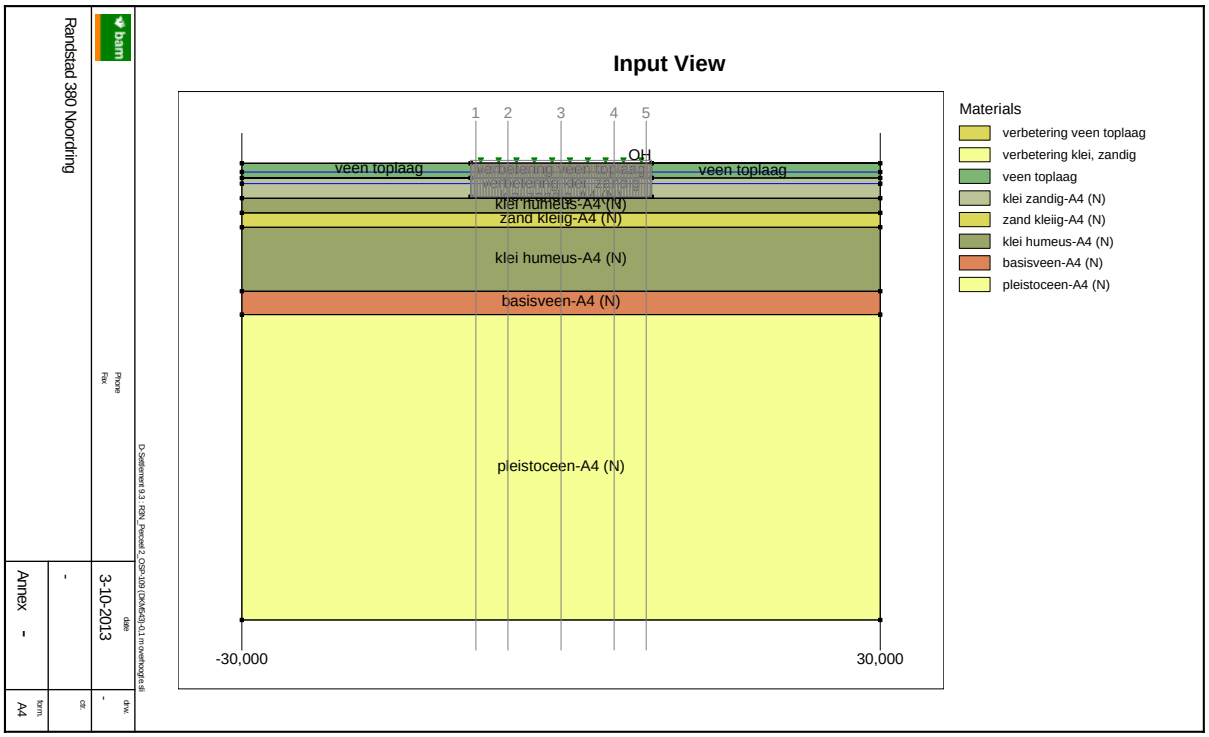

Figuur 16 Geometrie dwarsprofiel OSP 109

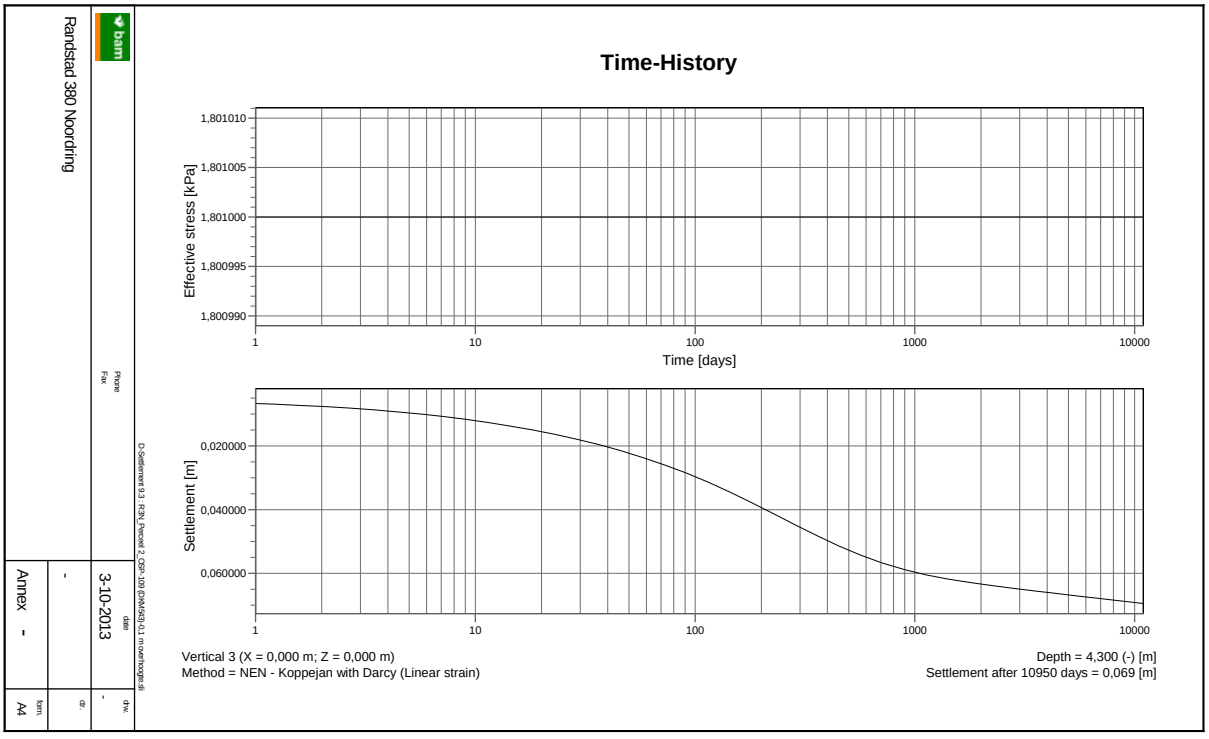

Figuur 17 Verloop zettingen dwarsprofiel OSP 109

4.2. CONCLUSIES EN ADVIES

Op basis van de berekende zettingen kunnen de volgende conclusies worden getrokken:

- Voor de berekeningen is uitgegaan van een onnauwkeurigheid in de zettingen van 50%;
- Eindzettingen OSP's:
- Dwarsprofiel bij OSP154: 0,14 tot 0,17 m à 0,40 tot 0,51 m;
- Dwarsprofiel bij OSP153: 0,13 tot 0,15 m à 0,39 tot 0,45 m;
- Dwarsprofiel bij OSP YMM-74: 0,15 m à 0,44 m;
- Dwarsprofiel bij OSP123: 0,06 m à 0,17 m;
- Dwarsprofiel bij OSP109: 0,04 m à 0,11 m;
- Restzettingen na 365 dagen: kleiner dan de restzettingseis van 0,10 m;
- Na 5 jaar na oplevering is meer dan 80 % zetting opgetreden en/of is de restzetting klein (< 0,07 m).

De onderstaande maatregelen zijn t.p.v. de OSP's nodig:

- OSP154: 0,2 m hoger aanleggen, overhoogte: 1,0 m;
- OSP153: 0,2 m hoger aanleggen, overhoogte: 1,0 m;
- OSP YMM-74: 0,2 m hoger aanleggen, overhoogte: 1,0 m;
- OSP123: overhoogte: 0,10 m ter compensatie van verwachte zetting;
- OSP109: overhoogte: 0,10 m ter compensatie van verwachte zetting.

De zettingen worden door middel van monitoring gecontroleerd.

Geadviseerd wordt om na het graven van het cunet van de OSP's zo snel mogelijk daarna aan te vullen met zand om eventuele zwel (dat daarna zakt en dus tot extra zetting leidt) te beperken.

Geadviseerd wordt om na de voorbelastingsperiode de overhoogte t.o.v. het huidig maaiveld te verwijderen.

5. MONITORING

5.1. ZAKBAKEN

Tijdens de uitvoering van de werkzaamheden worden zakbaken in het cunet van de OSP's geplaatst. Gezien de aangetroffen bodemopbouw wordt geadviseerd om minimaal 2 zakbaken per OSP te plaatsen. Een schematische weergave van de locatie van een zakbaak is in figuur 18 weergegeven.

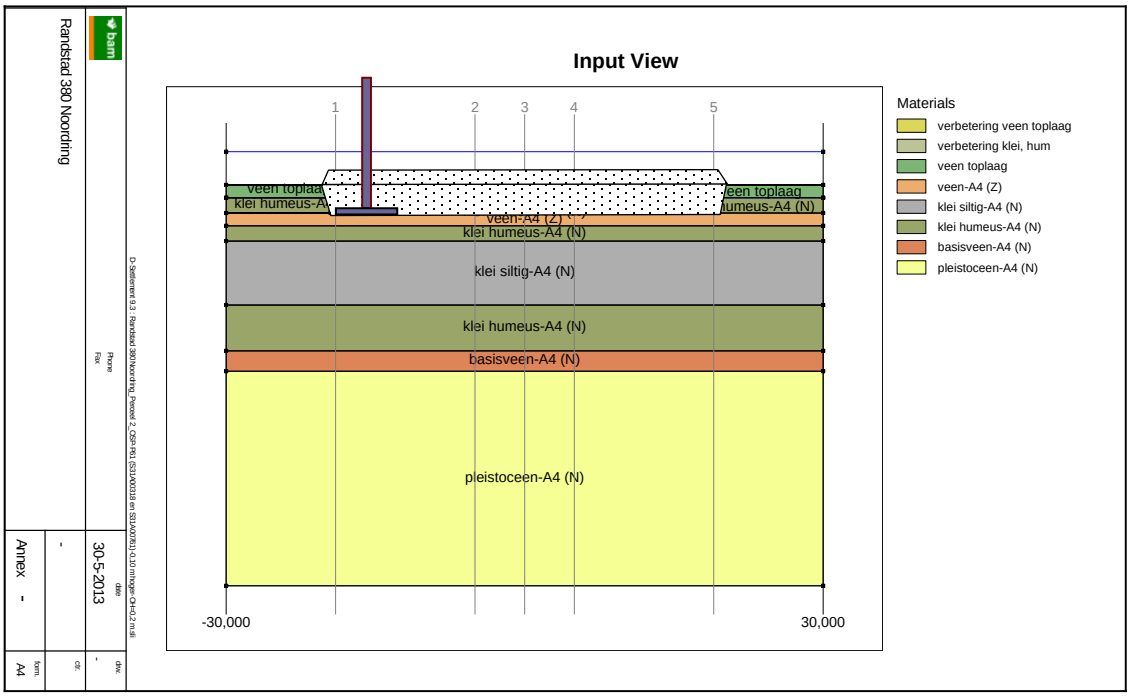

Figuur 18 Locatie zakbaak in het cunet van de OSP (aanvulling)

Met behulp van de meetgegevens kunnen de berekeningen van de zettingen worden gevalideerd.
De zakbaken dienen conform de onderstaande specificaties te worden gemeten.

Nulmeting
De nulmeting wordt uitgevoerd na plaatsing van de zakbaak en kort voor het aanbrengen van de eerste ophoging. Tijdens deze meting dient het volgende gemeten te worden:
nr, datum, tijd, X, Y, Z, lengte, hoogte plaat

waarin:
nr: nummer zakbaak
datum: datum van meting
tijd: tijd van meting
X,Y: RD coördinaten zakbaak
Z: hoogte bovenkant buis t.o.v. NAP
lengte: lengte van de buis gemeten vanaf de voetplaat
hoogte plaat: bovenkant afdekplaat t.o.v. NAP

Herhaalmetingen
Tijdens de herhaalmetingen dient het volgende gemeten te worden:
nr, datum, tijd, X, Y, Z, lengte, mv
waarin:
mv: is hoogte maaiveld bij zakbaken t.o.v. NAP

Opgemerkt wordt hierbij dat bij elke verlenging van de zakbaken de hoogte hiervan vóór en na het ophogen gemeten dienen te worden.

Meetschema
De zakbaken dienen bij voorkeur volgens onderstaand schema te worden gemeten.

Tijdens ophogen	Minimaal twee keer per week en na elke ophoogslag
Na ophogen tot 3 maanden	Minimaal elke week
Vanaf 3 maanden tot ½ jaar	Minimaal elke 2 weken
Vanaf ½ jaar en verder	Minimaal elke 4 weken

Meetnauwkeurigheid
De metingen dienen te worden uitgevoerd met een meetnauwkeurigheid van 5 mm.

Uitvoering
De zakbaken zijn onder de voetplaat voorzien van een stalen buis met een lengte van ongeveer 0,2 m. Bij plaatsing wordt de stalenbuis de grond ingeduwd waardoor de voetplaat op het maaiveld komt. De stalen buis zorgt voor de stabiliteit van de zakbaken.

5.2. WATERSPANNINGSMETERS

Locaties
De waterspanningsmeters worden geplaatst ter plaatse van de OSP's. Er wordt 1 spanningsmeter per OSP geplaatst.
Gezien de bodemopbouw en de maatgevende grondwaterstanden worden de waterspanningsmeters op circa 2,0 m –mv geplaatst. Dit betekent het volgende:

- OSP154: waterspanningsmeter op NAP-6,0 m;
- OSP153: waterspanningsmeter op NAP-4,0 m;
- OSP YMM-74: waterspanningsmeter op NAP-5,0 m;
- OSP123: waterspanningsmeter op NAP-7,0 m;
- Ter plaatse van OSP109 is de ondergrond zandig en de zettingen gering. Er hoeft daar geen waterspanningsmeter te worden geplaatst.

Plaatsing
Tijdens het plaatsen van de waterspanningsmeter worden de volgende gegevens genoteerd:
nr, datum, tijd, X, Y, diepte, mv, barometer, meting

waarin:
nr: nummer waterspanningsmeter
datum: datum van meting
tijd: tijd van meting
X,Y: RD coördinaten waterspanningsmeter
diepte: diepte filter tov NAP
mv: is hoogte maaveld tov NAP
barometer: luchtdruk in millibar
meting: meetwaarde in millibar

Nulmeting
Ongeveer 2 weken voor het aanbrengen van de eerste zandlaag worden de waterspanningsmeters geplaatst. Na 1 week worden 3 nulmetingen uitgevoerd. Tijdens de nulmeting dient het volgende gemeten te worden:
nr, datum, tijd, barometer, meting

Herhaalmetingen
Tijdens de herhaalmetingen worden de waterspanningsmeters conform de nulmeting gemeten.

Opgemerkt wordt dat er geen stangen op maaiveld blijven zodat het dieper zakken van het filter alleen uit controleberekeningen kan worden bepaald.

Meetschema
De waterspanningsmeters dienen bij voorkeur volgens onderstaand schema te worden gemeten.

Tijdens ophogen	Minimaal twee keer per week en na elke ophoogslag
Na ophogen tot 3 maanden	Minimaal elke week
Vanaf 3 maanden tot ½ jaar	Minimaal elke 2 weken
Vanaf ½ jaar en verder	Minimaal elke 4 weken

Uitvoering
De waterspanningsmeters worden met een voertuig geplaatst en blijven na de werkzaamheden in de grond achter. Na het op diepte drukken van de waterspanningsmeters wordt de stang getrokken en blijft alleen de meetkabel achter in de grond. Deze wordt naar de zijkant, buiten de ophoging geleid, en zichtbaar gemarkeerd.

Indien een waterspanningsmeter tijdens de uitvoering ernstig wordt beschadigd of er is reden om aan te nemen dat de meting niet meer betrouwbaar is, dient deze te worden vervangen.

Referenties

1. NEN-EN 1990:2002, Grondslagen van het constructief ontwerp.
2. NEN-EN 1993, Ontwerp en berekening van staalconstructies.
3. NEN-EN 1997-1:2012, Geotechnisch ontwerp – Deel 1: Algemene regels.
4. CUR 162, Construeren met grond.
5. CUR 166, Damwandconstructies, deel 1 en 2, 5e druk.
6. CUR 2003-7, Bepaling geotechnische parameters.
7. CROW publicatie 204, Betrouwbaarheid van zettingsprognoses.
8. Nota van inlichtingen nummer 2, 10 december 2012.
9. Nota van inlichtingen nummer 12, 29 maart 2013.
10. Kabels, Specifiek programma van eisen, project R380-Noordring, R380 12 0239, versie 1.2, 11 april 2012.
11. Achtergrondrapport Archeologie, bodem & water - MER Noordring Randstad, definitief versie 2.0, 12 april 2012.
12. Gegevens uit de gebundelde informatie (polderpeilen, stijghoogte,…) uit de GIS omgeving: http://gis.baminfraconsult.nl/apps/001103_Randstad380Noord/.
13. Fugro, Geotechnisch onderzoek (sonderingen) project R380 Noordring-Zuid, 1010-0117-003, oktober-december 2012, januari en februari 2013.
14. Fugro, Laboratoriumrapportages (boringen met peilbuizen) project R380 Noordring-Zuid, 1010-0117-003, december 2012-maart 2013.
15. Hoogheemraadschap van Rijnland, Waterstructuurvisie Haarlemmermeerpolder, 22 september 2010.
16. TNO, Grondwaterkaart van Nederland nummers 24 en 25. Delft: TNO, 1979.
17. www.dinoloket.nl.

6. BIJLAGEN

Bijlage 1 Geotechnische lengteprofielen

Bijlage 2 Resultaten zettingsberekeningen OSP's

BIJLAGE 1 GEOTECHNISCHE LENGTEPROFIELEN

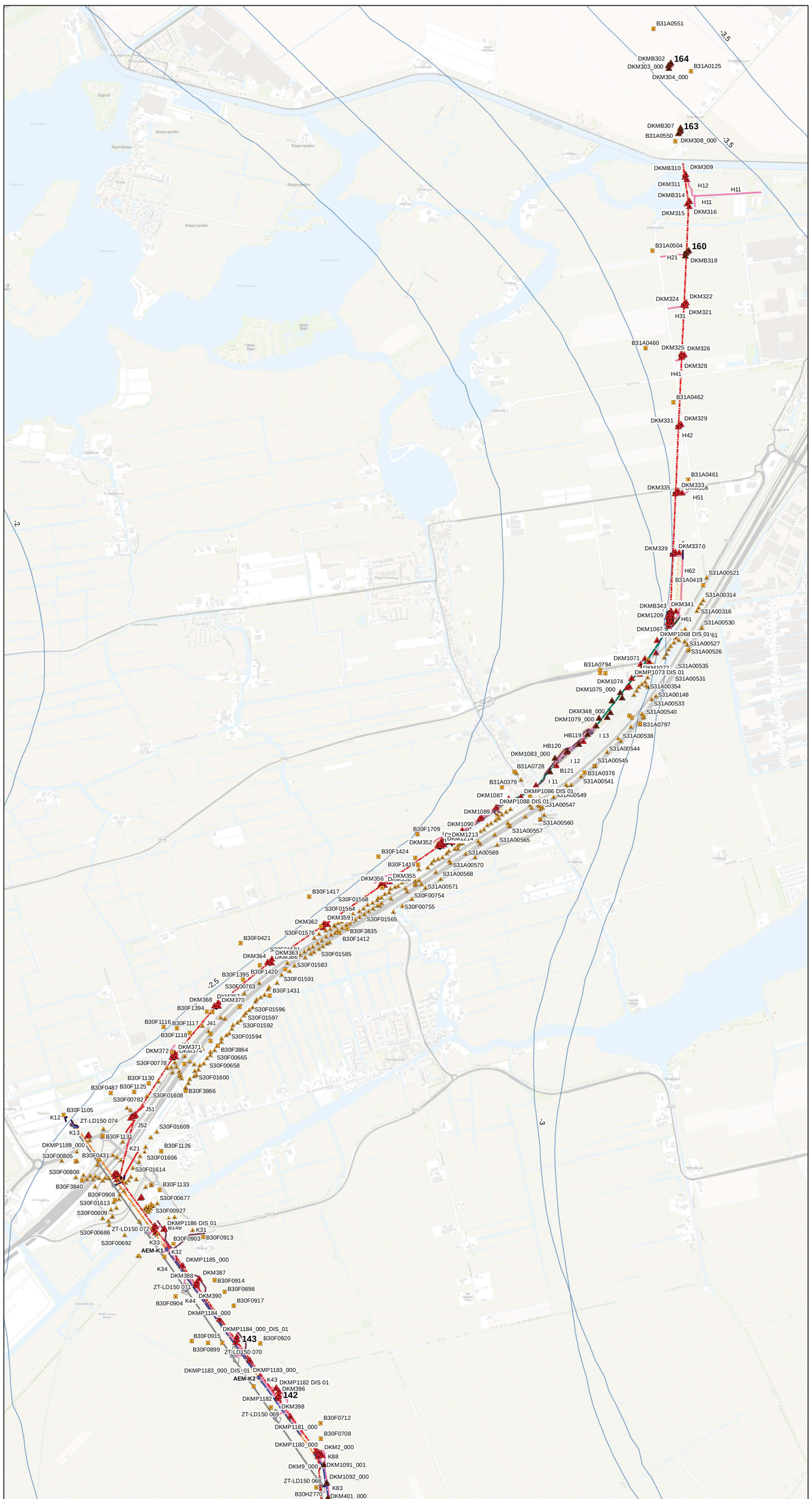

Legenda

- Dino Sonderingen
- Dino Boringen
- Zesde levering 29-03-2013
- Zevende levering
- Achtste levering 05-07-2013 Fugro
- Sonderingen CPT 30-08-2013 Fugro
- Labaratorium reslutaten 30-08-2013 Fugro
- Sonderingen kabelsleuf 30-08-2013 Fugro
- Sonderingen mast 138 - 141 (30-08-2013) Fugro

Tracé

LAYER

- 0
- kl-nw-150kV boring
- kl-nw-150kV open ontgraving
- kl-nw-150kV_open_ontgraving_gewijzigde_ligging
- kl-nw-380kV boring
- kl-nw-380kV bovengronds - combi
- kl-nw-380kV bovengronds - solo
- kl-nw-380kV open ontgraving
- kl-nw-380kV-boring-gewijzigde-ligging
- kw-nw-mastfundaties
- Moflocaties
- Mastfundaties
- Tracé
- Masten

Bouwwegen

LAYER

- af-nw-bm_200
- gk-nw-damwand
- kd-nw-bm_2000
- vh-nw-toegangsweg-H1-zonder-zettingsbeperkende-maatregelen
- vh-td-bouwweg-F1-rijplaten-lengterichting-op-bestaand-mv
- vh-td-bouwweg-F2-rijplaten-lengterichting-op-zandbed-en-doek
- vh-td-bouwweg-F3-rijplaten-dwarsrichting-op zand-en-doek
- vh-td-bouwweg-F4-rijplaten-lengterichting-op-houtsnippers-in-doek
- vh-td-bouwweg-F5-rijplaten-dwarsrichting-op-houtsnippers-in-doek
- vh-td-bouwweg-G1-fundering-doek-zand-doek
- vh-td-bouwweg-G2-fundering-doek-op-bestaande-verharding

Zones

Layer

- Zone: Gestuurde boring
- Zone: Open ontgraving
- Zone: Werkgebied mast
- Zone: Afbraak mastkop
- Zone: Afbraak mastlichaam
- Zone: Haspelopstelplaats
- Zone: Kraan
- Zone: Trek remstation

bam
Contact: gis@baminfraconsult.nl

LEGENDA

LOCATIE SONDERING

Combining Knowledge and Experience

bam COFELY FABRICOM

Randstad 380kV Noordring

P. de Jager — Opsteller

A. Hogenboom — Vrijgegeven door

Omschrijving: Definitief
Overzichtstekening
Geotechnisch lengteprofiel

03			
02			
01			
Nr.	Wijziging	Naam	Datum

Fase: 1686 — Format: A0 1

Naam: E.J.M. van Tol — Datum: 02-10-2013

Tennet — Taking power further

Tekeningnummer: R3N-TEK-0116_001

Schaal: Niet Verdeeld — Blad: 1

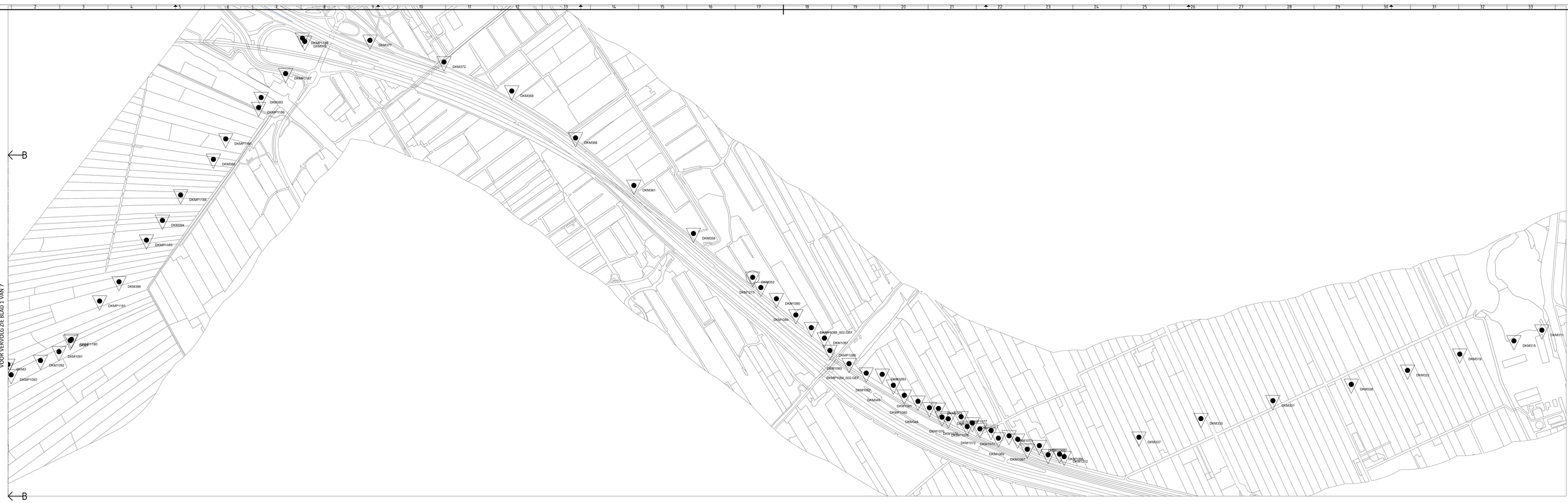

LEGENDA

LOCATIE SONDERING

Combining Knowledge and Experience

bam COFELY FABRICOM

Randstad 380kV Noordring

P. de Jager — Samensteller

A. Hogenboom — Vrijgegeven door

Definitief
Overzichtstekening
Geotechnisch lengteprofiel

Omschrijving

Schaal	H:NVT 1:250, H:NVT 1:500
Formaat	A0 ↑
Maat	E.J.M. van Tol
Datum	02-10-2013

Project: Randstad 380kV Noordring

Tennet — Taking power further

Documentnummer: R3N-TEK-0116_002

Gemeente Houten

Status

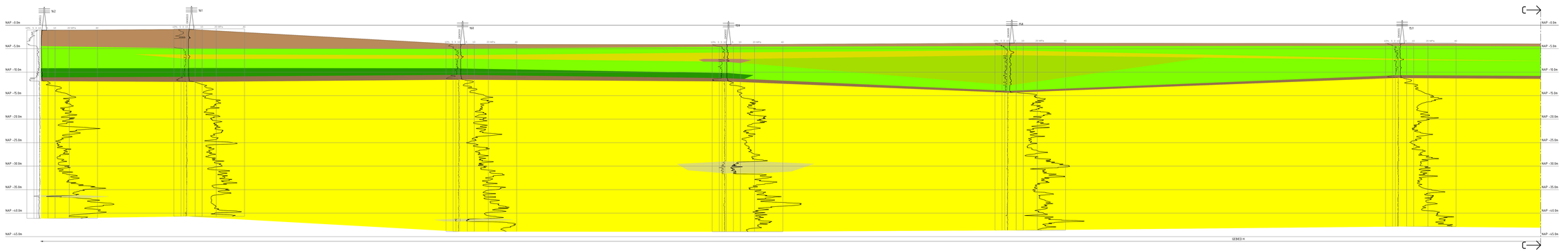

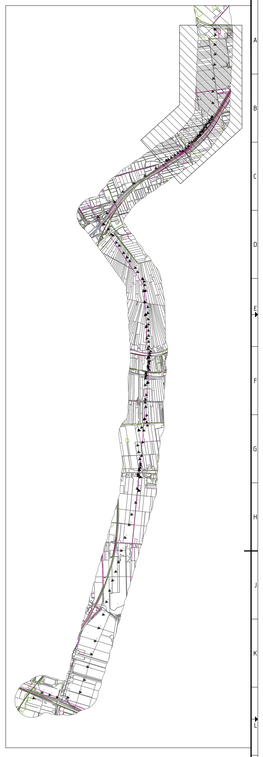

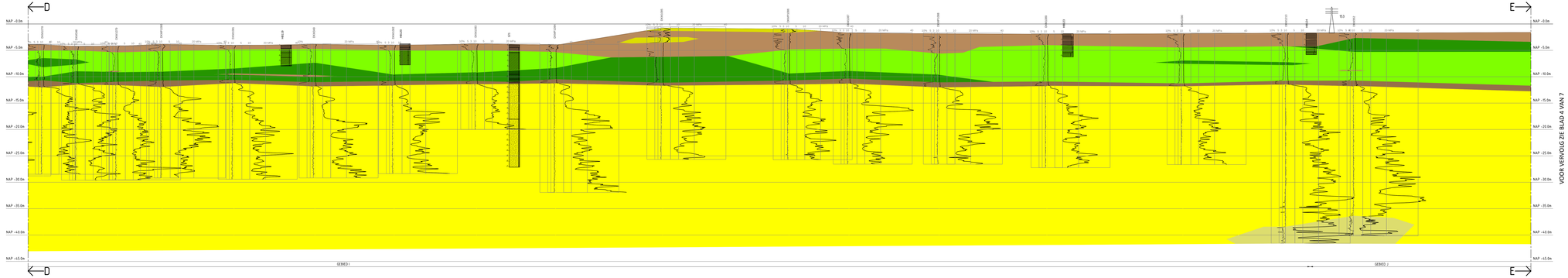

VOOR VERVOLG ZIE BLAD 4 VAN 7

LEGENDA

- ZAND PLEISTOCEEN, LOKAAL SILTIG
- ZAND SILTIG KLEIIG
- BASISVEEN
- VEEN (LOKAAL VEENDIJK, TOPLAAG)
- KLEI SILTIG, LOKAAL ZANDIG
- KLEI HUMEUS, LOKAAL ZANDIG
- KLEI ZANDIG
- KLEI SILTIG, DIEP / LEEM, LOKAAL VENIG

Combining Knowledge and Experience

Randstad 380kV Noordring

	P de Jager	R. Nagelkaas
Ontwerp		Ontwerpleider

Definitief

Geotechnisch lengteprofiel

Schaal	VERT 1:250, HOR 1:500	Format	A1/3
Datum	21.06.van Tol	Datum	02-10-2015

Randstad 380kV Noordring

Tennet — Taking power further

Werknummer: R3N-TEK-0116 _ 003

Bestandsnaam:

Revisie

Schaal

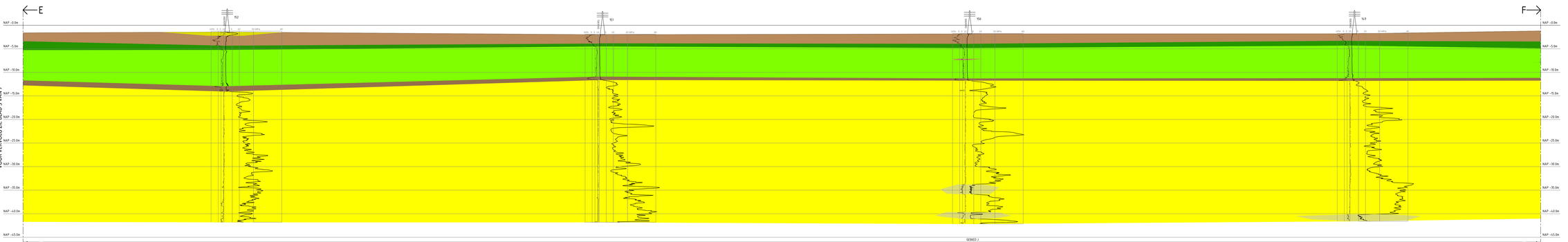

VOOR VERVOLG ZIE BLAD 3 VAN 7

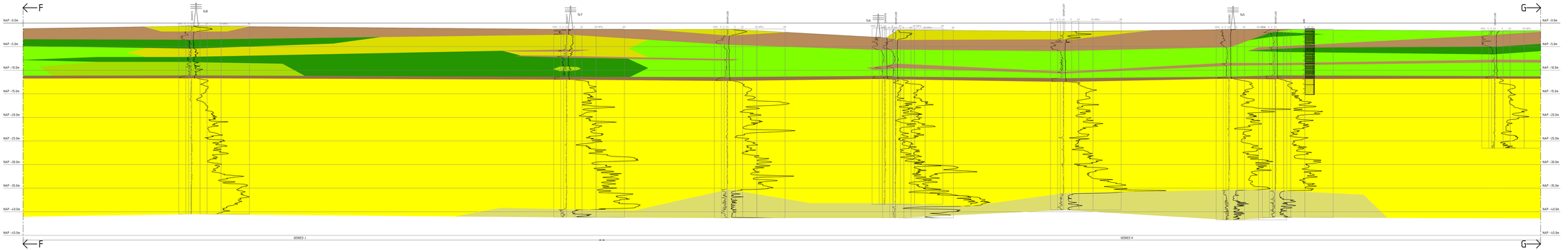

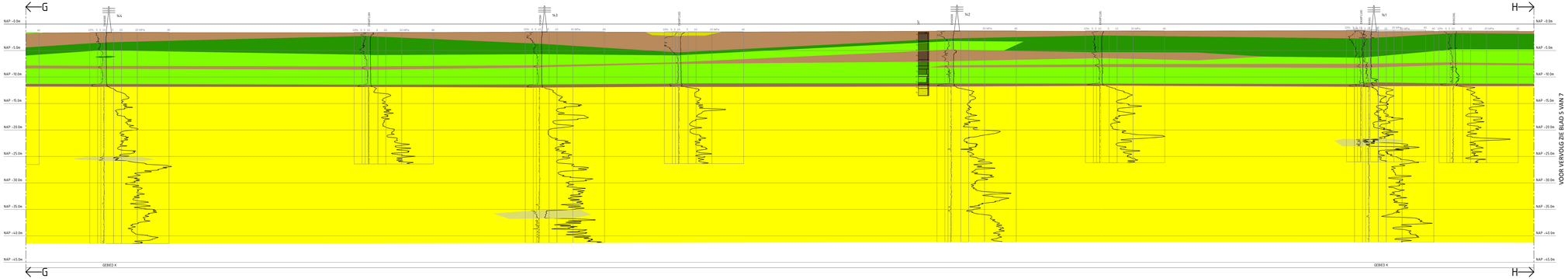

VOOR VERVOLG ZIE BLAD 5 VAN 7

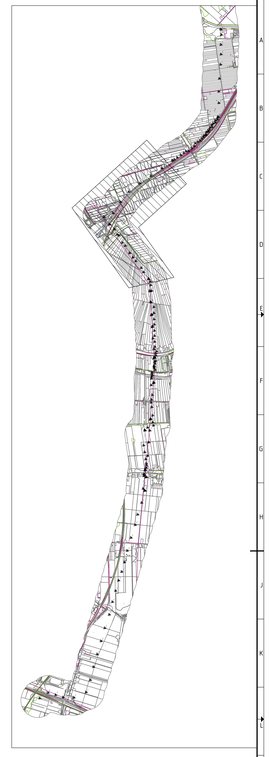

LEGENDA

- ZAND PLEISTOCEEN, LOKAAL SILTIG
- ZAND SILTIG KLEIG
- BASISVEEN
- VEEN (LOKAAL VEENDIJK, TOPLAAG)
- KLEI SILTIG, LOKAAL ZANDIG
- KLEI HUMEUS, LOKAAL ZANDIG
- KLEI ZANDIG
- KLEI SILTIG, DIEP / LEEM, LOKAAL VENIG

Combining Knowledge and Experience

bam COFELY FABRICOM

Randstad 380kV Noordring

P de Jager — Ontwerper

R. Hagelbaan — Projectleider

Definitief

Geotechnisch lengteprofiel

Schaal: VERT 1:250, HOR 1:500 — Format: A0/4

Tekening: E.M. van Tol — Datum: 02-06-2015

Project: Randstad 380kV Noordring

Tennet — Taking power further

Tekeningnummer: R3N-TEK-0116 ... 004

Revisie

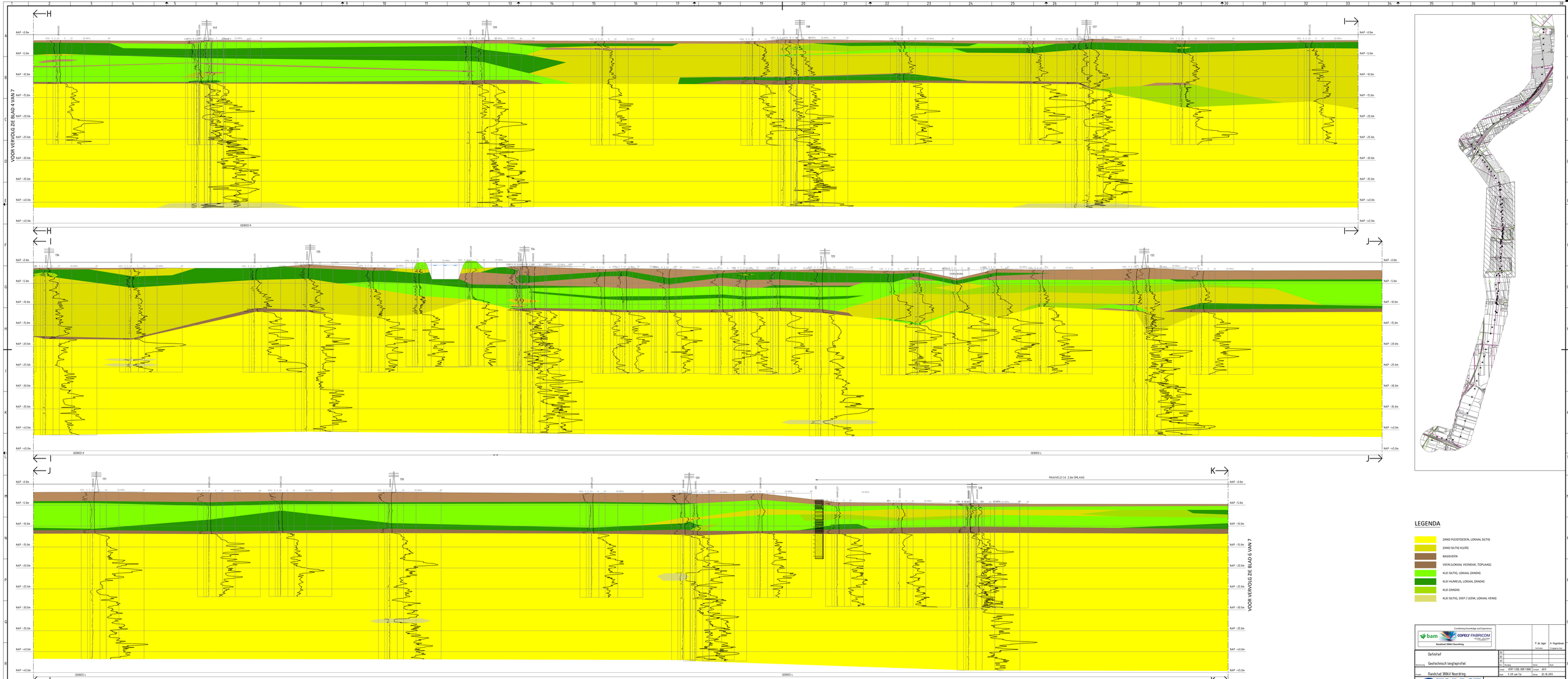

LEGENDA

- ZAND PLEISTOCEEN, LOKAAL SILTIG
- ZAND SILTIG KLEIIG
- BASISVEEN
- VEEN (LOKAAL VEENDIJK, TOPLAAG)
- KLEI SILTIG, LOKAAL ZANDIG
- KLEI HUMEUS, LOKAAL ZANDIG
- KLEI ZANDIG
- KLEI SILTIG, DIEP / LEEM, LOKAAL VENIG

Combining Knowledge and Experience

COFELY FABRICOM

Randstad 380kV Noordring

P. de Jager — Ontwerp

R. Nagelkerke — Ontgrendeld door

Definitief

Geotechnisch lengteprofiel

Schaal: VERT 1:250, HOR 1:500 — Formaat: A1/4

Datum: 21.06.van Tol — 02-10-2015

Project: Randstad 380kV Noordring

Tennet — Taking power further

Tekeningnummer: R3N-TEK-0116 ... 005

Revisie

Status

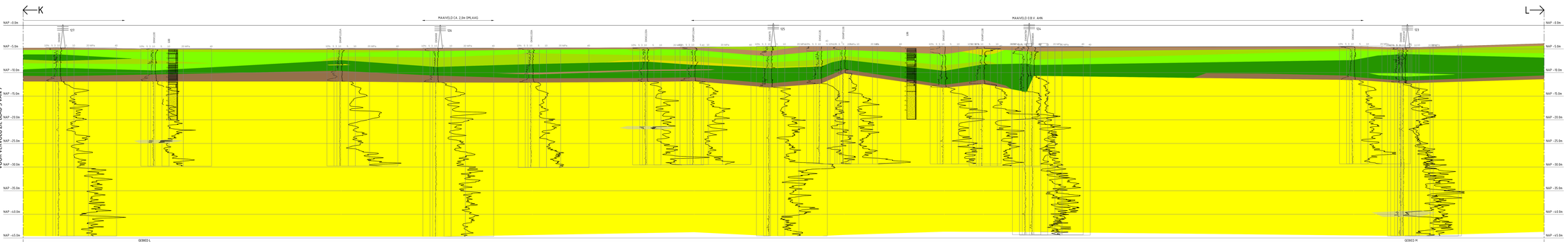

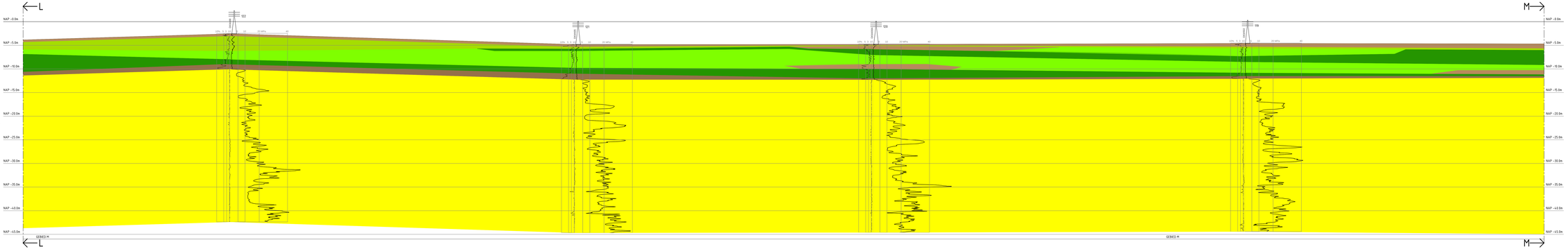

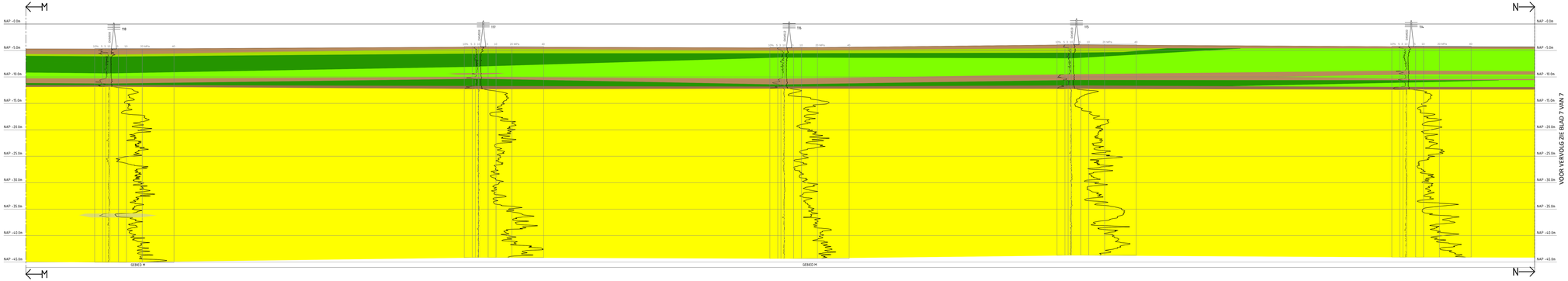

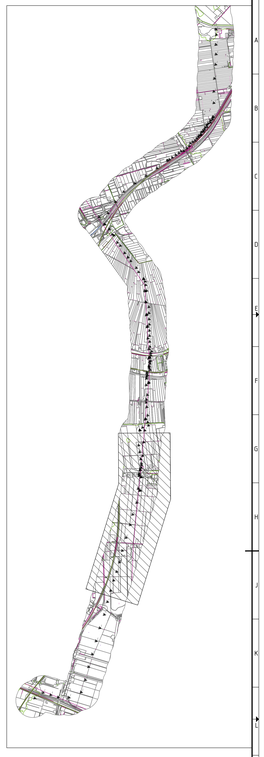

LEGENDA

- ZAND PLEISTOCEEN, LOKAAL SILTIG
- ZAND SILTIG KLEIG
- BASISVEEN
- VEEN (LOKAAL VEENDUK, TOPLAAG)
- KLEI SILTIG, LOKAAL ZANDIG
- KLEI HUMEUS, LOKAAL ZANDIG
- KLEI ZANDIG
- KLEI SILTIG, DIEP / LEEM, LOKAAL VENIG

Combining Knowledge and Experience

bam COFELY FABRICOM

Randstad 380kV Noordring

P. de Jager — Ontwerper
R. Hagelbaan — Projectleider

01			
02			
03			
Nr.	Wijziging	Datum	Paraaf

Definitief

Geotechnisch lengteprofiel

Project: Randstad 380kV Noordring

Code: VERT 1200, HOR 1000 — Formaat: A0/1

Datum: 21.06.van Tol — 02-10-2015

Tennet — Taking power further

Documentnummer: R3N-TEK-0116 ... 006

Aantal bladen: — Schaal:

VOOR VERVOLG ZIE BLAD 6 VAN 7

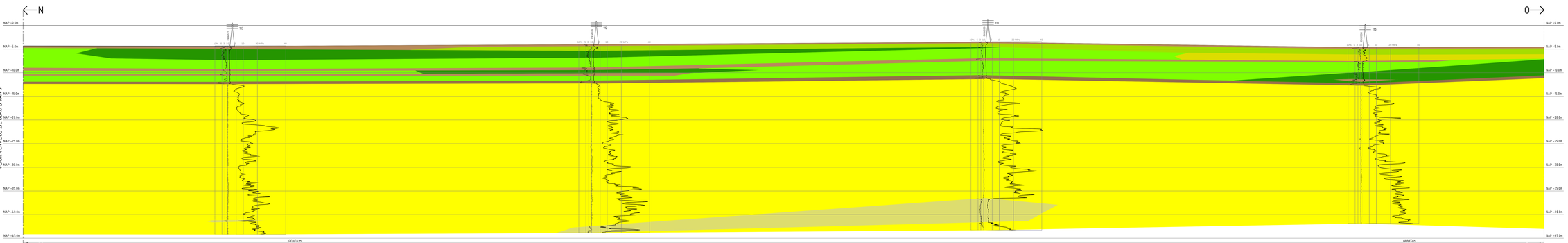

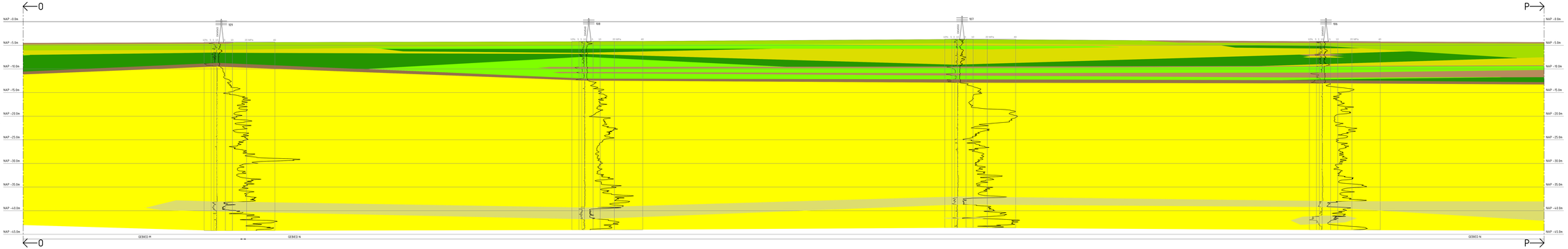

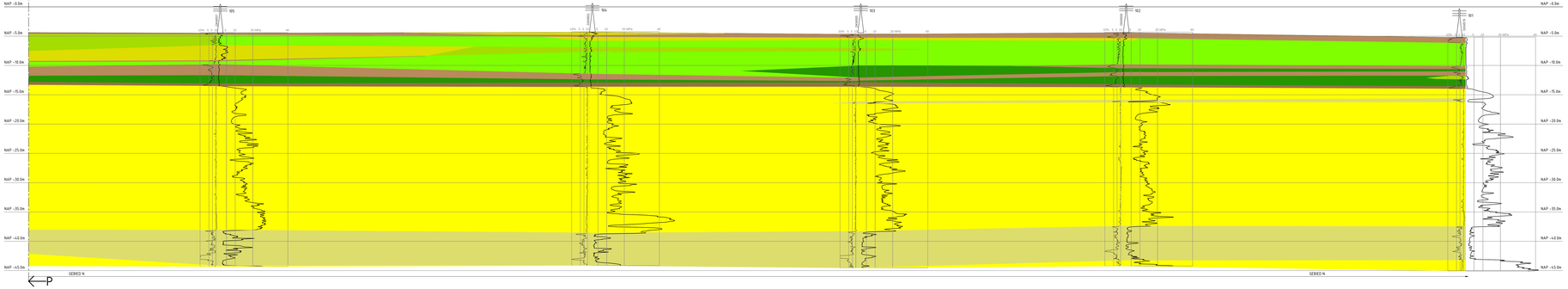

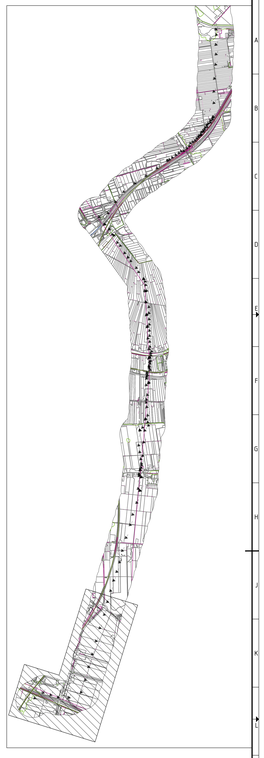

LEGENDA

- ZAND PLEISTOCEEN, LOKAAL SILTIG
- ZAND SILTIG KLEIIG
- BASISVEEN
- VEEN (LOKAAL VEENDIJK, TOPLAAG)
- KLEI SILTIG, LOKAAL ZANDIG
- KLEI HUMEUS, LOKAAL ZANDIG
- KLEI ZANDIG
- KLEI SILTIG, DIEP / LEEM, LOKAAL VENIG

Combining Knowledge and Experience
COFELY FABRICOM
Randstad 380kV Noordring

P. de Jager — Ontwerp — 02-10-2015
R. Nagelkerke — Controle — 02-10-2015

01			
02			
03			
Nr.	Wijziging	Datum	Naam

Definitief

Geotechnisch lengteprofiel

Project: Randstad 380kV Noordring

Gebr: VERT 1250, HOR 1:500 | Formaat: A0/1
Bron: E.J.M. van Tuil | Datum: 02-10-2015

TenneT — Taking power further

Tekeningnummer: R3N-TEK-0116 _ 007

Aan het Volk Nederland | Schaal: -

BIJLAGE 2 RESULTATEN ZETTINGSBEREKENINGEN OSP'S

Report for D-Settlement 9.3

Settlement Calculations
Developed by Deltares

Company: BAM Infratechniek

Date of report: 3-10-2013
Time of report: 2:51:14

Date of calculation: 3-10-2013
Time of calculation: 2:50:59

Filename: C:\..\OSP's\R3N_Perceel 2_OSP-154-0,20 m hoger-1,0 m overhoogte

Project identification: Randstad 380 Noordring

1 Table of Contents

1 Table of Contents 2
2 Echo of the Input 3
2.1 Layer Boundaries 3
2.2 PL Lines 3
2.3 General Data 3
2.4 Soil Profiles 4
2.5 Soil Properties 4
2.6 Non-Uniform Loads 5
2.7 Verticals 5
3 Results per Vertical 6
3.1 Results for Vertical 1 (X = -36,00 m; Z = 0,00 m) 6
3.2 Results for Vertical 2 (X = -30,00 m; Z = 0,00 m) 6
3.3 Results for Vertical 3 (X = -19,50 m; Z = 0,00 m) 7
3.4 Results for Vertical 4 (X = -10,00 m; Z = 0,00 m) 8
3.5 Results for Vertical 5 (X = 0,00 m; Z = 0,00 m) 9
3.6 Results for Vertical 6 (X = 10,00 m; Z = 0,00 m) 10
3.7 Results for Vertical 7 (X = 15,00 m; Z = 0,00 m) 11
3.8 Results for Vertical 8 (X = 30,00 m; Z = 0,00 m) 12
3.9 Results for Vertical 9 (X = 36,00 m; Z = 0,00 m) 13
4 Settlements 14
4.1 Settlements 14
4.2 Residual Times 14
5 Warnings and errors 15

2 Echo of the Input

2.1 Layer Boundaries

Boundary number	Co-ordinates [m]				
12 - X -	-50,000	-37,000	37,000	50,000	
12 - Y -	-4,100	-4,100	-4,100	-4,100	
11 - X -	-50,000	-37,000	-37,000	-37,000	37,000
11 - Y -	-5,200	-5,200	-5,100	-4,100	-4,100
11 - X -	50,000				
11 - Y -	-4,100				
10 - X -	-50,000	-37,000	37,000	37,000	37,000
10 - Y -	-5,200	-5,200	-5,000	-4,800	-4,100
10 - X -	50,000				
10 - Y -	-4,100				
9 - X -	-50,000	-37,000	37,000	37,000	37,000
9 - Y -	-5,200	-5,200	-5,100	-5,000	-4,800
9 - X -	37,000	50,000			
9 - Y -	-4,100	-4,100			
8 - X -	-50,000	-37,000	37,000	37,000	50,000
8 - Y -	-5,200	-5,200	-5,100	-5,000	-5,000
7 - X -	-50,000	50,000			
7 - Y -	-5,500	-5,500			
6 - X -	-50,000	-37,500	-19,500	15,000	37,500
6 - Y -	-6,500	-6,500	-6,600	-6,800	-7,000
6 - X -	50,000				
6 - Y -	-7,000				
5 - X -	-50,000	-37,500	-19,500	15,000	37,500
5 - Y -	-7,400	-7,400	-7,500	-7,900	-8,000
5 - X -	50,000				
5 - Y -	-8,000				
4 - X -	-50,000	-37,500	-19,500	15,000	37,500
4 - Y -	-7,600	-7,600	-7,600	-9,500	-9,500
4 - X -	50,000				
4 - Y -	-9,500				
3 - X -	-50,000	-37,500	-19,500	15,000	37,500
3 - Y -	-10,000	-10,000	-10,100	-10,500	-10,600
3 - X -	50,000				
3 - Y -	-10,600				
2 - X -	-50,000	-37,500	-19,500	15,000	37,500
2 - Y -	-10,500	-10,500	-10,500	-10,800	-11,000
2 - X -	50,000				
2 - Y -	-11,000				
1 - X -	-50,000	-37,500	-19,500	15,000	37,500
1 - Y -	-11,400	-11,400	-11,200	-11,700	-11,800
1 - X -	50,000				
1 - Y -	-11,800				
0 - X -	-50,000	50,000			
0 - Y -	-20,000	-20,000			

2.2 PL Lines

PL line number	Co-ordinates [m]				
1 - X -	-50,000	50,000			
1 - Y -	-4,500	-4,500			
2 - X -	-50,000	50,000			
2 - Y -	-3,200	-3,200			

2.3 General Data

Soil model: Koppejan
Consolidation model: Darcy
Strain model: Linear
Groundwater level: Initial determined by PL-line number 1

Unit weight of water: 10,00 [kN/m³]
Stress distribution
- Soil: Buisman
- Loads: Simulate
End of consolidation: 10950,00 [days]
No maintain profile
Pc (initial): Variable parallel to the initial effective stress
Pc (per step): Automatic increased to the final effective stresses
Creep rate reference time: 1,000 [days]
No imaginary surface
With submerging
(only for non uniform loads)
- Iteration stop criterium : 0,10 [m]
Load column width
- Non-Uniform Loads : 1,00 [m]
- Trapezoidal Loads : 1,00 [m]

2.4 Soil Profiles

Layer number	Material name	PL-line top	PL-line bottom
12	veen toplaag	1	1
11	verbetering veen top...	1	1
10	verbetering veen	1	1
9	veen toplaag	1	1
8	veen-A4 (Z)	1	1
7	veen-A4 (Z)	1	1
6	klei humeus-A4 (N)	99	99
5	klei zandig-A4 (N)	99	99
4	zand kleiig-A4 (N)	99	99
3	klei humeus-A4 (N)	99	99
2	basisveen-A4 (N)	99	99
1	pleistoceen-A4 (N)	2	2

2.5 Soil Properties

Layer number	Drained	Unit weight	
		Unsaturated [kN/m³]	Saturated [kN/m³]
12	No	13,00	13,00
11	Yes	13,00	13,00
10	Yes	10,50	10,50
9	No	13,00	13,00
8	No	10,50	10,50
7	No	10,50	10,50
6	No	13,20	13,20
5	No	17,40	17,40
4	No	17,50	19,00
3	No	13,20	13,20
2	No	10,80	10,80
1	Yes	18,00	20,00

Layer number	Storage type	Vert. consolid. coefficient Cv [m²/s]	Vertical permeability [m/s]	Permeability strain mod. [m/s]	Initial vertical permeability [m/s]
12	Vert. cons.	7,70E-08	-	-	-
11	Vert. cons.	-	-	-	-
10	Vert. cons.	-	-	-	-
9	Vert. cons.	7,70E-08	-	-	-
8	Vert. cons.	3,00E-08	-	-	-
7	Vert. cons.	3,00E-08	-	-	-
6	Vert. cons.	7,70E-08	-	-	-
5	Vert. cons.	2,00E-07	-	-	-
4	Vert. cons.	5,50E-06	-	-	-
3	Vert. cons.	7,70E-08	-	-	-
2	Vert. cons.	4,70E-08	-	-	-
1	Vert. cons.	-	-	-	-

Layer number	Precons. pressure [kN/m²]	POP [kN/m²]	OCR [-]
12	-	10,00	-
11	-	-	1,00
10	-	-	1,00
9	-	10,00	-
8	-	10,00	-
7	-	10,00	-
6	-	10,00	-
5	-	10,00	-
4	-	-	1,00
3	-	10,00	-
2	-	10,00	-
1	-	-	1,00

Layer number	Primary compr. coeff.		Secular compr. coef.		Swell constants	
	Cp [-]	Cp' [-]	Cs [-]	Cs' [-]	Ap [-]	As [-]
12	3,10E+01	6,50E+00	1,45E+02	1,60E+01	3,10E+01	1,60E+01
11	8,00E+02	2,00E+02	1,00E+05	1,00E+05	1,00E+09	1,00E+09
10	8,00E+02	2,00E+02	1,00E+05	1,00E+05	1,00E+09	1,00E+09
9	3,10E+01	6,50E+00	1,45E+02	1,60E+01	3,10E+01	1,60E+01
8	3,32E+01	5,70E+00	1,14E+02	2,28E+01	3,32E+01	2,28E+01
7	3,32E+01	5,70E+00	1,14E+02	2,28E+01	3,32E+01	2,28E+01
6	3,10E+01	6,50E+00	1,45E+02	1,60E+01	3,10E+01	1,60E+01
5	7,06E+01	2,87E+01	3,21E+02	1,95E+02	7,06E+01	1,95E+02
4	4,00E+02	2,00E+02	1,00E+09	1,00E+09	4,00E+02	1,00E+09
3	3,10E+01	6,50E+00	1,45E+02	1,60E+01	3,10E+01	1,60E+01
2	5,14E+01	7,20E+00	1,11E+02	2,76E+01	5,14E+01	2,76E+01
1	1,80E+03	6,00E+02	1,00E+09	1,00E+09	1,00E+09	1,00E+09

2.6 Non-Uniform Loads

Load number	Time [days]	Unit weight	
		Unsaturated [kN/m³]	Saturated [kN/m³]
1	0	5,00	17,00
2	0	0,00	10,00
3	0	18,00	20,00
4	0	18,00	20,00

Load number	Co-ordinates [m]					
1 - X -	-37,00	-37,00	37,00	37,00		
1 - Y -	-4,10	-5,10	-5,10	-4,10		
2 - X -	-37,00	37,00				
2 - Y -	-4,10	-4,10				
3 - X -	-37,00	-37,00	37,00	37,00		
3 - Y -	-4,10	-3,85	-3,85	-4,10		
4 - X -	-37,00	-37,00	37,00	37,00		
4 - Y -	-4,10	-3,10	-3,10	-4,10		

2.7 Verticals

Vertical number	X co-ordinates [m]				
1 - 5	-36,000	-30,000	-19,500	-10,000	0,000
6 - 9	10,000	15,000	30,000	36,000	

Discretisation = 100

3 Results per Vertical

3.1 Results for Vertical 1 (X = -36,00 m; Z = 0,00 m)

Depth [m]	Effective Stress [kPa]	Hydraulic head [m]	Loading [kPa]	Settlement [m]
-4,100	4,501	-4,100	4,500	0,178
-4,200	5,800	-4,200	4,500	0,177
-4,300	7,099	-4,300	4,499	0,175
-4,400	8,394	-4,400	4,494	0,174
-4,500	9,683	-4,500	4,483	0,174
-4,600	9,964	-4,500	4,464	0,173
-4,649	10,097	-4,500	4,451	0,173
-4,700	10,235	-4,500	4,435	0,172
-4,800	10,496	-4,500	4,396	0,172
-4,900	10,750	-4,500	4,350	0,171
-5,000	10,997	-4,500	4,297	0,170
-5,100	17,795	-4,500	10,795	0,170
-5,197	18,027	-4,500	10,736	0,169
-5,197	18,027	-4,500	10,735	0,169
-5,198	18,027	-4,500	10,735	0,169
-5,199	18,027	-4,500	10,735	0,169
-5,199	18,027	-4,500	10,735	0,169
-5,349	18,004	-4,500	10,636	0,148
-5,500	17,966	-4,500	10,522	0,131
-5,500	17,966	-4,500	10,522	0,131
-6,004	17,660	-4,500	9,964	0,088
-6,508	17,240	-4,500	9,293	0,062
-6,508	17,240	-4,500	9,293	0,062
-6,958	16,954	-4,380	8,766	0,042
-7,408	16,768	-4,260	8,341	0,024
-7,408	16,768	-4,260	8,341	0,024
-7,504	17,143	-4,234	8,262	0,022
-7,600	17,522	-4,209	8,187	0,021
-7,600	17,522	-4,209	8,187	0,021
-8,204	20,951	-4,048	7,790	0,019
-8,804	24,455	-3,888	7,494	0,018
-9,408	28,051	-3,727	7,264	0,017
-10,008	31,671	-3,567	7,084	0,016
-10,008	31,671	-3,567	7,084	0,016
-10,254	31,739	-3,501	7,020	0,014
-10,500	31,812	-3,436	6,962	0,011
-10,500	31,812	-3,436	6,962	0,011
-10,942	30,894	-3,318	6,869	0,009
-11,383	29,988	-3,200	6,787	0,003
-11,383	29,988	-3,200	6,787	0,003
-12,092	36,960	-3,200	6,676	0,003
-13,092	46,834	-3,200	6,550	0,002
-14,092	56,735	-3,200	6,451	0,002
-15,092	66,655	-3,200	6,371	0,001
-15,692	72,614	-3,200	6,330	0,001
-16,400	79,654	-3,200	6,286	0,001
-17,400	89,601	-3,200	6,233	0,001
-18,400	99,555	-3,200	6,188	0,000
-19,400	109,516	-3,200	6,149	0,000
-20,000	115,495	-3,200	6,127	0,000

3.2 Results for Vertical 2 (X = -30,00 m; Z = 0,00 m)

Depth [m]	Effective Stress [kPa]	Hydraulic head [m]	Loading [kPa]	Settlement [m]
-4,100	4,501	-4,100	4,500	0,276
-4,200	5,800	-4,200	4,500	0,274
-4,300	7,100	-4,300	4,500	0,273
-4,400	8,400	-4,400	4,500	0,272
-4,500	9,700	-4,500	4,500	0,271
-4,600	10,000	-4,500	4,500	0,271
-4,641	10,122	-4,500	4,500	0,270
-4,700	10,300	-4,500	4,500	0,270
-4,800	10,600	-4,500	4,500	0,269
-4,900	10,900	-4,500	4,500	0,268
-5,000	11,200	-4,500	4,500	0,268
-5,100	18,219	-4,500	11,219	0,267
-5,181	18,462	-4,500	11,219	0,266
-5,181	18,462	-4,500	11,219	0,266
-5,186	18,464	-4,500	11,219	0,266
-5,191	18,467	-4,500	11,219	0,266
-5,191	18,467	-4,500	11,219	0,266
-5,345	18,544	-4,500	11,218	0,243
-5,500	18,620	-4,500	11,218	0,223
-5,500	18,620	-4,500	11,218	0,223
-6,021	18,876	-4,500	11,213	0,172
-6,542	19,126	-4,500	11,202	0,132
-6,542	19,126	-4,500	11,202	0,132
-6,992	19,326	-4,377	11,187	0,098
-7,442	19,519	-4,255	11,165	0,065
-7,442	19,519	-4,255	11,165	0,065
-7,521	19,884	-4,233	11,161	0,064
-7,600	20,249	-4,212	11,156	0,062
-7,600	20,250	-4,212	11,156	0,062
-8,221	24,098	-4,043	11,107	0,060
-8,821	27,801	-3,879	11,043	0,058
-9,442	31,615	-3,710	10,960	0,056
-10,042	35,286	-3,547	10,864	0,055
-10,042	35,286	-3,547	10,864	0,055
-10,271	35,355	-3,485	10,824	0,049
-10,500	35,423	-3,422	10,783	0,042
-10,500	35,423	-3,422	10,783	0,042
-10,908	34,560	-3,311	10,704	0,027
-11,317	33,692	-3,200	10,622	0,005
-11,317	33,693	-3,200	10,622	0,005
-12,058	40,952	-3,200	10,465	0,004
-13,058	50,732	-3,200	10,245	0,003
-14,058	60,510	-3,200	10,023	0,002
-15,058	70,293	-3,200	9,806	0,002
-15,658	76,167	-3,200	9,680	0,002
-16,400	83,432	-3,200	9,529	0,001
-17,400	93,239	-3,200	9,336	0,001
-18,400	103,058	-3,200	9,154	0,000
-19,400	112,889	-3,200	8,985	0,000
-20,000	118,793	-3,200	8,889	0,000

3.3 Results for Vertical 3 (X = -19,50 m; Z = 0,00 m)

Depth [m]	Effective Stress [kPa]	Hydraulic head [m]	Loading [kPa]	Settlement [m]
-4,100	4,501	-4,100	4,500	0,286
-4,200	5,800	-4,200	4,500	0,285
-4,300	7,100	-4,300	4,500	0,283
-4,400	8,400	-4,400	4,500	0,282
-4,500	9,700	-4,500	4,500	0,282

Depth [m]	Effective Stress [kPa]	Hydraulic head [m]	Loading [kPa]	Settlement [m]
-4,600	10,000	-4,500	4,500	0,281
-4,626	10,079	-4,500	4,500	0,281
-4,700	10,300	-4,500	4,500	0,280
-4,800	10,600	-4,500	4,500	0,279
-4,900	10,900	-4,500	4,500	0,279
-5,000	11,200	-4,500	4,500	0,278
-5,100	18,245	-4,500	11,245	0,277
-5,153	18,403	-4,500	11,245	0,277
-5,153	18,403	-4,500	11,245	0,277
-5,165	18,409	-4,500	11,245	0,277
-5,176	18,415	-4,500	11,245	0,277
-5,176	18,415	-4,500	11,245	0,277
-5,338	18,496	-4,500	11,245	0,252
-5,500	18,577	-4,500	11,245	0,231
-5,500	18,577	-4,500	11,245	0,231
-6,050	18,852	-4,500	11,245	0,178
-6,600	19,127	-4,500	11,245	0,135
-6,600	19,127	-4,500	11,245	0,135
-7,050	19,294	-4,373	11,245	0,101
-7,500	19,462	-4,246	11,244	0,067
-7,500	19,462	-4,246	11,244	0,067
-7,550	19,691	-4,232	11,244	0,066
-7,600	19,919	-4,217	11,244	0,065
-7,600	19,919	-4,217	11,244	0,065
-8,250	23,931	-4,034	11,242	0,062
-8,850	27,632	-3,864	11,239	0,061
-9,500	31,641	-3,680	11,235	0,059
-10,100	35,339	-3,511	11,229	0,058
-10,100	35,339	-3,511	11,229	0,058
-10,300	35,412	-3,454	11,226	0,050
-10,500	35,484	-3,398	11,224	0,042
-10,500	35,484	-3,398	11,224	0,042
-10,850	34,769	-3,299	11,219	0,027
-11,200	34,054	-3,200	11,213	0,005
-11,200	34,054	-3,200	11,213	0,005
-12,000	42,038	-3,200	11,196	0,004
-13,000	52,010	-3,200	11,168	0,003
-14,000	61,974	-3,200	11,132	0,003
-15,000	71,931	-3,200	11,089	0,002
-15,600	77,900	-3,200	11,059	0,002
-16,400	85,856	-3,200	11,014	0,001
-17,400	95,794	-3,200	10,952	0,001
-18,400	105,725	-3,200	10,883	0,001
-19,400	115,651	-3,200	10,809	0,000
-20,000	121,603	-3,200	10,761	0,000

3.4 Results for Vertical 4 (X = -10,00 m; Z = 0,00 m)

Depth [m]	Effective Stress [kPa]	Hydraulic head [m]	Loading [kPa]	Settlement [m]
-4,100	4,501	-4,100	4,500	0,302
-4,200	5,800	-4,200	4,500	0,301
-4,300	7,100	-4,300	4,500	0,300
-4,400	8,400	-4,400	4,500	0,299
-4,500	9,700	-4,500	4,500	0,298
-4,600	10,000	-4,500	4,500	0,297
-4,614	10,041	-4,500	4,500	0,297
-4,700	10,300	-4,500	4,500	0,296
-4,800	10,600	-4,500	4,500	0,296
-4,900	10,900	-4,500	4,500	0,295
-5,000	11,200	-4,500	4,500	0,294

Depth [m]	Effective Stress [kPa]	Hydraulic head [m]	Loading [kPa]	Settlement [m]
-5,100	18,274	-4,500	11,274	0,294
-5,127	18,355	-4,500	11,274	0,293
-5,127	18,355	-4,500	11,274	0,293
-5,145	18,364	-4,500	11,274	0,293
-5,164	18,373	-4,500	11,274	0,293
-5,164	18,373	-4,500	11,274	0,293
-5,332	18,457	-4,500	11,274	0,268
-5,500	18,541	-4,500	11,274	0,246
-5,500	18,541	-4,500	11,274	0,246
-6,078	18,830	-4,500	11,274	0,194
-6,655	19,118	-4,500	11,274	0,148
-6,655	19,118	-4,500	11,274	0,148
-7,133	19,321	-4,367	11,274	0,112
-7,610	19,523	-4,235	11,273	0,076
-7,610	19,523	-4,235	11,273	0,076
-7,867	20,709	-4,164	11,273	0,070
-8,123	21,895	-4,092	11,273	0,064
-8,123	21,895	-4,092	11,273	0,064
-8,667	25,277	-3,941	11,273	0,062
-9,167	28,388	-3,803	11,272	0,061
-9,710	31,769	-3,652	11,271	0,060
-10,210	34,880	-3,513	11,270	0,059
-10,210	34,880	-3,513	11,270	0,059
-10,396	34,958	-3,461	11,269	0,052
-10,583	35,037	-3,410	11,268	0,045
-10,583	35,037	-3,410	11,268	0,045
-10,960	34,290	-3,305	11,267	0,029
-11,338	33,542	-3,200	11,266	0,005
-11,338	33,542	-3,200	11,266	0,005
-12,069	40,850	-3,200	11,262	0,004
-13,069	50,842	-3,200	11,254	0,004
-14,069	60,833	-3,200	11,245	0,003
-15,069	70,820	-3,200	11,232	0,002
-15,669	76,811	-3,200	11,223	0,002
-16,400	84,109	-3,200	11,210	0,001
-17,400	94,088	-3,200	11,189	0,001
-18,400	104,064	-3,200	11,164	0,001
-19,400	114,035	-3,200	11,135	0,000
-20,000	120,016	-3,200	11,116	0,000

3.5 Results for Vertical 5 (X = 0,00 m; Z = 0,00 m)

Depth [m]	Effective Stress [kPa]	Hydraulic head [m]	Loading [kPa]	Settlement [m]
-4,100	4,501	-4,100	4,500	0,319
-4,200	5,800	-4,200	4,500	0,317
-4,300	7,100	-4,300	4,500	0,316
-4,400	8,400	-4,400	4,500	0,315
-4,500	9,700	-4,500	4,500	0,314
-4,600	10,000	-4,500	4,500	0,313
-4,700	10,300	-4,500	4,500	0,313
-4,800	10,600	-4,500	4,500	0,312
-4,900	10,900	-4,500	4,500	0,311
-5,000	11,200	-4,500	4,500	0,311
-5,100	18,303	-4,500	11,303	0,310
-5,100	18,303	-4,500	11,303	0,310
-5,125	18,315	-4,500	11,303	0,310
-5,150	18,328	-4,500	11,303	0,309
-5,150	18,328	-4,500	11,303	0,309
-5,325	18,415	-4,500	11,303	0,283
-5,500	18,502	-4,500	11,303	0,261

Depth [m]	Effective Stress [kPa]	Hydraulic head [m]	Loading [kPa]	Settlement [m]
-5,500	18,502	-4,500	11,303	0,261
-6,107	18,805	-4,500	11,303	0,210
-6,713	19,108	-4,500	11,303	0,162
-6,713	19,108	-4,500	11,303	0,162
-7,220	19,348	-4,362	11,302	0,123
-7,726	19,588	-4,224	11,302	0,085
-7,726	19,588	-4,224	11,302	0,085
-8,200	21,803	-4,095	11,302	0,074
-8,674	24,018	-3,965	11,302	0,064
-8,674	24,019	-3,965	11,302	0,064
-9,500	29,201	-3,740	11,301	0,062
-10,326	34,383	-3,515	11,300	0,060
-10,326	34,383	-3,515	11,300	0,060
-10,498	34,465	-3,468	11,300	0,055
-10,670	34,546	-3,422	11,300	0,048
-10,670	34,546	-3,422	11,300	0,048
-11,076	33,762	-3,311	11,299	0,031
-11,483	32,979	-3,200	11,298	0,005
-11,483	32,979	-3,200	11,298	0,005
-12,141	39,564	-3,200	11,296	0,004
-13,141	49,560	-3,200	11,291	0,004
-14,141	59,554	-3,200	11,286	0,003
-15,141	69,546	-3,200	11,278	0,002
-15,741	75,540	-3,200	11,272	0,002
-16,400	82,120	-3,200	11,265	0,001
-17,400	92,107	-3,200	11,252	0,001
-18,400	102,091	-3,200	11,236	0,001
-19,400	112,073	-3,200	11,218	0,000
-20,000	118,060	-3,200	11,205	0,000

3.6 Results for Vertical 6 (X = 10,00 m; Z = 0,00 m)

Depth [m]	Effective Stress [kPa]	Hydraulic head [m]	Loading [kPa]	Settlement [m]
-4,100	4,501	-4,100	4,500	0,334
-4,200	5,800	-4,200	4,500	0,333
-4,300	7,100	-4,300	4,500	0,331
-4,400	8,400	-4,400	4,500	0,331
-4,500	9,700	-4,500	4,500	0,330
-4,586	9,959	-4,500	4,500	0,329
-4,600	10,000	-4,500	4,500	0,329
-4,700	10,300	-4,500	4,500	0,328
-4,800	10,600	-4,500	4,500	0,328
-4,900	10,900	-4,500	4,500	0,327
-5,000	11,200	-4,500	4,500	0,326
-5,073	11,419	-4,500	4,500	0,326
-5,073	11,419	-4,500	4,500	0,326
-5,100	18,263	-4,500	11,330	0,326
-5,105	18,265	-4,500	11,330	0,325
-5,136	18,281	-4,500	11,330	0,325
-5,136	18,281	-4,500	11,330	0,325
-5,318	18,371	-4,500	11,330	0,298
-5,500	18,462	-4,500	11,330	0,276
-5,500	18,462	-4,500	11,330	0,276
-6,136	18,778	-4,500	11,330	0,226
-6,771	19,095	-4,500	11,330	0,175
-6,771	19,095	-4,500	11,330	0,175
-7,307	19,375	-4,356	11,330	0,133
-7,842	19,655	-4,213	11,330	0,093
-7,842	19,655	-4,213	11,330	0,093
-8,533	22,920	-4,028	11,329	0,077

Depth [m]	Effective Stress [kPa]	Hydraulic head [m]	Loading [kPa]	Settlement [m]
-9,225	26,184	-3,843	11,328	0,065
-9,225	26,184	-3,843	11,328	0,065
-9,833	30,032	-3,680	11,327	0,063
-10,442	33,879	-3,517	11,325	0,062
-10,442	33,879	-3,517	11,325	0,062
-10,599	33,961	-3,475	11,324	0,057
-10,757	34,043	-3,433	11,324	0,051
-10,757	34,043	-3,433	11,324	0,051
-11,192	33,224	-3,316	11,322	0,033
-11,628	32,406	-3,200	11,319	0,005
-11,628	32,406	-3,200	11,319	0,005
-12,614	42,261	-3,200	11,313	0,004
-13,614	52,252	-3,200	11,303	0,003
-14,614	62,240	-3,200	11,291	0,003
-15,614	72,224	-3,200	11,276	0,002
-15,814	74,221	-3,200	11,272	0,002
-16,800	84,064	-3,200	11,253	0,001
-17,800	94,040	-3,200	11,230	0,001
-18,800	104,013	-3,200	11,202	0,000
-19,800	113,982	-3,200	11,171	0,000
-20,000	115,975	-3,200	11,164	0,000

3.7 Results for Vertical 7 (X = 15,00 m; Z = 0,00 m)

Depth [m]	Effective Stress [kPa]	Hydraulic head [m]	Loading [kPa]	Settlement [m]
-4,100	4,501	-4,100	4,500	0,342
-4,200	5,800	-4,200	4,500	0,340
-4,300	7,100	-4,300	4,500	0,339
-4,400	8,400	-4,400	4,500	0,338
-4,500	9,700	-4,500	4,500	0,337
-4,580	9,939	-4,500	4,500	0,337
-4,600	10,000	-4,500	4,500	0,336
-4,700	10,300	-4,500	4,500	0,336
-4,800	10,600	-4,500	4,500	0,335
-4,900	10,900	-4,500	4,500	0,334
-5,000	11,200	-4,500	4,500	0,334
-5,059	11,378	-4,500	4,500	0,333
-5,059	11,378	-4,500	4,500	0,333
-5,095	11,396	-4,500	4,500	0,333
-5,100	18,241	-4,500	11,343	0,333
-5,130	18,256	-4,500	11,343	0,333
-5,130	18,256	-4,500	11,343	0,333
-5,315	18,348	-4,500	11,343	0,305
-5,500	18,440	-4,500	11,343	0,282
-5,500	18,440	-4,500	11,343	0,282
-6,150	18,762	-4,500	11,342	0,233
-6,800	19,086	-4,500	11,342	0,181
-6,800	19,086	-4,500	11,342	0,181
-7,350	19,385	-4,354	11,341	0,138
-7,900	19,685	-4,208	11,340	0,096
-7,900	19,685	-4,208	11,340	0,096
-8,700	23,481	-3,996	11,338	0,079
-9,500	27,277	-3,783	11,335	0,065
-9,500	27,277	-3,783	11,335	0,065
-10,000	30,448	-3,651	11,332	0,064
-10,500	33,618	-3,518	11,329	0,063
-10,500	33,618	-3,518	11,329	0,063
-10,650	33,699	-3,478	11,327	0,058
-10,800	33,780	-3,439	11,326	0,053
-10,800	33,780	-3,439	11,326	0,053

Depth [m]	Effective Stress [kPa]	Hydraulic head [m]	Loading [kPa]	Settlement [m]
-11,250	32,943	-3,319	11,322	0,034
-11,700	32,106	-3,200	11,317	0,005
-11,700	32,106	-3,200	11,317	0,005
-12,650	41,594	-3,200	11,305	0,004
-13,650	51,576	-3,200	11,288	0,003
-14,650	61,554	-3,200	11,265	0,003
-15,650	71,527	-3,200	11,238	0,002
-15,850	73,520	-3,200	11,232	0,002
-16,800	82,988	-3,200	11,200	0,001
-17,800	92,949	-3,200	11,161	0,001
-18,800	102,905	-3,200	11,116	0,000
-19,800	112,855	-3,200	11,067	0,000
-20,000	114,845	-3,200	11,056	0,000

3.8 Results for Vertical 8 (X = 30,00 m; Z = 0,00 m)

Depth [m]	Effective Stress [kPa]	Hydraulic head [m]	Loading [kPa]	Settlement [m]
-4,100	4,501	-4,100	4,500	0,334
-4,200	5,800	-4,200	4,500	0,332
-4,300	7,100	-4,300	4,500	0,331
-4,400	8,400	-4,400	4,500	0,330
-4,500	9,700	-4,500	4,500	0,329
-4,559	9,878	-4,500	4,500	0,329
-4,600	10,000	-4,500	4,500	0,328
-4,700	10,300	-4,500	4,500	0,328
-4,800	10,600	-4,500	4,500	0,327
-4,900	10,900	-4,500	4,500	0,326
-5,000	11,200	-4,500	4,500	0,326
-5,019	11,257	-4,500	4,500	0,325
-5,019	11,257	-4,500	4,500	0,325
-5,064	11,279	-4,500	4,500	0,325
-5,100	18,117	-4,500	11,320	0,325
-5,109	18,122	-4,500	11,320	0,325
-5,109	18,122	-4,500	11,320	0,325
-5,305	18,218	-4,500	11,319	0,295
-5,500	18,314	-4,500	11,318	0,272
-5,500	18,314	-4,500	11,318	0,272
-6,217	18,661	-4,500	11,310	0,220
-6,933	18,997	-4,499	11,289	0,163
-6,933	18,997	-4,499	11,289	0,163
-7,450	19,235	-4,360	11,263	0,124
-7,967	19,462	-4,222	11,226	0,085
-7,967	19,462	-4,222	11,226	0,085
-8,733	22,997	-4,015	11,149	0,068
-9,500	26,505	-3,809	11,045	0,055
-9,500	26,505	-3,809	11,045	0,055
-10,033	29,784	-3,666	10,958	0,054
-10,567	33,053	-3,522	10,861	0,053
-10,567	33,053	-3,522	10,861	0,053
-10,750	33,111	-3,473	10,826	0,049
-10,933	33,169	-3,424	10,790	0,044
-10,933	33,169	-3,424	10,790	0,044
-11,350	32,298	-3,312	10,704	0,028
-11,767	31,423	-3,200	10,616	0,005
-11,767	31,423	-3,200	10,616	0,005
-12,683	40,388	-3,200	10,414	0,004
-13,683	50,164	-3,200	10,190	0,003
-14,683	59,942	-3,200	9,968	0,002
-15,683	69,727	-3,200	9,753	0,002
-15,883	71,686	-3,200	9,712	0,002

Depth [m]	Effective Stress [kPa]	Hydraulic head [m]	Loading [kPa]	Settlement [m]
-16,800	80,667	-3,200	9,527	0,001
-17,800	90,476	-3,200	9,336	0,001
-18,800	100,298	-3,200	9,157	0,000
-19,800	110,132	-3,200	8,991	0,000
-20,000	112,100	-3,200	8,959	0,000

3.9 Results for Vertical 9 (X = 36,00 m; Z = 0,00 m)

Depth [m]	Effective Stress [kPa]	Hydraulic head [m]	Loading [kPa]	Settlement [m]
-4,100	4,501	-4,100	4,500	0,210
-4,200	5,800	-4,200	4,500	0,209
-4,300	7,099	-4,300	4,499	0,207
-4,400	8,394	-4,400	4,494	0,206
-4,500	9,683	-4,500	4,483	0,206
-4,551	9,828	-4,500	4,474	0,205
-4,600	9,964	-4,500	4,464	0,205
-4,700	10,235	-4,500	4,435	0,204
-4,800	10,496	-4,500	4,396	0,204
-4,900	10,750	-4,500	4,350	0,203
-5,000	10,997	-4,500	4,297	0,202
-5,003	11,003	-4,500	4,295	0,202
-5,003	11,003	-4,500	4,295	0,202
-5,052	11,000	-4,500	4,267	0,202
-5,100	17,614	-4,500	10,857	0,202
-5,101	17,614	-4,500	10,856	0,202
-5,101	17,614	-4,500	10,856	0,202
-5,301	17,588	-4,500	10,731	0,174
-5,500	17,540	-4,500	10,584	0,152
-5,500	17,540	-4,500	10,584	0,152
-6,243	17,027	-4,500	9,701	0,109
-6,987	16,488	-4,500	8,790	0,070
-6,987	16,488	-4,500	8,790	0,070
-7,490	16,272	-4,364	8,325	0,049
-7,993	16,162	-4,227	7,965	0,032
-7,993	16,162	-4,227	7,965	0,032
-8,747	19,301	-4,024	7,567	0,021
-9,500	22,553	-3,820	7,281	0,012
-9,500	22,553	-3,820	7,281	0,012
-10,047	25,834	-3,672	7,120	0,011
-10,593	29,143	-3,524	6,988	0,010
-10,593	29,143	-3,524	6,988	0,010
-10,790	29,199	-3,471	6,946	0,010
-10,987	29,257	-3,418	6,907	0,010
-10,987	29,257	-3,418	6,907	0,010
-11,390	28,415	-3,309	6,833	0,009
-11,793	27,581	-3,200	6,767	0,003
-11,793	27,582	-3,200	6,767	0,003
-12,697	36,491	-3,200	6,643	0,003
-13,697	46,383	-3,200	6,534	0,002
-14,697	56,296	-3,200	6,447	0,002
-15,697	66,224	-3,200	6,376	0,001
-15,897	68,211	-3,200	6,363	0,001
-16,800	77,192	-3,200	6,311	0,001
-17,800	87,142	-3,200	6,261	0,001
-18,800	97,099	-3,200	6,218	0,000
-19,800	107,062	-3,200	6,180	0,000
-20,000	109,055	-3,200	6,173	0,000

4 Settlements

4.1 Settlements

Vertical number	X co-ordinate [m]	Z co-ordinate [m]	Surface level [m]	Settlement [m]
1	-36,00	0,00	-4,10	0,178
2	-30,00	0,00	-4,10	0,276
3	-19,50	0,00	-4,10	0,286
4	-10,00	0,00	-4,10	0,302
5	0,00	0,00	-4,10	0,319
6	10,00	0,00	-4,10	0,334
7	15,00	0,00	-4,10	0,342
8	30,00	0,00	-4,10	0,334
9	36,00	0,00	-4,10	0,210

4.2 Residual Times

Vertical number	Time [days]	Settlement [m]	Part of final settlement [%]	Residual settlements [m]
1	365	0,183	102,718	-0,005
2	365	0,240	87,067	0,036
3	365	0,249	87,063	0,037
4	365	0,253	83,816	0,049
5	365	0,257	80,646	0,062
6	365	0,260	77,666	0,075
7	365	0,261	76,275	0,081
8	365	0,253	75,755	0,081
9	365	0,188	89,362	0,022

5 Warnings and errors

List of non-fatal warnings and errors generated during calculation.

1 Model Koppejan is not ideal for unloading (e.g. load removal, temporary dewatering, gradual submerging). If As is much larger than Cs', unloading will yield almost no effect on creep. Switch to the NEN-Bjerrum or abc Isotache model for improved predictions.

2 Non-uniform load [1]: Co-ordinate is below surface (2)

3 Non-uniform load [1]: Co-ordinate is below surface (3)

End of Report

Report for D-Settlement 9.3

Settlement Calculations
Developed by Deltares

Company: BAM Infratechniek

Date of report: 3-10-2013
Time of report: 2:50:30

Date of calculation: 3-10-2013
Time of calculation: 2:50:15

Filename: C:\..\OSP's\R3N_Perceel 2_OSP-153-0,20 m hoger-1,0 m overhoogte

Project identification: Randstad 380 Noordring

1 Table of Contents

1 Table of Contents 2
2 Echo of the Input 3
2.1 Layer Boundaries 3
2.2 PL Lines 3
2.3 General Data 4
2.4 Soil Profiles 4
2.5 Soil Properties 4
2.6 Non-Uniform Loads 6
2.7 Verticals 6
3 Results per Vertical 7
3.1 Results for Vertical 1 (X = -36,00 m; Z = 0,00 m) 7
3.2 Results for Vertical 2 (X = -30,00 m; Z = 0,00 m) 7
3.3 Results for Vertical 3 (X = -17,00 m; Z = 0,00 m) 8
3.4 Results for Vertical 4 (X = -10,00 m; Z = 0,00 m) 9
3.5 Results for Vertical 5 (X = 0,00 m; Z = 0,00 m) 10
3.6 Results for Vertical 6 (X = 10,00 m; Z = 0,00 m) 11
3.7 Results for Vertical 7 (X = 18,00 m; Z = 0,00 m) 12
3.8 Results for Vertical 8 (X = 33,00 m; Z = 0,00 m) 13
3.9 Results for Vertical 9 (X = 36,00 m; Z = 0,00 m) 14
4 Settlements 16
4.1 Settlements 16
4.2 Residual Times 16
5 Warnings and errors 17

2 Echo of the Input

2.1 Layer Boundaries

Boundary number	Co-ordinates [m]				
17 - X -	-50,000	-37,000	18,000	33,000	37,000
17 - Y -	-1,700	-1,700	-1,700	-1,700	-1,700
17 - X -	50,000				
17 - Y -	-1,700				
16 - X -	-50,000	-37,000	-37,000	18,000	33,000
16 - Y -	-2,300	-2,300	-1,700	-1,700	-1,700
16 - X -	37,000	50,000			
16 - Y -	-1,700	-1,700			
15 - X -	-50,000	-37,000	-17,000	18,000	33,000
15 - Y -	-2,300	-2,300	-2,300	-2,300	-2,300
15 - X -	37,000	37,000	50,000		
15 - Y -	-2,300	-1,700	-1,700		
14 - X -	-50,000	-37,000	-37,000	37,000	37,000
14 - Y -	-2,300	-2,300	-2,650	-2,650	-2,300
14 - X -	37,000	50,000			
14 - Y -	-1,700	-1,700			
13 - X -	-50,000	-37,000	-37,000	37,000	37,000
13 - Y -	-2,300	-2,300	-2,650	-2,650	-2,300
13 - X -	50,000				
13 - Y -	-2,300				
12 - X -	-50,000	-17,000	18,000	33,000	50,000
12 - Y -	-3,800	-3,800	-3,800	-3,500	-3,500
11 - X -	-50,000	-17,000	18,000	33,000	50,000
11 - Y -	-6,500	-6,500	-6,500	-4,700	-4,700
10 - X -	-50,000	-17,000	18,000	33,000	50,000
10 - Y -	-6,500	-6,500	-6,800	-5,000	-5,000
9 - X -	-50,000	-17,000	18,000	33,000	50,000
9 - Y -	-6,500	-6,500	-6,800	-6,100	-6,100
8 - X -	-50,000	-17,000	18,000	33,000	50,000
8 - Y -	-6,500	-6,500	-6,800	-6,500	-6,500
7 - X -	-50,000	-17,000	18,000	33,000	50,000
7 - Y -	-6,500	-6,500	-7,500	-6,500	-6,500
6 - X -	-50,000	-17,000	10,632	18,000	33,000
6 - Y -	-7,800	-7,800	-7,879	-7,500	-6,500
6 - X -	50,000				
6 - Y -	-6,500				
5 - X -	-50,000	-17,000	10,632	18,000	33,000
5 - Y -	-9,300	-9,300	-7,879	-7,500	-6,500
5 - X -	50,000				
5 - Y -	-6,500				
4 - X -	-50,000	-17,000	10,632	18,000	33,000
4 - Y -	-9,300	-9,300	-7,879	-7,500	-7,500
4 - X -	50,000				
4 - Y -	-7,500				
3 - X -	-50,000	-17,000	10,632	18,000	33,000
3 - Y -	-9,300	-9,300	-7,879	-7,500	-8,500
3 - X -	50,000				
3 - Y -	-8,500				
2 - X -	-50,000	-17,000	18,000	33,000	50,000
2 - Y -	-10,600	-10,600	-10,700	-10,800	-10,800
1 - X -	-50,000	-17,000	18,000	33,000	50,000
1 - Y -	-11,500	-11,500	-11,700	-11,700	-11,700
0 - X -	-50,000	50,000			
0 - Y -	-20,000	-20,000			

2.2 PL Lines

PL line number	Co-ordinates [m]				
1 - X -	-50,000	50,000			

PL line number	Co-ordinates [m]				
1 - Y -	-2,100	-2,100			
2 - X -	-50,000	50,000			
2 - Y -	-3,000	-3,000			

2.3 General Data

Soil model:	Koppejan
Consolidation model:	Darcy
Strain model:	Linear
Groundwater level:	Initial determined by PL-line number 1
Unit weight of water:	10,00 [kN/m³]
Stress distribution	
- Soil:	Buisman
- Loads:	Simulate
End of consolidation:	10950,00 [days]
No maintain profile	
Pc (initial):	Variable parallel to the initial effective stress
Pc (per step):	Automatic increased to the final effective stresses
Creep rate reference time:	1,000 [days]
No imaginary surface	
With submerging	
(only for non uniform loads)	
- Iteration stop criterium :	0,10 [m]
Load column width	
- Non-Uniform Loads :	1,00 [m]
- Trapezoidal Loads :	1,00 [m]

2.4 Soil Profiles

Layer number	Material name	PL-line top	PL-line bottom
17	veen toplaag	1	1
16	verbetering veen top...	1	1
15	verbetering veen	1	1
14	veen toplaag	1	1
13	veen-A4 (Z)	1	1
12	klei siltig-A4 (N)	99	99
11	klei humeus-A4 (N)	99	99
10	klei siltig-A4 (N)	99	99
9	klei humeus-A4 (N)	99	99
8	klei siltig-A4 (N)	99	99
7	klei humeus-A4 (N)	99	99
6	klei siltig-A4 (N)	99	99
5	zand kleiig-A4 (N)	99	99
4	klei siltig-A4 (N)	99	99
3	klei humeus-A4 (N)	99	99
2	basisveen-A4 (N)	99	99
1	pleistoceen-A4 (N)	2	2

2.5 Soil Properties

Layer number	Drained	Unit weight	
		Unsaturated [kN/m³]	Saturated [kN/m³]
17	No	13,00	13,00
16	Yes	13,00	13,00
15	Yes	10,50	10,50
14	No	13,00	13,00
13	No	10,50	10,50
12	No	15,40	15,40
11	No	13,20	13,20
10	No	15,40	15,40
9	No	13,20	13,20
8	No	15,40	15,40
7	No	13,20	13,20
6	No	15,40	15,40

Layer number	Drained	Unit weight	
		Unsaturated [kN/m³]	Saturated [kN/m³]
5	No	17,50	19,00
4	No	15,40	15,40
3	No	13,20	13,20
2	No	10,80	10,80
1	Yes	18,00	20,00

Layer number	Storage type	Vert. consolid. coefficient Cv [m²/s]	Vertical permeability [m/s]	Permeability strain mod. [m/s]	Initial vertical permeability [m/s]
17	Vert. cons.	7,70E-08	-	-	-
16	Vert. cons.	-	-	-	-
15	Vert. cons.	-	-	-	-
14	Vert. cons.	7,70E-08	-	-	-
13	Vert. cons.	3,00E-08	-	-	-
12	Vert. cons.	9,40E-08	-	-	-
11	Vert. cons.	7,70E-08	-	-	-
10	Vert. cons.	9,40E-08	-	-	-
9	Vert. cons.	7,70E-08	-	-	-
8	Vert. cons.	9,40E-08	-	-	-
7	Vert. cons.	7,70E-08	-	-	-
6	Vert. cons.	9,40E-08	-	-	-
5	Vert. cons.	5,50E-06	-	-	-
4	Vert. cons.	9,40E-08	-	-	-
3	Vert. cons.	7,70E-08	-	-	-
2	Vert. cons.	4,70E-08	-	-	-
1	Vert. cons.	-	-	-	-

Layer number	Precons. pressure [kN/m²]	POP [kN/m²]	OCR [-]
17	-	10,00	-
16	-	-	1,00
15	-	-	1,00
14	-	10,00	-
13	-	10,00	-
12	-	10,00	-
11	-	10,00	-
10	-	10,00	-
9	-	10,00	-
8	-	10,00	-
7	-	10,00	-
6	-	10,00	-
5	-	-	1,00
4	-	10,00	-
3	-	10,00	-
2	-	10,00	-
1	-	-	1,00

Layer number	Primary compr. coeff.		Secular compr. coef.		Swell constants	
	Cp [-]	Cp' [-]	Cs [-]	Cs' [-]	Ap [-]	As [-]
17	3,10E+01	6,50E+00	1,45E+02	1,60E+01	3,10E+01	1,60E+01
16	8,00E+02	2,00E+02	1,00E+05	1,00E+05	1,00E+09	1,00E+09
15	8,00E+02	2,00E+02	1,00E+05	1,00E+05	1,00E+09	1,00E+09
14	3,10E+01	6,50E+00	1,45E+02	1,60E+01	3,10E+01	1,60E+01
13	3,32E+01	5,70E+00	1,14E+02	2,28E+01	3,32E+01	2,28E+01
12	5,67E+01	1,38E+01	2,57E+02	8,98E+01	5,67E+01	8,98E+01
11	3,10E+01	6,50E+00	1,45E+02	1,60E+01	3,10E+01	1,60E+01
10	5,67E+01	1,38E+01	2,57E+02	8,98E+01	5,67E+01	8,98E+01
9	3,10E+01	6,50E+00	1,45E+02	1,60E+01	3,10E+01	1,60E+01
8	5,67E+01	1,38E+01	2,57E+02	8,98E+01	5,67E+01	8,98E+01
7	3,10E+01	6,50E+00	1,45E+02	1,60E+01	3,10E+01	1,60E+01
6	5,67E+01	1,38E+01	2,57E+02	8,98E+01	5,67E+01	8,98E+01
5	4,00E+02	2,00E+02	1,00E+09	1,00E+09	4,00E+02	1,00E+09
4	5,67E+01	1,38E+01	2,57E+02	8,98E+01	5,67E+01	8,98E+01

Layer number	Primary compr. coeff.		Secular compr. coef.		Swell constants	
	Cp [-]	Cp' [-]	Cs [-]	Cs' [-]	Ap [-]	As [-]
3	3,10E+01	6,50E+00	1,45E+02	1,60E+01	3,10E+01	1,60E+01
2	5,14E+01	7,20E+00	1,11E+02	2,76E+01	5,14E+01	2,76E+01
1	1,80E+03	6,00E+02	1,00E+09	1,00E+09	1,00E+09	1,00E+09

2.6 Non-Uniform Loads

Load number	Time	Unit weight	
	[days]	Unsaturated [kN/m³]	Saturated [kN/m³]
1	0	5,00	17,00
2	0	7,50	19,50
3	0	0,00	10,00
4	0	18,00	20,00
5	0	18,00	20,00

Load number	Co-ordinates [m]					
1 - X -	-37,00	-37,00	37,00	37,00		
1 - Y -	-1,70	-2,30	-2,30	-1,70		
2 - X -	-37,00	-37,00	37,00	37,00		
2 - Y -	-2,30	-2,65	-2,65	-2,30		
3 - X -	-37,00	37,00				
3 - Y -	-1,70	-1,70				
4 - X -	-37,00	-37,00	37,00	37,00		
4 - Y -	-1,70	-1,50	-1,50	-1,70		
5 - X -	-37,00	-37,00	37,00	37,00		
5 - Y -	-1,70	-0,70	-0,70	-1,70		

2.7 Verticals

Vertical number	X co-ordinates [m]				
1 - 5	-36,000	-30,000	-17,000	-10,000	0,000
6 - 9	10,000	18,000	33,000	36,000	

Discretisation = 100

3 Results per Vertical

3.1 Results for Vertical 1 (X = -36,00 m; Z = 0,00 m)

Depth [m]	Effective Stress [kPa]	Hydraulic head [m]	Loading [kPa]	Settlement [m]
-1,700	3,601	-1,700	3,600	0,182
-1,800	4,900	-1,800	3,600	0,181
-1,900	6,199	-1,900	3,599	0,180
-2,000	7,495	-2,000	3,595	0,179
-2,100	8,787	-2,100	3,587	0,178
-2,200	9,071	-2,100	3,571	0,177
-2,300	13,109	-2,100	7,309	0,176
-2,300	13,109	-2,100	7,309	0,176
-2,400	13,128	-2,100	7,278	0,176
-2,475	13,138	-2,100	7,251	0,175
-2,500	13,140	-2,100	7,240	0,175
-2,600	13,144	-2,100	7,194	0,174
-2,650	16,467	-2,100	10,492	0,174
-2,650	16,467	-2,100	10,492	0,174
-2,700	16,463	-2,100	10,463	0,166
-3,000	16,382	-2,100	10,235	0,126
-3,225	16,254	-2,100	9,996	0,104
-3,800	15,785	-2,099	9,243	0,072
-3,800	15,786	-2,099	9,243	0,072
-4,450	19,284	-2,175	8,474	0,057
-5,150	23,277	-2,257	7,872	0,047
-5,800	27,148	-2,332	7,474	0,039
-6,500	31,432	-2,414	7,162	0,033
-6,500	31,432	-2,414	7,162	0,033
-7,150	34,052	-2,490	6,943	0,025
-7,800	36,720	-2,566	6,771	0,019
-7,800	36,720	-2,566	6,771	0,019
-8,550	41,492	-2,654	6,614	0,014
-9,300	46,297	-2,742	6,490	0,010
-9,300	46,297	-2,742	6,490	0,010
-9,950	49,049	-2,818	6,401	0,005
-10,600	51,816	-2,894	6,325	0,004
-10,600	51,816	-2,894	6,325	0,004
-11,050	52,659	-2,947	6,279	0,004
-11,500	53,507	-3,000	6,237	0,002
-11,500	53,508	-3,000	6,237	0,002
-12,000	58,466	-3,000	6,196	0,002
-12,550	63,924	-3,000	6,154	0,002
-13,550	73,859	-3,000	6,089	0,001
-14,550	83,804	-3,000	6,034	0,001
-15,550	93,758	-3,000	5,988	0,001
-15,750	95,749	-3,000	5,979	0,001
-16,250	100,729	-3,000	5,959	0,001
-16,800	106,208	-3,000	5,938	0,001
-17,800	116,174	-3,000	5,904	0,000
-18,800	126,144	-3,000	5,874	0,000
-19,800	136,116	-3,000	5,846	0,000
-20,000	138,111	-3,000	5,841	0,000

3.2 Results for Vertical 2 (X = -30,00 m; Z = 0,00 m)

Depth [m]	Effective Stress [kPa]	Hydraulic head [m]	Loading [kPa]	Settlement [m]
-1,700	3,601	-1,700	3,600	0,261
-1,800	4,900	-1,800	3,600	0,260
-1,900	6,200	-1,900	3,600	0,258
-2,000	7,500	-2,000	3,600	0,258
-2,100	8,800	-2,100	3,600	0,257
-2,200	9,100	-2,100	3,600	0,256
-2,300	13,292	-2,100	7,492	0,255
-2,300	13,292	-2,100	7,492	0,255
-2,400	13,342	-2,100	7,492	0,254
-2,475	13,380	-2,100	7,492	0,254
-2,500	13,392	-2,100	7,492	0,254
-2,600	13,442	-2,100	7,492	0,253
-2,650	16,792	-2,100	10,817	0,252
-2,650	16,792	-2,100	10,817	0,252
-2,700	16,816	-2,100	10,817	0,244
-3,000	16,960	-2,099	10,816	0,201
-3,225	17,068	-2,099	10,814	0,177
-3,800	17,343	-2,099	10,807	0,135
-3,800	17,343	-2,099	10,807	0,135
-4,450	21,591	-2,174	10,790	0,115
-5,150	26,151	-2,255	10,756	0,100
-5,800	30,368	-2,331	10,707	0,088
-6,500	34,888	-2,413	10,632	0,078
-6,500	34,888	-2,413	10,632	0,078
-7,150	37,638	-2,488	10,544	0,061
-7,800	40,373	-2,564	10,439	0,047
-7,800	40,373	-2,564	10,439	0,047
-8,550	45,166	-2,652	10,301	0,039
-9,300	49,948	-2,741	10,152	0,033
-9,300	49,948	-2,741	10,152	0,033
-9,950	52,655	-2,817	10,016	0,025
-10,600	55,361	-2,893	9,877	0,021
-10,600	55,361	-2,893	9,877	0,021
-11,050	56,157	-2,947	9,780	0,015
-11,500	56,954	-3,000	9,684	0,003
-11,500	56,954	-3,000	9,684	0,003
-12,000	61,849	-3,000	9,579	0,003
-12,550	67,234	-3,000	9,464	0,003
-13,550	77,033	-3,000	9,263	0,002
-14,550	86,842	-3,000	9,072	0,002
-15,550	96,663	-3,000	8,893	0,001
-15,750	98,628	-3,000	8,858	0,001
-16,250	103,544	-3,000	8,774	0,001
-16,800	108,955	-3,000	8,685	0,001
-17,800	118,802	-3,000	8,532	0,001
-18,800	128,659	-3,000	8,389	0,000
-19,800	138,527	-3,000	8,257	0,000
-20,000	140,501	-3,000	8,231	0,000

3.3 Results for Vertical 3 (X = -17,00 m; Z = 0,00 m)

Depth [m]	Effective Stress [kPa]	Hydraulic head [m]	Loading [kPa]	Settlement [m]
-1,700	3,601	-1,700	3,600	0,282
-1,800	4,900	-1,800	3,600	0,280
-1,900	6,200	-1,900	3,600	0,279
-2,000	7,500	-2,000	3,600	0,278
-2,100	8,800	-2,100	3,600	0,277
-2,200	9,100	-2,100	3,600	0,276
-2,300	13,330	-2,100	7,530	0,276

Depth [m]	Effective Stress [kPa]	Hydraulic head [m]	Loading [kPa]	Settlement [m]
-2,300	13,330	-2,100	7,530	0,276
-2,400	13,380	-2,100	7,530	0,275
-2,475	13,418	-2,100	7,530	0,274
-2,500	13,430	-2,100	7,530	0,274
-2,600	13,480	-2,100	7,530	0,273
-2,650	16,830	-2,100	10,855	0,273
-2,650	16,830	-2,100	10,855	0,273
-2,700	16,854	-2,100	10,855	0,264
-3,000	16,999	-2,099	10,855	0,222
-3,225	17,108	-2,099	10,855	0,198
-3,800	17,389	-2,098	10,855	0,156
-3,800	17,389	-2,098	10,855	0,156
-4,450	21,654	-2,174	10,854	0,136
-5,150	26,246	-2,255	10,853	0,120
-5,800	30,510	-2,331	10,852	0,108
-6,500	35,102	-2,412	10,850	0,097
-6,500	35,102	-2,412	10,850	0,097
-7,150	37,938	-2,488	10,846	0,079
-7,800	40,773	-2,564	10,842	0,062
-7,800	40,773	-2,564	10,842	0,062
-8,550	45,696	-2,652	10,835	0,053
-9,300	50,619	-2,740	10,825	0,046
-9,300	50,619	-2,740	10,825	0,046
-9,950	53,452	-2,817	10,815	0,034
-10,600	56,284	-2,893	10,802	0,027
-10,600	56,284	-2,893	10,802	0,027
-11,050	57,167	-2,947	10,792	0,019
-11,500	58,051	-3,000	10,781	0,004
-11,500	58,051	-3,000	10,781	0,004
-12,000	63,037	-3,000	10,767	0,003
-12,550	68,520	-3,000	10,750	0,003
-13,550	78,484	-3,000	10,714	0,002
-14,550	88,442	-3,000	10,672	0,002
-15,550	98,395	-3,000	10,625	0,002
-15,750	100,384	-3,000	10,614	0,001
-16,250	105,358	-3,000	10,588	0,001
-16,800	110,827	-3,000	10,557	0,001
-17,800	120,767	-3,000	10,497	0,001
-18,800	130,703	-3,000	10,433	0,000
-19,800	140,634	-3,000	10,364	0,000
-20,000	142,620	-3,000	10,350	0,000

3.4 Results for Vertical 4 (X = -10,00 m; Z = 0,00 m)

Depth [m]	Effective Stress [kPa]	Hydraulic head [m]	Loading [kPa]	Settlement [m]
-1,700	3,601	-1,700	3,600	0,286
-1,800	4,900	-1,800	3,600	0,284
-1,900	6,200	-1,900	3,600	0,283
-2,000	7,500	-2,000	3,600	0,282
-2,100	8,800	-2,100	3,600	0,281
-2,200	9,100	-2,100	3,600	0,281
-2,300	13,338	-2,100	7,538	0,280
-2,300	13,338	-2,100	7,538	0,280
-2,400	13,388	-2,100	7,538	0,279
-2,475	13,425	-2,100	7,538	0,279
-2,500	13,438	-2,100	7,538	0,278
-2,600	13,488	-2,100	7,538	0,278
-2,650	16,838	-2,100	10,863	0,277
-2,650	16,838	-2,100	10,863	0,277
-2,700	16,862	-2,100	10,863	0,269

Depth [m]	Effective Stress [kPa]	Hydraulic head [m]	Loading [kPa]	Settlement [m]
-3,000	17,007	-2,099	10,863	0,226
-3,225	17,116	-2,099	10,863	0,202
-3,800	17,397	-2,098	10,863	0,160
-3,800	17,397	-2,098	10,863	0,160
-4,450	21,658	-2,174	10,863	0,140
-5,150	26,247	-2,254	10,862	0,124
-5,800	30,508	-2,330	10,862	0,112
-6,500	35,097	-2,411	10,861	0,101
-6,500	35,097	-2,411	10,861	0,101
-6,530	35,228	-2,414	10,861	0,100
-6,560	35,359	-2,418	10,861	0,099
-6,560	35,359	-2,418	10,861	0,099
-6,630	35,818	-2,426	10,861	0,098
-6,700	36,277	-2,434	10,861	0,097
-6,700	36,277	-2,434	10,861	0,097
-7,260	38,718	-2,499	10,860	0,082
-7,820	41,160	-2,564	10,858	0,067
-7,820	41,160	-2,564	10,858	0,067
-8,380	44,836	-2,629	10,857	0,061
-8,940	48,512	-2,695	10,854	0,055
-8,940	48,512	-2,695	10,854	0,055
-9,780	52,176	-2,793	10,849	0,039
-10,620	55,841	-2,891	10,843	0,027
-10,620	55,841	-2,891	10,843	0,027
-11,080	56,748	-2,946	10,839	0,019
-11,540	57,656	-3,000	10,834	0,004
-11,540	57,656	-3,000	10,834	0,004
-12,040	62,651	-3,000	10,828	0,003
-12,570	67,943	-3,000	10,821	0,003
-13,570	77,928	-3,000	10,806	0,002
-14,570	87,908	-3,000	10,786	0,002
-15,570	97,885	-3,000	10,763	0,002
-15,770	99,880	-3,000	10,758	0,001
-16,270	104,867	-3,000	10,745	0,001
-16,800	110,152	-3,000	10,730	0,001
-17,800	120,120	-3,000	10,698	0,001
-18,800	130,085	-3,000	10,663	0,000
-19,800	140,045	-3,000	10,623	0,000
-20,000	142,037	-3,000	10,615	0,000

3.5 Results for Vertical 5 (X = 0,00 m; Z = 0,00 m)

Depth [m]	Effective Stress [kPa]	Hydraulic head [m]	Loading [kPa]	Settlement [m]
-1,700	3,601	-1,700	3,600	0,291
-1,800	4,900	-1,800	3,600	0,289
-1,900	6,200	-1,900	3,600	0,288
-2,000	7,500	-2,000	3,600	0,287
-2,100	8,800	-2,100	3,600	0,286
-2,200	9,100	-2,100	3,600	0,286
-2,300	13,346	-2,100	7,546	0,285
-2,300	13,346	-2,100	7,546	0,285
-2,400	13,396	-2,100	7,546	0,284
-2,475	13,433	-2,100	7,546	0,283
-2,500	13,446	-2,100	7,546	0,283
-2,600	13,496	-2,100	7,546	0,282
-2,650	16,846	-2,100	10,871	0,282
-2,650	16,846	-2,100	10,871	0,282
-2,700	16,870	-2,100	10,871	0,274
-3,000	17,014	-2,099	10,871	0,231
-3,225	17,123	-2,099	10,871	0,207

Depth [m]	Effective Stress [kPa]	Hydraulic head [m]	Loading [kPa]	Settlement [m]
-3,800	17,403	-2,098	10,871	0,164
-3,800	17,403	-2,098	10,871	0,164
-4,450	21,658	-2,173	10,871	0,145
-5,150	26,240	-2,253	10,871	0,128
-5,800	30,496	-2,328	10,871	0,116
-6,500	35,079	-2,408	10,870	0,106
-6,500	35,079	-2,408	10,870	0,106
-6,573	35,396	-2,416	10,870	0,103
-6,646	35,713	-2,425	10,870	0,101
-6,646	35,713	-2,425	10,870	0,101
-6,816	36,826	-2,444	10,870	0,099
-6,986	37,939	-2,464	10,870	0,097
-6,986	37,939	-2,464	10,870	0,097
-7,417	39,817	-2,513	10,869	0,085
-7,849	41,695	-2,563	10,869	0,074
-7,849	41,695	-2,563	10,869	0,074
-8,137	43,587	-2,597	10,868	0,071
-8,426	45,479	-2,630	10,868	0,068
-8,426	45,479	-2,630	10,868	0,068
-8,937	47,707	-2,689	10,866	0,057
-9,537	50,321	-2,759	10,865	0,045
-10,049	52,550	-2,818	10,863	0,035
-10,649	55,166	-2,888	10,860	0,028
-10,649	55,166	-2,888	10,860	0,028
-11,123	56,101	-2,944	10,858	0,020
-11,597	57,037	-3,000	10,855	0,004
-11,597	57,037	-3,000	10,855	0,004
-12,097	62,034	-3,000	10,851	0,003
-12,599	67,044	-3,000	10,847	0,003
-13,599	77,034	-3,000	10,838	0,002
-14,599	87,022	-3,000	10,826	0,002
-15,599	97,008	-3,000	10,812	0,002
-15,799	99,005	-3,000	10,808	0,001
-16,299	103,996	-3,000	10,800	0,001
-16,800	109,001	-3,000	10,790	0,001
-17,800	118,980	-3,000	10,770	0,001
-18,800	128,956	-3,000	10,745	0,000
-19,800	138,929	-3,000	10,718	0,000
-20,000	140,923	-3,000	10,712	0,000

3.6 Results for Vertical 6 (X = 10,00 m; Z = 0,00 m)

Depth [m]	Effective Stress [kPa]	Hydraulic head [m]	Loading [kPa]	Settlement [m]
-1,700	3,601	-1,700	3,600	0,296
-1,800	4,900	-1,800	3,600	0,294
-1,900	6,200	-1,900	3,600	0,293
-2,000	7,500	-2,000	3,600	0,292
-2,100	8,800	-2,100	3,600	0,291
-2,200	9,100	-2,100	3,600	0,291
-2,300	13,354	-2,100	7,554	0,290
-2,300	13,354	-2,100	7,554	0,290
-2,400	13,404	-2,100	7,554	0,289
-2,475	13,442	-2,100	7,554	0,289
-2,500	13,454	-2,100	7,554	0,288
-2,600	13,504	-2,100	7,554	0,288
-2,650	16,854	-2,100	10,879	0,287
-2,650	16,854	-2,100	10,879	0,287
-2,700	16,878	-2,100	10,879	0,279
-3,000	17,021	-2,099	10,879	0,236
-3,225	17,129	-2,099	10,879	0,212

Depth [m]	Effective Stress [kPa]	Hydraulic head [m]	Loading [kPa]	Settlement [m]
-3,800	17,408	-2,098	10,879	0,169
-3,800	17,408	-2,098	10,879	0,169
-4,450	21,656	-2,172	10,879	0,150
-5,150	26,230	-2,251	10,878	0,134
-5,800	30,478	-2,325	10,877	0,122
-6,500	35,054	-2,405	10,876	0,111
-6,500	35,054	-2,405	10,876	0,111
-6,616	35,556	-2,418	10,876	0,107
-6,731	36,058	-2,431	10,876	0,104
-6,731	36,058	-2,431	10,876	0,104
-7,001	37,824	-2,462	10,875	0,100
-7,271	39,589	-2,493	10,875	0,097
-7,271	39,589	-2,493	10,875	0,097
-7,574	40,904	-2,527	10,874	0,089
-7,877	42,219	-2,562	10,873	0,082
-7,877	42,219	-2,562	10,873	0,082
-7,894	42,332	-2,564	10,873	0,082
-7,912	42,444	-2,566	10,873	0,081
-7,912	42,444	-2,566	10,873	0,081
-8,594	45,410	-2,645	10,870	0,066
-9,294	48,453	-2,725	10,866	0,051
-9,977	51,422	-2,804	10,861	0,037
-10,677	54,467	-2,885	10,856	0,028
-10,677	54,467	-2,885	10,856	0,028
-11,166	55,426	-2,942	10,851	0,020
-11,654	56,387	-3,000	10,845	0,004
-11,654	56,387	-3,000	10,845	0,004
-12,627	66,103	-3,000	10,832	0,003
-13,627	76,086	-3,000	10,815	0,002
-14,627	86,066	-3,000	10,795	0,002
-15,627	96,042	-3,000	10,771	0,002
-15,827	98,037	-3,000	10,766	0,001
-16,800	107,738	-3,000	10,738	0,001
-17,800	117,705	-3,000	10,706	0,001
-18,800	127,669	-3,000	10,670	0,000
-19,800	137,629	-3,000	10,630	0,000
-20,000	139,620	-3,000	10,621	0,000

3.7 Results for Vertical 7 (X = 18,00 m; Z = 0,00 m)

Depth [m]	Effective Stress [kPa]	Hydraulic head [m]	Loading [kPa]	Settlement [m]
-1,700	3,601	-1,700	3,600	0,293
-1,800	4,900	-1,800	3,600	0,292
-1,900	6,200	-1,900	3,600	0,290
-2,000	7,500	-2,000	3,600	0,289
-2,100	8,800	-2,100	3,600	0,289
-2,200	9,100	-2,100	3,600	0,288
-2,300	13,348	-2,100	7,548	0,287
-2,300	13,348	-2,100	7,548	0,287
-2,400	13,398	-2,100	7,548	0,286
-2,475	13,436	-2,100	7,548	0,286
-2,500	13,448	-2,100	7,548	0,286
-2,600	13,498	-2,100	7,548	0,285
-2,650	16,848	-2,100	10,873	0,284
-2,650	16,848	-2,100	10,873	0,284
-2,700	16,872	-2,100	10,873	0,276
-3,000	17,015	-2,099	10,873	0,233
-3,225	17,123	-2,099	10,873	0,209
-3,800	17,401	-2,098	10,872	0,167
-3,800	17,402	-2,098	10,872	0,167

Depth [m]	Effective Stress [kPa]	Hydraulic head [m]	Loading [kPa]	Settlement [m]
-4,450	21,644	-2,171	10,870	0,147
-5,150	26,213	-2,250	10,868	0,131
-5,800	30,455	-2,324	10,866	0,119
-6,500	35,023	-2,403	10,862	0,108
-6,500	35,023	-2,403	10,862	0,108
-6,650	35,672	-2,420	10,861	0,104
-6,800	36,322	-2,437	10,860	0,099
-6,800	36,322	-2,437	10,860	0,099
-7,150	38,606	-2,477	10,857	0,095
-7,500	40,891	-2,517	10,854	0,091
-7,500	40,891	-2,517	10,854	0,091
-8,300	44,353	-2,608	10,845	0,072
-9,100	47,816	-2,699	10,833	0,054
-9,900	51,279	-2,791	10,818	0,038
-10,700	54,740	-2,883	10,798	0,028
-10,700	54,740	-2,883	10,798	0,028
-11,200	55,709	-2,941	10,784	0,020
-11,700	56,679	-3,000	10,769	0,004
-11,700	56,679	-3,000	10,769	0,004
-12,650	66,144	-3,000	10,734	0,003
-13,650	76,102	-3,000	10,692	0,002
-14,650	86,053	-3,000	10,643	0,002
-15,650	95,998	-3,000	10,588	0,001
-15,850	97,986	-3,000	10,576	0,001
-16,800	107,428	-3,000	10,518	0,001
-17,800	117,361	-3,000	10,451	0,001
-18,800	127,290	-3,000	10,380	0,000
-19,800	137,215	-3,000	10,305	0,000
-20,000	139,199	-3,000	10,289	0,000

3.8 Results for Vertical 8 (X = 33,00 m; Z = 0,00 m)

Depth [m]	Effective Stress [kPa]	Hydraulic head [m]	Loading [kPa]	Settlement [m]
-1,700	3,601	-1,700	3,600	0,222
-1,800	4,900	-1,800	3,600	0,221
-1,900	6,200	-1,900	3,600	0,219
-2,000	7,500	-2,000	3,600	0,218
-2,100	8,800	-2,100	3,600	0,218
-2,200	9,100	-2,100	3,600	0,217
-2,300	13,224	-2,100	7,424	0,216
-2,300	13,224	-2,100	7,424	0,216
-2,400	13,274	-2,100	7,424	0,215
-2,475	13,311	-2,100	7,423	0,215
-2,500	13,323	-2,100	7,423	0,215
-2,600	13,373	-2,100	7,423	0,214
-2,650	16,722	-2,100	10,747	0,213
-2,650	16,722	-2,100	10,747	0,213
-2,700	16,747	-2,100	10,747	0,205
-3,000	16,890	-2,100	10,742	0,162
-3,075	16,925	-2,100	10,740	0,153
-3,500	17,117	-2,100	10,721	0,111
-3,500	17,117	-2,100	10,721	0,111
-4,100	20,956	-2,165	10,662	0,093
-4,700	24,749	-2,231	10,558	0,079
-4,700	24,749	-2,231	10,558	0,079
-4,850	25,359	-2,248	10,524	0,073
-5,000	25,968	-2,264	10,488	0,067
-5,000	25,968	-2,264	10,488	0,067
-5,550	29,386	-2,324	10,334	0,058
-6,100	32,778	-2,385	10,153	0,051

Depth [m]	Effective Stress [kPa]	Hydraulic head [m]	Loading [kPa]	Settlement [m]
-6,100	32,778	-2,385	10,153	0,051
-6,300	33,568	-2,406	10,083	0,046
-6,500	34,355	-2,428	10,011	0,042
-6,500	34,355	-2,428	10,011	0,042
-7,000	39,221	-2,483	9,828	0,041
-7,500	44,085	-2,538	9,643	0,040
-7,500	44,085	-2,538	9,643	0,040
-8,000	47,152	-2,593	9,461	0,037
-8,500	50,225	-2,648	9,285	0,033
-8,500	50,225	-2,648	9,285	0,033
-9,050	52,404	-2,708	9,100	0,027
-9,650	54,793	-2,774	8,910	0,020
-10,200	56,995	-2,835	8,747	0,015
-10,800	59,409	-2,901	8,582	0,012
-10,800	59,409	-2,901	8,582	0,012
-11,250	60,149	-2,950	8,466	0,010
-11,700	60,897	-3,000	8,357	0,003
-11,700	60,897	-3,000	8,357	0,003
-12,650	70,186	-3,000	8,146	0,002
-13,650	79,991	-3,000	7,951	0,002
-14,650	89,819	-3,000	7,779	0,001
-15,650	99,667	-3,000	7,627	0,001
-15,850	101,638	-3,000	7,598	0,001
-16,800	111,012	-3,000	7,472	0,001
-17,800	120,893	-3,000	7,353	0,000
-18,800	130,787	-3,000	7,247	0,000
-19,800	140,690	-3,000	7,150	0,000
-20,000	142,672	-3,000	7,132	0,000

3.9 Results for Vertical 9 (X = 36,00 m; Z = 0,00 m)

Depth [m]	Effective Stress [kPa]	Hydraulic head [m]	Loading [kPa]	Settlement [m]
-1,700	3,601	-1,700	3,600	0,172
-1,800	4,900	-1,800	3,600	0,170
-1,900	6,199	-1,900	3,599	0,169
-2,000	7,495	-2,000	3,595	0,168
-2,100	8,787	-2,100	3,587	0,167
-2,200	9,071	-2,100	3,571	0,167
-2,300	13,092	-2,100	7,292	0,166
-2,300	13,092	-2,100	7,292	0,166
-2,400	13,111	-2,100	7,261	0,165
-2,475	13,121	-2,100	7,233	0,165
-2,500	13,123	-2,100	7,223	0,164
-2,600	13,127	-2,100	7,177	0,164
-2,650	16,450	-2,100	10,475	0,163
-2,650	16,450	-2,100	10,475	0,163
-2,700	16,446	-2,100	10,446	0,155
-3,000	16,367	-2,100	10,218	0,115
-3,075	16,331	-2,100	10,145	0,107
-3,500	16,029	-2,100	9,631	0,071
-3,500	16,029	-2,100	9,631	0,071
-4,100	19,146	-2,166	8,850	0,057
-4,700	22,416	-2,231	8,222	0,047
-4,700	22,416	-2,231	8,222	0,047
-4,850	22,931	-2,248	8,093	0,044
-5,000	23,455	-2,264	7,973	0,041
-5,000	23,455	-2,264	7,973	0,041
-5,550	26,658	-2,325	7,603	0,035
-6,100	29,948	-2,385	7,319	0,029
-6,100	29,948	-2,385	7,319	0,029

Depth [m]	Effective Stress [kPa]	Hydraulic head [m]	Loading [kPa]	Settlement [m]
-6,300	30,721	-2,407	7,232	0,027
-6,500	31,501	-2,429	7,153	0,024
-6,500	31,501	-2,429	7,153	0,024
-7,000	36,376	-2,484	6,980	0,024
-7,500	41,282	-2,539	6,837	0,023
-7,500	41,282	-2,539	6,837	0,023
-8,000	44,411	-2,593	6,717	0,021
-8,500	47,558	-2,648	6,615	0,018
-8,500	47,558	-2,648	6,615	0,018
-9,050	49,826	-2,709	6,520	0,014
-9,650	52,317	-2,775	6,431	0,009
-10,200	54,611	-2,835	6,361	0,005
-10,800	57,124	-2,901	6,295	0,004
-10,800	57,124	-2,901	6,295	0,004
-11,250	57,936	-2,950	6,251	0,003
-11,700	58,751	-3,000	6,211	0,002
-11,700	58,751	-3,000	6,211	0,002
-12,650	68,178	-3,000	6,138	0,002
-13,650	78,115	-3,000	6,075	0,001
-14,650	88,061	-3,000	6,021	0,001
-15,650	98,015	-3,000	5,975	0,001
-15,850	100,007	-3,000	5,967	0,001
-16,800	109,470	-3,000	5,930	0,001
-17,800	119,436	-3,000	5,896	0,000
-18,800	129,406	-3,000	5,866	0,000
-19,800	139,379	-3,000	5,839	0,000
-20,000	141,374	-3,000	5,834	0,000

4 Settlements

4.1 Settlements

Vertical number	X co-ordinate [m]	Z co-ordinate [m]	Surface level [m]	Settlement [m]
1	-36,00	0,00	-1,70	0,182
2	-30,00	0,00	-1,70	0,261
3	-17,00	0,00	-1,70	0,282
4	-10,00	0,00	-1,70	0,286
5	0,00	0,00	-1,70	0,291
6	10,00	0,00	-1,70	0,296
7	18,00	0,00	-1,70	0,293
8	33,00	0,00	-1,70	0,222
9	36,00	0,00	-1,70	0,172

4.2 Residual Times

Vertical number	Time [days]	Settlement [m]	Part of final settlement [%]	Residual settlements [m]
1	365	0,169	92,868	0,013
2	365	0,214	81,750	0,048
3	365	0,220	78,185	0,061
4	365	0,221	77,214	0,065
5	365	0,221	76,105	0,070
6	365	0,222	74,927	0,074
7	365	0,221	75,377	0,072
8	365	0,202	91,088	0,020
9	365	0,171	99,339	0,001

5 Warnings and errors

List of non-fatal warnings and errors generated during calculation.

1 Model Koppejan is not ideal for unloading (e.g. load removal, temporary dewatering, gradual submerging). If As is much larger than Cs', unloading will yield almost no effect on creep. Switch to the NEN-Bjerrum or abc Isotache model for improved predictions.

2 Non-uniform load [1]: Co-ordinate is below surface (2)

3 Non-uniform load [1]: Co-ordinate is below surface (3)

4 Non-uniform load [2]: Co-ordinate is below surface (1)

5 Non-uniform load [2]: Co-ordinate is below surface (2)

6 Non-uniform load [2]: Co-ordinate is below surface (3)

7 Non-uniform load [2]: Co-ordinate is below surface (4)

End of Report

Report for D-Settlement 9.3

Settlement Calculations
Developed by Deltares

Company: BAM Infratechniek

Date of report: 3-10-2013
Time of report: 2:51:53

Date of calculation: 3-10-2013
Time of calculation: 2:51:39

Filename: C:\..\R3N_Perceel 2_OSP-YMM74 (B30F1105 en DKM1189 en B150)-0,2 m hoger-1,0 m overhoogte

Project identification: Randstad 380 Noordring

1 Table of Contents

1 Table of Contents 2
2 Echo of the Input 3
2.1 Layer Boundaries 3
2.2 PL Lines 3
2.3 General Data 3
2.4 Soil Profiles 4
2.5 Soil Properties 4
2.6 Non-Uniform Loads 5
2.7 Verticals 5
3 Results per Vertical 6
3.1 Results for Vertical 1 (X = -8,00 m; Z = 0,00 m) 6
3.2 Results for Vertical 2 (X = -5,00 m; Z = 0,00 m) 6
3.3 Results for Vertical 3 (X = 0,00 m; Z = 0,00 m) 7
3.4 Results for Vertical 4 (X = 5,00 m; Z = 0,00 m) 8
3.5 Results for Vertical 5 (X = 8,00 m; Z = 0,00 m) 9
4 Settlements 11
4.1 Settlements 11
4.2 Residual Times 11
5 Warnings and errors 12

2 Echo of the Input

2.1 Layer Boundaries

Boundary number	Co-ordinates [m]				
12 - X -	-30,000	-8,500	8,500	30,000	
12 - Y -	-1,300	-1,300	-1,300	-1,300	
11 - X -	-30,000	-8,500	-8,500	8,500	30,000
11 - Y -	-2,100	-2,100	-1,300	-1,300	-1,300
10 - X -	-30,000	-8,500	8,500	8,500	30,000
10 - Y -	-2,100	-2,100	-2,100	-1,300	-1,300
9 - X -	-30,000	-8,500	-8,500	8,500	8,500
9 - Y -	-2,100	-2,100	-2,250	-2,250	-2,100
9 - X -	8,500	30,000			
9 - Y -	-1,300	-1,300			
8 - X -	-30,000	-8,500	-8,500	8,500	8,500
8 - Y -	-2,100	-2,100	-2,250	-2,250	-2,100
8 - X -	30,000				
8 - Y -	-2,100				
7 - X -	-30,000	30,000			
7 - Y -	-4,100	-4,100			
6 - X -	-30,000	30,000			
6 - Y -	-5,500	-5,500			
5 - X -	-30,000	30,000			
5 - Y -	-7,700	-7,700			
4 - X -	-30,000	30,000			
4 - Y -	-8,000	-8,000			
3 - X -	-30,000	30,000			
3 - Y -	-10,000	-10,000			
2 - X -	-30,000	30,000			
2 - Y -	-11,500	-11,500			
1 - X -	-30,000	30,000			
1 - Y -	-12,300	-12,300			
0 - X -	-30,000	30,000			
0 - Y -	-20,000	-20,000			

2.2 PL Lines

PL line number	Co-ordinates [m]				
1 - X -	-30,000	30,000			
1 - Y -	-1,700	-1,700			
2 - X -	-30,000	30,000			
2 - Y -	-2,500	-2,500			

2.3 General Data

Soil model:	Koppejan
Consolidation model:	Darcy
Strain model:	Linear
Groundwater level:	Initial determined by PL-line number 1
Unit weight of water:	10,00 [kN/m³]
Stress distribution	
- Soil:	Buisman
- Loads:	Simulate
End of consolidation:	10950,00 [days]
No maintain profile	
Pc (initial):	Variable parallel to the initial effective stress
Pc (per step):	Automatic increased to the final effective stresses
Creep rate reference time:	1,000 [days]
No imaginary surface	
With submerging	
(only for non uniform loads)	
- Iteration stop criterium :	0,10 [m]
Load column width	

- Non-Uniform Loads :	1,00 [m]
- Trapezoidal Loads :	1,00 [m]

2.4 Soil Profiles

Layer number	Material name	PL-line top	PL-line bottom
12	veen toplaag	1	1
11	verbetering veen top...	1	1
10	verbetering veen	1	1
9	veen toplaag	1	1
8	veen-A4 (Z)	1	1
7	klei humeus-A4 (N)	99	99
6	klei siltig-A4 (N)	99	99
5	klei humeus-A4 (N)	99	99
4	klei siltig-A4 (N)	99	99
3	klei humeus-A4 (N)	99	99
2	basisveen-A4 (N)	99	99
1	pleistoceen-A4 (N)	2	2

2.5 Soil Properties

Layer number	Drained	Unit weight	
		Unsaturated [kN/m³]	Saturated [kN/m³]
12	No	13,00	13,00
11	Yes	13,00	13,00
10	Yes	10,50	10,50
9	No	13,00	13,00
8	No	10,50	10,50
7	No	13,20	13,20
6	No	15,40	15,40
5	No	13,20	13,20
4	No	15,40	15,40
3	No	13,20	13,20
2	No	10,80	10,80
1	Yes	18,00	20,00

Layer number	Storage type	Vert. consolid. coefficient Cv [m²/s]	Vertical permeability [m/s]	Permeability strain mod. [m/s]	Initial vertical permeability [m/s]
12	Vert. cons.	7,70E-08	-	-	-
11	Vert. cons.	-	-	-	-
10	Vert. cons.	-	-	-	-
9	Vert. cons.	7,70E-08	-	-	-
8	Vert. cons.	3,00E-08	-	-	-
7	Vert. cons.	7,70E-08	-	-	-
6	Vert. cons.	9,40E-08	-	-	-
5	Vert. cons.	7,70E-08	-	-	-
4	Vert. cons.	9,40E-08	-	-	-
3	Vert. cons.	7,70E-08	-	-	-
2	Vert. cons.	4,70E-08	-	-	-
1	Vert. cons.	-	-	-	-

Layer number	Precons. pressure [kN/m²]	POP [kN/m²]	OCR [-]
12	-	10,00	-
11	-	-	1,00
10	-	-	1,00
9	-	10,00	-
8	-	10,00	-
7	-	10,00	-
6	-	10,00	-
5	-	10,00	-
4	-	10,00	-
3	-	10,00	-

Layer number	Precons. pressure [kN/m²]	POP [kN/m²]	OCR [-]
2	-	10,00	-
1	-	-	1,00

Layer number	Primary compr. coeff.		Secular compr. coef.		Swell constants	
	Cp [-]	Cp' [-]	Cs [-]	Cs' [-]	Ap [-]	As [-]
12	3,10E+01	6,50E+00	1,45E+02	1,60E+01	3,10E+01	1,60E+01
11	8,00E+02	2,00E+02	1,00E+05	1,00E+05	1,00E+09	1,00E+09
10	8,00E+02	2,00E+02	1,00E+05	1,00E+05	1,00E+09	1,00E+09
9	3,10E+01	6,50E+00	1,45E+02	1,60E+01	3,10E+01	1,60E+01
8	3,32E+01	5,70E+00	1,14E+02	2,28E+01	3,32E+01	2,28E+01
7	3,10E+01	6,50E+00	1,45E+02	1,60E+01	3,10E+01	1,60E+01
6	5,67E+01	1,38E+01	2,57E+02	8,98E+01	5,67E+01	8,98E+01
5	3,10E+01	6,50E+00	1,45E+02	1,60E+01	3,10E+01	1,60E+01
4	5,67E+01	1,38E+01	2,57E+02	8,98E+01	5,67E+01	8,98E+01
3	3,10E+01	6,50E+00	1,45E+02	1,60E+01	3,10E+01	1,60E+01
2	5,14E+01	7,20E+00	1,11E+02	2,76E+01	5,14E+01	2,76E+01
1	1,80E+03	6,00E+02	1,00E+09	1,00E+09	1,00E+09	1,00E+09

2.6 Non-Uniform Loads

Load number	Time	Unit weight	
		Unsaturated	Saturated
	[days]	[kN/m³]	[kN/m³]
1	0	5,00	17,00
2	0	7,50	19,50
3	0	0,00	10,00
4	0	18,00	20,00
5	0	18,00	20,00

Load number	Co-ordinates [m]					
1 - X -	-8,50	-8,50	8,50	8,50		
1 - Y -	-1,30	-2,10	-2,10	-1,30		
2 - X -	-8,50	-8,50	8,50	8,50		
2 - Y -	-2,10	-2,25	-2,25	-2,10		
3 - X -	-8,50	8,50				
3 - Y -	-1,30	-1,30				
4 - X -	-8,50	-8,50	8,50	8,50		
4 - Y -	-1,30	-1,10	-1,10	-1,30		
5 - X -	-8,50	-8,50	8,50	8,50		
5 - Y -	-1,30	-0,30	-0,30	-1,30		

2.7 Verticals

Vertical number	X co-ordinates [m]				
1 - 5	-8,000	-5,000	0,000	5,000	8,000

Discretisation = 100

3 Results per Vertical

3.1 Results for Vertical 1 (X = -8,00 m; Z = 0,00 m)

Depth [m]	Effective Stress [kPa]	Hydraulic head [m]	Loading [kPa]	Settlement [m]
-1,300	3,601	-1,300	3,600	0,172
-1,400	4,899	-1,400	3,599	0,170
-1,500	6,187	-1,500	3,587	0,169
-1,600	7,448	-1,600	3,548	0,168
-1,700	8,680	-1,700	3,480	0,167
-1,800	8,891	-1,700	3,391	0,166
-1,900	9,092	-1,700	3,292	0,166
-2,000	9,293	-1,700	3,193	0,165
-2,100	14,644	-1,700	8,244	0,164
-2,100	14,644	-1,700	8,244	0,164
-2,175	14,614	-1,700	8,177	0,164
-2,200	14,604	-1,700	8,154	0,164
-2,250	16,007	-1,700	9,532	0,163
-2,250	16,007	-1,700	9,532	0,163
-2,300	15,978	-1,700	9,480	0,157
-2,500	15,769	-1,699	9,177	0,136
-3,175	14,689	-1,698	7,775	0,107
-4,100	14,124	-1,696	6,765	0,068
-4,100	14,124	-1,696	6,765	0,068
-4,800	16,667	-1,764	6,389	0,048
-5,500	19,351	-1,832	6,153	0,036
-5,500	19,351	-1,832	6,153	0,036
-6,100	23,031	-1,890	6,010	0,029
-6,600	26,125	-1,939	5,916	0,025
-7,100	29,235	-1,988	5,839	0,022
-7,700	32,982	-2,046	5,760	0,018
-7,700	32,982	-2,046	5,760	0,018
-7,850	33,591	-2,061	5,742	0,016
-8,000	34,201	-2,076	5,725	0,015
-8,000	34,201	-2,076	5,725	0,015
-9,000	40,480	-2,174	5,622	0,009
-10,000	46,776	-2,273	5,531	0,005
-10,000	46,776	-2,273	5,531	0,005
-10,750	49,850	-2,346	5,467	0,001
-11,500	52,927	-2,420	5,404	0,001
-11,500	52,927	-2,420	5,404	0,001
-11,900	53,612	-2,460	5,370	0,001
-12,300	54,297	-2,500	5,337	0,002
-12,300	54,297	-2,500	5,337	0,002
-13,150	62,724	-2,500	5,264	0,001
-14,150	72,637	-2,500	5,177	0,001
-15,150	82,547	-2,500	5,087	0,001
-16,150	92,455	-2,500	4,995	0,001
-17,000	100,875	-2,500	4,915	0,000
-18,000	110,780	-2,500	4,820	0,000
-19,000	120,683	-2,500	4,723	0,000
-20,000	130,586	-2,500	4,626	0,000

3.2 Results for Vertical 2 (X = -5,00 m; Z = 0,00 m)

Depth [m]	Effective Stress [kPa]	Hydraulic head [m]	Loading [kPa]	Settlement [m]
-1,300	3,601	-1,300	3,600	0,261

Depth [m]	Effective Stress [kPa]	Hydraulic head [m]	Loading [kPa]	Settlement [m]
-1,400	4,900	-1,400	3,600	0,260
-1,500	6,200	-1,500	3,600	0,258
-1,600	7,500	-1,600	3,600	0,257
-1,700	8,800	-1,700	3,600	0,257
-1,800	9,100	-1,700	3,600	0,256
-1,900	9,399	-1,700	3,599	0,255
-2,000	9,699	-1,700	3,599	0,254
-2,100	15,292	-1,700	8,892	0,254
-2,100	15,292	-1,700	8,892	0,254
-2,175	15,329	-1,700	8,891	0,253
-2,200	15,341	-1,700	8,891	0,253
-2,250	16,790	-1,700	10,315	0,253
-2,250	16,790	-1,700	10,315	0,253
-2,300	16,810	-1,700	10,315	0,245
-2,500	16,891	-1,698	10,311	0,218
-3,175	17,152	-1,695	10,269	0,167
-4,100	17,416	-1,691	10,107	0,114
-4,100	17,416	-1,691	10,107	0,114
-4,800	20,119	-1,758	9,895	0,083
-5,500	22,772	-1,826	9,629	0,059
-5,500	22,772	-1,826	9,629	0,059
-6,100	26,346	-1,884	9,381	0,050
-6,600	29,321	-1,933	9,170	0,044
-7,100	32,301	-1,982	8,962	0,038
-7,700	35,886	-2,041	8,719	0,033
-7,700	35,886	-2,041	8,719	0,033
-7,850	36,454	-2,055	8,660	0,031
-8,000	37,023	-2,070	8,601	0,029
-8,000	37,023	-2,070	8,601	0,029
-9,000	43,043	-2,169	8,231	0,021
-10,000	49,104	-2,269	7,892	0,015
-10,000	49,104	-2,269	7,892	0,015
-10,750	52,013	-2,344	7,657	0,008
-11,500	54,939	-2,418	7,435	0,007
-11,500	54,939	-2,418	7,435	0,007
-11,900	55,552	-2,459	7,321	0,007
-12,300	56,171	-2,500	7,211	0,002
-12,300	56,171	-2,500	7,211	0,002
-13,150	64,446	-2,500	6,986	0,002
-14,150	74,196	-2,500	6,736	0,001
-15,150	83,960	-2,500	6,500	0,001
-16,150	93,736	-2,500	6,276	0,001
-17,000	102,055	-2,500	6,095	0,001
-18,000	111,851	-2,500	5,891	0,000
-19,000	121,657	-2,500	5,697	0,000
-20,000	131,472	-2,500	5,512	0,000

3.3 Results for Vertical 3 (X = 0,00 m; Z = 0,00 m)

Depth [m]	Effective Stress [kPa]	Hydraulic head [m]	Loading [kPa]	Settlement [m]
-1,300	3,601	-1,300	3,600	0,287
-1,400	4,900	-1,400	3,600	0,285
-1,500	6,200	-1,500	3,600	0,284
-1,600	7,500	-1,600	3,600	0,283
-1,700	8,800	-1,700	3,600	0,282
-1,800	9,100	-1,700	3,600	0,281
-1,900	9,400	-1,700	3,600	0,281
-2,000	9,700	-1,700	3,600	0,280
-2,100	15,343	-1,700	8,943	0,279
-2,100	15,343	-1,700	8,943	0,279

Depth [m]	Effective Stress [kPa]	Hydraulic head [m]	Loading [kPa]	Settlement [m]
-2,175	15,381	-1,700	8,943	0,279
-2,200	15,393	-1,700	8,943	0,278
-2,250	16,843	-1,700	10,368	0,278
-2,250	16,843	-1,700	10,368	0,278
-2,300	16,863	-1,700	10,368	0,270
-2,500	16,947	-1,698	10,368	0,244
-3,175	17,242	-1,694	10,363	0,194
-4,100	17,646	-1,690	10,343	0,137
-4,100	17,646	-1,690	10,343	0,137
-4,800	20,525	-1,758	10,309	0,102
-5,500	23,386	-1,825	10,252	0,075
-5,500	23,386	-1,825	10,252	0,075
-6,100	27,136	-1,884	10,180	0,065
-6,600	30,246	-1,932	10,104	0,057
-7,100	33,343	-1,981	10,013	0,051
-7,700	37,042	-2,040	9,885	0,045
-7,700	37,042	-2,040	9,885	0,045
-7,850	37,634	-2,054	9,850	0,042
-8,000	38,225	-2,069	9,814	0,039
-8,000	38,225	-2,069	9,814	0,039
-9,000	44,349	-2,168	9,545	0,031
-10,000	50,446	-2,268	9,241	0,023
-10,000	50,446	-2,268	9,241	0,023
-10,750	53,348	-2,343	8,997	0,016
-11,500	56,244	-2,418	8,745	0,013
-11,500	56,244	-2,418	8,745	0,013
-11,900	56,838	-2,459	8,610	0,010
-12,300	57,433	-2,500	8,473	0,002
-12,300	57,433	-2,500	8,473	0,002
-13,150	65,645	-2,500	8,185	0,002
-14,150	75,311	-2,500	7,851	0,002
-15,150	84,988	-2,500	7,528	0,001
-16,150	94,678	-2,500	7,218	0,001
-17,000	102,926	-2,500	6,966	0,001
-18,000	112,644	-2,500	6,684	0,000
-19,000	122,377	-2,500	6,417	0,000
-20,000	132,126	-2,500	6,166	0,000

3.4 Results for Vertical 4 (X = 5,00 m; Z = 0,00 m)

Depth [m]	Effective Stress [kPa]	Hydraulic head [m]	Loading [kPa]	Settlement [m]
-1,300	3,601	-1,300	3,600	0,261
-1,400	4,900	-1,400	3,600	0,260
-1,500	6,200	-1,500	3,600	0,258
-1,600	7,500	-1,600	3,600	0,257
-1,700	8,800	-1,700	3,600	0,257
-1,800	9,100	-1,700	3,600	0,256
-1,900	9,399	-1,700	3,599	0,255
-2,000	9,699	-1,700	3,599	0,254
-2,100	15,292	-1,700	8,892	0,254
-2,100	15,292	-1,700	8,892	0,254
-2,175	15,329	-1,700	8,891	0,253
-2,200	15,341	-1,700	8,891	0,253
-2,250	16,790	-1,700	10,315	0,253
-2,250	16,790	-1,700	10,315	0,253
-2,300	16,810	-1,700	10,315	0,245
-2,500	16,891	-1,698	10,311	0,218
-3,175	17,152	-1,695	10,269	0,167
-4,100	17,416	-1,691	10,107	0,114
-4,100	17,416	-1,691	10,107	0,114

Depth [m]	Effective Stress [kPa]	Hydraulic head [m]	Loading [kPa]	Settlement [m]
-4,800	20,119	-1,758	9,895	0,083
-5,500	22,772	-1,826	9,629	0,059
-5,500	22,772	-1,826	9,629	0,059
-6,100	26,346	-1,884	9,381	0,050
-6,600	29,321	-1,933	9,170	0,044
-7,100	32,301	-1,982	8,962	0,038
-7,700	35,886	-2,041	8,719	0,033
-7,700	35,886	-2,041	8,719	0,033
-7,850	36,454	-2,055	8,660	0,031
-8,000	37,023	-2,070	8,601	0,029
-8,000	37,023	-2,070	8,601	0,029
-9,000	43,043	-2,169	8,231	0,021
-10,000	49,104	-2,269	7,892	0,015
-10,000	49,104	-2,269	7,892	0,015
-10,750	52,013	-2,344	7,657	0,008
-11,500	54,939	-2,418	7,435	0,007
-11,500	54,939	-2,418	7,435	0,007
-11,900	55,552	-2,459	7,321	0,007
-12,300	56,171	-2,500	7,211	0,002
-12,300	56,171	-2,500	7,211	0,002
-13,150	64,446	-2,500	6,986	0,002
-14,150	74,196	-2,500	6,736	0,001
-15,150	83,960	-2,500	6,500	0,001
-16,150	93,736	-2,500	6,276	0,001
-17,000	102,055	-2,500	6,095	0,001
-18,000	111,851	-2,500	5,891	0,000
-19,000	121,657	-2,500	5,697	0,000
-20,000	131,472	-2,500	5,512	0,000

3.5 Results for Vertical 5 (X = 8,00 m; Z = 0,00 m)

Depth [m]	Effective Stress [kPa]	Hydraulic head [m]	Loading [kPa]	Settlement [m]
-1,300	3,601	-1,300	3,600	0,172
-1,400	4,899	-1,400	3,599	0,170
-1,500	6,187	-1,500	3,587	0,169
-1,600	7,448	-1,600	3,548	0,168
-1,700	8,680	-1,700	3,480	0,167
-1,800	8,891	-1,700	3,391	0,166
-1,900	9,092	-1,700	3,292	0,166
-2,000	9,293	-1,700	3,193	0,165
-2,100	14,644	-1,700	8,244	0,164
-2,100	14,644	-1,700	8,244	0,164
-2,175	14,614	-1,700	8,177	0,164
-2,200	14,604	-1,700	8,154	0,164
-2,250	16,007	-1,700	9,532	0,163
-2,250	16,007	-1,700	9,532	0,163
-2,300	15,978	-1,700	9,480	0,157
-2,500	15,769	-1,699	9,177	0,136
-3,175	14,689	-1,698	7,775	0,107
-4,100	14,124	-1,696	6,765	0,068
-4,100	14,124	-1,696	6,765	0,068
-4,800	16,667	-1,764	6,389	0,048
-5,500	19,351	-1,832	6,153	0,036
-5,500	19,351	-1,832	6,153	0,036
-6,100	23,031	-1,890	6,010	0,029
-6,600	26,125	-1,939	5,916	0,025
-7,100	29,235	-1,988	5,839	0,022
-7,700	32,982	-2,046	5,760	0,018
-7,700	32,982	-2,046	5,760	0,018
-7,850	33,591	-2,061	5,742	0,016

Depth [m]	Effective Stress [kPa]	Hydraulic head [m]	Loading [kPa]	Settlement [m]
-8,000	34,201	-2,076	5,725	0,015
-8,000	34,201	-2,076	5,725	0,015
-9,000	40,480	-2,174	5,622	0,009
-10,000	46,776	-2,273	5,531	0,005
-10,000	46,776	-2,273	5,531	0,005
-10,750	49,850	-2,346	5,467	0,001
-11,500	52,927	-2,420	5,404	0,001
-11,500	52,927	-2,420	5,404	0,001
-11,900	53,612	-2,460	5,370	0,001
-12,300	54,297	-2,500	5,337	0,002
-12,300	54,297	-2,500	5,337	0,002
-13,150	62,724	-2,500	5,264	0,001
-14,150	72,637	-2,500	5,177	0,001
-15,150	82,547	-2,500	5,087	0,001
-16,150	92,455	-2,500	4,995	0,001
-17,000	100,875	-2,500	4,915	0,000
-18,000	110,780	-2,500	4,820	0,000
-19,000	120,683	-2,500	4,723	0,000
-20,000	130,586	-2,500	4,626	0,000

4 Settlements

4.1 Settlements

Vertical number	X co-ordinate [m]	Z co-ordinate [m]	Surface level [m]	Settlement [m]
1	-8,00	0,00	-1,30	0,172
2	-5,00	0,00	-1,30	0,261
3	0,00	0,00	-1,30	0,287
4	5,00	0,00	-1,30	0,261
5	8,00	0,00	-1,30	0,172

4.2 Residual Times

Vertical number	Time [days]	Settlement [m]	Part of final settlement [%]	Residual settlements [m]
1	365	0,138	80,238	0,034
2	365	0,192	73,537	0,069
3	365	0,203	70,820	0,084
4	365	0,192	73,537	0,069
5	365	0,138	80,238	0,034

5 Warnings and errors

List of non-fatal warnings and errors generated during calculation.

1 Model Koppejan is not ideal for unloading (e.g. load removal, temporary dewatering, gradual submerging). If As is much larger than Cs', unloading will yield almost no effect on creep. Switch to the NEN-Bjerrum or abc Isotache model for improved predictions.

2 Non-uniform load [1]: Co-ordinate is below surface (2)

3 Non-uniform load [1]: Co-ordinate is below surface (3)

4 Non-uniform load [2]: Co-ordinate is below surface (1)

5 Non-uniform load [2]: Co-ordinate is below surface (2)

6 Non-uniform load [2]: Co-ordinate is below surface (3)

7 Non-uniform load [2]: Co-ordinate is below surface (4)

End of Report

Report for D-Settlement 9.3

Settlement Calculations
Developed by Deltares

Company: BAM Infratechniek

Date of report: 3-10-2013
Time of report: 2:49:45

Date of calculation: 3-10-2013
Time of calculation: 2:49:33

Filename: C:\..\OSP's\R3N_Perceel 2_OSP-123 (DKM1216)-0,1 m overhoogte

Project identification: Randstad 380 Noordring

1 Table of Contents

1 Table of Contents 2
2 Echo of the Input 3
2.1 Layer Boundaries 3
2.2 PL Lines 3
2.3 General Data 3
2.4 Soil Profiles 4
2.5 Soil Properties 4
2.6 Non-Uniform Loads 5
2.7 Verticals 5
3 Results per Vertical 6
3.1 Results for Vertical 1 (X = -8,00 m; Z = 0,00 m) 6
3.2 Results for Vertical 2 (X = -5,00 m; Z = 0,00 m) 6
3.3 Results for Vertical 3 (X = 0,00 m; Z = 0,00 m) 7
3.4 Results for Vertical 4 (X = 5,00 m; Z = 0,00 m) 8
3.5 Results for Vertical 5 (X = 8,00 m; Z = 0,00 m) 9
4 Settlements 10
4.1 Settlements 10
4.2 Residual Times 10
5 Warnings and errors 11

2 Echo of the Input

2.1 Layer Boundaries

Boundary number	Co-ordinates [m]				
10 - X -	-30,000	-8,500	8,500	30,000	
10 - Y -	-4,600	-4,600	-4,600	-4,600	
9 - X -	-30,000	-8,500	-8,500	8,500	30,000
9 - Y -	-5,300	-5,300	-4,600	-4,600	-4,600
8 - X -	-30,000	-8,500	8,500	8,500	30,000
8 - Y -	-5,300	-5,300	-5,300	-4,600	-4,600
7 - X -	-30,000	-8,500	-8,500	8,500	8,500
7 - Y -	-5,300	-5,300	-5,750	-5,750	-5,300
7 - X -	8,500	30,000			
7 - Y -	-4,600	-4,600			
6 - X -	-30,000	-8,500	-8,500	8,500	8,500
6 - Y -	-5,300	-5,300	-5,750	-5,750	-5,300
6 - X -	30,000				
6 - Y -	-5,300				
5 - X -	-30,000	30,000			
5 - Y -	-6,300	-6,300			
4 - X -	-30,000	30,000			
4 - Y -	-8,800	-8,800			
3 - X -	-30,000	30,000			
3 - Y -	-10,000	-10,000			
2 - X -	-30,000	30,000			
2 - Y -	-11,700	-11,700			
1 - X -	-30,000	30,000			
1 - Y -	-12,300	-12,300			
0 - X -	-30,000	30,000			
0 - Y -	-20,000	-20,000			

2.2 PL Lines

PL line number	Co-ordinates [m]				
1 - X -	-30,000	30,000			
1 - Y -	-5,100	-5,100			
2 - X -	-30,000	30,000			
2 - Y -	-4,200	-4,200			

2.3 General Data

Soil model:	Koppejan
Consolidation model:	Darcy
Strain model:	Linear
Groundwater level:	Initial determined by PL-line number 1
Unit weight of water:	10,00 [kN/m³]
Stress distribution	
- Soil:	Buisman
- Loads:	Simulate
End of consolidation:	10950,00 [days]
No maintain profile	
Pc (initial):	Variable parallel to the initial effective stress
Pc (per step):	Automatic increased to the final effective stresses
Creep rate reference time:	1,000 [days]
No imaginary surface	
With submerging	
(only for non uniform loads)	
- Iteration stop criterium :	0,10 [m]
Load column width	
- Non-Uniform Loads :	1,00 [m]
- Trapezoidal Loads :	1,00 [m]

2.4 Soil Profiles

Layer number	Material name	PL-line top	PL-line bottom
10	veen toplaag	1	1
9	verbetering veen top...	1	1
8	verbetering klei zandig	1	1
7	veen toplaag	1	1
6	klei zandig-A4 (N)	1	1
5	klei humeus-A4 (N)	1	1
4	veen-A4 (Z)	99	99
3	klei siltig-A4 (N)	99	99
2	basisveen-A4 (N)	99	99
1	pleistoceen-A4 (N)	2	2

2.5 Soil Properties

Layer number	Drained	Unit weight	
		Unsaturated [kN/m³]	Saturated [kN/m³]
10	No	13,00	13,00
9	Yes	13,00	13,00
8	Yes	17,40	17,40
7	No	13,00	13,00
6	No	17,40	17,40
5	No	13,20	13,20
4	No	10,50	10,50
3	No	15,40	15,40
2	No	10,80	10,80
1	Yes	18,00	20,00

Layer number	Storage type	Vert. consolid. coefficient Cv [m²/s]	Vertical permeability [m/s]	Permeability strain mod. [m/s]	Initial vertical permeability [m/s]
10	Vert. cons.	7,70E-08	-	-	-
9	Vert. cons.	-	-	-	-
8	Vert. cons.	-	-	-	-
7	Vert. cons.	7,70E-08	-	-	-
6	Vert. cons.	2,00E-07	-	-	-
5	Vert. cons.	7,70E-08	-	-	-
4	Vert. cons.	3,00E-08	-	-	-
3	Vert. cons.	9,40E-08	-	-	-
2	Vert. cons.	4,70E-08	-	-	-
1	Vert. cons.	-	-	-	-

Layer number	Precons. pressure [kN/m²]	POP [kN/m²]	OCR [-]
10	-	10,00	-
9	-	-	1,00
8	-	-	1,00
7	-	10,00	-
6	-	10,00	-
5	-	10,00	-
4	-	10,00	-
3	-	10,00	-
2	-	10,00	-
1	-	-	1,00

Layer number	Primary compr. coeff.		Secular compr. coef.		Swell constants	
	Cp [-]	Cp' [-]	Cs [-]	Cs' [-]	Ap [-]	As [-]
10	3,10E+01	6,50E+00	1,45E+02	1,60E+01	3,10E+01	1,60E+01
9	8,00E+02	2,00E+02	1,00E+05	1,00E+05	1,00E+09	1,00E+09
8	8,00E+02	2,00E+02	1,00E+05	1,00E+05	1,00E+09	1,00E+09
7	3,10E+01	6,50E+00	1,45E+02	1,60E+01	3,10E+01	1,60E+01
6	7,06E+01	2,87E+01	3,21E+02	1,95E+02	7,06E+01	1,95E+02

Layer number	Primary compr. coeff.		Secular compr. coef.		Swell constants	
	Cp [-]	Cp' [-]	Cs [-]	Cs' [-]	Ap [-]	As [-]
5	3,10E+01	6,50E+00	1,45E+02	1,60E+01	3,10E+01	1,60E+01
4	3,32E+01	5,70E+00	1,14E+02	2,28E+01	3,32E+01	2,28E+01
3	5,67E+01	1,38E+01	2,57E+02	8,98E+01	5,67E+01	8,98E+01
2	5,14E+01	7,20E+00	1,11E+02	2,76E+01	5,14E+01	2,76E+01
1	1,80E+03	6,00E+02	1,00E+09	1,00E+09	1,00E+09	1,00E+09

2.6 Non-Uniform Loads

Load number	Time	Unit weight	
		Unsaturated	Saturated
	[days]	[kN/m³]	[kN/m³]
1	0	5,00	17,00
2	0	1,00	13,00
3	0	0,00	10,00
4	0	18,00	20,00

Load number	Co-ordinates [m]					
1 - X -	-8,50	-8,50	8,50	8,50		
1 - Y -	-4,60	-5,30	-5,30	-4,60		
2 - X -	-8,50	-8,50	8,50	8,50		
2 - Y -	-5,30	-5,75	-5,75	-5,30		
3 - X -	-8,50	8,50				
3 - Y -	-4,60	-4,60				
4 - X -	-8,50	-8,50	8,50	8,50		
4 - Y -	-4,60	-4,50	-4,50	-4,60		

2.7 Verticals

Vertical number	X co-ordinates [m]				
1 - 5	-8,000	-5,000	0,000	5,000	8,000

Discretisation = 100

3 Results per Vertical

3.1 Results for Vertical 1 (X = -8,00 m; Z = 0,00 m)

Depth [m]	Effective Stress [kPa]	Hydraulic head [m]	Loading [kPa]	Settlement [m]
-4,600	1,801	-4,600	1,800	0,073
-4,700	3,099	-4,700	1,799	0,072
-4,800	4,393	-4,800	1,793	0,072
-4,900	5,674	-4,900	1,774	0,072
-4,950	6,309	-4,950	1,759	0,072
-5,000	6,940	-5,000	1,740	0,071
-5,100	8,195	-5,100	1,695	0,071
-5,200	8,446	-5,100	1,646	0,071
-5,300	12,745	-5,100	5,645	0,071
-5,300	12,745	-5,100	5,645	0,071
-5,400	13,436	-5,100	5,596	0,071
-5,500	14,118	-5,100	5,538	0,070
-5,525	14,285	-5,100	5,520	0,070
-5,600	14,774	-5,100	5,454	0,070
-5,750	17,056	-5,100	6,626	0,070
-5,750	17,056	-5,100	6,626	0,070
-6,025	18,695	-5,100	6,230	0,067
-6,300	20,318	-5,100	5,818	0,064
-6,300	20,318	-5,100	5,818	0,064
-6,950	21,687	-5,100	5,107	0,052
-7,550	23,242	-5,100	4,743	0,044
-8,200	25,082	-5,100	4,503	0,036
-8,800	26,855	-5,100	4,356	0,029
-8,800	26,855	-5,100	4,356	0,029
-9,400	25,505	-4,946	4,249	0,023
-10,000	24,181	-4,791	4,167	0,015
-10,000	24,181	-4,791	4,167	0,015
-10,850	26,496	-4,573	4,078	0,010
-11,700	28,829	-4,354	4,006	0,006
-11,700	28,829	-4,354	4,006	0,006
-12,000	28,275	-4,277	3,984	0,003
-12,300	27,723	-4,200	3,963	0,001
-12,300	27,723	-4,200	3,963	0,001
-13,150	36,167	-4,200	3,907	0,001
-14,150	46,105	-4,200	3,845	0,001
-15,150	56,045	-4,200	3,785	0,000
-16,150	65,984	-4,200	3,724	0,000
-17,000	74,432	-4,200	3,672	0,000
-18,000	84,370	-4,200	3,610	0,000
-19,000	94,305	-4,200	3,545	0,000
-20,000	104,240	-4,200	3,480	0,000

3.2 Results for Vertical 2 (X = -5,00 m; Z = 0,00 m)

Depth [m]	Effective Stress [kPa]	Hydraulic head [m]	Loading [kPa]	Settlement [m]
-4,600	1,801	-4,600	1,800	0,102
-4,700	3,100	-4,700	1,800	0,101
-4,800	4,400	-4,800	1,800	0,101
-4,900	5,700	-4,900	1,800	0,101
-4,950	6,350	-4,950	1,800	0,101
-5,000	7,000	-5,000	1,800	0,101
-5,100	8,300	-5,100	1,800	0,101

Depth [m]	Effective Stress [kPa]	Hydraulic head [m]	Loading [kPa]	Settlement [m]
-5,200	8,600	-5,100	1,800	0,100
-5,300	12,997	-5,100	5,897	0,100
-5,300	12,997	-5,100	5,897	0,100
-5,400	13,737	-5,100	5,897	0,100
-5,500	14,476	-5,100	5,896	0,100
-5,525	14,661	-5,100	5,896	0,100
-5,600	15,216	-5,100	5,896	0,099
-5,750	17,674	-5,100	7,244	0,099
-5,750	17,674	-5,100	7,244	0,099
-6,025	19,703	-5,100	7,239	0,095
-6,300	21,728	-5,100	7,229	0,092
-6,300	21,728	-5,100	7,229	0,092
-6,950	23,757	-5,100	7,178	0,077
-7,550	25,587	-5,100	7,088	0,065
-8,200	27,525	-5,100	6,947	0,053
-8,800	29,286	-5,100	6,788	0,043
-8,800	29,286	-5,100	6,788	0,043
-9,400	27,870	-4,946	6,614	0,033
-10,000	26,449	-4,791	6,436	0,022
-10,000	26,449	-4,791	6,436	0,022
-10,850	28,607	-4,573	6,189	0,015
-11,700	30,779	-4,354	5,956	0,008
-11,700	30,779	-4,354	5,956	0,008
-12,000	30,169	-4,277	5,878	0,005
-12,300	29,562	-4,200	5,802	0,001
-12,300	29,562	-4,200	5,802	0,001
-13,150	37,856	-4,200	5,596	0,001
-14,150	47,634	-4,200	5,374	0,001
-15,150	57,428	-4,200	5,168	0,001
-16,150	67,236	-4,200	4,976	0,000
-17,000	75,583	-4,200	4,823	0,000
-18,000	85,412	-4,200	4,652	0,000
-19,000	95,251	-4,200	4,491	0,000
-20,000	105,097	-4,200	4,337	0,000

3.3 Results for Vertical 3 (X = 0,00 m; Z = 0,00 m)

Depth [m]	Effective Stress [kPa]	Hydraulic head [m]	Loading [kPa]	Settlement [m]
-4,600	1,801	-4,600	1,800	0,107
-4,700	3,100	-4,700	1,800	0,107
-4,800	4,400	-4,800	1,800	0,106
-4,900	5,700	-4,900	1,800	0,106
-4,950	6,350	-4,950	1,800	0,106
-5,000	7,000	-5,000	1,800	0,106
-5,100	8,300	-5,100	1,800	0,106
-5,200	8,600	-5,100	1,800	0,106
-5,300	13,011	-5,100	5,911	0,106
-5,300	13,011	-5,100	5,911	0,106
-5,400	13,751	-5,100	5,911	0,105
-5,500	14,491	-5,100	5,911	0,105
-5,525	14,676	-5,100	5,911	0,105
-5,600	15,231	-5,100	5,911	0,105
-5,750	17,691	-5,100	7,261	0,104
-5,750	17,691	-5,100	7,261	0,104
-6,025	19,725	-5,100	7,260	0,101
-6,300	21,759	-5,100	7,260	0,098
-6,300	21,759	-5,100	7,260	0,098
-6,950	23,834	-5,100	7,255	0,083
-7,550	25,743	-5,100	7,244	0,070
-8,200	27,800	-5,100	7,222	0,058

Depth [m]	Effective Stress [kPa]	Hydraulic head [m]	Loading [kPa]	Settlement [m]
-8,800	29,687	-5,100	7,189	0,048
-8,800	29,687	-5,100	7,189	0,048
-9,400	28,397	-4,946	7,142	0,036
-10,000	27,093	-4,791	7,080	0,025
-10,000	27,093	-4,791	7,080	0,025
-10,850	29,383	-4,573	6,966	0,017
-11,700	31,646	-4,354	6,824	0,010
-11,700	31,646	-4,354	6,824	0,010
-12,000	31,059	-4,277	6,768	0,005
-12,300	30,470	-4,200	6,710	0,001
-12,300	30,470	-4,200	6,710	0,001
-13,150	38,792	-4,200	6,532	0,001
-14,150	48,567	-4,200	6,307	0,001
-15,150	58,332	-4,200	6,072	0,001
-16,150	68,094	-4,200	5,834	0,000
-17,000	76,393	-4,200	5,633	0,000
-18,000	86,163	-4,200	5,403	0,000
-19,000	95,941	-4,200	5,181	0,000
-20,000	105,728	-4,200	4,968	0,000

3.4 Results for Vertical 4 (X = 5,00 m; Z = 0,00 m)

Depth [m]	Effective Stress [kPa]	Hydraulic head [m]	Loading [kPa]	Settlement [m]
-4,600	1,801	-4,600	1,800	0,102
-4,700	3,100	-4,700	1,800	0,101
-4,800	4,400	-4,800	1,800	0,101
-4,900	5,700	-4,900	1,800	0,101
-4,950	6,350	-4,950	1,800	0,101
-5,000	7,000	-5,000	1,800	0,101
-5,100	8,300	-5,100	1,800	0,101
-5,200	8,600	-5,100	1,800	0,100
-5,300	12,997	-5,100	5,897	0,100
-5,300	12,997	-5,100	5,897	0,100
-5,400	13,737	-5,100	5,897	0,100
-5,500	14,476	-5,100	5,896	0,100
-5,525	14,661	-5,100	5,896	0,100
-5,600	15,216	-5,100	5,896	0,099
-5,750	17,674	-5,100	7,244	0,099
-5,750	17,674	-5,100	7,244	0,099
-6,025	19,703	-5,100	7,239	0,095
-6,300	21,728	-5,100	7,229	0,092
-6,300	21,728	-5,100	7,229	0,092
-6,950	23,757	-5,100	7,178	0,077
-7,550	25,587	-5,100	7,088	0,065
-8,200	27,525	-5,100	6,947	0,053
-8,800	29,286	-5,100	6,788	0,043
-8,800	29,286	-5,100	6,788	0,043
-9,400	27,870	-4,946	6,614	0,033
-10,000	26,449	-4,791	6,436	0,022
-10,000	26,449	-4,791	6,436	0,022
-10,850	28,607	-4,573	6,189	0,015
-11,700	30,779	-4,354	5,956	0,008
-11,700	30,779	-4,354	5,956	0,008
-12,000	30,169	-4,277	5,878	0,005
-12,300	29,562	-4,200	5,802	0,001
-12,300	29,562	-4,200	5,802	0,001
-13,150	37,856	-4,200	5,596	0,001
-14,150	47,634	-4,200	5,374	0,001
-15,150	57,428	-4,200	5,168	0,001
-16,150	67,236	-4,200	4,976	0,000

Depth [m]	Effective Stress [kPa]	Hydraulic head [m]	Loading [kPa]	Settlement [m]
-17,000	75,583	-4,200	4,823	0,000
-18,000	85,412	-4,200	4,652	0,000
-19,000	95,251	-4,200	4,491	0,000
-20,000	105,097	-4,200	4,337	0,000

3.5 Results for Vertical 5 (X = 8,00 m; Z = 0,00 m)

Depth [m]	Effective Stress [kPa]	Hydraulic head [m]	Loading [kPa]	Settlement [m]
-4,600	1,801	-4,600	1,800	0,073
-4,700	3,099	-4,700	1,799	0,072
-4,800	4,393	-4,800	1,793	0,072
-4,900	5,674	-4,900	1,774	0,072
-4,950	6,309	-4,950	1,759	0,072
-5,000	6,940	-5,000	1,740	0,071
-5,100	8,195	-5,100	1,695	0,071
-5,200	8,446	-5,100	1,646	0,071
-5,300	12,745	-5,100	5,645	0,071
-5,300	12,745	-5,100	5,645	0,071
-5,400	13,436	-5,100	5,596	0,071
-5,500	14,118	-5,100	5,538	0,070
-5,525	14,285	-5,100	5,520	0,070
-5,600	14,774	-5,100	5,454	0,070
-5,750	17,056	-5,100	6,626	0,070
-5,750	17,056	-5,100	6,626	0,070
-6,025	18,695	-5,100	6,230	0,067
-6,300	20,318	-5,100	5,818	0,064
-6,300	20,318	-5,100	5,818	0,064
-6,950	21,687	-5,100	5,107	0,052
-7,550	23,242	-5,100	4,743	0,044
-8,200	25,082	-5,100	4,503	0,036
-8,800	26,855	-5,100	4,356	0,029
-8,800	26,855	-5,100	4,356	0,029
-9,400	25,505	-4,946	4,249	0,023
-10,000	24,181	-4,791	4,167	0,015
-10,000	24,181	-4,791	4,167	0,015
-10,850	26,496	-4,573	4,078	0,010
-11,700	28,829	-4,354	4,006	0,006
-11,700	28,829	-4,354	4,006	0,006
-12,000	28,275	-4,277	3,984	0,003
-12,300	27,723	-4,200	3,963	0,001
-12,300	27,723	-4,200	3,963	0,001
-13,150	36,167	-4,200	3,907	0,001
-14,150	46,105	-4,200	3,845	0,001
-15,150	56,045	-4,200	3,785	0,000
-16,150	65,984	-4,200	3,724	0,000
-17,000	74,432	-4,200	3,672	0,000
-18,000	84,370	-4,200	3,610	0,000
-19,000	94,305	-4,200	3,545	0,000
-20,000	104,240	-4,200	3,480	0,000

4 Settlements

4.1 Settlements

Vertical number	X co-ordinate [m]	Z co-ordinate [m]	Surface level [m]	Settlement [m]
1	-8,00	0,00	-4,60	0,073
2	-5,00	0,00	-4,60	0,102
3	0,00	0,00	-4,60	0,107
4	5,00	0,00	-4,60	0,102
5	8,00	0,00	-4,60	0,073

4.2 Residual Times

Vertical number	Time [days]	Settlement [m]	Part of final settlement [%]	Residual settlements [m]
1	365	0,032	43,938	0,041
2	365	0,044	42,856	0,058
3	365	0,046	42,885	0,061
4	365	0,044	42,856	0,058
5	365	0,032	43,938	0,041

5 Warnings and errors

List of non-fatal warnings and errors generated during calculation.

1 Model Koppejan is not ideal for unloading (e.g. load removal, temporary dewatering, gradual submerging). If As is much larger than Cs', unloading will yield almost no effect on creep. Switch to the NEN-Bjerrum or abc Isotache model for improved predictions.

2 Non-uniform load [1]: Co-ordinate is below surface (2)

3 Non-uniform load [1]: Co-ordinate is below surface (3)

4 Non-uniform load [2]: Co-ordinate is below surface (1)

5 Non-uniform load [2]: Co-ordinate is below surface (2)

6 Non-uniform load [2]: Co-ordinate is below surface (3)

7 Non-uniform load [2]: Co-ordinate is below surface (4)

End of Report

Report for D-Settlement 9.3

Settlement Calculations
Developed by Deltares

Company: BAM Infratechniek

Date of report: 3-10-2013
Time of report: 2:48:45

Date of calculation: 3-10-2013
Time of calculation: 2:47:54

Filename: C:\..\OSP's\R3N_Perceel 2_OSP-109 (DKM543)-0,1 m overhoogte

Project identification: Randstad 380 Noordring

1 Table of Contents

1 Table of Contents 2
2 Echo of the Input 3
2.1 Layer Boundaries 3
2.2 PL Lines 3
2.3 General Data 3
2.4 Soil Profiles 4
2.5 Soil Properties 4
2.6 Non-Uniform Loads 5
2.7 Verticals 5
3 Results per Vertical 6
3.1 Results for Vertical 1 (X = -8,00 m; Z = 0,00 m) 6
3.2 Results for Vertical 2 (X = -5,00 m; Z = 0,00 m) 6
3.3 Results for Vertical 3 (X = 0,00 m; Z = 0,00 m) 7
3.4 Results for Vertical 4 (X = 5,00 m; Z = 0,00 m) 8
3.5 Results for Vertical 5 (X = 8,00 m; Z = 0,00 m) 9
4 Settlements 11
4.1 Settlements 11
4.2 Residual Times 11
5 Warnings and errors 12

2 Echo of the Input

2.1 Layer Boundaries

Boundary number	Co-ordinates [m]				
10 - X -	-30,000	-8,500	8,500	30,000	
10 - Y -	-4,300	-4,300	-4,300	-4,300	
9 - X -	-30,000	-8,500	-8,500	8,500	30,000
9 - Y -	-4,800	-4,800	-4,300	-4,300	-4,300
8 - X -	-30,000	-8,500	8,500	8,500	30,000
8 - Y -	-4,800	-4,800	-4,800	-4,300	-4,300
7 - X -	-30,000	-8,500	-8,500	8,500	8,500
7 - Y -	-4,800	-4,800	-5,450	-5,450	-4,800
7 - X -	8,500	30,000			
7 - Y -	-4,300	-4,300			
6 - X -	-30,000	-8,500	-8,500	8,500	8,500
6 - Y -	-4,800	-4,800	-5,450	-5,450	-4,800
6 - X -	30,000				
6 - Y -	-4,800				
5 - X -	-30,000	30,000			
5 - Y -	-5,500	-5,500			
4 - X -	-30,000	30,000			
4 - Y -	-6,000	-6,000			
3 - X -	-30,000	30,000			
3 - Y -	-6,500	-6,500			
2 - X -	-30,000	30,000			
2 - Y -	-8,700	-8,700			
1 - X -	-30,000	30,000			
1 - Y -	-9,500	-9,500			
0 - X -	-30,000	30,000			
0 - Y -	-20,000	-20,000			

2.2 PL Lines

PL line number	Co-ordinates [m]				
1 - X -	-30,000	30,000			
1 - Y -	-4,600	-4,600			
2 - X -	-30,000	30,000			
2 - Y -	-5,000	-5,000			

2.3 General Data

Soil model:	Koppejan
Consolidation model:	Darcy
Strain model:	Linear
Groundwater level:	Initial determined by PL-line number 1
Unit weight of water:	10,00 [kN/m³]
Stress distribution	
- Soil:	Buisman
- Loads:	Simulate
End of consolidation:	10950,00 [days]
No maintain profile	
Pc (initial):	Variable parallel to the initial effective stress
Pc (per step):	Automatic increased to the final effective stresses
Creep rate reference time:	1,000 [days]
No imaginary surface	
With submerging	
(only for non uniform loads)	
- Iteration stop criterium :	0,10 [m]
Load column width	
- Non-Uniform Loads :	1,00 [m]
- Trapezoidal Loads :	1,00 [m]

2.4 Soil Profiles

Layer number	Material name	PL-line top	PL-line bottom
10	veen toplaag	1	1
9	verbetering veen top...	1	1
8	verbetering klei, zan...	1	1
7	veen toplaag	1	1
6	klei zandig-A4 (N)	1	1
5	klei humeus-A4 (N)	1	1
4	zand kleiig-A4 (N)	1	1
3	klei humeus-A4 (N)	99	99
2	basisveen-A4 (N)	99	99
1	pleistoceen-A4 (N)	2	2

2.5 Soil Properties

Layer number	Drained	Unit weight	
		Unsaturated [kN/m³]	Saturated [kN/m³]
10	No	13,00	13,00
9	Yes	13,00	13,00
8	Yes	17,40	17,40
7	No	13,00	13,00
6	No	17,40	17,40
5	No	13,20	13,20
4	No	17,50	19,00
3	No	13,20	13,20
2	No	10,80	10,80
1	Yes	18,00	20,00

Layer number	Storage type	Vert. consolid. coefficient Cv [m²/s]	Vertical permeability [m/s]	Permeability strain mod. [m/s]	Initial vertical permeability [m/s]
10	Vert. cons.	7,70E-08	-	-	-
9	Vert. cons.	-	-	-	-
8	Vert. cons.	-	-	-	-
7	Vert. cons.	7,70E-08	-	-	-
6	Vert. cons.	2,00E-07	-	-	-
5	Vert. cons.	7,70E-08	-	-	-
4	Vert. cons.	5,50E-06	-	-	-
3	Vert. cons.	7,70E-08	-	-	-
2	Vert. cons.	4,70E-08	-	-	-
1	Vert. cons.	-	-	-	-

Layer number	Precons. pressure [kN/m²]	POP [kN/m²]	OCR [-]
10	-	10,00	-
9	-	-	1,00
8	-	-	1,00
7	-	10,00	-
6	-	10,00	-
5	-	10,00	-
4	-	-	1,00
3	-	10,00	-
2	-	10,00	-
1	-	-	1,00

Layer number	Primary compr. coeff.		Secular compr. coef.		Swell constants	
	Cp [-]	Cp' [-]	Cs [-]	Cs' [-]	Ap [-]	As [-]
10	3,10E+01	6,50E+00	1,45E+02	1,60E+01	3,10E+01	1,60E+01
9	8,00E+02	2,00E+02	1,00E+05	1,00E+05	1,00E+09	1,00E+09
8	8,00E+02	2,00E+02	1,00E+05	1,00E+05	1,00E+09	1,00E+09
7	3,10E+01	6,50E+00	1,45E+02	1,60E+01	3,10E+01	1,60E+01
6	7,06E+01	2,87E+01	3,21E+02	1,95E+02	7,06E+01	1,95E+02

Layer number	Primary compr. coeff.		Secular compr. coef.		Swell constants	
	Cp [-]	Cp' [-]	Cs [-]	Cs' [-]	Ap [-]	As [-]
5	3,10E+01	6,50E+00	1,45E+02	1,60E+01	3,10E+01	1,60E+01
4	4,00E+02	2,00E+02	1,00E+09	1,00E+09	4,00E+02	1,00E+09
3	3,10E+01	6,50E+00	1,45E+02	1,60E+01	3,10E+01	1,60E+01
2	5,14E+01	7,20E+00	1,11E+02	2,76E+01	5,14E+01	2,76E+01
1	1,80E+03	6,00E+02	1,00E+09	1,00E+09	1,00E+09	1,00E+09

2.6 Non-Uniform Loads

Load number	Time	Unit weight	
	[days]	Unsaturated [kN/m³]	Saturated [kN/m³]
1	0	5,00	17,00
2	0	1,00	13,00
3	0	0,00	10,00
4	0	18,00	20,00

Load number	Co-ordinates [m]					
1 - X -	-8,50	-8,50	8,50	8,50		
1 - Y -	-4,30	-4,80	-4,80	-4,30		
2 - X -	-8,50	-8,50	8,50	8,50		
2 - Y -	-4,80	-5,45	-5,45	-4,80		
3 - X -	-8,50	8,50				
3 - Y -	-4,30	-4,30				
4 - X -	-8,50	-8,50	8,50	8,50		
4 - Y -	-4,30	-4,20	-4,20	-4,30		

2.7 Verticals

Vertical number	X co-ordinates [m]				
1 - 5	-8,000	-5,000	0,000	5,000	8,000

Discretisation = 100

3 Results per Vertical

3.1 Results for Vertical 1 (X = -8,00 m; Z = 0,00 m)

Depth [m]	Effective Stress [kPa]	Hydraulic head [m]	Loading [kPa]	Settlement [m]
-4,300	1,801	-4,300	1,800	0,050
-4,400	3,099	-4,400	1,799	0,049
-4,500	4,393	-4,500	1,793	0,049
-4,550	5,035	-4,550	1,785	0,049
-4,600	5,674	-4,600	1,774	0,049
-4,700	5,940	-4,600	1,740	0,048
-4,800	9,197	-4,600	4,697	0,048
-4,800	9,197	-4,600	4,697	0,048
-4,900	9,887	-4,600	4,647	0,048
-5,000	10,567	-4,600	4,587	0,047
-5,100	11,227	-4,600	4,507	0,047
-5,125	11,388	-4,600	4,483	0,047
-5,200	11,866	-4,600	4,406	0,047
-5,300	12,491	-4,600	4,291	0,047
-5,450	15,374	-4,600	6,064	0,046
-5,450	15,374	-4,600	6,064	0,046
-5,475	15,530	-4,600	6,035	0,046
-5,500	15,686	-4,600	6,006	0,046
-5,500	15,686	-4,600	6,006	0,046
-5,750	16,201	-4,600	5,721	0,039
-6,000	16,687	-4,600	5,407	0,033
-6,000	16,687	-4,600	5,407	0,033
-6,250	18,647	-4,600	5,117	0,032
-6,500	20,662	-4,600	4,882	0,032
-6,500	20,662	-4,600	4,882	0,032
-7,100	22,998	-4,680	4,498	0,024
-7,600	25,065	-4,747	4,299	0,018
-8,100	27,192	-4,813	4,159	0,013
-8,700	29,790	-4,893	4,037	0,007
-8,700	29,790	-4,893	4,037	0,007
-9,100	30,581	-4,947	3,974	0,004
-9,500	31,382	-5,000	3,922	0,001
-9,500	31,382	-5,000	3,922	0,001
-10,250	38,802	-5,000	3,842	0,001
-11,250	48,719	-5,000	3,759	0,001
-12,250	58,651	-5,000	3,691	0,001
-13,250	68,591	-5,000	3,631	0,000
-14,250	78,533	-5,000	3,573	0,000
-14,750	83,505	-5,000	3,545	0,000
-15,500	90,963	-5,000	3,503	0,000
-16,500	100,906	-5,000	3,446	0,000
-17,500	110,847	-5,000	3,387	0,000
-18,500	120,787	-5,000	3,327	0,000
-19,500	130,726	-5,000	3,266	0,000
-20,000	135,694	-5,000	3,234	0,000

3.2 Results for Vertical 2 (X = -5,00 m; Z = 0,00 m)

Depth [m]	Effective Stress [kPa]	Hydraulic head [m]	Loading [kPa]	Settlement [m]
-4,300	1,801	-4,300	1,800	0,068
-4,400	3,100	-4,400	1,800	0,067
-4,500	4,400	-4,500	1,800	0,067

Depth [m]	Effective Stress [kPa]	Hydraulic head [m]	Loading [kPa]	Settlement [m]
-4,550	5,050	-4,550	1,800	0,066
-4,600	5,700	-4,600	1,800	0,066
-4,700	6,000	-4,600	1,800	0,066
-4,800	9,331	-4,600	4,831	0,066
-4,800	9,331	-4,600	4,831	0,066
-4,900	10,071	-4,600	4,831	0,066
-5,000	10,811	-4,600	4,831	0,065
-5,100	11,550	-4,600	4,830	0,065
-5,125	11,735	-4,600	4,830	0,065
-5,200	12,290	-4,600	4,830	0,065
-5,300	13,029	-4,600	4,829	0,064
-5,450	16,087	-4,600	6,777	0,064
-5,450	16,087	-4,600	6,777	0,064
-5,475	16,272	-4,600	6,777	0,064
-5,500	16,456	-4,600	6,776	0,063
-5,500	16,456	-4,600	6,776	0,063
-5,750	17,250	-4,600	6,770	0,056
-6,000	18,040	-4,600	6,760	0,048
-6,000	18,040	-4,600	6,760	0,048
-6,250	20,275	-4,600	6,745	0,048
-6,500	22,504	-4,600	6,724	0,047
-6,500	22,504	-4,600	6,724	0,047
-7,100	25,146	-4,680	6,646	0,035
-7,600	27,320	-4,747	6,553	0,027
-8,100	29,472	-4,813	6,439	0,019
-8,700	32,037	-4,893	6,284	0,011
-8,700	32,037	-4,893	6,284	0,011
-9,100	32,781	-4,947	6,174	0,006
-9,500	33,524	-5,000	6,064	0,001
-9,500	33,524	-5,000	6,064	0,001
-10,250	40,818	-5,000	5,858	0,001
-11,250	50,558	-5,000	5,598	0,001
-12,250	60,319	-5,000	5,359	0,001
-13,250	70,100	-5,000	5,140	0,001
-14,250	79,899	-5,000	4,939	0,000
-14,750	84,804	-5,000	4,844	0,000
-15,500	92,168	-5,000	4,708	0,000
-16,500	101,997	-5,000	4,537	0,000
-17,500	111,836	-5,000	4,376	0,000
-18,500	121,683	-5,000	4,223	0,000
-19,500	131,539	-5,000	4,079	0,000
-20,000	136,469	-5,000	4,009	0,000

3.3 Results for Vertical 3 (X = 0,00 m; Z = 0,00 m)

Depth [m]	Effective Stress [kPa]	Hydraulic head [m]	Loading [kPa]	Settlement [m]
-4,300	1,801	-4,300	1,800	0,069
-4,400	3,100	-4,400	1,800	0,069
-4,500	4,400	-4,500	1,800	0,068
-4,550	5,050	-4,550	1,800	0,068
-4,600	5,700	-4,600	1,800	0,068
-4,700	6,000	-4,600	1,800	0,068
-4,800	9,337	-4,600	4,837	0,068
-4,800	9,337	-4,600	4,837	0,068
-4,900	10,077	-4,600	4,837	0,067
-5,000	10,817	-4,600	4,837	0,067
-5,100	11,557	-4,600	4,837	0,067
-5,125	11,742	-4,600	4,837	0,067
-5,200	12,297	-4,600	4,837	0,067
-5,300	13,037	-4,600	4,837	0,066

Depth [m]	Effective Stress [kPa]	Hydraulic head [m]	Loading [kPa]	Settlement [m]
-5,450	16,097	-4,600	6,787	0,066
-5,450	16,097	-4,600	6,787	0,066
-5,475	16,282	-4,600	6,787	0,066
-5,500	16,467	-4,600	6,787	0,065
-5,500	16,467	-4,600	6,787	0,065
-5,750	17,267	-4,600	6,787	0,057
-6,000	18,066	-4,600	6,786	0,050
-6,000	18,066	-4,600	6,786	0,050
-6,250	20,314	-4,600	6,784	0,050
-6,500	22,562	-4,600	6,782	0,049
-6,500	22,562	-4,600	6,782	0,049
-7,100	25,274	-4,680	6,774	0,037
-7,600	27,527	-4,747	6,760	0,028
-8,100	29,773	-4,813	6,740	0,020
-8,700	32,457	-4,893	6,704	0,011
-8,700	32,457	-4,893	6,704	0,011
-9,100	33,279	-4,947	6,673	0,006
-9,500	34,095	-5,000	6,635	0,001
-9,500	34,095	-5,000	6,635	0,001
-10,250	41,507	-5,000	6,547	0,001
-11,250	51,357	-5,000	6,397	0,001
-12,250	61,177	-5,000	6,217	0,001
-13,250	70,975	-5,000	6,015	0,001
-14,250	80,760	-5,000	5,800	0,000
-14,750	85,649	-5,000	5,689	0,000
-15,500	92,983	-5,000	5,523	0,000
-16,500	102,762	-5,000	5,302	0,000
-17,500	112,545	-5,000	5,085	0,000
-18,500	122,337	-5,000	4,877	0,000
-19,500	132,137	-5,000	4,677	0,000
-20,000	137,040	-5,000	4,580	0,000

3.4 Results for Vertical 4 (X = 5,00 m; Z = 0,00 m)

Depth [m]	Effective Stress [kPa]	Hydraulic head [m]	Loading [kPa]	Settlement [m]
-4,300	1,801	-4,300	1,800	0,068
-4,400	3,100	-4,400	1,800	0,067
-4,500	4,400	-4,500	1,800	0,067
-4,550	5,050	-4,550	1,800	0,066
-4,600	5,700	-4,600	1,800	0,066
-4,700	6,000	-4,600	1,800	0,066
-4,800	9,331	-4,600	4,831	0,066
-4,800	9,331	-4,600	4,831	0,066
-4,900	10,071	-4,600	4,831	0,066
-5,000	10,811	-4,600	4,831	0,065
-5,100	11,550	-4,600	4,830	0,065
-5,125	11,735	-4,600	4,830	0,065
-5,200	12,290	-4,600	4,830	0,065
-5,300	13,029	-4,600	4,829	0,064
-5,450	16,087	-4,600	6,777	0,064
-5,450	16,087	-4,600	6,777	0,064
-5,475	16,272	-4,600	6,777	0,064
-5,500	16,456	-4,600	6,776	0,063
-5,500	16,456	-4,600	6,776	0,063
-5,750	17,250	-4,600	6,770	0,056
-6,000	18,040	-4,600	6,760	0,048
-6,000	18,040	-4,600	6,760	0,048
-6,250	20,275	-4,600	6,745	0,048
-6,500	22,504	-4,600	6,724	0,047
-6,500	22,504	-4,600	6,724	0,047

Depth [m]	Effective Stress [kPa]	Hydraulic head [m]	Loading [kPa]	Settlement [m]
-7,100	25,146	-4,680	6,646	0,035
-7,600	27,320	-4,747	6,553	0,027
-8,100	29,472	-4,813	6,439	0,019
-8,700	32,037	-4,893	6,284	0,011
-8,700	32,037	-4,893	6,284	0,011
-9,100	32,781	-4,947	6,174	0,006
-9,500	33,524	-5,000	6,064	0,001
-9,500	33,524	-5,000	6,064	0,001
-10,250	40,818	-5,000	5,858	0,001
-11,250	50,558	-5,000	5,598	0,001
-12,250	60,319	-5,000	5,359	0,001
-13,250	70,100	-5,000	5,140	0,001
-14,250	79,899	-5,000	4,939	0,000
-14,750	84,804	-5,000	4,844	0,000
-15,500	92,168	-5,000	4,708	0,000
-16,500	101,997	-5,000	4,537	0,000
-17,500	111,836	-5,000	4,376	0,000
-18,500	121,683	-5,000	4,223	0,000
-19,500	131,539	-5,000	4,079	0,000
-20,000	136,469	-5,000	4,009	0,000

3.5 Results for Vertical 5 (X = 8,00 m; Z = 0,00 m)

Depth [m]	Effective Stress [kPa]	Hydraulic head [m]	Loading [kPa]	Settlement [m]
-4,300	1,801	-4,300	1,800	0,050
-4,400	3,099	-4,400	1,799	0,049
-4,500	4,393	-4,500	1,793	0,049
-4,550	5,035	-4,550	1,785	0,049
-4,600	5,674	-4,600	1,774	0,049
-4,700	5,940	-4,600	1,740	0,048
-4,800	9,197	-4,600	4,697	0,048
-4,800	9,197	-4,600	4,697	0,048
-4,900	9,887	-4,600	4,647	0,048
-5,000	10,567	-4,600	4,587	0,047
-5,100	11,227	-4,600	4,507	0,047
-5,125	11,388	-4,600	4,483	0,047
-5,200	11,866	-4,600	4,406	0,047
-5,300	12,491	-4,600	4,291	0,047
-5,450	15,374	-4,600	6,064	0,046
-5,450	15,374	-4,600	6,064	0,046
-5,475	15,530	-4,600	6,035	0,046
-5,500	15,686	-4,600	6,006	0,046
-5,500	15,686	-4,600	6,006	0,046
-5,750	16,201	-4,600	5,721	0,039
-6,000	16,687	-4,600	5,407	0,033
-6,000	16,687	-4,600	5,407	0,033
-6,250	18,647	-4,600	5,117	0,032
-6,500	20,662	-4,600	4,882	0,032
-6,500	20,662	-4,600	4,882	0,032
-7,100	22,998	-4,680	4,498	0,024
-7,600	25,065	-4,747	4,299	0,018
-8,100	27,192	-4,813	4,159	0,013
-8,700	29,790	-4,893	4,037	0,007
-8,700	29,790	-4,893	4,037	0,007
-9,100	30,581	-4,947	3,974	0,004
-9,500	31,382	-5,000	3,922	0,001
-9,500	31,382	-5,000	3,922	0,001
-10,250	38,802	-5,000	3,842	0,001
-11,250	48,719	-5,000	3,759	0,001
-12,250	58,651	-5,000	3,691	0,001

Depth [m]	Effective Stress [kPa]	Hydraulic head [m]	Loading [kPa]	Settlement [m]
-13,250	68,591	-5,000	3,631	0,000
-14,250	78,533	-5,000	3,573	0,000
-14,750	83,505	-5,000	3,545	0,000
-15,500	90,963	-5,000	3,503	0,000
-16,500	100,906	-5,000	3,446	0,000
-17,500	110,847	-5,000	3,387	0,000
-18,500	120,787	-5,000	3,327	0,000
-19,500	130,726	-5,000	3,266	0,000
-20,000	135,694	-5,000	3,234	0,000

4 Settlements

4.1 Settlements

Vertical number	X co-ordinate [m]	Z co-ordinate [m]	Surface level [m]	Settlement [m]
1	-8,00	0,00	-4,30	0,050
2	-5,00	0,00	-4,30	0,068
3	0,00	0,00	-4,30	0,069
4	5,00	0,00	-4,30	0,068
5	8,00	0,00	-4,30	0,050

4.2 Residual Times

Vertical number	Time [days]	Settlement [m]	Part of final settlement [%]	Residual settlements [m]
1	365	0,035	71,083	0,014
2	365	0,047	69,774	0,020
3	365	0,048	69,694	0,021
4	365	0,047	69,774	0,020
5	365	0,035	71,083	0,014

5 Warnings and errors

List of non-fatal warnings and errors generated during calculation.

1 Model Koppejan is not ideal for unloading (e.g. load removal, temporary dewatering, gradual submerging). If As is much larger than Cs', unloading will yield almost no effect on creep. Switch to the NEN-Bjerrum or abc Isotache model for improved predictions.

2 Non-uniform load [1]: Co-ordinate is below surface (2)

3 Non-uniform load [1]: Co-ordinate is below surface (3)

4 Non-uniform load [2]: Co-ordinate is below surface (1)

5 Non-uniform load [2]: Co-ordinate is below surface (2)

6 Non-uniform load [2]: Co-ordinate is below surface (3)

7 Non-uniform load [2]: Co-ordinate is below surface (4)

End of Report

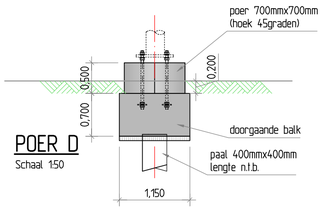

POER D
Schaal 1:50

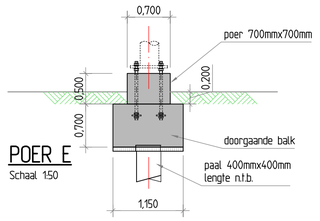

POER E
Schaal 1:50

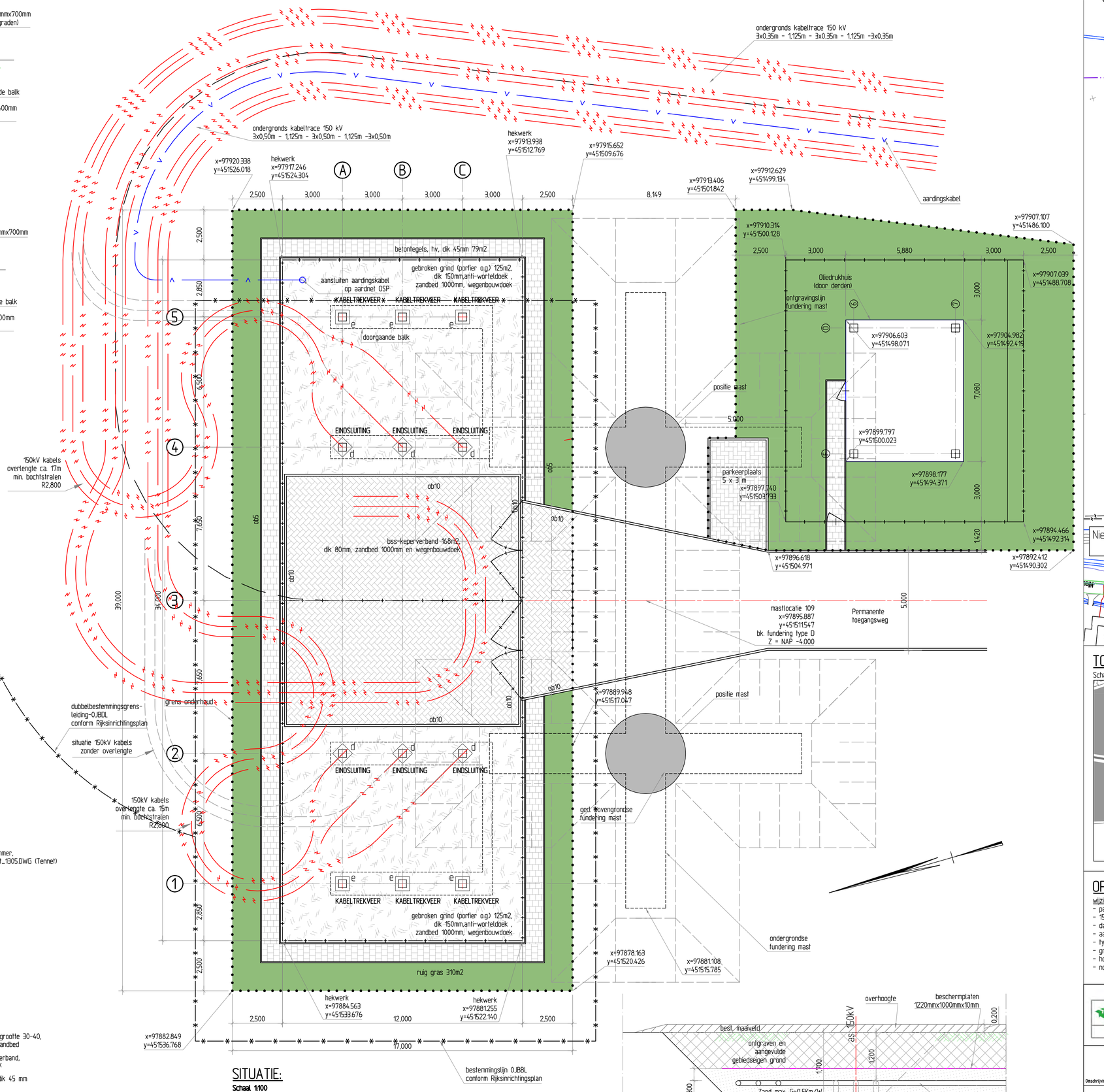
ondergronds kabeltrace 150 kV
3x0,35m - 1,125m - 3x0,35m - 1,125m -3x0,35m
ondergronds kabeltrace 150 kV
3x0,50m - 1,125m - 3x0,50m - 1,125m -3x0,50m
hekwerk
x=97920.338
y=451526.018
hekwerk
x=97917.246
y=451524.304
hekwerk
x=97913.938
y=451512.769
x=97915.652
y=451509.676
x=97913.406
y=451501.842
x=97912.629
y=451499.134
aardingskabel
x=97907.107
y=451486.100
x=97910.314
y=451500.128
x=97907.039
y=451488.708
x=97904.982
y=451492.419
x=97906.603
y=451498.071
x=97899.797
y=451500.023
x=97898.177
y=451494.371
x=97894.466
y=451492.314
x=97892.412
y=451490.302
x=97896.618
y=451504.971
x=97897.740
y=451503.733
parkeerplaats
5 x 3 m
Oliedrukhuis
(door derden)
ontgravingslijn
fundering mast
positie mast
5,200
betontegels, hv, dik 45mm 79m2
gebroken grind (porfier o.g.) 125m2,
dik 150mm,anti-worteldoek ,
zandbed 1000mm, wegenbouwdoek
aansluiten aardingskabel
op aardnet OSP
KABELTREKVEER
KABELTREKVEER
KABELTREKVEER
doorgaande balk
EINDSLUITING
EINDSLUITING
EINDSLUITING
ob10
bss-keperverband 168m2,
dik 80mm, zandbed 1000mm en wegenbouwdoek
ob5
ob10
ob10
ob10

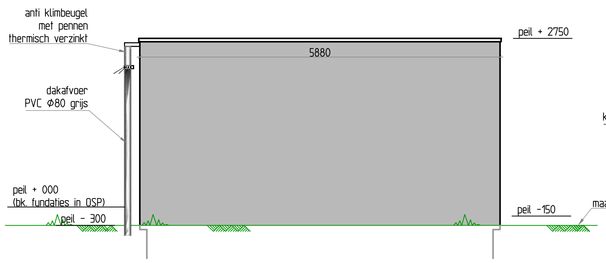

AANZICHT
Oostgevel

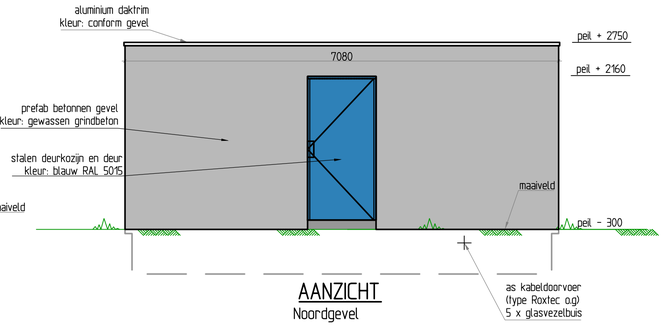

AANZICHT
Noordgevel

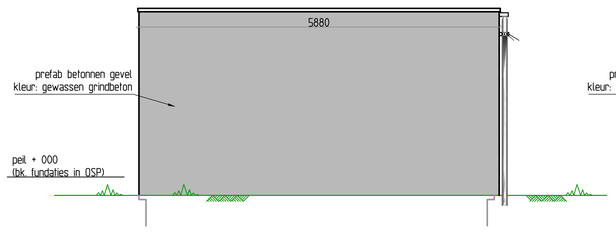

AANZICHT
Westgevel

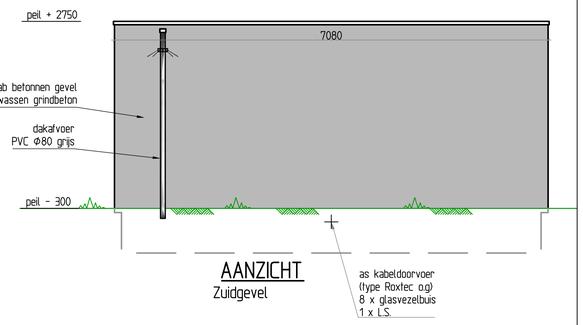

AANZICHT
Zuidgevel

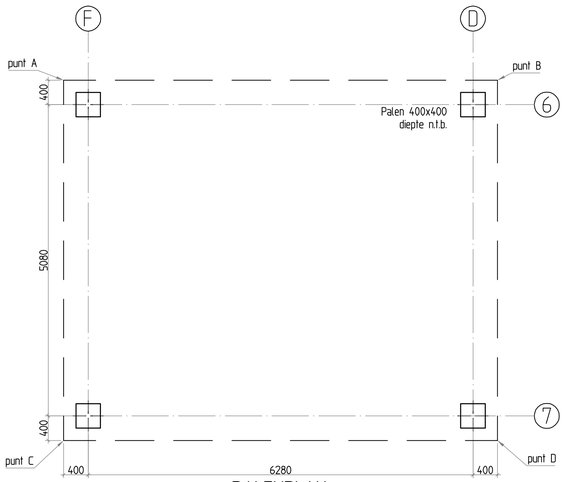

PALENPLAN

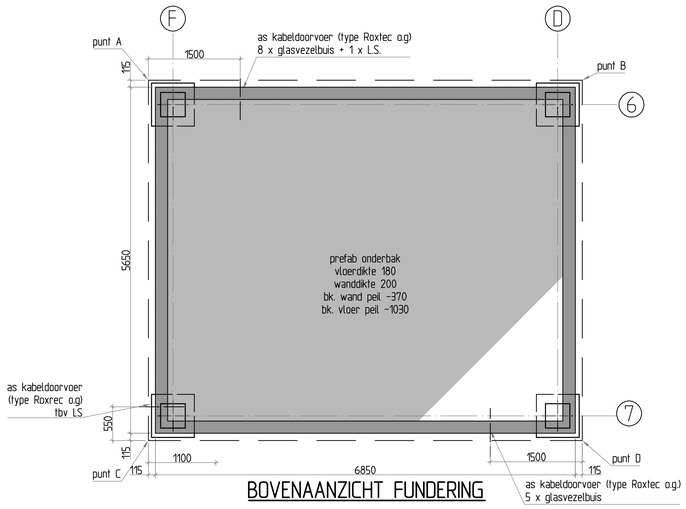

BOVENAANZICHT FUNDERING

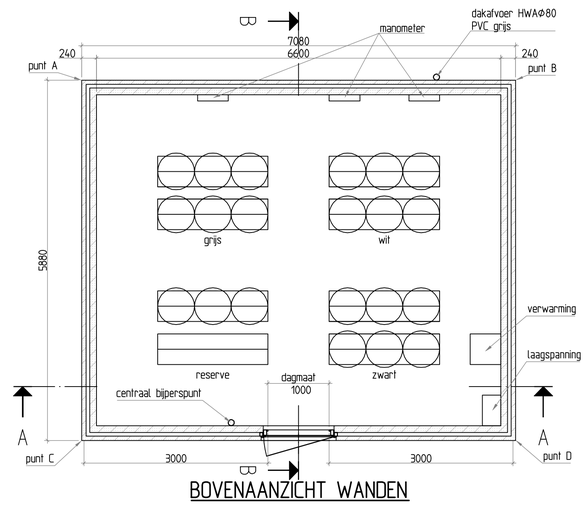

BOVENAANZICHT WANDEN

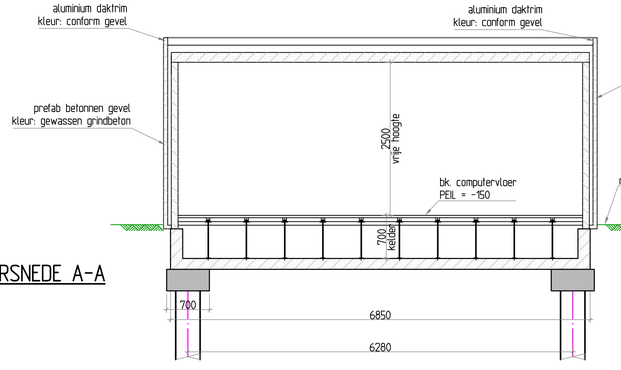

DOORSNEDE A-A

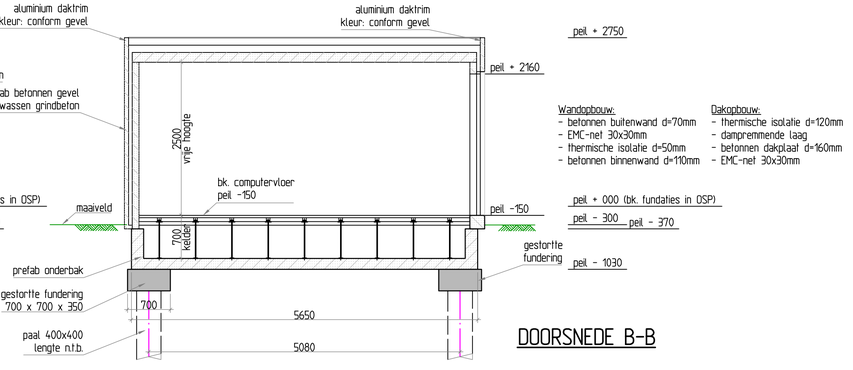

DOORSNEDE B-B

Wandopbouw:
- betonnen buitenwand d=70mm
- EMC-net 30x30mm
- thermische isolatie d=50mm
- betonnen binnenwand d=110mm

Dakopbouw:
- thermische isolatie d=120mm
- dampremmende laag
- betonnen dakplaat d=160mm
- EMC-net 30x30mm

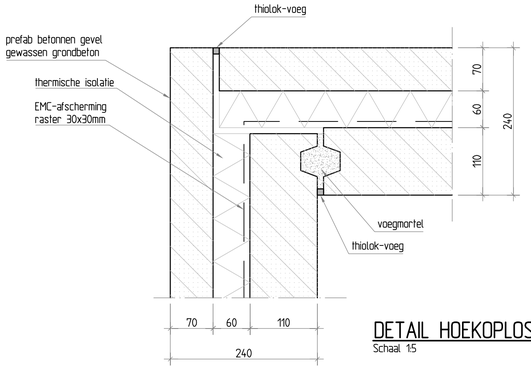

DETAIL HOEKOPLOSSING WAND
Schaal 1:5

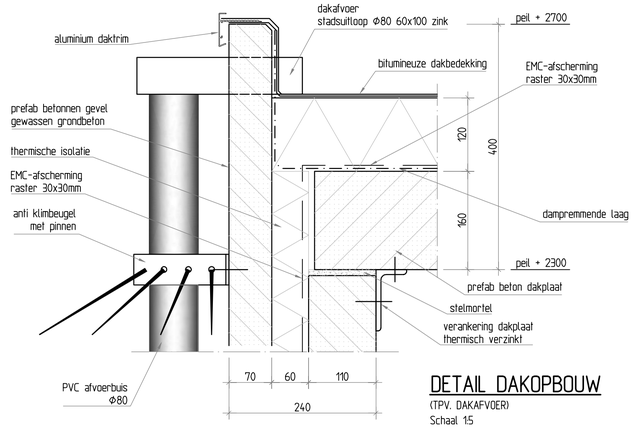

DETAIL DAKOPBOUW
(TPV. DAKAFVOER)
Schaal 1:5

COORDINATEN HOEKPUNTEN

Opstijgpunt mast 109

punt A	X=97904.982	Y=451492.419
punt B	X=97898.177	Y=451494.371
punt C	X=97906.603	Y=451498.071
punt D	X=97899.797	Y=451500.023

TOPOGRAFISCH FRAGMENT
Schaal 1:100.000

OPMERKINGEN:
- Maaivoering in millimeters
- Hoogteligging in meters t.o.v. N.A.P.

Combining Knowledge and Experience

bam COFELY FABRICOM

Randstad 380kV Noordring

		Controleur	Vrijgegeven door
		P. de Jager	A. Hogenboom
03			
02			
01			
Rev.	Wijziging	Datum	Naam

Omschrijving: Definitief Ontwerp
Opstijgpunten
Oliedrukhuis bij mast 109

Schaal: 1:5 / 1:50 Formaat: A1

Projekt: Randstad 380kV Noordring

Naam: W. Vissers Datum: 01-11-2013

TenneT Taking power further

Tekeningnummer: R3N-TEK-0134 blad 001

AutoCAD filename: Systhr: